SEMICONDUCTEURS

MCU/MPU/DSP

Atmel 183, 184, 185, 186, 187, 188, 189
Blackhawk 190
Code Red Technologies 213
Cypress Semiconductor . . 191, 192, 193, 194
Elprotronic Inc 196
Embedded Artists 213
Energy Micro 195
Future Designs, Inc. (FDI). 197
Freescale Semiconductor . . . . 198, 199, 200, ... 201, 202, 203, 204, 205, ... 206, 207, 208, 209, 210
IAR Systems 211
Keil. 212
Microchip Technology . . . . . 214, 215, 216, ... 217, 218
NXP Semiconductors 219, 220, 221
Parallax 222
Ramtron. 223
Signum Systems 224
Silicon Labs 225, 226, 227, 228, 229, 230
STMicroelectronics 231, 232, 233
Olimex Ltd 234
Texas Instruments . . . . . 235, 236, 237, 238, ... 239, 240, 241

Mémoire

Apacer Technology Inc. 242
Atmel 243
Cypress Semiconductor 244, 245, 246
Greenliant 247, 248
ISSI 249
Microchip Technology 250, 251, 252, 253
ON Semiconductor / Catalyst . . 254, 255, 256
Ramtron. 257, 258
Spansion 259

Logique - Programmable

Lattice 260, 261, 262

Logique - Classique

Fairchild Semiconductor 263

CI analogiques et signal mixte

Advanced Linear Devices (ALD) 264
Arctic Silicon Devices 265
Cirrus Logic 266, 267, 268
Cypress Semiconductor 269, 270
Diodes Inc.. . . . . 271, 272
Exar 273, 274, 275, 276
Fairchild Semiconductor 277
Freescale Semiconductor 278
Kionix. 279
Maxim . . . 280, 281, 282, 283, 284, 285, 286, ... 287, 288, 289, 290, 291, 292, 293, ... 294, 295, 296, 297, 298, 299, 300, 301
Microchip 302, 303
NXP Semiconductor . 304, 305, 306, 307, 308
ON Semiconductor 309, 310, 311
Pericom 312, 313
PLX Technology 314, 315
ROHM Semiconductor. 316, 317
Silicon Labs 318, 319
Siliconix 341, 342, 343
SMSC 320
Supertex 321, 322, 323
Teridian Semiconductor. 324, 325
Texas Instruments . . 326, 327, 328, 329, 330, ... 331, 332, 333, 334, 335, ... 336, 337, 338, 339, 340
Wolfson Microelectronics. 344

CI amplificateurs

Advanced Linear Devices (ALD) 345
Avago Technologies 346
Fairchild Semiconductor 347
Infineon Technologies 347
Maxim 348, 349, 350
Microchip Technology 351
ON Semiconductor 352
STMicroelectronics 353, 354, 355
Texas Instruments. . . . . 356, 357, 358, 359, ... 360, 361, 362, 363, 364, 365, 366, 367
TriQuint Semiconductor. 368

Gestion de l'alimentation

Régulateurs, références et comparateurs

Diodes Inc.. . . . . 369, 370
Enpirion 371
Exar 372
Fairchild Semiconductor . . 373, 374, 375, 376
Infineon 377
Maxim . . . . . 378, 379, 380, 381, 382, 383, ... 384, 385, 386, 387, 388, 389
Microchip 390, 391
ON Semiconductor . . . . . 392, 393, 394, ... 395, 396, 397
Silicon Labs 398, 399
Texas Instruments. . . . . 400, 401, 402, 403, ... 404, 405, 406, 407, 408, 409, 410, ... 411, 412, 413, 414, 415, 416, 417, 418
Vishay / Siliconix 419

Semiconducteurs discrets

Diodes et redresseurs

Avago Technologies 420
Bourns 421
Central Semiconductor 422, 423
Comchip 424, 425, 426
Diodes Inc.. . . . . 427, 428, 429, ... 430, 431, 432, 433
Eupec 434
Fairchild Semiconductor . . . . . 435, 436, ... 437, 438, 439
GeneSiC Semiconductor. 440, 441
Infineon 442, 443
NXP Semiconductor 444, 445
ON Semiconductor 446, 447, 448, 449
ROHM Semiconductor. 450
Vishay General Semiconductor. . . . 451, 452, ... 453, 454
Vishay Semiconductors. . . . . 455, 456, 457, ... 458, 459, 460

Transistors

Central Semiconductor 461, 462
Diodes Inc.. . . . . 463, 464, 465, 466
Fairchild Semiconductor . . . . . 467, 468, ... 469, 470, 471
Infineon Technologies 472, 473
NXP Semiconductor 474
ON Semiconductor . . 475, 476, 477, 478, 479
ROHM Semiconductor. 480, 481

MOSFET

Advanced Linear Devices (ALD) 482
Diodes Inc.. . . . . 483, 484
Fairchild Semiconductor . . 485, 486, 487, 488
Infineon Technologies 489, 490, 491, 492
NXP Semiconductors 493
ON Semiconductor 494, 495
ROHM Semiconductor. 496
Supertex 497, 498
Texas Instruments. 499
Vishay Semiconductors. . . . . 500, 501, ... 502, 503, 504
Vishay / Siliconix . . . . . 505, 506, 507, 508, ... 509, 510, 511, 512

Thyristors

Bourns 513
Littelfuse 514, 515, 516, 517
ON Semiconductor 518

Protection transitoire

Bourns 519, 520, 521, 522, 523, 524
CMD (ON Semiconductor). 525, 526, 527
Fairchild Semiconductor 528
Littelfuse 529, 530, 531, 532
NXP Semiconductors 533
ON Semiconductor 534
Texas Instruments. 535
Vishay General Semiconductor. 538, 539
Vishay Semiconductor. 536, 537

Microcontrôleurs et microprocesseurs ATMEL

RoHS Compliant **This product is RoHS compliant.**

MICROPROCESSEUR ARM 32 BITS

Le microprocesseur embarqué AT91SAM9G45 est basé sur l'intégration du processeur ARM926EJ-S avec une SRAM rapide et une large gamme de périphériques. Il est conçu pour fournir une solution processeur haute performance avec une haute flexibilité pour les applications générales et orientées multimédia.

Pour des quantités supérieures à celles indiquées, appelez-nous afin d'obtenir un devis.

RÉF. STOCK MOUSER	Réf. Atmel	Boîtier	Contrôleurs LCD	USB	Ethernet	Interface	SRAM	Broches Entrée / Sortie Max.	Prix unitaire			
									1	10	25	100
556-AT91SAM9G45-CU	AT91SAM9G45-CU	TFBGA-324	1	2 x Haute vitesse	1	Détecteur d'image	64 Ko	160	16,34	12,96	12,66	12,41

MICROCONTRÔLEURS AVR RISC 8 BITS

Les microcontrôleurs AVR d'Atmel à haute performance et faible consommation sont utilisés dans les applications 8 et 16 bits exigeantes. Avec un processeur RISC à instructions à un seul cycle, la technologie innovatrice picoPower® et un ensemble de caractéristiques techniques riches, l'architecture AVR assure l'exécution rapide des codes avec la plus faible consommation possible.

Technologie picoPower®

PicoPower permet à AVR d'avoir la plus faible consommation de l'industrie à 650 nA avec un RTC fonctionnant à 100 nA en mode sommeil.

- Véritable tension d'alimentation 1,8 V
- Courant de fuite minimisé
- BOD en veille
- Signal d'horloge
- Enregistreur de réduction de la consommation
- Enregistreurs d'entrée numériques désactivés
- Échantillon flash

Pour des quantités supérieures à celles indiquées, appelez-nous afin d'obtenir un devis.

RÉF. STOCK MOUSER	Réf. Atmel	Boîtier	Flash	EEPROM	SRAM	Broches d'E/S max.	Alimentation	Vitesse	Prix unitaire			
									1	10	25	100
Usage général												
556-ATTINY13A-MMU	ATTINY13A-MMU	MLF	1 Ko	64B	64B	6	1,8V-5,5V	20 MHz	1,59	1,37	1,01	0,974
556-ATTINY13A-MU	ATTINY13A-MU	MLF	1 Ko	64B	64B	6	1,8V-5,5V	20 MHz	1,55	1,32	0,974	0,883
556-ATTINY13A-PU	ATTINY13A-PU	PDIP	1 Ko	64B	64B	6	1,8V-5,5V	20 MHz	1,09	0,974	0,891	0,891
556-ATTINY13A-SSU	ATTINY13A-SSU	SOIC150	1 Ko	64B	64B	6	1,8V-5,5V	20 MHz	1,03	0,916	0,899	0,866
556-ATTINY13A-SU	ATTINY13A-SU	SOIC	1KB	64B	64B	6	1,8V-5,5V	20 MHz	1,03	0,916	0,899	0,866
556-ATTINY48-AU	ATTINY48-AU	TQFP	4 Ko	64B	256B	6	1,8V-5,5V	12 MHz	2,06	1,77	1,40	1,30
556-ATTINY48-MMU	ATTINY48-MMU	MLF	4 Ko	64B	256B	6	1,8V-5,5V	12 MHz	1,75	1,51	1,33	1,33
556-ATTINY48-MU	ATTINY48-MU	MLF	4 Ko	64B	256B	6	1,8V-5,5V	12 MHz	1,90	1,63	1,40	1,23
556-ATTINY48-PU	ATTINY48-PU	PDIP	4 Ko	64B	256B	6	1,8V-5,5V	12 MHz	1,72	1,47	1,30	1,30
556-ATMEGA48PV-10PU	ATMEGA48PV-10PU	PDIP	4Ko	256B	512B	23	1,8V-5,5V	10 MHz	2,11	1,73	1,58	1,56
556-ATTINY88-AU	ATTINY88-AU	TQFP	8 Ko	64B	512B	6	1,8V-5,5V	12 MHz	2,36	1,53	1,48	1,34
556-ATTINY88-MMU	ATTINY88-MMU	MLF	8 Ko	64B	512B	6	1,8V-5,5V	12 MHz	2,21	1,90	1,64	1,44
556-ATTINY88-MU	ATTINY88-MU	MLF	8 Ko	64B	512B	6	1,8V-5,5V	12 MHz	1,93	1,56	1,48	1,34
556-ATTINY88-PU	ATTINY88-PU	PDIP	8 Ko	64B	512B	6	1,8V-5,5V	12 MHz	2,06	1,62	1,49	1,47
556-ATMEGA88P-20PU	ATMEGA88P-20PU	PDIP	8Ko	512B	512B	23	1,8V-5,5V	20 MHz	3,37	2,99	2,50	2,19
556-ATMEGA164P-20PU	ATMEGA164P-20PU	PDIP	16Ko	512B	1024B	32	2,7V-5,5V	20 MHz	4,62	3,47	2,90	2,64
556-ATMEGA164P-20AU	ATMEGA164P-20AU	TQFP	16Ko	512B	1024B	32	2,7V-5,5V	20 MHz	3,69	3,00	2,77	2,72
556-ATMEGA164P-20MU	ATMEGA164P-20MU	MLF	16 Ko	512B	1024B	32	2,7V-5,5V	20 MHz	3,69	3,00	2,77	2,72
556-ATMEGA164PV10AU	ATMEGA164PV-10AU	TQFP	16Ko	512B	1024B	32	1,8V-5,5V	10 MHz	3,69	3,00	2,77	2,72
556-ATMEGA164PV10MU	ATMEGA164PV-10MU	MLF	16 Ko	512B	1024B	32	1,8V-5,5V	10 MHz	3,70	3,01	2,78	2,73
556-ATMEGA164PV10PU	ATMEGA164PV-10PU	PDIP	16Ko	512B	1024B	32	1,8V-5,5V	10 MHz	3,79	3,07	2,83	2,78
556-ATMEGA168P-20PU	ATMEGA168P-20PU	PDIP	16Ko	512B	1 Ko	23	1,8V-5,5V	20 MHz	4,00	2,87	2,51	2,29
556-ATMEGA165P-16AU	ATMEGA165P-16AU	TQFP	16Ko	512B	1024B	54	2,7V-5,5V	16 MHz	5,29	4,18	3,32	3,03
556-ATMEGA165PV8MU	ATMEGA165PV-8MU	MLF	16 Ko	512B	1024B	54	1,8V-5,5V	8 MHz	5,08	4,37	3,51	3,23
556-ATMEGA328P-AU	ATMEGA328P-AU	TQFP	32Ko	1Ko	2 Ko	23	1,8V-5,5V	20 MHz	4,26	3,63	3,60	3,31
556-ATMEGA328P-PU	ATMEGA328P-PU	PDIP	32Ko	1Ko	2 Ko	23	1,8V-5,5V	20 MHz	4,26	3,63	3,60	3,31
556-ATMEGA324P-20AU	ATMEGA324P-20AU	TQFP	32 Ko	1024B	2048B	32	2,7V-5,5V	20 MHz	4,99	3,87	3,56	3,31
556-ATMEGA324P-20PU	ATMEGA324P-20PU	PDIP	32 Ko	1024B	2048B	32	2,7V-5,5V	20 MHz	5,08	3,93	3,62	3,37
556-ATMEGA324P-20MU	ATMEGA324P-20MU	MLF	32 Ko	1024B	2048B	32	2,7V-5,5V	20 MHz	5,81	4,99	3,87	3,56
556-ATMEGA324PV10AU	ATMEGA324PV-10AU	TQFP	32 Ko	1024B	2048B	32	1,8V-5,5V	10 MHz	4,99	3,87	3,56	3,31
556-ATMEGA324PV10MU	ATMEGA324PV-10MU	MLF	32 Ko	1024B	2048B	32	1,8V-5,5V	10 MHz	4,99	3,87	3,56	3,31
556-ATMEGA324PV10PU	ATMEGA324PV-10PU	PDIP	32 Ko	1024B	2048B	32	1,8V-5,5V	10 MHz	5,08	3,93	3,62	3,37
556-ATMEGA325P-20AU	ATMEGA325P-20AU	TQFP	32 Ko	1024B	2048B	54	2,7 V-5,5 V	20 MHz	5,77	5,00	3,84	3,54
556-ATMEGA3250P-20AU	ATMEGA3250P-20AU	TQFP	32 Ko	1024B	2048B	69	2,7 V-5,5 V	20 MHz	5,78	3,89	3,81	3,35
556-ATMEGA644P-20AU	ATMEGA644P-20AU	TQFP	64Ko	2Ko	4 Ko	32	2,7V-5,5V	20 MHz	6,67	6,20	4,18	4,09
556-ATMEGA644P-20MU	ATMEGA644P-20MU	MLF	64Ko	2Ko	4 Ko	32	2,7V-5,5V	20 MHz	6,67	6,20	4,45	4,09
556-ATMEGA644PV10AU	ATMEGA644PV-10AU	TQFP	64Ko	2Ko	4 Ko	32	1,8V-5,5V	10MHz	6,40	5,96	4,18	3,86
556-ATMEGA1284P-PU	ATMEGA1284P-PU	PDIP	128 Ko	4Ko	16 Ko	32	1,8V-5,5V	20 MHz	6,71	5,86	4,21	3,84
Contrôle LCD 4x25												
556-ATMEGA169PV8AU	ATMEGA169PV-8AU	TQFP	16Ko	0,5Ko	1024 octets	54	1,8V-5,5V	8 MHz	7,14	3,98	3,62	3,32
556-ATMEGA169P-16AU	ATMEGA169P-16AU	TQFP	16Ko	0,5Ko	1024 octets	54	2,7V-5,5V	16 MHz	7,14	3,98	3,62	3,32
556-ATMEGA329PV10AU	ATMEGA329PV-10AU	TQFP	32Ko	1Ko	2048 octets	54	1,8V-5,5V	10 MHz	6,28	5,45	4,18	3,85
556-ATMEGA329P-20AU	ATMEGA329P-20AU	TQFP	32Ko	1Ko	2048 octets	54	2,7 V-5,5 V	20 MHz	6,28	5,40	4,18	3,85
Contrôle LCD 4x40												
556-ATMEGA3290P-20AU	ATMEGA3290P-20AU	TQFP	32Ko	1Ko	2048 octets	69	2,7 V-5,5 V	20 MHz	7,13	6,18	4,75	4,73

MICROCONTRÔLEURS AVR32 32 BITS

La gamme de produits AVR32 UC3 d'Atmel est construite sur le nouveau cœur AVR32 UC optimisé pour des applications à haute intégration qui nécessitent des microcontrôleurs avec mémoire flash programmée sur puce, un volume de calcul élevé, un comportement en temps réel et une faible consommation électrique.

Pour des quantités supérieures à celles indiquées, appelez-nous afin d'obtenir un devis.

RÉF. STOCK MOUSER	Réf. Atmel	Boîtier	Flash	USB	SRAM	Broches d'E/S max.	Alimentation	Prix unitaire			
								1	10	25	100
556-AT32UC3A0128ALUT	AT32UC3A0128-ALUT	LQFP	128 Ko	Pleine vitesse + On-The-Go	32 Ko	109	1,8V-3,3V	8,40	6,77	6,24	5,78
556-AT32UC3A1128-AUT	AT32UC3A1128-AUT	LQFP	128 Ko	Pleine vitesse + On-The-Go	32 Ko	69	1,8V-3,3V	7,62	7,20	5,72	5,23
556-AT32UC3A0256ALUT	AT32UC3A0256-ALUT	LQFP	256 Ko	Pleine vitesse + On-The-Go	64 Ko	109	1,8V-3,3V	12,48	8,00	7,84	7,16
556-AT32UC3A1256-AUT	AT32UC3A1256-AUT	LQFP	256 Ko	Pleine vitesse + On-The-Go	64 Ko	69	1,8V-3,3V	9,25	7,46	6,86	6,60
556-AT32UC3B0256A2UT	AT32UC3B0256-A2UT	QFP	256 Ko	Pleine vitesse + On-The-Go	32 Ko	44	1,8V-3,3V	8,47	6,87	6,48	6,34
556-AT32UC3A0512ALUT	AT32UC3A0512-ALUT	LQFP	512 Ko	Pleine vitesse + On-The-Go	64 Ko	109	1,8V-3,3V	12,54	9,82	9,17	8,46
556-AT32UC3A1512-AUT	AT32UC3A1512-AUT	LQFP	512 Ko	Pleine vitesse + On-The-Go	64 Ko	69	1,8V-3,3V	13,22	11,26	8,29	7,58

CAN AVR

Le contrôleur CAN traite des objets messages indépendants programmables à la volée.

Pour des quantités supérieures à celles indiquées, appelez-nous afin d'obtenir un devis.

RÉF. STOCK MOUSER	Réf. Atmel	Boîtier	Flash	EEPROM	SRAM	Broches d'E/S max.	Alimentation	Vitesse	Prix unitaire			
									1	10	25	100
556-A90CAN64-16AU	AT90CAN64-16AU	TQFP	64Ko	2Ko	4Ko	53	2,7 V-5,5 V	16 MHz	7,26	5,61	4,55	4,16
556-A90CAN128-16AU	AT90CAN128-16AU	TQFP	128Ko	4 Ko	4 Ko	53	2,7 V-5,5 V	16 MHz	9,13	7,33	5,73	5,24
556-AT90CAN128-15AZ	AT90CAN128-15AZ	TQFP	128Ko	4 Ko	4 Ko	53	2,7 V-5,5 V	16 MHz	13,24	12,44	11,64	10,44

© Copyright 2012 Mouser Electronics

© Copyright 2012 Mouser Electronics

Microcontrôleurs ATMEL

RoHS Compliant **This product is RoHS compliant.**

MICROCONTRÔLEURS RF / SANS FIL

RÉF. STOCK MOUSER	Réf. Atmel	Fig.	Formats sans fil acceptés	Fréquence (MHz)	Alimentation	Courant faible	Plage de température	Prix unitaire 1	10	25	100
556-AT86RF212-ZU	AT86RF212-ZU	QFN	Applic. IEEE 802.15.4-2006; IEEE 802.15.4c-2009; Zigbee; 6LoWPAN; ISM	700/800/900	1,8-3,6V	0,2 A	-40 à 85 °C	4,33	3,78	2,88	2,66
556-A86RF230-ZU	AT86RF230-ZU	QFN	Applications IEEE 802.15.4; Zigbee; 6LoWPAN; RF4CE; ISM	2,4 GHz	1,8-3,6V	20nA	-40 à 85 °C	3,55	3,41	3,31	3,26
556-AT86RF231-ZF	AT86RF231-ZF	QFN	Applic. IEEE 802.15.4; Zigbee; 6LoWPAN; RF4CE; SP100; WirelessHART; ISM	2,4 GHz	1,8-3,6V	0,02 A	-40 à 125 °C	4,40	3,89	3,68	3,39
556-AT86RF231-ZU	AT86RF231-ZU	QFN	Applic. IEEE 802.15.4; Zigbee; 6LoWPAN; RF4CE; SP100; WirelessHART; ISM	2,4 GHz	1,8-3,6V	0.02µA	-40 à 85 °C	3,90	3,37	2,60	2,39

MICROCONTRÔLEURS AVR RISC 8 BITS

Les microcontrôleurs AVR d'Atmel à haute performance et faible consommation sont utilisés dans les applications 8 et 16 bits exigeantes. Avec un processeur RISC à instructions sur un seul cycle, la technologie innovatrice picoPower® et un ensemble de caractéristiques techniques riches, l'architecture AVR assure l'exécution rapide des codes avec la plus faible consommation possible.

Mémoire flash programmable megaAVR – 4 Ko-256 Ko

Pour des quantités supérieures à celles indiquées, appelez-nous afin d'obtenir un devis.

RÉF. STOCK MOUSER	Réf. Atmel	Boîtier	Flash	EEPROM	SRAM	Broches d'E/S max.	Puissance Tension	Vitesse	Prix unitaire 1	10	25	100
556-ATMEGA48-20AU	ATMEGA48-20AU	TQFP	4Ko	0,256Ko	512 octets	23	2,7V-5,5V	20MHz	2,25	1,83	1,41	1,30
556-ATMEGA48-20MU	ATMEGA48-20MU	MLF	4Ko	0,256Ko	512 octets	23	2,7V-5,5V	20MHz	2,25	1,83	1,41	1,30
556-ATMEGA48-20PU	ATMEGA48-20PU	PDIP	4Ko	0,256Ko	512 octets	23	2,7V-5,5V	20MHz	2,33	1,90	1,46	1,35
556-ATMEGA48V10AU	ATMEGA48V-10AU	TQFP	4Ko	0,256Ko	512 octets	23	1,8V-5,5V	10MHz	2,25	1,83	1,41	1,30
556-ATMEGA48V10MU	ATMEGA48V-10MU	MLF	4Ko	0,256Ko	512 octets	23	1,8V-5,5V	10MHz	2,25	1,83	1,41	1,30
556-ATMEGA48V10PU	ATMEGA48V-10PU	PDIP	4Ko	0,256Ko	512 octets	23	1,8V-5,5V	10MHz	1,90	1,46	1,35	1,34
556-ATMEGA8515-16AU	ATMEGA8515-16AU	TQFP	8Ko	0,5Ko	512 octets	35	4,5V-5,5V	16MHz	2,93	2,62	1,95	1,77
556-ATMEGA8515-16PU	ATMEGA8515-16PU	PDIP	8Ko	0,5Ko	512 octets	35	4,5V-5,5V	16MHz	4,27	3,29	3,18	2,50
556-ATMEGA8515L-8AU	ATMEGA8515L-8AU	TQFP	8Ko	0,5Ko	512 octets	35	2,7V-5,5V	8MHz	3,10	2,06	1,95	1,77
556-ATMEGA8515L-8PU	ATMEGA8515L-8PU	PDIP	8Ko	0,5Ko	512 octets	35	2,7V-5,5V	8MHz	4,27	3,29	3,18	2,50
556-ATMEGA8535-16AU	ATMEGA8535-16AU	TQFP	8Ko	0,5Ko	512 octets	32	4,5V-5,5V	16MHz	3,33	3,20	2,09	1,91
556-ATMEGA8535-16PU	ATMEGA8535-16PU	PDIP	8Ko	0,5Ko	512 octets	32	4,5V-5,5V	16MHz	3,42	2,64	2,15	1,96
556-ATMEGA8535L8AU	ATMEGA8535L-8AU	TQFP	8Ko	0,5Ko	512 octets	32	2,7V-5,5V	8MHz	2,71	2,09	1,93	1,90
556-ATMEGA8535L-8PU	ATMEGA8535L-8PU	PDIP	8Ko	0,5Ko	512 octets	32	2,7V-5,5V	8MHz	3,42	3,04	2,15	1,96
556-ATMEGA88-20AU	ATMEGA88-20AU	TQFP	8Ko	0,5Ko	1024 octets	23	2,7V-5,5V	20MHz	2,66	2,05	1,99	1,96
556-ATMEGA88-20MU	ATMEGA88-20MU	MLF	8Ko	0,5Ko	1024 octets	23	2,7V-5,5V	20MHz	3,34	2,74	2,11	1,96
556-ATMEGA88-20PU	ATMEGA88-20PU	PDIP	8Ko	0,5Ko	1024 octets	23	2,7V-5,5V	20MHz	2,82	2,18	2,01	1,98
556-ATMEGA88V10AU	ATMEGA88V-10AU	TQFP	8Ko	0,5Ko	1024 octets	23	1,8V-5,5V	10MHz	2,67	2,06	1,91	1,87
556-ATMEGA88V10MU	ATMEGA88V-10MU	MLF	8Ko	0,5Ko	1024 octets	23	1,8V-5,5V	10MHz	3,28	2,67	2,06	1,90
556-ATMEGA88V10PU	ATMEGA88V-10PU	PDIP	8Ko	0,5Ko	1024 octets	23	1,8V-5,5V	10 MHz	2,81	2,17	2,00	1,97
556-ATMEGA16A-AU	ATMEGA16A-AU	TQFP	16Ko	512B	1KB	32	2,7V-5,5V	16MHz	4,26	3,63	3,60	3,31
556-ATMEGA16A-MU	ATMEGA16A-MU	QFN/MLF	16Ko	512B	1KB	32	2,7V-5,5V	16MHz	4,26	3,63	3,60	3,31
556-ATMEGA16A-PU	ATMEGA16A-PU	PDIP	16Ko	512B	1KB	32	2,7V-5,5V	16MHz	4,26	3,63	3,60	3,31
556-ATMEGA16-16AU	ATMEGA16-16AU	TQFP	16Ko	0,5Ko	1024 octets	32	4,5V-5,5V	16MHz	5,54	4,51	3,48	3,23
556-ATMEGA16-16PU	ATMEGA16-16PU	PDIP	16Ko	0,5Ko	1024 octets	32	4,5V-5,5V	16MHz	5,63	4,59	3,54	3,28
556-ATMEGA16L-8AU	ATMEGA16L-8AU	TQFP	16Ko	0,5Ko	1024 octets	32	2,7V-5,5V	8MHz	5,54	4,51	3,48	3,23
556-ATMEGA16L-8PU	ATMEGA16L-8PU	PDIP	16Ko	0,5Ko	1024 octets	32	2,7V-5,5V	8MHz	5,63	4,59	3,54	3,28
556-ATMEGA162-16AU	ATMEGA162-16AU	TQFP	16Ko	0,5Ko	1024 octets	35	2,7V-5,5V	16MHz	5,50	4,48	3,46	3,20
556-ATMEGA162-16MU	ATMEGA162-16MU	MLF	16Ko	0,5Ko	1024 octets	35	2,7V-5,5V	16MHz	5,49	4,47	3,45	3,19
556-ATMEGA162-16PU	ATMEGA162-16PU	PDIP	16Ko	0,5Ko	1024 octets	35	2,7V-5,5V	16MHz	5,59	4,55	3,51	3,25
556-ATMEGA162V8AU	ATMEGA162V-8AU	TQFP	16Ko	0,5Ko	1024 octets	35	1,8V-5,5V	8MHz	5,50	4,48	3,46	3,20
556-ATMEGA162V8PU	ATMEGA162V-8PU	PDIP	16Ko	0,5Ko	1024 octets	35	1,8V-5,5V	8MHz	5,59	4,55	3,51	3,25
556-ATMEGA168-20AU	ATMEGA168-20AU	TQFP	16Ko	0,5Ko	1024 octets	23	2,7V-5,5V	20MHz	3,84	2,16	2,15	2,01
556-ATMEGA168-20MU	ATMEGA168-20MU	MLF	16Ko	0,5Ko	1024 octets	23	2,7V-5,5V	20MHz	3,34	2,25	2,19	2,01
556-ATMEGA168-20PU	ATMEGA168-20PU	PDIP	16Ko	0,5Ko	1024 octets	23	2,7V-5,5V	20MHz	3,34	2,25	2,19	2,01
556-ATMEGA168V10AU	ATMEGA168V-10AU	TQFP	16Ko	0,5Ko	1024 octets	23	1,8V-5,5V	10MHz	3,84	2,16	2,15	2,01
556-ATMEGA168V10MU	ATMEGA168V-10MU	MLF	16Ko	0,5Ko	1024 octets	23	1,8V-5,5V	10MHz	3,34	2,25	2,19	2,01
556-ATMEGA168V10PU	ATMEGA168V-10PU	PDIP	16Ko	0,5Ko	1024 octets	23	1,8V-5,5V	10MHz	3,34	2,25	2,19	2,01
556-ATMEGA32A-AU	ATMEGA32A-AU	TQFP	32Ko	1Ko	2Ko	32	2,7V-5,5V	16MHz	4,32	3,3	2,71	2,48
556-ATMEGA32A-MU	ATMEGA32A-MU	QFN/MLF	32Ko	1Ko	2Ko	32	2,7V-5,5V	16MHz	3,71	3,31	3,11	2,60
556-ATMEGA32A-PU	ATMEGA32A-PU	PDIP	32Ko	1Ko	2Ko	32	2,7V-5,5V	16MHz	4,42	3,71	2,77	2,52
556-ATMEGA329-16AU	ATMEGA329-16AU	TQFP	32Ko	1Ko	2Ko	54	2,7V-5,5V	16MHz	6,28	4,58	3,94	3,58
556-ATMEGA32-16AU	ATMEGA32-16AU	TQFP	32Ko	1Ko	2048 octets	32	4,5V-5,5V	16MHz	6,74	5,49	4,23	3,92
556-ATMEGA32-16MU	ATMEGA32-16MU	MLF	32Ko	1Ko	2048 octets	32	4,5V-5,5V	16MHz	6,74	5,49	4,23	3,91
556-ATMEGA32-16PU	ATMEGA32-16PU	PDIP	32Ko	1Ko	2048 octets	32	4,5V-5,5V	16MHz	6,83	5,56	4,29	3,97
556-ATMEGA32L-8MU	ATMEGA32L-8MU	MLF	32Ko	1Ko	2048 octets	32	2,7V-5,5V	8MHz	6,74	5,49	4,23	3,92
556-ATMEGA32L-8PU	ATMEGA32L-8PU	PDIP	32Ko	1Ko	2048 octets	32	2,7V-5,5V	8MHz	4,28	4,23	4,10	3,92
556-ATMEGA325-16AU	ATMEGA325-16AU	TQFP	32Ko	1Ko	2048 octets	54	2,7V-5,5V	16MHz	5,48	3,69	3,61	3,23
556-ATMEGA64-16AU	ATMEGA64-16AU	TQFP	64Ko	2Ko	4096 octets	54	4,5V-5,5V	16MHz	9,67	6,63	6,53	5,75
556-ATMEGA64L-8AU	ATMEGA64L-8AU	TQFP	64Ko	2Ko	4096 octets	54	2,7V-5,5V	8MHz	9,76	7,94	6,13	5,68
556-ATMEGA640-16AU	ATMEGA640-16AU	TQFP	64Ko	4Ko	8192 octets	86	2,7V-5,5V	16MHz	9,74	8,46	6,49	5,98
556-ATMEGA644-20AU	ATMEGA644-20AU	TQFP	64Ko	2Ko	4096 octets	32	2,7V-5,5V	20MHz	6,48	5,27	4,07	3,77
556-ATMEGA644-20MU	ATMEGA644-20MU	MLF	64Ko	2Ko	4096 octets	32	2,7V-5,5V	20MHz	6,49	5,28	4,08	3,78
556-ATMEGA644-20PU	ATMEGA644-20PU	PDIP	64Ko	2Ko	4096 octets	32	2,7V-5,5V	20MHz	6,49	5,28	4,08	3,78
556-ATMEGA644V10AU	ATMEGA644V-10AU	TQFP	64Ko	2Ko	4096 octets	32	1,8V-5,5V	10MHz	6,40	5,21	4,02	3,72
556-ATMEGA644V10PU	ATMEGA644V-10PU	PDIP	64Ko	2Ko	4096 octets	32	1,8V-5,5V	10MHz	6,49	5,28	4,08	3,78
556-ATMEGA645-16AU	ATMEGA645-16AU	TQFP	64Ko	2Ko	4096 octets	54	2,7V-5,5V	16MHz	7,43	6,05	4,67	4,32
556-ATMEGA64L-8MU	ATMEGA64L-8MU	MLF	64Ko	2Ko	4Ko	53	2,7V-5,5V	8MHz	9,76	9,16	6,18	5,99
556-ATMEGA1281-16MU	ATMEGA1281-16MU	MLF	128Ko	4Ko	8Ko	54	2,7V-5,5V	16MHz	10,82	10,51	7,21	6,64
556-ATMEGA128-16AU	ATMEGA128-16AU	TQFP	128Ko	4Ko	4096 octets	53	4,5V-5,5V	16MHz	20,11	12,26	11,31	10,21
556-ATMEGA128-16MU	ATMEGA128-16MU	MLF	128Ko	4Ko	4096 octets	53	4,5V-5,5V	16MHz	20,11	12,26	11,31	10,21
556-ATMEGA128L-8AU	ATMEGA128L-8AU	TQFP	128Ko	4Ko	4096 octets	53	2,7V-5,5V	8MHz	20,11	12,26	11,31	10,21
556-ATMEGA128L-8MU	ATMEGA128L-8MU	MLF	128Ko	4Ko	4096 octets	53	2,7V-5,5V	8MHz	11,31	9,46	9,31	8,61
556-ATMEGA1280-16AU	ATMEGA1280-16AU	TQFP	128Ko	4Ko	8192 octets	86	2,7V-5,5V	16MHz	11,56	8,32	8,13	7,76
556-ATMEGA1281-16AU	ATMEGA1281-16AU	TQFP	128Ko	4Ko	8192 octets	54	2,7V-5,5V	16MHz	10,82	10,30	7,21	6,64
556-ATMEGA1281V8AU	ATMEGA1281V-8AU	TQFP	128Ko	4Ko	8192 octets	54	1,8V-5,5V	8MHz	10,82	10,30	7,21	6,64
556-ATMEGA1281V8MU	ATMEGA1281V-8MU	MLF	128Ko	4Ko	8192 octets	54	1,8V-5,5V	8MHz	10,82	10,30	7,21	6,64
556-ATMEGA2560-16AU	ATMEGA2560-16AU	TQFP	256Ko	4Ko	8192 octets	86	4,5V-5,5V	16MHz	14,52	9,52	8,28	8,19
556-ATMEGA2560V8AU	ATMEGA2560V-8AU	TQFP	256Ko	4Ko	8192 octets	86	1,8V-5,5V	8MHz	14,52	9,52	8,28	8,19
556-ATMEGA2561-16AU	ATMEGA2561-16AU	TQFP	256Ko	4Ko	8192 octets	54	4,5V-5,5V	16MHz	18,25	9,95	8,95	8,35
556-ATMEGA2561V8AU	ATMEGA2561V-8AU	TQFP	256Ko	4Ko	8192 octets	54	1,8V-5,5V	8MHz	18,25	9,95	8,95	8,35

© Copyright 2012 Mouser Electronics

© Copyright 2012 Mouser Electronics

Microcontrôleurs ATMEL

RoHS Compliant **This product is RoHS compliant.**

MICROCONTRÔLEURS D'AUTHENTIFICATION

RÉF. STOCK MOUSER	Réf. Atmel	Boîtier	Application	SRAM	Courant de repos	Protection ESD	Alimentation	Interface	Prix unitaire			
									1	10	25	100
556-AT88SA100S-TSU-T	AT88SA100S-TSU-T	SOT23-3	Authentification sécurisée de batterie	256 B	<100nA	4 KV	2,5-5,5V	Monoconducteur haute vitesse	0,73	0,627	0,56	0,507
556-AT88SA102S-TSU-T	AT88SA102S-TSU-T	SOT23-3	Authentif. sécurité et échange de clé	-	<100nA	4 KV	2,5-5,5V	Monoconducteur haute vitesse	0,59	0,52	0,464	0,421
556-AT88SA10HS-TSU-T	AT88SA10HS-TSU-T	SOT23-3	Authentification de l'hôte	-	<100nA	4 KV	2,7-5,25V	Monoconducteur haute vitesse	0,73	0,627	0,56	0,507

MICROCONTRÔLEUR AT32UC3L AVR32

Les microcontrôleurs flash de la série AT32UC3L comprennent une mémoire flash de 16, 32 ou 64 Ko, une mémoire SRAM de 8 ou 16 Ko et un CAN 12 bits conçus pour applications alimentées sur batterie. En plus d'être le premier MCU 32 bits avec une véritable technologie picoPower, la série AT32UC3L dispose d'un module tactile capacitif (CAT), qui accepte autant QTouch que QMatrix, et FlashVault permettant le support d'une bibliothèque sécurisée préprogrammée pour les applications de l'utilisateur final.

NEW! TECHNOLOGY

Pour des quantités supérieures à celles indiquées, appelez-nous afin d'obtenir un devis.

RÉF. STOCK MOUSER	Réf. Atmel	Boîtier	Flash	MIPS	SRAM	Broches d'E/S max.	Alimentation	Vitesse	Prix unitaire			
									1	10	25	100
556-AT32UC3L016-AUT	AT32UC3L016-AUT	TQFP-48	16Ko	64	8Ko	36	1,8-3,3V	50MHz	4,84	3,51	3,04	2,77
556-AT32UC3L032-AUT	AT32UC3L032-AUT	TQFP-48	32Ko	64	16Ko	36	1,8-3,3V	50MHz	5,45	4,82	3,43	3,14
556-AT32UC3L064-AUT	AT32UC3L064-AUT	TQFP-48	64Ko	64	16Ko	36	1,8-3,3V	50MHz	6,48	5,73	4,08	3,72

MICROCONTRÔLEURS AVR RISC 8 BITS

L'ATmega128RFA1 est un microcontrôleur 8 bits CMOS à faible puissance basé sur l'architecture RISC améliorée AVR combinée avec un émetteur-récepteur haut débit de données pour la bande ISM de 2,4 GHz. Il est dérivé du microcontrôleur ATmega1281 et de l'émetteur-récepteur radio AT86RF231.

Caractéristiques :

- Microcontrôleur 8 bits AVR® haute performance à faible puissance
- Architecture RISC avancée
- Mémoires de programmes et de données non-volatiles
- Endurance : 2 000 cycles écriture / effacement à 85°C
- Interface JTAG (compatible IEEE std. 1149.1)
- Gestionnaire d'interruption avancé
- Minuteur pour watchdog avec oscillateur sur puce séparé
- Réinitialisation en alimentation et détecteur de courant faible pour éclairage réduit
- Caractéristiques des périphériques
  - Plusieurs canaux MLI et minuteur/compteur
  - Compteur en temps réel avec oscillateur séparé
  - Convertisseur A/N 10 bits, 330 ks/s ; comparateur analogique ; Capteur de température sur puce
  - Interface série SPI maître / esclave
  - Deux USART série programmables
  - Interface série à 2 fils orientée octets
- Modes avancés d'économie d'énergie
- Émetteur-récepteur de faible puissance complètement intégré pour la bande ISM de 2,4 GHz
- Sécurité du matériel (AES, véritable générateur aléatoire)
- Oscillateurs à quartz intégrés (32,768 KHz et 16 MHz)
- Plage de température : -40°C à 85°C Industriel
- Plage de tension d'alimentation 1,8 à 3,6 V avec régulateurs de tension intégrés
- Consommation électrique très faible (1,8 à 3,6V) pour émetteur/récepteur et AVR : <18,6 mA

Pour des quantités supérieures à celles indiquées, appelez-nous afin d'obtenir un devis.

RÉF. STOCK MOUSER	Réf. Atmel	Boîtier	Flash	EEPROM	SRAM	Broches d'E/S max.	Alimentation	Vitesse	Prix unitaire			
									1	10	25	100
556-ATMEGA128RFA1-ZU	ATMEGA128RFA1-ZU	DFN-64	128Ko	4Ko	16Ko	38	1,8V-3,6V	16MHz	7,80	7,26	5,21	4,79

AVR mince - Mémoire flash programmable 1 Ko-8 Ko

Les microcontrôleurs AVR d'Atmel à haute performance et faible consommation sont utilisés dans les applications 8 et 16 bits exigeantes. Avec un processeur RISC à instructions sur un seul cycle, la technologie innovatrice picoPower® et un ensemble de caractéristiques techniques riches, l'architecture AVR assure l'exécution rapide des codes avec la plus faible consommation possible.

Pour des quantités supérieures à celles indiquées, appelez-nous afin d'obtenir un devis.

RÉF. STOCK MOUSER	Réf. Atmel	Boîtier	Flash	EEPROM	SRAM	Broches d'E/S max.	Alimentation	Vitesse	Prix unitaire			
									1	10	25	100
556-ATTINY25-20SSU	ATTINY25-20SSU	SOIC	2Ko	128B	128 octets	6	2,7V-5,5V	20MHz	1,34	1,04	0,949	0,924
556-ATTINY261-20SU	ATTINY261-20SU	SO150	2Ko	128B	128 octets	16	2,7V-5,5V	20MHz	2,30	2,15	1,53	1,41
556-ATTINY2313-20MU	ATTINY2313-20MU	MLF	2Ko	128B	128 octets	18	2,7V-5,5V	20MHz	2,19	1,82	1,37	1,25
556-ATTINY2313-20PU	ATTINY2313-20PU	PDIP	2Ko	128B	128 octets	18	2,7V-5,5V	20MHz	1,78	1,37	1,26	1,25
556-ATTINY2313-20SU	ATTINY2313-20SU	SO150	2Ko	128B	128 octets	18	2,7V-5,5V	20MHz	1,71	1,31	1,21	1,20
556-ATTINY2313V10MU	ATTINY2313V-10MU	MLF	2Ko	128B	128 octets	18	1,8V-5,5V	10MHz	2,19	1,82	1,37	1,25
556-ATTINY2313V10PU	ATTINY2313V-10PU	PDIP	2Ko	128B	128 octets	18	1,8V-5,5V	10MHz	2,20	1,44	1,38	1,25
556-ATTINY2313V10SU	ATTINY2313V-10SU	SO150	2Ko	128B	128 octets	18	1,8V-5,5V	10MHz	1,71	1,31	1,24	1,21
556-ATTINY24-20MU	ATTINY24-20MU	MLF	2Ko	128B	128 octets	12	2,7V-5,5V	20MHz	1,67	1,23	1,18	1,18
556-ATTINY24-20PU	ATTINY24-20PU	PDIP	2Ko	128B	128 octets	12	2,7V-5,5V	20MHz	1,67	1,29	1,20	1,19
556-ATTINY24-20SSU	ATTINY24-20SSU	SOIC150	2Ko	128B	128 octets	12	2,7V-5,5V	20MHz	1,59	1,22	1,17	1,14
556-ATTINY24V10PU	ATTINY24V-10PU	PDIP	2Ko	128B	128 octets	12	1,8V-5,5V	10MHz	1,67	1,29	1,20	1,19
556-ATTINY24V10SSU	ATTINY24V-10SSU	SOIC150	2Ko	128B	128 octets	12	1,8V-5,5V	10MHz	1,60	1,29	1,21	1,20
556-ATTINY25-20PU	ATTINY25-20PU	PDIP	2Ko	128B	128 octets	6	2,7V-5,5V	20MHz	1,41	1,10	1,01	1,01
556-ATTINY25-20SU	ATTINY25-20SU	SO150	2Ko	128B	128 octets	6	2,7V-5,5V	20MHz	1,26	0,974	0,899	0,891
556-ATTINY25V10MU	ATTINY25V-10MU	MLF	2Ko	125B	128 octets	6	1,8V-5,5V	10MHz	1,63	1,24	1,02	0,932
556-ATTINY25V10PU	ATTINY25V-10PU	PDIP	2Ko	128B	128 octets	6	1,8V-5,5V	10MHz	2,28	1,25	1,11	1,00
556-ATTINY261-20PU	ATTINY261-20PU	PDIP	2Ko	128B	128 octets	16	2,7V-5,5V	20MHz	2,30	2,00	1,53	1,41
556-ATTINY26-16PU	ATTINY26-16PU	PDIP	2Ko	125B	128 octets	16	4,5V-5,5V	16MHz	2,52	2,06	1,58	1,44
556-ATTINY26-16SU	ATTINY26-16SU	SO150	2Ko	125B	128 octets	16	4,5V-5,5V	16MHz	2,08	1,51	1,40	1,40
556-ATTINY26L-8PU	ATTINY26L-8PU	PDIP	2Ko	125B	128 octets	16	2,7V-5,5V	8MHz	2,04	1,58	1,46	1,44
556-ATTINY26L-8SU	ATTINY26L-8SU	SO150	2Ko	125B	128 octets	16	2,7V-5,5V	8MHz	2,08	1,51	1,40	1,40
556-ATTINY28L-4PU	ATTINY28L-4PU	PDIP	2Ko	-	32 octets	11	2,7V-5,5V	4MHz	2,00	1,54	1,44	1,41
556-ATTINY45-20PU	ATTINY45-20PU	PDIP	4Ko	256B	256 octets	6	2,7V-5,5V	20MHz	1,54	1,19	1,10	1,09
556-ATTINY45-20SU	ATTINY45-20SU	SO150	4Ko	256B	256 octets	6	2,7V-5,5V	20MHz	1,96	1,19	1,18	1,08
556-ATTINY45V10PU	ATTINY45V-10PU	PDIP	4Ko	256B	256 octets	6	1,8V-5,5V	10MHz	1,90	1,16	1,14	1,09
556-ATTINY45V10SU	ATTINY45V-10SU	SO150	4Ko	256B	256 octets	6	1,8V-5,5V	10MHz	1,96	1,19	1,18	1,08
556-ATTINY461-20PU	ATTINY461-20PU	PDIP	4Ko	256B	256 octets	16	2,7V-5,5V	20MHz	2,43	2,10	1,62	1,49
556-ATTINY461V10PU	ATTINY461V-10PU	PDIP	4Ko	256B	256 octets	16	1,8V-5,5V	10MHz	2,52	2,19	1,67	1,54
556-ATTINY461V10SU	ATTINY461V-10SU	SO150	4Ko	256B	256 octets	16	1,8V-5,5V	10MHz	2,43	2,10	1,62	1,49
556-ATTINY461-20MU	ATTINY461-20MU	MLF	4Ko	256B	256 octets	16	2,7V-5,5V	20MHz	2,43	2,26	1,52	1,39
556-ATTINY84V10MU	ATTINY84V-10MU	MLF	8Ko	512B	512 octets	12	1,8V-5,5V	10MHz	2,47	2,33	1,54	1,53
556-ATTINY84-20PU	ATTINY84-20PU	PDIP	8Ko	512B	512 octets	12	2,7V-5,5V	20MHz	2,39	2,08	1,59	1,47
556-ATTINY85-20PU	ATTINY85-20PU	PDIP	8Ko	512B	512 octets	6	2,7V-5,5V	20MHz	1,50	1,15	1,07	1,06
556-ATTINY85V10PU	ATTINY85V-10PU	PDIP	8Ko	512B	512 octets	6	1,8V-5,5V	10MHz	1,50	1,16	1,07	1,06
556-ATTINY85V10SU	ATTINY85V-10SU	SO150	8Ko	512B	512 octets	6	1,8V-5,5V	10MHz	1,77	1,76	1,18	1,09
556-ATTINY861-20PU	ATTINY861-20PU	PDIP	8Ko	512B	512 octets	16	2,7V-5,5V	20MHz	2,54	2,21	1,76	1,59
556-ATTINY861-20SU	ATTINY861-20SU	SO150	8Ko	512B	512 octets	16	2,7V-5,5V	20MHz	2,50	2,17	1,67	1,53
556-ATTINY861V10PU	ATTINY861V-10PU	PDIP	8Ko	512B	512 octets	16	1,8V-5,5V	10MHz	2,50	2,17	1,67	1,53

© Copyright 2012 Mouser Electronics
© Copyright 2012 Mouser Electronics

Microcontrôleurs ATMEL

RoHS Compliant **This product is RoHS compliant.**

MICROCONTRÔLEURS CORTEX M3

Le microcontrôleur série SAM3U d'Atmel est le premier microcontrôleur flash ARM Cortex M3 32 bits dans le monde avec USB 480 Mbits/s haute vitesse + Phy.
Le SAM3U est le premier microcontrôleur Cortex M3 avec USB haute vitesse et émetteur-récepteur intégré pour le téléchargement/chargement rapide des données, forte tolérance EMI et interconnectivité série haute vitesse prête à l'emploi. Cette série offre une fréquence de fonctionnement maximale de 96 MHz et une architecture à bande passante de donnée élevée basée sur une matrice de bus à 5 couches avec des canaux 22DMA et une mémoire distribuée. Ils offrent également la programmation en application sécurisée (IAP) y compris le programme d'initialisation.

Pour des quantités supérieures à celles indiquées, appelez-nous afin d'obtenir un devis.

RÉF. STOCK MOUSER	Réf. Atmel	Boîtier	Flash	Organisation flash	SRAM	Broches d'E/S max.	Nombre d'UART	Broches FWUP, SHDN	Alimentation	Prix unitaire			
										1	10	25	100
556-ATSAM3U1CA-AU	ATSAM3U1CA-AU	LQFP-100	64Ko	Un seul plan	16Ko	57	3	1	Non	9,31	7,99	5,84	5,35
556-ATSAM3U1CA-CU	ATSAM3U1CA-CU	TFBGA-100	64Ko	Un seul plan	16Ko	57	3	1	Non	10,08	8,68	6,34	5,73
556-ATSAM3U1EA-AU	ATSAM3U1EA-AU	LQFP-144	64Ko	Un seul plan	16Ko	96	4	2	Oui	11,41	9,82	7,16	6,48
556-ATSAM3U1EA-CU	ATSAM3U1EA-CU	LFBGA-144	64Ko	Un seul plan	16Ko	96	4	2	Oui	11,81	10,16	7,42	6,71
556-ATSAM3U2CA-AU	ATSAM3U2CA-AU	LQFP-100	128Ko	Un seul plan	32Ko	57	3	1	Non	10,73	9,24	6,74	6,11
556-ATSAM3U2CA-CU	ATSAM3U2CA-CU	TFBGA-100	128Ko	Un seul plan	32Ko	57	3	1	Non	11,43	9,83	7,18	6,49
556-ATSAM3U2EA-AU	ATSAM3U2EA-AU	LQFP-144	128Ko	Un seul plan	32Ko	96	4	2	Oui	12,46	10,73	7,82	7,18
556-ATSAM3U2EA-CU	ATSAM3U2EA-CU	LFBGA-144	128Ko	Un seul plan	32Ko	96	4	2	Oui	12,78	11,00	8,03	7,37
556-ATSAM3U4CA-AU	ATSAM3U4CA-AU	LQFP-100	256Ko	Deux plans	48Ko	57	3	1	Non	12,78	11,00	8,02	7,26
556-ATSAM3U4CA-CU	ATSAM3U4CA-CU	TFBGA-100	256Ko	Deux plans	48Ko	57	3	1	Non	11,69	8,51	7,99	7,71
556-ATSAM3U4EA-AU	ATSAM3U4EA-AU	LQFP-144	256Ko	Deux plans	48Ko	96	4	2	Oui	8,96	8,73	8,60	8,58

MICROCONTRÔLEUR AT32UC3A3 AVR32

Équipé du processeur 91 DMIPS AVR32 d'Atmel, l'AT32UC3A3 inclut une interface USB haute vitesse On-The-Go, une double carte d'interface SD/MMC haute vitesse plus des interfaces SDRAM et NAND flash avec SLC, MLC et ECC. Il est destiné aux marchés en croissance rapide des solutions multimédias numériques et des stations d'accueil pour lecteur audio. Le microcontrôleur AVR32 d'Atmel est l'un des leaders dans le monde en matière d'architecture à faible consommation, et l'AT32UC3A3 consomme moins de 2 mW/MHz en mode actif. Le microcontrôleur AVR32 peut ainsi offrir plus de 150 heures de lecture audio à partir de deux piles AA. En mode veille, avec seulement l'horloge temps réel qui fonctionne, un dispositif peut rester dans le tiroir pendant plus de 9 ans.

Pour des quantités supérieures à celles indiquées, appelez-nous afin d'obtenir un devis.

RÉF. STOCK MOUSER	Réf. Atmel	Boîtier	Flash	USB	SRAM	Module AES crypto	Broches d'E/S max.	Alimentation	Prix unitaire			
									1	10	25	100
556-AT32UC3A364-ALUT	AT32UC3A364-ALUT	LQFP-144	64Ko	Haute vitesse + On-The-Go	128Ko	Non	110	2,7V-3,6V	7,98	7,24	6,68	6,12
556-AT32UC3A364SALUT	AT32UC3A364S-ALUT	LQFP-144	64Ko	Haute vitesse + On-The-Go	128Ko	Oui	110	2,7V-3,6V	9,22	8,37	7,72	7,08
556-AT32UC3A3128ALUT	AT32UC3A3128-ALUT	LQFP-144	128Ko	Haute vitesse + On-The-Go	128Ko	Non	110	2,7V-3,6V	8,87	8,04	7,43	6,81
556-AT32UC3A3128CTUT	AT32UC3A3128-CTUT	TBGA-144	128Ko	Haute vitesse + On-The-Go	128Ko	Non	110	2,7V-3,6V	9,04	8,20	7,57	6,94
556-AT32UC3A3128SALT	AT32UC3A3128S-ALUT	LQFP-144	128Ko	Haute vitesse + On-The-Go	128Ko	Oui	110	2,7V-3,6V	10,11	9,17	8,46	7,76
556-AT32UC3A3128SCTT	AT32UC3A3128S-CTUT	TBGA-144	128Ko	Haute vitesse + On-The-Go	128Ko	Oui	110	2,7V-3,6V	12,80	11,60	10,71	7,33
556-AT32UC3A3256ALUT	AT32UC3A3256-ALUT	LQFP-144	256Ko	Haute vitesse + On-The-Go	128Ko	Non	110	2,7V-3,6V	14,60	11,14	9,17	8,36
556-AT32UC3A3256CTUT	AT32UC3A3256-CTUT	TBGA-144	256Ko	Haute vitesse + On-The-Go	128Ko	Non	110	2,7V-3,6V	13,43	9,88	9,09	8,48
556-AT32UC3A3256SALT	AT32UC3A3256S-ALUT	LQFP-144	256Ko	Haute vitesse + On-The-Go	128Ko	Oui	110	2,7V-3,6V	11,88	10,77	9,95	9,12
556-AT32UC3A3256SCTT	AT32UC3A3256S-CTUT	TBGA-144	256Ko	Haute vitesse + On-The-Go	128Ko	Oui	110	2,7V-3,6V	12,06	10,94	10,10	9,26

MICROCONTRÔLEURS QTOUCH™

Les dernières innovations d'Atmel en matière d'écrans tactiles permettent de créer les produits les plus enviables qui se démarquent du reste de la production. Les nouveaux dispositifs incluent des CI pour créer des écrans tactiles économiques et élégants qui répondent à une grande variété de types et de gestes tactiles. Ils se différencient en tactiles à un doigt et deux doigts, et prennent en charge le tapotement, la pression, l'appui, le pincement (zoom avant), l'étirement (zoom arrière), la rotation, la pression et le tapotement, la pression et le double tapotement, la pression et l'appui, la pression et le glisser, et le glisser à deux doigts. Avec la gamme la plus étendue de solutions de détection pour les écrans tactiles et autres commandes de touches, Atmel est le fournisseur leader dans le monde des commandes tactiles capacitives robustes et fiables.

Pour des quantités supérieures à celles indiquées, appelez-nous afin d'obtenir un devis.

RÉF. STOCK MOUSER	Réf. Atmel	Boîtier	Description	Prix unitaire			
				1	10	25	100
556-QT60160-ISG	QT60160-ISG	MLF-32	Ce dispositif est conçu pour les applications électroniques mobiles et consommateur à faible coût.	2,87	2,34	1,80	1,80
556-QT60168-ASG	QT60168-ASG	TQFP	Cette puce QT QMatrix™ détecte le toucher du verre sur 16 touches, à l'aide d'électrodes passives placées sur carte PCB.	6,77	6,15	4,25	4,13
556-QT60240-ISG	QT60240-ISG	MLF-32	Ce dispositif est conçu pour les applications électroniques mobiles et consommateur à faible coût.	3,16	2,57	2,46	2,13
556-QT60248-ASG	QT60248-ASG	TQFP	Cette puce QT QMatrix™ détecte le toucher du verre sur 24 touches, à l'aide d'électrodes passives placées sur carte PCB.	8,53	7,74	5,35	5,20
556-QT60326-ASG	QT60326-ASG	TQFP-32	Cette puce QT QMatrix™ détecte le toucher du verre sur 32 touches, à l'aide d'électrodes passives placées sur carte PCB.	10,66	8,68	6,69	6,52
556-QT60486-ASG	QT60486-ASG	TQFP-32	Cette puce QT QMatrix™ détecte le toucher du verre sur 48 touches, à l'aide d'électrodes passives placées sur carte PCB.	12,79	10,41	8,03	7,76

MICROCONTRÔLEURS 8/16 BITS XMEGA

Les microcontrôleurs AVR XMEGA offrent les mêmes caractéristiques acclamées que les dispositifs AVR établis, et ils fonctionnent avec simplement 1,6 V jusqu'à 32 MIPS à 32 MHz. Les dispositifs XMEGA sont des microcontrôleurs à usage général adaptés à une variété d'applications, notamment les systèmes audio, ZigBee®, l'outillage électrique, les équipements médicaux, les contrôleurs de carte, la gestion de réseau, les outils de mesure, les émetteurs-récepteurs optiques, le contrôle des moteurs, l'électroménager et les produits alimentés par batterie.

Pour des quantités supérieures à celles indiquées, appelez-nous afin d'obtenir un devis.

RÉF. STOCK MOUSER	Réf. Atmel	Boîtier	Flash	EEPROM	SRAM	Broches d'E/S max.	Alimentation	Vitesse	Température	Prix unitaire			
										1	10	25	100
556-ATXMEGA16A4-AU	ATXMEGA16A4-AU	TQFP-44	16Ko	1Ko	2Ko	34	1,6V-3,6V	32MHz	de -40 à 85°C	3,43	2,85	2,59	2,58
556-ATXMEGA16A4-CU	ATXMEGA16A4-CU	PBGA-49	16Ko	1Ko	2Ko	34	1,6V-3,6V	32MHz	de -40 à 85°C	3,55	3,07	2,68	2,68
556-ATXMEGA16A4-MH	ATXMEGA16A4-MH	QFN-64	16Ko	1Ko	2Ko	34	1,6V-3,6V	32MHz	de -40 à 85°C	3,69	2,85	2,63	2,54
556-ATXMEGA32A4-AU	ATXMEGA32A4-AU	TQFP-44	32Ko	1Ko	4Ko	34	1,6V-3,6V	32MHz	de -40 à 85°C	4,16	3,22	2,97	2,91
556-ATXMEGA32A4-CU	ATXMEGA32A4-CU	PBGA-49	32Ko	1Ko	4Ko	34	1,6V-3,6V	32MHz	de -40 à 85°C	5,16	4,44	3,24	2,94
556-ATXMEGA32A4-MH	ATXMEGA32A4-MH	QFN-64	32Ko	1Ko	4Ko	34	1,6V-3,6V	32MHz	de -40 à 85°C	4,17	3,22	2,97	2,82
556-ATXMEGA64A1-AU	ATXMEGA64A1-AU	TQFP	64Ko+4Ko	2Ko	8Ko	78	1,6V-3,6V	32MHz	de -40 à 85°C	6,21	5,35	4,17	3,82
556-ATXMEGA64A1-CU	ATXMEGA64A1-CU	CBGA	64Ko+4Ko	2Ko	8Ko	78	1,6V-3,6V	32MHz	de -40 à 85°C	7,36	6,34	4,73	4,29
556-ATXMEGA64A3-AU	ATXMEGA64A3-AU	TQFP-64	64Ko	2Ko	4Ko	50	1,6V-3,6V	32MHz	de -40 à 85°C	5,92	4,51	4,16	3,89
556-ATXMEGA64A3-MH	ATXMEGA64A3-MH	QFN-64	64Ko	2Ko	4Ko	50	1,6V-3,6V	32MHz	de -40 à 85°C	6,77	5,82	4,51	4,16
556-ATXMEGA64A4-AU	ATXMEGA64A4-AU	TQFP-44	64Ko	2Ko	4Ko	34	1,6V-3,6V	32MHz	de -40 à 85°C	4,44	4,20	2,78	2,77
556-ATXMEGA128A1-AU	ATXMEGA128A1-AU	TQFP	128Ko+8Ko	2Ko	8Ko	78	1,6V-3,6V	32MHz	de -40 à 85°C	7,23	5,59	5,16	5,12
556-ATXMEGA128A1-CU	ATXMEGA128A1-CU	CBGA	128Ko+8Ko	2Ko	8Ko	78	1,6V-3,6V	32MHz	de -40 à 85°C	9,28	7,99	5,83	5,70
556-ATXMEGA128A3-AU	ATXMEGA128A3-AU	TQFP-64	128Ko	2Ko	8Ko	50	1,6V-3,6V	32MHz	de -40 à 85°C	6,91	5,72	5,21	5,19
556-ATXMEGA128A3-MH	ATXMEGA128A3-MH	QFN-64	128Ko	2Ko	8Ko	50	1,6V-3,6V	32MHz	de -40 à 85°C	7,39	5,72	5,27	5,19
556-ATXMEGA192A3-AU	ATXMEGA192A3-AU	TQFP-64	192Ko	4Ko	16Ko	50	1,6V-3,6V	32MHz	de -40 à 85°C	8,27	6,33	5,82	5,78
556-ATXMEGA192A3-MH	ATXMEGA192A3-MH	QFN-64	192Ko	4Ko	16Ko	50	1,6V-3,6V	32MHz	de -40 à 85°C	9,50	8,16	6,33	5,82
556-ATXMEGA256A3-AU	ATXMEGA256A3-AU	TQFP-64	256Ko	4Ko	16Ko	50	1,6V-3,6V	32MHz	de -40 à 85°C	11,18	8,66	7,02	6,76
556-ATXMEGA256A3-MH	ATXMEGA256A3-MH	QFN-64	256Ko	4Ko	16Ko	50	1,6V-3,6V	32MHz	de -40 à 85°C	9,60	7,43	6,85	6,59
556-ATXMEGA256A3B-MH	ATXMEGA256A3B-MH	QFN-64	256Ko	4Ko	16Ko	49	1,6V-3,6V	32MHz	de -40 à 85°C	11,95	10,27	9,30	8,60

© Copyright 2012 Mouser Electronics

© Copyright 2012 Mouser Electronics

Microcontrôleurs ATMEL

RoHS Compliant **This product is RoHS compliant.**

MICROCONTRÔLEURS ARM 32 BITS

Les microcontrôleurs 32 bits Smart ARM® d'Atmel offrent : une architecture éprouvée basée sur dix années d'expérience des produits standard ARM ; une réponse prévisible à un événement en temps réel dans un nombre spécifié de cycles d'horloge ; une mémoire flash intégrée pour le stockage flexible du code et des données de référence ; la compatibilité du code entre tous les produits ; des outils de développement de faible coût, le tout étant basé sur l'architecture du processeur RISC ARM 32 bits, un standard de l'industrie.

Pour des quantités supérieures à celles indiquées, appelez-nous pour obtenir un devis.

RÉF. STOCK MOUSER	Réf. Atmel	Boîtier	Mémoire Flash	SRAM	Dispositif USB	Hôte USB	Ether MAC 10 / 100	CAN	UART USART DBGU	Can. A/D 10 bits	Fréq. Max.	MLI (Can.)	Horloge de watchdog	Détection d'éclairage réduit	Prix unitaire 1	10	25	100
556-AT91SAM7L128-AU	AT91SAM7L128-AU	LQFP	128 Ko	6 Ko	-	-	-	-	1		36 MHz	4	1	1	8,66	8,13	6,50	5,9
556-A91SAM7S128AU001	AT91SAM7S128-AU-001	LQFP	128 Ko	32 Ko	1	-	-	-	1	8	55 MHz	4	1	1	6,60	5,24	4,83	4,75
556-AT91SAM7X128B-AU	AT91SAM7X128B-AU	LQFP-100	128 Ko	32 Ko	1	-	1	1	3	8	55 MHz	4	1	1	7,90	5,77	5,36	5,24
556-A91SAM7SE256CU	AT91SAM7SE256-CU	CBGA	256 Ko	32 Ko	1	-	-	-	3	8	48 MHz	4	1	1	13,55	11,68	8,50	7,90
556-A91SAM7SE256AU	AT91SAM7SE256-AU	LQFP	256 Ko	32 Ko	1	-	-	-	1	8	48 MHz	4	1	1	10,67	7,69	7,60	7,10
556-A91SAM7A3AU	AT91SAM7A3-AU	LQFP	256 Ko	32 Ko	1	-	-	2	1	16	60 MHz	8	1	-	13,55	10,08	8,50	7,73
556-A91SAM7SE512AU	AT91SAM7SE512-AU	LQFP	512 Ko	32 Ko	1	-	-	-	3	8	48 MHz	4	1	1	15,37	12,93	9,65	8,83
556-A91SAM7SE512-CU	AT91SAM7SE512-CU	CBGA	512 Ko	32 Ko	1	-	-	-	3	8	48 MHz	4	1	1	16,51	14,23	10,37	9,45
556-A91SAM7X512AU	AT91SAM7X512-AU	LQFP	512 Ko	128 Ko	1	-	1	1	1	8	55 MHz	4	1	1	14,51	11,00	10,67	9,52
556-A91SAM7X512-CU	AT91SAM7X512-CU	BGA	512 Ko	128 Ko	1	-	1	1	1	8	55 MHz	4	1	1	16,88	11,13	10,16	10,07
556-A91SAM7XC512-CU	AT91SAM7XC512-CU	BGA	512 Ko	128 Ko	1	-	1	1	1	8	55 MHz	4	1	1	15,82	11,72	10,68	10,61
556-AT91SAM9M10-CU	AT91SAM9M10-CU	LFBGA-324	2x32 Ko	64 KB	1	2	1	-	5	8	400 MHz	4	1	-	26,22	24,39	16,45	15,07
556-AT91SAM9260B-QU	AT91SAM9260B-QU	PQFP	-	2x4 Ko	1	2	1	-	7	4	180 MHz	-	1	2	12,22	8,98	8,35	8,13
556-AT91SAM9263B-CU	AT91SAM9263B-CU	BGA	-	96 Ko	1	-	1	-	4	-	240 MHz	4	1	-	20,69	15,16	14,22	13,74
556-A91M40800-33AU	AT91M40800-33AU	LQFP	-	8 Ko	-	-	-	-	2	-	40 MHz	-	1	-	6,68	4,58	4,31	4,20
556-A91M55800A-33AU	AT91M55800A-33AU	LQFP	-	8 Ko	-	-	-	-	3	8	33 MHz	-	1	-	10,06	8,48	7,88	7,67
556-A91RM9200CJ-002	AT91RM9200-CJ-002	CBGA	-	16 Ko	1	2	1	-	1	-	180 MHz	-	1	-	25,36	21,84	15,92	14,50
556-A91RM9200QU-002	AT91RM9200-QU-002	PQFP	-	16 Ko	1	1	1	-	5	-	180 MHz	-	1	-	23,61	23,05	14,97	13,60
556-A91R40008-66AU	AT91R40008-66AU	LQFP	-	256 Ko	-	-	-	-	2	-	75 MHz	-	1	-	9,20	7,61	7,15	6,89

MICROCONTRÔLEURS À ARCHITECTURE 8051

Atmel propose une large gamme de microcontrôleurs basés sur l'architecture 8051. La gamme de produits comprend des dispositifs enfichables à socket standard, la capacité de programmation In-System et des dérivés à 20 broches à encombrement réduit, en versions sans ROM, avec ROM, OTP et Flash.

Pour des quantités supérieures à celles indiquées, appelez-nous pour obtenir un devis.

RÉF. STOCK MOUSER	Réf. Atmel	Boîtier	Mémoire Flash	RAM	ISP	Mémoire auto-programmable	E/S	V c.c.	Fréq. Max.	UART	Horloge 16 bits	Watchdog	SPI	Prix unitaire 1	10	25	100
556-A89LP214-20PU	AT89LP214-20PU	PDIP	2Ko	128B	SPI	-	12	2.4 V-5.0 V	20 MHz	1	2	Oui	Oui	1,62	1,39	1,24	1,08
556-A89C2051-24PU	AT89C2051-24PU	PDIP	2Ko	128 Octets	--	--	15	2.7 V-6.0 V	24 MHz	1	2	--	--	1,39	1,37	1,17	1,05
556-A89C205112PU	AT89C2051-12PU	PDIP	2Ko	128 Octets	--	--	15	2.7 V-6.0 V	12 MHz	1	2	--	--	2,44	2,39	2,35	2,24
556-A89C2051-24SU	AT89C2051-24SU	SO150	2Ko	128 Octets	--	--	15	4.0 V-6.0 V	24 MHz	1	2	--	--	1,39	1,35	1,30	1,23
556-A89S2051-24PU	AT89S2051-24PU	PDIP	2 Ko	256B	SPI	--	15	2.7 V-5.5 V	24 MHz	1	2	--	Oui	1,59	1,05	1,04	1,01
556-A89C4051-24PU	AT89C4051-24PU	PDIP	4 Ko	128B	--	--	15	4.0 V-6.0 V	24 MHz	1	2	--	--	1,77	1,45	1,37	1,34
556-A89LP4052-20SU	AT89LP4052-20SU	SO150	4Ko	256B	SPI	--	15	2.4 V-5.5 V	20 MHz	1	2	Oui	Oui	2,13	1,98	1,68	1,58
556-A89S4051-24PU	AT89S4051-24PU	PDIP	4Ko	256B	SPI	--	15	2.7 V-5.5 V	24 MHz	1	2	--	Oui	1,84	1,27	1,26	1,17
556-A89S51-24PU	AT89S51-24PU	PDIP	4 Ko	128 Octets	SPI	--	32	4.0 V-5.5 V	33 MHz	1	2	Oui	--	1,17	1,15	1,14	1,12
556-A89S51-24JU	AT89S51-24JU	PLCC	4 Ko	128 Octets	SPI	--	32	4.0 V-5.5 V	33 MHz	1	2	Oui	--	1,17	1,15	1,14	1,12
556-AT89LP52-20AU	AT89LP52-20AU	TQFP-44	8K	256	UART	--	36	2.4 V-5.5 V	20 MHz	1	3	Oui	Oui	1,96	1,82	1,68	1,50
556-AT89LP52-20MU	AT89LP52-20MU	VQFN-44	8 K	256	UART	--	36	2.4 V-5.5 V	20 MHz	1	3	Oui	Oui	1,96	1,82	1,68	1,50
556-AT89LP52-20PU	AT89LP52-20PU	PDIP-40	8 K	256	UART	--	36	2.4 V-5.5 V	20 MHz	1	3	Oui	Oui	1,96	1,82	1,68	1,50
556-A89LS52-16AU	AT89LS52-16AU	TQFP	8 Ko	256B	SPI	--	32	2.7 V-4.0 V	16 MHz	1	3	Oui	Oui	2,04	1,90	1,76	1,58
556-A89S52-24PU	AT89S52-24PU	PDIP	8 Ko	256B	SPI	--	32	4.0 V-5.5 V	33 MHz	1	3	Oui	--	1,20	1,17	1,14	1,12
556-AT89S52-24JU	AT89S52-24JU	PLCC	8 Ko	256B	SPI	--	32	4.0 V-5.5 V	33 MHz	1	3	Oui	--	1,20	1,17	1,14	1,12
556-A89S52-24AU	AT89S52-24AU	TQFP	8 Ko	256B	SPI	--	32	4.0 V-5.5 V	33 MHz	1	3	Oui	--	1,20	1,17	1,14	1,12
556-A89S8253-24PU	AT89S8253-24PU	PDIP	12 Ko	256B	SPI	--	32	2.7 V-5.5 V	24 MHz	1	3	Oui	Oui	3,73	2,84	2,80	2,48
556-A89S8253-24JU	AT89S8253-24JU	PLCC	12 Ko	256B	SPI	--	32	2.7 V-5.5 V	24 MHz	1	3	Oui	Oui	3,73	2,84	2,80	2,48
556-A89S8253-24AU	AT89S8253-24AU	TQFP	12 Ko	256B	SPI	--	32	2.7 V-5.5 V	24 MHz	1	3	Oui	Oui	3,73	2,84	2,80	2,48
556-A89C51RB2RLTUM	AT89C51RB2-RLTUM	LQFP	16 Ko	1280B	UART	API	32	2.7 V-5.5 V	60 MHz	1	3	Oui	Oui	5,96	5,20	4,45	3,92
556-A89C51RB2SLSUM	AT89C51RB2-SLSUM	PLCC	16 Ko	1280B	UART	API	32	2.7 V-5.5 V	60 MHz	1	3	Oui	Oui	6,21	6,18	4,62	4,33
556-AT89C55WD-24JU	AT89C55WD-24JU	PLCC	20KB	256B	--	--	32	4.0 V-6.0 V	33 MHz	1	3	Oui	--	3,53	2,42	2,40	2,24
556-A89C55WD-24AU	AT89C55WD-24AU	TQFP	20 Ko	256B	--	--	32	4.0 V-5.5 V	24 MHz	1	3	Oui	--	4,38	4,17	3,98	3,55
556-AT89C55WD-24PU	AT89C55WD-24PU	PDIP	20 Ko	256B	--	--	32	4.0 V-5.5 V	24 MHz	1	3	Oui	--	3,53	2,42	2,40	2,24
556-A89C51RC-24PU	AT89C51RC-24PU	PDIP	32 Ko	512B	--	--	32	4.0 V-5.5 V	24 MHz	1	3	Oui	--	3,37	3,14	2,90	2,59
556-A89C51RC2RLTUM	AT89C51RC2-RLTUM	LQFP	32 Ko	1280B	UART	API	32	2.7 V-5.5 V	60 MHz	1	3	Oui	Oui	6,43	4,73	4,60	4,55
556-A89C51RC2-3CSUM	AT89C51RC2-3CSUM	PDIP	32 Ko	1280B	UART	API	32	2.7 V-5.5 V	60 MHz	1	3	Oui	Oui	6,44	6,31	5,81	5,45
556-A89C5131ARDTUM	AT89C5131A-RDTUM	VQFP	32 Ko	1280B	Oui	Oui	34	3.0 V-3.6 V	48 MHz	1	1	Oui	Oui	6,74	5,17	4,74	4,43
556-A89C5131AS3SUM	AT89C5131A-S3SUM	PLCC	32 Ko	1280B	Oui	Oui	34	3.0 V-3.6 V	48 MHz	1	1	Oui	Oui	6,43	4,73	4,60	4,55
556-A89C51AC2RLTUM	AT89C51AC2-RLTUM	LQFP	32 Ko	1280B	UART	API	34	3.0 V-5.5 V	40 MHz	1	3	Oui	-	7,13	6,73	6,34	5,94
556-A89C51C01UARLTUM	AT89C51CC01UA-RLTUM	LQFP	32 Ko	1280B	Oui	Oui	34	3.0 V-5.5 V	40 MHz	1	2	Oui	-	5,72	5,70	5,67	5,35
556-A89C51ED2RLTUM	AT89C51ED2-RLTUM	LQFP	64 KB	2048B	UART	API	32	2.7 V-5.5 V	60 MHz	1	3	Oui	Oui	8,87	5,53	5,48	5,01
556-A89C51RD2SLSUM	AT89C51RD2-SLSUM	PLCC	64 KB	2048B	UART	API	32	2.7 V-5.5 V	60 MHz	1	3	Oui	Oui	7,19	7,01	5,54	4,80
556-A89C51ED2SLSUM	AT89C51ED2-SLSUM	PLCC	64 KB	2048B	UART	API	32	2.7 V-5.5 V	60 MHz	1	3	Oui	Oui	8,87	5,53	5,48	5,01
556-A89C51RE2SLSUM	AT89C51RE2-SLSUM	PLCC	128 Ko	8448B	UART	Oui	34	2.7 V-5.5 V	60 MHz	2	3	Oui	Oui	7,22	6,08	5,94	5,24

© Copyright 2012 Mouser Electronics
© Copyright 2012 Mouser Electronics

Outils et accessoires de développement AVR ATMEL

RoHS Compliant This product is RoHS compliant.

OUTILS ET ACCESSOIRES DE DÉVELOPPEMENT AVR

NEW PRODUCT

RÉF. STOCK MOUSER	Réf. Atmel	Description	Prix Unitaire
Kits de démarrage			
556-ATAVRRAVEN	ATAVRRAVEN	Le kit de démarrage AVR RAVEN permet le développement, le débogage et la démonstration d'un large éventail d'applications sans fil de faible puissance, y compris les réseaux IEEE 802.15.4, 6LoWPAN et ZigBee.	40,36
556-ATAVRRZUSBSTICK	ATAVRRZUSBSTICK	Le RZUSBSTICK AVR consiste en une clé USB équipée d'un émetteur-récepteur 2.4 GHz et d'une connexion USB pour votre PC. L'émetteur-récepteur haute sensibilité AT86RF230 offre la plus longue portée pour les produits sans fil, tandis que l'AT90USB1287 intègre une connexion USB On-The-Go rapide.	33,21
556-ATSTK500	ATSTK500	Kit de démarrage et système de développement pour les microcontrôleurs AVR Flash, pour développer des prototypes et tester de nouveaux designs. Les interfaces STK500 avec AVR Studio ®, l'environnement de développement intégré (IDE) d'Atmel pour l'écriture de code et le débogage.	94,01
556-ATSTK525	ATSTK525	Kit de démarrage pour les microcontrôleurs AT90USB, prenant en charge les JTAGICE mkII et AVRISP mkII via AVR Studio. Inclut plusieurs programmes de démonstration et fichiers hexadécimaux. Les composants peuvent être directement programmés via le port USB grâce à l'utilitaire de programmation FLIP In-System.	174,38
556-ATSTK600	ATSTK600	Kit de démarrage complet et système de développement pour les microcontrôleurs AVR et AVR32 Flash. Conçu pour permettre aux concepteurs de démarrer rapidement sur l'AVR, pourvu de caractéristiques avancées pour utiliser le kit de démarrage afin de créer des prototypes et tester de nouveaux designs. Le socket et les cartes d'adaptation sont vendus séparément sur mouser.com.	160,32
556-ATSTK600-DIP40	ATSTK600-DIP40	L'ensemble STK600-DIP contient une carte socket et des cartes d'adaptation pour les dispositifs PDIP et constitue un module d'extension pour le STK600 (vendu séparément).	-
556-ATSTK600-TQFP32	ATSTK600-TQFP32	L'ensemble STK600-TQFP32 contient une carte socket et des cartes d'adaptation pour les dispositifs pitch 0.8 mm TQFP 32 broches et constitue un module d'extension pour le STK600 (vendu séparément).	-
556-ATSTK600-TQFP64	ATSTK600-TQFP64	L'ensemble STK600-TQFP64 contient une carte support et des cartes d'adaptation pour les dispositifs pitch 0.8 mm TQFP 64 broches et constitue un module d'extension pour le STK600 (vendu séparément).	-
556-STK600UC3A0X-144	ATSTK600-UC3A0X-144	Le STK600-UC3-144 est une carte socket et un module d'extension pour le STK600 (vendu séparément) qui prend en charge les dispositifs AT32UC3A 144 broches TQFP.	81,68
Kits Xplained			
556-AT32UC3A3-XPLD	AT32UC3A3-XPLD	L'UC3-A3 Xplained inclut le dispositif AT32UC3A3256 qui est optimisé pour les communications à haute vitesse et la conversion de protocole.	23,93
556-AT32UC3L0-XPLD	AT32UC3L0-XPLD	L'UC3-L0 Xplained inclut l'AT32UC3L064 qui est un dispositif picoPower optimisé pour les applications de commande de faible puissance.	40,80
556-ATAVRSBIN1	ATAVRSBIN1	La carte capteurs Inertial One d'Atmel fournit une plate-forme de capteurs à 9 degrés de liberté, comprenant un magnétomètre à 3 axes d'AKM (AK8975), un accéléromètre à 3 axes de Bosch (BMA150) et un gyroscope à 3 axes d'InvenSense (ITG-3200).	47,52
556-ATAVRSBPR1	ATAVRSBPR1	La carte capteurs Pressure One d'Atmel offre une plate-forme comprenant un capteur de pression barométrique Bosch (BMP085) à haute précision.	31,68
Outils de débogage			
556-ATAVRDRAGON	ATAVRDRAGON	Le Dragon AVR prend en charge tous les modes de programmation pour la famille de dispositifs AVR. Il inclut aussi une prise en charge complète d'émulation pour les dispositifs équipés de 32 Ko ou moins de mémoire Flash.	40,04
556-ATJTAGICE2	ATJTAGICE2	Outil de développement pour le débogage On-chip de tous les MCU 8 bits RISC AVR les DSP/MCU 32 bits AVR32 compatibles avec l'interface IEEE 1149.1 JTAG.	257,54
556-ATAVRONEKIT	ATAVRONEKIT	Le kit AVR ONE! est un puissant outil de développement pour le débogage et la programmation on-chip de tous les dispositifs AVR32. Les interfaces de programmation prises en charge sont ISP, JTAG, et PDI. Interfaces avec AVR32 Studio 2 et ultérieur.	494,18
Kits de développement			
556-ATA6613-EK	ATA6613-EK	La carte de développement pour l'IC ATA6613 est conçue pour permettre aux concepteurs de démarrer rapidement avec l'IC ATA6613 et de créer des prototypes et de tester de nouveaux designs LIN.	61,88
556-ATA6824-DK	ATA6824-DK	Commande pour moteur c.c. ATA6824, pont en H, haute température. La carte de développement inclut le pilote de portail à pont en H ATA6824 et des FET externes tandis que le microcontrôleur ATmega88 fournit le signal de vitesse. La carte contient uniquement des composants à haute température.	172,22
556-ATAB5570	ATAB5570	L'ATA5570 est basé sur l'ATA5567 mais est enrichi d'une entrée de capteur supplémentaire. La carte est équipée d'une résistance de capteur commutable. Selon l'impédance, les données de la mémoire de la balise seront envoyées en mode inversé ou non-inversé. La conception de la carte permet également de tester d'autres versions de balises dans les ensembles SO8.	60,84
556-ATAVRMC200	ATAVRMC200	L'ATAVRMC200 est un kit d'évaluation dédié à la commande de moteurs c.a. asynchrones, grâce à divers capteurs pour la régulation. Le kit comprend une carte d'évaluation et un micrologiciel de démonstration. Prenant en charge les moteurs 110-230 V, le kit permet aussi l'évaluation des moteurs BLDC grâce au microcontrôleur AVR AT90PWM3/3B.	257,54
556-ATAVRMC201	ATAVRMC201	Moteur asynchrone c.a. pour l'ATAVRMC200, permettant une évaluation complète et immédiate. Moteur triphasé à 4 pôles de 90 W à 230 V et 1320 RPM.	81,68
556-ATAVRSB201	ATAVRSB201	Le SB201 est un kit d'évaluation et de développement pour le dispositif ATmega16HVA d'Atmel® pour batterie intelligente. Le dispositif est conçu pour les accus avec une ou deux batteries en série et inclut une protection autonome des batteries de même que des capacités très précises de mesure de la tension, du courant et de la température.	114,68
556-ATDVK90CAN1	ATDVK90CAN1	Kit de développement pour utilisation avec les microcontrôleurs AVR AT90CAN. Carte autonome pouvant être branchée au kit de démarrage STK500 pour compléter l'évaluation et permettre des développements supplémentaires.	92,39
Kits d'évaluation			
556-ATAVRFBKIT	ATAVRFBKIT	Kit pour variateur de ballast fluorescent qui démontre la capacité de l'AT90PWM2 de contrôler toutes les fonctions principales d'un ballast fluorescent DALI.	159,82
556-ATAVRBC100	ATAVRBC100	Le BC100 est un design de référence qui permet la charge et la décharge de deux piles ou accus avec une tension de charge programmable jusqu'à 40V.	161,01
556-ATAVRMC320	ATAVRMC320	Le kit MC320 est un système matériel complet qui permet la commande du moteur au moyen de l'ATmega32M1 et inclut la connectivité CAN et LIN. Il inclut la carte de puissance MC300, la carte processeur MC310 (qui peuvent être achetés séparément) et un moteur BLDC.	238,43

© Copyright 2012 Mouser Electronics

© Copyright 2012 Mouser Electronics

Outils et accessoires de développement AVR ATMEL

RoHS Compliant This product is RoHS compliant.

OUTILS ET ACCESSOIRES DE DÉVELOPPEMENT AVR

RÉF. STOCK MOUSER	Réf. Atmel	Description	Prix unitaire
Kits d'évaluation			
556-ATAVRRZ600	ATAVRRZ600	Le kit d'évaluation RZ600 permet le développement, le débogage et la démonstration d'applications sans fil compatibles IEEE 802.15.4 telles que ZigBee et 6LoWPAN. Le kit est certifié FCC et contient des cartes d'évaluation pour les familles d'émetteurs-récepteurs RF AT86RF212 et AT86RF23x couvrant les bandes régionales 700/800/900 MHz et mondiale 2.4 GHz ISM pour utilisation avec STK600.	**147,68**
556-ATAVRRZ502	ATAVRRZ502	Le kit d'accessoires RF RZ502 permet le développement, le débogage et la démonstration de liens point à point. Des topologies de réseau plus avancées peuvent être développées par l'ajout de kits d'accessoires RF. Le kit est un module qui s'ajoute au kit de démarrage STK®500 AVR et nécessite un STK500 et un STK501 pour les développements.	**160,00**
556-ATAVRRZRAVEN	ATAVRRZRAVEN	Le kit d'évaluation et de démarrage 2.4 GHz permet le développement, le débogage et la démonstration d'un large éventail de systèmes sans fil de faible puissance. applications y compris IEEE 802.15.4, 6LoWPAN et réseaux Zigbee	**95,39**
556-ATAVRSB200	ATAVRSB200	Le SB200 est une plate-forme de développement pour les designs de référence SB20x, qui offrent un moyen facile pour commencer l'évaluation et ensuite le développement d'applications de batteries intelligentes utilisant le micro-contrôleur AVR®.	**164,18**
556-ATAVRBFLY	ATAVRBFLY	Outild'évaluation livré avec micro-programme pré-installé prenant en charge les mesures de température, de luminosité, de tension et la lecture de la musique.	**29,95**
556-ATEVK1100	ATEVK1100	L'EVK1100 est un kit d'évaluation et un système de développement pour le micro-contrôleur AVR32 AT32UC3A. Il est équipé d'un riche ensemble de périphériques et permet de tester facilement tout le potentiel des appareils AVR32.	**139,43**
556-ATEVK1101	ATEVK1101	L'EVK1101 est un kit d'évaluation et un système de développement pour le micro-contrôleur AVR32 AT32UC3B. Il est équipé d'un riche ensemble de périphériques et permet d'essayer facilement tout le potentiel des appareils AVR32.	**116,00**
556-ATEVK1105	ATEVK1105	L'AVR32 EVK1105 est un kit d'évaluation pour l'AT32UC3A0512 qui démontre la technologie de pointe du micro-contrôleur Atmel pour le décodage audio Hi-Fi et les applications de streaming.	**147,68**
556-E1103	E1103	Le kit d'évaluation E1103 contient une carte-mère et un pavé numérique amovible à 10 touches. Les cartes illustrent les capacités du CI QT1103, incluant un contrôle tactile à dix canaux, l'auto-étalonnage, la détection des touches bloquées et la suppression de la touche adjacente (AKS™). Le kit comprend les cartes et 2 CI QT1103 supplémentaires.	**32,18**
556-E240B	E240B	Le circuit d'évaluation E240B montre combien il est facile de concevoir un petit PCB simple face pour diverses applications telles que de petits appareils électriques, moniteurs ou périphériques pour PC, quand une solution tactile économique est nécessaire à l'amélioration du produit.	**14,26**
556-EVK1060A	EVK1060A	L'EVK1060A permet à l'utilisateur d'évaluer toutes les fonctions du contrôleur tactile QT1060. Ce kit fournit un design de référence pratique et permet à l'utilisateur de visualiser les boutons tactiles discrets, le canal de protection et les LED de contrôle.	**68,06**
556-EVK2160A	EVK2160A	L'EVK2160A permet à l'utilisateur d'évaluer toutes les fonctions du contrôleur tactile QT2160. Ce kit fournit un design de référence pratique et permet à l'utilisateur de visualiser les boutons tactiles discrets ou un contrôleur de DEL à curseur tactile.	**68,06**

RÉF. STOCK MOUSER	Réf. Atmel	Description	Prix unitaire
Programmation In-System			
556-ATAVRISP2	ATAVRISP2	Programmeur In-System utilisé pour les mises à niveau des microcontrôleurs. Le combo AVRISP mkII avec AVR Studio® peut programmer les nouveaux micro-contrôleurs AVR 8 bits RISC avec interface ISP.	**28,79**
Module d'interface			
556-ATADAPCAN01	ATADAPCAN01	Extension des circuits de développement STK500 et STK501 qui ajoute la prise en charge du dispositif AVR AT90CAN128 dans un unique environnement de développement.	**15,68**
Designs de référence			
556-ATAVRDB101	ATAVRDB101	Module d'affichage comprenant un LCD graphique 128x64 pixels avec rétro-éclairage RVB.	**94,01**
556-ATAVRUSBRF01	ATAVRUSBRF01	Le kit contient deux modules RF USB AVR identiques pouvant être connectés à deux ports USB différents pour établir une communication sans fil et évaluer la solution.	**56,93**
Kits et outils de développement à microcontrôleurs ARM			
556-A91SAM7S-EK	AT91SAM7S-EK	Permet l'évaluation et le développement du code des applications qui s'exécutent sur un périphérique AT91SAM7S.	**123,11**
556-A91SAM7X-EK	AT91SAM7X-EK	Permet l'évaluation et le développement du code des applications qui s'exécutent sur un périphérique AT91SAM7X.	**224,74**
556-AT91SAM9G20-EK	AT91SAM9G20-EK	Le kit d'évaluation AT91SAM9G20-EK prend en charge les microcontrôleurs AT91SAM9G20 de type ARM926EJ-S RISC 32 bits pour le développement et l'évaluation en temps réel du code.	**412,50**
556-AT91SAM9RL-EK	AT91SAM9RL-EK	Le kit d'évaluation AT91SAM9RL-EK prend en charge les microcontrôleurs AT91SAM9RL de type ARM926EJ-S RISC 32 bits pour le développement et l'évaluation en temps réel du code.	**618,75**
556-A91RM9200EK	AT91RM9200-EK	Prend en charge les microcontrôleurs AT91RM9200 de type ARM9 RISC 32 bits et permet le développement et l'évaluation en temps réel du code.	**1031,25**
556-A91SAM9261-EK	AT91SAM9261-EK	Prend en charge les microcontrôleurs AT91RM9261 de type ARM926EJ-S RISC 32 bits et permet le développement et l'évaluation en temps réel du code.	**988,87**
556-A91SAM9260-EK	AT91SAM9260-EK	Permet l'évaluation et le développement du code des applications qui s'exécutent sur un périphérique AT91SAM9260.	**570,53**
556-A91SAM-ICE	AT91SAM-ICE	SAM-ICE est un émulateur JTAG conçu pour les noyaux Atmel AT91 ARM7/ARM9.	**116,38**
556-AT91SAM7SE-EK	AT91SAM7SE-EK	Kit d'évaluation et de développement du code des applications qui s'exécutent sur un périphérique AT91SAM7SE.	**180,13**
556-AT91SAM9263-EK	AT91SAM9263-EK	Permet l'évaluation et le développement du code des applications qui s'exécutent sur un périphérique AT91SAM9263.	**1072,26**
556-AT91SAM9XE-EK	AT91SAM9XE-EK	Kit d'évaluation pour la série SAM9XE	**412,50**
Kits et accessoires de développement pour microcontrôleur avec architecture 8051			
556-AT88SC-DK1	AT88SC-DK1	Adaptateur crypto mémoire et kit de développement	**34,28**
556-A89ISP	AT89ISP	Le logiciel AT89ISP effectue la programmation In-System (ISP) des dispositifs Atmel AT89S/LP. Il fournit une interface intuitive pour la programmation In-System pouvant être exécutée depuis un ordinateur personnel.	**24,39**
556-A89STK-05	AT89STK-05	Le kit de démarrage USB aide les développeurs qui utilisent un microcontrôleur USB Flash AT89C5131. Circuit d'évaluation inclus Outil de programmation In-System (FLIP) et programme de démonstration du clavier IHM (Interface homme-machine).	**146,86**
556-A89STK-11	AT89STK-11	Kit de démarrage dédié aux microcontrôleurs C51 Flash standard programmables In-System.	**148,50**
556-A89OCD-01	AT89OCD-01	Émulateur fournissant un moyen fiable de charger et de déboguer les microcontrôleurs Atmel AT8xC51.	**148,50**

© Copyright 2012 Mouser Electronics

© Copyright 2012 Mouser Electronics

Outils d'émulation BLACKHAWK pour DSP TI

ÉMULATEURS ÉVOLUÉS JTAG

Blackhawk™ est leader dans la conception d'outils de développement de matériel et de logiciels DSP. Blackhawk a été le premier à développer émulateur USB/JTAG pour les dispositifs de la classe XDS510 de Texas Instruments et pour la future génération avec l'émulateur Blackhawk USB560 JTAG.

Caractéristiques techniques USB2000 :
- Contrôleur de la classe XDS510™ à très faible coût
- Interface USB host « plug-and-play »
- Accepte les processeurs de signal numérique TI c2000 : F283x, F281x, F280x, F280xx, LF240x
- Prise en charge E/S pour dispositifs de 3,3 / 5,0 volts
- DEL d'état bicolore (rouge / vert)
- Prise en charge de Code Composer Studio version 3.3
- Utilitaire d'extension Blackhawk FlashBurn
- Adaptateur d'isolation optionnel disponible

Caractéristiques techniques USB510 :
- Podomètre à conception ultra-compacte avec DEL d'état
- Port USB 2.0 Hi-Speed (480 mégabits/s)
- Alimentation par bus ; pas d'alimentation externe nécessaire
- Installation Windows® Plug n' Play
- Auto-détection de basse tension d'E/S
- Ensemble de câbles micro-coaxiaux haut débit
- Assistance technique et téléchargements en ligne gratuits
- Connecteur JTAG 14 broches standard
- Prix abordable

Caractéristiques techniques USB560 :
- Prise en charge RTDX™ haute vitesse à débits de données de plus de 2 Mo/s
- Podomètre compact avec DEL indicateurs d'état USB et de mise sous tension
- Port USB 2.0 Hi-Speed (480 mégabits/s)
- Câble JPAG micro coaxial haute vitesse, 12 pouces, flexible avec embase cTI (Compact TI) à 20 broches
- Prise en charge de l'auto-détection de basse tension E/S jusqu'à 0,5 V
- Capacité avancée non intrusive de déclenchement d'événement en temps réel
- Installation Windows® Plug n' Play
- Jusqu'à 100 fois plus rapide que les émulateurs XDS510
- Compatibilité totale avec l'EDI Full Code Composer Studio versions 2.2 et suivantes
- Logiciel de commande à distance

RÉF. STOCK MOUSER	Réf. Blackhawk	Fig.	Description	Prix unitaire
716-BH-USB-2000	BH-USB-2000	A	Contrôleur USB2000	246,67
716-BH-USB-510L	BH-USB-510L	B	Émulateur USB510L	820,87
716-BH-PCI-560	BH-PCI-560	C	Émulateur PCI560	2268,73
716-BH-USB-560BP	BH-USB-560BP	D	Émulateur USB560BP	2454,11
716-BH-USB-560M	BH-USB-560M	E	Émulateur USB560M	2473,95
716-BH-LAN-560	BH-LAN-560	F	Émulateur LAN560	2883,38
716-BH-USB-560T	BH-USB-560T	G	Système de trace XDS560	8245,88

ÉMULATEUR JTAG USB510 POUR TI DSP

L'émulateur JTAG Blackhawk™ USB510 est la dernière addition à notre gamme d'émulateurs JTAG à haute performance pour les familles TMS320, TMS470 (ARM) et OMAP de Texas Instruments. L'émulateur JTAG USB510, de la taille d'une carte de crédit, est le plus léger et le plus compact des émulateurs JTAG disponibles.

Caractéristiques :
- Podomètre à conception ultra-compacte avec DEL d'état
- Port USB 2.0 Hi-Speed (480 mégabits/s)
- Alimentation par bus ; pas d'alimentation externe nécessaire
- Installation Windows® Plug n' Play
- Auto-détection de basse tension d'E/S
- Pilotes Windows® 98, ME, 2000, XP
- Ensemble de câbles micro-coaxiaux haut débit
- Assistance technique et téléchargements en ligne gratuits
- Connecteur JTAG 14 broches standard

NEW PRODUCT

RÉF. STOCK MOUSER	Réf. Blackhawk	Fig.	Description	Prix unitaire
716-BH-XDS-560V2-BP	BH-XDS-560v2-BP	H	XDS560v2 alimenté par bus	1237,50
716-BH-XDS-560V2	BH-XDS-560v2	H	Modèle XDS560v2 PoE	1320,00
716-BH-POE-KIT-1	BH-POE-KIT-1	H	Kit d'alimentation PoE	82,50
716-BH-CBL-560	BH-CBL-560	H	Câble XDS560 Rév. D	1233,38
716-BH-EMU-JACK	BH-EMU-JACK	H	Adaptateur JTAG OMAP	122,93

LOGICIELS :

Blackhawk comprend aussi plusieurs outils logiciels avancés, l'OS POSIX et des utilitaires d'émulation, spécialement prévus pour le domaine de l'embarqué.

RÉF. STOCK MOUSER	Réf. Blackhawk	Fig.	Description	Prix unitaire
716-BH-RES-PRO	BH-RES-PRO	--	Logiciel Pro de contrôle à distance	820,87

ADAPTATEURS D'ÉMULATION

Adaptateurs d'isolation

L'adaptateur d'isolation Blackhawk est un dispositif qui connecte votre émulateur JTAG au connecteur JTAG de votre carte cible. L'adaptateur est conçu pour minimiser et protéger les dispositifs connectés (ordinateur/émulateur/cible) de la tension de retour à la masse, des environnements rigoureux et des conceptions nouvelles et non testées.

RÉF. STOCK MOUSER	Réf. Blackhawk	Fig.	Description	Prix unitaire
716-BH-ADP-ISO-14	BH-ADP-ISO-14	--	Adaptateur d'isolation 14 broches	246,45
716-BH-ADP-ISO-20	BH-ADP-ISO-20	--	Adaptateur d'isolation 20 broches	246,45

Convertisseurs à broches

Blackhawk offre plusieurs adaptateurs d'émulation différents pour l'adaptation aux embases cibles JTAG standard de Texas Instruments. Voici une liste des adaptateurs d'émulation disponibles auprès de Blackhawk ou d'un distributeur agréé Blackhawk.

RÉF. STOCK MOUSER	Réf. Blackhawk	Fig.	Description	Prix unitaire
716-BH-20ECTI-14TTI	BH-20e_cTI-14t_TI	I	Convertisseur de broches d'adaptateur	82,50
716-BH-20ECTI-20TARM	BH-20e_cTI-20t_ARM	J	Convertisseur de broches d'adaptateur	82,50
716-BH-20ECTI-60TTI	BH-20e_cTI-60t_TI	K	Convertisseur de broches d'adaptateur	124,27
716-BH-14ETI-60TTI	BH-14e_TI-60t_TI	L	Convertisseur de broches d'adaptateur	123,75
716-BH-14ETI-20TCTI	BH-14e_TI-20t_cTI	M	Convertisseur de broches d'adaptateur	82,50
716-BH-60ETI-14TTI	BH-60e_TI-14t_TI	--	Convertisseur de broches d'adaptateur	124,27
716-BH-60ETI-60TTI	BH-60e_TI-60t_TI	--	Économiseur de broches d'adaptateur	124,27

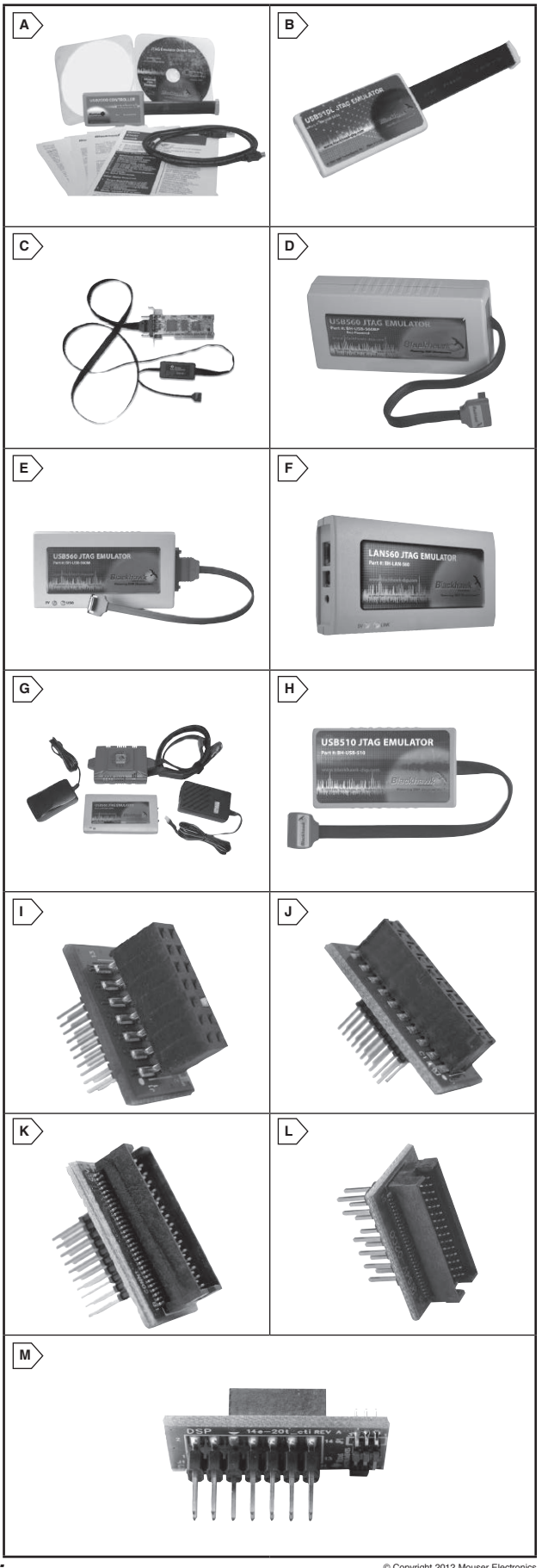

© Copyright 2012 Mouser Electronics

© Copyright 2012 Mouser Electronics

Microcontrôleurs PSoC CYPRESS

RoHS Compliant **This product is RoHS compliant.**

BARRETTES À SIGNAL MIXTE PSoC®

Avec la plate-forme sur puce programmable PSoC® de Cypress, vous êtes libre d'imaginer de nouveaux produits révolutionnaires et vous avez la capacité de les mettre sur le marché avant tout le monde. Le PSoC est un véritable système sur puce, embarqué et programmable, qui intègre des fonctions périphériques analogiques et digitales configurables, une mémoire et un microcontrôleur sur une seule puce. Grâce à une méthodologie de conception embarquée visuelle très souple qui comprend des périphériques préconfigurés définis par l'utilisateur et une entrée schématique hiérarchisée, vous pouvez changer d'avis aussi souvent que vous le souhaitez sans prendre de retard. Plus besoin de recommencer les projets depuis le début. Plus besoin de catalogues. Plus de limites.

PSoC® 2

Pour des quantités supérieures à celles indiquées, appelez-nous pour obtenir un devis.

RÉF. STOCK MOUSER	Réf. Cypress	Boîtier	E/S	Blocs analogiques	Blocs numériques	Dimension mémoire	RAM	Vcc (V)	Prix unitaire 1	25	50
PSoC CY8C20x24											
727-CY8C20424-12LQXI	CY8C20424-12LQXI	QFN-24	28	-----	-----	8	512	de 2,4 à 5,25	**2,26**	**2,03**	**1,91**
PSoC CY8C20x34											
727-CY8C20234-12LKXI	CY8C20234-12LKXI	QFN-16	13	-----	-----	8	512	de 2,4 à 5,25	**2,41**	**1,47**	**1,37**
727-CY8C20434-12LQXI	CY8C20434-12LQXI	QFN-32	28	-----	-----	8	512	de 2,4 à 5,25	**2,10**	**1,88**	**1,77**
PSoC CY8C21x23											
727-CY8C21123-24SXI	CY8C21123-24SXI	SOIC-8	6	4 Type « E »	2 basiques, 2 comm.	4	256	de 2,4 à 5,25	**1,47**	**0,891**	**0,833**
727-CY8C21223-24LGXI	CY8C21223-24LGXI	QFN-16	12	4 Type « E »	2 basiques, 2 comm.	4	256	de 2,4 à 5,25	**1,40**	**1,26**	**1,19**
727-CY8C21223-24SXI	CY8C21223-24SXI	SOIC-16	12	4 Type « E »	2 basiques, 2 comm.	4	256	de 2,4 à 5,25	**1,88**	**1,14**	**1,06**
727-CY8C21323-24PVXI	CY8C21323-24PVXI	SSOP-20	16	4 Type « E »	2 basiques, 2 comm.	4	256	de 2,4 à 5,25	**1,30**	**1,07**	**0,99**
PSoC CY8C21x34											
727-CY8C21234-24SXI	CY8C21234-24SXI	SOIC-16	12	4 Type « E »	2 basiques, 2 comm.	8	512	de 2,4 à 5,25	**2,33**	**1,81**	**1,63**
727-CY8C21334-24PVXI	CY8C21334-24PVXI	SSOP-20	16	4 Type « E »	2 basiques, 2 comm.	8	512	de 2,4 à 5,25	**2,51**	**1,93**	**1,77**
727-CY8C21434-24LCXI	CY8C21434-24LCXI	QFN-32	28	4 Type « E »	2 basiques, 2 comm.	8	512	de 2,4 à 5,25	**3,70**	**3,32**	**2,99**
727-CY8C21434-24LTXI	CY8C21434-24LTXI	QFN-28	28	4 Type « E »	2 basiques, 2 comm.	8	512	de 2,4 à 5,25	**3,03**	**2,43**	**2,22**
727-CY8C21534-24PVXI	CY8C21534-24PVXI	SSOP-28	24	4 Type « E »	2 basiques, 2 comm.	8	512	de 2,4 à 5,25	**2,57**	**1,98**	**1,81**
727-CY8C21634-24LTXI	CY8C21634-24LTXI	QFN-32	26	4 Type « E »	2 basiques, 2 comm.	8	512	de 2,4 à 5,25	**2,92**	**2,63**	**2,47**
727-CY8C20636A24LTXI	CY8C20636A-24LTXI	QFN-48	36	36	36	8	1K	de 1,71 à 5,5	**2,84**	**2,27**	**2,01**
727-CY8C246A24LTXI	CY8C20646A-24LTXI	QFN-48	36	36	36	16	2K	de 1,71 à 5,5	**3,65**	**2,92**	**2,59**
727-CY8C20666A24LTXI	CY8C20666A-24LTXI	QFN-48	36	36	36	32	2K	de 1,71 à 5,5	**4,39**	**3,40**	**3,05**
727-CY8C20066A24LTXI	CY8C20066A-24LTXI	QFN-48	36	36	36	32	2K	de 1,71 à 5,5	**4,39**	**3,40**	**3,04**
PSoC CY8C22xxx/CY8C21x45											
727-CY8C2134524SXI	CY8C21345-24SXI	SOIC-28	24	4	4	4	512	de 3 à 5,25	**3,58**	**3,28**	**3,16**
727-CY8C22345-24SXI	CY8C22345-24SXI	SOIC-28	24	6 Type « E »	4 basiques, 4 comm.	16	1K	de 3 à 5,25	**4,08**	**3,67**	**3,28**
PSoC CY8C23x33											
727-CY8C24994-24LTXI	CY8C24994-24LTXI	QFN-68	56	6	4	16	1K	de 3 à 5,25	**5,86**	**4,69**	**4,17**
PSoC CY8C24x23A											
727-CY8C24123A-24PXI	CY8C24123A-24PXI	PDIP-8	6	6:2-CT 4-SC	2 basiques, 2 comm.	4	256	de 2,4 à 5,25	**2,23**	**2,04**	**2,00**
727-CY8C24123A-24SXI	CY8C24123A-24SXI	SOIC-8	6	6:2-CT 4-SC	2 basiques, 2 comm.	4	256	de 2,4 à 5,25	**2,02**	**1,75**	**1,65**
727-CY8C24223A-24PXI	CY8C24223A-24PXI	PDIP-20	16	6:2-CT 4-SC	2 basiques, 2 comm.	4	256	de 2,4 à 5,25	**2,89**	**2,48**	**2,33**
727-CY8C24223A-24SXI	CY8C24223A-24SXI	SOIC-20	16	6:2-CT 4-SC	2 basiques, 2 comm.	4	256	de 2,4 à 5,25	**2,84**	**2,48**	**2,44**
727-CY8C24423A-24SXI	CY8C24423A-24SXI	SOIC-28	24	6:2-CT 4-SC	2 basiques, 2 comm.	4	256	de 2,4 à 5,25	**3,34**	**1,99**	**1,88**
727-CY8C24423A24LTXI	CY8C24423A-24LTXI	QFN-32	24	6:2-CT 4-SC	2 basiques, 2 comm.	4	256	de 3 à 5,25	**2,74**	**2,47**	**2,32**
PSoC CY8C24x94											
727-CY8C2489424LTXI	CY8C24894-24LTXI	QFN-56	49	6:2-CT 4-SC	2 basiques, 2 comm.	16	1K	de 3 à 5,25	**5,13**	**4,41**	**4,27**
PSoC CY8X27x43											
727-CY8C27143-24PXI	CY8C27143-24PXI	PDIP-8	6	12:4-CT 8-SC	4 basiques, 4 comm.	16	256	de 3 à 5,25	**4,54**	**3,94**	**3,87**
727-CY8C27243-24PVXI	CY8C27243-24PVXI	SSOP-20	16	12:4-CT 8-SC	4 basiques, 4 comm.	16	256	de 3 à 5,25	**5,78**	**4,95**	**4,88**
727-CY8C27243-24SXI	CY8C27243-24SXI	SOIC-20	16	12:4-CT 8-SC	4 basiques, 4 comm.	16	256	de 3 à 5,25	**4,91**	**4,21**	**4,11**
727-CY8C27443-24PVXI	CY8C27443-24PVXI	SSOP-28	24	12:4-CT 8-SC	4 basiques, 4 comm.	16	256	de 3 à 5,25	**5,96**	**5,12**	**5,02**
727-CY8C27443-24PXI	CY8C27443-24PXI	PDIP-28	24	12:4-CT 8-SC	4 basiques, 4 comm.	16	256	de 3 à 5,25	**5,90**	**3,51**	**3,28**
727-CY8C27443-24SXI	CY8C27443-24SXI	SOIC-28	24	12:4-CT 8-SC	4 basiques, 4 comm.	16	256	de 3 à 5,25	**5,67**	**3,38**	**3,16**
727-CY8C27543-24AXI	CY8C27543-24AXI	TQFP-44	40	12:4-CT 8-SC	4 basiques, 4 comm.	16	256	de 3 à 5,25	**6,27**	**5,45**	**5,12**
727-CY8C27643-24PVXI	CY8C27643-24PVXI	SSOP-48	44	12:4-CT 8-SC	4 basiques, 4 comm.	16	256	de 3 à 5,25	**6,02**	**3,60**	**3,37**
PSoC CY8X28xxx											
727-CY8C2843324PVXI	CY8C28433-24PVXI	SSOP-28	24	10	12	16	1K	de 3 à 5,25	**4,54**	**2,71**	**2,54**
727-CY8C2862324LTXI	CY8C28623-24LTXI	QFN-48	44	6	12	16	1K	de 3 à 5,25	**5,16**	**3,08**	**2,89**
727-CY8C2864324LTXI	CY8C28643-24LTXI	QFN-48	44	12	12	16	1K	de 3 à 5,25	**5,92**	**3,53**	**3,32**
PSoC CY8C29x66											
727-CY8C29466-24PVXI	CY8C29466-24PVXI	SSOP-28	24	12:4-CT 8-SC	8 basiques, 8 comm.	32	2K	de 3 à 5,25	**7,52**	**4,71**	**4,29**
727-CY8C29466-24PXI	CY8C29466-24PXI	PDIP-28	24	12:4-CT 8-SC	8 basiques, 8 comm.	32	2K	de 3 à 5,25	**8,66**	**5,18**	**4,93**
727-CY8C29466-24SXI	CY8C29466-24SXI	SOIC-28	24	12:4-CT 8-SC	8 basiques, 8 comm.	32	2K	de 3 à 5,25	**6,79**	**4,70**	**4,33**
727-CY8C29566-24AXI	CY8C29566-24AXI	TQFP-44	40	12:4-CT 8-SC	8 basiques, 8 comm.	32	2K	de 3 à 5,25	**8,56**	**5,12**	**4,76**
727-CY8C29666-24LTXI	CY8C29666-24LTXI	QFN-48	44	12:4-CT 8-SC	8 basiques, 8 comm.	32	2K	de 3 à 5,25	**7,01**	**5,60**	**5,16**
727-CY8C2966624PVXI	CY8C29666-24PVXI	SSOP-48	44	12:4-CT 8-SC	8 basiques, 8 comm.	32	2K	de 3 à 5,25	**8,46**	**5,05**	**4,78**
727-CY8C2986624AXI	CY8C29866-24AXI	TQFP-100	64	12:4-CT 8-SC	8 basiques, 8 comm.	32	2K	de 3 à 5,25	**8,87**	**5,30**	**4,99**

PSoC® 3

NEW PRODUCT

Pour des quantités supérieures à celles indiquées, appelez-nous afin d'obtenir un devis.

RÉF. STOCK MOUSER	Réf. Cypress	Boîtier	Mémoire Flash (Ko)	SRAM (octets)	EEPROM (octets)	Analogique	Numérique	GPIO	Prix unitaire 1	25	50
PSoC CY8C32xxx											
727-CY8C3244LTI-130	CY8C3244LTI-130	QFN-68	16	2K	512	CAN, CNA, 2xComp	16xUDB, 4xTimer/PWM	38	**6,15**	**5,04**	**4,79**
727-CY8C3246AXI-138	CY8C3246AXI-138	TQFP-100	64	8K	2K	CAN, CNA, 2xComp, pilotage segments LCD	24xUDB, 4xTimer/PWM, FS USB	62	**12,01**	**10,11**	**9,69**
PSoC CY8C34xxx											
727-CY8C3446LTI-073	CY8C3446LTI-073	QFN-48	64	8K	2K	CAN, 2xCNA, 4xComp, 2xSC/CT CapSense	24xUDB, 4xTimer/PWM, FS USB	25	**10,77**	**9,05**	**8,68**
727-CY8C3446PVI-076	CY8C3446PVI-076	SSOP-48	64	8K	2K	CAN, 2xCNA, 4xComp, LCD, 2xSC/CT CapSense	24xUDB, 4xTimer/PWM, FS USB	25	**13,70**	**11,53**	**11,06**
727-CY8C3446LTI-085	CY8C3446LTI-085	QFN-68	64	8K	2K	CAN, 2xCNA, 4xComp, LCD, 2xSC/CT CapSense	24xUDB, 4xTimer/PWM, FS USB	38	**14,23**	**11,96**	**11,48**
727-CY8C3446AXI-099	CY8C3446AXI-099	TQFP-100	64	8K	2K	CAN, 2xCNA, 4xComp, LCD, 2xSC/CT CapSense	24xUDB, 4xTimer/PWM, FS USB	62	**15,23**	**12,80**	**12,28**
CY8C36xxx PSoC											
727-CY8C3665AXI-010	CY8C3665AXI-010	TQFP-100	32	4K	1K	CAN, 4xCNA, 4xComp, 4xSC/CT CapSense	20xUDB, 4xTimer/PWM	62	**12,27**	**10,32**	**9,90**
727-CY8C3666AXI-052	CY8C3666AXI-052	TQFP-100	64	8K	2K	CAN, 4xCNA, 4xComp, 4xSC/CT CapSense	24xUDB, 4xTimer/PWM	62	**13,55**	**11,40**	**10,93**
CY8C38xxx PSoC											
727-CY8C3866PVI-070	CY8C3866PVI-070	SSOP-48	64	8K	2K	CAN, 4xCNA, 4xComp, LCD, 4xSC/CT CapSense	24xUDB, 4xTimer/PWM, CAN	25	**18,74**	**16,19**	**15,76**
727-CY8C3866LTI-068	CY8C3866LTI-068	QFN-48	64	8K	2K	CAN, 4xCNA, 4xComp, LCD, 4xSC/CT CapSense	24xUDB, 4xTimer/PWM, FS USB, CAN	25	**17,67**	**15,02**	**14,46**
727-CY8C3866LTI-030	CY8C3866LTI-030	QFN-68	64	8K	2K	CAN, 4xCNA, 4xComp, LCD, 4xSC/CT CapSense	24xUDB, 4xTimer/PWM	38	**18,73**	**15,92**	**15,33**
727-CY8C3866AXI-040	CY8C3866AXI-040	TQFP-100	64	8K	2K	CAN, 4xCNA, 4xComp, LCD, 4xSC/CT CapSense	24xUDB, 4xTimer/PWM, FS USB, CAN	62	**20,87**	**17,75**	**17,09**

Expandeurs E/S série CY8C95xx PSoC

Pour des quantités supérieures à celles indiquées, appelez-nous pour obtenir un devis.

RÉF. STOCK MOUSER	Réf. Cypress	Boîtier	E/S	Fréq. de fonctionnement maxi. (MHz)	Température de fonctionnement	EEPROM (octets)	Sources PWM	Vcc (V)	Prix unitaire 1	25	50
727-CY8C9520A-24PVXI	CY8C9520A-24PVXI	SSOP-28	20	24	de -40 à +85	3K	4	de 3 à 5,25	**2,31**	**2,08**	**1,96**
727-CY8C9560A-24AXI	CY8C9560A-24AXI	TQFP-100	60	24	de -40 à +85	27K	16	de 3 à 5,25	**4,70**	**4,23**	**3,98**

© Copyright 2012 Mouser Electronics

© Copyright 2012 Mouser Electronics

Pilotes DEL et microcontrôleurs MCU CYPRESS

RoHS Compliant **This product is RoHS compliant.**

MICROCONTRÔLEURS USB

Cypress offre la gamme de microcontrôleurs USB la plus large de l'industrie, un jeu complet d'outils de développement, des applications secondaires économiques telles que claviers et souris, ainsi que des applications haute performance : imprimantes, scanners, modems xDSL et caméras numériques. Cypress propose une large gamme de solutions pour les applications USB faible vitesse, les applications USB pleine vitesse et les applications hub USB.

- Plage de température : commerciale (-18°C ~ 21°C).

Kits de développement USB

Pour des quantités supérieures à celles indiquées, appelez-nous pour un devis.

RÉF. STOCK MOUSER	Réf. Cypress	Description	Prix unitaire
727-CY3674	CY3674	Kit de développement FX1 EZ-USB	511,22
727-CY3684	CY3684	FX2LP DVK	433,13
727-CY4636	CY4636	Souris USB sans fil LP & clavier RDK	309,38

Pour des quantités supérieures à celles indiquées, appelez-nous pour obtenir un devis.

RÉF. STOCK MOUSER	Réf. Cypress	Boîtier	Tension (V)	Vitesse app. USB	E/S	Vitesse osc.	RAM (octets)	Mémoire PROM	Prix unitaire 1	25	50
Contrôleur USB hôte / esclave incorporé											
727-CY7C67300-100AXI	CY7C67300-100AXI	TQFP-100	3,3	-	32	12 MHz	-	-	8,88	8,79	8,15
727-SL811HST-AXC	SL811HST-AXC	TQFP-48	3,3	1,5 / 12 Mbps	-	48 MHz Xtal	256	-	8,35	6,68	6,66
Contrôleurs périphériques PS/2 et USB faible vitesse combinaison USB enCoRe™											
727-CY7C63723C-PXC	CY7C63723C-PXC	PDIP-18	4 - 5,5	1 Mbps	10	Résonateur 6 MHz	256	8K	2,67	2,14	1,94
727-CY7C63723C-SXC	CY7C63723C-SXC	SOIC-18	4 - 5,25	1 Mbps	10	Résonateur 6 MHz	256	8K	2,67	2,14	1,94
727-CY7C63743C-PXC	CY7C63743C-PXC	DIP-20	4 - 5,25	1 Mbps	16	Résonateur 6 MHz	256	8K	2,45	1,96	1,63
727-CY7C63743C-SXC	CY7C63743C-SXC	SOIC-20	4 - 5,25	1 Mbps	16	Résonateur 6 MHz	256	8K	3,05	2,45	2,23
Contrôleurs périphériques USB faible vitesse enCoRe™ II											
727-CY7C63801SXC	CY7C63801-SXC	SOIC-16	4 - 5,5	1 Mbps	14	32 kHz	256	4K	2,24	1,97	1,80
727-CY7C63803SXC	CY7C63803-SXC	SOIC-16	4 - 5,5	1 Mbps	14	32 kHz	256	8K	2,39	2,10	1,91
727-CYC63813PXC	CY7C63813-PXC	PDIP-18	4 - 5,5	1 Mbps	16	32 kHz	256	8K	2,68	2,36	2,15
727-CY7C63833-LTXC	CY7C63833-LTXC	QFN-32	4 - 5,5	1 Mbps	20	32 kHz	256	8K	2,79	2,51	2,25
Contrôleurs périphériques USB faible vitesse enCoRe™ III											
727-CY7C64215-28PVXC	CY7C64215-28PVXC	SSOP-28	de 3 à 5,25	12 Mbps	22	48 MHz	1K	16K	2,89	2,73	2,51
Contrôleurs USB pleine vitesse enCoRe™ V											
727-CY7C64343-32LQXC	CY7C64343-32LQXC	QFN-32	3 - 5,5	12 Mbps	25	32 kHz	1K	8K	2,49	2,14	1,92
727-CY7C64345-32LXC	CY7C64345-32LQXC	QFN-32	3 - 5,5	12 Mbps	25	32 kHz	1K	16K	2,57	2,31	2,17
727-CY7C64356-48TXC	CY7C64356-48LTXC	QFN-48	3 - 5,5	12 Mbps	36	32 kHz	2K	32K	3,37	3,02	2,85
Pont USB - ATA/ATAPI AT2LP™ EZ-USB											
727-CY7C68300C56LTXC	CY7C68300C-56LTXC	QFN-56	3,3	12/480 Mbps	-	48 MHz	-	-	4,37	4,2	4,03
727-CY7C68301C56LTXC	CY7C68301C-56LTXC	QFN-56	3,3	12/480 Mbps	-	48 MHz	-	-	6,50	5,72	5,20
727-CY7C68320C56LTXC	CY7C68320C-56LTXC	QFN-56	3,3	12/480 Mbps	-	48 MHz	-	-	8,66	7,62	6,93
727-CY7C68321C56LTXC	CY7C68321C-56LTXC	QFN-56	3,3	12/480 Mbps	-	48 MHz	-	-	7,52	6,34	6,14
Contrôleurs périphériques USB pleine vitesse FX1™ EZ-USB											
727-CY7C64215-56LTXC	CY7C64215-56LTXC	QFN-56	de 3,3 à 5.25	12 Mbps	32	48 MHz	1K	-	3,03	2,86	2,62
727-CYC6471356PVXC	CY7C64713-56PVXC	SSOP-56	3,3	12 Mbps	24	24 MHz Xtal	16K	-	7,14	6,28	5,71
727-CY7C64713-128AXC	CY7C64713-128AXC	TQFP-128	3,3	12 Mbps	40	24 MHz Xtal	16K	-	8,36	5,02	4,84
Contrôleurs périphériques USB grande vitesse FX2LP™ EZ-USB											
727-CYC68013A56BAXC	CY7C68013A-56BAXC	TQFP-100	3,3	12/480 Mbps	24	24 MHz Xtal	16K	-	10,36	9,33	8,98
727-CY768013A-56PVXC	CY7C68013A-56PVXC	SSOP-56	3,3	12/480 Mbps	24	24 MHz Xtal	16K	-	11,88	10,38	8,46
727-CYC68013A56PVXI	CY7C68013A-56PVXI	SSOP-56	3,3	12/480 Mbps	24	24 MHz Xtal	16K	-	15,80	14,75	14,31
727-CY7C68013A56LTXC	CY7C68013A-56LTXC	QFN-56	3,3	12/480 Mbps	24	24 MHz Xtal	16K	-	10,63	8,89	8,29
727-CY768013A-100AXC	CY7C68013A-100AXC	TQFP-100	3,3	12/480 Mbps	40	24 MHz Xtal	16K	-	13,14	7,89	7,62
727-CYC68013A100AXI	CY7C68013A-100AXI	TQFP-100	3,3	12/480 Mbps	40	24 MHz Xtal	16K	-	17,31	16,17	15,45
727-CY768013A-128AXC	CY7C68013A-128AXC	TQFP-128	3,3	12/480 Mbps	40	24 MHz Xtal	16K	-	13,93	8,36	8,08
727-CYC68013A128AXI	CY7C68013A-128AXI	TQFP-100	3,3	12/480 Mbps	40	48 MHz	16K	-	18,25	17,04	16,43
727-CY7C68014A56LTXC	CY7C68014A-56LTXC	QFN-56	3,3	12/480 Mbps	26	24 MHz Xtal	16K	-	12,38	10,31	9,24
727-CY768014A-56PVXC	CY7C68014A-56PVXC	SSOP-56	3,3	12/480 Mbps	24	24 MHz Xtal	16K	-	13,68	8,21	7,93
727-CY768014A-128AXC	CY7C68014A-128AXC	TQFP-128	3,3	12/480 Mbps	40	24 MHz Xtal	16K	-	16,03	13,04	12,71
727-CY7C68015A56LTXC	CY7C68015A-56LTXC	QFN-56	3,3	12/480 Mbps	26	24 MHz Xtal	16K	-	10,43	8,09	7,39
727-CY7C68016A56LTXC	CY7C68016A-56LTXC	QFN-56	3,3	12/480 Mbps	26	24 MHz Xtal	16K	-	12,00	9,30	8,52
Contrôleur Hub USB 2.0 faible puissance HX2LP™ EZ-USB											
727-CY7C65620-56LTXC	CY7C65620-56LTXC	QFN-56	3,3	12/480 Mbps	8	24 MHz Xtal	-	-	4,93	3,94	3,68
727-CY7C65630-56LFXA	CY7C65630-56LFXA	QFN-56	3,3	12/480 Mbps	8	24 MHz Xtal	-	-	11,53	10,91	10,01
727-CY7C65630-56LTXC	CY7C65630-56LTXC	QFN-56	3,3	12/480 Mbps	8	24 MHz Xtal	-	-	6,44	5,92	5,44
Contrôleur USB instantané programmable EZ-OTG™											
727-CYC6720048BAXI	CY7C67200-48BAXI	FBGA-48	3,3	9,6 -2 Mbps	23	12 MHz Xtal	-	-	9,21	7,37	6,94
EZ-USB SX2™ High Speed USB Interface											
727-CY7C68001-56PVXC	CY7C68001-56PVXC	SSOP-56	3,3	12/480 Mbps	-	24 MHz	-	-	9,21	5,47	5,29
Contrôleur Hub USB pleine vitesse											
727-CY7C65113C-SXC	CY7C65113C-SXC	SOIC-28	5	12 Mbps	11	Résonateur 6 MHz	-	8K	4,16	3,32	3,27
Contrôleur Hub USB TetraHub™											
727-CY7C65640A-LTXC	CY7C65640A-LTXC	QFN-56	3,3	-	8	24 MHz Xtal	-	-	8,75	6,77	6,47
Contrôleurs USB faible vitesse série M8											
727-CY7C63413C-PVXC	CY7C63413C-PVXC	SSOP-48	5	1 Mbps	32	Résonateur 6 MHz	256	8K	2,59	2,54	2,43

USB SANS FIL — CI USB sans fil

Pour des quantités supérieures à celles indiquées, appelez-nous afin d'obtenir un devis.

RÉF. STOCK MOUSER	Réf. Cypress	Boîtier	Fonctionnement de l'horloge d'entrée	Temp. de fonctionnement (°C)	Portée (mètres)	Fonctionnement d'alimentation (V)	Débit (Kbps)	Prix unitaire 1	25	50
727-CYWUSB693448LTXC	CYWUSB6934-48LTXC	QFN-48	13 MHz	de 0 à 70	10	de 2,7 à 3,6	62,5	5,12	4,09	3,77
727-CYRF6936-40LTXC	CYRF6936-40LTXC	QFN-40	-----	de 0 à 70	-----	de 1,8 à 3,6	250	2,29	1,95	1,72
727-CYUSB6953-48LFXC	CYWUSB6953-48LFXC	QFN-48	13 MHz	de 0 à 70	50	de 2,7 à 3,6	62,5	7,23	4,95	4,79

Modules radio USB sans fil

Pour des quantités supérieures à celles indiquées, appelez-nous pour obtenir un devis.

RÉF. STOCK MOUSER	Réf. Cypress	Boîtier	Prix unitaire 1	25	50
727-CYWM6935	CYWM6935	Portée de 50 m maxi. Petit boîtier PCB : 0,95" (23,75 mm) x 0,95" (23,75 mm) x 0,212" (5,3 mm) (L x l x h)	8,20	7,61	7,34

CONTRÔLEUR DEL À HAUTE LUMINOSITÉ EZ-COLOR

Pour des quantités supérieures à celles indiquées, appelez-nous pour obtenir un devis.

RÉF. STOCK MOUSER	Réf. Cypress	Boîtier	Voies DEL	Fréquence de fonctionnement	Blocs analogiques	Blocs numériques	Mémoire Flash	SRAM	GPIO	Prix unitaire 1	25	50
727-CY8CLED02-24LFXI	CY8CLED02-24LFXI	QFN-24	2	24 MHz	4	4	4K	256B	16	2,59	2,45	2,24
727-CY8CLED04-68LTXI	CY8CLED04-68LTXI	QFN-68	4	24 MHz	6	4	16K	1K	56	6,11	4,88	4,36
727-CY8CLED08-28PVXI	CY8CLED08-28PVXI	SSOP-28	8	24 MHz	12	8	16K	256B	24	6,60	5,94	5,64
727-CY8CLED16-28PVXI	CY8CLED16-28PVXI	SSOP-28	16	24 MHz	12	16	32K	2K	24	15,68	15,40	14,82
727-CY8CLED16-48LTXI	CY8CLED16-48LTXI	QFN-48	16	24 MHz	12	16	32K	2K	24	7,38	6,68	6,46

Pilotes DEL intelligents PowerPSOC®

PRODUCT NEW

Pour des quantités supérieures à celles indiquées, appelez-nous pour obtenir un devis.

RÉF. STOCK MOUSER	Réf. Cypress	Boîtier	Voies DEL	Fréquence de fonctionnement	Blocs analogiques	Blocs numériques	Mémoire Flash	SRAM	GPIO	Prix unitaire 1	25	50
727-CY8CLED01D01-56L	CY8CLED01D01-56LTXI	QFN-56	1	2 MHz	6	8	16K	1K	10	6,70	5,84	5,68
727-CY8CLED04D01LTX	CY8CLED04D01-56LTXI	QFN-56	4	2 MHz	6	8	16K	1K	10	13,41	8,25	7,50

Contrôleur CA-CC pour éclairage DEL variable

PRODUCT NEW

Pour des quantités supérieures à celles indiquées, appelez-nous pour obtenir un devis.

RÉF. STOCK MOUSER	Réf. Cypress	Boîtier	Affaiblissement	Tension de fonctionnement (V) Min.	Max.	Tension de ligne (V CA) Min.	Max.	Puissance de sortie	Température de fonctionnement (°C)	Prix unitaire 1	25	50
727-CY8CLEDAC02	CY8CLEDAC02	SOIC-8	Oui	-0,3	18	85	277	30 W	de -40 à +85	1,41	1,13	1,06

© Copyright 2012 Mouser Electronics

Tous les prix sont en EURO

© Copyright 2012 Mouser Electronics

Contrôleurs, PHY et CPLD CYPRESS

RoHS Compliant **This product is RoHS compliant.**

CONTRÔLEURS CAPSENSE

Les contrôleurs CapSense sont disponibles sous trois familles. Les solutions CapSense Express (CY8C201xx) acceptent les conceptions boutons/barres de défilement simples avec un maximum de 10 boutons capacitifs et 1 barre. Les solutions CapSense (CY8C20x34) sont des plates-formes acceptant jusqu'à 25 boutons capacitifs et 5 barres de défilement. De plus, les solutions de pavés tactiles bidimensionnels sont également acceptées. La famille CapSensePLUS est la gamme la plus complète dans le portefeuille CapSense. Elle peut accepter jusqu'à 44 boutons capacitifs et 8 barres de défilement. La famille CapSensePLUS fournit également une assistance pour les fonctionnalités avancées telles que la détection de proximité, les pavés tactiles bidimensionnels et l'intégration de conception analogique/digitale. La famille 8C20xx6, la plus récente, ajoute l'alimentation 1,8 V, une consommation électrique du meilleur niveau et jusqu'à 33 boutons CS.

CapSense™ Express

Pour des quantités supérieures à celles indiquées, appelez-nous pour un devis.

RÉF. STOCK MOUSER	Réf. Cypress	Boîtier	Tension d'alimentation	GPIO	Boutons capacitifs E/S	capacitifs	PWM	Barre de défilement	Barre de défilement Segments	Sonde de proximité	Interface de communication	Prix unitaire 1	25	50
727-CY8C201140-LDX2I	CY8C20140-LDX2I	QFN-16	2,4 - 5,25	4	4	4	Non	Non	Sans objet	Non	I2C	1,17	0,908	0,812
727-CY8C20140-SX2I	CY8C20140-SX2I	SOIC-16	2,4 - 5,25	4	4	4	Non	Non	Sans objet	Non	I2C	1,19	0,916	0,82
727-CY8C20160-LDX2I	CY8C20160-LDX2I	QFN-16	2,4 - 5,25	6	6	6	Non	Non	Sans objet	Non	I2C	1,24	0,957	0,85
727-CY8C20160-SX2I	CY8C20160-SX2I	SOIC-16	2,4 - 5,25	6	6	6	Non	Non	Sans objet	Non	I2C	1,25	0,965	0,866
727-CY8C20180-SX2I	CY8C20180-SX2I	SOIC-16	2,4 - 5,25	8	8	8	Non	Non	Sans objet	Non	I2C	1,32	1,02	0,908
727-CY8C20110-LDX2I	CY8C20110-LDX2I	QFN-16	2,4 - 5,50	10	10	10	Oui	Non	Sans objet	Non	I2C	1,37	1,06	0,949
727-CY8C20110-SX2I	CY8C20110-SX2I	SOIC-16	2,4 - 5,50	10	10	10	Oui	Non	Sans objet	Non	I2C	1,40	1,11	0,965
Kit CapSense™ Express		Description											**Prix unitaire**	
727-CY3218-CAPEXP1	CY3218-CAPEXP1	Le kit permet aux concepteurs de remplacer les boutons mécaniques en utilisant des systèmes activés par pression (systèmes CapSense Express™)											**78,47**	

CapSense™

Pour des quantités supérieures à celles indiquées, appelez-nous pour un devis.

RÉF. STOCK MOUSER	Réf. Cypress	Boîtier	Tension d'alimentation	GPIO	Boutons capacitifs E/S	capacitifs	PWM	Barre de défilement	Barre de défilement Segments	Sonde de proximité	Mémoire Flash (octets)	RAM (octets)	Prix unitaire 1	25	50
727-CY8C20234-12LKXI	CY8C20234-12LKXI	QFN-16	2,4 - 5,25	13	10	10	SW	2	Oui	Non	16K	1K	2,41	1,47	1,37
727-CY8C20236A24LKXI	CY8C20236A-24LKXI	QFN-16	1,71 - 5,5	13	10	10	SW	2	Oui	Oui	8K	1K	1,98	1,53	1,37
727-CY8C20334-12LQXI	CY8C20334-12LQXI	QFN-24	2,4 - 5,25	20	17	17	SW	3	Oui	Non	8K	512	2,52	1,53	1,43
727-CY8C20336A24LQXI	CY8C20336A-24LQXI	QFN-24	1,71 - 5,5	20	17	17	SW	3	Oui	Oui	8K	1K	2,28	1,77	1,58
727-CY8C20436A24LQXI	CY8C20436A-24LQXI	QFN-24	1,71 - 5,5	28	25	25	SW	5	Oui	Oui	8K	1K	2,36	1,83	1,64
727-CY8C20534-12PVXI	CY8C20534-12PVXI	SSOP-28	2,4 - 5,25	24	21	21	SW	4	Oui	Non	8K	512	2,54	2,19	2,03
727-CY8C20536A24PVXI	CY8C20536A-24PVXI	SSOP-48	1,71 - 5,5	34	31	31	SW	6	Oui	Oui	8K	1K	2,34	1,82	1,63
Kit contrôleur CapSense™		Description												**Prix unitaire**	
727-CY3280-BK1	CY3280-BK1	Kit conçu pour un prototypage et un débogage faciles des systèmes CapSense™ (pour les systèmes CY8C20x34 et CY8C21x34)												**265,20**	

CapSense Plus™

Pour des quantités supérieures à celles indiquées, appelez-nous pour obtenir un devis.

727-CY8C20246A24LKXI	CY8C20246A-24LKXI	QFN-16	1,71 - 5,5	13	10	10	SW	2	Oui	Oui	16K	2K	2,43	1,88	1,68
727-CY8C20346A24LQXI	CY8C20346A-24LQXI	QFN-24	1,71 - 5,5	20	17	17	SW	3	Oui	Oui	16K	2K	2,79	2,16	1,94
727-CY8C20396A24LQXI	CY8C20396A-24LQXI	QFN-24	1,71 - 5,5	19	15	15	SW	3	Oui	Oui	16K	2K	3,04	2,35	2,11
727-CY8C20446A24LQXI	CY8C20446A-24LQXI	QFN-24	1,71 - 5,5	28	25	25	SW	5	Oui	Oui	16K	2K	2,97	2,30	2,06
727-CY8C20466A24LQXI	CY8C20466A-24LQXI	QFN-24	1,71 - 5,5	28	25	25	SW	5	Oui	Oui	32K	2K	4,54	3,51	3,15
727-CY8C20496A24LQXI	CY8C20496A-24LQXI	QFN-24	1,71 - 5,5	25	22	22	SW	5	Oui	Oui	16K	2K	2,61	2,01	1,81
727-CY8C20546A24PVXI	CY8C20546A-24PVXI	SSOP-48	1,71 - 5,5	34	31	31	SW	6	Oui	Oui	16K	2K	3,20	2,48	2,23
727-CY8C20566A24PVXI	CY8C20566A-24PVXI	SSOP-48	1,71 - 5,5	34	31	31	SW	6	Oui	Oui	32K	2K	3,43	2,66	2,38
Kit contrôleur CapSense Plus™		Description												**Prix unitaire**	
727-CY3280-20X66	CY3280-20X66	Kit conçu pour un prototypage et un débogage faciles des systèmes CapSense™ (pour les systèmes CY8C20xxx6A)												**214,50**	

SOLUTIONS ÉCRANS TACTILES TRUETOUCH™

Cypress, le leader en solutions d'activation par pression capacitive, est en train de révolutionner le marché des écrans tactiles. Les solutions d'écrans tactiles TrueTouch™ de Cypress, alimentées par la technologie des systèmes programmables sur puce PSoC®, offrent une souplesse inégalée et le portefeuille le plus vaste du marché.
Les solutions capacitives TrueTouch permettent aux concepteurs de choisir entre différents modèles d'utilisation, différents fournisseurs d'écrans tactiles et différents fournisseurs de LCD. Elles permettent également aux concepteurs d'intégrer les changements de dernière minute - ce qu'aucun autre écran tactile ne permet.

Pour des quantités supérieures à celles indiquées, appelez-nous pour un devis.

RÉF. STOCK MOUSER	Réf. Cypress	Boîtier	Nombre maxi. d'entrées capteurs	Taille maxi. des capteurs (pouces)	Vitesse de balayage moyenne par capteur (ms)	Tension mini. (V)	Mémoire flash (octets)	Ram (octets)	Prix unitaire 1	25	50
Système tactile à point unique											
727-CY8CTST11032LTXI	CY8CTST110-32LTXI	QFN-32	24	3,3	0,5	2,7	8K	512	3,03	2,72	2,45
727-CY8CTST20024LQXI	CY8CTST200-24LQXI	QFN-24	33	3,6	0,4	1,8	32K	2K	2,89	2,60	2,44
727-CY8CTST20032LQXI	CY8CTST200-32LQXI	QFN-32	33	3,6	0,4	1,8	32K	2K	3,05	2,75	2,58
Système tactile multipoint											
727-CY8CTMG20032LQXI	CY8CTMG200-32LQXI	QFN-32	33	3,6	0,4	1,8	32K	2K	6,27	5,64	5,30

HOTLINK® ET HOTLINKII™

Cypress propose une large gamme de systèmes de couches physiques de fond de panier (PHY). Ces familles d'émetteurs-récepteurs couvrent des débits de transmission de données allant de 50 Mbps jusqu'à 1,5 Gbps. Ces systèmes flexibles sont la solution idéale pour les applications propriétaires de fonds de panier en série.

Pour des quantités supérieures à celles indiquées, appelez-nous afin d'obtenir un devis.

RÉF. STOCK MOUSER	Réf. Cypress	Boîtier	Débit (Mbps) Min.	Débit (Mbps) Max.	ENDEC 8B/10B	Fonction	Nombre de Voies	Tension de fonctionnement (V) Min.	Tension de fonctionnement (V) Max.	Prix unitaire 1	25	50
HOTLINK®												
727-CY7C9689A-AXC	CY7C9689A-AXC	TQFP-100	50	200	Non	Émetteur-récepteur	Sans objet	4,5	5,5	57,11	56,08	54,52
727-CY7B923-JXC	CY7B923-JXC	PLCC-28	150	400	Oui	Émetteur	Sans objet	4,5	5,5	55,64	41,73	40,34
727-CY7B923-JXI	CY7B923-JXI	SOIC-28	150	400	Oui	Émetteur	Sans objet	4,5	5,5	53,46	52,12	50,39
727-CY7B933-JXC	CY7B933-JXC	PLCC-28	150	400	Oui	Récepteur	Sans objet	4,5	5,5	55,64	41,73	40,34
727-CY7B933-JXI	CY7B933-JXI	SOIC-28	150	400	Oui	Récepteur	Sans objet	4,5	5,5	53,46	52,12	50,39
HOTLINKII™												
727-CY15G0101DXBBBXC	CYP15G0101DXB-BBXC	BGA-100	195	1540	Oui	Émetteur-récepteur	1	3,15	3,45	29,70	26,59	25,25
727-CY15G0101DXBBBXI	CYP15G0101DXB-BBXI	BGA-100	195	1500	Oui	Émetteur-récepteur	1	3	3,6	44,55	37,42	32,30
727-CY15G0401DXBBGXC	CYP15G0401DXB-BGXC	BGA-256	200	1500	Oui	Émetteur-récepteur	4	3,15	3,45	80,19	65,34	65,27
727-CY5G0104TRB-BGXC	CYV15G0104TRB-BGXC	BGA-256	195	1500	Non	Sérialiseur / Désérialiseur	1	3,15	3,45	35,15	34,23	33,08

PRoC™ (RADIO PROGRAMMABLE SUR PUCE)

Le CYRF69103/CYRF69213 est un système radio complet sur puce qui fournit un système RF complet à partir d'un seul système et de quelques composants discrets. Il est conçu pour mettre en place des systèmes sans fil économiques fonctionnant dans la bande de fréquence internationale de 2,4 GHz dédiée aux applications industrielles, scientifiques et médicales (ISM) (de 2,400 GHz à 2,4835 GHz).

Pour des quantités supérieures à celles indiquées, appelez-nous pour obtenir un devis.

RÉF. STOCK MOUSER	Réf. Cypress	Boîtier	Tension d'alimentation	GPIO	Boutons capacitifs E/S	Prix unitaire 1	25	50
727-CYRF69103-40LFXC	CYRF69103-40LFXC	QFN-40	10	1 Mbps	Non	5,08	4,07	3,63
727-CYRF69213-40LFXC	CYRF69213-40LFXC	QFN-40	10	1 Mbps	Oui	3,94	3,16	3,05

© Copyright 2012 Mouser Electronics
© Copyright 2012 Mouser Electronics

Kits de développement et microcontrôleurs MPU CYPRESS

RoHS Compliant **This product is RoHS compliant.**

SOLUTIONS ET PROCESSEURS MPU

Solution de communications par courant porteur en ligne

Pour des quantités supérieures à celles indiquées, appelez-nous afin d'obtenir un devis.

RÉF. STOCK MOUSER	Réf. Cypress	Boîtier	max. maxi. (bps)	Fréquence de fonctionnement	Blocs analogiques	Blocs numériques	Mémoire Flash	SRAM	GPIO	Prix unitaire		
										1	25	50
727-CY8CLED16P0128PV	CY8CLED16P01-28PVXI	SSOP-28	2400	24 MHz	12	16	32K	2K	24	12,72	11,45	10,87

Processeurs pour réseaux de puces Neuron

Pour des quantités supérieures à celles indiquées, appelez-nous pour obtenir un devis.

RÉF. STOCK MOUSER	Réf. Cypress	Boîtier	Tension de fonctionnement (V)	Version du logiciel interne	max. Input Clock (MHz)	Mémoire Flash	ROM	SRAM	Minuteurs/ Compteurs	Prix unitaire		
										1	25	50
727-CY753120E2-10SXI	CY7C53120E2-10SXI	SOIC-32	5	6	10	2K	10K	2K	2 x 16 bits	6,64	5,84	5,49
727-CYC53120E440AXI	CY7C53120E4-40AXI	TQFP-44	5	12	40	4K	12K	2K	2 x 16 bits	6,90	5,78	5,00
727-CY753120E4-40SXI	CY7C53120E4-40SXI	SOIC-32	5	12	40	4K	12K	2K	2 x 16 bits	9,31	8,19	7,71

KITS CŒUR

Pour des quantités supérieures à celles indiquées, appelez-nous pour un devis.

RÉF. STOCK MOUSER	Réf. Cypress	Description	Prix unitaire
727-CY3210-MINIPROG1	CY3210-MINIPROG1	Programmateur ISSP PSoC pour prototypage	53,37
727-CY3210-PSOCEVAL1	CY3210-PSOCEVAL1	Carte d'évaluation avec module LCD + mini-unité de programmation	107,51
727-CY3215-DK	CY3215-DK	Kit de dév. PSoC (ICE-Cube) avec podomètre PDIP-28	671,98
727-CY3217	CY3217	Outils de programmation USB PSoC1 pour programmer tous les systèmes PSoC1 (sauf les systèmes CY25/26xxx)	22,43

KITS DE SPÉCIALITÉ

NEW! TECHNOLOGY

Pour des quantités supérieures à celles indiquées, appelez-nous pour obtenir un devis.

RÉF. STOCK MOUSER	Réf. Cypress	Description	Prix unitaire
727-CY3207ISSP	CY3207ISSP	Programmateur ISSP PSoC pour production	410,89
727-CY3209EXPRESS	CY3209-EXPRESSEVK	Kit de développement express PSoC	219,12
727-CY3214PSOCEVLUSB	CY3214-PSOCEVALUSB	Carte d'évaluation avec module LCD + mini-unité de programmation	138,27
727-CY3218-CAPEXP1	CY3218-CAPEXP1	Kit ExpressTM CapSense (jusqu'à 10 E/S pour les boutons)	78,47
727-CY3235-PROXDET	CY3235-PROXDET	Démonstration détection de proximité CapSense	123,60
727-CY3240-I2USB	CY3240-I2USB	Pont I2C-USB	131,47
727-CY3267	CY3267	Kit d'évaluation d'éclairage PowerPSoC	154,69
727-CY3268	CY3268	Kit de démarrage d'éclairage PowerPSoC	51,98
727-CY3269N	CY3269N	Kit de démonstration de démarrage d'éclairage	33,59
727-CY3270	CY3270	Kit de démarrage First Touch PSoC	30,16
727-CY3271	CY3271	Kit de démarrage First Touch PSoC avec CYFI	109,87
727-CY3271-EXP1	CY3271-EXP1	Kit de démarrage First Touch PSoC & carte d'extension	112,15
727-CY3274	CY3274	Kit de développement programmable pour communications par CPL haute tension (pour CY8CPLC20)	568,07
727-CY3275	CY3275	Kit de développement programmable pour communications par CPL haute tension (pour CY8CPLC20)	180,26
727-CY3276	CY3276	Kit de développement programmable pour communications par CPL haute tension avec EZ-Color (pour CY8CLED16P01)	840,32
727-CY3277	CY3277	Kit de développement programmable pour communications par CPL haute tension avec EZ-Color (pour CY8CLED16P01)	840,32
727-CY3280-20X66	CY3280-20X66	Kit contrôleur universel CapSense	214,50
727-CY3280-BBM	CY3280-BBM	Kit de prototypage Module carte prototype	81,68
727-CY3280-BMM	CY3280-BMM	Module bouton matriciel	81,68
727-CY3280-BSM	CY3280-BSM	Module bouton simple Capsense	81,68
727-CY3280-SLM	CY3280-SLM	Module barre de défilement linéaire Capsense	81,68
727-CY3280-SRM	CY3280-SRM	Module barre de défilement radiale Capsense	81,68
727-CY3675CLKMKR1	CY3675-CLKMAKER1	Kit de programmation CyClockMaker	221,10
727-CY3675-QFN24A	CY3675-QFN24A	Adaptateur CyClockMaker	216,63
727-CY3684	CY3684	Kit de développement FX2LP	433,13
727-CY4615B	CY4615B	Système de référence alimenté par bus USB 2.0 Hi-Speed / ATA/ATAPI grande vitesse (avec EZ-USB AT2LP)	164,18
727-CY4636	CY4636	Souris USB sans fil LP & clavier RDK	309,38
727-CY8CKIT-002	CY8CKIT-002	Programmateur MiniProg3	74,25
727-CY8CKIT-003	CY8CKIT-003	Kit First Touch	41,24
727-CY8CKIT-006	CY8CKIT-006	Kit d'évaluation pour pilotage des segments LCD PSoC	122,93
727-CY8CKIT-007	CY8CKIT-007	Kit de démonstration voltmètre analogique de précision	86,87
727-CY8CKIT-008	CY8CKIT-008	Module Hydra	50,53
727-CY8CKIT-009	CY8CKIT-009	Module Leopard	50,53
727-CY8CKIT-010	CY8CKIT-010	Kit Module processeur PSoC 5	53,63
727-CY8CKIT-014	CY8CKIT-014	Kit First Touch PSoC 5	40,43
727-CY8CKIT-029	CY8CKIT-029	Carte d'extension pour pilotage de segments LCD PSoC 3	48,68

KITS D'ACCESSOIRES

Pour des quantités supérieures à celles indiquées, appelez-nous afin d'obtenir un devis.

RÉF. STOCK MOUSER	Réf. Cypress	Description	Prix unitaire
727-CY3210-29X66	CY3210-29X66	Podomètre d'évaluation Y8C29X66 PSoC	126,84
727-CY3250-20SOIC-FK	CY3250-20SOIC-FK	4 pieds de rechange pour podomètres émulateurs CY3250 PSoC pour SOIC 20 broches	71,72
727-CY3250-24X94QFN	CY3250-24X94QFN	Kit d'émulation CY8C24X94QFN PSoC	283,20
727-CY325024X94QFNPD	CY3250-24X94QFN-POD	2 podomètres de rechange pour kit d'émulation CY3250-24X94QFN	249,13
727-CY3250-27XXX	CY3250-27XXX	Kit d'émulation pour package non-QFN CY8C27X43	302,99
727-CY3250-27XXX-POD	CY3250-27XXX-POD	2 podomètres de rechange pour kit d'émulation CY3250-27XXX	164,98
727-CY3250-27XXXQFN	CY3250-27XXXQFN	Kit d'émulation CY8C27X43QFN PSoC	302,99
727-CY3250-28PDIP-FK	CY3250-28PDIP-FK	4 pieds de rechange pour podomètres émulateurs CY3250 PSoC pour DIP 28 broches	82,78
727-CY3250-28SOIC-FK	CY3250-28SOIC-FK	4 pieds de rechange pour podomètres émulateurs CY3250 PSoC pour SOIC 28 broches	82,78
727-CY3250-28SSOP-FK	CY3250-28SSOP-FK	4 pieds de rechange pour podomètres émulateurs CY3250 PSoC pour SSOP 28 broches	82,78
727-CY3250-29XXX	CY3250-29XXX	Kit d'émulation pour package non-QFN CY8C29XX	302,99
727-CY325029XXXQFNPD	CY3250-29XXXQFN-POD	2 podomètres de rechange pour kit d'émulation CY3250-29XXXQFN	190,72
727-CY3250-44TQFP-FK	CY3250-44TQFP-FK	4 pieds de rechange pour podomètres émulateurs CY3250 PSoC pour TQFP 44 broches	94,99
727-CY3250-48QFN-FK	CY3250-48QFN-FK	4 pieds de rechange pour podomètres émulateurs CY3250 PSoC pour QFN 48 broches	219,12
727-CY3250-48SSOP-FK	CY3250-48SSOP-FK	4 pieds de rechange pour podomètres émulateurs CY3250 PSoC pour SSOP 48 broches	82,49
727-CY3250-FLEXCABLE	CY3250-FLEXCABLE	1 câble flexible de rechange pour kit d'émulation CY3250	137,22

© Copyright 2012 Mouser Electronics

© Copyright 2012 Mouser Electronics

Microcontrôleur ENERGY MICRO

RoHS Compliant **This product is RoHS compliant.**

MICROCONTRÔLEURS GECKO EFM32

Accélérez votre migration vers des microcontrôleurs 32 bits de type industriel et peu consommateurs d'énergie !

Vous pouvez maintenant migrer vos applications existantes, ainsi que les nouvelles, des solutions historiques vers des microcontrôleurs à consommation ultra-faible et conformes aux normes de l'industrie grâce à la famille 32 bits de Gecko. Tous les microcontrôleurs EFM32G possèdent les caractéristiques de faible consommation suivantes :

- ARM Cortex-M3 32 bits fonctionnant jusqu'à 32 MHz maxi.
  - 1,25 DMIPS/MHz
  - Fonctionnalités mathématiques avancées
  - Unité de protection de la mémoire (MPU)
- Source d'alimentation unique de 1,8 à 3,8 V
- Plage de fonctionnement de -40° à 85°C
- Mémoire Flash 128 Ko maxi et mémoire RAM 16 Ko maxi.
- 90 GPIO maxi. avec capacité de transfert de 20 mA
- 16 interrupteurs externes
- Interface bus externe (EBI)
- Contrôleur d'accès direct à la mémoire (DMA)
- Système périphérique réflexe pour fonctionnement en mode autonome
- Cryptage AES du matériel avec cryptage et décryptage 128/256 bits
- Oscillateurs haute et basse fréquences intégrés
- USART avec modes UART et SPI jusqu'à 6 Mbit/s
- UART basse énergie avec mode de réception 100 nA
- Minuteurs/compteurs 16 bits avec comparaison/capture
- MINUTEUR basse énergie avec sorties en impulsion en option
- Compteur de temps réel 24 bits souple
- Compteur d'impulsions
- Contrôleur LCD configurable pilotant jusqu'à 4x40 segments
- CAN 12 bits, 1 Méchantillons/s, 8 voies
- CNA 12 bits, 500 kéchantillons/s, 2 voies
- Comparateurs analogiques avec circuit mux 8 entrées et fonction de détection de capacité
- Réinitialisation en alimentation et détecteur d'éclairage réduit sur puce

RoHS Compliant

♦ **Composant pour montage en surface**

Pour des quantités supérieures à celles indiquées, appelez-nous pour obtenir un devis.

RÉF. STOCK MOUSER	Réf. Energy Micro	Boîtier	Flash (Ko)	RAM (Ko)	GPIO	LCD	USART + UART	UART faible consommation	I²C	Minuteur (PWM)	RTC	Minuteur basse consommation	Compteur d'impulsions	WD	CAN (Broches)	CNA (Broches)	Comp. analogique (Broches)	EBI	AES✻	Prix unitaire 1	10	25
♦ 904-EFM32G210F128	EFM32G210F128	QFN-32	128	16	24	---	2	1	1	2 (6)	1	1	1	1	1 (4)	1 (1)	2 (4)	---	Oui	5,53	5,01	4,59
♦ 904-EFM32G230F128	EFM32G230F128	QFN-64	128	16	56	---	3	2	1	3 (9)	1	1	3	1	1 (8)	2 (2)	2 (16)	---	Oui	6,23	5,64	5,17
♦ 904-EFM32G280F128	EFM32G280F128	QFP-100	128	16	85	---	3+1	2	1	3 (9)	1	1	3	1	1 (8)	2 (2)	2 (16)	Oui	Oui	6,67	6,04	5,54
♦ 904-EFM32G290F128	EFM32G290F128	BGA-112	128	16	90	---	3+1	2	1	3 (9)	1	1	3	1	1 (8)	2 (2)	2 (16)	Oui	Oui	6,80	6,15	5,64
♦ 904-EFM32G840F128	EFM32G840F128	QFN-64	128	16	56	4x24	3	2	1	3 (9)	1	1	3	1	1 (8)	2 (2)	2 (8)	---	Oui	7,78	7,05	6,46
♦ 904-EFM32G880F128	EFM32G880F128	QFP-100	128	16	85	4x40	3+1	2	1	3 (9)	1	1	3	1	1 (8)	2 (2)	2 (16)	Oui✻✻	Oui	8,35	7,56	6,93
♦ 904-EFM32G890F128	EFM32G890F128	BGA-112	128	16	90	4x40	3+1	2	1	3 (9)	1	1	3	1	1 (8)	2 (2)	2 (16)	Oui✻✻	Oui	8,51	7,70	7,05

✻ Accélérateur de cryptage AES (Advanced Encryption Standard)
✻✻ Exclusion de l'interface EBI avec la fonctionnalité LCD du contrôleur

KIT DE DÉVELOPPEMENT GECKO EFM32

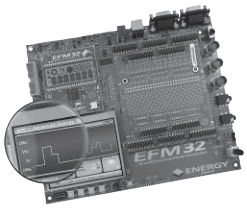

Résumé du kit :
- Surveillance avancée de la consommation
- Profilage précis et en temps réel de la consommation et de la puissance
- Interface utilisateur avec manche à balai, commutateurs et potentiomètre
- LCD RBG 320x240
- Port pour carte d'extension EXP32, 2x RS232, IrDA, carte mémoire
- Grand module de prototypage EXP32
- Débogueur J-Link SEGGER
- Versions d'évaluation gratuites de compilateurs
- Assistance logicielle energyAware™
- Vidéo kit de développement Gecko EFM3

RoHS Compliant

RÉF. STOCK MOUSER	Réf. Energy Micro	Description	Prix unitaire
904-EFM32-G2XX-DK	EFM32-G2xx-DK	Kit de développement pour série EFM32-G2xx. Comprend la carte enfichable pour MCU EFM32G290F128.	267,30
904-EFM32-G8XX-DK	EFM32-G8xx-DK	Kit de développement pour série EFM32-G8xx. Comprend la carte enfichable pour MCU EFM32G890F128 avec LCD 160 segments. Support EBI réduit.	267,30

KIT DE DÉMARRAGE GECKO EFM32

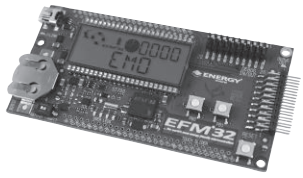

Résumé du kit :
- Surveillance avancée de la consommation
- Profilage précis et en temps réel de la consommation et de la puissance
- Interface utilisateur avec barre de défilement et commutateurs tactiles
- LCD 4x40
- Débogueur J-Link SEGGER
- Versions d'évaluation gratuites de compilateurs
- Assistance logicielle energyAware™
- Vidéo kit de démarrage Gecko EFM32

RoHS Compliant

RÉF. STOCK MOUSER	Réf. Energy Micro	Description	Prix unitaire
904-EFM32-G8XX-STK	EFM32-G8xx-STK	Kit de démarrage pour série EFM32-G8xx. Comprend le microcontrôleur MCU EFM32G890F128.	61,26

KITS ÉCHANTILLONS GECKO EFM32

RoHS Compliant

RÉF. STOCK MOUSER	Réf. Energy Micro	Description	Prix unitaire
904-EFM32-G210F128SK	EFM32-G210F128-SK	Kit échantillon deux pièces pour le microcontrôleur EFM32-G210F128 Gecko Energy Micro	15,68
904-EFM32-G230F128SK	EFM32-G230F128-SK	Kit échantillon deux pièces pour le microcontrôleur EFM32-G230F128 Gecko Energy Micro	15,68
904-EFM32-G280F128SK	EFM32-G280F128-SK	Kit échantillon deux pièces pour le microcontrôleur EFM32-G280F128 Gecko Energy Micro	15,68
904-EFM32-G290F128SK	EFM32-G290F128-SK	Kit échantillon deux pièces pour le microcontrôleur EFM32-G290F128 Gecko Energy Micro	15,68
904-EFM32-G840F128SK	EFM32-G840F128-SK	Kit échantillon deux pièces pour le microcontrôleur EFM32-G840F128 Gecko Energy Micro	15,68
904-EFM32-G880F128SK	EFM32-G880F128-SK	Kit échantillon deux pièces pour le microcontrôleur EFM32-G880F128 Gecko Energy Micro	15,68
904-EFM32-G890F128SK	EFM32-G890F128-SK	Kit échantillon deux pièces pour le microcontrôleur EFM32-G890F128 Gecko Energy Micro	15,68

© Copyright 2012 Mouser Electronics

© Copyright 2012 Mouser Electronics

Programmateurs Flash ELPROTRONIC

RoHS Compliant **This product is RoHS compliant.**

PROGRAMMATEURS FLASH POUR LES MICROCONTRÔLEURS MSP430 DE TI

FlashPro430

Inclut un adaptateur USB-FPA-4.x (RoHS), un câble USB, un câble ruban JTAG / Spy-Bi-Wire / BSL et un CD avec logiciel et documentation. Chaque adaptateur contient une clé d'accès - STD, LJB, etc. La clé d'accès peut être mise à jour par courrier électronique à tout moment.

Versions de logiciel standard STD et UNIV

Logiciel FlashPro430 (interface graphique) avec commandes de sérialisation et de fichiers de script. MSP430.dll pour débogage, Multi FPA API-DLL pour contrôle à distance par logiciel externe. Accepte la communication via JTAG / Spy-Bi-Wire et BSL. Version de démonstration Multi-FPA API-DLL avec code source écrit en Visual C++.net, Visual Basic.net, LabVIEW et DOS. Interpréteur en ligne de commande.

RoHS Compliant

Versions de logiciels Lite (LJB, LJ, LB)

Le logiciel FlashPro430 (interface graphique) sans commandes de sérialisation et de fichiers script. MSP430.dll pour débogage. Accepte uniquement la communication via JTAG / Spy-Bi-Wire et BSL (LJB), via JTAG / Spy-Bi-Wire (LJ) ou BSL (LB).

Pour des quantités supérieures à celles indiquées, appelez-nous pour obtenir un devis.

RÉF. STOCK MOUSER	Réf. Elprotronic	Description	Prix unitaire
715-USBMSP430FPASTD	USB-MSP430-FPA-STD	Version JTAG/SBW & BSL standard du logiciel	246,68
715-USBMSP430FPALJB	USB-MSP430-FPA-LJB	Version JTAG/SBW & BSL lite du logiciel	180,68

GangPro430

Inclut un adaptateur USB-FPA-5.0 (RoHS), un câble USB, un câble ruban JTAG / Spy-Bi-Wire / BSL et un CD avec logiciel et documentation. Logiciel GangPro430 (accès à six dispositifs cibles maxi.) et FlashPro430 (un seul dispositif cible) avec commandes de sérialisation et de fichiers script, Multi-FPA API-DLL pour contrôle à distance par logiciel externe et MSP430.dll pour débogage. Version de démonstration Multi-FPA API-DLL avec code source écrit en Visual C++.net, Visual Basic.net, LabVIEW et DOS.

RoHS Compliant

Chaque adaptateur contient une clé d'accès - JB (JTAG / Spy-Bi-Wire / BSL) ou J (JTAG / Spy-Bi-Wire). La clé d'accès peut être mise à jour de J à JB par courrier électronique à tout moment.

Note : Gang Splitter n'est pas inclus dans le package du programmateur GangPro430. À commander séparément si nécessaire.

Pour des quantités supérieures à celles indiquées, appelez-nous pour obtenir un devis.

RÉF. STOCK MOUSER	Réf. Elprotronic	Description	Prix unitaire
715-USBMSP430FPAGANG	USB-MSP430-FPA-GANG-JB	Version JTAG/SBW & BSL du logiciel	279,68

Gang Splitter

Gang Splitter avec câble ruban pour le programmateur GangPro430. Simplifie la connexion entre l'adaptateur de programmation Gang et les six dispositifs cibles. Accepte les interfaces JTAG, Spy-Bi-Wire et BSL.

RoHS Compliant

Pour des quantités supérieures à celles indiquées, appelez-nous pour obtenir un devis.

RÉF. STOCK MOUSER	Réf. Elprotronic	Description	Prix unitaire
715-PE014X02	PE014X02	Gang Splitter pour GangPro430	31,35

PROGRAMMATEURS FLASH POUR PRODUITS CHIPCON CCXXMCU DE TI

GangPro-CC

Inclut un adaptateur USB-FPA-5.0 (RoHS), le séparateur GangPro-CC, six câbles ruban SoC / Debug à 10 fils et un CD avec logiciel et documentation. Logiciel GangPro-CC (accès à six dispositifs cibles maxi.) et FlashPro-CC (un seul dispositif cible) avec adressage IEEE, commandes de sérialisation et de fichiers script, Multi-FPA API-DLL et interpréteur en ligne de commande pour contrôle à distance à partir d'un logiciel externe. Version de démonstration Multi-FPA API-DLL avec code source écrit en Visual C++.net.

RoHS Compliant

Pour des quantités supérieures à celles indiquées, appelez-nous pour obtenir un devis.

RÉF. STOCK MOUSER	Réf. Elprotronic	Description	Prix unitaire
715-GANGPRO-CC-STD	GangPro-CC-STD	Programmateur Gang pour microcontrôleur MCU Chipcon de TI	279,68

FlashPro-CC

Inclut un adaptateur USB-FPA-4.x (RoHS), un câble USB, un câble ruban SoC / Debug à 10 fils, un CD avec logiciel et documentation. Chaque adaptateur contient une clé d'accès LITE ou STD. La clé d'accès peut être mise à jour de LITE à STD par courrier électronique à tout moment.

Versions de logiciels standard (STD)

Logiciel FlashPro-CC (interface graphique GUI) avec adressage IEEE, commandes de sérialisation et de fichiers de script. Multi-FPA API-DLL et interpréteur en ligne de commande pour le contrôle à distance par logiciel externe. Version de démonstration Multi-FPA API-DLL avec code source écrit en Visual C++.net.

RoHS Compliant

Pour des quantités supérieures à celles indiquées, appelez-nous pour obtenir un devis.

RÉF. STOCK MOUSER	Réf. Elprotronic	Description	Prix unitaire
715-FLASHPRO-CC-STD	FlashPro-CC-STD	Version standard du logiciel	246,68

PROGRAMMATEURS FLASH POUR LES MICROCONTRÔLEURS C2000 DE TI

FlashPro2000

Inclut un adaptateur USB-FPA-4.x (RoHS, un câble USB, un adaptateur FPA / JTAG, un câble ruban à 14 fils, un adaptateur FPA / SCI-BOOT, un câble ruban à 10 fils et un CD avec logiciel et documentation. Chaque adaptateur contient une clé d'accès LITE ou STD. La clé d'accès peut être mise à jour de LITE à STD par courrier électronique à tout moment.

Paquet de logiciels standards (STD)

FlashPro2000 (FP2000-STD) : même matériel que ci-dessus, logiciel (interface graphique) avec commandes de sérialisation et de fichiers script. Multi-FPA API-DLL et interpréteur en ligne de commande pour le contrôle à distance par logiciel externe. Version de démonstration Multi-FPA API-DLL avec code source écrit en Visual C++.net.

RoHS Compliant

Pour des quantités supérieures à celles indiquées, appelez-nous pour obtenir un devis.

RÉF. STOCK MOUSER	Réf. Elprotronic	Description	Prix unitaire
715-FP2000-STD	FP2000-STD	Matériel plus version standard du logiciel	246,68

© Copyright 2012 Mouser Electronics

© Copyright 2012 Mouser Electronics

Cartes dérivées, programmateurs et kits FDI

CLÉ USB ET CARTES DÉRIVÉES

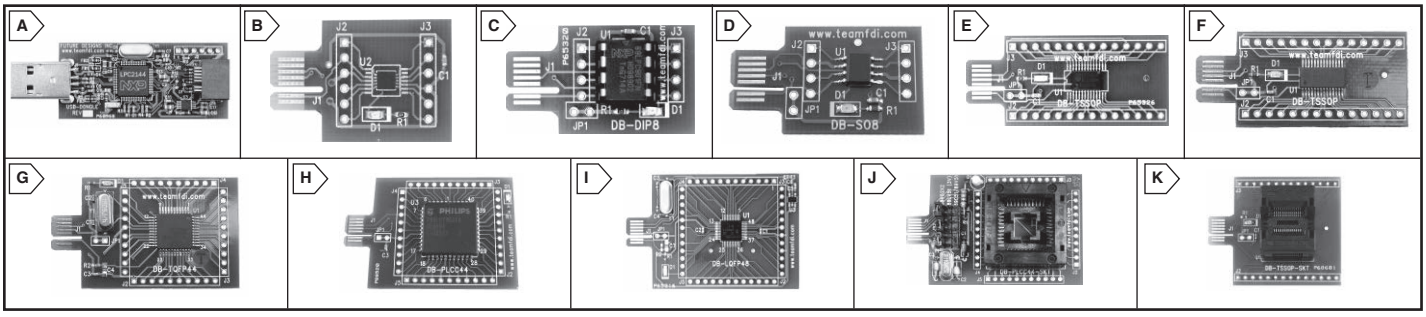

RÉF. STOCK MOUSER	Réf. FDI	Fig.	Description	Prix unitaire
786-USB-DONGLE	USB-DONGLE	A	Interface de programmation USB pour cartes dérivées, Rév. 3	16,50
786-DBHVSON10LPC9103	DB-HVSON10-LPC9103	B	Carte dérivée pour HVSON10 avec LPC9103 installé, Rév. 1	5,36
786-DB-DIP8-LPC901	DB-DIP8-LPC901	C	Carte dérivée pour DIP8 avec LPC901 installé, Rév. 1	5,36
786-DB-SO8-LPC908	DB-SO8-LPC908	D	Carte dérivée pour SO8-LPC908 avec LPC908 installé, Rév. 1	5,36
786-DB-TSSOP-LPC922	DB-TSSOP-LPC922	E	Carte dérivée pour TSSOP avec LPC922 installé, Rév. 1	6,60
786-DB-TSSOP-LPC938	DB-TSSOP-LPC938	F	Carte dérivée pour TSSOP avec LPC938 installé, Rév. 1	6,60
786-DB-TQFP4489V52X2	DB-TQFP44-89V52X2	G	Carte dérivée pour TQFP44 avec P89V52X2 installé, Rév. 1	7,84
786-DB-PLCC44-LPC952	DB-PLCC44-LPC952	H	Carte dérivée pour PLCC44 avec LPC952FA installé, Rév. 1	7,84
786-DB-LQFP48LPC2103	DB-LQFP48-LPC2103	I	Carte dérivée pour LQFP48 avec LPC2103 installé, Rév. 2.1	7,84
786-DB-LQFP48LPC2106	DB-LQFP48-LPC2106	I	Carte dérivée pour LQFP48 avec LPC2106 installé, Rév. 2.1	10,31
786-DB-PLCC44-SKT	DB-PLCC44-SKT	J	La carte dérivée avec adaptateur ZIF PLCC44 accepte les microcontrôleurs 89C51, 89LV51, 89V52, Rév. 2	40,43
786-DB-TSSOP-SKT	DB-TSSOP-SKT	K	La carte dérivée avec adaptateur ZIF TSSOP28 accepte les dispositifs LPC9xxx à 14-28 broches, Rév. 1	40,43

PROGRAMMATEURS ET ACCESSOIRES EN CIRCUIT

FDI a développé une famille de produits de soutien basés sur ordinateur pour le bus I2C et pour l'ISP (In System Programming – programmation en système) des microcontrôleurs basés sur Flash de NXP et d'autres vendeurs.

Caractéristiques :

- Accepte les familles de microcontrôleurs P89C51, ARM LPC2K et P89LPC900 de NXP
- Alimentation par port USB, éliminant le recours à une alimentation externe
- Accepte USB 1.1 à 2.0
- Connexion directe à tout port USB standard
- Fonctionne avec le logiciel gratuit Flash Magic de NXP
- L'USB-ICP accepte des tensions du dispositif cible de 3,0 à 5,0 V uniquement

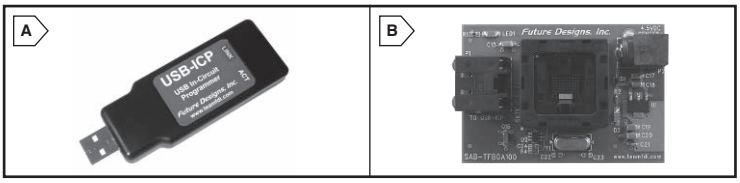

RÉF. STOCK MOUSER	Réf. FDI	Fig.	Description	Prix unitaire
786-USB-ICP-80C51ISP	USB-ICP-80C51ISP	A	Programmateur USB en circuit, Rév. 1, 80C51ISP	56,93
786-USB-ICP-LPC2K	USB-ICP-LPC2K	A	Programmateur USB en circuit, Rév. 1, LPC2K	65,18
786-USB-ICP-LPC9XX	USB-ICP-LPC9XX	A	Programmateur USB en circuit, Rév. 1, LPC9XX	56,93
786-SAB-TFBGA100	SAB-TFBGA100	B	Carte avec adaptateur pour TFBGA100, Rév. 1 - accepte LPC2364, LPC2368 ✻	164,18
786-SAB-TFBGA180	SAB-TFBGA180	B	Carte avec adaptateur pour TFBGA180, Rév. 1 - accepte LPC2458 ✻	205,43
786-SAB-TFBGA208	SAB-TFBGA208	B	Carte avec adaptateur pour TFBGA208, Rév. 1 - accepte LPC2468, LPC2478 ✻	205,43

✻ Nécessite un programmateur USB en circuit 786-USB-ICP-LPC2K vendu séparément

KITS DE DÉVELOPPEMENT ET D'APPLICATION

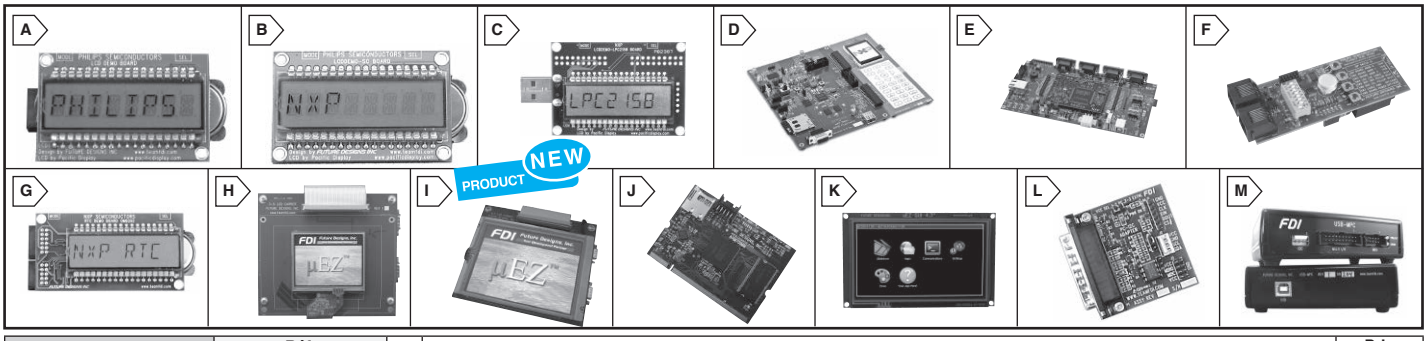

RÉF. STOCK MOUSER	Réf. FDI	Fig.	Description	Prix unitaire
Produits de développement intégrés • Pour microcontrôleurs de NXP et d'autres vendeurs				
786-LCD-DEMO-KIT	LCD-DEMO-KIT	A	Kit de démonstration LCD 8 car. LPC9103, PCF8562, Rév. 2	40,43
786-LCD-DEMO-SC	LCD-DEMO-SC	B	Kit de démonstration SC LCD 8 caractères pour LPC9408, Rév. 2	40,43
786-LCD-DEMO-LPC2158	LCD-DEMO-LPC2158	C	8 Char. LCD DEMO Kit for LPC2158, Rev 2	56,93
786-LPC3180-DEV-KIT	LPC3180-DEV-KIT	D	Kit de développement LPC3180 de NXP, Rév. 2.1	411,68
786-IRD-LPC2468-DEV	IRD-LPC2468-DEV	E	Kit de développement LPC2468 Industrial Reference Design, V1.2	378,68
786-IRD-LPC1768-DEV	IRD-LPC1768-DEV	E	Kit de développement LPC1768Industrial Reference Design, V1	325,88
786-PCA9633DEMO	PCA9633DEMO	F	Carte de démonstration PCA9633, Rév. 2	56,93
786-RTC-DEMO-KIT	RTC-DEMO-KIT	G	Kit de démonstration RTC PCA2125 de NXT, Rév. 1	56,93
786-RTC-DEMO-PCF2123	RTC-DEMO-PCF2123	G	Kit de démonstration RTC PCF2123 de NXP, Rév. 2	56,93
786-DK-35TS-LPC2478	DK-35TS-LPC2478	H	Kit LCD écran tactile QVGA 3,5" pour LPC2478, Rév. 1.0	309,38
786-DK-57VTS-LPC1788	DK-57VTS-LPC1788	I	Kit LCD écran tactile VGA 5,7" pour le LPC1788 de NXP	391,88
786-DK-57TS-LPC2478	DK-57TS-LPC2478	I	Kit LCD écran tactile QVGA 5,7" pour LPC2478, Rév. 2.0	350,63
786-DK-57VTS-LPC2478	DK-57VTS-LPC2478	I	Kit LCD écran tactile VGA 5,7" pour LPC2478, Rév. 1.0	391,88
786-DK-57TS-LPC3250	DK-57TS-LPC3250	I	Kit LCD écran tactile QVGA 5,7" pour LPC3250, Rév. 1.2	396,00
786-SOMDIMM-LPC2478	SOMDIMM-LPC2478	J	LPC2478 SOM DIMM, 8 Mo SDRAM, 10/100 ETH, 8 Ko EE, Rév. 2.3	64,43
786-UEZGUI-247843WQS	uEZGUI-2478-43WQS	K	Kit dév. LCD tactile WQVGA 4,3" pour LPC2478 uEZ GUI	-
Produits de développement sur ordinateur • Pour le bus I2C, SPI et MDIO				
786-PC-I2C-DEV	PC-I2C-DEV	L	Le kit de développement I2C comprend le kit PC-I2C-KIT Rév. B & la bibliothèque DLL du logiciel	411,68
786-PC-I2C-KIT	PC-I2C-KIT	L	Kit de développement PC vers I2C, Rév. B	205,43
786-USB-MPC-KIT	USB-MPC-KIT	M	Interface USB pour développement I2C et MDIO	246,68

© Copyright 2012 Mouser Electronics
© Copyright 2012 Mouser Electronics

Série de microcontrôleurs Flexis™ de FREESCALE

freescale™ semiconductor

RoHS Compliant **This product is RoHS compliant.**

Les microcontrôleurs de la série Flexis de Freescale offrent le premier « carnet de route » de l'industrie pour les architectures compatibles sur 8 et 32 bits. Des contrôleurs S08 aux systèmes à fonctions complètes ColdFire®, la série Flexis est une gamme d'outils et de périphériques de partage compatibles MCU qui facilitent votre processus de conception et accélèrent la mise sur le marché. Cela signifie que vous pouvez passer d'un dispositif compatible à l'autre, d'un bout à l'autre de la gamme.

FAMILLE CA FLEXIS - APPAREILS DE GRANDES DIMENSIONS / MCU INDUSTRIELS S08AC 8 bits

Pour des quantités supérieures à celles indiquées, appelez-nous pour obtenir un devis.

RÉF. STOCK MOUSER	Réf. Freescale	Boîtier	Mémoire interne Flash (octets)	Mémoire interne RAM (octets)	Type d'interface série	Fréq. bus (MHz)	Canaux retardateurs	Tension d'alimentation (Max.)	Broches E/S	CAN	Prix unitaire 1	25	50	100
841-MC9S08AC8CFGE	MC9S08AC8CFGE	LQFP 44	8K	700	I2C, SCI, SPI	20	4, 2, 2	5,5	34	8 voies / 10 bits	3,19	1,89	1,85	1,69
841-MC9S08AC8CFJE	MC9S08AC8CFJE	LQFP 32	8K	700	I2C, SCI, SPI	20	2, 2	5,5	22	6 voies / 10 bits	1,77	1,55	1,46	1,36
841-MC9S08AC16CFDE	MC9S08AC16CFDE	QFN 48 EP	16K	1000	I2C, SCI, SPI	20	4, 2	5,5	38	8 voies / 10 bits	3,72	2,12	2,09	1,99
841-MC9S08AC16CFGE	MC9S08AC16CFGE	LQFP 44	16K	1000	I2C, SCI, SPI	20	4, 2, 2	5,5	34	8 voies / 10 bits	3,62	2,92	1,86	1,71
841-MC9S08AC16CFJE	MC9S08AC16CFJE	LQFP 32	16K	1000	I2C, SCI, SPI	20	2	5,5	22	6 voies / 10 bits	1,77	1,55	1,46	1,36
841-MC9S08AC16MFGE	MC9S08AC16MFGE	LQFP 44	16K	1000	I2C, SCI, SPI	20	4, 2, 2	5,5	34	8 voies / 10 bits	2,15	2,06	1,81	1,65
841-MC9S08AC32CFDE	MC9S08AC32CFDE	QFN 48 EP	32000	2000	I2C, SCI, SPI	20	4, 2, 2	5,5	38	8 voies / 10 bits	2,55	2,53	2,48	2,39
841-MC9S08AC32CFGE	MC9S08AC32CFGE	LQFP 44	32000	2000	I2C, SCI, SPI	20	4, 2, 2	5,5	34	8 voies / 10 bits	2,71	2,69	2,64	2,51
841-MC9S08AC32CFJE	MC9S08AC32CFJE	LQFP 32	32000	2000	I2C, SCI, SPI	20	2, 2	5,5	22	6 voies / 10 bits	2,24	2,15	2,05	1,65
841-MC9S08AC32CFUE	MC9S08AC32CFUE	QFP 64	32000	2000	I2C, SCI, SPI	20	6, 2	5,5	54	16 voies / 10 bits	3,68	2,90	2,80	2,46
841-MC9S08AC32CPUE	MC9S08AC32CPUE	LQFP 64	32000	2000	I2C, SCI, SPI	20	6, 2, 2	5,5	54	16 voies / 10 bits	3,76	3,72	2,46	2,24
841-MC9S08AC48CFDE	MC9S08AC48CFDE	QFN 48 EP	48K	2K	I2C, SCI, SPI	20	4, 2, 2	5,5	38	8 voies / 10 bits	2,43	2,06	2,00	1,86
841-MC9S08AC48CFGE	MC9S08AC48CFGE	LQFP 44	48K	2K	I2C, SCI, SPI	20	4, 2, 2	5,5	34	8 voies / 10 bits	2,43	2,06	2,00	1,86
841-MC9S08AC48CFJE	MC9S08AC48CFJE	LQFP 32	48000	2000	I2C, SCI, SPI	20	2, 2	5,5	22	6 voies / 10 bits	2,24	2,15	2,05	1,65
841-MC9S08AC48CPUE	MC9S08AC48CPUE	LQFP 64	48000	2000	I2C, SCI, SPI	20	6, 2, 2	5,5	54	16 voies / 10 bits	2,81	2,78	2,72	2,60
841-MC9S08AC60CFDE	MC9S08AC60CFDE	QFN 48 EP	60000	2000	I2C, SCI, SPI	20	4, 2, 2	5,5	38	8 voies / 10 bits	2,32	2,29	2,25	2,19
841-MC9S08AC60CFGE	MC9S08AC60CFGE	LQFP 44	60000	2000	I2C, SCI, SPI	20	4, 2, 2	5,5	34	8 voies / 10 bits	3,62	3,58	2,25	2,18
841-MC9S08AC60CFJE	MC9S08AC60CFJE	LQFP 32	60000	2000	I2C, SCI, SPI	20	2, 2	5,5	22	6 voies / 10 bits	2,43	2,06	2,00	1,86
841-MC9S08AC60CFUE	MC9S08AC60CFUE	QFP 64	60000	2000	I2C, SCI, SPI	20	6, 2, 2	5,5	54	16 voies / 10 bits	4,83	4,02	2,53	2,41
841-MC9S08AC60CPUE	MC9S08AC60CPUE	LQFP 64	60000	2000	I2C, SCI, SPI	20	6, 2, 2	5,5	54	16 voies / 10 bits	4,74	3,91	2,65	2,53
841-MC9S08AC60MPUE	MC9S08AC60MPUE	LQFP 64	60K	2K	I2C, SCI, SPI	20	6, 2, 2	5,5	54	10 bits / 16 voies	2,63	2,38	2,20	2,07
841-MC9S08AC96CFGE	MC9S08AC96CFGE	LQFP 44	96K	6K	I2C, SCI, SPI	20	-	5	38	8 voies / 10 bits	2,98	2,57	2,45	2,27
841-MC9S08AC96CFUE	MC9S08AC96CFUE	QFP 64	96K	6K	I2C, SCI, SPI	20	-	5	54	16 voies / 10 bits	3,28	2,79	2,68	2,56
841-MC9S08AC96CLKE	MC9S08AC96CLKE	LQFP 80	96K	6K	I2C, SCI, SPI	20	-	5	70	16 voies / 10 bits	3,28	2,79	2,68	2,56
841-MC9S08AC128CFGE	MC9S08AC128CFGE	LQFP 44	128000	8000	I2C, SCI, SPI	20	6, 6, 2	5	34	16 voies / 10 bits	3,28	2,79	2,68	2,56
841-MC9S08AC128CFUE	MC9S08AC128CFUE	QFP 64	128000	8000	I2C, SCI, SPI	20	6, 6, 2	5	54	16 voies / 10 bits	3,28	2,79	2,68	2,56
841-MC9S08AC128CLKE	MC9S08AC128CLKE	LQFP 80	128000	8000	I2C, SCI, SPI	20	6, 6, 2	5	69	16 voies / 10 bits	3,28	2,79	2,68	2,56

FAMILLE FLEXIS AG – MCU USB MCF51AG 32 BITS V1 COLDFIRE®

PRODUCT NEW

Pour des quantités supérieures à celles indiquées, appelez-nous pour obtenir un devis.

841-MCF51AG128CLF	MCF51AG128CLF	LQFP-48	128k	16k	SCI, SPI	25	14	5,5	39	12 voies / 12 bits	5,68	4,13	4,01	3,89
841-MCF51AG128CLH	MCF51AG128CLH	LQFP-64	128k	16k	I2C, SCI, SPI	25	14	5,5	53	19 voies / 12 bits	6,09	5,18	4,78	4,60
841-MCF51AG128CLK	MCF51AG128CLK	LQFP-80	128k	16k	I2C, SCI, SPI	25	14	5,5	69	24 voies / 12 bits	6,42	5,45	5,03	4,85
841-MCF51AG128CQH	MCF51AG128CQH	QFP-64	128k	16k	I2C, SCI, SPI	25	14	5,5	53	19 voies / 12 bits	6,18	5,26	4,84	4,67
841-MCF51AG128VLF	MCF51AG128VLF	LQFP-48	128k	16k	-	25	-	5,5	39	-	5,97	5,07	4,68	4,51
841-MCF51AG128VLH	MCF51AG128VLH	LQFP-64	128k	16k	I2C, SCI, SPI	25	14	5,5	53	19 voies / 12 bits	6,40	5,45	5,02	4,83
841-MCF51AG128VLK	MCF51AG128VLK	LQFP-80	128k	16k	I2C, SCI, SPI	25	14	5,5	69	24 voies / 12 bits	6,75	5,73	5,29	5,09
841-MCF51AG128VQH	MCF51AG128VQH	QFP-64	128k	16k	I2C, SCI, SPI	25	14	5,5	53	19 voies / 12 bits	6,47	5,50	5,07	4,88
841-MCF51AG96CLF	MCF51AG96CLF	QLFP-48	96k	16k	-	25	-	5,5	39	-	5,49	4,67	4,31	4,15
841-MCF51AG96CLH	MCF51AG96CLH	LQFP-64	96k	16k	I2C, SCI, SPI	25	14	5,5	53	19 voies / 12 bits	5,78	4,92	4,53	4,36
841-MCF51AG96CLK	MCF51AG96CLK	LQFP-80	96k	16k	I2C, SCI, SPI	25	14	5,5	69	19 voies / 12 bits	6,07	5,16	4,76	4,59
841-MCF51AG96CQH	MCF51AG96CQH	QFP-64	96k	16k	I2C, SCI, SPI	25	14	5,5	53	19 voies / 12 bits	5,85	4,97	4,59	4,42
841-MCF51AG96VLF	MCF51AG96VLF	LQFP-48	96k	16k	-	25	-	5,5	39	-	5,78	4,92	4,53	4,36
841-MCF51AG96VLH	MCF51AG96VLH	LQFP-64	96k	16k	I2C, SCI, SPI	25	14	5,5	53	19 voies / 12 bits	6,06	5,15	4,74	4,58
841-MCF51AG96VLK	MCF51AG96VLK	LQFP-80	96k	16k	I2C, SCI, SPI	25	14	5,5	69	24 voies / 12 bits	6,39	5,43	5,00	4,82
841-MCF51AG96VQH	MCF51AG96VQH	QFP-64	96k	16k	I2C, SCI, SPI	25	14	5,5	53	19 voies / 12 bits	6,16	5,24	4,83	4,65

FAMILLE FLEXIS JE

PRODUCT NEW

Pour des quantités supérieures à celles indiquées, appelez-nous pour obtenir un devis.

MCU USB Coldfire® MCF51JE 32 bits V1														
841-MCF51JE128CLK	MCF51JE128CLK	LQFP-80	128k	32k	SPI, SCI, I2C, USB	25	8	3,6	47	12 voies / 12 bits	8,09	7,19	6,67	5,55
841-MCF51JE256CML	MCF51JE256CML	MAPBGA-104	256k	32k	SPI, SCI, 12C	25	8	3,6	69	12 voies / 12 bits	6,63	5,33	5,17	5,02
S08JE 8-Bit USB MCU's														
841-MC9S08JE128CLH	MC9S08JE128CLH	LQFP-64	128	12	SCI, SPI, I2C	20	6	3,8	33	12 voies / 12 bits	4,81	3,75	3,64	3,54
841-MC9S08JE128CLK	MC9S08JE128CLK	LQFP-80	128	12	SCI, SPI, I2C	20	8	3,8	46	12 voies / 12 bits	4,89	3,56	3,46	3,36

FAMILLE FLEXIS JM

La famille S08JM étend la famille des contrôleurs USB intégrés sur 8 bits avec jusqu'à 60 koctets de mémoire flash, un contrôleur de dispositif USB 2.0 à pleine vitesse et un convertisseur analogique-numérique 12 voies sur 12 bits. La famille S08 JM possède également plusieurs fonctions de protection du système telles que la détection de la basse tension et un module COP (fonctionnement correct de l'ordinateur - Computer Operating Properly). Les dispositifs de la famille S08JM sont acceptés par le bloc Freescale USB-LITE de CMX, en fournissant un chemin de migration direct vers les microcontrôleurs USB haute performance.

Pour des quantités supérieures à celles indiquées, appelez-nous pour obtenir un devis.

MCU USB 8 bits S08JM														
841-MC9S08JM8CGT	MC9S08JM8CGT	QFN 48 EP	8K	1K	SPI, I2C, SCI, USB	24	4, 2	5,5	37	12 bits / 8 voies	2,24	2,15	2,05	1,65
841-MC9S08JM8CLC	MC9S08JM8CLC	LQFP 32	8K	1K	SPI, I2C, SCI, USB	24	2	5,5	21	12 bits / 4 voies	2,74	2,43	2,25	1,88
841-MC9S08JM8CLD	MC9S08JM8CLD	LQFP 44	8K	1K	SPI, I2C, SCI, USB	24	4, 2	5,5	33	12 bits / 8 voies	2,84	2,52	2,33	1,95
841-MC9S08JM16CGT	MC9S08JM16CGT	QFN 48 EP	16K	1K	SCI, SPI, I2C, USB	24	4, 2	5,5	37	12 bits / 8 voies	2,43	2,06	2,00	1,86
841-MC9S08JM16CLC	MC9S08JM16CLC	LQFP 32	16K	1K	SPI, I2C, SCI, USB	24	2	5,5	21	12 bits / 4 voies	2,82	2,51	2,32	1,93
841-MC9S08JM16CLD	MC9S08JM16CLD	LQFP 44	16K	1K	SPI, I2C, SCI, USB	24	4, 2	5,5	33	12 bits / 8 voies	2,43	2,06	2,00	1,86
841-MC9S08JM32CGT	MC9S08JM32CGT	QFN 48	32768	3K	SPI, I2C, SCI, USB 2.0	24	4, 2	5,5	37	12 bits / 12 voies	2,71	2,69	2,64	2,40
841-MC9S08JM32CLD	MC9S08JM32CLD	LQFP 44	32768	3K	SPI, I2C, SCI, USB 2.0	24	4, 2	5,5	33	12 bits / 12 voies	2,68	2,66	2,60	2,47
841-MC9S08JM32CLH	MC9S08JM32CLH	LQFP 64	32768	3K	SPI, I2C, SCI, USB 2.0	24	6, 2	5,5	51	12 bits / 12 voies	2,77	2,75	2,70	2,55
841-MC9S08JM32CQH	MC9S08JM32CQH	QFP 64	32768	3K	SPI, I2C, SCI, USB 2.0	24	6, 2	5,5	51	12 bits / 12 voies	2,77	2,75	2,70	2,55
841-MC9S08JM60CGT	MC9S08JM60CGT	QFN 48	60912	4K	SPI, I2C, SCI, USB 2.0	24	4, 2	5,5	37	12 bits / 12 voies	5,71	3,14	3,07	2,98
841-MC9S08JM60CLD	MC9S08JM60CLD	LQFP 44	60912	4K	SPI, I2C, SCI, USB 2.0	24	4, 2	5,5	33	12 bits / 12 voies	5,02	3,51	3,44	3,28
841-MC9S08JM60CLH	MC9S08JM60CLH	LQFP 64	60912	4K	SPI, I2C, SCI, USB 2.0	24	6, 2	5,5	51	12 bits / 12 voies	5,28	3,71	3,63	3,43
841-MC9S08JM60CQH	MC9S08JM60CQH	QFP 64	60912	4K	SPI, I2C, SCI, USB 2.0	24	6, 2	5,5	51	12 bits / 12 voies	5,88	3,41	3,34	3,16
MCU USB Coldfire® MCF51JM 32 bits V1														
841-MCF51JM32VLD	MCF51JM32VLD	LQFP 44	32K	16K	SCI, SPI, I2C, USB	25	4, 2	5,5	33	12 bits / 12 voies	3,38	3,00	2,78	2,32
841-MCF51JM64VLD	MCF51JM64VLD	LQFP 44	64000	8000	SCI, SPI, I2C, USB, CAN	24	4, 2	5,5	33	8 voies / 12 bits	4,75	4,47	3,64	2,80
841-MCF51JM64VLH	MCF51JM64VLH	LQFP 64	64000	8000	SCI, SPI, I2C, USB, CAN	24	6, 2	5,5	51	12 voies / 12 bits	4,88	4,59	3,73	2,86
841-MCF51JM64VLK	MCF51JM64VLK	LQFP 80	64000	8000	SCI, SPI, I2C, USB, CAN	24	6, 2	5,5	66	12 voies / 12 bits	5,02	4,73	3,84	2,95
841-MCF51JM64VQH	MCF51JM64VQH	QFP 64	64000	8000	SCI, SPI, I2C, USB, CAN	24	6, 2	5,5	51	12 voies / 12 bits	4,88	4,59	3,73	2,86
841-MCF51JM128EVLK	MCF51JM128EVLK	LQFP 80	128000	16000	SCI, SPI, I2C, USB, CAN	24	6, 2	5,5	66	12 voies / 12 bits	6,38	6,00	4,87	3,75
841-MCF51JM128VLD	MCF51JM128VLD	LQFP 44	128000	16000	SCI, SPI, I2C, USB, CAN	24	4, 2	5,5	33	8 voies / 12 bits	5,26	4,94	4,01	3,09
841-MCF51JM128VLH	MCF51JM128VLH	LQFP 64	128000	16000	SCI, SPI, I2C, USB, CAN	24	6, 2	5,5	51	12 voies / 12 bits	5,37	5,06	4,10	3,16
841-MCF51JM128VLK	MCF51JM128VLK	LQFP 80	128000	16000	SCI, SPI, I2C, USB, CAN	24	6, 2	5,5	66	12 voies / 12 bits	5,53	5,20	4,22	3,25
841-MCF51JM128VQH	MCF51JM128VQH	QFP 64	128000	16000	SCI, SPI, I2C, USB, CAN	24	6, 2	5,5	51	12 voies / 12 bits	5,37	5,06	4,10	3,16

FAMILLE FLEXIS MM

PRODUCT NEW

Pour des quantités supérieures à celles indiquées, appelez-nous pour obtenir un devis.

MCU USB 8 bits S08														
841-MC9S08MM128CLH	MC9S08MM128CLH	LQFP-64	128K	12	SCI, SPI, I2C, USB	20	6	3,6	33	12 bits / 9 voies	6,48	3,93	3,60	3,46
841-MC9S08MM128CLK	MC9S08MM128CLK	LQFP-80	128K	12	SCI, SPI, I2C, USB	20	8	3,6	46	12 bits / 12 voies	5,78	4,91	4,68	3,98
841-MC9S08MM32ACLH	MC9S08MM32ACLH	LQFP-64	32K	2	SCI, SPI, I2C	20	6	3,6	33	12 bits / 9 voies	4,47	3,37	3,32	3,16
841-MC9S08MM32CLH	MC9S08MM32CLH	LQFP-64	32K	4	SCI, SPI, I2C, USB	20	6	3,6	33	12 bits / 9 voies	4,28	3,44	3,34	3,24
841-MC9S08MM64CLH	MC9S08MM64CLH	LQFP-64	64K	12	SCI, SPI, I2C, USB	20	6	3,6	33	12 bits / 9 voies	5,10	3,98	3,86	3,75
MCU USB 32 bits MCF51MM														
841-MCF51MM128CLK	MCF51MM128CLK	LQFP-80	128K	32K	SCI, SPI, I2C, USB	20	8	3,6	47	12 bits / 12 voies	8,77	7,79	7,21	6,01
841-MCF51MM256CLK	MCF51MM256CLK	LQFP-80	256K	32K	SCI, SPI, I2C, USB	20	8	3,6	47	12 bits / 12 voies	7,03	5,64	5,48	5,32
841-MCF51MM256CML	MCF51MM256CML	PBGA-B104	256K	32K	SCI, SPI, I2C, USB	20	8	3,6	69	12 bits / 12 voies	7,28	5,85	5,68	5,51

© Copyright 2012 Mouser Electronics

Microcontrôleurs 8 bits et Flexis™ de FREESCALE

freescale™ semiconductor

RoHS Compliant This product is RoHS compliant.

FAMILLE FLEXIS QE

La série Flexis QE utilise la nouvelle technologie à très faible consommation de Freescale qui génère une réduction de la consommation électrique tout en satisfaisant les besoins de performance recherchés. Les dispositifs Flexis partagent également des ensembles communs de périphériques et d'outils de développement, offrant la plus grande flexibilité en matière de migration. Les systèmes MC9S08QE128 (8 bits) et MCF51QE128 (32 bits) permettent d'optimiser vos performances tout en minimisant la consommation et facilitant la migration et le développement. La famille QE qui comprend un duo de systèmes à broches compatibles sur 8 bits et 32 bits est la première famille de la série Flexis.

RoHS Compliant

Pour des quantités supérieures à celles indiquées, appelez-nous pour obtenir un devis.

RÉF. STOCK MOUSER	Réf. Freescale	Boîtier	Mémoire interne Flash (octets)	Mémoire interne RAM (octets)	Type d'interface série	Fréq. bus (MHz)	Canaux retardateurs	Tension d'alimentation (Max.)	Broches E/S	CAN	Prix unitaire 1	25	50	100
Microcontrôleurs 8 bits faible puissance S08QE														
841-MC9S08QE4CTG	MC9S08QE4CTG	TSSOP 16	4000	256	SCI, I2C, SPI	10	2	de 1,8 à 3,6	12	10 bits / 8 voies	2,21	1,32	1,28	1,13
841-MC9S08QE4CWJ	MC9S08QE4CWJ	SOIC 20 W	4000	256	SCI, I2C, SPI	10	3	de 1,8 à 3,6	16	12 bits / 10 voies	2,29	1,41	1,37	1,19
841-MC9S08QE8CLC	MC9S08QE8CLC	LQFP 32	8K	512	SCI, I2C, SPI	10	3, 3	3,6	26	12 bits / 10 voies	2,71	1,61	1,57	1,36
841-MC9S08QE8CWJ	MC9S08QE8CWJ	SOIC 20	8K	512	SCI, I2C, SPI	10	3, 3	3,6	16	12 bits / 10 voies	2,62	1,36	1,33	1,22
841-MC9S08QE8CTG	MC9S08QE8CTG	TSSOP 16	8K	512	SCI, I2C, SPI	10	2, 2	3,6	12	10 bits / 8 voies	2,54	1,30	1,28	1,16
841-MC9S08QE8CPG	MC9S08QE8CPG	PDIP 16	8K	512	SCI, I2C, SPI	10	2, 2	3,6	12	10 bits / 8 voies	2,54	1,30	1,28	1,16
841-MC9S08QE16CLD	MC9S08QE16CLD	LQFP 44	16K	1K	SPI, SCI, I2C	25	3, 6	3,6	34	12 bits / 10 voies	1,98	1,82	1,65	1,55
841-MC9S08QE64CLC	MC9S08QE64CLC	LQFP 32	64K	4K	SPI, SCI, I2C	25	3, 6	3,6	26	12 bits / 10 voies	1,40	1,32	1,28	1,16
841-MC9S08QE64CLH	MC9S08QE64CLH	LQFP64	64K	4K	SCI, I2C, SPI	20, 50	3, 3, 6	3,6	54	12 bits / 22 voies	3,31	3,29	3,22	2,94
841-MC9S08QE128CLH	MC9S08QE128CLH	LQFP64	128K	8K	SCI, I2C, SPI	20, 50	3, 3, 6	3,6	54	12 bits / 22 voies	4,98	4,75	4,51	4,31
841-MC9S08QE128CLK	MC9S08QE128CLK	LQFP 80	128K	8K	SCI, I2C, SPI	20, 50	3, 3, 6	3,6	70	12 bits / 24 voies	5,28	5,04	4,78	4,08
Microcontrôleurs 32 bits faible puissance MCF51QE														
841-MCF51QE128CLK	MCF51QE128CLK	LQFP 80	128K	8K	SCI, I2C, SPI	20, 50	3, 3, 6	3,6	70	12 bits / 24 voies	4,50	4,43	4,29	3,71
841-MCF51QE128CLH	MCF51QE128CLH	LQFP64	128K	8K	SCI, I2C, SPI	20, 50	3, 3, 6	3,6	54	12 bits / 20 voies	4,28	4,22	4,08	3,53
841-MCF51QE32LH	MCF51QE32LH	LQFP64	32K	8K	SCI, I2C, SPI	20, 50	3, 3, 6	3,6	54	12 bits / 20 voies	4,36	2,59	2,50	2,16
841-MCF51QE32CLH	MCF51QE32CLH	LQFP64	32K	8K	SCI, I2C, SPI	20, 50	3, 3, 6	3,6	54	12 bits / 20 voies	4,72	2,79	2,69	2,32

RS08 – MICROCONTRÔLEURS CŒUR S08 À JEU D'INSTRUCTIONS RÉDUIT

♦ **Composant pour montage en surface**

Le cœur RS08 est une version réduite de l'unité centrale (UC) S08, spécialement conçue pour les systèmes à nombre réduit de broches et ayant une mémoire inférieure à 16 Ko. Avec une taille réduite de 30% par rapport à celle de l'UC S08, il est plus efficace et économique pour les systèmes électromécaniques simples qui migrent vers le fonctionnement à semi-conducteurs ou les dispositifs portables qui passent à des versions plus petites, voire jetables.

RoHS Compliant

Pour des quantités supérieures à celles indiquées, appelez-nous afin d'obtenir un devis.

RÉF. STOCK MOUSER Fabr.	Réf. fabr.	Kit de développement Réf.	Boîtier	Mémoire interne RAM (octets)	Mémoire interne FLASH (octets)	Canaux retardateurs	Fréquence bus (MHz)	Tension Current (Max.)	E/S E/S	Température de fonctionnement	Prix unitaire 1	25	50	100
♦	841—MC9RS08KA1CDB	DEMO9RS08KA2	QFN-D 6	63	1k	1	10	5600 mA	2	de -40 à 85°C	0,59	0,479	0,454	0,347
	841—MC9RS08KA1CPC	DEMO9RS08KA2	PDIP 8	63	1k	1	10	5600 mA	4	de -40 à 85°C	0,58	0,55	0,529	0,503
♦	841—MC9RS08KA1CSC	DEMO9RS08KA2	SOIC 8	63	1k	1	10	5600 mA	4	de -40 à 85°C	0,59	0,553	0,515	0,347
♦	841—MC9RS08KA2CDB	DEMO9RS08KA2	QFN-D 6	63	2k	1	10	5600 mA	2	de -40 à 85°C	0,58	0,55	0,529	0,503
	841—MC9RS08KA2CPC	DEMO9RS08KA2	PDIP 8	63	2k	1	10	5600 mA	4	de -40 à 85°C	0,57	0,536	0,521	0,383
♦	841—MC9RS08KA2CSC	DEMO9RS08KA2	SOIC 8	63	2k	1	10	5600 mA	4	de -40 à 85°C	0,58	0,55	0,529	0,503
	841—MC9RS08KA4CPG	DEMO9RS08KA8	PDIP 16	126	4000	2	10	-	14	de -40 à 85°C	1,42	1,35	1,28	1,22
	841—MC9RS08KA4CPJ	DEMO9RS08KA8	PDIP 20	126	4000	2	10	-	18	de -40 à 85°C	1,04	0,982	0,908	0,624
	841—MC9RS08KA4CTG	DEMO9RS08KA8	TSSOP 16	128	4k	1, 2	10	5 mA	14	de -40 à 85°C	0,97	0,866	0,805	0,671
♦	841—MC9RS08KA4CWG	DEMO9RS08KA8	SOIC 16W	126	4000	2	10	-	14	de -40 à 85°C	1,41	1,10	1,06	0,88
♦	841—MC9RS08KA4CWJ	DEMO9RS08KA8	SOIC 20 W	126	4000	2	10	-	18	de -40 à 85°C	1,51	1,18	0,791	0,73
	841—MC9RS08KA8CPG	DEMO9RS08KA8	PDIP 16	254	8000	2	10	-	14	de -40 à 85°C	1,53	1,45	1,38	1,31
	841—MC9RS08KA8CPJ	DEMO9RS08KA8	PDIP 20	254	8000	2	10	-	18	de -40 à 85°C	1,73	1,64	1,56	1,48
♦	841—MC9RS08KA8CWG	DEMO9RS08KA8	SOIC 16 W	254	8000	2	10	-	14	de -40 à 85°C	1,51	1,18	0,791	0,73
♦	841—MC9RS08KA8CWJ	DEMO9RS08KA8	SOIC 20 W	254	8000	2	10	-	18	de -40 à 85°C	1,53	0,941	0,858	0,812

HCS08 – MICROCONTRÔLEURS CŒUR

Avec sa haute performance et sa faible consommation, le HCS08 ne sacrifie rien pour offrir un fonctionnement à faible consommation de 1,8 V.
Caractéristiques du HCS08 – Modes multiples de gestion de l'énergie, y compris un mode d'interruption de l'alimentation à 20 nanoampères (nA)

♦ **Composant pour montage en surface**

- Auto-réveil à zéro composants à partir de l'arrêt aidant à réduire les coûts et la consommation à 0,7 microampères (µA) – UC jusqu'à 40 MHz / bus 20 MHz à 2,1 V et UC jusqu'à 16 MHz / bus 8 MHz at 1,8 V
- Générateur d'horloge interne programmable avec compensation de température et de tension (déviation typique < 2%) conçu pour communications fiables, démarrage rapide et coût de système réduit
- Reprogrammation d'applications intégrées et stockage des données via la technologie flash de troisième génération de 0,25 µ
- Haute intégration, y compris quatre ports de communication série, jusqu'à 8 retardateurs / MLI et un convertisseur analogique-numérique à 8 voies sur 10 bits, spécifié à 1,8 V.

RoHS Compliant

Famille S08AW – Usage général automobile / industriel 5 volts

Pour des quantités supérieures à celles indiquées, appelez-nous afin d'obtenir un devis.

RÉF. STOCK MOUSER Fabr.	Réf. fabr.	Kit de développement Réf.	Boîtier	Mémoire interne RAM (octets)	Mémoire interne FLASH (octets)	Type d'interface série	Canaux retardateurs	Bus. Fréq. (MHz)	Tension d'alimentation (V) (Max.)	Broches d'E/S	CAN	Prix unitaire 1	25	50	100
♦	841—MC9S08AW16CFGE	DEMO9S08AW60E	LQFP 44	1k	16k	I2C, SCI, SPI	4, 2	20	5,5	34	10 bits / 8 voies	2,95	2,77	2,57	1,73
♦	841—MC9S08AW16MFUE	DEMO9S08AW60E	QFP 64	1000	16000	SPI, SCI, I2C	4, 2	20	5.5	54	10 bits / 16 voies	4,46	2,85	2,83	2,68
♦	841—MC9S08AW32CFDE	DEMO9S08AW60E	QFN 48	2k	32k	I2C, SCI, SPI	4, 2	20	5,5	38	10 bits / 12 voies	3,32	3,14	2,54	1,96
♦	841—MC9S08AW32CFGE	DEMO9S08AW60E	LQFP 44	2k	32k	I2C, SCI, SPI	4, 2	20	5,5	34	10 bits / 8 voies	1,82	1,80	1,76	1,60
♦	841—MC9S08AW32CFUE	DEMO9S08AW60E	QFP 64	2k	32k	I2C, SCI, SPI	4, 2	20	5.5	54	10 bits / 16 voies	4,71	2,47	2,42	2,29
♦	841—MC9S08AW32CPUE	DEMO9S08AW60E	LQFP 64	2k	32k	I2C, SCI, SPI	4, 2	20	5.5	54	10 bits / 16 voies	4,71	2,47	2,42	2,29
♦	841—MC9S08AW32MFGE	DEMO9S08AW60E	LQFP 44	2K	32K	SPI, SCI, I2C	4, 2	20	5,5	34	10 bits / 8 voies	3,50	3,29	3,04	2,05
♦	841—MC9S08AW32VFGE	DEMO9S08AW60E	LQFP 44	32K	2K	I2C, SCI, SPI	4, 2	20	5,5	34	10 bits / 8 voies	3,36	3,16	2,57	1,97
♦	841—MC9S08AW48CFUE	DEMO9S08AW60E	QFP 64	2k	48k	I2C, SCI, SPI	6, 2	20	5.5	54	10 bits / 16 voies	4,58	4,35	4,14	3,93
♦	841—MC9S08AW48CPUE	DEMO9S08AW60E	LQFP 64	2k	49152	I2C, SCI, SPI	6, 2	20	5.5	54	10 bits / 8 voies	4,41	3,15	3,08	2,77
♦	841—MC9S08AW60CFDE	DEMO9S08AW60E	QFN 48	2048	60k	I2C, SCI, SPI	6, 2	20	5,5	38	10 bits / 12 voies	4,31	4,06	3,76	2,53
♦	841—MC9S08AW60CFGE	DEMO9S08AW60E	LQFP 44	2k	60k	I2C, SCI, SPI	6, 2	20	5,5	34	10 bits / 8 voies	4,37	4,34	4,26	3,90
♦	841—MC9S08AW60CFUE	DEMO9S08AW60E	QFP 64	2k	60k	I2C, SCI, SPI	6, 2	20	5.5	54	10 bits / 16 voies	5,84	3,53	3,46	3,17
♦	841—MC9S08AW60CPUE	DEMO9S08AW60E	LQFP 64	2k	60k	I2C, SCI, SPI	6, 2	20	5.5	54	10 bits / 16 voies	5,68	3,35	3,29	3,01

MCU S08DN sur 8 bits avec Master LIN

♦	841—MC9S08DN16AMLC	DEMO9S08DZ60	LQFP 32	1K	16K	I2C, SCI, SPI	4,2	20	5.5	26	12 bits / 10 voies	5,56	3,37	3,27	3,23
♦	841—MC9S08DN32ACLF	DEMO9S08DZ60	LQFP 48	1,5K	32K	I2C, SCI, SPI	6,2	20	5.5	40	12 bits / 16 voies	5,67	3,43	3,32	3,28
♦	841—MC9S08DN32ACLH	DEMO9S08DZ60	LQFP 64	1,5K	32K	I2C, SCI, SPI	6,2	20	5.5	53	12 bits / 16 voies	4,86	4,31	3,99	3,33
♦	841—MC9S08DN60AMLH	DEMO9S08DZ60	LQFP 64	2K	60K	I2C, SCI, SPI	6,2	20	5.5	53	12 bits / 16 voies	5,92	5,26	4,87	4,06

© Copyright 2012 Mouser Electronics
© Copyright 2012 Mouser Electronics

Microcontrôleurs 8 bits FREESCALE

RoHS Compliant This product is RoHS compliant.

freescale™ semiconductor

MICROCONTRÔLEURS CŒUR HCS08 (SUITE)

Famille S08GB/GT – Usage général automobile / industriel 1,8 V

Pour des quantités supérieures à celles indiquées, appelez-nous pour obtenir un devis.

RÉF. STOCK MOUSER		Réf. kit de développement	Boîtier	RAM interne (octets)	FLASH interne (octets)	Type d'interface série	Canaux de minuterie	Fréq. du bus (MHz)	Tension d'alim. (V) (Max.)	Broches E/S	CAN	Prix unitaire			
Fabr.	Réf. fabr.											1	25	50	100
841—MC9S08GT16ACFCE		M68DEMO908GB60E	QFN 32	2K	16K	IRSCI, SPI, I2C	4, 2	20	1.8	24	10 bits / 8 voies	2,57	2,42	2,38	1,51
841—MC9S08GT16ACFDE		M68DEMO908GB60E	QFN 48	2K	16K	IRSCI, SPI, I2C	4, 2	20	1.8	39	10 bits / 4 voies	3,65	2,02	1,98	1,76
841—MC9S08GT16AMFBE		M68DEMO908GB60E	QFP 44	2K	16K	IRSCI, SPI, I2C	4, 2	20	1.8	36	10 bits / 8 voies	4,16	2,13	2,08	1,87
841—MC9S08GT16AMFCE		M68DEMO908GB60E	QFN 32	2K	16K	IRSCI, SPI, I2C	4, 2	20	1.8	24	10 bits / 8 voies	2,83	2,66	2,47	1,66
841—MC9S08GT16AMFDE		M68DEMO908GB60E	QFN 48	2K	16K	IRSCI, SPI, I2C	4, 2	20	1.8	39	10 bits / 4 voies	2,90	2,73	2,55	1,71
841—MC9S08GT32ACFBE		M68DEMO908GB60E	QFP 44	2K	32K	I2C, SCI, SPI	2, 2	20	3,6	36	10 bits / 8 voies	3,28	2,79	2,68	2,56
841—MC9S08GT32ACFDE		M68DEMO908GB60E	QFN 48	2K	32K	I2C, SCI, SPI	2, 2	20	3,6	39	10 bits / 8 voies	3,28	2,79	2,68	2,56
841—MC9S08GT60ACFBE		M68DEMO908GB60E	QFP 44	4K	60K	I2C, SCI, SPI	2, 2	20	3,6	36	10 bits / 8 voies	6,35	4,29	4,22	3,88
841—MC9S08GT60ACFDE		M68DEMO908GB60E	QFN 48	4K	60K	I2C, SCI, SPI	3, 2	20	3,6	39	10 bits / 8 voies	6,77	4,21	4,14	3,81
841—MC9S08GB32ACFUE		M68DEMO908GB60E	LQFP 64	2K	32K	I2C, SCI, SPI	3, 5	20	3,6	56	10 bits / 16 voies	5,74	3,72	3,62	3,23
841—MC9S08GB60ACFUE		M68DEMO908GB60E	LQFP 64	4K	60K	I2C, SCI, SPI	3, 5	20	3,6	56	10 bits / 8 voies	7,48	5,53	5,43	4,97

Famille S08JS – Contrôleur USB 2.0 pleine vitesse et émetteur-récepteur USB intégré

Le JS16 étend la famille des contrôleurs USB 8 bits embarqués d'entrée de gamme de Freescale avec jusqu'à 16 Ko de mémoire flash et un contrôleur USB 2.0 pleine vitesse. Le JS16 possède également aussi plusieurs fonctionnalités de protection du système telles que la détection de la basse tension et un module COP (fonctionnement correct de l'ordinateur - Computer Operating Properly). Le JS16 est idéal pour une variété d'applications de contrôle industriel et de dispositifs grand public, y compris les périphériques d'ordinateur et les télécommandes.

Pour des quantités supérieures à celles indiquées, appelez-nous pour obtenir un devis.

RÉF. STOCK MOUSER		Réf. kit de développement	Boîtier	RAM interne (octets)	FLASH interne (octets)	Type d'interface série	Canaux de minuterie	Fréq. du bus (MHz)	Tension d'alim. (V) (Max.)	Broches E/S	Prix unitaire			
Fabr.	Réf. fabr.										1	25	50	100
841—MC9S08JS8CFK		DEMO9S08JS16	QFN 24 EP	512	16	SCI, SPI	2	24	5,5	14	1,17	1,01	0,965	0,891
841—MC9S08JS8CWJ		DEMO9S08JS16	SOIC 20 W	512	16	SCI, SPI	2	24	5,5	14	1,33	1,16	1,03	0,891
841—MC9S08JS16CFK		DEMO9S08JS16	QFN 24 EP	512	16	SCI, SPI	2	24	5,5	14	1,41	1,19	1,14	1,07
841—MC9S08JS16CWJ		DEMO9S08JS16	SOIC 20 W	512	16	SCI, SPI	2	24	5,5	14	1,44	1,34	1,28	1,09

Famille S08LC – Pilote LCD intégré et pompe de charge

Pour des quantités supérieures à celles indiquées, appelez-nous pour obtenir un devis.

RÉF. STOCK MOUSER		Réf. kit de développement	Boîtier	RAM interne (octets)	FLASH interne (octets)	Type d'interface série	Canaux de minuterie	Fréq. du bus (MHz)	Tension d'alim. (V) (Max.)	Broches E/S	CAN	Prix unitaire			
Fabr.	Réf. fabr.											1	25	50	100
841—MC9S08LC36LK		DEMO9S08LC60	LQFP 80	2,k	36k	I2C, SCI, SPI	2	20	3,6	23	10 bits / 8 voies	3,92	3,66	3,51	3,40
841—MC9S08LC60LK		DEMO9S08LC60	LQFP 80	4k	60k	I2C, SCI, SPI	2	20	3,6	24	12 bits / 8 voies	6,10	5,74	5,60	3,59

Famille S08LG – Pilote LCD intégré

Pour des quantités supérieures à celles indiquées, appelez-nous pour obtenir un devis.

RÉF. STOCK MOUSER		Réf. kit de développement	Boîtier	RAM interne (octets)	FLASH interne (octets)	Type d'interface série	Canaux de minuterie	Fréq. du bus (MHz)	Tension d'alim. (V) (Max.)	Broches E/S	CAN	Prix unitaire			
Fabr.	Réf. fabr.											1	25	50	100
841—MC9S08LG16CLH		DEMO9S08LG32	LQFP 64	2	18	SCI, SPI, I2C	6, 2	20	5.5	53	12 bits / 12 voies	2,24	2,15	2,05	1,65
841—MC9S08LG16CLF		DEMO9S08LG32	LQFP 48	2	18	SCI, SPI, I2C	6, 2	20	5.5	39	12 bits / 9 voies	2,15	2,06	1,81	1,65
841—MC9S08LG32CLK		DEMO9S08LG32	LQFP 80	2	32	SCI, SPI, I2C	6, 2	20	5,5	69	12 bits / 16 voies	2,63	2,38	2,20	2,07
841—MC9S08LG32CLH		DEMO9S08LG32	LQFP 64	2	32	SCI, SPI, I2C	6, 2	20	5.5	53	12 bits / 12 voies	2,43	2,06	2,00	1,86
841—MC9S08LG32CLF		DEMO9S08LG32	LQFP 48	2	32	SCI, SPI, I2C	6, 2	20	5.5	39	12 bits / 9 voies	2,24	2,15	2,05	1,65

MCU à très faible consommation S08LL avec pilote LCD intégré

Freescale introduit le MCU à très faible consommation avec pilote LCD. Le MC9S08LL16/8 vous aide à atteindre les niveaux de performance recherchés tout en minimisant la consommation d'énergie de votre conception, dotant les applications à piles d'une efficacité énergétique extrême.

Pour des quantités supérieures à celles indiquées, appelez-nous pour obtenir un devis.

RÉF. STOCK MOUSER		Réf. kit de développement	Boîtier	RAM interne (octets)	FLASH interne (octets)	Type d'interface série	Canaux de minuterie	Fréq. du bus (MHz)	Tension d'alim. (V) (Max.)	Broches E/S	CAN	Prix unitaire			
Fabr.	Réf. fabr.											1	25	50	100
841—MC9S08LL8CGT		DEMO9S08LL16	QFN 48 EP	2	8	SCI, SPI, I2C	2	10	3,6	31	12 bits / 8 voies	1,77	1,55	1,46	1,36
841—MC9S08LL16CGT		DEMO9S08LL16	QFN 48 EP	2	16	SCI, SPI, I2C	2	10	3,6	31	12 bits / 8 voies	1,77	1,55	1,46	1,36
841—MC9S08LL36CLH		DEMO9S08LL16	LQFP 64	4	36	SCI, SPI, I2C	2	20	3,6	38	12 bits / 10 voies	2,43	2,06	2,00	1,86
841—MC9S08LL64CLH		DEMO9S08LL16	LQFP 64	4	64	SCI, SPI, I2C	2	20	3,6	38	12 bits / 10 voies	2,98	2,57	2,45	2,27
841—MC9S08LL64CLK		DEMO9S08LL16	LQFP 80	4	64	SCI, SPI, I2C	2	20	3,6	64	12 bits / 10 voies	3,28	2,79	2,68	2,56
841—MC9S08LL8CLF		DEMO9S08LL16	LQFP 48	2	8	SCI, SPI, I2C	2	10	3,6	31	12 bits / 8 voies	1,77	1,55	1,46	1,36
841—MC9S08LL16CLF		DEMO9S08LL16	LQFP 48	2	16	SCI, SPI, I2C	2	10	3,6	38	12 bits / 8 voies	1,77	1,55	1,46	1,36
841—MC9S08LL16CLH		DEMO9S08LL16	LQFP 64	2	16	SCI, SPI, I2C	2	10	3,6	38	12 bits / 8 voies	1,98	1,82	1,65	1,55

S08MP : Microcontrôleurs 8 bits à moteur

Pour des quantités supérieures à celles indiquées, appelez-nous pour obtenir un devis.

RÉF. STOCK MOUSER		Réf. kit de développement	Boîtier	RAM interne (octets)	FLASH interne (octets)	Type d'interface série	Canaux de minuterie	Fréq. du bus (MHz)	Tension d'alim. (V) (Max.)	Broches E/S	CAN	Prix unitaire			
Fabr.	Réf. fabr.											1	25	50	100
841—MC9S08MP16VLC		DEMO9S08MP16	LQFP-32	1	16	SCI	2, 6	25	5,5	25	12 bits / 13 voies	1,67	1,49	1,32	1,21
841—MC9S08MP16VLF		DEMO9S08MP16	LQFP-48	1	16	SCI	2, 6	25	5,5	40	12 bits / 13 voies	1,67	1,49	1,32	1,21
841—MC9S08MP16VWL		DEMO9S08MP16	SOIC-28 W	1	16	SCI	2, 6	25	5,5	22	12 bits / 13 voies	1,49	1,32	1,27	1,17
841—S9S08MP16E2MLF		DEMO9S08MP16	LPFP-48	1	16	SCI	2, 6	20	5.5	40	12 bits / 13 voies	3,75	2,27	2,20	2,15

Famille S08QA – MCU 8 bits à haute performance, coût réduit

Pour des quantités supérieures à celles indiquées, appelez-nous pour obtenir un devis.

RÉF. STOCK MOUSER		Boîtier	RAM interne (octets)	FLASH interne (octets)	Canaux de minuterie	Fréq. du bus (MHz)	Tension d'alim. (V) (Max.)	Broches E/S	CAN	Prix unitaire			
Fabr.	Réf. fabr.									1	25	50	100
841—MC9S08QA2CDNE		SOIC 8	160	2K	1	10	3,6	5	10 bits / 4 voies	1,42	1,35	1,28	1,22
841—MC9S08QA2CFQE		QFN-D 8EP	160	2K	1	10	3,6	5	10 bits / 4 voies	1,28	1,26	1,22	1,06
841—MC9S08QA2CPAE		PDIP 8	160	2K	1	10	3,6	5	10 bits / 4 voies	1,73	1,64	1,56	1,48
841—MC9S08QA4CDNE		SOIC 8	256	4K	1	10	3,6	5	10 bits / 4 voies	1,01	0,949	0,883	0,596
841—MC9S08QA4CFQE		QFN-D 8EP	256	4K	1	10	3,6	5	10 bits / 4 voies	1,11	0,982	0,908	0,759
841—MC9S08QA4CPAE		PDIP 8	256	4K	1	10	3,6	5	10 bits / 4 voies	0,98	0,924	0,82	0,579

S08QB – Famille de microcontrôleurs 8 bits à faible consommation

Pour des quantités supérieures à celles indiquées, appelez-nous pour obtenir un devis.

RÉF. STOCK MOUSER		Réf. kit de développement	Boîtier	RAM interne (octets)	FLASH interne (octets)	Type d'interface série	Canaux de minuterie	Fréq. du bus (MHz)	Tension d'alim. (V) (Max.)	Broches E/S	CAN	Prix unitaire			
Fabr.	Réf. fabr.											1	25	50	100
841—MC9S08QB4CGK		DEMO9S08QB8	QFN 24 EP	4	256	SCI	1, 1	10	3,6	20	8 bits / 12 voies	1,39	1,30	1,21	0,819
841—MC9S08QB4CWL		DEMO9S08QB8	SOIC 28 W	4	256	SCI	1, 1	10	3,6	24	8 bits / 12 voies	1,40	1,30	1,06	0,817
841—MC9S08QB8CTG		DEMO9S08QB8	TSSOP 16	8	512	SCI	1, 1	10	3,6	14	8 bits / 12 voies	1,40	1,32	1,22	0,825
841—MC9S08QB8CGK		DEMO9S08QB8	QFN 24 EP	8	512	SCI	1, 1	10	3,6	20	8 bits / 12 voies	1,00	0,858	0,825	0,677
841—MC9S08QB8CWL		DEMO9S08QB8	SOIC 28 W	8	512	SCI	1, 1	10	3,6	24	8 bits / 12 voies	1,24	1,05	0,982	0,908

© Copyright 2012 Mouser Electronics

© Copyright 2012 Mouser Electronics

Microcontrôleurs 8 bits FREESCALE

freescale semiconductor

RoHS Compliant This product is RoHS compliant.

MICROCONTRÔLEURS CŒUR HCS08 (SUITE)

Famille S08QD – 5 V haute performance et AD 10 bits

Pour des quantités supérieures à celles indiquées, appelez-nous afin d'obtenir un devis.

RÉF. STOCK MOUSER		Réf. kit de développement	Boîtier	RAM interne (octets)	FLASH interne (octets)	Canaux de minuterie	Fréq. du bus (MHz)	Tension d'alim. (V)(Max.)	Broches E/S	CAN	Prix unitaire			
Fabr.	Réf. fabr.										1	25	50	100
841	MC9S08QD2CSC	DEMO9S08QD4	SOIC 8	128	2000	1, 2	8	5,5	-	12 bits / 8-ch	1,32	0,78	0,768	0,69
841	MC9S08QD2CPC	DEMO9S08QD4	PDIP 8	128	2000	1, 2	8	5,5	-	10-bit / 4-ch	1,53	0,941	0,858	0,812
841	MC9S08QD2MPC	DEMO9S08QD4	PDIP 8	128	2000	1, 2	8	5,5	6	10-bit / 4-ch	1,09	0,965	0,891	0,747
841	MC9S08QD2MSC	DEMO9S08QD4	SOIC 8	128	2000	1, 2	8	5,5	6	10-bit / 4-ch	1,53	0,941	0,858	0,812
841	MC9S08QD2VSC	DEMO9S08QD4	SOIC 8	128	2000	1, 2	8	5,5	6	10-bit / 4-ch	0,97	0,908	0,825	0,57
841	MC9S08QD4CPC	DEMO9S08QD4	PDIP 8	256	4K	1, 2	8	5,5	4	10-bit / 4-ch	1,04	0,982	0,908	0,615
841	MC9S08QD4CSC	DEMO9S08QD4	SOIC 8	256	4K	1, 2	8	5,5	4	10-bit / 4-ch	1,03	0,81	0,792	0,729
841	MC9S08QD4MPC	DEMO9S08QD4	PDIP 8	256	4K	1, 2	8	5,5	6	10-bit / 4-ch	1,25	1,18	1,09	0,739
841	MC9S08QD4MSC	DEMO9S08QD4	SOIC 8	256	4K	1, 2	8	5,5	6	10-bit / 4-ch	0,95	0,94	0,913	0,79
841	MC9S08QD4VPC	DEMO9S08QD4	PDIP 8	256	4K	2, 1	8	5,5	4	10-bit / 4-ch	0,95	0,94	0,913	0,79
841	MC9S08QD4VSC	DEMO9S08QD4	SOIC 8	256	4K	1, 2	8	5,5	4	16-bit / 4-ch	1,13	1,06	0,866	0,668

Famille S08QG – 1,8 à 3,3 V, haute performance, jusqu'à 8 K de mémoire flash

Pour des quantités supérieures à celles indiquées, appelez-nous afin d'obtenir un devis.

RÉF. STOCK MOUSER		Réf. kit de développement	Boîtier	RAM interne (octets)	FLASH interne (octets)	Type d'interface série	Canaux de minuterie	Fréq. du bus (MHz)	Tension d'alim. (V)(Max.)	Broches E/S	CAN	Prix unitaire			
Fabr.	Réf. fabr.											1	25	50	100
841	MC9S08QG4CDNE	DEMO9S08QG8E	SOIC 8	256	4K	I2C, SCI, SPI	1, 1	10	3,6	4	10-bit / 4-ch	1,20	1,19	1,15	1,00
841	MC9S08QG4CDTE	DEMO9S08QG8E	TSSOP 16	256	4K	I2C, SCI, SPI	1, 1	10	3,6	12	10-bit / 8-ch	1,28	1,26	1,22	1,06
841	MC9S08QG4CFFE	DEMO9S08QG8E	QFN 16	256	4K	I2C, SCI, SPI	1, 2	10	3,6	12	10-bit / 8-ch	1,40	1,39	1,36	1,26
841	MC9S08QG4CFQE	DEMO9S08QG8E	QFN-D 8	256	4K	I2C, SCI, SPI	1, 2	10	3,6	4	10-bit / 4-ch	1,22	1,20	1,16	1,01
841	MC9S08QG4CPAE	DEMO9S08QG8E	PDIP 8	256	4K	I2C, SCI, SPI	1, 2	10	3,6	4	10-bit / 4-ch	1,19	1,18	1,14	0,988
841	MC9S08QG8CDNE	DEMO9S08QG8E	SOIC 8	512	8K	I2C, SCI, SPI	1, 2	10	3,6	4	10-bit / 4-ch	0,95	0,94	0,913	0,79
841	MC9S08QG8CDTE	DEMO9S08QG8E	TSSOP 16	512	8K	I2C, SCI, SPI	1, 2	10	3,6	12	10-bit / 8-ch	1,35	1,33	1,28	1,11
841	MC9S08QG8CFFE	DEMO9S08QG8E	QFN 16	512	8K	I2C, SCI, SPI	1, 2	10	3,6	12	10-bit / 8-ch	1,66	1,65	1,62	1,49
841	MC9S08QG8CFQE	DEMO9S08QG8E	QFN-D 8	512	8K	I2C, SCI, SPI	1, 2	10	3,6	4	10-bit / 4-ch	1,22	1,15	1,06	0,721
841	MC9S08QG8CPBE	DEMO9S08QG8E	PDIP 16	513	8K	I2C, SCI, SPI	1, 2	10	3,6	12	10-bit / 8-ch	1,30	1,28	1,24	1,07

Famille S08R - MCU 8 bits

Pour des quantités supérieures à celles indiquées, appelez-nous afin d'obtenir un devis.

RÉF. STOCK MOUSER		Réf. kit de développement	Boîtier	RAM interne (octets)	FLASH interne (octets)	Canaux de minuterie	Fréq. du bus (MHz)	Tension d'alim. (V)(Max.)	Broches E/S	Température de fonctionnement	Prix unitaire			
Fabr.	Réf. fabr.										1	25	50	100
841	MC9S08RD8CDWE	DEMO9S08RG60E	SOIC 28{sp}W	1000	8000	2	8	3,6	23	de -40 à 85 °C	3,30	3,07	3,02	1,94
841	MC9S08RD8DWE	DEMO9S08RG60E	SOIC 28{sp}W	1000	8000	2	8	3,6	23	-	4,47	3,13	2,81	2,81
841	MC9S08RD16CDWE	DEMO9S08RG60E	SOIC 28{sp}W	1000	16000	2	8	3,6	23	de -40 à 85 °C	6,34	3,84	3,82	3,73
841	MC9S08RD16CPE	DEMO9S08RG60E	PDIP 28	1000	16000	2	8	3,6	23	de -40 à 85 °C	4,06	4,01	3,81	3,66
841	MC9S08RD16DWE	DEMO9S08RG60E	SOIC 28{sp}W	1000	16000	2	8	3,6	23	de -40 à 85 °C	6,34	4,06	4,01	3,84
841	MC9S08RD16PE	DEMO9S08RG60E	PDIP 28	1000	16000	2	8	3,6	23	de -40 à 85 °C	4,08	4,01	3,95	3,89
841	MC9S08RD32DWE	DEMO9S08RG60E	SOIC 28{sp}W	2000	32000	2	8	3,6	23	-	8,01	4,85	4,81	4,62
841	MC9S08RD32PE	DEMO9S08RG60E	PDIP 28	2000	32000	2	8	3,6	23	-	5,13	4,99	4,81	4,62
841	MC9S08RD60CPE	DEMO9S08RG60E	PDIP 28	2000	60000	2	8	3,6	23	de -40 à 85 °C	6,40	6,31	6,00	5,75
841	MC9S08RD60DWE	DEMO9S08RG60E	SOIC 28{sp}W	2000	60000	2	8	3,6	23	de -40 à 85 °C	8,69	6,11	5,92	5,81
841	MC9S08RE8CFGE	DEMO9S08RG60E	LQFP 44	1000	8000	2	8	3,6	39	de -40 à 85 °C	5,12	3,27	3,23	3,10
841	MC9S08RE16FGE	DEMO9S08RG60E	LQFP 44	1000	16000	2	8	3,6	39	de -40 à 85 °C	4,86	4,57	3,89	3,55
841	MC9S08RG32CFGE	DEMO9S08RG60E	LQFP 44	1024	32768	2	8	3,6	39	de -40 à 85 °C	5,41	5,38	5,19	4,15
841	MC9S08RG32FGE	DEMO9S08RG60E	LQFP 44	2000	32000	2	8	3,6	39	de -40 à 85 °C	7,18	7,17	6,60	5,86
841	MC9S08RG60CFGE	DEMO9S08RG60E	LQFP 44	2000	60000	2	8	3,6	39	de -40 à 85 °C	6,45	6,29	5,96	4,99
841	MC9S08RG60FGE	DEMO9S08RG60E	LQFP 44	2000	60000	2	8	3,6	39	de -40 à 85 °C	9,72	8,95	8,23	7,30

Famille S08SE – Usage général pour applications industrielles et appareils grand public sur une plage de 3 à 5 V

Pour des quantités supérieures à celles indiquées, appelez-nous afin d'obtenir un devis.

RÉF. STOCK MOUSER		Réf. kit de développement	Boîtier	RAM interne (octets)	FLASH interne (octets)	Type d'interface série	Canaux de minuterie	Fréq. du bus (MHz)	Tension d'alim. (V)(Max.)	Broches E/S	Fréquence de fonctionnement du cœur (Max) (MHz)	CAN	Prix unitaire			
Fabr.	Réf. fabr.												1	25	50	100
841	MC9S08SE4CRL	DEMO9S08SE8	PDIP 28	4	256	SCI	2,1	10	5,5	24	20	10-bit / 10-ch.	1,39	1,30	1,21	0,819
841	MC9S08SE4CTG	DEMO9S08SE8	TSSOP 16	4	256	SCI	2,1	10	5.5	14	20	10-bit / 10-ch.	1,00	0,858	0,825	0,677
841	MC9S08SE4CWL	DEMO9S08SE8	SOIC 28 W	4	256	SCI	2,1	10	5,5	24	20	10-bit / 10-ch.	1,15	1,08	0,998	0,693
841	MC9S08SE8CRL	DEMO9S08SE8	PDIP 28	8	512	SCI	2,1	10	5,5	24	20	10-bit / 10-ch.	1,49	1,41	1,30	0,875
841	MC9S08SE8CTG	DEMO9S08SE8	TSSOP 16	8	512	SCI	2,1	10	5.5	14	20	10-bit / 10-ch.	1,40	1,32	1,22	0,825
841	MC9S08SE8CWL	DEMO9S08SE8	SOIC 28 W	8	512	SCI	2,1	10	5,5	24	20	10-bit / 10-ch.	1,49	1,41	1,30	0,875

MCU S08SH 8 bits, tension 5 V avec comparateurs SCI, SPI, CAN et analogiques

La famille S08SH offre une nouvelle option de bas de gamme pour les applications dans la plage 5 V.

Pour des quantités supérieures à celles indiquées, appelez-nous afin d'obtenir un devis.

RÉF. STOCK MOUSER		Réf. kit de développement	Boîtier	RAM interne (octets)	FLASH interne (octets)	Type d'interface série	Canaux de minuterie	Fréq. du bus (MHz)	Tension d'alim. (V)(Max.)	Broches E/S	CAN	Prix unitaire			
Fabr.	Réf. fabr.											1	25	50	100
841	MC9S08SH4CFK	DEMO9S08SH	QFN 24 EP	256	4K	SPI,I2C,SCI	1,2	20	5.5	17	10-bit / 12-ch	1,24	1,05	0,982	0,908
841	MC9S08SH4CPJ	DEMO9S08SH8	PDIP 20	256	4K	SPI, I2C, SCI	1,2	20	5.5	17	10-bit / 12-ch	1,73	1,64	1,56	1,48
841	MC9S08SH4CSC	DEMO9S08SH8	SOIC 8	256	4K	I2C	1,2	20	5,5	5	10-bit / 12-ch	1,16	1,14	1,11	1,01
841	MC9S08SH4CTG	DEMO9S08SH8	TSSOP 16	256	4K	SPI, I2C, SCI	1,2	20	5.5	13	10-bit / 12-ch	1,33	1,16	1,03	0,891
841	MC9S08SH4CTJ	DEMO9S08SH8	TSSOP 20	256	4K	SPI, I2C, SCI	1,2	20	5.5	17	10-bit / 12-ch	2,21	1,68	1,18	1,02
841	MC9S08SH4CWJ	DEMO9S08SH	SOIC 20 W	256	4K	SPI,I2C,SCI	1,2	20	5.5	17	10-bit / 12-ch	1,33	1,16	1,03	0,891
841	MC9S08SH4MPJ	DEMO9S08SH8	PDIP 20	256	4K	SPI, I2C, SCI	1,1	20	5.5	17	10-bit / 12-ch	1,24	1,22	1,20	1,14
841	MC9S08SH4MSC	DEMO9S08SH8	SOIC 8	256	4K	I2C	1,1	20	5.5	4	10-bit / 12-ch	1,25	1,24	1,21	1,09
841	MC9S08SH4MTG	DEMO9S08SH8	TSSOP 16	256	4K	SPI, I2C, SCI	1,2	20	5.5	13	10-bit / 12-ch	1,40	1,32	1,28	1,16
841	MC9S08SH4MTJ	DEMO9S08SH8	TSSOP 20	256	4K	SPI, I2C, SCI	1,2	20	5.5	17	10-bit / 12-ch	1,44	1,34	1,28	1,09

© Copyright 2012 Mouser Electronics
© Copyright 2012 Mouser Electronics

Microcontrôleurs 8 bits FREESCALE

RoHS Compliant This product is RoHS compliant.

freescale™ semiconductor

MICROCONTRÔLEURS CŒUR HCS08 (SUITE)

MCU S08DV 8 bits avec CAN, LIN maître

♦ Composant pour montage en surface

Pour des quantités supérieures à celles indiquées, appelez-nous afin d'obtenir un devis.

RÉF. STOCK MOUSER Fabr.	RÉF. STOCK MOUSER Réf. fabr.	Réf. kit de développement	Boîtier	RAM interne (octets)	FLASH interne (octets)	Type d'interface série	Canaux de minuterie	Fréq. du bus (MHz)	Tension d'alim. (V)(Max.)	Broches E/S	CAN	Prix unitaire 1	25	50	100
♦ 841	MC9S08DV16ACLC	DEMO9S08DZ60	LQFP 32	1K	16K	CAN, I2C, SCI, SPI	4, 2	20	5.5	26	12 bits / 10 voies	3,86	3,63	3,51	2,27
♦ 841	MC9S08DV16ACLF	DEMO9S08DZ60	LQFP 48	1K	16K	CAN, I2C, SCI, SPI	6, 2	20	5.5	40	12 bits / 16 voies	5,45	3,30	3,20	3,16
♦ 841	MC9S08DV16AMLC	DEMO9S08DZ60	LQFP 32	1K	16K	CAN, I2C, SCI, SPI	4, 2	20	5.5	26	12 bits / 10 voies	4,49	3,98	3,70	3,08
♦ 841	MC9S08DV32ACLF	DEMO9S08DZ60	LQFP 32	2K	32K	CAN, I2C, SCI, SPI	4, 2	20	5.5	26	12 bits / 10 voies	4,31	4,06	3,76	2,53
♦ 841	MC9S08DV32AMLF	DEMO9S08DZ60	LQFP 64	2K	32K	CAN, I2C, SCI, SPI	6, 2	20	5.5	53	12 bits / 16 voies	4,75	4,47	3,80	2,80
♦ 841	MC9S08DV32AMLH	DEMO9S08DZ60	LQFP 48	2K	32K	CAN, I2C, SCI, SPI	6, 2	20	5.5	40	12 bits / 16 voies	5,08	4,79	4,07	2,99
♦ 841	MC9S08DV48ACLF	DEMO9S08DZ60	LQFP 64	2K	32K	CAN, I2C, SCI, SPI	6, 2	20	5.5	53	12 bits / 16 voies	5,24	3,80	3,69	3,63
♦ 841	MC9S08DV48ACLH	DEMO9S08DZ60	LQFP 48	2K	48K	CAN, I2C, SCI, SPI	6, 2	20	5.5	53	12 bits / 16 voies	5,58	4,05	3,93	3,88
♦ 841	MC9S08DV48AMLH	DEMO9S08DZ60	LQFP 64	2K	48K	CAN, I2C, SCI, SPI	6, 2	20	5.5	53	12 bits / 16 voies	6,15	4,46	4,33	4,27
♦ 841	MC9S08DV60ACLF	DEMO9S08DZ60	LQFP 48	3K	60K	CAN, I2C, SCI, SPI	6, 2	20	5.5	40	12-bit / 16-ch	5,21	4,63	4,29	3,57
♦ 841	MC9S08DV60ACLH	DEMO9S08DZ60	LQFP 32	3K	60K	CAN, I2C, SCI, SPI	4, 2	20	5.5	26	12 bits / 10 voies	5,53	4,92	4,55	3,80

MCU S08DZ 8 bits avec CAN, LIN maître, EEPROM

Pour des quantités supérieures à celles indiquées, appelez-nous pour un devis.

RÉF. STOCK MOUSER Fabr.	RÉF. STOCK MOUSER Réf. fabr.	Réf. kit de développement	Boîtier	RAM interne (octets)	FLASH interne (octets)	Type d'interface série	Canaux de minuterie	Fréq. du bus (MHz)	Tension d'alim. (V)(Max.)	Broches E/S	CAN	Prix unitaire 1	25	50	100
841	MC9S08DZ16ACLC	DEMO9S08DZ60	LQFP 32	1K	16K	CAN, I2C, SCI, SPI	4, 2	20	5.5	26	12-bit / 10-ch	4,10	3,86	3,28	2,41
841	MC9S08DZ16ACLF	DEMO9S08DZ60	LQFP 48	1K	16K	CAN, I2C, SCI, SPI	6, 2	20	5.5	40	12-bit / 16-ch	4,24	3,98	3,70	2,49
841	MC9S08DZ16AMLC	DEMO9S08DZ60	LQFP 32	1K	16K	CAN, I2C, SCI, SPI	4, 2	20	5.5	26	12-bit / 10-ch	4,78	4,24	3,05	3,00
841	MC9S08DZ16AMLF	DEMO9S08DZ60	LQFP 48	1K	16K	CAN, I2C, SCI, SPI	6, 2	20	5.5	40	12-bit / 16-ch	4,68	4,40	3,82	2,75
841	MC9S08DZ32ACLC	DEMO9S08DZ60	LQFP 32	2K	32K	CAN, I2C, SCI, SPI	4, 2	20	5.5	26	12-bit / 10-ch	4,41	4,14	3,84	2,59
841	MC9S08DZ32ACLH	DEMO9S08DZ60	LQFP 64	2K	32K	CAN, I2C, SCI, SPI	6, 2	20	5.5	53	12 bits / 24 voies	5,49	3,99	3,87	3,81
841	MC9S08DZ32AMLC	DEMO9S08DZ60	LQFP 32	2K	32K	CAN, I2C, SCI, SPI	4, 2	20	5.5	26	12-bit / 16-ch	5,13	4,55	3,71	3,47
841	MC9S08DZ32AMLF	DEMO9S08DZ60	LQFP 48	2K	32K	CAN, I2C, SCI, SPI	6, 2	20	5.5	40	12-bit / 16-ch	5,02	4,71	4,36	2,95
841	MC9S08DZ32AMLH	DEMO9S08DZ60	LQFP 64	2K	32K	CAN, I2C, SCI, SPI	6, 2	20	5.5	53	12 bits / 24 voies	5,33	5,02	4,79	3,14
841	MC9S08DZ48ACLF	DEMO9S08DZ60	LQFP 48	3K	48K	CAN, I2C, SCI, SPI	6, 2	20	5.5	40	12-bit / 16-ch	5,49	3,99	3,87	3,81
841	MC9S08DZ48ACLH	DEMO9S08DZ60	LQFP 64	3K	48K	CAN, I2C, SCI, SPI	6, 2	20	5.5	53	12 bits / 24 voies	5,84	4,24	4,13	4,06
841	MC9S08DZ48AMLC	DEMO9S08DZ60	LQFP 32	3K	48K	CAN, I2C, SCI, SPI	4, 2	20	5.5	-	-	5,47	4,86	4,50	3,75
841	MC9S08DZ48AMLF	DEMO9S08DZ60	LQFP 48	3K	48K	CAN, I2C, SCI, SPI	6, 2	20	5.5	40	12-bit / 16-ch	5,64	5,02	4,64	3,87
841	MC9S08DZ48AMLH	DEMO9S08DZ60	LQFP 64	3K	48K	CAN, I2C, SCI, SPI	4, 2	20	5.5	-	-	6,00	5,33	4,93	4,11
841	MC9S08DZ60ACLC	DEMO9S08DZ60	LQFP 32	4K	60K	CAN, I2C, SCI, SPI	4, 2	20	5.5	26	12-bit / 10-ch	5,01	4,71	4,36	2,95
841	MC9S08DZ60ACLF	DEMO9S08DZ60	LQFP 48	4K	60K	CAN, I2C, SCI, SPI	6, 2	20	5.5	40	12-bit / 16-ch	5,16	4,84	4,49	3,03
841	MC9S08DZ60ACLH	DEMO9S08DZ60	LQFP 64	4K	60K	CAN, I2C, SCI, SPI	6, 2	20	5.5	53	12 bits / 24 voies	5,45	5,12	4,75	3,20
841	MC9S08DZ60AMLC	DEMO9S08DZ60	LQFP 32	4K	60K	CAN, I2C, SCI, SPI	6, 2	20	5.5	-	-	5,51	5,17	3,70	3,23
841	MC9S08DZ60AMLF	DEMO9S08DZ60	LQFP 48	4K	60K	CAN, I2C, SCI, SPI	6, 2	20	5.5	40	12-bit / 16-ch	5,66	5,33	3,83	3,32
841	MC9S08DZ60AMLH	DEMO9S08DZ60	LQFP 64	4K	60K	MC9S08DZ60MLH	6, 2	20	5.5	53	12 bits / 24 voies	6,00	5,64	5,22	3,52
841	MC9S08DZ96CLF	DEMO9S08DZ60	LQFP 48	4K	96K	CAN, I2C, SCI, SPI	8, 4	20	5.5	40	12-bit / 16-ch	6,88	6,33	5,82	5,35
841	MC9S08DZ96MLH	DEMO9S08DZ60	LQFP 64	6K	96K	CAN, I2C, SCI, SPI	8, 4	20	5.5	54	12 bits / 24 voies	7,45	6,20	5,86	5,68
841	MC9S08DZ96MLL	DEMO9S08DZ60	LQFP 100	6K	96K	CAN, I2C, SCI, SPI	8, 4	20	5.5	88	12 bits / 24 voies	8,19	6,11	6,02	5,78
841	MC9S08DZ128MLF	DEMO9S08DZ60	LQFP 48	8K	128 Ko	CAN, I2C, SCI, SPI	8, 4	20	5.5	40	12-bit / 16-ch	6,88	6,11	5,66	4,72
841	MC9S08DZ128MLH	DEMO9S08DZ60	LQFP 64	8K	128 Ko	CAN, I2C, SCI, SPI	8, 4	20	5.5	54	12-bit / 24-ch	7,31	6,49	6,01	5,02
841	MC9S08DZ128MLL	DEMO9S08DZ60	LQFP 100	8K	128 Ko	CAN, I2C, SCI, SPI	8, 4	20	5.5	88	12-bit / 24-ch	7,95	7,06	5,10	5,03

S08EL/S08SL avec contrôleur LIN esclave embarqué (SLIC)

Les microcontrôleurs 8 bits S08EL et S08SL de Freescale avec contrôleur d'interface esclave (SLIC) de réseau d'interconnexion local (LIN) et EEPROM permettent d'augmenter les performances LIN en esclave et de réduire le temps de développement. Les familles de microcontrôleurs (MCU) EL et SL 8 bits de Freescale Semiconductor sont conçues pour des applications LIN esclave et générales. La famille EL est positionnée en haut de la gamme, avec une plus grande mémoire et plus de périphériques, tandis que la famille SL est conçue pour les applications plus sensibles au coût.

Pour des quantités supérieures à celles indiquées, appelez-nous pour obtenir un devis.

RÉF. STOCK MOUSER Fabr.	RÉF. STOCK MOUSER Réf. fabr.	Réf. kit de développement	Boîtier	RAM interne (octets)	FLASH interne (octets)	Type d'interface série	Canaux de minuterie	Fréq. du bus (MHz)	Tension d'alim. (V)(Max.)	Broches E/S	CAN	Prix unitaire 1	25	50	100
841	MC9S08SL8CTL	DEMO9S08EL32	TSSOP 28	512	8	SCI,SPI,I2C,SLIC	2	20	5.5	22	10 bits / 16 voies	2,29	2,15	1,75	1,34
841	MC9S08SL8CTJ	DEMO9S08EL32	TSSOP 20	512	8	SCI,SPI,I2C,SLIC	2	20	5.5	16	10-bit / 12-ch	2,40	2,26	1,84	1,41
841	MC9S08EL16CTL	DEMO9S08EL32	TSSOP 28	1K	16	SLIC,SCI,SPI,I2C	4, 2	20	5.5	22	10 bits / 16 voies	2,60	2,45	2,27	1,53
841	MC9S08EL16CTJ	DEMO9S08EL32	TSSOP 20	1K	16	SLIC,SCI,SPI,I2C	4, 2	20	5.5	16	10-bit / 12-ch	2,71	2,55	2,15	1,59
841	MC9S08SL16CTL	DEMO9S08EL32	TSSOP 28	512	16	SCI,SPI,I2C,SLIC	2	20	5.5	22	10 bits / 16 voies	2,51	2,36	1,92	1,48
841	MC9S08SL16CTJ	DEMO9S08EL32	TSSOP 20	512	16	SCI,SPI,I2C,SLIC	2	20	5.5	16	10-bit / 12-ch	2,79	2,48	2,29	1,91
841	MC9S08EL32CTL	DEMO9S08EL32	TSSOP 28	1K	32	SLIC,SCI,SPI,I2C	4, 2	20	5.5	22	10-bit / 16-ch	3,04	2,86	2,65	1,79
841	MC9S08EL32CTJ	DEMO9S08EL32	TSSOP 20	1K	32	SLIC,SCI,SPI,I2C	4, 2	20	5.5	16	10-bit / 12-ch	3,16	2,98	2,61	1,86

Famille S08GB/GT – Usage général automobile/industriel 1,8 volts

Pour des quantités supérieures à celles indiquées, appelez-nous pour obtenir un devis.

RÉF. STOCK MOUSER Fabr.	RÉF. STOCK MOUSER Réf. fabr.	Réf. kit de développement	Boîtier	RAM interne (octets)	FLASH interne (octets)	Type d'interface série	Canaux de minuterie	Fréq. du bus (MHz)	Tension d'alim. (V)(Max.)	Broches E/S	CAN	Prix unitaire 1	25	50	100
841	MC9S08GT8ACBE	M68DEMO908GB60E	PSDIP 42	1K	8K	IRSCI, SPI, I2C	4, 2	20	1.8	34	10-bit / 8-ch	2,27	1,91	1,85	1,60
841	MC9S08GT8ACFBE	M68DEMO908GB60E	QFP 44	1K	8K	IRSCI, SPI, I2C	4, 2	20	1.8	36	10-bit / 8-ch	2,07	1,83	1,76	1,53
841	MC9S08GT8ACFCE	M68DEMO908GB60E	QFN 32	1K	8K	IRSCI, SPI, I2C	4, 2	20	1.8	24	10-bit / 8-ch	1,82	1,79	1,74	1,53
841	MC9S08GT8ACFDE	M68DEMO908GB60E	QFN 48	1K	8K	IRSCI, SPI, I2C	4, 2	20	1.8	39	10-bit / 4-ch	2,20	2,07	1,72	1,30
841	MC9S08GT8AMFBE	M68DEMO908GB60E	QFP 44	1K	8K	IRSCI, SPI, I2C	4, 2	20	1.8	36	10-bit / 8-ch	2,27	1,89	1,83	1,58
841	MC9S08GT8AMFCE	M68DEMO908GB60E	QFN 32	1K	8K	IRSCI, SPI, I2C	4, 2	20	1.8	24	10-bit / 8-ch	1,94	1,75	1,65	1,54
841	MC9S08GT8AMFDE	M68DEMO908GB60E	QFN 48	1K	8K	IRSCI, SPI, I2C	4, 2	20	1.8	39	10-bit / 4-ch	2,40	2,26	1,82	1,41
841	MC9S08GT16ACBE	M68DEMO908GB60E	PSDIP 42	2K	16K	IRSCI, SPI, I2C	4, 2	20	1.8	34	10-bit / 8-ch	2,81	2,67	2,54	2,41
841	MC9S08GT16ACFBE	M68DEMO908GB60E	QFP 44	2K	16K	IRSCI, SPI, I2C	4, 2	20	1.8	36	10-bit / 8-ch	2,81	2,67	2,54	2,41

© Copyright 2012 Mouser Electronics

© Copyright 2012 Mouser Electronics

Microcontrôleurs 8 bits FREESCALE

RoHS Compliant **This product is RoHS compliant.**

freescale™ semiconductor

MICROCONTRÔLEURS CŒUR HCS08 (SUITE)

MCU S08SH 8 bits 5 volts avec SCI, SPI, CAN et comparateurs analogiques

La famille S08SH offre un nouveau choix d'entrée de gamme pour les applications dans la plage 5 volts

Pour des quantités supérieures à celles indiquées, appelez-nous pour obtenir un devis.

RÉF. STOCK MOUSER		Kit de développement Réf.	Boîtier	Interne RAM (octets)	Interne FLASH (octets)	Type d'interface série	Canaux de minuterie	Fréq. du bus (MHz)	Tension Tension (V) (Max.)	Broches E/S	CAN	Prix unitaire			
Fabr.	Fabr. fabr.											1	25	50	100
841—MC9S08SH8CFK		DEMO9S08SH	QFN 24 EP	512	8K	SPI, I2C, SCI	1, 2	20	5.5	17	10-bit / 12-ch	1,33	1,16	1,03	0,891
841—MC9S08SH8CPJ		DEMO9S08SH8	PDIP 20	512	8K	SPI, I2C, SCI	1, 2	20	5.5	17	10-bit / 12-ch	1,41	1,19	1,14	1,07
841—MC9S08SH8CSC		DEMO9S08SH8	SOIC 8	512	8K	I2C	1, 1	20	5.5	4	10-bit / 12-ch	1,24	1,05	0,982	0,908
841—MC9S08SH8CTG		DEMO9S08SH8	TSSOP 16	512	8K	SPI, I2C, SCI	1, 2	20	5.5	13	10-bit / 12-ch	1,40	1,32	1,28	1,16
841—MC9S08SH8CTJ		DEMO9S08SH8	TSSOP 20	512	8K	SPI, I2C, SCI	1, 2	20	5.5	17	10-bit / 12-ch	1,41	1,19	1,14	1,07
841—MC9S08SH8CWJ		DEMO9S08SH	SOIC 20W	512	8K	SPI, I2C, SCI	1, 2	20	5.5	17	10-bit / 12-ch	1,40	1,32	1,28	1,16
841—MC9S08SH8MPJ		DEMO9S08SH8	PDIP 20	512	8K	SPI, I2C, SCI	1, 2	20	5.5	17	10-bit / 12-ch	1,49	1,32	1,27	1,17
841—MC9S08SH8MSC		DEMO9S08SH8	SOIC 8	512	8K	I2C	1, 1	20	5.5	4	10-bit / 12-ch	1,40	1,32	1,28	1,16
841—MC9S08SH8MTG		DEMO9S08SH8	TSSOP 16	512	8K	SPI, I2C, SCI	1, 2	20	5.5	13	10-bit / 12-ch	1,47	1,36	1,30	1,07
841—MC9S08SH8MTJ		DEMO9S08SH8	TSSOP 20	512	8K	SPI, I2C, SCI	1, 2	20	5.5	17	10-bit / 12-ch	1,49	1,32	1,27	1,17
841—MC9S08SH16CTG		DEMO9S08SH32	TSSOP 16	1K	16K	SPI, I2C, SCI	1, 2	20	5.5	13	10-bit / 8-ch	1,67	1,49	1,32	1,21
841—MC9S08SH16CTJ		DEMO9S08SH32	TSSOP 20	1K	16K	SPI, I2C, SCI	1, 2	20	5.5	17	10-bit / 16-ch	2,25	2,22	2,15	1,87
841—MC9S08SH16CTL		DEMO9S08SH32	TSSOP 28	1K	16K	SPI, I2C, SCI	1, 2	20	5.5	23	10-bit / 12-ch	1,77	1,55	1,46	1,36
841—MC9S08SH16CWL		DEMO9S08SH32	SOIC 28W	1K	16K	SPI, I2C, SCI	1, 2	20	5.5	23	10-bit / 16-ch	1,73	1,50	1,35	1,20
841—MC9S08SH32CTG		DEMO9S08SH32	TSSOP 16	1K	32K	SPI, I2C, SCI	1, 2	20	5.5	13	10-bit / 8-ch	1,77	1,55	1,46	1,36
841—MC9S08SH32CTJ		DEMO9S08SH32	TSSOP 20	1K	32K	SPI, I2C, SCI	1, 2	20	5.5	17	10-bit / 16-ch	1,94	1,75	1,65	1,54
841—MC9S08SH32CTL		DEMO9S08SH32	TSSOP 28	1K	32K	SPI, I2C, SCI	1, 2	20	5.5	23	10-bit / 12-ch	1,98	1,82	1,65	1,55
841—MC9S08SH32CWL		DEMO9S08SH32	SOIC 28W	1K	32K	SPI, I2C, SCI	1, 2	20	5.5	23	10-bit / 16-ch	1,94	1,75	1,65	1,54

MICROCONTRÔLEURS CŒUR HC08

La famille de microcontrôleurs 8 bits HC08 de Free comprend de petits microcontrôleurs à usage général, de faible consommation et d'une grande richesse fonctionnelle. Destinés à un usage général, les produits cœur HC08 sont des composants hautement intégrés disposant d'un CAN, d'un comparateur analogique, d'options de communication multiples, de minuteurs et d'un ICE sur puce.

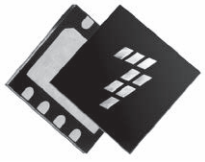

Depuis les contrôleurs de base dans un minuscule boîtier QTN (plat, carré et non traversant) à 8 broches aux contrôleurs silicium à grande richesse fonctionnelle dans un boîtier QFP plat carré à 64 broches, le MCU HC08 est un fidèle serviteur de l'industrie qui peut apparaître dans un nombre impressionnant de périphériques.

- Convertisseurs analogique-numérique 8 ou 10 bits (CAN)
- Minuteurs multicanaux
- Nombreux protocoles de communication acceptés, y compris bus série universel (USB), réseau de contrôleurs de zone (CAN), réseau d'interconnexion locale (LIN), J1850 et radiofréquence (RF)

Famille HC08EY – MCU M68HC08 8 bits à hautes performances

♦ **Composant pour montage en surface**

Pour des quantités supérieures à celles indiquées, appelez-nous afin d'obtenir un devis.

RÉF. STOCK MOUSER		Kit de développement Réf.	Boîtier	Interne RAM (octets)	Interne FLASH (octets)	Type d'interface série	Canaux de minuterie	Fréq. du bus (MHz)	Tension Tension (V) (Max.)	Broches E/S	CAN	Prix unitaire			
Fabr.	Fabr. Réf. pièce											1	25	50	100
♦ 841—MC908EY16AMFJE		-	LQFP 32	512	16K	SPI, SCI	2	8	5.5	24	10-bit / 8-ch	6,59	6,20	5,04	3,88

Famille HC08GZ – MCU 8 bits haut de gamme, jusqu'à 60 Ko de mémoire flash, 2 Ko de mémoire RAM, CAN

♦ **Composant pour montage en surface**

Pour des quantités supérieures à celles indiquées, appelez-nous pour obtenir un devis.

RÉF. STOCK MOUSER		Kit de développement Réf.	Boîtier	Interne RAM (octets)	Interne FLASH (octets)	Type d'interface série	Canaux de minuterie	Fréq. du bus (MHz)	Tension Tension (V) (Max.)	Broches E/S	CAN	Prix unitaire			
Fabr.	Fabr. Réf. pièce											1	25	50	100
♦ 841—MC908GZ16CFAE		-	LQFP 48	1k	16K	SPI, SCI, CAN	2.2	8	5.5	37	10-bit / 16-ch	6,36	5,99	4,87	3,75
♦ 841—MC908GZ32CFAE		DEMO908GZ60E	LQFP 48	1500	32K	CAN, SPI, SCI	2	8	5.5	37	10-bit / 8-ch	7,42	7,05	6,70	6,36
♦ 841—MC908GZ60CFAE		DEMO908GZ60E	LQFP 48	2k	60K	SPI, SCI, CAN	2.2	8	5.5	37	10-bit / 8-ch	9,06	8,61	8,18	7,77
♦ 841—MC908GZ60CFUE		DEMO908GZ60E	QFP 64	2k	60K	SPI, SCI, CAN	2,6	8	5.5	53	10-bit / 20-ch	6,01	5,96	5,82	5,56

Famille HC08JB – Solutions USB à coût réduit

♦ **Composant pour montage en surface**

Pour des quantités supérieures à celles indiquées, appelez-nous pour obtenir un devis.

RÉF. STOCK MOUSER		Kit de développement Réf.	Boîtier	Interne RAM (octets)	Type d'interface série	Canaux de minuterie	Fréq. du bus (MHz)	Tension Tension (V) (Max.)	Broches E/S	Prix unitaire			
Fabr.	Fabr. Réf. pièce									1	25	50	100
♦ 841—MC908JB8ADWE		SOIC 28W	256	8K	USB 1.1	1	3	5,25	21	3,11	2,54	1,47	1,44
♦ 841—MC908JB8FBE		QFP 44	256	8K	USB 1.1	1	3	5,25	37	3,57	2,94	2,07	1,73
♦ 841—MC908JB8JDWE		SOIC 20	256	8K	SPI, SCI	2	3	5.5	13	2,25	2,22	2,15	1,87
♦ 841—MC908JB16DWE		SOIC 28W	384	16K	USB 1.1	2	6	-	21	3,79	3,10	1,83	1,77
♦ 841—MC908JB16FAE		LQFP 32	384	16K	USB 1.1	2	6	-	21	3,55	2,99	1,86	1,79
♦ 841—MC908JB16JDWE		SOIC 20W	384	16K	IRSCI, SPI, I2C	2	6	2.2	21	2,98	2,83	2,69	2,55

Famille HC08JK/JL – Solutions à usage général et coût réduit avec A/N

♦ **Composant pour montage en surface**

Pour des quantités supérieures à celles indiquées, appelez-nous afin d'obtenir un devis.

RÉF. STOCK MOUSER		Kit de développement Réf.	Boîtier	Interne RAM (octets)	Interne FLASH (octets)	Type d'interface série	Canaux de minuterie	Fréq. du bus (MHz)	Tension Tension (V) (Max.)	Broches E/S	CAN	Prix unitaire			
Fabr.	Fabr. fabr.											1	25	50	100
841—MC908JK8CDWE		DEMO908JL16	SOIC 20W	256	8K	SCI	2	8	5	15	8-bit / 10-ch	4,85	3,14	3,01	2,72
841—MC908JL8CDWE		DEMO908JL16	SOIC 28W	256	8K	SCI	2	8	5	23	8 bits / 12 voies	2,43	1,98	1,93	1,43
841—MC908JL8CPE		DEMO908JL16	PDIP 28	256	8K	SPI, SCI	2	8	5	23	8 bits / 12 voies	2,43	2,28	2,11	1,54

Famille HC08LJ/LK – Solutions LCD à coût réduit pour les dispositifs LCD à petite échelle

♦ **Composant pour montage en surface**

Pour des quantités supérieures à celles indiquées, appelez-nous afin d'obtenir un devis.

RÉF. STOCK MOUSER		Boîtier	Interne RAM (octets)	Interne FLASH (octets)	Interface série Type	Canaux de minuterie	Fréq. du bus (MHz)	Tension Tension (V) (Max.)	Broches E/S	CAN	Prix unitaire			
Fabr.	Fabr. Réf. pièce										1	25	50	100
♦ 841—MC908LJ12CFBE		LQFP 52	512	12K	IRSCI, SPI	2	8	5	20	10-bit / 4-ch	6,10	6,04	5,88	5,56
♦ 841—MC908LJ24CFUE		QFP 64	768	24K	IIC, SCI, SPI	2	8	5	40	10-bit / 6-ch	7,42	6,98	6,39	4,36
♦ 841—MC908LJ24CPBE		LQFP 64	768	24K	SPI, SCI, I2C	2	8	5	-	10-bit / 6-ch	5,08	5,03	4,93	4,78
♦ 841—MC908LK24CFUE		QFP 64	768	24K	IIC, SCI, SPI	2	8	5	40	10-bit / 6-ch	6,96	6,56	5,99	4,10

©Copyright 2012 Mouser Electronics

©Copyright 2012 Mouser Electronics

Microcontrôleurs 8 et 16 bits FREESCALE

RoHS Compliant This product is RoHS compliant.

freescale semiconductor

MICROCONTRÔLEURS CŒUR HC08 (SUITE)

Famille HC08MR – Inclut MLI haute résolution pour le contrôle des moteurs triphasés

♦ Composant pour montage en surface

Pour des quantités supérieures à celles indiquées, appelez-nous afin d'obtenir un devis.

RÉF. STOCK MOUSER Fabr.	RÉF. STOCK MOUSER Fabr. Fabr.	Kit de développement Réf.	Boîtier	Interne RAM (octets)	Interne FLASH (octets)	Type d'interface série	Canaux de minuterie	Fréq. du bus (MHz)	Tension Tension (V) (Max.)	Broches E/S	CAN	Prix unitaire 1	25	50	100
841	MC908MR8CPE	-	PDIP 28	256	8K	SCI	2	8	-	-	10-bit / 7-ch	5,45	5,13	4,34	3,21
841	MC908MR16CBE	-	PSDIP 56	768	16K	SCI, SPI	4,2	8,2	5	36	10-bit / 10-ch	6,81	6,41	5,21	4,01
♦ 841	MC908MR16CFUE	-	LQFP 64	768	16K	IRSCI, SPI, I2C	4,2	8	5,5	44	10-bit / 10-ch	6,81	6,41	5,21	4,01
841	MC908MR32CBE	-	PSDIP 56	768	32K	SCI, SPI	6	8,2	5	36	10-bit / 10-ch	9,16	8,61	6,98	5,39
♦ 841	MC908MR32CFUE	-	QFP 64	768	32K	SCI, SPI	6	8,2	5	44	10-bit / 10-ch	9,16	8,61	6,98	5,39

MCU à usage général, faible coût, petit boîtier

♦ Composant pour montage en surface

Pour des quantités supérieures à celles indiquées, appelez-nous afin d'obtenir un devis.

RÉF. STOCK MOUSER Fabr.	RÉF. STOCK MOUSER Fabr. Réf. pièce	Kit de développement Réf.	Boîtier	Interne RAM (octets)	Interne FLASH (octets)	Type d'interface série	Canaux de minuterie	Fréq. du bus (MHz)	Tension Tension (V) (Max.)	Broches E/S	CAN	Prix unitaire 1	25	50	100
♦ 841	MC908QB8CDTE	-	TSSOP 16	256	8K	SCI, SPI	1	8	5.5	14	10-bit / 10-ch	3,31	2,71	2,59	2,45
♦ 841	MC908QB8CDWE	-	SOIC 16W	256	8K	SCI, SPI	1	8	5.5	14	10-bit / 10-ch	1,67	1,66	1,63	1,50
♦ 841	MC908QC8CDRE	DEMO908QC16	TSSOP 28	384	8K	SCI, SPI	2.4	8	5.5	24	10-bit / 10-ch	2,57	2,43	1,99	1,52
♦ 841	MC908QC8CDSE	FDEMO908QC16	TSSOP 20	384	8K	SCI, SPI	2.4	8	5.5	24	10-bit / 10-ch	3,47	2,20	2,17	2,04
♦ 841	MC908QC8CDTE	DEMO908QC16	TSSOP 16	384	8K	SCI, SPI	2.4	8	5.5	24	10-bit / 10-ch	2,86	2,70	2,36	1,68
♦ 841	MC908QC8CDXE	DEMO908QC16	SOIC 16W	384	8K	SCI, SPI	2.4	8	5.5	24	10-bit / 10-ch	2,83	2,66	2,33	1,67
♦ 841	MC908QC8CDZE	DEMO908QC16	SOIC 28{sp}W	384	8K	SCI, SPI	2.4	8	5.5	24	10-bit / 10-ch	2,53	2,38	1,94	1,49
♦ 841	MC908QC8MDSE	DEMO908QC16	TSSOP 20	384	8K	SCI, SPI	2.4	8	5.5	18	10-bit / 10-ch	2,81	2,64	2,27	1,65
♦ 841	MC908QC16CDSE	DEMO908QC16	TSSOP 20	512	16K	SCI, SPI	2.4	8	5.5	18	10-bit / 10-ch	2,97	2,80	2,54	1,75
♦ 841	MC908QC16CDTE	DEMO908QC16	TSSOP 16	512	16K	SCI, SPI	2.4	8	5.5	14	10-bit / 10-ch	3,21	3,04	2,89	2,75
♦ 841	MC908QC16CDZE	DEMO908QC16	SOIC 28	≤512k	8K/16K	ESCI, SPI	2.4	-	-	-	≤10-bit / 10-ch	2,97	2,80	1,99	1,75
♦ 841	MC908QC16MDSE	DEMO908QC16	TSSOP 20	≤512k	8K/16K	ESCI, SPI	2.4	-	-	-	≤10-bit / 10-ch	3,71	3,48	3,23	2,18
♦ 841	MC908QC16VDSE	DEMO908QC16	TSSOP 20	≤512k	8K/16K	ESCI, SPI	2.4	-	-	-	≤10-bit / 10-ch	4,25	2,71	2,68	2,56

FAMILLE HCS12 ET HCS12X - MICROCONTRÔLEURS 16 BITS

Réf. du kit de développement M68DKIT912C32
Réf. du kit de développement DEMO9S12NE64
Réf. du kit de développement DEMO9S12XDT512
Réf. du kit de développement M68DKIT912C32

Pour des quantités supérieures à celles indiquées, appelez-nous afin d'obtenir un devis.

RÉF. STOCK MOUSER	Réf. Freescale	Boîtier	Interne RAM (octets)	Interne FLASH (octets)	EEPROM (octets)	CAN	Type d'interface série	Fréq. du bus (MHz) (max.)	Broches E/S	de chargement Voies	Tension d'alimentation (V)(Typ)	Prix unitaire 1	25	50
Famille S12A – Usage général avec I2C														
841-MC9S12A32CFUE	MC9S12A32CFUE	QFP 80	4096	32000	1024	10-bit/8-ch	I2C, SCI, SPI	25	91	8	5	7,34	6,91	6,32
841-MC9S12A64CFUE	MC9S12A64CFUE	QFP 80	4096	65536	1024	10-bit/8-ch	I2C, SCI, SPI	25	91	8	5	10,01	8,05	7,58
841-MC9S12A64CPVE	MC9S12A64CPVE	LQFP 112	4096	65536	1024	10-bit/8-ch	I2C, SCI, SPI	25	59	8	5	10,15	7,04	6,55
841-MC9S12A128CFUE	MC9S12A128CFUE	QFP 80	8000	128000	2000	10-Bit/8-ch	SCI, SPI, I2C	25	59	8	5	14,17	10,84	10,61
841-MC9S12A128CPVE	MC9S12A128CPVE	LQFP 112	8000	128000	2000	10-Bit/8-ch	SCI, SPI, I2C	25	59	8	5	14,28	13,44	10,82
841-MC9S12A256CFUE	MC9S12A256CFUE	QFP 80	12288	262144	4096	10-bit/8-ch	I2C, SCI, SPI	25	91	8	5	24,12	17,52	15,01
841-MC9S12A256CPVE	MC9S12A256CPVE	LQFP 112	12000	256000	4000	10-Bit/8-ch	SCI, SPI, I2C	25	91	8	5	28,15	19,08	15,90
841-MC9S12A512CPVE	MC9S12A512CPVE	LQFP 112	4096	512000	1024	10-bit/8-ch	I2C, SCI, SPI	25	59	8	5	31,76	20,88	18,21
Famille S12B – Industriel automobile avec CAN coût moyen														
841-MC9S12B64MFUE	MC9S12B64MFUE	QFP 80	2048	65536	1024	10-bit/8-ch	CAN, I2C, SCI, SPI	25	59	8	5	10,44	9,83	9,11
841-MC9S12B64MPVE	MC9S12B64MPVE	LQFP 112	2048	65536	1024	10-bit/8-ch	CAN, I2C, SCI, SPI	25	59	8	5	10,82	10,19	8,53
841-MC9S12B128MFUE	MC9S12B128MFUE	QFP 80	4096	131072	1024	10-bit/8-ch	CAN, I2C, SCI, SPI	25	59	8	5.5	17,10	11,56	10,36
841-MC9S12B128MPVE	MC9S12B128MPVE	LQFP 112	4096	131072	1024	10-bit/16-ch	CAN, I2C, SCI, SPI	25	91	8	5.5	14,16	13,32	10,82
Famille S12C - Nombre réduit de broches, CAN faible coût														
841-MC9S12C32CFUE16	MC9S12C32CFUE16	QFP 80	2000	32000	-	10-Bit/8-ch	SCI, SPI, CAN	25	60	8	5	8,38	5,87	5,61
841-MC9S12C32MFAE16	MC9S12C32MFAE16	LQFP 48	2048	32000	-	10-bit/8-ch	CAN, SCI, SPI	25	60	8	3.3, 5.5	7,92	7,45	6,05
841-MC9S12C32CFAE25	MC9S12C32CFAE25	LQFP 48	2000	32000	-	10-Bit/8-ch	SCI, SPI, CAN	25	31	8	5	9,01	5,66	5,24
841-MC9S12C32MFAE25	MC9S12C32MFAE25	LQFP 48	2048	32000	-	10-bit/8-ch	CAN, SCI, SPI	25	60	8	3.3, 5.5	8,43	7,94	6,44
841-MC9S12C32MFUE25	MC9S12C32MFUE25	QFP 80	2048	32000	-	10-bit/8-ch	CAN, SCI, SPI	25	60	8	3.3, 5.5	8,92	8,39	6,81
841-MC9S12C32MPBE25	MC9S12C32MPBE25	LQFP 52	2048	32000	-	10-bit/8-ch	CAN, SCI, SPI	25	60	8	3.3, 5.5	8,32	7,84	6,37
841-MC9S12C64CFAE	MC9S12C64CFAE	LQFP 48	2000	64000	-	10-Bit/8-ch	SCI, SPI, CAN	25	60	8	5	9,08	8,55	6,87
841-MC9S12C64MFAE	MC9S12C64MFAE	LQFP 48	4000	64000	-	10-bit/8-ch	CAN, SCI, SPI	25	60	8	3.3, 5.5	9,99	9,41	7,58
841-MC9S12C64MFUE	MC9S12C64MFUE	QFP 80	4000	64000	-	10-bit/8-ch	CAN, SCI, SPI	25	60	8	3.3, 5.5	9,45	8,24	7,99
841-MC9S12C64MPBE	MC9S12C64MPBE	LQFP 52	2000	64000	-	10-Bit/8-ch	SCI, SPI, CAN	25	35	8	5	11,34	10,68	7,85
841-MC9S12C96CFUE	MC9S12C96CFUE	QFP 80	4000	96000	-	10-Bit/8-ch	SCI, SPI, CAN	25	60	8	5	7,83	7,78	7,64
841-MC9S12C96MFAE	MC9S12C96MFAE	LQFP 48	4000	96000	-	10-bit/8-ch	CAN, SCI, SPI	25	60	8	3.3, 5.5	13,35	11,67	11,01
841-MC9S12C96MFUE	MC9S12C96MFUE	QFP 80	4000	96000	-	10-bit/8-ch	CAN, SCI, SPI	25	60	8	3.3, 5.5	13,25	11,58	9,57
841-MC9S12C128CFAE	MC9S12C128CFAE	LQFP 48	4000	128000	-	10-Bit/8-ch	SCI, SPI, CAN	25	31	8	5	11,36	10,68	8,68
841-MC9S12C128CFUE	MC9S12C128CFUE	QFP 80	4000	128000	-	10-Bit/8-ch	SCI, SPI, CAN	25	61	8	5	15,49	10,51	9,38
841-MC9S12C128MFAE	MC9S12C128MFAE	LQFP 48	4000	128000	-	10-bit/8-ch	CAN, SCI, SPI	25	60	8	3.3, 5.5	12,49	11,76	9,36
841-MC9S12C128MFUE	MC9S12C128MFUE	QFP 80	4000	128000	-	10-bit/8-ch	CAN, SCI, SPI	25	60	8	3.3, 5.6	12,99	12,23	9,93
841-MC9S12C128MPBE	MC9S12C128MPBE	LQFP 52	4000	128000	-	10-bit/8-ch	CAN, SCI, SPI	25	60	8	3.3, 5.7	12,49	11,76	9,36
Famille S12D – Industriel / automobile avec CAN														
841-MC9S12D32MFUE	MC9S12D32MFUE	QFP 80	4096	32000	1024	10-bit/8-ch	CAN 2.0 A/B, IIC, SCI, SPI	25	91	8	5	8,89	8,37	7,75
841-MC9S12D64MFUE	MC9S12D64MFUE	QFP 80	4096	65536	1024	10-bit/8-ch	CAN 2.0 A/B, IIC, SCI, SPI	25	91	8	5	12,29	11,57	9,81
841-MC9S12D64VFUE	MC9S12D64VFUE	QFP 80	4000	64000	1000	10-Bit/8-ch	SCI, SPI, I2C, CAN	25	91	8	5	11,73	11,05	8,98
841-MC9S12DG128CFUE	MC9S12DG128CFUE	QFP-80	8000	128000	2000	10-Bit/8-ch	SCI, SPI, I2C, CAN	25	59	8	5	15,28	14,12	12,71
841-MC9S12DG128CPVE	MC9S12DG128CPVE	LQFP-112	8000	128000	2000	10-Bit/8-ch	SCI, SPI, I2C, CAN	25	91	8	5	16,12	15,31	14,55
841-MC9S12DG128VPVE	MC9S12DG128VPVE	LQFP 112	8000	128000	2000	10-Bit/8-ch	SCI, SPI, I2C, CAN	25	91	8	5	15,55	14,64	11,79
841-MC9S12DG256BCP	MC9S12DG256CPVE	LQFP-112	12000	256000	4000	10-Bit/8-ch	SCI, SPI, I2C, CAN	25	91	8	5	20,33	16,51	15,92
841-MC9S12DG256CFUE	MC9S12DG256CFUE	QFP-80	12000	256000	4000	10-Bit/8-ch	SCI, SPI, I2C, CAN	25	91	8	5	18,97	18,18	12,48
841-MC9S12DG256MFUE	MC9S12DG256MFUE	QFP 80	12288	262144	4096	10 bits/8 can.	CAN 2.0 A/B, I2C, SCI, SPI	25	91	8	5	25,14	18,72	16,72
841-MC9S12DG256MPVE	MC9S12DG256MPVE	LQFP 112	12288	262144	4096	10 bits/8 can.	CAN 2.0 A/B, I2C, SCI, SPI	25	91	8	5	20,11	18,93	15,38
841-MC9S12DJ256CFUE	MC9S12DJ256CFUE	QFP 80	12000	256000	4000	10-Bit/8-ch	SCI, SPI, I2C, CAN, J1850	25	59	8	5	27,80	21,16	18,57
841-MC9S12DJ256CPVE	MC9S12DJ256CPVE	LQFP 112	12000	256000	4000	10-Bit/8-ch	SCI, SPI, I2C, CAN, J1850	25	91	8	5	25,72	18,63	17,55
841-MC9S12DJ256MFUE	MC9S12DJ256MFUE	QFP 80	12288	262144	4096	10-bit/8-ch	SCI, SPI, I2C, J1850, CAN 2.0A/B	25	59	8	5	21,52	20,25	16,45
841-MC9S12DP512CPVE	MC9S12DP512CPVE	LQFP-112	12000	512000	4000	8-Bit/10-ch	SCI, SPI, I2C, CAN, J1850	25	91	8	5	29,39	27,55	20,87
841-MC9S12DP512MPVE	MC9S12DP512MPVE	LQFP 112	12288	512000	4096	10-bit/8-ch	CAN 2.0 A/B, IIC, SCI, SPI, J1850	25	91	8	5	25,50	24,22	23,01
841-MC9S12DT256CPVE	MC9S12DT256CPVE	LQFP 112	12000	256000	4000	10-Bit/8-ch	SCI, SPI, I2C, CAN	25	91	8	5	21,84	15,50	13,82
841-MC9S12DT256MFUE	MC9S12DT256MFUE	QFP 80	12288	262144	4096	10 bits/8 can.	CAN 2.0 A/B, I2C, SCI, SPI	25	91	8	5	20,95	19,71	16,51
841-MC9S12DT256MPVE	MC9S12DT256MPVE	LQFP 112	1288	262144	4096	10 bits/8 can.	CAN 2.0 A/B, I2C, SCI, SPI	25	91	8	5	19,91	16,92	15,92

© Copyright 2012 Mouser Electronics

© Copyright 2012 Mouser Electronics

Microcontrôleurs FREESCALE

RoHS Compliant **This product is RoHS compliant.**

freescale™ semiconductor

FAMILLES HCS12 ET HCS12X - MCU 16 BITS

❊ Réf. du kit de développement DEMO9S12NE64E
† Réf. du kit de développement DEMO9S12XDT512E

Pour des quantités supérieures à celles indiquées, appelez-nous pour obtenir un devis.

RÉF. STOCK MOUSER	Réf. Freescale	Boîtier	RAM interne (octets)	FLASH interne (octets)	EEPROM (octets)	CAN	Type d'interface série	Fréq. du bus (MHz) (Max)	Broches d'E/S	Canaux de minuterie	Tension d'alimentation (Typ.)(V)	Prix unitaire 1	25	50
Famille S12E – Usage général, 3 volts avec D / A														
841-MC9S12E32CFUE	MC9S12E32CFUE	QFP-80	2000	32000	-	10 bits/16 can.	I2C, SCI, SPI	25	58	16, 15, 8	5,5	8,32	6,02	5,94
841-MC9S12E64CFUE	MC9S12E64CFUE	QFP-80	4	64	-	10 bits / 16 can.	SCI, SPI, CAN	25	58	16, 15, 8	5	11,18	7,69	6,89
841-MC9S12E64CPVE	MC9S12E64CPVE	LQFP-112	4	64	-	10 bits / 16 can.	SCI, SPI, CAN	25	90	16, 15, 8	5	8,93	8,41	6,83
841-MC9S12E64MFUE	MC9S12E64MFUE	QFP-80	4000	64000	-	10 bits/16 can.	I2C, SCI, SPI	25	58	16, 15, 8	5	9,36	8,80	7,15
841-MC9S12E128CFUE	MC9S12E128CFUE	QFP-80	8	128	-	10 bits / 16 can.	SCI, SPI, CAN	25	58	16, 15, 8	5	10,64	7,53	7,37
841-MC9S12E128MFUE	MC9S12E128MFUE	QFP-80	8000	128000	-	10 bits/16 can.	I2C, SCI, SPI	25	58	16, 15, 8	5	11,86	10,86	8,99
841-MC9S12E256CPVE	MC9S12E256CPVE	LQFP-112	-	-	-	10 bits / 16 can.	SCI, SPI, CAN	25	-	-	-	11,78	11,09	9,01
841-MC9S12E256MFUE	MC9S12E256MFUE	QFP-80	16000	256000	-	10 bits/16 can.	I2C, SCI, SPI	25	58	16, 15, 8	5	12,49	11,76	9,01
841-MC9S12E256MPVE	MC9S12E256MPVE	LQFP-112	16000	256000	-	10 bits/16 can.	I2C, SCI, SPI	25	90	16, 15, 8	5	12,96	12,20	9,91
Famille S12GC – Faible coût, nombre de broches réduit														
841-MC9S12GC16MFAE	MC9S12GC16MFAE	LQFP-48	2000	16000	-	10 bits/8 can.	SCI, SPI	25	29	8, 6	3,3 ; 5,5	6,18	4,47	4,41
841-MC9S12GC64MFAE	MC9S12GC64MFAE	LQFP-48	4000	64000	-	10 bits/8 can.	SCI, SPI	25	29	8, 6	3,3 ; 5,5	8,66	8,15	6,62
841-MC9S12GC64MFUE	MC9S12GC64MFUE	QFP-80	4000	64000	-	10 bits/8 can.	SCI, SPI	25	58	8, 6	3,3 ; 5,5	9,45	6,84	6,76
841-MC9S12GC96MFAE	MC9S12GC96MFAE	LQFP-48	4000	96000	-	10 bits/8 can.	SCI, SPI	25	29	8, 6	3,3, 5.5	8,70	8,19	6,66
841-MC9S12GC96MFUE	MC9S12GC96MFUE	QFP-80	4000	96000	-	10 bits/8 can.	SCI, SPI	25	58	8, 6	3,3 ; 5,5	9,78	8,75	8,23
841-MC9S12GC128MFUE	MC9S12GC128MFUE	QFP-80	4000	128000	-	10 bits/8 can.	SCI, SPI	25	58	8, 6	3,3 ; 5,5	12,00	10,03	9,90
Famille S12H – Pilotes LCD / Pont en H avec CAN														
841-MC9S12H128VFVE	MC9S12H128VFVE	LQFP-144	6000	131072	4096	10 bits/8 can.	CAN 2.0 A/B, I2C, SCI, SPI	16	99	8	5	17,25	16,24	13,19
841-MC9S12H256VFVE	MC9S12H256VFVE	LQFP-144	12000	256000	4000	10 bits / 16 can.	CAN 2.0 A/B, IIC, SCI, SPI	16	115	8	5	27,66	15,34	15,04
❊Famille S12NE – Une seule puce avec 10/100BaseT MAC et PHY intégrés														
841-MC9S12NE64CPVE	MC9S12NE64CPVE	LQFP-112	8000	64000	-	10 bits/8 can.	Ethernet, I2C, SCI, SPI	25	-	-	3,3 ; 5	11,64	10,11	9,92
841-MC9S12NE64VTUE	MC9S12NE64VTUE	TQFP-80	8000	64000	-	10 bits/8 can.	Ethernet, IIC, SCI, SPI	25	-	-	3,3 ; 5	11,25	9,04	8,66
Famille S12UF - USB 2.0														
841-MC9S12UF32PBE	MC9S12UF32PBE	LQFP-64	5120	32768	-	-	SCI, USB 2.0	30	77	8	5,5	6,36	5,98	4,72
841-MC9S12UF32PUE	MC9S12UF32PUE	LQFP-100	3584	32768	-	-	SCI, USB 2.0	30	75	8	5	6,81	6,41	5,21
Famille S12XA														
841-MC9S12UF32PBE	MC9S12UF32PBE	LQFP-64	5120	32768	-	-	SCI, USB 2.0	30	77	8	5,5	6,36	5,98	4,72
841-MC9S12UF32PUE	MC9S12UF32PUE	LQFP-100	3584	32768	-	-	SCI, USB 2.0	30	75	8	5	6,81	6,41	5,21
† Famille S12XD														
841-MC9S12XD256MAA	MC9S12XD256MAA	QFP-80	14000	256000	4000	10 bits/8 can.	SCI, SPI, I2C, CAN 2.0A/B	40	59	8, 4	5,5	14,31	13,46	12,47
841-MC9S12XDP512MAG	MC9S12XDP512MAG	LQFP-144	32000	512000	4000	10 bits/24 can. 10 bits/16 can.	SCI, SPI, I2C, CAN 2.0A/B	40	119	8, 4	3,15 ; 5,5	20,02	14,31	13,91
841-MC9S12XDP512MAL	MC9S12XDP512MAL	LQFP-112	32000	512000	4000	10 bits/16 can. 10 bits/8 can.	SCI, SPI, I2C, CAN 2.0A/B	40	91	8, 4	3,15 ; 5,6	18,32	17,24	14,01
841-MC9S12XDT256MAA	MC9S12XDT256MAA	QFP-80	16000	256000	4000	10 bits/8 can.	SCI, SPI, I2C, CAN 2.0A/B	40	59	8, 4	3,3 ; 5,5	14,97	14,09	11,45
841-MC9S12XDT256MAG	MC9S12XDT256MAG	LQFP-144	16000	256000	4000	10 bits/24 can. 10 bits/16 can.	SCI, SPI, I2C, CAN 2.0A/B	40	91	8, 4	3,3 ; 5,5	16,16	13,52	13,34
841-MC9S12XDT256MAL	MC9S12XDT256MAL	LQFP-112	16000	256000	4000	10 bits/16 can. 10 bits/8 can.	SCI, SPI, I2C, CAN 2.0A/B	40	91	8, 4	3,3 ; 5,5	15,16	14,26	11,59
841-MC9S12XDT512MAA	MC9S12XDT512MAA	QFP-80	20000	512000	4000	10 bits/8 can.	SCI, SPI, I2C, CAN 2.0A/B	40	59	8, 4	3,3 ; 5,5	17,47	16,44	13,36
841-MC9S12XDT512MAL	MC9S12XDT512MAL	LQFP-112	20000	512000	4000	10 bits/16 can, 10 bits/8 can.	SCI, SPI, I2C, CAN 2.0A/B	40	91	8, 4	3,3 ; 5,5	17,66	16,62	13,50
Famille S12XE														
841-MC9S12XEG128MAA	MC9S12XEG128MAA	QFP-80	12000	128000	2000	12 bits/8 can	SCI, SPI, I2C, CAN	50	59	8	5	8,24	7,84	7,68
841-MC9S12XEP100CAG	MC9S12XEP100CAG	LQFP-144	64000	100000	4000	12 bits/24 can.	SCI, SPI, I2C, CAN	50	119	8	5	16,84	15,85	12,87
841-MC9S12XEP100MAG	MC9S12XEP100MAG	LQFP-144	64000	100000	4000	12 bits/24 can.	SCI, SPI, I2C, CAN	50	119	8	5	18,52	17,43	14,15
841-MC9S12XEP100MAL	MC9S12XEP100MAL	LQFP-112	64000	100000	4000	12 bits/16 can.	SCI, SPI, I2C, CAN	50	91	8	5	18,29	17,22	13,98
841-MC9S12XEP768CAL	MC9S12XEP768CAL	LQFP-112	48000	768000	4000	12 bits/16 can.	SCI, SPI, I2C, CAN	50	91	8	5	15,86	14,92	12,10

FAMILLE MCF51CN128 COLDFIRE® - MCU 32 BITS ETHERNET

Les nouveaux MCU Ethernet MCF51CN128 de Freescale sont des dispositifs haute performance, de faible consommation et de coût réduit, conçus pour les développeurs qui veulent ajouter la connectivité Ethernet à leurs applications commerciales et industrielles.

Pour des quantités supérieures à celles indiquées, appelez-nous afin d'obtenir un devis.

RÉF. STOCK MOUSER	Réf. Freescale	Boîtier	RAM interne (octets)	FLASH interne (octets)	Type d'interface série	Fréq. du bus (MHz) (Max)	CAN	Canaux de minuterie	Broches d'E/S	Prix unitaire 1	25	50	100
841-MCF51CN128CGT	MCF51CN128CGT	QFN-48	24	128	SCI,SPI,I2C	25	12 bits / 12 can.	3	38	4,68	4,40	3,57	2,75
841-MCF51CN128CLH	MCF51CN128CLH	LQFP-64	24	128	SCI,SPI,I2C	25	12 bits / 12 can.	3	54	5,01	4,71	3,82	2,95
841-MCF51CN128CLK	MCF51CN128CLK	LQFP-80	24	128	SCI,SPI,I2C	25	12 bits / 12 can.	3	70	5,16	4,86	3,94	3,04

FAMILLE MCF51EM COLDFIRE® - MICROCONTRÔLEURS 32 BITS RISC

Les composants MCF51EM256/128 sont équipés d'un contrôleur LCD flexible, d'une horloge temps réel avec détection d'effraction et deux blocs de mémoire Flash 128 /64 Ko pour des mises à jour fiables du microprogramme sur le terrain. Combinez cela avec une conception polyphasée de référence accessible et une carte internet DEMOEM intégralement fonctionnelle et vous avez tous les ingrédients d'une solution de compteur électrique clés en main avec silicone personnalisé, conçue spécialement pour le marché des compteurs électriques.

NEW PRODUCT

Pour des quantités supérieures à celles indiquées, appelez-nous afin d'obtenir un devis.

RÉF. STOCK MOUSER	Réf. Freescale	Boîtier	RAM interne (octets)	FLASH interne (octets)	CAN	Type d'interface série	Tension d'alimentation (V) (Max)	Prix unitaire 1	25	50	100
841-MCF51EM256CLK	MCF51EM256CLK	LQFP-80	16 Ko	256 Ko	4 x 16bits	SCI, SPI, I2C	de 1,8 à 3,6	7,52	6,85	6,52	6,18
841-MCF51EM128CLK	MCF51EM128CLK	LQFP-80	8 Ko	128 Ko	4 x 16bits	SCI, SPI, I2C	de 1,8 à 3,6	5,59	5,26	4,49	3,72
841-MCF51EM256CLL	MCF51EM256CLL	LQFP-100	16Ko	256Ko	4 x 16bits	SCI, SPI, I2C	-0,3 à 4	6,54	6,15	5,00	4,35
841-MCF51EM128CLL	MCF51EM128CLL	LQFP-100	8Ko	128Ko	4 x 16bits	SCI, SPI, I2C	de -0,3 à 4	5,98	5,63	4,78	4,38

FAMILLE COLDFIRE® MCF5301X - 32 BITS FAIBLE PUISSANCE AVEC ETHERNET DOUBLE, USB ET SOUS-SYSTÈME AUDIO

La famille de microprocesseurs MCF5301x combine une faible puissance, une haute intégration et une connectivité étendue avec un sous-système audio dans une plateforme puissante pour des applications générales de contrôle industriel, y compris la fonctionnalité vocale numérique pour l'intercommunication et les systèmes de sonorisation publiques. Le système audio inclut un CODEC de langage, un microphone, un casque-micro et des amplificateurs pour haut-parleurs et, en option, une solution vocale numérique basée sur VoIP sans NRE, spécialement conçue pour les applications industrielles et grand public.
La famille MCF5301x accepte des fonctions de connectivité multiples avec deux MAC 10 / 100 Ethernet, deux contrôleurs USB, trois UART, deux interfaces à cartes intelligentes, SPI, I2C, SSI et le contrôleur hôte SDIO pour une connexion facile aux cartes de mémoire flash ou aux modules de connectivité sans fil tels que Wi-Fi. L'UC V3 de ColdFire®, avec unité d'accumulation multiple, 16 Ko de mémoire cache et 128 Ko de SRAM intégrée, offre un haut niveau de performance pour le contrôle embarqué avec la consommation de puissance la plus faible de l'industrie pour tous les modes de fonctionnement.

Pour des quantités supérieures à celles indiquées, appelez-nous afin d'obtenir un devis.

RÉF. STOCK MOUSER	Réf. Freescale	Boîtier	RAM interne (octets)	Cache (octets)	Type d'interface série	Fréq. du bus (MHz) (Max)	Broches d'E/S	Canaux de minuterie	Prix unitaire 1	25	50	100
841-MCF53010CQT240	MCF53010CQT240	LQFP-208	128Ko	16Ko	UART, I²C, SPI, SSI, Ethernet	80	61	8	13,30	12,52	10,72	7,82
841-MCF53011CQT240	MCF53011CQT240	LQFP-208	128Ko	16Ko	UART, I²C, SPI, SSI, Ethernet	80	61	8	14,97	14,08	13,65	8,80
841-MCF53012CQT240	MCF53012CQT240	LQFP-208	128Ko	16Ko	UART, I²C, SPI, SSI, Ethernet	80	61	8	16,62	13,86	13,41	9,78
841-MCF53013CQT240	MCF53013CQT240	LQFP-208	128Ko	16Ko	UART, I²C, SPI, SSI, Ethernet	80	61	8	18,29	16,93	14,45	10,76

© Copyright 2012 Mouser Electronics

© Copyright 2012 Mouser Electronics

Microcontrôleurs et microprocesseurs FREESCALE

Les produits peuvent être conformes à la directive RoHS. Consulter le site mouser.com pour vérifier la conformité RoHS.

freescale™ semiconductor

MICROCONTRÔLEURS À CONNECTIVITÉ ÉTENDUE COLDFIRE® MCF5225X

Pour des quantités supérieures à celles indiquées, appelez-nous pour obtenir un devis.

RÉF. STOCK MOUSER	Réf. Freescale	Boîtier	RAM interne (octets)	FLASH interne (octets)	Type d'interface série	MIPS	Fréq. du bus (MHz) (max.)	CAN	E/S	Canaux minuteur	Prix unitaire			
											1	25	50	100
841-MCF52252AF80	MCF52252AF80	LQFP 100	32	256	QSPI, UART, I2C, USB, Ethernet	76	80	12-bit / 8-ch	56	2,4	6,81	6,41	5,94	4,01
841-MCF52254AF80	MCF52254AF80	LQFP 100	64	512	QSPI, UART, I2C, USB, Ethernet	76	80	12-bit / 8-ch	56	2,4	7,83	7,37	6,82	4,60
841-MCF52252CAF66	MCF52252CAF66	LQFP 100	32	256	QSPI, UART, I2C, USB, Ethernet, CAN	63	66	12 bits / 8-ch	56	2,4	7,24	6,80	6,29	4,26
841-MCF52254CAF66	MCF52254CAF66	LQFP 100	64	512	QSPI, UART, I2C, USB, Ethernet, CAN	63	66	12 bits / 8-ch	56	2,4	8,27	7,76	7,19	4,86
841-MCF52255CAF80	MCF52255CAF80	LQFP 100	64	512	QSPI, UART, I2C, USB, Ethernet, CAN	76	80	12-bit / 8-ch	56	2,4	9,08	8,55	7,92	5,35
841-MCF52256AG80	MCF52256AG80	LQFP 144	32	256	QSPI, UART, I2C, USB, Ethernet	76	80	12-bit / 8-ch	96	2,4	7,50	6,52	6,50	4,41
841-MCF52258AG80	MCF52258AG80	LQFP 144	64	512	QSPI, UART, I2C, USB, Ethernet	76	80	12-bit / 8-ch	96	2,4	8,59	8,08	7,48	5,05
841-MCF52256CAG66	MCF52256CAG66	LQFP 144	64	256	QSPI, UART, I2C, USB, Ethernet, CAN	63	66	12-bit / 8-ch	96	2,4	7,90	7,43	6,89	4,64
841-MCF52259CAG80	MCF52259CAG80	LQFP 144	64	512	QSPI, UART, I2C, USB, Ethernet, CAN	76	80	12-bit / 8-ch	96	2,4	9,83	9,25	8,56	5,78
841-MCF52258CAG66	MCF52258CAG66	LQFP 144	64	512	QSPI, UART, I2C, USB, Ethernet, CAN	63	66	12-bit / 8-ch	96	2,4	8,99	8,46	7,84	5,29

MICROCONTRÔLEURS 32 BITS COLDFIRE®

La gamme de produits ColdFire® présente un choix vaste et varié de performances, de prix, d'intégration et de capacités de débogage pour les concepteurs d'applications embarquées. Ses capacités d'intégration ne sont limitées que par l'imagination et nulle autre gamme qu'elle ne peut vous faire profiter de 20 années d'histoire dans l'industrie des microcontrôleurs 68000. Avec ces caractéristiques, l'architecture ColdFire® est à la pointe du marché des microcontrôleurs 32 bits embarqués.

Pour des quantités supérieures à celles indiquées, appelez-nous pour obtenir un devis.

RÉF. STOCK MOUSER	Réf. Freescale	Boîtier	RAM interne (octets)	FLASH interne (octets)	Mémoire cache (kilooctets)	Type d'interface série	Fréq. du bus (MHz) (max.)	CAN	E/S	Canaux minuteur	Prix unitaire		
											1	25	100
841-MCF5206EAB40	MCF5206EAB40	QFP 160	-	8000	4	UART	40	-	8	-	14,43	10,76	8,87
841-MCF5206EAB54	MCF5206EAB54	QFP 160	-	8000	4	UART	54	-	8	-	17,88	13,13	10,82
841-MCF5206ECAB40	MCF5206ECAB40	QFP 160	-	8000	4	UART	40	-	8	-	16,85	15,82	12,21
841-MCF5211CAE66	MCF5211CAE66	LQFP 64	-	16000	-	-	80	12-bit / 8-ch	56	-	11,31	10,05	6,62
841-MCF5211CEP66	MCF5211CEP66	QFN 64	-	-	-	-	66	12-bit / 8-ch	-	-	10,20	9,06	7,00
841-MCF5212CAE66	MCF5212CAE66	LQFP 64	256k	32000	-	-	665	12-bit / 8-ch	33	-	10,37	9,76	6,10
841-MCF5213CAF66	MCF5213CAF66	LQFP 100	256k	32000	-	-	805	12-bit / 8-ch	56	-	11,51	9,13	8,25
841-MCF5213CAF80	MCF5213CAF80	LQFP 100	256k	32000	-	-	805	12-bit / 8-ch	56	-	13,15	9,86	8,92
841-MCF5232CAB80	MCF5232CAB80	QFP 160	-	64000	16	-	405	-	61	-	16,95	15,95	9,97
841-MCF5249LAG120	MCF5249LAG120	LQFP 144	-	96000	8	UART, I2C, QSPI	120	10-bit / 8-ch	34	-	15,42	14,51	9,07
841-MCF5249LCAG120	MCF5249LCAG120	LQFP 144	-	96000	8	UART, I2C, QSPI	1205	-	34	-	16,95	15,54	14,16
841-MCF5270AB100	MCF5270AB100	QFP 160	-	64000	16	-	50	-	39	-	13,22	9,47	9,00
841-MCF5271CAB100	MCF5271CAB100	QFP 160	-	64000	16	-	505	-	39	-	15,33	12,62	11,42
841-MCF5307AI66B	MCF5307AI66B	FQFP 208	-	4000	16	UART, I2C	66	-	16	2	15,86	15,75	14,07
841-MCF5307AI90B	MCF5307AI90B	FQFP 208	-	4000	16	UART, I2C	90	-	16	2	23,62	23,16	19,64
841-MCF5307CAI66B	MCF5307CAI66B	FQFP 208	-	4000	16	UART, I2C	66	-	16	2	26,66	25,09	15,68
841-MCF5407AI162	MCF5407AI162	FQFP 208	-	4000	24	UART, I2C	162	-	16	2	38,58	36,30	22,69
841-MCF5407AI220	MCF5407AI220	FQFP 208	-	4000	24	UART, I2C	220	-	16	2	46,84	43,97	27,48
841-MCF5407CAI162	MCF5407CAI162	FQFP 208	-	4000	24	UART, I2C	162	-	16	2	33,90	33,66	30,10
841-MCF5407CAI220	MCF5407CAI220	FQFP 208	-	4000	24	UART, I2C	220	-	16	2	52,83	49,72	31,08
841-MCF5471VR200	MCF5471VR200	PBGA 388	-	32000	64	UART	200	-	99	-	45,23	42,57	27,72
841-MCF5472VR200	MCF5472VR200	PBGA 388	-	32000	64	UART	200	-	99	-	26,04	21,94	19,41
841-MCF5474VR200	MCF5474VR200	PBGA 388	-	32000	64	UART	200	-	99	-	32,32	30,42	19,01
841-MCF5474VR266	MCF5474VR266	PBGA 388	-	32000	64	UART	200	-	99	-	36,89	35,04	31,63
841-MCF5475VR266	MCF5475VR266	PBGA 388	-	32000	64	UART	266	-	99	-	40,21	29,94	26,24
841-MCF5480CVR166	MCF5480CVR166	PBGA 388	-	32000	64	-	166	-	99	-	33,91	31,92	19,95
841-MCF5482CVR166	MCF5482CVR166	PBGA 388	-	32000	64	-	166	-	99	-	33,91	31,92	19,95
841-MCF5484CVR200	MCF5484CVR200	PBGA 388	-	32000	64	-	200	-	99	-	43,42	41,24	37,22
841-MCF5485CVR200	MCF5485CVR200	PBGA 388	-	32000	64	-	200	-	99	-	48,95	46,50	41,97

MPC5125 - MICROPROCESSEUR BASSE CONSOMMATION ET HAUTES PERFORMANCES

Caractéristiques :

- Solution d'affichage robuste et hautes performances Power Architecture™ pour un excellent rapport coût/consommation d'énergie, avec un OS complet et une prise en charge des middlewares.
- Ethernet 10/100BT pour les solutions de connexion
- Interface d'affichage compatible WXGA/720p, couleurs 24 bits
- Connectivité riche :
  PSC flexible 10x (SPI, UART, AC'97, I2S, TDM multicanaux)
  CAN 2.0 A/B 4x, flux de données supérieurs à 1Mb/s
  USB 2.0 Hi-Speed, Host/Device/On-The-Go
  SDHC 2x (MMC, SD, extension SDIO)
- Prise en charge des systèmes mémoire pour un excellent rapport rentabilité/consommation d'énergie
- Interface NAND flash amorçable :
  ECC corrige jusqu'à 32 erreurs (au-delà du support MLC)
  Fonctionnement pipeline multi-accès/corrections/DMA
- Démarrage avec image de boot 4 fois redondante
- Interface DRAM (bande passante élevée, latence réduite) :
  Support DDR2 32/16 bits et SDR 32 bits (faible coût)
  Support MobileDDR 32/16 bits (basse consommation)
- Basse consommation :
  Consommation typique de l'ensemble du système < 1W à 400MHz
  Mode d'hibernation < 25uW
  800DMIPS à 400MHz

Applications :

- Réseaux
- Contrôles et mesures
- PDV/Publicité numérique
- Contrôles sur chantier de construction
- Réseau domestique
- Applications médicales

Pour des quantités supérieures à celles indiquées, appelez-nous pour obtenir un devis.

RÉF. STOCK MOUSER	Réf. Freescale	Boîtier	RAM interne (octets)	Type d'interface série	Fréq. du bus (MHz) (max.)	Broches E/S	Prix unitaire			
							1	25	50	100
841-MPC5125YVN400	MPC5125YVN400	PBGA-324	32K	SPI, UART, I²C, USB	400	64	20,12	18,94	16,58	12,78

PROCESSEURS DE COMMUNICATION POWERQUICC - MPC8377E

Le MPC8377E dispose d'un cœur Power Architecture™ e300 à hautes performances, cadencé jusqu'à 800MHz avec 32Ko de mémoire cache L1 I/D et deux contrôleurs intégrés SATA et PCI Express qui contribuent à réduire la nomenclature CCR. Sa conception « System on a Chip » (SoC) comprend également deux contrôleurs Gigabit Ethernet pour la connectivité réseau ainsi qu'un moteur sécurisé prenant en charge les algorithmes de cryptage.

Pour des quantités supérieures à celles indiquées, appelez-nous pour obtenir un devis.

RÉF. STOCK MOUSER	Réf. Freescale	Boîtier	Type de cœur	Fréquence de fonctionnement du cœur (Max.)	Cache (octets)	Mémoire externe supportée	Ethernet	USB	Bus Fréquence max. (MHz)	Prix unitaire		
										1	25	50
841-MPC8377EVRAJF	MPC8377EVRAJF	PBGA-PGE 689	e300	533	32K	DDR1,DDR2,EPROM,FLASH	10/100/1000 BaseT	2.0	133	76,48	71,97	52,16
841-MPC8377EVRALG	MPC8377EVRALG	PBGA-PGE 689	e300	667	32K	DDR1,DDR2,EPROM,FLASH	10/100/1000 BaseT	2.0	133	86,79	77,58	75,37
841-MPC8378EVRAJF	MPC8378EVRAJF	PBGA-PGE 689	e300	533	32K	DDR1,DDR2,EPROM,FLASH	10/100/1000 BaseT	-	133	76,48	71,97	52,16
841-MPC8379EVRAGD	MPC8379EVRAGD	PBGA-PGE 689	e300	400	32K	DDR1,DDR2,EPROM,FLASH	10/100/1000 BaseT	-	133	83,42	78,52	59,10
841-MPC8379EVRANG	MPC8379EVRANG	PBGA-PGE 689	e300	800	32K	DDR1,DDR2,EPROM,FLASH	10/100/1000 BaseT	-	133	73,30	65,13	60,32

© Copyright 2012 Mouser Electronics

© Copyright 2012 Mouser Electronics

Microprocesseurs FREESCALE

RoHS Compliant This product is RoHS compliant.

freescale semiconductor

PROCESSEUR D'APPLICATIONS i.MX

Processeurs d'applications multimédia embarquées i.MX233

Pour des quantités supérieures à celles indiquées, appelez-nous afin d'obtenir un devis.

RÉF. STOCK MOUSER	Réf. Freescale	Type de boîtier	Type de cœur	Fréq. cœur (MHz)	Taille de la mémoire cache (octets)	RAM interne (kilooctets)	Plage temp. (C)	Prix unitaire 1	25	50	100
841-MCIMX233CAG4B	MCIMX233CAG4B	LQFP 128	ARM 9	454	16	32	-40 à 85	8,58	7,59	7,07	4,78
841-MCIMX233CJM4B	MCIMX233CJM4B	MAPBGA 169	ARM 9	454	16	32	-40 à 85	10,01	9,42	8,72	5,89
841-MCIMX233DJM4B	MCIMX233DJM4B	MAPBGA 169	ARM 9	454	16	32	-10 à 70	8,81	7,84	5,12	4,95

Processeurs industriels et domestiques i.MX28

NEW PRODUCT

Pour des quantités supérieures à celles indiquées, appelez-nous afin d'obtenir un devis.

841-MCIMX281AVM4B	MCIMX281AVM4B	MPABGA 289	ARM 9	454	32	128	-40 à +85	13,04	11,88	11,20	10,19
841-MCIMX283CVM4B	MCIMX283CVM4B	MPABGA 289	ARM 9	454	32	128	-40 à +85	10,66	8,56	8,31	8,07
841-MCIMX283DVM4B	MCIMX283DVM4B	MPABGA 289	ARM 9	454	32	128	-20 à +70	12,57	10,68	10,46	9,88
841-MCIMX285AVM4B	MCIMX285AVM4B	MPABGA 289	ARM 9	454	32	128	-40 à +85	15,83	14,50	14,21	13,92
841-MCIMX286CVM4B	MCIMX286CVM4B	MPABGA 289	ARM 9	454	32	128	-20 à +70	17,61	16,57	11,37	11,05
841-MCIMX287CVM4B	MCIMX287CVM4B	MPABGA 289	ARM 9	454	32	128	-40 à +85	15,49	14,23	12,79	12,71

Processeurs d'applications industrielles et domestiques i.MX35

Pour des quantités supérieures à celles indiquées, appelez-nous afin d'obtenir un devis.

841-MCIMX357CJQ5C	MCIMX357CJQ5C	MAPBGA 400	ARM 11	133	16	128	-40 à 85	16,66	15,68	13,18	9,80
841-MCIMX356AJQ5C	MCIMX356AJQ5C	MAPBGA 400	ARM 11	532	16	128	-40 à 85	20,20	19,00	17,59	14,66

Processeurs d'applications multimédia industrielles et domestiques i.MX51

Pour des quantités supérieures à celles indiquées, appelez-nous afin d'obtenir un devis.

RÉF. STOCK MOUSER	Réf. Freescale	Type de boîtier	Type de cœur	Fréq. cœur (MHz)	Taille de la mémoire cache (octets)	Taille de la mémoire cache L2 (kilooctets)	RAM interne (kilooctets)	Plage temp. (C)	Prix unitaire 1	25	50	100
841-MCIMX512CJM6C	MCIMX512CJM6C	MABGAPGE 529	Cortex-A8	600	32	256	128	-40 à 85	34,88	32,79	26,85	20,49
841-MCIMX512DJM8C	MCIMX512DJM8C	MABGAPGE 529	Cortex-A8	800	32	256	128	-20 à +70	31,46	30,69	29,54	18,50
841-MCIMX513CJM6C	MCIMX513CJM6C	MABGAPGE 529	Cortex-A8	800	32	256	128	-40 à +85	33,50	32,38	31,27	30,28
841-MCIMX513DJM8C	MCIMX513DJM8C	MABGAPGE 529	Cortex-A8	800	32	256	128	-20 à +70	32,22	30,33	28,61	18,96
841-MCIMX515CJM6C	MCIMX515CJM6C	MAPBGA527	Cortex-A8	800	32	256	128	-40 à +85	40,30	37,93	36,80	23,70
841-MCIMX515DJM8C	MCIMX515DJM8C	MABGAPGE 529	Cortex-A8	800	32	256	128	-20 à +70	36,65	34,49	31,93	21,55

PROCESSEURS DE COMMUNICATIONS POWERQUICC

PowerQUICC I

Pour des quantités supérieures à celles indiquées, appelez-nous pour obtenir un devis.

RÉF. STOCK MOUSER	Réf. Freescale	Type de boîtier	Type de cœur	Nombre de cœurs	Fréquence de fonctionnement du cœur (MHz)	Taille de la mémoire cache (octets)	Bus d'interface	Tension maximale d'E/S (V)	Perform. Processeur (MIPS)	Prix unitaire 1	25	50
841-MPC852TVR100A	MPC852TVR100A	PBGA 256	MPC8xx	1	100	8	PCMCIA, PowerPC ISA	3,3	132	32,67	31,04	29,49
841-MPC852TVR50A	MPC852TVR50A	PBGA 256	MPC8xx	1	50	8	PCMCIA, PowerPC ISA	3,3	-	13,30	11,13	10,91
841-MPC852TVR66A	MPC852TVR66A	PBGA 256	MPC8xx	1	66	8	PCMCIA, PowerPC ISA	3,3	87	16,62	15,27	14,48
841-MPC855TZQ66D4	MPC855TZQ66D4	PBGA 357	MPC8xx	1	66	4	-	3,3	-	36,18	27,62	27,21
841-MPC870CVR133	MPC870CVR133	PBGA 256	MPC8xx	1	133	8	PCMCIA	5	-	20,51	18,84	17,74
841-MPC875CVR133	MPC875CVR133	PBGA 256	MPC8xx	1	133	8	PCMCIA	5	-	23,43	21,54	20,90
841-MPC875VR133	MPC875VR133	PBGA 256	MPC8xx	1	133	8	PCMCIA	5	-	26,34	24,21	23,55
841-MPC880VR133	MPC880VR133	PBGA-FW 357	MPC8xx	1	133	8	PCMCIA	5	-	26,09	24,21	23,55
841-MPC880VR66	MPC880VR66	PBGA-FW 357	MPC8xx	1	66	8	PCMCIA	5	-	28,66	26,58	26,30
841-MPC885CVR133	MPC885CVR133	PBGA-FW 357	MPC8xx	1	133	8	PCMCIA	5	-	41,50	38,49	37,03
841-MPC885VR133	MPC885VR133	PBGA-FW 357	MPC8xx	1	133	8	PCMCIA	5	-	31,26	31,04	30,43

PowerQUICC II

Pour des quantités supérieures à celles indiquées, appelez-nous afin d'obtenir un devis.

841-MPC8247CVRTIEA	MPC8247CVRTIEA	FPBGA 516	603e	1	400	32	60x, Local, PCI	3,3	760.4	51,14	48,58	46,15
841-MPC8247VRMIBA	MPC8247VRMIBA	FPBGA 516	603e	1	266	32	60x, Local, PCI	3,3	505.4	29,63	27,48	27,48
841-MPC8270CVRMIBA	MPC8270CVRMIBA	FPBGA 516	603e	1	266	32	60x, Local, PCI	3,3	505.4	100,86	95,82	91,03
841-MPC8270CVVUPEA	MPC8270CVVUPEA	FTBGA 480	603e	1	450	32	60x, Local, PCI	3,3	855	112,00	106,40	101,08
841-MPC8270CZQMIBA	MPC8270CZQMIBA	FPBGA 516	603e	1	266	32	60x, Local, PCI	3,3	505.4	66,31	58,92	54,57
841-MPC8270VRMIBA	MPC8270VRMIBA	FPBGA 516	603e	1	266	32	60x, Local, PCI	3,3	505.4	82,52	78,40	74,48
841-MPC8270VVQLDA	MPC8270VVQLDA	FTBGA 480	603e	1	333	32	60x, Local, PCI	3,3	632.7	63,74	60,56	58,74

PowerQUICC II Pro

Pour des quantités supérieures à celles indiquées, appelez-nous afin d'obtenir un devis.

841-MPC8308VMAGD	MPC8308VMAGD	MAPBGA 473	e300	1	400	16	Local, PCI	3,6	Oui	19,81	18,20	17,13
841-MPC8308VMADD	MPC8308VMADD	MAPBGA 473	e300	1	400	16	Local, PCI	3,6	Oui	17,95	16,95	15,96
841-MPC8308CVMADD	MPC8308CVMADD	MAPBGA 473	e300	1	400	16	Local, PCI	3,6	Oui	17,70	16,27	14,37
841-MPC8313CVRADDB	MPC8313CVRADDB	PBGAPGE 516	e300	1	400	16	Local, PCI	3,6	Non	22,56	20,72	19,77
841-MPC8313CZQAFFB	MPC8313CZQAFFB	PBGAPGE 516	e300	1	400	16	Local, PCI	3,6	Non	21,37	19,64	18,30
841-MPC8313ECVRAFFB	MPC8313ECVRAFFB	PBGAPGE 516	e300	1	400	16	Local, PCI	3,6	Oui	24,58	21,08	21,04
841-MPC8313EVRAFFB	MPC8313EVRAFFB	PBGAPGE 516	e300	1	400	16	Local, PCI	3,6	Oui	21,72	18,32	18,30
841-MPC8313EVRAGDB	MPC8313EVRAGDB	PBGAPGE 516	e300	1	400	16	Local, PCI	3,6	Oui	35,75	34,04	32,40
841-MPC8313VRADDB	MPC8313VRADDB	PBGAPGE 516	e300	1	400	16	Local, PCI	3,6	Non	23,04	19,59	16,67
841-MPC8313VRAFFB	MPC8313VRAFFB	PBGAPGE 516	e300	1	400	16	Local, PCI	3,6	Non	22,77	18,32	15,82
841-MPC8313VRAGDB	MPC8313VRAGDB	PBGAPGE 516	e300	1	400	16	Local, PCI	3,6	Non	27,27	24,23	22,44
841-MPC8314CVRAGDA	MPC8314CVRAGDA	PBGA 620	e300	1	400	16	Local, PCI, PCI-Express	3,6	Non	32,13	29,80	28,51
841-MPC8314EVRAGDA	MPC8314EVRAGDA	PBGA 620	e300	1	400	16	Local, PCI, PCI-Express	3,6	Oui	32,13	29,80	24,22
841-MPC8321CVRADDC	MPC8321CVRADDC	PBGA-PGE 516	e300	1	266	32	Local, PCI	1,8 ; 3,3	Non	19,85	18,25	17,74
841-MPC8321CVRAFDC	MPC8321CVRAFDC	PBGA-PGE 516	e300	1	333	32	Local, PCI	1,8 ; 3,3	Non	21,84	20,07	19,31
841-MPC8321CZQADDC	MPC8321CZQADDC	PBGA-PGE 516	e300	1	266	32	Local, PCI	1,8 ; 3,3	Non	28,96	27,57	26,26
841-MPC8321CZQAFDC	MPC8321CZQAFDC	PBGA-PGE 516	e300	1	333	32	Local, PCI	1,8 ; 3,3	Non	28,60	23,93	23,89
841-MPC8321ECVRAFDC	MPC8321ECVRAFDC	PBGA-PGE 516	e300	1	333	32	Local, PCI	1,8 ; 3,3	Oui	30,65	27,23	20,79
841-MPC8321EVRADDC	MPC8321EVRADDC	PBGA-PGE 516	e300	1	266	32	Local, PCI	1,8 ; 3,3	Oui	22,87	20,79	19,93
841-MPC8321EVRAFDC	MPC8321EVRAFDC	PBGA-PGE 516	e300	1	333	32	Local, PCI	1,8 ; 3,3	Oui	22,59	20,88	19,20
841-MPC8321VRAFDC	MPC8321VRAFDC	PBGA-PGE 516	e300	1	333	32	Local, PCI	1,8 ; 3,3	Non	22,89	21,54	18,15
841-MPC8321ZQADDC	MPC8321ZQADDC	PBGA-PGE 516	e300	1	266	32	Local, PCI	1,8 ; 3,3	Non	22,60	18,91	18,88
841-MPC8321ZQAFDC	MPC8321ZQAFDC	PBGA-PGE 516	e300	1	333	32	Local, PCI	1,8 ; 3,3	Non	27,68	26,36	25,10
841-MPC8323ECVRAFDC	MPC8323ECVRAFDC	PBGA-PGE 516	e300	1	333	32	Local, PCI	1,8 ; 3,3	Oui	28,99	26,90	26,09
841-MPC8323EVRADDC	MPC8323EVRADDC	PBGA-PGE 516	e300	1	266	32	Local, PCI	1,8 ; 3,3	Oui	29,79	27,08	25,84
841-MPC8323VRAFDC	MPC8323VRAFDC	PBGA-PGE 516	e300	1	333	32	Local, PCI	1,8 ; 3,3	Non	32,08	26,85	26,81

PowerQUICC III

Pour des quantités supérieures à celles indiquées, appelez-nous afin d'obtenir un devis.

RÉF. STOCK MOUSER	Réf. Freescale	Type de boîtier	Type de cœur	Nombre de cœurs	Fréquence de fonctionnement max. (MHz)	Taille de la mémoire cache (kilooctets)	Taille de la mémoire cache L2 (kilooctets)	Bus d'interface	Ethernet	Prix unitaire 1	25	50
841-MPC8544VTARJ	MPC8544VTARJ	FCPBGA 783	e500	1	667	32	256	Local, PCI	10/100/1000 BaseT	166,34	139,24	139,19
841-MPC8544VTALF	MPC8544VTALF	FCPBGA 783	e500	1	667	32	256	Local, PCI	10/100/1000 BaseT	95,33	92,33	89,36
841-MPC8544CVTAQG	MPC8544CVTAQG	FCPBGA 783	e500	1	1000	32	256	Local, PCI	10/100/1000 BaseT	129,47	128,80	128,19
841-MPC8544VTAQG	MPC8544VTAQG	FCPBGA 783	e500	1	1000	32	256	Local, PCI	10/100/1000 BaseT	141,00	136,84	132,71

© Copyright 2012 Mouser Electronics
© Copyright 2012 Mouser Electronics

Processeurs de signal numérique et contrôleurs FREESCALE

freescale™ semiconductor

Les produits peuvent être conformes à la directive RoHS.
Consulter le site mouser.com pour vérifier la conformité RoHS.

CONTRÔLEURS DE SIGNAL NUMÉRIQUE MC56F800X

Le contrôleur de signal numérique d'entrée de gamme MC56F8006/2 constitue la solution la plus rentable pour les applications de contrôle en temps réel requérant de la puissance pour réaliser des calculs mathématiques intensifs. La série MC56F8006/2 utilise le cœur 56800E, qui est basé sur une double architecture de type Harvard consistant en trois unités d'exécution opérant en parallèle. Ceci lui permet d'effectuer jusqu'à six opérations par cycle d'instructions. Le modèle de programmation de type MCU et le jeu d'instructions optimisé permettent de générer simplement un code DSP et de contrôle efficace et compact.

Pour des quantités supérieures à celles indiquées, appelez-nous afin d'obtenir un devis.

RÉF. STOCK MOUSER	Réf. Freescale	Boîtier	Performance	FLASH interne (Koctets)	RAM interne (Koctets)	Interface série Type	Broches d'E/S	Tension de fonctionnement du cœur (V)	CAN	Prix unitaire 1	25	50	100
841-MC56F8002VWL	MC56F8002VWL	SOIC 28W	32MHz/32 MMACS	12	2	LIN,I2C,SCI,SPI	9	1.8	12 bits/36 can.	2,49	2,35	2,04	1,47
841-MC56F8006VLC	MC56F8006VLC	LQFP 32	32MHz/32 MMACS	16	2	LIN,I2C,SCI,SPI	13	1.8	12 bits/36 can.	2,66	1,92	1,88	1,57
841-MC56F8006VLF	MC56F8006VLF	LQFP 48	32MHz/32 MMACS	16	2	LIN,I2C,SCI,SPI	26	1.8	12 bits/36 can.	2,83	2,04	2,00	1,66
841-MC56F8006VWL	MC56F8006VWL	SOIC 28W	32MHz/32 MMACS	16	2	LIN,I2C,SCI,SPI	13	1.8	12 bits/36 can.	2,59	1,86	1,81	1,52

SÉRIE 56F800 : USAGE GÉNÉRAL, 16 BITS, VIRGULE FIXE

RoHS Compliant

Pour des quantités supérieures à celles indiquées, appelez-nous pour obtenir un devis.

RÉF. STOCK MOUSER	Réf. Freescale	Boîtier	Performance	Mémoire Flash/RAM de programme	Mémoire hors-puce	Interface série Type	Tension de fonctionnement du cœur (V)	Convertisseur A/N	Prix unitaire 1	25	50	100
841-DSP56F803BU80E	DSP56F803BU80E	LQFP 100	80MHz/40MIPS	64KB / 1KB	Oui	SCI, SPI, CAN	3,3	8-Ch. / 12-bit	13,79	12,98	12,02	8,32
841-DSP56F805FV80E	DSP56F805FV80E	LQFP 144	80MHz/40MIPS	64KB / 1KB	Oui	SCI, SPI, CAN	3,3	8-Ch. / 12-bit	15,31	14,40	13,34	9,00
841-DSP56F807PY80E	DSP56F807PY80E	LQFP 160	80MHz/40MIPS	120KB / 4KB	Oui	SCI, SPI, CAN	3,3	16-Ch. / 12-bit	18,20	17,14	15,86	10,71

CONTRÔLEURS DE SIGNAL NUMÉRIQUE MC56F82X

NEW PRODUCT

RoHS Compliant

Pour des quantités supérieures à celles indiquées, appelez-nous pour obtenir un devis.

RÉF. STOCK MOUSER	Réf. Freescale	Boîtier	Performance	FLASH interne (Koctets)	RAM interne (Koctets)	Interface série Type	E/S programmables	Tension d'alimentation de fonctionnement (V)	Convertisseur A/N	Prix unitaire 1	25	50	100
841-MC56F8245VLD	MC56F8245VLD	LQFP-44	60MHz/60MIPs	48	6	I2C/SMBus	35	3,3	12 bits, 4 canaux	4,88	4,14	3,82	3,68
841-MC56F8246VLF	MC56F8246VLF	LQFP-48	60MHz/60MIPs	48	6	I2C/SMBus	39	3,3	12 bits, 5 canaux	4,96	4,22	3,89	3,75
841-MC56F8247VLH	MC56F8247VLH	LQFP-64	60MHz/60MIPs	48	8	I2C/SMBus	54	3,3	12 bits, 8 canaux	6,01	5,11	4,70	4,54
841-MC56F8255VLD	MC56F8255VLD	LQFP-44	60MHz/60MIPs	64	8	I2C/SMBus	35	3,3	12 bits, 4 canaux	5,56	4,73	4,36	4,20
841-MC56F8256VLF	MC56F8256VLF	LQFP-48	60MHz/60MIPs	64	8	I2C/SMBus	39	3,3	12 bits, 5 canaux	5,66	4,82	4,44	4,27
841-MC56F8257VLH	MC56F8257VLH	LQFP-64	60MHz/60MIPs	64	8	I2C/SMBus	54	3,3	12 bits, 8 canaux	6,32	5,37	4,95	4,77

SÉRIE 56F8300 : USAGE GÉNÉRAL, 16 BITS, VIRGULE FIXE

RoHS Compliant

Pour des quantités supérieures à celles indiquées, appelez-nous pour obtenir un devis.

RÉF. STOCK MOUSER	Réf. Freescale	Boîtier	Performance	Mémoire Flash/RAM de programme	Mémoire hors-puce	Interface série Type	Tension de fonctionnement du cœur (V)	Convertisseur A/N	Prix unitaire 1	25	50	100
841-MC56F8322MFAE	MC56F8322MFAE	LQFP 48	40MHz/40MIPS	32Ko/32Ko	Non	SCI, SPI, CAN	3.0–3.6 V	6-ch. / 12-bit	10,89	10,10	9,78	9,11
841-MC56F8322VFAE	MC56F8322VFAE	LQFP 48	40MHz/40MIPS	32Ko/32Ko	Non	SCI, SPI, CAN	3.0–3.6 V	6-ch. / 12-bit	8,43	7,94	7,35	4,96
841-MC56F8323MFBE	MC56F8323MFBE	LQFP 64	60MHz/60MIPs	32Ko/32Ko	Non	SCI, SPI, CAN	3.0–3.6 V	8-ch. / 12-bit	11,06	10,28	10,05	9,78
841-MC56F8323VFBE	MC56F8323VFBE	LQFP 64	60MHz/60MIPs	32Ko/32Ko	Non	SCI, SPI, CAN	3.0–3.6 V	8-ch. / 12-bit	9,97	9,05	8,80	7,80
841-MC56F8335VFGE	MC56F8335VFGE	LQFP 128	60MHz/60MIPs	64KB / 8KB	Non	SCI, SPI, CAN	- - -	16-ch. / 12-bit	13,84	9,60	9,29	8,04
841-MC56F8345MFGE	MC56F8345MFGE	LQFP 128	60MHz/60MIPs	128KB / 8KB	Non	SCI, SPI, CAN	3.0–3.6 V	16-ch. / 12-bit	16,42	15,44	14,31	9,65
841-MC56F8345VFGE	MC56F8345VFGE	LQFP 128	60MHz/60MIPs	128KB / 8KB	Non	SCI, SPI, CAN	3.0–3.6 V	16-ch. / 12-bit	13,78	12,97	12,01	8,10
841-MC56F8346MFVE	MC56F8346MFVE	LQFP 144	60MHz/60MIPs	128KB / 8KB	Oui	SCI, SPI, CAN	3.0–3.6 V	16-ch. / 12-bit	18,09	17,19	16,33	15,51
841-MC56F8346VFVE	MC56F8346VFVE	LQFP 144	60MHz/60MIPs	128KB / 8KB	Oui	SCI, SPI, CAN	3.0–3.6 V	16-ch. / 12-bit	14,77	13,92	12,46	11,04
841-MC56F8347MPYE	MC56F8347MPYE	LQFP 160	64MHz/64MIPS	128 / 12	Oui	SCI, SPI, CAN	3 - 3,6	12-bit / 16-ch	18,74	15,68	15,48	14,84
841-MC56F8347VPYE	MC56F8347VPYE	LQFP 160	60MHz/60MIPs	128KB / 8KB	Oui	SCI, SPI, CAN	3.0–3.6 V	16-ch. / 12-bit	14,75	13,88	12,85	8,67
841-MC56F8355MFGE	MC56F8355MFGE	LQFP 128	60MHz/60MIPs	256KB / 16KB	Non	SCI, SPI, CAN	3.0–3.6 V	16-ch. / 12-bit	21,20	19,96	16,21	12,47
841-MC56F8355VFGE	MC56F8355VFGE	LQFP 128	60MHz/60MIPs	256KB / 16KB	Non	SCI, SPI, CAN	3.0–3.6 V	16-ch. / 12-bit	18,23	17,16	16,64	10,73
841-MC56F8356MFVE	MC56F8356MFVE	LQFP 144	60MHz/60MIPs	256KB / 16KB	Non	SCI, SPI, CAN	3.0–3.6 V	16-ch. / 12-bit	22,77	21,52	15,12	13,87
841-MC56F8356VFVE	MC56F8356VFVE	LQFP 144	60MHz/60MIPs	256KB / 16KB	Non	SCI, SPI, CAN	3.0–3.6 V	16-ch. / 12-bit	18,36	17,28	13,65	10,79
841-MC56F8357MPYE	MC56F8357MPYE	LQFP 160	60MHz/60MIPs	256 / 20	Oui	SCI, SPI, CAN	3 - 3,6	12-bit / 16-ch	33,13	31,38	30,81	28,27
841-MC56F8357VPYE	MC56F8357VPYE	LQFP 160	60MHz/60MIPs	256KB / 16KB	Non	SCI, SPI, CAN	3.0–3.6 V	16-ch. / 12-bit	20,91	19,80	14,95	13,23
841-MC56F8366VFVE	MC56F8366VFVE	LQFP 144	60MHz/60MIPs	512KB / 32KB	Oui	SCI, SPI, CAN	3.0–3.6 V	16-ch. / 12-bit	27,40	25,96	20,10	17,79
841-MC56F8367VPYE	MC56F8367VPYE	LQFP 160	60MHz/60MIPs	512KB / 32KB	Oui	SCI, SPI, CAN	3.0–3.6 V	16-ch. / 12-bit	27,04	25,44	19,06	15,90

SÉRIE 56F8000 : USAGE GÉNÉRAL, 16 BITS, VIRGULE FIXE

RoHS Compliant

Pour des quantités supérieures à celles indiquées, appelez-nous pour obtenir un devis.

RÉF. STOCK MOUSER	Réf. Freescale	Boîtier	Performance	Mémoire Flash/RAM de programme	Mémoire hors-puce	Interface série Type	Tension de fonctionnement du cœur (V)	Convertisseur A/N	Prix unitaire 1	25	50	100
841-MC56F8011VFAE	MC56F8011VFAE	LQFP 32	32MHz/32MIPS	12 / 2	Non	SCI, SPI, I2C	3 - 3,6	12-bit / 6-ch	5,63	4,46	4,33	4,27
841-MC56F8013VFAE	MC56F8013VFAE	LQFP 32	32MHz/32MIPS	16Ko/4Ko	Non	SCI, SPI, I2C	3.0–3.6 V	6-ch. / 12-bit	5,74	4,89	4,73	4,25
841-MC56F8014VFAE	MC56F8014VFAE	LQFP 32	32MHz/32MIPS	16Ko/4Ko	Non	SCI, SPI, I2C	3.0–3.6 V	8-Ch. / 12-bit	7,15	5,78	5,68	5,21
841-MC56F8023VLC	MC56F8023VLC	LQFP 32	32MHz/32MIPS	32Ko/4Ko	Non	SCI, SPI, I2C	3.0–3.6 V	6-ch. / 12-bit	5,02	4,71	4,12	2,95
841-MC56F8025VLD	MC56F8025VLD	LQFP 44	32MHz/32MIPS	32Ko/4Ko	Non	SCI, SPI, I2C	3.0–3.6 V	8-Ch. / 12-bit	5,15	4,84	4,38	3,89
841-MC56F8036VLF	MC56F8036VLF	LQFP 48	32MHz/32MIPS	64KB / 8KB	Non	SCI, SPI, I2C	3.0–3.6 V	10-Ch. / 12-bit	5,82	5,47	5,07	3,42
841-MC56F8037VLH	MC56F8037VLH	LQFP 64	32MHz/32MIPS	64KB / 8KB	Non	SCI, SPI, I2C	3.0–3.6 V	16-ch. / 12-bit	6,22	5,86	4,79	3,65

SÉRIE 56850 : USAGE GÉNÉRAL, 16 BITS, VIRGULE FIXE

RoHS Compliant

Pour des quantités supérieures à celles indiquées, appelez-nous pour obtenir un devis.

RÉF. STOCK MOUSER	Réf. Freescale	Boîtier	Performance	Mémoire Flash/RAM de programme	Mémoire hors-puce	Interface série Type	Tension de fonctionnement du cœur (V)	Convertisseur A/N	Prix unitaire 1	25	50	100
841-DSP56853FGE	DSP56853FGE	LQFP 128	120MHz/120MIPS	12Ko/4Ko	Oui	SCI, SPI	1.8–3.3 V	Non	10,77	8,65	8,55	8,23
841-DSP56854FGE	DSP56854FGE	LQFP 128	120MHz/120MIPS	16KB / 16KB	Oui	SCI, SPI	1.8–3.3 V	Non	11,67	11,09	10,75	10,53
841-DSP56857BUE	DSP56857BUE	LQFP 100	120MHz/120MIPS	40KB / 24KB	Non	ESSI, SCI, SPI	1.8–3.3 V	Non	12,43	11,70	11,51	7,31
841-DSP56858FVE	DSP56858FVE	LQFP 144	120MHz/120MIPS	40KB / 24KB	Oui	ESSI, SCI, SPI	1.8–3.3 V	Non	13,87	13,12	12,97	10,87

PROCESSEURS DE SIGNAL NUMÉRIQUE SYMPHONY™ AUDIO

NEW PRODUCT

RoHS Compliant

Pour des quantités supérieures à celles indiquées, appelez-nous pour obtenir un devis.

RÉF. STOCK MOUSER	Réf. Freescale	Boîtier	Performance	Mémoire Flash/RAM de programme	Mémoire hors-puce	Interface série Type	Tension de fonctionnement du cœur (V)	Convertisseur A/N	Prix unitaire 1	25	50	100
841-DSPB56362AG120	DSPB56362AG120	LQFP 144	120MHz/120MIPS	14000	Oui	SPI, I2C, ESAI, SHI	3,3 V	Non	12,34	11,62	9,44	8,91
841-DSPB56371AF180	DSPB56371AF180	LQFP 80	181MHz/181MIPS	-	Non	ESIA, SHI	3,3 V	Non	12,99	11,90	11,70	11,43
841-DSPB56374AE	DSPB56374AE	LQFP 52	150MHz/150MIPS	54000	Non	SIA, SHI	3,3 V	Non	11,60	10,91	10,58	8,47
841-DSPB56725AF	DSPB56725AF	LQFP-80	250MHz/250MIPs	-	Non	SAI, SHI	3,3 V	Non	9,70	8,62	7,99	6,65

© Copyright 2012 Mouser Electronics

© Copyright 2012 Mouser Electronics

Outils de développement FREESCALE

Les produits peuvent être conformes à la directive RoHS.
Consultez le site mouser.com pour vérifier la conformité RoHS.

PRODUCT NEW

freescale™ semiconductor

Pour des quantités supérieures à celles indiquées, appelez-nous pour un devis.

RÉF. STOCK MOUSER Fabr.	Réf. fabr.	Description	Prix unitaire
Outils de développement MCU 8 bits			
841	DEMO9RS08KA2	Carte de démonstration 9RS08KA2	41,25
841	DEMO9S08AW60E	Carte de démonstration MC9S08AW60	70,51
841	DEMO9S08DZ60	Carte de démonstration 9S08DZ60	68,67
841	EVB9S08DZ60	Carte d'évaluation 9S08DZ60	235,13
841	DEMO9S08EL32	Carte de démo pour familles MC9S08EL et MC9S08SL	56,93
841	DEMO9S08EL32AUTO	Carte de démonstration pour composant S08EL/SL pour les applications automobiles	56,93
841	M68DEMO908GB60E	Carte de démonstration MC9S08GB60	44,94
841	DEMO908GZ60E	Carte de démonstration 908GZ60	41,21
841	DEMO908JL16E	Carte de démonstration 908JL16	41,25
841	DEMOJM	Carte de démonstration Flexis™ JM	81,68
841	DEMO9S08LL16	Carte de démonstration S08LL	56,93
841	DEMO9S08LC60	Carte de démonstration MC9S08LC60	61,88
841	DEMO908QB8	Carte de démonstration HC908QB8	123,20
841	DEMO908QC16	Carte de démonstration 908QC16	61,88
841	DEMO9S08QD4	Carte de démonstration MC9S08QD	48,68
841	DEMO9S08QE8	Carte de démonstration S08QE8	56,93
841	DEMO9S08QG8E	Carte de démonstration MC9S08QG8	50,20
841	DEMO9S08SH8	Carte de démonstration famille S08SH	48,68
841	DEMO9S08SH32	Carte de démonstration famille S08SH	56,93
841	EML08QCBLTYE	Émulateur pour familles QB, QC, QL, QT et QY	408,46
841	USBMULTILINK08E	Multilink USB MON08	81,68
841	USBMULTILINKBDME	Multilink BDM USB HCS08/HCS12 - Débogueur/ programmeur en circuit	87,95
841	M68CYCLONEPROE	Débogueur/programmeur autonome universel en circuit	411,51
841	DC9S08QB8	Outils de développement CC pour DEMO9S08QB8	8,25
841	DEMO9RS08KB12	Outils de développement - Carte de démo KB12	48,68
841	DEMO9RS08LE4	Outils de développement - Carte de démo famille LE4	48,68
841	DEMO9S08FL16	Outils de développement - Carte de démo pour MC9S08SV16 ou MC9S08FL16	40,43
841	DEMO9S08LIN	Outils de développement - Carte fille S08LIN	28,88
841	DEMO9S08SF4	Outils de développement - Carte de démo S08SF4	40,43
841	DEMO9S08SG32	Outils de développement - Carte de démo S08SG32	56,93
841	DEMO9S08SV16	Outils de développement - Carte de démo pour famille S08SV16	40,43
841	DEMO9S12PFAME	Outils de développement - Carte de démo S12P	81,68
Outils de développement MCU 16 bits			
841	EVB9S12XDP512E	Carte d'évaluation 9S12XDP512	325,88
841	DEMO9S12XDT512E	Carte de démonstration 9S12XDP512	123,20
841	DEMO9S12XEP100	Carte d'évaluation basique (petite) pour 9S	62,12
841	EVB9S12XEP100	Carte d'évaluation complète pour 9S	412,50
841	DEMO9S12NE64E	Carte de démonstration DEMO9S12NE64	61,88
841	EVB9S12NE64E	Carte d'évaluation MC9S12NE64	206,52
841	DEMO9S12HY64	Outils de développement - Carte de démo pour 9S12HY64	81,68
841	M68KIT912DP256	Outils de développement pour série HCS12	408,62
Outils de conception MCU Flexis 8/32 bits			
841	DEMOQE128	Carte de démonstration Flexis QE128	81,68
841	EVBQE128	Carte d'évaluation pour QE128 - S08 et V1 Coldfire	268,13
841	DC9S08AC128	Outils de dév. - Carte fille pour Flexis DEMOAC	8,25
841	DC9S08AC16	Outils de dév. - Carte fille pour Flexis DEMOAC	8,25
841	DC9S08AC60	Outils de dév. - Carte fille pour Flexis DEMOAC	8,25
841	DEMO51AC256KIT	Outils de développement pour DEMOAC DC9S08A	184,79
Outils de conception MCU Coldfire V2 Core 32 bits			
841	DEMOEM	Carte de démonstration MCF51EM	81,68
841	M5211DEMO	Carte d'évaluation MCF521x avec MCU MCF5211	81,68
841	M5213EVBE	Carte d'évaluation MCF521x avec MCU MCF5213	246,76
841	M52211EVB	Carte d'évaluation complète KIRIN 0	246,68
841	M52221DEMO	Carte de démonstration MCF52221	98,18
841	M52223EVB	Kit d'évaluation pour microprocesseurs MCF5222X	246,76
841	M52235EVB	Carte d'évaluation MCF5223	246,68
841	M52259DEMOKIT	Carte de démonstration à faible coût pour MCU MCF5225x	81,68
841	M52233DEMO	Carte d'évaluation MCF52233	81,68
Outils de conception pour contrôleur de signal numérique 32 bits			
841	M5475EVBE	Carte d'évaluation pour série MCF547X	701,25
841	M53015EVB	Outils de développement pour série MCF5301x	494,18
841	M53017KIT	Kit de développement pour série MCF5301x	659,18
841	M53017MOD	Module de production pour MCF53017	193,88
841	DEMO56F8013-EE	Carte de démonstration MC56F8013	139,91
841	DEMO56F8014-EE	Carte de démonstration MC56F8014	78,34
841	MC56F8006DEMO	Carte de démonstration pour contrôleur de signal numérique MC56F8006	40,43
841	MC56F8367EVME	Carte d'évaluation MC56F8367	246,76
Outils de développement MCU à architecture de puissance 32 bits			
841	CYCLONEMAX	Programmeurs/Débogueurs pour MPC5x, Coldfire, ARM	741,59
841	MPC555CMEE	Kit d'évaluation MPC555	536,25
841	MPC5534EVBE	Outils de développement pour MPC5534MZP80	618,75
841	MPC5553EVBE	Outils de développement pour MPC5553MZP132	618,75
841	MPC5554EVBE	Outils de développement pour carte de démonstration client MPC5554	618,75
Outils de développement MCU à architecture de puissance 32 bits (suite)			
841	MPC5566EVB	Outils de développement pour MPC5566MZP132	618,75

© Copyright 2012 Mouser Electronics

Pour des quantités supérieures à celles indiquées, appelez-nous pour un devis.

RÉF. STOCK MOUSER Fabr.	Réf. fabr.	Description	Prix unitaire
Outils de conception pour processeur de communication PowerQuicc™ 32 bits			
841	MPC8306-KIT	Outils de développement pour MPC8306	626,18
841	MPC8309-KIT	Outils de développement pour MPC8309	642,68
841	MPC8377E800RDBA	Outils de développement pour MPC8377E	659,18
841	MPC8536DS	Outils de développement pour MPC8536	2800,88
841	MPC8536-RDK	Outils de développement pour MPC8536	872,18
841	MPC8544COMEDEV	Outils de développement pour MPC8544COM	1313,97
841	MPC8544DS	Plate-forme de référence pour MPC8544E	2975,92
841	MPC8569E-MDS-PB	Carte de développement pour MPC8569E	2470,88
841	MPC8572DS	Carte de développement pour MPC8572E	3295,88
841	MPC8308-RDB	Carte de référence MPC8308	246,68
841	MPC8349E-MITXE	Plate-forme de référence MPC8349E	612,71
Outils de développement pour processeur d'applications i.MX			
841	MCIMX23LCD	Carte fille LCD i.MX23	164,18
841	MCIMX25LPDKJ	Kit de développement MCIMX25 pour Linux®	820,88
841	IAR-KSK-IMX25	Outils de développement - Kit de base de développement IMX25	482,63
841	MCIMX25WPDKJ	Kit de développement MCIMX25 pour Wince®	886,55
841	MCIMX28EVK	Outil de développement pour MCIMX28	329,18
841	MCIMX28LCD	Outil de développement pour MCIMX28LCD	164,18
841	MCIMX35LPDKJ	I.MX35J pour Linux®	820,88
841	MCIMX35WPDKJ	I.MX35J pour Windows® Embedded CE	820,88
841	MCIMX51EVKJ	Kit d'évaluation i.MX51	576,68
841	MCIMX51EXP	Kit d'extension i.MX51	165,00
841	MCIMX51LCD	Carte fille LCD WVGA i.MX51	206,25
841	MCIMX53SMD	Plate-forme de développement pour tablettes i.MX53 SABRE	1236,68
Outils de développement d'accéléromètres			
841	RD3172MMA7455L	Outils de développement pour MMA7455L	81,68
841	LFSTBBAT9	Outils de développement - Carte d'alimentation pour accéléromètre - Batterie 9V	28,88
841	LFSTBPROTO	Carte prototype pour cartes d'application Sensor Toolbox	30,68
841	DEMOAPEXSENSOR	Outils de développement DEMOAPEXSENSOR	111,38
841	LFSTBEB7361	Outils de développement pour MMA7361	61,88
841	LFSTBEB7455	Outils de développement pour MMA7455L	61,88
841	LFSTBEB845X	Outils de développement pour MMA845X	61,88
841	D3172MMA7455L	Outils de développement pour MMA7455L	48,68
841	D3965MMA7660FC	Outils de développement pour MMA7660FC	40,43
841	D3965USB	Outils de développement pour MMA7660FC	40,43
Outils de développement pour capteur de pression			
841	KIT3VSOPXBRD	Outils de développement pour capteur de pression, alimentation 3V	8,76
841	KIT5VSOPXBRD	Outils de développement pour capteur de pression, alimentation 5V	8,76
841	KITMPL115A1EVB	Outils de développement pour MPL115A1	40,43
Outils de développement pour DSP Starcore			
841	MSC8156EVM	Carte d'évaluation pour MSC815x ou MSC825x	433,90
Processeurs QorIQ			
841	P2020DS-PB	Outils de développement P2020DS	3118,50
841	P2020RDB-PB	Carte de conception de référence pour P2020	-
Outils de conception pour gestion de l'énergie			
841	KIT33810EKEVME	Outils de développement pour MC33810, 68HC908JW32	137,09
841	KIT33879AEKEVBE	Outils de développement pour MC33879	76,44
841	KIT33912G5DGEVME	Outils de développement pour MC33912	158,40
841	KIT33926PNBEVBE	Outils de développement pour MC33926	84,93
841	KIT33927EKEVBE	Outils de développement pour MC33927	200,79
841	KIT33932VWEVBE	Outils de développement pour MC33932	81,53
841	KIT33937AEKEVBE	Outils de développement pour MC33937	212,85
841	KIT33972AEWEVBE	Outils de développement pour MC33972A	48,53
841	KIT33975AEWEVBE	Outils de développement pour MC33975	36,41
841	KIT33984PNAEVB	Outils de développement pour MC33984	107,05
841	KIT34670EGEVBE	Outils de développement pour MC34670	97,99
841	KIT34671EPEVBE	Outils de développement pour MC34671	87,92
841	KIT34676EPEVBE	Outils de développement pour MC34676	54,82
841	KIT34727FCEVBE	Outils de développement pour MC34727	46,55
841	KIT10XS3412EVBE	Outils de développement pour switch Quad Hi Side 10XS3412	127,39
841	KIT10XS3435EVBE	Outils de développement pour switch Quad Hi Side 10XS3435	127,39
841	KIT15XS3400EVBE	Outils de développement pour switch Quad Hi Side 15XS3400	127,39
841	KIT33730EKEVBE	Outils de développement pour alimentation électrique à découpage MC33730	66,00
841	KIT34825EPEVME	Outils de développement pour MC34825	108,90
841	KIT34845EPEVME	Outils de développement pour MC34845	114,05
Outils de développement pour circuits intégrés d'amplification			
841	MBC137201900EVK	Outils de développement pour LNA MBC13720 avec interrupteur bypass	51,56
841	MBC13720900EVK	Outils de développement pour LNA MBC13720 avec interrupteur bypass	51,56
841	MBC13720900HEVK	Outils de développement pour LNA MBC13720 avec interrupteur bypass	51,56
841	MBC139161900EVK	Outils de développement pour amplificateur cascode LNA MBC13916	51,56
841	MBC13916350EVK	Outils de développement pour amplificateur cascode LNA MBC13916	51,56
841	MBC13916900EVK	Outils de développement pour amplificateur cascode LNA MBC13916	51,56
841	MC138533BEVK	Outils de développement pour LNA MC13853 avec interrupteur bypass	51,56

© Copyright 2012 Mouser Electronics

Outils de développement pour Tower System FREESCALE

freescale semiconductor

RoHS Compliant **This product is RoHS compliant.**

TOWER SYSTEM DE FREESCALE – PLATE-FORME DE DÉVELOPPEMENT MODULAIRE

La gamme de MCU Kinetis comprend des familles de MCU basées sur le cœur ARM Cortex M4 et compatibles avec de nombreux brochages, périphériques et logiciels. Ces familles sont conçues selon l'innovante technologie flash de stockage sur couche mince (TFS) 90nm disposant de la capacité unique FlexMemory (EEPROM) et proposent une intégration des signaux mixtes et une faible consommation à la pointe de l'industrie.

Module et kit de développement Kinetis K40

La famille de MCU K40 compatible avec les brochages, les périphériques et les logiciels de la famille de MCU K10, ajoute la prise en charge de l'USB Full-Speed 2.0 On-The-Go avec capacité de détection de chargeur d'appareil ainsi qu'un contrôleur LCD flexible à basse consommation avec prise en charge de 320 segments au maximum. Les composants contiennent de 60Ko de flash dans les boîtiers 64QFN jusqu'à 512Ko dans un boîtier 144MAPBGA, ainsi qu'une suite complète de périphériques analogiques, de communication, de minuterie et de contrôle.

Applications cibles :

- Récepteurs GPS
- Moniteurs de glucose dans le sang
- Ordinateurs pour vélos
- Compteurs de billets

NEW! TECHNOLOGY

RÉF. STOCK MOUSER	Réf. Freescale	Fig.	Description	Prix unitaire
841-TWR-K40X256	TWR-K40X256	A	Module K40 Tower	56,93
841-TWR-K40X256-KIT	TWR-K40X256-KIT	B	Kit de développement pour K40X256	114,68

Module et kit de développement Kinetis K60

La famille de MCU K60 comprend : IEEE 1588 Ethernet, USB 2.0 Full-Speed et Hi-Speed On-The-Go avec capacité de détection de chargeur d'appareil, chiffrement matériel et capacités de détection d'altération. Les composants présentent de 256Ko de flash dans les boîtiers 100LQFP jusqu'à 1Mo dans un boîtier 256MAPBGA, ainsi qu'une suite complète de périphériques analogiques, de communication, de minuterie et de contrôle. Les composants à haute densité mémoire de la famille K60 comprennent une unité de calcul simple précision en virgule flottante (optionnelle), un contrôleur de mémoire flash NAND et un contrôleur de mémoire DRAM.

Applications cibles :

- Contrôleurs d'immotique
- Panneaux de commande d'ascenseurs
- Grappes d'instruments
- Caméras de surveillance

NEW! TECHNOLOGY

RÉF. STOCK MOUSER	Réf. Freescale	Fig.	Description	Prix unitaire
841-TWR-K60N512-KIT	TWR-K60N512-KIT	C	Kit de développement pour K60N512	114,68
841-TWR-K60N512	TWR-K60N512	D	Module MCU K60 Tower	56,93
841-TWR-K60N512-IAR	TWR-K60N512-IAR	D	Kit de démarrage IAR pour MCU K60	197,18

MODULES MCU POUR TOWER SYSTEM FREESCALE

Le Tower System de Freescale est une plate-forme de développement modulaire conçue pour vous épargner des mois de développement maintenant et plus tard grâce au prototypage rapide et la réutilisation des outils. Le Tower System est constitué de modules interchangeables et réutilisables avec des fichiers de conception open source qui facilitent la personnalisation de votre conception de bas niveau, en vous donnant plus de temps pour vous concentrer sur la différenciation de vos solutions. Le Tower System est un concept simple. Prenez deux modules matériels de base, connectez-les ensemble et commencez la conception. Il existe deux types de modules matériels, MCU/MPU et périphériques, qui s'enfichent dans les cartes « élévateur » du fond de panier. En utilisant des logiciels open source ainsi qu'un format et une listes de signaux normalisés, Freescale peut concevoir en permanence de nouveaux modules pour répondre à vos exigences de conception. Les nouveaux modules peuvent être facilement connectés et utilisés pour le développement futur de produits.

Des modules périphériques sont aussi en cours de développement pour les connecteurs série, les différentes mémoires, les afficheurs graphiques LCD et autres. Ces modules et ces cartes élévatrices se combinent pour former un système de développement en évolution permanente qui vous aidera à économiser du temps et de l'argent.

PRODUCT NEW

RÉF. STOCK MOUSER	Réf. Freescale	Fig.	Description	Prix unitaire
Famille MCF51CNx - Kit de développement et module				
841-TWR-MCF51CN-KIT	TWR-MCF51CN-KIT	E	Kit de développement pour MCU MCF51CN128	81,68
841-TWR-MCF51CN	TWR-MCF51CN	-	Module pour MCU MCF51CN128	32,18
Famille MCF51JE - Kit de développement et module				
841-TWR-MCF51JE-KIT	TWR-MCF51JE-KIT	-	Kit de développement pour MCU MCF51JE	98,18
841-TWR-MCF51JE	TWR-MCF51JE	F	Module pour MCU MCF51JE	56,93
Famille MPC5125x - Kit de développement et module				
841-TWR-MPC5125-KIT	TWR-MPC5125-KIT	-	Kit de développement pour MCU MCF5125X	139,43
841-TWR-MPC5125	TWR-MPC5125	G	Module pour MCU MCF5125X	98,18
Famille MCF5225x - Kit de développement et module				
841-TWR-MCF5225X-KIT	TWR-MCF5225X-KIT	-	Kit de développement pour MCU MCF5225X	98,18
841-TWR-MCF5225X	TWR-MCF5225X	H	Module pour MCU MCF5225X	40,43
Famille MCF51AG - Kit de développement et module				
841-TWR-MCF51AG-KIT	TWR-MCF51AG-KIT	-	Kit de développement pour MCU MCF51AG	98,18
841-TWR-MCF51AG	TWR-MCF51AG	-	Module pour MCU MCF51AG	65,18
Famille MCF51MM - Kit de développement et module				
841-TWR-MCF51MM-KIT	TWR-MCF51MM-KIT	-	Kit de développement pour MCF51MM	122,93
841-TWR-MCF51MM	TWR-MCF51MM	-	Module Tower pour MCU MCF51MM	48,68
Famille MCF5441X - Kit de développement et module				
841-TWR-MCF5441X-KIT	TWR-MCF5441X-KIT	-	Kit de développement pour MCF5441X	230,77
841-TWR-MCF5441X	TWR-MCF5441X	-	Module pour MCU MCF5441X	114,68
Module pour famille 56F8257				
841-TWR-56F8257	TWR-56F8257	-	Module pour MCU 56F8257	69,24
Famille MC9S08LL64x - Kit de développement et module				
841-TWR-S08LL64-KIT	TWR-S08LL64-KIT	I	Kit de développement pour S08LL64	81,68
841-TWR-S08LL64	TWR-S08LL64	-	Module pour MCU S08LL64	56,93
Famille MC9SO8MM - Kit de développement et module				
841-TWR-S08MM128-KIT	TWR-S08MM128-KIT	-	Kit de développement pour 9S08MM128	122,93
841-TWR-S08MM128	TWR-S08MM128	-	CAN USB 9S08MM128	48,68
Famille S08JE128 - Kit de développement et module				
841-TWR-S08JE128-KIT	TWR-S08JE128-KIT	-	Kit de développement pour MCU S08JE128	104,31
841-TWR-S08JE128	TWR-S08JE128	J	Module pour MCU S08JE128	56,93

Modules périphériques

Des modules périphériques sont aussi en cours de développement pour les connecteurs série, les différentes mémoires, les afficheurs graphiques LCD et autres. Ces modules et ces cartes élévatrices se combinent pour former un système de développement en évolution permanente qui vous aidera à économiser du temps et de l'argent.

RÉF. STOCK MOUSER	Réf. Freescale	Description	Prix unitaire
841-TWR-WIFI-RS2101	TWR-WIFI-RS2101	Module Tower System Wi-Fi 802.11n	56,93
841-TWR-WIFI-G1011MI	TWR-WIFI-G1011MI	Module Tower System Wi-Fi 802.11n - avec Module Wi-Fi GS1011MIP	56,93
841-TWR-SER	TWR-SER	Module Tower System E/S série	40,43
841-TWR-ELEV	TWR-ELEV	Module Tower System élévateur	23,93
841-TWR-PROTO	TWR-PROTO	Carte prototype Tower System	12,37

A

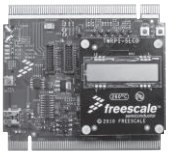

B

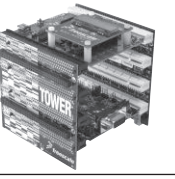

C

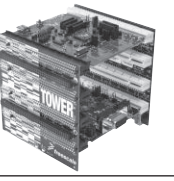

D

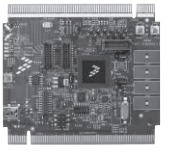

E

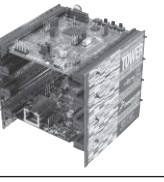

F

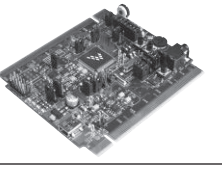

G

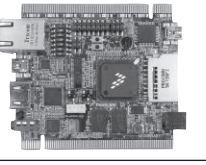

H

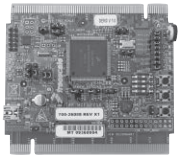

I

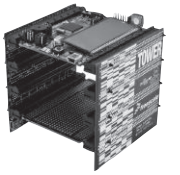

J

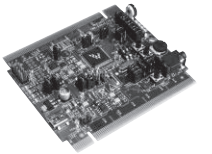

© Copyright 2012 Mouser Electronics

© Copyright 2012 Mouser Electronics

Outils de développement IAR SYSTEMS

RoHS Compliant **This product is RoHS compliant.**

ESPACE DE TRAVAIL INTÉGRÉ IAR

L'espace de travail intégré IAR est un ensemble d'outils de travail pour la construction et le débogage d'applications intégrées au système qui utilisent l'assembleur C et C++.
Il offre un environnement de développement complètement intégré qui comprend l'administrateur du projet, l'éditeur, les outils de construction et le débogueur C-SPY.

Espace de travail intégré IAR pour 8051

Pour des quantités supérieures à celles indiquées, appelez-nous afin d'obtenir un devis.

RÉF. STOCK MOUSER	Réf. IAR Systems	Description	Prix unitaire
796-EW8051	EW8051	8051 Standard - Comprend le gestionnaire du projet, l'éditeur, le compilateur IAR C/C++ pour 8051, le vérificateur MISRA, l'assembleur IAR pour 8051, l'éditeur de liens et le programme de bibliothèque, les bibliothèques d'exécution comprennent le code source, le débogueur C-SPY, les plug-ins RTOS, un guide d'utilisation imprimé, SUA	2470,88

Espace de travail intégré IAR pour ARM

Pour des quantités supérieures à celles indiquées, appelez-nous afin d'obtenir un devis.

RÉF. STOCK MOUSER	Réf. IAR Systems	Description	Prix unitaire
796-EWARM	EWARM	ARM Standard - Comprend l'éditeur, le gestionnaire du projet, le compilateur IAR C/C++ pour ARM, l'assembleur IAR pour ARM, l'éditeur de liens et le programme de bibliothèque, le vérificateur MISRA C, le débogueur C-SPY, les bibliothèques d'exécution comprennent le code source, les systèmes de débogage du matériel, les plug-ins RTOS, des guides d'utilisation imprimés , SUA	4945,88
796-EWARM-BL	EWARM-BL	ARM de base - Comprend l'éditeur, le gestionnaire du projet, le compilateur IAR C/C++ pour ARM, l'assembleur IAR pour ARM, l'éditeur de liens et le programme de bibliothèque, le débogueur C-SPY , les bibliothèques d'exécution comprennent le code source, les systèmes de débogage du matériel, les plug-ins RTOS	2800,88

Espace de travail intégré IAR pour Atmel

Pour des quantités supérieures à celles indiquées, appelez-nous afin d'obtenir un devis.

RÉF. STOCK MOUSER	Réf. IAR Systems	Description	Prix unitaire
796-EWAVR	EWAVR	Atmel AVR Standard - Comprend l'éditeur, le gestionnaire du projet, le compilateur IAR C/C++ pour AVR, l'assembleur IAR pour AVR, l'éditeur de liens et le programme de bibliothèque, le vérificateur MISRA C, les bibliothèques d'exécution comprennent le code source, le débogueur C-SPY, des guides d'utilisation imprimés, SUA	2718,38
796-EWAVR-BL	EWAVR-BL	Atmel AVR de base - Comprend l'éditeur, le gestionnaire du projet, le compilateur IAR C/C++ pour AVR, l'assembleur IAR pour AVR, l'éditeur de liens et le programme de bibliothèque, les bibliothèques d'exécution, le débogueur C-SPY	1068,38
796-EWAVR32	EWAVR32	Atmel AVR32 Standard - Comprend l'éditeur, le gestionnaire du projet, le compilateur IAR C/C++ pour AVR, l'assembleur IAR pour AVR, l'éditeur de liens et le programme de bibliothèque, le vérificateur MISRA C, le débogueur C-SPY, des guides d'utilisation imprimés, SUA	4945,88
796-EWAVR32-BL	EWAVR32-BL	Atmel AVR32 de base - Comprend l'éditeur, le gestionnaire du projet, le compilateur IAR C/C++ pour AVR32, l'assembleur IAR pour AVR32, l'éditeur de liens et le programme de bibliothèque, le débogueur C-SPY	2800,88

Espace de travail intégré IAR pour Freescale

Pour des quantités supérieures à celles indiquées, appelez-nous afin d'obtenir un devis.

RÉF. STOCK MOUSER	Réf. IAR Systems	Description	Prix unitaire
796-EWCF	EWCF	Freescale ColdFire Standard - Comprend l'éditeur, le gestionnaire du projet, le compilateur IAR C/C++ pour ColdFire, l'assembleur IAR pour ColdFire, l'éditeur de liens et le programme de bibliothèque, les bibliothèques d'exécution comprennent le code source, le vérificateur MISRA C, le débogueur C-SPY, le plug-in RTOS, des guides d'utilisation imprimés, SUA	4945,88
796-EWHCS12	EWHCS12	Freescale HC12 & S12 Standard - Comprend l'éditeur, le gestionnaire du projet, le compilateur IAR C/C++ pour HCS12, l'assembleur IAR pour HCS12, l'éditeur de liens et le programme de bibliothèque, les bibliothèques d'exécution comprennent le code source, le vérificateur MISRA C, le débogueur C-SPY, des guides d'utilisation imprimés, SUA	3295,88
796-EWS08	EWS08	Freescale S08 Standard - Comprend l'éditeur, le gestionnaire du projet, le compilateur IAR C pour S08, l'assembleur IAR pour S08, l'éditeur de liens et le programme de bibliothèque, les bibliothèques d'exécution comprennent le code source, le vérificateur MISRA C, le débogueur C-SPY, des guides d'utilisation imprimés, SUA	2718,38

Espace de travail intégré IAR pour Microchip

Pour des quantités supérieures à celles indiquées, appelez-nous afin d'obtenir un devis.

RÉF. STOCK MOUSER	Réf. IAR Systems	Description	Prix unitaire
796-EWDSPIC	EWdsPIC	dsPIC Standard - Comprend l'éditeur, le gestionnaire du projet, le compilateur IAR C/C++ pour dsPIC/PIC24, l'assembleur IAR pour dsPIC/PIC24, l'éditeur de liens et le programme de bibliothèque, les bibliothèques d'exécution comprennent le code source, le débogueur C-SPY, des guides d'utilisation imprimés, SUA	3295,88

Espace de travail intégré IAR pour Renesas

Pour des quantités supérieures à celles indiquées, appelez-nous afin d'obtenir un devis.

RÉF. STOCK MOUSER	Réf. IAR Systems	Description	Prix unitaire
796-EWH8	EWH8	Renesas H8 Standard - Comprend l'éditeur, le gestionnaire du projet, le compilateur IAR C/C++ pour H8, l'assembleur IAR pour H8, l'éditeur de liens et le programme de bibliothèque, les bibliothèques d'exécution comprennent le code source, le vérificateur MISRA C, le débogueur C-SPY, le plug-in RTOS, des guides d'utilisation imprimés, SUA	3295,88

Espace de travail intégré IAR pour TI

Pour des quantités supérieures à celles indiquées, appelez-nous afin d'obtenir un devis.

RÉF. STOCK MOUSER	Réf. IAR Systems	Description	Prix unitaire
796-EW430	EW430	TI MSP430 Standard - Comprend les outils suivants : l'éditeur, le gestionnaire du projet, le compilateur IAR C/C++ pour MSP430, l'assembleur IAR pour MSP430, l'éditeur de liens et le programme de bibliothèque, le vérificateur MISRA C, les bibliothèques d'exécution comprennent le code source, le débogueur C-SPY, le plug-in RTOS, des guides d'utilisation imprimés, SUA	2718,38
796-EW430-BL	EW430-BL	TI MSP430 de base - Comprend les outils suivants : l'éditeur, le gestionnaire du projet, le compilateur IAR C/C++ pour MSP430, l'assembleur IAR pour MSP430, l'éditeur de liens et le programme de bibliothèque, les bibliothèques d'exécution comprennent le code source, le débogueur C-SPY, le plug-in RTOS	1068,38

KITS DE DÉVELOPPEMENT IAR

IAR Systems offre des kits entièrement intégrés pour le développement des applications intégrées basées sur ARM, 8051, MSP430, ColdFire, R8C / M16C / M32C et AVR32. Chaque kit contient une carte de développement, des outils logiciels de développement avec des exemples de projets et une sonde ou un émulateur de débogage du matériel.

Pour des quantités supérieures à celles indiquées, appelez-nous afin d'obtenir un devis.

RÉF. STOCK MOUSER	Réf. IAR Systems	Description	Prix unitaire
796-KSK-LPC1114	KSK-LPC1114	Kit KickStart pour NXP LPC1114	114,68
796-KSK-LPC1343	KSK-LPC1343	Kit KickStart pour NXP LPC1343	114,68
796-KSK-STM32F103ZE	KSK-STM32F103ZE	Kit KickStart pour STM32F103	188,93
796-KSK-STM32F107VC	KSK-STM32F107VC	Kit KickStart pour STM32F107	188,93
796-KSDKLPC2148R2TPL	KSDK-LPC2148-R2T-PLUS	Kit KickStart pour NXP LPC2148-R2T	408,38
796-KSDKLPC2378-02	KSDKLPC2378-02	Kit KickStart pour NXP LPC2378-02	408,38
796-KSDK-LPC2468PLUS	KSDK-LPC2468-PLUS	Kit KickStart pour NXP LPC2468	408,38
796-KSDKAT91SAM7SPLU	KSDK-AT91SAM7S-PLUS	Kit KickStart pour Atmel AT91SAM7S	408,38
796-KSDKAT91SAM7XPLU	KSDK-AT91SAM7X-PLUS	Kit KickStart pour Atmel AT91SAM7X	408,38
796-KSDK-STR750-PLUS	KSDK-STR750-PLUS	Kit KickStart pour ST STR750F	408,38
796-KSDK-STR912-PLUS	KSDK-STR912-PLUS	Kit KickStart pour ST STR912FA	408,38
796-KSDK-STM32-PLUS	KSDK-STM32-PLUS	Kit KickStart pour ST STM32	408,38
796-KSDKMCF52223PLUS	KSDK-MCF52223-PLUS	Kit KickStart pour Freescale Coldfire	408,38

SONDES DE DÉBOGAGE ET MATÉRIEL IAR

Pour des quantités supérieures à celles indiquées, appelez-nous afin d'obtenir un devis.

RÉF. STOCK MOUSER	Réf. IAR Systems	Description	Prix unitaire
796-JLINK-ARM	JLINK-ARM	USB-JTAG/SWD sonde de débogage pour ARM	287,93
796-JTRACE-ARM-2M	JTRACE-ARM-2M	Sonde de suivi programmeurs et débogueurs pour ARM	985,88

© Copyright 2012 Mouser Electronics

© Copyright 2012 Mouser Electronics

Outils de développement KEIL

RoHS Compliant **This product is RoHS compliant.**

KEIL™ An ARM® Company

Keil Software produit des compilateurs C, des assembleurs macro, des noyaux temps réel, des débogueurs, des simulateurs, des environnements intégrés et des cartes d'évaluation pour les familles de microcontrôleurs 8051, 251, ARM et XC16x/C16x/ST10.

MDK-ARM

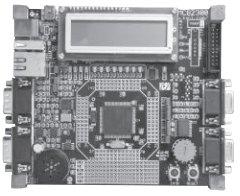
MCB2388U

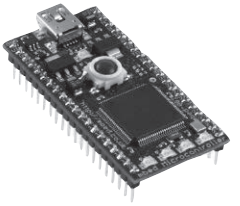
MBED-005.1

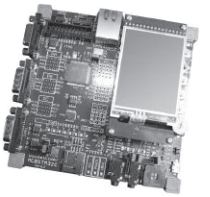
MCBSTM32E

ULINK2

OUTILS DE DÉVELOPPEMENT MCU ARM® POUR LES DISPOSITIFS ACTIONNÉS PAR ARM

- Prise en charge des processeurs Cortex-M0, Cortex-M1, Cortex-M3, Cortex-M4, ARM7 et ARM9
- IDE µVision, débogueur et environnement de simulation
- Compilateur C/C++ ARM de pointe développé par ARM
- Bibliothèque runtime hautement optimisée MicroLib
- Trace temps-réel pour les composants basés sur le processeur Cortex-M3
- Keil RTX – Système d'exploitation temps réel déterministe

RÉF. STOCK MOUSER	Réf. Keil Software	Description	Prix unitaire
830-MDK-ARM	MDK-ARM	Kit de développement de microcontrôleurs RealView - Inclut un compilateur C/C++, un assembleur, µVision, RTT	4013,90
830-MDK-ARM-B	MDK-ARM-B	Kit de développement de microcontrôleurs RealView - Inclut un compilateur C/C++, un assembleur, µVision, RTT (capacité de code limitée à 256Ko)	2209,90
830-RL-ARM	RL-ARM	Bibliothèque en temps réel RealView - Code source du noyau RTX-ARM, système de fichiers Flash, bibliothèques réseau TCP/IP	3439,90

OUTILS DE DÉVELOPPEMENT MCU ARM® POUR LES DISPOSITIFS NXP

- Large éventail de cartes d'évaluation pour ARM, Cortex-M3, Cortex-M0, Cortex-R4, 8051 et C166
- Prise en charge matérielle d'Ethernet, CAN, USB, USB hôte/OTG, des cartes SD, des interfaces série et des LCD QVGA
- Des exemples de projets vous permettent de gagner du temps et vous aident à commencer à utiliser directement les périphériques des cartes
- Disponible en version kit de démarrage avec un adaptateur de débogage ULINK-ME
- Toutes les cartes et les kits de démarrage comprennent un logiciel d'évaluation, des câbles, une documentation et des programmes d'exemple
- Choisissez parmi la liste de cartes, ou utilisez les comparaisons d'architecture afin de sélectionner une carte appropriée

830-MCB1750	MCB1750	Ordinateur monocarte LPC175x avec USB, CAN et JTAG - Inclut les outils d'évaluation Keil ARM	262,40
830-MCB1750U	MCB1750U	Ordinateur monocarte LPC175x avec USB, CAN et JTAG - Inclut les outils d'évaluation Keil ARM et ULINK2	426,40
830-MCB2100	MCB2100	Ordinateur monocarte LPC211x/212x avec CAN et JTAG - Inclut les outils d'évaluation Keil ARM	122,18
830-MCB2100U	MCB2100U	Ordinateur monocarte LPC211x/212x avec CAN et JTAG - Inclut les outils d'évaluation Keil ARM et ULINK2	286,18
830-MCB2103	MCB2103	Ordinateur monocarte LPC2103x avec JTAG - Inclut les outils d'évaluation Keil ARM et ULINK2	122,18
830-MCB2130	MCB2130	Ordinateur monocarte LCP213x avec JTAG - Inclut les outils d'évaluation Keil ARM	146,78
830-MCB2140	MCB2140	Ordinateur monocarte LCP214x avec JTAG - Inclut les outils d'évaluation Keil ARM	146,78
830-MCB2360	MCB2360	Ordinateur monocarte LPC2360x avec USB, CAN et JTAG - Inclut les outils d'évaluation Keil ARM	187,78
830-MCB2360U	MCB2360U	Ordinateur monocarte LPC2360x avec USB, CAN et JTAG - Inclut les outils d'évaluation Keil ARM et ULINK2	223,04
830-MCB2387	MCB2387	Ordinateur monocarte LPC2387x avec USB, CAN et JTAG - Inclut les outils d'évaluation Keil ARM	187,78
830-MCB2387U	MCB2387U	Ordinateur monocarte LPC2387x avec USB, CAN et JTAG - Inclut les outils d'évaluation Keil ARM et ULINK2	351,78
830-MCB2388U	MCB2388U	Carte d'évaluation pour NXP LPC2388+ULINK2	351,78
830-MCB2388UME	MCB2388UME	Ordinateur monocarte LPC2388x avec USB, CAN et JTAG - Inclut les outils d'évaluation Keil ARM et ULINK-ME	236,98
830-MCB2460	MCB2460	Ordinateur monocarte LPC246x avec USB, CAN et JTAG - Inclut les outils d'évaluation Keil ARM	303,40
830-MCB2460U	MCB2460U	Ordinateur monocarte LPC246x avec USB, CAN et JTAG - Inclut les outils d'évaluation Keil ARM et ULINK2	467,40
830-MCB2470	MCB2470	Ordinateur monocarte LPC247x avec USB, CAN et JTAG - Inclut les outils d'évaluation Keil ARM	303,40
830-MCB2470U	MCB2470U	Ordinateur monocarte LPC247x avec USB, CAN et JTAG - Inclut les outils d'évaluation Keil ARM et ULINK2	467,40
830-MCB2919	MCB2919	Ordinateur monocarte LPC2919x avec CAN et JTAG - Inclut les outils d'évaluation Keil ARM	187,78
830-MCB2919U	MCB2919U	Ordinateur monocarte LPC2919x avec CAN et JTAG - Inclut les outils d'évaluation Keil ARM et ULINK2	351,78
830-MCB2929	MCB2929	Ordinateur monocarte LPC2929x avec USB, CAN et JTAG - Inclut les outils d'évaluation Keil ARM	253,38
830-MCB2929U	MCB2929U	Ordinateur monocarte LPC2929x avec USB, CAN et JTAG - Inclut les outils d'évaluation Keil ARM et ULINK2	417,38
830-MBED-005.1	MBED-005.1	Carte de prototypage rapide pour NXP LPC1768 - Ethernet, USB, I²C, CAN et UART	48,38

OUTILS DE DÉVELOPPEMENT MCU 251 POUR LES COMPOSANTS ATMEL, INTEL ET SANYO

- Le débogueur µVision de Keil simule de façon précise les périphériques on-chip de votre dispositif 8051. La simulation vous aide à comprendre les configurations matérielles et vous évite de perdre du temps avec des problèmes de configuration.
- De plus, avec la simulation vous pouvez écrire et tester des applications avant que le matériel cible ne soit disponible.

830-MCBX51	MCBX51	Ordinateur monocarte 8051/251 - Version limitée des outils 8051/251	241,90

OUTILS DE DÉVELOPPEMENT MCU 8051 POUR LES COMPOSANTS 8051 CLASSIQUES ET ÉTENDUS

- De nombreux exemples de programmes sont inclus afin de vous aider à démarrer avec les composants embarqués 8051 les plus populaires.
- Lorsque vous commencez un nouveau projet, il vous suffit de sélectionner le microcontrôleur que vous utilisez dans la base de données des périphériques. L'EDI µVision configure alors pour vous toutes les options du compilateur, de l'assembleur, de l'éditeur de liens et de la mémoire.

830-PK51	PK51	Suite Professional Developer C51 V8 - Inclut A51 + CA51, un assembleur, des utilitaires, des débogueurs cible et l'EDI µVision	2701,90
830-CA51	CA51	Compilateur C51 V8 - Inclut un compilateur C et uVision	1553,90
830-A51	A51	Assembleur A51 V8 - Inclut un assembleur, des utilitaires et l'EDI µVision	405,90
830-MCBX51	MCBX51	Ordinateur monocarte 8051/251 - Version limitée des outils 8051/251 avec assembleur/compilateur/débogueur/simulateur/moniteur	241,90
830-MCB900	MCB900	Carte prototype flexible pour Phillips P89LPC93x - Inclut µVision LPC Studio et des outils limités à 4Ko	49,20
830-MCB950	MCB950	Carte d'évaluation pour la famille des microcontrôleurs NXP LPC95x	105,78
830-MCB950UME	MCB950UME	Carte d'évaluation pour la famille des microcontrôleurs NXP LPC95x + ULINK-ME	187,78
830-EPM900	EPM900	Émulateur/Programmateur pour Philips 89LPC9xx - Inclut LPC Studio µVision et outils limités à 4Ko	163,18

OUTILS DE DÉVELOPPEMENT MCU POUR XC16X/C16X/ST MICROELECTRONICS

- Large éventail de cartes d'évaluation pour ARM, Cortex-M3, Cortex-M0, Cortex-R4, 8051 et C166
- Prise en charge matérielle d'Ethernet, CAN, USB, USB hôte/OTG, des cartes SD, des interfaces série et des LCD QVGA
- Des exemples de projets vous permettent de gagner du temps et vous aident à commencer à utiliser directement les périphériques des cartes
- Disponible en version kit de démarrage avec un adaptateur de débogage ULINK-ME
- Toutes les cartes et les kits de démarrage comprennent un logiciel d'évaluation, des câbles, une documentation et des programmes d'exemple
- Choisissez parmi la liste de cartes, ou utilisez les comparaisons d'architecture afin de sélectionner une carte appropriée

830-PK166	PK166	Suite Pro Developer C166 V5 - Inclut tous les composants du CA166 + simulateur et débogueur cible µVision	3357,90
830-CA166	CA166	Compilateur C166 V5 - Inclut tous les composants du compilateur A166 + CA166, compilateur EC++ et uVision	2209,90
830-MCBSTM32E	MCBSTM32E	Ordinateur monocarte STM32F103ZE avec USB, CAN, MicroSD, UART et JTAG - Inclut les outils d'évaluation Keil ARM	308,99
830-MCBSTM32EU	MCBSTM32EU	Ordinateur monocarte STM32F103ZE avec USB, CAN, MicroSD, UART et JTAG - Inclut les outils d'évaluation Keil ARM et ULINK2	417,38
830-MCBSTR7	MCBSTR7	Ordinateur monocarte STR710x avec USB, CAN et JTAG - Inclut les outils d'évaluation Keil ARM	122,18
830-MCBSTR7U	MCBSTR7U	Ordinateur monocarte STR710x avec USB, CAN et JTAG - Inclut les outils d'évaluation Keil ARM et ULINK2	286,18
830-MCBSTR730	MCBSTR730	Ordinateur monocarte STR730FZ2x avec CAN et JTAG - Inclut les outils d'évaluation Keil ARM	138,58
830-MCBSTR730U	MCBSTR730U	Ordinateur monocarte STR730FZ2x avec CAN et JTAG - Inclut les outils d'évaluation Keil ARM et ULINK2	302,58
830-MCBSTR750	MCBSTR750	Ordinateur monocarte STR750FV2x avec USB, CAN, MicroSD et JTAG - Inclut les outils d'évaluation Keil ARM	187,78
830-MCBSTR750U	MCBSTR750U	Ordinateur monocarte STR750FV2x avec USB, CAN, MicroSD et JTAG - Inclut les outils d'évaluation Keil ARM et ULINK2	351,78
830-MCBSTR9	MCBSTR9	Ordinateur monocarte STR912FAWx avec USB, CAN, MicroSD et JTAG - Inclut les outils d'évaluation Keil ARM	187,78
830-MCBXC167-BASIC	MCBXC167-BASIC	Ordinateur monocarte XC167 avec CAN, Ethernet et JTAG (limité) - Inclut les outils d'évaluation Keil XC16x/C16x/ST10	122,18

DÉBOGUEURS ULINK/PC-LINT ET VÉRIFICATEUR DE SYNTAXE

- Téléchargez des programmes sur votre matériel cible
- Examinez la mémoire et les registres
- Exécutez les programmes pas à pas et insérez de multiples points d'arrêt
- Exécutez les programmes en temps réel
- Programmez la mémoire Flash
- Connectez-vous avec JTAG ou les modes Serial Wire
- Débogage à la volée de dispositifs architecturés autour de processeurs ARM Cortex-M
- Examinez les traces des données des processeurs ARM Cortex-M3 et Cortex-M4

830-ULINK2	ULINK2	Adaptateur USB-JTAG - Débogage on-chip (avec JTAG on-chip, SWD ou SWV) + programmation mémoire Flash	323,90
830-ULINKPRO	ULINKPRO	Adaptateur de suivi USB-JTAG - Trace des instructions, débogage Serial Wire et prise en charge JTAG	1143,90
830-PC-LINT-V9	PC-Lint-V9	Utilitaire de vérification de syntaxe PC-LINT - Logiciel de détection d'erreurs	398,73

© Copyright 2012 Mouser Electronics

© Copyright 2012 Mouser Electronics

Outils et kits de développement

RoHS Compliant **This product is RoHS compliant.**

code_red RED PROBE+

Red Probe+ est une sonde de débogage USB haute vitesse conçue spécialement pour être utilisée avec les microcontrôleurs ARM. Red Probe+ est la remplaçante en droite ligne de Red Probe, améliorée et plus rapide, avec intégration complète de Red Suite. Red Probe+ permet un téléchargement haute vitesse vers la RAM et la programmation directe de Flash on-chip. Lorsqu'elle est utilisée avec des cibles Cortex-M3, la prise en charge intégrée de SWV permet la prise en charge intégrale de la trace de données, du profilage d'instructions et d'exceptions, ainsi que des diagnostics des applications. Avec Red Suite, Red Probe+ offre un environnement de développement et de débogage pour les microcontrôleurs ARM.

Caractéristiques :
- Débogage rapide et intégral incluant l'exécution pas à pas
- JTAG/SWD jusqu'à 30MHz
- Vaste plage de tension cible : 1,5V - 3,5V
- Prise en charge de protocole commutable : ARM, JTAG, SWD et SWV
- Capture de trace runtime SWV programmable
- Points d'arrêt logiciels et matériels
- Téléchargement vers la RAM jusqu'à 5 Mo/s
- Jusqu'à 40Ko de programmation flash

Pour des quantités supérieures à celles indiquées, appelez-nous afin d'obtenir un devis.

RÉF. STOCK MOUSER	Réf. Code Red Technologies	Description	Prix unitaire
898-RP-PLUS	RP-PLUS	Red Probe+ sonde de débogage haute vitesse	123,75

code_red CARTE DE DÉVELOPPEMENT

La carte de développement RDB1768V2 comporte un NXP LPC1768, Ethernet 10/100 Mbps, USB hôte/périphérique, audio stéréo 16 bits, port série, LCD couleur et de connecteurs pour toutes les broches E/S, y compris GPIO et CAN, ce qui en fait la solution idéale pour évaluer toutes les fonctionnalités du LPC1700.

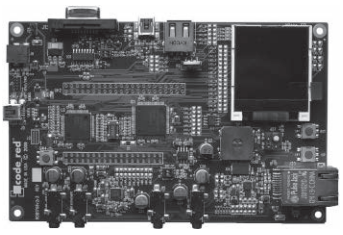

Caractéristiques :
- NOUVELLE fonctionnalité Drag2FlashTM. La carte se présente comme un lecteur FLASH, et il vous suffit de glisser un binaire compilé sur le lecteur, d'appuyer sur un bouton, puis de l'exécuter
- Carte de développement RDB1768V2 équipée de NXP Microcontrôleur LPC1768 incorporant un processeur ARM® Cortex-M3 à 100Mhz
- FLASH 512Ko, SRAM 64Ko
- LCD couleur 128x128 pixels
- Port Ethernet 10/100 Mbps Ethernet utilisant PHY SMSC LAN8720
- Périphérique USB et connecteurs hôtes
- Entrée/sortie audio stéréo 16 bits
- Haut-parleur (piloté depuis un DAC LPC1768 ou un codec audio)
- Prises audio standard pour line-in, line-out, mic-in et casques stéréo
- Interface carte Micro-SD
- Port série type D à 9 broches standard avec niveaux RS-232
- Mini-joystick, plus boutons INT et RESET,pour entrées utilisateur
- Connecteurs par pas de 0,1" pour toutes les broches I/O.
- Connexion USB avec Red Suite sans sonde de débogage supplémentaire
- Connecteur JTAG/SWD 0,05" à 10 broches pour utilisation avec une sonde de débogage externe
- Peut être alimenté par USB, supprimant le besoin d'une alimentation séparée
- Suite d'exemples d'applications, comprenant un serveur Web embarqué et un système de fichiers SDcard
- Livré avec une version d'évaluation pleinement fonctionnelle de 90 jours de Red Suite

Pour des quantités supérieures à celles indiquées, appelez-nous afin d'obtenir un devis.

RÉF. STOCK MOUSER	Réf. Code Red Technologies	Description	Prix unitaire
898-RDB1768V2	RDB1768V2	Carte de développement RDB1768V2 avec débogage On Board	231,00

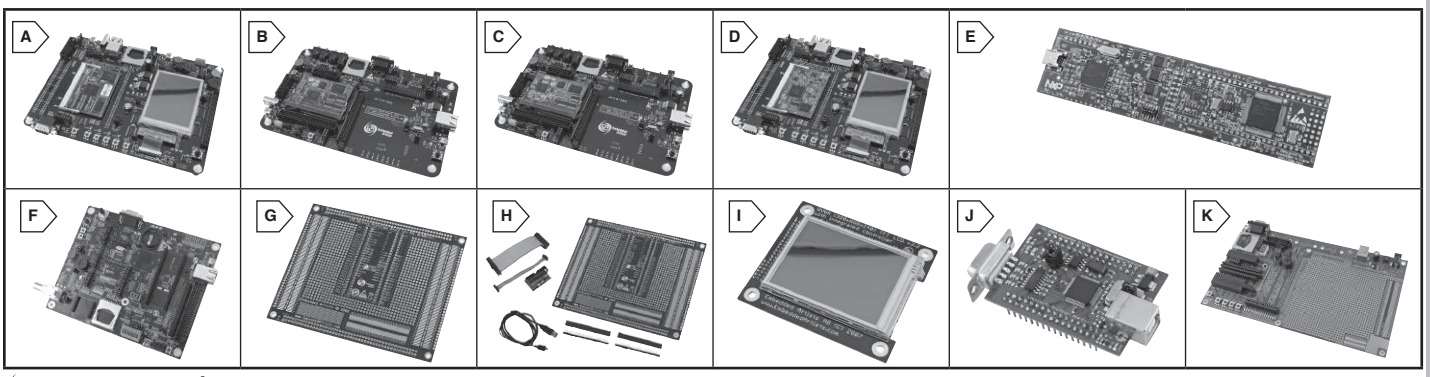

Embedded Artists KITS DE DÉVELOPPEMENT ARM

- Ethernet : 10/100
- Accéléromètre : 3 axes

Pour des quantités supérieures à celles indiquées, appelez-nous afin d'obtenir un devis.

RÉF. STOCK MOUSER	Réf. Embedded Artists	Fig.	Processeur	Bus de données	Flash externe	Mémoire des données	Interfaces	Entrée analogique	Écran	Puissance	Dim : mm	Prix unitaire
924-EA-OEM-203	EA-OEM-203	A	LPC2478	32 bits	128MO	32Mo	USB, RS232, dual CAN, IrDA, JTAG, MMC/SD	1	LCD 3,2" avec écran tactile	3,3 V	240x150	290,70
924-EA-OEM-204	EA-OEM-204	A	LPC2478	16 bits	128Mo	32Mo	USB, RS232, dual CAN, IrDA, JTAG, MMC/SD	1	LCD 3,2" avec écran tactile	3,3 V	240x150	290,70
924-EA-OEM-315	EA-OEM-315	B	LPC3141	16 bits	256Mo	64Mo	USB, RS232, JTAG, MMC/SD	1 avec trimpot	Connecteur d'extension	5V	205x135	208,98
924-EA-OEM-306	EA-OEM-306	C	LPC3152	16 bits	256Mo	64Mo	USB, RS232, JTAG, MMC/SD	1 avec trimpot	Connecteur d'extension	5 V	205x135	208,98
924-EA-OEM-410	EA-OEM-410	D	LCP3250	16 bits	128Mo	64Mo	USB, RS232, JTAG, IrDA, MMC/SD	1	LCD 3,2" avec écran tactile	3,3 V	240X150	302,38

Embedded Artists KITS DE DÉVELOPPEMENT LPCXPRESSO

- Ethernet : 10/100

Pour des quantités supérieures à celles indiquées, appelez-nous afin d'obtenir un devis.

RÉF. STOCK MOUSER	Réf. Embedded Artists	Fig.	Description	Flash	Mémoire des données	Interfaces	Connecteurs	CAN/CNA	Puissance	Dim : mm	Prix unitaire
924-EA-XPR-003	EA-XPR-003	E	Carte LPC1769 LPCXpresso	512 Ko	64 Ko	USB, 2xCAN, 4xUART, 3xI²C, 2xSSP, 1xI²S	USB, rangées de 2x27 broches	CAN 12 bits, 1 sortie CAN 10 bits	3,3	35x140	26,29
Kits carte			**Description**								
924-EA-XPR-021	EA-XPR-021	F	Carte de base LPCXpresso, carte de développement pour cartes LPCXpresso avec E/S numériques et analogiques appropriées nécessaires au développement							150x180	103,91
924-EA-XPR-020	EA-XPR-020	G	Carte prototype LPCXpresso avec pas de 100mm, 50mm entre les trous et zone pour SOIC avec pas de 50mm, et composants SSOP avec pas de 0,65mm							148x120	14,01
924-EA-XPR-110	EA-XPR-110	H	Value Pack LPCXpresso, inclut la carte prototype LPCXpresso, un câble USB mini B vers A, et un adaptateur JTAG 10 à 20 broches							148x120	23,35
924-EA-XPR-120	EA-XPR-120	-	Le kit de commande moteur inclut une carte commande moteur, une carte LPC1114 LCPXpresso, un moteur BLDC avec capteurs à effet Hall, ainsi qu'une alimentation de 24V (60W)							200x150	367,08
Accessoires			**Description**								
924-EA-LCD-002	EA-LCD-002	I	Écran couleur LDC QVGA 3,2"						2,5-3,3	93x83	92,23

Embedded Artists CARTES QUICK START

Pour des quantités supérieures à celles indiquées, appelez-nous afin d'obtenir un devis.

RÉF. STOCK MOUSER	Réf. Embedded Artists	Fig.	Description	Mémoire Flash	Mémoire des données	Interfaces	Connecteurs	Alimentation de la carte	Puissance de sortie	Dim : mm	Prix unitaire
924-EA-QSB-010	EA-QSB-010	J	USB LPC2148	512 Ko	32+8Ko	USB, RS-232, I²C	Double headers E/S 2x16 E/S, DSUB-9, USB	5 V	3,3V	59x39.5	57,21
924-EA-QSB-102	EA-QSB-102	-	LPC2106 RS232 avec carte prototype	128 Ko	64 Ko	RS232, I²C	Headers E/S 2x20, DSUB-9	5 V	3,3V	27,9x65,3	68,88
924-EA-QSB-103	EA-QSB-103	-	CAN LPC2129 avec carte prototype	256Ko	16 Ko	Dual CAN, RS-232, I²C	Double headers E/S 2x16, DSUB-9, USB	5 V	3,3V	55x58	80,55
Kits carte			**Description**								
924-EA-QSB-100	EA-QSB-100	K	Carte prototype Quick start pour LPC2106 RS232, LPC2129 CAN, et cartes Quick start USB LPC2148 avec headers pour chaque type de carte							196x125	45,53

© Copyright 2012 Mouser Electronics
© Copyright 2012 Mouser Electronics

Famille de microcontrôleurs PICMicro MICROCHIP

RoHS Compliant This product is RoHS compliant.

MCU FLASH 8 BITS MICROCHIP PIC10FXXX

Pour des quantités supérieures à celles indiquées, appelez-nous afin d'obtenir un devis.

RÉF. STOCK MOUSER Fabr.	Réf. fabr.	Type de boîtier	Description	Prix unitaire 1	10	25	100
579—PIC10F200-I/P		PDIP-8	0,375 Ko, RAM 16 octets, 4 MHz	0,41	0,345	0,315	0,285
579—PIC10F200T-I/OT		SOT-23-6	0,375 Ko, RAM 16 octets, 4 MHz	0,37	0,308	0,285	0,255
579—PIC10F204-I/P		PDIP-8	0,375 Ko, RAM 16 octets, 4 MHz	0,45	0,375	0,345	0,315
579—PIC10F204T-I/OT		SOT-23-6	0,375 Ko, RAM 16 octets, 4 MHz	0,41	0,338	0,315	0,285
579—PIC10F220-I/P		PDIP-8	0,375 Ko, RAM 16 octets, ADC	0,50	0,42	0,383	0,345
579—PIC10F220T-I/OT		SOT-23-6	0,375 Ko, RAM 16 octets, ADC	0,46	0,383	0,353	0,315
579—PIC10F202-I/P		PDIP-8	0,75 Ko, RAM 24 octets, 4 E/S	0,45	0,375	0,345	0,315
579—PIC10F202T-I/OT		SOT-23-6	0,75 Ko, RAM 24 octets, 4 E/S	0,41	0,338	0,315	0,285
579—PIC10F206-I/P		PDIP-8	0,75 Ko, RAM 24 octets, 4 MHz	0,48	0,405	0,368	0,338
579—PIC10F206T-I/OT		SOT-23-6	0,75 Ko, RAM 24 octets, 4 MHz	0,44	0,368	0,338	0,308
579—PIC10F222-I/P		PDIP-8	0,75 Ko, RAM 23 octets, ADC	0,54	0,45	0,413	0,375
579—PIC10F222T-I/OT		SOT-23-6	0,75 Ko, RAM 23 octets, ADC	0,50	0,413	0,375	0,345

MCU FLASH MICROCHIP PIC12XXX

PRODUCT NEW

Pour des quantités supérieures à celles indiquées, appelez-nous afin d'obtenir un devis.

RÉF. STOCK MOUSER Fabr.	Réf. fabr.	Type de boîtier	Description	Prix unitaire 1	10	25	100
579—PIC12F508-I/MS		MSOP-8	0,75 Ko, RAM 25 octets, 6 E/S	0,56	0,465	0,428	0,383
579—PIC12F508-I/P		PDIP-8	0,75 Ko, RAM 25 octets, 6 E/S	0,59	0,495	0,45	0,405
579—PIC12F508-I/SN		SOIC-8	0,75 Ko, RAM 25 octets, 6 E/S	0,50	0,42	0,383	0,345
579—PIC12F510-I/MC		2x3 DFN-8	1,5 Ko, RAM 38 octets, ADC	0,68	0,563	0,518	0,465
579—PIC12F510-I/P		PDIP-8	1,5 Ko, RAM 38 octets, ADC	0,69	0,578	0,533	0,48
579—PIC12F510-I/SN		SOIC-8	1,5 Ko, RAM 38 octets, ADC	0,60	0,503	0,465	0,42
579—PIC12F509-I/SM		SOIC-8	1,5 Ko, RAM 41 octets, 6 E/S	0,64	0,533	0,488	0,443
579—PIC12F509-I/P		PDIP-8	1,5 Ko, RAM 41 octets, 6 E/S	0,64	0,533	0,488	0,443
579—PIC12F509-I/SN		SOIC-8	1,5 Ko, RAM 41 octets, 6 E/S	0,56	0,465	0,428	0,383
579—PIC12F519IP		PDIP-8	1,5 Ko, RAM 64 octets, 8 MHz	0,69	0,578	0,533	0,48
579—PIC12F519-I/SN		SOIC-8	1,5 Ko, RAM 64 octets, 8 MHz	0,60	0,503	0,465	0,42
579—PIC12F609-I/P		PDIP-8	1,75 Ko, RAM 64 octets, 5 E/S	0,73	0,608	0,555	0,503
579—PIC12F609-I/SN		SOIC-8	1,75 Ko, RAM 64 octets, 5 E/S	0,64	0,533	0,488	0,443
579—PIC12F615-I/P		PDIP-8	1,75 Ko, RAM 64 octets, 5 E/S	0,77	0,638	0,585	0,525
579—PIC12F615-I/SN		SOIC-8	1,75 Ko, RAM 64 octets, 5 E/S	0,68	0,563	0,518	0,465
579—PIC12F615-E/MF		DFN (2x3) 8	1,75 Ko, RAM 64 octets, 5 E/S	0,83	0,69	0,638	0,578
579—PIC12F615-E/P		PDIP-8	1,75 Ko, RAM 64 octets, 5 E/S	0,83	0,69	0,638	0,578
579—PIC12F629IP		PDIP-8	1,75 Ko, RAM 64 octets, 6 E/S	0,83	0,69	0,675	0,66
579—PIC12F629-I/SN		SOIC-8	1,75 Ko, RAM 64 octets, 6 E/S	0,75	0,63	0,615	0,60
579—PIC12F635-I/P		PDIP-8	1,75 Ko, RAM 64 octets, 6 E/S	0,98	0,818	0,803	0,78
579—PIC12F635-I/SN		SOIC-8	1,75 Ko, RAM 64 octets, 6 E/S	0,91	0,758	0,735	0,72
579—PIC12F675-I/MD		DFNS-8	1,75 Ko, RAM 64 octets, ADC	1,50	1,25	1,22	1,19
579—PIC12F675-I/P		PDIP-8	1,75 Ko, RAM 64 octets, ADC	0,91	0,758	0,735	0,72
579—PIC12F675-I/SN		SOIC-8	1,75 Ko, RAM 64 octets, ADC	0,83	0,69	0,675	0,66
579—PIC12HV609-I/P		PDIP-8	1,75 Ko, RAM 64 octets, 5 E/S	0,78	0,653	0,60	0,54
579—PIC12HV615-I/P		PDIP-8	1,75 Ko, RAM 64 octets, ADC	0,82	0,683	0,623	0,563
579—PIC12HV615-I/SN		SOIC-8	1,75 Ko, RAM 64 octets, ADC	0,73	0,608	0,555	0,503
579—PIC12F617E/MF		DFN (2x3) 8	3,5 Ko, RAM 128 octets, 8 MHz	0,89	0,743	0,675	0,615
579—PIC12F617E/MS		MSOP-8	3,5 Ko, RAM 128 octets, 8 MHz	0,86	0,713	0,653	0,593
579—PIC12F617E/P		PDIP-8	3,5 Ko, RAM 128 octets, 8 MHz	0,89	0,743	0,675	0,615
579—PIC12F683-I/MD		DFNS-8	3,5 Ko, RAM 128 octets, ADC	1,68	1,40	1,37	1,33
579—PIC12F683-I/P		PDIP-8	3,5 Ko, RAM 128 octets, ADC	1,06	0,885	0,863	0,84
579—PIC12F683-I/SN		SOIC-8	3,5 Ko, RAM 128 octets, ADC	0,98	0,818	0,803	0,78

MCU FLASH MICROCHIP PIC16XXX

PRODUCT NEW

Pour des quantités supérieures à celles indiquées, appelez-nous afin d'obtenir un devis.

RÉF. STOCK MOUSER Fabr.	Réf. fabr.	Type de boîtier	Description	Prix unitaire 1	10	25	100
579—PIC16F54-I/P		PDIP-18	0,75 Ko, RAM 25 octets, 12 E/S	0,50	0,413	0,405	0,39
579—PIC16F505-I/P		PDIP 14 broches	1,5 Ko, RAM 72 octets, 12 E/S	0,72	0,60	0,548	0,495
579—PIC16F505-I/SL		SOIC-14	1,5 Ko, RAM 72 octets, 12 E/S	0,59	0,495	0,45	0,405
579—PIC16F505-I/ST		TSSOP-14	1,5 Ko, RAM 72 octets, 12 E/S	0,69	0,578	0,533	0,48
579—PIC16F506-I/P		PDIP-14	1,5 Ko, RAM 67 octets, ADC	0,77	0,645	0,593	0,533
579—PIC16F506-I/SL		SOIC-14	1,5 Ko, RAM 67 octets, ADC	0,64	0,533	0,488	0,443
579—PIC16F506-I/ST		TSSOP-14	1,5 Ko, RAM 67 octets, ADC	0,74	0,623	0,57	0,518
579—PIC16F610-I/SL		SOIC-16	1,75 Ko, RAM 64 octets, 11 E/S	0,73	0,608	0,555	0,503
579—PIC16F610-I/P		PDIP-14	1,75 Ko, RAM 64 octets, 11 E/S	0,86	0,713	0,653	0,593
579—PIC16F630-I/P		PDIP-14	1,75 Ko, RAM 64 octets, 12 E/S	1,10	0,915	0,893	0,87
579—PIC16F630-I/SL		SOIC-14	1,75 Ko, RAM 64 octets, 12 E/S	0,98	0,818	0,803	0,78
579—PIC16F631-I/P		PDIP-20	1,75 Ko, RAM 64 octets, 18 E/S	1,20	1,01	0,983	0,96
579—PIC16F631-I/SO		SOIC-20	1,75 Ko, RAM 64 octets, 18 E/S	1,17	0,975	0,953	0,93
579—PIC16F631-I/SS		SSOP-20	1,75 Ko, RAM 64 octets, 18 E/S	1,13	0,938	0,863	0,78
579—PIC16F676-I/P		PDIP-14	1,75 Ko, RAM 64 octets, 12 E/S	1,17	0,975	0,953	0,93
579—PIC16F676-I/SL		SOIC-14	1,75 Ko, RAM 64 octets, 12 E/S	1,06	0,885	0,863	0,84
579—PIC16F84A-04I/P		PDIP-18	1,75 Ko, RAM 68 octets, 13 E/S	3,56	2,97	2,90	2,81
579—PIC16F818-I/P		PDIP-18	1,75 Ko, RAM 128 octets, 16 E/S	1,67	1,39	1,34	1,29
579—PIC16F818-I/SO		SOIC-18	1,75 Ko, RAM 128 octets, 16 E/S	1,68	1,40	1,36	1,31
579—PIC16F627A-I/P		PDIP-18	1,75 Ko, RAM 224 octets, 16 E/S	1,37	1,15	1,11	1,07
579—PIC16F627A-I/SO		SOIC-18	1,75 Ko, RAM 224 octets, 16 E/S	1,40	1,17	1,13	1,09
579—PIC16F627A-I/SS		SSOP-20	1,75 Ko, RAM 224 octets, 16 E/S	1,52	1,27	1,22	1,18
579—PIC16F627A-E/P		PDIP-18	1,75 Ko, RAM 224 octets, 16 E/S	1,49	1,24	1,19	1,16
579—PIC16F627A-E/SO		SOIC-18	1,75 Ko, RAM 224 octets, 16 E/S	1,51	1,26	1,22	1,17
579—PIC16F57-I/P		PDIP-28	3 Ko, RAM 72 octets, 20 E/S	0,77	0,638	0,623	0,608
579—PIC16F59-I/P		PDIP-40	3 Ko, RAM 134 octets, 32 E/S	0,92	0,765	0,75	0,735
579—PIC16F616-I/P		PDIP-14	3,5 Ko, RAM 128 octets, ADC	0,98	0,818	0,75	0,675
579—PIC16F616-I/SL		SOIC-8	3,5 Ko, RAM 128 octets, ADC	0,84	0,705	0,653	0,585
579—PIC16F616-I/ST		TSSOP-14	3,5 Ko, RAM 128 octets, ADC	0,95	0,795	0,728	0,66
579—PIC16F636-I/P		PDIP-14	3,5 Ko, RAM 128 octets, 12 E/S	1,11	0,93	0,908	0,885
579—PIC16F636-I/SL		SOIC-14	3,5 Ko, RAM 128 octets, 12 E/S	1,01	0,84	0,818	0,795
579—PIC16F636-I/ST		TSSOP-14	3,5 Ko, RAM 128 octets, 12 E/S	1,15	0,96	0,938	0,915
579—PIC16F677-I/ML		QFN-20	3,5 Ko, RAM 128 octets, 18 E/S	1,27	1,06	1,04	1,01

MCU FLASH MICROCHIP PIC16XXX (SUITE)

Pour des quantités supérieures à celles indiquées, appelez-nous afin d'obtenir un devis.

RÉF. STOCK MOUSER Fabr.	Réf. fabr.	Type de boîtier	Description	Prix unitaire 1	10	25	100
579—PIC16F677-I/SS		SSOP-20	3,5 Ko, RAM 128 octets, 18 E/S	1,08	0,90	0,878	0,855
579—PIC16F684-I/P		PDIP-14	3,5 Ko, RAM 128 octets, 12 E/S	1,19	0,99	0,96	0,938
579—PIC16F684-I/SL		SOIC-14	3,5 Ko, RAM 128 octets, 12 E/S	1,07	0,893	0,87	0,848
579—PIC16F684-I/ST		TSSOP-14	3,5 Ko, RAM 128 octets, 12 E/S	1,22	1,02	0,99	0,968
579—PIC16F687-I/P		PDIP-20	3,5 Ko, RAM 128 octets, 18 E/S	1,40	1,16	1,13	1,10
579—PIC16F687-I/SO		SOIC-20	3,5 Ko, RAM 128 octets, 18 E/S	1,53	1,28	1,16	1,07
579—PIC16F687-I/SS		SSOP-20	3,5 Ko, RAM 128 octets, 18 E/S	1,31	1,09	0,998	0,923
579—PIC16F716-I/P		PDIP-18	3,5 Ko, RAM 128 octets, 13 E/S	0,91	0,758	0,735	0,72
579—PIC16F716-I/SO		SOIC-18	3,5 Ko, RAM 128 octets, 13 E/S	0,83	0,69	0,675	0,66
579—PIC16F716-I/SS		SSOP-20	3,5 Ko, RAM 128 octets, 13 E/S	1,49	1,24	1,21	1,18
579—PIC16F722-I/SP		SPDIP-28	3,5 Ko, RAM 128 octets, 25 E/S	1,38	1,16	1,06	0,96
579—PIC16F722-I/SS		SSOP-28	3,5 Ko, RAM 128 octets, 25 E/S	1,18	0,983	0,90	0,818
579—PIC16F72-I/SO		SOIC-28	3,5 Ko, RAM 128 octets, 3 E/S	1,99	1,66	1,62	1,58
579—PIC16F72-I/SP		SPDIP-28	3,5 Ko, RAM 128 octets, 3 E/S	1,99	1,66	1,62	1,58
579—PIC16F785-I/P		PDIP-20	3,5 Ko, RAM 128 octets, 17+1 E/S	1,64	1,37	1,26	1,14
579—PIC16F785-I/SO		SOIC-20	3,5 Ko, RAM 128 octets, 17+1 E/S	1,61	1,34	1,23	1,11
579—PIC16F785-I/SS		SSOP-20	3,5 Ko, RAM 128 octets, 17+1 E/S	1,38	1,16	1,06	0,96
579—PIC16F870-I/SO		SOIC-28	3,5 Ko, RAM 128 octets, 3 E/S	2,67	2,23	2,17	2,11
579—PIC16F870-I/SP		SPDIP-28	3,5 Ko, RAM 128 octets, 3 E/S	2,67	2,23	2,17	2,11
579—PIC16F871-I/P		PDIP-40	3,5 Ko, RAM 128 octets, 5 E/S	2,87	2,39	2,36	2,31
579—PIC16F871-I/PT		TQFP-44	3,5 Ko, RAM 128 octets, 5 E/S	3,88	3,23	3,18	3,12
579—PIC16F872-I/SO		SOIC-28	3,5 Ko, RAM 128 octets, 3 E/S	2,67	2,23	2,17	2,11
579—PIC16F872-I/SP		SPDIP-28	3,5 Ko, RAM 128 octets, 3 E/S	2,67	2,23	2,17	2,11
579—PIC16F882-I/SO		SOIC-28	3,5 Ko, RAM 128 octets, 24 E/S	1,47	1,23	1,13	1,07
579—PIC16F882-I/SP		SPDIP-28	3,5 Ko, RAM 128 octets, 24 E/S	1,64	1,37	1,26	1,19
579—PIC16F882-I/SS		SSOP-28	3,5 Ko, RAM 128 octets, 24 E/S	1,38	1,16	1,06	1,01
579—PIC16LF872ISO		SOIC-28	3,5 Ko, RAM 128 octets, 3 E/S	2,81	2,35	2,29	2,22
579—PIC16F819-I/P		PDIP-18	3,5 Ko, RAM 256 octets, 16 E/S	1,89	1,58	1,52	1,47
579—PIC16F819-I/SO		SOIC-18	3,5 Ko, RAM 256 octets, 16 E/S	1,91	1,60	1,55	1,51
579—PIC16F723-I/SP		SPDIP-28	7 Ko, RAM 192 octets, 25 E/S	1,55	1,30	1,19	1,08
579—PIC16F723-I/SS		SSOP-28	7 Ko, RAM 192 octets, 25 E/S	1,35	1,13	1,04	0,938
579—PIC16F724-I/P		PDIP-40	7 Ko, RAM 192 octets, 36 E/S	1,82	1,52	1,40	1,26
579—PIC16F724-I/PT		TQFP-40	7 Ko, RAM 192 octets, 36 E/S	1,73	1,45	1,33	1,20
579—PIC16F73ISO		SOIC-28	7 Ko, RAM 192 octets, 22 E/S	3,11	2,59	2,52	2,45
579—PIC16F73ISP		SPDIP-28	7 Ko, RAM 192 octets, 22 E/S	3,11	2,59	2,52	2,45
579—PIC16F74IP		PDIP-40	7 Ko, RAM 192 octets, 33 E/S	3,77	3,14	3,06	2,98
579—PIC16F873A-I/SO		SOIC-28	7 Ko, RAM 192 octets, 3 E/S	3,79	3,16	3,08	2,99
579—PIC16F873A-I/SP		SPDIP-28	7 Ko, RAM 192 octets, 3 E/S	3,79	3,16	3,08	2,99
579—PIC16F874A-I/L		PLCC-44	7 Ko, RAM 192 octets, 5 E/S	4,78	3,98	3,92	3,84
579—PIC16F874A-I/P		PDIP-40	7 Ko, RAM 192 octets, 5 E/S	4,13	3,44	3,35	3,26
579—PIC16F874A-I/PT		TQFP-44	7 Ko, RAM 192 octets, 5 E/S	4,75	3,96	3,86	3,75
579—PIC16F648A-I/P		PDIP-18	7 Ko, RAM 256 octets, 16 E/S	1,77	1,48	1,43	1,38
579—PIC16F685-I/P		PDIP-20	7 Ko, RAM 256 octets, 18 E/S	1,63	1,36	1,25	1,16
579—PIC16F685-I/SO		SOIC-20	7 Ko, RAM 256 octets, 18 E/S	1,59	1,33	1,22	1,13
579—PIC16F685-I/SS		SSOP-20	7 Ko, RAM 256 octets, 18 E/S	1,37	1,14	1,05	0,975
579—PIC16F688-I/P		PDIP-14	7 Ko, RAM 256 octets, 12 E/S	1,25	1,04	1,02	0,99
579—PIC16F688-I/SL		SOIC-14	7 Ko, RAM 256 octets, 12 E/S	1,13	0,945	0,923	0,90
579—PIC16F689-I/P		PDIP-20	7 Ko, RAM 256 octets, 18 E/S	1,63	1,36	1,25	1,16
579—PIC16F689-I/SO		SOIC-20	7 Ko, RAM 256 octets, 18 E/S	1,59	1,33	1,22	1,13
579—PIC16F689-I/SS		SSOP-20	7 Ko, RAM 256 octets, 18 E/S	1,37	1,14	1,05	0,975
579—PIC16F690-I/ML		QFN-20	7 Ko, RAM 256 octets, 18 E/S	1,68	1,40	1,28	1,19
579—PIC16F690-I/P		PDIP-20	7 Ko, RAM 256 octets, 18 E/S	1,72	1,43	1,31	1,22
579—PIC16F690-I/SO		SOIC-20	7 Ko, RAM 256 octets, 18 E/S	1,68	1,40	1,28	1,19
579—PIC16F690-I/SS		SSOP-20	7 Ko, RAM 256 octets, 18 E/S	1,46	1,22	1,11	1,04
579—PIC16F883-I/SO		SOIC-28	7 Ko, RAM 256 octets, 24 E/S	1,56	1,31	1,27	1,23
579—PIC16F883-I/SP		SPDIP-28	7 Ko, RAM 256 octets, 24 E/S	1,71	1,43	1,39	1,35
579—PIC16F883-I/SS		SSOP-28	7 Ko, RAM 256 octets, 24 E/S	1,53	1,28	1,25	1,21
579—PIC16F884-I/P		PDIP-40	7 Ko, RAM 256 octets, 35 E/S	1,81	1,51	1,47	1,43
579—PIC16F884-I/PT		TQFP-44	7 Ko, RAM 256 octets, 35 E/S	1,82	1,52	1,49	1,44
579—PIC16F913-I/SO		SOIC-28	7 Ko, RAM 256 octets, 24 E/S	2,17	1,81	1,66	1,50
579—PIC16F913-I/SP		SPDIP-28	7 Ko, RAM 256 octets, 24 E/S	2,34	1,95	1,79	1,62
579—PIC16F913-I/SS		SSOP-28	7 Ko, RAM 256 octets, 24 E/S	2,13	1,78	1,63	1,48
579—PIC16F914-I/P		PDIP-40	7 Ko, RAM 256 octets, 35 E/S	2,60	2,17	1,99	1,80
579—PIC16F914-I/PT		TQFP-44	7 Ko, RAM 256 octets, 35 E/S	2,51	2,09	1,92	1,74
579—PIC16F737-I/SO		SOIC-28	7 Ko, RAM 368 octets, 25 E/S	3,18	2,66	2,61	2,57
579—PIC16F737-I/SP		SDIP-28	7 Ko, RAM 368 octets, 25 E/S	3,12	2,60	2,56	2,51
579—PIC16F747-I/P		PDIP-40	7 Ko, RAM 368 octets, 36 E/S	3,59	2,99	2,94	2,89
579—PIC16F87-I/P		PDIP-18	7 Ko, RAM 368 octets, 16 E/S	2,18	1,82	1,76	1,70
579—PIC16F87-I/SO		SOIC-18	7 Ko, RAM 368 octets, 16 E/S	2,24	1,87	1,80	1,74
579—PIC16F88-I/P		PDIP-18	7 Ko, RAM 368 octets, 16 E/S	2,34	1,95	1,88	1,82
579—PIC16LF88-I/P		PDIP-18	7 Ko, RAM 368 octets, 16 E/S	2,45	2,05	1,97	1,91
579—PIC16LF88-I/SO		SOIC-18	7 Ko, RAM 368 octets, 16 E/S	2,50	2,09	2,02	1,94
579—PIC16F916-I/SO		SOIC-28	14 Ko, RAM 352 octets, 24 E/S	2,43	2,03	1,85	1,68
579—PIC16F916-I/SP		SPDIP-28	14 Ko, RAM 352 octets, 24 E/S	2,60	2,17	1,99	1,80
579—PIC16F916-I/SS		SSOP-28	14 Ko, RAM 352 octets, 24 E/S	2,39	2,00	1,83	1,66
579—PIC16F917-I/P		PDIP-40	14 Ko, RAM 352 octets, 35 E/S	2,77	2,31	2,12	1,92
579—PIC16F917-I/PT		TQFP-44	14 Ko, RAM 352 octets, 35 E/S	2,69	2,24	2,06	1,86
579—PIC16F946-I/PT		TQFP-64	14 Ko, RAM 352 octets, 53 E/S	2,86	2,39	2,19	1,98
579—PIC16F726-I/SO		SOIC-28	14 Ko, RAM 368 octets, 25 E/S	1,55	1,30	1,19	1,08
579—PIC16F726-I/SP		SPDIP-28	14 Ko, RAM 368 octets, 25 E/S	1,73	1,45	1,33	1,20
579—PIC16F726-I/SS		SSOP-28	14 Ko, RAM 368 octets, 25 E/S	1,53	1,28	1,16	1,06
579—PIC16F727-I/P		PDIP-40	14 Ko, RAM 368 octets, 36 E/S	2,00	1,67	1,52	1,38
579—PIC16F727-I/PT		TQFP-40	14 Ko, RAM 368 octets, 36 E/S	1,91	1,59	1,46	1,32
579—PIC16F767-I/SO		SOIC-28	14 Ko, RAM 368 octets, 25 E/S	3,70	3,08	3,03	2,98
579—PIC16F767-I/SP		SDIP-28	14 Ko, RAM 368 octets, 25 E/S	3,62	3,02	2,97	2,92
579—PIC16F76-I/SO		SOIC-28	14 Ko, RAM 368 octets, 22 E/S	3,89	3,25	3,17	3,08
579—PIC16F76-I/SP		SPDIP-28	14 Ko, RAM 368 octets, 22 E/S	3,89	3,25	3,17	3,08
579—PIC16F777-I/P		PDIP-40	14 Ko, RAM 368 octets, 36 E/S	3,98	3,32	3,26	3,20
579—PIC16F777-I/PT		TQFP-44	14 Ko, RAM 368 octets, 36 E/S	4,06	3,38	3,33	3,27
579—PIC16F77-I/PT		TQFP-44	14 Ko, RAM 368 octets, 33 E/S	5,18	4,31	4,20	4,08
579—PIC16F77IP		PDIP-40	14 Ko, RAM 368 octets, 33 E/S	4,30	3,59	3,50	3,40
579—PIC16F876A-I/SO		SOIC-28	14 Ko, RAM 368 octets, 22 E/S	4,07	3,40	3,31	3,22

© Copyright 2012 Mouser Electronics

© Copyright 2012 Mouser Electronics

Famille de microcontrôleurs PICMicro MICROCHIP

RoHS Compliant This product is RoHS compliant.

MCU FLASH MICROCHIP PIC16XXX (suite)

Pour des quantités supérieures à celles indiquées, appelez-nous afin d'obtenir un devis.

RÉF. STOCK MOUSER		Type de boîtier	Description	Prix unitaire			
Fabr.	Réf. fabr.			1	10	25	100
579—PIC16F876A-I/SP		SPDIP-28	14 Ko, RAM 368 Ko, 22 E/S	4,07	3,40	3,31	3,22
579—PIC16F877A-I/P		PDIP-40	14 Ko, RAM 368 Ko, 33 E/S	4,44	3,71	3,61	3,51
579—PIC16F877A-I/PT		TQFP-44	14 Ko, RAM 368 Ko, 33 E/S	5,13	4,28	4,16	4,05
579—PIC16F886-I/SO		SOIC-28	14 Ko, RAM 368 Ko, 24 E/S	1,69	1,41	1,37	1,34
579—PIC16F886-I/SP		SPDIP-28	14 Ko, RAM 368 Ko, 24 E/S	1,85	1,54	1,50	1,46
579—PIC16F886-I/SS		SSOP-28	14 Ko, RAM 368 Ko, 24 E/S	1,67	1,39	1,35	1,31
579—PIC16F887-I/P		PDIP-40	14 Ko, RAM 368 Ko, 35 E/S	1,98	1,65	1,61	1,56
579—PIC16F887-I/PT		TQFP-44	14 Ko, RAM 368 Ko, 35 E/S	1,99	1,66	1,61	1,57
579—PIC16LF876A-I/SO		SOIC-28	14 Ko, RAM 368 Ko, 22 E/S	4,28	3,56	3,47	3,38
579—PIC16LF876A-I/SP		SPDIP-28	14 Ko, RAM 368 Ko, 22 E/S	4,28	3,56	3,47	3,38
579—PIC16F1936-I/ML		QFN-28	14 Ko, RAM 512 Ko, 25 E/S	1,76	1,46	1,34	1,22
579—PIC16LF1936-I/ML		QFN-28	14 Ko, RAM 512 Ko, 25 E/S	1,76	1,46	1,34	1,22
579—PIC16LF1936-I/SP		SPDIP-28	14 Ko, RAM 512 Ko, 25 E/S	1,82	1,52	1,40	1,26
579—PIC16LF1936-I/SS		SSOP-28	14 Ko, RAM 512 Ko, 25 E/S	1,61	1,34	1,23	1,12
579—PIC16LF1937-I/PT		TQFP-44	14 Ko, RAM 512 Ko, 36 E/S	1,91	1,59	1,46	1,32

MCU FLASH MICROCHIP PIC18XXX

PRODUCT NEW

Pour des quantités supérieures à celles indiquées, appelez-nous afin d'obtenir un devis.

RÉF. STOCK MOUSER		Type de boîtier	Description	Prix unitaire			
Fabr.	Réf. fabr.			1	10	25	100
579—PIC18F1220-I/P		PDIP-18	4 Ko, RAM 256 Ko, 16 E/S	2,19	1,83	1,79	1,74
579—PIC18F1220-I/SO		SOIC-18	4 Ko, RAM 256 Ko, 16 E/S	2,12	1,76	1,73	1,68
579—PIC18F1220-I/SS		SSOP-20	4 Ko, RAM 256 Ko, 16 E/S	2,12	1,76	1,73	1,68
579—PIC18F1230-I/P		PDIP-18	4 Ko, RAM 256 Ko, contrôle moteur	2,60	2,17	1,99	1,80
579—PIC18F1330-I/P		PDIP-18	4 Ko, RAM 256 Ko, contrôle moteur	2,86	2,39	2,19	1,98
579—PIC18F1330-I/SO		SOIC-18	4 Ko, RAM 256 Ko, contrôle moteur	2,77	2,31	2,12	1,92
579—PIC18F2220-I/SP		SPDIP-28	4 Ko, RAM 512 Ko, 25 E/S	4,23	3,53	3,44	3,34
579—PIC18F2221-I/SO		SOIC-28	4 Ko, RAM 512 Ko, 25 E/S	2,43	2,03	1,85	1,68
579—PIC18F2221-I/SP		SPDIP-28	4 Ko, RAM 512 Ko, 25 E/S	2,60	2,17	1,99	1,80
579—PIC18F4220-I/P		PDIP-40	4 Ko, RAM 512 Ko, 36 E/S	4,66	3,89	3,79	3,68
579—PIC18F4221-I/P		PDIP-40	4 Ko, RAM 512 Ko, 36 E/S	2,77	2,31	2,12	1,92
579—PIC18F4221-I/PT		TQFP-44	4 Ko, RAM 512 Ko, 36 E/S	2,69	2,24	2,06	1,86
579—PIC18F13K22-I/ML		QFN-20	8 Ko, RAM 256 Ko, 18 E/S	1,80	1,50	1,37	1,25
579—PIC18F13K22-I/P		PDIP-20	8 Ko, RAM 256 Ko, 18 E/S	1,95	1,63	1,49	1,35
579—PIC18F13K22-I/SO		SOIC-20	8 Ko, RAM 256 Ko, 18 E/S	1,82	1,52	1,40	1,26
579—PIC18LF13K22I/ML		QFN-20	8 Ko, RAM 256 Ko, 18 E/S	1,80	1,50	1,37	1,25
579—PIC18LF13K22-I/P		PDIP-20	8 Ko, RAM 256 Ko, 18 E/S	1,95	1,63	1,49	1,35
579—PIC18LF13K22I/SO		SOIC-20	8 Ko, RAM 256 Ko, 18 E/S	1,82	1,52	1,40	1,26
579—PIC18LF13K22I/SS		SSOP-20	8 Ko, RAM 256 Ko, 18 E/S	1,64	1,37	1,26	1,14
579—PIC18F1320-I/P		PDIP-18	8 Ko, RAM 256 Ko, 16 E/S	2,42	2,02	1,97	1,92
579—PIC18F1320-I/SO		SOIC-18	8 Ko, RAM 256 Ko, 16 E/S	2,34	1,95	1,91	1,86
579—PIC18F23K20-I/MV		QFN-28	8 Ko, RAM 512 Ko, 25 E/S	1,67	1,39	1,28	1,16
579—PIC18F13K50-I/MQ		SOIC-20	8 Ko, RAM 512 Ko, 17 E/S	1,67	1,40	1,33	1,26
579—PIC18LF13K50I/MQ		QFN-20	8 Ko, RAM 512 Ko, 17 E/S	1,67	1,40	1,33	1,26
579—PIC18F2321-I/ML		QFN-28	8 Ko, RAM 512 Ko, 25 E/S	2,81	2,34	2,15	1,94
579—PIC18F2321-I/SO		SOIC-28	8 Ko, RAM 512 Ko, 25 E/S	2,58	2,15	1,97	1,79
579—PIC18F2321-I/SP		SPDIP-28	8 Ko, RAM 512 Ko, 25 E/S	2,75	2,30	2,11	1,91
579—PIC18F4321-I/P		PDIP-40	8 Ko, RAM 512 Ko, 36 E/S	2,93	2,45	2,24	2,03
579—PIC18F4321-I/PT		TQFP-44	8 Ko, RAM 512 Ko, 36 E/S	2,84	2,37	2,18	1,97
579—PIC18F2320-I/SP		SPDIP-28	8 Ko, RAM 512 Ko, 25 E/S	4,58	3,82	3,72	3,62
579—PIC18F4320-I/P		PDIP-40	8 Ko, RAM 512 Ko, 36 E/S	5,03	4,19	4,08	3,97
579—PIC18F2331-I/SP		SPDIP-28	8 Ko, RAM 768 Ko, 24 E/S	3,47	2,90	2,83	2,76
579—PIC18F8390-I/PT		TQFD-80	8 Ko, RAM 768 Ko, 66 E/S	3,40	2,84	2,77	2,70
579—PIC18F6310-I/PT		TQFP-64	8 Ko, RAM 768 Ko, 66 E/S	2,72	2,27	2,21	2,16
579—PIC18F6390-I/PT		TQFP-64	8 Ko, RAM 768 Ko, 50 E/S	2,87	2,39	2,34	2,28
579—PIC18F8310-I/PT		TQFD-80	8 Ko, RAM 768 Ko, 70 E/S	3,25	2,71	2,65	2,58
579—PIC18F14K22-I/P		PDIP-20	16 Ko, RAM 512 Ko, 18 E/S	2,12	1,77	1,62	1,47
579—PIC18F14K22-I/SO		SOIC-20	16 Ko, RAM 512 Ko, 18 E/S	2,00	1,67	1,52	1,38
579—PIC18F14K22-I/SS		SSOP-20	16 Ko, RAM 512 Ko, 18 E/S	1,82	1,52	1,40	1,26
579—PIC18LF14K22I/ML		QFN-20	16 Ko, RAM 512 Ko, 18 E/S	1,97	1,64	1,51	1,37
579—PIC18LF14K22-I/P		PDIP-20	16 Ko, RAM 512 Ko, 18 E/S	2,12	1,77	1,62	1,47
579—PIC18LF14K22I/SS		SSOP-20	16 Ko, RAM 512 Ko, 18 E/S	1,82	1,52	1,40	1,26
579—PIC18F14K50-I/MQ		SOIC-20	16 Ko, RAM 768 Ko, 15 E/S	1,83	1,53	1,46	1,38
579—PIC18LF14K50I/MQ		QFN-20	16 Ko, RAM 768 Ko, 15 E/S	1,83	1,53	1,46	1,38
579—PIC18F24K20-I/ML		QFN-28	16 Ko, RAM 768 Ko, 25 E/S	1,76	1,46	1,34	1,22
579—PIC18F24K20-I/SO		SOIC-28	16 Ko, RAM 768 Ko, 25 E/S	1,64	1,37	1,26	1,14
579—PIC18F24K20-I/SP		SPDIP-28	16 Ko, RAM 768 Ko, 25 E/S	1,82	1,52	1,40	1,26
579—PIC18F24K20-I/SS		SSOP-28	16 Ko, RAM 768 Ko, 25 E/S	1,61	1,34	1,23	1,12
579—PIC18F2410-I/SO		SOIC-28	16 Ko, RAM 768 Ko, 24 E/S	2,72	2,27	2,21	2,16
579—PIC18F2410-I/SP		SDIP-28	16 Ko, RAM 768 Ko, 24 E/S	2,87	2,39	2,34	2,28
579—PIC18F2420-I/SO		SOIC-28	16 Ko, RAM 768 Ko, 25 E/S	2,95	2,46	2,40	2,34
579—PIC18F2420-I/SP		SDIP-28	16 Ko, RAM 768 Ko, 25 E/S	3,09	2,58	2,52	2,46
579—PIC18F2423-I/SO		SOIC-28	16 Ko, RAM 768 Ko, 25 E/S	3,74	3,12	2,87	2,60
579—PIC18F2423-I/SP		SPDIP-28	16 Ko, RAM 768 Ko, 25 E/S	3,92	3,27	2,99	2,72
579—PIC18F2431-I/SO		SOIC-28	16 Ko, RAM 768 Ko, 24 E/S	3,47	2,90	2,83	2,76
579—PIC18F2431-I/SP		SPDIP-28	16 Ko, RAM 768 Ko, 24 E/S	3,62	3,02	2,96	2,88
579—PIC18F2450-I/SO		SOIC-28	16 Ko, RAM 768 Ko, 23 E/S	2,75	2,30	2,11	1,91
579—PIC18F2450-I/SP		SPDIP-28	16 Ko, RAM 768 Ko, 23 E/S	2,93	2,45	2,24	2,03
579—PIC18F248-I/SP		SPDIP-28	16 Ko, RAM 768 Ko, 23 E/S	5,39	4,49	4,37	4,25
579—PIC18F2480-I/SO		SOIC-28	16 Ko, RAM 768 Ko, CAN	4,02	3,35	3,27	3,20
579—PIC18F2480-I/SP		SPDIP-28	16 Ko, RAM 768 Ko, CAN	4,17	3,48	3,40	3,32
579—PIC18F44K20-I/P		PDIP-40	16 Ko, RAM 768 Ko, 36 E/S	2,08	1,73	1,59	1,44
579—PIC18F44K20-I/PT		TQFP-44	16 Ko, RAM 768 Ko, 36 E/S	1,91	1,59	1,46	1,32
579—PIC18F4410-I/P		PDIP-40	16 Ko, RAM 768 Ko, 36 E/S	3,02	2,52	2,46	2,40
579—PIC18F4420-I/P		PDIP-40	16 Ko, RAM 768 Ko, 36 E/S	3,25	2,71	2,65	2,58
579—PIC18F4420-I/PT		TQFP-44	16 Ko, RAM 768 Ko, 36 E/S	3,17	2,65	2,58	2,52
579—PIC18F4423-I/P		PDIP-40	16 Ko, RAM 768 Ko, 36 E/S	4,10	3,41	3,13	2,84
579—PIC18F4423-I/PT		TQFP-44	16 Ko, RAM 768 Ko, 36 E/S	4,01	3,34	3,06	2,78
579—PIC18F4431-I/P		PDIP-40	16 Ko, RAM 768 Ko, 36 E/S	3,94	3,29	3,20	3,13
579—PIC18F4431-I/PT		TQFP-44	16 Ko, RAM 768 Ko, 36 E/S	3,89	3,25	3,17	3,10
579—PIC18F4450-I/P		PDIP-40	16 Ko, RAM 768 Ko, 34 E/S	3,05	2,54	2,33	2,12
579—PIC18F4450-I/PT		TQFP-44	16 Ko, RAM 768 Ko, 34 E/S	2,97	2,48	2,27	2,06

MCU FLASH MICROCHIP PIC18XXX (suite)

PRODUCT NEW

Pour des quantités supérieures à celles indiquées, appelez-nous afin d'obtenir un devis.

RÉF. STOCK MOUSER		Type de boîtier	Description	Prix unitaire			
Fabr.	Réf. fabr.			1	10	25	100
579—PIC18F4480-I/P		PDIP-40	16 Ko, RAM 768 Ko, 36 E/S	4,32	3,60	3,52	3,44
579—PIC18F4480-I/PT		TQFP-44	16 Ko, RAM 768 Ko, 36 E/S	4,25	3,54	3,46	3,38
579—PIC18F8490-I/PT		TQFD-80	16 Ko, RAM 768 Ko, 66 E/S	3,78	3,15	3,08	3,00
579—PIC18F24J10-I/SO		SOIC-28	16 Ko, RAM 1024 Ko, 21 E/S	1,53	1,28	1,16	1,06
579—PIC18F24J10-I/SP		SPDIP-28	16 Ko, RAM 1024 Ko, 21 E/S	1,70	1,42	1,30	1,18
579—PIC18F44J10-I/P		PDIP-44	16 Ko, RAM 1024 Ko, 32 E/S	1,96	1,64	1,50	1,36
579—PIC18F44J10-I/PT		TQFP-44	16 Ko, RAM 1024 Ko, 32 E/S	1,79	1,49	1,37	1,24
579—PIC18F24J50-I/SS		SSOP-28	16KB,3800B RAM,Full Sp USB	2,30	1,92	1,76	1,60
579—PIC18F2455-I/SO		SOIC-28	24 Ko, RAM 2048 Ko, 24 E/S	3,56	2,97	2,90	2,84
579—PIC18F2455-I/SP		SPDIP-28	24 Ko, RAM 2048 Ko, 24 E/S	3,71	3,10	3,02	2,96
579—PIC18F4455-I/P		PDIP-40	24 Ko, RAM 2048 Ko, 35 E/S	3,87	3,23	3,15	3,08
579—PIC18F4455-I/PT		TQFP-44	24 Ko, RAM 2048 Ko, 35 E/S	3,80	3,17	3,09	3,02
579—PIC18F25J10-I/SO		SOIC-28	32 Ko, RAM 1024 Ko, 21 E/S	1,61	1,34	1,23	1,12
579—PIC18F25J10-I/SP		SPDIP-28	32 Ko, RAM 1024 Ko, 21 E/S	1,79	1,49	1,37	1,24
579—PIC18F45J10-I/P		PDIP-40	32 Ko, RAM 1024 Ko, 32 E/S	2,04	1,70	1,56	1,42
579—PIC18F45J10-I/PT		TQFP-44	32 Ko, RAM 1024 Ko, 32 E/S	1,87	1,56	1,43	1,30
579—PIC18F2523-I/SO		SOIC-28	32 Ko, RAM 1536 Ko, 25 E/S	4,28	3,57	3,27	2,96
579—PIC18F2523-I/SP		SPDIP-28	32 Ko, RAM 1536 Ko, 25 E/S	4,46	3,71	3,41	3,08
579—PIC18F2580-I/SO		SOIC-28	32 Ko, RAM 1536 Ko, CAN	4,51	3,76	3,67	3,58
579—PIC18F2580-I/SP		SPDIP-28	32 Ko, RAM 1536 Ko, CAN	4,65	3,88	3,79	3,70
579—PIC18F25K20-I/ML		QFN-28	32 Ko, RAM 1536 Ko, 25 E/S	1,83	1,53	1,40	1,28
579—PIC18F25K20-I/SO		SOIC-28	32 Ko, RAM 1536 Ko, 25 E/S	1,73	1,45	1,33	1,20
579—PIC18F25K20-I/SP		SPDIP-28	32 Ko, RAM 1536 Ko, 25 E/S	1,91	1,59	1,46	1,32
579—PIC18F25K20-I/SS		SSOP-28	32 Ko, RAM 1536 Ko, 25 E/S	1,70	1,42	1,30	1,18
579—PIC18F4580-I/P		PDIP-40	32 Ko, RAM 1536 Ko, CAN	4,80	4,01	3,92	3,82
579—PIC18F4580-I/PT		TQFP-44	32 Ko, RAM 1536 Ko, CAN	4,73	3,95	3,85	3,76
579—PIC18F4523-I/P		PDIP-40	32 Ko, RAM 1536 Ko, 36 E/S	4,64	3,86	3,54	3,20
579—PIC18F4523-I/PT		TQFP-44	32 Ko, RAM 1536 Ko, 36 E/S	4,55	3,79	3,47	3,14
579—PIC18F45K20-I/ML		QFN-44	32 Ko, RAM 1536 Ko, 36 E/S	2,09	1,75	1,61	1,46
579—PIC18F45K20-I/P		PDIP-40	32 Ko, RAM 1536 Ko, 36 E/S	2,17	1,81	1,66	1,50
579—PIC18F45K20-I/PT		TQFP-44	32 Ko, RAM 1536 Ko, 36 E/S	2,00	1,67	1,52	1,38
579—PIC18F2550-I/SP		SPDIP-28	32 Ko, RAM 2048 Ko, 24 E/S	3,87	3,23	3,15	3,08
579—PIC18F4550-I/P		PDIP-40	32 Ko, RAM 2048 Ko, 35 E/S	4,02	3,35	3,27	3,20
579—PIC18F4550-I/PT		TQFP-44	32 Ko, RAM 2048 Ko, 35 E/S	3,94	3,29	3,21	3,14
579—PIC18F6520-I/PT		TQFP-64	32 Ko, RAM 2048 Ko, 52 E/S	6,20	5,17	5,03	4,89
579—PIC18F65J10-I/PT		TQFP-64	32 Ko, RAM 2048 Ko, 50 E/S	2,26	1,88	1,73	1,56
579—PIC18F65K90IMRRS		QFN-64	32 Ko, RAM 2048 Ko, LCD	3,24	2,70	2,48	2,24
579—PIC18F65K90-I/PT		TQFP-80	32 Ko, RAM 2048 Ko, LCD	3,14	2,62	2,40	2,18
579—PIC18F65K90IPTRS		TQFP-64	32 Ko, RAM 2048 Ko, LCD	3,14	2,62	2,40	2,18
579—PIC18F65K90TI/PT		TQFP-80	32 Ko, RAM 2048 Ko, LCD	3,18	2,66	2,43	2,21
579—PIC18F65K90-I/MR		QFN-64	32 Ko, RAM 2048 Ko, LCD	3,24	2,70	2,48	2,24
579—PIC18F65K90TI/MR		QFN-64	32 Ko, RAM 2048 Ko, LCD	3,29	2,74	2,51	2,27
579—PIC18F8520-I/PT		TQFP-80	32 Ko, RAM 2048 Ko, 68 E/S	6,51	5,43	5,29	5,14
579—PIC18F45K80-I/ML		QFN-44	32 Ko, RAM 3648 Ko, 35 E/S	2,79	2,33	2,13	1,94
579—PIC18F45K80-I/P		PDIP-40	32 Ko, RAM 3648 Ko, 35 E/S	2,86	2,39	2,19	1,98
579—PIC18F45K80-I/PT		TQFP-44	32 Ko, RAM 3648 Ko, 35 E/S	2,69	2,24	2,06	1,86
579—PIC18F65K80-I/MR		QFN-64	32 Ko, RAM 3648 Ko, 54 E/S	3,45	2,88	2,64	2,39
579—PIC18F65K80-I/PT		TQFP-64	32 Ko, RAM 3648 Ko, 54 E/S	3,35	2,79	2,56	2,32
579—PIC18F25J50-I/ML		QFN-28	32 Ko, RAM 3776 Ko, 3 E/S	2,66	2,21	2,03	1,84
579—PIC18F45J50-I/PT		TQFP-44	32 Ko, RAM 3776 Ko, 5 E/S	2,84	2,37	2,18	1,97
579—PIC18F2520-I/SO		SOIC-28	32 Ko, RAM 3804 Ko, 25 E/S	3,43	2,86	2,79	2,72
579—PIC18F2520-I/SP		SDIP-28	32 Ko, RAM 3804 Ko, 25 E/S	3,58	2,99	2,92	2,84
579—PIC18F4510-I/P		PDIP-40	32 Ko, RAM 3804 Ko, 36 E/S	3,51	2,93	2,85	2,78
579—PIC18F4510-I/PT		TQFP-44	32 Ko, RAM 3804 Ko, 36 E/S	3,43	2,86	2,79	2,72
579—PIC18F4520-I/P		PDIP-40	32 Ko, RAM 3804 Ko, 36 E/S	3,74	3,11	3,04	2,96
579—PIC18F4520-I/PT		TQFP-44	32 Ko, RAM 3804 Ko, 36 E/S	3,66	3,05	2,98	2,90
579—PIC18F6585-I/PT		TQFP-64	48 Ko, RAM 3328 Ko, CAN	7,48	6,23	6,07	5,90
579—PIC18F6527-I/PT		TQFP-64	48 Ko, RAM 3936 Ko, 70 E/S	5,72	4,77	4,37	3,96
579—PIC18F66J10-I/PT		TQFP-64	64 Ko, RAM 2048 Ko, 50 E/S	2,60	2,17	1,99	1,80
579—PIC18F6680-I/PT		TQFP-64	64 Ko, RAM 3328 Ko, 52 E/S	8,02	6,68	6,51	6,33
579—PIC18F8680-I/PT		TQFD-80	64 Ko, RAM 3328 Ko, 68 E/S	8,36	6,97	6,79	6,60
579—PIC18F2680-I/SO		SOIC-28	64 Ko, RAM 3328 Ko, w/ECAN	5,45	4,55	4,44	4,34
579—PIC18F2680-I/SP		SDIP-28	64 Ko, RAM 3328 Ko, avec ECAN	5,60	4,67	4,56	4,46
579—PIC18F4680-I/P		PDIP-40	64 Ko, RAM 3328 Ko, avec ECAN	5,76	4,80	4,69	4,58
579—PIC18F4680-I/PT		TQFP-44	64 Ko, RAM 3328 Ko, avec ECAN	5,69	4,74	4,63	4,52
579—PIC18F46K80-I/ML		QFN-44	64 Ko, RAM 3648 Ko, 35 E/S	3,14	2,62	2,40	2,18
579—PIC18F46K80-I/P		PDIP-40	64 Ko, RAM 3648 Ko, 35 E/S	3,21	2,68	2,45	2,22
579—PIC18F46K80-I/PT		TQFP-44	64 Ko, RAM 3648 Ko, 35 E/S	3,03	2,53	2,32	2,10
579—PIC18F66K80-I/MR		QFN-64	64 Ko, RAM 3648 Ko, 54 E/S	3,80	3,17	2,90	2,63
579—PIC18F66K80-I/PT		TQFP-64	64 Ko, RAM 3648 Ko, 54 E/S	3,70	3,08	2,82	2,56
579—PIC18F46J50-I/PT		TQFP-44	64 Ko, RAM 3776 Ko, 5 E/S	3,20	2,66	2,44	2,21
579—PIC18LF46J50-IPT		TQFP-44	64 Ko, RAM 3776 Ko, 5 E/S	3,20	2,66	2,44	2,21
579—PIC18F2610-I/SO		SOIC-28	64 Ko, RAM 3804 Ko, 25 E/S	4,16	3,47	3,38	3,30
579—PIC18F2610-I/SP		SDIP-28	64 Ko, RAM 3804 Ko, 25 E/S	4,31	3,59	3,50	3,42
579—PIC18F2620-I/SO		SOIC-28	64 Ko, RAM 3804 Ko, 25 E/S	4,38	3,65	3,57	3,48
579—PIC18F2620-I/SP		SDIP-28	64 Ko, RAM 3804 Ko, 25 E/S	4,53	3,78	3,69	3,60
579—PIC18F4610-I/P		PDIP-40	64 Ko, RAM 3804 Ko, 36 E/S	4,46	3,72	3,63	3,54
579—PIC18F4610-I/PT		TQFP-44	64 Ko, RAM 3804 Ko, 36 E/S	4,38	3,65	3,57	3,48
579—PIC18F4620-I/P		PDIP-40	64 Ko, RAM 3804 Ko, 36 E/S	4,69	3,91	3,81	3,72
579—PIC18F4620-I/PT		TQFP-44	64 Ko, RAM 3804 Ko, 36 E/S	4,61	3,84	3,75	3,66
579—PIC18F66J60-I/PT		TQFP-64	64 Ko, RAM 3808 Ko, 39 E/S	3,80	3,17	2,90	2,63
579—PIC18F86J72IPT		TQFP-80	64 Ko, RAM 3923 Ko, LCD	5,10	4,25	3,89	3,53
579—PIC18F86J72TIPT		TQFP-80	64 Ko, RAM 3923 Ko, LCD	5,14	4,28	3,93	3,56
579—PIC18F6622-I/PT		TQFP-64	64 Ko, RAM 3936 Ko, 70 E/S	6,32	5,27	4,84	4,38
579—PIC18F8622-I/PT		TQFD-80	64 Ko, RAM 3936 Ko, 70 E/S	6,85	5,71	5,24	4,74
579—PIC18F2685-I/SO		SOIC-28	96 Ko, RAM 3328 Ko, ECAN	7,27	6,06	5,55	5,03
579—PIC18F2685-I/SP		SPDIP-28	96 Ko, RAM 3328 Ko, ECAN	7,44	6,20	5,69	5,15
579—PIC18F4685-I/P		PDIP-44	96 Ko, RAM 3328 Ko, ECAN	7,61	6,35	5,82	5,27
579—PIC18F4685-I/PT		TQFP-44	96 Ko, RAM 3328 Ko, ECAN	7,52	6,27	5,75	5,21
579—PIC18F87J60-I/PT		TQFP-80	128 Ko, RAM 3808 Ko, 10BASE-T	4,41	3,68	3,37	3,05
579—PIC18F67J50-I/PT		TQFP-64	128 Ko, RAM 3904 Ko, 49 E/S	3,50	2,92	2,68	2,42
579—PIC18F87J50-I/PT		TQFP-80	128 Ko, RAM 3904 Ko, 65 E/S	3,83	3,20	2,93	2,66

© Copyright 2012 Mouser Electronics

© Copyright 2012 Mouser Electronics

Microcontrôleurs MICROCHIP

RoHS Compliant **This product is RoHS compliant.**

MCU FLASH MICROCHIP PIC18XXX (SUITE)

Pour des quantités supérieures à celles indiquées, appelez-nous afin d'obtenir un devis.

RÉF. STOCK MOUSER Fabr.	Réf. fabr.	Type de boîtier	Description	Prix unitaire 1	10	25	100
579—	PIC18F87J72IPT	TQFP-80	128 Ko, RAM 3923, 51 E/S	5,39	4,49	4,12	3,74
579—	PIC18F87K90-I/PT	TQFP-80	128 Ko, RAM 4096, LCD	4,15	3,46	3,17	2,87
579—	PIC18F87K90IPTRS	TQFP-64	128 Ko, RAM 4096, LCD	4,15	3,46	3,17	2,87
579—	PIC18F87K90TI/PT	TQFP-80	128 Ko, RAM 4 Ko, 53 E/S, LCD	4,19	3,49	3,20	2,90
579—	PIC18F6722-I/PT	TQFP-64	128 Ko, RAM 4K, 70 E/S	7,40	6,17	6,03	5,88
579—	PIC18F8722-I/PT	TQFP-80	128 Ko, RAM 4K, 70 E/S	7,86	6,56	6,40	6,24
579—	PIC18F67J10-I/PT	TQFP-64	128 Ko, RAM 4 Ko	2,86	2,39	2,19	1,98
579—	PIC18F87J10-I/PT	TQFP-80	128 Ko, RAM 4 Ko	3,16	2,63	2,42	2,18
579—	PIC18F67J60-I/PT	TQFP-64	128 Ko,12 Ko,10BASE-T	4,10	3,41	3,13	2,84
579—	PIC18F27J53-I/SO	SOIC-28	12RAM 8 Ko 4 Ko 12MIPS	3,33	2,78	2,54	2,30
579—	PIC18F27J53-I/SS	SSOP-28	12RAM 8 Ko 4 Ko 12MIPS	3,29	2,75	2,52	2,28
579—	PIC18F47J53-I/ML	QFN-44	12RAM 8 Ko 4 Ko 12MIPS	3,78	3,15	2,89	2,62
579—	PIC18F47J53-I/PT	TQFP-44	12RAM 8 Ko 4 Ko 12MIPS	3,68	3,07	2,81	2,54
579—	PIC18F27J53TIML	QFN-28	12RAM 8 Ko 4 Ko 12 MIPS	3,47	2,90	2,66	2,41
579—	PIC18F27J53TISO	SOIC-28	12RAM 8 Ko 4 Ko 12 MIPS	3,38	2,81	2,58	2,33
579—	PIC18F27J53TISS	SSOP-28	12RAM 8 Ko 4 Ko 12 MIPS	3,34	2,78	2,55	2,31
579—	PIC18F47J53TIML	QFN-44	12RAM 8 Ko 4 Ko 12 MIPS	3,83	3,19	2,93	2,65
579—	PIC18F47J53TIPT	TQFP-44	12RAM 8 Ko 4 Ko 12 MIPS	3,71	3,10	2,84	2,57
579—	PIC18F87J72TIPT	TQFP-80	LCD appareil de mesure de l'énergie 128 Ko	5,43	4,53	4,16	3,77
579—	PIC18F27J53-I/ML	QFN-28	12RAM 8 Ko 4 Ko 12MIPS	3,44	2,87	2,63	2,38
579—	PIC18F27J53-I/SP	SPDIP-28	12RAM 8 Ko 4 Ko 12MIPS	3,50	2,92	2,68	2,42

MICROCONTRÔLEURS 8 BITS FLASHFLEX51 MICROCHIP

♦ **Composant pour montage en surface**

La famille FlashFlex51 de microcontrôleurs 8 bits inclut la technologie Microchipde processus à semi-conducteurs brevetée et protégée par droits de propriété SuperFlash® CMOS. Les produits utilisent le jeu d'instructions 8051 et ils sont compatibles broche pour broche avec les composants à microcontrôleur 8051 standard. Ils sont conçus pour être programmés en système et en application sur PCB pour une flexibilité maximale.

Caractéristiques :

- Les microcontrôleurs 8 bits compatible 8051 avec mémoire SuperFlash® embarquée
- Blocage de sécurité individuel par bloc / page
- Mémoire SuperFlash® double bloc
- Petite architecture secteur : dimension de secteur 128 octets
- Modes d'économie d'énergie : Mode repos ; alimentation coupée avec activation externe
- Option de doublage de l'horloge
- Trois broches de commande à haut courant pour DEL
- Interfaces série : UART à 1 canal amélioré et SPI
- Barrette de compteurs programmables (PCA) (5 canaux)
- Horloge de surveillance (WDT)
- Détection éclairage réduit (BOD)
- Programmation en système (ISP) et programmation en application (IAP)
- Deux pointeurs de données 16 bits (2 octets) (DPTR)
- Dix sources d'interruption à quatre niveaux de priorité
- Trois horloges / compteurs 16 bits

Série RC : SuperFlash® monobloc

Pour des quantités supérieures à celles indiquées, appelez-nous pour obtenir un devis.

RÉF. STOCK MOUSER	Réf. Microchip	Boîtier	Tension de fonctionnement (V)	Vitesse d'horloge (MHz)	Dimension mémoire: Mémoire flash principale	Mémoire flash secondaire	RAM	WDT	ISP et IAP	DPTR	Verrouillage de la puce	Verrouillage page de sécurité	EMI réduit	✻ Broches d'E/S	Prix unitaire 1	10	25	100
♦ 804-89E52RC3CNJE	SST89E52RC-33-C-NJE	PLCC-44	4,5 à 5,5	33	8K	1K	512	Oui	Oui	2	Oui	Oui	Oui	32	1,80	1,50	1,34	1,25
♦ 804-89E54RC3CNJE	SST89E54RC-33-C-NJE	PLCC-44	4,5 à 5,5	33	16K	1Ko	512	Oui	Oui	2	Oui	Oui	Oui	32	1,80	1,50	1,34	1,25
♦ 804-89C58RC4INJE	SST89C58RC-40-I-NJE	PLCC-44	de 2,7 à 5,5	40	32K	2K	1K	Oui	Oui	2	Oui	Oui	Oui	32	2,77	2,51	2,31	2,18
♦ 804-89C58RC4ITQJE	SST89C58RC-40-I-TQJE	TQFP-44	de 2,7 à 5,5	40	32K	2K	1K	Oui	Oui	2	Oui	Oui	Oui	32	2,42	2,21	1,97	1,84

Série RD : SuperFlash® bloc double

Pour des quantités supérieures à celles indiquées, appelez-nous pour obtenir un devis.

RÉF. STOCK MOUSER	Réf. Microchip	Boîtier	Tension de fonctionnement (V)	Vitesse d'horloge (MHz)	Dimension mémoire: Mémoire flash principale	Mémoire flash secondaire	RAM	WDT	BOD	ISP et IAP	DPTR	Blocage matériel	Blocage logiciel de sécurité	✻ Broches d'E/S	Prix unitaire 1	10	25	100
804-89V54RD3CPIE	SST89V54RD-33-C-PIE	PDIP-40	de 2,7 à 3,6	33	16K	8K	1K	Oui	Oui	Oui	2	Oui	Oui	32+4	2,15	1,97	1,75	1,63
♦ 804-89V54RD23CNJE	SST89V54RD2-33-C-NJE	PLCC-44	de 2,7 à 3,6	33	16K	8K	1K	Oui	Oui	Oui	2	Oui	Oui	32+4	1,88	1,73	1,54	1,43
♦ 804-89E54RD2A4CNJE	SST89E54RD2A-40-C-NJE	PLCC-44	4,5 à 5,5	40	16K	8K	1K	Oui	Oui	Oui	2	Oui	Oui	32+4	2,10	1,76	1,56	1,46
♦ 804-89E54RD2A4CTQJE	SST89E54RD2A-40-C-TQJE	TQFP-44	4,5 à 5,5	40	16K	8K	1K	Oui	Oui	Oui	2	Oui	Oui	32+4	2,39	1,99	1,77	1,65
804-89V58RD3CPIE	SST89V58RD-33-C-PIE	PDIP-40	de 2,7 à 3,6	33	32K	8K	1K	Oui	Oui	Oui	2	Oui	Oui	32+4	2,15	1,97	1,75	1,63
♦ 804-89V58RD23CNJE	SST89V58RD2-33-C-NJE	PLCC-44	de 2,7 à 3,6	33	32K	8K	1K	Oui	Oui	Oui	2	Oui	Oui	32+4	1,88	1,73	1,54	1,43
♦ 804-89V58RD23CTQJE	SST89V58RD2-33-C-TQJE	TQFP-44	de 2,7 à 3,6	33	32K	8K	1K	Oui	Oui	Oui	2	Oui	Oui	32+4	2,15	1,97	1,75	1,63
♦ 804-89E58RD2A4CNJE	SST89E58RD2A-40-C-NJE	PLCC-44	4,5 à 5,5	40	32K	8K	1K	Oui	Oui	Oui	2	Oui	Oui	32+4	2,10	1,76	1,65	1,65
♦ 804-89E58RD2A4CTQJE	SST89E58RD2A-40-C-TQJE	TQFP-44	4,5 à 5,5	40	32K	8K	1K	Oui	Oui	Oui	2	Oui	Oui	32+4	2,39	1,99	1,90	1,90
♦ 804-89V516RD23CNJE	SST89V516RD2-33-C-NJE	PLCC-44	de 2,7 à 3,6	40	64Ko	8K	1K	Oui	Oui	Oui	2	Oui	Oui	32+4	2,10	1,83	1,63	1,52
804-89E516RD4CPIE	SST89E516RD-40-C-PIE	PDIP-40	4,5 à 5,5	40	64Ko	8K	1K	Oui	Oui	Oui	2	Oui	Oui	32+4	2,40	2,05	1,82	1,70
♦ 804-89E51640CNJE	SST89E516RD2-40-C-NJE	PLCC-44	4,5 à 5,5	40	64Ko	8K	1K	Oui	Oui	Oui	2	Oui	Oui	32+4	2,10	1,87	1,67	1,55
♦ 804-89E51640CTQJE	SST89E516RD2-40-C-TQJE	TQFP-44	4,5 à 5,5	40	64Ko	8K	1K	Oui	Oui	Oui	2	Oui	Oui	32+4	2,55	2,21	1,97	1,84

✻ A part les quatre points d'accès entrée / sortie 8 bits, un point d'accès supplémentaire 4 bits est fourni dans les paquets PLCC-44

MCU FLASH 16 BITS PIC24 MICROCHIP

Les microcontrôleurs PIC24 16 bits offrent un nouveau niveau de performance et une intégration plus élevée. Les fonctions qui supportent cette compatibilité entre les familles incluent les plus courantes : jeu d'instructions et architecture (Les DSC dsPIC ajoutent la capacité DSP), périphériques, brochage de sortie et ensembles d'outils : MPLAB® IDE, Compilateur C C30 et programmateur MPLAB® PM3, Real Ice, carte de développement Explorer 16.

Pour des quantités supérieures à celles indiquées, appelez-nous afin d'obtenir un devis.

RÉF. STOCK MOUSER Fabr.	Réf. fabr.	Type de boîtier	Description	Prix unitaire 1	10	25	100
16 MIPS							
579—	PIC24FJ32GA02SO	SOIC-28	32 Ko, RAM 8 Ko, 21 E/S	2,24	1,87	1,71	1,55
579—	PIC24FJ32GA002SP	SPDIP-28	32 Ko, RAM 8 Ko, 21 E/S	2,41	2,01	1,85	1,67
579—	PIC24FJ32GA004PT	TQFP-44	32 Ko, RAM 8 Ko, 35 E/S	2,50	2,09	1,91	1,73
579—	PIC24FJ64GA002SO	SOIC-28	64 Ko, RAM 8 Ko, 21 E/S	2,58	2,15	1,97	1,79
579—	PIC24FJ64GA004PT	TQFP-44	64 Ko, RAM 8 Ko, 35 E/S	2,84	2,37	2,18	1,97
579—	24FJ64GA006IPT	TQFP-64	64 Ko, RAM 8 Ko, 53 E/S	3,05	2,54	2,33	2,12
579—	24FJ64GA008IPT	TQFP-80	64 Ko, RAM 8 Ko, 69 E/S	3,36	2,81	2,57	2,33
579—	PIC24FJ64GA010	TQFP-100	64 Ko, RAM 8 Ko, 84 E/S	3,62	3,02	2,77	2,51
579—	24FJ96GA006IPT	TQFP-64	96 Ko, RAM 8 Ko, 53 E/S	3,21	2,68	2,45	2,22
579—	24FJ96GA008IPT	TQFP-80	96 Ko, RAM 8 Ko, 69 E/S	3,52	2,93	2,69	2,44
579—	PIC24FJ96GA010	TQFP-100	96 Ko, RAM 8 Ko, 84 E/S	3,78	3,15	2,89	2,62
579—	24FJ128GA006IPT	TQFP-64	128 Ko, RAM 8 Ko, 53 E/S	3,35	2,79	2,56	2,32
579—	24FJ128GA008IPT	TQFP-80	128 Ko, RAM 8 Ko, 69 E/S	3,68	3,07	2,81	2,54
579—	24FJ128GA010IPF	TQFP-100	128 Ko, RAM 8 Ko, 84 E/S	4,35	3,63	3,32	3,02
579—	PIC24256GA110IPF	TQFP-100	256 Ko, RAM 8 Ko, 85 E/S	6,38	5,32	4,88	4,42
579—	PIC24256GA110IPT	TQFP-100	256 Ko, RAM 8 Ko, 85 E/S	5,51	4,60	4,22	3,82
579—	PIC24256GB110IPF	TQFP-100	256 Ko, RAM 8 Ko, 84 E/S	6,26	5,22	4,79	4,34
579—	PIC24256GB110IPT	TQFP-100	256 Ko, RAM 8 Ko, 84 E/S	5,83	4,86	4,46	4,04
579—	PIC24FJ256A106I	QFN-64	256 Ko, RAM 24 Ko, 52 E/S	5,91	4,93	4,52	4,10
579—	PIC24FJ256D10PT	TQFP-100	256 Ko, RAM 24 Ko, 84 E/S	6,41	5,35	4,91	4,44
579—	PIC24FJ256DA110I	XBGA-121	256 Ko, RAM 24 Ko, 44 E/S	6,77	5,64	5,17	4,68
579—	PIC24FJ256DA20MR	QFN-64	256 Ko, RAM 96 Ko, 52 E/S	6,44	5,36	4,91	4,46
579—	PIC24FJ256D10IPT	TQFP-100	256 Ko, RAM 96 Ko, 84 E/S	6,94	5,78	5,30	4,80
579—	PIC24FJ256DA210G	XBGA-121	256 Ko, RAM 96 Ko, 44 E/S	7,28	6,07	5,57	5,04
40 MIPS							
579—	24HJ256GP206IPT	TQFP-64	256 Ko, RAM 16 Ko 53 E/S	5,01	4,18	3,83	3,47
579—	24HJ256GP610IPF	TQFP-100	256 Ko, RAM 16 Ko 85 E/S	6,73	5,61	5,14	4,66
579—	24HJ64GP506IPT	TQFP-64	64 Ko, RAM 8 Ko, 53 E/S	4,46	3,71	3,41	3,08
579—	PIC24128GP202IMM	QFN-S-28	128 Ko, RAM 8 Ko, 21 E/S	4,41	3,68	3,37	3,05
579—	PIC24128GP202ISO	SOIC-28	128 Ko, RAM 8 Ko, 21 E/S	4,26	3,56	3,26	2,96
579—	PIC24128GP202ISP	SPDIP-28	128 Ko, RAM 8 Ko, 21 E/S	4,43	3,70	3,39	3,08
579—	PIC24128GP204IPT	TQFP-44	128 Ko, RAM 8 Ko, 35 E/S	4,43	3,70	3,39	3,08

Pour des quantités supérieures à celles indiquées, appelez-nous afin d'obtenir un devis.

RÉF. STOCK MOUSER Fabr.	Réf. fabr.	Type de boîtier	Description	Prix unitaire 1	10	25	100
40 MIPS (Suite)							
579—	24HJ128GP206IPT	TQFP-64	128 Ko, RAM 8 Ko 35 E/S	4,49	3,74	3,44	3,11
579—	PIC24128GP502IMM	QFN-S-28	128 Ko, RAM 8 Ko, 21 E/S	4,66	3,89	3,56	3,23
579—	PIC24128GP502ISO	SOIC-28	128 Ko, RAM 8 Ko, 21 E/S	4,52	3,77	3,46	3,14
579—	PIC24128GP502ISP	SPDIP-28	128 Ko, RAM 8 Ko, 21 E/S	4,70	3,92	3,59	3,26
579—	PIC24128GP504IML	QFN-44	128 Ko, RAM 8 Ko, 35 E/S	4,96	4,13	3,79	3,44
579—	PIC24128GP504IPT	TQFP-44	128 Ko, RAM 8 Ko, 35 E/S	4,80	4,01	3,67	3,32
579—	24HJ128GP506IPT	TQFP-64	128 Ko, RAM 8 Ko, 53 E/S	4,77	3,98	3,65	3,30
579—	PIC24HJ12GP201IP	PDIP-18	12 Ko, RAM 1 Ko, 13 E/S	2,67	2,23	2,04	1,85
579—	PIC24HJ12GP201SO	SOIC-8	12 Ko, RAM 1 Ko, 13 E/S	2,58	2,15	1,97	1,79
579—	PIC24HJ12GP202SO	SOIC-28	12 Ko, RAM 1 Ko, 21 E/S	2,81	2,34	2,15	1,94
579—	PIC24J12GP202ISS	SSOP-28	12 Ko, RAM 1 Ko, 21 E/S	2,77	2,31	2,12	1,92
579—	PIC24HJ12GP202SP	SPDIP-28	12 Ko, RAM 1 Ko, 21 E/S	2,98	2,48	2,28	2,06
579—	PIC24H16GP304IML	QFN-44	16 Ko, RAM 2 Ko, 35 E/S	3,16	2,63	2,39	2,18
579—	PIC24H16GP304IPT	TQFP-44	16 Ko, RAM 2 Ko, 35 E/S	3,00	2,51	2,28	2,07
579—	PIC24H32GP204IPT	TQFP-44	32 Ko, RAM 2 Ko, 35 E/S	3,11	2,59	2,36	2,14
579—	PIC24H32GP202ISO	SOIC-28	32 Ko, RAM 2 Ko, 21 E/S	2,99	2,49	2,27	2,06
579—	PIC24H32GP202ISP	SPDIP-28	32 Ko, RAM 2 Ko, 21 E/S	3,16	2,63	2,39	2,18
579—	PIC24J32GP302IMM	QFN-28	32 Ko, RAM 4 Ko, 21 E/S	3,56	2,96	2,72	2,46
579—	PIC24H32GP302ISO	SOIC-28	32 Ko, RAM 4 Ko, 21 E/S	3,42	2,85	2,61	2,36
579—	PIC24H32GP302ISP	SPDIP-28	32 Ko, RAM 4 Ko, 21 E/S	3,59	2,99	2,75	2,48
579—	PIC24H32GP304IML	QFN-44	32 Ko, RAM 4 Ko, 35 E/S	3,66	3,05	2,78	2,52
579—	PIC24H32GP304IPT	TQFP-44	32 Ko, RAM 4 Ko, 35 E/S	3,52	2,93	2,66	2,42
579—	24HJ256GP210IPT	TQFP-100	256 Ko, RAM 16 Ko, 85 E/S	5,74	4,79	4,39	3,98
579—	24HJ256GP610IPT	TQFP-100	256 Ko, RAM 16 Ko, 85 E/S	6,30	5,25	4,81	4,36
579—	24HJ64GP206IPT	TQFP-64	64 Ko, RAM 8 Ko, 53 E/S	4,19	3,50	3,21	2,90
579—	PIC24H64GP202ISO	SOIC-28	64 Ko, RAM 8 Ko, 21 E/S	3,87	3,23	2,96	2,68
579—	PIC24H64GP202ISP	SPDIP-28	64 Ko, RAM 8 Ko, 21 E/S	4,04	3,37	3,09	2,80
579—	PIC24H64GP204IPT	TQFP-44	64 Ko, RAM 8 Ko, 35 E/S	4,07	3,40	3,11	2,82
579—	PIC24H64GP502ISO	SOIC-28	64 Ko, RAM 8 Ko, 21 E/S	4,13	3,44	3,15	2,86
579—	PIC24H64GP502ISP	SPDIP-28	64 Ko, RAM 8 Ko, 21 E/S	4,30	3,59	3,29	2,98
579—	PIC24H64GP504IPT	TQFP-44	64 Ko, RAM 8 Ko, 35 E/S	4,43	3,70	3,39	3,08

© Copyright 2012 Mouser Electronics

© Copyright 2012 Mouser Electronics

Microcontrôleurs et amplificateurs à haut gain MICROCHIP

RoHS Compliant **This product is RoHS compliant.**

MCU FLASH PIC32 32 BITS MICROCHIP

Caractéristiques :
- CAN 10 bits
- Preftech

PRODUCT NEW

Pour des quantités supérieures à celles indiquées, appelez-nous afin d'obtenir un devis.

RÉF. STOCK MOUSER		Type de boîtier	Description	Prix unitaire			
Fabr.	Réf. fabr.			1	10	25	100
579—	PIC32MX320F40IPT	TQFP-64	32 Ko, RAM 8 Ko, 40 MHz	3,83	3,20	2,93	2,66
579—	PIC32MX064H40IMR	QFN-64	64 Ko, RAM 16 Ko, 40 MHz	4,26	3,56	3,26	2,96
579—	PIC32MX064H80IMR	QFN-64	64 Ko, RAM 16 Ko, 40 MHz	4,46	3,71	3,41	3,08
579—	PIC32MX32F64H80	TQFP-64	64 Ko, RAM 16 Ko, 80 MHz	4,35	3,63	3,32	3,02
579—	32MX534F064HIMR	QFN-64	64 Ko, RAM 16 Ko, 80 MHz	4,92	4,10	3,77	3,41
579—	32MX534F064HIPT	TQFP-64	64 Ko, RAM 16 Ko, 80 MHz	4,82	4,02	3,68	3,34
579—	PIC32MX32F128H80	TQFP-64	128 Ko, RAM 16 Ko, 80 MHz	4,65	3,88	3,55	3,22
579—	PIC32MF128L80IPT	TQFP-100	128 Ko, RAM 16 Ko, 80 MHz	5,50	4,58	4,20	3,80

Pour des quantités supérieures à celles indiquées, appelez-nous afin d'obtenir un devis.

RÉF. STOCK MOUSER		Type de boîtier	Description	Prix unitaire			
Fabr.	Réf. fabr.			1	10	25	100
579—	32MX764F128LIPF	TQFP-100	128 Ko, RAM 32 Ko, 80 MHz	6,83	5,69	5,22	4,73
579—	32MX764F128LIBG	XBGA-121	128 Ko, RAM 32 Ko, 80 MHz	6,75	5,63	5,15	4,67
579—	32MX764F128LIPT	TQFP-100	128 Ko, RAM 32 Ko, 80 MHz	6,40	5,33	4,89	4,43
579—	PIC32MF256H80IPT	TQFP-64	256 Ko, RAM 32 Ko, 80 MHz	5,34	4,46	4,08	3,70
579—	PIC32MX36F256L80	TQFP-100	256 Ko, RAM 32 Ko, 80 MHz	5,93	4,94	4,53	4,10
579—	PIC32MX25680IMR	QFN-64	256 Ko, RAM 32 Ko, 80 MHz	5,78	4,82	4,41	4,00
579—	PIC32MF512L80IPT	TQFP-100	512 Ko, RAM 32 Ko, 80 MHz	6,50	5,42	4,97	4,50

CONTRÔLEURS DE SIGNAL NUMÉRIQUE 16 BITS MICROCHIP

Les contrôleurs de signal numérique dsPIC® 16 bits Microchip fournissent aux concepteurs un moyen d'évolution simple à partir des microcontrôleurs PIC® 8 bits et une option économique aux MCU 32 bits. La vaste gamme de produits inclut tous types de contrôleurs, des microcontrôleurs à consommation électrique extrêmement faible aux contrôleurs de signal numérique haute performance. Combinés au matériel et aux logiciels gratuits, ces produits 16 bits permettent de concevoir des solutions de contrôle, technologie tactile mTouch™, graphisme, connectivité, conversion de puissance numérique, technologie tactile intelligente et contrôle moteur en toute simplicité.

Large éventail :
- Broches et code compatibles entre les familles
- Familles MCU PIC24 16 à 40 MIPS et DSC dsPIC®
- Options de mémoire flexible jusqu'à 256 Ko

Périphériques innovants :
- Contrôle et interface graphiques
- PMP pour l'interface d'affichage graphique
- USB-OTG, CAN, LIN et bien plus
- Conversion de puissance numérique et contrôle moteur

Contrôle en temps réel :
- Exécution à un seul cycle
- WDT, POR, BOR et LVD intégrés
- Fast DMA

Bibliothèques de logiciels gratuits :
- Graphisme, solutions tactiles mTouch™ et langage
- USB-OTG, CAN et Ethernet
- Contrôle moteur, SMPS et Audio

Pour des quantités supérieures à celles indiquées, appelez-nous afin d'obtenir un devis.

RÉF. STOCK MOUSER		Type de boîtier	Description	Prix unitaire			
Fabr.	Réf. fabr.			1	10	25	100
30 MIPS							
579—	DSPIC30F101030I	SPDIP-28	6 Ko, RAM 256 octets, 21 E/S	3,68	3,07	2,78	2,54
579—	DSPIC30F201130IP	DIP-18	12 Ko, RAM 1 Ko 12 E/S	2,86	2,39	2,17	1,97
579—	DS30F201230ISO	SOIC-28	12 Ko, RAM 1 Ko 12 E/S	2,90	2,42	2,19	2,00
579—	DSPIC30202030ISO	SOIC-28	12 Ko, RAM 512 octets 21 E/S	4,51	3,76	3,41	3,11
579—	DSPIC30202030ISP	SPDIP-28	12 Ko, RAM 512 octets 21 E/S	4,68	3,90	3,54	3,22
579—	DSPF301030ISO	SOIC-28	24 Ko, RAM 1 Ko, 30 MHz	3,76	3,14	2,85	2,59
579—	DSPF301230IP	DIP-18	24 Ko, RAM 2 Ko, 30 MHz	3,42	2,85	2,59	2,36
579—	DSPF301330ISP	SPDIP-28	24 Ko, RAM 2 Ko, 30 MHz	3,61	3,01	2,74	2,49
579—	30F4011-30I/P	DIP-40	48 Ko, RAM 2 Ko, 30 MHz	5,13	4,28	3,88	3,53
579—	30F4011-30I/PT	TQFP-44	48 Ko, RAM 1 Ko, 30 MHz	5,00	4,17	3,79	3,44
579—	30F4012-30I/SP	SPDIP-28	48 Ko, RAM 2 Ko, 30 MHz	4,79	3,99	3,62	3,30
579—	DSPF401330IP	DIP-40	48 Ko, RAM 2 Ko, 40 MHz	5,00	4,16	3,78	3,44
579—	DSPF401330IPT	TQFP-44	48 Ko, RAM 1 Ko, 40 MHz	4,87	4,06	3,69	3,35
579—	DS30F501530IPT	TQFP-64	66 Ko, RAM 2 Ko, 30 MHz	6,32	5,27	4,79	4,36
579—	DS306010A30IPT	TQFP-80	144 Ko, RAM 8 Ko, 30 MHz	9,17	7,64	6,95	6,32
579—	DS30F6011A30IPT	TQFP-64	132 Ko, RAM 6 Ko, 30 MHz	8,58	7,16	6,50	5,91
579—	DS30F6012A30IPT	TQFP-64	144 Ko, RAM 8 Ko, 30 MHz	8,66	7,22	6,56	5,96
579—	DS30F6014A30IPT	TQFP-80	144 Ko, RAM 8 Ko, 68 E/S	9,02	7,52	6,83	6,21
40 MIPS							
579—	DSPICFJ12GP201IP	PDIP-18	12 Ko, RAM 1 Ko, 13 E/S	2,67	2,23	2,04	1,85
579—	DSPICJ12GP201ISO	SOIC-18	12 Ko, RAM 1 Ko, 13 E/S	2,58	2,15	1,97	1,79
579—	DSPICFJ12MC201IP	PDIP-20	1RAM 2 Ko 1 Ko, 13 E/S	3,02	2,51	2,30	2,09
579—	DSPICJ12MC201ISO	SOIC-20	1RAM 2 Ko 1 Ko, 13 E/S	2,84	2,37	2,18	1,97
579—	DSPICJ12MC202ISO	SOIC-28	12 Ko, RAM 1 Ko, 21 E/S	2,90	2,42	2,21	2,00
579—	DSPICJ32GP204IPT	TQFP-44	32 Ko, RAM 2 Ko, 35 E/S	3,29	2,75	2,52	2,28
579—	DSPIC332GP302ISO	SOIC-28	32 Ko, RAM 4 Ko, 21 E/S	3,42	2,85	2,61	2,36
579—	DSPIC332GP302ISP	SPDIP-28	32 Ko, RAM 4 Ko, 21 E/S	3,59	2,99	2,75	2,48
579—	DSPIC332GP304IPT	TQFP-44	32 Ko, RAM 4 Ko, 35 E/S	3,72	3,11	2,85	2,58
579—	DSPICJ32MC204IML	QFN-44	32 Ko, RAM 2 Ko, 35 E/S	3,52	2,93	2,69	2,44
579—	DSPICJ32MC204IPT	TQFP-44	32 Ko, RAM 2 Ko, 35 E/S	3,42	2,85	2,61	2,36
579—	DSPIC332MC302ISO	SOIC-28	32 Ko, RAM 4 Ko, 21 E/S	3,56	2,96	2,72	2,46
579—	DSPIC332MC302ISP	SPDIP-28	32 Ko, RAM 4 Ko, 21 E/S	3,72	3,11	2,85	2,58
579—	DSPIC332MC304IPT	TQFP-44	32 Ko, RAM 4 Ko, 35 E/S	3,87	3,23	2,96	2,68
579—	DSPIC128GP202ISP	SPDIP-28	128 Ko, RAM 8 Ko, 21 E/S	4,43	3,70	3,39	3,08
579—	DSPIC128GP204IPT	TQFP-44	128 Ko, RAM 8 Ko, 35 E/S	4,43	3,70	3,39	3,08
579—	DS33FJ128GP206IP	TQFP-64	128 Ko, RAM 8 Ko, 53 E/S	4,49	3,74	3,44	3,11
579—	DS33FJ128GP306IP	TQFP-64	128 Ko, RAM 16 Ko, 53 E/S	4,70	3,92	3,59	3,26
579—	33FJ128GP706IPT	TQFP-64	128 Ko, RAM 16 Ko, 85 E/S	5,45	4,54	4,16	3,77
579—	DS33FJ128GP708PT	TQFP-80	128 Ko, RAM 16 Ko, 69 E/S	5,81	4,85	4,44	4,02
579—	DS33FJ128GP710PT	TQFP-100	128 Ko, RAM 16 Ko, 85 E/S	6,02	5,02	4,60	4,16
579—	DSPIC128GP802ISO	SOIC-28	128 Ko, RAM 16 Ko, 21 E/S	4,61	3,85	3,53	3,20

Pour des quantités supérieures à celles indiquées, appelez-nous afin d'obtenir un devis.

RÉF. STOCK MOUSER		Type de boîtier	Description	Prix unitaire			
Fabr.	Réf. fabr.			1	10	25	100
40 MIPS (Suite)							
579—	DSPIC128GP802ISP	SPDIP-28	128 Ko, RAM 16 Ko, 21 E/S	4,79	3,99	3,66	3,32
579—	DSPIC128GP804IML	QFN-44	128 Ko, RAM 16 Ko, 35 E/S	5,01	4,18	3,83	3,47
579—	DSPIC128GP804IPT	TQFP-44	128 Ko, RAM 16 Ko, 35 E/S	4,91	4,09	3,75	3,40
579—	DSPIC128MC204IPT	TQFP-44	128 Ko, RAM 8 Ko, 35 E/S	4,56	3,80	3,49	3,16
579—	DS33FJ128MC506PT	TQFP-64	128 Ko, RAM 8 Ko, 53 E/S	5,09	4,24	3,89	3,52
579—	33FJ128MC706IPT	TQFP-64	128 Ko, RAM 16 Ko, 85 E/S	5,57	4,64	4,25	3,86
579—	DS33FJ128MC708PT	TQFP-80	128 Ko, RAM 16 Ko, 69 E/S	6,19	5,16	4,73	4,28
579—	DS33FJ128MC710PT	TQFP-100	128 Ko, RAM 16 Ko, 85 E/S	6,41	5,35	4,91	4,44
579—	DSPIC128MC802IMM	QFN-S-28	128 Ko, RAM 16 Ko, 21 E/S	4,84	4,04	3,70	3,35
579—	DSPIC128MC802ISO	SOIC-28	128 Ko, RAM 16 Ko, 21 E/S	4,73	3,95	3,62	3,28
579—	DSPIC128MC802ISP	SPDIP-28	128 Ko, RAM 16 Ko, 21 E/S	4,91	4,09	3,75	3,40
579—	DSPIC128MC804IML	QFN-44	128 Ko, RAM 16 Ko, 35 E/S	5,34	4,46	4,08	3,70
579—	DSPIC128MC804IPT	TQFP-44	128 Ko, RAM 16 Ko, 35 E/S	5,24	4,37	4,01	3,62
579—	DS33FJ256GP506PT	TQFP-64	256 Ko, RAM 16 Ko, 53 E/S	5,20	4,34	3,98	3,60
579—	DS33FJ256GP710PT	TQFP-100	256 Ko, RAM 16 Ko, 85 E/S	6,59	5,49	5,03	4,56
579—	DS33FJ256MC710PF	TQFP-100	256 Ko, RAM 30 Ko, 85 E/S	7,46	6,22	5,70	5,16
579—	DS33FJ256MC710PT	TQFP-100	256 Ko, RAM 30 Ko, 85 E/S	7,03	5,86	5,37	4,86
579—	DSPIC334GP202IMM	QFN-28	64 Ko, RAM 8 Ko, 21 E/S	3,97	3,31	3,04	2,75
579—	DSPIC364GP202ISO	SOIC-28	64 Ko, RAM 8 Ko, 21 E/S	3,87	3,23	2,96	2,68
579—	DSPIC364GP202ISP	SPDIP-28	64 Ko, RAM 8 Ko, 21 E/S	4,04	3,37	3,09	2,80
579—	DS33FJ64GP206IPT	TQFP-64	64 Ko, RAM 8 Ko, 53 E/S	4,19	3,50	3,21	2,90
579—	DS33FJ64GP306IPT	TQFP-64	64 Ko, RAM 16 Ko, 53 E/S	4,37	3,65	3,34	3,02
579—	DS33FJ64GP706IPT	TQFP-64	64 Ko, RAM 16 Ko, 53 E/S	5,13	4,28	3,92	3,56
579—	DSPIC364GP802ISO	SOIC-28	64 Ko, RAM 16 Ko, 21 E/S	4,23	3,53	3,23	2,93
579—	DSPIC364GP802ISP	SPDIP-28	64 Ko, RAM 16 Ko, 21 E/S	4,41	3,68	3,37	3,05
579—	DSPIC364GP804IML	QFN-44	64 Ko, RAM 16 Ko, 35 E/S	4,64	3,86	3,54	3,20
579—	DSPIC364GP804IPT	TQFP-44	64 Ko, RAM 16 Ko, 35 E/S	4,52	3,77	3,46	3,14
579—	DSPIC364MC202ISP	SPDIP-28	64 Ko, RAM 8 Ko, 21 E/S	4,25	3,54	3,25	2,94
579—	DSPIC364MC204IPT	TQFP-44	64 Ko, RAM 8 Ko, 35 E/S	4,19	3,50	3,21	2,90
579—	DS33FJ64MC506IPT	TQFP-64	64 Ko, RAM 8 Ko, 53 E/S	4,75	3,96	3,63	3,29
579—	33FJ64GS406-E/PT	TQFP-64	64 Ko, RAM 4 Ko, 58 E/S	4,59	3,83	3,47	3,16
579—	33FJ64GS406-E/MR	QFN-64	64 Ko, RAM 4 Ko, 58 E/S	4,68	3,90	3,55	3,23
579—	33FJ64GS606-E/MR	QFN-64	64 Ko, RAM 4 Ko, 58 E/S	5,31	4,43	4,02	3,66
579—	33FJ64GS608-E/PT	TQFP-80	64 Ko, RAM 4 Ko, 74 E/S	5,91	4,93	4,52	4,10
579—	33FJ64GS610-E/PT	TQFP-100	64 Ko, RAM 4 Ko, 85 E/S	6,66	5,55	5,09	4,61
579—	33FJ64GS610-E/PF	TQFP-100	64 Ko, RAM 4 Ko, 85 E/S	7,09	5,91	5,42	4,91
579—	33FJ64GS606-E/PT	TQFP-64	64 Ko, RAM 4 Ko, 58 E/S	5,22	4,35	3,95	3,59
579—	DSPIC364MC802ISO	SOIC-28	64 Ko, RAM 16 Ko, 21 E/S	4,34	3,62	3,32	3,00
579—	DSPIC364MC802ISP	SPDIP-28	64 Ko, RAM 16 Ko, 21 E/S	4,51	3,76	3,44	3,12
579—	DSPIC364MC804IML	QFN-44	64 Ko, RAM 16 Ko, 35 E/S	4,92	4,10	3,77	3,41
579—	DSPIC364MC804IPT	TQFP-44	64 Ko, RAM 16 Ko, 35 E/S	4,82	4,02	3,68	3,34

AMPLIFICATEURS À GAIN ÉLEVÉ ET HAUTE PUISSANCE MICROCHIP

Les amplificateurs de puissance de Microchipsont basés sur la technologie évoluée de haute fiabilité InGaP /AsGaHBT. Ces amplificateurs de puissance peuvent être configurés facilement pour des applications à haute puissance et haute efficience avec une excellente efficience de puissance ajoutée pour la plage de fréquence de 2,4~2,5 GHz. Ils sont idéaux pour l'amplification de puissance en étape finale dans les applications émetteurs WLAN 802.11g/b alimentées par pile.

Caractéristiques :
- Haute puissance de sortie linéaire
- Haute efficience en puissance ajoutée
- Courant de fonctionnement faible
- Contrôle alimentation/coupure de courant I_{REF} ultra faible incorporé
- Courant de repos faible
- Alimentation/coupure de courant à haute vitesse
- Haute stabilité de la température
- Courant d'arrêt faible
- Détection de puissance sur puce
- Détection de puissance sur puce plage dynamique de 25 dB
- Appariement entrée-sortie simple

Applications :
- WLAN (IEEE 802.11g/b)
- RF domestique
- Téléphones sans fil
- Équipement sans fil ISM 2,4 GHz

♦ **Composant pour montage en surface**

Pour des quantités supérieures à celles indiquées, appelez-nous afin d'obtenir un devis.

	RÉF. STOCK MOUSER	Réf. Microchip	Boîtier	Gain (dB)	Puissance de sortie linéaire (Max.) (dBm)	Plage de température (°C)	Courant d'alimentation (Typ. Max.) (mA)	Tension d'alimentation (V)	Prix unitaire			
									1	10	25	100
♦	804-SST12LP07A-QXBE	SST12LP07A-QXBE	XQFN-12	28	28	de -40 à +85	220/-	-0,3 à +4,0	0,52	0,435	0,368	0,315
♦	804-SST12LP07E-QX8E	SST12LP07E-QX8E	XSON-8	30	28	de -40 à +85	225/-	-0,3 à +5,0	0,50	0,458	0,42	0,398
♦	804-SST12LP08-QXBE	SST12LP08-QXBE	XQFN-12	30	28	de -40 à +85	200 / -	-0,3 à +4,0	0,48	0,405	0,338	0,293
♦	804-SST12LP14CQVCE	SST12LP14C-QVCE	VQFN-16	30	20	de -40 à +85	-/340	-0,3 à +4,6	0,56	0,473	0,39	0,345
♦	804-12LP15A-QVCE	SST12LP15A-QVCE	VQFN-16	33	23	de -40 à +85	350/-	-0,3 à +4,6	1,16	1,11	1,09	0,914

© Copyright 2012 Mouser Electronics
© Copyright 2012 Mouser Electronics

Cartes de démonstration et produits de développement MICROCHIP

REAL ICE MICROCHIP ET PACK PERFORMANCE

RÉF. STOCK MOUSER	Réf. fabr.	Description	Prix unitaire
Accessoires MPLAB ICE 2000 / 4000			
579-AC244002	AC244002	Paquet de performance REAL ICE	119,99
579-DV244005	DV244005	Kit de sondes de base REAL ICE	374,99
Module enfichable			
579-MA160014	MA160014	Pour PIC18LF45K22	18,75
579-MA180027	MA180027	Pour PIC18F87K90	18,75
579-MA180028	MA180028	Pour PIC18F87K22	18,75
579-MA180031	MA180031	Pour PIC18F46K80	18,75
579-MA180032	MA180032	Pour PIC18F66K80	18,75
579-MA320001	MA320001	Module enfichable PIC32MX 100P QFP vers 100P	18,75
Modules de sockets			
579-AC164126	AC164126	Carte fille prototype PICtail Plus	15,00
579-AC164301	AC164301	DIP 18L/28L/40L pour MPLAB PM3	142,49
579-AC164307	AC164307	28L SSOP pour MPLAB PM3	142,49
579-AC164345	AC164345	28L QFN 4x4mm pour MPLAB PM3	142,49
579-AC164350	AC164350	Adaptateur PROMATE II vers MPLAB PM3	97,49
Interfaces d'embase			
579-AC162050	AC162050	(8 PDIP) pour PIC12F629/675 ICD 2	18,75
579-AC162051	AC162051	(28/40 PDIP) pour débogueurs ICD et ICD 2	14,99
579-AC162053	AC162053	MPLAB ICD 2 pour PIC16F627A, 628A, 648A (18PDIP)	26,25
579-AC162055	AC162055	MPLAB ICD 2 pour PIC16F684 (14 PDIP)	18,75
579-AC162056	AC162056	MPLAB ICD 2 pour PIC16F688 (14 PDIP)	18,75
Adaptateurs de dispositifs, fiches pour les adaptateurs et kits			
579-AC164114	AC164114	Adaptateur de programme PIC18F1xK50	22,49

KIT DE DÉMARRAGE PIC32

Installation d'un seul CD contenant :

- MPLAB® IDE
- MPLAB C32 Édition étudiant
- Tutoriel de démarrage
- Exemples de projets
- Documentation complète
- Piles TCP/IP et FAT 16
- 37 exemples de codes

Carte alimentée par USB :

- Pas d'alimentation ou de sonde nécessaire
- Complètement extensible

RÉF. STOCK MOUSER	Réf. fabr.	Description	Prix unitaire
579-DM320001	DM320001	Kit de démarrage PIC32	37,49

CARTE D'EXTENSION MULTIMÉDIA

RÉF. STOCK MOUSER	Réf. fabr.	Description	Prix unitaire
579-DM320005	DM320005	Carte d'extension pour kit de démarrage PIC32MX	187,49

KITS DE DÉMARRAGE ET CARTES DÉMO PICKIT™

Remarque importante : le logiciel du kit de démarrage PICkit(tm) 1 FLASH ne fonctionne pas sous Windows 98 1ère édition.
NE PAS INSTALLER CE LOGICIEL SOUS WINDOWS 98 1ÈRE ÉDITION

RÉF. STOCK MOUSER	Réf. fabr.	Description	Prix unitaire
579-DV164101	DV164101	Kit de démarrage Flash PICkit 1 8/14P	27,00
579-DV164122	DV164122	Analyseur sériel PICkit (avec carte démo 28 broches)	37,49
579-DM164120-1	DM164120-1	Carte démo nombre de broches réduit PICkit	19,49
579-DM164120-2	DM164120-2	Carte démo à 44 broches PICkit 2	19,49
579-DV164120	DV164120	Kit de démarrage PICkit 2	37,49
579-DV164121	DV164121	PICkit 2 Débogage Express	37,49
579-PG164120	PG164120	Programmateur microcontrôleur PICkit 2	26,24
579-DV164131	DV164131	PICkit 3 Débogage Express	52,49

CARTE DÉMO PICTAIL™

RÉF. STOCK MOUSER	Réf. fabr.	Description	Prix unitaire
579-AC163027-4	AC163027-4	Carte fille PICDEM Z 2,4 GHz (solution MCHP)	29,99
579-AC164121	AC164121	Carte fille Ethernet PICtail	29,99
579-AC164122	AC164122	Carte fille PICtail pour cartes SD & MMC	28,49
579-AC164123	AC164123	Carte fille Ethernet PICtail Plus	29,99
579-AC164124	AC164124	Carte fille IrDA PICtail Plus	18,75
579-AC164125	AC164125	PICtail lecture langage	33,75
579-AC164126	AC164126	Carte fille prototype PICtail Plus	15,00
579-AC164127	AC164127	Carte fille Graphics PICtail Plus	101,25
579-AC164130-2	AC164130-2	Carte fille CAN/LIN PICtail Plus	33,75
579-DM1641303	DM164130-3	Carte démo PICkit 28 broches LIN	30,00

KITS DE DÉMONSTRATION PICMICRO

RÉF. STOCK MOUSER	Réf. fabr.	Description	Prix unitaire
579-DM163014	DM163014	Carte démo PICDEM 4 pour PIC12F629, 675, PIC16F630, 676, 684, 627A, 628A, 648A, 818, 819, 87, 88, 1220, 1320	97,49
579-DM163022	DM163022	Carte démo PICDEM 2 Plus PIC16C62, 63, 64, 65, 66, 67, 72, 73, 74, 76, 77, 87X, 773, 774, 18CXX2, 662, 642, 18FXXX avec interface ICD	74,99
579-DM163029	DM163029	Mécatronique PICDEM	112,49
579-DM163035	DM163035	Kit de développement PICDEM Lab	93,74
579-DV164039	DV164039	Kit de développement PIC24FJ256DA210	299,99
579-DM164124	DM164124	Carte démo K20	74,85
579-DM240001	DM240001	Kit PICDEM PIC24/dsPIC33 Explorer 16	97,49
579-DM240312	DM240312	Carte de développement PIC24FJ256DA210	67,49
579-DM303007	DM303007	Kit de développement KEELOQ 3	119,99
Connectivité			
579-DV250501	DV250501	Kit du développeur MCP250XX CAN	123,75
579-DM163011	DM163011	PICDEM CAN-LIN 2 pour PIC18FXX8	149,99

CARTES DE DÉMONSTRATION DSPIC DSC 16 BITS

RÉF. STOCK MOUSER	Réf. fabr.	Description	Prix unitaire
579-DM300018	DM300018	Carte démo dsPICDEM 2	74,99
579-DM300019	DM300019	Carte démo de démarrage dsPICDEM 80L	59,99
579-DM300023	DM300023	Carte démo dsPICDEM SMPS Buck	112,49
579-DM300027	DM300027	Carte démo de démarrage 16 bits 28 boches	59,99
579-DM330013	DM330013	Outil de développement dsPIC33F et PIC24H Microstick	18,74

KITS DÉMO ET EVKITS POUR PICMICRO

RÉF. STOCK MOUSER	Réf. fabr.	Description	Prix unitaire
579-MA180029	MA180029	Carte démo USB pleine vitesse PIC18F47J53	33,75
579-DV164006	DV164006	Kit d'évaluation 2 débogueur sur circuit MPLAB	202,49
579-DV164033	DV164033	MPLAB ICD 2 avec carte de dév. Explorer 16	254,99
579-DV164005	DV164005	Module débogueur 2 sur circuit MPLAB	149,99
579-DV164035	DV164035	Module débogueur 3 sur circuit MPLAB	142,49
579-DV164007	DV164007	Module MPLAB ICD 2 ws (inclut Module ICD 2, câble USB et RS232, alimentation)	172,49
579-DV007004	DV007004	Kit de développement/programmateur production avec composants ICSP intégrés. Programme les composants PICmicro et dsPIC30F.	671,25

OUTILS DE DÉVELOPPEMENT

RÉF. STOCK MOUSER	Réf. fabr.	Description	Prix unitaire
579-MCP9800DM-PCTL	MCP9800DM-PCTL	Carte démo PICtail à détection thermique	18,75
579-MCP9800DM-DL	MCP9800DM-DL	Carte démo journal de données de température	26,25
579-TC1047ADM-PICTL	TC1047ADM-PICTL	Température vers tension	7,50
579-MCP3221DM-PCTL	MCP3221DM-PCTL	Carte de démonstration PICtail™	18,75
579-MCP3551DM-PCTL	MCP3551DM-PCTL	Carte démo Delta Sigma ADC	30,00
579-MCP402XEV	MCP402XEV	Carte d'éval. Pot. numérique non volatile	11,25
579-MXSIGDM	MXSIGDM	Carte démo PICtail à signal mixte	48,75
579-MCP2515DM-PCTL	MCP2515DM-PCTL	Carte démo PICtail contrôleur CAN	30,00
579-MCP215XDM	MCP215XDM	Carte de démonstration journal de données	45,00
579-MCP212XEV-DB	MCP212XEV-DB	Carte fille du développeur	26,25
579-MCP23X17EV	MCP23X17EV	Carte d'évaluation	30,00
579-SOIC8EV	SOIC8EV	Carte 8-Pin SOIC/MSOP/TSSOP/DIP E	7,50
579-VSUPEV	VSUPEV	Carte d'évaluation superviseur de tension	3,75

CONCEPTION DE CONTRÔLE DES MOTEURS

RÉF. STOCK MOUSER	Réf. fabr.	Description	Prix unitaire
579-DV330021	DV330021	Kit de dév. dsPICDEM MCSM	202,49
579-DM330022	DM330022	Carte de dév. dsPICDEM MCSM	97,49
579-DM330023	DM330023	Module d'alimentation dsPICDEM MCHV	487,50

CARTES D'ÉVALUATION

RÉF. STOCK MOUSER	Réf. fabr.	Description	Prix unitaire
579-MCP1640EV-SBC	MCP1640EV-SBC	Carte d'éval. convertisseur Boost synchrone MCP1640	14,99
579-MCP1726EV	MCP1726EV	Carte d'évaluation MCP1726 1A LDO	22,50
579-MCP651EV-VOS	MCP651EV-VOS	Carte d'évaluation de décalage d'entrée MCP651	22,50
579-MCP73113EV-1SOVP	MCP73113EV-1SOVP	Carte d'évaluation simple MCP73113	14,99
579-MCP73213EV-2SOVP	MCP73213EV-2SOVP	Carte d'évaluation double MCP73213	14,99
579-MCP73831EV	MCP73831EV	Carte d'évaluation MCP73821	33,75
579-MCP73833EV	MCP73833EV	Carte d'évaluation MCP73833	15,00
579-MCP7386XEV	MCP7386XEV	Carte d'évaluation chargeur de batterie MCP7386X Li-Ion	22,50
579-TC1016/17EV	TC1016/17EV	Carte d'évaluation régulateur linéaire TC1016/17 LDO	33,75

OUTILS DE DÉVELOPPEMENT ANALOGIQUES

RÉF. STOCK MOUSER	Réf. fabr.	Description	Prix unitaire
579-MCP1630DM-LED2	MCP1630DM-LED2	Carte de démonstration pilote DEL mode amplifié MCP1630	22,50
579-MCP2150DM	MCP2150DM	Carte de développement MCP2150	33,75
579-MCP2200EVVCP	MCP2200EV-VCP	Carte de développement/éval. MCP2200	17,99
579-MCP6S2XEV	MCP6S2XEV	Carte d'évaluation MCP6S2X PGA	22,50
579-TMPSNSRD-TCPL1	TMPSNSRD-TCPL1	Conception de référence thermocouple PCP3421	26,25

KITS DE DÉMARRAGE

RÉF. STOCK MOUSER	Réf. fabr.	Description	Prix unitaire
579-DV243003	DV243003	Kit de démarrage mémoire	59,99
579-DM240011	DM240011	Kit de démarrage PIC24F	44,99

© Copyright 2012 Mouser Electronics

© Copyright 2012 Mouser Electronics

MCU / MPU NXP SEMICONDUCTOR

RoHS Compliant **This product is RoHS compliant.**

ARM 7 SÉRIE LPC2000

Pour des quantités supérieures à celles indiquées, appelez-nous afin d'obtenir un devis.

RÉF. STOCK MOUSER	RÉF. NXP	Type de boîtier	RAM (octets)	Minuteurs	MLI	Interface série	CAN	Broches d'E/S	Prix unitaire 1	25	100
Flash 8 KO											
771-LPC2101FBD48-S	LPC2101FBD48-S	LQFP-48	2Ko	4x32/2x16	-	2xUART ; 2xI²C ; 2xSPI	8-Ch 10-bit	32	3,13	2,52	2,10
Flash 16 KO											
771-LPC2102FBD48-S	LPC2102FBD48-S	LQFP-48	4Ko	4x32/2x16	-	2xUART ; 2xI²C ; 2xSPI	8-Ch 10-bit	32	4,52	3,63	3,31
Flash 32 Ko											
771-LPC2103FBD48-S	LPC2103FBD48-S	LQFP-48	8Ko	4x32/2x16	-	2xUART ; 2xI²C ; 2xSPI	8-Ch 10-bit	32	4,67	3,77	3,13
771-LPC2103FHN48H6	LPC2103FHN48H/6,51	HVQFN-48	8Ko	4x32/2x16	-	2xUART, 2xI²C, 2xSPI	8-Ch 10-bit	32	7,86	6,08	5,11
771-LPC2131FBD64/01S	LPC2131FBD64/01-S	LQFP-64	8Ko	4x32	6-Ch	2xUART ; 2xI²C ; 2xSPI	8-Ch 10-bit	47	6,32	5,06	4,14
771-LPC2141FBD64-S	LPC2141FBD64-S	LQFP-64	8Ko	4x32	6-Ch	USB 2.0 ; 2xUART ; 2xI²C ; 2xSPI	6-Ch 10-bit	45	7,01	5,61	4,59
Flash 64 KO											
771-LPC2132FBD64/01S	LPC2132FBD64/01-S	LQFP-64	16K	4x32	6-Ch	2xUART ; 2xI²C ; 2xSPI	8-Ch 10-bit	47	7,48	5,99	4,90
771-LPC2132FHN640155	LPC2132FHN64/01,55	HVQFN-64	16Ko	4x32	6-Ch	2xUART ; 2xI²C ; 2xSPI	8-Ch 10-bit	47	8,84	7,25	6,54
Flash 128 Ko											
771-LPC2104FBD48/01S	LPC2104FBD48/01-S	LQFP-48	16Ko	4x32	6-Ch	128K FL/16K RAM/2 UART/I2C/SPI	---	32	10,11	8,28	7,47
771-LPC2114FBD64/01S	LPC2114FBD64/01-S	LQFP-64	16K	4x32	6-Ch	2xUART ; I²C ; 2xSPI	4-Ch 10-bit	46	10,72	8,78	7,93
771-LPC2119FBD64/01S	LPC2119FBD64/01-S	LQFP-64	16K	4x32	6-Ch	2xUART ; I²C ; 2xSPI ; 2xCAN	4-Ch 10-bit	46	10,72	9,01	8,28
771-LPC2134FBD64/01S	LPC2134FBD64/01-S	LQFP-64	16K	4x32	6-Ch	2xUART ; 2xI²C ; 2xSPI	16-Ch 10-bit	47	10,26	8,41	7,59
771-LPC2144FBD64-S	LPC2144FBD64-S	LQFP-64	16K	4x32	6-Ch	USB 2.0 ; 2xUART ; 2xI²C ; 2xSPI	14-Ch 10-bit	45	7,24	6,49	5,95
771-LPC2364FBD100-S	LPC2364FBD100-S	LQFP-100	34K	6x32	6-Ch	USB 2.0 ; ENET 2xCAN ; I²S ; 4xUART 3xI²C ; 3xSPI	6-Ch 10-bit	70	7,87	6,31	5,16
771-LPC2364FET100-T	LPC2364FET100,518	TFBGA-100	34K	6x32	6-Ch	USB 2.0 ; ENET 2xCAN ; I²S ; 4xUART 3xI²C ; 3xSPI	6-Ch 10-bit	70	6,97	6,79	6,09
771-LPC2106FBD48/01S	LPC2106FBD48/01-S	LQFP-48	64Ko	4x32	6-Ch	128K FL/64K RAM/2 UART/I2C/SPI	---	32	10,02	8,98	8,25
Flash 256 Ko											
771-LPC2124FBD64/01S	LPC2124FBD64/01-S	LQFP-64	16K	4x32	6-Ch	2xUART ; I²C ; 2xSPI	4-Ch 10-bit	46	10,72	9,01	8,28
771-LPC2129FBD64/01S	LPC2129FBD64/01-S	LQFP-64	16K	4x32	6-Ch	2xUART ; I²C ; 2xSPI ; 2xCAN	4-Ch 10-bit	46	9,18	8,23	7,56
771-LPC2194HBD64/01S	LPC2194HBD64/01-S	LQFP-64	16K	4x32	6-Ch	2xUART ; I²C ; 2xSPI ; 4xCAN	4-Ch 10-bit	46	14,06	11,82	10,86
771-LPC2214FBD14401S	LPC2214FBD144/01-S	LQFP-144	16K	4x32	6-Ch	2xUART ; I²C ; 2xSPI	8-Ch 10-bit	112	9,93	8,90	8,17
771-LPC2136FBD64/01S	LPC2136FBD64/01-S	LQFP-64	32K	4x32	6-Ch	2xUART ; 2xI²C ; 2xSPI	16-Ch 10-bit	47	8,07	7,23	6,63
771-LPC2146FBD64-S	LPC2146FBD64-S	LQFP-64	32K	4x32	6-Ch	USB 2.0 ; 2xUART ; 2xI²C ; 2xSPI	14-Ch 10-bit	45	8,63	7,74	7,11
771-LPC2366FBD100-S	LPC2366FBD100-S	LQFP-100	58K	6x32	6-Ch	USB 2.0 ; ENET ; 2xCAN ; I²S ; 4xUART ; 3xI²C ; 3xSPI	6-Ch 10-bit	70	9,38	7,51	6,14
Flash 512 Ko											
771-LPC2138FBD64/01S	LPC2138FBD64/01-S	LQFP-64	32K	4x32	6-Ch	2xUART ; 2xI²C ; 2xSPI	16-Ch 10-bit	47	8,98	8,05	7,39
771-LPC2148FBD64-S	LPC2148FBD64-S	LQFP-64	32K	4x32	6-Ch	USB 2.0 ; 2xUART ; 2xI²C ; 2xSPI	14-Ch 10-bit	45	9,62	8,63	7,93
771-LPC2368FBD100-S	LPC2368FBD100-S	LQFP-100	58K	6x32	6-Ch	USB 2.0 ; ENET ; 2xCAN ; I²S ; 4xUART ; 3xI²C ; 3xSPI	6-Ch 10-bit	70	7,87	7,06	6,49
771-LPC2368FET100518	LPC2368FET100,518	TFBGA-100	58K	6x32	6-Ch	USB 2.0 ; ENET ; 2xCAN ; I²S ; 4xUART ; 3xI²C ; 3xSPI	6-Ch 10-bit	70	8,57	7,54	6,86
771-LPC2378FBD144-S	LPC2378FBD144-S	LQFP-144	58K	6x32	6-Ch	USB 2.0 ; ENET ; 2xCAN ; I²S ; 4xUART ; 3xI²C ; 3xSPI	8-Ch 10-bit	104	9,03	8,09	7,43
771-LPC2387FBD100-S	LPC2387FBD100,551	LQFP-100	64Ko	4x32	6-Ch	USB 2.0, ENET, 2xCAN, I²S, 4xUART, 3xI²C, SPI	6-Ch 10-bit	70	8,75	7,85	7,20
771-LPC2388FBD144-S	LPC2388FBD144,551	LQFP-144	64Ko	4x32	6-Ch	USB 2.0, ENET, 2xCAN, 3xI²S, 4xUART, 3xI²C, SPI	8-Ch 10-bit	104	10,01	8,97	8,24
771-LPC2468FBD208-S	LPC2468FBD208-S	LQFP-208	98K	6x32	2x6-Ch	USB 2.0 ; ENET ; 2xCAN ; I²S ; 4xUART ; 3xI²C ; 3xSPI	8-Ch 10-bit	160	12,17	10,91	10,02
771-LPC2468FET208-S	LPC2468FET208-S	TFBGA-208	98K	6x32	2x6-Ch	USB 2.0 ; ENET ; 2xCAN ; I²S ; 4xUART ; 3xI²C ; 3xSPI	8-Ch 10-bit	160	12,17	10,91	10,02
Contrôleur LCD											
771-LPC2470FBD208-S	LPC2470FBD208-S	LQFP-208	98K	4x32	2x6-Ch	LCD CONT/ETHNET/HÔTE USB/OTG	8-Ch 10-bit	160	10,50	8,83	8,11
771-LPC2478FBD208-S	LPC2478FBD208-S	LQFP-208	98K	4x32	2x6-Ch	LCD CONT/ETHNET/USB/512K FL	8-Ch 10-bit	160	12,82	11,49	10,55
771-LPC2478FET208-S	LPC2478FET208-S	TFBGA-208	98K	4x32	2x6-Ch	LCD CONT/ETHNET/USB/512K FL	8-Ch 10-bit	160	11,49	10,57	10,39

ARM 7 SÉRIE LH7 (SYSTÈME SUR PUCE), UNIQUEMENT RAM

Pour des quantités supérieures à celles indiquées, appelez-nous afin d'obtenir un devis.

771-79525N0Q100A1557	LH79525N0Q100A1 ; 55	LQFP-176	16K	3x16	-	USB Host, 3xUART, I2C, SPI	10-Ch 10-bit	86	8,26	7,44	6,59

ARM 9 LPC 2900, UNIQUEMENT RAM

Pour des quantités supérieures à celles indiquées, appelez-nous afin d'obtenir un devis.

771-LPC2930FBD20855	LPC2930FBD208,551	LQFP-208	56K	4x32	4x6-Ch	2xUSB,2xUSBHost,2xOTG,2xCAN,2xUART,2xI2C	3x8-Ch 10-bit	152	9,80	8,23	7,57

ARM 9 LPC 3000, UNIQUEMENT RAM

Pour des quantités supérieures à celles indiquées, appelez-nous afin d'obtenir un devis.

771-LPC3220FET296015	LPC3220FET296/01,5	TFBGA-296	128K	6x32	11	USB 2.0, 7xUART, 2xI²C, 2xSSP, 2xSPI	3-Ch 10-bit	87	8,73	7,16	6,46
771-LPC3230FET296015	LPC3230FET296/01,5	TFBGA-296	256K	6x32	11	USB 2.0, 7xUART, 2xI²C, 2xSSP, 2xSPI	3-Ch 10-bit	87	9,82	8,05	7,26
771-LPC3240FET296-S	LPC3240FET296,551	TFBGA-296	256K	6x32	11	USB 2.0, 7xUART, 2xI²C, 2xSSP, 2xSPI	3-Ch 10-bit	87	9,74	8,76	7,77
771-LPC3240FET296015	LPC3240FET296/01,5	TFBGA-296	256K	6x32	11	USB 2.0, 7xUART, 2xI²C, 2xSSP, 2xSPI	3-Ch 10-bit	87	9,82	8,05	7,26
771-LPC3250FET296-S	LPC3250FET296,551	TFBGA-296	256K	6x32	11	USB 2.0, 7xUART, 2xI²C, 2xSSP, 2xSPI	3-Ch 10-bit	87	7,16	6,42	5,89
771-LPC3250FET296015	LPC3250FET296/01,5	TFBGA-296	256K	6x32	11	USB 2.0, 7xUART, 2xI²C, 2xSSP, 2xSPI	3-Ch 10-bit	87	9,60	8,08	7,42

ARM 9 LPC 3100, UNIQUEMENT RAM

Pour des quantités supérieures à celles indiquées, appelez-nous afin d'obtenir un devis.

771-LPC3141FET18055	LPC3141FET180,551	TFBGA-180	192K	4x32	1	USB,USBHost,OTG,UART,IrDA,2xI2C,2xI2S,SPI	4-Ch 10-bit	16	15,68	12,14	7,25
771-LPC3152FET20855	LPC3152FET208,551	TFBGA-208	192K	4x32	1	USB,USBHost,OTG,UART,IrDA,2xI2C,2xI2S,SPI	3-Ch 10-bit	157	19,17	14,85	8,15
771-LPC3154FET20855	LPC3154FET208,551	TFBGA-208	192K	4x32	1	USB,USBHost,OTG,UART,IrDA,2xI2C,2xI2S,SPI	3-Ch 10-bit	157	10,97	10,20	9,41

ARM CORTEX 32 BITS

Cortex M0

Pour des quantités supérieures à celles indiquées, appelez-nous afin d'obtenir un devis.

Flash 8 KO											
771-LPC1111FHN331015	LPC1111FHN33/101,5	HVQFN-33	2K	2x32/2x16/WDT	13	UART, I2C, SPI	8 voies 10 bits	28	1,75	1,55	1,40
771-LPC1111FHN332015	LPC1111FHN33/201,5	HVQFN-33	4Ko	2x32/2x16/WDT	13	UART, I2C, SPI	8 voies 10 bits	28	2,07	1,68	1,34
771-LPC1111FHN332025	LPC1111FHN33/202,5	HVQFN-33	4Ko	2x32/2x16/WDT	13	UART, I2C, SPI	8 voies 10 bits	28	1,22	1,19	1,13
Flash 16 KO											
771-LPC1112FHN331015	LPC1112FHN33/101,5	HVQFN-33	2K	2x32/2x16/WDT	13	UART, I2C, SPI	8 voies 10 bits	28	1,88	1,52	1,27
771-LPC1112FHN331025	LPC1112FHN33/102,5	HVQFN-33	2K	2x32/2x16/WDT	13	UART, I2C, SPI	8 voies 10 bits	28	2,03	1,63	1,47
771-LPC1112FHN332015	LPC1112FHN33/201,5	HVQFN-33	4Ko	2x32/2x16/WDT	13	UART, I2C, SPI	8 voies 10 bits	28	2,00	1,62	1,36
771-LPC1112FHN332025	LPC1112FHN33/202,5	HVQFN-33	4Ko	2x32/2x16/WDT	13	UART, I2C, SPI	8 voies 10 bits	28	1,40	1,36	1,29
771-LPC11C12FD48301	LPC11C12FBD48/301,	LQFP-48	8K	2x32/2x16/WDT	13	CAN, UART, I2C, 2xSPI	8 voies 10 bits	40	4,10	3,30	3,00
Flash 24KB											
771-LPC1113FHN332015	LPC1113FHN33/201,5	HVQFN-33	4Ko	2x32/2x16/WDT	13	UART, I2C, SPI	8 voies 10 bits	28	2,13	1,72	1,45
771-LPC1113FHN332025	LPC1113FHN33/202,5	HVQFN-33	4Ko	2x32/2x16/WDT	13	UART, I2C, SPI	8 voies 10 bits	28	1,48	1,32	1,27
771-LPC1113FBD483011	LPC1113FBD48/301,1	LQFP-48	8K	2x32/2x16/WDT	13	UART, I2C, 2xSPI	8 voies 10 bits	42	2,34	1,89	1,57
771-LPC1113FBD483021	LPC1113FBD48/302,1	LQFP-48	8K	2x32/2x16/WDT	13	UART, I2C, 2xSPI	8 voies 10 bits	42	1,60	1,55	1,48
771-LPC1113FHN333015	LPC1113FHN33/301,5	HVQFN-33	8K	2x32/2x16/WDT	13	UART, I2C, SPI	8 voies 10 bits	28	2,25	1,82	1,54
771-LPC1113FHN333025	LPC1113FHN33/302,5	HVQFN-33	8K	2x32/2x16/WDT	13	UART, I2C, SPI	8 voies 10 bits	28	1,57	1,53	1,45

© Copyright 2012 Mouser Electronics
© Copyright 2012 Mouser Electronics

MCU / MPU NXP SEMICONDUCTOR

RoHS Compliant **This product is RoHS compliant.**

CORTEX ARM 32 BITS (SUITE)

Cortex M0 (suite)

Pour des quantités supérieures à celles indiquées, appelez-nous afin d'obtenir un devis.

RÉF. STOCK MOUSER	RÉF. NXP	Type de boîtier	RAM (octets)	Minuteurs	MLI	Interface série	CAN	Broches d'E/S	Prix unitaire 1	25	100
Flash 32 Ko											
771-LPC1114FHN332015	LPC1114FHN33/201,5	HVQFN-33	4Ko	2x32/2x16/WDT	13	UART, I2C, SPI	8 voies 10 bits	28	2,28	1,92	1,62
771-LPC1114FHN332025	LPC1114FHN33/202,5	HVQFN-33	4Ko	2x32/2x16/WDT	13	UART, I2C, SPI	8 voies 10 bits	28	1,66	1,62	1,53
771-LPC1224FBD482011	LPC1224FBD48/201	LQFP-48	4Ko	2x32/2x16/WDT/RTC	-	2xUART,I2C, SPI	8 voies 10 bits	39	3,23	2,59	2,36
771-LPC1224FBD482211	LPC1224FBD48/221	LQFP-48	4Ko	2x32/2x16/WDT/RTC	-	2xUART,I2C, SPI	8 voies 10 bits	39	3,49	2,80	2,55
771-LPC1224FBD642011	LPC1224FBD64/201	LQFP-64	4Ko	2x32/2x16/WDT/RTC	-	2xUART,I2C, SPI	8 voies 10 bits	55	3,49	2,80	2,55
771-LPC1224FBD642211	LPC1224FBD64/221	LQFP-64	4Ko	2x32/2x16/WDT/RTC	-	2xUART,I2C, SPI	8 voies 10 bits	55	3,74	3,00	2,73
771-LPC1114FBD483011	LPC1114FBD48/301,1	LQFP-48	8K	2x32/2x16/WDT	13	UART, I2C, 2xSPI	8 voies 10 bits	42	2,57	2,08	1,73
771-LPC1114FBD483021	LPC1114FBD48/302,1	LQFP-48	8K	2x32/2x16/WDT	13	UART, I2C, SPI	8 voies 10 bits	42	2,69	2,16	1,96
771-LPC1114FHN333015	LPC1114FHN33/301,5	HVQFN-33	8K	2x32/2x16/WDT	13	UART, I2C, SPI	8 voies 10 bits	28	2,34	1,89	1,57
771-LPC11C14FD48301	LPC11C14FBD48/301,	LQFP-48	8K	2x32/2x16/WDT	13	CAN, UART, I2C, 2xSPI	8 voies 10 bits	40	4,21	3,39	2,82
Flash 64 Ko											
771-LPC1225FBD483011	LPC1225FBD48/301	LQFP-48	8K	2x32/2x16/WDT/RTC	-	2xUART,I2C, SPI	8 voies 10 bits	39	3,42	2,77	2,30
771-LPC1225FBD483211	LPC1225FBD48/321	LQFP-48	8K	2x32/2x16/WDT/RTC	-	2xUART,I2C, SPI	8 voies 10 bits	39	3,96	3,20	2,66
771-LPC1225FBD643011	LPC1225FBD64/301	LQFP-64	8K	2x32/2x16/WDT/RTC	-	2xUART,I2C, SPI	8 voies 10 bits	55	3,65	2,95	2,45
771-LPC1225FBD643211	LPC1225FBD64/321	LQFP-64	8K	2x32/2x16/WDT/RTC	-	2xUART,I2C, SPI	8 voies 10 bits	55	4,19	3,38	2,81
Flash 96KB											
771-LPC1226FBD483011	LPC1226FBD48/301	LQFP-48	8K	2x32/2x16/WDT/RTC	-	2xUART,I2C, SPI	8 voies 10 bits	39	4,36	3,52	2,92
771-LPC1226FBD643011	LPC1226FBD64/301	LQFP-64	8K	2x32/2x16/WDT/RTC	-	2xUART,I2C, SPI	8 voies 10 bits	55	4,58	3,70	3,07
Flash 128 Ko											
771-LPC1227FBD483011	LPC1227FBD48/301	LQFP-48	8K	2x32/2x16/WDT/RTC	-	2xUART,I2C, SPI	8 voies 10 bits	39	5,29	4,27	3,55
771-LPC1227FBD643011	LPC1227FBD64/301	LQFP-64	8K	2x32/2x16/WDT/RTC	-	2xUART,I2C, SPI	8 voies 10 bits	55	5,13	4,11	3,36

Cortex M3

Pour des quantités supérieures à celles indiquées, appelez-nous afin d'obtenir un devis.

Flash 16 Ko											
771-LPC1342FHN33551	LPC1342FHN33,551	HVQFN-33	4Ko	2x32/2x16/WDT	-	UART, I2C, SPI	8 voies 10 bits	28	3,16	2,55	2,12
Flash 32 Ko											
771-LPC1313FBD48,151	LPC1313FBD48,151	LQFP-48	8K	2x32/2x16/WDT	-	UART, I2C, SPI	8 voies 10 bits	42	2,65	2,14	1,78
771-LPC1343FBD48151	LPC1343FBD48,151	HVQFN-33	8K	2x32/2x16/WDT	-	UART, I2C, SPI	8 voies 10 bits	40	4,78	3,85	3,20
771-LPC1343FHN33551	LPC1343FHN33,551	HVQFN-33	8K	2x32/2x16/WDT	-	UART, I2C, SPI	8 voies 10 bits	28	3,93	3,17	2,64
771-LPC1751FBD80551	LPC1751FBD80,551	LQFP-80	8K	2x32/2x16/WDT/RTC	6	USB, CAN, 4xUART, SPI	6 voies 10 bits	52	4,98	4,02	3,34
Flash 64 Ko											
771-LPC1752FBD80551	LPC1752FBD80,551	LQFP-80	16K	2x32/2x16/WDT/RTC	6	USB, CAN, 4xUART, SPI	6 voies 10 bits	52	5,60	4,50	3,68
Flash 128 Ko											
771-LPC1754FBD80551	LPC1754FBD80,551	LQFP-80	32Ko	2x32/2x16/WDT/RTC	6	USB, USB Host, USB OTG, CAN, 4xUART,SPI	6 voies 10 bits	52	6,48	5,22	4,27
771-LPC1764FBD100551	LPC1764FBD100,551	LQFP-100	32Ko	2x32/2x16/WDT/RTC	6	USB, 2xCAN, 4xUART, SPI	8 voies 10 bits	70	7,48	5,99	4,90
Flash 256 Ko											
771-LPC1756FBD80551	LPC1756FBD80,551	LQFP-80	32Ko	2x32/2x16/WDT/RTC	6	USB, USB Host, USB OTG, 2xCAN, 4xUART,SPI	6 voies 10 bits	52	7,70	6,16	5,05
771-LPC1765FBD100551	LPC1765FBD100,551	LQFP-100	64Ko	2x32/2x16/WDT/RTC	6	USB, USB OTG, 2xCAN, 4xUART,SPI	8 voies 10 bits	70	8,47	6,78	5,54
771-LPC1766FBD100551	LPC1766FBD100,551	LQFP-100	64Ko	2x32/2x16/WDT/RTC	6	USB, USB OTG, 2xCAN, 4xUART,SPI	8 voies 10 bits	70	8,88	7,11	5,81
Flash 512 Ko											
771-LPC1758FBD80551	LPC1758FBD80,551	LQFP-80	64Ko	2x32/2x16/WDT/RTC	6	USB, USB Host, USB OTG, 2xCAN, 4xUART,SPI	6 voies 10 bits	52	9,66	7,73	6,32
771-LPC1759FBD80551	LPC1759FBD80,551	LQFP-80	64Ko	2x32/2x16/WDT/RTC	6	USB, USB Host, USB OTG, 2xCAN, 4xUART,SPI	6 voies 10 bits	52	7,31	6,55	6,01
771-LPC1768FBD100551	LPC1768FBD100,551	LQFP-100	64Ko	2x32/2x16/WDT/RTC	6	USB, USB Host, USB OTG, 2xCAN, 4xUART,SPI	8 voies 10 bits	70	7,45	6,68	6,13
771-LPC1769FBD100551	LPC1769FBD100,551	LQFP-100	64Ko	2x32/2x16/WDT/RTC	6	USB, USB Host, USB OTG, 2xCAN, 4xUART,SPI	8 voies 10 bits	70	7,87	7,05	6,48

CI OPTIMISEUR DE PUISSANCE FOURNIE (MPPT)

Le MPT612, premier CI dédié à la réalisation de la fonction d'optimiseur de puissance fournie (MPPT), est conçu pour une utilisation avec des applications utilisant des cellules photovoltaïques solaires (PV) ou des piles à combustibles. Pour simplifier le développement et maximiser l'efficacité du système, le MPT612 est supporté par un algorithme MPPT en attente de brevet, une bibliothèque de logiciels spécifique aux applications et des interfaces de programmation d'applications faciles à utiliser (APIs). Le matériel dédié fonctionne pour les panneaux PV, y compris les mesures de courant et de tension ainsi que la configuration de paramètres de panneaux, simplifie le design et accélère le développement. Le MPT612 repose sur un processeur RISC ARM7TDMI-S à faible puissance qui fonctionne jusqu'à 70 MHz et peut atteindre une efficacité de système s'élevant jusqu'à 98 %. Il contrôle le dispositif de connexion externe par le biais d'un signal dérivé d'un algorithme MPPT en attente de brevet. La source CC peut être connectée au CI grâce à des capteurs de courant et de tension. Le CI extrait de manière dynamique la puissance maximum pour la source CC sans intervention de la part de l'utilisateur. Le CI peut être configuré pour des conditions limites établies dans le logiciel. Le logiciel d'application dispose d'un maximum de 15 Ko de mémoire flash.

Pour des quantités supérieures à celles indiquées, appelez-nous afin d'obtenir un devis.

RÉF. STOCK MOUSER	RÉF. NXP	Type de boîtier	RAM (octets)	Minuteurs	MLI	Interface série	CAN	Broches d'E/S	Prix unitaire 1	25	100
771-MPT612FBD48151	MPT612FBD48,151	LQFP-48	-	1x32, 1x16, RTC	-	2xUART,2xI2C, SPI/SSP	8 voies 10 bits	28	6,97	6,79	6,09

80C51

Pour des quantités supérieures à celles indiquées, appelez-nous afin d'obtenir un devis.

RÉF. STOCK MOUSER	RÉF. NXP	Type de boîtier	RAM (octets)	Minuteurs	MLI	Interface série	CAN	Broches d'E/S	Prix unitaire 1	25	100
771-P89LPC912FDH-S	P89LPC912FDH-S	TSSOP 14 broches	128	4x16	1 voie 8 bits	SPI	2 Comp. analogiques	12	1,07	0,943	0,859
771-LPC913FDH129	P89LPC913FDH,129	TSSOP 14 broches	128	4x16	-	SPI	2 Comp. analogiques	12	1,20	1,07	0,89
Flash 2 Ko											
771-P89LPC9151FDH12	P89LPC9151FDH,129	TSSOP 14 broches	256	2x16	-	UART; I²C; SPI	4 voies 8 bits	14	2,41	1,86	1,56
771-P89LPC9201FDH112	P89LPC9201FDH,112	TSSOP-20	256	2x16	-	UART; I²C	4 voies 8 bits	18	1,43	1,39	1,31
771-P89LPC920FDH-S	P89LPC920FDH,529	TSSOP-20	256	2x16	-	UART; I²C	2 Comp. analogiques	18	1,75	1,40	1,05
771-P89LPC970FDH129	P89LPC970FDH,129	TSSOP-20	256	5x16, 1x23, RTC	-	UART; I²C; SPI	-	18	2,30	1,78	1,49
Flash 4 Ko											
771-P89LPC9211FDH112	P89LPC9211FDH,112	TSSOP-20	256	2x16	4 voies 8 bits	UART; I²C	4 voies 8 bits	18	1,55	1,50	1,42
771-P89LPC9241FDH112	P89LPC9241FDH,112	TSSOP-20	256	2x16	4 voies 8 bits	UART; I²C	4 voies 8 bits	18	1,50	1,46	1,39
771-P89LPC9301FDH51	P89LPC9301FDH,512	TSSOP-28	256	2x16	-	UART; I²C; SPI	2 Comp. analogiques	26	1,79	1,44	1,08
771-P89LPC9331FDH51	P89LPC9331FDH,512	TSSOP-28	256	2x16	-	UART; I²C; SPI	4-Ch 8-bit	26	2,09	1,67	1,36
771-P89LPC933FDH-S	P89LPC933FDH-S	TSSOP-28	256	4x16	2 voies 8 bits	UART; I²C; SPI	4-Ch 8-bit	26	2,00	1,61	1,46
771-P89LPC971FDH129	P89LPC971FDH,129	TSSOP-20	256	5x16, 1x23, RTC	-	UART; I²C; SPI	-	18	2,97	2,28	1,92
771-P89LPC980FDH-529	P89LPC980FDH,529	TSSOP-28	256	5x16, 1x23	-	UART; I²C; SPI	8 voies 10 bits	26	3,17	2,44	2,04
Flash 8 Ko											
771-P89LPC9221FDH	P89LPC9221FDH,512	TSSOP-20	256	2x16	-	UART; I²C	-	18	2,18	1,75	1,57
771-LPC922A1FDH112	P89LPC922A1FDH,112	TSSOP-20	256	2x16	-	UART; I²C	4 voies 8 bits	18	1,41	1,37	1,30
771-P89LPC922A1FN112	P89LPC922A1FN,112	DIP-20	256	2x16	-	UART; I²C	4 voies 8 bits	18	1,59	1,55	1,47
771-P89LPC9251FDH112	P89LPC9251FDH,112	TSSOP-20	256	2x16	-	UART; I²C	4 voies 8 bits	18	1,68	1,63	1,55
771-P89LPC925FDH-S	P89LPC925FDH,529	TSSOP-20	256	2x16	-	UART; I²C	4 voies 8 bits	18	2,60	2,10	1,89
771-P89LPC931A1FDH5	P89LPC931A1FDH,512	TSSOP-28	256	2x16	-	UART; I²C; SPI	2 Comp. analogiques	26	1,97	1,57	1,28
771-P89LPC9321FA,529	P89LPC9321FA,529	TSSOP-28	256	2x16	CCU 4 voies	UART; I²C; SPI	2 Comp. analogiques	26	2,27	2,21	2,09
771-P89LPC9341FDH51	P89LPC9341FDH,512	TSSOP-28	256	2x16	-	UART; I²C; SPI	2 Comp. analogiques	26	2,03	1,82	1,41
771-LPC934FDH529	P89LPC934FDH,529	TSSOP-28	256	2x16	-	UART; I²C; SPI	4-Ch 8-bit	26	2,17	1,73	1,41
771-P89LPC9351FA,529	P89LPC9351FA,529	TSSOP-28	256	2x16	CCU 4 voies	UART; I²C; SPI	2 Comp. analogiques	26	2,36	2,30	2,17

© Copyright 2012 Mouser Electronics

© Copyright 2012 Mouser Electronics

MCU / MPU NXP SEMICONDUCTOR

RoHS Compliant **This product is RoHS compliant.**

80C51 (SUITE)

Pour des quantités supérieures à celles indiquées, appelez-nous afin d'obtenir un devis.

RÉF. STOCK MOUSER	RÉF. NXP	Type de boîtier	RAM (octets)	Minuteurs	MLI	Interface série	CAN	Broches d'E/S	Prix unitaire		
									1	25	100
Flash 8KB (suite)											
771-P89LPC972FDH129	P89LPC972FDH,129	TSSOP-20	256	5x16, 1x23	-	UART; I²C; SPI, RTC	-	18	3,14	2,43	2,04
771-P89LPC972FN129	P89LPC972FN,129	DIP-20	256	5x16, 1x23	-	UART; I²C; SPI, RTC	-	18	2,62	2,03	1,70
771-P89LPC952FA	P89LPC952FA,512	PLCC-44	512	2x16, 1x23	-	2xUART; I²C; SPI	8 voies 10 bits	40	3,82	3,06	2,78
771-P89LPC952FBD	P89LPC952FBD	LQFP-44	512	4x16	2 voies 8 bits	2xUART; I²C; SPI	8 voies 10 bits	40	3,67	2,94	2,68
771-P89LPC982FA-529	P89LPC982FA,529	PLCC-28	512	5x16, 1x23	-	UART; I²C; SPI	8 voies 10 bits	26	1,71	1,66	1,57
771-P89LPC982FDH-529	P89LPC982FDH,529	TSSOP-28	512	5x16, 1x23	-	UART; I²C; SPI	8 voies 10 bits	26	1,55	1,51	1,43
771-P89LPC932A1FDH	P89LPC932A1FDH	TSSOP-28	768	5x16	CCU 4 voies	UART; I²C; SPI	2 Comp. analogiques	26	2,81	2,25	2,00
771-P89LPC935FA-S	P89LPC935FA-S	PLCC-28	768	5x16	CCU 4 voies	UART; I²C; SPI	2x 4 voies 8 bits	26	3,08	2,49	2,07
771-LPC935FHN	P89LPC935FHN	TSSOP-28	768	3x16	CCU 4 voies	UART; I²C; SPI	4-Ch 8-bit	26	3,19	2,57	2,14
771-P89LPC938FA-S	P89LPC938FA-S	PLCC-28	768	5x16	CCU 4 voies	UART; I²C; SPI	8 voies 10 bits	26	1,85	1,73	1,68
771-P89LPC938FDH-S	P89LPC938FDH-S	TSSOP-28	768	5x16	CCU 4 voies	UART; I²C; SPI	8 voies 10 bits	26	3,19	2,57	2,14
Flash 16 KO											
771-P89LPC9361FDH51	P89LPC9361FDH,518	TSSOP-28	256	2x16	CCU 4 voies	2xUART, I²C, SPI	2 Comp. analogiques	26	5,24	4,06	3,40
771-P89LPC954FA-S	P89LPC954FA,529	PLCC-44	512	2x16, 1x23	2 voies	2xUART, I²C; SPI	8 voies 10 bits	40	3,27	2,94	2,71
771-LPC954FBD44151	P89LPC954FBD44,151	LQFP-44	512	2x16, 1x23	2 voies	2xUART; I²C; SPI	8 voies 10 bits	40	4,54	3,82	2,89
771-P89LPC936FA-S	P89LPC936FA-S	PLCC-28	768	5x16	CCU 4 voies	UART; I²C; SPI	2x 4 voies 8 bits	26	2,87	2,53	2,30
771-LPC936FDH518	P89LPC936FDH,518	TSSOP-28	768	5x16	CCU 4 voies	UART; I²C; SPI	2x 4 voies 8 bits	26	4,19	3,42	3,07
Flash 32 KO											
771-LV51RC2FBC557	P89LV51RC2FBC,557	TQFP-44	1Ko	3x16	PCA 5 voies	UART; I²C	-	32	4,26	3,75	3,40
771-P89V662FBC	P89V662FBC	TQFP-44	1Ko	4x16	PCA 5 voies	UART; I²C	-	32	9,86	8,65	7,86
Flash 64 KO											
771-P89LV51RD2BBC	P89LV51RD2BBC	TQFP-44	1Ko	4x16	PCA 5 voies	UART	-	32	6,90	5,65	5,10
771-P89V51RD2FA	P89V51RD2FA	PLCC-44	1Ko	4x16	PCA 5 voies	UART	-	32	4,19	4,09	3,61
771-P89V51RD2FBC	P89V51RD2FBC	TQFP-44	1Ko	4x16	PCA 5 voies	UART	-	32	6,90	5,65	5,10
771-P89V51RD2FN	P89V51RD2FN	DIP-40	1Ko	4x16	PCA 5 voies	UART	-	32	7,66	6,28	4,54
771-P89V664FBC	P89V664FBC	TQFP-44	2Ko	4x16	PCA 5 voies	UART; I²C	-	32	7,47	6,70	6,15
OTP 2 KO											
771-P87LPC762BD	P87LPC762BD	SO-20	128	2x16	-	UART; I²C	-	18	2,22	1,79	1,49
771-P87LPC762BDH512	P87LPC762BDH,512	TSSOP-20	128	2x16	-	UART; I²C	-	18	1,56	1,38	1,18
771-P87LPC762BN	P87LPC762BN	DIP-20	128	2x16	-	UART; I²C	-	18	2,32	2,24	1,80
771-P87LPC762FN112	P87LPC762FN,112	DIP-20	128	2x16	-	UART; I²C	-	18	2,64	2,37	2,16
OTP 4 KO											
771-P87C51SBAA	P87C51SBAA	PLCC-44	128	3x16	-	UART	-	32	2,98	2,39	2,00
771-P87C51SBPN	P87C51SBPN	DIP-40	128	3x16	-	UART	-	32	3,07	2,90	2,04
771-P87LPC764BN	P87LPC764BN	DIP-20	128	2x16	-	UART; I²C	-	18	2,36	2,19	1,31
771-P87LPC767BN	P87LPC767BN	DIP-20	128	2x16	-	UART; I²C	4 voies 8 bits	18	3,12	2,78	2,54
771-P87LPC767FN112	P87LPC767FN,112	DIP-20	128	2x16	-	UART; I²C	4 voies 8 bits	18	2,57	2,26	2,01
OTP 8 KO											
771-P87C51FA-4N	P87C51FA-4N	DIP-40	256	4x16	PCA 5 voies	UART	-	32	6,43	6,14	4,72
771-P87C52SBAA	P87C52SBAA	PLCC-44	256	3x16	-	UART	-	32	3,85	3,58	2,14
771-P87C52SBPN	P87C52SBPN	DIP-40	256	3x16	-	UART	-	32	3,91	3,64	2,27
771-P87C52UBAA	P87C52UBAA	PLCC-44	256	3x16	-	UART	-	32	3,85	3,58	2,14
OTP 16 KO											
771-P87C51FB-5A512	P87C51FB-5A,512	PLCC-44	256	3x16	-	UART	-	32	9,29	8,35	8,13
OTP 32KB											
771-P87C58X2BBD157	P87C58X2BBD,157	LQFP-44	256	3x16	-	UART	-	32	2,62	2,35	2,29
771-P87C58X2FA	P87C58X2FA,512	PLCC-44	256	3x16	-	UART	-	32	3,82	2,83	2,63
Uniquement RAM											
771-P80C31SBAA	P80C31SBAA	PLCC-44	128	3x16	-	UART	-	32	2,18	1,83	1,55
771-P80C31SBBB	P80C31SBBB,557	LQFP-44	128	3x16	-	UART	-	32	1,86	1,37	1,17
771-P80C31SBPN	P80C31SBPN	DIP-40	128	3x16	-	UART	-	32	2,51	2,03	1,78
771-P80C51FA-4N	P80C51FA-4N,112	DIP-40	128	3x16	-	UART	-	32	4,19	3,62	3,54
771-P80C32SBAA	P80C32SBAA	PLCC-44	256	3x16	-	UART	-	32	2,38	1,92	1,70
771-P80C32SBPN	P80C32SBPN	DIP-40	256	3x16	-	UART	-	32	2,25	1,78	1,43
771-P80C32UFAA	P80C32UFAA	PLCC-44	256	3x16	-	UART	-	32	2,50	2,00	1,82
771-P80C32X2BA	P80C32X2BA,512	PLCC-44	256	3x16	-	UART	-	32	1,12	1,03	0,978
771-P80C32X2FA	P80C32X2FA,512	PLCC-44	256	3x16	-	UART	-	32	1,92	1,41	1,32
771-P80C552EBA	P80C552EBA	PLCC-68	256	3x16	2 voies	UART; I²C	8 voies 10 bits	48	9,38	8,41	7,73
771-P80C552EFA	P80C552EFA	PLCC-68	256	3x16	2 voies	UART; I²C	8 voies 10 bits	48	9,12	8,18	7,55
771-P80C552IBA	P80C552IBA	PLCC-68	256	3x16	2 voies	UART; I²C	8 voies 10 bits	48	9,74	8,73	8,01
771-P80C592FFAA	P80C592FFAA	PLCC-68	512	3x16	2 voies	UART; CAN	8 voies 10 bits	48	19,74	16,60	15,24

CARTES

RÉF. STOCK MOUSER	RÉF nxp	Description	Prix unitaire
771-OM11049598	OM11049,598	Carte cible LPCXpresso support des séries LPC11xx	20,95
771-OM11048	OM11048	Carte cible LPCXpresso support des séries LPC13xx	26,15
771-OM11043598	OM11043,598	Carte de dév. mbed NXP LPC1768	44,35
771-OM11042598	OM11042,598	Carte de dév. mbed NXP LPC2368	44,35
771-OM13007598	OM13007,598	Carte de référence pour contrôleur de charge de batterie MPPT photovoltaïque MPT612	157,14

© Copyright 2012 Mouser Electronics

© Copyright 2012 Mouser Electronics

Microcontrôleurs 32 bits et 8 bits PARALLAX

Les produits peuvent être conformes à la directive RoHS. Consultez le site mouser.com pour vérifier la conformité RoHS.

PROPELLER by Parallax, Inc.

MICROCONTRÔLEURS MULTICŒUR PROPELLER 32 BITS

Que pouvez-vous faire avec huit processeurs 32 bits (C0G) dans une seule puce ? Multi-traitement simultané réel !

La nouvelle puce Propeller est le résultat de 8 ans de travail de notre équipe de conception interne. La puce Propeller a été conçue au niveau du transistor par un schéma de principe utilisant nos outils Altera Stratix pour prototyper le produit. La puce Propeller est programmée dans un langage de haut niveau, appelé Spin™ et un langage de bas niveau (assemblage). Avec un set d'« objets » Parallax préconstruits pour vidéo, souris, claviers, RF, LCD, moteurs pas à pas et détecteurs, votre application Propeller est caractérisée par un haut niveau d'intégration. La puce Propeller est conseillée à ceux qui ont une expérience préalable en microcontrôleurs.

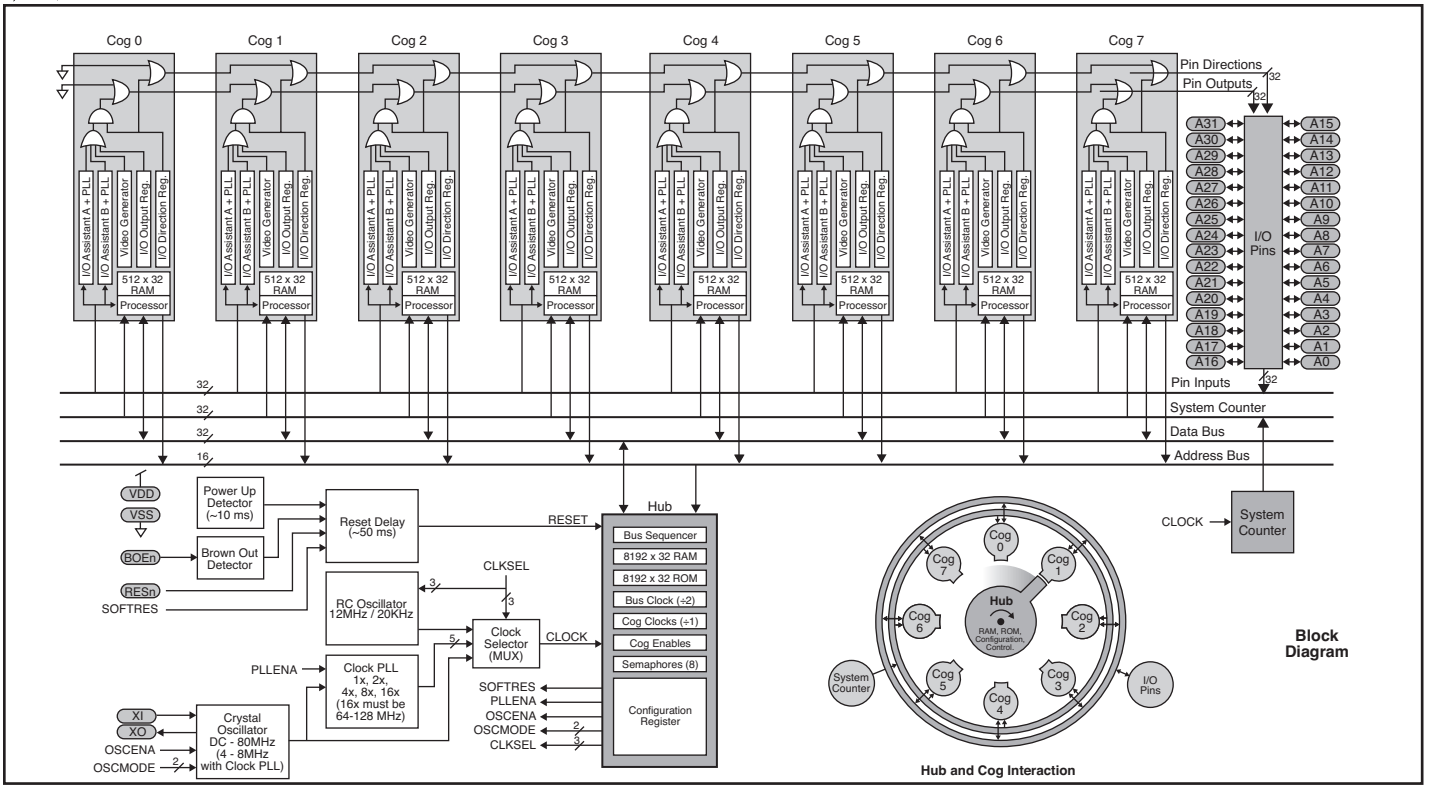

Spécifications Propeller	
Numéro de modèle	P8X32A
Type de boîtier	DIP à 40 broches, LQFP à 44 broches, QFN à 44
broches DIP à 40 broches Parallax	P8X32A-D40 - Boîtier DIP P8X32A-Q44 - Boîtier LQFP P8X32A-M44 - Boîtier QFN
Alimentation requise	3,3 V CC
Vitesse de la minuterie externe	CC à 80 MHz (4 MHz à 8 MHz avec PLL horloge en fonctionnement)
Oscillateur RC interne	12 MHz ou 20 KHz
Vitesse de la minuterie du système	CC à 80 MHz
RAM / ROM global	64 K octets ; RAM 32K / ROM 32K
Organisation RAM / ROM	32 bits (4 octets ou 1 long.)
Broches E/S	32
Source de courant / Collecteur par entrée / sortie	50 mA

Microcontrôleurs Propeller

Pour des quantités supérieures à celles indiquées, appelez-nous afin d'obtenir un devis.

RÉF. STOCK MOUSER	Réf. Parallax	Dimension	Taille (mm)	Prix unitaire 1	10	25	100
619-P8X32A-D40	P8X32A-D40	DIP à 40 broches	51 x 12,3	8,01	7,57	7,49	7,47
619-P8X32A-M44	P8X32A-M44	QFN à 44 broches	9 x 9	8,01	8,01	8,01	8,01
619-P8X32A-Q44	P8X32A-Q44	LQFP à 44 broches	10 x 10	8,01	7,50	7,42	7,34

Outils / kits de développement Propeller

RÉF. STOCK MOUSER	Réf. Parallax	Description	Prix unitaire
619-32300	32300	Kit de démarrage Propeller	100,29
619-32100	32100	Carte démo Propeller	80,22
619-32311	32311	Accès Propeller. Kit - Clavier/souris PS/2 & affichage LCD 2.5"	109,98
619-122-32000	122-32000	Manuel Propeller	35,05

Kit de démarrage Propeller

Le kit de démarrage Propeller comprend tout ce dont vous avez besoin pour démarrer avec le microcontrôleur Propeller, y compris la carte démo Propeller, le manuel Propeller, le logiciel sur CD et un câble USB. La carte démo Propeller comporte une puce Propeller intégrée (P8X32A-Q44), EEPROM et à connecteurs pré-câblées à cristaux 5 MHz pour l'interface aux dispositifs tels que la souris, le clavier, une télévision ou un moniteur VGA et des haut-parleurs. Tous ces éléments sont configurés pour une utilisation immédiate par de nombreux d'objets du Propeller d'Échange d'Objets (inclus avec le logiciel Propeller Tool). En quelques minutes, vous pouvez voir quelques unes des tâches impressionnantes que Propeller peut exécuter.

RÉF. STOCK MOUSER	Réf. Parallax	Description	Prix unitaire
619-32300	32300	Kit de démarrage Propeller	100,29

Kit de formation Propeller – version USB PropStick

Ce kit comprend le PropStick USB avec la puce Propeller intégrée, EEPROM, régulateur, connexions à cristaux et de programmation pour que votre projet puisse démarrer et fonctionner avec un temps de connexion minimum. Le kit de formation Propeller – la version DIP à 40 broches est également disponible.

RÉF. STOCK MOUSER	Réf. Parallax	Description	Prix unitaire
619-32306	32306	Kit de formation Propeller – version USB PropStick	100,29

Kit de développement pour jeux HYDRA

Développez des jeux, des applications graphiques et média avec la console de jeux HYDRA à dispositif Propeller intégré. Pour des créateurs de codes débutants et intermédiaires, vous n'avez besoin que d'une expérience basique en programmation en n'importe quel langage similaire à BASIC ou C. Tout le matériel et les logiciels dont vous avez besoin sont inclus (selon les images), ainsi que le livre complet sur la programmation des jeux pour Propeller in Spin et le langage d'assemblage – « Programmation des jeux pour HYDRA avec Propeller ». Dans le livre, le matériel HYDRA est traité en détails avec des schémas, descriptions et conseils qui vous permettent de profiter pleinement de ses ressources, y compris son point d'accès d'expansion et la carte de jeux. Remarque : le livre est imprimé en noir et blanc. Le kit est livré complet avec l'unité HYDRA, le livre, la carte de mémoire de 128 K, la carte Blank Experimenter, la souris, le clavier, la manette de jeu, les câbles video et USB, la source d'alimentation, le CD et bien plus !

RÉF. STOCK MOUSER	Réf. Parallax	Description	Prix unitaire
619-32360	32360	Kit de développement pour jeux HYDRA	159,13

Carte de développement Propeller Professional

La carte de développement Propeller Professional (PPDB) est une plate-forme de développement complètement intégrée de haute qualité pour le microcontrôleur Propeller. Une large gamme de dispositifs entrée / sortie typiques (DEL, boutons, etc.) et circuiterie est incluse dans PPDB ; elle fournit au développeur une plate-forme idéale pour le développement rapide des projets Propeller.

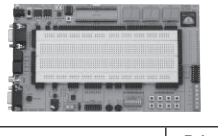

RÉF. STOCK MOUSER	Réf. Parallax	Description	Prix unitaire
619-32111	32111	Carte de développement Propeller Professional	158,31

© Copyright 2012 Mouser Electronics
© Copyright 2012 Mouser Electronics

Microcontrôleurs et compagnons de processeur RAMTRON

Les produits peuvent être conformes à la directive RoHS.
Pour vérifier la conformité RoHS, consultez le site mouser.com.

MÉMOIRE FRAM SANS FIL RAMTRON MAXARIAS AVEC RFID GEN2

NEW! TECHNOLOGY

RoHS Compliant

Caractéristiques :
- RAM ferroélectrique non-volatile 4/8/16 kbits
- Organisée en 256/512/1024 x 16 bits
- Endurance à la lecture / écriture quasi illimitée (>1E14)
- 20 ans de rétention des données
- Fonctionnement en lecture / écriture symétrique
- Processus ferroélectrique évolué de haute fiabilité
- Plage de fréquence UHF protocole RFID EPC Global Gen-2 (860 MHz - 960 MHz)

Caractéristiques de l'interface et de la sécurité :
- Interface conforme RFID EPC Classe 1 Gen2 (ISO18000-6C) (révision 1.2.0)
- Bloc mémoire EPC 192 bits configuré comme :
  - -Code de produit électronique (Electronic Product Code™, EPC) 96 bits,
  - -Mot de passe d'accès 32 bits
  - -Mot de passe KILL 32 bits
  - -Mémoire TID 32 bits (programmée en usine et verrouillée).
  - Cette mémoire de code EPC fait partie de la banque de mémoire F-RAM
- Commandes EPC standard pour fonctions inventaire, lecture, écriture et effacement
- Commande Kill

Pour des quantités supérieures à celles indiquées, appelez-nous afin d'obtenir un devis.

RÉF. STOCK MOUSER	Réf. Ramtron	Type de boîtier	Description	Prix unitaire			
				1	50	100	500
877-WM71008NBSD-DA	WM71008-NBSD-DA	UDFN-8	Mémoire sans fil F-RAM 8 Ko avec accès Gen2	5,66	4,95	4,40	3,96
877-WM71004NBSD-DA	WM71004-NBSD-DA	UDFN-8	Mémoire sans fil F-RAM 4 Ko avec accès Gen2	5,49	4,81	4,27	3,84
877-WM71016NBSD-DA	WM71016-NBSD-DA	UDFN-8	Mémoire sans fil F-RAM 16 Ko avec accès Gen2	5,66	4,95	4,40	3,96
877-WM72016NBSD-DS	WM72016-NBSD-DS	UDFN-8	Mémoire sans fil F-RAM 16 Ko avec port série et accès Gen2	5,82	5,10	4,53	4,08
877-WM71000NBSD-SA	WM71000-NBSD-SA	SOIC-8	Puce AFE Chip (sans mémoire) avec accès Gen2	1,41	1,24	1,10	0,99
877-WM71000NBSD-DA	WM71000-NBSD-DA	3x3 DFN	Puce AFE Chip (sans mémoire) avec accès Gen2	1,41	1,24	1,10	0,99

MICROCONTRÔLEUR RAMTRON VERSA 8051

VRS51L3074 (MCU amélioré de F-RAM Versa 8051)

Actualisez les conceptions 8 bits grâce au VRS51L3074, un système sur puce rapide et flexible basé sur 8051 (SoCs) qui fournit la puissance et la vitesse d'un MCU 16 bits sans devoir migrer d'un dispositif 8 bits. Premier en son genre, le VRS51L3074 combine un SoC hautes performances avec une mémoire F-RAM non-volatile pour un système de stockage / traitement des données non-volatile rapide et fiable que seul un MCU doté de F-RAM peut fournir.

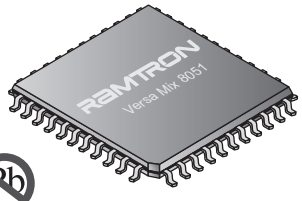

RoHS Compliant

LEAD-FREE

♦ **Composant pour montage en surface**

Mémoire :
- F-RAM 8 K octets (VRS51L3074)
- Flash 64 KO ISP/IAP
- SRAM 4 KO

UC 8051 de haute performance :
- Puissance de traitement jusqu'à 40 MIPS
- Beaucoup plus rapide que la série 8051 standard
- Même jeux d'instructions que les 8051 classiques

Caractéristiques techniques uniques du MCU :
- Oscillateur interne de 40 MHz
- Unité de matériel arithmétique améliorée avec système de décalage à barillet pour des opérations DSP
- Interface JTAG pour programmation / débogage / émulation
- Les UART incluent le générateur de débit en bauds avec l'ajustement du débit en micro bauds
- Interfaces SPI et I²C améliorées
- PWC, Minuterie PWM et horloge de surveillance
- Changement de point d'accès et interruption de changement de broche

Pour des quantités supérieures à celles indiquées, appelez-nous afin d'obtenir un devis.

RÉF. STOCK MOUSER	Réf. Ramtron	Type de boîtier	Vitesse (MHz)	Mémoire			Points d'accès entrée / sortie (8 bits)	Minuterie / compteurs	Horloge de surveillance	UART série	Sorties PWM	Tension d'alimentation (V)	Plage de temp. (°C)	Prix unitaire			
				Flash	SRAM	F-RAM								1	25	100	500
♦ 877-VRS51L3074-MG	VRS51L3074-MG	MLF-68	40	64Ko	4 Ko	8Ko	56	3+	Oui	2	8	3,3	de -40 à +85	7,01	6,74	6,05	5,75

CARTE D'ÉVALUATION RAMTRON POUR MICROCONTRÔLEURS VERSA BASÉS SUR F-RAM

Les kits de développement VersaKit-20XX et VersaKit-30XX sont un système d'évaluation prêt à tourner pour les microcontrôleurs 8051 VRS51L2070 et VRS51L3074 de haute performance, complètement intégrés, améliorés de F-RAM 8051. Ces kits offrent une plate-forme complète et exhaustive de programmation et développement avec un espace de prototypage ample et un accès facile aux périphériques de la puce et aux entrées/sorties.

Caractéristiques de la carte de développement :
- VRS51L2070 / VRS51L3074 en boîtier QFP-64 soudé à bord
- Le compagnon MCU FM31xx, ainsi que les dispositifs FM25xx SPI F-RAM et FM24xx I²C F-RAM sont installés
- Tête 5x2 pour connecter l'interface de programmation / débogage Versa-JTAG
- 2 connecteurs femelle de point d'accès sériel DB9 et 1 émetteur-récepteur RS-232 avec cavalier de configuration
- Touches contact pour réinitialisation manuelle et interruption externe du processeur
- Quatre groupes de points de vérification autour du dispositif VRS51L2070 / VRS51L3074

Le kit inclut :
- Une carte de développement qui accepte le VRS51L2070 ou le VRS51L3074
- Une interface de programmation / débogage VJTAG-USB
- Un câble USB
- Une source d'alimentation

- 22x2 têtes au long de la zone de prototypage pour accéder aux broches du dispositif QFP-44 (le nombre de broches de la tête correspond au nombre de broches du dispositif).
- 32x2 têtes le long de la zone de prototypage pour accéder aux broches du dispositif QFP-64 (le nombre de broches de la tête correspond au nombre de broches du dispositif)
- Empreinte de la tête de l'interface LCD à caractères
- Empreinte cristaux externes
- 8 DEL utilisateurs non attribuées
- Régulateur de 3,3 V embarqué avec DEL d'alimentation
- Empreinte de régulateur optionnel 1.1

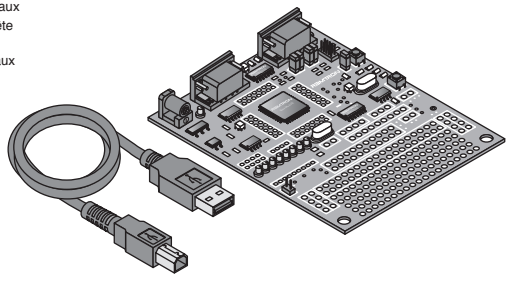

RÉF. STOCK MOUSER	Réf. Ramtron	Description	Prix unitaire
877-VERSAKIT-30XX	VERSAKIT-30XX	Kit de développement pour le VRS51C3xxx	48,11
877-VJTAG-USB	VJTAG-USB	Interface de programmation/débogage pour le VRS51C2070/VRS51C3074	34,65

COMPAGNONS DE PROCESSEUR RAMTRON

Le compagnon de processeur de Ramtron est la solution périphérique avec des fonctions hautement intégrées pour les systèmes basés sur processeur. Jamais auparavant une solution n'a combiné la performance rapide de lecture / écriture et la résistance illimitée de la mémoire F-RAM non-volatile (mémoire d'accès aléatoire ferroélectrique) avec une minuterie en temps réel (RTC), un superviseur de processeur et d'autres périphériques communs. En plus de la mémoire et du RTC, ces dispositifs sont dotés des fonctions de support de l'UC normalement nécessaires telles que la réinitialisation programmable à faible VDD, l'horloge de surveillance, le compteur d'événements de la mémoire non-volatile, la zone à numéro sériel 64 bits à aptitude de verrouillage et l'interruption d'alerte précoce de coupure de courant (NMI). Les fonctions complémentaires mais distinctes partagent une interface commune à 2 fils qui élimine le besoin de dispositifs multiples.

RoHS Compliant

LEAD-FREE

Caractéristiques :
- Le dispositif à haute intégration remplace plusieurs composantes
- Mémoire série non-volatile
- Horloge en temps réel (RTC)
- Réinitialisation à faible tension
- Horloge de surveillance
- Interruption d'alerte précoce de coupure de courant / NMI
- Deux compteurs d'événements 16 bits
- Numéro de série avec blocage d'écriture pour sécurité

♦ **Composant pour montage en surface**

Pour des quantités supérieures à celles indiquées, appelez-nous afin d'obtenir un devis.

RÉF. STOCK MOUSER	Réf. Ramtron	Type de boîtier	Mémoire	RTC	Alarme RTC	Moniteur de puissance	Horloge de surveillance	Coupure de courant précoce	Numéro de série	Commutation de la batterie	Détection d'événements	Tension d'alimentation (V)	Prix unitaire			
													1	25	100	500
Compagnon de processeur I2C F-RAM																
♦ 877-FM31L272-G	FM31L272-G	SOIC-14	4 Ko	Oui	Non	Oui	Oui	Oui	Oui	Oui	Comptage	2,7 - 3,6	3,83	3,65	3,31	3,14
♦ 877-FM31L274-G	FM31L274-G	SOIC-14	16K	Oui	Non	Oui	Oui	Oui	Oui	Oui	Comptage	2,7 - 3,6	-	-	-	-
♦ 877-FM32276-G	FM32276-G	SOIC-14	64 Ko	Non	Non	Oui	Oui	Oui	Oui	Oui	Comptage	4,0 - 5,5	-	-	-	-
♦ 877-FM31L276-G	FM31L276-G	SOIC-14	64 Ko	Oui	Non	Oui	Oui	Oui	Oui	Oui	Comptage	2,7 - 3,6	4,99	4,77	4,31	4,08
♦ 877-FM31276-G	FM31276-G	SOIC-14	64 Ko	Oui	Non	Oui	Oui	Oui	Oui	Oui	Comptage	4,0 - 5,5	4,99	4,77	4,31	4,08
♦ 877-FM32278-G	FM32278-G	SOIC-14	256 Ko	Non	Non	Oui	Oui	Oui	Oui	Oui	Comptage	4,0 - 5,5	-	-	-	-

© Copyright 2012 Mouser Electronics
© Copyright 2012 Mouser Electronics

Programmateurs et débogueurs SIGNUM SYSTEMS

RoHS Compliant **This product is RoHS compliant.**

ÉMULATEURS ET DÉBOGUEURS ARM - XSCALE

JTAGjet, un débogueur sur circuit transparent en temps réel, basé sur le port de balayage limite JTAG. Il comporte une connexion par port USB 2.0 pour offrir une vitesse et un confort de communication optimum. le JTAGjet est livré avec le puissant logiciel de débogage Chameleon.

Spécifications :

- Support pour DSP ARM7, ARM9, ARM11, Cortex, MPCore, XScale, Sitara, Stellaris, DaVinci, OMAP, OMAP2, OMAP3 et TMS320 DSPs de Texas Instruments.
- Téléchargements ultra rapides à plus de 1 Moctet/sec
- Connexion USB 2.0 (480 Mb/s) vers l'ordinateur hôte
- Compatible avec tous les principaux débogueurs ARM
- Compatible avec Code Composer Studio (TI)
- Programmeur Flash intelligent
- Détection de dispositif en chaîne JTAG
- Horloge JTAG variable (jusqu'à 30 MHz) et adaptable
- Tension JTAG à auto-détection

RÉF. STOCK MOUSER	Réf. Signum Systems	Description	Prix unitaire
900-JTAGJET-ARM	JTAGjet-ARM	Émulateur JTAG pour ARM7/9, débogueur Chameleon et pilote Keil µVision3	1237,50
900-JTAGJET-ARM11	JTAGjet-ARM11	Émulateur JTAG pour ARM7/9/11, débogueur Chameleon et pilote Keil µVision3	1732,50
900-JTAGJET-TRACE-1M	JTAGjet-Trace-1M	Émulateur JTAG pour ARM7/9/11 et Cortex avec mémoire tampon de trace 1M et débogueur Chameleon et pilote Keil µVision3	3135,00
900-JTAGJET-TRACE-2M	JTAGjet-Trace-2M	Émulateur JTAG pour ARM7/9/11 et Cortex avec mémoire tampon de trace 2M et débogueur Chameleon et pilote Keil µVision3	3300,00
900-JTAGJET-TRACE-4M	JTAGjet-Trace-4M	Émulateur JTAG pour ARM7/9/11 et Cortex avec mémoire tampon de trace 4M et débogueur Chameleon et pilote Keil µVision3	3712,50
900-JTAGJETTRACECM3	JTAGjet-Trace-CM3	Émulateur JTAG pour Cortex-M3 avec mémoire tampon de trace ETM 1M et débogueur Chameleon et pilote Keil µVision3	1237,50
900-JTAGJETTRACECM32	JTAGjet-Trace-CM3-2	Débogueur sur circuit pour dispositifs Cortex-M3 avec mémoire de trace ETM 2M, débogueur Chameleon et pilote Keil uVision	1650,00
900-JTAGJETTRACECM34	JTAGjet-Trace-CM3-4	Débogueur sur circuit pour dispositifs Cortex-M3 avec mémoire de trace ETM 4M, débogueur Chameleon et pilote Keil uVision	2062,50
900-JTAGJET-XSCALE	JTAGjet-XScale	Émulateur JTAG pour XScale PXA25x/270 and IXP4xx et débogueur Chameleon	1567,50

ÉMULATEURS OMAP ET DSP

JTAGjet-Trace, un débogueur sur circuit transparent et en temps réel avec une mémoire tampon de trace en temps réel. Supporte tous les dispositifs ARM7, ARM9, ARM11, Cortex, OMAP, OMAP2 OMAP3 équipés d'un ETM (Embedded Trace Macrocell) à une vitesse pouvant atteindre 400 MHz. Disponible avec des profondeurs de trace de cadres de 256K, 1M, 2M et 4M. Chaque cadre porte une estampille temporelle de la précision du cycle de CPU. Pour plus d'informations, consultez la brochure PDF ci-dessus.

Spécifications :

- Vitesse d'acquisition de traces jusqu'à 400 M échantillons/sec (Vitesses CPU jusqu'à 400 MHz)
- Support pour tous les cœurs ARM7, ARM9, ARM11, Cortex, OMAP, OMAP2 et OMAP3 équipés d'une logique de traces ETM
- Disponible avec des mémoires tempons de trace de cadres de 256K, 1M, 2M et 4M
- Support pour bus de trace d'une largeur de 4, 8 et 16 bits
- Estampille temporelle 56 bits avec précision de cycle CPU
- Accès facile à tous les modes ETM, déclenchements et filtrages
- Disponible avec un connecteur cible Mictor-38 ou un connecteur Cortex à 20 broches
- Fonctionnement silencieux : pas de ventilateur ni de dissipateur thermique apparent
- Adaptateur JTAG simple pour cartes sans ETM

RÉF. STOCK MOUSER	Réf. Signum Systems	Description	Prix unitaire
900-JTAGJET-470	JTAGjet-470	Émulateur JTAG pour MCU TMS470 (ARM7), pilotes CCStudio et débogueur Chameleon	1237,50
900-JTAGJET-DAVINCI	JTAGjet-DaVinci	Émulateur JTAG emulator pour TI DaVinci avec débogueur Chameleon pour ARM7/9, pilotes CCStudio et pilote eSOL eBinder.	2062,50
900-JTAGJET-OMAP3	JTAGjet-OMAP3	Émulateur JTAG pour DSP OMAP3, DaVinci et TMS320 avec débogueur Chameleon pour ARM7/9/11 et Cortex-M/R/A, pilotes CCStudio et pilotes RDI. Fourni avec sondes TI-14, cTI-20 et ARM-20-LV JTAG.	2310,00
900-JTAGJETTRACEOMAP	JTAGjet-Trace-OMAP	Émulateur JTAG pour dispositifs TI OMAP avec mémoire tampon de trace 4M, Débogueur Chameleon pour ARM7/9/11/Cortex et pilotes CCStudio.	4290,00
900-JTAGJET-CCS	JTAGjet-CCS	Émulateur JTAG pour dispositifs TI C2000, C5000, C6000. Comprend : pilotes CCStudio et embase JTAG à 14 broches	820,88

ÉMULATEURS ET DÉBOGUEURS TMS320C2000

Le guépard de tous les émulateurs ARM. Si vous en avez assez d'attendre la fin d'un téléchargement ou d'un programme Flash, cet émulateur est fait pour vous. Notre JTAGjet USB 2.0 vous offre une vitesse de téléchargement dépassant les 1 Moctet/s* ! Finies les performances de moins de 100 Koctet/s des émulateurs lents USB 1.1.

* Vitesse réelle 1.062 Moctet/s. test avec une carte ARM Evaluator 7T et un PC 600 MHz Pentium III avec port USB 2.0. Des PC plus rapides peuvent atteindre des vitesses de téléchargement supérieures.

Spécifications :

- Connextion haute vitesse UAB 2.0 vers PC
- Téléchagements à 1 Moctet/s vers cible
- Supporte tous les dispositifs ARM7, ARM9. ARM11, Cortex, MPCore, XScale, DaVinci, OMAP, OMAP2 et OMAP3
- Support trace (ETM) en temps réel
- Débogueur Chameleon pour ARM7, ARM9, ARM11, Cortex, MPCore, XScale, DaVinci, OMAP, OMAP2 et OMAP3.
- Programmateur Flash et FPGA intégré
- Compatible avec tous les principaux débogueurs ARM

RÉF. STOCK MOUSER	Réf. Signum Systems	Description	Prix unitaire
900-JTAGJET-C2000	JTAGjet-C2000	Émulateur JTAG pour MCU TI C2000. Comprend : pilotes CCStudio et embase JTAG à 14 broches	490,88
900-JTAGJET-C2000F	JTAGjet-C2000F	Émulateur JTAG pour MCU TI C2000. Comprend : pilotes CCStudio, embase JTAG à 14 broches et Flasher-C2000	655,88
900-JTAGJETC2000FISO	JTAGjet-C2000F-ISO	Émulateur JTAG pour MCU TI C2000. Comprend : pilotes CCStudio, embase JTAG à 14 broches isolée et Flasher-C2000	820,88
900-JTAGJET-C2000ISO	JTAGjet-C2000-ISO	Émulateur JTAG pour MCU TI C2000. Comprend : pilotes CCStudio et embase JTAG à 14 broches isolée	655,88

© Copyright 2012 Mouser Electronics
© Copyright 2012 Mouser Electronics

Microcontrôleurs SILICON LABS

RoHS Compliant **This page of product is compliant.**

MCU A ACTIVATION TACTILE CAPACITIVE C8051F70X

RoHS Compliant

La famille de MCU C8051F70x de Silicon Labs satisfait les exigences des concepteurs en termes d'activation tactile capacitive, tout en offrant les meilleures performances de sa catégorie. Ces dispositifs haute performance disposent d'un large éventail de fonctions à signal mixte et sont dotés d'un cœur 8051 haut débit, d'une fonction d'activation tactile capacitive avec convertisseur capacité à numérique 16 bits, d'une immunité supérieure au bruit, d'un temps d'acquisition rapide de 40 µs et de périphériques numériques qui incluent jusqu'à 39 points d'accès entrée/sortie avec haut courant absorbé.
La famille de MCU C8051F70x, robuste et fiable, comporte une architecture immune au bruit et le meilleur SNR de sa catégorie. Silicon Labs offre un GUI simple et une bibliothèque API qui rendent l'implémentation rapide et facile.

Caractéristiques :

- Comparateur de tension sur puce
- Interface à détection capacitive à 32 canaux d'entrée
- Oscillateur interne de 24,5 MHz calibré pour précision
- Interface de débogage incluse dans le système, à pleine vitesse, non intrusive (sur puce)

Pour des quantités supérieures à celles indiquées, appelez-nous afin d'obtenir un devis.

RÉF. STOCK MOUSER	Réf. Silicon Labs	Boîtier	MIPS (Pic)	Flash (Ko)	RAM (octets)	Broches d'E/S numériques	Interfaces			Périphériques analogiques									Prix unitaire		
							UART	I2C	SPI	Osc. interne	Minuteurs	PCA Ca.	CAN	CNA	Sonde de temp.	VREF	Com-parateurs	1	25	100
634-C8051F700-GQ	C8051F700-GQ	QFP-64	25	15	512	54	Oui	Oui	Oui	± 2 %	4 16 bits	3	10 bits	Non	Oui	Oui	1	5,79	5,36	4,97
634-C8051F701-GQ	C8051F701-GQ	QFP-64	25	15	512	54	Oui	Oui	Oui	± 2 %	4 16 bits	3	Non	Non	Non	Non	1	5,30	4,92	4,55
634-C8051F702-GQ	C8051F702-GQ	QFP-64	25	16	512	54	Oui	Oui	Oui	± 2 %	4 16 bits	3	10 bits	Non	Oui	Oui	1	5,79	5,36	4,97
634-C8051F703-GQ	C8051F703-GQ	QFP-64	25	16	512	54	Oui	Oui	Oui	± 2 %	4 16 bits	3	Non	Non	Non	Non	1	5,30	4,92	4,55
634-C8051F704-GM	C8051F704-GM	QFN-48	25	15	512	39	Oui	Oui	Oui	± 2 %	4 16 bits	3	10 bits	Non	Oui	Oui	1	5,35	4,96	4,60
634-C8051F704-GQ	C8051F704-GQ	QFN-48	25	15	512	39	Oui	Oui	Oui	± 2 %	4 16 bits	3	10 bits	Non	Oui	Oui	1	5,69	5,13	4,35
634-C8051F705-GM	C8051F705-GM	QFN-48	25	15	512	39	Oui	Oui	Oui	± 2 %	4 16 bits	3	Non	Non	Non	Non	1	4,88	4,52	4,19
634-C8051F705-GQ	C8051F705-GQ	QFP-48	25	15	512	39	Oui	Oui	Oui	± 2 %	4 16 bits	3	Non	Non	Non	Non	1	4,64	4,29	3,98
634-C8051F706-GM	C8051F706-GM	QFN-48	25	16	512	39	Oui	Oui	Oui	± 2 %	4 16 bits	3	10 bits	Non	Oui	Oui	1	5,35	4,96	4,60
634-C8051F706-GQ	C8051F706-GQ	QFP-48	25	16	512	39	Oui	Oui	Oui	± 2 %	4 16 bits	3	10 bits	Non	Oui	Oui	1	5,07	4,69	4,35
634-C8051F707-GM	C8051F707-GM	QFN-48	25	16	512	39	Oui	Oui	Oui	± 2 %	4 16 bits	3	Non	Non	Non	Non	1	4,88	4,52	4,19
634-C8051F707-GQ	C8051F707-GQ	QFP-48	25	16	512	39	Oui	Oui	Oui	± 2 %	4 16 bits	3	Non	Non	Non	Non	1	4,64	4,29	3,98
634-C8051F708-GQ	C8051F708-GQ	QFP-64	25	8	512	54	Oui	Oui	Oui	± 2 %	4 16 bits	3	10 bits	Non	Oui	Oui	1	4,83	4,47	4,14
634-C8051F709-GQ	C8051F709-GQ	QFP-64	25	8	512	54	Oui	Oui	Oui	± 2 %	4 16 bits	3	Non	Non	Non	Non	1	4,35	4,03	3,73
634-C8051F710-GQ	C8051F710-GQ	QFP-64	25	8	512	54	Oui	Oui	Oui	± 2 %	4 16 bits	3	10 bits	Non	Oui	Oui	1	4,60	4,26	3,94
634-C8051F711-GQ	C8051F711-GQ	QFP-64	25	8	512	54	Oui	Oui	Oui	± 2 %	4 16 bits	3	Non	Non	Non	Non	1	4,11	3,80	3,52
634-C8051F712-GM	C8051F712-GM	QFN-48	25	8	512	39	Oui	Oui	Oui	± 2 %	4 16 bits	3	10 bits	Non	Oui	Oui	1	4,44	4,11	3,81
634-C8051F712-GQ	C8051F712-GQ	QFP-48	25	8	512	39	Oui	Oui	Oui	± 2 %	4 16 bits	3	10 bits	Non	Oui	Oui	1	4,20	3,89	3,61
634-C8051F713-GM	C8051F713-GM	QFN-48	25	8	512	39	Oui	Oui	Oui	± 2 %	4 16 bits	3	Non	Non	Non	Non	1	3,97	3,68	3,41
634-C8051F713-GQ	C8051F713-GQ	QFP-48	25	8	512	39	Oui	Oui	Oui	± 2 %	4 16 bits	3	Non	Non	Non	Non	1	3,79	3,51	3,25
634-C8051F714-GM	C8051F714-GM	QFN-48	25	8	512	39	Oui	Oui	Oui	± 2 %	4 16 bits	3	10 bits	Non	Oui	Oui	1	3,73	3,46	3,20
634-C8051F714-GQ	C8051F714-GQ	QFP-48	25	8	512	39	Oui	Oui	Oui	± 2 %	4 16 bits	3	10 bits	Non	Oui	Oui	1	3,56	3,30	3,06
634-C8051F715-GM	C8051F715-GM	QFN-48	25	8	512	39	Oui	Oui	Oui	± 2 %	4 16 bits	3	Non	Non	Non	Non	1	3,51	3,25	3,01
634-C8051F715-GQ	C8051F715-GQ	QFP-48	25	8	512	39	Oui	Oui	Oui	± 2 %	4 16 bits	3	Non	Non	Non	Non	1	3,34	3,09	2,87

OUTILS DE DÉVELOPPEMENT A ACTIVATION TACTILE CAPACITIVE C8051F70X

RÉF. STOCK MOUSER	Réf. Silicon Labs	Description	Prix unitaire
634-C8051F700-TB	C8051F700TB	Carte cible famille de MCU C8051F700	40,43
634-KEYBOARDEK	KEYBOARDEK	Kit d'évaluation à activation tactile capacitive C8051F700	43,31
634-C8051F700DK	C8051F700DK	Kit de développement famille MCU C8051F700	81,68

MCU A ACTIVATION TACTILE CAPACITIVE C8051F8XX

RoHS Compliant

La famille QuickSense™ C8051F8xx de MCU à activation tactile capacitive fournit une solution simple et fiable pour les boutons, barres de défilement et roues capacitifs, ainsi que les détecteurs de proximité capacitifs. La famille C8051F800 part de la famille de MCU C8051F700, avec une réduction du nombre de broches et une option de faible encombrement par rapport aux solutions tactiles capacitives les plus rapides du marché. Le C8051F800 ajoute des options 16, 20 et 24 broches au C8051F700 existant à 48 ou 64 broches, donc plus de possibilités pour s'adapter aux produits avec un nombre de broches, une taille et un coût adaptés. Des ressources supplémentaires comme un CAN 10 bits et un PWM numérique offrent un support d'interface homme-machine supplémentaire pour les accéléromètres, les vibrations tactiles vibratoires, le contrôle de l'éclairage DEL, les détecteurs de température à écran tactile résistifs et capacitifs.

Pour des quantités supérieures à celles indiquées, appelez-nous afin d'obtenir un devis.

RÉF. STOCK MOUSER	Réf. Silicon Labs	Boîtier	MIPS (Pic)	Flash (Ko)	RAM (octets)	Broches d'E/S numériques	Interfaces			Périphériques analogiques									Prix unitaire		
							UART	I2C	SPI	Osc. interne	Minuteurs	PCA Ca.	CAN	CNA	Sonde de temp.	VREF	Com-parateurs	1	25	100
634-C8051F800-GM	C8051F800-GM	QFN-20	25	16	512	17	Oui	Oui	Oui	± 2 %	3 16 bits	3	10 bits	Non	Oui	Oui	1	3,32	3,13	2,80
634-C8051F800-GU	C8051F800-GU	QSOP-24	25	16	512	17	Oui	Oui	Oui	± 2 %	3 16 bits	3	10 bits	Non	Oui	Oui	1	3,32	3,13	2,80
634-C8051F803-GS	C8051F803-GS	SOIC-16	25	16	512	13	Oui	Oui	Oui	± 2 %	3 16 bits	3	10 bits	Non	Oui	Oui	1	3,18	2,99	2,61
634-C8051F824-GS	C8051F824-GS	SOIC-16	25	8	512	13	Oui	Oui	Oui	± 2 %	3 16 bits	3	10 bits	Non	Oui	Oui	1	2,60	2,44	2,36

OUTILS DE DÉVELOPPEMENT A ACTIVATION TACTILE CAPACITIVE C8051F8XX

RÉF. STOCK MOUSER	Réf. Silicon Labs	Description	Prix unitaire
634-C8051F800DK	C8051F800DK	Kit de développement pour les MCU de la série C8051F8xx	81,68
634-FRONTPANEL2EK	FRONTPANEL2EK	Montre une détection par bouton capacitif, de proximité capacitive, de proximité à infrarouge et un contrôle DEL avec le kit de développement des familles de MCU C8051F800 et Si1120 C8051F700.	32,99

MCU A ACTIVATION TACTILE ULTRA FAIBLE PUISSANCE C8051F9XX

RoHS Compliant

La famille QuickSense™ C8051F99x de MCU à activation tactile capacitive fournit la solution à plus faible puissance et plus haute sensitivité tactile pour les boutons, barres de défilement et roues capacitifs ainsi que les détecteurs de proximité capacitifs. Conçu à partir de la plateforme populaire C8051F9xx, ce dispositif comprend un mode actif 150 µA/MHz et de nombreux modes veille allant jusqu'à10 nA. Avec un maximum de14 entrées tactiles capacitives et un convertisseur capacité à numérique minuté bientôt breveté, le C8051F99x offre une sensitivité tactile, une vitesse et une faible puissance inégalées dans un format aussi petit qu'un QFN20 de 3 mm x 3 mm.

Pour des quantités supérieures à celles indiquées, appelez-nous pour obtenir un devis.

RÉF. STOCK MOUSER	Réf. Silicon Labs	Boîtier	MIPS (Pic)	Flash (Ko)	RAM (octets)	Broches d'E/S numériques	Interfaces			Périphériques analogiques									Prix unitaire		
							UART	I2C	SPI	Osc. interne	Minuteurs	PCA Ca.	CAN	CNA	Sonde de temp.	VREF	Com-parateurs	1	25	100
634-C8051F990-GM	C8051F990-GM	QFN-20	25	8	512	16	Oui	Oui	Oui	± 2 %	4 16 bits	3	10/12 bits	Non	Oui	Oui	1	3,32	3,07	1,64
634-C8051F991-GM	C8051F991-GM	QFN-20	25	8	512	16	Oui	Oui	Oui	± 2 %	4 16 bits	3	10/12 bits	Non	Oui	Oui	1	2,57	2,47	2,38
634-C8051F996-GM	C8051F996-GM	QFN-24	25	8	512	17	Oui	Oui	Oui	± 2 %	4 16 bits	3	10/12 bits	Non	Oui	Oui	1	3,22	2,98	2,76
634-C8051F996-GU	C8051F996-GU	QFN-24	25	8	512	17	Oui	Oui	Oui	± 2 %	4 16 bits	3	10/12 bits	Non	Oui	Oui	1	3,22	2,98	2,76
634-C8051F997-GM	C8051F997-GM	QFN-24	25	8	512	17	Oui	Oui	Oui	± 2 %	4 16 bits	3	10/12 bits	Non	Oui	Oui	1	2,73	2,62	2,52
634-C8051F997-GU	C8051F997-GU	QFN-24	25	8	512	17	Oui	Oui	Oui	± 2 %	4 16 bits	3	10/12 bits	Non	Oui	Oui	1	2,73	2,62	2,52

OUTILS DE DEVELOPPEMENT A ACTIVATION TACTILE ULTRA FAIBLE PUISSANCE C8051F9XX

RÉF. STOCK MOUSER	Réf. Silicon Labs	Description	Prix unitaire
634-F990SLIDEREK	F990SliderEK	Démontre les possibilités de niveau de système qu'il est possible d'atteindre en combinant la technologie Silicon Labs QuickSense™ avec le MCU à activation tactile capacitive de puissance ultra faible C8051F99x.	24,87
634-C8051F996DK	C8051F996DK	Kit de développement pour la famille C8051F990, F991, F996 et F997 de MCU à activation tactile capacitive de puissance ultra faible et la famille C8051F980, F981, F982, F983, F985, F986, F987, F988 et F989 de MCU de puissance ultra faible.	81,68

© Copyright 2012 Mouser Electronics
© Copyright 2012 Mouser Electronics

Microcontrôleurs SILICON LABS

RoHS Compliant **This page of product is compliant.**

MICROCONTROLEURS À SIGNAL MIXTE DE PRÉCISION C8051FXXX

Les microcontrôleurs à signal mixte de Silicon Laboratories intègrent l'UC 8051 analogique de classe mondiale à architecture pipeline et à haute vitesse, la mémoire flash ISP et le débogage basé sur JTAG sur puce dans chaque dispositif. Le nœud analogique configurable à haute performance jusqu'à 100 MIPS et l'aptitude de programmation en système offrent à l'utilisateur une flexibilité de conception complète, un temps de mise sur le marché amélioré, une performance du système supérieure et une différentiation plus grande du produit final.

Caractéristiques :

- UC 8051 de 20 jusqu'à 100 MIPS
- Mémoire flash de 32 à 128 KO
- Mémoire RAM de 256 à 8448 KO
- CAN jusqu'à 24 bits
- CNA jusqu'à 12 bits
- Jusqu'à trois comparateurs
- Référence de tension
- Capteur de température
- 45 minuteries 16 bits
- PCA à 36 canaux
- 864 entrées/sorties numériques
- MAC 16 x 16

Applications :

- Systèmes de contrôle de rétroaction des processus et industriels
- Instrumentation
- Systèmes de test
- Terminaux au point de vente
- Systèmes radio par satellite
- Stations de base pour les téléphones cellulaires
- Systèmes à fibre optique
- Équipement de test portatif et fixe
- Balances
- Émetteurs intelligents
- Équipement de test automatique (ETA)

RoHS Compliant

Typical Silicon Labs MCU Chip

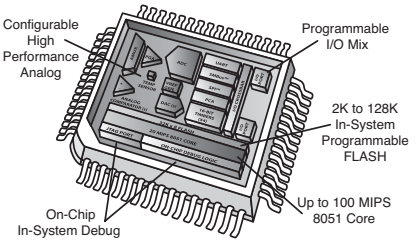

Pour des quantités supérieures à celles indiquées, appelez-nous afin d'obtenir un devis.

RÉF. STOCK MOUSER	Réf. Silicon Labs	Boîtier	MIPS (Pic)	Flash (Ko)	RAM (octets)	Broches d'E/S numériques	Interfaces				Périphériques analogiques								Prix unitaire		
							UART	I2C	SPI	CAN	Osc. interne	Minuteurs	PCA Ca.	CAN	CNA	Sonde de temp.	VREF	Com-parateurs	1	25	100
634-C8051F000-GQ	C8051F000-GQ	TQFP-64	20	32	256	32	Oui	Oui	Oui	Non	± 20 %	4 16 bits	5	12 bits	12 bits	Oui	Oui	2	11,63	10,77	9,97
634-C8051F001-GQ	C8051F001-GQ	TQFP-48	20	32	256	16	Oui	Oui	Oui	Non	± 20 %	4 16 bits	5	12 bits	12 bits	Oui	Oui	2	12,54	11,31	9,82
634-C8051F002-GQ	C8051F002-GQ	LQFP-32	20	32	256	8	Oui	Oui	Oui	Non	± 20 %	4 16 bits	5	12 bits	12 bits	Oui	Oui	1	11,26	10,43	9,66
634-C8051F005-GQ	C8051F005-GQ	TQFP-64	25	32	2304	32	Oui	Oui	Oui	Non	± 20 %	4 16 bits	5	2 12 bits	Non	Oui	Oui	2	12,47	11,54	10,69
634-C8051F006-GQ	C8051F006-GQ	TQFP-48	25	32	2304	16	Oui	Oui	Oui	Non	± 20 %	4 16 bits	5	12 bits	12 bits	Oui	Oui	2	12,14	11,24	10,41
634-C8051F007-GQ	C8051F007-GQ	LQFP-32	25	32	2304	8	Oui	Oui	Oui	Non	± 20 %	4 16 bits	5	12 bits	12 bits	Oui	Oui	1	11,86	10,98	10,17
634-C8051F011-GQ	C8051F011-GQ	TQFP-48	20	32	256	16	Oui	Oui	Oui	Non	± 20 %	4 16 bits	5	10 bits	12 bits	Oui	Oui	2	10,68	9,89	9,17
634-C8051F012-GQ	C8051F012-GQ	LQFP-32	20	32	256	8	Oui	Oui	Oui	Non	± 20 %	4 16 bits	5	10 bits	12 bits	Oui	Oui	1	11,40	10,29	8,93
634-C8051F015-GQ	C8051F015-GQ	TQFP-64	25	32	2304	32	Oui	Oui	Oui	Non	± 20 %	4 16 bits	5	10 bits	12 bits	Oui	Oui	2	11,77	10,90	10,10
634-C8051F016-GQ	C8051F016-GQ	TQFP-48	25	32	2304	16	Oui	Oui	Oui	Non	± 20 %	4 16 bits	5	10 bits	12 bits	Oui	Oui	2	11,58	10,73	9,93
634-C8051F017-GQ	C8051F017-GQ	LQFP-32	25	32	2304	8	Oui	Oui	Oui	Non	± 20 %	4 16 bits	5	10 bits	12 bits	Oui	Oui	1	12,56	11,33	9,83
634-C8051F018-GQ	C8051F018-GQ	TQFP-64	25	16	1280	32	Oui	Oui	Oui	Non	± 20 %	4 16 bits	5	10 bits	Non	Oui	Oui	2	9,50	8,80	8,15
634-C8051F019-GQ	C8051F019-GQ	TQFP-48	25	16	1280	16	Oui	Oui	Oui	Non	± 20 %	4 16 bits	5	10 bits	Non	Oui	Oui	2	9,17	8,49	7,86
634-C8051F020-GQ	C8051F020-GQ	TQFP-100	25	64	4352	64	2	Oui	Oui	Non	± 20 %	5 16 bits	5	12/8 bits	12 bits	Oui	Oui	2	16,73	15,49	14,35
634-C8051F021-GQ	C8051F021-GQ	TQFP-64	25	64	4352	32	2	Oui	Oui	Non	± 20 %	5 16 bits	5	12/8 bits	12 bits	Oui	Oui	2	16,15	14,95	13,84
634-C8051F022-GQ	C8051F022-GQ	TQFP-100	25	64	4352	64	2	Oui	Oui	Non	± 20 %	5 16 bits	5	10/8 bits	12 bits	Oui	Oui	2	13,32	12,33	11,42
634-C8051F023-GQ	C8051F023-GQ	TQFP-64	25	64	4352	32	2	Oui	Oui	Non	± 20 %	5 16 bits	5	10/8 bits	12 bits	Oui	Oui	2	12,35	11,43	10,59
634-C8051F040-GQ	C8051F040-GQ	TQFP-100	25	64	4352	64	2	Oui	Oui	2.0B	± 2 %	5 16 bits	6	12/8 bits	12 bits	Oui	Oui	3	11,92	11,04	10,22
634-C8051F041-GQ	C8051F041-GQ	TQFP-64	25	64	4352	32	2	Oui	Oui	2.0B	± 2 %	5 16 bits	6	12/8 bits	12 bits	Oui	Oui	3	11,46	10,61	9,83
634-C8051F042-GQ	C8051F042-GQ	TQFP-100	25	64	4352	64	2	Oui	Oui	2.0B	± 2 %	5 16 bits	6	10/8 bits	12 bits	Oui	Oui	3	10,22	9,47	8,77
634-C8051F043-GQ	C8051F043-GQ	TQFP-100	25	64	4352	32	2	Oui	Oui	2.0B	± 2 %	5 16 bits	6	10/8 bits	12 bits	Oui	Oui	3	9,81	9,08	8,42
634-C8051F044-GQ	C8051F044-GQ	TQFP-100	25	64	4352	64	2	Oui	Oui	2.0B	± 2 %	5 16 bits	6	10 bits	Non	Oui	Oui	3	8,31	7,70	7,13
634-C8051F045-GQ	C8051F045-GQ	TQFP-64	25	64	4352	32	2	Oui	Oui	2.0B	± 2 %	5 16 bits	6	10 bits	Non	Oui	Oui	3	7,85	7,28	6,74
634-C8051F046-GQ	C8051F046-GQ	TQFP-100	25	32	4352	64	2	Oui	Oui	2.0B	± 2 %	5 16 bits	6	10 bits	Non	Oui	Oui	3	7,80	7,22	6,69
634-C8051F047-GQ	C8051F047-GQ	TQFP-64	25	32	4352	32	2	Oui	Oui	2.0B	± 2 %	5 16 bits	6	10 bits	Non	Oui	Oui	3	7,30	6,76	6,26
634-C8051F060-GQ	C8051F060-GQ	TQFP-100	25	64	4352	59	2	Oui	Oui	2.0B	± 2 %	5 16 bits	6	2 16 bits	12 bits	Oui	Oui	3	16,39	15,18	14,06
634-C8051F061-GQ	C8051F061-GQ	TQFP-64	25	64	4352	24	2	Oui	Oui	2.0B	± 2 %	5 16 bits	6	2 16 bits	12 bits	Oui	Oui	3	14,90	13,79	12,78
634-C8051F062-GQ	C8051F062-GQ	TQFP-100	25	64	4352	59	2	Oui	Oui	2.0B	± 2 %	5 16 bits	6	2 16 bits	12 bits	Oui	Oui	3	13,94	12,90	11,95
634-C8051F063-GQ	C8051F063-GQ	TQFP-64	25	64	4352	24	2	Oui	Oui	2.0B	± 2 %	5 16 bits	6	2 16 bits	12 bits	Oui	Oui	3	14,85	13,40	11,62
634-C8051F064-GQ	C8051F064-GQ	TQFP-100	25	64	4352	59	2	Oui	Oui	Non	± 2 %	5 16 bits	6	2 16 bits	Non	Non	Oui	3	11,78	10,91	10,11
634-C8051F065-GQ	C8051F065-GQ	TQFP-64	25	64	4352	24	2	Oui	Oui	Non	± 2 %	5 16 bits	6	2 16 bits	Non	Non	Oui	3	11,45	10,60	9,82
634-C8051F120-GQ	C8051F120-GQ	TQFP-100	100	128	8448	64	2	Oui	Oui	Non	± 2 %	5 16 bits	6	12/8 bits	12 bits	Oui	Oui	2	20,50	18,98	17,58
634-C8051F121-GQ	C8051F121-GQ	TQFP-64	100	128	8448	32	2	Oui	Oui	Non	± 2 %	5 16 bits	6	12/8 bits	12 bits	Oui	Oui	2	19,85	18,38	17,02
634-C8051F122-GQ	C8051F122-GQ	TQFP-100	100	128	8448	64	2	Oui	Oui	Non	± 2 %	5 16 bits	6	10/8 bits	12 bits	Oui	Oui	2	18,99	17,58	16,29
634-C8051F123-GQ	C8051F123-GQ	TQFP-64	100	128	8448	32	2	Oui	Oui	Non	± 2 %	5 16 bits	6	10/8 bits	12 bits	Oui	Oui	2	18,37	17,01	15,76
634-C8051F124-GQ	C8051F124-GQ	TQFP-100	50	128	8448	64	2	Oui	Oui	Non	± 2 %	5 16 bits	6	12/8 bits	12 bits	Oui	Oui	2	17,99	16,65	15,42
634-C8051F125-GQ	C8051F125-GQ	TQFP-64	50	128	8448	32	2	Oui	Oui	Non	± 2 %	5 16 bits	6	12/8 bits	12 bits	Oui	Oui	2	17,31	16,02	14,84
634-C8051F126-GQ	C8051F126-GQ	TQFP-100	50	128	8448	64	2	Oui	Oui	Non	± 2 %	5 16 bits	6	10/8 bits	12 bits	Oui	Oui	2	16,47	15,25	14,12
634-C8051F127-GQ	C8051F127-GQ	TQFP-64	50	128	8448	64	2	Oui	Oui	Non	± 2 %	5 16 bits	6	10/8 bits	12 bits	Oui	Oui	2	15,86	14,68	13,60
634-C8051F130-GQ	C8051F130-GQ	TQFP-100	100	128	8448	64	2	Oui	Oui	Non	± 2 %	5 16 bits	6	10 bits	Non	Oui	Oui	2	14,66	13,57	12,57
634-C8051F131-GQ	C8051F131-GQ	TQFP-64	100	128	8448	32	2	Oui	Oui	Non	± 2 %	5 16 bits	6	10 bits	Non	Oui	Oui	2	14,07	13,04	12,07
634-C8051F132-GQ	C8051F132-GQ	TQFP-100	100	64	8448	64	2	Oui	Oui	Non	± 2 %	5 16 bits	6	10 bits	Non	Oui	Oui	2	12,28	11,38	10,54
634-C8051F133-GQ	C8051F133-GQ	TQFP-64	100	64	8448	32	2	Oui	Oui	Non	± 2 %	5 16 bits	6	10 bits	Non	Oui	Oui	2	11,69	10,82	10,02
634-C8051F350-GQ	C8051F350-GQ	LQFP-32	50	8	768	17	Oui	Oui	Oui	Non	± 2 %	4 16 bits	3	24 bits	8 bits	Oui	Oui	1	6,40	5,93	5,49
634-C8051F351-GM	C8051F351-GM	QFN-28	50	8	768	17	Oui	Oui	Oui	Non	± 2 %	4 16 bits	3	24 bits	8 bits	Oui	Oui	1	5,25	4,86	4,50
634-C8051F352-GQ	C8051F352-GQ	LQFP-32	50	8	768	17	Oui	Oui	Oui	Non	± 2 %	4 16 bits	3	16 bits	8 bits	Oui	Oui	1	4,74	4,39	4,07
634-C8051F353-GM	C8051F353-GM	QFN-28	50	8	768	17	Oui	Oui	Oui	Non	± 2 %	4 16 bits	3	16 bits	8 bits	Oui	Oui	1	3,97	3,68	3,41

MICROCONTROLEURS USB

Les microcontrôleurs (MCU) USB sont dotés d'un contrôleur de fonction USB 2.0 à bord avec un émetteur-récepteur intégré et récupération horloge sur puce. Les résistances externes, cristaux, régulateur de tension, EEPROM ou autres composants ne sont pas nécessaires. Les ressources sur puce disposent d'une UC 8051 de haute vitesse avec mémoire flash jusqu'à 64 KO, UART, SMBus, SPI, horloges, compteurs et générateurs PWM. Les caractéristiques analogiques sur puce incluent un CAN 10 bits multicanal, référence de tension, oscillateur interne, comparateurs et un capteur de température. Disponibles en versions QFN à 28 broches, LQFP à 32 broches ou TQFP à 48 broches, ces dispositifs offrent une solution à une seule puce pour les applications USB intégrées.

RoHS Compliant

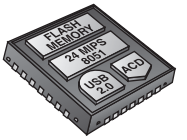

Pour des quantités supérieures à celles indiquées, appelez-nous afin d'obtenir un devis.

RÉF. STOCK MOUSER	Réf. Silicon Labs	Boîtier	MIPS (Pic)	Flash (Ko)	RAM (octets)	Broches d'E/S numériques	Communications					Périphériques analogiques								Prix unitaire		
							UART	I2C	SPI	SMBus	USB	Osc. interne	Minuteurs	PCA Ca.	CAN	CNA	Sonde de temp.	VREF	Com-parateurs	1	25	100
634-C8051F320-GQ	C8051F320-GQ	LQFP-32	25	16	2304	25	Oui	Oui	Oui	Non	2	±1,5 %	4 16 bits	5	10 bits	Non	Oui	Oui	2	5,54	5,13	4,75
634-C8051F321-GM	C8051F321-GM	QFN-28	25	16	2304	21	Oui	Oui	Oui	Non	2	±1,5 %	4 16 bits	5	10 bits	Non	Oui	Oui	2	4,72	4,37	4,05
634-C8051F326-GM	C8051F326-GM	QFN-28	25	16	1536	15	Oui	Non	Non	Non	2	±1,5 %	2 16 bits	Non	Non	Non	Non	Non	Non	3,16	2,93	2,71
634-C8051F327-GM	C8051F327-GM	QFN-28	25	16	1536	15	Oui	Non	Non	Non	2	±1,5 %	2 16 bits	Non	Non	Non	Non	Non	Non	3,16	2,93	2,71
634-C8051F340-GQ	C8051F340-GQ	TQFP-48	48	64	4352	40	2	Oui	Oui	Non	2	±1,5 %	4 16 bits	5	10 bits	Non	Oui	Oui	2	7,97	7,38	6,84
634-C8051F341-GQ	C8051F341-GQ	TQFP-48	48	32	2304	40	2	Oui	Oui	Non	2	±1,5 %	4 16 bits	5	10 bits	Non	Oui	Oui	2	7,10	6,58	6,10

© Copyright 2012 Mouser Electronics

© Copyright 2012 Mouser Electronics

Microcontrôleurs SILICON LABS

RoHS Compliant This page of product is compliant.

MICROCONTROLEURS USB (SUITE)

Les microcontrôleurs USB sont dotés d'un contrôleur de fonction USB 2.0 embarqué avec un émetteur-récepteur intégré et récupération horloge sur puce. Les résistances externes, cristaux, régulateur de tension, EEPROM ou autres composants ne sont pas nécessaires. Les ressources sur puce incluent une UC 8051 haut débit avec mémoire flash jusqu'à 64 KO, UART, SMBus, SPI, horloges, compteurs et générateurs PWM. Les caractéristiques analogiques sur puce incluent un CAN 10 bits multicanal, une référence de tension, un oscillateur interne, des comparateurs et un capteur de température. Disponibles en versions QFN à 28 broches, LQFP à 32 broches ou TQFP à 48 broches, ces dispositifs offrent une solution à une seule puce pour les applications USB intégrées.

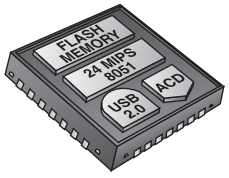

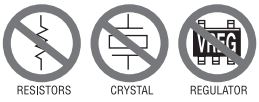

RoHS Compliant

PRODUCT NEW

Pour des quantités supérieures à celles indiquées, appelez-nous afin d'obtenir un devis.

RÉF. STOCK MOUSER	Réf. Silicon Labs	Boîtier	MIPS (Pic)	Flash (Ko)	RAM (octets)	Broches d'E/S numériques	Communications					Périphériques analogiques								Prix unitaire		
							UART	I2C	SPI	SMBus	USB	Osc. interne	Minuteurs	PCA Ca.	CAN	CNA	Sonde de temp.	VREF	Com-parateurs	1	25	100
634-C8051F342-GM	C8051F342-GM	QFN-32	48	64	4352	25	Oui	Oui	Oui	Non	2	±1,5 %	4 16 bits	5	10 bits	Non	Oui	Oui	2	7,73	7,16	6,63
634-C8051F342-GQ	C8051F342-GQ	LQFP-32	48	64	4352	25	Oui	Oui	Oui	Non	2	±1,5 %	4 16 bits	5	10 bits	Non	Oui	Oui	2	7,73	7,16	6,63
634-C8051F343-GM	C8051F343-GM	QFN-32	48	32	2304	25	Oui	Oui	Oui	Non	2	±1,5 %	4 16 bits	5	10 bits	Non	Oui	Oui	2	6,72	6,22	5,77
634-C8051F343-GQ	C8051F343-GQ	LQFP-32	48	32	2304	25	Oui	Oui	Oui	Non	2	±1,5 %	4 16 bits	5	10 bits	Non	Oui	Oui	2	6,72	6,22	5,77
634-C8051F344-GQ	C8051F344-GQ	TQFP-48	25	64	4352	40	2	Oui	Oui	Non	2	±1,5 %	4 16 bits	5	10 bits	Non	Oui	Oui	2	7,73	7,16	6,63
634-C8051F345-GQ	C8051F345-GQ	TQFP-48	25	32	2304	40	2	Oui	Oui	Non	2	±1,5 %	4 16 bits	5	10 bits	Non	Oui	Oui	2	6,72	6,22	5,77
634-C8051F346-GM	C8051F346-GM	QFN-32	25	64	4352	25	Oui	Oui	Oui	Non	2	±1,5 %	4 16 bits	5	10 bits	Non	Oui	Oui	2	7,33	6,78	6,29
634-C8051F346-GQ	C8051F346-GQ	LQFP-32	25	64	4352	25	Oui	Oui	Oui	Non	2	±1,5 %	4 16 bits	5	10 bits	Non	Oui	Oui	2	7,33	6,78	6,29
634-C8051F347-GM	C8051F347-GM	QFN-32	25	32	2304	25	Oui	Oui	Oui	Non	2	±1,5 %	4 16 bits	5	10 bits	Non	Oui	Oui	2	6,17	5,72	5,30
634-C8051F347-GQ	C8051F347-GQ	LQFP-32	25	32	2304	25	Oui	Oui	Oui	Non	2	±1,5 %	4 16 bits	5	10 bits	Non	Oui	Oui	2	6,17	5,72	5,30
634-C8051F348-GQ	C8051F348-GQ	TQFP-48	25	32	2304	40	2	Oui	Oui	Non	2	±1,5 %	4 16 bits	5	Non	Non	Non	Non	2	6,26	5,80	5,37
634-C8051F349-GM	C8051F349-GM	QFN-32	25	32	2304	25	Oui	Oui	Oui	Non	2	±1,5 %	4 16 bits	5	Non	Non	Oui	Oui	2	5,75	5,32	4,93
634-C8051F349-GQ	C8051F349-GQ	LQFP-32	25	32	2304	25	Oui	Oui	Oui	Non	2	±1,5 %	4 16 bits	5	Non	Non	Non	Non	2	5,75	5,32	4,93
634-C8051F34A-GM	C8051F34A-GM	QFN-32	48	64	4352	25	2	Oui	Oui	Non	2	±1,5 %	4 16 bits	5	10 bits	Non	Oui	Oui	2	7,89	7,30	6,77
634-C8051F34A-GQ	C8051F34A-GQ	LQFP-32	48	64	4352	25	2	Oui	Oui	Non	2	±1,5 %	4 16 bits	5	10 bits	Non	Oui	Oui	2	7,89	7,30	6,77
634-C8051F34B-GM	C8051F34B-GM	QFN-32	48	32	2304	25	2	Oui	Oui	Non	2	±1,5 %	4 16 bits	5	10 bits	Non	Oui	Oui	2	6,85	6,34	5,87
634-C8051F34B-GQ	C8051F34B-GQ	LQFP-32	48	32	2304	25	2	Oui	Oui	Non	2	±1,5 %	4 16 bits	5	10 bits	Non	Oui	Oui	2	6,85	6,34	5,87
634-C8051F34C-GQ	C8051F34C-GQ	TQFP-48	48	64	5376	40	2	Non	Oui	Oui	2	±1,5 %	4 16 bits	5	Non	Non	Non	Non	2	8,04	7,25	6,29
634-C8051F34D-GQ	C8051F34D-GQ	LQFP-32	48	64	5376	25	Oui	Non	Oui	Oui	2	±1,5 %	4 16 bits	5	Non	Non	Non	Non	2	7,79	7,03	6,10

MICROCONTRÔLEURS À PETIT FACTEUR DE FORME

La famille de microcontrôleurs à petit facteur de forme combine une UC 8051 haut débit, une mémoire flash et des circuits analogiques de haute performance dans des boîtiers remarquablement petits, permettant ainsi aux concepteurs de systèmes de réduire le nombre de composants tout en améliorant les performances du système. Les dispositifs hautement intégrés sont optimisés pour des applications à petit encombrement, faible consommation et coût réduit pour le marché grand public, industriels, des communications et des véhicules. Le développement est facile et rapide grâce aux outils de développement professionnel à coût réduit et au débogage intégré au système. L'UC à rendement élevé, haute intégration et dimension réduite et les meilleurs périphériques analogiques de leur catégorie font de la famille Petit facteur de forme la famille idéale pour une large gamme d'applications.

RoHS Compliant

Pour des quantités supérieures à celles indiquées, appelez-nous afin d'obtenir un devis.

RÉF. STOCK MOUSER	Réf. Silicon Labs	Boîtier	MIPS (Pic)	Flash (Ko)	RAM (octets)	Broches d'E/S numériques	Interfaces			Périphériques analogiques								Prix unitaire		
							UART	I2C	SPI	Osc. interne	Minuteurs	PCA Ca.	CAN	CNA	Sonde de temp.	VREF	Com-parateurs	1	25	100
634-C8051F206-GQ	C8051F206-GQ	TQFP-48	25	8	1280	32	Oui	Non	Oui	± 20 %	3 16 bits	Non	8 bits	Non	Non	Non	2	4,21	3,90	3,61
634-C8051F220-GQ	C8051F220-GQ	TQFP-48	25	8	256	32	Oui	Non	Oui	± 20 %	3 16 bits	Non	8 bits	Non	Non	Non	2	3,81	3,44	2,98
634-C8051F221-GQ	C8051F221-GQ	TQFP-32	25	8	256	22	Oui	Non	Oui	± 20 %	3 16 bits	Non	8 bits	Non	Non	Non	2	3,39	3,06	2,65
634-C8051F226-GQ	C8051F226-GQ	TQFP-48	25	8	1280	32	Oui	Non	Oui	± 20 %	3 16 bits	Non	8 bits	Non	Non	Non	2	3,67	3,40	3,15
634-C8051F230-GQ	C8051F230-GQ	TQFP-48	25	8	256	32	Oui	Non	Oui	± 20 %	3 16 bits	Non	Non	Non	Non	Non	2	3,27	3,03	2,81
634-C8051F231-GQ	C8051F231-GQ	TQFP-32	25	8	256	22	Oui	Non	Oui	± 20 %	3 16 bits	Non	Non	Non	Non	Non	2	2,95	2,73	2,53
634-C8051F236-GQ	C8051F236-GQ	TQFP-48	25	8	1280	32	Oui	Non	Oui	± 20 %	3 16 bits	Non	Non	Non	Non	Non	2	3,42	3,16	2,93
634-C8051F300-GM	C8051F300-GM	QFN-11	25	8	256	8	Oui	Oui	Non	± 2 %	3 16 bits	3	8 bits	Non	Oui	Non	1	2,38	2,19	2,04
634-C8051F301-GM	C8051F301-GM	QFN-11	25	8	256	8	Oui	Oui	Non	± 2 %	3 16 bits	3	Non	Non	Non	Non	1	2,26	2,09	1,94
634-C8051F302-GM	C8051F302-GM	QFN-11	25	8	256	8	Oui	Oui	Non	± 20 %	3 16 bits	3	8 bits	Non	Oui	Non	1	2,22	2,05	1,91
634-C8051F303-GM	C8051F303-GM	QFN-11	25	8	256	8	Oui	Oui	Non	± 20 %	3 16 bits	3	Non	Non	Non	Non	1	2,13	1,97	1,83
634-C8051F304-GM	C8051F304-GM	QFN-11	25	4	256	8	Oui	Oui	Non	± 20 %	3 16 bits	3	Non	Non	Non	Non	1	1,89	1,75	1,63
634-C8051F305-GM	C8051F305-GM	QFN-11	25	2	256	8	Oui	Oui	Non	± 20 %	3 16 bits	3	Non	Non	Non	Non	1	1,84	1,71	1,58
634-C8051F310-GQ	C8051F310-GQ	LQFP-32	25	16	1280	29	Oui	Oui	Oui	± 2 %	4 16 bits	5	10 bits	Non	Oui	Non	2	4,55	4,21	3,90
634-C8051F311-GM	C8051F311-GM	QFN-28	25	16	1280	25	Oui	Oui	Oui	± 2 %	4 16 bits	5	10 bits	Non	Oui	Non	2	4,07	3,76	3,49
634-C8051F312-GQ	C8051F312-GQ	LQFP-32	25	8	1280	29	Oui	Oui	Oui	± 2 %	4 16 bits	5	10 bits	Non	Oui	Non	2	3,55	3,28	3,04
634-C8051F314-GQ	C8051F314-GQ	LQFP-32	25	8	1280	29	Oui	Oui	Oui	± 2 %	4 16 bits	5	Non	Non	Non	Non	2	2,99	2,76	2,57
634-C8051F315-GM	C8051F315-GM	QFN-28	25	8	1280	25	Oui	Oui	Oui	± 2 %	4 16 bits	5	Non	Non	Non	Non	2	2,78	2,57	2,38
634-C8051F316-GM	C8051F316-GM	QFN-24	25	16	1280	21	Oui	Oui	Oui	± 2 %	4 16 bits	5	10 bits	Non	Oui	Non	2	3,67	3,40	3,15
634-C8051F317-GM	C8051F317-GM	QFN-24	25	16	1280	21	Oui	Oui	Oui	± 2 %	4 16 bits	5	Non	Non	Non	Non	2	3,26	3,02	2,80
634-C8051F330-GM	C8051F330-GM	QFN-20	25	8	768	17	Oui	Oui	Oui	± 2 %	4 16 bits	3	10 bits	10 bits	Oui	Non	1	3,38	3,14	2,90
634-C8051F331-GM	C8051F331-GM	QFN-20	25	8	768	17	Oui	Oui	Oui	± 2 %	4 16 bits	3	Non	Non	Non	Non	1	3,03	2,81	2,60
634-C8051F332-GM	C8051F332-GM	QFN-20	25	4	768	17	Oui	Oui	Oui	± 2 %	4 16 bits	3	10 bits	Non	Oui	Non	1	2,52	2,33	2,16
634-C8051F333-GM	C8051F333-GM	QFN-20	25	4	768	17	Oui	Oui	Oui	± 2 %	4 16 bits	3	Non	Non	Non	Non	1	2,30	2,14	1,98
634-C8051F334-GM	C8051F334-GM	QFN-20	25	2	768	17	Oui	Oui	Oui	± 2 %	4 16 bits	3	10 bits	Non	Oui	Non	1	2,34	2,11	1,83
634-C8051F335-GM	C8051F335-GM	QFN-20	25	2	768	17	Oui	Oui	Oui	± 2 %	4 16 bits	3	Non	Non	Non	Non	1	1,91	1,77	1,64
634-C8051F336-GM	C8051F336-GM	QFN-20	25	16	768	17	Oui	Oui	Oui	± 2 %	4 16 bits	3	10 bits	10 bits	Non	Non	1	3,71	3,43	3,18
634-C8051F338-GM	C8051F338-GM	QFN-24	25	16	768	21	Oui	Oui	Oui	± 2 %	4 16 bits	3	10 bits	10 bits	Non	Non	1	3,79	3,51	3,25
634-C8051F360-GQ	C8051F360-GQ	TQFP-48	100	32	1280	39	Oui	Oui	Oui	± 2 %	4 16 bits	6	10 bits	10 bits	Oui	Oui	2	6,93	6,42	5,95
634-C8051F361-GQ	C8051F361-GQ	LQFP-32	100	32	1280	27	Oui	Oui	Oui	± 2 %	4 16 bits	6	10 bits	10 bits	Oui	Oui	2	6,44	5,96	5,52
634-C8051F362-GM	C8051F362-GM	QFN-28	100	32	1280	24	Oui	Oui	Oui	± 2 %	4 16 bits	6	10 bits	10 bits	Oui	Oui	2	5,42	5,02	4,65
634-C8051F363-GQ	C8051F363-GQ	TQFP-48	100	32	1280	39	Oui	Oui	Oui	± 2 %	4 16 bits	6	Non	Non	Non	Non	2	5,92	5,49	5,08
634-C8051F364-GQ	C8051F364-GQ	LQFP-32	100	32	1280	27	Oui	Oui	Oui	± 2 %	4 16 bits	6	Non	Non	Non	Non	2	5,63	5,21	4,83
634-C8051F365-GM	C8051F365-GM	QFN-28	100	32	1280	24	Oui	Oui	Oui	± 2 %	4 16 bits	6	Non	Non	Non	Non	2	4,88	4,52	4,19
634-C8051F366-GQ	C8051F366-GQ	LQFP-32	50	32	1280	29	Oui	Oui	Oui	± 2 %	4 16 bits	6	10 bits	10 bits	Oui	Oui	2	5,40	4,99	4,63
634-C8051F367-GM	C8051F367-GM	QFN-28	50	32	1280	25	Oui	Oui	Oui	± 2 %	4 16 bits	6	10 bits	10 bits	Oui	Oui	2	4,65	4,31	3,99
634-C8051F369-GM	C8051F369-GM	QFN-28	50	16	1280	25	Oui	Oui	Oui	± 2 %	4 16 bits	6	10 bits	10 bits	Oui	Oui	2	4,46	4,13	3,82
634-C8051F410-GQ	C8051F410-GQ	LQFP-32	50	32	2304	24	Oui	Oui	Oui	± 2 %	4 16 bits	6	12 bits	12 bits	Oui	Oui	2	6,17	5,72	5,30
634-C8051F411-GM	C8051F411-GM	QFN-28	50	32	2304	20	Oui	Oui	Oui	± 2 %	4 16 bits	6	12 bits	12 bits	Oui	Oui	2	4,96	4,60	4,26
634-C8051F412-GQ	C8051F412-GQ	LQFP-32	50	16	2304	24	Oui	Oui	Oui	± 2 %	4 16 bits	6	12 bits	12 bits	Oui	Oui	2	5,59	5,17	4,79
634-C8051F413-GM	C8051F413-GM	QFN-28	50	16	2304	20	Oui	Oui	Oui	± 2 %	4 16 bits	6	12 bits	12 bits	Oui	Oui	2	4,61	4,27	3,96

© Copyright 2012 Mouser Electronics

© Copyright 2012 Mouser Electronics

Microcontrôleurs SILICON LABS

RoHS Compliant **This product is RoHS compliant.**

MICROCONTROLEURS AUTOMOBILES

Silicon Labs offre aux clients du secteur automobile une famille complète de MCU à signal mixte haute performance, très fiable et à encombrement réduit, comportant :

- UC 50 MIPS 8051
- Oscillateur de 24 MHz à bord (±0,5 %) avec multiplicateur d'horloge
- CAN 32 canaux, 12 bits, 200 kbps
- Jusqu'à 3 comparateurs
- Plage de température de fonctionnement -40 à +125 °C
- Capteur de température intégré

RoHS Compliant

Pour des quantités supérieures à celles indiquées, appelez-nous afin d'obtenir un devis.

RÉF. STOCK MOUSER	Réf. Silicon Labs	Boîtier	MIPS (Pic)	Flash (Ko)	RAM (octets)	Broches d'E/S numériques	Communications					Périphériques analogiques								Prix unitaire		
							UART	I2C	SPI	CAN	LIN	Osc. interne	Minuteurs	PCA Ca.	CAN	CNA	Sonde de temp.	VREF	Com-parateurs	1	25	100
634-C8051F500-IM	C8051F500-IM	QFN-48	50	64	4352	40	Oui	Oui	Oui	2,0	2,1	± 0,5 %	4 16 bits	6	12 bits	Non	Oui	Oui	2	5,16	4,78	4,43
634-C8051F500-IQ	C8051F500-IQ	QFP-48	50	64	4352	40	Oui	Oui	Oui	2,0	2,1	± 0,5 %	4 16 bits	6	12 bits	Non	Oui	Oui	2	5,22	4,83	4,48
634-C8051F501-IM	C8051F501-IM	QFN-48	50	64	4352	40	Oui	Oui	Oui	Non	Non	± 0,5 %	4 16 bits	6	12 bits	Non	Oui	Oui	2	4,89	4,53	4,20
634-C8051F501-IQ	C8051F501-IQ	QFP-48	50	64	4352	40	Oui	Oui	Oui	Non	Non	± 0,5 %	4 16 bits	6	12 bits	Non	Oui	Oui	2	4,96	4,60	4,26
634-C8051F502-IQ	C8051F502-IQ	QFP-32	50	64	4352	25	Oui	Oui	Oui	2,0	2,1	± 0,5 %	4 16 bits	6	12 bits	Non	Oui	Oui	2	5,07	4,69	4,35
634-C8051F503-IM	C8051F503-IM	QFN-32	50	64	4352	25	Oui	Oui	Oui	Non	Non	± 0,5 %	4 16 bits	6	12 bits	Non	Oui	Oui	2	4,42	4,09	3,80
634-C8051F503-IQ	C8051F503-IQ	QFP-32	50	64	4352	25	Oui	Oui	Oui	Non	Non	± 0,5 %	4 16 bits	6	12 bits	Non	Oui	Oui	2	5,27	4,75	4,13
634-C8051F504-IM	C8051F504-IM	QFN-48	50	32	4352	40	Oui	Oui	Oui	2,0	2,1	± 0,5 %	4 16 bits	6	12 bits	Non	Oui	Oui	2	4,86	4,50	4,17
634-C8051F504-IQ	C8051F504-IQ	QFP-48	50	32	4352	40	Oui	Oui	Oui	2,0	2,1	± 0,5 %	4 16 bits	6	12 bits	Non	Oui	Oui	2	4,92	4,55	4,22
634-C8051F505-IM	C8051F505-IM	QFN-48	50	32	4352	25	Oui	Oui	Oui	Non	Non	± 0,5 %	4 16 bits	6	12 bits	Non	Oui	Oui	2	4,60	4,26	3,94
634-C8051F505-IQ	C8051F505-IQ	QFP-48	50	32	4352	40	Oui	Oui	Oui	Non	Non	± 0,5 %	4 16 bits	6	12 bits	Non	Oui	Oui	2	4,64	4,30	3,98
634-C8051F506-IM	C8051F506-IM	QFN-32	50	32	4352	25	Oui	Oui	Oui	2,0	2,1	± 0,5 %	4 16 bits	6	12 bits	Non	Oui	Oui	2	4,37	4,05	3,75
634-C8051F506-IQ	C8051F506-IQ	QFP-32	50	32	4352	25	Oui	Oui	Oui	2,0	2,1	± 0,5 %	4 16 bits	6	12 bits	Non	Oui	Oui	2	4,75	4,40	4,08
634-C8051F507-IM	C8051F507-IM	QFN-32	50	32	4352	25	Oui	Oui	Oui	Non	Non	± 0,5 %	4 16 bits	6	12 bits	Non	Oui	Oui	2	4,13	3,82	3,54
634-C8051F507-IQ	C8051F507-IQ	QFP-32	50	32	4352	25	Oui	Oui	Oui	Non	Non	± 0,5 %	4 16 bits	6	12 bits	Non	Oui	Oui	2	4,50	4,17	3,86
634-C8051F508-IM	C8051F508-IM	QFN-40	50	64	4352	33	Oui	Oui	Oui	2,0	2,1	± 0,5 %	4 16 bits	6	12 bits	Non	Oui	Oui	2	5,03	4,65	4,31
634-C8051F509-IM	C8051F509-IM	QFN-40	50	64	4352	33	Oui	Oui	Oui	Non	Non	± 0,5 %	4 16 bits	6	12 bits	Non	Oui	Oui	2	4,77	4,41	4,09
634-C8051F510-IM	C8051F510-IM	QFN-40	50	32	4352	33	Oui	Oui	Oui	2,0	2,1	± 0,5 %	4 16 bits	6	12 bits	Non	Oui	Oui	2	4,72	4,37	4,05
634-C8051F511-IM	C8051F511-IM	QFN-40	50	32	4352	33	Oui	Oui	Oui	Non	Non	± 0,5 %	4 16 bits	6	12 bits	Non	Oui	Oui	2	4,47	4,14	3,84
634-C8051F520A-IM	C8051F520A-IM	DFN-10	25	8	256	6	Oui	Non	Oui	Non	2.1	± 0,5 %	3 16 bits	3	12 bits	Non	Oui	Oui	1	2,39	2,21	2,05
634-C8051F521A-IM	C8051F521A-IM	DFN-10	25	8	256	6	Oui	Non	Oui	Non	Non	± 0,5 %	3 16 bits	3	12 bits	Non	Oui	Oui	1	2,34	2,17	2,01
634-C8051F523A-IM	C8051F523A-IM	DFN-10	25	4	256	6	Oui	Non	Oui	Non	2.1	± 0,5 %	3 16 bits	3	12 bits	Non	Oui	Oui	1	2,47	2,23	1,93
634-C8051F524A-IM	C8051F524A-IM	DFN-10	25	4	256	6	Oui	Non	Oui	Non	Non	± 0,5 %	3 16 bits	3	12 bits	Non	Oui	Oui	1	2,19	2,03	1,88
634-C8051F526A-IM	C8051F526A-IM	DFN-10	25	2	256	6	Oui	Non	Oui	Non	Non	± 0,5 %	3 16 bits	3	12 bits	Non	Oui	Oui	1	2,25	2,04	1,76
634-C8051F527A-IM	C8051F527A-IM	DFN-10	25	2	256	6	Oui	Non	Oui	Non	Non	± 0,5 %	3 16 bits	3	12 bits	Non	Oui	Oui	1	2,00	1,86	1,72
634-C8051F530A-IM	C8051F530A-IM	QFN-20	25	8	256	16	Oui	Non	Oui	Non	2.1	± 0,5 %	3 16 bits	3	12 bits	Non	Oui	Oui	1	2,43	2,25	2,09
634-C8051F530A-IT	C8051F530A-IT	TSSOP-20	25	8	256	16	Oui	Non	Oui	Non	2.1	± 0,5 %	3 16 bits	3	12 bits	Non	Oui	Oui	1	2,73	2,52	2,34
634-C8051F531A-IM	C8051F531A-IM	QFN-20	25	8	256	16	Oui	Non	Oui	Non	Non	± 0,5 %	3 16 bits	3	12 bits	Non	Oui	Oui	1	2,39	2,21	2,05
634-C8051F531A-IT	C8051F531A-IT	TSSOP-20	25	8	256	16	Oui	Non	Oui	Non	Non	± 0,5 %	3 16 bits	3	12 bits	Non	Oui	Oui	1	2,67	2,48	2,29
634-C8051F533A-IM	C8051F533A-IM	QFN-20	25	4	256	16	Oui	Non	Oui	Non	2.1	± 0,5 %	3 16 bits	3	12 bits	Non	Oui	Oui	1	2,29	2,13	1,97
634-C8051F533A-IT	C8051F533A-IT	TSSOP-20	25	4	256	16	Oui	Non	Oui	Non	2.1	± 0,5 %	3 16 bits	3	12 bits	Non	Oui	Oui	1	2,81	2,54	2,20
634-C8051F534A-IM	C8051F534A-IM	QFN-20	25	4	256	16	Oui	Non	Oui	Non	Non	± 0,5 %	3 16 bits	3	12 bits	Non	Oui	Oui	1	2,47	2,23	1,93
634-C8051F534A-IT	C8051F534A-IT	TSSOP-20	25	4	256	16	Oui	Non	Oui	Non	Non	± 0,5 %	3 16 bits	3	12 bits	Non	Oui	Oui	1	2,51	2,32	2,15
634-C8051F537A-IM	C8051F537A-IM	QFN-20	25	2	256	16	Oui	Non	Oui	Non	Non	± 0,5 %	3 16 bits	3	12 bits	Non	Oui	Oui	1	2,05	1,90	1,76
634-C8051F537A-IT	C8051F537A-IT	TSSOP-20	25	2	256	16	Oui	Non	Oui	Non	Non	± 0,5 %	3 16 bits	3	12 bits	Non	Oui	Oui	1	2,29	2,13	1,97
634-C8051F580-IM	C8051F580-IM	QFN-48	50	128	8448	40	2	Oui	Oui	2,0	2,1	± 0,5 %	6 16 bits	2 x 6	12 bits	Non	Oui	Oui	3	7,04	6,52	6,04
634-C8051F580-IQ	C8051F580-IQ	QFP-48	50	128	8448	40	2	Oui	Oui	2,0	2,1	± 0,5 %	6 16 bits	2 x 6	12 bits	Non	Oui	Oui	3	7,10	6,58	6,10
634-C8051F581-IM	C8051F581-IM	QFN-48	50	128	8448	40	2	Oui	Oui	Non	Non	± 0,5 %	6 16 bits	2 x 6	12 bits	Non	Oui	Oui	3	6,69	6,20	5,74
634-C8051F581-IQ	C8051F581-IQ	QFP-48	50	128	8448	40	2	Oui	Oui	Non	Non	± 0,5 %	6 16 bits	2 x 6	12 bits	Non	Oui	Oui	3	6,76	6,26	5,80
634-C8051F582-IQ	C8051F582-IQ	QFP-32	50	128	8448	25	2	Oui	Oui	2,0	2,1	± 0,5 %	6 16 bits	2 x 6	12 bits	Non	Oui	Oui	3	6,93	6,42	5,95
634-C8051F583-IM	C8051F583-IM	QFN-32	50	128	8448	25	2	Oui	Oui	Non	Non	± 0,5 %	6 16 bits	2 x 6	12 bits	Non	Oui	Oui	3	6,17	5,72	5,30
634-C8051F583-IQ	C8051F583-IQ	QFP-32	50	128	8448	25	2	Oui	Oui	Non	Non	± 0,5 %	6 16 bits	2 x 6	12 bits	Non	Oui	Oui	3	6,58	6,09	5,64
634-C8051F584-IM	C8051F584-IM	QFN-48	50	96	8448	40	2	Oui	Oui	2,0	2,1	± 0,5 %	6 16 bits	2 x 6	12 bits	Non	Oui	Oui	3	6,62	6,14	5,68
634-C8051F584-IQ	C8051F584-IQ	QFP-48	50	96	8448	40	2	Oui	Oui	2,0	2,1	± 0,5 %	6 16 bits	2 x 6	12 bits	Non	Oui	Oui	3	6,67	6,18	5,73
634-C8051F585-IM	C8051F585-IM	QFN-48	50	96	8448	40	2	Oui	Oui	Non	Non	± 0,5 %	6 16 bits	2 x 6	12 bits	Non	Oui	Oui	3	6,28	5,82	5,39
634-C8051F585-IQ	C8051F585-IQ	QFP-48	50	96	8448	40	2	Oui	Oui	Non	Non	± 0,5 %	6 16 bits	2 x 6	12 bits	Non	Oui	Oui	3	6,32	5,85	5,42
634-C8051F586-IM	C8051F586-IM	QFN-32	50	96	8448	25	2	Oui	Oui	2,0	2,1	± 0,5 %	6 16 bits	2 x 6	12 bits	Non	Oui	Oui	3	6,11	5,66	5,25
634-C8051F586-IQ	C8051F586-IQ	QFP-32	50	96	8448	25	2	Oui	Oui	2,0	2,1	± 0,5 %	6 16 bits	2 x 6	12 bits	Non	Oui	Oui	3	6,52	6,04	5,59
634-C8051F587-IM	C8051F587-IM	QFN-32	50	96	8448	25	2	Oui	Oui	Non	Non	± 0,5 %	6 16 bits	2 x 6	12 bits	Non	Oui	Oui	3	5,79	5,36	4,97
634-C8051F587-IQ	C8051F587-IQ	QFP-32	50	96	8448	25	2	Oui	Oui	Non	Non	± 0,5 %	6 16 bits	2 x 6	12 bits	Non	Oui	Oui	3	6,16	5,71	5,29
634-C8051F588-IM	C8051F588-IM	QFN-40	50	128	8448	33	2	Oui	Oui	2,0	2,1	± 0,5 %	6 16 bits	2 x 6	12 bits	Non	Oui	Oui	3	6,91	6,39	5,92
634-C8051F589-IM	C8051F589-IM	QFN-40	50	128	8448	33	2	Oui	Oui	Non	Non	± 0,5 %	6 16 bits	2 x 6	12 bits	Non	Oui	Oui	3	6,55	6,06	5,62
634-C8051F590-IM	C8051F590-IM	QFN-40	50	96	8448	33	2	Oui	Oui	2,0	2,1	± 0,5 %	6 16 bits	2 x 6	12 bits	Non	Oui	Oui	3	6,49	6,01	5,57
634-C8051F591-IM	C8051F591-IM	QFN-40	50	96	8448	33	2	Oui	Oui	Non	Non	± 0,5 %	6 16 bits	2 x 6	12 bits	Non	Oui	Oui	3	6,14	5,68	5,26

MICROCONTROLEURS OTP-EPROM

RoHS Compliant

La famille de MCU OTP-EPROM de Silicon Laboratories est une solution haute performance pour les applications sensibles d'un point de vue spatial et financier. De brochage compatible avec les MCU basés sur flash de Silicon Labs, ces dispositifs offrent aux concepteurs la flexibilité nécessaire pour développer des codes en flash et commuter aux versions OTP à bas coût pour la production en série.

Pour des quantités supérieures à celles indiquées, appelez-nous afin d'obtenir un devis.

RÉF. STOCK MOUSER	Réf. Silicon Labs	Boîtier	MIPS (Pic)	EEPROM (Ko)	RAM (octets)	Broches d'E/S numériques	Communications			Périphériques analogiques								Prix unitaire		
							UART	I2C	SPI	Osc. interne	Minuteurs	PCA Ca.	CAN	CNA	Sonde de temp.	VREF	Com-parateurs	VREG	1	25	100
634-C8051T600-GM	C8051T600-GM	QFN-11	25	8	256	8	Oui	Oui	Non	± 2 %	3 16 bits	3	10 bits	Non	Oui	Non	1	Oui	1,15	1,06	0,99
634-C8051T600-GS	C8051T600-GS	SOIC-14	25	8	256	8	Oui	Oui	Non	± 2 %	3 16 bits	3	10 bits	Non	Oui	Non	1	Oui	1,15	1,06	0,99
634-C8051T602-GS	C8051T602-GS	SOIC-14	25	4	256	8	Oui	Oui	Non	± 2 %	3 16 bits	3	10 bits	Non	Oui	Non	1	Oui	1,06	0,974	0,908
634-C8051T603-GS	C8051T603-GS	SOIC-14	25	4	256	8	Oui	Oui	Non	± 2 %	3 16 bits	3	Non	Non	Non	Non	1	Oui	1,00	0,924	0,858
634-C8051T604-GS	C8051T604-GS	SOIC-14	25	2	256	8	Oui	Oui	Non	± 2 %	3 16 bits	3	10 bits	Non	Oui	Non	1	Oui	0,96	0,891	0,825
634-C8051T605-GS	C8051T605-GS	SOIC-14	25	2	256	8	Oui	Oui	Non	± 2 %	3 16 bits	3	Non	Non	Non	Non	1	Oui	0,92	0,85	0,792
634-C8051T606-GM	C8051T606-GM	QFN-11	25	1,5	128	6	Oui	Oui	Non	± 2 %	3 16 bits	3	Non	Non	Non	Non	1	Oui	0,85	0,784	0,71
634-C8051T606-GT	C8051T606-GT	MSOP-10	25	1,5	128	6	Oui	Oui	Non	± 2 %	3 16 bits	3	Non	Non	Non	Non	1	Oui	0,81	0,743	0,693
634-C8051T606-ZM	C8051T606-ZM	QFN-10	25	1,5	128	6	Oui	Oui	Non	± 2 %	3 16 bits	3	Non	Non	Non	Non	1	Oui	0,92	0,833	0,734
634-C8051T610-GQ	C8051T610-GQ	LQFP-32	25	16	1280	29	Oui	Oui	Oui	± 2 %	4 16 bits	5	10 bits	Non	Oui	Non	2	Oui	3,27	3,03	2,81
634-C8051T612-GQ	C8051T612-GQ	LQFP-32	25	8	1280	29	Oui	Oui	Oui	± 2 %	4 16 bits	5	10 bits	Non	Oui	Non	2	Oui	2,25	2,04	1,77
634-C8051T614-GQ	C8051T614-GQ	LQFP-32	25	8	1280	29	Oui	Oui	Oui	± 2 %	4 16 bits	5	Non	Non	Non	Non	2	Oui	2,55	2,36	2,19
634-C8051T630-GM	C8051T630-GM	QFN-20	25	8	768	17	Oui	Oui	Oui	± 2 %	4 16 bits	3	10 bits	10 bits	Oui	Oui	1	Oui	1,70	1,58	1,46
634-C8051T632-GM	C8051T632-GM	QFN-20	25	4	768	17	Oui	Oui	Oui	± 2 %	4 16 bits	3	10 bits	10 bits	Oui	Oui	1	Oui	1,35	1,25	1,16
634-C8051T634-GM	C8051T634-GM	QFN-20	25	2	768	17	Oui	Oui	Oui	± 2 %	4 16 bits	3	10 bits	10 bits	Oui	Oui	1	Oui	1,36	1,23	1,06
634-C8051T635-GM	C8051T635-GM	QFN-20	25	2	768	17	Oui	Oui	Oui	± 2 %	4 16 bits	3	Non	Non	Non	Non	1	Oui	1,19	1,10	1,02

© Copyright 2012 Mouser Electronics

© Copyright 2012 Mouser Electronics

Microcontrôleurs SILICON LABS

RoHS Compliant **This product is RoHS compliant.**

MCU DE PUISSANCE ULTRA FAIBLE

C8051F90x/1x est le MCU à la plus faible consommation de puissance du secteur : il ne consomme que 160 µA/MHz en mode actif et 10 nA en mode veille avec une rétention complète de la mémoire. C8051F90x/1x élargit la gamme de produits MCU de faible puissance C8051F92x/3x déjà primée en offrant des dispositifs à mémoire inférieure avec une réduction supplémentaire de la consommation de puissance et un CAN à résolution plus élevée. La famille de MCU à faible consommation C8051F90x/1x est complètement compatible du point de vue du logiciel et du matériel avec la famille C8051F92x/3x et fonctionne à 0,9 – 3,6 V pour permettre des conceptions batteries à une seule cellule.

PRODUCT NEW

Pour des quantités supérieures à celles indiquées, appelez-nous afin d'obtenir un devis.

RÉF. STOCK MOUSER		Boîtier	MIPS (Pic)	Flash (Ko)	RAM (octets)	Broches d'E/S numériques	Interfaces				Périphériques analogiques								Prix unitaire		
Fabr.	Réf. fabr.						UART	I2C	SPI	EMIF	Osc. interne	Minuteurs	PCA Ca.	CAN	CNA	Sonde de temp.	VREF	Com-parateurs	1	25	100
634—	C8051F985-GM	QFN-20	25	2	512	16	Oui	Oui	Oui	Non	± 2 %	4 16 bits	3	-	Non	Oui	Oui	1	1,72	1,65	1,59
634—	C8051F982-GM	QFN-20	25	4	512	16	Oui	Oui	Oui	Non	± 2 %	4 16 bits	3	10 bits	Non	Oui	Oui	1	1,98	1,91	1,82
634—	C8051F983-GM	QFN-20	25	4	512	16	Oui	Oui	Oui	Non	± 2 %	4 16 bits	3	-	Non	Oui	Oui	1	1,80	1,73	1,66
634—	C8051F988-GM	QFN-24	25	4	512	17	Oui	Oui	Oui	Non	± 2 %	4 16 bits	3	10 bits	Non	Oui	Oui	1	2,08	2,00	1,91
634—	C8051F988-GU	QSOP-24	25	4	512	17	Oui	Oui	Oui	Non	± 2 %	4 16 bits	3	10 bits	Non	Oui	Oui	1	2,23	2,06	1,91
634—	C8051F989-GM	QFN-24	25	4	512	17	Oui	Oui	Oui	Non	± 2 %	4 16 bits	3	-	Non	Oui	Oui	1	1,88	1,81	1,73
634—	C8051F989-GU	QSOP-24	25	4	512	17	Oui	Oui	Oui	Non	± 2 %	4 16 bits	3	-	Non	Oui	Oui	1	1,88	1,81	1,73
634—	C8051F980-GM	QFN-20	25	8	512	16	Oui	Oui	Oui	Non	± 2 %	4 16 bits	3	12 bits	Non	Oui	Oui	1	2,56	2,37	1,27
634—	C8051F981-GM	QFN-20	25	8	512	16	Oui	Oui	Oui	Non	± 2 %	4 16 bits	3	-	Non	Oui	Oui	1	1,92	1,85	1,75
634—	C8051F986-GM	QFN-24	25	8	512	17	Oui	Oui	Oui	Non	± 2 %	4 16 bits	3	12 bits	Non	Oui	Oui	1	2,31	2,22	2,13
634—	C8051F986-GU	QSOP-24	25	8	512	17	Oui	Oui	Oui	Non	± 2 %	4 16 bits	3	12 bits	Non	Oui	Oui	1	2,48	2,29	2,13
634—	C8051F987-GM	QFN-24	25	8	512	17	Oui	Oui	Oui	Non	± 2 %	4 16 bits	3	-	Non	Oui	Oui	1	2,02	1,94	1,86
634—	C8051F987-GU	QSOP-24	25	8	512	17	Oui	Oui	Oui	Non	± 2 %	4 16 bits	3	-	Non	Oui	Oui	1	2,17	2,01	1,86
634—	C8051F901-GM	QFN-24	25	8	768	16	Oui	Oui	2	Non	2 %	4 16 bits	6	10 bits	Non	Oui	Oui	2	2,75	2,54	2,36
634—	C8051F901-GU	QSOP-24	25	8	768	16	Oui	Oui	2	Non	2 %	4 16 bits	6	10 bits	Non	Oui	Oui	2	2,88	2,67	2,48
634—	C8051F902-GM	QFN-24	25	8	768	16	Oui	Oui	2	Non	2 %	4 16 bits	6	12 bits	Non	Oui	Oui	2	2,99	2,77	2,57
634—	C8051F902-GU	QSOP-24	25	8	768	16	Oui	Oui	2	Non	2 %	4 16 bits	6	12 bits	Non	Oui	Oui	2	3,14	2,91	2,70
634—	C8051F911-GM	QFN-24	25	16	768	16	Oui	Oui	2	Non	2 %	4 16 bits	6	10 bits	Non	Oui	Oui	2	3,04	2,82	2,62
634—	C8051F911-GU	QSOP-24	25	16	768	16	Oui	Oui	2	Non	2 %	4 16 bits	6	12 bits	Non	Oui	Oui	2	3,19	2,95	2,74
634—	C8051F912-GM	QFN-24	25	16	768	16	Oui	Oui	2	Non	2 %	4 16 bits	6	12 bits	Non	Oui	Oui	2	3,62	3,27	2,83
634—	C8051F912-GU	QSOP-24	25	16	768	16	Oui	Oui	2	Non	2 %	4 16 bits	6	12 bits	Non	Oui	Oui	2	3,44	3,18	2,95
634—	C8051F920-GM	QFN-32	25	32	4352	24	Oui	Oui	2	Oui	2 %	4 16 bits	6	10 bits	Non	Oui	Oui	2	4,03	3,74	3,47
634—	C8051F920-GQ	LQFP-32	25	32	4352	24	Oui	Oui	2	Oui	2 %	4 16 bits	6	10 bits	Non	Oui	Oui	2	4,77	4,41	4,09
634—	C8051F921-GM	QFN-24	25	32	4352	16	Oui	Oui	2	Non	2 %	4 16 bits	6	10 bits	Non	Oui	Oui	2	3,65	3,37	3,13
634—	C8051F930-GM	QFN-32	25	64	4352	24	Oui	Oui	2	Oui	2 %	4 16 bits	6	10 bits	Non	Oui	Oui	2	4,53	4,19	3,89
634—	C8051F930-GQ	LQFP-32	25	64	4352	24	Oui	Oui	2	Oui	2 %	4 16 bits	6	10 bits	Non	Oui	Oui	2	5,38	4,97	4,61
634—	C8051F931-GM	QFN-24	25	64	4352	16	Oui	Oui	2	Non	2 %	4 16 bits	6	10 bits	Non	Oui	Oui	2	4,06	3,75	3,48

CI POUR INTERFACES INTELLIGENTES

Pont USB à UART

Le pont USB-UART à une seule puce CP210x convertit le trafic de données entre les formats USB et UART.
Cette puce peut être connectée à tout UART pour offrir une connectivité USB instantanée. Les pilotes de logiciel sont fournis gratuitement par Silicon Labs.

PRODUCT NEW

Pour des quantités supérieures à celles indiquées, appelez-nous afin d'obtenir un devis.

RÉF. STOCK MOUSER		Boîtier	EEPROM (octets)	FIFO (PEPS) (octets)	Broches d'E/S numériques	Bus en série	Périphériques analogiques				Prix unitaire		
Fabr.	Réf. fabr.						Osc. interne	VREG	RS485	Division VDDIO	1	25	100
634—	CP2105-F01-GM	QFN-24	296	608	-	UART, USB 2.0	Oui	Oui	Oui	Oui	2,62	1,89	1,74
634—	CP2110-F01-GM	QFN-24	343	960	10	UART, USB 2.0	Oui	Oui	Oui	Oui	2,56	1,91	1,69
634—	CP2101-GM	QFN-28	512	1K	-	Pont USB à UART	Oui	Oui	Non	Non	3,55	3,28	3,04
634—	CP2102-GM	QFN-28	1024	1K	-	Pont USB à UART	Oui	Oui	Non	Non	2,81	2,61	2,42
634—	CP2103-GM	QFN-28	1024	1K	4	Pont USB à UART	Oui	Oui	Oui	Oui	3,80	3,51	3,26
634—	CP2104-F03-GM	QFN-24	1024	1152	4	UART, USB 2.0	Oui	Oui	Oui	Oui	2,54	1,82	1,69
Kit d'évaluation		Description											
634—	CP2104EK	Kit d'évaluation pour Pont USB à UART CP2104. Comprend un câble USB, un câble série et une documentation complète.									23,93	-	-
634—	CP2105EK	Kit d'évaluation pour le Pont USB à UART CP2105. Comprend un câble USB, deux câbles série et une documentation complète.									32,18	-	-
634—	CP2110EK	Kit d'évaluation pour Pont HID USB à UART CP2110. Comprend un câble USB, un câble série et une documentation complète.									32,18	-	-

Pont HID USB à SMBus/I²C

Pour des quantités supérieures à celles indiquées, appelez-nous afin d'obtenir un devis.

634—	CP2112-F01-GM	QFN-24	194	512	8	USB 2.0, SMBus	Oui	Oui	Non	Non	2,62	1,89	1,74
Kit d'évaluation		Description											
634—	CP2112EK	Kit d'évaluation pour Pont HID USB à SMBus/I2C CP2112. Comprend un câble USB, des exemples d'app. Windows®/Mac® app. et une documentation complète.									23,93	-	-

Pont à écran tactile USB HID à une seule puce

Le pont à écran tactile USB CP2501 relie le contrôleur pour écran tactile à l'hôte via une interface USB. Ce pont fonctionne avec plusieurs technologies de détection à écran tactile, y compris les technologies tactiles capacitives et résistives. Les concepteurs peuvent relier un contrôleur pour écran tactile à un système de PC par USB à l'aide d'une interface I2C, UART ou SPI.

NEW! TECHNOLOGY

Pour des quantités supérieures à celles indiquées, appelez-nous afin d'obtenir un devis.

RÉF. STOCK MOUSER	Réf. Silicon Labs	Boîtier	Flash (octets)	RAM (octets)	Broches d'E/S numériques	GPIO	Communications	Périphériques analogiques		Prix unitaire		
								Osc. interne	VREG	1	25	100
634-CP2501-B01-GM	QFN-32	53K	3,5K	25	16	I2C, SPI, UART, USB	Oui	Oui	4	7,87	7,15	6,48
Kit de développement	Description											
634-CP2501DK	Le kit de dév. CP2501 comprend une carte mère, une carte fille, un guide de démarrage rapide, un CD, un adaptateur universel d'alimentation CA / CC et deux câbles USB.									41,25	-	-

Extendeur SPI à I2C

Le pont SPI-to-I²C compact CP2120 et le dispositif extendeur de point d'accès à usage général peuvent être facilement ajoutés à un système pour résoudre les problèmes de compatibilité de l'interface et ajouter plus de GPIO si nécessaire.

Pour des quantités supérieures à celles indiquées, appelez-nous afin d'obtenir un devis.

RÉF. STOCK MOUSER	Réf. Silicon Labs	Boîtier	EEPROM (octets)	FIFO (PEPS) (octets)	Port E/S E/S	Bus en série	Périphériques analogiques		Prix unitaire		
							Osc. interne	VREG	1	25	100
634-CP2120-GM	CP2120-GM	QFN-20	-	512	9	Pont SPI à I2C	Oui	Oui	2,26	2,09	1,94

CI pour contrôleur Ethernet

La famille CP220x est le plus petit contrôleur Ethernet à une seule puce du marché contenant un Contrôleur d'Accès Média intégré (MAC) et une Couche Physique (PHY). Une pile Ethernet qui sera exécutée sur les MCU Silicon Labs sera disponible gratuitement.

Pour des quantités supérieures à celles indiquées, appelez-nous afin d'obtenir un devis.

RÉF. STOCK MOUSER	Réf. Silicon Labs	Boîtier	Flash (Ko)	RAM (octets)	Broches port E/S	Interface hôte parallèle	Hôte parallèle Vitesse d'interface	DEL	Plage de température	Prix unitaire		
										1	25	100
634-CP2200-GQ	CP2200-GQ	TQFP-48	8	2K	-	EMIF 8 bits non-multiplexé	30 Mb/s	Lien séparé et activité	de -40 à +85	5,99	5,54	5,14
634-CP2201-GM	CP2201-GM	QFN-28	8	2K	-	EMIF 8 bits multiplexé	30 Mbps	Lien combiné et activité	de -40 à +85	5,07	4,70	4,36

Contrôleurs LCD

Les dispositifs contrôleurs LCD à puissance extrêmement faible CP240x peuvent entraîner jusqu'à 128 segments LCD. Ces dispositifs sont facilement interfacés avec tout microcontrôleur en utilisant les interfaces SPI ou I²C. L'un des avantages de cette approche est que les concepteurs peuvent sélectionner le MCU le mieux adapté au système, puis ajouter le CP240x pour répondre de manière efficace aux exigences LCD en ce qui concerne la taille du système et la consommation électrique.

Pour des quantités supérieures à celles indiquées, appelez-nous afin d'obtenir un devis.

RÉF. STOCK MOUSER	Réf. Silicon Labs	Boîtier	RAM (octets)	LCD Segments	Broches E/S	Bus en série	Périphériques analogiques		Plage de température	Prix unitaire		
							Interne Osc.	Minuteurs		1	25	100
634-CP2400-GM	CP2400-GM	QFN-48	256	128	36	SPI	Oui	2 16 bits	de -40 à +85	1,78	1,65	1,53
634-CP2400-GQ	CP2400-GQ	QFP-48	256	128	36	SPI	Oui	2 16 bits	de -40 à +85	1,78	1,65	1,53
634-CP2401-GM	634-CP2401-GM	QFN-48	256	128	36	I2C	Oui	2 16 bits	de -40 à +85	1,78	1,65	1,53
634-CP2401-GQ	634-CP2401-GQ	QFP-48	256	128	36	I2C	Oui	2 16 bits	de -40 à +85	1,78	1,65	1,53
634-CP2402-GM	634-CP2402-GM	QFN-32	256	64	20	SPI	Oui	2 16 bits	de -40 à +85	1,24	1,15	1,06
634-CP2403-GM	634-CP2403-GM	QFN-32	256	64	20	I2C	Oui	2 16 bits	de -40 à +85	1,24	1,15	1,06

© Copyright 2012 Mouser Electronics

© Copyright 2012 Mouser Electronics

Outils de développement MCU SILICON LABS

Les produits peuvent être conformes à la directive RoHS. Consultez le site mouser.com pour vérifier la conformité RoHS.

KITS DE DÉVELOPPEMENT À MICROCONTRÔLEURS

Les kits de développement de Silicon Labs offrent un environnement de développement intégré complet pour le débogage en temps réel non obstructif DANS VOTRE SYSTEM CIBLE. Les caractéristiques communes de débogage telles que les points d'interruption, la mémoire en lecture / écriture, l'exécution, l'arrêt et le pas à pas sont toutes acceptées. Il n'est pas nécessaire d'acheter un matériel coûteux basé sur un émulateur. Ces kits sont fournis avec tout le matériel, les logiciels, les câbles et la source d'alimentation. L'utilisateur doit uniquement disposer d'un PC fonctionnant sous Windows (95/98/NT/2000/XP) avec un point d'accès COM libre.

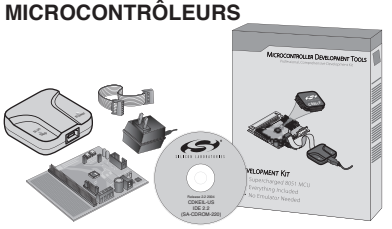

RÉF. STOCK MOUSER	Description	Prix unitaire
634-C8051F005DK	Pour MCU C8051F000, F001, F002, F005, F006, F010, F011, F012, F015, F016, F017, F018 et F019	56,93
634-C8051F020DK	Pour MCU C8051F020, F021, F022, et F023	65,18
634-C8051F040DK	Pour MCU C8051F040, F041, F042, et F043	147,68
634-C8051F060DK	Pour MCU C8051F060, F061, F062, et F063	147,68
634-C8051F120DK	Pour MCU C8051F120, F121, F122, F123, F124, F125, F126, F127, F130, F131, F132 & F133	81,68
634-C8051F206DK	Pour MCU C8051F206	56,93
634-C8051F226DK	Pour MCU C8051F220, F221, F226, F230, F231, et F236	56,93
634-C8051F300DK	Pour MCU C8051F300, F301, F302, F303, F304, et F305	56,93
634-C8051F310DK	Pour MCU C8051F310 et F311	56,93
634-C8051F320DK	Pour MCU C8051F320 et F321	81,68
634-C8051F326DK	Pour MCU C8051F326 et F327	81,68
634-C8051F330DK	Pour MCU C8051F330 et F331	56,93
634-C8051F336DK	Pour la famille C8051F336	81,68
634-C8051F340DK	Pour MCU C8051F340, F341, F342, F343, F344, F345, F346 et F347	81,68
634-C8051F350DK	Pour MCU C8051F350, F351, F352, et F353	81,68
634-C8051F360DK	Pour MCU C8051F360, F361 et F362	81,68
634-C8051F410DK	Pour MCU C8051F410, F411, F412 et F413	81,68
634-C8051F500DK	Pour MCU C8051F50x	81,68
634-C8051F530ADK	Pour MCU C8051F52xA et C8051F53xA	81,68
634-C8051T600DK	Pour MCU C8051T600, T601, T602, T603, T604 et T605	81,68
634-C8051T606DK	Kit de dév. pour MCU C8051T606	81,68
634-C8051T600EDB	Carte fille émulation Flash	7,43
634-C8051T606TDB	Carte fille support MSOP	15,68
634-C8051T606ZDB	Carte fille support QFN10 (2 x 2 mm)	23,93
634-C8051T610DK	Pour la famille C8051T610	106,43
634-C8051T630DK	Pour la famille C8051T630	122,93
634-TOOLSTICK912DC	Carte fille ToolStick pour C8051F901/02/11/12-GM	8,46
634-TOOLSTICK912UPP	Carte fille ToolStick pour C8051F901/02/11/12-GU	56,93
634-C8051F930DK	Pour MCU C8051F920, F921, F930, F931	81,68
634-DTMFDECODER-RD	Conception de référence décodeur DTMF	122,93
634-ETHERNETDK	Kit de développement Ethernet intégré	98,18
634-MODEMDK	Kit de développement Modem intégré	106,43
634-POE-VOICE-RD	PoE avec conception de référence transmission de voix	56,93
634-SLBLDC-MTR-RD	Conception de référence moteur BLDC sans capteur	98,18
634-STEPPER-MTR-RD	Conception de référence moteur à pas	98,18
634-TEMPCOMPRTC-RD	Conception de référence RTC de température compensée	81,68
634-USB-MSD-RD	Conception de référence stockage de masse USB	81,68
634-VOICE-RECORD-RD	Kit de conception de référence enregistreur de parole	40,43

KITS D'EVALUATION

RÉF. STOCK MOUSER	Description	Prix unitaire
634-C8051F064EK	Carte d'évaluation, câble USB Cable & logiciel	81,68
634-C8051F411EK	Carte d'évaluation pour MCU C8051F411	23,93
634-CP2103EK	Pour puce pont CP2103 USB à UART	23,93
634-CP2102EK	Pour puce pont USB à UART CP2102	23,93
634-CP2120EK	Carte d'évaluation pour CP2120	32,18
634-CP2201EK	Pour contrôleur Ethernet incorporé CP2201	24,75

CARTES CIBLE / PROTOTYPAGE

RÉF. STOCK MOUSER	Description	Prix unitaire
634-C8051F005TB	Carte cible / prototypage avec MCU C8051F005	28,88
634-C8051F020TB	Carte cible / prototypage avec MCU C8051F020	41,25
634-C8051F040TB	Carte cible / prototypage avec MCU C8051F040	49,50
634-C8051F060-TB	Carte cible / prototypage avec MCU C8051F060	99,00
634-C8051F120-TB	Carte cible / prototypage avec MCU C8051F120	41,25
634-C8051F226TB	Carte cible / prototypage avec MCU C8051F226	28,88
634-C8051F300TB	Carte cible / prototypage avec MCU C8051F300	28,88
634-C8051F310TB	Carte cible / prototypage avec MCU C8051F310	28,88
634-C8051F320TB	Carte cible / prototypage avec MCU C8051F320/21	41,25
634-C8051F326-TB	Carte cible / prototypage avec MCU C8051F326/27	41,25
634-C8051F330-TB	Carte cible / prototypage avec MCU C8051F330	28,88
634-C8051F340-TB	Carte cible / prototypage avec MCU de la famille C8051F34x	41,25
634-C8051F350-TB	Carte cible / prototypage avec MCU C8051F350	41,25
634-C8051F360-TB	Carte cible / prototypage avec MCU C8051F360	41,25
634-C8051F410-TB	Carte cible / prototypage avec MCU C8051F410	41,25
634-C8051F500-TB	Carte prototypage pour C8051F50x	41,25
634-C8051F530A-TB	Carte prototypage avec C8051F530A	41,25
634-C8051F930-TB	Carte prototypage avec C8051F930	42,28
634-C8051F996-TB	Carte cible / prototypage avec MCU C8051F996	42,28
634-AB1	Carte prototypage avec 128KB SRAM	28,88

ACCESSOIRES

RÉF. STOCK MOUSER	Description	Prix unitaire
634-C8051T600SDB	Carte fille support SOIC	15,68
634-C8051T600QDB	Carte fille support QFN	23,93
634-AB3	Carte adaptateur Modem	28,88
634-AB4	Carte de développement Ethernet	28,88
634-CAT5EXOVER-001	Câble simulateur de modem CAT5e - longueur : 3'	4,12
634-EC2	Adaptateur série pour MCU C8051Fxxx	41,25
634-DEBUGADPTR1-USB	Adaptateur de débogage USB pour MCU C8051Fxxx	28,88
634-EC-SJ	Câble JTAG standard	4,13

OUTILS DE DÉVELOPPEMENT USB TOOLSTICK

La plateforme USB ToolStick est un système d'évaluation et de développement complètement intégré sur un facteur de forme de type clé USB qui démontre que les outils de développement de Silicon Laboratories sont faciles à utiliser. En utilisant un ordinateur avec un point d'accès USB, les concepteurs peuvent pleinement expérimenter l'environnement de développement de logiciels de Silicon Laboratories avec le matériel de débogage sur puce MCU qui permet l'accès complet, non intrusif à l'UC, aux périphériques et à la mémoire cible. L'environnement de développement de logiciels consiste en l'Environnement de Développement Intégré (IDE), l'éditeur, le débogueur, le programmeur flash et une version de démonstration du compileur Keil.

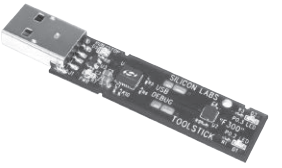

RÉF. STOCK MOUSER	Description	Prix unitaire
634-TOOLSTICKSK	Kit de démarrage	21,38
634-TOOLSTICK-EK	Kit d'évaluation	9,36
634-TOOLSTICKBA	Adaptateur de base	15,00
634-TOOLSTICK300DC	Carte fille C8051F300	8,46
634-TOOLSTICK300PP	Plateforme de programmation pour MCU C8051F30X	56,93
634-TOOLSTICK310PP	Plateforme de programmation pour MCU C8051F310/12/14, F361, F364, F366, F368	56,93
634-TOOLSTICK311DC	Carte fille C8051F311	8,46
634-TOOLSTICK311PP	Plateforme de programmation pour MCU C8051F311/13/15, F362, F365, F367, F369	56,93
634-TOOLSTICK316PP	Plateforme de programmation pour MCU C8051F316/17, F338, F339	56,93
634-TOOLSTICK320PP	Plateforme de programmation pour MCU C8051F320, F342, F343, F346, F347	56,93
634-TOOLSTICK321DC	Carte fille C8051F320/321	8,46
634-TOOLSTICK321PP	Plateforme de programmation pour MCU C8051F321, F327	56,93
634-TOOLSTICK326PP	Plateforme de programmation pour MCU C8051F326	56,93
634-TOOLSTICK327DC	Carte fille C8051F327	8,46
634-TOOLSTICK330DC	Carte fille C8051F330	8,46
634-TOOLSTICK330PP	Plateforme de programmation pour C8051F330/1/2/3/4/5/6/7	56,93
634-TOOLSTICK336DC	Carte fille Toolstick C8051F336	8,46
634-TOOLSTICK340PP	Plateforme de programmation pour MCU C8051F340/1/4/5	56,93
634-TOOLSTICK342DC	Carte fille C8051F34x	8,46
634-TOOLSTICK360DC	Carte fille C8051F360	8,46
634-TOOLSTICK360PP	Plateforme de programmation pour MCU C8051F360/63	56,93
634-TOOLSTICK410PP	Plateforme de programmation pour MCU C8051F410/2	56,93
634-TOOLSTICK411DC	Carte fille C8051F411	8,46
634-TOOLSTICK411PP	Plateforme de programmation pour MCU C8051F411/3	56,93
634-TOOLSTICK500MPP	Plateforme de programmation pour C8051F50x (48QFN)	56,93
634-TOOLSTICK500QPP	Plateforme de programmation pour C8051F50x (48QFP)	56,93
634-TOOLSTICK502DC	Carte fille C8051F50x	8,46
634-TOOLSTICK502MPP	Plateforme de programmation pour C8051F50x (32QFN)	56,93
634-TOOLSTICK502QPP	Plateforme de programmation pour C8051F50x (32QFP)	56,93
634-TOOLSTICK520PP	Plateforme de programmation pour MCU C8051F520A (DFN10)	56,93
634-TOOLSTICK530ADC	Carte fille MCU C8051F53xA et C8051F52xA	8,46
634-TOOLSTICK530MPP	Plateforme de programmation pour MCU C8051F530A (QFN20)	56,93
634-TOOLSTICK530TPP	Plateforme de programmation pour MCU C8051F530A (TSSOP20)	56,93
634-TOOLSTICK716MPP	Plateforme de programmation pour C8051F716 (QFN-32)	65,18
634-TOOLSTICK717MPP	Plateforme de programmation pour C8051F717 (QFN-24)	65,18
634-TOOLSTICK800QPP	Plateforme de programmation pour MCU C8051F8xx (QSOP-24)	56,93
634-TOOLSTICK800SPP	Plateforme de programmation pour MCU C8051F8xx (SOIC-16)	56,93
634-TOOLSTICK800DC	Carte fille C8051F800	8,17
634-TOOLSTICK990DC	Carte fille C8051F990	8,46
634-TOOLSTICK990MPP	Plateforme de programmation pour C8051F990 (QFN-20)	56,93
634-C8051F912-TB	Carte cible C8051F912-TB	42,28
634-C8051F912DK	Le kit de développement C8051F912DK contient tous les éléments nécessaires au développement d'applications avec la famille C8051F902, F902, F911 et F912 MCU ultra faible puissance	81,68
634-TOOLSTICK930MPP	Plateforme de programmation pour MCU C8051F920, F930	56,93
634-TOOLSTICK930QPP	Plateforme de programmation pour MCU C8051F920, F930	56,93
634-TOOLSTICK931PP	Plateforme de programmation pour MCU C8051F921, F931	56,93
634-TOOLSTICKDA	Adaptateur de débogage	7,65
634-CAPTOUCHSENSEDC	Carte fille à activation tactile capacitive	16,50
634-CAPTOUCHSENSESK	Kit de démarrage à activation tactile capacitive (ToolstickBA + CapTouchSenseDC)	30,44

OUTILS DE DÉVELOPPEMENT POUR INTERFACE LCD

RÉF. STOCK MOUSER	Description	Prix unitaire
634-CP2400AB	Carte de développement de LCD CP2400	28,88
634-CP2401AB	Carte de développement de LCD CP2401	28,88
634-CP2400DK	Kit de développement pour CP2400 et CP2402 Pilotes LCD avec interface SPI	106,43
634-CP2401DK	Kit de développement pour pilotes LCD CP2401 CP2403 avec interface I2C	106,43
634-RF A USB- RD	Kit de conception de référence RF à USB	-
634-EC-SJ	Câble JTAG standard	4,13

© Copyright 2012 Mouser Electronics

© Copyright 2012 Mouser Electronics

STMICROELECTRONICS STM32 ARM Cortex™

STMicroelectronics

STMICROELECTRONICS STM32 (CORTEX™-M3)

La famille STM32 des microcontrôleurs flash 32 bits est basée sur les importants progrès technologiques du coeur ARM Cortex™-M3, un coeur développé spécialement pour les applications intégrées. Elle bénéficie des améliorations de l'architecture Cortex-M3, notamment l'instruction Thumb-2 définie pour offrir de meilleures performances avec une meilleure densité du code, une réponse beaucoup plus rapide aux interruptions, associées à une consommation électrique leader de l'industrie. ST est aujourd'hui le premier fournisseur de microcontrôleurs à offrir une famille de produits basée sur ce coeur. La famille STM32 offre de nouveaux degrés de liberté aux utilisateurs des microcontrôelurs. Elle offre une gamme complète de produits 32 bits qui combine haute performance, faible consommation et basse tension, tout en assurant intégration complète et facilité de développement.

PRODUCT NEW

RoHS Compliant

Pour des quantités supérieures à celles indiquées, appelez-nous afin d'obtenir un devis.

RÉF. STOCK MOUSER		Boîtier	Prog. (octets)	RAM (octets)	Convertisseur A/D	Interface série	E/S (courant élevé)	Tension d'alimentation	Prix unitaire		
Fabr.	Réf. fabr.								1	10	100
511—	STM32F100C4T6B	LQFP-48	16Ko	4Ko	CAN 1x10 bits, horloge 1x5 bits	2xUSART, 1xSPI, 1xI2C, CAN 2x12 bits	37 (37)	de 2 à 3,6	2,35	1,98	1,69
511—	STM32F100R4T6B	LQFP-64	16Ko	4Ko	CAN 1x16 bits, horloge 1x5 bits	2xUSART, 1xSPI, 1xI2C, CAN 2x12 bits	51 (51)	de 2 à 3,6	2,41	2,10	1,75
511—	STM32F100C6T6B	LQFP-48	32Ko	4Ko	CAN 1x10 bits, horloge 1x5 bits	2xUSART, 1xSPI, 1xI2C, CAN 2x12 bits	37 (37)	de 2 à 3,6	2,45	2,15	1,79
511—	STM32F100R6T6B	LQFP-64	32Ko	4Ko	CAN 1x16 bits, horloge 1x5 bits	2xUSART, 1xSPI, 1xI2C, CAN 2x12 bits	51 (51)	de 2 à 3,6	2,74	2,22	2,01
511—	STM32F100C8T6B	LQFP-48	64Ko	8Ko	CAN 1x10 bits, horloge 1x6 bits	3xUSART, 2xSPI, 1xI2C, CAN 2x12 bits	37 (37)	de 2 à 3,6	3,30	2,65	2,41
511—	STM32F100V8T6B	LQFP-100	64Ko	8Ko	CAN 1x16 bits, horloge 1x6 bits	3xUSART, 2xSPI, 1xI2C, CAN 2x12 bits	80 (80)	de 2 à 3,6	4,02	3,58	3,22
511—	STM32F100VBT6B	LQFP-100	64Ko	8Ko	CAN 1x16 bits, horloge 1x65 bits	3xUSART, 2xSPI, 1xI2C, CAN 2x12 bits	80 (80)	de 2 à 3,6	4,42	3,95	3,56
511—	STM32F101C8T6	LQFP-48	64Ko	10Ko	CAN 1x12 bits, horloge 3x16 bits	3xUSART, 2xSPI, 2xI2C	32 (32)	de 2 à 3,6	5,19	4,41	3,61
511—	STM32F102R8T6	LQFP-64	64Ko	10Ko	CAN 16x12 bits, horloge 3x16 bits	2xSPI, 2xI2C, 3xUSART (IrDA ISO7816), USB	51 (51)	de 2 à 3,6	6,44	5,79	4,76
511—	STM32F103T8U6	VFQFPN-36	64Ko	20Ko	CAN 2x16 bits, horloge 2x24 bits	2xSPI, 2xI2C, 3xUSART, IrDA/IS078/LIN	26 (26)	de 2 à 3,6	6,22	5,05	3,96
511—	STM32F105R8T6	LQFP-64	64Ko	20Ko	CAN 2x16 bits, horloge 4x16 bits	OGT, 5xUSART, 3xSPI, 2xI2C, USB/2CAN, PWM	51 (80)	de 2 à 3,6	7,86	7,07	5,80
511—	STM32F105V8T6	LQFP-100	64Ko	20Ko	CAN 2x16 bits, horloge 4x16 bits	OGT, 5xUSART, 3xSPI, 2xI2C, USB/2CAN, PWM	51 (80)	de 2 à 3,6	8,85	7,96	6,55
511—	STM32F101R8T6	LQFP-64	64Ko	64Ko	CAN 1x12 bits, horloge 3x16 bits	3xUSART, 2xSPI, 2xI2C	49 (49)	de 2 à 3,6	5,44	4,62	3,77
511—	STM32F103C8T6	LQFP-48	64Ko	64Ko	CAN 2x12 bits, horloge 3x16 bits	3xUSART, 2xSPI, 2xI2C, horloge PWM, USB/CAN	32 (32)	de 2 à 3,6	6,22	5,28	4,32
511—	STM32F103R8T6	LQFP-64	64Ko	64Ko	CAN 2x12 bits, horloge 3x16 bits	3xUSART, 2xSPI, 2xI2C, horloge PWM, USB/CAN	49 (49)	de 2 à 3,6	6,87	5,83	4,77
511—	STM32F103V8T6	LQFP-100	64Ko	64Ko	CAN 2x12 bits, horloge 3x16 bits	3xUSART, 2xSPI, 2xI2C, horloge PWM, USB/CAN	80 (80)	de 2 à 3,6	7,49	6,36	5,20
511—	STM32F100CBT6B	LQFP-48	128Ko	8Ko	CAN 1x10 bits, horloge 1x6 bits	3xUSART, 2xSPI, 1xI2C, CAN 2x12 bits	37 (37)	de 2 à 3,6	3,80	3,35	2,77
511—	STM32F100RBH6B	TFBGA-64	128Ko	8Ko	CAN 1x16 bits, horloge 1x6 bits	3xUSART, 2xSPI, 1xI2C, CAN 2x12 bits	51 (51)	de 2 à 3,6	4,11	3,61	3,01
511—	STM32F100RBT6B	LQFP-64	128Ko	8Ko	CAN 1x16 bits, horloge 1x6 bits	3xUSART, 2xSPI, 1xI2C, CAN 2x12 bits	51 (51)	de 2 à 3,6	4,11	3,65	3,01
511—	STM32F105RBT6	LQFP-64	128Ko	64Ko	CAN 2x16 bits, horloge 4x16 bits	OGT, 5xUSART, 3xSPI, 2xI2C, USB/2CAN, PWM	51 (80)	de 2 à 3,6	9,15	8,20	6,73
511—	STM32F105VBT6	LQFP-100	128Ko	64Ko	CAN 2x16 bits, horloge 4x16 bits	OGT, 5xUSART, 3xSPI, 2xI2C, USB/2CAN, PWM	51 (80)	de 2 à 3,6	10,22	9,20	7,56
511—	STM32F107RBT6	LQFP-64	128Ko	64Ko	CAN 2x16 bits, horloge 4x16 bits	OGT, 5xUSART, 3xSPI, 2xI2C, USB/2CAN, PWM	51 (80)	de 2 à 3,6	10,08	9,02	7,43
511—	STM32F107VBT6	LQFP-100	128Ko	64Ko	CAN 2x16 bits, horloge 4x16 bits	OGT, 5xUSART, 3xSPI, 2xI2C, USB/2CAN, PWM	51 (80)	de 2 à 3,6	9,88	8,93	7,65
511—	STM32F101CBT6	LQFP-48	128Ko	128Ko	CAN 1x12 bits, horloge 3x16 bits	3xUSART, 2xSPI, 2xI2C, horloge PWM, USB/CAN	80 (80)	de 2 à 3,6	6,34	5,38	4,40
511—	STM32F101RBT6	LQFP-64	128Ko	128Ko	CAN 1x12 bits, horloge 3x16 bits	3xUSART, 2xSPI, 2xI2C	49 (49)	de 2 à 3,6	6,53	5,54	4,54
511—	STM32F101VBT6	LQFP-100	128Ko	128Ko	CAN 1x12 bits, horloge 3x16 bits	3xUSART, 2xSPI, 2xI2C	80 (80)	de 2 à 3,6	7,69	6,52	5,32
511—	STM32F103CBT6	LQFP-48	128Ko	128Ko	CAN 2x12 bits, horloge 4x16 bits	3xUSART, 2xSPI, 2xI2C, horloge PWM, USB/CAN	80 (80)	de 2 à 3,6	7,49	6,36	5,21
511—	STM32F103RBT6	LQFP-64	128Ko	128Ko	CAN 2x12 bits, horloge 3x16 bits	3xUSART, 2xSPI, 2xI2C, horloge PWM, USB/CAN	49 (49)	de 2 à 3,6	7,76	6,59	5,39
511—	STM32F103VBT6	LQFP-100	128Ko	128Ko	CAN 2x12 bits, horloge 3x16 bits	3xUSART, 2xSPI, 2xI2C, horloge PWM, USB/CAN	80 (80)	de 2 à 3,6	8,92	7,57	6,19
511—	STM32F101RCT6	LQFP-64	256Ko	32Ko	CAN 1x12 bits, horloge 3x16 bits	3xUSART, 3xSPI, 2x12C	51 (51)	de 2 à 3,6	9,45	8,50	6,99
511—	STM32F103RCT6	LQFP-64	256Ko	48Ko	CAN 3x12 bits, horloge 8x16 bits	2xUSART, 3xSPI, 2x12C, USB/CAN	51 (51)	de 2 à 3,6	9,62	8,74	7,43
511—	STM32F103VCT6	LQFP-100	256Ko	48Ko	CAN 3x12 bits, horloge 8x16 bits	5xUSART, 3xSPI, 2x12C, SDIO, USB/CAN	80 (80)	de 2 à 3,6	10,52	9,55	8,12
511—	STM32F105RCT6	LQFP-64	256Ko	64Ko	CAN 2x16 bits, horloge 4x16 bits	OGT, 5xUSART, 3xSPI, 2xI2C, USB/2CAN, PWM	51 (80)	de 2 à 3,6	9,71	8,83	7,52
511—	STM32F105VCT6	LQFP-100	256Ko	64Ko	CAN 2x16 bits, horloge 4x16 bits	OGT, 5xUSART, 3xSPI, 2xI2C, USB/2CAN, PWM	51 (80)	de 2 à 3,6	10,65	9,71	8,25
511—	STM32F107RCT6	LQFP-64	256Ko	64Ko	CAN 2x16 bits, horloge 4x16 bits	OGT, 5xUSART, 3xSPI, 2xI2C, USB/2CAN, PWM	51 (80)	de 2 à 3,6	10,68	9,72	8,25
511—	STM32F107VCT6	LQFP-100	256Ko	64Ko	CAN 2x16 bits, horloge 4x16 bits	OGT, 5xUSART, 3xSPI, 2xI2C, USB/2CAN, PWM	51 (80)	de 2 à 3,6	11,75	10,69	9,08
511—	STM32F103VDT6	LQFP-100	384Ko	64Ko	CAN 3x12 bits, horloge 8x16 bits	5xUSART, 3xSPI, 2xI2S, PWM, SDIO, USB/CAN	80 (80)	de 2 à 3,6	11,79	10,59	9,12
511—	STM32F101RET6	LQFP-64	512 Ko	48Ko	CAN 1x12 bits, horloge 4x16 bits	5xUSART, 2xSPI, 2XI2C	51 (51)	de 2 à 3,6	11,16	9,01	7,61
511—	STM32F103RET6	LQFP-64	512 Ko	64Ko	CAN 3x12 bits, horloge 4x16 bits	5xUSART, 2xSPI, 2xI2C, 1xI2S, USB/CAN	51 (51)	de 2 à 3,6	12,02	9,73	8,21
511—	STM32F103VET6	LQFP-100	512 Ko	64Ko	CAN 3x12 bits, horloge 4x16 bits	5xUSART, 2xSPI, 2xI2C, SDIO, USB/CAN	80 (80)	de 2 à 3,6	13,41	12,31	8,35
511—	STM32F103ZEH6	LFBGA-144	512 Ko	64Ko	CAN 3x12 bits, horloge 8x16 bits	5xUSART, 3xSPI, 2xI2C, SDIO, USB/CAN	112 (112)	de 2 à 3,6	18,76	17,10	15,71
511—	STM32F103ZET6	LQFP-144	512 Ko	64Ko	CAN 3x12 bits, horloge 4x16 bits	5xUSART, 2xSPI, 2xI2C, 1xI2S, USB/CAN	112 (112)	de 2 à 3,6	15,44	12,74	10,76
511—	STM32F101RFT6	LQFP-64	768Ko	80Ko	CAN 2x12 bits, horloge 10x16 bits	5xUSART, 3xSPI, 2xI2C, PWM	51 (51)	de 2 à 3,6	10,68	9,83	8,97
511—	STM32F101VFT6	LQFP-100	768Ko	80Ko	CAN 2x12 bits, horloge 10x16 bits	5xUSART, 3xSPI, 2xI2C, PWM	51 (51)	de 2 à 3,6	11,08	10,20	9,31
511—	STM32F103RFT6	LQFP-64	768Ko	96Ko	CAN 3x12 bits, horloge 10x16 bits	5xUSART, 3xSPI, 2xI2C, USB, CAN, SDIO, PWM	51 (51)	de 2 à 3,6	11,68	10,75	9,81
511—	STM32F103VFT6	LQFP-100	768Ko	96Ko	CAN 3x12 bits, horloge 10x16 bits	5xUSART, 3xSPI, 2xI2C, USB, CAN, SDIO, PWM	80 (80)	de 2 à 3,6	10,87	9,89	8,40
511—	STM32F103ZFT6	LQFP-144	768Ko	96Ko	CAN 3x12 bits, horloge 10x16 bits	5xUSART, 3xSPI, 2xI2C, USB, CAN, SDIO, PWM	112 (112)	de 2 à 3,6	11,94	10,83	9,21
511—	STM32F101RGT6	LQFP-64	1Mo	80Ko	CAN 2x12 bits, horloge 10x16 bits	5xUSART, 3xSPI, 2xI2C, PWM	51 (51)	de 2 à 3,6	12,49	11,49	10,50
511—	STM32F101VGT6	LQFP-100	1Mo	80Ko	CAN 2x12 bits, horloge 10x16 bits	5xUSART, 3xSPI, 2xI2C, PWM	51 (51)	de 2 à 3,6	12,96	11,92	10,89
511—	STM32F101ZGT6	LQFP-144	1Mo	80Ko	CAN 2x12 bits, horloge 10x16 bits	5xUSART, 3xSPI, 2xI2C, PWM	51 (51)	de 2 à 3,6	12,81	11,60	9,88
511—	STM32F103RGT6	LQFP-64	1Mo	96Ko	CAN 3x12 bits, horloge 10x16 bits	5xUSART, 3xSPI, 2xI2C, USB, CAN, SDIO, PWM	51 (51)	de 2 à 3,6	13,67	12,58	11,48
511—	STM32F103VGT6	LQFP-100	1Mo	96Ko	CAN 3x12 bits, horloge 10x16 bits	5xUSART, 3xSPI, 2xI2C, USB, CAN, SDIO, PWM	80 (80)	de 2 à 3,6	12,71	11,51	9,79
511—	STM32F103ZGH6	BGA-144	1Mo	96Ko	CAN 3x12 bits, horloge 10x16 bits	5xUSART, 3xSPI, 2xI2C, USB, CAN, SDIO, PWM	112 (112)	de 2 à 3,6	15,87	14,56	13,33
511—	STM32F103ZGT6	LQFP-144	1Mo	96Ko	CAN 3x12 bits, horloge 10x16 bits	5xUSART, 3xSPI, 2xI2C, USB, CAN, SDIO, PWM	112 (112)	de 2 à 3,6	15,87	14,56	13,33

OUTILS DE DÉVELOPPEMENT

PRODUCT NEW

Pour des quantités supérieures à celles indiquées, appelez-nous afin d'obtenir un devis.

RÉF. STOCK MOUSER		Description	Prix unitaire
Fabr.	Réf. fabr.		
511—	STM32L152-EVAL	Plates-formes complètes d'émulation de matériel avec le STM32L152, qu implémente la gamme des périphériques et des fonctionnalités de dispositifs	213,89
511—	STM32VLDISCOVERY	Inclut un STM32F100 et un débogueur/programmeur ST-Link en circuit pour déboguer les applications Discovery et autres applications de carte cible.	10,18
511—	STM32100B-EVAL	STM32F100V EVB avec HDMI CEC, 2xI2C, 2 canaux SPI, 3 canaux USART, SRAM de 8 Ko, mémoire flash internet de 128 Ko, débogage JTAG et SWD.	201,87
511—	STM3210B-MCKIT	Le kit de démarrage (avec STM32F103xV) fournit une plate-forme complète de développement pour les applications de contrôle des moteurs	1269,37
511—	STM3210E-EVAL	Version 512 Ko de la plate-forme complète d'émulation de matériel avec le STM32L152, qu implémente la gamme des périphériques et des fonctionnalités de dispositifs.	213,68
511—	STM3210C-EVAL	Plate-forme complète de connectivité avec USB-OTG, MAC, 2 CAN2.0, 2I2C, 5 USART, Smartcard, SPI, JTAG, SWD et prise en charge du débogage	256,63
511—	STM32-COMSTICK	Évaluation complète Hitex à faible coût prenant en charge 10/100 Ethernet, USB 2.0, dispositif pleine vitesse/hôte/OTG avec PHY et CAN sur puce	86,59
511—	STEVAL-IHP001V3	La carte de démonstration utilise un microcontrôleur STM32F10x, le module ZigBee SPZB260-PRO et le CI de mesure de l'énergie STPM01 pour implémenter un nœud de l'appareil de mesure ZigBee pour contrôler et gérer la consommation d'énergie d'une charge connectée.	173,95

LOGICIELS ET OUTILS TIERS

Les utilisateurs ont le choix parmi une large gamme de solutions de développement qui offre un contrôle du début à la fin du développement d'applications pour un seul environnement. Les solutions, qui comprennent des émulateurs en circuit, permettent la gestion de projet, l'édition du code source, la création et le débogage d'applications à partir d'une seule interface graphique facile à utiliser. Elles sont disponibles pour tous les compilateurs C/C++ populaires compatibles avec les coeurs ARM.

Pour des quantités supérieures à celles indiquées, appelez-nous afin d'obtenir un devis.

RÉF. STOCK MOUSER		Description	Prix unitaire
Fabr.	Réf. fabr.		
511—	STM3210EPRIMER2	Ensemble d'outils EVOPrimer Raisonance pour STM32 Performance Line préchargé avec mémoire vive de 64 Ko, Flash, Ride7, un compilateur C/C++, planificateur de tâches du système d'exploitation Circle le code source C pour tous les exemples d'applications et de bibliothèques.	84,61
511—	STM3210CPRIMER	Ensemble d'outils EVOPrimer Raisonance pour STM32 Performance Line préchargé avec mémoire vive de 256 Ko, Flash, Ride7, compilateur C/C++, planificateur de tâches du système d'exploitation Circle et code source C pour tous les exemples d'applications et de bibliothèques.	103,49
511—	STMPRIMER-BASE	Accessoire de base EVOPrimer Raisonance à utiliser avec les cartes cible et d'extension pour la gamme STM32 avec couvercle transparent amovible, le câble USB pour l'interface de débogage/programmation et la plupart des caractéristiques matérielles pour l'évaluation du microcontrôleur. Cette carte peut également être étendue à l'aide de connecteurs complémentaires.	82,46
511—	STMPRIMER-PROTO	Accessoire STMPrimer pour cartes d'extension STM32 cible prototype.	68,03
511—	STM3210CPRIM-D	Accessoire STMPRIMER comprenant une mémoire flash de 264 Ko pour cartes cibles du microcontrôleur STM32 à utiliser avec la base EvoPrimer.	24,48
511—	STM3210EPRIM-D	Accessoire STMPRIMER comprenant une mémoire flash de 512 Ko pour cartes cibles du microcontrôleur STM32 à utiliser avec la base EvoPrimer.	24,48

© Copyright 2012 Mouser Electronics

© Copyright 2012 Mouser Electronics

Microcontrôleurs et microprocesseurs

STMicroelectronics

Les produits peuvent être conformes à la directive RoHS.
Consulter le site mouser.com pour vérifier la conformité RoHS.

LOGICIEL ET OUTILS TIERS (SUITE)

Les utilisateurs ont le choix parmi une large gamme de solutions de développement permettant un contrôle du début à la fin du développement d'applications pour un seul environnement. Les solutions, qui comprennent des émulateurs en circuit, permettent la gestion de projet, l'édition du code source, la création et le débogage d'applications à partir d'une seule interface graphique facile à utiliser. Elles sont disponibles pour tous les compilateurs C/C++ populaires compatibles avec les cœurs ARM.

Pour des quantités supérieures à celles indiquées, appelez-nous afin d'obtenir un devis.

RÉF. STOCK MOUSER Fabr.	RÉF. STOCK MOUSER Réf. fabr.	Description	Prix unitaire
511—	STM3210C-SK/KEIL	Kit de démarrage avec compilateur C/C++ uVision3, ARM RealView pour coder jusqu'à 16 Ko, un débogueur/programmeur en circuit ULINK-ME (USB/JTAG) et une carte d'évaluation avec STM32F107C (mémoire flash de 256 Ko, Ethernet, hôte USB et OTG).	268,44
511—	STM3210E-SK/KEIL	Le kit inclut le développement de microcontrôleur RealView, le kit pour ARM (version limitée à 16 Ko de code) avec compilateur C/C++ ARM, un émulateur en circuit ULINK (USB/JTAG) et une carte d'évaluation pour STM32 avec mémoire vivre externe de 1 Mo, une mémoire flash de 8 Mo et une manette de jeux pour 2 applications d'amorce.	285,23
511—	STM32103B-D/RAIS	Carte fille qui convertit le STM3210B-SK/RAIS en gamme Performance.	81,12
511—	STM3210C-SK/RAIS	Ensemble d'outils logiciel Raisonance à faible coût pour les microcontrôleurs basés sur le coeur ST ARM Cortex M3, ARM966E et ARM7TDMI auquel il faut ajouter le compilateur C GNU, l'environnement de développement intégré RIDE, le débogueur de langage de haut niveau, un éditeur, un gestionnaire de protocoles et un simulateur SIMICE avec Rflasher.	213,68
511—	STM3210C-SK/IAR	Le kit comprend l'espace de travail intégré IAR pour ARM (EWARM - version limitée du cœur à 32 Ko), un émulateur en circuit J-Link (USB/JTAG) et une carte d'évaluation pour STM32, une mémoire flash de 512 Ko E-version pour 2 applications d'amorce. Connecteur USB (OTG) avec connecteur Ethernet.	245,89
511—	STM3210E-SK/IAR	Le kit comprend l'espace de travail intégré IAR pour ARM (EWARM - version limitée du cœur à 32 Ko), un émulateur en circuit J-Link (USB/JTAG) et une carte d'évaluation pour STM32, une mémoire flash de 512 Ko E-version pour 2 applications d'amorce.	267,79

PANNEAU DE CONTRÔLE DES GRAPHIQUES STM32

Le panneau de contrôle de démonstration des graphiques STEVAL-CCM001V2 basé sur STM32 affiche des images une par une sous la forme d'un diaporama. Au cœur de ce panneau se trouve le microcontrôleur STM32, qui peut lire une carte mémoire contenant des photos et les afficher sur un écran TFT. Une carte microSD sert à enregistrer les images. Un accéléromètre MEM sur 3 axes sert à orienter les images. L'application peut être utilisée comme solution autonome, ou être combinée à d'autres applications telles que des machines de point de vente, des lecteurs de carte, des panneaux de sécurité, des haut-parleurs USB ou des télécommandes haut de gamme.

STM8L101 :

- Microcontrôleur : STM32-HD (RAM 64 Ko)
- Écran TFT parallèle, résolution 320 x 240 utilisant un périphérique FSMC pour un affichage plus rapide
- Encombrement du module Bluetooth
- ZigBee® pour le transfert d'images
- Carte MicroSD interfacée via le
- mini-connecteur USB SDIO
- Connecteur JTAG incorporé pour la mise à jour et les modifications du microprogramme

PRODUCT NEW

RÉF. STOCK MOUSER Fabr.	RÉF. STOCK MOUSER Réf. fabr.	Description	Prix unitaire
511—	STEVAL-CCM001V2	Écran de la carte de démonstration du panneau graphique STM32 basé sur le microcontrôleur STM32 contenant des photos pour un écran TFT avec carte microSD et MEM à 3 axes	122,89

STM8L À TRES FAIBLE CONSOMMATION 8 BITS

STMicroelectronics a introduit sa première famille à très faible consommation basée sur le cœur STM8 8 bits. En ouvrant la voie à une future plate-forme complète à très faible consommation, la famille STM8L combine de hautes performances et la très faible consommation électrique grâce à un nouveau processus propriétaire à très faible fuite et une architecture optimisée. Cette famille se décline en trois gammes différentes afin d'optimiser la famille STM8L pour prendre en charge de nombreuses applications avec une attention particulière aux économies d'énergie.

STM8L101 :

- Mode d'alimentation le plus faible : 0,35 µA
- Mode d'exécution dynamique : 150 µA/MHz

STM8L101 :

- Mode d'alimentation le plus faible : 0,4 µA
- Mode d'exécution dynamique : 192 µA/MHz

PRODUCT NEW

Pour des quantités supérieures à celles indiquées, appelez-nous afin d'obtenir un devis.

RÉF. STOCK MOUSER Fabr.	RÉF. STOCK MOUSER Réf. fabr.	Type de boîtier	Prog. Mém.	Densité mémoire	RAM	Entrées A/N	Minuteurs	Bus Interface	E/S (Cour. élevé)	Caractéristiques spéciales	Prix unitaire 1	Prix unitaire 10	Prix unitaire 100
511—	STM8L101F2P6	TSSOP-20	4Ko	Flash	1,5Ko	-	2x16-Bit, 1x8-Bit	SPI, I2C, USART	18 (16)	IWD, AWU, téléavertisseur	1,89	1,72	1,56
511—	STM8L101F2U6ATR	UFQFPN-20	4Ko	Flash	1,5Ko	-	2x16-Bit, 1x8-Bit	SPI, I2C, USART	18 (16)	IWD, AWU, téléavertisseur	1,89	1,72	1,56
511—	STM8L101F2U6TR	UFQFPN-20	4Ko	Flash	1,5Ko	-	2x16-Bit, 1x8-Bit	SPI, I2C, USART	18 (16)	IWD, AWU, téléavertisseur	1,89	1,72	1,56
511—	STM8L101F3P6	TSSOP-20	8Ko	Flash	1,5Ko	-	2x16-Bit, 1x8-Bit	SPI, I2C, USART	18 (16)	IWD, AWU, téléavertisseur	2,16	1,95	1,78
511—	STM8L101F3U6ATR	UFQFPN-20	8Ko	Flash	1,5Ko	-	2x16-Bit, 1x8-Bit	SPI, I2C, USART	18 (16)	IWD, AWU, téléavertisseur	2,16	1,95	1,78
511—	STM8L101F3U6TR	UFQFPN-20	8Ko	Flash	1,5Ko	-	2x16-Bit, 1x8-Bit	SPI, I2C, USART	18 (16)	IWD, AWU, téléavertisseur	2,16	1,95	1,78
511—	STM8L101K3T6	LQFP-32	8Ko	Flash	1,5Ko	21x12 bits	2x16 bits, 1x8 bitsa	SPI, I2C, USART	18 (16)	IWD, AWU, téléavertisseur	2,53	2,28	1,83
511—	STM8L151C4T6	LQFP-48	16Ko	Flash	2Ko	25x12 bits	3x16 bits, 1x8 bits	SPI, I2C, USART (IrDA,ISO7816)	41 (39)	2xWDG, AWU, RTC, téléavertisseur	2,50	2,30	1,86
511—	STM8L151K4T6	LQFP-32	16Ko	Flash	2Ko	21x12 bits	3x16 bits, 1x8 bits	SPI, I2C, USART (IrDA,ISO7816)	29 (27)	2xWDG, AWU, RTC, téléavertisseur	2,24	2,04	1,83
511—	STM8L152K4T6	LQFP-32	16Ko	Flash	2Ko	21x12 bits	3x16 bits, 1x8 bits	SPI, I2C, USART (IrDA,ISO7816)	29 (27)	2xWDG, AWU, RTC, téléavertisseur	2,50	2,30	1,86
511—	STM8L152C4T6	LQFP-48	16Ko	Flash	2Ko	25x12 bits	3x16 bits, 1x8 bits	SPI, I2C, USART (IrDA,ISO7816)	41 (39)	2xWDG, AWU, RTC, téléavertisseur	2,55	2,28	1,86
511—	STM8L151C6T6	LQFP-48	32Ko	Flash	2Ko	25x12 bits	3x16 bits, 1x8 bits	SPI, I2C, USART (IrDA,ISO7816)	41 (39)	2xWDG, AWU, RTC, téléavertisseur	2,46	2,19	1,80
511—	STM8L151K6T6	LQFP-32	32Ko	Flash	2Ko	21x12 bits	3x16 bits, 1x8 bits	SPI, I2C, USART (IrDA,ISO7816)	29 (27)	2xWDG, AWU, RTC, téléavertisseur	2,45	2,26	1,81
511—	STM8L152K6T6	LQFP-32	32Ko	Flash	2Ko	21x12 bits	3x16 bits, 1x8 bits	SPI, I2C, USART (IrDA,ISO7816)	29 (27)	2xWDG, AWU, RTC, téléavertisseur	2,58	2,29	1,88
511—	STM8L152C6T6	LQFP-48	32Ko	Flash	2Ko	25x12 bits	3x16 bits, 1x8 bits	SPI, I2C, USART (IrDA,ISO7816)	41 (39)	2xWDG, AWU, RTC, téléavertisseur	2,77	2,47	2,02

Cartes de développement STM8L

RÉF. STOCK MOUSER	Description	Prix unitaire
511-STM8L-DISCOVERY	Le STM8L152C6T6 inclut l'interface de l'outil de débogage intégrée ST-Link, un écran LCD (24 segments, 4 communs), des DEL et des boutons-poussoirs.	10,18
511-STM8L1526-EVAL	Le STM8L152C6 prend en charge I2C, SPI, USART, CAN 12 bits, CNA 12 bits, pilote d'écran LCD, SRM interne de 12 Ko, EEPROM et 32 Ko et le débogage SWIM.	170,73
511-STM8L15LPBOARD	La carte de démonstration à faible puissance démontre tous les modes faible consommation de STM8L15x, et permet à l'utilisateur d'effectuer des mesures de la consommation dans tous les modes.	50,25
511-STM8L1526PRIMER	La gamme à très faible consommation EvoPrimer STM8L complète l'outil d'évaluation avec notamment une base et une carte cible avec mémoire flash de 32 Ko, un port USB de programme / débogage, un écran à 3 caractères, 8 segments, un capteur de température, un accéléromètre MEMS, une batterie rechargeable, des cellules solaires et des boutons-poussoirs.	103,49
511-STM8L1526PRIM-D	Accessoire STMPRIMER comprenant une mémoire flash de 32 Ko pour les cartes cible du microcontrôleur STM8L à utiliser avec la base EvoPrimer.	32,64

STM8S 8 BITS À USAGE GÉNÉRAL

La famille STM8S des microcontrôleurs flash 8 bits à usage général offre des solutions idéales pour répondre aux besoins des marchés industriels et des appareils ménagers. Une version standard avancée combinée à un pipeline à 3 phases classe le STM8S à la meilleure position en ce qui concerne le rapport performances-coûts. L'EEPROM intégrée et l'oscillateur RC calibré permettent une importante optimisation des couts. Un environnement de développement facile à utiliser et intuitif contribue à écourter le délai de commercialisation.

PRODUCT NEW

Pour des quantités supérieures à celles indiquées, appelez-nous afin d'obtenir un devis.

RÉF. STOCK MOUSER Fabr.	RÉF. STOCK MOUSER Réf. fabr.	Type de boîtier	Prog. Mém.	Densité mémoire	RAM	Entrées A/N	Minuteurs	Bus Interface	E/S (Cour. élevé)	Caractéristiques spéciales	Prix unitaire 1	Prix unitaire 10	Prix unitaire 100
511—	STM8S105C6T6	LQFP-48	32Ko	Flash	2Ko	10x10 bits	3x16 bits, 1x8 bits	SPI, I²C, UART (IrDA,ISO7816)	38 (16)	2xWDG, bip	2,70	2,41	1,97
511—	STM8S207K6T6C	LQFP-32	32Ko	Flash	2Ko	7x10 bits	3x16 bits, 1x8 bits	SPI, I²C, UART (IrDA,ISO7816)	25 (12)	2xWDG, bip	2,55	2,03	1,68
511—	STM8S207CBT6	LQFP-48	128Ko	Flash	6Ko	16x10 bits	3x16 bits, 1x8 bits	SPI, I²C, 2xUART (IrDA,ISO7816)	38 (16)	2xWDG, bip	3,33	2,75	2,26
511—	STM8S207RBT6	LQFP-64	128Ko	Flash	6Ko	16x10 bits	3x16 bits, 1x8 bits	SPI, I²C, 2xUART (IrDA,ISO7816)	52 (16)	2xWDG, bip	3,72	3,07	2,60
511—	STM8S208MBT6B	LQFP-80	128Ko	Flash	6Ko	16x10 bits	3x16 bits, 1x8 bits	SPI, I²C, 2xUART (IrDA,ISO7816), CAN	68 (18)	2xWDG, bip	6,15	5,00	3,77

Cartes de développement STM8S

RÉF. STOCK MOUSER	Description	Prix unitaire
511-STM8S-DISCOVERY	Pour le STM8S105 qui inclut l'interface de l'outil de débogage intégrée ST-Link et un bouton de détection tactile.	8,25
511-STM8/128-EVAL	Pour le STM8S2xx avec interface CAN ; I2C, SPI, 2 canaux UART ; carte intelligente ; prise en charge IrDA etLIN ; mémoire flash de 2 ko et mémoire de programme flash de 128 Ko	139,59
511-STM8128-SKRAIS	Kits de démarrage REva Raisonance pour le développement et l'évaluation des microcontrôleurs STM8S103/5, STM8S207/8 et STM8S903.	196,50

© Copyright 2012 Mouser Electronics

© Copyright 2012 Mouser Electronics

Microcontrôleurs STMICROELECTRONICS

STMicroelectronics

Les produits peuvent être conformes à la directive RoHS.
Consulter le site mouser.com pour vérifier la conformité RoHS.

CONTRÔLE 8 BITS ST6 À USAGE GÉNÉRAL

Pour des quantités supérieures à celles indiquées, appelez-nous afin d'obtenir un devis.

RÉF. STOCK MOUSER / Fabr.	Réf. fabr.	Type de boîtier	Prog. Mém.	Densité mémoire	RAM	E²PROM	Entrées A/N	Minuteurs	E/S (Cour. élevé)	Caractéristiques spéciales	Prix unitaire 1	10	100
Traversant													
511—ST62T65CB6		DIP-28	2Ko	OTP EPROM	128	128	13x8 bits	1x8 bits	21 (8)	Oscillateur RC, OSG, ART, ROP, IC/OC	**5,45**	**3,96**	**3,34**
511—ST62T25CB6		DIP-28	4Ko	OTP EPROM	64	----	16x8 bits	1x8 bits	20 (4)	Oscillateur RC, OSG, ROP	**4,56**	**3,67**	**2,78**
511—ST62T60CB6		DIP-20	4Ko	OTP EPROM	128	128	7x8 bits	1x8 bits	13 (6)	Oscillateur RC, OSG, ART, ROP, IC/OC	**5,92**	**4,89**	**4,13**

CONTROLE 16 BITS ST10 À USAGE GÉNÉRAL

Pour des quantités supérieures à celles indiquées, appelez-nous afin d'obtenir un devis.

RÉF. STOCK MOUSER / Fabr.	Réf. fabr.	Type de boîtier	Prog. Mém.	Densité mémoire	RAM	E²PROM	Entrées A/N	Minuteurs	E/S (Cour. élevé)	Prix unitaire 1	10	100
511—ST10F269Z2Q3		PQFP-144	256	12	5,5	16x10 bits	8x16 bits	111	USART, SSC, 2xCAN	**34,47**	**31,88**	**27,14**
511—ST10F276Z5Q3		PQFP-144	512	68	5,5	24x10 bits	5x16 bits	111	I2C, 2xUART, 2xSSC, 2xCAN	**31,92**	**29,76**	**25,88**

KIT DE DÉVELOPPEMENT ST10

RÉF. STOCK MOUSER	Description	Prix unitaire
511-STEVALIFN001V2	Kit de développement de démarrage économique basé sur ST10F276Z5, axé sur le contrôle de déplacement sur plusieurs axes.	**180,39**

ARCHITECTURE DE CŒUR RAPIDE STANDARD DU MARCHÉ ST7

PRODUCT NEW

Pour des quantités supérieures à celles indiquées, appelez-nous afin d'obtenir un devis.

RÉF. STOCK MOUSER / Fabr.	Réf. fabr.	Type de boîtier	Prog. Mém.	Densité mémoire	RAM	E²PROM	Entrées A/N	Minuteurs	E/S (Cour. élevé)	Caractéristiques spéciales	Prix unitaire 1	10	100
Montage en surface													
511—ST7FLITE05Y0M6		SO-16	1,5Ko	Flash	128	1x8 bits	2x8 bits	SPI	13 (6)	WDG, RTC	**1,66**	**1,46**	**1,24**
511—ST72F260G1M6		SO-28	4Ko	Flash	256	-----	2x16 bits	SPI	22 (8)	WDG, RTC	**3,79**	**3,41**	**3,24**
511—ST72F321AR6T6		TQFP-64	32Ko	Flash	128	16x10 bits	2x16 bits8 bits	SPI/SCI/I2C	48 (8)	WDG, RTC, ICP, IAP, interruptions imbriquées, TLI, ROP, bip	**7,13**	**6,33**	**5,14**

CLÉ DE MÉMOIRE FLASH ST7 (KIT DE COMMUNICATION EN CIRCUIT ST); 8 BITS

RÉF. STOCK MOUSER / Fabr.	Réf. fabr.	Dispositifs pris en charge	Prix unitaire
511—STX-RLINK		Série ST7LITE, série ST7226x, série ST7232x, série ST72252x, série ST7256x	**56,79**

KIT DE DÉMARRAGE ST7

RÉF. STOCK MOUSER	Description	Prix unitaire
511-ST72F34X-SK/RAIS	Kit de démarrage REva Raisonance prenant en charge les microcontrôleurs ST7LITEx, ST723x et ST72263.	**152,90**

CŒUR STR7 SÉRIE ARM7TDMI®, 32 BITS

La famille STR7 associe le cœur RISC 32 bits ARM7TDMI® standard sur le marché, à un ensemble complet de périphériques et la technologie flash intégrée 0,18 um de ST dans les gammes STR710, STR730 et STR750.

Pour des quantités supérieures à celles indiquées, appelez-nous afin d'obtenir un devis.

RÉF. STOCK MOUSER / Fabr.	Réf. fabr.	Type de boîtier	Prog. Mém.	RAM	Entrées A/N	Minuteurs	Interface bus	E/S (Cour. élevé)	Caractéristiques spéciales	Prix unitaire 1	10	100
Montage en surface												
511—STR711FR1T6		LQFP-64	128Ko+16Ko	32Ko	4x12 bits	4x16 bits	2xSPI/2xI2C/4xUART/HDLC/SC/USB	30 (0)	WDG, RTC	**9,13**	**7,76**	**7,64**
511—STR711FR2T6		LFBGA-64	256Ko+16Ko	64Ko	4x12 bits	4x16 bits	2xSPI/2xI2C/4xUART/HDLC/SC/USB	30 (0)	WDG, RTC	**9,13**	**7,76**	**7,64**
511—STR712FR2T6		LQFP-64	256Ko+16Ko	64Ko	4x12 bits	4x16 bits	2xSPI/2xI2C/4xUART/HDLC/SC/CAN	32 (0)	WDG, RTC	**10,63**	**8,69**	**6,69**
511—STR710FZ2T6		LFBGA-144	256Ko+16Ko	64Ko	4x12 bits	4x16 bits	2xSPI/2xI2C/4xUART/HDLC/SC/CAN/USB	48 (8)	WDG, RTC	**15,01**	**11,89**	**9,57**
511—STR731FV2T6		LQFP-100	256Ko+16Ko	---	12x10 bits	15x16 bits	3xSPI/2xI2C/4xUART/3xCAN	72 (0)	WDG, RTC	**21,44**	**17,49**	**12,74**

KIT DE DÉMARRAGE SR7

PRODUCT NEW

RÉF. STOCK MOUSER / Fabr.	Réf. fabr.	Description	Prix unitaire
511—STR711-SK/IAR		Kit de démarrage IAR KickStart avec carte d'évaluation, microcontrôleur STR7, débogueur/programmeur en circuit USB-JTAG et code-si 32 Ko	**267,92**
511—STR750-SK/KEIL		Kit de démarrage Keil avec carte d'évaluation STR750F, débogueur USB-JTAG et version d'évaluation de l'outil de compilation Realview	**337,18**
511—STR750-SK/RAIS		Kit de démarrage Reva prenant en charge les microcontrôleurs basés sur cœur ARM7TDMI™ et ARM966E™ Raisonance	**337,18**
511—STR750-SK/HIT		Kit de démarrage Hitex pour la solution de développement complète ST ARM® (STR91XSK/HIT, STR750-SK/HIT, STR730-SK/HIT, STR710-SK/HIT)	**337,18**

CŒUR STR9 SÉRIE ARM9E™, 32 BITS

La plate-forme STR9 est basée sur le cœur de processeur ARM9E™. Tout en exécutant le code directement à partir de sa mémoire flash, il effectue un seul cycle d'instructions DSP et inclut les interfaces Ethernet, USB et CAN.

Pour des quantités supérieures à celles indiquées, appelez-nous afin d'obtenir un devis.

RÉF. STOCK MOUSER / Fabr.	Réf. fabr.	Type de boîtier	Prog. Mém.	RAM	Entrées A/N	Minuteurs	Interface bus	E/S (Cour. élevé)	Caractéristiques spéciales	Prix unitaire 1	10	100
Montage en surface												
511—STR910FAM32X6		LQFP-80	256Ko	64Ko	8x10 bits	7x16 bits	CAN/3xUART/2xFastI2C/2xSPI	40 (16)	WDG, 1µA RTC	**10,28**	**9,35**	**7,94**
511—STR910FAW32X6		LQFP-128	256Ko	64Ko	8x10 bits	7x16 bits	CAN/3xUART/2xFastI2C/2xSPI	80 (16)	WDG, 1µA RTC	**10,94**	**9,94**	**8,44**
511—STR912FAW42X6		LQFP-128	256Ko	96Ko	8x10 bits	7x16 bits	Ethernet/USB/CAN/3xUART/2xFastI2C/2xSPI	80 (16)	WDG, 1µA RTC	**11,52**	**10,47**	**8,90**
511—STR911FAM44X6		LQFP-80	512Ko	96Ko	8x10 bits	7x16 bits	USB/CAN/3xUART/2xFastI2C/2xSPI	40 (16)	WDG, 1µA RTC	**11,77**	**10,69**	**9,09**
511—STR912FAW44X6		TQFP-128	512Ko	96Ko	8x10 bits	7x16 bits	Ethernet/USB/CAN/3xUART/2xFastI2C/2xSPI	80 (16)	WDG, 1µA RTC	**13,61**	**12,37**	**10,51**

CARTES DE DÉVELOPPEMENT ET KITS DE DÉMARRAGE ST

PRODUCT NEW

RÉF. STOCK MOUSER / Fabr.	Réf. fabr.	Description	Prix unitaire
511—STR91X-SK/KEI		Kit de démarrage Keil pour les familles de microcontrôleurs basées sur cœur STM32, STR9 et STR7 Arm	**213,68**
511—STR91X-SK/HIT		Kit de démarrage Hitex avec carte d'évaluation STR912, débogueur en circuit USB-JTA, code de 16 Ko	**213,68**
511—STR912-D/RAIS		Carte fille pour kit de démarrage REva avec microcontrôleur STR912F	**108,53**
511—STR9-COMSTICK		Kit complet économique pour l'évaluation et le développement d'applications en réseau STR91xF	**63,14**

© Copyright 2012 Mouser Electronics

© Copyright 2012 Mouser Electronics

Cartes de développement OLIMEX

RoHS Compliant **This product is RoHS compliant.**

Olimex Ltd. conçoit, développe et fabrique des cartes à circuits imprimés, des sous-ensembles et des produits électroniques complets. Olimex assure l'assemblage de conception de produits /cartes CI, l'habillage et les travaux de présentation qu'il s'agisse des petits appareils analogiques et des produits à microprocesseur complexes de grande taille. Olimex est reconnu en tant que développeur tiers de matériel pour Texas Instruments, Atmel, STMicroelectronics, IAR Systems, Cirrus Logic, et bien d'autres.

CARTES DE DÉVELOPPEMENT

Pour des quantités supérieures à celles indiquées, appelez-nous afin d'obtenir un devis.

RÉF. STOCK MOUSER	Réf. Olimex	Description	Prix unitaire
909-AVR-CAN	AVR-CAN	Carte de développement pour AT90CAN128	44,55
909-AVR-USB-STK	AVR-USB-STK	Carte de développement pour AT90USB162	45,38
909-AVR-MT128	AVR-MT128	Carte de développement pour ATMEGA128	50,33
909-AVR-IO-M16	AVR-IO-M16	Carte de développement pour ATMEGA16	28,88
909-SAM7-MT256	SAM7-MT256	Carte de développement pour AT91SAM7S256	67,65
909-SAM7-P256	SAM7-P256	Carte de développement pour AT91SAM7S256	62,70
909-SAM7-P64	SAM7-P64	Carte de développement pour AT91SAM7S64	56,10
909-SAM7-EX256	SAM7-EX256	Carte de développement pour AT91SAM7X256	106,43
909-SAM9-L9260	SAM9-L9260	Carte de développement pour AT91SAM9260	134,48
909-SAM9-L9261	SAM9-L9261	Carte de développement pour AT91SAM9260	272,25
909-CS-E9302	CS-E9302	Carte de développement pour EP9301/ EP9302 ARM920T	139,43
909-EM-32G880F128STK	EM-32G880F128-STK	Kit de démarrage pour EMG880F128	40,43
909-LPC1766-STK	LPC1766-STK	Carte de développement pour LPC1766 MÉMOIRE FLASH 256KO RAM 64KO	123,75
909-LPC-E2294-1MB	LPC-E2294-1MB	Carte de développement pour LPC2294 MÉMOIRE FLASH 256KO RAM 16KO	152,63
909-LPC-E2294-8MB	LPC-E2294-8MB	Carte de développement pour LPC2294 MÉMOIRE FLASH 256KO RAM 16KO	189,75
909-LPC-L2294-1MB	LPC-L2294-1MB	Carte de développement pour LPC2294 MÉMOIRE FLASH 256KO RAM 16KO	131,18
909-LPC-L2294-8MB	LPC-L2294-8MB	Carte de développement pour LPC2294 MÉMOIRE FLASH 256KO RAM 16KO	163,35
909-LPC2378-STK	LPC2378-STK	Carte de développement pour LPC2378 MÉMOIRE FLASH 256KO RAM 16KO	135,30
909-LPC-P2378	LPC-P2378	Carte de développement pour LPC2378 MÉMOIRE FLASH 256KO RAM 16KO	89,93
909-LPC-E2468	LPC-E2468	Carte de développement pour LPC2468 MÉMOIRE FLASH 128MO SDRAM 16MO	135,30
909-LPC2478-STK	LPC2478-STK	Carte de développement pour LPC2478 SDRAM 64MO 100MBIT	222,75
909-LPC-P2919	LPC-P2919	Carte de développement pour MÉMOIRE FLASH 768KO SRAM 56KO LPC2919	67,65
909-MSP430-P149	MSP430-P149	Carte de développement pour MSP430F149	28,05
909-MSP430-P1611	MSP430-P1611	Carte de développement pour MSP430F1611	40,43
909-MSP430-P169	MSP430-P169	Carte de développement pour MSP430F169	40,43
909-MSP430-P249	MSP430-P249	Carte de développement pour MSP430F249	28,05
909-MSP430-5438STK	MSP430-5438STK	Carte de développement pour MSP430F5438	61,05
909-MSP430-EASYWEB-2	MSP430-EASYWEB-2	Carte de développement pour MSP430F149 10A/240V TCP/IP	99,00
909-MSP430-EASYWEB-3	MSP430-EASYWEB-3	Carte de développement pour MSP430F149 TCP/ IP faible puissance	69,30
909-MSP430-169STK	MSP430-169STK	Kit de démarrage pour MSP430F169	85,80
909-MSP430-413STK2	MSP430-413STK2	Kit de démarrage pour MSP430F413	42,08
909-MSP430-169LCD	MSP430-169LCD	Kit de démarrage pour MSP430F169	45,38
909-MSP430-449STK2	MSP430-449STK2	Kit de démarrage pour MSP430F449	66,83
909-MSP430-4619LCD	MSP430-4619LCD	Kit de démarrage pour MSP430FG4619	99,00
909-TMS320-P28016	TMS320-P28016	Carte de développement pour TMS320F28016	56,10
909-PIC-LCD3310	PIC-LCD3310	Carte de développement pour PIC18F67J50	56,10
909-PIC32-MX460	PIC32-MX460	Carte de développement pour PIC32MX460F	44,55
909-PIC-MINI-WEB	PIC-MINI-WEB	Carte de développement pour PIC18F25J10 TCP/IP Mini	39,60
909-PIC-MICRO-WEB	PIC-MICRO-WEB	Carte de développement pour PIC18F67J60 TCP/IP Micro	45,38
909-PIC-WEB	PIC-WEB	Carte de développement pour PIC18F67J60 TCP/IP	34,65
909-PIC-MAXI-WEB	PIC-MAXI-WEB	Carte de développement pour PIC18F97J60 TCP/IP	93,23
909-PIC32-WEB	PIC32-WEB	Carte de développement pour PIC32MX460F512 TCP/IP	28,88
909-PIC32-MAXI-WEB	PIC32-MAXI-WEB	Carte de développement pour PIC32MX460F512L TCP/IP	110,55
909-PIC-USB-STK	PIC-USB-STK	Kit de démarrage pour PIC18F4550 avec USB	56,10
909-STM32-LCD	STM32-LCD	Carte de développement pour STM32F103ZE	96,15
909-STM32-103STK	STM32-103STK	Kit de démarrage pour STM32F103RBT6	89,93

CARTES À EMBASE

Pour des quantités supérieures à celles indiquées, appelez-nous afin d'obtenir un devis.

909-AVR-H128-CAN	AVR-H128-CAN	Carte à embase pour AT90CAN128-16AU	33,83
909-AVR-H128-C	AVR-H128-C	Carte à embase pour ATMEGA128	31,35
909-SAM7-H256	SAM7-H256	Carte à embase pour AT91SAM7S256	33,83
909-SAM7-H64	SAM7-H64	Carte à embase pour AT91SAM7S64	30,53
909-EM-32G880F128-H	EM-32G880F128-H	Carte à embase pour EFM32G880F128	28,05
909-LPC-H2124	LPC-H2124	Carte à embase pour LPC2124	48,68
909-LPC-H2294	LPC-H2294	Carte à embase pour LPC2294	79,20
909-LPC-H3131	LPC-H3131	Carte à embase pour LPC3131	74,25
909-MSP430-H149	MSP430-H149	Carte à embase pour MSP430F149	23,93
909-MSP430-H1611	MSP430-H1611	Carte à embase pour MSP430F1611	28,05
909-MSP430-H169	MSP430-H169	Carte à embase pour MSP430F169	26,40
909-MSP430-H249	MSP430-H249	Carte à embase pour MSP430F249	23,93
909-MSP430-H413	MSP430-H413	Carte à embase pour MSP430F413	15,68
909-MSP430-H449	MSP430-H449	Carte à embase pour MSP430F449	23,93
909-MSP430-HE427	MSP430-HE427	Carte à embase pour MSP430FE427	23,10
909-MSP430-HG439	MSP430-HG439	Carte à embase pour MSP430FG439	28,05
909-MSP430-HW427	MSP430-HW427	Carte à embase pour MSP4730FW427	23,10
909-STM32-H103	STM32-H103	Carte à embase pour STM32F103RBT6	32,18
909-STM32-H107	STM32-H107	Carte à embase pour STM32F107	32,18

CARTES PROTOTYPE

Pour des quantités supérieures à celles indiquées, appelez-nous afin d'obtenir un devis.

909-AVR-P40N85358MHZ	AVR-P40N-8535-8MHZ	Carte prototype pour STK200 10 broches	15,68
909-AVR-P20B-10MHZ	AVR-P20B-10MHZ	Carte prototype pour STK200 20 broches	15,68
909-AVR-P28N-8MHZ	AVR-P28N-8MHZ	Carte prototype pour STK200 28 broches	15,68
909-AVR-USB-162	AVR-USB-162	Carte prototype pour AT90USB162	28,88

CARTES PROTOTYPES (SUITE)

Pour des quantités supérieures à celles indiquées, appelez-nous afin d'obtenir un devis.

RÉF. STOCK MOUSER	Réf. Olimex	Description	Prix unitaire
909-LPC-P2124	LPC-P2124	Carte prototype pour LPC2124	52,80
909-LPC-P2138	LPC-P2138	Carte prototype pour LPC2138	56,10
909-LPC-P2148	LPC-P2148	Carte prototype pour LPC2148	62,70
909-LPC-P1343	LPC-P1343	Carte prototype pour LPC1343	15,68
909-LPC-P2129	LPC-P2129	Carte prototype pour LPC2129	53,63
909-MSP430-P1121M	MSP430-P1121M	Carte prototype pour MSP430F1121A	14,85
909-MSP430-P123M	MSP430-P123M	Carte prototype pour MSP430F123	14,85
909-TMS320-P28027	TMS320-P28027	Carte prototype pour TMS320F28027	42,90
909-PIC-USB-4550	PIC-USB-4550	Carte prototype pour PIC18F4550 avec USB	28,05
909-PIC-P67J60	PIC-P67J60	Carte prototype pour PIC18F67J60	32,18
909-PIC-P32MX	PIC-P32MX	Carte prototype pour PIC32MX340F512	23,10
909-PIC-P18-20MHZ	PIC-P18-20MHz	Carte prototype pour PIC 18 BROCHES	16,50
909-PIC-P28-20MHZ	PIC-P28-20MHz	Carte prototype pour PIC 28 BROCHES	16,50
909-PIC-P40-20MHZ	PIC-P40-20MHz	PrCarte prototype pour PIC 40 BROCHES	16,50
909-PIC-P14-20MHZ	PIC-P14-20MHz	Carte prototype pour ICSP/ ICD Activée 14 broches	16,50
909-PIC-P28-USB	PIC-P28-USB	Carte prototype pour ICSP/ ICD Activée 28 broches	25,58
909-PIC-P40-USB	PIC-P40-USB	Carte prototype pour ICSP/ ICD Activée 40 broches	25,58
909-STM32-P107	STM32-P107	Carte prototype pour STM32F107VCT6	56,93
909-STM32-P103	STM32-P103	Carte prototype pour STM32F103RBT6	51,15

SANS FIL, ACCESSOIRES ET MODULES

Pour des quantités supérieures à celles indiquées, appelez-nous afin d'obtenir un devis.

909-MOD-WIFI	MOD-WIFI	Module prototype sans fil WIFI	32,18
909-MOD-GPS	MOD-GPS	Module GPS SIRF STAR III 20-CH 38mA 4G	56,10
909-MOD-BT	MOD-BT	Module prototype sans fil Bluetooth	28,05
909-MOD-ZIGBEE	MOD-ZIGBEE	Module prototype sans fil Zigbee	19,80
909-MOD-MRF24J40	MOD-MRF24J40	Module émetteur-récepteur Zigbee MRF24J40	17,33
909-MOD-NRF24LR	MOD-NRF24LR	Module émetteur-récepteur RF 2,4GHZ NRF24L01 34x18mm	21,45
909-MOD-NRF24LS	MOD-NRF24LS	Module émetteur-récepteur RF 2,4GHZ NRF24L01 51x18mm	21,45
909-MSP430-RFLINK	MSP430-RFLINK	Module sans fil avec MSP430F1232	26,40
909-AVR-GSM	AVR-GSM	Carte de développement pour ATMEGA32 Mémoire flash 32Ko RAM 2Ko	172,43
909-PIC-GSM	PIC-GSM	Carte de développement avec module GSM PIC18F97J60-I/PT	169,13
909-MOD-RFID125-BOX	MOD-RFID125-BOX	Lecteur RFID d'étiquettes 125KHZ 100x50x10mm	66,83
909-MOD-RFID125	MOD-RFID125	Lecteur RFID d'étiquettes 125KHZ 100x50x10mm	45,38
909-RFID125-CSH-5	RFID125-CSH-5	Enveloppe double coque125KHZ d'étiquette RFID 86x54x1,8mm	12,38
909-RFID125-ISO-5	RFID125-ISO-5	Étiquette RFID 125KHZ ISO 86x54x0,8mm	12,38
909-RFID125-KEY-5	RFID125-KEY-5	Porte-clés 125KHZ d'étiquette RFID 36,5x30x7,5mm	16,50
909-RFID125-STI-5	RFID125-STI-5	Autocollant 125KHZ d'étiquette RFID 20x1mm	16,50
909-RFID125-WAT-5	RFID125-WAT-5	Étiquette de vérification 125KHZ d'étiquette RFID 230x32x2mm	22,28
909-MOD-ENC624J600	MOD-ENC624J600	Carte à embase de contrôleur Ethernet avec conn. UEXT 100Mbit	23,10
909-MOD-ENC28J60	MOD-ENC28J60	Carte à embase de contrôleur Ethernet avec conn. UEXT 10Mbit	23,10
909-ENC28J60-H	ENC28J60-H	Carte à embase de contrôleur Ethernet 30x24mm	23,10
909-DM9000E-H	DM9000E-H	Carte à embase de contrôleur Ethernet 50x40mm	25,58
909-CS8900A-H	CS8900A-H	Carte à embase de contrôleur Ethernet 53x29mm	23,10
909-MOD-IO	MOD-IO	Entrée/sortie de carte extensible avec UEXT	34,99
909-MOD-USB-RS232	MOD-USB-RS232	Module d'interface USB vers RS232	13,20
909-USB-ISO	USB-ISO	Isolateur USB FL SPD 1000V 41x36,5mm	33,83
909-MOD-POE	MOD-POE	Injecteur PoE pour PIC-MICRO-WEB	18,15
909-MOD-MP3	MOD-MP3	Lecteur MP3 WVS1002 W/VS1002	33,83
909-MSP430-PIR	MSP430-PIR	Capteur PIR pour MSP430F2013 faible puissance	16,50
909-MSP430-GBD	MSP430-GBD	Détecteur de bris de verre	23,93
909-MOD-MMA7260	MOD-MMA7260	Carte d'accéléromètre à 3 axes avec AT91SAM7S64	41,25
909-MOD-SMB380	MOD-SMB380	Carte d'accéléromètre à 3 axes avec conn. UEXT	22,28
909-MSP430-SOLAR	MSP430-SOLAR	Chargeur de batterie de panneau solaire avec MSP430 JTAG	14,85
909-MOD-NOKIA6610	MOD-NOKIA6610	LCD TFT 128x128 pixels couleur 12bits	28,88

PROGRAMMEURS / DÉBOGUEURS

Pour des quantités supérieures à celles indiquées, appelez-nous afin d'obtenir un devis.

909-ARM-JTAG	ARM-JTAG	Clé électronique JTAG ARM 3-3,6V 50x40mm	16,50
909-ARM-USB-OCD	ARM-USB-OCD	JTAG ARM USB 3 en 1 2-5V 50x40mm	65,18
909-ARM-USB-TINY-H	ARM-USB-TINY-H	JTAG USB ARM haut vitesse 2-5V 50x40mm	45,38
909-ARM-JTAG-EW	ARM-JTAG-EW	USB ARM haute vitesse avec alimentation cible 2-5V	112,20
909-AVR-ISP500-ISO	AVR-ISP500-ISO	Programmeur AVR mémoire flash 2Mo 1000V	112,20
909-AVR-ISP500-TINY	AVR-ISP500-TINY	Programmeur AVR mémoire flash 2Mo	61,88
909-AVR-ISP500	AVR-ISP500	Programmeur AVR USB	33,83
909-AVR-JTAG-USB	AVR-JTAG-USB	Clé électronique USB JTAG OPTO-ISOLÉE 3-5V	42,90
909-MSP430-JTAG	MSP430-JTAG	JTAG USB pour MSP430FXXX	16,50
909-MSP430-JTAG-ISO	MSP430-JTAG-ISO	JTAG USB opto-isolé 1000V	112,20
909-MSP430-JTAG-TINY	MSP430-JTAG-TINY	JTAG USB pour MSP430FXXX	61,88
909-MSP430-JTAG-RF	MSP430-JTAG-RF	JTAG USB sans fil pour MSP430FXXX	111,38
909-TMS320-XDS100-V2	TMS320-XDS100-V2	Clé électronique JTAG USB XDS100V2 TMS320	61,88
909-TMS320-JTAG-USB	TMS320-JTAG-USB	JTAG USB DSP pour logiciel XDS100	61,88
909-PIC-MCP-USB	PIC-MCP-USB	MPLAB 8/18/28/40P FOR PICSTART+	37,95
909-PIC-PG2	PIC-PG2	Clé électronique de port série pour 8/18/28/40 broches	11,55
909-PIC-PG3	PIC-PG3	Port parallèle 8/18/28/40 broches	19,80

© Copyright 2012 Mouser Electronics

© Copyright 2012 Mouser Electronics

Microcontrôleurs MSP430 TEXAS INSTRUMENTS

Les produits peuvent être conformes à la directive RoHS. Consultez le site mouser.com pour vérifier la conformité RoHS.

Pour une liste complète des microcontrôleurs Texas Instruments, rendez-vous sur le site www.mouser.com/ti

Avez-vous des difficultés à trouver le microcontrôleur dont vous avez besoin ? Essayez d'utiliser l'outil de sélection des microcontrôleurs de Texas Instruments présenté à l'adresse : mouser.com/timicrocontrollers-selector/

OUTILS DE DÉVELOPPEMENT ET ACCESSOIRES MSP430LXXX

Pour des quantités supérieures à celles indiquées, appelez-nous afin d'obtenir un devis.

RÉF. STOCK MOUSER	Réf. Texas Instruments	Description	Prix unitaire
595-MSP-FET430U092	MSP-FET430U092	Outil d'émulation flash comprenant le matériel et les logiciels requis pour commencer rapidement le développement d'applications sur le microcontrôleur MSP430 MCU	132,35
595-MSP-TS430L092	MSP-TS430L092	Carte cible utilisée pour programmer/déboguer le MSP430 en système via l'interface JTAG ou le protocole SPI à deux fils (JTAG 2 fils)	87,95

MICROCONTRÔLEURS NON LCD À MÉMOIRE FLASH/ROM MSP430LXXX

NEW! TECHNOLOGY

Pour des quantités supérieures à celles indiquées, appelez-nous afin d'obtenir un devis.

RÉF. STOCK MOUSER	Réf. Texas Instruments	Boîtier	Fréq. (MHz)	Flash (Ko)	RAM (octets)	GPIO	CAN	Minuteurs	Prix unitaire			
									1	25	100	250
595-MSP430L092SPWR	MSP430L092SPWR	TSSOP-14	4	128	-	11	SAR 8 bits	2 16 bits (3CCR) 1 WDT	2,48	2,02	1,82	1,65
595-MSP430BT5190IPZ	MSP430BT5190IPZ	TQFP-100	8	256	16	87	SAR 12 bits	3 16 bits, 2 8 bits (3CCR) 1 WDT, RTC	10,21	7,35	6,13	5,31

MICROCONTRÔLEURS NON LCD À MÉMOIRE FLASH/ROM MSP430X1XX

MSP430x1xx – Ces MCU basés sur mémoire flash / ROM non LCD offrent le fonctionnement de 1,8 V à 3,6 V jusqu'à 60 Ko, 8 MIPS avec horloge de base. Ils offrent une gamme étendue de périphériques qu'il s'agisse d'un simple comparateur à faible puissance ou de convertisseurs de données, interfaces et multiplicateur haute performance.

NEW PRODUCT

Pour des quantités supérieures à celles indiquées, appelez-nous afin d'obtenir un devis.

RÉF. STOCK MOUSER	Réf. Texas Instruments	Boîtier	Fréq. (MHz)	Flash (Ko)	RAM (octets)	GPIO	CAN	Minuteurs	Prix unitaire			
									1	25	100	250
595-430F1101AIPW	MSP430F1101AIPW	TSSOP-20	8	1	128	14	Pente	1 16 bits (3CCR), 1 WD/Int	2,40	1,93	1,74	1,54
595-430F1111AIPW	MSP430F1111AIPW	TSSOP-20	8	2	128	14	Pente	1 16 bits (3CCR), 1 WD/Int	2,51	2,01	1,83	1,66
595-430F1121AIDW	MSP430F1121AIDW	SOIC-20	8	4	256	14	Pente	1 16 bits (3CCR), 1 WD/Int	3,19	2,57	2,33	2,11
595-430F1122IPW	MSP430F1122IPW	TSSOP-20	8	4	256	14	SAR 10 bits	1 16 bits (3CCR), 1 WD/Int	3,76	3,02	2,76	2,48
595-430F1222IDW	MSP430F1222IDW	SOIC-28	8	4	256	22	SAR 10 bits	1 16 bits (3CCR), 1 WD/Int	4,11	3,30	3,00	2,71
595-430F1222IPW	MSP430F1222IPW	TSSOP-28	8	4	256	22	SAR 10 bits	1 16 bits (3CCR), 1 WD/Int	4,11	3,30	3,00	2,71
595-430F1222IRHBT	MSP430F1222IRHBT	QFN-32	8	4	256	22	SAR 10 bits	1 16 bits (3CCR), 1 WD/Int	4,52	3,70	3,32	2,79
595-430F1132IPW	MSP430F1132IPW	TSSOP-20	8	8	256	14	SAR 10 bits	1 16 bits (3CCR), 1 WD/Int	4,56	3,66	3,34	3,01
595-430F123IDW	MSP430F123IDW	SOIC-28	8	8	256	22	Pente	1 16 bits (3CCR), 1 WD/Int	4,11	3,30	3,00	2,71
595-430F1232IDW	MSP430F1232IDW	SOIC-28	8	8	256	22	SAR 10 bits	1 16 bits (3CCR), 1 WD/Int	4,68	3,75	3,42	3,09
595-430F1232IPW	MSP430F1232IPW	TSSOP-28	8	8	256	22	SAR 10 bits	1 16 bits (3CCR), 1 WD/Int	4,68	3,75	3,42	3,09
595-430F1232IPWR	MSP430F1232IPWR	TSSOP-28	8	8	256	22	SAR 10 bits	1 16 bits (3CCR), 1 WD/Int	4,68	3,75	3,42	3,09
595-430F1232IRHBR	MSP430F1232IRHBR	QFN-32	8	8	256	22	SAR 10 bits	1 16 bits (3CCR), 1 WD/Int	5,01	4,09	3,67	3,34
595-430F133IPAG	MSP430F133IPAG	TQFP-64	8	8	256	48	SAR 12 bits	2 16 bits (3CCR), 1 WD/Int	6,01	4,93	4,45	4,08
595-430F135IPAG	MSP430F135IPAG	TQFP-64	8	16	512	48	SAR 12 bits	2 16 bits (3CCR), 1 WD/Int	7,04	5,77	5,20	4,78
595-430F135IPM	MSP430F135IPM	LQFP-64	8	16	512	48	SAR 12 bits	2 16 bits (3CCR), 1 WD/Int	7,04	5,77	5,20	4,78
595-430F135IPMR	MSP430F135IPMR	LQFP-64	8	16	512	48	SAR 12 bits	2 16 bits (3CCR), 1 WD/Int	7,04	5,77	5,20	4,78
595-430F147IPAG	MSP430F147IPAG	TQFP-64	8	32	1Ko	48	SAR 12 bits	1 16 bits (3CCR), 1 16 bits (7CCR), 1 WD/Int	9,08	7,43	6,71	6,16
595-430F147IPM	MSP430F147IPM	LQFP-64	8	32	1Ko	48	SAR 12 bits	1 16 bits (3CCR), 1 16 bits (7CCR), 1 WD/Int	9,08	7,43	6,71	6,16
595-430F147IPMR	MSP430F147IPMR	LQFP-64	8	32	1Ko	48	SAR 12 bits	1 16 bits (3CCR), 1 16 bits (7CCR), 1 WD/Int	9,08	7,43	6,71	6,16
595-430F157IPM	MSP430F157IPM	LQFP-64	8	32	1Ko	48	SAR 12 bits	2 16 bits (3CCR), 1 WD/Int	9,59	8,07	7,42	6,76
595-430F167IPM	MSP430F167IPM	LQFP-64	8	32	1Ko	48	SAR 12 bits	1 16 bits (3CCR), 1 16 bits (7CCR), 1 WD/Int	11,12	9,35	8,59	7,83
595-430F167IPMR	MSP430F167IPMR	LQFP-64	8	32	1Ko	48	SAR 12 bits	1 16 bits (3CCR), 1 16 bits (7CCR), 1 WD/Int	11,12	9,35	8,59	7,83
595-430F1471IPM	MSP430F1471IPM	LQFP-64	8	32	1Ko	48	Pente	1 16 bits (3CCR), 1 16 bits (7CCR), 1 WD/Int	8,36	6,85	6,18	5,68
595-430F157IPMR	MSP430F157IPMR	LQFP-64	8	32	1Ko	48	SAR 12 bits	2 16 bits (3CCR), 1 WD/Int	9,59	8,07	7,42	6,76
595-MSP430F1610IPM	MSP430F1610IPM	LQFP-64	8	32	5Ko	48	SAR 12 bits	1 16 bits (3CCR), 1 16 bits (7CCR), 1 WD/Int	14,08	11,84	10,88	9,92
595-430F148IPM	MSP430F148IPM	LQFP-64	8	48	2Ko	48	SAR 12 bits	1 16 bits (3CCR), 1 16 bits (7CCR), 1 WD/Int	9,78	8,02	7,24	6,65
595-430F148IPMR	MSP430F148IPMR	LQFP-64	8	48	2Ko	48	SAR 12 bits	1 16 bits (3CCR), 1 16 bits (7CCR), 1 WD/Int	10,37	8,60	7,82	7,05
595-MSP430F148IRTDT	MSP430F148IRTDT	QFN-64	8	48	2Ko	48	SAR 12 bits	1 16 bits (3CCR), 1 16 bits (7CCR), 1 WD/Int	10,48	8,70	7,90	6,72
595-MSP430F1481IRTDT	MSP430F1481IRTDT	QFN-64	8	48	2Ko	48	Pente	1 16 bits (3CCR), 1 16 bits (7CCR), 1 WD/Int	10,04	8,34	7,58	6,44
595-430F168IPM	MSP430F168IPM	LQFP-64	8	48	2Ko	48	SAR 12 bits	1 16 bits (3CCR), 1 16 bits (7CCR), 1 WD/Int	12,28	10,33	9,50	8,65
595-MSP430F1611IPM	MSP430F1611IPM	LQFP-64	8	48	10Ko	48	SAR 12 bits	1 16 bits (3CCR), 1 16 bits (7CCR), 1 WD/Int	14,80	12,59	11,43	10,45
595-MSP430F1611IPMR	MSP430F1611IPMR	LQFP-64	8	48	10Ko	48	SAR 12 bits	1 16 bits (3CCR), 1 16 bits (7CCR), 1 WD/Int	14,80	12,59	11,43	10,45
595-MSP430F1611IRTDT	MSP430F1611IRTDT	QFN-64	8	48	10Ko	48	SAR 12 bits	1 16 bits (3CCR), 1 16 bits (7CCR), 1 WD/Int	15,57	13,19	12,18	10,49
595-MSP430F1612IPM	MSP430F1612IPM	LQFP-64	8	55	5Ko	48	SAR 12 bits	1 16 bits (3CCR), 1 16 bits (7CCR), 1 WD/Int	15,34	12,89	11,85	10,81
595-MSP430F1612IRTDT	MSP430F1612IRTDT	QFN-64	8	55	5Ko	48	SAR 12 bits	1 16 bits (3CCR), 1 16 bits (7CCR), 1 WD/Int	16,13	13,67	12,62	10,87
595-430F149IPAG	MSP430F149IPAG	TQFP-64	8	60	2Ko	48	SAR 12 bits	1 16 bits (3CCR), 1 16 bits (7CCR), 1 WD/Int	9,41	7,92	7,28	6,63
595-430F149IPM	MSP430F149IPM	LQFP-64	8	60	2Ko	48	SAR 12 bits	1 16 bits (3CCR), 1 16 bits (7CCR), 1 WD/Int	9,41	7,92	7,28	6,63
595-430F149IPMR	MSP430F149IPMR	LQFP-64	8	60	2Ko	48	SAR 12 bits	1 16 bits (3CCR), 1 16 bits (7CCR), 1 WD/Int	9,41	7,92	7,28	6,63
595-430F169IPM	MSP430F169IPM	LQFP-64	8	60	2Ko	48	SAR 12 bits	1 16 bits (3CCR), 1 16 bits (7CCR), 1 WD/Int	13,18	11,09	10,19	9,29
595-430F169IPMR	MSP430F169IPMR	LQFP-64	8	60	2Ko	48	SAR 12 bits	1 16 bits (3CCR), 1 16 bits (7CCR), 1 WD/Int	13,79	11,68	10,78	9,88
595-MSP430F169IRTDT	MSP430F169IRTDT	QFN-64	8	60	2Ko	48	SAR 12 bits	1 16 bits (3CCR), 1 16 bits (7CCR), 1 WD/Int	13,88	11,76	10,86	9,35

MICROCONTROLEURS FLASH NON LCD MSP430G2XX

La famille MSP430 Texas Instruments de microcontrôleurs à ultra faible puissance comprend plusieurs dispositifs dotés de différents ensembles de périphériques ciblés pour diverses applications. L'architecture, combinée à cinq modes à consommation faible, est optimisée pour obtenir une durée de vie prolongée de la batterie dans les applications de mesure portables. Le dispositif comprend une UC RISC 16 bits puissante, des registres 16 bits et des générateurs constants qui contribuent à optimiser l'efficacité du code. L'oscillateur contrôlé numériquement (DCO) permet le réveil des modes à faible consommation en mode actif en moins de 1 μs.

NEW PRODUCT

Pour des quantités supérieures à celles indiquées, appelez-nous afin d'obtenir un devis.

RÉF. STOCK MOUSER	Réf. Texas Instruments	Boîtier	Fréq. (MHz)	Flash (Ko)	RAM (octets)	GPIO	CAN	Minuteurs	Prix unitaire			
									1	25	100	250
595-MSP430G2001IN14	MSP430G2001IN14	DIP-14	16	0,512	128	10	-	1x16 bits (TA2)	1,42	1,13	0,99	0,833
595-MSP430G2001IPW14	MSP430G2001IPW14	TSSOP-14	16	0,512	128	10	-	1x16 bits (TA2)	0,99	0,79	0,691	0,606
595-SP430G2001IPW14R	MSP430G2001IPW14R	TSSOP-14	16	0,512	128	10	-	1 16 bits (2CCR), 1WD/Int	1,15	0,883	0,812	0,654
595-SP430G2152IPW14R	MSP430G2152IPW14R	TSSOP-14	16	1	256	16	SAR 10 bits	1 16 bits (2CCR), 1 WD/Int	1,59	1,22	1,11	0,998
595-SP430G2152IPW20R	MSP430G2152IPW20R	TSSOP-20	16	1	256	16	SAR 10 bits	1 16 bits (2CCR), 1 WD/Int	1,73	1,34	1,21	1,09
595-P430G2152IRSA16T	MSP430G2152IRSA16T	QFN-16	16	1	256	16	SAR 10 bits	1 16 bits (2CCR), 1 WD/Int	1,87	1,44	1,31	1,18
595-MSP430G2211IN14	MSP430G2211IN14	DIP-14	16	2	128	10	-	1 16 bits (2CCR), 1 WD/Int	1,67	1,34	1,20	1,07
595-MSP430G2211IPW14	MSP430G2211IPW14	TSSOP-14	16	2	128	10	-	1x16 bits (TA2)	1,40	1,11	0,974	0,858
595-MSP430G2221IN14	MSP430G2221IN14	DIP-14	16	2	128	10	-	1x16 bits (TA2)	1,61	1,34	1,07	0,858
595-MSP430G2231IN14	MSP430G2231IN14	DIP-14	16	2	128	10	8x10 bits	1x16 bits (TA2)	1,79	1,44	1,30	1,16
595-MSP430G2231IPW14	MSP430G2231IPW14	TSSOP-14	16	2	128	10	8x10 bits	1x16 bits (TA2)	1,41	1,13	1,01	0,908
595-SP430G2231IPW14R	MSP430G2231IPW14R	TSSOP-14	16	2	128	10	SAR 10 bits	1 16 bits (2CCR), 1 WD/Int	1,19	1,05	0,858	0,762
595-MSP430G2452IN20	MSP430G2452IN20	PDIP-20	16	8	256	16	SAR 10 bits	1 16 bits (3CCR), 1 WD/Int	1,79	1,44	1,30	1,16
595-SP430G2452IPW14R	MSP430G2452IPW14R	TSSOP-14	16	8	256	16	SAR 10 bits	1 16 bits (3CCR), 1 WD/Int	2,02	1,56	1,41	1,27
595-SP430G2452IPW20R	MSP430G2452IPW20R	TSSOP-20	16	8	256	16	SAR 10 bits	1 16 bits (3CCR), 1 WD/Int	2,02	1,56	1,41	1,27
595-P430G2452IRSA16T	MSP430G2452IRSA16T	QFN-16	16	8	256	16	SAR 10 bits	1 16 bits (3CCR), 1 WD/Int	2,31	1,78	1,62	1,45

© Copyright 2012 Mouser Electronics

© Copyright 2012 Mouser Electronics

Microcontrôleurs MSP430 TEXAS INSTRUMENTS

Les produits peuvent être conformes à la directive RoHS. Consulter le site mouser.com pour vérifier la conformité RoHS.

OUTILS DE DÉVELOPPEMENT ET ACCESSOIRES MSP430X2XX

Pour des quantités supérieures à celles indiquées, appelez-nous afin d'obtenir un devis.

RÉF. STOCK MOUSER Fabr.	Réf. fabr.	Description	Prix unitaire
595—	MSP-FET430U14	Programmateur USB et module carte MSP430 à 14 broches	132,35
595—	EZ430-RF2500T	Carte cible sans fil MSP430 2.4GHz	18,79
595—	MSP-FET430U28	Programmateur USB et module carte MSP430 à 20 et 28 broches	132,35
595—	MSP-FET430U38	Programmateur USB et module carte MSP430 à 38 broches	132,35
595—	MSP-FET430U64	Programmateur USB et module carte MSP430 à 64 broches	132,35
595—	MSP-TS430PM64	Carte cible MSP430 à socket 64 broches	70,46
595—	MSP-TS430PW14	Outil d'émulation Flash pour MCU MSP430 à puissance ultra faible	70,46
595—	MSP-FET430U80	Programmateur USB et module carte MSP430 à 80 broches	132,35
595—	MSP-GANG430	Programmateur à duplication automatique MSP430 intégré	176,77
595—	MSP-FET430PIF	Interface MSP430 de débogage sur port parallèle	46,04
595—	EZ430-RF2500-SEH	Outil de développement de captage d'énergie solaire MSP430	132,35

RÉF. STOCK MOUSER Fabr.	Réf. fabr.	Description	Prix unitaire
595—	MSP-FET430UIF	Interface MSP430 de débogage USB	87,95
595—	EZ430-F2013	Outil de développement MSP430 format clé USB	18,79
595—	EZ430-T2012	Carte F2012 format clé USB MSP430	9,39
595—	EZ430-RF2500	Outil de développement MSP430 sans fil	46,04
595—	MSP-FET430U23X0	Programmateur USB et module carte MSP430F23x0 à 40 broches	132,35
595—	MSP-EXP430FG4618	Carte d'expérimentation MSP430FG4618/F2013	87,95
595—	MSP-EXP430G2	Programmateur flash MSP430/débogueur composants Value Line	4,16
595—	MSP-GANG430	Programmateur à duplication automatique MSP430 intégré	176,77
595—	MSP-FET430PIF	Interface MSP430 de débogage sur port parallèle	46,04
595—	430BOOST-SENSE1	BoosterPack tactile capacitif pour MSP-EXP430G2	9,15

MICROCONTRÔLEURS FLASH SANS LCD MSP430X2XX

Pour des quantités supérieures à celles indiquées, appelez-nous afin d'obtenir un devis.

RÉF. STOCK MOUSER	Réf. Texas Instruments	Boîtier	Fréq. (MHz)	Flash (Ko)	RAM (octets)	GPIO	CAN	Minuteurs	Prix unitaire 1	25	100	250
595-MSP430F2001IPW	MSP430F2001IPW	TSSOP-14	16	1	128	10	Pente	1 16{sp}bits (2CCR), 1 WD/Int	1,54	1,24	1,10	0,957
595-MSP430F2001IPWR	MSP430F2001IPWR	TSSOP-14	16	1	128	10	Pente	1 16{sp}bits (2CCR), 1 WD/Int	1,42	1,10	0,998	0,891
595-MSP430F2001IRSAT	MSP430F2001IRSAT	QFN-16	16	1	128	10	Pente	1 16{sp}bits (2CCR), 1 WD/Int	1,57	1,20	1,10	0,891
595-MSP430F2001TRSAT	MSP430F2001TRSAT	QFN-16	16	1	128	10	Pente	1 16{sp}bits (2CCR), 1 WD/Int	1,71	1,32	1,20	0,974
595-MSP430F2002IN	MSP430F2002IN	PDIP-14	16	1	128	10	SAR 10 bits	1 16{sp}bits (2CCR), 1 WD/Int	1,77	1,42	1,28	1,14
595-MSP430F2002IPW	MSP430F2002IPW	TSSOP-14	16	1	128	10	SAR 10 bits	1 16{sp}bits (2CCR), 1 WD/Int	1,77	1,42	1,28	1,14
595-MSP430F2003IRSAT	MSP430F2003IRSAT	QFN-16	16	1	128	10	S-D 16{sp}bits	1 16{sp}bits (2CCR), 1 WD/Int	2,81	2,29	2,06	1,73
595-MSP430F2101IPWR	MSP430F2101IPWR	TSSOP-20	16	1	128	16	Pente	1 16{sp}bits (2CCR), 1 WD/Int	1,71	1,32	1,20	1,07
595-MSP430F2011IPW	MSP430F2011IPW	TSSOP-14	16	2	128	10	Pente	1 16{sp}bits (2CCR), 1 WD/Int	1,51	1,22	1,10	0,974
595-MSP430F2011IPWR	MSP430F2011IPWR	TSSOP-14	16	2	128	10	Pente	1 16{sp}bits (2CCR), 1 WD/Int	1,71	1,32	1,20	1,07
595-MSP430F2012IN	MSP430F2012IN	PDIP-14	16	2	128	10	SAR 10 bits	1 16{sp}bits (2CCR), 1 WD/Int	2,27	1,83	1,65	1,46
595-MSP430F2012IPW	MSP430F2012IPW	TSSOP-14	16	2	128	10	SAR 10 bits	1 16{sp}bits (2CCR), 1 WD/Int	2,27	1,83	1,65	1,46
595-MSP430F2012IPWR	MSP430F2012IPWR	TSSOP-14	16	2	128	10	SAR 10 bits	1 16{sp}bits (2CCR), 1 WD/Int	2,57	1,98	1,79	1,61
595-MSP430F2012IRSAT	MSP430F2012IRSAT	QFN-16	16	2	128	10	SAR 10 bits	1 16{sp}bits (2CCR), 1 WD/Int	2,71	2,09	1,90	1,54
595-MSP430F2012TN	MSP430F2012TN	PDIP-14	16	2	128	10	SAR 10 bits	1 16{sp}bits (2CCR), 1 WD/Int	2,50	2,01	1,82	1,61
595-MSP430F2012TPW	MSP430F2012TPW	TSSOP-14	16	2	128	10	SAR 10{sp}bits	1 16{sp}bits (2CCR), 1 WD/Int	2,83	2,18	1,97	1,63
595-MSP430F2012TPWR	MSP430F2012TPWR	TSSOP-14	16	2	128	10	SAR 10{sp}bits	1 16{sp}bits (2CCR), 1 WD/Int	2,83	2,18	1,97	1,77
595-MSP430F2012TRSAT	MSP430F2012TRSAT	QFN-16	16	2	128	10	SAR 10 bits	1 16{sp}bits (2CCR), 1 WD/Int	2,57	2,10	1,88	1,58
595-MSP430F2013IPW	MSP430F2013IPW	TSSOP-14	16	2	128	10	S-D 16{sp}bits	1 16{sp}bits (2CCR), 1 WD/Int	2,74	2,19	2,00	1,81
595-MSP430F2013IPWR	MSP430F2013IPWR	TSSOP-14	16	2	128	10	S-D 16{sp}bits	1 16{sp}bits (2CCR), 1 WD/Int	2,93	2,39	2,15	1,96
595-MSP430F2013IRSAT	MSP430F2013IRSAT	QFN-16	16	2	128	10	S-D 16{sp}bits	1 16{sp}bits (2CCR), 1 WD/Int	3,05	2,49	2,24	1,88
595-MSP430F2013TPW	MSP430F2013TPW	TSSOP-14	16	2	128	10	S-D 16{sp}bits	1 16{sp}bits (2CCR), 1 WD/Int	3,08	2,48	2,25	2,03
595-MSP430F2013TPWR	MSP430F2013TPWR	TSSOP-14	16	2	128	10	S-D 16{sp}bits	1 16{sp}bits (2CCR), 1 WD/Int	3,30	2,69	2,42	2,19
595-MSP430F2013TRSAT	MSP430F2013TRSAT	QFN-16	16	2	128	10	S-D 16{sp}bits	1 16{sp}bits (2CCR), 1 WD/Int	3,42	2,80	2,51	2,11
595-MSP430F2112IPW	MSP430F2112IPW	TSSOP-28	16	2	256	24	SAR 10{sp}bits	1 16{sp}bits (2CCR), 1 WD/Int	2,51	2,01	1,83	1,66
595-MSP430F2112IRHBT	MSP430F2112IRHBT	QFN-32	16	2	256	24	SAR 10{sp}bits	1 16{sp}bits (2CCR), 1 WD/Int	2,81	2,29	2,06	1,73
595-MSP430F2112TPW	MSP430F2112TPW	TSSOP-24	16	2	256	24	SAR 10{sp}bits	1 16{sp}bits (2CCR), 1 WD/Int	2,85	2,29	2,09	1,88
595-MSP430F2121IDWR	MSP430F2121IDWR	SOIC-20	16	4	256	16	Pente	1 16{sp}bits (2CCR), 1 WD/Int	2,57	1,98	1,79	1,61
595-MSP430F2121IPWR	MSP430F2121IPWR	TSSOP-20	16	4	256	16	Pente	1 16{sp}bits (2CCR), 1 WD/Int	2,57	1,98	1,79	1,61
595-MSP430F2122IPW	MSP430F2122IPW	TSSOP-28	16	4	512	24	SAR 10{sp}bits	1 16{sp}bits (3CCR), 1 16{sp}bits (2CCR), 1 WD/Int	3,19	2,57	2,33	2,11
595-MSP430F2122IPWR	MSP430F2122IPWR	TSSOP-28	16	4	512	24	SAR 10{sp}bits	1 16{sp}bits (3CCR), 1 16{sp}bits (2CCR), 1 WD/Int	3,42	2,80	2,51	2,28
595-MSP430F2122IRHBR	MSP430F2122IRHBR	QFN-32	16	4	512	24	SAR 10{sp}bits	1 16{sp}bits (3CCR), 1 16{sp}bits (2CCR), 1 WD/Int	3,42	2,80	2,51	2,28
595-MSP430F2122IRHBT	MSP430F2122IRHBT	QFN-32	16	4	512	24	SAR 10{sp}bits	1 16{sp}bits (3CCR), 1 16{sp}bits (2CCR), 1 WD/Int	3,54	2,90	2,60	2,21
595-MSP430F2131IDWR	MSP430F2131IDWR	SOIC-20	16	8	256	16	Pente	1 16{sp}bits (3CCR), 1 WD/Int	2,93	2,39	2,15	1,96
595-MSP430F2131IRGET	MSP430F2131IRGET	QFN-24	16	8	256	16	Pente	1 16{sp}bits (3CCR), 1 WD/Int	3,05	2,49	2,24	1,88
595-MSP430F2132IPW	MSP430F2132IPW	TSSOP-28	16	8	512	24	SAR 10{sp}bits	1 16{sp}bits (3CCR), 1 16{sp}bits(2CCR), 1 WD/Int	3,66	2,99	2,53	2,44
595-MSP430F2132IPWR	MSP430F2132IPWR	TSSOP-28	16	8	512	24	SAR 10{sp}bits	1 16{sp}bits (3CCR), 1 16{sp}bits(2CCR), 1 WD/Int	3,66	2,99	2,69	2,44
595-MSP430F2132IRHBR	MSP430F2132IRHBR	QFN-32	16	8	512	24	SAR 10{sp}bits	1 16{sp}bits (3CCR), 1 16{sp}bits(2CCR), 1 WD/Int	3,66	2,99	2,69	2,44
595-MSP430F2132IRHBT	MSP430F2132IRHBT	QFN-32	16	8	512	24	SAR 10{sp}bits	1 16{sp}bits (3CCR), 1 16{sp}bits(2CCR), 1 WD/Int	3,79	3,09	2,78	2,33
595-MSP430F2132TPW	MSP430F2132TPW	TSSOP-28	16	8	512	24	SAR 10{sp}bits	1 16{sp}bits (3CCR), 1 16{sp}bits(2CCR), 1 WD/Int	3,76	3,02	2,76	2,48
595-MSP430F2232IDAR	MSP430F2232IDAR	TSSOP-38	16	8	512	32	SAR 10{sp}bits	1 16{sp}bits (3CCR), 1 WD/Int	4,03	3,29	2,95	2,69
595-MSP430F2232IRHAT	MSP430F2232IRHAT	QFN-40	16	8	512	32	SAR 10{sp}bits	2 16{sp}bits (3CCR), 1 WD/Int	4,16	3,39	3,04	2,56
595-MSP430F2234IDA	MSP430F2234IDA	TSSOP-38	16	8	512	32	SAR 10{sp}bits	2 16{sp}bits (3CCR), 1 WD/Int	4,52	3,70	3,13	3,01
595-MSP430F2330IRHAT	MSP430F2330IRHAT	QFN-40	16	8	1Ko	32	Pente	2 16{sp}bits (3CCR), 1 WD/Int	4,40	3,59	3,23	2,71
595-MSP430F233TPM	MSP430F233TPM	LQFP-64	16	8	1Ko	48	SAR 12{sp}bits	2 16{sp}bits (3CCR), 1 WD/Int	5,48	4,40	4,01	3,61
595-MSP430F2252IDA	MSP430F2252IDA	TSSOP-38	16	16	512	32	SAR 10{sp}bits	2 16{sp}bits (3CCR), 1 WD/Int	4,45	3,57	3,26	2,63
595-MSP430F2252IDAR	MSP430F2252IDAR	TSSOP-38	16	16	512	32	SAR 10{sp}bits	2 16{sp}bits (3CCR), 1 WD/Int	4,77	3,89	3,50	3,18
595-MSP430F2252IRHAT	MSP430F2252IRHAT	QFN-40	16	16	512	32	SAR 10{sp}bits	2 16{sp}bits (3CCR), 1 WD/Int	4,89	3,99	3,58	3,01
595-MSP430F2254IRHAR	MSP430F2254IRHAR	QFN-40	16	16	512	32	SAR 10{sp}bits	2 16{sp}bits (3CCR), 1 WD/Int	5,26	4,29	3,85	3,24
595-MSP430F2350IRHAT	MSP430F2350IRHAT	QFN-40	16	16	2Ko	32	Pente	2 16{sp}bits (3CCR), 1 WD/Int	5,01	4,09	3,67	3,09
595-MSP430F2350TRHAT	MSP430F2350TRHAT	QFN-40	16	16	2Ko	32	Pente	2 16{sp}bits (3CCR), 1 WD/Int	5,50	4,49	4,03	3,39
595-MSP430F235TPM	MSP430F235TPM	LQFP-64	16	16	2Ko	48	SAR 12{sp}bits	2 16{sp}bits (3CCR), 1 WD/Int	5,62	4,66	3,97	3,81
595-MSP430F235TRGCT	MSP430F235TRGCT	QFN-64	16	16	2Ko	48	SAR 12{sp}bits	2 16{sp}bits (3CCR), 1 WD/Int	5,73	4,75	4,31	3,71
595-MSP430F2272IDA	MSP430F2272IDA	TSSOP-38	16	32	1Ko	32	SAR 10{sp}bits	2 16{sp}bits(3CCR), 1 WD/Int	5,38	4,39	3,72	3,32
595-MSP430F2272IRHAT	MSP430F2272IRHAT	QFN-40	16	32	1Ko	32	SAR 10{sp}bits	2 16{sp}bits(3CCR), 1 WD/Int	5,50	4,49	4,03	3,39
595-MSP430F2272TDA	MSP430F2272TDA	TSSOP-38	16	32	1Ko	32	SAR 10{sp}bits	2 16{sp}bits(3CCR), 1 WD/Int	5,99	4,89	4,14	3,99
595-MSP430F2274IDA	MSP430F2274IDA	TSSOP-38	16	32	1Ko	32	SAR 10{sp}bits	2 16{sp}bits(3CCR), 1 WD/Int	5,99	4,89	4,14	3,99
595-MSP430F2274IDAR	MSP430F2274IDAR	TSSOP-38	16	32	1Ko	32	SAR 10{sp}bits	2 16{sp}bits(3CCR), 1 WD/Int	5,99	4,89	4,14	3,99
595-MSP430F2274IRHAT	MSP430F2274IRHAT	QFN-40	16	32	1Ko	32	SAR 10{sp}bits	2 16{sp}bits(3CCR), 1 WD/Int	5,40	4,48	4,08	3,47
595-MSP430F2274TDA	MSP430F2274TDA	TSSOP-38	16	32	1Ko	32	SAR 10{sp}bits	1 16{sp}bits (3CCR), 1 WD/Int	5,83	4,84	4,12	3,96
595-MSP430F2274TRHAT	MSP430F2274TRHAT	QFN-40	16	32	1Ko	32	SAR 10{sp}bits	2 16{sp}bits(3CCR), 1 WD/Int	5,94	4,93	4,48	3,81
595-MSP430F2370IRHAT	MSP430F2370IRHAT	QFN-40	16	32	2Ko	32	Pente	2 16{sp}bits (3CCR), 1 WD/Int	5,38	4,39	3,94	3,32
595-MSP430F2370TRHAT	MSP430F2370TRHAT	QFN-40	16	32	2Ko	32	Pente	2 16{sp}bits(3CCR), 1 WD/Int	5,99	4,89	4,39	3,70
595-MSP430F2471TPM	MSP430F2471TPM	LQFP-64	16	32	4K	48	Pente	1 16{sp}bits (3CCDR), 1 16{sp}bits(7CCR), 1 WD/Int	6,42	5,26	4,75	4,36
595-MSP430F247TPM	MSP430F247TPM	LQFP-64	16	32	4K	48	SAR 12{sp}bits	1 16{sp}bits (3CCDR), 1 16{sp}bits(7CCR), 1 WD/Int	6,93	5,71	5,12	4,29
595-MSP430F247TRGCT	MSP430F247TRGCT	QFN-64	16	32	4K	48	SAR 12{sp}bits	1 16{sp}bits (3CCDR), 1 16{sp}bits(7CCR), 1 WD/Int	7,45	6,19	5,63	4,78
595-MSP430F248TPM	MSP430F248TPM	LQFP-64	16	48	4K	48	SAR 12{sp}bits	1 16{sp}bits (3CCDR), 1 16{sp}bits(7CCR), 1 WD/Int	8,15	6,68	6,03	5,54
595-MSP430F2410TPM	MSP430F2410TPM	LQFP-64	16	56	4K	48	SAR 12{sp}bits	1 16{sp}bits (3CCDR), 1 16{sp}bits(7CCR), 1 WD/Int	9,93	8,25	7,50	6,75
595-MSP430F2410TPMR	MSP430F2410TPMR	LQFP-64	16	56	4K	48	SAR 12{sp}bits	1 16{sp}bits (3CCDR), 1 16{sp}bits(7CCR), 1 WD/Int	9,93	8,25	7,50	6,75
595-MSP430F2410TRGCT	MSP430F2410TRGCT	VQFN-64	16	56	4K	48	SAR 12{sp}bits	1 16{sp}bits (3CCDR), 1 16{sp}bits(7CCR), 1 WD/Int	9,48	7,81	7,01	5,87
595-MSP430F249TPM	MSP430F249TPM	LQFP-64	16	60	2K	48	SAR 12{sp}bits	1 16{sp}bits (3CCDR), 1 16{sp}bits(7CCR), 1 WD/Int	9,40	7,80	6,63	6,38
595-MSP430F249TPMR	MSP430F249TPMR	LQFP-64	16	60	2K	48	SAR 12{sp}bits	1 16{sp}bits (3CCDR), 1 16{sp}bits(7CCR), 1 WD/Int	9,40	7,80	7,09	6,38
595-MSP430F2417TPM	MSP430F2417TPM	LQFP-64	16	92	8K	48, 64	SAR 12{sp}bits	1 16{sp}bits (3CCR), 1 16{sp}bits (7CCR), 1 WD/Int	10,37	8,60	7,33	7,05
595-MSP430F2416TPM	MSP430F2416TPM	LQFP-64	16	92	4K	48, 64	SAR 12{sp}bits	1 16{sp}bits (3CCR), 1 16{sp}bits (7CCR), 1 WD/Int	9,58	7,85	7,09	6,51
595-MSP430F2616TPM	MSP430F2616TPM	LQFP-64	16	92	4K	48, 64	SAR 12{sp}bits	1 16{sp}bits (3CCR), 1 16{sp}bits (7CCR), 1 WD/Int	10,49	8,82	8,11	6,91
595-MSP430F2617TPM	MSP430F2617TPM	LQFP-64	16	92	8K	48, 64	SAR 12{sp}bits	1 16{sp}bits (3CCR), 1 16{sp}bits (7CCR), 1 WD/Int	10,85	9,12	8,38	7,64

© Copyright 2012 Mouser Electronics

© Copyright 2012 Mouser Electronics

MCU MSP430 TEXAS INSTRUMENTS

Les produits peuvent être conformes à la directive RoHS. Consultez le site mouser.com pour vérifier la conformité RoHS.

Pour une liste complète des microcontrôleurs Texas Instruments, visitez le site www.mouser.com/ti

Avez-vous des difficultés à trouver le microcontrôleur dont vous avez besoin ? Essayez d'utiliser l'outil de sélection des microcontrôleurs de Texas Instruments à l'adresse : mouser.com/timicrocontrollers-selector/

MICROCONTRÔLEURS FLASH MSP430X2XX FLASH, SANS LCD (SUITE)

Pour des quantités supérieures à celles indiquées, appelez-nous afin d'obtenir un devis.

RÉF. STOCK MOUSER	Réf. Texas Instruments	Boîtier	Fréq. (MHz)	Flash (Ko)	RAM (octets)	GPIO	CAN	Minuteurs	Prix unitaire			
									1	25	100	250
595-MSP430F2418TPM	MSP430F2418TPM	LQFP-64	16	116	8Ko	48,64	SAR 12 bits	1 16 bits (3CCR), 1 16 bits (7CCR), 1 WD/Int	10,20	8,41	7,01	6,32
595-MSP430F2418TPMR	MSP430F2418TPMR	LQFP-64	16	116	8Ko	48,64	SAR 12 bits	1 16 bits (3CCR), 1 16 bits (7CCR), 1 WD/Int	9,37	7,94	7,33	6,72
595-MSP430F2418TPN	MSP430F2418TPN	LQFP-80	16	116	8Ko	48,64	SAR 12 bits	1 16 bits (3CCR), 1 16 bits (7CCR), 1 WD/Int	9,37	7,94	7,01	6,72
595-MSP430F2618TPM	MSP430F2618TPM	LQFP-64	16	116	8Ko	48,64	SAR 12 bits	1 16 bits (3CCR), 1 16 bits (7CCR), 1 WD/Int	11,39	9,58	8,80	7,51
595-MSP430F2618TPMR	MSP430F2618TPMR	LQFP-64	16	116	8Ko	48,64	SAR 12 bits	1 16 bits (3CCR), 1 16 bits (7CCR), 1 WD/Int	11,91	10,10	9,31	8,54
595-MSP430F2618TPN	MSP430F2618TPN	LQFP-80	16	116	8Ko	48,64	SAR 12 bits	1 16 bits (3CCR), 1 16 bits (7CCR), 1 WD/Int	11,91	10,10	8,90	8,54
595-MSP430F2618TPNR	MSP430F2618TPNR	LQFP-80	16	116	8Ko	48,64	SAR 12 bits	1 16 bits (3CCR), 1 16 bits (7CCR), 1 WD/Int	11,91	10,10	9,31	8,54
595-MSP430F2419TPM	MSP430F2419TPM	LQFP-64	16	120	4Ko	48,64	SAR 12 bits	1 16 bits (3CCR), 1 16 bits (7CCR), 1 WD/Int	9,50	7,99	7,34	6,70
595-MSP430F2619TPMR	MSP430F2619TPMR	LQFP-64	16	120	4Ko	48,64	SAR 12 bits	1 16 bits (3CCR), 1 16 bits (7CCR), 1 WD/Int	12,47	10,57	9,76	8,94

OUTILS DE DÉVELOPPEMENT ET ACCESSOIRES MSP430X4XX

Pour des quantités supérieures à celles indiquées, appelez-nous afin d'obtenir un devis.

RÉF. STOCK MOUSER	Réf. Texas Instruments	Description	Prix unitaire
595-MSP-FET430U48	MSP-FET430U48	Programmateur USB et carte boîtier à 48 broches MSP430	132,35
595-MSP-FET430U64	MSP-FET430U64	Programmateur USB et carte boîtier à 64 broches MSP430	132,35
595-MSP-TS430PM64	MSP-TS430PM64	Carte cible socket 64 broches MSP430	70,46
595-MSP-FET430U80	MSP-FET430U80	Programmateur USB et carte boîtier à 80 broches MSP430	132,35
595-MSP-GANG430	MSP-GANG430	Programmateur à duplication automatique intégré MSP430	176,77
595-MSP-FET430PIF	MSP-FET430PIF	Interface MSP430 de débogage sur port parallèle	46,04
595-MSP-FET430UIF	MSP-FET430UIF	Interface MSP430 de débogage USB	87,95
595-MSP-EXP430FG4618	MSP-EXP430FG4618	Carte d'expérimentation MSP430FG4618/F2013	87,95

MICROCONTRÔLEURS LCD FLASH/ROM MSP430X4XX

MSP430x4xx – Cette famille de composants basés sur mémoire flash/ROM LCD offre un fonctionnement de 1,8 V-3,6 V, jusqu'à 120 Ko / Flash / ROM 8 MIPS avec FLL + SVS et un contrôleur LCD intégré. Idéale pour les applications de mesure à faible puissance et les applications médicales.

PRODUCT NEW

Pour des quantités supérieures à celles indiquées, appelez-nous afin d'obtenir un devis.

RÉF. STOCK MOUSER	Réf. Texas Instruments	Boîtier	Fréq. (MHz)	Flash (Ko)	RAM (octets)	GPIO	CAN	LCD Seg	Minuteurs	Prix unitaire		
										1	25	100
595-430F413IPM	MSP430F413IPM	LQFP-64	8	8	256	48	Pente	96	2 8 bits, 1 16 bits (3CCR), 1 WD/Int	3,65	2,93	2,67
595-430F435IPN	MSP430F435IPN	LQFP-80	8	16	512	48	SAR 12 bits	128,160	2 8 bits, 1 16 bits (3CCR), 1 WD/Int	7,65	6,26	5,65
595-MSP430FE425AIPM	MSP430FE425AIPM	LQFP-64	8	16	512	14	S-D 16 bits	128	2 8 bits, 2 16 bits (3CCR), 1 WD/Int	6,70	5,56	4,73
595-MSP430F4260IRGZT	MSP430F4260IRGZT	QFN-48	8	24	256	32	S-D 16 bits	56	1 16 bits (3CCR), 1 WD/Int	7,45	6,19	5,63
595-430F436IPN	MSP430F436IPN	LQFP-80	8	24	1Ko	48	SAR 12 bits	128,160	2 8 bits, 1 16 bits (3CCR), 1 WD/Int	8,36	6,85	6,18
595-MSP430F4270IDL	MSP430F4270IDL	SSOP-48	8	32	256	32	S-D 16 bits	56	1 16 bits (3CCR), 1 WD/Int	7,89	6,17	5,95
595-430F417IPM	MSP430F417IPM	LQFP-64	8	32	1Ko	48	Pente	96	2 8 bits, 1 16 bits (3CCR), 1 16 bits (5CCR), 1 WD/Int	4,79	3,85	3,51
595-MSP430F427AIPM	MSP430F427AIPM	LQFP-64	8	32	1Ko	14	S-D 16 bits	128	2 8 bits, 1 16 bits (3CCR), 1 WD/Int	5,91	4,84	4,37
595-MSP430FE427AIPM	MSP430FE427AIPM	LQFP-64	8	32	1Ko	14	S-D 16 bits	128	2 8 bits, 1 16 bits (3CCR), 1 WD/Int	6,73	5,54	4,97
595-430F427IPM	MSP430F427IPM	LQFP-64	8	32	1Ko	14	S-D 16 bits	128	2 8 bits, 1 16 bits (3CCR), 1 WD/Int	5,91	4,84	4,37
595-430F437IPN	MSP430F437IPN	LQFP-80	8	32	1Ko	48	SAR 12 bits	128,160	2 8 bits, 1 16 bits (3CCR), 1 WD/Int	8,76	7,19	6,48
595-430FG437IPN	MSP430FG437IPN	LQFP-80	8	32	1Ko	48	SAR 12 bits	128	2 8 bits, 2 16 bits (3CCR), 1 WD/Int	9,23	7,76	7,14
595-MSP430F438IPN	MSP430F438IPN	LQFP-80	8	48	2Ko	48	SAR 12 bits	128	2 8 bits, 2 16 bits (3CCR), 1 WD/Int	8,37	7,92	6,93
595-430F448IPZ	MSP430F448IPZ	LQFP-100	8	48	2Ko	48	SAR 12 bits	160	1 16 bits (3CCR), 1 16 bits (7CCR), 1 WD/Int, 2 8 bits	9,78	8,02	7,24
595-430F449IPZ	MSP430F449IPZ	LQFP-100	8	60	2Ko	48	SAR 12 bits	160	1 16 bits (3CCR), 1 16 bits (7CCR), 1 WD/Int, 2 8 bits	9,23	7,76	7,14
595-430FG439IPN	MSP430FG439IPN	LQFP-80	8	60	2Ko	48	SAR 12 bits	128	2 8 bits, 2 16 bits (3CCR), 1 WD/Int	11,84	9,95	9,15
595-MSP430FG4616IPZ	MSP430FG4616IPZ	LQFP-100	8	92	4Ko	80	SAR 12 bits	160	2 8 bits, 1 16 bits (3CCR), 1 16 bits (7CCR), 1 WD/Int	13,37	11,24	10,32
595-MSP430FG4618IPZ	MSP430FG4618IPZ	LQFP-100	8	116	8Ko	80	SAR 12 bits	160	2 8 bits, 1 16 bits (3CCR), 1 16 bits (7CCR), 1 WD/Int	14,97	12,59	11,57
595-MSP430FG4619IPZ	MSP430FG4619IPZ	LQFP-100	8	120	4Ko	80	SAR 12 bits	160	2 8 bits, 1 16 bits (3CCR), 1 16 bits (7CCR), 1 WD/Int	14,26	11,99	11,01
595-MSP430F4783IPZ	MSP430F4783IPZ	LQFP-100	16	48	2Ko	72	S-D 3 16 bits	160	2 8 bits, 2 16 bits (3CCR), 1 WD/Int	9,37	7,63	7,33
595-MSP430F4793IPZ	MSP430F4793IPZ	LQFP-100	16	60	2.5Ko	72	S-D 3 16 bits	160	2 8 bits, 2 16 bits (3CCR), 1 WD/Int	9,59	8,07	7,42
595-MSP430F4794IPZ	MSP430F4794IPZ	LQFP-100	16	60	2.5Ko	72	S-D 4 16 bits	160	2 8 bits, 2 16 bits (3CCR), 1 WD/Int	9,59	8,07	7,42

OUTILS DE DÉVELOPPEMENT ET ACCESSOIRES MSP430X4XX

PRODUCT NEW

Pour des quantités supérieures à celles indiquées, appelez-nous afin d'obtenir un devis.

RÉF. STOCK MOUSER	Réf. Texas Instruments	Description	Prix unitaire
595-MSP-FET430UIF	MSP-FET430UIF	Interface MSP430 de débogage USB	87,95
595-MSP-EXP430F5438	MSP-EXP430F5438	Carte d'expérimentation MSP430 F5438	132,35
595-MSP-TS430PZ5X100	MSP-TS430PZ5X100	Carte cible socket 100 broches MSP430F5xx	70,46
595-MSP-FET430U5X100	MSP-FET430U5X100	Carte cible socket 100 broches MSP430F5xx et programmateur USB	132,35
595-MSP-TS430PN80USB	MSP-TS430PN80USB	Carte cible socket 80 broches MSP430F55xx	70,46

MICROCONTRÔLEURS FLASH SANS LCD MSP430X5XX/6XX

MSP430x5xx/6xx – Nous vous présentons la nouvelle famille basée sur flash qui dispose de la consommation la plus faible qui soit jusqu'à 25 MIPS avec fonctionnement de 1,8 à 3,6 V commençant à 12 MIPS. Les nouvelles caractéristiques incluent un module de gestion de l'énergie novateur pour optimiser la consommation d'énergie, un régulateur de tension contrôlé en interne et 2 fois plus de composants mémoire qu'auparavant.

Pour des quantités supérieures à celles indiquées, appelez-nous afin d'obtenir un devis.

RÉF. STOCK MOUSER	Réf. Texas Instruments	Boîtier	Fréq. (MHz)	Flash (Ko)	RAM (octets)	GPIO	CAN	Minuteurs	Prix unitaire		
									1	25	100
595-MSP430F5418IPN	MSP430F5418IPN	LQFP-80	18	128	16Ko	67	SAR 12 bits	1 16 bits (3CCR), 1 16 bits (5CCR),1 16 bits (7CCR), 1 WD, RTC	6,73	5,54	4,97
595-MSP430F5418IPNR	MSP430F5418IPNR	LQFP-80	18	128	16Ko	67	SAR 12 bits	1 16 bits (3CCR), 1 16 bits (5CCR),1 16 bits (7CCR), 1 WD, RTC	7,13	5,92	5,38
595-MSP430F5419IPZ	MSP430F5419IPZ	LQFP-100	18	128	16K	87	SAR 12 bits	1 16 bits (3CCR), 1 16 bits (5CCR),1 16 bits (7CCR), 1 WD, RTC	7,89	6,17	5,95
595-MSP430F5419IPZR	MSP430F5419IPZR	LQFP-100	18	128	16K	87	SAR 12 bits	1 16 bits (3CCR), 1 16 bits (5CCR),1 16 bits (7CCR), 1 WD, RTC	7,88	6,54	5,95
595-MSP430F5435IPN	MSP430F5435IPN	LQFP-80	18	192	16Ko	67	SAR 12 bits	1 16 bits (3CCR), 1 16 bits (5CCR),1 16 bits (7CCR), 1 WD, RTC	7,95	6,55	5,88
595-MSP430F5436IPZ	MSP430F5436IPZ	LQFP-100	18	192	16Ko	87	SAR 12 bits	1 16 bits (3CCR), 1 16 bits (5CCR),1 16 bits (7CCR), 1 WD, RTC	9,29	7,71	7,01
595-MSP430F5437IPN	MSP430F5437IPN	LQFP-80	18	256	16Ko	67	SAR 12 bits	1 16 bits (3CCR), 1 16 bits (5CCR),1 16 bits (7CCR), 1 WD, RTC	9,50	7,89	6,72
595-MSP430F5437IPNR	MSP430F5437IPNR	LQFP-80	18	256	16Ko	67	SAR 12 bits	1 16 bits (3CCR), 1 16 bits (5CCR),1 16 bits (7CCR), 1 WD, RTC	9,50	7,89	7,17
595-MSP430F5438IPZ	MSP430F5438IPZ	LQFP-100	18	256	16Ko	87	SAR 12 bits	1 16 bits (3CCR), 1 16 bits (5CCR),1 16 bits (7CCR), 1 WD, RTC	9,89	8,10	7,31
595-MSP430F5438IPZR	MSP430F5438IPZR	LQFP-100	18	256	16Ko	87	SAR 12 bits	1 16 bits (3CCR), 1 16 bits (5CCR),1 16 bits (7CCR), 1 WD, RTC	10,48	8,70	7,90
595-MSP430F5500IRGZR	MSP430F5500IRGZR	VQFN-48	25	8	4+2K	31	-	2 16 bits (3CCR), 1 16 bits (5CCR),1 16 bits (7CCR), 1 WD, RTC	3,54	2,90	2,60
595-MSP430F5510IRGZT	MSP430F5510IRGZT	VQFN-48	25	32	4+2K	47	SAR 10 bits	2 16 bits (3CCR), 1 16 bits (5CCR),1 16 bits (7CCR), 1 WD, RTC	4,70	3,84	3,45
595-MSP430F5514IRGCT	MSP430F5514IRGCT	QFN-64	25	64	4+2K	47	-	1 16 bits (3CCR), 1 16 bits (5CCR),1 16 bits (7CCR), 1 WD, RTC	7,24	5,96	5,35
595-MSP430F5528IZQE	MSP430F5528IZQE	BGA-80	25	128	8+2Ko	63	SAR 12 bits	2 16 bits (3CCR), 1 16 bits (5CCR),1 16 bits (7CCR), 1 WD, RTC	8,25	6,81	6,11
595-MSP430F5529IPN	MSP430F5529IPN	LQFP-80	25	128	8+2Ko	63	SAR 12 bits	2 16 bits (3CCR), 1 16 bits (5CCR),1 16 bits (7CCR), 1 WD, RTC	8,15	6,68	6,03

© Copyright 2012 Mouser Electronics
© Copyright 2012 Mouser Electronics

MCU et DSC MSP430 TEXAS INSTRUMENTS

Les produits peuvent être conformes à la directive RoHS. Consulter le site mouser.com pour vérifier la conformité RoHS.

Pour une liste complète des microcontrôleurs Texas Instruments, visitez le site www.mouser.com/ti

Avez-vous des difficultés à trouver le microcontrôleur dont vous avez besoin ? Essayez l'outil de sélection des microcontrôleurs Texas Instruments à l'adresse : mouser.com/timicrocontrollers-selector/

MICROCONTRÔLEURS FLASH SÉRIE CC430 RF SoC

Pour des quantités supérieures à celles indiquées, appelez-nous afin d'obtenir un devis.

RÉF. STOCK MOUSER	Réf. Texas Instruments	Description	Prix unitaire
595-EM430F5137RF900	EM430F5137RF900	Outil de développement sans fil pour le CC430, incluant tout le matériel nécessaire au développement d'un projet sans fil complet. Comprend deux sous-cartes cibles sans fil 1GHz (y compris les antennes) utilisant le système RF sur puce CC430F5137IRGZ.	132,35
595-EM430F6137RF900	EM430F6137RF900	Outil de développement sans fil pour le CC430, incluant tout le matériel nécessaire au développement d'un projet sans fil complet. Comprend deux sous-cartes cibles sans fil 1GHz (y compris les antennes) utilisant le système RF sur puce CC430F6137IRGC.	132,35

MICROCONTRÔLEURS FLASH DE LA SÉRIE CC430 RF SoC

La famille de SoC Texas Instruments CC430 à microcontrôleur ultra faible consommation et cœur à transmission RF intégrée est composée de plusieurs composants proposant différents ensembles de fonctionnalités destinées aux périphériques ciblés afin de couvrir un grand nombre d'applications. L'architecture, combinée à cinq modes à consommation faible, est optimisée pour prolonger la durée de vie de la batterie dans les applications de mesure portables. Le puissant dispositif MSP430™ à CPU RISC 16 bits, registres 16 bits et générateurs constants contribue à maximiser l'efficacité du code. La famille CC430 présente une intégration poussée entre le cœur du microcontrôleur, ses périphériques, son logiciel et l'émetteur/récepteur RF, faisant de sa conception un vrai système sur puce, facile d'installation et améliorant les performances.

Caractéristiques :

- Un vrai système sur puce (SoC) pour les applications de communication sans fil basse consommation
- Large plage de tensions d'alimentation : 1,8 V à 3,6 V
- Très faible consommation électrique :
  - CPU Mode actif (AM) : 160 µA/MHz
  - Mode veille (Mode RTC LPM3) : 2.0 µA
  - Mode arrêt (Rétention RAM LPM4) : 1.0 µA
- Réception radio RX : 15 mA, 250 kbps, 915 MHz
- Système et périphériques MSP430™
- Architecture 16 bits, mémoire étendue, horloge système jusqu'à 20 MHz
- Activation depuis le mode veille en moins de 6 µs
- Système de gestion d'alimentation souple avec SVS et réduction de tension
- Système d'horloge unifié avec FLL
- Registre d'horloge 16 bits TA0, minuteur Timer_A avec cinq registres de capture/comparaison
- Registre d'horloge 16 bits TA1, minuteur Timer_A avec cinq registres de capture/comparaison
- Horloge physique temps réel

Pour des quantités supérieures à celles indiquées, appelez-nous afin d'obtenir un devis.

RÉF. STOCK MOUSER	Réf. Texas Instruments	Boîtier	Fréq. (MHz)	Flash (Ko)	RAM (octets)	GPIO	CAN	LCD Seg	Registres d'horloge	Prix unitaire 1	25	100
595-CC430F5135IRGZT	CC430F5135IRGZT	QFN-48	20	16	2 K	30	SAR 12 bits	96	1 16-bit (3CCR), 1 16-bit (5CCR), 1 WDT, RTC	5,68	4,72	3,97
595-CC430F6137IRGC	CC430F6137IRGC	VQFN-64	20	32	4 K	44	SAR 12 bits	96	1 16-bit (3CCR), 1 16-bit (5CCR), 1 WDT, RTC	6,32	5,18	4,67

ACCESSOIRES ET OUTILS DE DÉVELOPPEMENT C2000

Pour des quantités supérieures à celles indiquées, appelez-nous afin d'obtenir un devis.

RÉF. STOCK MOUSER	Réf. Texas Instruments	Description	Prix unitaire
595-TMDSCNCD28044	TMDSCNCD28044	Carte de contrôle F28044	57,11
595-TMDSCNCD2808	TMDSCNCD2808	Carte de contrôle TMS320F2808	57,11
595-TMDSCNCD28335	TMDSCNCD28335	Carte de contrôle TMS320F28335	66,79
595-TMDSDOCK2808	TMDSDOCK2808	Trousse d'expérimentation TMS320F2808	86,15
595-TMDSDOCK28335	TMDSDOCK28335	Trousse d'expérimentation TMS320F28335	89,84
595-TMDSPREX28335	TMDSPREX28335	Trousse d'exploration de périphérique C2000	162,44
595-TMDSDCDC2KIT	TMDSDCDC2KIT	Trousse d'expérimentation d'alimentation numérique C2000	207,82
595-TMDSDCDC8KIT	TMDSDCDC8KIT	Trousse de développement courant continu C2000	294,94
595-TMDSRESDCKIT	TMDSRESDCKIT	Trousse de développement courant continu résonant C2000	207,82
595-TMDSENRGYKIT	TMDSENRGYKIT	Trousse de développement d'energie renouvelable C2000	316,72
716-BH-USB-2000	BH-USB-2000	Émulateur JTAG USB Blackhawk	246,67
760-701902	701902	Émulateur JTAG C2000 XDS510LC	-
760-701922	701922	Émulateur SUSB C2000 XDS510LC	-
595-TMDSADP1414-ISO	TMDSADP1414-ISO	Adaptateur isolant TI JTAG 14 broches	225,97
595-TMDSADPEMU-20T	TMDSADPEMU-20T	Émulateur TI 20 broches ARM/14 broches vers adaptateur TI (CTI) 20 broches	136,08
595-TMDSADP1420	TMDSADP1420	Adaptateur émulateur de JTAG d'horloge adaptative	135,22
595-TMDSADP1460	TMDSADP1460	Carte adaptateur émulation JTAG 14e-60t	88,48
595-TMDSCCSALL-1	TMDSCCSALL-1	Ensemble IDE de composition de code Studio avec abonnement annuel	2965,88
595-TMDSDCDCLEDKIT	TMDSDCDCLEDKIT	Trousse de développement CC/CC LED C2000	343,94
595-TMDSEZD2812	TMDSEZD2812	Module d'évaluation pour TMS320F2812	358,46

MICROCONTRÔLEURS 16 BITS SÉRIE F24X

Pour des quantités supérieures à celles indiquées, appelez-nous afin d'obtenir un devis.

RÉF. STOCK MOUSER	Réf. Texas Instruments	Boîtier	Crête de MMACS	Fréq. (MHz)	RAM (Ko)	Flash (Ko)	EMIF	MLI	CAP/ QEP	CAN	UART	Registres d'horloge	Prix unitaire 1	25	100	250
595-TMS320F243PGEA	TMS320F243PGEA	LQFP-144	20	20	1	16	1 16 bits	8 voies	3/2	8 voies 10 bits	1 SCI	1 WD, 2 GP 16 bits	20,52	17,44	16,15	14,87
595-TMS320LF2401AVFA	TMS320LF2401AVFA	LQFP-32	40	40	2	16	-	8 voies	1/0	5 voies 10 bits	1 SCI	1 WD, 2 GP 16 bits	7,13	5,85	5,28	4,85
595-TMS320LF2403APAG	TMS320LF2403APAGS	TQFP-64	40	40	2	32	-	8 voies	3/2	8 voies 10 bits	1 SCI	1 WD, 2 GP 16 bits	16,32	13,73	12,61	11,50
595-TMS320LF2406APZA	TMS320LF2406APZA	LQFP-100	40	40	5	64	-	16 voies	6/4	16 voies 10 bits	1 SCI	1 WD, 4 GP 16 bits	14,97	12,59	11,57	10,55
595-TMS320LF2406APZS	TMS320LF2406APZS	LQFP-100	40	40	5	64	-	16 voies	6/4	16 voies 10 bits	1 SCI	1 WD, 4 GP 16 bits	16,50	13,88	12,75	11,62
595-TMS320L2407APGEA	TMS320LF2407APGEA	LQFP-144	40	40	5	64	1 16 bits	16 voies	6/4	16 voies 10 bits	1 SCI	1 WD, 4 GP 16 bits	15,87	13,35	12,27	11,18

MICROCONTRÔLEURS À VIRGULE FIXE SÉRIE F28X

Pour des quantités supérieures à celles indiquées, appelez-nous afin d'obtenir un devis.

RÉF. STOCK MOUSER	Réf. Texas Instruments	Boîtier	Crête de MMACS	Fréq. (MHz)	RAM (Ko)	OTP ROM (Ko)	Flash (Ko)	MLI	CAP/ QEP	CAN	I2C	UART	Registres d'horloge	Prix unitaire 1	25	100	250
595-TMS320F28015PZA	TMS320F28015PZA	LQFP-100	60	60	12	2	32	8 voies	2/0	1 16 voies 12 bits	1	1 SCI	1 WD, 3 GP 32 bits	6,62	5,43	4,90	4,50
595-TMS320F28015PZS	TMS320F28015PZS	LQFP-100	60	60	12	2	32	8 voies	2/0	1 16 voies 12 bits	1	1 SCI	1 WD, 3 GP 32 bits	8,32	6,51	6,28	5,33
595-TMS320F28016PZA	TMS320F28016PZA	LQFP-100	60	60	12	2	32	8 voies	2/0	1 16 voies 12 bits	1	1 SCI	1 WD, 3 GP 32 bits	7,13	5,85	5,28	4,85
595-TMS320F2806PZS	TMS320F2806PZS	LQFP-100	100	100	20	2	64	16 voies	4 / 2	1 16 voies 12 bits	1	2 SCI	1 WD, 3 GP 32 bits	17,22	14,48	13,31	12,13
595-TMS320F28044PZA	TMS320F28044PZA	LQFP-100	100	100	20	2	128	16 voies	-/-	1 16 voies 12 bits	1	1 SCI	1 WD, 3 GP 32 bits	17,84	15,01	13,79	12,57
595-TMS320F2808PZA	TMS320F2808PZA	LQFP-100	100	100	36	2	128	16 voies	4 / 2	1 16 voies 12 bits	1	2 SCI	1 WD, 3 GP 32 bits	18,92	16,08	14,89	13,71
595-TMS320F2808PZS	TMS320F2808PZS	LQFP-100	100	100	36	2	128	16 voies	4 / 2	1 16 voies 12 bits	1	2 SCI	1 WD, 3 GP 32 bits	20,87	17,74	16,43	15,13
595-TMS320F2809PZA	TMS320F2809PZA	LQFP-100	100	100	36	2	256	16 voies	4 / 2	1 16 voies 12 bits	1	2 SCI	1 WD, 3 GP 32 bits	21,12	17,95	16,63	15,31
595-TMS320F2810PBKA	TMS320F2810PBKA	LQFP-128	150	150	36	2	128	16 voies	6/2	1 16 voies 12 bits	-	2 SCI	1 WD, 3 GP 32 bits	22,59	19,20	17,79	16,38
595-TMS320F2810PBKQ	TMS320F2810PBKQ	LQFP-128	150	150	36	2	128	16 voies	6/2	1 16 voies 12 bits	-	2 SCI	1 WD, 3 GP 32 bits	28,70	24,40	22,61	20,81
595-TMS320F2811PBKA	TMS320F2811PBKA	LQFP-128	150	150	36	2	256	16 voies	6/2	1 16 voies 12 bits	-	2 SCI	1 WD, 3 GP 32 bits	24,06	20,44	18,94	17,44
595-TMS320F2812GHHA	TMS320F2812GHHA	BGA-179	150	150	36	2	256	16 voies	6/2	1 16 voies 12 bits	-	2 SCI	1 WD, 3 GP 32 bits	25,68	21,83	20,23	18,62
595-TMS320F2812GHHQ	TMS320F2812GHHQ	BGA-179	150	150	36	2	256	16 voies	6/2	1 16 voies 12 bits	-	2 SCI	1 WD, 3 GP 32 bits	30,17	26,09	24,46	22,83
595-TMS320F2812PGFA	TMS320F2812PGFA	LQFP-176	150	150	36	2	256	16 voies	6/2	1 16 voies 12 bits	-	2 SCI	1 WD, 3 GP 32 bits	25,68	21,83	20,23	18,62
595-TMS320F2812PGFQ	TMS320F2812PGFQ	LQFP-176	150	150	36	2	256	16 voies	6/2	1 16 voies 12 bits	-	2 SCI	1 WD, 3 GP 32 bits	30,17	26,09	24,46	22,83
595-TMS320F2812PGFS	TMS320F2812PGFS	LQFP-176	150	150	36	2	256	16 voies	6/2	1 16 voies 12 bits	-	2 SCI	1 WD, 3 GP 32 bits	28,30	24,05	22,28	20,51
595-TMS320R2812PGFA	TMS320R2812PGFA	LQFP-176	150	150	40	-	-	16 voies	6/2	1 16 voies 12 bits	-	2 SCI	1 WD, 3 GP 32 bits	17,37	14,76	13,68	12,59

© Copyright 2012 Mouser Electronics

© Copyright 2012 Mouser Electronics

Kits de développement et microcontrôleurs TEXAS INSTRUMENTS

Les produits peuvent être conformes à la directive RoHS. Consultez le site mouser.com pour vérifier la conformité RoHS.

MICROCONTRÔLEURS SÉRIE DELFINO™ F28X

Pour des quantités supérieures à celles indiquées, appelez-nous afin d'obtenir un devis.

RÉF. STOCK MOUSER	Réf. Texas Instruments	Boîtier	Crête de MMACS	FPU	Fréq. (MHz)	RAM (Ko)	EMIF	DMA	MLI	CAP/ QEP	I2C	UART	Registres d'horloge	Prix unitaire			
														1	25	100	250
595-TMS320F28334PGFA	TMS320F28334PGFA	LQFP-176	150	Oui	150	68	1 32 / 16 bits	1 DMA 6 voies	16 voies	4 / 2	1	3 SCI	1 WD, 3 CPU 32 bits	24,06	20,44	18,94	17,44
595-TMS320F28335PGFA	TMS320F28335PGFA	LQFP-176	150	Oui	150	68	1 32 / 16 bits	1 DMA 6 voies	18 voies	6/2	1	3 SCI	1 WD, 3 CPU 32 bits	25,53	21,69	20,10	18,50
595-M320F28335PTPMEP	SM320F28335PTPMEP	HLQFP-176	150	Oui	150	68	1 32 / 16 bits	1 DMA 6 voies	18 voies	6/2	1	3 SCI	1 WD, 3 CPU 32 bits	61,26	54,76	51,98	48,81
595-TMS320F28335PTPQ	TMS320F28335PTPQ	HLQFP-176	150	Oui	150	68	1 32 / 16 bits	1 DMA 6 voies	16 voies	6/2	1	3 SCI	1 WD, 3 CPU 32 bits	27,75	26,27	22,98	21,02
595-TMS320F28335ZJZA	TMS320F28335ZJZA	BGA-176	150	Oui	150	68	1 32 / 16 bits	1 DMA 6 voies	18 voies	6/2	1	3 SCI	1 WD, 3 CPU 32 bits	23,88	21,69	20,10	18,50
595-TMS320F28335ZJZS	TMS320F28335ZJZS	BGA-176	150	Oui	150	68	1 32 / 16 bits	1 DMA 6 voies	18 voies	6/2	1	3 SCI	1 WD, 3 CPU 32 bits	26,33	23,91	22,14	20,39
595-TMS320C28346ZFEQ	TMS320C28346ZFEQ	BGA-256	300	Oui	300	516	1 32 / 16 bits	1 DMA 6 voies	18 voies	6/3	1	3 SCI	1 WD, 3 CPU 32 bits	31,45	27,52	25,50	23,80

MICROCONTRÔLEURS SÉRIE PICCOLO™ F28X

Pour des quantités supérieures à celles indiquées, appelez-nous afin d'obtenir un devis.

RÉF. STOCK MOUSER	Réf. Texas Instruments	Boîtier	Crête de MMACS	Fréq. (MHz)	RAM (Ko)	OTP ROM (Ko)	Flash (Ko)	MLI	CAP/ QEP	CAN	I2C	UART	SPI	Minuteurs	Prix unitaire			
															1	25	100	250
595-TMS320F28027PTT	TMS320F28027PTT	LQFP-48	60	60	12	2	64	8	1/0	1 12 bits	1	1 SCI	1	3 GP 32 bits, 1 WD	6,50	4,68	3,90	3,38
595-TMS320F28035PAGS	TMS320F28035PAGS	TQFP-64	60	60	20	2	128	12	1/1	1 12 bits	1	1 SCI	1	3 GP 32 bits, 1 WD	7,25	6,86	6,01	5,49
595-TMS320F28035PNS	TMS320F28035PNS	LQFP-80	60	60	20	2	128	14	1/1	1 12 bits	1	1 SCI	2	3 GP 32 bits, 1 WD	7,53	7,13	6,24	5,71

LA FAMILLE STELLARIS™ DE MICROCONTRÔLEURS ARM® CORTEX-M3™

Texas Instruments conçoit, met sur le marché et vend des microcontrôleurs basés sur ARM® Cortex™-M3 (MCU). La famille de microcontrôleurs Stellaris inclut le cœur MCU ARM Cortex-M3 cadencé jusqu'à 50 MHz, des mémoires Flash et SRAM embarquées, un régulateur de tension à faible perte, des fonctions de réinitialisation sur baisse de tension et réinitialisation, des comparateurs analogiques, un CAN sur 10 bits, un SSI, un GPIO, une horloge de surveillance et une horloge à usage général, des UART, un IC, un MLI de contrôle du mouvement et des entrées codeur. Ce cœur apporte une capacité de calcul de haute performance à 32 bits aux applications à microcontrôleur intégré à faible coût telles que le contrôle vidéo, le contrôle de processus et l'instrumentation médicale. La famille Stellaris est votre source unique de microcontrôleurs ARM qui incluent des performances 32 bits pour le même prix que les actuelles conceptions à microcontrôleur 8/16 bits !

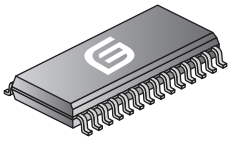

RÉF. STOCK MOUSER	Réf. Texas Instruments	Flash (Ko)	SRAM (Ko)	UART	GPIO	SSI	I2C	Comparateurs analogiques	Minuteur watchdoga	à usage général Retardeur	Régulateur de tension LDO	MLI	CCP	Température de Fonctionnement	Prix unitaire		
															1	25	100
595-LM3S328-IGZ25-C2T	LM3S328-IGZ25-C2T	16	4	2	7-28	1	1	-	1	4	Oui	-	6	-40 °C à 85 °C	3,92	3,14	2,51
595-LM3S1Z16-IQR50C3	LM3S1Z16-IQR50-C3	16	6	3	0-33	2	2	2	2	4	Oui	-	6	-40 °C à 85 °C	4,13	3,30	2,64
868-LM3S608-IQN50	LM3S608-IQN50-C2	32	8	2	5-28	1	1	1	1	4	Oui	-	6	-40 °C à 85 °C	4,56	3,66	3,34
595-LM3S613-EGZ50C2	LM3S613-EGZ50-C2	32	8	2	3-32	1	1	1	1	4	Oui	4	6	-40 °C to 105 °C	5,40	4,48	4,08
868-LM3S811-IQN50	LM3S811-IQN50-C2	64	8	2	1-32	1	1	1	1	4	Oui	6	6	-40 °C à 85 °C	5,67	5,54	4,77
868-LM3S815-IQN50	LM3S815-IQN50-C2	64	8	2	0-34	1	1	3	1	4	Oui	6	6	-40 °C à 85 °C	5,67	5,54	4,77
868-LM3S818-IQN50	LM3S818-IQN50-C2	64	8	2	0-30	1	-	1	1	4	Oui	6	4	-40 °C à 85 °C	5,94	5,85	5,19
868-LM3S6432-IQC50	LM3S6432-IQC50-A2	96	32	2	14-43	1	1	2	1	4	Oui	2	4	-40 °C à 85 °C	6,92	6,82	6,05
868-LM3S5632-IQR50	LM3S5632-IQR50-A0	128	32	2	1-33	1	2	-	1	4	Oui	-	5	-40 °C à 85 °C	9,27	7,61	6,86
868-LM3S5762-IQR50	LM3S5762-IQR50-A0	128	64	1	0-33	1	-	-	1	4	Oui	6	5	-40 °C à 85 °C	10,09	8,32	7,47
868-LM3S3748-IQC50	LM3S3748-IQC50-A0	128	64	2	3-61	2	2	2	1	5	Oui	8	8	-40 °C à 85 °C	9,06	7,61	7,00
868-LM3S5749-IQC50	LM3S5749-IQC50-A0	128	64	2	0-61	2	2	2	1	5	Oui	8	5	-40 °C à 85 °C	9,23	7,76	7,14
595-LM3S1R21-IQC80C3	LM3S1R21-IQC80-C3	256	48	3	0-67	2	2	2	2	5	Oui	-	8	-40 °C à 85 °C	9,39	6,76	5,63
868-LM3S8971-IQC50	LM3S8971-IQC50-A2	256	64	1	4-38	1	-	1	1	5	Oui	6	6	-40 °C à 85 °C	11,48	9,65	8,87
868-LM3S1918-IQC50	LM3S1918-IQC50-A2	256	64	2	17-52	2	2	2	1	5	Oui	-	8	-40 °C à 85 °C	8,97	7,35	6,71
868-LM3S6918-IQC50	LM3S6918-IQC50-A2	256	64	2	5-38	2	2	2	1	5	Oui	6	2	-40 °C à 85 °C	10,58	8,89	8,18
868-LM3S8962-IQC50	LM3S8962-IQC50-A2	256	64	2	5-42	1	1	1	1	5	Oui	6	2	-40 °C à 85 °C	11,57	9,73	8,93
868-LM3S1958-IQC50	LM3S1958-IQC50-A2	256	64	3	21-52	2	2	-	1	5	Oui	-	8	-40 °C à 85 °C	9,08	6,53	5,45
868-LM3S1968-IQC50	LM3S1968-IQC50-A2	256	64	3	5-52	2	2	3	1	5	Oui	6	4	-40 °C à 85 °C	9,37	7,69	6,99
868-LM3S2965-IQC50	LM3S2965-IQC50-A2	256	64	3	3-56	2	2	3	1	5	Oui	6	6	-40 °C à 85 °C	9,48	7,77	7,06
868-LM3S6911-IQC50	LM3S6911-IQC50-A2	256	64	3	10-46	2	2	2	1	5	Oui	-	6	-40 °C à 85 °C	7,17	7,07	6,27
868-LM3S6965-IQC50	LM3S6965-IQC50-A2	256	64	3	0-42	1	2	2	1	5	Oui	6	4	-40 °C à 85 °C	13,24	13,06	11,59

KITS D'ÉVALUATION, KITS DE CONCEPTION DE RÉFÉRENCE ET MODULES STELLARIS™

Le kit de développement de la famille Stellaris™ de Texas Instruments offre le matériel et les outils logiciels dont les ingénieurs ont besoin pour démarrer le développement rapidement.

Caractéristiques :

- Versions d'évaluation totalement fonctionnelles des ensembles d'outils à microcontrôleur ARM / Keil, CodeSourcery (GNU), Code Red Technologies et IAR
- Tout ce qui est nécessaire pour développer et prototyper des applications embarquées dès la sortie de boîte, y compris les câbles, les cavaliers et l'alimentation via USB

RÉF. STOCK MOUSER	Réf. Texas Instruments	Description	Prix unitaire
868-DK-LM3S9B96	DK-LM3S9B96	Kit de développement complet Tempest (anti-parasites)	350,63
595-DK-LM3S9B96-FPGA	DK-LM3S9B96-FPGA	Carte additionnelle pour DK-LM3S9B96	164,18
595-DK-LM3S9B96-FS8	DK-LM3S9B96-FS8	Carte additionnelle pour DK-LM3S9B96	48,68
595-DK-LM3S9B96-EM2	DM-LM3S9B96-EM2	Kit de développement Stellaris LM3S9B96	32,18
595-EKB-UCOS3-BNDL	EKB-UCOS3-BNDL	Ensemble de livre μC/OS-III + kit EvalBot	164,18
595-EKB-UCOS3-BOOK	EKB-UCOS3-BOOK	Livre OS (μC/OS-III) Micrium	74,20
595-EKB-UCOS3-EVM	EKB-UCOS3-EVM	Carte pour processeurs, MCU et DSP	122,93
595-EKC-EVALBOT	EKC-EVALBOT	kit d'évaluation Robot avec outils CodeSourcery	122,93
868-EKC-LM3S3748	EKC-LM3S3748	Kit d'évaluation USB H/D ; CodeSourcery G++ GNU	89,93
868-EKC-LM3S6965	EKC-LM3S6965	Kit d'évaluation Ethernet ; CodeSourcery G++ GNU	56,93
868-EKC-LM3S811	EKC-LM3S811	Kit d'évaluation LM3S811 ; CodeSourcery G++ GNU	40,43
868-EKC-LM3S8962	EKC-LM3S8962	Kit d'évaluation Ethernet+CAN ; CodeSourcery G++ G	73,43
868-EKC-LM3S9B90	EKC-LM3S9B90	Kit d'évaluation LM3S9B90 avec outils CodeSourcery	81,68
868-EKC-LM3S9B92	EKC-LM3S9B92	Kit d'évaluation LM3S9B92 avec outils CodeSourcery	81,68
595-EKI-EVALBOT	EKI-EVALBOT	Kit/robot d'évaluation avec outils IAR	122,93
868-EKI-LM3S1968	EKI-LM3S1968	Kit d'évaluation LM3S1968 ; systèmes IAR	48,68
868-EKI-LM3S2965	EKI-LM3S2965	Kit d'évaluation CAN ; Systèmes IAR	69,89
868-EKI-LM3S3748	EKI-LM3S3748	Kit d'évaluation USB hôte/périphérique ; Systèmes IAR	89,93
868-EKI-LM3S6965	EKI-LM3S6965	Kit d'évaluation Ethernet ; Systèmes IAR	56,93
868-EKI-LM3S811	EKI-LM3S811	Kit d'évaluation LM3S811 ; systèmes IAR	40,43
868-EKI-LM3S8962	EKI-LM3S8962	Kit d'évaluation Ethernet+CAN ; systèmes IAR	73,43
868-EKI-LM3S9B90	EKI-LM3S9B90	Kit d'évaluation LM3S9B90 avec outils IAR	81,68
868-EKI-LM3S9B92	EKI-LM3S9B92	Kit d'évaluation LM3S9B92 avec outils IAR	81,68
595-EKK-EVALBOT	EKK-EVALBOT	Kit/robot d'évaluation avec outils Keil	122,93
868-EKK-LM3S1968	EKK-LM3S1968	Kit d'évaluation LM3S1968 ; Keil RealView	48,68
868-EKK-LM3S3748	EKK-LM3S3748	Kit d'évaluation d'hôte/de dispositif USB ; Keil RealView	89,93
868-EKK-LM3S6965	EKK-LM3S6965	Kit d'évaluation Ethernet ; Keil RealView	87,27
868-EKK-LM3S811	EKK-LM3S811	Kit d'évaluation LM3S811 ; Keil RealView	40,43
868-EKK-LM3S8962	EKK-LM3S8962	Kit d'évaluation Ethernet+CAN ; Keil RealView	73,43
868-EKK-LM3S9B90	EKK-LM3S9B90	Kit d'évaluation LM3S9B90 avec outils Keil	81,68
868-EKK-LM3S9B92	EKK-LM3S9B92	Kit d'évaluation LM3S9B92 avec outils Keil	81,68
595-EKS-EVALBOT	EKS-EVALBOT	Kit/robot d'évaluation avec Code Composer Studio	122,93
595-EKS-LM3S1968	EKS-LM3S1968	Kit d'évaluation Stellaris LM3S1968	48,68
595-EKS-LM3S2965	EKS-LM3S2965	Kit d'évaluation Stellaris LM3S2965	65,18
595-EKS-LM3S3748	EKS-LM3S3748	Kit d'évaluation Stellaris LM3S3748	89,93
595-EKS-LM3S6965	EKS-LM3S6965	Kit d'évaluation Stellaris LM3S6965	56,93
595-EKS-LM3S811	EKS-LM3S811	Kit d'évaluation Stellaris LM3S811	40,43
595-EKS-LM3S8962	EKS-LM3S8962	Kit d'évaluation Stellaris LM3S8962	73,43
595-EKS-LM3S9B90	EKS-LM3S9B90	Kit d'évaluation Stellaris LM3S9B90	81,68
595-EKS-LM3S9B92	EKS-LM3S9B92	Kit d'évaluation Stellaris LM3S9B92	81,68
595-EKT-EVALBOT	EKT-EVALBOT	Kit/robot d'évalution avec outils Code Red Technologies	122,93
868-EKT-LM3S1968	EKT-LM3S1968	Kit d'évaluation LM3S1968 ; Code Red Technologies	48,68
868-EKT-LM3S3748	EKT-LM3S3748	Kit d'évaluation d'hôte/dispositif USB ; Code Red Technologies	89,93
868-EKT-LM3S6965	EKT-LM3S6965	Kit d'évaluation Ethernet ; Code Red Technologies	56,93
868-EKT-LM3S811	EKT-LM3S811	Kit d'évaluation LM3S811 ; Code Red Technologies	40,43
868-EKT-LM3S8962	EKT-LM3S8962	Kit d'évaluation Ethernet+CAN ; Code Red Technologies.	73,43
868-EKT-LM3S9B90	EKT-LM3S9B90	Kit d'évaluation LM3S9B90 avec outils Code Red	103,13
868-EKT-LM3S9B92	EKT-LM3S9B92	Kit d'évaluation LM3S9B92 avec outils Code Red	81,68
868-MDL-ADA2	MDL-ADA2	Module adaptateur de circuit intégré JTAG 10 broches	16,50
868-MDL-IDM	MDL-IDM	Module d'affichage intelligent (unité simple)	178,54
868-MDL-IDM-L35	MDL-IDM-L35	Module d'affichage intelligent Stellaris 3.5	165,98
868-MDL-S2E	MDL-S2E	Module série vers Ethernet (unité simple)	49,45
868-RDK-ACIM	RDK-ACIM	Kit de conception de référence de moteur à induction CA	312,68
868-RDK-BLDC	RDK-BLDC	RDK de contrôle pour moteur brushless CC	180,68
868-RDK-IDM	RDK-IDM	Kit de réf. d'affichage intelligent QVGA 2.8"	180,68
868-RDK-IDM-L35	RDK-IDM-L35	Kit d'affichage intelligent Stellaris 3.5	180,68
868-RDK-IDM-SBC	RDK-IDM-SBC	Kit de conception de réf. d'ordinateur monocarte	246,68
868-RDK-S2E	RDK-S2E	Kit de conception de référence pour port série vers ethernet	114,68
868-RDK-STEPPER	RDK-STEPPER	Kit de conception de référence pour moteur pas-à-pas	164,18

© Copyright 2012 Mouser Electronics

© Copyright 2012 Mouser Electronics

DSP TEXAS INSTRUMENTS

Les produits peuvent être conformes à la directive RoHS.
Consulter le site mouser.com pour vérifier la conformité RoHS.

OUTILS TMS320C5000™

RÉF. STOCK MOUSER	Réf. Texas Instruments	Description	Prix unitaire
595-TMDSDSK5509	TMDSDSK5509	Trousse de démarrage DSP TMS320C55x optimisée pour une faible consommation	449,21
595-TMDSDSK5416	TMDSDSK5416	Trousse de démarrage DSP TMS320C54x, basée sur un DSP TMS320C5416	358,46
595-TMDSDSK5510	TMDSDSK5510	Trousse de démarrage DSP TMS320C55x, basée sur un DSP TMS320C5510	358,46
595-TMDXBDKFP5515	TMDXBDKFP5515	Ensemble de développement pour empreinte digitale C5515	76,47
760-701014	701014	Émulateur Spectrum Digital XDS510PP-Plus	-
760-701900	701900	Émulateur USB Spectrum Digital XDS510™	-
716-BH-USB-560M	BH-USB-560M	Émulateur JTAG haute performance USB Blackhawk XDS560	2473,95
595-TMDSCCSALL-1	TMDSCCSALL-1	Code Composer Studio™ édition Platinum v3.3	2965,88
595-TMDSSUBALL	TMDSSUBALL	Code Composer Studio	544,50

TMS320C55X™ DE GÉNÉRATION DSP

Pour des quantités supérieures à celles indiquées, appelez-nous afin d'obtenir un devis.

RÉF. STOCK MOUSER	Réf. TI	Boîtier	RAM (Ko)	ROM (Ko)	DMA	CAN	McBSP	COM	Minuteurs	MHz	MIPS	Prix unitaire	
												1	25
595-S320VC5502PGF300	TMS320VC5502PGF300	LQFP-176	64	32	6 ch	-	3	HPI16/8	3	300	600	14,53	12,22
595-TMS320VC5503GHH	TMS320VC5503GHH	BGA-179	64	64	6 ch	-	3	HPI16	2	200	400	12,10	10,18
595-320VC5506GHH	TMS320VC5506GHH	BGA-179	128	64	6 ch	-	3	-	2	200	400	11,66	9,80
595-320VC5506PGE	TMS320VC5506PGE	LQFP-144	128	64	6 ch	-	3	-	2	200	400	11,66	9,80
595-TMS320VC5507PGE	TMS320VC5507PGE	LQFP-144	128	64	6 ch	Y	3	HPI16	2	200	400	16,95	14,26
595-TMS320VC5509AGHH	TMS320VC5509AGHH	BGA-179	256	64	6 ch	Y	3	HPI16	2	200	400	23,48	19,96
595-MS320VC5509APGE	TMS320VC5509APGE	LQFP-144	256	64	6 ch	Y	3	HPI16	2	200	400	23,48	19,96
595-320VC5510AGGW1	TMS320VC5510AGGW1	MICROSTAR BGA-240	320	32	6 ch	-	3	HPI16	2	160	320	23,48	19,96
595-TMS320VC5510AW2	TMS320VC5510AGGW2	MICROSTAR BGA-240	320	32	6 ch	-	3	HPI16	2	200	400	27,72	23,56
595-320VC5510AZGW2	TMS320VC5510AZGW2	BGA-240	320	32	6 ch	-	3	EHPI/16	2	200	400	27,72	23,56

TMS320C54X™ DE GÉNÉRATION DSP

Pour des quantités supérieures à celles indiquées, appelez-nous afin d'obtenir un devis.

RÉF. STOCK MOUSER	Réf. TI	Boîtier	RAM (Ko)	ROM (Ko)	DAT/PRO (ADDR) (octets) (k/M)	McBSP	COM	Registres d'horloge	DMA	MHz	MIPS	Prix unitaire	
												1	25
595-MS320VC5401PGE50	TMS320VC5401PGE50	LQFP-144	16	8	128/2	2	HPI8	2	6	50	50	7,13	5,85
595-TMS320VC5402P100	TMS320VC5402PGE100	LQFP-144	32	8	128/2	2	HPI8	2	6	100	100	9,87	8,29
595-S320VC5402APGE16	TMS320VC5402APGE16	LQFP-144	32	32	128/16	3	HPI8	1	6	128	216	17,77	15,11
595-S320VC5402AGGU16	TMS320VC5402AGGU16	BGA-144	32	32	128/16	3	HPI8	1	6	128	216	17,77	15,11
595-TMS320VC5404PGE	TMS320VC5404PGE	LQFP-144	32	128	128/16	3	HPI8/16	2	6	120	120	14,35	12,06
595-TMS320VC5407PGE	TMS320VC5407PGE	LQFP-144	80	256	128/16	3	HPI8/16	2	6	120	120	16,05	13,50
595-TMS320VC5407GGU	TMS320VC5407GGU	BGA-144	80	256	128/16	3	HPI8/16	2	6	120	120	16,05	13,50
595-TMS320VC5409AP12	TMS320VC5409APGE12	LQFP-144	64	32	128/16	3	HPI8/16	1	6	120	120	20,06	17,04
595-TMS320VC5409AG12	TMS320VC5409AGGU12	BGA-144	64	32	128/16	3	HPI8/16	1	6	120	120	20,06	17,04
595-TMS320VC5409AP16	TMS320VC5409APGE16	LQFP-144	64	32	128/16	3	HPI8/16	1	6	160	160	22,26	18,92
595-S320VC5410APGE12	TMS320VC5410APGE12	LQFP-144	128	32	128/16	3	HPI8/16	1	6	120	120	24,13	20,52
595-S320VC5410AGGU12	TMS320VC5410AGGU12	BGA-144	128	32	128/16	3	HPI8/16	1	6	120	120	24,13	20,52
595-S320VC5410APGE16	TMS320VC5410APGE16	LQFP-144	128	32	128/16	3	HPI8/16	1	6	160	160	26,83	22,80
595-S320VC5410AGGU16	TMS320VC5410AGGU16	BGA-144	128	32	128/16	3	HPI8/16	1	6	160	160	26,83	22,80
595-S320VC5416PGE120	TMS320VC5416PGE120	LQFP-144	256	32	128/16	3	HPI8/16	1	6	120	120	37,27	32,22
595-S320VC5416PGE160	TMS320VC5416PGE160	LQFP-144	256	32	128/16	3	HPI8/16	1	6	160	160	41,33	35,75
595-TMS320VC5416U160	TMS320VC5416GGU160	BGA-144	256	32	128/16	3	HPI8/16	1	6	160	160	41,33	35,75

OUTILS DSP TMS320C6000™

RÉF. STOCK MOUSER	Réf. Texas Instruments	Description	Prix unitaire
595-TMDSDSK6416-T	TMDSDSK6416-T	Ensemble de démarrage DSP TMS320C6416	483,99
595-TMDSEVM642	TMDSEVM642	Module d'évaluation TMS320DM642	1645,88
760-701014	701014	Émulateur Spectrum Digital XDS510PP-Plus	-
760-701900	701900	Émulateur USB Spectrum Digital XDS510™	-
716-BH-PCI-560	BH-PCI-560	Émulateur PCI JTAG Blackhawk XDS560™	2268,73
716-BH-USB-560M	BH-USB-560M	Émulateur JTAG USB haute performance Blackhawk XDS560	2473,95
716-BH-USB-560T	BH-USB-560T	Émulateur de trace USB Blackhawk XDS560	8245,88
595-TMDSCCSALL-1	TMDSCCSALL-1	Ensemble de logiciel de production vidéo numérique	2965,88
595-TMDSSUBALL	TMDSSUBALL	Outils de développement CCStudio	544,50

PROCESSEUR OMAP

Pour des quantités supérieures à celles indiquées, appelez-nous afin d'obtenir un devis.

RÉF. STOCK MOUSER	Réf. TI	Boîtier	RISC Fréq./ Fréq. (MHz)	MMACS pic	Sur puce L1/SRAM Sur puce L2/SRAM (Ko)	McASP	McBSP	Interface	Registres d'horloge	Prix unitaire	
										1	25
595-OMAPL138BZWT3	OMAPL138BZWT3	NFBGA-361	375, 456	3 000, 3 648	64/256	1	2	2xI2C/2xSPI/3xUART/2xUSB	4	28,22	23,98

DSP VIRGULE FIXE HAUTES PERFORMANCES TMS320C64X™

Pour des quantités supérieures à celles indiquées, appelez-nous afin d'obtenir un devis.

RÉF. STOCK MOUSER	Réf. TI	Boîtier	Cache de programme RAM L1 interne/Cache de données L1/ Cache RAM unifié L2	McBSP	DMA amélioré (Chan)	COM	Minuteurs	MHz	MIPS	Prix unitaire	
										1	25
595-MS320C6413GTS500	TMS320C6413GTS500	FCBGA-288	16 K / 16 K / 256 K	2	64	HPI 32/16	3	500	4 000	35,76	30,92
595-320C6416TBGLZ1	TMS320C6416TBGLZ1	FCBGA-532	128 K / 128 K / 8 M	3	64	HPI36/16	3	1 000	8 000	238,44	221,25
595-MS320C6418GTS600	TMS320C6418GTS600	FCBGA-288	16 K / 16 K / 512 K	2	64	HPI 32/16	3	600	4 800	59,41	53,11
595-TMS320C6424ZWT4	TMS320C6424ZWT4	BGA-361	32 K / 80 K / 128 K	2	64	PCI/HPI/EMAC	3	400	3 200	28,54	24,26
595-TMS320C6424ZWT5	TMS320C6424ZWT5	BGA-361	32 K / 80 K / 128 K	2	64	PCI/HPI/EMAC	3	500	4 000	31,16	28,57
595-TMS320C6424ZDUQ5	TMS320C6424ZDUQ5	BGA-376	32 K / 80 K / 128 K	2	64	PCI/HPI/EMAC	3	500	4 000	39,37	34,05
595-TMS320C6424ZWT6	TMS320C6424ZWT6	BGA-361	32 K / 80 K / 128 K	2	64	PCI/HPI/EMAC	3	600	4 800	41,49	35,88
595-TMS320C6421ZWT4	TMS320C6421ZWT4	BGA-361	48 K / 16 K / 64 K	1	64	HPI/EMAC	3	400	3 200	16,47	13,99
595-TMS320C6421ZWT5	TMS320C6421ZWT5	BGA-361	48 K / 16 K / 64 K	1	64	HPI/EMAC	3	500	4 000	22,09	18,79
595-TMS320C6421ZDUQ5	TMS320C6421ZDUQ5	BGA-376	48 K / 16 K / 64 K	1	64	HPI/EMAC	3	500	4 000	26,09	22,18
595-TMS320C6421ZWT6	TMS320C6421ZWT6	BGA-361	48 K / 16 K / 64 K	1	64	HPI/EMAC	3	600	4 800	31,30	26,61

© Copyright 2012 Mouser Electronics
© Copyright 2012 Mouser Electronics

DSP TEXAS INSTRUMENTS

Les produits peuvent être conformes à la directive RoHS.
Pour vérifier la conformité RoHS, consultez le site mouser.com.

OUTILS DE PROCESSEUR DE SUPPORTS NUMÉRIQUES DAVINCI™

RÉF. STOCK MOUSER	Réf. pièce TI	Description	Prix unitaire
595-BEAGLE	BEAGLE	Kit de développement de carte Beagle	103,13
595-BEAGLEBOARD-XM	BEAGLEBOARD-XM	Kit de développement de carte Beagle	122,93
595-TMDSEVM6446	TMDSEVM6446	TMS320DM6446 Module d'évaluation vidéo numérique	2058,38
760-701014	701014	Émulateur Spectrum Digital XDS510PP-Plus	-
760-701900	701900	Émulateur USB Spectrum Digital XDS510™	-
716-BH-PCI-560	BH-PCI-560	Émulateur PCI JTAG Blackhawk XDS560™	2268,73
716-BH-USB-560M	BH-USB-560M	Émulateur JTAG USB haute performance Blackhawk XDS560	2473,95
716-BH-USB-560T	BH-USB-560T	Émulateur de trace USB Blackhawk XDS560	8245,88
595-TMDSCCSALL-1	TMDSCCSALL-1	Code Composer Studio™ édition Platinum v3.3	2965,88
595-TMDSSUBALL	TMDSSUBALL	Outils de développement CCStudio	544,50

PROCESSEURS DE SUPPORTS NUMÉRIQUES DAVINCI™

Pour des quantités supérieures à celles indiquées, appelez-nous afin d'obtenir un devis.

RÉF. STOCK MOUSER	Réf. pièce TI	Boîtier	CPU	Fréquence (MHz)	L1/SRAM (octets)	L2/SRAM (octets)	ROM (k octets)	Prix unitaire 1	Prix unitaire 25
595-TMS320DM642AZNZ7	TMS320DM642AZNZ7	FCBGA-548	c64x+, DaVinci Video	720	32Ko	256 Ko	1	68,17	60,72
595-TMS320DM6431ZWT3	TMS320DM6431ZWT3	BGA-361	C64x+, vidéo Davinci	300	64	64	64	18,34	15,59
595-TMS320DM6431ZDU3	TMS320DM6431ZDU3	BGA-376	C64x+, vidéo Davinci	300	64	64	64	18,34	15,59
595-TMS320DM6433ZWT4	TMS320DM6433ZWT4	BGA-361	C64x+, vidéo Davinci	400	112	128	64	24,94	21,20
595-TMS320DM6433ZWT5	TMS320DM6433ZWT5	BGA-361	C64x+, vidéo Davinci	500	112	128	64	26,42	22,46
595-TMS320DM6433ZWT6	TMS320DM6433ZWT6	BGA-361	C64x+, vidéo Davinci	600	112	128	64	29,44	25,01
595-TMS320DM6433ZDU4	TMS320DM6433ZDU4	BGA-376	C64x+, vidéo Davinci	400	112	128	64	24,94	21,20
595-TMS320DM6433ZDU6	TMS320DM6433ZDU6	BGA-376	C64x+, vidéo Davinci	600	112	128	64	29,44	25,01
595-TMS320DM6435ZWT4	TMS320DM6435ZWT4	BGA-361	C64x+, vidéo Davinci	400	112	128	64	25,84	21,96
595-TMS320DM6435ZWT5	TMS320DM6435ZWT5	BGA-361	C64x+, vidéo Davinci	500	112	128	64	25,64	23,28
595-TMS320DM6435ZWT6	TMS320DM6435ZWT6	BGA-361	C64x+, vidéo Davinci	600	112	128	64	30,49	25,92
595-TMS320DM6435ZDU6	TMS320DM6435ZDU6	BGA-376	C64x+, vidéo Davinci	600	112	128	64	30,49	25,92
595-TMS320DM6437ZWT4	TMS320DM6437ZWT4	BGA-361	C64x+, vidéo Davinci	400	112	128	64	30,70	26,55
595-TMS320DM6437ZWT5	TMS320DM6437ZWT5	BGA-361	C64x+, vidéo Davinci	500	112	128	64	32,51	28,12
595-TMS320DM6437ZWT6	TMS320DM6437ZWT6	BGA-361	C64x+, vidéo Davinci	600	112	128	64	36,20	31,31
595-TMS320DM6437ZDU4	TMS320DM6437ZDU4	BGA-376	C64x+, vidéo Davinci	400	112	128	64	30,70	26,55
595-TMS320DM6437ZDU6	TMS320DM6437ZDU6	BGA-376	C64x+, vidéo Davinci	600	112	128	64	34,16	31,31
595-MS320DM6446AZWTA	TMS320DM6446AZWTA	NFBGA-361	C64x+, ARM9, vidéo Davinci	513, 594	112K/40K	64 Ko	16	50,00	44,11
595-TMS320DM647ZUT7	TMS320DM647ZUT7	FCBGA-529	C64x+, vidéo Davinci	720, 900	32/32	256	64	51,36	45,32
595-TMS320DM647ZUT9	TMS320DM647ZUT9	FCBGA-529	C64x+, vidéo Davinci	720, 900	32/32	256	64	62,36	55,75
595-TMS320DM648ZUT7	TMS320DM648ZUT7	FCBGA-529	C64x+, vidéo Davinci	720, 900	32/32	512	64	62,36	55,75
595-TMS320DM648ZUT9	TMS320DM648ZUT9	FCBGA-529	C64x+, vidéo Davinci	720, 900	32/32	512	64	75,61	67,34
595-MS320DM355ZCE216	TMS320DM355ZCE216	-	ARM 9, vidéo Davinci	216	-	-	8	21,20	18,02
595-MS320DM355ZCE270	TMS320DM355ZCE270	-	Arm 9, vidéo Davinci	270	-	-	8	30,25	25,72

TMS320C645, GÉNÉRATION À DSP - DSP À VIRGULE FIXE DE LA PLUS HAUTE PERFORMANCE

Pour des quantités supérieures à celles indiquées, appelez-nous afin d'obtenir un devis.

RÉF. STOCK MOUSER	Réf. pièce TI	Boîtier	Cache de programme RAM L1 interne/Cache de données L1/Cache RAM unifié L2	McASP	McBSP	TSIP	DMA amélioré (voies)	Minuteurs	MHz	MIPS	Prix unitaire 1	Prix unitaire 25
595-TMS320C6455BZTZ2	TMS320C6455BZTZ2	FCBGA-697	32K/32K/2M	-	2+Utopia	-	64	2	1200	9600	258,09	236,73
595-320C6455BZTZ	TMS320C6455BZTZ	FCBGA-697	32K/32K/2M	-	2+Utopia	-	64	2	1000	8000	205,28	188,27
595-320C6455BZTZ8	TMS320C6455BZTZ8	FCBGA-697	32K/32K/2M	-	2+Utopia	-	64	2	850	6800	178,12	163,37
595-320C6455BZTZ7	TMS320C6455BZTZ7	FCBGA-697	32K/32K/2M	-	2+Utopia	-	64	2	720	5760	150,90	138,41
595-320C6454BZTZ	TMS320C6454BZTZ	FCBGA-687	32K/32K/1M	-	2	-	64	2	1000	8000	160,47	147,19
595-320C6454BZTZ8	TMS320C6454BZTZ8	FCBGA-687	32K/32K/1M	-	2	-	64	2	850	6800	125,69	116,63
595-320C6454BZTZ7	TMS320C6454BZTZ7	FCBGA-687	32K/32K/1M	-	2	-	64	2	720	5760	108,31	98,79
595-TMS320C6452ZUT9	TMS320C6452ZUT9	FCBGA-529	32K/32K/1.4M	1	-	2	64	4	900	7200	113,60	102,42

TMS320C67X™ DE GÉNÉRATION DSP - DSP À VIRGULE FLOTTANTE

Pour des quantités supérieures à celles indiquées, appelez-nous afin d'obtenir un devis.

RÉF. STOCK MOUSER	Réf. pièce TI	Boîtier	Fréq. (MHz)	L1P (octets)	L1D (octets)	L2 (octets)	RAM (octets)	Mémoire externe I/F	DMA	Registres d'horloge	Ports série	Prix unitaire 1	Prix unitaire 25
595-S320C6712DGDP150	TMS320C6712DGDP150	BGA-272	150	4K	4K	64K	-	SDRAM	16 voies	1 GP	2 McASP	22,03	18,72
595-TMSC6701GJC16719	TMSC6701GJC16719V	FC/CSP-352	167	-	-	-	128K	SRAM, SBRAM, SDRAM async.	4 voies	2 GP	2 McBSP	162,12	150,43
595-TMS32C6711DGD167	TMS32C6711DGDPA167	BGA-272	167	4K	4K	64K	-	SDRAM	16 voies	1 GP	2 McASP	30,57	25,99
595-TMS32C6711DZD167	TMS32C6711DZDPA167	BGA-272	167	4K	4K	64K	-	SDRAM	16 voies	1 GP	2 McASP	30,57	25,99
595-S320C6711DGDP200	TMS320C6711DGDP200	BGA-272	200	4K	4K	64K	-	SDRAM	16 voies	1 GP	2 McASP	24,46	20,79
595-S320C6713BPYP200	TMS320C6713BPYP200	HLQFP-208	200	4K	4K	256K	-	SDRAM	16 voies	2 GP	2 McASP, 2 SPI, 2 I2C	28,70	24,40
595-TMS32C6713BPY200	TMS32C6713BPYPA200	HLQFP-208	200	4K	4K	256K	-	SDRAM	16 voies	2 GP	2 McBSP, 2 McASP, 2 I2C	31,45	27,20
595-TMS32C6713BGD200	TMS32C6713BGDPA200	BGA-272	200	4K	4K	256K	-	SDRAM	16 voies	2 GP	2 McBSP, 2 McASP, 2 I2C	35,45	30,66
595-S320C6722BRFP200	TMS320C6722BRFP200	HTQFP-144	200	32K	128K	384K	-	SDRAM	dMAX	1 GP	2 McASP, 2 SPI, 2 I2C	16,05	13,50
595-S320C6713BGDP225	TMS320C6713BGDP225	BGA-272	225	4K	4K	256K	-	SDRAM	16 voies	2 GP	2 McBSP, 2 McASP, 2 I2C	34,77	30,07
595-TMSDC6722BRF225	TMSDC6722BRFPA225	HTQFP-144	225	32K	128K	384K	-	SDRAM	dMAX	1 GP	2 McASP, 2 SPI, 2 I2C	17,61	14,97
595-S320C6711DGDP250	TMS320C6711DGDP250	BGA-272	250	4K	4K	64K	-	SDRAM	16 voies	1 GP	2 McASP	26,42	22,46
595-S320C6711DZDP250	TMS320C6711DZDP250	BGA-272	250	4K	4K	64K	-	SDRAM	16 voies	1 GP	2 McASP	26,42	22,46
595-S320C6722BRFP250	TMS320C6722BRFP250	HTQFP-144	250	32K	128K	384K	-	SDRAM	dMAX	1 GP	2 McASP, 2 SPI, 2 I2C	17,61	14,97
595-TMSDC6727BZD250	TMSDC6727BZDHA250	BGA-256	250	32K	256K	384K	-	SDRAM	dMAX	1 GP	3 McASP, 2 SPI, 2 I2C	35,41	30,62
595-S320C6726BRFP266	TMS320C6726BRFP266	HTQFP-144	266	32K	256K	384K	-	SDRAM	dMAX	1 GP	3 McASP, 2 SPI, 2 I2C	22,83	19,40
595-320C6727BZDH275	TMS320C6727BZDH275	BGA-256	275	32K	256K	384K	-	SDRAM	dMAX	1 GP	3 McASP, 2 SPI, 2 I2C	28,62	24,32
595-S320C6713BGDP300	TMS320C6713BGDP300	BGA-272	300	4K	4K	256K	-	SDRAM	16 voies	2 GP	2 McBSP, 2 McASP, 2 I2C	42,36	37,36
595-320C6727BZDH300	TMS320C6727BZDH300	BGA-256	300	32K	256K	384K	-	SDRAM	dMAX	1 GP	3 McASP, 2 SPI, 2 I2C	32,75	27,84
595-TMS320C6747BZKB3	TMS320C6747BZKB3	BGA-256	300	32K	32K	256K	128K	SDRAM, NAND, NOR	32 voies	1 GP, 1GP/WD	USB 2.0 OTG haute vitesse, USB 1.1, 3 McASP, 2 SPI2, 2 I2C, 3 UART	20,38	17,32
595-320C6727BZDH350	TMS320C6727BZDH350	BGA-256	350	32K	256K	384K	-	SDRAM	dMAX	1 GP	2 McASP, 2 SPI, 2 I2C	40,96	35,43

© Copyright 2012 Mouser Electronics
© Copyright 2012 Mouser Electronics

Modules de mémoire APACER

Apacer
Access the best

RoHS Compliant This product is RoHS compliant.

DISQUE FLASH SERIAL ATA (SAFD)

Dans le cadre de la maintenance, le SSD SAFD (Serial ATA Flash Drive) est le meilleur dispositif pour un remplacement à chaud lorsque la fiabilité est une préoccupation majeure.

RoHS Compliant

Caractéristiques :
- Soutien à long terme avec BOM fixe
- Parfait en remplacement de disques SATA de 1,8 ou 2,5 po
- Fonctions ECC HW, effacement rapide et SMART intégrées
- Interface : SATA 3 Go/s
- Facteur de forme : 2.5"

Spécifications :
- Récupération après panne d'alimentation plus robuste
- Wear leveling et gestion des blocs avancés
- Fonctions de sécurisation de zone et de purge (en option)
- Connecteur : (7+15) broches mâles
- Support ECC : 8 bits/512 octets

Pour des quantités supérieures à celles indiquées, appelez-nous afin d'obtenir un devis.

RÉF. STOCK MOUSER	Réf. pièce Apacer	Type Flash	Capacités	Vitesse L/E soutenue (Mo/s)	Plage de températures opérationnelles étendue	Chocs	Vibrations	Humidité	MTBF (heures)	Dimensions (en mm) (L x l x H)	Prix unitaire 1	Prix unitaire 10
SAFD254 Sata 2.5" SLC à plage de températures élargie												
908-SA254QA032GSETHT	AP-SAFD254QA032GS-ETHT	SLC	32 Go	160/135	-40 ~ +85 °C	1 500 G	15 G	5 % ~ 95 %	2 000 000	100 x 69,8 x 9,3	374,84	361,74
SAFD254-M, Sata 2.5" MLC												
908-SAFD254QA032GSEM	AP-SAFD254QA032GS-EM	MLC	32 Go	155/100	-	1 500 G	15 G	5 % ~ 95 %	1 000 000	100 x 69,8 x 9,3	159,26	153,69
908-SAFD254QA064GSEM	AP-SAFD254QA064GS-EM	MLC	64 Go	155/100	-	1 500 G	15 G	5 % ~ 95 %	1 000 000	100 x 69,8 x 9,3	288,19	278,12
908-SAFD254QA128GSEM	AP-SAFD254QA128GS-EM	MLC	128 Go	155/100	-	1 500 G	15 G	5 % ~ 95 %	1 000 000	100 x 69,8 x 9,3	509,86	492,04
908-SAFD254QA256GSEM	AP-SAFD254QA256GS-EM	MLC	256 Go	155/100	-	1 500 G	15 G	5 % ~ 95 %	1 000 000	100 x 69,8 x 9,3	991,97	957,30
SAFD181 Sata 1.8" SLC												
908-SAFD18BQA16GSHTL	AP-SAFD18BQA016GS-HTL	SLC	16 Go	160/135	-40 ~ +85 °C	50 G	15 G	5 % ~ 95 %	2 000 000	78,3 x 54 x 5	217,27	209,68
908-SAFD18BQA32GSHTL	AP-SAFD18BQA032GS-HTL	SLC	32 Go	160/135	-40 ~ +85 °C	50 G	15 G	5 % ~ 95 %	2 000 000	78,3 x 54 x 5	385,37	371,89
SAFD181 Sata 1.8" MLC												
908-SAFD18BQA16GSEML	AP-SAFD18BQA016GS-EML	MLC	16 Go	155/90	-	50 G	15 G	5 % ~ 95 %	1 000 000	78,3 x 54 x 5	103,95	100,15
908-SAFD18BQA32GSEML	AP-SAFD18BQA032GS-EML	MLC	32 Go	155/90	-	50 G	15 G	5 % ~ 95 %	1 000 000	78,3 x 54 x 5	157,87	152,35

MODULE DE DISQUE SATA (SDM)

Le module de disque SATA Apacer (SDM) est un SSD intégré haute performance, conçu pour remplacer un disque dur SATA conventionnel dans un poste bureautique, un IT-STB, un PC industriel ou un client léger. Le SSD SDM peut-être branché à un connecteur SATA standard 7 broches ou 22 broches, commun aux ordinateurs de bureau, IT-STB, PC industriels et systèmes client légers. Le SSD SDM Apacer dispose d'un microcontrôleur intégré et d'un firmware de gestion des fichiers capable de communiquer avec les interfaces SATA standard. Cela signifie que le SSD SDM ne nécessite pas de logiciel pilote supplémentaire ou propriétaire.

RoHS Compliant

Caractéristiques :
- Soutien à long terme avec BOM fixe
- Connecteur SATA 7 broches
- Fonctions ECC HW, effacement rapide et SMART intégrées
- Support ECC : 8 bit/512 octets

Spécifications :
- Récupération après panne d'alimentation plus robuste
- Wear leveling et gestion des blocs avancés
- Interface : SATA II 3Go/s

Pour des quantités supérieures à celles indiquées, appelez-nous afin d'obtenir un devis.

RÉF. STOCK MOUSER	Réf. pièce Apacer	Type Flash	Capacités	Vitesse L/E soutenue (Mo/s)	Températures opérationnelles standard (°C)	Chocs	Vibrations	Humidité	MTBF (heures)	Dimensions (en mm) (L x l x H)	Prix unitaire 1	Prix unitaire 10
SDM II, 7 broches 180°												
908-SDM004GAPANSHT	AP-SDM004GAPANS-HT	SLC	4 Go	27/27	de 0 à 70	50 G	15 G	5 % ~ 95 %	2 000 000	-	58,84	56,78
SDM II, 7 broches 180° avec boîtier												
908-SDM004GBPANSHT	AP-SDM004GBPANS-HT	SLC	4 Go	27/27	de 0 à 70	50 G	15 G	5 % ~ 95 %	2 000 000	29,4 x 33,25	58,84	56,78

MODULE DE DISQUE ATA (ADM)

Le module de disque ATA Apacer (ADM) est un SSD intégré haute performance, conçu pour les postes bureautiques, les IT-STB, les PC industriels ou les clients légers. Le SSD ADM Apacer dispose d'un microcontrôleur et d'un firmware de gestion des fichiers intégré capable de communiquer avec les interfaces ATA standard. Cela signifie que le SSD ADM ne nécessite pas de logiciel pilote supplémentaire ou propriétaire tels que FFS (système de fichier flash) ou MTD (pilote de technologie mémoire).

Caractéristiques :
- Soutien à long terme avec BOM fixe
- Connecteur femelle IDE standard 40 / 44 broches
- Wear leveling et gestion des blocs avancés
- Flash NAND SLC par défaut
- Fonction de sécurité :
- Cavalier de protection en écriture (en option)
- Identifiant unique de 20 bits programmé en usine (mécanisme de protection logiciel)
- Zone de protection sécurisée (en option)

Spécifications :
- Récupération après panne d'alimentation plus robuste
- Fonctions ECC HW, effacement rapide et SMART intégrées
- Zone de protection sécurisée (en option)
- Interface : Standard ATA / IDE
- Support ECC : 8 bits/512 octets
- Orientation : 90°, 180°, 270°

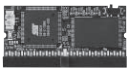

44pin/180 degree middle profile without housing

44pin/180 degree middle profile w/housing

RoHS Compliant

Pour des quantités supérieures à celles indiquées, appelez-nous afin d'obtenir un devis.

RÉF. STOCK MOUSER	Réf. pièce Apacer	Type Flash	Capacités	Vitesse L/E soutenue (Mo/s)	Plage de températures opérationnelles étendue	Chocs	Vibrations	Humidité	MTBF (heures)	Faible consommation électrique	Prix unitaire 1	Prix unitaire 10
ADM III, disque PATA sur module, 40 broches épaisseur moyenne avec boîtier												
908-FM002GED0D5SKS1M	AP-FM002GED0D5S-KS1M	-	2 Go	Normal : 35/15 Haute vitesse : 35/25	-40 °C à 85 °C	50 G	15 G	5 %~95 %	2 000 000	Consommation en marche (typique) : 85 à 100 mA Consommation en veille (typique) : 500 à 600 µA	27,37	26,42
908-FM004GED0D5SKS1M	AP-FM004GED0D5S-KS1M	-	4 Go	Normal : 35/15 Haute vitesse : 35/25	-40 °C à 85 °C	50 G	15 G	5 %~95 %	2 000 000	Consommation en marche (typique) : 85 à 100 mA Consommation en veille (typique) : 500 à 600 µA	49,92	48,17
ADM III, disque PATA sur module, 44 broches épaisseur moyenne avec boîtier												
908-FM001GE20D5SKS1H	AP-FM001GE20D5S-KS1H	-	1 Go	Normal : 35/15 Haute vitesse : 35/25	-40 °C à 85 °C	50 G	15 G	5 %~95 %	2 000 000	Consommation en marche (typique) : 85 à 100 mA Consommation en veille (typique) : 500 à 600 µA	21,43	20,68
908-FM002GE20D5SKS1H	AP-FM002GE20D5S-KS1H	-	2 Go	Normal : 35/15 Haute vitesse : 35/25	-40 °C à 85 °C	50 G	15 G	5 %~95 %	2 000 000	Consommation en marche (typique) : 85 à 100 mA Consommation en veille (typique) : 500 à 600 µA	31,93	29,87
908-FM004GE20D5SKS1H	AP-FM004GE20D5S-KS1H	-	4 Go	Normal : 35/15 Haute vitesse : 35/25	-40 °C à 85 °C	50 G	15 G	5 %~95 %	2 000 000	Consommation en marche (typique) : 85 à 100 mA Consommation en veille (typique) : 500 à 600 µA	49,92	48,17

COMPACTFLASH INDUSTRIELLE

La CompactFlash industriel Apacer fournit une solide traçabilité afin d'assurer que tous les produits HW/FW soient de la qualité attendue.

Caractéristiques :
- Soutien à long terme avec BOM fixe
- Conforme aux spécifications CFA 3.0 de la norme CFCIII
- Conforme aux spécifications CFA4.1 de la norme CFC4
- Wear leveling et gestion des blocs avancés
- Zone de protection sécurisée / effacement rapide pour CF ATA
- Interface : mode mémoire PC Card ; mode E/S PC Card ; mode True IDE
- Support ECC : correction jusqu'à 8/15 bits par page de 512 octets (BCH)
- Résistance aux chocs : 50 G
- Vibrations : 15 G
- Humidité : 5 % ~ 95 %
- MTBF (en heures) : 2 000 000
- Consommation en marche (typ.) : 80 mA / 95 mA
- Consommation en veille (typ.) : 700 µA / 900 µA

Spécifications :
- Récupération après panne d'alimentation plus robuste
- Connecteur : 50 broches
- Fonctions ECC HW, effacement rapide et SMART intégrées
- Résistant aux chocs, anti-vibrations et faible consommation électrique

PRODUCT NEW

RoHS Compliant

Température standard : 0 à 70 °C

RÉF. STOCK MOUSER	Réf. pièce Apacer	Capacité (Go)	Conforme avec	Vitesse soutenue en L/E (Mo/s)	Prix unitaire 1	Prix unitaire 10
908-AP-CF001GA5GS-NR	AP-CF001GA5GS-NR	1	CF4	50/21	31,63	30,76
908-AP-CF002GA5GS-NR	AP-CF002GA5GS-NR	2	CF4	50/21	37,46	36,42
908-AP-CF004GA5GS-NR	AP-CF004GA5GS-NR	4	CF4	50/21	53,67	52,17
908-AP-CF008GA5GS-NR	AP-CF008GA5GS-NR	8	CF4	50/21	90,85	87,68
908-CF002GE3FRNRK	AP-CF002GE3FR-NRK	2	CF3	30/5	28,78	27,98
908-CF004GE3FRNRK	AP-CF004GE3FR-NRK	4	CF3	30/5	50,43	49,03
908-CF008GE3FRNRK	AP-CF008GE3FR-NRK	8	CF3	30/5	93,60	91,01

Plage de températures étendue : -40 à 85 °C

Pour des quantités supérieures à celles indiquées, appelez-nous afin d'obtenir un devis.

RÉF. STOCK MOUSER	Réf. pièce Apacer	Capacité (Go)	Conforme avec	Vitesse soutenue en L/E (Mo/s)	Prix unitaire 1	Prix unitaire 10
908-APCF001GA5GSETNR	AP-CF001GA5GS-ETNR	1	CF4	50/21	33,71	32,77
908-APCF002GA5GSETNR	AP-CF002GA5GS-ETNR	2	CF4	50/21	39,67	38,57
908-APCF004GA5GSETNR	AP-CF004GA5GS-ETNR	4	CF4	50/21	63,90	61,31
908-APCF008GA5GSETNR	AP-CF008GA5GS-ETNR	8	CF4	50/21	96,75	93,37
908-CF008GE3FRETNRK	AP-CF008GE3FR-ETNRK	8	CF3	30/5	103,46	100,58

CARTES SD INDUSTRIELLES

PRODUCT NEW

Caractéristiques :
- Temps d'accès : 80 ms
- Tension d'alimentation de fonctionnement : 3,3 V
- Type de Flash NAND : SLC
- Lecture/Écriture haute vitesse soutenue (Mo/s) :
  Délais standard : 22 lectures/15 écritures
  Délais étendu : 10 lectures/7 écritures

RoHS Compliant

Délais standard **Pour des quantités supérieures à celles indiquées, appelez-nous afin d'obtenir un devis.**

RÉF. STOCK MOUSER	Réf. pièce Apacer	Taille mémoire (Go)	Temp. max de fonctionnement (°C)	Prix unitaire 1	Prix unitaire 10
908-AP-ISD01GCS2A-T	AP-ISD01GCS2A-T	1	de 0 à 70	20,44	19,81
908-AP-ISD02GCS2A-T	AP-ISD02GCS2A-T	2	de 0 à 70	30,07	29,24
908-AP-ISD04GCS4A-T	AP-ISD04GCS4A-T	4	de 0 à 70	50,56	49,15
908-AP-ISD08GCD4A-T	AP-ISD08GCD4A-T	8	de 0 à 70	95,94	93,27

PRODUCT NEW

RoHS Compliant

Temp. étendue **Pour des quantités supérieures à celles indiquées, appelez-nous afin d'obtenir un devis.**

RÉF. STOCK MOUSER	Réf. pièce Apacer	Taille mémoire (Go)	Temp. max de fonctionnement (°C)	Prix unitaire 1	Prix unitaire 10
908-AP-ISD01GIS2B-T	AP-ISD01GIS2B-T	1	de -40 à +85	22,42	21,80
908-AP-ISD02GIS2B-T	AP-ISD02GIS2B-T	2	de -40 à +85	34,23	33,27
908-AP-ISD04GIS4B-T	AP-ISD04GIS4B-T	4	de -40 à +85	58,47	56,84
908-AP-ISD08GID4B-T	AP-ISD08GID4B-T	8	de -40 à +85	105,01	102,09

© Copyright 2012 Mouser Electronics
© Copyright 2012 Mouser Electronics

Mémoire et logique programmable ATMEL

RoHS Compliant **This product is RoHS compliant.**

DATAFLASH

Pour des quantités supérieures à celles indiquées, appelez-nous afin d'obtenir un devis.

RÉF. STOCK MOUSER	Réf. Atmel	Boîtier	Densité	Broches d'E/S	Type d'interface	Taille de page	Vcc	Prix unitaire 1	10	25	100
556-AT45DB011D-SH-T	AT45DB011D-SH-T	SOIC	1 Mo	8	SPI, RapidS	264 octets	2,7 V - 3,6 V	1,20	0,99	0,973	0,932
556-AT45DB011D-SSH-B	AT45DB011D-SSH-B	SOIC	1 Mo	8	SPI, RapidS	264 octets	2,7 V - 3,6 V	1,20	0,99	0,973	0,932
556-AT45DB021D-SH-B	AT45DB021D-SH-B	UDFN	2 Mo	8	SPI, RapidS	264 octets	2,7 V	0,89	0,726	0,693	0,598
556-AT25DF041A-SH-B	AT25DF041A-SH-B	SOIC	4 Mo	8	SPI	256 octets	2,7 V - 3,6 V	0,85	0,817	0,72	0,616
556-AT25DF041A-SSH-B	AT25DF041A-SSH-B	SOIC	4 Mo	8	SPI	256 octets	2,7 V - 3,6 V	0,85	0,751	0,72	0,616
556-AT45DB041DSU	AT45DB041D-SU	SO150	4 Mo	8	SPI, RapidS	264 octets	2,7 V - 3,6 V	1,90	1,58	1,57	1,47
556-AT45DB041DSSU	AT45DB041D-SSU	SOIC	4 Mo	8	SPI, RapidS	264 octets	2,7 V - 3,6 V	1,47	1,11	1,08	0,914
556-AT45DB041DSSU2.5	AT45DB041D-SSU-2.5	SOIC	4 Mo	8	SPI, RapidS	264 octets	2,5 V - 3,6 V	1,16	1,03	0,899	0,767
556-AT45DB041DSU2.5	AT45DB041D-SU-2.5	SOIC	4 Mo	8	SPI, RapidS	264 octets	2,5 V - 3,6 V	1,16	1,03	0,899	0,767
556-AT25DF081-SSHN-B	AT25DF081-SSHN-B	SOIC	8 Mo	8	SPI	256 octets	1,65 V - 1,95 V	1,73	1,23	1,19	0,951
556-AT45DB081DSSU	AT45DB081D-SSU	SOIC	8 Mo	8	SPI, RapidS	264 octets	2,5 V, 2,7 V	1,22	1,20	1,18	0,966
556-AT45DB081DSU	AT45DB081D-SU	SOIC	8 Mo	8	SPI, RapidS	264 octets	2,7 V - 3,6 V	1,53	1,23	1,20	0,976
556-AT45DB081DSSU2.5	AT45DB081D-SSU-2.5	SOIC	8 Mo	8	SPI, RapidS	264 octets	2,5 V - 3,6 V	1,42	1,34	1,11	0,941
556-AT45DB081DSU2.5	AT45DB081D-SU-2.5	SOIC	8 Mo	8	SPI, RapidS	264 octets	2,5 V - 3,6 V	1,42	1,34	1,11	0,941
556-AT45DB161DSU	AT45DB161D-SU	SO150	16 Mo	8	SPI	528 octets	2,7 V - 3,6 V	2,32	1,87	1,82	1,48
556-AT45DB161DSU2.5	AT45DB161D-SU-2.5	SOIC	16 Mo	8	SPI	528 octets	2,5 V - 3,6 V	1,94	1,72	1,52	1,30
556-AT45DB321DTU	AT45DB321D-TU	TSOP	32 Mo	28	SPI, RapidS	528 octets	2,7 V - 3,6 V	6,22	5,04	5,01	4,65
556-AT45DB321DSU	AT45DB321D-SU	SO150	32 Mo	8	SPI, RapidS	528 octets	2,7 V - 3,6 V	4,36	3,74	3,24	2,71
556-AT45DB321D-MWU	AT45DB321D-MWU	MOD'L	32 Mo	8	SPI, RapidS	528 octets	2,7 V - 3,6 V	4,46	3,83	3,46	2,96
556-AT45DB321D-MU	AT45DB321D-MU	MLF	32 Mo	8	SPI, RapidS	528 octets	2,7 V - 3,6 V	4,45	4,08	3,70	2,32
556-AT25DF641-MWH-Y	AT25DF641-MWH-Y	VDFN	64 Mo	8	SPI	256 octets	2,7 V - 3,6 V	3,80	3,51	3,14	2,85
556-AT25DF641-S3H-B	AT25DF641-S3H-B	SOIC	64 Mo	8	SPI	256 octets	2,7 V - 3,6 V	3,10	2,67	2,38	2,16
556-AT45DB642DTU	AT45DB642D-TU	TSOP	64 Mo	28	Serial, Rapid8	1056 octets	2,7 V - 3,6 V	9,45	9,35	9,31	8,99
556-AT45DB642D-CNU	AT45DB642D-CNU	CASON	64 Mo	8	Série, Rapid8	1056 octets	2,7 V - 3,6 V	4,79	4,27	3,72	3,18

EPROM

Pour des quantités supérieures à celles indiquées, appelez-nous afin d'obtenir un devis.

RÉF. STOCK MOUSER	Réf. Atmel	Boîtier	Densité	Organisation	Vitesse	Vcc	Prix unitaire 1	10	25	100
556-AT27C256R70PU	AT27C256R-70PU	PDIP	256 Ko	32 Ko x 8	70 ns	5 V	3,03	2,13	1,88	1,78
556-AT27C256R-45PU	AT27C256R-45PU	PDIP	256 Ko	32 Ko x 8	45 ns, 70 ns	4,5 V - 5,5 V	1,12	1,04	0,965	0,833
556-AT27C512R-45PU	AT27C512R-45PU	PDIP	512 Ko	64 Ko x 8	45 ns, 70 ns	4,5 V - 5,5 V	4,27	3,01	2,75	2,45
556-AT27C512R70PU	AT27C512R-70PU	PDIP	512 Ko	64 Ko x 8	70 ns	5 V	2,77	2,47	2,18	1,93
556-AT27C512R70JU	AT27C512R-70JU	PLCC	512 Ko	64 Ko x 8	70 ns	5 V	1,37	1,25	1,16	1,03
556-AT27C102470PU	AT27C1024-70PU	PDIP	1 Mo	64 Ko x 16	70 ns	5 V	4,22	3,65	3,41	2,91
556-AT27C2048-55JU	AT27C2048-55JU	PLCC	2 Mo	128 Ko x 16	55 ns, 90 ns	4,5 V - 5,5 V	6,27	5,98	5,22	5,07
556-AT27C4096-90JU	AT27C4096-90JU	PLCC	4 Mo	256 Ko x 16	55 ns, 90 ns	4,5 V - 5,5 V	11,03	10,53	10,02	8,04

EEPROM PARALLÈLES

Pour des quantités supérieures à celles indiquées, appelez-nous afin d'obtenir un devis.

556-AT28C64B15PU	AT28C64B-15PU	PDIP	64 Ko	8 Ko x 8	150 ns	4,5 V - 5,5 V	4,15	3,09	2,79	2,64
556-AT28HC64B70SU	AT28HC64B-70SU	SOIC	64 Ko	8 Ko x 8	70 ns, 90 ns, 120 ns	4,5 V - 5,5 V	5,95	5,66	3,93	3,57
556-AT28HC256-70SU	AT28HC256-70SU	SOIC	256 Ko	32 Ko x 8	70 ns, 90 ns, 120 ns	4,5 V - 5,5 V	10,03	8,02	7,19	7,16
556-AT28C25615PU	AT28C256-15PU	PDIP	256 Ko	32 Ko x 8	150 ns	4,5 V - 5,5 V	6,50	4,82	4,32	4,15

EEPROM SÉRIE

Pour des quantités supérieures à celles indiquées, appelez-nous afin d'obtenir un devis.

RÉF. STOCK MOUSER	Réf. Atmel	Boîtier	Densité	Type d'interface	Organisation	Vcc	Prix unitaire 1	10	25	100
556-A24C01BNSH-B	AT24C01BN-SH-B	SO150	1 Ko	2 fils	128 o x 8	1,8 V	0,21	0,18	0,176	0,147
556-A93C46DTH-B	AT93C46D-TH-B	TSSOP	1 Ko	3 fils	128 o x 8	1,8 V	0,26	0,248	0,24	0,205
556-A93C46DNSH-B	AT93C46DN-SH-B	SO150	1 Ko	3 fils	128 o x 8	1,8 V	0,25	0,19	0,181	0,151
556-A93C46E-PU	AT93C46E-PU	PDIP	1 Ko	3 fils	64 o x 16	1,8 V	0,28	0,264	0,239	0,205
556-A93C46ENSH-B	AT93C46EN-SH-B	SOIC	1 Ko	3 fils	64 o x 16	1,8 V	0,26	0,215	0,19	0,175
556-AT25010B-SSHL-B	AT25010B-SSHL-B	SOIC-8	1 Ko	SPI	128 x 8	1,8 V à 5,5 V	0,36	0,33	0,31	0,277
556-AT24C02C-PUM	AT24C02C-PUM	PDIP-8	2 Ko	2 fils	256 x 8	1,7 V à 5,5 V	0,36	0,33	0,305	0,272
556-A24HC02BNSH-B	AT24HC02BN-SH-B	SO150	2 Ko	2 fils	256 o x 8	1,8 V	0,35	0,32	0,26	0,235
556-A93C56A10SU2.7	AT93C56A-10SU-2.7	SOIC	2 Ko	3 fils	256 o x 8	1,8 V, 2,7 V	0,35	0,322	0,289	0,257
556-A93C56A10SU1.8	AT93C56A-10SU-1.8	SOIC	2 Ko	3 fils	256 o x 8	1,8 V, 2,7 V	0,32	0,264	0,223	0,219
556-AT25020B-SSHL-B	AT25020B-SSHL-B	SOIC-8	2 Ko	SPI	256 x 8	1,8 V à 5,5 V	0,37	0,347	0,322	0,29
556-AT24C04BN-SH-B	AT24C04BN-SH-B	SOIC	4 Ko	2 fils	512 o x 8	1,8 V	2,21	2,01	1,75	1,55
556-A93C66A10SU2.7	AT93C66A-10SU-2.7	SOIC	4 Ko	3 fils	512 o x 8	1,8 V, 2,7 V	0,37	0,347	0,281	0,263
556-A93C66A10PU2.7	AT93C66A-10PU-2.7	PDIP	4 Ko	3 fils	512 o x 8	1,8 V, 2,7 V	0,38	0,355	0,339	0,317
556-A93C66A10TU2.7	AT93C66A-10TU-2.7	TSSOP	4 Ko	3 fils	512 o x 8	1,8 V, 2,7 V	0,46	0,388	0,338	0,314
556-AT25040B-SSHL-B	AT25040B-SSHL-B	SOIC-8	4 Ko	SPI	512 x 8	1,8 V à 5,5 V	0,39	0,363	0,341	0,302
556-A24C16BNSH-B	AT24C16BN-SH-B	SO150	16 Ko	2 fils	2048 o x 8	-	-	-	-	-
556-A93C86A10SU2.7	AT93C86A-10SU-2.7	SOIC	16 Ko	3 fils	2 048o x 8	1,8 V, 2,7 V	0,45	0,446	0,404	0,386
556-A24C32C-PU	AT24C32C-PU	PDIP	32 Ko	2 fils	4 096 o x 8	1,8 V	-	-	-	-
556-A24C64BN10SU2.7	AT24C64BN-10SU-2.7	SOIC	64 Ko	2 fils	8 192 o x 8	1,8 V, 2,7 V	0,87	0,825	0,789	0,617
556-A24C64CNSH-B	AT24C64CN-SH-B	SO150	64 Ko	2 fils	8 192 o x 8	1,8 V	-	-	-	-
556-A24C512BNSH25T	AT24C512BN-SH25-T	SO150	512 Ko	2 fils	65 536 o x 8	1,8 V	0,90	0,883	0,866	0,825
556-A24C512BNSH25-B	AT24C512BN-SH25-B	SO150	512 Ko	2 fils	65 536 o x 8	1,8 V	2,89	2,49	2,48	2,31
556-A24C512BNSH-B	AT24C512BN-SH-B	SO150	512 Ko	2 fils	65 536 o x 8	1,8 V	-	-	-	-
556-A24C512BNSH25T	AT24C512BN-SH25-T	SOIC	512 Ko	2 fils	65 536 o x 8	1,8 V	0,90	0,883	0,866	0,825
556-A24C1024BTH-B	AT24C1024B-TH-B	TSSOP	1 024 Ko	2 fils	131 072 o x 8	1,8 V, 2,5 V	3,14	3,06	2,65	2,37
556-A24C1024BWSH25-B	AT24C1024BW-SH25-B	SO300	1 024 Ko	2 fils	131 072 o x 8	2,7 V	4,26	3,63	3,55	3,01

COMPOSANTS LOGIQUES PROGRAMMABLES EFFAÇABLES ÉLECTRONIQUEMENT - EEPLD

Pour des quantités supérieures à celles indiquées, appelez-nous afin d'obtenir un devis.

RÉF. STOCK MOUSER	Réf. Atmel	Boîtier	Tpd	Broches d'E/S	Macro-cellules	Options de puissance	Registres	Portes logiques utilisables	Vcc	Prix unitaire 1	10	25	100
556-AF16V8C7PU	ATF16V8C-7PU	PDIP	5 ns, 7 ns	8	8	Norme	8	150	5 V	2,06	1,82	1,67	1,29
556-AF22V10C15PU	ATF22V10C-15PU	PDIP	15 ns	24	10	Norme	10	350	5 V	1,94	1,63	1,58	1,26
556-AF16V8BQL15PU	ATF16V8BQL-15PU	PDIP	15 ns	20	8	Quart	8	150	5 V	1,58	1,50	1,21	1,04

© Copyright 2012 Mouser Electronics
© Copyright 2012 Mouser Electronics

Mémoire CYPRESS

RoHS Compliant **This product is RoHS compliant.**

Cypress est un leader de l'industrie dans le domaine des SRAM synchrones, asynchrones rapides, asynchrones à faible consommation et non-volatiles, ainsi que dans le secteur des solutions à points d'accès multiples et des produits FIFO. Cette société constitue encore un choix optimal dans un marché de la mémoire caractérisé par une base de fournisseurs de plus en plus pauvre et des portefeuilles de produits en diminution. Tandis que les sociétés continuent à abandonner le marché, Cypress demeure un fournisseur innovateur, digne de confiance et engagé à vos côtés pour vos besoins en mémoire. Notre engagement à long-terme visant la ligne de produits la plus large, le développement de produits, la longévité en industrie et la technologie la plus avancée distingue Cypress comme un fournisseur de mémoire de choix. Quelle que soit votre application, depuis le matériel portable jusqu'aux équipements réseau, la ligne de produits Cypress est un gage de polyvalence : SRAM à faible consommation, asynchrone rapide, synchrone ou non volatile et mémoire à points d'accès multiples, FIFO et EEPROM série. Dans un paysage de marché estampillé « EOL », Cypress vous offre l'assistance et la confiance dont vous avez besoin sur le long terme.

Cypress offre le plus large catalogue de SRAM asynchrones rapide de 4 Ko à 32 Mo disponible aux tensions, largeurs de bus et options de boîtier aux normes de l'industrie. Ces dispositifs offrent les temps d'accès les plus rapides disponibles, ce qui les rendent optimaux pour les équipements réseau. Les SRAM asynchrones rapides de la société sont soutenues par les meilleures technologies de processus, procédés de fabrication et assistance clientèle de cette catégorie. Les SRAM asynchrones rapides sont proposées conformes à la norme RoHS, ainsi qu'aux standards industriels de températures tels que : FBGA, VFBGA, SOJ, TSOP, TSOP II, et PDIP.

Avantages :
- Temps d'accès : 10 ns dans une plage de températures industrielles
- Faible dissipation de puissance
- Options de boîtier aux standards industriels et conformité RoHS
- Le meilleur de la technologie de processus : 90 nm
- Plages de températures industrielles et automobile

Applications :
- Switchs et routeurs
- Téléphones IP
- Équipement de test
- Cartes DSLAM
- Électronique pour automobiles

SRAM ASYNCHRONE

Pour des quantités supérieures à celles indiquées, appelez-nous afin d'obtenir un devis.

RÉF. STOCK MOUSER	Réf. Cypress	Boîtier	Densité	Organisation	Vitesse (ns)	Plage temp.(°C)	Tension de fonctionnement (V)	Prix unitaire 1	25	50
727-CY7C199D-10VXI	CY7C199D-10VXI	SOJ-28	256 K	32 K x 8	10	de -40 à +85	4,5 à 5,5	1,48	1,01	0,965
727-CY7C199D-10ZXI	CY7C199D-10ZXI	TSOP I-28	256Ko	32 K x 8	10	de -40 à +85	4,5 à 5,5	1,67	1,01	0,965
727-CY7C1399BN-12VXC	CY7C1399BN-12VXC	SOJ-28	256 K	32 K x 8	12	de 0 à 70	de 3 à 3,6	1,53	1,22	1,02
727-CY7C1399BN-12VXI	CY7C1399BN-12VXI	SOJ-28	256 K	32 K x 8	12	de -40 à +85	de 3 à 3,6	1,53	1,22	1,02
727-CY7C1399BN-12ZXC	CY7C1399BN-12ZXC	TSOP I-28	256Ko	32 K x 8	12	de 0 à 70	de 3 à 3,6	1,69	1,35	1,18
727-CY7C1399BN-15ZXI	CY7C1399BN-15ZXI	TSOP I-28	256Ko	32 K x 8	12	de -40 à +85	de 3 à 3,6	1,69	1,35	1,18
727-CY7C199CN-15PXC	CY7C199CN-15PXC	SOJ-28	256 K	32 K x 8	15	de 0 à 70	de 4,5 à 5,5	1,19	1,14	1,01
727-CY7C199CNL-15VXI	CY7C199CNL-15VXI	SOJ-28	256 K	32 K x 8	15	de -40 à +85	de 4,5 à 5,5	1,37	1,30	1,16
727-CYC197N25PXC	CY7C197N-25PXC	PDIP 24	256 K	256 K x 1	25	de 0 à 70	de 4,5 à 5,5	12,57	11,95	11,31
727-CY7C1020D-10VXI	CY7C1020D-10VXI	SOJ-44	512 K	32 K x 16	10	de -40 à +85	de 4,5 à 5,5	3,51	2,34	2,26
727-C1020DV33-10ZSXI	CY7C1020DV33-10ZSXI	TSOP II-44	512 K	32 K x 16	10	de -40 à +85	de 3 à 3,6	2,97	1,98	1,91
727-CY020CV26-15ZSXE	CY7C1020CV26-15ZSXE	TSOP II-44	512 K	32 K x 16	15	de -40 à +125	de 2,5 à 2,7	4,01	3,54	3,46
727-CY7C1009D-10VXI	CY7C1009D-10VXI	SOJ-32	1 M	128 K x 8	10	de -40 à +85	de 4,5 à 5,5	2,97	1,98	1,91
727-CY1018DV33-10VXI	CY7C1018DV33-10VXI	SOJ-32	1 M	128 K x 8	10	de -40 à +85	de 3 à 3,6	2,38	1,58	1,53
727-C1019DV33-10ZSXI	CY7C1019DV33-10ZSXI	TSOP II-32	1 M	128 K x 8	10	de -40 à +85	de 3 à 3,6	2,38	1,58	1,53
727-CY7C1019D-10VXI	CY7C1019D-10VXI	SOJ-32	1 M	128 K x 8	10	de -40 à +85	de 4,5 à 5,5	2,69	2,66	2,58
727-CY7C1019D-10ZSXI	CY7C1019D-10ZSXI	TSOP II-32	1 M	128 K x 8	10	de -40 à +85	de 4,5 à 5,5	2,69	2,66	2,58
727-CY7C109D-10ZXI	CY7C109D-10ZXI	TSOP II-32	1 M	128 K x 8	10	de -40 à +85	de 4,5 à 5,5	2,69	2,66	2,58
727-CY7C109D-10VXI	CY7C109D-10VXI	SOJ-32	1 M	128 K x 8	10	de -40 à +85	de 4,5 à 5,5	2,69	2,66	2,58
727-CY7C1006D-10VXI	CY7C1006D-10VXI	SOJ-28	1 M	256 K x 4	10	de -40 à +85	de 4,5 à 5,5	4,54	3,41	3,29
727-CY7C1021D-10VXI	CY7C1021D-10VXI	SOJ-44	1 M	64 K x 16	10	de -40 à +85	de 4,5 à 5,5	2,64	1,76	1,70
727-CY7C1021D-10ZSXI	CY7C1021D-10ZSXI	TSOP II-44	1Mo	64 K x 16	10	de -40 à +85	de 4,5 à 5,5	2,64	1,76	1,70
727-CY021DV33-10BVXI	CY7C1021DV33-10BVXI	FBGA-48	1 M	64 K x 16	10	de -40 à +85	de 3 à 3,6	2,23	1,49	1,44
727-CY1021DV33-10VXI	CY7C1021DV33-10VXI	SOJ-44	1 M	64 K x 16	10	de -40 à +85	de 3 à 3,6	2,23	1,49	1,44
727-CY021DV33-10ZSXI	CY7C1021DV33-10ZSXI	TSOP II-44	1Mo	64 K x 16	10	de -40 à +85	de 3 à 3,6	2,23	1,49	1,44
727-CY021CV33-12ZSXE	CY7C1021CV33-12ZSXE	TSOP II-44	1Mo	64 K x 16	12	de -40 à +125	de 3 à 3,6	4,01	3,54	3,46
727-CY7C1021BNL15ZXI	CY7C1021BNL-15ZXI	TSOP II-44	1Mo	64 K x 16	15	de -40 à +85	de 4,5 à 5,5	3,12	2,75	2,58
727-C1021BNV33L15ZXI	CY7C1021BNV33L-15ZXI	TSOP II-44	1Mo	64 K x 16	15	de -40 à +85	de 3 à 3,6	2,48	2,36	2,15
727-CY021CV26-15ZSXE	CY7C1021CV26-15ZSXE	TSOP II-44	1Mo	64 K x 16	15	de -40 à +125	de 2,5 à 2,7	4,01	3,54	3,46
727-C1011DV33-10ZSXI	CY7C1011DV33-10ZSXI	TSOP II-44	2Mo	128 K x 16	10	de -40 à +85	de 3 à 3,6	3,90	2,60	2,52
727-CY7C1011CV3312XE	CY7C1011CV33-12ZSXE	TSOP II-44	2Mo	128Kx16	12	de -40 à +125	de 3 à 3,6	7,80	7,48	6,73
727-CY7C1024DV3310B	CY7C1024DV33-10BGXI	BGA-119	3 M	128 K x 24	10	de -40 à +85	de 3 à 3,6	16,50	14,85	14,26
727-CY7C1041D-10ZSXI	CY7C1041D-10ZSXI	TSOP II-44	4Mo	256 K x 16	10	de -40 à +85	de 4,5 à 5,5	5,28	3,96	3,83
727-CYC041DV3310BVXI	CY7C1041DV33-10BVXI	VFBGA-48	4Mo	256 K x 16	10	de -40 à +85	de 3 à 3,6	4,21	3,37	3,23
727-CYC1041DV3310VXI	CY7C1041DV33-10VXI	SOJ-44	4 M	256 K x 16	10	de -40 à +85	de 3 à 3,6	4,21	3,37	3,20
727-C1041DV33-10ZSXI	CY7C1041DV33-10ZSXI	TSOP II-44	4Mo	256 K x 16	10	de -40 à +85	de 3 à 3,6	4,66	3,16	3,05
727-CYC1041D10VXI	CY7C1041D-10VXI	SOJ-44	4 M	256 K x 16	10	de -40 à +85	de 4,5 à 5,5	5,28	4,22	4,06
727-C1041BNV33L12ZXC	CY7C1041BNV33L-12ZXC	TSOP II-44	4Mo	256 K x 16	12	de 0 à 70	de 3 à 3,6	8,79	8,13	7,92
727-CY1041CV3312ZSXE	CY7C1041CV33-12ZSXE	TSOP II-44	4Mo	256 K x 16	12	de -40 à +125	de 3 à 3,6	9,49	8,83	7,59
727-C1041CV33-20ZSXE	CY7C1041CV33-20ZSXE	TSOP II-44	4Mo	256 K x 16	20	de -40 à +125	de 3 à 3,6	7,35	6,19	5,98
727-CYC1049D10VXI	CY7C1049D-10VXI	SOJ-36	4 M	512 K x 8	10	de -40 à +85	de 4,5 à 5,5	5,28	3,96	3,83
727-CYC1049DV3310VXI	CY7C1049DV33-10VXI	SOJ-36	4 M	512 K x 8	10	de -40 à +85	de 3 à 3,6	4,21	3,37	3,23
727-CYC049DV3310ZSXI	CY7C1049DV33-10ZSXI	TSOP II-44	4 M	512 K x 8	10	de -40 à +85	de 3 à 3,6	4,21	3,37	3,23
727-CY7C1062DV33-10	CY7C1062DV33-10BGXI	BGA-119	16 M	512 K x 32	10	de -40 à +85	de 3 à 3,6	33,70	30,34	28,82
727-CYC1061AV3310ZXC	CY7C1061AV33-10ZXC	TSOP II-54	16 M	1 M x 16	10	de 0 à 70	de 3 à 3,6	24,50	22,87	22,05
727-CYC1061AV3310ZXI	CY7C1061AV33-10ZXI	TSOP II-54	16 M	1 M x 16	10	de -40 à +85	de 3 à 3,6	24,50	22,87	22,05
727-CY7C1061DV3310ZS	CY7C1061DV33-10ZSXI	TSOP II-54	16 M	1 M x 16	10	de -40 à +85	de 3 à 3,6	32,67	27,77	25,70
727-CYC1069AV3310ZXC	CY7C1069AV33-10ZXC	TSOP II-54	16 M	2 M x 8	10	de 0 à 70	de 3 à 3,6	24,50	22,87	22,05
727-CY7C1069DV3310ZI	CY7C1069DV33-10ZSXI	TSOP II-54	16 M	2 M x 8	10	de -40 à +85	de 3 à 3,6	32,67	29,40	27,64

SRAM ASYNCHRONE À POINT D'ACCÈS DOUBLE

Pour des quantités supérieures à celles indiquées, appelez-nous afin d'obtenir un devis.

RÉF. STOCK MOUSER	Réf. Cypress	Boîtier	Densité	Organisation	Vitesse (ns)	Plage temp.(°C)	Tension de fonctionnement (V)	Prix unitaire 1	25	50
727-CYC13125JXC	CY7C131-25JXC	PLCC-52	8 K	1 K x 8	25	de 0 à 70	de 4,5 à 5,5	5,86	4,93	4,25
727-CYC13125NXC	CY7C131-25NXC	PQFP-52	8 K	1 K x 8	25	de 0 à 70	de 4,5 à 5,5	4,52	4,19	4,17
727-CY7C131-55JXC	CY7C131-55JXC	PLCC-52	8 K	1 K x 8	55	de 0 à 70	de 4,5 à 5,5	4,95	4,91	4,89
727-CYC13155NXC	CY7C131-55NXC	PQFP-52	8 K	1 K x 8	55	de 0 à 70	de 4,5 à 5,5	5,45	4,36	3,95
727-CYC13625NXC	CY7C136-25NXC	PQFP-52	16 K	2 K x 8	25	de 0 à 70	de 4,5 à 5,5	10,23	7,67	7,26
727-CYC13655NXC	CY7C136-55NXC	PQFP-52	16 K	2 K x 8	55	de 0 à 70	de 4,5 à 5,5	6,19	4,95	4,54
727-CYC13655JXC	CY7C136-55JXC	PLCC-52	16 K	2 K x 8	55	de 0 à 70	de 4,5 à 5,5	6,19	4,95	4,54
727-CYC13515JXC	CY7C135-15JXC	PLCC-52	32 K	4 K x 8	15	de 0 à 70	de 4,5 à 5,5	32,02	30,49	28,59
727-CY7C138-25JXI	CY7C138-25JXI	PLCC-68	32 K	4 K x 8	25	de -40 à +85	de 4,5 à 5,5	32,92	29,63	27,85
727-CYC024AV20AXC	CY7C024AV-20AXC	TQFP-100	64 K	4 K x 16	20	de 0 à 70	de 3 à 3,6	17,47	15,59	15,59
727-CYC02425AXI	CY7C024-25AXI	TQFP-100	64 K	4 K x 16	25	de -40 à +85	de 4,5 à 5,5	12,89	11,51	10,81
727-CY7C024A-25JXC	CY7C024A-25JXC	PLCC-84	64 K	4 K x 16	25	de 0 à 70	de 4,5 à 5,5	17,99	16,19	15,21
727-CYC024AV25AXC	CY7C024AV-25AXC	TQFP-100	64 K	4 K x 16	25	de 0 à 70	de 3 à 3,6	11,20	10,45	10,08
727-CY7C024-55JXC	CY7C024-55JXC	PLCC-84	64 K	4 K x 16	55	de 0 à 70	de 4,5 à 5,5	15,84	11,88	11,48
727-CY7C144-15JXI	CY7C144-15JXI	PLCC-68	64 K	8 K x 8	15	de -40 à +85	de 4,5 à 5,5	19,06	17,15	16,12
727-CYC144AV25AXC	CY7C144AV-25AXC	TQFP-64	64 K	8 K x 8	25	de 0 à 70	de 3 à 3,6	16,01	14,31	13,20
727-CYC14455AXC	CY7C144-55AXC	TQFP-64	64 K	8Kox8	55	de 0 à 70	de 4,5 à 5,5	11,76	10,52	9,70
727-CYC14455JXC	CY7C144-55JXC	PLCC-68	64 K	8Kox8	55	de 0 à 70	de 4,5 à 5,5	14,01	10,52	9,70
727-CYC025AV25AXI	CY7C025AV-25AXI	TQFP-100	128 K	8 K x 16	25	de -40 à +85	de 3 à 3,6	21,07	20,06	18,81
727-CYC026AV20AXC	CY7C026AV-20AXC	TQFP-100	256 K	16 K x 16	20	de 0 à 70	de 3 à 3,6	26,33	25,08	23,51
727-CYC026AV25AXI	CY7C026AV-25AXI	TQFP-100	256 K	16 K x 16	25	de -40 à +85	de 3 à 3,6	26,70	23,85	21,70

© Copyright 2012 Mouser Electronics
© Copyright 2012 Mouser Electronics

Mémoire CYPRESS

RoHS Compliant **This product is RoHS compliant.**

MÉMOIRES À POINTS D'ACCÈS MULTIPLES

Les solutions de mémoires à points d'accès multiples de Cypress offrent les interconnexions les plus performantes de l'industrie. Notre gamme de mémoires à points d'accès multiples inclut plus de 250 produits synchrones et asynchrones allant de 8 Ko à 36 Mo. La famille de SRAM synchrones de haute densité à point d'accès double FullFlex™ développée avec une technologie de 90 nm est proposée en 4 Mo, 9 Mo, 18 Mo et 36 Mo et dans des configurations x18, x36, et x72. Les mémoires à points d'accès multiples Cypress sont proposées aux standards de l'industrie : TQFP, FBGA, PLCC et boîtier DIP moulé.

Pour des quantités supérieures à celles indiquées, appelez-nous afin d'obtenir un devis.

RÉF. STOCK MOUSER	Réf. Cypress	Boîtier	Densité	Organisation	Vitesse (ns)	Plage temp.(°C)	Tension de fonctionnement (V)	Prix unitaire 1	25	50
SRAM synchrone à point d'accès double										
727-CY7C09349AV-9AXC	CY7C09349AV-9AXC	TQFP-100	64 Ko	4 K x 18	9	de 0 à 70	de 3 à 3,6	13,68	13,68	12,76
727-CYC09159AV9AXC	CY7C09159AV-9AXC	TQFP-100	64 Ko	8 K x 9	9	de 0 à 70	de 3 à 3,6	18,15	15,34	13,16
727-CY7C09179V-6AXC	CY7C09179V-6AXC	TQFP-100	256 K	32 K x 9	6	de 0 à 70	de 3 à 3,6	26,85	25,99	24,26
727-CY7C09269V-9AXC	CY7C09269V-9AXC	TQFP-100	256 K	16 K x 16	9	de 0 à 70	de 3 à 3,6	22,89	21,37	20,64
SRAM asynchrones à point d'accès double ConsuMoBL										
727-CYDC128B1655AXI	CYDC128B16-55AXI	TQFP-100	128 K	8 K x 16	55	de -40 à +85	1,8 à 3,3	6,67	5,52	5,35
727-CYDM128B1655BVXI	CYDM128B16-55BVXI	BGA-100	128 K	8 K x 16	55	de -40 à +85	de 1,8 à 3,3	9,41	8,27	7,52

SRAM NON-VOLATILE

La mémoire SRAM non-volatile de Cypress intègre les unités non-volatiles propriété de la société Quantum Trap™ dans des cellules SRAM hautes performances. Les accès mémoire sont faits de la même manière que pour la SRAM conventionnelle, tout en ajoutant la capacité de conserver les données lors des coupures de courant. Lors du « rappel » de démarrage, les éléments non-volatiles établissent l'état de la mémoire SRAM, ensuite la nvSRAM peut être lue ou écrite sans modifier les éléments non-volatiles. Le rappel peut aussi être initié sur commande. Le transfert parallèle de toutes les données des éléments non-volatiles vers la mémoire SRAM nécessite un maximum de 20 millisecondes.

Pour des quantités supérieures à celles indiquées, appelez-nous afin d'obtenir un devis.

RÉF. STOCK MOUSER	Réf. Cypress	Boîtier	Densité	Organisation	Vitesse (ns)	Plage temp.(°C)	Tension de fonctionnement (V)	Prix unitaire 1	25	50
727-STK12C68-SF45I	STK12C68-SF45I	SOIC-8	64 Ko	8 K x 8	45	de -40 à +85	de 4,5 à 5,5	11,34	10,58	10,42
727-CY14B256LASZ25XI	CY14B256LA-SZ25XI	SOIC-32	256 K	32 K x 8	25	de -40 à +85	de 2,7 à 3,6	14,45	13,01	12,36
727-CY14B256LASP25XI	CY14B256LA-SP25XI	SSOP-48	256 K	32 K x 8	25	de -40 à +85	de 2,7 à 3,6	14,45	13,01	12,36
727-CY14E256LASZ25XI	CY14E256LA-SZ25XI	SOIC-32	256 K	32 K x 8	25	de -40 à +85	de 4,5 à 5,5	14,45	13,01	12,36
727-CY14B256LASZ45XI	CY14B256LA-SZ45XI	SOIC-32	256 K	32 K x 8	45	de -40 à +85	de 2,7 à 3,6	13,98	9,53	9,22
727-CY14B101KASP25XI	CY14B101KA-SP25XI	SSOP-48	1 Mo	128 K x 8	25	de -40 à +85	de 2,7 à 3,6	24,29	23,01	21,10
727-CY14B101LASZ25XI	CY14B101LA-SZ25XI	SOIC-32	1Mo	128 K x 8	25	de -40 à +85	de 2,7 à 3,6	21,53	19,38	18,22
727-CY14B101LASP25XI	CY14B101LA-SP25XI	SSOP-48	1 Mo	128 K x 8	25	de -40 à +85	de 2,7 à 3,6	21,53	19,38	18,22
727-CY14B101LAZS25XI	CY14B101LA-ZS25XI	TSOP-44	1 Mo	128 K x 8	25	de -40 à +85	de 2,7 à 3,6	21,53	19,38	18,22
727-CY14B104NAZSP25X	CY14B104NA-ZSP25XI	TSOP-54	4 M	256 K x 16	25	de -40 à +85	de 2,7 à 3,6	23,02	21,26	20,64

SRAM SYNCHRONES

Cypress s'engage à offrir une gamme complète de SRAM synchrones à haute densité, y compris QDR / DDR, II et II, No Bus Latency™ ainsi que les produits classiques pipeline ou flow-through. De 1 à 72 Mo, Cypress propose la plus large gamme de SDRAM synchrones de l'industrie, avec une densité de 144 Mo prévue pour 2008. Cet engagement envers la technologie SRAM est démontré par l'investissement de l'entreprise ainsi que le développement de produits en 65 nm pour les densités de 144 Mo. En tant que fabricant de premier plan dans le domaine de la mémoire SRAM synchrone, Cypress ajoute à ces produits la fabrication et l'assistance clientèle les meilleures de la catégorie. Aucun autre fournisseur ne peut égaler Cypress en termes d'options de densité, de vitesse, de plages de température et de boîtiers TQFP et BGA sans plomb.

Pour des quantités supérieures à celles indiquées, appelez-nous afin d'obtenir un devis.

RÉF. STOCK MOUSER	Réf. Cypress	Boîtier	Densité	Organisation	Fréq. (MHz)	Plage de temp.(°C)	Tension de fonctionnement (V)	Prix unitaire 1	25	50
SRAM synchrones de type flow-through										
727-CY7C1324H-133AXC	CY7C1324H-133AXC	TQFP-100	2 M	128 K x 18	133	de 0 à 70	de 3,14 à 3,63	6,12	5,63	5,13
727-CYC1338G100AXC	CY7C1338G-100AXC	TQFP-100	4 M	128 K x 32	100	de 0 à 70	de 3,14 à 3,63	7,76	6,81	6,20
727-CYC1325G133AXC	CY7C1325G-133AXC	TQFP-100	4 M	256 K x 18	133	de 0 à 70	de 3,14 à 3,63	7,76	6,81	6,20
727-CY7C1325G-133BGC	CY7C1325G-133BGC	BGA-119	4 M	256 K x 18	133	de 0 à 70	3,14 à 3,63	6,11	5,75	5,21
727-CYC1361C100AXC	CY7C1361C-100AXC	TQFP-100	9 M	256 K x 36	100	de 0 à 70	de 3,14 à 3,63	10,01	9,00	8,70
727-CYC1361C133AXI	CY7C1361C-133AXI	TQFP-100	9 M	256 K x 36	133	de -40 à +85	de 3,14 à 3,63	11,12	9,39	8,06
727-CYC1363C133AJXC	CY7C1363C-133AJXC	TQFP-100	9 M	512 K x 18	133	de 0 à 70	de 3,14 à 3,63	9,40	8,46	7,94
727-CYC1383D133AXI	CY7C1383D-133AXI	TQFP-100	18 M	1 M x 18	133	de -40 à +85	de 3,14 à 3,63	20,48	18,97	18,07
SRAM synchrones Flow-Through (architecture NoBL™)										
727-CYC1351G100AXC	CY7C1351G-100AXC	TQFP-100	4 M	128 K x 36	100	de 0 à 70	de 3,14 à 3,63	5,54	5,00	4,62
727-CY7C1352G-133AXC	CY7C1352G-133AXC	TQFP-100	4 M	256 K x 18	133	de 0 à 70	de 3,14 à 3,63	6,67	5,00	4,83
727-CY7C1355C-133AXC	CY7C1355C-133AXC	TQFP-100	9 M	256 K x 36	133	de 0 à 70	de 3,14 à 3,63	8,37	8,37	8,09
727-CY7C1355C133BGXC	CY7C1355C-133BGXC	BGA-119	9 M	256 K x 36	133	de 0 à 70	de 3,14 à 3,63	10,56	9,93	9,01
727-CYC1357C133AXC	CY7C1357C-133AXC	TQFP-100	9 M	512 K x 18	133	de 0 à 70	de 3,14 à 3,63	9,35	8,42	8,03
727-CYC1356C166AXC	CY7C1356C-166AXC	TQFP-100	9 M	512 K x 18	166	de 0 à 70	de 3,14 à 3,63	9,40	8,46	8,01
727-CY7C1371D-100AXC	CY7C1371D-100AXC	TQFP-100	18 M	512 K x 16	100	de 0 à 70	de 3,14 à 3,63	19,85	18,52	17,86
727-CYC1371D100AXI	CY7C1371D-100AXI	TQFP-100	18 M	512 K x 16	100	de -40 à +85	de 3,14 à 3,63	24,44	20,23	19,43
SRAM synchrones de type pipeline										
727-CY7C1329H-133AXC	CY7C1329H-133AXC	TQFP-100	2 M	64 K x 32	133	de 0 à 70	de 3,14 à 3,63	5,73	5,26	4,79
727-CYC1339G133AXC	CY7C1339G-133AXC	TQFP-100	4 M	128 K x 32	133	de 0 à 70	de 3,14 à 3,63	5,16	4,65	4,30
727-CYC1347G133BGXC	CY7C1347G-133BGXC	BGA-119	4 M	128 K x 32	133	de 0 à 70	de 3,14 à 3,63	8,99	7,90	7,19
727-CYC1347G250AXC	CY7C1347G-250AXC	TQFP-100	4 M	128 K x 36	250	de 0 à 70	de 3,14 à 3,63	7,76	6,81	6,20
727-CYC1357C133AXI	CY7C1357C-133AXI	TQFP-100	9 M	512 K x 18	133	de -40 à +85	de 3,14 à 3,63	11,39	9,61	8,25
727-CYC1360C200AJXC	CY7C1360C-200AJXC	TQFP-100	9 M	256 K x 36	200	de 0 à 70	de 3,14 à 3,63	9,49	8,55	8,26
727-CYC1360C200AXC	CY7C1360C-200AXC	TQFP-100	9 M	256 K x 36	200	de 0 à 70	de 3,14 à 3,63	10,16	9,16	8,84
727-CY7C1380D-167AXC	CY7C1380D-167AXC	TQFP-100	18 M	512 K x 36	167	de 0 à 70	de 3,14 à 3,63	19,85	18,52	17,82
727-CYC1380D167AXI	CY7C1380D-167AXI	TQFP-100	18 M	512 K x 36	167	de -40 à +85	de 3,14 à 3,63	21,85	20,23	19,27
727-CYC1380D200AXC	CY7C1380D-200AXC	TQFP-100	18 M	512 K x 36	200	de 0 à 70	de 3,14 à 3,63	19,87	18,52	18,39
727-CY7C1382D-167AXC	CY7C1382D-167AXC	TQFP-100	18 M	1 M x 18	167	de 0 à 70	de 3,14 à 3,63	21,09	19,68	18,98
SRAM synchrones pipeline (architecture NoBL™)										
727-CYC1350G133AXC	CY7C1350G-133AXC	TQFP-100	4 M	128 K x 36	133	de 0 à 70	de 3,14 à 3,63	5,54	5,00	4,62
727-CYC354CV25166AXC	CY7C1354CV25-166AXC	TQFP-100	9 M	256 K x 36	166	de 0 à 70	de 2,38 à 2,63	9,96	8,97	8,67
727-CYC1354C166AXC	CY7C1354C-166AXC	TQFP-100	9 M	256 K x 36	166	de 0 à 70	de 3,14 à 3,63	8,44	7,88	6,93
727-CYC1354C166AXI	CY7C1354C-166AXI	TQFP-100	9 M	256 K x 36	166	de -40 à +85	de 3,14 à 3,63	9,48	8,54	8,08
727-CYC1360C166AXC	CY7C1360C-166AXC	TQFP-100	9 M	256 K x 36	166	de 0 à 70	de 3,14 à 3,63	10,01	9,01	8,70
727-CYC354CV25200AXC	CY7C1354CV25-200AXC	TQFP-100	9 M	256 K x 36	200	de 0 à 70	de 2,38 à 2,63	10,64	8,98	7,71
727-CYC1354C200AXC	CY7C1354C-200AXC	TQFP-100	9 M	256 K x 36	200	de 0 à 70	de 3,14 à 3,63	9,60	8,65	8,36
727-CY7C1354C-200AXI	CY7C1354C-200AXI	TQFP-100	9 M	256 K x 36	200	de -40 à +85	de 3,14 à 3,63	9,89	9,31	8,44
727-CYC1357C100AXC	CY7C1357C-100AXC	TQFP-100	9 M	512 K x 18	100	de 0 à 70	de 3,14 à 3,63	11,22	9,48	8,13
727-CYC356CV25166AXC	CY7C1356CV25-166AXC	TQFP-100	9 M	512 K x 18	166	de 0 à 70	de 2,38 à 2,63	11,15	9,42	8,09
727-CYC1356C166AXI	CY7C1356C-166AXI	TQFP-100	9 M	512 K x 18	166	de -40 à +85	de 3,14 à 3,63	11,29	9,53	8,18
727-CYC1356C250AXC	CY7C1356C-250AXC	TQFP-100	9 M	512 K x 18	250	de 0 à 70	de 3,14 à 3,63	11,32	9,56	8,20
727-CY7C1370D200BGXC	CY7C1370D-200BGXC	BGA-119	18 M	512 K x 16	200	de 0 à 70	de 3,14 à 3,63	25,87	24,35	22,07
727-CYC370DV25200AXC	CY7C1370DV25-200AXC	TQFP-100	18 M	512 K x 16	200	de 0 à 70	de 2,38 à 2,63	22,35	20,69	20,05
727-CYC370DV25250AXC	CY7C1370DV25-250AXC	TQFP-100	18 M	512 K x 16	250	de 0 à 70	de 2,38 à 2,63	26,88	22,24	19,45
727-CYC1371D133AXC	CY7C1371D-133AXC	TQFP-100	18 M	512 K x 36	133	de 0 à 70	de 3,14 à 3,63	19,87	18,52	18,39
727-CYC1370D167AXI	CY7C1370D-167AXI	TQFP-100	18 M	512 K x 36	167	de -40 à +85	de 3,14 à 3,63	22,39	20,73	19,61
727-CYC1372D167AXC	CY7C1372D-167AXC	TQFP-100	18 M	1 M x 18	167	de 0 à 70	de 3,14 à 3,63	19,87	18,52	18,39

© Copyright 2012 Mouser Electronics

© Copyright 2012 Mouser Electronics

Mémoire CYPRESS

RoHS Compliant **This product is RoHS compliant.**

SRAM À PUISSANCE ULTRA FAIBLE

Cypress s'engage à maintenir la disponibilité de son assistance autant pour les mémoires SRAM asynchrones rapides que pour les SRAM à faible consommation électrique, même si certains acteurs majeurs quittent le marché. En offrant la technologie de traitement la plus avancée dans le monde des mémoires SRAM, les SRAM MoBL™ de Cypress domine le segment à consommation électrique faible avec l'éventail le plus large de l'industrie, de 64 Ko à 64 Mo. Les SRAM MicroPower compatibles RoHS de Cypress sont présentées dans des options de format industrielles telles que : FBGA, VFBGA, SOIC, STSOP, TSOP, TSOP II, PDIP, dans une plage de températures industrielles. Ces SRAM sont adéquates pour les solutions à mémoire haute performance sur batterie à longue durée de vie.

Pour des quantités supérieures à celles indiquées, appelez-nous afin d'obtenir un devis.

RÉF. STOCK MOUSER	Réf. Cypress	Boîtier	Densité	Organisation	Vitesse (ns)	Plage temp.(°C)	Tension de fonctionnement (V)	Prix unitaire 1	25	50
727-CY626455SNXI	CY6264-55SNXI	SOIC-28	64Ko	8Kox8	55	de -40 à +85	4,5 à 5,5	4,13	3,63	3,30
727-CY6264-70SNXC	CY6264-70SNXC	SOIC-28	64Ko	8Kox8	70	de 0 à 70	4,5 à 5,5	2,66	2,61	2,50
727-CY62256NLL55SNXI	CY62256NLL-55SNXI	SOIC-28	256Ko	32Kox8	55	de -40 à +85	4,5 à 5,5	1,44	1,40	1,24
727-CY62256NLL55ZXE	CY62256NLL-55ZXE	TSOP I-28	256Ko	32Kox8	55	de -40 à +125	4,5 à 5,5	4,29	3,78	3,43
727-CY62256NLL-55ZXI	CY62256NLL-55ZXI	TSOP I-28	256Ko	32Kox8	55	de -40 à +85	4,5 à 5,5	1,44	1,40	1,24
727-CY62256NLL70PXC	CY62256NLL-70PXC	PDIP-28	256Ko	32Kox8	70	de 0 à 70	4,5 à 5,5	1,59	1,49	1,42
727-CY62256NLL70SNXC	CY62256NLL-70SNXC	SOIC-28	256Ko	32Kox8	70	de 0 à 70	4,5 à 5,5	1,44	1,40	1,24
727-CY62256NLL70ZRXI	CY62256NLL-70ZRXI	TSOP I-28	256Ko	32Kox8	70	de -40 à +85	4,5 à 5,5	1,44	1,40	1,24
727-CY256VNLL-70SNXI	CY62256VNLL-70SNXI	SOIC-28	256Ko	32Kox8	70	de -40 à +85	de 2,7 à 3,6	1,86	1,24	1,20
727-CY2256VNLL70ZRXE	CY62256VNLL-70ZRXE	TSOP I-28	256Ko	32Kox8	70	de -40 à +85	4,5 à 5,5	4,33	3,81	3,47
727-CY1256VNLL70ZRXI	CY62256VNLL-70ZRXI	TSOP I-28	256Ko	32Kox8	70	de -40 à +85	de 2,7 à 3,6	1,44	1,40	1,24
727-CY62256VNLL70ZXC	CY62256VNLL-70ZXC	TSOP I-28	256Ko	32Kox8	70	de 0 à 70	de 2,7 à 3,6	1,44	1,40	1,24
727-CY62256VNLL70ZXI	CY62256VNLL-70ZXI	TSOP I-28	256Ko	32Kox8	70	de -40 à +85	de 2,7 à 3,6	1,44	1,40	1,24
727-CY62126ESL45ZSXI	CY62126ESL-45ZSXI	TSOP II-44	1Mo	64Kox16	45	de -40 à +85	de 2,2 à 5,5	1,90	1,71	1,61
727-CY26EV30LL45ZSXI	CY62126EV30LL-45ZSXI	TSOP II-44	1Mo	64Kox16	45	de -40 à +85	de 2,7 à 3,6	2,14	2,02	1,90
727-CY27DV30LL55BVXI	CY62127DV30LL-55BVXI	VFBGA-48	1Mo	64Kox16	55	de -40 à +85	de 2,7 à 3,6	2,23	2,10	1,98
727-CY127DV30LL55ZXI	CY62127DV30LL-55ZXI	TSOP II-44	1Mo	64Kox16	55	de -40 à +85	de 2,7 à 3,6	2,48	2,18	1,98
727-CY62128ELL-45SXA	CY62128ELL-45SXA	SOIC-32	1Mo	128Kox8	45	de -40 à +85	4,5 à 5,5	4,09	3,84	3,63
727-CY62128ELL-45SXI	CY62128ELL-45SXI	SOIC-32	1Mo	128Kox8	45	de -40 à +85	4,5 à 5,5	2,99	2,00	1,92
727-CY62128ELL45ZAXI	CY62128ELL-45ZAXI	TSOP I-32	1Mo	128Kox8	45	de -40 à +85	4,5 à 5,5	3,32	2,92	2,66
727-CY62128ELL-45ZXA	CY62128ELL-45ZXA	TSOP I-32	1Mo	128Kox8	45	de -40 à +85	4,5 à 5,5	4,47	4,23	3,88
727-CY62128ELL45ZXI	CY62128ELL-45ZXI	TSOP I-32	1Mo	128Kox8	45	de -40 à +85	4,5 à 5,5	2,99	2,39	2,17
727-CY128EV30LL45SXI	CY62128EV30LL-45SXI	SOIC-32	1Mo	128Kox8	45	de -40 à +85	de 2,7 à 3,6	2,14	2,02	1,90
727-CY28EV30LL45ZAXI	CY62128EV30LL-45ZAXI	TSOP I-32	1Mo	128Kox8	45	de -40 à +85	de 2,7 à 3,6	2,14	2,02	1,90
727-CY128EV30LL45ZXI	CY62128EV30LL-45ZXI	TSOP I-32	1Mo	128Kox8	45	de -40 à +85	de 2,7 à 3,6	2,14	2,02	1,90
727-CY62128ELL-55SXE	CY62128ELL-55SXE	SOIC-32	1Mo	128Kox8	55	de -40 à +85	4,5 à 5,5	4,92	4,62	4,36
727-CY62128ELL55ZAXE	CY62128ELL-55ZAXE	TSOP I-32	1Mo	128Kox8	55	de -40 à +85	4,5 à 5,5	5,31	5,03	4,61
727-CY62136ESL45ZSXI	CY62136ESL-45ZSXI	TSOP II-44	2Mo	128Kox16	45	de -40 à +85	de 2,2 à 5,5	3,09	2,96	2,66
727-CY36EV30LL45BVXI	CY62136EV30LL-45BVXI	VFBGA-48	2Mo	128Kox16	45	de -40 à +85	de 2,7 à 3,6	3,67	3,23	2,94
727-CY36FV30LL45BVXI	CY62136FV30LL-45BVXI	VFBGA-48	2Mo	128Kox16	45	de -40 à +85	de 2,7 à 3,6	4,23	3,72	3,38
727-CY36EV30LL45ZSXI	CY62136EV30LL-45ZSXI	TSOP II-44	2Mo	128Kox16	45	de -40 à +85	de 2,7 à 3,6	3,31	3,09	2,94
727-CY36FV30LL45ZSXI	CY62136FV30LL-45ZSXI	TSOP II-44	2Mo	128Kox16	45	de -40 à +85	de 2,7 à 3,6	3,38	2,84	2,45
727-CY37EV30LL45BVXI	CY62137EV30LL-45BVXI	VFBGA-48	2Mo	128Kox16	45	de -40 à +85	de 2,7 à 3,6	3,67	3,23	2,94
727-CY37EV30LL45ZSXI	CY62137EV30LL-45ZSXI	TSOP II-44	2Mo	128Kox16	45	de -40 à +85	de 2,7 à 3,6	3,31	3,09	2,94
727-C137FV30LL45ZSXA	CY62137FV30LL-45ZSXA	TSOP II-44	2Mo	128Kox16	45	de -40 à +85	de 2,7 à 3,6	5,31	5,03	4,61
727-CY37FV18LL55BVXI	CY62137FV18LL-55BVXI	VFBGA-48	2Mo	128Kox16	55	de -40 à +85	de 1,65 à 2,25	4,23	3,72	3,38
727-CY38EV30LL45BVXI	CY62138EV30LL-45BVXI	VFBGA-36	2Mo	256Kox8	45	de -40 à +85	de 2,7 à 3,6	3,67	3,23	2,94
727-CY62138FLL45ZSXI	CY62138FLL-45ZSXI	TSOP II-32	2Mo	256Kox8	45	de -40 à +85	4,5 à 5,5	5,36	4,72	4,29
727-CY38FV30LL45BVXI	CY62138FV30LL-45BVXI	VFBGA-36	2Mo	256Kox8	45	de -40 à +85	de 2,7 à 3,6	4,23	3,72	3,38
727-CY138FV30LL45SXI	CY62138FV30LL-45SXI	SOIC-32	2Mo	256Kox8	45	de -40 à +85	de 2,7 à 3,6	2,84	2,66	2,53
727-CY62138FV30LL45	CY62138FV30LL-45ZAXA	TSOP I-32	2Mo	256Kox8	45	de -40 à +85	de 2,7 à 3,6	5,78	5,31	4,88
727-CY38FV30LL45ZAXI	CY62138FV30LL-45ZAXI	TSOP I-32	2Mo	256Kox8	45	de -40 à +85	de 2,7 à 3,6	3,12	2,59	2,52
727-CY38FV30LL45ZSXI	CY62138FV30LL-45ZSXI	TSOP II-32	2Mo	256Kox8	45	de -40 à +85	de 2,7 à 3,6	4,23	3,72	3,38
727-CY138FV30LL45ZXI	CY62138FV30LL-45ZXI	TSOP I-32	2Mo	256Kox8	45	de -40 à +85	de 2,7 à 3,6	2,84	2,66	2,53
727-CY62146ELL45ZSXA	CY62146ELL-45ZSXA	TSOP II-44	4Mo	256Kox16	45	de -40 à +85	4,5 à 5,5	7,30	6,92	6,34
727-CY62146ELL45ZSXI	CY62146ELL-45ZSXI	TSOP II-44	4Mo	256Kox16	45	de -40 à +85	4,5 à 5,5	7,34	6,09	5,94
727-CY62146ESL45ZSXI	CY62146ESL-45ZSXI	TSOP II-44	4Mo	256Kox16	45	de -40 à +85	de 2,2 à 5,5	6,68	6,01	5,41
727-CY46EV30LL45ZSXI	CY62146EV30LL-45ZSXI	TSOP II-44	4Mo	256Kox16	45	de -40 à +85	de 2,7 à 3,6	5,49	5,20	4,95
727-CY47EV30LL45BVXI	CY62147EV30LL-45BVXI	VFBGA-48	4Mo	256Kox16	45	de -40 à +85	de 2,7 à 3,6	5,49	5,20	4,95
727-CY47EV30LL45ZSXI	CY62147EV30LL-45ZSXI	TSOP II-44	4Mo	256Kox16	45	de -40 à +85	de 2,7 à 3,6	5,49	5,20	4,95
727-C147EV30LL55ZSXE	CY62147EV30LL-55ZSXE	TSOP II-44	4Mo	256Kox16	55	de -40 à +125	de 2,7 à 3,6	7,01	6,60	5,98
727-CY6218ELL-45ZSXI	CY62148ELL-45ZSXI	TSOP II-32	4Mo	512Kox8	45	de -40 à +85	4,5 à 5,5	6,56	5,90	5,46
727-CY48EV30LL45ZSXI	CY62148EV30LL-45ZSXI	TSOP II-32	4Mo	512Kox8	45	de -40 à +85	de 2,7 à 3,6	5,49	4,95	4,58
727-CY148DV30LL55SXI	CY62148DV30LL-55SXI	SOIC-32	4Mo	512Kox8	55	de -40 à +85	de 2,7 à 3,6	4,16	3,91	3,71
727-CY62148ELL-55SXA	CY62148ELL-55SXA	SOIC-32	4Mo	512Kox8	55	de -40 à +85	4,5 à 5,5	7,11	6,53	5,96
727-CY62148ELL-55SXI	CY62148ELL-55SXI	SOIC-32	4Mo	512Kox8	55	de -40 à +85	4,5 à 5,5	5,49	5,05	4,60
727-CY62148ESL-55ZAXI	CY62148ESL-55ZAXI	TSOP I-32	4Mo	512Kox8	55	de -40 à +85	de 2,2 à 5,5	6,68	6,01	5,78
727-C2148EV30LL55SXI	CY62148EV30LL-55SXI	SOIC-32	4Mo	512Kox8	55	de -40 à +85	de 2,7 à 3,6	4,58	4,21	3,84
727-CY62157ELL45ZSXI	CY62157ELL-45ZSXI	TSOP II-44	8Mo	512Kox16	45	de -40 à +85	4,5 à 5,5	11,88	11,26	10,73
727-CY62157ESL45ZSXI	CY62157ESL-45ZSXI	TSOP II-44	8Mo	512Kox16	45	de -40 à +85	de 2,2 à 5,5	12,07	10,86	9,78
727-CY57EV30LL45BVXI	CY62157EV30LL-45BVXI	VFBGA-48	8Mo	512Kox16	45	de -40 à +85	de 2,7 à 3,6	8,42	7,96	7,59
727-CY157EV30LL45ZXI	CY62157EV30LL-45ZXI	TSOP I-48	8Mo	512Kox16	45	de -40 à +85	de 2,7 à 3,6	8,42	7,59	7,02
727-C157EV30LL45ZSXA	CY62157EV30LL-45ZSXA	TSOP II-44	8Mo	512Kox16	45	de -40 à +85	de 2,7 à 3,6	8,30	7,81	7,08
727-CY57EV30LL45ZSXI	CY62157EV30LL-45ZSXI	TSOP II-44	8Mo	512Kox16	45	de -40 à +85	de 2,7 à 3,6	8,42	7,96	7,59
727-CY62157ELL55ZSXE	CY62157ELL-55ZSXE	TSOP II-44	8Mo	512Kox16	55	de -40 à +125	4,5 à 5,5	9,92	9,33	8,46
727-CY62157EV55ZSXE	CY62157EV30LL-55ZSXE	TSOP II-44	8Mo	512Kox16	55	de -40 à +125	de 2,7 à 3,6	9,78	8,81	8,31
727-CY62158ELL45ZSXI	CY62158ELL-45ZSXI	TSOP II-44	8Mo	1Mox8	45	de -40 à +85	4,5 à 5,5	9,12	8,58	7,78
727-CY58EV30LL45ZSXI	CY62158EV30LL-45ZSXI	TSOP II-44	8Mo	1Mox8	45	de -40 à +85	de 2,7 à 3,6	8,42	7,96	7,59
727-CY67EV30LL45BVXI	CY62167EV30LL-45BVXI	VFBGA-48	16Mo	1Mox16	45	de -40 à +85	de 2,7 à 3,6	12,99	11,43	10,40
727-CY67DV30LL55BVXI	CY62167DV30LL-55BVXI	VFBGA-48	16Mo	1Mox16	55	de -40 à +85	de 2,7 à 3,6	8,66	7,80	7,64
727-2167DV30LL-55ZXI	CY62167DV30LL-55ZXI	TSOP I-48	16Mo	1Mox16	55	de -40 à +85	de 2,7 à 3,6	11,51	7,80	7,54
727-CY77DV30LL55BAXI	CY62177DV30LL-55BAXI	FBGA-48	32Mo	2Mox16	55	de -40 à +85	de 2,7 à 3,6	34,65	29,70	27,47
727-CY62177EV30LL55Z	CY62177EV30LL-55ZXI	TSOP I-48	32Mo	2Mox16 ou 4Mox8	55	de -40 à +85	de 2,7 à 3,6	24,95	20,64	20,05

FIFO

Cypress propose des mémoires FIFO dans des densités situées entre 2 Ko à 1 Mo, ce qui donne des solutions idéales aux problèmes d'interconnexion tels que le contrôle du débit, l'adaptation des vitesses et l'adaptation des bus. La gamme complète de produits FIFO est présentée dans des boîtiers industriels standard tels que : TQFP et PL CC. Ces dispositifs peuvent être facilement intégrés dans les réalisations nouvelles et existantes pour aider les concepteurs à simplifier et accélérer le cycle de conception. Plus de 100 types de mémoires FIFO asynchrones et synchrones sont disponibles.

Pour des quantités supérieures à celles indiquées, appelez-nous afin d'obtenir un devis.

RÉF. STOCK MOUSER	Réf. Cypress	Boîtier	Densité	Organisation	Vitesse (ns)	Plage temp.(°C)	Tension de fonctionnement (V)	Prix unitaire 1	25	50
Asynchrone										
727-CYC42120JXC	CY7C421-20JXC	PLCC-32	4Ko	512Kox9	20	de 0 à 70	4,5 à 5,5	5,88	5,17	4,70
727-CYC42120VXC	CY7C421-20VXC	SOJ-28	4Ko	512Kox9	20	de 0 à 70	4,5 à 5,5	5,88	5,17	4,70
Synchrone basse tension										
727-CYC4225V15ASXC	CY7C4225V-15ASXC	TQFP-64	16K	1Kox18	15	de 0 à 70	de 3 à 3,6	13,80	12,88	12,42
727-CY7C4261V-15JXC	CY7C4261V-15JXC	PLCC-32	128Ko	16Kox9	15	de 0 à 70	de 3 à 3,6	31,89	31,06	30,03
Synchrone										
727-CYC422115JXC	CY7C4221-15JXC	PLCC-32	8Ko	1Kox9	15	de 0 à 70	4,5 à 5,5	13,28	12,28	11,15
727-CYC423115JXC	CY7C4231-15JXC	PLCC-32	16Ko	2Kox9	15	de 0 à 70	4,5 à 5,5	14,69	12,33	10,65

© Copyright 2012 Mouser Electronics

© Copyright 2012 Mouser Electronics

Mémoire flash parallèle GREENLIANT

Greenliant™

RoHS Compliant **This product is RoHS compliant.**

PLCC-32

PDIP-32

TSOP-32

TSOP-48

MÉMOIRE FLASH PARALLÈLE MTP (MANY-TIME PROGRAMMABLE - PROGRAMMABLE PLUSIEURS FOIS) SÉRIES 27 ET 37

Séries 27 et 37 de mémoire flash à faible coût et programmable plusieurs fois (MTP), basées sur la technologie SuperFlash® de SST. La conception à cellule à double fenêtre et à injecteur tunnel à oxyde épais atteint une meilleure fiabilité et capacité de fabrication par comparaison avec les approches alternatives. Ces composants MTP peuvent être effacés et programmés électriquement au moins 1 000 fois en utilisant un programmateur externe avec une alimentation 12 V. Ils doivent être effacés avant la programmation. Ces composants sont conformes aux broches de sorties standard JEDEC pour les mémoires à largeur d'octet. Conçus, fabriqués et testés pour une large gamme d'applications, ces composants sont offerts avec une endurance d'au moins 1 000 cycles. La rétention des données est établie à plus de 100 ans. Ils sont adaptés aux des applications qui nécessitent des écritures non fréquentes et un stockage non-volatil à faible puissance. Ces composants amélioreront la flexibilité, l'efficacité et la performance tout en respectant un coût réduit pour les applications non-volatiles qui utilisent actuellement les EPROM UV, les OTP et les ROM à masque.

Caractéristiques techniques (série GLS27) :

- Lecture à 5 V, programmation et effacement à 12 V
- Mêmes attributions de paquet et de broches que la mémoire EPROM/OTP
- Pour une utilisation dans les téléphones portables, les lecteurs VCD, les imprimantes et les télécopieurs où le code est figé et la programmation en système pas nécessaire

Caractéristiques techniques (série GLS37) :

- Lecture à 2,7-3,6 V, programmation et effacement à 12 V
- Mêmes attributions de paquet et de broches que la mémoire flash standard
- Pour une utilisation dans les téléphones portables, les lecteurs VCD, les imprimantes et les télécopieurs où le code est figé et la programmation en système pas nécessaire

♦ Montage en surface

Pour des quantités supérieures à celles indiquées, appelez-nous afin d'obtenir un devis.

RÉF. STOCK MOUSER	Réf. Greenliant	Boîtier	Densité	Organisation	Temps d'accès (ns)	Temps de réécriture sur puce (s)(Typ.)	Tension d'alimentation (V)	Température de fonctionnement (ºC)	Prix unitaire 1	50	100
♦ 804-GLS27SF010-70NHE	GLS27SF010-70-3C-NHE	PLCC-32	1Mo	128Ko x 8	70	2,8	4,5 à 5,5	de 0 à 70	**1,18**	**1,07**	**0,974**
804-GLS27SF010-70PHE	GLS27SF010-70-3C-PHE	PDIP-32	1Mo	128Ko x 8	70	2,8	4,5 à 5,5	de 0 à 70	**1,69**	**1,53**	**1,40**
♦ 804-GLS37VF010-70NHE	GLS37VF010-70-3C-NHE	PLCC-32	1Mo	128Ko x 8	70	1,2	de 2,7 à 3,6	de 0 à 70	**0,81**	**0,734**	**0,677**
♦ 804-GLS27SF020-70NHE	GLS27SF020-70-3C-NHE	PLCC-32	2Mo	256Ko x 8	70	5,6	4,5 à 5,5	de 0 à 70	**1,19**	**1,08**	**0,99**
804-GLS27SF020-70PHE	GLS27SF020-70-3CPHE	PDIP-32	2Mo	256Ko x 8	70	5,6	4,5 à 5,5	de 0 à 70	**1,69**	**1,53**	**1,40**
♦ 804-GLS37VF020-70NHE	GLS37VF020-70-3C-NHE	PLCC-32	2Mo	256Ko x 8	70	2,4	de 2,7 à 3,6	de 0 à 70	**0,75**	**0,726**	**0,693**

MÉMOIRE FLASH PARALLÈLE SSF (SMALL-SECTOR FLASH - FLASH DE PETIT SECTEUR) SÉRIE 29

Les dispositifs SSF (flash à petits secteurs) de la série 29 sont adaptés aux applications qui nécessitent une mise à jour pratique et économique de la mémoire de programmation, de configuration ou de données. Pour toutes les applications système, ils améliorent considérablement la performance et la fiabilité tout en réduisant la consommation. Ils utilisent intrinsèquement moins d'énergie pendant l'effacement et la programmation que les technologies flash alternatives. L'énergie totale consommée dépend de la tension appliquée, du courant et de la durée de l'application. Étant donné que pour toute plage de tension donnée la technologie SuperFlash utilise moins de courant pour programmer et qu'elle a un temps d'effacement plus court, l'énergie totale consommée pendant toute opération d'effacement ou de programmation est inférieure à celle des autres technologies flash. Ils améliorent aussi la flexibilité tout en réduisant les coûts des applications de programmations, de données et de stockage des configurations.

Caractéristiques techniques (série GGLS29EE) :

- Effacement de secteur à 128 octets
- Opérations d'effacement secteur par secteur
- Opérations de programmation octet par octet

Caractéristiques techniques (série GLS29SF/VF) :

- Dimension de page 128 octets
- Opérations d'écriture page par page
- L'opération d'écriture de page inclut un effacement interne transparent pour le système externe

♦ Montage en surface

Pour des quantités supérieures à celles indiquées, appelez-nous afin d'obtenir un devis.

RÉF. STOCK MOUSER	Réf. Greenliant	Boîtier	Densité	Organisation	Temps d'accès (ns)	Temps de réécriture sur puce (s)(Typ.)	Tension d'alimentation (V)	Température de fonctionnement (ºC)	Prix unitaire 1	50	100
♦ 804-GLS29EE512-70NHE	GLS29EE512-70-4C-NHE	PLCC-32	512Ko	64Ko x 8	70	2,5	4,5 à 5,5	de 0 à 70	**1,71**	**1,54**	**1,42**
♦ 804-GLS29EE512-70EHE	GLS29EE512-70-4C-EHE	TSOP-32	512Ko	64Ko x 8	70	2,5	4,5 à 5,5	de 0 à 70	**1,88**	**1,70**	**1,57**
♦ 804-GLS29EE5124I-NHE	GLS29EE512-70-4I-NHE	PLCC-32	512Ko	64Ko x 8	70	2,5	4,5 à 5,5	de -40 à +85	**2,81**	**2,54**	**2,33**
♦ 804-GLS29EE010-70NHE	GLS29EE010-70-4C-NHE	PLCC-32	1Mo	128Ko x 8	70	5	4,5 à 5,5	de 0 à 70	**2,00**	**1,82**	**1,67**
♦ 804-GLS29EE010-70WHE	GLS29EE010-70-4C-WHE	TSOP-32	1Mo	128Ko x 8	70	5	4,5 à 5,5	de 0 à 70	**2,10**	**1,89**	**1,74**
♦ 804-GLS29EE010-70EHE	GLS29EE010-70-4C-EHE	TSOP-32	1Mo	128Ko x 8	70	5	4,5 à 5,5	de 0 à 70	**2,17**	**1,97**	**1,81**
804-GLS29EE010-70PHE	GLS29EE010-70-4C-PHE	PDIP-32	1Mo	128Ko x 8	70	5	4,5 à 5,5	de 0 à 70	**2,30**	**2,08**	**1,91**
♦ 804-GLS29SF020-55NHE	GLS29SF020-55-4C-NHE	PLCC-32	2Mo	256Kbx8	55	4	4,5 à 5,5	de 0 à 70	**1,55**	**1,39**	**1,29**
♦ 804-GLS29VF020-70NHE	GLS29VF020-70-4C-NHE	PLCC-32	2Mo	256Ko x 8	70	4	de 2,7 à 3,6	de 0 à 70	**1,28**	**1,16**	**1,06**
♦ 804-GLS29VF0204C-WHE	GLS29VF020-70-4C-WHE	TSOP-32	2Mo	256Ko x 8	70	4	de 2,7 à 3,6	de 0 à 70	**1,65**	**1,50**	**1,38**
♦ 804-GLS29SF0404C-NHE	GLS29SF040-55-4C-NHE	PLCC-32	4 Mo	512Ko x 8	55	8	4,5 à 5,5	de 0 à 70	**1,59**	**1,44**	**1,33**
♦ 804-GLS29VF0404C-NHE	GLS29VF040-70-4C-NHE	PLCC-32	4 Mo	512Ko x 8	70	8	de 2,7 à 3,6	de 0 à 70	**1,58**	**1,42**	**1,31**
♦ 804-GLS29VF0404C-WHE	GLS29VF040-70-4C-WHE	TSOP-32	4M	512Ko x 8	70	8	de 2,7 à 3,6	de 0 à 70	**1,66**	**1,49**	**1,38**

MÉMOIRE FLASH PARALLÈLE CSF (CONCURRENT SUPER FLASH – SUPER FLASH CONCURRENTE) SÉRIE 36

La série 36 CSF (Super flash concurrente) est un dispositif de mémoire flash à double banque conçu pour les applications de communications et consommateur sans fil. L'architecture à double banque prend en charge les opérations de lecture/d'écriture concurrentes pendant lesquelles l'utilisateur peut lire à partir d'une banque tout en programmant ou en effaçant l'autre banque.

Caractéristiques :

- Architecture à deux banques pour les opérations de lecture/écriture simultanées
- Tension de fonctionnement : 2,7-3,6 V pour les opérations de lecture et écriture
- Protection matérielle du secteur supérieur ou inférieur
- Capacité d'effacement flexible
- ID sécurité programmable implicitement ou par l'utilisateur
- Suspension de l'effacement/Reprise de l'effacement
- Bus de données x8 / x16 sélectionnable par l'utilisateur à travers une broche BYTE#
- Protection en écriture du matériel à travers la broche WP#

♦ Montage en surface

Pour des quantités supérieures à celles indiquées, appelez-nous afin d'obtenir un devis.

RÉF. STOCK MOUSER	Réf. Greenliant	Boîtier	Densité	Organisation	Temps d'accès (ns)	Temps de réécriture sur puce (s)(Typ.)	Tension d'alimentation (V)	Température de fonctionnement (ºC)	Prix unitaire 1	50	100
♦ 804-GLS36VF1601G-EKE	GLS36VF1601G-70-4I-EKE	TSOP-48	16Mo	1Mox16 ou 2Mox8	70	7	de 2,7 à 3,6	de -40 à +85	**2,66**	**2,42**	**2,23**
♦ 804-GLS36VF3204E-EKE	GLS36VF3203-70-4E-EKE	TSOP-48	32Mo	2Mox16 ou 4Mox8	70	7	de 2,7 à 3,6	-20 à +85	**3,72**	**3,37**	**3,10**
♦ 804-GLS36VF32044EEKE	GLS36VF3204-70-4E-EKE	TSOP-48	32Mo	2Mox16 ou 4Mox8	70	7	de 2,7 à 3,6	-20 à +85	**3,72**	**3,37**	**3,10**

© Copyright 2012 Mouser Electronics

© Copyright 2012 Mouser Electronics

Contrôleurs et disques SSD GREENLIANT

RoHS Compliant **This product is RoHS compliant.**

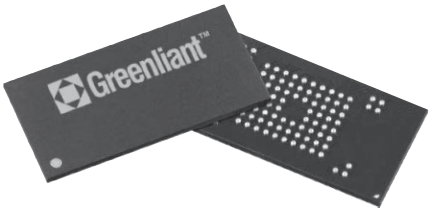

LBGA-91

TQFP-100L

DISQUES SSD EMBARQUÉS SÉRIE NANDRIVE™ 85

La gamme NANDrive™ se compose de disques SSD embarqués entièrement intégrés à haute performance. Ces produits intègrent un contrôleur ATA et une ou plusieurs cœurs de mémoire flash NAND dans un boîtier multi-puces. Les produits NANDrive sont parfaitement adaptés au stockage de masse à semi-conducteurs (SDD) grand public dans des applications embarquées et mobiles parce qu'ils offrent une fonctionnalité nouvelle et étendue tout en permettant des conceptions économiques. Cette famille de produits inclut également des fonctionnalités de sécurité supplémentaires afin de protéger les informations confidentielles stockées dans la mémoire flash.

Les produits NANDrive offrent la fonctionnalité et la compatibilité totales d'un lecteur de disque dur IDE dans un petit boîtier BGA pour un montage facile, économique et permettant de gagner de l'espace sur une carte-mère système. Ces produits constituent la solution idéale pour des applications nécessitant des capacités de stockage de données moindres et plus fiables. Grâce au microcontrôleur et au microprogramme de gestion des fichiers Flash intégrés, les logiciels hôtes Flash File System (FFS) et les pilotes de technologie mémoire (Memory Technology Driver, MTD) ne sont plus nécessaires.

Caractéristiques :

- Architecture à deux banques pour les opérations de lecture/écriture simultanées
- Le disque SSD ATA le plus petit du marché
- Interface bus ATA/IDE au standard industriel
- Interface bus mémoire standard
- Interface hôte : accès 8 ou 16 bits
- Accepte jusqu'à 6 modes PIO
- La technologie multitâche améliore les performances
- Microprogramme préprogrammé en SuperFlash® embarquée
- Protection efficace contre les coupures de courant
- Protection des données étendue
- Broche WP_PD# configurable par microprogramme pour empêcher l'écrasement des données
- Sécurité des données améliorée grâce à des zones de protection sélectionnables par l'utilisateur
- Commandes intelligentes
- ECC intégré

Applications :

- Boîtier adaptateur
- Lecteur/enregistreur Blu-Ray
- Système info-loisir automobile
- Client léger
- MID/Netbook
- Imprimante
- PDV
- Système VOIP
- Station de base
- Routeur/passerelle
- Serveur
- Ordinateur industriel
- Équipements médicaux
- Automatisation/contrôle
- Test/mesures
- Dispositif de surveillance de sécurité

♦ **Montage en surface**

Pour des quantités supérieures à celles indiquées, appelez-nous afin d'obtenir un devis.

RÉF. STOCK MOUSER	Réf. Greenliant	Boîtier	Capacité	Cylindres	Têtes	Secteurs	Tension d'alimentation (V)	Température de fonctionnement (ºC)	Prix unitaire		
									1	50	100
♦ 804-GLS85LD0512-LBTE	GLS85LD0512-60-RI-LBTE	LBGA-91	512M	993	16	63	3,3	de -40 à +85	33,86	33,73	33,65

CONTRÔLEUR DE DISQUE FLASH ATA

Le GLS55VD020 est le cœur d'un système de stockage des données haute performance basé sur le support flash. Le contrôleur NAND reconnaît les signaux de contrôle, d'adresse et de données sur le bus ATA/IDE et les traduit en accès à la mémoire pour les supports flash de type NAND standard. Utilisant à la fois les supports flash Single-Level Cell (SLC) et Multi-Level Cell (MLC), cette technologie accepte les applications de stockage de masse à semi-conducteurs (SDD), en offrant une fonctionnalité nouvelle et étendue tout en permettant des conceptions plus légères et moins consommatrices. Le contrôleur NAND accepte le protocole ATA/IDE standard, jusqu'aux interfaces PIO Mode-6, Multi-word DMA Mode-4 et Ultra DMA Mode-4. L'interface ATA/IDE est largement utilisée dans des produits tels que les ordinateurs portables et de bureau, les lecteurs multimédia portables, les lecteurs de musique, les scanners de collecte de données portables, les PDA, les bornes universelles, les communicateurs personnels, les enregistreurs audio, les dispositifs de surveillance et les boîtiers décodeurs.

Caractéristiques :

- Interface bus ATA/IDE standard
- Interface pour support flash NAND standard
- Fonctionnement à faible consommation
- Unité de gestion de l'énergie
- Interface pour support Flash : accès 8 bits simple ou double
- Accepte jusqu'à 4 dispositifs à support Flash par canal
- Prend en charge les supports Single-Level Cell (SLC) et Multi-Level Cell (MLC) dont la taille de la page de programmation est de 2Kb et 4Kb
- Protection en écriture
- ID unique 20 octets pour sécurité renforcée
- Interface NAND multitâche programmable
- Stockage microprogramme en SuperFlash® embarquée
- Microprogramme préprogrammé embarqué
- ECC Matériel intégré
- Horloge système interne intégrée
- Reconnaissance et initialisation automatique des composants à support Flash

♦ **Montage en surface**

Pour des quantités supérieures à celles indiquées, appelez-nous afin d'obtenir un devis.

RÉF. STOCK MOUSER	Réf. Greenliant	Boîtier boîtier	Tension de fonctionnement (V)	Vitesse d'horloge (MHz)	Capacité acceptée	Vitesse d'écriture soutenue	Vitesse de lecture soutenue	Caractéristiques de sécurité	Prix unitaire		
									1	50	100
♦ 804-GLS55VD020C-TQWE	GLS55VD020-60-C-TQWE	TQFP-100L	3,3	60	Jusqu'à 4Go	Jusqu'à 30Mo/s	Jusqu'à 30Mo/s	Oui	9,66	8,75	8,05

CONTRÔLEUR DE CARTE COMPACTFLASH

Le contrôleur NAND GLS55LC200 est le cœur d'un système de stockage des données haute performance basé sur le support flash. Le contrôleur reconnaît les signaux de contrôle, d'adresse et de données sur le bus CF et les traduit en accès à la mémoire pour les supports flash de type NAND standard. En utilisant à la fois les supports flash Single-Level Cell (SLC) et Multi-Level Cell (MLC), cette technologie accepte les applications de stockage en série à semi-conducteurs en offrant une fonctionnalité nouvelle et étendue tout en permettant des conceptions plus légères et moins consommatrices. Le contrôleur NAND accepte les protocoles CF standard, jusqu'aux interfaces PIO Mode-6, Multi-word DMA Mode-4 et Ultra DMA Mode-4. L'interface CF est abondamment utilisée dans des produits tels que les ordinateurs portables et de bureau, les appareils photos numériques, les lecteurs multimédia portables, les lecteurs de musique, les scanners de collecte de données portables, les PDA, les bornes universelles, les communicateurs personnels, les enregistreurs audio, les dispositifs de surveillance et les boîtiers décodeurs.

Caractéristiques :

- Conforme aux spécifications de la CompactFlash Association révision 3.0
- Interface pour support flash NAND standard
- Fonctionnement à faible consommation
- Unité de gestion de l'énergie
- Interface pour support Flash : accès 8 bits simple ou double
- Accepte jusqu'à 4 dispositifs à support Flash par canal
- Prend en charge les supports Single-Level Cell (SLC) et Multi-Level Cell (MLC) de taille de page de programmation 2 Kb et 4Kb
- ID unique 20 octets pour sécurité renforcée
- Interface NAND multitâche programmable
- Stockage microprogramme en SuperFlash® embarquée
- Microprogramme préprogrammé embarqué
- ECC Matériel intégré
- Horloge système interne intégrée
- Reconnaissance et initialisation automatique des composants à support Flash

♦ **Montage en surface**

Pour des quantités supérieures à celles indiquées, appelez-nous afin d'obtenir un devis.

RÉF. STOCK MOUSER	Réf. Greenliant	Boîtier boîtier	Tension de fonctionnement (V)	Vitesse d'horloge (MHz)	Capacité acceptée	Vitesse d'écriture soutenue	Vitesse de lecture soutenue	Caractéristiques de sécurité	Prix unitaire		
									1	50	100
♦ 804-GLS55LC200C-TQWE	GLS55LC200-60-C-TQWE	TQFP-100L	3,3	60	Jusqu'à 4Go	Jusqu'à 30Mo/s	Jusqu'à 30Mo/s	Oui	5,49	4,97	4,57

© Copyright 2012 Mouser Electronics

© Copyright 2012 Mouser Electronics

SRAM ISSI

RoHS Compliant **This product is RoHS compliant.**

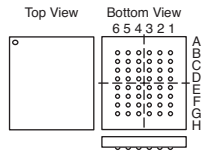

MiniBGA-48

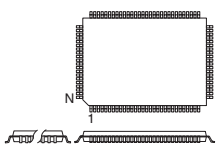

TQFP-100

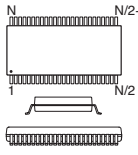

TSOP-II-50

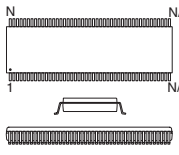

TSOP-II-66

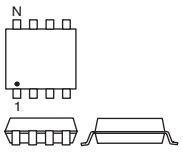

SOIC-8

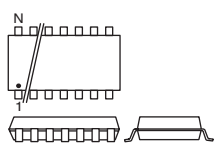

TSSOP-8

♦ **Composant pour montage en surface**

RAM STATIQUES, MONTAGE EN SURFACE

La mémoire SRAM asynchrone est un circuit logique électronique dans lequel les opérations logiques ne sont pas exécutées sous le contrôle d'un signal d'horloge, ce qui implique que les transitions logiques ne se produisent pas simultanément (nominalement). Dans les SRAM asynchrones, les transitions peuvent se produire l'une après l'autre avec un délai minimum mais à un certain coût en ce qui concerne la complexité du circuit et le risque de fonctionnement incorrect. La mémoire SRAM synchrone est un circuit logique électronique dans lequel les opérations logiques sont exécutées sous le contrôle de et en synchronisation avec un signal d'horloge généré à l'extérieur. La ligne de produits SRAM Pseudo est ciblée pour les applications dans les secteur de la consommation, de l'industrie, de l'automobile, du réseau et des télécommunications à basse consommation pour lesquels une solution à coût moindre est nécessaire et un courant de veille plus élevé peut être accepté.

SRAM asynchrone

Pour des quantités supérieures à celles indiquées, appelez-nous afin d'obtenir un devis.

RÉF. STOCK MOUSER	Réf. ISSI	Type de boîtier	Densité	Organisation	Temps d'accès (ns)	Plage de temp. (°C)	Tension d'alimentation (V)	Prix unitaire 1	25	100	500
Haute vitesse											
♦ 870-IS61C256AL-12JLI	IS61C256AL-12JLI	SOJ-28	256Ko	32K x 8	12	- 40 à + 85	5	**2,19**	**2,16**	**1,87**	**1,76**
♦ 870-IS61C256AL-12TLI	IS61C256AL-12TLI	TSOP I-28	256Kb	32K x 8	12	- 40 à + 85	5	**2,19**	**2,16**	**1,87**	**1,76**
♦ 870IS61C1024AL12JLI	IS61C1024AL-12JLI	SOJ-32 (300ms)	1Mb	128Kb x 8	12	- 40 à + 85	5	**2,84**	**2,70**	**2,56**	**2,43**
♦ 870IS61C1024AL12KLI	IS61C1024AL-12KLI	SOJ-32 (400ms)	1Mo	128Kb x 8	12	- 40 à + 85	5	**2,84**	**2,70**	**2,56**	**2,43**
Faible puissance											
♦ 870-IS62C256AL-45ULI	IS62C256AL-45ULI	SOP-28	256 Ko	32Kbx8	45	de - 40 à + 85	5	**2,19**	**2,16**	**1,87**	**1,76**
♦ 870IS62C1024AL35QLI	IS62C1024AL-35QLI	SOP-32 (300ms)	1Mo	128Ko x 8	35	de - 40 à + 85	5	**2,84**	**2,70**	**2,56**	**2,43**
♦ 870IS62C1024AL35TLI	IS62C1024AL-35TLI	TSOP I-32	1Mb	128Ko x 8	35	de - 40 à + 85	5	**2,84**	**2,70**	**2,56**	**2,43**
Haute vitesse/faible puissance											
♦ 870-IS61LV256AL10JLI	IS61LV256AL-10JLI	SOJ-28	256Ko	32K x 8	10	de - 40 à + 85	3,3	**2,19**	**2,16**	**1,87**	**1,76**
♦ 870-IS61LV256AL10TLI	IS61LV256AL-10TLI	TSOP I-28	256Kb	32K x 8	10	de - 40 à + 85	3,3	**2,19**	**2,16**	**1,87**	**1,76**
♦ 870-IS61LV6416-10TL	IS61LV6416-10TL	TSOP II-44	1Mb	64Kbx16	10	de 0 à 70	3,3	**2,84**	**2,70**	**2,56**	**2,43**
♦ 87061WV6416BLL12TLI	IS61WV6416BLL-12TLI	TSOP II-44	1Mb	64Kbx16	12	de - 40 à + 85	3,3	**2,52**	**2,39**	**2,27**	**2,16**
♦ 870-IS63LV1024L-12JL	IS63LV1024L-12JL	SOJ-32 (300ms)	1Mb	128Kb x 8	12	de 0 à 70	3,3	**2,86**	**2,72**	**2,58**	**2,45**
♦ 870IS61LV12816L10TL	IS61LV12816L-10TL	TSOP II-44	2Mb	128Kbx16	10	de 0 à 70	3,3	**5,43**	**5,16**	**4,90**	**4,65**
♦ 870IS61LV25616AL10TL	IS61LV25616AL-10TL	TSOP II-44	4Mb	256Kbx16	10	de 0 à 70	3,3	**7,16**	**6,88**	**5,14**	**4,73**
♦ 870IS61LV5128AL10TLI	IS61LV5128AL-10TLI	TSOP II-44	4Mb	512Ko x 8	10	de - 40 à + 85	3,3	**7,22**	**6,94**	**5,19**	**4,81**
Consommation réduite Powersaver™											
♦ 870IS62LV256AL45TLI	IS62LV256AL-45TLI	TSOP I-28	256Kb	32Kbx8	45	de 0 à 70	3,3	**2,19**	**2,16**	**1,87**	**1,76**
♦ 87062WV1288DBLL45HLI	IS62WV1288DBLL45HLI	sTSOP I-32	1Mb	128Kbx8	45	de - 40 à + 85	2,5-3,6	**1,65**	**1,49**	**1,32**	**1,16**
♦ 87062WV1288BLL55HLI	IS62WV1288BLL-55HLI	sTSOP I-32	1Mb	128Kbx8	55	de - 40 à + 85	2,5-3,6	**2,18**	**2,07**	**1,97**	**1,87**
♦ 87062WV1288BLL55TLI	IS62WV1288BLL-55TLI	TSOP I-32	1Mb	128Kbx8	55	de - 40 à + 85	2,5-3,6	**1,82**	**1,63**	**1,45**	**1,27**
♦ 87062WV12816BLL55TLI	IS62WV12816BLL-55TLI	TSOP II-44	2Mb	128Kbx16	55	de - 40 à + 85	2,5-3,6	**3,28**	**3,12**	**2,96**	**2,81**
♦ 87062WV2568BLL55TLI	IS62WV2568BLL-55TLI	TSOP I-32	2Mb	256Kbx8	55	de - 40 à + 85	2,5-3,6	**2,54**	**2,29**	**2,03**	**1,78**
♦ 87062WV25616BLL55BLI	IS62WV25616BLL-55BLI	mBGA-48	4Mb	256Kbx16	55	de - 40 à + 85	2,5-3,6	**9,63**	**9,47**	**8,21**	**7,71**
♦ 87062WV25616BLL55TLI	IS62WV25616BLL-55TLI	TSOP II-44	4Mb	256Kbx16	55	de - 40 à + 85	2,5-3,6	**9,63**	**9,47**	**8,21**	**7,71**
♦ 87062WV51216BLL55TLI	IS62WV51216BLL-55TLI	TSOP II-44	8Mb	512Kbx16	55	de - 40 à + 85	2,5-3,6	**13,74**	**13,51**	**11,73**	**11,00**

SRAM synchrone

Pour des quantités supérieures à celles indiquées, appelez-nous afin d'obtenir un devis.

RÉF. STOCK MOUSER	Réf. ISSI	Type de boîtier	Densité	Organisation	Fréquence (MHz)	Plage de temp. (°C)	Tension d'alimentation (V)	Prix unitaire 1	25	100	500
Pipeline et Flow-Thru											
870LPS12836A200TQLI	IS61LPS12836A-200TQLI	TQFP-100	4Mb	128Kbx36	200	de - 40 à + 85	3,3	**13,13**	**12,48**	**11,85**	**11,26**
870LPS25636A200TQLI	IS61LPS25636A-200TQLI	TQFP-100	8Mb	256Kbx36	200	de - 40 à + 85	3,3	**26,27**	**24,96**	**23,71**	**22,52**
Sans attente											
87061NLP51236200TQLI	IS61NLP51236-200TQLI	TQFP-100	18Mb	512Kbx36	200	de - 40 à + 85	3,3	**39,41**	**37,44**	**35,57**	**33,79**
87061NLP1024182TQLI	IS61NLP102418-200TQLI	TQFP-100	18Mb	1Mbx18	200	de - 40 à + 85	3,3	**39,41**	**37,44**	**35,57**	**33,79**

MÉMOIRE DYNAMIQUE (DRAM) : SDR (DÉBIT DE DONNÉES UNIQUE) SYNCHRONE, MONTÉE EN SURFACE

ISSI propose une grande variété de RAM dynamiques (DRAM). La DRAM est une forme de mémoire volatile dans laquelle l'information stockée se dégrade avec le temps. Elles incluent les DRAM synchrones EDO (Extended Data Out – Sortie de donnée étendue) / FPM (Fast Page Output – Sortie de page rapide) DRAM, SDRAM (Synchronous Dynamic Random Access Memory – Mémoire à accès aléatoire dynamique synchrone) et DDR I (Double Data Rate I Synchronous Dynamic Random Access Memory – Mémoire à accès aléatoire dynamique synchrone I). Elles réalisent un transfert de données à haute vitesse en utilisant l'architecture pipeline. Tous les signaux d'entrée et de sortie réfèrent à la partie supérieure de l'entrée d'horloge.

- Fonctionnement complètement synchrone
- Banque interne pour accès/préchargement des lignes cachées
- Durée de rafale programmable - (1, 2, 4, 8 ou page complète)
- Adresse de colonne aléatoire à chaque cycle d'horloge
- Fin de rafale par arrêt de la rafale et commande de pré-chargement

Pour des quantités supérieures à celles indiquées, appelez-nous afin d'obtenir un devis.

RÉF. STOCK MOUSER	Réf. ISSI	Type de boîtier	Densité	Organisation	Fréq. (MHz)	Vitesse (ns)	Plage de temp. (°C)	Tension d'alimentation (V)	Prix unitaire 1	25	100	500
♦ 870-IS42S32200E-7TL	IS42S32200E-7TL	TSOP II-86	64Mb	Banques 512Kbx32x4	143	7	de 0 à 70	3,3	**3,71**	**3,34**	**2,97**	**2,60**
♦ 870-42S16400F-7TL	IS42S16400F-7TL	TSOP II-54	64Mb	Banques 1Mbx16x4	143	7	de 0 à 70	3,3	**3,47**	**2,78**	**2,53**	**2,29**
♦ 870-IS42S32400D-7BL	IS42S32400D-7BL	BGA-90	128Mb	Banques 1Mbx32x4	143	7	de 0 à 70	3,3	**10,84**	**10,30**	**9,78**	**9,29**
♦ 870-IS42S32400D-7TL	IS42S32400D-7TL	TSOP II-86	128Mb	Banques 1Mbx32x4	143	7	de 0 à 70	3,3	**8,64**	**8,21**	**7,80**	**7,41**
♦ 870-IS42S16800D-7TL	IS42S16800D-7TL	TSOP II-54	128Mb	Banques 2Mbx16x4	143	7	de 0 à 70	3,3	**7,11**	**6,76**	**6,42**	**6,10**
♦ 870-42S16800E-7TL	IS42S16800E-7TL	TSOP II-54	128Mb	Banques 2Mbx16x4	143	7	de 0 à 70	3,3	**5,03**	**4,53**	**4,03**	**3,52**
♦ 870-IS42S81600D-7TL	IS42S81600D-7TL	TSOP II-54	128Mb	Banques 4Mbx8x4	143	7	de 0 à 70	3,3	**8,64**	**8,21**	**7,80**	**7,41**
♦ 870-IS42S83200B-7TL	IS42S83200B-7TL	TSOP II-54	256Mb	Banques 8Mbx8x4	143	7	de 0 à 70	3,3	**13,74**	**13,51**	**11,73**	**11,00**
♦ 870-42S16160D-7TL	IS42S16160D-7TL	TSOP II-54	256Mb	Banques 16Mbx16x4	143	7	de 0 à 70	3,3	**7,43**	**6,68**	**5,94**	**5,20**
♦ 870-43R16160B-6TL	IS43R16160B-6TL	TSOP II-66	256Mb	Banques 16Mbx16x4	166	6	de 0 à 70	3,3	**4,95**	**4,46**	**3,96**	**3,47**

© Copyright 2012 Mouser Electronics

© Copyright 2012 Mouser Electronics

EEPROM série MICROCHIP

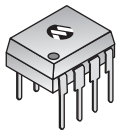
PDIP-8

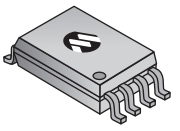
TSSOP-8

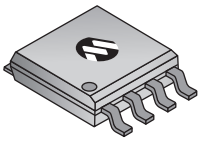
SOIC-8

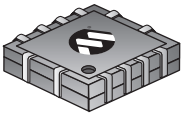
DFN-8

FAMILLE D'EEPROM SÉRIE SUR BUS UNI/O™

♦ Composant pour montage en surface

Caractéristiques : • Accepte tous les taux de données de 10kHz à 100kHz • Les seules EEPROM 1Kbit, 2Kbit, 4Kbit et 16Kbit disponibles en SOT-23-3

Pour des quantités supérieures à celles indiquées, appelez-nous afin d'obtenir un devis.

RÉF. STOCK MOUSER		Type de boîtier	Description	Prix unitaire			
Fabr.	Réf. fabr.			1	10	25	100
579—11LC010T-I/TT		SOT-23-3	1Kb, 128x8 2,5V EE SÉRIE, IND	0,25	0,21	0,203	0,195
579—11LC010-I/P		PDIP-8	1Kb, 128x8 2,5V EE SÉRIE, IND	0,32	0,27	0,263	0,248
579—11LC010-I/SN		SOIC-8	1Kb, 128x8 2,5V EE SÉRIE, IND	0,27	0,225	0,218	0,21
579—11LC010-I/MS		MSOP-8	1Kb, 128x8 2,5V EE SÉRIE, IND	0,30	0,255	0,248	0,233
579—11AA010T-I/TT		SOT-23-3	1Kb, 128x8 1,8V EE SÉRIE, IND	0,25	0,21	0,203	0,195
579—11AA010-I/P		PDIP-8	1Kb, 128x8 1,8V EE SÉRIE, IND	0,32	0,27	0,263	0,248
579—11AA010-I/SN		SOIC-8	1Kb, 128x8 1,8V EE SÉRIE, IND	0,27	0,225	0,218	0,21
579—11AA010-I/MS		MSOP-8	1Kb, 128x8 1,8V EE SÉRIE, IND	0,30	0,255	0,248	0,233
579—11LC020T-I/TT		SOT-23-3	2Kb, 256x8 2,5V EE SÉRIE, IND	0,27	0,225	0,218	0,21
579—11LC020-I/P		PDIP-8	2Kb, 256x8 2,5V EE SÉRIE, IND	0,34	0,285	0,278	0,263
579—11LC020-I/SN		SOIC-8	2Kb, 256x8 2,5V EE SÉRIE, IND	0,29	0,24	0,233	0,225
579—11LC020-I/MS		MSOP-8	2Kbit, 256x8 2,5V EE SÉRIE, IND	0,32	0,27	0,263	0,248
579—11AA020T-I/TT		SOT-23-3	2Kb, 256x8 1,8V EE SÉRIE, IND	0,27	0,225	0,218	0,21
579—11AA020-I/P		PDIP-8	2Kb, 256x8 1,8V EE SÉRIE, IND	0,34	0,285	0,278	0,263
579—11AA020-I/SN		SOIC-8	2Kb, 256x8 1,8V EE SÉRIE, IND	0,29	0,24	0,233	0,225
579—11AA020-I/MS		MSOP-8	2Kb, 256x8 1,8V EE SÉRIE, IND	0,32	0,27	0,263	0,248
579—11LC040T-I/TT		SOT-23-3	4Kb, 512x8 2,5V EE SÉRIE, IND	0,29	0,24	0,233	0,225
579—11LC040-I/P		PDIP-8	4Kb, 512x8 2,5V EE SÉRIE, IND	0,36	0,30	0,293	0,278
579—11LC040-I/SN		SOIC-8	4Kb, 512x8 2,5V EE SÉRIE, IND	0,30	0,255	0,248	0,233
579—11LC040-I/MS		MSOP-8	4Kb, 512x8 2,5V EE SÉRIE, IND	0,34	0,285	0,278	0,263

RÉF. STOCK MOUSER		Type de boîtier	Description	Prix unitaire			
Fabr.	Réf. fabr.			1	10	25	100
579—11AA040T-I/TT		SOT-23-3	4Kb, 512 X 8 1,8V EE SÉRIE, IND	0,29	0,24	0,233	0,225
579—11AA040-I/P		PDIP-8	4Kb, 512X8 1,8V EE SÉRIE, IND	0,36	0,30	0,293	0,278
579—11AA040-I/SN		SOIC-8	4Kb, 512 X 8 1,8V EE SÉRIE, IND	0,30	0,255	0,248	0,233
579—11AA040-I/MS		MSOP-8	4Kb, 512X8 1,8V EE SÉRIE, IND	0,34	0,285	0,278	0,263
579—11LC080T-I/TT		SOT-23-3	8Kb, 1024X8 2,5V EE SÉRIE, IND	0,32	0,27	0,263	0,248
579—11LC080-I/P		PDIP-8	8Kb, 1024X8 2,5V EE SÉRIE, IND	0,39	0,33	0,323	0,308
579—11LC080-I/SN		SOIC-8	8Kb, 1024X8 2,5V EE SÉRIE, IND	0,34	0,285	0,278	0,263
579—11LC080-I/MS		MSOP-8	8Kb, 1024X8 2,5V EE SÉRIE, IND	0,38	0,315	0,308	0,293
579—11AA080T-I/TT		SOT-23-3	8Kb, 1024 X 8 1.8V EE SÉRIE, IND	0,32	0,27	0,263	0,248
579—11AA080-I/P		PDIP-8	8Kb, 1024X8 1.8V EE SÉRIE, IND	0,39	0,33	0,323	0,308
579—11AA080-I/SN		SOIC-8	8Kb, 1024X8 1.8V EE SÉRIE, IND	0,34	0,285	0,278	0,263
579—11AA080-I/MS		MSOP-8	8Kb, 1024X8 1.8V EE SÉRIE, IND	0,38	0,315	0,308	0,293
579—11LC160T-I/TT		SOT-23-3	16Kb, 2048X8 2,5V EE SÉRIE, IND	0,36	0,30	0,293	0,278
579—11LC160-I/P		PDIP-8	16Kb, 2048X8 2,5V EE SÉRIE, IND	0,43	0,36	0,345	0,33
579—11LC160-I/SN		SOIC-8	16Kb, 2048X8 2,5V EE SÉRIE, IND	0,38	0,315	0,308	0,293
579—11LC160-I/MS		MSOP-8	16Kb, 2048X8 2,5V EE SÉRIE, IND	0,41	0,345	0,338	0,323
579—11AA160T-I/TT		SOT-23-3	16Kb, 2048X8 1,8V EE SÉRIE, IND	0,36	0,30	0,293	0,278
579—11AA160-I/P		PDIP-8	16Kb, 2048X8 1,8V EE SÉRIE, IND	0,43	0,36	0,345	0,33
579—11AA160-I/SN		SOIC-8	16Kb, 2048X8 1,8V EE SÉRIE, IND	0,38	0,315	0,308	0,293
579—11AA160-I/MS		MSOP-8	16Kb, 2048 X 81,8V EE SÉRIE, IND	0,41	0,345	0,338	0,323

FAMILLE D'EEPROM SÉRIE COMPATIBLE I²C™

•Gamme de boîtiers incluant 8MF, 8SM, 8SN, ST, 8MS, SOT et wafer
•Vitesse maximale du bus 400 kHz
• Température de fonctionnement de -40 °C à +85 °C
• AA=1,8-5,5 V, LC=2,5-5,5 V

♦ Composant pour montage en surface

	RÉF. STOCK MOUSER		Type de boîtier	Densité	Organisation	Prix unitaire			
	Fabr.	Réf. fabr.				1	10	25	100
	579—24AA00-I/P		PDIP-8	16 octets	128 bits, 1,8V	0,23	0,195	0,188	0,18
♦	579—24AA00T-I/OT		SOT-23-5	16 octets	128 bits, 1,8V	0,16	0,135	0,135	0,128
♦	579—24AA01-I/MS		MSOP-8	1Kb	128x8, 1,8V	0,21	0,18	0,173	0,165
	579—24AA01-I/P		PDIP-8	1Kb	128x8, 1,8V	0,23	0,195	0,188	0,18
♦	579—24AA01-I/SN		SOIC-8	1Kb	128x8, 1,8V	0,18	0,15	0,15	0,143
♦	579—24AA01T-I/OT		SOT-23-5	1Kb	128x8, 1,8V	0,16	0,135	0,135	0,128
♦	579—24AA014H-I/SN		SOIC-8	1Kb	128x8, 1,8V	0,23	0,195	0,188	0,18
♦	579—24AA014-I/MC		DFN (2x3)-8	1 Kb	128x8, 1,8V	0,30	0,255	0,248	0,233
♦	579—24AA02-I/MS		MSOP-8	2Kb	256x8, 1,8V	0,23	0,195	0,188	0,18
♦	579—24AA02-I/SN		SOIC-8	2Kb	256x8, 1,8V	0,20	0,165	0,158	0,15
♦	579—24AA02T-I/OT		SOT-23-5	2Kb	256x8, 1,8V	0,18	0,15	0,15	0,143
♦	579—24AA04-I/MS		MSOP-8	4Kb	512x8, 1,8V	0,25	0,21	0,203	0,195
♦	579—24AA04-I/SN		SOIC-8	4Kb	512x8, 1,8V	0,21	0,18	0,173	0,165
♦	579—24AA08-I/SN		SOIC-8	8Kb	1Kbx8, 1,8V	0,23	0,195	0,188	0,18
♦	579—24AA08T-I/OT		SOT-23-5	8Kb	1Kbx8, 1,8V	0,21	0,18	0,173	0,165
♦	579—24AA08T-I/MNY		TDFN-8	8Kb	1Kbx8, 1,8V	0,27	0,225	0,218	0,21
♦	579—24AA128-I/MS		MSOP-8	128Kb	16Kbx8, 1,8V	0,54	0,45	0,435	0,42
	579—24AA128-I/P		PDIP-8	128Kb	16Kbx8, 1,8V	0,56	0,465	0,45	0,428
♦	579—24AA128-I/SN		SOIC-8	128Kb	16Kbx8, 1,8V	0,50	0,42	0,405	0,39
♦	579—24AA16-I/MS		MSOP-8	16Kb	2Kbx8, 1,8V	0,29	0,24	0,233	0,225
♦	579—24AA16-I/SN		SOIC-8	16Kb	2Kbx8, 1,8V	0,25	0,21	0,203	0,195
♦	579—24AA16T-I/OT		SOT-23-5	16Kb	2Kbx8, 1,8V	0,23	0,195	0,188	0,18
♦	579—24AA256-I/MS		MSOP-8	256Kb	32Kbx8, 1,8V	0,77	0,645	0,623	0,60
	579—24AA256-I/P		PDIP-8	256Kb	32Kbx8, 1,8V	0,79	0,66	0,638	0,608
♦	579—24AA256-I/SN		SOIC-8	256Kb	32Kbx8, 1,8V	0,74	0,615	0,593	0,57
♦	579—24AA32A-I/MS		MSOP-8	32Kb	4Kbx8, 1,8V	0,34	0,285	0,278	0,263
♦	579—24AA32AFT-I/OT		SOT-23	32Kb	4Kbx8, 1,8V	0,29	0,24	0,233	0,225
	579—24AA32A-I/P		PDIP-8	32Kb	4Kbx8, 1,8V	0,36	0,30	0,293	0,278
♦	579—24AA32A-I/SN		SOIC-8	32Kb	4Kbx8, 1,8V	0,30	0,255	0,248	0,233
♦	579—24AA32AT-I/MC		DFN (2x3)-8	32Kb	4Kbx8, 1,8V	0,38	0,315	0,308	0,293
♦	579—24AA512-I/MF		DFN (6x5)-8	512Kb	64Kbx8, 1,8V	1,46	1,22	1,17	1,13
	579—24AA512-I/P		PDIP-8	512Kb	64Kbx8, 1,8V	1,29	1,08	1,04	0,998
♦	579—24AA512-I/SM		SOIC-8	512Kb	64Kbx8, 1,8V	1,26	1,05	1,01	0,975
♦	579—24AA64FT-I/OT		SOT-23-5	64Kb	8Kbx8, 1,8V	0,32	0,27	0,263	0,248
♦	579—24AA64T-I/OT		SOT-23-5	64Kb	8Kbx8, 1,8V	0,32	0,27	0,263	0,248
♦	579—24AA64FT-I/MNY		TDFN-8	64Kb	8Kbx8, 1,8V	0,38	0,315	0,308	0,293
♦	579—24AA64T-I/MNY		TDFN-8	64Kb	8Kbx8, 1,8V	0,38	0,315	0,308	0,293
♦	579—24LC64FT-I/MNY		TDFN-8	64Kb	8Kbx8, 1,8V	0,38	0,315	0,308	0,293
♦	579—24AA64-I/SN		SOIC-8	64Kb	8Kbx8, 1,8V	0,34	0,285	0,278	0,263
	579—24AA65P		PDIP-8	64Kb	8Kbx8, 1,8V, Smart	1,47	1,23	1,19	1,14
	579—24LC00-I/P		PDIP-8	16 octets	128 bits, 2,5V	0,23	0,195	0,188	0,18
♦	579—24LC00-I/SN		SOIC-8	16 octets	128 bits, 2,5V	0,18	0,15	0,15	0,143
♦	579—24LC00T-I/OT		SOT-23-5	16 octets	128 bits, 2,5V	0,16	0,135	0,135	0,128
♦	579—24LC014-I/SN		SOIC-8	1Kb	256x8, 2,5V	0,23	0,195	0,188	0,18
♦	579—24VL014HT/SN		SOIC-8	1Kb	128x8, 1,5V	0,36	0,30	0,293	0,278
♦	579—24VL014T/SN		SOIC-8	1Kb	128x8, 1,5V	0,36	0,30	0,293	0,278
♦	579—24LC01B-I/MS		MSOP-8	1Kb	128x8, 1,8V	0,21	0,18	0,173	0,165
	579—24LC01B-I/P		PDIP-8	1Kb	128x8, 1,8V	0,23	0,195	0,188	0,18
♦	579—24LC01B-I/SN		SOIC-8	1Kb	128x8, 1,8V	0,18	0,15	0,15	0,143
♦	579—24LC01BT-I/OT		SOT-23-5	1Kb	128x8, 1,8V	0,16	0,135	0,135	0,128
♦	579—24LC014HT-I/MNY		TDFN-8	1Kb	128x8, 2,5V	0,27	0,225	0,218	0,21
♦	579—24LC014T-I/MNY		TDFN-8	1Kb	128x8, 2,5V	0,27	0,225	0,218	0,21
♦	579—24LC024-I/MS		MSOP-8	2Kb	256x8	0,27	0,225	0,218	0,21
	579—24LC024-I/P		PDIP-8	2Kb	256x8	0,29	0,24	0,233	0,225
♦	579—24LC024-I/SN		SOIC-8	2Kb	256x8	0,23	0,195	0,188	0,18
♦	579—24C02CT-I/MNY		TDFN-8	2Kb	256x8	0,27	0,225	0,218	0,21
♦	579—24LC024H-I/MS		MSOP-8	2Kb	256x8	0,27	0,225	0,218	0,21
♦	579—24LC024HT-I/MNY		TDFN-8	2Kb	256x8	0,27	0,225	0,218	0,21
♦	579—24VL024T/SN		SOIC-8	2Kb	256x8, 1,5V	0,39	0,33	0,323	0,308

Pour des quantités supérieures à celles indiquées, appelez-nous afin d'obtenir un devis.

	RÉF. STOCK MOUSER		Type de boîtier	Densité	Organisation	Prix unitaire			
	Fabr.	Réf. fabr.				1	10	25	100
♦	579—24VL025T/MNY		TDFN-8	2Kb	256x8, 1,5V	0,43	0,36	0,345	0,33
♦	579—24LC02B-I/MS		MSOP-8	2Kb	256x8, 1,8V	0,23	0,195	0,188	0,18
	579—24LC02B-I/P		PDIP-8	2Kb	256x8, 1,8V	0,25	0,21	0,203	0,195
♦	579—24LC02B-I/SN		SOIC-8	2Kb	256x8, 1,8V	0,20	0,165	0,158	0,15
♦	579—24LC02BT-I/OT		SOT-23-5	2Kb	2x56x8, 1,8V	0,18	0,15	0,15	0,143
♦	579—24LC02BT-I/LT		SC-70-5	2Kb	256x8, 2,5V	0,21	0,18	0,173	0,165
♦	579—24LC04B-I/SN		SOIC-8	4Kb	512x8, 2,5V	0,21	0,18	0,173	0,165
♦	579—24LC08B-I/MS		MSOP-8	8Kb	1Kbx8, 2,5V	0,27	0,225	0,218	0,21
	579—24LC08B-I/P		PDIP-8	8Kb	1Kbx8, 2,5V	0,29	0,24	0,233	0,225
♦	579—24LC08B-I/SN		SOIC-8	8Kb	1Kbx8, 2,5V	0,23	0,195	0,188	0,18
♦	579—24LC08BT-I/OT		SOT-23-5	8Kb	1Kbx8, 2,5V	0,21	0,18	0,173	0,165
♦	579—24LC1025-I/P		PDIP-8	1024Kb	128Kbx8, 2,5V 128 octets	2,81	2,34	2,26	2,17
♦	579—24LC1025-I/SM		SOIC-8	1024Kb	128Kbx8, 2,5V 128 octets	2,77	2,31	2,23	2,14
♦	579—24LC128-I/MS		MSOP-8	128Kb	16Kx8, 2,5V	0,54	0,45	0,435	0,42
	579—24LC128-I/P		PDIP-8	128Kb	16Kbx8, 2,5V	0,56	0,465	0,45	0,428
♦	579—24LC128-I/SN		SOIC-8	128Kb	16Kbx8, 2,5V	0,50	0,42	0,405	0,39
♦	579—24LC16B-I/MS		MSOP-8	16Kb	2Kox8, 2,5V	0,29	0,24	0,233	0,225
	579—24LC16B-I/P		PDIP-8	16Kb	2Kbx8, 2,5V	0,30	0,255	0,248	0,233
♦	579—24LC16B-I/SN		SOIC-8	16Kb	2Kox8, 2,5V	0,25	0,21	0,203	0,195
♦	579—24LC16BT-I/OT		SOT-23-5	16Kb	2Kbx8, 2,5V	0,23	0,195	0,188	0,18
♦	579—24LC256-I/MF		DFN (6x5)-8	256Kb	32Kbx8, 2,5V	0,95	0,795	0,765	0,735
♦	579—24LC256-I/MS		MSOP-8	256Kb	32Kox8, 2,5V	0,77	0,645	0,623	0,60
	579—24LC256-I/P		PDIP-8	256Kb	32Kbx8, 2,5V	0,79	0,66	0,638	0,608
♦	579—24LC256-I/SN		SOIC-8	256Kb	32Kbx8, 2,5V	0,74	0,615	0,593	0,57
♦	579—24LC32A-I/MS		MSOP-8	32Kb	4Kbx8, 2,5V	0,34	0,285	0,278	0,263
	579—24LC32A-I/P		PDIP-8	32Kb	4Kbx8, 2,5V	0,36	0,30	0,293	0,278
♦	579—24LC32AFT-I/OT		SOT-23	32Kb	4Kbx8, 2,5V	0,29	0,24	0,233	0,225
♦	579—24LC32AT-I/MNY		DFN (2x3)-8	32Kb	4Kbx8, 2,5V	0,34	0,285	0,278	0,263
♦	579—24LC32AT-I/MC		DFN (2x3)-8	32Kb	4Kbx8, 2,5V	0,38	0,315	0,308	0,293
♦	579—24LC512-I/MF		DFN (6x5)-8	512Kb	64Kbx8, 2,5V	1,46	1,22	1,17	1,13
	579—24LC512-I/P		PDIP-8	512Kb	64Kbx8, 2,5V	1,29	1,08	1,04	0,998
♦	579—24LC512-I/SM		SOIC-8	512Kb	64Kbx8, 2,5V	1,26	1,05	1,01	0,975
♦	579—24LC64-I/MS		MSOP-8	64Kb	8Kbx8, 2,5V	0,38	0,315	0,308	0,293
	579—24LC64-I/P		PDIP-8	64Kb	8Kbx8, 2,5V	0,39	0,33	0,323	0,308
♦	579—24LC64-I/SN		SOIC-8	64Kb	8Kbx8, 2,5V	0,34	0,285	0,278	0,263
♦	579—24LC64FT-I/OT		SOT-23-5	64Kb	8Kbx8, 2,5V	0,32	0,27	0,263	0,248
	579—24LC65-I/P		PDIP-8	64Kb	8Kbx8, 2,5V, Smart	1,47	1,23	1,19	1,14
	579—24LC01B-I/P		PDIP-8	1Kb	128x8, 1,8V	0,23	0,195	0,188	0,18
♦	579—24LC01B-I/SN		SOIC-8	1Kb	128x8, 1,8V	0,18	0,15	0,15	0,143
	579—24C02C-I/P		PDIP-8	2Kb	256x8	0,29	0,24	0,233	0,225
	579—24LC02B-I/P		PDIP-8	2Kb	256x8, 1,8V	0,25	0,21	0,203	0,195
♦	579—24LC02B-I/SN		SOIC-8	2Kb	256x8, 1,8V	0,20	0,165	0,158	0,15
♦	579—24LC04B-I/SN		SOIC-8	4Kb	512x8, 2,5V	0,21	0,18	0,173	0,165
♦	579—24LC08B-I/SN		SOIC-8	1Kb	1Kbx8, 2,5V	0,23	0,195	0,188	0,18
	579—24LC16B-I/P		PDIP-8	2Kb	2Kbx8, 2,5V	0,30	0,255	0,248	0,233
♦	579—24LC16B-I/SN		SOIC-8	2Kb	2Kbx8, 2,5V	0,25	0,21	0,203	0,195
	579—24LC32A-I/P		PDIP-8	4Kb	4Kbx8, 5V, 2,5V	0,36	0,30	0,293	0,278
♦	579—24LC64-I/SN		SOIC-8	8Kb	8Kbx8, 2,5V	0,34	0,285	0,278	0,263
♦	579—24LC65-I/SM		SOIC-8	8Kb	8Kbx8, 2,5V, Smart	1,44	1,20	1,16	1,11
	579—24LC128-I/P		PDIP-8	128Kb	16Kbx8, 2,5V	0,56	0,465	0,45	0,428
♦	579—24LC128-I/SN		SOIC-8	128Kb	16Kbx8, 2,5V	0,50	0,42	0,405	0,39
	579—24LC256-I/P		PDIP-8	256Kb	32Kbx8, 2,5V	0,79	0,66	0,638	0,608
♦	579—24LC256ISM		SOIC-8	256Kb	32Kbx8, 2,5V	0,75	0,63	0,608	0,585
♦	579—24LC256-I/SN		SOIC-8	256Kb	32Kbx8, 2,5V	0,74	0,615	0,593	0,57
	579—24FC512-I/P		PDIP-8	512Kb	64Kbx8,2,5V, haute vitesse	1,29	1,08	1,04	0,998
♦	579—24FC512-I/SM		SOIC-8	512Kb	64Kbx8,2,5V, haute vitesse	1,26	1,05	1,01	0,975
	579—24LC512-I/P		PDIP-8	512Kb	64Kbx8, 2,5V	1,29	1,08	1,04	0,998
♦	579—24LC512-I/SM		SOIC-8	512Kb	64Kbx8, 2,5V	1,26	1,05	1,01	0,975

© Copyright 2012 Mouser Electronics
© Copyright 2012 Mouser Electronics

EEPROM série MICROCHIP

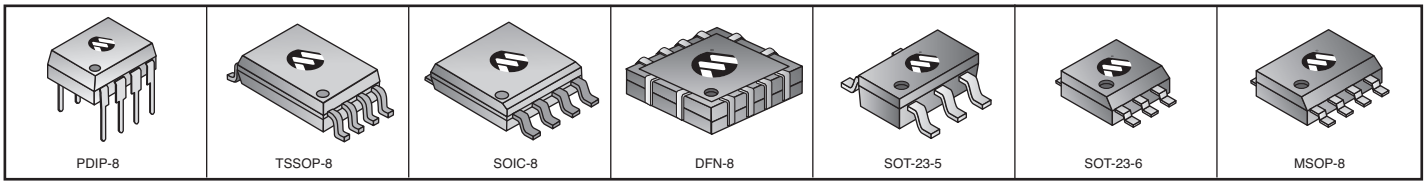

FAMILLE D'EEPROM SÉRIE COMPATIBLE SPI™

Caractéristiques :

- Gamme de boîtiers incluant 8MF, 8SM, 8SN, ST, 8MS et wafer
- Température de fonctionnement de -40 °C à +85 °C
- Vitesse maximale du bus de 3 à 10 MHz
- AA=1,8-5,5 V, LC=2,5-5,5 V

♦ Composant pour montage en surface

Pour des quantités supérieures à celles indiquées, appelez-nous afin d'obtenir un devis.

RÉF. STOCK MOUSER		Type de boîtier	Densité	Organisation	Prix unitaire			
Fabr.	Réf. fabr.				1	10	25	100
♦	579—25AA010AT-I/OT	SOT-23-6	1Kb	128 x 8, 1,8V	0,30	0,255	0,248	0,233
♦	579—25AA020A-I/SN	SOIC-8	2Kb	256 x 8, 1,8V	0,34	0,285	0,278	0,263
♦	579—25AA040A-I/MS	MSOP-8	4Kb	512 x 8, 1,8V	0,39	0,33	0,323	0,308
	579—25AA040A-I/P	PDIP-8	4Kb	512 x 8, 1,8V	0,41	0,345	0,338	0,323
♦	579—25AA080A-I/MS	MSOP-8	8Kb	1Kbx8, 1,8V	0,47	0,39	0,375	0,36
♦	579—25AA080A-I/SN	SOIC-8	8Kb	1Kbx8, 1,8V	0,43	0,36	0,345	0,33
♦	579—25AA080B-I/MS	MSOP-8	8Kb	1Kbx8, 1,8V	0,47	0,39	0,375	0,36
	579—25AA160A-I/P	PDIP-8	16Kb	2Kbx8, 1,8V	0,50	0,42	0,405	0,39
♦	579—25AA160B-I/MS	MSOP-8	16Kb	2Kbx8, 1,8V	0,48	0,405	0,39	0,375
♦	579—25AA320A-I/MS	MSOP-8	32Kb	4Kbx8, 1,8V	0,52	0,435	0,42	0,405
♦	579—25AA320A-I/SN	SOIC-8	32Kb	4Kbx8, 1,8V	0,48	0,405	0,39	0,375
♦	579—25AA256-I/MF	DFN (6x5)-8	256Kb	32Kbx8, 1,8V	1,31	1,10	1,06	1,01
	579—25AA256-I/P	PDIP-8	256Kb	32Kbx8, 1,8V	1,15	0,96	0,923	0,885
♦	579—25AA256-I/SN	SOIC-8	256Kb	32Kbx8, 1,8V	1,10	0,915	0,885	0,848
♦	579—25AA256-I/ST	TSSOP-8	256Kb	32Kbx8, 1,8V	1,13	0,945	0,915	0,878
♦	579—25LC010A-I/MS	MSOP-8	1Kb	128 x 8, 2,5V	0,36	0,30	0,293	0,278
	579—25LC010A-I/P	PDIP-8	1Kb	128 x 8, 2,5V	0,38	0,315	0,308	0,293
♦	579—25LC010AT-I/OT	SOT-23-6	1Kb	128 x 8, 2,5V	-	-	-	-
♦	579—25LC020A-I/MS	MSOP-8	2Kb	256 x 8, 2,5V	0,38	0,315	0,308	0,293
	579—25LC020A-I/P	PDIP-8	2Kb	256 x 8, 2,5V	0,39	0,33	0,323	0,308
♦	579—25LC020AT-I/OT	SOT-23-6	2Kb	256 x 8, 2,5V	0,32	0,27	0,263	0,248
♦	579—25LC040A-I/MS	MSOP-8	4Kb	512 x 8, 2,5V	0,39	0,33	0,323	0,308
♦	579—25LC040A-I/SN	SOIC-8	4Kb	512 x 8, 2,5V	0,36	0,30	0,293	0,278
♦	579—25LC080A-I/MS	MSOP-8	8Kb	1Kb x 8, 2,5V	0,47	0,39	0,375	0,36
	579—25LC080A-I/P	PDIP-8	8Kb	1Kb x 8, 2,5V	0,48	0,405	0,39	0,375
♦	579—25LC080A-I/SN	SOIC-8	8Kb	1Kb x 8, 2,5V	0,43	0,36	0,345	0,33
♦	579—25LC080B-I/MS	MSOP-8	8Kb	1Kb x 8, 2,5V	0,47	0,39	0,375	0,36
	579—25LC080B-I/P	PDIP-8	8Kb	1Kb x 8, 2,5V	0,48	0,405	0,39	0,375
♦	579—25LC080B-I/SN	SOIC-8	8Kb	1Kb x 8, 2,5V	0,43	0,36	0,345	0,33
♦	579—25LC160A-I/MS	MSOP-8	16Kb	2Kb x 8, 2,5V	0,48	0,405	0,39	0,375
♦	579—25LC160A-I/SN	SOIC-8	16Kb	2Kb x 8, 2,5V	0,45	0,375	0,36	0,345
♦	579—25LC160B-I/MS	MSOP-8	16Kb	2Kb x 8, 2,5V	0,48	0,405	0,39	0,375
	579—25LC160B-I/P	PDIP-8	16Kb	2Kb x 8, 2,5V	0,50	0,42	0,405	0,39
♦	579—25LC320A-I/MS	MSOP-8	32Kb	4K x 8, 2,5V	0,52	0,435	0,42	0,405
	579—25LC640AIP	PDIP-8	64Kb	8K x 8, 2,5V	0,56	0,465	0,45	0,428
♦	579—25LC640AISN	SOIC-8	64Kb	8K x 8, 2,5V	0,50	0,42	0,405	0,39
	579—25LC128-I/P	PDIP-8	128Kb	32Kb x 8, 2,5V	0,86	0,72	0,698	0,668
♦	579—25LC128-I/SN	SOIC-8	128Kb	32Kb x 8, 2,5V	0,81	0,675	0,653	0,623
	579—25LC256-I/P	PDIP-8	256Kb	32Kb x 8, 2,5V	1,15	0,96	0,923	0,885
♦	579—25LC256-I/SN	SOIC-8	256Kb	32Kb x 8, 2,5V	1,10	0,915	0,885	0,848
	579—25LC512-I/P	PDIP-8	512Kb	64Kb x 8, 2,5V	1,73	1,44	1,39	1,34
♦	579—25LC512-I/SN	SOIC-8	512Kb	64Kb x 8, 2,5V	1,67	1,40	1,34	1,29
♦	579—25LC1024-I/SM	SOIC-8	1024Kb	128Kb x 8, 2,5V	2,82	2,36	2,27	2,18

FAMILLE D'EEPROM SÉRIE COMPATIBLE MICROWIRE®

Caractéristiques :

- Gamme de boîtiers incluant 8MF, 8SM, 8SN, ST, 8MS et wafer
- Température de fonctionnement de -40 °C à +85 °C
- Vitesse maximale du bus de 3 à 10 MHz
- AA=1,8-5,5 V, LC=2,5-5,5 V

♦ Composant pour montage en surface

Pour des quantités supérieures à celles indiquées, appelez-nous appelez-nous afin d'obtenir un devis.

RÉF. STOCK MOUSER		Type de boîtier	Densité	Organisation	Prix unitaire			
Fabr.	Réf. fabr.				1	10	25	100
♦	579—93AA46AT-I/OT	SOT-23-6	1Kb	128 x 8	0,18	0,15	0,15	0,143
	579—93AA46B-I/P	PDIP-8	1Kb	64 x 16	0,25	0,21	0,203	0,195
♦	579—93AA46B-I/SN	SOIC-8	1Kb	64 x 16	0,20	0,165	0,158	0,15
♦	579—93AA46BT-I/OT	SOT-23-6	1Kb	64 x 16	0,18	0,15	0,15	0,143
♦	579—93AA46C-I/MS	MSOP-8	1Kb	128 x 8 ou 64 x 16	0,25	0,21	0,203	0,195
♦	579—93AA46C-I/SN	SOIC-8	1Kb	128 x 8 ou 64 x 16	0,21	0,18	0,173	0,165
♦	579—93AA46CT-I/MC	DFN (2x3) 8	1Kb	128 x 8 ou 64 x 16	0,29	0,24	0,233	0,225
♦	579—93AA56C-I/SN	SOIC-8	2Kb	256 x 8 ou 128 x 16	0,21	0,18	0,173	0,165
♦	579—93AA66C-I/SN	SOIC-8	4Kb	256 x 8 ou 128 x 16	0,23	0,195	0,188	0,18
♦	579—93AA76A-I/SN	SOIC-8	8Kb	1024 x 8	0,32	0,27	0,263	0,248
♦	579—93AA76B-I/SN	SOIC-8	8Kb	512 x 16	0,32	0,27	0,263	0,248
♦	579—93AA86A-I/SN	SOIC-8	16Kb	2048 x 8	0,36	0,30	0,293	0,278
♦	579—93AA86B-I/SN	SOIC-8	16K	1024 x 16	0,36	0,30	0,293	0,278
	579—93C46B-I/P	PDIP-8	1Kb	64 x 16	0,25	0,21	0,203	0,195
♦	579—93C46B-I/SN	SOIC-8	1Kb	64 x 16	0,20	0,165	0,158	0,15
	579—93LC46A-I/P	PDIP-8	1Kb	128x8	0,25	0,21	0,203	0,195
♦	579—93LC46A-I/SN	SOIC-8	1Kb	128 x 8	0,20	0,165	0,158	0,15
♦	579—93LC46B-I/MS	MSOP-8	1Kb	64 x 16	0,23	0,195	0,188	0,18
	579—93LC46B-I/P	PDIP-8	1Kb	64 x 16	0,25	0,21	0,203	0,195
♦	579—93LC46BISN	SOIC-8	1Kb	64 x 16	0,20	0,165	0,158	0,15
♦	579—93LC46BT-I/OT	SOT-23-6	1Kb	64 x 16	0,18	0,15	0,15	0,143
	579—93LC46C-I/P	PDIP-8	1Kb	128 x 8 ou 64 x 16	0,27	0,225	0,218	0,21
♦	579—93LC46C-I/SN	SOIC-8	1Kb	128 x 8 ou 64 x 16	0,21	0,18	0,173	0,165
♦	579—93LC56A-I/P	PDIP-8	2Kb	256 x 8	0,27	0,225	0,218	0,21
♦	579—93LC56A-I/SN	SOIC-8	2Kb	256 x 8	0,21	0,18	0,173	0,165
	579—93LC56B-I/P	PDIP-8	2Kb	128 x 16	0,27	0,225	0,218	0,21
♦	579—93LC56BISN	SOIC-8	2Kb	128 x 16	0,21	0,18	0,173	0,165
♦	579—93LC56BT-I/OT	SOT-23-6	2Kb	128 x 16	0,20	0,165	0,158	0,15
	579—93LC56C-I/P	PDIP-8	2Kb	128 x 8 ou 64 x 16	0,27	0,225	0,218	0,21
♦	579—93LC56C-I/SN	SOIC-8	2Kb	128 x 8 ou 64 x 16	0,21	0,18	0,173	0,165
	579—93LC66A-I/P	PDIP-8	4Kb	512 x 8	0,29	0,24	0,233	0,225
♦	579—93LC66A-I/SN	SOIC-8	4Kb	512 x 8	0,23	0,195	0,188	0,18
♦	579—93LC66B-I/MS	MSOP-8	4Kb	256 x 16	0,27	0,225	0,218	0,21
	579—93LC66B-I/P	PDIP-8	4Kb	256 x 16	0,29	0,24	0,233	0,225
♦	579—93LC66B-I/SN	SOIC-8	4Kb	256 x 16	0,23	0,195	0,188	0,18
♦	579—93LC66BT-I/OT	SOT-23-6	4Kb	256 x 16	0,21	0,18	0,173	0,165
	579—93LC66C-I/P	PDIP-8	4Kb	128 x 8 ou 64 x 16	0,29	0,24	0,233	0,225
♦	579—93LC66C-I/SN	SOIC-8	4Kb	128 x 8 ou 64 x 16	0,23	0,195	0,188	0,18
♦	579—93LC76A-I/SN	SOIC-8	8Kb	1024 x 8	0,32	0,27	0,263	0,248
♦	579—93LC76B-I/SN	SOIC-8	8Kb	512 x 16	0,32	0,27	0,263	0,248
	579—93LC76C-I/P	PDIP-8	8Kb	512 x 16 ou 1024 x 8	0,38	0,315	0,308	0,293
♦	579—93LC86AT-I/OT	SOT-23-6	16Kb	2048 x 8	0,34	0,285	0,278	0,263
♦	579—93LC86B-I/SN	SOIC-8	16K	1024 x 16	0,36	0,30	0,293	0,278
	579—93LC86C-I/P	PDIP-8	16Kb	1024 x 16 ou 2048 x 8	0,41	0,345	0,338	0,323
♦	579—93LC86C-I/SN	SOIC-8	16K	1024 x 16 ou 2048 x 8	0,36	0,30	0,293	0,278

EEPROM SÉRIE 34XX02

Caractéristiques :

- Gamme de boîtiers incluant PDIP-8, SOIC-8, TSSOP-8, MSOP-8 et DFN-8
- Température de fonctionnement de -40°C à+125°C
- Fréquence d'horloge maximale : AA = 400kHz, LC = 1MHz
- Plage de tension de fonctionnement : AA = 1,7-5,5V, LC = 2,2-5,5V

♦ Composant pour montage en surface

Pour des quantités supérieures à celles indiquées, appelez-nous afin d'obtenir un devis.

RÉF. STOCK MOUSER		Type de boîtier	Densité	Organisation	Prix unitaire			
Fabr.	Réf. fabr.				1	10	25	100
♦	579—34AA02-I/MS	MSOP-8	2Kb	256 x 8, 1,8V	0,23	0,195	0,188	0,18
♦	579—34AA02-I/SN	SOIC-8	2Kb	256 x 8, 1,8V	0,20	0,165	0,158	0,15
♦	579—34AA02-I/ST	TSSOP-8	2Kb	256 x 8, 1,8V	0,23	0,195	0,188	0,18
♦	579—34LC02-E/SN	SOIC-8	2Kb	256 x 8, 2,5V	0,25	0,21	0,203	0,195
♦	579—34LC02-E/ST	TSSOP-8	2Kb	256 x 8, 2,5V	0,29	0,24	0,233	0,225
♦	579—34LC02-I/MS	MSOP-8	2Kb	256 x 8, 2,5V	0,23	0,195	0,188	0,18
	579—34LC02-I/P	PDIP-8	2Kb	256 x 8, 2,5V	0,25	0,21	0,203	0,195
♦	579—34LC02-I/SN	SOIC-8	2Kb	256 x 8, 2,5V	0,20	0,165	0,158	0,15
♦	579—34LC02-I/ST	TSSOP-8	2Kb	256 x 8, 2,5V	0,23	0,195	0,188	0,18
♦	579—34LC02T-E/ST	TSSOP-8	2Kb	256 x 8, 2,5V	0,29	0,24	0,233	0,225
♦	579—34VL02/MS	MSOP-8	2K	256 x 8, 1,5V	0,34	0,285	0,278	0,263
	579—34VL02/P	PDIP-8	2Kb	256 x 8, 1,5V	0,36	0,30	0,293	0,278
♦	579—34VL02/SN	SOIC-8	2Kb	256 x 8, 1,5V	0,30	0,255	0,248	0,233
♦	579—34VL02/ST	TSSOP-8	2Kb	256 x 8, 1,5V	0,34	0,285	0,278	0,263

© Copyright 2012 Mouser Electronics
© Copyright 2012 Mouser Electronics

Mémoire flash série et parallèle MICROCHIP

RoHS Compliant **This product is RoHS compliant.**

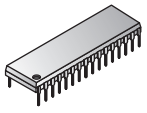
PDIP-32

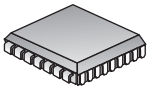
PLCC-32

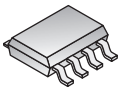
SOIC-8

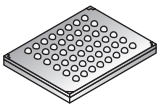
TFBGA-48

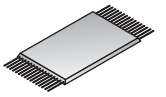
TSOP-32

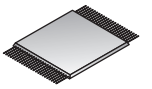
TSOP-48

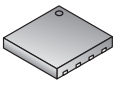
WSON-8

FLASH SÉRIE (SÉRIE 25)

♦ **Composant pour montage en surface**

La mémoire flash série SPI est une petite mémoire flash à basse consommation qui utilise l'interface périphérique série (SPI) et la compatibilité broche sur broche avec les dispositifs EEPROM SPI standard. Son faible encombrement réduit le nombre de broches du contrôleur ASIIC et les coûts d'emballage, économise de l'espace sur la carte et permet de conserver des coûts système réduits. Consommation inférieure à la mémoire flash standard et moins de fils que la mémoire flash parallèle : la mémoire flash série SPI est la solution idéale pour le transfert de données, efficace et économique. La technologie CMOS SuperFlash® de Microchip dynamise la conservation des données et l'endurance, réduit le temps d'effacement et la consommation, faisant de la mémoire flash série de Microchip la solution idéale pour les structures portables.

Caractéristiques :

- Endurance : 100 000 cycles (typique)
- Conservation des données de plus de 100 ans
- Temps d'effacement de secteur et d'effacement en bloc rapides : 18ms (typique)
- Temps de programmation octet : 7uA (typique)
- Courant de lecture active (Active Read Current) : 10mA (typique)
- Courant de veille : 8uA (typique)

Applications :

- DVD HD
- TV HD
- Bluetooth
- Lecteurs MP3
- Modems DSL et câble
- Unités de disque optique
- Lecteurs de disque dur
- BIOS du PC
- Imprimantes
- ZigBee
- LAN sans fil
- Moniteurs LCD
- Radios numériques
- Boîtiers adaptateurs

RoHS Compliant

Pour des quantités supérieures à celles indiquées, appelez-nous afin d'obtenir un devis.

RÉF. STOCK MOUSER	Réf. Microchip	Boîtier	Densité	Organisation	Fréquence (MHz)	Temps de programmation en octets (µS) (Typ.)	Tension d'alimentation (V)	Température de fonctionnement (°C)	Prix unitaire 1	10	25
♦ 804-25VF512A3CQAE	SST25VF512A-33-4C-QAE	WSON-8	512Kb	64Kb x 8	33	14	de 2,7 à 3,6	de 0 à 70	0,68	0,57	0,503
♦ 804-25VF512A3CSAE	SST25VF512A-33-4C-SAE	SOIC-8	512Kb	64Kb x 8	33	14	de 2,7 à 3,6	de 0 à 70	0,48	0,405	0,36
♦ 804-25VF010A3CQAE	SST25VF010A-33-4C-QAE	WSON-8	1Mb	128Kb x 8	33	14	de 2,7 à 3,6	de 0 à 70	0,75	0,63	0,563
♦ 804-25VF010A3CSAE	SST25VF010A-33-4C-SAE	SOIC-8	1Mb	128Kb x 8	33	14	de 2,7 à 3,6	de 0 à 70	0,56	0,473	0,42
♦ 804-25VF010A3ISAE	SST25VF010A-33-4I-SAE	SOIC-8	1Mb	128Kb x 8	33	14	de 2,7 à 3,6	de -40 à +85	1,09	1,05	1,03
♦ 804-25VF0202CSAE	SST25VF020-20-4C-SAE	SOIC-8	2Mb	256Kb x 8	20	14	de 2,7 à 3,6	de 0 à 70	0,66	0,578	0,51
♦ 804-25VF0202ISAE	SST25VF020-20-4I-SAE	SOIC-8	2Mb	256Kb x 8	20	14	de 2,7 à 3,6	de -40 à +85	0,69	0,578	0,51
♦ 804-25LF020A3CSAE	SST25LF020A-33-4C-SAE	SOIC-8	2Mb	256Kb x 8	33	14	de 3 à 3,6	de 0 à 70	0,60	0,578	0,51
♦ 804-25VF040B5IQAF	SST25VF040B-50-4I-QAF	WSON-8	b4Mb	512Kb x 8	50	14	de 2,7 à 3,6	de -40 à +85	1,99	1,92	1,74
♦ 804-25VF040B5CS2AF	SST25VF040B-50-4C-S2AF	SOIC-8	4Mb	512Kb x 8	50	7	de 2,7 à 3,6	de 0 à 70	0,77	0,698	0,585
♦ 804-25VF040B8IQAE	SST25VF040B-80-4I-QAE	WSON-8	b4Mb	512Kb x 8	80	7	de 2,7 à 3,6	de -40 à +85	1,01	0,84	0,75
♦ 804-25VF080B8CS2AE	SST25VF080B-80-4C-S2AE	SOIC-8	8Mb	1Mb x 8	80	7	de 2,7 à 3,6	de 0 à 70	1,04	0,863	0,765
♦ 804-25VF080B5CQAF	SST25VF080B-50-4C-QAF	WSON-8	8Mb	1Mb x 8	50	7	de 2,7 à 3,6	de 0 à 70	1,12	1,01	0,93
♦ 804-25WF0807ISAF	SST25WF080-75-4I-SAF	SOIC-8	8Mb	1Mb x 8	75	14	de 1,65 à 1,95	de -40 à +85	1,62	1,37	1,22
♦ 804-25VF032B8IS2AF	SST25VF032B-80-4I-S2AF	SOIC-8	32Mb	4Mb x 8	80	7	de 2,7 à 3,6	de -40 à +85	1,58	1,53	1,37
♦ 804-25VF032B8IQAE	SST25VF032B-80-4I-QAE	WSON-8	32Mb	4Mb x 8	80	7	de 2,7 à 3,6	de -40 à +85	1,73	1,67	1,49

FLASH SÉRIE (SÉRIE 26)

♦ **Composant pour montage en surface**

La série 26 de Microchip dynamise les performances tout en conservant le format compact des périphériques série standard. Utilisant la liaison Serial Quad Interface (SQI) et fonctionnant à des fréquences allant jusqu'à 80MHz, la série 26 constitue le choix parfait pour les casques Bluetooth, les lecteurs de disque optiques et les applications GPS. Les mémoires flash SQI de la série 26 sont fabriquées avec la technologie propriétaire à haute performance CMOS SuperFlash® de Microchip, améliorant de manière significative la performance et la fiabilité tout en réduisant la consommation. La série 26 est la solution idéale pour les conceptions à la pointe du progrès qui nécessitent une large bande passante et une maquette compacte.

Caractéristiques :

- Fréquence d'horloge haute vitesse : 80MHz Max
- Entrées/sorties multiplexeurs 4 bits avec structure de commande sérielle similaire à SPI
- Support du protocole SPI pour la lecture, la lecture à haute vitesse et la lecture JEDEC ID
- Lecture en rafale : rafale de 8, 16, 32, 64 octets avec bouclage
- Saut d'index : Réduit le nombre d'horloges d'entrée pour un accès plus rapide aux données
- Interruption et reprise écriture : Interruption programme ou opération d'effacement
- Block Locking individuel : Blocs de 64Ko avec bloc de paramètres 8x8Ko
- Protection à l'écriture à travers les bits de protection des blocs en registre d'état
- ID sécurisé unique de 256 bits programmable une seule fois (OTP)

Applications :

- Micro-casques Bluetooth
- Unités de disque optique
- GPS
- Dispositifs média portables
- Enregistreur vidéo numérique
- Blu-Ray
- Unités de disque dur

RoHS Compliant

Pour des quantités supérieures à celles indiquées, appelez-nous afin d'obtenir un devis.

RÉF. STOCK MOUSER	Réf. Microchip	Boîtier	Densité	Organisation	Fréquence (MHz)	Temps d'effacement puce (ms) (Typ.)	Tension d'alimentation (V)	Température de fonctionnement (°C)	Prix unitaire 1	10	25
♦ 804-26VF0168IS2AE	SST26VF016-80-5I-S2AE	SOIC-8	16Mb	2Mb x 8	80	35	de 2,7 à 3,6	de -40 à +85	1,64	1,37	1,22
♦ 804-26VF0168IQAE	SST26VF016-80-5I-QAE	WSON-8	16M	2Mb x 8	80	35	de 2,7 à 3,6	de -40 à +85	1,82	1,52	1,35

MÉMOIRE FLASH PARALLÈLE MPF (MULTI-PURPOSE FLASH - FLASH À USAGE MULTIPLE) SÉRIE 39

♦ **Composant pour montage en surface**

Les mémoires MPF (Multi-Purpose Flash - Flash à usage multiple) série 39 sont fabriquées avec la technologie propriétaire haute performance CMOS SuperFlash® de Microchip. La conception de cellules à porte divisée (split-gate) et l'injecteur de tunnelisation en oxyde épais obtiennent une meilleure fiabilité et aptitude de fabrication par rapport aux approches alternatives. Le matériel sur la puce et des schémas de protection des données logicielles permettent la protection contre l'écriture involontaire. Conçus, fabriqués et testés pour un large éventail d'applications, ces dispositifs sont fournis avec une endurance typique garantie de 10 000 cycles. La conservation des données est établie à plus de 100 ans. Elles conviennent pour des applications qui nécessitent une mise à jour pratique et économique de la mémoire de programmation, de configuration ou de données. Pour toutes les applications système, elles améliorent significativement les performances et la fiabilité tout en réduisant la consommation. Elles utilisent intrinsèquement moins d'énergie pendant l'effacement et la programmation que les autres technologies flash. L'énergie totale consommée dépend de la tension appliquée, du courant et du temps de l'application. Vu que pour toute plage de tension donnée la technologie SuperFlash utilise moins de courant pour programmer et qu'elle a un temps d'effacement plus court, l'énergie totale consommée pendant toute opération d'effacement ou de programmation est inférieure à celle des autres technologies flash.

Caractéristiques :

- 50 % plus petites que les boîtiers BGA de 6 mm x 8 mm de la concurrence
- Les plus petits boîtiers de 1,8V de l'industrie pour les produits 8 Mbits
- Le boîtier flash standard le plus mince de l'industrie
- La solution au meilleur coût total pour les applications sensibles au prix et à lancement rapide sur le marché
- Boîtiers approuvés JEDEC
- Pour des applications nécessitant des performances élevées comme les boîtiers adaptateurs, les PDA, les appareils photo numériques et l'équipement réseau

RoHS Compliant

Pour des quantités supérieures à celles indiquées, appelez-nous afin d'obtenir un devis.

RÉF. STOCK MOUSER	Réf. Microchip	Boîtier	Densité	Organisation	Temps d'accès (ns)	Temps de réécriture puce (s) (Typ.)	Tension d'alimentation (V)	Température de fonctionnement (°C)	Prix unitaire 1	10	25
♦ 804-39VF5127CNHE	SST39VF512-70-4C-NHE	PLCC-32	512Ko	64Ko x 8	70	1	de 2,7 à 3,6	de 0 à 70	1,06	0,885	0,788
♦ 804-39VF5127CWHE	SST39VF512-70-4C-WHE	TSOP-32	512Ko	64Ko x 8	70	1	de 2,7 à 3,6	de 0 à 70	1,33	1,28	1,26
♦ 804-39SF010A7CNHE	SST39SF010A-70-4C-NHE	PLCC-32	1Mo	128Ko x 8	70	2	de 4,5 à 5,5	de 0 à 70	1,12	1,07	1,05
♦ 804-39SF010A7CWHE	SST39SF010A-70-4C-WHE	TSOP-32	1Mo	128Ko x 8	70	2	de 4,5 à 5,5	de 0 à 70	1,16	1,11	1,09
♦ 804-39SF010A7INHE	SST39SF010A-70-4I-NHE	PLCC-32	1Mo	128Ko x 8	70	2	de 4,5 à 5,5	de -40 à +85	1,04	0,90	0,803
804-39SF010A7CPHE	SST39SF010A-70-4C-PHE	PDIP-32	1Mo	128Ko x 8	70	2	de 4,5 à 5,5	de 0 à 70	0,86	0,855	0,84
♦ 804-39VF0107CNHE	SST39VF010-70-4C-NHE	PLCC-32	1Mo	128Ko x 8	70	2	de 2,7 à 3,6	de 0 à 70	1,12	1,07	1,05
♦ 804-39VF0107INHE	SST39VF010-70-4I-NHE	PLCC-32	1Mo	128Ko x 8	70	2	de 2,7 à 3,6	de -40 à +85	1,04	0,863	0,773
♦ 804-39VF0107IWHE	SST39VF010-70-4I-WHE	TSOP-32	1Mo	128Ko x 8	70	2	de 2,7 à 3,6	de -40 à +85	1,42	1,35	1,33
♦ 804-39LF200A55CEKE	SST39LF200A-55-4C-EKE	TSOP-48	2Mb	128Kbx16	55	2	de 3 à 3,6	de 0 à 70	1,56	1,31	1,16
♦ 804-39VF200A7CEKE	SST39VF200A-70-4C-EKE	TSOP-48	2Mb	128Kb x 16	70	2	de 2,7 à 3,6	de 0 à 70	1,42	1,35	1,33
♦ 804-39VF200A7CB3KE	SST39VF200A-70-4C-B3KE	TFBGA-48	2Mb	128Kb x 16	70	2	de 2,7 à 3,6	de 0 à 70	1,42	1,19	1,05
♦ 804-39VF200A7IEKE	SST39VF200A-70-4I-EKE	TSOP-48	2Mb	128Kb x 16	70	2	de 2,7 à 3,6	de -40 à +85	1,59	1,33	1,19
♦ 804-39SF020A7CNHE	SST39SF020A-70-4C-NHE	PLCC-32	2Mo	256Ko x 8	70	4	4,5 à 5,5	de 0 à 70	1,61	1,34	1,20
♦ 804-39SF020A7CWHE	SST39SF020A-70-4C-WHE	TSOP-32	2Mo	256Ko x 8	70	4	4,5 à 5,5	de 0 à 70	1,76	1,46	1,31
804-39SF020A7CPHE	SST39SF020A-70-4C-PHE	PDIP-32	2Mo	256Ko x 8	70	4	4,5 à 5,5	de 0 à 70	1,94	1,61	1,44
♦ 804-39SF020A7INHE	SST39SF020A-70-4I-NHE	TSOP-32	2Mo	256Ko x 8	70	4	de 4,5 à 5,5	de -40 à +85	1,61	1,34	1,20
♦ 804-39VF0207CNHE	SST39VF020-70-4C-NHE	PLCC-32	2Mo	256Ko x 8	70	4	de 2,7 à 3,6	de 0 à 70	1,26	1,21	1,19
♦ 804-39VF0207CWHE	SST39VF020-70-4C-WHE	TSOP-32	2Mo	256Ko x 8	70	4	de 2,7 à 3,6	de 0 à 70	1,31	1,25	1,23
♦ 804-39VF0207INHE	SST39VF020-70-4I-NHE	PLCC-32	2Mo	256Ko x 8	70	4	de 2,7 à 3,6	de -40 à +85	1,22	1,02	0,908
♦ 804-39VF0207IWHE	SST39VF020-70-4I-WHE	TSOP-32	2Mo	256Ko x 8	70	4	de 2,7 à 3,6	de -40 à +85	1,13	0,945	0,84
♦ 804-39LF400A55CEKE	SST39LF400A-55-4C-EKE	TSOP-48	b4Mb	256Kbx16	55	4	de 3 à 3,6	de 0 à 70	1,70	1,54	1,37

© Copyright 2012 Mouser Electronics

© Copyright 2012 Mouser Electronics

Mémoire flash parallèle MICROCHIP

RoHS Compliant **This product is RoHS compliant.**

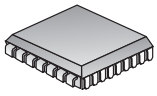
PLCC-32

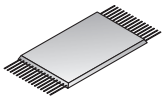
TSOP-32

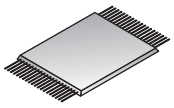
TSOP-40

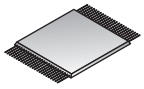
TSOP-48

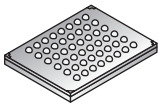
TFBGA-48

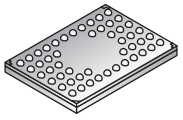
WFBGA-48

MÉMOIRE SÉRIE PARALLÈLE MPF (MULTI-PURPOSE FLASH - FLASH À USAGE MULTIPLE) SÉRIE 39 (SUITE)

◆ **Composant pour montage en surface**

Les mémoires MPF (Multi-Purpose Flash - Flash à usage multiple) série 39 sont fabriquées avec la technologie propriétaire haute performance CMOS SuperFlash® de Microchip. La conception de cellules à porte divisée (split-gate) et l'injecteur de tunnelisation en oxyde épais obtiennent une meilleure fiabilité et aptitude de fabrication par rapport aux approches alternatives. Le matériel sur la puce et des schémas de protection des données logicielles permettent la protection contre l'écriture involontaire. Conçus, fabriqués et testés pour un large éventail d'applications, ces dispositifs sont fournis avec une endurance typique garantie de 10 000 cycles. La conservation des données est établie à plus de 100 ans. Elles conviennent pour des applications qui nécessitent une mise à jour pratique et économique de la mémoire de programmation, de configuration ou de données. Pour toutes les applications système, elles améliorent significativement les performances et la fiabilité tout en réduisant la consommation. Elles utilisent intrinsèquement moins d'énergie pendant l'effacement et la programmation que les autres technologies flash. L'énergie totale consommée dépend de la tension appliquée, du courant et du temps de l'application. Vu que pour toute plage de tension donnée la technologie SuperFlash utilise moins de courant pour programmer et qu'elle a un temps d'effacement plus court, l'énergie totale consommée pendant toute opération d'effacement ou de programmation est inférieure à celle des autres technologies flash.

Caractéristiques :

- 50 % plus petites que les boîtiers BGA de 6 mm x 8 mm de la concurrence
- Les plus petits boîtiers de 1,8V de l'industrie pour les produits 8 Mbits
- Le boîtier flash standard le plus mince de l'industrie
- La solution au meilleur coût total pour les applications sensibles au prix et à lancement rapide sur le marché
- Boîtiers approuvés JEDEC
- Pour des applications nécessitant des performances élevées comme les boîtiers adaptateurs, les PDA, les appareils photo numériques et l'équipement réseau

RoHS Compliant

Pour des quantités supérieures à celles indiquées, appelez-nous afin d'obtenir un devis.

RÉF. STOCK MOUSER	Réf. Microchip	Boîtier	Densité	Organisation	Temps d'accès (ns)	Temps de réécriture puce (s) (Typ.)	Tension d'alimentation (V)	Température de fonctionnement (°C)	Prix unitaire 1	10	25
◆ 804-39VF400A7CEKE	SST39VF400A-70-4C-EKE	TSOP-48	b4Mb	256Kb x 16	70	4	de 2,7 à 3,6	de 0 à 70	1,61	1,54	1,51
◆ 804-39VF400A7CB3KE	SST39VF400A-70-4C-B3KE	TFBGA-48	4Mb	256Kb x 16	70	4	de 2,7 à 3,6	de 0 à 70	1,65	1,38	1,23
◆ 804-39VF400A7IEKE	SST39VF400A-70-4I-EKE	TSOP-48	b4Mb	256Kb x 16	70	4	de 2,7 à 3,6	de -40 à +85	1,54	1,28	1,14
◆ 804-39WF400B7CB3KE	SST39WF400B-70-4C-B3KE	TFBGA-48	4Mb	256Kb x 16	70	-	de 1,65 à 1,95	de 0 à 70	2,08	1,73	1,55
◆ 804-39SF0407CNHE	SST39SF040-70-4C-NHE	PLCC-32	4 Mo	512Ko x 8	70	8	4,5 à 5,5	de 0 à 70	1,46	1,41	1,38
◆ 804-39SF0407CWHE	SST39SF040-70-4C-WHE	TSOP-32	4M	512Ko x 8	70	8	4,5 à 5,5	de 0 à 70	1,49	1,43	1,40
◆ 804-39VF0407CNHE	SST39VF040-70-4C-NHE	PLCC-32	4 Mo	512Ko x 8	70	8	de 2,7 à 3,6	de 0 à 70	1,46	1,41	1,38
◆ 804-39VF0407CWHE	SST39VF040-70-4C-WHE	TSOP-32	4M	512Ko x 8	70	8	de 2,7 à 3,6	de 0 à 70	1,49	1,43	1,40
◆ 804-39VF0407INHE	SST39VF040-70-4I-NHE	PLCC-32	4 Mo	512Ko x 8	70	8	de 2,7 à 3,6	de -40 à +85	1,58	1,31	1,17
◆ 804-39VF0407IWHE	SST39VF040-70-4I-WHE	TSOP-32	4M	512Ko x 8	70	8	de 2,7 à 3,6	de -40 à +85	1,72	1,43	1,28
◆ 804-39VF400A7IB3KE	SST39VF400A-70-4I-B3KE	TFBGA-48	4Mb	512Ko x 8	70	4	de 2,7 à 3,6	de -40 à +85	1,65	1,38	1,23
◆ 804-39LF800A55CEKE	SST39LF800A-55-4C-EKE	TSOP-48	8Mb	512Kbx16	55	8	de 3 à 3,6	de 0 à 70	1,85	1,74	1,55
◆ 804-39LF800A55CB3KE	SST39LF800A-55-4C-B3KE	TFBGA-48	8Mb	512Kbx16	55	8	de 3 à 3,6	de 0 à 70	1,92	1,86	1,66
◆ 804-39VF800A7CEKE	SST39VF800A-70-4C-EKE	TSOP-48	8Mb	512Kb x 16	70	8	de 2,7 à 3,6	de 0 à 70	1,93	1,85	1,81
◆ 804-39VF800A7IB3KE	SST39VF800A-70-4C-B3KE	TFBGA-48	8Mb	512Kb x 16	70	8	de 2,7 à 3,6	de 0 à 70	1,86	1,55	1,38
◆ 804-39VF800A7IEKE	SST39VF800A-70-4I-EKE	TSOP-48	8Mb	512Kb x 16	70	8	de 2,7 à 3,6	de -40 à +85	1,74	1,46	1,30
◆ 804-39VF800A7CM1QE	SST39VF800A-70-4C-M1QE	WFBGA-48	8Mb	512Kb x 16	70	8	de 2,7 à 3,6	de 0 à 70	2,89	2,41	2,15
◆ 804-39WF800B7CB3KE	SST39WF800B-70-4C-B3KE	TFBGA-48	8Mb	512Kb x 16	70	-	de 1,65 à 1,95	de 0 à 70	2,06	1,72	1,53
◆ 804-39VF16017CEKE	SST39VF1601-70-4C-EKE	TSOP-48	16Mb	1Mb x 16	70	-	de 2,7 à 3,6	de 0 à 70	2,53	2,11	2,01
◆ 804-39VF16027IEKE	SST39VF1602-70-4I-EKE	TSOP-48	16Mb	1Mb x 16	70	-	de 2,7 à 3,6	de -40 à +85	2,61	2,18	2,07
◆ 804-39VF16817CEKE	SST39VF1681-70-4C-EKE	TSOP-48	16Mb	2Mb x 8	70	-	de 2,7 à 3,6	de 0 à 70	2,33	2,25	2,21
◆ 804-39VF16817CB3KE	SST39VF1681-70-4C-B3KE	TSOP-48	16Mb	2Mb x 8	70	-	de 2,7 à 3,6	de 0 à 70	2,77	2,31	2,20
◆ 804-39VF32017CEKE	SST39VF3201-70-4C-EKE	TSOP-48	32Mb	2Mb x 16	70	-	de 2,7 à 3,6	de 0 à 70	3,55	3,44	3,37
◆ 804-39VF32017CB3KE	SST39VF3201-70-4C-B3KE	TFBGA-48	32Mb	2Mb x 16	70	-	de 2,7 à 3,6	de 0 à 70	3,94	3,29	2,93
◆ 804-39VF3201B7CEKE	SST39VF3201B-70-4C-EKE	TSOP-48	32Mb	2Mb x 16	70	-	de 2,7 à 3,6	de 0 à 70	2,98	2,48	2,21
◆ 804-39VF32027CEKE	SST39VF3202-70-4C-EKE	TSOP-48	32Mb	2Mb x 16	70	-	de 2,7 à 3,6	de 0 à 70	3,55	3,44	3,37
◆ 804-39VF3202B7CEKE	SST39VF3202B-70-4C-EKE	TSOP-48	32Mb	2Mb x 16	70	-	de 2,7 à 3,6	de 0 à 70	2,98	2,48	2,21

MÉMOIRE FLASH PARALLÈLE ADVANCED MPF+ (MULTI-PURPOSE FLASH PLUS) SÉRIE 38

◆ **Composant pour montage en surface**

La série Advanced MPF+(Multi-Purpose Flash Plus) 38 est une famille de mémoires flash parallèles à performance élevées qui comprend des capacités de protection des données et aussi des temps de programmation, d'effacement et de lecture rapides. Ces opérations à haute vitesse permettent des temps d'initialisation rapides et des mises à jour en terrain, ce qui se traduit par de meilleures expériences pour l'utilisateur final. Ces capacités permettent aussi une productivité plus élevée dans les lignes de fabrication qui utilisent la programmation in-situ de la mémoire flash. Les caractéristiques de protection des données de la famille MPF+ avancée empêchent les modifications non autorisées des données, en veillant à ce que le contenu enregistré sur la mémoire flash soit sécurisé. Ces caractéristiques sont idéales pour les applications qui nécessitent des performances élevées ou l'intégrité des données et des services. Disponible en boîtiers classiques avec les broches de sortie compatibles, cette famille de dispositifs offre aussi les avantages de la technologie SuperFlash® : haute performance, consommation électrique faible et fiabilité.

Caractéristiques :

- Lecture de page
  - Temps d'accès pour la lecture des pages 25ns/mot (max)
  - Tampon de lecture de page de 4 mots
- Programmation du tampon d'écriture
  - Temps de programmation (mémoire tampon intégrale) 2,5µs/mot (max)
  - Tampon d'écriture mémoire 16 mots
- Protection/sécurité
  - Identificateur unique 128 bits
  - Zone identificateur SEC programmable par l'utilisateur de 256 mots
  - Protection par blocs individuels
  - Blocage irréversible de bloc
  - Options de blocage à l'initialisation
- Technologie SuperFlash®
  - Endurance, 100 000 cycles (minimum)
  - Conservation des données de plus de 100 ans
  - Temps d'effacement de secteur et d'effacement en bloc rapides : 25ms (maximum)
  - Basse consommation

RoHS Compliant

Pour des quantités supérieures à celles indiquées, appelez-nous afin d'obtenir un devis.

RÉF. STOCK MOUSER	Réf. Microchip	Boîtier	Densité	Organisation	Temps d'accès (ns)	Temps d'effacement de secteur (ms) (Typ.)	Tension d'alimentation (V)	Température de fonctionnement (°C)	Prix unitaire 1	10	25
◆ 804-38VF64019CEKE	SST38VF6401-90-5C-EKE	TSOP-48	64Mb	4Mb x 16	90	18	de 2,7 à 3,6	de 0 à 70	5,33	4,45	4,24
◆ 804-38VF64029CEKE	SST38VF6402-90-5C-EKE	TSOP-48	64Mb	4Mb x 16	90	18	de 2,7 à 3,6	de 0 à 70	5,33	4,45	4,24
◆ 804-38VF64039CEKE	SST38VF6403-90-5C-EKE	TSOP-48	64Mb	4Mb x 16	90	18	de 2,7 à 3,6	de 0 à 70	5,33	4,45	4,24

FLASH MICROPROGRAMME /CONCENTRATEUR À MICROPROGRAMME LPC (LOW PIN COUNT - BROCHAGE RÉDUIT) SÉRIE 49

La famille flash microprogramme/concentrateur à microprogramme LPC (Low Pin Count - Brochage réduit) série 49 est une famille de mémoires flash conçue pour le code système et le stockage des données. Elle est conforme à la spécification d'interface LPC d'Intel qui accepte la mémoire microprogramme multi-octets et les types de cycles de mémoire LPC sur un octet. L'interface à brochage réduit permet aux contrôleurs hôte ASIC d'avoir plus de broches libres, ce qui se traduit par un coût global du système moindre. Ces produits sont idéaux pour les systèmes embarqués et les applications processeur. Disponible dans une variété de boîtiers et de combinaisons de densités, cette famille de dispositifs offre aussi tous les avantages de la technologie SuperFlash® : performances élevées, consommation électrique faible et fiabilité.

Caractéristiques :

- Prise en charge d'Intel
  - Conforme à la spécification d'interface Low Pin Count (LPC) Intel 1.1
  - Compatible avec le microprogramme Intel 82802 Composant concentrateur (FWH)
- Largeur de bande élevée
  - Fréquence de fonctionnement jusqu'à 33MHz
  - Programmation parallèle (PP) pour programmation de production rapide
  - Caractéristiques uniques pour les dispositifs 16 Mbit
  - Programmation en rafale 128 bits
  - Vitesse de transfert des données jusqu'à 15,6 Mo/s
  - Incrémentation des adresses automatique (AAI)
- Sécurité de la protection
  - Espace identificateur sécurisé 256 bits
  - Options de blocage à l'initialisation
  - Protection à l'écriture matériel
- Technologie SuperFlash®
  - Endurance, 100 000 cycles (minimum)
  - Conservation des données de plus de 100 ans
  - Temps d'effacement de secteur et d'effacement en bloc rapides : 25ms (maximum)
  - Basse consommation

◆ **Composant pour montage en surface**

RoHS Compliant

Pour des quantités supérieures à celles indiquées, appelez-nous afin d'obtenir un devis.

RÉF. STOCK MOUSER	Réf. Microchip	Boîtier	Densité	Organisation	Fréquence (MHz)	Temps de programmation (µS) (Typ.)	Tension d'alimentation (V)	Température de fonctionnement (°C)	Prix unitaire 1	10	25
◆ 804-49LF080A3CNHE	SST49LF080A-33-4C-NHE	PLCC-32	8Mb	1Mb x 8	33	14	de 3 à 3,6	de 0 à 85	4,26	3,56	3,17
◆ 804-49LF080A3CWHE	SST49LF080A-33-4C-WHE	TSOP-32	8Mb	1Mb x 8	33	14	de 3 à 3,6	0 à 85	4,44	3,71	3,31
◆ 804-49LF016C3CNHE	SST49LF016C-33-4C-NHE	PLCC-32	16Mb	2Mb x 8	33	7	de 3 à 3,6	de 0 à 85	5,03	4,19	3,74
◆ 804-49LF016C3CWHE	SST49LF016C-33-4C-WHE	TSOP-32	16Mb	2Mb x 8	33	7	de 3 à 3,6	0 à 85	5,18	4,32	3,85
◆ 804-49LF016C3CEIE	SST49LF016C-33-4C-EIE	TSOP-40	16Mb	2Mb x 8	33	7	de 3 à 3,6	de 0 à 85	5,36	4,47	3,98
◆ 804-49LF160C3CNHE	SST49LF160C-33-4C-NHE	PLCC-32	16Mb	2Mb x 8	33	7	de 3 à 3,6	de 0 à 85	5,03	4,19	3,74

© Copyright 2012 Mouser Electronics

© Copyright 2012 Mouser Electronics

EEPROM série ON SEMICONDUCTOR

ON Semiconductor®

RoHS Compliant This product is RoHS compliant.

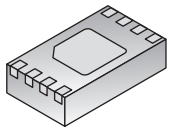
TDFN-8

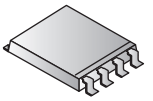
TSSOP-8

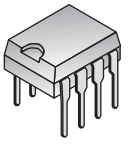
PDIP-8

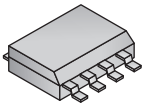
SOIC-8

CAPTEUR DE TEMPÉRATURE SUR BUS I²C (2 FILS) CATALYST AVEC EEPROM SPD SUR CARTE

PRODUCT NEW

Caractéristiques :

- Capteur de température conforme à la spécification JEDEC JC42.4
- EEPROM SPD conforme à DIMM DDR3
- Bascules de Schmitt et filtres de suppression du bruit sur les entrées SCL et SDA
- Technologie CMOS à basse consommation

♦ **Montage en surface** RoHS Compliant

Pour des quantités supérieures à celles indiquées, appelez-nous afin d'obtenir un devis.

RÉF. STOCK MOUSER	Réf. Catalyst	Type de boîtier	Résolution de température (°C)	Temps de conversion (ms)	Plage de temp. (°C)	Tension de fonctionnement (V)	Prix unitaire 1	25	100	250
♦ 863-CAT34TS02VP2GT4A	CAT34TS02VP2GT4A	TDFN-8	0,0625	100	de -45 à 125	3,3 à ±10 %	0,99	0,891	0,792	0,693

BUS I²C (2 FILS) AVEC COURANT DE VEILLE FAIBLE, PROTECTION EN ÉCRITURE PILE PARTIELLE CATALYST

Caractéristiques :

- Tampon d'écriture page 16 octets
- Protection d'écriture matériel pour toute la mémoire
- Protection d'écriture logicielle pour les 128 octets de poids le plus faible
- Bascules de Schmitt et filtres de suppression du bruit sur les entrées du bus I²C (SCL et SDA).
- Technologie CMOS à basse consommation
- 1 000 000 de cycles de programmation/effacement
- Conservation des données 100 ans

♦ **Montage en surface** RoHS Compliant

Pour des quantités supérieures à celles indiquées, appelez-nous afin d'obtenir un devis.

RÉF. STOCK MOUSER	Réf. Catalyst	Type de boîtier	Densité	Organisation	Plage de temp. (°C)	Tension de fonctionnement (V)	Prix unitaire 1	25	100	250
♦ 863-CAT34C02HU4IGT4A	CAT34C02HU4IGT4A	UDFN-8	2Kb	256 x 8	de - 40 à + 85	de 1,7 à 5,5	1,81	1,49	1,14	0,85
♦ 698-CAT34C02YI-G	CAT34C02YI-G	TSSOP-8	2Kb	256 x 8	de - 40 à + 85	de 1,8 à 5,5	0,59	0,454	0,401	0,349

BUS I²C (2 FILS) CATALYST AVEC COURANT DE VEILLE FAIBLE, PROTECTION EN ÉCRITURE COMPLÈTE

Caractéristiques :

- Tampon d'écriture page 16 octets
- Protection en écriture du matériel pour toute la mémoire
- Bascules de Schmitt et filtres de suppression du bruit sur entrées de bus I²C (SCL et SDA).
- Technologie CMOS à basse consommation
- 1 000 000 de cycles de programmation/effacement
- Conservation des données 100 ans

♦ **Montage en surface** RoHS Compliant

Pour des quantités supérieures à celles indiquées, appelez-nous afin d'obtenir un devis.

RÉF. STOCK MOUSER	Réf. Catalyst	Type de boîtier	Densité	Organisation	Plage de temp. (°C)	Tension de fonctionnement (V)	Prix unitaire 1	25	100	250
698-CAT24C01LI-G	CAT24C01LI-G	PDIP-8	1Kb	128 x 8	de - 40 à + 85	de 1,8 à 5,5	0,55	0,421	0,367	0,319
♦ 698-CAT24C01WI-G	CAT24C01WI-G	SOIC-8	1Kb	128 x 8	de - 40 à + 85	de 1,8 à 5,5	0,36	0,264	0,231	0,20
♦ 698-CAT24C01WI-GT3	CAT24C01WI-GT3	SOIC-8	1Kb	128 x 8	de - 40 à + 85	de 1,8 à 5,5	0,43	0,281	0,232	0,193
♦ 698-CAT24C01YI-G	CAT24C01YI-G	TSSOP-8	1Kb	128 x 8	de - 40 à + 85	de 1,8 à 5,5	0,55	0,437	0,427	0,394
698-CAT24C02LI-G	CAT24C02LI-G	PDIP-8	2Kb	256 x 8	de - 40 à + 85	de 1,8 à 5,5	0,36	0,269	0,23	0,20
♦ 863-CAT24C02VP2IGT3A	CAT24C02VP2IGT3A	TDFN-8	2Kb	256 x 8	de - 40 à + 85	de 1,8 à 5,5	1,45	1,20	0,916	0,69
♦ 698-CAT24C02WI-G	CAT24C02WI-G	SOIC-8	2Kb	256 x 8	de - 40 à + 85	de 1,8 à 5,5	0,33	0,27	0,231	0,20
♦ 698-CAT24C02WI-GT3	CAT24C02WI-GT3	SOIC-8	2Kb	256 x 8	de - 40 à + 85	de 1,8 à 5,5	0,22	0,198	0,189	0,173
♦ 698-CAT24C02YI-G	CAT24C02YI-G	TSSOP-8	2Kb	256 x 8	de - 40 à + 85	de 1,8 à 5,5	0,64	0,519	0,497	0,46
♦ 698-CAT24C02YI-GT3	CAT24C02YI-GT3	TSSOP-8	2Kb	256 x 8	de - 40 à + 85	de 1,8 à 5,5	0,41	0,264	0,219	0,183
♦ 698-CAT24C03YI-GT3	CAT24C03YI-GT3	TSSOP-8	2Kb	256 x 8	de - 40 à + 85	de 1,8 à 5,5	0,47	0,355	0,318	0,174
698-CAT24C04LI-G	CAT24C04LI-G	PDIP-8	4Kb	512 x 8	de - 40 à + 85	de 1,8 à 5,5	0,39	0,286	0,246	0,213
♦ 698-CAT24C04WI-G	CAT24C04WI-G	SOIC-8	4Kb	512 x 8	de - 40 à + 85	de 1,8 à 5,5	0,41	0,297	0,259	0,225
♦ 698-CAT24C04WI-GT3	CAT24C04WI-GT3	SOIC-8	4Kb	512 x 8	de - 40 à + 85	de 1,8 à 5,5	0,26	0,223	0,215	0,20
♦ 698-CAT24C04YI-G	CAT24C04YI-G	TSSOP-8	4Kb	512 x 8	de - 40 à + 85	de 1,8 à 5,5	0,61	0,479	0,469	0,436
♦ 698-CAT24C04YI-GT3	CAT24C04YI-GT3	TSSOP-8	4Kb	512 x 8	de - 40 à + 85	de 1,8 à 5,5	0,26	0,223	0,215	0,20
♦ 698-CAT24C05WI-GT3	CAT24C05WI-GT3	SOIC-8	4Kb	512 x 8	de - 40 à + 85	de 1,8 à 5,5	0,62	0,47	0,421	0,365
♦ 698-CAT24C05YI-GT3	CAT24C05YI-GT3	TSSOP-8	4Kb	512 x 8	de - 40 à + 85	de 1,8 à 5,5	0,62	0,47	0,421	0,365
698-CAT24C08LI-G	CAT24C08LI-G	PDIP-8	8Kb	1024 x 8	de - 40 à + 85	de 1,8 à 5,5	0,68	0,52	0,456	0,397
♦ 698-CAT24C08WI-G	CAT24C08WI-G	SOIC-8	8Kb	1024 x 8	de - 40 à + 85	de 1,8 à 5,5	0,46	0,338	0,291	0,252
♦ 698-CAT24C08WI-GT3	CAT24C08WI-GT3	SOIC-8	8Kb	1024 x 8	de - 40 à + 85	de 1,8 à 5,5	0,29	0,248	0,241	0,216
698-CAT24C16LI-G	CAT24C16LI-G	PDIP-8	16Kb	2048 x 8	de - 40 à + 85	de 1,8 à 5,5	0,71	0,545	0,479	0,417
♦ 698-CAT24C16WI-G	CAT24C16WI-G	SOIC-8	16Kb	2048 x 8	de - 40 à + 85	de 1,8 à 5,5	0,48	0,347	0,299	0,259
♦ 698-CAT24C16WI-GT3	CAT24C16WI-GT3	SOIC-8	16Kb	2048 x 8	de - 40 à + 85	de 1,8 à 5,5	0,54	0,347	0,287	0,239
♦ 698-CAT24C16YI-G	CAT24C16YI-G	TSSOP-8	16 Kb	2048 x 8	de - 40 à + 85	de 1,8 à 5,5	0,54	0,347	0,281	0,239
♦ 698-CAT24C16YI-GT3	CAT24C16YI-GT3	TSSOP-8	16 Kb	2048 x 8	de - 40 à + 85	de 1,8 à 5,5	0,54	0,347	0,287	0,239
698-CAT24C32LI-G	CAT24C32LI-G	PDIP-8	32Kb	4096 x 8	de - 40 à + 85	1,8 à 5,5	0,84	0,726	0,636	0,545
♦ 698-CAT24C32WI-G	CAT24C32WI-G	SOIC-8	32Kb	4096 x 8	de - 40 à + 85	1,8 à 5,5	0,62	0,479	0,417	0,363
♦ 698-CAT24C32YI-G	CAT24C32YI-G	TSSOP-8	32Kb	4096 x 8	de - 40 à + 85	1,8 à 5,5	1,05	0,833	0,80	0,737
698-CAT24C64LI-G	CAT24C64LI-G	PDIP-8	64Kb	8192 x 8	de - 40 à + 85	1,8 à 5,5	1,14	0,916	0,798	0,70
♦ 698-CAT24C64WI-G	CAT24C64WI-G	SOIC-8	64Kb	8192 x 8	de - 40 à + 85	de 1,8 à 5,5	0,74	0,578	0,503	0,438
♦ 698-CAT24C64YI-G	CAT24C64YI-G	TSSOP-8	64Kb	8192 x 8	de - 40 à + 85	1,8 à 5,5	1,34	1,06	1,01	0,941
698-CAT24C128LI-G	CAT24C128LI-G	PDIP-8	128Kb	16384 x 8	de - 40 à + 85	1,8 à 5,5	1,28	1,06	0,949	0,807
♦ 698-CAT24C128WI-G	CAT24C128WI-G	SOIC-8	128Kb	16384 x 8	de - 40 à + 85	1,8 à 5,5	0,91	0,726	0,636	0,558
698-CAT24C256LI-G	CAT24C256LI-G	PDIP-8	256 Kb	32768 x 8	de - 40 à + 85	de 1,8 à 5,5	1,77	1,47	1,32	1,11
♦ 698-CAT24C256WI-G	CAT24C256WI-G	SOIC-8	256Kb	32768 x 8	de - 40 à + 85	de 1,8 à 5,5	1,10	0,875	0,766	0,672
♦ 698-CAT24C256XI	CAT24C256XI	SOIC-8	256Kb	32768 x 8	de - 40 à + 85	de 1,8 à 5,5	1,44	1,15	1,08	1,01

EEPROM SÉRIE EN CASCADE (2 FILS) 12C BUS CATALYST

Caractéristiques :

- Tampon d'écriture page 16 octets
- Protection d'écriture matériel pour toute la mémoire
- Bascules de Schmitt et filtres de suppression du bruit sur I²C Entrées bus (SCL et SDA)
- Technologie CMOS à basse consommation
- 1 000 000 de cycles de programmation/effacement
- Conservation des données 100 ans

♦ **Montage en surface** RoHS Compliant

RÉF. STOCK MOUSER	Réf. Catalyst	Type de boîtier	Densité	Organisation	Plage de temp. (°C)	Tension de fonctionnement (V)	Prix unitaire 1	25	100	250
♦ 698-CAT24C164WI-G	CAT24C164WI-G	SOIC-8	16Kb	2048 x 8	de - 40 à + 85	de 1,8 à 5,5	1,17	0,899	0,757	0,648

© Copyright 2012 Mouser Electronics

© Copyright 2012 Mouser Electronics

EEPROM série ON SEMICONDUCTOR

ON Semiconductor®

RoHS Compliant **This product is RoHS compliant.**

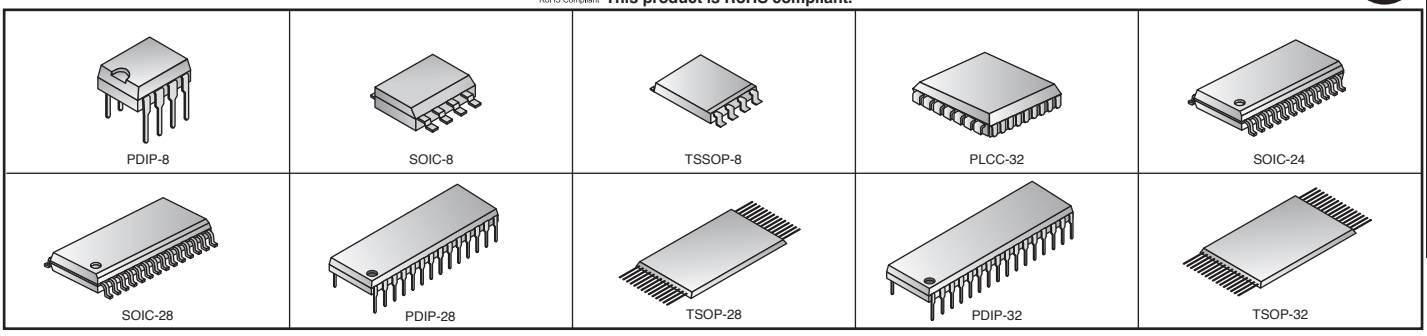

EEPROM CMOS SÉRIE DOUBLE PORT CATALYST

Le CAT24C208 est une EEPROM CMOS série double port de 8Kb organisée en interne sous forme de 4 segments de 256 octets chacun. Le CAT24C208 comporte un tampon d'écriture de page de 16 octets et il est possible d'y accéder depuis n'importe lequel des deux ports compatibles I²C, DSP (SDA, SCL) et DDC (SDA, SCL). L'arbitrage entre les deux ports d'interface est automatique et permet des accès individuels à la mémoire à partir de chaque interface.

Caractéristiques :

- Accepte le protocole I²C standard et Fast I²C
- Plage de tension d'alimentation de 2,5V à 5,5V
- Tampon d'écriture page 16 octets
- Bascules de Schmitt et filtres de suppression du bruit sur les entrées du bus I²C
- Technologie CMOS à basse consommation
- 1 000 000 de cycles de programmation/effacement
- Rétention des données 1 an

RoHS Compliant

♦ Montage en surface

RÉF. STOCK MOUSER	Réf. Catalyst	Type de boîtier	Densité	Organisation	Plage de temp. (°C)	Tension de fonctionnement (V)	Prix unitaire 1	25	100	250
♦ 698-CAT24C208WI-G	CAT24C208WI-G	SOIC-8	8Kb	1Kb x 8	de - 40 à + 85	de 2,5 à 5,5	2,39	1,75	1,44	1,24

BUS MICROWIRE (3 FILS) CATALYST

Ces EEPROM série Microwire sont configurées soit comme registres de 16 bits (broche ORG à VCC.) soit de 8 bits (broche ORG à GND). Chaque registre peut être écrit (ou lu) de manière sérielle en utilisant la broche DI (ou DO). Elles sont fabriquées en utilisant la technologie avancée à porte flottante EEPROM CMOS de Catalyst. Les dispositifs sont conçus pour résister à 1 000 000 de cycles de programmation/effacement et ils ont une conservation de données de 100 ans.

Caractéristiques :

- Fonctionnement haute vitesse : 1MHz
- Technologie CMOS à basse consommation
- Fonctionnement de 1,8 à 6V
- Organisation de la mémoire sélectionnable x8 ou x16
- Cycle d'écriture auto temporisé avec auto effacement
- Protection en écriture matériel et logiciel
- Protection en écriture contre coupure involontaire du courant
- 1 000 000 de cycles de programmation/effacement
- Conservation des données 100 ans
- Lecture séquentielle

RoHS Compliant

♦ Montage en surface

Pour des quantités supérieures à celles indiquées, appelez-nous afin d'obtenir un devis.

RÉF. STOCK MOUSER	Réf. Catalyst	Type de boîtier	Densité	Organisation	Plage de temp. (°C)	Tension de fonctionnement (V)	Prix unitaire 1	25	100	250
698-CAT93C46LI-G	CAT93C46LI-G	PDIP-8	1Kb	128 x 8/64 x 16	de - 40 à + 85	de 2,5 à 5,5	0,51	0,396	0,345	0,30
♦ 698-CAT93C46VI-G	CAT93C46VI-G	SOIC-8	1Kb	128 x 8/64 x 16	de - 40 à + 85	de 2,5 à 5,5	0,36	0,264	0,231	0,20
♦ 698-CAT93C46VI-GT3	CAT93C46VI-GT3	SOIC-8	1Kb	128 x 8/64 x 16	de - 40 à + 85	de 2,5 à 5,5	0,49	0,314	0,26	0,216
♦ 698-CAT93C46WI-G	CAT93C46WI-G	SOIC-8	1Kb	128 x 8/64 x 16	de - 40 à + 85	de 2,5 à 5,5	0,36	0,264	0,231	0,20
♦ 698-CAT93C46WI-GT3	CAT93C46WI-GT3	SOIC-8	1Kb	128 x 8/64 x 16	de - 40 à + 85	de 2,5 à 5,5	0,49	0,314	0,26	0,216
♦ 698-CAT93C46YI-G	CAT93C46YI-G	TSSOP-8	1Kb	128 x 8/64 x 16	de - 40 à + 85	de 2,5 à 5,5	0,36	0,264	0,231	0,20
698-CAT93C56LI-G	CAT93C56LI-G	PDIP-8	2Kb	256 x 8/128 x 16	de - 40 à + 85	de 2,5 à 5,5	0,55	0,421	0,367	0,319
♦ 698-CAT93C56VI-G	CAT93C56VI-G	SOIC-8	2Kb	256 x 8/128 x 16	de - 40 à + 85	de 2,5 à 5,5	0,45	0,347	0,345	0,318
♦ 698-CAT93C56YI-G	CAT93C56YI-G	TSSOP-8	2Kb	256 x 8/128 x 16	de - 40 à + 85	de 2,5 à 5,5	0,45	0,347	0,345	0,318
698-CAT93C66LI-G	CAT93C66LI-G	PDIP-8	4Kb	512 x 8/256 x 16	de - 40 à + 85	de 2,5 à 5,5	0,58	0,446	0,389	0,339
♦ 698-CAT93C66VI-G	CAT93C66VI-G	SOIC-8	4Kb	512 x 8/256 x 16	de - 40 à + 85	de 2,5 à 5,5	0,54	0,396	0,339	0,294
♦ 698-CAT93C66YI-G	CAT93C66YI-G	TSSOP-8	4Kb	512 x 8/256 x 16	de - 40 à + 85	de 2,5 à 5,5	0,41	0,33	0,314	0,291
698-CAT93C86LI-G	CAT93C86LI-G	PDIP-8	8Kb	2048 x 8/1024 x 16	de - 40 à + 85	de 2,5 à 5,5	0,74	0,569	0,501	0,436
♦ 698-CAT93C86VI-G	CAT93C86VI-G	SOIC-8	8Kb	2048 x 8/1024 x 16	de - 40 à + 85	de 2,5 à 5,5	0,67	0,512	0,45	0,391
♦ 698-CAT93C86VI-GT3	CAT93C86VI-GT3	SOIC-8	8Kb	2048 x 8/1024 x 16	de - 40 à + 85	de 2,5 à 5,5	0,56	0,429	0,384	0,332

BUS SPI À COURANT DE VEILLE FAIBLE CATALYST (COMPATIBLE MOTOROLA)

Ces EEOPROM série CMOS SPI utilisent la technologie évoluée CMOS de Catalyst qui réduit significativement les besoins en consommation du dispositif. Elles fonctionnent à travers une interface bus sérielle et sont activées avec une sélection de puce (CS). Outre la sélection de puce (Chip Select), l'entrée de l'horloge (SCK), l'entrée de données (SI) et la sortie de données (SO) sont nécessaires pour accéder au dispositif. La broche HOLD (ATTENTE) peut être utilisée pour suspendre toute communication série sans réinitialiser la séquence série.

Caractéristiques :

- Compatible SPI 10 MHz SPI
- Fonctionnement de 1,8 à 5,5 volts
- Protection matériel et logiciel
- Technologie CMOS à basse consommation
- Modes SPI (0,0 et 1,1)
- 1 000 000 de cycles de programmation/effacement
- Conservation des données 100 ans
- Cycle d'écriture auto temporisé
- Tampon d'écriture page 16 octets
- Protection à l'écriture en bloc – Protection en proportion de 1/4, 1/2 ou toute la pile EEPROM

RoHS Compliant

♦ Montage en surface

Pour des quantités supérieures à celles indiquées, appelez-nous afin d'obtenir un devis.

RÉF. STOCK MOUSER	Réf. Catalyst	Type de boîtier	Densité	Organisation	Plage de temp. (°C)	Tension de fonctionnement (V)	Prix unitaire 1	25	100	250
698-CAT25010LI-G	CAT25010LI-G	PDIP-8	1Kb	128 x 8	de - 40 à + 85	de 1,8 à 5,5	0,58	0,446	0,389	0,339
♦ 863-CAT25010VE-GT3D	CAT25010VE-GT3D	SOIC-8	1Kb	128 x 8	de - 40 à + 85	de 1,8 à 5,5	1,67	1,39	1,06	0,794
♦ 698-CAT25010YI-G	CAT25010YI-G	TSSOP-8	1Kb	128 x 8	de - 40 à + 85	de 1,8 à 5,5	0,47	0,347	0,297	0,257
698-CAT25020LI-G	CAT25020LI-G	PDIP-8	2Kb	256 x 8	de - 40 à + 85	de 1,8 à 5,5	0,61	0,47	0,412	0,358
♦ 863-CAT25020VE-GT3	CAT25020VE-GT3	SOIC-8	2Kb	256 x 8	de - 40 à + 85	de 1,8 à 5,5	2,05	1,71	1,30	0,974
♦ 698-CAT25020VI-G	CAT25020VI-G	SOIC-8	2Kb	256 x 8	de - 40 à + 85	de 1,8 à 5,5	0,51	0,394	0,342	0,298
♦ 698-CAT25020YI-G	CAT25020YI-G	TSSOP-8	2Kb	256 x 8	de - 40 à + 85	de 1,8 à 5,5	0,31	0,248	0,248	0,224
698-CAT25040LI-G	CAT25040LI-G	PDIP-8	4Kb	512 x 8	de - 40 à + 85	de 1,8 à 5,5	0,43	0,347	0,322	0,297
♦ 698-CAT25040VI-G	CAT25040VI-G	SOIC-8	4Kb	512 x 8	de - 40 à + 85	de 1,8 à 5,5	0,55	0,421	0,369	0,321
♦ 698-CAT25040YI-G	CAT25040YI-G	TSSOP-8	4Kb	512 x 8	de - 40 à + 85	de 1,8 à 5,5	0,51	0,404	0,389	0,367
698-CAT25080LI-G	CAT25080LI-G	PDIP-8	8Kb	1024 x 8	de - 40 à + 85	de 1,8 à 5,5	0,43	0,347	0,322	0,297
♦ 698-CAT25080VI-G	CAT25080VI-G	SOIC-8	8Kb	1024 x 8	de - 40 à + 85	de 1,8 à 5,5	0,63	0,487	0,424	0,369
♦ 698-CAT25080VI-GT3	CAT25080VI-GT3	SOIC-8	8Kb	1024 x 8	de - 40 à + 85	de 1,8 à 5,5	0,55	0,388	0,333	0,321
♦ 698-CAT25080YI-G	CAT25080YI-G	TSSOP-8	8Kb	1024 x 8	de - 40 à + 85	de 1,8 à 5,5	0,52	0,413	0,396	0,375
♦ 698-CAT25080YI-GT3	CAT25080YI-GT3	TSSOP-8	8Kb	1024 x 8	de - 40 à + 85	de 1,8 à 5,5	0,65	0,454	0,389	0,336
698-CAT25160LI-G	CAT25160LI-G	PDIP-8	16Kb	2048 x 8	de - 40 à + 85	de 1,8 à 5,5	0,81	0,644	0,566	0,497
♦ 698-CAT25160VI-G	CAT25160VI-G	SOIC-8	16Kb	2048 x 8	de - 40 à + 85	de 1,8 à 5,5	0,69	0,528	0,46	0,401
♦ 698-CAT25160VI-GT3	CAT25160VI-GT3	SOIC-8	16Kb	2048 x 8	de - 40 à + 85	de 1,8 à 5,5	0,56	0,429	0,384	0,332
♦ 698-CAT25160YI-G	CAT25160YI-G	TSSOP-8	16 Kb	2048 x 8	de - 40 à + 85	de 1,8 à 5,5	0,74	0,578	0,503	0,438
♦ 698-CAT25160YI-GT3	CAT25160YI-GT3	TSSOP-8	16 Kb	2048 x 8	de - 40 à + 85	de 1,8 à 5,5	0,45	0,355	0,344	0,316
698-CAT25320LI-G	CAT25320LI-G	PDIP-8	32Kb	4096 x 8	de - 40 à + 85	de 1,8 à 5,5	0,95	0,817	0,717	0,615
♦ 698-CAT25320VI-G	CAT25320VI-G	SOIC-8	32Kb	4096 x 8	de - 40 à + 85	de 1,8 à 5,5	0,79	0,627	0,554	0,487
♦ 698-CAT25320VI-GT3	CAT25320VI-GT3	SOIC-8	32Kb	4096 x 8	de - 40 à + 85	de 1,8 à 5,5	0,68	0,52	0,46	0,399
♦ 698-CAT25320YI-GT3	CAT25320YI-GT3	TSSOP-8	32Kb	4096 x 8	de - 40 à + 85	de 1,8 à 5,5	0,58	0,449	0,396	0,347
♦ 698-CAT25128VI-G	CAT25128VI-G	SOIC-8	128Kb	16384 x 8	de - 40 à + 85	de 1,8 à 5,5	1,25	0,99	0,866	0,763
♦ 698-CAT25128YI-G	CAT25128YI-G	TSSOP-8	128Kb	16384 x 8	de - 40 à + 85	de 1,8 à 5,5	1,49	1,19	1,11	1,04
698-CAT25256LI-G	CAT25256LI-G	PDIP-8	256 Kb	32768 x 8	de - 40 à + 85	de 1,8 à 5,5	1,77	1,47	1,32	1,11
♦ 698-CAT25256VI-G	CAT25256VI-G	SOIC-8	256Kb	32768 x 8	de - 40 à + 85	de 1,8 à 5,5	1,49	1,20	1,07	0,957
♦ 698-CAT25256XI	CAT25256XI	SOIC-8	256Kb	32768 x 8	de - 40 à + 85	de 1,8 à 5,5	1,57	1,25	1,18	1,10
♦ 698-CAT25256YI-G	CAT25256YI-G	TSSOP-8	256Kb	32768 x 8	de - 40 à + 85	de 1,8 à 5,5	1,49	1,20	1,07	0,957

© Copyright 2012 Mouser Electronics

© Copyright 2012 Mouser Electronics

EEPROM, mémoires Flash et NVRAM

RoHS Compliant **This product is RoHS compliant.**

ON Semiconductor®

EEPROM PARALLÈLES 5V BASSE CONSOMMATION CATALYST

Ce sont des EEPROM parallèles CMOS rapides, uniquement à 5V et à basse consommation, organisées sous la forme 2 Kb x 8 bits, 8 Kb x 8 bits, 32 Kb x 8 bits ou 64 Kb x 8-bits. Elles nécessitent une simple interface pour la programmation in-situ. Les capacités d'adresse et blocage des données sur puce, cycle d'écriture auto temporisé et protection à l'écriture pour alimentation/coupure de courant VCC éliminent la temporisation et la protection supplémentaire du matériel. Le DATA Polling signale le début et la fin du cycle d'écriture auto temporisé. Elles comportent aussi une fonctionnalité de protection en écriture matérielle. Elles sont fabriquées en utilisant la technologie avancée à porte flottante CMOS de Catalyst. Elles sont conçues pour résister à 10 000 cycles de programmation/effacement et ont une conservation de données de 10 ans.

Caractéristiques :

- Temps d'accès lecture rapide
- Dissipation CMOS à basse consommation
- Fonctionnement à écriture simple : Adresse sur puce et blocages des données Cycle d'écriture auto temporisé avec auto effacement
- Durée de cycle d'écriture rapide : 5ms max.
- E/S compatibles CMOS et TTL
- Protection en écriture matériel et logiciel
- Fonctionnement écriture de page automatique
- Détection de fin d'écriture
- 100 000 cycles de programmation/effacement
- Conservation des données 100 ans

♦ Montage en surface

Pour des quantités supérieures à celles indiquées, appelez-nous afin d'obtenir un devis.

RÉF. STOCK MOUSER	Réf. Catalyst	Type de boîtier	Densité	Organisation	Temps d'accès (ns)	Plage de temp. (°C)	Tension de fonctionnement (V)	Prix unitaire 1	25	100	250
♦ 698-CAT28C16AGI-90	CAT28C16AGI-90	PLCC-32	16Kb	2Kb x 8	90	de -40 à +85	de 4,5 à 5,5	9,78	7,83	7,33	6,83
♦ 698-CAT28C16AG-20	CAT28C16AG20	PLCC-32	16Kb	2Kb x 8	200	de 0 à 70	de 4,5 à 5,5	4,50	3,59	3,37	3,14
♦ 698-CAT28C16AWI-90	CAT28C16AWI-90	SOIC-24	16Kb	2Kb x 8	90	de -40 à +85	de 4,5 à 5,5	5,64	4,52	4,24	3,94
♦ 698-CAT28C64BGI-90	CAT28C64BGI-90	PLCC-32	64Kb	8Kb x 8	90	de -40 à +85	de 4,5 à 5,5	7,19	5,77	5,40	5,04
♦ 698-CAT28C64BGI-12	CAT28C64BGI-12	PLCC-32	64Kb	8Kb x 8	120	de -40 à +85	de 4,5 à 5,5	6,94	5,57	5,21	4,86
♦ 698-CAT28C64BWI-12	CAT28C64BWI-12	SOIC-28	64Kb	8Kb x 8	120	de -40 à +85	de 4,5 à 5,5	4,63	3,71	3,47	3,24
♦ 698-CAT28C64BXI-12	CAT28C64BXI-12	SOIC-28	64Kb	8Kb x 8	120	de -40 à +85	de 4,5 à 5,5	7,06	5,65	5,30	4,95
698-CAT28C256L-12	CAT28C256L-12	PDIP-28	256Kb	32Kb x 8	120	de 0 à 70	de 4,5 à 5,5	7,55	6,04	5,65	5,29
♦ 698-CAT28C256GI-12	CAT28C256GI-12	PLCC-32	256Kb	32Kb x 8	120	de -40 à +85	de 4,5 à 5,5	7,25	5,80	5,43	5,07
♦ 698-CAT28C256GI-15	CAT28C256GI-15	PLCC-32	256Kb	32Kb x 8	150	de -40 à +85	de 4,5 à 5,5	10,87	8,70	8,17	7,61

MÉMOIRE FLASH CATALYST

Ce sont des EEPROM parallèles CMOS rapides, uniquement à 5 volts et à basse consommation, organisés sous la forme 2 Kb x 8 bits, 8 Kb x 8 bits, 32 Kb x 8-bits ou 64 Kb x 8 bits. Elles nécessitent une simple interface pour la programmation in-situ. Les capacités d'adresse et blocage des données sur puce, cycle d'écriture auto temporisé et protection à l'écriture pour alimentation/coupure de courant VCC éliminent la temporisation et la protection supplémentaire du matériel. Le DATA Polling signale le début et la fin du cycle d'écriture auto temporisé. Elles comportent aussi une fonctionnalité de protection en écriture matérielle. Elles sont fabriquées en utilisant la technologie avancée à porte flottante CMOS de Catalyst. Elles sont conçues pour résister à 10 000 cycles de programmation/effacement et ont une rétention de données de 10 ans.

Caractéristiques :

- Temps d'accès en lecture rapide : 70/90/120/150ns
- Fonctionnement CMOS à faible consommation
- Tension de programmation et d'effacement 12 V ± 5 %
- Programmation à haute vitesse
- Signature électronique
- Usage commercial, industriel et en automobile
- Plages de température

♦ Montage en surface

Pour des quantités supérieures à celles indiquées, appelez-nous afin d'obtenir un devis.

RÉF. STOCK MOUSER	Réf. Catalyst	Type de boîtier	Densité	Organisation	Temps d'accès (ns)	Boîtier secteur	Plage de temp. (°C)	Tension de fonctionnement (V)	Prix unitaire 1	25	100	250
♦ 698-CAT28F512GI-12	CAT28F512GI-12	PLCC-32	512Ko	64Kb x 8	120	Effacement en masse	de -40 à +85	de 4,5 à 5,5	8,02	6,41	6,01	5,62
♦ 698-CAT28F001G-12B	CAT28F001G-12B	PLCC-32	1Mb	128 x 8	120	Bloc d'amorçage	de 0 à 70	de 4,5 à 5,5	10,01	8,00	7,51	7,00
♦ 698-CAT28F010G-12	CAT28F010G-12	PLCC-32	1Mo	128Kb x 8	120	Effacement en masse	de 0 à 70	de 4,5 à 5,5	8,82	7,05	6,62	6,17
♦ 698-CAT28F010GI-12	CAT28F010GI-12	PLCC-32	1Mo	128Kb x 8	120	Effacement en masse	de -40 à +85	de 4,5 à 5,5	-	-	-	-
698-CAT28F010LI-12	CAT28F010LI-12	PDIP-32	1Mo	128Kb x 8	120	Effacement en masse	de -40 à +85	de 4,5 à 5,5	-	-	-	-

NVRAM CATALYST

Caractéristiques :

- Alimentation unique 5V
- Rappel infini EEPROM vers RAM
- E/S compatibles CMOS et TTL
- Protection mise en marche/arrêt
- Rétention des données 10 ans
- 100 000 cycles de programmation/effacement (EEPROM)
- Températures nominales pour usage commercial, industriel et automobile
- Brochages JEDEC standard : DIP à 18 broches et SOIC à 16 broches (CAT22C10)
- Basse consommation CMOS : Active - 40mA max., veille : 30µA max.
- Temps d'accès rapide à la RAM (CAT22C10) : 200ns, 300nst

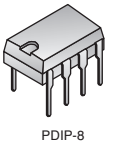

PDIP-8

♦ Montage en surface

Pour des quantités supérieures à celles indiquées, appelez-nous afin d'obtenir un devis.

RÉF. STOCK MOUSER	Réf. Catalyst	Type de boîtier	Densité	Organisation	Temps d'accès (ns)	Plage de temp. (°C)	Tension de fonctionnement (V)	Prix unitaire 1	25	100	250
698-CAT24C44LI	CAT24C44LI	PDIP-8	256	16 x 16	-	de - 40 à + 85	de 4,5 à 5,5	2,71	2,18	1,98	1,64
♦ 698-CAT24C44VI-G	CAT24C44VI-G	SOIC-8	256	16 x 16	-	de - 40 à + 85	de 4,5 à 5,5	2,20	2,04	1,82	1,71

© Copyright 2012 Mouser Electronics

© Copyright 2012 Mouser Electronics

Mémoire F-RAM RAMTRON

RAMTRON

RoHS Compliant **This product is RoHS compliant.**

MÉMOIRE F-RAM RAMTRON (MÉMOIRE VIVE FERROÉLECTRIQUE)

F-RAM offre un groupe unique de caractéristiques liées à d'autres technologies de semi-conducteurs. Les mémoires des semi-conducteurs grand public traditionnels peuvent être divisées en deux catégories principales : volatiles et non-volatiles. Les mémoires volatiles incluent la SRAM (mémoire vive statique) et la DRAM (mémoire vive dynamique). Les mémoires SRAM et DRAM perdent leur contenu après la coupure du courant du système électrique. Les dispositifs de type RAM sont très faciles à utiliser et sont des dispositifs de haute performance, mais ils partagent le problème dérangeant de perdre leur conscience quand les lumières s'éteignent.

Les mémoires non volatiles ne perdent pas leur contenu quand le courant est coupé. cependant, toutes les mémoires non volatiles grand public partagent une origine commune qui dérive de la technologie ROM (mémoire morte). Comme vous pouvez le deviner, ce que l'on appelle mémoire morte n'est pas facile à écrire, en fait c'est impossible. Tous ses descendants posent des problèmes très difficiles lors de l'écriture des informations. Ils incluent les technologies EPROM (pratiquement obsolètes à présent), EEPROM et flash. Les technologies basées sur ROM sont très lentes à écrire, elles sont usées après un petit nombre d'écritures et elles utilisent beaucoup d'énergie pour écrire.

F-RAM offre des caractéristiques compatibles avec la technologie RAM, mais est non volatile comme une technologie ROM. Les ponts F-RAM comblent l'écart entre ces deux catégories et créent quelque chose de complètement nouveau : une mémoire RAM non volatile. Quand un champ électrique est appliqué à un cristal ferroélectrique, l'atome central se déplace dans la direction du champ. Au fur et à mesure que l'atome se déplace dans le cristal, il passe par une barrière d'énergie, ce qui provoque une pointe de charge. Les circuits internes détectent la pointe de charge et positionnent la mémoire. Si le champ électrique est éloigné du cristal, l'atome central reste en position, en gardant l'état de la mémoire. Par conséquent, la mémoire F-RAM n'a pas besoin de rafraîchissement périodique et quand le courant est coupé, la mémoire F-RAM conserve ses données. Elle est rapide et sans usure !

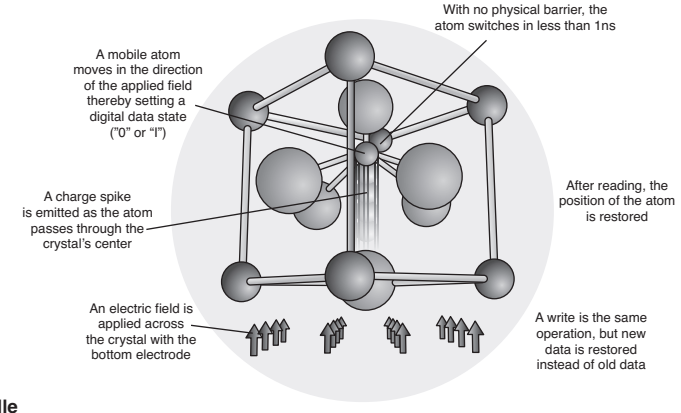

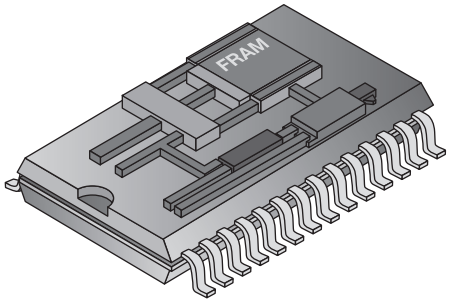

F-RAM sérielle

L'interface à deux fils est un protocole maître multi-esclave largement utilisé qui utilise une horloge sérielle (SCL) et une ligne de données sérielle (SDA). Les dispositifs à mémoires multiples peuvent résider sur le bus à 2 fils en utilisant les broches sélectionnées du dispositif A0-A2 sur les parties sélectionnées. Le protocole à 2 fils est conçu aussi pour des applications à chutes de tension multiples.

RoHS Compliant LEAD-FREE

Caractéristiques :

- Protocole standard en industrie (2 fils et SPI)
- Haute endurance à la lecture / écriture
- Courant d'attente faible
- Écritures NoDelay™
- Faible consommation électrique
- Remplacement direct du matériel pour EEPROM

◆ **Composant pour montage en surface**

Pour des quantités supérieures à celles indiquées, appelez-nous afin d'obtenir un devis.

RÉF. STOCK MOUSER	Réf. Ramtron	Type de boîtier	Densité	Organisation	Vitesse bus max. (MHz)	Plage de temp.(°C)	Tension d'alimentation (V)	Prix unitaire 1	25	100	500
Interface I²C											
◆ 877-FM24C04A-G	FM24C04A-G	SOIC-8	4Kb	512 x 8	1	de -40 à +85	4,5 - 5,5	-	-	-	-
◆ 877-FM24CL04-G	FM24CL04-G	SOIC-8	4Kb	512 x 8	1	de -40 à +85	2.7 - 3.65	0,98	0,932	0,85	0,802
◆ 877-FM24C16A-G	FM24C16A-G	SOIC-8	16Ko	2Kb x 8	1	de -40 à +85	4,5 - 5,5	-	-	-	-
◆ 877-FM24CL16-G	FM24CL16-G	SOIC-8	16Ko	2Kb x 8	1	de -40 à +85	2.7 - 3.65	-	-	-	-
◆ 877-FM24CL16-DG	FM24CL16-DG	DFN-8	16Ko	2Kb x 8	1	de -40 à +85	2.7 - 3.65	1,41	1,27	1,16	1,06
◆ 877-FM24CL32-G	FM24CL32-G	SOIC-8	32Ko	4K x 8	1	de -40 à +85	2,7 - 3,6	-	-	-	-
◆ 877-FM24C64-G	FM24C64-G	SOIC-8	64Ko	8Kb x 8	1	de -40 à +85	4,5 - 5,5	-	-	-	-
◆ 877-FM24CL64-G	FM24CL64-G	SOIC-8	64Ko	8Kb x 8	1	de -40 à +85	2.7 - 3.65	-	-	-	-
◆ 877-FM24CL64-DG	FM24CL64-DG	DFN-8, 4,0 x 4,5 mm	64Ko	8Kb x 8	1	de -40 à +85	2.7 - 3.65	-	-	-	-
◆ 877-FM24C256-G	FM24C256-G	SOIC-8	256Ko	32Kb x 8	1	de -40 à +85	4,5 - 5,5	-	-	-	-
◆ 877-FM24C512-G	FM24C512-G	SOIC-8	512Kb	64Kb x 8	1	de -40 à +85	4,5 - 5,5	-	-	-	-
Interface SPI											
◆ 877-FM25L04-G	FM25L04-G	SOIC-8	4Kb	512 x 8	14	de -40 à +85	2,7 - 3,6	-	-	-	-
◆ 877-FM25L04-DG	FM25L04-DG	DFN-8, 3,0 x 6,4 mm	4 Ko	512 x 8	14	de -40 à +85	2,7 - 3,6	-	-	-	-
◆ 877-FM25040A-G	FM25040A-G	SOIC-8	4Kb	512 x 8	20	de -40 à +85	4,5 - 5,5	-	-	-	-
◆ 877-FM25L16-G	FM25L16-G	SOIC-8	16Ko	2Kb x 8	18	de -40 à +85	2,7 - 3,6	-	-	-	-
◆ 877-FM25L16-DG	FM25L16-DG	DFN-8, 3,0 x 6,4 mm	16Ko	2Kb x 8	18	de -40 à +85	2,7 - 3,6	-	-	-	-
◆ 877-FM25C160-G	FM25C160-G	SOIC-8	16Ko	2Kb x 8	20	de -40 à +85	4,5 - 5,5	-	-	-	-
◆ 877-FM25640-G	FM25640-G	SOIC-8	64Ko	8Kb x 8	5	de -40 à +85	4,5 - 5,5	-	-	-	-
◆ 877-FM25CL64-G	FM25CL64-G	SOIC-8	64Ko	8Kb x 8	20	de -40 à +85	2,7 - 3,6	-	-	-	-
◆ 877-FM25CL64-DG	FM25CL64-DG	DFN-8, 4,0 x 4,5 mm	64Ko	8Kb x 8	20	de -40 à +85	2,7 - 3,6	-	-	-	-
◆ 877-FM25H20-DG	FM25H20-DG	DFN-8, 5,0 x 6,0 mm	2Mo	256Kb x 8	40	de -40 à +85	2,7 - 3,6	15,62	14,06	12,78	11,72

Haute vitesse basse puissance

RoHS Compliant LEAD-FREE

◆ **Composant pour montage en surface**

Pour des quantités supérieures à celles indiquées, appelez-nous afin d'obtenir un devis.

RÉF. STOCK MOUSER	Réf. Ramtron	Type de boîtier	Densité	Organisation	Vitesse bus max. (MHz)	Plage de temp.(°C)	Tension d'alimentation (V)	Prix unitaire 1	25	100	500
Interface à fil I²C											
◆ 877-FM24V02-G	FM24V02-G	SOIC-8	256Ko	32K x 8	3,4	de -40 à +85	2.0 - 3.6	5,05	4,82	4,36	4,13
◆ 877-FM24V05-G	FM24V05-G	SOIC-8	512Kb	64K x 8	3,4	de -40 à +85	2 - 3,6	8,82	8,42	7,61	7,22
◆ 877-FM24V10-G	FM24V10-G	SOIC-8	1Mb	128K x 8	3,4	de -40 à +85	2.0 - 3.6	10,65	10,17	9,20	8,72
Interface à fil I²C à ID dispositif											
◆ 877-FM24VN10-G	FM24VN10-G	SOIC-8	1Mb	128K x 8	3,4	de -40 à +85	2 - 3,6	10,97	10,47	9,47	8,98
Interface SPI											
◆ 877-FM25V02-G	FM25V02-G	SOIC-8	256Ko	32K x 8	40	de -40 à +85	2 - 3,6	4,96	4,73	4,28	4,05
◆ 877-FM25V05-G	FM25V05-G	SOIC-8	512Kb	64K x 8	40	de -40 à +85	2 - 3,6	8,82	8,42	7,61	7,22
◆ 877-FM25V10-G	FM25V10-G	SOIC-8	1Mb	128K x 8	40	de -40 à +85	2.0 - 3.6	10,65	10,17	9,20	8,72
Interface SPI à ID dispositif											
◆ 877-FM25VN10-G	FM25VN10-G	SOIC-8	1Mb	128K x 8	40	de -40 à +85	2 - 3,6	10,96	10,46	9,47	8,97

© Copyright 2012 Mouser Electronics

© Copyright 2012 Mouser Electronics

Mémoire F-RAM, économiseurs d'état et enregistreurs d'événements RAMTRON

RoHS Compliant **This product is RoHS compliant.**

F-RAM PARALLÈLE

La mémoire non-volatile parallèle à haute performance lit et écrit avec non volatilité réelle sans batterie. Toutes les mémoires à largeur d'octets ont des broches de sortie SRAM classiques. Elles fonctionnement comme les SRAM et offrent un stockage volatile sans nécessité de batterie de secours.

RoHS Compliant LEAD-FREE

Caractéristiques :

- Broche de sortie SRAM / EEPROM norme en industrie
- Écritures NoDelay™
- Lecture et écriture à la vitesse du bus
- Haute endurance
- Courant d'attente faible
- Faible consommation électrique

♦ **Composant pour montage en surface**

Pour des quantités supérieures à celles indiquées, appelez-nous afin d'obtenir un devis.

RÉF. STOCK MOUSER	Réf. Ramtron	Type de boîtier	Densité	Organisation	Temps de montée/descente (ns)	Plage de temp.(°C)	Tension d'alimentation (V)	Prix unitaire 1	25	100	500
877-FM14C88-SG	FM14C88-SG	SOIC-32	256 Ko	32K x 8	60	de -40 à +85	2,7 - 3,6	7,37	7,04	6,36	6,03
877-FM21L16-60-TG	FM21L16-60-TG	TSOP-44	2Mo	125K x 16	60	de -40 à +85	2,7 - 3,6	19,91	19,01	17,19	16,29
877-FM22L16-55-TG	FM22L16-55-TG	TSOP-44	4 Mo	256Kbx16	55	de -40 à +85	2,7 - 3,6	26,03	24,84	22,48	21,29
877-FM22LD16-55-BG	FM22LD16-55-BG	BGA-48	4 Mo	256Kbx16	55	de -40 à +85	2,7 - 3,6	27,88	26,61	24,07	22,81
877-FM23MLD16-60BG	FM23MLD16-60BG	BGA-48	8Mo	512K x 16	60	de -40 à +85	2,7 - 3,6	46,28	44,91	42,61	39,76

Haute vitesse basse puissance

Pour des quantités supérieures à celles indiquées, appelez-nous afin d'obtenir un devis.

♦ 877-FM28V020-SG	FM28V020-SG	SOIC-28	256 Ko	32K x 8	60	de -40 à +85	2.0 - 3.6	7,37	7,04	6,36	6,03
♦ 877-FM28V100-TG	FM28V100-TG	TSOP-32	1Mo	128Ko x 8	60	de -40 à +85	2 - 3,6	11,27	10,76	9,74	9,22

ECONOMISEURS D'ÉTAT NON VOLATILES

L'économiseur d'état non-volatile à basse puissance de Ramtron est un bloc de construction logique qui offre un accès continu aux paramètres du système non-volatile sans lire la mémoire. Il permet le stockage de signaux qui peuvent changer fréquemment sans notification et le stockage des paramètres non-volatiles du système sans utiliser la mémoire sérielle de temps du système. Ces dispositifs basés sur F-RAM de Ramtron économisent l'état des signaux à demande et rétablissent automatiquement les signaux à leur état correct après l'alimentation.

Les économiseurs d'état non-volatiles de Ramtron :

- Offrent un accès continu aux paramètres non-volatiles du système sans effectuer d'opération de lecture de mémoire
- Permettent le stockage des signaux qui peuvent changer fréquemment et sans notification
- Permettent le stockage des paramètres non-volatiles d'un système sans le temps de système d'une mémoire sérielle

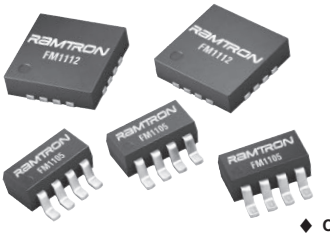

RoHS Compliant LEAD-FREE

Caractéristiques :

- Les dispositifs basés sur mémoire vive ferroélectrique 2 bits ou 4 bits conservent les états logiques sans puissance
- Matériels récupérés automatiquement à l'alimentation
- Nombre illimité de changements d'état
- Simple à utiliser comme une bascule bistable de type D

♦ **Composant pour montage en surface**

Pour des quantités supérieures à celles indiquées, appelez-nous afin d'obtenir un devis.

RÉF. STOCK MOUSER	Réf. Ramtron	Type de boîtier	Tension de fonctionnement (V)	Courant de sortie (mA)	Courant de repos (µA)	Fréq. max. d'horloge (MHz)	Délai de propagation (ns)	Plage de temp.(°C)	Prix unitaire 1	25	100	500
Double												
♦ 877-FM1105	FM1105	SOT-23-8	5	10	15	1	50	de -40 à +85	0,76	0,726	0,66	0,627
♦ 877-FM1106	FM1106	SOT-23-8	3	10	5	1	50	de -40 à +85	0,76	0,726	0,66	0,627
♦ 877-FM1107	FM1107	SOT-23-8	3	10	0,5	1	50	de -40 à +85	1,40	1,34	1,21	1,15
Quad.												
♦ 877-FM1110	FM1110-QG	QFN-16	5	10	30	1	50	de -40 à +85	1,53	1,45	1,32	1,25
♦ 877-FM1112	FM1112-QG	QFN-16	3	10	10	1	50	de -40 à +85	1,53	1,45	1,32	1,25
♦ 877-FM1114	FM1114-QG	QFN-16	3	10	0,5	1	50	de -40 à +85	1,83	1,75	1,58	1,50

ENREGISTREUR DE DONNÉES D'ÉVÈNEMENTS

FM6124 est un enregistreur de données d'événements avec une mémoire F-RAM qui offre une solution intégrée pour la surveillance des événements numériques. Comme les dispositifs CPL, FM6124 offre des paramètres de dispositifs simples et la récupération des données en permettant l'intégration du système pour raccourcir le cycle de conception.

L'accès au dispositif est fait à travers une interface I2C capable de soutenir des vitesses de communication allant jusqu'à 100 Kbps. L'interface I2C peut aussi offrir la capacité de placer FM6124 à distance d'un système hôte et plus proche de l'équipement et/ou du détecteur qu'il doit surveiller. Il permet aussi à plusieurs dispositifs de partager le même bus I2C.

Caractéristiques essentielles de l'enregistreur de données des événements :

Surveillance automatique des événements

- Surveille 12 entrées numériques
- Surveillance continue pour les changements d'état
- Capacité de détection du bord
- Enregistre jusqu'à 4 000

Sorties d'interruptions sur événements

- Tampon moitié plein / plein
- État changement broche
- Point de déplacement haut / bas programmables des événements et alarmes de données

Horodatage alarme RTC et stockage non volatile

- Horloge en temps réel incorporée avec base de temps
- Tableau retenu sans batterie
- Stockage non-volatile 24 Kb pour les données de l'utilisateur

Micro-périphérique

- Interface I2C pour MCU hôte
- Lit les broches externes à travers une interface sérielle

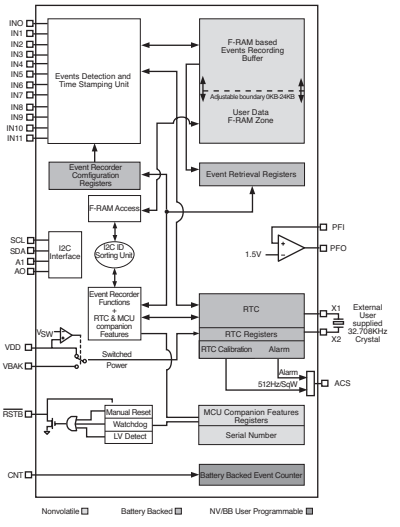

♦ **Composant pour montage en surface**

RoHS Compliant LEAD-FREE

Pour des quantités supérieures à celles indiquées, appelez-nous afin d'obtenir un devis.

RÉF. STOCK MOUSER	Réf. Ramtron	Type de boîtier	Puissance d'alimentation (V)	Évènement Mémoire (évènements)	Utilisateur F-RAM (Ko)	RTC	PFI	Comptage	Interface de communication	Plage de temp.(°C)	Prix unitaire 1	25	100	500
♦ 877-FM6124	FM6124-QG	QFP-44	3 - 3,6	1000 à 4000	0 à 24	Oui	Oui	Oui	I2C	de -40 à +85	21,78	20,79	18,81	17,82

© Copyright 2012 Mouser Electronics

© Copyright 2012 Mouser Electronics

Mémoire flash SPANSION

RoHS Compliant **This product is RoHS compliant.**

PRODUITS NOR MIRRORBIT®

Les Spansion S29GL01G / 512 / 256 / 128P sont des produits flash Mirrorbit™ à 3,0 volts fabriqués sur la base de la technologie de processus de 90 nm avec interface Page-Mode. Ces dispositifs offrent un temps d'accès à la page rapide de 25 ns avec un temps d'accès aléatoire correspondant de 110 ns. Ils comprennent un tampon d'écriture qui permet un maximum de 32 mots / 64 octets programmables dans une opération, ce qui entraîne un temps de programmation effectif plus rapide que les algorithmes de programmation standard. Ceci rend ces dispositifs idéaux pour les applications incorporées actuelles qui nécessitent une densité plus élevée, une meilleure performance et une consommation plus faible.

RoHS Compliant

Pour des quantités supérieures à celles indiquées, appelez-nous afin d'obtenir un devis.

RÉF. STOCK MOUSER	Réf. Spansion	Boîtier boîtier	Mode page Temps d'accès	Option de vitesse	Densité	Largeur de bus	Boîtier secteur	Numéro de modèle	Prix unitaire		
									1	25	100
797-S29GL128P90TFIR2	S29GL128P90TFIR20	TSOP-56	25/30 ns	90 ns	128 Mb	x8/x16	Uniforme	3,0 V - 3,6 V, minimum	7,64	6,79	6,20
797-S29GL128P90TFIR1	S29GL128P90TFIR10	TSOP-56	25/30 ns	90 ns	128 Mb	x8/x16	Uniforme	3,0 V - 3,6 V, maximum	7,27	6,91	6,83
797-S29GL128P10TFI01	S29GL128P10TFI010	TSOP-56	25/30 ns	100 ns	128 Mb	x8/x16	Uniforme	2,7 V - 3,6 V, maximum	7,05	6,25	5,71
797-S29GL128P11TFI01	S29GL128P11TFI010	TSOP-56	25/30 ns	110 ns	128 Mb	x8/x16	Uniforme	2,7 V - 3,6 V, maximum	6,27	5,69	5,65
797-S29GL128P11TFI02	S29GL128P11TFI020	TSOP-56	25/30 ns	110 ns	128 Mb	x8/x16	Uniforme	2,7 V - 3,6 V, minimum	7,24	6,44	5,86
797-S29GL256P10TFI01	S29GL256P10TFI010	TSOP-56	25/30 ns	100 ns	256 Mb	x8/x16	Uniforme	2,7 V - 3,6 V, maximum	10,58	9,40	8,57
797-S29GL256P10TFI02	S29GL256P10TFI020	TSOP-56	25/30 ns	100 ns	256 Mb	x8/x16	Uniforme	2,7 V - 3,6 V, minimum	10,10	8,97	8,18
797-S29GL256P11TFI02	S29GL256P11TFI020	TSOP-56	25/30 ns	110 ns	256 Mb	x8/x16	Uniforme	2,7 V - 3,6 V, minimum	10,43	9,26	8,45
797-S29GL256P11TFI01	S29GL256P11TFI010	TSOP-56	25/30 ns	110 ns	256 Mb	x8/x16	Uniforme	2,7 V - 3,6 V, maximum	8,91	8,16	8,06
797-S29GL512P11TFI02	S29GL512P11TFI020	TSOP-56	25/30 ns	110 ns	512 Mb	x8/x16	Uniforme	2,7 V - 3,6 V, minimum	14,44	13,04	12,28
797-S29GL512P11TFI01	S29GL512P11TFI010	TSOP-56	25/30 ns	110 ns	512 Mb	x8/x16	Uniforme	2,7 V - 3,6 V, maximum	14,16	12,57	11,48
797-S29GL01GP11TFIR1	S29GL01GP11TFIR10	TSOP-56	25/30 ns	110 ns	1 Gb	x8/x16	Uniforme	3,0 V - 3,6 V, maximum	26,38	23,43	21,38
797-S29GL01GP12TFI01	S29GL01GP12TFI010	TSOP-56	25/30 ns	120 ns	1 Gb	x8/x16	Uniforme	2,7 V - 3,6 V, maximum	27,19	24,16	22,04

PRODUITS DE MÉMOIRE FLASH NOR À POINT D'ACCÈS LOGIQUE FLOTTANT

S29JL032H est un dispositif de mémoire flash uniquement à 3 volts, 32 mégabits organisé sous forme de 2 097 152 mots de 16 bits chacun ou 4 194 304 octets de 8 bits chacun. Le mode en mots apparaît sur DQ15-DQ0 ; les données en mode octets apparaissent sur DQ7-DQ0. Le dispositif est conçu pour être programmé en système avec la source d'alimentation VCC de 3 volts standard et peut aussi être programmé en programmateurs EPROM standard.

RoHS Compliant

Pour des quantités supérieures à celles indiquées, appelez-nous afin d'obtenir un devis.

RÉF. STOCK MOUSER	Réf. Spansion	Boîtier boîtier	Option de vitesse	Densité	Largeur de bus	Boîtier secteur	Dispositif d'initialisation	Prix unitaire		
								1	25	100
797-S29JL032H90TAI32	S29JL032H90TAI320	TSOP-48	90 ns	32 Mb	x8/x16	Initialisation	Bas, 2 banques 8/24 Mb	3,81	3,37	3,09
797-S29JL032H90TFI31	S29JL032H90TFI310	TSOP-48	90 ns	32 Mb	x8/x16	Initialisation	Haut, 2 banques 8/24 Mb	3,63	3,22	2,95
797-S29JL032H90TFI32	S29JL032H90TFI320	TSOP-48	90 ns	32 Mb	x8/x16	Initialisation	Bas, 2 banques 8/24 Mb	3,63	3,22	2,95
797-S29JL032H90TAI31	S29JL032H90TAI310	TSOP-48	90 ns	32 Mb	x8/x16	Initialisation	Haut, 2 banques 8/24 Mb	3,81	3,37	3,09
797-S29JL032H70TFI02	S29JL032H70TFI020	TSOP-48	70 ns	32 Mb	x8/x16	Initialisation	Bas, 4 banques 4/12/12/4 Mb	3,74	3,32	3,03
797-S29JL032H70TFI32	S29JL032H70TFI320	TSOP-48	70 ns	32 Mb	x8/x16	Initialisation	Bas, 2 banques 8/24 Mb	3,74	3,32	3,03
797-S29JL032H70TFI42	S29JL032H70TFI420	TSOP-48	70 ns	32 Mb	x8/x16	Initialisation	Bas, 2 banques 16/16 Mb	3,74	3,32	3,03

MÉMOIRE FLASH À INTERFACE PAGE-MODE

La famille de dispositifs S29GL-N inclut des dispositifs de mémoire de signalisation à une seule puissance de 3 volts fabriqués en utilisant la technologie MirrorBit 110 nm avec l'interface Page-Mode. S29GL032N est un dispositif 32 M octets organisé sous forme de 2 097 152 mots ou 4 194 304 octets. En fonction du numéro de modèle, les dispositifs ont un seul bus de données à largeur de 8 bits, un seul bus de données à largeur de 16 bits ou un bus de données à largeur de 16 bits qui peut aussi fonctionner comme bus de données à largeur de 8 bits en utilisant l'entrée No octets. Les dispositifs peuvent être programmés soit dans le système hôte, soit dans des programmateurs EPROM standard.

RoHS Compliant

Pour des quantités supérieures à celles indiquées, appelez-nous afin d'obtenir un devis.

RÉF. STOCK MOUSER	Réf. Spansion	Boîtier boîtier	Mode page Temps d'accès	Option de vitesse	Densité	Largeur de bus	Boîtier secteur	Numéro de modèle	Prix unitaire		
									1	25	100
797-S29GL032N90TFI01	S29GL032N90TFI010	TSOP-56	25 ns	90 ns	32 Mb	x8/x16	Uniforme/Initialisation	2,7 V - 3,6 V, maximum	2,35	2,09	1,91
797-S29GL032N90TFI03	S29GL032N90TFI030	TSOP-48	25 ns	90 ns	32 Mb	x8/x16	Uniforme/Initialisation	2,7 V - 3,6 V, minimum	2,31	2,05	1,88
797-S29GL064N90TFI04	S29GL064N90TFI040	TSOP-48	25 ns	90 ns	64 Mb	x8/x16	Uniforme/Initialisation	2,7 V - 3,6 V, deux en bas	3,90	3,46	3,18
797-S29GL064N90TFI01	S29GL064N90TFI010	TSOP-56	25 ns	90 ns	64 Mb	x8/x16	Uniforme/Initialisation	2,7 V - 3,6 V, maximum	4,48	3,96	3,63
797-S29GL064N90TFI03	S29GL064N90TFI030	TSOP-48	25 ns	90 ns	64 Mb	x8/x16	Uniforme/Initialisation	2,7 V - 3,6 V, deux en haut	3,90	3,46	3,18

PRODUITS À INTERFACE CONVENTIONNELLE

S29JL064H est un dispositif de mémoire flash uniquement à 3 volts, 64 mégabits organisé sous forme de 4 194 304 mots de 16 bits chacun ou 8 388 608 octets de 8 bits chacun. Le mode en mots apparaît sur DQ15-DQ0 ; les données en mode octets apparaissent sur DQ7-DQ0. Le dispositif est conçu pour être programmé en système avec la source d'alimentation VCC de 3 volts standard et peut aussi être programmé en programmateurs EPROM standard.

RoHS Compliant

Pour des quantités supérieures à celles indiquées, appelez-nous afin d'obtenir un devis.

RÉF. STOCK MOUSER	Réf. Spansion	Boîtier boîtier	Option de vitesse	Densité	Largeur de bus	Boîtier secteur	Dispositif d'initialisation	Prix unitaire		
								1	25	100
797-S29JL064H70TAI00	S29JL064H70TAI000	TSOP	70 ns	64 Mb	x8/x16	Initialisation	Point d'accès logique flottant 130 nm	6,60	5,86	5,35
797-S29JL064H70TFI00	S29JL064H70TFI000	TSOP	70 ns	64 Mb	x8/x16	Initialisation	Point d'accès logique flottant 130 nm	6,57	5,83	5,31
797-S29JL064H90TFI00	S29JL064H90TFI000	TSOP	90 ns	64 Mb	x8/x16	Initialisation	Point d'accès logique flottant 130 nm	6,58	5,85	5,33
797-S29JL064H90TAI00	S29JL064H90TAI000	TSOP	90 ns	64 Mb	x8/x16	Initialisation	Point d'accès logique flottant 130 nm	6,40	5,68	5,18

PRODUITS À INTERFACE SÉRIELLE PÉRIPHÉRIQUE (SPI)

La nouvelle famille de mémoire flash Spansion® S25FL à 3 volts avec interface sérielle est conçue pour réduire les coûts et simplifier énormément la conception du système électronique consommateur et les périphériques d'ordinateur tels que les disques durs, les unités optiques, imprimantes, téléphones sans fil, modems DSL/câble et lecteurs et enregistreurs DVD. Spansion rend ces améliorations possibles en utilisant l'Interface sérielle périphérique (SPI), une norme de communication sérielle émergente.

RoHS Compliant

✻ Plage de température : de -40°C à +85°C

Pour des quantités supérieures à celles indiquées, appelez-nous afin d'obtenir un devis.

RÉF. STOCK MOUSER	Réf. Spansion	Boîtier boîtier	Fréquence horloge	Densité	Largeur de bus	Boîtier secteur	Plage de température ✻	Technologie	Prix unitaire		
									1	25	100
797-S25FL128P0XMFI00	S25FL128P0XMFI001	SO-8	50 MHz	128 Mb	x1	Uniforme	Industriel	200 nm MirrorBit®	6,09	5,79	5,73

© Copyright 2012 Mouser Electronics

© Copyright 2012 Mouser Electronics

Dispositifs logiques programmables LATTICE

Les produits peuvent être conformes à la directive RoHS.
Consulter le site mouser.com pour vérifier la conformité RoHS.

CPLD 4A ISPMACH LATTICE

La famille de CLPD ispMACH 4A5 de 5 volts accepte des densités de macro-cellules logiques de 32 à 256 et des nombres d'entrées / sorties de 32 à 128. La famille ispMACH4A5 offre une performance SpeedLocked (Tpd) pouvant atteindre 5 ns et des fréquences de fonctionnement allant jusqu'à 182 MHz. La famille ispMACH 4A5 offre plus de densité de logique programmable et de solutions entrée / sortie que toute autre famille de CPLD de l'industrie. L'étendue de cette famille, associée à sa performance SpeedLocked et sa consommation électrique faible, en font le meilleur choix pour la plupart des applications logiques de systèmes.

Pour des quantités supérieures à celles indiquées, appelez-nous afin d'obtenir un devis.

RÉF. STOCK MOUSER	Réf. Lattice	Boîtier	Tension (V)	Tpd (ns)	Fmax	E/S	Prix unitaire		
							1	25	100
842-A3128/6410VNC	M4A3-128/64-10VNC	TQFP-100	5	3,50	167	64	11,12	10,94	9,84
842-A3512/16012YC	M4A3-512/160-12YC	PQFP-208	5	3,50	167	32	49,50	45,00	41,25
842-A364/3255VNC48	M4A3-64/32-55VNC48	TQFP-48	5	3,50	167	32	7,26	6,60	6,05
842-A5128/6410VNC	M4A5-128/64-10VNC	TQFP-100	5	5,5	167	64	13,93	13,72	12,40
842-M4A5128/6410YC	M4A5-128/64-10YC	PQFP-100	5	5,5	167	64	19,75	19,34	16,96
842-M4A5128/6410YNC	M4A5-128/64-10YNC	PQFP-100	5	5,5	167	64	11,63	10,57	9,69
842-M4A5128/6412VI	M4A5-128/64-12VI	TQFP-100	5	5,5	167	64	19,75	19,34	16,96
842-A5128/6412VNI	M4A5-128/64-12VNI	TQFP-100	5	5,5	167	64	11,63	10,57	9,69
842-A5192/9610VNC	M4A5-192/96-10VNC	TQFP-144	5	6	160	96	29,67	29,15	26,03
842-M4A5256/12810YNC	M4A5-256/128-10YNC	PQFP-208	5	6,5	154	128	44,22	40,19	36,84
842-M4A532/3210JC	M4A5-32/32-10JC	PLCC-44	5	5	182	32	3,63	3,30	3,02
842-M4A532/3210VNC	M4A5-32/32-10VNC	TQFP-44	5	5	182	32	4,83	4,76	4,30
842-A532/3210VNC48	M4A5-32/32-10VNC48	TQFP-48	5	5	167	32	4,21	3,82	3,51
842-M4A532/3210VNI	M4A5-32/32-10VNI	TQFP-44	5	5	167	32	4,87	4,42	4,05
842-M4A564/3210JNC	M4A5-64/32-10JNC	PLCC 44	5	5	167	32	4,76	4,66	4,59
842-M4A564/3210VNC	M4A5-64/32-10VNC	TQFP-44	5	5	167	32	6,08	5,99	5,42
842-A564/3210VNC48	M4A5-64/32-10VNC48	TQFP-48	5	5	167	32	5,03	4,57	4,19
842-M4A596/4810VNC	M4A5-96/48-10VNC	TQFP 100	5	5,5	167	48	12,46	11,32	10,38

ADISPOSITIFS LOGIQUES PROGRAMMABLES LATTICE (CPLD)

La famille de Dispositifs logiques programmables non-reconfigurables (PLD) MachXO est conçue pour les applications traditionnellement implémentées en utilisant les CPLD ou les FPGA à faible densité. Largement adoptés dans une gamme étendue d'applications qui nécessitent l'extension des entrées / sorties à usage général, le pont d'interface et les fonctions de gestion de l'énergie de démarrage, les PLD MachXO offrent les avantages d'une intégration de système augmentée, en fournissant la mémoire incorporée, les PPL inclus, les entrée / sorties LVDS de haute performance, la mise à jour en terrain (technologie TransFRTM) et un mode veille à faible consommation, au sein d'un même dispositif. Conçue pour une gamme large d'applications à densité faible, y compris les conceptions de contrôle des systèmes, la famille PLD MachXO est utilisée dans une variété de marchés finaux, y compris les produits de consommation, automobiles, communications, technique de calcul, produits industriels et médicaux.

PRODUCT NEW

Pour des quantités supérieures à celles indiquées, appelez-nous afin d'obtenir un devis.

RÉF. STOCK MOUSER	Réf. Lattice	Boîtier	LUT	Tension (V)	E/S	Niveau	Prix unitaire		
							1	25	100
842-MXO1200C3FTN256C	LCMXO1200C-3FTN256C	ftBGA-256	1200	1,8V/2,5V/3,3V	73	-3	15,00	14,64	12,63
842-MXO1200C3TN100C	LCMXO1200C-3TN100C	TQFP-100	1200	1,8V/2,5V/3,3V	73	-3	13,37	12,14	11,14
842-MXO1200C3TN100I	LCMXO1200C-3TN100I	TQFP-100	1200	1,8V/2,5V/3,3V	73	-3	15,68	14,25	13,06
842-MXO1200C3TN144C	LCMXO1200C-3TN144C	TQFP-144	1200	1,8V/2,5V/3,3V	113	-3	13,55	13,23	11,42
842-MXO1200C3FTN256I	LCMXO1200C-3FTN256I	FTBGA-256	1200	1,8V/2,5V/3,3V	211	-3	15,47	14,68	14,27
842-CMXO1200C3MN132C	LCMXO1200C-3MN132C	CSBGA-132	1200	1,8V/2,5V/3,3V	101	-3	14,11	12,82	11,76
842-CMXO1200C3TN144I	LCMXO1200C-3TN144I	TQFP-144	1200	1,8V/2,5V/3,3V	113	-3	13,32	13,01	12,74
842-CMXO1200C4TN144C	LCMXO1200C-4TN144C	TQFP-144	1200	1,8V/2,5V/3,3V	113	-4	13,32	13,01	12,74
842-MXO2280C3FTN324C	LCMXO2280C-3FTN324C	CSBGA-132	2280	1,8V/2,5V/3,3V	271	-3	24,92	22,65	20,76
842-MXO2280C4FTN256C	LCMXO2280C-4FTN256C	CSBGA-132	2280	1,8V/2,5V/3,3V	211	-4	22,31	21,80	18,80
842-MXO2280C4FTN324C	LCMXO2280C-4FTN324C	FTBGA-324	2280	1,8V/2,5V/3,3V	271	-4	24,96	21,74	18,89
842-MXO2280C3TN100C	LCMXO2280C-3TN100C	TQFP-100	2280	1,8V/2,5V/3,3V	73	-3	17,57	15,97	14,64
842-CMXO2280C3TN100I	LCMXO2280C-3TN100I	TQFP-100	2280	1,8V/2,5V/3,3V	73	-3	19,31	17,55	16,09
842-MXO2280C3TN144C	LCMXO2280C-3TN144C	TQFP-144	2280	1,8V/2,5V/3,3V	73	-3	17,75	17,34	14,95
842-CMXO2280C4TN144C	LCMXO2280C-4TN144C	TQFP-144	2280	1,8V/2,5V/3,3V	113	-4	20,65	20,17	17,39
842-MXO2280C5FTN324C	LCMXO2280C-5FTN324C	ftBGA-324	2280	1,8V/2,5V/3,3V	271	-5	28,63	26,02	23,85
842-MXO256C3TN100C	LCMXO256C-3TN100C	TQPF-100	256	1.8V/2.5V/3.3V	78	-3	5,88	5,75	4,95
842-MXO256C3TN100I	LCMXO256C-3TN100I	TQPF-100	256	1.8V/2.5V/3.3V	78	-3	4,95	4,33	3,97
842-LCMXO256C4TN100C	LCMXO256C-4TN100C	TQFP-100	256	1.8V/2.5V/3.3V	78	-4	6,12	5,99	5,17
842-LCMXO256C4TN100I	LCMXO256C-4TN100I	TQFP-100	256	1.8V/2.5V/3.3V	78	-4	6,62	6,54	6,04
842-MXO256C5TN100C	LCMXO256C-5TN100C	TQFP-100	256	1.8V/2.5V/3.3V	78	-5	7,30	7,20	6,58
842-LCMXO640C3MN100C	LCMXO640C-3MN100C	CSBGA-100	640	1,8V/2,5V/3,3V	74	-3	10,23	9,30	8,52
842-CMXO640C4FTN256C	LCMXO640C-4FTN256C	FTBGA-256	640	1.8V/2.5V/3.3V	159	-4	13,55	13,23	11,42
842-CMXO640C3FTN256I	LCMXO640C-3FTN256I	ftBGA-256	640	1.8V/2.5V/3.3V	159	-3	13,55	13,23	11,42
842-MXO640C3TN100C	LCMXO640C-3TN100C	TQFP-100	640	1,8V/2,5V/3,3V	74	-3	9,82	8,92	8,18
842-MXO640C3TN100I	LCMXO640C-3TN100I	TQFP-100	640	1.8V/2.5V/3.3V	73	-3	11,30	10,27	9,41
842-MXO640C3TN144C	LCMXO640C-3TN144C	TQPF-100	640	1,8V/2,5V/3,3V	113	-3	9,95	9,72	8,37
842-MXO640C3TN144I	LCMXO640C-3TN144I	TQFP-100	640	1,8V/2,5V/3,3V	113	-3	9,86	8,58	7,94
842-MXO640C4MN132C	LCMXO640C-4MN132C	csBGA-132	640	1,8V/2,5V/3,3V	101	-4	9,32	8,13	7,47
842-LCMXO4TN144C	LCMXO640C-4TN144C	TQFP-144	640	1,8V/2,5V/3,3V	113	-4	12,02	9,98	9,07
842-MXO640C5TN144C	LCMXO640C-5TN144C	TQFP-144	640	1,8V/2,5V/3,3V	113	-5	17,23	15,66	14,36

LATTICE ISPCLOCKS

PRODUCT NEW

Pour des quantités supérieures à celles indiquées, appelez-nous afin d'obtenir un devis.

RÉF. STOCK MOUSER	Réf. Lattice	Boîtier	Sorties horloge	Tension d'alimentation (V)	Niveau température	Prix unitaire		
						1	25	100
842-CCLK5308S01TN48C	ispPAC-CLK5308S-01TN48C	TQFP-48	8	3,3	Commerciaux	3,55	3,30	3,09
842-CLK5610AV01TN48C	ispPAC-CLK5610AV-01TN48C	TQFP-48	10	3,3	Commerciaux	11,89	11,82	11,78
842-CLK5610AV01TN48I	ispPAC-CLK5610AV-01TN48I	TQFP-48	10	3,3	Industriels	21,33	21,05	19,26
842-LK5620AV01TN100C	ispPAC-CLK5620AV-01TN100C	TQFP-100	20	3,3	Commerciaux	20,05	19,99	19,94
842-C5620V01TN100C	ISPPAC-CLK5620V-01TN100C	TQFP-100	20	3,3	Commerciaux	25,58	23,25	21,31
842-LK5620AV01TN100I	ispPAC-CLK5620AV-01TN100I	TQFP-100	20	3,3	Commerciaux	16,53	16,46	16,41

DISPOSITIFS LOGIQUES PROGRAMMABLES COMPLEXES (CPLD) LATTICE

PRODUCT NEW

Pour des quantités supérieures à celles indiquées, appelez-nous afin d'obtenir un devis.

RÉF. STOCK MOUSER	Réf. Lattice	Boîtier	Tension (V)	Tpd (ns)	E/S	Cellules macro	Prix unitaire		
							1	25	100
842-LC4032V10TN48I	LC4032V-10TN48I	TQFP-48	3,3	10	48	32	2,04	2,01	1,85
842-LC4032V25TN44C	LC4032V-25TN44C	TQFP-44	3,3	2,5	44	32	3,96	3,60	3,30
842-LC4032V-5TN48C	LC4032V-5TN48C	TQFP-48	3,3	5	48	32	2,82	2,62	2,52
842-LC4032V-5TN48I	LC4032V-5TN48I	TQFP-48	3,3	5	48	32	4,37	3,97	3,64
842-LC4032V75TN44C	LC4032V-75TN44C	TQFP-44	3,3	7,5	44	32	2,74	2,69	2,42
842-LC4032V75TN48C	LC4032V-75TN48C	TQFP-48	3,3	7,5	48	32	2,04	2,01	1,85
842-LC4032ZE-7MN64I	LC4032ZE-7MN64I	TQFP-64	1,8	7	64	32	1,36	1,11	1,08
842-LC4032ZE-7TN48C	LC4032ZE-7TN48C	TQFP-48	1,8	7	48	32	1,39	1,25	1,16
842-LC4032V10TN44I	LC4032V-10TN44I	TQFP-44	3,3	2,5	128	32	2,74	2,69	2,42
842-LC4032V75TN48I	LC4032V-75TN48I	TQFP-48	3,3	2,5	208	32	2,82	2,62	2,52
842-4032ZC75TN48C	LC4032ZC-75TN48C	TQFP-48	1,8	7,5	208	32	1,64	1,62	1,49
842-4064V25TN100C	LC4064V-25TN100C	TQFP-100	3,3	2,5	272	64	10,73	9,74	8,93
842-LC4064V5TN100C	LC4064V-5TN100C	TQFP-100	3,3	2,5	304	64	7,67	6,97	6,39
842-4064C10TN100I	LC4064C-10TN100I	TQFP-100	1,8	10	100	64	4,04	3,67	3,37

© Copyright 2012 Mouser Electronics
© Copyright 2012 Mouser Electronics

Dispositifs logiques programmables LATTICE

Les produits peuvent être conformes à la directive RoHS.
Consulter le site mouser.com pour vérifier la conformité RoHS.

DISPOSITIFS LOGIQUES PROGRAMMABLES COMPLEXES (CPLD) LATTICE (SUITE)

Pour des quantités supérieures à celles indiquées, appelez-nous afin d'obtenir un devis.

RÉF. STOCK MOUSER	Réf. Lattice	Boîtier	Tension (V)	Tpd (ns)	E/S	Cellules macro	Prix unitaire		
							1	25	100
842-4064V10TN100I	LC4064V-10TN100I	TQFP-100	3,3	10	100	64	2,89	2,60	2,52
842-LC4064V10TN48I	LC4064V-10TN48I	TQFP-48	3,3	10	48	64	3,68	3,63	3,33
842-LC4064V25TN48C	LC4064V-25TN48C	TQFP-48	3,3	2,5	48	64	9,65	8,77	8,04
842-LC4064V-5TN48C	LC4064V-5TN48C	TQFP-48	3,3	5	48	64	7,01	6,37	5,84
842-4064V75TN100C	LC4064V-75TN100C	TQFP-100	3,3	7,5	100	64	2,89	2,60	2,52
842-LC4064V75TN44C	LC4064V-75TN44C	TQFP-44	3,3	7,5	44	64	4,29	4,22	3,80
842-LC4064V75TN48C	LC4064V-75TN48C	TQFP-48	3,3	7,5	48	64	3,68	3,63	3,33
842-4064ZC75TN48C	LC4064ZC-75TN48C	TQFP-48	1,8	7,5	48	64	2,82	2,62	2,52
842-LC4064ZE-4TN48C	LC4064ZE-4TN48C	TQFP-48	1,8	4	48	64	3,35	3,04	2,79
842-LC4064ZE-7MN64I	LC4064ZE-7MN64I	TQFP-64	1,8	7	64	64	2,48	2,23	2,16
842-LC4064ZE-7TN100	LC4064ZE-7TN100C	TQFP-100	1,8	7	100	64	3,47	3,14	2,89
842-LC4064ZE-7TN48C	LC4064ZE-7TN48C	TQFP-48	1,8	7	48	64	2,04	1,98	1,92
842-4128V10TN144I	LC4128V-10TN144I	TQFP-144	3,3	10	144	128	8,60	7,71	7,52
842-4128V27TN128C	LC4128V-27TN128C	TQFP-128	3,3	2,7	128	128	28,22	25,65	23,51
842-LC4128V5TN100C	LC4128V-5TN100C	TQFP-100	3,3	5	100	128	19,64	17,84	16,36
842-4128V75TN100C	LC4128V-75TN100C	TQFP-100	3,3	7,5	100	128	22,22	21,86	19,68
842-4128V75TN100I	LC4128V-75TN100I	TQFP-100	3,3	7,5	100	128	19,64	17,84	16,36
842-4128V75TN128C	LC4128V-75TN128C	TQFP-128	3,3	7,5	128	128	11,96	10,87	9,97
842-4128V75TN144C	LC4128V-75TN144C	TQFP-144	3,3	7,5	144	128	8,60	7,71	7,52
842-4128ZC42TN100C	LC4128ZC-42TN100C	TQFP-100	1,8	4,2	100	128	18,98	17,24	15,81
842-LC4128ZE-7TN144I	LC4128ZE-7TN144I	TQFP-144	1,8	7	144	128	5,93	5,32	5,18
842-4128C75TN100C	LC4128C-75TN100C	TQFP-100	1,8	2,7	64	128	11,30	10,27	9,41
842-4128V10TN100I	LC4128V-10TN100I	TQFP-100	3,3	2,7	64	128	8,08	7,26	7,06
842-LC4128V5TN128C	LC4128V-5TN128C	TQFP-128	3,3	2,7	92	128	20,38	18,52	16,98
842-4128ZC75MN132C	LC4128ZC-75MN132C	CSBGA-132	1,8	4,2	680	128	9,32	8,47	7,76
842-LC4256V3TN100C	LC4256V-3TN100C	TQFP-100	3,3	3	388	256	45,38	41,25	37,81
842-LC4256V3TN144C	LC4256V-3TN144C	TQFP-144	3,3	3	388	256	46,04	41,84	38,36
842-LC4256V5TN100C	LC4256V-5TN100C	TQFP-100	3,3	3	388	256	32,18	29,25	26,81
842-LC4256V5TN144C	LC4256V-5TN144C	TQFP-144	3,3	3	388	256	32,92	29,92	27,43
842-4256ZC45TN100C	LC4256ZC-45TN100C	TQFP-100	1,8	4,5	48	256	22,11	20,10	18,42
842-4256V10TN176I	LC4256V-10TN176I	TQFP-176	3,3	10	176	256	23,51	21,37	19,59
842-4256V75TN100C	LC4256V-75TN100C	TQFP-100	3,3	7,5	100	256	37,39	36,83	33,41
842-4256V75TN100I	LC4256V-75TN100I	TQFP-100	3,3	7,5	100	256	32,18	29,25	26,81
842-4256V75TN144C	LC4256V-75TN144C	TQFP-144	3,3	7,5	144	256	23,18	21,07	19,31
842-4256V75TN176C	LC4256V-75TN176C	TQFP-176	3,3	7,5	176	256	23,51	21,37	19,59
842-4256ZC75TN100C	LC4256ZC-75TN100C	TQFP-100	1,8	7,5	100	256	19,91	19,68	18,16
842-4256ZC75TN100E	LC4256ZC-75TN100E	TQFP-100	1,8	7,5	100	256	24,34	22,12	20,28
842-LC4256ZE-7TN100I	LC4256ZE-7TN100I	TQFP-100	1,8	7	100	256	11,16	10,02	9,76
842-4384V10TN176I	LC4384V-10TN176I	TQFP-176	3,3	10	176	384	45,46	41,32	37,88
842-5512MV75FN256C	LC5512MV-75FN256C	FPBGA-256-176	3,3	4,5	176	512	32,51	29,54	27,08
842-4512V35TN176C	LC4512V-35TN176C	TQFP-176	3,3	3,5	176	512	134,48	122,25	112,06
842-LC4512V5FT256I	LC4512V-5FT256I	fpBGA-256	3,3	5	256	512	137,36	124,87	114,47
842-LC4512V75T176	LC4512V-75T176C	TQFP-176	3,3	7,5	176	512	67,32	61,20	56,10
842-4512V75TN176C	LC4512V-75TN176C	TQFP-176	3,3	7,5	176	512	67,32	61,20	56,10
842-5512MV75QN208C	LC5512MV-75QN208C	PQFP-208	3,3	7,5	208	512	31,68	28,79	26,40

PLATFORM MANAGER LATTICE

La famille de produit Platform Manager™ représente la troisième génération de dispositifs à signal mixte de Lattice. Les dispositifs programmables Platform Manager simplifient considérablement la conception de gestion de cartes en intégrant la logique et l'analogique programmables pour prendre en charge de nombreuses fonctions courantes comme la gestion de la puissance, l'administration numérique et la logique simple. En intégrant ces fonctions complémentaires, les dispositifs Platform Manager réduisent non seulement le coût de ces fonctions par rapport aux approches traditionnelles, mais améliorent aussi la fiabilité du système et fournissent un niveau élevé de flexibilité de conception qui minimise le risque de rotation du circuit imprimé.

Pour des quantités supérieures à celles indiquées, appelez-nous afin d'obtenir un devis.

RÉF. STOCK MOUSER	Réf. Lattice	Boîtier	Tension (V)	Numérique E/S	Analogique Entrées	Sorties pilotes MOSFET	Température de fonctionnement (°C)	Prix unitaire		
								1	25	100
842-10121073FTG208I	10121073FTG208I	ftBGA-208	3,3	107	12	4	-40 à 100	20,13	17,49	16,10
842-10121073FTG208C	10121073FTG208C	ftBGA-208	3,3	107	12	4	0 à 85	18,27	15,88	14,64
Kits de développement		Description								
842-LPTM1012107DEV	LPTM1012107DEV	Kit de développement pour dispositif LPTM10-12107 ftBGA						81,68		

DISPOSITIFS CPLD DE GESTION DE L'ÉNERGIE PACPOWR DE LATTICE

Le nouveau dispositif Power Manager II ispPAC-POWR607 inclut une fonction de coupure du courant, qui est idéale pour les applications à exigences de puissance d'attente très faibles. Le dispositif peut être arrêté soit en utilisant un signal logique externe, soit par un signal généré à l'intérieur. Une fois l'alimentation coupée, le dispositif consomme moins de 10 A de la source d'alimentation.

Pour des quantités supérieures à celles indiquées, appelez-nous afin d'obtenir un devis.

RÉF. STOCK MOUSER	Réf. Lattice	Boîtier	Tension (Min/Max) (V)	Entrée / sortie minuteries programmables	Tension surveillées	Cellules macro	Température	Prix unitaire		
								1	25	100
842-CPOWR101401TN48I	ispPAC-POWR1014-01TN48I	TQFP-48	3,3	4	10	24	-40°C à +85°C	4,48	4,00	3,92
842-POWR605-01SN241	ispPAC-POWR605-01SN24I	QFN 24-PIN	2.64/3.96	4	7	16	-40°C à +85°C	2,52	2,29	2,10
842-POWR1014A01TN48I	ispPAC-POWR1014A-01TN48I	TQFP-48	2,8/3,96	4	4	16	-40°C à +85°C	4,95	4,62	4,33
842-POWR1220AT8-01TN	ispPAC-POWR1220AT8-01TN100I	TQFP-100	2,8/3,96	8	4	48	-40°C à +85°C	12,44	12,28	11,24
842-ISPPAC-POWR607-0	ISPPAC-POWR607-01SN32I	QFNS-32	2,64/3,96	4	7	16	-40°C à +85°C	2,31	2,15	2,00

LOGICIEL LOGIQUE PROGRAMMABLE LATTICE

ispLEVER offre un environnement de conception complet pour les derniers produits à logique programmable Lattice. Il inclut un ensemble d'outils puissants pour toutes les tâches de conception, notamment la gestion de projet, l'intégration IP, la planification de la conception, le placement, le routage, l'analyse logique sur système, etc.

RÉF. STOCK MOUSER	Réf. Lattice	Description	Prix unitaire
842-HW-USBN-2A	HW-USBN-2A	Câble ispDownload avec connexion Flywire PC USB	139,43
842-HW-DLN-3C	HW-DLN-3C	Câble ispDownload avec connexion Flywire parallèle	64,82

© Copyright 2012 Mouser Electronics
© Copyright 2012 Mouser Electronics

FPGA et kits de développement LATTICE

RoHS Compliant **This product is RoHS compliant.**

Lattice Semiconductor Corporation

MATRICES DE PORTES PROGRAMMABLES PAR L'UTILISATEUR LATTICE (FPGA)

Lattice vous apporte une nouvelle génération de FPGA optimisés à faible coût. Pour des performances et un rapport qualité-prix maximum, le concept FPGA LatticeECP™ (EConomy Plus) associe un FPGA efficace et des fonctions dédiées à haute vitesse. La première famille de Lattice à mettre cette approche en pratique est la famille LatticeECP-DSP (EConomy Plus DSP), qui fournit des blocs DSP dédiés haute performance sur puce. La famille LatticeEC™ (EConomy) prend en charge toutes les caractéristiques à caractère général des dispositifs ECP Lattice sans blocs de fonctions dédiées afin de devenir une solution au coût encore plus bas.

LEAD-FREE

FPGA LatticeECP2

Les dispositifs LatticeECP2 FPGA associent un FPGA et des caractéristiques techniques avancées comme des blocs DSP incorporés haute performance de support synchrone de source préfabriquée (notamment les DDR 2 400 Mbps) qui apportent jusqu'à 33 GMAC de largeur de bande DSP et une configuration améliorée comprenant le cryptage des trains de bits ("S-Series" seulement), le double amorçage et TransFR E/S.

✻ Disponible à niveau industriel

PRODUCT NEW

Pour des quantités supérieures à celles indiquées, appelez-nous afin d'obtenir un devis.

RÉF. STOCK MOUSER	Réf. Lattice	Boîtier	Tension (V)	LUT	Combin. E/S	Blocs DSP	RAM (Kbits) distribuée	# de GPLL	Niveau de vitesse	Prix unitaire 1	Prix unitaire 25
✻ 842-LFE2-6E-5FN256C	LFE2-6E-5FN256C	fpBGA-256	1,2	6K	190	3	6	2	-5	11,76	10,11
✻ 842-LFE212E5FN256C	LFE2-12E-5FN256C	fpBGA-256	1,2	12K	193	6	12	2	-5	29,94	29,25
✻ 842-LFE212E5TN144C	LFE2-12E-5TN144C	TQFP-144	1,2	12K	93	6	12	2	-5	17,04	16,65
842-LFEC3E3QN208C	LFEC3E-3QN208C	PQFP-208	1,26	3K	145	-	12	2	-3	9,69	8,46

FPGA LatticeECP2M

Le dispositif FPGA LatticeECP2M fournit le même ensemble de caractéristiques que la famille LatticeECP2, mais avec un SERDES 3,125 Gbps incorporé, une capacité de mémoire supérieure de 5,3 Mbits et une capacité DSP de 63 GMAC.

✻ Disponible à niveau industriel

PRODUCT NEW

Pour des quantités supérieures à celles indiquées, appelez-nous afin d'obtenir un devis.

RÉF. STOCK MOUSER	Réf. Lattice	Boîtier	Tension (V)	LUT	Combin. E/S	Blocs DSP	RAM (Kbits) distribuée	# de GPLL	Niveau de vitesse	Prix unitaire 1	Prix unitaire 25
✻ 842-LFE2M20E-5FN484C	LFE2M20E-5FN484C	fpBGA-484	1.2V	20K	304	64	2	8	-5	45,17	39,39
✻ 842-LFE2M35SE5FN484C	LFE2M35SE-5FN484C	fpBGA-484	1,2V	35K	303	64	8	2	-5	66,62	58,16
842-LFE2-20E-5FN484C	LFE2-20E-5FN484C	FPBGA-484	1,26	20K	331	7	282,6	2	-5	34,99	34,18
842-LFE2M20E-5FN256C	LFE2M20E-5FN256C	FPBGA-256	1,26	20K	140	6	124,6	2	-5	38,57	33,62
842-LFE2M20E-6FN256C	LFE2M20E-6FN256C	FPBGA-256	1,26	20K	140	6	1246,2	2	-6	46,20	40,43
842-LFE2M20E-6FN484C	LFE2M20E-6FN484C	FPBGA-484	1,26	20K	304	6	1246,2	2	-6	52,80	45,99
842-LFE2M20SE5FN256C	LFE2M20SE-5FN256C	FPBGA-256	1,26	20K	140	6	1246,2	2	-5	38,57	33,62
842-LFE2M20SE5FN484C	LFE2M20SE-5FN484C	FPBGA-484	1,26	20K	304	6	1246,2	2	-5	45,17	39,39
842-LFE2M35E5FN484C	LFE2M35E-5FN484C	FPBGA-484	1,26	35K	303	8	2151,4	2	-5	66,62	58,16
842-LFE2M35E6FN484C	LFE2M35E-6FN484C	FPBGA-484	1,26	35K	303	8	2151,4	2	-6	80,03	69,71

FPGA LatticeSC (puce système)

Le FPGA LatticeSC (puce système) associe le FPGA le plus rapide du marché avec des caractéristiques de niveau de système comme l'E/S PURESPEED 2 Gbps, 32 canaux de SERDES et un IP incorporé préfabriqué utilisant des blocs ASIC à structure sur puce qui en font la meilleure solution de connectivité programmable de sa catégorie.

✻ Disponible à niveau industriel

Pour des quantités supérieures à celles indiquées, appelez-nous afin d'obtenir un devis.

RÉF. STOCK MOUSER	Réf. Lattice	Boîtier	Tension (V)	Combin. E/S	Blocs DSP	RAM (Kbits) distribuée	Nombre de GPLL	Niveau de vitesse	Prix unitaire 1	Prix unitaire 25
842-LFS3GA25E7FN900C	LFSC3GA25E-7FN900C	fpBGA-900	1,2 V	378	8	104	8	-7	288,75	251,63
✻ 842-L3GA15EP16FN256C	LFSCM3GA15EP1-6FN256C	fpBGA-256	1,2 V	139	4	56	8	-6	165,00	144,38
842-L3GA15EP16FN256I	LFSCM3GA15EP1-6FN256I	fpBGA-256	1,2 V	139	4	56	8	-6	206,25	181,50
842-L3GA25EP17FN900C	LFSCM3GA25EP1-7FN900C	fpBGA-900	1,2 V	378	8	104	8	-7	342,38	297,00

RÉF. STOCK MOUSER	Réf. Lattice	Description	Prix unitaire
842-LFXP2-5E-B-EVN	LFXP2-5E-B-EVN	Kit de développement XP2 Brevia	40,43

Famille LATTICE ispXPGA

Le ispXPGA de dispositifs offre le moyen idéal pour créer des conceptions de logiques haute performance à la fois non volatiles et reprogrammables à l'infini. Les autres solutions FPGA sont forcément un compromis, en étant soit reprogrammables, soit non volatiles. Cette famille allie cette capacité à une architecture traditionnelle contenant les caractéristiques requises pour les conceptions actuelles de niveau de système.

Pour des quantités supérieures à celles indiquées, appelez-nous afin d'obtenir un devis.

RÉF. STOCK MOUSER	Réf. Lattice	Boîtier	Portes	Tension (V)	Niveau de vitesse	Billes/ Broches	Prix unitaire 1	Prix unitaire 25	Prix unitaire 100
842-LFX125EB03FN256C	LFX125EB-03FN256C	fpBGA	139 K	2,5/3,3V	-3	256	33,17	30,07	27,79
842-LFX125EB04FN256C	LFX125EB-04FN256C	fpBGA	139 K	2,5/3,3V	-4	256	39,97	36,05	33,46
842-X200EB04F256I	LFX200EB-04F256I	fpBGA	210K	2,5/3,3V	-4	256	87,86	79,61	73,47

FAMILLE LATTICE XP/2

PRODUCT NEW

Pour des quantités supérieures à celles indiquées, appelez-nous afin d'obtenir un devis.

RÉF. STOCK MOUSER	Réf. Lattice	Boîtier	LUT	Tension (V)	Niveau de vitesse	Billes/ Broches	Prix unitaire 1	Prix unitaire 25	Prix unitaire 100
Famille XP									
842-LFXP10C3FN256I	LFXP10C-3FN256I	fpBGA	10 k	1,8/2,5/3,3V	-3	256	29,78	25,95	23,97
842-LFXP10E3FN256I	LFXP10E-3FN256I	fpBGA	10 k	1,2/3,3V	-3	256	29,78	25,95	23,97
842-LFXP15C3FN256C	LFXP15C-3FN256C	fpBGA	15k	1,8/2,5/3,3V	-3	256	39,39	34,44	31,76
842-LFXP20C3FN256C	LFXP20C-3FN256C	fpBGA	20k	1,8/2,5/3,3V	-3	256	47,23	41,04	37,95
842-LFXP3C3TN100C	LFXP3C-3TN100C	TQFP	3k	1,8/2,5/3,3V	-3	100	9,86	8,58	7,94
842-LFXP3C3TN100I	LFXP3C-3TN100I	TQFP	3k	1,8/2,5/3,3V	-3	100	11,34	9,86	9,12
842-LFXP3C3TN144C	LFXP3C-3TN144C	TQFP	3k	1,8/2,5/3,3V	-3	144	10,68	9,28	8,60
842-LFXP3C3TN144I	LFXP3C-3TN144I	TQFP	3k	1,8/2,5/3,3V	-3	144	12,13	10,56	9,79
842-LFXP3C5TN100C	LFXP3C-5TN100C	TQFP	3k	1,8/2,5/3,3V	-5	100	13,80	13,52	13,25
842-LFXP6C3QN208C	LFXP6C-3QN208C	PQFP	6k	1,8/2,5/3,3V	-3	208	17,37	15,14	13,97
842-LFXP6C4QN208C	LFXP6C-4QN208C	PQFP	6k	1,8/2,5/3,3V	-4	208	19,88	17,33	15,98
842-LFXP6C4TN144I	LFXP6C-4TN144I	TQFP	6k	1,8/2,5/3,3V	-4	144	21,63	21,20	20,77
842-LFXP6C5TN144C	LFXP6C-5TN144C	TQFP	6k	1.8/2.5/3.3V	-5	144	21,63	21,20	20,77
842-LFXP10C3FN256C	LFXP10C-3FN256C	FPBGA	10Ko	3.465	-3	256	25,91	22,56	20,88
842-LFXP10C4FN256C	LFXP10C-4FN256C	FPBGA	10Ko	3,465	-4	256	29,78	25,95	23,97
842-LFXP3C3QN208C	LFXP3C-3QN208C	PQFP	3K	3,465	-3	208	12,18	11,93	11,68
842-LFXP3C4TN144C	LFXP3C-4TN144C	TQFP-144	3K	3,465	-4	144	12,13	10,56	9,79
842-LFXP6C4FN256C	LFXP6C-4FN256C	FPBGA	6Ko	3,465	-4	256	20,71	18,03	16,65
Famille XP2									
842-LFXP40E-5FN484I	LFXP2-40E-5FN484I	fpBGA	40K	1,2/5V	-5	484	88,85	77,43	71,51
842-LFXP217E5FN484I	LFXP2-17E-5FN484I	fpBGA	17K	1,2/5V	-5	484	39,27	34,20	31,61
842-LFXP217E-5QN208C	LFXP2-17E-5QN208C	PQFP	17K	1,2/5V	-5	208	29,62	25,82	23,82
842-LFXP28E5FTN256C	LFXP2-8E-5FTN256C	TQFP	8K	1,2/5V	-5	256	18,71	18,27	15,75
842-LFXP2-8E-5TN144C	LFXP2-8E-5TN144C	TQFP	8K	1,2/5V	-5	144	21,53	21,03	18,12
84I2-LFXP217E6FTN256	LFXP2-17E-6FTN256C	FTBGA	17K	1,26	-6	256	36,01	31,35	28,97
842-LFXP25E5FTN256I	LFXP2-5E-5FTN256I	FTBGA	5Ko	1,26	-5	256	15,51	13,53	12,47
842-LFXP28E5FTN256I	LFXP2-8E-5FTN256I	FTBGA	8K	1,26	-5	256	19,18	16,71	15,41

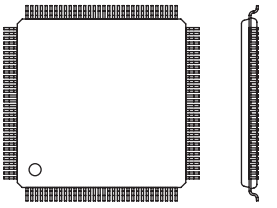

TQFP-144

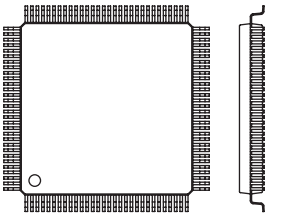

PQFP-208

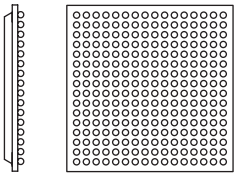

fpBGA-256

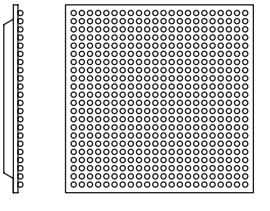

fpBGA-484

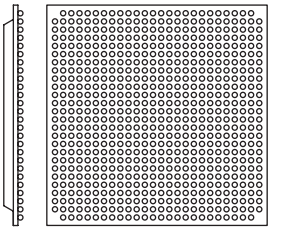

fpBGA-672

© Copyright 2012 Mouser Electronics

© Copyright 2012 Mouser Electronics

Logica FAIRCHILD

I prodotti possono essere conformi a RoHS. Consultare mouser.com per conoscere lo stato RoHS.

FAIRCHILD SEMICONDUCTOR

♦ Dispositivo a montaggio superficiale

Per quantità superiori a quelle elencate, richiedere un preventivo.

N. LOTTO MOUSER Prod.	Codice produtt.	Pacchetto	Descrizione	Prezzo unitario 1	25	100
Serie 74AC						
♦	512—74AC00MTC	TSSOP-14	Quadrupla porta NAND a 2 ingressi	0,24	0,198	0,172
♦	512—74AC00SC	SOIC-14	Quadrupla porta NAND a 2 ingressi	0,24	0,189	0,162
♦	512—74AC00SCX	SOIC-14	Quadrupla porta NAND a 2 ingressi	0,21	0,18	0,144
♦	512—74AC04MTC	TSSOP-14	Sestuplo invertitore	0,25	0,204	0,167
♦	512—74AC04SC	SOIC-14	Sestuplo invertitore	0,23	0,193	0,16
♦	512—74AC04SCX	SOIC-14	Sestuplo invertitore	0,39	0,256	0,21
♦	512—74AC08SC	SOIC-14	Quadrupla porta AND a 2 ingressi	0,23	0,194	0,161
♦	512—74AC08SCX	SOIC-14	Quadrupla porta AND a 2 ingressi	0,40	0,264	0,216
♦	512—74AC138MTC	TSSOP-16	Decodificatore/Demultiplexer 1 di 8	0,28	0,238	0,209
♦	512—74AC138SC	SOIC-16	Decodificatore/Demultiplexer 1 di 8	0,28	0,238	0,21
♦	512—74AC14SC	SOIC-14	Sestuplo invertitore	0,22	0,178	0,145
♦	512—74AC14SCX	SOIC-14	Ingresso a trigger di Schmitt sestuplo invertitore	0,26	0,224	0,19
♦	512—74AC240SC	SOIC-20	Ottuplo buffer/driver di linea	0,36	0,322	0,23
♦	512—74AC244MTC	TSSOP-20	Ottuplo buffer/driver di linea	0,31	0,196	0,194
♦	512—74AC244MTCX	TSSOP-20	Ottuplo buffer/driver di linea	0,40	0,371	0,325
♦	512—74AC244SC	SOIC-20	Ottuplo buffer/driver di linea	0,38	0,325	0,227
♦	512—74AC244SCX	SOIC-20	Ottuplo buffer/driver di linea	0,41	0,266	0,216
♦	512—74AC245SCX	SOIC-20	Ottuplo ricetr. bidirezionale	0,44	0,38	0,328
♦	512—74AC32SC	SOIC-14	Quadrupla porta OR a 2 ingressi	0,24	0,19	0,162
♦	512—74AC540MTC	TSSOP-20	Ottuplo buffer/driver di linea	0,30	0,264	0,189
♦	512—74AC540SC	SOIC-20	Ottuplo buffer/driver di linea	0,31	0,23	0,17
♦	512—74AC541MTC	TSSOP-20	Ottuplo buffer/driver di linea	0,31	0,273	0,196
♦	512—74AC541SC	SOIC-20	Ottuplo buffer/driver di linea	0,38	0,33	0,285
♦	512—74AC86SC	SOIC-14	Quadrupla porta OR a 2 ingressi	0,28	0,238	0,203
Serie 74ACT						
♦	512—74ACT00MTC	TSSOP-14	Quadrupla porta NAND a 2 ingressi	0,30	0,239	0,195
♦	512—74ACT00SCX	SOIC-14	Quadrupla porta NAND a 2 ingressi	0,40	0,265	0,218
♦	512—74ACT04SC	SOIC-14	Sestuplo invertitore	0,22	0,178	0,145
♦	512—74ACT04MTC	TSSOP-14	Sestuplo invertitore	0,25	0,204	0,167
♦	512—74ACT04SCX	SOIC-14	Sestuplo invertitore	0,39	0,248	0,21
♦	512—74ACT08MTC	TSSOP-14	Quadrupla porta AND a 2 ingressi	0,30	0,239	0,195
♦	512—74ACT08SC	SOIC-14	Quadrupla porta AND a 2 ingressi	0,23	0,192	0,159
♦	512—74ACT138SC	SOIC-16	Decodificatore/Demultiplexer 1 di 8	0,29	0,249	0,219
♦	512—74ACT14MTC	TSSOP-14	Sestuplo invertitore	0,40	0,231	0,188
♦	512—74ACT14SCX	SOIC-14	Sestuplo invertitore	0,26	0,215	0,176
♦	512—74ACT240SC	SOIC-20	Ottuplo buffer/driver di linea	0,43	0,368	0,257
♦	512—74ACT244MTC	TSSOP-20	Ottuplo buffer/driver di linea	0,40	0,33	0,284
♦	512—74ACT244SC	SOIC-20	Ottuplo buffer/driver di linea	0,39	0,332	0,232
♦	512—74ACT244SJ	SOP-20	Ottuplo buffer/driver di linea	0,50	0,314	0,262
♦	512—74ACT245MTC	TSSOP-20	Ottuplo ricetrasmettitore bidirezionale	0,36	0,266	0,193
♦	512—74ACT32MTC	TSSOP-14	Quadrupla porta OR a 2 ingressi	0,30	0,198	0,197
♦	512—74ACT32SC	SOIC-14	Quadrupla porta OR a 2 ingressi	0,24	0,19	0,157
♦	512—74ACT541SC	SOIC-20	Ottuplo buffer/driver di linea	0,40	0,338	0,289
♦	512—74ACT541SCX	SOIC-20	Ottuplo buffer/driver di linea	0,37	0,318	0,266
Serie 74AUP						
♦	512—74AUP1G57FHX	MicroPak-6	Porte logiche a 2 entrate config. universale	0,22	0,202	0,172
♦	512—74AUP1G57L6X	MicroPak-6	Porte logiche a 2 entrate config. universale	0,21	0,186	0,156
♦	512—74AUP1G58FHX	MicroPak-6	Porte logiche a 2 entrate config. universale	0,22	0,202	0,172
♦	512—74AUP1G58L6X	MicroPak-6	Porte logiche a 2 entrate config. universale	0,21	0,186	0,156
♦	512—74AUP1G97FHX	MicroPak-6	Porte logiche a 2 entrate config. universale	0,22	0,202	0,172
♦	512—74AUP1G97L6X	MicroPak-6	Porte logiche a 2 entrate config. universale	0,21	0,186	0,156
♦	512—74AUP1G98FHX	MicroPak-6	Porte logiche a 2 entrate config. universale	0,22	0,202	0,172
♦	512—74AUP1G98L6X	MicroPak-6	Porte logiche a 2 entrate config. universale	0,21	0,186	0,156
♦	512—74AUP1T97FHX	MicroPak-6	Porta logica a config. universale con ricetrasmettitore	0,22	0,202	0,172
♦	512—74AUP1T97L6X	MicroPak-6	Porta logica a config. universale con ricetrasmettitore	0,21	0,186	0,156
Serie 74LCX						
♦	512—74LCX07M	SOIC-14	Sestuplo buffer	0,41	0,277	0,226
♦	512—74LCX08M	SOIC-14	Quadrupla porta AND a 2 ingressi	0,33	0,272	0,223
	512—74LCX08MTCX	DIP-14	Quadrupla porta AND a 2 ingressi	0,28	0,238	0,202
♦	512—74LCX125BQX	DQFN-14	Quadruplo buffer	0,53	0,437	0,33
♦	512—74LCX125MTC	TSSOP-14	Quadruplo buffer	0,33	0,256	0,211
♦	512—74LCX126M	SOIC-14	Quadruplo buffer	0,17	0,137	0,105
♦	512—74LCX126MTC	TSSOP-14	Quadruplo buffer	0,21	0,165	0,138
♦	512—74LCX245BQX	DQFN-20	Ricetrasmettitore bidirezionale a 8bit	0,96	0,792	0,606
♦	512—74LCX245MTC	TSSOP-20	Ricetrasmettitore bidirezionale	0,45	0,343	0,279
♦	512—74LCX541MTC	TSSOP-20	Ottuplo buffer/driver di linea	0,46	0,338	0,263
Serie 74LVT						
♦	512—74LVT16373MTD	TSSOP-48	Latch trasparente a 16bit	1,01	0,80	0,686
Serie 74LVX						
♦	512—74LVX3245WM	SOIC(W)-24	Ricetrasmettitore a doppia alimentazione a 8 bit	1,24	0,99	0,866
♦	512—74LVX4245QSC	QSOP-24	Ricetrasmettitore traduttore DI a 8 bit	1,46	0,80	0,786
♦	512—74LVX4245WM	SOIC(W)-24	Ricetrasmettitore di traslazione DI a 8 bit	1,03	0,824	0,721
Serie 74LVXC						
♦	512—74LVXC3245MTCX	TSSOP-24	Ricetrasmettitore a doppia alimentazione a 8 bit	0,92	0,728	0,654
♦	512—74LVXC3245WM	SOIC(W)-24	Ricetrasmettitore a doppia alimentazione a 8 bit	1,25	1,03	0,787
Serie 74LVX						
♦	512—74VCX163245MTDX	TSSOP-48	Ricetrasmettitore a doppia alimentazione a 18 bit	2,43	1,87	1,69
♦	512—74VCX16373MTD	TSSOP-48	Latch trasparente a 16 bit	1,01	0,767	0,762
♦	512—74VCX164245MTD	TSSOP-48	Ricetrasmettitore a doppia alimentazione a 16 bit	2,04	0,974	0,916
Serie 74VHC						
♦	512—74VHC123AM	SOIC-16	Multivibratore riattivabile doppio	0,37	0,276	0,236
♦	512—74VHC123AMTC	TSSOP-16	Multivibratore riattivabile doppio	0,36	0,262	0,224
♦	512—74VHC125M	SOIC-14	Quadruplo buffer	0,20	0,177	0,127
♦	512—74VHC14M	SOIC-14	Sestuplo invertitore Schmitt	0,25	0,202	0,163
♦	512—74VHC161MTC	TSSOP-16	Contatore binario a 4bit	0,48	0,421	0,333
♦	512—74VHC164M	SOIC-14	Registro a scorrimento a 8bit	0,21	0,172	0,141
♦	512—74VHC221AM	SOIC-16	Multivibratore monostabile doppio	0,50	0,388	0,385
♦	512—74VHC393M	SOIC-14	Doppio contatore binario a 4bit	0,50	0,386	0,328
♦	512—74VHC4040M	SOIC-16	Contatore binario a 12 stadi	0,67	0,515	0,449
♦	512—74VHC595M	SOIC-16	Registro a scorrimento a 8bit	0,47	0,313	0,254
Serie 74VHCT						
♦	512—74VHCT00AM	SOIC-14	Quadrupla porta NAND a 2 ingressi	0,41	0,272	0,229
Serie FXL						
♦	512—FXL2TD245L10X	MicroPak-10	Traslatore doppia alimentazione config.	1,03	0,814	0,677
♦	512—FXL4245MPX	MLP-24	Traslatore segnale a 8bit doppia alimentazione	1,65	1,27	1,15

♦ Dispositivo a montaggio superficiale

Per quantità superiori a quelle elencate, richiedere un preventivo.

N. LOTTO MOUSER Prod.	Codice produtt.	Pacchetto	Descrizione	Prezzo unitario 1	25	100
Serie FXL (segue)						
♦	512—FXL4T245BQX	DQFN-14	Traslatore segnale a 4 bit doppia alimentazione	1,11	0,883	0,794
♦	512—FXL4TD245BQX	DQFN-16	LV alimentazione doppia a 4 bit	1,07	0,908	0,81
♦	512—FXL5T244BQX	DQFN-14	Traslatore segnale a 5 bit doppia alimentazione	1,44	1,13	1,01
♦	512—FXLA108BQX	DQFN-20	Traslatore segnale a 8 bit doppia alimentazione	0,96	0,866	0,797
♦	512—FXLP34L6X	MicroPak-6	Traslatore unidirezionale abit singolo	0,52	0,437	0,38
♦	512—FXLP34P5X	SC70-5	Traslatore unidirezionale abit singolo	0,57	0,479	0,38
Serie FXMA						
♦	512—FXMA108BQX	DQFN-20	Traslatore segnale a 8 bit doppia alimentazione	1,04	0,866	0,693
♦	512—FXMA2102UMX	MicroPak-6	Traslatore segnale a 2 bit doppia alimentazione	0,56	0,421	0,322
♦	512—FXMA210218X	MicroPak-8	Traslatore di tensione a 2 bit doppia alimentazione	-	-	-
Serie FT75						
♦	512—FT7521L6X	MicroPak-6	Timer con ritardo predefinito e impulso RS	0,63	0,47	0,355
Serie 74HC						
♦	512—MM74HC00M	SOIC-14	Quadrupla porta NAND a 2 ingressi	0,22	0,184	0,152
♦	512—MM74HC00MTC	TSSOP-14	Quadrupla porta NAND a 2 ingressi	0,29	0,235	0,169
♦	512—MM74HC00MX	SOIC-14	Quadrupla porta NAND a 2 ingressi	0,26	0,217	0,185
♦	512—MM74HC02M	SOIC-14	Quadrupla porta NOR a 2 ingressi	0,24	0,20	0,165
♦	512—MM74HC02MTC	TSSOP-14	Quadrupla porta NOR a 2 ingressi	0,30	0,248	0,199
♦	512—MM74HC02MX	SOIC-14	Quadrupla porta NAND a 2 ingressi	0,43	0,279	0,229
♦	512—MM74HC04M	SOIC-14	Sestuplo invertitore	0,26	0,205	0,164
♦	512—MM74HC04MX	SOIC-14	Sestuplo invertitore	0,22	0,188	0,153
♦	512—MM74HC08M	SOIC-14	Quadrupla porta AND a 2 ingressi	0,22	0,183	0,152
♦	512—MM74HC08MTC	TSSOP-14	Quadrupla porta AND a 2 ingressi	0,50	0,289	0,235
♦	512—MM74HC08MTCX	TSSOP-14	Quadrupla porta AND a 2 ingressi	0,52	0,302	0,243
♦	512—MM74HC125M	SOIC-14	Quadruplo buffer a 3 stati	0,24	0,20	0,166
♦	512—MM74HC126M	SOIC-14	Quadruplo buffer a 3 stati	0,26	0,239	0,20
♦	512—MM74HC126MTC	TSSOP-14	Quadruplo buffer a 3 stati	0,15	0,125	0,124
♦	512—MM74HC132M	SOIC-14	Trigger di Schmitt NAND 2 ingressi Quad	0,22	0,183	0,152
♦	512—MM74HC132MTCX	TSSOP-14	Trigger di Schmitt NAND 2 ingressi Quad	0,51	0,301	0,243
♦	512—MM74HC138M	SOIC-16	Decodificatore di linea da 3 a 8	0,31	0,249	0,21
♦	512—MM74HC138MTC	TSSOP-16	Decodificatore di linea da 3 a 8	0,44	0,289	0,236
♦	512—MM74HC14M	SOIC-14	Sestuplo trigger di Schmitt invertente	0,23	0,189	0,157
♦	512—MM74HC14MTC	TSSOP-14	Sestuplo trigger di Schmitt invertente	0,32	0,206	0,17
♦	512—MM74HC14MTCX	TSSOP-14	Sestuplo trigger di Schmitt invertente	0,25	0,221	0,203
♦	512—MM74HC14MX	SOIC-14	Sestuplo trigger di Schmitt invertente	0,31	0,255	0,217
♦	512—MM74HC164M	SOIC-14	Registro a scorrimento a 8bit	0,24	0,198	0,186
♦	512—MM74HC164MX	SOIC-14	Registro a scorrimento a 8bit	0,49	0,318	0,262
♦	512—MM74HC244MTC	TSSOP-20	Ottuplo buffer a 3 stati	0,29	0,256	0,24
♦	512—MM74HC244SJ	SOP-20	Ottuplo buffer a 3 stati	0,29	0,251	0,224
♦	512—MM74HC244WMX	SOIC(W)-20	Ottuplo buffer a 3 stati	0,43	0,373	0,322
♦	512—MM74HC245ASJ	SOP-20	Ottuplo ricetrasmettitore a 3 stati	0,29	0,251	0,224
♦	512—MM74HC245AWM	SOIC(W)-20	Ottuplo ricetrasmettitore a 3 stati	0,50	0,398	0,342
♦	512—MM74HC273WM	SOIC(W)-20	Ottuplo flip-flop di tipo D	0,36	0,317	0,274
♦	512—MM74HC32M	SOIC-14	Quadrupla porta OR a 2 ingressi	0,22	0,183	0,152
♦	512—MM74HC32MTC	TSSOP-14	Quadrupla porta OR a 2 ingressi	0,26	0,211	0,152
♦	512—MM74HC373MTC	TSSOP-20	Ottuplo latch di tipo D a 3 stati	0,36	0,239	0,20
♦	512—MM74HC373WMX	SOIC(W)-20	Ottuplo latch di tipo D a 3 stati	0,43	0,372	0,318
♦	512—MM74HC374WM	SOIC(W)-20	Ottuplo flip-flop di tipo D a 3 stati	0,30	0,257	0,178
♦	512—MM74HC540WM	SOIC(W)-20	Ottuplo buffer a 3 stati invertente	0,26	0,24	0,178
♦	512—MM74HC541MTCX	TSSOP-20	Ottuplo buffer a 3 stati	0,32	0,305	0,282
♦	512—MM74HC541WM	SOIC(W)-20	Ottuplo buffer a 3 stati	0,39	0,332	0,235
♦	512—MM74HC573MTC	TSSOP-20	Ottuplo latch di tipo D a 3 stati	0,24	0,201	0,167
♦	512—MM74HC573WMX	SOIC(W)-20	Ottuplo latch di tipo D a 3 stati	0,43	0,364	0,311
♦	512—MM74HC574WM	SOIC(W)-20	Ottuplo flip-flop di tipo D a 3 stati	0,55	0,40	0,342
♦	512—MM74HC595M	SOIC-16	Registro a scorrimento a 8bit	0,36	0,264	0,226
♦	512—MM74HC595MTC	TSSOP-16	Registro a scorrimento a 8bit	0,29	0,25	0,205
♦	512—MM74HC595MX	SOIC-16	Registro a scorrimento a 8bit	0,41	0,29	0,248
♦	512—MM74HC595SJ	SOIC-16	Registro a scorrimento a 8bit	0,54	0,462	0,423
♦	512—MM74HC74AM	SOIC-14	Doppio flip-flop di tipo D	0,21	0,178	0,124
♦	512—MM74HC74AMTC	TSSOP-14	Doppio flip-flop di tipo D	0,22	0,196	0,167
♦	512—MM74HC74AMX	SOIC-14	Doppio flip-flop di tipo D	0,27	0,226	0,182
♦	512—MM74HC86M	SOIC-14	Quadrupla porta OR a 2 ingressi	0,22	0,185	0,148
♦	512—MM74HC86MTC	TSSOP-14	Quadrupla porta OR a 2 ingressi	0,30	0,248	0,199
♦	512—MM74HC86MX	SOIC-14	Quadrupla porta OR a 2 ingressi	0,40	0,256	0,22
Serie 74HCT						
♦	512—MM74HCT00M	SOIC-14	Quadrupla porta NAND a 2 ingressi	0,19	0,167	0,134
♦	512—MM74HCT00MTC	TSSOP-14	Quadrupla porta NAND a 2 ingressi	0,30	0,198	0,182
♦	512—MM74HCT04MTC	TSSOP-14	Sestuplo invertitore	0,32	0,206	0,172
♦	512—MM74HCT04MX	SOIC-14	Sestuplo invertitore	0,26	0,219	0,177
♦	512—MM74HCT05MTC	TSSOP-14	Sestuplo invertitore (drain aperto)	0,15	0,125	0,124
♦	512—MM74HCT08M	SOIC-14	Quadrupla porta AND a 2 ingressi	0,13	0,125	0,116
♦	512—MM74HCT08MX	SOIC-14	Quadrupla porta AND a 2 ingressi	0,13	0,125	0,116
♦	512—MM74HCT138M	SOIC-16	Decodificatore di linea da 3 a 8	0,24	0,205	0,181
♦	512—MM74HCT138MX	SOIC-16	Decodificatore di linea da 3 a 8	0,51	0,338	0,275
♦	512—MM74HCT14M	SOIC-14	Sestuplo trigger di Schmitt invertente	0,22	0,181	0,148
♦	512—MM74HCT164M	SOIC-14	Registro a scorrimento a 8bit	0,17	0,158	0,125
♦	512—MM74HCT244WM	SOIC(W)-20	Ottuplo buffer a 3 stati	0,48	0,388	0,332
♦	512—MM74HCT245WM	SOIC(W)-20	Ottuplo ricetrasmettitore a 3 stati	0,49	0,396	0,339
♦	512—MM74HCT273WM	SOIC(W)-20	Ottuplo flip-flop di tipo D	0,40	0,339	0,29
♦	512—MM74HCT32M	SOIC-14	Quadrupla porta OR a 2 ingressi	0,13	0,125	0,116
♦	512—MM74HCT540MTCX	TSSOP-20	Ottuplo buffer a 3 stati invertente	0,45	0,297	0,277
♦	512—MM74HCT541MTC	TSSOP-20	Ottuplo buffer a 3 stati	0,35	0,306	0,276
♦	512—MM74HCT541WM	SOIC(W)-20	Ottuplo buffer a 3 stati	0,27	0,238	0,181
♦	512—MM74HCT573MTC	TSSOP-20	Ottuplo latch di tipo D	0,41	0,305	0,268
♦	512—MM74HCT573WM	SOIC(W)-20	Ottuplo latch di tipo D	0,23	0,21	0,193
♦	512—MM74HCT74M	SOIC-14	Doppio flip-flop di tipo D	0,21	0,178	0,124
Serie 74VHC						
♦	512—74VHC00M	SOIC-14	Quadrupla porta NAND a 2 ingressi	0,20	0,171	0,136
♦	512—74VHC00MTC	TSSOP-14	Quadrupla porta NAND a 2 ingressi	0,45	0,256	0,21
♦	512—74VHC00MTCX	TSSOP-14	Quadrupla porta NAND a 2 ingressi	0,38	0,251	0,206
♦	512—74VHC04MTC	TSSOP-14	Sestuplo invertitore	0,32	0,215	0,178
♦	512—74VHC08M	SOIC-14	Quadrupla porta AND a 2 ingressi	0,19	0,167	0,134
♦	512—74VHC08MTC	TSSOP-14	Quadrupla porta AND a 2 ingressi	0,46	0,269	0,215
♦	512—74VHC112M	SOIC-16	Doppio flip-flop J-K	0,40	0,289	0,248
♦	512—74VHC125MTC	TSSOP-14	Quadruplo buffer con uscite a 3 stati	0,19	0,16	0,134

© Copyright 2012 Mouser Electronics

© Copyright 2012 Mouser Electronics

CI analogiques de précision ALD et modules de récupération d'énergie

ADVANCED LINEAR DEVICES INC

RoHS Compliant **This product is RoHS compliant.**

MINUTERIES RV ANALOGIQUES CMOS SIMPLES/DOUBLES

Spécifications :
- Précision améliorée et température stable.
- Fonctionnement haute vitesse : oscillation typique de 2,5 MHz à 5 V
- Courant de sortie de déchargement élevé de 80 mA à 5 V
- Tension d'alimentation de fonctionnement faible garantie de 2 V à 10 V
- Courant d'alimentation faible, généralement : 50 µA pour ALD7555, 100 µA pour ALD7556

Applications :
- Déclenchement haute vitesse
- Minutage séquentiel de précision
- Minuteur long délai
- Modulation de la largeur et la position d'impulsion
- Détecteur impulsion manquante
- Diviseur de fréquence
- Minuteur synchronisé

RoHS Compliant

Pour des quantités supérieures à celles indiquées, appelez-nous afin d'obtenir un devis.

RÉF. STOCK MOUSER	RÉF. ALD	Type	Boîtierb	Tension d'alimentation Déviation (Typ.) (%V)	Courant tension sortie de déchargement (V) (mA)	Tension d'alimentation		Alim. Courant (par minuteur) (µA) Max.	Prix unitaire		
						Min. (V)	Max. (V)		1	25	100
585-ALD7555PAL	ALD7555PAL	PDIP-8	Simple	0,2	1.0 @ 80	2	10	90	1,60	1,30	1,16
585-ALD7555SAL	ALD7555SAL	SOIC-8	Simple	0,2	1.0 @ 80	2	10	90	1,60	1,30	1,16
585-ALD7556PBL	ALD7556PBL	PDIP-14	Double	0,2	1.0 @ 80	2	10	90	2,36	1,91	1,73
585-ALD7556SBL	ALD7556SBL	SOIC-14	Double	0,2	1.0 @ 80	2	10	90	2,36	1,91	1,73

MODULES DE RÉCUPÉRATION D'ÉNERGIE EPAD® ENERGY HARVESTING™

Les modules EPAD® ENERGY HARVESTING™ des dispositifs linéaires avancés peuvent accepter l'énergie provenant de nombreux types de sources d'énergie électrique et stocker cette énergie pour alimenter des circuits et systèmes électriques conventionnels de 3,3 V et 5 V. Ils sont complètement auto-alimentés, toujours en mode actif, et adaptés aux applications d'échantillons de données ou de surveillance conditionnelle / durée de vie extrême à facteur d'utilisation intermittent basse consommation.

RoHS Compliant

Pour des quantités supérieures à celles indiquées, appelez-nous afin d'obtenir un devis.

RÉF. STOCK MOUSER	RÉF. ALD	Description	Prix unitaire		
			1	25	100
585-EH300	EH300	1,8 V à 3,6 V, 4,6 mJ, 68 msec @ 25 mA	46,59	41,11	39,05
585-EH300A	EH300A	1,8 V à 3,6 V, 30 mJ, 75 msec @ 150 mA	54,70	48,26	45,85
585-EH301	EH301	3,1 V à 5,2 V, 8,3 mJ, 80 msec @ 25 mA	46,59	41,11	39,05
585-EH301A	EH301A	3,1 V à 5,2V, 55 mJ, 88 msec @ 150 mA	54,70	48,26	45,85
Câbles					
585-EHJ1C	EHJ1C	Deux broches 6 in. Câble pour EH300/EH301 avec connecteur	4,39	3,71	3,38
585-EHJ2C	EHJ2C	Quatre fils 6 in. Câble pour EH300/EH301 avec connecteur	7,84	6,43	5,80
Kit					
585-EH300KIT	EH300KIT	Kit d'évaluation (un de chaque de EH300 et EH300A, deux câbles de chaque de EHJ1C/EHJ2C)	99,00	92,40	89,10
585-EH301-KIT	EH301KIT	Kit d'évaluation (un de chaque de EH301 et EH301A, deux câbles de chaque de EHJ1C/EHJ2C)	100,65	90,75	87,78

COMPARATEURS DE TENSION ANALOGIQUE CMOS DOUBLE EPAD® À TENSION DÉCALAGE D'ENTRÉE ULTRA BASSE

- Niveau instrument
- Technologie EPAD® brevetée
- Puissance de signal d'entrée ultra faible
- Courants d'entrée ultra faibles
- Tensions de décalage d'entrée ultra faibles
- Sorties séparées et basses
- Plage de température : 0 à 70°C

♦ **Montage en surface**

RoHS Compliant

Pour des quantités supérieures à celles indiquées, appelez-nous afin d'obtenir un devis.

RÉF. STOCK MOUSER	RÉF. ALD	Description	Boîtier	Courant max. d'entraînement du circuit de sortie		Tension décalage entrée max. (mV)	Courant de polarisation d'entrée typ./ max. (pA)	Temps de réponse typ. (ns)	Tension d'alimentation min./max. (V)	Courant max. d'alimentation par comp. (mA)	Prix unitaire		
				Min. (mA)	Max. (mA)						1	25	100
♦ 585-ALD2321ASCL	ALD2321ASCL	Dissipation source - push-pull	SO-16	24 / -3,5	50 / -4,5	0,2	0,01/20	400	3/10	90	4,63	3,72	3,38
585-ALD2321BPCL	ALS2321BPCL	Dissipation source - push-pull	DIP-16	24 / -3,5	50 / -4,5	0,5	0,01/20	400	3/10	90	2,91	2,88	1,75
♦ 585-ALD2321BSCL	ALD2321BSCL	Dissipation source - push-pull	SO-16	24 / -3,5	50 / -4,5	0,5	0,01/20	400	3/10	90	2,91	2,88	1,67
♦ 585-ALD2321SCL	ALD2321SCL	Dissipation source - push-pull	SO-16	24 / -3,5	50 / -4.5	1	0,01/20	400	3/10	90	3,09	2,48	2,26

COMPARATEURS DE TENSION CMOS DE PRÉCISION

- Niveau instrument
- Impédance d'entrée haute
- Faible puissance
- Courants de sortie élevés
- Tensions de décalage d'entrée faible
- Gain de courant quasi infini
- Courants de polarisation d'entrée bas
- Plage de température : 0 à 70°C

♦ **Montage en surface**

RoHS Compliant

Pour des quantités supérieures à celles indiquées, appelez-nous afin d'obtenir un devis.

RÉF. STOCK MOUSER	RÉF. ALD	Description	Boîtier	Tension décalage entrée max. (mV)	Courant max. d'entraînement du circuit de sortie		Courant de polarisation d'entrée typ./ max. (pA)	Temps de réponse typ. (ns)	Tension d'alimentation min./max. (V)	Courant max. d'alimentation par comp. (mA)	Prix unitaire		
					Min. (mA)	Typ. (mA)					1	25	100
585-ALD2302APAL	ALD2302APAL	Push-Pull, double	DIP-8	1	24/-2	60/-4,5	10/200	180/400	4/12	250	5,60	4,83	4,36
♦ 585-ALD2302ASAL	ALD2302ASAL	Push-Pull, double	SO-8	1	24/-2	60/-4,5	10/200	180/400	4/12	250	5,60	4,83	4,36
585-ALD2303APAL	ALD2303APAL	Drain ouvert, double	DIP-8	1	24	60	10/200	5000/6500	3/12	20	5,60	4,60	4,14
585-ALD2301APAL	ALD2301APAL	Drain ouvert, double	DIP-8	2	24	60	10/200	300/650	3/12	90	5,60	4,60	4,14
♦ 585-ALD2301ASAL	ALD2301ASAL	Drain ouvert, double	SO-8	2	24	60	10/200	300/650	3/12	90	5,60	4,60	4,14
♦ 585-ALD2302SAL	ALD2302SAL	Push-Pull, double	SO-8	4	24/-2.0	60/-4,5	10/200	180/400	4/12	250	4,03	3,24	2,95
585-ALD2303PAL	ALD2303PAL	Drain ouvert, double	DIP-8	4	24	60	10/200	5000/6500	3/12	20	4,03	3,24	2,95
♦ 585-ALD2303SAL	ALD2303SAL	Drain ouvert, double	SO-8	4	24	60	10/200	5000/6500	3/12	20	4,03	3,24	2,95
♦ 585-ALD2301BSAL	ALD2301BSAL	Drain ouvert, double	SO-8	5	24	60	10/200	300/650	3/12	90	4,88	3,94	3,58
♦ 585-ALD4301ASBL	ALD4301ASBL	Drain ouvert, Quad	SO-14	5	24	60	10/200	300/650	3/12	90	4,96	3,98	3,63
♦ 585-ALD4303SBL	ALD4303SBL	Drain ouvert, Quad	SO-14	10	24	60	10/200	5000/6500	3/12	20	4,65	3,74	3,40
♦ 585-ALD2301SAL	ALD2301SAL	Drain ouvert, double	SO-8	10	24	60	10/200	300/650	3/12	90	4,03	3,24	2,95
♦ 585-ALD4302SBL	ALD4302SBL	Push-Pull, Quad	SO-14	10	24/-2	60/-4,5	10/200	120/400	3/12	250	4,63	3,72	3,38

INTERRUPTEURS ANALOGIQUES BASSE TENSION À INJECTION DE CHARGE ULTRA BASSE

- Interrupteurs de précision
- Commutation à signal faible haute fidélité
- Faible tension
- Plage de température : 0 à 70°C
- Tension d'alimentation : Min. - 3±1,5 V, Max. - 12±6 V
- Courant d'alimentation : 1 µA

RoHS Compliant

♦ **Montage en surface**

Pour des quantités supérieures à celles indiquées, appelez-nous afin d'obtenir un devis.

RÉF. STOCK MOUSER	RÉF. ALD	Description	Boîtier	Action de commutation	Injection de charge typ./max. (pC)	Fuite source max. (pA)	Ron (Ohm) Max.	Temps de démarrage (ns) max.	Prix unitaire		
									1	25	100
♦ 585-ALD4201SCL	ALD4201SCL	SPST NC Quad	SO-16	Sans contact à court-circuit	1/2,5	100	180	240	2,63	2,12	1,92
585-ALD4211PCL	ALD4211PCL	SPST NC Quad	DIP-16	Sans contact à court-circuit	0.2/1.0	100	190	130	2,38	1,92	1,75
♦ 585-ALD4211SCL	ALD4211SCL	SPST NC Quad	SO-16	Sans contact à court-circuit	0.2/1.0	100	190	130	2,63	2,12	1,92
♦ 585-ALD4212SCL	ALD4212SCL	SPST NO Quad	SO-16	Sans contact à court-circuit	0.2/1.0	100	190	130	2,63	2,12	1,92

MINUTEURS ANALOGIQUES À FAIBLE PUISSANCE ET CHUTE FAIBLE DE PRÉCISION AVEC SORTIE DE DÉCHARGEMENT ÉLEVÉE

- Précision
- Haute vitesse
- Impédance d'entrée haute
- Stable avec changements de tension d'alimentation
- Plage de température : 0 à 70°C
- Déviation de température : typ. 10 ppm / °C
- Précision minuteur : typ. 1 %

♦ **Montage en surface**

RoHS Compliant

Pour des quantités supérieures à celles indiquées, appelez-nous afin d'obtenir un devis.

RÉF. STOCK MOUSER	RÉF. ALD	Description	Boîtier	Type	Tension d'alimentation Déviation (Typ.) (%V)	Courant tension sortie de déchargement (V)(mA)	Tension d'alimentation		Alim. Courant (par minuteur) (µA) Max.	Prix unitaire		
							Min. (V)	Max. (V)		1	25	100
585-ALD1502PAL	ALD1502PAL	Minuteur Micropower CMOS	DIP-8	Simple	0,2	1.0 @ 80	2	12	90	1,60	1,30	1,16
♦ 585-ALD1502SAL	ALD1502SAL	Minuteur Micropower CMOS	SO-8	Simple	0,2	1.0 @ 80	2	12	90	1,60	1,30	1,16
585-ALD2502PBL	ALD2502PBL	Minuteur Micropower CMOS	DIP-14	Double	0,2	1.0 @ 80	2	12	90	2,31	1,86	1,67
585-ALD4501PEL	ALD4501PEL	Minuteur Micropower CMOS	DIP-20	Quad.	0,1	1.0 @ 40	2	12	67,5	5,83	5,04	4,31
585-ALD555PAL	ALD555PAL	Minuteur CMOS	DIP-8	Simple	0,1	1.0 @ 80	2	12	180	1,60	1,30	1,16
♦ 585-ALD555SAL	ALD555SAL	Minuteur CMOS	SO-8	Simple	0,1	1.0 @ 80	2	12	180	1,60	1,30	1,16

© Copyright 2012 Mouser Electronics
© Copyright 2012 Mouser Electronics

ARCTIC SILICON DEVICES Convertisseurs analogiques-numériques

RoHS Compliant **This product is RoHS compliant.**

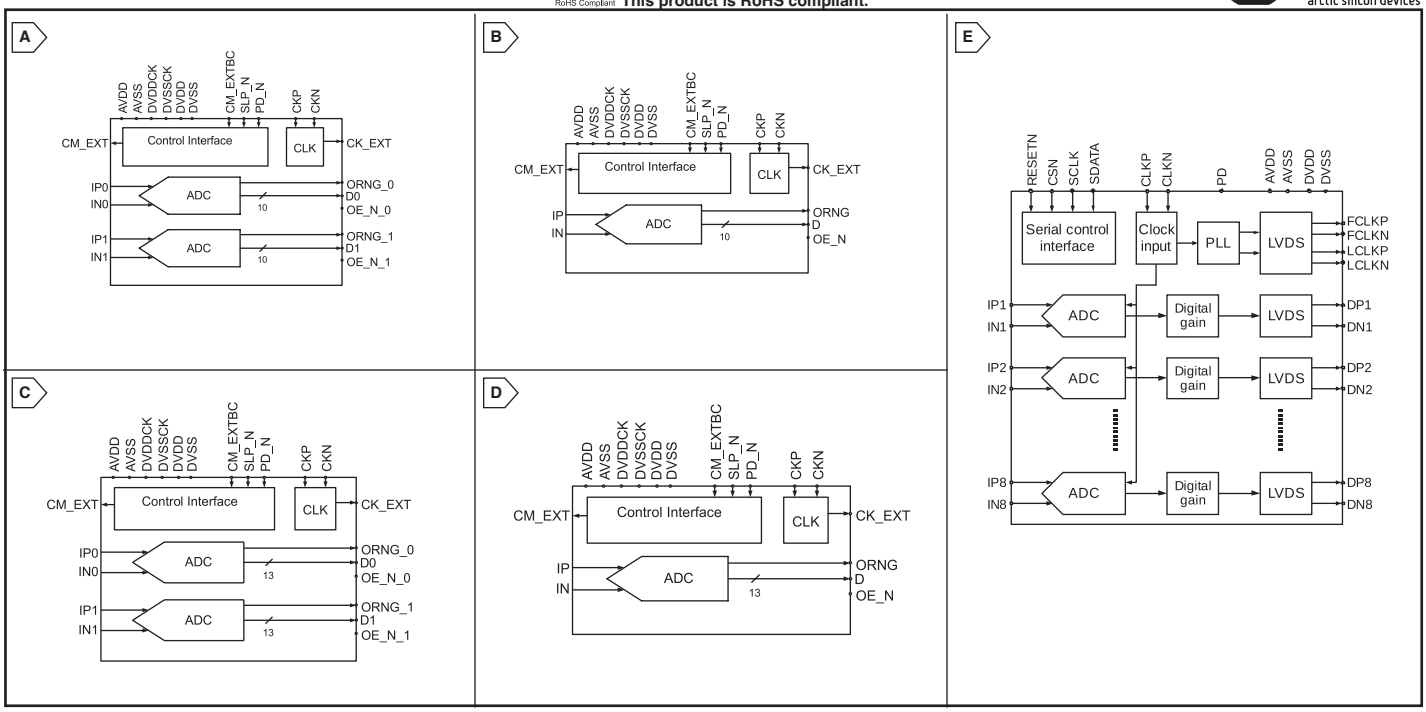

CONVERTISSEURS ANALOGIQUE VERS NUMÉRIQUE DE TRÈS FAIBLE PUISSANCE

Convertisseur analogique vers numérique 10 bits, double de très faible puissance 20/40/65/80 MSPS

L'ASD0400 et l'ASD0401 sont des convertisseurs analogique vers numérique (CAN) doubles de faible puissance haute performance. Le CAN emploie un circuit de référence interne, une interface de commande CMOS et des données de sortie CMOS, et est basé sur une structure propriétaire. La correction numérique d'erreurs est employée afin de garantir qu'aucun code ne soit manquant dans la totalité de la plage. Il existe des modes veille avec initialisation rapide.

RoHS Compliant

• Tension d'entrée de 1,80 V

Pour des quantités supérieures à celles indiquées, appelez-nous afin d'obtenir un devis.

RÉF. STOCK MOUSER	Réf. Arctic Silicon	Fig.	Boîtier boîtier	Nombre d'entrées CAN	Temps de conversion	SNR	Max. Coupure de puissance du boîtier	Prix unitaire 1	25	50
CAN à double canal 10 bits 15 a 80 MSPS										
770-ASD0400L20-INT	ASD0400L20-INT	A	QFN-64	2	20 MSPS	61,6 dB	24 mW	**7,59**	**6,93**	**6,69**
770-ASD0400L65-INT	ASD0400L65-INT	A	QFN-64	2	65 MSPS	61,5 dB	65 mW	**10,71**	**10,07**	**9,71**
770-ASD0400L80-INT	ASD0400L80-INT	A	QFN-64	2	80 MSPS	61,3 dB	78 mW	**18,08**	**17,00**	**16,40**
CAN à double canal 10 bits 15 à 80 MSPS										
770-ASD0401L20-INT	ASD0401L20-INT	B	QFN-40	1	20 MSPS	61,6 dB	15 mW	**4,22**	**3,96**	**3,82**
770-ASD0401L65-INT	ASD0401L65-INT	B	QFN-40	1	65 MSPS	61,5 dB	38 mW	**6,49**	**6,11**	**5,89**
770-ASD0401L80-INT	ASD0401L80-INT	B	QFN-40	1	80 MSPS	61,3 dB	46 mW	**7,38**	**6,93**	**6,69**

Convertisseur analogique vers numérique 13/12 bits, de très faible puissance 20/40/65/80 MSPS

L'ASD0500 et l'ASD0501 sont des convertisseurs analogique vers numérique (CAN) doubles de faible puissance haute performance. L'ADC emploie un circuit de référence interne, une interface de commande CMOS et des données de sortie CMOS, et est basé sur une structure propriétaire. La correction numérique d'erreurs est employée afin de garantir qu'aucun code ne soit manquant dans la totalité de la plage. Il existe des modes veille avec initialisation rapide.

RoHS Compliant

• Tension d'entrée de 1,80 V

Pour des quantités supérieures à celles indiquées, appelez-nous afin d'obtenir un devis.

RÉF. STOCK MOUSER	Réf. Arctic Silicon	Fig.	Boîtier boîtier	Nombre d'entrées CAN	Temps de conversion	SNR	Max. Coupure de puissance du boîtier	Prix unitaire 1	25	50
CAN à double canal 13/12 bits 15 à 80 MSPS										
770-ASD0500L40-INT	ASD0500L40-INT	C	QFN-64	2	40 MSPS	72 dB	55 mW	**19,49**	**18,32**	**17,67**
770-ASD0500L80-INT	ASD0500L80-INT	C	QFN-64	2	80 MSPS	71,2 dB	102 mW	**39,85**	**37,46**	**36,14**
CAN à canal unique 13/12 bits 15 à 80 MSPS										
770-ASD0501L20-INT	ASD0501L20-INT	D	QFN-40	1	20 MSPS	72,1 dB	19 mW	**8,78**	**8,25**	**7,96**
770-ASD0501L65-INT	ASD0501L65-INT	D	QFN-40	1	65 MSPS	71,5 dB	50 mW	**17,56**	**16,50**	**15,92**

Convertisseur analogique vers numérique 12/12 bits octuple de faible puissance 20 à 80 MSPS

L'ASD1000 est un convertisseur analogique vers numérique (CAN) octuple de faible puissance haute performance. Le CAN est basé sur une structure propriétaire et il emploie un circuit de référence interne, une interface de commande série et des données de sortie LVDS série. Des horloges de référence pour la synchronisation des trames et des données sont fournies pour la collecte des données côté récepteur. Divers modes et paramètres de configuration peuvent être appliqués au CAN via l'interface de commande série (ICS). Chaque canal peut être mis hors tension de façon indépendante et le format des données peut être sélectionné depuis cette interface. Un mode puce inactive complet peut être paramétré par une broche externe unique. Les paramètres du registre déterminent la fonction exacte de cette broche externe. Il y a deux options pour les sorties LVDS série, 12 bits ou 14 bits. En mode 12 bits, les bits à valeur minimale (LSB) des CAN sont éliminés dans le flux de sortie. En mode 14 bits, un '0' est ajouté à la position du bit à valeur minimale (LSB). L'ASD1000 est conçu pour s'interfacer facilement avec les matrices de portes programmables par l'utilisateur (FPGA) de plusieurs fournisseurs. Les temps d'initialisation très courts de l'ASD1000 permettent une réduction significative de la consommation électrique dans les systèmes avec cycles de fonctionnement, grâce à l'utilisation des Modes Veille ou du Mode d'attente lorsque la branche de réception est inactive.

RoHS Compliant

• Tension d'entrée de 1,80 V

Pour des quantités supérieures à celles indiquées, appelez-nous afin d'obtenir un devis.

RÉF. STOCK MOUSER	Réf. Arctic Silicon	Fig.	Boîtier boîtier	Nombre d'entrées CAN	Temps de conversion	SNR	Max. Coupure de puissance du boîtier	Prix unitaire 1	25	50
770-ASD1000L40-INT	ASD1000L40-INT	E	TQFP-80	8	40 MSPS	71,5 dB	280 mW	**23,88**	**22,44**	**21,66**
770-ASD1000L80-INT	ASD1000L80-INT	E	TQFP-80	8	80 MSPS	70 dB	470 mW	**40,38**	**37,95**	**36,62**

© Copyright 2012 Mouser Electronics

© Copyright 2012 Mouser Electronics

CI analogiques CIRRUS LOGIC

RoHS Compliant **This product is RoHS compliant.**

CIRRUS LOGIC

RoHS Compliant

COMPOSANTS AUDIO

Cirrus Logic jouit d'une réputation établie depuis longtemps comme leader dans les CI audio innovateurs. Le portefeuille de produits de Cirrus Logic inclut des convertisseurs audio tels que les CI convertisseurs analogique-analogique (CAN) les CI convertisseurs numérique-numérique (CNA), les CODEC, les récepteurs S / PDIF, les solutions d'amplificateurs de classe D et aussi des processeurs de signal numérique audio-optimisés (DSP).

Convertisseurs A / D audio 24 bits (CAN)

Pour des quantités supérieures à celles indiquées, appelez-nous afin d'obtenir un devis.

RÉF. STOCK MOUSER	Réf. Cirrus Logic	Boîtier boîtier	Plage dynamique (dB)	THD + N (dB)	Fréquence d'échantillonnage (kHz)	Entrées analogiques	Alimentation	Prix unitaire 1	25	100
777-CS5340-CZZ	CS5340-CZZ	TSSOP-16	101	-94	192	Asymétrique	3,3 ou 5	6,19	5,07	4,58
777-CS5341-CZZ	CS5341-CZZ	TSSOP-16	105	-98	192	Asymétrique	3,3 ou 5	7,61	6,24	5,63
777-CS5343-CZZ	CS5343-CZZ	TSSOP-16	98	-92	96	Asymétrique	3,3 ou 5	3,42	2,78	2,53
777-CS5351-KZZ	CS5351-KZZ	TSSOP-24	108	-98	192	Asymétrique	5	10,21	9,07	7,18
777-CS5361-KSZ	CS5361-KSZ	SOIC-24	114	-105	192	Différentiel	5	11,43	10,28	7,99
777-CS5361-KZZ	CS5361-KZZ	TSSOP-24	114	-105	192	Différentiel	5	11,43	10,28	7,99
777-CS5364-CQZ	CS5364-CQZ	LQFP-48	114	-105	192	Différentiel	5	10,45	8,79	8,08
777-CS5366-CQZ	CS5366-CQZ	LQFP48	114	-105	192	Différentiel	5	15,37	12,92	11,87
777-CS5368-CQZ	CS5368-CQZ	LQFP48	114	-105	192	Différentiel	5	18,23	15,49	14,36
777-CS5381-KSZ	CS5381-KSZ	SOIC-24	120	-110	192	Différentiel	5	26,58	22,44	18,90
777-CS5381-KZZ	CS5381-KZZ	TSSOP-24	120	-110	192	Différentiel	5	26,58	22,44	18,90

Convertisseurs audio D/A 24 bits (CNA)

Pour des quantités supérieures à celles indiquées, appelez-nous afin d'obtenir un devis.

RÉF. STOCK MOUSER	Réf. Cirrus Logic	Boîtier boîtier	Plage dynamique (dB)	THD + N (dB)	Fréquence d'échantillonnage (kHz)	Sorties analogiques	Alimentation	Prix unitaire 1	25	100
777-CS4334-KSZ	CS4334-KSZ	SOIC-8	96	-88	96	Asymétrique	5	2,47	1,96	1,79
777-CS4335-KSZ	CS4335-KSZ	SOIC-8	96	-88	96	Asymétrique	5	2,45	1,96	1,79
777-CS4338-KSZ	CS4338-KSZ	SOIC-8	96	-88	96	Asymétrique	5	2,45	1,96	1,79
777-CS4341A-KSZ	CS4341A-KSZ	SOIC-16	101	-91	192	Asymétrique	3,3 ou 5	3,01	2,95	2,52
777-CS4344-CZZ	CS4344-CZZ	TSSOP-10	96	-88	96	Asymétrique	3,3 ou 5	2,09	1,93	1,62
777-CS4345-CZZ	CS4345-CZZ	TSSOP-10	96	-88	96	Asymétrique	3,3 ou 5	2,09	1,93	1,62
777-CS4348-CZZ	CS4348-CZZ	TSSOP-10	105	-90	192	Asymétrique	3,3 ou 5	2,09	1,93	1,62
777-CS4350-CZZ	CS4350-CZZ	TSSOP-24	109	-91	192	Asymétrique ou différentiel	3,3 ou 5	5,94	4,95	4,16
777-CS4351-CZZ	CS4351-CZZ	TSSOP-20	112	-100	192	Asymétrique	9 ou 12	3,81	3,06	2,79
777-CS4352-CZZ	CS4352-CZZ	TSSOP-20	106	-93	192	Asymétrique	9 ou 12	2,66	2,13	1,94
777-CS4361-CZZ	CS4361-CZZ	TSSOP-20	105	-95	192	Asymétrique	5	4,34	3,49	3,18
777-CS4353-CNZ	CS4353-CNZ	QFN-24	106	-93	192	Asymétrique	3.3	3,12	2,50	2,28
777-CS4354-CSZ	CS4354-CSZ	SOIC-14	101	-86	192	Asymétrique	5	2,66	2,13	1,94
777-CS4362A-CQZ	CS4362A-CQZ	LQFP-48	114	-100	192	Différentiel	5	11,34	10,21	7,94
777-CS4365-CQZ	CS4365-CQZ	LQFP-48	114	-100	192	Différentiel	5	5,15	4,13	3,77
777-CS4382A-CQZ	CS4382A-CQZ	LQFP-48	114	-100	192	Différentiel	5	5,94	5,35	4,16
777-CS4385-CQZ	CS4385-CQZ	LQFP-48	114	-100	192	Différentiel	5	5,94	4,87	4,39
777-CS4392-KZZ	CS4392-KZZ	TSSOP-20	114	-100	192	Différentiel	5	9,26	8,23	6,52
777-CS4398-CZZ	CS4398-CZZ	TSSOP-28	120	-107	192	Différentiel	5	10,40	9,36	7,28

Convertisseurs audio D/A (CAN)

NEW! TECHNOLOGY

Pour des quantités supérieures à celles indiquées, appelez-nous afin d'obtenir un devis.

RÉF. STOCK MOUSER	Réf. Cirrus Logic	Boîtier boîtier	Plage dynamique (dB)	THD + N (dB)	Puissance (W)	Canaux	Alimentation	Prix unitaire 1	25	100
777-CS35L00-CNZ	CS35L00-CNZ	QFN-32	98	0,03	10(x2)	2	9 to 12	1,56	1,25	1,13

Convertisseurs audio portables

NEW! TECHNOLOGY

Pour des quantités supérieures à celles indiquées, appelez-nous afin d'obtenir un devis.

RÉF. STOCK MOUSER	Réf. Cirrus Logic	Boîtier boîtier	Plage dynamique (dB)	THD + N (dB)	Fréquence d'échantillonnage (kHz)	Entrée / sortie analogique	Alimentation	Prix unitaire 1	25	100
777-CS42L51-CNZ	CS42L51-CNZ	QFN-32	98 CAN/98 CNA	-88 CAN/-88 CNA	96	Asymétrique	1,8 à 2,5	5,59	4,66	3,91
777-CS42L52-CNZ	CS42L52-CNZ	QFN-40	98 CAN/98 CNA	-88	96	Asymétrique	1,65 à 2,83	5,84	4,87	4,08
777-CS43L21-CNZ	CS43L21-CNZ	QFN-32	98	-86	96	Asymétrique	1,8 à 2,5	5,00	4,17	3,50
777-CS43L22-CNZ	CS43L22-CNZ	QFN-40	98	-86	96	Asymétrique	1,65 à 2,83	5,27	4,39	3,69
777-CS53L21-CNZ	CS53L21-CNZ	QFN-32	98	-88	96	Asymétrique	1,8 à 2,5	5,30	4,41	3,70

CODEC audio

Pour des quantités supérieures à celles indiquées, appelez-nous afin d'obtenir un devis.

RÉF. STOCK MOUSER	Réf. Cirrus Logic	Boîtier boîtier	Plage dynamique (dB)	THD + N (dB)	Fréquence d'échantillonnage (kHz)	Entrée / sortie analogique	Alimentation	Prix unitaire 1	25	100
CODEC AC '97										
777-CS4202-JQZ	CS4202-JQZ	LQFP-48	90CNA/90CAN	-87CNA/-84CAN	-	-	3,3 ou 5	7,44	6,61	5,23
777-CS4299-JQZ	CS4299-JQZ	LQFP-48	87CNA/85CAN	-74CNA/-74CAN	-	-	3,3 ou 5	6,28	5,58	4,41
CODEC multicanaux										
777-CS42324-CQZ	CS42324-CQZ	LQFP-48	100CNA/95CAN	-90CNA/-88CAN	96	Asymétrique	9 ou 12	7,51	6,67	5,28
777-CS42325-CQZ	CS42325-CQZ	LQFP-48	100CNA/95CAN	-90CNA/-88CAN	96	Asymétrique	9 ou 12	6,21	6,05	5,89
777-CS42416-CQZ	CS42416-CQZ	LQFP-64	110/114CNA/114 CAN	-100 CNA/-100 CAN	192	CANdifférentiels /asymétriques CAN différentiels	5	6,44	5,27	4,76
777-CS42432-CMZ	CS42432-CMZ	MQFP-52	108CNA/105CAN	-98CNA/-98CAN	192	Asymétrique ou différentiel	3,3 ou 5	8,84	6,01	5,54
777-CS42436-CMZ	CS42436-CMZ	MQFP-52	105/108CNA/102/105CAN	-95/-95CNA/-95/-98CAN	192	Asymétrique ou différentiel	3,3 ou 5	9,08	7,63	7,01
777-CS42438-CMZ	CS42438-CMZ	MQFP-52	105/108CNA/102/105CAN	-95/-95CNA/-95/-98CAN	192	Asymétrique ou différentiel	3,3 ou 5	9,89	8,30	7,62
777-CS42448-CQZ	CS42448-CQZ	LQFP-64	108CNA/105CAN	-98CNA/-98CAN	192	Asymétrique ou différentiel	3,3 ou 5	9,47	7,96	7,32
777-CS42518-CQZ	CS42518-CQZ	LQFP-64	110/114CNA/114 CAN	-100 CNA/-100 CAN	192	Différentiel	5	8,69	7,12	6,42
777-CS42526-CQZ	CS42526-CQZ	LQFP-64	110/114CNA/114 CAN	-100 CNA/-100 CAN	192	CANdifférentiels /asymétriques CAN différentiels	5	8,83	7,24	6,53
777-CS42528-CQZ	CS42528-CQZ	LQFP-64	110/114CNA/114 CAN	-100 CNA/-100 CAN	192	Différentiel	5	9,47	7,96	7,32
777-CS42888-CQZ	CS42888-CQZ	LQFP-64	108CNA/105CAN	-98CNA/-98CAN	192	CANdifférentiels /asymétriques CAN différentiels	3,3 ou 5	9,55	8,59	6,68
CODEC stéréo										
777-CS4245-CQZ	CS4245-CQZ	LQFP-48	104 CAN/104 CNA	-95 CAN/-90 CNA	192	Asymétrique	3,3 ou 5	5,57	4,56	4,12
777-CS4265-CNZ	CS4265-CNZ	QFN-32	104 CAN/104 CNA	-95 CAN/-90 CNA	192	Asymétrique	3,3 ou 5	5,36	4,40	3,97
777-CS4270-CZZ	CS4270-CZZ	TSSOP-24	105CAN/105CNA	-95 CAN/-95 CNA	192	Asymétrique	3,3 ou 5	4,57	3,67	3,34
777-CS4271-CZZ	CS4271-CZZ	TSSOP-28	108CAN/114CNA	-98CAN/-100CNA	96	CAN asymétrique /CNA différentiel	5	7,16	5,87	5,29
777-CS4272-CZZ	CS4272-CZZ	TSSOP-28	114CAN/114CNA	-100CAN/-100CNA	192	CAN différentiel /CNA différentiel	5	7,51	6,15	5,55

© Copyright 2012 Mouser Electronics

© Copyright 2012 Mouser Electronics

CI analogiques CIRRUS LOGIC

RoHS Compliant This product is RoHS compliant.

CONVERTISSEURS A/D INDUSTRIELS (CAN)

Pour des quantités supérieures à celles indiquées, appelez-nous afin d'obtenir un devis.

RÉF. STOCK MOUSER	Réf. Cirrus Logic	Boîtier boîtier	Résolution (bits)	Débit (kSPS)	Linéarité intégrale	Nombre de canaux	Consommation électrique	Prix unitaire		
								1	25	100
777-CS5506-BSZ	CS5506-BSZ	SOIC-24	20	20-100	0,0015%	4	3,2 mW	25,39	24,47	19,89
777-CS5509-ASZ	CS5509-ASZ	SOIC-16	16	20-200	0,0015%	1	1,7 mW	16,36	14,72	11,45
777-CS5510-ASZ	CS5510-ASZ	SOIC-8	16	53-212	0,0015%	1	1,4 mW	3,50	3,43	2,92
777-CS5511-ASZ	CS5511-ASZ	SOIC-8	16	100	0,0015%	1	1,5 mW	3,50	3,43	2,92
777-CS5512-BSZ	CS5512-BSZ	SOIC-8	20	53-326	0,000007%	1	1,8mW	5,41	3,50	3,36
777-CS5521-ASZ	CS5521-ASZ	SSOP-20	16	1-400	0,0015%	2	6 mW	7,48	6,65	5,26
777-CS5522-ASZ	CS5522-ASZ	SSOP-20	24	1-606	0,000007%	2	9 mW	8,87	7,88	6,24
777-CS5523-ASZ	CS5523-ASZ	SSOP 24	16	1-400	0,0015%	4	6 mW	6,19	5,07	4,58
777-CS5524-ASZ	CS5524-ASZ	SSOP24	24	1-606	0,000007%	4	9 mW	9,25	8,22	6,50
777-CS5525-ASZ	CS5525-ASZ	SSOP-20	16	3-606	0,0015%	1	9,4 mW	7,09	6,29	4,98
777-CS5526-BSZ	CS5526-BSZ	SSOP-20	20	3-606	0,000007%	1	9,4 mW	8,46	7,52	5,96
777-CS5528-ASZ	CS5528-ASZ	SSOP 24	24	1-606	0,000007%	8	9 mW	9,67	8,59	6,80
777-CS5529-ASZ	CS5529-ASZ	SSOP-20	16	1-303	0,0015%	1	2,6 mW	7,31	6,49	5,14
777-CS5530-ISZ	CS5530-ISZ	SSOP-20	24	7-3840	0,0015%	1	35 mW	5,47	4,48	4,04
777-CS5531-ASZ	CS5531-ASZ	SSOP-20	16	7-3840	0,0015%	2	35 mW	10,65	9,46	7,49
777-CS5532-ASZ	CS5532-ASZ	SSOP-20	24	7-3840	0,0015%	2	35 mW	11,51	10,35	8,05
777-CS5532-BSZ	CS5532-BSZ	SSOP-20	24	7-3840	0,0015%	2	35 mW	12,19	10,25	9,42
777-CS5533-ASZ	CS5533-ASZ	SSOP 24	16	7-3840	0,0015%	4	35 mW	10,98	9,76	7,72
777-CS5534-ASZ	CS5534-ASZ	SSOP 24	24	7-3840	0,0015%	4	35 mW	12,00	10,80	8,40
777-CS5534-BSZ	CS5534-BSZ	SSOP 24	24	7-3840	0,0015%	4	35 mW	15,88	14,29	11,11
777-CS5550-ISZ	CS5550-ISZ	SSOP 24	24	2440-4880	0,01%	2	21 mW	3,75	3,00	2,74
777-CS5560-ISZ	CS5560-ISZ	SSOP24	24	50	±6 ppm	1, Différentiel	85 mW	15,00	13,49	10,49
777-CS5566-ISZ	CS5566-ISZ	SSOP 24	24	5	6 ppm	1, Différentiel	20 mW	11,51	10,35	8,05
777-CS5581-ISZ	CS5581-ISZ	SSOP 24	16	200	±15 ppm	1, Asymétrique	70 mW	12,33	11,10	8,63

CONVERTISSEURS DE FRÉQUENCE D'ÉCHANTILLONNAGE

Pour des quantités supérieures à celles indiquées, appelez-nous afin d'obtenir un devis.

RÉF. STOCK MOUSER	Réf. Cirrus Logic	Boîtier boîtier	Description	Prix unitaire		
				1	25	100
777-CS8421-CZZ	CS8421-CZZ	TSSOP-20	SRC stéréo async 32 bits 192 kHz	10,11	8,98	7,11
777-CS8421-CNZ	CS8421-CNZ	QFN-20	SRC stéréo async 32 bits 192 kHz	10,11	8,98	7,11
777-CS8420-CSZ	CS8420-CSZ	SOIC-28	Convertisseur de fréquence d'échantillonnage audio numérique	26,28	22,19	18,69

ÉMETTEUR-RÉCEPTEUR AUDIO NUMÉRIQUE

Pour des quantités supérieures à celles indiquées, appelez-nous afin d'obtenir un devis.

RÉF. STOCK MOUSER	Réf. Cirrus Logic	Boîtier boîtier	Émetteur	Récepteur	Interface numérique	Fréquence d'échantillonnage (kHz)	Prix unitaire		
							1	25	100
777-CS8427-CZZ	CS8427-CZZ	TSSOP-28	S/PDIF, IEC-60958	S/PDIF, IEC-60958	3,3 ou 5 V	96	10,41	9,41	8,51

ÉMETTEUR-RÉCEPTEUR ET INTERFACE CRYSTAL LAN®

Pour des quantités supérieures à celles indiquées, appelez-nous afin d'obtenir un devis.

RÉF. STOCK MOUSER	Réf. Cirrus Logic	Boîtier boîtier	Prise en charge média	Interférence numérique	Nombre de canaux	Consommation de courant max	Alimentation électrique (V)	Température de fonctionnement (°C)	Prix unitaire		
									1	25	100
777-CS8952-CQZ	CS8952-CQZ	TQFP-100	10 Base-T, 100Base-X & NRZ	MII	1	+/- 10 mA	5 V	de -55 à +125	15,95	14,35	11,15

AMPLIFICATEURS NUMÉRIQUES / TECHNOLOGIE DE PUISSANCE

Les produits innovants de Cirrus Logic pour les applications avec amplificateurs de classe D contribuent à créer de nouvelles opportunités pour les produits amplificateurs numériques dans des applications où la performance de qualité analogique, la dimension réduite et l'amélioration de l'efficacité énergétique sont un atout d'excellence.

Pour des quantités supérieures à celles indiquées, appelez-nous afin d'obtenir un devis.

RÉF. STOCK MOUSER	Réf. Cirrus Logic	Boîtier boîtier	Coupure	Plage dynamique (dB)	TDH+N %	Canaux	Alimentation électrique (V)	Prix unitaire		
								1	25	100
Amplificateur audio de classe D intégré										
777-CS3511-CNZ	CS3511-CNZ	QFN-32	10 (x 2)	99	0,025	2	9 - 12	3,84	2,13	2,05
777-CS44600-CQZ	CS44600-CQZ	LQFP-64	24	100	< 0,05	6	2,5	8,42	7,48	5,92
777-CS4525-CNZ	CS4525-CNZ	QFN-48	2x15	102	0,1	2,1	de 8 à 18	8,60	7,64	6,05
État de puissance										
777-CS4412A-CNZ	CS4412A-CNZ	QFN-48	30	102	0,1	4	de 8 à 18	6,44	5,72	4,53

CONTRÔLEURS DE VOLUME

Pour des quantités supérieures à celles indiquées, appelez-nous afin d'obtenir un devis.

RÉF. STOCK MOUSER	Réf. Cirrus Logic	Boîtier boîtier	Coupure	Plage dynamique (dB)	TDH+N %	Entrée / sortie analogique	Alimentation électrique (V)	Prix unitaire		
								1	25	100
777-CS3310-KSZ	CS3310-KSZ	SOIC-16	2	116	-100	Asymétrique	±5	11,01	9,78	7,74
777-CS3308-CQZ	CS3308-CQZ	LQFP-48	8	123	-112	Asymétrique	±5	20,53	18,46	14,36
777-CS3318-CQZ	CS3318-CQZ	LQFP-48	8	127	-112	Asymétrique	de ±8 à ±9	23,82	20,11	16,93

AMPLIFICATEURS INDUSTRIELS

Pour des quantités supérieures à celles indiquées, appelez-nous afin d'obtenir un devis.

RÉF. STOCK MOUSER	Réf. Cirrus Logic	Boîtier boîtier	Tension d'alimentation	Courant d'alimentation	Vos (µV)	Vos (µV/°C)	AoL min (dB)	Prix unitaire		
								1	25	100
Simple										
777-CS3003-FSZ	CS3003-FSZ	SOIC-8	de 2,7 à 5,25	1 mA	10	0,05	150	1,87	1,66	1,54
777-CS3013-FSZ	CS3013-FSZ	SOIC-8	de 2,7 à 5,25	0,5 mA	20	0,05	135	1,87	1,66	1,54
Double										
777-CS3002-ISZ	CS3002-ISZ	SOIC-8	de 2,7 à 6,7	3,6 mA	10	0,05	200	4,50	3,75	3,15
777-CS3004-FSZ	CS3004-FSZ	SOIC-8	de 2,7 à 5,25	2 mA	10	0,05	150	3,84	3,19	2,68
777-CS3014-FSZ	CS3014-FSZ	SOIC-8	de 2,7 à 5,25	1 mA	20	0,05	135	3,84	3,19	2,68
777-CS3012-ISZ	CS3012-ISZ	SOIC-8	de 2,7 à 6,7	1,7 mA	10	0,05	200	4,50	3,75	3,15

MESURE DE LA PUISSANCE

Pour des quantités supérieures à celles indiquées, appelez-nous afin d'obtenir un devis.

RÉF. STOCK MOUSER	Réf. Cirrus Logic	Boîtier boîtier	Description	Prix unitaire		
				1	25	100
777-CS5451A-ISZ	CS5451A-ISZ	SSOP-28	CAN Delta-Sigma 6 canaux	7,10	6,31	5,00
777-CS5460A-BSZ	CS5460A-BSZ	SSOP 24	Alimentation/Énergie IC monophase bi-dir	3,85	3,77	3,21
777-CS5461A-ISZ	CS5461A-ISZ	SSOP 24	Alimentation/Énergie IC monophase bi-dir	3,94	3,28	2,75
777-CS5463-ISZ	CS5463-ISZ	SSOP 24	Alimentation/Énergie IC monophase	3,09	2,48	2,26
777-CS5464-ISZ	CS5464-ISZ	SSOP-28	Alimentation/Énergie IC monophase 3 canaux	3,56	2,85	2,60
777-CS5466-ISZ	CS5466-ISZ	SSOP 24	Alimentation/Énergie économique avec IC à sortie impulsions	3,79	3,15	2,65
777-CS5467-ISZ	CS5467-ISZ	SSOP-28	Alimentation/Énergie IC monophase 4 canaux	5,07	4,22	3,55

© Copyright 2012 Mouser Electronics

© Copyright 2012 Mouser Electronics

CI analogiques CIRRUS LOGIC

Les produits peuvent être conformes à la directive RoHS.
Pour vérifier la conformité RoHS, consultez le site mouser.com.

PILOTES POUR MOTEURS CC PWM 3 PHASES

Pour des quantités supérieures à celles indiquées, appelez-nous afin d'obtenir un devis.

RÉF. STOCK MOUSER	Réf. Cirrus Logic	Boîtier boîtier	Courant de sortie continu (A)	Courant de sortie Max. (A)	Tension d'alimentation Max. (V)	Commutation Fréquence (kHz)	Dissipation d'énergie Max. (W)	Précision Coupure Max. (W)	Prix unitaire 1	25	100
Pilotes pour moteurs CC sans balai PWM triphasique											
777-SA306-IHZ	SA306-IHZ	QFP 64	5	17	60	100	17	100	**23,15**	**14,29**	**13,72**
Pilotes pour moteurs CC à balai PWM triphasique											
777-SA57-IHZ	SA57-IHZ	QFP-64	5	17	60	100	17	100	**18,40**	**10,22**	**9,81**

CONTRÔLEUR ETHERNET CRYSTAL LAN®

Le CS8900A est un contrôleur Ethernet LAN à faible coût optimisé pour le bus ISA (architecture constituant la norme dans le secteur) et pour les bus de microcontrôleurs à usage générique. Sa conception hautement intégrée élimine le besoin en composants externes coûteux nécessaires pour les autres contrôleurs Ethernet. Le CS8900A est constitué de RAM on-chip, de filtres de transmission et de réception 10BASE-T et d'une interface directe ISA-Bus avec des pilotes 24 mA.

Pour des quantités supérieures à celles indiquées, appelez-nous afin d'obtenir un devis.

RÉF. STOCK MOUSER	Réf. Cirrus Logic	Boîtier boîtier	Prise en charge média	Interface numérique	Nombre de canaux	Consommation électrique max	Alimentation électrique (V)	Température de fonctionnement (°C)	Prix unitaire 1	25	100
777-CS8900A-CQ3Z	CS8900A-CQ3Z	LQFP-100	10Base-T	Parallèle ISA & à usage générique	1	55 mA @ 5V	3 ou 5 V	de 0 à +70	**10,54**	**9,48**	**7,38**
777-CS8900A-IQ3Z	CS8900A-IQ3Z	LQFP-100	10Base-T	Parallèle ISA & à usage générique	1	55 mA @ 5V	3 ou 5 V	de -40 à +85	**14,15**	**12,73**	**9,90**

CORRECTEURS D'ÉCHO

Pour des quantités supérieures à celles indiquées, appelez-nous afin d'obtenir un devis.

RÉF. STOCK MOUSER	Réf. Cirrus Logic	Boîtier boîtier	Description	Supports acceptés	Alimentation électrique (V)	Température de fonctionnement (°C)	Prix unitaire 1	25	100
777-CS6422-CSZ	CS6422-CSZ	SOIC-20	CI haut-parleur duplex intégral optimisé	Audio analogique (micro et téléphone)	5	de 0 à +70	**14,40**	**12,95**	**10,07**

CONTRÔLEURS PWM

Pour des quantités supérieures à celles indiquées, appelez-nous afin d'obtenir un devis.

RÉF. STOCK MOUSER	Réf. Cirrus Logic	Boîtier boîtier	CNA	Résolution (bits)	Normes d'entrée	Bruit Formats	Alimentation électrique (V)	Température de fonctionnement (°C)	Prix unitaire 1	25	100
777-CS4954-CQZ	CS4954	TQFP-48	6	10	ITU R.BT656 ITU R.BT601	YUV 8 bits YCbCr 8 bits	3,3 ou 5	de -40 à +85	**10,35**	**9,31**	**7,24**

CI DE CORRECTION DU FACTEUR DE PUISSANCE

Pour des quantités supérieures à celles indiquées, appelez-nous afin d'obtenir un devis.

RÉF. STOCK MOUSER	Réf. Cirrus Logic	Type boîtier	Courant d'alimentation	Plage de tension d'alimentation	Max f_{SW} (kHz)	Commande de grille Source/ Collecteur (Ω)	Courant de pic Propagation	Fréquence Propagation	Température de fonctionnement (°C)	Prix unitaire 1	25	100
777-CS1500-FSZ	CS1500-FSZ	SOIC-8	1,9 mA	de 7,9 à 17	70	9/6	Oui	Oui	de -40 à 125	**2,38**	**1,91**	**1,72**
777-CS1600-FSZ	CS1600-FSZ	SOIC-8	1,9 mA	de 7,9 à 17	70	9/6	Oui	Oui	de -40 à 125	**2,38**	**1,91**	**1,72**

PROCESSEURS DE SIGNAL AUDIO NUMÉRIQUE (DSP)

En renforçant sa position dans les technologies analogiques et à signal mixte, Cirrus Logic offre de nombreuses solutions de processeurs 24 bits et 32 bits idéalement conçues pour les marchés audio et industriels. Les solutions de processeurs de Cirrus Logic incluent les processeurs de signal numérique audio-optimisés (DSP) pour une large gamme d'applications consommateurs, professionnelles et loisirs automobiles. De plus, les produits CobraNet de Cirrus Logic offrent des solutions complètes pour fournir des réseaux Ethernet audio numériques non-compressés, de niveau professionnel au dessus de la norme.

Pour des quantités supérieures à celles indiquées, appelez-nous afin d'obtenir un devis.

RÉF. STOCK MOUSER	Réf. Cirrus Logic	Boîtier boîtier	Cœurs de processeurs	Vitesse (MIPS)	RAM (Kmots)	ROM (Kmots)	Canaux	Communication sérielle	Température de fonctionnement (°C)	Prix unitaire 1	25	100
777-CS48520-CQZ	CS48520-CQZ	QFP-48	1 x 32 bits	150	24	-	4 en entrée / 4 en sortie	I²C ou SPI	de 0 à +70	**8,92**	**8,42**	**8,09**
777-CS48540-DQZ	CS48540-DQZ	QFP-48	1 x 32 bits	150	24	-	8 en entrée / 8 en sortie	I²C ou SPI	de -40 à +85	**12,52**	**11,82**	**11,35**
777-CS48540-CQZ	CS48540-CQZ	QFP-48	1 x 32 bits	150	24	-	8 en entrée / 8 en sortie	I²C ou SPI	de 0 à +70	**10,44**	**9,85**	**9,46**
777-CS497024-CVZ	CS497024-CVZ	LQFP-128	2 x 32 bits	300	82	144	12 en entrée / 16 en sortie	I²C ou SPI, UART	de 0 à +70	**30,16**	**28,49**	**26,41**

CI D'INTERFACE ET PROCESSEURS COBRANET™

La technologie CobraNet est la norme de facto pour le transport des fichiers audio numériques non-compressés de haute fidélité en temps réel dans des réseaux Ethernet commutés prêts à être utilisés. Achemine de façon dynamique les fichiers audio numériques de diverses sources vers un seul, certains ou tous les points d'un réseau de dispositifs.

Pour des quantités supérieures à celles indiquées, appelez-nous afin d'obtenir un devis.

RÉF. STOCK MOUSER	Réf. Cirrus Logic	Boîtier boîtier	Cœurs de processeurs	Vitesse (MIPS)	Résolutions audio acceptées	Canaux	Communication sérielle	Température de fonctionnement (°C)	Prix unitaire 1	25	100
777-CS181002-CQZ	CS181002-CQZ	LQFP-144	2 x 32 bits	120	16, 20 ou 24 bits	48, 96	2 en entrée / 2 en sortie	de 0 à +70	**18,83**	**15,89**	**13,38**
777-CS181012-CQZ	CS181012-CQZ	LQFP-144	2 x 32 bits	120	16, 20 ou 24 bits	48, 96	8 en entrée / 8 en sortie	de 0 à +70	**20,66**	**17,44**	**14,69**
777-CS181022-CQZ	CS181022-CQZ	LQFP-144	2 x 32 bits	120	16, 20 ou 24 bits	48, 96	16 en entrée / 16 en sortie	de 0 à +70	**23,13**	**19,53**	**16,44**
777-CS496112-CQZ	CS496112-CQZ	LQFP-144	2 x 32 bits	120	16, 20 ou 24 bits	48, 96	8 en entrée / 8 en sortie	de 0 à +70	**24,15**	**20,39**	**17,17**
777-CS496122-CQZ	CS496122-CQZ	LQFP-144	2 x 32 bits	120	16, 20 ou 24 bits	48, 96	16 en entrée / 16 en sortie	de 0 à +70	**26,62**	**22,47**	**18,93**

OUTILS DE DÉVELOPPEMENT - CARTES D'ÉVALUATION

Pour des quantités supérieures à celles indiquées, appelez-nous afin d'obtenir un devis.

RÉF. STOCK MOUSER Fabr.	Réf. fabr.	Description	Prix unitaire
777	CDB2000-DCCLKCP	Carte-fille d'évaluation - PLL à usage générique	**23,21**
777	CDB2000-MB	Carte-mère d'évaluation - PLL à usage générique	**92,81**
777	CDB2000-PC-CLK	Carte-fille d'évaluation - Gén. Usage PLL CC	**23,21**
777	CDB2000-PC-LCO	Carte fille d'évaluation - Gén. Usage PLL CC	**23,21**
777	CDB2300-DC-LCOCP	Carte fille d'évaluation - Gén. Usage PLL	**23,21**
777	CDB3308	Carte d'évaluation 8 canaux num. Vol cont.	**389,81**
777	CDB3310	Carte d'évaluation stéréo num. Vol cont.	**389,81**
777	CDB3318	Carte d'évaluation 8 canaux num. Vol cont.	**389,81**
777	CDB35L00	Carte d'évaluation pour CS35L00	**402,19**
777	CDB42324	Carte d'évaluation 2 entrées, 4 sorties pour Codec multicanaux	**648,66**
777	CDB42428	Carte d'évaluation pour CBoard42418/28	**389,81**
777	CDB42518	Carte d'évaluation pour CS42518	**334,13**
777	CDB42528	Carte d'évaluation pour CS42528	**334,13**
777	CDB4265	Carte Carte pour codec 192 kHz avec PGA & multiplexe en entrée	**445,50**
777	CDB4270	Carte d'évaluation 105 dB 192 kHz, Codec	**334,13**
777	CDB4271	Carte d'évaluation, CS4271	**334,13**
777	CDB4272	Carte d'évaluation, CS4272	**334,13**
777	CDB42L51	Carte d'évaluation pour codec à faible tension	**612,56**
777	CDB4334	Carte d'évaluation 8 broches, CAN 24 bits 96 kHz	**452,18**
777	CDB4351	Carte d'évaluation 112 dB 24 bits 192 kHz, CAN avec LD	**334,13**
777	CDB4352	Carte d'évaluation pour CAN 192 kHz avec LD	**334,13**
777	CDB4354	Carte d'évaluation pour CS4354	**334,13**
777	CDB4385	Carte d'évaluation pour CAN 8 canaux avec DSD	**389,81**
777	CDB4392	Carte d'évaluation 114 dB 192 kHz pour CAN avec DSD	**389,81**
777	CDB4398	Carte d'évaluation pour CS4398	**389,81**
777	CDB43L21	Carte d'évaluation 98 dB 96kHz pour CAN à faible alimentation	**479,53**
777	CDB44800	Carte d'évaluation 8 canaux 115 dB 192 kHz PWM	**640,41**

RÉF. STOCK MOUSER Fabr.	Réf. fabr.	Description	Prix unitaire
777	CDB4955A	Carte d'évaluation NTSC/PAL num. Encodeurs VD	**389,81**
777	CDB5340	Carte d'évaluation 101 dB 192 kHz CAN multibits	**334,13**
777	CDB5341	Carte d'évaluation pour CS5341192 kHz Stereo A/D Convrtrs	**334,13**
777	CDB5345	Carte d'évaluation 105 dB 24 bits 192 kHz CAN Aud	**334,13**
777	CDB5351	Carte d'évaluation 24 bits 108 dB 192 kHz CAN multi-bits	**334,13**
777	CDB5361	Carte d'évaluation 24 bits 114 dB 192 kHz CAN multi-bits	**389,81**
777	CDB5364	Carte d'évaluation 114 dB CAN 4 canaux avec TDM	**389,81**
777	CDB5366	Carte d'évaluation 114 dB CAN 6 canaux avec TDM	**389,81**
777	CDB5368	Carte d'évaluation 114 dB CAN 8 canaux avec TDM	**389,81**
777	CDB5381	Carte d'évaluation, DS5381	**334,13**
777	CDB5460AU	Carte d'évaluation monophase bi-dir. Alimentation/Énergie	**232,03**
777	CDB5463U	Carte d'évaluation Alimentation/Énergie monophase	**232,03**
777	CDB5464U	Carte d'évaluation Alimentation/Énergie monophase 3 canaux	**232,03**
777	CDB5466U	Carte d'évaluation F/Résidentielle Apps de mesure de puissance	**232,03**
777	CDB5467U	Carte d'évaluation Alimentation/Énergie monophase 4 canaux	**232,03**
777	CDB5530U	Carte d'évaluation 24 bits 1 canal pour CAN à faible bruit	**262,97**
777	CDB5532U	Carte d'évaluation 24 bits pour CAN avec USB à bruit très faible	**262,97**
777	CDB5534U	Carte d'évaluation 24 bits pour CAN avec USB à bruit très faible	**262,97**
777	CDB5560	Carte d'évaluation 50 kSps 24 bits pour CAN multiplexable	**83,91**
777	CDB5581	Carte d'évaluation 50 kSps 24 bits pour CAN multiplexable	**83,91**
777	CDB8416	Carte d'évaluation 192 kHz num. Récepteur audio	**473,34**
777	CDB8420	Carte d'évaluation pour SRC audio numérique	**501,19**
777	CDB8421	Convertisseur de fréquence d'échantillon 2 canaux, 32 bits, 192 kHz	**445,50**
777	CDB8427	Carte d'évaluation 96 kHz num. Émetteur/Récepteur audio	**389,81**
777	CRD35L01	Carte d'évaluation pour CS35L01	**85,59**
777	CRD-4412A	Carte d'évaluation 30 W demi-pont Qd numg Amp Pwr Stg	**463,03**
777	CRD-4525-Q1	Carte d'évaluation Contrôleur PWM + PwrStg_2Lyr 1oz Cu	**648,66**

© Copyright 2012 Mouser Electronics

© Copyright 2012 Mouser Electronics

Générateurs d'horloge, capteurs, SOC et émetteur-récepteur CYPRESS

RoHS Compliant **This product is RoHS compliant.**

GÉNÉRATEURS D'HORLOGES

Le large portefeuille de générateurs d'horloges et de mémoires tampon à base de silicium de Cypress offre la meilleure performance de sa catégorie en ce qui concerne le scintillement, la puissance, la vitesse, l'intégration et le boîtier. Le portefeuille inclut des synthétiseurs d'horloges programmables à un seul ou à plusieurs PLL, inclinaison programmable, XO programmable, VCXO, horloges à réduction d'EMI, délais zéro et mémoires tampon de sortance.

Réduction d'EMI

La technologie d'horloges à spectre large, propriété de Cypress, aide à réduire l'EMI du système sans avoir besoin de solutions mécaniques telles que le blindage ou les perles en ferrite. Les générateurs d'horloge à spectre large de Cypress ont des pourcentages configurables et aussi des profils de modulation Lexmark et linéaires pour optimiser la performance des systèmes.

Pour des quantités supérieures à celles indiquées, appelez-nous afin d'obtenir un devis.

RÉF. STOCK MOUSER	Réf. Cypress	Boîtier	Tension de fonctionnement		Fréquence de sortie		Tension cœur	Nb. de PLL	Nombre de sorties	Boîtier signal d'entrée	Plage de température (°C)	Prix unitaire		
			Min.	Max.	Min.	Max.						1	25	50
727-CY25100SXCF	CY25100SXCF	SOIC-8	3,13	3,45	3	200	3,3	1	2	Xtal/Réf dans CMOS	de 0 à 70	**2,60**	**2,10**	**2,02**
727-CY25100SXIF	CY25100SXIF	SOIC-8	3,13	3,45	3	200	3,3	1	2	Xtal/Réf dans CMOS	-45 à +85	**3,04**	**2,61**	**2,52**
727-CY25560SXC	CY25560SXC	SOIC-8	2,97	3,6	25	100	3,3	1	1	Xtal/Réf dans CMOS	de 0 à 70	**1,43**	**1,39**	**1,34**
727-CY25560SXI	CY25560SXI	SOIC-8	2,97	3,6	25	100	3,3	1	1	Xtal/Réf dans CMOS	-45 à +85	**2,11**	**1,90**	**1,79**
727-CY25562SXC	CY25562SXC	SOIC-8	2,97	3,6	50	200	3,3	1	1	Xtal/Réf dans CMOS	0 à 70	**1,17**	**1,17**	**1,14**
727-CY25568SXC	CY25568SXC	SOIC-16	2,97	3,6	4	128	3,3	1	4	Xtal/Réf dans CMOS	0 à 70	**1,73**	**1,56**	**1,47**
727-CY25811SXC	CY25811SXC	SOIC-8	2,97	3,6	4	32	3,3	1	1	Xtal/Réf dans CMOS	0 à 70	**1,13**	**0,916**	**0,883**
727-CY25812SXC	CY25812SXC	SOIC-8	2,97	3,6	4	64	3,3	1	1	Xtal/Réf dans CMOS	0 à 70	**1,47**	**1,19**	**1,15**
727-CY25812ZXC	CY25812ZXC	TSSOP-8	2,97	3,6	4	64	3,3	1	1	Xtal/Réf dans CMOS	0 à 70	**1,69**	**1,49**	**1,35**
727-CY25814SXC	CY25814SXC	SOIC-8	2,97	3,6	4	128	3,3	1	1	Xtal/Réf dans CMOS	0 à 70	**1,53**	**1,24**	**1,20**
727-CY25814SXI	CY25814SXI	SOIC-8	2,97	3,6	4	128	3,3	1	1	Xtal/Réf dans CMOS	-45 à +85	**2,27**	**1,82**	**1,76**
727-CY24242OXC	CY24242OXC	SSOP-28	3	3,6	14,31818	133,3	3,3	2	10	Xtal/Réf dans CMOS	0 à 70	**2,69**	**2,66**	**2,58**

Programmable

Les solutions de minuterie programmables allient l'accessibilité de la programmation en terrain à la haute performance habituelle des produits de minuterie Cypress.

Pour des quantités supérieures à celles indiquées, appelez-nous afin d'obtenir un devis.

RÉF. STOCK MOUSER	Réf. Cypress	Boîtier	Tension de fonctionnement		Fréquence de sortie		Tension cœur	Nb. de PLL	Nombre de sorties	Boîtier signal d'entrée	Plage de température (°C)	Prix unitaire		
			Min.	Max.	Min.	Max.						1	25	50
727-CY22050KFZXC	CY22050KFZXC	TSSOP-16	3,13	3,45	0,08	200	3,3	1	6	Xtal Inside	0 à 70	**2,10**	**1,89**	**1,79**
727-CY22150FZXI	CY22150FZXI	TSSOP-16	3,13	3,45	0,08	166,6	3,3	1	6	Xtal Inside	de -45 à +85	**2,86**	**2,80**	**2,70**
727-CY22150KFZXC	CY22150KFZXC	TSSOP-16	3,13	3,45	0,08	200	3,3	1	6	Xtal Inside	de 0 à 70	**2,23**	**2,00**	**1,91**
727-CY22381FXC	CY22381FXC	SOIC-8	3,13	3,45	0	200	3,3	3	3	Xtal Inside	de 0 à 70	**3,14**	**2,35**	**2,28**
727-CY22381FXI	CY22381FXI	SOIC-8	3,13	3,45	0	166	3,3	3	3	Xtal Inside	de -45 à +85	**3,09**	**2,99**	**2,90**
727-CY22392FXC	CY22392FXC	TSSOP-16	3,13	3,45	0	200	3,3	3	6	Xtal Inside	de 0 à 70	**3,47**	**2,60**	**2,52**
727-CY22392FXI	CY22392FXI	TSSOP-16	3,13	3,45	0	166	3,3	3	6	Xtal Inside	de -45 à +85	**3,99**	**3,89**	**3,75**
727-CY223931FXI	CY223931FXI	TSSOP-16	3,13	3,45	0	166	3,3	3	6	Xtal Inside	de -45 à +85	**5,28**	**4,75**	**4,51**
727-CY22393FXC	CY22393FXC	TSSOP-16	3,13	3,45	0	200	3,3	3	6	Xtal Inside	de 0 à 70	**4,24**	**3,22**	**3,11**
727-CY22393FXI	CY22393FXI	TSSOP-16	3,13	3,45	0	166	3,3	3	6	Xtal Inside	de -45 à +85	**5,71**	**4,73**	**4,58**
727-CY22394FXI	CY22394FXI	TSSOP-16	3,13	3,45	0	375	3,3	3	5	Xtal Inside	de -45 à +85	**3,99**	**3,89**	**3,75**
727-CY22395FXC	CY22395FXC	TSSOP-16	3,13	3,45	0	200	3,3	3	5	Xtal Inside	de 0 à 70	**4,83**	**4,25**	**3,99**
727-CY22800KFXI	CY22800KFXI	SOIC-8	3,14	3,47	1	166	3,3	1	3	Xtal Inside	de -45 à +85	**2,38**	**2,14**	**2,03**
727-CY22801KFXI	CY22801KFXI	SOIC-8	3,14	3,47	1	166,6	3,3	1	3	Xtal Inside	de -45 à +85	**2,38**	**2,14**	**2,03**
727-CY2291FX	CY2291FX	SOIC-20	3	5,5	0,077	90	3,3/5	3	8	Xtal Inside	de 0 à 70	**2,69**	**2,66**	**2,58**
727-CY2292FXC	CY2292FXC	SOIC-16	3	5,5	0,077	90	3,3/5	3	6	Xtal Inside	de 0 à 70	**2,23**	**1,67**	**1,62**
727-CY2292FXI	CY2292FXI	SOIC-16	3	5,5	0,077	80	3,3/5	3	6	Xtal Inside	de -45 à +85	**3,12**	**2,75**	**2,58**
727-CY2292FZX	CY2292FZX	TSSOP-16	3	5,5	0,077	80	3,3/5	3	6	Xtal Inside	de 0 à 70	**2,05**	**1,99**	**1,92**
Boîtier adaptateur avec VCXO														
727-CY24713KSXC	CY24713KSXC	SOIC-8	3,13	3,45	4,9152	27	3,3	1	3	Xtal Inside	de 0 à 70	**2,82**	**2,54**	**2,41**
PCI-Express à deux sorties														
727-CY24293ZXC	CY24293ZXC	TSSOP-16	3	3,6	25	200	3,3	1	2	Xtal/Réf dans CMOS	de 0 à 70	**2,23**	**2,00**	**1,88**

COMMANDE DE BOUTON CAPACITIVE

Le CY8CMBR2044 intègre plusieurs fonctionnalités innovantes qui permettent de gagner du temps, de l'argent et peuvent activer rapidement une UI de détection tactile capacitive dans votre prochain modèle. Cela ne nécessite aucun outil logiciel ni codage car la configuration du système s'effectue via le matériel. Ces fonctions permettent à un public plus large de concepteurs de mettre en œuvre des boutons capacitifs sans apprendre à utiliser de nouveaux outils ni développer de code. En outre, l'algorithme de réglage automatique révolutionnaire SmartSense de Cypress est actif sur ce périphérique. SmartSense met fin au besoin de régler manuellement l'UI en cours de développement ainsi qu'au besoin de régler à nouveau l'UI sur la rampe de production. Ceci permet de gagner un temps précieux en conception, durée de test, d'éviter les pertes de rendement de la production et d'accélérer le temps par rapport au volume.

Pour des quantités supérieures à celles indiquées, appelez-nous afin d'obtenir un devis.

RÉF. STOCK MOUSER	Réf. Cypress	Boîtier	Tension de fonctionnement		Entrée/ Sortie CapSense	Nb de GPO	Temp. de fonctionnement	PWM	Barre de défilement Segments	SmartSense activé	Détecteurs de proximité	Prix unitaire		
			Min.	Max.								1	25	50
727-8CMBR204424LKXI	CY8CMBR2044-24LKXI	QFN-16	1,71	5,5	4	4	de -40 à +85	Nombre	Nombre	Oui	Nombre	**2,05**	**1,65**	**1,57**

Kit d'évaluation

Pour des quantités supérieures à celles indiquées, appelez-nous afin d'obtenir un devis.

RÉF. STOCK MOUSER	Cypress NXP	Description	Prix unitaire
727-CY3280-MBR	CY3280-MBR	Kit d'évaluation CapSense Express™ avec réglage automatique et fonctionnalités SmartSense™ jusqu'à 4 boutons CapSense et 4 LED/GPO.	**40,43**

NAVIGATION LASER CÂBLÉE SOC OvationONS™ II

CYONS2000 est la version conçue pour les applications à souris câblée à usage général. Activé par la technologie de processus de signal mixte de 0,13 microns de Cypress, le dispositif intègre le capteur OptiCheck avec USB à vitesse complète dans une puce à silicium qui permet la communication impeccable entre le capteur et le MCU / USB à vitesse complète. Le capteur offre la meilleure traduction du mouvement précis de la main dans le mouvement de curseur sur le PC.

Pour des quantités supérieures à celles indiquées, appelez-nous afin d'obtenir un devis.

RÉF. STOCK MOUSER	Réf. Cypress	Boîtier	Tension de fonctionnement		Fréquence d'échantillonnage	Intégration MCU	Détection cap	Mémoire Flash (Ko)	Résolution max.	Accélération (g)	Max. Vitesse (ips)	Prix unitaire		
			Min.	Max.								1	25	50
727-CYONS2000-LBXC	CYONS2000-LBXC	QFN-42	2,7	3,6	80kHz	Oui	Non	16	1600 CPI	20	30	**5,15**	**4,64**	**4,36**

ÉMETTEUR-RÉCEPTEUR USB

Le TX2UL de Cypress est le plus petit émetteur-récepteur USB 2.0 ULPI au monde. TX2UL peut être utilisé dans toute application déjà dotée d'un contrôleur USB mais qui nécessite un émetteur-récepteur ULPI. TX2UL accepte une plage de tension d'entrée très variable de 3V à 5,775V et il est configurable pour des fréquences d'entrée de 13, 19,2, 24, 26 MHz. Avec son format ultra-compact (2,14 x 1,76 mm), TX2UL ne consomme que 5 µA en mode veille, ce qui le rend idéal pour les applications mobiles et alimentées par batterie. Ce produit Cypress est couramment utilisé avec les clés modem USB, les combinés et les autres appareils électroniques grand public.

Pour des quantités supérieures à celles indiquées, appelez-nous afin d'obtenir un devis.

RÉF. STOCK MOUSER	Réf. Cypress	Boîtier	Tension de fonctionnement		Options entrée / sortie	Transferts de données	Plage de température (°C)	Prix unitaire		
			Min.	Max.				1	25	50
727-CY7C68003-24LQXI	CY7C68003-24LQXI	QFN-24	1,8	3,3	ULPI, 8 bits uni- ou bi-directionnel	Transmission bulk, d'interruption et isochrone	de -40 à +85	**2,79**	**2,42**	**2,23**

© Copyright 2012 Mouser Electronics
© Copyright 2012 Mouser Electronics

Mémoires tampon CYPRESS

RoHS Compliant **This product is RoHS compliant.**

MÉMOIRES TAMPON

Cypress propose des solutions programmables, à signal mixte de haute performance qui offrent aux clients un délai rapide de commercialisation et une valeur exceptionnelle du système. L'offre de Cypress inclut les familles phares de systèmes sur puce programmables PSoC® et les produits dérivés tels que les solutions PowerPSoC® pour les applications à haute tension et éclairage LED, la détection tactile CapSense® et les solutions TrueTouch™ pour les écrans tactiles. Cypress est le leader mondial en matière de contrôleurs USB, y compris la solution de haute performance West Bridge® qui augmente la connectivité et la performance des combinés multimédia. Cypress est aussi un leader pour les mémoires de haute performance et les dispositifs de minuterie programmables. Cypress assure l'approvisionnement sur beaucoup de marchés, notamment les produits de consommation, les combinés mobiles, les produits de calcul, les communications de données, les produits automobiles, industriels et militaires.

PRODUCT NEW

Pour des quantités supérieures à celles indiquées, appelez-nous afin d'obtenir un devis.

RÉF. STOCK MOUSER	Réf. Cypress	Boîtier	Tension de fonctionnement		Fréquence de sortie		Tension cœur	Nb. de PLL	Nombre de sorties	Boîtier signal d'entrée	Plage de température (°C)	Prix unitaire		
			Min.	Max.	Min.	Max.						1	25	50
Sortance horloge														
727-CY2CC810OXI	CY2CC810OXI	SSOP-20	2,38	3,45	0	650	2,5 / 3,3	0	10	LVCMOS	de -40 à +85	4,29	3,86	3,63
727-CY2DP814ZXC	CY2DP814ZXC	TSSOP-16	3,13	3,45	0	450	3,3	0	4	LVDS/LVPECL/LVTTL	de 0 à 70	4,70	4,46	4,08
Horloge inclinaison programmable de haute vitesse et tension faible														
727-CY7B9911V-5JXC	CY7B9911V-5JXC	PLCC-32	3	3,6	3,75	110	3,3	1	8	LVTTL	de de 0 à 70	25,70	19,37	18,72
Horloge PLL multi-phase de haute vitesse														
727-CY7B993V-5AXI	CY7B993V-5AXI	TQFP-100	3	3,6	12	100	3,3	1	18	LVTTL/LVPECL	de -40 à +85	36,14	27,23	26,32
Horloge inclinaison faible														
727-CY7B9910-2SXC	CY7B9910-2SXC	SOIC-24	4,5	5,5	15	80	5	1	8	TTL	de 0 à 70	10,77	8,11	7,84
727-CY7B9910-5SXC	CY7B9910-5SXC	SOIC-24	4,5	5,5	15	80	5	1	8	TTL	de de 0 à 70	6,89	5,20	5,02
727-CY7B9910-5SXI	CY7B9910-5SXI	SOIC-24	4,5	5,5	15	80	5	1	8	TTL	de -40 à +85	8,13	7,66	6,94
Horloge inclinaison programmable à faible tension														
727-CY7B991V-2JXC	CY7B991V-2JXC	PLCC-32	3	3,6	3,75	80	3.3	1	8	LVTTL	de de 0 à 70	16,43	12,38	11,96
727-CY7B991V-5JXC	CY7B991V-5JXC	PLCC-32	3	3,6	3,75	80	3.3	1	8	LVTTL	de de 0 à 70	13,08	9,84	9,51
727-CY7B991V-7JXC	CY7B991V-7JXC	PLCC-32	3	3,6	3,75	80	3.3	1	8	LVTTL	de de 0 à 70	11,09	8,36	8,08
Delais non-zéro														
727-CY2304NZZXC-1	CY2304NZZXC-1	TSSOP-8	3	3,6	0	140	3,3	0	4	LVCMOS/TTL	de de 0 à 70	3,47	2,60	2,52
727-CY2304NZZXI-1	CY2304NZZXI-1	TSSOP-8	3	3,6	0	140	3,3	0	4	LVCMOS/TTL	de -40 à +85	4,29	3,16	3,05
727-CY2309NZSXC-1H	CY2309NZSXC-1H	SOIC-16	3	3,6	0	133	3,3	0	9	LVCMOS/LVTTL	de de 0 à 70	4,63	3,41	3,29
727-CY2309NZSXI-1H	CY2309NZSXI-1H	SOIC-16	3	3,6	0	133	3,3	0	9	LVCMOS/LVTTL	de -40 à +85	4,95	3,71	3,59
727-CY29940AXC	CY29940AXC	TQFP-32	2,38	3,45	0	200	2,5 / 3,3	0	18	LVPECL/LVCMOS	de de 0 à 70	6,52	4,83	4,67
727-CY29942AXC	CY29942AXC	TQFP-32	2,38	3,45	0	200	2,5 / 3,3	1	18	LVCMOS/LVTTL	de de 0 à 70	5,96	5,02	4,86
727-CY29942AXI	CY29942AXI	TQFP-32	2,38	3,45	0	200	2,5 / 3,3	0	18	LVCMOS/LVTTL	de -40 à +85	6,11	5,15	4,99
727-CY29946AXC	CY29946AXC	TQFP-32	2,38	3,6	0	200	2,5 / 3,3	0	10	LVCMOS/LVTTL	de de 0 à 70	5,78	4,33	4,19
727-CY29946AXI	CY29946AXI	TQFP-32	2,38	3,6	0	200	2,5 / 3,3	0	10	LVCMOS/LVTTL	de -40 à +85	5,94	4,40	4,25
727-CY29948AXC	CY29948AXC	TQFP-32	2,38	3,6	0	200	2,5 / 3,3	1	12	LVPECL/LVCMOS	de de 0 à 70	6,02	4,46	4,31
727-CY29972AXI	CY29972AXI	TQFP-52	3	3,6	0	125	3,3	1	12	Xtal/LVCMOS/LVTTL	de -40 à +85	3,22	2,90	2,72
727-CY29976AXI	CY29976AXI	TQFP-52	3	3,6	0	125	3,3	1	12	LVPECL/LVCMOS	de -40 à +85	8,91	8,02	7,61
Horloge inclinaison programmable														
727-CY7B991-2JXC	CY7B991-2JXC	PLCC-32	4,5	5,5	3,75	80	5	1	8	TTL	de de 0 à 70	16,42	12,38	11,96
727-CY7B991-5JXC	CY7B991-5JXC	PLCC-32	4,5	5,5	3,75	80	5	1	8	TTL	de de 0 à 70	21,53	19,38	18,22
727-CY7B991V-5JXI	CY7B991V-5JXI	PLCC-32	3	3,6	3,75	80	3.3	1	8	LVTTL	de -40 à +85	16,25	12,25	11,85
727-CY7B991-5JXI	CY7B991-5JXI	PLCC-32	4,5	5,5	3,75	80	5	1	8	TTL	de -40 à +85	21,53	19,38	18,22
727-CY7B991-7JXC	CY7B991-7JXC	PLCC-32	4,5	5,5	3,75	80	5	1	8	TTL	de de 0 à 70	11,09	8,36	8,08
Délai zéro														
727-CY2300SXC	CY2300SXC	SOIC 8	3	3,6	10	166,67	3,3	1	4	LVCMOS/LVTTL	de de 0 à 70	5,29	4,65	4,37
727-CY2302SXC-1	CY2302SXC-1	SOIC 8	3,13	5,5	10	133	3,3/5	1	2	LVCMOS/LVTTL	de de 0 à 70	2,00	1,98	1,93
727-CY2302SXI-1	CY2302SXI-1	SOIC 8	3,13	5,5	10	133	3,3/5	1	2	LVCMOS/LVTTL	de -40 à +85	2,30	2,19	2,00
727-CY2303SXC	CY2303SXC	SOIC 8	3	3,6	10	166,67	3,3	1	3	LVCMOS/LVTTL	de de 0 à 70	3,92	3,71	3,41
727-CY2304SXC-1	CY2304SXC-1	SOIC 8	3	3,6	10	133	3,3	0	4	LVCMOS/LVTTL	de de 0 à 70	1,66	1,65	1,62
727-CY2304SXC2	CY2304SXC-2	SOIC 8	3	3,6	10	133	3,3	0	4	LVCMOS/LVTTL	de de 0 à 70	4,13	3,63	3,30
727-CY2304SXI-1	CY2304SXI-1	SOIC 8	3	3,6	10	133	3,3	0	4	LVCMOS/LVTTL	de -40 à +85	5,39	4,74	4,46
727-CY2305CSXC-1	CY2305CSXC-1	SOIC 8	3	3,6	10	133	3,3	1	5	LVCMOS/LVTTL	de 0 à 70	1,29	1,27	1,25
727-CY2305CSXC-1H	CY2305CSXC-1H	SOIC 8	3	3,6	10	133	3,3	1	5	LVCMOS/LVTTL	de 0 à 70	1,62	1,60	1,57
727-CY2305CSXI-1H	CY2305CSXI-1H	SOIC 8	3	3,6	10	133	3,3	1	5	LVCMOS/LVTTL	de -40 à +85	1,91	1,90	1,83
727-CY2305SXC-1	CY2305SXC-1	SOIC 8	3	3,6	10	133	3,3	1	5	LVCMOS/LVTTL	de de 0 à 70	1,07	0,809	0,776
727-CY2305SXC-1H	CY2305SXC-1H	SOIC 8	3	3,6	10	133	3,3	1	5	LVCMOS/LVTTL	de de 0 à 70	1,19	0,891	0,858
727-CY2305SXI-1	CY2305SXI-1	SOIC 8	3	3,6	10	133	3,3	1	5	LVCMOS/LVTTL	de -40 à +85	1,62	1,08	1,04
727-CY2305SXI-1H	CY2305SXI-1H	SOIC 8	3	3,6	10	133	3,3	1	5	LVCMOS/LVTTL	de -40 à +85	4,13	3,63	3,30
727-CY2308SXC-1	CY2308SXC-1	SOIC-16	3	3,6	10	133	3,3	1	8	LVCMOS/LVTTL	de de 0 à 70	2,76	2,07	2,00
727-CY2308SXC-1H	CY2308SXC-1H	SOIC-16	3	3,6	10	133	3,3	1	8	LVCMOS/LVTTL	de de 0 à 70	1,75	1,74	1,71
727-CY2308SXC-2	CY2308SXC-2	SOIC-16	3	3,6	10	133	3,3	1	8	LVCMOS/LVTTL	de de 0 à 70	2,56	1,92	1,86
727-CY2308SXC3	CY2308SXC-3	SOIC-16	3	3,6	10	133	3,3	1	8	LVCMOS/LVTTL	de de 0 à 70	3,78	3,32	3,02
727-CY2308SXC4	CY2308SXC-4	SOIC-16	3	3,6	10	133	3,3	1	8	LVCMOS/LVTTL	de de 0 à 70	3,78	3,32	3,02
727-CY2308SXI-1	CY2308SXI-1	SOIC-16	3	3,6	10	133	3,3	1	8	LVCMOS/LVTTL	de -40 à +85	5,20	5,20	5,02
727-CY2308SXI-1H	CY2308SXI-1H	SOIC-16	3	3,6	10	133	3,3	1	8	LVCMOS/LVTTL	de -40 à +85	2,32	2,05	1,92
727-CY2308SXI-2	CY2308SXI-2	SOIC-16	3	3,6	10	133	3,3	1	8	LVCMOS/LVTTL	de -40 à +85	7,80	6,86	6,45
727-CY2308SXI-4	CY2308SXI-4	SOIC-16	3	3,6	10	133	3,3	1	8	LVCMOS/LVTTL	de -40 à +85	7,80	6,86	6,45
727-CY2308SXI-5H	CY2308SXI-5H	SOIC-16	3	3,6	10	133	3,3	1	8	LVCMOS/LVTTL	de -40 à +85	6,58	6,24	5,72
727-CY2308ZXC1H	CY2308ZXC-1H	TSSOP-16	3	3,6	10	133	3,3	1	8	LVCMOS/LVTTL	de -40 à +85	4,13	3,63	3,30
727-CY2308ZXI1H	CY2308ZXI-1H	TSSOP-16	3	3,6	10	133	3,3	1	8	LVCMOS/LVTTL	de -40 à +85	4,13	3,63	3,30
727-CY2309SXC-1	CY2309SXC-1	SOIC-16	3	3,6	10	133	3,3	1	9	LVCMOS/LVTTL	de de 0 à 70	2,97	2,62	2,38
727-CY2309SXC-1H	CY2309SXC-1H	SOIC-16	3	3,6	10	133	3,3	1	9	LVCMOS/LVTTL	de de 0 à 70	1,75	1,74	1,71
727-CY2309SXI1	CY2309SXI-1	SOIC-16	3	3,6	10	133	3,3	1	9	LVCMOS/LVTTL	de -40 à +85	7,22	6,35	5,78
727-CY2309SXI1H	CY2309SXI-1H	SOIC-16	3	3,6	10	133	3,3	1	9	LVCMOS/LVTTL	de -40 à +85	7,22	6,35	5,78
727-CY2309ZXC-1H	CY2309ZXC-1H	TSSOP-16	3	3,6	10	133	3,3	1	9	LVCMOS/LVTTL	de de 0 à 70	4,43	2,99	2,90
727-CY23EP05SXC-1	CY23EP05SXC-1	SOIC 8	2,3	3,6	10	220	2,5 / 3,3	1	5	LVCMOS/LVTTL	de de 0 à 70	2,68	2,59	2,45
727-CY23EP05SXC-1H	CY23EP05SXC-1H	SOIC 8	2,3	3,6	10	220	2,5 / 3,3	1	5	LVCMOS/LVTTL	de de 0 à 70	3,36	3,27	3,09
727-CY23EP05SXI-1	CY23EP05SXI-1	SOIC 8	2,3	3,6	10	220	2,5 / 3,3	1	5	LVCMOS/LVTTL	de -40 à +85	4,27	3,75	3,53
727-CY23EP05SXI-1H	CY23EP05SXI-1H	SOIC 8	2,3	3,6	10	220	2,5 / 3,3	1	5	LVCMOS/LVTTL	de -40 à +85	5,20	4,57	4,30
727-CY23EP09SXC-1	CY23EP09SXC-1	SOIC-16	2,3	3,6	10	220	2,5 / 3,3	1	9	LVCMOS/LVTTL	de de 0 à 70	5,48	4,82	4,53
727-CY23EP09SXC-1H	CY23EP09SXC-1H	SOIC-16	2,3	3,6	10	220	2,5 / 3,3	1	9	LVCMOS/LVTTL	de de 0 à 70	4,41	4,29	4,06
727-CY23EP09ZXC-1H	CY23EP09ZXC-1H	TSSOP-16	2,3	3,6	10	220	2,5 / 3,3	1	9	LVCMOS/LVTTL	de de 0 à 70	3,18	3,07	2,96
727-CY23EP09ZXI-1H	CY23EP09ZXI-1H	TSSOP-16	2,3	3,6	10	220	2,5 / 3,3	1	9	LVCMOS/LVTTL	de -40 à +85	3,90	3,81	3,69
727-CY23FP12OXC	CY23FP12OXC	SSOP-28	3,13	3,45	10	220	3,3	1	12	LVCMOS/LVTTL	de de 0 à 70	4,87	4,77	4,66
727-CY23S05SXC-1	CY23S05SXC-1	SOIC 8	3	3,6	10	133	3,3	1	5	LVCMOS/LVTTL	de 0 à 70	2,27	2,18	2,10
727-CY23S05SXC-1H	CY23S05SXC-1H	SOIC 8	3	3,6	10	133	3,3	1	5	LVCMOS/LVTTL	de 0 à 70	2,27	2,18	2,10
727-CY23S09SXC-1	CY23S09SXC-1	SOIC-16	3	3,6	10	133	3,3	1	9	LVCMOS/LVTTL	de 0 à 70	2,27	2,25	2,19
727-CY23S09ZXC-1H	CY23S09ZXC-1H	SOIC-16	3	3,6	10	133	3,3	1	9	LVCMOS/LVTTL	de 0 à 70	2,62	2,48	2,28
727-CY29350AXI	CY29350AXI	TQFP-32	2,38	3,45	6,25	200	2,5 / 3,3	1	9	Xtal/LVCMOS/LVTTL	de -40 à +85	5,53	4,97	4,73
727-CY29352AXI	CY29352AXI	TQFP-32	2,38	3,45	16.67	200	2,5 / 3,3	1	11	LVPECL/LVCMOS	de -40 à +85	6,20	5,87	5,38

© Copyright 2012 Mouser Electronics

Tous les prix sont en EURO

© Copyright 2012 Mouser Electronics

CI analogiques DIODES INC.

A Product Line of Diodes Incorporated | ZETEX

Les produits peuvent être conformes à la directive RoHS.
Consulter le site mouser.com pour vérifier la conformité RoHS.

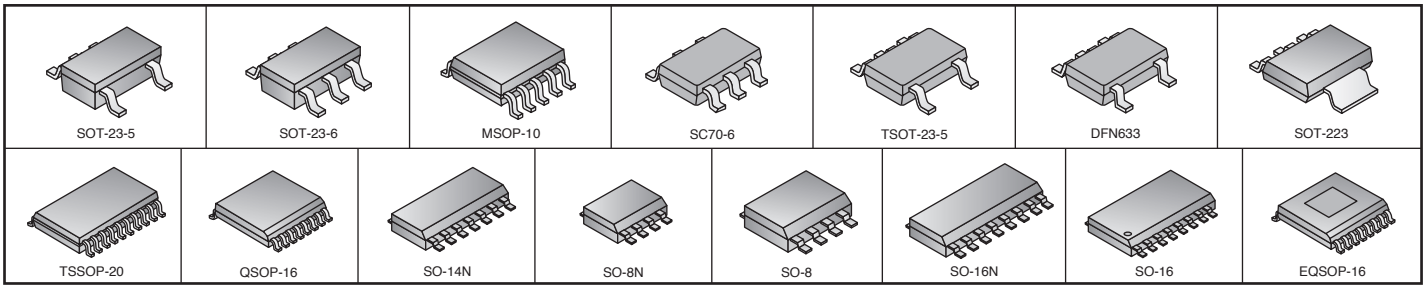

CI POUR LED/ SOLUTIONS DE PILOTES LCD / D'ÉCLAIRAGE ZETEX

Les ZXLD1100 / 1101 / 1937 sont des convertisseurs d'amplification du mode de tension stabilisée permettant d'actionner les LED blanches pour rétroéclairage des écrans LCD couleur. Un interrupteur intégré et une clame de surtension (ZXLD 1100) réduisent le nombre de composants de la solution.
ZXSC400 est un convertisseur de mode de tension stabilisée pour les LED blanches pour rétroéclairage des écrans LCD couleur. Le courant de la LED (qui est programmée avec une seule résistance) change généralement de moins de 1 % pour la plage d'alimentation Li-Ion. ZXSC300 / 310 sont des convertisseurs de puissance constante concentrés principalement sur l'action des LED (blanches) à cellule simple ou double utilisées dans les applications de lampes torches et éclairage de jardin. Les deux produits utilisent un courant de crête programmable pour optimiser l'efficacité et les exigences d'alimentation. ZXSC300 / 310 utilise un mode à impulsions qui élimine le besoin d'une diode rectificatrice, ce qui offre les plus hautes efficacités surtout pour le fonctionnement à une seule cellule.

Caractéristiques :

- Interrupteur interne de 30 V - ZXLD1100 / 1101
- Protection de circuit ouvert - ZXLD1100
- Tension de rétroaction faible de 0,1 V pour haute efficacité - série ZXLD
- Haute efficacité : 94% - ZXSC3xx en mode impulsion
- Fonctionnement à 0,8 V - ZXSC3xx
- Courant LED programmable
- Actionne jusqu'à 8 LED à 20 mA - ZXSC400
- Combinaisons série, parallèle et série-parallèle
- <500 nA courant à l'arrêt

Applications :

- LED blanc de rétro-éclairage pour les écrans LCD affichages - ZXLD1100/1101
- Éclairage d'urgence / d'attente - ZXSC400
- Panneaux de signalisation à énergie solaire - ZXSC3xx
- Lampes torches LED de haute performance - ZXSC400
- Lampes torches LED - ZXSC3xx
- Éclairage de jardin à LED à panneaux solaires - ZXSC3xx

♦ **Composant pour montage en surface**

Pour des quantités supérieures à celles indiquées, appelez-nous afin d'obtenir un devis.

RÉF. STOCK MOUSER	Réf. Zetex	Boîtier	Plage de tension d'entrée (V)	Plage de tension de sortie (1) (V)	Courant d'arrêt (μA)	Courant de repos typique μA	Efficience V_{in}=3V	Prix unitaire 1	25	100	250
♦ 522-ZXSC300E5TA	ZXSC300E5TA	SOT-23-5	0,8-8	Vin vers Vm	-	200	88 avec 1 LED	0,85	0,752	0,678	0,447
♦ 522-ZXSC310E5TA	ZXSC310E5TA	SOT-23-5	0,8-8	Vin vers Vm	4	200	88 avec 1 LED	0,95	0,895	0,761	0,662
♦ 522-ZXSC380FHTA	ZXSC380FHTA	SOT-23-5	0.8-6.0	Vin vers 20	-	-	80 @ 1,5V	0,72	0,647	0,562	0,486
♦ 522-ZXSC400E6TA	ZXSC400E6TA	SOT-23-6	1,8-8	Vin vers Vm	3	150	80 avec 4 LED	1,02	0,904	0,814	0,709
♦ 522-ZXLB1600X10TA	ZXLB1600X10TA	MSOP-10	1,6 - 5,5	28	5	85	75	2,04	1,74	1,60	1,52
♦ 522-ZXLD1100H6TA	ZXLD1100H6TA	SC70-6	2,5 - 5,5	28	0,5	60	80 avec 3 LED	1,62	1,53	1,32	1,19
♦ 522-ZXLD1101ET5TA	ZXLD1101ET5TA	TSOT-23-5	2,5 - 5,5	28	0,5	60	80 avec 3 LED	1,46	1,30	1,19	1,07
♦ 522-ZXLD1320DCATC	ZXLD1320DCATC	TDFN-14-43	4 - 18	Vin vers 18	-	12	85 avec 4 LED	2,67	2,38	2,17	1,98
♦ 522-ZXLD1321DCATC	ZXLD1321DCATC	TDFN-14-43	1,2 - 12	Vin vers 18	-	12	85 avec 5 LED	2,77	2,38	2,26	2,06
♦ 522-ZXLD1322DCCTC	ZXLD1322DCCTC	DFN-14-43	2.5 - 15	Vin vers 18	-	12	80 avec 3 LED	2,88	2,62	2,34	2,13
♦ 522-ZXLD1350ET5TA	ZXLD1350ET5TA	TSOT-23-5	7-30	30	-	250	95	1,83	1,66	1,49	1,33
♦ 522-ZXLD1360E5TA	ZXLD1360ET5A	SOT-23-5	7-30	30	-	20	95	2,88	2,78	2,34	2,13
♦ 522-ZXLD1362ET5TA	ZXLD1362ET5TA	TSOT-23-5	6 - 60	Vin vers 60	-	65	95	3,21	2,90	2,62	2,38
♦ 522-ZXLD1601H6TA	ZXLD1601H6TA	SC70-6	2,5 - 5,5	Vin vers 28	0,1	60	85	2,20	1,57	1,26	0,875
♦ 522-ZXLD1615ET5TA	ZXLD1615ET5TA	TSOT-23-5	2,5 - 5,5	Vin vers 28	0,1	60	85	2,93	2,19	1,46	1,35

CI PILOTES LED ZETEX

Caractéristiques :

- Plage de gradation PWM 1000:1
- Protection inhérente LED circuit ouvert
- Haute fréquence de commutation
- Arrêt sortie

Applications :

- LED de remplacement de l'halogène à faible tension
- Éclairage automobile
- Panneaux éclairés
- Éclairage industriels à faible tension

♦ **Composant pour montage en surface**

RÉF. STOCK MOUSER	Réf. Zetex	Boîtier	Tension d'entrée Min.-Max. (V)	Tension de sortie (V)	Pic typ. courant sortie (A)	Fréquence (kHz) typ	Efficience (%)	Type d'affaib.	Prix unitaire 1	25	100	Bobine par bobine	Prix par composant
♦ 522-ZXLD1352ET5TA	ZXLD1352ET5TA	TSOT23-5	7 - 30	30	0,35	1 000	97	DC/PWM	1,83	1,71	1,49	3000	0,819
♦ 522-ZXLD1356DACTC	ZXLD1356DACTC	DFN633	6 - 60	60	0,55	1 000	97	DC/PWM	2,29	2,01	1,56	3000	1,15
♦ 522-ZXLD1356ET5TA	ZXLD1356ET5TA	TSOT23-5	6 - 60	60	0,55	1 000	97	DC/PWM	2,28	2,15	1,68	3000	1,03
♦ 522-ZXLD1366DACTC	ZXLD1366DACTC	DFN633	6 - 60	60	1	500	95	DC/PWM	3,47	3,34	2,57	3000	1,70
♦ 522-ZXLD1366ET5TA	ZXLD1366ET5TA	TSOT23-5	6 - 60	60	1	500	95	DC/PWM	3,19	2,79	2,17	3000	1,58
♦ 522-ZXLD1366EN8TC	ZXLD1366EN8TC	SO-8-EP	6 - 60	60	1	500	95	DC/PWM	2,81	2,53	1,81	2500	1,60
♦ 621-ZXLD383ET5TA	ZXLD383ET5TA	TSOT23-5	0,9-2,2	Vin vers 20	0,8	330	85	DC/PFM	0,73	0,662	0,579	3000	0,30

CONTRÔLEUR DE MOTEUR DE VENTILATEUR SANS BALAI A VITESSE VARIABLE ZETEX

ZXMB1004 est un pré-excitateur de moteur BLDC monophase qui offre un contrôle de vitesse variable. Adapté aux ventilateurs et soufflantes à CC, le CI peut accepter des entrées d'une source PWM externe ou d'une thermistance pour ajuster les caractéristiques de vitesse.

Caractéristiques :

- Pré-excitateur monophase avec contrôle de vitesse variable
- Circuit de sortie PWM pour contrôle de vitesse, variable par entrées de thermistance externe ou PWM
- Paramètre de vitesse minimum ajustable
- Permet l'élimination de tout changement de vitesse par rapport à la variation de la tension d'alimentation
- Bruit faible

Applications :

- Ventilateurs et soufflantes pour l'ordinateur central en télécommunications
- Ventilateurs et soufflantes ordinateurs personnels et ordinateurs centraux en télécommunications
- Ventilateurs et soufflantes industriels

♦ **Composant pour montage en surface**

Pour des quantités supérieures à celles indiquées, appelez-nous afin d'obtenir un devis.

RÉF. STOCK MOUSER	Réf. Zetex	Boîtier	Type	Courant max. (mA)	Courant d'att. de sortie max. (mA)	Fréquence PWM (kHz)	Signalisation de sortie	Prix unitaire 1	25	100	250
♦ 522-ZXBM1004Q16TA	ZXBM1004Q16TA	SOT-223	Simple	8	5	24	Verrouillage de rotor et impulsion de vitesse	1,09	1,03	0,981	0,933
♦ 522-ZXBM1015ST20TC	ZXBM1015ST20TC	TSSOP-20	Simple	15	16	24	Verrouillage de rotor et impulsion de vitesse	2,30	2,07	1,88	1,69
♦ 522-ZXBM2004Q16TA	ZXBM2004Q16TA	QSOP-16	Double	7,5	5	24	Verrouillage de rotor et impulsion de vitesse	1,69	0,857	0,809	0,752
♦ 522-ZXBM2003X10TA	ZXBM2003X10TA	MSOP-10	Double	3	80	1-50	Impulsion de vitesse uniquement	1,29	0,647	0,611	0,57

PRODUITS VIDÉO ANALOGIQUES ZETEX

La gamme Zetex de solutions vidéo a été étendue par l'ajout d'un séparateur synchronisé et d'un amplificateur de restitution de CC ZXFV4089 utilise une impulsion de synchronisation (généralement à partir d'un séparateur de synchronisation) pour restaurer le niveau noir vidéo à la tension CC correcte. Les amplificateurs / portes de transfert de haute vitesse incluent les amplificateurs quad et simple plus des portes de transfert de gain unitaire multivoie. L' amplificateur vidéo simple, ZXFV202, est disponible en SOT23, offrant une excellente phase différentielle et une performance de phase de 0,01 %/0,01 °. Les multiplexeurs 4:1 ZXFV301N16 et ZXFV302N16 sont destinés à être utilisés dans les applications vidéo et autres applications haute vitesse.

♦ **Composant pour montage en surface**

Pour des quantités supérieures à celles indiquées, appelez-nous afin d'obtenir un devis.

RÉF. STOCK MOUSER	Réf. Zetex	Boîtier	Type	Tension d'alimentation (V)	Courant d'alimentation (mA)	Prix unitaire 1	25	100	250
♦ 522-ZXFV202N8EV	ZXFV202N8EV	-	Carte d'évaluation pour ZXFV202N8TA	±5	7	74,97	-	-	-
♦ 522-ZXFV203EV	ZXFV203EV	-	Carte d'évaluation pour ZXFV203N14TA	±5	21	74,97	-	-	-
♦ 522-ZXFV203N14TA	ZXFV203N14TA	SO-14N	Triple ampli. vidéo	±5	21	2,20	1,95	1,70	1,54
♦ 522-ZXFV302EV	ZXFV302EV	-	Carte d'évaluation pour ZXFV302N16	±5	17	74,97	-	-	-

© Copyright 2012 Mouser Electronics
© Copyright 2012 Mouser Electronics

CI analogiques DIODES INC.

A Product Line of Diodes Incorporated | ZETEX

Les produits peuvent être conformes à la directive RoHS.
Pour vérifier la conformité RoHS, consultez le site mouser.com.

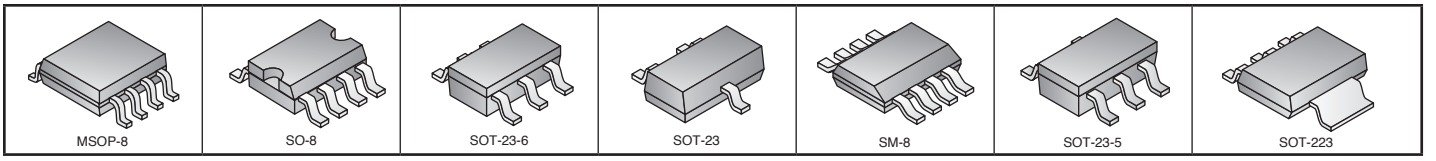

CONTRÔLEURS DE GRILLE ZETEX

♦ **Composant pour montage en surface**

Pour des quantités supérieures à celles indiquées, appelez-nous afin d'obtenir un devis.

RÉF. STOCK MOUSER	Réf. Zetex	Boîtier	Vin Max. (V)	Vcc Max (V)	Isource à lin=10mA (A)	Isink (A)	Iin Max (V)	Isinkpk Max (A)	Prix unitaire 1	25	100	500
♦ 522-ZXGD3001E6TA	ZXGD3001E6TA	SOT-23-6	12	12	4,2	2,2	1	9	0,72	0,669	0,516	0,402
♦ 522-ZXGD3002E6TA	ZXGD3002E6TA	SOT-23-6	20	20	2,2	2	1	9	0,72	0,669	0,516	0,402
♦ 522-ZXGD3003E6TA	ZXGD3003E6TA	SOT-23-6	40	40	1,6	1,4	1	5	0,56	0,52	0,401	0,311
♦ 522-ZXGD3004E6TA	ZXGD3004E6TA	SOT-23-6	40	40	1,9	1,9	1	8	0,72	0,669	0,516	0,402
♦ 522-ZXGD3101T8	ZXGD3101T8TA	SM-8	15	15	3	3	-	-	2,80	2,51	2,28	1,77

CONVERTISSEURS D'AMPLIFICATION DE LA PUISSANCE DU SYSTÈME A UNE SEULE CELLULE ET A CELLULES MULTIPLES ZETEX

ZXSC100 / 410 / 420 sont des convertisseurs d'amplification inductive du mode de tension destinés à fournir les tensions du système des sources à piles. ZXSC410 / 420 fournissent toute tension asservie au-dessus de Vin de la cellule double et les cellules Li-Ion à variation de tension typique de 1 %. L'option ZXSC420 offre une signalisation « fin de variation de la tension » qui utilise toute l'énergie disponible de la pile avant de signaliser un arrêt. ZXSC100 sert au fonctionnement à une seule cellule avec un démarrage garanti en conditions de charge complète jusqu'à 1 V. Tous les produits utilisent un courant de crête programmable pour optimiser l'efficience et les exigences d'alimentation. Les tensions de sorties maximales ne sont limitées que par la valeur nominale de l'appareil de connexion externe.

Caractéristiques :

- Haute efficacité : 80%+
- Charge typique de 1 % et variation de la tension de ligne - ZXSC410/420
- Courant d'arrêt faible (µA)
- Signalisation fin de variation de la tension - ZXSC420
- Fonctionnement à une seule cellule - ZXSC100
- Puissance de sortie jusqu'à 2 W

Applications :

- Alimentations de système de cellules doubles et cellules Li-Ion
- Sources de tension à polarisation LCD
- Sources d'alimentation de système de cellules alcalines, NiCd ou NiMH - ZXSC100
- Sources d'alimentation de système de cellules solaires - ZXSC100
- Varactor et polarisation de diode PIN

♦ **Composant pour montage en surface**

Pour des quantités supérieures à celles indiquées, appelez-nous afin d'obtenir un devis.

RÉF. STOCK MOUSER	Réf. Zetex	Boîtier	Plage de tension d'entrée (V)	Plage de tension de sortie (V)	Ligne de charge (%/V)	Courant de repos typique (µA)	Efficience (%) V_{OUT} = 3V I_{OUT} = 50mA	Tolér. sortie typ. (%)	Prix unitaire 1	25	100	250
♦ 522-ZXSC100X8TA	ZXSC100X8TA	MSOP-8	0,93-3,5	Vin vers Vm	7	150	82	4	1,88	1,61	1,48	1,40
♦ 522-ZXSC100N8TA	ZXSC100N8TA	SO-8	0,93-3,5	Vin vers Vm	7	150	82	4	2,39	2,05	1,88	1,62
♦ 522-ZXSC410E6TA	ZXSC410E6TA	SOT-23-6	1,8-8	Vin vers Vm	0,5	150	85	1	1,33	1,14	1,05	1,00
♦ 522-ZXSC420E6TA	ZXSC420E6TA	SOT-23-6	1,8-8	Vin vers Vm	0,5	150	85	1	1,33	1,14	1,05	1,00

SERIE ZETEX ZXCT - MONITEURS DE COURANT

La gamme ZXCT de moniteurs de courant de l'extrémité supérieure et d'amplificateurs de détection de courant offre des solutions de conceptions élégantes pour la mesure du courant et le contrôle de la puissance. Le moniteur de détection du courant ZXCT1009 prend la tension de l'extrémité supérieure développée dans une résistance shunt électrique de courant et, agissant comme un miroir de courant, la convertit en une tension de référence graduée à la terre. ZXCT1010 offre un décalage typique réduit et une précision améliorée à des tensions de détection faibles. Les amplificateurs de détection du courant ZXCT1021 / 1022 sont particulièrement adaptés aux applications à tension de détection faible. ZXCT1030 inclut une référence de bande interdite de 1,2 V et un comparateur.

Caractéristiques :

- Détection du courant de l'extrémité supérieure
- Pondération de la tension de sortie
- Tension détectée jusqu'à 2,5 V
- Plage d'alimentation 2,5-20 V
- Précision typique 1 %

Applications :

- Chargeurs de batteries
- Paquets de piles intelligentes
- Contrôle des moteurs c.c.
- Surveillance de la surintensité
- Gestion de l'alimentation

♦ **Composant pour montage en surface**

✻ Relatif à I_{OUT}

Pour des quantités supérieures à celles indiquées, appelez-nous afin d'obtenir un devis.

RÉF. STOCK MOUSER	Réf. Zetex	Boîtier	Description	VIN (V)	Précision à Vdet =100mV	Courant Courant typique (µA)	ampli. haut-parleur (Sortie/Vdet)	Largeur de bande (MHz)	Prix unitaire 1	25	100	250
♦ 522-ZXCT1008FTA	ZXCT1008FTA	SOT-23	Large plage de température ambiante	2,5 à 20	+/-2,5 %	-	10mA/V	2	1,03	0,762	0,609	0,457
♦ 522-ZXCT1009FTA	ZXCT1009FTA	SOT-23	Relais à seuil de courant simple	2,5 à 20✻	+/-2,5 %	5	Défini par l'utilisateur	2	0,92	0,819	0,74	0,478
♦ 522-ZXCT1009T8TA	ZXCT1009T8TA	SM-8	Relais à seuil de courant simple	2,5 à 20	+/-2,5 %	5	Défini par l'utilisateur	2	1,50	1,29	1,23	1,10
♦ 522-ZXCT1010E5TA	ZXCT1010E5TA	SOT-23-5	Décalage amélioré	2,5 à 20	+/-2,5 %	4	Défini par l'utilisateur	2	1,11	1,05	0,883	0,769
♦ 522-ZXCT1011E5TA	ZXCT1011E5TA	SOT-23-5	Écart de température amélioré	2,5 à 20✻	+/-2,5 %	-	10mA/V	2	1,11	1,05	0,883	0,769
♦ 522-ZXCT1021E5TA	ZXCT1021E5TA	SOT-23-5	Pour tension de détection faible	2,5 à 20	+/-2%	25	10	1	1,23	1,10	0,971	0,85
♦ 522-ZXCT1022E5TA	ZXCT1022E5TA	SOT-23-5	Pour tension de détection faible	2,5 à 20	+/-2%	25	100	1	1,37	1,10	0,971	0,85
♦ 522-ZXCT1030N8TA	ZXCT1030N8TA	SO-8	Fonction améliorée avec réf et comp. internes	2,5 à 20	+/-3%	270	10V/V	6	1,46	1,17	1,07	0,99
♦ 522-ZXCT1051E5TA	ZXCT1051E5TA	SOT-23-5	Précision, plage d'entréAe large	2,7 à 20	+/-2 %	-	10	1	1,29	1,14	1,03	0,895
♦ 522-ZXCT1080E5TA	ZXCT1080E5TA	SOT-23-5	Haute tension, courant de l'extrémité supérieure	3 à 60	+/-3 %	30	10	0,5	1,52	1,12	0,901	0,675
♦ 522-ZXCT1081E5TA	ZXCT1081E5TA	SOT-23-5	Volume élevé, courant de l'extrémité supérieure	3 à 40	+/-3 %	30	10	1,5	1,39	1,19	1,10	0,962
♦ 522-ZXCT1083E5TA	ZXCT1083E5TA	SOT25	Moniteur de détection de courant unipolaire à l'extrémité supérieure	2,7 - 40	2	2	0,5	0,5	1,46	1,32	1,05	0,90
♦ 522-ZXCT1084E5TA	ZXCT1084E5TA	SOT25	Moniteur de détection de courant unipolaire à l'extrémité supérieure	2,7 - 40	2	2	25	0,5	1,43	1,29	1,16	1,05
♦ 522-ZXCT1085E5TA	ZXCT1085E5TA	SOT25	Moniteur de détection de courant unipolaire à l'extrémité supérieure	2,7 - 40	2	2	25	0,5	1,46	1,32	1,05	0,90
♦ 522-ZXCT1086E5TA	ZXCT1086E5TA	SOT25	Moniteur de détection de courant unipolaire à l'extrémité supérieure	2,7 - 60	2	2	50	0,2	1,43	1,29	1,16	1,05
♦ 522-ZXCT1087E5TA	ZXCT1087E5TA	SOT25	Moniteur de détection de courant unipolaire à l'extrémité supérieure	2,7 - 40	2	2	50	0,2	1,46	1,32	1,05	0,90

MONITEURS DE RÉINITIALISATION A FAIBLE TENSION ZETEX

Ces dispositifs sont des circuits de surveillance de la tension à trois bornes utilisés dans les systèmes à microprocesseurs. Ils offrent une fonction « puissance à l'initialisation » et produisent une initialisation du système au niveau « faible » à la coupure du courant. Une sélection de seuils de réinitialisation est disponible. Tous les dispositifs sont conçus pour fonctionner dans une plage de température de -40 °C à 85 °C.

RoHS Compliant

Caractéristiques :

- Génération de réinitialisation automatique
- Fonctionnement garanti depuis 1 V
- Courant de sortie élevé

Applications :

- Systèmes à microprocesseurs
- Ordinateurs et périphériques pour ordinateurs
- Automobile
- Équipement alimenté par piles

♦ **Composant pour montage en surface**

Pour des quantités supérieures à celles indiquées, appelez-nous afin d'obtenir un devis.

RÉF. STOCK MOUSER	Réf. Zetex	Boîtier	Tension CC typique (V)	Courant d'alimentation (V)	Hysteresis typique (mV)	Courant sortie absorbé max. (mA)	Plage de tension d'entrée (V)	Current de repos max. (uA)	Prix unitaire 1	25	100	250
♦ 522-ZSM560GTA	ZSM560GTA	SOT-223	5	4,6	20	60	1 à 6,5	200	1,37	-	0,971	0,85

CONVERTISSEUR D'AMPLIFICATION ZETEX POUR APPLICATIONS CAMERAS À FLASH

ZXSC440 est un chargeur de flash dédié qui charge un condensateur de flash de 80µF à 300V en 3,5 secondes à partir une source de 3V. L'efficacité de la conversion de retour du spot est typiquement de 75 %, beaucoup plus élevée que celle des circuits de chargement discrets généralement utilisés. La broche de chargement permet l'initialisation du circuit à partir du microprocesseur de l'appareil-photo, en utilisant un courant négligeable lorsque le flash n'est pas utilisé. La broche indicatrice Prêt signale le microprocesseur quand le flash est chargé et prêt à être déclenché. Un faible niveau de hystérésis à la rétroaction de la tension arrête le dispositif tant que le condensateur reste complètement chargé en utilisant de nouveau un courant négligeable.

RoHS Compliant

Caractéristiques :

- Charge un condensateur de flash de 80µF à 300V en 3,5 secondes à partir de 3V
- Charge différents condensateurs de flash
- Efficience de retour du spot de plus de 75 %
- Broches de Chargement et Prêt
- Ne consomme que 4,5 µA quand il ne charge pas
- Petit boîtier à profil bas µA

Applications :

- Unité de flash pour appareil-photo numérique
- Unité de flash pour caméra

♦ **Composant pour montage en surface**

Pour des quantités supérieures à celles indiquées, appelez-nous afin d'obtenir un devis.

♦ 522-ZXSC440X8TA	ZXSC440X8TA	MSOP-8	1,8-8	Vin vers Vm	0,5	150	85	1	1,90	1,35	1,09	0,814

© Copyright 2012 Mouser Electronics

© Copyright 2012 Mouser Electronics

Émetteurs-récepteurs d'interface EXAR

RoHS Compliant **This product is RoHS compliant.**

ÉMETTEURS-RÉCEPTEURS EXAR RS-485/RS-422

La série d'émetteurs-récepteurs XR317x offre une gamme étendue de débits de données de 250 Kbits/s à 20 Mbits/s avec un balancement de sortie différentiel élevé (2,35 V) qui sont idéaux pour les marchés industriels, notamment les applications telles que les réseaux de bus en terrain, le contrôle des moteurs de haute vitesse, l'automatisation en usines, l'automatisation des bâtiments, les systèmes de sécurité et la lecture des indicateurs de mesure à distance.

Pour des quantités supérieures à celles indiquées, appelez-nous afin d'obtenir un devis.

RÉF. STOCK MOUSER	Réf. Exar	Type boîtier	Duplex	Débit des données (Kbits/s)	Nombre de Tx	Nombre de Rx	Vcc (V)	ESD (KV)	Arrêt	Plage de température	Prix unitaire 1	25	100
701-XR3170EID-F	XR3170EID-F	NSOIC-14	Intégral	250	1	1	3,3	15	Oui	-40 °C à 85 °C	1,99	1,58	1,55
701-XR3171EID-F	XR3171EID-F	NSOIC-8	Intégral	250	1	1	3,3	15	Non	-40 °C à 85 °C	1,99	1,58	1,55
701-XR3173EID-F	XR3173EID-F	NSOIC-14	Intégral	500	1	1	3,3	15	Oui	-40 °C à 85 °C	1,99	1,58	1,55
701-XR3174EID-F	XR3174EID-F	NSOIC-8	Intégral	500	1	1	3,3	15	Non	-40 °C à 85 °C	1,99	1,58	1,55
701-XR3176EID-F	XR3176EID-F	NSOIC-14	Intégral	20000	1	1	3,3	15	Oui	-40 °C à 85 °C	1,99	1,58	1,55
701-XR3177EID-F	XR3177EID-F	NSOIC-8	Intégral	20000	1	1	3,3	15	Non	-40 °C à 85 °C	1,99	1,58	1,55
701-XR3172EID-F	XR3172EID-F	NSOIC-8	Demi	250	1	1	3,3	15	Oui	-40 °C à 85 °C	1,99	1,58	1,55
701-XR3175EID-F	XR3175EID-F	NSOIC-8	Demi	500	1	1	3,3	15	Oui	-40 °C à 85 °C	1,99	1,58	1,55
701-XR3178EID-F	XR3178EID-F	NSOIC-8	Demi	20000	1	1	3,3	15	Oui	-40 °C à 85 °C	1,99	1,58	1,55

ÉMETTEURS-RÉCEPTEURS EXAR RS232

Pour des quantités supérieures à celles indiquées, appelez-nous afin d'obtenir un devis.

RÉF. STOCK MOUSER	Réf. Exar	Type boîtier	Débit des données (Kbits/s)	Nombre de Tx	Nombre de Rx	Vcc (V) Min.	Vcc (V) Max.	ESD (KV)	Nombre de d'ext. cap.	CAP/QEP Valeur (µF)	Arrêt	Plage de température	Prix unitaire 1	25	100
701-SP202ECN-L	SP202ECN-L	SOIC-16	120	2	2	4,5	5,5	15	4	0,1	Faible puissance	0°C à + 70°C	0,87	0,652	0,557
701-SP202ECP-L	SP202ECP-L	PDIP 16	120	2	2	4,5	5,5	15	4	0,1	Faible puissance	0°C à + 70°C	0,92	0,701	0,594
701-SP202EEN-L	SP202EEN-L	SOICN-16	120	2	2	4,5	5,5	15	4	0,1	Non	-40 °C à 85 °C	0,92	0,693	0,594
701-SP208EET-L	SP208EET-L	SOICW-24	120	4	4	4,5	5,5	15	4	0,1	Non	-40 °C à 85 °C	2,37	1,90	1,73
701-SP211ECA-L	SP211ECA-L	SSOP-28	120	4	5	4,5	5,5	15	4	0,1	Oui	0°C à + 70°C	1,80	1,42	1,20
701-SP211EET-L	SP211EET-L	SOICW-28	120	4	5	4,5	5,5	15	4	0,1	Oui	-40 °C à 85 °C	1,93	1,53	1,30
701-SP213ECA-L	SP213ECA-L	SSOP-28	450	4	5	4,5	5,5	15	4	0,1	Oui	0°C à + 70°C	1,66	1,34	1,20
701-SP213EHCA-L	SP213EHCA-L	SSOP-28	450	4	5	4,5	5,5	15	4	0,1	Oui	0°C à + 70°C	1,72	1,35	1,16
701-SP232ACN-L	SP232ACN-L	SOIC-16	120	2	2	4,5	5,5	2	4	0,1	Non	0°C à + 70°C	0,92	0,693	0,594
701-SP232ACP-L	SP232ACP-L	PDIP 16	120	2	2	4,5	5,5	2	4	0,1	Non	0°C à + 70°C	0,92	0,701	0,594
701-SP232AEN-L	SP232AEN-L	SOICN-16	120	2	2	4,5	5,5	2	4	0,1	Non	-40 °C à 85 °C	0,98	0,743	0,631
701-SP232AEP-L	SP232AEP-L	PDIP 16	120	2	2	4,5	5,5	2	4	0,1	Non	-40 °C à 85 °C	1,06	0,842	0,719
701-SP232AET-L	SP232AET-L	SOICW-16	120	2	2	4,5	5,5	2	4	0,1	Non	-40 °C à 85 °C	1,06	0,842	0,719
701-SP232ECN-L	SP232ECN-L	SOIC-16	120	2	2	4,5	5,5	15	4	0,1	Non	0°C à + 70°C	0,92	0,693	0,594
701-SP232ECP-L	SP232ECP-L	PDIP 16	120	2	2	4,5	5,5	15	4	0,1	Non	0°C à + 70°C	0,92	0,693	0,594
701-SP232EEN-L	SP232EEN-L	SOICN-16	120	2	2	4,5	5,5	15	4	0,1	Non	-40 °C à 85 °C	0,98	0,743	0,631
701-SP232EEP-L	SP232EEP-L	PDIP 16	120	2	2	4,5	5,5	15	4	0,1	Non	-40 °C à 85 °C	0,98	0,743	0,631
701-SP232EET-L	SP232EET-L	SOICW-16	120	2	2	4,5	5,5	15	4	0,1	Non	-40 °C à 85 °C	0,98	0,743	0,631
701-SP233ACP-L	SP233ACP-L	PDIP-20	120	2	2	4,5	5,5	2	0	--	Non	0°C à + 70°C	5,56	4,46	4,00
701-SP233ACT-L	SP233ACT-L	SOICW-20	120	2	2	3	5,5	2	0	--	Non	0°C à + 70°C	3,47	3,04	2,63
701-SP233AET-L	SP233AET-L	SOICW-20	120	2	2	4,5	5,5	2	0	--	Non	-40 °C à 85 °C	4,24	3,41	3,05
701-SP310ECT-L	SP310ECT-L	SOICW-18	120	2	2	4,5	5,5	15	4	0,1	Oui	-40 °C à 85 °C	2,25	1,70	1,44
701-SP312ACT-L	SP312ACT-L	SOICW-18	120	2	2	4,5	5,5	2	4	0,1	Oui	0°C à + 70°C	2,35	1,86	1,58
701-SP3220EBCA-L	SP3220EBCA-L	SSOP 16	120	1	1	3	5,5	15	4	0,1	Oui	0°C à + 70°C	1,66	1,31	1,11
701-SP3220EBEA-L	SP3220EBEA-L	SSOP 16	120	1	1	3	5,5	15	4	0,1	Oui	-40 °C à 85 °C	1,72	1,35	1,15
701-SP3220EEY-L	SP3220EEY-L	TSSOP-16	120	1	1	3	5,5	15	4	0,1	Oui	-40 °C à 85 °C	1,72	1,38	1,24
701-SP3222EBCA-L	SP3222EBCA-L	SSOP-20	250	2	2	3	5,5	15	4	0,1	Oui	0°C à + 70°C	1,80	1,43	1,21
701-SP3222EBCY-L	SP3222EBCY-L	TSSOP-20	250	2	2	3	5,5	15	4	0,1	Oui	0°C à + 70°C	1,73	1,31	1,11
701-SP3222EBEY-L	SP3222EBEY-L	TSSOP-20	250	2	2	3	5,5	15	4	0,1	Oui	-40 °C à 85 °C	1,72	1,36	1,16
701-SP3222ECT-L	SP3222ECT-L	SOICW-18	120	2	2	3	5,5	15	4	0,1	Oui	0°C à + 70°C	1,80	1,42	1,20
701-SP3222EEA-L	SP3222EEA-L	SSOP-20	120	2	2	3	5,5	15	4	0,1	Oui	-40 °C à 85 °C	1,85	1,47	1,25
701-SP3223EEA-L	SP3223EEA-L	SSOP-20	120	2	2	3	5,5	15	4	0,1	Oui	-40 °C à 85 °C	1,72	1,38	1,24
701-SP3224ECA-L	SP3224ECA-L	SSOP-20	250	2	2	3	5,5	15	4	0,1	Oui	0°C à + 70°C	1,69	1,35	1,32
701-SP3224ECY-L	SP3224ECY-L	TSSOP-20	250	2	2	3	5,5	15	4	0,1	Oui	0°C à + 70°C	1,88	1,50	1,47
701-SP3224EEA-L	SP3224EEA-L	SSOP-20	250	2	2	3	5,5	15	4	0,1	Oui	-40 °C à 85 °C	1,73	1,39	1,35
701-SP3224EEY-L	SP3224EEY-L	TSSOP-20	250	2	2	3	5,5	15	4	0,1	Oui	-40 °C à 85 °C	2,32	1,86	1,69
701-SP3232EBCA-L	SP3232EBCA-L	SSOP 16	250	2	2	3	5,5	15	4	0,1	Non	0°C à + 70°C	1,33	1,05	0,891
701-SP3232EBEN-L	SP3232EBEN-L	SOICN-16	250	2	2	3	5,5	15	4	0,1	Non	-40 °C à 85 °C	1,38	1,10	0,932
701-SP3232EBEY-L	SP3232EBEY-L	TSSOP-16	250	2	2	3	5,5	15	4	0,1	Non	-40 °C à 85 °C	1,38	1,10	0,932
701-SP3232ECA-L	SP3232ECA-L	SSOP 16	120	2	2	3	5,5	15	4	0,1	Non	0°C à + 70°C	1,38	1,10	0,932
701-SP3232ECN-L	SP3232ECN-L	SOIC-16	120	2	2	3	5,5	15	4	0,1	Non	0°C à + 70°C	1,33	1,06	0,891
701-SP3232ECP-L	SP3232ECP-L	PDIP 16	120	2	2	3	5,5	15	4	0,1	Non	0°C à + 70°C	1,33	1,06	0,891
701-SP3232ECT-L	SP3232ECT-L	SOICW-16	120	2	2	3	5,5	15	4	0,1	Non	0°C à + 70°C	1,39	1,06	0,891
701-SP3232ECY-L	SP3232ECY-L	TSSOP-16	120	2	2	3	5,5	15	4	0,1	Non	0°C à + 70°C	1,33	1,06	0,891
701-SP3232EEA-L	SP3232EEA-L	SSOP 16	120	2	2	3	5,5	15	4	0,1	Non	-40 °C à 85 °C	1,38	1,09	0,924
701-SP3232EEN-L	SP3232EEN-L	SOICN-16	120	2	2	3	5,5	15	4	0,1	Non	-40 °C à 85 °C	1,38	1,10	0,932
701-SP3232EET-L	SP3232EET-L	SOICW-16	120	2	2	3	5,5	15	4	0,1	Non	-40 °C à 85 °C	1,38	1,10	0,932
701-SP3232EEY-L	SP3232EEY-L	TSSOP-16	120	2	2	3	5,5	15	4	0,1	Non	-40 °C à 85 °C	1,38	1,10	0,932
701-SP3232EUCY-L	SP3232EUCY-L	TSSOP-16	120	2	2	4,5	5,5	15	4	0,1	Non	0°C à + 70°C	1,39	1,05	0,891
701-SP3238EEA-L	SP3238EEA-L	SSOP-28	250	5	3	3	5,5	15	4	0,1	Oui	-40 °C à 85 °C	1,99	1,58	1,34
701-SP3243EBCA-L	SP3243EBCA-L	SSOP-28	250	3	5	3	5,5	15	4	0,1	Oui	0°C à + 70°C	1,66	1,30	1,11
701-SP3243EBCY-L	SP3243EBCY-L	TSSOP-28	250	3	5	3	5,5	15	4	0,1	Oui	0°C à + 70°C	1,82	1,37	1,16
701-SP3243ECA-L	SP3243ECA-L	SSOP-28	120	3	5	3	5,5	15	4	0,1	Non	0°C à + 70°C	1,67	1,26	1,07
701-SP3243EEA-L	SP3243EEA-L	SSOP-28	120	3	5	3	5,5	15	4	0,1	Oui	-40 °C à 85 °C	1,66	1,31	1,11
701-SP3243EET-L	SP3243EET-L	SOICW-28	120	3	5	3	5,5	15	4	0,1	Oui	-40 °C à 85 °C	1,80	1,42	1,20
701-SP3243EUEA-L	SP3243EUEA-L	SSOP-28	120	3	5	3	5,5	15	4	0,1	Oui	-40 °C à 85 °C	2,07	1,67	1,50
701-SP3244ECA-L	SP3244ECA-L	SSOP-28	250	3	5	3	5,5	15	4	0,1	Oui	0°C à + 70°C	2,12	1,86	1,62
701-SP3244ECY-L	SP3244ECY-L	TSSOP-28	250	3	5	3	5,5	15	4	0,1	Oui	0°C à + 70°C	2,12	1,86	1,62
701-SP3244EEA-L	SP3244EEA-L	SSOP28	250	3	5	3	5,5	15	4	0,1	Oui	-40 °C à 85 °C	2,17	1,91	1,65

ÉMETTEURS-RÉCEPTEURS EXAR RS422

NEW PRODUCT

Pour des quantités supérieures à celles indiquées, appelez-nous afin d'obtenir un devis.

RÉF. STOCK MOUSER	Réf. Exar	Type boîtier	Duplex	Débit des données (Kbits/s)	Nº de Tx	Nombre de Rx	Vcc (V)	ESD (kV)	Arrêt Typ. ICC (µA)	Rx ouvert protégé en cas de défaut	Nœuds multi-points	Plage de température	Prix unitaire 1	25	100
701-SP26LV431CN-L	SP26LV431CN-L	SOICN-16	Intégral	60000	4	0	3,3	2	2	Non	10	0°C à + 70°C	2,27	2,00	1,72
701-SP3070EEN-L	SP3070EEN-L	SOICN-14	Intégral	250	1	1	3,3	15	0,05	Oui	256	-40 °C à 85 °C	2,24	1,80	1,62
701-SP3071EEN-L	SP3071EEN-L	SOICN-8	Intégral	250	1	1	3,3	15	0,05	Oui	256	-40 °C à 85 °C	2,24	1,77	1,50
701-SP3072EEN-L	SP3072EEN-L	SOICN-8	Demi	250	1	1	3,3	15	0,05	Oui	256	-40 °C à 85 °C	2,24	1,80	1,62
701-SP3074EEN-L	SP3074EEN-L	SOICN-8	Intégral	500	1	1	3,3	15	0,05	Oui	256	-40 °C à 85 °C	2,24	1,77	1,50
701-SP3075EEN-L	SP3075EEN-L	SOICN-8	Demi	500	1	1	3,3	15	0,5	Oui	256	-40 °C à 85 °C	2,24	1,77	1,50
701-SP3494EN-L	SP3494EN-L	SOICN-8	Demi	2500	1	1	3,3	2	10	Oui	32	-40°C à 85°C	1,93	1,53	1,30
701-SP3076EEN-L	SP3076EEN-L	SOICN-14	Intégral	16000	1	1	3,3	15	0,5	Oui	256	-40 °C à 85 °C	2,24	1,77	1,50
701-SP3077EEN-L	SP3077EEN-L	SOICN-8	Intégral	16000	1	1	3,3	15	0,05	Oui	256	-40 °C à 85 °C	2,34	1,77	1,50

© Copyright 2012 Mouser Electronics

© Copyright 2012 Mouser Electronics

UART et émetteurs-récepteurs d'interface EXAR

RoHS Compliant **This product is RoHS compliant.**

EMETTEURS-RÉCEPTEURS EXAR RS485

Pour des quantités supérieures à celles indiquées, appelez-nous afin d'obtenir un devis.

RÉF. STOCK MOUSER	Réf. Exar	Type boîtier	Nombre de Tx	Nombre de Rx	Débit des données (kbps)	ESD (KV)	Vcc (V) (max.)	Duplex	ICC arrêt Typ. (µA)	Rx ouvert protégé en cas de défaut	Nœuds multipoints	Plage de température	Prix unitaire 1	25	100
701-SP4082EEN-L	SP4082EEN-L	SOICN-8	1	1	115	15	5	Demi	400	Oui	256	-40°C à 85°C	1,35	1,07	0,908
701-SP3483EN-L	SP3483EN-L	SOICN-8	1	1	250	2	3,3	Demi	1	Oui	32	-40°C à 85°C	2,21	1,78	1,60
701-SP483ECN-L	SP483ECN-L	SOIC-8	1	1	250	15	5	Demi	1	Oui	32	0°C à + 70°C	1,33	1,06	0,891
701-SP483ECP-L	SP483ECP-L	PDIP-8	1	1	250	15	5	Demi	1	Oui	32	0°C à + 70°C	1,33	1,05	0,891
701-SP483EEN-L	SP483EEN-L	SOICN-8	1	1	250	15	5	Demi	1	Oui	32	-40°C à 85°C	1,38	1,10	0,932
701-SP483ES-L	SP483ES-L	PDIP-8	1	1	250	2	5	Demi	1	Oui	32	-40°C à 85°C	1,38	1,10	0,932
701-SP3083EEN-L	SP3083EEN-L	SOICN 14	1	1	500	15	5	Intégral	1	Oui	32	-40°C à 85°C	2,24	1,77	1,50
701-SP3085EEN-L	SP3085EEN-L	SOICN-8	1	1	500	15	5	Demi	1	Oui	32	-40°C à 85°C	2,24	1,77	1,50
701-SP485CN-L	SP485CN-L	SOIC-8	1	1	5000	2	5	Demi	-	Oui	32	0°C à + 70°C	0,96	0,726	0,619
701-SP485CS-L	SP485CS-L	PDIP-8	1	1	5000	2	5	Demi	-	Oui	32	0°C à + 70°C	0,96	0,726	0,619
701-SP485EN-L	SP485EN-L	SOICN-8	1	1	5000	2	5	Demi	-	Oui	32	-40°C à 85°C	1,01	0,766	0,65
701-SP485ES-L	SP485ES-L	PDIP-8	1	1	5000	2	5	Demi	-	Oui	32	-40°C à 85°C	0,89	0,759	0,689
701-SP485REN-L	SP485REN-L	SOICN-8	1	1	5000	2	5	Demi	-	Oui	32	-40°C à 85°C	1,01	0,766	0,65
701-SP490CN-L	SP490CN-L	SOIC-8	1	1	5000	2	5	Intégral	-	Oui	32	0°C à + 70°C	1,54	1,25	1,12
701-SP490EN-L	SP490EN-L	SOICN-8	1	1	5000	2	5	Intégral	-	Oui	32	-40°C à 85°C	1,60	1,27	1,08
701-SP491CN-L	SP491CN-L	SOIC-14	1	1	5000	2	5	Intégral	-	Oui	32	0°C à + 70°C	1,54	1,25	1,12
701-SP491EN-L	SP491EN-L	SOICN-14	1	1	5000	2	5	Intégral	-	Oui	32	-40°C à 85°C	1,60	1,27	1,08
701-SP3485EN-L	SP3485EN-L	SOICN-8	1	1	10000	2	3,3	Demi	10	Oui	32	-40°C à 85°C	2,21	1,75	1,49
701-SP3490EN-L	SP3490EN-L	SOICN-8	1	1	10000	2	3,3	Intégral	-	Oui	32	-40°C à 85°C	1,93	1,53	1,30
701-SP3491CN-L	SP3491CN-L	SOIC-14	1	1	10000	2	3,3	Intégral	10	Oui	32	0°C à + 70°C	1,88	1,51	1,36
701-SP3491EN-L	SP3491EN-L	SOICN-14	1	1	10000	2	3,3	Intégral	10	Oui	32	-40°C à 85°C	1,93	1,53	1,30
701-SP481EEN-L	SP481EEN-L	SOICN-8	1	1	10000	15	5	Demi	1	Oui	32	-40°C à 85°C	1,66	1,31	1,11
701-SP485ECN-L	SP485ECN-L	SOIC-8	1	1	10000	15	5	Demi	-	Oui	32	0°C à + 70°C	0,95	0,718	0,612
701-SP485EEN-L	SP485EEN-L	SOICN-8	1	1	10000	15	5	Demi	-	Oui	32	-40°C à 85°C	1,01	0,766	0,65
701-SP485EEP-L	SP485EEP-L	PDIP-8	1	1	10000	15	5	Demi	-	Oui	32	-40°C à 85°C	1,01	0,766	0,65
701-SP485EMN-L	SP485EMN-L	SOICN-8	1	1	10000	15	5	Demi	-	Oui	32	-40 °C à + 125 °C	1,01	0,766	0,65
701-SP490EEN-L	SP490EEN-L	SOICN-8	1	1	10000	15	5	Intégral	-	Oui	32	-40°C à 85°C	1,60	1,27	1,08
701-SP490EEP-L	SP490EEP-L	PDIP-8	1	1	10000	15	5	Intégral	-	Oui	32	-40°C à 85°C	1,60	1,27	1,08
701-SP491EEN-L	SP491EEN-L	SOICN-14	1	1	10000	15	5	Intégral	-	Oui	32	-40°C à 85°C	1,60	1,27	1,08
701-SP1485EEN-L	SP1485EEN-L	SOICN-8	1	1	20000	15	5	Demi	-	Oui	32	-40°C à 85°C	2,35	1,86	1,58
701-SP1490ECN-L	SP1490ECN-L	SOICN-8	1	1	20000	15	5	Intégral	-	Oui	32	0°C à + 70°C	2,53	2,23	1,93
701-SP3088EEN-L	SP3088EEN-L	SOICN-8	1	1	20000	15	5	Demi	1	Oui	32	-40°C à 85°C	2,24	1,77	1,50
701-SP3495EEN-L	SP3495EEN-L	SOIC-8	1	1	32000	15	3,3	Demi	1	Oui	64	-40°C à 85°C	2,29	2,01	1,74
701-SP3496EEN-L	SP3496EEN-L	SOIC-8	1	1	32000	15	3,3	Intégral	1	Oui	64	-40°C à 85°C	2,29	2,01	1,74
701-SP3497EEN-L	SP3497EEN-L	SOIC-14	1	1	32000	15	3,3	Intégral	1	Oui	64	-40°C à 85°C	2,29	2,01	1,74

ÉMETTEURS-RÉCEPTEURS SÉRIELS MULTIPROTOCOLES DE VITESSE ULTRA ÉLEVÉE EXAR

SP510 est le plus rapide émetteur-récepteur sériel du secteur qui accepte huit (8) normes d'interfaces sérielles largement utilisées pour la connectivité Wide Area Network (WAN). SP510 est fabriqué en utilisant une technologie de processus CMOS à faible consommation et il incorpore la pompe de chargement régulée Exar, qui permet le fonctionnement seulement à +5V avec une broche logique réglable jusqu'à 1,65 V. La pompe de chargement brevetée d'Exar offre une sortie régulée de +5,8 V, qui assurera une tension suffisante pour le fonctionnement conforme dans les modes. Huit (8) pilotes et huit (8) récepteurs peuvent être configurés par le logiciel pour n'importe quels modes d'interface ci-dessus, à tout moment. SP510 ne nécessite aucun autre composant externe supplémentaire pour le fonctionnement conforme pour tous les huit (8) modes de fonctionnement, à part les quatre condensateurs utilisés pour la pompe de chargement interne.

NEW! TECHNOLOGY

Pour des quantités supérieures à celles indiquées, appelez-nous afin d'obtenir un devis.

RÉF. STOCK MOUSER	Réf. Exar	Type boîtier	Nombre de Tx	Nombre de Rx	Débit des données (kbps)	Vcc (V)	ESD (KV)	Terme	Protocoles acceptés	Plage de température	Prix unitaire 1	25	100
701-SP510CM-L	SP510CM-L	LQFP-100	8	8	52000	5	15	Terminé	RS232, RS449,EIA530, EIA530A, V.10, V.11, V.28, V.35, V.36, X.21	0°C à + 70°C	28,63	26,48	24,34

EXAR 8 BITS UARTS

PRODUCT NEW

Pour des quantités supérieures à celles indiquées, appelez-nous afin d'obtenir un devis.

RÉF. STOCK MOUSER	Réf. Exar	Type boîtier	Nombre de canaux	Interférence UC :	Débit de données 5/3,3/2,5V	Tx/Rx FIFO INT Trig	Tension d'alimentation	Plage de température	Prix unitaire 1	25	100
701-ST16C550CJ44-F	ST16C550CJ44-F	PLCC-44	1	Intel	1,5/1/na	No/ 4 niveaux	2,97 - 5,5	0°C à + 70°C	2,67	2,31	1,95
701-ST16C550CQ48-F	ST16C550CQ48-F	TQFP 48	1	Intel	1,5/1/na	No/ 4 niveaux	2,97 - 5,5	0°C à + 70°C	3,36	2,90	2,45
701-XR16L580IL-F	XR16L580IL-F	QFN32	1	Intel ou Motorola	3/2/1,5	4/4 niveaux	2,25-5,5	-40°C à 85°C	3,08	2,66	2,24
701-XR16M581IB25-F	XR16M581IB25-F	BGA-25	1	VLIO	na/20/16	4 niveaux/4 niveaux	1,62 - 3,63	-40°C à 85°C	3,32	2,92	2,52
701-XR16M581IL24-F	XR16M581IL24-F	QFN-24	1	VLIO	na/20/16	4 niveaux/4 niveaux	1,62 - 3,63	-40°C à 85°C	3,32	2,92	2,52
701-XR16M581IL32-F	XR16M581IL32-F	QFN-32	1	VLIO	na/20/16	4 niveaux/4 niveaux	1,62 - 3,63	-40°C à 85°C	3,59	3,15	2,72
701-XR16M681IB25-F	XR16M681IB25-F	BGA-25	1	VLIO	na/20/16	4 niveaux/4 niveaux	1,62 - 3,63	-40°C à 85°C	3,49	3,07	2,65
701-XR16M681IL24-F	XR16M681IL24-F	QFN-24	1	VLIO	na/20/16	4 niveaux/4 niveaux	1,62 - 3,63	-40°C à 85°C	3,49	3,07	2,65
701-XR16M681IL32-F	XR16M681IL32-F	QFN-32	1	VLIO	na/20/16	4 niveaux/4 niveaux	1,62 - 3,63	-40°C à 85°C	3,75	3,30	2,85
701-XR16M781IB25-F	XR16M781IB25-F	BGA-25	1	VLIO	na/20/16	Prog./Prog.	1,62 - 3,63	-40°C à 85°C	3,84	3,37	2,91
701-XR16M781IL24-F	XR16M781IL24-F	QFN-24	1	VLIO	na/20/16	Prog./Prog.	1,62 - 3,63	-40°C à 85°C	3,84	3,37	2,91
701-XR16M890IL32-F	XR16M890IL32-F	QFN-32	1	Intel/Motorola/VLIO	na/24/na	Prog./Prog.	1,62-3,63	-40°C à 85°C	3,71	3,27	2,82
701-XR16M890IL40-F	XR16M890IL40-F	QFN-40	1	Intel/Motorola/VLIO	na/24/na	Prog./Prog.	1,62-3,63	-40°C à 85°C	3,78	3,32	2,87
701-XR16M890IM48-F	XR16M890IM48-F	TQFP-48	1	Intel/Motorola/VLIO	na/24/na	Prog./Prog.	1,62-3,63	-40°C à 85°C	3,84	3,37	2,91
701-XR16L2750IM-F	XR16L2750IM-F	TQFP48	2	Intel	6,2/4/3	Prog./Prog.	2,25-5,5	-40°C à 85°C	5,93	5,13	4,33
701-XR16M2550IL32-F	XR16M2550IL32-F	QFN32	2	Intel	na/16/12,5	4/4 niveaux	1,62-3,63	-40°C à 85°C	6,58	5,79	5,00
701-XR16V2550IM-F	XR16V2550IM-F	TQFP-48	2	Intel	na/16/12,5	4/4 niveaux	2,25-3,6	-40°C à 85°C	5,71	4,93	4,16
701-XR88C681CJ-F	XR88C681CJ-F	PLCC-44	2	Intel	1/na/na	No/No	5	0°C à + 70°C	5,85	5,06	4,27
701-ST16C554DCJ68-F	ST16C554DCJ68-F	PLCC-68	4	Intel ou Motorola	1,5/0,5/na	No/ 4 niveaux	2,97 - 5,5	-45°C à 85°C	9,82	8,49	7,16
701-ST16C654DCQ64-F	ST16C654DCQ64-F	LQFP64	4	Intel ou Motorola	1,5/0,5/na	4/4 niveaux	2,97-5,5	0°C à + 70°C	13,63	11,79	9,94
701-ST16C654DIQ64-F	ST16C654DIQ64-F	LQFP64	4	Intel ou Motorola	1,5/0,5/na	4/4 niveaux	2,97-5,5	-45°C à 85°C	13,98	12,09	10,20
701-ST16C654IJ68-F	ST16C654IJ68-F	PLCC68	4	Intel ou Motorola	15/0,5/na	4/4 niveaux	2,97-5,5	-40°C à 85°C	13,42	11,60	9,78
701-XR16C854DIV-F	XR16C854DIV-F	LQFP64	4	Intel ou Motorola	2/1,5/na	Prog./Prog.	2,97-5,5	-40°C à 85°C	22,72	21,01	17,73
701-XR16M554IV64-F	XR16M554IV64-F	LQFP64	4	Intel ou Motorola	na/4/3,125	No/ 4 niveaux	1,62-3,63	-40°C à 85°C	10,26	8,87	7,48
701-XR16V554IV80-F	XR16V554IV80-F	LQFP80	4	Intel ou Motorola	na/4.0/3.125	No/ 4 niveaux	2,25-3,6	-40°C à 85°C	10,26	8,87	7,48
701-XR82C684CJ-F	XR82C684CJ-F	PLCC-68	4	Intel ou Motorola	1/na/na	No/No	5	0°C à + 70°C	14,43	12,47	10,52

© Copyright 2012 Mouser Electronics

© Copyright 2012 Mouser Electronics

Communications EXAR

RoHS Compliant **This product is RoHS compliant.**

UART PCIE EXAR

La nouvelle série UART d'EXAR, les UART PCIe 2.0 Gen 1 les plus rapides de l'industrie avec un débit de données sérielles jusqu'à 25 Mbps. La série est composée de trois dispositifs (XR17V352 / 354 / 358) et offre des caractéristiques distinctives dont les clients ont besoin pour la future génération d'applications. Ces caractéristiques incluent un PCIe PHY sur puce et un contrôleur numérique PCIe, la prise en charge de FIFO de larges dimensions (256 octets), des logiciels pilotes optimisés et une solution point final à une seule puce complète qui élimine le besoin de dispositifs pont PCIe-PCI externes. La série XR17V352 / 354 / 358 est idéale pour les serveurs d'accès à distance, la gestion des réseaux de stockage, l'automation en usines et les systèmes points de vente (POS).

NEW! TECHNOLOGY

Pour des quantités supérieures à celles indiquées, appelez-nous afin d'obtenir un devis.

RÉF. STOCK MOUSER	Réf. Exar	Type boîtier	Nbre de canaux	Interface CPU	Débit de données 5/3,3/2,5 V	Tx/Rx FIFO (octets)	Tx/Rx FIFO Ctrs	Décl. int. FIFO Tx/Rx	Auto RTS/ CTS	Alimentation IrDa	Auto RS-485	Tension d'alimentation (V)	Prix unitaire 1	25	100
701-XR17V352IB113-F	XR17V352IB113-F	BGA-113	2	PCIe Bus	-/25/-	256/256	Oui	Programme	Oui	Oui	Oui	3,3	9,69	8,38	7,07
701-XR17V354IB176-F	XR17V354IB176-F	BGA-176	4	PCIe Bus	-/25/-	256/256	Oui	Programme	Oui	Oui	Oui	3,3	12,47	10,78	9,09
701-XR17V358IB176-F	XR17V358IB176-F	BGA-176	8	PCIe Bus	-/25/-	256/256	Oui	Programme	Oui	Oui	Oui	3,3	16,84	14,81	12,49

EXAR USB 2.0 BUS INTERFACE UARTS

La série XR21V141x est le plus rapide récepteur émetteur asynchrone universel de l'industrie (UART) avec interface bus conforme à USB 2.0. XR21V1410 / V1412 / V1414 ont des caractéristiques différenciées qui incluent les options d'emballage les plus petites de l'industrie, jusqu'à 12 Mbps, des pilotes de logiciels optimisés et acceptent des FIFO de larges dimensions en offrant aux architectes de système des options de conception flexibles et vérifiées sur réseau.

NEW! TECHNOLOGY

Pour des quantités supérieures à celles indiquées, appelez-nous afin d'obtenir un devis.

RÉF. STOCK MOUSER	Réf. Exar	Type boîtier	Nbre de canaux	Interface CPU	Débit de données 5/3,3/2,5 V	RTS / CTS automatiques	Auto RS-485	FIFO Tx/Rx (octets)	Tension Tension (V)	Plage de température	Prix unitaire 1	25	100
701-XR21V1410IL16-F	XR21V1410IL16-F	QFN-16	1	USB 2.0	NA/12/NA	Oui	Oui	128/384	2,97 - 3,63	de -40 à 85°C	3,63	3,19	2,76
701-XR21B1411IL16-F	XR21B1411IL16-F	QFN-16	1	USB 2.0	12/NA/NA	Oui	Oui	128/384	4,4-5,25	-45 to 85°C	4,03	3,54	3,06
701-XR21V1412IL32-F	XR21V1412IL32-F	QFN-32	2	USB 2.0	NA/12/NA	Oui	Oui	128/384	2,97 - 3,63	de -40 à 85°C	5,32	4,60	3,88
701-XR21V1414IM48-F	XR21V1414IM48-F	TQFP-48	4	USB 2.0	NA/12/NA	Oui	Oui	128/384	2,97 - 3,63	de -40 à 85°C	7,33	6,16	5,61

UART PCI EXAR

Pour des quantités supérieures à celles indiquées, appelez-nous afin d'obtenir un devis.

RÉF. STOCK MOUSER	Réf. Exar	Type boîtier	Nbre de canaux	Interface CPU	Débit de données 5/3,3/2,5 V	Tx/Rx FIFO (octets)	Tx/Rx FIFO Ctrs	Décl. int. FIFO Tx/Rx	Auto RTS/ CTS	Alimentation IrDa	Auto RS-485	Tension d'alimentation (V)	Prix unitaire 1	25	100
701-XR17D152CM-F	XR17D152CM-F	TQFP-100	2	PCI Bus	6,2/4/-	64/64	Oui	Programme	Oui	Oui	Oui	3.3/5	16,73	12,79	11,51
701-XR17C158CV-F	XR17C158CV-F	LQFP-144	8	PCI Bus	6,2/-/-	64/64	Oui	Programme	Oui	Oui	Oui	5	31,40	24,07	22,26

ÉMETTEURS-RÉCEPTEURS MULTIPROTOCOLES EXAR

PRODUCT NEW

Pour des quantités supérieures à celles indiquées, appelez-nous afin d'obtenir un devis.

RÉF. STOCK MOUSER	Réf. Exar	Type boîtier	Nombre de Tx	Nombre de Rx	Débit de données (Kbps)	Vcc (V)	ESD (KV)	Terme	Protocoles acceptés	Plage de température	Prix unitaire 1	5	10
701-SP336ECT-L	SP336ECT-L	SOIC-W	4	4	250/100/10000	3,3 ou 5	15	Sans objet	RS-232, V.28, RS-485, RS-422, V.24	-65°C to 150°C	10,07	8,94	8,50
701-SP336ECY-L	SP336ECY-L	TSSOP	4	4	250/100/10000	3,3 ou 5	15	Sans objet	RS-232, V.28, RS-485, RS-422, V.24	-65°C to 150°C	10,07	8,94	8,50
701-SP336EET-L	SP336EET-L	SOIC-W	4	4	250/100/10000	3,3 ou 5	15	Sans objet	RS-232, V.28, RS-485, RS-422, V.24	-65°C to 150°C	10,58	9,41	8,93
701-SP336EEY-L	SP336EEY-L	TSSOP	4	4	250/100/10000	3,3 ou 5	15	Sans objet	RS-232, V.28, RS-485, RS-422, V.24	-65°C to 150°C	10,58	9,41	8,93
701-SP3508EF-L	SP3508EF-L	LQFP-100	8	8	20000	3.3	4	Terminé	RS232, RS449,EIA530, EIA530A, V.10, V.11, V.28, V.35, V.36, X.21	-40°C à 85°C	27,64	25,57	23,50
701-SP505ACM-L	SP505ACM-L	LQFP-80	7	7	10000	5	2	V.35, V.11	RS232, RS449,EIA530,V.10, V.11, V.28, V.35, V.36, X.21	0°C à + 70°C	18,15	16,79	15,43
701-SP508CF-L	SP508CF-L	LQFP-100	8	8	20000	5	15	Terminé	RS232, RS449,EIA530, EIA530A, V.10, V.11, V.28, V.35, V.36, X.21	0°C à + 70°C	22,69	20,99	19,29
701-SP508EF-L	SP508EF-L	LQFP-100	8	8	20000	5	15	Terminé	RS232, RS449,EIA530, EIA530A, V.10, V.11, V.28, V.35, V.36, X.21	-40°C à 85°C	23,83	22,04	20,25
701-SP331ET-L	SP331ET-L	SOIC2-28	4	4	10000	5	2	Sans objet	RS232, V.28, RS485, RS422, V.24	-40°C à 85°C	8,25	7,26	6,27
701-SP337EBCT-L	SP337EBCT-L	SOICW-28	3/2	5/2	250/15M	3,3 à 5	15	Non	RS-232, V.28, RS-485, RS-422, V.24	0°C à + 70°C	9,97	8,86	7,98
701-SP337EBCT-L/TR	SP337EBCT-L/TR	SOICW-28	3/2	5/2	250/15M	3,3 à 5	15	Non	RS-232, V.28, RS-485, RS-422, V.24	0°C à + 70°C	9,97	8,86	7,98
701-SP337EBCY-L	SP337EBCY-L	TSSOP-28	3/2	5/2	250/15M	3,3 à 5	15	Non	RS-232, V.28, RS-485, RS-422, V.24	0°C à + 70°C	9,97	8,86	7,98
701-SP337EBET-L	SP337EBET-L	SOICW-28	3/2	5/2	250/15M	3,3 à 5	15	Non	RS-232, V.28, RS-485, RS-422, V.24	-40°C à 85°C	10,49	9,32	8,39
701-SP337EBEY-L	SP337EBEY-L	TSSOP-28	3/2	5/2	250/15M	3,3 à 5	15	Non	RS-232, V.28, RS-485, RS-422, V.24	-40°C à 85°C	10,49	9,32	8,39
701-SP337EUCT-L	SP337EUCT-L	SOICW-28	3/2	5/2	1M/15M	3,3 à 5	15	Non	RS-232, V.28, RS-485, RS-422, V.24	0°C à + 70°C	10,07	8,94	8,05
701-SP337EUCY-L	SP337EUCY-L	TSSOP-28	3/2	5/2	1M/15M	3,3 à 5	15	Non	RS-232, V.28, RS-485, RS-422, V.24	0°C à + 70°C	10,07	8,94	8,05
701-SP337EUET-L	SP337EUET-L	SOICW-28	3/2	5/2	1M/15M	3,3 à 5	15	Non	RS-232, V.28, RS-485, RS-422, V.24	-40°C à 85°C	10,58	9,41	8,46
701-SP337EUEY-L	SP337EUEY-L	TSSOP-28	3/2	5/2	1M/15M	3,3 à 5	15	Non	RS-232, V.28, RS-485, RS-422, V.24	-40°C à 85°C	10,58	9,41	8,46

UART BUS EXAR

Pour des quantités supérieures à celles indiquées, appelez-nous afin d'obtenir un devis.

RÉF. STOCK MOUSER	Réf. Exar	Type boîtier	Nombre de canaux	Interface CPU	Débit de données 5/3,3/2,5V	Tx/Rx FIFO INT Trig	Tension d'alimentation (V)	Plage de température	Prix unitaire 1	25	100
701-ST16C1550CJ28-F	ST16C1550CJ28-F	PLCC-28	1	Intel	1,5/0,5/-	4 niveaux/4 niveaux	5,5V	0°C à + 70°C	4,04	3,72	3,22
701-ST16C2550IQ48-F	ST16C2550IQ48-F	TQFP-48	2	Intel	4/1,8/-	No/4 niveaux	5,5V	-40°C à 85°C	7,14	4,57	4,01
701-XR16C2850CM-F	XR16C2850CM-F	TQFP-48	2	Intel	6,2/4/-	Programme/Programme	5,5V	0°C à + 70°C	11,72	10,14	8,27
701-XR16C2850IM-F	XR16C2850IM-F	TQFP-48	2	Intel	6,2/4/-	Programme/Programme	5,5V	-40°C à 85°C	13,42	8,95	8,05
701-XR16L2751CM-F	XR16L2751CM-F	TQFP-48	2	Intel/Motorola	6,2/4,0/3	Programme/Programme	5,5V	0°C à + 70°C	8,07	5,16	4,52
701-ST16C554DIJ68-F	ST16C554DIJ68-F	PLCC-68	4	Intel/Motorola	1,5/0,5/-	No/4 niveaux	5,5V	-40°C à 85°C	10,58	7,05	6,35
701-ST16C554DIQ64-F	ST16C554DIQ64-F	LQFP-64	4	Intel/Motorola	1,5/0,5/-	No/4 niveaux	5,5V	-40°C à 85°C	7,36	6,39	6,19
701-ST16C654IQ64-F	ST16C654IQ64-F	LQFP-64	4	Intel/Motorola	1,5/0,5/-	4 niveaux/4 niveaux	5,5V	-40°C à 85°C	13,98	12,05	10,20
701-XR16C854IV-F	XR16C854IV-F	LQFP-64	4	Intel/Motorola	2/1,5/-	Programme/Programme	5,5V	-40°C à 85°C	22,72	17,04	15,76
701-XR16C864CQ-F	XR16C864CQ-F	QFP-100	4	Intel/Motorola	2/1,5/-	Programme/Programme	5,5V	0°C à + 70°C	24,78	18,59	16,43
701-XR16C864IQ-F	XR16C864IQ-F	QFP-100	4	Intel/Motorola	2/1,5/-	Programme/Programme	5,5V	-40°C à 85°C	25,76	19,32	17,07
701-XR16L784IV-F	XR16L784IV-F	LQFP-64	4	Intel/Motorola	6,2/4/-	Programme/Programme	5,5V	-40°C à 85°C	19,98	16,99	14,99
701-XR16L788CQ-F	XR16L788CQ-F	QFP-100	8	Intel/Motorola	6,2/4/-	Programme/Programme	5,5V	0°C à + 70°C	28,63	21,47	19,95
701-XR16L788IQ-F	XR16L788IQ-F	QFP-100	8	Intel/Motorola	6,2/4/-	Programme/Programme	5,5V	-40°C à 85°C	29,58	22,19	19,60

EXAR I2C/SPI UARTS

PRODUCT NEW

Pour des quantités supérieures à celles indiquées, appelez-nous afin d'obtenir un devis.

RÉF. STOCK MOUSER	Réf. Exar	Type boîtier	Nombre de canaux	GPIO	Interface CPU	Débit de données 5/3,3/2,5V	Tx/Rx FIFO INT Trig	Tension d'alimentation (V)	Plage de température	Prix unitaire 1	25	100
701-XR20M1280IL24-F	XR20M1280IL24-F	QFN-24	1	4	I2C/SPI	na/24/na	Oui	1.62-3.63	-40°C à 85°C	3,71	3,27	2,82
701-XR20M1280IL32-F	XR20M1280IL32-F	QFN-32	1	8	I2C/SPI	na/24/na	Oui	1.62-3.63	-40°C à 85°C	3,78	3,32	2,87
701-XR20M1280IL40-F	XR20M1280IL40-F	QFN-40	1	16	I2C/SPI	na/24/na	Oui	1.62-3.63	-40°C à 85°C	3,84	3,37	2,91

© Copyright 2012 Mouser Electronics
© Copyright 2012 Mouser Electronics

LIU et cartes d'évaluation EXAR

RoHS Compliant **This product is RoHS compliant.**

UNITÉS D'INTERFACE DE LIGNE EXAR

La suite complète de solutions SONET/SDH d'Exar offre aux clients des produits novateurs et testés sur le marché. Ces produits faciles à intégrer, conformes aux normes, offrent des performances de scintillement supérieures, éliminent les dispositifs discrets inutiles, réduisent les coûts et accélèrent le temps de mise sur le marché. Imaginez, plus de caractéristiques mais moins de composants.

Série XRT

Pour des quantités supérieures à celles indiquées, appelez-nous afin d'obtenir un devis.

RÉF. STOCK MOUSER	Réf. Exar	Boîtier boîtier	Plage de température	Fonction	Nbre de canaux	Déclenchement d'horloge	Débits de données	Longue distance/ Courte distance	Prix unitaire 1	5	10
701-XRT83VL38IB-F	XRT83VL38IB-F	BGA-225	de -40 à 85 °C	LIU	8	Oui	T1/E1/J1	Les deux	29,24	27,04	24,85
701-XRT86VX38IB256-F	XRT86VX38IB256-F	PBGA-256	-40 à 85°C	Combo LIU/Framer	8	Oui	T1/E1/J1	Les deux	43,77	40,13	36,48
701-XRT86VX38IB329-F	XRT86VX38IB329-F	PBGA-329	de -40 à 85°C	Combo LIU/Framer	8	Oui	T1/E1/J1	Les deux	43,77	40,13	36,48

Série DS1-E1

Pour des quantités supérieures à celles indiquées, appelez-nous afin d'obtenir un devis.

RÉF. STOCK MOUSER	Réf. Exar	Boîtier boîtier	Plages de température	Nbre de canaux	Débit(s) de données	Déclenchement d'horloge	SH/LH	Source d'alimentation en fonctionnement (max)	Prix unitaire 1	25
701-XRT5683AID-F	XRT5683AID-F	SOIC-18	Industriel, -45°C à 85°C	1	T1, E1, T2, E2	Oui, avec tank Ckt	S	V±5 %, 40mA	5,14	4,97
701-XRT59L91ID-F	XRT59L91ID-F	SOIC-16	-40°C À 85 °C	1	E1	Non	S	3,3V±5 %	3,45	3,34
701-XRT6165CD-F	XRT6165CD-F	SOIC-24	0 °C À 70 °C	1	64 Kb/s, E1	Oui	Sans objet	5V±10 %	14,58	12,95
701-XRT5894IV-F	XRT5894IV-F	TQFP-64	-40 °C À 85 °C	4	E1	Non	S	3,3 V, 5 V±5 %	13,61	13,18

Série DS3-E3

Pour des quantités supérieures à celles indiquées, appelez-nous afin d'obtenir un devis.

RÉF. STOCK MOUSER	Réf. Exar	Boîtier boîtier	Plages de température	Nbre de canaux	Débit(s) de données	Déclenchement d'horloge	SH/LH	Source d'alimentation en fonctionnement (max)	Prix unitaire 1	10
701-XRT7295ATIW-F	XRT7295ATIW-F	SOJ-20	Industriel, -45 à 85°C	1	E3	Oui	Sans objet	5 V ±5 %, 106mA	31,10	24,88

ÉMETTEURS-RÉCEPTEURS/CDR EXAR

Pour des quantités supérieures à celles indiquées, appelez-nous afin d'obtenir un devis.

RÉF. STOCK MOUSER	Réf. Exar	Type de boîtier	Interface de ligne	Protocoles	Trans. Interface	Courant, alimentation	Prix unitaire
701-XRT91L33IG-F	XRT91L33IG-F	TSSOP-20	OC-12/3 STM-4/1	SONET/SDH	LVDS	3,3V	8,23

HORLOGES T1/E1/SDH/WAN EXAR

Pour des quantités supérieures à 100, appelez-nous afin d'obtenir un devis.

RÉF. STOCK MOUSER	Réf. Exar	Boîtier boîtier	Plage de température	Nombre de PLL	Fréq. d'entrée Plage	Fréq. de sortie Plage	Source d'alimentation en fonctionnement	Prix unitaire 1	20	40
701-XRT8000ID-F	XRT8000ID-F	SOIC-18	-40 °C À 85 °C	2	8kHz à 32,768kHz	150Hz à 2,048kHz	5 V, 3,3 V	12,07	10,73	9,65

HORLOGE À BITS EXAR

Pour des quantités supérieures à 250, appelez-nous afin d'obtenir un devis.

RÉF. STOCK MOUSER	Réf. Exar	Boîtier boîtier	Description	Prix unitaire 1	25	100
701-XRT86VL30IV80-F	XRT86VL30IV80-F	LQFP-80	Combinaison élément récupération d'horloge à bits et framer et interface de ligne T1/E1/J1 avec Technologie R³™	11,51	10,59	10,36

CARTES D'ÉVALUATION EXAR

Pour des quantités supérieures à celles indiquées, appelez-nous afin d'obtenir un devis.

RÉF. STOCK MOUSER	Réf.Exar	Boîtier boîtier	Prix unitaire 1	5
701-SP337EBET-0A-EB	SP337EBET-0A-EB	Carte d'évaluation pour la série SP337EBET	30,94	30,94
701-SP337EBEY-0A-EB	SP337EBEY-0A-EB	Carte d'évaluation pour la série SP377EBEY	30,94	30,94
701-SP337EUET-0A-EB	SP337EUET-0A-EB	Carte d'évaluation pour la série SP337EUET	30,94	30,94
701-SP337EUEY-0A-EB	SP337EUEY-0A-EB	Carte d'évaluation pour la série SP377EUEY	30,94	30,94
701-SP336EEY-0A-EB	SP336EEY-0A-EB	Carte d'évaluation pour la série SP336	32,17	32,17
701-SP510EM-0A-EB	SP510EM-0A-EB	Carte d'évaluation pour la série SP510	206,25	-
701-SP6125EB	SP6125EB	Carte d'évaluation pour la série SP6125	68,06	59,81
701-SP6126EB	SP6126EB	Carte d'évaluation pour la série SP6126	68,06	59,81
701-SP6127EB	SP6127EB	Carte d'évaluation pour la série SP6127	68,06	59,81
701-SP6648EB	SP6648EB	Carte d'évaluation pour la série SP6648	35,06	30,94
701-SP6651EB	SP6651EB	Carte d'évaluation pour la série SP6651	35,06	30,94
701-SP6652EB	SP6652EB	Carte d'évaluation pour la série SP6652	68,06	59,81
701-SP6655EB	SP6655EB	Carte d'évaluation pour la série SP6655	35,06	30,94
701-SP6661EB	SP6661EB	Carte d'évaluation pour la série SP6661	35,06	30,94
701-SP6669EB	SP6669EB	Carte d'évaluation pour la série SP6669	35,06	30,94
701-SP6682EB	SP6682EB	Carte d'évaluation pour la série SP6682	68,06	59,81
701-SP6682UEB	SP6682UEB	Carte d'évaluation pour la série SP6682U	68,06	59,81
701-SP6685EB	SP6685EB	Carte d'évaluation pour la série SP6685	74,87	65,79
701-SP6686EB	SP6686EB	Carte d'évaluation pour la série SP6686	74,87	65,79
701-SP6690EB	SP6690EB	Carte d'évaluation pour la série SP6690	35,06	30,94
701-SP6699EB	SP6699EB	Carte d'évaluation pour la série SP6699	56,10	49,50
701-SP6887EB	SP6887EB	Carte d'évaluation pour la série SP6887	63,11	55,69
701-SP7121EB	SP7121EB	Carte d'évaluation pour la série SP7121	56,10	49,50
701-SP7600EB	SP7600EB	Carte d'évaluation pour la série SP7600	56,10	49,50
701-SP7601EB	SP7601EB	Carte d'évaluation pour la série SP7601	56,10	49,50
701-SP7650EB	SP7650EB	Carte d'évaluation pour la série SP7650	63,11	55,69
701-SP7652EB	SP7652EB	Carte d'évaluation pour la série SP7652	62,70	55,69

Pour des quantités supérieures à celles indiquées, appelez-nous afin d'obtenir un devis.

RÉF. STOCK MOUSER	Réf. Exar	Boîtier boîtier	Prix unitaire 1	5
701-SP7655EB	SP7655EB	Carte d'évaluation pour la série SP7655	63,11	55,69
701-SP7656EB	SP7656EB	Carte d'évaluation pour la série SP7656	63,11	55,69
701-SP7661EB	SP7661EB	Carte d'évaluation pour la série SP7661	63,11	55,69
701-SP7685EB	SP7685EB	Carte d'évaluation pour la série SP7685	68,06	59,81
701-XR17V358IB0A-EVB	XR17V358IB-0A-EVB	Carte d'évaluation pour la série XR17V358	309,38	309,38
701-XR21V1410IL0B-EB	XR21V1410IL-0B-EB	Carte d'évaluation pour la série XR21V1410, RS232	16,50	16,50
701-XR21V1410IL0C-EB	XR21V1410IL-0C-EB	Carte d'évaluation pour la série XR21V1410, RS485	16,50	16,50
701-XR21V1412IL0B-EB	XR21V1412IL-0B-EB	Carte d'évaluation pour la série XR21V1412, RS232	20,63	20,63
701-XR21V1414IM0B-EB	XR21V1414IM-0B-EB	Carte d'évaluation pour la série XR21V1414, RS232	24,75	24,75
701-XRP6142EVB	XRP6142EVB	Carte d'évaluation pour la série XRP6142	41,25	41,25
701-XRP7665EVB	XRP7665EVB	Carte d'évaluation pour la série XRP7665	25,78	25,78
701-XR21V1410IL0A-EB	XR21V1410IL-0A-EB	Carte d'évaluation pour la série XR21V1410	72,19	-
701-XR21V1412IL0A-EB	XR21V1412IL-0A-EB	Carte d'évaluation pour la série XR21V1412	72,19	-
701-XR21V1414IM0A-EB	XR21V1414IM-0A-EB	Carte d'évaluation pour la série XR21V1414	72,19	-
701-XRP6657EVB	XRP6657EVB	Carte d'évaluation pour la série XRP6657	27,51	-
701-XRP6658EVB	XRP6658EVB	Carte d'évaluation pour la série XRP6658	25,78	-
701-XRP6668EVB	XRP6668EVB	Carte d'évaluation pour la série XRP6668	41,25	-
701-XRP7620EVB	XRP7620EVB	Carte d'évaluation pour la série XRP7620	47,85	44,55
701-XRP7657EVB	XRP7657EVB	Carte d'évaluation pour la série XRP7657	41,25	-
701-XRP7704EVB	XRP7704EVB	Carte d'évaluation pour la série XRP7704	185,63	-
701-XRP7704EVB-XCM	XRP7704EVB-XCM	Carte de programmation avec USB-I²C pour la série XRP7704	82,50	-
701-XRP7704EVB-XPM	XRP7704EVB-XPM	Carte prog. sur support XRP7704/40 . Carte USB/ GUI ou autonome pour la série XRP7704/XRP7740	123,75	-
701-XRP7708EVB	XRP7708EVB	Carte d'évaluation pour la série XRP7708	206,25	206,25
701-XRP7714EVB	XRP7714EVB	Carte d'évaluation pour la série XRP7714	185,63	-
701-XRP7740EVB	XRP7740EVB	Carte d'évaluation pour la série XRP7740	232,65	-

© Copyright 2012 Mouser Electronics
© Copyright 2012 Mouser Electronics

Interface FAIRCHILD

Les produits peuvent être conformes à la directive RoHS.
Pour vérifier la conformité RoHS, consultez le site mouser.com.

FAIRCHILD SEMICONDUCTOR

COMPARATEURS

◆ **Composant pour montage en surface**

Pour des quantités supérieures à celles indiquées, appelez-nous afin d'obtenir un devis.

RÉF. STOCK MOUSER	Réf. Fairchild	Type boîtier	Tension d'alimentation(V)	Tension Gain Typ. (V/mV)	Courant d'alimentation Typ. (mA)	Tension de décalage d'entrée Max. (mV)	Tension de décalage Courant max. (nA)	Polarisation d'entrée Courant max. (nA)	Temps de réponse (ns)	Prix unitaire 1	25	100	250
Doubles													
512-KA319	KA319	DIP-14	36	40	3,6	8	200	1 000	80	0,37	0,314	0,285	0,194
◆ 512-KA319D	KA319D	SOP-14	36	40	3,6	8	200	1 000	80	0,40	0,355	0,314	0,208
512-KA393	KA393	DIP-8	18 - 36	200	0,6	5	50	250	1 400	0,27	0,235	0,207	0,141
512-KA393A	KA393A	DIP-8	18 - 36	200	0,6	2	50	250	1400	0,35	0,297	0,271	0,173
◆ 512-LM2903M	LM2903M	SOP-8	18 - 36	100	0,6	7	50	250	1 500	0,20	0,157	0,14	0,134
◆ 512-LM2903MX	LM2903MX	SOIC-8	18 - 36	100	0,6	7	50	250	1 500	0,36	0,238	0,196	0,163
512-LM2903N	LM2903N	DIP 8	18 - 36	100	0,6	7	50	250	1 500	0,35	0,227	0,185	0,153
◆ 512-LM319M	LM319M	SOP-14	36	40	3,6	8	200	1 000	80	0,26	0,223	0,219	0,211
◆ 512-LM319MX	LM319MX	SOP-14	36	40	3,6	8	200	1 000	80	0,51	0,356	0,305	0,264
512-LM319N	LM319N	DIP-14	36	40	3,6	8	200	1 000	80	0,31	0,281	0,275	0,161
◆ 512-LM393AM	LM393AM	SOP-8	18 - 36	200	0,6	2	50	250	1 400	0,17	0,133	0,125	0,108
◆ 512-LM393AMX	LM393AMX	SOP-8	18 - 36	200	0,6	2	50	250	1 400	0,17	0,132	0,125	0,108
512-LM393AN	LM393AN	DIP-8	18 - 36	200	0,6	2	50	250	1 400	0,27	0,206	0,18	0,133
◆ 512-LM393M	LM393M	SOP-8	18 - 36	200	0,6	5	50	250	1 400	0,33	0,216	0,176	0,145
512-LM393MX	LM393MX	SOIC-8	18 - 36	200	0,6	5	50	250	1 400	0,50	0,295	0,238	0,172
512-LM393N	LM393N	DIP-8	18 - 36	200	0,6	5	50	250	1 400	0,23	0,206	0,179	0,136
Quad													
512-KA339	KA339	DIP-14	18 - 36	200	1,1	5	50	250	1 300	0,45	0,404	0,356	0,241
512-KA339A	KA339A	DIP-14	18 - 36	200	1,1	2	50	250	1 300	0,36	0,305	0,273	0,184
◆ 512-LM2901M	LM2901M	SOP-14	18 - 36	100	1,1	7	50	250	1 300	0,27	0,216	0,199	0,177
◆ 512-LM2901MX	LM2901MX	SOP-14	18 - 36	100	1,1	7	50	250	1 300	0,28	0,239	0,206	0,198
512-LM2901N	LM2901N	DIP-14	18 - 36	100	1,1	7	50	250	1 300	0,38	0,282	0,242	0,21
◆ 512-LM339AM	LM339AM	SOP-14	18 - 36	200	1,1	2	50	250	1 400	0,29	0,248	0,227	0,198
◆ 512-LM339AMX	LM339AMX	SOP-14	18 - 36	200	1,1	2	50	250	1 400	0,29	0,248	0,223	0,198
512-LM339AN	LM339AN	DIP-14	18 - 36	200	1,1	2	50	250	1 400	0,39	0,285	0,244	0,211
◆ 512-LM339M	LM339M	SOP-14	18 - 36	200	1,1	5	50	250	1 400	0,45	0,298	0,243	0,20
◆ 512-LM339MX	LM339MX	SOP-14	18 - 36	200	1,1	5	50	250	1 300	0,50	0,329	0,223	0,168
512-LM339N	LM339N	DIP-14	18 - 36	200	1,1	5	50	250	1 400	0,31	0,251	0,231	0,196

INTERFACE ANALOGIQUE LVDS

◆ **Composant pour montage en surface**

Pour des quantités supérieures à celles indiquées, appelez-nous afin d'obtenir un devis.

RÉF. STOCK MOUSER	Réf. Panasonic	Type boîtier	Fonction	N° de Bits	Vitesse Max	Tension d'alimentation	Prix unitaire 1	25	100	250
◆ 512-FIN1002M5X	FIN1002M5X	SOT-23	Récepteur	1	400 Mb/s	3,3 V	0,83	0,645	0,569	0,493
◆ 512-FIN1049MTCX	FIN1049MTCX	TSSOP-16	Émetteur-récepteur	2+2	400 Mbits/s	3,3 V	2,29	1,76	1,59	1,43
◆ 512-FIN1101K8X	FIN1101K8X	US-8	Répéteur	1	1 600 Mb/s	3,3V	1,27	1,15	1,03	0,799
◆ 512-FIN1101M	FIN1101M	SOIC-8	Répéteur	1	1 600 Mb/s	3,3V	1,22	0,908	0,817	0,635
◆ 512-FIN1108MTD	FIN1108MTD	TSSOP-48	Répéteur	8	1 800 Mb/s	3,3V	2,90	2,25	2,14	2,13

COMMUTATEURS ANALOGIQUES

◆ **Composant pour montage en surface**

Pour des quantités supérieures à celles indiquées, appelez-nous afin d'obtenir un devis.

RÉF. STOCK MOUSER	Réf. Panasonic	Type boîtier	Configuration	Nbre d'interrupteurs	Résistance active (Ω)	V c.c.	Largeur de bande (MHz)	C_{on} (pF)	Prix unitaire 1	25	100
◆ 512-FSA1156P6X	FSA1156P6X	SC70-6	1x SPST(NO)	1	9	1,65 V-5,5 V	350	65	0,62	0,477	0,421
◆ 512-FSA1157P6X	FSA1157P6X	SC70-6	1x SPST(NC)	1	0,75	1,65 V-5,5 V	350	65	0,62	0,477	0,421
◆ 512-FSA1256AL8X	FSA1256AL8X	MicroPak-8	SPST (NO)	2	0,95	2,7 V-5,5 V	300	27	0,77	0,586	0,521
◆ 512-FSA1256L8X	FSA1256L8X	MicroPak-8	2x SPST(NO)	2	0,95	1,65 V-5,5 V	300	27	0,67	0,611	0,557
◆ 512-FSA1257AL8X	FSA1257AL8X	MicroPak-8	2x SPST (NC)	2	0,95	1,65 V-5,5 V	300	27	0,85	0,652	0,582
◆ 512-FSA2257L10X	FSA2257L10X	MicroPak-10	2x SPDT	2	0,95	1,65 V-5,5 V	350	40	0,73	0,575	0,517
◆ 512-FSA2467MPX	FSA2467MPX	MLP-16	SPDT (NO)	4	0,4	1,65 V-4,3 V	45	118	0,94	0,743	0,668
◆ 512-FSA266K8X	FSA266K8X	US8-8	2x SPST(NO)	2	6	1,65 V-5,5 V	300	10	0,48	0,338	0,288
◆ 512-FSA266L8X	FSA266L8X	MicroPak-8	2x SPST(NO)	2	6	1,65 V-5,5 V	300	10	0,59	0,437	0,358
◆ 512-FSA3157P6X	FSA3157P6X	SC70-6	1x SPDT	1	5	1,65 V-5,5 V	250	19	0,38	0,247	0,202
◆ 512-FSA3357K8X	FSA3357K8X	US8-8	1x SP3T (NO/NC)	1	5	1,65 V-5,5 V	250	14,5	0,62	0,557	0,484
◆ 512-FSA4157P6X	FSA4157P6X	SC70-6	1x SPDT	1	0,95	1,65 V-5,5 V	350	40	0,57	0,397	0,34
◆ 512-FSA4159P6X	FSA4159P6X	SC70-6	SPDT	1	1	1,65 V-5,5 V	180	41	0,69	0,533	0,47
◆ 512-FSA5157P6X	FSA5157P6X	SC70-6	SPDT (NO)	1	0,35	1,65 V-3,6 V	45	90	0,42	0,375	0,347
◆ 512-FSA66P5X	FSA66P5X	SC70-5	SPST (NO)	1	5	1,65 V-5,5 V	250	6	0,45	0,256	0,21
◆ 512-FSAL200QSCX	FSAL200QSCX	QSOP-16	Commutateur LAN Quad 2:1	2	6	-5,0V-7,0V	300	15	1,22	0,965	0,858
◆ 512-FSUSB11L10X	FSUSB11L10X	MicroPak-10	1x (SPDT) USB, FS	1	1	1,65 V-5,5 V	350	40	1,25	0,99	0,891
◆ 512-FSUSB11MTCX	FSUSB11MTCX	TSSOP-16	1x (SPDT) USB, FS	1	1	1,65 V-5,5 V	350	40	1,25	0,99	0,891
◆ 512-FSUSB20L10X	FSUSB20L10X	MicroPak-10	1x (DPDT) USB, HS	1	5	3,0 V-3,6 V	800	12	1,53	1,21	1,09
◆ 512-FSUSB22MTCX	FSUSB22MTCX	TSSOP 16	2x (4PDT) USB, HS	2	5	3,0 V-6,0 V	750	12	1,53	1,21	1,09
◆ 512-FSUSB23L10X	FSUSB23L10X	MicroPak-10	1x (DPDT) USB, HS	1	5	3,0 V-3,6 V	800	9	1,53	1,21	1,09
◆ 512-FSUSB30BQX	FSUSB30BQX	DQFN-16	1x (DPDT) USB, HS	1	6,5	3,0 V-4,3 V	720	5	0,84	0,765	0,701
◆ 512-FSUSB31K8X	FSUSB31K8X	US8-8	1x (DPST) USB, HS	1	6,5	3,0 V-4,3 V	720	5	1,48	1,16	1,04
◆ 512-NC7SZ66L6X	NC7SZ66L6X	MicroPak-6	1x SPST (NO)	1	5	1,65 V-5,5 V	-	6	0,48	0,338	0,29

COMMUTATEURS VIDÉO/PRISE AUDIO MICROPHONE

◆ **Composant pour montage en surface**

Pour des quantités supérieures à celles indiquées, appelez-nous afin d'obtenir un devis.

RÉF. STOCK MOUSER	Réf. Panasonic	Type boîtier	Configuration	Nombre d'interrupteurs	Résistance active (Ω)	V_{CC}	Diaphonie	Arrêt Isolation (dB)	T Max. Marche (ns)	T Max. Arrêt (ns)	R_{ON} Planéité (Ω)	Prix unitaire 1	25	100
◆ 512-FSA8009UMX	FSA8009UMX	UMLP-10	SPST	1	1	2,5 V-4,3 V	-67	-100	40	15	0,5	0,59	0,446	0,338
◆ 512-FSA8029UMX	FSA8029UMX	UMLP-10	SPST	1	1	2,5 V-4,3 V	-67	-100	40	15	0,5	0,66	0,495	0,371

MINUTERIES ANALOGIQUES

◆ **Composant pour montage en surface**

Pour des quantités supérieures à celles indiquées, appelez-nous afin d'obtenir un devis.

RÉF. STOCK MOUSER	Réf. Panasonic	Type boîtier	Tension d'alimentation (V) Max.	Min.	Tension de contrôle à V CC 5 V (V) Max.	Min.	Tension de seuil à V CC 5 V (V) Max.	Min.	Tension de déclenchement à V CC 5 V (V) Max.	Min.	Température de fonctionnement (°C)	Forme de contact	Prix unitaire 1	25	100
◆ 512-LM555CM	LM555CM	SOIC-8	16	4,5	4	2,6	3,3	3,3	2,2	1,1	0 ~ +70	SPST, normalement fermé	0,24	0,172	0,167
512-LM555CN	LM555CN	DIP-8	16	4,5	4	2,6	3,3	3,3	2,2	1,1	0 ~ +70	SPST, normalement fermé	0,15	0,108	0,106

© Copyright 2012 Mouser Electronics
© Copyright 2012 Mouser Electronics

Accéléromètres et CI analogiques FREESCALE

RoHS Compliant **This product is RoHS compliant.**

freescale™ semiconductor

CAPTEURS D'ACCÉLÉRATION XTRINSIC™

Les solutions de détection Xtrinsic sont des produits présents dans les secteurs de l'automobile, de la consommation et de l'industrie, qui permettent d'effectuer des détections contextuelles parce que les capteurs disposent d'algorithmes et/ou d'unités de calcul intégrés afin d'aider à la prise de décision, ou parce que le capteur est une plateforme intégrée comportant de multiples capteurs et un processeur, accroissant le potentiel de prise de décisions et la valeur de la solution de détection en général.

NEW! TECHNOLOGY

Capteurs d'accélération de sortie numérique à trois axes basse consommation, g faible Xtrinsic

Pour des quantités supérieures à celles indiquées, appelez-nous afin d'obtenir un devis.

RÉF. STOCK MOUSER	Réf. Freescale	Boîtier	Sensibilité d'accélération	Accélération maximum (g)	Sortie numérique	Débit des données de sortie	Consommation de courant (µA)			Prix unitaire			
							Arrêt	Repos	Actif	1	25	50	100
841-MMA7660FCR1	MMA7660FCR1	DFN 10	1,5	10 000	I²C	Sélectionnable par l'util.	0,4	2	47	1,19	1,11	0,79	0,695
841-MMA8450QT	MMA8450QT	QFN-16	2	10 000	I²C	Sélectionnable par l'util.	<1	3	42	1,40	1,23	1,15	0,998
841-MMA8450QR1	MMA8450QR1	QFN-16	2	10 000	I²C	Sélectionnable par l'util.	<1	3	42	2,60	2,48	2,38	2,13

Accéléromètres MMA845xQ Xtrinsic à basse consommation, faible niveau de bruit, g faible

Pour des quantités supérieures à celles indiquées, appelez-nous afin d'obtenir un devis.

RÉF. STOCK MOUSER	Réf. Freescale	Boîtier	Résolution (bits)	Consommation électrique (µA)	Tension d'alimentation	Débit des données de sortie (Hz)	Mode faible niveau de bruit du bruit de sortie (ODR de 400Hz)	Prix unitaire			
								1	25	50	100
841-MMA8451QT	MMA8451QT	QFN 16	14	6	1,95 - 3,6	1,563 - 800	99µg/Hz	1,28	1,16	1,03	0,891
841-MMA8451QR1	MMA8451QR1	QFN 16	14	6	1,95 - 3,6	1,563 - 800	99µg/Hz	1,91	1,39	1,20	1,16
841-MMA8452QR1	MMA8452QR1	QFN 16	12	6	1,95 - 3,6	1,563 - 800	99µg/Hz	1,24	1,19	1,14	0,726
841-MMA8453QR1	MMA8453QR1	QFN 16	10	6	1,95 - 3,6	1,563 - 800	99µg/Hz	1,13	1,01	0,949	0,908
841-MMA8453QT	MMA8453QT	QFN-16	8, 10	6	1,95-3,6	1,56-800	99µg/Hz	1,00	0,825	0,76	0,721

Détecteurs d'accélération de sortie numériques à trois axes g faible

Pour des quantités supérieures à celles indiquées, appelez-nous afin d'obtenir un devis.

RÉF. STOCK MOUSER	Réf. Freescale	Boîtier	Sensibilité d'accélération		Accélération maximum (g)	Sortie numérique	Tension d'alimentation analogique (Typ.) (V)	Courant d'alimentation Drain (Typ.) (µA)	Prix unitaire			
			Mode 8 bits (g)	Mode 10 bits					1	25	50	100
841-MMA7455LT	MMA7455LT	LGA 14	Sélectionnable (2/4/8)	8	5 000	I²C/SPI	2,8	400	1,57	1,48	1,37	1,16
841-MMA7455LR1	MMA7455LR1	LGA 14	Sélectionnable (2/4/8)	64 LSB/g@2 et 8	5000	I²C/SPI	2,8	400	3,86	3,78	3,62	2,99

Outils de développement d'accéléromètres

RÉF. STOCK MOUSER	Réf. Freescale	Description	Prix unitaire
841-KIT3376MMA7368L	KIT3376MMA7368L	Kit d'évaluation accéléromètre de sortie analogique g faible à trois axes	30,68
841-KIT3468MMA7455L	KIT3468MMA7455L	Kit d'évaluation accéléromètre de sortie numérique g faible à trois axes	30,68
841-RD3803MMA7660FC	RD3803MMA7660FC	Kit d'évaluation de la carte MMA7660	98,18
841-RD3965MMA7660FC	RD3965MMA7660FC	ZSTAR3 avec accéléromètre numérique MMA7660FC	81,68
841-RD3924MMA8450Q	RD3924MMA8450Q	Kit de boîte à outils du capteur MMA8450	81,68
841-LFSTBEB8450	LFSTBEB8450	Carte de développement d'évaluation MMA8450Q	61,88
841-KIT3803MMA7660FC	KIT3803MMA7660FC	Kit d'évaluation de la carte fille MMA7660	28,88
841-LFSTBEB845X	LFSTBEB845X	Kit d'évaluation numérique à trois axes MMA8450Q	61,88
841-RDMMA845X	RDMMA845X	Outils de développement de capteurs d'accélération pour LFSTBUSB/E845X	86,77

CONTRÔLEURS DE DÉTECTEURS TACTILES DE PROXIMITÉ ET CAPACITIFS

Freescale propose un vaste portefeuille de solutions de détection tactile matériel et logiciel pour vous aider à choisir le système le mieux adapté à votre conception. La technologie de détection tactile peut remplacer en conditions de fiabilité les boutons mécaniques et les interrupteurs pour éliminer l'usure mécanique. Les détecteurs tactiles Freescale peuvent être configurés comme des glisseurs simples, des boutons rotatifs et des blocs à effleurement pour offrir des avantages significatifs pour des interfaces utilisateur plus intuitives, en permettant une liberté plus grande pour les concepteurs tout en réduisant le coût total du des systèmes.

Pour des quantités supérieures à celles indiquées, appelez-nous afin d'obtenir un devis.

RÉF. STOCK MOUSER	Réf. Freescale	Boîtier	Blocs à effleurement	Temps de réponse (ms)	Contrôle d'interface et d'entrée	Courant Max. d'alimentation (µA)	Courant d'arrêt (µA)	Tension d'alimentation (V)	Prix unitaire			
									1	25	50	100
841-MPR031EPR2	MPR031EPR2	QFN-D 8	3	32	I2C	8	4	1,71 à 2,75	0,72	0,677	0,667	0,649
841-MPR121QR2	MPR121QR2	QFN-20	12	64	I2C	29	3	1,71 à 3,6	1,25	1,18	1,16	1,13
841-MPR083EJ	MPR083EJ	TSSOP-16	8	32	I2C	41	2	1,8 - 3,6	2,64	1,53	1,48	1,29
841-MPR084EJ	MPR084EJ	TSSOP-16	8	32	I2C	41	2	1,8 - 3,6	1,90	1,77	1,65	1,11

Outils de développement

RÉF. STOCK MOUSER	Réf. Freescale	Description	Prix unitaire
841-DEMOMPR031	DEMOMPR031	Carte de démonstration pour MPR031	20,63
841-KITMPR03XEVM	KITMPR03XEVM	Kit d'évaluation pour la série MPR03X	81,68
841-TSSEVB	TSSEVB	Carte d'évaluation du logiciel de détection tactile	82,49
841-KITMPR121EVM	KITMPR121EVM	Kit d'évaluation pour Sensor Toolbox MPR121	81,68

CI DE PUISSANCE ANALOGIQUE POUR LE CONTRÔLE DES MOTEURS

Pour des quantités supérieures à celles indiquées, appelez-nous afin d'obtenir un devis.

RÉF. STOCK MOUSER	Réf. Freescale	Boîtier	Courant charge de sortie Typ. (A)	Tension d'alimentation (V)	Puissance de sortie Limite de courant par sortie -Min. (A)	Puissance de sortie Charge-Nombre de canaux	Drain à source Résistance active Typ. (Ω)	Prix unitaire			
								1	25	50	100
841-MCZ33812EK	MCZ33812EK	SOIC 32	1, 0.3	4,9/36	3, 1	2, 1	0,25	3,35	2,98	2,76	2,29

PONTS EN H ET INTERRUPTEURS CONFIGURABLES FREESCALE

Les interrupteurs ponts en H et les interrupteurs configurables de Freescale forment une gamme de dispositifs qui offrent des capacités de commutation de l'extrémité supérieure et inférieure configurables et interrupteurs ponts en H complets et moitié pont H. Les dispositifs sont conçus pour desservir le domaine automobile, mais aussi les charges de courant consommateur/pile. La technologie SMARTMOS™ offre des interrupteurs et contrôle logique RDSON MOSFET de niveau bas.

Pour des quantités supérieures à celles indiquées, appelez-nous afin d'obtenir un devis.

RÉF. STOCK MOUSER	Réf. Freescale	Boîtier	Alimentation de charge Tension (V)	Tension d'alimentation (V)	Puissance de sortie Courant de charge (A)	Puissance de sortie Canaux	Drain à source Résistance active Typ. (Ω)	Limitation du courant par sortie Min. (A)	Interface Contrôle	Prix unitaire			
										1	25	50	100
841-MPC17C724EP	MPC17C724EP	QFN 16	de 2,7 à 5,5	de 2,7 à 5,5	0,4	2	-	-	Parallèle	0,83	0,784	0,708	0,49

OUTILS DE DÉVELOPPEMENT ANALOGIQUE ET À SIGNAL MIXTE FREESCALE

RÉF. STOCK MOUSER	Réf. Freescale	Description	Prix unitaire
841-KIT34704AEPEVBE	KIT34704AEPEVBE	Kit d'évaluation -34704A - CI de gestion de l'énergie CC-CC 8 canaux	170,82
841-KIT34704BEPEVBE	KIT34704BEPEVBE	Kit d'évaluation -34704B - CI de gestion de l'énergie CC-CC 8 canaux	170,82
841-KITLEDBKLT16EVBE	KITLEDBKLT16EVBE	KIT d'évaluation - carte contrôleur 16 Ch LED (256 DEL)	387,88
841-KIT33812EKEVBE	KIT33812EKEVBE	Carte d'évaluation d'injecteur de pilotes à démarrage multifonctionnel	68,37
841-KIT33812ECUEVME	KIT33812ECUEVME	Conception de référence de contrôle à petit moteur avec le 33812 et le S12P	242,66

© Copyright 2012 Mouser Electronics

© Copyright 2012 Mouser Electronics

Accéléromètres KIONIX

RoHS Compliant **This product is RoHS compliant.**

Kionix® Sensing the Future

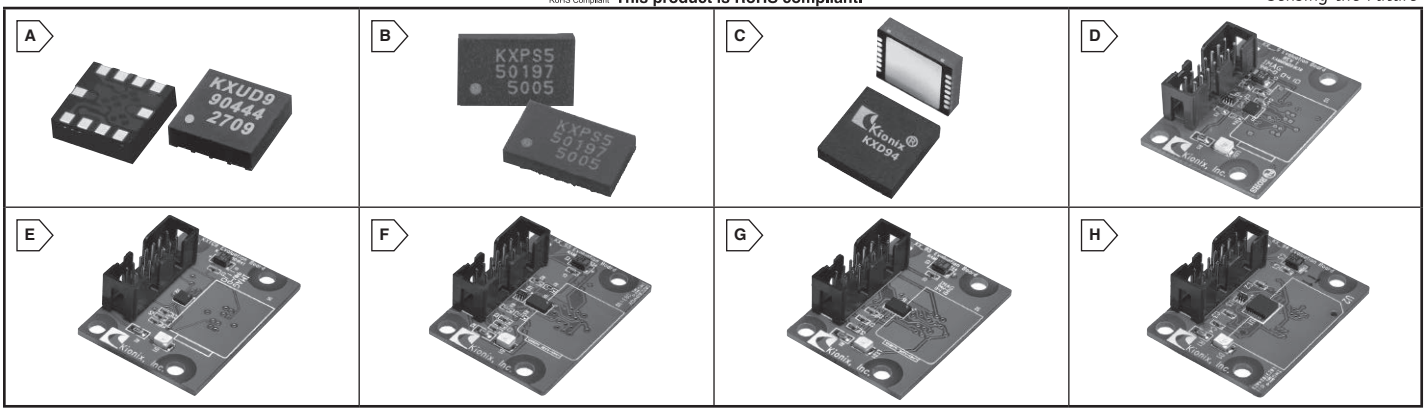

CI ACCÉLÉROMÈTRES À 3 AXES

Série KXUD9

Caractéristiques :

• Faible consommation électrique • Entrée auxiliaire pour conversion A/N

Pour des quantités supérieures à celles indiquées, appelez-nous afin d'obtenir un devis.

RÉF. STOCK MOUSER	RÉF. KIONIX	Fig.	Boîtier	Résistances	Accélération	Sensibilité	Décalage	Tension de fonctionnement (V)	Température de fonctionnement (°C)	Prix unitaire 1	25	100	250
912-KXUD9-2050	KXUD9-2050	A	LGA-10	SPI/I²C	2 g, 4 g, 6 g, 8 g	819, 410, 273, 205 comptes/g	2 048 comptes	3,6 - 1,8	de -40 à +85	**2,62**	**2,43**	**2,24**	**1,95**
912-KXUD9-4100	KXUD9-4100	A	LGA-10	SPI/I²C	2 g, 4 g, 6 g, 8 g	819, 410, 273, 205 comptes/g	2 048 comptes	3,6 - 1,8	de -40 à +85	**2,62**	**2,43**	**2,24**	**1,95**

Série KXTE9

Caractéristiques :

• Consommation électrique ultra basse (30µA à pleine capacité) • Algorithmes actifs/inactifs et de détection de l'orientation des dispositifs

Pour des quantités supérieures à celles indiquées, appelez-nous afin d'obtenir un devis.

912-KXTE9-2050	KXTE9-2050	A	LGA-10	I²C	2g	16 comptes/g	32 comptes	3,6 - 1,8	de -40 à +85	**2,43**	**2,26**	**2,10**	**1,82**
912-KXTE9-4100	KXTE9-4100	A	LGA-10	I²C	2g	16 comptes/g	32 comptes	3,6 - 1,8	de -40 à +85	**2,43**	**2,26**	**2,10**	**1,82**

Série KXF9

Caractéristiques :

• Algorithme de détection Directional Tap/Double Tap™ • Algorithmes actifs/inactifs et de détection de l'orientation des dispositifs

Pour des quantités supérieures à celles indiquées, appelez-nous afin d'obtenir un devis.

912-KXTF9-2050	KXTF9-2050	A	LGA-10	I²C	2 g, 4 g, 8 g	64, 32, 16 (8 bits) 1024, 512, 256 (12 bits) comptes/g	0 compte	3,6 - 1,8	de -40 à +85	**2,86**	**2,66**	**2,46**	**2,13**
912-KXTF9-4100	KXTF9-4100	A	LGA-10	I²C	2 g, 4 g, 8 g	64, 32, 16 (8 bits) 1024, 512, 256 (12 bits) comptes/g	0 compte	3,6 - 1,8	de -40 à +85	**2,86**	**2,66**	**2,46**	**2,13**

Série KXTC9

Caractéristiques :

• Filtre passe-bas interne programmable implicitement • Faible consommation électrique

Pour des quantités supérieures à celles indiquées, appelez-nous afin d'obtenir un devis.

912-KXTC9-2050	KXTC9-2050	A	LGA-10	Analogique	2 g	660 mV/g	1,65 V	3,6 - 1,8	de -40 à +85	**2,43**	**2,26**	**2,10**	**1,82**
912-KXTC9-4100	KXTC9-4100	A	LGA-10	Analogique	2 g	660 mV/g	0,9 V	3,6 - 1,8	de -40 à +85	**2,43**	**2,26**	**2,10**	**1,82**

Série KXPS5

Caractéristiques :

• Faible consommation électrique • Bruit faible

Pour des quantités supérieures à celles indiquées, appelez-nous afin d'obtenir un devis.

912-KXPS5-2050	KXPS5-2050	B	LGA 14	I²C/SPI	2 g	660 mV/g	1,65 V	5,25 - 1,8	de -40 à +85	**5,64**	**5,25**	**4,86**	**4,20**
912-KXPS5-1083	KXPS5-1083	B	LGA 14	I²C/SPI	2g	1 000 mV/g	2,5 V	5,25 - 1,8	de -40 à +85	**5,64**	**5,25**	**4,86**	**4,20**

Série KXRB5

Caractéristiques :

• Densité de bruit faible • Entrée auxiliaire pour multiplexeur ou CAN

Pour des quantités supérieures à celles indiquées, appelez-nous pour obtenir un devis.

RÉF. STOCK MOUSER	RÉF. KIONIX	Fig.	Boîtier	Résistances	Accélération	Sensibilité	Décalage	Tension de fonctionnement (V)	Température de fonctionnement (°C)	Prix unitaire 1	25	100	250
912-KXRB5-2050	KXRB5-2050	B	LGA 14	Mux analogique	2 g	660 mV/g	1,5 V	5,25 - 2,5	de -40 à +85	**6,14**	**5,71**	**5,29**	**4,57**

Série KXR95

Caractéristiques :

• Densité de bruit faible • Excellentes performances à sur-température

Pour des quantités supérieures à celles indiquées, appelez-nous pour obtenir un devis.

912-KXR94-2050	KXR94-2050	C	DNF-14	Mux analogique	2 g	660 mV/g	1,65 V	5,25 - 2,5	de -40 à +85	**6,58**	**6,12**	**5,67**	**4,90**
912-KXR94-2283	KXR94-2283	C	DNF-14	Mux analogique	2 g	1 000 mV/g	2,5 V	5,25 - 2,5	de -40 à +85	**6,58**	**6,12**	**5,67**	**4,90**
912-KXR94-2353	KXR94-2353	C	DNF-14	SPI numérique	2g	819 comptes/g	2 048 comptes	5,25 - 2,5	de -40 à +85	**6,58**	**6,12**	**5,67**	**4,90**

Série KXD94

Caractéristiques :

• Filtre interne 1kHz ou largeur de bande définissable par l'utilisateur • Mesures de l'accélération de niveau moyen

Pour des quantités supérieures à celles indiquées, appelez-nous pour obtenir un devis.

912-KXD94-2082	KXD94-2082	C	DNF-14	Mux analogique	10 g	200 mV/g	2,5 V	5,25 - 2,5	de -40 à +85	**5,58**	**5,18**	**4,79**	**4,15**

CARTES D'ÉVALUATION

RÉF. STOCK MOUSER	RÉF. KIONIX	Fig.	Description	Prix unitaire
912-EVAL-D9	EVAL-D9	D	Outils de développement/Carte d'évaluation pour KXUD9-1026	**20,63**
912-EVAL-E9	EVAL-E9	D	Outils de développement/Carte d'évaluation pour KXTE9-2050	**20,63**
912-EVAL-F9	EVAL-F9	D	Outils de développement/Carte d'évaluation pour KXTF9-2050	**20,63**
912-EVAL-C9	EVAL-C9	E	Outils de développement/Carte d'évaluation pour KXTC9-2050	**20,63**
912-EVAL-S5	EVAL-S5	F	Outils de développement/Carte d'évaluation pour KXPS5-2050	**20,63**
912-EVAL-B5	EVAL-B5	G	Outils de développement/Carte d'évaluation pour KXRB5-2050	**20,63**
912-EVAL-R94	EVAL-R94	H	Outils de développement/Carte d'évaluation pour KXR94-2050	**20,63**
912-EVAL-D94	EVAL-D94	H	Outils de développement/Carte d'évaluation pour la série KXD94	**20,63**
912-EZ430-C9	EZ430-C9	-	Outils de développement/Carte d'évaluation pour la série KXTC9	**25,78**

CARTE ADAPTATEUR

RÉF. STOCK MOUSER	RÉF. KIONIX	Description	Prix Pièce
912-F340ADAPTERBOARD	Carte adaptateur F340	Carte adaptateur entre les cartes d'évaluation des accéléromètres et le kit de développement Silicon Labs C8051F340-TB	**79,41**

© Copyright 2012 Mouser Electronics

© Copyright 2012 Mouser Electronics

CI analogiques MAXIM

RoHS Compliant This product is RoHS compliant.

MAXIM INNOVATION DELIVERED®

FILTRES ACTIFS

◆ **Composant pour montage en surface**

Pour des quantités supérieures à celles indiquées, appelez-nous afin d'obtenir un devis.

RÉF. STOCK MOUSER	Réf. Maxim	Boîtier	Sections de filtre	Ordres par section de filtre	Classe de filtre	Boîtier filtre	Caractéristiques du filtre	Méthode de prog.	Prix unitaire 1	25	100
700-MAX280CWE	MAX280CWE+	SOIC-16W	1	5	Capacités commutées	Passe-bas	Butterworth	Horloge	10,75	5,45	5,02
◆ 700-MAX281ACWE	MAX281ACWE+	SOIC-16W	1	5	Capacités commutées	Passe-bas	Bessel	Horloge	13,08	6,63	6,11
◆ 700-MAX7408EUA	MAX7408EUA+	µMAX-8	1	5	Capacités commutées	Passe-bas	Elliptique	Horloge	4,60	3,07	2,22
◆ 700-MAX7409EUA	MAX7409EUA+	µMAX-8	1	5	Capacités commutées	Passe-bas	Bessel	Horloge	4,60	3,07	2,22
◆ 700-MAX7410EUA	MAX7410EUA+	µMAX-8	1	5	Capacités commutées	Passe-bas	Butterworth	Horloge	4,60	3,07	2,22
◆ 700-MAX7411EUA	MAX7411EUA+	µMAX-8	1	5	Capacités commutées	Passe-bas	Elliptique	Horloge	4,60	3,07	2,22
◆ 700-MAX7412EUA	MAX7412EUA+	µMAX-8	1	5	Capacités commutées	Passe-bas	Elliptique	Horloge	4,60	3,07	2,22
700-MAX7413EUA	MAX7413EUA+	µMAX-8	1	5	Capacités commutées	Passe-bas	Bessel	Horloge	4,60	3,07	2,22
◆ 700-MAX7414EUA	MAX7414EUA+	µMAX-8	1	5	Capacités commutées	Passe-bas	Butterworth	Horloge	4,60	3,07	2,22
◆ 700-MAX7419EUA	MAX7419EUA+	µMAX-8	1	5	Capacités commutées	Passe-bas	Bessel	Horloge	7,43	3,77	3,47
◆ 700-MAX7420EUA	MAX7420EUA+	µMAX-8	1	5	Capacités commutées	Passe-bas	Butterworth	Horloge	7,43	3,77	3,47
700-MAX7421EUA	MAX7421EUA+	µMAX-8	1	5	Capacités commutées	Passe-bas	Elliptique	Horloge	7,43	3,77	3,47
◆ 700-MAX7422EUA	MAX7422EUA+	µMAX-8	1	5	Capacités commutées	Passe-bas	Elliptique	Horloge	7,43	3,77	3,47
700-MAX7423EUA	MAX7423EUA+	µMAX-8	1	5	Capacités commutées	Passe-bas	Bessel	Horloge	7,43	3,77	3,47
◆ 700-MAX7424CUA	MAX7424CUA+	µMAX-8	1	5	Capacités commutées	Passe-bas	Butterworth	Horloge	6,19	4,13	2,99
◆ 700-MAX7424EUA	MAX7424EUA+	µMAX-8	1	5	Capacités commutées	Passe-bas	Butterworth	Horloge	7,43	3,77	3,47
◆ 700-MAX7425EUA	MAX7425EUA+	µMAX-8	1	5	Capacités commutées	Passe-bas	Elliptique	Horloge	7,43	3,77	3,47
◆ 700-MAX7426EUA	MAX7426EUA+	µMAX-8	1	5	Capacités commutées	Passe-bas	Elliptique	Horloge	3,04	1,54	1,42
◆ 700-MAX7427EUA	MAX7427EUA+	µMAX-8	1	5	Capacités commutées	Passe-bas	Elliptique	Horloge	3,04	1,54	1,42
◆ 700-MAX280EWE	MAX280EWE+	WSOIC-16	1	5	Capacités commutées	Passe-bas	Butterworth	Horloge	14,66	7,08	6,51
◆ 700-MAX7410CUA	MAX7410CUA+	µMAX-8	1	5	Capacités commutées	Passe-bas	Butterworth	Horloge	3,84	1,95	1,79
◆ 700-MAX7413CUA	MAX7413CUA+	µMAX-8	1	5	Capacités commutées	Passe-bas	Bessel	Horloge	2,71	1,95	1,79
◆ 700-MAX7419CUA	MAX7419CUA+	µMAX-8	1	5	Capacités commutées	Passe-bas	Bessel	Horloge	4,15	3,30	2,83
◆ 700-MAX7427CUA	MAX7427CUA+	µMAX-8	1	5	Capacités commutées	Passe-bas	Elliptique	Horloge	2,81	1,87	1,35
◆ 700-MAX7408EPA	MAX7408EPA+	PDIP-8	1	5	Capacités commutées	Passe-bas	Elliptique	Horloge	3,09	2,27	2,09
◆ 700-MAX291CSA	MAX291CSA+	SOIC 8 broches	1	8	Capacités commutées	Passe-bas	Butterworth	Horloge	7,59	3,85	3,54
◆ 700-MAX291EWE	MAX291EWE+	SOIC-16W	1	8	Capacités commutées	Passe-bas	Butterworth	Horloge	10,35	5,25	4,83
◆ 700-MAX292EWE	MAX292EWE+	SOIC-16W	1	8	Capacités commutées	Passe-bas	Bessel	Horloge	10,35	5,25	4,83
◆ 700-MAX293CSA	MAX293CSA+	SOIC 8 broches	1	8	Capacités commutées	Passe-bas	Elliptique	Horloge	8,42	5,61	4,07
◆ 700-MAX295CSA	MAX295CSA+	SOIC 8 broches	1	8	Capacités commutées	Passe-bas	Butterworth	Horloge	7,59	3,85	3,54
◆ 700-MAX295ESA	MAX295ESA+	SOIC 8 broches	1	8	Capacités commutées	Passe-bas	Butterworth	Horloge	10,37	6,91	5,01
◆ 700-MAX295EWE	MAX295EWE+	SOIC-16W	1	8	Capacités commutées	Passe-bas	Butterworth	Horloge	10,35	5,25	4,83
◆ 700-MAX296ESA	MAX296ESA+	SOIC 8 broches	1	8	Capacités commutées	Passe-bas	Bessel	Horloge	10,37	6,91	5,01
◆ 700-MAX296EWE	MAX296EWE+	SOIC-16W	1	8	Capacités commutées	Passe-bas	Bessel	Horloge	10,35	5,25	4,83
◆ 700-MAX297ESA	MAX297ESA+	SOIC 8 broches	1	8	Capacités commutées	Passe-bas	Elliptique	Horloge	10,47	5,30	4,88
◆ 700-MAX7400CSA	MAX7400CSA+	SOIC 8 broches	1	8	Capacités commutées	Passe-bas	Elliptique	Horloge	5,56	2,82	2,60
◆ 700-MAX7400ESA	MAX7400ESA+	SOIC 8 broches	1	8	Capacités commutées	Passe-bas	Elliptique	Horloge	6,71	4,47	3,24
◆ 700-MAX7401ESA	MAX7401ESA+	SOIC 8 broches	1	8	Capacités commutées	Passe-bas	Bessel	Horloge	6,71	4,47	3,24
◆ 700-MAX7403CSA	MAX7403CSA+	SOIC 8 broches	1	8	Capacités commutées	Passe-bas	Elliptique	Horloge	5,56	2,82	2,60
◆ 700-MAX7403ESA	MAX7403ESA+	SOIC 8 broches	1	8	Capacités commutées	Passe-bas	Elliptique	Horloge	6,71	4,47	3,24
◆ 700-MAX7480ESA	MAX7480ESA+	SOIC 8 broches	1	8	Capacités commutées	Passe-bas	Butterworth	Horloge	5,56	2,82	2,60
◆ 700-MAX292ESA	MAX292ESA+	NSOIC-8	1	8	Capacités commutées	Passe-bas	Bessel	Horloge	10,37	6,91	5,01
◆ 700-MAX294EWE	MAX294EWE+	WSOIC-16	1	8	Capacités commutées	Passe-bas	Elliptique	Horloge	7,69	5,68	4,81
700-MAX297EWE	MAX297EWE+	WSOIC-16	1	8	Capacités commutées	Passe-bas	Elliptique	Horloge	10,98	5,57	5,12
◆ 700-MAX7405ESA	MAX7405ESA+	NSOIC-8	1	8	Capacités commutées	Passe-bas	Bessel	Horloge	6,71	4,47	3,24
◆ 700-MAX7407ESA	MAX7407ESA+	NSOIC-8	1	8	Capacités commutées	Passe-bas	Elliptique	Horloge	6,71	4,47	3,24
700-MAX291CPA	MAX291CPA+	PDIP-8	1	8	Capacités commutées	Passe-bas	Butterworth	Horloge	7,59	3,85	3,54
700-MAX293CPA	MAX293CPA+	PDIP-8	1	8	Capacités commutées	Passe-bas	Elliptique	Horloge	8,42	4,07	3,74
700-MAX293EPA	MAX293EPA+	PDIP-8	1	8	Capacités commutées	Passe-bas	Elliptique	Horloge	10,47	5,30	4,88
700-MAX294EPA	MAX294EPA+	PDIP-8	1	8	Capacités commutées	Passe-bas	Elliptique	Horloge	7,33	5,41	4,58
700-MAX295CPA	MAX295CPA+	PDIP-8	1	8	Capacités commutées	Passe-bas	Butterworth	Horloge	5,31	3,85	3,32
700-MAX296CPA	MAX296CPA+	PDIP-8	1	8	Capacités commutées	Passe-bas	Bessel	Horloge	7,98	3,85	3,54
700-MAX297EPA	MAX297EPA+	PDIP-8	1	8	Capacités commutées	Passe-bas	Elliptique	Horloge	7,33	5,30	4,58
700-MAX7400EPA	MAX7400EPA+	PDIP-8	1	8	Capacités commutées	Passe-bas	Elliptique	Horloge	6,71	3,31	3,04
700-MAX7401CPA	MAX7401CPA+	PDIP-8	1	8	Capacités commutées	Passe-bas	Bessel	Horloge	5,84	2,88	2,65
700-MAX7403CPA	MAX7403CPA+	PDIP-8	1	8	Capacités commutées	Passe-bas	Elliptique	Horloge	5,84	2,88	2,65
700-MAX7404CPA	MAX7404CPA+	PDIP-8	1	8	Capacités commutées	Passe-bas	Elliptique	Horloge	5,84	2,88	2,65
700-MAX7404EPA	MAX7404EPA+	PDIP-8	1	8	Capacités commutées	Passe-bas	Elliptique	Horloge	6,71	3,31	3,04
700-MAX275BCWP	MAX275BCWP+	SOIC-20W	2	2	Continu	Bande passante/passe-bas	Programmable	Résistance	8,34	5,56	4,03
700-MAX275BEWP	MAX275BEWP+	SOIC-20W	2	2	Continu	Bande passante/passe-bas	Programmable	Résistance	10,30	5,22	4,81
700-MAX275BCPP	MAX275BCPP+	PDIP-20	2	2	Continu	Bande passante/passe-bas	Programmable	Résistance	8,34	5,56	4,03
700-MAX275ACWP	MAX275ACWP+	WSOIC-20	2	2	Continu	Passe-bas	Programmable	Résistance	9,16	4,51	4,15
700-MAX268BCWG	MAX268BCWG+	WSOIC-24	2	2	Capacités commutées	Bande passante	Programmable	Pin Strap	19,98	9,65	8,88
700-MAX268BEWG	MAX268BEWG+	WSOIC-24	2	2	Capacités commutées	Bande passante	Programmable	Pin Strap	24,77	12,56	11,56
700-MAX267BENG	MAX267BENG+	PDIP-8	2	2	Capacités commutées	Bande passante	Programmable	Pin Strap	24,17	11,68	10,75
700-MAX7490EEE	MAX7490EEE+	QSOP-16	2	2	Capacités commutées	Universel	Programmable	Horloge	7,68	3,89	3,59
700-MAX7491EEE	MAX7491EEE+	QSOP-16	2	2	Capacités commutées	Universel	Programmable	Horloge	7,68	3,89	3,59
700-MAX260BCWG	MAX260BCWG+	WSO-28	2	2	Capacités commutées	Universel	Programmable	Bus µP	20,43	9,87	9,08
700-MAX261BENG	MAX261BENG+	PDIP-24	2	2	Capacités commutées	Universel	Programmable	Bus µP	23,03	11,68	10,75
700-MAX274BCWI	MAX274BCWI+	SOIC-28W	4	2	Continu	Bande passante/passe-bas	Programmable	Résistance	12,73	6,46	5,94
700-MAX274BEWI	MAX274BEWI+	SOIC-28W	4	2	Continu	Bande passante/passe-bas	Programmable	Résistance	16,85	8,55	7,86
Outils de développement		Description									
700-MAXFILTERBRD+	MAXFILTERBRD+	PCB non peuplé pour évaluer les cartes de 5ème ordre MAX7408–MAX7415/MAX7418–MAX7425, passe-bas, filtres à capacités commutées (SCF)							44,06	-	-

ÉMETTEURS-RÉCEPTEURS CONTRÔLEURS DE ZONE DE RÉSEAU (CAN)

◆ **Composant pour montage en surface**

Pour des quantités supérieures à celles indiquées, appelez-nous afin d'obtenir un devis.

RÉF. STOCK MOUSER	Réf. Maxim	Boîtier	Pilotes par boîtier	Récepteurs par boîtier	I_{CC} (Mode dominant) (mA)	I_{CC} (Mode récessif) (mA)	I_{CC} (Arrêt)(µA)	Tension d'alimentation	DES (kV)	Prix unitaire 1	25	100
◆ 700-MAX3050ASA	MAX3050ASA+	SOIC 8 broches	1	1	6	5,5	15	5	3	3,39	1,72	1,58
◆ 700-MAX3053ESA	MAX3053ESA+	SOIC 8 broches	1	1	6	5,5	15	5	3	3,39	1,72	1,58
◆ 700-MAX3057ASA	MAX3057ASA+	SOIC 8 broches	1	1	6	5,5	15	5	3	3,39	1,72	1,58
◆ 700-MAX3059ASA	MAX3059ASA+	SOIC 8 broches	1	1	40	2	15	5	-	1,46	0,741	0,681
◆ 700-MAX3058ASA	MAX3058ASA+	SOIC 8 broches	1	1	40	2	15	5	-	1,34	0,681	0,627
700-MAX3051ESA	MAX3051ESA+	SO-8	1	1	70	5	15	3,3	-	2,00	1,01	0,932
700-MAX13054ASA	MAX13054ASA+	SOIC 8 broches	1	1	72	5	11	5	6	3,89	1,91	1,77
700-MAX13053ESA	MAX13053ESA+	SOIC 8 broches	1	1	72	5	12500	5	6	3,04	1,50	1,38
700-MAX13052ESA	MAX13052ESA+	SOIC 8 broches	1	1	80	5	25	5	6	2,90	1,47	1,35
700-MAX13041ASD	MAX13041ASD+	SOIC-14	1	1	80	6	1,8	5	12	2,20	1,30	1,13

ÉMETTEURS-RÉCEPTEURS LOCAL INTERCONNECT NETWORK (LIN)

◆ **Composant pour montage en surface**

Pour des quantités supérieures à celles indiquées, appelez-nous afin d'obtenir un devis.

RÉF. STOCK MOUSER	Réf. Maxim	Boîtier	Protection contre les pannes (±V)	Protection DES (HBM) (±kV)	Tolérance aux défauts	I_{CC} (mode dominant) (mA)	I_{CC} (Arrêt) (µA)	Horloge de données (Kbps)	Caractéristiques techniques	Prix unitaire 1	25	100
◆ 700-MAX13020ASA	MAX13020ASA+	SOICN-8	60	12	Oui	1	4	20	Arrêt automatique	1,95	0,99	0,908
◆ 700-MAX13021ASA	MAX13021ASA+	SOICN-8	60	12	Oui	1	4	20	Gestion Arrêt automatique, bus LIN dom.	2,05	1,37	0,99

© Copyright 2012 Mouser Electronics

© Copyright 2012 Mouser Electronics

CI analogiques MAXIM

RoHS Compliant **This product is RoHS compliant.**

MAXIM INNOVATION DELIVERED

HORLOGES EN TEMPS RÉEL

◆ **Composant pour montage en surface**

Pour des quantités supérieures à celles indiquées, appelez-nous afin d'obtenir un devis.

RÉF. STOCK MOUSER	Réf. Maxim	Boîtier	Plage d'alimentation (V)	Interface bus	Densité de mémoire (octets)	Mémoire de boîtier	C_L (pF)	Heure des Alarmes journalières	Courant de maintien du temps (nA) (Typ.)	Prix unitaire 1	25	100
700-DS1904L-F5#	DS1904L-F5#	MicroCan	-	1 fil	64 BITS	ROM uniquement	-	-	-	8,66	4,27	3,93
◆ 700-DS1393U-18	DS1393U-18+	µMAX-10	1,8	3 fils	-	Aucun	6	1	500	3,18	1,62	1,49
◆ 700-DS1392U-33	DS1392U-33+	µMAX-10	3,3	3 fils	-	Aucun	6	1	500	3,18	1,62	1,49
◆ 700-DS1677E	DS1677E+	TSSOP-20	5	3 fils	-	Aucun	6	1	300	8,82	4,47	4,12
◆ 700-DS1306EN	DS1306EN+	TSSOP-20	2, 3, 3.3, 5	SPI 3 fils	96	NV SRAM	6	2	450	5,23	2,66	2,44
700-DS1305	DS1305+	PDIP 16	2 ; 3 ; 3,3 ; 5	SPI 3 fils	96	NV SRAM	6	2	450	4,74	2,40	2,21
◆ 700-DS1305E	DS1305E+	TSSOP-20	2 ; 3 ; 3,3 ; 5	SPI 3 fils	96	NV SRAM	6	2	450	4,74	2,40	2,21
◆ 700-DS1305EN	DS1305EN+	TSSOP-20	2 ; 3 ; 3,3 ; 5	SPI 3 fils	96	NV SRAM	6	2	450	5,21	2,64	2,43
700-DS1305N	DS1305N+	PDIP 16	2 ; 3 ; 3,3 ; 5	SPI 3 fils	96	NV SRAM	6	2	450	5,23	2,66	2,44
700-DS1306	DS1306+	PDIP 16	2 ; 3 ; 3,3 ; 5	SPI 3 fils	96	NV SRAM	6	2	450	4,74	2,40	2,21
◆ 700-DS1306E	DS1306E+	TSSOP-20	2 ; 3 ; 3,3 ; 5	SPI 3 fils	96	NV SRAM	6	2	450	4,74	2,40	2,21
700-DS1306N	DS1306N+	PDIP 16	2 ; 3 ; 3,3 ; 5	SPI 3 fils	96	NV SRAM	6	2	450	5,23	2,66	2,44
700-DS1747-70	DS1747-70+	eDIP-24	3,3 ; 5	Bytewide	512 Ko	NV SRAM	-	0	-	30,45	23,93	21,57
700-DS1744W-120IND	DS1744W-120IND+	eDIP-24	3,3 ; 5	Bytewide	32 Ko	NV SRAM	-	0	-	20,63	16,20	14,61
700-DS1248Y-70	DS1248Y-70+	eDIP-24	3,3 ; 5	Bytewide	128 Ko	NV SRAM	-	0	-	24,89	19,55	17,61
700-DS1553WP-120	DS1553WP-120+	PCAP-34	3.3,5	Bytewide	8 Ko	NV SRAM	-	1	-	18,05	14,18	12,79
◆ 700-DS1501WE	DS1501WE+	TSSOP-28	3,3 ; 5	Bytewide	256	NV SRAM	6 ; 12,5	1	-	10,75	5,45	5,02
700-DS1511W	DS1511W+	DIP-28	3,3 ; 5	Bytewide	256	NV SRAM	-	1	-	18,55	9,41	8,65
◆ 700-DS1339U-3	DS1339U-3+	µMAX-8	3	I2C	-	Aucun	6	2	400	2,88	1,46	1,34
◆ 700-DS1340Z-3	DS1340Z-3+	SOIC-8	3	I2C	-	Aucun	12,5	0	800	2,87	1,91	1,39
◆ 700-DS1338C-3#-	DS1338C-3#	SOIC-16	3	I2C	56	NV SRAM	12,5	0	800	5,07	2,57	2,37
◆ 700-DS1338Z-3	DS1338Z-3+	SOIC-8	3	I2C	56	NV SRAM	12,5	0	800	2,73	1,39	1,28
◆ 700-DS1388Z-33	DS1388Z-33+	SOIC-8	3,3	I2C	512	EEPROM	6	0	410	4,47	2,98	2,15
◆ 700-DS1339C-33#	DS1339C-33#	SOIC-16	3,3	I2C	-	Aucun	6	2	400	5,33	2,71	2,48
◆ 700-DS1339U-33	DS1339U-33+	µMAX-8	3,3	I2C	-	Aucun	6	2	400	2,88	1,46	1,34
◆ 700-DS1340C-33#	DS1340C-33#	SOIC-16	3,3	I2C	-	Aucun	12,5	0	800	5,07	2,57	2,37
◆ 700-DS1340U-33	DS1340U-33+	µMAX-8	3,3	I2C	-	Aucun	12,5	0	800	2,87	1,91	1,39
◆ 700-DS1340Z-33	DS1340Z-33+	SOIC-8	3,3	I2C	-	Aucun	12,5	0	800	2,87	1,91	1,39
◆ 700-DS1374C-33#	DS1374C-33#	SOIC-16	3,3	I2C	-	Aucun	6	1	400	5,75	2,92	2,68
◆ 700-DS1338C-33#	DS1338C-33#	SOIC-16	3,3	I2C	56	NV SRAM	12,5	0	800	5,07	2,57	2,37
◆ 700-DS1338U-33	DS1338U-33+	µMAX-8	3,3	I2C	56	NV SRAM	12,5	0	800	2,73	1,39	1,28
◆ 700-DS1338Z-33	DS1338Z-33+	SOIC-8	3,3	I2C	56	NV SRAM	12,5	0	800	2,87	1,91	1,39
◆ 700-DS1388Z-5	DS1388Z-5+	SO-8	5	I2C	512	EEPROM	6	0	410	4,47	2,98	2,15
◆ 700-DS1678S	DS1678S+	SO-8	5	I2C	-	Aucun	12,5	1	300	6,77	3,43	3,16
700-DS1307	DS1307+	PDIP-8	5	I2C	56	NV SRAM	12,5	0	300	3,32	1,68	1,55
700-DS1307N	DS1307N+	PDIP-8	5	I2C	56	NV SRAM	12,5	0	300	3,68	1,86	1,72
◆ 700-DS1307Z	DS1307Z+	SOIC-8	5	I2C	56	NV SRAM	12,5	0	300	2,92	1,49	1,36
◆ 700-DS1307ZN	DS1307ZN+	SOIC-8	5	I2C	56	NV SRAM	12,5	0	300	3,68	1,86	1,72
◆ 700-DS1342U	DS1342U+	µSOP-8	1,8 ; 5,5	I2C	-	Aucun	6	2	320	2,63	1,82	1,17
◆ 700-DS1375T	DS1375T+	TDFN-6	1,8 ; 2 ; 3 ; 3,3 ; 5	I2C	-	Aucun	-	2	-	1,25	0,634	0,582
◆ 700-DS1341U	DS1341U+	µMAX-8	1,8 ; 5,5	I2C	-	Aucun	6	2	320	1,30	1,21	1,13
◆ 700-DS1337C#	DS1337C#	SOIC-16	2 ; 3 ; 3,3 ; 5	I2C	-	Aucun	6	2	425	4,85	3,23	2,34
700-DS1337	DS1337+	PDIP-8	2 ; 3 ; 3,3 ; 5	I2C	-	Aucun	6	2	425	2,25	1,50	1,09
◆ 700-DS1337S	DS1337S+	SOIC-8	2 ; 3 ; 3,3 ; 5	I2C	-	Aucun	6	2	425	2,25	1,50	1,09
◆ 700-DS1337U	DS1337U+	µMAX-8	2 ; 3 ; 3,3 ; 5	I2C	-	Aucun	6	2	425	2,25	1,50	1,09
◆ 700-DS3232S#	DS3232S#	SOIC 20 broches	2,3 ; 3 ; 3,3 ; 5,5	I2C	536	NV SRAM	-	2	1500	7,12	3,61	3,32
◆ 700-DS3232SN#	DS3232SN#	SOIC 20 broches	2,3 ; 3 ; 3,3 ; 5,5	I2C	236	NV SRAM	-	2	1500	8,60	5,73	4,16
◆ 700-DS3231M+	DS3231M+	SOIC-16	2,3 ; 5,5	I2C	-	Aucun	-	2	2000	7,17	3,64	3,34
◆ 700-DS3231S#	DS3231S#	SOIC-16	2,3 ; 5,5	I2C	-	Aucun	-	2	840	6,93	3,51	3,23
◆ 700-DS3231SN#	DS3231SN#	SOIC-16	2,3 ; 5,5	I2C	-	Aucun	-	2	840	8,37	5,58	4,04
700-DS17287-3	DS17287-3+	eDIP-24	3	Multiplexé	2K	NV SRAM	-	1	-	16,01	8,12	7,47
◆ 700-DS1685S-3	DS1685S-3+	SOIC-24	3	Multiplexé	242	NV SRAM	6 ; 12,5	1	400	5,70	2,90	2,66
700-DS12CR887-33	DS12CR887-33+	eDIP-24	3,3	Multiplexé	114	NV SRAM	-	1	-	9,03	4,70	4,32
700-DS12885	DS12885+	PDIP-24W	5	Multiplexé	114	NV SRAM	6	1	225	6,88	3,49	3,21
700-DS12885N	DS12885N+	PDIP-24W	5	Multiplexé	114	NV SRAM	6	1	225	6,45	4,30	3,11
◆ 700-DS12885Q	DS12885Q+	PLCC 28 broches	5	Multiplexé	114	NV SRAM	6	1	225	7,14	3,62	3,33
◆ 700-DS12885QN	DS12885QN+	PLCC 28 broches	5	Multiplexé	114	NV SRAM	6	1	225	8,61	5,74	4,17
◆ 700-DS12885S	DS12885S+	SOIC-24W	5	Multiplexé	114	NV SRAM	6	1	225	6,88	3,49	3,21
700-DS12887	DS12887+	PDIP 24	5	Multiplexé	114	NV SRAM	-	1	-	8,75	4,44	4,08
700-DS12887A	DS12887A+	PDIP 24	5	Multiplexé	114	NV SRAM	-	1	-	8,75	4,44	4,08
700-DS12CR887-5+	DS12CR887-5+	eDIP-24	5	Multiplexé	114	NV SRAM	-	1	-	9,73	4,70	4,32
700-DS12C887	DS12C887+	eDIP-24	5	Multiplexé	113	NV SRAM	-	1	-	8,53	4,44	4,08
700-DS12C887A	DS12C887A+	eDIP-24	5	Multiplexé	113	NV SRAM	-	1	-	9,13	4,74	4,36
700-DS17887-5	DS17887-5+	DIP-24	3,5	Multiplexé	8 Ko	NV SRAM	-	1	-	20,86	10,58	9,74
700-DS17487-5	DS17487-5+	DIP-24	3,5	Multiplexé	4 Ko	NV SRAM	-	1	-	16,48	8,36	7,69
◆ 700-DS17285SN-5	DS17285SN-5+	SOIC-24W	3,5	Multiplexé	2K	NV SRAM	6	1	300	9,26	4,70	4,32
700-DS17287-5	DS17287-5+	DIP-24	3,5	Multiplexé	2K	NV SRAM	-	1	-	16,01	8,12	7,47
700-DS1685-5IND	DS1685-5IND+	PDIP-24W	3,5	Multiplexé	242	NV SRAM	6 ; 12,5	1	400	6,79	3,44	3,17
◆ 700-DS1685E-3	DS1685E-3+	TSSOP-24	3,5	Multiplexé	242	NV SRAM	6 ; 12,5	1	400	5,73	2,90	2,67
◆ 700-DS1685S-5	DS1685S-5+	SOIC-24W	3,5	Multiplexé	242	NV SRAM	6 ; 12,5	1	400	5,70	2,90	2,66
700-DS1687-5IND	DS1687-5IND+	DIP-24	3,5	Multiplexé	242	NV SRAM	-	1	-	16,61	11,07	8,02
◆ 700-DS1390U-3	DS1390U-3+	µMAX-10	3	SPI	-	Aucun	6	1	500	3,18	1,62	1,49
◆ 700-DS1390U-33	DS1390U-33+	µMAX-10	3,3	SPI	-	Aucun	6	1	500	3,18	1,62	1,49
◆ 700-DS1391U-33	DS1391U-33+	µMAX-10	3,3	SPI	-	Aucun	6	1	500	3,18	1,62	1,49
◆ 700-DS1394U-33	DS1394U-33+	µSOP-10	3,3	SPI	-	Aucun	6	1	500	3,18	1,62	1,49
◆ 700-DS3234S#	DS3234S#	SOIC 20 broches	2,7 ; 3 ; 3,3 ; 5	SPI	256	NV SRAM	-	2	1500	7,12	3,61	3,32
◆ 700-DS3234SN#	DS3234SN#	SOIC 20 broches	2,7 ; 3 ; 3,3 ; 5	SPI	256	NV SRAM	-	2	1500	8,60	5,73	4,16

OSCILLATEURS À CRISTAUX

◆ **Composant pour montage en surface**

Pour des quantités supérieures à celles indiquées, appelez-nous afin d'obtenir un devis.

RÉF. STOCK MOUSER	Réf. Maxim	Boîtier	Fréq. (MHz)	Type d'oscillateur	Fréq. Boîtier sortie	Stabilité fréq. (±ppm/tr) de -40 à 85 °C	vs. V_{CC}	vs. Vieillissement	Tension d'alimentation (V)	Prix unitaire 1	25	100
◆ 700-DS4125P	DS4125P+	LCCC-10	125	XO	LVPECL	35	±3 (max)	7 (de 0 à 15 ans)	3,3	17,94	9,10	8,37
◆ 700-DS4150D	DS4150D+	LCCC-10	150	XO	LVDS	35	±3 (max)	7 (de 0 à 15 ans)	3,3	19,41	9,37	8,62
◆ 700-DS4150P	DS4150P+	LCCC-10	150	XO	LVPECL	35	±3 (max)	7 (de 0 à 15 ans)	3,3	19,41	9,37	8,62
◆ 700-DS4155D	DS4155D+	LCCC-10	155,52	XO	LVDS	35	±3 (max)	7 (de 0 à 15 ans)	3,3	18,48	9,37	8,62
◆ 700-DS4155P	DS4155P+	LCCC-10	155,52	XO	LVPECL	35	±3 (max)	7 (de 0 à 15 ans)	3,3	18,48	9,37	8,62
◆ 700-DS4156D	DS4156D+	LCCC-10	156,25	XO	LVDS	35	±3 (max)	7 (de 0 à 15 ans)	3,3	18,48	9,37	8,62
◆ 700-DS4156P	DS4156P+	LCCC-10	156,25	XO	LVPECL	35	±3 (max)	7 (de 0 à 15 ans)	3,3	18,48	9,37	8,62

© Copyright 2012 Mouser Electronics

© Copyright 2012 Mouser Electronics

CI analogiques MAXIM

RoHS Compliant This product is RoHS compliant.

MAXIM INNOVATION DELIVERED

OSCILLATEURS À CRISTAUX (SUITE)

♦ Composant pour montage en surface

Pour des quantités supérieures à celles indiquées, appelez-nous afin d'obtenir un devis.

RÉF. STOCK MOUSER	Réf. Maxim	Boîtier	Fréq. (MHz)	Type d'oscillateur	Fréq. Type de sortie	Stabilité fréq. (±ppm/tr)			Tension d'alimentation (V)	Prix unitaire		
						de -40 à 85 °C	vs. V_{CC}	vs. Vieillissement		1	25	100
♦ 700-DS4776D	DS4776D+	LCCC-10	77,66	XO	LVDS / LVPECL	35	±3 (max)	7 (de 0 à 15 ans)	3,3	19,80	10,04	9,24
♦ 700-DS4776P	DS4776P+	LCCC-10	77,66	XO	LVDS / LVPECL	35	±3 (max)	7 (de 0 à 15 ans)	3,3	19,80	10,04	9,24
♦ 700-DS4625P125/125	DS4625P+125/125	LCCC-10	125	XO	LVPECL	35	±3 (max)	7 (de 0 à 15 ans)	3,3	13,31	10,35	9,61
♦ 700-DS4625P150/150	DS4625P+150/150	LCCC-10	150	XO	LVPECL	35	±3 (max)	7 (de 0 à 15 ans)	3,3	13,31	10,35	9,61
♦ 700-DS4160P	DS4160P+	LCCC-10	160	XO	LVPECL	35	±3 (max)	7 (de 0 à 15 ans)	3,3	18,48	9,37	8,62
♦ 700-DS4311D	DS4311D+	LCCC-10	311,04	XO	LVDS / LVPECL	35	±3 (max)	7 (de 0 à 15 ans)	3,3	22,18	11,25	10,35
♦ 700-DS4311P	DS4311P+	LCCC-10	311,04	XO	LVDS / LVPECL	35	±3 (max)	7 (de 0 à 15 ans)	3,3	22,18	11,25	10,35
♦ 700-DS4312D	DS4312D+	LCCC-10	312,5	XO	LVDS / LVPECL	35	±3 (max)	7 (de 0 à 15 ans)	3,3	22,18	11,25	10,35
♦ 700-DS4622D	DS4622D+	LCCC-10	622,08	XO	LVDS / LVPECL	35	±3 (max)	7 (de 0 à 15 ans)	3,3	17,64	13,86	12,49
♦ 700-DS4622P	DS4622P+	LCCC-10	622,08	XO	LVDS / LVPECL	35	±3 (max)	7 (de 0 à 15 ans)	3,3	17,64	13,86	12,49
♦ 700-DS4625P100/150	DS4625P+100/150	LCCC-10	100/150	XO	LVPECL	35	±3 (max)	7 (de 0 à 15 ans)	3,3	13,45	10,56	9,51
♦ 700-DS4625P125/156	DS4625P+125/156	LCCC-10	125/156	XO	LVPECL	35	±3 (max)	7 (de 0 à 15 ans)	3,3	13,31	10,35	9,61
♦ 700-DS4625P150/200	DS4625P+150/200	LCCC-10	150/200	XO	LVPECL	35	±3 (max)	7 (de 0 à 15 ans)	3,3	14,14	11,00	10,21
♦ 700-DS32KHZS#	DS32KHZS#	SO-16	32,768 kHz	TCXO	CMOS Push-Pull	2	2,5 (Typ.)	1 (Première année)	4,5 - 5,5	6,93	3,51	3,23
♦ 700-DS32KHZSN#-	DS32KHZSN#	SO-16	32,768 kHz	TCXO	CMOS Push-Pull	2	2,5 (Typ.)	1 (Première année)	4,5 - 5,5	8,37	5,58	4,04

OSCILLATEURS SILICONE

♦ Composant pour montage en surface

RÉF. STOCK MOUSER	Réf. Maxim	Boîtier	f_{SORTIE} Max (MHz)	f_{SORTIE} Min (kHz)	Δf_{SORTIE} (%)	Prog. utilisateur (f_{OUT})	Largeur de spectre	V_{CC} (V)	Réinitialisation désactivée	Prix unitaire		
										1	25	100
♦ 700-DS1099U-CD	DS1099U-CD+	µMAX-8	1,048	0,00025	-	Aucun	Non	2,7 - 5,5	Non	1,04	0,693	0,503
♦ 700-DS1077LZ-40	DS1077LZ-40+	SO-8	66,6	4,87	±1,25 (de 0 à 70°C)	I2C	Non	2,7 - 3,6	Non	2,86	1,91	1,39
♦ 700-DS1077U-100	DS1077U-100+	µSOP-8	66,6	4,87	±1,25 (de 0 à 70°C)	I2C	Non	2,7 - 3,6	Non	2,87	1,91	1,39
♦ 700-DS1077Z-133	DS1077Z-133+	SO-8	66,6	4,87	±1,25 (de 0 à 70°C)	I2C	Non	2,7 - 3,6	Non	2,87	1,91	1,39
♦ 700-DS1091LUA-027	DS1091LUA-027+	µMAX-8	66,6	130	±1,2 (de 0 à 70°C) / ±1,75 (de -40 à 125°C)	Aucun	Oui	3-3,6	Non	1,56	0,789	0,726
♦ 700-DS1085Z-10	DS1085Z-10+	SO-8	133	8,1	±1 (de 0 à 70°C)	I2C	Non	4,75-5,25	Non	6,69	3,40	3,13
♦ 700-DS1086U	DS1086U+	µSOP-8	133	260	±1,25 (de 0 à 70°C)	I2C	Oui	4,75-5,25	Non	2,05	1,37	0,875
♦ 700-DS1086U-266	DS1086U-266+	µSOP-8	133	260	±1,25 (de 0 à 70°C)	I2C	Oui	4,75-5,25	Non	1,37	1,05	0,875

OSCILLATEUR À CONTRÔLE DE TENSION

♦ Composant pour montage en surface

RÉF. STOCK MOUSER	Réf. Maxim	Boîtier	Fréq. RF (MHz)		Pilote LO Sorties	Sorties pilote PLL	P_{SORTIE} (Min/Max.) (dBm)	V_{CC} (V)	I_{ALIM} (mA)	Prix unitaire		
			Min.	Max.						1	25	100
♦ 700-MAX2622EUA	MAX2622EUA+	µMAX-8	855	881	Non	Oui	-3/-3	2,7 - 5,5	9	3,16	1,77	1,63
♦ 700-MAX2750EUA	MAX2750EUA+	µMAX-8	2400	2500	Non	Oui	-3/-3	2,7 - 5,5	11,3	4,07	3,51	3,11

GÉNÉRATEURS D'HORLOGES

♦ Composant pour montage en surface

Pour des quantités supérieures à celles indiquées, appelez-nous afin d'obtenir un devis.

RÉF. STOCK MOUSER	Réf. Maxim	Boîtier	$f_{ENTRÉE}$ (MHz)		f_{SORTIE} (MHz)		Fréq. fixe ou continue	Niveaux de sortie	Sorties	PLL	Largeur de spectre	Instabilité en sortie (ps) RMS	Tension d'alimentation	Prix unitaire		
			Min.	Max.	Min.	Max.								1	25	100
♦ 700-MAX9485ETP	MAX9485ETP+	TQFN 56	5	30	27	27	Fixe	LVCMOS	3	1	Non	28	3,3	1,31	1,05	0,866
♦ 700-DS1083LR-U	DS1083LR-U+	TSOT-6	16	134	16	134	Suite	LVCMOS	1	1	Oui	75	3,3	2,08	1,39	0,941
♦ 700-MAX3673ETN	MAX3673ETN+	TQFN 56	61,44	307,2	61,44	307,2	Fixe	LVPECL	9	1	Non	0,3	3,3	9,97	-	-
♦ 700-MAX3671ETN	MAX3671ETN+	TQFN 56	62,5	312,5	62,5	312,5	Fixe	LVPECL	9	1	Non	0,3	3,3	9,28	-	-

HORLOGES DE MAINTIEN DU TEMPS

♦ Composant pour montage en surface

Pour des quantités supérieures à celles indiquées, appelez-nous afin d'obtenir un devis.

RÉF. STOCK MOUSER	Réf. Maxim	Boîtier	Plage d'alimentation (V)	Bus Interface	Densité de mémoire (octets)	Mémoire d'oscillateur	CL (pF)	Température de fonctionnement (°C)	Courant de maintien du temps (nA) (Typ.)	Prix unitaire		
										1	25	100
♦ 700-DS2417P	DS2417P+	TSOC-6	3 ; 3,3 ; 5	1 fil	-	Aucun	-	de 0 à +70	200	1,86	0,941	0,866
700-DS1302	DS1302+	PDIP 8 broches	2 ; 3 ; 3,3 ; 5	3 fils	31	NV SRAM	6	de 0 à +70	200	2,95	1,49	1,38
700-DS1302N	DS1302N+	PDIP 8 broches	2 ; 3 ; 3,3 ; 5	3 fils	31	NV SRAM	6	de -40 à +85	200	3,68	1,86	1,72
♦ 700-DS1302S	DS1302S+	SOIC 8 broches	2 ; 3 ; 3,3 ; 5	3 fils	31	NV SRAM	6	de 0 à +70	200	2,95	1,49	1,38
♦ 700-DS1302SN	DS1302SN+	SOIC 8 broches	2 ; 3 ; 3,3 ; 5	3 fils	31	NV SRAM	6	de -40 à +85	200	3,68	1,86	1,72
♦ 700-DS1302Z	DS1302Z+	SOIC 8 broches	2 ; 3 ; 3,3 ; 5	3 fils	31	NV SRAM	6	de 0 à +70	200	2,95	1,49	1,38
♦ 700-DS1302ZN	DS1302ZN+	SOIC 8 broches	2 ; 3 ; 3,3 ; 5	3 fils	31	NV SRAM	6	de -40 à +85	200	3,23	1,64	1,51
700-DS1746W-120	DS1746W-120+	DIP-32	3,3 ; 5	Bytewide	128 Ko	NV SRAM	-	de 0 à +70	-	23,36	18,36	16,54
700-DS1742W-120	DS1742W-120+	DIP 24 broches	3,3 ; 5	Bytewide	2 Ko	NV SRAM	-	de 0 à +70	-	22,72	11,53	10,60
700-DS1744-70	DS1744-70+	DIP 28 broches	3,3 ; 5	Bytewide	32 Ko	NV SRAM	-	de 0 à +70	-	19,46	15,43	13,91
700-DS1744W-120	DS1744W-120+	DIP 28 broches	3,3 ; 5	Bytewide	32 Ko	NV SRAM	-	de 0 à +70	-	19,46	15,43	13,91
700-DS1744WP-120	DS1744WP-120+	PCAP-34	3.3,5	Bytewide	32 Ko	NV SRAM	-	de 0 à +70	-	18,50	14,67	13,70
700-DS1747WP-120	DS1747WP-120+	PCAP-34	3.3,5	Bytewide	512 Ko	NV SRAM	-	de 0 à +70	-	29,48	23,17	20,86
700-DS1743W-120	DS1743W-120+	DIP 28 broches	3,3 ; 5	Bytewide	8 Ko	NV SRAM	-	de 0 à +70	-	15,15	11,90	10,73
700-DS1743W-150	DS1743W-150+	DIP 28 broches	3,3 ; 5	Bytewide	8 Ko	NV SRAM	-	de 0 à +70	-	16,67	12,08	11,11
700-DS1743WP-120	DS1743WP-120+	PCAP-34	3.3,5	Bytewide	8 Ko	NV SRAM	-	de 0 à +70	-	21,17	10,73	9,88
700-DS1672-33	DS1672-33+	PDIP 8 broches	2 ; 3 ; 3,3	I2C	-	Aucun	6	de 0 à +70	425	2,88	1,46	1,34
700-DS1315-5	DS1315-5+	PDIP 16 broches	3,3 ; 5	Horloge fantôme	-	Aucun	6	de 0 à +70	400	14,57	7,39	6,80
♦ 700-DS1315S-5	DS1315S-5+	SOIC-16W	3,3 ; 5	Horloge fantôme	-	Aucun	6	de 0 à +70	400	16,92	8,59	7,90
♦ 700-DS1315SN-5	DS1315SN-5+	SOIC-16W	3,3 ; 5	Horloge fantôme	-	Aucun	6	de -40 à +85	400	19,16	9,72	8,94

LIGNES À RETARD

♦ Composant pour montage en surface

RÉF. STOCK MOUSER	Réf. Maxim	Boîtier	Fonction	Taps	Total des retards (ns)	ALIM V (V)	ΔALIM V (V)	Prix unitaire		
								1	25	100
♦ 700-DS1100LU-250	DS1100LU-250+	µMAX-8	Exploité	5	17	3-3,6	±5%	6,88	3,49	3,21
♦ 700-DS1100LZ-200	DS1100LZ-200+	SO-8	Exploité	5	17	3-3,6	±5%	6,83	4,55	3,30
♦ 700-DS1100Z-125	DS1100Z-125+	SO-8	Exploité	5	17	5	±5%	5,63	2,85	2,63
♦ 700-DS1100Z-300	DS1100Z-300+	SO-8	Exploité	5	17	5	±5%	6,21	4,14	3,00

POTENTIOMÈTRES NUMÉRIQUES

♦ Composant pour montage en surface

Pour des quantités supérieures à celles indiquées, appelez-nous afin d'obtenir un devis.

RÉF. STOCK MOUSER	Réf. Maxim	Boîtier	Plage d'alimentation (V)	Répartition	POT	Taps	Option de résistance (kΩ)	Mémoire Wiper	Interface de contrôle	Prix unitaire		
										1	25	100
♦ 700-MAX5431AEUB	MAX5431AEUB+	µMAX-10	12 to 15	-	1	4	57	Volatile	Parallèle 2 fils	6,69	5,66	5,23
700-DS1866	DS1866+	PDIP 8 broches	de 2,7 à 5,5	Journal	1	8	10	Volatile	Parallèle 3 entrées	2,60	1,73	1,25
♦ 700-DS1866Z	DS1866Z+	SOIC 8 broches	de 2,7 à 5,5	Journal	1	8	10	Volatile	Parallèle 3 entrées	2,75	1,83	1,33
♦ 700-MAX5407EKAT	MAX5407EKA+T	SOT-8	de 2,7 à 5,5	Journal	1	32	20	Volatile	Direction+Horloge	1,56	1,17	1,02
♦ 700-MAX5160LEUA	MAX5160LEUA+	µMAX-8	de 2,7 à 5,5	Linéaire	1	32	50	Volatile	Série 3 câbles	1,30	0,965	0,80
♦ 700-MAX5161LEZTT	MAX5161LEZT+T	SOT-23-6	de 2,7 à 5,5	Linéaire	1	32	50	Volatile	Série 3 câbles	0,94	0,706	0,618
♦ 700-MAX5160MEUA	MAX5160MEUA+	µMAX-8	de 2,7 à 5,5	Linéaire	1	32	100	Volatile	Série 3 câbles	1,30	0,965	0,80
♦ 700-MAX5160NEUA	MAX5160NEUA+	µMAX-8	de 2,7 à 5,5	Linéaire	1	32	200	Volatile	Série 3 câbles	1,30	0,965	0,80
♦ 700-MAX5161NEZTT	MAX5161NEZT+T	SOT-23-6	de 2,7 à 5,5	Linéaire	1	32	200	Volatile	Série 3 câbles	0,94	0,706	0,618

© Copyright 2012 Mouser Electronics

© Copyright 2012 Mouser Electronics

POTENTIOMÈTRES NUMÉRIQUES (SUITE)

♦ **Composant pour montage en surface**

Pour des quantités supérieures à celles indiquées, appelez-nous afin d'obtenir un devis.

RÉF. STOCK MOUSER	Réf. Maxim	Boîtier	Plage d'alimentation (V)	Répartition	POT	Taps	Option de résistance (kΩ)	Mémoire Wiper	Interface de contrôle	Prix unitaire 1	25	100
♦ 700-MAX5429EUA	MAX5429EUA+	µMAX-8	de 2,7 à 5,5	Linéaire	1	32	10	Non volatile	Haut/Bas	1,11	0,957	0,932
♦ 700-MAX5467EUTT	MAX5467EUT+T	SOT-6	de 2,7 à 5,5	Linéaire	1	32	10	Volatile	Série 2 câbles	0,83	0,622	0,545
♦ 700-MAX5468EUTT	MAX5468EUT+T	SOT-6	de 2,7 à 5,5	Linéaire	1	32	10	Volatile	Série 2 câbles	0,83	0,622	0,545
♦ 700-MAX5434LEZTT	MAX5434LEZT+T	TSOT-6	de 2,7 à 5,25	Linéaire	1	32	50	Non-Volatile	Série 2 câbles	1,23	0,924	0,809
♦ 700-MAX5464EXTT	MAX5464EXT+T	SC-70-6	de 2,7 à 5,5	Linéaire	1	32	50	Volatile	Série 2 câbles	0,83	0,622	0,545
♦ 700-MAX5465EXTT	MAX5465EXT+T	SC-70-6	de 2,7 à 5,5	Linéaire	1	32	50	Volatile	Série 2 câbles	0,83	0,622	0,545
♦ 700-MAX5474EKAT	MAX5474EKA+T	SOT-8	de 2,7 à 5,25	Linéaire	1	32	50	Non volatile	Haut/Bas	1,11	0,842	0,736
♦ 700-MAX5461EXTT	MAX5461EXT+T	SC-70-6	de 2,7 à 5,5	Linéaire	1	32	100	Volatile	Série 2 câbles	0,83	0,629	0,549
♦ 700-MAX5462EXTT	MAX5462EXT+T	SC-70-6	de 2,7 à 5,5	Linéaire	1	32	100	Volatile	Série 2 câbles	0,83	0,622	0,545
♦ 700-MAX5475EKAT	MAX5475EKA+T	SOT-8	de 2,7 à 5,25	Linéaire	1	32	100	Non volatile	Haut/Bas	1,11	0,842	0,736
700-DS1809-010	DS1809-010+	DIP-8	de 4,5 à 5,5	Linéaire	1	64	10	Non volatile	Fermeture de contact	2,85	1,44	1,33
♦ 700-DS1809Z-010	DS1809Z-010+	SOIC-8	de 4,5 à 5,5	Linéaire	1	64	10	Non volatile	Fermeture de contact	2,97	1,51	1,39
700-DS1869-10	DS1869-10+	PDIP-8	de 2,7 à 8,0	Linéaire	1	64	10	Non volatile	Fermeture de contact	5,02	2,55	2,34
♦ 700-DS1869S-10	DS1869S-10+	SOIC-8	de 2,7 à 8,0	Linéaire	1	64	10	Non volatile	Fermeture de contact	5,23	2,66	2,44
♦ 700-MAX5529GUA	MAX5529GUA+	µMAX-8	de 2,7 à 5,5	Linéaire	1	64	10	Non volatile	Haut/Bas	0,96	0,842	0,825
700-DS1809-050	DS1809-050+	DIP-8	de 4,5 à 5,5	Linéaire	1	64	50	Non volatile	Fermeture de contact	2,85	1,44	1,33
700-DS1869-50	DS1869-50+	PDIPN-8	de 3 à 8	Linéaire	1	64	50	Non volatile	Fermeture de contact	5,02	2,55	2,34
♦ 700-DS1869S-50	DS1869S-50+	SOIC-8	de 2,7 à 8,0	Linéaire	1	64	50	Non volatile	Fermeture de contact	5,23	2,66	2,44
700-DS1869-100	DS1869-100+	PDIPN-8	de 3 à 8	Linéaire	1	64	100	Non volatile	Fermeture de contact	5,02	2,55	2,34
♦ 700-DS1869S-100	DS1869S-100+	SOIC-8	de 2,7 à 8,0	Linéaire	1	64	100	Non volatile	Fermeture de contact	5,23	2,66	2,44
700-DS1804-010	DS1804-010+	PDIP-8	de 2,7 à 5,5	Linéaire	1	100	10	Non volatile	Haut/Bas	2,90	1,93	1,40
♦ 700-DS1804U-010	DS1804U-010+	µMAX-8	de 2,7 à 5,5	Linéaire	1	100	10	Non volatile	Haut/Bas	3,06	1,55	1,43
♦ 700-DS1804Z-010	DS1804Z-010+	SOICN-8	de 3 à 5	Linéaire	1	100	10	Non volatile	Haut/Bas	2,88	1,46	1,34
700-DS1804-050	DS1804-050+	PDIP-8	de 2,7 à 5,5	Linéaire	1	100	50	Non volatile	Haut/Bas	2,90	1,93	1,40
♦ 700-DS1804U-050	DS1804U-050+	µMAX-8	de 3 à 5	Linéaire	1	100	50	Non volatile	Haut/Bas	3,06	1,55	1,43
♦ 700-DS1804Z-050	DS1804Z-050+	SOIC-8	de 2,7 à 5,5	Linéaire	1	100	50	Non volatile	Haut/Bas	2,88	1,46	1,34
700-DS1804-100	DS1804-100+	PDIP-8	de 2,7 à 5,5	Linéaire	1	100	100	Non volatile	Haut/Bas	2,90	1,93	1,40
♦ 700-DS1804U-100	DS1804U-100+	µMAX-8	de 2,7 à 5,5	Linéaire	1	100	100	Non volatile	Haut/Bas	3,06	1,55	1,43
♦ 700-DS1804Z-100	DS1804Z-100+	SOIC-8	de 2,7 à 5,5	Linéaire	1	100	100	Non volatile	Haut/Bas	2,88	1,46	1,34
♦ 700-DS3501U	DS3501U+	µMAX-10	2.7 to 15.5	Linéaire	1	128	10	Non volatile	I2C	1,06	0,538	0,495
♦ 700-MAX5128ELAT	MAX5128ELA+T	µDFN-8	de 2,7 à 5,5	Linéaire	1	128	22	Non volatile	Haut/Bas	1,36	1,02	0,891
♦ 700-MAX5436EUB	MAX5436EUB+	µMAX-10	de 10 à 30	Linéaire	1	128	50	Volatile	SPI série 3 câbles	6,93	3,51	3,23
♦ 700-MAX5437EUD	MAX5437EUD+	TSSOP-14	de 10 à 30	Linéaire	1	128	50	Volatile	SPI série 3 câbles	8,72	4,42	4,07
♦ 700-MAX5438EUB	MAX5438EUB+	µMAX-10	de 10 à 30	Linéaire	1	128	100	Volatile	SPI série 3 câbles	3,39	3,01	2,91
♦ 700-MAX5402EUA	MAX5402EUA+	µMAX-8	de 2,7 à 5,5	Linéaire	1	256	10	Volatile	Série 3 câbles	1,87	1,43	1,09
♦ 700-MAX5402EUAT	MAX5402EUA+T	µMAX-8	de 2,7 à 5,5	Linéaire	1	256	10	Volatile	Série 3 câbles	2,01	1,53	1,17
♦ 700-MAX5400EKAT	MAX5400EKA+T	SOT-8	de 2,7 à 5,5	Linéaire	1	256	50	Volatile	Série 3 câbles	1,77	1,33	1,16
♦ 700-MAX5417LETAT	MAX5417LETA+T	TFDN-8	de 2,7 à 5,25	Linéaire	1	256	50	Volatile	Série 2 câbles	2,54	1,91	1,67
♦ 700-MAX5417METAT	MAX5417META+T	TFDN-8	de 2,7 à 5,25	Linéaire	1	256	50	Volatile	Série 2 câbles	1,94	1,60	1,25
♦ 700-MAX5401EKAT	MAX5401EKA+T	SOT-8	de 2,7 à 5,5	Linéaire	1	256	100	Volatile	Série 3 câbles	1,77	1,33	1,16
♦ 700-MAX5418LETAT	MAX5418LETA+T	TFDN-8	de 2,7 à 5,25	Linéaire	1	256	100	Volatile	Série 2 câbles	2,52	1,90	1,66
♦ 700-MAX5423ETAT	MAX5423ETA+T	TFDN-8	de 2,7 à 5,25	Linéaire	1	256	100	Non-Volatile	SPI série 3 câbles	2,52	1,90	1,66
♦ 700-MAX5424ETAT	MAX5424ETA+T	TFDN-8	de 2,7 à 5,25	Linéaire	1	256	200	Non volatile	SPI série 3 câbles	2,54	1,91	1,67
♦ 700-MAX5481ETE	MAX5481ETE+	TQFN EP-16	de 2,7 à 5,25	Linéaire	1	1024	10	Non-Volatile	SPI série 3 câbles	2,66	2,36	2,16
♦ 700-MAX5481EUD	MAX5481EUD+	TSSOP-14	de 2,7 à 5,25	Linéaire	1	1024	10	Non-Volatile	SPI série 3 câbles	2,66	2,36	2,16
♦ 700-MAX5483ETE	MAX5483ETE+	TQFN EP-16	de 2,7 à 5,25	Linéaire	1	1024	10	Non-Volatile	SPI série 3 câbles	2,66	2,38	2,16
♦ 700-MAX5483EUD	MAX5483EUD+	TSSOP-14	de 2,7 à 5,25	Linéaire	1	1024	10	Non-Volatile	SPI série 3 câbles	2,66	2,36	2,16
♦ 700-MAX5482EUD	MAX5482EUD+	TSSOP-14	de 2,7 à 5,25	Linéaire	1	1024	50	Non-Volatile	SPI série 3 câbles	2,66	2,36	2,16
♦ 700-MAX5484EUD	MAX5484EUD+	TSSOP-14	de 2,7 à 5,25	Linéaire	1	1024	50	Non-Volatile	SPI série 3 câbles	2,66	2,36	2,16
♦ 700-MAX5410EEE	MAX5410EEE+	QSOP-16	de 4,5 à 5,5	Journal	2	32	10	Volatile	SPI série 3 câbles	4,03	2,61	2,40
♦ 700-MAX5456EEE	MAX5456EEE+	QSOP-16	de 2,7 à 5,5	Journal	2	32	10	Volatile	PB validé	2,34	2,03	1,89
♦ 700-MAX5457EEE	MAX5457EEE+	QSOP-16	de 2,7 à 5,5	Journal	2	32	10	Volatile	PB validé Haut/Bas	2,34	2,03	1,89
♦ 700-DS1808Z-050	DS1808Z-050+	SOIC-16	de 4,5 à 5,5	Journal	2	32	45	Volatile	2 câbles adressables	5,78	2,93	2,70
700-DS1801	DS1801+	PDIP-14	de 2,7 à 5,5	Journal	2	64	45	Volatile	Série 3 câbles	5,75	2,92	2,68
♦ 700-DS1801E-014	DS1801E-014+	TSSOP-14	de 2,7 à 5,5	Journal	2	64	45	Volatile	Série 3 câbles	6,67	3,38	3,11
♦ 700-DS1801S	DS1801S+	SOIC-16	de 2,7 à 5,5	Journal	2	64	45	Volatile	Série 3 câbles	6,46	4,31	3,12
♦ 700-DS1802S	DS1802S+	SOIC 20 broches	de 2,7 à 5,5	Journal	2	64	45	Volatile	Série 3 câbles	7,68	3,89	3,59
700-DS1807	DS1807+	PDIP-14	de 2,7 à 5,5	Journal	2	64	45	Volatile	2 câbles adressables	5,75	2,92	2,68
♦ 700-DS1807E	DS1807E+	TSSOP-14	de 2,7 à 5,5	Journal	2	64	45	Volatile	2 câbles adressables	6,67	3,38	3,11
♦ 700-DS1882Z-050	DS1882Z-050+	SOICN-16	de 5 à 7	Journal	2	64	45	Non volatile	I2C	2,60	1,73	1,25
700-DS1267-010	DS1267-010+	PDIP-14	de 4,5 à 5,5	Linéaire	2	256	10	Volatile	Série 3 câbles	7,40	3,75	3,46
♦ 700-DS1267E-10	DS1267E-10+	TSSOP-20	de 4,5 à 5,5	Linéaire	2	256	10	Volatile	Série 3 câbles	9,19	4,66	4,29
♦ 700-DS1267S-010	DS1267S-010+	SOIC-16W	de 4,5 à 5,5	Linéaire	2	256	10	Volatile	Série 3 câbles	8,51	4,31	3,97
700-DS18030-010	DS18030-010+	PDIP 16	de 2,7 à 5,5	Linéaire	2	256	10	Volatile	2 câbles adressables	5,23	2,66	2,44
♦ 700-DS1803E-010	DS1803E-010+	TSSOP-14	de 2,7 à 5,5	Linéaire	2	256	10	Volatile	2 câbles adressables	6,23	3,16	2,90
♦ 700-DS1803Z-010	DS1803Z-010+	SOIC-16	de 2,7 à 5,5	Linéaire	2	256	10	Volatile	2 câbles adressables	5,68	2,88	2,65
♦ 700-DS1868-10	DS1868-10+	PDIP-14	de 4,5 à 5,5	Linéaire	2	256	10	Volatile	Série 3 câbles	4,97	2,52	2,32
♦ 700-DS1868E-10	DS1868E-10+	TSSOP-20	de 4,5 à 5,5	Linéaire	2	256	10	Volatile	Série 3 câbles	6,03	3,06	2,81
♦ 700-DS1868S-10	DS1868S-10+	SOIC-16W	de 4,5 à 5,5	Linéaire	2	256	10	Volatile	Série 3 câbles	5,23	2,66	2,44
♦ 700-MAX5387LAUD+	MAX5387LAUD+	TSSOP-14	de 2,6 à 5,5	Linéaire	2	256	10	Volatile	I2C	1,21	1,08	1,03
♦ 700-MAX5389LAUD+	MAX5389LAUD+	TSSOP-14	de 2,6 à 5,5	Linéaire	2	256	10	Volatile	Haut/Bas	1,21	1,08	1,03
♦ 700-DS1847E-050	DS1847E-050+	TSSOP-14	de 3 à 5	Linéaire	2	256	10/50	Linéaire	2 câbles adressables	4,47	2,98	2,15
♦ 700-DS3902U-530	DS3902U-530+	µSOP-8	de 2,4 à 5,5	Linéaire	2	256	50/30	Non volatile	2 câbles adressables	1,67	0,85	0,78
700-DS1267-050	DS1267-050+	PDIP-14	de 4,5 à 5,5	Linéaire	2	256	50	Volatile	Série 3 câbles	7,40	3,75	3,46
700-DS18030-050	DS18030-050+	PDIPN-16	de 3 à 5	Linéaire	2	256	50	Volatile	2 câbles adressables	5,23	2,66	2,44
♦ 700-DS1803Z-050	DS1803Z-050+	SOIC-16	de 2,7 à 5,5	Linéaire	2	256	50	Volatile	2 câbles adressables	5,68	2,88	2,65
♦ 700-DS1868S-50	DS1868S-50+	SOIC-16W	de 4,5 à 5,5	Linéaire	2	256	50	Volatile	Série 3 câbles	5,23	2,71	2,44
♦ 700-MAX5386MATE	MAX5386MATE+	TQFN 16	de 2,6 à 5,5	Linéaire	2	256	50	Volatile	SPI Série 3 câbles	1,21	1,08	1,03
♦ 700-MAX5387MAUD+	MAX5387MAUD+	TSSOP-14	de 2,6 à 5,5	Linéaire	2	256	50	Volatile	I2C	1,21	1,08	1,03
♦ 700-MAX5389MAUD+	MAX5389MAUD+	TSSOP-14	de 2,6 à 5,5	Linéaire	2	256	50	Volatile	Haut/Bas	1,21	1,08	1,03
700-DS1267-100	DS1267-100+	PDIP-14	de 4,5 à 5,5	Linéaire	2	256	100	Volatile	Série 3 câbles	7,40	3,75	3,46
♦ 700-DS1267S-100	DS1267S-100+	SOIC-16W	de 4,5 à 5,5	Linéaire	2	256	100	Volatile	Série 3 câbles	8,51	4,31	3,97
700-DS18030-100	DS18030-100+	PDIPN-16	de 3 à 5	Linéaire	2	256	100	Volatile	2 câbles adressables	5,23	2,66	2,44
♦ 700-DS1803Z-100	DS1803Z-100+	SOIC-16	de 2,7 à 5,5	Linéaire	2	256	100	Volatile	2 câbles adressables	5,68	2,88	2,65
♦ 700-MAX5386NATE	MAX5386NATE+	TQFN 16	de 2,6 à 5,5	Linéaire	2	256	100	Volatile	SPI Série 3 câbles	1,21	1,08	1,03
♦ 700-MAX5387NAUD+	MAX5387NAUD+	TSSOP-14	de 2,6 à 5,5	Linéaire	2	256	100	Volatile	I2C	1,21	1,08	1,03
♦ 700-MAX5388NAUB+	MAX5388NAUB+	µMAX-10	de 2,6 à 5,5	Linéaire	2	256	100	Volatile	SPI Série 3 câbles	1,21	1,08	1,03
♦ 700-MAX5389NAUD+	MAX5389NAUD+	TSSOP-14	de 2,6 à 5,5	Linéaire	2	256	100	Volatile	Haut/Bas	1,21	1,08	1,03

© Copyright 2012 Mouser Electronics

© Copyright 2012 Mouser Electronics

CI analogiques MAXIM

RoHS Compliant This product is RoHS compliant.

MAXIM INNOVATION DELIVERED

POTENTIOMÈTRES NUMÉRIQUES (SUITE)

♦ Composant pour montage en surface

Pour des quantités supérieures à celles indiquées, appelez-nous afin d'obtenir un devis.

RÉF. STOCK MOUSER	Réf. Maxim	Boîtier	Plage d'alimentation (V)	Répartition	POT	Taps	Option de résistance (kΩ)	Mémoire Wiper	Interface de contrôle	Prix unitaire 1	25	100
♦ 700-DS1845E-010	DS1845E-010+	TSSOP-14	de 2,7 à 5,5	Linéaire	2	100/256	10/10	Non-Volatile	2 câbles adressables	3,56	1,81	1,66
♦ 700-DS1855E-010	DS1855E-010+	TSSOP-14	de 3 à 5	Linéaire	2	100/256	10/10	Linéaire	2 câbles adressables	3,56	1,81	1,66
♦ 700-DS1845E-050	DS1845E-050+	TSSOP-14	de 3 à 5	Linéaire	2	100/256	10/50	Linéaire	2 câbles adressables	3,56	1,81	1,66
♦ 700-DS1845E-100	DS1845E-100+	TSSOP-14	de 2,7 à 5,5	Linéaire	2	100/256	10/100	Non-Volatile	2 câbles adressables	3,56	1,81	1,66
♦ 700-MAX5391LATE+T	MAX5391LATE+T	TQFN-16	de 1,7 à 5,5	Linéaire	2	256	10	Volatile	SPI Série 3 câbles	3,22	2,43	2,12
♦ 700-MAX5392LAUE+	MAX5392LAUE+	TSSOP-16	de 1,7 à 5,5	Linéaire	2	256	10	Volatile	I²C	1,65	1,47	1,40
♦ 700-MAX5393LAUD+	MAX5393LAUD+	TSSOP-14	de 1,7 à 5,5	Linéaire	2	256	10	Volatile	SPI Série 3 câbles	1,65	1,47	1,40
♦ 700-MAX5403EUB	MAX5403EUB+	µMAX-10	de 2,7 à 5,5	Linéaire	2	256	10	Volatile	SPI série 3 câbles	3,04	2,16	1,96
♦ 700-MAX5405EUB	MAX5405EUB+	µMAX-10	de 2,7 à 5,5	Linéaire	2	256	10	Volatile	SPI série 3 câbles	3,04	2,16	1,96
♦ 700-MAX5413EUD	MAX5413EUD+	TSSOP-14	de 2,7 à 5,5	Linéaire	2	256	10	Volatile	SPI série 3 câbles	4,38	2,92	2,11
♦ 700-MAX5450EUB	MAX5450EUB+	µMAX-10	de 2,7 à 5,5	Linéaire	2	256	10	Volatile	Haut/Bas	3,04	2,50	1,96
♦ 700-MAX5451EUD	MAX5451EUD+	TSSOP-14	de 2,7 à 5,5	Linéaire	2	256	10	Volatile	Haut/Bas	3,04	2,50	1,96
♦ 700-MAX5477ETE	MAX5477ETE+	TQFN-16	de 2,7 à 5,25	Linéaire	2	256	10	Non-Volatile	Série 2 câbles	3,89	2,71	2,48
♦ 700-MAX5477EUD	MAX5477EUD+	TSSOP-14	de 2,7 à 5,25	Linéaire	2	256	10	Non-Volatile	Série 2 câbles	3,89	2,71	2,48
♦ 700-MAX5487ETE	MAX5487ETE+	TQFN-16	de 2,7 à 5,25	Linéaire	2	256	10	Non-Volatile	SPI série 3 câbles	3,89	2,71	2,48
♦ 700-MAX5487EUD	MAX5487EUD+	TSSOP-14	de 2,7 à 5,25	Linéaire	2	256	10	Non-Volatile	SPI série 3 câbles	3,89	2,71	2,48
♦ 700-MAX5391MATE+T	MAX5391MATE+T	TQFN-16	de 1,7 à 5,5	Linéaire	2	256	50	Volatile	SPI Série 3 câbles	3,22	2,43	2,12
♦ 700-MAX5392MAUE+	MAX5392MAUE+	TSSOP-16	de 1,7 à 5,5	Linéaire	2	256	50	Volatile	I²C	1,65	1,47	1,40
♦ 700-MAX5393MAUD+	MAX5393MAUD+	TSSOP-14	de 1,7 à 5,5	Linéaire	2	256	50	Volatile	SPI Série 3 câbles	1,65	1,47	1,40
♦ 700-MAX5404EUB	MAX5404EUB+	µMAX-10	de 2,7 à 5,5	Linéaire	2	256	50	Volatile	SPI série 3 câbles	3,04	2,16	1,96
♦ 700-MAX5414EUD	MAX5414EUD+	TSSOP-14	de 2,7 à 5,5	Linéaire	2	256	50	Volatile	SPI série 3 câbles	4,38	2,92	2,11
♦ 700-MAX5452EUB	MAX5452EUB+	µMAX-10	de 2,7 à 5,5	Linéaire	2	256	50	Volatile	Haut/Bas	3,04	2,16	1,96
♦ 700-MAX5478EUD	MAX5478EUD+	TSSOP-14	de 2,7 à 5,25	Linéaire	2	256	50	Non-Volatile	Série 2 câbles	3,89	2,71	2,48
♦ 700-MAX5488ETE	MAX5488ETE+	TQFN-16	de 2,7 à 5,25	Linéaire	2	256	50	Non-Volatile	SPI série 3 câbles	3,89	2,71	2,48
♦ 700-MAX5488EUD	MAX5488EUD+	TSSOP-14	de 2,7 à 5,25	Linéaire	2	256	50	Non-Volatile	SPI série 3 câbles	3,89	2,71	2,48
♦ 700-MAX5391NATE+T	MAX5391NATE+T	TQFN-16	de 1,7 à 5,5	Linéaire	2	256	100	Volatile	SPI Série 3 câbles	3,22	2,43	2,12
♦ 700-MAX5392NAUE+	MAX5392NAUE+	TSSOP-16	de 1,7 à 5,5	Linéaire	2	256	100	Volatile	I²C	1,65	1,47	1,40
♦ 700-MAX5393NAUD+	MAX5393NAUD+	TSSOP-14	de 1,7 à 5,5	Linéaire	2	256	100	Volatile	SPI Série 3 câbles	1,65	1,47	1,40
♦ 700-MAX5415EUD	MAX5415EUD+	TSSOP-14	de 2,7 à 5,5	Linéaire	2	256	100	Volatile	SPI série 3 câbles	3,04	2,16	1,96
♦ 700-MAX5455EUD	MAX5455EUD+	TSSOP-14	de 2,7 à 5,5	Linéaire	2	256	100	Volatile	Haut/Bas	3,04	2,16	1,96
♦ 700-MAX5479ETE	MAX5479ETE+	TQFN-16	de 2,7 à 5,25	Linéaire	2	256	100	Non-Volatile	Série 2 câbles	3,89	2,76	2,50
♦ 700-MAX5479EUD	MAX5479EUD+	TSSOP-14	de 2,7 à 5,25	Linéaire	2	256	100	Non-Volatile	Série 2 câbles	3,89	2,71	2,48
♦ 700-MAX5489ETE	MAX5489ETE+	TQFN-16	de 2,7 à 5,25	Linéaire	2	256	100	Non-Volatile	SPI série 3 câbles	3,89	3,20	2,48
♦ 700-MAX5489EUD	MAX5489EUD+	TSSOP-14	de 2,7 à 5,25	Linéaire	2	256	100	Non-Volatile	SPI série 3 câbles	3,89	2,71	2,48
♦ 700-MAX5494ETE	MAX5494ETE+	TQFN-16	de 2,7 à 5,25	Linéaire	2	1024	10	Non-Volatile	SPI série 3 câbles	4,92	4,36	4,12
♦ 700-MAX5496ETE	MAX5496ETE+	TQFN-16	de 2,7 à 5,25	Linéaire	2	1024	10	Non-Volatile	SPI série 3 câbles	4,92	4,36	4,12
♦ 700-MAX5495ETE	MAX5495ETE+	TQFN-16	de 2,7 à 5,25	Linéaire	2	1024	50	Non-Volatile	SPI série 3 câbles	4,92	4,36	4,12
♦ 700-MAX5497ETE	MAX5497ETE+	TQFN-16	de 2,7 à 5,25	Linéaire	2	1024	50	Non-Volatile	SPI série 3 câbles	4,92	4,36	4,12
♦ 700-DS3904U-020	DS3904U-020+	µMAX-8	de 2,7 à 5,5	Linéaire	3	128	20	Non-Volatile	2 câbles adressables	1,60	0,813	0,747
♦ 700-DS3905U-020	DS3905U-020+	µMAX-10	de 2,7 à 5,5	Linéaire	3	128	20	Non-Volatile	2 câbles adressables	1,72	0,875	0,803
700-DS1844-010	DS1844-010+	PDIPN-20	de 2,7 à 5,5	Linéaire	4	64	10	Volatile	Série 2 câbles ou 5 câbles	5,54	2,73	2,52
♦ 700-DS1844E-010	DS1844E-010+	TSSOP-20	de 2,7 à 5,5	Linéaire	4	64	10	Volatile	Série 2 câbles ou 5 câbles	5,04	2,56	2,35
♦ 700-DS1844S-050	DS1844S-050+	SOICW-20	de 2,7 à 5,5	Linéaire	4	64	50	Volatile	Série 2 câbles ou 5 câbles	5,14	2,61	2,40
♦ 700-DS1844S-100	DS1844S-100+	SOICW-20	de 2,7 à 5,5	Linéaire	4	64	100	Volatile	Série 2 câbles ou 5 câbles	5,14	2,61	2,40
♦ 700-DS1806E-010	DS1806E-010+	TSSOP-20	de 2,7 à 5,5	Linéaire	6	64	10	Volatile	Série 3 câbles	10,96	5,56	5,12
♦ 700-DS1806E-050	DS1806E-050+	TSSOP-20	de 2,7 à 5,5	Linéaire	6	64	50	Volatile	Série 3 câbles	10,96	5,56	5,12

DIVISEURS DE RÉSISTANCE SÉLECTIONNÉS AVEC PRÉCISION

♦ Composant pour montage en surface

Pour des quantités supérieures à celles indiquées, appelez-nous afin d'obtenir un devis.

RÉF. STOCK MOUSER	Réf. Maxim	Boîtier	Option de résistance (kΩ)	Tolér. de résistance (%)	Rapport de résistance	Précision du rapport de résistance (% Max.)	Coeff. de température (ppm/°C)(Typ)	Température de fonctionnement (°C)	Prix unitaire 1	25	100
♦ 700-MAX5492LC10000T	MAX5492LC10000+T	SOT-23-5	10	0,025	10:1	0,10%	35	de -55 à +125	1,33	0,998	0,875
♦ 700-MAX5491LA01000T	MAX5491LA01000+T	SOT-23-3	30	0,025	1:1	0,04%	35	de -55 à +125	2,88	2,17	1,90
♦ 700-MAX5491TA05000T	MAX5491TA05000+T	SOT-23-3	30	0,025	5:01	0,035%	35	de -40 à +85	2,13	1,69	1,49
♦ 700-MAX5491VA10000T	MAX5491VA10000+T	SOT-23-3	30	0,025	10:01	0,035%	35	de -40 à +85	2,13	1,69	1,49
♦ 700-MAX5491NA01500T	MAX5491NA01500+T	SOT-23-3	30	0,025	1.5:1	0,035%	35	de -40 à +85	2,90	2,19	1,91
♦ 700-MAX5491RA02500T	MAX5491RA02500+T	SOT-23-3	30	0,025	2,5:1	0,035%	35	de -40 à +85	2,13	1,69	1,49
♦ 700-MAX5490GC01000T	MAX5490GC01000+T	SOT-23-3	100	0,025	1:1	0,10%	35	de -55 à +125	1,33	0,998	0,875
♦ 700-MAX5490GA01000T	MAX5490GA01000+T	SOT-23-3	100	0,025	1:1	0,035%	35	de -55 à +125	2,13	1,69	1,49
♦ 700-MAX5490MA02000T	MAX5490MA02000+T	SOT-23-3	100	0,025	2:1	0,035%	35	de -55 à +125	2,13	1,69	1,49
♦ 700-MAX5490TA05000T	MAX5490TA05000+T	SOT-23-3	100	0,025	5:1	0,04%	35	de -55 à +125	2,88	2,17	1,90
♦ 700-MAX5490VA10000T	MAX5490VA10000+T	SOT-23-3	100	0,025	10:1	0,035%	35	de -55 à +125	2,13	1,69	1,49
♦ 700-MAX5490XC25000T	MAX5490XC25000+T	SOT-23-3	100	0,025	25:1	0,10%	35	de -55 à +125	1,33	0,998	0,875

TRADUCTEURS DE NIVEAU

♦ Composant pour montage en surface

Pour des quantités supérieures à celles indiquées, appelez-nous afin d'obtenir un devis.

RÉF. STOCK MOUSER	Réf. Maxim	Boîtier	Niveau Trad.	VCC (V)	Débit Max. (Mbps)	État VL entrée/ sortie (Shdn)	I/O VL State (Shdn)	ICC (µA) Max.	ICC (Shdn) (µA) Max	Prix unitaire 1	25	100
♦ 700-MAX3370EXKT	MAX3370EXK+T	SC70-5	1	2,5 - 5,5	2	-	-	100	1	1,90	1,40	1,01
♦ 700-MAX3390EEUD	MAX3390EEUD+	TSSOP-14	4	1.65-5.5	16	Haute impédance	Haute impédance	300	1	2,83	1,89	1,36
♦ 700-MAX3392EEUD	MAX3392EEUD+	TSSOP-14	4	1.65-5.5	16	Haute impédance	Haute impédance	300	1	2,83	1,89	1,36
♦ 700-MAX3377EEUD	MAX3377EEUD+	TSSOP-14	4	1.65-5.5	0,23	Haute impédance	Haute impédance	300	1	2,83	1,89	1,36
♦ 700-MAX3002ETP	MAX3002ETP+	TQFN-20	8	1,65-5,5	20	Haute impédance	de 6kΩ à GND	10	0,1	4,48	2,01	2,00

CONVERTISSEURS ANALOGIQUE-NUMÉRIQUE (CAN) DE PRÉCISION

♦ Composant pour montage en surface

Pour des quantités supérieures à celles indiquées, appelez-nous afin d'obtenir un devis.

RÉF. STOCK MOUSER	Réf. Maxim	Boîtier	Rés. (bits)	Canaux d'entrée	Vitesse de conversion (ksps)(Max.)	Bus de données	Tens. réf. ext. (V)(Min./Max.)	DNL (±LSB)	INL (±LSB)	Prix unitaire 1	25	100
♦ 700-MAX105ECS	MAX105ECS+	TQFP-80	6	2	800 Msps	µP/8, Démultiplexé, LVPECL	-/-	0,25	0,2	60,03	44,37	38,63
700-ADC0820CCN	ADC0820CCN+	PDIP-20	8	1	400	µP/8	0/5	-	-	3,81	1,88	1,72
♦ 700-MAX1106EUB	MAX1106EUB+	µMAX-10	8	1	25	SPI	1/5,5	1	0,2	5,52	2,80	2,57
♦ 700-MAX1107CUB	MAX1107CUB+	µMAX-10	8	1	25	SPI	1/5.5	1	0,15	4,83	3,22	2,33
♦ 700-MAX1107EUB	MAX1107EUB+	µMAX-10	8	1	25	SPI	1/5,5	1	0,15	5,52	2,80	2,57
♦ 700-MAX11115AUT+T	MAX11115AUT+T	SOT-23-3	8	1	2000	SPI	2.2/3.6	0,25	0,25	1,69	1,24	0,932
♦ 700-MAX11116AUT+T	MAX11116AUT+T	SOT-23-3	8	1	3000	SPI	2.2/3.6	0,25	0,25	2,21	1,66	1,45
♦ 700-MAX1115EKAT	MAX1115EKA+T	SOT-8	8	1	100	SPI	-/-	1	1	1,47	1,09	0,817
♦ 700-MAX1116EKAT	MAX1116EKA+T	SOT-8	8	1	100	SPI	-/-	1	1	1,47	1,09	0,817
♦ 700-MAX152CWP	MAX152CWP+	SOW-20	8	1	400	µP/8	0/3	1	-	11,20	5,68	5,22
♦ 700-MAX153CWP	MAX153CWP+	SOW-20	8	1	1000	µP/8	-2,5/5	1	-	17,04	8,65	7,95
♦ 700-MAX1108EUB	MAX1108EUB+	µMAX-10	8	2	50	SPI	1/5,5	1	0,2	5,52	2,80	2,57
♦ 700-MAX1108EUB+G07	MAX1108EUB+G07	µMAX-10	8	2	50	SPI	1/5.5	1	0,2	5,52	2,80	2,57
♦ 700-MAX1109EUB	MAX1109EUB+	µMAX-10	8	2	50	SPI	1/5,5	1	0,15	5,52	2,80	2,57

© Copyright 2012 Mouser Electronics

© Copyright 2012 Mouser Electronics

CONVERTISSEURS ANALOGIQUE-NUMÉRIQUE (CAN) DE PRÉCISION (SUITE)

♦ Composant pour montage en surface

Pour des quantités supérieures à celles indiquées, appelez-nous afin d'obtenir un devis.

RÉF. STOCK MOUSER	Réf. Maxim	Boîtier	Rés. (bits)	Canaux d'entrée	Taux de conversion (ksps) (Nax)	Bus de données	Tens. réf. ext. (V) (Min./Max.)	DNL (±LSB)	INL (±LSB)	Prix unitaire 1	25	100
♦ 700-MAX11111ATB+T	MAX11111ATB+T	TDFN-10	8	2	3000	SPI	1/3,6	0,25	0,25	2,19	1,60	1,20
♦ 700-MAX1117EKAT	MAX1117EKA+T	SOT-8	8	2	100	SPI	-/-	1	1	1,47	1,09	0,817
♦ 700-MAX1118EKAT	MAX1118EKA+T	SOT-8	8	2	100	SPI	1/5,5	1	1	1,39	1,02	0,767
♦ 700-MAX1119EKAT	MAX1119EKA+T	SOT-8	8	2	100	SPI	-/-	1	1	1,47	1,09	0,817
♦ 700-MAX1394ETBT	MAX1394ETB+T	TDFN-10	8	2	400	SPI	3,8/4,136	0,2	0,2	2,28	1,67	1,25
♦ 700-MAX1111CEE	MAX1111CEE+	QSOP 16 broches	8	4	50	SPI	1/5,5	1	0,2	5,00	2,53	2,33
♦ 700-MAX1111EEE	MAX1111EEE+	QSOP 16 broches	8	4	50	SPI	1/5,5	1	0,2	5,8	2,95	2,71
♦ 700-MAX114CAG	MAX114CAG+	SSOP 24	8	4	1000	µP/8	0,0/5,0	1	-	9,55	4,84	4,46
♦ 700-MAX156ACWI	MAX156ACWI+	SOW-28	8	4	250	µP/8	-	1	0,5	23,19	11,76	10,82
♦ 700-MAX1110CAP	MAX1110CAP+	SSOP-20	8	8	50	SPI	1/5,5	1	0,2	5,52	2,80	2,57
♦ 700-MAX1110EAP	MAX1110EAP+	SSOP-20	8	8	50	SPI	1/5,5	1	0,2	6,65	4,44	3,22
♦ 700-MAX1112CAP	MAX1112CAP+	SSOP-20	8	8	50	SPI	1/5,5	1	0,1	5,52	2,80	2,57
♦ 700-MAX1112EAP	MAX1112EAP+	SSOP-20	8	8	50	SPI	1/5,5	1	0,1	6,65	4,44	3,22
♦ 700-MAX118CAI	MAX118CAI+	SSOP-28	8	8	1000	µP/8	0,0/5,0	1	-	10,35	6,90	5,00
700-MAX155BCPI	MAX155BCPI+	PDIP-28	8	8	250	µP/8	-	1	0,5	20,10	10,20	9,38
700-MAX161ACPI	MAX161ACPI+	PDIP 28 broches	8	8	20	µP/8	-5/-15	0,75	-	32,79	16,63	15,30
♦ 700-MAX1038AEEE	MAX1038AEEE+	QSOP 16 broches	8	12	188	I2C	1,0/5,0	1	1	5,40	2,74	2,52
♦ 700-MAX1039AEEE	MAX1039AEEE+	QSOP 16 broches	8	12	188	I2C	1,0/3,3	1	1	5,40	2,74	2,52
♦ 700-MAX1077ETC	MAX1077ETC+	TQFN-12	10	1	1500	SPI	-/-	0,5	0,5	8,55	4,13	3,80
♦ 700-MAX1089ETAT	MAX1089ETA+T	TFDN-8	10	1	150	SPI	1,0/3,6	1	1	4,75	3,48	2,62
♦ 700-MAX11110AUT+T	MAX11110AUT+T	SOT-23-3	10	1	2000	SPI	2,2/3,6	1	1	2,97	2,18	1,63
♦ 700-MAX11117AUT+T	MAX11117AUT+T	SOT-23-3	10	1	3000	SPI	2,2/3,6	1	1	3,14	2,33	1,75
♦ 700-MAX1242AESA	MAX1242AESA+	SO-8	10	1	73	SPI	1/5,25	1	0,5	14,85	7,53	6,93
700-MAX1242BCPA	MAX1242BCPA+	DIP-8	10	1	73	SPI	1/5,25	1	0,5	8,59	4,23	3,89
♦ 700-MAX1242BESA	MAX1242BESA+	SOIC-8	10	1	73	SPI	1,0/5,25	1	0,5	8,56	4,34	3,99
♦ 700-MAX1243BCSA	MAX1243BCSA+	SOIC 8 broches	10	1	73	SPI	1,0/5,25	1	0,5	7,26	3,68	3,39
♦ 700-MAX1243BESA	MAX1243BESA+	SOIC 8 broches	10	1	73	SPI	1,0/5,25	1	0,5	7,43	3,77	3,47
♦ 700-MAX1284BESA	MAX1284BESA+	SOIC 8 broches	10	1	400	SPI	-/-	1	1	18,46	9,36	8,61
♦ 700-MAX1285BESA	MAX1285BESA+	SOIC 8 broches	10	1	300	SPI	-/-	1	1	18,46	9,36	8,61
♦ 700-MAX1086ETAT	MAX1086ETA+T	TFDN-8	10	2	150	SPI	1,0/5,25	1	1	4,75	3,48	2,62
♦ 700-MAX1087ETAT	MAX1087ETA+T	TFDN-8	10	2	150	SPI	1,0/3,6	1	1	4,70	3,48	2,62
♦ 700-MAX11106ATB+T	MAX11106ATB+T	TDFN-10	10	2	3000	SPI	1/3,6	0,5	0,5	3,43	2,59	2,26
♦ 700-MAX11646EUA	MAX11646EUA+	µMAX-8	10	2	94,4	I2C	1/5,5	1	1	2,15	1,44	1,04
♦ 700-MAX11647EUA	MAX11647EUA+	µMAX-8	10	2	94,4	I2C	1,0/3,6	1	1	2,15	1,44	1,04
♦ 700-MAX11647EWC+T	MAX11647EWC+T	WLP-12	10	2	94,4	I2C	1/3,6	1	1	2,15	1,44	1,08
♦ 700-MAX1186ECMD	MAX1186ECM+D	TQFP-48	10	2	40 Msps	µP/10	-	1	1,7	23,11	11,72	10,78
♦ 700-MAX1395ETBT	MAX1395ETB+T	TDFN-10	10	2	357	SPI	0,6/3,6	0,5	0,5	3,83	2,81	2,10
♦ 700-MAX1092BEEG	MAX1092BEEG+	QSOP-24	10	4	400	µP/8	1/5,5	1	1	14,94	7,58	6,97
♦ 700-MAX1136EUA	MAX1136EUA+	µMAX-8	10	4	94.4	I2C	1/5,5	1	1	8,21	5,48	3,97
♦ 700-MAX1137EUA	MAX1137EUA+	µMAX-8	10	4	94.4	I2C	1,0/3,6	1	1	8,21	5,48	3,97
♦ 700-MAX1248BCPE	MAX1248BCPE+	QSOP 16 broches	10	4	133	SPI	1/5,25	1	1	10,35	6,90	5,17
♦ 700-MAX1248BEEE	MAX1248BEEE+	QSOP 16 broches	10	4	133	SPI	1,0/5,25	1	1	12,78	6,48	5,96
♦ 700-MAX1361EUB	MAX1361EUB+	µMAX-10	10	4	150	I2C	1,0/3,6	1	1	7,21	3,65	3,37
♦ 700-MAX1099CEAE	MAX1099CEAE+	SSOP 16 broches	10	5	0,9	SPI	0,8/1,2	1	1	8,03	3,88	3,56
♦ 700-MAX1026BCEE	MAX1026BCEE+	QSOP 16 broches	10	8	300	SPI	0,5/5,3	0,1	0,1	10,32	6,88	4,98
♦ 700-MAX1027BCEE	MAX1027BCEE+	QSOP 16 broches	10	8	300	SPI	0,5/3,65	0,1	0,1	10,32	6,88	4,98
♦ 700-MAX1027BEEE	MAX1027BEEE+	QSOP 16 broches	10	8	300	SPI	0,5/3,65	0,1	0,1	12,09	5,83	5,37
♦ 700-MAX1080BEUP	MAX1080BEUP+	TSSOP-20	10	8	400	SPI	1/5,5	1	1	15,93	8,09	7,43
♦ 700-MAX1081BEUP	MAX1081BEUP+	TSSOP-20	10	8	300	SPI	1,0/3,6	1	1	14,64	7,43	6,83
♦ 700-MAX1090BEEI	MAX1090BEEI+	QSOP 28	10	8	400	µP/8	1/5,5	1	1	16,48	10,98	7,96
♦ 700-MAX1204BEAP	MAX1204BEAP+	SSOP-20	10	8	133	SPI	2,5/5	1	1	15,98	8,11	7,46
♦ 700-MAX148BCAP	MAX148BCAP+	SSOP-20	10	8	133	SPI	1,0/5,25	1	1	8,65	5,77	4,18
♦ 700-MAX148BCPP	MAX148BCPP+	PDIP-20	10	8	133	SPI	1/5,25	1	1	9,43	4,64	4,27
♦ 700-MAX148BEAP	MAX148BEAP+	SSOP-20	10	8	133	SPI	1,0/5,25	1	1	8,56	4,34	3,99
♦ 700-MAX149BCAP	MAX149BCAP+	SSOP-20	10	8	133	SPI	1,0/5,25	1	1	9,26	4,70	4,32
♦ 700-MAX149BEAP	MAX149BEAP+	SSOP-20	10	8	133	SPI	1,0/5,25	1	1	9,59	4,87	4,48
♦ 700-MAX192AEAP	MAX192AEAP+	SSOP-20	10	8	133	SPI	2,5/5	1	0,5	26,69	13,55	12,47
♦ 700-MAX192BCWP	MAX192BCWP+	SOIC-20W	10	8	133	SPI	2,5/5	1	0,5	15,82	8,04	7,39
♦ 700-MAX192BEAP	MAX192BEAP+	SSOP-20	10	8	133	SPI	2,5/5	1	0,5	22,60	11,48	10,56
♦ 700-MAX192BEWP	MAX192BEWP+	SOIC-20W	10	8	133	SPI	2,5/5	1	0,5	20,58	10,44	9,60
♦ 700-MAX1154BEUE	MAX1154BEUE+	TSSOP 16	10	10	94	SPI	1,0/5,55	0,5	0,5	10,44	6,96	5,05
♦ 700-MAX1138EEE	MAX1138EEE+	QSOP 16 broches	10	12	94,4	I2C	1/5,5	1	1	8,49	4,31	3,96
♦ 700-MAX1139EEE	MAX1139EEE+	QSOP 16 broches	10	12	94,4	I2C	1,0/3,6	1	1	8,49	4,31	3,96
♦ 700-MAX1030BEEG	MAX1030BEEG+	QSOP-24	10	16	300	SPI	0,5/5,3	0,1	0,1	14,35	9,56	6,93
♦ 700-MAX1030BETI	MAX1030BETI+	TQFN-28	10	16	300	SPI	0,5/5,3	0,1	0,1	14,52	7,37	6,77
♦ 700-MAX1031BEEG	MAX1031BEEG+	QSOP-24	10	16	300	SPI	0,5/3,65	0,1	0,1	14,35	9,56	6,93
♦ 700-MAX1031BETI	MAX1031BETI+	TQFN-28	10	16	300	SPI	0,5/3,65	0,1	0,1	14,52	7,37	6,77
♦ 700-MAX11624EEG+	MAX11624EEG+	QSOP-24	10	16	300	SPI	1/5,25	-	-	6,74	3,42	3,14
♦ 700-MAX11625EEG+	MAX11625EEG+	QSOP-24	10	16	300	SPI	1/5,25	-	-	8,60	4,36	4,02
♦ 700-MAX11105AUT+T	MAX11105AUT+T	SOT-23-3	12	1	2000	SPI	2,2/3,6	1	1	3,37	2,48	1,86
♦ 700-MAX1240BESA	MAX1240BESA+	SOIC 8	12	1	73	SPI	1,0/3,6	1	1	15,86	8,04	7,40
700-MAX1241BCPA	MAX1241BCPA+	PDIP-8	12	1	73	SPI	1,0/5,25	1	1	12,28	6,23	5,73
♦ 700-MAX1241BCSA	MAX1241BCSA+	SOIC 8	12	1	73	SPI	1,0/5,25	1	1	12,66	8,44	6,11
700-MAX1272CPA+	MAX1272CPA+	PDIPN-8	12	1	87	SPI	2,4/4,18	0,35	0,3	-	-	-
700-MAX1273CPA+	MAX1273CPA+	PDIPN-8	12	1	87	SPI	2,4/4,18	0,35	0,3	7,08	4,72	3,54
♦ 700-MAX1276ETC	MAX1276ETC+	TQFN-12	12	1	1800	SPI	-	1	1,25	10,32	5,24	4,82
♦ 700-MAX1278ETC	MAX1278ETC+	TQFN-12	12	1	1800	SPI	-	1	1,25	10,84	5,24	4,82
♦ 700-MAX1279BETC	MAX1279BETC+	TQFN-12	12	1	1500	SPI	-	1	1	10,84	5,24	4,82
♦ 700-MAX1289ETAT	MAX1289ETA+T	TDFN-8	12	1	150	SPI	1,0/3,6	1	1	6,85	5,02	3,76
700-MAX164CENG	MAX164CENG+	PDIP-24	12	1	100	µP/12	-	1	1	55,18	27,99	25,75
700-MAX172BCNG	MAX172BCNG+	PDIP-24	12	1	100	µP/12	-/-	-	-	27,74	14,07	12,94
700-MAX174CCPI	MAX174CCPI+	PDIP-28W	12	1	125	µP/12	-/-	1	1	82,92	42,07	38,70
700-MAX187BCPA	MAX187BCPA+	PDIP-8	12	1	75	SPI	2,5/5,25	1	-	20,32	10,30	9,48
♦ 700-MAX187BCWE	MAX187BCWE+	SOIC-16W	12	1	75	SPI	2,5/5,25	1	-	20,32	10,30	9,48
♦ 700-MAX187BEWE	MAX187BEWE+	SOIC-16W	12	1	75	SPI	2,5/5,25	1	-	26,38	13,38	12,31
700-MAX189CCPA	MAX189CCPA+	PDIP-8	12	1	75	SPI	2,5/5,25	1	-	17,96	8,68	7,99
700-MAX191BCNG	MAX191BCNG+	PDIP-24	12	1	100	µP/8, SPI	2,5/5	1	1	24,68	12,52	11,52
♦ 700-MAX191BCWG	MAX191BCWG+	SOIC-24W	12	1	100	µP/8, SPI	2,5/5	1	1	24,68	12,52	11,52
700-MX7572JN05	MX7572JN05+	PDIPN-24	12	1	80	µP/12	-	1	1	52,59	26,67	24,54
♦ 700-MAX11102ATB+T	MAX11102ATB+T	TDFN-10	12	2	2000	SPI	1/3,6	1	1	3,87	2,84	2,13
♦ 700-MAX11103ATB+T	MAX11103ATB+T	TDFN-10	12	2	3000	SPI	1/3,6	1	1	9,70	6,47	4,85

© Copyright 2012 Mouser Electronics

© Copyright 2012 Mouser Electronics

CI analogiques MAXIM

RoHS Compliant **This product is RoHS compliant.**

MAXIM INNOVATION DELIVERED®

CONVERTISSEURS ANALOGIQUE-NUMÉRIQUE (CAN) DE PRÉCISION (SUITE)

♦ **Composant pour montage en surface**

Pour des quantités supérieures à celles indiquées, appelez-nous afin d'obtenir un devis.

	RÉF. STOCK MOUSER	Réf. Maxim	Boîtier	Rés. (bits)	Canaux d'entrée	Vitesse de conversion (ksps)(Max.)	Bus de données	Tens. réf. ext. (V) (Min./Max.)	DNL (±LSB)	INL (±LSB)	Prix unitaire 1	25	100
♦	700-MAX11644EUA+	MAX11644EUA+	µMAX-8	12	2	94,4	I2C	1 / 5,5	1	1	2,51	1,67	1,21
♦	700-MAX11645EUA+	MAX11645EUA+	µMAX-8	12	2	94,4	I2C	1/3,6	1	1	2,51	1,67	1,21
♦	700-MAX11645EWC+T	MAX11645EWC+T	WLP-12	12	2	94,4	I2C	1/3,6	1	1	2,50	1,67	1,25
♦	700-MAX1268BEEG	MAX1268BEEG+	QSOP-24	12	2	420	µP/12	1/5,5	1	1	22,46	14,97	10,85
♦	700-MAX1286ETAT	MAX1286ETA+T	TDFN-8	12	2	150	SPI	1,0/5,25	1	1	6,85	5,02	3,76
♦	700-MAX1287ETAT	MAX1287ETA+T	TDFN-8	12	2	150	SPI	1,0/3,6	1	1	6,85	5,02	3,76
♦	700-MAX1297BEEG	MAX1297BEEG+	QSOP-24	12	2	265	µP/12	1,0/3,6	1	1	22,46	14,97	10,85
♦	700-MAX1329BETL	MAX1329BETL+	TQFN-40	12	2	300	SPI	1,225/5,4	1	1	12,56	9,34	8,29
♦	700-MAX1396ETBT	MAX1396ETB+T	TDFN-10	12	2	312	SPI	0,6/3,6	1	1	2,88	2,11	1,58
♦	700-MAX144ACUA	MAX144ACUA+	µMAX-8	12	2	108	SPI	0/5,25	0,75	1	16,15	8,19	7,53
♦	700-MAX144BCPA	MAX144BCPA+	µMAX-8	12	2	108	SPI	0/5,25	0,75/1	1	13,70	6,95	6,39
♦	700-MAX144BEUA	MAX144BEUA+	µMAX-8	12	2	108	SPI	0/5,25	0,75	1	16,15	8,19	7,53
♦	700-MAX11613EUA	MAX11613EUA+	µMAX-8	12	4	94.4	I2C	1,0/3,6	1	1	2,90	1,47	1,35
♦	700-MAX1236EUA	MAX1236EUA+	µMAX-8	12	4	94.4	I2C	1/5,5	1	1	10,94	5,54	5,11
♦	700-MAX1237EUA	MAX1237EUA+	µMAX-8	12	4	94.4	I2C	1,0/3,6	1	1	10,94	5,54	5,11
♦	700-MAX1247BCEE	MAX1247BCEE+	QSOP-16	12	4	133	SPI	1,0/5,25	1	1	14,00	7,10	6,53
	700-MAX1247BCPE	MAX1247BCPE+	PDIP 16	12	4	133	SPI	1,0/5,25	1	1	14,28	7,24	6,67
♦	700-MAX1247BEEE	MAX1247BEEE+	QSOP-16	12	4	133	SPI	1,0/5,25	1	1	18,20	9,23	8,49
♦	700-MAX1282BEUE	MAX1282BEUE+	TSSOP-16	12	4	400	SPI	1/5,5	1	1	19,16	9,72	8,94
♦	700-MAX1283BEUE	MAX1283BEUE+	TSSOP-16	12	4	300	SPI	1,0/3,6	1	1	19,16	9,72	8,94
♦	700-MAX1292BEEG	MAX1292BEEG+	QSOP-24	12	4	400	µP/8	1/5,5	1	1	21,92	11,12	10,23
♦	700-MAX1293BEEG	MAX1293BEEG+	QSOP-24	12	4	250	µP/8	1,0/3,6	1	1	21,92	11,12	10,23
♦	700-MAX1377ATP	MAX1377ATP+	TQFN-20	12	4	1250	SPI	1,0/3,6	1,5	1,25	5,60	2,84	2,62
♦	700-MAX1379ATP	MAX1379ATP+	TQFN-20	12	4	1250	SPI	1,0/5,25	1	1,25	5,60	2,84	2,62
♦	700-MAX196BCAI	MAX196BCAI+	SSOP-28	12	6	100	µP/12	2,4/4,18	1	1	29,04	14,73	13,55
	700-MAX196BCNI	MAX196BCNI+	PDIP-28	12	6	100	µP/12	2,4/4,18	1	1	27,93	14,17	13,04
	700-MAX196BENI	MAX196BENI+	PDIPN-28	12	6	100	µP/12	2,4/4,18	1	1	36,28	18,40	16,93
♦	700-MAX11628EEE+	MAX11628EEE+	QSOP 16 broches	12	8	300	SPI	1/5,25	1	1	4,77	2,56	2,35
♦	700-MAX11629EEE+	MAX11629EEE+	QSOP 16 broches	12	8	300	SPI	1/3,6	1	1	5,04	2,56	2,35
	700-MAX1202BCPP	MAX1202BCPP+	PDIP-20	12	8	133	SPI	2,5/5	1	1	19,16	9,72	8,94
♦	700-MAX1202BEAP	MAX1202BEAP+	SSOP-20	12	8	133	SPI	2,5/5	1	1	24,42	12,38	11,39
♦	700-MAX1203BCAP	MAX1203BCAP+	SSOP-20	12	8	133	SPI	2,5/5	1	1	16,53	11,02	8,27
♦	700-MAX1203BEAP	MAX1203BEAP+	SSOP-20	12	8	133	SPI	2,5/5	1	1	20,46	10,38	9,55
♦	700-MAX1226BCEE	MAX1226BCEE+	QSOP-16	12	8	300	SPI	1,0/5,25	1	1	12,87	6,53	6,01
♦	700-MAX1227BCEE	MAX1227BCEE+	QSOP 16 broches	12	8	300	SPI	1,0/3,6	1	1	12,87	6,53	6,01
♦	700-MAX1261BEEI	MAX1261BEEI+	QSOP 28	12	8	250	µP/8	1,0/3,6	1	1	22,86	11,60	10,67
♦	700-MAX1262BEEI	MAX1262BEEI+	QSOP 28	12	8	400	µP/8	1/5,5	1	1	22,86	11,60	10,67
	700-MAX1270ACNG	MAX1270ACNG+	PDIP-24	12	8	110	SPI	2,4/4,18	1	1	31,59	16,02	14,74
♦	700-MAX1270AEAI	MAX1270AEAI+	SSOP-28	12	8	110	SPI	2,4/4,18	1	1	36,28	18,40	16,93
♦	700-MAX1270BCAI	MAX1270BCAI+	SSOP-28	12	8	110	SPI	2,4/4,18	1	1	25,27	12,82	11,79
♦	700-MAX1270BCNG	MAX1270BCNG+	PDIPN-24	12	8	110	SPI	2,4/4,18	1	1	17,69	13,08	11,06
♦	700-MAX1270BEAI	MAX1270BEAI+	SSOP-28	12	8	110	SPI	2,4/4,18	1	1	20,34	14,74	12,72
♦	700-MAX1271BEAI	MAX1271BEAI+	SSOP-28	12	8	110	SPI	2,4/4,18	1	1	29,06	14,74	13,56
♦	700-MAX127ACNG	MAX127ACNG+	DIPN-24	12	8	8	I2C	2,4/4,18	1	1	32,63	16,88	15,23
♦	700-MAX127BCAI	MAX127BCAI+	SSOP-28	12	8	8	I2C	2,4/4,18	1	1	26,09	13,23	12,18
♦	700-MAX127BEAI	MAX127BEAI+	SSOP-28	12	8	8	I2C	2,4/4,18	1	1	30,01	15,22	14,00
♦	700-MAX1280BEUP	MAX1280BEUP+	TSSOP 20 broches	12	8	400	SPI	1/5,5	1	1	19,97	10,13	9,31
♦	700-MAX1281BEUP	MAX1281BEUP+	TSSOP 20 broches	12	8	300	SPI	1,0/3,6	1	1	20,06	10,17	9,36
♦	700-MAX128BEAI	MAX128BEAI+	SSOP-28	12	8	8	I2C	2,4/4,18	1	1	30,01	15,22	14,00
♦	700-MAX1290BCEI	MAX1290BCEI+	QSOP 28	12	8	400	µP/8	1/5,5	1	1	18,98	9,63	8,85
♦	700-MAX1290BEEI	MAX1290BEEI+	QSOP 28	12	8	400	µP/8	1/5,5	1	1	22,86	11,60	10,67
♦	700-MAX1291BEEI	MAX1291BEEI+	QSOP 28	12	8	250	µP/8	1,0/3,6	1	1	22,86	11,60	10,67
♦	700-MAX146ACAP	MAX146ACAP+	SSOP-20	12	8	133	SPI	1,0/3,6	2	1	23,45	11,90	10,95
♦	700-MAX146BEAP	MAX146BEAP+	SSOP-20	12	8	133	SPI	1,0/3,6	2	1	23,45	11,90	10,95
♦	700-MAX147BCAP	MAX147BCAP+	SSOP-20	12	8	133	SPI	1,0/5,25	2	1	14,36	7,28	6,70
	700-MAX147BCPP	MAX147BCPP+	PDIP-20	12	8	133	SPI	1,0/5,25	2	1	14,02	7,43	6,70
♦	700-MAX147BEAP	MAX147BEAP+	SSOP-20	12	8	133	SPI	1,0/5,25	2	1	18,67	9,47	8,71
	700-MAX180BCPL	MAX180BCPL+	PDIP-40W	12	8	100	µP/16	-4,92/-5,08	1	1	50,21	25,47	23,43
	700-MAX186ACPP	MAX186ACPP+	PDIP-20	12	8	133	SPI	2,5/5,25	1	-	44,31	22,47	20,67
♦	700-MAX186AEWP	MAX186AEWP+	SO-20	12	8	133	SPI	2,5/5,25	1	-	56,43	28,63	26,33
	700-MAX186BCPP	MAX186BCPP+	PDIP-20	12	8	133	SPI	2,5/5,25	1	-	33,38	16,93	15,58
♦	700-MAX186BCWP	MAX186BCWP+	SOIC 20 broches	12	8	133	SPI	2,5/5,25	1	-	33,38	16,93	15,58
♦	700-MAX186CCWP	MAX186CCWP+	SOIC 20 broches	12	8	133	SPI	2,5/5,25	1	-	23,85	12,10	11,13
♦	700-MAX186CEWP	MAX186CEWP+	SO-20	12	8	133	SPI	2,5/5,25	1	-	21,71	15,73	13,57
♦	700-MAX186DCAP	MAX186DCAP+	SSOP-20	12	8	133	SPI	2,5/5,25	1	-	23,12	11,73	10,79
	700-MAX186DCPP	MAX186DCPP+	PDIP-20	12	8	133	SPI	2,5/5,25	1	-	22,04	11,18	10,29
♦	700-MAX186DCWP	MAX186DCWP+	SOIC 20 broches	12	8	133	SPI	2,5/5,25	1	-	22,04	11,18	10,29
♦	700-MAX186DEAP	MAX186DEAP+	SSOP-20	12	8	133	SPI	2,5/5,25	1	-	30,05	15,25	14,03
♦	700-MAX188CCWP	MAX188CCWP+	SO-20	12	8	133	SPI	2,5/5,25	1	-	21,80	11,06	10,17
♦	700-MAX188CEWP	MAX188CEWP+	SO-20	12	8	133	SPI	2,5/5,25	1	-	28,36	14,38	13,23
♦	700-MAX188DCAP	MAX188DCAP+	SSOP-20	12	8	133	SPI	2,5/5,25	1	-	21,80	11,06	10,17
	700-MAX188DCPP	MAX188DCPP+	PDIP-20	12	8	133	SPI	2,5/5,25	1	-	20,79	10,54	9,70
♦	700-MAX188DCWP	MAX188DCWP+	SOIC 20 broches	12	8	133	SPI	2,5/5,25	1	-	20,79	10,54	9,70
	700-MAX197ACNI	MAX197ACNI+	PDIP-28	12	8	100	µP/8	2,4/4,18	1	1	36,28	18,40	16,93
♦	700-MAX197ACWI	MAX197ACWI+	SOIC-28 W	12	8	100	µP/8	2,4/4,18	1	1	36,28	18,40	16,93
♦	700-MAX197BCAI	MAX197BCAI+	SSOP-28	12	8	100	µP/8	2,4/4,18	1	1	29,04	14,73	13,55
	700-MAX197BCNI	MAX197BCNI+	PDIP-28	12	8	100	µP/8	2,4/4,18	1	1	27,93	14,17	13,04
♦	700-MAX197BCWI	MAX197BCWI+	SOIC-28 W	12	8	100	µP/8	2,4/4,18	1	1	27,93	14,17	13,04
	700-MAX197BENI	MAX197BENI+	PDIP-28	12	8	100	µP/8	2,4/4,18	1	1	36,28	18,40	16,93
♦	700-MAX197BEWI	MAX197BEWI+	SOIC-28W	12	8	100	µP/8	2,4/4,18	1	1	36,28	18,40	16,93
♦	700-MAX1254BEUE	MAX1254BEUE+	TSSOP 16 broches	12	10	94	SPI	1,0/5,0	1	1	14,05	7,13	6,56
♦	700-MAX1228BEEP	MAX1228BEEP+	QSOP 20 broches	12	12	300	SPI	1,0/5,25	1	1	16,59	8,42	7,75
♦	700-MAX1229BCEP	MAX1229BCEP+	QSOP 20 broches	12	12	300	SPI	1,0/3,6	1	1	14,19	7,19	6,62
♦	700-MAX1229BEEP	MAX1229BEEP+	QSOP 20 broches	12	12	300	SPI	1,0/3,6	1	1	16,59	8,42	7,75
♦	700-MAX1238EEE	MAX1238EEE+	QSOP 16 broches	12	12	94,4	I2C	1/5,5	1	1	8,17	6,04	5,21
♦	700-MAX1239EEE	MAX1239EEE+	QSOP 16 broches	12	12	94,4	I2C	1,0/3,6	1	1	12,50	8,33	6,04
♦	700-MAX1239KEEE	MAX1239KEEE+	QSOP 16 broches	12	12	94,4	I2C	1,0/3,6	1	1	8,17	6,16	5,21
♦	700-MAX11632EEG+	MAX11632EEG+	QSOP 16 broches	12	16	300	SPI	1/5,25	1	1	7,57	3,84	3,53
♦	700-MAX11633EEG+	MAX11633EEG+	QSOP 16 broches	12	16	300	SPI	1/3,6	1	1	10,32	6,88	5,16
♦	700-MAX1230BCTI	MAX1230BCTI+	QSOP 20 broches	12	16	300	SPI	1,0/5,25	1	1	11,27	5,72	5,26
♦	700-MAX1230BEEG	MAX1230BEEG+	QSOP-24	12	16	300	SPI	1,0/5,25	1	1	16,97	8,60	7,92
♦	700-MAX1230BETI	MAX1230BETI+	TQFN-28	12	16	300	SPI	1,0/5,25	1	1	18,08	9,17	8,44

© Copyright 2012 Mouser Electronics

© Copyright 2012 Mouser Electronics

CONVERTISSEURS ANALOGIQUE-NUMÉRIQUE (CAN) DE PRÉCISION (SUITE)

♦ Composant pour montage en surface

Pour des quantités supérieures à celles indiquées, appelez-nous afin d'obtenir un devis.

RÉF. STOCK MOUSER	Réf. Maxim	Boîtier	Rés. (bits)	Canaux d'entrée	Vitesse de conversion (ksps)(Max.)	Bus de données	Tens. réf. ext. (V) (Min./Max.)	DNL (±LSB)	INL (±LSB)	Prix unitaire 1	25	100
♦ 700-MAX1231BEEG	MAX1231BEEG+	QSOP-24	12	16	300	SPI	1,0/3,6	1	1	16,97	8,60	7,92
♦ 700-MAX1231BETI	MAX1231BETI+	TQFN-28	12	16	300	SPI	1,0/3,6	1	1	18,08	9,17	8,44
♦ 700-MAX1066BCUP	MAX1066BCUP+	TSSOP-20	14	1	165	µP/8	3,8/5,0	1	3	14,70	7,10	6,53
♦ 700-MAX1142BEAP	MAX1142BEAP+	SSOP-20	14	1	200	SPI	3,0/4,2	1,375	1	52,28	26,52	24,40
♦ 700-MAX1144BEAP	MAX1144BEAP+	SSOP-20	14	1	150	SPI	1,9/2,2	1	1	47,78	24,24	22,30
700-MAX121CPE	MAX121CPE+	PDIP 16	14	1	308	SPI	-/-	1,5	2	32,65	16,89	15,24
♦ 700-MAX194BEWE	MAX194BEWE+	SOIC-16	14	1	85	SPI	-/5,0	1	1	48,96	24,83	22,84
700-MAX110ACPE	MAX110ACPE+	PDIP 16	14	2	0.05	SPI	-5,3/5,3	2	4,9	17,00	8,79	7,93
700-MAX110BCPE	MAX110BCPE+	PDIP 16	14	2	0.05	SPI	-5,3/5,3	2	4,9	13,04	6,61	6,08
♦ 700-MAX110BCWE	MAX110BCWE+	SOIC-16W	14	2	0.05	SPI	-5,3/5,3	2	4,9	13,04	6,61	6,08
♦ 700-MAX111BCWE	MAX111BCWE+	SOW-16	14	2	0.05	SPI	0/5.3	1	4,9	13,04	6,61	6,08
♦ 700-MAX1147BEUP	MAX1147BEUP+	TSSOP-20	14	4	116	SPI	1,5/3,3	0,5	0,7	23,57	11,95	11,00
♦ 700-MAX1148BCUP	MAX1148BCUP+	TSSOP-20	14	8	116	SPI	1,5/5	0,5	0,7	22,11	11,21	10,32
♦ 700-MAX1148BEUP	MAX1148BEUP+	TSSOP-20	14	8	116	SPI	1,5/5,0	0,5	0,7	25,91	13,14	12,09
♦ 700-MAX1149BEUP	MAX1149BEUP+	TSSOP-20	14	8	116	SPI	1,5/3,3	0,5	0,7	25,91	13,14	12,09
♦ 700-MAX125CCAXD	MAX125CCAX+D	SSOP-36	14	8	250	µP/14	2,25/2,75	-	2	37,83	19,19	17,66
♦ 700-MAX125CEAXD	MAX125CEAX+D	SSOP-36	14	8	250	µP/14	2,25/2,75	-	2	39,32	19,94	18,35
700-MAX135CPI	MAX135CPI+	PDIP-28W	15	1	0,0016	µP/8	-/0,545	-	-	20,55	10,43	9,59
♦ 700-MAX135CWI	MAX135CWI+	SOIC-28 W	15	1	0,0016	µP/8	-/0,545	-	-	20,55	10,43	9,59
♦ 700-MAX11203EEE+	MAX11203EEE+	QSOP-16	16	1	0.48	SPI	0/3,6	1	20	3,63	1,84	1,69
♦ 700-MAX11205AEUB+	MAX11205AEUB+	µMAX-10	16	1	0,12	SPI	0/3,6	1	20	3,23	1,73	1,59
♦ 700-MAX11205BEUB+	MAX11205BEUB+	µMAX-10	16	1	0,12	SPI	3,6/3,6	1	20	3,42	1,73	1,59
♦ 700-MAX11213EEE+	MAX11213EEE+	QSOP-16	16	1	0.48	SPI	0/3,6	1	20	5,26	3,50	2,54
♦ 700-MAX1132BEAP	MAX1132BEAP+	SSOP-20	16	1	200	SPI	3,0/4,2	1,375	1	69,75	35,38	32,55
♦ 700-MAX1133BEAP	MAX1133BEAP+	SSOP-20	16	1	200	SPI	3,0/4,2	1,375	1	69,75	35,38	32,55
♦ 700-MAX1135BEAP	MAX1135BEAP+	SSOP-20	16	1	150	SPI	1,9/2,2	1,375	1	63,71	32,32	29,73
♦ 700-MAX195BEWE	MAX195BEWE+	SOIC-16	16	1	85	SPI	-/5,0	2	1,96608	61,94	45,75	41,67
♦ 700-MAX1358BETL	MAX1358BETL+	TQFN-40	16	2	0.512	SPI	1/3,6	-	2	14,89	11,06	9,16
♦ 700-MAX1359BETL	MAX1359BETL+	TQFN-40	16	2	0.512	SPI	1/3,6	-	2	14,09	10,21	8,46
♦ 700-MAX1415EUE	MAX1415EUE+	TSSOP 16 broches	16	2	0.5	SPI	1/1,75	-	0,98304	8,91	4,52	4,16
♦ 700-MAX1416EUE	MAX1416EUE+	TSSOP 16 broches	16	2	0.5	SPI	1/3,5	-	0,98304	8,91	4,52	4,16
♦ 700-MX7705EUE	MX7705EUE+	TSSOP 16 broches	16	2	0.5	SPI	1/3,5	-	1,96608	4,88	2,48	2,28
♦ 700-DS2450S	DS2450S+	SOIC 8 broches	16	4	1	1 fil	2,56/5,12	-	-	5,54	2,81	2,57
♦ 700-MAX11044ETN	MAX11044ETN+	TQFN 56	16	4	250	µP/16	3,0/4,25	0,5	0,8	21,45	10,88	10,01
♦ 700-MAX11047ETN+	MAX11047ETN+	TQFN 56	16	4	250	µP/16	3/4,25	0,7	0,65	20,41	10,35	9,53
♦ 700-MAX1300BEUG+	MAX1300BEUG+	TSSOP-20	16	4	115	SPI	3,8/4,136	0,5	1	20,32	10,30	9,48
♦ 700-MAX1303BEUP+	MAX1303BEUP+	TSSOP-20	16	4	115	SPI	3,8/4,136	0,5	1	20,64	12,05	11,93
♦ 700-MAX1407CAI	MAX1407CAI+	SSOP-28	16	4	0,06	SPI	1,15/1,35	-	2,5	14,69	9,76	8,75
♦ 700-MAX1414CAI	MAX1414CAI+	SSOP-28	16	4	0,06	SPI	1,15/1,35	-	2,5	14,69	9,95	8,75
♦ 700-MAX11045ETN	MAX11045ETN+	TQFN 56	16	6	250	µP/16	3,0/4,25	0,5	0,8	26,38	13,38	12,31
♦ 700-MAX11048ETN+	MAX11048ETN+	TQFN 56	16	6	250	µP/16	3/4,25	0,7	0,65	25,34	12,85	11,82
♦ 700-MAX11046ETN	MAX11046ETN+	TQFN 56	16	8	250	µP/16	3,0/4,25	0,5	0,8	32,98	16,73	15,39
♦ 700-MAX11049ETN+	MAX11049ETN+	TQFN 56	16	8	250	µP/16	3/4,25	0,7	0,65	31,94	16,20	14,91
♦ 700-MAX11359AETL+	MAX11359AETL+	TQFN-EP-40	16	-	-	SPI	-	-	-	11,54	8,75	7,62
♦ 700-MAX11209EEE+	MAX11209EEE+	QSOP-16	18	1	0.48	SPI	0/3,6	1	15	5,58	3,72	2,70
♦ 700-MAX11211EEE+	MAX11211EEE+	QSOP-16	18	1	0.48	SPI	0/3,6	1	15	3,84	1,95	1,79
♦ 700-MAX11212AEUB+	MAX11212AEUB+	µMAX-10	18	1	0,12	SPI	0/3,6	1	10	3,63	1,84	1,69
♦ 700-MAX11212BEUB+	MAX11212BEUB+	µMAX-10	18	1	0,12	SPI	0/3,6	1	10	3,63	1,84	1,69
700-MAX132CNG	MAX132CNG+	PDIP 24	18	1	0,1	SPI	-/0,545	-	-	20,55	10,43	9,59
♦ 700-MAX132CWG	MAX132CWG+	SOIC-24W	18	1	0,1	SPI	-/0,545	-	-	20,55	10,43	9,59
700-MAX132ENG	MAX132ENG+	PDIP 24	18	1	0,1	SPI	-/0,545	-	-	28,78	14,60	13,43
♦ 700-MAX132EWG	MAX132EWG+	SOIC-24W	18	1	0,1	SPI	-/0,545	-	-	28,78	14,60	13,43
♦ 700-MAX1400EAI	MAX1400EAI+	SSOP-28	18	5	4,8	SPI	0,0/2,5	-	3,93216	34,91	17,70	16,29
♦ 700-MAX1401EAI	MAX1401EAI+	SSOP-28	18	5	4,8	SPI	0,0/1,25	-	3,93216	34,91	17,70	16,29
♦ 700-MAX1403EAI	MAX1403EAI+	SSOP-28	18	5	4,8	SPI	0,0/1,25	-	3	34,91	17,70	16,29
♦ 700-MAX11206EEE+	MAX11206EEE+	QSOP-16	20	1	0.48	SPI	0/3,6	1	10	4,69	3,12	2,26
♦ 700-MAX11207EEE+	MAX11207EEE+	QSOP-16	20	1	0.48	SPI	0/3,6	1	10	4,25	2,83	2,05
♦ 700-MAX11208AEUB+	MAX11208AEUB+	µMAX-10	20	1	0,12	SPI	0/3,6	1	10	3,84	1,95	1,79
♦ 700-MAX11208BEUB+	MAX11208BEUB+	µMAX-10	20	1	0,12	SPI	0/3,6	1	10	3,84	1,95	1,79
♦ 700-MAX11200EEE+	MAX11200EEE+	QSOP-16	24	1	0.48	SPI	0/3,6	1	10	5,49	2,79	2,57
♦ 700-MAX11201AEUB+	MAX11201AEUB+	µMAX-10	24	1	0,12	SPI	0/3,6	1	10	4,99	2,68	2,26
♦ 700-MAX11201BEUB+	MAX11201BEUB+	µMAX-10	24	1	0,12	SPI	0/3,6	1	10	5,28	2,68	2,47
♦ 700-MAX11202AEUB+	MAX11202AEUB+	µMAX-10	24	1	0,12	SPI	0/3,6	1	10	4,82	2,58	2,38
♦ 700-MAX11202BEUB+	MAX11202BEUB+	µMAX-10	24	1	0,12	SPI	0/3,6	1	10	4,82	2,58	2,38
♦ 700-MAX11210EEE+	MAX11210EEE+	QSOP-16	24	1	0.48	SPI	0/3,6	1	10	7,71	5,15	3,73

CONVERTISSEURS ANALOGIQUE-NUMÉRIQUE (CAN) ORIENTÉS AFFICHAGE

♦ Composant pour montage en surface

Pour des quantités supérieures à celles indiquées, appelez-nous afin d'obtenir un devis.

RÉF. STOCK MOUSER	Réf. Maxim	Boîtier	Résolution (±nombres)	Vitesse de conversion (ksps)(Max.)	Bus de données	Tens. réf. ext. (V) (Min./Max.)	Tens. réf. int. (V)(Nom.)	Vin uni/ bipolaire (V) (Max.)	INL (±LSB)	Prix unitaire 1	25	100
700-ICL7107CPL	ICL7107CPL+	PDIP 40 W	2000	0,003	7 segments	-5/5	2,8	-/3,5	-	11,36	5,77	5,30
700-ICL7136CPL+	ICL7136CPL+	PDIP-40W	2000	0,0025	7 segments	-9/9	-	-/9	-	10,52	5,08	4,68
700-ICL7137CPL	ICL7137CPL+	PDIP-40W	2000	0,0025	7 segments	-5/5	3	-/0,2	-	11,36	5,77	5,30
700-MAX1491CNI	MAX1491CNI+	PDIP-28	2000	0,0025	7 segments	0/2,048	2,048	-/2	1	11,49	5,83	5,36
700-ICL7107CPL	ICL7107CPL+	PDIP 40 W	2000	0,003	7 segments	-5/5	2,8	-/3,5	-	11,36	5,77	5,30
700-ICL7106CPL	ICL7106CPL+	PDIP-40	2000	0,003	7 segments	-/9	2,8	3,5	-	11,93	5,77	5,30
700-MAX1496EPI	MAX1496EPI+	PDIP-28W	2000	0,005	7 segments	0/2,048	2,048	-/2	1	11,49	5,83	5,36
♦ 700-MAX1367ECM	MAX1367ECM+	LQFP 48 broches	2000	0,005	SPI	-2,2	2,2	2	1	18,86	9,11	8,38
700-MAX138CPL	MAX138CPL+	PDIP 40 W	2000	-	7 segments	0/7	-	-/7	-	19,87	10,08	9,27
700-ICL7116CPL	ICL7116CPL+	PDIP-40	2000	-	7 segments	-/9	2,8	3,5	-	11,93	5,77	5,30
700-ICL7109CPL	ICL7109CPL+	PDIP-40W	4096	0,03	µP/12,UART	-5/5	-2,8	-/3,5	-	12,19	6,18	5,68
♦ 700-MAX1493CCJ	MAX1493CCJ+	LQFP 32 broches	20000	0,0025	7 segments	0/2,048	2,048	-/2	1	15,96	8,09	7,45
♦ 700-MAX1494CCJ	MAX1494CCJ+	LQFP 32 broches	20000	0,0025	7 segments	0/2,048	2,048	-/2	1	18,69	9,48	8,72
♦ 700-MAX1495CCJ	MAX1495CCJ+	LQFP 32 broches	20000	0,0025	7 segments	0/2,048	2,048	-/2	1	15,96	8,09	7,45
700-ICL7129ACPL2	ICL7129ACPL+2	PDIP-40W	20000	-	7 segments	0/14	-2,8	-/15	-	15,23	7,35	6,77
700-ICL7135CPI	ICL7135CPI+	PDIP-28W	20000	-	µP/4,UART	-5/5	-	-/2	-	12,19	6,18	5,68

© Copyright 2012 Mouser Electronics

© Copyright 2012 Mouser Electronics

CI analogiques MAXIM

RoHS Compliant **This product is RoHS compliant.**

MAXIM INNOVATION DELIVERED®

CONVERTISSEURS NUMÉRIQUE-ANALOGIQUE (CNA) DE PRÉCISION

◆ **Composant pour montage en surface**

Pour des quantités supérieures à celles indiquées, appelez-nous afin d'obtenir un devis.

RÉF. STOCK MOUSER	Réf. Maxim	Boîtier	Rés. (bits)	Voies	Type de sortie	Interface	INL (Max.) (±LSB)	Icc (mA) (Max)	Plage d'alimentation (Min. / Max.) (V)	Prix unitaire 1	25	100
◆ 700-DS4412U	DS4412U+	µSOP-8	4	2	Courant avec tampon	I2C série	1	-	2,7/535	1,11	0,562	0,516
◆ 700-DS4402N	DS4402N+	TDFN-14	5	2	Courant avec tampon	I2C série	1	-	2,7/535	1,32	0,669	0,615
◆ 700-DS4404N	DS4404N+	TDFN-14	5	4	Courant avec tampon	I2C série	1	-	2,7/535	1,65	0,833	0,77
◆ 700-MAX5360MEUKT	MAX5360MEUK+T	SOT-5	6	1	Volt avec tampon	I2C série	1	0,23	2.7/3.6	1,27	0,957	0,833
◆ 700-MAX5362LEUKT	MAX5362LEUK+T	SOT-5	6	1	Volt avec tampon	I2C série	1	0,23	2,7 / 5,5	1,27	0,957	0,833
◆ 700-MAX5362MEUKT	MAX5362MEUK+T	SOT-5	6	1	Volt avec tampon	I2C série	1	0,23	2,7 / 5,5	1,27	0,957	0,833
◆ 700-DS4432U	DS4432U+	µMAX-8	7	2	Courant avec tampon	I2C série	1	0,15	2,7 / 5,5	1,11	0,562	0,516
◆ 700-MAX517ACSA	MAX517ACSA+	SOIC 8 broches	8	1	Volt avec tampon	I2C série	1	3,5	4,5 / 5,5	7,47	3,61	3,32
◆ 700-MAX517AESA	MAX517AESA+	SOIC 8 broches	8	1	Volt avec tampon	I2C série	1	3,5	4,5 / 5,5	6,46	4,78	3,88
700-MAX517BCPA	MAX517BCPA+	PDIP 8 broches	8	1	Volt avec tampon	I2C série	1,5	3,5	4,5 / 5,5	3,82	2,83	2,29
◆ 700-MAX517BCSA	MAX517BCSA+	SOIC 8 broches	8	1	Volt avec tampon	I2C série	1,5	3,5	4,5 / 5,5	5,74	3,83	2,55
◆ 700-MAX5380LEUKT	MAX5380LEUK+T	SOT-5	8	1	Volt avec tampon	I2C série	1	0,23	2,7/3,6	1,87	1,41	1,23
◆ 700-MAX5380MEUKT	MAX5380MEUK+T	SOT-5	8	1	Volt avec tampon	I2C série	1	0,23	2,7/3,6	1,87	1,41	1,23
◆ 700-MAX5382LEUKT	MAX5382LEUK+T	SOT-5	8	1	Volt avec tampon	I2C série	1	0,23	2,7 / 5,5	1,87	1,41	1,23
◆ 700-MAX5383EUTT	MAX5383EUT+T	TSOT-6	8	1	Volt avec tampon	SPI série	1	0,23	2,7/3,6	1,87	1,41	1,23
◆ 700-MAX5385EUTT	MAX5385EUT+T	TSOT-6	8	1	Volt avec tampon	SPI série	1	0,23	2,7 / 5,5	1,87	1,41	1,23
◆ 700-MAX5480BEEE	MAX5480BEEE+	QSOP-16	8	1	Courant sans tampon	FW parallèle	0,5	0,5	5/5	4,60	3,04	1,95
700-MAX550ACPA	MAX550ACPA+	PDIP 8 broches	8	1	Volt avec tampon	SPI série	-	0,55	2,5 / 5,5	4,20	2,05	1,78
◆ 700-MAX550ACUA	MAX550ACUA+	µMAX-8	8	1	Volt avec tampon	SPI série	-	0,55	2,5 / 5,5	4,20	2,77	1,78
◆ 700-MAX550AEUA	MAX550AEUA+	µMAX-8	8	1	Volt avec tampon	SPI série	-	0,55	2,5 / 5,5	5,48	2,67	2,32
◆ 700-MAX5510ETC	MAX5510ETC+	TQFN-12	8	1	Volt avec tampon	SPI série	1	0,005	1,8 / 5,5	1,38	1,22	1,12
◆ 700-MAX5511ETC	MAX5511ETC+	TQFN-12	8	1	Volt avec tampon	SPI série	1	0,007	1,8 / 5,5	1,86	1,66	1,52
◆ 700-MX7224KCWN	MX7224KCWN+	SOIC-18W	8	1	Volt avec tampon	FW parallèle	1	6	-5,5/16,5	6,53	3,31	3,04
700-MX7224KN	MX7224KN+	PDIP-18	8	1	Volt avec tampon	FW parallèle	1	6	-5,5/16,5	6,53	3,31	3,04
◆ 700-MX7224LCWN	MX7224LCWN+	SOIC-18W	8	1	Volt avec tampon	FW parallèle	1	-	-5,5/16,5	9,73	4,65	4,28
700-MX7224LN	MX7224LN+	PDIP-18	8	1	Volt avec tampon	FW parallèle	1	6	-5,5/16,5	9,17	4,65	4,28
◆ 700-MX7523JCWE	MX7523JCWE+	SOIC-16W	8	1	Volt sans tampon	FW parallèle	-	0,1	5/16	6,90	4,55	2,93
700-MX7523JN	MX7523JN+	PDIP 16 broches	8	1	Volt sans tampon	FW parallèle	-	0,1	5/16	6,90	4,55	2,93
◆ 700-MX7524JCSE	MX7524JCSE+	SOIC 16 broches	8	1	Courant sans tampon	FW parallèle	0,5	2	5/15	5,21	2,64	2,43
◆ 700-MX7524KCSE	MX7524KCSE+	SOIC 16 broches	8	1	Courant sans tampon	FW parallèle	0,5	2	5/15	5,53	2,70	2,48
◆ 700-MX7524LCSE	MX7524LCSE+	SOIC 16 broches	8	1	Courant sans tampon	FW parallèle	0,5	-	5/15	9,20	4,40	4,05
◆ 700-MAX5102AEUE	MAX5102AEUE+	TSSOP 16 broches	8	2	Volt avec tampon	FW parallèle	1	0,36	2,7 / 5,5	4,65	3,47	3,08
◆ 700-MAX5102BEUE	MAX5102BEUE+	TSSOP 16 broches	8	2	Volt avec tampon	FW parallèle	2	0,36	2,7 / 5,5	5,70	2,90	2,66
◆ 700-MAX5109EEE	MAX5109EEE+	QSOP-16	8	2	Volt avec tampon	I2C série	-	-	2,7 / 5,25	4,34	3,84	3,72
◆ 700-MAX5189BEEI	MAX5189BEEI+	QSOP 28	8	2	-	Parallèle	0,25	-	3	9,06	4,46	4,11
◆ 700-MAX518ACSA	MAX518ACSA+	SOIC 8 broches	8	2	Volt avec tampon	I2C série	1	6	4,5 / 5,5	7,99	3,86	3,56
700-MAX518BCPA	MAX518BCPA+	PDIP 8 broches	8	2	Volt avec tampon	I2C série	1,5	6	4,5 / 5,5	3,75	2,78	2,26
◆ 700-MAX518BCSA	MAX518BCSA+	SOIC 8 broches	8	2	Volt avec tampon	I2C série	1,5	6	4,5 / 5,5	6,16	4,11	2,74
◆ 700-MAX5191BEEI	MAX5191BEEI+	QSOP 28	8	2	-	Parallèle	0,25	-	3	9,06	4,46	4,11
700-MAX519ACPE	MAX519ACPE+	PDIP 8 broches	8	2	Volt avec tampon	I2C série	1	-	4,5 / 5,5	5,56	4,13	3,35
700-MAX519BCPE	MAX519BCPE+	PDIP 8 broches	8	2	Volt avec tampon	I2C série	1	-	4,5 / 5,5	4,28	3,16	2,57
◆ 700-MAX5222EKAT	MAX5222EKA+T	SOT-8	8	2	Volt avec tampon	SPI série	1	1	2,7 / 5,5	2,45	1,85	1,62
700-MAX522CPA	MAX522CPA+	PDIP 8 broches	8	2	Volt avec tampon	SPI série	1,5	2,8	2,7 / 5,5	3,75	2,78	2,42
◆ 700-MAX522CSA	MAX522CSA+	SOIC 8 broches	8	2	Volt avec tampon	SPI série	1,5	2,8	2,7 / 5,5	6,22	4,11	2,64
◆ 700-MAX522ESA	MAX522ESA+	SOIC 8 broches	8	2	Volt avec tampon	SPI série	1,5	2,8	2,7 / 5,5	5,30	3,86	3,42
700-MAX548ACPA	MAX548ACPA+	PDIP 8 broches	8	2	Volt sans tampon	SPI série	-	0,55	2,5 / 5,5	4,83	2,45	2,13
◆ 700-MAX548ACUA	MAX548ACUA+	µMAX-8	8	2	Volt sans tampon	SPI série	-	0,55	2,5 / 5,5	5,02	2,45	2,13
◆ 700-MAX548AEUA	MAX548AEUA+	µMAX-8	8	2	Volt sans tampon	SPI série	-	0,55	2,5 / 5,5	6,53	3,18	2,77
700-MAX549ACPA	MAX549ACPA+	PDIP 8 broches	8	2	Volt sans tampon	SPI série	-	0,55	2,5 / 5,5	5,02	2,45	2,13
◆ 700-MAX549ACUA	MAX549ACUA+	µMAX-8	8	2	Volt sans tampon	SPI série	-	0,55	2,5 / 5,5	4,74	2,40	2,13
◆ 700-MAX549AEUA	MAX549AEUA+	µMAX-8	8	2	Volt sans tampon	SPI série	-	0,55	2,5 / 5,5	6,53	4,31	2,77
◆ 700-MAX5512EUA	MAX5512EUA+	µMAX-8	8	2	Volt avec tampon	SPI série	1	0.006	1,8 / 5,5	1,65	1,47	1,34
◆ 700-MAX5513EUA	MAX5513EUA+	µMAX-8	8	2	Volt avec tampon	SPI série	1	0.008	1,8 / 5,5	2,15	1,91	1,75
◆ 700-MAX5515ETC	MAX5515ETC+	TQFN-12	8	2	Volt avec tampon	SPI série	1	-	1,8 / 5,5	2,16	1,91	1,75
◆ 700-MAX5820LEUA	MAX5820LEUA+	µMAX-8	8	2	Volt avec tampon	I2C série	1	0,215	2,7 / 5,5	1,23	1,10	1,06
◆ 700-MAX5820MEUA	MAX5820MEUA+	µMAX-8	8	2	Volt avec tampon	I2C série	1	0,215	2,7 / 5,5	1,23	1,10	1,06
◆ 700-MX7528JCWP	MX7528JCWP+	SOIC-20W	8	2	Courant sans tampon	FW parallèle	1	0,5	5/15	5,87	4,69	3,65
700-MX7528JN	MX7528JN+	PDIP-20	8	2	Courant sans tampon	FW parallèle	1	0,5	5/15	5,87	4,69	3,65
◆ 700-MX7528KCWP	MX7528KCWP+	SOIC-20W	8	2	Courant sans tampon	FW parallèle	1	0,5	5/15	5,87	4,69	3,65
◆ 700-MX7528KEQP	MX7528KEQP+	PLCC-20	8	2	Courant sans tampon	FW parallèle	1	0,5	5/15	8,66	6,93	5,40
700-MX7528KN	MX7528KN+	PDIP-20	8	2	Courant sans tampon	FW parallèle	1	-	5/15	5,87	4,69	3,65
◆ 700-MX7628KCWP	MX7628KCWP+	SOIC 20 broches	8	2	Courant sans tampon	FW parallèle	0,5	-	12/15	5,91	3,98	3,66
◆ 700-MAX5101AEUE	MAX5101AEUE+	TSSOP 16 broches	8	3	Volt avec tampon	FW parallèle	1	0,52	2,7 / 5,5	4,89	3,72	3,23
700-MAX512CPD	MAX512CPD+	PDIP 14 broches	8	3	Volt avec tampon	SPI série	1,5	2,8	4,5 / 5,5	7,75	3,78	3,29
◆ 700-MAX512CSD	MAX512CSD+	SOIC 14 broches	8	3	Volt avec tampon	SPI série	1,5	2,8	4,5 / 5,5	7,31	3,70	3,29
700-MAX512EPD	MAX512EPD+	PDIP 14 broches	8	3	Volt avec tampon	SPI série	1,5	-	4,5 / 5,5	6,67	4,93	4,17
◆ 700-MAX512ESD	MAX512ESD+	SOIC 14 broches	8	3	Volt avec tampon	SPI série	1,5	2,8	4,5 / 5,5	10,10	4,93	4,29
◆ 700-DS4426T	DS4426T+	TQFN-28	8	4	Courant avec tampon	I2C série	1	-	2,7/535	3,07	2,05	1,36
700-MAX500ACPE	MAX500ACPE+	PDIP 16 broches	8	4	Volt avec tampon	I2C série	0,5	12	11,4/16,5	17,67	8,54	7,85
700-MAX500BCPE	MAX500BCPE+	PDIP 16 broches	8	4	Volt avec tampon	I2C série	1	12	11,4/16,5	9,17	6,78	5,50
◆ 700-MAX500BCWE	MAX500BCWE+	SOIC 16 broches	8	4	Volt avec tampon	I2C série	1	12	11,4/16,5	13,76	6,65	6,11
700-MAX505ACNG	MAX505ACNG+	PDIPN-24	8	4	Volt avec tampon	FW parallèle	1	-	4,5 / 5,5	15,74	11,63	9,45
◆ 700-MAX505ACWG	MAX505ACWG+	SOIC-24W	8	4	Volt avec tampon	FW parallèle	1	12	4,5 / 5,5	15,74	11,41	9,45
◆ 700-MAX505BCAG	MAX505BCAG+	SSOP 24	8	4	Volt avec tampon	FW parallèle	1,5	12	4,5 / 5,5	14,42	6,90	6,12
700-MAX505BCNG	MAX505BCNG+	PDIP-24	8	4	Volt avec tampon	FW parallèle	1,5	12	4,5 / 5,5	12,13	8,79	7,28
◆ 700-MAX505BCWG	MAX505BCWG+	SOIC-24W	8	4	Volt avec tampon	FW parallèle	1,5	12	4,5 / 5,5	12,13	8,97	7,28
700-MAX506ACPP	MAX506ACPP+	PDIP-20	8	4	Volt avec tampon	FW parallèle	1	12	4,5 / 5,5	20,12	10,21	8,89
◆ 700-MAX506AEWP	MAX506AEWP+	SOIC-20W	8	4	Volt avec tampon	FW parallèle	1	12	4,5 / 5,5	26,21	13,29	11,57
700-MAX506BCPP	MAX506BCPP+	PDIP-20	8	4	Volt avec tampon	FW parallèle	1,5	12	4,5 / 5,5	15,49	7,85	6,84
◆ 700-MAX506BCWP	MAX506BCWP+	SOIC-20W	8	4	Volt avec tampon	FW parallèle	1,5	12	4,5 / 5,5	16,10	7,70	6,84
700-MAX509BCPP	MAX509BCPP+	PDIP-20	8	4	Volt avec tampon	SPI série	1,5	12	-5,5/5,5	8,53	6,30	5,12
◆ 700-MAX509BCWP	MAX509BCWP+	SOIC-20W	8	4	Volt avec tampon	SPI série	1,5	12	-5,5/5,5	9,30	6,88	5,59
◆ 700-MAX5100AEUP	MAX5100AEUP+	TSSOP 20 broches	8	4	Volt avec tampon	FW parallèle	1	0,7	2,7 / 5,5	8,51	4,31	3,97
◆ 700-MAX5106EEE	MAX5106EEE+	QSOP-16	8	4	Volt avec tampon	SPI série	2	-	2,7 / 5,5	6,88	5,18	4,21
700-MAX510ACPE	MAX510ACPE+	PDIP-20	8	4	Volt avec tampon	SPI série	1	-	-5,5/5,5	10,82	8,00	6,49
700-MAX510BCPE	MAX510BCPE+	PDIP 16 broches	8	4	Volt avec tampon	SPI série	1,5	12	-5,5/5,5	9,02	6,66	5,79
◆ 700-MAX510BCWE	MAX510BCWE+	SOIC-16W	8	4	Volt avec tampon	SPI série	1,5	12	-5,5/5,5	13,51	6,53	6,01
◆ 700-MAX5116EEE	MAX5116EEE+	QSOP-16	8	4	Volt avec tampon	I2C série	-	-	2,7 / 5,25	8,32	7,70	7,70
◆ 700-MAX520ACWE	MAX520ACWE+	SOIC-16W	8	4	Volt sans tampon	I2C série	1	0,2	4,5 / 5,5	10,36	5,26	4,57
700-MAX520BCPE	MAX520BCPE+	PDIP 16 broches	8	4	Volt sans tampon	I2C série	1	0,02	4,5 / 5,5	8,75	4,27	3,71
◆ 700-MAX520BCWE	MAX520BCWE+	SOIC-16W	8	4	Volt sans tampon	I2C série	1	0,02	4,5 / 5,5	9,55	4,66	4,05
◆ 700-MAX534AEEE	MAX534AEEE+	QSOP-16	8	4	Volt avec tampon	SPI série	1	1,5	4,5 / 5,5	9,03	6,67	5,42

© Copyright 2012 Mouser Electronics

© Copyright 2012 Mouser Electronics

CONVERTISSEURS NUMÉRIQUE-ANALOGIQUE (CNA) DE PRÉCISION (SUITE)

♦ Composant pour montage en surface

Pour des quantités supérieures à celles indiquées, appelez-nous afin d'obtenir un devis.

RÉF. STOCK MOUSER	Réf. Maxim	Boîtier	Rés. (bits)	Voies	Type de sortie	Interface	INL (Max.) (±LSB)	I_{CC} (mA) (Max)	Plage d'alimentation (Min. / Max.) (V)	Prix unitaire 1	25	100
♦ 700-MAX534BCEE	MAX534BCEE+	QSOP-16	8	4	Volt avec tampon	SPI série	2	1,5	4,5 / 5,5	5,35	3,96	3,22
700-MAX534BCPE	MAX534BCPE+	PDIP 16 broches	8	4	Volt avec tampon	SPI série	2	1,5	4,5 / 5,5	5,35	3,96	3,22
700-MX7226KN	MX7226KN+	PDIP-20	8	4	Volt avec tampon	FW parallèle	1	13	-5,5/16,5	24,35	12,35	11,36
♦ 700-MAX521ACAG	MAX521ACAG+	SSOP 24	8	8	Volt avec tampon	I2C série	1,5	24	4,5 / 5,5	17,18	8,72	8,02
700-MAX521ACPP	MAX521ACPP+	PDIP-20	8	8	Volt avec tampon	I2C série	1,5	24	4,5 / 5,5	11,57	8,56	6,95
♦ 700-MAX521ACWG	MAX521ACWG+	SOIC-24W	8	8	Volt avec tampon	I2C série	1,5	24	4,5 / 5,5	11,57	8,56	6,95
♦ 700-MAX521BCAG	MAX521BCAG+	SSOP 24	8	8	Volt avec tampon	I2C série	2	24	4,5 / 5,5	9,26	6,83	5,54
700-MAX521BCPP	MAX521BCPP+	PDIP-20	8	8	Volt avec tampon	I2C série	2	24	4,5 / 5,5	8,90	6,58	5,35
♦ 700-MAX521BCWG	MAX521BCWG+	SOIC-24W	8	8	Volt avec tampon	I2C série	2	24	4,5 / 5,5	8,90	6,58	5,35
♦ 700-MAX5258EEE	MAX5258EEE+	QSOP-16	8	8	Volt avec tampon	SPI série	1	2,6	4,5 / 5,5	7,66	3,89	3,57
♦ 700-MAX5259EEE	MAX5259EEE+	QSOP-16	8	8	Volt avec tampon	SPI série	1	2,6	2,7/3,6	4,66	3,96	3,22
♦ 700-MAX528CWG	MAX528CWG+	SOIC-24W	8	8	Volt sans tampon	SPI série	1	1,5	10,8/16,5	11,47	8,47	6,88
700-MAX529CPP	MAX529CPP+	PDIP-20	8	8	Volt sans tampon	SPI série	1	1,5	4,75/5,25	8,81	6,51	5,29
♦ 700-MX7228KCWG	MX7228KCWG+	SOIC-24W	8	8	Volt avec tampon	FW parallèle	1	-	-5,5/16,5	43,49	31,21	27,13
700-MAX503CNG	MAX503CNG+	PDIP-24	10	1	Volt avec tampon	BW parallèle	0,5	0,4	-5,5/5,5	8,54	2,85	2,62
♦ 700-MAX503CWG	MAX503CWG+	SOIC-24W	10	1	Volt avec tampon	BW parallèle	0,5	0,4	-5,5/5,5	8,54	2,85	2,62
700-MAX504CPD	MAX504CPD+	PDIP 14 broches	10	1	Volt avec tampon	SPI série	0,5	0,4	-5,5/5,5	5,35	3,96	3,22
♦ 700-MAX504CSD	MAX504CSD+	SOIC 14 broches	10	1	Volt avec tampon	SPI série	0,5	0,4	-5,5/5,5	7,66	3,89	3,57
♦ 700-MAX504ESD	MAX504ESD+	SOIC 14 broches	10	1	Volt avec tampon	SPI série	0,5	0,4	-5,5/5,5	10,44	6,96	5,04
700-MAX515CPA	MAX515CPA+	PDIP 8 broches	10	1	Volt avec tampon	SPI série	0,5	0,3	4,5 / 5,5	7,18	3,47	3,19
♦ 700-MAX515CSA	MAX515CSA+	SOIC 8 broches	10	1	Volt avec tampon	SPI série	0,5	0,3	4,5 / 5,5	6,58	3,18	2,93
♦ 700-MAX515ESA	MAX515ESA+	SOIC 8 broches	10	1	Volt avec tampon	SPI série	0,5	0,3	4,5 / 5,5	6,21	4,93	3,66
♦ 700-MAX5304CUA	MAX5304CUA+	µMAX-8	10	1	Volt avec tampon	SPI série	4	0,4	4,5 / 5,5	4,58	3,05	2,04
♦ 700-MAX5304EUA	MAX5304EUA+	µMAX-8	10	1	Volt avec tampon	SPI série	4	0,4	4,5 / 5,5	3,17	2,40	1,96
♦ 700-MAX5354CUA	MAX5354CUA+	µMAX-8	10	1	Volt avec tampon	SPI série	2	0,4	4,5 / 5,5	5,16	3,82	3,10
♦ 700-MAX5354EUA	MAX5354EUA+	µMAX-8	10	1	Volt avec tampon	SPI série	2	0,4	4,5 / 5,5	6,15	4,55	3,70
♦ 700-MAX5355CUA	MAX5355CUA+	µMAX-8	10	1	Volt avec tampon	SPI série	2	0,4	3,15/3,6	5,54	4,10	3,33
♦ 700-MAX5355EUA	MAX5355EUA+	µMAX-8	10	1	Volt avec tampon	SPI série	2	0,4	3,15/3,6	7,21	5,33	4,32
♦ 700-MAX5185BEEI	MAX5185BEEI+	QSOP 28	10	2	-	Parallèle	0,5	-	3	11,30	5,73	5,27
♦ 700-MAX5522EUA	MAX5522EUA+	µMAX-8	10	2	Volt avec tampon	SPI série	4	0.006	1,8 / 5,5	2,03	1,80	1,65
♦ 700-MAX5523EUA	MAX5523EUA+	µMAX-8	10	2	Volt avec tampon	SPI série	4	0,008	1,8 / 5,5	2,52	2,23	2,05
♦ 700-MAX5550ETE	MAX5550ETE+	TQFN 16	10	2	Courant sans tampon	I2C,SPI	1	6	2,7 / 5,25	4,60	4,10	3,97
♦ 700-MAX5721AUA	MAX5721AUA+	µMAX-8	10	2	Volt avec tampon	SPI série	4	0,215	2,7 / 5,5	6,24	4,23	3,88
♦ 700-MAX5721EUA	MAX5721EUA+	µMAX-8	10	2	Volt avec tampon	SPI série	4	0,215	2,7 / 5,5	5,94	4,03	3,69
♦ 700-MAX5821LEUA	MAX5821LEUA+	µMAX-8	10	2	Volt avec tampon	I2C série	4	0,215	2,7 / 5,5	7,61	3,86	3,56
♦ 700-MAX5821MEUA	MAX5821MEUA+	µMAX-8	10	2	Volt avec tampon	I2C série	4	0,215	2,7 / 5,5	7,61	3,86	3,56
♦ 700-MAX5250ACAP	MAX5250ACAP+	SSOP-20	10	4	Volt avec tampon	SPI série	0,5	,0,98	4,5 / 5,5	12,28	8,89	7,37
♦ 700-MAX5250AEAP	MAX5250AEAP+	SSOP-20	10	4	Volt avec tampon	SPI série	0,5	,0,98	4,5 / 5,5	15,99	11,81	9,59
♦ 700-MAX5250BCAP	MAX5250BCAP+	SSOP-20	10	4	Volt avec tampon	SPI série	1	0,98	4,5 / 5,5	9,45	6,85	5,68
700-MAX5250BCPP	MAX5250BCPP+	PDIP-20	10	4	Volt avec tampon	SPI série	1	0,98	4,5 / 5,5	8,68	6,29	5,21
♦ 700-MAX5250BEAP	MAX5250BEAP+	SSOP-20	10	4	Volt avec tampon	SPI série	1	0,98	4,5 / 5,5	12,28	9,08	7,37
♦ 700-MAX5251BCAP	MAX5251BCAP+	SSOP-20	10	4	Volt avec tampon	SPI série	1	0,98	3 / 3,6	9,45	6,99	5,68
♦ 700-MAX5741AUB	MAX5741AUB+	µMAX-10	10	4	Volt avec tampon	SPI série	4	0,42	2,7 / 5,5	6,91	4,69	4,24
♦ 700-MAX5741EUB	MAX5741EUB+	µMAX-10	10	4	Volt avec tampon	SPI série	4	0,42	2,7 / 5,5	6,58	4,37	4,03
♦ 700-MAX5841LEUB	MAX5841LEUB+	µMAX-10	10	4	Volt avec tampon	I2C série	4	0,42	2,7 / 5,5	5,36	4,69	4,42
♦ 700-MAX5841MEUB	MAX5841MEUB+	µMAX-10	10	4	Volt avec tampon	I2C série	4	0,42	2,7 / 5,5	5,36	4,69	4,42
♦ 700-MAX5308EUE	MAX5308EUE+	TSSOP 16 broches	10	8	Volt avec tampon	SPI série	2	1,7	2,7 / 5,5	12,94	6,57	6,04
700-MAX501BCNG	MAX501BCNG+	PDIP-24	12	1	Volt avec tampon	BW parallèle	1	14	15,75	13,99	7,10	6,18
♦ 700-MAX501BEWG	MAX501BEWG+	SOW-24	12	1	Volt avec tampon	BW parallèle	0,75	-	1/15/00	12,54	9,22	7,48
700-MAX502BCNG	MAX502BCNG+	PDIP-24	12	1	Volt avec tampon	FW parallèle	1	14	15,75	13,99	7,10	6,18
♦ 700-MAX507ACWG	MAX507ACWG+	SOW-24	12	1	Volt avec tampon	FW parallèle	1	-	15,75	17,62	11,95	10,35
700-MAX507BCNG	MAX507BCNG+	PDIP-24	12	1	Volt avec tampon	FW parallèle	1	-	15,75	18,10	9,18	7,99
♦ 700-MAX507BCWG	MAX507BCWG+	SOIC-24W	12	1	Volt avec tampon	FW parallèle	1	-	15,75	18,10	9,18	7,99
700-MAX508BCPP	MAX508BCPP+	PDIP-20	12	1	Volt avec tampon	BW parallèle	1	-	15,75	17,75	9,00	7,99
♦ 700-MAX508BCWP	MAX508BCWP+	SOIC-20W	12	1	Volt avec tampon	BW parallèle	1	-	15,75	19,74	10,02	8,72
♦ 700-MAX5123AEEE	MAX5123AEEE+	QSOP-16	12	1	Volt avec tampon	SPI série	1	0,6	2,7/3,6	9,17	6,98	5,90
♦ 700-MAX5139GTE	MAX5139GTE+	TQFN 16	12	1	Volt avec tampon	SPI série	1	-	2,7 / 5,25	2,60	2,20	1,93
♦ 700-MAX5302CUA	MAX5302CUA+	µMAX-8	12	1	Volt avec tampon	SPI série	4	0,4	4,5 / 5,5	4,17	3,18	2,58
♦ 700-MAX5302EUA	MAX5302EUA+	µMAX-8	12	1	Volt avec tampon	SPI série	4	0,4	4,5 / 5,5	6,67	3,38	3,11
♦ 700-MAX530BCAG	MAX530BCAG+	SSOP 24	12	1	Volt avec tampon	BW parallèle	-	0,4	5,5	15,43	5,42	4,98
700-MAX530BCNG	MAX530BCNG+	PDIP-24	12	1	Volt avec tampon	BW parallèle	-	0,4	5,5	10,39	5,27	4,85
♦ 700-MAX530BCWG	MAX530BCWG+	SOIC-24W	12	1	Volt avec tampon	BW parallèle	-	0,4	5,5	14,64	5,16	4,75
♦ 700-MAX5312EAE	MAX5312EAE+	SSOP 16 broches	12	1	Volt avec tampon	SPI série	1	6,2	15,75	10,49	5,32	4,72
700-MAX531ACPD	MAX531ACPD+	PDIP 14 broches	12	1	Volt avec tampon	SPI série	0,5	0,4	5,25	14,54	10,74	8,72
♦ 700-MAX531ACSD	MAX531ACSD+	SOIC 14 broches	12	1	Volt avec tampon	SPI série	0,5	0,4	5,25	21,80	10,54	9,69
♦ 700-MAX531AESD	MAX531AESD+	SOIC 14 broches	12	1	Volt avec tampon	SPI série	0,5	0,4	5,25	18,89	13,98	11,34
700-MAX531BCPD	MAX531BCPD+	PDIP 14 broches	12	1	Volt avec tampon	SPI série	1	0,4	5,25	14,50	9,67	7,00
♦ 700-MAX531BCSD	MAX531BCSD+	SOIC 14 broches	12	1	Volt avec tampon	SPI série	1	0,4	5,25	14,50	9,67	7,00
♦ 700-MAX531BESD	MAX531BESD+	SOIC 14 broches	12	1	Volt avec tampon	SPI série	1	0,4	5,25	12,60	9,31	7,57
♦ 700-MAX5352ACUA	MAX5352ACUA+	µMAX-8	12	1	Volt avec tampon	SPI série	0,8	0,4	4,5 / 5,5	10,43	7,71	6,26
♦ 700-MAX5352BCUA	MAX5352BCUA+	µMAX-8	12	1	Volt avec tampon	SPI série	1	0,4	4,5 / 5,5	8,04	5,82	4,83
♦ 700-MAX5352BEUA	MAX5352BEUA+	µMAX-8	12	1	Volt avec tampon	SPI série	1	0,4	4,5 / 5,5	14,90	7,56	6,95
♦ 700-MAX5353AEUA	MAX5353AEUA+	µMAX-8	12	1	Volt avec tampon	SPI série	1	0,4	3,15/3,6	13,56	10,02	8,13
700-MAX539BCPA	MAX539BCPA+	PDIP 8 broches	12	1	Volt avec tampon	SPI série	1	0,3	4,5 / 5,5	12,33	6,25	5,75
♦ 700-MAX539BCSA	MAX539BCSA+	SOIC 8 broches	12	1	Volt avec tampon	SPI série	1	0,3	4,5 / 5,5	12,33	6,25	5,75
700-MAX539BEPA	MAX539BEPA+	PDIP 8 broches	12	1	Volt avec tampon	SPI série	0,5	-	4,5 / 5,5	11,20	8,28	6,72
700-MAX543ACPA	MAX543ACPA+	PDIP 8 broches	12	1	Courant sans tampon	Autre série	0,5	-	11,4/15,75	15,59	11,53	9,36
♦ 700-MAX543ACWE	MAX543ACWE+	SOIC-16W	12	1	Courant sans tampon	Autre série	0,5	-	11,4/15,75	15,59	11,53	9,36
♦ 700-MAX552AEUB	MAX552AEUB+	µMAX-10	12	1	Courant sans tampon	SPI série	0,5	0,005	2,7/3,6	14,18	7,19	6,26
♦ 700-MAX5531ETC	MAX5531ETC+	TQFN-12	12	1	Volt avec tampon	SPI série	8	0,007	1,8 / 5,5	2,95	2,61	2,39
700-MX7548JN	MX7548JN+	PDIP-20	12	1	Courant sans tampon	BW parallèle	1	-	4,75/15,75	9,38	7,51	5,84
♦ 700-MAX5104CEE	MAX5104CEE+	QSOP 16 broches	12	2	Volt avec tampon	SPI série	4	0,65	4,5 / 5,5	10,46	5,30	4,62
♦ 700-MAX5104EEE	MAX5104EEE+	QSOP 16 broches	12	2	Volt avec tampon	SPI série	4	0,65	4,5 / 5,5	11,25	5,71	4,97
♦ 700-MAX5137GTG	MAX5137GTG+	TQFN-24	12	2	Volt avec tampon	SPI série	1	2,3	2,7 / 5,5	3,14	2,77	2,54
700-MAX5154BCPE	MAX5154BCPE+	PDIP 16 broches	12	2	Volt avec tampon	SPI série	1	-	4,5 / 5,5	11,47	8,47	6,88
♦ 700-MAX5155ACEE	MAX5155ACEE+	QSOP 16 broches	12	2	Volt avec tampon	SPI série	1	-	2,7/3,6	20,90	10,60	9,22
♦ 700-MAX5156BCEE	MAX5156BCEE+	QSOP 16 broches	12	2	Volt avec tampon	SPI série	1	0,65	4,5 / 5,5	17,37	8,31	7,38
700-MAX532ACPE	MAX532ACPE+	PDIP 16 broches	12	2	Volt avec tampon	SPI série	0,5	10	16,5	19,46	14,44	11,72
♦ 700-MAX532ACWE	MAX532ACWE+	SOIC-16W	12	2	Volt avec tampon	SPI série	0,5	10	16,5	19,52	14,16	12,57
♦ 700-MAX532AEWE	MAX532AEWE+	SOIC-16W	12	2	Volt avec tampon	SPI série	0,5	10	16,5	26,27	19,49	15,82

© Copyright 2012 Mouser Electronics

© Copyright 2012 Mouser Electronics

CI analogiques MAXIM

RoHS Compliant Thjs product is RoHS compliant.

MAXIM INNOVATION DELIVERED

CONVERTISSEURS NUMÉRIQUE-ANALOGIQUE (CNA) DE PRÉCISION (SUITE)

♦ **Composant pour montage en surface**

Pour des quantités supérieures à celles indiquées, appelez-nous afin d'obtenir un devis.

RÉF. STOCK MOUSER	Réf. Maxim	Boîtier	Rés. (bits)	Voies	Type de sortie	Interface	INL (Max.) (±LSB)	I_{CC} (mA) (Max)	Plage d'alimentation (Min. / Max.) (V)	Prix unitaire 1	25	100
♦ 700-MAX5532EUA	MAX5532EUA+	µMAX-8	12	2	Volt avec tampon	SPI série	8	0,006	1,8 / 5,5	3,44	3,05	2,81
♦ 700-MAX5533EUA	MAX5533EUA+	µMAX-8	12	2	Volt avec tampon	SPI série	8	0,008	1,8 / 5,5	3,89	3,44	3,16
♦ 700-MAX5535ETC	MAX5535ETC+	TQFN-12	12	2	Volt avec tampon	SPI série	8	-	1,8 / 5,5	3,89	3,44	3,16
♦ 700-MAX5722EUA	MAX5722EUA+	µMAX-8	12	2	Volt avec tampon	SPI série	16	0,215	2,7 / 5,5	9,78	6,50	5,98
♦ 700-MAX5822LEUA	MAX5822LEUA+	µMAX-8	12	2	Volt avec tampon	I2C série	16	0,215	2,7 / 5,5	13,48	6,84	6,29
♦ 700-MAX5822MEUA	MAX5822MEUA+	µMAX-8	12	2	Volt avec tampon	I2C série	16	0,215	2,7 / 5,5	6,59	5,90	5,66
♦ 700-MX7537JP	MX7537JP+	PLCC 28 broches	12	2	Courant sans tampon	BW parallèle	1	-	10,8/16,5	27,81	14,11	12,98
700-MX7541AJN	MX7541AJN+	PDIP-18	12	2	Courant sans tampon	FW parallèle	1	500	5/16	12,52	8,27	5,90
700-MX7542JN	MX7542JN+	PDIP 16	12	2	Courant sans tampon	BW parallèle	1	2.5	4,75/5,25	16,03	8,13	7,22
700-MX7542KN	MX7542KN+	PDIP 16	12	2	Courant sans tampon	BW parallèle	1	-	4,75/5,25	18,83	9,00	7,99
♦ 700-MX7543JCWE	MX7543JCWE+	SOIC-16W	12	2	Courant sans tampon	Autre série	1	2.5	4,75/5,25	9,93	6,70	6,16
700-MX7543JN	MX7543JN+	PDIP 16	12	2	Courant sans tampon	Autre série	1	2.5	4,75/5,25	13,20	6,70	6,16
♦ 700-MX7837JR	MX7837JR+	SOIC-24W	12	2	Volt avec tampon	BW parallèle	1	10	16,5	21,11	14,29	10,58
700-MX7847JN	MX7847JN+	PDIP 24	12	2	Volt avec tampon	FW parallèle	1	10	16,5	25,72	13,04	11,58
♦ 700-MX7847JR	MX7847JR+	SOIC-24W	12	2	Volt avec tampon	FW parallèle	1	10	16,5	22,68	11,50	10,58
♦ 700-MAX5135GTG	MAX5135GTG+	TQFN-24	12	4	Volt avec tampon	SPI série	1	2,3	2,7 / 5,5	5,95	5,27	4,84
700-MAX514BCNG	MAX514BCNG+	PDIP 24	12	4	Courant sans tampon	Autre série	1	0,4	4,5/5,25	35,27	17,89	15,58
♦ 700-MAX525AEAP	MAX525AEAP+	SSOP-20	12	4	Volt avec tampon	SPI série	0,5	,0,98	4,5 / 5,5	37,13	28,53	23,92
♦ 700-MAX525BCAP	MAX525BCAP+	SSOP-20	12	4	Volt avec tampon	SPI série	1	0,98	4,5 / 5,5	21,97	16,55	14,16
♦ 700-MAX525BEAP	MAX525BEAP+	SSOP-20	12	4	Volt avec tampon	SPI série	1	0,98	4,5 / 5,5	28,58	21,52	18,41
♦ 700-MAX526CCWG	MAX526CCWG+	SOIC-24W	12	4	Volt avec tampon	BW parallèle	0,5	28	-5,5/16,5	39,62	28,72	23,78
700-MAX526DCNG	MAX526DCNG+	PDIP 24	12	4	Volt avec tampon	BW parallèle	1	28	-5,5/16,5	33,02	23,93	19,82
♦ 700-MAX526DCWG	MAX526DCWG+	SOIC-24W	12	4	Volt avec tampon	BW parallèle	1	28	-5,5/16,5	33,02	23,93	21,26
700-MAX527DCNG	MAX527DCNG+	PDIP 24	12	4	Volt avec tampon	BW parallèle	1	18	-5,5/5,5	28,13	20,79	16,88
♦ 700-MAX5500AGAP	MAX5500AGAP+	SSOP-20	12	4	Volt avec tampon	SPI série	0,75	0,98	4,5 / 5,5	7,85	6,96	6,39
♦ 700-MAX5501AGAP	MAX5501AGAP+	SSOP-20	12	4	Volt avec tampon	SPI série	0,75	-	3/3.6	7,89	6,96	6,39
♦ 700-MAX5501BGAP	MAX5501BGAP+	SSOP-20	12	4	Volt avec tampon	SPI série	2	-	3/3.6	5,63	5,00	4,59
♦ 700-MAX5742AUB	MAX5742AUB+	µMAX-10	12	4	Volt avec tampon	SPI série	16	0,42	2,7 / 5,5	12,20	8,12	7,47
♦ 700-MAX5742EUB	MAX5742EUB+	µMAX-10	12	4	Volt avec tampon	SPI série	16	0,42	2,7 / 5,5	11,61	7,72	7,10
♦ 700-MAX5842LEUB	MAX5842LEUB+	µMAX-10	12	4	Volt avec tampon	I2C série	16	0,42	2,7 / 5,5	9,01	8,05	7,79
♦ 700-MAX5842MEUB+	MAX5842MEUB+	µMAX-10	12	4	Volt avec tampon	I2C série	16	-	2,7 / 5,5	9,01	8,05	7,79
♦ 700-MAX5306EUE	MAX5306EUE+	µMAX-8	12	8	Volt avec tampon	SPI série	4	1,7	2,7 / 5,5	16,49	11,19	10,22
♦ 700-MAX5307EUE	MAX5307EUE+	TSSOP-16	12	8	Volt avec tampon	SPI série	4	1,7	2,7 / 5,5	21,62	10,96	10,09
♦ 700-MAX5590BEUG	MAX5590BEUG+	TSSOP-24	12	8	Volt avec tampon	SPI série	4	3,2	2,7 / 5,25	12,09	11,10	10,92
♦ 700-MAX535BCUA	MAX535BCUA+	µMAX-8	13	1	Volt avec tampon	SPI série	0,5	0,4	4,5 / 5,5	9,45	6,99	5,68
♦ 700-MAX5141EUA	MAX5141EUA+	µMAX-8	14	1	Volt sans tampon	SPI série	1	0,2	4,5 / 5,5	12,43	9,04	7,48
♦ 700-MAX5142EUB	MAX5142EUB+	µMAX-10	14	1	Volt sans tampon	SPI série	1	0,2	4,5 / 5,5	12,43	9,22	7,48
♦ 700-MAX5143EUA	MAX5143EUA+	µMAX-8	14	1	Volt sans tampon	SPI série	1	0,2	2,7/3,6	12,43	9,22	7,48
♦ 700-MAX5170AEEE	MAX5170AEEE+	QSOP-16	14	1	Volt avec tampon	SPI série	1	0,4	4,5 / 5,5	15,46	7,85	6,96
♦ 700-MAX5170BEEE	MAX5170BEEE+	QSOP-16	14	1	Volt avec tampon	SPI série	2	0,4	4,5 / 5,5	12,14	6,16	5,36
700-MAX545BCPD	MAX545BCPD+	PDIP-14	14	1	Volt sans tampon	SPI série	0,5	-	4,75/5,25	13,91	10,23	8,31
♦ 700-MAX5544ESA	MAX5544ESA+	SO-8	14	1	Volt sans tampon	SPI série	8	-	4,75/5,25	8,46	6,44	5,23
♦ 700-MX7538KEWG	MX7538KEWG+	SOIC-24W	14	1	Courant sans tampon	FW parallèle	2	4	11,4/15,75	39,13	19,85	17,63
♦ 700-MAX541ACSA	MAX541ACSA+	SOIC-8	16	1	Volt sans tampon	SPI série	1	1,1	4,75/5,5	33,82	23,18	20,19
♦ 700-MAX541AESA	MAX541AESA+	SOIC-8	16	1	Volt sans tampon	SPI série	1	1,1	4,75/5,5	43,98	30,15	26,25
700-MAX541BCPA	MAX541BCPA+	PDIP-8	16	1	Volt sans tampon	SPI série	2	1,1	4,75/5,5	24,28	17,95	15,63
700-MAX541CCPA	MAX541CCPA+	PDIP-8	16	1	Volt sans tampon	SPI série	4	1,1	4,75/5,5	17,44	12,89	11,22
♦ 700-MAX541CCSA	MAX541CCSA+	SOIC-8	16	1	Volt sans tampon	SPI série	4	1,1	4,75/5,5	17,26	11,60	10,33
♦ 700-MAX542BCSD	MAX542BCSD+	SOIC-14	16	1	Volt sans tampon	SPI série	2	1,1	4,75/5,5	24,28	16,47	14,34
♦ 700-MAX542CCSD	MAX542CCSD+	SOIC-14	16	1	Volt sans tampon	SPI série	4	1,1	4,75/5,5	17,44	11,83	10,30
♦ 700-MAX5441ACUA	MAX5441ACUA+	µMAX-8	16	1	Volt sans tampon	SPI série	2	0,2	4,5 / 5,5	20,72	15,33	12,44
♦ 700-MAX5442ACUB	MAX5442ACUB+	µMAX-10	16	1	Volt sans tampon	SPI série	2	0,2	4,5 / 5,5	20,72	15,03	12,44
♦ 700-MAX5443AEUA	MAX5443AEUA+	µMAX-8	16	1	Volt sans tampon	SPI série	2	0,2	2,7/3,6	32,18	18,03	16,50
♦ 700-MAX5661GCB	MAX5661GCB+	LQFP-64	16	1	Cour/Volt avec tampon	SPI série	10	-	4,75/5,25	8,92	7,47	6,19
♦ 700-MAX5136AGTG	MAX5136AGTG+	TQFN-24	16	2	Volt avec tampon	SPI série	8	3,6	2,7 / 5,5	7,20	6,39	6,25
♦ 700-MAX5136AGUE+	MAX5136AGUE+	TSSOP-16	16	2	Volt avec tampon	SPI série	8	-	2,7 / 5,5	7,23	6,39	6,25
♦ 700-MAX5134AGTG	MAX5134AGTG+	TQFN-24	16	4	Volt avec tampon	SPI série	10	3,6	2,7 / 5,5	12,47	11,05	10,15
♦ 700-MAX5556ESA	MAX5556ESA+	SO-8	24	2	-	Audio-I2C	-	-	4,75/5,5	1,55	1,39	1,34

CONVERTISSEURS NUMÉRIQUE-ANALOGIQUE (CNA) DE PRÉCISION À HAUTE VITESSE

♦ **Composant pour montage en surface**

Pour des quantités supérieures à celles indiquées, appelez-nous afin d'obtenir un devis.

RÉF. STOCK MOUSER	Réf. Maxim	Type de	Rés. (bits)	fclk (Msps)	Voies	Interface	INL (±LSB)	DNL (±LSB)	Tension d'alimentation (V)	Prix unitaire 1	25	100
♦ 700-MAX5190BEEG	MAX5190BEEG+	QSOP-24	8	40	1	Parallèle	0,25	0,25	3	6,86	3,48	3,20
♦ 700-MAX5181BEEG	MAX5181BEEG+	QSOP-24	10	40	1	Parallèle	0,5	0,5	3	8,39	5,59	4,05
♦ 700-MAX5180BEEI	MAX5180BEEI+	QSOP 28	10	40	2	Parallèle	0,5	0,5	3	11,30	5,73	5,27
♦ 700-MAX5183BEEI	MAX5183BEEI+	QSOP 28	10	40	2	Parallèle	0,5	0,5	3	11,08	5,62	5,17
♦ 700-MAX5853ETL	MAX5853ETL+	TQFN-40	10	80	2	Parallèle	0,25	0,2	3 ; 3,3	21,11	10,71	9,85
♦ 700-MAX5854ETL	MAX5854ETL+	TQFN-40	10	165	2	Parallèle	0,25	0,2	3 ; 3,3	23,64	11,99	11,03
♦ 700-MAX5886EGKD	MAX5886EGK+D	QFN-68	12	500	1	Parallèle, LVDS	0,2	0,15	3,3	29,37	27,27	22,65
♦ 700-MAX5895EGKD	MAX5895EGK+D	QFN-68	16	500	2	Parallèle	3	1	1,8 ; 3,3	27,63	22,75	20,59

CI INTERFACE TACTILE

♦ **Composant pour montage en surface**

Pour des quantités supérieures à celles indiquées, appelez-nous afin d'obtenir un devis.

RÉF. STOCK MOUSER	Réf. Maxim	Boîtier	Type de commande	Interface	Voies	Gestion de la pression tactile	Tension d'alimentation numérique (Min.)	(Max.)	Prix unitaire 1	25	100
♦ 700-MAX11811ETP	MAX11811ETP+	TQFN-20	Résistif	I2C	4	Oui	1,7	3,6	2,70	2,18	1,87
♦ 700-MAX11811GTP/V	MAX11811GTP/V+	TQFN-20	Résistif	I2C	4	Oui	1,7	3,6	3,03	2,37	2,07
♦ 700-MXB7843EEE	MXB7843EEE+	QSOP-16	Résistif	QSPI, SPI	4	Oui	2,375	5,25	2,95	1,96	1,68
♦ 700-MXB7846EEE	MXB7846EEE+	QSOP-16	Résistif	QSPI, SPI	4	Oui	2,375	5,25	3,12	2,08	1,78
♦ 700-MAX11800ETC+	MAX11800ETC+	TQFN-12	Résistif	SPI	4	Oui	1,7	3,6	2,53	1,88	1,67
♦ 700-MAX11800EWC+T	MAX11800EWC+T	WLP-12	Résistif	SPI	4	Oui	1,7	3,6	2,84	2,14	1,87
♦ 700-MAX11801ETC+	MAX11801ETC+	TQFN-12	Résistif	I2C	4	Oui	1,7	3,6	2,45	1,82	1,61
♦ 700-MAX11801EWC+T	MAX11801EWC+T	WLP-12	Résistif	I2C	4	Oui	1,7	3,6	2,75	2,07	1,81
♦ 700-MAX11802ETC+	MAX11802ETC+	TQFN-12	Résistif	SPI	4	Oui	1,7	3,6	2,03	1,51	1,34
♦ 700-MAX11802EWC+T	MAX11802EWC+T	WLP-12	Résistif	SPI	4	Oui	1,7	3,6	2,25	1,70	1,49
♦ 700-MAX11803ETC+	MAX11803ETC+	TQFN-12	Résistif	I2C	4	Oui	1,7	3,6	1,96	1,46	1,30
♦ 700-MAX11803EWC+T	MAX11803EWC+T	WLP-12	Résistif	I2C	4	Oui	1,7	3,6	2,19	1,64	1,44

© Copyright 2012 Mouser Electronics

© Copyright 2012 Mouser Electronics

CI analogiques MAXIM

RoHS Compliant **This product is RoHS compliant.**

MAXIM INNOVATION DELIVERED

COMPOSANTS À INTERFACE UART

◆ **Composant pour montage en surface**

Pour des quantités supérieures à celles indiquées, appelez-nous afin d'obtenir un devis.

RÉF. STOCK MOUSER	Réf. Maxim	Boîtier	Description	Interface compatible micro	I_{CC} (Typ) (mA)	Tension d'alimentation (V)	Prix unitaire 1	25	100
◆ 700-DS2480B	DS2480B+	SOIC 8 broches	Protocole UART (5V RS-232) vers 1 fil	-	3	4,5 - 5,5	4,36	2,21	2,03
◆ 700-MAX3100CEE	MAX3100CEE+	QSOP 16 broches	Interface UART pour petits micro-systèmes	SPI et Microfil	0.27	3,3 - 3,5	6,41	3,25	2,99
700-MAX3100CPD	MAX3100CPD+	PDIP 14 broches	Interface UART pour petits micro-systèmes	SPI et Microfil	0.27	3,3 - 3,5	6,41	3,25	2,99
◆ 700-MAX3100EEE	MAX3100EEE+	QSOP 16 broches	Interface UART pour petits micro-systèmes	SPI et Microfil	0.27	3,3.3,5	9,15	4,64	4,27
700-MAX3100EPD	MAX3100EPD+	PDIP 14 broches	Interface UART pour petits micro-systèmes	SPI et Microfil	0.27	3,3.3,5	9,15	4,74	4,27
◆ 700-MAX3100CEET	MAX3100CEE+T	QSOP-16	SPI / MICROFIL - Compatible UART	SPI et Microfil	0,27	2,7 - 5,5	6,58	4,60	3,08
◆ 700-MAX3100EEET	MAX3100EEE+T	QSOP-16	SPI / MICROFIL - Compatible UART	SPI et Microfil	0,27	2,7 - 5,5	9,31	6,52	4,36
700-MAX3110ECNIG36	MAX3110ECNI+G36	PDIP 28 broches	Émet-récep RS-232 UART avec ±15kV Prot DES	SPI et Microfil	0,6	3,3	10,63	5,50	4,96
◆ 700-MAX3110ECWIG36	MAX3110ECWI+G36	SOIC-28 W	Émet-récep RS-232 UART avec ±15kV Prot DES	SPI et Microfil	0,6	3,3	10,63	5,40	4,96
◆ 700-MAX3111ECWIG36	MAX3111ECWI+G36	SOIC-28 W	Émet-récep RS-232 UART avec ±15kV Prot DES	SPI et Microfil	0.6	5	10,63	5,40	4,96
◆ 700-MAX3111EEWIG36	MAX3111EEWI+G36	SOIC-28W	Émet-récep RS-232 UART avec ±15kV Prot DES	SPI et Microfil	0.6	5	15,23	7,72	7,10
◆ 700-MAX3110EEWIG36	MAX3110EEWI+G36	SOIC-28	Émet-récep RS-232 UART avec ±15kV Prot DES	SPI et Microfil	0.6	5	15,53	7,88	7,25
◆ 700-MAX3107ETG+	MAX3107ETG+	TQFN-24	UART SPI/I²C avec FIFOs de 128 octets et osc interne	SPI et I²C	0,64	2,35 - 3,3	7,23	4,74	4,36
◆ 700-MAX3140CEI	MAX3140CEI+	QSOP 28	Émet-récep RS-485/422 UART à détection d'erreur	SPI et Microfil	0,7	5	9,15	4,64	4,27
◆ 700-MAX3140EEI	MAX3140EEI+	QSOP 28	Émet-récep RS-485/RS-422 UART à détection/correction intégrée	SPI et Microfil	0,7	5	13,01	6,60	6,07

PILOTES / RÉCEPTEURS DE LIGNE RS-232

◆ **Composant pour montage en surface**

Pour des quantités supérieures à celles indiquées, appelez-nous afin d'obtenir un devis.

RÉF. STOCK MOUSER	Réf. Maxim	Boîtier	Pilotes par boîtier	Récepteurs par boîtier	Pompe de charge interne	Tension d'alimentation	DES (kV)	Débit des signaux (kbps)	I_{CC} (Typ) (mA)	Prix unitaire 1	25	100
◆ 700-MAX218CPP	MAX218CPP+	PDIP 20	2	2	Oui	1.8	-	120	1,9	4,56	3,04	2,20
◆ 700-MAX3218CAP	MAX3218CAP+	SSOP 20	2	2	Oui	1.8	-	120	2	4,34	2,20	2,02
◆ 700-MAX3218EAP	MAX3218EAP+	SSOP-20	2	2	Oui	1.8	-	120	2	6,20	3,14	2,90
◆ 700-MAX563CWN	MAX563CWN+	SOIC-18W	2	2	Oui	3,3	-	116	3	5,30	3,46	2,35
◆ 700-MAX3233ECWPG36	MAX3233ECWP+G36	SOIC-20W	2	2	Oui	3.3	15	250	0.3	8,46	5,64	4,08
◆ 700-MAX3233EEWPG36	MAX3233EEWP+G36	SOIC-20W	2	2	Oui	3.3	15	250	0.3	11,20	5,68	5,22
◆ 700-MAX560CAI	MAX560CAI+	SSOP-28	4	5	Oui	3,3	-	116	5	8,34	5,56	4,03
◆ 700-MAX1489ECSD	MAX1489ECSD+	SOIC-14	0	4	Non	5	15	120	0,35	2,09	1,39	1,01
◆ 700-MAX221CUE	MAX221CUE+	TSSOP-16	1	1	Oui	5	-	250	5	2,48	1,73	1,16
◆ 700-MAX221ECAE	MAX221ECAE+	SSOP-16	1	1	Oui	5	15	250	5	2,66	1,35	1,25
◆ 700-MAX221ECUE	MAX221ECUE+	TSSOP-16	1	1	Oui	5	-	250	5	2,81	1,87	1,35
◆ 700-MAX221EEUE	MAX221EEUE+	TSSOP-16	1	1	Oui	5	15	250	5	3,61	1,83	1,68
◆ 700-MAX203CPPG36	MAX203CPP+G36	PDIP 20	2	2	Oui	5	-	116	8	6,81	3,46	3,18
◆ 700-MAX203CWPG36	MAX203CWP+G36	SOIC-20W	2	2	Oui	5	-	116	8	6,81	3,46	3,18
◆ 700-MAX202CPE	MAX202CPE+	PDIP 16	2	2	Oui	5	-	120	8	3,04	1,54	1,42
◆ 700-MAX202CSE	MAX202CSE+	SOIC-16	2	2	Oui	5	-	120	8	3,04	1,54	1,42
◆ 700-MAX202CWE	MAX202CWE+	SOIC-16W	2	2	Oui	5	-	120	8	3,04	1,54	1,42
◆ 700-MAX202ECPE	MAX202ECPE+	PDIP 16	2	2	Oui	5	15	120	8	3,84	1,95	1,79
◆ 700-MAX202ECSE	MAX202ECSE+	SOIC-16	2	2	Oui	5	15	120	8	3,84	1,95	1,79
◆ 700-MAX202ECWE	MAX202ECWE+	SOIC-16W	2	2	Oui	5	15	120	8	3,84	1,95	1,79
◆ 700-MAX202EEPE	MAX202EEPE+	PDIP-16	2	2	Oui	5	15	120	8	4,96	3,46	2,31
◆ 700-MAX202EESE	MAX202EESE+	SOIC-16	2	2	Oui	5	15	120	8	4,95	2,51	2,31
◆ 700-MAX202EEWE	MAX202EEWE+	SOIC-16W	2	2	Oui	5	15	120	8	4,95	2,51	2,31
◆ 700-MAX202ESE	MAX202ESE+	SOIC-16	2	2	Oui	5	15	120	8	3,65	1,86	1,71
◆ 700-MAX203ECWPG36	MAX203ECWP+G36	SOIC-20W	2	2	Oui	5	15	120	8	7,45	3,78	3,47
◆ 700-MAX203EEWPG36	MAX203EEWP+G36	SOIC-20W	2	2	Oui	5	15	120	8	10,63	5,40	4,96
700-MAX203EPPG36	MAX203EPP+G36	PDIP 20	2	2	Oui	5	15	120	8	8,59	4,15	3,82
700-MAX220CPE	MAX220CPE+	PDIP-16	2	2	Oui	5	-	120	0.5	5,15	2,61	2,40
700-MAX220EPE	MAX220EPE+	PDIP 16	2	2	Oui	5	-	120	0,5	6,34	3,12	2,87
◆ 700-MAX220ESE	MAX220ESE+	SO-16N	2	2	Oui	5	-	120	0,5	6,34	4,23	3,07
700-MAX222CPN	MAX222CPN+	PDIP-18	2	2	Oui	5	-	200	4	4,48	2,27	2,09
◆ 700-MAX222CWN	MAX222CWN+	SOIC-18W	2	2	Oui	5	-	200	4	4,69	3,13	2,26
◆ 700-MAX222EWN	MAX222EWN+	SOIC-18W	2	2	Oui	5	-	200	4	5,35	2,71	2,50
700-MAX232ACPE	MAX232ACPE+	PDIP-16	2	2	Oui	5	-	200	4	5,04	2,56	2,35
◆ 700-MAX232ACSE	MAX232ACSE+	SOIC-16	2	2	Oui	5	-	200	4	5,04	2,56	2,35
◆ 700-MAX232ACWE	MAX232ACWE+	SOIC-16W	2	2	Oui	5	-	200	4	4,48	2,27	2,09
700-MAX232AEPE	MAX232AEPE+	PDIP-16	2	2	Oui	5	15	200	4	6,03	3,06	2,81
◆ 700-MAX232AESE	MAX232AESE+	SOIC-16	2	2	Oui	5	15	200	4	6,03	3,06	2,81
◆ 700-MAX232AEWE	MAX232AEWE+	SOIC-16W	2	2	Oui	5	15	200	4	5,35	2,71	2,50
◆ 700-MAX214CWI	MAX214CWI+	SOIC-28W	3	5	Oui	5	-	116	9	8,72	5,82	4,21
700-MAX204CPE	MAX204CPE+	PDIP-16	4	0	Oui	5	-	116	11	5,40	2,74	2,52
◆ 700-MAX204CWE	MAX204CWE+	SO16W	4	0	Oui	5	-	116	11	5,50	2,80	2,57
◆ 700-MAX206CWG	MAX206CWG+	SOIC-24W	4	3	Oui	5	-	116	11	7,27	3,51	3,23
◆ 700-MAX208EEWG	MAX208EEWG+	SO-24	4	4	Oui	5	15	120	11	10,47	5,30	4,88
◆ 700-MAX211CWI	MAX211CWI+	SOIC-28W	4	5	Oui	5	-	116	11	6,93	3,51	3,23
◆ 700-MAX211EAI	MAX211EAI+	SSOP-28	4	5	Oui	5	-	116	11	8,67	4,40	4,05
◆ 700-MAX213CAI	MAX213CAI+	SSOP-28	4	5	Oui	5	-	116	11	7,65	3,70	3,40
◆ 700-MAX213CWI	MAX213CWI+	SOIC-28W	4	5	Oui	5	-	116	11	6,93	3,51	3,23
◆ 700-MAX211ECAI	MAX211ECAI+	SSOP-28	4	5	Oui	5	15	120	14	8,39	4,26	3,92
◆ 700-MAX211ECWI	MAX211ECWI+	SOIC-28W	4	5	Oui	5	15	120	14	8,02	4,07	3,74
◆ 700-MAX211EEAI	MAX211EEAI+	SSOP-28	4	5	Oui	5	15	120	14	10,49	5,32	4,89
◆ 700-MAX213EEAI	MAX213EEAI+	SSOP-28	4	5	Oui	5	15	120	14	10,49	5,32	4,89
700-MAX230CPP	MAX230CPP+	PDIP 20	5	0	Oui	5	-	120	7	7,93	3,90	3,59
700-MAX207CNG	MAX207CNG+	PDIP-24	5	3	Oui	5	-	116	11	7,27	3,59	3,30
◆ 700-MAX207CWG	MAX207CWG+	SOIC-24	5	3	Oui	5	-	116	11	7,27	3,51	3,23
◆ 700-MAX207ECAG	MAX207ECAG+	SSOP 24	5	3	Oui	5	-	116	11	8,42	4,15	3,81
◆ 700-MAX208CAG	MAX208CAG+	SSOP 24	5	4	Oui	5	-	116	11	7,28	3,70	3,40
700-MAX208CNG	MAX208CNG+	PDIP-24	5	4	Oui	5	-	116	11	6,93	3,51	3,23
◆ 700-MAX208CWG	MAX208CWG+	SOIC-24W	5	4	Oui	5	-	116	11	6,93	3,51	3,23
◆ 700-MAX208ECAG	MAX208ECAG+	SSOP 24	5	4	Oui	5	15	120	11	8,42	4,07	3,74
700-MAX208ECNG	MAX208ECNG+	PDIP 24	5	4	Oui	5	15	120	11	8,01	4,07	3,74
◆ 700-MAX208ECWG	MAX208ECWG+	SOIC-24W	5	4	Oui	5	15	120	11	8,01	4,07	3,74
◆ 700-MAX208EEAG	MAX208EEAG+	SSOP 24	5	4	Oui	5	15	120	11	10,99	5,30	4,88
700-MAX205CPGG36	MAX205CPG+G36	PDIP-24W	5	5	Oui	5	-	116	11	15,02	7,61	7,00
700-MAX205EPGG36	MAX205EPG+G36	PDIP-24W	5	5	Oui	5	15	120	11	17,84	13,45	11,95
◆ 700-MAX225CWIG36	MAX225CWI+G36	SOIC-28W	5	5	Oui	5	-	120	10	17,37	8,81	8,11

© Copyright 2012 Mouser Electronics

© Copyright 2012 Mouser Electronics

CI analogiques MAXIM

RoHS Compliant This product is RoHS compliant.

MAXIM INNOVATION DELIVERED

PILOTES / RÉCEPTEURS DE LIGNE RS-232 (SUITE)

◆ Composant pour montage en surface

Pour des quantités supérieures à celles indiquées, appelez-nous afin d'obtenir un devis.

RÉF. STOCK MOUSER	Réf. Maxim	Boîtier	Pilotes par boîtier	Récepteurs par boîtier	Pompe de charge interne	Tension d'alimentation	DES (kV)	Débit des signaux (kbps)	I_{CC} (Typ) (mA)	Prix unitaire 1	25	100
◆ 700-MAX3311CUB	MAX3311CUB+	µMAX-10	1	1	Oui	5	-	460	0.1	2,50	1,67	1,20
◆ 700-MAX3311ECUB	MAX3311ECUB+	µMAX-10	1	1	Oui	5	15	460	0.1	2,66	1,35	1,25
◆ 700-MAX3311EEUB	MAX3311EEUB+	µMAX-10	1	1	Oui	5	15	460	0.1	3,47	1,76	1,62
◆ 700-MAX3313CUB	MAX3313CUB+	µMAX-10	1	1	Oui	5	-	460	0.1	2,50	1,67	1,20
◆ 700-MAX3313ECUB	MAX3313ECUB+	µMAX-10	1	1	Oui	5	15	460	0.1	2,81	1,87	1,35
◆ 700-MAX3313EUB	MAX3313EUB+	µMAX-10	1	1	Oui	5	-	460	0.1	3,11	1,58	1,45
700-MAX232CPE	MAX232CPE+	PDIP 16	2	2	Oui	5	-	120	5	3,04	1,54	1,42
◆ 700-MAX232CSE	MAX232CSE+	SOIC-16	2	2	Oui	5	-	120	5	3,04	1,54	1,42
◆ 700-MAX232CWE	MAX232CWE+	SOIC-16W	2	2	Oui	5	-	120	5	3,04	1,54	1,42
700-MAX232ECPE	MAX232ECPE+	PDIP 16	2	2	Oui	5	15	120	5	3,84	1,95	1,79
◆ 700-MAX232ECSE	MAX232ECSE+	SOIC-16	2	2	Oui	5	15	120	5	3,84	1,95	1,79
◆ 700-MAX232ECWE	MAX232ECWE+	SOIC-16W	2	2	Oui	5	15	120	5	3,84	1,95	1,79
700-MAX232EEPE	MAX232EEPE+	PDIP 16	2	2	Oui	5	15	120	5	4,95	3,47	2,31
◆ 700-MAX232EESE	MAX232EESE+	SOIC-16	2	2	Oui	5	15	120	5	4,95	2,51	2,31
◆ 700-MAX232EEWE	MAX232EEWE+	SOIC-16W	2	2	Oui	5	15	120	5	4,95	2,51	2,31
700-MAX232EPE	MAX232EPE+	PDIP 16	2	2	Oui	5	15	120	5	3,65	1,86	1,71
◆ 700-MAX232ESE	MAX232ESE+	SOIC-16	2	2	Oui	5	15	120	5	3,65	1,86	1,71
◆ 700-MAX232EWE	MAX232EWE+	SOIC-16W	2	2	Oui	5	15	120	5	3,65	1,86	1,71
700-MAX233ACPPG36	MAX233ACPP+G36	PDIP 20	2	2	Oui	5	-	200	4	9,85	5,00	4,60
◆ 700-MAX233ACWPG36	MAX233ACWP+G36	SOIC-20W	2	2	Oui	5	-	200	4	9,85	5,00	4,60
700-MAX233AEPPG36	MAX233AEPP+G36	PDIP 20	2	2	Oui	5	-	200	4	13,41	6,81	6,26
◆ 700-MAX233AEWPG36	MAX233AEWP+G36	SOIC-20W	2	2	Oui	5	-	200	4	13,41	6,81	6,26
700-MAX233CPPG36	MAX233CPP+G36	PDIP 20	2	2	Oui	5	-	120	5	6,81	3,46	3,18
◆ 700-MAX233EPPG36	MAX233EPP+G36	SOIC-20W	2	2	Oui	5	-	120	5	8,18	4,15	3,82
700-MAX242CPN	MAX242CPN+	PDIP-18	2	2	Oui	5	-	200	4	4,69	3,13	2,26
◆ 700-MAX242CWN	MAX242CWN+	SOIC-18W	2	2	Oui	5	-	200	4	4,69	3,13	2,26
700-MAX242EPN	MAX242EPN+	PDIP-18	2	2	Oui	5	-	200	4	5,61	2,77	2,55
◆ 700-MAX242EWN	MAX242EWN+	SOIC-18W	2	2	Oui	5	-	200	4	5,35	2,71	2,50
◆ 700-MAX243CSE	MAX243CSE+	SOIC-16	2	2	Oui	5	-	200	4	5,30	2,61	2,40
700-MAX250CPD	MAX250CPD+	PDIP 14 broches	2	2	Oui	5	-	116	0.1	7,02	3,56	3,28
◆ 700-MAX250CSD	MAX250CSD+	SOIC-14	2	2	Oui	5	-	116	0.1	7,73	3,92	3,61
◆ 700-MAX250ESD	MAX250ESD+	SOIC-14	2	2	Oui	5	-	116	0.1	11,03	5,59	5,15
700-MAX251CPD	MAX251CPD+	PDIP 14 broches	2	2	Oui	5	-	116	0.1	7,02	3,56	3,28
◆ 700-MAX251CSD	MAX251CSD+	SOIC-14	2	2	Oui	5	-	116	0.1	7,73	3,92	3,61
◆ 700-MAX251EPD	MAX251EPD+	SOIC-14	2	2	Oui	5	-	116	0.1	10,02	5,18	4,68
◆ 700-MAX251ESD	MAX251ESD+	SO-14	2	2	Oui	5	-	116	0.1	11,03	5,59	5,15
◆ 700-MAX3235ECWPG36	MAX3235ECWP+G36	SOIC-20W	2	2	Oui	5	15	250	0.3	7,43	3,77	3,47
◆ 700-MAX3235EEWPG36	MAX3235EEWP+G36	SOIC-20W	2	2	Oui	5	15	250	0.3	10,30	5,22	4,81
700-MAX234CPE	MAX234CPE+	PDIP 16	4	0	Oui	5	-	120	7	5,40	2,74	2,52
◆ 700-MAX234EWE	MAX234EWE+	SO-16	4	0	Oui	5	-	120	7	6,81	4,54	3,29
700-MAX236CNG	MAX236CNG+	PDIP 24	4	3	Oui	5	-	120	7	6,93	3,51	3,23
◆ 700-MAX236CWG	MAX236CWG+	SOIC-24W	4	3	Oui	5	-	120	7	6,93	3,51	3,23
700-MAX238CNG	MAX238CNG+	PDIP 24	4	4	Oui	5	-	120	7	6,93	3,51	3,23
◆ 700-MAX238CWG	MAX238CWG+	SOIC-24W	4	4	Oui	5	-	120	7	6,93	3,51	3,23
◆ 700-MAX238EWG	MAX238EWG+	SOIC-24W	4	4	Oui	5	-	120	7	8,72	5,82	4,21
◆ 700-MAX241CWI	MAX241CWI+	SOIC-28W	4	5	Oui	5	-	120	7	6,93	3,51	3,23
◆ 700-MAX241ECAI	MAX241ECAI+	SSOP-28	4	5	Oui	5	-	120	7	8,82	4,26	3,92
◆ 700-MAX241ECWI	MAX241ECWI+	SOIC-28W	4	5	Oui	5	15	120	7	8,42	5,61	4,06
◆ 700-MAX241EWI	MAX241EWI+	SOIC-28W	4	5	Oui	5	15	120	7	8,72	5,82	4,21
700-MAX237CNG	MAX237CNG+	PDIP 24	5	3	Oui	5	-	120	7	6,93	3,51	3,23
◆ 700-MAX237CWG	MAX237CWG+	SOIC-24W	5	3	Oui	5	-	120	7	6,93	3,51	3,23
700-MAX235CPGG36	MAX235CPG+G36	PDIP-24W	5	5	Oui	5	-	120	7	15,02	7,61	7,00
◆ 700-MAX249CQHD	MAX249CQH+D	PLCC-44	6	10	Oui	5	-	120	11	18,94	9,61	8,84
◆ 700-MAX248EQHD	MAX248EQH+D	PLCC-44	8	8	Oui	5	-	120	11	24,64	12,50	11,50
700-MAX1406CPE	MAX1406CPE+	PDIP 16	3	3	Non	12	15	230	0.23	2,81	1,42	1,31
◆ 700-MAX1406CWE	MAX1406CWE+	SOIC-16W	3	3	Non	12	15	230	0.23	2,81	1,42	1,31
◆ 700-MAX1406EWE	MAX1406EWE+	SO-16W	3	3	Non	12	15	230	0.23	4,23	2,82	1,88
700-MAX1488ECPD	MAX1488ECPD+	PDIP 14 broches	4	0	Non	12	15	120	0.085	2,09	1,39	0,924
◆ 700-MAX1488ECSD	MAX1488ECSD+	SOIC-14	4	0	Non	12	15	120	0.085	2,09	1,39	1,01
700-MAX1488EEPD	MAX1488EEPD+	PDIP 14 broches	4	0	Non	12	15	120	0.085	2,99	1,48	1,36
◆ 700-MAX3319EAE	MAX3319EAE+	SSOP-16	1	1	Oui	2.5,3	15	460	0,3	4,26	2,10	1,93
◆ 700-MAX3319ECAE	MAX3319ECAE+	SSOP-16	1	1	Oui	2.5,3	15	460	0.3	5,02	2,55	2,34
◆ 700-MAX3316ECUP	MAX3316ECUP+	TSSOP-20	2	2	Oui	2.5,3	15	460	0.3	5,28	2,60	2,39
◆ 700-MAX3388EEUG	MAX3388EEUG+	TSSOP-24	3	2	Oui	2.5,3	15	460	0.3	9,01	4,66	4,20
◆ 700-MAX3380ECUP	MAX3380ECUP+	TSSOP-20	2	2	Oui	2,5 ; 3 ; 3,3 ; 5	15	460	0.3	5,75	2,92	2,68
◆ 700-MAX3380EEUP	MAX3380EEUP+	TSSOP-20	2	2	Oui	2,5 ; 3 ; 3,3 ; 5	15	460	0.3	8,23	4,17	3,84
◆ 700-MAX3381ECUP	MAX3381ECUP+	TSSOP-20	2	2	Oui	2,5 ; 3 ; 3,3 ; 5	15	250	0.3	5,75	2,92	2,68
◆ 700-MAX13223EEUP	MAX13223EEUP+	TSSOP-20	2	2	Oui	3 ; 3,3 ; 5	-	250	8	7,07	3,59	3,30
◆ 700-MAX13223EEUP	MAX13223EEUP+	TSSOP-20	2	2	Oui	3, 3,3, 5	-	250	8	7,07	3,59	3,30
◆ 700-MAX13234EEUP	MAX13234EEUP+	TSSOP-20	2	2	Oui	3, 3.3, 5	15	250	0.001	7,21	3,65	3,37
◆ 700-MAX3322EEUP	MAX3322EEUP+	TSSOP-20	2	2	Oui	3, 3.3, 5	15	250	1	6,53	3,31	3,04
◆ 700-MAX562CAI	MAX562CAI+	SSOP-28	3	5	Oui	3, 3.3, 5	-	230	20	7,52	3,70	3,41
◆ 700-MAX3221EAET	MAX3221EAE+T	SSOP-16	1	1	Oui	3,3 ; 5	-	120	0,3	3,89	2,72	1,82
◆ 700-MAX3221EUE	MAX3221EUE+	TSSOP-16	1	1	Oui	3,3 ; 5	-	120	0.3	3,72	1,89	1,74
700-MAX3223CPP	MAX3223CPP+	PDIP 20	2	2	Oui	3,3 ; 5	-	120	0,3	4,03	2,68	1,79
700-MAX3223ECPP	MAX3223ECPP+	PDIP 20	2	2	Oui	3,3 ; 5	-	120	0,3	4,71	2,39	2,20
◆ 700-MAX3224CUP	MAX3224CUP+	TSSOP-20	2	2	Oui	3,3 ; 5	-	250	0,3	4,00	1,97	1,82
700-MAX3224EEPP	MAX3224EEPP+	PDIP 20	2	2	Oui	3,3 ; 5	-	250	0,3	6,93	3,42	3,14
◆ 700-MAX3224EETP	MAX3224EETP+	TQFN-20	2	2	Oui	3,3 ; 5	-	250	0,3	3,88	1,91	1,77
◆ 700-MAX3224ETP	MAX3224ETP+	TQFN-20	2	2	Oui	3,3 ; 5	-	250	0.3	3,60	1,77	1,63
◆ 700-MAX3225EAP	MAX3225EAP+	SSOP-20	2	2	Oui	3,3 ; 5	-	1000	0,3	5,47	2,77	2,55
◆ 700-MAX3221CAE	MAX3221CAE+	SSOP-16	1	1	Oui	3.3,5	-	120	0,3	2,59	1,31	1,21
◆ 700-MAX3221CUE	MAX3221CUE+	TSSOP-16	1	1	Oui	3.3,5	-	120	0,3	2,59	1,31	1,21
◆ 700-MAX3221EAE	MAX3221EAE+	SSOP-16	1	1	Oui	3.3,5	-	120	0.3	3,72	1,89	1,74
◆ 700-MAX3221ECAE	MAX3221ECAE+	SSOP-16	1	1	Oui	3.3,5	15	250	0.3	2,99	1,52	1,39
◆ 700-MAX3221ECTE	MAX3221ECTE+	TSSOP-16	1	1	Oui	3.3,5	15	250	0.3	2,64	1,34	1,23
◆ 700-MAX3221EEAE	MAX3221EEAE+	SSOP-16	1	1	Oui	3.3,5	15	250	0.3	4,27	2,16	1,99
◆ 700-MAX3222CAP	MAX3222CAP+	SSOP-20	2	2	Oui	3.3,5	-	120	0.3	3,84	1,95	1,79
700-MAX3222CPN	MAX3222CPN+	PDIP-18	2	2	Oui	3.3,5	-	120	0.3	3,85	2,68	1,79
◆ 700-MAX3222CUP	MAX3222CUP+	TSSOP-20	2	2	Oui	3.3,5	-	120	0.3	3,82	1,94	1,78
◆ 700-MAX3222CWN	MAX3222CWN+	SOIC-18W	2	2	Oui	3.3,5	-	120	0.3	3,84	1,95	1,79
◆ 700-MAX3222EAP	MAX3222EAP+	SSOP-20	2	2	Oui	3.3,5	-	120	0.3	4,95	2,51	2,31

© Copyright 2012 Mouser Electronics

© Copyright 2012 Mouser Electronics

PILOTES / RÉCEPTEURS DE LIGNE RS-232 (SUITE)

◆ Composant pour montage en surface

Pour des quantités supérieures à celles indiquées, appelez-nous afin d'obtenir un devis.

RÉF. STOCK MOUSER	Réf. Maxim	Boîtier	Pilotes par boîtier	Récepteurs par boîtier	Pompe de charge interne	Tension d'alimentation	DES (kV)	Débit des signaux (kbps)	I_{CC} (Typ) (mA)	Prix unitaire 1	25	100
◆ 700-MAX3131EAI	MAX3131EAI+	SSOP-28	2	2	-	3 ; 5,5	-	115.2	1	14,88	7,55	6,95
◆ 700-MAX3226CAE	MAX3226CAE+	SSOP-16	1	1	Oui	3.3,5	-	250	0,3	2,59	1,31	1,21
◆ 700-MAX3226EAE	MAX3226EAE+	SSOP 16	1	1	Oui	3.3,5	-	250	0,3	3,72	1,89	1,74
◆ 700-MAX3226ECAE	MAX3226ECAE+	SSOP 16	1	1	Oui	3.3,5	15	250	0.3	2,99	1,52	1,39
◆ 700-MAX3226EEAE	MAX3226EEAE+	SSOP 16	1	1	Oui	3.3,5	15	250	0.3	4,27	2,16	1,99
◆ 700-MAX3227EAE	MAX3227EAE+	SSOP 16	1	1	Oui	3.3,5	-	1000	0,3	3,72	1,89	1,74
◆ 700-MAX3227ECAE	MAX3227ECAE+	SSOP 16	1	1	Oui	3.3,5	15	1000	0,3	2,99	1,52	1,39
◆ 700-MAX3227EEAE	MAX3227EEAE+	SSOP 16	1	1	Oui	3.3,5	15	1000	0,3	4,49	2,99	2,17
700-MAX3323EEPE	MAX3323EEPE+	DIP-16	1	1	Oui	3.3,5	15	250	1	4,89	2,42	2,22
◆ 700-MAX3323EEUE	MAX3323EEUE+	TSSOP 16	1	1	Oui	3.3,5	15	250	1	4,67	2,37	2,18
◆ 700-MAX3222ECAP	MAX3222ECAP+	SSOP-20	2	2	Oui	3.3,5	15	250	0.3	4,62	2,34	2,15
◆ 700-MAX3222ECUP	MAX3222ECUP+	TSSOP-20	2	2	Oui	3.3,5	15	250	0,3	4,69	2,38	2,19
◆ 700-MAX3222ECWN	MAX3222ECWN+	SOIC-18W	2	2	Oui	3.3,5	15	250	0.3	4,62	2,34	2,15
◆ 700-MAX3222EEAP	MAX3222EEAP+	SSOP-20	2	2	Oui	3.3,5	15	250	0,3	6,60	3,35	3,08
◆ 700-MAX3222EEUP	MAX3222EEUP+	TSSOP-20	2	2	Oui	3.3,5	15	250	0.3	6,11	3,09	2,85
◆ 700-MAX3222EEWN	MAX3222EEWN+	SOIC-18W	2	2	Oui	3.3,5	15	250	0,3	6,60	3,35	3,08
◆ 700-MAX3222EUP	MAX3222EUP+	TSSOP-20	2	2	Oui	3.3,5	-	120	0.3	4,95	2,51	2,31
◆ 700-MAX3223CAP	MAX3223CAP+	SSOP-20	2	2	Oui	3.3,5	-	120	0.3	3,84	1,95	1,79
◆ 700-MAX3223CUP	MAX3223CUP+	TSSOP-20	2	2	Oui	3.3,5	-	120	0.3	3,82	1,94	1,78
◆ 700-MAX3223EAP	MAX3223EAP+	SSOP-20	2	2	Oui	3.3,5	-	120	0.3	4,95	2,51	2,31
◆ 700-MAX3223ECAP	MAX3223ECAP+	SSOP-20	2	2	Oui	3.3,5	15	250	0,3	4,84	3,23	2,33
◆ 700-MAX3223ECUP	MAX3223ECUP+	TSSOP-20	2	2	Oui	3.3,5	15	250	0,3	4,69	2,38	2,19
700-MAX3223EEAP	MAX3223EEAP+	SSOP-20	2	2	Oui	3.3,5	15	250	0,3	6,60	3,35	3,08
◆ 700-MAX3223EEPP	MAX3223EEPP+	PDIP 20	2	2	Oui	3.3,5	15	250	0,3	6,60	3,35	3,08
◆ 700-MAX3223EEUP	MAX3223EEUP+	TSSOP-20	2	2	Oui	3.3,5	15	250	0,3	6,40	4,27	3,09
◆ 700-MAX3223EUP	MAX3223EUP+	TSSOP-20	2	2	Oui	3.3,5	-	120	0.3	4,95	2,51	2,31
◆ 700-MAX3224CAP	MAX3224CAP+	SSOP-20	2	2	Oui	3.3,5	-	250	0.3	3,84	1,95	1,79
◆ 700-MAX3224EAP	MAX3224EAP+	SSOP-20	2	2	Oui	3.3,5	-	250	0,3	5,47	2,77	2,55
◆ 700-MAX3224ECAP	MAX3224ECAP+	SSOP-20	2	2	Oui	3.3,5	15	250	0,3	4,84	3,23	2,33
◆ 700-MAX3224EEAP	MAX3224EEAP+	SSOP-20	2	2	Oui	3.3,5	15	250	0,3	6,60	3,35	3,08
◆ 700-MAX3225CAP	MAX3225CAP+	SSOP-20	2	2	Oui	3.3,5	-	1000	0,3	3,84	1,95	1,79
◆ 700-MAX3225ECAP	MAX3225ECAP+	SSOP-20	2	2	Oui	3.3,5	15	1000	0,3	4,84	3,23	2,33
◆ 700-MAX3225EEAP	MAX3225EEAP+	SSOP-20	2	2	Oui	3.3,5	15	1000	0,3	6,60	3,35	3,08
◆ 700-MAX3225EEUP	MAX3225EEUP+	TSSOP-20	2	2	Oui	3.3,5	15	1000	0,3	6,40	4,27	3,09
◆ 700-MAX3232CAE	MAX3232CAE+	TSSOP 16	2	2	Oui	3.3,5	-	120	0.3	3,84	1,95	1,79
700-MAX3232CPE	MAX3232CPE+	PDIP 16	2	2	Oui	3.3,5	-	120	0.3	3,84	2,68	1,79
◆ 700-MAX3232CSE	MAX3232CSE+	SOIC-16	2	2	Oui	3.3,5	-	120	0.3	3,84	1,95	1,79
◆ 700-MAX3232CSET	MAX3232CSE+T	SO-16N	2	2	Oui	3.3,5	-	120	0.3	4,02	2,80	1,87
◆ 700-MAX3232CUE	MAX3232CUE+	TSSOP 16	2	2	Oui	3.3,5	-	120	0.3	3,82	1,94	1,78
◆ 700-MAX3232CWE	MAX3232CWE+	SOIC-16W	2	2	Oui	3.3,5	-	120	0.3	3,84	1,95	1,79
◆ 700-MAX3232ECAE	MAX3232ECAE+	SSOP 16	2	2	Oui	3.3,5	15	250	0.3	4,62	2,34	2,15
700-MAX3232ECPE	MAX3232ECPE+	PDIP 16	2	2	Oui	3.3,5	15	250	0.3	4,62	2,34	2,15
◆ 700-MAX3232ECTE	MAX3232ECTE+	TQFN-16	2	2	Oui	3.3,5	15	250	0,3	3,17	1,63	1,48
◆ 700-MAX3232ECUE	MAX3232ECUE+	TSSOP 16	2	2	Oui	3.3,5	-	120	0,3	3,32	2,21	1,72
◆ 700-MAX3232ECUP	MAX3232ECUP+	TSSOP-20	2	2	Oui	3.3,5	15	250	0,3	4,69	2,38	2,19
◆ 700-MAX3232ECWE	MAX3232ECWE+	SOIC-16W	2	2	Oui	3.3,5	15	250	0.3	4,62	2,34	2,15
◆ 700-MAX3232EEAE	MAX3232EEAE+	SSOP 16	2	2	Oui	3.3,5	15	250	0,3	6,60	3,35	3,08
◆ 700-MAX3232EEUE	MAX3232EEUE+	TSSOP 16	2	2	Oui	3.3,5	-	120	0.3	3,61	1,83	1,68
◆ 700-MAX3232EEUP	MAX3232EEUP+	TSSOP-20	2	2	Oui	3.3,5	15	250	0.3	6,11	3,09	2,85
◆ 700-MAX3232EEWE	MAX3232EEWE+	SOIC-16W	2	2	Oui	3.3,5	15	250	0,3	6,60	3,35	3,08
◆ 700-MAX3232ESE	MAX3232ESE+	SOIC-16	2	2	Oui	3.3,5	-	120	0.3	4,95	2,51	2,31
◆ 700-MAX3232EUE	MAX3232EUE+	TSSOP 16	2	2	Oui	3.3,5	-	120	0.3	4,95	2,51	2,31
◆ 700-MAX3232EWE	MAX3232EWE+	SO-16W	2	2	Oui	3.3,5	-	120	0.3	4,96	3,46	2,31
◆ 700-MAX3250CAI	MAX3250CAI+	SSOP-28	2	2	Oui	3.3,5	-	250	15	7,90	4,01	3,69
◆ 700-MAX3250EAI	MAX3250EAI+	SSOP-28	2	2	Oui	3.3,5	-	250	15	10,51	5,33	4,91
◆ 700-MAX3320ACAP	MAX3320ACAP+	SSOP-20	2	2	Oui	3.3,5	-	250	0.45	4,38	2,16	1,99
◆ 700-MAX3320TEAP	MAX3320TEAP+	SSOP-20	2	2	Oui	3.3,5	-	250	0,45	6,25	3,08	2,83
◆ 700-MAX3386ECUP	MAX3386ECUP+	TSSOP-20	3	2	Oui	3.3,5	15	250	0,3	5,21	2,64	2,43
◆ 700-MAX3387ECUG	MAX3387ECUG+	TSSOP-24	3	3	Oui	3.3,5	15	250	0,3	6,72	3,41	3,14
◆ 700-MAX3387EEUG	MAX3387EEUG+	TSSOP-24	3	3	Oui	3.3,5	15	250	0,3	8,01	4,07	3,74
◆ 700-MAX3241CAI	MAX3241CAI+	SSOP-28	3	5	Oui	3.3,5	-	120	0.3	6,91	3,51	3,23
◆ 700-MAX3241CUI	MAX3241CUI+	TSSOP-28	3	5	Oui	3.3,5	-	120	0.3	7,02	3,56	3,28
◆ 700-MAX3241CWI	MAX3241CWI+	SOIC-28W	3	5	Oui	3.3,5	-	120	0.3	6,91	3,51	3,23
◆ 700-MAX3241EAI	MAX3241EAI+	SSOP-28	3	5	Oui	3.3,5	-	120	0.3	9,85	5,00	4,60
◆ 700-MAX3241ECAI	MAX3241ECAI+	SSOP-28	3	5	Oui	3.3,5	15	250	0,3	8,01	4,07	3,74
◆ 700-MAX3241ECWI	MAX3241ECWI+	SOIC-28W	3	5	Oui	3.3,5	15	250	0,3	8,01	4,07	3,74
◆ 700-MAX3241EEAI	MAX3241EEAI+	SSOP-28	3	5	Oui	3.3,5	15	250	0,3	10,98	5,57	5,12
◆ 700-MAX3241EEUI	MAX3241EEUI+	TSSOP-28	3	5	Oui	3.3,5	15	250	0,3	10,98	5,57	5,12
◆ 700-MAX3243CAI	MAX3243CAI+	SSOP-28	3	5	Oui	3.3,5	-	120	0.3	6,91	3,51	3,23
◆ 700-MAX3243CUI	MAX3243CUI+	TSSOP-28	3	5	Oui	3.3,5	-	120	0.3	6,44	3,27	3,00
◆ 700-MAX3243EAI	MAX3243EAI+	SSOP-28	3	5	Oui	3.3,5	-	120	0.3	9,85	5,00	4,60
◆ 700-MAX3243ECAI	MAX3243ECAI+	SSOP-28	3	5	Oui	3.3,5	15	250	0,3	8,01	4,07	3,74
◆ 700-MAX3243ECUI	MAX3243ECUI+	TSSOP-28	3	5	Oui	3.3,5	15	250	0,3	8,01	4,07	3,74
◆ 700-MAX3243EEAI	MAX3243EEAI+	SSOP-28	3	5	Oui	3.3,5	15	250	0,3	10,98	5,57	5,12
◆ 700-MAX3243EUI	MAX3243EUI+	TSSOP-28	3	5	Oui	3.3,5	15	250	0.3	10,09	5,12	4,71
◆ 700-MAX3244ECAI	MAX3244ECAI+	SSOP-28	3	5	Oui	3.3,5	15	250	0,3	8,42	5,61	4,06
◆ 700-MAX3244EEAI	MAX3244EEAI+	SSOP-28	3	5	Oui	3.3,5	15	250	0,3	10,98	5,57	5,12
◆ 700-MAX3245CAI	MAX3245CAI+	SSOP-28	3	5	Oui	3.3,5	-	1000	0,3	7,52	3,81	3,51
◆ 700-MAX3245EAI	MAX3245EAI+	SSOP-28	3	5	Oui	3.3,5	-	1000	0.3	10,75	5,45	5,02
◆ 700-MAX3245ECAI	MAX3245ECAI+	SSOP-28	3	5	Oui	3.3,5	15	1000	0.3	8,75	4,44	4,08
◆ 700-MAX3245EEAI	MAX3245EEAI+	SSOP-28	3	5	Oui	3.3,5	15	1000	0.3	11,97	6,07	5,59
◆ 700-MAX3237CAI	MAX3237CAI+	SSOP-28	5	3	Oui	3.3,5	-	1000	0,5	6,91	3,51	3,23
◆ 700-MAX3237ECAI	MAX3237ECAI+	SSOP-28	5	3	Oui	3.3,5	15	1000	0,5	8,02	4,07	3,74
◆ 700-MAX3237EEAI	MAX3237EEAI+	SSOP-28	5	3	Oui	3.3,5	15	1000	0,5	10,98	5,57	5,12
◆ 700-MAX3238CAI	MAX3238CAI+	SSOP-28	5	3	Oui	3.3,5	-	250	0.5	6,91	3,51	3,23
◆ 700-MAX3238EAI	MAX3238EAI+	SSOP-28	5	3	Oui	3.3,5	-	250	0.5	10,35	5,00	4,60
◆ 700-MAX3238ECAI	MAX3238ECAI+	SSOP-28	5	3	Oui	3.3,5	15	250	0.5	8,42	5,61	4,06
◆ 700-MAX3238EEAI	MAX3238EEAI+	SSOP-28	5	3	Oui	3.3,5	15	250	0.5	10,98	5,57	5,12
700-MAX201CPD	MAX201CPD+	PDIP 14 broches	2	2	Non	5, 12	-	116	0.4	3,04	1,54	1,42
◆ 700-MAX3187CAX	MAX3187CAX+	SSOP-36	6	10	Non	5, 12	15	230	0.75	5,99	2,95	2,71
◆ 700-MAX201CWE	MAX201CWE+	SOIC-16W	2	2	Non	5,12	-	116	0.4	3,04	1,54	1,42
700-MAX231CPD	MAX231CPD+	PDIP 14 broches	2	2	Non	5,12	-	120	0.4	3,04	1,54	1,42
◆ 700-MAX231CWE	MAX231CWE+	SOIC-16	2	2	Non	5,12	-	120	0.4	3,04	1,54	1,42
700-MAX239CNG	MAX239CNG+	PDIP 24	3	5	Non	5,12	-	120	0.4	6,93	3,51	3,23
◆ 700-MAX239CWG	MAX239CWG+	SOIC-24W	3	5	Non	5,12	-	120	0.4	7,27	3,51	3,23
◆ 700-MAX3185CWP	MAX3185CWP+	SO-20	3	5	Non	5,12	15	230	0,38	2,71	1,80	1,30

© Copyright 2012 Mouser Electronics

© Copyright 2012 Mouser Electronics

CI analogiques MAXIM

RoHS Compliant This product is RoHS compliant.

MAXIM INNOVATION DELIVERED

ÉMETTEURS-RÉCEPTEURS MULTI-PROTOCOLES RS-232-485/422

◆ **Composant pour montage en surface**

Pour des quantités supérieures à celles indiquées, appelez-nous afin d'obtenir un devis.

RÉF. STOCK MOUSER	Réf. Maxim	Boîtier	Débit de données RS-232 (Mbps) (Max.)	Débit de données RS-485 (Mbps) (Max.)	Émetteur/ Récepteur simplex	Arrêt	Tension d'alimentation	Protection d'erreur de transmission	I_{CC} (Max.) (mA)	Prix unitaire		
										1	25	100
◆ 700-MAX3160CAP	MAX3160CAP+	SSOP-20	1	10	2/2	Oui	3,0 à 5,5	Oui	5,5	12,38	6,28	5,78
◆ 700-MAX3160EAP	MAX3160EAP+	SSOP-20	1	10	2/2	Oui	3,0 à 5,5	Oui	5,5	18,56	12,38	8,97
◆ 700-MAX3160EEAP	MAX3160EEAP+	SSOP-20	1	10	2/2	Oui	3,0 à 5,5	Oui	5,5	18,53	9,40	8,65
◆ 700-MAX3161CAG	MAX3161CAG+	SSOP 24	1	10	2/2	Oui	3,0 à 5,5	Oui	6	12,38	6,28	5,78
◆ 700-MAX3161EAG	MAX3161EAG+	SSOP 24	1	10	2/2	Oui	3,0 à 5,5	Oui	6	18,56	12,38	8,97
◆ 700-MAX3162CAI	MAX3162CAI+	SSOP-28	1	10	2/2	Oui	3,0 à 5,5	Oui	6	12,38	6,28	5,78
◆ 700-MAX3162EAI	MAX3162EAI+	SSOP-28	1	10	2/2	Oui	3,0 à 5,5	Oui	6	18,56	12,38	8,97
◆ 700-MXL1543CAI	MXL1543CAI+	SSOP-28	2	2	3/3	Oui	4,75 à 5,25	Non	0,126	14,94	7,58	6,97
◆ 700-MXL1544CAI	MXL1544CAI+	SSOP-28	2	2	4/4	Oui	5	Non	0.12	12,14	6,15	5,67

PILOTES / RÉCEPTEURS DE LIGNE RS-485 / RS-422

◆ **Composant pour montage en surface**

Pour des quantités supérieures à celles indiquées, appelez-nous afin d'obtenir un devis.

RÉF. STOCK MOUSER	Réf. Maxim	Boîtier	Pilotes par boîtier	Récepteurs par boîtier	Duplex	Tension d'alimentation	ESD (kV)	Débit des signaux (kbps)	I_{CC} (Typ.) (mA)	Prix unitaire		
										1	25	100
◆ 700-MAX3094ECSE	MAX3094ECSE+	SOIC-16	0	4	-	3.3	15	10000	2.4	2,76	1,40	1,29
◆ 700-MAX3094EESE	MAX3094EESE+	SOIC-16	0	4	-	3.3	15	10000	2,4	3,94	2,00	1,84
◆ 700-MAX3096CEE	MAX3096CEE+	QSOP-16	0	4	-	3.3	15	10000	2.4	2,76	1,40	1,29
◆ 700-MAX3096CSE	MAX3096CSE+	SOIC-16	0	4	-	3.3	15	10000	2.4	2,76	1,40	1,29
◆ 700-MAX3295AUTT	MAX3295AUT+T	SOT-6	1	0	-	3,3	9	20000	1	1,71	1,14	0,825
700-MAX3070EAPD	MAX3070EAPD+	PDIP 14 broches	1	1	Total	3,3	15	250	0.8	4,93	2,55	2,31
◆ 700-MAX3070EASD	MAX3070EASD+	SOIC-14	1	1	Total	3,3	15	250	0.8	4,93	2,55	2,31
700-MAX3070EEPD	MAX3070EEPD+	PDIP 14 broches	1	1	Total	3,3	15	250	0.8	3,94	2,04	1,84
◆ 700-MAX3070EESD	MAX3070EESD+	SOIC-14	1	1	Total	3,3	15	250	0.8	3,94	2,00	1,84
700-MAX3071EAPA	MAX3071EAPA+	PDIP-8	1	1	Total	3,3	15	250	0.8	4,93	2,55	2,31
◆ 700-MAX3071EASA	MAX3071EASA+	SOIC-8	1	1	Total	3,3	15	250	0.8	4,93	2,50	2,30
700-MAX3071EEPA	MAX3071EEPA+	PDIP-8	1	1	Total	3,3	15	250	0.8	3,94	2,04	1,84
◆ 700-MAX3071EESA	MAX3071EESA+	SOIC-8	1	1	Total	3,3	15	250	0.8	3,94	2,00	1,84
700-MAX3072EAPA	MAX3072EAPA+	PDIP-8	1	1	Semi	3,3	15	250	0.8	4,93	2,55	2,31
◆ 700-MAX3072EASA	MAX3072EASA+	SOIC-8	1	1	Semi	3,3	15	250	0.8	4,93	2,50	2,30
700-MAX3072EEPA	MAX3072EEPA+	PDIP-8	1	1	Semi	3,3	15	250	0.8	3,94	2,00	1,84
◆ 700-MAX3072EESA	MAX3072EESA+	SOIC-8	1	1	Semi	3,3	15	250	0.8	3,94	2,00	1,84
700-MAX3480BCPI	MAX3480BCPI+	PDIP-28W	1	1	Semi	3.3	1	250	120	18,56	15,72	13,70
700-MAX3483CPA	MAX3483CPA+	PDIP-8	1	1	Semi	3.3	-	250	1	3,49	2,44	1,63
◆ 700-MAX3483ECSA	MAX3483ECSA+	SOIC-8	1	1	Semi	3,3	15	250	1	3,96	2,00	1,85
◆ 700-MAX3483EESA	MAX3483EESA+	SOIC-8	1	1	Semi	3,3	15	250	1	5,00	2,53	2,33
◆ 700-MAX3483ESA	MAX3483ESA+	SOIC-8	1	1	Semi	3.3	-	250	1	4,36	2,21	2,04
◆ 700-MAX3488CSA	MAX3488CSA+	SOIC-8	1	1	Total	3,3	-	250	1	3,49	1,77	1,63
◆ 700-MAX3488ECSA	MAX3488ECSA+	SOIC 8	1	1	Total	3,3	15	250	1	3,96	2,00	1,85
◆ 700-MAX3488EESA	MAX3488EESA+	SOIC-8	1	1	Total	3,3	15	250	1	5,00	2,53	2,33
700-MAX3073EAPD	MAX3073EAPD+	PDIP 14 broches	1	1	Total	3,3	15	500	0,8	4,93	2,55	2,31
◆ 700-MAX3073EASD	MAX3073EASD+	SOIC-14	1	1	Total	3,3	15	500	0,8	4,93	2,55	2,31
700-MAX3073EEPD	MAX3073EEPD+	PDIP 14 broches	1	1	Total	3,3	15	500	0,8	3,94	2,04	1,84
◆ 700-MAX3073EESD	MAX3073EESD+	SOIC-14	1	1	Total	3,3	15	500	0,8	3,94	2,00	1,84
700-MAX3074EAPA	MAX3074EAPA+	PDIP-8	1	1	Total	3,3	15	500	0,8	4,93	2,55	2,31
◆ 700-MAX3074EASA	MAX3074EASA+	SOIC-8	1	1	Total	3,3	15	500	0,8	4,93	2,55	2,31
700-MAX3074EEPA	MAX3074EEPA+	PDIP-8	1	1	Total	3,3	15	500	0,8	3,94	2,04	1,84
◆ 700-MAX3074EESA	MAX3074EESA+	SOIC-8	1	1	Total	3,3	15	500	0,8	3,94	2,00	1,84
700-MAX3075EAPA	MAX3075EAPA+	PDIP 8	1	1	Semi	3,3	15	500	0,8	4,93	2,55	2,31
◆ 700-MAX3075EASA	MAX3075EASA+	SOIC 8	1	1	Semi	3,3	15	500	0,8	4,93	2,50	2,30
700-MAX3075EEPA	MAX3075EEPA+	PDIP 8	1	1	Semi	3,3	15	500	0,8	3,94	2,04	1,84
◆ 700-MAX3075EESA	MAX3075EESA+	SOIC 8	1	1	Semi	3,3	15	500	0,8	3,94	2,00	1,84
700-MAX3480ACPI	MAX3480ACPI+	PDIP-28W	1	1	Semi	3.3	1	2500	180	19,57	16,62	14,45
700-MAX3480AEPI	MAX3480AEPI+	PDIP-28W	1	1	Semi	3.3	1	2500	180	27,96	23,69	20,64
◆ 700-MAX3485ESA	MAX3485ESA+	SOIC-8	1	1	Semi	3.3	-	2500	1	4,36	2,21	2,04
◆ 700-MAX3486EESA	MAX3486EESA+	SOIC-8	1	1	Semi	3,3	15	2500	1	5,00	2,53	2,33
◆ 700-MAX3486ESA	MAX3486ESA+	SOIC-8	1	1	Semi	3.3	-	2500	1	4,36	2,21	2,04
700-MAX3485CPA	MAX3485CPA+	PDIP-8	1	1	Semi	3.3	-	10000	1	3,50	2,44	1,63
◆ 700-MAX3485CSA	MAX3485CSA+	SOIC-8	1	1	Semi	3.3	-	10000	1	3,49	1,77	1,63
◆ 700-MAX3490CSA	MAX3490CSA+	SOIC-8	1	1	Total	3,3	-	10000	1	3,49	1,77	1,63
700-MAX3490EPA	MAX3490EPA+	PDIP-8	1	1	Total	3,3	-	10000	1	4,36	3,05	2,04
◆ 700-MAX3490ESA	MAX3490ESA+	SO-8	1	1	Total	3,3	-	10000	1	4,36	2,21	2,04
◆ 700-MAX3491CSD	MAX3491CSD+	SOIC 14	1	1	Total	3,3	-	10000	1	3,49	1,77	1,63
◆ 700-MAX3491ESD	MAX3491ESD+	SOIC 14	1	1	Total	3,3	-	10000	1	4,36	2,21	2,04
◆ 700-MAX3485ECSA	MAX3485ECSA+	SOIC-8	1	1	Semi	3,3	15	12000	1	3,96	2,00	1,85
◆ 700-MAX3485EESA	MAX3485EESA+	SOIC 8	1	1	Semi	3,3	15	12000	1	5,00	2,53	2,33
◆ 700-MAX3490ECSA	MAX3490ECSA+	SOIC 8	1	1	Total	3,3	15	12000	1	3,96	2,00	1,85
◆ 700-MAX3490EESA	MAX3490EESA+	SOIC 8	1	1	Total	3,3	15	12000	1	5,00	2,53	2,33
◆ 700-MAX3491ECSD	MAX3491ECSD+	SOIC-14	1	1	Total	3,3	15	12000	1	3,96	2,00	1,85
◆ 700-MAX3491EESD	MAX3491EESD+	SOIC-14	1	1	Total	3,3	15	12000	1	5,00	2,53	2,33
700-MAX3076EAPD	MAX3076EAPD+	PDIP 14 broches	1	1	Total	3,3	15	16000	0.8	4,93	2,55	2,31
◆ 700-MAX3076EASD	MAX3076EASD+	SOIC-14	1	1	Total	3,3	15	16000	0.8	4,93	2,50	2,30
700-MAX3076EEPD	MAX3076EEPD+	PDIP 14 broches	1	1	Total	3,3	15	16000	0,8	3,94	2,04	1,84
◆ 700-MAX3076EESD	MAX3076EESD+	SOIC-14	1	1	Total	3,3	15	16000	0,8	3,94	2,00	1,84
700-MAX3077EAPA	MAX3077EAPA+	PDIP-8	1	1	Total	3,3	15	16000	0.8	4,93	2,55	2,31
◆ 700-MAX3077EEPA	MAX3077EEPA+	SOIC-8	1	1	Total	3,3	15	16000	0,8	3,94	2,04	1,84
◆ 700-MAX3077EESA	MAX3077EESA+	SOIC-8	1	1	Total	3,3	15	16000	0,8	3,94	2,00	1,84
700-MAX3078EASA	MAX3078EASA+	PDIP-8	1	1	Semi	3,3	15	16000	0.8	4,93	2,50	2,30
◆ 700-MAX3078EEPA	MAX3078EEPA+	SOIC-8	1	1	Semi	3,3	15	16000	0,8	3,94	2,04	1,84
◆ 700-MAX3078EESA	MAX3078EESA+	SOIC 8	1	1	Semi	3,3	15	16000	0,8	3,94	2,00	1,84
◆ 700-MAX3079EASD	MAX3079EASD+	SOIC-14	1	1	Semi / Total	3,3	15	16000	0.8	4,93	2,55	2,31
700-MAX3079EEPD	MAX3079EEPD+	PDIP 14 broches	1	1	Semi / Total	3,3	15	16000	0,8	3,94	2,04	1,84
◆ 700-MAX3079EESD	MAX3079EESD+	SOIC-14	1	1	Semi / Total	3,3	15	16000	0,8	3,94	2,00	1,84
◆ 700-MAX3094EEUE	MAX3094EEUE+	TSSOP 16	4	0	-	3.3	15	10000	2,4	3,94	2,00	1,84
◆ 700-MAX3030EESE	MAX3030EESE+	SO-16N	4	0	-	3.3	15	20000	0,1	2,17	1,44	1,05
◆ 700-MAX3032ECSE	MAX3032ECSE+	SO-16N	4	0	-	3.3	15	20000	0,1	1,65	0,833	0,77
◆ 700-MAX3032EESE	MAX3032EESE+	SO-16N	4	0	-	3.3	15	20000	0,1	2,17	1,44	1,05
700-MAX3080CPD	MAX3080CPD+	PDIP 14 broches	1	1	Total	5	-	115	0.375	2,88	1,92	1,28
◆ 700-MAX3080CSD	MAX3080CSD+	SOIC-14	1	1	Total	5	-	115	0.375	2,88	1,92	1,39
◆ 700-MAX3080ECSD	MAX3080ECSD+	SOIC-14	1	1	Total	5	15	115	0.375	2,95	1,60	1,43
◆ 700-MAX3080EESD	MAX3080EESD+	SOIC-14	1	1	Total	5	15	115	0,375	3,51	1,78	1,64

© Copyright 2012 Mouser Electronics

© Copyright 2012 Mouser Electronics

PILOTES / RÉCEPTEURS DE LIGNE RS-485 / RS-422 (SUITE)

♦ Composant pour montage en surface

Pour des quantités supérieures à celles indiquées, appelez-nous afin d'obtenir un devis.

RÉF. STOCK MOUSER	Réf. Maxim	Boîtier	Pilotes par boîtier	Récepteurs par boîtier	Duplex	Tension d'alimentation	ESD (kV)	Débit des signaux (kbps)	I_{CC} (Typ.) (mA)	Prix unitaire 1	25	100
♦ 700-MAX3080ESD	MAX3080ESD+	SOIC-14	1	1	Total	5	-	115	0.375	3,42	1,73	1,59
♦ 700-MAX3081CSA	MAX3081CSA+	SO-8	1	1	Total	5	-	115	0.375	2,74	1,91	1,28
700-MAX3082CPA	MAX3082CPA+	PDIP 8	1	1	Semi	5	-	115	0,375	2,73	1,39	1,28
♦ 700-MAX3082CSA	MAX3082CSA+	SOIC-8	1	1	Semi	5	-	115	0,375	2,73	1,39	1,28
700-MAX3082ECPA	MAX3082ECPA+	PDIP 8	1	1	Semi	5	-	115	0,375	2,81	1,42	1,31
♦ 700-MAX3082ECSA	MAX3082ECSA+	SOIC-8	1	1	Semi	5	15	115	0,375	2,81	1,42	1,31
♦ 700-MAX3082EESA	MAX3082EESA+	SOIC-8	1	1	Semi	5	15	115	0,375	3,51	1,78	1,64
700-MAX1480ECCPI	MAX1480ECCPI+	PDIP-28W	1	1	Semi	5	-	160	55	23,69	12,01	11,06
700-MAX1480ECEPI	MAX1480ECEPI+	PDIP-28W	1	1	Semi	5	-	160	55	21,07	16,81	14,93
700-MAX1490EBCPG	MAX1490EBCPG+	PDIP-24W	1	1	Total	5	-	160	65	23,69	12,01	11,06
700-MAX1490EBEPG	MAX1490EBEPG+	PDIP-24W	1	1	Total	5	-	160	65	18,56	16,24	13,93
♦ 700-MAX13080EASD	MAX13080EASD+	SOIC-14	1	1	Total	5	15	250	1.2	3,89	1,97	1,82
♦ 700-MAX13080ECSD	MAX13080ECSD+	SOIC-14	1	1	Total	5	15	250	1.2	3,65	2,43	1,62
♦ 700-MAX13080EESD	MAX13080EESD+	SOIC-14	1	1	Total	5	15	250	1.2	3,68	1,86	1,72
♦ 700-MAX13081ECSA	MAX13081ECSA+	SOIC-8	1	1	Total	5	15	250	1.2	3,11	1,53	1,41
700-MAX13082ECPA	MAX13082ECPA+	PDIP 8	1	1	Semi	5	15	250	1.2	2,90	1,50	1,35
♦ 700-MAX13082ECSA	MAX13082ECSA+	SOIC 8 broches	1	1	Semi	5	15	250	1.2	2,85	1,44	1,33
700-MAX13082EEPA	MAX13082EEPA+	PDIP 8	1	1	Semi	5	15	250	1.2	3,12	1,61	1,45
♦ 700-MAX13082EESA	MAX13082EESA+	SOIC 8 broches	1	1	Semi	5	15	250	1.2	3,06	1,55	1,43
700-MAX1480BCPI	MAX1480BCPI+	PDIP-28W	1	1	Semi	5	-	250	35	22,91	11,62	10,69
700-MAX1480BEPI	MAX1480BEPI+	PDIP-28W	1	1	Semi	5	-	250	35	16,95	14,36	13,41
700-MAX1480CCPI	MAX1480CCPI+	PDIP-28W	1	1	Semi	5	-	250	35	24,00	12,17	11,20
♦ 700-MAX1481CUB	MAX1481CUB+	µMAX-10	1	1	Total	5	-	250	0.3	2,65	1,77	1,18
♦ 700-MAX1481EUB	MAX1481EUB+	µMAX-10	1	1	Total	5	-	250	0,3	3,14	1,59	1,46
700-MAX1482CPD	MAX1482CPD+	PDIP 14 broches	1	1	Total	5	-	250	0.02	2,71	1,80	1,30
♦ 700-MAX1482CSD	MAX1482CSD+	SOIC-14	1	1	Total	5	-	250	0.02	2,71	1,80	1,20
♦ 700-MAX1482ESD	MAX1482ESD+	SOIC-14	1	1	Total	5	-	250	0,02	3,39	2,26	1,51
700-MAX1483CPA	MAX1483CPA+	PDIP 8	1	1	Total	5	-	250	0.02	2,71	1,80	1,30
♦ 700-MAX1483CSA	MAX1483CSA+	SOIC 8 broches	1	1	Total	5	-	250	0.02	2,71	1,80	1,20
♦ 700-MAX1483ESA	MAX1483ESA+	SOIC-8	1	1	Total	5	-	250	0,02	3,39	2,26	1,51
♦ 700-MAX1485EUB	MAX1485EUB+	µMAX-10	1	1	Semi/Total	5	-	250	0,3	3,14	1,59	1,46
700-MAX1490BCPG	MAX1490BCPG+	PDIP-24W	1	1	Total	5	-	250	65	24,06	11,62	10,69
700-MAX1490BEPG	MAX1490BEPG+	PDIP-24W	1	1	Total	5	-	250	65	16,95	14,36	13,42
700-MAX483CPA	MAX483CPA+	PDIP 8	1	1	Semi	5	-	250	0,35	2,52	1,28	1,18
♦ 700-MAX483CSA	MAX483CSA+	SOIC 8 broches	1	1	Semi	5	-	250	0,35	2,52	1,28	1,18
700-MAX483ECPA	MAX483ECPA+	PDIP 8	1	1	Semi	5	15	250	0,35	3,14	1,59	1,46
♦ 700-MAX483ECSA	MAX483ECSA+	SOIC 8 broches	1	1	Semi	5	15	250	0,35	3,14	1,59	1,46
♦ 700-MAX483EESA	MAX483EESA+	SOIC 8 broches	1	1	Semi	5	15	250	0,35	4,53	2,29	2,11
700-MAX483EPA	MAX483EPA+	PDIP 8	1	1	Semi	5	-	250	0,35	3,16	1,60	1,48
♦ 700-MAX483ESA	MAX483ESA+	SOIC 8 broches	1	1	Semi	5	-	250	0,35	3,16	1,60	1,48
700-MAX487CPA	MAX487CPA+	PDIP 8	1	1	Semi	5	-	250	0,25	2,57	1,30	1,20
♦ 700-MAX487CSA	MAX487CSA+	SOIC 8 broches	1	1	Semi	5	-	250	0,25	2,57	1,30	1,20
♦ 700-MAX487CUA	MAX487CUA+	µMAX-8	1	1	Semi	5	-	250	0,25	2,57	1,30	1,20
700-MAX487ECPA	MAX487ECPA+	PDIP 8	1	1	Semi	5	15	250	0,25	3,14	1,59	1,46
♦ 700-MAX487ECSA	MAX487ECSA+	SOIC 8 broches	1	1	Semi	5	15	250	0,25	3,14	1,59	1,46
700-MAX487EEPA	MAX487EEPA+	PDIP 8	1	1	Semi	5	15	250	0,25	4,52	2,29	2,11
♦ 700-MAX487EESA	MAX487EESA+	SOIC 8 broches	1	1	Semi	5	15	250	0,25	4,52	2,29	2,11
700-MAX487EPA	MAX487EPA+	PDIP 8	1	1	Semi	5	-	250	0,12	3,23	1,64	1,51
♦ 700-MAX487ESA	MAX487ESA+	SOIC 8 broches	1	1	Semi	5	-	250	0,12	3,23	1,64	1,51
700-MAX488CPA	MAX488CPA+	PDIP 8	1	1	Total	5	-	250	0,12	2,57	1,30	1,20
♦ 700-MAX488CSA	MAX488CSA+	SOIC 8 broches	1	1	Total	5	-	250	0,12	2,57	1,30	1,20
700-MAX488ECPA	MAX488ECPA+	PDIP 8	1	1	Total	5	15	250	0,12	3,14	2,19	1,46
♦ 700-MAX488ECSA	MAX488ECSA+	SOIC 8 broches	1	1	Total	5	15	250	0,12	3,14	1,59	1,46
♦ 700-MAX488EESA	MAX488EESA+	SOIC 8 broches	1	1	Total	5	15	250	0,12	4,52	2,29	2,11
700-MAX488EPA	MAX488EPA+	PDIP 8	1	1	Total	5	-	250	0,12	3,23	2,26	1,51
♦ 700-MAX488ESA	MAX488ESA+	SOIC 8 broches	1	1	Total	5	-	250	0,12	3,23	1,64	1,51
700-MAX489CPD	MAX489CPD+	PDIP 14 broches	1	1	Total	5	-	250	0,12	2,71	1,80	1,30
♦ 700-MAX489CSD	MAX489CSD+	SOIC-14	1	1	Total	5	-	250	0,12	2,71	1,80	1,30
700-MAX489ECPD	MAX489ECPD+	PDIP 14 broches	1	1	Total	5	15	250	0,12	3,14	1,59	1,46
♦ 700-MAX489ECSD	MAX489ECSD+	SOIC-14	1	1	Total	5	15	250	0,12	3,14	1,59	1,46
♦ 700-MAX489EESD	MAX489EESD+	SOIC-14	1	1	Total	5	15	250	0,12	4,74	3,16	2,29
700-MAX489EPD	MAX489EPD+	PDIP 14 broches	1	1	Total	5	-	250	0,12	3,23	1,64	1,51
♦ 700-MAX489ESD	MAX489ESD+	SOIC-14	1	1	Total	5	-	250	0,12	3,23	1,64	1,51
700-MAX13083ECPD	MAX13083ECPD+	PDIP 14 broches	1	1	Total	5	15	500	2	3,70	1,82	1,67
700-MAX13083EEPD	MAX13083EEPD+	PDIP 14 broches	1	1	Total	5	15	500	2	3,90	1,93	1,77
♦ 700-MAX13083EESD	MAX13083EESD+	SOIC-14	1	1	Total	5	15	500	2	3,75	1,91	1,75
♦ 700-MAX13085EASA	MAX13085EASA+	SOIC 8 broches	1	1	Semi	5	15	500	1.2	3,37	1,66	1,53
♦ 700-MAX13085ECSA	MAX13085ECSA+	SOIC 8 broches	1	1	Semi	5	15	500	1.2	2,99	1,48	1,36
700-MAX13085EEPA	MAX13085EEPA+	PDIP 8	1	1	Semi	5	15	500	1.2	3,11	1,58	1,45
♦ 700-MAX13085EESA	MAX13085EESA+	SOIC 8 broches	1	1	Semi	5	15	500	1,2	3,06	1,55	1,43
♦ 700-MAX13485EESA	MAX13485EESA+	SOIC 8 broches	1	1	Semi	5	15	500	4,5	2,81	1,42	1,31
♦ 700-MAX13487EESA	MAX13487EESA+	SOIC 8 broches	1	1	Semi	5	15	500	4,5	2,81	1,42	1,31
♦ 700-MAX3083CSD	MAX3083CSD+	SOIC-14	1	1	Total	5	-	500	0,375	2,73	1,39	1,28
♦ 700-MAX3083EESD	MAX3083EESD+	SO-14	1	1	Total	5	-	500	0,375	3,51	1,78	1,64
♦ 700-MAX3085ECSA	MAX3085ECSA+	SOIC 8 broches	1	1	Semi	5	15	500	0,375	2,81	1,42	1,31
♦ 700-MAX3085EESA	MAX3085EESA+	SOIC 8 broches	1	1	Semi	5	15	500	0,375	3,51	1,78	1,64
♦ 700-MXL1535ECWI	MXL1535ECWI+	SOIC-28W	1	1	Total	5	15	1000	16	10,32	5,24	4,82
♦ 700-MXL1535EEWI+	MXL1535EEWI+	SO-28W	1	1	Total	5	-	1000	16	11,15	5,66	5,21
700-MAX1480ACPI	MAX1480ACPI+	PDIP-28W	1	1	Semi	5	-	2500	60	24,00	12,17	11,20
700-MAX1480AEPI	MAX1480AEPI+	PDIP-28W	1	1	Semi	5	-	2500	60	17,31	14,66	13,72
700-MAX1480EACPI	MAX1480EACPI+	PDIP-28W	1	1	Semi	5	-	2500	85	23,69	12,01	11,06
700-MAX1480EAEPI	MAX1480EAEPI+	PDIP-28W	1	1	Semi	5	-	2500	85	21,07	16,81	14,93
700-MAX1487CPA	MAX1487CPA+	PDIP 8	1	1	Semi	5	-	2500	0,3	2,71	1,80	1,20
♦ 700-MAX1487CSA	MAX1487CSA+	SOIC 8 broches	1	1	Semi	5	-	2500	0,3	2,71	1,80	1,30
700-MAX1487ECPA	MAX1487ECPA+	PDIP 8	1	1	Semi	5	15	2500	0.3	3,29	2,19	1,46
♦ 700-MAX1487EESA	MAX1487EESA+	SOIC 8 broches	1	1	Semi	5	15	2500	0.3	4,74	3,16	2,29
700-MAX1490ACPG	MAX1490ACPG+	PDIP-24W	1	1	Total	5	-	2500	100	25,19	12,17	11,20
700-MAX1490AEPG	MAX1490AEPG+	PDIP-24W	1	1	Total	5	-	2500	100	17,31	14,66	13,72
♦ 700-MAX3040CSE	MAX3040CSE+	SO-16N	4	0	-	5	-	250	1	2,48	1,65	1,19
♦ 700-MAX3043EUE	MAX3043EUE+	TSSOP-16	4	0	-	5	-	250	1	3,51	1,73	1,59

© Copyright 2012 Mouser Electronics

© Copyright 2012 Mouser Electronics

CI analogiques MAXIM

RoHS Compliant This product is RoHS compliant.

MAXIM INNOVATION DELIVERED

PILOTES / RÉCEPTEURS DE LIGNE RS-485 / RS-422 (SUITE)

♦ Composant pour montage en surface

Pour des quantités supérieures à celles indiquées, appelez-nous afin d'obtenir un devis.

RÉF. STOCK MOUSER	Réf. Maxim	Boîtier	Pilotes par boîtier	Récepteurs par boîtier	Duplex	Tension d'alimentation	ESD (kV)	Débit des signaux (kbps)	I_{CC} (Typ.) (mA)	Prix unitaire 1	25	100
700-MAX3095CPE	MAX3095CPE+	PDIP 16	0	4	-	5	15	10000	2.4	2,76	1,40	1,29
♦ 700-MAX3095CSE	MAX3095CSE+	SOIC-16	0	4	-	5	15	10000	2.4	2,76	1,40	1,29
♦ 700-MAX3095ESE	MAX3095ESE+	SOIC-16	0	4	-	5	15	10000	2,4	3,94	2,00	1,84
700-MAX1490EACPG	MAX1490EACPG+	PDIP-24W	1	1	Total	5	-	2500	130	23,69	12,01	11,06
700-MAX1490EAEPG	MAX1490EAEPG+	PDIP-24W	1	1	Total	5	-	2500	130	21,07	16,81	14,93
700-MAX481CPA	MAX481CPA+	PDIP 8	1	1	Semi	5	-	2500	0,5	2,52	1,28	1,18
700-MAX481CSA	MAX481CSA+	SOIC 8 broches	1	1	Semi	5	-	2500	0,5	2,52	1,28	1,18
700-MAX481ECPA	MAX481ECPA+	PDIP 8	1	1	Semi	5	15	2500	0,5	3,29	2,19	1,46
♦ 700-MAX481ECSA	MAX481ECSA+	SOIC 8 broches	1	1	Semi	5	15	2500	0,5	3,14	1,59	1,46
♦ 700-MAX481EESA	MAX481EESA+	SOIC 8 broches	1	1	Semi	5	15	2500	0,5	5,17	3,45	2,30
♦ 700-MAX481ESA	MAX481ESA+	SOIC 8 broches	1	1	Semi	5	-	2500	0,5	3,32	2,21	1,48
700-MAX485CPA	MAX485CPA+	PDIP 8	1	1	Semi	5	-	2500	0,5	2,52	1,28	1,18
♦ 700-MAX485CSA	MAX485CSA+	SOIC 8 broches	1	1	Semi	5	-	2500	0,5	2,52	1,28	1,18
700-MAX485ECPA	MAX485ECPA+	PDIP 8	1	1	Semi	5	15	2500	0,5	3,14	1,59	1,46
♦ 700-MAX485ECSA	MAX485ECSA+	SOIC 8 broches	1	1	Semi	5	15	2500	0,5	3,14	1,59	1,46
700-MAX485EPA	MAX485EPA+	PDIP 8	1	1	Semi	5	-	2500	0,5	3,16	1,60	1,48
♦ 700-MAX485ESA	MAX485ESA+	SOIC 8 broches	1	1	Semi	5	-	2500	0,5	3,16	1,60	1,48
♦ 700-MAX490CSA	MAX490CSA+	SOIC 8 broches	1	1	Total	5	-	2500	0,3	2,71	1,80	1,30
700-MAX490ECPA	MAX490ECPA+	PDIP 8	1	1	Total	5	15	2500	0,3	3,14	1,59	1,46
♦ 700-MAX490ECSA	MAX490ECSA+	SOIC 8 broches	1	1	Total	5	15	2500	0,3	3,14	1,59	1,46
700-MAX490EEPA	MAX490EEPA+	PDIP 8	1	1	Total	5	-	2500	0.3	4,74	2,34	2,15
♦ 700-MAX490ESA	MAX490ESA+	SOIC 8 broches	1	1	Total	5	-	2500	0,3	3,23	1,64	1,51
♦ 700-MAX491CSD	MAX491CSD+	SOIC-14	1	1	Total	5	-	2500	0,3	2,71	1,80	1,30
♦ 700-MAX491ECSD	MAX491ECSD+	SOIC-14	1	1	Total	5	15	2500	0,3	3,14	1,59	1,46
♦ 700-MAX491EESD	MAX491EESD+	SOIC-14	1	1	Total	5	15	2500	0.3	4,74	3,16	2,29
♦ 700-MAX491ESD	MAX491ESD+	SOIC-14	1	1	Total	5	-	2500	0,3	3,23	1,64	1,51
♦ 700-MAX3086CSD	MAX3086CSD+	SOIC-14	1	1	Total	5	-	10000	0,375	2,73	1,39	1,28
♦ 700-MAX3086ESD	MAX3086ESD+	SOIC-14	1	1	Total	5	-	10000	0,375	3,44	1,75	1,61
♦ 700-MAX3087ECSA	MAX3087ECSA+	SOIC 8 broches	1	1	Total	5	15	10000	0,375	2,81	1,42	1,31
♦ 700-MAX3088CSA	MAX3088CSA+	SOIC 8 broches	1	1	Semi	5	-	10000	0,375	2,73	1,39	1,28
♦ 700-MAX3088EESA	MAX3088EESA+	SOIC 8 broches	1	1	Semi	5	15	10000	0,375	3,51	1,78	1,64
♦ 700-MAX3088ESA	MAX3088ESA+	SOIC 8 broches	1	1	Semi	5	-	10000	0,375	3,42	1,73	1,59
700-MAX3089CPD	MAX3089CPD+	PDIP 14 broches	1	1	Semi/Total	5	-	10000	0,375	2,74	1,41	1,28
♦ 700-MAX3089ECSD	MAX3089ECSD+	SO-14	1	1	Semi/Total	5	-	10000	0,375	2,81	1,42	1,31
♦ 700-MAX3089ESD	MAX3089ESD+	SOIC-14	1	1	Semi/Total	5	-	10000	0,375	3,42	2,39	1,59
♦ 700-MAX3291CSD	MAX3291CSD+	SO-14	1	1	Total	5	-	10000	2	6,40	4,27	3,09
700-MAX3291EPD	MAX3291EPD+	PDIP 14 broches	1	1	Total	5	-	10000	2	9,15	4,51	4,15
♦ 700-MAX3291ESD	MAX3291ESD+	SO-14	1	1	Total	5	-	10000	2	8,72	4,42	4,07
♦ 700-MAX3292CSD+	MAX3292CSD+	SO-14	1	1	Total	5	-	10000	2	6,11	3,09	2,85
♦ 700-MAX1486CUB	MAX1486CUB+	µMAX-10	1	1	Semi/Total	5	-	12000	0,3	2,65	1,77	1,28
♦ 700-MAX1486EUB	MAX1486EUB+	µMAX-10	1	1	Semi/Total	5	-	12000	0,3	3,14	1,59	1,46
700-MAX13086EEPD	MAX13086EEPD+	PDIP 14 broches	1	1	Total	5	15	16000	1,2	3,91	1,93	1,77
♦ 700-MAX13086EESD	MAX13086EESD+	SOIC-14	1	1	Total	5	15	16000	1,2	3,85	1,68	1,66
♦ 700-MAX13087EESA	MAX13087EESA+	SOIC 8 broches	1	1	Total	5	15	16000	1,2	3,16	1,60	1,48
♦ 700-MAX13088EESA	MAX13088EESA+	SOIC 8 broches	1	1	Semi	5	15	16000	1,2	3,06	1,55	1,43
♦ 700-MAX13089EASD	MAX13089EASD+	SOIC-14	1	1	Semi/Total	5	15	16000	1,2	3,84	1,96	1,80
♦ 700-MAX13486EESA	MAX13486EESA+	SOIC 8 broches	1	1	Semi	5	15	16000	4,5	2,81	1,42	1,31
♦ 700-MAX13488EESA	MAX13488EESA+	SOIC 8 broches	1	1	Semi	5	15	16000	4,5	2,81	1,42	1,31
♦ 700-MAX3460CSD	MAX3460CSD+	SOIC-14	1	1	Total	5	-	20000	2,5	3,37	1,66	1,53
♦ 700-MAX3465CSD	MAX3465CSD+	SOIC-14	1	1	Total	5	-	30000	2,5	3,21	1,63	1,49
♦ 700-MAX3465ESD	MAX3465ESD+	SOIC-14	1	1	Total	5	-	30000	2,5	3,80	1,86	1,72
♦ 700-MAX3466CSD	MAX3466CSD+	SOIC-14	1	1	Total	5	-	30000	2,5	3,37	1,66	1,53
700-MAX3467CPA	MAX3467CPA+	PDIP 14 broches	1	1	Total	5	-	30000	2,5	3,37	1,66	1,53
♦ 700-MAX3467CSA	MAX3467CSA+	SOIC-14	1	1	Total	5	-	30000	2,5	3,37	1,66	1,53
700-MAX3467EPA	MAX3467EPA+	PDIP 14 broches	1	1	Total	5	-	30000	2,5	3,80	1,86	1,72
♦ 700-MAX3467ESA	MAX3467ESA+	SOIC-14	1	1	Total	5	-	30000	2,5	3,61	1,83	1,68
♦ 700-MAX3468CSA	MAX3468CSA+	SOIC-14	1	1	Semi	5	-	30000	2,5	3,21	1,63	1,49
700-MAX3468EPA	MAX3468EPA+	PDIP 8	1	1	Semi	5	-	30000	2,5	3,80	1,86	1,72
♦ 700-MAX3468ESA	MAX3468ESA+	SOIC-14	1	1	Semi	5	-	30000	2,5	3,80	2,53	1,68
♦ 700-MAX3469CSA	MAX3469CSA+	SOIC 8 broches	1	1	Semi	5	-	30000	2,5	3,37	1,66	1,53
♦ 700-MAX3469ESA	MAX3469ESA+	SOIC 8 broches	1	1	Semi	5	-	30000	2,5	3,61	1,83	1,68
♦ 700-MAX3041EUE	MAX3041EUE+	TSSOP-16	4	0	-	5	-	2500	1	3,51	1,73	1,59
♦ 700-MAX3044ESE	MAX3044ESE+	SO-16N	4	0	-	5	-	2500	1	3,35	1,70	1,56
♦ 700-MAX3093EEUE	MAX3093EEUE+	TSSOP-16	4	0	-	5	15	10000	2,4	3,94	2,00	1,84
♦ 700-MAX3042BEWE+	MAX3042BEWE+	SOIC-16W	4	0	-	5	-	20000	0.002	3,41	2,27	1,65
♦ 700-MAX13413EESA	MAX13413EESA+	SOIC-8N	1	1	Semi	6-28	15	16000	5	3,55	1,74	1,60
♦ 700-MAX3471CUA	MAX3471CUA+	µMAX-8	1	1	Semi	de 2,5 à 5,5	-	64	0.0016	3,82	1,94	1,78
♦ 700-MAX3471EUA	MAX3471EUA+	µMAX-8	1	1	Semi	de 2,5 à 5,5	-	64	0,0016	4,76	2,42	2,22
♦ 700-MAX3535ECWI	MAX3535ECWI+	SOIC-28W	1	1	Total	3,3 ; 3,0 ; 5,5 ; 5	15	1000	16	12,05	6,11	5,62
♦ 700-MAX3535EEWI	MAX3535EEWI+	SOIC-28W	1	1	Total	3,3 ; 3,0 ; 5,5 ; 5	15	1000	16	12,85	6,52	6,00
♦ 700-MAX3098EBCSE	MAX3098EBCSE+	SO-16	0	3	-	3,3 ; 5,5	-	32000	3,1	8,02	4,15	3,75
♦ 700-MAX3097ECEE	MAX3097ECEE+	QSOP-16	0	3	-	3 - 5,5	15	32000	3,1	8,01	4,07	3,74
♦ 700-MAX3097ECSE	MAX3097ECSE+	SOIC-16	0	3	-	3 - 5,5	15	32000	3,1	8,01	4,07	3,74

PILOTES / RECEPTEURS DE LIGNE RS-485

♦ Composant pour montage en surface

Pour des quantités supérieures à celles indiquées, appelez-nous afin d'obtenir un devis.

RÉF. STOCK MOUSER	Réf. Maxim	Boîtier	Pilotes par boîtier	Récepteurs par boîtier	Duplex	Tension d'alimentation	ESD (kV)	Débit des signaux (kbps)	I_{CC} (Typ.) (mA)	Prix unitaire 1	25	100
♦ 700-MAX14840EASA+	MAX14840EASA+	SO-8	1	1	Semi	3,3	35	40000	1,5	3,37	1,71	1,58
♦ 700-MAX14841EASA+	MAX14841EASA+	SO-8	1	1	Semi	3,3	35	40000	1,5	3,37	1,71	1,58
700-MAX3430CPA	MAX3430CPA+	PDIP 8	1	1	Semi	3,3	12	250	3,5	5,07	2,62	2,37
♦ 700-MAX3430CSA	MAX3430CSA+	SOIC 8 broches	1	1	Semi	3,3	12	250	3,5	5,07	2,57	2,37
700-MAX3430EPA	MAX3430EPA+	PDIP 8	1	1	Semi	3,3	12	250	3,5	6,32	3,27	2,95
♦ 700-MAX3430ESA	MAX3430ESA+	SOIC 8 broches	1	1	Semi	3,3	12	250	3,5	6,32	3,20	2,95
♦ 700-MAX13082EASA	MAX13082EASA+	SO-8	1	1	Semi	5	15	250	1,2	3,21	1,66	1,49
♦ 700-MAX13084EESA	MAX13084EESA+	SO-8	1	1	Total	5	15	500	1,2	3,32	1,63	1,50
♦ 700-MAX13088EASA	MAX13088EASA+	SO-8	1	1	Semi	5	15	16000	1,2	3,21	1,63	1,49
♦ 700-MAX13089ECSD	MAX13089ECSD+	SO-14	1	1	Semi/Total	5	15	16000	1,2	3,71	1,83	1,68
♦ 700-MAX13442EASA	MAX13442EASA+	SOIC 8 broches	1	1	Total	5	15	250	0.001	4,95	2,51	2,31
♦ 700-MAX13444EASA	MAX13444EASA+	SO-8	1	1	Semi	5	15	250	10	4,95	2,51	2,31
♦ 700-MAX13450EAUD+	MAX13450EAUD+	TSSOP-14	1	1	Semi/Total	5	30	20000	6	3,84	2,19	2,00

© Copyright 2012 Mouser Electronics

© Copyright 2012 Mouser Electronics

CI analogiques MAXIM

RoHS Compliant **This product is RoHS compliant.**

MAXIM INNOVATION DELIVERED

PILOTES/RÉCEPTEURS DE LIGNE RS-485 (SUITE)

♦ **Composant pour montage en surface**

Pour des quantités supérieures à celles indiquées, appelez-nous afin d'obtenir un devis.

RÉF. STOCK MOUSER	Réf. Maxim	Boîtier	Pilotes par boîtier	Récepteurs par boîtier	Duplex	Tension d'alimentation	ESD (kV)	Débit des signaux (kbps)	I_{CC} (Typ.) (mA)	Prix unitaire 1	25	100
♦ 700-MAX3157CAI+	MAX3157CAI+	SSOP-28	1	1	Semi/Total	5	-	250	25	7,90	4,01	3,69
♦ 700-MAX3440EASA	MAX3440EASA+	SO-8	1	1	Semi	5	15	250	30	6,20	3,21	2,90
♦ 700-MAX3440EESA	MAX3440EESA+	SOIC-8	1	1	Semi	5	15	250	30	4,95	2,51	2,31
♦ 700-MAX3441EASA	MAX3441EASA+	SO-8	1	1	Semi	5	15	10000	10	6,20	3,21	2,90
♦ 700-MAX3441EESA	MAX3441EESA+	SO-8	1	1	Semi	5	15	10000	10	4,95	2,51	2,31
♦ 700-MAX3442EESA	MAX3442EESA+	SOIC-8	1	1	Semi	5	15	250	30	4,95	2,51	2,31
♦ 700-MAX3443ECSA	MAX3443ECSA+	SOIC-8	1	1	Semi	5	15	10000	10	4,95	2,51	2,31
♦ 700-MAX3443EESA	MAX3443EESA+	SOIC-8	1	1	Semi	5	15	10000	10	6,20	3,14	2,90
700-MAX491EPD	MAX491EPD+	PDIP 14 broches	1	1	Total	5	-	2500	0,3	3,23	1,64	1,51
♦ 700-MAX13451EAUD+	MAX13451EAUD+	TSSOP-14	1	1	Semi	5	30	20000	6	3,77	2,62	1,99
♦ 700-MAX13448EESD	MAX13448EESD+	SO-14	1	1	Total	3-5	15	500	4,5	5,05	2,56	2,36
♦ 700-MAX13430EEUB	MAX13430EEUB+	µMAX-10	1	1	Semi	3,3-5,5	30	500	1	3,37	1,71	1,58
♦ 700-MAX13432EESD	MAX13432EESD+	SO-14	1	1	Total	3,3-5,5	30	500	1	3,37	1,71	1,58
♦ 700-MAX13431EEUB	MAX13431EEUB+	µMAX-10	1	1	Semi	3,3-5,5	30	16000	1	3,37	1,71	1,58
♦ 700-MAX13433EESD	MAX13433EESD+	SO-14	1	1	Total	3,3-5,5	30	16000	1	3,37	1,71	1,58
♦ 700-MAX3283EAUTT	MAX3283EAUT+T	SOT-23-6	0	1	-	3,3-5,5	15	52000	9	1,06	0,71	0,512

EXTENSIONS DE PORTS E/S

♦ **Composant pour montage en surface**

Pour des quantités supérieures à celles indiquées, appelez-nous afin d'obtenir un devis.

RÉF. STOCK MOUSER	Réf. Maxim	Boîtier	Caractéristiques techniques	Interface	E/S	Courant d'entraînement (mA)	VSUPPLY (V) Min.	Max.	Prix unitaire 1	25	100
♦ 700-DS4520E	DS4520E+	TSSOP-16	Mém. utilisateur NV 64 octets, faible cons., E/S NV, drain ouvert	Série - I²C	9	12	2,7	5,5	2,82	1,88	1,36
♦ 700-DS4550E	DS4550E+	TSSOP-20	Mém. utilisateur NV 64 octets, faible cons., E/S NV, drain ouvert, port avec pullups	Série - I²C	9	16	2,7	5,5	3,75	1,90	1,75
♦ 700-MAX7300AAI	MAX7300AAI+	SSOP-28	Dir DEL avec clignotement, dét. émetteur-récepteur	Série - I²C	20 ou 28	10	2,5	5,5	6,78	4,52	3,28
♦ 700-MAX7311AUG	MAX7311AUG+	TSSOP-24	64 ID esclaves, ports pull-up, dét. émetteur-récepteur	Série - 2 fils 400kbit	16	40	2	5,5	4,78	2,62	2,30
♦ 700-MAX7315ATE	MAX7315ATE+	TQFN-16	64 ID esclaves, clignotement DEL, DEL avec contrôle MLI, dét. émetteur-récepteur	Série - 2 fils 400kbit	8	50	2	3,6	2,80	1,38	1,27
♦ 700-MAX7317AEE	MAX7317AEE+	QSOP-16	-	SPI série 26Mbit	10	10	2,25	3,6	2,48	1,65	1,20
♦ 700-MAX7317ATE	MAX7317ATE+	TQFN-16	-	SPI série 26Mbit	10	10	2,25	3,6	2,82	1,88	1,36
♦ 700-MAX7324AEG	MAX7324AEG+	QSOP-24	16 ID esclaves, faible courant de veille, ports pull-up, dét. émetteur-récepteur	Comp. série I²C, série 2 fils 400kbit	8/8	25	1,71	5,5	3,79	1,86	1,72
♦ 700-MAX7326ATG	MAX7326ATG+	TQFN-24	16 ID esclaves, faible courant de veille, sorties drain ouvert, ports pull-up, dét. émetteur-récepteur	Comp. série I²C, 2-Wire série 400kbit	4/12	25	1,71	5,5	3,79	1,86	1,72

PILOTES LIGNE AUDIO

♦ **Composant pour montage en surface**

Pour des quantités supérieures à celles indiquées, appelez-nous afin d'obtenir un devis.

RÉF. STOCK MOUSER	Réf. Maxim	Boîtier	Type d'entrée	Gain fixe (dB)	PSRR (dB)	TRMC (dB)	SNR (dB)	Interface	Tension d'alimentation (V)	Prix unitaire 1	25	100
♦ 700-MAX13325GUI/V	MAX13325GUI/V+	TSSOP-28	Différentiel	12	-96	-80	112	I²C	4,5-18	1,95	1,61	1,47
♦ 700-MAX13326GUI/V	MAX13326GUI/V+	TSSOP-28	Différentiel	0	-96	-80	112	I²C	4,5-18	1,95	1,61	1,47

RÉPÉTEURS ET TAMPONS SATA/PCIE

♦ **Composant pour montage en surface**

Pour des quantités supérieures à celles indiquées, appelez-nous afin d'obtenir un devis.

RÉF. STOCK MOUSER	Réf. Maxim	Boîtier	Fonction	Interface	Débit de données (Mbps)	Canaux	Tension d'alimentation (V)	I_{CC} (mA)	Prix unitaire 1	25	100
♦ 700-MAX4950ACTX	MAX4950ACTX+	TQFN-36	Correcteur de fréquence/ Système de réadaptation	PCIe	5000	2	3,3	130	9,17	4,65	4,28
♦ 700-MAX4950CTO	MAX4950CTO+	TQFN-42	Correcteur de fréquence/ Système de réadaptation	PCIe	5000	2	3,3	130	17,00	8,62	7,93
♦ 700-MAX4951AECTP	MAX4951AECTP+	TQFN-20	Système de réadaptation	SATA	6000	2	3,3	70	1,91	1,86	1,83
♦ 700-MAX4951BECTP	MAX4951BECTP+	TQFN-20	Système de réadaptation	SATA	6000	2	3,3	70	1,78	1,78	1,78

PILOTES DE LIGNE LVDS

♦ **Composant pour montage en surface**

Pour des quantités supérieures à celles indiquées, appelez-nous afin d'obtenir un devis.

RÉF. STOCK MOUSER	Réf. Maxim	Boîtier	Type de signal Rx	Type de signal Tx	Fonctions	Pilotes par boîtier	Récepteurs par boîtier	Débit de données (Mbps)	Tension d'alimentation (V)	Prix unitaire 1	25	100
♦ 700-MAX9111ESA	MAX9111ESA+	SO-8	LVDS	CMOS, TVTTL	Traducteur de niveau	1	1	500	3,3	3,29	2,38	1,72
♦ 700-MAX9248ECM	MAX9248ECM+	LQFP-48	LVDS	LVCMOS	Convertisseur série-parallèle	27	1	756	3,3	12,96	6,58	6,05
♦ 700-MAX9217ECM	MAX9217ECM+	LQFP-48	LVCMOS, LVTTL	LVDS	Convertisseur série-parallèle	1	27	700	3,3	13,37	6,78	6,24
♦ 700-MAX9218ETM	MAX9218ETM+	TQFN-48	LVDS	LVCMOS	Convertisseur série-parallèle	27	1	700	3,3	11,43	5,80	5,34
♦ 700-MAX9244EUMD	MAX9244EUM+D	TSSOP-48	LVDS	LVCMOS	Convertisseur série-parallèle	21	4	840	3,3	10,36	5,26	4,83
♦ 700-MAX9376EUB	MAX9376EUB+	µMAX-10	CML, HSTL, LVDS, LVPECL	LVDS, LVPECL	Traducteur de niveau	2	2	600	3,3	13,59	6,89	6,34

CAPTEURS DE TEMPÉRATURE NUMÉRIQUES

♦ **Composant pour montage en surface**

Pour des quantités supérieures à celles indiquées, appelez-nous afin d'obtenir un devis.

RÉF. STOCK MOUSER	Réf. Maxim	Boîtier	Type de capteur	Sortie d'alarme	Interface	Canal à distance	Précision (±°C)	Résolution Température (bits)	Prix unitaire 1	25	100
♦ 700-DS1825U	DS1825U+	µMAX-8	Local	-	1 fil	-	0,5	9, 10, 11, 12	3,94	2,00	1,84
700-DS18B20+	DS18B20+	TO-92	Local	-	1 fil	-	0,5	9, 10, 11, 12	3,94	2,00	1,84
700-DS18B20PAR	DS18B20+PAR	TO-92	Local	-	1 fil	-	0,5	9, 10, 11, 12	4,94	3,29	2,39
♦ 700-DS18B20U	DS18B20U+	µSOP-8	Local	-	1 fil	-	0,5	9, 10, 11, 12	3,94	2,00	1,84
♦ 700-DS18B20Z	DS18B20Z+	SO-8	Local	-	1 fil	-	0,5	9, 10, 11, 12	3,94	2,00	1,84
700-DS18S20	DS18S20+	TO-92	Local	-	1 fil	-	0,5	9	4,70	3,14	2,28
700-DS18S20+PAR	DS18S20+PAR	TO-92	Local	-	1 fil	-	0,5	9	4,70	3,14	2,28
♦ 700-DS18S20Z	DS18S20Z+	SOIC-8	Local	-	1 fil	-	0,5	9	4,48	2,27	2,09
♦ 700-DS1920-F5	DS1920-F5+	iButton	Local	-	1 fil	-	0,5	9	10,17	5,16	4,74
♦ 700-DS1922L-F5#	DS1922L-F5#	iButton	Local	-	1 fil	-	0,5	8, 11	42,92	35,27	30,71

© Copyright 2012 Mouser Electronics

© Copyright 2012 Mouser Electronics

CI analogiques MAXIM

RoHS Compliant This product is RoHS compliant.

MAXIM INNOVATION DELIVERED®

CAPTEURS DE TEMPÉRATURE NUMÉRIQUES (SUITE)

♦ **Composant pour montage en surface**

Pour des quantités supérieures à celles indiquées, appelez-nous afin d'obtenir un devis.

RÉF. STOCK MOUSER	Réf. Maxim	Boîtier	Type de capteur	Sortie d'alarme	Interface	Canal à distance	Précision (±°C)	Résolution temp. (bits)	Prix unitaire 1	25	100
♦ 700-DS1923-F5#	DS1923-F5#	iButton	Local	-	1 fil	-	0,5	8, 12	79,94	63,44	55,25
♦ 700-DS28EA00U	DS28EA00U+	µSOP-8	Local	-	1 fil	-	0,5	9, 10, 11, 12	4,76	2,42	2,22
♦ 700-DS1921G-F5#	DS1921G-F5#	iButton	Local	-	1 fil	-	1	9	21,04	16,91	14,73
700-DS1822	DS1822+	TO-92	Local	-	1 fil	-	2	9, 10, 11, 12	3,61	1,83	1,68
700-DS1822PAR	DS1822+PAR	TO-92	Local	-	1 fil	-	2	9, 10, 11, 12	3,61	1,83	1,68
♦ 700-DS1822Z	DS1822Z+	SOIC 8 broches	Local	-	1 fil	-	2	9, 10, 11, 12	3,61	1,83	1,68
700-DS1821	DS1821+	TO-92	Local	-	1 fil hors réseau, logique	-	1	8	6,19	4,13	2,99
♦ 700-DS1821S	DS1821S+	SOIC 8 broches	Local	-	1 fil hors réseau, logique	-	1	8	6,19	4,13	2,99
700-DS1621	DS1621+	PDIP 8	Local	-	2 fils, I²C, SMBus	-	0,5	9, 10, 11, 12	4,52	3,01	2,19
♦ 700-DS1621S	DS1621S+	SOIC 8 broches	Local	-	2 fils, I²C, SMBus	-	0,5	9, 10, 11, 12	4,52	3,01	2,19
♦ 700-DS1621V	DS1621V+	SOIC 8 broches	Local	-	2 fils, I²C, SMBus	-	0,5	9, 10, 11, 12	4,31	2,19	2,01
700-DS1624	DS1624+	PDIP 8	Local	-	2 fils, I²C, SMBus	-	0,5	13	8,04	4,08	3,75
♦ 700-DS1624S	DS1624S+	SOIC 8 broches	Local	-	2 fils, I²C, SMBus	-	0,5	13	8,44	5,63	4,08
♦ 700-DS1631	DS1631+	SO-8	Local	-	2 fils, I²C, SMBus	-	0,5	9, 10, 11, 12	3,75	1,90	1,75
♦ 700-DS1631AU	DS1631AU+	µMAX-8	Local	-	2 fils, I²C, SMBus	-	0,5	9, 10, 11, 12	3,75	1,90	1,75
♦ 700-DS1631S	DS1631S+	SOIC 8 broches	Local	-	2 fils, I²C, SMBus	-	0,5	9, 10, 11, 12	3,75	1,90	1,75
♦ 700-DS1631U	DS1631U+	µMAX-8	Local	-	2 fils, I²C, SMBus	-	0,5	9, 10, 11, 12	3,75	1,90	1,75
♦ 700-DS1631Z	DS1631Z+	SOIC 8 broches	Local	-	2 fils, I²C, SMBus	-	0,5	9, 10, 11, 12	3,75	1,90	1,75
♦ 700-DS620U	DS620U+	µMAX-8	Local	-	2 fils, I²C, SMBus	-	0,5	10, 11, 12, 13	3,72	1,89	1,74
♦ 700-MAX6646MUA	MAX6646MUA+	µMAX-8	À distance	Alerte temp. / surchauffe	2 fils, I²C, SMBus	Simple	0,8	11	3,63	1,84	1,69
♦ 700-MAX6647MUA	MAX6647MUA+	µMAX-8	À distance	Alerte temp. / surchauffe	2 fils, I²C, SMBus	Simple	0,8	11	3,63	1,84	1,69
♦ 700-MAX6648MUA	MAX6648MUA+	µMAX-8	À distance	Alerte temp., surchauffe	2 fils, I²C, SMBus	Simple	0,8	10	3,63	1,84	1,69
♦ 700-MAX6649MUA	MAX6649MUA+	µMAX-8	À distance	Alerte temp. / surchauffe	2 fils, I²C, SMBus	Simple	0,8	11	6,31	4,21	3,04
♦ 700-MAX6692MUA	MAX6692MUA+	µMAX-8	À distance	Alerte temp., surchauffe	2 fils, I²C, SMBus	Simple	0,8	10	3,63	1,84	1,69
♦ 700-DS1721S	DS1721S+	SOIC 8 broches	Local	-	2 fils, I²C, SMBus	-	1	9, 10, 11, 12	3,61	1,83	1,68
♦ 700-DS1721U	DS1721U+	µMAX-8	Local	-	2 fils, I²C, SMBus	-	1	9, 10, 11, 12	3,61	1,83	1,68
♦ 700-DS1731U	DS1731U+	µMAX-8	Local	-	2 fils, I²C, SMBus	-	1	9, 10, 11, 12	3,61	1,83	1,68
♦ 700-MAX6581TG98+	MAX6581TG98+	TQFN-24	À distance	Alerte temp., surchauffe	2 fils, I²C, SMBus	Sept	1	8, 11	1,92	1,86	1,81
♦ 700-MAX6581TG9A+	MAX6581TG9A+	TQFN-24	À distance	Alerte temp., surchauffe	2 fils, I²C, SMBus	Sept	1	8, 11	1,92	1,86	1,81
♦ 700-MAX6581TG9C+	MAX6581TG9C+	TQFN-24	À distance	Alerte temp., surchauffe	2 fils, I²C, SMBus	Sept	1	8, 11	1,92	1,86	1,81
♦ 700-MAX6581TG9E+	MAX6581TG9E+	TQFN-24	À distance	Alerte temp., surchauffe	2 fils, I²C, SMBus	Sept	1	8, 11	1,92	1,86	1,81
♦ 700-MAX6616AEG+	MAX6616AEG+	QSOP-24	À distance	Défaut ventilateur	2 fils, I²C, SMBus	Double	1	11	6,76	3,33	3,06
♦ 700-MAX6633MSA	MAX6633MSA+	SOIC 8 broches	Local	-	2 fils, I²C, SMBus	-	1	13	4,28	2,85	2,06
♦ 700-MAX6639AEE	MAX6639AEE+	QSOP-16	À distance	Alerte temp., surchauffe	2 fils, I²C, SMBus	-	1	-	4,95	2,51	2,31
♦ 700-MAX6654MEE	MAX6654MEE+	QSOP-16	À distance	Alerte temp., surchauffe	2 fils, I²C, SMBus	Simple	1	11	7,07	3,59	3,30
♦ 700-MAX6656MEE	MAX6656MEE+	QSOP-16	À distance	Alerte temp., surchauffe	2 fils, I²C, SMBus	Double	1	11	8,70	4,41	4,06
♦ 700-MAX6657YMSA	MAX6657YMSA+	QSOP-16	À distance	Alerte temp., surchauffe	2 fils, I²C, SMBus	Double	1	11	6,31	3,05	2,81
♦ 700-MAX6658MSA	MAX6658MSA+	SO-8	À distance	Alerte temp., surchauffe	2 fils, I²C, SMBus	Simple	1	11	6,51	4,34	3,14
♦ 700-MAX6681MEE	MAX6681MEE+	QSOP-16	À distance	Alerte temp., surchauffe	2 fils, I²C, SMBus	Simple	1	11	7,47	3,79	3,49
♦ 700-MAX6689UP9A	MAX6689UP9A+	TSSOP-20	À distance	Alerte temp., surchauffe	2 fils, I²C, SMBus	Six	1	11	9,10	4,61	4,25
♦ 700-MAX6699UE34	MAX6699UE34+	TSSOP-16	À distance	Alerte temp., surchauffe	2 fils, I²C, SMBus	Quad.	1	11	9,10	4,61	4,25
♦ 700-DS1629S	DS1629S+	SOIC 8 broches	Local	-	2 fils, I²C, SMBus	-	2	9	7,26	3,68	3,39
♦ 700-DS1775RT&R	DS1775R+T&R	SOT-23-5	Local	-	2 fils, I²C, SMBus	-	2	9, 10, 11, 12	1,87	1,39	1,11
♦ 700-DS75LVS	DS75LVS+	SOIC 8 broches	Local	-	2 fils, I²C, SMBus	-	2	9, 10, 11, 12	1,79	0,908	0,833
♦ 700-DS75LVU	DS75LVU+	µMAX-8	Local	-	2 fils, I²C, SMBus	-	2	9, 10, 11, 12	1,79	0,908	0,833
♦ 700-DS75LXS	DS75LXS+	SOIC 8 broches	Local	-	2 fils, I²C, SMBus	-	2	9, 10, 11, 12	1,65	0,833	0,77
♦ 700-DS75LXU	DS75LXU+	µMAX-8	Local	-	2 fils, I²C, SMBus	-	2	9, 10, 11, 12	1,65	0,833	0,77
♦ 700-DS75S	DS75S+	SOIC 8 broches	Local	-	2 fils, I²C, SMBus	-	2	9, 10, 11, 12	1,79	0,908	0,833
♦ 700-MAX1668MEE	MAX1668MEE+	QSOP-16	À distance	Alerte	2 fils, I²C, SMBus	Quad.	2	8	9,39	4,62	4,25
♦ 700-MAX6652AUB	MAX6652AUB+	µMAX-10	Local	Alerte	2 fils, I²C, SMBus	-	2	8	5,63	2,85	2,63
♦ 700-MAX7500MSA	MAX7500MSA+	SO-8	Local	-	2 fils, I²C, SMBus	-	2	-	1,58	0,801	0,737
♦ 700-MAX7500MUA	MAX7500MUA+	SO-8	Local	-	2 fils, I²C, SMBus	-	2	-	1,58	0,801	0,737
♦ 700-MAX1617AMEE	MAX1617AMEE+	QSOP-16	À distance	Alerte	2 fils, I²C, SMBus	Simple	3	8	9,19	4,66	4,29
700-DS1620	DS1620+	PDIP 8	Local	-	3 fils, logique	-	0,5	9, 10, 11, 12	6,51	3,30	3,04
♦ 700-DS1620S	DS1620S+	SOIC 8 broches	Local	-	3 fils, logique	-	0,5	9, 10, 11, 12	6,83	4,55	3,30
♦ 700-DS1626U	DS1626U+	µSOP-8	Local	-	3 fils, logique	-	0,5	9, 10, 11, 12	3,75	1,90	1,75
♦ 700-DS1726U	DS1726U+	µSOP-8	Local	-	3 fils, logique	-	1	9, 10, 11, 12	3,61	1,83	1,68
♦ 700-DS1626S	DS1626S+	SOIC 8 broches	Local	-	3 fils, logique	-	2	9, 10, 11, 12	3,75	1,90	1,75
♦ 700-MAX6682MUA	MAX6682MUA+	µMAX-8	À distance	-	3 fils, SPI	Simple	0,5	10	5,78	2,93	2,70
♦ 700-MAX1299CEAE	MAX1299CEAE+	SSOP 16	Local	-	3 fils, SPI	-	1	12	9,12	4,63	4,26
♦ 700-MAX6662MSA	MAX6662MSA+	SO-8	Local	Alerte temp., surchauffe	3 fils, SPI	-	1	13	4,58	3,05	2,21
♦ 700-DS1722S	DS1722S+	SOIC 8 broches	Local	-	3 fils, SPI	-	2	8, 9, 10, 11, 12	2,55	1,70	1,23
♦ 700-DS1722U	DS1722U+	µMAX-8	Local	-	3 fils, SPI	-	2	8, 9, 10, 11, 12	2,60	1,73	1,25
♦ 700-MAX6674ISA	MAX6674ISA+	SOIC 8 broches	À distance	-	3 fils, SPI	Simple	2	10	11,42	6,04	5,55
♦ 700-MAX6675ISA	MAX6675ISA+	SOIC 8 broches	À distance	-	3 fils, SPI	Simple	3	12	11,82	6,25	5,75
♦ 700-DS600U	DS600U+	µMAX-8	Local	-	Analogique	-	0,5	-	3,82	1,94	1,78
♦ 700-MAX6610AUTT	MAX6610AUT+T	SOT-23-6	Local	-	Analogique	-	1	-	4,74	3,58	3,14
♦ 700-MAX6577ZUTT	MAX6577ZUT+T	SOT-6	Local	-	Temp. µ Freq.	-	3	-	2,29	1,73	1,51
♦ 700-MAX6691MUB	MAX6691MUB+	µMAX-10	À distance	-	MLI	Quad.	1	-	11,57	5,87	5,40
♦ 700-MAX6676AUT3+T	MAX6676AUT3+T	SOT-23-6	Local	-	MLI	-	1,5	-	9,18	6,12	4,44
♦ 700-MAX1098CEAE+	MAX1098CEAE+	SSOP 16	Local	-	SPI	-	1	10	8,02	3,95	3,64

COMMUTATEURS ANALOGIQUES

♦ **Composant pour montage en surface**

Pour des quantités supérieures à celles indiquées, appelez-nous afin d'obtenir un devis.

RÉF. STOCK MOUSER	Réf. Maxim	Boîtier	Position normale	$R_{passante}$ (Max.) (Ω)	I_L (bloquante) (nA) (Max.)	t_{marche} (ns) (Min.)	$t_{arrêt}$ (ns) (Min.)	Tens. d'alimentation (simple) (Min. / Max.)	Tens. d'alimentation (double) (Min. / Max.)	Prix unitaire 1	25	100
1 x SPST												
♦ 700-DG417CY	DG417CY+	SO-8	Fermée	35	0,25	175	145	-/-	4,5 / 20	2,81	1,42	1,31
♦ 700-DG417LEUA	DG417LEUA+	µMAX-8	Fermé	35	0,25	175	185	9 / 36	4,5 / 20	3,32	1,63	1,50
♦ 700-DG418CY	DG418CY+	SO-8	Ouverte	35	0,25	175	145	-/-	4,5 / 20	2,81	1,42	1,31
♦ 700-DG418DY	DG418DY+	SOIC 8 broches	Ouverte	35	0,25	175	147	-/-	4,5 / 20	2,99	1,52	1,39
♦ 700-DG418LEUA	DG418LEUA+	µMAX-8	Ouverte	35	0,25	175	185	9 / 36	4,5 / 20	3,32	2,21	1,48
♦ 700-MAX317CSA	MAX317CSA+	SOIC 8 broches	Fermée	45	0,25	175	145	10 / 30	4,5 / 20	3,49	1,77	1,63
700-MAX318CPA	MAX318CPA+	PDIP 8	Ouverte	45	0,25	175	145	10 / 30	4,5 / 20	3,09	1,53	1,40
♦ 700-MAX318CSA	MAX318CSA+	SOIC 8 broches	Ouverte	45	0,25	175	145	10 / 30	4,5 / 20	3,60	2,39	1,59
♦ 700-MAX4514CUK+T	MAX4514CUK+T	SOT-23-5	Ouverte	20	1	150	100	2 / 12	-/-	1,18	0,891	0,78
♦ 700-MAX4647EUT+T	MAX4647EUT+T	SOT-23-6	Fermée	25	1	100	100	9 / 36	4,5 / 20	2,65	2,00	1,75
2 x SPST												
♦ 700-MAX301CSE	MAX301CSE+	SOIC-16	Ouvert	35	0,25	150	100	10 / 30	4,5 / 20	5,04	2,56	2,35
♦ 700-MAX320CSA	MAX320CSA+	SO-8	Ouverte	35	0,1	150	100	-/-	2.7/8	3,14	2,10	1,39
♦ 700-MAX320ESA	MAX320ESA+	SOIC-20	Ouverte	35	0,1	150	100	-/-	2,7 / 8	3,87	1,96	1,81

© Copyright 2012 Mouser Electronics

© Copyright 2012 Mouser Electronics

COMMUTATEURS ANALOGIQUES (SUITE)

◆ **Composant pour montage en surface**

Pour des quantités supérieures à celles indiquées, appelez-nous afin d'obtenir un devis.

	RÉF. STOCK MOUSER	Réf. Maxim	Boîtier	Position normale	$R_{passante}$ (Max.) (Ω)	I_L (bloquante) (nA) (Max.)	t_{marche} (ns) (Min.)	$t_{arrêt}$ (ns) (Min.)	Tens. d'alimentation (simple) (Min. / Max.)	Tens. d'alimentation (double) (Min. / Max.)	Prix unitaire 1	25	100
	2 x SPST												
	700-MAX321CPA	MAX321CPA+	PDIP 8	Fermé	35	0,1	150	100	-/-	2,7 / 8	2,85	1,40	1,29
◆	700-MAX321CUA	MAX321CUA+	µMAX-8	Fermé	35	0,1	150	100	-/-	2,7 / 8	3,44	2,29	1,53
	700-MAX323CPA	MAX323CPA+	PDIP 8	Ouvert	60	0,1	150	100	2,7 / 16	-/-	2,85	1,91	1,38
◆	700-MAX323CSA	MAX323CSA+	SOIC 8 broches	Ouvert	60	0,1	150	100	2,7 / 16	-/-	3,14	2,09	1,39
◆	700-MAX323ESA	MAX323ESA+	SOIC 8 broches	Ouvert	60	0,1	150	100	2,7 / 16	-/-	3,87	1,96	1,81
	700-MAX324CPA	MAX324CPA+	PDIP 8	Fermé	60	0,1	150	100	2,7 / 16	-/-	2,85	1,40	1,29
	700-MAX325CPA	MAX325CPA+	PDIP 8	Ouvert / Fermé	60	0,1	150	100	2,7 / 16	-/-	2,85	1,40	1,29
◆	700-MAX325CSA	MAX325CSA+	SOIC 8 broches	Ouvert / Fermé	60	0,1	150	100	2,7 / 16	-/-	2,99	1,52	1,39
◆	700-MAX4541CUA	MAX4541CUA+	µMAX-8	Ouvert	60	0,1	100	75	2,7 / 12	-/-	1,44	0,729	0,671
◆	700-MAX4575ESA	MAX4575ESA+	SO-8	Ouvert	70	0,5	150	80	2/12	-/-	2,90	1,43	1,31
◆	700-MAX4580EAE	MAX4580EAE+	SSOP 16	Fermé	1,25	0,5	160	210	-/-	4,5 / 20	11,10	5,63	5,18
◆	700-MAX4641EUA	MAX4641EUA+	µMAX-8	Ouvert	4	0,25	15	8	1,8 / 5,5	-/-	1,82	0,924	0,85
◆	700-MAX4680CWE	MAX4680CWE+	SO-16W	Fermé	1,25	0,5	275	175	4,5 / 36	4,5 / 20	9,45	4,66	4,29
◆	700-MAX4680EAE	MAX4680EAE+	SSOP 16	Fermé	1,25	0,5	275	175	4,5 / 36	4,5 / 20	11,15	5,66	5,21
◆	700-MAX4732EUA	MAX4732EUA+	µMAX-8	Fermé	50	0,1	150	60	2 / 11	-/-	1,50	1,01	0,684
	4 x SPST												
	700-DG201ACJ	DG201ACJ+	PDIP 16	Fermé	175	1	600	450	-/-	4,5 / 18	4,66	3,11	2,25
◆	700-DG201ADY	DG201ADY+	SO-16	Fermé	175	1	600	450	-/-	4,5 / 18	4,69	2,38	2,19
◆	700-DG202DY	DG202DY+	SOIC-16	Ouvert	175	1	600	450	-/-	4,5 / 18	4,93	3,28	2,19
	700-DG211CJ	DG211CJ+	PDIP 16	Fermé	175	5	1000	500	-/-	4,5 / 18	3,16	1,60	1,48
◆	700-DG211CSE	DG211CSE+	SOIC-16	Fermé	175	5	1000	500	-/-	4,5 / 18	2,65	1,77	1,28
◆	700-DG211CY	DG211CY+	SOIC-16	Fermé	175	8	1000	500	-/-	4,5 / 18	1,67	1,41	1,18
	700-DG212CJ	DG212CJ+	PDIP 16	Ouvert	175	5	1000	500	-/-	4,5 / 18	3,32	2,21	1,48
◆	700-DG212CSE	DG212CSE+	SOIC-16	Ouvert	175	5	1000	500	-/-	4,5 / 18	2,65	1,77	1,28
◆	700-DG309DY	DG309DY+	SO-16N	Fermé	100	1	200	150	-/-	4,5 / 20	5,96	2,94	2,71
◆	700-DG411DY	DG411DY+	SOIC-16	Fermé	35	0,25	175	145	10 / 30	4,5 / 20	6,79	3,44	3,17
◆	700-DG412CUE	DG412CUE+	TSSOP-16	Ouvert	35	0,25	175	145	10 / 30	4,5 / 20	6,62	3,36	3,09
	700-DG413DY	DG413DY+	SOIC-16	Ouvert / Fermé	35	0,25	175	145	10 / 30	4,5 / 20	6,62	3,36	3,09
	700-DG441DJ	DG441DJ+	PDIP 16	Fermé	85	0,5	250	120	10 / 30	4,5 / 20	4,85	3,23	2,43
	700-DG445DJ	DG445DJ+	PDIP 16	Ouvert	85	0,5	250	170	10 / 30	4,5 / 20	2,85	1,90	1,26
	700-MAX312CPE	MAX312CPE+	PDIP 16	Fermé	10	0,5	225	185	10 / 30	4,5 / 20	6,03	3,84	3,53
◆	700-MAX312CSE	MAX312CSE+	SOIC-16	Fermé	10	0,5	225	185	10 / 30	4,5 / 20	7,81	4,97	4,58
◆	700-MAX312ESE	MAX312ESE+	SOIC-16	Fermé	10	0,5	225	185	10 / 30	4,5 / 20	8,23	5,24	4,82
◆	700-MAX312LCSE	MAX312LCSE+	SO-16N	Fermé	10	0,5	225	185	4,5 / 36	4,5 / 20	4,88	3,17	2,92
	700-MAX313CPE	MAX313CPE+	PDIP 16	Ouvert	10	0,5	225	185	10 / 30	4,5 / 20	7,57	3,84	3,53
◆	700-MAX313CSE	MAX313CSE+	SOIC-16	Ouvert	10	0,5	225	185	10 / 30	4,5 / 20	9,81	4,97	4,58
◆	700-MAX313CUE	MAX313CUE+	TSSOP-16	Ouvert	10	0,5	225	185	10 / 30	4,5 / 20	8,04	4,08	3,75
◆	700-MAX313ESE	MAX313ESE+	SOIC-16	Ouvert	10	0,5	225	185	10 / 30	4,5 / 20	10,32	5,24	4,82
◆	700-MAX313EUE	MAX313EUE+	TSSOP-16	Ouvert	10	0,5	225	185	4,5 / 36	4,5 / 20	8,89	4,50	4,15
◆	700-MAX313FESE	MAX313FESE+	SO-16N	Ouvert	10	0,5	225	185	4,5 / 36	4,5 / 20	7,66	3,89	3,57
◆	700-MAX313LEUE	MAX313LEUE+	TSSOP-16	Ouvert	10	0,5	225	185	4,5 / 36	4,5 / 20	7,59	3,85	3,54
	700-MAX314CPE	MAX314CPE+	PDIP 16	Ouvert / Fermé	10	0,5	225	185	4,5 / 36	4,5 / 20	7,57	3,92	3,61
◆	700-MAX314CSE	MAX314CSE+	SOIC-16	Ouvert / Fermé	10	0,5	225	185	10 / 30	4,5 / 20	9,81	4,97	4,58
◆	700-MAX314ESE	MAX314ESE+	SOIC-16	Ouvert / Fermé	10	0,5	225	185	10 / 30	4,5 / 20	10,32	5,24	4,82
	700-MAX326CPE	MAX326CPE+	PDIP 16	Fermé	3500	0,01	1000	500	10 / 30	5/18	7,97	4,13	3,72
◆	700-MAX326CSE	MAX326CSE+	SOIC-16	Fermé	3500	0,01	1000	500	10 / 30	5 / 18	8,75	4,44	4,08
◆	700-MAX327CSE	MAX327CSE+	SO-16N	Ouvert	3500	0,01	1000	500	10 / 30	5 / 18	8,75	4,44	4,08
◆	700-MAX334CWE	MAX334CWE+	SO-16W	Fermé	50	1	100	50	10 / 30	4,5 / 20	7,83	3,85	3,55
	700-MAX351CPE	MAX351CPE+	PDIP 16	Fermé	35	0,25	175	145	10 / 30	4,5 / 20	6,34	3,12	2,87
◆	700-MAX351CSE	MAX351CSE+	SOIC-16	Fermé	35	0,25	175	145	10 / 30	4,5 / 20	8,23	3,98	3,66
	700-MAX352CPE	MAX352CPE+	PDIP 16	Ouvert	35	0,25	175	145	10 / 30	4,5 / 20	6,34	3,12	2,87
◆	700-MAX352CSE	MAX352CSE+	SOIC-16	Ouvert	35	0,25	175	145	10 / 30	4,5 / 20	8,23	5,49	3,98
◆	700-MAX352ESE	MAX352ESE+	SOIC-16	Ouvert	35	0,25	175	145	10 / 30	4,5 / 20	8,46	5,64	4,08
◆	700-MAX353CSE	MAX353CSE+	SOIC-16	Ouvert / Fermé	35	0,25	175	145	10 / 30	4,5 / 20	8,23	3,98	3,66
◆	700-MAX361CSE	MAX361CSE+	SOIC-16	Fermé	85	0,5	250	120	10 / 30	4,5 / 20	6,73	3,32	3,05
	700-MAX364CPE	MAX364CPE+	PDIP 16	Fermé	85	0,5	250	120	10 / 30	4,5 / 20	3,29	1,63	1,49
◆	700-MAX364CSE	MAX364CSE+	SOIC-16	Fermé	85	0,5	250	120	10 / 30	4,5 / 20	3,14	1,59	1,46
◆	700-MAX364ESE	MAX364ESE+	SO-16N	Fermé	85	0,5	250	120	10 / 30	4,5 / 20	3,47	1,71	1,57
◆	700-MAX365CSE	MAX365CSE+	SOIC-16	Ouvert	85	0,5	250	170	10 / 30	4,5 / 20	3,14	1,59	1,46
◆	700-MAX391CSE	MAX391CSE+	SOIC-16	Fermé	35	0,1	130	75	-/-	3/8	4,13	2,76	1,99
◆	700-MAX392CSE	MAX392CSE+	SOIC-16	Ouvert	35	0,1	130	75	-/-	3/8	4,13	2,76	1,99
◆	700-MAX393CSE	MAX393CSE+	SOIC-16	Ouvert / Fermé	35	0,1	130	75	-/-	3/8	4,13	2,76	1,99
◆	700-MAX4066AEEE	MAX4066AEEE+	QSOP-16	Ouvert	45	0,1	125	75	2/16	-/-	4,54	3,03	2,19
◆	700-MAX4066CEE	MAX4066CEE+	QSOP-16	Ouvert	45	1	125	75	2/16	-/-	2,39	1,60	1,16
	700-MAX4066CPD	MAX4066CPD+	PDIP 14 broches	Ouvert	45	1	125	75	2/16	-/-	2,19	1,46	1,06
◆	700-MAX4066CSD	MAX4066CSD+	SOIC-14	Ouvert	45	1	125	75	2/16	-/-	2,19	1,46	1,06
◆	700-MAX4066ESD	MAX4066ESD+	SO-14N	Ouvert	45	1	125	75	2/16	-/-	2,52	1,68	1,21
◆	700-MAX4511ESE	MAX4511ESE+	SOIC-16	Fermé	160	0,5	500	400	9 / 36	4,5 / 20	7,14	3,51	3,23
◆	700-MAX4512ESE	MAX4512ESE+	SO-16N	Fermé	16	0,5	500	400	9 / 36	4,5 / 20	6,79	3,44	3,17
◆	700-MAX4522CSE	MAX4522CSE+	SO-16N	Ouvert	100	1	80	30	2/12	2/6	1,58	0,801	0,737
◆	700-MAX4522ESE	MAX4522ESE+	SO-16N	Ouvert	100	1	80	30	2/12	2/6	1,74	0,883	0,813
◆	700-MAX4602EWE	MAX4602EWE+	SO-16W	Ouvert	2,5	0,5	250	350	-/-	4,5 / 20	9,45	4,66	4,29
	700-MAX4610CPD	MAX4610CPD+	PDIP 14 broches	Ouvert	100	0,1	60	20	2 / 12	-/-	1,73	1,16	0,785
◆	700-MAX4610CUD	MAX4610CUD+	TSSOP-14	Ouvert	100	0,1	60	20	2 / 12	-/-	2,10	1,40	1,01
◆	700-MAX4612ESD	MAX4612ESD+	SO-14N	Ouvert / Fermé	100	0,1	60	20	2 / 12	-/-	1,92	1,29	0,866
◆	700-MAX4614CSD	MAX4614CSD+	SOIC-14	Ouvert	10	1	12	10	2 / 5,5	-/-	2,24	1,49	1,08
◆	700-MAX4616CSD	MAX4616CSD+	SOIC-14	Ouvert / Fermé	10	1	12	10	2 / 5,5	-/-	1,39	1,38	1,02
◆	700-MAX4651ESE	MAX4651ESE+	SO-16	Fermé	4	0,1	14	8	1,8 / 5,5	-/-	3,35	1,70	1,56
◆	700-MAX4651EUE	MAX4651EUE+	TSSOP-16	Fermé	4	0,1	14	8	1,8 / 5,5	-/-	3,82	1,94	1,78
◆	700-MAX4652ESE	MAX4652ESE+	SO-16	Ouvert	4	0,1	14	8	1,8 / 5,5	-/-	3,35	1,70	1,56
◆	700-MAX4661CAE	MAX4661CAE+	SSOP 16	Fermé	2,5	0,5	275	175	4,5 / 36	4,5 / 20	9,08	4,60	4,23
◆	700-MAX4666ESE	MAX4666ESE+	SO-16N	Ouvert / Fermé	4	0,5	275	175	4,5 / 36	4,5 / 20	7,43	3,77	3,47
◆	700-MAX4679EUE	MAX4679EUE+	TSSOP-16	Ouvert / Fermé	1,6	1	350	150	2,7 / 11	2,7 / 5,5	6,29	4,20	3,04
◆	700-MAX4712CUE	MAX4712CUE+	TSSOP-16	Ouvert	25	0,5	125	80	2,7 / 11	2,7 / 5,5	6,78	3,28	3,01
◆	700-MAX4737EUD	MAX4737EUD+	TSSOP-14	Ouvert	4,5	0,5	80	40	1,8 / 5,5	-/-	3,06	1,55	1,43
◆	700-MAX4678EUE	MAX4678EUE+	TSSOP-16	Ouvert	1,6	1	350	150	2,7 / 11	2,7 / 5,5	6,29	4,20	3,04
	700-MAX362CPE	MAX362CPE+	PDIP 16	Ouvert	85	0,5	250	170	10 / 30	4,5 / 20	5,59	2,76	2,53
	8 x SPST												
◆	700-MAX335EUG	MAX335EUG+	TSSOP-24	Ouvert	150	1	400	400	-/-	4,5 / 20	8,26	5,50	3,98
	700-MAX395CAG	MAX395CAG+	PDIP-24	Ouvert	100	0,1	400	400	-/-	2,7 / 8	7,52	3,81	3,51
◆	700-MAX395CWG	MAX395CWG+	SO-24W	Ouvert	100	0,1	400	400	-/-	2,7 / 8	7,52	3,81	3,51

© Copyright 2012 Mouser Electronics

© Copyright 2012 Mouser Electronics

CI analogiques MAXIM

RoHS Compliant **This product is RoHS compliant.**

MAXIM INNOVATION DELIVERED

COMMUTATEURS ANALOGIQUES (SUITE)

◆ **Composant pour montage en surface**

Pour des quantités supérieures à celles indiquées, appelez-nous afin d'obtenir un devis.

	RÉF. STOCK MOUSER	Réf. Maxim	Boîtier	Position normale	Rpassante (Max.) (Ω)	I_L (bloquante) (nA) (Max.)	t_{marche} (ns) (Min.)	$t_{arrêt}$ (ns) (Min.)	Tens. d'alimentation (simple) (Min. / Max.)	Tens. d'alimentation (double) (Min. / Max.)	Prix unitaire 1	25	100
	8 x SPST												
◆	700-MAX4800ACCM	MAX4800ACCM+	LQFP-48	Ouvert	-	2000	5000	5000	40 / 200	40 / 100	13,68	13,35	13,35
◆	700-MAX4800ACQI	MAX4800ACQI+	PLCC-28	Ouvert	-	2000	5000	5000	40 / 200	40 / 100	14,32	13,93	13,74
◆	700-MAX4802ACCM	MAX4802ACCM+	LQFP-48	Ouvert	-	2000	5000	5000	40 / 200	40 / 100	13,68	13,35	13,35
◆	700-MAX4802CQI	MAX4802CQI+	PLCC-28	Ouvert	-	2000	5000	5000	40 / 200	40 / 100	15,22	14,80	14,60
◆	700-MAX4889AETO	MAX4889AETO+	TQFN-42	-	8,4	1000	250	50	1,6 / 3,6	-/-	5,35	2,71	2,50
	700-MAX335CNG	MAX335CNG+	PDIP-24	Ouvre	150	1	400	400	-/-	4,5 / 20	6,51	3,30	3,04
◆	700-MAX335CWG	MAX335CWG+	SOIC-24W	Ouvert	150	1	400	400	-/-	4,5 / 20	7,14	3,62	3,33
◆	700-MAX335EWG	MAX335EWG+	SOIC-24W	Ouvert	150	1	400	400	-/-	4,5 / 20	7,87	3,99	3,67
	1 x SPDT												
	700-DG419CJ	DG419CJ+	PDIP-8	-	35	0,25	175	145	10 / 30	4,5 / 20	3,30	1,67	1,54
◆	700-DG419CY	DG419CY+	SOIC-8	-	35	0,25	175	145	10 / 30	4,5 / 20	4,16	2,77	2,00
	700-DG419DJ	DG419DJ+	PDIP-8	-	35	0,25	175	145	10 / 30	4,5 / 20	3,47	1,76	1,62
◆	700-DG419DY	DG419DY+	SOIC-8	-	35	0,25	175	145	10 / 30	4,5 / 20	4,38	2,92	2,11
	700-MAX319CPA	MAX319CPA+	PDIP-8	-	35	0,25	175	145	10 / 30	4,5 / 20	4,13	2,76	2,00
◆	700-MAX319CSA	MAX319CSA+	SOIC-8	-	35	0,25	175	145	10 / 30	4,5 / 20	4,56	3,04	2,20
◆	700-MAX319ESA	MAX319ESA+	SOIC-8	-	35	0,25	175	145	10 / 30	4,5 / 20	5,04	2,56	2,35
	700-MAX4544CPA	MAX4544CPA+	PDIP-8	-	60	0,1	100	75	2,7 / 12	-/-	1,34	1,01	0,684
◆	700-MAX4544CSA	MAX4544CSA+	SOIC-8	-	60	0,1	100	75	2,7 / 12	-/-	1,34	0,729	0,671
◆	700-MAX4544ESA	MAX4544ESA+	SOIC-8	-	60	0,1	100	75	2,7 / 12	-/-	1,34	0,729	0,671
◆	700-MAX4544EUTT	MAX4544EUT+T	SOT-6	-	60	0,1	100	75	2,7 / 12	-/-	1,45	1,09	0,957
◆	700-MAX4659EUA	MAX4659EUA+	µMAX-8	-	25	2	150	150	9 / 40	4,5 / 20	4,10	2,74	1,98
◆	700-MAX4660EUA	MAX4660EUA+	µMAX-8	-	25	2	150	150	9 / 40	4,5 / 20	4,74	3,16	2,29
◆	700-MAX4644EUA	MAX4644EUA+	µMAX-8	-	4	0,25	15	5	1,8 / 5,5	-/-	1,82	0,924	0,85
◆	700-MAX4644EUTT	MAX4644EUT+T	SOT-6	-	4	0,25	15	5	1,8 / 5,5	-/-	1,58	1,19	1,04
	700-DG301ACJ	DG301ACJ+	PDIP 14 broches	-	50	1	300	250	-/-	5 / 18	6,21	4,14	3,11
◆	700-DG419LDY	DG419LDY+	SO-8	-	35	0,25	175	145	-/-	4,5 / 20	3,21	1,63	1,49
◆	700-DG419LEUA	DG419LEUA+	SO-8	-	35	0,25	175	145	10 / 30	4,5 / 20	3,44	1,75	1,61
◆	700-MAX4659ESA	MAX4659ESA+	SO-8	-	25	2	150	150	9 / 40	4,5 / 20	3,65	1,86	1,71
	2 x SPDT												
◆	700-DG303ACWE	DG303ACWE+	SOIC-16	-	50	1	300	250	10 / 30	5 / 18	10,84	5,50	5,06
◆	700-DG403CY	DG403CY+	SOIC-16	-	45	0,5	150	100	10 / 30	4,5 / 20	8,72	4,42	4,07
	700-DG403DJ	DG403DJ+	PDIP 16	-	45	0,5	150	100	10 / 30	4,5 / 20	7,64	3,88	3,56
◆	700-DG403DY	DG403DY+	SOIC-16	-	45	0,5	150	100	10 / 30	4,5 / 20	9,17	4,65	4,28
	700-IH5043CPE	IH5043CPE+	PDIP 16	-	80	5	400	200	-/-	4,5 / 18	6,83	3,37	3,09
	700-MAX303CPE	MAX303CPE+	PDIP 16	Ouvert / Fermé	35	0,25	150	100	10 / 30	4,5 / 20	9,28	4,57	4,21
◆	700-MAX303CSE	MAX303CSE+	SOIC-16	Ouvert / Fermé	35	0,25	150	100	10 / 30	4,5 / 20	10,80	5,48	5,04
◆	700-MAX303ESE	MAX303ESE+	SOIC-16	Ouvert / Fermé	35	0,25	150	100	10 / 30	4,5 / 20	11,15	5,66	5,21
◆	700-MAX4622CSE	MAX4622CSE+	SOIC-16	-	5	0,5	250	200	-/-	4,5 / 20	4,81	2,44	2,24
◆	700-MAX4622ESE	MAX4622ESE+	SOIC-16	-	5	0,5	250	200	-/-	4,5 / 20	5,30	2,69	2,48
◆	700-MAX4636EUB	MAX4636EUB+	µMAX-10	-	4	0,1	14	16	1,8 / 5,5	-/-	2,65	1,77	1,28
◆	700-MAX4685EUB	MAX4685EUB+	µMAX-10	-	0,8	1	50	30	1,8 / 5,5	-/-	3,21	1,63	1,49
	700-MAX4717EUB	MAX4717EUB+	µMAX-10	-	4,5	0,5	80	40	1,8 / 5,5	-/-	2,62	1,75	1,26
	700-DG303ACJ	DG303ACJ+	PDIP 14 broches	-	50	1	300	250	10 / 30	5 / 18	7,79	3,95	3,64
◆	700-MAX4632CSE	MAX4632CSE+	SO-16N	-	85	0,5	500	400	9 / 36	4,5 / 18	4,61	2,27	2,09
◆	700-MAX4719EUB	MAX4719EUB+	µMAX-10	-	20	0,5	80	40	1,8 / 5,5	-/-	2,34	1,57	1,06
◆	700-MAX4736EUB	MAX4736EUB+	µMAX-10	-	0,8	1	25	20	1,6 / 3,6	-/-	2,78	1,86	1,34
	3 x SPDT												
◆	700-MAX4053ACEE	MAX4053ACEE+	QSOP-16	-	100	0,1	175	150	2 / 16	2,7 / 8	4,64	3,09	2,24
◆	700-MAX4053ACSE	MAX4053ACSE+	SOIC-16	-	100	0,1	175	150	2 / 16	2,7 / 8	3,72	1,89	1,74
◆	700-MAX4053AESE	MAX4053AESE+	SOIC-16	-	100	0,1	175	150	2 / 16	2,7 / 8	4,83	2,45	2,25
◆	700-MAX4583ESE	MAX4583ESE+	SOIC-16	-	80	1	200	100	2/12	2/6	1,58	0,801	0,737
	700-MAX4619CPE	MAX4619CPE+	PDIP 16	-	10	1	15	10	2 / 5,5	-/-	2,29	1,53	1,04
	700-MAX4053CPE	MAX4053CPE+	PDIP 16	-	100	1	175	150	2 / 16	2,7 / 8	3,09	1,57	1,44
	4 x SPDT												
◆	700-MAX333ACAP	MAX333ACAP+	SSOP-20	-	35	0,25	175	145	10 / 30	4,5 / 20	7,54	3,83	3,52
	700-MAX333ACPP	MAX333ACPP+	PDIP-20	-	35	0,25	175	145	10 / 30	4,5 / 20	7,33	3,72	3,42
◆	700-MAX333ACUP	MAX333ACUP+	TSSOP-20	-	35	0,25	175	145	10 / 30	4,5 / 20	8,67	4,40	4,05
◆	700-MAX333ACWP	MAX333ACWP+	SOIC-20W	-	35	0,25	175	145	10 / 30	4,5 / 20	9,48	4,81	4,42
◆	700-MAX333AEUP	MAX333AEUP+	TSSOP-20	-	35	0,25	175	145	10 / 30	4,5 / 20	9,55	4,84	4,46
◆	700-MAX333AEWP	MAX333AEWP+	SOIC-20W	-	35	0,25	175	145	10 / 30	4,5 / 20	12,05	6,11	5,62
	700-MAX333CPP	MAX333CPP+	PDIP-20	-	175	5	1000	500	10 / 30	5 / 18	6,60	3,35	3,08
◆	700-MAX333CWP	MAX333CWP+	SOIC-20W	-	175	5	1000	500	10 / 30	5 / 18	8,53	4,33	3,98
◆	700-MAX4533CAP	MAX4533CAP+	SSOP-20	-	175	0,5	250	150	9 / 36	4,5 / 18	8,18	5,45	3,95
	700-MAX394CPP	MAX394CPP+	PDIP-20	-	35	0,25	130	175	-/-	2,7 / 8	8,75	4,31	3,96
◆	700-MAX394CWP	MAX394CWP+	SOIC-20W	-	35	0,25	130	175	-/-	2,7 / 8	10,73	5,44	5,01
◆	700-MAX333EWP	MAX333EWP+	SO-20W	-	175	5	1000	500	10 / 30	5 / 18	10,82	5,49	5,05
◆	700-MAX394EWP	MAX394EWP+	SO-20N	-	35	0,25	130	75	-/-	2,7 / 8	14,33	9,55	6,91
◆	700-MAX4533EAP	MAX4533EAP+	SSOP-20	-	175	0,5	250	150	9 / 36	4,5 / 18	8,60	4,36	4,02
	6 x SPDT												
◆	700-MAX4948ETG	MAX4948ETG+	TQFN-24	Bidirectionnel	5,5	3	800	800	1,8 / 5,5	-/-	5,02	2,55	2,34
	8 x SPDT												
◆	700-MAX4889AETO	MAX4889AETO+	TQFN-42	-	8,4	1000	250	50	1,6 / 3,6	-/-	5,35	2,71	2,50
	2 x DPST												
	700-MAX305CPE	MAX305CPE+	PDIP 16	Ouvert	35	0,25	150	100	10 / 30	4,5 / 20	9,28	4,57	4,21
◆	700-DG306ACWE	DG306ACWE+	SO-16W	Fermé	50	1	250	150	-/-	5 / 18	10,40	6,93	5,20
◆	700-MAX4623ESE	MAX4623ESE+	SO-16N	Ouvert	5	0,5	250	200	-/-	4,5 / 20	5,41	2,75	2,52
◆	700-MAX4633CSE	MAX4633CSE+	SO-16N	Ouvert	85	0,5	500	400	9 / 36	4,5 / 18	2,67	2,14	1,84
	2 x DPDT												
◆	700-MAX4525LEUB	MAX4525LEUB+	µMAX-10	-	100	2	150	120	2 / 12	-/-	2,62	1,30	1,19
	4 x DPDT												
◆	700-MAX4758ETX	MAX4758ETX+	TQFN-36	-	0,85	5	140	50	1,8 / 5,5	-/-	7,12	3,61	3,32
◆	700-MAX4760ETX	MAX4760ETX+	TQFN-36	-	3,5	5	140	50	1,8 / 55	-/-	6,43	4,28	3,10
	16 x SPST												
◆	700-MAX14802CCM	MAX14802CCM+	TQFP-48	Ouvert	20	2000	5000	5000	200 / -	40 /160	22,20	21,59	21,30
◆	700-MAX14803CCM	MAX14803CCM+	TQFP-48	Ouvert	20	2000	5000	5000	200 / -	40 /160	22,20	21,59	21,30
	Inversion de phase												
◆	700-MAX4526CSA	MAX4526CSA+	SOIC-8	-	175	0,5	100	100	4,5 / 36	4,5 / 18	5,21	2,64	2,43
◆	700-MAX4527CSA	MAX4527CSA+	SO-8	-	175	0,5	200	200	4,5 / 36	4,5 / 18	4,95	2,44	2,24
◆	700-MAX4528ESA	MAX4528ESA+	SO-8	-	130	0,5	200	200	2,7 / 12	-/-	2,60	1,28	1,18

© Copyright 2012 Mouser Electronics
© Copyright 2012 Mouser Electronics

CI analogiques MAXIM

MAXIM INNOVATION DELIVERED

RoHS Compliant This product is RoHS compliant.

CI COMMUTATEURS MULTIPLEXEURS

◆ Composant pour montage en surface

Pour des quantités supérieures à celles indiquées, appelez-nous afin d'obtenir un devis.

RÉF. STOCK MOUSER	Réf. Maxim	Boîtier	Config. / canaux	Rpassante (Max.) (Ω)	I_L (bloquante) (nA) (Max.)	t_{marche} (ns) (Min.)	$t_{arrêt}$ (ns) (Min.)	Tens. d'alimentation (simple) (Min. / Max.)	Tens. d'alimentation (double) (Min. / Max.)	Prix unitaire 1	25	100
◆ 700-MAX4674EUE	MAX4674EUE+	TSSOP-16	2:1 /4	4	0,5	18	6	1,8 / 5,5	-/-	4,26	2,84	2,05
◆ 700-MAX4780ETE	MAX4780ETE+	TQFN-16	2:1 /4	1	1	25	10	1,6 / 3,6	-/-	4,13	2,76	1,99
◆ 700-MAX4891ETJ	MAX4891ETJ+	TQFN-32	1:2 / 5	6,5	1	50	40	3 / 3,6	-/-	4,97	3,32	2,21
◆ 700-DG406CWI	DG406CWI+	SOIC-28W	16:1 / 1	100	1	200	150	4,5 / 30	4.5/20	12,59	8,40	6,08
700-DG406DJ	DG406DJ+	PDIP-28W	16:1/1	100	1	200	150	4,5 / 30	4,5 / 20	11,88	5,74	5,28
◆ 700-DG406EWI	DG406EWI+	SOIC-28W	16:1 / 1	100	1	200	150	4,5 / 30	4,5 / 20	16,37	10,91	7,90
700-DG506ACJ	DG506ACJ+	PDIP-28W	16:1 / 1	400	10	-	-	-/-	4,5 / 18	12,49	6,34	5,83
◆ 700-DG506ACWI	DG506ACWI+	SO-28W	16:1 / 1	400	10	-	-	-/-	4,5 / 18	14,45	9,64	6,99
700-MAX306CPI	MAX306CPI+	PDIP-28W	16:1/1	100	0,75	200	150	4,5 / 30	4.5/20	10,77	5,35	4,93
◆ 700-MAX306CWI	MAX306CWI+	SOIC-28W	16:1 / 1	100	0,75	200	150	4,5 / 30	4.5/20	14,57	7,39	6,80
700-MAX306EPI	MAX306EPI+	PDIP 28 broches	16:1 / 1	100	0,75	200	150	4,5 / 30	4,5 / 20	14,02	7,11	6,54
◆ 700-MAX306EQI	MAX306EQI+	PLCC-28	16:1 / 1	100	0,75	200	150	4,5 / 30	4,5 / 20	19,71	10,00	9,20
◆ 700-MAX306EUI	MAX306EUI+	TSSOP-28	16:1 / 1	100	0,75	200	150	4,5 / 30	4,5 / 20	19,31	9,79	9,01
◆ 700-MAX306EWI	MAX306EWI+	SO-28W	16:1 / 1	100	0,75	200	150	4,5 / 30	4,5 / 20	18,93	9,60	8,84
◆ 700-MAX336CAI	MAX336CAI+	SSOP-28	16:1 / 1	400	0.05	500	500	4,5 / 30	4,5 / 20	10,73	7,15	5,18
◆ 700-MAX336EAI	MAX336EAI+	SSOP-28	16:1 / 1	400	0.05	500	500	4,5 / 30	4,5 / 20	12,35	6,26	5,77
◆ 700-MAX336EWI	MAX336EWI+	SO-28W	16:1 / 1	400	0.05	500	500	4,5 / 30	4,5 / 20	11,47	5,82	5,35
◆ 700-MAX396CAI	MAX396CAI+	SSOP-28	16:1 / 1	100	0,2	150	150	2 / 16	2,7 / 8	14,52	7,37	6,77
◆ 700-MAX396CWI	MAX396CWI+	SO-28W	16:1 / 1	100	0,2	150	150	2 / 16	2,7 / 8	13,20	6,70	6,16
◆ 700-MAX4899EETE	MAX4899EETE+	TQFN 16	3:1 / -	7	1000	2800	3	2.7/3.6	-/-	3,70	1,82	1,67
700-DG409DJ	DG409DJ+	PDIP 16	4:1 / 1	100	1	150	150	4,5 / 30	4,5 / 20	5,87	4,11	2,74
◆ 700-MAX4518CEE	MAX4518CEE+	QSOP-16	4:1 / 1	100	0,2	150	150	2,7 / 15	2,7 / 8	2,92	1,49	1,36
◆ 700-MAX4518CSD	MAX4518CSD+	SO-14	4:1 / 1	100	0,2	150	150	2,7 / 15	2,7 / 8	2,57	1,72	1,24
◆ 700-MAX4518EEE	MAX4518EEE+	QSOP-16	4:1 / 1	100	0,2	150	150	2,7 / 15	2,7 / 8	3,98	2,65	1,77
◆ 700-MAX4734EUB	MAX4734EUB+	µMAX-10	4:1 / 1	0,8	1	25	20	1,6 / 3,6	-/-	2,78	1,86	1,34
700-DG509ACJ	DG509ACJ+	PDIP 16	4:1 / 2	300	2	1000	700	-/-	4,5 / 18	5,21	2,64	2,43
◆ 700-DG509ACWE	DG509ACWE+	SO-16W	4:1 / 2	300	2	1000	700	-/-	4,5 / 18	8,44	5,63	4,07
◆ 700-DG509ADY	DG509ADY+	SOIC-16	4:1 / 2	300	2	1000	700	-/-	4,5 / 18	6,50	4,33	3,14
◆ 700-DG509AEWE	DG509AEWE+	SOIC-16W	4:1 / 2	300	2	1000	700	-/-	4,5 / 18	8,46	4,29	3,95
◆ 700-DG529CWN	DG529CWN+	SOIC-18W	4:1 / 2	400	10	1500	1000	4,5 / 30	4,5 / 20	8,49	5,66	4,09
◆ 700-MAX14752EUE	MAX14752EUE+	TSSOP-16	4:1 / 2	130	20	25000	20000	20/72	10/36	5,49	2,79	2,57
◆ 700-MAX14753EUE	MAX14753EUE+	TSSOP-16	4:1 / 2	130	20	25000	20000	20/72	10/36	5,49	2,79	2,57
700-MAX309CPE	MAX309CPE+	PDIP 16	4:1/2	100	0,75	150	150	4,5 / 30	4,5 / 20	6,84	3,47	3,19
◆ 700-MAX309CSE	MAX309CSE+	SOIC-16	4:1 / 2	100	0,75	150	150	4,5 / 30	4,5 / 20	8,61	5,74	4,17
◆ 700-MAX309ESE	MAX309ESE+	SOIC-16	4:1 / 2	100	0,75	150	150	4,5 / 30	4,5 / 20	8,56	4,34	3,99
700-MAX329CPE	MAX329CPE+	PDIP 16	4:1/2	3500	0.01	1500	1000	10/30	4,5 / 18	10,38	5,36	4,84
◆ 700-MAX329CWE	MAX329CWE+	SOIC-16W	4:1 / 2	3500	0.01	1500	1000	10/30	4,5 / 18	11,39	5,78	5,31
◆ 700-MAX339CSE	MAX339CSE+	SO-16N	4:1 / 2	400	0.05	500	500	4,5 / 30	4,5 / 20	6,62	4,42	3,20
◆ 700-MAX339ESE	MAX339ESE+	SOIC-16	4:1 / 2	400	0.05	500	500	4,5 / 30	4.5/20	7,50	3,80	3,50
700-MAX350CPN	MAX350CPN+	PDIP-18	4:1 / 2	100	0.1	275	150	2.7/16	2,7 / 18	6,81	3,52	3,18
◆ 700-MAX350EAP	MAX350EAP+	SSOP-20	4:1 / 2	100	0.1	275	150	2.7/16	2.7/8	8,67	5,78	4,19
700-MAX355CPE	MAX355CPE+	PDIP 16	4:1 / 2	350	0.5	250	200	4,5 / 36	4,5 / 18	9,93	5,13	4,64
◆ 700-MAX355CWE	MAX355CWE+	SOIC-16W	4:1 / 2	350	0.5	250	200	4,5 / 36	4,5 / 18	9,92	5,03	4,63
◆ 700-MAX355EWE	MAX355EWE+	SO-16W	4:1 / 2	350	0.5	250	200	4,5 / 36	4,5 / 18	10,94	5,54	5,11
700-MAX359CPE	MAX359CPE+	PDIP 16	4:1/2	1800	2	500	500	-/-	4,5 / 18	10,42	6,95	5,03
◆ 700-MAX359CWE	MAX359CWE+	SOIC-16W	4:1/2	1800	2	500	500	-/-	4,5 / 18	10,42	6,95	5,03
◆ 700-MAX359EWE	MAX359EWE+	SOIC-16W	4:1/2	1800	2	500	500	-/-	4,5 / 18	11,15	5,66	5,21
700-MAX379CPE	MAX379CPE+	PDIP 16	4:1/2	3500	2	100	500	-/-	4,5 / 18	14,86	7,54	6,93
◆ 700-MAX399ESE	MAX399ESE+	SOIC-16	4:1 / 2	100	1	150	150	3 / 15	3 / 8	10,43	5,03	4,63
◆ 700-MAX4052ACEE	MAX4052ACEE+	QSOP-16	4:1 / 2	100	0,1	175	150	2 / 16	2,7 / 8	4,64	3,09	2,24
◆ 700-MAX4052ACSE	MAX4052ACSE+	SO-16N	4:1 / 2	100	0,1	175	150	2 / 16	2,7 / 8	3,90	2,60	1,74
◆ 700-MAX4052AEEE	MAX4052AEEE+	QSOP-16	4:1 / 2	100	0,1	175	150	2 / 16	2,7 / 8	5,75	2,92	2,68
◆ 700-MAX4052AESE	MAX4052AESE+	SOIC-16	4:1 / 2	100	0,1	175	150	2 / 16	2,7 / 8	5,07	3,38	2,25
◆ 700-MAX4509ESE	MAX4509ESE+	SO-16N	4:1 / 2	400	1	275	200	9 / 36	4,5 / 20	9,33	4,60	4,23
◆ 700-MAX4582ESE	MAX4582ESE+	SOIC 16 broches	4:1 / 2	80	1	200	100	2/12	2/6	1,58	0,801	0,737
◆ 700-MAX4582LEEE	MAX4582LEEE+	QSOP-16	4:1/2	80	2	200	100	2 / 12	-/-	1,83	1,22	0,833
◆ 700-MAX4618CUE	MAX4618CUE+	TSSOP-16	4:1/2	10	1	15	10	2 / 5,5	-/-	2,60	1,73	1,25
◆ 700-MAX4618ESE	MAX4618ESE+	SO-16N	4:1 / 2	10	1	15	10	2 / 5,5	-/-	2,52	1,25	1,15
700-MAX4927ETN	MAX4927ETN+	TQFN-56	4:1/7	5,5	1000	50	50	3 / 3,6	-/-	5,23	2,66	2,44
◆ 700-DG508ADY	DG508ADY+	SOIC 16 broches	8:1/1	300	2	1000	700	-/-	4,5 / 18	6,50	4,33	3,14
700-DG408CJ	DG408CJ+	PDIP 16	8:1/1	100	1	150	150	4,5 / 30	4,5 / 20	4,53	2,34	2,12
700-DG408DJ	DG408DJ+	PDIP 16	8:1/1	100	1	150	150	4,5 / 30	4,5 / 20	5,87	2,98	2,74
◆ 700-DG508AEWE	DG508AEWE+	SOIC-16W	8:1/1	300	2	1000	700	-/-	4,5 / 18	8,46	4,29	3,95
◆ 700-DG528CWN	DG528CWN+	SOIC-18W	8:1/1	400	10	1500	1000	5/30	4,5 / 20	8,49	5,66	4,09
700-MAX308CPE	MAX308CPE+	PDIP 16	8:1/1	100	0,75	150	150	4,5 / 30	4,5 / 20	6,84	3,47	3,19
◆ 700-MAX308CUE	MAX308CUE+	TSSOP-16	8:1/1	100	0,75	150	150	4,5 / 30	4.5/20	8,89	4,28	3,94
700-MAX328CPE	MAX328CPE+	PDIP 16	8:1/1	3500	0.01	1500	1000	10/30	4,5 / 18	10,58	5,36	4,93
◆ 700-MAX328CWE	MAX328CWE+	SOIC-16W	8:1/1	3500	0.01	1500	1000	10/30	4,5 / 18	11,95	5,78	5,31
◆ 700-MAX328EWE	MAX328EWE+	SOIC-16W	8:1/1	3500	0.01	1500	1000	10/30	4,5 / 18	14,15	6,84	6,29
◆ 700-MAX338ESE	MAX338ESE+	SOIC-16	8:1/1	400	0.05	500	500	4,5 / 30	4.5/20	7,50	3,80	3,50
◆ 700-MAX349CAP	MAX349CAP+	SSOP-20	8:1/1	100	0.1	275	150	2.7/16	2.7/18	7,90	3,81	3,51
◆ 700-MAX354CWE	MAX354CWE+	SOIC-16W	8:1/1	350	0.5	250	200	4,5 / 36	4,5 / 18	9,93	5,03	4,63
◆ 700-MAX354EWE	MAX354EWE+	SOIC-16W	8:1/1	350	0.5	250	200	4,5 / 36	4,5 / 18	10,94	5,54	5,11
700-MAX358CPE	MAX358CPE+	PDIP 16	8:1/1	1800	2	500	500	-/-	4,5 / 18	10,43	6,95	5,04
700-MAX358CWE	MAX358CWE+	SOIC-16W	8:1/1	1800	2	500	500	-/-	4,5 / 18	10,43	6,95	5,04
◆ 700-MAX358EWE	MAX358EWE+	SOIC-16W	8:1/1	1800	2	500	500	-/-	4,5 / 18	11,48	5,54	5,11
700-MAX378CPE	MAX378CPE+	PDIP 16	8:1/1	3500	2	100	500	-/-	4,5 / 18	14,86	7,54	6,93
◆ 700-MAX398ESE	MAX398ESE+	SOIC-16	8:1 / 1	100	1	150	150	3 / 15	3 / 8	10,43	6,95	5,04
700-MAX4051ACPE	MAX4051ACPE+	PDIP 16	8:1/1	100	0,1	175	150	2 / 16	2,7 / 8	4,01	2,03	1,87
◆ 700-MAX4051ACSE	MAX4051ACSE+	SOIC-16	8:1 / 1	100	0,1	175	150	2 / 16	2,7 / 8	3,72	1,89	1,74
◆ 700-MAX4051AEEE	MAX4051AEEE+	QSOP 16 broches	8:1/1	100	0,1	175	150	2 / 16	2,7 / 8	5,75	2,92	2,68
◆ 700-MAX4051AESE	MAX4051AESE+	SOIC 16 broches	8:1 / 1	100	0,1	175	150	2 / 16	2,7 / 8	4,83	2,45	2,25
◆ 700-MAX4051CSE	MAX4051CSE+	SOIC 16 broches	8:1 / 1	100	1	175	150	2 / 16	2,7 / 8	2,88	1,46	1,34
◆ 700-MAX4051ESE	MAX4051ESE+	SO-16N	8:1 / 1	100	1	175	150	2 / 16	2,7 / 8	3,72	1,89	1,74
◆ 700-MAX4581CUE	MAX4581CUE+	TSSOP-16	8:1/1	80	1	200	100	2/12	2/6	1,65	0,833	0,77
◆ 700-MAX4581LEEE	MAX4581LEEE+	QSOP 16 broches	8:1/1	80	2	200	100	2 / 12	-/-	1,83	1,22	0,833
◆ 700-MAX4581LESE	MAX4581LESE+	SO-16N	8:1/1	80	2	200	100	2 / 12	-/-	1,74	0,883	0,813
◆ 700-MAX4617CUE	MAX4617CUE+	TSSOP-16	8:1 / 1	10	1	15	10	2 / 5,5	-/-	2,60	1,73	1,25
◆ 700-MAX4781ETET	MAX4781ETE+T	TQFN 16	8:1 / 1	1	2	25	15	1,6 / 3,6	-/-	3,56	2,69	2,35
◆ 700-DG407CWI	DG407CWI+	SO-28W	8:1/2	100	1	200	150	4,5 / 30	4.5/20	12,59	6,09	5,60
700-DG507ACJ	DG507ACJ+	PDIP-28	8:1/2	400	5	-	-	-/-	4,5 / 18	13,12	6,34	5,83
700-MAX307CPI	MAX307CPI+	PDIP-28W	8:1/2	100	0,75	200	150	4,5 / 30	4.5/20	10,77	5,46	5,02
◆ 700-MAX307CWI	MAX307CWI+	SOIC-28W	8:1 / 2	100	0,75	200	150	4,5 / 30	4.5/20	14,57	7,39	6,80
700-MAX307EPI	MAX307EPI+	PDIP 28 broches	8:1/2	100	0,75	200	150	4,5 / 30	4,5 / 20	14,02	7,11	6,54
◆ 700-MAX307EWI	MAX307EWI+	SOIC-28 W	8:1 / 2	100	0,75	200	150	4,5 / 30	4,5 / 20	18,93	9,60	8,84
◆ 700-MAX337CWI	MAX337CWI+	SO-28W	8:1/2	400	0.05	500	500	4,5 / 30	4,5 / 20	10,44	5,30	4,87
◆ 700-MAX337EWI	MAX337EWI+	SO-28W	8:1/2	400	0.05	500	500	4,5 / 30	4,5 / 20	11,47	5,82	5,35
◆ 700-MAX4639EUE	MAX4639EUE+	TSSOP 16	8:1/2	3,5	0.01	18	7	1,8 / 5,5	2,5/2,5	4,41	2,94	2,13

COMMUTATEURS ÉMETTEURS/RÉCEPTEURS HAUTE TENSION

◆ Composant pour montage en surface

Pour des quantités supérieures à celles indiquées, appelez-nous afin d'obtenir un devis.

RÉF. STOCK MOUSER	Réf. Maxim	Boîtier	Canaux	I_L (arrêt) (µA) (Max.)	t_{marche} (ns) (Min.)	$t_{arrêt}$ (ns) (Min.)	Tens. d'alimentation (simple) (Min. / Max.)	Température de fonctionnement (°C)	Prix unitaire 1	25	100
◆ 700-MAX4936CTN+	MAX4936CTN+	TQFN 56	8	3	200	100	1,62 / 5,5	0 - 70	15,32	14,90	14,70
◆ 700-MAX4937CTN+	MAX4937CTN+	TQFN 56	8	3	200	100	1,62 / 5,5	0 - 70	15,32	14,90	14,70

© Copyright 2012 Mouser Electronics

© Copyright 2012 Mouser Electronics

CI analogiques MICROCHIP

RoHS Compliant **This product is RoHS compliant.**

POTENTIOMÈTRES NUMÉRIQUES MICROCHIP

Pour des quantités supérieures à celles indiquées, appelez-nous afin d'obtenir un devis.

RÉF. STOCK MOUSER	Réf. Microchip	Type de boîtier	Description	Prix unitaire			
				1	10	25	100
579-MCP4017T502E/LT	MCP4017T502E/LT	SC70-6	5 kΩ, Mémoire volatile 7 bitss, I2C unidirectionnel	0,42	0,383	0,315	0,293
579-MCP4019T502E/LT	MCP4019T502E/LT	SC70-5	5 kΩ, Mémoire volatile 7 bitss, I2C unidirectionnel	0,42	0,383	0,315	0,293
579-MCP4017T103E/LT	MCP4017T103E/LT	SC70-6	10 kΩ, Mémoire volatile 7 bitss, I2C unidirectionnel	0,42	0,383	0,315	0,293
579-MCP4018T103E/LT	MCP4018T103E/LT	SC70-6	10 kΩ, Mémoire volatile 7 bitss, I2C unidirectionnel	0,42	0,383	0,315	0,293
579-MCP4019T103E/LT	MCP4019T103E/LT	SC70-5	10 kΩ, Mémoire volatile 7 bitss, I2C unidirectionnel	0,42	0,383	0,315	0,293
579-MCP4017T503E/LT	MCP4017T503E/LT	SC70-6	50 kΩ, Mémoire volatile 7 bitss, I2C unidirectionnel	0,42	0,383	0,315	0,293
579-MCP4018T503E/LT	MCP4018T503E/LT	SC70-6	50 kΩ, Mémoire volatile 7 bitss, I2C unidirectionnel	0,42	0,383	0,315	0,293
579-MCP4019T503E/LT	MCP4019T503E/LT	SC70-5	50 kΩ, Mémoire volatile 7 bitss, I2C unidirectionnel	0,42	0,383	0,315	0,293
579-MCP40D17T503E/LT	MCP40D17T503E/LT	SC70-6	50 kΩ, Mémoire volatile 7 bitss, I2C unidirectionnel	0,42	0,383	0,323	0,293
579-MCP40D18T503E/LT	MCP40D18T503E/LT	SC70-6	50 kΩ, Mémoire volatile 7 bitss, I2C unidirectionnel	0,42	0,383	0,323	0,293
579-MCP40D19T503E/LT	MCP40D19T503E/LT	SC70-5	50 kΩ, Mémoire volatile 7 bitss, I2C unidirectionnel	0,42	0,383	0,323	0,293
579-MCP4017T104E/LT	MCP4017T104E/LT	SC70-6	100 kΩ, Mémoire volatile 7 bitss, I2C unidirectionnel	0,42	0,383	0,315	0,293
579-MCP4018T104E/LT	MCP4018T104E/LT	SC70-6	100 kΩ, Mémoire volatile 7 bitss, I2C unidirectionnel	0,42	0,383	0,315	0,293
579-MCP4019T104E/LT	MCP4019T104E/LT	SC70-5	100 kΩ, Mémoire volatile 7 bitss, I2C unidirectionnel	0,42	0,383	0,315	0,293
579-MCP40D17T104E/LT	MCP40D17T104E/LT	SC70-6	100 kΩ, Mémoire volatile 7 bitss, I2C unidirectionnel	0,42	0,383	0,323	0,293
579-MCP40D18T104E/LT	MCP40D18T104E/LT	SC70-6	100 kΩ, Mémoire volatile 7 bitss, I2C unidirectionnel	0,42	0,383	0,323	0,293
579-MCP40D19T104E/LT	MCP40D19T104E/LT	SC70-5	100 kΩ, Mémoire volatile 7 bitss, I2C unidirectionnel	0,42	0,383	0,323	0,293
579-MCP4011-502E/SN	MCP4011-502E/SN	SOIC-8	Pot. 5kΩ, H/B simple, mémoire volatile 6 bits	0,41	0,383	0,323	0,293
579-MCP4021-502E/SN	MCP4021-502E/SN	SOIC-8	Pot. 5kΩ, H/B simple, mémoire non-volatile 6 bits	0,62	0,585	0,488	0,443
579-MCP4011-103E/SN	MCP4011-103E/SN	SOIC-8	Pot. 10kΩ, H/B simple, mémoire volatile 6 bits	0,41	0,383	0,323	0,293
579-MCP4021-103E/SN	MCP4021-103E/SN	SOIC-8	Pot. 10kΩ, H/B simple, mémoire non-volatile 6 bits	0,62	0,585	0,488	0,443
579-MCP4531-104E/MS	MCP4531-104E/MS	MSOP-8	Pot. simple. mémoire volatile, 7 bits, I2C	0,54	0,503	0,42	0,383
579-MCP4531-503E/MS	MCP4531-503E/MS	MSOP-8	Pot. simple. mémoire volatile, 7 bits, I2C	0,54	0,503	0,42	0,383
579-MCP4551-104E/MS	MCP4551-104E/MS	MSOP-8	Pot. simple. mémoire volatile, 8 bits, I2C	0,74	0,675	0,563	0,51
579-MCP4551-502E/MS	MCP4551-502E/MS	MSOP-8	Pot. simple. mémoire volatile, 8 bits, I2C	0,74	0,675	0,563	0,51
579-MCP4551-503E/MS	MCP4551-503E/MS	MSOP-8	Pot. simple. mémoire volatile, 8 bits, I2C	0,74	0,675	0,563	0,51
579-MCP4541-104E/MS	MCP4541-104E/MS	MSOP-8	Pot. simple, mémoire non volatile, 7 bits, I2C	0,66	0,608	0,503	0,458
579-MCP4541-502E/MS	MCP4541-502E/MS	MSOP-8	Pot. simple, mémoire non volatile, 7 bits, I2C	0,66	0,608	0,503	0,458
579-MCP4541-503E/MS	MCP4541-503E/MS	MSOP-8	Pot. simple, mémoire non volatile, 7 bits, I2C	0,66	0,608	0,503	0,458
579-MCP4561-502E/MS	MCP4561-502E/MS	MSOP-8	Pot. simple, mémoire non volatile, 8 bits, I2C	0,80	0,72	0,60	0,548
579-MCP4661-104E/ST	MCP4661-104E/ST	TSSOP-14	Pot. simple, mémoire non volatile, 8 bits, I2C	1,04	0,945	0,788	0,713
579-MCP4661-503E/ST	MCP4661-503E/ST	TSSOP-14	Pot. simple, mémoire non volatile, 8 bits, I2C	1,04	0,945	0,788	0,713
579-MCP4231-103-E/P	MCP4231-103-E/P	PDIP-14	Pot. numérique, 128 positions, SPI, double canal	0,74	0,675	0,563	0,51
579-MCP4231-103-E/SL	MCP4231-103-E/SL	SOIC-14	Pot. numérique, 128 positions, SPI, double canal	0,74	0,675	0,563	0,51
579-MCP4631-104E/ST	MCP4631-104E/ST	TSSOP-14	Pot. double, mémoire volatile, 7 bits, I2C	0,74	0,675	0,563	0,51
579-MCP4241-103-E/P	MCP4241-103-E/P	PDIP-14	Pot. double, mémoire non volatile, 7 bits, SPI	0,87	0,795	0,66	0,60
579-MCP4241-103E/SL	MCP4241-103E/SL	SOIC-14	Pot. double, mémoire non volatile, 7 bits, SPI	0,87	0,795	0,66	0,60
579-MCP4261-103-E/P	MCP4261-103-E/P	PDIP-14	Pot. double, mémoire non volatile, 7 bits, SPI	0,99	0,908	0,758	0,69
579-MCP4261-103-E/SL	MCP4261-103-E/SL	SOIC-14	Pot. double, mémoire non volatile, 7 bits, SPI	0,99	0,908	0,758	0,69
579-MCP4251-103-E/P	MCP4251-103-E/P	PDIP 14 broches	Pot. double, mémoire volatile, 8 bits, SPI	0,77	0,698	0,585	0,533
579-MCP4251-103-E/SL	MCP4251-103-E/SL	SOIC-14	Pot. double, mémoire volatile, 8 bits,SPI	0,77	0,698	0,585	0,533
579-MCP4651-503E/ST	MCP4651-503E/ST	TSSOP 14 broches	Pot. double, mémoire volatile, 8 bits, I2C	0,77	0,698	0,585	0,533
579-MCP4532-104E/MS	MCP4532-104E/MS	MSOP-8	Rhéo. simple, mémoire volatile, 7 bits, I2C	0,54	0,503	0,42	0,383
579-MCP4532-502E/MS	MCP4532-502E/MS	MSOP-8	Rhéo. simple, mémoire volatile, 7 bits, I2C	0,54	0,503	0,42	0,383
579-MCP4532-503E/MS	MCP4532-503E/MS	DFN-8	Rhéo. simple, mémoire volatile, 7 bits, I2C	0,54	0,503	0,42	0,383
579-MCP4542-104E/MS	MCP4542-104E/MS	MSOP-8	Rhéo. simple, mémoire non-volatile, 7 bits, I2C	0,66	0,608	0,503	0,458
579-MCP4542-502E/MS	MCP4542-502E/MS	MSOP-8	Rhéo. simple, mémoire non-volatile, 7 bits, I2C	0,66	0,608	0,503	0,458
579-MCP4542-503E/MS	MCP4542-503E/MS	MSOP-8	Rhéo. simple, mémoire non-volatile, 7 bits, I2C	0,66	0,608	0,503	0,458
579-MCP4552-104E/MS	MCP4552-104E/MS	MSOP-8	Rhéo. simple, mémoire volatile, 8 bits, I2C	0,74	0,675	0,563	0,51
579-MCP4552-502E/MS	MCP4552-502E/MS	MSOP-8	Rhéo. simple, mémoire volatile, 8 bits, I2C	0,74	0,675	0,563	0,51
579-MCP4552-503E/MS	MCP4552-503E/MS	MSOP-8	Rhéo. simple, mémoire volatile, 8 bits, I2C	0,74	0,675	0,563	0,51
579-MCP4652-103E/UN	MCP4652-103E/UN	MSOP-10	Rhéo. simple, mémoire volatile, 8 bits, I2C	0,77	0,698	0,585	0,533
579-MCP4652-502E/UN	MCP4652-502E/UN	MSOP-10	Rhéo. simple, mémoire volatile, 8 bits, I2C	0,77	0,698	0,585	0,533
579-MCP4652-503E/UN	MCP4652-503E/UN	MSOP-10	Rhéo. simple, mémoire volatile, 8 bits, I2C	0,77	0,698	0,585	0,533
579-MCP4562-104E/MS	MCP4562-104E/MS	MSOP-8	Rhéo. simple, mémoire non-volatile, 8 bits, I2C	0,80	0,72	0,60	0,548
579-MCP4562-502E/MS	MCP4562-502E/MS	MSOP-8	Rhéo. simple, mémoire non-volatile, 8 bits, I2C	0,80	0,72	0,60	0,548
579-MCP4562-503E/MS	MCP4562-503E/MS	MSOP-8	Rhéo. simple, mémoire non-volatile, 8 bits, I2C	0,80	0,72	0,60	0,548
579-MCP4232-3EUN	MCP4232-3EUN	MSOP-10	Rhéo. double, mémoire volatile, 7 bits, SPI	0,74	0,675	0,563	0,51
579-MCP4632-104E/UN	MCP4632-104E/UN	MSOP-10	Rhéo. double, mémoire volatile, 7 bits, I2C	0,74	0,675	0,563	0,51
579-MCP4632-502E/UN	MCP4632-502E/UN	MSOP-10	Rhéo. double, mémoire volatile, 7 bits, I2C	0,74	0,675	0,563	0,51
579-MCP4632-503E/UN	MCP4632-503E/UN	MSOP-10	Rhéo. double, mémoire volatile, 7 bits, I2C	0,74	0,675	0,563	0,51
579-MCP4242-103-E/UN	MCP4242-103-E/UN	MSOP-10	Rhéo. double, mémoire non-volatile, 7 bits, SPI	0,87	0,795	0,66	0,60
579-MCP4642-104E/UN	MCP4642-104E/UN	MSOP-10	Rhéo. double, mémoire non-volatile, 7 bits, I2C	0,87	0,795	0,66	0,60
579-MCP4642-502E/UN	MCP4642-502E/UN	MSOP-10	Rhéo. double, mémoire non-volatile, 7 bits, I2C	0,87	0,795	0,66	0,60
579-MCP42623EUN	MCP42623EUN	MSOP-10	Rhéo. double, mémoire non-volatile, 8 bits, SPI	0,99	0,908	0,758	0,69
579-MCP41010-E/P	MCP41010-E/P	PDIP-8	simple canal, 10 kΩ, 256 positions, SPI	1,14	1,10	0,915	0,833
579-MCP41010-E/SN	MCP41010-E/SN	SOIC-8	simple canal, 10 kΩ, 256 positions, SPI	1,14	1,10	0,915	0,833
579-MCP41050-E/P	MCP41050-E/P	PDIP 8	simple canal, 50 kΩ, 256 positions, SPI	1,14	1,10	0,915	0,833
579-MCP41050-E/SN	MCP41050-E/SN	SOIC-8	simple canal, 50 kΩ, 256 positions, SPI	1,14	1,10	0,915	0,833
579-MCP41100-E/P	MCP41100-E/P	PDIP 8	simple canal, 100 kΩ, 256 positions, SPI	1,14	1,10	0,915	0,833
579-MCP41100-E/SN	MCP41100-E/SN	SOIC 8 broches	simple canal, 100 kΩ, 256 positions, SPI	1,14	1,10	0,915	0,833
579-MCP42010-E/P	MCP42010-E/P	PDIP-14	double canal, 10 kΩ, 256 positions, SPI	1,71	1,63	1,36	1,24
579-MCP42010-E/SL	MCP42010-E/SL	SOIC-14	double canal, 10 kΩ, 256 positions, SPI	1,71	1,63	1,36	1,24
579-MCP42100-E/P	MCP42100-E/P	PDIP 14 broches	double canal, 100 kΩ, 256 positions, SPI	1,71	1,63	1,36	1,24
579-MCP4131-103E/P	MCP4131-103E/P	PDIP 8	simple canal, 128 positions, SPI	0,54	0,503	0,42	0,383
579-MCP4131-104E/P	MCP4131-104E/P	PDIP 8	simple canal, 128 positions, SPI	0,54	0,503	0,42	0,383
579-MCP4131-502E/P	MCP4131-502E/P	PDIP 8	simple canal, 128 positions, SPI	0,54	0,503	0,42	0,383
579-MCP4131-503E/P	MCP4131-503E/P	PDIP 8	simple canal, 128 positions, SPI	0,54	0,503	0,42	0,383
579-MCP4132-104E/P	MCP4132-104E/P	PDIP 8	simple canal, 128 positions, SPI	0,54	0,503	0,42	0,383
579-MCP4132-502E/P	MCP4132-502E/P	PDIP 8	simple canal, 128 positions, SPI	0,54	0,503	0,42	0,383
579-MCP4132-503E/P	MCP4132-503E/P	PDIP 8	simple canal, 128 positions, SPI	0,54	0,503	0,42	0,383
579-MCP4132-503E/SN	MCP4132-503E/SN	SOIC-8	simple canal, 128 positions, SPI	0,54	0,503	0,42	0,383
579-MCP4151-103E/P	MCP4151-103E/P	PDIP 8	double canal, 256 positions, SPI	0,74	0,675	0,563	0,51
579-MCP4151-104E/P	MCP4151-104E/P	PDIP 8	double canal, 256 positions, SPI	0,74	0,675	0,563	0,51
579-MCP4151-503E/P	MCP4151-503E/P	PDIP 8	double canal, 256 positions, SPI	0,74	0,675	0,563	0,51
579-MCP4152-502E/P	MCP4152-502E/P	PDIP 8	double canal, 256 positions, SPI	0,74	0,675	0,563	0,51
579-MCP4152-503E/P	MCP4152-503E/P	PDIP 8	double canal, 256 positions, SPI	0,74	0,675	0,563	0,51
579-MCP4152-503E/SN	MCP4152-503E/SN	SOIC 8 broches	double canal, 256 positions, SPI	0,74	0,675	0,563	0,51
579-MCP4341502E/ST	MCP4341-502E/ST	TSSOP-20	Quad. canal, 5 kΩ, SPI, 7 bits	1,14	1,05	0,87	0,795
579-MCP4341503E/ML	MCP4341-503E/ML	QFN-20	Quad. canal, 50 kΩ, SPI, 7 bits	1,14	1,05	0,87	0,795
579-MCP4341104E/ML	MCP4341-104E/ML	QFN-20	Quad. canal, 100 kΩ, SPI, 7 bits	1,14	1,05	0,87	0,795
579-MCP4342-502E/ST	MCP4342-502E/ST	TSSOP-14	Quad. canal, 5 kΩ, SPI 7 bits, mémoire non volatile	1,14	1,05	0,87	0,795
579-MCP4342-104E/ST	MCP4342-104E/ST	TSSOP-14	Quad. canal, 100 kΩ, SPI 7 bits, mémoire non volatile	1,14	1,05	0,87	0,795
579-MCP4361502E/ST	MCP4361-502E/ST	TSSOP-20	Quad. canal, 5 kΩ, SPI, 8 bits	1,55	1,41	1,18	1,07
579-MCP4361104E/ML	MCP4361-104E/ML	QFN-20	Quad. canal, 100 kΩ, SPI, 8 bits	1,55	1,41	1,18	1,07

© Copyright 2012 Mouser Electronics
© Copyright 2012 Mouser Electronics

CI analogiques MICROCHIP

RoHS Compliant This product is RoHS compliant.

CAPTEURS DE TEMPÉRATURE

Pour des quantités supérieures à celles indiquées, appelez-nous afin d'obtenir un devis.

RÉF. STOCK MOUSER / Fabr. Réf. fabr.	Type de boîtier	Description	Prix unitaire 1	10	25	100
Hystérésis de sortie logique / réglable par broche						
579—TC6501P045VCTTR	SOT-23A-5	Commutateur de temp. ultra-miniature	0,59	0,548	0,458	0,413
579—TC6501P055VCTTR	SOT-23A-5	Commutateur de temp. ultra-miniature	0,59	0,548	0,458	0,413
579—TC6501P065VCTTR	SOT-23A-5	Commutateur de temp. ultra-miniature	0,59	0,548	0,458	0,413
579—TC6501P085VCTTR	SOT-23A-5	Commutateur de temp. ultra-miniature	0,59	0,548	0,458	0,413
579—TC6501P095VCTTR	SOT-23A-5	Commutateur de temp. ultra-miniature	0,59	0,548	0,458	0,413
579—TC6502P045VCTTR	SOT-23A-5	Commutateur de temp. ultra-miniature	0,59	0,548	0,458	0,413
579—TC6502P055VCTTR	SOT-23A-5	Commutateur de temp. ultra-miniature	0,59	0,548	0,458	0,413
579—TC6502P105VCTTR	SOT-23A-5	Commutateur de temp. ultra-miniature	0,59	0,548	0,458	0,413
579—TC6504P005VCTTR	SOT-23A-5	Commutateur de temp. ultra-miniature	0,59	0,548	0,458	0,413
Tension de sortie						
579—MCP9700-E/TO	TO-92-3	Thermistance linéaire active (TM) IC (10mV/oC)	0,20	0,188	0,158	0,143
579—MCP9700T-E/LT	SC70-5	Thermistance linéaire active (TM) IC (10mV/oC)	0,20	0,188	0,158	0,143
579—MCP9700A-E/TO	TO-92-3	Thermistance linéaire active (TM) IC (10mV/oC)	0,26	0,233	0,195	0,18
579—MCP9700AT-E/LT	SC70-5	Thermistance linéaire active (TM) IC (10mV/oC)	0,26	0,233	0,195	0,18
579—TC1047AVNBTR	SOT-23B-3	Convertisseur Temp.-Tension Haute Précision	0,50	0,465	0,39	0,353
Sortie en série						
579—TC74A0-5.0VAT	TO-220-5	Capteur therm. numérique en série	1,11	1,03	0,855	0,78
579—TC74A0-5.0VCTTR	SOT-23A-5	Capteur therm. numérique en série	0,71	0,653	0,54	0,495
579—TC74A5-5.0VAT	TO-220-5	Capteur therm. numérique en série (Adresse par défaut)	1,11	1,03	0,855	0,78
579—TC74A5-5.0VCTTR	SOT-23A-5	Capteur therm. numérique en série (Adresse par défaut)	0,71	0,653	0,54	0,495
579—TCN75AVOA	SOIC 8 broches	Temp. en série sur 2 fils Capteur/Moniteur thermique	0,56	0,525	0,435	0,398
579—MCP9800A0T-M/OT	SOT-23A-5	Capteur thermique, haute résolution à interface en série (Adressage A0)	0,95	0,90	0,75	0,683
579—MCP9801-M/SN	SOIC 8 broches	Thermique, haute résolution	0,89	0,84	0,698	0,638
579—MCP9802A0T-M/OT	SOT-23A-5	Thermique, haute résolution	0,99	0,945	0,788	0,713
579—MCP9803-M/SN	SOIC 8 broches	Thermique, haute résolution	0,95	0,90	0,75	0,683
579—MCP9804-E/MS	MSOP-8	Thermique, haute résolution	1,37	1,26	1,05	0,953
579—MCP9804T-E/MC	DFN-8	Thermique, haute résolution	1,37	1,26	1,05	0,953
579—TC77-3.3MOA	SOIC-8	Thermique, haute résolution	0,75	0,69	0,57	0,518
579—TC77-5.0MOA	SOIC 8 broches	Thermique, haute résolution	0,75	0,69	0,57	0,518

CONVERTISSEURS DE DONNÉES

Pour des quantités supérieures à celles indiquées, appelez-nous afin d'obtenir un devis.

RÉF. STOCK MOUSER / Fabr. Réf. fabr.	Type de boîtier	Description	Prix unitaire 1	10	25	100
579—MCP3201-CI/P	PDIP-8	CAN 12-bit, SPI, simple	1,80	1,71	1,43	1,30
579—MCP3201-CI/SN	SOIC 8 broches	CAN 12-bit, SPI, simple	1,80	1,71	1,43	1,30
579—MCP3208CIP	PDIP 16	CAN 12-bit, SPI, 8 canaux	2,75	2,61	2,18	1,98
579—MCP3208CISL	SOIC-16	CAN 12-bit, SPI, 8 canaux	2,75	2,61	2,18	1,98
579—MCP3304-CI/SL	SOIC-16	CAN 13-biT, 4 canaux	2,73	2,60	2,17	1,97
579—MCP3551-E/SN	SOIC 8 broches	Delta-sigma 22-bit, simple 15 éch./s, réj. 50-60Hz	3,27	2,99	2,48	2,26
579—MCP3202-CI/P	PDIP-8	CAN 12-bit, SPI, double	2,00	1,90	1,58	1,44
579—MCP3202-CI/SN	SOIC 8 broches	CAN 12-bit, SPI, double	2,00	1,90	1,58	1,44
579—MCP3204-CI/P	PDIP 14 broches	CAN 12-bit, SPI, 4 canaux	2,51	2,38	1,98	1,80
579—MCP3204-CI/SL	SOIC-14	CAN 12-bit, SPI, 4 canaux	2,51	2,38	1,98	1,80
579—MCP3021A5T-E/OT	SOT-23A-5	CAN 10-bit, I2C, simple	0,87	0,803	0,668	0,608
579—MCP3221A5T-E/OT	SOT-23A-5	CAN 12-bit, I2C, simple	1,19	1,08	0,90	0,818
579—MCP3301-CI/P	PDIP-8	CAN 13-bit, simple	1,80	1,70	1,42	1,29
579—MCP3301-CI/SN	SOIC 8 broches	CAN 13-bit, simple	1,80	1,70	1,42	1,29
579—MCP3425A0T-E/CH	SOT-23A-6	Delta sigma 16-bit, simple	1,79	1,63	1,36	1,24
579—MCP4728-E/UN	MSOP-10	Quad 12-bit, EEPROM non-vol., I2C	1,55	1,42	1,19	1,08
579—MCP4921-E/P	PDIP-8	CNA 12-bit simple avec SPI	1,56	1,48	1,23	1,12
579—MCP4921-E/SN	SOIC 8 broches	CNA 12-bit simple avec SPI	1,56	1,48	1,23	1,12
579—MCP4922-E/P	PDIP 14 broches	CNA à 12-bit double pour SPI	2,07	1,97	1,64	1,49
579—MCP4922-E/SL	SOIC-14	CNA à 12-bit double pour SPI	2,07	1,97	1,64	1,49
579—MCP4801-E/MC	DFN-8	CNA à 8-bit simple avec Vref SPI	0,90	0,848	0,705	0,645
579—MCP4801-E/MS	MSOP-10	CNA à 8-bit simple avec Vref SPI	0,90	0,848	0,705	0,645
579—MCP4801-E/P	PDIP-8	CNA à 8-bit simple avec Vref SPI	0,90	0,848	0,705	0,645
579—MCP4801-E/SN	SOIC 8 broches	CNA à 8-bit simple avec Vref SPI	0,90	0,848	0,705	0,645
579—MCP4802-E/MS	MSOP-8	CNA à 8-bit double avec Vref SPI	1,22	1,11	0,923	0,84
579—MCP4802-E/P	PDIP-8	CNA à 8-bit double avec Vref SPI	1,22	1,11	0,923	0,84
579—MCP4802-E/SN	SOIC 8 broches	CNA à 8-bit double avec Vref SPI	1,22	1,11	0,923	0,84
579—MCP4811-E/MC	DFN-8	CNA à 10-bit simple avec Vref SPI	1,28	1,22	1,01	0,915
579—MCP4811-E/MS	MSOP-8	CNA à 10-bit simple avec Vref SPI	1,28	1,22	1,01	0,915
579—MCP4811-E/P	PDIP-8	CNA à 10-bit simple avec Vref SPI	1,28	1,22	1,01	0,915
579—MCP4811-E/SN	SOIC 8 broches	CNA à 10-bit simple avec Vref SPI	1,28	1,22	1,01	0,915
579—MCP4812-E/MS	MSOP-8	CNA à 10-bit double avec SPI Vref	1,73	1,58	1,32	1,20
579—MCP4812-E/SN	SOIC 8 broches	CNA à 10-bit double avec SPI Vref	1,73	1,58	1,32	1,20
579—MCP4901-E/MC	DFN-8	CNA 12-bit simple avec SPI	0,77	0,72	0,60	0,548
579—MCP4901-E/MS	MSOP-8	CNA 12-bit simple avec SPI	0,77	0,72	0,60	0,548
579—MCP4901-E/P	PDIP-8	CNA 12-bit simple avec SPI	0,77	0,72	0,60	0,548
579—MCP4901-E/SN	SOIC 8 broches	CNA 12-bit simple avec SPI	0,77	0,72	0,60	0,548
579—MCP4902-E/P	PDIP 14 broches	CNA à 8-bit double pour SPI	1,05	0,968	0,803	0,735
579—MCP4902-E/SL	SOIC-14	CNA à 8-bit double pour SPI	1,05	0,968	0,803	0,735
579—MCP4902-E/ST	TSSOP 14 broches	CNA à 8-bit double pour SPI	1,05	0,968	0,803	0,735
579—MCP4911-E/MC	DFN-8	CNA 12-bit simple avec SPI	1,10	1,04	0,863	0,788
579—MCP4911-E/MS	MSOP-8	CNA 12-bit simple avec SPI	1,10	1,04	0,863	0,788
579—MCP4911-E/P	PDIP-8	CNA 12-bit simple avec SPI	1,10	1,04	0,863	0,788
579—MCP4911-E/SN	SOIC 8 broches	CNA 12-bit simple avec SPI	1,10	1,04	0,863	0,788
579—MCP4912-E/P	PDIP 14 broches	CNA à 10-bit double pour SPI	1,50	1,37	1,15	1,04

CONVERTISSEURS DE DONNÉES (SUITE)

Pour des quantités supérieures à celles indiquées, appelez-nous afin d'obtenir un devis.

RÉF. STOCK MOUSER / Fabr. Réf. fabr.	Type de boîtier	Description	Prix unitaire 1	10	25	100
579—MCP4912-E/SL	SOIC-14	CNA à 10-bit double pour SPI	1,50	1,37	1,15	1,04
579—MCP4912-E/ST	TSSOP-14	CNA à 10-bit double pour SPI	1,50	1,37	1,15	1,04

SOLUTIONS D'INTERFACE

Pour des quantités supérieures à celles indiquées, appelez-nous afin d'obtenir un devis.

RÉF. STOCK MOUSER / Fabr. Réf. fabr.	Type de boîtier	Description	Prix unitaire 1	10	25	100
579—ENC28J60/SS	SSOP-28	Contrôleur E-net 8 KB MAC/PHY	2,51	2,09	1,92	1,74
579—ENC28J60-I/ML	QFN-28	Contrôleur E-net 8 KB MAC/PHY	2,69	2,24	2,06	1,86
579—ENC28J60-I/SO	SOIC-28	Contrôleur E-net 8 KB MAC/PHY	2,54	2,12	1,95	1,76
579—ENC28J60-I/SP	SPDIP-28	Contrôleur E-net 8 KB MAC/PHY	2,72	2,27	2,08	1,88
579—ENC424J600-I/ML	QFN-44	Contrôleur E-net 10/100 Base-T	3,38	2,82	2,59	2,34
579—ENC424J600-I/PT	TQFP-44	Contrôleur E-net 10/100 Base-T	3,22	2,69	2,47	2,24
579—ENC624J600-I/PT	TQFP-44	Contrôleur E-net 10/100 Base-T	3,48	2,90	2,66	2,42
579—MCP2036-I/P	PDIP 14 broches	Capteur à induction pour entrée analogique	0,56	0,473	0,428	0,39
579—MCP2036-I/SL	SOIC-14	Capteur à induction pour entrée analogique	0,43	0,36	0,33	0,30
579—MCP2120IP	PDIP 14 broches	Encodeur / décodeur infrarouge	0,87	0,795	0,66	0,60
579—MCP2120ISL	SOIC-14	Encodeur / décodeur infrarouge	0,87	0,795	0,66	0,60
579—MCP2140A-I/P	PDIP-18	Etendu, compatible Win Mobile 5.	1,52	1,39	1,16	1,05
579—MCP2140-I/P	PDIP-18	Protocole IrDA 9600 Baud fixe	1,62	1,54	1,28	1,16
579—MCP2140-I/SO	SOIC-18	Protocole IrDA 9600 Baud fixe	1,62	1,54	1,28	1,16
579—MCP2150-I/P	PDIP-18	Contrôleur enc./déc. de protocole IrDA pour appli. ETTD	3,29	3,02	2,51	2,29
579—MCP2150-I/SO	SOIC-18	Contrôleur de protocole IrDA Enc./déc. pour appli. ETTD	3,29	3,02	2,51	2,29
579—MCP23008-E/P	PDIP-18	Extension à 8-bit, I2C	0,81	0,765	0,638	0,585
579—MCP23008-E/SO	SOIC-18	Extension à 8-bit, I2C	0,81	0,765	0,638	0,585
579—MCP23009-E/MG	QFN-16	Extension entrée/sortie 8 bit, interface SPI	0,96	0,908	0,758	0,69
579—MCP23009-E/SS	SSOP-20	Extension entrée/sortie 8 bit, interface I2C	0,93	0,848	0,705	0,645
579—MCP23017-E/SO	SOIC-28	Extension à 16-bit, I2C	0,95	0,90	0,75	0,683
579—MCP23017-E/SP	SPDIP-28	Extension à 16-bit, I2C	0,95	0,90	0,75	0,683
579—MCP23018-E/SS	SSOP 24	Extension entrée/sortie 16 bit, interface I2C	1,37	1,25	1,04	0,945
579—MCP23S08-E/P	PDIP-18	Extension 8-bit, SPI	0,86	0,803	0,668	0,608
579—MCP23S08-E/SO	SOIC-18	Extension 8-bit, SPI	0,86	0,803	0,668	0,608
579—MCP23S09-E/MG	QFN-16	Extension entrée/sortie 8 bit, interface SPI	1,02	0,953	0,795	0,72
579—MCP23S17-E/SO	SOIC-28	Extension 16-bit, SPI	0,99	0,945	0,788	0,713
579—MCP23S17-E/SP	SPDIP-28	Extension 16-bit, SPI	0,99	0,945	0,788	0,713
579—MCP23S18-E/MJ	QFN-24	Extension entrée/sortie 16 bit, interface SPI	1,28	1,20	0,998	0,908
579—MCP2515-I/P	PDIP-18	Contrôleur bus CAN interface SPI	1,49	1,37	1,13	1,04
579—MCP2515-I/SO	SOIC-18	Contrôleur bus CAN interface SPI	1,49	1,37	1,13	1,04
579—MCP2551-I/P	PDIP-8	Emet./récept. bus CAN haut débit	0,84	0,765	0,638	0,585
579—MCP2551-I/SN	SOIC 8 broches	Emet./récept. bus CAN haut débit	0,84	0,765	0,638	0,585
579—MCP2200-I/MQ	QFN-20	Convertisseur USB-UART	1,73	1,58	1,31	1,19
579—MCP2200-I/SO	SOIC-20	Convertisseur USB-UART	1,59	1,46	1,22	1,10
579—MCP2200-I/SS	SSOP-20	Convertisseur USB-UART	1,59	1,46	1,22	1,10

HORLOGES/CALENDRIERS EN TEMPS RÉEL

NEW PRODUCT

Pour des quantités supérieures à celles indiquées, appelez-nous afin d'obtenir un devis.

RÉF. STOCK MOUSER / Fabr. Réf. fabr.	Type de boîtier	Description	Prix unitaire 1	10	25	100
579—MCP79410-I/MS	MSOP-8	à EEPROM, SRAM, ident. unique	0,84	0,705	0,653	0,615
579—MCP79410-I/SN	SOIC 8 broches	à EEPROM, SRAM, ident. unique	0,81	0,675	0,623	0,593
579—MCP79410-I/ST	TSSOP-8	à EEPROM, SRAM, ident. unique	0,84	0,705	0,653	0,615
579—MCP79410T-I/MNY	TDFN-8	à EEPROM, SRAM, ident. unique	0,88	0,735	0,683	0,645

DRIVERS MOSFET

Pour des quantités supérieures à celles indiquées, appelez-nous afin d'obtenir un devis.

RÉF. STOCK MOUSER / Fabr. Réf. fabr.	Type de boîtier	Description	Prix unitaire 1	10	25	100
579—TC4421AVOA	SOIC 8 broches	9 A, simple	1,50	1,37	1,15	1,04
579—TC4424AVOA	SOIC 8 broches	3 A, Double	1,35	1,24	1,03	0,938
579—TC4424AVPA	PDIP-8	3 A, Double	1,38	1,27	1,06	0,96
579—TC4426ACOA	SOIC 8 broches	1,5 A ; double ; gestion délai	0,75	0,63	0,525	0,48
579—TC4426ACPA	PDIP 8	1,5 A ; double ; ajust. délai	1,02	0,855	0,713	0,645
579—TC4427AEOA	SOIC 8 broches	1,5 A ; double ; ajust. délai	0,92	0,773	0,645	0,585
579—TC4427AEPA	PDIP 8	1,5 A ; double ; ajust. délai	1,02	0,855	0,713	0,645
579—TC4428ACOA	SOIC 8 broches	1,5 A ; double ; gestion délai	0,75	0,63	0,525	0,48
579—TC4428ACPA	PDIP 8	1,5 A ; double ; ajust. délai	1,02	0,855	0,713	0,645
579—TC4452VAT	TO-220-5	12 A, simple	2,18	2,00	1,67	1,52
579—TC4452VOA	SOIC 8 broches	12 A, simple	1,71	1,56	1,30	1,19
579—MCP1401T-E/OT	SOT-23-5	0,5 A ; simple	0,51	0,465	0,39	0,353
579—MCP1402T-E/OT	SOT-23-5	0,5 A ; simple	0,51	0,465	0,39	0,353
579—MCP1403-E/P	PDIP 8	4,5 A ; double	1,46	1,33	1,11	1,01
579—MCP1403-E/SN	SOIC 8 broches	4,5 A ; double	1,43	1,31	1,09	0,99
579—MCP1404-E/P	PDIP 8	4,5 A ; double	1,52	1,40	1,16	1,06
579—MCP1404-E/SN	SOIC 8 broches	4,5 A ; double	1,49	1,37	1,13	1,04
579—MCP1405-E/P	PDIP 8	4,5 A ; double	1,52	1,40	1,16	1,06
579—MCP1405-E/SN	SOIC 8 broches	4,5 A ; double	1,49	1,37	1,13	1,04
579—MCP1406-E/P	PDIP 8	6 A ; simple	0,80	0,735	0,615	0,555
579—MCP1407-E/P	PDIP 8	6 A ; simple	0,80	0,735	0,615	0,555
579—MCP1407-E/SN	SOIC 8 broches	6 A ; simple	0,78	0,72	0,60	0,548
579—MCP1415T-E/OT	SOT-23-5	1,5 A ; simple	0,51	0,465	0,39	0,353
579—MCP1416T-E/OT	SOT-23-5	1,5 A ; simple	0,51	0,465	0,39	0,353
579—MCP14E4-E/P	PDIP 8	4,5 A ; double	1,52	1,40	1,16	1,06
579—MCP14E4-E/SN	SOIC 8 broches	4,5 A ; double	1,49	1,37	1,13	1,04
579—MCP14E5-E/P	PDIP 8	4,5 A ; double	1,52	1,40	1,16	1,06
579—MCP14E5-E/SN	SOIC 8 broches	4,5 A ; double	1,49	1,37	1,13	1,04
579—MCP14700-E/MF	DFN-8	4 A ; côté haut	1,53	1,40	1,16	1,06

© Copyright 2012 Mouser Electronics

© Copyright 2012 Mouser Electronics

CI analogiques NXP SEMICONDUCTOR

RoHS Compliant **This product is RoHS compliant.**

CONVERTISSEURS ANALOGIQUES NUMÉRIQUES (CAN)

◆ **Composant pour montage en surface**

Pour des quantités supérieures à celles indiquées, appelez-nous afin d'obtenir un devis.

RÉF. STOCK MOUSER	Réf. NXP	Boîtier	Rés. (bits)	Nombre de canaux entrants	Architecture	INL (Typ.) (±LSB)	DNL (Typ.) (±LSB)	Fréquence d'échantillonnage	Puissance électrique (Typ.) (mW)	Bande passante entrée (MHz)	Prix unitaire 1	25	100	250
◆ 771-ADC1413D125HNC15	ADC1413D125HN/C1,551	HVQFN-56	14	2	Pipeline	5	0,5	125	1270	600	68,22	64,36	60,72	57,28
◆ 771-ADC1610S125HNC15	ADC1610S125HN/C1,551	HVQFN-40	16	1	Pipeline	4	0,5	125	630	600	59,56	56,20	53,01	50,01
◆ 771-ADC1613D125HNC15	ADC1613D125HN/C1,551	HVQFN-56	16	1	Pipeline	5	0,5	125	1270	600	59,58	56,21	53,03	50,02
Cartes démo		Description												**Prix unitaire**
771-ADC1413D125WODB5	ADC1413D125WO/DB,598	Carte démo compatible avec les cartes externes FPGA via des connecteurs spécifiques pour évaluer et analyser la dynamique du CAN												**737,69**
771-ADC1415S125DB598	ADC1415S125/DB,598	Carte démo avec sorties CMOS et LVDS pour analyser facilement les performances du CAN pendant la phase de conception/prototype												**336,72**
Accessoires		Description												**Prix unitaire**
771-HSDC-ACC01DB598	HSDC-ACC01/DB,598	Adaptateur (FMC) pour connexion aux cartes de développement à FPGA Xilinx												**52,38**
771-HSDC-ACC02DB598	HSDC-ACC02/DB,598	Adaptateur (SMA) pour connexion aux cartes de développement à FPGA Lattice												**52,38**
771-HSDC-EXTMOD01DB5	HSDC-EXTMOD01/DB,5	Module d'extension pour acquisition de données par CAN avec mode de sortie CMOS												**600,19**

COMMUTATEURS ANALOGIQUES

NEW PRODUCT

◆ **Composant pour montage en surface**

Pour des quantités supérieures à celles indiquées, appelez-nous afin d'obtenir un devis.

RÉF. STOCK MOUSER	Réf. NXP	Boîtier	Position normale	R_{marche} (Typ.) (Ω)	I_S (Arrêt) (nA) (Max.)	t_{act} (ns) (Max.)	$t_{désact}$ (ns) (Max.)	Tension d'alimentation (Min./Max.)	Courant d'alimentation (Max.) (nA)	Prix unitaire 1	25	100	250
DPDT													
◆ 771-NX3DV3899GU115	NX3DV3899GU,115	XQFN-16	-	0,8	5	90	70	1.4/4.3	100	0,84	0,646	0,629	0,545
◆ 771-NX3L2467GU115	NX3L2467GU,115	XQFN-16	-	0,2	5	40	20	1.4/4.3	100	0,52	0,471	0,419	0,363
4PDT													
◆ 771-NX3DV2567GU115	NX3DV2567GU,115	XQFN-16	-	7	5	40	20	1.4/4.3	100	1,01	0,777	0,684	0,595

CONVERTISSEURS NUMÉRIQUES-ANALOGIQUES (CNA)

◆ **Composant pour montage en surface**

Pour des quantités supérieures à celles indiquées, appelez-nous afin d'obtenir un devis.

RÉF. STOCK MOUSER	Réf. NXP	Boîtier	Rés. (bits)	Canaux CNA	Temps de latence	Filtres	Tension d'alimentation analogique	Fréquence d'échantillonnage (MSPS)	Puissance électrique (Typ.) (mW)	Prix unitaire 1	25	100	250
◆ 771-DAC1405D750HWC15	DAC1405D750HW/C1,551	HTQFP-100	14	2	20	Sélection par 4 ou 8	3.0-3.6	750	750	61,67	58,18	54,88	51,77
Cartes démo		Description											**Prix unitaire**
771-DAC1405D750DB598	DAC1405D750/DB,598	Carte démo adaptée aux évaluations de performance dynamique à configuration de fréquence en sortie faible à haute											**336,72**

CONVERTISSEURS NUMÉRIQUES-ANALOGIQUES (CNA) AUDIO

◆ **Composant pour montage en surface**

Pour des quantités supérieures à celles indiquées, appelez-nous afin d'obtenir un devis.

RÉF. STOCK MOUSER	Réf. NXP	Boîtier	Nombre de CNA	Rés. (bits)	SNR (Typ.) (dB)	Fréquence d'échantillonnage (Max.) (kHz)	Nb. d'entrées / Nb. de sorties	Interface audio numérique	Interface de contrôle	Alimentation analogique (Max.) (V)	Prix unitaire 1	25	100	250
◆ 771-UDA1330ATSDK-T	UDA1330ATS/N2,118	SSOP 16	1	20	100	55	0/2	-	Micro L3	6	1,56	1,25	0,943	0,873
◆ 771-UDA1334ATSDH-T	UDA1334ATS/N2,118	SSOP 16	2	24	100	100	0/2	-	Série	3,6	0,90	0,733	0,562	0,541
◆ 771-UDA1334ATSN2112	UDA1334ATS/N2,112	SSOP 16	2	24	100	100	0/2	-	Série	3,6	1,22	1,09	0,969	0,854
◆ 771-UDA1334BTSDH	UDA1334BTS/N2,112	SSOP 16	2	24	100	100	0/2	-	Série	3,6	1,13	0,899	0,792	0,695
◆ 771-UDA1361TSDK	UDA1361TS/N1,112	SSOP 16	2	24	100	96	2/0	-	Série	3,6	2,04	1,75	1,57	1,40

CAN ET CNA, INTÉGRÉS, CANAUX MULTIPLES

NEW PRODUCT

◆ **Composant pour montage en surface**

Pour des quantités supérieures à celles indiquées, appelez-nous afin d'obtenir un devis.

RÉF. STOCK MOUSER	Réf. NXP	Boîtier	Nombre de CAN	Rés. CAN	Vitesse d'échantillonnage CAN	Nbre de CNA	Rés. CNA	Temps de latence CNA	Tension d'alimentation (Min./Max.)	Fonctionnement Temperature (°C)	Prix unitaire 1	25	100	250
771-PCF8591PN	PCF8591P,112	DIP-16	1	8	11,1kHz	1	8	90µs	2.5/6.0	-40 à +85	4,33	3,47	3,16	2,85
◆ 771-PCF8591TD	PCF8591T/2,512	SO-16	1	8	11,1kHz	1	8	90µs	2.5/6.0	-40 à +85	3,54	2,85	2,59	2,34
◆ 771-PCF8591TD-T	PCF8591T/2,518	SO-16	1	8	11,1kHz	1	8	90µs	2.5/6.0	-40 à +85	3,80	3,10	2,78	2,53
◆ 771-PCA9691T/1-512	PCA9691T/1,512	SO-16	1	8	111 kHz	1	8	2.4µs	2.5/5.5	-40 à +85	1,82	1,60	1,45	1,33
◆ 771-PCA9691T1518	PCA9691T/1,518	SO-16	1	8	111 kHz	1	8	2.4µs	2.5/5.5	-40 à +85	2,75	2,12	1,92	1,73
◆ 771-PCA9691TS/1,118	PCA9691TS/1,118	TSSOP-16	1	8	111 kHz	1	8	2.4µs	2.5/5.5	-40 à +85	1,07	1,03	0,978	0,846

CODEC AUDIO

◆ **Composant pour montage en surface**

Pour des quantités supérieures à celles indiquées, appelez-nous afin d'obtenir un devis.

RÉF. STOCK MOUSER	Réf. NXP	Boîtier	Description	Tension de fonctionnement (V)	Tension nominal (mA)	Rapport signal sur bruit (dB/V)	Puissance totale (mW)	Prix unitaire 1	25	100	250
◆ 771-UDA1341TSDB-T	UDA1341TS/N1,518	SSOP-28	Audio économique pour domicile et portable	3	7	100	80	4,38	3,50	2,72	2,69
◆ 771-UDA1342TSDB-T	UDA1342TS/N1,518	SSOP-28	Audio pour MD	3	6	100	105	4,13	3,29	2,56	2,43
◆ 771-UDA1345TSDB-T	UDA1345TS/N2,118	SSOP-28	Audio économique	3	4	100	65	2,22	1,76	1,37	1,30
◆ 771-UDA1345TSN2112	UDA1345TS/N2,112	SSOP-28	Audio économique	3	4	100	65	2,67	2,24	2,04	1,84
◆ 771-UDA1380HNN2118	UDA1380HN/N2,118	HVQFN-32	Audio stéréo pour MD, CD et MP3	3	3,4	100	65	1,83	1,45	1,13	1,07

CONTRÔLEURS CAN, AUTONOMES

◆ **Composant pour montage en surface**

Pour des quantités supérieures à celles indiquées, appelez-nous afin d'obtenir un devis.

RÉF. STOCK MOUSER	Réf. NXP	Boîtier	DC Supply Voltage (Min/Max)	Courant d'alimentation de fonctionnement (mA)	Protocole bus	Fonctionnement Temperature (°C)	Prix unitaire 1	25	100	250
◆ 771-SJA1000TD	SJA1000T/N1,112	SO-28	4.5/5.5	15	CAN 2.0B	-40 à +125	4,79	3,83	3,16	2,87
◆ 771-SJA1000TN1118	SJA1000T/N1,118	SO-28	4.5/5.5	15	CAN 2.0B	-40 à +125	4,97	4,01	3,33	3,05

PONTS D'INTERFACE

NEW PRODUCT

◆ **Composant pour montage en surface**

Pour des quantités supérieures à celles indiquées, appelez-nous afin d'obtenir un devis.

RÉF. STOCK MOUSER	Réf. NXP	Boîtier	Tampon Trans.	Tampon Récep.	Interface Type	GPIO	Vitesse du bus	Vitesse du bus I^2C	Type d'oscillateur	Prix unitaire 1	25	100	250
◆ 771-SC16IS740IPWQ900	SC16IS740IPW/Q900,	TSSOP-16	64 octets	64 octets	I2C vers SPI	8	15M/s	400	Interne	1,99	1,84	1,55	1,40
◆ 771-SC18IS600IBS,128	SC18IS600IBS,128	HVQFN 24 broches	96 octets	96 octets	SPI vers I2C	4	1.2M/s	400	Interne	1,57	1,53	1,45	1,37
◆ 771-SC18IS600IPW	SC18IS600IPW,112	TSSOP-16	96 octets	96 octets	SPI vers I2C	4	1.2M/s	400	Interne	2,44	1,96	1,79	1,62
◆ 771-SC18IS601IBS,128	SC18IS601IBS,128	HVQFN 24 broches	96 octets	96 octets	SPI vers I2C	3	3M/s	400	Externe	1,57	1,53	1,45	1,37
◆ 771-SC18IS601IPW128	SC18IS601IPW,128	TSSOP-16	96 octets	96 octets	SPI vers I2C	3	3M/s	400	Externe	1,75	1,53	1,18	1,13
◆ 771-SC18IS602BIPW128	SC18IS602BIPW,128	TSSOP-16	-	-	I2C vers SPI	4	1.8M/s	400	Interne	1,94	1,55	1,20	1,14

© Copyright 2012 Mouser Electronics

© Copyright 2012 Mouser Electronics

CI analogiques NXP SEMICONDUCTOR

RoHS Compliant This product is RoHS compliant.

CONTRÔLEURS D'INTERFACE

◆ Composant pour montage en surface

Pour des quantités supérieures à celles indiquées, appelez-nous afin d'obtenir un devis.

RÉF. STOCK MOUSER	Réf. NXP	Boîtier	Interruption de sortie	Réinitialisation à l'allumage	Vcc (Min./Max.) (V)	Convertisseur/Type d'interface	Vitesse du bus	Nombre d'adresses	Température de fonctionnement (°C)	Prix unitaire 1	25	100	250
◆ 771-PCA9564D-T	PCA9564D,118	SO-20	Oui	Oui	2.3/2.6	Bus parallèle vers I2C	400	128	-40 à +85	1,49	1,26	1,03	1,01
◆ 771-PCA9564PW	PCA9564PW,112	TSSOP-20	Oui	Oui	2.3/2.6	Bus parallèle vers I2C	400	128	-40 à +85	1,46	1,22	1,00	0,986
◆ 771-PCA9564PW118	PCA9564PW,118	TSSOP-20	Oui	Oui	2.3/2.6	Bus parallèle vers I2C	400	128	-40 à +85	1,74	1,40	1,08	1,02
◆ 771-PCA9665PW-T	PCA9665PW,118	TSSOP-20	Oui	Oui	2.3/2.6	Fm+ parallèle vers I2C	1000	128	-40 à +85	1,24	1,20	1,15	1,13
771-PCF8584PN	PCF8584P,112	DIP-20	Oui	Oui	4,5 / 5,5	Bus parallèle vers I2C	100	128	-40 à +85	3,58	2,88	2,39	2,13
◆ 771-PCF8584T2512	PCF8584T/2,512	SO-20	Oui	Oui	4,5 / 5,5	Bus parallèle vers I2C	100	128	-40 à +85	3,58	2,88	2,39	2,13
◆ 771-PCF8584TD-T	PCF8584T/2,518	SO-20	Oui	Oui	4,5 / 5,5	Bus parallèle vers I2C	100	128	-40 à +85	2,72	2,21	1,99	1,94
◆ 771-SC18IM700IPW	SC18IM700IPW,112	TSSOP-16	Non	Oui	2.4/3.6	UART vers I2C	400	8	-40 à +85	2,10	1,65	1,40	1,23

CONTRÔLEURS HÔTES

◆ Composant pour montage en surface

Pour des quantités supérieures à celles indiquées, appelez-nous afin d'obtenir un devis.

RÉF. STOCK MOUSER	Réf. NXP	Boîtier	Tension d'alimentation du cœur	Plage de tension fonctionnement	Description	Prix unitaire 1	25	100	250
◆ 771-SDIO101IHR551	SDIO101IHR,551	HXQFN-60U	1,8 V	1,8 à 3,3V	Un contrôleur de bus hôte SD/SDIO/MMC/CE-ATA à interface mémoire 16 bits	3,17	2,53	2,30	2,08

RÉPÉTEURS/COUPLEURS/EXTENSION DE BUS I²C

PRODUCT NEW

◆ Composant pour montage en surface

Pour des quantités supérieures à celles indiquées, appelez-nous afin d'obtenir un devis.

RÉF. STOCK MOUSER	Réf. NXP	Boîtier	Entrées	Sorties	Vcc (Min./Max.) (V)	Description	Prix unitaire 1	25	100	250
771-P82B715PN	P82B715PN,112	DIP-8	1	1	4.5/12	Extension de bus I2C	3,85	3,58	2,14	1,92
◆ 771-P82B715TD	P82B715TD,112	SO-8	1	1	4.5/12	Extension de bus I2C	3,85	3,58	2,14	1,92
◆ 771-P82B715TD118	P82B715TD,118	SO-8	1	1	4.5/12	Extension de bus I2C	3,40	2,78	2,50	2,27
◆ 771-P82B96DP-T	P82B96DP,118	TSSOP-8	1	1	2.0/15	Double tampon bidirectionnel	2,93	2,39	2,15	1,96
771-P82B96PN	P82B96PN,112	DIP-8	1	1	2.0/15	Double tampon bidirectionnel	2,74	2,20	2,00	1,81
◆ 771-P82B96TD112	P82B96TD,112	SO-8	1	1	2.0/15	Double tampon bidirectionnel	2,74	2,20	2,00	1,81
◆ 771-P82B96TD-T	P82B96TD,118	SO-8	1	1	2.0/15	Double tampon bidirectionnel	2,93	2,39	2,15	1,96
◆ 771-PCA9507D118	PCA9507D,118	SO-8	1	1	2,7 / 5,5	Extension de bus 2 fils en série pour HDMI, DDC, I2C et SMBus	0,84	0,76	0,677	0,631
◆ 771-PCA9507DP118	PCA9507DP,118	TSSOP-8	1	1	2,7 / 5,5	Extension de bus 2 fils en série pour HDMI, DDC, I2C et SMBus	1,10	0,995	0,882	0,821
◆ 771-PCA9508D118	PCA9508D,118	SO-8	1	1	2.7/5.5	Répéteur de bus I2C adapt. de niveau échang. à chaud	1,10	0,995	0,882	0,821
◆ 771-PCA9509D118	PCA9509D,118	SO-8	1	1	2,7 / 5,5	Répéteur de bus I2C/SMB à adapt. niveau	0,84	0,76	0,677	0,63
◆ 771-PCA9509DP-T	PCA9509DP,118	TSSOP-8	1	1	2,7 / 5,5	Répéteur de bus I2C/SMB à adapt. niveau	1,53	1,18	1,07	0,96
◆ 771-PCA9510ADP-T	PCA9510ADP,118	TSSOP-8	1	1	2.7/5.5	Tampon de bus I2C et SMB échang. à chaud	2,60	2,00	1,82	1,63
◆ 771-PCA9510AD118	PCA9510AD,118	SO-8	1	1	2.7/5.5	Tampon de bus I2C et SMB échang. à chaud	1,66	1,34	1,00	0,934
◆ 771-PCA9511AD	PCA9511AD,112	SO-8	1	1	2.7/5.5	Tampon de bus I2C et SMB échang. à chaud	2,14	1,72	1,55	1,38
◆ 771-PCA9511AD118	PCA9511AD,118	SO-8	1	1	2.7/5.5	Tampon de bus I2C et SMB échang. à chaud	1,79	1,44	1,08	1,01
◆ 771-PCA9511ADP-T	PCA9511ADP,118	TSSOP-8	1	1	2.7/5.5	Tampon de bus I2C et SMB échang. à chaud	2,42	1,86	1,68	1,51
◆ 771-PCA9512AD	PCA9512AD,112	SO-8	1	1	2,7 / 5,5	Tampon de bus I2C et SMB échang. à chaud à déphasage	2,14	1,72	1,55	1,38
◆ 771-PCA9512AD118	PCA9512AD,118	SO-8	1	1	2,7 / 5,5	Tampon de bus I2C et SMB échang. à chaud à déphasage	1,79	1,44	1,08	1,01
◆ 771-PCA9512BD118	PCA9512BD,118	SO-8	1	1	2,7 / 5,5	Tampon de bus I2C et SMB échang. à chaud à déphasage	2,76	2,13	1,79	1,51
◆ 771-PCA9512BDP118	PCA9512BDP,118	TSSOP-8	1	1	2,7 / 5,5	Tampon de bus I2C et SMB échang. à chaud à déphasage	2,76	2,13	1,79	1,51
◆ 771-PCA9512ADP-T	PCA9512ADP,118	TSSOP-8	1	1	2,7 / 5,5	Tampon de bus I2C et SMB échang. à chaud à déphasage	2,42	1,86	1,68	1,51
◆ 771-PCA9513ADP-T	PCA9513ADP,118	TSSOP-8	1	1	2.7/5.5	Tampon de bus I2C et SMB échang. à chaud	2,60	2,00	1,82	1,63
◆ 771-PCA9513AD118	PCA9513AD,118	SO-8	1	1	2.7/5.5	Tampon de bus I2C et SMB échang. à chaud	1,66	1,34	1,00	0,934
◆ 771-PCA9514AD	PCA9514AD,112	SO-8	1	1	2.7/5.5	Tampon de bus I2C et SMB échang. à chaud	2,14	1,72	1,55	1,38
◆ 771-PCA9514AD118	PCA9514AD,118	SO-8	1	1	2.7/5.5	Tampon de bus I2C et SMB échang. à chaud	1,66	1,34	1,00	0,934
◆ 771-PCA9515ADPDG118	PCA9515ADP/DG,118	TSSOP-8	1	1	3 / 3,6	Répéteur pour bus I2C	0,94	0,908	0,873	0,819
◆ 771-PCA9515ADP-T	PCA9515ADP,118	TSSOP-8	1	1	3 / 3,6	Répéteur pour bus I2C	1,68	1,29	1,17	1,06
◆ 771-PCA9515AD-T	PCA9515AD,118	SO-8	1	1	3 / 3,6	Répéteur pour bus I2C	1,68	1,29	1,17	1,06
◆ 771-PCA9515D	PCA9515D,112	SO-8	1	1	3 / 3,6	Répéteur pour bus I2C	1,35	1,09	0,978	0,873
◆ 771-PCA9515DP-T	PCA9515DP,118	TSSOP-8	1	1	3 / 3,6	Répéteur pour bus I2C	1,53	1,18	1,07	0,96
◆ 771-PCA9517AD118	PCA9517AD,118	SO-8	1	1	2.7/3.6	Répéteur de bus I2C/SMB à adapt. niveau	1,34	1,20	1,07	0,96
◆ 771-PCA9517ADP118	PCA9517ADP,118	TSSOP-8	1	1	2.7/3.6	Répéteur de bus I2C/SMB à adapt. niveau	1,34	1,20	1,07	0,96
◆ 771-PCA9525D118	PCA9525D,118	SO-8	1	1	2,7 / 5,5	Tampon de bus 3 fils simple	1,49	1,45	1,37	1,30
◆ 771-PCA9525DP118	PCA9525DP,118	TSSOP-8	1	1	2,7 / 5,5	Tampon de bus 3 fils simple	1,49	1,45	1,37	1,30
◆ 771-PCA9516AD	PCA9516AD,112	SO-16	1	4	3 / 3,6	Distrib. de bus I2C 5 canaux	1,99	1,61	1,44	1,28
◆ 771-PCA9518PW	PCA9518PW,112	TSSOP-20	1	4	3 / 5,5	Distrib. de bus I2C 5 canaux extensible	1,41	1,34	1,02	0,96
◆ 771-PCA9518PW118	PCA9518PW,118	TSSOP-20	1	4	3 / 5,5	Distrib. de bus I2C 5 canaux extensible	1,34	1,28	0,978	0,917
◆ 771-PCA9646D118	PCA9646D,118	SO-16	1	4	2.7/5.5	Commutateur de bus 2 fils 4 canaux à tampon	5,45	5,28	4,54	4,09
◆ 771-PCA9621D118	PCA9621D,118	SO-16	2	8	2.7/5.5	Port de sortie 8 bits pour bus 2 fils	2,83	2,36	2,15	1,94

E/S GÉNÉRALES I²C

PRODUCT NEW

◆ Composant pour montage en surface

Pour des quantités supérieures à celles indiquées, appelez-nous afin d'obtenir un devis.

RÉF. STOCK MOUSER	Réf. NXP	Boîtier	Interruption de sortie	Réinitialisation d'entrée	Vcc (Min./Max.) (V)	Nombre de bits	Courant de source par bit (mA)	Vitesse du bus	Nombre d'adresses	Température de fonctionnement (°C)	Prix unitaire 1	25	100	250
◆ 771-PCA85AD518	PCA8574AD,518	SO-16	Non	Non	2.3/5.5	8	0,1	400	8	-40 à +85	0,93	0,829	0,672	0,629
◆ 771-PCA85APW118	PCA8574APW,118	TSSOP-16	Non	Non	2.3/5.5	8	0,1	400	8	-40 à +85	0,66	0,629	0,615	0,597
◆ 771-PCA85PW118	PCA8574PW,118	TSSOP-16	Non	Non	2.3/5.5	8	0,1	400	8	-40 à +85	0,73	0,707	0,672	0,629
◆ 771-PCA85TS112	PCA8574TS,112	SSOP-20	Non	Non	2.3/5.5	8	0,1	400	8	-40 à +85	1,43	1,15	1,04	0,925
◆ 771-PCA8575PW-T	PCA8575PW,118	TSSOP-24	Non	Non	2.3/5.5	16	0,1	400	16	-40 à +85	0,95	0,917	0,864	0,813
◆ 771-PCA9500D-T	PCA9500D,118	SO-16	Non	Non	2.5/3.6	8	0,1	400	8	-40 à +85	1,11	1,00	0,82	0,751
◆ 771-PCA9500PW-T	PCA9500PW,118	TSSOP-16	Non	Non	2.5/3.6	8	0,1	400	8	-40 à +85	1,11	1,00	0,82	0,751
◆ 771-PCA9501BS118	PCA9501BS,118	HVQFN-20	Non	Non	2.5/3.6	8	0,1	400	64	-40 à +85	2,11	1,62	1,48	1,32
◆ 771-PCA9501D-T	PCA9501D,118	SO-20	Non	Non	2.5/3.6	8	0,1	400	64	-40 à +85	1,20	1,08	0,854	0,816
◆ 771-PCA9501PW112	PCA9501PW,112	TSSOP-20	Non	Non	2.5/3.6	8	0,1	400	64	-40 à +85	1,85	1,50	1,20	1,01
◆ 771-PCA9501PW-T	PCA9501PW,118	TSSOP-20	Non	Non	2.5/3.6	8	0,1	400	64	-40 à +85	1,26	1,19	0,978	0,934
◆ 771-PCA9502BS128	PCA9502BS,128	HVQFN 24	Non	Non	3 / 3,6	8	10	400	16	-40 à +85	0,96	0,925	0,899	0,873
◆ 771-PCA9502BS-S	PCA9502BS,151	HVQFN 24	Non	Non	3 / 3,6	8	10	400	16	-40 à +85	1,88	1,51	1,36	1,20
◆ 771-PCA9505DGG-T	PCA9505DGG,118	TSSOP-56	Non	Non	2.3/5.5	40	10	400	8	-40 à +85	2,91	2,62	2,54	2,40
◆ 771-PCA9506BS-T	PCA9506BS,118	HVQFN-56	Non	Non	2.3/5.5	40	10	400	8	-40 à +85	4,19	3,42	3,07	2,79
◆ 771-PCA9506DGG-T	PCA9506DGG,518	TSSOP-56	Non	Non	2.3/5.5	40	10	400	8	-40 à +85	2,91	2,36	2,12	2,07
◆ 771-PCA9534BS118	PCA9534BS,118	HVQFN-16	Non	Non	2.3/5.5	8	10	400	8	-40 à +85	1,71	1,32	1,20	1,07
◆ 771-PCA9534D-T	PCA9534D,118	SO-16	Non	Non	2.3/5.5	8	10	400	8	-40 à +85	0,92	0,864	0,725	0,668

© Copyright 2012 Mouser Electronics

© Copyright 2012 Mouser Electronics

CI analogiques NXP SEMICONDUCTOR

RoHS Compliant **This product is RoHS compliant.**

E/S GÉNÉRALES I²C

◆ **Composant pour montage en surface**

Pour des quantités supérieures à celles indiquées, appelez-nous afin d'obtenir un devis.

RÉF. STOCK MOUSER	Réf. NXP	Boîtier	Interruption de sortie	Réinitialisation d'entrée	Vcc (Min./Max.) (V)	Nombre de bits	Courant de source par bit (mA)	Vitesse du bus	Nombre d'adresses	Température de fonctionnement (°C)	Prix unitaire 1	25	100	250
◆ 771-PCA9534PW-T	PCA9534PW,118	TSSOP-16	Non	Non	2.3/5.5	8	10	400	8	-40 à +85	1,71	1,32	1,20	1,07
◆ 771-PCA9535BS-T	PCA9535BS,118	HVQFN 24 broches	Non	Non	2.3/5.5	16	10	400	8	-40 à +85	2,30	1,76	1,60	1,44
◆ 771-PCA9535CD118	PCA9535CD,118	SO-24	Non	Non	2.3/5.5	16	10	400	8	-40 à +85	1,31	1,15	0,943	0,908
◆ 771-PCA9535CHF118	PCA9535CHF,118	HWQFN-24	Non	Non	2.3/5.5	16	10	400	8	-40 à +85	0,96	0,925	0,873	0,847
◆ 771-PCA9535CPW118	PCA9535CPW,118	TSSOP-24	Non	Non	2.3/5.5	16	10	400	8	-40 à +85	1,05	1,01	0,943	0,908
◆ 771-PCA9535D112	PCA9535D,112	SO-24	Non	Non	2.3/5.5	16	10	400	8	-40 à +85	1,89	1,53	1,37	1,22
◆ 771-PCA9535D-T	PCA9535D,118	SO-24	Non	Non	2.3/5.5	16	10	400	8	-40 à +85	1,69	1,63	1,47	1,31
◆ 771-PCA9535PW112	PCA9535PW,112	TSSOP-24	Non	Non	2.3/5.5	16	10	400	8	-40 à +85	1,59	1,28	1,08	0,96
◆ 771-PCA9535PW-T	PCA9535PW,118	TSSOP-24	Non	Non	2.3/5.5	16	10	400	8	-40 à +85	1,31	1,14	0,943	0,899
◆ 771-PCA9536D-T	PCA9536D,118	SO-8	Non	Non	2.3/5.5	4	10	400	1	-40 à +85	1,33	1,05	0,943	0,821
◆ 771-PCA9536DP-T	PCA9536DP,118	TSSOP-8	Non	Non	2.3/5.5	4	10	400	1	-40 à +85	1,33	1,05	0,943	0,821
◆ 771-PCA9538D-T	PCA9538D,118	SO-16	Non	Oui	2.3/5.5	8	10	400	4	-40 à +85	0,84	0,812	0,777	0,716
◆ 771-PCA9538PW-T	PCA9538PW,118	TSSOP-16	Non	Oui	2.3/5.5	8	10	400	4	-40 à +85	1,71	1,32	1,20	1,07
◆ 771-PCA9539BS-T	PCA9539BS,118	HVQFN 24 broches	Non	Oui	2.3/5.5	16	10	400	4	-40 à +85	2,38	1,83	1,67	1,49
◆ 771-PCA9539PW-T	PCA9539PW,118	TSSOP-24	Non	Oui	2.3/5.5	16	10	400	4	-40 à +85	2,38	1,83	1,67	1,49
◆ 771-PCA9539RPW,118	PCA9539RPW,118	TSSOP-24	Non	Oui	2.3/5.5	16	10	400	4	-40 à +85	1,36	1,32	1,26	1,19
◆ 771-PCA9554ABS-T	PCA9554ABS,118	HVQFN-16	Non	Non	2.3/5.5	8	10	400	8	-40 à +85	1,68	1,29	1,17	1,06
◆ 771-PCA9554AD-T	PCA9554AD,118	SO-16	Non	Non	2.3/5.5	8	10	400	8	-40 à +85	0,90	0,856	0,711	0,656
◆ 771-PCA9554ADB-T	PCA9554ADB,118	SSOP 16	Non	Non	2.3/5.5	8	10	400	8	-40 à +85	1,68	1,29	1,17	1,06
◆ 771-PCA9554APW	PCA9554APW,112	TSSOP-16	Non	Non	2.3/5.5	8	10	400	8	-40 à +85	1,49	1,20	1,07	0,96
◆ 771-PCA9554D-T	PCA9554D,118	SO-16	Non	Non	2.3/5.5	8	10	400	8	-40 à +85	1,62	1,31	1,18	1,05
◆ 771-PCA9554DB-T	PCA9554DB,118	SSOP 16	Non	Non	2.3/5.5	8	10	400	8	-40 à +85	0,99	0,934	0,777	0,716
771-PCA9554N	PCA9554N,112	DIP-16	Non	Non	2.3/5.5	8	10	400	8	-40 à +85	1,49	1,20	1,07	0,96
◆ 771-PCA9554PW112	PCA9554PW,112	TSSOP-16	Non	Non	2.3/5.5	8	10	400	8	-40 à +85	1,48	1,20	0,96	0,802
◆ 771-PCA9554PW-T	PCA9554PW,118	TSSOP-16	Non	Non	2.3/5.5	8	10	400	8	-40 à +85	1,83	1,41	1,28	1,15
◆ 771-PCA9554PWDG118	PCA9554PW/DG,118	TSSOP-16	Non	Non	2.3/5.5	8	10	400	8	-40 à +85	0,84	0,812	0,777	0,716
◆ 771-PCA9554PWQ900118	PCA9554PW/Q900,118	TSSOP-16	Non	Non	2.3/5.5	8	10	400	8	-40 à +85	1,26	1,22	1,16	1,10
◆ 771-PCA9555BS-T	PCA9555BS,118	HVQFN 24 broches	Non	Non	2.3/5.5	16	10	400	8	-40 à +85	2,30	1,76	1,60	1,44
◆ 771-PCA9555D112	PCA9555D,112	SO-24	Non	Non	2.3/5.5	16	10	400	8	-40 à +85	2,03	1,63	1,47	1,31
◆ 771-PCA9555D-T	PCA9555D,118	SO-24	Non	Non	2.3/5.5	16	10	400	8	-40 à +85	1,31	1,15	0,943	0,908
◆ 771-PCA9555DB112	PCA9555DB,112	SSOP 24	Non	Non	2.3/5.5	16	10	400	8	-40 à +85	2,03	1,63	1,47	1,31
◆ 771-PCA9555DB-T	PCA9555DB,118	SSOP 24	Non	Non	2.3/5.5	16	10	400	8	-40 à +85	2,30	1,76	1,60	1,44
771-PCA9555N	PCA9555N,112	DIP-24	Non	Non	2.3/5.5	16	10	400	8	-40 à +85	2,03	1,63	1,47	1,31
◆ 771-PCA9555PW	PCA9555PW,112	TSSOP-24	Non	Non	2.3/5.5	16	10	400	8	-40 à +85	2,03	1,63	1,47	1,31
◆ 771-PCA9555PW-T	PCA9555PW,118	TSSOP-24	Non	Non	2.3/5.5	16	10	400	8	-40 à +85	2,30	1,76	1,60	1,44
◆ 771-PCA9555PWDG118	PCA9555PW/DG,118	TSSOP-24	Non	Non	2.3/5.5	16	10	400	8	-40 à +85	1,12	1,08	1,01	0,969
◆ 771-PCA9557BS-T	PCA9557BS,118	HVQFN-16	Non	Oui	2.3/5.5	8	10	400	8	-40 à +85	1,50	1,15	1,05	0,934
◆ 771-PCA9557D	PCA9557D,112	SO-16	Non	Oui	2.3/5.5	8	10	400	8	-40 à +85	1,33	1,07	0,96	0,856
◆ 771-PCA9557PW-T	PCA9557PW,118	TSSOP-16	Non	Oui	2.3/5.5	8	10	400	8	-40 à +85	1,50	1,15	1,05	0,934
◆ 771-PCA9575HF	PCA9575HF,118	HWQFN-24	Oui	Non	1.1/3.6	16	1	400	16	-40 à +85	1,89	1,53	1,37	1,22
◆ 771-PCA9575PW2,118	PCA9575PW2,118	TSSOP-28	Oui	Non	1.1/3.6	16	1	400	16	-40 à +85	1,22	1,19	1,13	1,07
◆ 771-PCA9670PW118	PCA9670PW,118	TSSOP-16	Non	Oui	2.3/5.5	64	0,1	1 000	8	-40 à +85	1,05	0,943	0,755	0,711
◆ 771-PCA9673DK118	PCA9673DK,118	SSOP 24	Oui	Oui	2.3/5.5	64	0,1	1000	16	-40 à +85	2,15	1,65	1,49	1,34
◆ 771-PCA96ABS118	PCA9674ABS,118	HVQFN-16	Oui	Non	2.3/5.5	64	0,1	1 000	8	-40 à +85	1,83	1,41	1,28	1,15
771-PCA96AN112	PCA9674AN,112	DIP-16	Oui	Non	2.3/5.5	64	0,1	1 000	8	-40 à +85	1,33	1,07	0,96	0,855
◆ 771-PCA9675PW118	PCA9675PW,118	TSSOP-24	Oui	Non	2.3/5.5	64	0,1	1000	16	-40 à +85	1,64	1,44	1,05	1,00
◆ 771-PCA9698DGG-T	PCA9698DGG,518	TSSOP-56	Oui	Oui	2.3/5.5	40	10	1000	64	-40 à +85	3,49	3,24	2,52	2,40
◆ 771-PCA9702PW,118	PCA9702PW,118	TSSOP-16	Oui	Non	2.3/5.5	16	-	5MHz	8	-40 à +125	0,96	0,934	0,882	0,84
771-PCF8574APN	PCF8574AP,112	DIP-16	Non	Non	2.5/6.0	8	0,1	100	8	-40 à +85	1,60	1,28	1,15	1,03
◆ 771-PCF85AT3512	PCF8574AT/3,512	SO-16	Non	Non	2.5/6.0	8	0,1	100	8	-40 à +85	1,60	1,28	1,15	1,03
◆ 771-PCF8574ATD-T	PCF8574AT/3,518	SO-16	Non	Non	2.5/6.0	8	0,1	100	8	-40 à +85	1,81	1,39	1,26	1,13
◆ 771-PCF8574ATDK-T	PCF8574ATS/3,118	SSOP-20	Non	Non	2.5/6.0	8	0,1	100	8	-40 à +85	1,81	1,39	1,26	1,13
771-PCF8574PN	PCF8574P,112	DIP-16	Non	Non	2.5/6.0	8	0,1	100	8	-40 à +85	1,60	1,28	1,15	1,03
◆ 771-PCF8574TD-T	PCF8574T/3,518	SO-16	Non	Non	2.5/6.0	8	0,1	100	8	-40 à +85	1,81	1,39	1,26	1,13
◆ 771-PCF8574TDK	PCF8574TS/3,112	SSOP-20	Non	Non	2.5/6.0	8	0,1	100	8	-40 à +85	1,59	1,28	1,03	0,861
◆ 771-PCF8574TDK-T	PCF8574TS/3,118	SSOP-20	Non	Non	2.5/6.0	8	0,1	100	8	-40 à +85	1,81	1,39	1,26	1,13
◆ 771-PCF8575TSDB	PCF8575TS/1,112	SSOP 24	Non	Non	2.5/6.0	16	0,1	400	8	-40 à +85	2,17	1,75	1,57	1,40
◆ 771-PCF8575TSDB-T	PCF8575TS/1,118	SSOP 24	Non	Non	2.5/6.0	16	0,1	400	8	-40 à +85	2,44	1,89	1,71	1,54

COMMUTATEURS/MULTIPLEXEURS I²C

◆ **Composant pour montage en surface**

Pour des quantités supérieures à celles indiquées, appelez-nous afin d'obtenir un devis.

RÉF. STOCK MOUSER	Réf. NXP	Boîtier	Interruption de sortie	Réinitialisation à l'allumage	Vcc (Min./Max.) (V)	Entrées	Sorties	Vitesse du bus	Nombre d'adresses	Température de fonctionnement (°C)	Prix unitaire 1	25	100	250
◆ 771-PCA9540BDP/DG118	PCA9540BDP/DG,118	TSSOP-8	Non	Oui	2.3/5.5	1	2	400	1	-40 à +85	1,20	1,17	1,11	1,05
◆ 771-PCA9541APW0111	PCA9541APW/01,118	TSSOP-16	Oui	Oui	2.3/5.5	2 (Maîtres)	1 Esclave	400	16	-40 à +85	2,58	1,99	1,68	1,41
◆ 771-PCA9541APW0311	PCA9541APW/03,118	TSSOP-16	Oui	Oui	2.3/5.5	2 (Maîtres)	1 Esclave	400	16	-40 à +85	2,58	1,99	1,68	1,41

TRANSLATEURS DE NIVEAU DE TENSION I²C

◆ **Composant pour montage en surface**

Pour des quantités supérieures à celles indiquées, appelez-nous afin d'obtenir un devis.

RÉF. STOCK MOUSER	Réf. NXP	Boîtier	Nombre de sorties	tpd (Max.) (ns)	Tension d'entrée (Max.) (V)	R_{marche} (Typ./Max.) (Ω)	$C_{io(on)}$ (Typ./Max.) (pF)	$C_{es\ (off)}$ (Typ./Max.) (pF)	Température de fonctionnement (°C)	Prix unitaire 1	25	100	250
◆ 771-NVT2001GM115	NVT2001GM,115	XSON-6	1	1,5	6	2.4/5.0	9.3/12.5	4.0/6.0	-40 à +85	0,35	0,34	0,323	0,306
◆ 771-NVT2002DP118	NVT2002DP,118	TSSOP-8	2	1,5	6	2.4/5.0	9.3/12.5	4.0/6.0	-40 à +85	0,63	0,564	0,498	0,431
◆ 771-PCA9306GF115	PCA9306GF,115	XSON-8	2	1,5	6	2.4/5.0	9.3/12.5	4.0/6.0	-40 à +85	0,47	0,457	0,438	0,389
◆ 771-NVT2006BQ115	NVT2006BQ,115	DHVQFN-16	6	1,5	6	2.4/5.0	11.5/13	5.0/7.0	-40 à +85	0,87	0,672	0,589	0,512
◆ 771-NVT2006BS118	NVT2006BS,118	HVQFN-16	6	1,5	6	2.4/5.0	11.5/13	5.0/7.0	-40 à +85	0,87	0,672	0,589	0,512

© Copyright 2012 Mouser Electronics

© Copyright 2012 Mouser Electronics

CI analogiques NXP SEMICONDUCTOR

RoHS Compliant **This product is RoHS compliant.**

COMMUTATEURS/MULTIPLEXEURS

◆ **Composant pour montage en surface**

Pour des quantités supérieures à celles indiquées, appelez-nous afin d'obtenir un devis.

RÉF. STOCK MOUSER	Réf. NXP	Boîtier	Tension d'alimentation (V)	Courant de veille (µA)	Tension nominal (mA)	Bande passante	Nombre de canaux	Température de fonctionnement (°C)	Prix unitaire 1	25	100	250
◆ 771-CBTL03SB212BS515	CBTL03SB212BS,515	HVQFN-20	3 à 3,6	-	0,2	2.5 GHz	3	-40 à +85	1,65	1,48	1,34	1,20
◆ 771-CBTL04082ABS518	CBTL04082ABS,518	HVQFN-42	3 à 3,6	1	2,7	6.0 GHz	4	-40 à +85	2,04	1,86	1,67	1,49
◆ 771-CBTL04082BBS518	CBTL04082BBS,518	HVQFN-42	3 à 3,6	1	2,7	6.0 GHz	4	-40 à +85	2,04	1,86	1,67	1,49
◆ 771-CBTL04083ABS518	CBTL04083ABS,518	HVQFN-42	3 à 3,6	-	2,7	8.3 GHz	4	-40 à +85	2,57	2,32	2,10	1,88
◆ 771-CBTL04083BBS518	CBTL04083BBS,518	HVQFN-42	3 à 3,6	-	2,7	7.5 GHz	4	-40 à +85	2,57	2,32	2,10	1,88
◆ 771-CBTL06122AHF518	CBTL06122AHF,518	HWQFN-56R	3 à 3,6	10	0,2	2.5 GHz	6	-10 à +85	1,22	1,09	0,978	0,873
◆ 771-CBTL06122BHF518	CBTL06122BHF,518	HWQFN-56R	3 à 3,6	10	0,2	2.5 GHz	6	-10 à +85	1,22	1,09	0,978	0,873
◆ 771-CBTL06141EEG118	CBTL06141EE/G,118	TFBGA-48	3,0 à 3,6	-	0,2	2.5 GHz	6	-40 à +85	2,44	1,89	1,71	1,54
◆ 771-CBTL06DP211EE118	CBTL06DP211EE,118	TFBGA-48	3,0 à 3,6	-	0,2	2.0 GHz	4	-40 à +85	2,15	1,95	1,75	1,57
◆ 771-CBTL06DP212EE118	CBTL06DP212EE,118	TFBGA-48	3,0 à 3,6	-	2	5.0 GHz	4	-40 à +85	3,21	2,49	2,09	1,76
◆ 771-CBTU04083BS518	CBTU04083BS,518	HVQFN-42	-0,5 à 2,5	-	4	4.1 GHz	4	-40 à +85	2,44	1,96	1,76	1,57
◆ 771-CBTW28DD14ET118	CBTW28DD14ET,118	TFBGA-48	1,4 à 2,0	-	0,3	2.5 GHz	1	-40 à +85	2,30	1,76	1,60	1,44

COMPOSANTS DE COUCHE PHYSIQUE (PHY) POUR PCI-EXPRESS

◆ **Composant pour montage en surface**

Pour des quantités supérieures à celles indiquées, appelez-nous afin d'obtenir un devis.

RÉF. STOCK MOUSER	Réf. NXP	Boîtier	Tension d'alimentation (Vcc) (Typ.)	PCIe	Débit (Max.) (Gbps)	Température de fonctionnement (°C)	Prix unitaire 1	25	100	250
◆ 771-PX1011BI-EL1G551	PX1011BI-EL1/G,551	SOT-643	1.2, 2.5, 3.3	X1	2,5	-0 à +70	8,73	7,86	6,97	6,68
◆ 771-PX1011B-EL1G551	PX1011B-EL1/G,551	SOT-643	1.2, 2.5, 3.3	X1	2,5	-40 à +85	9,60	8,08	7,42	6,77

PILOTES LCD

◆ **Composant pour montage en surface**

Pour des quantités supérieures à celles indiquées, appelez-nous afin d'obtenir un devis.

RÉF. STOCK MOUSER	Réf. NXP	Boîtier	Tension d'alimentation (Min/Max)	Courant d'alimentation (Typ.)(mA)	Fréquence de trame LCD (Typ.) (Hz)	Interface	Limite de tension d'alimentation Min.	Max.	Longueur de mot	Rapport de multiplexage	Segments LCD	Prix unitaire 1	25	100	250
◆ 771-PCA9620HQ900151	PCA9620H/Q900/1,51	LQFP-80	1,8 / 5,5	0.125	200	I2C mode rapide	2,5	5,5	----	1:1,1:2,1:4,1:6,1:8	480	3,32	2,99	2,32	2,20
◆ 771-PCF2100CTD-T	PCF2100CT/F1,118	SO-28	2.25/6.0	20	75	C-Bus	2,25	6	22	1:2	40	1,07	1,02	0,986	0,917
◆ 771-PCF2112CTD-T	PCF2112CT/1,118	VSO-40	2.25/6.0	20	35	C-Bus	2,25	6	34	1:1	32	2,03	1,56	1,41	1,27
◆ 771-PCF8562TT/2-118	PCF8562TT/2,118	TSSOP-48	1,8 / 5,5	8	77	I2C mode rapide	1.8	5,5	8	1:1,1:2,1:3,1:4	Jusqu'à 128	2,02	1,55	1,41	1,26
771-PCF8566PN	PCF8566P,112	DIP-40	2.5/6.0	30	64	I2C	2.5	6.0	24	1:1,1:2,1:3,1:4	24	2,44	1,96	1,76	1,57
◆ 771-PCF8566TD-T	PCF8566T/1,118	VSO-40	2.5/6.0	30	64	I2C	2.5	6.0	24	1:1,1:2,1:3,1:4	24	2,11	1,71	1,44	1,27
◆ 771-PCF8576CHL/1157	PCF8576CHL/1,157	LQFP-64	2.0/6.0	40	64	I2C	2	6.0	8	1:1,1:2,1:3,1:4	40	2,93	2,36	2,15	1,94
◆ 771-PCF8576CTD-T	PCF8576CT/1,118	VSO-56	2.0/6.0	40	64	I2C	2	6.0	8	1:1,1:2,1:3,1:4	40	2,27	1,83	1,53	1,40
◆ 771-PCF8576DT/2-T	PCF8576DT/2,118	TSSOP-56	2.0/9.0	0.18	69	I2C	2	9	----	1:1,1:2,1:3,1:4	40	1,83	1,41	1,22	1,02
◆ 771-PCF8577CTD-T	PCF8577CT/3,118	VSO-40	2.5/6.0	25	90	I2C	2.5	6.0	----	1:1,1:2	32	2,85	2,19	1,98	1,78

PILOTES DEL

◆ **Composant pour montage en surface**

Pour des quantités supérieures à celles indiquées, appelez-nous afin d'obtenir un devis.

RÉF. STOCK MOUSER	Réf. NXP	Boîtier	Type de DEL	Tension en entrée (V CC)(V)	Tension en sortie (V)	Courant en sortie (mA)	Type de gradation	Nombre de DEL	Rendement en sortie (%)	Configuration	Prix unitaire 1	25	100	250
◆ 771-PCA9551BS118	PCA9551BS,118	HVQFN-16	Universel	-0,5 à +5,8	-	6,5	MLI	8	-	-	2,08	1,60	1,45	1,30
◆ 771-PCA9551D	PCA9551D,112	SO-16	Universel	-0,5 à +5,8	-	6,5	MLI	8	-	-	1,84	1,48	1,34	1,19
◆ 771-PCA9551PW112	PCA9551PW,112	TSSOP-16	Universel	-0,5 à +5,8	-	6,5	MLI	8	-	-	1,84	1,48	1,34	1,19
◆ 771-PCA9552BS-T	PCA9552BS,118	HVQFN 24 broches	Universel	-0,5 à +5,8	-	25	-	16	-	-	2,63	2,03	1,83	1,65
◆ 771-PCA9552D-T	PCA9552D,118	SO-24	Universel	-0,5 à +5,8	-	25	-	16	-	-	1,65	1,38	1,09	1,02
◆ 771-PCA9552PW-T	PCA9552PW,118	TSSOP-24	Universel	-0,5 à +5,8	-	25	-	16	-	-	1,79	1,49	1,19	1,11
◆ 771-PCA9553D/01-T	PCA9553D/01,118	SO-8	Universel	-0,5 à +5,8	-	6,5	-	4	-	-	1,01	0,908	0,742	0,69
◆ 771-PCA9553DP/01-T	PCA9553DP/01,118	TSSOP-8	Universel	-0,5 à +5,8	-	6,5	-	4	-	-	1,72	1,32	1,20	1,07
◆ 771-PCA9633D16-T	PCA9633D16,118	SO-16	Universel	-0,5 à +5,8	1,6	20	MLI	4	-	-	0,74	0,663	0,512	0,474
◆ 771-PCA9633DP2-T	PCA9633DP2,118	TSSOP-10	Universel	-0,5 à +5,8	1,6	20	MLI	4	-	-	1,33	1,05	0,943	0,821
◆ 771-PCA9633PW-T	PCA9633PW,118	TSSOP-16	Universel	-0,5 à +5,8	1,6	20	MLI	4	-	-	0,74	0,663	0,512	0,474
◆ 771-PCA9634D	PCA9634D,112	SO-20	Universel	-0,5 à +5,8	1,6	20	MLI	8	-	-	0,86	0,786	0,639	0,598
◆ 771-PCA9634PW-T	PCA9634PW,118	TSSOP-20	Universel	-0,5 à +5,8	1,6	20	MLI	8	-	-	1,53	1,18	1,07	0,96
◆ 771-PCA9635PW118	PCA9635PW,118	TSSOP-28	Universel	-0,5 à +5,8	1,6	25	MLI	16	-	-	2,32	1,79	1,62	1,46
◆ 771-PCA9622BS118	PCA9622BS,118	HVQFN-32	Universel	-0,5 à +5,8	-	100	MLI	16	-	Série/Parallèle	2,62	2,14	1,92	1,75
◆ 771-PCA9622DR,118	PCA9622DR,118	TSSOP-32	Universel	-0,5 à +5,8	-	100	MLI	16	-	Série/Parallèle	2,12	1,71	1,42	1,30
◆ 771-PCA9632DP1118	PCA9632DP1,118	TSSOP-8	Universel	-0,5 à +5,8	1,6	20	MLI	4	-	-	0,70	0,62	0,608	0,577
◆ 771-PCA9632DP2118	PCA9632DP2,118	TSSOP-10	Universel	-0,5 à +5,8	1,6	20	MLI	4	-	-	0,94	0,847	0,821	0,663
◆ 771-SAA1064TD-T	SAA1064T/N2,118	SO-24	Universel	0,0 à 5,0	0,5	10	-	4	-	-	1,66	1,40	1,15	1,13

HORLOGES ET CALENDRIERS EN TEMPS RÉEL

◆ **Composant pour montage en surface**

Pour des quantités supérieures à celles indiquées, appelez-nous afin d'obtenir un devis.

RÉF. STOCK MOUSER	Réf. NXP	Boîtier	Résolutions	Interface	Horloge de surveillance	Alarme prog.	Compte à rebours	Suivi d'année bissextile	Compensation de température	Prix unitaire 1	25	100	250
◆ 771-PCA8565TS-T	PCA8565TS/1,118	TSSOP-8	1 seconde à 1 année	I2C	Oui	Oui	Oui	Oui	Non	1,81	1,45	1,08	1,00
◆ 771-PCF2123TS/1-T	PCF2123TS/1,118	TSSOP-14	1 seconde à 1 année	SPI	Oui	Oui	Oui	Oui	Non	1,07	0,995	0,807	0,602
◆ 771-PCF2127AT/1512	PCF2127AT/1,512	SO-20	1 seconde à 1 année	I2C, SPI	Oui	Oui	Oui	Oui	Oui	2,79	2,53	2,26	2,10
◆ 771-PCF2129AT/1512	PCF2129AT/1,512	SO-20	1 seconde à 1 année	I2C, SPI	Oui	Oui	Non	Oui	Oui	2,31	2,08	1,89	1,71
◆ 771-PCF8523T/1118	PCF8523T/1,118	SO-8	1 seconde à 1 année	I2C	Oui	Oui	Oui	Oui	Non	1,24	1,11	0,995	0,89
◆ 771-PCF8523TK/1118	PCF8523TK/1,118	HVSON-8	1 seconde à 1 année	I2C	Oui	Oui	Oui	Oui	Non	1,34	1,20	1,08	0,978
◆ 771-PCF8523TS/1112	PCF8523TS/1,112	TSSOP-14	1 seconde à 1 année	I2C	Oui	Oui	Oui	Oui	Non	1,24	1,11	0,995	0,89
◆ 771-PCF8523TS/1118	PCF8523TS/1,118	TSSOP-14	1 seconde à 1 année	I2C	Oui	Oui	Oui	Oui	Non	1,34	1,20	1,08	0,978
◆ 771-PCF8563T/5518	PCF8563T/5,518	SO-8	1 seconde à 1 année	I2C	Oui	Oui	Oui	Oui	Non	1,24	1,13	0,978	0,863
◆ 771-PCF8563TD	PCF8563T/F4,112	SO-8	1 seconde à 1 année	I2C	Oui	Oui	Oui	Oui	Non	1,20	0,995	0,934	0,899
◆ 771-PCF8563TD-T	PCF8563T/F4,118	SO-8	1 seconde à 1 année	I2C	Oui	Oui	Oui	Oui	Non	0,79	0,768	0,742	0,725
◆ 771-PCF8563TS-T	PCF8563TS/4,118	TSSOP-8	1 seconde à 1 année	I2C	Oui	Oui	Oui	Oui	Non	1,42	1,13	0,847	0,794
◆ 771-PCF8563TS/5118	PCF8563TS/5,118	TSSOP-8	1 seconde à 1 année	I2C	Oui	Oui	Oui	Oui	Non	1,29	1,17	1,02	0,899
◆ 771-PCF8583PN	PCF8583P/F5,112	DIP-8	1/100e de seconde à 1 année	I2C	Non	Oui	Oui	Non	Non	2,62	2,05	1,76	1,52
◆ 771-PCF8583TD-T	PCF8583T/5,518	SO-8	1/100e de seconde à 1 année	I2C	Non	Oui	Oui	Non	Non	2,72	2,20	2,14	1,78
◆ 771-PCF8593N	PCF8593P,112	DIP-8	1/100e de seconde à 1 année	I2C	Non	Oui	Oui	Non	Non	2,56	2,04	1,67	1,59
◆ 771-PCF8593TD-T	PCF8593T/1,118	SO-8	1/100e de seconde à 1 année	I2C	Non	Oui	Oui	Non	Non	2,05	1,64	1,34	1,27

© Copyright 2012 Mouser Electronics
© Copyright 2012 Mouser Electronics

CI analogiques NXP SEMICONDUCTOR

RoHS Compliant **This product is RoHS compliant.**

LECTEURS DE CARTES INTELLIGENTES

◆ **Composant pour montage en surface**

Pour des quantités supérieures à celles indiquées, appelez-nous afin d'obtenir un devis.

RÉF. STOCK MOUSER	Réf. NXP	Boîtier	Interfaces analogiques	ISO 7816 UART	Interface hôte	Oscillateur quartz intégré	Tension d'alimentation (Min./Max.)	Tension d'alimentation de la carte	Prix unitaire 1	25	100	250
◆ 771-TDA8002CGB-T	TDA8002CG/C1,518	LQFP-32	1	Oui	Lignes d'E/S	12MHz	3/6,5	5	2,37	2,01	1,43	1,33
◆ 771-TDA8023TTC1118	TDA8023TT/C1,118	TSSOP-28	1	Non	I2C	2,5MHz	2,7 / 6,5	1,8 ; 3 ; 5	1,41	1,27	1,17	1,10
◆ 771-TDA8024TT-T	TDA8024TT/C1,118	TSSOP-28	1	Non	Lignes d'E/S	26MHz	2,7 / 6,5	3 ; 5	1,33	1,05	0,943	0,821
◆ 771-TDA8024TC1118	TDA8024T/C1,118	SO-28	1	Non	Lignes d'E/S	26MHz	2,7 / 6,5	3 ; 5	0,62	0,559	0,533	0,494
◆ 771-TDA8025HNC1551	TDA8025HN/C1,551	HVQFN-32	1	Non	Lignes d'E/S	26MHz	3 / 3,6	1,8 ; 3 ; 5	1,33	1,05	0,943	0,821
◆ 771-TDA8026ETC2551	TDA8026ET/C2,551	TFBGA 64 broches	5	Non	I2C	2,8MHz	2,7 / 5,5	1,8 ; 3 ; 5	3,49	3,14	2,27	2,23
◆ 771-TDA8029HL07BD-T	TDA8029HL/C207,118	LQFP-32	1	Oui	Série ou I2C	27MHz	2,7 / 6	1,8 ; 3 ; 5	4,71	4,28	3,84	3,49
◆ 771-TDA8034AT/C1-118	TDA8034AT/C1,118	SO-16	1	Non	Lignes d'E/S	26MHz	2.7/3.6	1,8 ; 3 ; 5	1,01	0,777	0,658	0,655
◆ 771-TDA8034HN/C1-151	TDA8034HN/C1,151	HVQFN 24 broches	1	Non	Lignes d'E/S	26MHz	2.7/3.6	1,8 ; 3 ; 5	1,33	1,05	0,943	0,821
◆ 771-TDA8034T/C1-118	TDA8034T/C1,118	SO-16	1	Non	Lignes d'E/S	26MHz	2.7/3.6	1,8 ; 3 ; 5	1,01	0,777	0,658	0,655

DÉTECTEURS, RF LARGE BANDE

◆ **Composant pour montage en surface**

Pour des quantités supérieures à celles indiquées, appelez-nous afin d'obtenir un devis.

RÉF. STOCK MOUSER	Réf. NXP	Boîtier	Config.	Plage de tension d'alimentation	Perte d'insertion (Max.) (dB)	Perte de retour		Vitesse de commutation		Compression de 1dB (dBm)	NF 900MHz (Standard) (dB)	Prix unitaire 1	25	100	250
						Canal 900MHz ouvert	Canal 900MHz fermé	Délais Marche/Arrêt	Montée/Descente activée/désactivée						
◆ 771-SA630D/01-T	SA630D/01,118	SO-8	SPDT	3 à 5,5	2,8	12	13	20	5	+18	2	3,58	3,38	3,13	2,90
◆ 771-SA630D01112	SA630D/01,112	SO-8	SPDT	3 à 5,5	2,8	12	13	50	5	+18	2	4,62	3,69	2,87	2,72

CAPTEURS DE TEMPÉRATURE, SILICONE

◆ **Composant pour montage en surface**

Pour des quantités supérieures à celles indiquées, appelez-nous afin d'obtenir un devis.

RÉF. STOCK MOUSER	Réf. NXP	Boîtier	Résistance de détecteur		Coefficient de temp. (%K)	Température ambiante	Rapport de résistance		Déviation de la résistance de détecteur (Standard)(Ω)	Prix unitaire 1	25	100	250
			Ω Min.	Ω Max.			T_{amb}=100ºC & 25ºC (Min/Typ/Max)	T_{amb}=55ºC & 25ºC (Min/Typ/Max)					
◆ 771-KTY82/110T/R	KTY82/110,215	SOT-23-3	990	1010	0,79	-55 à +150	1.676/1.696/1.716	0,48/0,49/0,50	1,6	0,84	0,676	0,586	0,522
771-KTY83/110-T/R	KTY83/110,113	SOD 68 broches	990	1010	0.76	-55 à +175	1,65/1,67/1,69	0,49/0,50/0,51	1	0,91	0,698	0,62	0,537
771-KTY83/122T/R	KTY83/122,113	SOD-68	1000	1020	0.76	-55 à +175	1,65/1,67/1,69	0,49/0,50/0,51	1	0,80	0,681	0,601	0,52

MONITEURS DE TEMPÉRATURE/TENSION, I²C

◆ **Composant pour montage en surface**

Pour des quantités supérieures à celles indiquées, appelez-nous afin d'obtenir un devis.

RÉF. STOCK MOUSER	Réf. NXP	Boîtier	Interface	Précision de la température	Rés. à la temp. (Standard)(ºC)	Courant d'attente (µA)	Alerte de surtempérature	Moniteur de temp. interne	Moniteur de temp. à distance	Adresses attribuables	Prix unitaire 1	25	100	250
◆ 771-LM75AD	LM75AD,112	SO-8	I2C	±2	0.125	3,5	Oui	Oui	Non	8	0,86	0,681	0,599	0,526
◆ 771-LM75ADP-T	LM75ADP,118	TSSOP-8	I2C	±2	0.125	3,5	Oui	Oui	Non	8	0,86	0,717	0,595	0,464
◆ 771-LM75AD-T	LM75AD,118	SO-8	I2C	±2	0.125	3,5	Oui	Oui	Non	8	0,44	0,393	0,375	0,327
◆ 771-LM75BDP	LM75BDP,118	TSSOP-8	I2C	±2	0.125	1	Oui	Oui	Non	8	0,79	0,629	0,566	0,492
◆ 771-SA56004ADP-T	SA56004ADP,118	TSSOP-8	I2C, SMBus	±2	0,125	10	Oui	Non	Oui	8	1,00	0,786	0,707	0,615
◆ 771-SE95DP-T	SE95DP,118	TSSOP 8 broches	I2C	±1	0,125	4	Oui	Non	Non	8	1,00	0,828	0,687	0,537
◆ 771-SE97BTP547	SE97BTP,547	HWSON 8 broches	I2C, SMBus	±1	0,125	5	Oui	Non	Non	8	1,16	0,925	0,813	0,713

UART

◆ **Composant pour montage en surface**

Pour des quantités supérieures à celles indiquées, appelez-nous afin d'obtenir un devis.

RÉF. STOCK MOUSER	Réf. NXP	Boîtier	Canaux	Débit de données Xfer (Max.)	Tension d'alimentation	Interface compatible	FIFO (octet/s)	Icc (mA)	Caractéristiques supplémentaires	Prix unitaire 1	25	100	250
◆ 771-SCC2691AC1D24-T	SCC2691AC1D24,518	SO-24	1	115,2Ko	5	-	-	1	Compteur/Minuteur multifonctionnel	4,71	3,76	3,17	3,06
771-SCC2691AC1N24	SCC2691AC1N24,602	DIP-24	1	115,2Ko	5	-	-	1	Compteur/Minuteur multifonctionnel	4,90	4,73	3,84	3,45
771-SCC2691AE1N24	SCC2691AE1N24,602	DIP-24	1	115,2Ko	5	-	-	1	Compteur/Minuteur multifonctionnel	5,33	4,51	3,81	3,67
◆ 771-SC16C550BIA44-T	SC16C550BIA44,518	PLCC-44	1	3Mbit/s	2,5 ; 3,3 ; 5	-	16	4,5	-	1,96	1,57	1,28	1,22
◆ 771-SC16IS740IPW	SC16IS740IPW,112	TSSOP-16	1	5Mbit/s	2,2 ; 3,3	I2C, SPI	64	6	Encodeur/Décodeur IrDA	1,98	1,64	1,29	1,20
◆ 771-SC16IS750IPW-F	SC16IS750IPW,128	TSSOP-24	1	5Mbit/s	2,2 ; 3,3	I2C, SPI	64	6	Encodeur/Décodeur IrDA	2,21	1,98	1,51	1,43
◆ 771-SC16IS760IPW	SC16IS760IPW,112	TSSOP-24	1	5Mbit/s	2,2 ; 3,3	I2C, SPI	64	6	Encodeur/Décodeur IrDA	1,92	1,86	1,63	1,55
771-SCC2681AC1N28	SCC2681AC1N28,112	DIP-28	2	115,2Ko	5	-	-	10	Compteur/Minuteur, ports multifonctionnels	4,80	4,07	3,86	3,61
771-SCC2681AC1N40	SCC2681AC1N40,112	DIP-40	2	115,2Ko	5	-	-	10	Compteur/Minuteur, ports multifonctionnels	4,80	4,07	3,54	3,40
◆ 771-SCC2692AC1A44512	SCC2692AC1A44,512	PLCC-44	2	115,2Ko	5	-	-	10	Compteur/Minuteur, ports multifonctionnels	5,67	4,58	3,69	3,66
◆ 771-SCC2692AC1A44-T	SCC2692AC1A44,518	PLCC-44	2	115,2Ko	5	-	-	10	Compteur/Minuteur, ports multifonctionnels	3,45	3,39	3,27	3,21
771-SCC2692AC1N40	SCC2692AC1N40,602	DIP-40	2	115,2Ko	5	-	-	10	Compteur/Minuteur, ports multifonctionnels	6,22	5,96	4,69	4,22
◆ 771-SCC68681C1A44-S	SCC68681C1A44,529	PLCC-44	2	115,2Ko	5	S680000	-	10	Ports/Compteurs/Minuteurs multifonctionnels	3,85	3,07	2,59	2,50
771-SCC68681C1N40	SCC68681C1N40,112	DIP-40	2	115,2Ko	5	S680000	-	10	Ports/Compteurs/Minuteurs multifonctionnels	4,80	4,07	3,86	3,69
◆ 771-SC26C92C1A512	SC26C92C1A,512	PLCC-44	2	230,4Ko	5	-	2x8	5	Compteur/Minuteur, ports multifonctionnels	4,80	4,07	3,54	3,40
◆ 771-SC26C92C1A-T	SC26C92C1A,518	PLCC-44	2	230,4Ko	5	-	2x8	5	Compteur/Minuteur, ports multifonctionnels	3,70	3,59	3,47	3,37
◆ 771-SC28L92A1B-T	SC28L92A1B,528	QFP-44	2	230,4Ko	3,3 ; 5	-	16	7	Compteur/Minuteur, ports multifonctionnels	8,76	8,28	8,09	7,46
◆ 771-SC28L92A1B557	SC28L92A1B,557	QFP-44	2	230,4Ko	3,3 ; 5	-	16	7	Compteur/Minuteur, ports multifonctionnels	7,52	6,42	6,10	5,92
◆ 771-SC16C2550BIA44-T	SC16C2550BIA44,518	PLCC-44	2	5Mbit/s	2,5 ; 3,3 ; 5	-	16	4,5	-	3,21	3,11	2,81	2,67
◆ 771-SC16C2550BIBS-S	SC16C2550BIBS,151	HVQFN-32	2	5Mbit/s	2,5 ; 3,3 ; 5	-	16	4,5	-	3,68	3,14	2,51	2,39
◆ 771-SC16C2552BIA44-S	SC16C2552BIA44,529	PLCC 44 broches	2	5Mbit/s	2,5 ; 3,3 ; 5	-	16	4,5	-	4,42	3,54	2,97	2,83
◆ 771-SC16C652BIB48-S	SC16C652BIB48,151	LQFP-48	2	5Mbit/s	2,5 ; 3,3 ; 5	-	32	4,5	Encodeur/Décodeur IrDA	4,45	3,56	3,18	3,06
◆ 771-SC16C752BIB48	SC16C752BIB48,157	LQFP-48	2	5Mbit/s	2,2 ; 2,5 ; 5	-	64	4,5	Registre du contrôleur de transmission	3,91	3,75	2,92	2,63
◆ 771-SC16IS752IBS-S	SC16IS752IBS,151	HVQFN-32	2	5Mbit/s	2,2 ; 3,3	I2C, SPI	64	6	Encodeur/Décodeur IrDA	2,66	2,40	2,33	1,99
◆ 771-SC16IS752IPW	SC16IS752IPW,112	TSSOP-28	2	5Mbit/s	2,2 ; 3,3	I2C, SPI	64	6	Encodeur/Décodeur IrDA	2,71	2,27	2,13	1,96
◆ 771-SC16IS762IBS-S	SC16IS762IBS,151	HVQFN-32	2	5Mbit/s	2,2 ; 3,3	I2C, SPI	64	6	Encodeur/Décodeur IrDA	2,62	2,50	2,23	2,23
◆ 771-SC28L194A1BE-T	SC28L194A1BE,528	LQFP-80	4	460,8Ko	3,3 ; 5	-	16	6	Horloge watchdog, GPIO	17,01	15,88	14,74	14,46
◆ 771-SC16C554DBIA68-S	SC16C554DBIA68,529	PLCC-68	4	5Mbit/s	2,5 ; 3,3 ; 5	Intel, Motorola	16	4,5	-	6,61	6,15	5,19	5,00
◆ 771-SC16C654DBIB64-S	SC16C654DBIB64,151	LQFP-64	4	5Mbit/s	2,5 ; 3,3 ; 5	Motorola	64	6	Encodeur/Décodeur IrDA	7,54	7,35	6,39	5,75
◆ 771-SCC2698BC1A84-T	SCC2698BC1A84,518	PLCC-84	8	38,4Ko	5	-	-	30	Ports/Compteurs/Minuteurs multifonctionnels	30,19	27,69	24,52	21,14
◆ 771-SC28L198A1A-T	SC28L198A1A,518	PLCC-84	8	460,8Ko	3,3 ; 5	-	16	100	Horloge watchdog, GPIO	27,22	25,40	23,59	23,13

CARTE D'ÉVALUATION

RÉF. STOCK MOUSER	Réf. NXP	Description	Prix unitaire
771-OM11055598	OM11055,598	Carte d'évaluation démontrant et évaluant le détecteur de proximité capacitif PCF8883	26,19

© Copyright 2012 Mouser Electronics
© Copyright 2012 Mouser Electronics

Potentiomètres numériques et circuits superviseurs

ON Semiconductor®

RoHS Compliant This product is RoHS compliant.

POTENTIOMÈTRES PROGRAMMABLES NUMÉRIQUEMENT ON SEMICONDUCTOR (DPP™)

Caractéristiques :
- Répartition linéaire position 32, 64, 100, 128, 256
- Stockage position de balai non-volatile
- Technologie CMOS à basse consommation
- Valeurs des résistances : 10kΩ, 50kΩ et 100kΩ

♦ Composant pour montage en surface

Pour des quantités supérieures à celles indiquées, appelez-nous afin d'obtenir un devis.

RÉF. STOCK MOUSER		Boîtier	Plage d'alimentation (V)	Type	Taps	résonnante Option (kΩ)	Balai à tampon	Interface numérique	Type d'alimentation	Prix unitaire			
Fabr.	Réf. fabr.									1	25	100	250
♦	698—CAT5114VI-10-GT3	SOIC-8	de 2,5 à 6	Simple	32	10	Non	Haut/Bas	Simple	1,39	1,11	1,04	0,974
	698—CAT5114LI-00-G	PDIP-8	de 2,5 à 6	Simple	32	100	Non	Haut/Bas	Simple	1,01	0,982	0,941	0,916
	698—CAT5115LI-00-G	PDIP-8	de 2,5 à 6	Simple	32	100	Non	Haut/Bas	Simple	1,42	1,39	1,17	1,10
♦	698—CAT5112VI-00-GT3	SOIC-8	de 2,5 à 6	Simple	32	100	Oui	Haut/Bas	Simple	2,01	1,97	1,86	1,67
	698—CAT5113LI-01-G	PDIP-8	de 2,5 à 6	Simple	100	1	Non	Haut/Bas	Simple	1,61	1,57	1,50	1,45
	698—CAT5113LI-10	PDIP-8	de 2,5 à 6	Simple	100	10	Non	Haut/Bas	Simple	1,97	1,80	1,69	1,50
	698—CAT5113LI-10-G	PDIP-8	de 2,5 à 6	Simple	100	10	Non	Haut/Bas	Simple	1,61	1,57	1,50	1,45
♦	698—CAT5113VI-10-GT3	SOIC-8	de 2,5 à 6	Simple	100	10	Non	Haut/Bas	Simple	2,23	1,78	1,67	1,56
♦	698—CAT5132ZI-10-G	MSOP-10	de 2,7 à 16	Simple	128	10	Oui	I2C	Double	2,98	2,55	2,23	1,81
♦	863—CAT5140ZI-00-GT3	MSOP-8	de 2,5 à 5,5	Simple	256	100	Oui	I2C	Simple	7,35	6,13	4,65	3,49
♦	863—CAT5271ZI-50-GT3	MSOP-10	de 2,7 à 5,5	Double	256	50	Non	I2C	Simple	2,67	2,38	2,18	1,98
♦	863—CAT5271ZI-50-GT3	MSOP-10	de 2,7 à 5,5	Double	256	50	Non	I2C	Simple	2,67	2,38	2,18	1,98
♦	698—CAT5251YI-50	TSSOP-24	de 2,5 à 6	Quad.	256	50	Oui	SPI	Simple	6,02	4,82	4,50	4,22
♦	698—CAT5259YI-50	TSSOP-24	de 2,5 à 6	Quad.	256	50	Oui	I2C	Simple	6,02	4,82	4,50	4,22

CIRCUITS DE SUPERVISION ON SEMICONDUCTOR MP AVEC HORLOGE WATCHDOG ET EEPROM SÉRIEL

Fonctions de surveillance :
- Superviseur de tension d'alimentation
  - Emet le signal de réinitialisation si la source d'alimentation est défectueuse ou est en dehors de la tolérance
  - Assure que µ C fonctionne avec la tension de la source d'alimentation
  - Réinitialisation de l'alimentation et protection à éclairage réduit
- Horloge watchdog (CAT1161, CAT1163)
  - Réinitialise le microcontrôleur / ASIC qui s'est bloqué à cause d'une panne du matériel ou du logiciel

Fonctions de mémoire :
- Mémoire EEPROM 16Kbits
- Interface I^2C 400kHz
  - Temps d'écriture maximum 10ms
  - Tampon d'écriture page 16octets
  - Protection à l'écriture matériel

Superviseur avec avantages de mémoire :
- Remplace deux CI par un
- Réduit l'encombrement du PCB de 50 %
- Faible coût

PRODUCT NEW

♦ Composant pour montage en surface

Pour des quantités supérieures à celles indiquées, appelez-nous afin d'obtenir un devis.

RÉF. STOCK MOUSER		Boîtier	Reset réinitialisation (V)	Tension de fonctionnement	Plage de temp. (°C)	Prix unitaire			
Fabr.	Réf. fabr.					1	25	100	250
Circuits de supervision uP et mémoire EEPROM sérielle I2C 16Kbits, protection contre l'écriture, réinitialisation manuelle, horloge watchdog sur SDA									
♦	698—CAT1161WI-42	SOIC-8	4,2	de 2,5 à 6	de -40 à +85	0,92	0,734	0,693	0,644
Circuits de supervision uP et mémoire EEPROM sérielle I² C 16Kbits, protection contre l'écriture, réinitialisation manuelle									
♦	698—CAT1162WI-45	SOIC-8	4,5	de 2,5 à 6	de -40 à +85	0,92	0,726	0,691	0,648

SUPERVISEURS MP ON SEMICONDUCTOR SANS MÉMOIRE EEPROM

♦ Composant pour montage en surface

Pour des quantités supérieures à celles indiquées, appelez-nous afin d'obtenir un devis.

RÉF. STOCK MOUSER		Boîtier	Reset réinitialisation (V)	Horloge watchdog	Réinitialisation manuelle	Polarité de sortie	Prix unitaire			
Fabr.	Réf. fabr.						1	25	100	250
♦	698—CAT810TTBI-GT3	SOT-23	3,08	Non	Oui	Push-Pull, Actif ÉLEVÉ	0,49	0,47	0,457	0,405
♦	698—CAT809RTBI-GT3	SOT-23	2,63	Non	Oui	Push-Pull, Actif BAS	0,50	0,454	0,439	0,389
♦	698—CAT809LTBI-GT3	SOT-23	4,63	Non	Oui	Push-Pull, Actif BAS	0,50	0,454	0,439	0,389
♦	698—CAT809STBI-GT3	SOT-23	2,93	Non	Oui	Push-Pull, Actif BAS	0,50	0,454	0,439	0,389
♦	863—CAT885ZI-SA-GT3	MSOP-8	2,87/1,68	Oui	Oui	Collecteur fossé, Actif BAS	1,58	1,42	1,26	1,11
♦	698—CAT823TTDI-G	TSOT-23-5	3,08	Non	Oui	Push-Pull, Actif BAS	0,80	0,611	0,545	0,472
♦	698—CAT1232LPV-G	SOIC-8	4,37/4,62	Oui	Oui	Push-Pull, Actif BAS/ÉLEVÉ	0,65	0,52	0,487	0,454
♦	698—CAT1832V-G	SOIC-8	2,55/2,88	Oui	Oui	Push-Pull, Actif BAS/ÉLEVÉ	0,93	0,743	0,651	0,611
♦	698—CAT803STBI-GT3	SOT-23	2,93	Non	Non	Collecteur fossé, Actif BAS	0,73	0,701	0,658	0,599
♦	863—CAT803TSDI-GT3	SC-70-3	2,93	Non	Non	Collecteur fossé, Actif BAS	2,17	1,80	1,37	1,02
♦	863—MAX803SQ293D3T1G	SC-70-3	2,93	Non	Non	Collecteur fossé, Actif BAS	0,57	0,47	0,369	0,299
♦	863—MAX803SQ308T1G	SC-70-3	3,08	Non	Non	Collecteur fossé, Actif BAS	0,57	0,47	0,369	0,299
♦	698—CAT809STBI-T	SOT-23	2,93	Non	Non	Push-Pull, Actif BAS	0,33	0,256	0,231	0,195
♦	863—MAX809SN293D1T1G	SOT-23	2,93	Non	Non	Push-Pull, Actif BAS	0,54	0,446	0,351	0,286
♦	863—MAX810MTRG	SOT-23	4,38	Non	Non	Push-Pull, Actif ÉLEVÉ	0,37	0,311	0,261	0,219
♦	698—CAT811STBI-GT3	SOT-143	2,93	Non	Oui	Push-Pull, Actif BAS	0,54	0,371	0,321	0,277
♦	698—CAT811TTBI-T3	SOT-143	3,08	Non	Oui	Push-Pull, Actif BAS	0,35	0,272	0,262	0,238
♦	698—CAT812LTBI-GT3	SOT-143	4,63	Non	Oui	Push-Pull, Actif ÉLEVÉ	0,54	0,371	0,321	0,277

CONVERTISSEURS CC-CC ON SEMICONDUCTOR

Caractéristiques :
- Courant de sortie 100mA
- Pompe de chargement : aucune bobine d'induction requise

PRODUCT NEW

♦ Composant pour montage en surface

Pour des quantités supérieures à celles indiquées, appelez-nous afin d'obtenir un devis.

RÉF. STOCK MOUSER		Boîtier	Tension d'alimentation (V)	Plage de temp. (°C)	Courant d'alimentation (mA) (standard)	Courant de sortie (mA) (min)	Fréquence d'oscillation (kHz) (standard)	Rendement (%)	Rendement de conversion de tension (%) (typ.)	Prix unitaire			
Fabr.	Réf. fabr.									1	25	100	250
♦	698—CAT660EVA	SOIC-8	de 1,5 à 5,5	de -40 à +85	1	100	10 - 80KHz	88 - 98	99,9	1,51	1,42	1,33	1,22
♦	863—CAT3200ZI-GT3	MSOP-8	5	de -40 à +85	1,6	200	2MHz	80	-	0,97	0,916	0,866	0,817
♦	863—NCP3125ADR2G	SOIC-8	de 4,5 à 13,2	de -40 à +125	10	4 000	350KHz	80	93	0,66	0,627	0,561	0,545
♦	863—NCP3126ADR2G	SOIC-8	de 4,5 à 13,2	de -40 à +125	10	3000	350KHz	80	93	0,58	0,545	0,491	0,477
♦	863—NCP3127ADR2G	SOIC-8	de 4,5 à 13,2	de -40 à +125	10	2000	350KHz	80	93	0,50	0,446	0,396	0,347
♦	863—NCP1529MU12TBG	UDFN 6 broches	de 2,7 à 5,5	de -40 à +85	0,028	1000	1,7MHz	100	96	0,57	0,545	0,516	0,458
♦	863—NCP1529MU135TBG	UDFN-6	de 2,7 à 5,5	de -40 à +85	0,028	1000	1,7MHz	100	96	0,78	0,751	0,624	0,526
♦	863—NCV8851BDBR2G	TSSOP-20	de -0,3 à 40	de -40 à 150	3,2	75	153 - 575KHz	-	-	2,31	2,25	2,14	2,02

© Copyright 2012 Mouser Electronics

© Copyright 2012 Mouser Electronics

CI analogiques ON SEMICONDUCTOR

ON Semiconductor®

RoHS Compliant This product is RoHS compliant.

COMMUTATEURS ANALOGIQUES ON SEMICONDUCTOR

Pour des quantités supérieures à celles indiquées, appelez-nous afin d'obtenir un devis.

RÉF. STOCK MOUSER	Réf. ON Semi	Type de boîtier	VCC Max.	ron Max. (mA)	Nombre d'éléments	Ilkg Max. (µA)	Canaux	Prix unitaire		
								1	25	100
863-NLAS44599DTG	NLAS44599DTG	TSSOP-16	5,5	30	2	0,2	2	1,03	0,825	0,578
863-NLAS5123MNR2G	NLAS5123MNR2G	WDFN 6 broches	5,5	1	1	1	1	0,97	0,759	0,69
863-NLAS5123MUR2G	NLAS5123MUR2G	UDFN-6	5,5	1	1	1	1	0,97	0,858	0,761
863-NLAS7222AMTR2G	NLAS7222AMTR2G	WQFN 10 broches	3,6	9	-	1	4	1,07	1,04	0,99
863-MC74HC4051ANG	MC74HC4051ANG	PDIP 16	6	190	1	0,2	8	0,59	0,454	0,349
863-MC74HC4053ADG	MC74HC4053ADG	SOIC-16	6	190	3	0,1	2	0,42	0,356	0,252
863-MC74HC4066ADG	MC74HC4066ADG	SOIC-14	12	120	4	0,1	1	0,30	0,244	0,171
863-MC14016BCPG	MC14016BCPG	PDIP-14	18	660	4	0,1	1	0,41	0,347	0,245
863-MC14051BCPG	MC14051BCPG	PDIP 16	18	500	1	0.1	8	0,60	0,504	0,356
863-MC14051BDG	MC14051BDG	SOIC-16	18	500	1	0.1	8	0,19	0,18	0,146
863-MC14051BDTR2G	MC14051BDTR2G	TSSOP-16	18	500	1	0.1	8	0,44	0,368	0,259
863-MC14052BCPG	MC14052BCPG	PDIP 16	18	500	2	0,1	4	0,61	0,511	0,361
863-MC14052BDG	MC14052BDG	SOIC-16	18	500	2	0,1	4	0,26	0,25	0,203
863-MC14066BDG	MC14066BDG	SOIC-14	18	500	4	0,1	1	0,30	0,267	0,187
863-MC14551BCPG	MC14551BCPG	PDIP 16	18	500	4	0,1	2	1,44	1,23	0,899
863-MC14551BDG	MC14551BDG	SOIC-16	18	500	4	0,1	2	1,30	1,11	0,803

CARTE INTELLIGENTE ET INTERFACES SIM ON SEMICONDUCTOR

Pour des quantités supérieures à celles indiquées, appelez-nous afin d'obtenir un devis.

RÉF. STOCK MOUSER	Réf. ON Semi	Type Type	VCC Max.	IT standard (mA)	II (en attente) Max.	fClock Max. (MHz)	Type	Prix unitaire		
								1	25	100
863-NCN4555MNG	NCN4555MNG	QFN-16	5,5	0,03	4	5	Interface	2,34	1,87	0,818

INTERFACES DE CONTRÔLE DES MOTEURS ON SEMICONDUCTOR

NEW PRODUCT

Pour des quantités supérieures à celles indiquées, appelez-nous afin d'obtenir un devis.

RÉF. STOCK MOUSER	Réf. ON Semi	Type de boîtier	VCC Max.	PD Max. (W)	IO Max. (A)	Type	Prix unitaire		
							1	25	100
863-AMIS30532C5321G	AMIS30532C5321G	NQFP-32	30	-	3,015	Pas à pas	7,74	5,60	5,12
863-NCV7708BDWR2G	NCV7708BDWR2G	SOIC-28 W	5,5	-	0,5	12 pans	2,72	2,65	2,52
863-MC33039DG	MC33039DG	SOIC-8	9	0,65	0,02	CC sans balai	1,26	1,08	0,803
863-TDA1085CG	TDA1085CG	PDIP 16	16	1	0,2	Contrôle Triac	1,18	1,13	0,813
863-MC33035DWG	MC33035DWG	SOIC-24W	30	0,65	0,1	CC sans balai	2,62	2,53	2,02

PILOTES CHARGE/RELAIS

Pour des quantités supérieures à celles indiquées, appelez-nous afin d'obtenir un devis.

RÉF. STOCK MOUSER	Réf. ON Semi	Type de boîtier	V (BR) (V)		IR Max. (µA)	VIO max. (V)	IO Max. (a)	Prix unitaire		
			Min.	Max.				1	25	100
863-NUD3105DMT1G	NUD3105DMT1G	SC-74	6	-	15	0,45	-	0,49	0,407	0,287
863-NUD3105LT1G	NUD3105LT1G	SOT-23	6	-	15	0,45	-	0,41	0,349	0,246
863-MDC3105DMT1G	MDC3105DMT1G	SC-74	6,2	-	50	0,4	-	0,49	0,407	0,287
863-MDC3105LT1G	MDC3105LT1G	SOT-23	6,2	-	50	0,4	-	0,41	0,349	0,246
863-NUD3112DMT1G	NUD3112DMT1G	SC-74	14	-	15	-	0,5	0,49	0,407	0,287
863-NUD3112LT1G	NUD3112LT1G	SOT-23	14	-	15	-	0,5	0,41	0,349	0,246
863-NUD3124DMT1G	NUD3124DMT1G	SC-74	28	-	50	-	0,25	0,58	0,437	0,329
863-NUD3124LT1G	NUD3124LT1G	SOT-23	28	-	50	-	0,25	0,41	0,349	0,246
863-NUD3160DMT1G	NUD3160DMT1G	SC-74	61	-	50	-	0,15	0,49	0,407	0,287
863-NUD3160LT1G	NUD3160LT1G	SOT-23	61	-	50	-	0,15	0,41	0,349	0,246

AMPLIFICATEURS AUDIO ON SEMICONDUCTOR

NEW PRODUCT

Pour des quantités supérieures à celles indiquées, appelez-nous afin d'obtenir un devis.

RÉF. STOCK MOUSER	Réf. ON Semi	Type de boîtier	Puissance de sortie (W)	Classe	ISD standard (nA)	IQ standard (mA)	tON standard (ms)	Prix unitaire			
								1	25	100	250
863-NCP2811ADTBR2G	NCP2811ADTBR2G	TSSOP-14	0,11	AB	10	6	1	0,50	0,446	0,396	0,347
863-NCP2811AMTTXG	NCP2811AMTTXG	WQFN-12	0,11	AB	10	6	1	0,46	0,413	0,37	0,323
863-NCP2811BDTBR2G	NCP2811BDTBR2G	TSSOP-14	0,11	AB	10	6	1	0,50	0,446	0,396	0,347
863-NCP2811BMTTXG	NCP2811BMTTXG	WQFN-12	0,11	AB	10	6	1	0,84	0,751	0,668	0,582
863-NCP2811BFCCT1G	NCP2811BFCCT1G	Flip-Chip-12	0,11	AB	10	6	1	0,83	0,752	0,666	0,579
863-NCP2824FCT2G	NCP2824FCT2G	Flip-Chip-9	1,2	D	10	2,2	7,4	0,70	0,629	0,557	0,484

COMPARATEURS DE TENSION ON SEMICONDUCTOR

Pour des quantités supérieures à celles indiquées, appelez-nous afin d'obtenir un devis.

RÉF. STOCK MOUSER	Réf. ON Semi	Type de boîtier	VCC Max. (V)	TA (°C)		Canaux	IO Standard (mA)	ICC Standard (mA)	VIO Max. (mV)	Prix unitaire		
				Max.	Min.					1	25	100
863-MC3302PG	MC3302PG	PDIP-14	30	85	-40	4	16	1	20	0,34	0,33	0,27
863-LM2901DG	LM2901DG	SOIC-14	36	105	-40	4	16	1	7	0,26	0,239	0,165
863-LM2901DR2G	LM2901DR2G	SOIC-14	36	105	-40	4	16	1	7	0,26	0,239	0,177
863-LM2901NG	LM2901NG	PDIP-14	36	105	-40	4	16	1	7	0,38	0,323	0,229
863-LM2903DR2G	LM2903DR2G	SOIC-8	36	105	-40	2	16	0,7	7	0,25	0,223	0,169
863-LM311DR2G	LM311DR2G	SOIC-8	36	70	0	1	8	2,4	7,5	0,50	0,355	0,262
863-LM339DR2G	LM339DR2G	SOIC-14	36	70	0	4	16	1	5	0,25	0,223	0,169
863-LM339NG	LM339NG	PDIP-14	36	70	0	4	16	1	5	0,32	0,25	0,247
863-LM311DR2G	LM2903DG	SOIC-8	36	105	-40	2	16	0,7	7	0,50	0,355	0,262
863-LM2903NG	LM2903NG	PDIP-8	36	105	-40	2	16	0,7	7	0,16	0,13	0,12
863-LM393DG	LM393DG	SOIC-8	36	70	0	2	16	0,7	5	0,17	0,16	0,146
863-LM393DR2G	LM393DR2G	SOIC-8	36	70	0	2	16	0,7	5	0,17	0,16	0,146
863-LM393NG	LM393NG	PDIP-8	36	70	0	2	16	0,7	5	0,16	0,13	0,12
863-NE521NG	NE521NG	PDIP-14	±7	70	0	2	-	27	7,5	3,50	2,81	2,56

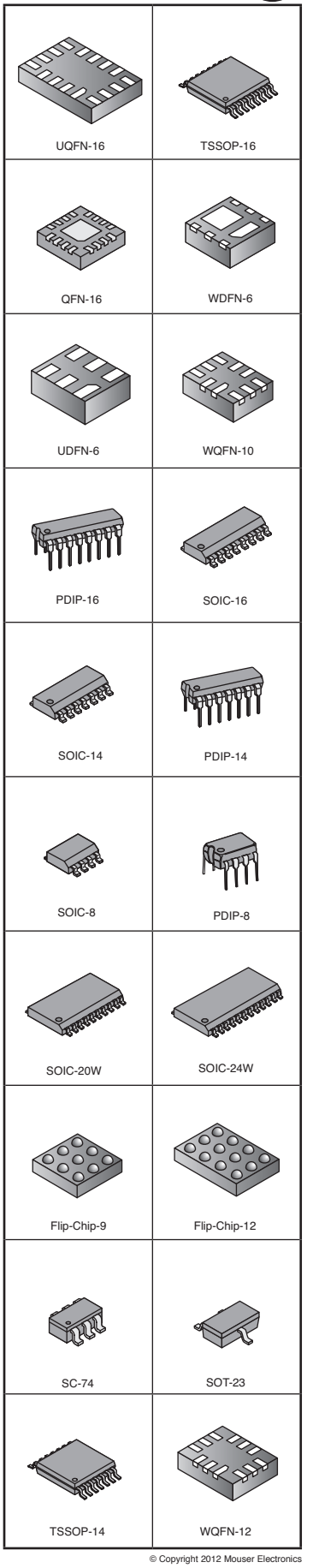

© Copyright 2012 Mouser Electronicst

© Copyright 2012 Mouser Electronics

CI analogiques ON SEMICONDUCTOR

RoHS Compliant **This product is RoHS compliant.**

INTERFACES ON SEMICONDUCTOR

Émetteurs de données

Pour des quantités supérieures à celles indiquées, appelez-nous afin d'obtenir un devis.

RÉF. STOCK MOUSER Fabr.	Réf. fabr.	Type de boîtier	Nombre Pilotes	Nombre Récepteurs	Vcc Max (V)	t_{PLH} Max (us)	I_O Max (μA)	I_{IH} Max (mA)	Prix unitaire 1	25	100
Modems industriels à protocole HART											
863—	A5191HRTLG-XTD	LQFP-32	1	1	5,5	0,02	670	0,0005	**9,47**	**9,41**	**9,36**
863—	A5191HRTPG-XTD	PLCC-28	1	1	5,5	0,02	670	0,0005	**9,91**	**9,74**	**9,50**
Émetteurs-récepteurs haute vitesse CAN											
863—	AMIS30660CANH2G	SOIC-8	1	1	5,25	1	45000	8	**1,30**	**1,07**	**0,949**
863—	AMIS30663CANG2G	SOIC-8	1	1	5,25	1	45000	8	**1,30**	**1,07**	**0,949**
Émetteur-récepteur CAN à faible puissance et haute vitesse											
863—	AMIS42665TJAA1G	SOIC-14	1	1	5,25	1	45000	8	**1,61**	**1,34**	**1,18**
863—	AMIS42675ICAA1RG	SOIC-8	1	1	5,25	1	45000	8	**1,22**	**0,965**	**0,899**
Émetteur-récepteur CAN à tolérance aux pannes											
863—	AMIS41682CANM1G	SOIC-14	1	1	5,25	8	45000	6,3	**2,43**	**1,96**	**1,76**
Émetteurs-récepteurs haute vitesse CAN pour réseaux longue distance											
863—	AMIS42673ICAG1RG	SOIC-8	1	1	5,25	1	45000	8	**1,22**	**0,965**	**0,899**
863—	AMIS42671ICAB1RG	SOIC-8	1	1	5,25	1	45000	8	**1,22**	**0,965**	**0,899**
Émetteur-récepteur CAN double haute vitesse pour réseaux longues distances											
863—	AMIS42770ICAW1RG	SOIC-20	1	1	5,25	1	45000	19,5	**5,79**	**4,73**	**4,24**

Modem par courant porteur

PRODUCT NEW

RÉF. STOCK MOUSER Fabr.	Réf. fabr.	Type de boîtier	Puissance Alimentation (V)	Duplex	Débit de données @ 50Hz	Débit de données @ 60Hz	Prix unitaire
863—	AMIS49587C5872G	QFN 52 broches	3	Semi	300/600/1200/2400	360/720/1440/2880	**8,47**

PILOTES MOSFET ON SEMICONDUCTORS

Pour des quantités supérieures à celles indiquées, appelez-nous afin d'obtenir un devis.

RÉF. STOCK MOUSER Fabr.	Réf. fabr.	Type de boîtier	Nombre Pilotes	Vcc Max (V)	Source d'entraînement/ Dissipation standard (mA)	Temps de montée (ns)	Temps de descente (ns)	Temps de propagation max. (ns)	Prix unitaire 1	25	100
863—	ADP3120AJRZ	SOIC-8	2	13,2	1500/1500	20	16	70	**0,55**	**0,421**	**0,367**
863—	ADP3419JRMZ-REEL	MSOP-10	2	6	1000/1000	14	11	70	**0,76**	**0,586**	**0,52**

MONITEURS DE TEMPÉRATURE ON SEMICONDUCTOR

PRODUCT NEW

Pour des quantités supérieures à celles indiquées, appelez-nous afin d'obtenir un devis.

RÉF. STOCK MOUSER Fabr.	Réf. fabr.	Type de boîtier	V_{DD} Min. (V)	V_{DD} Max. (V)	I_{CC} Max. (μA)	Précision du détecteur (°C) Max.	Précision du détecteur (°C) Standard	Bus série	Prix unitaire 1	25	100
863—	CAT34TS02VP2GT4A	TDFN-8	3,3	3,3	500	±3	±1	I2C/SMBus	**0,99**	**0,891**	**0,792**
863—	CAT6095VP2-GT4	TDFN-8	3,3	3,3	200	±3	±1	I2C/SMBus	**0,99**	**0,891**	**0,792**
863—	ADM1032ARZ	SOIC-8	3	5,5	215	±3	±1	SMBus	**1,39**	**1,11**	**0,965**
863—	ADT7483AARQZ	QSOP-16	3	3,6	350	±1	±1	SMBus	**5,49**	**4,65**	**4,17**

GESTIONNAIRES D'HORLOGE ON SEMICONDUCTOR

PRODUCT NEW

Oscillateurs à tension de commande PLL

Pour des quantités supérieures à celles indiquées, appelez-nous afin d'obtenir un devis.

RÉF. STOCK MOUSER Fabr.	Réf. fabr.	Type de boîtier	Description	F_{Max} standard (MHz)	V_{cc} Max (V)	Facteur d'utilisation (%)	Prix unitaire 1	25	100
863—	FS6370-01G-XTD	SOIC 14 broches	Horloge programmable EE 3 PLL	150	5,5	50	**6,79**	**5,75**	**5,16**
863—	FS7140-01G-XTD	SOIC-14	Horloge programmable I2C 1 PLL, 3,3V	300	3,6	50	**4,62**	**4,50**	**4,36**
863—	FS7140-02G-XTD	SSOP 16	Horloge programmable I2C 1 PLL, 3,3V	300	3,6	50	**4,83**	**4,70**	**4,58**
863—	FS7145-01-XTD	SOIC-16	Horloge programmable I2C 1 PLL, 3,3V	300	3,6	50	**5,63**	**4,61**	**4,15**
863—	P2782AF-08SR	SOIC-8	Horloge à faible EMI 2x et large spectre	156	3,6	50	**2,97**	**2,43**	**2,15**
863—	P2784AF-08SR	SOIC-8	Horloge à faible EMI 4x et large spectre	312	3,6	50	**3,22**	**2,62**	**2,32**

MÉMOIRE SRAM ON SEMICONDUCTOR

SRAM parallèle

Pour des quantités supérieures à celles indiquées, appelez-nous afin d'obtenir un devis.

RÉF. STOCK MOUSER Fabr.	Réf. fabr.	Description	T_{ACC} Max (ns)	V_{cc} Max (V)	$I_{attente}$ standard (μA)	I_{act} Max (μA)	Prix unitaire 1	25	100
863—	N02L63W3AB25I	SRAM 2Mo faible puissance, 3V	55	3,6	2	20	**2,76**	**2,70**	**2,68**

SRAM sérielle

Pour des quantités supérieures à celles indiquées, appelez-nous afin d'obtenir un devis.

RÉF. STOCK MOUSER Fabr.	Réf. fabr.	Type de boîtier	Description	F_{cycle} Max (MHz)	V_{cc} Max (V)	$I_{attente}$ standard (μA)	Prix unitaire 1	25	100
863—	N25S818HAT21I	TSSOP-8	SRAM sérielle 256Ko, 1,8V	16	1,95	0,2	**2,00**	**1,95**	**1,93**
863—	N25S830HAS22I	SOIC-8	SRAM sérielle 256Ko, 3V	20	3,6	1	**1,98**	**1,95**	**1,93**
863—	N25S830HAT22I	TSSOP-8	SRAM sérielle 256Ko, 3V	20	3,6	1	**2,00**	**1,95**	**1,93**
863—	N64S830HAS22I	SOIC-8	SRAM sérielle 64Ko, 3V	20	3,6	1	**1,72**	**1,67**	**1,67**
863—	N64S830HAT22I	TSSOP 8 broches	SRAM sérielle 64Ko, 3V	20	3,6	1	**1,72**	**1,67**	**1,67**

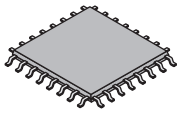
LQFP-32

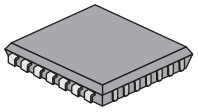
PLCC-28

SOIC 8

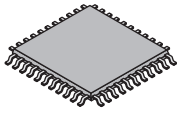
LQFP-44

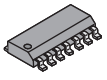
SOIC-14

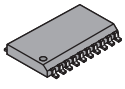
SOIC-20

TDFN-8

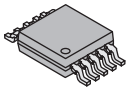
MSOP-10

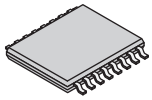
QSOP-16

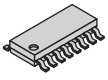
SSOP-16

TSSOP-8

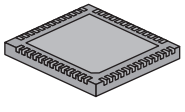
QFN 52 broches

© Copyright 2012 Mouser Electronics

© Copyright 2012 Mouser Electronics

Interrupteurs PERICOM

PERICOM Enabling Serial Connectivity

RoHS Compliant **This product is RoHS compliant.**

COMMUTATEURS ANALOGIQUES

• Plage de tension étendue • R-active faible • Ton vitesse rapide : 10 à 30ns • Large bande : 200 à 300MHz • Boîtier évolué

Pour des quantités supérieures à celles indiquées, appelez-nous afin d'obtenir un devis.

RÉF. STOCK MOUSER	Réf. Pericom	Boîtier	Tension	Configuration	Type	Fonctionnement à une seule alimentation	Prix unitaire 1	25	50	100
729-PI5A3158ZAEX	PI5A3158ZAEX	TDFN-12	5V	SPDT	Double	1,65V à 5,5V	0,52	0,454	0,437	0,413
729-PI5A3157CEX	PI5A3157CEX	SC-70-6	5V	SPDT	Simple	1,65V à 5,5V	0,47	0,413	0,404	0,371

INTERRUPTEURS DE BUS

La famille d'interrupteurs de BUS numériques NanoSwitch™ a la plus large sélection de fonctions de l'industrie avec des options riches en caractéristiques. Pericom offre la sélection la plus étendue de produits pour bus dans l'industrie actuelle tout en fournissant la technologie leader en industrie.

Pour des quantités supérieures à celles indiquées, appelez-nous afin d'obtenir un devis.

RÉF. STOCK MOUSER	Réf. Pericom	Boîtier	Description	Prix unitaire 1	25	50	100
729-PI3B3253QE	PI3B3253QE	QSOP-16	Multiplexeur/Démultiplexeur 3,3V, 4:1	1,16	1,01	1,01	0,924
729-PI3B3257QE	PI3B3257QE	QSOP-16	Multiplexeur/Démultiplexeur 3,3V, 2:1	1,16	1,01	1,01	0,924
729-PI3B32X245BE	PI3B32X245BE	BQSOP-40	3,3V, 16 Bits, 2 Ports	2,16	1,90	1,89	1,72
729-PI3B32X384BE	PI3B32X384BE	BQSOP-48	3V, 20 Bits, 2 Ports	1,96	1,72	1,71	1,56
729-PI3C3125LE	PI3C3125LE	TSSOP-14	3,3V, largeur de bande élevée, 4 Bits, avec activations individuelles, 2 ports	0,92	0,809	0,792	0,734
729-PI3C3125WE	PI3C3125WE	SOIC-14	3,3V, largeur de bande élevée, 4 Bits, avec activations individuelles, 2 ports	0,85	0,751	0,726	0,677
729-PI3C3126LE	PI3C3126LE	TSSOP-14	3,3V, largeur de bande élevée, 4 Bits, avec activations élevées, 2 ports	0,92	0,809	0,80	0,734
729-PI3C3126QE	PI3C3126QE	QSOP 16 broches	3,3V, largeur de bande élevée, 4 Bits, avec activations élevées, 2 ports	0,85	0,751	0,726	0,677
729-PI3C3861-ALE	PI3C3861-ALE	TSSOP 24	2,5/3,3V, largeur de bande élevée, 10 Bits, 2 ports	1,22	1,11	0,998	0,891
729-PI3C3861-AQE	PI3C3861-AQE	QSOP 24 broches	2,5/3,3V, largeur de bande élevée, 10 Bits, 2 ports	1,22	1,11	0,998	0,891
729-PI3CH281QE	PI3CH281QE	QSOP 16 broches	Multiplexeur/Démultiplexeur faible tension, largeur de bande élevée, 2 canaux, 4:1	0,85	0,751	0,726	0,677
729-PI3VT3306LE	PI3VT3306LE	TSSOP-8	2 Bits, 2 Ports, faible tension	0,91	0,80	0,776	0,726
729-PI5C16211AE	PI5C16211AE	TSSOP-56	24 Bits, 2 ports	1,65	1,45	1,44	1,32
729-PI5C162861BE	PI5C162861BE	BQSOP-48	Flow-through 20 Bits avec une résistance 25 Ohms. 2 ports	1,58	1,39	1,39	1,26
729-PI5C3125QE	PI5C3125QE	QSOP 16 broches	4 Bits avec activations individuelles faibles	0,72	0,627	0,611	0,569
729-PI5C3245QE	PI5C3245QE	QSOP 20 broches	8 Bits, 2 Ports	0,72	0,627	0,611	0,569
729-PI5C3253QE	PI5C3253QE	QSOP 16	Multiplexeur/Démultiplexeur double, 4:1	0,72	0,627	0,611	0,569
729-PI5C3257QE	PI5C3257QE	QSOP 16 broches	Multiplexeur/Démultiplexeur quadruple, 2:1	0,72	0,627	0,611	0,569
729-PI5C32X245BE	PI5C32X245BE	BQSOP 40	16 Bits, 2 Ports	1,58	1,39	1,39	1,26
729-PI5C3303TEX	PI5C3303TEX	SOT-23-6	Multiplexeur/Démultiplexeur 2:1	0,69	0,602	0,586	0,55
729-PI5C3306LE	PI5C3306LE	TSSOP-8	2 Bits avec activations individuelles faibles, 2 Ports	0,69	0,602	0,586	0,55
729-PI5C3384QE	PI5C3384QE	QSOP 24	10 Bits, 2 Ports	0,72	0,627	0,611	0,569
729-PI5C34X2245BE	PI5C34X2245BE	BQSOP 80	5V, 32 Bits, 2 Ports avec une résistance de 25 ohms	2,54	2,24	2,23	2,03
729-PI5C3861QE	PI5C3861QE	QSOP 24	10 Bits, 2 Ports	0,72	0,627	0,611	0,569

INTERRUPTEURS VIDÉO

• Solutions de large bande
• Solutions de routage du signal pour tous les signaux vidéo
• Commutation bidirectionnelle vraie
• Haute qualité et fiabilité à protection ESD intégrée
• Solutions conformes basées sur les « Centres de test autorisés » des tiers

Pour des quantités supérieures à celles indiquées, appelez-nous afin d'obtenir un devis.

RÉF. STOCK MOUSER	Réf. Pericom	Boîtier	Description	Prix unitaire 1	25	50	100
729-PI2DBS412ZHE	PI2DBS412ZHE	TQFN 42	1,8V, 4 canaux différentiels	1,53	1,33	1,20	1,14
729-PI2LVD412ZHE	PI2LVD412ZHE	TQFN 42	1,8V, 4 canaux différentiels	3,44	3,03	3,01	2,75
729-PI3HDMI341ARTFFE	PI3HDMI341ARTFFE	LQFP 80	Interrupteur HDMI actif 3:1	6,14	5,59	5,04	4,46
729-PI3HDMI412ADZBE	PI3HDMI412ADZBE	TQFN 56	Interrupteur HDMI actif 1:2	3,23	2,81	2,52	2,39
729-PI3HDMI412FTBE	PI3HDMI412FTBE	BQSOP 48	Commutateur de signal compatible HDMI 1.3	2,75	2,43	2,41	2,19
729-PI3V312LE	PI3V312LE	TSSOP 16	Interrupteur vidéo 3 canaux, 3,3V, 2:1	0,67	0,602	0,429	0,421
729-PI3V312QE	PI3V312QE	QSOP 16	Interrupteur vidéo 3 canaux, 3,3V, 2:1	0,50	0,429	0,421	0,396
729-PI3V512QE	PI3V512QE	QSOP 24	Interrupteur vidéo 5 canaux, 3,3V, 2:1	0,74	0,652	0,644	0,594
729-PI5V330SWE	PI5V330SWE	SOIC-16	Multiplexeur/Démultiplexeur quadruple 2 canaux	0,76	0,66	0,652	0,602
729-PI3V712-AZLE	PI3V712-AZLE	TQFN-32	Interrupteur vidéo analogique 3,3V, 7 canaux avec contrôle logique double	1,16	1,01	0,974	0,916
729-PI3V712-AZHE	PI3V712-AZHE	TQFN-28	Interrupteur vidéo analogique 3,3V, 7 canaux avec contrôle logique double	2,10	1,93	1,74	1,54
729-PI3LVD400ZFE	PI3LVD400ZFE	TQFN 56	Commutateur haute vitesse 3,3V, 4 canaux différentiels avec commutateur DDC/ convertisseur de niveau intégré	2,10	1,93	1,74	1,54
729-PI3VDP612-AZHE	PI3VDP612-AZHE	TQFN-42	Port d'affichage 3V, 2 canaux, 4 voies	1,53	1,34	1,30	1,21
729-PI3VDP612-AZFE	PI3VDP612-AZFE	TQFN 56	Port d'affichage 3V, 2 canaux, 4 voies	1,53	1,34	1,25	1,21

INTERRUPTEURS LAN

• Accepte jusqu'à Gigabit Ethernet
• Rétrocompatibilité à 10/100
• Largeurs de bande > 350MHz par canal
• R-active et C-active faibles
• Excellente isolation et réjection des signaux indésirables
• Utilisés par les fabricants majeurs de bloc-notes

Pour des quantités supérieures à celles indiquées, appelez-nous afin d'obtenir un devis.

RÉF. STOCK MOUSER	Réf. Pericom	Boîtier	Description	Prix unitaire 1	25	50	100
729-PI3L110QE	PI3L110QE	QSOP 16	Multiplexeur/démultiplexeur Lan 3,3V, quadruple canaux	2,02	1,78	1,77	1,62
729-PI3L301DAE	PI3L301DAE	TSSOP-48	Multiplexeur/démultiplexeur 3,3v, 16 à 8 Bits	1,58	1,40	1,36	1,30
729-PI3L500-AZFE	PI3L500-AZFE	TQFN 56	Commutateur LAN Ethernet Gigabit Mutiplixeur/Démultiplexeur, 3,3V, 16 à 8 Bits	1,33	1,21	1,09	0,965
729-PI3L500ZFE	PI3L500ZFE	TQFN 56	Multiplexeur/Démultiplexeur 3,3V, 8 canaux, 2:1	2,29	2,02	2,00	1,83

INTERRUPTEURS PCI-EXPRESS

• 4 points d'accès, 4 couloirs et/ou 4 points d'accès, jusqu'à 24 couloirs
• Rentables
• Programmables par le client
• EEPROM configurable
• Boîtier évolué

Pour des quantités supérieures à celles indiquées, appelez-nous afin d'obtenir un devis.

RÉF. STOCK MOUSER	Réf. Pericom	Boîtier	Description	Prix unitaire 1	25	50	100
729-PI2PCIE2412ZHE	PI2PCIE2412ZHE	TQFN 42	Multiplexeur/Démultiplexeur 1,8V, PCI-Express Gen-2, 2 voies (4 canaux), 2:1 différentiel Activation simple	1,58	1,20	0,965	0,866
729-PI2PCIE412-DZHE	PI2PCIE412-DZHE	TQFN 42	Commutateur Multiplexeur/Démultiplexeur amélioré, 1,8V, compatible PCI-Express, 4 canaux différentiels, 2:1	3,53	3,07	2,76	2,62

INTERRUPTEURS USB

• Respecte le modèle de diagramme en œil pour la norme USB 2.0

Pour des quantités supérieures à celles indiquées, appelez-nous afin d'obtenir un devis.

RÉF. STOCK MOUSER	Réf. Pericom	Boîtier	Description	Prix unitaire 1	25	50	100
729-PI3USB10MZKEX	PI3USB10MZKEX	TQFN-12	Commutateur USB 2.0 Multiplexeur/Démultiplexeur 4,2V, largeur de bande élevée, 2 canaux, 2:1	0,62	0,545	0,536	0,462
729-PI3USB10ZEEX	PI3USB10ZEEX	TDFN-12	Commutateur USB 2.0 Multiplexeur/Démultiplexeur 3,3V, largeur de bande élevée, 2 canaux, 2:1	1,39	1,26	1,14	1,01
729-PI2USB3212ZHE	PI2USB3212ZHE	TQFN-28	Commutateur simple 5 Gbits/s compatible USB 3.0	1,46	1,28	1,21	1,16

© Copyright 2012 Mouser Electronics

© Copyright 2012 Mouser Electronics

CI horloge, interface et LVD PERICOM

PERICOM Enabling Serial Connectivity

RoHS Compliant **This product is RoHS compliant.**

OSCILLATEURS À QUARTZ XO™ ASSP PERICOM

Pour des quantités supérieures à celles indiquées, appelez-nous afin d'obtenir un devis.

RÉF. STOCK MOUSER	Réf. Pericom	Boîtier pour montage en surface (mm)	Description	Prix unitaire			
				1	25	50	100
729-SHPCIE100	SHPCIe100	7x5	PCIE2 HCSL, 3,3 V, 100 MHz	3,96	3,48	3,32	3,15
729-FNEPON125	FNEPON125	7x5	EPON CMOS, 3,3 V, 125 MHz	1,03	0,899	0,858	0,82
729-FDSAS6062	FDSAS6062	5 x 3,2	SAS2 CMOS, 1,8 V, 62,5 MHz	0,78	0,677	0,65	0,618
729-FKSSD1025	FKSSD1025	3,2 x 2,5	SSD CMOS, 2,5 V, 25 MHz	0,83	0,718	0,691	0,656
729-FNSAS2075	FNSAS2075	7x5	SAS2 CMOS, 3,3 V, 75 MHz	0,79	0,693	0,663	0,63
729-FDSAS2062	FDSAS2062	5 x 3,2	SAS2 CMOS, 2,5 V, 62,5 MHz	0,73	0,635	0,611	0,58
729-FNGEPO002	FNGEPO002	7x5	VoIP G/EPON CMOS, 3,3 V, 2 048 MHz	0,62	0,536	0,517	0,492
729-FNETHE025	FNETHE025	7x5	Ethernet CMOS, 3,3 V, 25 MHz	0,60	0,528	0,504	0,479
729-FNSURV027	FNSURV027	7x5	Surveillance CMOS, 3,3 V, 27 MHz	0,60	0,528	0,504	0,479

CI HORLOGES

Pour des quantités supérieures à celles indiquées, appelez-nous afin d'obtenir un devis.

RÉF. STOCK MOUSER	Réf. Pericom	Boîtier	Description	Prix unitaire			
				1	25	50	100
729-PI6C48543LE	PI6C48543LE	TSSOP-20	Tampon de sortance diff. à LVDS faible balayage, 3,3 V	3,29	2,99	2,71	2,39
729-PI6C48545LE	PI6C48545LE	TSSOP-20	Tampon de sortance LVTTL/LVCMOS à LVDS faible balayage, 3,3 V	3,29	2,99	2,71	2,39
729-PI6C10804WE	PI6C10804WE	SOIC-8	Tampon d'horloge réseau 1:4, 250 MHz, 1,8 V / 2,5 V	0,93	0,82	0,813	0,743
729-PI6C20800SAE	PI6C20800SAE	TSSOP-48	Tampon d'horloge HSCL différentiel, 100 MHz, 3,3 V	2,77	2,52	2,28	1,82
729-PI6C20800SVE	PI6C20800SVE	SSOP-48	Tampon d'horloge HSCL différentiel, 100 MHz, 3,3 V	2,35	2,15	1,93	1,72
729-PI6C21200AE	PI6C21200AE	TSSOP-56	Tampon d'horloge HSCL différentiel, 400 MHz, 3,3 V	3,70	2,43	2,41	2,39
729-PI6C48533-01LE	PI6C48533-01LE	TSSOP-20	Tampon d'horloge différentiel à LVPECL, 4 sorties, 3,3 V, entrées sélectionnables	2,62	2,30	2,29	2,09
729-PI6C48535-01LE	PI6C48535-01LE	TSSOP-20	Tampon d'horloge LVTTL/LVCMOS à LVPECL, 4 sorties, 3,3 V avec entrées sélectionnables	2,62	2,30	2,29	2,09
729-PI6CV2304LE	PI6CV2304LE	TSSOP-8	Tampon d'horloge PCI (X) 1/4	1,38	1,21	1,20	1,10
729-PI6CV2304WE	PI6CV2304WE	SOIC-8	Tampon d'horloge PCI (X) 1/4	1,38	1,21	1,19	1,10
729-PI6CV304LE	PI6CV304LE	TSSOP-8	Tampon d'horloge PCI (X) 1/4	1,44	1,27	1,26	1,16
729-PI6CV304WE	PI6CV304WE	SOIC-8	Tampon d'horloge PCI (X) 1/4	1,44	1,27	1,26	1,16
729-PI49FCT32805QE	PI49FCT32805QE	QSOP-20	Pilote d'horloge CMOS 2x1/5, 3,3 V	2,95	2,61	2,59	2,36
729-PI49FCT32807HE	PI49FCT32807HE	SSOP-20	Pilote d'horloge CMOS 1/10, 3,3 V	2,95	2,61	2,59	2,36
729-PI49FCT3805DQE	PI49FCT3805DQE	QSOP-20	Pilote d'horloge CMOS 2x1/5, 3,3 V	1,44	1,27	1,26	1,16
729-PI49FCT3807CQE	PI49FCT3807CQE	QSOP-20	Pilote d'horloge non inverseur 1/10 sorties, 100 MHz, 3,3 V	0,62	0,545	0,536	0,495
729-PI49FCT3807QE	PI49FCT3807QE	QSOP-20	Pilote d'horloge non inverseur 1/10 sorties, 50 MHz, 3,3 V	0,62	0,545	0,536	0,495
729-PI6C4511WE	PI6C4511WE	SOIC-8	Multiplicateur d'horloge PLL 3 - 5 V large gamme	0,97	0,842	0,833	0,767
729-PI6C557-03LE	PI6C557-03LE	TSSOP-16	Générateur d'horloge PCIe double 125 MHz, 100 MHz	0,98	0,784	0,734	0,677

CONVERTISSEURS DE TENSION

Pour des quantités supérieures à celles indiquées, appelez-nous afin d'obtenir un devis.

RÉF. STOCK MOUSER	Réf. Pericom	Boîtier	Description	Description du convertisseur	Convertisseur de signal	Prix unitaire			
						1	25	50	100
729-PI90LV018AWE	PI90LV018AWE	SOIC-8	Récepteur de ligne différentiel grande vitesse LVDS 3V	LVDS à LVTTL	Entrée / sortie	1,30	1,18	1,06	0,941
729-PI90LV028AWE	PI90LV028AWE	SOIC-8	Récepteur de ligne différentiel grande vitesse LVDS 3V	LVDS à LVTTL	Entrée / sortie	2,06	1,82	1,81	1,65
729-PI90LV032ALE	PI90LV032ALE	TSSOP-16	Récepteur de ligne différentiel grande vitesse LVDS 3V	LVDS à LVTTL	Entrée / sortie	4,62	4,21	3,03	3,01
729-PI90LV032AWE	PI90LV032AWE	SOIC-16	Récepteur de ligne différentiel grande vitesse LVDS 3V	LVDS à LVTTL	Entrée / sortie	3,44	3,03	3,01	2,75
729-PI90LV048ALE	PI90LV048ALE	TSSOP-16	Récepteur LVDS quad. intermédiaire	LVDS à LVTTL	Entrée / sortie	2,75	2,43	2,41	2,19
729-PI4ULS3V08MZLE	PI4ULS3V08MZLE	TQFN-32	Convertisseur de tension à détection automatique de direction, 8 bits	de 1,5 V à 3,3 V	Tension	1,69	1,49	1,49	1,35
729-PI4ULS3V16AE	PI4ULS3V16AE	TSSOP-56	Rétablisseur de niveau bidirectionnel universel	de 1,5 V à 3,3 V	Tension	2,54	2,24	2,23	2,03

PONTS PCI

Pour des quantités supérieures à celles indiquées, appelez-nous afin d'obtenir un devis.

RÉF. STOCK MOUSER	Réf. Pericom	Boîtier	Fréquence	Capacité d'entraînement	Délai de prop.	Tolérant entrée / sortie	Broches	Prix unitaire			
								1	25	50	100
729-PI7C21P100BNHE	PI7C21P100BNHE	CSBGA-304	133 MHz	64 bits	2	Sans objet	304	67,20	61,19	55,19	48,90
729-PI7C7300DNAE	PI7C7300DNAE	PBGA-272	66 MHz	32 bits	3	Sans objet	272	47,87	31,42	31,41	31,40
729-PI7C8140AMAE	PI7C8140AMAE	QFP-128	66 MHz	32 bits	2	Sans objet	128	12,00	7,87	7,85	7,84
729-PI7C8150BMAE	PI7C8150BMAE	FQFP-208	66 MHz	32 bits	2	Sans objet	208	14,37	12,67	12,66	11,49
729-PI7C8150BNDE	PI7C8150BNDE	PBGA-256	66 MHz	32 bits	2	Sans objet	256	14,37	12,67	12,66	11,49
729-PI7C8152BMAE	PI7C8152BMAE	MQFP-130	66 MHz	32 bits	2	Sans objet	160	9,41	8,29	8,27	7,52
729-PI7C9X110BNBE	PI7C9X110BNBE	LFBGA-160	66 MHz	32 bits	2	1	160	16,84	14,85	14,84	13,47

PILOTES RE

Pour des quantités supérieures à celles indiquées, appelez-nous afin d'obtenir un devis.

RÉF. STOCK MOUSER	Réf. Pericom	Boîtier	Tension (nom.)	Entraînement	Tolérant entrée / sortie	Broches	Prix unitaire			
							1	25	50	100
729-PI2EQX4401DZFE	PI2EQX4401DZFE	TQFN-36	1,8 V	0 - 3,5 dB	Oui	36	2,60	2,29	1,86	1,68
729-PI2EQX4402DNBE	PI2EQX4402DNBE	LFBGA-34	1,8 V	0 - 4,5 dB	Oui	84	3,32	2,84	2,65	2,57

LVD

Pilotes

Pour des quantités supérieures à celles indiquées, appelez-nous afin d'obtenir un devis.

RÉF. STOCK MOUSER	Réf. Pericom	Boîtier	Débit de données	Capacité d'entraînement	Type	Broches	Prix unitaire			
							1	25	50	100
729-PI90LV017AWE	PI90LV017AWE	SOIC-8	400 Mbits/s	4 mA	Pilote LVDS simple	8	1,30	1,18	0,842	0,833
729-PI90LV027AWE	PI90LV027AWE	SOIC-8	400 Mbits/s	4 mA	Pilote LVDS double	8	2,06	1,82	1,81	1,65
729-PI90LV031ALE	PI90LV031ALE	TSSOP-16	400 Mbits/s	4 mA	Pilote LVDS quad. (EN)	16	4,62	4,21	3,03	3,01
729-PI90LV031AWE	PI90LV031AWE	SOIC-16	400 Mbits/s	4 mA	Pilote LVDS quad. (EN)	16	3,44	3,03	3,01	2,75
729-PI90LV047ALE	PI90LV047ALE	TSSOP-16	660 Mbits/s	4 mA	Pilote quad. intermédiaire	16	2,75	2,43	2,41	2,19

Émetteurs-récepteurs

Pour des quantités supérieures à celles indiquées, appelez-nous afin d'obtenir un devis.

RÉF. STOCK MOUSER	Réf. Pericom	Boîtier	Tension (nom.)	Capacité d'entraînement	Délai de prop.	Tolérant entrée / sortie	Broches	Prix unitaire			
								1	25	50	100
729-PI74AVC164245LAE	PI74AVC164245LAAE	TSSOP-48	de 1,5 V à 3,3 V	-6 / 6 mA	3,5	Non	48	3,92	3,46	3,44	3,14
729-PI74HSTL1212AE	PI74HSTL1212AE	TSSOP-64	de 1,5 V à 3,3 V	-6 / 6 mA	3,5	Non	48	4,81	4,24	4,22	3,84

© Copyright 2012 Mouser Electronics
© Copyright 2012 Mouser Electronics

Ponts PCI PLX TECHNOLOGY

Les produits peuvent être conformes à la directive RoHS.
Consulter le site mouser.com pour vérifier la conformité RoHS.

COMMUTATEURS PCI EXPRESS EXPRESSLANE™
Séries PEX 86xx ExpressLane™

Ces dispositifs intègrent le plus grand nombre de lignes PCIe de l'industrie, avec 96 et 80 lignes. Ces commutateurs, conformes aux normes PCI-SIG® PCIe 2.0 (Gen 2) disposent de caractéristiques PLX exclusives, notamment le support de configurations à 16 ports, des ports non transparents intégrés et une suite d'outils d'amélioration des performances et de débogage qui renforcent l'architecture des systèmes. Les produits PLX ExpressLane™ PEX 8696 (96 lignes, 24 ports), PEX 8680 (80 lignes, 20 ports), PEX 8664 (64 lignes, 16 ports) et PEX 8649 (48 lignes, 12 ports) permettent aux concepteurs de construire des matrice de commutation, des fonds de panier redondants et des applications de stockage complexes, sans avoir à se soucier de latence élevée, de consommation élevée et de limitations de bande passante associées à l'utilisation de multiples puces de commutation plus petites.

Pour des quantités supérieures à celles indiquées, appelez-nous afin d'obtenir un devis.

RÉF. STOCK MOUSER	Réf. PLX	Description	Prix unitaire
862-PEX8648-BB50BCF	PEX8648-BB50BCF	48 lignes, commutateur 12 ports PCI Express Gen 2 (5.0 GT/s), BGA-676 FCBGA (sans plomb)	117,58
862-PEX8649-AA50BCF	PEX 8649-AA50BC F	48 lignes, commutateur 12 ports PCI Express Gen 2 (5.0 GT/s), 27 x 27 mm FCBGA (sans plomb)	152,15
862-PEX8664-AA50BCF	PEX 8664-AA50BC F	64 lignes, commutateur 16 ports PCI Express Gen 2 (5.0 GT/s), 35 x 35 mm FCBGA (sans plomb)	205,43
862-PEX8680-AA50BCF	PEX 8680-AA50BC F	80 lignes, commutateur 20 ports PCI Express Gen 2 (5.0 GT/s), 35 x 35 mm FCBGA (sans plomb)	223,22
862-PEX8696-AA50BCF	PEX 8696-AA50BC F	96 lignes, commutateur 24 ports PCI Express Gen 2 (5.0 GT/s), 35 x 35 mm FCBGA (sans plomb)	287,58
862-PEX8648-BB-RDK	PEX8648-BBRDK	Kit de développement rapide PEX 8648	1819,17

ExpressLane™ PEX 8112, PCI Express vers pont PCI

Pour des quantités supérieures à celles indiquées, appelez-nous afin d'obtenir un devis.

RÉF. STOCK MOUSER	Réf. PLX	Description	Prix unitaire		
			1	50	100
862-PEX8112-AA66BIF	PEX8112-AA66BIF	PCI Express 1 ligne vers pont PCI, BGA-144 PBGA (sans plomb)	14,16	13,31	12,45

ExpressLane™ PEX 8114, PCI Express vers pont PCI

ExpressLane™ PEX 8114 est un pont haute performance conçu pour les spécifications PCI Express vers pont PCI/PCI-X, qui permet aux concepteurs de faire migrer les interfaces de bus classiques PCI et PCI-X vers le nouveau PCI Express sériel de pointe. Ce dispositif à 2 ports est équipé d'un port PCI Express standard mais dont la souplesse permet le x1, x2 ou x4 et une segmentation de bus parrallèle qui supporte le protocole de pointe PCI-X ou le fonctionnement classique PCI.

862-PEX8114-BC13BIG	PEX8114-BC13BIG	PCI Express 4 lignes vers pont PCI-X (sans plomb)	39,16	36,74	34,32

ExpressLane™ PEX 8311 PCI Express vers pont PCI

Le pont de bus local classique ExpressLane™ PEX 8311, PCI Express 1 ligne (PCIe) à 32 bits, 66 MHz, permet une transition complète du protocole entre ces deux normes. Le dispositif permet à l'utilisateur d'ajouter une interconnexion évolutive à bande large à une gamme étendue d'applications, y compris les cartes de lignes de communications, les systèmes de surveillance, le contrôle industriel, les serveurs média IP et l'imagerie médicale.

Pour des quantités supérieures à celles indiquées, appelez-nous afin d'obtenir un devis.

862-PEX8311-AA66BC-F	PEX8311-AA66BCF	Pont PCI Express 1 ligne, 21 x 21 mm PBGA (sans plomb)	32,97	30,94	28,91

Commutateur PCI Express PEX 8525

Le dispositif PEX 8525/8525S ExpressLane™ offre 24 lignes PCI Express, qui permettent une configuration souple de 5 ports. Le commutateur est conforme aux spécifications de base du PCI Express rév 1.1. Le commutateur 24 lignes permet à l'utilisateur d'ajouter des E/S évolutives à large bande passante à une gamme étendue d'applications comprenant les serveurs, le stockage, les communications, les serveurs lame et les systèmes de contrôle intégrés. Le PEX 8525/8525S est parfaitement adapté à la sortance, à l'agrégation, aux cartes vidéo double, au poste-à-poste et aux applications de modules d'E/S intelligentes. L'architecture supporte la transmission de paquets en mode direct avec la plus faible latence de l'industrie soit 115 ns (x8 vers x8) pour un commutateur de 24 lignes. Combiné à la mémoire volumineuse de paquets (taille maximale de données utiles de 1024 bits) et une architecture interne du commutateur non bloquante, il fournit le taux maximal par ligne sur tous les ports pour les applications nécessitant de hautes performances.

Pour des quantités supérieures à celles indiquées, appelez-nous afin d'obtenir un devis.

862-PEX8525-AA25BIG	PEX8525-AA25BIG	Commutateur PCI Express 24 lignes 5 Ports (sans plomb)	67,50	63,31	59,12
862-PEX8525-AARDK	PEX8525-AARDK	Kit de développement rapide pour PEX 8525	912,25	-	-

Commutateur PCI Express PEX 8532

Le dispositif PEX 8532 ExpressLane™ offre 32 lignes PCI Express, qui permettent une configuration souple de 8 ports. Le commutateur est conforme aux spécifications de base du PCI Express rév 1.0a. Le commutateur 32 lignes permet à l'utilisateur d'ajouter des E/S évolutives à large bande passante po à une gamme étendue d'applications comprenant les serveurs, le stockage, les communications, les serveurs lame et les systèmes intégrés.

Pour des quantités supérieures à celles indiquées, appelez-nous afin d'obtenir un devis.

862-PEX8532BC25BIG	PEX8532-BC25BIG	Commutateur PCI Express 32 lignes 8 ports, 35 x 35 mm PBGA (sans plomb)	129,47	-	-

Commutateur PCI Express PEX 8533

Le dispositif PEX 8533/8533S ExpressLane™ offre 32 lignes PCI Express, qui permettent une configuration souple de 6 ports. Le commutateur est conforme aux spécifications de base du PCI Express rév 1.1. Le commutateur 32 lignes permet à l'utilisateur d'ajouter des E/S évolutives à large bande passante à une gamme étendue d'applications comprenant les serveurs, le stockage, les communications, les serveurs lame et les systèmes de contrôle intégrés. Le PEX 8533S est parfaitement adapté à la sortance, à l'agrégation, au poste-à-poste et aux applications de matrice de commutation. L'architecure supporte la transmission de packet en mode direct avec la plus faible latence de l'industrie soit 115 ns (x8 vers x8) pour un switch de 32 lignes. Combiné à la mémoire volumineuse de paquets (taille maximale de données utiles de 1024 bits) et une architecture interne du commutateur non bloquante, il fournit le taux maximal par ligne sur tous les ports pour les applications nécessitant de hautes performances.

Pour des quantités supérieures à celles indiquées, appelez-nous afin d'obtenir un devis.

862-PEX8533-AA25BIG	PEX8533-AA25BIG	Commutateur PCI Express 32 lignes 6 Ports (sans plomb)	78,78	74,23	73,08
862-PEX8533-AARDK	PEX8533-AARDK	Kit de développement rapide pour PEX 8533	906,92	-	-

Commutateur PCI Express PEX 8508

Le commutateur PEX 8508 ExpressLane™ 8 lignes et 5-ports, offre des capacités de commutation PCI Express conformes aux spécifications PCI Express r1.1. Ce dispositif permet aux autilisateurs d'ajouter, pour un faible coût, des commutations large bande évolutives, la sortance ainsi que le poste-à-poste à une gamme étendue d'applications comprenant la bureautique, les adaptateurs d'interfaces réseau, les stations d'accueil, les cartes AMC, et l'isolation de processeurs pour serveurs, le stockage et les communications. Le pont non transparent permet au concepteur d'isoler des processeurs dans un environnement multi-hôtes. Ce commutateur est configurable matériellement et programmable par logiciel, permettant ainsi aux utilisateurs de personnaliser la configuration des ports et la qualité de service du système en fonction de leurs besoins, afin de répondre aux exigences de leur application. Le PEX 8508 est proposé en boîtier PBGA, 296-BGA 19 x 19 mm.

Pour des quantités supérieures à celles indiquées, appelez-nous afin d'obtenir un devis.

862-PEX8508-AC25BIG	PEX8508-AC25BI G	SerDes 2,5GHz, BGA, température industrielle (sans plomb)	28,47	-	-

PONTS PCI VERS PCI FASTLANE™

Pont PCI vers PCI, PCI 6140 33 MHz, 32 bits

Le pont PCI 6140 PCI vers PCI (HB1) de FastLane™ est optimisé pour fournir aux PCI maîtres la possibilité d'atteindre une latence zéro cycle lors des rafales de données via le pont PCI vers PCI. Il supporte jusqu'à autre dispositifs maîtres PCI secondaires. Le PCI 6140 est proposé en boîtier PQFP 128 broches 23 x 17mm.

Pour des quantités supérieures à celles indiquées, appelez-nous afin d'obtenir un devis.

RÉF. STOCK MOUSER	Réf. PLX	Description	Prix unitaire		
			1	50	100
862-PCI6140-AA33PC	PCI6140-AA33PC	Pont PCI vers PCI, 32 bits, 33 MHz, boîtier PQFD 128 broches	10,91	10,25	9,59
862-PCI6140-AA33PC-G	PCI6140-AA33PC G	Pont PCI vers PCI, 32 bits, 33 MHz, boîtier PQFD 128 broches (sans plomb)	10,38	9,74	9,15

Pont PCI vers PCI, PCI 6150 66 MHz, 32 bits

Le pont PCI 6150 PCI vers PCI (HB4) de FastLane™ est conçu pour les applications hautes performances et de grande disponibilité à remplacement à chaud, les extensions de bus, le contrôle de taux de transfert de données programmé, les conversions de fréquences entre PCI de différentes vitesses dans les deux sens. Le PCI 6150 dispose d'une gestion de tampon sophistiquée et d'options de configuration de tampon conçues pour fournir des optimisations de performances personnalisables. Le PCI 6150 est proposé en boîtier BGA-256 de 17 x 17 mm ou PQFP 208 broches de 31 x 31 mm.

862-PCI6150-BB66BC-G	PCI6150-BB66BC G	Pont asynchrone PCI vers PCI, 32 bits, 66 MHz, BGA 256 broches (sans plomb)	15,13	14,21	13,30
862-PCI6150-BB66PC-G	PCI6150-BB66PC G	Pont asynchrone PCI vers PCI, 32 bits, 66 MHz, PQFP 208 broches (sans plomb)	14,34	13,47	12,61

Pont PCI vers PCI asynchrone PCI 6154

Le pont PCI 6150 PCI vers PCI asynchrone 64 bits, 66 MHz de FastLane™ est conçu pour les applications hautes performances et de grande disponibilité à remplacement à chaud, les extensions de bus, le contrôle de taux de transfert de données programmé, les conversions de fréquences entre PCI de différentes vitesses dans les deux sens. Le PCI 6154 dispose d'une gestion de tampon sophistiquée et d'options de configuration de tampon conçues pour fournir des optimisations de performances personnalisables.

862-PCI6150-BB66BC-G	PCI6150-BB66BC G	Pont asynchrone PCI vers PCI, 32 bits, 66 MHz, BGA 256 broches (sans plomb)	15,13	14,21	13,30
862-PCI6150-BB66PC-G	PCI6150-BB66PC G	Pont asynchrone PCI vers PCI, 32 bits, 66 MHz, PQFP 208 broches (sans plomb)	14,34	13,47	12,61

Pont PCI versPCI, PCI 6254

Pour des quantités supérieures à celles indiquées, appelez-nous afin d'obtenir un devis.

862-PCI6254-BB66BC-G	PCI6254-BB66BC G	Puce PCI 6254 pont PCI vers PCI (sans plomb)	35,44	33,25	31,06
862-PCI6254-BB66BC	PCI6254-BB66BC	Pont 64 bits 66 MHz	40,39	37,90	35,41
862-PCI6254-RDK	PCI6254RDK	Kit de développement PCI 6254	430,30	-	-

Pont PCI-X vers PCI-X, PCI 6540 133 MHz 64 bits

Le pont PCI 6540 PCI-X vers PCI-X (HB8) de FastLane™ est un pont asynchrone, 133 MHz, 64 bits haute performance avec mode adaptatif universel double, destiné aux serveurs, au stockage, DSP, télécommunication, réseau et aux applications intégrées.

Pour des quantités supérieures à celles indiquées, appelez-nous afin d'obtenir un devis.

862-PCI6540-CB13BI	PCI6540-CB13BI	Pont PCI-X vers PCI-X, 64 bits, 133 MHz, 27 x 27 mm PBGA	75,42	70,74	66,06
862-PCI6540-CB13BI-G	PCI6540-CB13BIG	Pont PCI-X vers PCI-X, 64 bits, 133 MHz, 27 x 27 mm PBGA (sans plomb)	68,86	64,59	60,31

© Copyright 2012 Mouser Electronics

© Copyright 2012 Mouser Electronics

Contrôleur USB et accélérateur d'E/S PCI PLX TECHNOLOGY

Les produits peuvent être conformes à la directive RoHS.
Consulter le site mouser.com pour vérifier la conformité RoHS.

ACCÉLÉRATEURS D'E/S PCI BUS LOCAL 32 BITS

Accélérateur d'E/S PCI 9030 SMARTarget™

La technologie SMARTarget™ sur PCI 9030 fournit une gamme de fonctionnalités redéfinissant le niveau de performance, de flexibilité et de simplicité dans les conceptions PCI. Ce dispositif, compatible PCI V 2.2 32 bits 33 MHz, propose un transfert en rafales de 132 Mo/s, le PCI 9030 apporte également de hautes performances aux nouveaux adaptateurs basés sur PCI et ceux qui migrent des anciennes conceptions. Le bus local à 60 MHz, le fonctionnement à 3 V / 5 V et les E/S à usage général programmables (GPIO) du périphérique et les sélections de puce apportent une flexibilité sans précédent à une gamme étendue de mémoire et d'E/S. La combinaison de ces caractéristiques en font des adaptateurs utilisés dans les applications à large bande passante, telles que les télécommunications et les cartes d'interface de données de communications, plus faciles que jamais à concevoir.

Caractéristiques de performances du 9030 :
- Puce d'interface cible 32 bits 33 MHz compatible PCI v2.2 pour permettre au PCI de fonctionner en rafales.
- Transferts jusqu'à 132 Mo/s.
- Fonctionnement sur bus local jusqu'à 60 MHz permettant les transferts en rafales jusqu'à 240 Mo/s.
- Module de lecture anticipée de cible PCI
- Rafale programmable de cible PCI
- Écriture retardée sur cible PCI
- Écritures en mémoire

Accélérateur d'E/S cible PCI 9052 pour conceptions de bus local ISA et générique.

Le PCI 9052 fournit une connectivité à bas coût pour les conceptions PCI esclaves. Il est spécifiquement destiné à faciliter la transition entre les conceptions ISA existantes vers les bus PCI mieux dotés et plus performants. Le PCI 9052 fournit des fonctions PCI esclave directes en interfaçant le circuit d'E/S de l'adaptateur (contrôle, adressage et lignes de données) vers l'architecture microprocesseur/mémoire d'un ordinateur hôte via le bus PCI 32 bits qui fonctionne généralement à 33 MHz.

Caractéristiques de performances du 9052 :
- Compatible PCI r2.1, 32 bits, 33MHz
- Fonctionnement du bus local jusqu'à 40 MHz
- Conception de bus local à 40 MHz, 32 bits ISA et classique
- Une interface ISA sans circuit de liaison afin d'obtenir un adaptateur à bas coût.
- Prend en charge les bus locaux génériques 8, 16, et 32 bits multiplexés et non-multiplexés.
- Un CMOS 5 V dans un boîtier PQFP 160 broches
- Transferts PCI en rafales illimités jusqu'à 132 Mo/s
- Transferts de données esclave directs

Pour des quantités supérieures à celles indiquées, appelez-nous afin d'obtenir un devis.

RÉF. STOCK MOUSER	Réf. PLX	Description	Prix unitaire 1	50	100
PCI 9030					
862-PCI9030-AA60PI-F	PCI9030-AA60PI-F	Accélérateur d'E/S PCI 3V SMARTarget (PQFP 176 broches) (sans plomb)	29,68	27,86	26,11
862-PCI9030-AA60BI-F	PCI9030-AA60BI-F	Accélérateur d'E/S PCI 3V SMARTarget (ÌBGA 180 broches) (sans plomb)	32,30	30,32	28,41
862-PCI9030RDK-LITE	PCI9030RDK-LITE	Kit de conception de référence PCI 9030	321,85	-	-
PCI 9052					
862-PCI9052-G	PCI9052-G	Accélérateur d'E/S PCI 5 V (PQFP 160 broches) (sans plomb)	30,68	28,81	26,93
862-PCI9052RDK-LITE	PCI9052RDK-LITE	Kit de conception de référence PCI 9052	273,63	-	-

ACCÉLÉRATEURS D'E/S MAITRES PCI-BUS LOCAL 32 BITS

Puce accélératrice d'E/S maitre PCI 9054 Bus

Le PCI 9054 est la nouvelle génération de puce d'interface maître de bus PCI 32 bits, qui se connecte de manière transparente en tirant pleinement parti des microprocesseurs MPC860 PowerQUICC® et MPC850 de Motorola. L'accélérateur d'E/S PCI 9054, la première puce d'interface PCI à remplacement à chaud CompactPCI® de l'industrie, étend la gamme de produits PCI 32 bits de PLX pour CompactPCI® et les systèmes de télécommunications basés sur le PCI, le réseau et autres systèmes à large bande passante.

Caractéristiques de performances du 9054 :
- Le contrôleur d'interface maître de bus 32 bits 33 MHz compatible PCI v2.2, permet des transferts en rafales PCI jusqu'à 132 Mo/s.
- L'interface maitre de bus à usage général dispose d'une Architecture™ Pip de données avancée qui comprend deux moteurs DMA, avec modes de transfert de données cible et initiateur programmables, et fonctions de messagerie PCI
- Compatible avec les spécifications de gestion d'alimentation PCI v2.2
- Support de configuratoin VPD (Vital Product Data) PCI v2.2

Puce accélératrice d'E/S PCI 9056 Master Chip

Puce maitre PCI 9056 -- l'accélérateur d'E/S PCI 32 bits, 66 MHz est le dispositif de gestion de bus maître à usage général le plus avancé disponible pour les bus locaux de conception MPC850/860 PowerQUICC de Motorola,t ainsi que les bus de conception classiques 32 bits, 66 MHZ. Le PCI 9056 intégre l''architecture data pipe, technologie leader de l'industrie PLX, proposant des moteurs DMA, des modes de transferts de données maître et esclave directs, et des fonctions de massagerie PCI.

Caractéristiques de performances du 9056 :
- Compatible PCI r2.2, 32 bits, 66 MHz
- Modes bus local Motorola PowerQUICC et générique 32 bits, 66MHz
- Interfaces de bus d'E/S supportant 3,3 V et 5 V
- Silicium à remplacement à chaud PICMG 2.1 r2.0
- Boîtier PBGA (FPBGA) BGA-256, 17 x 17 mm, petit pas d'1 mm
- Rafales bus PCI jusqu'à 264 Mo/s
- Rafales bus local jusqu'à 264 Mo/s

Pour des quantités supérieures à celles indiquées, appelez-nous afin d'obtenir un devis.

RÉF. STOCK MOUSER	Réf. PLX	Description	Prix unitaire 1	50	100
PCI9054					
862-PCI9054-AC50BI-F	PCI9054-AC50BI-F	Ensemble PBGA de puce d'accélérateur d'E/S maître PCI vers bus local (sans plomb)	44,61	41,88	39,25
862-PCI9054-AC50PI-F	PCI 9054-AC50PI-F	Ensemble PQFP de puce d'accélérateur d'E/S maître PCI vers bus local (sans plomb)	62,85	58,97	55,08
862-PCI9054RDK-LITE	PCI9054RDK-LITE	Kit de développement rapide PCI 9054	430,30	-	-
PCI9056					
862-PCI9056-BA66BI-G	PCI9056-BA66BI-G	Accélérateur d'E/S de bus maître PCI à 66 MHz pour Motorola PowerQUICC (sans plomb)	47,39	44,48	41,68
862-PCI9056-BA66BI	PCI9056-BA66BI	E/S de bus maître PCI 66 MHz 32 bits	51,80	48,59	45,39
862-PCI9056RDK-LITE	PCI9056RDK-LITE	Kit de développement rapide PCI 9056	430,30	-	-

Puce accélératrice d'E/S de bus maître PCO compatible PCI 9080 I2O

La puce maître PCI 9080 est le standard pour les accélérateurs d'E/S PCI. Elle intègre toutes les fonctionnalités de la famille des produits PCI 9060, tout en ajoutant les options et fonctionnalités lui permettant de garder la première place dans l'évolution constante des technologies associées au PCI. En tant qu'unité de messagerie compatible I20 indépendante du processeur, le PCI 9080 et également l'une des premières puces d'interface PCI à fonctionner à 3,3 V comme à 5 V.

862-PCI9080-3-G	PCI9080-3-G	Accélérateur d'E/S maîtres de bus PCI à 66 MHz pour PowerQUICC (sans plomb)	67,12	62,94	58,78

ACCÉLÉRATEURS D'E/S MAITRES PCI BUS LOCAL 64 BITS

L'accélérateur d'E/S 64 bits, 66 MHz PCI 9656 est le dispositif de gestion de bus maître à usage général le plus avancé disponible pour les bus locaux de conception Motorola MPC850/860 PowerQUICC et les bus de conception classiques 32 bits, 66 MHZ. Le PCI 9656 intègre l''architecture data pipe, technologie leader de l'industrie de PLX, en proposant des moteurs DMA, des modes de transferts de données maître et esclave directs, et des fonctions de messagerie PCI.

Caractéristiques :
- Compatible PCI r2.2, 64 bits, 66 MHz
- Modes bus local Motorola PowerQUICC et générique 32 bits, 66 MHz
- Interfaces de bus d'E/S supportant 3,3 V et 5 V
- Silicium à remplacement à chaud PICMG 2.1 r2.0
- Boîtier BGA-272, 27 x 27 mm, à petit pas de 1,27 mm
- Fonctionnement du bus PCI avec transfert en rafales jusqu'à 528 Mo/s sans cycle d'attente Rafales en bus local jusqu'à 264 Mo/s
- Bloc de 2 canaux DMA et mode de demande de gestion des sonneries du descripteur DMA pour le transfert de collecte/envoi et GA de contrôle du matériel EOT
- Support de génération à gestion d'événement d'alimentation (PME) PCI D3COLD
- Unité de messagerie I2O r1.5
- Huit boîtes aux lettres et deux registres d'alarme
- L'arbitrage PCI supporte 7 maîtres externes
- Configuration de signal pour réinitialisation/interruption de mode hôte

Pour des quantités supérieures à celles indiquées, appelez-nous afin d'obtenir un devis.

RÉF. STOCK MOUSER	Réf. PLX	Description	Prix unitaire 1	50	100
862-PCI9656-BA66BI-G	PCI 9656-BA66BI-G	Accélérateur d'E/S de bus maître PCI à 66 MHz pour PowerQUICC (sans plomb)	56,92	53,43	50,07
862-PCI9656-BA66BI	PCI 9656-BA66BI	Accélérateur d'E/S de bus maître PCI à 66 MHz pour PowerQUICC (sans plomb)	62,12	58,27	54,42
862-PCI9656RDK-LITE	PCI 9656RDK-LITE	Kit de développement rapide PCI 9656	430,30	-	-

CONTRÔLEUR DE PÉRIPHÉRIQUE PROGRAMMABLE HAUTE VITESSE USB 2.0 16 BITS NETCHIP™ 227x

Le contrôleur de périphérique programmable haute vitesse USB 2.0 16 bits de NetChip est optimisé pour les dispositifs de tranfert de données unidirectionnels et bidirectionnels tels que les imprimantes, les scanners, les appareils photos numériques, le stockage de données et les appareils audio. La dernière famille de contrôleurs de périphériques à usage général, le NET2270, complète notre produit phare, le contrôleur de périphérique haute vitesse USB 2.0 au monde, le NET2290.

Pour des quantités supérieures à celles indiquées, appelez-nous afin d'obtenir un devis.

862-NET2270-3B-LF	NET2270REV3B-LF	Bus local vers contrôleur de périphérique haute vitesse USB 2.0 - boîtier TQFP 10 x 10 mm 64 broches	10,32	9,74	9,06
862-NET2272-1A-LF	NET2272REV1A-LF	Bus local vers contrôleur de périphérique haute vitesse USB 2.0 – boîtier TQFP 10 x 10 mm 64 broches	9,41	8,86	8,28
862-NET2272-1A-BCF	NET2272REV1A-BC F	Bus local vers contrôleur de périphérique haute vitesse USB 2.0 – boîtier BGA-64 6 x 6 mm	9,41	8,86	8,29
862-NET2272RDK-II	NET2272RDK-II	Kit de développement rapide NET2272 RAPID	214,18	-	-

CONTROLEUR DE PÉRIPHÉRIQUE HAUTE VITESSE USB NETCHIP™ 2282

Le contrôleur de périphérique haute vitesse NET 2282 PCI vers USB 2.0 de NetChip™ est conçu pour une intégration facile dans les systèmes PCI existants et silicium. Alors qu'il existe beaucoup d'hôtes USB basés sur le PCI sur le marché, le NET 2282 est l'un des seuls contrôleurs de périphérique USB basé sur PCI.

Pour des quantités supérieures à celles indiquées, appelez-nous afin d'obtenir un devis.

862-NET2282-AB33PCF	NET2282-AB33PCF	PCI vers contrôleur USB 2.0 haute vitesse, 14 x 14 mm boîtier TQFP (sans plomb)	12,28	11,53	10,79

© Copyright 2012 Mouser Electronics
© Copyright 2012 Mouser Electronics

Circuits intégrés ROHM SEMICONDUCTOR

ROHM SEMICONDUCTOR

RoHS Compliant This product is RoHS compliant.

CAPTEURS DE LUMIÈRE AMBIANTE

♦ **Composant pour montage en surface**

PRODUCT NEW

Les CI capteurs de lumière ambiante de ROHM peuvent détecter une large gamme d'éclairement, de l'obscurité à la lumière solaire. Ils peuvent indiquer les données d'éclairement afin d'ajuster la luminosité de l'écran LCD d'un équipement électronique. Cela permet de faciliter la réduction de la consommation électrique des équipements et d'améliorer la visibilité en contrôlant la luminosité de l'écran LCD et le rétro-éclairage du pavé numérique. Cette composition offre différents types de sortie de courant, sortie comparateur et sortie numérique pour répondre aux différents besoins des conceptions et des applications.

Pour des quantités supérieures à celles indiquées, appelez-nous afin d'obtenir un devis.

RÉF. STOCK MOUSER		Boîtier	Tension d'alimentation (V)	Type de sortie	Variations de la sensibilité (%)	Prix unitaire		
Fabr.	Réf. fabr.					1	25	100
♦	755—BH1600FVC-TR	WSOF-6	2,4 - 3,6	Courant (Source)	±35	1,22	1,01	0,813
♦	755—BH1603FVC-TR	WSOF-6	2,4 - 5,5	Courant (Source)	±15	1,01	0,842	0,679
♦	755—BH1620FVC-TR	WSOF-5	2,4 - 5,5	Courant (Source)	±15	1,13	0,932	0,756
♦	755—BH1710FVC-TR	WSOF-6	2,4 - 3,6	I2C I/F	±38	2,14	1,71	1,42
♦	755—BH1715FVC-TR	WSOF-6	2,4 - 3,6	I2C I/F	±15	2,89	2,31	1,73
♦	755—BH1721FVC-TR	WSOF-5	2,4 - 3,6	I2C I/F	±15	1,97	1,58	1,23
♦	755—BH1750FVI-TR	WSOF-6	2,4 - 3,6	I2C I/F	±20	3,65	2,92	2,18

CONVERTISSEURS N/A

Pour des quantités supérieures à celles indiquées, appelez-nous afin d'obtenir un devis.

RÉF. STOCK MOUSER		Boîtier	Durée de rétablissement (nS)	Tension d'alimentation (V)	Voies	Prix unitaire		
Fabr.	Réf. fabr.					1	25	100
♦	755—BH2221FV-E2	SSOP-20	100	2,7 / 5,5	12	2,35	1,88	1,46
♦	755—BU2507FV-E2	SSOP-14	20	4,5 / 5,5	6	2,70	2,15	1,61

COMPARATEURS

ROHM offre des comparateurs de tout type : bipolaires, CMOS, détection terre (alimentation simple), alimentation double, résistance haute tension, bruit bas, saturation basse, consommation électrique basse et balance complète entrée / sortie, afin de répondre à la variété des besoins.

Pour des quantités supérieures à celles indiquées, appelez-nous afin d'obtenir un devis.

RÉF. STOCK MOUSER		Boîtier	Alimentation électrique (V)	Voies	Température de fonctionnement (°C)	Prix unitaire		
Fabr.	Réf. fabr.					1	10	100
♦	755—LM2903DR	SOIC-8	3-36	2	de -40 à 125	0,45	0,322	0,253
♦	755—LM2903MX	SOIC-8	2 - 36	2	de -40 à +85	0,45	0,322	0,253
♦	755—LM393MX	SOIC-8	2 - 36	2	de 0 à 70	0,45	0,322	0,253

CI EFFET HALL

La gamme complète de commutateurs CI à effet Hall de ROHM offre les boîtiers les plus petits de l'industrie et le courant en veille le plus bas.

Pour des quantités supérieures à celles indiquées, appelez-nous afin d'obtenir un devis.

RÉF. STOCK MOUSER		Boîtier	Type de verrou	Tension de fonctionnement (V)	Courant de sortie (mA)	Température de fonctionnement (°C)	Prix unitaire		
Fabr.	Fabr. Réf. pièce						1	25	100
♦	755—BU52001GUL-E2	VCSP50L1	Bipolaire	de 2,4 à 3,3	1	de -40 à +85	1,56	1,16	0,875
♦	755—BU52011HFV-TR	HVSOF-5	Bipolaire	de 1,65 à 3,3	0,5	de -40 à +85	1,14	0,858	0,644
♦	755—BU52021HFV-TR	HVSOF-5	Bipolaire	de 2,4 à 3,6	1	de -40 à +85	1,14	0,858	0,644
♦	755—BU52002GUL-E2	VCSP50L1	Unipolaire	de 2,4 à 3,3	1	de -40 à +85	1,56	1,16	0,875
♦	755—BU52012HFV-TR	HVSOF-5	Unipolaire	de 1,65 à 3,3	0,5	de -40 à +85	1,14	0,858	0,644
♦	755—BU52040HFV-TR	HVSOF-5	Bipolaire	de 1,65 à 3,3	0,5	de -40 à +85	1,70	1,41	1,13
♦	755—BU52014HFV-TR	HVSOF-5	Bipolaire	de 1,65 à 3,3	0,5	de -40 à +85	0,96	0,792	0,641

CAPTEURS DE TEMPÉRATURE

PRODUCT NEW

Pour des quantités supérieures à celles indiquées, appelez-nous afin d'obtenir un devis.

RÉF. STOCK MOUSER		Boîtier	Temp. de détection (°C)	Type de sortie	Prix unitaire		
Fabr.	Réf. fabr.				1	25	100
♦	755—BDJ0550HFV-TR	HVSOF-5	55	Collecteur ouvert, actif bas	0,77	0,635	0,512
♦	755—BDJ0600HFV-TR	HVSOF-5	60	Collecteur ouvert, actif bas	0,77	0,635	0,512
♦	755—BDJ0650HFV-TR	HVSOF-5	65	Collecteur ouvert, actif bas	1,18	1,01	0,784
♦	755—BDJ0700HFV-TR	HVSOF-5	70	Collecteur ouvert, actif bas	0,77	0,635	0,512
♦	755—BDJ0701HFV-TR	HVSOF-5	71	Collecteur ouvert, actif bas	1,18	1,01	0,784
♦	755—BDJ0751HFV-TR	HVSOF-5	75	Collecteur ouvert, actif bas	1,18	1,01	0,784
♦	755—BDJ0800HFV-TR	HVSOF-5	80	Collecteur ouvert, actif bas	0,77	0,635	0,512
♦	755—BDJ0801HFV-TR	HVSOF-5	81	Collecteur ouvert, actif bas	1,18	1,01	0,784
♦	755—BDJ0851HFV-TR	HVSOF-5	85	Collecteur ouvert, actif bas	1,18	1,01	0,784
♦	755—BDJ0901HFV-TR	HVSOF-5	90	Collecteur ouvert, actif bas	1,18	1,01	0,784

CONVERTISSEURS CA/CC

Pour des quantités supérieures à celles indiquées, appelez-nous afin d'obtenir un devis.

RÉF. STOCK MOUSER		Boîtier	Tension d'entrée (V)	Courant de sortie (mA)	Tension de sortie (V)	Prix unitaire		
Fabr.	Réf. fabr.					1	25	100
755—	BP5034D12	SIP-10	141	100	12	4,41	3,52	2,74
755—	BP5034D5	SIP-10	141	100	5	5,78	4,62	3,89
755—	BP5037B12	SIP-10	141	200	12	3,54	3,28	3,05
755—	BP5039B12	SIP-12	141	300	12	3,34	2,62	2,04
755—	BP5041A15	SIP-10	390	80	16	5,05	4,84	4,25
755—	BP5041A5	SIP-10	282	100	5	5,17	4,95	4,31
755—	BP5063-5	SIP-10	141	200	5	5,76	4,49	3,74
755—	BP5067-12	SIP-12	141	350	12	4,42	3,45	2,66

CONVERTISSEURS CC/CC

Pour des quantités supérieures à celles indiquées, appelez-nous afin d'obtenir un devis.

RÉF. STOCK MOUSER		Boîtier	Tension d'entrée (V)	Courant de sortie (mA)	Tension de sortie (V)	Prix unitaire		
Fabr.	Réf. fabr.					1	25	100
755—	BP5220A	SIP-9	8/38	1000	5	8,25	6,59	5,53
755—	BP5221A	SIP-9	8/38	500	5	8,45	6,74	5,14

RÉGULATEURS

PRODUCT NEW

Pour des quantités supérieures à celles indiquées, appelez-nous afin d'obtenir un devis.

RÉF. STOCK MOUSER		Boîtier	Courant de sortie (A)	Tension de sortie (V)	Prix unitaire		
Fabr.	Réf. fabr.				1	25	100
Linéaire							
	755—BA00BC0WT	TO-220FP-5	1,5	1,5 / 12	1,37	1,15	0,916
	755—BA033CC0T	TO-220FP-3	1	3,3	1,42	1,17	0,941
	755—BA05CC0T	TO-220FP-3	1	5	1,42	1,17	0,941
♦	755—BA18BC0FP-E2	TO-252-3	1	1,8	0,97	0,784	0,628
♦	755—BA33BC0FP-E2	TO-252-3	1	3,3	0,84	0,685	0,547
♦	755—BA50BC0FP-E2	TO-252-3	1	5	0,91	0,817	0,691
♦	755—BH28FB1WG-TR	SSOP-5	150 m	2,8	0,56	0,421	0,315
♦	755—BH33MA3WHFV-TR	HVSOF-6	300 m	3,3	0,56	0,421	0,315
♦	755—BH33NB1WHFV-TR	HVSOF-5	150 m	3,3	0,56	0,421	0,315
Perte faible							
	755—BA30BC0T	TO-220FP-3	1	3	1,15	0,957	0,766
	755—BA33BC0T	TO-220FP-3	1	3,3	1,15	0,957	0,766
	755—BA50BC0T	TO-220FP-3	1	5	1,15	0,957	0,766
♦	755—BD00KA5WF-E2	SOP-8	0,5	Variable	0,91	0,66	0,499
♦	755—BD00KA5WFP-E2	TO-252-5	0,5	Variable	0,86	0,627	0,474
♦	755—BD10KA5WF-E2	SOP-8	0,5	1	0,71	0,594	0,482
♦	755—BD10KA5WFP-E2	TO-252-5	0,5	1	0,67	0,561	0,457
♦	755—BD12KA5WF-E2	SOP-8	0,5	1,2	0,71	0,594	0,482
♦	755—BD12KA5WFP-E2	TO-252-5	0,5	1,2	0,67	0,561	0,457
♦	755—BD15KA5WF-E2	SOP-8	0,5	1,5	0,71	0,594	0,482
♦	755—BD15KA5WFP-E2	TO-252-5	0,5	1,5	0,67	0,561	0,457
♦	755—BD18KA5WF-E2	SOP-8	0,5	1,8	0,71	0,594	0,482
♦	755—BD18KA5WFP-E2	TO-252-5	0,5	1,8	0,67	0,561	0,457
♦	755—BD25KA5WFP-E2	TO-252-5	0,5	2,5	0,67	0,561	0,457
♦	755—BD30KA5WF-E2	SOP-8	0,5	3	0,71	0,594	0,482
♦	755—BD33KA5WFP-E2	TO-252-5	0,5	3,3	0,86	0,627	0,474
♦	755—BU15TA2WNVX-TR	SSON004x1216	0,2	1,5	0,50	0,371	0,278
♦	755—BU18TA2WNVX-TR	SSON004x1216	0,2	1,8	0,50	0,371	0,278
♦	755—BU28TA2WNVX-TR	SSON004x1216	0,2	2,8	0,50	0,371	0,278
♦	755—BU29TA2WNVX-TR	SSON004x1216	0,2	2,9	0,50	0,371	0,278
♦	755—BU2JTA2WNVX-TR	SSON004x1216	0,2	2,85	0,50	0,371	0,278
♦	755—BU32TA2WNVX-TR	SSON004x1216	0,2	3,2	0,50	0,371	0,278
♦	755—BU33TA2WNVX-TR	SSON004x1216	0,2	3,3	0,50	0,371	0,278
♦	755—BU10TD3WG-TR	SSOP-5	0,2	1	0,37	0,297	0,224
♦	755—BU12TD3WG-TR	SSOP-5	0,2	1,2	0,37	0,297	0,224
♦	755—BU15TD3WG-TR	SSOP-5	0,2	1,5	0,37	0,297	0,224
♦	755—BU1JTD3WG-TR	SSOP-5	0,2	1,85	0,37	0,297	0,224
♦	755—BU19TD3WG-TR	SSOP-5	0,2	1,9	0,37	0,297	0,224
♦	755—BU21TD3WG-TR	SSOP-5	0,2	2	0,37	0,297	0,224
♦	755—BU25TD3WG-TR	SSOP-5	0,2	2,5	0,37	0,297	0,224
♦	755—BU26TD3WG-TR	SSOP-5	0,2	2,6	0,37	0,297	0,224
♦	755—BU28TD3WG-TR	SSOP-5	0,2	2,8	0,37	0,297	0,224
♦	755—BU2JTD3WG-TR	SSOP-5	0,2	2,85	0,37	0,297	0,224
♦	755—BU29TD3WG-TR	SSOP-5	0,2	2,9	0,37	0,297	0,224
♦	755—BU30TD3WG-TR	SSOP-5	0,2	3	0,37	0,297	0,224
♦	755—BU32TD3WG-TR	SSOP-5	0,2	3,2	0,37	0,297	0,224
♦	755—BU33TD3WG-TR	SSOP-5	0,2	3,3	0,37	0,297	0,224
♦	755—BU34TD3WG-TR	SSOP-5	0,2	3,4	0,37	0,297	0,224
Commutation							
♦	755—BD9001F-E2	SOP-8	2	1-48	3,23	2,58	1,93
♦	755—BD9040FV-E2	SSOPB-20	±1	5,5	2,37	1,89	1,41
♦	755—BD9045FV-E2	SSOPB-28	±1	5,5	3,68	2,94	2,29
♦	755—BD9104FVM-TR	MSOP-8	0,9	3,3	1,75	1,40	1,05
♦	755—BD9107FVM-TR	MSOP-8	1,2	Variable	1,82	1,45	1,09
♦	755—BD9109FVM-TR	MSOP-8	0,8	3,3	1,85	1,48	1,30
♦	755—BD9110NV-E2	SON008V5060	2	Variable	2,31	1,84	1,38
♦	755—BD9111NV-E2	SON008V5060	2	3,3	2,26	1,80	1,34
♦	755—BD9120HFN-TR	HSON-8	0,8	1 - 1,5	2,17	1,81	1,44
♦	755—BD9130NV-E2	SON008V5060	2	Variable	2,28	1,82	1,36
♦	755—BD9132MUV-E2	VQFN-20	3	1 - 2,5	2,47	1,96	1,47
♦	755—BD9134MUV-E2	VQFN-20	3	3,3	2,07	1,65	1,24
♦	755—BD9141MUV-E2	VQFN-20	2	Variable	2,40	1,91	1,43
♦	755—BD9150MUV-E2	VQFN-20	1,5	Variable	2,54	2,03	1,58
♦	755—BD9152MUV-E2	VQFN-20	1,5	Variable	2,74	2,19	1,71
♦	755—BD95500MUV-E2	VQFN-40	6	0,7 - 5	3,34	2,67	2,08
	755—BD9701CP-V5E2	TO-220CPV-5	1,5	1 - (Vcc-3)	2,29	1,83	1,37
	755—BD9703CP-V5E2	TO-220CPV-5	1,5	1 - (Vcc-3)	2,61	2,08	1,55
♦	755—BD9703FP-E2	TO-252-5	1,5	1 - (Vcc-3)	1,72	1,37	1,02
♦	755—BD9778F-E2	SOP-8	2	1 - 35	2,92	2,33	1,81
♦	755—BD9778HFP-TR	HRP-7	2	1 - 35	3,27	2,62	2,03
♦	755—BD9870FPS-E2	TO-252S-5	1,5	0,8 × (VCC-IoxRon)	1,24	0,99	0,743

RÉGULATEURS DE COMMUTATION LARGE COURANT

Les régulateurs de commutation type contrôleur FET externe à large courant de ROHM sont compatibles avec pratiquement toutes les applications d'alimentation électrique à commutation grâce à leur large gamme de tension d'entrée, leur capacité multi-opération (survolteur / tension négative / dévolteur) et une fréquence de fonctionnement flexible.

Pour des quantités supérieures à celles indiquées, appelez-nous afin d'obtenir un devis.

RÉF. STOCK MOUSER		Boîtier	Nombre de sorties	Tension d'alimentation (V)	Précision de tension référence (%)	Prix unitaire		
Fabr.	Réf. fabr.					1	25	100
♦	755—BD8303MUV-E2	VQFN-16	1	2,7 - 14	±1,25	1,92	1,53	1,15
♦	755—BD9305AFVM-TR	MSOP-8	1	4,2 - 18	±1,6	1,79	1,49	1,20
♦	755—BD9306AFVM-TR	MSOP-8	1	4,2 - 18	±1,5	1,79	1,49	1,20
♦	755—BD9533EKN-E2	HQFN-20	1	4,5 - 28	±1	2,69	2,15	1,60
♦	755—BD9535MUV-E2	VQFN-32	2	3 - 28	±1	4,07	3,26	2,53
♦	755—BD9842FV-E2	SSOPB-20	2	3,6 - 35	±1	1,96	1,57	1,17
♦	755—BD9845FV-E2	SSOPB-14	1	3,6 - 35	±1	1,07	0,858	0,644
♦	755—BD9853AFV-E2	SSOPBS-16	2	4,5 - 16	±1,25	2,42	1,93	1,50

© Copyright 2012 Mouser Electronics

© Copyright 2012 Mouser Electronics

Circuits intégrés et mémoire ROHM SEMICONDUCTOR

ROHM SEMICONDUCTOR

RoHS Compliant This page of product is compliant.

EEPROMS

♦ Composant pour montage en surface

Pour des quantités supérieures à celles indiquées, appelez-nous afin d'obtenir un devis.

RÉF. STOCK MOUSER		Boîtier	Compatibilité bus	Température de fonctionnement (°C)	Bits de densité	Prix unitaire		
Fabr.	Réf. fabr.					1	25	100
♦	755—BR24C01-DS6TP	TSSOP-8	BUS I2C	de -40 à +85	1K	0,52	0,388	0,294
♦	755—BR24C01-DW6TP	TSSOP-8	BUS I2C	de -40 à +85	1K	0,52	0,388	0,294
♦	755—BR24C01-MN6TP	SO-8	BUS I2C	de -40 à +85	1K	0,51	0,38	0,29
♦	755—BR24C01-RDS6TP	TSSOP-8	BUS I2C	de -40 à +105	1K	0,52	0,388	0,294
♦	755—BR24C01-RDW6TP	TSSOP-8	BUS I2C	de -40 à +85	1K	0,52	0,388	0,294
♦	755—BR24C01-RMN6TP	SO-8	BUS I2C	de -40 à +85	1K	0,51	0,38	0,29
♦	755—BR24C01-WDS6TP	TSSOP-8	BUS I2C	de -40 à +85	1K	0,52	0,388	0,294
♦	755—BR24C01-WDW6TP	TSSOP-8	BUS I2C	de -40 à +85	1K	0,52	0,388	0,294
♦	755—BR24C01-WMN6TP	SO-8	BUS I2C	de -40 à +85	1K	0,51	0,38	0,29
♦	755—BR24C02-DS6TP	TSSOP-8	BUS I2C	de -40 à +85	2K	0,52	0,388	0,294
♦	755—BR24C02-DW6TP	TSSOP-8	BUS I2C	de -40 à +85	2K	0,52	0,388	0,294
♦	755—BR24C02-MN6TP	SO-8	BUS I2C	de -40 à +85	2K	0,52	0,388	0,292
♦	755—BR24C02-RDS6TP	TSSOP-8	BUS I2C	de -40 à +105	2K	0,52	0,388	0,294
♦	755—BR24C02-RMN6TP	SO-8	BUS I2C	de -40 à +85	2K	0,52	0,388	0,292
♦	755—BR24C02-WDS6TP	TSSOP-8	BUS I2C	de -40 à +85	2K	0,52	0,388	0,294
♦	755—BR24C02-WDW6TP	TSSOP-8	BUS I2C	de -40 à +85	2K	0,52	0,388	0,294
♦	755—BR24C02-WMN6TP	SO-8	BUS I2C	de -40 à +85	2K	0,55	0,413	0,312
♦	755—BR24C04-DS6TP	TSSOP-8	BUS I2C	de -40 à +85	4K	0,64	0,479	0,365
♦	755—BR24C04-DW6TP	TSSOP-8	BUS I2C	de -40 à +85	4K	0,64	0,479	0,365
♦	755—BR24C04-MN6TP	SO-8	BUS I2C	de -40 à +85	4K	0,59	0,437	0,333
♦	755—BR24C04-RDS6TP	TSSOP-8	BUS I2C	de -40 à +85	4K	0,64	0,479	0,365
♦	755—BR24C04-RDW6TP	TSSOP-8	BUS I2C	de -40 à +85	4K	0,56	0,421	0,32
♦	755—BR24C04-RMN6TP	SO-8	BUS I2C	de -40 à +85	4K	0,59	0,437	0,333
♦	755—BR24C04-WDS6TP	TSSOP-8	BUS I2C	de -40 à +85	4K	0,64	0,479	0,365
♦	755—BR24C04-WMN6TP	SO-8	BUS I2C	de -40 à +85	4K	0,59	0,437	0,333
♦	755—BR24C08-DS6TP	TSSOP-8	BUS I2C	de -40 à +85	8K	0,67	0,503	0,38
♦	755—BR24C08-DW6TP	TSSOP-8	BUS I2C	de -40 à +85	8K	0,67	0,503	0,38
♦	755—BR24C08-MN6TP	SO-8	BUS I2C	de -40 à +85	8K	0,64	0,487	0,366
♦	755—BR24C08-RDS6TP	TSSOP-8	BUS I2C	de -40 à +85	8K	0,67	0,503	0,38
♦	755—BR24C08-RDW6TP	TSSOP-8	BUS I2C	de -40 à +85	8K	0,67	0,503	0,38
♦	755—BR24C08-RMN6TP	SO-8	BUS I2C	de -40 à +85	8K	0,64	0,487	0,366
♦	755—BR24C08-WDS6TP	TSSOP-8	BUS I2C	de -40 à +85	8K	0,67	0,503	0,38
♦	755—BR24C08-WMN6TP	SO-8	BUS I2C	de -40 à +85	8K	0,64	0,487	0,366
♦	755—BR24C16-DS6TP	TSSOP-8	BUS I2C	de -40 à +85	16K	0,67	0,503	0,38
♦	755—BR24C16-DW6TP	TSSOP-8	BUS I2C	de -40 à +85	16K	0,64	0,545	0,424
♦	755—BR24C16-MN6TP	SO-8	BUS I2C	de -40 à +85	16K	0,61	0,52	0,384
♦	755—BR24C16-RDS6TP	TSSOP-8	BUS I2C	de -40 à +105	16K	0,55	0,47	0,349
♦	755—BR24C16-RMN6TP	SO-8	BUS I2C	de -40 à +85	16K	0,61	0,52	0,384
♦	755—BR24C16-WDS6TP	TSSOP-8	BUS I2C	de -40 à +85	16K	0,55	0,47	0,349
♦	755—BR24C16-WDW6TP	TSSOP-8	BUS I2C	de -40 à +85	16K	0,64	0,545	0,402
♦	755—BR24C32-DW6TP	TSSOP-8	BUS I2C	de -40 à +85	32K	0,92	0,759	0,61
♦	755—BR24C32-MN6TP	SO-8	BUS I2C	de -40 à +85	32K	0,94	0,776	0,629
♦	755—BR24C64-MN6TP	SO-8	BUS I2C	de -40 à +85	64K	1,09	0,866	0,654
♦	755—BR24C64-WMN6TP	SO-8	BUS I2C	de -40 à +85	64K	1,09	0,866	0,654
♦	755—BR24L02FVM-WTR	MSOP-8	I2C	de 85 à -40	2K	0,55	0,396	0,301
♦	755—BR24L02F-WE2	SOP-8	I2C	de 85 à -40	2K	0,56	0,404	0,307
♦	755—BR24L04F-WE2	SOP-8	I2C	de 85 à -40	4K	0,63	0,462	0,346
♦	755—BR24L32F-WE2	SOP-8	I2C	de 85 à -40	32K	0,89	0,726	0,58
♦	755—BR24L64F-WE2	SOP-8	I2C	de 85 à -40	64K	1,21	0,982	0,791
♦	755—BR93L46F-WE2	SOP-8	Microwire	de 85 à -40	1K	0,56	0,413	0,312

AMPLIFICATEURS

♦ Composant pour montage en surface

Pour des quantités supérieures à celles indiquées, appelez-nous afin d'obtenir un devis.

RÉF. STOCK MOUSER		Boîtier	Description	Prix unitaire		
Fabr.	Réf. fabr.			1	25	100
♦	755—BA3121F-E2	SOP-8	AMPLI isolation audio	1,56	1,30	1,04
♦	755—BA3121N	SIP-8	Isolation AMPLI CI	2,04	1,16	0,932
♦	755—BA4558F-E2	SOP-8	Ampli opérationnel, générique 4558	0,45	0,355	0,266
	755—BA4560	DIP-8	Ampli. opér. double 18 V CI	0,70	0,561	0,422
♦	755—BA4560F-E2	SOP-8	Ampli opérationnel, générique 4560	0,41	0,33	0,248
♦	755—BD7541G-TR	SSOP-5	Haute tension 5 - 14,5 V 4 mA ; Ampli. opér. slew rate 0,3	0,87	0,718	0,578
♦	755—BD7541SG-TR	SSOP-5	Haute tension 5 - 14,5 V 4 mA ; Ampli. opér. slew rate 0,3	0,92	0,759	0,611
♦	755—BD7542F-E2	SOP-8	Haute tension 5 - 14,5 V 4 mA ; Ampli. opér. slew rate 0,3	0,92	0,759	0,611
♦	755—BD7542FVM-TR	MSOP-8	Haute tension 5 - 14,5 V 4 mA ; Ampli. opér. slew rate 0,3	0,92	0,759	0,611
♦	755—BD7561G-TR	SSOP-5	Haute tension 5 - 14,5 V 8 mA ; Ampli. opér. slew rate 0,9	0,87	0,718	0,578
♦	755—BD7561SG-TR	SSOP-5	Haute tension 5 - 14,5 V 8 mA ; Ampli. opér. slew rate 0,9	0,92	0,759	0,611
♦	755—BD7562F-E2	SOP-8	Haute tension 5 - 14,5 V 8 mA ; Ampli. opér. slew rate 0,9	0,92	0,759	0,611
♦	755—BD7562FVM-TR	MSOP-8	Haute tension 5 - 14,5 V 8 mA ; Ampli. opér. slew rate 0,9	0,92	0,759	0,611
♦	755—BD7562SF-E2	SOP-8	Haute tension 5 - 14,5 V 8 mA ; Ampli. opér. slew rate 0,9	1,01	0,842	0,677
♦	755—BD7562SFVM-TR	MSOP-8	Haute tension 5 - 14,5 V 8 mA ; Ampli. opér. slew rate 0,9	1,01	0,842	0,677
♦	755—BH1415F-E2	SOP-22	Communications	7,90	6,26	4,89
♦	755—BH1417F-E2	SOP-22	Communications	7,90	6,19	4,83
♦	755—BU7241SG-TR	SSOP-5	Basse tension 1,8 - 5,5 V 10 mA ; Ampli. opér. slew rate 0,4	0,92	0,759	0,611
♦	755—BU7242F-E2	SOP-8	Basse tension 1,8 - 5,5 V 10 mA ; Ampli. opér. slew rate 0,4	0,92	0,759	0,611
♦	755—BU7242FVM-TR	MSOP-8	Basse tension 1,8 - 5,5 V 10 mA ; Ampli. opér. slew rate 0,4	0,92	0,759	0,611
♦	755—BU7242SF-E2	SOP-8	Basse tension 1,8 - 5,5 V 10 mA ; Ampli. opér. slew rate 0,4	1,01	0,842	0,677
♦	755—BU7261G-TR	SSOP-5	Ampli. opér. ; basse tension 1,8 - 5,5 V Ampli. opér. CMOS	0,88	0,701	0,587
♦	755—BU7262SF-E2	SOP-8	Basse tension 1,8 - 5,5 V 10 mA ; Ampli. opér. slew rate 1,1	1,01	0,842	0,677
♦	755—BU7262SFVM-TR	=MSOP-8	Ampli. opér. ; basse tension 1,8 - 5,5 V Ampli. opér. CMOS	1,01	0,842	0,677
♦	755—BU7441SG-TR	SSOP-5	Basse tension 1,7 - 5,5 V 3 mA ; Ampli. opér. slew rate 0,3	0,69	0,52	0,389
♦	755—BU7461G-TR	SSOP-5	Basse tension 1,7 - 5,5 V 3 mA ; Ampli. opér. slew rate 1,0	0,56	0,421	0,315
♦	755—BU7461SG-TR	SSOP-5	Basse tension 1,7 - 5,5 V 3 mA ; Ampli. opér. slew rate 1,0	0,69	0,52	0,389
♦	755—BU9437AKV-E2	VQFP-64	Décodeur hôte audio USB	17,84	16,13	14,29
♦	755—LM2904DR	SOIC-8	2 circuits ; de 3 à 26 V, de -40 à +125 Ampli. opér. température de fonct.	0,55	0,396	0,305
♦	755—LM2904DT	SOIC-8	2 circuits ; de 3 à 32 V, de -40 à +125 Ampli. opér. température de fonct.	0,55	0,396	0,305
♦	755—LM358DR	SOIC-8	2 circuits ; de 3 à 32 V, de 0 à +70 Ampli. opér. température de fonct.	0,40	0,297	0,226

PILOTES

Pour des quantités supérieures à celles indiquées, appelez-nous afin d'obtenir un devis.

RÉF. STOCK MOUSER		Boîtier	Compatibilité bus	Température de fonctionnement (°C)	Prix unitaire		
Fabr.	Réf. fabr.				1	25	100
Moteur pont en H							
♦	755—BD6210F-E2	SOP-8	7	0,5	1,78	1,43	1,07
♦	755—BD6210HFP-TR	HRP-7	7	0,5	1,47	1,17	0,875
♦	755—BD6211F-E2	SOP-8	7	1	1,81	1,44	1,08
♦	755—BD6211HFP-TR	HRP-7	7	1	2,24	1,80	1,34
♦	755—BD6212FP-E2	HSOP-25	7	2	2,62	2,10	1,57
♦	755—BD6212HFP-TR	HRP-7	7	2	2,68	2,15	1,60
♦	755—BD6220F-E2	SOP-8	18	0,5	2,19	1,75	1,30
♦	755—BD6220HFP-TR	HRP-7	18	0,5	3,08	2,45	1,83
♦	755—BD6221F-E2	SOP-8	18	1	2,20	1,76	1,32
♦	755—BD6221HFP-TR	HRP-7	18	1	2,65	2,24	1,67
♦	755—BD6222FP-E2	HSOP-25	18	2	3,27	2,76	2,05
♦	755—BD6222HFP-TR	HRP-7	18	2	3,26	2,61	2,02
♦	755—BD6230F-E2	SOP-8	36	0,5	2,74	2,19	1,70
♦	755—BD6230HFP-TR	HRP-7	36	0,5	3,40	2,96	2,65
♦	755—BD6231F-E2	SOP-8	36	1	2,93	2,48	1,85
♦	755—BD6231HFP-TR	HRP-7	36	1	3,71	3,19	2,57
♦	755—BD6232FP-E2	HSOP-25	36	2	4,29	3,43	2,67

PILOTES (SUITE)

PRODUCT NEW

Pour des quantités supérieures à celles indiquées, appelez-nous pour un devis.

RÉF. STOCK MOUSER		Boîtier	Compatibilité bus	Température de fonctionnement (°C)	Prix unitaire		
Fabr.	Réf. fabr.				1	25	100
LED							
♦	755—BD8105FV-E2	SSOP-B20	4,5 - 5,5	50 mA	3,09	2,46	1,91
♦	755—BD8112EFV-ME2	HTSSOP-24	5 - 30	150 mA/Ln	6,76	5,42	4,57
♦	755—BD8115F-MTE2	SOP-16	4,5 - 5,5	50 mA	1,83	1,47	1,10
♦	755—BD8119FM-ME2	HSOP-28	5 - 30	150 mA/Ln	9,23	8,32	7,38
♦	755—BD8118FM-E2	HSOP-28	4,5 - 30	150 mA/Ln	8,38	7,84	6,94
	755—BP5843A	SIP-11	113-170	250-350 mAr	8,42	7,58	7,54
	755—BP5845W	DIP-16	113-170	250-360 mAr	17,43	16,27	15,11
LCD							
♦	755—BU9728AKV-E2	VQFP-48C	2,5 - 5,5	0,25	3,47	2,71	2,12
MOSFET							
♦	755—BD2270HFV-R	HVSOF-5	2,7 - 5,5	50 µA	1,22	1,01	0,809
Moteur							
♦	755—BA6920FP-YE2	HSOP-25	6,5 - 36	1	2,89	2,31	1,73
Série / Parallèle							
♦	755—BU2092F-E2	SOP-18	2,7 - 5,5	0,025	1,32	1,09	0,875

© Copyright 2012 Mouser Electronics

© Copyright 2012 Mouser Electronics

Pilotes & capteurs de courant/capteurs optiques SILICON LABORATORIES

Les produits peuvent être conformes à la directive RoHS. Consulter le site mouser.com pour vérifier la conformité RoHS.

CAPTEURS DE COURANT CA

Pour des quantités supérieures à celles indiquées, appelez-nous afin d'obtenir un devis.

RÉF. STOCK MOUSER	Réf. Silabs	Boîtier	Courant pleine échelle (A)	Erreur pleine échelle (% lecture)	Taux d'isolation	Mode sortie	Prix unitaire			
							1	25	100	1000
634-SI8501-C-IM	Si8501-C-IM	QFN-12	5	±5%	1 kV RMS	Simple	0,85	0,784	0,734	0,602
634-SI8502-C-IM	Si8502-C-IM	QFN-12	10	±5%	1 kV RMS	Simple	0,88	0,817	0,759	0,635
634-SI8503-C-IM	Si8503-C-IM	QFN-12	20	±5%	1 kV RMS	Simple	0,92	0,85	0,792	0,66
634-SI8501-C-IS	Si8501-C-IS	SOIC-20	5	±5%	5 kV RMS	Simple	1,15	1,06	0,99	0,825
634-SI8502-C-IS	Si8502-C-IS	SOIC-20	10	±5%	5 kV RMS	Simple	1,20	1,11	1,03	0,858
634-SI8503-C-IS	Si8503-C-IS	SOIC-20	20	±5%	5 kV RMS	Simple	1,25	1,16	1,08	0,908
634-SI8511-C-IM	Si8511-C-IM	QFN-12	5	±5%	1 kV RMS	Ping-Pong	0,92	0,85	0,792	0,66
634-SI8512-C-IM	Si8512-C-IM	QFN-12	10	±5%	1 kV RMS	Ping-Pong	0,96	0,891	0,825	0,685
634-SI8513-C-IM	Si8513-C-IM	QFN-12	20	±5%	1 kV RMS	Ping-Pong	1,00	0,924	0,858	0,718
634-SI8511-C-IS	Si8511-C-IS	SOIC-20	5	±5%	5 kV RMS	Ping-Pong	1,25	1,16	1,08	0,908
634-SI8512-C-IS	Si8512-C-IS	SOIC-20	10	±5%	5 kV RMS	Ping-Pong	1,31	1,21	1,13	0,941
634-SI8513-C-IS	Si8513-C-IS	SOIC-20	20	±5%	5 kV RMS	Ping-Pong	1,37	1,27	1,18	0,982
634-SI8517-C-IM	Si8517-C-IM	QFN-12	5	±5%	1 kV RMS	Ping-Pong	0,92	0,85	0,792	0,66
634-SI8518-C-IM	Si8518-C-IM	QFN-12	10	±5%	1 kV RMS	Ping-Pong	0,96	0,891	0,825	0,685
634-SI8519-C-IM	Si8519-C-IM	QFN-12	20	±5%	1 kV RMS	Ping-Pong	1,00	0,924	0,858	0,718
634-SI8517-C-IS	Si8517-C-IS	SOIC-20	5	±5%	5 kV RMS	Ping-Pong	1,25	1,16	1,08	0,908
634-SI8518-C-IS	Si8518-C-IS	SOIC-20	10	±5%	5 kV RMS	Ping-Pong	1,31	1,21	1,13	0,941
634-SI8519-C-IS	Si8519-C-IS	SOIC-20	20	±5%	5 kV RMS	Ping-Pong	1,37	1,27	1,18	0,982

Kit d'évaluation capteur de courant

Pour des quantités supérieures à celles indiquées, appelez-nous afin d'obtenir un devis.

RÉF. STOCK MOUSER	Réf. Silabs	Description	Prix unitaire
634-SI85XX-EVB	Si85XX-EVB	Kit d'évaluation capteur de courant CA universel Si85xx	16,46

Carte cible

Pour des quantités supérieures à celles indiquées, appelez-nous afin d'obtenir un devis.

RÉF. STOCK MOUSER	Réf. Silabs	Description	Prix unitaire
634-SI85XX20AQFN-EVB	Si85XX20AQFN-EVB	PRODUCT NEW — Carte cible courant CA unidirectionnel	16,46

CAPTEURS DE PROXIMITÉ INFRAROUGE QUICKSENSE™

Les CI Si1102 et Si1120 de QuickSense sont les capteurs de proximité infrarouges actifs les plus sensibles du marché et permettent de concevoir des applications d'interfaces tactiles innovantes tout en bénéficiant d'une consommation ultra faible. Ils comprennent un pilote LED infrarouge, une photodiode infrarouge, un capteur de lumière ambiante (Si1120) et une logique de contrôle et sont conditionnés dans un boîtier DFN clair de 3x3 mm. La photodiode infrarouge à haute sensibilité délivre des mesures de proximité infrarouge à impulsion unique donnant au client la possibilité de mettre en place des diodes émettrices de lumière infrarouge avec des niveaux de puissance inhabituellement faibles.

Pour des quantités supérieures à celles indiquées, appelez-nous afin d'obtenir un devis.

RÉF. STOCK MOUSER	Réf. Silabs	Boîtier	Gamme infrarouge (cm)	Capteur de lumière ambiante	Type de sortie	Prix unitaire			
						1	25	100	1000
634-SI1102-A-GMR	Si1102-A-GMR	ODFN-8	40	Non	Logique 0/1	2,14	2,05	1,97	1,97
634-SI1120-A-GM	Si1120-A-GM	ODFN-8	50	Oui	MLI	2,50	2,41	2,31	2,31

Kits d'évaluation

Pour des quantités supérieures à celles indiquées, appelez-nous afin d'obtenir un devis.

RÉF. STOCK MOUSER	Réf. Silabs	Description	Prix unitaire
634-SI1102EK	Si1102EK	Carte de démonstration mini capteur de proximité Si1102 QuickSense™	32,99
634-SI1120EK	Si1120EK	Kit d'évaluation Si1120 QuickSense™	164,99
634-IRSLIDEREK	IRSLIDEREK	Kit d'évaluation barre de défilement tactile Si1120 QuickSense™	41,24
634-KEYMATEK	KEYMATEK	Kit d'évaluation film capacitif ITO QuickSense™	65,99

CAPTEURS DE LUMIÈRE AMBIANTE ET DE PROXIMITÉ QUICKSENSE™

La famille Si114x de QuickSense comprend les CI capteurs de lumière ambiante et capteurs de proximité infrarouges les plus sensibles et les moins consommateurs d'énergie sur le marché. Les capteurs monolithiques Si114x intègrent une interface de contrôle I2C entièrement numérique et jusqu'à trois pilotes LED infrarouges dans un boîtier OFN clair incroyablement petit de 2 mm x 2 mm. Capables de piloter des systèmes à une, deux et trois LED infrarouges, les capteurs permettent aux développeurs de mettre en place des systèmes unidimensionnels avec une portée allant jusqu'à 50 cm ou bien des systèmes multidimensionnels capables d'une détection de mouvement avancée avec une portée allant jusqu'à 15 cm. L'architecture de détection infrarouge, robuste, fonctionne à la lumière solaire directe et comprend un capteur de lumière ambiante capable de détecter des niveaux de lumière allant jusqu'à 128 kLux.

NEW! TECHNOLOGY

Pour des quantités supérieures à celles indiquées, appelez-nous afin d'obtenir un devis.

RÉF. STOCK MOUSER	Réf. Silabs	Boîtier	Tension d'alimentation	Longueur d'onde émission DEL IR (nm)	Pilotes LED	Temps de montée (Min/Max) (ns)	Temps de descente (Min/Max) (ns)	Courant total max. (mA)	Prix unitaire			
									1	25	100	1000
634-SI1141-A10-GMR	Si1141-A10-GMR	QFN-10	1,8 - 3,6	850	1	10/40	10/40	500	2,14	2,05	1,86	1,71
634-SI1142-A10-GMR	Si1142-A10-GMR	QFN-10	1,8 - 3,6	850	2	10/40	10/40	500	2,98	2,63	2,42	2,19
634-SI1143-A10-GMR	Si1143-A10-GMR	QFN-10	1,8 - 3,6	850	3	10/40	10/40	500	3,32	3,14	2,90	2,77

Kits d'évaluation

Pour des quantités supérieures à celles indiquées, appelez-nous afin d'obtenir un devis.

RÉF. STOCK MOUSER	Réf. Silabs	Description	Prix unitaire
634-SI1140DK	Si1140DK	Carte de démonstration capteur de lumière ambiante & et de proximité infrarouge Si1140 QuickSense™	49,49
634-IRSLIDER2EK	IRSLIDER2EK	Kit d'évaluation barre de défilement tactile Si1140 QuickSense™	41,24

PILOTES AUDIO

Les pilotes audio Si824x de Silicon Labs sont des amplificateurs isolés de classe D qui alimentent les systèmes audio délivrant une puissance audio de 30 à 1000 W. Basés sur la technologie d'isolation propriétaire de Silicon Labs, les pilotes audio de classe D Si824x intègrent une isolation entrée-entrée qui permet la traduction en niveaux des signaux, sans circuits externes supplémentaires. Les pilotes audio Si824x comprennent un contrôle de temps mort réglable pour réaliser une THD optimale, une protection contre les recouvrements qui protège des dommages causés par les courants traversants, une immunité robuste aux déclenchements parasites et aux transitoires haute tension, des faibles coûts de composants et des cartes de circuits imprimés de faibles dimensions par rapport aux solutions d'amplificateurs non isolés.

Caractéristiques :

- Entrée MLI
- Générateur de temps mort programmable linéaire et haute précision
- Immunité déclenchement parasite, > 100 V/ns
- Isolation et traduction en niveaux incorporées dans un boîtier
- Isolation sortie-sortie 1500 Vrms
- Isolation entrée-entrée 2500 Vrms
- Fonctionnement jusqu'à 8 MHz
- Large plage de fonctionnement : de -40°C à +125°C
- Immunité transitoires > 30 kV/us

Applications :

- Systèmes de home cinéma
- Systèmes de sonorisation
- Systèmes audio pour automobiles
- Amplificateurs pour guitares

NEW! TECHNOLOGY

Pour des quantités supérieures à celles indiquées, appelez-nous afin d'obtenir un devis.

RÉF. STOCK MOUSER	Réf. Silabs	Boîtier	Type d'entrées	Sorties	Tension UVLO (V)	Degré d'isolation (kVrms)	Pic de sortie (A)	Résistance de dissipation de sortie (Ω)	Résistance source de sortie (Ω)	Prix unitaire		
										1	25	100
634-SI8241BB-B-IS1	Si8241BB-B-IS1	SOIC-16	MLI	Côté haut / Côté bas	8	2,5	0,5	5	15	2,40	2,19	1,98
634-SI8241CB-B-IS1	Si8241CB-B-IS1	SOIC-16	MLI	Côté haut / Côté bas	10	2,5	0,5	5	15	2,40	2,19	1,98
634-SI8244BB-C-IS1	Si8244BB-C-IS1	SOIC-16	MLI	Côté haut / Côté bas	8	2,5	4	1	2,7	2,66	2,42	2,19
634-SI8244CB-C-IS1	Si8244CB-C-IS1	SOIC-16	MLI	Côté haut / Côté bas	10	2,5	4	1	2,7	2,66	2,42	2,19

Kit de démonstration

Pour des quantités supérieures à celles indiquées, appelez-nous afin d'obtenir un devis.

RÉF. STOCK MOUSER	Réf. Silabs	Description	Prix unitaire
634-SI824XCLASSD-KIT	Si824xClassD-KIT	Conception de référence pour les pilotes d'amplificateurs audio classe D de la série Si824x	232,03

© Copyright 2012 Mouser Electronics

© Copyright 2012 Mouser Electronics

CI RF, horloges & générateurs d'horloges SILICON LABORATORIES

Les produits peuvent être conformes à la directive RoHS. Consulter le site mouser.com pour vérifier la conformité RoHS.

GÉNÉRATEURS D'HORLOGES

Caractéristiques :

- Génère toute fréquence sur toute sortie de 8 kHz à 133 MHz
  Synthèse d'horloge exacte : erreur de 0 ppm
- Même flexibilité de fréquence que 8 PLL indépendants
- Accepte les entrées de tension de contrôle analogiques, horloge ou cristal
- Instabilité de période <100 ps pour toute configuration
- Commutation aisée entre les fréquences de sortie
- VCXO intégré pour éliminer le besoin de cristal à changement de fréquence
- Broches de contrôle définies par l'utilisateur :
- Sélection de fréquence, activation de sortie, activation de spectre étalé, coupure d'alimentation
- Excellent PSRR : pas besoin de composants de filtrage discrets
- Génération d'horloge à spectre étalé
  de -0,5 à -2,5% bas, de ±0,1 à ±1,5% centre

NEW! TECHNOLOGY

Applications :

Produits de consommation
- TV HD
- DVR/Blu-Ray
- Récepteurs A/V
- Appareils photo HD

Entreprise
- Serveurs tours/racks/lames
- Stockage
- Encodeurs vidéo
- Transport vidéo
- Systèmes de visioconférence
- Projecteurs
- Imprimantes

Communications
- Passerelle
- Femtocellules
- Réseaux

Pour des quantités supérieures à celles indiquées, appelez-nous afin d'obtenir un devis.

RÉF. STOCK MOUSER	Réf. Silabs	Boîtier	Horloge		Fréquence d'entrée	Fréquence de sortie	Phase RMS Instabilité	Prix unitaire		
			Entrées	Sorties				1	25	100
634-SI5351A-A-GM	Si5351A-A-GM	QFN-20	10-100 MHz	8 kHz - 133 MHz	25/27 MHz	8 kHz - 125 MHz	3,5 ps rms	**3,18**	**2,78**	**2,38**
634-SI5351A-A-GU	Si5351A-A-GU	QSOP-24	10-100 MHz	8 kHz - 133 MHz	25/27 MHz	8 kHz - 125 MHz	3,5 ps rms	**3,18**	**2,78**	**2,38**
634-SI5351A-A-GT	Si5351A-A-GT	MSOP-10	10-100 MHz	8 kHz - 133 MHz	25/27 MHz	8 kHz - 125 MHz	3,5 ps rms	**1,26**	**1,11**	**0,949**

Outils de développement

Pour des quantités supérieures à celles indiquées, appelez-nous afin d'obtenir un devis.

RÉF. STOCK MOUSER	Réf. Silabs	Description	Prix unitaire
634-SI535X24QSOP-EVB	Si535x-24QSOP-EVB	Outil de développement pour SI5350/51 utilisant le boîtier QSOP-24	**128,91**
634-SI535X-20QFN-EVB	Si535x-20QFN-EVB	Outil de développement pour SI5350/51 utilisant le boîtier QSOP-20	**128,91**
634-SI5XX-PROG-EVB	Si5xx-PROG-EVB	Le kit d'évaluation contient le matériel et les logiciels nécessaires pour évaluer le XO/VCXO programmable I2C toute fréquence	**103,13**

HORLOGES ATTÉNUATRICES D'INSTABILITÉS

Les horloges de précision programmables toute fréquence de Silicon Labs fournissent la multiplication d'horloges, l'atténuation des instabilités et la répartition des horloges pour les applications de synchronisation haute performance qui nécessitent une instabilité inférieure à 1 ps. Les périphériques acceptent de multiples entrées d'horloge de 2 kHz à 710 MHz, génèrent de multiples sorties d'horloge synchrones et indépendantes de 2 kHz à 945 MHz et sélectionnent des fréquences jusqu'à 1,4 GHz.

Caractéristiques :

- Sorties d'horloge avec instabilité ultra faible et génération d'instabilités aussi faibles que 290 fs rms
- Filtre à boucle intégré avec bande passante de boucle sélectionnable
- Commutation sans à-coups entre les horloges d'entrée
- Format du signal de sortie de l'horloge sélectionnable par l'utilisateur (LVPECL, LVDS, CML, CMOS)
- Régulateur de tension sur puce pour fonctionnement à 1,8, 2,5 ou 3,3 V ±10%
- MCU de petite taille, programmable, base Flash, sur système

Applications :

- Cartes de ligne SONET/SDH OC-48/OC-192
- Cartes de ligne GbE/10GbE, 1/2/4/8/10GFC
- Cartes de ligne ITU G.709 and custom FEC
- Stations de base sans fil
- Test et mesure
- Horloge convertisseur de données
- DSLAM
- Infrastructure de câblage
- Acquisition de données
- Modules optiques
- Ethernet synchrone
- Diffusion vidéo et distribution

Pour des quantités supérieures à celles indiquées, appelez-nous afin d'obtenir un devis.

RÉF. STOCK MOUSER	Réf. Silabs	Boîtier	Gamme de fréquence horloge de sortie (MHz)	Horloge	de contrôle Entrées/Sorties	Fréq. d'entrée (MHz)	Fréq. de sortie (MHz)	Instabilité (12 kHz - 20 MHz)	Prix unitaire			
									1	25	100	1000
634-SI5317A-C-GM	Si5317A-C-GM	QFN-36	1-710	Broche	1/2	de 1 à 710	de 1 à 710	300 fs ms (typ)	**12,62**	**10,40**	**9,65**	**9,26**
634-SI5317B-C-GM	Si5317B-C-GM	QFN-36	1-350	Broche	1/2	de 1 à 710	de 1 à 710	300 fs ms (typ)	**10,52**	**8,66**	**8,42**	**7,72**
634-SI5317C-C-GM	Si5317C-C-GM	QFN-36	1-200	Broche	1/2	de 1 à 710	de 1 à 710	300 fs ms (typ)	**8,77**	**8,25**	**7,65**	**6,81**
634-SI5317D-C-GM	Si5317D-C-GM	QFN-36	1-100	Broche	1/2	de 1 à 710	de 1 à 710	300 fs ms (typ)	**7,37**	**6,93**	**6,56**	**5,92**

Kits d'évaluation

Pour des quantités supérieures à celles indiquées, appelez-nous afin d'obtenir un devis.

RÉF. STOCK MOUSER	Réf. Silabs	Description	Prix unitaire
634-SI5317-EVB	Si5317-EVB	Carte d'évaluation pour horloges atténuatrices d'instabilités série Si5317	**103,13**

SYNTHÉTISEURS RF

Les solutions sans fil de Silicon Laboratories sont les solutions sans fil les plus intégrées, les plus robustes, les plus fiables et les plus faciles à utiliser actuellement disponibles sur le marché GSM / GPRS. En éliminant davantage de composants discrets et en utilisant moins de composants externes que les solutions alternatives, les produits de Silicon Laboratories permettent à nos clients d'ajouter des fonctionnalités de valeur et de réduire le temps de mise sur le marché. Encore mieux, Silicon Laboratories développe et conçoit ces produits de niveau international en se basant sur une technologie de processus CMOS standard prouvée. Génèrent des signaux haute fréquence utilisés par des périphériques de communication sans fil.

Caractéristiques :

- Synthétiseur de fréquence IF simple et RF double
- VCO RF1, gamme de 900 à 1800 MHz
- VCO RF2, gamme de 750 à 1500 MHz
- Gamme de sortie IF de 62,5 à 1000 MHz
- Dérivées de synthétiseur simple et synthétiseur double disponibles
- VCO entièrement intégrés
- Filtres à boucle programmables

Applications :

- Communications sans fil double bande
- Terminaux ISM double bande, téléphones sans fil numériques, produits de consommation sans fil, applications sans fil industrielles
- Téléphones cellulaires numériques
- Communications sans fil
- Applications SMR

Si4112 : Si synthétiseur seulement (1F)
Si4113 : Double bande seulement (RF1 / RF2)
Si4122 : Bande simple seulement (RF2 / 1F)
Si4123 : Bande simple seulement (RF1 / 1F)
Si4133 : Bande double (RF1 / RF2 / 1F)
Si4126 : WLAN (RF2 / 1F)
Si4136 : WLPN (RF1 / RF2 / 1F)

Pour des quantités supérieures à celles indiquées, appelez-nous afin d'obtenir un devis.

RÉF. STOCK MOUSER	Réf. Silabs	Boîtier	Description	RF1 (MHz)	RF2 (MHz)	IF (MHz)	Temps d'établissement (µs)	RF d'entrée (MHz)	Prix unitaire		
									1	25	100
634-SI4112-D-GM	SI4112-D-GM	MLP-28	Usage général	Sans objet	Sans objet	de 62,5 à 1000	200	de 2 à 26	**4,86**	**4,37**	**3,77**
634-SI4112-D-GT	SI4112-D-GT	TSSOP-24	Usage général	Sans objet	Sans objet	de 62,5 à 1000	200	de 2 à 26	**4,86**	**4,37**	**3,77**
634-SI4113-D-GM	SI4113-D-GM	MLP-28	Usage général	de 900 à 2050	de 750 à 1500MHz	Sans objet	200	de 2 à 26	**7,20**	**6,48**	**5,59**
634-SI4113-D-GT	SI4113-D-GT	TSSOP-24	Usage général	de 900 à 2050	de 750 à 1500MHz	Sans objet	200	de 2 à 26	**7,20**	**6,48**	**5,59**
634-SI4122-D-GT	SI4122-D-GT	MLP-28	Usage général	Sans objet	de 750 à 1500 MHz	de 62,5 à 1000	200	de 2 à 26	**7,20**	**6,48**	**5,59**
634-SI4123-D-GT	SI4123-D-GT	TSSOP-24	Usage général	de 900 à 2050	Sans objet	de 62,5 à 1000	200	de 2 à 26	**7,20**	**6,48**	**5,59**
634-SI4123-D-GM	SI4123-D-GM	MLP-28	GSM/GPRS	de 900 à 1800	Sans objet	de 500 à 1000	140	de 2 à 26	**7,20**	**6,48**	**5,59**
634-SI4133-D-GM	SI4133-D-GM	MLP-28	Usage général	de 900 à 2050	de 750 à 1500 MHz	de 62,5 à 1000	200	de 2 à 26	**8,98**	**8,09**	**6,97**
634-SI4133-D-GT	SI4133-D-GT	TSSOP-24	Usage général	de 900 à 2050	de 750 à 1500 MHz	de 62,5 à 1000	200	de 2 à 26	**8,98**	**8,09**	**6,97**
634-SI4136-F-GM	SI4133-F-GM	MLP-28	802.11b,g et bande ISM	de 2300 à 2500	de 2025 à 2300 MHz	de 62,5 à 1000	80	de 2 à 40	**8,98**	**8,09**	**6,97**
634-SI4136-F-GT	SI4136-F-GT	TSSOP-24	802.11b et bande ISM	de 2300 à 2500	de 2025 à 2300 MHz	de 62,5 à 1000	80	de 2 à 50	**8,98**	**8,09**	**6,97**

Cartes d'évaluation

Pour des quantités supérieures à celles indiquées, appelez-nous afin d'obtenir un devis.

RÉF. STOCK MOUSER	Réf. Silabs	Description	RF1 (MHz)	RF2 (MHz)	IF (MHz)	Temps d'établissement (µs)	RF d'entrée (MHz)	Prix unitaire
634-SI4112M-EVB	SI4112M-EVB	Usage général	Sans objet	Sans objet	de 62,5 à 1000	200	de 2 à 26	**185,63**
634-SI4113M-EVB	SI4113M-EVB	Usage général	de 900 à 1800	de 750 à 1500	de 62,5 à 1000	Prop. à Tø	de 2 à 26	**185,63**
634-SI4123M-EVB	SI4123M-EVB	Usage général	de 900 à 2050	Sans objet	de 62,5 à 1000	200	de 2 à 26	**185,63**
634-SI4126M-EVB	SI4126M-EVB	802.11b et bande ISM	Sans objet	de 2025 à 2300	de 62,5 à 1000	80	de 2 à 50	**185,63**
634-SI4133M-EVB	SI4133M-EVB	Usage général	de 900 à 2050	de 750 à 1500	de 62,5 à 1000	200	de 2 à 26	**185,63**
634-SI4136M-EVB	SI4136M-EVB	802.11b,g et bande ISM	de 2300 à 2500	de 2025 à 2300	de 62,5 à 1000	80	de 2 à 50	**185,63**

© Copyright 2012 Mouser Electronics
© Copyright 2012 Mouser Electronics

CI interface SMSC

Les produits peuvent être conformes à la directive RoHS.
Consulter le site mouser.com pour vérifier la conformité RoHS.

CONTRÔLEURS HUB USB ET LECTEURS DE CARTES

Pour des quantités supérieures à celles indiquées, appelez-nous afin d'obtenir un devis.

RÉF. STOCK MOUSER	Réf. SMSC	Boîtier	Débit de transfert (USB 2.0)	Nb. ports hub	Tolérance d'entrée	Tension Entrée / Sortie	Plage de temp. de fonctionnement (°C)	Prix unitaire 1	25	100
886-USB2502-AEZG	USB2502-AEZG	QFN-36	480 Mbps	2 ports	3 V	5 V	de -40 à +85	3,11	1,95	1,78
886-USB2502-HT	USB2502-HT	TQFP-48	480 Mbps	2 ports	5 V	3,3 V	de -40 à +85	3,70	2,32	2,12
886-USB2503A-HZH	USB2503A-HZH	QFN-36	480 Mbps	3 ports	3 V	5 V	de -40 à +85	4,17	2,61	2,39
886-USB2504A-JT	USB2504A-JT	TQPF-64	480 Mbps	4 ports	3 V	5 V	de -40 à +85	4,59	3,89	2,75
886-USB2507-ADT	USB2507-ADT	TQPF-64	480 Mbps	7 ports	3 V	5 V	de -40 à +85	7,34	6,01	5,41
886-USB2512-AEZG	USB2512-AEZG	QFN-36	480 Mbps	2 ports	3 V	5 V	de -40 à +85	2,82	2,39	1,65
886-USB2512AI-AEZG	USB2512AI-AEZG	QFN-36	480 Mbps	2 ports	3 V	5 V	de -40 à +85	2,99	2,34	2,15
886-USB2514-AEZG	USB2514-AEZG	QFN-64	480 Mbps	4 ports	3 V	5 V	de -40 à +85	3,19	2,70	1,91
886-USB2517I-JZX	USB2517I-JZX	QFN-64	480 Mbps	7 ports	3 V	5 V	de -40 à +85	7,23	5,66	5,19

ÉMETTEURS-RÉCEPTEURS USB

PRODUCT NEW

Pour des quantités supérieures à celles indiquées, appelez-nous afin d'obtenir un devis.

RÉF. STOCK MOUSER	Réf. SMSC	Boîtier	Interface	Plage de temp. de fonctionnement (°C)	Prix unitaire 1	25	100
886-USB3322C-GL-TR	USB322C-GL-TR	WLCSP-25	Le plus petit émetteur-récepteur USB grande vitesse du marché avec interface ULPI 1,8 V	de -40 à +85	2,09	1,63	1,50
886-USB3250-ABZJ	USB3250-ABZJ	QFN-56	Émetteur-récepteur USB grande vitesse avec interface UTMI	de -40 à +85	1,88	1,12	0,965
886-USB3290-FH-TR	USB3290-FH-TR	VFBGA-40	Couche physique PHY USB 2.0 grande vitesse de petite taille avec interface UTMI	de -40 à +85	2,24	1,33	1,15
886-USB3300-EZK	USB3300-EZK	QFN-28	HÔTE, dispositif ou PHY OTG USB grande vitesse avec interface ULPI LPC	de -40 à +85	1,88	1,12	0,965
886-USB3300-EZK-TR	USB3300-EZK-TR	QFN-32	HÔTE, dispositif ou PHY OTG USB grande vitesse avec interface ULPI LPC	de -40 à +85	1,88	1,12	0,974
886-USB3317C-CP-TR	USB3317C-CP-TR	QFN-32	Émetteur-récepteur USB grande vitesse avec interface ULPI 1,8 V - 3,3 V - Horloge de référence 26 MHz	de -40 à +85	1,52	1,19	1,09
886-USB3320C-EZK-TR	USB3320C-EZK-TR	WLCSP-25	Le plus petit émetteur-récepteur USB grande vitesse du marché avec interface ULPI 1,8 V	de -40 à +85	1,52	1,19	1,09
886-USB3326C-GL-TR	USB3326C-GL-TR	WLCSP-25	Le plus petit émetteur-récepteur USB grande vitesse du marché avec interface ULPI 1,8 V	de -40 à +85	2,25	1,41	1,29
886-USB3330E-GL-TR	USB3330E-GL-TR	WLCSP-25	Émetteur-récepteur USB 2.0 grande vitesse avec RapidCharge Anywhere™ (interface ULPI 1,8 V)	de -40 à +85	2,97	2,43	2,18
886-USB3340-EZK-TR	USB3340-EZK-TR	QFN-32	Émetteur-récepteur USB 2.0 grande vitesse avec RapidCharge Anywhere™ (interface ULPI 1,8 V)	de -40 à +85	1,98	1,62	1,45
886-USB3343-CP-TR	USB3343-CP-TR	QFN-24	Émetteur-récepteur USB 2.0 grande vitesse avec RapidCharge Anywhere™ (quartz 26 MHz)	de -40 à +85	1,98	1,62	1,45
886-USB3311C-CP-TR	USB3311C-CP-TR	QFN-24	USB 2.0 grande vitesse hautement intégré avec interface ULPI 1,8 V - Émetteur-récepteur de données à horloge de référence 26 MHz	de -40 à +85	1,52	1,19	1,09

ÉMETTEURS-RÉCEPTEURS ETHERNET

PRODUCT NEW

Pour des quantités supérieures à celles indiquées, appelez-nous afin d'obtenir un devis.

RÉF. STOCK MOUSER	Réf. SMSC	Boîtier	Description	Prix unitaire 1	25	100
886-LAN7500-ABZJ	LAN7500-ABZJ	QFN-56	Contrôleur USB 2.0 grande vitesse / Ethernet 10/100/1000	6,97	5,71	5,16
886-LAN8700C-AEZG-TR	LAN8700C-AEZG-TR	QFN-32	Émetteur-récepteur Ethernet 10/100, protection ESD, avec FlexPWR Auto-MDIX HP	1,88	1,12	0,974
886-LAN8700C-AEZG	LAN8700C-AEZG	QFN-32	Émetteur-récepteur Ethernet 10/100, protection ESD, avec FlexPWR Auto-MDIX HP	1,88	1,12	0,974
886-LAN8710AI-EZK	LAN8710AI-EZK	QFN-32	Émetteur-récepteur Ethernet 10/100 MII/RMII petite taille avec FlexPWR Auto-MDIZ HP	1,45	1,30	1,09
886-LAN8720AI-CP	LAN8720AI-CP	QFN-24	XCVT Ethernet 10/100 avec support AutoMDIX HP	1,34	1,20	0,998
886-LAN9115-MT	LAN9115-MT	TQFP-100	Contrôleur Ethernet non-PCI 10/100 monopuce hautement efficace (16 bits)	9,49	6,77	6,13
886-LAN9118-MT	LAN9118-MT	TQFP-100	Contrôleur Ethernet non-PCI 10/100 monopuce haute performance	18,27	15,61	12,87
886-LAN91C111I-NS	LAN91C111I-NS	QFP-128	MAC Ethernet 10/100 non-PCI avec PHY intégrée - température industrielle	24,40	21,56	18,58
886-LAN91C111I-NU	LAN91C111I-NU	VTQFT-128	MAC Ethernet 10/100 non-PCI avec PHY intégrée - température industrielle	20,81	19,87	19,59
886-LAN91C111-NS	LAN91C111-NS	QFP-128	MAC Ethernet 10/100 non-PCI avec PHY intégrée	19,92	19,66	19,10
886-LAN91C111-NU	LAN91C111-NU	TQFP-128	MAC Ethernet 10/100 non-PCI avec PHY intégrée	18,65	17,37	16,69
886-LAN9211-ABZJ	LAN9211-ABZJ	QFN-56	Contrôleur Ethernet monopuce petite taille haute performance avec Auto-MDIX HP	9,60	6,85	6,20
886-LAN9221-ABZJ	LAN9221-ABZJ	XVTQE-32	Contrôleur Ethernet 10/100 non-PCI 16 bits haute performance avec entrée/sortie à tension variable	13,98	11,78	9,81
886-LAN9303-ABZJ	LAN9303-ABZJ	QFNE-32	Commutateur Ethernet 3 ports haute performance avec PHY Ethernet intégrée	5,82	5,49	4,31
886-LAN9303M-AKZE	LAN9303M-AKZE	QFNE3-72	Commutateur Ethernet 10/100 petite taille 3 ports	8,07	7,34	6,79
886-LAN9500-ABZJ	LAN9500-ABZJ	QFN-56	Contrôleur USB 2.0 grande vitesse / Ethernet 10/100	5,71	4,57	4,17
886-LAN9512-JZX	LAN9512-JZX	QFN-64	Contrôleur USB 2.0 / Ethernet 10/100 avec PHY MAC intégrée	5,02	4,51	4,01
886-LAN9514-JZX	LAN9514-JZX	TQFP-100	Commutateur hub 4 ports USB haute performance avec PHY Ethernet 10/100 intégrée	8,18	7,36	6,54

CAPTEURS DE TEMPÉRATURE ET CONTRÔLEURS ENTRÉE / SORTIE

Pour des quantités supérieures à celles indiquées, appelez-nous afin d'obtenir un devis.

RÉF. STOCK MOUSER	Réf. SMSC	Boîtier	Interface	Alimentation	Plage de temp. de fonctionnement (°C)	Prix unitaire 1	25	100
886-EMC1001-AFZQ-TR	EMC1001-AFZQ-TR	SOT-23	Petit capteur de température SMBus avec une précision de ±1,5°C et 2 interrupteurs	3,3	de -25 à +125	1,18	0,701	0,606
886-EC1043-1-ACZL-TR	EMC1043-1-ACZL-TR	MSOP-8	Triple capteur de température 1°C avec compensation Bêta et détermination de la plus chaudes des 2 zones	3 V - 3,6 V	de -40 à +80	1,65	0,982	0,842
886-SCH5027D-NW	SCH5027D-NW	QFP-128	Super entrée/sortie avec ventilateur automatique silencieux avec capteur de température et cellule collée avec PECI	3,3 V	-	5,02	3,14	2,87

CONTRÔLEURS ARCNET

Pour des quantités supérieures à celles indiquées, appelez-nous afin d'obtenir un devis.

RÉF. STOCK MOUSER	Réf. SMSC	Type de	RAM interne	Courant d'alimentation VDD	Débit des données	Plage de temp. de fonctionnement (°C)	Prix unitaire
886-COM20020I-DZD	COM20020I-DZD	PLCC-28	RAM sur puce 2K x 8 ports doubles	7 V	5 Mbps	de -40 à +85	13,28
886-HYC9088A-R-LF	HYC9088A R-LF	SIP-20	-	- 5 V	2,5 Mbps	de -0 à +70	23,72

CARTES D'ÉVALUATION

PRODUCT NEW

Pour des quantités supérieures à celles indiquées, appelez-nous afin d'obtenir un devis.

RÉF. STOCK MOUSER	Réf. SMSC	Famille de produits	Description	Prix unitaire
886-EVB-3300	EVB-3300	Dispositif hôte USB grande vitesse USB3300, OTG PHY ULPI	Carte USB conçue pour connexion au système de test de l'utilisateur à l'aide d'une interface standard	91,16
886-EVB-LAN7500-LC	EVB-LAN7500-LC	LAN7500 USB 2.0 10/100/1000 Ethernet	Carte d'évaluation LAN7500 pour interface USB / Ethernet alimentée par bus	245,85
886-EVB9514	EVB9514	Contrôleur de hub 4 ports USB 2.0	Hub 4 ports USB 2.0 avec évaluation intégrée du contrôleur Ethernet 10/100	273,49
886-EVBUSB2512Q36BAS	EVB-USB2512Q36-BAS	Contrôleur de hub USB 2.0 haute performance USB2512	Carte d'évaluation de contrôleur hub USB 2.0 faible consommation MuliTRAK	48,26
886-EVBUSB2514Q36BAS	EVB-USB2514Q36-BAS	Contrôleur de hub USB 2.0 haute performance USB2514	Carte d'évaluation de contrôleur hub USB 2.0 faible consommation MuliTRAK	48,26
886-EVB-USB2517	EVB-USB2517	Contrôleur de hub USB 2.0 haute performance USB2517	Carte d'évaluation de contrôleur hub USB 2.0 faible consommation MuliTRAK	107,25

© Copyright 2012 Mouser Electronics
© Copyright 2012 Mouser Electronics

Circuits intégrés pilotes / interface haute tension SUPERTEX Supertex

Les produits peuvent être conformes à la directive RoHS.
Consulter le site mouser.com pour vérifier la conformité RoHS.

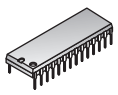
DIP-28

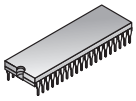
DIP-40

PLCC-20

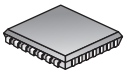
PLCC-28

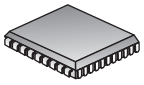
PLCC-44

PQFP-44

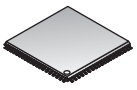
PQFP-80

SO-8

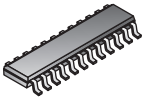
SO-24

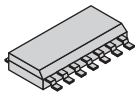
SOIC-14

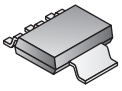
SOT-223

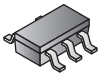
SOT-23-5

SORTIES DE DISSIPATION UNIQUEMENT – COLLECTEUR OUVERT N VOIES

RoHS Compliant

Pour des quantités supérieures à celles indiquées, appelez-nous afin d'obtenir un devis.

♦ **Composant pour montage en surface**

RÉF. STOCK MOUSER	Réf. Supertex	Boîtier	Voie de sortie	Tension de sortie (V)	Courant de sortie par voie (mA)	Direction	Configuration logique	Prix unitaire 1	100	500	1000
♦ 689-HV5622PG-G	HV5622PG-G	PQFP-44	32	+220	100	CW	Convertisseur série - parallèle avec verrouillage, polarité et effacement	6,16	5,12	4,73	4,53
♦ 689-HV5222PG-G	HV5222PG-G	PQFP-44	32	+225	100	CW	Convertisseur série - parallèle avec activation de sortie et échantillonnage	5,47	4,55	4,20	4,03

SORTIES SOURCE / DISSIPATION - PUSH-PULL

♦ **Composant pour montage en surface**

Pour des quantités supérieures à celles indiquées, appelez-nous afin d'obtenir un devis.

RÉF. STOCK MOUSER	Réf. Supertex	Boîtier	Voie de sortie	Tension de sortie (V)	Courant de sortie par voie (mA)	Direction	Configuration logique	Structure de sortie	Vitesse d'horloge (MHz)	Bits	Sorties ouvertes	Prix unitaire 1	100	500	1000
♦ 689-HV508LG-G	HV508LG-G	SO-8	1	+45 +6	-400 HV Dissipation +10 LV +400	-	Sortie pont en H avec deux sorties	push-pull	-	-	-	3,48	2,89	2,67	2,56
♦ 689-HV513WG-G	HV513WG-G	SO-24	8	+250	±20	CW	Convertisseur série - parallèle avec verrouillage, polarité, effacement, Hi-Z et détection de court circuit	push-pull	8	1	Toutes	3,12	2,59	2,39	2,30
♦ 689-HV6810PJ-G	HV6810PJ-G	PLCC-20	10	+80	-25 / +100 uA	CW	Convertisseur série - parallèle avec verrouillage, et effacement	push-pull	5	1	Toutes	1,71	1,43	1,32	1,26
689-HV5812P-G	HV5812P	DIP-28	20	+60	-25 +2	CW	Convertisseur série - parallèle avec verrouillage, effacement et échantillonnage	push-pull	5	16	Toutes	2,27	1,89	1,75	1,67
♦ 689-HV5812PJ-G	HV5812PJ-G	PLCC-28	20	+60	-25 +2	CW	Convertisseur série - parallèle avec verrouillage, effacement et échantillonnage	push-pull	5	16	Toutes	2,37	1,97	1,82	1,75
♦ 689-HV66PG-G	HV66PG-G	PQFP-44	32	+60	±5	B	Convertisseur série - parallèle avec verrouillage, polarité, effacement et fond de panier	push-pull	5	1	Toutes	3,04	2,53	2,34	2,24
689-HV518P-G	HV518P-G	DIP-40	32	+80	-25 +1	CW	Convertisseur série - parallèle avec verrouillage, activation et échantillonnage	push-pull	6	1	Toutes	3,88	3,22	2,98	2,86
♦ 689-HV518PJ-G	HV518PJ-G	PLCC-44	32	+80	-25 +1	CW	Convertisseur série - parallèle avec verrouillage, activation et échantillonnage	push-pull	6	1	Toutes	5,28	4,40	4,06	3,90
♦ 689-HV9308PJ-G	HV9308PJ-G	PLCC-44	32	+80	-20 / +5	CW	Convertisseur série - parallèle avec verrouillage, et activation de sortie	push-pull	8	1	Toutes	4,16	3,46	3,20	3,07
♦ 689-HV9708PJ-G	HV9708PJ-G	PLCC-44	32	+80	-20 / +5	CW	Convertisseur série - parallèle avec verrouillage, polarité et effacement, VDD = 5 V	push-pull	8	1	Toutes	4,16	3,46	3,20	3,07
♦ 689-HV57708PG-G	HV57708PG-G	PQFP-80	64	+80	-15 +12	B	Pilote EL avec verrouillage, effacement et polarité avec quatre registres à décalage 16 bits	push-pull	6	4	Toutes	8,41	6,99	6,46	6,20
♦ 689-HV57908PG-G	HV57908PG-G	PQFP-80	64	+80	-15 +12	B	Pilote EL ou plasma avec verrouillage, effacement et polarité, registre à décalage unique	push-pull	8	1	Toutes	9,26	7,70	7,11	6,82
♦ 689-HV507PG-G	HV507PG-G	PQFP-80	64	+300	±1	B	Convertisseur série - parallèle avec verrouillage, polarité et effacement	push-pull	8	1	Toutes	13,97	11,62	10,74	10,30

PILOTES SUPERTEX

Pilote / contrôleur de ventilateur 24 V / 48 V Supertex

RoHS Compliant

♦ **Composant pour montage en surface**

Pour des quantités supérieures à celles indiquées, appelez-nous afin d'obtenir un devis.

RÉF. STOCK MOUSER	Réf. Supertex	Boîtier	Plage de tension d'entrée	Courant Max. d'alimentation (mA)	Fréquence Max. de l'oscillateur (Hz)	Alimentation haute tension Min (V)	Alimentation haute tension Max (V)	Température de fonctionnement (°C)	Temps de montée Max. (ns)	Temps de descente Max. (ns)	Prix unitaire 1	100	500	1000
♦ 689-HV7100NG-G	HV7100NG-G	SOIC-14	de +16 à +90 V	4	100k	16	75	de -40 à +85	100	100	2,26	1,88	1,74	1,66

Contrôleur de courant, côté supérieur, Supertex

♦ **Composant pour montage en surface**

Pour des quantités supérieures à celles indiquées, appelez-nous afin d'obtenir un devis.

RÉF. STOCK MOUSER	Réf. Supertex	Boîtier	Plage de tension d'alimentation	Tension de sortie à V_{SENS} Max. Min (mV)	Max. (mV)	V_{SENS}	Rés. broche de sortie typ. (kΩ)	I_{CHARGE} Max (mA)	Temps de montée de sortie (10%-90%) typ. (µs)	Temps de descente de sortie (90%-10%) typ. (µs)	Prix unitaire 1	100	500	1000
♦ 689-HV7800K1-G	HV7800K1-G	SOT-23-5	de +8 à 450 V	490	510	500 mV	3,3	±10	0,7	0,7	0,62	0,517	0,476	0,459

CIRCUITS INTÉGRÉS CONTRÔLEUR REMPLACEMENT À CHAUD / LIMITEUR DE COURANT D'APPEL / DISJONCTEURS SUPERTEX

Rupture de rail négative, haute tension

La famille de produits de remplacement à chaud HV1xx est conçue pour contrôler le courant d'appel tout en éliminant tous les signaux déformés indésirables qui résultent de l'insertion à chaud des cartes circuits dans des fonds de panier vifs. Le HV1xx, produit primé, ne nécessite aucun composant externe, à l'exception d'un élément monopasse, pour fonctionner. Il utilise une conception innovatrice et brevetée qui normalise la période de remplacement à chaud, indépendamment de l'élément monopasse et du condensateur qui résultent en des opérations consistantes de maintenance à chaud. Un signal mise sous tension à collecteur ouvert (PWRGD) est généré dès que toutes les conditions ont été remplies.

Caractéristiques techniques pour HV100 / 101 :

- Produits figurant dans le Top 100 selon le magazine EDN
- Premier contrôleur de maintenance à chaud à 3 broches de l'industrie
- Circuit auto-adaptatif MOSFET
- Maintenance à chaud sur rail d'alimentation fond de panier.
- Protection courts-circuits en attente de brevet.
- Pour raccourci évaluation / conception voir Cartes Démo

RoHS Compliant

♦ **Composant pour montage en surface**

Pour des quantités supérieures à celles indiquées, appelez-nous afin d'obtenir un devis.

RÉF. STOCK MOUSER	Réf. Supertex	Boîtier	Tension d'entrée V_{IN} Min. (±V)	Tension d'entrée V_{IN} Max. (±V)	Courant d'entrée I_{IN}	UV/OV Niveau de	Circuit Breaker	Résistance capteur	Auto Relance	Signal de mise sous tension	Nombre de voies	Prix unitaire 1	100	500	1000
♦ 689-HV100K5-G	HV100K5-G	SOT-223	38/34	72	1	UV	Jusqu'à pleine charge	-	Oui	-	1	1,21	1,01	0,935	0,894

© Copyright 2012 Mouser Electronics
© Copyright 2012 Mouser Electronics

Circuits intégrés analogiques SUPERTEX

Les produits peuvent être conformes à la directive RoHS. Consulter le site mouser.com pour vérifier la conformité RoHS.

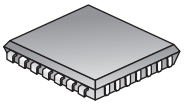
PLCC-28

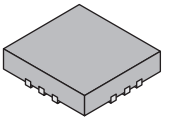
QFN-12

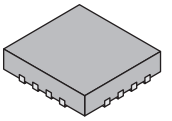
QFN-16

SO-8

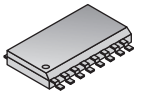
SO-16

SOIC 8

SOT-89-3

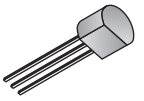
TO-92

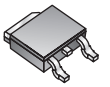
TO-252

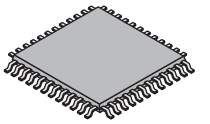
TQFP-48

CIRCUITS INTÉGRÉS RÉGULATEURS LINÉAIRES SUPERTEX

Le LR6 est un régulateur linéaire à haute tension d'entrée pour fonctions simples comme le démarrage SMPS et le conditionnement / la régulation de lignes à haute tension. Le LR7 est un circuit de démarrage SMPS à haute tension d'entrée. Le LR8 a une tension de sortie ajustable. Le SR036 et le SR037 sont des régulateurs à sortie mixte, déconnectés. Le LR12 est un régulateur linéaire ajustable à haute tension et faible courant de sortie. Il dispose d'une large gamme de tensions d'entrée de fonctionnement allant de 13,2 V à 100 V.

RoHS Compliant

♦ **Composant pour montage en surface** •Pour raccourci évaluation / conception voir Cartes Démo

Pour des quantités supérieures à celles indiquées, appelez-nous afin d'obtenir un devis.

RÉF. STOCK MOUSER	Réf. Supertex	Boîtier	Tension d'entrée V_{IN} (+V) Min.	Tension d'entrée V_{IN} (+V) Max.	Tension de sortie HV_{OUT} (V) Typ.	Courant d'entrée I_{IN} max. (mA)	Régulation typique Ligne	Régulation typique Charge	Dissipation de puissance @TA=25°C (W)	Prix unitaire 1	100	500	1000
689-LR12K4-G	LR12K4-G	TO-252	13	100	1,2 / 88	50	0,003%/V	0,06%/mA	2	1,44	1,19	1,10	1,06
♦ 689-LR12LG-G	LR12LG-G	SO-8	13	100	1,2 / 88	50	0,003%/V	0,06%/mA	1,8	1,25	1,03	0,959	0,918
689-LR645N3-G	LR645N3-G	TO-92	15	450	10	3	0,0001%/V	0,5%/mA	0,74	0,61	0,504	0,463	0,442
♦ 689-LR645N8-G	LR645N8-G	SOT-89-3	15	450	10	3	0,0001%/V	0,5%/mA	1,6	0,62	0,517	0,476	0,459
689-LR745N3-G	LR745N3-G	TO-92	25	450	20	4	0,0001%/V	0,5%/mA	-	0,65	0,426	0,402	0,398
689-LR8K4-G	LR8K4-G	TO-252	12	450	1,2 - 440	10	0,003%/V	0,15%/mA	2,5	0,94	0,779	0,722	0,689
♦ 689-LR8N8-G	LR8N8-G	SOT-89-3	12	450	1,2 - 440	10	0,003%/V	0,15%/mA	1,6	0,62	0,517	0,476	0,459
689-LR8N3-G	LR8N3-G	TO-92	12	450	1,2 - 440	10	0,003%/V	0,15%/mA	0,74	0,59	0,492	0,451	0,435
♦ 689-SR086SG-G	SR086SG-G	SOIC 8	80	285	9 - 50 & 3	100	-	0,02	-	1,16	0,959	0,886	0,853
♦ 689-SR087SG-G	SR087SG-G	SOIC 8	80	285	9 - 50 & 5	100	-	0,02	-	1,16	0,959	0,886	0,853

PILOTES MOSFET SUPERTEX

Haute tension

♦ **Composant pour montage en surface**

Il s'agit d'une famille de pilotes isolés à faible courant d'entrée, haute tension unique, qui utilise la technologie brevetée HVCMOS® de Supertex. Ils sont conçus pour faire fonctionner des MOSFET discrets configurés en tant qu'interrupteurs latéraux hauts jusqu'à 400 V. Ils ne nécessitent aucune alimentation électrique externe.

RoHS Compliant

Pour des quantités supérieures à celles indiquées, appelez-nous pour obtenir un devis.

RÉF. STOCK MOUSER	Réf. Supertex	Boîtier	Voies	Tension d'entrée V_{IN} Basse (V)	Tension d'entrée V_{IN} Haute (V)	Tension de sortie HV_{OUT} Basse (V)	Tension de sortie HV_{OUT} Haute (V)	Isolation entrée-sortie (V)	Température de fonctionnement (°C)	Fréquence horloge ext. Min. (MHz)	Fréquence horloge ext. Max. (MHz)	Prix unitaire 1	100	500	1000
♦ 689-HT0440LG-G	HT0440LG-G	SOIC 8	2	3,15	5,5	6	10	±400	de -40 à +85	0,5	2	1,84	1,53	1,41	1,35
♦ 689-HT0740LG-G	HT0740LG-G	SOIC 8	1	3,15	5,5	5	9	±400	de -40 à +85	- - -	- - -	1,11	0,918	0,853	0,812

Haute vitesse

Pour des quantités supérieures à celles indiquées, appelez-nous pour obtenir un devis.

RÉF. STOCK MOUSER	Réf. Supertex	Boîtier	Voies	Tension d'entrée V_{IN} Basse (V)	Tension d'entrée V_{IN} Haute (V)	Tension de sortie HV_{OUT} Basse (V)	Tension de sortie HV_{OUT} Haute (V)	Type de courant de dissipation de sortie crête (A)	Montée / descente de sortie typ. (ns)	Montée / descente de sortie typ. (ns)	Retard de propagation typ. (ns)	Prix unitaire 1	100	500	1000
♦ 689-MD1210K6-G	MD1210K6-G	QFN-12	2	4,5	13	0	13	2	2	6 / 6	±2	1,89	1,57	1,45	1,39
♦ 689-MD1211LG-G	MD1211LG-G	SOIC 8	2	4,5	13	0	13	2	2	10/10	3	0,98	0,82	0,754	0,722
♦ 689-MD1711FG-G	MD1711FG-G	TQFP-48	12	1,8	5,5	-12	12,6	2 (P voies) / 1,5 (N voies)	2 (P voies) / 1,5 (N voies)	8 / 8	±3	9,05	7,53	6,95	6,67
♦ 689-MD1810K6-G	MD1810K6-G	QFN-16	4	1,2	5	-	-	2	2	6 / 6	±2	2,38	1,98	1,83	1,75
♦ 689-MD1811K6-G	MD1811K6-G	QFN-16	2	1,2	5	-	-	2	2	6 / 6	±2	2,37	1,97	1,82	1,75
♦ 689-MD1813K6-G	MD1813K6-G	QFN-16	4	1,2	5	-	-	2	2	6 / 6	±2	2,57	2,14	1,98	1,89

CIRCUITS INTÉGRÉS PILOTE RELAIS SUPERTEX

Le HV9901 de Supertex est un pilote relais universel BiCMOS / DiMOS qui utilise des techniques de commutation PWM. Il est conçu pour faire fonctionner de façon efficace et peu consommatrice d'énergie un relais basse tension avec des tensions d'alimentation dans une gamme de 10-450 V CC à travers l'utilisation de l'inductance des bobines du relais.

Sorties source / dissipation – Push-pull

♦ **Composant pour montage en surface**

Pour des quantités supérieures à celles indiquées, appelez-nous pour obtenir un devis.

RÉF. STOCK MOUSER	Réf. Supertex	Boîtier	Tension d'entrée V_{IN} Min. (V)	Tension d'entrée V_{IN} Max. (V)	Courant d'entrée I_{IN} max. (mA)	Fréquence de l'oscillateur Min. (kHz)	Fréquence de l'oscillateur Max. (kHz)	Fréquence de l'oscillateur Fsync-Max. (kHz)	Sens du courant Tension d'accrochage typ.(V)	Sens du courant Tension	Sortie rég. ajustable d'accumulation (V)	Sortie rég. ajustable Courant (mA)	Prix unitaire 1	100	500	1000
♦ 689-HV9901NG-G	HV9901NG-G	SO-16	10	450	2	20	140	150	0,883	Réglables	2 - 5,5	1	1,64	1,39	1,36	1,34

CIRCUITS INTÉGRÉS MULTIPLEXEUR/COMMUTATEUR ANALOGIQUE HAUTE TENSION SUPERTEX

Il s'agit de circuits intégrés (CI) à commutation analogique , haute tension, 8 ou 16 voies, à injection de charge faible, conçus pour une utilisation dans des applications nécessitant une commutation haute tension contrôlée par des signaux de contrôle basse tension, tels que l'imagerie par ultrasons et les imprimantes.

Caractéristiques :

- •Technologie HVCMOS pour une haute performance
- •Dissipation de puissance de repos très basse -10 µA
- •Sortie sur résistance typiquement 22 ohms
- •Capacités parasites basses
- •Fréquence de signal analogique CC à 10 MHz
- •Isolation arrêt de sortie typique -60 dB à 5 MHz
- •Circuit logique CMOS pour faible puissance
- •Excellente immunité au bruit
- •Registre à décalage sur puce, verrouillage et circuits logiques clairs
- •Alimentations haute tension flexibles
- •Boîtier pour montage en surface disponible

RoHS Compliant

♦ **Composant pour montage en surface**

Pour des quantités supérieures à celles indiquées, appelez-nous pour obtenir un devis.

RÉF. STOCK MOUSER	Réf. Supertex	Boîtier	Voies de sortie	Tension d'alimentation (V)	Signal analogique Tension (V)	Courant de commutation (A)	Résistance de commutation (Ω)	Dissipation de puissance @ TA=25°C (W)	Pic de courant du signal analogique/ voie	Résistances de saignée de sortie	Prix unitaire 1	100	500	1000
♦ 689-HV2201FG-G	HV2201FG-G	TQFP-48	8	200	180	±2	24	1	3	Non	9,66	8,04	7,42	7,12
♦ 689-HV2201PJ-G	HV2201PJ-G	PLCC-28	8	200	180	±2	24	1,2	3	Non	9,59	7,97	7,36	7,06
♦ 689-HV2301FG-G	HV2301FG-G	TQFP-48	8	200	180	±2	24	1	3	Oui	9,82	8,16	7,54	7,23
♦ 689-HV2301PJ-G	HV2301PJ-G	PLCC-28	8	200	180	±2	24	1,2	3	Oui	9,74	8,10	7,49	7,18
♦ 689-HV20220PJ-G	HV20220PJ-G	PLCC-28	8	200	180	±2	24	1,2	3	Non	13,54	11,26	10,41	9,98
♦ 689-HV2601FG-G	HV2601FG-G	TQFP-48	16	200	180	±2	24	1	3	Non	18,38	15,28	14,13	13,55
♦ 689-HV2701FG-G	HV2701FG-G	TQFP-48	16	200	180	±2	24	1	3	Oui	18,70	15,55	14,37	13,78

CIRCUITS INTÉGRÉS INTERRUPTEUR DE LIGNE ÉLECTRONIQUE SUPERTEX

♦ **Composant pour montage en surface**

Ces CI à commutation électronique sont conçus comme remplacement aux crochets commutateurs ou aux relais électromécaniques sur les téléphones et les répondeurs téléphoniques. Plusieurs entrées de bas niveau sont fournies pour une versatilité de conception et peuvent être contrôlées directement par des circuits logiques ou par des commutateurs mécaniques. Ces CI sont alimentés par le réseau et sont particulièrement utiles pour les applications qui nécessitent un fonctionnement par téléphone quand la source d'alimentation externe est interrompue ou indisponible.

RoHS Compliant

•Pour raccourci évaluation / conception voir Cartes Démo

Pour des quantités supérieures à celles indiquées, appelez-nous afin d'obtenir un devis.

RÉF. STOCK MOUSER	Réf. Supertex	Boîtier	Tension disruptive V_{TPG} (V)	Résistance à commutateur (Ω)	Tension de sortie V_{TP} (V) Min.	Tension de sortie V_{TP} (V) Max.	Limite courant I_{TPG} (mA) Min.	Limite courant I_{TPG} (mA) Max.	Tension d'entrée (V) LS1, LS2, DP/DP	Prix unitaire 1	100	500	1000
♦ 689-HT18LG-G	HT18LG-G	SOIC 8	350	18	16	20	200	300	20	1,16	0,959	0,886	0,853

© Copyright 2012 Mouser Electronics

© Copyright 2012 Mouser Electronics

Pilotes SUPERTEX

RoHS Compliant **This product is RoHS compliant.**

Supertex

CIRCUITS INTÉGRÉS PILOTE DEL SUPERTEX

♦ **Composant pour montage en surface**

Applications :

- Éclairage d'accentuation - HV9931, CL2
- Automobile - HV9910, HV9911, HV9930, CL2
- Rétro-éclairage d'écrans à panneau plat - HV9910
- Lampes LED alimentées par batteries - HV9911, HV9930, CL6, CL7
- Téléphones mobiles - HV9903
- Chargeurs - HV9910
- Rétro-éclairage LCD couleur - HV9903
- Dissipation de courant constante - CL2
- Applications pilotes LED CC/CC ou CA/CC : HV9910, HV9930
- Appareils photo numériques - HV9903
- Agendas électroniques personnels - HV9903
- Source de courant constant universelle - HV9910, CL2
- Éclairage industriel - HV9921, HV9922, HV9923, HV9925, CL2, CL6, CL7
- Remplacements pour lampes à incandescence - HV9921, HV9922, HV9923, HV9925, CL6, CL7
- Pilote LED - HV9903, HV9910, HV9911, HV9921, HV9922, HV9930, CL2
- Luminaires basse puissance - HV9921, HV9922, HV9923, HV9925
- Lecteurs MP3 - HV9903
- PDA - HV9903
- Pilote LED pour rétro-éclairage RGB - HV9910, HV9911, HV9930
- Éclairage LED pour signalisation et décoration - HV9910, HV9921, HV9922, HV9923, HV9925, HV9931, CL2
- Feux de circulation et éclairage public - HV9931

RoHS Compliant

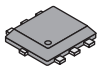
MLP-6

CI pilote LED blanche

Pour des quantités supérieures à celles indiquées, appelez-nous afin d'obtenir un devis.

RÉF. STOCK MOUSER		Boîtier	Tension d'alimentation (V)	Bruit d'entrée (V)	R_{SET} (Ω)	Tension régulée en interne (V)(Typ)	Courant DEL (Min/Max) (mA)	Courant d'alimentation (mA)(Max)	Prix unitaire		
Fabr.	Réf. fabr.								1	100	500
♦	689—HV9903K6-G	MLP-6	2,6 - 4,6	1,8 - 12,5	1,5 K	3,3	5 / 40	1,6	**0,87**	**0,722**	**0,672**

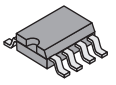
SOIC-8

CI pilotes LED universels haute luminosité

RÉF. STOCK MOUSER		Boîtier	Tension d'alimentation d'entrée CC (V)	Courant pour circuits ext. (Max.) (mA)	Courant d'alimentation mode extinction (Max.) (mA)	Tension régulée en interne (V)(Typ)	Tension d'accrochage seuil sens du courant (Min/Max)(mV)	Fréquence de l'oscillateur (Min/Max)(kHz)	Prix unitaire		
Fabr.	Réf. fabr.								1	100	500
♦	689—HV9910BLG-G	SOIC-8	8 - 450	1	1	7,5	225 / 275	20 (1 MΩ) / 120 (226 kΩ)	**1,11**	**0,812**	**0,779**

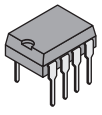
DIP-8

CI pilote LED mode commutation avec courant haute précision

RÉF. STOCK MOUSER		Boîtier	Tension d'alimentation d'entrée CC (V)	Courant pour circuits ext. (Max.) (mA)	Courant d'alimentation mode extinction (Max.) (mA)	Tension régulée en interne (V)(Typ)	Tension d'accrochage seuil sens du courant (Min/Max)(mV)	Fréquence de l'oscillateur (Min/Max)(kHz)	Prix unitaire		
Fabr.	Réf. fabr.								1	100	500
♦	689—HV9911NG-G	SOIC-16	0,5 - 250	1,25	1,5	7,75	12	1,225 / 1,25 / 1,275	**1,30**	**1,07**	**0,992**

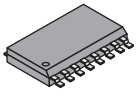
SOIC-16

CI pilotes LED mode commutation 3-broches

RÉF. STOCK MOUSER		Boîtier	Tension d'entrée CC (V)	Courant d'entrée CA (V)	Courant de sortie constant (mA)	Résistance active (Ω)	Courant d'alimentation en fonctionnement (Typ/Max)(uA)	Courant seuil (Min/Max)(mA)	Prix unitaire		
Fabr.	Réf. fabr.								1	100	500
	689—HV9921N3-G	TO-92	20 - 400	85 - 264	20	210	200 / 350	20,5 / 25,5	**0,64**	**0,533**	**0,492**
	689—HV9921N8-G	SOT-89	20 - 400	85 - 264	20	210	200 / 350	20,5 / 25,5	**0,67**	**0,558**	**0,517**
	689—HV9923N3-G	TO-92	20 - 400	85 - 264	30	210	200 / 350	30,8 / 38,2	**0,66**	**0,541**	**0,50**
	689—HV9923N8-G	SOT-89	20 - 400	85 - 264	30	210	200 / 350	30,8 / 38,2	**0,69**	**0,574**	**0,525**
	689—HV9922N3-G	TO-92	20 - 400	85 - 264	50	210	200 / 350	52 / 63	**0,69**	**0,574**	**0,525**
	689—HV9922N8-G	SOT-89	20 - 400	85 - 264	50	210	200 / 350	52 / 63	**0,71**	**0,599**	**0,549**

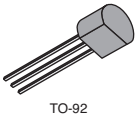
TO-92

CI pilote lampe LED à courant programmable avec gradation PWM

RÉF. STOCK MOUSER		Boîtier	Tension d'entrée CC (V)	Courant d'alimentation CA (V)	Courant de sortie programmable Résistance active	max. (Ω) (Ω)	Courant d'alimentation en fonctionnement (Typ/Max)(uA)	Dissipation de puissance à 25°C max. (mW)	Prix unitaire		
Fabr.	Réf. fabr.								1	100	500
♦	689—HV9925SG-G	SOIC-8	20 - 400	85 - 264	50	200	300 / 500	800	**1,00**	**0,828**	**0,763**

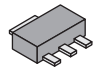
SOT-89

CI pilote LED survolteur-dévolteur hystérétique

RÉF. STOCK MOUSER		Boîtier	Tension d'alimentation d'entrée CC (V)	Courant pour circuits ext. (Max.) (mA)	Courant d'alimentation mode extinction (Max.) (mA)	Tension régulée en interne (V)(Typ)	Résistance de rappel vers le niveau bas PWMD (Min/Max)(kΩ)	Tension de référence des broches (Min/Typ/Max)(V)	Prix unitaire		
Fabr.	Réf. fabr.								1	100	500
♦	689—HV9930LG-G	SOIC-8	8 - 200	1	1	7,5	50 / 150	1,212 / 1,25 / 1,288	**1,02**	**0,845**	**0,779**

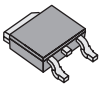
TO-252

CI pilote LED à courant constant à compensation thermique

RÉF. STOCK MOUSER		Boîtier	Tension d'entrée CC (V)	Régulation du courant (Typ) (mA)	Tension de fonctionnement maximale (V)	Résistance dynamique (Typ)(Ω)	Dissipation d'énergie @ TA = 25°C (W)	Coefficient de température %/°C	Prix unitaire		
Fabr.	Réf. fabr.								1	100	500
♦	689—CL2K4-G	TO-252	5 - 90	20	100	300 k	2	0,01	**0,57**	**0,476**	**0,443**
♦	689—CL2N8-G	SOT-89	5 - 90	20	100	300 k	1,3	0,01	**0,40**	**0,336**	**0,312**
	689—CL2N3-G	TO-92	5 - 90	20	100	300 k	0,6	0,01	**0,36**	**0,295**	**0,279**

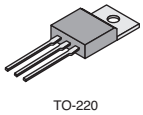
TO-220

CI pilote LED à courant constant fixe linéaire

RÉF. STOCK MOUSER		Boîtier	Tension d'alimentation d'entrée CC (V)	Tension d'entrée CA (V)	Courant d'alimentation mode extinction (Max.) (mA)	Tension régulée en interne (V)(Typ)	Résistance de rappel vers le niveau bas PWMD (Min/Max)(kΩ)	Tension d'entrée PWMD (basse / haute) (V)	Prix unitaire		
Fabr.	Réf. fabr.								1	100	500
♦	689—CL6K4-G	TO-252	6,5 - 28	3 / 5 / 10	90 / 100 / 110	1,3	40	120 / 135 / 150	**1,25**	**1,03**	**0,959**
♦	689—CL6N5-G	TO-220	6,5 - 28	3 / 5 / 10	90 / 100 / 110	2,5	62	120 / 135 / 150	**1,33**	**1,10**	**1,02**

© Copyright 2012 Mouser Electronics

© Copyright 2012 Mouser Electronics

CI mesureurs de puissance et modems VOIP de TERIDIAN

RoHS Compliant **This product is RoHS compliant.**

TERIDIAN SEMICONDUCTOR CORP.

MESURAGE, MESURE & CONTRÔLE DE PUISSANCE

CI mesurage de l'énergie 78M6612 / 78M6618

Les nouveaux CI de gestion d'énergie 2 sorties et 8 sorties de Teridian comprennent un moteur d'ordinateur 32 bits, un cœur MPU, une horloge temps réel, et jusqu'à 128 Koctets de mémoire flash de programme. La Single Converter Technology® brevetée de Teridian avec CAN delta-sigma 22 bits , 10 entrées analogiques, compensation numérique de la température et référence de tension précise accepte une large gamme d'applications de mesure PDU simples et comprenant très peu de composants externes.

Pour des quantités supérieures à celles indiquées, appelez-nous afin d'obtenir un devis.

RÉF. STOCK MOUSER	Réf. Teridian	Type de boîtier	Description	Prix unitaire		
				1	25	100
783-78M6612-IGT/F	78M6612-IGT/F	LQFP-64	SoC de surveillance/mesure d'énergie et de puissance - monophase, 2 sorties	2,98	2,59	2,38
783-78M6612-IM/F	78M6612-IM/F	QFN-68	SoC de surveillance/mesure d'énergie et de puissance - monophase, 2 sorties	2,98	2,59	2,38

Kits d'évaluation et démo 78M6612 / 78M6618

Pour des quantités supérieures à celles indiquées, appelez-nous afin d'obtenir un devis.

RÉF. STOCK MOUSER	Réf. Teridian	Description	Prix unitaire
783-78M6612-EVM-1	78M6612-EVM-1	Kit d'évaluation pour la série 78M6612	211,54
783-78M6612DB/OMUUSB	78M6612-DB/OMU-USB	Carte de démonstration pour la série 78M6618	317,31

CI mesureurs de puissance 71M6515H

Le 71M6515H est un CI mesureur de puissance de haute précision pour des applications à 3 phases, 4 quadrants. Il utilise la technologie brevetée mono convertisseur de Teridian avec un convertisseur analogique / numérique sigma-delta 21 bits de 2e ordre avec six entrées analogiques, une référence de haute précision thermiquement compensée et un moteur de calcul programmable qui fournissent une performance exceptionnelle. Un RTC interne et une batterie de secours réduisent la nomenclature globale des mesureurs TOU industriels ou commerciaux.

Pour des quantités supérieures à celles indiquées, appelez-nous afin d'obtenir un devis.

RÉF. STOCK MOUSER	Réf. Teridian	Type de boîtier	Description	Prix unitaire		
				1	25	100
783-71M6515H-IGT/F	71M6515H-IGT/F	LQFP-64	CI de mesure polyphasé pour mesureurs industriels et commerciaux	3,37	3,33	3,30
783-71M6515H-DB	71M6515H-DB	-	Carte de démonstration pour la série 71M6515H	211,54	-	-

SoC mesureurs 71M6511 / 71M6513

Les 71M6511 et 71M6513 sont des SoC hautement intégrés avec noyau MCU, RTC, Flash et pilote LCD. La Single Converter Technology™ de Teridian avec un CAN delta-sigma 2e ordre 21 bits, 6 entrées analogiques, compensation numérique de la température, référence de tension de précision et moteur de calcul 32 bits accepte une large gamme d'applications de mesure polyphases comportant très peu de composants externes très économiques. Un cristal de base de temps 32 kHz pour le système entier et un support interne pour batterie de secours pour RAM et RTC réduisent encore plus le coût du système.

Pour des quantités supérieures à celles indiquées, appelez-nous afin d'obtenir un devis.

RÉF. STOCK MOUSER	Réf. Teridian	Type de boîtier	Description	Prix unitaire		
				1	25	100
783-71M6513H-DB	71M6513H-DB	-	Carte de démonstration pour la série 71M6513H	211,54	-	-
783-71M6511-IGT/F	71M6511-IGT/F	LQFP-64	CI de mesure monophase	4,55	3,04	2,21
783-71M6511H-IGT/F	71M6511H-IGT/F	LQFP-64	SoC hautement intégré avec CŒUR MCU	4,79	2,43	2,24
783-71M6511-DB	71M6511-DB	-	Carte de démonstration pour la série 71M6511	169,23	-	-

SoC mesureurs 71M6521

La nouvelle famille de produits 71M6521 représente la seconde génération de la technologie de mesure électrique de Teridian destinée aux applications domestiques économiques. Les dimensions de ce périphérique SoC sont compatibles avec le 71M6511. Il intègre un pilote LCD, AFE, MCU, RTC et FLASH mais offre des options FLASH 8 / 16 / 32 Ko plus économiques, davantage d'E / S, une gestion avancée de la puissance et une détection de fraude. La Single Converter Technology™ brevetée de Teridian avec un convertisseur delta-sigma 2e ordre 22 bits, 4 entrées analogiques, une compensation numérique de la température, une référence de tension et un moteur de calcul 32 bits flexible répond à tous les besoins actuels et futurs à travers le monde avec un minimum de composants externes.

Pour des quantités supérieures à celles indiquées, appelez-nous afin d'obtenir un devis.

RÉF. STOCK MOUSER	Réf. Teridian	Type de boîtier	Description	Prix unitaire		
				1	25	100
783-71M6521DE-IGT/F	71M6521DE-IGT/F	LQFP	Mémoire Flash 16K SoC mesureur monophase	3,30	1,67	1,54
783-71M6521FE-IGT/F	71M6521FE-IGT/F	LQFP	Mémoire Flash 32K SoC mesureur monophase	3,77	1,91	1,76
783-71M6521FE-DB	71M6521FE-DB	-	Carte de démonstration pour la série 71M6521FE	169,23	-	-

Modems monopuce V.22bis

Le modem bas débit 73M2901CE intègre une pompe de données, un contrôleur et un frontal analogique sur un périphérique 3,3 V avec une puissante interface hôte de commandes « AT ». Le modem réduit le nombre / coût des composants externes en incorporant de nombreuses fonctionnalités comme la détection de téléphone parallèle, de ligne utilisée et de sonnerie dans les logiciels sans avoir besoin de composants supplémentaires.

Pour des quantités supérieures à celles indiquées, appelez-nous afin d'obtenir un devis.

RÉF. STOCK MOUSER	Réf. Teridian	Type de boîtier	Description	Prix unitaire		
				1	25	100
783-73M2901CE-IGV/F	73M2901CE-IGV/F	TQFP-32	Modem monopuce	6,58	4,39	3,07

© Copyright 2012 Mouser Electronics
© Copyright 2012 Mouser Electronics

Lecteurs carte intelligente, LAN / WAN et kits d'évaluation TERIDIAN

TERIDIAN SEMICONDUCTOR CORP.

RoHS Compliant **This product is RoHS compliant.**

LECTEURS DE CARTES INTELLIGENTES

CI lecteurs cartes intelligentes SoC 73S1209F / 73S1210F

Le 73S1209F et le 73S1210F de Teridian sont des CI lecteurs de cartes intelligentes SoC autonomes qui constituent une solution idéale pour des conceptions ISO-7816 connectées en série. Tout lecteur de cartes intelligentes connecté au port série ou autonome peut bénéficier des caractéristiques uniques que le 73S1209F et le 73S1210F de Teridian ont à offrir. Avec le 73S1209F et le 73S1210F, des produits comme les claviers NIP personnels, les lecteurs de cartes intelligentes transparentes ou les lecteurs de cartes intelligents autonomes en systèmes intégrés sont installés facilement et de manière économique.

Pour des quantités supérieures à celles indiquées, appelez-nous afin d'obtenir un devis.

RÉF. STOCK MOUSER	Réf. Teridian	Type de boîtier	Description	Prix unitaire		
				1	25	100
783-73S1209F-44IM/F	73S1209F-44IM/F	QFN-44	Interface hôte série SoC 805515 incorporée	5,84	3,89	2,72
783-73S1210F-68IM/F	73S1210F-68IM/F	QFN-68	Interface hôte série SoC 805515 incorporée	7,92	5,28	3,70

CI lecteurs cartes intelligentes SoC 73S1215F / 73S1217F

Le 73S1215F et le 73S1217F de Teridian sont des CI lecteurs de cartes intelligentes SoC de pointe, autonomes, qui constituent une solution idéale pour des conceptions ISO-7816 connectées par USB. Tout lecteur de cartes intelligentes connecté au port USB ou autonome peut bénéficier de l'ensemble des caractéristiques uniques que le 73S1215F et le 73S1217F de Teridian ont à offrir. Avec le 73S1215F et le 73S1217F, les produits comme les claviers NIP personnels, les lecteurs de cartes intelligentes transparents ou les lecteurs de cartes intelligentes incorporés dans les ordinateurs portables, les ordinateurs fixes et les périphériques (claviers, etc.) peuvent maintenant bénéficier de la connectivité USB sans impact sur le coût par rapport aux solutions traditionnelles non connectées.

Pour des quantités supérieures à celles indiquées, appelez-nous afin d'obtenir un devis.

RÉF. STOCK MOUSER	Réf. Teridian	Type de boîtier	Description	Prix unitaire		
				1	25	100
783-73S1215F-44IM/F	73S1215F-44IM/F	QFN-44	Clavier NIP USB 80515, alimentation double SoC requise	7,52	5,02	3,51
783-73S1215F-68IM/F	73S1215F-68IM/F	QFN-68	Clavier NIP USB 80515, alimentation double SoC requise	8,44	4,28	3,94
783-73S1217F-68IM/F	73S1217F-68IM/F	QFN-68	Clavier NIP USB - SoC, gestion de la source d'alimentation requise	9,15	4,64	4,27

Interfaces électriques 73S8009x

Les circuits 73S8009x sont des interfaces électriques transparentes qui permettent à un processeur hôte de communiquer avec tous les types de cartes intelligentes. Une interface transparente implique qu'une image de chaque signal de carte intelligente soit fournie par l'interface au processeur hôte et traduite au niveau numérique approprié. Cette configuration fournit un contrôle complet à l'hôte de la gestion de la carte ainsi que l'activation / désactivation de la carte. Par ailleurs, l'architecture réduit la taille du dé au minimum, faisant ainsi des circuits 73S8009x les circuits les plus économiques du marché.

Le 73S8009C implémente un convertisseur CC-CC nécessitant ainsi une alimentation électrique simple dont la gamme de tension peut aller de +2,7 V à +6,5 V. Par ailleurs, le 73S8009C comprend des interrupteurs intégrés, permettant au périphérique de fonctionner, soit depuis un bus USB +5 V, soit depuis une alimentation électrique batterie / système.
Le 73S8009R génère l'alimentation électrique (VCC) de la carte intelligente avec un régulateur LDO – le CI nécessite deux (2) alimentations électriques distinctes.

Pour des quantités supérieures à celles indiquées, appelez-nous afin d'obtenir un devis.

RÉF. STOCK MOUSER	Réf. Teridian	Type de boîtier	Description	Prix unitaire		
				1	25	100
783-73S8009C-20IM/F	73S8009C-20IM/F	QFN-20	Interface électrique transparente & gestion de l'alimentation ISO 7816	0,74	0,71	0,685
783-73S8009C-32IM/F	73S8009C-32IM/F	QFN-32	Interface électrique transparente & gestion de l'alimentation ISO 7816	0,82	0,784	0,751
783-73S8009R-IL/F	73S8009R-IL/F	QFN-20	Interface carte intelligente (ICC) ISO 7816 avec LDO	0,73	0,701	0,677
783-73S8009R-IM/F	73S8009R-IM/F	SO-28	Interface carte intelligente (ICC) ISO 7816 avec LDO	0,64	0,619	0,594
783-73S8009R-DB	73S8009R-DB	-	Carte de démonstration pour la série 73S8009R	90,96	-	-

CI interface carte intelligente 73S8023C

Le 73S8023C est un CI interface carte intelligente simple, qui répond aux exigences électriques ISO-7816-3, EMV 4.0 et NDS. Le périphérique peut être utilisé avec des systèmes qui nécessitent le support de cartes intelligentes ISO 7816, tels que les cartes d'accès conditionnel sur des télévisions numériques (décodeurs numériques, DTV, PVR intégrés), les terminaux de paiement par cartes de crédit (point de vente, paiement à la séance sur décodeurs numériques, etc.) ou les cartes intelligentes universelles (identité, fidélité, contrôle d'accès, etc.) Le 73S8023C implémente un convertisseur survolteur et nécessite une alimentation électrique standard simple de +3,3 V.

Pour des quantités supérieures à celles indiquées, appelez-nous afin d'obtenir un devis.

RÉF. STOCK MOUSER	Réf. Teridian	Type de boîtier	Description	Prix unitaire		
				1	25	100
783-73S8023C-IM/F	73S8023C-IM/F	QFN-32	CI interface électrique ISO 7816	0,83	0,817	0,759

CI interface carte intelligente 73S8024RN

Le 73S8024RN est un CI interface carte intelligente simple, qui répond aux spécifications électriques ISO-7816-3, EMV 4.0 (EMV2000) et NDS. Il est disponible, soit en boîtier SO28 standard, soit en boîtier (5 x 5 x 0,8 mm) QFN à 32 broches, ce qui en fait la solution la plus petite actuellement disponible sur le marché. Il peut être utilisé conjointement avec tout microcontrôleur hôte compatible avec la couche de protocole carte intelligente. Dans son option SO28, le 73S8024RN de Teridian remplacera avantageusement le périphérique TDA8004, utilisé en standard dans l'industrie, puisqu'il offre une meilleure performance et nécessite moins de composants externes.

Pour des quantités supérieures à celles indiquées, appelez-nous pour obtenir un devis.

RÉF. STOCK MOUSER	Réf. Teridian	Type de boîtier	Description	Prix unitaire		
				1	25	100
783-73S8024RN-20IM/F	73S8024RN-20IM/F	QFN-20	CI interface carte intelligente avec régulateur LDO pour applications A/V	0,68	0,652	0,627
783-73S8024RN-32IM/F	73S8024RN-32IM/F	QFN-32	CI interface carte intelligente avec régulateur LDO pour applications A/V	0,71	0,685	0,652
783-73S8024RN-IL/F	73S8024RN-IL/F	SOIC-28	CI interface carte intelligente avec régulateur LDO pour applications A/V	0,79	0,776	0,765
783-73S8024RN-DB	73S8024RN-DB	-	Carte de démonstration pour la série 73S8024RN	75,10	-	-

LAN

Couche physique (PHY) Ethernet 10 / 100

Le 78Q8430 avec IPChecksum matériel intégré et 32 Ko de SRAM configurable est idéal pour les applications où la performance du débit du réseau ne peut compromettre le temps d'attente faible ou les besoins de performance des fonctions critiques de la mission comme le traitement audio ou vidéo.

Pour des quantités supérieures à celles indiquées, appelez-nous afin d'obtenir un devis.

RÉF. STOCK MOUSER	Réf. Teridian	Type de boîtier	Description	Prix unitaire		
				1	25	100
783-78Q2123/F	78Q2123/F	QFN-32	QFN 5 x 5 mm comprenant gamme de température de fonctionnement commerciale Auto-MDIX HP	1,67	0,85	0,78
783-78Q2133/F	78Q2133/F	QFN-32	QFN 5 x 5 mm comprenant gamme de température de fonctionnement industrielle Auto-MDIX HP	2,28	1,52	1,06
783-78Q2123-DB	78Q2123-DB	-	Carte de démonstration pour la série 78Q21x3	96,30	-	-
783-78Q8430-100CGT/F	78Q8430-100CGT/F	LQFP	Contrôleur Ethernet haute performance	5,27	5,21	4,53

OUTILS / KITS D'ÉVALUATION

Pour des quantités supérieures à celles indiquées, appelez-nous afin d'obtenir un devis.

RÉF. STOCK MOUSER	Réf. Teridian	Description	Prix unitaire
783-80515-FPBM-TFP2	80515-FPBM-TFP2	Mesureur carte programmateur Flash autonome & 73S12XX	160,88
783-STM1E-SFP02	STM1E-SFP02	Cuivre 155 Mbps châssis différent / mise à la terre de l'alimentation	89,60
783-STM1E-SFP08	STM1E-SFP08	Cuivre 155 Mbps même châssis / mise à la terre de l'alimentation	89,60
783-STM1E-SFP-EVK	STM1e-SFP-EVK	Kit d'évaluation pour la série STM1e-SFP	119,63

© Copyright 2012 Mouser Electronics

© Copyright 2012 Mouser Electronics

CI analogiques TEXAS INSTRUMENTS

RoHS Compliant This product is RoHS compliant.

CIRCUITS D'HORLOGES

Pour des quantités supérieures à celles indiquées, appelez-nous afin d'obtenir un devis.

RÉF. STOCK MOUSER	Réf. TI	Boîtier	VCC	Niveau d'entrée	Nombre de sorties	Niveau de sortie	Prix unitaire 1	25	100
Tampons non PLL différentiels									
595-CDCLVP1102RGTT	CDCLVP1102RGTT	QFN-16	2,5 / 3,3	LVPECL/LVDS/LVCMOS	2	LVPECL	5,98	5,16	4,31
595-CDCP1803RGET	CDCP1803RGET	VQFN-24	3,3	LVPECL	3	LVPECL	7,98	6,62	6,02
595-CDCLVD1204RGTT	CDCLVD1204RGTT	QFN-16	2,5	LVCMOS/LVDS/LVPECL	4	LVDS	6,81	4,90	4,08
595-CDCLVD2102RGTT	CDCLVD2102RGTT	QFN-16	2,5	LVCMOS/LVDS/LVPECL	4	LVDS	7,11	5,12	4,27
595-CDCLVP1204RGTT	CDCLVP1204RGTT	QFN-16	2,5 / 3,3	LVPECL/LVDS/LVCMOS	4	LVPECL	7,84	6,77	5,64
595-SN65LVDS104PW	SN65LVDS104PW	TSSOP-16	3,3	LVDS	4	LVDS	4,36	3,51	3,19
595-SN65LVDS105PW	SN65LVDS105PW	TSSOP-16	3,3	LVTTL	4	LVDS	4,36	3,51	3,19
595-CDCLVD1208RHDT	CDCLVD1208RHDT	VQFN-28	2,5	LVCMOS/LVDS/LVPECL	8	LVDS	9,18	6,61	5,51
595-CDCLVD2104RHDT	CDCLVD2104RHDT	VQFN-28	2,5	LVCMOS/LVDS/LVPECL	8	LVDS	9,49	6,83	5,69
595-CDCLVP1208RHDT	CDCLVP1208RHDT	QFN-28	2,5 / 3,3	LVPECL/LVDS/LVCMOS	8	LVPECL	10,91	9,25	8,54
595-CDCVF25081PW	CDCVF25081PW	TSSOP-16	3,3	LVTTL	8	LVTTL	3,40	2,72	2,48
595-CDCLVD110AVF	CDCLVD110AVF	LQFP-32	2,5	LVDS	10	LVDS	11,42	10,01	8,87
595-CDCLVD2108RGZT	CDCLVD2108RGZT	VQFN-48	2,5	LVCMOS/LVDS/LVPECL	16	LVDS	13,09	11,10	10,53
595-CDCLVP1216RGZT	CDCLVP1216RGZT	QFN-48	2,5 / 3,3	LVPECL/LVDS/LVCMOS	16	LVPECL	18,60	15,77	14,55
Tampons PLL différentiels									
595-CDCV855PW	CDCV855PW	TSSOP-28	2,5	SSTL-2	4	SSTL-2	3,12	2,50	2,28
595-CDCU877GQLT	CDCU877GQLT	BGA MICROSTAR JR-52	1,8	SSTL-18	10	SSTL-18	6,04	4,69	3,97
595-CDCU877ZQLT	CDCU877ZQLT	BGA MICROSTAR JR-52	1,8	SSTL-18	10	SSTL-18	6,04	4,69	3,97
595-CDCV850DGG	CDCV850DGG	TSSOP-48	2,5	SSTL-2, LVTTL	10	SSTL-2	5,08	4,08	3,72
595-CDCV857ADGG	CDCV857ADGG	TSSOP-48	2,5	SSTL-2	10	SSTL-2	5,99	4,91	4,43
595-CDCV857BDGG	CDCV857BDGG	TSSOP-48	2,5	SSTL-2	10	SSTL-2	7,54	6,18	5,58
595-CDCV857DGG	CDCV857DGG	TSSOP-48	2,5	SSTL-2	10	SSTL-2	8,64	7,09	6,39
Synthétiseur de fréquence universel									
595-CDCE913PW	CDCE913PW	TSSOP-14	Cœur 1,8	Cristal/LVCMOS	3	LVCMOS	4,5	3,61	3,29
595-CDCE913PWG4	CDCE913PWG4	TSSOP-14	1,8	Cristal, LVCMOS	3	LVCMOS	3,61	2,90	2,70
595-CDCEL913PW	CDCEL913PW	TSSOP-14	1,8	Cristal/LVCMOS	3	LVCMOS	4,5	3,61	3,29
595-CDCE925PW	CDCE925PW	TSSOP-16	Cœur 1,8	Cristal/LVCMOS	5	LVCMOS	5,08	4,08	3,72
595-CDCEL925PW	CDCEL925PW	TSSOP-16	1,8	Cristal/LVCMOS	5	LVCMOS	5,02	4,03	3,67
595-CDCE706PW	CDCE706PW	TSSOP-20	3,3	Cristal/LVCMOS/Diff	6	LVTTL	8,98	7,35	6,63
595-CDCE906PW	CDCE906PW	TSSOP-20	3,3	Cristal/LVCMOS/Diff	6	LVTTL	5,47	4,48	4,04
595-CDCE937PW	CDCE937PW	TSSOP-20	Cœur 1,8	Cristal/LVCMOS	7	LVCMOS	5,48	4,40	4,01
595-CDCEL937PW	CDCEL937PW	TSSOP-20	1,8	Cristal/LVCMOS	7	LVCMOS	5,54	4,46	4,06
595-CDCE949PW	CDCE949PW	TSSOP-24	Cœur 1,8	Cristal/LVCMOS	9	LVCMOS	5,47	4,48	4,04
595-CDCEL949PW	CDCEL949PW	TSSOP-24	1,8	Cristal/LVCMOS	9	LVCMOS	5,47	4,48	4,04
Différentiels / asymétriques mélangés									
595-CDCM1802RGTT	CDCM1802RGTT	QFN-16	3,3	LVPECL	2	LVPECL, LVCMOS	10,25	8,69	8,02
595-CDCM1804RGET	CDCM1804RGET	VQFN-24	3,3	LVPECL/LVDS/HSTL/CML/VML/SSTL-2	4	LVPECL/1-LVCMOS	12,05	10,21	9,43
Multiplicateur / diviseur									
595-CDCVF25084PW	CDCVF25084PW	TSSOP-16	3,3	LVTTL	-	LVTTL	7,97	6,53	5,9
595-CDC5806PW	CDC5806PW	TSSOP-20	3,3	LVTTL, LVCMOS	6	LVTTL, LVCMOS	6,62	5,43	4,90
Aligneur de phase									
595-CDC5801ADBQ	CDC5801ADBQ	SSOP 24	3,3	LVCMOS, LVTTL	1	LVCMOS, LVTTL, LVDS	9,08	7,43	6,71
595-CDCF5801ADBQ	CDCF5801ADBQ	SSOP 24	3,3	HSTL, LVPECL, LVTTL	1	LVDS, LVPECL, LVTTL	7,24	5,93	5,35
Tampons non PLL asymétriques									
595-CDCLVC1102PW	CDCLVC1102PW	TSSOP-8	2,5 / 3,3	LVCMOS	2	LVCMOS	2,72	2,27	1,82
595-CDCLVC1103PW	CDCLVC1103PW	TSSOP-8	2,5 / 3,3	LVCMOS	3	LVCMOS	2,68	2,15	1,72
595-CDCV304PW	CDCV304PW	TSSOP-8	3,3	TTL	4	CMOS	2,72	2,19	1,99
595-CDCV304PWG4	CDCV304PWG4	TSSOP-8	2,5 / 3,3	LVTTL	4	LVTTL	2,42	1,95	1,74
595-CDCV304PWR	CDCV304PWR	TSSOP-8	2,5 / 3,3	LVTTL	4	LVTTL	2,77	2,13	1,93
595-CDCLVC1104PW	CDCLVC1104PW	TSSOP-8	2,5 / 3,3	LVCMOS	4	LVCMOS	2,99	2,39	1,91
595-CDC203DW	CDC203DW	SOIC-20	3,3	LVTTL	6	LVTTL	9,35	7,85	7,22
595-CDC328AD	CDC328AD	SOIC-16	5	LVTTL	6	LVTTL	9,62	8,09	7,05
595-CDC329AD	CDC329AD	SOIC-16	5	LVTTL	6	LVTTL	9,43	7,36	6,18
595-CDC391D	CDC391D	SOIC-16	5	TTL	6	TTL	9,26	7,78	7,15
595-CDCLVC1106PW	CDCLVC1106PW	TSSOP-14	2,5 / 3,3	LVCMOS	6	LVCMOS	3,71	2,97	2,38
595-CDC208DW	CDC208DW	SOIC-20	5	TTL	8	CMOS	10,39	9,12	8,09
595-CDC337DW	CDC337DW	SOIC-20	5	LVTTL	8	LVTTL	11,21	9,42	8,66
595-CDC339DW	CDC339DW	SOIC-20	5	LVTTL	8	LVTTL	9,53	8,01	7,36
595-CDC340DW	CDC340DW	SOIC-20	5	LVTTL	8	LVTTL	9,32	7,84	7,20
595-CDC341DW	CDC341DW	SOIC-20	5	LVTTL	8	LVTTL	11,32	9,93	8,80
595-CDCLVC1108PW	CDCLVC1108PW	TSSOP-16	2,5 / 3,3	LVCMOS	8	LVCMOS	4,54	3,63	2,90
595-CDC2351DB	CDC2351DB	SSOP 24	3,3	LVTTL	10	LVTTL	10,31	8,25	6,94
595-CDC2351DW	CDC2351DW	SOIC-24	3,3	LVTTL	10	LVTTL	10,57	9,26	8,21
595-CDC319DB	CDC319DB	SSOP-28	3,3	LVTTL	10	LVTTL	3,90	3,04	2,35
595-CDC351DW	CDC351DW	SOIC-24	3,3	LVTTL	10	LVTTL	11,50	10,07	8,93
595-CDCLVC1110PW	CDCLVC1110PW	TSSOP-20	2,5 / 3,3	LVCMOS	10	LVCMOS	5,57	4,01	3,34
595-CDCVF2310PW	CDCVF2310PW	TSSOP-24	2,5 / 3,3	LVTTL	10	LVTTL	5,66	4,55	4,14
595-CDCVF2310PWR	CDCVF2310PWR	TSSOP-24	3,3	LVTTL	10	LVTTL	5,01	4,09	3,67
595-CDCVF310PW	CDCVF310PW	TSSOP-24	2,5 / 3,3	LVTTL	10	LVTTL	5,66	4,55	4,14
595-CDCLVC1112PW	CDCLVC1112PW	TSSOP-24	2,5 / 3,3	LVCMOS	12	LVCMOS	6,49	4,68	3,89
595-CDC318ADL	CDC318ADL	SSOP-48	3,3	LVTTL	18	LVTTL	4,94	3,97	3,61
Tampons PLL asymétriques									
595-CDCVF2505D	CDCVF2505D	SOIC 8	3,3	LVTTL	5	LVTTL	2,32	1,87	1,68
595-CDCVF2505PW	CDCVF2505PW	TSSOP-8	3,3	LVTTL	5	LVTTL	2,32	1,87	1,68
595-CDC2536DB	CDC2536DB	SSOP-28	3,3	LVTTL	6	LVTTL	5,48	4,40	4,01
595-CDC536DB	CDC536DB	SSOP-28	3,3	LVTTL	6	LVTTL	6,11	5,01	4,52
595-CDCVF2509APW	CDCVF2509APW	TSSOP-24	3,3	LVTTL	9	LVTTL	7,97	6,53	5,9
595-CDCVF2510APW	CDCVF2510APW	TSSOP-24	3,3	LVTTL	10	LVTTL	5,30	4,40	3,92
595-CDC2582PAH	CDC2582PAH	TQFP-52	3,3	LVPECL	12	LVTTL	11,21	9,42	8,66
595-CDC2586PAH	CDC2586PAH	TQFP-52	3,3	LVTTL	12	LVTTL	14,97	12,59	11,57
595-CDC582PAH	CDC582PAH	TQFP-52	3,3	LVPECL	12	LVTTL	11,21	9,42	8,66
595-CDC586PAH	CDC586PAH	TQFP-52	3,3	LVTTL	12	LVTTL	14,97	12,59	11,57
595-TLC2932AIPW	TLC2932AIPW	TSSOP-14	3 / 3,3 / 5	-	-	-	3,42	2,75	2,50
595-TLC2933AIPW	TLC2933AIPW	TSSOP-14	3 / 3,3 / 5	-	-	-	3,42	2,75	2,50
Synthétiseur de gigue extra basse et nettoyeur de gigue.									
595-CDC421312RGET	CDC421312RGET	QFN-24	3,3	Cristal/LVCMOS	1	LVPECL/LVDS	15,28	12,94	11,95
595-CDCM61001RHBT	CDCM61001RHBT	QFN-32	3,3	Cristal, LVCMOS	1	LVPECL/LVDS/2-LVCMOS	9,83	7,67	6,47
595-CDCM61002RHBT	CDCM61002RHBT	QFN-32	3,3	Cristal, LVCMOS	2	LVPECL/LVDS/2-LVCMOS	10,91	9,25	8,54
595-CDCM61004RHBT	CDCM61004RHBT	QFN-32	3,3	Cristal, LVCMOS	4	LVPECL/LVDS/2-LVCMOS	14,23	12,06	11,14
595-CDCE62005RGZT	CDCE62005RGZT	QFN-48	3,3	LVPECL/LVDS/LVCMOS	5	LVPECL/LVDS/LVCMOS	16,42	13,91	12,85
595-CDCM7005RGZT	CDCM7005RGZT	QFN-48	3,3	LVCMOS	5	LVPECL/LVCMOS	18,15	16,34	14,97
595-CDCM7005ZVAT	CDCM7005ZVAT	BGA-64	3,3	LVCMOS	5	LVPECL/LVCMOS	18,15	16,34	14,97
595-CDCE72010RGCT	CDCE72010RGCT	QFN-64	3,3	Diff. / asymétriques	10	LVPECL/LVDS/LVCMOS	20,30	18,27	16,75
595-CDCL6010RGZT	CDCL6010RGZT	QFN-48	1,8	LVDS	11	CML	16,42	13,91	12,85

© Copyright 2012 Mouser Electronics

© Copyright 2012 Mouser Electronics

Tous les prix sont en EURO

CI analogiques TEXAS INSTRUMENTS

Les produits peuvent être conformes à la directive RoHS.
Consulter le site mouser.com pour vérifier la conformité RoHS.

HORLOGES EN TEMPS RÉEL

Pour des quantités supérieures à celles indiquées, appelez-nous afin d'obtenir un devis.

RÉF. STOCK MOUSER	RÉF. TI	Boîtier	Tension d'alimentation	Interface bus	Densité de mémoire	Alimentation CPU intégrée	Octets RTC	Prix unitaire 1	25	100	250
595-BQ3285S-SB2	BQ3285S-SB2	SOIC-24	5	Multiplexeurs	0,114	Non	-	5,20	4,26	3,84	3,53
595-BQ3285EP	BQ3285EP	PDIP 24	5	Multiplexeurs	0,242	Non	14	4,79	3,85	3,51	3,17
595-BQ3285ES	BQ3285ES	SOIC-24	5	Multiplexeurs	0,242	Non	14	5,20	4,26	3,84	3,53
595-BQ3285ESS	BQ3285ESS	SSOP 24	5	Multiplexeurs	0,242	Non	14	5,20	4,26	3,84	3,53
595-BQ3285LDSS	BQ3285LDSS	SSOP 24	3	Multiplexeurs	0,242	Non	14	5,20	4,26	3,84	3,53
595-BQ3287MT-SB2	BQ3287MT-SB2	DIP MODULE-24	5	Multiplexeurs	0,114	Non	14	12,96	10,89	10,01	9,12
595-BQ4287MT-SB2	BQ4287MT-SB2	DIP MODULE-24	5	Multiplexeurs	0,114	Non	14	17,89	15,05	13,83	12,61
595-BQ4802YDW	BQ4802YDW	SOIC-28	5	Parallèle	-	Oui	16	7,65	6,26	5,65	5,20
595-BQ4830YMA-85	BQ4830YMA-85	DIP MODULE-28	5	Parallèle	256	Non	8	36,58	31,64	29,66	27,68
595-BQ4832YMA-85	BQ4832YMA-85	DIP MODULE-32	5	Parallèle	256	Oui	16	45,21	39,10	36,65	34,20
595-BQ4842YMA-85	BQ4842YMA-85	DIP MODULE-32	5	Parallèle	1024	Oui	16	47,88	42,50	39,67	36,27
595-BQ4845S-A4N	BQ4845S-A4N	SOIC-28	5	Parallèle	-	Oui	16	6,11	5,01	4,52	4,16
595-BQ4845YS-A4	BQ4845YS-A4	SOIC-28	5	Parallèle	-	Oui	16	6,11	5,01	4,52	4,16
595-BQ4847YMT	BQ4847YMT	DIP MODULE-28	5	Parallèle	-	Oui	16	18,66	15,86	14,69	13,52
595-BQ4850YMA-85	BQ4850YMA-85	DIP MODULE-32	5	Parallèle	4096	Non	8	40,15	34,72	32,55	30,38
595-BQ4852YMC-85	BQ4852YMC-85	DIP MODULE-36	5	Parallèle	4096	Oui	16	90,66	80,73	76,49	72,53

CIRCUITS D'HORLOGES

Pour des quantités supérieures à celles indiquées, appelez-nous afin d'obtenir un devis.

RÉF. STOCK MOUSER	RÉF. TI	Boîtier	Sous-famille	VCC	Niveau d'entrée	Fréquence (Max)(MHz)	Nombre de sorties	Transmission de sortie (mA)	Niveau de sortie	Prix unitaire 1	25	100	250
595-CDCV855PW	CDCV855PW	TSSOP-28	DDR PLL	2,5	SSTL-2	-	4	-	SSTL-2	3,12	2,50	2,28	2,05
595-CDCV857ADGG	CDCV857ADGG	TSSOP-48	DDR PLL	2,5	SSTL-2	-	10	-	SSTL-2	5,99	4,91	4,43	4,08
595-SN74SSTUB32864ZK	SN74SSTUB32864ZKER	LFBGA-96	Registre DDR2	1,8	SSTL_18	410	25	8	SSTL_18	7,43	6,17	5,61	5,05
595-CDCD5704PW	CDCD5704PW	TSSOP-28	RAMBUS/XDR	2,5	HCLK	-	-	-	RSL, XDR	6,83	5,32	4,50	4,14

TEMPORISATEURS

Pour des quantités supérieures à celles indiquées, appelez-nous afin d'obtenir un devis.

RÉF. STOCK MOUSER	RÉF. TI	Boîtier	Fréquence (Max)(MHz)	VCC (Min.)	VCC (Max.)	Prix unitaire 1	25	100	250
595-NE555D	NE555D	SOIC 8 broches	0,5	4,5	16	0,36	0,238	0,193	0,16
595-NE555P	NE555P	PDIP-8	0,5	4,5	16	0,39	0,255	0,208	0,14
595-NE555PSR	NE555PSR	SO-8	0,5	4,5	16	0,37	0,243	0,199	0,166
595-NE556D	NE556D	SOIC-14	0,5	4,5	16	0,46	0,338	0,293	0,254
595-NE556N	NE556N	PDIP 14 broches	0,5	4,5	16	0,43	0,318	0,272	0,236
595-SE555D	SE555D	SOIC 8 broches	-	4,5	18	0,48	0,315	0,257	0,213
595-SE555P	SE555P	PDIP-8	-	4,5	18	0,42	0,276	0,225	0,186
595-TLC555CD	TLC555CD	SOIC 8 broches	2,1	2	15	0,73	0,561	0,493	0,425
595-TLC555CP	TLC555CP	PDIP-8	2,1	2	15	0,60	0,462	0,412	0,354
595-TLC555ID	TLC555ID	SOIC 8 broches	2,1	2	15	0,78	0,602	0,528	0,46
595-TLC555IP	TLC555IP	PDIP-8	2,1	2	15	0,66	0,512	0,446	0,389
595-TLC555QDR	TLC555QDR	SOIC 8 broches	2,1	2	15	0,76	0,586	0,521	0,451
595-TLC556CD	TLC556CD	SOIC-14	2,1	2	15	1,32	1,05	0,916	0,809
595-TLC556CN	TLC556CN	PDIP 14 broches	2,1	2	15	1,02	0,817	0,719	0,631
595-TLC556ID	TLC556ID	SOIC-14	2,1	2	15	1,26	1,01	0,916	0,815
595-TLC556IN	TLC556IN	PDIP 14 broches	2,1	2	15	1,13	0,899	0,791	0,694
595-TLC556MD	TLC556MD	SOIC-14	2,1	2	15	1,26	1,01	0,916	0,815

MODULES D'ÉVALUATION POUR CONVERTISSEUR ANALOGIQUE-NUMÉRIQUE

RÉF. STOCK MOUSER	RÉF. TI	Description	Prix unitaire
595-ADS1246EVM	ADS1246EVM	Carte d'évaluation pour l'ADS1246, un convertisseur analogique-numérique delta-sigma, 2 KSPS, multivoie, 24 bits	70,46
595-ADS1256EVM	ADS1256EVM	Carte d'évaluation pour l'ADS1256, un CAN 30 kSPS, 8 voies, 24 bits, à bruit extrêmement faible	46,04
595-ADS1258EVM	ADS1258EVM	Carte d'évaluation pour l'ADS1258, un CAN 125 kSPS, delta-sigma, 8 voies, 24 bits, à bruit faible	46,04
595-ADS1258EVM-PDK	ADS1258EVM-PDK	Kit de démonstration de performance pour l'ADS1258, un CAN 125 kSPS, delta-sigma, 8 voies, 24 bits, à bruit faible	132,35
595-ADS1278EVM	ADS1278EVM	Carte d'évaluation pour l'ADS1278, un CAN 144 kSPS, delta-sigma, 8 voies, 24 bits, à bruit faible	87,95
595-ADS5493EVM	ADS5493EVM	Carte d'évaluation pour l'ADS5493, un CAN 130 MSPS 16 bits avec sorties LVDS DDR sur un quartet	265,59
595-ADS58C48EVM	ADS58C48EVM	Carte d'évaluation pour l'ADS58C17, un CAN 200 MSPS, 11 bits, 4 voies, intégrant la technologie SNRBoost de TI	265,59
595-ADS7924EVM	ADS7924EVM	Carte d'évaluation pour l'ADS7924, un CAN 100 kSPS, 12 bits, 4 voies avec une interface I²C™.	70,46
595-ADS8331EVM	ADS8331EVM	Carte d'évaluation pour l'ADS8331, un CAN 500 kSPS, 4 voies, 16 bits, haute résolution, faible puissance	46,04
595-ADS8332EVM	ADS8332EVM	Carte d'évaluation pour l'ADS8332, un CAN 500 kSPS, 8 voies, 16 bits, haute résolution, faible puissance	46,04

CONVERTISSEURS ANALOGIQUE-NUMÉRIQUE (CAN)

Pour des quantités supérieures à celles indiquées, appelez-nous afin d'obtenir un devis.

RÉF. STOCK MOUSER	RÉF. TI	Boîtier	Rés.	Nombre de voies d'entrée	Architecture	INL (Max.) (+ / -LSB)	DNL (Max.) (+ / -LSB)	Fréquence d'échantillonnage	Consommation électrique (Typ.) (mW)	Prix unitaire 1	25	100	250
595-ADS7868IDBVT	ADS7868IDBVT	SOT-23-6	8	1	SAR	0,5	0,5	280 kSPS	0,22	1,77	1,36	1,24	1,01
595-ADS830E	ADS830E	SSOP-20	8	1	Pipeline	1,5	1	60 MSPS	215	6,62	5,43	4,90	4,50
595-TLC0820ACDBR	TLC0820ACDBR	SSOP-20	8	1	SAR	1	1	392 kSPS	37,5	4,83	3,94	3,54	3,22
595-TLC0820ACDW	TLC0820ACDW	SOIC-20	8	1	SAR	1	1	392 kSPS	37,5	5,38	4,32	3,94	3,56
595-TLC0820ACN	TLC0820ACN	PDIP-20	8	1	SAR	1	1	392 kSPS	37,5	4,71	3,79	3,45	3,11
595-TLC0820AIDW	TLC0820AIDW	SOIC-20	8	1	SAR	1	1	392 kSPS	37,5	5,38	4,32	3,94	3,56
595-TLC0820AIFN	TLC0820AIFN	PLCC-20	8	1	SAR	1	1	392 kSPS	37,5	4,45	3,57	3,26	2,94
595-TLC0820AIN	TLC0820AIN	PDIP-20	8	1	SAR	1	1	392 kSPS	37,5	4,65	3,74	3,41	3,08
595-TLC0831CD	TLC0831CD	SOIC 8 broches	8	1	SAR	0,4	0,4	31 kSPS	3	3,75	3,00	2,74	2,47
595-TLC0831CP	TLC0831CP	PDIP-8	8	1	SAR	0,4	0,4	31 kSPS	3	3,26	2,62	2,38	2,15
595-TLC0831ID	TLC0831ID	SOIC 8 broches	8	1	SAR	0,4	0,4	31 kSPS	3	3,95	3,17	2,89	2,61
595-TLC0831IP	TLC0831IP	PDIP-8	8	1	SAR	0,4	0,4	31 kSPS	3	3,47	2,79	2,54	2,29
595-TLC548CD	TLC548CD	SOIC 8 broches	8	1	SAR	0,5	0,5	45,5 kSPS	9	3,47	2,78	2,53	2,29
595-TLC548CP	TLC548CP	PDIP-8	8	1	SAR	0,5	0,5	45,5 kSPS	9	2,96	2,38	2,17	1,96
595-TLC549CP	TLC549CP	PDIP-8	8	1	SAR	0,5	0,5	40 kSPS	9	2,40	1,93	1,74	1,54
595-TLC549ID	TLC549ID	SOIC 8 broches	8	1	SAR	0,5	0,5	40 kSPS	9	2,75	2,20	2,00	1,82
595-TLC549IP	TLC549IP	PDIP-8	8	1	SAR	0,5	0,5	40 kSPS	9	2,39	1,92	1,75	1,58
595-ADS7949SRTET	ADS7949SRTET	WQFN-16	8	2	SAR	0,3	0,3	2 MSPS	7,5	2,38	1,90	1,52	1,26
595-TLC0832CD	TLC0832CD	SOIC 8 broches	8	2	SAR	0,4	0,4	22 kSPS	12,5	3,75	3,00	2,74	2,47
595-TLC0832CP	TLC0832CP	PDIP-8	8	2	SAR	0,4	0,4	22 kSPS	12,5	3,03	2,43	2,22	2,00
595-ADS7830IPWR	ADS7830IPWR	TSSOP-16	8	8	SAR	0,5	0,5	70 kSPS	0,75	3,42	2,80	2,51	2,28
595-ADS7830IPWT	ADS7830IPWT	TSSOP-16	8	8	SAR	0,5	0,5	70 kSPS	0,75	4,08	3,33	2,99	2,52
595-TLC0838CN	TLC0838CN	PDIP-20	8	8	SAR	0,4	0,4	20 kSPS	3	3,36	2,69	2,45	2,21
595-TLC0838IDW	TLC0838IDW	SOIC-20	8	8	SAR	0,4	0,4	20 kSPS	3	4,18	3,36	3,06	2,76
595-TLC0838IN	TLC0838IN	PDIP-20	8	8	SAR	0,4	0,4	20 kSPS	3	3,58	2,88	2,62	2,37
595-TLC540IDW	TLC540IDW	SOIC-20	8	11	SAR	0,5	0,5	75 kSPS	6	4,83	3,88	3,53	3,18
595-TLC540IFN	TLC540IFN	PLCC-20	8	11	SAR	0,5	0,5	75 kSPS	6	4,83	3,88	3,53	3,18

© Copyright 2012 Mouser Electronics
© Copyright 2012 Mouser Electronics

CI analogiques TEXAS INSTRUMENTS

Les produits peuvent être conformes à la directive RoHS.
Consulter le site mouser.com pour vérifier la conformité RoHS.

CONVERTISSEURS ANALOGIQUE-NUMÉRIQUE (CAN) (SUITE)

NEW PRODUCT

Pour des quantités supérieures à celles indiquées, appelez-nous afin d'obtenir un devis.

RÉF. STOCK MOUSER	RÉF. TI	Boîtier	Rés.	Nombre de voies d'entrée	Architecture	INL (Max.) (+ / -LSB)	DNL (Max.) (+ / -LSB)	Fréquence d'échantillonnage	Consommation (Typ.) (mW)	Prix unitaire 1	25	100	250
595-TLC541IFN	TLC541IFN	PLCC-20	8	11	SAR	0,5	0,5	40 kSPS	6	4,16	3,34	3,04	2,75
595-ADS7830IPWR	ADS7830IPWR	TSSOP-16	8	8	SAR	0,5	0,5	70 kSPS	0,75	3,42	2,80	2,51	2,28
595-ADS7830IPWT	TLC549CPIPWT	TSSOP-16	8	8	SAR	0,5	0,5	70 kSPS	0,75	4,08	3,33	2,99	2,52
595-TLC0838CN	TLC0838CN	PDIP-20	8	8	SAR	0,4	0,4	20 kSPS	3	3,36	2,69	2,45	2,21
595-TLC0838IDW	TLC0838IDW	SOIC-20	8	8	SAR	0,4	0,4	20 kSPS	3	4,18	3,36	3,06	2,76
595-TLC0838IN	TLC0838IN	PDIP-20	8	8	SAR	0,4	0,4	20 kSPS	3	3,58	2,88	2,62	2,37
595-TLC540IFN	TLC540IFN	PLCC-20	8	11	SAR	0,5	0,5	75 kSPS	6	4,83	3,88	3,53	3,18
595-TLC541IFN	TLC541IFN	PLCC-20	8	11	SAR	0,5	0,5	40 kSPS	6	4,16	3,34	3,04	2,75
595-TLC541IN	TLC541IN	PDIP-20	8	11	SAR	0,5	0,5	40 kSPS	6	3,42	2,75	2,50	2,26
595-TLC542CDW	TLC542CDW	SOIC-20	8	11	SAR	0,5	0,5	25 kSPS	6	4,07	3,27	2,97	2,68
595-TLC542CN	TLC542CN	PDIP-20	8	11	SAR	0,5	0,5	25 kSPS	6	3,26	2,62	2,38	2,15
595-TLC542IFNR	TLC542IFNR	PLCC-20	8	11	SAR	0,5	0,5	25 kSPS	6	3,71	3,04	2,72	2,48
595-TLC542IN	TLC542IN	PDIP-20	8	11	SAR	0,5	0,5	25 kSPS	6	3,70	2,97	2,71	2,44
595-ADS7867IDBVT	ADS7867IDBVT	SOT-23-6	10	1	SAR	0,5	0,5	240 kSPS	0,22	2,72	2,22	2,00	1,67
595-TLC1549CP	TLC1549CP	PDIP 8	10	1	SAR	1	1	38 kSPS	4	4,33	3,48	3,18	2,86
595-TLV1549CD	TLV1549CD	SOIC 8 broches	10	1	SAR	1	1	38 kSPS	1,32	5,78	4,74	4,27	3,93
595-TLV1571CDW	TLV1571CDW	SOIC-24	10	1	SAR	1	1	1,25 MSPS	12	9,37	7,69	6,94	6,38
595-ADS7948SRTET	ADS7948SRTET	WQFN-16	10	2	SAR	0,5	0,5	2 MSPS	7,5	3,82	3,05	2,44	2,04
595-TLV1544CD	TLV1544CD	SOIC-16	10	4	SAR	1	1	85 kSPS	1,05	5,54	4,46	4,06	3,66
595-TLV1544ID	TLV1544ID	SOIC-16	10	4	SAR	1	1	85 kSPS	1,05	5,26	4,31	3,89	3,57
595-TLV1562CPW	TLV1562CPW	TSSOP-28	10	4	Pipeline	1,5	1,5	2 MSPS	15	8,46	6,93	6,25	5,75
595-TLV1548IDB	TLV1548IDB	SSOP-20	10	8	SAR	1	1	85 kSPS	1,05	6,09	4,98	4,50	4,13
595-TLV1570CPW	TLV1570CPW	TSSOP-20	10	8	SAR	1	1	1,25 MSPS	9	9,49	7,78	7,02	6,45
595-TLV1578CDA	TLV1578CDA	TSSOP-32	10	8	SAR	1	1	1,25 MSPS	12	9,59	7,86	7,10	6,52
595-TLC1541CDW	TLC1541CDW	SOIC-20	10	11	SAR	1	1	32 kSPS	6	7,91	6,17	5,20	4,80
595-TLC1541CN	TLC1541CN	PDIP-20	10	11	SAR	1	1	32 kSPS	6	6,93	5,68	5,12	4,71
595-TLC1541IN	TLC1541IN	PDIP-20	10	11	SAR	1	1	32 kSPS	6	7,44	6,10	5,50	5,06
595-TLC1542IDW	TLC1542IDW	SOIC-20	10	11	SAR	0,5	0,5	38 kSPS	4	9,08	6,53	5,45	4,72
595-TLC1543CDW	TLC1543CDW	SOIC-20	10	11	SAR	1	1	38 kSPS	4	5,06	4,06	3,70	3,34
595-TLC1543CDWR	TLC1543CDWR	SOIC-20	10	11	SAR	1	1	38 kSPS	4	4,42	3,61	3,24	2,95
595-TLC1543CN	TLC1543CN	PDIP-20	10	11	SAR	1	1	38 kSPS	4	4,33	3,48	3,18	2,86
595-TLC1543IN	TLC1543IN	PDIP-20	10	11	SAR	1	1	38 kSPS	4	4,56	3,66	3,34	3,01
595-TLC1543QFN	TLC1543QFN	PLCC-20	10	11	SAR	1	1	38 kSPS	4	4,99	4,02	3,65	3,30
595-TLV1543CDW	TLV1543CDW	SOIC-20	10	11	SAR	1	1	38 kSPS	2,64	5,71	4,58	4,17	3,76
595-TLV1543CFN	TLV1543CFN	PLCC-20	10	11	SAR	1	1	38 kSPS	2,64	3,79	3,03	2,35	2,24
595-TLV1543CN	TLV1543CN	PDIP-20	10	11	SAR	1	1	38 kSPS	2,64	4,88	3,92	3,57	3,23
595-TLV1543IDB	TLV1543IDB	SSOP-20	10	11	SAR	1	1	38 kSPS	2,64	5,49	4,50	4,06	3,73
595-ADS58B18IRGZT	ADS58B18IRGZT	VQFN-48	11	1	Pipeline	-	-	200 MSPS	310	57,80	51,29	47,87	43,77
595-ADS62C15IRGC25	ADS62C15IRGC25	QFN-64	11	2	Pipeline	3,5	0,8	125 MSPS	740	61,22	53,42	50,70	46,37
595-ADS1000A1IDBVT	ADS1000A1IDBVT	SOT-23-6	12	1	Delta-Sigma	0,1	1	128 SPS	0,21	2,14	1,65	1,49	1,22
595-ADS1015IDGST	ADS1015IDGST	MSOP-10	12	1	Delta-Sigma	1	-	3,3 kSPS	0,36	2,68	2,15	1,72	1,43
595-ADS4129IRGZ25	ADS4129IRGZ25	VQFN-48	12	1	Pipeline	5	2,5	250 MSPS	265	69,71	58,78	57,75	52,80
595-ADS5400IPZP	ADS5400IPZP	HTQFP-100	12	1	Pipeline	4	-1	1000 MSPS	2200	963,29	718,54	718,54	718,54
595-ADS5463IPFP	ADS5463IPFP	HTQFP-80	12	1	Pipeline	1,5	0,95	500 MSPS	2250	151,92	139,35	136,21	133,58
595-ADS5522IPAP	ADS5522IPAP	HTQFP-64	12	1	Pipeline	0,55	0,25	80 MSPS	660	30,49	25,92	24,06	22,11
595-ADS7816PC	ADS7816PC	PDIP 8	12	1	SAR	1	0,75	200 kSPS	1,9	5,13	4,21	3,80	3,49
595-ADS7823E/250	ADS7823E/250	MSOP-8	12	1	SAR	1	1	50 kSPS	0,75	6,81	4,90	4,08	3,54
595-ADS7866IDBVT	ADS7866IDBVT	SOT-23-6	12	1	SAR	1,5	+1,5 / -1	200 kSPS	0,22	3,35	2,69	2,45	2,21
595-ADS7881IRGZT	ADS7881IRGZT	QFN-48	12	1	SAR	1	1	4 MSPS	95	16,04	13,59	12,55	10,80
595-ADS7886SBDBVT	ADS7886SBDBVT	SOT-23-6	12	1	SAR	1,25	+1 / -1	1 MSPS	3,9	4,36	3,51	3,19	2,88
595-ADS7886SDBVT	ADS7886SDBVT	SOT-23-6	12	1	SAR	1,25	+1 / -1	1 MSPS	3,9	4,16	3,39	3,04	2,56
595-ADS7886SDCKT	ADS7886SDCKT	SC70-6	12	1	SAR	1,25	+1 / -1	1 MSPS	3,9	4,16	3,39	3,04	2,56
595-ADS807E	ADS807E	SSOP-28	12	1	Pipeline	2	1	53 MSPS	335	21,69	18,43	17,10	15,72
595-ADS8504IBDW	ADS8504IBDW	SOIC-28	12	1	SAR	0,45	0,45	250 kSPS	70	20,63	17,53	16,24	14,95
595-ADS8508IBDW	ADS8508IBDW	SOIC-20	12	1	SAR	0,45	0,45	250 kSPS	70	19,72	16,76	15,53	14,29
595-TLV2541ID	TLV2541ID	SOIC 8 broches	12	1	SAR	1	1	200 kSPS	2,8	10,21	8,37	7,55	6,94
595-ADS5231IPAG	ADS5231IPAG	TQFP-64	12	2	Pipeline	2,5	0,9	40 MSPS	285	22,42	19,06	17,68	16,25
595-ADS6223IRGZT	ADS6223IRGZT	QFN-48	12	2	Pipeline	2	1,8	80 MSPS	760	31,00	28,93	28,45	28,02
595-ADS6225IRGZT	ADS6225IRGZT	QFN-48	12	2	Pipeline	2,5	2	125 MSPS	1000	47,44	44,29	41,11	40,48
595-ADS7947SRTET	ADS7947SRTET	WQFN-16	12	2	SAR	1	1	2 MSPS	7,5	4,33	3,47	2,77	2,31
595-TLC2552ID	TLC2552ID	SOIC 8 broches	12	2	SAR	1	1	400 kSPS	15	9,41	7,92	7,28	6,63
595-ADS6422IRGC25	ADS6422IRGC25	QFN-64	12	4	Pipeline	2	0,5	65 MSPS	1050	51,10	45,35	42,33	38,71
595-ADS6425IRGCT	ADS6425IRGCT	QFN-64	12	4	Pipeline	2,5	2	125 MSPS	1650	95,43	83,85	79,51	75,18
595-ADS7223SRHBT	ADS7223SRHBT	QFN-32	12	4	SAR	0,5	0,5	1 MHz	47,2	9,39	6,76	5,63	4,88
595-ADS7841E	ADS7841E	SSOP 16	12	4	SAR	1	1	200 kSPS	0,84	5,88	4,23	3,53	3,06
595-ADS7841EB	ADS7841EB	SSOP 16	12	4	SAR	1	1	200 kSPS	0,84	6,76	5,26	4,43	4,09
595-ADS7841P	ADS7841P	PDIP 16	12	4	SAR	1	1	200 kSPS	0,84	5,13	4,21	3,80	3,49
595-ADS7842E	ADS7842E	SSOP-28	12	4	SAR	1	1	200 kSPS	0,84	7,63	6,25	5,64	5,19
595-ADS7861E	ADS7861E	SSOP 24	12	4	SAR	1	1	500 kSPS	25	10,11	8,28	7,47	6,87
595-ADS7861EB	ADS7861EB	SSOP 24	12	4	SAR	1	1	500 kSPS	25	9,63	8,46	7,48	6,88
595-ADS7924IRTET	ADS7924IRTET	WQFN-16	12	4	SAR	1,5	1	100 kSPS	0,5	3,59	2,93	2,63	2,21
595-THS1206CDA	THS1206CDA	TSSOP-32	12	4	Pipeline	1,8	1	6 MSPS	186	19,39	16,48	15,26	14,05
595-THS1206IDA	THS1206IDA	TSSOP-32	12	4	Pipeline	1,8	1	6 MSPS	186	22,28	18,93	17,54	16,15
595-THS1206QDA	THS1206QDA	TSSOP-32	12	4	Pipeline	1,8	1	6 MSPS	186	19,20	16,90	12,92	12,72
595-TLV2544IPW	TLV2544IPW	TSSOP-16	12	4	SAR	1	1	200 kSPS	3,3	9,80	8,24	7,57	6,91
595-ADS7828E/250	ADS7828E/250	TSSOP-16	12	8	SAR	1	1	50 kSPS	0,675	7,94	5,72	4,77	4,13
595-ADS7828EB/250	ADS7828EB/250	TSSOP-16	12	8	SAR	1	1	50 kSPS	0,675	9,22	7,19	6,07	5,60
595-ADS7844E	ADS7844E	SSOP-20	12	8	SAR	1	1	200 kSPS	0,84	6,87	5,63	5,08	4,67
595-ADS7844EB	ADS7844EB	SSOP-20	12	8	SAR	1	1	200 kSPS	0,84	7,94	6,51	5,87	5,40
595-ADS7844N	ADS7844N	SSOP-20	12	8	SAR	1	1	200 kSPS	0,84	6,87	5,63	5,08	4,67
595-ADS7844NB	ADS7844NB	SSOP-20	12	8	SAR	1	1	200 kSPS	0,84	7,94	6,51	5,87	5,40
595-ADS7870EA	ADS7870EA	SSOP-28	12	8	SAR	2	0,5	52 kSPS	4,6	9,08	7,63	7,01	6,39
595-TLV2548CDW	TLV2548CDW	SOIC-20	12	8	SAR	1	1	200 kSPS	3,3	10,71	9,00	8,27	7,54
595-TLV2548IDW	TLV2548IDW	SOIC-20	12	8	SAR	1	1	200 kSPS	3,3	11,34	9,54	8,76	7,99
595-TLV2548IPW	TLV2548IPW	TSSOP-20	12	8	SAR	1	1	200 kSPS	3,3	11,34	9,54	8,76	7,99
595-TLC2543CDB	TLC2543CDB	SSOP-20	12	11	SAR	0,5	0,5	66 kSPS	5	9,31	7,83	7,19	6,56
595-TLC2543CDW	TLC2543CDW	SOIC-20	12	11	SAR	0,5	0,5	66 kSPS	5	9,31	7,83	7,19	6,56
595-TLC2543CDB	TLC2543CDB	SSOP-20	12	11	SAR	0,5	0,5	66 kSPS	5	9,31	7,83	7,19	6,56

© Copyright 2012 Mouser Electronics
© Copyright 2012 Mouser Electronics

CI analogiques TEXAS INSTRUMENTS

Les produits peuvent être conformes à la directive RoHS.
Consulter le site mouser.com pour vérifier la conformité RoHS.

CONVERTISSEURS ANALOGIQUE-NUMÉRIQUE (CAN) (SUITE)

Pour des quantités supérieures à celles indiquées, appelez-nous afin d'obtenir un devis.

RÉF. STOCK MOUSER	RÉF. TI	Boîtier	Rés.	Nombre de voies d'entrée	Architecture	INL (Max.) (±LSB)	DNL (Max) (±LSB)	Fréquence d'échantillonnage	Consommation (Typ.) (mW)	Prix unitaire			
										1	25	100	250
595-TLC2543CDW	TLC2543CDW	SOIC-20	12	11	SAR	0,5	0,5	66 kSPS	5	9,31	7,83	7,19	6,56
595-TLC2543CN	TLC2543CN	PDIP-20	12	11	SAR	0,5	0,5	66 kSPS	5	8,62	7,07	6,38	5,86
595-TLC2543IDB	TLC2543IDB	SSOP-20	12	11	SAR	0,5	0,5	66 kSPS	5	9,83	8,27	7,22	6,67
595-TLC2543IDW	TLC2543IDW	SOIC-20	12	11	SAR	0,5	0,5	66 kSPS	5	9,83	8,27	7,22	6,67
595-TLC2543IFN	TLC2543IFN	PLCC-20	12	11	SAR	0,5	0,5	66 kSPS	5	9,83	8,27	7,22	6,67
595-TLC2543IN	TLC2543IN	PDIP-20	12	11	SAR	0,5	0,5	66 kSPS	5	9,20	7,53	6,80	6,25
595-TLV2553IDW	TLV2553IDW	SOIC-20	12	11	SAR	1	1	200 kSPS	2,43	8,46	6,93	6,25	5,75
595-TLV2553IPW	TLV2553IPW	TSSOP-20	12	11	SAR	1	1	200 kSPS	2,43	8,46	6,93	6,25	5,75
595-TLV2556IPW	TLV2556IPW	TSSOP-20	12	11	SAR	1	1	200 kSPS	2,43	8,87	7,27	6,56	6,03
595-ADS4149IRGZ25	ADS4149IRGZ25	VQFN-48	14	1	Pipeline	5	0,5	250 MSPS	265	131,06	106,63	105,56	99,26
595-ADS5474IPFP	ADS5474IPFP	HTQFP-80	14	1	Pipeline	1	0,7	400 MSPS	2500	179,32	166,78	163,02	159,88
595-ADS5547IRGZT	ADS5547IRGZT	QFN 48	14	1	Pipeline	3,5	0,5	210 MSPS	1375	104,46	95,28	91,10	88,35
595-ADS61B49IRGZ25	ADS61B49IRGZ25	QFN-48	14	1	Pipeline	5	1	250 MSPS	690	146,33	115,15	114,00	110,83
595-TLC3545ID	TLC3545ID	SOIC 8 broches	14	1	SAR	1	1	200 kSPS	17,5	13,61	11,44	10,52	9,59
595-TLC7135CN	TLC7135CN	PDIP 28 broches	14	1	Double rampe	0,5	0,01	3 kSPS	5	4,13	3,32	3,02	2,72
595-ADS7263SRHBT	ADS7263SRHBT	QFN-32	14	4	SAR	2	-0,5 / +1	1 MHz	47,2	15,18	12,87	11,88	10,23
595-TLC3578IPW	TLC3578IPW	TSSOP-24	14	8	SAR	1,5	1	200 kSPS	29	21,20	18,02	16,69	15,37
595-ADS1100A0IDBVT	ADS1100A0IDBVT	SOT-23-6	16	1	Delta-Sigma	0,003	1	128 SPS	0,27	5,20	4,24	3,81	3,20
595-ADS1100A1IDBVT	ADS1100A1IDBVT	SOT-23-6	16	1	Delta-Sigma	0,003	1	128 SPS	0,27	5,20	4,24	3,81	3,20
595-ADS1100A2IDBVT	ADS1100A2IDBVT	SOT-23-6	16	1	Delta-Sigma	0,003	1	128 SPS	0,27	5,20	4,24	3,81	3,20
595-ADS1100A5IDBVT	ADS1100A5IDBVT	SOT-23-6	16	1	Delta-Sigma	0,003	1	128 SPS	0,27	5,20	4,24	3,81	3,20
595-ADS1110A0IDBVT	ADS1110A0IDBVT	SOT-23-6	16	1	Delta-Sigma	0,004	1	128 SPS	0,72	5,30	4,32	3,88	3,26
595-ADS1110A1IDBVT	ADS1110A1IDBVT	SOT-23-6	16	1	Delta-Sigma	0,004	1	128 SPS	0,72	5,30	4,32	3,88	3,26
595-ADS1110A2IDBVT	ADS1110A2IDBVT	SOT-23-6	16	1	Delta-Sigma	0,01	1	128 SPS	0,72	5,14	4,01	3,12	2,84
595-ADS1110A5IDBVT	ADS1110A5IDBVT	SOT-23-6	16	1	Delta-Sigma	0,004	1	128 SPS	0,72	5,14	4,01	3,12	2,84
595-ADS1110A7IDBVT	ADS1110A7IDBVT	SOT-23-6	16	1	Delta-Sigma	0,004	1	128 SPS	0,72	5,14	4,01	3,12	2,84
595-ADS1114IDGST	ADS1114IDGST	MSOP-10	16	1	Delta-Sigma	1	-	860 SPS	0,36	5,69	4,64	4,17	3,51
595-ADS1146IPW	ADS1146IPW	TSSOP-16	16	1	Delta-Sigma	0,0015	1	2 kSPS	2,3	6,70	4,83	4,02	3,48
595-ADS1602IPFBT	ADS1602IPFBT	TQFP-48	16	1	Delta-Sigma	0,75	0,25	2,5 MSPS	530	17,46	14,80	13,66	11,76
595-ADS1610IPAPT	ADS1610IPAPT	HTQFP-64	16	1	Delta-Sigma	0,4	0,5	10 MSPS	960	32,64	24,77	22,99	22,64
595-ADS5485IRGC25	ADS5485IRGC25	QFN-64	16	1	Pipeline	10	1	200 MSPS	2160	144,94	114,06	112,92	109,77
595-ADS8317IDGKT	ADS8317IDGKT	MSOP-8	16	1	SAR	1,5	1	250 kSPS	10	10,44	8,77	8,06	7,35
595-ADS8320E/250	ADS8320E/250	MSOP-8	16	1	SAR	8	2	100 kSPS	1,95	10,73	9,08	8,39	7,22
595-ADS8320EB/250	ADS8320EB/250	MSOP-8	16	1	SAR	8	2	100 kSPS	1,95	12,09	10,25	9,45	8,14
595-ADS8321E/250	ADS8321E/250	MSOP-8	16	1	SAR	8	2	100 kSPS	5,5	11,29	9,57	8,84	7,61
595-ADS8321EB/250	ADS8321EB/250	MSOP-8	16	1	SAR	8	2	100 kSPS	5,5	12,71	10,77	9,95	8,56
595-ADS8325IBDGKT	ADS8325IBDGKT	MSOP-8	16	1	SAR	4	2	100 kSPS	2,25	13,89	11,77	10,87	9,36
595-ADS8325IDGKT	ADS8325IDGKT	MSOP-8	16	1	SAR	4	2	100 kSPS	2,25	12,26	10,39	9,59	8,26
595-ADS8326IBDGKT	ADS8326IBDGKT	MSOP-8	16	1	SAR	1,5	1	250 kSPS	10	14,61	12,38	11,43	9,84
595-ADS8326IDGKT	ADS8326IDGKT	MSOP-8	16	1	SAR	1,5	1	250 kSPS	10	10,91	9,25	8,54	7,35
595-ADS8370IRHPT	ADS8370IRHPT	QFN-28	16	1	SAR	1,25	0,75	600 kSPS	110	17,33	15,59	14,29	12,56
595-ADS8401IPFBT	ADS8401IPFBT	TQFP-48	16	1	SAR	3,5	2 / -1	1,25 MSPS	155	45,98	42,17	34,82	34,29
595-ADS8422IBPFBT	ADS8422IBPFBT	TQFP-48	16	1	SAR	2	-1, 1,5	4 MSPS	155	48,30	42,77	40,01	37,25
595-ADS8422IPFBT	ADS8422IPFBT	TQFP-48	16	1	SAR	2	-1, 1,5	4 MSPS	155	38,73	29,39	27,28	26,76
595-ADS8472IRGZT	ADS8472IRGZT	QFN-48	16	1	SAR	0,65	0,5	1 MSPS	225	23,69	22,10	20,34	17,88
595-ADS8505IDW	ADS8505IDW	SOIC-28	16	1	SAR	3	1	250 kSPS	70	24,67	20,96	19,42	17,88
595-ADS8507IBDW	ADS8507IBDW	SOIC-28	16	1	SAR	1,5	1,5	40 kSPS	24	30,43	26,40	24,75	21,03
595-ADS8507IDW	ADS8507IDW	SOIC-28	16	1	SAR	1,5	1,5	40 kSPS	24	24,75	21,04	19,49	17,94
595-ADS8509IDW	ADS8509IDW	SOIC-20	16	1	SAR	2	1	250 kSPS	70	19,72	16,76	15,53	14,29
595-ADS8515IDBR	ADS8515IDB	SSOP-28	16	1	SAR	2	1	250 kSPS	100	21,37	18,16	16,82	15,49
595-ADS1205IRGET	ADS1205IRGET	QFN-24	16	2	Delta-Sigma, Mod	3	1	40 kSPS	59	10,82	9,17	8,46	7,28
595-ADS1209SPW	ADS1209SPW	TSSOP-24	16	2	Delta-Sigma, Mod	8	1	40 kSPS	65,5	9,80	8,24	7,57	6,66
595-ADS8330IBRSAT	ADS8330IBRSAT	QFN-16	16	2	SAR	1,75	1	1 MSPS	15,5	17,49	15,74	14,43	12,68
595-ADS1112IDGST	ADS1112IDGST	MSOP-10	16	3	Delta-Sigma	0,004	1	240 SPS	0,675	6,29	4,53	3,78	3,28
595-ADS1147IPW	ADS1147IPW	TSSOP-20	16	3	Delta-Sigma	0,0015	1	2 kSPS	2,3	8,56	6,16	5,13	4,45
595-ADS1115IDGST	ADS1115IDGST	MSOP-10	16	4	Delta-Sigma	-	-	860 SPS	0,36	5,26	3,79	3,16	2,74
595-ADS1115IRUGT	ADS1115IRUGT	QFN-10	16	4	Delta-Sigma	-	-	860 SPS	0,36	5,26	3,79	3,16	2,74
595-ADS1194CPAG	ADS1194CPAG	TQFP-64	16	4	Delta-Sigma	-	-	8 kSPS	0,75	17,06	14,35	13,18	12,02
595-ADS1198CPAG	ADS1198CPAG	TQFP-64	16	4	Delta-Sigma	-	-	8 kSPS	0,12	26,98	22,93	21,24	19,55
595-ADS8331IBRGET	ADS8331IBRGET	VQFN-24	16	4	SAR	2	2	500 kSPS	39	13,85	11,74	10,84	9,33
595-ADS8331IBPW	ADS8331IBPW	TSSOP-24	16	4	SAR	2	2	500 kSPS	17,55	13,25	11,14	10,24	9,33
595-ADS8331IPW	ADS8331IPW	TSSOP-24	16	4	SAR	2	2	500 kSPS	17,55	11,43	9,61	8,84	8,05
595-ADS8331IRGET	ADS8331IRGET	VQFN-24	16	4	SAR	2	2	500 kSPS	39	11,95	10,13	9,36	8,05
595-ADS8341E	ADS8341E	SSOP 16	16	4	SAR	6	2	100 kSPS	3,6	15,06	13,20	11,70	10,79
595-ADS8341EB	ADS8341EB	SSOP 16	16	4	SAR	6	2	100 kSPS	3,6	16,50	14,03	12,99	11,96
595-ADS8363SRHBT	ADS8363SRHBT	QFN-32	16	4	SAR	3	-0,99 / +2	1 MHz	47,2	18,89	17,00	15,58	13,70
595-ADS1196CPAG	ADS1196CPAG	TQFP-64	16	6	Delta-Sigma	-	-	8 kSPS	0,6	22,03	18,72	17,34	15,96
595-ADS8364Y/250	ADS8364Y/250	TQFP-64	16	6	SAR	8	1,5	250 kSPS	413	32,34	29,11	26,68	23,45
595-ADS1148IPW	ADS1148IPW	TSSOP-28	16	7	Delta-Sigma	0,0015	1	2 kSPS	2,3	9,80	8,03	7,24	6,66
595-ADS1178IPAPT	ADS1178IPAPT	HTQFP-64	16	8	Delta-Sigma	0,0045	1	52 kSPS	245	17,46	14,80	13,66	11,76
595-ADS8332IBPW	ADS8332IBPW	TSSOP-24	16	8	SAR	2	2	500 kSPS	17,55	15,43	12,97	11,92	10,87
595-ADS8332IPW	ADS8332IPW	TSSOP-24	16	8	SAR	2	2	500 kSPS	17,55	13,61	11,44	10,52	9,59
595-ADS8344E	ADS8344E	SSOP-20	16	8	SAR	6	2	100 kSPS	3,6	17,42	14,65	13,46	12,28
595-ADS8345EB	ADS8345EB	SSOP-20	16	8	SAR	6	2	100 kSPS	3,6	13,39	12,67	11,09	10,14
595-ADS1230IPW	ADS1230IPW	TSSOP-16	20	1	Delta-Sigma	0,0006	1	80 SPS	2,9	5,98	4,67	3,93	3,62
595-ADS1250U	ADS1250U	SOIC-16	20	1	Delta-Sigma	0,0012	1	25 kSPS	75	17,24	14,65	13,57	12,50
595-ADS1212U	ADS1212U	SOP-18	22	1	Delta-Sigma	0,0015	1	6,25 kSPS	1,4	19,80	16,83	15,59	14,36
595-ADS1213P	ADS1213P	PDIP-24	22	4	Delta-Sigma	0,0015	1	6,25 kSPS	1,4	19,73	16,77	15,53	14,31
595-ADS1210P	ADS1210P	PDIP-18	24	1	Delta-Sigma	0,0015	1	16 kSPS	27,5	21,04	17,88	16,57	15,25
595-ADS1210U	ADS1210U	SOP-18	24	1	Delta-Sigma	0,0015	1	16 kSPS	27,5	23,51	19,98	18,51	17,04
595-ADS1225IRGVT	ADS1225IRGVT	QFN-16	24	1	Delta-Sigma	0,0005	1	100 SPS	1,6	6,48	5,06	4,27	3,94
595-ADS1231ID	ADS1231ID	SOIC-16	24	1	Delta-Sigma	-	1	80 SPS	5	5,78	4,16	3,47	3,00
595-ADS1251U	ADS1251U	SOIC 8 broches	24	1	Delta-Sigma	0,0002	1	20 kSPS	7,5	11,43	10,02	8,86	8,17
595-ADS1252U	ADS1252U	SOIC 8 broches	24	1	Delta-Sigma	0,0003	1	41 kSPS	40	13,11	11,48	10,18	9,39
595-ADS1255IDBT	ADS1255IDBT	SSOP-20	24	1	Delta-Sigma	0,0003	2	30 kSPS	36	14,23	12,06	11,14	9,59
595-ADS1259BIPW	ADS1259BIPW	TSSOP-20	24	1	Delta-Sigma	-	-	14,4 kSPS	13	13,63	12,13	11,01	9,66
595-ADS1259IPW	ADS1259IPW	TSSOP-20	24	1	Delta-Sigma	-	-	14,4 kSPS	13	11,57	10,30	9,35	8,19
595-ADS1271IPW	ADS1271IPW	TSSOP-16	24	1	Delta-Sigma	0,0006	1	105 kSPS	92	12,02	10,54	9,32	8,60
595-ADS1226IRGVT	ADS1226IRGVT	QFN-16	24	2	Delta-Sigma	0,0005	1	100 SPS	1,6	6,89	5,38	4,53	4,18
595-ADS1211E	ADS1211E	SSOP-28	24	4	Delta-Sigma	0,0015	1	16 kSPS	27,5	25,08	21,32	19,75	18,18

© Copyright 2012 Mouser Electronics
© Copyright 2012 Mouser Electronics

CI analogiques TEXAS INSTRUMENTS

Les produits peuvent être conformes à la directive RoHS.
Consulter le site mouser.com pour vérifier la conformité RoHS.

CONVERTISSEURS ANALOGIQUE-NUMÉRIQUE (CAN) (SUITE)

PRODUCT NEW

Pour des quantités supérieures à celles indiquées, appelez-nous afin d'obtenir un devis.

RÉF. STOCK MOUSER	RÉF. TI	Boîtier	Rés.	Nombre de voies d'entrée	Architecture	INL (Max.) (+ / -LSB)	DNL (Max.) (+ / -LSB)	Fréquence d'échantillonnage	Consommation (Typ.) (mW)	Prix unitaire 1	25	100	250
595-ADS1211P	ADS1211P	PDIP-24	24	4	Delta-Sigma	0,0015	1	16 kSPS	27,5	22,67	19,26	17,85	16,43
595-ADS1211U	ADS1211U	SOIC-24	24	4	Delta-Sigma	0,0015	1	16 kSPS	27,5	25,08	21,32	19,75	18,18
595-ADS1259IPW	ADS1259IPW	TSSOP-20	24	1	Delta-Sigma	-	-	14,4 kSPS	13	11,57	10,30	9,35	8,19
595-ADS1271IPW	ADS1271IPW	TSSOP-16	24	1	Delta-Sigma	0,0006	1	105 kSPS	92	12,02	10,54	9,32	8,60
595-ADS1226IRGVT	ADS1226IRGVT	QFN-16	24	2	Delta-Sigma	0,0005	1	100 SPS	1,6	6,89	5,38	4,53	4,18
595-ADS1234IPW	ADS1234IPW	TSSOP-28	24	4	Delta-Sigma	0,0002	1	80 SPS	2,1	10,11	8,28	7,47	6,87
595-ADS1240E	ADS1240E	SSOP 24	24	4	Delta-Sigma	0,0015	1	15 SPS	0,6	9,49	7,78	7,02	6,45
595-ADS1242IPWT	ADS1242IPWT	TSSOP-16	24	4	Delta-Sigma	0,0015	1	15 SPS	0,6	8,42	6,57	5,54	5,12
595-ADS1254E	ADS1254E	SSOP-20	24	4	Delta-Sigma	0,0002	1	20 kSPS	4,36	13,61	11,95	10,58	9,75
595-ADS1274IPAPT	ADS1274IPAPT	HTQFP-64	24	4	Delta-Sigma	0,0003	1	128 kSPS	275	25,49	22,94	21,03	18,48
595-ADS1294CZXGT	ADS1294CZXGT	NFBGA-64	24	4	Delta-Sigma	-	-	32 kSPS	0,9	22,19	19,97	18,31	16,09
595-ADS1294IPAG	ADS1294IPAG	TQFP-64	24	4	Delta-Sigma	-	-	32 kSPS	0,9	23,02	19,56	18,13	16,68
595-ADS1296IPAG	ADS1296IPAG	TQFP-64	24	6	Delta-Sigma	-	-	32 kSPS	0,85	32,92	27,98	25,92	23,86
595-ADS1296CZXGT	ADS1296CZXGT	NFBGA-64	24	6	Delta-Sigma	-	-	32 kSPS	0,85	32,09	28,88	26,47	23,27
595-ADS1248IPW	ADS1248IPW	TSSOP-28	24	7	Delta-Sigma	0,0015	1	2 kSPS	2,3	10,05	8,82	7,81	7,19
595-ADS1216Y/250	ADS1216Y/250	TQFP-48	24	8	Delta-Sigma	0,0015	1	780 SPS	0,6	10,91	9,25	8,54	7,35
595-ADS1217IPFBT	ADS1217IPFBT	TQFP-48	24	8	Delta-Sigma	0,0015	1	780 SPS	0,8	13,66	11,58	10,69	9,21
595-ADS1218Y/250	ADS1218Y/250	TQFP-48	24	8	Delta-Sigma	0,0015	1	780 SPS	0,8	12,94	10,97	10,12	8,72
595-ADS1243IPWT	ADS1243IPWT	TSSOP-20	24	8	Delta-Sigma	0,0015	1	15 SPS	0,6	9,23	7,20	6,07	5,59
595-ADS1256IDBT	ADS1256IDBT	SSOP-28	24	8	Delta-Sigma	0,0003	2	30 kSPS	36	15,18	12,87	11,88	10,23
595-ADS1278IPAPT	ADS1278IPAPT	HTQFP-64	24	8	Delta-Sigma	0,0003	1	128 kSPS	530	39,90	34,85	32,54	29,39
595-ADS1298IPAG	ADS1298IPAG	TQFP-64	24	8	Delta-Sigma	-	-	32 kSPS	0,75	39,61	34,25	32,11	29,97
595-ADS1258IRTCT	ADS1258IRTCT	QFN-48	24	16	Delta-Sigma	0,0003	1	128 kSPS	35	18,89	17,00	15,58	13,70

MODULES D'ÉVALUATION POUR CONVERTISSEURS NUMÉRIQUE-ANALOGIQUE

RÉF. STOCK MOUSER	RÉF. TI	Description	Prix unitaire
595-DAC7678EVM	DAC7678EVM	Carte d'évaluation pour le DAC7678, un CNA en chaîne, 8 voies, 12 bits, haute résolution, faible puissance	70,46

CONVERTISSEURS NUMÉRIQUE-ANALOGIQUE (CNA)

PRODUCT NEW

Pour des quantités supérieures à celles indiquées, appelez-nous afin d'obtenir un devis.

RÉF. STOCK MOUSER	RÉF. TI	Boîtier	Rés.	Voies CNA	Architecture	INL (Max.) (+ / -LSB)	DNL (Max.) (+ / -LSB)	Temps d'établissement	Fréquence d'échantillonnage / mise à jour (MSPS)	Consommation électrique (Typ.) (mW)	Prix unitaire 1	25	100	250
595-DAC5571IDBVT	DAC5571IDBVT	SOT-23-6	8	1	Chaîne	1	0,25	8	-	0,4	2,60	2,12	1,91	1,60
595-DAC908E	DAC908E	TSSOP-28	8	1	Pilotage en courant	0,5	0,5	0,03	200	170	6,50	5,33	4,81	4,77
595-TLC7524CD	TLC7524CD	SOIC-16	8	1	R-2R	0,5	0,5	0,1	10	5	3,79	3,04	2,77	2,50
595-TLC7524CN	TLC7524CN	PDIP 16	8	1	R-2R	0,5	0,5	0,1	10	5	3,36	2,69	2,45	2,21
595-TLC7524CNS	TLC7524CNS	SO-16	8	1	R-2R	0,5	0,5	0,1	10	5	3,25	2,60	2,01	1,91
595-TLC7524EN	TLC7524EN	PDIP 16	8	1	R-2R	0,5	0,5	0,1	10	5	3,84	3,08	2,81	2,53
595-TLC7524ID	TLC7524ID	SOIC-16	8	1	R-2R	0,5	0,5	0,1	10	5	4,13	3,32	3,02	2,72
595-TLC7524IN	TLC7524IN	PDIP 16	8	1	R-2R	0,5	0,5	0,1	10	5	3,58	2,88	2,62	2,37
595-TLV5623IDGK	TLV5623IDGK	MSOP-8	8	1	Chaîne	0,5	0,2	3	0,102	2,1	2,83	2,27	2,07	1,86
595-TLC7528CDW	TLC7528CDW	SOIC-20	8	2	R-2R	0,5	0,5	0,1	10	7,5	3,83	3,08	2,81	2,53
595-TLC7528CN	TLC7528CN	PDIP-20	8	2	R-2R	0,5	0,5	0,1	10	7,5	3,17	2,55	2,32	2,10
595-TLC7528EDW	TLC7528EDW	SOIC-20	8	2	R-2R	0,5	0,5	0,1	10	7,5	4,36	3,51	3,19	2,88
595-TLC7528IDW	TLC7528IDW	SOIC-20	8	2	R-2R	0,5	0,5	0,1	10	7,5	4,13	3,32	3,02	2,72
595-TLC7528IN	TLC7528IN	PDIP-20	8	2	R-2R	0,5	0,5	0,1	10	7,5	3,45	2,76	2,52	2,28
595-TLC7628CDW	TLC7628CDW	SOIC-20	8	2	R-2R	0,5	0,5	0,1	10	20	5,02	4,03	3,67	3,32
595-TLV5626CD	TLV5626CD	SOIC 8 broches	8	2	Chaîne	1	0,5	0,8	0,278	4,2	4,99	4,02	3,65	3,30
595-DAC5573IPW	DAC5573IPW	TSSOP-16	8	4	Chaîne	0,5	0,25	8	0,188	1,5	6,32	5,18	4,67	4,29
595-TLC5620CD	TLC5620CD	SOIC-14	8	4	Chaîne	1	0,9	10	0,048	8	4,79	3,85	3,51	3,17
595-TLC5620CN	TLC5620CN	PDIP 14 broches	8	4	Chaîne	1	0,9	10	0,048	8	4,22	3,39	3,09	2,79
595-TLC7225CDW	TLC7225CDW	SOIC-24	8	4	R-2R	1	1	5	0,143	75	5,53	4,58	4,08	3,75
595-TLC7226CDW	TLC7226CDW	SOIC-20	8	4	R-2R	1	1	5	0,143	90	5,64	4,53	4,13	3,72
595-TLC7226CN	TLC7226CN	PDIP-20	8	4	R-2R	1	1	5	0,143	90	4,88	3,92	3,57	3,23
595-TLC7226IDW	TLC7226IDW	SOIC-20	8	4	R-2R	1	1	5	0,143	90	5,42	4,50	4,01	3,68
595-TLC7226IN	TLC7226IN	PDIP-20	8	4	R-2R	1	1	5	0,143	90	5,31	4,27	3,89	3,51
595-TLV5620CD	TLV5620CD	SOIC-14	8	4	R-2R	1	0,9	10	0,048	6	2,60	2,09	1,91	1,72
595-TLV5620CN	TLV5620CN	PDIP 14 broches	8	4	R-2R	1	0,9	10	0,048	6	2,48	2,00	1,82	1,64
595-TLV5620ID	TLV5620ID	SOIC-14	8	4	R-2R	1	0,9	10	0,048	6	2,83	2,27	2,07	1,86
595-DAC5578SPW	DAC5578SPW	TSSOP-16	8	8	Chaîne	0,25	0,1	7	-	3,4	7,43	6,09	5,49	5,05
595-DAC5578SRGET	DAC5578SRGET	VQFN-24	8	8	Chaîne	0,25	0,1	7	-	3,4	7,12	5,12	4,27	3,70
595-TLC5628CDW	TLC5628CDW	SOIC-16	8	8	Chaîne	1	0,9	10	0,045	15	6,01	4,93	4,45	4,08
595-TLC5628CN	TLC5628CN	PDIP 16	8	8	Chaîne	1	0,9	10	0,045	15	5,20	4,26	3,84	3,53
595-TLV5628CDW	TLV5628CDW	SOIC-16	8	8	Chaîne	1	0,9	10	0,045	12	5,24	4,29	3,87	3,56
595-TLV5629IPW	TLV5629IPW	TSSOP-20	8	8	Chaîne	1	1	1	0,283	18	7,36	6,03	5,45	5,00
595-TLV5606CDGK	TLV5606CDGK	MSOP-8	10	1	Chaîne	1,5	1	3	0,102	0,9	3,47	2,79	2,54	2,29
595-TLV5606IDGK	TLV5606IDGK	MSOP-8	10	1	Chaîne	1,5	1	3	0,102	0,9	3,70	2,97	2,71	2,44
595-DAC6311IDCKT	DAC6311IDCKT	SC-70-6	10	1	Chaîne	0,5	0,5	6	-	0,14	2,17	1,67	1,51	1,24
595-DAC6571IDBVT	DAC6571IDBVT	SOT-23-6	10	1	Chaîne	2	0,5	9	-	160	4,03	3,29	2,95	2,48
595-DAC900E	DAC900E	TSSOP-28	10	1	Pilotage en courant	1	0,5	0,03	200	170	7,97	6,53	5,90	5,42
595-TLC5615CD	TLC5615CD	SOIC 8 broches	10	1	Chaîne	1	0,5	12,5	0,075	0,75	4,99	4,02	3,65	3,30
595-TLC5615CP	TLC5615CP	PDIP 8	10	1	Chaîne	1	0,5	12,5	0,075	0,75	4,13	3,32	3,02	2,72
595-TLC5615ID	TLC5615ID	SOIC 8 broches	10	1	Chaîne	1	0,5	12,5	0,075	0,75	5,20	4,18	3,81	3,43
595-TLC5615IP	TLC5615IP	PDIP 8	10	1	Chaîne	1	0,5	12,5	0,075	0,75	4,33	3,48	3,18	2,86
595-TLV5617ACD	TLV5617ACD	SOIC 8 broches	10	2	Chaîne	1	0,5	2,5	0,093	1,8	5,32	4,36	3,94	3,61
595-TLV5637CD	TLV5637CD	SOIC 8 broches	10	2	Chaîne	1	0,5	0,8	0,278	4,2	7,65	6,26	5,65	5,20
595-TLV5637ID	TLV5637ID	SOIC 8 broches	10	2	Chaîne	1	0,5	0,8	0,278	4,2	9,89	8,10	7,31	6,72
595-DAC6573IPW	DAC6573IPW	TSSOP-16	10	4	Chaîne	2	0,5	9	0,188	500	7,54	6,18	5,58	5,12
595-TLV5604CD	TLV5604CD	SOIC-16	10	4	Chaîne	1	1	3	0,102	3	8,72	7,15	6,45	5,93
595-TLV5604CPW	TLV5604CPW	TSSOP-16	10	4	Chaîne	1	1	3	0,102	3	8,72	7,15	6,45	5,93
595-TLV5604ID	TLV5604ID	SOIC-16	10	4	Chaîne	1	1	3	0,102	3	9,20	7,53	6,80	6,25
595-TLV5608IDW	TLV5608IDW	SOIC-20	10	8	Chaîne	2	1	1	0,0283	18	10,06	8,46	7,77	7,09
595-TLV5608IPW	TLV5608IPW	TSSOP-20	10	8	Chaîne	2	1	1	0,283	18	10,06	8,46	7,77	7,09

© Copyright 2012 Mouser Electronics
© Copyright 2012 Mouser Electronics

CI analogiques TEXAS INSTRUMENTS

Les produits peuvent être conformes à la directive RoHS.
Consulter le site mouser.com pour vérifier la conformité RoHS.

PRODUCT NEW

CONVERTISSEURS NUMÉRIQUE-ANALOGIQUE (CNA) (SUITE)

Pour des quantités supérieures à celles indiquées, appelez-nous afin d'obtenir un devis.

RÉF. STOCK MOUSER	RÉF. TI	Boîtier	Rés.	Voies CNA	Architecture	INL (Max.) (+ / -LSB)	DNL (Max.) (+ / -LSB)	Temps d'établissement	Fréquence d'échantillonnage / mise à jour (MSPS)	Consommation électrique (Typ.) (mW)	Prix unitaire 1	25	100	250
595-DAC6578SPW	DAC6578SPW	TSSOP-16	10	8	Chaîne	0,5	0,2	7	-	3,4	9,69	7,94	7,17	6,59
595-DAC6578SRGET	DAC6578SRGET	VQFN-24	10	8	Chaîne	0,5	0,2	7	-	3,4	9,28	6,68	5,57	4,83
595-TLV5608IDW	TLV5608IDW	SOIC-20	10	8	Chaîne	2	1	1	0,0283	18	10,06	8,46	7,77	7,09
595-TLV5608IPW	TLV5608IPW	TSSOP-20	10	8	Chaîne	2	1	1	0,283	18	10,06	8,46	7,77	7,09
595-DAC7311IDCKR	DAC7311IDCKR	SC-70-6	12	1	Chaîne	1	1	6	-	0,14	2,75	2,11	1,91	1,72
595-DAC7311IDCKT	DAC7311IDCKT	SC-70-6	12	1	Chaîne	1	1	6	-	0,14	2,72	2,22	2,00	1,67
595-DAC7512E/250	DAC7512E/250	MSOP-8	12	1	Chaîne	8	1	10	0,095	0,345	4,06	3,32	2,98	2,50
595-DAC7512N/250	DAC7512N/250	SOT-23-6	12	1	Chaîne	8	1	10	0,095	0,345	3,96	3,23	2,90	2,44
595-DAC7513E/250	DAC7513E/250	MSOP-8	12	1	Chaîne	8	1	10	0,095	0,3	4,52	3,70	3,32	2,79
595-DAC7513N/250	DAC7513N/250	SOT-23-8	12	1	Chaîne	8	1	10	0,095	0,3	4,42	3,61	3,24	2,73
595-DAC7541AJP	DAC7541AJP	PDIP-18	12	1	R-2R	0,5	0,5	1	1	30	42,65	37,64	35,76	33,87
595-DAC7551IDRNT	DAC7551IDRNT	SON-12	12	1	Chaîne	1	0,5	5	0,5	0,27	4,08	3,33	2,99	2,52
595-DAC7571IDBVT	DAC7571IDBVT	SOT-23-6	12	1	Chaîne	4	-	10	0,05	0,85	4,40	3,59	3,23	2,71
595-DAC7821IPW	DAC7821IPW	TSSOP-20	12	1	R-2R	1	1	0,2	10	0,0275	6,50	4,68	3,90	3,38
595-DAC902E	DAC902E	TSSOP-28	12	1	Pilotage en courant	2,5	1,75	0,03	200	170	12,19	10,25	9,42	9,38
595-TLV5616CD	TLV5616CD	SOIC 8 broches	12	1	Chaîne	4	1	3	0,102	0,9	8,31	6,90	6,27	5,64
595-TLV5616CP	TLV5616CP	PDIP 8	12	1	Chaîne	4	1	3	0,102	0,9	6,39	5,25	4,74	4,35
595-TLV5636CD	TLV5636CD	SOIC 8 broches	12	1	Chaîne	4	1	1	0,233	4,5	9,56	8,04	7,30	6,73
595-TLV5636IDGK	TLV5636IDGK	MSOP-8	12	1	Chaîne	4	1	1	0,233	4,5	10,18	8,56	7,81	7,17
595-DAC7552IRGTR	DAC7552IRGTR	QFN-16	12	2	Chaîne	1	0,5	5	1	0,675	5,74	4,69	4,22	3,83
595-DAC7822IRTAT	DAC7822IRTAT	QFN-40	12	2	R-2R	1	1	0,2	10	0,0275	9,08	6,53	5,45	4,72
595-TLV5618ACD	TLV5618ACD	SOIC 8 broches	12	2	Chaîne	4	1	2,5	0,093	1,8	10,48	8,80	8,09	7,38
595-TLV5618AID	TLV5618AID	SOIC 8 broches	12	2	Chaîne	4	1	2,5	0,093	1,8	11,15	9,38	8,62	7,86
595-TLV5638CD	TLV5638CD	SOIC 8 broches	12	2	Chaîne	4	1	1	0,233	4,5	9,74	8,19	7,44	6,78
595-TLV5638QD	TLV5638QD	SOIC 8 broches	12	2	Chaîne	4	1	1	0,233	4,5	9,91	8,33	7,57	6,90
595-DAC7554IDGS	DAC7554IDGS	MSOP-10	12	4	Chaîne	1	0,5	5	-	3,5	10,40	8,75	8,04	7,33
595-DAC7564IAPW	DAC7564IAPW	TSSOP-16	12	4	Chaîne	1	1	8	-	2,9	8,66	7,10	6,41	5,89
595-DAC7565IAPW	DAC7565IAPW	TSSOP-16	12	4	Chaîne	1	1	8	-	2,9	8,66	7,10	6,41	5,89
595-TLV5614CD	TLV5614CD	SOIC-16	12	4	Chaîne	4	1	3	0,102	3,6	15,86	13,33	12,25	11,17
595-TLV5614IPW	TLV5614IPW	TSSOP-16	12	4	Chaîne	4	1	3	0,102	3,6	18,59	15,80	14,64	13,47
595-DAC7578SPW	DAC7578SPW	TSSOP-16	12	8	Chaîne	1	0,25	7	-	3,4	11,98	10,07	9,26	8,44
595-DAC7578SRGET	DAC7578SRGET	VQFN-24	12	8	Chaîne	1	0,25	7	-	3,4	12,05	10,21	9,43	8,12
595-DAC7678SPW	DAC7678SPW	TSSOP-16	12	8	Chaîne	1	0,25	7	-	3,4	13,07	10,99	10,10	9,21
595-DAC7678SRGET	DAC7678SRGET	VQFN-24	12	8	Chaîne	1	0,25	7	-	3,4	12,94	10,97	10,12	8,72
595-DAC7558IRHBR	DAC7558IRHBR	QFN-32	12	8	Chaîne	1	0,5	5	0,5	4,5	14,23	12,06	11,14	9,59
595-TLV5610IDW	TLV5610IDW	SOIC-20	12	8	Chaîne	6	1	1	0,283	18	19,83	16,85	15,44	14,21
595-TLV5610IPW	TLV5610IPW	TSSOP-20	12	8	Chaîne	6	1	1	0,283	18	19,60	16,66	15,44	14,21
595-TLV5630IPW	TLV5630IPW	TSSOP-20	12	8	Chaîne	6	1	1	0,283	18	20,30	17,26	15,99	14,72
595-DAC8311IDCKT	DAC8311IDCKT	SC-70-6	14	1	Chaîne	4	1	6	-	0,14	5,69	4,23	3,53	3,06
595-DAC8806IDB	DAC8806IDB	SSOP-28	14	1	R-2R	1	1	0,5	2	0,025	11,98	10,07	9,26	8,44
595-DAC904E	DAC904E	TSSOP-28	14	1	Pilotage en courant	3	2,5	0,03	200	170	15,06	12,67	11,64	11,60
595-THS5671AIPW	THS5671AIPW	TSSOP-28	14	1	Pilotage en courant	7	3,5	0,035	125	175	18,27	15,53	14,38	13,24
595-DAC2904Y/250	DAC2904Y/250	TQFP-48	14	2	Pilotage en courant	5	4	0,03	125	310	22,04	19,84	18,19	15,98
595-DAC8802IPW	DAC8802IPW	TSSOP-16	14	2	R-2R	1	1	0,5	2	0,025	13,34	11,21	10,30	9,40
595-DAC8805QDBT	DAC8805QDBT	SM8-38	14	2	R-2R	1	1	0,5	2	0,025	10,25	9,70	8,49	7,76
595-DAC8164IAPW	DAC8164IAPW	TSSOP-16	14	4	Chaîne	2	1	8	-	2,9	10,89	9,16	8,42	7,67
595-DAC8803IDBT	DAC8803IDBT	SSOP-28	14	4	R-2R	1	1	0,5	2	0,0275	23,35	21,01	19,26	16,92
595-DAC5681IRGC25	DAC5681IRGC25	QFN-64	16	1	Pilotage en courant	4	2	0,0104	1000	650	45,32	40,22	37,54	34,32
595-DAC8501E/250	DAC8501E/250	MSOP-8	16	1	Chaîne	64	1	10	0,093	0,72	7,09	5,88	5,35	4,55
595-DAC8531E/250	DAC8531E/250	MSOP-8	16	1	Chaîne	64	1	10	0,093	0,72	7,09	5,88	5,35	4,55
595-DAC8541Y/250	DAC8541Y/250	TQFP-32	16	1	Chaîne	65	1	10	0,1	0,72	7,45	6,19	5,63	4,78
595-DAC8550IBDGKT	DAC8550IBDGKT	MSOP-8	16	1	Chaîne	8	1	10	0,2	1	6,67	5,54	5,03	4,28
595-DAC8550IDGKT	DAC8550IDGKT	MSOP-8	16	1	Chaîne	8	1	10	0,2	1	5,88	4,23	3,53	3,06
595-DAC8551IADGKT	DAC8551IADGKT	MSOP-8	16	1	Chaîne	8	1	10	0,2	1	5,30	3,82	3,18	2,76
595-DAC8551IDGKT	DAC8551IDGKT	MSOP-8	16	1	Chaîne	8	1	10	0,2	1	5,88	4,23	3,53	3,06
595-DAC8560IADGKT	DAC8560IADGKT	MSOP-8	16	1	Chaîne	8	1	8	0,2	2,6	7,24	6,01	5,46	4,64
595-DAC8560IDDGKT	DAC8560IDDGKT	MSOP-8	16	1	Chaîne	8	1	8	0,2	2,6	9,68	8,20	7,57	6,52
595-DAC8571IDGK	DAC8571IDGK	MSOP-8	16	1	Chaîne	65	1	10	0,043	0,42	7,24	5,93	5,35	4,92
595-DAC8580IPW	DAC8580IPW	TSSOP-16	16	1	Chaîne	64	1	0,65	16	175	5,20	4,17	3,80	3,42
595-DAC8581IPW	DAC8581IPW	TSSOP-16	16	1	Chaîne	64	0,5	0,65	3	175	5,20	4,17	3,80	3,42
595-DAC8820ICDB	DAC8820ICDB	SSOP-28	16	1	R-2R	1	1	0,5	2	0,025	19,64	16,69	15,46	14,23
595-DAC8830ICD	DAC8830ICD	SOIC 8 broches	16	1	R-2R	1	1	1	1	0,015	11,81	9,93	9,12	8,32
595-DAC8831IBD	DAC8831IBD	SOIC-14	16	1	R-2R	1	1	1	2	0,015	11,58	9,74	8,94	8,90
595-DAC8831ICD	DAC8831ICD	SOIC-14	16	1	R-2R	1	1	1	2	0,015	11,81	9,93	9,12	8,32
595-DAC8831ID	DAC8831ID	SOIC-14	16	1	R-2R	1	1	1	2	0,015	10,91	9,17	8,42	8,38
595-DAC8871SBPW	DAC8871SBPW	TSSOP-16	16	1	R-2R	1	1	1	-	0,015	20,87	18,79	17,22	15,13
595-DAC8881SRGET	DAC8881SRGET	QFN-24	16	1	R-2R	1	1	5	-	6	17,25	14,63	13,50	11,62
595-DAC5682ZIRGCT	DAC5682ZIRGCT	VQFN-64	16	2	R-2R	4	2	0,0104	1000	1300	46,65	42,77	38,63	35,33
595-DAC5686IPZP	DAC5686IPZP	HTQFP-100	16	2	Pilotage en courant	12	9	0,012	500	445	40,28	34,83	32,65	30,48
595-DAC5687IPZP	DAC5687IPZP	HTQFP-100	16	2	Pilotage en courant	6	3	0,012	500	-	36,96	31,96	29,96	27,97
595-DAC5688IRGCT	DAC5688IRGCT	VQFN-64	16	2	R-2R	4	2	0,011	800	-	44,88	39,75	37,18	34,62
595-DAC8532IDGK	DAC8532IDGK	MSOP-8	16	2	Chaîne	65	1	10	0,093	1,35	11,00	9,24	8,50	7,75
595-DAC8552IDGKT	DAC8552IDGKT	MSOP-8	16	2	Chaîne	8	1	10	0,2	3	7,63	5,49	4,58	3,97
595-DAC8812IBPW	DAC8812IBPW	TSSOP-16	16	2	R-2R	1	1	0,5	2	0,025	16,67	14,17	13,12	12,08
595-DAC8812ICPW	DAC8812ICPW	TSSOP-16	16	2	R-2R	1	1	0,5	2	0,025	19,39	16,48	15,26	14,05
595-DAC8822QBDBT	DAC8822QBDBT	SM8-38	16	2	R-2R	1	1	0,5	2	0,025	16,96	14,41	13,36	12,29
595-DAC8534IPW	DAC8534IPW	TSSOP-16	16	4	Chaîne	64	1	10	0,093	2,7	17,90	15,06	13,84	12,61
595-DAC8544IPFB	DAC8544IPFB	TQFP-48	16	4	Chaîne	65	1	8	-	4,75	23,16	19,68	18,27	16,79
595-DAC8554IPW	DAC8554IPW	TSSOP-16	16	4	Chaîne	12	1	10	0,2	3	11,29	10,07	9,26	8,44
595-DAC8555IPW	DAC8555IPW	TSSOP-16	16	4	Chaîne	12	1	10	0,2	3	11,29	10,07	9,26	8,44
595-DAC8565IAPW	DAC8565IAPW	TSSOP-16	16	4	Chaîne	8	1	8	0,2	3,1	12,98	10,91	10,02	9,14
595-DAC8814IBDBT	DAC8814IBDBT	SSOP-28	16	4	R-2R	1	1	0,5	2	0,0275	30,44	27,40	25,11	22,07
595-DAC9881SRGET	DAC9881SRGET	VQFN-24	18	1	R-2R	2	1	5	-	6	30,01	27,00	24,76	21,76
595-DAC1220E	DAC1220E	SSOP 16	20	1	Delta-Sigma	1	1	10000	0,0005	2,5	14,35	12,06	11,09	10,11
595-DAC1280IPW	DAC1280IPW	TSSOP-16	-	1	Pilotage en courant	-	-	100	0,256	18	30,44	27,40	25,11	23,59

CAN ET CNA MULTIVOIE INTÉGRÉS

PRODUCT NEW

Pour des quantités supérieures à celles indiquées, appelez-nous afin d'obtenir un devis.

RÉF. STOCK MOUSER	RÉF. TI	Boîtier	Nombre de CAN	Rés. CAN	Vitesse d'échantillonnage CAN	Gamme d'entrée CAN	Nombre de CNA	Rés. CNA	Temps d'établissement CNA	Sortie CNA pleine échelle	Prix unitaire 1	25	100	250
595-AMC7812SRGCT	AMC7812SRGCR	VQFN-64	16	12	500 KSPS	-5 / +5	12	12	2	3,4	9,69	7,94	7,17	6,59

© Copyright 2012 Mouser Electronics

© Copyright 2012 Mouser Electronics

CI analogiques TEXAS INSTRUMENTS

Les produits peuvent être conformes à la directive RoHS.
Consulter le site mouser.com pour vérifier la conformité RoHS.

CAN AUDIO

Pour des quantités supérieures à celles indiquées, appelez-nous afin d'obtenir un devis.

RÉF. STOCK MOUSER	Réf. TI	Boîtier	Nombre de CAN	Rés.	SNR (Typ.)	Nb. d'entrées/ Nb. de sorties	Fréquence d'échantillonnage (Max.) (kHz)	Alimentation analogique	Interface audio numérique	Interface de contrôle	Alimentation numérique (V) (jusqu'à 5 V)	Prix unitaire 1	25	100	250
595-PCM1870RHFT	PCM1870RHFT	QFN-24	2	16	90	2/0	50	2,4 - 3,6	LJ, RJ, I2S, DSP	I2C, SPI	1,71 - 3,6	3,70	2,97	2,73	2,51
595-PCM1807PW	PCM1807PW	TSSOP-14	2	24	101	2/0	96	4,5 - 5,5	L, I2S	SPI	2,7 - 3,6	2,77	2,23	2,03	1,83
595-PCM1803ADB	PCM1803ADB	SSOP-20	2	24	103	2/0	96	4,5 - 5,5	L, R, I2S	H/W	2,7 - 3,6	2,95	2,38	2,16	1,95
595-PCM1802DB	PCM1802DB	SSOP-20	2	24	105	2/0	96	4,5 - 5,5	L, R, I2S	H/W	2,7 - 3,6	6,09	4,38	3,65	3,17
595-PCM1804DB	PCM1804DB	SSOP-28	2	24	112	2/0	192	4,75 - 5,25	L, R, I2S, DSP	H/W	3 - 3,6	9,64	7,52	6,33	5,83
595-PCM1808PW	PCM1808PW	TSSOP-14	2	24	99	2/0	96	4,5 - 5,5	L, I2S	H/W	2,7 - 3,6	2,66	2,13	1,94	1,75
595-PCM4202DB	PCM4202DB	SSOP-28	2	24	118	2/0	216	5	PCM, DSD	H/W	3,3	10,80	9,08	8,34	7,61
595-PCM4220PFB	PCM4220PFB	TQFP-48	2	24	123	2/0	216	3,8 - 4,2	L, I2S, TDM, DSD	H/W	3 - 3,6	15,76	14,15	12,55	12,07
595-PCM4204PAPT	PCM4204PAPT	HTQFP-64	4	24	118	4/0	216	5	PCM/DSD	H/W	3,3	17,37	14,72	13,59	11,70

ÉMETTEUR-RÉCEPTEUR AUDIO NUMÉRIQUE

Pour des quantités supérieures à celles indiquées, appelez-nous afin d'obtenir un devis.

RÉF. STOCK MOUSER	Réf. TI	Boîtier	Gigue (ps)	Fréquence d'échantillonnage (Max.) (kHz)	Rés. CAN	Vitesse d'échantillonnage CAN (kSPS)	Entrées	Sorties	Prix unitaire 1	25	100	250
595-DIX9211PTR	DIX9211PTR	LQFP-48	50	216	-	-	PCM, S/P/DIF	PCM, S/PDIF	6,45	5,35	4,53	4,38
595-PCM9211PT	PCM9211PT	LQFP-48	50	216	24	96	PCM, S/P/DIF, ADC	PCM, S/PDIF	9,80	7,05	5,88	5,10

CODEC AUDIO

Pour des quantités supérieures à celles indiquées, appelez-nous afin d'obtenir un devis.

RÉF. STOCK MOUSER	Réf. TI	Boîtier	Nb. CNA / Nb. CAN	Rés.	SNR CNA/ SNR CAN (Typ) (dB)	Fréquence d'échantillonnage (Max.) (kHz)	Interface audio numérique	Alimentation numérique (jusqu'à 5 V)	Alimentation ES	Prix unitaire 1	25	100	250
595-TLV320AIC1107PW	TLV320AIC1107PW	TSSOP-20	1/1	13	-	8	PCM	2,7 - 3,3	-	6,24	4,98	4,18	4,04
595-TLV320AIC1103PBS	TLV320AIC1103PBS	TQFP-32	1/1	15	-	8	PCM	2,7 - 3,3	-	7,43	6,17	5,61	4,77
595-TLV320AIC10CPFB	TLV320AIC10CPFB	TQFP-48	1/1	16	90/87	22,05	DSP	3 - 3,6	-	5,30	4,34	3,92	3,60
595-TLV320AIC10IPFB	TLV320AIC10IPFB	TQFP-48	1/1	16	90/87	22,05	DSP	3 - 3,6	-	5,81	4,76	4,30	3,94
595-PCM3500E	PCM3500E	SSOP 24	1/1	16	92/88	26	DSP	2,7 - 3,6	-	8,15	6,67	6,02	5,54
595-TLV320AIC12KIDBT	TLV320AIC12KIDBTG4	TSSOP-30	1/1	16	92/84	26	DSP, SMART, TDM	1,65 - 1,95	1,1 - 3,6	3,60	2,90	2,25	2,12
595-TLV320AIC14KIDBT	TLV320AIC14KIDBT	TSSOP-30	1/1	16	92/84	26	DSP, SMART TDM	1,65 - 1,95	1,1 - 3,6	3,81	3,06	2,79	2,52
595-V320AIC3253IRGET	TLV320AIC3253IRGET	VQFN-24	2/0	32	100/---	192	L, R, I2S, DSP, TDM	1,26 - 1,95	1,1 - 3,6	7,43	6,17	5,61	4,77
595-PCM2912PJT	PCM2912PJT	TQFP-32	2/1	16	92/92	48	USB	3 - 3,6	5	9,71	8,16	7,14	6,58
595-TLV320AIC26IRHB	TLV320AIC26IRHB	QFN-32	2/1	24	97/92	53	L, R, I2S, DSP	1,525 - 1,95	1,1 - 3,6	6,81	5,58	5,03	4,63
595-TLV320AIC20KIPFB	TLV320AIC20KIPFB	TQFP-48	2/2	16	92/84	26	DSP, SMART TDM	1,65 - 1,95	1,1 - 3,6	6,60	5,41	4,88	4,49
595-TLV320AIC24KIPFB	TLV320AIC24KIPFB	TQFP-48	2/2	16	92/84	26	DSP, SMART TDM	1,65 - 1,95	1,1 - 3,6	5,98	4,90	4,42	4,07
595-PCM2900E	PCM2900E	SSOP-28	2/2	16	96/89	48	USB	4,35 - 5,25	-	9,47	8,32	7,37	6,77
595-PCM2902E	PCM2902E	SSOP-28	2/2	16	96/89	48	USB	4,35 - 5,25	-	9,71	8,16	7,13	6,58
595-PCM2906DB	PCM2906DB	SSOP-28	2/2	16	96/89	48	USB	4,35 - 5,25	-	10,35	9,08	8,05	7,39
595-PCM3000E	PCM3000E	SSOP-28	2/2	18	98/94	48	R, L, I2S, DSP	4,5 - 5,5	-	8,56	7,01	6,33	5,82
595-PCM3001E	PCM3001E	SSOP-28	2/2	18	98/94	48	R, L, I2S, DSP	4,5 - 5,5	-	8,56	7,01	6,33	5,82
595-PCM3003E	PCM3003E	SSOP 24	2/2	20	94/90	48	R, L	2,4 - 3,6	-	8,56	7,01	6,33	5,82
595-TLV320AIC23BIPW	TLV320AIC23BIPW	TSSOP-28	2/2	24	100/90	96	L, R, I2S, DSP	1,42 - 3,6	-	7,34	5,87	4,95	4,77
595-TLV320AIC23BIPWR	TLV320AIC23BIPWR	TSSOP-24	2/2	24	100/90	96	L, R, I2S, DP	1,42 - 3,6	-	8,10	6,72	6,11	5,50
595-TLV320AIC23BPW	TLV320AIC23BPW	TSSOP-28	2/2	24	100/90	96	L, R, I2S, DSP	1,42 - 3,6	-	8,36	6,85	6,18	5,68
595-TLV320AIC23BPWR	TLV320AIC23BPWR	TSSOP-24	2/2	24	100/90	96	L, R, I2S, DP	1,42 - 3,6	-	4,97	4,42	3,73	3,59
595-TLV320AIC23BRHD	TLV320AIC23BRHD	QFN-28	2/2	24	100/90	96	L, R, I2S, DSP	1,42 - 3,6	-	6,68	5,35	4,50	4,33
595-TLV320AIC33IRGZR	TLV320AIC33IRGZR	QFN-48	2/2	24	100/90	96	L, R, I2S, DSP, TDM	1,525 - 1,95	1,1 - 3,6	7,45	6,19	5,63	5,06
595-TLV320AIC31IRHBT	TLV320AIC31IRHBT	QFN-32	2/2	24	100/90	96	DSP, I2S, L, R	1,525 - 1,95	1,1 - 3,6	8,33	6,83	6,16	5,66
595-T320AIC3101IRHBT	TLV320AIC3101IRHBT	QFN-32	2/2	24	100/90	96	DSP, I2S, L, R	1,525 - 1,95	1,1 - 3,6	6,06	4,95	4,45	3,74
595-TLV320C3104IRHBT	TLV320AIC3104IRHBT	QFN-32	2/2	24	100/90	96	L, R, I2S, DSP	1,525 -1,95	1,1 - 3,6	5,57	4,55	4,08	3,43
595-TLV320C3105IRHBT	TLV320AIC3105IRHBT	QFN-32	2/2	24	100/90	96	DSP, I2S, L, R	1,525 - 1,95	1,1 - 3,6	5,57	4,55	4,08	3,43
595-TLV320AIC32IRHBT	TLV320AIC32IRHBT	QFN-32	2/2	24	100/90	96	DSP, I2S, L, R	1,525 - 1,95	1,1 - 3,6	8,20	6,81	6,19	5,26
595-TLC320AD77CDB	TLC320AD77CDB	SSOP-28	2/2	24	100/100	96	R, L, I2S, DSP	3 - 3,6	-	7,84	6,43	5,80	5,33
595-PCM3010DB	PCM3010DB	SSOP 24	2/2	24	104/100	192	R, L, I2S	3 - 3,6	-	9,90	8,12	7,33	6,73
595-PCM3060PW	PCM3060PW	TSSOP-28	2/2	24	105/99	192	I2S, L, R	2,7 - 3,6	-	5,43	4,36	3,97	3,58
595-PCM3052ARTF	PCM3052ARTF	QFN-32	2/2	24	105/101	96	I2S	3 - 3,6	-	7,43	6,09	5,49	5,05
595-TLV320AIC34IZAS	TLV320AIC34IZAS	BGA-87	4/4	24	102/92	96	L, R, I2S, DSP	1,525 - 1,95	1,1 - 3,6	6,53	5,86	5,20	5,01

CONVERTISSEURS NUMÉRIQUE-ANALOGIQUE AUDIO (CNA)

Pour des quantités supérieures à celles indiquées, appelez-nous afin d'obtenir un devis.

RÉF. STOCK MOUSER	Réf. TI	Boîtier	Nb. de CNA	Rés.	SNR (Typ.) (dB)	Fréquence d'échantillonnage (Max.) (kHz)	Nb. d'entrées / Nb. de sorties	Interface audio numérique	Interface de contrôle	Alimentation analogique	Prix unitaire 1	25	100	250
595-PCM1702P-K	PCM1702P-K	PDIP 16	1	20	120	768	0/1	-	H/W	±4,75 - 5,25	31,85	27,07	25,07	23,08
595-PCM1704U	PCM1704U	SO-20	1	24	120	768	0/1	-	H/W	±4,75 - 5,25	39,84	34,45	32,30	30,15
595-PCM1774RGPT	PCM1774RGPT	QFN-20	2	16	93	50	0/2	LJ, RJ, I2S, DSP	I2C, SPI	2,4 - 3,6	3,71	3,03	2,72	2,29
595-PCM2704DB	PCM2704DB	SSOP-28	2	16	98	48	0/2	USB	HID	4,35 - 5,25	6,29	4,90	4,13	3,80
595-PCM2704DBR	PCM2704DBR	SSOP-28	2	16	98	48	0/2	USB	HID	3,3 - 5,5	5,51	4,57	4,16	3,74
595-PCM2702E	PCM2702E	SSOP-28	2	16	105	48	0/2	USB	HID	4,5 - 5,5	15,00	13,18	11,68	10,72
595-PCM1754DBQG4	PCM1754DBQG4	SSOP 16	2	24	106	192	0/2	R, I2S	H/W	4,5 - 5,5	2,38	1,90	1,52	1,26
595-TLV320DAC32IRHBT	TLV320DAC32IRHBT	QFN-32	2	24	95	96	2/4	DSP, I2S, L, R, TDM	I2C	2,7 - 3,6	3,84	3,13	2,81	2,36
595-TLV320DAC23PW	TLV320DAC23PW	TSSOP-28	2	24	100	96	0/4	DSP, I2S, L, R	I2C, SPI	2,7 - 3,6	5,54	4,46	4,06	3,66
595-PCM1755DBQ	PCM1755DBQ	SSOP 16	2	24	106	192	0/2	L, R, I2S	SPI	4,5 - 5,5	2,66	2,13	1,94	1,75
595-PCM1791ADB	PCM1791ADB	SSOP-28	2	24	113	192	0/2	L, R, I2S, TDMCA, DSD	I2C, SPI	4,5 - 5,5	5,26	4,31	3,89	3,57
595-PCM1792ADB	PCM1792ADB	SSOP-28	2	24	127	192	0/2	L, R, I2C, TDMCA, DSD	SPI, I2C	4,75 - 5,25	17,84	15,01	13,79	12,57
595-PCM1793DB	PCM1793DB	SSOP-28	2	24	113	192	0/2	L, R, I2S	H/W	4,5 - 5,5	5,26	4,31	3,89	3,57
595-PCM1794ADB	PCM1794ADB	SSOP-28	2	24	127	192	0/2	L, R, I2S	H/W	4,75 - 5,25	19,72	16,76	15,53	14,29
595-PCM1794ADBR	PCM1794ADBR	SSOP-28	2	24	127	192	0/2	L, R, I2S	H/W	4,75 - 5,25	18,66	15,82	14,60	13,38
595-PCM1796DB	PCM1796DB	SSOP-28	2	24	123	192	0/2	L, R, ITS, TDMCA, DSD	I2C, SPI	4,75 - 5,25	7,19	5,62	4,73	4,36
595-PCM4104PFBT	PCM4104PFBT	TQFP-48	4	24	118	192	0/2x2	I2S, TDM	H/W, SPI	5	10,44	8,84	8,17	7,03
595-PCM1681PWP	PCM1681PWP	HTSSOP-28	8	24	105	200	0/8	L, R, I2S, TDM, DSD	SPI, I2C, HW	4,5 - 5,5	3,93	3,15	2,87	2,59

© Copyright 2012 Mouser Electronics
© Copyright 2012 Mouser Electronics

CI analogiques TEXAS INSTRUMENTS

Les produits peuvent être conformes à la directive RoHS.
Consulter le site mouser.com pour vérifier la conformité RoHS.

CAN

Pour des quantités supérieures à celles indiquées, appelez-nous afin d'obtenir un devis.

RÉF. STOCK MOUSER	Réf. TI	Boîtier	Pilotes par boîtier	Récepteurs par boîtier	Tension d'alimentation	Protection d'impulsion transitoire	ICC (Max.) (mA)	Prix unitaire			
								1	25	100	250
595-SN65HVD230D	SN65HVD230D	SOIC-8	1	1	3,3	de -25 à 25	17	3,81	3,06	2,79	2,52
595-SN65HVD230QDG4Q1	SN65HVD230QDG4Q1	SOIC-8	1	1	3,3	de -25 à 25	17	3,65	2,93	2,67	2,41
595-SN65HVD231D	SN65HVD231D	SOIC-8	1	1	3,3	de -25 à 25	17	3,81	3,06	2,79	2,52
595-SN65HVD232D	SN65HVD232D	SOIC-8	1	1	3,3	de -25 à 25	17	2,74	2,19	2,00	1,81
595-SN65HVD232QDRQ1	SN65HVD232QDRQ1	SOIC-8	1	1	3,3	de -25 à 25	17	3,66	2,99	2,69	2,44
595-SN65HVD233D	SN65HVD233D	SOIC-8	1	1	3,3	de -100 à 100	6	3,76	3,02	2,76	2,48
595-SN65HVD234D	SN65HVD234D	SOIC-8	1	1	3,3	de -100 à 100	6	3,70	2,97	2,71	2,44
595-SN65HVD1040D	SN65HVD1040D	SOIC-8	1	1	5	de -200 à 200	70	1,92	1,54	1,39	1,24
595-SN65HVD1050D	SN65HVD1050D	SOIC-8	1	1	5	de -200 à 200	70	1,41	1,13	1,01	0,908
595-SN65HVD251D	SN65HVD251D	SOIC-8	1	1	5	de -200 à 200	65	2,60	2,12	1,91	1,73
595-SN65HVD251P	SN65HVD251P	PDIP-8	1	1	5	de -200 à 200	65	2,60	2,12	1,91	1,73
595-SN65HVD252D	SN65HVD252D	SOIC-8	1	1	5	de -200 à 200	80	2,44	2,00	1,79	1,63
595-SN65HVD253D	SN65HVD253D	SOIC-8	1	1	5	de -200 à 200	80	2,31	1,86	1,65	1,16
595-SN65LBC031QD	SN65LBC031QD	SOIC-8	1	1	5	de -150 à 100	20	3,99	3,21	2,92	2,64

ISOLATEURS

Pour des quantités supérieures à celles indiquées, appelez-nous afin d'obtenir un devis.

RÉF. STOCK MOUSER	Réf. TI	Boîtier	Nbre de voies	Configuration des voies	Taux d'isolation (VRMS)	Tension d'alimentation	Débit de données (Mbps)	Filtre de bruits entrée	Délais de propagation (Max.) (ns)	Seuil d'entrée TTL / CMOS	Prix unitaire			
											1	25	100	250
595-ISO721D	ISO721D	SOIC-8	1	1/0	2500	3,3 ; 5	100	Oui	24	TTL	3,93	3,15	2,87	2,59
595-ISO721MD	ISO721MD	SOIC-8	1	1/0	2500	3,3 ; 5	150	Aucun	16	CMOS	4,04	3,24	2,95	2,66
595-ISO722MDR	ISO722MDR	SOIC-8	1	1/0	2500	3,3 ; 5	150	Aucun	16	CMOS	3,35	2,69	2,45	2,21
595-ISO1176TDW	ISO1176TDW	SOIC-16	1	RS-485	2500	5	40	Aucun	35	TTL	7,98	6,62	6,02	5,12
595-ISO7220AD	ISO7220AD	SOIC-8	2	1/0	2500	3,3 ; 5	1	Oui	475	TTL	2,85	2,32	2,09	1,75
595-ISO7220CD	ISO7220CD	SOIC-8	2	1/0	2500	3,3 ; 5	25	Oui	42	TTL	3,35	2,69	2,45	2,21
595-ISO7221AD	ISO7221AD	SOIC-8	2	1/1	2500	3,3 ; 5	1	Oui	475	TTL	2,85	2,32	2,09	1,75
595-ISO7221CD	ISO7221CD	SOIC-8	2	1/1	2500	3,3 ; 5	25	Oui	42	TTL	3,35	2,69	2,45	2,21
595-ISO7221CDR	ISO7221CDR	SOIC-8	2	1/1	2500	3,3 ; 5	25	Oui	42	TTL/CMOS	2,97	2,43	2,18	1,98
595-ISO7221MD	ISO7221MD	SOIC-8	2	1/1	2500	3,3 ; 5	150	Aucun	16	CMOS	4,08	3,33	2,99	2,72
595-ISO7420FED	ISO7420FED	SOIC 8	2	2/0	2500	3,3 ; 5	50	Non	11	TTL	4,39	3,52	3,21	2,90
595-ISO7520CDWR	ISO7520CDWR	SOIC-16	2	2/0	5000	3,3 ; 5	1	Non	14	TTL	3,93	3,15	2,87	2,59
595-ISO7521CDWR	ISO7521CDWR	SOIC-16	2	2/1	5000	3,3 ; 5	1	Non	14	TTL	3,93	3,15	2,87	2,59
595-ISO7230ADW	ISO7230ADW	SOIC-16	3	3/0	2500	3,3 ; 5	1	Oui	70	TTL	3,93	3,15	2,87	2,59
595-ISO7230CDW	ISO7230CDW	SOIC-16	3	3/0	2500	3,3 ; 5	25	Oui	30	TTL	5,08	4,08	3,72	3,36
595-ISO7230MDW	ISO7230MDW	SOIC-16	3	3/0	2500	3,3 ; 5	150	Aucun	16	CMOS	5,57	4,56	4,12	3,79
595-ISO7240ADW	ISO7240ADW	SOIC-16	4	4/0	2500	3,3 ; 5	1	Oui	70	TTL	4,85	3,89	3,55	3,20
595-ISO7240CDW	ISO7240CDW	SOIC-16	4	4/0	2500	3,3 ; 5	25	Oui	30	TTL	5,57	4,56	4,12	3,79
595-ISO7240CFDWR	ISO7240CFDWR	SOIC-16	4	4/0	2500	3,3 ; 5	25	Oui	46	TTL	5,20	4,17	3,80	3,43

PHY LVDS < 800 MBPS

Pour des quantités supérieures à celles indiquées, appelez-nous afin d'obtenir un devis.

RÉF. STOCK MOUSER	Réf. TI	Boîtier	Tension d'alimentation	ICC (Max.) (mA)	Vitesse de signalisation (Mbps)	Nb. d'émetteurs	TPD émetteur (Typ.) (ns)	Nb. de récepteurs	TPD récepteur (Typ.) (ns)	Signal d'entrée	Signal de sortie	Prix unitaire			
												1	25	100	250
595-SN65LVDS1050PW	SN65LVDS1050PW	TSSOP-16	2,7	20	400	2	1,7	2	3,7	LVDS, LVTTL	LVDS, LVTTL	3,88	3,12	2,84	2,56
595-SN65LVDS2DBVR	SN65LVDS2DBVR	SOT-23-5	3,3	7	400	-	-	1	2,6	LVDS	LVTTL	1,30	1,02	0,916	0,802
595-SN65LVDS2DBVT	SN65LVDS2DBVT	SOT-23-5	3,3	7	400	-	-	1	2,6	LVDS	LVTTL	1,01	0,817	0,617	0,576
595-SN65LVDT2DBVR	SN65LVDT2DBVR	SOT-23-5	3,3	7	400	-	-	1	2,6	LVDS	LVTTL	1,28	1,01	0,908	0,793
595-SN65LVDT2DBVT	SN65LVDT2DBVT	SOT-23-5	3,3	7	400	-	-	1	2,6	LVDS	LVTTL	1,01	0,817	0,617	0,576
595-SN65LVDS1DBVR	SN65LVDS1DBVR	SOT-23-5	3,3	8	630	1	1,7	-	-	LVTTL	LVDS	1,30	1,02	0,916	0,802
595-SN65LVDS1DBVT	SN65LVDS1DBVT	SOT-23-5	3,3	8	630	1	1,7	-	-	LVTTL	LVDS	1,01	0,817	0,617	0,576
595-SN65LVDS9637D	SN65LVDS9637D	SOIC-8	3,3	10	150	-	-	2	2,1	LVDS	LVTTL	2,08	1,73	1,39	0,974
595-SN65LVDS179D	SN65LVDS179D	SOIC-8	3,3	12	400 TX / 150 RX	1	1,7	1	3,7	LVDS, LVTTL	LVDS, LVTTL	2,91	2,33	2,13	1,92
595-SN65LVDS179DGK	SN65LVDS179DGK	MSOP-8	3,3	12	400 TX / 150 RX	1	1,7	1	3,7	LVDS, LVTTL	LVDS, LVTTL	2,91	2,33	2,13	1,92
595-SN65LVDS9638D	SN65LVDS9638D	SOIC-8	3,3	13	400	2	1,7	-	-	LVTTL	LVDS	2,08	1,73	1,39	0,974
595-SN65LVDS9638DGKR	SN65LVDS9638DGKR	MSOP-8	3,3	13	150	2	1,7	-	-	LVTTL	LVDS	1,94	1,49	1,35	1,21
595-SN65LVDS32D	SN65LVDS32D	SOIC-16	3,3	18	100	-	-	4	2,1	LVDS	LVTTL	2,82	2,26	2,06	1,86
595-SN65LVDS3486D	SN65LVDS3486D	SOIC-16	3,3	18	100	-	-	4	2,1	LVDS	LVTTL	2,82	2,26	2,06	1,86
595-SN65LVDT390PW	SN65LVDT390PW	TSSOP-16	3,3	18	630	-	-	4	2,5	LVDS	LVTTL	3,30	2,65	2,42	2,18
595-SN65LVDS349PW	SN65LVDS349PW	TSSOP-16	3,3	20	560	-	-	4	4	CMOS, ECL, LVCMOS, LVDS, LVECL, LVPECL, PECL	LVTTL	10,21	8,37	7,55	6,94
595-SN65LVDS047D	SN65LVDS047D	SOIC-16	3,3	26	400	4	1,8	-	-	LVTTL	LVDS	2,82	2,26	2,06	1,86
595-SN65LVDS047PW	SN65LVDS047PW	TSSOP-16	3,3	26	400	4	1,8	-	-	LVTTL	LVDS	2,82	2,26	2,06	1,86
595-SN65LVDS391D	SN65LVDS391D	SOIC-16	3,3	26	630	4	1,7	-	-	LVTTL	LVDS	2,82	2,26	2,06	1,86
595-SN65LVDS391PW	SN65LVDS391PW	TSSOP-16	3,3	26	630	4	1,7	-	-	LVTTL	LVDS	2,82	2,26	2,06	1,86
595-SN65LVDS049PW	SN65LVDS049PW	TSSOP-16	3,3	35	400	2	1,3	2	1,9	LVDS, LVTTL	LVDS, LVTTL	2,35	1,90	1,71	1,52
595-SN65LVDS31D	SN65LVDS31D	SOIC-16	3,3	35	400	4	1,7	-	-	LVTTL	LVDS	2,82	2,26	2,06	1,86
595-SN65LVDS31PW	SN65LVDS31PW	TSSOP-16	3,3	35	400	4	1,7	-	-	LVTTL	LVDS	2,82	2,26	2,06	1,86
595-SN65LVDT388ADBT	SN65LVDT388ADBT	SM8-38	3,3	40	630	-	-	8	2,5	LVDS	LVTTL	4,94	3,97	3,61	3,26
595-SN65LVDS389DBT	SN65LVDS389DBT	SM8-38	3,3	70	630	8	1,7	-	-	LVTTL	LVDS	4,67	3,75	3,42	3,08
595-SN65LVDS387DGG	SN65LVDS387DGG	TSSOP-64	3,3	95	630	16	1,7	-	-	LVTTL	LVDS	9,36	6,75	5,62	4,88
595-SN65LVPE501RGET	SN65LVPE501RGET	VQFN-24	3,3	120	5000	2	-	2	-	PCI Express	PCI Express	9,49	6,83	5,69	4,93
595-SN65LVPE502RGET	SN65LVPE502RGET	QFN-24	3,3	120	5000	2	-	2	-	USB 3.0	USB 3.0	10,11	7,28	6,06	5,26

PHY M-LVDS <500 MBPS

Pour des quantités supérieures à celles indiquées, appelez-nous afin d'obtenir un devis.

RÉF. STOCK MOUSER	Réf. TI	Boîtier	Tension d'alimentation	ICC (Max.) (mA)	Vitesse de signalisation (Mbps)	Nb. d'émetteurs	TPD émetteur (Typ.) (ns)	Nb. de récepteurs	TPD récepteur (Typ.) (ns)	Signal d'entrée	Prix unitaire			
											1	25	100	250
595-SN65LVDM180D	SN65LVDM180D	SOIC-14	3,3	13	500 TX / 150 RX	1	1,7	1	3,7	LVDM, LVTTL	2,74	2,14	1,66	1,51
595-SN65LVDM180PW	SN65LVDM180PW	TSSOP-14	3,3	13	500 TX / 150 RX	1	1,7	1	3,7	LVDM, LVTTL	2,76	2,15	1,67	1,51
595-SN65LVDM176DGK	SN65LVDM176DGK	MSOP-8	3,3	15	400	1	1,7	1	3,7	LVDM, LVTTL	3,74	3,04	2,74	2,49
595-SN65MLVD048RGZT	SN65MLVD048RGZT	QFN-48	3,3	25	250	0	-	4	6	M-LVDS	5,31	4,27	3,89	3,51
595-SN65MLVD200AD	SN65MLVD200AD	SOIC-8	3,3	24	100	1	2,5	1	3,6	LVTTL, M-LVDS	3,09	2,48	2,26	2,04
595-SN65MLVD204AD	SN65MLVD204AD	SOIC-8	3,3	24	100	1	2,5	1	3,6	LVTTL, M-LVDS	3,09	2,48	2,26	2,04
595-SN65MLVD201D	SN65MLVD201D	SOIC-8	3,3	24	200	1	1,5	1	4	LVTTL, M-LVDS	3,30	2,65	2,42	2,18
595-SN65MLVD2DRBT	SN65MLVD2DRBT	SON-8	3,3	25	250	-	-	1	6	M-LVDS	2,60	2,12	1,91	1,60
595-SN65MLVD040RGZT	SN65MLVD040RGZT	VQFN-48	3,3	90	250	4	2,4	4	6	LVTTL, M-LVDS	8,56	7,01	6,33	5,82

© Copyright 2012 Mouser Electronics
© Copyright 2012 Mouser Electronics

CI analogiques TEXAS INSTRUMENTS

Les produits peuvent être conformes à la directive RoHS.
Consulter le site mouser.com pour vérifier la conformité RoHS.

CIRCUITS LINÉAIRES TEXAS INSTRUMENTS

Pour des quantités supérieures à celles indiquées, appelez-nous afin d'obtenir un devis.

RÉF. STOCK MOUSER	RÉF. TI	Boîtier	Pilotes par boîtier	Récepteurs par boîtier	Pilote (RL) (ohms)	Récepteur (Vth) (mV)	Tension d'alimentation	Pilote tpd (ns)	Récepteur tpd (ns)	ICC (Max.) (mA)	Prix unitaire			
											1	25	100	250
595-SN75116N	SN75116N	PDIP 16	1	1	100	1000	5	-	30	60	4,68	3,75	3,42	3,09
595-SN75118N	SN75118N	PDIP 16	1	1	100	1000	5	-	30	60	4,68	3,75	3,42	3,09
595-SN75119P	SN75119P	PDIP-8	1	1	100	1000	5	-	30	60	4,68	3,75	3,42	3,09
595-SN65ALS1176D	SN65ALS1176D	SOIC-8	1	1	-	-	5	8	25	30	4,34	3,49	3,25	2,57
595-SN65HVD61D	SN65HVD61D	SOIC-14	1	1	-	-	5	-	-	65	9,64	8,45	7,49	6,88
595-SN75113N	SN75113N	PDIP 16	2	-	100	-	5	30	-	65	2,27	1,83	1,65	1,46
595-SN75114N	SN75114N	PDIP 16	2	-	100	-	5	30	-	50	2,27	1,83	1,65	1,46
595-SN75183N	SN75183N	PDIP 14 broches	2	-	100	-	5	18	-	18	2,27	1,83	1,65	1,46
595-SN75110AD	SN75110AD	SOIC-14	2	-	-	-	5	15	-	35	0,79	0,594	0,446	0,328
595-SN75110AN	SN75110AN	PDIP 14 broches	2	-	-	-	5	15	-	35	0,71	0,553	0,484	0,422
595-SN75112N	SN75112N	PDIP 14 broches	2	-	-	-	5	15	-	40	1,03	0,825	0,725	0,636
595-SN751730D	SN751730D	SOIC-16	3	3	-	-	5	18,5	19,5	47, 80	4,51	3,63	3,31	2,99
595-SN75138N	SN75138N	PDIP 16	4	4	50	-	5	24	15	65	2,27	1,83	1,65	1,46
595-SN75ALS057N	SN75ALS057N	PDIP-20	4	4	-	-	5	-	-	40	5,30	4,34	3,92	3,6
595-SN75160BDW	SN75160BDW	SOIC-20	8	8	-	-	5	20	22	110	2,44	2,00	1,79	1,63
595-SN75160BN	SN75160BN	PDIP-20	8	8	-	-	5	20	22	110	2,27	1,83	1,65	1,46
595-SN75161BDW	SN75161BDW	SOIC-20	8	8	-	-	5	20	35	110	2,44	2,00	1,79	1,63
595-SN75161BN	SN75161BN	PDIP-20	8	8	-	-	5	20	35	110	2,27	1,83	1,65	1,46
595-SN75162BDW	SN75162BDW	SOIC-24	8	8	-	-	5	20	35	110	2,31	1,86	1,69	1,53
595-SN75ALS160DW	SN75ALS160DW	SOIC-20	8	8	-	-	5	20	18	80	2,57	2,13	1,77	1,67
595-SN75ALS160N	SN75ALS160N	PDIP-20	8	8	-	-	5	20	18	80	2,57	2,10	1,88	1,71
595-SN75ALS162DW	SN75ALS162DW	SOIC-24	8	8	-	-	5	20	14	75	5,78	4,74	4,27	3,93
595-SN75107AN	SN75107AN	PDIP 14 broches	-	2	-	25	-	-	-	-	1,77	1,42	1,28	1,14
595-SN75107BDR	SN75107BDR	SOIC-14	-	2	-	25	-	-	-	-	0,71	0,553	0,489	0,424
595-SN75107BN	SN75107BN	PDIP 14 broches	-	2	-	25	-	-	-	-	0,71	0,553	0,484	0,422
595-SN75115D	SN75115D	SOIC-16	-	2	-	1000	5	-	75	50	2,27	1,77	1,38	1,25
595-SN75115N	SN75115N	PDIP 16	-	2	-	1000	5	-	75	50	2,27	1,83	1,65	1,46
595-SN75140P	SN75140P	PDIP-8	-	2	-	-	5	-	35	35	1,82	1,46	1,32	1,17
595-SN75182N	SN75182N	PDIP 14 broches	-	2	-	1000	5	-	45	10,2	2,31	1,86	1,69	1,53
595-SN75207BN	SN75207BN	PDIP 14 broches	-	2	-	25	5	-	35	30	3,19	2,57	2,33	2,11
595-SN75ALS197N	SN75ALS197N	PDIP 16	-	4	-	-	-	-	22	35	0,54	0,413	0,366	0,316
595-SN75ALS199D	SN75ALS199D	SOIC-16	-	4	-	-	-	-	22	35	1,23	1,02	0,924	0,71

PILOTES ET ACTIONNEURS PÉRIPHÉRIQUES TEXAS INSTRUMENTS

Pour des quantités supérieures à celles indiquées, appelez-nous afin d'obtenir un devis.

RÉF. STOCK MOUSER	RÉF. TI	Boîtier	Tension de sortie (Max)	Pic tension de commutation (Max)	Courant de sortie (mA)	Pilotes par boîtier	Compatibilité d'entrée	Temps de délai (Typ.) (ns)	Prix unitaire			
									1	25	100	250
595-TPL9201N	TPL9201N	PDIP-20	16,5	-	150	8	CMOS	10, 80	1,42	1,10	0,998	0,891
595-TPL9201PWPR	TPL9201PWPR	HTSSOP-20	16,5	-	150	8	CMOS	10, 80	1,42	1,10	0,998	0,891
595-SN75372D	SN75372D	SOIC-8	24	24	500	2	TTL	20	2,50	2,01	1,82	1,61
595-SN75372P	SN75372P	PDIP-8	24	24	500	2	TTL	20	2,57	1,98	1,79	1,61
595-SN75374D	SN75374D	SOIC-16	24	24	500	4	TTL	20	2,76	2,22	2,02	1,82
595-SN75451BD	SN75451BD	SOIC-8	30	20	500	2	TTL	18	0,59	0,495	0,396	0,363
595-SN75451BP	SN75451BP	PDIP-8	30	20	500	2	TTL	18	0,59	0,495	0,396	0,363
595-SN75452BD	SN75452BD	SOIC-8	30	20	500	2	TTL	26	0,73	0,545	0,408	0,301
595-SN75452BP	SN75452BP	PDIP-8	30	20	500	2	TTL	26	0,65	0,503	0,44	0,383
595-SN75453BD	SN75453BD	SOIC-8	30	20	500	2	TTL	18	0,73	0,553	0,484	0,422
595-SN75453BP	SN75453BP	PDIP-8	30	20	500	2	TTL	18	0,65	0,503	0,44	0,383
595-SN75454BP	SN75454BP	PDIP-8	30	20	500	2	TTL	27	0,65	0,503	0,44	0,383
595-SN75462P	SN75462P	PDIP-8	35	30	500	2	TTL	45	1,08	0,866	0,759	0,666
595-SN75463P	SN75463P	PDIP-8	35	30	500	2	TTL	30	1,36	1,10	0,99	0,875
595-L293DNE	L293DNE	PDIP 16	36	36	1200	4	TTL	800	3,09	2,52	2,27	1,91
595-L293NE	L293NE	PDIP 16	36	36	2000	4	TTL	800	2,85	2,29	2,09	1,88
595-SN754410NE	SN754410NE	PDIP 16	36	36	2000	4	CMOS, TTL	800	1,90	1,53	1,37	1,22
595-ULN2003AIDR	ULN2003AIDR	SOIC-16	50	0,02	500	7	CMOS, TTL	250	0,60	0,419	0,359	0,31
595-ULN2003AIN	ULN2003AIN	PDIP 16	50	0,02	500	7	CMOS, TTL	250	0,55	0,404	0,352	0,305
595-ULN2003AIPWR	ULN2003AIPWR	TSSOP-16	50	0,02	500	7	CMOS, TTL	250	0,60	0,419	0,359	0,31
595-ULN2003AD	ULN2003AD	SOIC-16	50	50	500	7	CMOS, TTL	250	0,55	0,404	0,352	0,305
595-ULN2003ADRG3	ULN2003ADRG3	SOIC-16	50	50	500	7	CMOZ, TTL	250	0,52	0,365	0,313	0,27
595-ULN2003AN	ULN2003AN	PDIP 16	50	50	500	7	CMOS, TTL	250	0,47	0,347	0,297	0,257
595-ULN2004AD	ULN2004AD	SOIC-16	50	50	500	7	CMOS	250	0,55	0,404	0,352	0,305
595-ULN2004AN	ULN2004AN	PDIP 16	50	50	500	7	CMOS	250	0,47	0,347	0,297	0,257
595-ULN2803ADWR	ULN2803ADWR	SOIC-18	50	50	500	8	-	130	0,62	0,512	0,413	0,309
595-ULN2803AN	ULN2803AN	PDIP-18	50	50	500	8	-	130	1,08	0,85	0,771	0,671
595-DS3680D	DS3680D	SOIC-14	60	60	100	4	CMOS, TTL	1000	0,96	0,759	0,671	0,589
595-DS3680N	DS3680N	PDIP 14 broches	60	60	100	4	CMOS, TTL	1000	0,95	0,751	0,678	0,59
595-SN75437ANE	SN75437ANE	PDIP 16	70	35	750	4	CMOS, TTL	1950	2,18	1,82	1,45	1,18
595-SN75471P	SN75471P	PDIP-8	70	55	500	2	TTL	30	0,78	0,602	0,528	0,46
595-SN75472P	SN75472P	PDIP-8	70	55	500	2	TTL	45	0,65	0,503	0,44	0,383
595-SN75468D	SN75468D	SOIC-16	100	50	500	7	CMOS, TTL	250	0,87	0,685	0,616	0,536
595-SN75468N	SN75468N	PDIP 16	100	50	500	7	CMOS, TTL	250	0,77	0,611	0,55	0,479
595-SN75469N	SN75469N	PDIP 16	100	50	500	7	CMOS	250	0,65	0,503	0,44	0,383
595-SN75477DR	SN75477DR	SOIC-8	100	55	500	2	CMOS, TTL	200	0,71	0,553	0,489	0,424
595-SN75477P	SN75477P	PDIP-8	100	55	500	2	CMOS, TTL	200	0,65	0,503	0,44	0,383

PONTS PCI TEXAS INSTRUMENTS

Pour des quantités supérieures à celles indiquées, appelez-nous afin d'obtenir un devis.

RÉF. STOCK MOUSER	RÉF. TI	Boîtier	Réf. compatible Intel	Vitesse (MHz)	Interface d'expansion (Bits)	Maintenance à chaud	Tension d'alimentation	Prix unitaire			
								1	25	100	250
595-PCI2050BIGHK	PCI2050BIGHK	BGA MICROSTAR-257	21150bc	66	32	Facile	3,3 ; 5	17,04	14,49	13,44	12,35
595-PCI2050BIPDV	PCI2050BIPDV	LQFP-208	21150bc	66	32	Facile	3,3 ; 5	17,04	14,49	13,44	12,35
595-PCI2050BPDV	PCI2050BPDV	LQFP-208	21150bc	66	32	Facile	3,3 ; 5	17,04	14,33	13,17	12,00
595-PCI2050BZHK	PCI2050BZHK	BGA MICROSTAR-257	21150bc	66	32	Facile	3,3 ; 5	17,04	14,33	13,17	12,00

© Copyright 2012 Mouser Electronics
© Copyright 2012 Mouser Electronics

Les produits peuvent être conformes à la directive RoHS.
Consulter le site mouser.com pour vérifier la conformité RoHS.

PCI-EXPRESS

Points finaux PCIe

Pour des quantités supérieures à celles indiquées, appelez-nous afin d'obtenir un devis.

RÉF. STOCK MOUSER	Réf. TI	Boîtier	1394a	Vitesse (Max)(Mbps)	FIFO (mb)	Tension d'alimentation	Prix unitaire			
							1	25	100	250
595-XIO2200AGGW	XIO2200AGGW	BGA MICROSTAR-176	Oui	400	9	1,5 ; 3,3	16,86	14,18	13,03	11,88
595-XIO2200AZHH	XIO2200AZHH	BGA MICROSTAR-175	Oui	400	9	1,5 ; 3,3	16,86	14,18	13,03	11,88

PHY PCIe

Pour des quantités supérieures à celles indiquées, appelez-nous afin d'obtenir un devis.

RÉF. STOCK MOUSER	Réf. TI	Boîtier	Tension d'alimentation (VCC) (nom)	PCIe	Largeur du bus parallèle	Vitesse (Max) (Gbps)	Prix unitaire			
							1	25	100	250
595-XIO1100GGB	XIO1100GGB	BGA-100	1,5 ; 1,8 ; 3,3	X1	16, 8	2,5	9,08	7,63	7,01	6,39
595-XIO1100ZGB	XIO1100ZGB	BGA-100	1,5 ; 1,8 ; 3,3	X1	16, 8	2,5	9,08	7,63	7,01	6,39

Redirecteur/égaliseur PCIe

Pour des quantités supérieures à celles indiquées, appelez-nous afin d'obtenir un devis.

RÉF. STOCK MOUSER	Réf. TI	Boîtier	Voies	I_{CC} (Max.) (mA)	Puissance en mode veille (mW)	Vitesse (Max) (Gbps)	Prix unitaire			
							1	25	100	250
595-SN65LVPE504RUAR	SN65LVPE504RUAR	WQFN-42	4	220	7	5	9,74	8,25	7,61	6,98

RS-232

Pour des quantités supérieures à celles indiquées, appelez-nous afin d'obtenir un devis.

RÉF. STOCK MOUSER	Réf. TI	Boîtier	Débit de données (kbps)	Pilote par boîtier	Récepteurs par boîtier	ESD HBM (kV)	Tension d'alimentation	ICC (Max.) (mA)	Prix unitaire			
									1	25	100	250
595-SN75155D	SN75155D	SOIC-8	120	1	1	2	-12	14	1,36	1,07	0,965	0,842
595-SN75155P	SN75155P	PDIP-8	120	1	1	2	-12	14	1,14	0,908	0,799	0,701
595-MAX202CDR	MAX202CDR	SOIC-16	120	2	2	15	5	15	0,92	0,726	0,66	0,574
595-MAX202CDWR	MAX202CDWR	SOIC-16	120	2	2	15	5	15	0,92	0,726	0,66	0,574
595-MAX202ID	MAX202ID	SOIC-16	120	2	2	15	5	15	0,89	0,734	0,594	0,446
595-MAX202IDWR	MAX202IDWR	SOIC-16	120	2	2	15	5	15	0,92	0,726	0,66	0,574
595-MAX202IPW	MAX202IPW	TSSOP 16	120	2	2	15	5	15	0,89	0,734	0,594	0,446
595-MAX222IDWR	MAX222IDWR	SOIC-18	120	2	2	15	5	10	2,00	1,53	1,39	1,25
595-MAX232D	MAX232D	SOIC-16	120	2	2	2	5	10	1,04	0,825	0,728	0,639
595-MAX232DW	MAX232DW	SOIC-16	120	2	2	2	5	10	1,04	0,825	0,728	0,639
595-MAX232ID	MAX232ID	SOIC-16	120	2	2	2	5	10	1,04	0,825	0,728	0,639
595-MAX232IDW	MAX232IDW	SOIC-16	120	2	2	2	5	10	1,04	0,825	0,728	0,639
595-MAX232IN	MAX232IN	PDIP 16	120	2	2	2	5	10	1,03	0,817	0,735	0,639
595-MAX232N	MAX232N	PDIP 16	120	2	2	2	5	10	1,03	0,817	0,735	0,639
595-MAX232NSR	MAX232NSR	SO-16	120	2	2	2	5	10	1,01	0,80	0,726	0,632
595-MAX232ECN	MAX232ECN	PDIP 16	120	2	2	±15	5	10	1,11	0,883	0,776	0,475
595-SN75150P	SN75150P	PDIP-8	120	2	-	2	-12	22	1,14	0,908	0,799	0,701
595-SN75C1406D	SN75C1406D	SOIC-16	120	3	3	2	±12, 5	0,45	1,71	1,32	1,20	1,07
595-SN75C1406DW	SN75C1406DW	SOIC-16	120	3	3	2	±12, 5	0,45	1,53	1,24	1,11	0,99
595-SN75C1406N	SN75C1406N	PDIP 16	120	3	3	2	±12, 5	0,45	1,57	1,20	1,10	0,982
595-TL145406DW	TL145406DW	SOIC-16	120	3	3	2	±12, 5	20	1,77	1,42	1,28	1,14
595-TL145406N	TL145406N	PDIP 16	120	3	3	2	±12, 5	20	1,86	1,43	1,30	1,16
595-GD75232DBR	GD75232DBR	SSOP-20	120	3	5	-	±9, 5	30	0,73	0,561	0,498	0,432
595-GD75232DW	GD75232DW	SOIC-20	120	3	5	-	±9, 5	30	0,66	0,503	0,453	0,32
595-GD75232PWR	GD75232PWR	TSSOP-20	120	3	5	-	±9, 5	30	0,68	0,525	0,463	0,309
595-SN75185DB	SN75185DB	SSOP-20	120	3	5	10	±12, 5	30	0,82	0,627	0,55	0,479
595-SN75185DW	SN75185DW	SOIC-20	120	3	5	10	±12, 5	30	0,79	0,635	0,559	0,491
595-SN75185N	SN75185N	PDIP-20	120	3	5	10	±12, 5	30	0,71	0,569	0,499	0,438
595-SN75C185DW	SN75C185DW	SOIC-20	120	3	5	2	±12, 5	0,75	1,92	1,54	1,39	1,24
595-SN75C185N	SN75C185N	PDIP-20	120	3	5	2	±12, 5	0,75	1,77	1,42	1,28	1,14
595-SN75LBC187DBR	SN75LBC187DBR	SSOP-28	120	3	5	-	5	30	5,87	4,79	4,30	3,91
595-MAX208CDBR	MAX208CDBR	SSOP 24	120	4	4	15	5	20	2,14	1,65	1,49	1,34
595-MAX208CDWR	MAX208CDWR	SOIC-24	120	4	4	15	5	20	2,00	1,53	1,39	1,25
595-MAX211CDBR	MAX211CDBR	SSOP-28	120	4	5	15	5	20	2,00	1,53	1,39	1,25
595-MAX211CDW	MAX211CDW	SOIC-28	120	4	5	15	5	20	2,17	1,67	1,51	1,24
595-MAX211IDBR	MAX211IDBR	SSOP-28	120	4	5	15	5	20	2,00	1,53	1,39	1,25
595-SN75188D	SN75188D	SOIC-14	120	4	-	2	-9	25	0,50	0,363	0,318	0,276
595-SN75188N	SN75188N	PDIP 14 broches	120	4	-	2	-9	25	0,45	0,347	0,297	0,198
595-SN75C188D	SN75C188D	SOIC-14	120	4	-	2	-12	0,16	0,74	0,553	0,506	0,357
595-SN75C188N	SN75C188N	PDIP 14 broches	120	4	-	2	-12	0,16	0,69	0,528	0,46	0,40
595-MAX207CDBR	MAX207CDBR	SSOP 24	120	5	3	15	5	20	2,00	1,53	1,39	1,25
595-SN75196DW	SN75196DW	SOIC-20	120	5	3	10	±12, 5	20	1,20	0,957	0,833	0,736
595-SN75LV4737ADBR	SN75LV4737ADBR	SSOP-28	128	3	5	4	3 ou 5	20,7	4,16	3,34	3,04	2,75
595-MAX3221CDB	MAX3221CDB	SSOP 16	250	1	1	15	3,3 ; 5	1	2,17	1,67	1,51	1,24
595-MAX3221CPW	MAX3221CPW	TSSOP 16	250	1	1	15	3,3 ; 5	1	2,02	1,56	1,41	1,27
595-MAX3221IDBR	MAX3221IDBR	SSOP 16	250	1	1	15	3,3 ; 5	1	1,88	1,44	1,31	1,18
595-MAX3221IPW	MAX3221IPW	TSSOP 16	250	1	1	15	3,3 ; 5	1	2,17	1,67	1,51	1,24
595-MAX3223CDBR	MAX3223CDBR	SSOP-20	250	2	2	15	3,3 ; 5	1	2,31	1,78	1,62	1,45
595-MAX3223CDWR	MAX3223CDWR	SOIC-20	250	2	2	15	3,3 ; 5	1	2,00	1,53	1,39	1,25
595-MAX3223CPWR	MAX3223CPWR	TSSOP-20	250	2	2	15	3,3 ; 5	1	2,00	1,53	1,39	1,25
595-MAX3223IDB	MAX3223IDB	SSOP-20	250	2	2	15	3,3 ; 5	1	2,43	1,96	1,76	1,57
595-MAX3223IDWR	MAX3223IDWR	SOIC-20	250	2	2	15	3,3 ; 5	1	2,28	1,76	1,59	1,43
595-MAX3223IPWR	MAX3223IPWR	TSSOP-20	250	2	2	15	3,3 ; 5	1	2,28	1,76	1,59	1,43
595-MAX3243CDB	MAX3243CDB	SSOP-28	250	3	5	15	3,3 ; 5	1	2,14	1,65	1,49	1,34

© Copyright 2012 Mouser Electronics

© Copyright 2012 Mouser Electronics

CI analogiques TEXAS INSTRUMENTS

Les produits peuvent être conformes à la directive RoHS.
Consulter le site mouser.com pour vérifier la conformité RoHS.

RS-232 TEXAS INSTRUMENTS

Pour des quantités supérieures à celles indiquées, appelez-nous afin d'obtenir un devis.

RÉF. STOCK MOUSER	Réf. TI	Boîtier	Débit de données (kbps)	Pilote par boîtier	Récepteurs par boîtier	DES HBM (kV)	Tension d'alimentation	ICC (max.) (mA)	Prix unitaire			
									1	25	100	250
595-MAX3243CDW	MAX3243CDW	SOIC-28	250	3	5	15	3,3 ; 5	1	2,00	1,53	1,39	1,25
595-MAX3243CPW	MAX3243CPW	TSSOP-28	250	3	5	15	3,3 ; 5	1	2,00	1,53	1,39	1,25
595-MAX3243IDBR	MAX3243IDBR	SSOP-28	250	3	5	15	3,3 ; 5	1	1,86	1,43	1,30	1,16
595-MAX3243IDWR	MAX3243IDWR	SOIC-28	250	3	5	15	3,3 ; 5	1	1,86	1,43	1,30	1,16
595-MAX3243IPWR	MAX3243IPWR	TSSOP-28	250	3	5	15	3,3 ; 5	1	1,86	1,43	1,30	1,16
595-MAX3221ECDB	MAX3221ECDB	SSOP 16	250	-	-	±15	-	1	2,02	1,56	1,41	1,27
595-MAX3221ECPW	MAX3221ECPW	TSSOP 16	250	-	-	±15	-	1	2,02	1,56	1,41	1,27
595-MAX3221EIDB	MAX3221EIDB	SSOP 16	250	-	-	±15	-	1	1,86	1,49	1,11	0,99
595-MAX3221EIPW	MAX3221EIPW	TSSOP-16	250	-	-	±15	-	1	2,17	1,67	1,51	1,24
595-SN75LP1185DBR	SN75LP1185DBR	SSOP-20	256	3	5	15	5, ±12	1	2,69	2,19	1,97	1,79
595-SN75LP1185DW	SN75LP1185DW	SOIC-20	256	3	5	15	5, ±12	1	2,23	1,78	1,39	1,31
595-MAX3318CDB	MAX3318CDB	SSOP-20	460	2	2	15	2,25 ; 3	2	4,33	3,47	2,77	2,31
595-MAX3318CPW	MAX3318CPW	TSSOP-20	460	2	2	15	2,25 ; 3	2	4,33	3,47	2,77	2,31
595-MAX3318IDB	MAX3318IDB	SSOP-20	460	2	2	15	2,25 ; 3	2	2,85	2,29	2,09	1,88
595-MAX3318IPW	MAX3318IPW	TSSOP-20	460	2	2	15	2,25 ; 3	2	2,85	2,29	2,09	1,88
595-MAX3318ECDBR	MAX3318ECDBR	SSOP-20	460	2	2	15	2,25 ; 3	1	2,57	1,98	1,79	1,61
595-MAX3318ECPWR	MAX3318ECPWR	TSSOP-20	460	2	2	15	2,25 ; 3	1	2,57	1,98	1,79	1,61
595-MAX3318EIDBR	MAX3318EIDBR	SSOP-20	460	2	2	15	2,25 ; 3	1	2,57	2,10	1,88	1,71
595-MAX3318EIPWR	MAX3318EIPWR	TSSOP-20	460	2	2	15	2,25 ; 3	1	2,57	2,10	1,88	1,71
595-MAX3243ECDB	MAX3243ECDB	SSOP-28	500	3	5	15	3,3 ; 5	1	2,00	1,53	1,39	1,25
595-MAX3243ECDW	MAX3243ECDW	SOIC-28	500	3	5	15	3,3 ; 5	1	2,00	1,53	1,39	1,25
595-MAX3243ECPW	MAX3243ECPW	TSSOP-28	500	3	5	15	3,3 ; 5	1	2,00	1,53	1,39	1,25
595-MAX3243ECRHBR	MAX3243ECRHBR	QFN-32	500	3	5	15	3,3 ; 5	1	1,13	0,908	0,681	0,635
595-MAX3243EIDB	MAX3243EIDB	SSOP-28	500	3	5	15	3,3 ; 5	1	2,14	1,65	1,49	1,34
595-MAX3243EIDW	MAX3243EIDW	SOIC-28	500	3	5	15	3,3 ; 5	1	2,14	1,65	1,49	1,34
595-MAX3243EIPW	MAX3243EIPW	TSSOP-28	500	3	5	15	3,3 ; 5	1	2,14	1,65	1,49	1,34
595-MAX3243EIRHBR	MAX3243EIRHBR	QFN-32	500	3	5	15	3,3 ; 5	1	1,86	1,43	1,30	1,16
595-MAX3223EIDB	MAX3223EIDB	SSOP-20	500	-	2	±15	5 / 3,3	10	2,43	1,96	1,76	1,57
595-MAX3223EIPWR	MAX3223EIPWR	TSSOP-20	500	-	2	±15	5 / 3,3	10	2,28	1,76	1,59	1,43
595-SN65C3221DBR	SN65C3221DBR	SSOP 16	1000	1	1	15	3,3 ou 5	1	2,43	1,86	1,69	1,52
595-SN65C3221PW	SN65C3221PW	TSSOP-16	1000	1	1	15	3,3 ou 5	1	2,71	2,09	1,90	1,70
595-SN75C3221DBR	SN75C3221DBR	SSOP 16	1000	1	1	15	3,3 ou 5	1	2,28	1,76	1,59	1,43
595-SN75C3221PW	SN75C3221PW	TSSOP-16	1000	1	1	15	3,3 ou 5	1	2,18	1,75	1,58	1,40
595-SN65C3222DWR	SN65C3222DWR	SOIC-20	1000	2	2	-	3,3 ou 5	1	2,57	1,98	1,79	1,61
595-SN65C3223DBR	SN65C3223DBR	SSOP-20	1000	2	2	15	3,3 ou 5	1	2,44	2,00	1,79	1,63
595-SN65C3223PWR	SN65C3223PWR	TSSOP-20	1000	2	2	15	3,3 ou 5	1	2,57	1,98	1,79	1,61
595-SN65C3232DWR	SN65C3232DWR	SOIC-16	1000	2	2	15	3,3 ou 5	1	2,28	1,76	1,59	1,43
595-SN65C3232PWR	SN65C3232PWR	TSSOP-16	1000	2	2	15	3,3 ou 5	1	2,28	1,76	1,59	1,43
595-SN65C3232ED	SN65C3232ED	SOIC-16	1000	2	2	±15	-	1	2,57	1,98	1,79	1,61
595-SN65C3232EDB	SN65C3232EDB	SSOP 16	1000	2	2	±15	-	1	2,57	1,98	1,79	1,61
595-SN65C3232EDR	SN65C3232EDR	SOIC-16	1000	2	2	±15	-	1	2,14	1,65	1,49	1,34
595-SN65C3232EDW	SN65C3232EDW	SOIC-16	1000	2	2	±15	-	1	2,57	1,98	1,79	1,61
595-SN65C3232EPW	SN65C3232EPW	TSSOP-16	1000	2	2	±15	-	1	2,57	1,98	1,79	1,61
595-SN75C3222DWR	SN75C3222DWR	SOIC-20	1000	2	2	-	3,3 ou 5	1	2,28	1,76	1,59	1,43
595-SN75C3232DBR	SN75C3232DBR	SSOP 16	1000	2	2	15	3,3 ou 5	1	2,28	1,76	1,59	1,43
595-SN75C3232DR	SN75C3232DR	SOIC-16	1000	2	2	15	3,3 ou 5	1	2,00	1,53	1,39	1,25
595-SN75C3232PWR	SN75C3232PWR	TSSOP-16	1000	2	2	15	3,3 ou 5	1	2,00	1,53	1,39	1,25
595-SN75C3232ED	SN75C3232ED	SOIC-16	1000	2	2	±15	-	1	2,57	1,98	1,79	1,61
595-SN75C3232EDB	SN75C3232EDB	SSOP 16	1000	2	2	±15	-	1	2,57	1,98	1,79	1,61
595-SN75C3232EDW	SN75C3232EDW	SOIC-16	1000	2	2	±15	-	1	2,57	1,98	1,79	1,61
595-SN75C3232EPW	SN75C3232EPW	TSSOP-16	1000	2	2	±15	-	1	2,57	1,98	1,79	1,61
595-SN65C3243DBR	SN65C3243DBR	SSOP-28	1000	3	5	15	3,3 ou 5	1	2,69	2,19	1,97	1,79
595-SN65C3243PWR	SN65C3243PWR	TSSOP-28	1000	3	5	15	3,3 ou 5	1	2,83	2,18	1,97	1,77
595-SN75C3243PWR	SN75C3243PWR	TSSOP-28	1000	3	5	15	3,3 ou 5	1	2,69	2,19	1,97	1,79
595-SN65C3238DWR	SN65C3238DWR	SOIC-28	1000	5	3	15	3,3 ou 5	2	2,83	2,18	1,97	1,77
595-SN65C3238PWR	SN65C3238PWR	TSSOP-28	1000	5	3	15	3,3 ou 5	2	2,83	2,18	1,97	1,77
595-SN75C3238DBR	SN75C3238DBR	SSOP-28	1000	5	3	15	3,3 ou 5	2	2,83	2,18	1,97	1,77
595-SN75C3238DW	SN75C3238DW	SOIC-28	1000	5	3	15	3,3 ou 5	2	2,69	2,19	1,97	1,79

RS-422 TEXAS INSTRUMENTS

Pour des quantités supérieures à celles indiquées, appelez-nous afin d'obtenir un devis.

RÉF. STOCK MOUSER	Réf. TI	Boîtier	Pilotes par boîtier	Récepteurs par boîtier	Tension d'alimentation	DES (kV)	Vitesse de signalisation (Mbps)	ICC (max.) (mA)	Prix unitaire			
									1	25	100	250
595-AM26C31CD	AM26C31CD	SOIC-16	4	-	5	2	10	3	0,94	0,792	0,759	0,546
595-AM26C31CN	AM26C31CN	PDIP 16	4	-	5	2	10	3	1,00	0,809	0,711	0,624
595-AM26C31ID	AM26C31ID	SOIC-16	4	-	5	2	10	3	1,04	0,809	0,616	0,55
595-AM26C31IN	AM26C31IN	PDIP 16	4	-	5	2	10	3	1,09	0,883	0,776	0,673
595-AM26C31QD	AM26C31QD	SOIC-16	4	-	5	2	10	3	1,22	0,974	0,85	0,748
595-AM26C32CD	AM26C32CD	SOIC-16	-	4	5	2	10	15	1,09	0,875	0,766	0,673
595-AM26C32CN	AM26C32CN	PDIP 16	-	4	5	2	10	15	1,00	0,80	0,703	0,617
595-AM26C32ID	AM26C32ID	SOIC-16	-	4	5	2	10	15	1,04	0,809	0,616	0,55
595-AM26C32IDR	AM26C32IDR	SOIC-16	-	4	5	2	10	15	0,87	0,726	0,581	0,523
595-AM26C32IN	AM26C32IN	PDIP 16	-	4	5	2	10	15	1,11	0,883	0,776	0,475
595-AM26C32QD	AM26C32QD	SOIC-16	-	4	5	2	10	15	1,22	0,974	0,85	0,748
595-AM26LS31CD	AM26LS31CD	SOIC-16	4	-	5	2	10	80	0,74	0,619	0,495	0,371
595-AM26LS31CDR	AM26LS31CDR	SOIC-16	4	-	5	2	10	80	0,61	0,503	0,413	0,309
595-AM26LS31CN	AM26LS31CN	PDIP 16	4	-	5	2	10	80	0,95	0,751	0,678	0,59
595-AM26LS32ACD	AM26LS32ACD	SOIC-16	-	4	5	2	10	70	0,74	0,619	0,495	0,371
595-AM26LS32ACDR	AM26LS32ACDR	SOIC-16	-	4	5	2	10	70	0,62	0,512	0,413	0,309
595-AM26LS32ACN	AM26LS32ACN	PDIP 16	-	4	5	2	10	70	0,73	0,578	0,505	0,309

© Copyright 2012 Mouser Electronics
© Copyright 2012 Mouser Electronics

RS-422 TEXAS INSTRUMENTS (SUITE)

Pour des quantités supérieures à celles indiquées, appelez-nous afin d'obtenir un devis.

RÉF. STOCK MOUSER	Réf. TI	Boîtier	Pilotes par boîtier	Récepteurs par boîtier	Tension d'alimentation	DES (kV)	Vitesse de signalisation (Mbps)	ICC (Max.) (mA)	Prix unitaire			
									1	25	100	250
595-AM26LV31CD	AM26LV31CD	SOIC-16	4	-	3,3	-	-	0,1	1,11	0,891	0,792	0,69
595-AM26LV31ESDREP	AM26LV31ESDREP	SOIC-16	4	-	3.3	15	32	0,1	2,28	1,76	1,59	1,43
595-AM26LS32ACNE4	AM26LS32ACNE4	PDIP 16	-	4	5	2	10	70	0,73	0,619	0,516	0,309
595-AM26LS32AIDR	AM26LS32AIDR	SOIC-16	-	4	5	2	10	70	0,95	0,751	0,678	0,59
595-AM26LS32AINE4	AM26LS32AINE4	PDIP 16	-	4	5	2	10	70	0,83	0,611	0,463	0,342
595-AM26LS33ACD	AM26LS33ACD	SOIC-16	-	4	5	-	-	70	0,76	0,61	0,533	0,414
595-AM26LS33ACDR	AM26LS33ACDR	SOIC-16	-	4	5	-	-	70	0,78	0,602	0,538	0,466
595-AM26LS33ACN	AM26LS33ACN	PDIP 16	-	4	5	-	-	70	0,80	0,619	0,539	0,332
595-AM26LV32CD	AM26LV32CD	SOIC-16	-	4	3,3	2	10	17	1,18	0,982	0,792	0,593
595-AM26LV32CDR	AM26LV32CDR	SOIC-16	-	4	3,3	2	10	17	0,99	0,825	0,66	0,495
595-AM26LV32INSR	AM26LV32INSR	SO-16	-	4	3,3	2	10	17	1,36	1,07	0,965	0,842
595-MC3486D	MC3486D	SOIC-16	-	4	5	2	10	85	0,97	0,776	0,679	0,596
595-MC3486DR	MC3486DR	SOIC-16	-	4	5	2	10	85	0,86	0,685	0,616	0,536
595-MC3486N	MC3486N	PDIP 16	-	4	5	2	10	85	0,88	0,701	0,615	0,54
595-MC3487D	MC3487D	SOIC-16	4	-	5	2	10	85	0,97	0,776	0,679	0,596
595-MC3487DR	MC3487DR	SOIC-16	4	-	5	2	10	85	0,86	0,685	0,616	0,536
595-SN65ALS180DR	SN65ALS180DR	SOIC-14	1	1	5	2	25	30	2,83	2,18	1,97	1,77
595-SN751177N	SN751177N	PDIP 16	2	2	5	2	10	110	2,27	1,83	1,65	1,46
595-SN75157D	SN75157D	SOIC-8	-	2	5	2	-	50	2,57	2,10	1,88	1,71
595-SN75157P	SN75157P	PDIP-8	-	2	5	2	-	50	2,66	2,13	1,94	1,75
595-SN75158D	SN75158D	SOIC-8	2	-	5	2	-	50	2,27	1,77	1,37	1,25
595-SN75158P	SN75158P	PDIP-8	2	-	5	2	-	50	2,57	2,13	1,77	1,67
595-SN75172DWR	SN75172DWR	SOIC-20	4	-	5	2	4	60	2,28	1,76	1,59	1,43
595-SN75172N	SN75172N	PDIP 16	4	-	5	2	4	60	2,27	1,83	1,65	1,46
595-SN75173D	SN75173D	SOIC-16	-	4	5	2	10	70	2,31	1,86	1,69	1,53
595-SN75173DR	SN75173DR	SOIC-16	-	4	5	2	10	70	2,28	1,76	1,59	1,43
595-SN75173N	SN75173N	PDIP 16	-	4	5	2	10	70	2,27	1,83	1,65	1,46
595-SN75174DW	SN75174DW	SOIC-20	4	-	5	2	4	60	2,31	1,86	1,69	1,53
595-SN75174DWR	SN75174DWR	SOIC-20	4	-	5	2	4	60	2,28	1,76	1,59	1,43
595-SN75174N	SN75174N	PDIP 16	4	-	5	2	4	60	2,31	1,86	1,69	1,53
595-SN75175D	SN75175D	SOIC-16	-	4	5	2	10	70	2,31	1,86	1,69	1,53
595-SN75175DR	SN75175DR	SOIC-16	-	4	5	2	10	70	2,28	1,76	1,59	1,43
595-SN75175N	SN75175N	PDIP 16	-	4	5	2	10	70	2,60	2,00	1,82	1,63
595-SN75176AD	SN75176AD	SOIC-8	1	1	5	2	10	50	0,59	0,495	0,396	0,363
595-SN75176ADR	SN75176ADR	SOIC-8	1	1	5	2	10	50	0,66	0,503	0,44	0,383
595-SN75176AP	SN75176AP	PDIP-8	1	1	5	2	10	50	0,73	0,553	0,484	0,422
595-SN75176BD	SN75176BD	SOIC-8	1	1	5	2	10	70	0,59	0,495	0,396	0,363
595-SN75176BDR	SN75176BDR	SOIC-8	1	1	5	2	10	70	0,66	0,503	0,44	0,383
595-SN75176BP	SN75176BP	PDIP-8	1	1	5	2	10	70	0,73	0,553	0,484	0,422
595-SN75178BP	SN75178BP	PDIP-8	1	1	5	2	10	70	2,74	2,19	2,00	1,81
595-SN75179BD	SN75179BD	SOIC-8	1	1	5	2	10	70	1,57	1,20	1,10	0,982
595-SN75179BDR	SN75179BDR	SOIC-8	1	1	5	2	10	70	1,22	0,982	0,858	0,753
595-SN75179BP	SN75179BP	PDIP-8	1	1	5	2	10	70	1,16	0,965	0,78	0,704
595-SN75ALS1177N	SN75ALS1177N	PDIP 16	2	2	5	2	10	50	4,11	3,30	3,00	2,71
595-SN75ALS1178N	SN75ALS1178N	PDIP 16	2	2	5	2	10	50	4,11	3,30	3,00	2,71
595-SN75ALS172ADW	SN75ALS172ADW	SOIC-20	4	-	5	2	20	55	4,04	3,24	2,95	2,66
595-SN75ALS176D	SN75ALS176D	SOIC-8	1	1	5	2	35	30	1,90	1,53	1,37	1,22
595-SN75ALS176DR	SN75ALS176DR	SOIC-8	1	1	5	2	35	30	1,86	1,43	1,30	1,16
595-SN75ALS176P	SN75ALS176P	PDIP-8	1	1	5	2	35	30	2,00	1,53	1,39	1,25
595-SN75ALS176BD	SN75ALS176BD	SOIC-8	1	1	5	2	35	30	2,18	1,75	1,58	1,40
595-SN75ALS176BDR	SN75ALS176BDR	SOIC-8	1	1	5	2	35	30	2,00	1,53	1,39	1,25
595-SN75ALS176BP	SN75ALS176BP	PDIP-8	1	1	5	2	35	30	2,02	1,63	1,46	1,30
595-SN75ALS180D	SN75ALS180D	SOIC-14	1	1	5	2	25	30	2,69	2,19	1,97	1,79
595-SN75ALS180DR	SN75ALS180DR	SOIC-14	1	1	5	2	25	30	2,50	2,01	1,82	1,61
595-SN75ALS180N	SN75ALS180N	PDIP-14	1	1	5	2	25	30	2,69	2,19	1,97	1,79
595-SN75ALS181N	SN75ALS181N	PDIP-14	1	1	5	2	10	30	2,27	1,83	1,65	1,46
595-SN75ALS181NSR	SN75ALS181NSR	SO-14	1	1	5	2	10	30	2,57	1,98	1,79	1,61
595-SN75ALS191D	SN75ALS191D	SOIC-8	2	-	5	2	20	40	1,76	1,39	1,04	0,924
595-SN75ALS191P	SN75ALS191P	PDIP-8	2	-	5	2	20	40	1,92	1,54	1,39	1,24
595-SN75ALS191PSR	SN75ALS191PSR	SO-8	2	-	5	2	20	40	1,86	1,43	1,30	1,16
595-SN75ALS192D	SN75ALS192D	SOIC-16	4	-	5	2	20	45	0,78	0,602	0,528	0,46
595-SN75ALS192DR	SN75ALS192DR	SOIC-16	4	-	5	2	20	45	0,71	0,553	0,489	0,424
595-SN75ALS193D	SN75ALS193D	SOIC-16	-	4	5	2	20	35	0,59	0,437	0,40	0,281
595-SN75ALS193N	SN75ALS193N	PDIP 16	-	4	5	2	20	35	0,55	0,413	0,363	0,316
595-SN75ALS194DR	SN75ALS194DR	SOIC-16	4	-	5	2	20	45	1,42	1,12	1,01	0,875
595-SN75ALS194N	SN75ALS194N	PDIP 16	4	-	5	2	20	45	1,39	1,11	1,01	0,891
595-SN75ALS195N	SN75ALS195N	PDIP 16	-	4	5	2	20	35	2,57	1,98	1,79	1,61
595-SN75C1167DBR	SN75C1167DBR	SSOP 16	2	2	5	2	10	9	1,42	1,10	0,998	0,891
595-SN75C1167N	SN75C1167N	PDIP 16	2	2	5	2	10	9	1,39	1,11	1,01	0,891
595-SN75C1167NSR	SN75C1167NSR	SO-16	2	2	5	2	10	9	1,57	1,20	1,10	0,982
595-SN75C1168N	SN75C1168N	PDIP 16	2	2	5	2	10	9	1,51	1,22	1,10	0,974
595-SN75C1168NSR	SN75C1168NSR	SO-16	2	2	5	2	10	9	1,71	1,32	1,20	1,07
595-SN75C1168PWR	SN75C1168PWR	TSSOP-16	2	2	5	2	10	9	1,57	1,20	1,10	0,982
595-TL3695DR	TL3695DR	SOIC-8	1	1	5	2	10	50	1,57	1,20	1,10	0,982
595-UA9637ACD	UA9637ACD	SOIC-8	-	2	5	2	10	50	0,97	0,776	0,679	0,596
595-UA9637ACDR	UA9637ACDR	SOIC-8	-	2	5	2	10	50	0,86	0,685	0,616	0,536
595-UA9637ACP	UA9637ACP	PDIP-8	-	2	5	2	10	50	0,88	0,701	0,615	0,54
595-UA9638CDE4	UA9638CDE4	SOIC-8	2	-	5	2	15	65	0,59	0,454	0,396	0,345
595-UA9638CDR	UA9638CDR	SOIC-8	2	-	5	2	15	65	0,54	0,413	0,366	0,318
595-UA9638CP	UA9638CP	PDIP-8	2	-	5	2	15	65	0,54	0,413	0,363	0,316

© Copyright 2012 Mouser Electronics

© Copyright 2012 Mouser Electronics

CI analogiques TEXAS INSTRUMENTS

Texas Instruments

Les produits peuvent être conformes à la directive RoHS.
Consulter le site mouser.com pour vérifier la conformité RoHS.

RS-485 TEXAS INSTRUMENTS

Pour des quantités supérieures à celles indiquées, appelez-nous afin d'obtenir un devis.

RÉF. STOCK MOUSER	Réf. TI	Boîtier	Pilotes par boîtier	Récepteurs par boîtier	Tension d'alimentation	DES (kV)	Vitesse de signalisation (Mbps)	ICC (max.) (mA)	Sécurité intégrée	Nombre de nœuds	Prix unitaire			
											1	25	100	250
595-SN65HVD33DR	SN65HVD33DR	SOIC-14	1	1	3	16	25	2	Inactif, Ouvert, Court-circuit	64	3,28	2,67	2,40	2,18
595-SN65HVD34DR	SN65HVD34DR	SOIC-14	1	1	3	16	5	6,5	Inactif, Ouvert, Court-circuit	256	3,91	3,19	2,86	2,61
595-SN65HVD35DR	SN65HVD35DR	SOIC-14	1	1	3	16	1	6,5	Inactif, Ouvert, Court-circuit	256	2,98	2,43	2,19	1,99
595-SN65HVD10D	SN65HVD10D	SOIC-8	1	1	3,3	16	32	15,5	Ouvert, Court-circuit	64	3,10	2,24	1,86	1,61
595-SN65HVD11D	SN65HVD11D	SOIC-8	1	1	3,3	16	10	15,5	Ouvert, Court-circuit	256	3,23	2,52	1,96	1,77
595-SN65HVD11P	SN65HVD11P	PDIP-8	1	1	3,3	16	10	15,5	Ouvert, Court-circuit	256	3,23	2,52	1,96	1,77
595-SN65HVD11QD	SN65HVD11QD	SOIC-8	1	1	3,3	16	10	15,5	Ouvert, Court-circuit	256	5,25	4,21	3,84	3,46
595-SN65HVD12D	SN65HVD12D	SOIC-8	1	1	3,3	16	1	15,5	Ouvert, Court-circuit	256	3,30	2,65	2,42	2,18
595-SN75HVD12DR	SN75HVD12DR	SOIC-8	1	1	3,3	16	1	15,5	Inactif, Ouvert, Court-circuit	256	2,88	2,35	2,11	1,92
595-SN65HVD30DR	SN65HVD30DR	SOIC-8	1	1	3,3	16	25	2,1	Inactif, Ouvert, Court-circuit	64	3,28	2,67	2,40	2,18
595-SN65HVD31DR	SN65HVD31DR	SOIC-8	1	1	3,3	16	5	6,4	Inactif, Ouvert, Court-circuit	256	3,08	2,52	2,26	2,05
595-SN65HVD32DR	SN65HVD32DR	SOIC-8	1	1	3,3	16	1	6,4	Inactif, Ouvert, Court-circuit	256	2,98	2,43	2,19	1,99
595-SN75HVD10D	SN75HVD10D	SOIC-8	1	1	3,3	16	32	15,5	Ouvert, Court-circuit	64	3,74	3,04	2,74	2,49
595-SN75HVD12D	SN75HVD12D	SOIC-8	1	1	3,3	16	1	15,5	Ouvert, Court-circuit	256	3,23	2,52	1,96	1,77
595-SN75HVD12P	SN75HVD12P	PDIP-8	1	1	3,3	16	1	15,5	Ouvert, Court-circuit	256	3,23	2,52	1,96	1,77
595-SN65176BD	SN65176BD	SOIC-8	1	1	5	2	10	70	-	32	0,79	0,631	0,545	0,329
595-SN65176BP	SN65176BP	PDIP-8	1	1	5	2	10	70	-	32	0,78	0,602	0,538	0,466
595-SN65ALS176D	SN65ALS176D	SOIC-8	1	1	5	2	35	30	Ouvert	32	2,15	1,73	1,56	1,39
595-SN65HVD05D	SN65HVD05D	SOIC-8	1	1	5	16	40	15	Ouvert, Court-circuit	64	3,71	2,90	2,25	2,04
595-SN65HVD06D	SN65HVD06D	SOIC-8	1	1	5	16	10	15	Ouvert, Court-circuit	256	3,58	2,87	2,62	2,36
595-SN65HVD07D	SN65HVD07D	SOIC-8	1	1	5	16	1	15	Ouvert, Court-circuit	256	3,58	2,87	2,62	2,36
595-SN65HVD1176D	SN65HVD1176D	SOIC-8	1	1	5	10	40	6	Inactif, Ouvert, Court-circuit	160	3,63	2,90	2,18	2,03
595-SN65HVD21D	SN65HVD21D	SOIC-8	1	1	5	16	5	12	Ouvert, Court-circuit	256	3,93	3,15	2,87	2,59
595-SN65HVD22D	SN65HVD22D	SOIC-8	1	1	5	16	0,5	9	Ouvert, Court-circuit	256	3,93	3,15	2,87	2,59
595-SN65HVD22P	SN65HVD22P	PDIP-8	1	1	5	16	0,5	9	Ouvert, Court-circuit	256	3,93	3,15	2,87	2,59
595-SN65HVD23D	SN65HVD23D	SOIC-8	1	1	5	16	25	11	Ouvert, Court-circuit	64	5,02	4,03	3,67	3,32
595-SN65HVD24D	SN65HVD24D	SOIC-8	1	1	5	16	3	14	Ouvert, Court-circuit	256	5,08	4,08	3,72	3,36
595-SN65HVD3080EDGS	SN65HVD3080EDGS	MSOP-10	1	1	5	16	0,2	0,75	Oui	256	2,79	2,24	2,04	1,84
595-SN65HVD3082ED	SN65HVD3082ED	SOIC-8	1	1	5	15	0,2	0,9	Ouvert, Court-circuit	256	2,18	1,82	1,45	1,02
595-SN65HVD3082EP	SN65HVD3082EP	PDIP-8	1	1	5	15	0,2	0,9	Ouvert, Court-circuit	256	2,25	1,82	1,63	1,45
595-SN65HVD3085ED	SN65HVD3085ED	SOIC-8	1	1	5	15	1	0,9	Ouvert, Court-circuit	256	2,77	2,13	1,93	1,73
595-SN65HVD3086EDGS	SN65HVD3086EDGS	MSOP-10	1	1	5	16	20	0,75	Oui	256	3,17	2,55	2,32	2,10
595-SN65HVD485ED	SN65HVD485ED	SOIC-8	1	1	5	15	10	2	Ouvert	64	1,88	1,57	1,25	0,883
595-SN65HVD53DR	SN65HVD53DR	SOIC-14	1	1	5	16	25	2,7	Inactif, Ouvert, Court-circuit	64	5,38	4,39	3,94	3,58
595-SN65HVD55DR	SN65HVD55DR	SOIC-14	1	1	5	16	1	8	Inactif, Ouvert, Court-circuit	256	4,27	3,49	3,14	2,85
595-SN65HVD96D	SN65HVD96D	SOIC-8	1	1	5	12	5	20	Inactif, Ouvert, Court-circuit	32	2,39	1,90	1,59	1,53
595-SN65LBC176D	SN65LBC176D	SOIC-8	1	1	5	2	10	1,5	Ouvert	-	2,25	1,82	1,63	1,45
595-SN65LBC176P	SN65LBC176P	PDIP-8	1	1	5	2	10	1,5	Ouvert	-	2,25	1,82	1,63	1,45
595-SN65LBC176AD	SN65LBC176AD	SOIC-8	1	1	5	12	30	15	Ouvert	32	2,61	2,10	1,91	1,72
595-SN65LBC176AP	SN65LBC176AP	PDIP-8	1	1	5	12	30	15	Ouvert	32	2,31	1,86	1,66	1,47
595-SN65LBC179P	SN65LBC179P	PDIP-8	1	1	5	2	10	5	Ouvert	32	2,28	1,90	1,52	1,06
595-SN65LBC179AD	SN65LBC179AD	SOIC-8	1	1	5	10	30	15	Ouvert	32	2,33	1,87	1,71	1,53
595-SN65LBC180N	SN65LBC180N	PDIP-14	1	1	5	2	10	4	Ouvert	32	2,61	2,10	1,91	1,72
595-SN65LBC180RSAT	SN65LBC180RSAT	QFN-16	1	1	5	2	10	4	Ouvert	32	2,76	2,25	2,02	1,70
595-SN65LBC180AD	SN65LBC180AD	SOIC-14	1	1	5	10	30	15	Ouvert	32	3,10	2,24	1,86	1,61
595-SN65LBC180AN	SN65LBC180AN	PDIP-14	1	1	5	10	30	15	Ouvert	32	3,42	2,66	2,06	1,87
595-SN65LBC182P	SN65LBC182P	PDIP-8	1	1	5	15	0,25	30	Ouvert	128	2,43	1,95	1,77	1,60
595-SN65LBC184D	SN65LBC184D	SOIC-8	1	1	5	15	0,25	25	Ouvert	128	3,58	2,87	2,62	2,36
595-SN65LBC184DR	SN65LBC184DR	SOIC-8	1	1	5	15	0,25	25	Ouvert	128	3,18	2,59	2,33	2,12
595-SN65LBC184P	SN65LBC184P	PDIP-8	1	1	5	15	0,25	25	Ouvert	128	3,58	2,87	2,62	2,36
595-SN75HVD1176D	SN75HVD1176D	SOIC-8	1	1	5	10	40	6	Inactif, Ouvert, Court-circuit	160	3,96	3,23	2,90	2,64
595-SN75HVD3082ED	SN75HVD3082ED	SOIC-8	1	1	5	15	0,2	0,9	Ouvert, Court-circuit	256	1,73	1,39	1,04	0,965
595-SN75HVD3082EDGK	SN75HVD3082EDGK	MSOP-8	1	1	5	15	0,2	0,9	Ouvert, Court-circuit	256	2,52	2,02	1,84	1,66
595-SN75LBC176D	SN75LBC176D	SOIC-8	1	1	5	2	10	1,5	Ouvert	32	2,10	1,66	1,23	1,10
595-SN75LBC176P	SN75LBC176P	PDIP-8	1	1	5	2	10	1,5	Ouvert	32	2,10	1,66	1,23	1,10
595-SN75LBC176AD	SN75LBC176AD	SOIC-8	1	1	5	12	30	15	Ouvert	32	2,57	2,10	1,88	1,71
595-SN75LBC179D	SN75LBC179D	SOIC-8	1	1	5	2	10	5	Ouvert	32	2,10	1,66	1,23	1,11
595-SN75LBC180D	SN75LBC180D	SOIC-14	1	1	5	2	10	5	Ouvert	32	2,43	1,95	1,77	1,60
595-SN75LBC180AD	SN75LBC180AD	SOIC-14	1	1	5	10	30	15	Ouvert	32	3,14	2,46	1,91	1,72
595-SN75LBC184D	SN75LBC184D	SOIC-8	1	1	5	15	0,25	25	Ouvert	128	3,23	2,60	2,37	2,14
595-SN65HVD22DR	SN65HVD22DR	SOIC-8	1	1	5	16	0,5	9	Inactif, Ouvert, Court-circuit	256	3,42	2,80	2,51	2,28
595-SN75LBC184P	SN75LBC184P	PDIP-8	1	1	5	15	0,25	25	Ouvert	128	3,23	2,60	2,37	2,14
595-SN65HVD08D	SN65HVD08D	SOIC-8	1	1	3,3 ; 5	16	10	16	Ouvert, Court-circuit	256	4,50	3,61	3,29	2,97
595-SN65HVD1782DR	SN65HVD1782DR	SOIC-8	1	1	3,3 ; 5	16	10	6	Inactif, Ouvert, Court-circuit	64	4,89	3,99	3,58	3,26
595-SN75HVD08D	SN75HVD08D	SOIC-8	1	1	3,3 ; 5	16	10	16	Ouvert, Court-circuit	256	4,16	3,34	3,04	2,75
595-SN65HVD1780DR	SN65HVD1780DR	SOIC-8	1	1	3,3 ; 5	16	0,115	6	Inactif, Ouvert, Court-circuit	320	4,52	3,70	3,32	3,01
595-SN65HVD1781DR	SN65HVD1781DR	SOIC-8	1	1	3,3 ; 5	16	1	6	Inactif, Ouvert, Court-circuit	320	4,52	3,70	3,32	3,01
595-SN75HVD08P	SN75HVD08P	PDIP-8	1	1	3,3 ; 5	16	10	16	Ouvert, Court-circuit	256	4,16	3,34	3,04	2,75
595-SN65C1168PWR	SN65C1168PWR	TSSOP-16	2	2	5	2	10	9	-	-	1,57	1,20	1,10	0,982
595-SN751178N	SN751178N	PDIP 16	2	2	5	2	10	110	Ouvert	32	2,27	1,83	1,65	1,46
595-SN75ALS170DW	SN75ALS170DW	SOIC-20	3	3	-	2	20	90	Ouvert	32	7,10	5,88	5,35	4,81
595-SN75ALS171ADW	SN75ALS171ADW	SOIC-20	3	3	-	2	20	90	Ouvert	32	8,11	6,32	5,33	4,91
595-SN65LBC174A16DW	SN65LBC174A16DW	SOIC-16	4	-	5	13	30	23	-	32	5,73	4,60	4,19	3,78
595-SN75LBC172ADW	SN75LBC172ADW	SOIC-20	4	-	5	13	30	23	-	32	4,67	3,75	3,42	3,08
595-SN75LBC172AN	SN75LBC172AN	PDIP 16	4	-	5	13	30	23	-	32	4,67	3,75	3,42	3,08
595-SN75LBC174DW	SN75LBC174DW	SOIC-20	4	-	5	2	10	7	-	32	4,38	3,40	2,64	2,40
595-SN75LBC174N	SN75LBC174N	PDIP 16	4	-	5	2	10	7	-	32	4,37	3,40	2,64	2,40
595-SN75LBC184DR	SN75LBC184DR	SOIC-8	1	1	5	15	0,25	25	Ouvert	128	2,23	1,78	1,39	1,31
595-SN75976A1DGG	SN75976A1DGG	TSSOP-56	9	9	5	12	20	60	-	-	21,04	17,88	16,57	15,25
595-SN75976A2DGG	SN75976A2DGG	TSSOP-56	9	9	5	12	20	60	-	-	27,72	23,56	21,83	20,10
595-SN75976A2DL	SN75976A2DL	SSOP-56	9	9	5	12	20	60	-	-	27,72	23,56	21,83	20,10
595-SN65LBC173AD	SN65LBC173AD	SOIC-16	-	4	5	6	50	20	Ouvert, Court-circuit	32	3,71	2,88	2,24	2,04
595-SN65LBC173AN	SN65LBC173AN	PDIP 16	-	4	5	6	50	20	Ouvert, Court-circuit	32	3,67	2,85	2,22	2,02
595-SN65LBC175D	SN65LBC175D	SOIC-16	-	4	5	2	10	20	Ouvert	32	2,65	2,06	1,60	1,46
595-SN75LBC173AN	SN75LBC173AN	PDIP 16	-	4	5	6	50	20	Ouvert, Court-circuit	32	3,49	2,80	2,55	2,30
595-SN75LBC175D	SN75LBC175D	SOIC-16	-	4	5	2	10	20	Ouvert	32	2,52	2,02	1,84	1,66
595-SN75LBC175N	SN75LBC175N	PDIP 16	-	4	5	2	10	20	Ouvert	32	2,52	2,02	1,84	1,66
595-SN75LBC175D	SN75LBC175D	SOIC-16	-	4	5	6	50	20	Ouvert, Court-circuit	32	2,52	2,02	1,84	1,66
595-SN75LBC175N	SN75LBC175N	PDIP 16	-	4	5	6	50	20	Ouvert, Court-circuit	32	2,52	2,02	1,84	1,66

© Copyright 2012 Mouser Electronics
© Copyright 2012 Mouser Electronics

CI analogiques TEXAS INSTRUMENTS

RoHS Compliant **This product is RoHS compliant.**

USB TEXAS INSTRUMENTS

Contrôleurs hub USB

Pour des quantités supérieures à celles indiquées, appelez-nous afin d'obtenir un devis.

RÉF. STOCK MOUSER	Réf. TI	Boîtier	Tension d'alimentation	Nombre de ports USB	Vitesse USB	I²C	Prix unitaire 1	25	100	250
595-TUSB2036VF	TUSB2036VF	LQFP-32	3,3	2	Pleine	Non	3,19	2,57	2,33	2,11
595-TUSB2036VFG4	TUSB2036VFG4	LQFP-32	3,3	2	Pleine	Non	3,19	2,57	2,33	2,11
595-TUSB2136PM	TUSB2136PM	LQFP-64	3,3	2	Pleine	Oui	8,36	6,85	6,18	5,68
595-TUSB2046BIVFR	TUSB2046BIVFR	LQFP-32	3,3	4	Pleine	Non	3,13	2,55	2,29	2,09
595-TUSB2046BIVFRG4	TUSB2046BIVFRG4	LQFP-32	3,3	4	Pleine	Non	3,13	2,55	2,29	2,09
595-TUSB2046BVF	TUSB2046BVF	LQFP-32	3,3	4	Pleine	Non	3,35	2,69	2,45	2,21
595-TUSB2046BVFG4	TUSB2046BVFG4	LQFP-32	3,3	4	Pleine	Non	3,31	2,66	2,42	2,19
595-TUSB2046BVFR	TUSB2046BVFR	LQFP-32	3,3	4	Pleine	Non	2,93	2,39	2,15	1,96
595-TUSB5052PZ	TUSB5052PZ	LQFP-100	3,3	5	Pleine	Oui	8,89	7,28	6,58	6,04
595-TUSB2077APT	TUSB2077APT	LQFP-48	3,3	7	Pleine	Non	5,36	4,31	3,93	3,54

Périphériques USB

Pour des quantités supérieures à celles indiquées, appelez-nous afin d'obtenir un devis.

RÉF. STOCK MOUSER	Réf. TI	Boîtier	Vitesse USB	Nombre de points finaux ENTRÉE	SORTIE	Tension d'alimentation	Débit MCU (Max.) (MIPs)	Espace code MCU (Koctets)	Broches GPIO	Transmission de masse	Prix unitaire 1	25	100	250
595-TUSB3210PM	TUSB3210PM	LQFP-64	Pleine	3	3	3,3	4	8	32	Oui	6,42	5,26	4,75	4,36
595-TUSB3410IVF	TUSB3410IVF	LQFP-32	Pleine	3	3	3,3	2	16	4	Oui	6,01	4,93	4,45	4,08
595-TUSB3410IVFG4	TUSB3410IVFG4	LQFP-32	Pleine	3	3	3,3	2	16	4	Oui	6,38	5,29	4,81	4,08
595-TUSB3410VF	TUSB3410VF	LQFP-32	Pleine	3	3	3,3	2	16	4	Oui	5,50	4,51	4,07	3,74
595-TUSB3410VFG4	TUSB3410VFG4	LQFP-32	Pleine	3	3	3,3	2	16	4	Oui	5,50	4,51	4,07	3,74
595-TUSB6250PFC	TUSB6250PFC	TQFP-80	Élevée	4	4	3,3	30	32	16	-	5,70	4,68	4,22	3,88
595-TUSB9260PVP	TUSB9260PVP	HTQFP-64	Super	5	5	3,3 ; 1,8 ; 1,1	75	64	12	-	6,19	5,01	4,52	4,16

Interrupteurs USB

PRODUCT NEW

Pour des quantités supérieures à celles indiquées, appelez-nous afin d'obtenir un devis.

RÉF. STOCK MOUSER	Réf. TI	Boîtier	R_{MARCHE} (Max.) (Ω)	I_L ARRÊT (Max.)	Temps ARRÊT (Max.)	Temps MARCHE (Max.)	R_{MARCHE} désadaptation (Max.) (Ω)	R_{MARCHE} planéité (Max) (Ω)	V c.c. Min.	Max.	t_{pd} (Max.)	Prix unitaire 1	25	100	250
595-TS3USB31ERSER	TS3USB31ERSER	UQFN-8	10	2	25	30	0,35	2	2,25	4,3	0,25	1,10	0,866	0,78	0,678
595-TS3USB221EDRCR	TS3USB221EDRCR	SON-10	6	2	30	5	0,2	1	2,3	3,6	0,25	1,71	1,32	1,20	1,07
595-TS3USB221ERSER	TS3USB221ERSER	UQFN-10	6	2	30	5	0,2	1	2,3	3,6	0,25	1,71	1,32	1,20	1,07
595-TS5USBA224RSWR	TS5USBA224RSWR	UQFN-10	4, 3	50	1000	4000	0,3	1,5	2,7	5,5	-	1,73	1,34	1,21	1,09
595-TSU5511YZPR	TSU5511YZPR	DSBGA-20	0,5	25	75000	120	1,5	0,5	2,8	4,4	-	2,60	2,00	1,82	1,63
Modules d'évaluation		Description												Prix unitaire	
595-TS3USB221EEVM	TS3USB221EEVM	Module d'évaluation pour le TS3USB221E, un interrupteur USB grande vitesse												27,24	
595-TS3USB221EVM	TS3USB221EVM	Module d'évaluation pour le TS3USB221, un interrupteur USB grande vitesse												27,24	

Émetteur-récepteur USB

Pour des quantités supérieures à celles indiquées, appelez-nous afin d'obtenir un devis.

RÉF. STOCK MOUSER	Réf. TI	Boîtier	Vitesse USB	DES	Tension d'alimentation V_{CC} (Nom.)	Plage de température de fonctionnement (°C)	Prix unitaire 1	25	100	250
595-TUSB1105RGTR	TUSB1105RGTR	QFN-16	Pleine, Faible	±15 kV	±9	de -40 à +85	1,57	1,20	1,10	0,982
595-TUSB1310ZAY	TUSB1310ZAY	NFBGA-175	Super	±0,5 kV	3,3 ; 1,8 ; 1,1	de -40 à +85	10,76	9,05	8,32	7,58

INTERRUPTEURS RÉSEAU LAN

PRODUCT NEW

Pour des quantités supérieures à celles indiquées, appelez-nous afin d'obtenir un devis.

RÉF. STOCK MOUSER	Réf. TI	Boîtier	Nombre de bits	I_L ARRÊT (Max)	R_{MARCHE} (Max) (Ω)	Temps ARRÊT (Max.)	Temps MARCHE (Max.)	R_{MARCHE} planéité (Typ)(Ω)	V_{CC} (Max)	V_{CC} (Min)	I_{CC} (µA)	Prix unitaire 1	25	100	250
595-TS3L501ERUAR	TS3L501ERUAR	WQFN-42	8	±1	4	150	150	0,5	3	3,6	600	2,60	2,00	1,82	1,63

COMMUTATEURS ANALOGIQUES TEXAS INSTRUMENTS

Pour des quantités supérieures à celles indiquées, appelez-nous afin d'obtenir un devis.

RÉF. STOCK MOUSER	Réf. TI	Boîtier	R_{MARCHE} (Max.) (Ω)	I_L ARRÊT (Max.)	Temps ARRÊT (Max.)	Temps MARCHE (Max.)	Nœuds de tension	R_{MARCHE} planéité (Max) (Ω)	V c.c. Max.	Min.	I_{CC} (µA)	Prix unitaire 1	25	100	250
1 x SPST															
595-TS5A3166DBVR	TS5A3166DBVR	SOT-23-5	0,9	±5000	11,5	7	5 ; 3,3 ; 2,5 ; 1,8	0,15	5,5	1,65	0,1	0,54	0,371	0,323	0,279
595-TS5A3166DCKR	TS5A3166DCKR	SC70-5	0,9	±5000	11,5	7	5 ; 3,3 ; 2,5 ; 1,8	0,15	5,5	1,65	0,1	0,54	0,371	0,323	0,279
595-TS5A3166YZPR	TS5A3166YZPR	WCSP-5	0,9	±5000	11,5	7	5 ; 3,3 ; 2,5 ; 1,8	0,15	5,5	1,65	0,1	0,61	0,429	0,368	0,318
595-TS5A3167DBVR	TS5A3167DBVR	SOT-23-5	0,9	±5000	11,5	7	5 ; 3,3 ; 2,5 ; 1,8	0,15	5,5	1,65	0,1	0,54	0,371	0,323	0,279
595-TS5A3167DCKR	TS5A3167DCKR	SC70-5	0,9	±5000	11,5	7	5 ; 3,3 ; 2,5 ; 1,8	0,15	5,5	1,65	0,1	0,54	0,371	0,323	0,279
595-TS5A1066YZPR	TS5A1066YZPR	WCSP-5	10	±200	4,5	5,5	5 ; 3,3 ; 2,5 ; 1,8	5	5,5	1,65	0,1	0,61	0,421	0,365	0,316
1 X SPDT															
595-TS5A3159DBVR	TS5A3159DBVR	SOT-23-6	1,1	±1000	15	20	5 ; 3,3 ; 2,5 ; 1,8	0,15	5,5	1,65	0,1	0,78	0,619	0,55	0,479
595-TS5A3159DBVT	TS5A3159DBVT	SOT-23-6	1,1	±1000	15	20	5 ; 3,3 ; 2,5 ; 1,8	0,15	5,5	1,65	0,1	0,99	0,825	0,66	0,495
595-TS5A3159DCKR	TS5A3159DCKR	SC70-6	1,1	±1000	15	20	5 ; 3,3 ; 2,5 ; 1,8	0,15	5,5	1,65	0,1	0,78	0,619	0,55	0,479
595-TS5A3159DCKT	TS5A3159DCKT	SC70-6	1,1	±1000	15	20	5 ; 3,3 ; 2,5 ; 1,8	0,15	5,5	1,65	0,1	0,99	0,825	0,66	0,495
595-TS5A2053DCTR	TS5A2053DCTR	SM8-8	7,5	±10	4,1	6,8	5 ; 3,3 ; 2,5 ; 1,8	1,7	5,5	1,65	0,1	0,47	0,355	0,315	0,273
595-TS5A2053DCUR	TS5A2053DCUR	US8-8	7,5	±10	4,1	6,8	5 ; 3,3 ; 2,5 ; 1,8	1,7	5,5	1,65	0,1	0,54	0,413	0,366	0,318
595-TS12A12511DRJR	TS12A12511DRJR	SON-8	8	50	56	115	12, 5, 3,3	2,2	12	2,7	-	1,57	1,20	1,10	0,982
1 X SP3T															
595-TS5A3359DCUR	TS5A3359DCUR	US8-8	0,9	-	10,5	21	5 ; 3,3 ; 2,5 ; 1,8	0,25	5,5	1,65	2	0,89	0,701	0,638	0,555
2 X SPST															
595-TS5A23166DCUR	TS5A23166DCUR	US8-8	0,9	±10000	13	9	5 ; 3,3 ; 2,5 ; 1,8	0,25	5,5	1,65	0,15	0,86	0,66	0,587	0,508
2 X SPDT															
595-TS5A23157DGSR	TS5A23157DGSR	MSOP-10	10	±1000	3,8	5,7	5 ; 3,3 ; 2,5 ; 1,8	4	5,5	1,65	10	0,82	0,635	0,563	0,488
595-TS5A22366YFCR	TS5A22366YFCR	DSBGA-12	1,8	-	325	374	2,5 ; 3 ; 3,3 ; 5	0,37	5,5	2,25	7	1,86	1,43	1,30	1,16
4 X SPST															
595-TS3A4751PWR	TS3A4751PWR	TSSOP-14	0,9	±2,5	25	30	3 ; 2,5 ; 1,8	0,1	3,6	1,6	1	1,24	0,974	0,875	0,766

INTERRUPTEUR VIDÉO TEXAS INSTRUMENTS

Pour des quantités supérieures à celles indiquées, appelez-nous afin d'obtenir un devis.

RÉF. STOCK MOUSER	Réf. TI	Boîtier	V c.c. Min.	Max.	Nombre de bits	R_{MARCHE} (Max) (Ω)	I_{CC} (µA)	t_{pd} (Max) (ns)	Prix unitaire 1	25	100	250
595-TS3V712ERTGR	TS3V712ERTGR	QFN-32	3	3,6	7	4	200	0,25	4,33	3,53	3,18	2,89
595-TS3V712ELRTGR	TS3V712ELRTGR	QFN-32	3	5,5	7	4	200	0,25	4,33	3,53	3,18	2,89
595-TS3V713ELRTGR	TS3V713ELRTGR	QFN-32	3	5,5	7	4	200	0,25	3,47	2,83	2,54	2,31
595-TS3DV20812RHHR	TS3DV20812RHHR	QFN-36	-0,5	4,6	8	5	500	0,149	1,71	1,32	1,20	1,07

© Copyright 2012 Mouser Electronics

© Copyright 2012 Mouser Electronics

CI analogiques TEXAS INSTRUMENTS

RoHS Compliant **This product is RoHS compliant.**

EXPANDEURS ENTRÉE / SORTIE

• Fréquence (Max.) : 400 kHz

Pour des quantités supérieures à celles indiquées, appelez-nous afin d'obtenir un devis.

RÉF. STOCK MOUSER	Réf. TI	Boîtier	Interruption de sortie	Réinitialisation d'entrée	Vcc (Min.) (V)	Vcc (Max.) (V)	Nbre d' E/S	Faible puissance	Registres de configuration	E/S tolérant 5 V	Type d'E/S push-pull	Type d'E/S collecteur ouvert	Prix unitaire 1	25	100	250
595-TCA9554APWR	TCA9554APWR	TSSOP-16	Oui	Oui	1,65	5,5	8	Non	Oui	Oui	Oui	Oui	2,34	1,80	1,63	1,47
595-PCF8574AN	PCF8574AN	PDIP 16	Oui	Non	2,5	6	8	Non	Non	Non	Oui	Non	1,53	1,24	1,11	0,99
595-PCF8574ANE4	PCF8574ANE4	PDIP 16	Oui	Non	2,5	6	8	Non	Non	Non	Oui	Non	1,11	0,99	0,891	0,797
595-PCF8574N	PCF8574N	PDIP 16	Oui	Non	2,5	6	8	Non	Non	Non	Oui	Non	1,24	0,99	0,743	0,693
595-PCF8575PW	PCF8575PW	TSSOP-24	Oui	Non	2,5	5,5	16	Non	Non	Non	Oui	Non	2,04	1,63	1,49	1,36
595-TCA6416APWR	TCA6416APWR	TSSOP-24	Oui	Oui	1,65	5,5	16	Oui	Oui	Oui	Oui	Non	2,46	1,89	1,72	1,54
595-TCA6424ARGJR	TCA6424ARGJR	UQFN-32	Oui	Oui	1,65	5,5	24	Oui	Oui	Oui	Oui	Non	2,75	2,11	1,91	1,72

CI FONCTIONS SPÉCIALES I2C

Pour des quantités supérieures à celles indiquées, appelez-nous afin d'obtenir un devis.

RÉF. STOCK MOUSER	Réf. TI	Boîtier	Nombre de sorties	tpd (Max.) (ns)	Vcc (Min.) (V)	Vcc (Max.) (V)	Fréq. max. (kHz)	Fonction	Activation broche	E/S tolérant 5 V	Type d'E/S push-pull	Type d'E/S collecteur ouvert	Prix unitaire 1	25	100	250
595-PCA9306DCTT	PCA9306DCTT	SM8-8	2	1,5	0	5,5	400	Convertisseur de tension	Oui	Oui	Non	Oui	1,57	1,20	1,10	0,982
595-PCA9306DCUT	PCA9306DCUT	US8-8	2	1,5	0	5,5	400	Convertisseur de tension	Oui	Oui	Non	Oui	1,57	1,20	1,10	0,982
595-PCA9306DQER	PCA9306DQER	X2SON-8	2	1,5	0	5,5	400	Convertisseur de tension	Oui	Oui	Non	Oui	0,82	0,644	0,579	0,504
595-PCA9306YZTR	PCA9306YZTR	DSBGA-8	2	1,5	0	5,5	400	Convertisseur de tension	Oui	Oui	Non	Oui	0,82	0,644	0,579	0,504
595-TCA9406DCTR	TCA9406DCTR	SM8-8	2	2,4	1,65	3,6	1000	Convertisseur de tension	Oui	Oui	Oui	Non	1,19	0,941	0,842	0,737
595-TCA9406DCUR	TCA9406DCUR	US8-8	2	2,4	1,65	3,6	1000	Convertisseur de tension	Oui	Oui	Oui	Non	1,10	0,941	0,784	0,47
595-TCA8418EYFPR	TCA8418EYFPR	DSBGA-25	18	120	-0,5	4,6	1000	Pavé numérique scanner	Non	Non	Non	Oui	2,97	2,43	2,18	1,98

FILTRES INTÉGRÉS

Pour des quantités supérieures à celles indiquées, appelez-nous afin d'obtenir un devis.

RÉF. STOCK MOUSER	Réf. TI	Boîtier	Nbre de voies	V_S (Min.) (V)	V_S (Max.) (V)	I_O (Typ.) (mA)	Gain diff. (%)	Phase diff. (°)	Gain (dB)	Nb. de pôles de filtrage	Fréq. de filtrage -3 dB (Typ.) (MHz)	Bande passante bypass (Typ.) (MHz)	Prix unitaire 1	25	100	250
595-THS7360IPW	THS7360IPW	TSSOP-20	6	2,6	5,5	80	0,15	0,35	15, 13	6	9,2 ; 17 ; 35 ; 70	150, 300	2,34	1,88	1,50	1,25
595-THS7364IPW	THS7364IPW	TSSOP-20	6	2,7	5	80	0,2	0,35	6	6	9,5 ; 72	150, 300	2,23	1,86	1,49	1,04

PILOTES MOTEUR

Pour des quantités supérieures à celles indiquées, appelez-nous afin d'obtenir un devis.

RÉF. STOCK MOUSER	Réf. TI	Boîtier	Courant de sortie (Min.) (A)	V_S (Min.) (V)	V_S (Max.) (V)	rDS(on) (Ω)	Fréq. de commutation (asymétrique) (kHz)	I_a (mA)	I_q (Max.) (mA)	Température de fonctionnement (°C)	Prix unitaire 1	25	100	250
595-DRV8332DKD	DRV8332DKD	HSSOP-36	8	0	52,5	0,08	500	-	-	de -40 à +85	10,13	8,52	7,83	7,14
595-DRV8601ZQVR	DRV8601ZQVR	MicroStar-8	0,4	2,5	5,5	-	-	1,7	-	de -40 à +85	1,50	1,19	1,06	0,924
595-DRV8830DGQ	DRV8830DGQ	MSOP-10	1	2,75	6	0,45	-	-	-	de -40 à +85	2,60	2,11	1,77	1,60
595-DRV8824PWP	DRV8824PWP	HTSSOP-28	1,6	8	45	1,25	50	5	8	de -40 à +85	4,45	3,57	3,26	2,94

CAPTEURS DE TEMPÉRATURE

Pour des quantités supérieures à celles indiquées, appelez-nous afin d'obtenir un devis.

RÉF. STOCK MOUSER	Réf. TI	Boîtier	Interface	Précision sur la plage de température (Max.) (°C)	Résolution temp. (bits) (Min.)	Résolution temp. (bits) (Max.)	Tension d'alimentation (Min.) (V)	Tension d'alimentation (Max.) (V)	I_Q (Typ.) (µA)	Prix unitaire 1	25	100	250
595-TMP275AID	TMP275AID	SOIC-8	SMBus	0,5	9	12	2,7	5,5	50	3,42	2,75	2,50	2,26
595-TMP275AIDGKT	TMP275AIDGKT	MSOP-8	SMBus	0,5	9	12	2,7	5,5	50	3,54	2,90	2,60	2,19
595-TMP112AIDRLT	TMP112AIDRLT	SOT-6	Deux câbles, SMBus	1	12	-	1,4	3,6	7	2,48	2,02	1,82	1,53
595-TMP512AID	TMP512AID	SOIC-14	I2C, SMBus	1	13	13	3	26	55	3,61	2,89	2,31	1,91
595-TMP513AID	TMP513AID	SOIC-16	I2C, SMBus	1	13	13	3	26	55	3,92	3,14	2,51	2,08
595-TMP411BDGKR	TMP411BDGKR	MSOP-8	Deux câbles, SMBus	±1	9	12	3	5,5	400	1,17	0,924	0,825	0,724
595-TMP422AIDCNT	TMP422AIDCNT	SOT-23-8	I2C, SMBus	±1	-	12	2,7	5,5	400	2,14	1,65	1,49	1,22
595-TMP423AIDCNT	TMP423AIDCNT	SOT-23-8	I2C, SMBus	±1	-	12	2,7	5,5	400	2,57	1,98	1,79	1,46
595-TMP432ADGST	TMP432ADGST	MSOP-10	I2C, SMBus	±1	-	12	2,7	5,5	35	1,57	1,20	1,10	0,891
595-TMP175AID	TMP175AID	SOIC-8	I2C, SMBus	1,5	9	12	2,7	5,5	50	2,57	2,10	1,88	1,58
595-TMP175AIDGKT	TMP175AIDGKT	MSOP-8	I2C, SMBus	1,5	9	12	2,7	5,5	50	2,44	2,00	1,79	1,50
595-TMP175AIDR	TMP175AIDR	SOIC-8	I2C, SMBus	1,5	9	12	2,7	5,5	50	2,43	1,86	1,69	1,52
595-TMP102AIDRLT	TMP102AIDRLT	SOT-6	I2C, SMBus	2	12	12	1,4	3,6	10	2,60	2,00	1,82	1,49
595-TMP121AIDBVT	TMP121AIDBVT	SOT-23-6	SPI	2	12	12	2,7	5,5	35	2,57	2,10	1,88	1,58
595-TMP123AIDBVT	TMP123AIDBVT	SOT-23-6	SPI	2	12	12	2,7	5,5	35	2,57	2,10	1,88	1,58
595-TMP124AID	TMP124AID	SOIC-8	SPI	2	9	12	2,7	5,5	50	2,51	2,01	1,83	1,66
595-TMP75AIDGKT	TMP75AIDGKT	MSOP-8	I2C, SMBus	2	9	12	2,7	5,5	50	1,44	1,14	1,02	0,891
595-TMP20AIDCKT	TMP20AIDCKT	SC-70-5	- - -	±2,5	-	-	1,8	5,5	2,6	0,91	0,718	0,646	0,562
595-TMP20AIDRLT	TMP20AIDRLT	SOT-6	- - -	±2,5	-	-	1,8	5,5	2,6	0,91	0,718	0,646	0,562
595-TMP100NA/250	TMP100NA/250	SOT-23-6	I2C, SMBus	3	9	12	2,7	5,5	45	2,60	2,00	1,82	1,49
595-TMP101NA	TMP101NA	SOT-23-6	I2C, SMBus	3	9	12	2,7	5,5	45	2,75	2,11	1,91	1,57
595-TMP101NA/R	TMP101NA/R	SOT-23-6	I2C, SMBus	3	9	12	2,7	5,5	45	2,28	1,76	1,59	1,43

MODULES D'ÉVALUATION

RÉF. STOCK MOUSER	Réf. TI	Description	Prix unitaire
595-ADS1198ECGFE-PDK	ADS1198ECGFE-PDK	Conception de référence pour l'ADS1198, un convertisseur analogique-numérique (CAN) delta-sigma (ΔΣ) 16 bits à échantillonnage simultané	176,77
595-ADS4146EVM	ADS4146EVM	Module d'évaluation pour l'ADS4146, un convertisseur analogique-numérique (CAN) 160 MPS 14 bits faible puissance	265,59
595-ADS1231REF	ADS1231REF	Module d'évaluation pour l'ADS1231, un convertisseur analogique-numérique (CAN) à faible bruit, de précision, delta-sigma, 24 bits	46,04
595-AMC1203EVM	AMC1203EVM	Module d'évaluation pour l'AMC1203, un modulateur delta-sigma (ΔΣ) monovoie isolé	23,48
595-CDC3S04EVM	CDC3S04EVM	Module d'évaluation pour le CDC3S04, un tampon d'horloge sinusoïdal faible puissance à 4 voies	132,35
595-CDCLVD1204EVM	CDCLVD1204EVM	Module d'évaluation pour le CDCLVD1204, un tampon universel-LVDS 1/4 sélectionnable bivoie faible gigue	132,35
595-CDCLVD2102EVM	CDCLVD2102EVM	Module d'évaluation pour le CDCLVD2102, un tampon universel-LVDS 1/2 double faible gigue	132,35
595-CDCS502PERF-EVM	CDCS502PERF-EVM	Module d'évaluation pour le CDCS502, un oscillateur à quartz, mode fondamental, capable de spectre étalé, avec multiplication de fréquence sélectionnable	87,95
595-SN65HVD96EVM	SN65HVD96EVM	Module d'évaluation pour le SN65HVD96, un émetteur-récepteur SymPol™	46,04
595-TMP513EVM	TMP513EVM	Module d'évaluation pour le TMP513, une solution « tout en un » de surveillance de la température et de la puissance (avec 3 capteurs de température à distance)	132,35
595-THS7360EVM	THS7360EVM	Module d'évaluation pour le THS7360, un amplificateur vidéo 6 voies avec filtres 3-SD et 3-SD/ED/HD/Full HD et gain élevé	132,35
595-THS7364EVM	THS7364EVM	Module d'évaluation pour le THS7364, un amplificateur vidéo 6 voies avec filtres 3-SD et 3-Full-HD et gain de -6 dB	132,35
595-TSW1200EVM	TSW1200EVM	Module d'évaluation pour évaluer la performance des CAN grande vitesse qui comportent des sorties LVDS en série ou en parallèle	576,49
595-TSW4200	TSW4200	Plate-forme de développement de CAN double ou de CNA double pour plate-forme de dév. Xilinx Virtex VI FPGA	1153,85

© Copyright 2012 Mouser Electronics

© Copyright 2012 Mouser Electronics

CI analogiques SILICONIX

VISHAY

RoHS Compliant **This product is RoHS compliant.**

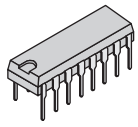
DIP-16

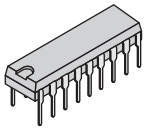
DIP-18

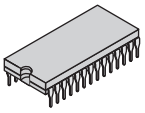
DIP-28

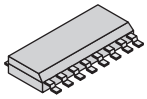
TSSOP-16

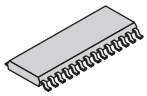
SOIC-16 / SOIC-28

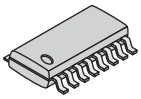
SO-28

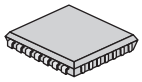
PLCC-28

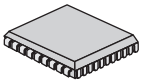
PLCC-44

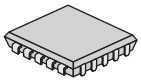
PLCC-20

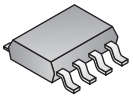
SOIC-8

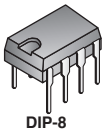
DIP-8

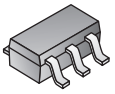
TSOP-6

MULTIPLEXEURS ANALOGIQUES

NEW PRODUCT

♦ **Composant pour montage en surface**

Pour des quantités supérieures à celles indiquées, appelez-nous afin d'obtenir un devis.

RÉF. STOCK MOUSER	Réf. Siliconix	Boîtier	Interrupteur sur résistance (Max)(Ω)	Courant de fuite drain ouvert (Max)(nA)	Durée de transition (Max)(nS)	Changement injection (Typ)(pC)	Gamme du signal analogique (V)	Dissipation de puissance du boîtier (Max)(mW)	Plage de température (°C)	Prix unitaire 1	100	500	1000
2 voies triples (basse tension)													
♦ 781-DG4053AEQ-E3	DG4053AEQ-T1-E3	TSSOP-16	100	1	110	0,25	±5	450	de -40 à +125	1,49	1,05	0,817	0,646
♦ 781-DG9454EN-T1-E4	DG9454EN-T1-E4	miniQFN-16L	143	1	205	0,86	12	525	de -40 à + 125	0,67	0,569	0,536	0,512
4 voies													
♦ 781-DG409DQ-E3	DG409DQ-T1-E3	TSSOP-16	100	1	250	20	±15	600	de -40 à +85	2,58	1,89	1,50	1,29
♦ 781-DG409DY-E3	DG409DY-E3	SOIC-16	100	1	250	20	±15	600	de -40 à +85	2,10	0,995	0,746	0,707
781-DG604EQ-E3	DG604EQ-T1-E3	TSSOP 14 broches	115	0,1	70	0,7	5	178	de -40 à +125	1,41	0,998	0,78	0,612
♦ 781-DG509BEQ-E3	DG509BEQ-T1-E3	TSSOP-16	480	1	300	2	±15	450	de -40 à +125	2,88	2,00	1,56	1,31
♦ 781-DG409DJ-E3	DG409-DJ-E3	DIP-16	100	1	250	20	±15	450	de -40 à +85	2,33	0,895	0,746	0,707
4 voies (basse tension)													
♦ 781-DG409LDY-E3	DG409LDY-E3	SOIC-16	29	1	60	5	12	600	de -40 à +85	1,37	1,22	0,915	0,867
4 voies doubles (basse tension)													
♦ 781-DG4052AEQ-E3	DG4052AEQ-T1-E3	TSSOP-16	100	1	110	0,25	±5	450	de -40 à +125	1,37	0,965	0,755	0,593
8 voies													
♦ 781-DG407DN-E3	DG407DN-E3	PLCC-28	100	1	350	15	±15	450	de -40 à +85	4,26	3,81	3,25	3,25
♦ 781-DG407DW-E3	DG407DW-E3	SOIC-28	100	1	350	15	±15	450	de -40 à +85	6,91	4,86	3,58	3,40
♦ 781-DG408DQ-E3	DG408DQ-T1-E3	TSSOP-16	100	1	250	20	±15	600	de -40 à +85	2,78	1,94	1,50	1,27
♦ 781-DG408DY-E3	DG408DY-E3	SOIC-16	100	1	250	20	±15	600	de -40 à +85	2,10	1,37	1,02	0,971
♦ 781-DG428DN-E3	DG428DN-E3	PLCC-20	100	1	250	1	±15	800	de -40 à +85	5,16	4,58	3,44	3,26
781-DG508BEQ-E3	DG508BEQ-T1-E3	TSSOP-16	380	1	300	2	±15	450	de -40 à +125	2,88	2,00	1,56	1,31
781-DG407DJ-E3	DG407DJ-E3	DIP-28	100	1	350	15	±15	625	de -40 à +85	5,26	4,47	4,25	4,21
781-DG408DJ-E3	DG408DJ-E3	DIP-16	100	1	250	20	±15	450	de -40 à +85	2,19	1,23	1,02	0,971
♦ 781-DG428DJ-E3	DG428DJ-E3	DIP-18	100	1	250	1	±15	470	de -40 à +85	3,80	3,29	2,81	2,81
8 voies (basse tension)													
♦ 781-DG408LDY-E3	DG408LDY-E3	SOIC-16	30	0,3	60	5	de -6 à +12	600	de -40 à +85	0,99	0,866	0,755	0,685
♦ 781-DG4051AEQ-E3	DG4051AEQ-T1-E3	TSSOP-16	100	1	110	0,25	±5	450	de -40 à +125	1,49	1,05	0,817	0,646
16 voies													
781-DG406DJ-E3	DG406DJ-E3	DIP-28	100	1	350	15	±15	625	de -40 à +85	4,16	3,33	2,77	2,63
♦ 781-DG406DW-E3	DG406DW-E3	SOIC-28	100	1	350	15	±15	450	de -40 à +85	6,20	4,61	3,84	3,34
♦ 781-DG407DN-E3	DG407DN-E3	PLCC-28	100	1	350	15	±15	450	de -40 à +85	4,26	3,81	3,25	3,25
♦ 781-DG407DW-E3	DG407DW-E3	SO-28	100	1	350	15	±15	450	de -40 à +85	6,91	4,86	3,58	3,40
781-DG407DJ-E3	DG407DJ-E3	DIP-28	100	1	350	15	±15	625	de -40 à +85	5,26	4,47	4,25	4,21
Vidéo large bande 16 voies													
♦ 781-DG536DN-E3	DG536DN-E3	PLCC-44	90	10	300	-35	de 0 à +10	450	de -40 à +85	10,29	8,82	8,41	8,20

COMMUTATEURS ANALOGIQUES

NEW PRODUCT

♦ **Composant pour montage en surface**

Pour des quantités supérieures à celles indiquées, appelez-nous afin d'obtenir un devis.

RÉF. STOCK MOUSER	Réf. Siliconix	Boîtier	Interrupteur sur résistance (Max)(Ω)	Courant de fuite d'arrêt (Max.) (nA)	Durée de transition (Max)(nS)	Changement injection (Typ)(pC)	Gamme du signal analogique (V)	Dissipation de puissance du boîtier (Max)(mW)	Plage de température (°C)	Prix unitaire 1	100	500	1000
SPST monovoie													
♦ 781-DG417BDY-E3	DG417BDY-E3	SOIC 8	25	0,25	89	4	44	400	de -40 à +85	1,66	1,66	1,42	1,27
♦ 781-DG418BDY-E3	DG418BDY-E3	SOIC 8	25	0,25	99	4	44	400	de -40 à +85	1,66	1,66	1,42	1,27
♦ 781-DG417DY-E3	DG417DY-E3	SOIC 8	35	0,25	175	60	44	400	de -40 à +85	1,01	0,96	0,818	0,732
♦ 781-DG418DY-E3	DG418DY-E3	SOIC 8	35	0,25	175	60	44	400	de -40 à +85	1,06	0,96	0,85	0,772
781-DG418DJ-E3	DG418DJ-E3	DIP-8	35	0,25	175	60	44	400	de -40 à +85	1,44	1,16	1,09	0,99
SPST monovoie (basse tension)													
♦ 781-DG9421DV-E3	DG9421DV-T1-E3	TSOP-6	3,2 @ 5 V double	1	63 @ 5 V double	207 @ 5 V double	5 ou ±5	570	de -40 à +85	1,44	1,01	0,784	0,66
♦ 781-DG9422DV-E3	DG9422DV-T1-E3	TSOP-6	3,2 @ 5 V double	1	63 @ 5 V double	207 @ 5V double	5 ou ±5	570	de -40 à +85	1,50	1,05	0,818	0,689
♦ 781-DG412LDQ-T1-E3	DG412LDQ-T1-E3	TSSOP-16	30	1	50	5	12	450	de -40 à +85	1,65	1,15	1,07	-
♦ 781-DG412LDY-T1-E3	DG412LDY-T1-E3	SOIC-16	30	1	50	5	12	650	de -40 à +85	1,50	0,998	0,998	0,998
SPST monovoie (puissance basse / haute tension)													
♦ 781-DG447DV-E3	DG447DV-T1-E3	TSOP-6	25	1	130	10	44	570	de -40 à +85	1,19	0,842	0,658	0,517
♦ 781-DG448DV-E3	DG448DV-T1-E3	TSOP-6	25	1	130	10	44	570	de -40 à +85	1,19	0,842	0,658	0,517
SPDT monovoie													
781-DG419BDY-E3	DG419BDY-E3	SOIC 8	25	0,25	87	4	44	400	de -40 à +85	1,66	1,66	1,42	1,27
♦ 781-DG419DY-E3	DG419DY-E3	SOIC 8	35	0,25	175	60	44	400	de -40 à +85	1,13	0,96	0,818	0,732
♦ 781-DG642DJ-E3	DG642DJ-E3	DIP-8	8	10	100	-40	21	300	de -40 à +85	2,25	2,07	2,02	1,80
781-DG419DJ-E3	DG419DJ-E3	DIP-8	35	0,25	175	60	44	400	de -40 à +85	1,65	0,675	0,592	0,555
♦ 781-DG417DJ-E3	DG417DJ-E3	SOIC 8	35	0,25	175	60	44	400	de -40 à +85	1,37	1,16	1,09	0,99

© Copyright 2012 Mouser Electronics

© Copyright 2012 Mouser Electronics

CI analogiques SILICONIX

RoHS Compliant **This product is RoHS compliant.**

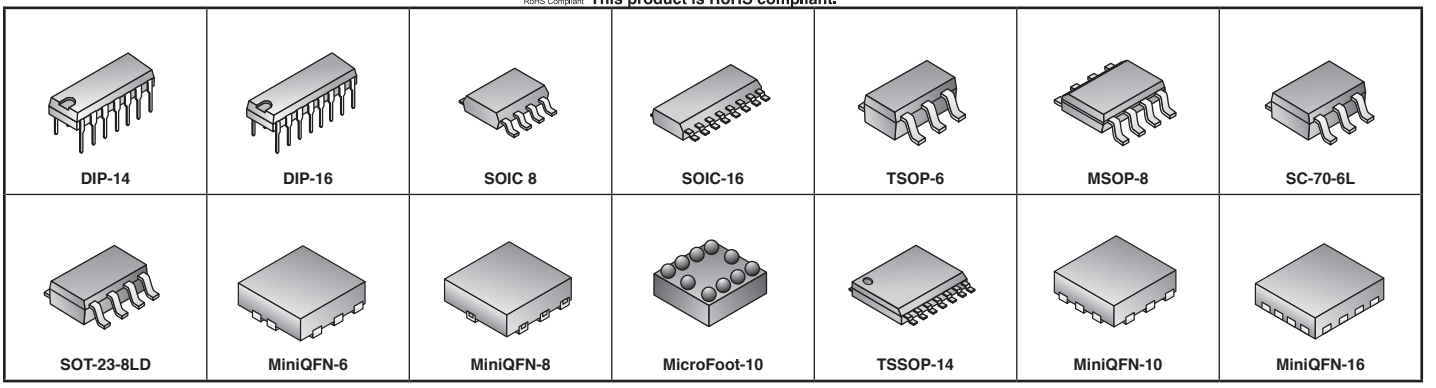

COMMUTATEURS ANALOGIQUES

♦ Composant pour montage en surface

Pour des quantités supérieures à celles indiquées, appelez-nous afin d'obtenir un devis.

RÉF. STOCK MOUSER	Réf. Siliconix	Boîtier	Interrupteur sur résistance (Max)(Ω)	Courant de fuite d'arrêt (Max)(nA)	Délai de propagation (Max)(nS)	Injection de charge (Typ)(pC)	Tension d'alimentation (Max) (V)	Dissipation de puissance du boîtier (Max)(mW)	Plage de température (°C)	Prix unitaire 1	100	500	1000
SPDT monovoie (basse tension)													
♦ 781-DG2714DL-E3	DG2714DL-T1-E3	SC-70-6L	1,2 @ 3 V	1 @ 3,3 V	51 @ 3 V	9 @ 3 V	3	250	de -40 à +85	**0,97**	**0,691**	**0,537**	**0,482**
♦ 781-DG2020DV-E3	DG2020DV-T1-E3	TSOP-6	3,2	2,3	10	1	3,3	570	de -40 à +85	**0,69**	**0,636**	**0,636**	**0,636**
♦ 781-DG9431DV-T1-E3	DG9431DV-T1-E3	TSOP-6	50	0,01	120	1	13	400	de -40 à +85	**0,98**	**0,833**	**0,782**	**0,712**
♦ 781-DG9461DV-E3	DG9461DV-T1-E3	TSOP-6	80	5	120	1	13	400	de -40 à +85	**0,88**	**0,743**	**0,693**	**0,634**
♦ 781-DG9461DY-E3	DG9461DY-E3	SOIC-8	80	5	120	1	13	400	de -40 à +85	**0,97**	**0,825**	**0,777**	**0,708**
SPDT monovoie (haute puissance / basse tension)													
♦ 781-DG449DS-E3	DG449DS-T1-E3	SOT-23-8LD	45	1	146	5	44	675	de -40 à +85	**1,39**	**0,982**	**0,766**	**0,601**
SPDT monovoie (basse tension)													
♦ 781-DG3157ADN-E4	DG3157ADN-T1-E4	MiniQFN-6	7	0,1	1.5	7	5,5	160	de -40 à +85	**0,76**	**0,518**	**0,38**	**0,302**
♦ 781-DG3157BDN-E4	DG3157BDN-T1-E4	MiniQFN-6	7	0,1	1.5	7	5,5	160	de -40 à +85	**0,65**	**0,446**	**0,327**	**0,26**

♦ Composant pour montage en surface

Pour des quantités supérieures à celles indiquées, appelez-nous afin d'obtenir un devis.

RÉF. STOCK MOUSER	Réf. Siliconix	Boîtier	Interrupteur sur résistance (Max)(Ω)	Courant de fuite d'arrêt (Max) (nA)	Délai de mise sous tension (Max)(nS)	Injection de charge (Typ)(pC)	Tension d'alimentation (Max.) (V)	Dissipation de puissance du boîtier (Max)(mW)	Plage de température (°C)	Prix unitaire 1	100	500	1000
SP3T monovoie (basse tension)													
♦ 781-DG2522DN-E4	DG2522DN-T1-E4	MiniQFN-8	1,1	20	10	27	5,5	190	de -40 à +85	**1,73**	**1,21**	**0,941**	**0,792**
SPST bivoie													
♦ 781-DG9232DY-E3	DG9232DY-E3	SOIC-8	30	0,01	120	1	13	400	de -40 à +85	**0,95**	**0,952**	**0,812**	**0,726**
♦ 781-DG9233DQ-E3	DG9233DQ-T1-E3	MSOP-8	30	0,01	120	1	13	400	de -40 à +85	**1,01**	**0,924**	**0,924**	**0,924**
♦ 781-DG9233DY-E3	DG6233DY-E3	SOIC-8	30	0,01	120	1	13	400	de -40 à +85	**0,95**	**0,952**	**0,812**	**0,726**
♦ 781-DG9262DY-E3	DG9262DY-E3	SOIC-8	80	0,01	120	1	13	400	de -40 à +85	**1,04**	**0,952**	**0,812**	**0,726**
781-DG200BDJ-E3	DG200BDJ-E3	DIP-14	85	2	1000	1	25	470	de -40 à +85	**1,47**	**1,33**	**1,19**	**1,16**
SPST bivoie (basse tension)													
♦ 781-DG2727DN-E4	DG2727DN-T1-E4	MiniQFN-8	1	100	67	1,2	4,3	190	de -40 à +85	**1,41**	**0,998**	**0,78**	**0,612**
♦ 781-DG2737DN-E4	DG2737DN-T1-E4	MiniQFN-8	8	10	60	10,4	4,3	190	de -40 à +85	**0,94**	**0,668**	**0,52**	**0,408**
♦ 781-DG2738DN-E4	DG2738DN-T1-E4	MiniQFN-8	8	10	60	10,4	4,3	190	de -40 à +85	**0,94**	**0,668**	**0,52**	**0,408**
♦ 781-DG2739DN-E4	DG2739DN-T1-E4	MiniQFN-8	8	10	60	10,4	4,3	190	de -40 à +85	**0,94**	**0,668**	**0,52**	**0,408**
SPDT bivoie													
♦ 781-DG3516DB-T5-E1	DG3516DB-T5-E1	MicroFoot-10	2,9 @ 5 V	2	45 @ 5 V	1	5,5	457	de -40 à +85	**1,73**	**1,21**	**0,941**	**0,792**
♦ 781-DG643DY-E3	DG643DY-E3	SOIC-16	15	10	70	-19	21	600	de -40 à +85	**3,38**	**3,01**	**2,26**	**2,14**
♦ 781-DG403DY-E3	DG403DY-E3	SOIC-16	35	0,25	150	60	44	600	de -40 à +85	**2,47**	**2,00**	**1,87**	**1,70**
♦ 781-DG636EQ-E3	DG636EQ-T1-E3	TSSOP 14 broches	115	0,1	70	0,36	14	178	de -40 à +125	**1,41**	**0,998**	**0,78**	**0,612**
781-DG403DJ-E3	DG403DJ-E3	DIP-16	35	0,25	150	60	44	450	de -40 à +85	**2,65**	**2,15**	**2,02**	**1,83**
781-DG303BDJ-E3	DG303BDJ-E3	DIP-14	50	5	150	8	44	470	de -40 à +85	**2,38**	**2,24**	**2,18**	**2,11**
SPDT bivoie (basse tension)													
♦ 781-DG2735DN-E4	DG2735DN-T1-E4	MiniQFN-10	0,6	2	78	-	4,3	208	de -40 à +85	**1,28**	**0,908**	**0,706**	**0,557**
DPST bivoie													
♦ 781-DG405DY-E3	DG405DY-E3	SOIC-16	35	0,25	150	60	44	600	de -40 à +85	**5,07**	**3,58**	**2,80**	**2,19**
781-DG405DJ-E3	DG405DJ-E3	DIP-16	35	0,25	150	60	44	450	de -40 à +85	**5,07**	**3,58**	**2,80**	**2,19**
DPDT bivoie (basse tension)													
781-DG2788DN-E4	DG2788DN-T1-E4	MiniQFN-16	0,5	1	72	87	3,3	525	de -40 à +85	**2,02**	**1,41**	**1,10**	**1,06**
DPDT 2 ports (haut débit 480 Mbps)													
♦ 781-DG2720DN-E4	DG2720DN-T1-E4	MiniQFN-10	7	100	30	0,5	4,3	208	de -40 à +85	**1,56**	**1,11**	**0,858**	**0,677**
♦ 781-DG2722DN-E4	DG2722DN-T1-E4	MiniQFN-10	8	100	30	-30	4,3	208	de -40 à +85	**1,41**	**0,998**	**0,78**	**0,612**
SPST 4 voies													
♦ 781-DG641DY-E3	DG641DY-E3	SOIC-16	15	10	70	-19	21	600	de -40 à +85	**2,43**	**2,08**	**1,96**	**1,77**
♦ 781-DG411DY-E3	DG411DY-E3	SOIC-16	35	0,25	175	5	44	600	de -40 à +85	**1,63**	**1,24**	**0,931**	**0,882**
♦ 781-DG412DY-E3	DG412DY-E3	SOIC-16	35	0,25	175	5	44	600	de -40 à +85	**1,63**	**1,41**	**0,931**	**0,882**
♦ 781-DG413DY-E3	DG413DY-E3	SOIC-16	35	0,25	175	5	44	600	de -40 à +85	**1,63**	**1,28**	**0,931**	**0,882**
♦ 781-DG611DY-E3	DG611DY-E3	SOIC-16	45	0,25	25	4	21	600	de -40 à +85	**4,09**	**3,64**	**2,73**	**2,58**
♦ 781-DG612DY-E3	DG612DY-E3	SOIC-16	45	0,25	25	4	21	600	de -40 à +85	**4,09**	**3,64**	**2,73**	**2,58**
♦ 781-DG613DY-E3	DG613DY-E3	SOIC-16	45	0,25	35	7	21	600	de -40 à +85	**2,49**	**2,21**	**1,66**	**1,57**
781-DG411DJ-E3	DG411DJ-E3	DIP-16	35	0,25	175	5	44	470	de -40 à +85	**2,09**	**1,51**	**1,17**	**0,974**
781-DG412DJ-E3	DG412DJ-E3	DIP-16	35	0,25	175	5	44	470	de -40 à +85	**3,17**	**2,31**	**1,87**	**1,58**
781-DG413DJ-E3	DG413DJ-E3	DIP-16	35	0,25	175	5	44	470	de -40 à +85	**3,17**	**2,31**	**1,87**	**1,58**
781-DG611DJ-E3	DG611DJ-E3	DIP-16	45	0,25	25	4	21	470	de -40 à +85	**4,02**	**3,22**	**2,68**	**2,54**
781-DG612DJ-E3	DG612DJ-E3	DIP-16	45	0,25	25	4	21	470	de -40 à +85	**4,02**	**3,22**	**2,68**	**2,54**

© Copyright 2012 Mouser Electronics

© Copyright 2012 Mouser Electronics

CI analogiques SILICONIX

RoHS Compliant **This product is RoHS compliant.**

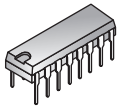
DIP-16

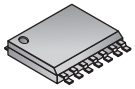
TSSOP-16

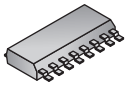
SOIC-16

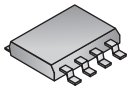
MSOP-8

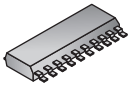
SOIC-20

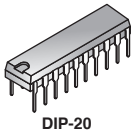
DIP-20

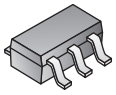
SC-70-6L

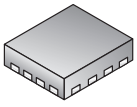
MiniQFN-16

COMMUTATEURS ANALOGIQUES

PRODUCT NEW

♦ **Composant pour montage en surface**

Pour des quantités supérieures à celles indiquées, appelez-nous afin d'obtenir un devis.

RÉF. STOCK MOUSER	Réf. Siliconix	Boîtier	Interrupteur sur résistance (Max)(Ω)	Courant de fuite d'arrêt (Max)(nA)	Délai de mise sous tension (Max)(nS)	Injection de charge (Typ)(pC)	Tension d'alimentation (Max) (V)	Dissipation de puissance du boîtier (Max)(mW)	Plage de température (°C)	Prix unitaire 1	100	500	1000
SPST 4 voies													
♦ 781-DG201HSDQ-E3	DG201HSDQ-T1-E3	TSSOP-16	50	1	60	-5	44	600	de -40 à +85	7,52	5,24	3,41	2,90
♦ 781-DG201HSDY-E3	DG201HSDY-E3	SOIC-16	50	1	60	-5	44	600	de -40 à +85	4,50	3,14	2,04	1,81
♦ 781-DG201HSDY-T1-E3	DG201HSDY-T1-E3	SOIC-16	50	1	60	-5	44	600	de -40 à +85	2,08	2,08	2,08	2,08
♦ 781-DG271BDY-E3	DG271BDY-E3	SOIC-16	50	1	65	9	44	600	de -40 à +85	4,28	3,80	2,85	2,70
♦ 781-DG213DQ-E3	DG213DQ-T1-E3	TSSOP-16	60	0,5	130	1	22	500	de -40 à +85	2,13	1,49	1,15	1,13
♦ 781-DG213DY-T1-E3	DG213DY-T1-E3	SOIC-16	60	0,5	130	1	22	640	de -40 à +85	1,67	1,20	1,16	0,812
♦ 781-DG541DY-E3	DG541DY-E3	SOIC-16	60	10	70	-25	21	640	de -40 à +85	3,38	3,01	2,26	2,14
♦ 781-DG441DY-E3	DG441DY-E3	SOIC-16	85	0,5	250	1	44	900	de -40 à +85	1,34	0,82	0,686	0,617
♦ 781-DG442DY-E3	DG442DY-E3	SOIC-16	85	0,5	250	1	44	900	de -40 à +85	1,26	1,07	1,01	0,908
♦ 781-DG444DY-E3	DG444DY-E3	SOIC-16	85	0,5	250	1	44	640	de -40 à +85	1,14	1,01	0,866	0,784
♦ 781-DG445DY-E3	DG445DY-E3	SOIC-16	85	0,5	250	1	44	640	de -40 à +85	1,14	1,01	0,758	0,718
♦ 781-DG201BDQ-E3	DG201BDQ-T1-E3	TSSOP-16	85	0,5	300	1	44	640	de -40 à +85	2,29	1,62	1,24	1,04
♦ 781-DG201BDY-E3	DG201BDY-E3	SOIC-16	85	0,5	300	1	44	640	de -40 à +85	0,82	0,722	0,657	0,596
♦ 781-DG201BDY-T1-E3	DG201BDY-T1-E3	SOIC-16	85	0,5	300	1	44	640	de -40 à +85	2,13	1,33	1,15	0,965
♦ 781-DG202BDQ-E3	DG202BDQ-T1-E3	TSSOP-16	85	0,5	300	1	44	640	de -40 à +85	1,76	1,62	1,58	1,40
♦ 781-DG202BDY-E3	DG202BDY-E3	SOIC-16	85	0,5	300	1	44	640	de -40 à +85	1,42	1,20	1,16	1,02
♦ 781-DG211BDQ-E3	DG211BDQ-T1-E3	TSSOP-16	85	0,5	300	1	44	640	de -40 à +85	1,96	1,37	1,06	0,891
♦ 781-DG211BDY-E3	DG211BDY-E3	SOIC-16	85	0,5	300	1	44	640	de -40 à +85	1,34	1,08	1,02	0,924
♦ 781-DG212BDQ-E3	DG212BDQ-T1-E3	TSSOP-16	85	0,5	300	1	44	640	de -40 à +85	1,96	1,37	1,06	0,891
♦ 781-DG212BDY-E3	DG212BDY-T1-E3	SOIC-16	85	0,5	300	1	44	640	de -40 à +85	0,92	0,82	0,644	0,583
♦ 781-DG611AEQ-E3	DG611AEQ-T1-E3	TSSOP-16	115	0,1	55	1	14	450	de -40 à +125	1,25	0,883	0,692	0,544
♦ 781-DG612AEQ-E3	DG612AEQ-T1-E3	TSSOP-16	115	0,1	55	1	14	450	de -40 à +125	1,25	0,891	0,693	0,545
♦ 781-DG613AEQ-E3	DG613AEQ-T1-E3	TSSOP-16	115	0,1	55	1	14	450	de -40 à +125	1,25	0,883	0,692	0,544
781-DG613DJ-E3	DG613DJ-E3	DIP-16	45	0,25	35	7	21	470	de -40 à +85	2,77	2,03	1,66	1,57
781-DG271BCJ-E3	DG271BCJ-E3	DIP-16	50	1	65	9	44	470	de -40 à +85	4,28	3,42	2,90	2,81
781-DG441DJ-E3	DG441DJ-E3	DIP-16	85	0,5	250	1	44	470	de -40 à +85	1,42	1,20	1,14	1,03
781-DG442DJ-E3	DG442DJ-E3	DIP-16	85	0,5	250	1	44	470	de -40 à +85	1,96	1,81	1,77	1,57
781-DG444DJ-E3	DG444DJ-E3	DIP-16	85	0,5	250	1	44	470	de -40 à +85	1,39	1,19	1,12	1,01
781-DG445DJ-E3	DG445DJ-E3	DIP-16	85	0,5	250	1	44	470	de -40 à +85	1,17	0,998	0,941	0,85
781-DG201BDJ-E3	DG201BDJ-E3	DIP-16	85	0,5	300	1	44	470	de -40 à +85	0,99	0,85	0,747	0,714
781-DG202BDJ-E3	DG202BDJ-E3	DIP-16	85	0,5	300	1	44	470	de -40 à +85	1,18	0,965	0,908	0,825
781-DG211BDJ-E3	DG211BDJ-E3	DIP-16	85	0,5	300	1	44	470	de -40 à +85	1,25	0,928	0,773	0,732
781-DG212BDJ-E3	DG212BDJ-E3	DIP-16	85	0,5	300	1	44	470	de -40 à +85	1,17	0,928	0,773	0,732
781-DG308ACJ-E3	DG308ACJ-E3	DIP-16	100	5	200	-10	44	470	de 0 à 70	1,30	1,11	1,03	0,932
SPST 4 voies (haute tension / basse puissance)													
♦ 781-DG452EQ-E3	DG452EQ-T1-E3	TSSOP-16	5,3	0,5	118	22	44	178	de -40 à +125	3,48	2,55	2,02	1,73
SPST monolithique de précision 4 voies													
♦ 781-DG412HSDY-E3	DG412HSDY-E3	SOIC-16	35	0,25	105	22	44	600	de -40 à +85	3,12	2,52	1,89	1,79
♦ 781-DG413HSDY-E3	DG413HSDY-E3	SOIC-16	35	0,25	105	22	44	600	de -40 à +85	3,12	2,52	1,89	1,79
SPST monolithique de précision 4 voies (basse tension)													
♦ 781-DG9424DQ-E3	DG9424DQ-T1-E3	TSSOP-16	3,3 @ 5 V double	1	74 @ 5 V double	112 @ 5 V double	13	450	de -40 à +85	2,75	1,91	1,49	1,28
♦ 781-DG419LDQ-E3	DG419LDQ-T1-E3	MSOP-8	20	1	46	1	12	400	de -40 à +85	1,07	1,07	1,07	1,07
♦ 781-DG419BDQ-T1-E3	DG419BDQ-T1-E3	MSOP-8	29	0,25	99	38	12	400	de -40 à +85	1,65	1,62	1,62	1,62
♦ 781-DG411LDY-E3	DG411LDY-E3	SOIC-16	30	1	50	5	12	650	de -40 à +85	1,41	1,22	0,915	0,867
♦ 781-DG412LDQ-T1-E3	DG412LDQ-T1-E3	TSSOP-16	30	1	50	5	12	450	de -40 à +85	1,65	1,15	1,07	1,07
♦ 781-DG412LDY-E3	DG412LDY-E3	SOIC-16	30	1	50	5	12	650	de -40 à +85	1,39	1,22	0,915	0,867
♦ 781-DG413LDQ-E3	DG413LDQ-T1-E3	TSSOP-16	30	1	50	5	12	450	de -40 à +85	1,65	1,15	1,07	1,07
♦ 781-DG413LDY-E3	DG413LDY-E3	SOIC-16	30	1	50	5	12	650	de -40 à +85	1,39	1,22	0,915	0,867
♦ 781-DG441LDY-E3	DG441LDY-E3	SOIC-16	40	1	70	5	12	650	de -40 à +85	0,85	0,757	0,71	0,627
SPDT 4 voies													
♦ 781-DG333ADW-E3	DG333ADW-E3	SOIC-20	45	0,25	175	10	44	800	de -40 à +85	3,38	2,71	2,26	2,14
♦ 781-DG333ALDW-E3	DG333ALDW-E3	SOIC-20	45	0,25	175	10	44	800	de -40 à +85	3,81	3,05	2,54	2,40
781-DG333ADJ-E3	DG333ADJ-E3	DIP-20	45	0,25	175	10	44	890	de -40 à +85	3,69	3,07	2,95	2,51
SPDT 4 voies													
♦ 781-DG4157DL-E3	DG4157DL-T1-E3	SC-70-6L	2,5	2	55	50	5,5	250	de -40 à +85	0,55	0,371	0,272	0,216
SPDT 4 voies (haut débit / basse tension)													
♦ 781-DG2706DN-E4	DG2706DN-T1-E4	MiniQFN-16	5,5	5	45	3	4,3	525	de -40 à +85	1,10	0,78	0,606	0,476

© Copyright 2012 Mouser Electronics

© Copyright 2012 Mouser Electronics

CODEC Stéréo WOLFSON MICROELECTRONICS

RoHS Compliant **This product is RoHS compliant.**

Les produits Wolfson Microelectronics sont au cœur de certains des produits numériques les plus utilisés chez les consommateurs. Les semi-conducteurs de signal mixte de Wolfson sont essentiels à la performance de périphériques tels que les téléphones mobiles, les lecteurs MP3, les DVD, les appareils photo numériques et les scanners. En se basant sur notre expérience reconnue sur le marché audio, nous avons créé quelques unes des plus puissantes puces du marché numérique.

HUBS AUDIO WOLFSON

RÉF. STOCK MOUSER	Réf. Wolfson	Boîtier	CNA / CAN	SNR CNA THD (dB)	SNR CAN / THD (dB)	Alimentation analogique (V)	Alimentation numérique (V)	Prix unitaire 1	50	100
238-WM8994ECS/R	WM8994ECS/R	QFN-48	4 / 2	98 / -84	95 / -82	de 1,8 à 3,6	de 1,4 à 3.6	7,04	5,90	4,92

AMPLIFICATEURS AUDIO WOLFSON

RÉF. STOCK MOUSER	Réf. Wolfson	Boîtier	SNR	CNA / THD (dB)	Contrôle (SW/HW)	Modes d'alimentation	Prix unitaire 1	50	100
238-WM9010ECSN/R	WM9010ECSN/R	W-CSP-12	104 / -88	HW	de 1,71 à 2	Analogique asymétrique	0,55	0,454	0,363
238-WM9090ECS/R	WM9090ECS/R	W-CSP-20	95 / -83	SW 2 câbles	HPVDD : 1,71 - 2 V SPKVDD : 2,7 - 5,5 V	Analogique stéréo, mono ou différentiel	1,24	1,03	0,825

CODEC WOLFSON

RÉF. STOCK MOUSER	Réf. Wolfson	Boîtier	CNA / CAN	Fréquence d'échantillonnage max. (kHz)	Alimentation analogique (V)	Alimentation numérique (V)	Prix unitaire 1	50	100
238-WM8510GEDS/RV	WM8510GEDS/RV	SSOP-28	1/1	48	de 2,5 à 5,5	de 1,71 à 3,6	2,43	2,19	1,75
238-WM8731LSEFL/R	WM8731LSEFL/R	QFN-28	2/2	96	de 1,8 à 3,6	de 1,42 à 3,6	2,36	2,05	1,63
238-WM8731SEDS/V	WM8731SEDS/V	SSOP-28	2/2	96	de 1,8 à 3,6	de 1,42 à 3,6	2,55	2,21	1,77
238-WM8750BLGEFL/R	WM8750BLGEFL/R	QFN-32	2/2	96	de 1,8 à 3,6	de 1,42 à 3,6	3,43	2,97	2,38
238-WM8960GEFL/RV	WM8960GEFL/RV	QFN-32	2/2	48	de 2,7 à 3,6	de 1,71 à 3,6	3,58	3,10	2,48
238-WM8974GEFL/V	WM8974GEFL/V	QFN-24	1/1	48	de 2,5 à 5,5	de 1,71 à 3,6	2,70	2,38	1,95
238-WM8983GEFL/V	WM8983GEFL/V	QFN-32	2/2	48	de 2,5 à 5,5	de 1,71 à 3,6	4,05	3,51	2,81
238-WM8985GEFL	WM8985GEFL	QFN-32	2/2	48	de 2,7 à 3,6	de 1,71 à 3,6	3,51	3,04	2,43
238-WM9705SEFL/RV	WM9705SEFL/RV	QFN-48	2/2	48	de 3 à 5	de 3 à 5	4,37	3,67	3,06
238-WM9705SEFT/V	WM9705SEFT/V	TQFP-48	2/2	48	de 3 à 5	de 3 à 5	5,65	4,74	3,95
238-WM9707SCFT/V	WM9707SCFT/V	TQFP-48	2/2	192	de 2,7 à 5,5	de 2,7 à 3,6	4,19	3,51	3,50
238-WM9712LGEFL/V	WM9712LGEFL/V	QFN-48	3/3	-	de 1,8 à 3,6	de 1,5 à 3,6	4,36	3,88	3,23
238-WM9712LGEFL/RV	WM9712LGEFL/RV	QFN-48	3/3	-	de 1,8 à 3,6	de 1,5 à 3,6	4,69	3,94	3,28
238-WM9713LGEFL/V	WM9713LGEFL/V	QFN-48	4/3	-	de 1,8 à 3,6	de 1,8 à 3,6	5,53	3,87	3,65
238-WM9715LGEFL/V	WM9715LGEFL/V	QFN-48	-	-	de 1,8 à 3,6	de 1,5 à 3,6	3,30	2,86	2,61

CNA

RÉF. STOCK MOUSER	Réf. Wolfson	Boîtier	SNR	CNA THD (dB)	Fréquence d'échantillonnage max. (kHz)	Alimentation analogique (V)	Alimentation numérique (V)	Prix unitaire 1	50	100
238-WM8711BLGEFL/V	WM8711BLGEFL/V	QFN-24	2	90 / -86	96	de 1,8 à 3,6	de 1,42 à 3,6	1,86	1,55	1,11
238-WM8751LSEFL/R	WM8751LSEFL/R	QFN-32	2	98 / -86	96	de 1,8 à 3,6	de 1,42 à 3,6	2,62	2,27	1,71
238-WM8759GED/V	WM8759GED/V	SOIC-14	2	100 / -88	192	de 2,5 à 5,5	de 2,5 à 5,5	1,19	0,99	0,693
238-WM8955LSEFL/R	WM8955LSEFL/R	QFN-32	2	98 / -86	96	de 1,8 à 3,6	de 1,42 à 3,6	3,28	2,84	2,14

CAN

RÉF. STOCK MOUSER	Réf. Wolfson	Boîtier	SNR	CAN / THD (dB)	Fréquence d'échantillonnage max. (kHz)	Alimentation analogique (V)	Alimentation numérique (V)	Prix unitaire 1	50	100
238-WM8737LGEFL	WM8737LGEFL	QFN-32	2	97 / -86	96	de 1,8 à 3,6	de 1,42 à 3,6	2,72	2,36	1,78
238-WM8739SEDS	XWM8739SEDS	SSOP-20	2	90 / -84	96	de 2,7 à 3,6	de 1,42 à 3,6	4,44	3,73	2,93
238-WM8775SEDS/RV	WM8775SEDS/RV	SSOP-28	2	102 / -90	96	de 2,7 à 5,5	de 2,7 à 3,6	3,82	1,72	2,60
238-WM8782SEDS/RV	WM8782SEDS/RV	SSOP-20	2	102 / -90	192	de 2,7 à 5,5	de 2,7 à 3,6	1,91	1,72	1,30
238-WM8786GEDS/V	WM8786GEDS/V	SSOP-20	2	111 / -102	192	4,5 à 5,5	de 2,7 à 3,6	2,87	2,49	1,88

CODEC ÉCRAN TACTILE ET AUDIO AC'97

Le WM9712L est un périphérique entrée / sortie hautement intégré conçu pour le calcul et les communications mobiles. Le périphérique peut se connecter directement à écran tactile 4 câbles ou 5 câbles, des microphones mono ou stéréo, des casques stéréo et un haut-parleur mono, réduisant ainsi le nombre total de composants du système. Par ailleurs, les broches entrée et sortie du téléphone sont fournies pour une intégration irréprochable avec des périphériques de communication sans-fil.

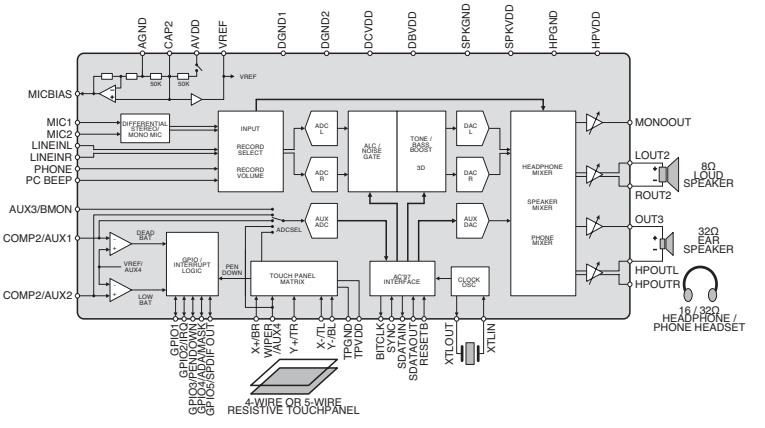

Caractéristiques :

- Codec stéréo compatible AC'97 Rév. 2.2
  - CNA SNR 94 dB, THD –87 dB
  - CAN SNR 92 dB, THD –87 dB
  - Taux audio variables, accepte tous les vitesses d'échantillonnage WinCE
  - Contrôle de tonalité, amplificateur des graves et amélioration 3D
- Interface tactile résistive :
  - Accepte les panneaux à 4 et 5 câbles
  - Résolution 12 bits, INL ±2 LSB (< 0,5 pixels)
  - Mesure X, Y pression de touche (Z)
  - Détection baisser de plume acceptée en mode sommeil
- Pilote écouteur 45 mW sur puce
- Pilote haut parleur mono 400 mW sur puce
- Entrée microphone stéréo, mono ou différentiel
  - Contrôle automatique du niveau (ALC)
- CNA mono auxiliaire (tonalité d'appel ou génération de niveau CC)
- Interface continue pour jeu de puces
- Jusqu'à 5 broches GPIO
- 2 entrées comparateur pour surveillance de la batterie
- Jusqu'à 4 entrées CAN auxiliaires
- Boîtier : QFN-48 7x7 mm

Applications :

- Assistants numériques personnels (PDA)
- Téléphones intelligents - Smartphones
- Ordinateurs de poche et tablettes

Pour des quantités égales ou supérieures à 1000, appelez-nous afin d'obtenir un devis.

RÉF. STOCK MOUSER		Prix unitaire			
Fabr.	Réf. fabr.	1	50	100	500
238	WM9712LGEFL/RV	4,69	3,94	3,28	3,09

© Copyright 2012 Mouser Electronics

© Copyright 2012 Mouser Electronics

Amplificateurs opérationnels de précision ALD

RoHS Compliant **This page of product is compliant.**

ADVANCED LINEAR DEVICES, INC.

♦ **Composant pour montage en surface**

AMPLIFICATEURS OPÉRATIONNELS ALD - POUR INSTRUMENTATION, SANS OSCILLATIONS

- Plage de temp. de 0 à 70°C
- Technologie EPAD(R) brevetée
- Pilotes de sortie classe AB
- Tension d'alimentation aux. max. 12(±6) V
- Sorties supplémentaires symétriques
- Stable à haute température
- Tension de décalage d'entrée ultra faible
- Courants de polarisation d'entrée ultra faibles
- Entrée et sortie rail à rail
- Stable gain unitaire
- Pilote de câble
- Pas d'oscillations parasites

Tension Entrée/Sortie rail-rail

Pour des quantités supérieures à celles indiquées, appelez-nous afin d'obtenir un devis.

RÉF. STOCK MOUSER	Réf. ALD	Description	Boîtier	Bande passante gain (MHz) Typ.	Taux de dérive (V/µS) Typ.	Tension de décalage (Max.)(mV)	Polarisation d'entrée (Max.)(pA)	Tension d'alimentation (V) Min.	Isup. par ampli. (mA) Max.	Prix unitaire 1	25	100
♦ 585-ALD1706SAL	ALD1706SAL	Ultra micropuissance, simple	SO-8	0,4	0,17	4,5	30	2(±1)	0,04	**2,96**	**2,38**	**2,16**
585-ALD1706PAL	ALD1706PAL	Ultra micropuissance, simple	DIP-8	0,4	0,17	4,5	30	2(±1)	0,04	**2,96**	**2,38**	**2,16**
585-ALD1701SAL	ALD1701SAL	Micropuissance, simple	SO-8	0,7	0,7	4,5	30	2(±1)	0,25	**2,19**	**1,77**	**1,60**
585-ALD1701PAL	ALD1701PAL	Micropuissance, simple	DIP-8	0,7	0,7	4,5	30	2(±1)	0,25	**2,19**	**1,77**	**1,60**
♦ 585-ALD2702SAL	ALD2702SAL	Précision 5 V, double	SO-8	1,5	1,9	5	20	4(±2)	1,50	**2,58**	**2,08**	**1,89**
♦ 585-ALD4702SBL	ALD4702SBL	Précision 5 V, quad.	SO-14	1,5	1,9	5	30	4(±2)	1,50	**3,98**	**3,94**	**2,53**
585-ALD2702PAL	ALD2702PAL	Précision 5 V, double	DIP-8	1,5	1,9	5	20	4(±2)	1,50	**2,58**	**2,08**	**1,89**
585-ALD4702PBL	ALD4702PBL	Précision 5 V, Quad.	DIP-14	1,5	1,9	5	30	4(±2)	1,50	**4,65**	**3,74**	**3,40**
♦ 585-ALD1702SAL	ALD1702SAL	Précision 5 V, simple	SO-8	1,5	2,1	4,5	30	4(±2)	2	**2,33**	**1,87**	**1,71**
585-ALD1702PAL	ALD1702PAL	Précision 5 V, simple	DIP-8	1,5	2,1	4,5	30	4(±2)	2	**2,91**	**2,33**	**2,13**
♦ 585-ALD1704SAL	ALD1704SAL	Taux de dérive élevé, simple	SO-8	2,1	5	4,5	20	6,5 (±3,25)	4,50	**3,27**	**2,62**	**2,39**
♦ 585-ALD2704SAL	ALD2704SAL	Taux de dérive élevé, double	SO-8	2,1	5	5	20	6,5 (±3,25)	3,25	**2,58**	**2,08**	**1,89**
585-ALD1704PAL	ALD1704PAL	Taux de dérive élevé, simple	DIP-8	2,1	5	4,5	20	6,5 (±3,25)	4,50	**3,50**	**2,76**	**2,23**
585-ALD2704PAL	ALD2704PAL	Taux de dérive élevé, double	DIP-8	2,1	5	5	20	6,5 (±3,25)	3,25	**2,22**	**2,19**	**1,41**

AMPLIFICATEURS OPÉRATIONNELS CMOS POLARISATION ULTRA FAIBLE ET VOS ULTRA FAIBLE +

Amplificateurs opérationnels EPAD(R) à puissance de signal d'entrée ultra faible ALD

Pour des quantités supérieures à celles indiquées, appelez-nous afin d'obtenir un devis.

RÉF. STOCK MOUSER	Réf. ALD	Description	Boîtier	Bande passante gain (MHz) Typ.	Taux de dérive (V/µS) Typ.	Tension de décalage (Max.)(mV)	Polarisation d'entrée (Max.)(pA)	Tension d'alimentation Min.	Tension d'alimentation Max.	Isup. par ampli. (mA) Max.	Prix unitaire 1	25	100
585-ALD2706ASAL	ALD2706ASAL	Ultra micropuissance, double	SO-8	0,2	0,1	2	20	2(±1)	12(±6)	0,04	**5,84**	**4,79**	**4,10**
585-ALD2706BSAL	ALD2706BSAL	Ultra micropuissance, double	SO-8	0,2	0,1	5	20	2(±1)	12(±6)	0,04	**4,25**	**3,42**	**3,11**
♦ 585-ALD2736SAL	ALD2736SAL	Haute précision ultra micropuissance, double	SO-8	0,2	0,1	2	10	2(±1)	10(±5)	0,04	**4,05**	**3,26**	**2,97**
♦ 585-ALD2736ASAL	ALD2736ASAL	Haute précision ultra micropuissance, double	SO-8	0,2	0,1	0,6	10	2(±1)	10(±5)	0,04	**6,94**	**5,68**	**5,13**
♦ 585-ALD2706APAL	ALD2706APAL	Ultra micropuissance, double	DIP-8	0,2	0,1	2	20	2(±1)	12(±6)	0,04	**5,84**	**4,79**	**4,10**
♦ 585-ALD2706BPAL	ALD2706BPAL	Ultra micropuissance, double	DIP-8	0,2	0,1	5	20	2(±1)	12(±6)	0,04	**3,65**	**3,61**	**2,32**
585-ALD2736PAL	ALD2736PAL	Haute précision ultra micropuissance, double	DIP-8	0,2	0,1	2	10	2(±1)	10(±5)	0,04	**2,36**	**2,21**	**2,05**
585-ALD2736APAL	ALD2736APAL	Haute précision ultra micropuissance, double	DIP-8	0,2	0,1	0,6	10	2(±1)	10(±5)	0,04	**5,98**	**4,96**	**4,13**
585-ALD4706BSBL	ALD4706BSBL	Ultra micropuissance, quad.	SO-14	0,2	0,17	5	20	2(±1)	12(±6)	0,05	**10,16**	**9,41**	**7,62**
585-ALD4706BPBL	ALD4706BPBL	Ultra micropuissance, quad.	DIP-14	0,2	0,17	5	20	2(±1)	12(±6)	0,05	**10,16**	**9,41**	**7,62**
♦ 585-ALD1706ASAL	ALD1706ASAL	Ultra micropuissance, simple	SO-8	0,4	0,17	0,9	30	2(±1)	12(±6)	0,04	**3,68**	**2,96**	**2,70**
585-ALD1736SAL	ALD1736SAL	Haute précision ultra micropuissance, simple	SO-8	0,4	0,17	0,4	10	4(±2)	10(±5)	0,04	**2,19**	**1,77**	**1,60**
♦ 585-ALD1736ASAL	ALD1736ASAL	Haute précision ultra micropuissance, simple	SO-8	0,4	0,17	0,1	10	4(±2)	10(±5)	0,04	**3,02**	**2,43**	**2,21**
♦ 585-ALD1706APAL	ALD1706APAL	Ultra micropuissance, simple	DIP-8	0,4	0,17	0,9	30	2(±1)	12(±6)	0,04	**3,68**	**2,96**	**2,70**
♦ 585-ALD1736PAL	ALD1736PAL	Haute précision ultra micropuissance, simple	DIP-8	0,4	0,17	0,4	10	4(±2)	10(±5)	0,04	**2,19**	**1,77**	**1,60**
585-ALD1736APAL	ALD1736APAL	Haute précision ultra micropuissance, simple	DIP-8	0,4	0,17	0,1	10	4(±2)	10(±5)	0,04	**3,02**	**2,43**	**2,21**
585-ALD1701ASAL	ALD1701ASAL	Micropuissance, simple	SO-8	0,7	0,7	0,9	30	2(±1)	12(±6)	0,25	**3,09**	**2,48**	**2,26**
585-ALD1731SAL	ALD1731SAL	Haute précision micropuissance, simple	SO-8	0,7	0,7	0,4	10	2(±1)	10(±5)	0,2	**2,22**	**1,77**	**1,62**
♦ 585-ALD1731ASAL	ALD1731ASAL	Haute précision micropuissance, simple	SO-8	0,7	0,7	0,1	10	2(±1)	10(±5)	0,2	**2,22**	**1,77**	**1,62**
♦ 585-ALD2701ASAL	ALD2701ASAL	Micropuissance, double	SO-8	0,7	0,7	2	30	2(±1)	12(±6)	0,25	**4,22**	**3,38**	**3,08**
♦ 585-ALD2711ASAL	ALD2711ASAL	Haute précision micropuissance, double	SO-8	0,7	0,7	0,6	10	2(±1)	12(±6)	0,23	**13,01**	**10,94**	**10,05**
♦ 585-ALD2711SAL	ALD2711SAL	Haute précision, micropuissance, double	SO-8	0,7	0,7	1,5	10	2(±1)	12(±6)	0,23	**4,10**	**3,30**	**3,00**
♦ 585-ALD4701ASBL	ALD4701ASBL	Micropuissance, quad.	SO-14	0,7	0,7	2	30	2(±1)	12(±6)	0,25	**7,08**	**5,80**	**4,97**
♦ 585-ALD4701BSBL	ALD4701BSBL	Micropuissance, quad.	SO-14	0,7	0,7	5	30	2(±1)	12(±6)	0,25	**4,42**	**4,36**	**2,81**
♦ 585-ALD1701APAL	ALD1701APAL	Micropuissance, simple	DIP-8	0,7	0,7	0,9	30	2(±1)	12(±6)	0,25	**3,09**	**2,48**	**2,26**
♦ 585-ALD1731PAL	AL01731PAL	Haute précision micropuissance, simple	DIP-8	0,7	0,7	0,4	10	2(±1)	10(±5)	0,2	**2,73**	**2,69**	**1,73**
585-ALD1731APAL	AL01731APAL	Haute précision micropuissance, simple	DIP-8	0,7	0,7	0,1	10	2(±1)	10(±5)	0,2	**2,73**	**2,69**	**1,73**
585-ALD2701APAL	ALD2701APAL	Micropuissance, double	DIP-8	0,7	0,7	2	30	2(±1)	12(±6)	0,25	**4,22**	**3,38**	**3,08**
585-ALD2711APAL	ALD2711APAL	Haute précision, micropuissance, double	DIP-8	0,7	0,7	0,6	10	2(±1)	12(±6)	0,23	**13,01**	**10,94**	**10,05**
585-ALD2711PAL	ALD2711PAL	Haute précision, micropuissance, double	DIP-8	0,7	0,7	1,5	10	2(±1)	12(±6)	0,23	**4,10**	**3,30**	**3,00**
585-ALD4701APBL	ALD4701APBL	Micropuissance, quad.	DIP-14	0,7	0,7	2	30	2(±1)	12(±6)	0,25	**7,08**	**5,80**	**4,97**
585-ALD4701BPBL	ALD4701BPBL	Micropuissance, quad.	DIP-14	0,7	0,7	5	30	2(±1)	12(±6)	0,25	**4,42**	**4,36**	**2,81**
585-ALD2702ASAL	ALD2702ASAL	Précision 5 V, double	SO-8	1,5	1,9	1	20	4(±2)	12(±6)	1,50	**5,07**	**4,16**	**3,75**
585-ALD2702BSAL	ALD2702BSAL	Précision 5 V, double	SO-8	1,5	1,9	2	20	4(±2)	12(±6)	1,50	**3,04**	**3,01**	**1,94**
♦ 585-ALD2732SAL	ALD2732SAL	Haute précision 5 V, double	SO-8	1,5	1,9	2	10	4(±2)	10(±5)	1,5	**3,24**	**2,61**	**2,38**
♦ 585-ALD2732ASAL	ALD2732ASAL	Haute précision 5 V, double	SO-8	1,5	1,9	0,6	10	4(±2)	10(±5)	1,5	**5,53**	**4,40**	**3,52**
♦ 585-ALD4702BSBL	ALD4702BSBL	Précision 5 V, quad.	SO-14	1,5	1,9	2	30	4(±2)	12(±6)	1,50	**4,32**	**4,27**	**2,76**
♦ 585-ALD2702APAL	ALD2702APAL	Précision 5 V, double	DIP-8	1,5	1,9	1	20	4(±2)	12(±6)	1,50	**5,07**	**4,16**	**3,75**
♦ 585-ALD2702BPAL	ALD2702BPAL	Précision 5 V, double	DIP-8	1,5	1,9	2	20	4(±2)	12(±6)	1,50	**3,04**	**3,01**	**1,94**
585-ALD2732PAL	ALD2732PAL	Haute précision 5 V, double	DIP-8	1,5	1,9	2	10	4(±2)	10(±5)	1,5	**3,24**	**2,61**	**2,38**
585-ALD2732APAL	ALD2732APAL	Haute précision 5 V, double	DIP-8	1,5	1,9	0,6	10	4(±2)	10(±5)	1,5	**5,53**	**4,40**	**3,52**
585-ALD4702BPBL	ALD4702BPBL	Précision 5 V, quad.	DIP-14	1,5	1,9	2	30	4(±2)	12(±6)	1,50	**4,32**	**4,27**	**2,76**
585-ALD1702ASAL	ALD1702ASAL	Précision 5 V, simple	SO-8	1,5	2,1	0,9	30	4(±2)	12(±6)	2	**3,31**	**2,66**	**2,43**
585-ALD1712SAL	ALD1712SAL	Précision, simple	SO-8	1,5	2,1	0,5	10	4(±2)	12(±6)	1,50	**2,51**	**2,02**	**1,72**
♦ 585-ALD1732SAL	ALD1732SAL	Précision 5 V, simple	SO-8	1,5	2,1	0,4	10	4(i2)	10(±5)	1,5	**2,22**	**1,77**	**1,62**
♦ 585-ALD1732ASAL	ALD1732ASAL	Précision 5 V, simple	SO-8	1,5	2,1	0,1	10	4(i2)	10(±5)	1,5	**2,22**	**1,77**	**1,62**
♦ 585-ALD1702APAL	ALD1702APAL	Précision 5 V, simple	DIP-8	1,5	2,1	0,9	30	4(±2)	12(±6)	2	**3,31**	**2,66**	**2,43**
♦ 585-ALD1712PAL	ALD1712PAL	Précision, simple	DIP-8	1,5	2,1	0,5	10	4(±2)	12(±6)	1,50	**2,51**	**2,02**	**1,72**
585-ALD1732PAL	ALD1732PAL	Précision 5 V, simple	DIP-8	1,5	2,1	0,1	10	4(±2)	10(±5)	1,5	**2,22**	**1,77**	**1,62**
585-ALD1732APAL	ALD1732APAL	Précision 5 V, simple	DIP-8	1,5	2,1	0,4	10	4(±2)	10(±5)	1,5	**2,22**	**1,77**	**1,62**
585-ALD1704ASAL	ALD1704ASAL	Taux de dérive élevé, simple	SO-8	2,1	5	0,9	20	6,5 (±3,25)	12(±6)	4,50	**3,16**	**3,12**	**2,01**
585-ALD2704BSAL	ALD2704BSAL	Taux de dérive élevé, double	SO-8	2,1	5	2	20	6,5 (±3,25)	12(±6)	3,25	**3,04**	**3,01**	**1,94**
♦ 585-ALD1704APAL	ALD1704APAL	Taux de dérive élevé, simple	DIP-8	2,1	5	0,9	20	6,5 (±3,25)	12(±6)	4,50	**3,16**	**3,12**	**2,00**
♦ 585-ALD2704BPAL	ALD2704BPAL	Taux de dérive élevé, double	DIP-8	2,1	5	2	20	6,5 (±3,25)	12(±6)	3,25	**3,04**	**3,01**	**1,94**

© Copyright 2012 Mouser Electronics

© Copyright 2012 Mouser Electronics

Amplificateurs et transistors CI RF AVAGO

AVAGO TECHNOLOGIES

RoHS Compliant This product is RoHS compliant.

GAIN ÉLEVÉ INGAP

PRODUCT NEW

Pour des quantités supérieures à celles indiquées, appelez-nous afin d'obtenir un devis.

RÉF. STOCK MOUSER	Réf. Avago	Boîtier	Gain (dB)	Tension (V)	Courant (mA)	Plage de fonctionnement (MHz)	Fréquence (MHz)	NF (dB)	OIP3 (dBm)	P1dB (dBm)	Prix unitaire 1	25	100	500
630-AVT-54689-TR1G	AVT-54689-TR1G	SOT-89	17	5	64	DC-6000	2000	4,5	30	17,5	1,09	0,75	0,662	0,566
630-AVT-55689-TR1G	AVT-55689-TR1G	SOT-89	16,5	5	82	DC-6000	2000	4,5	33	19	1,17	0,80	0,706	0,603
630-MGA-31589-BLKG	MGA-31589-BLKG	SOT-89	20	5	150	400-1500	900	3	44,5	28	3,85	3,34	3,03	2,65
630-MGA-31689-BLKG	MGA-31689-BLKG	SOT-89	18	5	150	1500-3000	1900	3	44,5	28	3,85	3,34	3,03	2,65

AMPLIFICATEURS D'ISOLATION DE PRÉCISION

PRODUCT NEW

Pour des quantités supérieures à celles indiquées, appelez-nous afin d'obtenir un devis.

RÉF. STOCK MOUSER	Réf. Avago	Boîtier	Configuration broches de sortie	Type	Fréquence de fonctionnement	Gain (dB)	SNR (dB)	Vf (V)	Id (mA)	Prix unitaire 1	25	100	500
630-ACPL-7900-000E	ACPL-7900-000E	DIP-8	Droit	Amplificateur ISO de précision	200 kHz	-78	60	4,5	13	4,61	4,00	3,64	3,18
630-ACPL-7900-300E	ACPL-7900-300E	DIP-8	Gull Wing	Amplificateur ISO de précision	200 kHz	-78	60	4,5	13	4,64	4,03	3,67	3,20
630-ACPL-7900-500E	ACPL-7900-500E	DIP-8	Gull Wing	Amplificateur ISO de précision	200 kHz	-78	60	4,5	13	4,64	4,03	3,67	3,20
630-ACPL-790A-000E	ACPL-790A-000E	DIP-8	Droit	Amplificateur ISO de précision	200 kHz	-78	60	4,5	13	6,13	5,33	4,84	4,23
630-ACPL-790A-300E	ACPL-790A-300E	DIP-8	Gull Wing	Amplificateur ISO de précision	200 kHz	-78	60	4,5	13	6,18	5,37	4,88	4,26
630-ACPL-790A-500E	ACPL-790A-500E	DIP-8	Gull Wing	Amplificateur ISO de précision	200 kHz	-78	60	4,5	13	6,18	5,37	4,88	4,26
630-ACPL-790B-000E	ACPL-790B-000E	DIP-8	Droit	Amplificateur ISO de précision	200 kHz	-78	60	4,5	13	7,66	6,66	6,05	5,29
630-ACPL-790B-300E	ACPL-790B-300E	DIP-8	Gull Wing	Amplificateur ISO de précision	200 kHz	-78	60	4,5	13	7,70	6,69	6,08	5,32
630-ACPL-790B-500E	ACPL-790B-500E	DIP-8	Gull Wing	Amplificateur ISO de précision	200 kHz	-78	60	4,5	13	7,70	6,69	6,08	5,32

CI RF EN SILICIUM

Pour des quantités supérieures à celles indiquées, appelez-nous afin d'obtenir un devis.

RÉF. STOCK MOUSER	Réf. Avago	Type	Type	Fréquence de fonctionnement	Gain (dB)	NF (dB)	Vf (V)	Id (mA)	Prix unitaire 1	25	100	500
630-MSA-0386-BLKG	MSA-0386-BLKG	Plastique 86	Amplificateur à gain fixe en silicium	CC - 2,4 GHz	12	6	5	35	1,83	1,53	1,33	1,13
630-MSA-0386-TR1G	MSA-0386-TR1G	Plastique 86	Amplificateur à gain fixe en silicium	CC - 2,4 GHz	12	6	5	35	1,83	1,53	1,33	1,13
630-MSA-0486-BLKG	MSA-0486-BLKG	Plastique 86	Amplificateur à gain fixe en silicium	CC - 3,2 GHz	8	7	5,25	50	2,03	1,70	1,47	1,25
630-MSA-0505-STRG	MSA-0505-STRG	Plastique 05	Amplificateur à gain fixe en silicium	0,02 - 2,4 GHz	7	6,5	8,4	80	3,34	2,80	2,43	2,07
630-MSA-0611-TR1G	MSA-0611-TR1G	SOT-143	Amplificateur à gain fixe en silicium	CC - 0,7 GHz	18	3	3,3	16	1,33	1,02	0,89	0,75
630-MSA-0686-BLKG	MSA-0686-BLKG	Plastique 86	Amplificateur à gain fixe en silicium	CC - 0,8 GHz	18,5	3	3,5	16	1,72	1,41	1,25	1,07
630-MSA-0886-BLKG	MSA-0886-BLKG	Plastique 86	Amplificateur à gain fixe en silicium	CC - 4 GHz	22,5	3,3	7,8	36	1,44	1,11	0,96	0,82
630-MSA-0886-TR1G	MSA-0886-TR1G	Plastique 86	Amplificateur à gain fixe en silicium	CC - 4 GHz	22,5	3,3	7,8	36	1,44	1,11	0,96	0,82
630-MSA-1105-STRG	MSA-1105-STRG	Plastique 05	Amplificateur à gain fixe en silicium	0,05 - 1,3 GHz	12	3,6	5,5	60	2,53	2,12	1,84	1,57
630-MSA-1105-TR1G	MSA-1105-TR1G	Plastique 05	Amplificateur à gain fixe en silicium	0,02 - 1,3 GHz	12	3,6	5,5	60	2,53	2,12	1,84	1,57
630-MSA-2111-TR1G	MSA-2111-TR1G	SOT-143	Amplificateur à gain fixe en silicium	CC - 0,5 GHz	17,5	3,3	3,6	29	2,13	1,74	1,55	1,32
630-ABA-31563-BLKG	ABA-31563-BLKG	SOT-363	Amplificateur large bande en silicium	CC - 3,5 GHz	21	3,8	3	14,5	0,53	0,42	0,353	0,302
630-ABA-31563-TR1G	ABA-31563-TR1G	SOT-363	Amplificateur large bande en silicium	CC - 3,5 GHz	21	3,8	3	14,5	0,53	0,42	0,353	0,302
630-ABA-32563-TR1G	ABA-32563-TR1G	SOT-363	Amplificateur large bande en silicium	CC - 2,5 GHz	18,5	3,4	3	38	0,58	0,44	0,383	0,324
630-ABA-51563-BLKG	ABA-51563-BLKG	SOT-363	Amplificateur large bande en silicium	CC - 3,5 GHz	21,5	3,7	5	18	0,51	0,39	0,339	0,287
630-ABA-51563-TR1G	ABA-51563-TR1G	SOT-363	Amplificateur large bande en silicium	CC - 3,5 GHz	21,5	3,7	5	18	0,51	0,39	0,339	0,287
630-ABA-52563-BLKG	ABA-52563-BLKG	SOT-363	Amplificateur large bande en silicium	CC - 3,5 GHz	21,5	3,3	5	35	0,56	0,42	0,368	0,324
630-ABA-52563-TR1G	ABA-52563-TR1G	SOT-363	Amplificateur large bande en silicium	CC - 3,5 GHz	21,5	3,3	5	35	0,56	0,42	0,368	0,324
630-ABA-53563-BLKG	ABA-53563-BLKG	SOT-363	Amplificateur large bande en silicium	CC - 3,5 GHz	21,5	3,5	5	46	0,69	0,53	0,456	0,405
630-ABA-53563-TR1G	ABA-53563-TR1G	SOT-363	Amplificateur large bande en silicium	CC - 3,5 GHz	21,5	3,5	5	46	0,69	0,52	0,456	0,405
630-ABA-54563-BLKG	ABA-54563-BLKG	SOT-363	Amplificateur large bande en silicium	CC - 3 GHz	23	4,4	5	79	0,73	0,56	0,486	0,412
630-ABA-54563-TR1G	ABA-54563-TR1G	SOT-363	Amplificateur large bande en silicium	CC - 3 GHz	23	4,4	5	79	0,73	0,55	0,486	0,412
630-ADA-4543-BLKG	ADA-4543-BLKG	SOT-343	Amplificateur Darlington en silicium	CC - 2,5 GHz	15,1	3,7	3,4	15	0,45	0,34	0,294	0,258
630-ADA-4543-TR1G	ADA-4543-TR1G	SOT-343	Amplificateur Darlington en silicium	CC - 2,5 GHz	15,1	3,7	3,4	15	0,45	0,34	0,294	0,258
630-ADA-4643-BLKG	ADA-4643-BLKG	SOT-343	Amplificateur Darlington en silicium	CC - 2,5 GHz	17	4	3,5	35	0,49	0,37	0,324	0,287
630-ADA-4643-TR1G	ADA-4643-TR1G	SOT-343	Amplificateur Darlington en silicium	CC - 2,5 GHz	17	4	3,5	35	0,49	0,37	0,324	0,287
630-ADA-4743-BLKG	ADA-4743-BLKG	SOT-343	Amplificateur Darlington en silicium	CC - 2,5 GHz	16,5	4,2	3,8	60	0,53	0,42	0,353	0,313
630-ADA-4743-TR1G	ADA-4743-TR1G	SOT-343	Amplificateur Darlington en silicium	CC - 2,5 GHz	16,5	4,2	3,8	60	0,53	0,42	0,353	0,313

CI RF GAAS

Pour des quantités supérieures à celles indiquées, appelez-nous afin d'obtenir un devis.

630-MGA-22103-TR1G	MGA-22103-TR1G	-	Module amplificateur de puissance WiMAX	2,5 GHz	34	31	3,3	13	4,67	3,82	3,40	2,89
630-MGA-52543-TR1G	MGA-52543-TR1G	SOT-343	Amplificateur à gain fixe en GaAs	0,4 - 6 GHz	14,2	1,9	5	53	2,27	1,86	1,65	1,40
630-MGA-53543-BLKG	MGA-53543-BLKG	SOT-343	Amplificateur à gain fixe en GaAs	0,4 - 6 GHz	15,4	1,5	5	54	2,67	2,19	1,95	1,65
630-MGA-634P8-BLKG	MGA-634P8-BLKG	QFN-8	Amplificateur faible bruit MMIC GaAs	1,5 - 2,3 GHz	18	0,37	5	50	3,75	3,14	2,72	2,32
630-MGA-635P8-BLKG	MGA-635P8-BLKG	QFN-8	Amplificateur bruit ultra faible	2,3 - 4 GHz	18	0,56	5,5	56	3,75	3,06	2,72	2,32
630-MGA-81563-TR1G	MGA-81563-TR1G	SOT-363	Amplificateur à gain fixe en GaAs	0,1 - 1,6 GHz	12,4	2,8	3	42	1,50	1,26	1,09	0,93
630-MGA-82563-TR1G	MGA-82563-TR1G	SOT-363	Amplificateur à gain fixe en GaAs	0,1 - 1,6 GHz	13	2,2	3	84	1,78	1,48	1,28	1,09
630-MGA-85563-BLKG	MGA-85563-BLKG	SOT-363	Amplificateur à gain fixe en GaAs	-	19	1,9	3	15-30	1,75	1,43	1,27	1,08
630-MGA-86563-BLKG	MGA-86563-BLKG	SOT-363	Amplificateur à gain fixe en GaAs	0,5 - 6 GHz	22,7	1,5	5	14	1,97	1,61	1,43	1,22
630-MGA-86563-TR1G	MGA-86563-TR1G	SOT-363	Amplificateur à gain fixe en GaAs	-	19	1,9	3	15-30	1,97	1,65	1,43	1,22
630-MGA-86576-STRG	MGA-86576-STRG	Céramique SM	Amplificateur à gain fixe en GaAs	1,5 - 8 GHz	23,1	1,6	5	16	6,22	5,18	4,50	3,89
630-MGA-412P8-TR1G	MGA-412P8-TR1G	LPCC	Amplificateur puissance moyenne en GaAs	2,4 - 2,5 GHz	25,5	-	3,3	95	0,99	0,73	0,63	0,577
630-MGA-545P8-BLK	MGA-545P8-BLK	LPCC	Amplificateur puissance moyenne en GaAs	0,05 - 7 GHz	11,5	-	3,3	92	2,67	2,19	1,95	1,65
630-MGA-83563-BLKG	MGA-83563-BLKG	SOT-363	Amplificateur puissance moyenne en GaAs	0,5 - 6 GHz	22	-	3	152	2,37	1,99	1,72	1,47
630-MGA-61563-BLKG	MGA-61563-BLKG	SOT-363	Amplificateur Bial intelligent en GaAs	0,1 - 6 GHz	16,6	1,2	3	41	1,56	1,31	1,14	0,97
630-MGA-62563-BLKG	MGA-62563-BLKG	SOT-363	Amplificateur Bial intelligent en GaAs	0,1 - 3 GHz	22	0,9	3	60	1,68	1,41	1,23	1,04
630-MGA-631P8-TR1G	MGA-631P8-TR1G	LPCC	Amplificateur Bial intelligent en GaAs	0,4 - 1,5 GHz	15,7	0,5	4	60	3,44	2,82	2,50	2,13
630-MGA-68563-TR1G	MGA-68563-TR1G	SOT-363	Amplificateur Bial intelligent en GaAs	0,1 - 1,5 GHz	19,7	1	3	11	1,06	0,82	0,706	0,603
630-MGA-685T6-TR1G	MGA-685T6-TR1G	UTSLP	Amplificateur Bial intelligent en GaAs	0,1 - 1,5 GHz	18,9	0,9	3	10	1,39	1,07	0,93	0,79
630-MGA-645T6-TR1G	MGA-645T6-TR1G	UTSLP	Amplificateur GaAs avec interrupteur de shuntage	1,7 - 3 GHz	15	1,1	3	7	1,39	1,07	0,93	0,79
630-MGA-71543-BLKG	MGA-71543-BLKG	SOT-343	Amplificateur GaAs avec interrupteur de shuntage	-	15,9	0,8	2,7	10	1,55	1,19	1,03	0,88
630-MGA-72543-BLKG	MGA-72543-BLKG	SOT-343	Amplificateur GaAs avec interrupteur de shuntage	0,1 - 6 GHz	13,6	1,4	2,7	20	1,68	1,38	1,23	1,04
630-MGA-72543-TR1G	MGA-72543-TR1G	SOT-343	Amplificateur GaAs avec interrupteur de shuntage	0,1 - 6 GHz	13,6	1,4	2,7	20	1,68	1,38	1,23	1,04
630-MGA-665P8-BLK	MGA-665P8-BLK	LPCC	Amplificateur à faible bruit GaAs avec coupure d'alimentation	-	16	1,22	3	21	2,43	2,03	1,77	1,50
630-ALM-1412-TR1G	ALM-1412-TR1G	MCOB	Module d'amplificateur à faible bruit GPS avec filtre FBAR intégré	-	13,1	0,8	2,85	9	2,13	1,78	1,55	1,32
630-MGA-565P8-TR1	MGA-565P8-TR1	PLCC	Amplificateur tampon faible GaAs	Jusqu'à 3,5 GHz	22	-	5	67	2,23	1,86	1,62	1,38
630-IAM-91563-BLKG	IAM-91563-BLKG	SOT-363	Mélangeur - Convertisseur descendant	-	9	8,5	3	9	2,56	2,09	1,86	1,58

TRANSISTOR

Pour des quantités supérieures à celles indiquées, appelez-nous afin d'obtenir un devis.

630-AT-42086-BLKG	AT-42086-BLKG	Plastique 86	Transistor bipolaire en silicium	CC - 6 GHz	13	1,9	8	-	1,77	1,47	1,18	0,98
630-AT-41511-TR1G	AT-41511-TR1G	SOT-143	Transistor bipolaire en silicium	CC - 5 GHz	15,5	1	5	-	0,30	0,25	0,192	0,155
630-AT-41486-BLKG	AT-41486-BLKG	Plastique 86	Transistor bipolaire en silicium	CC - 6 GHz	18	1,4	8	-	1,79	1,50	1,20	0,99
630-VMMK-1225-BLKG	VMMK-1225-BLKG	SM 1x0,5	pHEMTS GaAs à faible bruit	-	11	0,9	2	20	2,03	1,66	1,47	1,25
630-ATF-35143-TR1G	ATF-35143-TR1G	SOT-343	pHEMTS GaAs à faible bruit	0,45 - 6 GHz	-	0,4	2	15	1,09	0,91	0,721	0,633
630-ATF-35143-BLKG	ATF-35143-BLKG	SOT-343	pHEMTS GaAs à faible bruit	0,45 - 6 GHz	18	0,4	2	15	1,09	0,91	0,721	0,633
630-ATF-33143-BLKG	ATF-33143-BLKG	SOT-343	pHEMTS GaAs à faible bruit	0,45 - 6 GHz	15	0,5	4	80	3,03	2,53	2,02	1,74
630-ATF-34143-BLKG	ATF-34143-BLKG	SOT-343	pHEMTS GaAs à faible bruit	0,45 - 6 GHz	17,5	0,5	4	60	2,58	2,16	1,72	1,42
630-ATF-36077-STR	ATF-36077-STR	SM 70 min	pHEMTS GaAs à faible bruit	1,5 - 18 GHz	12	0,5	1,5	25	5,88	4,90	4,26	3,83
630-ATF-551M4-BLK	ATF-551M4-BLK	MiniPak	E-pHEMTs GaAs à faible bruit et tension unique	-	17,5	0,5	2,7	10	1,11	0,92	0,735	0,611
630-ATF-55143-BLKG	ATF-55143-BLKG	SOT-343	E-pHEMTs à faible bruit et tension unique	0,45 - 6 GHz	17,7	0,6	2,7	10	1,11	0,92	0,735	0,611
630-ATF-58143-BLKG	ATF-58143-BLKG	SOT-343	E-pHEMTs à faible bruit et tension unique	0,45 - 6 GHz	16,5	0,5	3	30	1,86	1,55	1,24	1,03
630-ATF-54143-BLKG	ATF-54143-BLKG	SOT-343	E-pHEMTs à faible bruit et tension unique	0,45 - 6 GHz	16,6	0,5	3	60	3,11	2,60	2,08	1,72
630-ATF-54143-TR1G	ATF-54143-TR1G	SOT-343	E-pHEMTs à faible bruit et tension unique	0,45 - 6 GHz	16,6	0,5	3	60	3,11	2,60	2,08	1,72
630-ATF-55143-TR1G	ATF-55143-TR1G	SOT-343	E-pHEMTs à faible bruit et tension unique	0,45 - 6 GHz	17,7	0,6	2,7	10	1,11	0,92	0,735	0,611

© Copyright 2012 Mouser Electronics
© Copyright 2012 Mouser Electronics

Amplificateurs

Les produits peuvent être conformes à la directive RoHS. Consultez le site mouser.com pour vérifier la conformité RoHS.

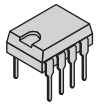
DIP-8

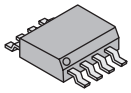
SOP-8 / SOIC-8

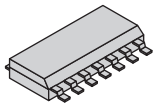
SOP-14

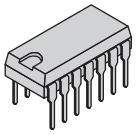
DIP-14

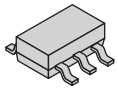
SC70-5 / SOT-23

SOT-343

SOT-363

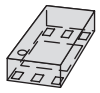
TSLP-7-1

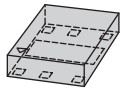
TSLP-7-8

AMPLIFICATEURS OPÉRATIONNELS STANDARD FAIRCHILD

♦ **Composant pour montage en surface**

Pour des quantités supérieures à celles indiquées, appelez-nous afin d'obtenir un devis.

RÉF. STOCK MOUSER	Réf. Fairchild	Boîtier	Nombre d' ampli.	Tension d'alimentation (VCC)+/-	Tension de décalage d'entrée max.	Courant de décalage d'entrée max.	Courant de polarisation d'entrée max.	Courant d'alimentation typ.	Gain tens. typ.	Excursion de tension de sortie typ. (VOL)	Excursion de tension de sortie typ. (VOH)	Vitesse de balayage (V/µs)	Prix unitaire 1	25	100	250
512-KA324A	KA324A	DIP-14	4	16/32 V	7 mV	50 nA	250 nA	0,7 mA	100 V/mV	5 mV	28000 mV	-	0,46	0,338	0,29	0,252
♦ 512-KA324ADTF	KA324ADTF	SOP-14	4	16/32 V	3 mV	30 nA	100 nA	1,5 mA	100 V/mV	5 mV	28000 mV	-	0,44	0,281	0,234	0,196
512-KA358A	KA358A	DIP-8	2	16/32 V	3 mV	30 nA	100 nA	0,8 mA	100 V/mV	5 mV	28000 mV	-	0,50	0,322	0,268	0,221
♦ 512-KA358ADTF	KA358ADTF	SOP-8	2	16/32 V	7 mV	50 nA	250 nA	0,8 mA	100 V/mV	5 mV	28 mV	-	0,50	0,322	0,268	0,221
512-KA4558	KA4558	DIP-8	2	22 V	6 mV	200 nA	500 nA	3,5 mA	200 V/mV	-	14000 mV	1,2	0,27	0,227	0,204	0,169
♦ 512-KA4558DTF	KA4558DTF	SOIC-8	2	22 V	6 mV	200 nA	500 nA	3,5 mA	200 V/mV	-	14000 mV	1,2	0,26	0,221	0,20	0,165
512-L272AM	L272AM	DIP-8	2	40 V	60mV	250 nA	2500 nA	7,5 mA	-	-	23000 mV	1	0,48	0,404	0,326	0,283
512-L272M	L272M	DIP-8	2	40 V	60mV	250 nA	2500 nA	7,5 mA	-	-	23000 mV	1	0,55	0,396	0,346	0,299
♦ 512-LF353MX	LF353MX	SOIC-8	2	18 V	10 mV	0,1 nA	0,2 nA	3,6 mA	100 V/mV	-	-	13	0,46	0,404	0,341	0,295
512-LF353N	LF353N	DIP-8	2	18 V	10 mV	0,1 nA	0,2 nA	3,6 mA	100 V/mV	-	-	13	0,41	0,344	0,302	0,257
♦ 512-LM258AM	LM258AM	SOP-8	2	16/32 V	5mV	30 nA	150 nA	0,8 mA	100 V/mV	5 mV	28 mV	-	0,46	0,305	0,251	0,207
512-LM258N	LM258N	DIP-8	2	16/32 V	5 mV	30 nA	150 nA	0,8 mA	100 V/mV	5 mV	28000 mV	-	0,42	0,272	0,229	0,189
♦ 512-LM2902M	LM2902M	SOP-14	4	13/26 V	7 mV	50 nA	250 nA	1 mA	100 V/mV	5 mV	24 mV	-	0,31	0,257	0,232	0,192
♦ 512-LM2902MX	LM2902MX	SOP-14	4	13/26 V	7 mV	50 nA	250 nA	0,7 mA	100 V/mV	5 mV	24000 mV	-	0,29	0,239	0,215	0,178
512-LM2902N	LM2902N	DIP-14	4	13/26 V	7 mV	50 nA	250 nA	0,7 mA	100 V/mV	5 mV	24000 mV	-	0,30	0,244	0,219	0,182
♦ 512-LM2904M	LM2904M	SOP-8	2	13/26 V	7 mV	50 nA	250 nA	0,8 mA	100 V/mV	5 mV	24 mV	-	0,25	0,205	0,184	0,153
♦ 512-LM2904MX	LM2904MX	SOP-8	2	13/26 V	7 mV	50 nA	250 nA	0,8 mA	100 V/mV	5 mV	24 mV	-	0,25	0,205	0,184	0,153
512-LM2904N	LM2904N	DIP-8	2	13/26 V	7 mV	50 nA	250 nA	0,5 mA	100 V/mV	5 mV	24000 mV	-	0,25	0,208	0,187	0,155
♦ 512-LM324AM	LM324AM	SOP-14	4	16/32 V	7 mV	50 nA	250 nA	1 mA	100 V/mV	5 mV	28 mV	-	0,47	0,309	0,252	0,208
♦ 512-LM324AMX	LM324AMX	SOP-14	4	16/32 V	7 mV	50 nA	250 nA	1 mA	100 V/mV	5 mV	28 mV	-	0,26	0,229	0,22	0,193
512-LM324AN	LM324AN	DIP-14	4	16/32 V	3 mV	30 nA	100 nA	0,7 mA	100 V/mV	5 mV	28000 mV	-	0,40	0,289	0,247	0,212
♦ 512-LM324M	LM324M	SOP-14	4	16/32 V	7 mV	50 nA	250 nA	1 mA	100 V/mV	5 mV	28 mV	-	0,31	0,257	0,232	0,192
♦ 512-LM324MX	LM324MX	SOP-14	4	16/32 V	7 mV	50 nA	250 nA	0,7 mA	100 V/mV	5 mV	28000 mV	-	0,29	0,239	0,215	0,178
512-LM324Nz	LM324N	DIP-14	4	16/32 V	7 mV	50 nA	250 nA	0,7 mA	100 V/mV	5 mV	28000 mV	-	0,40	0,289	0,252	0,212
♦ 512-LM358AM	LM358AM	SOP-8	2	16/32 V	7 mV	50 nA	250 nA	0,8 mA	100 V/mV	5 mV	28 mV	-	0,25	0,205	0,184	0,153
♦ 512-LM358AMX	LM358AMX	SOIC-8	2	16/32 V	3 mV	30 nA	100 nA	0,5 mA	100 V/mV	5 mV	28000 mV	-	0,38	0,248	0,205	0,169
512-LM358AN	LM358AN	DIP-8	2	16/32 V	3 mV	30 nA	100 nA	0,5 mA	100 V/mV	5 mV	28000 mV	-	0,25	0,208	0,187	0,155
♦ 512-LM358M	LM358M	SOP-8	2	16/32 V	7 mV	50 nA	250 nA	0,8 mA	100 V/mV	5 mV	28 mV	-	0,25	0,205	0,184	0,153
♦ 512-LM358MX	LM358MX	SOIC-8	2	16/32 V	7 mV	50 nA	250 nA	0,5 mA	100 V/mV	5 mV	28000 mV	-	0,23	0,192	0,173	0,144
512-LM358N	LM358N	DIP-8	2	16/32 V	7 mV	50 nA	250 nA	0,5 mA	100 V/mV	5 mV	28000 mV	-	0,25	0,208	0,187	0,155

AMPLIFICATEURS OPÉRATIONNELS HAUTE PERFORMANCE FAIRCHILD

Pour des quantités supérieures à celles indiquées, appelez-nous afin d'obtenir un devis.

RÉF. STOCK MOUSER	Réf. Fairchild	Boîtier	Amplificateurs par boîtier	Coupure d'alimentation	Entrée ou sortie rail-rail	Bande passante gain unitaire typ. MHz	Courant d'alimentation typ. par ampli. (mA)	Courant de sortie typ. (+/- mA)	Tension d'alimentation max. (V)	CMIR max. (V)	Balayage de sortie (V)	Bruit de tension d'entrée (nV/rtHz)	Tension de décalage typ. (mV)	Courant de polarisation d'entrée typ. (uA)	Vitesse de balayage (V/µs)	Prix unitaire 1	25	100	250
♦ 512-LMV321AP5X	LMV321AP5X	SC70-5	1	Non	Sortie	1,4	0,1	35	5,5	3,8	4,98	33	1	0	15	0,34	0,289	0,247	0,213
♦ 512-LMV321AS5X	LMV321AS5X	SOT-23	1	Non	Sortie	1,4	0,1	35	5,5	3,8	4,98	33	1	0	15	0,41	0,338	0,275	0,229
♦ 512-LMV358AM8X	LMV358AM8X	SOIC-8	2	Non	Sortie	1,4	0,1	35	5,5	3,8	4,98	33	1	0	15	0,45	0,372	0,332	0,277
♦ 512-LMV358AMU8X	LMV358AMU8X	SOP-8	2	Non	Sortie	1,4	0,1	35	5,5	3,8	4,98	33	1	0	15	0,43	0,356	0,321	0,266

AMPLIFICATEURS PILOTES ET LARGE BANDE INFINEON

Pour des quantités supérieures à celles indiquées, appelez-nous afin d'obtenir un devis.

RÉF. STOCK MOUSER	Réf. Infineon	Boîtier	Valeurs nominales max. V_D (V)	Valeurs nominales max. I_D (mA)	Gamme de fréq. recomm. (MHz)	Caractéristiques (T_A = 25°C) G_p (dB)	NF (dB)	Isolation rév. (dB)	P-1dB (entrée)	$IP_{3(sortie)}$ (dBm)	Conditions f (MHz)	I_D (mA)	V_D (V)	Prix unitaire 1	10	100	500
♦ 726-BGA612H6327XT	BGA612H6327XT	SOT-343	2,8	80	DC-2800	17,5	2	20	7	17	1000	20	2,3	1,20	1,04	0,842	0,659
♦ 726-BGA614H6327XT	BGA614H6327XT	SOT-343	2,9	80	DC-2400	19	2	21	12	25	1000	40	2,5	1,20	1,04	0,842	0,659
♦ 726-BGA616H6327XT	BGA616H6327XT	SOT-343	4,5	80	DC-2700	19	2,5	22	18	29	1000	60	4,1	0,80	0,71	0,579	0,567

AMPLIFICATEURS FAIBLE BRUIT INFINEON

Pour des quantités supérieures à celles indiquées, appelez-nous afin d'obtenir un devis.

RÉF. STOCK MOUSER	Réf. Infineon	Boîtier	Valeurs nominales max. V_D (V)	Valeurs nominales max. I_D (mA)	Gamme de fréq. recomm. (MHz)	Caractéristiques (T_A = 25°C) G_p (dB)	NF (dB)	P-1dB (entrée)	$IP_{3(sortie)}$ (dBm)	Conditions f (MHz)	I_D (mA)	V_D (V)	Prix unitaire 1	10	100	500
Radiodiffusion vidéonumérique + FM bande moyenne/large bande																
♦ 726-BGB707L7ESDE6327	BGB707L7ESDE6327XT	TSLP-7-1	4	20	70-10000	23	0,6	-9,5	-6	2400	6	3	1,12	0,965	0,791	0,62
♦ 726-BGB717L7ESDE6327	BGB717L7ESDE6327XT	TSLP-7-1	4	25	70-1000	12	1	-5,5	-12,5	100	3	3	1,12	0,965	0,791	0,62
♦ 726-BGB741L7ESDE63	BGB741L7ESDE6327XT	TSLP-7-1	4	30	30-6000	17,5	1,3	-3,5	3	2400	6	3	0,65	0,572	0,535	0,475
GPS																
♦ 726-BGA428H6327XT	BGA428H6327XT	SOT-363-6	4	12	900-2500	20	1,4	-18	-9	1800	8,2	2,75	0,80	0,71	0,579	0,545
♦ 726-BGA615L7E6327	BGA615L7E6327XT	TSLP-7-1	3,5	10	1300-1700	18	0,9	-11	-1	1575	6	2,8	1,26	0,965	0,85	0,725
♦ 726-BGA628L7E6327	BGA628L7E6327XT	TSLP-7-8	3,5	10	400-6000	19,3	0,9	-22	-14	1575	5,8	2,75	1,50	1,34	1,06	0,825
WLAN/WIMax																
♦ 726-BGA711L7E6327	BGA711L7E6327XT	TSLP-7-1	3,6	10	1900-2200	17	1,1	-8	-2	2100	3,6	2,8	0,73	0,693	0,668	0,557
♦ 726-BGA758L7E6327XT	BGA758L7E6327XT	TSLP-7-8	4	12	5000-6000	11	1	-3	-	5500	7	3,3	1,44	1,24	1,01	0,785
UMTS/3G																
♦ 726-BGA751L7E6327	BGA751L7E6327XT	TSLP-7-1	3,6	10	800-900	15,8	1	-5	-7	800	3,3	2,8	0,73	0,693	0,668	0,557

© Copyright 2012 Mouser Electronics

© Copyright 2012 Mouser Electronics

Amplificateurs MAXIM

MAXIM INNOVATION DELIVERED®

AMPLIFICATEURS OPÉRATIONNELS

♦ Composant pour montage en surface

RoHS Compliant This product is RoHS compliant.

Pour des quantités supérieures à celles indiquées, appelez-nous afin d'obtenir un devis.

RÉF. STOCK MOUSER	Réf. Maxim	Boîtier	Nombre de voies	Tension d'alimentation totale (Min/Max) (V)	I_{CC} par ampli. (Max) (µA)	Bande passante gain unitaire (Typ) (V/µs)	Vitesse de balay-age (Typ) (V/µs)	V_{OS} (µV) (Max)	Prix unitaire 1	25	100
♦ 700-MAX4200ESA	MAX4200ESA+	SO-8	1	5	2,2	-	4200	-	3,01	2,00	1,45
♦ 700-MAX4201ESA	MAX4201ESA+	SO-8	1	5	2,2	-	4200	-	1,81	1,20	0,875
♦ 700-MAX9943AUA	MAX9943AUA+	µMAX-8	1	6/38	950	2,4	0,35	100	1,72	0,875	0,803
700-ICL7611DCPA	ICL7611DCPA+	PDIP-8	1	2 / 16	15	0,044	0,016	2000	3,79	1,86	1,72
♦ 700-MAX4430ESA	MAX4430ESA+	SO-8	1	9/11	11	-	100	-	6,51	4,34	3,14
♦ 700-MAX4431ESA	MAX4431ESA+	SO-8	1	9/11	11	-	145	-	6,51	4,34	3,14
♦ 700-MAX4036EXKT	MAX4036EXK+T	SC70-5	1	1,4 / 3,6	1,2	0,004	0,0004	2000	1,14	0,759	0,553
♦ 700-MAX9613AXT+T	MAX9613AXT+T	SC70-6	1	1,7 / 5,5	305	2,8	1,3	100	1,42	1,04	0,751
♦ 700-MAX9614AXT+T	MAX9614AXT+T	SC70-6	1	1,7 / 5,5	305	2,8	1,3	100	1,21	0,825	0,644
♦ 700-MAX44264EWT+T	MAX44264EWT+T	WLP-6	1	1,8 / 5,5	1	0,009	0,002	7000	1,04	0,781	0,684
♦ 700-MAX4470EUKT	MAX4470EUK+T	SOT-23-5	1	1,8 / 5,5	1,2	=0,009	0,002	7000	1,30	0,866	0,635
♦ 700-MAX9910EXKT	MAX9910EXK+T	SC70-6	1	1,8 / 5,5	5	0,2	0,1	1000	0,83	0,611	0,446
♦ 700-MAX9911EXTT	MAX9911EXT+T	SC70-6	1	1,8 / 5,5	5	0,2	0,1	1000	0,92	0,611	0,446
♦ 700-MAX4241ESA	MAX4241ESA+	SO-8	1	1,8 / 5,5	18	0,09	0,04	750	2,43	1,62	1,10
♦ 700-MAX9914EXKT	MAX9914EXK+T	SC70-6	1	1,8 / 5,5	25	1	0,5	1000	0,83	0,611	0,446
♦ 700-MAX9915EXTT	MAX9915EXT+T	SC70-6	1	1,8 / 5,5	25	1	0,5	1000	0,83	0,611	0,446
♦ 700-MAX9617AXTT	MAX9617AXT+T	SC70-6	1	1,8 / 5,5	78	1,5	0,7	10	1,83	1,35	0,982
♦ 700-MAX9619AXT+T	MAX9619AXT+T	SC70-6	1	1,8 / 5,5	78	1,5	0,7	10	1,98	1,45	1,06
♦ 700-MAX4289EUTT	MAX4289EUT+T	SOT-23-6	1	1 / 5,5	9	0,017	-	2000	1,53	1,02	0,751
♦ 700-MAX410CSA	MAX410CSA+	SOIC-8	1	2,4 / 10,5	2700	28	4,5	250	5,33	2,71	2,48
700-MAX410EPA	MAX410EPA+	PDIP-8	1	2,4 / 105	2700	28	4,5	250	6,13	3,11	2,86
♦ 700-MAX410ESA	MAX410ESA+	SO-8	1	2,4 / 105	2700	28	4,5	250	6,43	3,17	2,92
♦ 700-MAX4236AESA	MAX4236AESA+	SO-8	1	2,4 / 5,5	440	1,7	0,3	20	2,27	1,51	1,10
♦ 700-MAX4236AEUA+	MAX4236AEUA+	µMAX-8	1	2,4 / 5,5	440	1,7	0,3	50	2,27	1,51	1,10
♦ 700-MAX4236BESA	MAX4236BESA+	SO-8	1	2,4 / 5,5	440	1,7	0,3	20	1,49	0,753	0,693
♦ 700-MAX4236EUTT	MAX4236EUT+T	SOT-23-6	1	2,4 / 5,5	440	1,7	0,3	20	1,74	1,29	0,932
♦ 700-MAX4237AESA	MAX4237AESA+	SO-8	1	2,4 / 5,5	440	7,5	1,3	20	2,27	1,51	1,10
♦ 700-MAX4237BESA	MAX4237BESA+	SO-8	1	2,4 / 5,5	440	7,5	1,3	50	1,49	0,753	0,693
♦ 700-MAX4237EUTT	MAX4237EUT+T	SOT-23-6	1	2,4 / 5,5	440	7,5	1,3	50	1,76	1,29	0,932
♦ 700-MAX4251ESA	MAX4251ESA+	SO-8	1	2,4 / 5,5	575	3	0,3	750	2,43	1,62	1,10
♦ 700-MAX4251EUA	MAX4251EUA+	µMAX-8	1	2,4 / 5,5	575	3	0,3	750	2,43	1,62	1,10
♦ 700-MAX406BCSA	MAX406BCSA+	SO-8	1	2,5 / 10	1,2	0,004	0,005	500	4,31	2,12	1,96
♦ 700-MAX4162ESA	MAX4162ESA+	SOIC-8	1	2,5 / 10,5	40	0,2	0,115	3000	2,30	1,25	1,16
♦ 700-MAX4414EUA	MAX4414EUA+	µMAX-8	1	2,7 / 5,5	1,6	-	200	-	2,60	1,28	1,18
♦ 700-MAX4239ASA	MAX4239ASA+	SO-8	1	2,7 / 5,5	850	6,5	-	2	1,93	0,982	0,899
♦ 700-MAX4239ATT+T	MAX4239ATT+T	TDFN-6	1	2,7 / 5,5	850	6,5	-	2	2,05	1,37	0,99
♦ 700-MAX4231AUTT	MAX4231AUT+T	SOT-23-6	1	2,7 / 5,5	1100	10	10	6000	1,16	0,776	0,561
♦ 700-MAX4231AYT+	MAX4231AYT+	µDFN-6	1	2,7 / 5,5	1100	10	10	6000	0,50	0,497	0,492
♦ 700-MAX4488ASA	MAX4488ASA+	SO-8	1	2,7 / 5,5	4400	42	10	750	1,49	0,753	0,693
♦ 700-MAX4094AUD	MAX4094AUD+	TSSOP 14 broches	1	2,7 / 6	165	0,5	0,2	1400	2,69	1,79	1,30
♦ 700-MAX4122EUKT	MAX4122EUK+T	SOT-23-5	1	2,7 / 6,5	825	5	2	1500	1,32	1,30	1,30
♦ 700-MAX4123EUA	MAX4123EUA+	µMAX-8	1	2,7 / 6,5	825	5	2	600	2,73	1,34	1,24
♦ 700-MAX4131ESA	MAX4131ESA+	SOIC-8	1	2,7 / 6,5	1150	10	4	600	2,50	1,67	1,20
♦ 700-MAX4212EUKT	MAX4212EUK+T	SOT-23-5	1	3,15 / 11	5,5	-	600	-	5,32	3,65	2,49
♦ 700-MAX4012EUKT	MAX4012EUK+T	SOT-23-5	1	3,15 / 11	100	-	600	-	2,32	2,15	1,56
♦ 700-MAX4215EUA	MAX4215EUA+	µMAX-8	1	3,3 / 5	5,5	-	600	-	3,69	1,86	1,72
♦ 700-MAX4390EUKT	MAX4390EUK+T	SOT-23-5	1	4,5 / 11	6	-	500	-	1,09	0,809	0,594
♦ 700-MAX9632ASA	MAX9632ASA+	SO-8	1	4,5 / 36	6500	55	30	125	7,54	3,83	3,52
♦ 700-MAX9945AUA	MAX9945AUA+	µMAX-8	1	4,75 / 38	700	3	2,2	5000	1,72	0,875	0,803
♦ 700-MAX4224ESA	MAX4224ESA+	SO-8	1	5,7 / 11	6	-	1700	-	5,23	2,66	2,44
♦ 700-MAX4203ESA	MAX4203ESA+	SO-8	2	5	2,2	-	4200	-	3,62	2,42	1,75
♦ 700-MAX9944ASA	MAX9944ASA+	SO-8	2	6/38	950	-	0,35	100	2,88	1,46	1,34
700-ICL7621BCPA	ICL7621BCPA+	PDIP-8	2	2 / 16	15	0,044	0,016	2000	6,40	3,16	2,90
700-ICL7622DCPD	ICL7622DCPD+	PDIP-14	2	2 / 16	15	0,044	0,016	2000	4,00	1,97	1,82
♦ 700-MAX4038EUA	MAX4038EUA+	µMAX-8	2	1,4 / 3,6	1,2	0,004	0,0004	2000	1,58	0,801	0,737
♦ 700-MAX4039EUB	MAX4039EUB+	µMAX-10	2	1,4 / 3,6	2	0,004	0,0004	2000	2,01	1,34	0,891
♦ 700-MAX9615AXA+T	MAX9615AXA+T	SC70-6	2	1,7 / 5,5	305	2,8	1,3	100	2,34	1,72	1,25
♦ 700-MAX9912EKAT	MAX9912EKA+T	SOT-23-8	2	1,8 / 5,5	5	0,2	0,1	1000	1,25	0,924	0,668
♦ 700-MAX9913EUB	MAX9913EUB+	µMAX-10	2	1,8 / 5,5	5	0,2	0,1	1000	1,32	0,669	0,615
♦ 700-MAX4242ESA	MAX4242ESA+	SOIC-8	2	1,8 / 5,5	18	0,09	0,04	880	3,32	1,63	1,50
♦ 700-MAX4243EUB	MAX4243EUB+	µMAX-10	2	1,8 / 5,5	18	0,09	0,04	880	3,70	1,82	1,67
♦ 700-MAX9916EKAT	MAX9916EKA+T	SOT-8	2	1,8 / 5,5	25	1	0,5	1000	1,25	0,916	0,668
♦ 700-MAX9917EUB	MAX9917EUB+	µMAX-10	2	1,8 / 5,5	25	1	0,5	1000	1,32	0,669	0,615
♦ 700-MAX9618AXA+T	MAX9618AXA+T	SC70-6	2	1,8 / 5,5	78	1,5	0,7	10	3,26	2,41	1,75
♦ 700-LMX358AUA	LMX358AUA+	µMAX-8	2	2,3 / 7	170	1,3	1	6000	1,06	0,538	0,495
700-MAX412BEPA	MAX412BEPA+	PDIP-8	2	2,4 / 10,5	2700	28	4,5	250	6,51	3,21	2,95
700-MAX412CPA	MAX412CPA+	PDIP-8	2	2,4 / 10,5	2700	28	4,5	250	7,47	3,68	3,39
700-MAX412EPA	MAX412EPA+	PDIP-8	2	2,4 / 10,5	2700	28	4,5	250	8,42	4,27	3,93
♦ 700-MAX412ESA	MAX412ESA+	SOIC-8	2	2,4 / 10,5	2700	28	4,5	250	8,84	4,36	4,01
♦ 700-MAX4042EUA	MAX4042EUA+	µMAX-8	2	2,4 / 5,5	20	0,09	0,04	1500	1,91	1,28	0,866
♦ 700-MAX4249ESD	MAX4249ESD+	SO-14	2	2,4 / 5,5	575	22	2,1	750	1,93	1,29	0,875
♦ 700-MAX4249EUB	MAX4249EUB+	µMAX-10	2	2,4 / 5,5	575	22	2,1	750	1,94	1,30	0,875
♦ 700-MAX4252ESA	MAX4252ESA+	SOIC-8	2	2,4 / 5,5	575	3	0,3	750	2,92	1,49	1,36
♦ 700-MAX4252EUA	MAX4252EUA+	µMAX-8	2	2,4 / 5,5	575	3	0,3	750	2,92	1,49	1,36
♦ 700-MAX4326ESA	MAX4326ESA+	SO-8	2	2,4 / 6,5	1100	5	2	2500	1,91	1,28	0,866
♦ 700-MAX4327EUB	MAX4327EUB+	SO-14	2	2,4 / 6,5	1100	5	2	2000	2,10	1,40	0,957
♦ 700-MAX407CSA	MAX407CSA+	SOIC-8	2	2,5 / 10	1	0,008	0,005	3000	7,24	3,67	3,37
♦ 700-MAX4163ESA	MAX4163ESA+	SOIC-8	2	2,5 / 10,5	40	0,2	0,115	4000	3,04	1,54	1,42
♦ 700-MAX4163EUA	MAX4163EUA+	µMAX-8	2	2,5 / 10,5	40	0,2	0,115	4000	3,04	1,54	1,42
♦ 700-MAX4402ASA	MAX4402ASA+	SO-8	2	2,5 / 5,5	700	0,8	1	5500	1,30	0,658	0,605
♦ 700-MAX4402AUA	MAX4402AUA+	µMAX-8	2	2,5 / 5,5	700	0,8	1	5500	1,30	0,658	0,605
♦ 700-MAX4416ESA	MAX4416ESA+	SO-8	2	2,7 / 5,5	1,6	-	200	-	3,49	1,72	1,58
♦ 700-MAX4416EUA	MAX4416EUA+	µMAX-8	2	2,7 / 5,5	1,6	-	200	-	3,49	1,72	1,58
♦ 700-MAX9616AXA+T	MAX9616AXA+T	SC70-6	2	2,7 / 5,5	255	2,8	1,3	100	2,10	1,40	1,01
♦ 700-MAX4232AUA	MAX4232AUA+	µMAX-8	2	2,7 / 5,5	1100	10	10	6000	1,32	0,669	0,615
♦ 700-MAX4233AUB	MAX4233AUB+	µMAX-10	2	2,7 / 5,5	1100	10	10	6000	1,44	0,729	0,671
♦ 700-MAX4477ASA	MAX4477ASA+	SOIC-8	2	2,7 / 5,5	4400	10	3	750	2,37	1,58	1,15
♦ 700-MAX4477AUA	MAX4477AUA+	µMAX-8	2	2,7 / 5,5	4400	10	3	750	2,37	1,58	1,15
700-MAX492CPA	MAX492CPA+	PDIP-8	2	2,7 / 6	170	0,5	0,2	500	5,35	2,63	2,43
♦ 700-MAX492CSA	MAX492CSA+	SOIC-8	2	2,7 / 6	170	0,5	0,2	500	5,09	2,58	2,38
♦ 700-MAX492ESA	MAX492ESA+	SOIC-8	2	2,7 / 6	170	0,5	0,2	500	6,71	4,47	3,24
♦ 700-MAX4126ESA	MAX4126ESA+	SOIC-8	2	2,7 / 6,5	825	5	2	750	3,49	1,77	1,63

© Copyright 2012 Mouser Electronics

© Copyright 2012 Mouser Electronics

Amplificateurs MAXIM

RoHS Compliant **This product is RoHS compliant.**

MAXIM INNOVATION DELIVERED®

AMPLIFICATEURS OPÉRATIONNELS

♦ **Composant pour montage en surface**

Pour des quantités supérieures à celles indiquées, appelez-nous afin d'obtenir un devis.

RÉF. STOCK MOUSER	Réf. Maxim	Boîtier	Nombre de voies	Tension d'alimentation totale (Min/Max) (V)	I_{CC} par ampli. (Max) (µA)	Bande passante gain unitaire (Typ) (V/µs)	Vitesse de balayage (Typ) (V/µs)	V_{OS} (µV) (Max)	Prix unitaire 1	25	100
♦ 700-MAX4128EUA	MAX4128EUA+	µMAX-8	2	2,7 / 6,5	825	25	10	750	3,83	1,89	1,74
♦ 700-MAX4132ESA	MAX4132ESA+	SOIC-8	2	2,7 / 6,5	1150	10	4	750	3,42	1,73	1,59
♦ 700-MAX4132EUA	MAX4132EUA+	µMAX-8	2	2,7 / 6,5	1150	10	4	750	3,65	1,86	1,71
700-MAX4167EPA	MAX4167EPA+	PDIP-8	2	2,7 / 6,5	1500	5	2	850	2,80	1,38	1,27
♦ 700-MAX4167ESA	MAX4167ESA+	SOIC-8	2	2,7 / 6,5	1500	5	2	850	2,81	1,87	1,35
700-MAX4168EPD	MAX4168EPD+	PDIP-14	2	2,7 / 6,5	1500	5	2	850	3,19	1,58	1,44
♦ 700-MAX4216ESA	MAX4216ESA+	SO-8	2	3,15 / 11	5,5	-	600	-	5,49	2,79	2,57
♦ 700-MAX4217EUA	MAX4217EUA+	µMAX-8	2	3,3 / 5	5,5	-	600	-	5,08	2,57	2,37
♦ 700-MAX4392ESA	MAX4392ESA+	SO-8	2	4,5 / 11	6	-	500	-	1,58	0,801	0,737
♦ 700-MAX4393EUB	MAX4393EUB+	µMAX-10	2	4,5 / 11	6	-	500	-	1,70	0,858	0,792
700-MAX9633ATA+T	MAX9633ATA+T	TDFN-8	2	4,5 / 36	5000	27	18	200	5,59	3,73	2,61
♦ 700-MAX4019ESD	MAX4019ESD+	SO-14	3	3,3 / 5	5,5	-	600	-	4,74	2,40	2,21
♦ 700-MAX4382EUD	MAX4382EUD+	TSSOP-14	3	4,5 / 11	5,5	-	485	-	3,23	1,64	1,51
700-ICL7641ECPD	ICL7641ECPD+	PDIP-14	4	2 / 16	15	0,044	0,016	2000	4,10	2,02	1,86
700-MAX414CPD	MAX414CPD+	PDIP-14	4	2,4 / 10,5	2700	28	4,5	320	11,93	7,95	5,77
♦ 700-MAX414CSD	MAX414CSD+	SOIC-14	4	2,4 / 10,5	2700	28	4,5	320	11,93	7,95	5,77
♦ 700-MAX4234ASD	MAX4234ASD+	SO-14	4	2,7 / 5,5	1100	10	10	6000	2,24	1,50	1,08
♦ 700-MAX4495AUD	MAX4495AUD+	TSSOP 14 broches	4	4,5 / 11	1100	5	3	5000	2,32	1,54	1,06

AMPLIFICATEURS D'INSTRUMENTATION

♦ **Composant pour montage en surface**

Pour des quantités supérieures à celles indiquées, appelez-nous afin d'obtenir un devis.

RÉF. STOCK MOUSER	Réf. Maxim	Boîtier	Nombre de voies	Rail à rail	Av (V/V)	Tension d'alimentation totale (Min/Max) (V)	I_{CC} par ampli. (Max) (µA)	Bande passante gain unitaire (Typ) (V/µs)	Vitesse de balayage (Typ) (V/µs)	V_{OS} (µV) (Max)	Prix unitaire 1	25	100
♦ 700-MAX4195ESA	MAX4195ESA+	SO-8	1	Sortie uniquement	1	2,7 / 7,5	0,11	0,22	0,06	450	3,88	1,91	1,77
♦ 700-MAX4196ESA	MAX4196ESA+	SO-8	1	Sortie uniquement	10	2,7 / 7,5	0,11	0,34	0,06	450	3,88	1,91	1,77
♦ 700-MAX4460ESA	MAX4460ESA+	SO-8	1	Sortie uniquement	Rég.	2,85 / 5,25	1,1	2,5	0,5	500	2,55	1,70	1,23
♦ 700-MAX9620AXK+T	MAX9620AXK+T	SC70-5	1	Entrée / Sortie	1	1,8 / 5,5	78	1,5	0,7	10	1,85	1,35	0,982
♦ 700-MAX4198ESA	MAX4198ESA+	SO-8	1	Entrée / Sortie	1	2,7 / 7,5	0,055	0,175	0,07	500	3,04	1,50	1,38

AMPLIFICATEURS AUDIO

♦ **Composant pour montage en surface**

Pour des quantités supérieures à celles indiquées, appelez-nous afin d'obtenir un devis.

RÉF. STOCK MOUSER	Réf. Maxim	Boîtier	Classe	Ampli. haut-parleur VCC (V)(Max.)	P_{sortie} (W)	Demi puissance ampli. haut-parleur THD+N	SNR (dB)	Gain ext. ampli. haut-parleur	Prix unitaire 1	25	100
♦ 700-MAX9710ETP	MAX9710ETP+	TQFN-20	AB	5,5	3	0,015	98	Oui	1,67	0,85	0,78
♦ 700-MAX9701ETG	MAX9701ETG+	TQFN-24	D	5,5	2,5	0,08	88,5	Non	1,51	0,765	0,704
♦ 700-MAX9700CEUB	MAX9700CEUB+	µMAX-10	D	5,5	1,5	0,02	95.5	Non	0,94	0,478	0,44
♦ 700-MAX97000EWAT	MAX97000EWA+T	WLP-25	D	5,5	0,93	0,05	-	-	1,60	1,20	1,05
♦ 700-MAX97001EWPT	MAX97001EWP+T	WLP-20	D	5,5	0,92	0,005	-	-	1,76	1,32	1,16
♦ 700-MAX97002EWPT	MAX97002EWP+T	WLP-20	D	5,5	0,92	0,05	-	-	1,76	1,32	1,16
♦ 700-MAX9791BETI	MAX9791BETI+	TQFN-28	D	5,5	1,7	0,04	-	-	1,96	1,30	0,866
♦ 700-MAX9792AETI	MAX9792AETI+	TQFN-28	D	5,5	3	0,03	-	-	1,96	1,30	0,866
♦ 700-MAX98302ETD+T	MAX98302ETD+T	TDFN-14	D	5,5	2,4	0,04	-	-	1,11	0,743	0,545
♦ 700-MAX9877EWP+TG45	MAX9877EWP+TG45	WLP-20	D	5,5	0,825	0,05	-	-	2,15	1,44	1,05
♦ 700-MAX9768ETG	MAX9768ETG+	TQFN-24	D	14	10	0,09	97	Oui	1,89	0,957	0,883
♦ 700-MAX9736AETJ	MAX9736AETJ+	TQFN-32	D	28	16	0,04	96,5	Oui	3,17	2,11	1,53
♦ 700-MAX9737ETG	MAX9737ETG+	TQFN-24	D	28	14	0,06	97	-	1,79	0,908	0,833
♦ 700-MAX98400BETG+	MAX98400BETG+	TQFN-24	D	28	15	0,03	101	Non	1,40	1,23	0,891
♦ 700-MAX98400AETX+	MAX98400AETX+	TQFN-36	D	28	17	0,03	107	Non	1,77	1,55	1,12
♦ 700-MAX9742ETX+	MAX9742ETX+	TQFN-36	D	40	20,5	0,06	93	Oui	3,74	2,49	1,66
♦ 700-MAX97200AEWC+T	MAX97200AEWC+T	WLP-12	H	1,98	34	0,003	105	Non	0,97	0,71	0,512
♦ 700-MAX4410EUD	MAX4410EUD+	TSSOP-14	-	3,6	-	0,006	98	Oui	1,08	0,549	0,506
♦ 700-MAX9723CETE+	MAX9723CETE+	TQFN 16	-	3,6	59	0,007	100	Non	1,68	1,12	0,747
♦ 700-MAX9724AETC	MAX9724AETC+	TQFN-12	-	5,5	63	0,02	101	Oui	1,01	0,514	0,473
♦ 700-MAX9724BETC	MAX9724BETC+	TQFN-12	-	5,5	63	0,02	101	Oui	1,01	0,514	0,473
♦ 700-MAX97220AETE+	MAX97220AETE+	TQFN 16	-	5,5	125	0,0035	102	Oui	0,94	0,478	0,44
♦ 700-MAX9722AETE	MAX9722AETE+	TQFN 16	-	5,5	130	0,015	103	Oui	0,55	0,479	0,454
♦ 700-MAX9722AEUE	MAX9722AEUE+	TSSOP-16	-	5,5	130	0,015	103	Oui	0,55	0,479	0,454
♦ 700-MAX9722BEUE	MAX9722BEUE+	TSSOP-16	-	5,5	130	0,015	103	Oui	1,08	0,549	0,506

AMPLIFICATEURS VIDÉO / LARGE BANDE

♦ **Composant pour montage en surface**

Pour des quantités supérieures à celles indiquées, appelez-nous afin d'obtenir un devis.

RÉF. STOCK MOUSER	Réf. Maxim	Boîtier	Nombre de voies	Tension d'alimentation totale (Min/Max) (V)	Bande passante (MHz) @ -3dB	I_{ALIM} (mA) (Typ)	Vitesse de balayage (Typ) (V/µs)	I_{SORTIE} (mA) (Min)	Prix unitaire 1	25	100
♦ 700-MAX452CSA	MAX452CSA+	SO-8	1	9/10	50	25	300	14	7,16	3,52	3,24
♦ 700-MAX4213ESA	MAX4213ESA+	SOIC-8	1	3,15 / 11	300	5,5	600	120	3,65	1,86	1,71
♦ 700-MAX457CPA	MAX457CPA+	SO-8	2	5,5 / 9	70	17,5	300	15	10,53	5,34	4,92
♦ 700-MAX4026EUP	MAX4026EUP+	TSSOP-20	2	5	200	-	363	-	5,17	2,55	2,34
♦ 700-MAX4313EUA	MAX4313EUA+	µMAX-8	2	5	150	-	540	-	5,04	2,56	2,35
♦ 700-MAX4016ESA	MAX4016ESA+	SOIC-8	2	3,15 / 11	150	5,5	600	100	2,81	1,87	1,35
♦ 700-MAX4395ESD	MAX4395ESD+	SOIC-14	4	4,5 / 11	80	6	500	50	2,52	1,68	1,22
♦ 700-MAX4020ESD	MAX4020ESD+	SOIC-14	4	3,15 / 11	150	5,5	600	100	4,97	2,52	2,32
♦ 700-MAX4220EEE	MAX4220EEE+	QSOP-16	4	3,15 / 11	200	5,5	600	120	10,10	6,73	4,58

AMPLIFICATEURS DE FILTRE VIDÉO

♦ **Composant pour montage en surface**

Pour des quantités supérieures à celles indiquées, appelez-nous afin d'obtenir un devis.

RÉF. STOCK MOUSER	Réf. Maxim	Boîtier	Pôles	Tension d'alimentation (V)	Type de filtre	Type de signal	Technologie	Voies	Prix unitaire 1	25	100
♦ 700-MAX9652ASA	MAX9652ASA+	SO-8	6	2,7 - 3,6	TV HD	RVB, Y Pb, Pr	-	3	1,08	0,549	0,506
♦ 700-MAX9653AUB	MAX9653AUB+	µMAX-10	6	2,7 - 3,6	TV HD	RVB, Y Pb, Pr	-	3	1,13	0,573	0,528
♦ 700-MAX9654AUB	MAX9654AUB+	µMAX-10	6	2,7 - 3,6	HDTV, SDTV	CVBS, RVB, S-Video, Y Pb Pr	-	3	1,39	0,705	0,648
♦ 700-MAX9516ALBT	MAX9516ALB+T	µDFN-10	5	1,8 - 2,5	SDTV	CVBS asynchr., CVBS	DirectDrive, SmartSleep	1	1,20	0,899	0,788
♦ 700-MAX9507ATE	MAX9507ATE+	TQFN 16	5	1,8 - 2,5	SDTV	CVBS asynchr., CVBS	DirectDrive	1	1,27	0,645	0,594
♦ 700-MAX9509ATA+T	MAX9509ATA+T	TDFN-8	5	1,8 - 2,5	SDTV	CVBS	DirectDrive	1	1,06	0,776	0,561
♦ 700-MAX9503GEEE	MAX9503GEEE+	QSOP-16	6	2,7 - 3,6	SDTV	CVBS	DirectDrive	1	1,33	0,883	0,606
♦ 700-MAX9503MEEE	MAX9503MEEE+	QSOP-16	6	2,7 - 3,6	SDTV	CVBS	DirectDrive	1	1,33	0,883	0,606
♦ 700-MAX9505ETE	MAX9505ETE+	TQFN 16	6	2,7 - 3,6	SDTV	CVBS	DirectDrive	1	1,78	1,19	0,808
♦ 700-MAX9508ATE	MAX9508ATE+	TQFN 16	6	2,7 - 3,6	SDTV	CVBS, RVB, S-Video, Y Pb Pr	SmartSleep	3	1,37	0,693	0,638
♦ 700-MAX9585AUB	MAX9585AUB+	µMAX-10	6	2,7 - 3,6	SDTV	CVBS, RVB, S-Video, Y PB PR	-	4	1,58	0,801	0,737
♦ 700-MAX9510AUA	MAX9510AUA+	µMAX-8	-	1,8 - 2,5	SDTV	CVBS asynchr., CVBS	DirectDrive	1	1,04	0,526	0,483
♦ 700-MAX9512ATE	MAX9512ATE+	TQFN 16	-	-	-	-	-	-	1,37	0,693	0,638

© Copyright 2012 Mouser Electronics

© Copyright 2012 Mouser Electronics

Amplificateurs MAXIM

RoHS Compliant **This product is RoHS compliant.**

MAXIM INNOVATION DELIVERED®

COMPARATEURS

♦ **Composant pour montage en surface**

Pour des quantités supérieures à celles indiquées, appelez-nous afin d'obtenir un devis.

	RÉF. STOCK MOUSER	Réf. Maxim	Boîtier	Nombre de compara-teurs	t_{PD} (ns) (Typ.)	Plage d'entrée	Tension d'alimentation totale (Min. / Max.) (V)	I_{CC} par comp. (Max) (µA)	V_{OS} (mV) (Max)	Sortie logique	Prix unitaire 1	25	100
♦	700-MAX9051AESA	MAX9051AESA+	SO-8	1	0,4	-	2,7 / 5,5	72	7	TTL/CMOS	2,85	1,91	1,38
♦	700-MAX9691ESA	MAX9691ESA+	SO-8	1	1,2	-	9,5 / 10,5	26000	6,5	Logique ECL	5,70	2,90	2,66
♦	700-MAX9691EUA	MAX9691EUA+	µMAX-8	1	1,2	-	9,5 / 10,5	26000	6,5	Logique ECL	5,70	2,90	2,66
♦	700-MAX961ESA	MAX961ESA+	SOIC-8	1	4,5	Vers rail nég.	2,7 / 5,5	11000	0,5 / 1,5	Push-pull	6,08	4,25	2,84
♦	700-MAX961EUA	MAX961EUA+	µMAX-8	1	4,5	Vers rail nég.	2,7 / 5,5	11000	0,5 / 1,5	Push-pull	6,38	4,25	3,08
♦	700-MAX999EUKT	MAX999EUK+T	SOT-23-5	1	4,5	Vers rail nég.	2,7 / 5,5	6500	0,5 / 1,5	Push-pull	6,47	4,88	3,47
♦	700-MAX9013EUA	MAX9013EUA+	µMAX-8	1	5	Vers rail nég.	4,5 / 5,5	2300	5	Push-pull	3,06	1,55	1,43
♦	700-MAX9203ESA	MAX9203ESA+	SOIC-8	1	7	Vers rail nég.	4,75 / 10,5	2000	1/4	Push-pull	2,39	1,60	1,16
♦	700-MAX903CSA	MAX903CSA+	SOIC-8	1	8	Vers rail nég.	5 / 10	4 000	1/4	Push-pull	7,33	3,72	3,42
♦	700-MAX903ESA	MAX903ESA+	SOIC-8	1	8	Vers rail nég.	5 / 10	4 000	1/4	Push-pull	11,34	5,75	5,29
	700-MAX913CPA	MAX913CPA+	PDIP-8	1	10	Vers rail nég.	5 / 10	10000	0,8 / 2	Push-pull	6,15	4,09	2,97
♦	700-MAX913CSA	MAX913CSA+	SOIC-8	1	10	Vers rail nég.	5 / 10	10000	0,8 / 2	Push-pull	6,12	4,08	2,95
♦	700-MAX913ESA	MAX913ESA+	SOIC-8	1	10	Vers rail nég.	5 / 10	10000	0,8 / 2	Push-pull	7,59	3,85	3,54
♦	700-MAX998ESA	MAX998ESA+	SOIC-8	1	20	Vers rail nég.	2,7 / 5,5	650	0,2 / 2	Push-pull	4,13	2,89	1,92
♦	700-MAX918ESA	MAX918ESA+	SO-8	1	22	-	1,8 / 5,5	0,8	10	Collecteur ouvert	2,29	1,53	1,11
	700-MAX941CPA	MAX941CPA+	PDIP-8	1	80	Rail à rail, vers rail nég.	2,7 / 5,5	600	4	Push-pull	3,16	1,60	1,48
♦	700-MAX941CSA	MAX941CSA+	SOIC-8	1	80	Vers rail nég.	2,7 / 5,5	600	1/4	Push-pull	3,16	1,60	1,48
♦	700-MAX941ESA	MAX941ESA+	SOIC-8	1	80	Vers rail nég.	2,7 / 5,5	600	1/4	Push-pull	4,13	2,76	2,00
♦	700-MAX941EUA	MAX941EUA+	µMAX-8	1	80	Rail à rail, vers rail nég.	2,7 / 5,5	600	4	Push-pull	4,13	2,76	2,00
♦	700-MAX987ESA	MAX987ESA+	SO-8	1	120	Rail à rail, vers rail nég.	2,5 / 5,5	80	5	Push-pull	1,60	0,813	0,747
♦	700-MAX988ESA	MAX988ESA+	SO-8	1	120	Rail à rail, vers rail nég.	2,5 / 5,5	80	5	Collecteur ouvert	1,60	0,813	0,747
♦	700-MAX9031AUKT	MAX9031AUK+T	SOT-23-5	1	188	Vers rail nég.	2,5 / 5,5	55	1/5	Push-pull	0,76	0,561	0,404
♦	700-MAX9075EXKT	MAX9075EXK+T	SC-70-5	1	580	Vers rail nég.	2,1 / 5,5	5,2	8	Push-pull	1,90	1,40	1,01
♦	700-MAX9021AUKT	MAX9021AUK+T	SOT-23-5	1	3000	Vers rail nég.	2,5 / 5,5	5	8	Push-pull	0,92	0,611	0,446
♦	700-MAX9119EXKT	MAX9119EXK+T	SC70-5	1	14000	Rail à rail, vers rail nég.	1,8 / 5,5	0,8	5	Push-pull	1,78	1,34	1,17
♦	700-MAX919EUKT	MAX919EUK+T	SO-23-5	1	22000	Rail à rail, vers rail nég.	1,8 / 5,5	1,3	5	Push-pull	1,90	1,40	1,02
♦	700-MAX975ESA	MAX975ESA+	SO-8	1	28 / 480	-	2,7 / 5,25	500/5	2	TTL/CMOS	4,74	3,32	2,21
♦	700-MAX975EUA	MAX975EUA+	µMAX-8	1	28 / 480	-	2,7 / 5,25	500/5	0,2 / 2	TTL/CMOS	4,74	2,40	2,21
♦	700-MAX9601EUP	MAX9601EUP+	TSSOP-20	2	0,5	-	8,3 / 10,5	12000	1 / 5	Logique PECL	10,32	5,24	4,82
♦	700-MAX9693ESE	MAX9693ESE+	SO-16N	2	1,2	-	9,5 / 10,5	23000	6,5	Logique ECL	7,45	3,78	3,47
♦	700-MAX962ESA	MAX962ESA+	SOIC-8	2	4,5	Vers rail nég.	2,7 / 5,5	8 000	0,5 / 1,5	Push-pull	10,32	7,23	4,82
♦	700-MAX962EUA	MAX962EUA+	µMAX-8	2	4,5	Vers rail nég.	2,7 / 5,5	8 000	0,5 / 1,5	Push-pull	10,32	5,24	4,82
♦	700-MAX9202ESD	MAX9202ESD+	SOIC-14	2	7	Vers rail nég.	4,75 / 10,5	4 000	1/4	Push-pull	3,80	1,92	1,77
♦	700-MAX9202EUD	MAX9202EUD+	TSSOP-14	2	7	Vers rail nég.	4,75 / 10,5	4 000	1/4	Push-pull	3,80	1,92	1,77
	700-MAX912CPE	MAX912CPE+	PDIP 16	2	10	Vers rail nég.	5 / 10	10000	2	Push-pull	8,93	4,53	4,17
♦	700-MAX912CSE	MAX912CSE+	SOIC-16	2	10	Vers rail nég.	5 / 10	10000	0,8 / 2	Push-pull	8,93	4,53	4,17
♦	700-MAX912ESE	MAX912ESE+	SOIC-16	2	10	Vers rail nég.	5 / 10	10000	0,8 / 2	Push-pull	11,57	5,87	5,40
♦	700-MAX976ESA	MAX976ESA+	SOIC-8	2	20	Vers rail nég.	2,7 / 5,5	650	0,2 / 2	Push-pull	4,97	2,52	2,32
♦	700-MAX976EUA	MAX976EUA+	µMAX-8	2	20	Vers rail nég.	2,7 / 5,5	650	0,2 / 2	Push-pull	4,97	2,52	2,32
	700-MAX907CPA	MAX907CPA+	PDIP-8	2	40	Vers rail nég.	4,5 / 11	1 000	0,5 / 2	Push-pull	4,10	2,74	1,98
♦	700-MAX907CSA	MAX907CSA+	SOIC-8	2	40	Vers rail nég.	4,5 / 11	1 000	0,5 / 2	Push-pull	4,10	2,74	1,98
♦	700-MAX907ESA	MAX907ESA+	SOIC-8	2	40	Vers rail nég.	4,5 / 11	1 000	0,5 / 2	Push-pull	4,67	2,37	2,18
♦	700-MAX9142ESA	MAX9142ESA+	SOIC-8	2	40	Vers rail nég.	2,7 / 5,5	300	0,5 / 2	Push-pull	1,89	0,957	0,883
♦	700-MAX942CSA	MAX942CSA+	SOIC-8	2	80	Vers rail nég.	2,7 / 5,5	500	1/4	Push-pull	3,39	1,72	1,58
♦	700-MAX942ESA	MAX942ESA+	SOIC-8	2	80	Vers rail nég.	2,7 / 5,5	500	1/4	Push-pull	4,44	2,95	2,15
♦	700-LMX393AUA	LMX393AUA+	µMAX-8	2	100	Vers rail nég.	1,8 / 5,5	120	7	Collecteur ouvert	0,87	0,578	0,421
♦	700-MAX9032ASA	MAX9032ASA+	SO-8	2	188	Vers rail nég.	2,5 / 5,5	55	5	Push-pull	0,94	0,478	0,44
♦	700-MAX9077ESA	MAX9077ESA+	SO-8	2	580	Vers rail nég.	2,1 / 5,5	5,2	8	Push-pull	2,29	1,53	1,11
♦	700-MAX9022ASA	MAX9022ASA+	SO-8	2	3000	Vers rail nég.	2,5 / 5,5	5	8	Push-pull	0,99	0,502	0,462
♦	700-MAX972CSA	MAX972CSA+	SO-8	2	12000	Vers rail nég.	2.5/11	1,6	10	Collecteur ouvert	2,37	1,58	1,15
♦	700-MAX977ESD	MAX977ESD+	SO-14	2	28 / 480	-	2,7 / 5,25	1000/10	2	TTL/CMOS	8,51	4,31	3,97
♦	700-MAX9201EUE	MAX9201EUE+	TSSOP-16	4	7	Vers rail nég.	4,75 / 10,5	7000	1/4	Push-pull	5,16	2,62	2,41
♦	700-MAX901BCSE	MAX901BCSE+	SOIC-16	4	8	Vers rail nég.	5 / 10	4 000	0,5 / 2	Push-pull	11,36	5,77	5,30
♦	700-MAX9144ESD	MAX9144ESD+	SOIC-14	4	40	Vers rail nég.	2,7 / 5,5	300	0,5 / 2	Push-pull	2,95	1,49	1,38
♦	700-MAX9144EUD	MAX9144EUD+	TSSOP-14	4	40	Rail à rail, vers rail nég.	2,7 / 5,5	300	2	Push-pull	2,95	1,49	1,38
	700-MAX944CPD	MAX944CPD+	PDIP-14	4	80	Rail à rail, vers rail nég.	2,7 / 5,5	500	4	Push-pull	5,63	2,85	2,63
♦	700-MAX944CSD	MAX944CSD+	SOIC-14	4	80	Vers rail nég.	2,7 / 5,5	500	1/4	Push-pull	5,63	2,85	2,63
♦	700-LMX339AUD	LMX339AUD+	TSSOP-14	4	100	Vers rail nég.	1,8 / 5,5	120	7	Collecteur ouvert	1,16	0,776	0,527
♦	700-LMX339HASD	LMX339HASD+	SOIC-14	4	100	Vers rail nég.	1,8 / 5,5	120	0,2 / 7	Collecteur ouvert	1,25	0,833	0,561
	700-MAX516ACNG	MAX516ACNG+	PDIP-24N	4	800	-	4,75 / 16,5	10	4,9	TTL/CMOS	9,05	4,41	4,06

COMPARATEURS PLUS RÉFÉRENCE

♦ **Composant pour montage en surface**

Pour des quantités supérieures à celles indiquées, appelez-nous afin d'obtenir un devis.

	RÉF. STOCK MOUSER	Réf. Maxim	Boîtier	Nombre de comparateurs	t_{PD} (µs) (Typ)	Tension de seuil	Tension d'alimentation (Min. / Max.) (V)	I_{CC} (Max) (µA)	V_{OS} (mV) (Max)	Précision réf. int. (%)	Prix unitaire 1	25	100
♦	700-MAX921CSA	MAX921CSA+	SOIC-8	1	12	1,182	2,5 / 11	3,2	10	1	3,65	2,55	1,71
♦	700-MAX921CUA	MAX921CUA+	µMAX-8	1	12	1,182	2,5 / 11	3,2	10	1	3,92	2,73	1,83
	700-MAX921EPA	MAX921EPA+	PDIP-8	1	12	1,182	2,5 / 11	3,2	10	1	4,22	2,95	1,98
♦	700-MAX921ESA	MAX921ESA+	SOIC-8	1	12	1,182	2,5 / 11	3,2	10	1	4,22	2,95	1,98
	700-MAX931CPA	MAX931CPA+	PDIP-8	1	12	1,182	2,5 / 11	3,2	11	2	2,37	1,58	1,06
♦	700-MAX931CSA	MAX931CSA+	SOIC-8	1	12	1,182	2,5 / 11	3,2	11	2	2,37	1,58	1,15
♦	700-MAX931CUA	MAX931CUA+	µMAX-8	1	12	1,182	2,5 / 11	3,2	10	2	2,78	1,86	1,34
♦	700-MAX931ESA	MAX931ESA+	SOIC-8	1	12	1,182	2,5 / 11	3,2	11	2	2,78	1,86	1,34
	700-MAX971CPA	MAX971CPA+	PDIP-8	1	12	1,182	2,5 / 11	3,2	10	1	3,80	2,54	1,68
♦	700-MAX923CSA	MAX923CSA+	SOIC-8	2	12	1,182	2,5 / 11	4,5	10	1	4,69	3,13	2,27
♦	700-MAX923ESA	MAX923ESA+	SOIC-8	2	12	1,182	2,5 / 11	4,5	10	1	6,17	4,12	2,98
	700-MAX931EPA	MAX931EPA+	PDIP-8	2	12	1,182	2,5 / 11	3,2	10	2	2,78	1,86	1,23
	700-MAX932CPA	MAX932CPA+	PDIP-8	2	12	1,182	2,5 / 11	4,5	10	2	3,04	2,02	1,35
♦	700-MAX932CSA	MAX932CSA+	SOIC-8	2	12	1,182	2,5 / 11	4,5	11	2	3,04	2,02	1,35
♦	700-MAX932ESA	MAX932ESA+	SOIC-8	2	12	1,182	2,5 / 11	4,5	11	2	3,60	2,39	1,59
♦	700-MAX973ESA	MAX973ESA+	SO-8	2	12	1,182	2,5 / 11	4,5	10	1	6,17	4,12	2,74
♦	700-MAX969EEE	MAX969EEE+	QSOP-16	4	10	1,22	1,6 / 5,5	22	4	1,5	4,67	2,37	2,18
♦	700-MAX924ESE	MAX924ESE+	SOIC-16	4	12	1,182	2,5 / 11	6,6	10	1	6,72	3,41	3,14
♦	700-MAX934CSE	MAX934CSE+	SOIC-16	4	12	1,182	2,5 / 11	6,6	10	2	2,88	1,92	1,39
♦	700-MAX984CSE	MAX984CSE+	SO-16N	4	12	1,182	2,5 / 11	6,6	10	2	2,99	1,52	1,39

© Copyright 2012 Mouser Electronics

© Copyright 2012 Mouser Electronics

CI amplificateurs MICROCHIP

AMPLIFICATEURS OPÉRATIONNELS

Les produits peuvent être conformes à la directive RoHS.
Consulter le site mouser.com pour vérifier la conformité RoHS.

PRODUCT NEW

Pour des quantités supérieures à celles indiquées, appelez-nous afin d'obtenir un devis.

RÉF. STOCK MOUSER	Réf. Microchip	Boîtier	Description	Prix unitaire			
				1	10	25	100
579-MCP6001RT-I/OT	IMCP6001RT-I/OT	SOT-23-5	Simple, 1 MHz, Faible puissance, Temp. I	0,20	0,18	0,15	0,135
579-MCP6001T-E/OT	MCP6001T-E/OT	SOT-23-5	Simple, 1 MHz, Faible puissance, Temp. I	0,24	0,218	0,18	0,165
579-MCP6001T-I/OT	MCP6001T-I/OT	SOT-23-5	Simple, 1 MHz, Faible puissance, Temp. I	0,20	0,18	0,15	0,135
579-MCP6002-E/P	MCP6002-E/P	PDIP-8	Double, 1 MHz, Faible puissance, Temp. E	0,30	0,27	0,225	0,203
579-MCP6002-I/P	MCP6002-I/P	PDIP-8	Double, 1 MHz, Faible puissance, Temp. I	0,27	0,248	0,21	0,188
579-MCP6002-E/SN	MCP6002-E/SN	SOIC-8	Double, 1 MHz, Faible puissance, Temp. E	0,30	0,27	0,225	0,203
579-MCP6002-I/SN	MCP6002-I/SN	SOIC-8	Double, 1 MHz, Faible puissance, Temp. I	0,27	0,248	0,21	0,188
579-MCP6002T-I/MS	MCP6002T-I/MS	MSOP-8	Double, 1 MHz, Faible puissance, Temp. I	0,27	0,248	0,21	0,188
579-MCP6004-E/P	MCP6004-E/P	PDIP-14	Quadr., 1 MHz, Faible puissance, Temp. E	0,39	0,36	0,30	0,27
579-MCP6004-E/SL	MCP6004-E/SL	SOIC-14	Quadr., 1 MHz, Faible puissance, Temp. E	0,39	0,36	0,30	0,27
579-MCP6004-I/P	MCP6004-I/P	PDIP-14	Quadr., 1 MHz, Faible puissance, Temp. I	0,36	0,33	0,27	0,248
579-MCP601IP	MCP601-I/P	PDIP-8	Ampli-op simple 2,7 V, Temp. I	0,36	0,33	0,27	0,248
579-MCP601-I/SN	MCP601-I/SN	SOIC-8	Ampli-op simple 2,7 V ; Temp. I	0,36	0,33	0,27	0,248
579-MCP6021-I/P	MCP6021-I/P	PDIP-8	Ampli-op simple 2,3 V ; 10 MHz ; Temp. I	0,83	0,765	0,638	0,578
579-MCP6022IP	MCP6022-I/P	PDIP-8	Ampli-op double 2,3 V ; 10 MHz ; Temp. I	1,07	0,983	0,818	0,743
579-MCP6022-I/SN	MCP6022-I/SN	SOIC-8	Ampli-op double 2,3 V ; 10 MHz ; Temp. I	1,07	0,983	0,818	0,743
579-MCP6024-I/P	MCP6024-I/P	PDIP-14	Ampli-op quadr. 2,3 V ; 10 MHz ; Temp. I	1,56	1,43	1,19	1,08
579-MCP6024-I/SL	MCP6024-I/SL	SOIC-14	Ampli-op quadr. 2,3 V ; 10 MHz ; Temp. I	1,56	1,43	1,19	1,08
579-MCP602IP	MCP602-I/P	PDIP-8	Ampli-op double 2,7 V, Temp. I	0,47	0,428	0,36	0,323
579-MCP602ISN	MCP602-I/SN	SOIC-8	Ampli-op double 2,7 V, Temp. I	0,47	0,428	0,36	0,323
579-MCP6031-E/SN	MCP6031-E/SN	SOIC-8	Ampli-op simple 1,8V 14kHz ; Temp. E	0,59	0,54	0,45	0,413
579-MCP6032-E/SN	MCP6032-E/SN	SOIC-8	Ampli-op double 1,8V 14kHz ; Temp. E	0,78	0,72	0,60	0,548
579-MCP6034-E/SL	MCP6034-E/SL	SOIC-14	Ampli-op quadr. 1,8V 14kHz ; Temp. E	1,40	1,28	1,06	0,96
579-MCP6041IP	MCP6041-I/P	PDIP-8	Simple, 14 kHz, E/S Rail-to-Rail, Temp. I	0,50	0,45	0,375	0,338
579-MCP6041T-I/OT	MCP6041T-I/OT	SOT-23-5	Simple, 14 kHz, E/S Rail-to-Rail, Temp. I	0,45	0,42	0,345	0,315
579-MCP6042-I/MS	MCP6042-I/MS	MSOP-8	Double, 14 kHz, E/S Rail-to-Rail, Temp. I	0,65	0,60	0,495	0,45
579-MCP6042IP	MCP6042-I/P	PDIP-8	Double, 14 kHz, E/S Rail-to-Rail, Temp. I	0,65	0,60	0,495	0,45
579-MCP6042ISN	MCP6042-I/SN	SOIC-8	Double, 14 kHz, E/S Rail-to-Rail, Temp. I	0,65	0,60	0,495	0,45
579-MCP6044IP	MCP6044-I/P	PDIP-14	Quad., 14 kHz, E/S Rail-to-Rail, Temp. I	1,16	1,06	0,885	0,803
579-MCP6044ISL	MCP6044-I/SL	SOIC-14	Quad., 14 kHz, E/S Rail-to-Rail, Temp. I	1,16	1,06	0,885	0,803
579-MCP604IP	MCP604-I/P	PDIP-14	Ampli-op quadr. 2,7 V, Temp. I	0,84	0,78	0,645	0,585
579-MCP604-I/SL	MCP604-I/SL	SOIC-14	Ampli-op quadr. 2,7 V, Temp. I	0,84	0,78	0,645	0,585
579-MCP6052-E/SN	MCP6052-E/SN	SOIC-8	Double, 385kHz, 30µA, Haute Précision, Temp. E	0,77	0,698	0,585	0,533
579-MCP606-I/P	MCP606-I/P	PDIP-8	Ampli-op simple 25 µA, 2,5V, Temp. I	0,59	0,54	0,45	0,413
579-MCP606-I/SN	MCP606-I/SN	SOIC-8	Ampli-op simple 25 µA, 2,5V, Temp. I	0,59	0,54	0,45	0,413
579-MCP6071-E/SN	MCP6071-E/SN	SOIC-8	Simple, 1,2MHz, 110µA, Haute précision, Temp. E	0,53	0,48	0,398	0,36
579-MCP6072-E/SN	MCP6072-E/SN	SOIC-8	Double, 1,2MHz, 110µA, Haute précision, Temp. E	0,71	0,653	0,54	0,495
579-MCP6074-E/SL	MCP6074-E/SL	SOIC-14	quadr., 1,2MHz, 110µA, Haute précision, Temp. E	1,32	1,22	1,01	0,915
579-MCP607-I/P	MCP607-I/P	PDIP-8	Ampli-op double 25 µA, 2,5V, Temp. I	0,80	0,735	0,608	0,555
579-MCP607-I/SN	MCP607-I/SN	SOIC-8	Ampli-op double 25 µA, 2,5V, Temp. I	0,80	0,735	0,608	0,555
579-MCP609-I/P	MCP609-I/P	PDIP-14	Ampli-op quadr. 25 µA, 2,5V, Temp. I	1,19	1,10	0,908	0,825
579-MCP609-I/SL	MCP609-I/SL	SOIC-14	Ampli-op quadr. 25 µA, 2,5V, Temp. I	1,19	1,10	0,908	0,825
579-MCP6231-E/P	MCP6231-E/P	PDIP-8	Simple, 300 kHz, 20µA, Rail-to-Rail, Temp. E	0,26	0,24	0,195	0,18
579-MCP6231-E/SN	MCP6231-E/SN	SOIC-8	Simple, 300 kHz, 20µA, Rail-to-Rail, Temp. E	0,26	0,24	0,195	0,18
579-MCP6231UT-E/OT	MCP6231UT-E/OT	SOT-23-5	Simple, 300 kHz, 20µA, Rail-to-Rail, Temp. E	0,24	0,225	0,188	0,173
579-MCP6232-E/P	MCP6232-E/P	PDIP-8	Double, 300 kHz, 20µA, Rail-to-Rail, Temp. E	0,32	0,293	0,248	0,225
579-MCP6232-E/SN	MCP6232-E/SN	SOIC-8	Double, 300 kHz, 20µA, Rail-to-Rail, Temp. E	0,32	0,293	0,248	0,225
579-MCP6234-E/P	MCP6234-E/P	PDIP-14	Quadr., 300 kHz, 20µA, Rail-to-Rail, Temp. E	0,51	0,465	0,383	0,353
579-MCP6234-E/SL	MCP6234-E/SL	SOIC-14	Quadr., 300 kHz, 20µA, Rail-to-Rail, Temp. E	0,51	0,465	0,383	0,353
579-MCP6241-E/P	MCP6241-E/P	PDIP-8	Ampli-op simple 1,8V 650 kHz ; Temp. E	0,24	0,225	0,188	0,173
579-MCP6242-E/P	MCP6242-E/P	PDIP-8	Ampli-op double 1,8V, 650 kHz, Temp. E	0,30	0,27	0,225	0,203
579-MCP6242-E/SN	MCP6242-E/SN	SOIC-8	Ampli-op double 1,8V, 650 kHz, Temp. E	0,30	0,27	0,225	0,203
579-MCP6244-E/SL	MCP6244-E/SL	SOIC-14	Ampli-op quadr. 1,8V, 650 kHz, Temp. E	0,47	0,428	0,36	0,323
579-MCP6271-E/P	MCP6271-E/P	PDIP-8	Ampli-op simple 2 MHz, Temp. E	0,41	0,375	0,308	0,285
579-MCP6271-E/SN	MCP6271-E/SN	SOIC-8	Ampli-op simple 2 MHz, Temp. E	0,41	0,375	0,308	0,285
579-MCP6272-E/P	MCP6272-E/P	PDIP-8	Ampli-op double 2 MHz, Temp. E	0,56	0,51	0,42	0,383
579-MCP6272-E/SN	MCP6272-E/SN	SOIC-8	Ampli-op double 2 MHz, Temp. E	0,56	0,51	0,42	0,383
579-MCP6274-E/P	MCP6274-E/P	PDIP-14	Ampli-op quad. 2 MHz, Temp. E	0,99	0,915	0,758	0,69
579-MCP6282-E/SN	MCP6282-E/SN	SOIC-8	Ampli-op double 5 MHz, Temp. E	0,65	0,60	0,495	0,45
579-MCP6284-E/P	MCP6284-E/P	PDIP-14	Ampli-op quad. 5 MHz, Temp. E	1,14	1,05	0,87	0,795
579-MCP6291-E/SN	MCP6291-E/SN	SOIC-8	Simple, 10 MHz, 1,0mA, Rail-to-Rail, Temp. E	0,54	0,495	0,413	0,375
579-MCP6292-E/P	MCP6292-E/P	DIP-8	Double, 10 MHz, 1,0mA, Rail-to-Rail, Temp. E	0,72	0,668	0,555	0,503
579-MCP6292-E/SN	MCP6292-E/SN	SOIC-8	Double, 10 MHz, 1,0mA, Rail-to-Rail, Temp. E	0,72	0,668	0,555	0,503
579-MCP6294-E/P	MCP6294-E/P	PDIP-14	Quadr., 10 MHz, 1,0mA, Rail-to-Rail, Temp. E	1,25	1,15	0,96	0,87
579-MCP6H01ESN	MCP6H01-E/SN	SOIC-8	Simple 16V, 1,2 MHz Usage général, Temp. E	0,51	0,473	0,398	0,36
579-MCP6H02ESN	MCP6H02-E/SN	SOIC-8	Double 16V, 1,2 MHz Usage général, Temp. E	0,72	0,668	0,555	0,503
579-MCP6L01RT-E/OT	MCP6L01RT-E/OT	SOT-23-5	Simple, 1 MHz, 85µA, Usage général, Temp. E	0,21	0,188	0,158	0,143
579-MCP6L04T-E/SL	MCP6L04T-E/SL	SOIC-14	Quadr., 1 MHz, 85µA, Usage général, Temp. E	0,33	0,30	0,255	0,233

COMPARATEURS

Pour des quantités supérieures à celles indiquées, appelez-nous afin d'obtenir un devis.

579-MCP6541-I/P	MCP6541-I/P	PDIP-8	Comparateur Push/Pull simple 1,6V, temp. I	0,36	0,338	0,285	0,255
579-MCP6541T-I/OT	MCP6541T-I/OT	SOT-23-5	Comparateur Push/Pull simple 1,6V, temp. I	0,29	0,27	0,225	0,203
579-MCP6542-I/P	MCP6542-I/P	PDIP-8	Comparateur Push/Pull double 1,6V, temp. I	0,47	0,428	0,36	0,33
579-MCP6542-I/SN	MCP6542-I/SN	SOIC-8	Comparateur Push/Pull double 1,6V, temp. I	0,47	0,428	0,36	0,33
579-MCP6544-I/P	MCP6544-I/P	PDIP-14	Comparateur Push/Pull quad. 1,6V , temp. I	0,96	0,908	0,758	0,69
579-MCP6544-I/SL	MCP6544-I/SL	SOIC-14	Comparateur Push/Pull quad. 1,6V , temp. I	0,96	0,908	0,758	0,69
579-MCP6546-I/SN	MCP6546-I/SN	SOIC-8	Comparateur à collecteur ouvert simple 1,6V temp. I	0,36	0,338	0,285	0,255
579-MCP6547-I/P	MCP6547-I/P	PDIP-8	Comparateur à collecteur ouvert double 1,6V temp. I	0,47	0,428	0,36	0,33
579-MCP6549-I/SL	MCP6549-I/SL	SOIC-14	Comparateur à collecteur ouvert quad. 1,6V temp. I	0,96	0,908	0,758	0,69

AMPLIFICATEURS À GAIN PROGRAMMABLE MICROCHIP

PRODUCT NEW

Pour des quantités supérieures à celles indiquées, appelez-nous afin d'obtenir un devis.

579-MCP6S21-I/P	MCP6S21-I/P	PDIP-8	PGA SPI 12 MHz simple canal	0,96	0,885	0,735	0,668
579-MCP6S21-I/MS	MCP6S21-I/MS	MSOP-8	PGA SPI 12 MHz simple canal	0,90	0,825	0,69	0,63
579-MCP6S21-I/SN	MCP6S21-I/SN	SOIC-8	PGA SPI 12 MHz simple canal	0,90	0,825	0,69	0,63
579-MCP6S22-I/P	MCP6S22-I/P	PDIP-8	PGA SPI 12 MHz double-canal	1,13	1,04	0,863	0,788
579-MCP6S22-I/SN	MCP6S22-I/SN	SOIC-8	PGA SPI 12 MHz double canal	1,04	0,953	0,795	0,72
579-MCP6S28-I/P	MCP6S28-I/P	PDIP 16	PGA SPI 12 MHz à 8 canaux	2,00	1,83	1,52	1,39
579-MCP6S28-I/SL	MCP6S28-I/SL	SOIC 16 broches	PGA SPI 12 MHz à 8 canaux	1,83	1,68	1,40	1,27
579-MCP6S92-E/SN	MCP6S92-E/SN	SOIC-8	PGA SPI 10 MHz double canal	0,83	0,758	0,63	0,57
579-MCP6G01T-E/OT	MCP6G01T-E/OT	SOT-23-5	Simple 1,8V, limiteur de gain 1 MHz, Temp. E	0,38	0,338	0,285	0,255
579-MCP6G02-E/SN	MCP6G02-E/SN	SOIC-8	Double 1,8V, limiteur de gain 1 MHz, Temp. E	0,50	0,458	0,375	0,345

© Copyright 2012 Mouser Electronics
© Copyright 2012 Mouser Electronics

Amplificateurs ON SEMICONDUCTOR

ON Semiconductor®

RoHS Compliant This product is RoHS compliant.

AMPLIFICATEURS OPÉRATIONNELS

Pour des quantités supérieures à celles indiquées, appelez-nous afin d'obtenir un devis.

RÉF. STOCK MOUSER	Réf. ON Semi	Type boîtier	Nombre de Canaux	Tension d'alimentation (Min.) (V)	Tension d'alimentation (Max.) (V)	Courant de sortie (Min.) (mA)	Courant de sortie (Typ.) (mA)	Courant de repos (mA.) (Typ.)	GBW (Typ.) (MHz)	SR Typ. (V/µs)	Tension entrée-sortie (mV) (Max.)	Prix unitaire 1	25	100	500
Application générale															
863-LM301ADG	LM301ADG	SOIC-14	1	3	18	-	-	1.2	1	0.5	7.5	0,27	0,20	0,199	0,196
863-MC33071ADG	MC33071ADG	SOIC-8	1	3	44	10	30	1.9	4.5	10	5	0,83	0,739	0,538	0,46
863-LM258DG	LM258DG	SOIC 8	2	3	32	20	40	1.5	1	0.6	5	0,25	0,223	0,157	0,129
863-LM258NG	LM258NG	PDIP-8	2	3	32	20	40	1.5	1	0.6	5	0,34	0,29	0,205	0,172
863-LM2904ANG	LM2904ANG	PDIP-8	2	3	32	20	40	1.5	1	0.6	7	0,55	0,503	0,454	0,391
863-LM2904DG	LM2904DG	SOIC 8	2	3	32	20	40	1.5	1	0.6	7	0,31	0,237	0,157	0,129
863-LM2904NG	LM2904NG	PDIP-8	2	3	32	20	40	1.5	1	0.6	7	0,16	0,13	0,12	0,111
863-LM358DG	LM358DG	SOIC 8	2	3	32	20	40	1.5	1	0.6	7	0,17	0,16	0,146	0,131
863-LM358NG	LM358NG	PDIP-8	2	3	32	20	40	1.5	1	0.6	7	0,16	0,13	0,12	0,111
863-MC33072ADG	MC33072ADG	SOIC 8	2	3	44	10	30	3.8	4.5	10	3	1,14	0,81	0,70	0,47
863-MC33072APG	MC33072APG	PDIP-8	2	3	44	10	30	3.8	4.5	10	3	0,81	0,71	0,60	0,403
863-MC33072DG	MC33072DG	SOIC 8	2	3	44	10	30	3.8	4.5	10	5	0,77	0,647	0,479	0,388
863-MC33072PG	MC33072PG	PDIP-8	2	3	44	10	30	3.8	4.5	10	5	0,88	0,71	0,53	0,45
863-MC34072ADG	MC34072ADG	SOIC-8	2	3	44	10	30	3.8	4.5	10	3	0,77	0,693	0,487	0,388
863-MC34072APG	MC34072APG	PDIP-8	2	3	44	10	30	3.8	4.5	10	5	0,88	0,71	0,53	0,45
863-MC34072DG	MC34072DG	SOIC-8	2	3	44	10	30	3.8	4.5	10	5	0,74	0,644	0,496	0,421
863-MC34072PG	MC34072PG	PDIP-8	2	3	44	10	30	3.8	4.5	10	5	0,85	0,693	0,532	0,385
863-LM833NG	LM833NG	PDIP-8	2	5	18	-	29	7	15	7	5	0,49	0,408	0,289	0,242
863-LM224NG	LM224NG	PDIP-14	4	3	32	20	40	1.4	1	0.6	5	0,40	0,341	0,24	0,202
863-LM2902DG	LM2902DG	SOIC-14	4	3	32	20	40	1.4	1	0.6	7	0,26	0,239	0,165	0,135
863-LM2902NG	LM2902NG	PDIP-14	4	3	32	20	40	1.4	1	0.6	7	0,40	0,333	0,235	0,197
863-LM324ADG	LM324ADG	SOIC-14	4	3	32	20	40	1.4	1	0.6	3	0,16	0,13	0,127	0,111
863-LM324ANG	LM324ANG	PDIP-14	4	3	32	20	40	1.4	1	0.6	3	0,43	0,357	0,252	0,212
863-LM324DG	LM324DG	SOIC-14	4	3	32	20	40	1.4	1	0.6	7	0,31	0,237	0,157	0,129
863-LM324NG	LM324NG	PDIP-14	4	3	32	20	40	1.4	1	0.6	7	0,32	0,25	0,247	0,223
863-MC3403PG	MC3403PG	PDIP-14	4	3	36	10	20	2.8	1	0.6	10	0,38	0,22	0,197	0,177
863-MC33074ADG	MC33074ADG	SOIC-14	4	3	44	10	30	7.6	4.5	10	3	1,28	1,04	0,769	0,653
863-MC33074APG	MC33074APG	PDIP-14	4	3	44	10	30	7.6	4.5	10	3	1,18	1,02	0,71	0,561
863-MC33074DG	MC33074DG	SOIC-14	4	3	44	10	30	7.6	4.5	10	5	0,95	0,842	0,613	0,526
863-MC33074PG	MC33074PG	PDIP-14	4	3	44	10	30	7.6	4.5	10	5	1,09	0,957	0,698	0,598
863-MC34074ADG	MC34074ADG	SOIC-14	4	3	44	10	30	7.6	4.5	10	3	1,27	1,01	0,752	0,639
863-MC34074APG	MC34074APG	PDIP-14	4	3	44	10	30	7.6	4.5	10	3	0,63	0,61	0,50	0,441
863-MC34074DG	MC34074DG	SOIC-14	4	3	44	10	30	7.6	4.5	10	3	1,20	0,99	0,735	0,625
863-MC34074PG	MC34074PG	PDIP-14	4	3	44	10	30	7.6	4.5	10	5	1,22	0,99	0,735	0,625
863-MC34074VPG	MC34074VPG	PDIP-14	4	3	44	10	30	7.6	4.5	10	5	1,20	1,07	0,769	0,653
Faible puissance															
863-MC33171DG	MC33171DG	SOIC-8	1	3	44	3	5	0.22	1.8	2.1	4.5	0,90	0,71	0,53	0,45
863-MC33172DG	MC33172DG	SOIC-8	2	3	44	-	5	440	1.8	2.1	4500	0,70	0,619	0,46	0,399
863-MC33172PG	MC33172PG	PDIP-8	2	3	44	-	5	0.44	1.8	2.1	4.5	1,11	0,899	0,667	0,567
863-MC33178DG	MC33178DG	SOIC-8	2	4	36	50	80	0.9	5	2	3	1,13	0,62	0,42	0,394
863-MC33178PG	MC33178PG	PDIP-8	2	4	36	50	80	0.9	5	2	3	1,19	0,965	0,718	0,611
863-MC33174DG	MC33174DG	SOIC-14	4	3	44	3	5	0.88	1.8	2.1	4.5	1,30	1,04	0,798	0,653
863-MC33174PG	MC33174PG	PDIP-14	4	3	44	3	5	0.88	1.8	2.1	4.5	1,30	1,04	0,798	0,672
863-MC33179DG	MC33179DG	SOIC-14	4	4	36	50	80	1.7	5	2	3	0,67	0,66	0,57	0,518
863-MC33179PG	MC33179PG	PDIP-14	4	4	36	50	80	1.7	5	2	3	1,01	0,891	0,651	0,558
Faible bruit															
863-NE5534ANG	NE5534ANG	PDIP-8	1	3	20	-	38	8	10	13	4	1,24	0,998	0,809	0,668
863-SA5534ADG	SA5534ADG	SOIC-8	1	3	20	-	38	8	10	13	4	1,31	1,12	0,842	0,656
863-SA5534ANG	SA5534ANG	PDIP-8	1	3	20	-	38	8	10	13	4	1,26	1,06	0,908	0,668
863-SA5534NG	SA5534NG	PDIP-8	1	3	20	-	38	8	10	13	4	1,30	1,02	0,817	0,631
863-SE5534ANG	SE5534ANG	PDIP-8	1	3	20	-	38	8	10	13	4	1,30	1,04	0,866	0,693
863-SE5534NG	SE5534NG	PDIP-8	1	3	20	-	38	8	10	13	4	1,20	1,03	0,817	0,681
863-NE5532ANG	NE5532ANG	PDIP-8	2	3	20	10	38	8	10	9	4	1,07	0,924	0,683	0,581
863-NE5532DG	NE5532DG	SOIC-16W	2	3	20	10	38	8	10	9	4	1,07	0,924	0,683	0,581
863-NE5532NG	NE5532NG	PDIP-8	2	3	20	10	38	8	10	9	4	1,08	0,875	0,649	0,552
863-SA5532NG	SA5532NG	PDIP-8	2	3	20	10	38	8	10	9	4	2,46	1,96	1,77	0,575
863-SE5532NG	SE5532NG	PDIP-8	2	3	20	10	38	8	10	9	4	1,30	1,06	0,80	0,657
863-MC33178DG	MC33178DG	SOIC-8	2	4	36	50	80	0.9	5	2	3	1,13	0,62	0,42	0,394
863-MC33178PG	MC33178PG	PDIP-8	2	4	36	50	80	0.9	5	2	3	1,19	0,965	0,718	0,611
863-MC33078DG	MC33078DG	SOIC-8	2	5	18	15	29	4.1	16	7	2	0,70	0,578	0,427	0,363
863-MC33078PG	MC33078PG	PDIP-8	2	5	18	15	29	4.1	16	7	2	1,05	0,85	0,632	0,538
863-MC33274ADG	MC33274ADG	SOIC-14	4	3	36	25	37	8.6	24	10	1	1,20	1,06	0,775	0,663
863-MC33274APG	MC33274APG	PDIP-14	4	3	36	25	37	8.6	24	10	1	1,32	1,17	0,85	0,73
863-MC33079DG	MC33079DG	SOIC-14	4	5	18	15	29	8.4	16	7	2	0,76	0,624	0,461	0,393
863-MC33079PG	MC33079PG	PDIP-14	4	5	18	15	29	8.4	16	7	2	1,16	0,941	0,70	0,569
Faible tension															
863-MC33201DG	MC33201DG	SOIC-8	1	1.8	12	50	80	0.9	2.2	1	6	0,72	0,635	0,462	0,404
863-NE5230DG	NE5230DG	SOIC-8	1	1.8	15	4	6	0.11	0.25	0.09	0.4	1,65	1,32	1,19	0,657
863-NE5230NG	NE5230NG	PDIP-8	1	1.8	15	4	6	0.11	0.25	0.09	0.4	1,90	1,52	1,37	0,671
863-SA5230DG	SA5230DG	SOIC-8	1	1.8	15	4	6	0.11	0.25	0.09	0.4	1,30	1,02	0,817	0,644
863-SA5230NG	SA5230NG	PDIP-8	1	1.8	15	4	6	0.11	0.25	0.09	0.4	1,24	1,21	0,818	0,668
863-LMV981MU3TBG	LMV981MU3TBG	ULLGA8	1	2.7	5.5	4	65	0.21	1.4-1.5	0.35-0.48	6	0,72	0,503	0,433	0,321
863-LMV982MUTAG	LMV982MUTAG	UQFN10	2	2.7	5.5	4	65	0.21	1.4-1.5	0.35-0.48	6	1,41	1,11	0,998	0,78
863-MC33502DG	MC33502DG	SOIC-8	2	1	7	20	40	3.3	5	3	5	1,11	1,09	0,91	0,784
863-MC33202DG	MC33202DG	SOIC-8	2	1.8	12	50	80	1.8	2	1	8	0,73	0,652	0,473	0,405
863-MC33202PG	MC33202PG	PDIP-8	2	1.8	12	50	80	1.8	2	1	8	0,99	0,809	0,598	0,508
863-MC33204DG	MC33204DG	SOIC-14	4	1.8	12	50	80	3.6	2.2	1	10	1,16	1,04	0,752	0,645
863-MC33204PG	MC33204PG	PDIP-14	4	1.8	12	50	80	3.6	2.2	1	10	1,30	1,07	0,807	0,70
Courant élevé															
863-TCA0372DP1G	TCA0372DP1G	PDIP-8	2	5	40	-	1000	5	1.4	1.4	15	0,55	0,54	0,461	0,404
863-TCA0372DWR2G	TCA0372DWR2G	SOIC-16W	2	5	40	-	1000	5	1.4	1.4	15	0,98	0,858	0,59	0,505

COMPRESSEURS EXTENSEURS

Pour des quantités supérieures à celles indiquées, appelez-nous afin d'obtenir un devis.

RÉF. STOCK MOUSER	Réf. ON Semi	Type boîtier	I_{CC} Max. (mA)	V_{CC} Max. (V)	THD Typ. (%)	E_n Typ. (µV)	V_{ref} (V)	T_A Min. (°C)	T_A Max. (°C)	Prix unitaire 1	25	100	500
863-NE570DG	NE570DG	SO-16WB	4.3	24	0.3	20	1.8	0	70	4,60	3,35	2,74	2,29
863-SA571DG	SA571DG	SO-16WB	4.3	18	0,5	20	1.8	-40	85	4,39	3,71	2,89	2,39
863-SA571NG	SA571NG	PDIP 16	4.3	18	0,5	20	1.8	-40	85	4,50	3,80	2,96	2,45
863-SA572DG	SA572DG	SO-16WB	6.3	22	0.05	6	2.5	-40	85	4,25	3,34	3,18	2,75
863-SA572NG	SA572NG	PDIP 16	6.3	22	0.05	6	2.5	-40	85	4,97	4,19	3,45	2,70
863-SA575DG	SA575DG	SO-20	4.2	7	0.12	6	Vcc/2	-40	85	5,55	4,55	3,77	3,10
863-SA575NG	SA575NG	PDIP 20	4.2	7	0.12	6	Vcc/2	-40	85	4,50	3,86	2,73	2,33

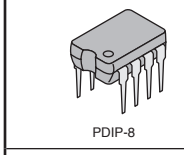
PDIP-8

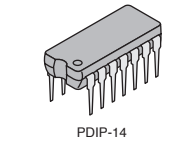
PDIP-14

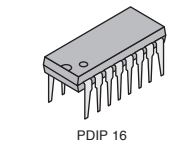
PDIP 16

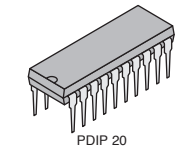
PDIP 20

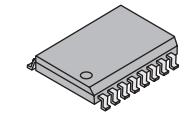
SO-16WB

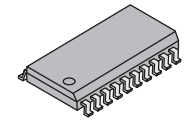
SO-20

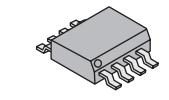
SOIC-8

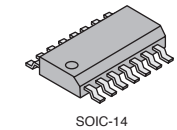
SOIC-14

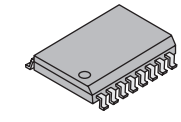
SOIC-16W

ULLGA-8

UQFN-10

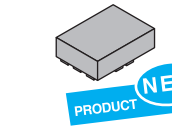

© Copyright 2012 Mouser Electronics

© Copyright 2012 Mouser Electronics

Amplificateurs STMICROELECTRONICS

STMicroelectronics

Les produits peuvent être conformes à la directive RoHS.
Consulter le site mouser.com pour vérifier la conformité RoHS.

AUDIO

Pour des quantités supérieures à celles indiquées, appelez-nous afin d'obtenir un devis.

RÉF. STOCK MOUSER	Réf. STM	Type de boîtier	Description	Tension d'alimentation (V) (Max.)	Puissance de sortie			Plage de température (°C)	Prix unitaire		
					Min./Typ. (W)	@ (V)	Tolérance Distorsion		1	10	100
Montage en surface											
511-TDA2822D013TR	TDA2822D013TR	SO-8	Double amplificateur de puissance à faible tension	1.8/15	-/0.3	9	10%	-40 à +150	**1,43**	**1,28**	**1,01**
511-TDA7233D013TR	TDA7233D013TR	SO-8	Amplificateur audio avec sourdine	1.8/15	-/1.9	12	10%	-40 à +150	**1,19**	**1,06**	**0,842**
511-TS472IQT	TS472IQT	FlipChip-12	Préamplificateur micro à très faible bruit polarisé	2.2/5.5	-/-	-	-	de -40 à +85	**1,86**	**1,56**	**1,28**
511-TS4871ID	TS4871ID	SO-8	Ampli puissance pour casque stéréo avec mode veille	2.5/5.5	-/1.0	-	0.15%	de -40 à +85	**1,28**	**0,96**	**0,78**
511-TS4890ID	TS4890ID	SO-8	Ampli de puissance audio rail-rail à mode veille	2.5/5.5	-/1.0	-	1.00%	de -40 à +85	**1,82**	**1,64**	**1,31**
511-TS4962IQT	TS4962IQT	DFN-8	Ampli puissance audio mono classe D sans filtre	2.4/5.5	-/2.3	-	1.00%	de -40 à +85	**1,80**	**1,54**	**1,25**
511-TS4982IQT	TS4982IQT	QFN-32	Ampli puissance audio rail-rail avec pilote casque	-/6.0	-/2.0	-	1.00%	de -40 à +85	**1,80**	**1,54**	**1,25**
Composant à insertion											
511-TDA2052V	TDA2052V	Heptawatt-7V	Ampli puissance audio hi-fi avec sourdine et veille	±6/±25	35/40	22	10%	de 0 à +70	**2,43**	**1,99**	**1,41**
511-TDA2030AV	TDA2030AV	Petawatt	Ampli hi-fi et pilote 35 W	±6/±22	15/18	19	0.50%	-40 à +150	**1,43**	**1,29**	**1,04**
511-TDA2030H	TDA2030H	Petawatt	Ampli hi-fi et pilote 35 W	±6/±22	15/18	19	0.50%	-40 à +150	**3,43**	**3,21**	**2,66**
511-TDA2040V	TDA2040V	Petawatt	Hi-fi, sortie de courant élevée avec faible distorsion	2.5/20	20/22	16	0.50%	-40 à +150	**2,99**	**2,18**	**1,74**
511-TDA2050V	TDA2050V	Petawatt	Ampli puissance audio hi-fi	±4.5/±25	24/28	22	0.50%	-40 à +150	**3,58**	**3,34**	**3,00**
511-TDA7256	TDA7256	Multiwatt-11	Ampli autoradio en pont 30W	8/18	18/22	-	10%	-40 à +150	**3,62**	**3,23**	**2,65**
511-TDA7266	TDA7266	Multiwatt-15V	Ampli double pont	3/18	6.3/7.0	-	10%	de 0 à +70	**3,97**	**3,54**	**2,90**
511-TDA7293V	TDA7293V	Multiwatt-15V	Ampli audio DMOS avec sourdine/veille	12/50	90/100	29	0.01%	de 0 à +70	**6,18**	**5,35**	**4,34**
511-TDA7393	TDA7393	Multiwatt-15V	Ampli double pont 2x32W pour autoradio	-/18	-/22	14	10%	de -40 à +85	**8,96**	**7,77**	**6,38**
511-TEA2025B	TEA2025B	PWRDIP-12+2+2	Stéréo, haute séparation des canaux, double ou en pont	3/12	0.7/1	6	10%	-40 à +150	**1,65**	**1,43**	**1,34**

DÉTECTION PASSE-HAUT

Pour des quantités supérieures à celles indiquées, appelez-nous afin d'obtenir un devis.

RÉF. STOCK MOUSER	Réf. STM	Type de boîtier	Gain (V/V)	Précision du gain (%)	Courant de polarisation (Max.)	Tension d'alimentation		Vitesse de balayage (V / µS) (Typ.)	Courant d'alimentation (mA) (Max)	Plage de température (°C)	Prix unitaire		
						(Min.) (V)	(Max.) (V)				1	10	100
Montage en surface													
511-TSC101AILT	TSC101AILT	SOT-23-5	20	±2.5	8µA	4	24	0.9	300	de -40 à +125	**2,53**	**2,16**	**1,76**
511-TSC101BILT	TSC101BILT	SOT-23-5	50	±2.5	8µA	4	24	0.9	300	de -40 à +125	**2,53**	**2,16**	**1,76**
511-TSC101CILT	TSC101CILT	SOT-23-5	100	±2.5	8µA	4	24	0.9	300	de -40 à +125	**2,53**	**2,16**	**1,76**
511-TSC103ID	TSC103ID	SO-8	20	±2.5	15µA	2.7	5.5	0.6	360	de -40 à +125	**3,02**	**2,56**	**2,41**
511-TSC103IDT	TSC103IDT	SO-8	20	±2.5	15µA	2.7	5.5	0.6	360	-40 à +125	**2,95**	**2,53**	**2,06**
511-TSC103IPT	TSC103IPT	TSSOP-8	50	±2.5	15µA	2.7	5.5	0.6	360	de -40 à +125	**2,71**	**2,43**	**1,98**
511-TSC1031IDT	TSC1031IDT	SO-8	50/100	-	15µA	2.7	5.5	0.6	360	de -40 à +125	**2,65**	**2,38**	**1,94**
511-TSC1031IPT	TSC1031IPT	TSSOP-8	50/100	-	15µA	2.7	5.5	0.6	360	de -40 à +125	**2,65**	**2,38**	**1,94**

AMPLIFICATEURS OPÉRATIONNELS

Application générale

Pour des quantités supérieures à celles indiquées, appelez-nous afin d'obtenir un devis.

RÉF. STOCK MOUSER	Réf. STM	Type de boîtier	Simple, Double, Quad	Tension de décalage en entrée (mV) (Max.)	Courant de polarisation (Max.)	Produit Gain Largeur de bande (MHz) (Typ.)	Vitesse de balayage (V / µS) (Typ.)	Tension d'alimentation (V) (Max.)	Courant d'alimentation (µA) (Max.)	Plage de température (°C)	Prix unitaire		
											1	10	100
Montage en surface													
511-UA741CD	UA741CD	SO-8	S	5.0	100nA	1.00	0.50	±22	2.80	de 0 à +70	**0,24**	**0,22**	**0,19**
511-UA741CDT	UA741CDT	SO-8	S	5.0	100nA	1.00	0.50	±22	2.80	de 0 à +70	**0,22**	**0,20**	**0,17**
511-UA741ID	UA741ID	SO-8	S	5.0	100nA	1.00	0.50	±22	2.80	de -40 à +105	**0,51**	**0,43**	**0,34**
511-UA741IDT	UA741IDT	SO-8	S	5.0	100nA	1.00	0.50	±22	2.80	de -40 à +105	**0,51**	**0,43**	**0,34**
511-TL081CD	TL081CD	SO-8	S	10.0	200pA	4.00	16.00	±18	2.50	de 0 à +70	**0,34**	**0,292**	**0,275**
511-MC1458D	MC1458D	SO-8	D	5.0	500nA	1.00	0.80	±22	5.00	de 0 à +70	**0,33**	**0,31**	**0,26**
511-MC1458ID	MC1458ID	SO-8	D	5.0	500nA	1.00	0.80	±22	5.00	de -40 à +105	**0,62**	**0,533**	**0,415**
511-TL082ACD	TL082ACD	SO-8	D	6.0	100pA	4.00	16.00	±18	2.50	de 0 à +70	**0,51**	**0,48**	**0,41**
511-TL082CD	TL082CD	SO-8	D	10.0	100pA	4.00	16.00	±18	2.50	de 0 à +70	**0,36**	**0,30**	**0,24**
511-TL082CDT	TL082CDT	SO-8	D	10.0	400pA	4.00	16.00	±18	2.50	de 0 à +70	**0,51**	**0,33**	**0,29**
511-LM248DT	LM248DT	SO-14	Q	5.0	100nA	1.30	0.50	±22	3.60	de -40 à +105	**1,14**	**1,02**	**0,813**
511-TL084CD	TL084CD	SO-14	Q	10.0	200pA	4.00	16.00	±18	2.50	de 0 à +70	**0,42**	**0,26**	**0,21**
511-TL084CDT	TL084CDT	SO-14	Q	10.0	200pA	4.00	16.00	±18	2.50	de 0 à +70	**0,30**	**0,28**	**0,23**
511-TL084CP	TL084CPT	TSSOP-14	Q	10.0	200pA	4.00	16.00	±18	2.50	de 0 à +70	**0,49**	**0,37**	**0,31**
511-TL084ID	TL084ID	SO-14	Q	10.0	200pA	4.00	16.00	±18	2.50	de -40 à +105	**0,51**	**0,40**	**0,36**
511-TL084IDT	TL084IDT	SO-8	Q	10.0	200pA	4.00	16.00	±18	2.50	de -40 à +105	**0,44**	**0,41**	**0,35**
Composant à insertion													
511-LM201AN	LM201AN	DIP-8	S	2.0	75nA	1.00	0.50	±22	3.00	de -40 à +105	**1,54**	**0,86**	**0,62**
511-UA741CN	UA741CN	DIP-8	S	5.0	100nA	1.00	0.50	±22	2.80	de 0 à +70	**0,30**	**0,25**	**0,18**
511-UA741IN	UA741IN	DIP-8	S	5.0	100nA	1.00	0.50	±22	2.80	de -40 à +105	**0,51**	**0,43**	**0,34**
511-TL081ACN	TL081ACN	DIP-8	S	6.0	200pA	4.00	16.00	±18	2.50	de 0 à +70	**0,80**	**0,722**	**0,653**
511-LM301AN	LM301AN	DIP-8	S	7.5	250 nA	1.00	0.50	±22	3.00	de 0 à +70	**0,78**	**0,68**	**0,58**
511-L165V	L165V	Petawatt	S	10.0	1µA	-	8.00	±18	-	-40 à +150	**3,43**	**2,37**	**2,22**
511-TL081CN	TL081CN	DIP-8	S	10.0	200pA	4.00	16.00	±18	2.50	de 0 à +70	**0,31**	**0,25**	**0,22**
511-MC1458IN	MC1458IN	DIP-8	D	5.0	500nA	1.00	0.80	±22	5.00	de -40 à +105	**0,48**	**0,45**	**0,38**
511-MC1458N	MC1458N	DIP-8	D	5.0	500nA	1.00	0.80	±22	5.00	de 0 à +70	**0,28**	**0,22**	**0,15**
511-TL082ACN	TL082ACN	DIP-8	D	6.0	100pA	4.00	16.00	±18	2.50	de 0 à +70	**0,54**	**0,45**	**0,39**
511-TL082CN	TL082CN	DIP-8	D	10.0	100pA	4.00	16.00	±18	2.50	de 0 à +70	**0,51**	**0,33**	**0,29**
511-TL082IN	TL082IN	DIP-8	D	10.0	100pA	4.00	16.00	±18	2.50	de -40 à +105	**0,47**	**0,33**	**0,26**
511-LM248N	LM248N	DIP-14	Q	5.0	100nA	1.30	0.50	±22	3.60	de -40 à +105	**1,17**	**1,03**	**0,816**
511-LM348N	LM348N	DIP-14	Q	5.0	100nA	1.30	0.50	±22	3.60	de 0 à +70	**1,93**	**0,98**	**0,80**
511-TL084ACN	TL084ACN	DIP-14	Q	6.0	200pA	4.00	16.00	±18	2.50	de 0 à +70	**0,58**	**0,50**	**0,43**
511-TL084CN	TL084CN	DIP-14	Q	10.0	200pA	4.00	16.00	±18	2.50	de 0 à +70	**0,63**	**0,47**	**0,42**
511-TL084IN	TL084IN	DIP-14	Q	10.0	200pA	4.00	16.00	±18	2.50	de -40 à +105	**0,49**	**0,37**	**0,31**

Haute performance

PRODUCT NEW

Pour des quantités supérieures à celles indiquées, appelez-nous afin d'obtenir un devis.

Montage en surface													
511-TSH22ID	TSH22ID	SO-8	D	2.5	650nA	25	15.00	±18 ou +36	2.75	de -40 à +125	**1,11**	**1,04**	**0,86**
511-TSH22IDT	TSH221DT	SO-8	D	3.5	650nA	25	15	±30	15	de -65 à +150	**1,13**	**1,01**	**0,804**
511-TS274CDT	TS274CDT	SO-14	Q	10.0	300pA	3.50	5.50	de 3 à 16	1.50	de -40 à +125	**0,96**	**0,859**	**0,681**
Composant à insertion													
511-TSH22IN	TSH22IN	DIP-8	D	2.5	650nA	25	15.00	±18 ou +36	2.75	de -40 à +125	**1,96**	**1,50**	**0,96**
511-TS274IN	TS274IN	DIP-14	Q	10.0	300pA	3.50	5.50	de 3 à 16	1.50	de -40 à +125	**1,54**	**1,38**	**1,12**

Faible bruit

Pour des quantités supérieures à celles indiquées, appelez-nous afin d'obtenir un devis.

Montage en surface													
511-TL071CD	TL071CD	SO-8	S	10	200pA	4.00	16	±18	2.5	de 0 à +70	**0,34**	**0,292**	**0,275**
511-TS522ID	TS522ID	SO-8	D	0.85	750nA	15	7	±18 ou +36	5	de -40 à +105	**0,85**	**0,67**	**0,53**
511-MC33078D	MC33078D	SO-8	D	2	750nA	15	7	±18 ou +36	5	de -40 à +105	**0,42**	**0,37**	**0,34**
511-LM833D	LM833D	SO-8	D	5	1000nA	15	7	±18 ou +36	8	de -40 à +105	**0,37**	**0,33**	**0,29**
511-TL072CD	TL072CD	SO-8	D	10	200pA	4.00	16	±18	2.5	de 0 à +70	**0,33**	**0,29**	**0,27**

© Copyright 2012 Mouser Electronics

© Copyright 2012 Mouser Electronics

Amplificateurs opérationnels STMICROELECTRONICS

STMicroelectronics

Les produits peuvent être conformes à la directive RoHS.
Consulter le site mouser.com pour vérifier la conformité RoHS.

AMPLIFICATEURS OPÉRATIONNELS

Bruit faible (Suite)

Pour des quantités supérieures à celles indiquées, appelez-nous afin d'obtenir un devis.

RÉF. STOCK MOUSER	Réf. STM	Type de boîtier	Simple, Double, Quad	Tension de décalage en entrée (mV) (Max.)	Courant de polarisation (Max.)	Produit Gain Largeur de bande (MHz) (Typ.)	Vitesse de balayage (V/µS) (Typ.)	Tension d'alimentation (V) (Max.)	Courant d'alimentation (µA) (Max.)	Plage de température (°C)	Prix unitaire 1	10	100
Montage en surface (suite)													
511-TL072ID	TL072ID	SO-8	D	10	200pA	4.00	16	±18	2.5	de -40 à +105	0,33	0,30	0,29
511-TS524ID	TS524ID	SO-14	Q	0.95	750nA	15	7	±18 ou +36	10	de -40 à +105	1,39	1,32	1,09
511-MC33079D	MC33079D	SO-14	Q	2.5	750nA	15	7	±18 ou +36	10	de -40 à +105	0,54	0,51	0,48
511-TL074CD	TL074CD	SO-14	Q	10	200pA	3.00	13	±18	2.5	de 0 à +70	0,53	0,33	0,29
511-TL074CDT	TL074CDT	SO-14	Q	10	200pA	3.00	13	±18	2.5	de 0 à +70	0,39	0,32	0,26
511-TL074IDT	TL074IDT	SO-14	Q	10	200pA	3.00	13	±18	2.5	de -40 à +105	0,31	0,25	0,23
Composant à insérer													
511-TL071ACN	TL071ACN	DIP-8	S	6	200pA	4.00	16	±18	2.5	de 0 à +70	1,09	0,95	0,80
511-TL072ACN	TL072ACN	DIP-8	S	6	200pA	4.00	16	±18	2.5	de 0 à +70	1,14	1,08	0,92
511-TL071CN	TL071CN	DIP-8	S	10	200pA	4.00	16	±18	2.5	de 0 à +70	0,31	0,25	0,22
511-TL071IN	TL071IN	DIP-8	S	10	200pA	4.00	16	±18	2.5	de -40 à +105	0,56	0,481	0,415
511-TS522IN	TS522IN	DIP-8	D	0.85	750nA	15	7	±18 ou +36	5	de -40 à +105	0,95	0,83	0,70
511-MC33078N	MC33078N	DIP-8	D	2	750nA	15	7	±18 ou +36	5	de -40 à +105	0,71	0,45	0,33
511-LM833N	LM833N	DIP-8	D	5	1000nA	15	7	±18 ou +36	8	de -40 à +105	0,55	0,42	0,34
511-TL072CN	TL072CN	DIP-8	D	10	200pA	4.00	16	±18	2.5	de 0 à +70	0,67	0,53	0,35
511-TL072IN	TL072IN	DIP-8	D	10	200pA	4.00	16	±18	2.5	de -40 à +105	0,44	0,42	0,35
511-TL074CN	TL074CN	DIP-14	Q	10	200pA	3.00	13	±18	2.5	de 0 à +70	0,75	0,42	0,36
511-TL074IN	TL074IN	DIP-14	Q	10	200pA	3.00	13	±18	2.5	de -40 à +105	0,99	0,33	0,27

Faible puissance

Pour des quantités supérieures à celles indiquées, appelez-nous afin d'obtenir un devis.

Montage en surface													
511-TS321AIL	TS321AILT	SOT-23-5L	S	2	150nA	0.80	0.4	±16 ou 32	0.6	de -40 à +105	0,89	0,79	0,633
511-TS321IL	TS321ILT	SOT-23-5L	S	4	150nA	0.80	0.4	±16 ou 32	0.6	de -40 à +125	0,93	0,87	0,65
511-MC33171DT	MC33171DT	SO-8	S	4.5	100nA	2.10	2	±22	0.25	de -40 à +105	0,54	0,41	0,37
511-LM358AD	LM358AD	SO-8	D	3	50nA	1.10	0.6	+32	2	de 0 à +70	0,28	0,25	0,22
511-MC33172D	MC33172D	SO-8	D	4.5	100nA	2.10	2	±22	0.25	de -40 à +105	1,17	1,10	0,902
511-LM258D	LM258D	SO-8	D	5	150nA	1.10	0.6	+32	2	de -40 à +105	0,31	0,22	0,19
511-LM2904D	LM2904D	SO-8	D	7	150nA	1.10	0.6	+32	1.2	de -40 à +125	0,25	0,22	0,19
511-LM2904P	LM2904PT	TSSOP-8	D	7	150nA	1.10	0.6	+32	1.2	de -40 à +125	0,21	0,19	0,18
511-LM358ADT	LM358ADT	SO-8	D	7	150nA	1.10	0.6	+32	2	de 0 à +70	0,19	0,14	0,12
511-LM358AST	LM358AST	MiniSO-8	D	7	150nA	1.10	0.6	+32	2	de 0 à +70	0,50	0,395	0,297
511-LM358D	LM358D	SO-8	D	7	150nA	1.10	0.6	+32	2	de 0 à +70	0,39	0,25	0,21
511-LM358S	LM358ST	MiniSO-8	D	7	150nA	1.10	0.6	+32	2	de 0 à +70	0,57	0,43	0,34
511-TL062CD	TL062CD	SO-8	D	15	400pA	1.00	3.5	±18	250	de 0 à +70	0,90	0,65	0,45
511-LM324AD	LM324AD	SO-14	Q	3	100nA	1.30	0.4	±16 ou 32=	3	de 0 à +70	0,28	0,25	0,22
511-LM324AD-TR	LM324ADT	SO-14	Q	3	100nA	1.30	0.4	±16 ou 32=	3	de 0 à +70	0,48	0,27	0,184
511-MC33174DT	MC33174DT	SO-14	Q	4.5	100nA	2.10	2	±22	0.25	de -40 à +105	0,67	0,61	0,48
511-LM124D	LM124D	SO-14	Q	5	150nA	1.30	0.4	±16 ou 32=	3	de -55 à +125	2,04	1,84	1,48
511-LM224AP	LM224APT	TSSOP-14	Q	5	200nA	1.30	0.4	±16 ou 32=	3	de -40 à +105	0,76	0,653	0,515
511-LM224D	LM224D	SO-14	Q	5	150nA	1.30	0.4	±16 ou 32=	3	de -40 à +105	0,36	0,32	0,28
511-LM224P	LM224PT	TSSOP-14	Q	5	150nA	1.30	0.4	±16 ou 32=	3	de -40 à +105	0,25	0,22	0,19
511-LM2902D	LM2902D	SO-14	Q	7	150nA	1.30	0.4	±16 ou 32=	3	de -40 à +125	0,25	0,22	0,19
511-LM2902P	LM2902P	TSSOP-14	Q	7	150nA	1.30	0.4	±16 ou 32=	3	de -40 à +125	0,34	0,30	0,26
511-LM324AP	LM324AP	TSSOP-14	Q	7	150nA	1.30	0.4	±16 ou 32=	3	de 0 à +70	0,54	0,43	0,326
511-LM324D	LM324D	SO-14	Q	7	150nA	1.30	0.4	±16 ou 32=	3	de 0 à +70	0,25	0,21	0,18
511-LM324P	LM324PT	TSSOP-14	Q	7	150nA	1.30	0.4	±16 ou 32=	3	de 0 à +70	0,55	0,46	0,36
511-TL064CD	TL064CD	SO-14	Q	15	400pA	1.00	3.5	±18	250	de 0 à +70	0,40	0,38	0,29
511-TL064CDT	TL064CDT	SO-14	Q	15	400pA	1.00	3.5	±18	250	de 0 à +70	0,39	0,32	0,26
Composant à insertion													
511-LM358AN	LM358AN	DIP-8	D	3	50nA	1.10	0.6	+32	2	de 0 à +70	0,28	0,25	0,22
511-LM258N	LM258N	DIP-8	D	5	150nA	1.10	0.6	+32	2	de -40 à +105	0,21	0,18	0,17
511-TL062IN	TL062IN	DIP-8	D	6	214pA	1.00	3.5	±18	250	de -40 à +105	0,57	0,49	0,38
511-LM2904N	LM2904N	DIP-8	D	7	150nA	1.10	0.6	+32	1.2	de -40 à +125	0,21	0,19	0,16
511-LM358N	LM358N	DIP-8	D	7	150nA	1.10	0.6	+32	2	de 0 à +70	0,71	0,45	0,29
511-TL062CN	TL062CN	DIP-8	D	15	400pA	1.00	3.5	±18	250	de 0 à +70	0,32	0,26	0,22
511-LM224AN	LM224AN	DIP-14	Q	3	100nA	1.30	0.4	±16 ou 32=	3	de -40 à +105	0,63	0,46	0,36
511-LM324AN	LM324AN	DIP-14	Q	3	100nA	1.30	0.4	±16 ou 32=	3	de 0 à +70	0,68	0,43	0,34
511-LM224N	LM224N	DIP-14	Q	5	150pA	1.30	0.4	±16 ou 32=	3	de -40 à +105	0,74	0,47	0,34
511-MC3403N	MC3403N	DIP-14	Q	5	500nA	1.00	0.5	±18 ou +36	7	de 0 à +70	1,04	0,75	0,60
511-LM2902N	LM2902N	DIP-14	Q	7	150nA	1.30	0.4	±16 ou 32=	3	de -40 à +125	0,32	0,24	0,18
511-LM324N	LM324N	DIP-14	Q	7	150pA	1.30	0.4	±16 ou 32=	3	de 0 à +70	0,86	0,55	0,353
511-TL064CN	TL064CN	DIP-14	Q	15	400pA	1.00	3.5	±18	250	de 0 à +70	0,39	0,32	0,26

Puissance

Pour des quantités supérieures à celles indiquées, appelez-nous afin d'obtenir un devis.

Montage en surface													
511-L2726013TR	L2726013TR	SO-20	D	10	1µA	1.20	2	28	-	de -40 à +105	1,98	1,70	1,38
511-L272D	L272D	SO-16	D	60	2,5µA	0.35	1	28	-	de -40 à +125	1,76	1,58	1,27
511-L272D013TR	L272D013TR	SO-16	D	60	2,5µA	0.35	1	28	-	de -40 à +105	1,98	1,70	1,38
Composant à insertion													
511-L272M	L272M	DIP-8	D	60	2,5µA	0.35	1	28	-	de -40 à +85	1,77	1,34	1,08

NEW PRODUCT

Précision

Pour des quantités supérieures à celles indiquées, appelez-nous afin d'obtenir un devis.

Montage en surface													
511-TS9511ILT	TS9511ILT	SOT-23-5	S	0.8	70nA	3.00	1	14	1.2	de -40 à +125	1,13	1,01	0,804
511-TS9222IPT	TS9222IPT	TSSOP-8	D	0.5	55nA	4.00	1.3	12	1.3	de -40 à +125	1,31	1,16	0,919
511-TS9224IDT	TS9224IDT	SO-14	Q	0.5	55nA	4.00	1.3	12	1.3	de -40 à +125	1,74	1,34	1,22
511-TS514AIDT	TS514AIDT	SO-14	Q	2.5	150nA	3.00	1.50	±18	2.40	de -40 à +125	1,99	1,70	1,39
Composant à insérer													
511-UA748CN	UA748CN	DIP-8	S	7.5	50nA	1.00	0.5	±22	3	de 0 à +70	1,18	0,78	0,57
511-TS512IN	TS512IN	DIP-8	D	2.5	150 nA	3.00	1.50	±18	1.20	de -40 à +125	1,14	0,86	0,70

Programmable

Pour des quantités supérieures à celles indiquées, appelez-nous afin d'obtenir un devis.

Composant à insertion													
511-LM346N	LM346N	DIP-16	Q	5	250 nA	1.00	0.5	±22	2	de 0 à +70	1,35	0,971	0,936

CMOS rail-rail complet

Pour des quantités supérieures à celles indiquées, appelez-nous afin d'obtenir un devis.

Montage en surface													
511-TSV611AICT	TSV611AICT	SC-70-5	S	0.8	10pA	0.10	0.03	6	12.5	de -40 à +85	1,20	1,07	0,853
511-TSV611AILT	TSV611AILT	SOT-23-5	S	0.8	10pA	0.10	0.03	6	12.5	de -40 à +85	1,07	0,945	0,756
511-TSV612AIDT	TSV612AIDT	SO-8	S	0.8	10pA	0.10	0.03	6	12.5	de -40 à +85	1,58	1,35	1,10
511-TSV611ILT	TSV611ILT	SOT-23-5	S	4	10pA	0.10	0.03	6	12.5	de -40 à +85	0,79	0,679	0,541

© Copyright 2012 Mouser Electronics

© Copyright 2012 Mouser Electronics

Amplificateurs opérationnels STMICROELECTRONICS

Les produits peuvent être conformes à la directive RoHS.
Consultez le site mouser.com pour vérifier la conformité RoHS.

AMPLIFICATEURS OPÉRATIONNELS

CMOS rail-rail complet (suite)

♦ Composant pour montage en surface

Pour des quantités supérieures à celles indiquées, appelez-nous afin d'obtenir un devis.

RÉF. STOCK MOUSER	Réf. STM	Type de boîtier	Simple, Double, Quad	Tension de décalage en entrée (mV) (Max.)	Courant de polarisation (Max.)	Produit Gain Largeur de bande (MHz) (Typ.)	Vitesse de balayage (V / µS) (Typ.)	Tension d'alimentation (V) (Max.)	Courant d'alimentation (µA) (Max.)	Plage de température (°C)	Prix unitaire 1	10	100
♦ 511-TSV612IDT	TSV612IDT	SO-8	S	4	10pA	0.10	0.03	6	12.5	de -40 à +85	1,10	0,979	0,779
♦ 511-TSV612IST	TSV612IST	MiniSO-8	S	4	10pA	0.10	0.03	6	12.5	de -40 à +85	1,20	1,07	0,853
♦ 511-TSV620ICT	TSV620ICT	SC-70-6	S	4	10pA	340	0.11	6	33	de -40 à +125	0,89	0,79	0,633
♦ 511-TSV620ILT	TSV620ILT	SOT-23-6	S	4	10pA	340	0.11	6	33	de -40 à +125	0,89	0,79	0,633
♦ 511-TSV622ILT	TSV622ILT	SOT-23-8	S	4	10pA	340	0.155	6	33	de -40 à +125	1,07	0,868	0,756
♦ 511-TS912BID	TS912BID	SO-8	D	2	100pA	1.00	0.8	18	0.35	de -40 à +125	1,26	1,22	1,13
♦ 511-TSV612AIST	TSV612AIST	MiniSO-8	D	4	10pA	0.10	0.03	6	12	de -40 à +85	1,86	1,60	1,30
♦ 511-TS912AIDT	TS912AIDT	SO-8	D	7	150pA	0.80	+0.4/-0.3	18	0.3	de -40 à +125	2,47	2,15	1,87
♦ 511-TS912ID	TS912ID	SO-8	D	10	100pA	1.00	0.8	18	0.35	de -40 à +125	1,06	0,99	0,86
♦ 511-TS912IDT	TS912IDT	SO-8	D	10	100pA	1.00	0.8	18	0.35	de -40 à +125	1,24	1,10	0,876
511-TS912IN	TS912IN	DIP-8	D	10	100pA	1.00	0.8	18	0.35	de -40 à +125	1,63	1,26	1,01
♦ 511-TS914ID	TS914ID	SO-14	Q	10	150pA	0.90	+0.8/-0.5	18	0.35	de -40 à +125	1,86	1,75	1,51
♦ 511-TS914IDT	TS914IDT	SO-14	Q	10	150pA	0.90	+0.8/-0.5	18	0.35	de -40 à +125	2,15	1,84	1,49

Courant de sortie rail-rail élevé

Pour des quantités supérieures à celles indiquées, appelez-nous afin d'obtenir un devis.

♦ 511-TS922AID	TS922AID	SO-8	D	0.9	100nA	4.00	1.3	14	3	de -40 à +125	1,94	1,80	1,67
♦ 511-TS922ID	TS922ID	SO-8	D	3	100nA	4.00	1.3	14	3	de -40 à +125	1,34	1,03	0,83
511-TS922IN	TS922IN	DIP-8	D	3	100nA	4.00	1.3	14	3	de -40 à +125	2,26	1,81	1,37
♦ 511-TS922IP	TS922IPT	TSSOP-8	D	3	100nA	4.00	1.3	14	3	de -40 à +125	1,34	1,02	0,82
♦ 511-TS924AID	TS924AID	SO-14	Q	0.9	100nA	4.00	1.3	14	7	de -40 à +125	2,69	2,54	2,15
♦ 511-TS924ID	TS924ID	SO-14	Q	3	100nA	4.00	1.3	14	7	de -40 à +125	1,67	1,47	1,21
511-TS924IN	TS924IN	DIP-14	Q	3	100nA	4.00	1.3	14	7	de -40 à +125	1,99	1,87	1,77
♦ 511-TS924IP	TS924IPT	TSSOP-14	Q	3	100nA	4.00	1.3	14	7	de -40 à +125	2,62	2,24	1,83

Faible puissance rail-rail

Pour des quantités supérieures à celles indiquées, appelez-nous afin d'obtenir un devis.

♦ 511-TSV632ILT	TSV632ILT	SOT-23-8	S	3	10pA	790	0.27	6	66	de -40 à +125	1,07	0,945	0,756
♦ 511-TS1851IL	TS1851ILT	SOT-23-5L	S	3	50nA	0.48	0.18	7	0.17	de -40 à +125	2,31	1,67	1,36
♦ 511-TS461CL	TS461CLT	SOT-23-5L	S	5	750nA	10	4	12	2.8	-20 à +70	1,21	0,71	0,56
♦ 511-TS951IL	TS951ILT	SOT-23-5L	S	6	100nA	3.00	1	12	1.3	de -40 à +125	1,37	0,99	0,81
♦ 511-LMV358IPT	LMV358IPT	TSSOP-14	D	3	50nA	1.00	0.35	7	0.2	de -40 à +125	0,39	0,24	0,21
♦ 511-TSV358AIDT	TSV358AIDT	SO-8	D	3	125nA	1.30	0.6	7	0.65	de -40 à +125	1,26	1,13	0,893
♦ 511-TS462CD	TS462CD	SO-8	D	5	750nA	10	4	12	2.8	-20 à +70	0,61	0,43	0,35
♦ 511-TS462CST	TS462CST	MiniSO-8	D	5	750nA	10	4	12	2.8	-20 à +70	1,00	0,885	0,707
♦ 511-TS952ID	TS952ID	SO-8	D	6	100nA	3.00	1	12	1.3	de -40 à +125	1,37	1,02	0,75
511-TS952IN	TS952IN	DIP-8	D	6	100nA	3.00	1	12	1.3	de -40 à +125	0,67	0,54	0,50
♦ 511-TS952IP	TS952IPT	TSSOP-8	D	6	100nA	3.00	1	12	1.3	de -40 à +125	0,86	0,75	0,71
♦ 511-TS464CD	TS464CD	SO-14	Q	5	750nA	10	4	12	2.8	-20 à +70	0,97	0,72	0,59
♦ 511-TS954ID	TS954ID	SO-14	Q	6	100nA	3.00	1	12	1.3	de -40 à +125	1,43	1,18	1,02

Faible tension rail-rail

Pour des quantités supérieures à celles indiquées, appelez-nous afin d'obtenir un devis.

♦ 511-TSV911ILT	TSV911ILT	SOT-23-5L	S	4.5	10pA	8.00	4.5	6	1.10	de -40 à +125	1,37	1,22	0,971
♦ 511-TSV911RILT	TSV911RILT	SOT-23-5L	S	4.5	10pA	8.00	4.5	6	1.10	de -40 à +125	0,83	0,73	0,584
♦ 511-TSV992AIDT	TSV992AIDT	SO-8	D	1.5	10pA	20	10	6	1.10	de -40 à +125	1,99	1,70	1,39

Micro-puissance rail-rail

Pour des quantités supérieures à celles indiquées, appelez-nous afin d'obtenir un devis.

♦ 511-TSV6291AICT	TSV6291AICT	SC-70-6	S	0.8	10pA	1.10	0.33	6	0.031	de -40 à +125	0,89	0,789	0,626
♦ 511-TSV6291AILT	TSV6291AILT	SOT-23-6	S	0.8	10pA	1.10	0.33	6	0.031	de -40 à +125	0,82	0,73	0,58
♦ 511-TSV6391AICT	TSV6391AICT	SC-70-5	S	3	10pA	2.00	0.7	6	0.06	de -40 à +125	1,44	1,24	1,11
♦ 511-TSV6391ICT	TSV6391ICT	SC-70-5	S	3	10pA	2.00	0.7	6	0.06	de -40 à +125	1,08	0,928	0,835
♦ 511-TSV6291ICT	TSV6291ICT	SC-70-6	S	4	10pA	1.10	0.33	6	0.031	de -40 à +125	0,83	0,718	0,567
♦ 511-TSV6291ILT	TSV6291ILT	SOT-23-6	S	4	10pA	1.10	0.33	6	0.031	de -40 à +125	0,72	0,62	0,49
♦ 511-TS941IL	TS941ILT	SOT-23-5L	S	10	150pA	0.01	4	12	2	de -40 à +85	1,68	1,43	1,17
♦ 511-TS931IL	TS931ILT	SOT-23-5L	S	10	150pA	0.10	50	12	31	de -40 à +85	0,74	0,57	0,41
♦ 511-TS942ID	TS942ID	SO-8	D	10	150pA	0.01	4	12	2	de -40 à +85	1,32	1,24	1,14
♦ 511-TSV6294AIPT	TSV6294AIPT	TSSOP-14	Q	0.8	10pA	1.10	0.33	6	33	de -40 à +125	1,61	1,44	1,14
♦ 511-TSV6295AIPT	TSV6295AIPT	TSSOP-16	Q	0.8	10pA	1.10	0.33	6	33	de -40 à +125	1,61	1,44	1,14
♦ 511-TSV6394AIPT	TSV6394AIPT	TSSOP-14	Q	0.8	10pA	2.00	0.7	6	62	de -40 à +125	1,61	1,44	1,14
♦ 511-TSV6395AIPT	TSV6395AIPT	TSSOP-16	Q	0.8	10pA	2.00	0.7	6	62	de -40 à +125	1,61	1,44	1,14
♦ 511-TSV6394IPT	TSV6394IPT	TSSOP-14	Q	3	10pA	2.00	0.7	6	62	de -40 à +125	1,27	1,13	0,902
♦ 511-TSV6395IPT	TSV6395IPT	TSSOP-16	Q	3	10pA	2.00	0.7	6	62	de -40 à +125	1,27	1,13	0,902
♦ 511-TSV6294IPT	TSV6294IPT	TSSOP-14	Q	4	10pA	1.10	0.33	6	33	de -40 à +125	1,27	1,13	0,902
♦ 511-TSV6295IPT	TSV6295IPT	TSSOP-16	Q	4	10pA	1.10	0.33	6	33	de -40 à +125	1,27	1,13	0,902

Rail-rail, très faible bruit

NEW PRODUCT

Pour des quantités supérieures à celles indiquées, appelez-nous afin d'obtenir un devis.

♦ 511-TS971IL	TS971ILT	SOT-23-5L	S	5.0	750nA	12	4.00	12	2.8	de -40 à +125	0,67	0,51	0,40
♦ 511-TS972IST	TS972IST	MSOP-8	D	5.0	750nA	12	4.00	12	2.8	de -40 à +125	1,04	0,919	0,73

Large bande rail-rail

Pour des quantités supérieures à celles indiquées, appelez-nous afin d'obtenir un devis.

♦ 511-TSH70CLT	TSH70CLT	SOT-23-5L	S	10.0	15µA	65	80	14	9.8	de 0 à +70	1,99	1,55	1,26
♦ 511-TSH80ILT	TSH80ILT	SOT-23-5L	S	10.0	15µA	65	104	14	10.5	de -40 à +85	0,87	0,64	0,56

Très faible puissance

Pour des quantités supérieures à celles indiquées, appelez-nous afin d'obtenir un devis.

♦ 511-TS27L4ACD	TS27L4ACD	SO-14	Q	5.0	150nA	0.10	0.04	18	15.00	de 0 à +70	1,28	1,21	0,988

Largeur de bande

Pour des quantités supérieures à celles indiquées, appelez-nous afin d'obtenir un devis.

511-LF351N	LF351N	DIP-8	S	10.0	200pA	4.00	16.00	±18	3.40	de 0 à +70	1,18	0,78	0,57
511-MC4558CN	MC4558CN	DIP-8	D	5.0	400nA	5.50	2.20	±22	4.50	de 0 à +70	0,46	0,30	0,22
♦ 511-MC4558IDT-TR	MC4558IDT	SO-8	D	5.0	400nA	5.50	2.20	±22	4.50	de -40 à +125	0,88	0,747	0,595
♦ 511-LF353D	LF353D	SO-8	D	10.0	200pA	4.00	16.00	±18	3.20	de 0 à +70	0,53	0,38	0,31
511-LF353N	LF353N	DIP-8	D	10.0	200pA	4.00	16.00	±18	3.20	de 0 à +70	0,59	0,44	0,36
♦ 511-LF347D	LF347D	SO-14	Q	10.0	200pA	4.00	16.00	±18	2.70	de 0 à +70	0,65	0,51	0,41
511-LF347N	LF347N	DIP-14	Q	10.0	200pA	4.00	16.00	±18	2.70	de 0 à +70	0,56	0,47	0,35

© Copyright 2012 Mouser Electronics

© Copyright 2012 Mouser Electronics

Amplificateurs opérationnels TEXAS INSTRUMENTS

RoHS Compliant This product is RoHS compliant.

AMPLIFICATEURS HAUT DÉBIT (≤ 50MHZ)

Pour des quantités supérieures à celles indiquées, appelez-nous afin d'obtenir un devis.

RÉF. STOCK MOUSER	Réf. TI	Boîtier	Nbre de canaux	Vs (Min./Max.)	Iq par canal (Max.) (mA)	Gain Larg. de Bande (Typ.) (MHz)	Is (Typ.) (mA)	Vitesse de balayage (Typ.) (V/µs)	Prix unitaire 1	25	100	250
Rétroaction de tension												
595-OPA380AID	OPA380AID	SOIC-8	1	2.7/5.5	8.8	90	-	80	5,82	4,74	4,27	3,88
595-OPA380AIDGKT	OPA380AIDGKT	VSSOP-8	1	2.7/5.5	8.8	90	-	80	5,20	4,17	3,80	3,43
595-THS4281D	THS4281D	SOIC-8	1	2.7/15	1	-	30	35	2,52	2,02	1,84	1,66
595-THS4281DBVT	THS4281DBVT	SOT-5	1	2.7/15	1	-	30	35	2,60	2,12	1,91	1,73
595-THS4281DGK	THS4281DGK	VSSOP-8	1	2.7/15	1	-	30	35	2,52	2,02	1,84	1,66
595-OPA830IDBVT	OPA830IDBVT	SOT-5	1	2.8/11	-	-	80	-	1,65	1,26	1,15	1,03
595-THS4304D	THS4304D	SOIC-8	1	3/5	-	-	100	830	5,47	4,48	4,04	3,71
595-THS4304DBVT	THS4304DBVT	SOT-5	1	3/5	-	-	100	830	5,26	4,31	3,89	3,57
595-SN10501DBVT	SN10501DBVT	SOT-5	1	3/15	22	120	100	900	2,34	1,80	1,63	1,34
595-OPA890IDBVT	OPA890IDBVT	SOT-6	1	3/12	1.2	130	40	500	2,45	1,89	1,72	1,54
595-OPA690ID	OPA690ID	SOIC-8	1	4.5/12	6.2	300	190	1800	3,47	2,79	2,54	2,29
595-OPA690IDBVT	OPA690IDBVT	SOT-6	1	4.5/12	6.2	300	190	1800	3,64	2,97	2,66	2,24
595-OPA698ID	OPA698ID	SOIC-8	1	5/12	16.6	250	120	1100	5,31	4,27	3,89	3,51
595-OPA699ID	OPA699ID	SOIC-8	1	5/12	16.6	1000	120	1400	5,82	4,74	4,27	3,88
595-OPA820ID	OPA820ID	SOIC-8	1	5/12	6.4	280	110	240	2,72	2,22	2,00	1,67
595-OPA820IDBVR	OPA820IDBVR	SOT-5	1	5/12	6.4	280	110	240	2,60	2,00	1,82	1,49
595-OPA820IDBVT	OPA820IDBVT	SOT-5	1	5/12	6.4	280	110	240	2,60	2,12	1,91	1,73
595-THS4211D	THS4211D	SOIC-8	1	5/15	24	350	200	970	5,88	4,82	4,35	3,99
595-THS4221DBVT	THS4221DBVT	SOT-5	1	5/15	-	120	100	975	2,72	2,22	2,00	1,67
595-THS4271D	THS4271D	SOIC-8	1	5/15	28	400	160	1000	5,57	4,56	4,12	3,79
595-THS4271DGN	THS4271DGN	HTSSOP-8	1	5/15	28	400	160	1000	6,34	5,26	4,79	4,07
595-THS4001CD	THS4001CD	SOIC-8	1	5/30	9.5	270	100	400	6,56	5,45	4,95	4,46
595-THS4021CD	THS4021CD	SOIC-8	1	10/30	11	1600	100	470	8,04	6,59	5,95	5,47
595-THS4021CDGN	THS4021CDGN	HTSSOP-8	1	10/30	11	1600	100	470	8,04	6,59	5,95	5,47
595-THS4021ID	THS4021ID	SOIC-8	1	10/30	11	1600	100	470	8,25	6,77	6,11	5,61
595-THS4031CD	THS4031CD	SOIC-8	1	10/30	11	100	90	100	4,95	4,04	3,63	3,30
595-THS4031ID	THS4031ID	SOIC-8	1	10/30	11	100	90	100	4,85	3,89	3,55	3,20
595-THS4031IDGN	THS4031IDGN	HTSSOP-8	1	10/30	11	100	90	100	5,31	4,27	3,89	3,51
595-THS4061CD	THS4061CD	SOIC-8	1	10/30	11	100	115	400	4,08	3,33	2,99	2,72
595-THS4061ID	THS4061ID	SOIC-8	1	10/30	11	100	115	400	4,04	3,24	2,95	2,66
595-THS4081ID	THS4081ID	SOIC-8	1	10/30	5	100	85	230	3,84	3,13	2,81	2,36
595-THS4601ID	THS4601ID	SOIC-8	1	10/30	11.7	180	50	100	22,20	20,17	18,69	17,20
595-THS4631D	THS4631D	SOIC-8	1	10/30	11.5	210	95	1000	9,41	7,80	7,10	6,39
595-THS4631DGN	THS4631DGN	HTSSOP-8	1	10/30	11.5	210	95	1000	9,28	7,61	6,86	6,31
595-OPA656N/250	OPA656N/250	SOT-5	1	10/12	-	230	70	290	8,36	6,85	6,18	5,68
595-OPA656NB/250	OPA656NB/250	SOT-5	1	10/12	-	230	70	290	9,80	8,24	7,57	6,91
595-OPA656U	OPA656U	SOIC-8	1	10/12	-	230	70	290	8,36	6,85	6,18	5,68
595-OPA656UB	OPA656UB	SOIC-8	1	10/12	-	230	70	290	9,80	8,24	7,57	6,91
595-OPA657NB/250	OPA657NB/250	SOT-5	1	10/12	16.3	1600	70	700	10,49	8,82	8,11	7,39
595-OPA657U	OPA657U	SOIC-8	1	10/12	16.3	1600	70	700	9,95	8,26	7,51	6,38
595-OPA842ID	OPA842ID	SOIC-8	1	10/12	22.5	200	100	400	4,46	3,64	3,27	2,97
595-OPA842IDBVT	OPA842IDBVT	SOT-5	1	10/12	22.5	200	100	400	4,04	3,24	2,95	2,66
595-OPA843ID	OPA843ID	SOIC-8	1	10/12	22.5	800	100	1000	4,58	3,74	3,36	2,82
595-OPA843IDBVT	OPA843IDBVT	SOT-5	1	10/12	22.5	800	100	1000	4,46	3,64	3,27	2,97
595-OPA846ID	OPA846ID	SOIC-8	1	10/12	13.2	1750	80	625	4,95	4,04	3,63	3,30
595-OPA847ID	OPA847ID	SOIC-8	1	10/12	18.9	3900	75	950	5,94	4,85	4,36	3,96
595-OPA847IDBVT	OPA847IDBVT	SOT-6	1	10/12	18.9	3900	75	950	5,31	4,27	3,89	3,51
595-OPA2889ID	OPA2889ID	SOIC-8	2	2.6/12	0.46	75	40	70	3,18	2,56	2,33	2,10
595-OPA2889IDGST	OPA2889IDGST	VSSOP-10	2	2.6/12	0.46	75	40	70	3,25	2,65	2,24	2,16
595-OPA2380AIDGKT	OPA2380AIDGKT	VSSOP-8	2	2.7/5.5	8.8	90	-	80	6,34	5,26	4,79	4,07
595-SN10502DGK	SN10502DGK	VSSOP-8	2	3/15	22	120	100	900	3,35	2,69	2,45	2,21
595-OPA2890ID	OPA2890ID	SOIC-8	2	3/12	1.2	-	40	400	3,18	2,56	2,33	2,10
595-OPA2890IDGST	OPA2890IDGST	VSSOP-10	2	3/12	1.2	-	40	400	3,25	2,65	2,24	2,16
595-OPA2830ID	OPA2830ID	SOIC-8	2	3/11	3.9	100	75	500	2,60	2,00	1,82	1,49
595-OPA2830IDGKT	OPA2830IDGKT	VSSOP-8	2	3/11	3.9	100	75	500	2,60	2,00	1,82	1,49
595-THS4222D	THS4222D	SOIC-8	2	5/15	-	120	100	975	3,35	2,69	2,45	2,21
595-OPA2690I-14D	OPA2690I-14D	SOIC-14	2	5/12	6.3	300	190	1800	5,71	4,58	4,17	3,76
595-OPA2690ID	OPA2690ID	SOIC-8	2	5/12	6.3	300	190	1800	5,71	4,58	4,17	3,76
595-OPA2652U	OPA2652U	SOIC-8	2	6/12	7.75	200	140	335	3,25	2,65	2,24	2,16
595-OPA2822U	OPA2822U	SOIC-8	2	6/12	6.3	240	150	170	3,84	3,14	2,65	2,37
595-OPA2846ID	OPA2846ID	SOIC-8	2	6/12	13.35	1650	80	600	8,31	6,90	6,27	5,64
595-THS6012CDWP	THS6012CDWP	HSOP-20	2	9/32	-	-	500	1300	9,03	7,02	5,92	5,45
595-THS4012CDGN	THS4012CDGN	HTSSOP-8	2	10/30	11	290	110	310	7,74	6,34	5,72	5,26
595-THS4022CD	THS4022CD	SOIC-8	2	10/30	11	1600	100	470	10,35	8,76	8,09	7,42
595-THS4032CD	THS4032CD	SOIC-8	2	10/30	11	100	90	100	8,04	6,59	5,95	5,47
595-THS4032CDGN	THS4032CDGN	HTSSOP-8	2	10/30	11	100	90	100	8,46	6,93	6,25	5,75
595-THS4032ID	THS4032ID	SOIC-8	2	10/30	11	100	90	100	8,25	6,77	6,11	5,61
595-THS4052CD	THS4052CD	SOIC-8	2	10/30	11.5	38	100	240	3,84	3,08	2,81	2,53
595-THS4052ID	THS4052ID	SOIC-8	2	10/30	11.5	38	100	240	4,07	3,27	2,97	2,68
595-THS4052IDGN	THS4052IDGN	HTSSOP-8	2	10/30	11.5	38	100	240	4,50	3,61	3,29	2,97
595-THS4082ID	THS4082ID	SOIC-8	2	10/30	5	100	85	233	5,94	4,85	4,36	3,96
595-OPA4820ID	OPA4820ID	SOIC-14	4	4/12.6	5.7	250	85	250	7,43	6,17	5,61	4,77
Rétroaction en courant												
595-OPA683ID	OPA683ID	SOIC-8	1	5/12	2.1	1440	110	400	3,18	2,56	2,33	2,10
595-OPA683IDBVT	OPA683IDBVT	SOT-6	1	5/12	2.1	1440	110	400	3,25	2,65	2,24	2,16
595-OPA695ID	OPA695ID	SOIC-8	1	5/12	12.9	-	120	2900	3,47	2,79	2,54	2,29
595-OPA695IDBVT	OPA695IDBVT	SOT-6	1	5/12	12.9	-	120	2900	3,40	2,72	2,48	2,24
595-THS3201D	THS3201D	SOIC-8	1	6.6/15	21	-	115	10500	5,26	4,31	3,89	3,57
595-THS3201DBVT	THS3201DBVT	SOT-5	1	6.6/15	21	-	115	10500	6,06	4,95	4,45	4,04
595-THS3201DGN	THS3201DGN	HTSSOP-8	1	6.6/15	21	-	115	10500	5,26	4,31	3,89	3,57
595-THS3001CD	THS3001CD	SOIC-8	1	9/32	10	1750	120	6500	7,63	6,25	5,64	5,19
595-THS3061D	THS3061D	SOIC-8	1	10/30	12	2200	145	7000	7,76	6,44	5,86	4,97

© Copyright 2012 Mouser Electronics

© Copyright 2012 Mouser Electronics

Amplificateurs opérationnels TEXAS INSTRUMENTS

RoHS Compliant This product is RoHS compliant.

AMPLIFICATEURS HAUT DÉBIT (≤ 50MHZ)

Pour des quantités supérieures à celles indiquées, appelez-nous afin d'obtenir un devis.

RÉF. STOCK MOUSER	RÉF. TI	Boîtier	Nbre de canaux	Ve (Min. / Max.)	Iq par Canal (Max.) (mA)	GBW (Typ.) (MHz)	Is (Typ.) (mA)	Vitesse de balayage (Typ.) (V/µs)	Prix unitaire 1	25	100	250
Rétroaction en courant												
595-THS3061DGN	THS3061DGN	HTSSOP-8	1	10/30	12	2200	145	7000	7,76	6,44	5,86	4,97
595-THS3091DDA	THS3091DDA	HSOP-8	1	10/30	11	-	250	7300	6,89	5,72	5,20	4,68
595-THS3111ID	THS3111ID	SOIC-8	1	10/30	7.5	-	260	1300	3,47	2,78	2,53	2,29
595-THS3121CD	THS3121CD	SOIC-8	1	10/30	-	-	475	1700	5,55	4,60	4,19	3,56
595-OPA691ID	OPA691ID	SOIC-8	1	-	4.5	2000	190	2100	3,84	3,08	2,81	2,53
595-OPA691IDBVT	OPA691IDBVT	SOT-6	1	-	4.5	2000	190	2100	3,84	3,14	2,65	2,37
595-OPA694ID	OPA694ID	SOIC-8	1	-	5.8	-	80	1700	3,21	2,62	2,35	2,18
595-OPA694IDBVT	OPA694IDBVT	SOT-5	1	-	5.8	-	80	1700	3,42	2,79	2,50	2,10
595-OPA2674I-14D	OPA2674I-14D	SOIC-14	2	5/12	19.2	2080	500	2000	3,79	3,04	2,77	2,50
595-OPA2674I-14DR	OPA2674I-14DR	SOIC-14	2	5/12	19.2	2080	500	2000	3,32	2,71	2,43	2,21
595-OPA2674ID	OPA2674ID	SOIC-8	2	5/12	19.2	2080	500	2000	3,79	3,04	2,77	2,50
595-OPA2683ID	OPA2683ID	SOIC-8	2	5/12	2.1	1440	110	400	4,83	3,88	3,53	3,18
595-THS3202D	THS3202D	SOIC-8	2	6.6/15	20	-	115	9000	7,22	5,92	5,34	4,91
595-THS3202DGN	THS3202DGN	HTSSOP-8	2	6.6/15	20	-	115	9000	7,22	5,92	5,34	4,91
595-THS6012CDWP	THS6012CDWP	HSOP-20	2	9/32	-	-	500	1300	9,03	7,02	5,92	5,45
595-THS6022IPWP	THS6022IPWP	HTSSOP-14	2	9/32	10	-	250	1900	6,54	5,09	4,29	3,97
595-THS3062DDA	THS3062DDA	HSOP-8	2	10/30	12	2200	145	7000	9,26	7,78	7,15	6,52
595-THS3092D	THS3092D	SOIC-8	2	10/30	11	-	250	5700	10,71	9,00	8,27	7,54
595-THS3092DDA	THS3092DDA	HSOP-8	2	10/30	11	-	250	5700	10,93	9,19	8,45	7,71
595-OPA2695ID	OPA2695ID	SOIC-8	2	12/3.6	26.8	-	120	4300	5,36	4,40	3,97	3,65
595-OPA3691ID	OPA3691ID	SOIC-16	3	5/12	5.1	2000	190	2100	7,63	6,25	5,64	5,19
595-OPA3691IDBQT	OPA3691IDBQT	SSOP-16	3	5/12	5.1	2000	190	2100	7,76	6,44	5,86	4,97
595-OPA4684ID	OPA4684ID	SOIC-14	4	5/12	7.8	1900	120	750	7,74	6,34	5,72	5,26
JFET / CMOS												
595-OPA354AIDBVT	OPA354AIDBVT	SOT-5	1	2.5/5.5	7.5	100	100	150	2,31	1,78	1,62	1,45
595-OPA354AIDDA	OPA354AIDDA	HSOP-8	1	2.5/5.5	7.5	100	100	150	2,31	1,78	1,62	1,45
595-OPA355NA/250	OPA355NA/250	SOT-6	1	2.5/5.5	14	200	100	360	2,31	1,78	1,62	1,32
595-OPA356AIDBVT	OPA356AIDBVT	SOT-5	1	2.5/5.5	14	200	100	360	2,31	1,78	1,62	1,32
595-OPA357AIDDA	OPA357AIDDA	HSOP-8	1	2.5/5.5	7.5	100	100	150	2,31	1,78	1,62	1,45
595-OPA361AIDCKT	OPA361AIDCKT	SOT-6	1	2.5/3.6	-	-	80	-	1,25	0,982	0,883	0,706
595-THS4631D	THS4631D	SOIC-8	1	10/30	11.5	210	95	1000	9,41	7,80	7,10	6,39
595-OPA656U	OPA656U	SOIC-8	1	10/12	-	230	70	290	8,36	6,85	6,18	5,68
595-OPA656UB	OPA656UB	SOIC-8	1	10/12	-	230	70	290	9,80	8,24	7,57	6,91
595-OPA657NB/250	OPA657NB/250	SOT-5	1	10/12	16.3	1600	70	700	10,49	8,82	8,11	7,39
595-OPA657U	OPA657U	SOIC-8	1	10/12	16.3	1600	70	700	9,95	8,26	7,51	6,38
595-OPA2356AID	OPA2356AID	SOIC-8	2	2.5/5.5	14	200	100	360	3,47	2,83	2,54	2,14
595-OPA2354AIDDA	OPA2354AIDDA	HSOP-8	2	2.7/5.5	7.5	180	100	150	3,12	2,50	2,28	2,05
595-OPA4354AID	OPA4354AID	SOIC-14	4	2.7/5.5	7.5	100	100	150	4,50	3,61	3,29	2,97
595-OPA4354AIPWR	OPA4354AIPWR	TSSOP-14	4	2.7/5.5	7.5	100	100	150	3,96	3,23	2,90	2,64
595-OPA4354AIPWT	OPA4354AIPWT	TSSOP-14	4	2.7/5.5	7.5	100	100	150	4,58	3,74	3,36	2,82
Rail à rail												
595-THS4281D	THS4281D	SOIC-8	1	2.7/15	1	-	30	35	2,52	2,02	1,84	1,66
595-THS4281DBVT	THS4281DBVT	SOT-5	1	2.7/15	1	-	30	35	2,60	2,12	1,91	1,73
595-THS4281DGK	THS4281DGK	VSSOP-8	1	2.7/15	1	-	30	35	2,52	2,02	1,84	1,66
595-OPA830IDBVT	OPA830IDBVT	SOT-5	1	2.8/11	-	-	80	-	1,65	1,26	1,15	1,03
595-OPA832ID	OPA832ID	SOIC-8	1	2.8/11	-	-	80	-	1,31	1,06	0,949	0,842
595-SN10501DBVT	SN10501DBVT	SOT-5	1	3/15	22	120	100	900	2,34	1,80	1,63	1,34
595-THS4221D	THS4221D	SOIC-8	1	5/15	-	120	100	975	2,85	2,32	2,09	1,75
595-THS4221DBVT	THS4221DBVT	SOT-5	1	5/15	-	120	100	975	2,72	2,22	2,00	1,67
595-SN10502DGK	SN10502DGK	VSSOP-8	2	3/15	22	120	100	900	3,35	2,69	2,45	2,21
595-OPA2830ID	OPA2830ID	SOIC-8	2	3/11	3.9	100	75	500	2,60	2,00	1,82	1,49
595-OPA2830IDGKT	OPA2830IDGKT	VSSOP-8	2	3/11	3.9	100	75	500	2,60	2,00	1,82	1,49
595-OPA2832IDGKT	OPA2832IDGKT	VSSOP-8	2	3/11	3.9	100	75	320	2,57	2,10	1,88	1,58
595-THS4222D	THS4222D	SOIC-8	2	5/15	-	120	100	975	3,35	2,69	2,45	2,21
DSL / Ligne de puissance												
595-OPA2613ID	OPA2613ID	SOIC-8	2	5/12	6.5	125	350	70	4,07	3,27	2,97	2,68
595-OPA2614ID	OPA2614ID	SOIC-8	2	5/12	6.5	290	350	145	5,31	4,27	3,89	3,51
595-OPA2674I-14D	OPA2674I-14D	SOIC-14	2	5/12	19.2	2080	500	2000	3,79	3,04	2,77	2,50
595-OPA2674ID	OPA2674ID	SOIC-8	2	5/12	19.2	2080	500	2000	3,79	3,04	2,77	2,50
595-OPA2677U	OPA2677U	SOIC-8	2	5/12	19.5	2000	500	1800	3,74	3,04	2,74	2,49
595-OPA2670IRGVT	OPA2670IRGVT	QFN-16	2	5.5/12.6	15.75	420	700	5000	3,42	2,79	2,50	2,10
595-THS3092D	THS3092D	SOIC-8	2	10/30	11	-	250	5700	10,71	9,00	8,27	7,54
595-THS3092DDA	THS3092DDA	HSOP-8	2	10/30	11	-	250	5700	10,93	9,19	8,45	7,71
595-THS6182DW	THS6182DW	SOIC-20	2	10/30	12.5	-	600	450	9,18	7,52	6,79	6,24

AMPLIFICATEURS DE PRÉCISION

PRODUCT NEW

Pour des quantités supérieures à celles indiquées, appelez-nous afin d'obtenir un devis.

RÉF. STOCK MOUSER	RÉF. TI	Boîtier	Nbre de canaux	Tension d'alimentation totale Min./Max. (+5 V=5, ±5 V=10)	Iq par Canal (Max.) (mA)	GBW (Typ.) (MHz)	Vitesse de balayage (Typ.) (V/µs)	Ve/s (25°C) (Max.) (mV)	Prix unitaire 1	25	100	250
Faible puissance												
595-OPA171AID	OPA171AID	SOIC-8	1	2.7/36	0.595	3	1.5	1.8	0,94	0,751	0,564	0,526
595-OPA171AIDBVT	OPA171AIDBVT	SOT-23-5	1	2.7/36	0.595	3	1.5	1.8	1,26	1,01	0,883	0,775
595-OPA171AIDRLT	OPA171AIDRLT	SOT-5	1	2.7/36	0.595	3	1.5	1.8	1,26	1,01	0,883	0,775
595-TLV2760IDBVT	TLV2760IDBVT	SOT-6	1	3.6	0.028	0,5	0.2	3.5	2,05	1,58	1,43	1,17
595-TLV2761IDBVT	TLV2761IDBVT	SOT-5	1	3.6	0.028	0,5	0.2	3.5	1,91	1,47	1,34	1,09
595-OPA379AID	OPA379AID	SOIC-8	1	5.5	0.0055	0.09	0.03	1.5	2,31	1,78	1,62	1,45
595-OPA379AIDBVT	OPA379AIDBVT	SOT-5	1	5.5	0.0055	0.09	0.03	1.5	2,14	1,65	1,49	1,22
595-OPA379AIDCKT	OPA379AIDCKT	SOT-5	1	5.5	0.0055	0.09	0.03	1.5	2,14	1,65	1,49	1,22
595-TLV2450AIPE4	TLV2450AIPE4	PDIP-8	1	6	0.035	0.22	0.12	1	2,07	1,67	1,50	1,34
595-TLV2451CDBVR	TLV2451CDBVR	SOT-5	1	6	0.035	0.22	0.11	1.5	1,63	1,25	1,14	1,01
595-TLV2451IDBVR	TLV2451IDBVR	SOT-5	1	6	0.035	0.22	0.11	1.5	1,63	1,25	1,14	1,01
595-TL7660CD	TL7660CD	SOIC-8	1	10	0.11	-	-	-	1,44	1,11	1,01	0,908
595-TL7660CDGKR	TL7660CDGKR	VSSOP-8	1	10	0.11	-	-	-	1,21	0,965	0,842	0,745
595-TL7660CDGKT	TL7660CDGKT	VSSOP-8	1	10	0.11	-	-	-	1,73	1,34	1,21	1,09
595-TL7660CDR	TL7660CDR	SOIC-8	1	10	0.11	-	-	-	1,25	0,99	0,891	0,776
595-TLV2211CDBVR	TLV2211CDBVR	SOT-5	1	10	0.025	0.056	0.025	3	1,24	0,974	0,875	0,764
595-TLV2211IDBVR	TLV2211IDBVR	SOT-5	1	10	0.025	0.056	0.025	3	1,30	1,02	0,916	0,803
595-TLV2221CDBVR	TLV2221CDBVR	SOT-5	1	10	0.15	0.48	0.18	3	1,24	0,974	0,875	0,764
595-TLV2221IDBVR	TLV2221IDBVR	SOT-5	1	10	0.15	0.48	0.18	3	1,30	1,02	0,916	0,803

© Copyright 2012 Mouser Electronics

© Copyright 2012 Mouser Electronics

Amplificateurs opérationnels TEXAS INSTRUMENTS

AMPLIFICATEURS DE PRÉCISION

RoHS Compliant **This product is RoHS compliant.**

Pour des quantités supérieures à celles indiquées, appelez-nous afin d'obtenir un devis.

RÉF. STOCK MOUSER	RÉF. TI	Boîtier	Nbre de canaux	Tension d'alimentation totale Min./Max. (+5 V=5, ±5 V=10)	Iq par Canal (Max.) (mA)	GBW (Typ.) (MHz)	Vitesse de balayage (Typ.) (V / µs)	Ve/s (25ºC) (Max.) (mV)	Prix unitaire 1	25	100	250
Faible puissance												
595-TLV2221IDBVT	TLV2221IDBVT	SOT-5	1	10	0.15	0.48	0.18	3	1,48	1,17	1,05	0,833
595-TLV2711CDBVR	TLV2711CDBVR	SOT-5	1	10	0.025	0.065	0.025	3	1,15	0,908	0,817	0,71
595-TLV2711CDBVT	TLV2711CDBVT	SOT-5	1	10	0.025	0.065	0.025	3	1,21	0,965	0,85	0,747
595-TLV2721CDBVT	TLV2721CDBVT	SOT-5	1	10	0.15	0.51	0.18	3	1,21	0,965	0,85	0,747
595-TLV2721IDBVR	TLV2721IDBVR	SOT-5	1	10	0.15	0.51	0.18	3	1,20	0,949	0,85	0,745
595-TLV2241IDBVT	TLV2241IDBVT	SOT-5	1	12	0.0012	0.0055	0.002	3	2,05	1,58	1,43	1,17
595-TLV271CD	TLV271CD	SOIC-8	1	15	0.66	3	2.4	5	0,71	0,536	0,396	0,335
595-TLV271IDBVR	TLV271IDBVR	SOT-5	1	15	0.66	3	2.4	5	0,78	0,619	0,561	0,488
595-TLV271IDBVT	TLV271IDBVT	SOT-5	1	15	0.66	3	2.4	5	0,71	0,536	0,396	0,335
595-TLV271IDG4	TLV271IDG4	SOIC-8	1	15	0.66	3	2.4	5	0,80	0,631	0,568	0,452
595-TLC27L1BCD	TLC27L1BCD	SOIC-8	1	16	0.017	0.085	0.03	2	0,97	0,776	0,679	0,596
595-TLV2370IDBVR	TLV2370IDBVR	SOT-6	1	16	0.56	2.4	2	4.5	1,42	1,10	0,998	0,891
595-TLV2370IDBVT	TLV2370IDBVT	SOT-6	1	16	0.56	2.4	2	4.5	1,59	1,22	1,11	0,998
595-TLV2371IDBVR	TLV2371IDBVR	SOT-5	1	16	0.56	2.4	2	4.5	1,19	0,932	0,842	0,733
595-TLV2371IDBVT	TLV2371IDBVT	SOT-5	1	16	0.56	2.4	2	4.5	1,45	1,14	1,02	0,819
595-TLV2371IDR	TLV2371IDR	SOIC-8	1	16	0.56	2.4	2	4.5	1,19	0,932	0,842	0,733
595-TLV2381IDBVT	TLV2381IDBVT	SOT-5	1	16	0.01	0.160	0.06	4.5	1,94	1,49	1,35	1,21
595-TLV2381IDG4	TLV2381IDG4	SOIC-8	1	16	0.01	0.160	0.06	4.5	1,94	1,49	1,35	1,21
595-TLV2401CDBVT	TLV2401CDBVT	SOT-5	1	16	0.00095	0.0055	0.0025	1.2	2,03	1,56	1,41	1,16
595-TLV2401ID	TLV2401ID	SOIC-8	1	16	0.00095	0.0055	0.0025	1.2	2,07	1,67	1,50	1,34
595-TLV2401IDBVT	TLV2401IDBVT	SOT-5	1	16	0.00095	0.0055	0.0025	1.2	2,19	1,69	1,53	1,38
595-TLV27L1CDBVT	TLV27L1CDBVT	SOT-5	1	16	0.011	0.160	0.06	4.5	1,45	1,14	1,02	0,819
595-TLV2402IDGKR	TLV2402IDGKR	MSOP-8	2	2.5/16	0.00095	0.0055	0.0025	1.2	2,48	2,02	1,82	1,53
595-TLV2762ID	TLV2762ID	SOIC-8	2	3.6	0.028	0,5	0.2	3.5	2,48	2,02	1,82	1,53
595-TLV2763IDGS	TLV2763IDGS	VSSOP-10	2	3.6	0.028	0,5	0.2	3.5	2,52	2,02	1,84	1,66
595-TLV2763IDGSR	TLV2763IDGSR	VSSOP-10	2	3.6	0.028	0,5	0.2	3.5	2,43	1,96	1,76	1,57
595-OPA2369AIDCNT	OPA2369AIDCNT	SSOP-8	2	5.5	0.001	0.012	0.005	0.75	2,60	2,12	1,91	1,73
595-OPA2369AIDGKT	OPA2369AIDGKT	VSSOP-8	2	5.5	0.001	0.012	0.005	0.75	2,60	2,12	1,91	1,73
595-OPA2379AID	OPA2379AID	SOIC-8	2	5.5	0.0055	0.09	0.03	1.5	2,72	2,22	2,00	1,67
595-TLV2452ID	TLV2452ID	SOIC-8	2	6	0.035	0.22	0.11	1.5	2,43	1,96	1,76	1,57
595-TLV2252AID	TLV2252AID	SOIC-8	2	8	0.0625	0.187	0.1	0.85	1,92	1,54	1,39	1,24
595-TLV2252AIPW	TLV2252AIPW	TSSOP-8	2	8	0.0625	0.187	0.1	0.85	1,92	1,54	1,39	1,24
595-TLV2322IPW	TLV2322IPW	TSSOP-8	2	8	0.017	0.027	0.02	9	2,07	1,67	1,50	1,34
595-TLV2332ID	TLV2332ID	SOIC-8	2	8	0.25	0.3	0.38	9	2,05	1,58	1,43	1,17
595-TLV2342ID	TLV2342ID	SOIC-8	2	8	1.5	0.79	2.1	9	3,18	2,56	2,33	2,10
595-TLV2432AIPW	TLV2432AIPW	TSSOP-8	2	10	0.125	0,5	0.25	0.95	2,60	2,00	1,82	1,49
595-TLV2432CD	TLV2432CD	SOIC-8	2	10	0.125	0,5	0.25	2	1,94	1,49	1,35	1,21
595-TLV2432ID	TLV2432ID	SOIC-8	2	10	0.125	0,5	0.25	2	1,94	1,49	1,35	1,21
595-TLV2442CD	TLV2442CD	SOIC-8	2	10	1.1	1.75	1.3	2	1,94	1,49	1,35	1,21
595-TLV272CDGK	TLV272CDGK	VSSOP-8	2	15	0.66	3	2.4	5	0,98	0,784	0,691	0,606
595-TLV272ID	TLV272ID	SOIC-8	2	15	0.66	3	2.4	5	1,04	0,825	0,728	0,639
595-TLV272IDGK	TLV272IDGK	VSSOP-8	2	15	0.66	3	2.4	5	1,04	0,825	0,728	0,639
595-TLV272IDGKR	TLV272IDGKR	VSSOP-8	2	15	0.66	3	2.4	5	0,93	0,734	0,667	0,58
595-TLV272IDR	TLV272IDR	SOIC-8	2	15	0.66	3	2.4	5	0,93	0,734	0,667	0,58
595-TLC2252AID	TLC2252AID	SOIC-8	2	16	0.0625	0.2	0.12	0.85	2,05	1,58	1,43	1,17
595-TLC2252CD	TLC2252CD	SOIC-8	2	16	0.0625	0.2	0.12	1.5	1,94	1,49	1,35	1,21
595-TLC2252ID	TLC2252ID	SOIC-8	2	16	0.0625	0.2	0.12	1.5	1,94	1,49	1,35	1,21
595-TLC27L2ACD	TLC27L2ACD	SOIC-8	2	16	0.017	0.085	0.03	5	0,97	0,776	0,679	0,596
595-TLC27L2AID	TLC27L2AID	SOIC-8	2	16	0.017	0.085	0.03	5	1,08	0,85	0,768	0,668
595-TLC27L2AIDR	TLC27L2AIDR	SOIC-8	2	16	0.017	0.085	0.03	5	0,91	0,718	0,652	0,567
595-TLC27L2BCD	TLC27L2BCD	SOIC-8	2	16	0.017	0.085	0.03	2	1,12	0,891	0,785	0,689
595-TLC27L2BCDR	TLC27L2BCDR	SOIC-8	2	16	0.017	0.085	0.03	2	1,05	0,817	0,742	0,645
595-TLC27L2CD	TLC27L2CD	SOIC-8	2	16	0.017	0.085	0.03	10	0,73	0,569	0,503	0,441
595-TLC27L2ID	TLC27L2ID	SOIC-8	2	16	0.017	0.085	0.03	10	0,76	0,594	0,525	0,46
595-TLV2372ID	TLV2372ID	SOIC-8	2	16	0.56	2.4	2	4.5	1,72	1,38	1,24	1,11
595-TLV2372IDGK	TLV2372IDGK	VSSOP-8	2	16	0.56	2.4	2	4.5	1,72	1,38	1,24	1,11
595-TLV2372IDGKR	TLV2372IDGKR	VSSOP-8	2	16	0.56	2.4	2	4.5	1,59	1,22	1,11	0,998
595-TLV2372IDR	TLV2372IDR	SOIC-8	2	16	0.56	2.4	2	4.5	1,59	1,22	1,11	0,998
595-TLV2382ID	TLV2382ID	SOIC-8	2	16	0.01	0.160	0.06	4.5	2,60	2,00	1,82	1,49
595-TLV2402CDGK	TLV2402CDGK	VSSOP-8	2	16	0.00095	0.0055	0.0025	1.2	2,63	2,11	1,92	1,73
595-TLV2402IDG4	TLV2402IDG4	SOIC-8	2	16	0.00095	0.0055	0.0025	1.2	2,75	2,20	2,00	1,82
595-TLV27L2CDGK	TLV27L2CDGK	VSSOP-8	2	16	0.01	0.160	0.06	4.5	1,94	1,49	1,35	1,21
595-TLV27L2IDGK	TLV27L2IDGK	VSSOP-8	2	16	0.01	0.160	0.06	4.5	1,94	1,49	1,35	1,21
595-TLV27L2IDR	TLV27L2IDR	SOIC-8	2	16	0.01	0.160	0.06	4.5	1,68	1,30	1,17	1,06
595-OPA4330AID	OPA4330AID	SOIC-14	4	1.8/5.5	.035	0.35	0.16	0.05	2,52	2,02	1,84	1,66
595-TLV2764ID	TLV2764ID	SOIC-14	4	3.6	0.028	0,5	0.2	3.5	3,25	2,65	2,24	2,16
595-TLV2764IPW	TLV2764IPW	TSSOP-14	4	3.6	0.028	0,5	0.2	3.5	3,25	2,65	2,24	2,16
595-TLV2764IPWG4	TLV2764IPWG4	TSSOP-14	4	3.6	0.028	0,5	0.2	3.5	3,25	2,65	2,24	2,16
595-TLV2765CD	TLV2765CD	SOIC-16	4	3.6	0.028	0,5	0.2	3.5	3,95	3,17	2,89	2,61
595-TLV2454AID	TLV2454AID	SOIC-14	4	6	0.035	0.22	0.12	1	2,95	2,38	2,16	1,95
595-TLV2454AIPW	TLV2454AIPW	TSSOP-14	4	6	0.035	0.22	0.12	1	2,95	2,38	2,16	1,95
595-TLV2454AIPWR	TLV2454AIPWR	TSSOP-14	4	6	0.035	0.22	0.12	1	2,66	2,17	1,96	1,77
595-TLV2254AID	TLV2254AID	SOIC-14	4	8	0.0625	0.187	0.1	0.85	3,07	2,50	2,24	2,05
595-TLV2254AIPW	TLV2254AIPW	TSSOP-14	4	8	0.0625	0.187	0.1	0.85	3,07	2,50	2,24	2,05
595-TLV2434AID	TLV2434AID	SOIC-14	4	10	0.125	0,5	0.25	0.95	3,07	2,50	2,24	2,05
595-TLV2434ID	TLV2434ID	SOIC-14	4	10	0.125	0,5	0.25	2	2,75	2,20	2,00	1,82
595-TLV2444AID	TLV2444AID	SOIC-14	4	10	0.725	1.75	1.3	0.95	3,07	2,50	2,24	2,05
595-TLV2444AIPW	TLV2444AIPW	TSSOP-14	4	10	0.725	1.75	1.3	0.95	3,40	2,72	2,48	2,24
595-TLV2244ID	TLV2244ID	SOIC-14	4	12	0.0012	0.0055	0.002	3	3,25	2,65	2,24	2,16
595-TLV2244IPW	TLV2244IPW	TSSOP-14	4	12	0.0012	0.0055	0.002	3	3,25	2,65	2,24	2,16
595-TLV274CD	TLV274CD	SOIC-14	4	15	0.66	3	2.4	5	1,45	1,14	1,02	0,819
595-TLV274IDR	TLV274IDR	SOIC-14	4	15	0.66	3	2.4	5	1,26	0,99	0,891	0,78
595-TLV274IPW	TLV274IPW	TSSOP-14	4	15	0.66	3	2.4	5	1,26	1,03	0,916	0,815
595-TLC1079CD	TLC1079CD	SOIC-14	4	16	0.017	0.085	32	0.85	7,94	6,19	5,88	5,40
595-TLC2254AIDR	TLC2254AIDR	SOIC-14	4	16	0.0625	0.2	0.12	0.85	2,16	1,67	1,52	1,36
595-TLC2254ID	TLC2254ID	SOIC-14	4	16	0.0625	0.2	0.12	1.5	2,17	1,75	1,58	1,40
595-TLC27L4ACD	TLC27L4ACD	SOIC-14	4	16	0.017	0.085	0.03	5	1,07	0,858	0,755	0,662
595-TLC27L4AID	TLC27L4AID	SOIC-14	4	16	0.017	0.085	0.03	5	1,12	0,891	0,785	0,689

© Copyright 2012 Mouser Electronics
© Copyright 2012 Mouser Electronics

Amplificateurs opérationnels TEXAS INSTRUMENTS

TEXAS INSTRUMENTS

RoHS Compliant This product is RoHS compliant.

AMPLIFICATEUR DE PRÉCISION (SUITE)

PRODUCT NEW

Pour des quantités supérieures à celles indiquées, appelez-nous afin d'obtenir un devis.

RÉF. STOCK MOUSER	Réf. TI	Boîtier	Nbre de canaux	Tension d'alimentation totale Min./Max. (±5V=5, ±5V=10)	Iq par Canal (Max.) (mA)	GBW (Typ.) (MHz)	Vitesse de balayage (Typ.) (V/µs)	Ves (25 °C) (Max.) (mV)	Prix unitaire 1	25	100	250
Faible puissance (suite)												
595-TLC27L4BID	TLC27L4BID	SOIC-14	4	16	0.017	0.085	0.03	2	1,32	1,05	0,916	0,809
595-TLC27L4CD	TLC27L4CD	SOIC-14	4	16	0.017	0.085	0.03	10	0,84	0,668	0,583	0,512
595-TLC27L4ID	TLC27L4ID	SOIC-14	4	16	0.017	0.085	0.03	10	0,87	0,693	0,609	0,535
595-TLC27L9CD	TLC27L9CD	SOIC-14	4	16	0.017	0.085	0.03	0.9	2,75	2,20	2,00	1,82
595-TLV2374ID	TLV2374ID	SOIC-14	4	16	0.56	2.4	2	4.5	2,19	1,69	1,53	1,38
595-TLV2374IDR	TLV2374IDR	SOIC-14	4	16	0.56	2.4	2	4.5	1,80	1,39	1,25	1,13
595-TLV2374IPWR	TLV2374IPWR	TSSOP-14	4	16	0.56	2.4	2	4.5	1,80	1,39	1,25	1,13
595-TLV2404CD	TLV2404CD	SOIC-14	4	16	0.00095	0.0055	0.0025	1.2	3,25	2,65	2,24	2,16
Tampon pour gamma LCD												
595-BUF08630RGWT	BUF08630RGWT	VQFN-20	4	9/20	0.94	-	45	-	4,74	3,80	3,04	2,52
Courant de polarisation faible en entrée / Entrée FET												
595-OPA140AID	OPA140AID	SOIC-8	1	4.5/36	2	11	20	0.12	4,39	3,52	3,21	2,90
595-OPA140AIDGKT	OPA140AIDGKT	MSOP-8	1	4.5/36	2	11	20	0.12	4,46	3,64	3,27	2,97
595-OPA337NA/250	OPA337NA/250	SOT-5	1	5.5	1	3	1.2	3	1,53	1,20	1,09	0,866
595-OPA337UA	OPA337UA	SOIC-8	1	5.5	1	3	1.2	3	1,59	1,22	1,11	0,998
595-OPA342NA/250	OPA342NA/250	SOT-5	1	5.5	0.25	1	1	6	1,18	0,932	0,833	0,669
595-OPA347NA/250	OPA347NA/250	SOT-5	1	5.5	0.034	0.35	0.17	6	1,48	1,14	1,03	0,842
595-OPA347SA/250	OPA347SA/250	SOT-5	1	5.5	0.034	0.35	0.17	6	1,33	1,07	0,965	0,858
595-OPA348AID	OPA348AID	SOIC-8	1	5.5	0.065	1	0,5	5	0,71	0,569	0,503	0,441
595-OPA348AIDBVT	OPA348AIDBVT	SOT-5	1	5.5	0.065	1	0,5	5	0,86	0,668	0,592	0,464
595-OPA348AIDCKR	OPA348AIDCKR	SOT-5	1	5.5	0.065	1	0,5	5	0,74	0,578	0,513	0,445
595-OPA348AIDCKT	OPA348AIDCKT	SOT-5	1	5.5	0.065	1	0,5	5	0,88	0,678	0,599	0,519
595-OPA349NA/250	OPA349NA/250	SOT-5	1	5.5	0.002	0.065	0.02	10	1,33	1,07	0,965	0,858
595-OPA349UA	OPA349UA	SOIC-8	1	5.5	0.002	0.065	0.02	10	1,33	1,07	0,965	0,858
595-OPA349UAG4	OPA349UAG4	SOIC-8	1	5.5	0.002	0.065	0.02	10	1,33	1,07	0,965	0,858
595-OPA705NA/250	OPA705NA/250	SOT-5	1	12	4	1	0.6	5	1,33	1,07	0,965	0,858
595-OPA2320AIDGKT	OPA2320AIDGKT	MSOP-8	2	1.5/5.5	1.6	20	10	0.15	3,59	2,93	2,63	2,21
595-OPA2140AIDGKT	OPA2140AIDGKT	MSOP-8	2	4.5/36	2	11	20	0.12	6,89	5,72	5,20	4,68
595-OPA2337EA/250	OPA2337EA/250	SSOP-8	2	5.5	1	3	1.2	3	1,86	1,43	1,30	1,06
595-OPA2337UA	OPA2337UA	SOIC-8	2	5.5	1	3	1.2	3	1,77	1,42	1,28	1,14
595-OPA2342EA/250	OPA2342EA/250	VSSOP-8	2	5.5	0.25	1	1	6	1,77	1,36	1,24	1,01
595-OPA2342UA	OPA2342UA	SOIC-8	2	5.5	0.25	1	1	6	1,69	1,36	1,23	1,09
595-OPA2347EA/250	OPA2347EA/250	SSOP-8	2	5.5	0.034	0.35	0.17	6	2,03	1,56	1,41	1,16
595-OPA2347UA	OPA2347UA	SOIC-8	2	5.5	0.034	0.35	0.17	6	1,92	1,54	1,39	1,24
595-OPA2348AID	OPA2348AID	SOIC-8	2	5.5	0.065	1	0,5	5	1,01	0,80	0,705	0,619
595-OPA2348AIDCNT	OPA2348AIDCNT	SSOP-8	2	5.5	0.065	1	0,5	5	1,04	0,825	0,744	0,592
595-OPA2349UA	OPA2349UA	SOIC-8	2	5.5	0.002	0.065	0.02	10	1,88	1,57	1,25	0,883
595-OPA2705EA/250	OPA2705EA/250	VSSOP-8	2	12	0.25	1	0.6	5	1,94	1,49	1,35	1,21
595-OPA2705UA	OPA2705UA	SOIC-8	2	12	0.25	1	0.6	5	1,94	1,49	1,35	1,21
595-OPA4140AID	OPA4140AID	SOIC-14	4	4.5/36	2	11	20	0.12	10,35	8,70	7,99	7,28
595-OPA4141AIPW	OPA4141AIPW	TSSOP-14	4	4.5/36	2.3	10	20	3.5	4,85	3,89	3,55	3,20
595-OPA4347EA/250	OPA4347EA/250	TSSOP-14	4	5.5	0.034	0.35	0.17	6	2,48	2,02	1,82	1,60
595-OPA4348AID	OPA4348AID	SOIC-14	4	5.5	0.065	1	0,5	5	1,44	1,11	1,01	0,908
595-OPA4348AIDG4	OPA4348AIDG4	SOIC-14	4	5.5	0.065	1	0,5	5	1,44	1,11	1,01	0,908
595-OPA4348AIPWR	OPA4348AIPWR	TSSOP-14	4	5.5	0.065	1	0,5	5	1,21	0,965	0,842	0,745
595-OPA4348AIPWT	OPA4348AIPWT	TSSOP-14	4	5.5	0.065	1	0,5	5	1,42	1,10	0,998	0,815
Faible bruit												
595-OPA141AID	OPA141AID	SOIC-8	1	4.5	2.3	10	20	3.5	2,60	2,12	1,91	1,73
595-OPA209AID	OPA209AID	SOIC-8	1	4.5/36	2.5	18	6.4	0.15	2,85	2,32	2,09	1,75
595-OPA209AIDBVT	OPA209AIDBVT	SOT-23-5	1	4.5/36	2.5	18	6.4	0.15	2,72	2,22	2,00	1,67
595-OPA209AIDGKT	OPA209AIDGKT	MSOP-8	1	4.5/36	2.5	18	6.4	0.15	2,72	2,22	2,00	1,67
595-OPA569AIDWP	OPA569AIDWP	HSOP-20	1	5.5	6	1.2	1.2	2	9,69	7,94	7,17	6,59
595-OPA569AIDWPR	OPA569AIDWPR	HSOP-20	1	5.5	6	1.2	1.2	2	8,04	6,59	5,95	5,47
595-TLV2471CDBVT	TLV2471CDBVT	SOT-5	1	6	0.75	2.8	1.4	2.2	1,77	1,36	1,24	1,11
595-TLV2471IDBVR	TLV2471IDBVR	SOT-5	1	6	0.75	2.8	1.4	2.2	1,63	1,25	1,14	1,01
595-OPA2378AIDCNT	OPA2378AIDCNT	SOT-23-8	2	2.2/5.5	0.15	0.9	0.4	0.07	3,22	2,62	2,36	2,15
595-OPA2141AID	OPA2141AID	SOIC-8	2	4.5	2.3	10	20	3.5	3,70	2,97	2,71	2,44
595-OPA2209AID	OPA2209AID	SOIC-8	2	4.5/36	2.5	18	6.4	0.15	4,95	4,04	3,63	3,30
595-TLV2472AID	TLV2472AID	SOIC-8	2	6	0.75	2.8	1.4	1.6	2,48	2,02	1,82	1,53
595-TLV2472CD	TLV2472CD	SOIC-8	2	6	0.75	2.8	1.4	2.2	2,43	1,96	1,76	1,57
595-TLV2472CDR	TLV2472CDR	SOIC-8	2	6	0.75	2.8	1.4	2.2	2,19	1,69	1,53	1,38
595-TLV2472ID	TLV2472ID	SOIC-8	2	6	0.75	2.8	1.4	2.2	2,43	1,96	1,76	1,57
595-TLV2262AID	TLV2262AID	SOIC-8	2	8	0.25	0.67	0.55	0.95	2,43	1,96	1,76	1,57
595-TLC2262AID	TLC2262AID	SOIC-8	2	16	0.25	0.82	0.55	0.95	2,19	1,69	1,53	1,38
595-TLC2262AIDR	TLC2262AIDR	SOIC-8	2	16	0.25	0.82	0.55	0.95	1,77	1,36	1,24	1,11
595-TLC2262CD	TLC2262CD	SOIC-8	2	16	0.25	0.71	0.55	2.5	1,79	1,44	1,30	1,16
595-TLC2262CDR	TLC2262CDR	SOIC-8	2	16	0.25	0.71	0.55	2.5	1,63	1,25	1,14	1,01
595-TLC2262CPWR	TLC2262CPWR	TSSOP-8	2	16	0.25	0.71	0.55	2.5	1,63	1,25	1,14	1,01
595-TLC2262ID	TLC2262ID	SOIC-8	2	16	0.25	0.71	0.55	2.5	2,05	1,58	1,43	1,17
595-TLC2272ACD	TLC2272ACD	SOIC-8	2	16	1.5	2.18	3.6	0.95	1,79	1,44	1,30	1,16
595-TLC2272ACDR	TLC2272ACDR	SOIC-8	2	16	1.5	2.18	3.6	0.95	1,68	1,30	1,17	1,06
595-TLC2272ACPW	TLC2272ACPW	TSSOP-8	2	16	1.5	2.18	3.6	0.95	2,05	1,58	1,43	1,17
595-TLC2272AID	TLC2272AID	SOIC-8	2	16	1.5	2.18	3.6	0.95	1,92	1,54	1,39	1,24
595-TLC2272AIDR	TLC2272AIDR	SOIC-8	2	16	1.5	2.18	3.6	0.95	1,80	1,39	1,25	1,13
595-TLC2272CD	TLC2272CD	SOIC-8	2	16	1.5	2.18	3.6	2.5	1,69	1,36	1,23	1,09
595-TLC2272CDR	TLC2272CDR	SOIC-8	2	16	1.5	2.18	3.6	2.5	1,68	1,30	1,17	1,06
595-TLC2272CPW	TLC2272CPW	TSSOP-8	2	16	1.5	2.18	3.6	2.5	1,94	1,49	1,35	1,21
595-TLC2272CPWR	TLC2272CPWR	TSSOP-8	2	16	1.5	2.18	3.6	2.5	1,68	1,30	1,17	1,06
595-TLC2272ID	TLC2272ID	SOIC-8	2	16	1.5	2.18	3.6	2.5	1,79	1,44	1,30	1,16
595-TLC2272IDG4	TLC2272IDG4	SOIC-8	2	16	1.5	2.18	3.6	2.5	2,05	1,58	1,43	1,17
595-TLC2272IPWR	TLC2272IPWR	TSSOP-8	2	16	1.5	2.18	3.6	2.5	1,68	1,30	1,17	1,06
595-OPA2131UA	OPA2131UA	SOIC-8	2	36	1.75	4	10	1	4,85	3,89	3,55	3,20
595-OPA2131UA/2K5	OPA2131UA/2K5	SOIC-8	2	36	1.75	4	10	1	4,46	3,64	3,27	2,97
595-OPA2131UJ	OPA2131UJ	SOIC-8	2	36	1.75	4	10	1	4,08	3,33	2,99	2,72
595-OPA2131UJG4	OPA2131UJG4	SOIC-8	2	36	1.75	4	10	1	4,08	3,33	2,99	2,72
595-TLV2474AIDR	TLV2474AIDR	SOIC-14	4	2.7/6	0.75	2.8	1.4	1.6	2,66	2,17	1,96	1,77
595-OPA4141AID	OPA4141AID	TSSOP-14	4	4.5	2.3	10	20	3.5	4,85	3,89	3,55	3,20
595-OPA4209AIPW	OPA4209AIPW	TSSOP-14	4	4.5/36	2.5	18	6.4	0.15	7,22	5,92	5,34	4,91
595-TLV2474CDR	TLV2474CDR	SOIC-14	4	6	0.75	2.8	1.4	2.2	2,48	2,02	1,82	1,53
595-TLV2474IPWP	TLV2474IPWP	HTSSOP-14	4	6	0.75	2.8	1.4	2.2	2,95	2,38	2,16	1,95

© Copyright 2012 Mouser Electronics

© Copyright 2012 Mouser Electronics

Amplificateurs opérationnels TEXAS INSTRUMENTS

RoHS Compliant **This product is RoHS compliant.**

AMPLIFICATEURS DE PRÉCISION

Pour des quantités supérieures à celles indiquées, appelez-nous afin d'obtenir un devis.

RÉF. STOCK MOUSER	RÉF. TI	Boîtier	Nbre de canaux	Tension d'alimentation totale Min./Max. (+5V=5, ±5V=10)	Iq par Canal (Max.) (mA)	GBW (Typ.) (MHz)	Vitesse de balayage (Typ.) (V/µs)	Ve/s (25ºC) (Max.) (mV)	Prix unitaire 1	25	100	250
Faible bruit												
595-TLV2264AID	TLV2264AID	SOIC-14	4	8	0.25	0.67	0.55	0.95	3,25	2,65	2,24	2,16
595-TLC2264AID	TLC2264AID	SOIC-14	4	16	0.25	0.82	0.55	0.95	2,27	1,83	1,65	1,46
595-TLC2264AIPWR	TLC2264AIPWR	TSSOP-14	4	16	0.25	0.82	0.55	0.95	2,16	1,67	1,52	1,36
595-TLC2264CD	TLC2264CD	SOIC-14	4	16	0.25	0.71	0.55	2.5	2,05	1,65	1,49	1,32
595-TLC2264CPW	TLC2264CPW	TSSOP-14	4	16	0.25	0.71	0.55	2.5	2,05	1,65	1,49	1,32
595-TLC2264ID	TLC2264ID	SOIC-14	4	16	0.25	0.71	0.55	2.5	2,45	1,89	1,72	1,54
595-TLC2274ACD	TLC2274ACD	SOIC-14	4	16	1.5	2.18	3.6	0.95	2,02	1,63	1,46	1,30
595-TLC2274ACDR	TLC2274ACDR	SOIC-14	4	16	1.5	2.18	3.6	0.95	1,91	1,47	1,34	1,20
595-TLC2274ACPW	TLC2274ACPW	TSSOP-14	4	16	1.5	2.18	3.6	0.95	2,31	1,78	1,62	1,45
595-TLC2274AID	TLC2274AID	SOIC-14	4	16	1.5	2.18	3.6	0.95	2,10	1,69	1,52	1,35
595-TLC2274AIPW	TLC2274AIPW	TSSOP-14	4	16	1.5	2.18	3.6	0.95	2,37	1,82	1,66	1,49
595-TLC2274CD	TLC2274CD	SOIC-14	4	16	1.5	2.18	3.6	2.5	2,05	1,65	1,49	1,32
595-TLC2274CDR	TLC2274CDR	SOIC-14	4	16	1.5	2.18	3.6	2.5	2,03	1,56	1,41	1,27
595-TLC2274CPW	TLC2274CPW	TSSOP-14	4	16	1.5	2.18	3.6	2.5	2,07	1,67	1,50	1,34
595-TLC2274CPWR	TLC2274CPWR	TSSOP-14	4	16	1.5	2.18	3.6	2.5	2,05	1,58	1,43	1,17
595-TLC2274ID	TLC2274ID	SOIC-14	4	16	1.5	2.18	3.6	2.5	2,45	1,89	1,72	1,54
595-TLC2274IPW	TLC2274IPW	TSSOP-14	4	16	1.5	2.18	3.6	2.5	2,45	1,89	1,72	1,54
595-OPA4131NA	OPA4131NA	SOIC-14	4	36	1.75	4	10	1	7,98	6,62	6,02	5,12
595-OPA4131UA	OPA4131UA	SOIC-16	4	36	1.75	4	10	1	8,66	7,10	6,41	5,89
Large bande												
595-TLV2781IDBVT	TLV2781IDBVT	SOT-5	1	3.6	0.82	8	4.3	3	2,05	1,58	1,43	1,17
595-OPA301AIDBVT	OPA301AIDBVT	SOT-5	1	5.5	12	150	80	5	2,60	2,00	1,82	1,49
595-OPA338UA	OPA338UA	SOIC-8	1	5.5	1	12.5	4.6	3	1,59	1,22	1,11	0,998
595-OPA341NA/250	OPA341NA/250	SOT-6	1	5.5	1	5.5	6	6	2,60	2,12	1,91	1,73
595-OPA377AIDBVT	OPA377AIDBVT	SOT-23-5	1	2.2/5.5	1.05	5.5	2	1	1,44	1,14	1,02	0,816
595-OPA343NA/250	OPA343NA/250	SOT-5	1	5.5	1.25	5.5	6	8	1,80	1,39	1,25	1,02
595-OPA353UA	OPA353UA	SOIC-8	1	5.5	8	44	22	8	2,63	2,11	1,92	1,73
595-OPA373AIDBVT	OPA373AIDBVT	SOT-6	1	5.5	0.75	6.5	5	5	1,12	0,891	0,785	0,689
595-OPA374AIDBVT	OPA374AIDBVT	SOT-5	1	5.5	0.75	6.5	5	5	1,12	0,891	0,785	0,689
595-OPA374AIDG4	OPA374AIDG4	SOIC-8	1	5.5	0.75	6.5	5	5	1,29	1,01	0,908	0,794
595-TLV2621IDBVT	TLV2621IDBVT	SOT-5	1	5.5	1	11	9.5	3.5	1,16	0,916	0,806	0,707
595-TLV2460CD	TLV2460CD	SOIC-8	1	6	0.575	6.4	1.6	2	2,05	1,58	1,43	1,17
595-TLV2461CD	TLV2461CD	SOIC-8	1	6	0.575	6.4	1.6	2	1,94	1,49	1,35	1,21
595-TLV2461CDBVR	TLV2461CDBVR	SOT-5	1	6	0.575	6.4	1.6	2	1,63	1,25	1,14	1,01
595-TLV2461CDBVT	TLV2461CDBVT	SOT-5	1	6	0.575	6.4	1.6	2	1,77	1,36	1,24	1,11
595-TLV2461IDBVR	TLV2461IDBVR	SOT-5	1	6	0.575	6.4	1.6	2	1,63	1,25	1,14	1,01
595-OPA725AID	OPA725AID	SOIC-8	1	12	5.5	20	30	3	2,72	2,22	2,00	1,67
595-OPA725AIDBVT	OPA725AIDBVT	SOT-5	1	12	5.5	20	30	3	2,60	2,12	1,91	1,73
595-OPA726AID	OPA726AID	SOIC-8	1	12	5.5	20	30	3	3,12	2,50	2,28	2,05
595-OPA743NA/3K	OPA743NA/3K	SOT-5	1	12	1.5	7	10	7	2,57	1,98	1,79	1,61
595-OPA743UA	OPA743UA	SOIC-8	1	12	1.5	7	10	7	2,60	2,00	1,82	1,49
595-TLC070CD	TLC070CD	SOIC-8	1	16	2.5	10	16	1.9	2,05	1,58	1,43	1,17
595-TLC070IP	TLC070IP	PDIP-8	1	16	2.5	10	16	1.9	1,77	1,36	1,24	1,11
595-TLC071AID	TLC071AID	SOIC-8	1	16	2.5	10	16	1.4	1,77	1,36	1,24	1,11
595-TLC071CD	TLC071CD	SOIC-8	1	16	2.5	10	16	1.9	1,33	1,07	0,965	0,858
595-TLC071CDG4	TLC071CDG4	SOIC-8	1	16	2.5	10	16	1.9	1,33	1,07	0,965	0,858
595-TLC071CDGN	TLC071CDGN	HTSSOP-8	1	16	2.5	10	16	1.9	0,88	0,701	0,53	0,494
595-TLC071ID	TLC071ID	SOIC-8	1	16	2.5	10	16	1.9	1,65	1,26	1,15	1,03
595-TLC080CD	TLC080CD	SOIC-8	1	16	2.5	10	16	1.9	2,05	1,58	1,43	1,17
595-TLC081AID	TLC081AID	SOIC-8	1	16	2.5	10	16	1.4	2,05	1,58	1,43	1,17
595-TLC081CD	TLC081CD	SOIC-8	1	16	2.5	10	16	1.9	1,33	1,07	0,965	0,858
595-TLC081ID	TLC081ID	SOIC-8	1	16	2.5	10	16	1.9	1,65	1,26	1,15	1,03
595-OPA134UA	OPA134UA	SOIC-8	1	36	5	8	20	2	2,52	2,02	1,84	1,66
595-TLE2161ACD	TLE2161ACD	SOIC-8	1	36	0.325	5.8	10	2.6	1,88	1,44	1,31	1,18
595-TLE2161CD	TLE2161CD	SOIC-8	1	36	0.325	5.8	10	3.1	2,02	1,56	1,41	1,27
595-TLE2071ACD	TLE2071ACD	SOIC-8	1	38	2.2	9.4	35	2	2,46	1,89	1,72	1,54
595-TLE2071CD	TLE2071CD	SOIC-8	1	38	2.2	9.4	35	4	1,73	1,34	1,21	1,09
595-TLE2071ID	TLE2071ID	SOIC-8	1	38	2.2	9.4	35	4	2,31	1,78	1,62	1,45
595-TLE2141ACD	TLE2141ACD	SOIC-8	1	44	4.4	5.8	45	1	1,64	1,32	1,19	1,06
595-TLE2141CD	TLE2141CD	SOIC-8	1	44	4.4	5.8	45	1.4	1,88	1,44	1,31	1,18
595-TLE2141ID	TLE2141ID	SOIC-8	1	44	4.4	5.8	45	1.4	2,02	1,56	1,41	1,27
595-OPA2343EA/2K5	OPA2343EA/2K5	MSOP-8	2	2.5/5.5	1.25	5.5	6	8	2,43	1,86	1,69	1,39
595-TLV2782CDGK	TLV2782CDGK	VSSOP-8	2	3.6	0.82	8	4.3	3	2,60	2,12	1,91	1,73
595-OPA2301AID	OPA2301AID	SOIC-8	2	5.5	12	150	80	5	2,97	2,43	2,18	1,98
595-OPA2301AIDGKT	OPA2301AIDGKT	VSSOP-8	2	5.5	12	150	80	5	2,85	2,32	2,09	1,75
595-OPA2338UA	OPA2338UA	SOIC-8	2	5.5	1	12.5	4.6	3	2,02	1,56	1,41	1,27
595-OPA2343UA	OPA2343UA	SOIC-8	2	5.5	1.25	5.5	6	8	2,77	2,13	1,93	1,73
595-OPA2353UA	OPA2353UA	SOIC-8	2	5.5	8	44	22	8	4,50	3,61	3,29	2,97
595-OPA2363IDGST	OPA2363IDGST	VSSOP-10	2	5.5	0.75	7	5	0.9	3,21	2,62	2,35	2,18
595-OPA2364AIDGKT	OPA2364AIDGKT	VSSOP-8	2	5.5	0.75	7	5	0.9	2,60	2,12	1,91	1,73
595-OPA2364AIDR	OPA2364AIDR	SOIC-8	2	5.5	0.75	7	5	0.9	2,57	1,98	1,79	1,61
595-OPA2374AIDCNT	OPA2374AIDCNT	SSOP-8	2	5.5	0.75	6.5	5	5	2,05	1,58	1,43	1,17
595-TLV2462AID	TLV2462AID	SOIC-8	2	6	0.575	5.2	1.6	1.5	3,07	2,50	2,24	2,05
595-TLV2462CD	TLV2462CD	SOIC-8	2	6	0.575	6.4	1.6	2	2,43	1,96	1,76	1,57
595-TLV2462CDR	TLV2462CDR	SOIC-8	2	6	0.575	6.4	1.6	2	2,16	1,67	1,52	1,36
595-TLV2462ID	TLV2462ID	SOIC-8	2	6	0.575	6.4	1.6	2	2,43	1,96	1,76	1,57
595-TLV2462IDGKR	TLV2462IDGKR	VSSOP-8	2	6	0.575	6.4	1.6	2	2,31	1,78	1,62	1,45
595-OPA2725AIDGKT	OPA2725AIDGKT	VSSOP-8	2	12	5.5	20	30	5	4,50	3,61	3,29	2,97
595-OPA2743EA/250	OPA2743EA/250	VSSOP-8	2	12	1.5	7	10	7	3,84	3,08	2,81	2,53
595-OPA2743UA	OPA2743UA	SOIC-8	2	12	1.5	7	10	7	4,07	3,27	2,97	2,68
595-TLC072AID	TLC072AID	SOIC-8	2	16	2.5	10	16	1.4	2,17	1,75	1,58	1,40
595-TLC072CD	TLC072CD	SOIC-8	2	16	2.5	10	16	1.9	1,92	1,54	1,39	1,24
595-TLC072CDGN	TLC072CDGN	HTSSOP-8	2	16	2.5	10	16	1.9	2,19	1,69	1,53	1,38
595-TLC072CDR	TLC072CDR	SOIC-8	2	16	2.5	10	16	1.9	1,91	1,47	1,34	1,20
595-TLC072ID	TLC072ID	SOIC-8	2	16	2.5	10	16	1.9	2,07	1,67	1,50	1,34

© Copyright 2012 Mouser Electronics

© Copyright 2012 Mouser Electronics

Amplificateurs opérationnels TEXAS INSTRUMENTS

RoHS Compliant This product is RoHS compliant.

AMPLIFICATEUR DE PRÉCISION

Pour des quantités supérieures à celles indiquées, appelez-nous afin d'obtenir un devis.

RÉF. STOCK MOUSER	RÉF. TI	Boîtier	Nbre de canaux	Tension d'alimentation totale Min./Max. (+5V=5, ±5V=10)	Iq par Canal (Max.) (mA)	GBW (Typ.) (MHz)	Vitesse de balayage (Typ.) (V/µs)	Ves (25°C) (Max.) (mV)	Prix unitaire 1	25	100	250
Large bande												
595-TLC072IDGN	TLC072IDGN	HTSSOP-8	2	16	2.5	10	16	1.9	2,07	1,67	1,50	1,34
595-TLC072IDGNR	TLC072IDGNR	HTSSOP-8	2	16	2.5	10	16	1.9	1,91	1,47	1,34	1,20
595-TLC072IDR	TLC072IDR	SOIC-8	2	16	2.5	10	16	1.9	1,91	1,47	1,34	1,20
595-TLC082AID	TLC082AID	SOIC-8	2	16	2.5	10	16	1.4	2,45	1,89	1,72	1,54
595-TLC082CD	TLC082CD	SOIC-8	2	16	2.5	10	16	1.9	2,19	1,69	1,53	1,38
595-TLC082CDGN	TLC082CDGN	HTSSOP-8	2	16	2.5	10	16	1.9	2,19	1,69	1,53	1,38
595-TLC082ID	TLC082ID	SOIC-8	2	16	2.5	10	16	1.9	2,07	1,67	1,50	1,34
595-TLC082IDGN	TLC082IDGN	HTSSOP-8	2	16	2.5	10	16	1.9	2,07	1,67	1,50	1,34
595-OPA2134UA	OPA2134UA	SOIC-8	2	36	5	8	20	2	2,91	2,33	2,13	1,92
595-TLE2072ACD	TLE2072ACD	SOIC-8	2	38	1.8	9.4	35	3.5	2,97	2,43	2,18	1,98
595-TLE2072AID	TLE2072AID	SOIC-8	2	38	1.8	9.4	35	3.5	3,47	2,78	2,53	2,29
595-TLE2072CD	TLE2072CD	SOIC-8	2	38	1.8	9.4	35	6	2,85	2,32	2,09	1,75
595-TLE2072CDR	TLE2072CDR	SOIC-8	2	38	1.8	9.4	35	6	2,44	2,00	1,79	1,63
595-TLE2072ID	TLE2072ID	SOIC-8	2	38	1.8	9.4	35	6	3,09	2,52	2,27	2,06
595-TLE2082ACD	TLE2082ACD	SOIC-8	2	38	1.8	9.4	35	4	2,97	2,43	2,18	1,98
595-TLE2082CD	TLE2082CD	SOIC-8	2	38	1.8	9.4	35	6	2,72	2,22	2,00	1,67
595-TLE2082ID	TLE2082ID	SOIC-8	2	38	1.8	9.4	35	6	2,85	2,32	2,09	1,75
595-TLE2142ACD	TLE2142ACD	SOIC-8	2	44	4.4	5.8	45	1.5	4,08	3,33	2,99	2,72
595-TLE2142AID	TLE2142AID	SOIC-8	2	44	4.4	5.8	45	1.5	3,93	3,15	2,87	2,59
595-TLE2142CD	TLE2142CD	SOIC-8	2	44	4.4	5.8	45	1.9	2,60	2,12	1,91	1,73
595-TLE2142ID	TLE2142ID	SOIC-8	2	44	4.4	5.8	45	1.9	2,85	2,32	2,09	1,75
595-OPA2604AU	OPA2604AU	SOIC-8	2	48	6	20	25	5	5,31	4,27	3,89	3,51
595-OPA1644AID	OPA1644AID	TSSOP-14	4	5	2.3	11	20	3.5	5,82	4,74	4,27	3,88
595-OPA4343NA/250	OPA4343NA/250	TSSOP-14	4	5.5	1.25	5.5	6	8	4,07	3,27	2,97	2,68
595-OPA4353UA	OPA4353UA	SOIC-14	4	5.5	8	44	22	8	5,88	4,82	4,35	3,99
595-OPA4364AID	OPA4364AID	SOIC-14	4	5.5	0.75	7	5	2.5	3,75	3,00	2,74	2,47
595-OPA4364AIPWT	OPA4364AIPWT	TSSOP-14	4	5.5	0.75	7	5	2.5	3,47	2,79	2,54	2,29
595-OPA4374AIPWT	OPA4374AIPWT	TSSOP-14	4	5.5	0.75	6.5	5	5	2,60	2,12	1,91	1,73
595-TLV2624IPW	TLV2624IPW	TSSOP-14	4	5.5	1	11	9.5	3.5	2,52	2,02	1,84	1,66
595-TLV2464CD	TLV2464CD	SOIC-14	4	6	0.575	6.4	1.6	2	2,75	2,20	2,00	1,82
595-TLV2464CDR	TLV2464CDR	SOIC-14	4	6	0.575	6.4	1.6	2	2,44	2,00	1,79	1,63
595-TLV2464CPW	TLV2464CPW	TSSOP-14	4	6	0.575	6.4	1.6	2	2,75	2,20	2,00	1,82
595-TLV2464ID	TLV2464ID	SOIC-14	4	6	0.575	6.4	1.6	2	3,07	2,50	2,24	2,05
595-TLV2465CD	TLV2465CD	SOIC-16	4	6	0.575	6.4	1.6	2	2,95	2,38	2,16	1,95
595-OPA4743UA	OPA4743UA	SOIC-14	4	12	1.5	7	10	7	7,22	5,92	5,34	4,91
595-TLC074CD	TLC074CD	SOIC-14	4	16	2.5	10	16	1.9	2,52	2,02	1,84	1,66
595-TLC084AID	TLC084AID	SOIC-14	4	16	2.5	10	16	1.4	2,75	2,20	2,00	1,82
595-TLC084AIPWPR	TLC084AIPWPR	HTSSOP-20	4	16	2.5	10	16	1.4	2,60	2,12	1,91	1,73
595-TLC084CD	TLC084CD	SOIC-14	4	16	2.5	10	16	1.9	2,52	2,02	1,84	1,66
595-TLC084ID	TLC084ID	SOIC-14	4	16	2.5	10	16	1.9	2,63	2,11	1,92	1,73
595-OPA4132UA	OPA4132UA	SOIC-14	4	36	4.8	8	20	2	10,35	8,76	8,09	7,42
595-OPA4134UA	OPA4134UA	SOIC-14	4	36	5	8	20	2	4,67	3,75	3,42	3,08
595-TLE2074ACDW	TLE2074ACDW	SOIC-16	4	38	1.875	9.4	35	3	5,68	4,64	4,19	3,85
595-TLE2074AIDW	TLE2074AIDW	SOIC-16	4	38	1.875	9.4	35	3	6,09	4,98	4,50	4,13
595-TLE2074CDW	TLE2074CDW	SOIC-16	4	38	1.875	9.4	35	5	5,31	4,27	3,89	3,51
595-TLE2074IDW	TLE2074IDW	SOIC-16	4	38	1.875	9.4	35	5	4,85	3,89	3,55	3,20
595-TLE2084CDW	TLE2084CDW	SOIC-16	4	38	1.875	9.4	35	7	4,85	3,89	3,55	3,20
595-TLE2084IDW	TLE2084IDW	SOIC-16	4	38	1.875	9.4	35	7	4,39	3,52	3,21	2,90
Faible tension résiduelle												
595-OPA333AID	OPA333AID	SOIC-8	1	5.5	0.025	0.35	0.16	0.01	2,85	2,32	2,09	1,75
595-OPA333AIDBVT	OPA333AIDBVT	SOT-5	1	5.5	0.025	0.35	0.16	0.01	2,69	2,19	1,97	1,66
595-OPA333AIDCKR	OPA333AIDCKR	SOT-5	1	5.5	0.025	0.35	0.16	0.01	2,71	2,09	1,90	1,70
595-OPA333AIDCKT	OPA333AIDCKT	SOT-5	1	5.5	0.025	0.35	0.16	0.01	2,72	2,22	2,00	1,67
595-OPA334AIDBVT	OPA334AIDBVT	SOT-6	1	5.5	0.35	2	1.6	0.005	2,66	2,17	1,96	1,64
595-OPA335AID	OPA335AID	SOIC-8	1	5.5	0.35	2	1.6	0.005	2,63	2,11	1,92	1,73
595-OPA335AIDBVT	OPA335AIDBVT	SOT-5	1	5.5	0.35	2	1.6	0.005	2,52	2,02	1,84	1,66
595-OPA336N/250	OPA336N/250	SOT-5	1	5.5	0.032	0.1	0.03	0.125	2,57	2,10	1,88	1,58
595-OPA336N/3K	OPA336N/3K	SOT-5	1	5.5	0.032	0.1	0.03	0.125	2,43	1,96	1,76	1,57
595-OPA336NA/250	OPA336NA/250	SOT-5	1	5.5	0.032	0.1	0.03	0.125	2,14	1,65	1,49	1,22
595-OPA336NJ/250	OPA336NJ/250	SOT-5	1	5.5	0.032	0.1	0.03	0.125	1,44	1,14	1,02	0,816
595-OPA336U	OPA336U	SOIC-8	1	5.5	0.032	0.1	0.03	0.125	2,60	2,12	1,91	1,73
595-OPA336UA	OPA336UA	SOIC-8	1	5.5	0.032	0.1	0.03	0.125	2,17	1,67	1,51	1,24
595-OPA363ID	OPA363ID	SOIC-8	1	5.5	0.75	7	5	0,5	2,43	1,96	1,76	1,57
595-OPA363IDBVT	OPA363IDBVT	SOT-6	1	5.5	0.75	7	5	0,5	2,60	2,00	1,82	1,49
595-OPA364AIDBVT	OPA364AIDBVT	SOT-5	1	5.5	0.75	7	5	0,5	1,91	1,47	1,34	1,09
595-OPA364IDBVT	OPA364IDBVT	SOT-5	1	5.5	0.75	7	5	0,5	2,60	2,00	1,82	1,49
595-OPA364IDG4	OPA364IDG4	SOIC-8	1	5.5	0.75	7	5	0,5	2,43	1,96	1,76	1,57
595-OPA376AID	OPA376AID	SOIC-8	1	5.5	0.95	5.5	2	0.025	2,31	1,78	1,62	1,45
595-OPA376AIDBVT	OPA376AIDBVT	SOT-5	1	5.5	0.95	5.5	2	0.025	2,14	1,65	1,49	1,22
595-OPA376AIDCKT	OPA376AIDCKT	SOT-5	1	5.5	0.95	5.5	2	0.025	2,14	1,65	1,49	1,22
595-TLC4501AID	TLC4501AID	SOIC-8	1	6	1.5	4.7	2.5	0.04	3,84	3,14	2,65	2,37
595-TLC4501CD	TLC4501CD	SOIC-8	1	6	1.5	4.7	2.5	0.08	3,47	2,79	2,54	2,29
595-OPA727AIDGKT	OPA727AIDGKT	VSSOP-8	1	12	6.5	20	30	0.15	2,02	1,56	1,41	1,27
595-OPA734AIDBVT	OPA734AIDBVT	SOT-6	1	12	0.75	1.6	1.5	0.005	3,18	2,56	2,33	2,10
595-OPA735AID	OPA735AID	SOIC-8	1	12	0.75	1.6	1.5	0.005	3,21	2,62	2,35	2,18
595-OPA735AIDBVT	OPA735AIDBVT	SOT-5	1	12	0.75	1.6	1.5	0.005	3,37	2,76	2,48	2,08
595-TLC2201ACD	TLC2201ACD	SOIC-8	1	16	1.5	1.9	2.7	0.2	4,50	3,61	3,29	2,97
595-TLC2201AID	TLC2201AID	SOIC-8	1	16	1.5	1.9	2.7	0.2	4,71	3,79	3,45	3,11
595-TLC2652AI-8D	TLC2652AI-8D	SOIC-8	1	16	2.4	1.9	3.1	0.001	5,59	4,58	4,13	3,80
595-TLC2652I-8D	TLC2652I-8D	SOIC-8	1	16	2.4	1.9	3.1	0.003	5,39	4,41	3,98	3,65
595-OPA132U	OPA132U	SOIC-8	1	36	4.8	8	20	0,5	6,89	5,72	5,20	4,68
595-OPA132UA	OPA132UA	SOIC-8	1	36	4.8	8	20	0,5	4,04	3,24	2,95	2,66
595-OPA177GS	OPA177GS	SOIC-8	1	36	2	0.6	0.3	0.025	2,77	2,13	1,93	1,73
595-OPA211AID	OPA211AID	SOIC-8	1	36	4.5	80	27	0.125	8,56	7,01	6,33	5,82
595-OPA211AIDR	OPA211AIDR	SOIC-8	1	36	4.5	80	27	0.125	7,12	5,83	5,26	4,83
595-OPA277U	OPA277U	SOIC-8	1	36	0.825	1	0.8	0.02	5,06	4,06	3,70	3,34
595-OPA277UA	OPA277UA	SOIC-8	1	36	0.825	1	0.8	0.02	2,28	1,86	1,67	1,50
595-OPA627AM	OPA627AM	TO-8	1	36	7.5	16	55	0.25	30,86	28,81	26,74	26,34
595-OPA627BM	OPA627BM	TO-8	1	36	7.5	16	55	0.25	39,56	34,20	32,07	29,93

© Copyright 2012 Mouser Electronics
© Copyright 2012 Mouser Electronics

Amplificateurs opérationnels TEXAS INSTRUMENTS

RoHS Compliant This product is RoHS compliant.

AMPLIFICATEURS DE PRÉCISION

Pour des quantités supérieures à celles indiquées, appelez-nous afin d'obtenir un devis.

RÉF. STOCK MOUSER	Réf. pièce TI	Boîtier	Nbre de canaux	Tension d'alimentation totale Min./Max. (±5V=5, ±5V=10)	Iq par canal (Max.) (mA)	Gain Larg. de Bande (Typ.) (MHz)	Vitesse de balayage (Typ.) (V/µs)	Ves (25°C) (Max.) (mV)	Prix unitaire 1	25	100	250
Faible tension résiduelle												
595-TLE2027CD	TLE2027CD	SOIC-8	1	38	5.3	13	2.8	0.1	2,60	2,12	1,91	1,73
595-TLE2037CD	TLE2037CD	SOIC-8	1	38	5.3	50	7.5	0.1	2,60	2,12	1,91	1,73
595-TLE2037ID	TLE2037ID	SOIC-8	1	38	5.3	50	7.5	0.1	2,85	2,32	2,09	1,75
595-TLE2021ACD	TLE2021ACD	SOIC-8	1	40	0.3	1.2	0,5	0.3	1,88	1,44	1,31	1,18
595-TLE2021CD	TLE2021CD	SOIC-8	1	40	0.3	1.2	0,5	0.6	1,59	1,22	1,11	0,998
595-TLE2021ID	TLE2021ID	SOIC-8	1	40	0.3	1.2	0,5	0.6	1,73	1,34	1,21	1,09
595-OPA365AID	OPA365AID	SOIC-8	1, 2	5.5	5	50	25	0.2	2,31	1,78	1,62	1,45
595-OPA365AIDBVR	OPA365AIDBVR	SOT-5	1, 2	5.5	5	50	25	0.2	1,88	1,44	1,30	1,16
595-OPA2333AID	OPA2333AID	SOIC-8	2	5.5	0.025	0.35	0.16	0.01	4,46	3,64	3,27	2,97
595-OPA2333AIDGKR	OPA2333AIDGKR	MSOP-8	2	1.8/5.5	0.025	0.35	0.16	0.01	3,66	2,99	2,69	2,44
595-OPA2333AIDGKT	OPA2333AIDGKT	VSSOP-8	2	5.5	0.025	0.35	0.16	0.01	4,04	3,24	2,95	2,66
595-OPA2333AIDR	OPA2333AIDR	SOIC-8	2	1.8/5.5	0.025	0.35	0.16	0.01	3,47	2,78	2,53	2,29
595-OPA2333AIDRBT	OPA2333AIDRBT	SON-8	2	5.5	0.025	0.35	0.16	0.01	4,04	3,24	2,95	2,66
595-OPA2334AIDGST	OPA2334AIDGST	VSSOP-10	2	5.5	0.35	2	1.6	0.005	5,06	4,06	3,70	3,34
595-OPA2335AID	OPA2335AID	SOIC-8	2	5.5	0.35	2	1.6	0.005	4,48	3,65	3,28	2,99
595-OPA2335AIDGKT	OPA2335AIDGKT	VSSOP-8	2	5.5	0.35	2	1.6	0.005	4,07	3,27	2,97	2,68
595-OPA2335AIDR	OPA2335AIDR	SOIC-8	2	5.5	0.35	2	1.6	0.005	3,71	3,04	2,72	2,48
595-OPA2340EA/2K5	OPA2340EA/2K5	MSOP-8	2	2.7/5.5	0.95	5.5	6	0,5	2,82	2,26	2,06	1,86
595-OPA2340EA/250	OPA2340EA/250	VSSOP-8	2	5.5	0.95	5.5	6	0,5	3,50	2,85	2,56	2,15
595-OPA2340UA	OPA2340UA	SOIC-8	2	5.5	0.95	5.5	6	0,5	3,40	2,72	2,48	2,24
595-OPA2340UA/2K5	OPA2340UA/2K5	SOIC-8	2	5.5	0.95	5.5	6	0,5	2,82	2,26	2,06	1,86
595-OPA2350EA/250	OPA2350EA/250	VSSOP-8	2	5.5	7.5	38	22	0,5	4,58	3,74	3,36	2,82
595-OPA2350UA	OPA2350UA	SOIC-8	2	5.5	7.5	38	22	0,5	4,37	3,40	2,64	2,40
595-OPA2350UA/2K5	OPA2350UA/2K5	SOIC-8	2	2.5/5.5	7.5	38	22	0,5	3,70	2,97	2,71	2,44
595-OPA2365AID	OPA2365AID	SOIC-8	2	5.5	5	50	25	0.2	2,85	2,32	2,09	1,75
595-OPA2376AID	OPA2376AID	SOIC-8	2	5.5	0.95	5.5	2	0.025	2,97	2,43	2,18	1,98
595-OPA2376AIDGKR	OPA2376AIDGKR	MSOP-8	2	2.2/5.5	0.95	5.5	2	0.025	2,44	2,00	1,79	1,63
595-OPA2376AIDR	OPA2376AIDR	SOIC-8	2	5.5	0.95	5.5	2	0.025	2,44	2,00	1,79	1,63
595-OPA2727AIDR	OPA2727AIDR	SOIC-8	2	12	6.5	20	30	0.15	2,48	2,02	1,82	1,53
595-OPA2734AIDGST	OPA2734AIDGST	VSSOP-10	2	12	0.75	1.6	1.5	0.005	5,06	4,06	3,70	3,34
595-OPA2735AID	OPA2735AID	SOIC-8	2	12	0.75	1.6	1.5	0.005	5,26	4,23	3,85	3,47
595-OPA2735AIDGKT	OPA2735AIDGKT	VSSOP-8	2	12	0.75	1.6	1.5	0.005	5,06	4,06	3,70	3,34
595-TLC1078CD	TLC1078CD	SOIC-8	2	16	0.017	0.085	32	0.45	5,39	4,41	3,98	3,65
595-TLC1078ID	TLC1078ID	SOIC-8	2	16	0.017	0.085	32	0.45	5,59	4,58	4,13	3,80
595-TLC277CD	TLC277CD	SOIC-8	2	16	1.6	1.7	3.6	0,5	2,45	1,89	1,72	1,54
595-TLC277ID	TLC277ID	SOIC-8	2	16	1.6	1.7	3.6	0,5	2,27	1,83	1,65	1,46
595-TLC27L7CD	TLC27L7CD	SOIC-8	2	16	0.017	0.085	0.03	0,5	2,17	1,75	1,58	1,40
595-TLC27L7ID	TLC27L7ID	SOIC-8	2	16	0.017	0.085	0.03	0,5	2,27	1,83	1,65	1,46
595-TLC27M7ID	TLC27M7ID	SOIC-8	2	16	0.28	0.525	0.43	0,5	2,60	2,00	1,82	1,49
595-OPA2132U	OPA2132U	SOIC-8	2	36	4.8	8	20	0,5	10,16	8,55	7,85	7,16
595-OPA2132UA	OPA2132UA	SOIC-8	2	36	4.8	8	20	0,5	6,34	5,26	4,79	4,07
595-OPA2227U	OPA2227U	SOIC-8	2	36	3.8	8	2.3	0.075	9,03	7,50	6,81	5,79
595-OPA2227UA	OPA2227UA	SOIC-8	2	36	3.8	8	2.3	0.075	4,83	3,88	3,53	3,18
595-OPA2227UA/2K5	OPA2227UA/2K5	SOIC-8	2	5/36	3.8	8	2.3	0.075	4,07	3,27	2,97	2,68
595-OPA2228UA	OPA2228UA	SOIC-8	2	36	3.8	33	11	0.75	4,83	3,88	3,53	3,18
595-OPA2234U	OPA2234U	SOIC-8	2	36	0.3	0.35	0.2	0.1	5,55	4,60	4,19	3,56
595-OPA2234UA	OPA2234UA	SOIC-8	2	36	0.3	0.35	0.2	0.1	4,94	3,97	3,61	3,26
595-OPA2277U	OPA2277U	SOIC-8	2	36	0.825	1	0.8	0.025	7,74	6,34	5,72	5,26
595-OPA2277UA	OPA2277UA	SOIC-8	2	36	0.825	1	0.8	0.025	4,58	3,74	3,36	2,82
595-OPA2277UA/2K5	OPA2277UA/2K5	SOIC-8	2	4/36	0.825	1	0.8	0.025	3,84	3,14	2,65	2,37
595-TLE2022ACD	TLE2022ACD	SOIC-8	2	40	0.3	1.7	0,5	0.4	2,33	1,87	1,71	1,53
595-TLE2022AID	TLE2022AID	SOIC-8	2	40	0.3	1.7	0,5	0.4	2,52	2,02	1,84	1,66
595-TLE2022CD	TLE2022CD	SOIC-8	2	40	0.3	1.7	0,5	0.6	1,92	1,54	1,39	1,24
595-OPA4340UA	OPA4340UA	SOIC-14	4	5.5	0.95	5.5	6	0,5	5,73	4,60	4,19	3,78
595-OPA4376AIPW	OPA4376AIPW	TSSOP-14	4	5.5	0.95	5.5	2	0.025	3,93	3,15	2,87	2,59
595-OPA4376AIPWR	OPA4376AIPWR	TSSOP-14	4	5.5	0.95	5.5	2	0.025	3,47	2,83	2,54	2,31
595-OPA4277UA	OPA4277UA	SOIC-14	4	36	0.825	1	0.8	5.5	8,91	7,30	6,59	6,06
595-OPA4277UA/2K5	OPA4277UA/2K5	SOIC-14	4	4/36	0.825	1	0.8	0.05	7,94	6,19	5,88	5,40
595-TLE2024CDW	TLE2024CDW	SOIC-16	4	40	0.3	1.7	0,5	1.1	3,93	3,15	2,87	2,59
Courant de sortie élevé												
595-OPA567AIRHGT	OPA567AIRHGT	QFN-12	1	5.5	6	1.2	1.2	2	5,47	4,48	4,04	3,71
595-TLV2770AID	TLV2770AID	SOIC-8	1	5.5	2	5.1	6, 9	1.6	2,60	2,00	1,82	1,49
595-TLV2770CD	TLV2770CD	SOIC-8	1	5.5	2	5.1	6, 9	2.5	2,07	1,67	1,50	1,34
595-TLV2771ID	TLV2771ID	SOIC-8	1	5.5	2	5.1	6, 9	2.5	2,19	1,69	1,53	1,38
595-TLV2771IDBVR	TLV2771IDBVR	SOT-23-5	1	2.5/5.5	2	5.1	6,9	2.5	1,91	1,47	1,34	1,20
595-TLV4111CD	TLV4111CD	SOIC-8	1	6	1	2.7	1.6	3.5	2,07	1,67	1,50	1,34
595-TLV4111IDGN	TLV4111IDGN	HTSSOP-8	1	6	1	2.7	1.6	3.5	2,60	2,12	1,91	1,73
595-TLE2061CD	TLE2061CD	SOIC-8	1	36	0.325	1.8	3.4	3.1	2,31	1,78	1,62	1,45
595-OPA548F/500	OPA548F/500	PFM-7	1	60	20	1	10	10	13,09	11,10	10,25	8,82
595-OPA548FKTWT	OPA548FKTWT	PFM-7	1	60	20	1	10	10	13,09	11,10	10,25	8,82
595-OPA548T	OPA548T	PFM-7	1	60	20	1	10	10	13,09	11,10	10,25	8,82
595-OPA548T-1	OPA548T-1	TO-7	1	60	20	1	10	10	13,09	11,10	10,25	8,82
595-OPA551FAKTWT	OPA551FAKTWT	PFM-7	1	60	8.5	3	15	3	5,94	4,85	4,36	3,96
595-TLV2772CDR	TLV2772CDR	SOIC-8	2	5.5	2	5.1	6, 9	2.5	2,45	1,89	1,72	1,54
595-TLV2772ID	TLV2772ID	SOIC-8	2	5.5	2	5.1	6, 9	2.5	2,52	2,02	1,84	1,66
595-TLV4112IDGN	TLV4112IDGN	HTSSOP-8	2	6	1	2.7	1.6	3.5	2,60	2,12	1,91	1,73
595-TLE2062ACD	TLE2062ACD	SOIC-8	2	36	0.31	1.8	3.4	4	4,08	3,33	2,99	2,72
595-TLE2062AID	TLE2062AID	SOIC-8	2	36	0.31	1.8	3.4	4	4,04	3,24	2,95	2,66
595-TLE2062CD	TLE2062CD	SOIC-8	2	36	0.31	1.8	3.4	5	2,97	2,43	2,18	1,98
595-TLE2062CDR	TLE2062CDR	SOIC-8	2	36	0.31	1.8	3.4	5	2,44	2,00	1,79	1,63
595-TLE2062ID	TLE2062ID	SOIC-8	2	36	0.31	1.8	3.4	5	3,22	2,62	2,36	2,15
595-TLV2774CD	TLV2774CD	SOIC-14	4	5.5	2	5.1	6, 9	2.7	3,18	2,56	2,33	2,10
595-TLV2774CPW	TLV2774CPW	TSSOP-14	4	5.5	2	5.1	6, 9	2.7	3,18	2,56	2,33	2,10
595-TLV2774ID	TLV2774ID	SOIC-14	4	5.5	2	5.1	6, 9	2.7	3,21	2,62	2,35	2,18
595-TLV2775CD	TLV2775CD	SOIC-16	4	5.5	2	5.1	6, 9	2.7	3,07	2,50	2,24	2,05
595-TLE2064ACD	TLE2064ACD	SOIC-14	4	36	0.325	1.8	3.4	6	5,57	4,56	4,12	3,79
595-TLE2064AID	TLE2064AID	SOIC-14	4	36	0.325	1.8	3.4	6	5,88	4,82	4,35	3,99
595-TLE2064CD	TLE2064CD	SOIC-14	4	36	0.325	1.8	3.4	7	4,50	3,61	3,29	2,97

© Copyright 2012 Mouser Electronics
© Copyright 2012 Mouser Electronics

Amplificateurs opérationnels TEXAS INSTRUMENTS

RoHS Compliant **This product is RoHS compliant.**

AMPLIFICATEURS LINÉAIRES STANDARD

Pour des quantités supérieures à celles indiquées, appelez-nous afin d'obtenir un devis.

RÉF. STOCK MOUSER	Réf. TI	Boîtier	Nbre de canaux	Tension d'alimentation totale Min./Max. (+5V=5, ±5V=10)	I_q par canal (Max.) (mA)	Gain Larg. de Bande (Typ.) (MHz)	Vitesse de balayage (Typ.) (V/µs)	V_{es} (25°C) (Max.) (mV)	Prix unitaire			
									1	25	100	250
595-LMV931IDBVR	LMV931IDBVR	SOT-23-5	1	1.8/5.0	0.185	1.4	0.35	4	0,91	0,718	0,646	0,562
595-LMV341IDBVR	LMV341IDBVR	SOT-23-6	1	2.5/5.5	0.17	1	1	4	0,71	0,553	0,489	0,424
595-OPA237NA/250	OPA237NA/250	SOT-5	1	2.7/36	0.35	1.5	0,5	0.75	1,71	1,32	1,20	0,974
595-OPA237NA/250E4	OPA237NA/250E4	SOT-23-5	1	2.7/36	0.35	1.5	0,5	0.75	1,73	1,34	1,21	1,09
595-OPA237UA	OPA237UA	SOIC-8	1	2.7/36	0.35	1.5	0,5	0.75	1,53	1,24	1,11	0,99
595-LMV321IDBVR	LMV321IDBVR	SOT-23-5	1	2.7/5.5	0.17	1	1	7	0,62	0,477	0,421	0,365
595-LMV321IDCKR	LMV321IDCKR	SC-70-5	1	2.7/5.5	0.17	1	1	7	0,62	0,477	0,421	0,365
595-LMV821IDBVR	LMV821IDBVR	SOT-23-5	1	2.7/5.5	0,5	5	1.7	3.5	1,45	1,15	1,03	0,899
595-LMV711IDBVR	LMV711IDBVR	SOT-23-6	1	2.7/5.5	1.7	5	5	3	1,01	0,809	0,726	0,632
595-TLC271AID	TLC271AID	SOIC-8	1	3.0/16	1.6	1.7	3.6	5	0,87	0,693	0,609	0,535
595-TLC271BCD	TLC271BCD	SOIC-8	1	3.0/16	1.6	1.7	3.6	2	0,92	0,734	0,645	0,566
595-TLC271CD	TLC271CD	SOIC-8	1	3.0/16	1.6	1.7	3.6	10	0,73	0,569	0,503	0,441
595-TLC271CDR	TLC271CDR	SOIC-8	1	3.0/16	1.6	1.7	3.6	10	0,74	0,578	0,513	0,445
595-TLC271CP	TLC271CP	PDIP-8	1	3.0/16	1.6	1.7	3.6	10	0,69	0,528	0,462	0,402
595-TLC271CPWR	TLC271CPWR	TSSOP-8	1	3.0/16	1.6	1.7	3.6	10	0,76	0,589	0,52	0,45
595-TLC271ID	TLC271ID	SOIC-8	1	3.0/16	1.6	1.7	3.6	10	0,76	0,594	0,525	0,46
595-TLC271IP	TLC271IP	PDIP-8	1	3.0/16	1.6	1.7	3.6	10	0,78	0,611	0,54	0,468
595-TS321IDBVR	TS321IDBVR	SOT-23-5	1	3.0/30	1	0.8	0.4	4	0,71	0,553	0,489	0,424
595-OPA137NA/250	OPA137NA/250	SOT-23-5	1	4.5/36	0.27	1	3.5	3	2,00	1,53	1,39	1,14
595-OP07CD	OP07CD	SOIC-8	1	6.0/36	5	0.6	0.3	0.15	0,79	0,631	0,545	0,329
595-OP07DP	OP07DP	PDIP-8	1	6.0/36	5	0.6	0.3	0.15	1,03	0,817	0,735	0,639
595-TL061CD	TL061CD	SOIC-8	1	7.0/36	0.25	1	3.5	15	0,65	0,457	0,392	0,338
595-TL061IDR	TL061IDR	SOIC-8	1	7.0/36	0.25	1	3.5	15	0,59	0,413	0,355	0,306
595-TL071CD	TL071CD	SOIC-8	1	7.0/36	2.5	3	13	10	0,55	0,381	0,327	0,282
595-TL071CP	TL071CP	PDIP-8	1	7.0/36	2.5	3	13	10	0,49	0,371	0,322	0,215
595-TL071CPSR	TL071CPSR	SOP-8	1	7.0/36	2.5	3	13	10	0,50	0,349	0,299	0,258
595-TL071ID	TL071ID	SOIC-8	1	7.0/36	2.5	3	13	10	0,50	0,363	0,318	0,276
595-TL081ACD	TL081ACD	SOIC-8	1	7.0/36	2.8	3	13	6	0,76	0,602	0,533	0,463
595-TL081BCD	TL081BCD	SOIC-8	1	7.0/36	2.8	3	13	3	0,94	0,743	0,668	0,532
595-TL081CD	TL081CD	SOIC-8	1	7.0/36	2.8	3	13	15	0,55	0,381	0,327	0,282
595-TL081ID	TL081ID	SOIC-8	1	7.0/36	2.8	3	13	15	0,50	0,371	0,322	0,276
595-UA741CP	UA741CP	PDIP-8	1	7.0/36	2.8	1	0,5	6	0,44	0,338	0,29	0,193
595-UA741CPE4	UA741CPE4	PDIP-8	1	7.0/36	2.8	1	0,5	6	0,44	0,338	0,29	0,193
595-TL031CD	TL031CD	SOIC-8	1	10/30	0.28	1.1	5.1	1.5	0,55	0,421	0,37	0,322
595-TL031CP	TL031CP	PDIP-8	1	10/30	0.28	1.1	5.1	1.5	0,50	0,388	0,339	0,295
595-TL031ID	TL031ID	SOIC-8	1	10/30	0.28	1.1	5.1	1.5	0,59	0,454	0,403	0,348
595-TL051ACD	TL051ACD	SOIC-8	1	10/30	3.2	3.1	20	0.8	2,97	2,43	2,18	1,98
595-TL051CD	TL051CD	SOIC-8	1	10/30	3.2	3.1	20	1.5	0,55	0,421	0,37	0,322
595-NE5534D	NE5534D	SOIC-8	1	10/30	8	10	13	4	0,94	0,743	0,668	0,532
595-SA5534AD	SA5534AD	SOIC-8	1	10/30	8	10	13	4	1,12	0,883	0,801	0,697
595-OPA454AIDDA	OPA454AIDDA	HSOP-8	1	10/100	4	2.5	13	4	7,22	5,99	5,45	4,63
595-TLC252CD	TLC252CD	SOIC-8	2	1.4/16	1.6	1.7	3.6	10	3,95	3,17	2,89	2,61
595-OPA2336U	OPA2336U	SOIC-8	2	2.3/5.5	0.032	0.1	0.03	0.125	4,39	3,52	3,21	2,90
595-OPA2336UA	OPA2336UA	SOIC-8	2	2.3/5.5	0.032	0.1	0.03	0.125	3,22	2,62	2,36	2,15
595-OPA2237UA	OPA2237UA	SOIC-8	2	2.7/36	0.35	1.5	0,5	0.75	2,72	2,22	2,00	1,67
595-LPV358ID	LPV358ID	SOIC-8	2	2.7/5.5	0.01	0.237	0.1	7	0,94	0,743	0,668	0,532
595-LMV358IDGKR	LMV358IDGKR	MSOP-8	2	2.7/5.5	0.17	1	1	7	0,71	0,553	0,489	0,424
595-LMV358IPW	LMV358IPW	TSSOP-8	2	2.7/5.5	0.17	1	1	7	0,79	0,614	0,535	0,465
595-LMV358QDDUR	LMV358QDDUR	VSSOP-8	2	2.7/5.5	0.17	1	1	7	0,78	0,602	0,538	0,466
595-TLC27M2ACD	TLC27M2ACD	SOIC-8	2	3.0/16	0.28	0.525	0.43	5	0,97	0,776	0,687	0,601
595-TLC27M2AID	TLC27M2AID	SOIC-8	2	3.0/16	0.28	0.525	0.43	5	1,03	0,817	0,721	0,633
595-TLC27M2BCD	TLC27M2BCD	SOIC-8	2	3.0/16	0.28	0.525	0.43	2	1,12	0,891	0,785	0,689
595-TLC27M2BID	TLC27M2BID	SOIC-8	2	3.0/16	0.28	0.525	0.43	2	1,16	0,924	0,815	0,715
595-TLC27M2CD	TLC27M2CD	SOIC-8	2	3.0/16	0.28	0.525	0.43	10	0,84	0,668	0,583	0,512
595-TLC27M2CDR	TLC27M2CDR	SOIC-8	2	3.0/16	0.28	0.525	0.43	10	0,80	0,611	0,542	0,467
595-TLC27M2CPSRG4	TLC27M2CPSRG4	SOIC-8	2	3.0/16	0.28	0.525	0.43	10	0,80	0,611	0,542	0,467
595-TLC27M2ID	TLC27M2ID	SOIC-8	2	3.0/16	0.28	0.525	0.43	10	0,87	0,693	0,609	0,535
595-TLC27M2IPW	TLC27M2IPW	TSSOP-8	2	3.0/16	0.28	0.525	0.43	10	0,87	0,693	0,609	0,535
595-TLC272ACDR	TLC272ACDR	SOIC-8	2	3.0/16	1.6	1.7	3.6	5	0,83	0,652	0,574	0,497
595-TLC272AID	TLC272AID	SOIC-8	2	3.0/16	1.6	1.7	3.6	5	0,59	0,479	0,363	0,338
595-TLC272BID	TLC272BID	SOIC-8	2	3.0/16	1.6	1.7	3.6	2	0,87	0,693	0,609	0,535
595-TLC272CD	TLC272CD	SOIC-8	2	3.0/16	1.6	1.7	3.6	10	0,75	0,586	0,511	0,444
595-TLC272CDR	TLC272CDR	SOIC-8	2	3.0/16	1.6	1.7	3.6	10	0,69	0,528	0,472	0,409
595-TLC272CPW	TLC272CPW	TSSOP-8	2	3.0/16	1.6	1.7	3.6	10	0,75	0,586	0,511	0,444
595-TLC272CPWR	TLC272CPWR	TSSOP-8	2	3.0/16	1.6	1.7	3.6	10	0,70	0,541	0,478	0,318
595-TLC272ID	TLC272ID	SOIC-8	2	3.0/16	1.6	1.7	3.6	10	0,88	0,678	0,599	0,519
595-TLC272IDR	TLC272IDR	SOIC-8	2	3.0/16	1.6	1.7	3.6	10	0,72	0,561	0,496	0,43
595-LM2904AVQDRG4	LM2904AVQDRG4	SOIC-8	2	3.0/26	0.6	0.7	0.3	7	0,51	0,38	0,31	0,259
595-LM2904DG4	LM2904DG4	SOIC-8	2	3.0/26	0.6	0.7	0.3	7	0,47	0,305	0,251	0,209
595-LM2904DGKR	LM2904DGKR	SOIC-8	2	3.0/26	0.6	0.7	0.3	7	0,39	0,254	0,209	0,174
595-LM2904DRG3	LM2904DRG3	SOIC-8	2	3.0/26	0.6	0.7	0.3	7	0,39	0,254	0,209	0,174
595-LM2904PWRG3	LM2904PWRG3	TSSOP-8	2	3.0/26	0.6	0.7	0.3	7	0,39	0,254	0,209	0,174
595-LM2904VQDR	LM2904VQDR	SOIC-8	2	3.0/26	0.6	0.7	0.3	7	0,58	0,403	0,346	0,298
595-LM258AD	LM258AD	SOIC-8	2	3.0/32	0.6	0.7	0.3	3	0,40	0,269	0,219	0,182
595-LM258ADGKR	LM258ADGKR	MSOP-8	2	3.0/32	0.6	0.7	0.3	3	0,38	0,251	0,205	0,172
595-LM258DGKR	LM258DGKR	MSOP-8	2	3.0/32	0.6	0.7	0.3	7	0,37	0,243	0,199	0,166
595-LM258DRG3	LM258DRG3	SOIC-8	2	3.0/32	0.6	0.7	0.3	5	0,37	0,243	0,199	0,166
595-LM358ADGKR	LM358ADGKR	MSOP-8	2	3.0/32	0.6	0.7	0.3	3	0,46	0,267	0,214	0,155
595-LM358APWR	LM358APWR	TSSOP-8	2	3.0/32	0.6	0.7	0.3	3	0,40	0,262	0,215	0,179
595-LM358D	LM358D	SOIC-8	2	3.0/32	0.6	0.7	0.3	7	0,36	0,238	0,193	0,149
595-LM358DR	LM358DR	SOIC-8	2	3.0/32	0.6	0.7	0.3	7	0,49	0,286	0,231	0,166
595-LM358DRG3	LM358DRG3	SOIC-8	2	3.0/32	0.6	0.7	0.3	7	0,49	0,286	0,231	0,166
595-LM358DRG4	LM358DRG4	SOIC-8	2	3.0/32	0.6	0.7	0.3	7	0,49	0,286	0,231	0,166
595-LM358P	LM358P	PDIP-8	2	3.0/32	0.6	0.7	0.3	7	0,39	0,255	0,208	0,14
595-LM358PE3	LM358PE3	PDIP-8	2	3.0/32	0.6	0.7	0.3	7	0,39	0,259	0,21	0,158
595-RC4580IDR	RC4580IDR	SOIC-8	2	4.0/32	4.5	12	5	3	0,77	0,611	0,55	0,479
595-OPA2130UA	OPA2130UA	SOIC-8	2	4.5/36	0.65	1	2	1	5,57	4,56	4,12	3,79
595-TL062ACD	TL062ACD	SOIC-8	2	7.0/36	0.25	1	3.5	6	0,79	0,602	0,528	0,46
595-TL062ACDR	TL062ACDR	SOIC-8	2	7.0/36	0.25	1	3.5	6	0,73	0,561	0,495	0,429
595-TL062CD	TL062CD	SOIC-8	2	7.0/36	0.25	1	3.5	15	0,63	0,479	0,422	0,368
595-TL062CPSR	TL062CPSR	SOP-8	2	7.0/36	0.25	1	3.5	15	0,63	0,487	0,43	0,373
595-TL062CPW	TL062CPW	TSSOP-8	2	7.0/36	0.25	1	3.5	15	0,69	0,528	0,469	0,407
595-TL062ID	TL062ID	SOIC-8	2	7.0/36	0.25	1	3.5	15	0,68	0,52	0,458	0,398
595-TL062IDR	TL062IDR	SOIC-8	2	7.0/36	0.25	1	3.5	15	0,64	0,493	0,436	0,377

© Copyright 2012 Mouser Electronics

© Copyright 2012 Mouser Electronics

Amplificateurs TEXAS INSTRUMENTS

RoHS Compliant This product is RoHS compliant.

AMPLIFICATEURS LINÉRAIRES STANDARD (SUITE)

Pour des quantités supérieures à celles indiquées, appelez-nous afin d'obtenir un devis.

RÉF. STOCK MOUSER	Réf. TI	Boîtier	Nbre de canaux	Tension d'alimentation totale Min./Max. (+5V=5, ±5V=10)	I_q par canal (Max.) (mA)	Gain Larg. de Bande (Typ.) (MHz)	Vitesse de balayage (Typ.) (V/µs)	V_{es} (25°C) (Max.) (mV)	Prix unitaire 1	25	100	250
595-TL072ACD	TL072ACD	SOIC-8	2	7.0/36	2.5	3	13	6	0,83	0,653	0,587	0,512
595-TL072ACP	TL072ACP	PDIP-8	2	7.0/36	2.5	3	13	6	0,83	0,66	0,578	0,354
595-TL072BCD	TL072BCD	SOIC-8	2	7.0/36	2.5	3	13	3	1,16	0,908	0,818	0,713
595-TL072BCDR	TL072BCDR	SOIC-8	2	7.0/36	2.5	3	13	3	0,97	0,767	0,691	0,601
595-TL072CD	TL072CD	SOIC-8	2	7.0/36	2.5	3	13	10	0,69	0,528	0,469	0,407
595-TL072CP	TL072CP	PDIP-8	2	7.0/36	2.5	3	13	10	0,68	0,52	0,458	0,398
595-TL072CPWR	TL072CPWR	TSSOP-8	2	7.0/36	2.5	3	13	10	0,57	0,437	0,391	0,339
595-TL072ID	TL072ID	SOIC-8	2	7.0/36	2.5	3	13	10	0,63	0,479	0,422	0,368
595-TL082ACD	TL082ACD	SOIC-8	2	7.0/36	2.8	3	13	6	0,78	0,602	0,528	0,46
595-TL082BCD	TL082BCD	SOIC-8	2	7.0/36	2.8	3	13	3	1,16	0,908	0,818	0,713
595-TL082CD	TL082CD	SOIC-8	2	7.0/36	2.8	3	13	15	0,69	0,528	0,469	0,407
595-TL082CDR	TL082CDR	SOIC-8	2	7.0/36	2.8	3	13	15	0,58	0,449	0,396	0,343
595-TL082CP	TL082CP	PDIP-8	2	7.0/36	2.8	3	13	15	0,68	0,52	0,458	0,398
595-TL082CPSR	TL082CPSR	SOP-8	2	7.0/36	2.8	3	13	15	0,63	0,487	0,43	0,373
595-TL082ID	TL082ID	SOIC-8	2	7.0/36	2.8	3	13	15	0,68	0,52	0,458	0,398
595-TL082IPWR	TL082IPWR	TSSOP-8	2	7.0/36	2.8	3	13	15	0,63	0,487	0,43	0,373
595-LF353D	LF353D	SOIC-8	2	7.0/36	3.25	3	13	10	0,65	0,457	0,392	0,338
595-TL022CP	TL022CP	PDIP-8	2	10/30	0.125	0,5	0,5	5	0,69	0,531	0,463	0,285
595-TL032ACD	TL032ACD	SOIC-8	2	10/30	0.28	1.1	5.1	0.8	2,60	2,00	1,82	1,49
595-TL032AIDR	TL032AIDR	SOIC-8	2	10/30	0.28	1.1	5.1	0.8	2,46	1,89	1,72	1,54
595-TL032CD	TL032CD	SOIC-8	2	10/30	0.28	1.1	5.1	1.5	0,69	0,528	0,469	0,407
595-TL032IDR	TL032IDR	SOIC-8	2	10/30	0.28	1.1	5.1	1.5	0,63	0,487	0,43	0,373
595-RC4558P	RC4558P	PDIP-8	2	10/30	2.8	3	1.7	6	0,35	0,23	0,187	0,145
595-RC4558PE4	RC4558PE4	PDIP-8	2	10/30	2.8	3	1.7	6	0,39	0,254	0,209	0,174
595-TL052ACDR	TL052ACDR	SOIC-8	2	10/30	2.8	3	20.7	0.8	1,86	1,43	1,30	1,16
595-TL052CD	TL052CD	SOIC-8	2	10/30	2.8	3	20.7	1.5	0,69	0,528	0,469	0,407
595-TL052IDR	TL052IDR	SOIC-8	2	10/30	2.8	3	20.7	1.5	1,71	1,32	1,20	1,07
595-NE5532P	NE5532P	PDIP-8	2	10/30	4	10	9	4	0,90	0,708	0,637	0,554
595-NE5532PE4	NE5532PE4	PDIP-8	2	10/30	4	10	9	4	0,90	0,708	0,637	0,554
595-LM833DGKR	LM833DGKR	MSOP-8	2	10/36	2.5	16	7	2	0,69	0,528	0,47	0,408
595-LMV324QDR	LMV324QDR	SOIC-14	4	2.7/5.5	0.17	1	1	7	0,78	0,602	0,538	0,466
595-LMV824DGVR	LMV824DGVR	TVSOP-14	4	2.7/5.5	0.3	5	1.7	3.5	0,88	0,693	0,624	0,543
595-TLC27M4ACD	TLC27M4ACD	SOIC-14	4	3.0/16	0.28	0.525	0.43	5	0,86	0,726	0,582	0,436
595-TLC27M4BCD	TLC27M4BCD	SOIC-14	4	3.0/16	0.28	0.525	0.43	2	1,59	1,22	1,11	0,998
595-TLC27M4BID	TLC27M4BID	SOIC-14	4	3.0/16	0.28	0.525	0.43	2	1,71	1,31	1,19	1,06
595-TLC27M4CD	TLC27M4CD	SOIC-14	4	3.0/16	0.28	0.525	0.43	10	1,01	0,80	0,705	0,619
595-TLC27M4ID	TLC27M4ID	SOIC-14	4	3.0/16	0.28	0.525	0.43	10	1,05	0,833	0,735	0,645
595-TLC27M9CD	TLC27M9CD	SOIC-14	4	3.0/16	0.28	0.525	0.43	0.9	2,75	2,20	2,00	1,82
595-TLC274BID	TLC274BID	SOIC-14	4	3.0/16	1.6	1.7	3.6	2	1,42	1,10	0,998	0,891
595-TLC274CD	TLC274CD	SOIC-14	4	3.0/16	1.6	1.7	3.6	10	1,05	0,817	0,742	0,645
595-LM2902D	LM2902D	SOIC-14	4	3.0/26	0.3	1.2	0,5	7	0,42	0,276	0,225	0,174
595-LM2902N	LM2902N	PDIP-14	4	3.0/26	0.3	1.2	0,5	7	0,43	0,284	0,231	0,191
595-LM2902PWR	LM2902PWR	TSSOP-14	4	3.0/26	0.3	1.2	0,5	7	0,39	0,254	0,209	0,174
595-LM324APWR	LM324APWR	TSSOP-14	4	3.0/32	0.3	1.2	0,5	3	0,38	0,254	0,209	0,173
595-LM324N	LM324N	PDIP-14	4	3.0/32	0.3	1.2	0,5	7	0,40	0,28	0,228	0,145
595-LM324NE3	LM324NE3	PDIP-14	4	3.0/32	0.3	1.2	0,5	7	0,50	0,332	0,273	0,227
595-LM324NE4	LM324NE4	PDIP-14	4	3.0/32	0.3	1.2	0,5	7	0,47	0,309	0,254	0,211
595-LM324PWRE4	LM324PWRE4	TSSOP-14	4	3.0/32	0.3	1.2	0,5	3	0,40	0,262	0,215	0,179
595-LM3900DR	LM3900DR	SOIC-14	4	4.5/32	2.5	2.5	20	10	0,42	0,274	0,225	0,187
595-OPA4130UA	OPA4130UA	SOIC-14	4	4.5/36	0.65	1	2	1	8,46	6,93	6,25	5,75
595-TL064ACD	TL064ACD	SOIC-14	4	7.0/36	0.25	1	3.5	6	0,94	0,743	0,668	0,532
595-TL064ACDR	TL064ACDR	SOIC-14	4	7.0/36	0.25	1	3.5	6	0,77	0,611	0,55	0,479
595-TL064BCD	TL064BCD	SOIC-14	4	7.0/36	0.25	1	3.5	3	0,97	0,776	0,679	0,596
595-TL064CD	TL064CD	SOIC-14	4	7.0/36	0.25	1	3.5	15	0,51	0,371	0,327	0,282
595-TL064CPWR	TL064CPWR	TSSOP-14	4	7.0/36	0.25	1	3.5	15	0,50	0,338	0,295	0,255
595-TL064ID	TL064ID	SOIC-14	4	7.0/36	0.25	1	3.5	15	0,65	0,454	0,389	0,336
595-TL074ACD	TL074ACD	SOIC-14	4	7.0/36	2.5	3	13	6	0,88	0,701	0,634	0,552
595-TL074ACN	TL074ACN	PDIP-14	4	7.0/36	2.5	3	13	6	0,76	0,61	0,533	0,327
595-TL074BCD	TL074BCD	SOIC-14	4	7.0/36	2.5	3	13	3	0,97	0,776	0,679	0,596
595-TL074CD	TL074CD	SOIC-14	4	7.0/36	2.5	3	13	10	0,55	0,404	0,35	0,303
595-TL074CPWR	TL074CPWR	TSSOP-14	4	7.0/36	2.5	3	13	10	0,55	0,38	0,325	0,281
595-TL074ID	TL074ID	SOIC-14	4	7.0/36	2.5	3	13	10	0,83	0,653	0,587	0,512
595-LF347N	LF347N	PDIP-14	4	7.0/36	2.75	3	13	10	0,68	0,525	0,463	0,401
595-TL084ACD	TL084ACD	SOIC-14	4	7.0/36	2.8	3	13	6	0,83	0,653	0,587	0,512
595-TL084ACNSR	TL084ACNSR	SOP-14	4	7.0/36	2.8	3	13	6	0,86	0,668	0,592	0,512
595-TL084BCD	TL084BCD	SOIC-14	4	7.0/36	2.8	3	13	3	1,11	0,883	0,776	0,681
595-TL084CD	TL084CD	SOIC-14	4	7.0/36	2.8	3	13	15	0,65	0,454	0,389	0,336
595-TL084CPW	TL084CPW	TSSOP-14	4	7.0/36	2.8	3	13	15	0,51	0,371	0,323	0,28
595-TL084ID	TL084ID	SOIC-14	4	7.0/36	2.8	3	13	15	0,55	0,404	0,35	0,303
595-LM348DR	LM348DR	SOIC-14	4	8.0/36	1.125	1	0.8	6	0,45	0,318	0,272	0,235
595-TL034ACDR	TL034ACDR	SOIC-14	4	10/30	0.28	1.1	5.1	1.5	4,08	3,33	2,99	2,72
595-TL034AID	TL034AID	SOIC-14	4	10/30	0.28	1.1	5.1	1.5	5,32	4,34	3,90	3,28
595-TL034CD	TL034CD	SOIC-14	4	10/30	0.28	1.1	5.1	4	1,73	1,34	1,21	1,09
595-TL034CDR	TL034CDR	SOIC-14	4	10/30	0.28	1.1	5.1	4	1,42	1,10	0,998	0,891
595-TL034ID	TL034ID	SOIC-14	4	10/30	0.28	1.1	5.1	4	1,88	1,44	1,31	1,18
595-TL054ACD	TL054ACD	SOIC-14	4	10/30	2.8	2.7	17.8	1.5	6,09	4,98	4,50	4,13
595-TL054CD	TL054CD	SOIC-14	4	10/30	2.8	2.7	17.8	4	2,60	2,00	1,82	1,49
595-TL054ID	TL054ID	SOIC-14	4	10/30	2.8	2.7	17.8	4	2,43	1,96	1,76	1,57
595-LM124DG4	LM124DG4	SOIC-14	4	±16/±16	---	---	0,5	3	0,63	0,487	0,43	0,373

AMPLIFICATEURS COMPLÈTEMENT DIFFÉRENTIELS

Pour des quantités supérieures à celles indiquées, appelez-nous afin d'obtenir un devis.

RÉF. STOCK MOUSER	Réf. TI	Boîtier	Nbre de canaux	V_e (Min./Max.)	I_q par canal (Max.) (mA)	Gain Larg. de Bande (Typ.) (MHz)	Vitesse de balayage (Typ.) (V/µs)	I_s (Typ.) (mA)	Prix unitaire 1	25	100	250
595-THS4121CDGK	THS4121CDGK	VSSOP-8	1	3/3.5	16	-	43	40	5,20	4,17	3,80	3,43
595-THS4520RGTT	THS4520RGTT	QFN-16	1	3/5.25	15.3	1200	570	105	4,48	3,65	3,28	2,99
595-THS4509RGTT	THS4509RGTT	QFN-16	1	3/5.5	37.7	3000	6600	96	8,98	7,35	6,63	6,10
595-THS4513RGTT	THS4513RGTT	QFN-16	1	3/5.5	41.9	2800	5100	96	9,69	7,94	7,17	6,59
595-THS4511RGTT	THS4511RGTT	QFN-16	1	3.75/5.25	39.2	2000	4900	61	9,08	7,63	7,01	6,39
595-THS770006IRGET	THS770006IRGET	VQFN-24	1	4.75/5.25	100	2400	3100	100	9,80	7,05	5,88	5,10
595-THS770012IRGET	THS770012IRGET	VQFN-24	1	4.75/5.25	115	900	3300	100	10,82	8,98	8,17	6,94
595-THS4508RGTT	THS4508RGTT	QFN-16	1	5/5.5	39.2	3000	6400	61	10,35	8,70	7,99	7,28
595-THS4502CD	THS4502CD	SOIC-8	1	5/15	34	300	2800	98	9,80	8,03	7,24	6,66
595-THS4502CDGN	THS4502CDGN	HTSSOP-8	1	5/15	34	300	2800	98	9,80	8,03	7,24	6,66

© Copyright 2012 Mouser Electronics
© Copyright 2012 Mouser Electronics

Amplificateurs TEXAS INSTRUMENTS

RoHS Compliant This product is RoHS compliant.

AMPLIFICATEURS COMPLÈTEMENT DIFFÉRENTIELS (SUITE)

Pour des quantités supérieures à celles indiquées, appelez-nous afin d'obtenir un devis.

RÉF. STOCK MOUSER	Réf. TI	Boîtier	Nbre de canaux	V_e (Min./Max.)	I_q par canal (Max.) (mA)	Gain Larg. de Bande (Typ.) (MHz)	Vitesse de balayage (Typ.) (V/µs)	I_s (Typ.) (mA)	Prix unitaire 1	25	100	250
595-THS4503CD	THS4503CD	SOIC-8	1	5/15	34	300	2800	98	9,80	8,03	7,24	6,66
595-THS4503ID	THS4503ID	SOIC-8	1	5/15	34	300	2800	98	10,48	8,20	7,90	6,72
595-THS4503IDGK	THS4503IDGK	VSSOP-8	1	5/15	34	300	2800	98	10,48	8,20	7,90	6,72
595-THS4503IDGN	THS4503IDGN	HTSSOP-8	1	5/15	34	300	2800	98	10,48	8,20	7,90	6,72
595-THS4505D	THS4505D	SOIC-8	1	5/15	21	210	1800	100	4,95	4,04	3,63	3,30
595-THS4130CD	THS4130CD	SOIC-8	1	5/30	16	225	51	85	6,83	5,59	5,05	4,23
595-THS4130ID	THS4130ID	SOIC-8	1	5/30	16	225	51	85	7,12	5,83	5,26	4,83
595-THS4131CD	THS4131CD	SOIC-8	1	5/30	16	225	51	85	7,22	5,99	5,45	4,63
595-THS4131CDGN	THS4131CDGN	HTSSOP-8	1	5/30	16	225	51	85	7,22	5,92	5,34	4,91
595-THS4131ID	THS4131ID	SOIC-8	1	5/30	16	225	51	85	7,43	6,17	5,61	4,77
595-THS4131IDGK	THS4131IDGK	VSSOP-8	1	5/30	16	225	51	85	7,43	6,17	5,61	4,77
595-THS4131IDGN	THS4131IDGN	HTSSOP-8	1	5/30	16	225	51	85	7,43	6,09	5,49	5,05
595-THS4140CD	THS4140CD	SOIC-8	1	5/30	18	205	450	85	8,46	6,93	6,25	5,75
595-THS4140IDGK	THS4140IDGK	VSSOP-8	1	5/30	18	205	450	85	8,66	7,10	6,41	5,89
595-THS4151CD	THS4151CD	SOIC 8	1	5/30	23	340	650	85	10,16	8,55	7,85	7,16
595-THS4151ID	THS4151ID	SOIC 8	1	5/30	23	340	650	85	10,35	8,70	7,99	7,28
595-THS4151IDGN	THS4151IDGN	HTSSOP-8	1	5/30	23	340	650	85	10,35	8,70	7,99	7,28
595-THS4522IPW	THS4522IPW	TSSOP-16	2	2.5/5.5	1.25	95	490	55	5,20	4,17	3,80	3,43

AMPLIFICATEURS D'INSTRUMENTATION

Pour des quantités supérieures à celles indiquées, appelez-nous afin d'obtenir un devis.

RÉF. STOCK MOUSER	Réf. TI	Boîtier	Courant de polar. entrée (±) (Max.) (nA)	Largeur de bande à G=100 (Min.) (kHz)	Non-linéarité (±) (Max.) (%)	Bruit à 1kHz (Typ) [nv/rt(Hz)]	V_e (Min./Max.)	Courant de repos (±) (Typ.) (mA)	Prix unitaire 1	25	100	250
Alimentation unique												
595-INA322EA/250	INA322EA/250	VSSOP-8	0.01	50	0.01	100	2.5/5.5	0.04	2,72	2,22	2,00	1,67
595-INA2332AIPWT	INA2332AIPWT	TSSOP-14	0.01	500	0.4	46	2.5/5.5	0.415	3,19	2,56	2,15	1,67
595-INA332AIDGKT	INA332AIDGKT	VSSOP-8	0.01	500	0.4	46	2.5/5.5	0.415	1,73	1,34	1,21	1,09
595-INA326EA/250	INA326EA/250	VSSOP-8	2	1	0.01	33	2.7/5.5	2.4	4,85	3,89	3,55	3,20
595-INA326EA/2K5	INA326EA/2K5	MSOP-8	2	1	0.01	33	2.7/5.5	2.4	4,46	3,64	3,27	2,97
595-INA327EA/250	INA327EA/250	VSSOP-10	2	1	0.01	33	2.7/5.5	2.4	5,78	4,74	4,27	3,93
595-INA118U	INA118U	SOIC 8	5	70	0.002	10	2.7/36	0.35	10,53	8,85	8,13	7,42
595-INA118UB	INA118UB	SOIC 8	5	70	0.002	10	2.7/36	0.35	16,04	13,59	12,55	10,80
Double alimentation												
595-INA121U	INA121U	SOIC 8	0.05	50	0.005	20	4.5/36	0.45	8,36	6,85	6,18	5,68
595-INA121UA	INA121UA	SOIC 8	0.05	50	0.005	20	4.5/36	0.45	6,56	5,45	4,95	4,46
595-INA114AP	INA114AP	PDIP-8	2	10	0.002	11	4.5/36	2.2	9,90	8,12	7,33	6,73
595-INA114AU	INA114AU	SOIC-16	2	10	0.002	11	4.5/36	2.2	10,53	8,85	8,13	7,42
595-INA114BU	INA114BU	SOIC-16	2	10	0.002	11	4.5/36	2.2	13,70	11,52	10,58	9,65
595-INA128U	INA128U	SOIC 8	5	200	0.012	8	4.5/36	0.7	9,65	8,12	7,37	6,80
595-INA128UA	INA128UA	SOIC 8	5	200	0.012	8	4.5/36	0.7	7,69	6,38	5,81	4,93
595-INA129U	INA129U	SOIC 8	5	200	0.002	8	4.5/36	0.7	7,88	5,68	4,73	4,10
595-INA129UA	INA129UA	SOIC 8	5	200	0.002	8	4.5/36	0.7	7,19	5,90	5,32	4,89
595-INA126E/250	INA126E/250	VSSOP-8	25	9	0.002	35	2.7/36	0.175	3,75	3,00	2,74	2,47
595-INA126U	INA126U	SOIC 8	25	9	0.002	35	2.7/36	0.175	3,84	3,14	2,65	2,37
595-INA126UA	INA126UA	SOIC 8	25	9	0.002	35	2.7/36	0.175	3,07	2,50	2,24	2,05
595-INA126UA/2K5	INA126UA/2K5	SOIC 8	25	9	0.002	35	2.7/36	0.175	2,48	2,02	1,82	1,53

AMPLIFICATEURS DIFFÉRENTIELS

Pour des quantités supérieures à celles indiquées, appelez-nous afin d'obtenir un devis.

RÉF. STOCK MOUSER	Réf. TI	Boîtier	V_e (Min./Max.)	Gain (V/V)	Décalage en entrée (±) (Max.) (µA)	Déviation (±) (Max) (µA/°C)	C_{MRR} (Min.) (dB)	Largeur de bande (Typ.) (MHz)	Prix unitaire 1	25	100	250
595-INA159AIDGKT	INA159AIDGKT	VSSOP-8	1.8/5.5	0.2	500	-	86	1.5	4,58	3,74	3,36	2,82
595-INA132UA	INA132UA	SOIC 8	2.7/36	1	250	-	76	0.3	3,47	2,83	2,54	2,14
595-INA2134UA	INA2134UA	SOIC-14	8.0/36	1	1000	2	74	3.1	4,74	3,80	3,47	3,13
595-INA2137UA	INA2137UA	SOIC-14	8.0/36	0.5,2	1000	2	74	4	4,74	3,80	3,47	3,13

MESURE DE COURANT PAR SHUNT

Pour des quantités supérieures à celles indiquées, appelez-nous afin d'obtenir un devis.

RÉF. STOCK MOUSER	Réf. TI	Boîtier	V_e (Min./Max.)	Gain (V/V)	Gamme d'entrée (Min.) (V)	Décalage en entrée (±) (Max.) (µA)	C_{MRR} (Min.) (dB)	Largeur de bande (Typ.) (MHz)	Prix unitaire 1	25	100	250
595-INA216A1YFFT	INA216A1YFFT	DSBGA-4	1.8/5.5	25	1.8	100	90	-	1,71	1,32	1,20	0,974
595-INA216A4YFFT	INA216A4YFFT	DSBGA-4	1.8/5.5	200	1.8	75	90	-	1,73	1,34	1,21	0,99
595-INA196AIDBVT	INA196AIDBVT	SOT-5	2.7/13.5	20	de -16 à +80	2000	100	-	2,75	2,11	1,91	1,57
595-INA197AIDBVT	INA197AIDBVT	SOT-5	2.7/13.5	50	de -16 à +80	2000	100	-	2,75	2,11	1,91	1,57
595-INA198AIDBVT	INA198AIDBVT	SOT-5	2.7/13.5	100	de -16 à +80	2000	100	-	2,71	2,09	1,90	1,54
595-INA193AIDBVT	INA193AIDBVT	SOT-5	2.7/18	20	de -16 à +80	2000	100	0.4	2,71	2,09	1,90	1,54
595-INA193AQDBVRQ1	INA193AQDBVRQ1	SOT-23-5	2.7/18	20	de -16 à +80	2000	100	0.4	2,71	2,09	1,90	1,70
595-INA194AIDBVT	INA194AIDBVT	SOT-5	2.7/18	50	de -16 à +80	2000	100	0.4	2,71	2,09	1,90	1,54
595-INA195AIDBVT	INA195AIDBVT	SOT-5	2.7/18	100	de -16 à +80	2000	100	0.4	2,57	1,98	1,79	1,54
595-INA196AQDBVRQ1	INA196AQDBVRQ1	SOT-23-5	2.7/18	50	de -16 à +80	2000	80	-	2,71	2,09	1,90	1,70
595-INA200AID	INA200AID	SOIC 8	2.7/18	20	de -16 à +80	2500	100	0,5	2,72	2,22	1,86	1,67
595-INA200AIDGKR	INA200AIDGKR	VSSOP-8	2.7/18	20	de -16 à +80	2500	100	0,5	2,60	2,00	1,82	1,49
595-INA201AIDGKR	INA201AIDGKR	VSSOP-8	2.7/18	50	de -16 à +80	2500	100	0.3	2,60	2,00	1,82	1,49
595-INA201AIDGKT	INA201AIDGKT	VSSOP-8	2.7/18	50	de -16 à +80	2500	100	0.3	2,60	2,11	1,77	1,60
595-INA202AID	INA202AID	SOIC 8	2.7/18	100	de -16 à +80	2500	100	0.2	2,72	2,22	1,86	1,67
595-INA202AIDGKR	INA202AIDGKR	VSSOP-8	2.7/18	100	de -16 à +80	2500	100	0.2	2,60	2,00	1,82	1,49
595-INA206AID	INA206AID	SOIC-14	2.7/18	20	de -16 à +80	2500	100	0,5	2,85	2,32	2,09	1,75
595-INA271AID	INA271AID	SOIC 8	2.7/18	20	de -16 à +80	2500	100	0.13	1,37	1,09	0,957	0,842
595-INA199A1RSWT	INA199A1RSWT	QFN-10	2.7/26	50	de -0,3 à 26	150	100	0.014	1,71	1,32	1,20	0,974
595-INA199A2RSWT	INA199A2RSWT	QFN-10	2.7/26	100	de -0,3 à 26	150	100	0.014	1,71	1,32	1,20	0,974
595-INA199A3RSWT	INA199A3RSWT	QFN-10	2.7/26	200	de -0,3 à 26	150	100	0.014	1,71	1,32	1,20	0,974
595-INA210AIDCKT	INA210AIDCKT	SC-70-6	2.7/26	200	-0.3	35	105	0.014	2,14	1,65	1,49	1,22
595-INA213AIDCKT	INA213AIDCKT	SC-70-6	2.7/26	50	-0.3	0,5	100	0.014	2,17	1,67	1,51	1,24
595-INA214AIDCKT	INA214AIDCKT	SC-70-6	2.7/26	100	-0.3	60	105	0.014	2,17	1,67	1,51	1,24
595-INA138NA/250	INA138NA/250	SOT-5	2.7/36	de 1 à 100	de 2,7 à 36	1000	100	0.8	2,17	1,67	1,51	1,24
595-INA139NA/250	INA139NA/250	SOT-5	2.7/40	de 1 à 100	de 2,7 à 36	1000	100	0.44	2,17	1,67	1,51	1,24
595-INA168NA/250	INA168NA/250	SOT-5	2.7/60	de 1 à 100	2,7 à 60	1000	100	0.08	2,69	2,19	1,97	1,66
595-INA169NA/250	INA169NA/250	SOT-5	2.7/60	de 1 à 100	2,7 à 60	1000	100	0.44	2,75	2,11	1,91	1,57
595-INA170EA/2K5	INA170EA/2K5	MSOP-8	2.7/60	de 1 à 100	2,7 à 60	1	100	0.4	2,71	2,09	1,90	1,70
595-INA209AIPW	INA209AIPW	TSSOP-16	3.0/5.5	Program.	0 à +26	100	100	-	6,11	5,01	4,52	4,16
595-INA209AIPWR	INA209AIPWR	TSSOP-16	3.0/5.5	Program.	0 à +26	100	100	-	5,40	4,48	4,08	3,66
595-INA219AIDCNT	INA219AIDCNT	SOT-23-8	3.0/5.5	Program.	0 à +26	50	100	-	2,81	2,29	2,06	1,73
595-INA219AIDCNR	INA219AIDCNR	SOT-23-8	3.0/5.5	Program.	0 à +26	50	100	-	2,86	2,20	2,00	1,79
595-INA219BIDCNT	INA219BIDCNT	SOT-23-8	3.0/5.5	Program.	0 à +26	50	100	-	3,09	2,52	2,27	1,91

© Copyright 2012 Mouser Electronics

© Copyright 2012 Mouser Electronics

Amplificateurs TEXAS INSTRUMENTS

RoHS Compliant **This product is RoHS compliant.**

COMPARATEURS

Pour des quantités supérieures à celles indiquées, appelez-nous afin d'obtenir un devis.

RÉF. STOCK MOUSER	Réf. TI	Boîtier	Nbre de canaux	I_q par canal (Max.) (mA)	Courant de sortie (Min.) (mA)	tRÉP. en montée (μS)	Tension d'alimentation totale (Min./Max.) (+5V=5, ±5V=10)	V_{es} (25°C) (Max.) (mV)	Prix unitaire 1	25	100	250
Émetteur, collecteur ouvert												
595-LM211D	LM211D	SOIC 8	1	6	50	0.115	3.5/30	3	0,43	0,314	0,27	0,233
595-LM211P	LM211P	PDIP-8	1	6	50	0.115	3.5/30	3	0,43	0,318	0,272	0,236
Collecteur ouvert, drain ouvert												
595-TLV3401IDBVR	TLV3401IDBVR	SOT-23-5	1	0.00055	-	80	2.5/16	3.6	1,86	1,43	1,30	1,16
595-LMV331IDBVR	LMV331IDBVR	SOT-23-5	1	0.12	10	0.2	2.7/5.5	7	0,62	0,477	0,421	0,365
595-LMV331IDCKR	LMV331IDCKR	SC-70-5	1	0.12	10	0.2	2.7/5.5	7	0,62	0,477	0,421	0,365
595-TL331IDBVR	TL331IDBVR	SOT-23-5	1	0.7	6	0.3	2.0/36	5	0,59	0,413	0,354	0,305
595-TL331IDBVRE4	TL331IDBVRE4	SOT-23-5	1	0.7	6	0.3	2.0/36	5	0,50	0,363	0,318	0,276
595-TL331IDBVRG4	TL331IDBVRG4	SOT-23-5	1	0.7	6	0.3	2.0/36	5	0,50	0,363	0,318	0,276
595-TL331KDBVR	TL331KDBVR	SOT-23-5	1	0.7	6	0.3	2.0/36	5	0,59	0,404	0,35	0,302
595-LM311D	LM311D	SOIC 8	1	7.5	50	0.115	3.5/30	7.5	0,55	0,381	0,327	0,282
595-LM311DR	LM311DR	SOIC 8	1	7.5	50	0.115	3.5/30	7.5	0,45	0,318	0,272	0,235
595-LM311P	LM311P	PDIP-8	1	7.5	50	0.115	3.5/30	7.5	0,59	0,413	0,354	0,305
595-TLV3402IDR	TLV3402IDR	MSOP-8	2	0.00055	-	80	2.5/16	3.6	2,57	1,98	1,79	1,61
595-TLC393CDR	TLC393CDR	SOIC 8	2	0.02	6	1.1	3.0/16	5	0,83	0,66	0,594	0,517
595-TLC393CP	TLC393CP	PDIP-8	2	0.02	6	1.1	3.0/16	5	0,77	0,611	0,539	0,473
595-TLC372CD	TLC372CD	SOIC 8	2	0.15	6	0.2	3.0/16	5	0,98	0,784	0,691	0,606
595-TLC372CDR	TLC372CDR	SOIC 8	2	0.15	6	0.2	3.0/16	5	0,88	0,71	0,634	0,552
595-TLC372CP	TLC372CP	PDIP-8	2	0.15	6	0.2	3.0/16	5	0,82	0,652	0,575	0,505
595-TLC372CPWG4	TLC372CPWG4	TSSOP-8	2	0.15	6	0.2	3.0/16	5	0,98	0,784	0,691	0,606
595-TLC372IP	TLC372IP	PDIP-8	2	0.15	6	0.2	3.0/16	5	0,90	0,718	0,633	0,555
595-TLC372MD	TLC372MD	SOIC 8	2	0.3	6	0.2	4.0/16	5	1,06	0,85	0,749	0,657
595-LM2903D	LM2903D	SOIC 8	2	0,5	6	0.3	2.0/30	7	0,40	0,276	0,224	0,165
595-LM2903DGKR	LM2903DGKR	MSOP-8	2	0,5	6	0.3	2.0/30	7	0,37	0,243	0,199	0,166
595-LM2903DGKRG4	LM2903DGKRG4	MSOP-8	2	0,5	6	0.3	2.0/30	7	0,34	0,281	0,205	0,139
595-LM2903DRG3	LM2903DRG3	SOIC 8	2	0,5	6	0.3	2.0/30	7	0,37	0,243	0,199	0,166
595-LM2903P	LM2903P	PDIP-8	2	0,5	6	0.3	2.0/30	7	0,40	0,269	0,219	0,17
595-LM2903PWR	LM2903PWR	TSSOP-8	2	0,5	6	0.3	2.0/30	7	0,37	0,243	0,199	0,166
595-LM2903PWRG3	LM2903PWRG3	TSSOP-8	2	0,5	6	0.3	2.0/30	7	0,37	0,243	0,199	0,166
595-LM293ADGKR	LM293ADGKR	MSOP-8	2	0,5	6	0.3	2.0/30	2	0,38	0,251	0,205	0,172
595-LM293D	LM293D	SOIC 8	2	0,5	6	0.3	2.0/30	5	0,39	0,259	0,21	0,174
595-LM293DGKR	LM293DGKR	MSOP-8	2	0,5	6	0.3	2.0/30	5	0,37	0,243	0,199	0,166
595-LM293DRG3	LM293DRG3	SOIC-8	2	0,5	6	0.3	2.0/30	5	0,37	0,243	0,199	0,166
595-LM293P	LM293P	PDIP-8	2	0,5	6	0.3	2.0/30	5	0,36	0,238	0,193	0,16
595-LM393AD	LM393AD	SOIC-8	2	0,5	6	0.3	4.0/30	2	0,38	0,248	0,202	0,156
595-LM393ADR	LM393ADR	SOIC-8	2	0,5	6	0.3	4.0/30	2	0,52	0,302	0,243	0,175
595-LM393AP	LM393AP	PDIP-8	2	0,5	6	0.3	4.0/30	2	0,40	0,269	0,219	0,182
595-LM393APWR	LM393APWR	TSSOP-8	2	0,5	6	0.3	4.0/30	2	0,52	0,302	0,243	0,175
595-LM393D	LM393D	SOIC-8	2	0,5	6	0.3	2.0/30	5	0,36	0,238	0,193	0,149
595-LM393DGKR	LM393DGKR	MSOP-8	2	0,5	6	0.3	2.0/30	5	0,49	0,286	0,231	0,166
595-LM393DR	LM393DR	SOIC-8	2	0,5	6	0.3	4.0/30	2	0,49	0,286	0,231	0,166
595-LM393DRG3	LM393DRG3	SOIC-8	2	0,5	6	0.3	2.0/30	5	0,49	0,286	0,231	0,166
595-LM393P	LM393P	PDIP-8	2	0,5	6	0.3	2.0/30	5	0,39	0,255	0,208	0,14
595-LM393PWR	LM393PWR	TSSOP-8	2	0,5	6	0.3	2.0/30	5	0,38	0,251	0,205	0,172
595-LM393DRE4	LM393DRE4	SOIC-8	2	0,5	6	0.3	2.0/30	5	0,31	0,248	0,185	0,125
595-LM393DRG4	LM393DRG4	SOIC-8	2	0,5	6	0.3	2.0/30	5	0,31	0,248	0,185	0,125
595-TLC339IDR	TLC339IDR	SOIC-14	4	0.02	6	1	3.0/16	14.5	1,43	1,13	1,01	0,883
595-LP339N	LP339N	PDIP-14	4	0.025	20	1.3	5.0/30	5	0,54	0,413	0,366	0,316
595-LP339NE4	LP339NE4	PDIP-14	4	0.025	20	1.3	5.0/30	5	0,54	0,413	0,366	0,316
595-LM3302N	LM3302N	PDIP-14	4	0.2	6	0.3	2.0/28	20	0,71	0,553	0,484	0,422
595-LM139ADG4	LM139ADG4	SOIC-14	4	0,5	6	0.3	2.0/36	2	2,27	1,83	1,65	1,46
595-LM139ADR	LM139ADR	SOIC-14	4	0,5	6	0.3	2.0/36	2	2,27	1,83	1,65	1,46
595-LM139D	LM139D	SOIC-14	4	0,5	6	0.3	2.0/36	5	1,35	1,08	0,949	0,825
595-LM193DR	LM193DR	SOIC-8	4	0,5	6	0.3	2.0/36	5	0,60	0,462	0,408	0,354
595-LM239DRG3	LM239DRG3	SOIC-14	4	0,5	6	0.3	2.0/30	5	0,45	0,289	0,238	0,198
595-LM239N	LM239N	PDIP-14	4	0,5	6	0.3	2.0/30	5	0,44	0,29	0,237	0,196
595-LM2901PW	LM2901PW	TSSOP-14	4	0,5	6	0.3	2.0/30	7	0,42	0,276	0,225	0,174
595-LM339AD	LM339AD	SOIC-14	4	0,5	6	0.3	2.0/30	2	0,40	0,269	0,219	0,17
595-LM339ADG4	LM339ADG4	SOIC-14	4	0,5	6	0.3	2.0/30	2	0,41	0,345	0,251	0,17
595-LM339AN	LM339AN	PDIP-14	4	0,5	6	0.3	2.0/30	2	0,44	0,29	0,237	0,196
595-LM339APWR	LM339APWR	TSSOP-14	4	0,5	6	0.3	2.0/30	2	0,42	0,274	0,225	0,187
595-LM339D	LM339D	SOIC-14	4	0,5	6	0.3	2.0/30	5	0,38	0,259	0,21	0,135
595-LM339DRE4	LM339DRE4	SOIC-14	4	0,5	6	0.3	2.0/30	5	0,33	0,272	0,201	0,136
595-LM339DRG3	LM339DRG3	SOIC-14	4	0,5	6	0.3	2.0/30	5	0,36	0,238	0,196	0,149
595-LM339N	LM339N	PDIP-14	4	0,5	6	0.3	2.0/30	5	0,40	0,28	0,228	0,145
595-LM339PWR	LM339PWR	TSSOP-14	4	0,5	6	0.3	2.0/30	5	0,43	0,279	0,229	0,191
595-LM339ADR	LM339ADR	SOIC-14	4	0,5	6	0.3	2.0/30	5	0,38	0,251	0,205	0,172
595-LM339DBR	LM339DBR	SSOP-14	4	0,5	6	0.3	2.0/30	5	0,39	0,254	0,209	0,174
595-LM2901PWR	LM2901PWR	TSSOP-14	4	0,5	6	0.3	2.0/30	7	0,39	0,254	0,209	0,174
Collecteur ouvert												
595-LM2903AVQDRQ1	LM2903AVQDRQ1	SOIC-8	2	0.4	6	0.3	2.0/30	7	0,56	0,429	0,384	0,332
595-LM2903QPWRQ1	LM2903QPWRQ1	TSSOP-8	2	0.4	6	0.3	2.0/30	7	0,50	0,352	0,302	0,261
Push-pull												
595-TLV3701CDBVT	TLV3701CDBVT	SOT-23-5	1	0.0008	-	36	2.5/16	5	1,69	1,34	1,13	0,787
595-TLV3701IDBVT	TLV3701IDBVT	SOT-23-5	1	0.0008	-	36	2.5/16	5	1,88	1,44	1,31	1,07
595-TLV3701IP	TLV3701IP	PDIP-8	1	0.0008	-	36	2.5/16	5	1,41	1,13	1,01	0,908
595-TLV3491AIDBVT	TLV3491AIDBVT	SOT-23-5	1	0.0012	-	6	1.8/5.5	15	1,06	0,833	0,752	0,572
595-TLV3012AIDBVT	TLV3012AIDBVT	SOT-23-6	1	0.005	-	6	1.8/5.5	12	2,57	1,98	1,79	1,46
595-TLV3012AIDCKT	TLV3012AIDCKT	SC-70-6	1	0.005	-	6	1.8/5.5	12	2,57	1,98	1,79	1,46
595-TLV3012AIDCKR	TLV3012AIDCKR	SC-70-6	1	0.005	-	6	1.8/5.5	12	2,14	1,65	1,49	1,34
595-TLV7211IDBVR	TLV7211IDBVR	SOT-23-5	1	0.014	5	4	2.7/15	15	0,92	0,726	0,66	0,574
595-TLV7211IDCKR	TLV7211IDCKR	SC-70-6	1	0.014	5	4	2.7/15	15	0,92	0,726	0,66	0,574
595-TLV3501AID	TLV3501AID	SOIC-8	1	5	-	0.0045	2.2/5.5	6.5	2,77	2,23	2,03	1,83
595-TLV3501AIDBVT	TLV3501AIDBVT	SOT-23-6	1	5	-	0.0045	2.2/5.5	6.5	2,85	2,32	2,09	1,75
595-TLV3492AIDCNT	TLV3492AIDCNT	SOT-23-8	2	0.0012	-	6	1.8/5.5	15	2,03	1,56	1,41	1,16
595-TLC3702CD	TLC3702CD	SOIC-8	2	0.02	4	1.1	3.0/16	5	0,95	0,759	0,669	0,587
595-TLC3702CDR	TLC3702CDR	SOIC-8	2	0.02	4	1.1	3.0/16	5	0,86	0,685	0,614	0,535
595-TLC3702CP	TLC3702CP	PDIP-8	2	0.02	4	1.1	3.0/16	5	0,79	0,635	0,557	0,488
595-TLC3702ID	TLC3702ID	SOIC-8	2	0.02	4	1.1	3.0/16	5	1,03	0,825	0,725	0,636
595-TLC3702IDR	TLC3702IDR	SOIC-8	2	0.02	4	1.1	3.0/16	5	0,95	0,751	0,676	0,588
595-TLC3702IPW	TLC3702IPW	TSSOP-8	2	0.02	4	1.1	3.0/16	5	1,03	0,825	0,725	0,636
595-TLV3502AID	TLV3502AID	SOIC-8	2	5	-	0.0045	2.2/5.5	6.5	4,16	3,34	3,04	2,75
595-TLV3502AIDCNT	TLV3502AIDCNT	SOT-23-8	2	5	-	0.0045	2.2/5.5	6.5	4,21	3,43	3,09	2,59
595-TLV3704IPW	TLV3704IPW	TSSOP-14	4	0.0008	-	36	2.5/16	5	2,89	2,32	2,11	1,91

© Copyright 2012 Mouser Electronics
© Copyright 2012 Mouser Electronics

Amplificateurs TEXAS INSTRUMENTS

RoHS Compliant This product is RoHS compliant.

AMPLIFICATEURS AUDIO NUMÉRIQUES

Pour des quantités supérieures à celles indiquées, appelez-nous afin d'obtenir un devis.

RÉF. STOCK MOUSER	Réf. TI	Boîtier	Config. de sortie	Puissance de sortie (W)	Charge (Min.) (Ω)	Supporte sortie série	Contrôleur de volume	THD + N demi-puissance à 1kHz (%)	Fréquence d'échantillonnage (kHz)	Interface série	Prix unitaire 1	25	100	250
595-TAS5717PHPR	TAS5717PHPR	HTQFP-48	Stéréo	10	4	Non	Oui	<0.1	8 - 48	I2S,LJ,RJ	5,57	4,53	3,80	3,43
595-TAS5715PHP	TAS5715PHP	HTQFP-48	Stéréo	25	4	Non	Oui	<0.1	8 - 48	I2S,LJ,RJ	5,16	3,71	3,09	2,68

AMPLIFICATEURS CASQUE AUDIO

Pour des quantités supérieures à celles indiquées, appelez-nous afin d'obtenir un devis.

RÉF. STOCK MOUSER	Réf. TI	Boîtier	Voies haut-parleurs	Voies casque	Puissance de sortie (W)	Charge (Min.) (Ω)	Iq par canal (Max.) (mA)	Plage dynamique (dB)	THD+ N demi-puissance à 1kHz (%)	Rapp. Signal à Bruit (dB)	Prix unitaire 1	25	100	250
595-TPA6132A2RTET	TPA6132A2RTET	QFN-16	Aucun	Stéréo	0.025	16	-	-	0.025	100	1,86	1,43	1,30	1,06
595-TPA152D	TPA152D	SOIC-8	Aucun	Stéréo	0.075	32	-	-	0.007	81	2,05	1,65	1,49	1,32
595-TPA6130A2RTJR	TPA6130A2RTJR	QFN-20	Aucun	Stéréo	0.138	16	-	-	0.008	109	2,28	1,76	1,59	1,43
595-TPA6111A2D	TPA6111A2D	SOIC-8	Aucun	Stéréo	0.15	8	-	-	0.25	83	0,73	0,677	0,554	0,416
595-TPA6138A2PW	TPA6138A2PW	TSSOP-14	Aucun	Stéréo	0.25	32	-	-	0.01	80	0,98	0,787	0,689	0,422
595-TPA6139A2PW	TPA6139A2PW	TSSOP-14	Aucun	Stéréo	0.25	32	-	-	0.03	80	1,11	0,883	0,778	0,477

AMPLIFICATEURS AUDIO MOYEN./HAUTE PUISSANCE

Pour des quantités supérieures à celles indiquées, appelez-nous afin d'obtenir un devis.

RÉF. STOCK MOUSER	Réf. TI	Boîtier	Voies haut-parleurs	Voies casque	Puissance de sortie (W)	Charge (Min.) (Ω)	Iq par canal (Max.) (mA)	Plage dynamique (dB)	THD+ N demi-puissance à 1kHz (%)	Rapp. Signal à Bruit (dB)	Prix unitaire 1	25	100	250
595-TPA1517NE	TPA1517NE	PDIP-20	Stéréo	Aucun	6	4	22.5	-	0.15	65	2,02	1,63	1,46	1,30
595-TPA3007D1PW	TPA3007D1PW	TSSOP-24	Mono	Aucun	6.5	7	8	-	0.3	73	5,43	4,36	3,97	3,58
595-TPA3111D1PWP	TPA3111D1PWP	HTSSOP-28	Mono	Aucun	10	4	10	-	0.07	70	2,54	2,04	1,86	1,67
595-TPA3117D2RHBT	TPA3117D2RHBT	QFN-32	Stéréo	Aucun	15	4	-	-	0.1	72	5,05	4,12	3,70	3,11
595-TPA3110D2PWP	TPA3110D2PWP	HTSSOP-28	Stéréo	Aucun	15	4	10	-	0.07	70	3,00	2,41	2,19	1,98
595-TPA3124D2PWPR	TPA3124D2PWPR	HTSSOP-24	Stéréo	Aucun	15	4	16	-	0.08	60	2,60	2,12	1,91	1,73
595-TPA3122D2N	TPA3122D2N	PDIP-20	Stéréo	Aucun	15	4	30	-	0.15	60	2,50	2,01	1,82	1,61
595-TPA3001D1PWP	TPA3001D1PWP	HTSSOP-24	Mono	Aucun	20	4	8	-	0.06	73	5,36	4,29	3,61	3,48
595-TPA3100D2PHPR	TPA3100D2PHPR	HTQFP-48	Stéréo	Aucun	20	4	9	-	0.11	70	5,98	4,31	3,59	3,11
595-TPA3112D1PWP	TPA3112D1PWP	HTSSOP-28	Mono	Aucun	25	4	10	-	0.07	70	3,00	2,41	2,19	1,98
595-TPA3123D2PWP	TPA3123D2PWP	HTSSOP-24	Stéréo	Aucun	25	4	30	-	0.08	60	3,88	3,12	2,43	2,29
595-TPA3106D1VFPR	TPA3106D1VFPR	HLQFP-32	Mono	Aucun	40	4	11	-	0.2	70	4,83	3,94	3,54	3,22
595-TAS5611APHD	TAS5611APHD	HTQFP-64	Stéréo	Aucun	125	4	60	100	0.03	80	10,73	7,72	6,44	5,58
595-TAS5612APHDR	TAS5612APHDR	HTQFP-64	Stéréo	Aucun	125	4	70	103	0.03	80	9,29	7,71	7,01	6,31
595-TAS5613APHD	TAS5613APHD	HTQFP-64	Stéréo	Aucun	150	4	65	-	0.03	80	9,71	8,16	7,50	6,84
595-TAS5630DKD	TAS5630DKD	HSSOP-44	Stéréo	Aucun	600	4	11.5	-	0.03	80	12,59	11,06	9,79	8,99

AMPLIFICATEURS AUDIO PORTABLES

Pour des quantités supérieures à celles indiquées, appelez-nous afin d'obtenir un devis.

RÉF. STOCK MOUSER	Réf. TI	Boîtier	Voies haut-parleurs	Voies casque	Puissance de sortie (W)	Charge (Min.) (Ω)	Iq par canal (Max.) (mA)	Plage dynamique (dB)	THD+ N demi-puissance à 1kHz (%)	Rapp. Signal à Bruit (dB)	Prix unitaire 1	25	100	250
595-TPA311D	TPA311D	SOIC-8	Mono	Aucun	0.35	8	0.35	-	-	85	0,99	0,79	0,691	0,606
595-TPA301D	TPA301D	SOIC-8	Mono	Aucun	0.35	8	0.7	-	-	85	0,99	0,79	0,691	0,606
595-TPA301DGN	TPA301DGN	MSOP-8PowerPAD	Mono	Aucun	0.35	8	0.7	-	-	85	1,26	1,01	0,883	0,775
595-TPA321D	TPA321D	SOIC-8	Mono	Aucun	0.35	8	0.7	-	-	85	0,99	0,79	0,691	0,606
595-TPA741D	TPA741D	SOIC-8	Mono	Aucun	0.7	8	1.25	-	0.15	85	1,35	1,13	0,908	0,681
595-TPA4861D	TPA4861D	SOIC-8	Mono	Aucun	1	8	-	-	-	75	1,72	1,38	1,24	1,11
595-TPA2005D1DGN	TPA2005D1DGN	MSOP-8PowerPAD	Mono	Aucun	1.4	8	2.8	-	0.2	75	1,29	1,02	0,899	0,789
595-TPA2005D1DRBR	TPA2005D1DRBR	SON-8	Mono	Aucun	1.4	8	2.8	-	0.2	75	1,15	0,908	0,817	0,71
595-TPA2006D1DRBR	TPA2006D1DRBR	SON-8	Mono	Aucun	1.45	8	2.8	-	0.2	75	1,01	0,80	0,722	0,628
595-TPA6017A2PWP	TPA6017A2PWP	HTSSOP-20	Stéréo	Aucun	2	3	3	-	0.1	77	1,19	0,974	0,723	0,676
595-TPA2000D1PW	TPA2000D1PW	TSSOP-16	Mono	Aucun	2	4	4	-	0.08	77	2,89	2,32	2,11	1,91
595-TPA6021A4N	TPA6021A4N	PDIP-20	Stéréo	Stéréo	2	4	7.5	70	0.19	70	2,32	1,87	1,68	1,49
595-TPA2015D1YZHT	TPA2015D1YZHT	DSBGA-16	Mono	Aucun	2	8	-	-	0.1	85	2,78	2,23	1,78	1,48
595-TPA2012D2RTJR	TPA2012D2RTJR	QFN-20	Stéréo	Aucun	2.1	4	3	-	0.1	71	1,91	1,47	1,34	1,20
595-TPA2010D1YZFT	TPA2010D1YZFT	DSBGA-9	Mono	Aucun	2.5	4	2.8	-	0.2	75	1,18	0,932	0,833	0,668
595-TPA2036D1YZFT	TPA2036D1YZFT	DSBGA-9	Mono	Aucun	2.5	4	2.8	-	0.2	75	0,74	0,66	0,497	0,465
595-TPA2008D2PWPR	TPA2008D2PWPR	HTSSOP-24	Stéréo	Aucun	3	3	7	-	0.05	70	4,18	3,42	3,06	2,79
595-TPA6211A1DGN	TPA6211A1DGN	MSOP-8PowerPAD	Mono	Aucun	3.1	3	4	-	0.02	85	0,97	0,774	0,677	0,594
595-TPA2026D2YZHT	TPA2026D2YZHT	DSBGA-16	Stéréo	Aucun	3.2	4	-	-	0.1	80	3,71	3,03	2,72	2,29

AMPLIFICATEURS OPÉRATIONNELS AUDIO

Pour des quantités supérieures à celles indiquées, appelez-nous afin d'obtenir un devis.

RÉF. STOCK MOUSER	Réf. TI	Boîtier	Nbre de canaux	Tension d'alimentation totale Min.	Tension d'alimentation totale Max.	Iq par canal (Max.) (mA)	GBW (Typ.) (MHz)	Vitesse de balayage (Typ.) (V/µs)	Prix unitaire 1	25	100	250
595-OPA1632DGN	OPA1632DGN	MSOP-8PowerPAD	1	5	32	17.1	180	50	4,85	3,89	3,55	3,20
595-OPA1612AID	OPA1612AID	SOIC-8	2	5	36	3.6	40	27	7,22	5,99	5,45	4,63
595-OPA1644AIPW	OPA1644AIPW	TSSOP-14	4	5	36	2.3	11	20	5,82	4,74	4,27	3,88

AMPLIFICATEURS À GAIN FIXE

Pour des quantités supérieures à celles indiquées, appelez-nous afin d'obtenir un devis.

RÉF. STOCK MOUSER	Réf. TI	Boîtier	Nbre de canaux	Iq par canal (mA)	Vitesse de balayage (V/µs)	Gain stable boucle fermée min. (V/V)	Larg. bande en boucle fermée (MHz)	Décalage en tension (±) (Max.) (µV/°C)	Gain diff. (%)	Phase diff. (°)	Prix unitaire 1	25	100	250
595-OPA832IDBVT	OPA832IDBVT	SOT-23-5	1	-	350	1	92	-	-	-	1,47	1,16	1,05	0,833
595-OPA692ID	OPA692ID	SOIC-8	1	5.8	2100	1	280	9	0.07	0.02	3,03	2,43	2,22	2,00
595-OPA693IDBVT	OPA693IDBVT	SOT-23-6	1	14.1	2500	1	1400	8	0.03	0.01	4,52	3,70	3,32	2,79
595-OPA633KP	OPA633KP	PDIP-8	1	30	2500	1	260	33	0.1	0.1	10,35	8,76	8,09	7,42
595-THS4303RGTT	THS4303RGTT	QFN-16	1	48	5500	10	1800	20	-	-	6,56	5,45	4,95	4,46

MODULES D'ÉVALUATION

RÉF. STOCK MOUSER	Réf. TI	Description	Prix unitaire
595-BUF08630EVM	BUF08630EVM	Module d'évaluation pour le BUF08630 sous conditions diverses de signal, référence et alimentation	132,35
595-DRV8601ZQVEVM	DRV8601ZQVEVM	Module d'évaluation pour le DRV8601, un pilote au toucher à application générale à alimentation simple conçu pour piloter un générateur CC	87,95
595-INA282-286EVM	INA282-286EVM	Module d'évaluation pour le INA282, un mesureur de courant par shunt de haute précision, bidirectionnel, à large sélection de modes	46,04
595-PCM9211EVM-U	PCM9211EVM-U	Module d'évaluation pour le PCM9211, un émetteur-récepteur à interface audio numérique avec CAN stéréo et routage	46,04
595-TAS5630DKD2EVM	TAS5630DKD2EVM	Module d'évaluation pour le TAS5630, un ampli. stéréo classe D à entrée analogique avec rétro-action intégrée	354,42
595-TAS5717EVM	TAS5717EVM	Module d'évaluation pour le TAS5717, un ampli. stéréo à entrée numérique avec un ampli. casque sans coupure intégré	176,77
595-TAS5719EVM	TAS5719EVM	Module d'évaluation pour le TAS57179 un ampli. stéréo à entrée numérique avec un ampli. casque sans coupure intégré	176,77
595-THS770006EVM	THS770006EVM	Module d'évaluation pour le THS770006, un ampli. complètement différentiel de haute vitesse à pilote CAN et gain fixe	87,95
595-THS770012EVM	THS770012EVM	Module d'évaluation pour le THS770012, un ampli. complètement différentiel de haute vitesse à pilote CAN et à gain réglable entre 10 et 13dB	87,95
595-LV320AIC1106EVMK	TLV320AIC1106EVM-K	Module d'évaluation pour le TLV320AIC1106, un codec PCM à ampli. microphone et pilote haut parleur	176,77
595-LV320AIC1110EVMK	TLV320AIC1110EVM-K	Module d'évaluation pour le TLV320AIC1110, un codec PCM programmable à ampli. microphone et pilote haut parleur	176,77
595-TPA3117D2EVM	TPA3117D2EVM	Module d'évaluation pour le TPA3117D2, un ampli stéréo classe D de 15W sans filtre	132,35

© Copyright 2012 Mouser Electronics

© Copyright 2012 Mouser Electronics

Amplificateurs TRIQUINT SEMICONDUCTOR

RoHS Compliant This page of product is compliant.

TriQuint SEMICONDUCTOR

AMPLIFICATEURS LIMITEURS DE GAIN

Les amplificateurs limiteurs de gain de TriQuint représentent une large famille d'amplificateurs universels InGaP HBT offrant une gamme dynamique supérieure dans des boîtiers pour montage en surface économiques. Ces composants sont conçus pour fournir un gain large bande à des fréquences depuis le CC jusqu'à 6GHz. Destinés aux marchés des infrastructures télécom et télévision par câble, ils peuvent être directement appliqués à différentes applications de systèmes actuels et futurs partout où des limiteurs de gain à faible coût sont nécessaires. Configurés en interne comme transistors Darlington, ces amplificateurs sont disponibles dans toute une variété de combinaisons de gain, puissance et boîtiers.

Pour des quantités supérieures à celles indiquées, appelez-nous afin d'obtenir un devis.

RÉF. STOCK MOUSER	Réf. TriQuint	Type boîtier	Largeur de bande de fonctionnement	Performance de gain	Prix unitaire		
					1	25	100
772-EC1078B-G	EC1078B-G	SOT-89	DC-3500MHz	Gain de 20dB à 1GHz	4,31	3,18	2,35
772-ECG001B-G	ECG001B-G	SOT-89	CC à 6000MHz	Gain de 22,5dB à 1GHz	1,51	1,14	0,861
772-ECG001F-G	ECG001F-G	SOT-363	CC à 6000MHz	Gain de 22,5dB à 1GHz	1,26	0,935	0,689
772-ECG003B-G	ECG003B-G	SOT-89	CC à 6000MHz	+24dBm Pc1dB à 1GHz	6,87	5,08	3,76
772-ECG004B-G	ECG004B-G	SOT-89	CC - 6GHz	16,2dB à 1GHz	1,65	1,22	0,902
772-ECG005B-G	ECG005B-G	SOT-89	CC à 4000MHz	+18dBm Pc1dB à 1GHz	4,56	3,37	2,49
772-ECG006C-G	ECG006C-G	SOT-86	DC-5500MHz	+15,5dBm Pc1dB à 1GHz	1,85	1,40	1,06
772-ECG006F-G	ECG006F-G	SOT-363	DC-5500MHz	+15,5dBm Pc1dB à 1GHz	1,65	1,22	0,902
772-ECG008B-G	ECG008B-G	SOT-89	CC à 4000MHz	+24dBm Pc1dB à 1GHz	6,87	5,08	3,76
772-ECG055B-G	ECG055B-G	SOT-89	CC à 3000MHz	Gain de 20,5dB à 1GHz	1,78	1,35	1,03
772-WJA1015	WJA1015	SOT-89	50-2300MHz	+37 dBm en sortie IP3	2,36	1,79	1,35
772-WJA1500	WJA1500	SOT-89	50 à 1000MHz	+43,5 dBm en sortie IP3	3,05	2,26	1,66
772-WJA1510	WJA1510	SOT-89	50 à 1000MHz	+47 dBm en sortie IP3	3,05	2,26	1,66
772-AG203-63G	AG203-63G	SOT-363	CC à 6000MHz	Gain de 20dB à 900MHz	0,76	0,574	0,435
772-AG302-63G	AG302-63G	SOT-363	CC à 6000MHz	Gain de 15,5dB à 900MHz	1,18	0,894	0,681
772-AG302-86G	AG302-86G	SOT-86	CC à 6000MHz	Gain de 15,5dB à 900MHz	1,60	1,21	0,918
772-AG303-63G	AG303-63G	SOT-363	CC à 6000MHz	Gain de 20,5dB à 900MHz	1,18	0,894	0,681
772-AG303-86G	AG303-86G	SOT-86	CC à 6000MHz	Gain de 20,5dB à 900MHz	1,61	1,21	0,918
772-AG403-89G	AG403-89G	SOT-89	CC à 6000MHz	Gain 21dB à 900MHz	1,35	1,05	0,812
772-AG503-89G	AG503-89G	SOT-89	CC à 4000MHz	Gain de 21,5dB à 900MHz	1,27	0,968	0,73
772-AG603-89G	AG603-89G	SOT-89	CC à 3000MHz	Gain de 18,5dB à 900MHz	1,66	1,26	0,951
772-AG604-86G	AG604-86G	SOT-86	CC à 6000MHz	Gain de 20,5dB à 900MHz	2,25	1,70	1,29
772-AG604-89G	AG604-89G	SOT-89	CC à 2700MHz	Gain 21dB à 900MHz	1,66	1,26	0,951
772-TQP3M9018	TQP3M9018	QFN-16	50 à 4000MHz	20,5dB à 1,9GHz	2,37	1,75	1,66
772-TQP3M9019	TQP3M9019	QFN-16	50 à 4000MHz	22dB à 1,9GHz	3,00	2,22	2,11

AMPLIFICATEURS HAUTE LINÉARITÉ

TriQuint offre une gamme étendue d'amplificateurs hautement linéaires : le choix parfait pour les systèmes de télécommunications haut débit d'aujourd'hui. Les amplificateurs de puissance moyenne de TriQuint sont d'une haute fiabilité, à sortie IP3 élevée et faible bruit avec d'excellents facteurs de mérite linéaires (LFOM = en sortie IP3 / puissance CC) dans des gammes de fréquences allant de 50 à 4 000 MHz. Les amplificateurs TriQuint sont disponibles sous forme de boîtier vert selon le standard de l'industrie pour le montage en surface.

772-AG101-G	AG101-G	SOT-89	60 à 3000MHz	14 dB à 900MHz	1,27	0,968	0,73
772-AG102-G	AG102-G	SOT-89	60 à 3000MHz	14 dB à 900MHz	2,14	1,62	1,22
772-AH1-G	AH1-G	SOT-89	250 à 4000MHz	13,5 dB à 800MHz	6,07	4,49	3,32
772-AH101-G	AH101-G	SOT-89	50 à 1500MHz	13,5 dB à 900MHz	12,86	9,73	7,37
772-AH102A-G	AH102A-G	SOT-89	350 à 3000MHz	14,5 dB à 900MHz	12,24	9,26	7,01
772-AH103A-G	AH103A-G	SOT-89	60 à 2700MHz	29 dB à 900MHz	14,39	10,90	8,25
772-AH11-G	AH11-G	SOIC-8	150 à 3000MHz	13,5 dB à 800MHz	11,26	8,52	6,45
772-AH114-89G	AH114-89G	SOT-89	60 à 2500MHz	19 dB à 900MHz	6,96	5,15	3,81
772-AH118-89G	AH118-89G	SOT-89	60 à 3500MHz	20,4 dB à 900MHz	7,36	5,44	4,03
772-AH125-89G	AH125-89G	SOT-89	400 à 2700MHz	16,2 dB à 2140MHz	6,09	4,51	3,33
772-AH202-F	AH202-F	QFN-28	50 à 2200MHz	17 dB à 900MHz	18,00	13,94	10,79
772-AH215-S8G	AH215-S8G	SOIC-8	400 à 2300MHz	18 dB à 900MHz	11,50	8,51	6,30
772-AH3-G	AH3 -G	SOT-89	50 à 870MHz	13 dB à 800MHz	6,13	4,53	3,35
772-AH31-G	AH31-G	SOT-89	50 à 1000MHz	19 dB à 240MHz	6,74	4,99	3,69
772-AH312-S8G	AH312-S8G	SOIC-8	400 à 2300MHz	18 dB à 900MHz	14,20	10,50	7,77
772-AH315-G	AH315-G	SOIC-8	3,3 à 3,8GHz	25dB	13,20	9,77	7,22
772-AH322-S8G	AH322-S8G	SO-8	400 à 2700MHz	13,5 dB à 2140MHz	9,95	7,53	5,70
772-AH420-EG	AH420-EG	4 x 5 DFN	400 à 2700MHz	14 dB à 2140MHz	18,87	13,63	9,85
772-AM1-G	AM1-G	SOT-89	60 à 3000MHz	14 dB à 800MHz	5,36	3,87	2,80
772-TQP3M9009	TQP3M9009	SOT-89	50 à 4000MHz	21,8 dB à 1,9GHz	4,06	3,00	2,22
772-TQP3M9008	TQP3M9008	SOT-89	50 à 4000MHz	20 dB à 1,9GHz	3,21	2,37	1,75
772-TQP8M9013	TQP8M9013	QFN-24	0,7GHz à 3,8GHz	29,5 dB à 2140MHz	9,66	7,15	5,29
772-TGA2507-SM-TR	TGA2507-SM-T/R	QFN-12	11 à 17GHz	25dB	21,22	17,19	13,92

AMPLIFICATEURS DE PUISSANCE

La famille des CI et modules amplificateurs de puissance TriQuint assurent une haute efficacité et linéarité tant à 12V qu'à 28V dans des processus InGaP HBT. Les CI amplificateurs de puissance développés sur le processus InGaP HBT 28V hautement fiable de TriQuint fonctionnent dans une large gamme de fréquences pour inclure toutes les fréquences clés pour cellulaires. Les modules amplificateurs de puissance InGaP HBT (AsGa) +12V sont idéaux pour les marchés PHS/PAS et PCS/UMTS et comprennent un adaptateur interne pour 50ohm.

772-AP562	AP562	QFN28	3,3 à 3,8GHz	Gain 11dB	-	-	-
772-AP603-F	AP603-F	DFN14	800 à 2200MHz	Gain 11,8dB	29,05	23,53	19,07

AMPLIFICATEURS TÉLÉVISION PAR CÂBLE

AH2, AH22 et AG606 sont des amplificateurs universels qui sont particulièrement indiqués pour des applications de télévision câblée nécessitant un gain plat, une haute linéarité et une largeur de bande importante. Conçus pour des systèmes 75 ohm, ces composants peuvent fonctionner à partir d'une tension d'alimentation simple et sont construits à partir du processus GaAs MESFET très fiable de TriQuint. Ces produits offrent une performance faible bruit et une plage dynamique élevée. D'autres applications convenant à ces produits sont les modems par câble et les pilotes à diode laser. Par ailleurs, TriQuint dispose d'une large variété de produits qui peuvent être utilisés pour des applications de transmissions de télé par câble, tête de réseau ou STB.

772-AH22S-G	AH22S-G	SOIC-8	50 à 1000MHz	14,5 à 800MHz, variation de gain ± 0,2dB	8,39	7,41	6,54
772-AH2-G	AH2-G	SOT-89	50 à 1000MHz	14,5dB à 800MHz	3,49	2,83	2,30

AMPLIFICATEURS DISCRETS

Les FET discrets de TriQuint répondent à la demande actuelle en applications de réception et de transmission sans fils. Les FET de TriQuint offrent une performance exceptionnelle et une haute fiabilité, de plus ils représentent les éléments de base au sein des produits amplificateurs de TriQuint. Les FET de TriQuint offrent une haute efficacité constructeur, une puissance élevée et une haute qualité pour des des applications de réseaux sans fils. Les FET à plage dynamique élevée de TriQuint sont présentés sous forme de boîtiers pour montage en surface économiques visant des applications de conception sur mesure.

772-FH1-G	FH1-G	SOT-89	50 à 4000MHz	Gain de 18dB, +21dBm Pc1dB	6,11	4,52	3,35
772-FP1189-G	FP1189-G	SOT-89	50 à 4000MHz	Gain de 20,5dB, +27dBm Pc1dB	5,93	4,39	3,24
772-FP2189-G	FP2189-G	SOT-89	50 à 4000MHz	Gain de 18dB, +30dBm Pc1dB	8,68	6,42	4,75
772-FP31QF-F	FP31QF-F	QFN28	50 à 4000MHz	Gain de 18dB, +34dBm Pc1dB	12,35	9,13	6,76

MIXEUR RF

PRODUCT NEW

Pour des quantités supérieures à celles indiquées, appelez-nous afin d'obtenir un devis.

RÉF. STOCK MOUSER	Réf. TriQuint	Type boîtier	Largeur de bande de fonctionnement	RF	IF	Prix unitaire		
						1	25	100
772-ML483-G	ML483-G	MSOP-8	0,7GHz à 1GHz	700MHz à 1000MHz	70MHz à 300MHz	3,96	3,01	2,29
772-CMY210	CMY210	MW-6	500MHz à 2,5GHz	0,5 à 2,5GHz	50 à 250MHz	3,23	2,44	1,85

ATTÉNUATEUR

PRODUCT NEW

Pour des quantités supérieures à celles indiquées, appelez-nous afin d'obtenir un devis.

RÉF. STOCK MOUSER	Réf. TriQuint	Type boîtier	Largeur de bande de fonctionnement	Perte par insertion	Prix unitaire		
					1	25	100
772-TQP4M9071	TQP4M9071	QFN-24	CC à 4GHz	1,7dB à 2,2GHz	3,43	2,53	1,88
772-TQP4M9072	TQP4M9072	QFN-24	CC à 4GHz	1,7dB à 2,2GHz	3,43	2,53	1,88

© Copyright 2012 Mouser Electronics

© Copyright 2012 Mouser Electronics

Redresseurs CI de gestion de l'alimentation CC-CC

RoHS Compliant **This product is RoHS compliant.**

CONTRÔLEUR CC-CC

RÉF. STOCK MOUSER	Réf. Diodes Inc.	Type	de boîtier	Tension d'entrée	Courant de pilotage	Canal de sortie	Prix unitaire 1	25	100	Qté. par bobine	Prix unitaire
621-AP2004SG-13	AP2004SG-13	Abaisseur	SOP-8L	28 V	200 mA	1	1,38	1,19	1,06	2500	0,535
621-AP2008SG-13	AP2008SG-13	Abaisseur	SOP-8L	20 V	200 mA	1	2,14	1,64	1,49	2500	0,794
621-AP2014ASL-13	AP2014ASL-13	Abaisseur	SOP-8L	20 V	3 000 mA	1	1,34	1,20	1,09	2500	0,579
621-AP2001SL-13	AP2001SL-13	Abaisseur/élévateur/ inverseur	SOP-16L	3,6V - 40V	20 mA	2	1,17	-	1,07	2500	-

CONVERTISSEURS CC-CC

RÉF. STOCK MOUSER	Réf. Diodes Inc.	Type	de boîtier	Tension d'entrée	Tension de sortie	Courant de sortie	Prix unitaire 1	25	100	Qté. par bobine	Prix unitaire
621-AP1603WL-7	AP1603WL-7	Élévateur	SOT-26	0,9V - 5,5V	2V - 5,5V	0.3A	2,40	2,04	1,67	3000	0,924
621-AP1609SG-13	AP1609SG-13	Élévateur	SOP-8L	2,5V - 6V	3,0V - 17V	2,4A	2,40	2,04	1,71	2500	0,924
621-AP1501A-12K5L-U	AP1501A-12K5L-U	Abaisseur	TO263-5L	40 V	12 V	5 A	5,45	4,17	3,27	-	-
621-AP1506-33K5L-U	AP1506-33K5L-U	Abaisseur	TO263-5L	24 V	3,3V	3 A	2,55	2,16	1,82	-	-
621-AP1506-33T5L-U	AP1506-33T5L-U	Abaisseur	TO220-5L	24 V	3,3V	3 A	2,46	1,98	1,76	-	-
621-AP1506-50K5L-U	AP1506-50K5L-U	Abaisseur	TO263-5L	24 V	5,0 V	3 A	2,71	2,36	1,49	-	-
621-AP1506-50T5RL-U	AP1506-50T5RL-U	Abaisseur	TO220-5L(R)	24 V	5,0 V	3 A	2,23	1,79	1,61	-	-
621-AP1506-12T5L-U	AP1506-12T5L-U	Abaisseur	TO220-5L	24 V	12 V	3 A	2,55	2,16	1,82	-	-
621-AP1507-33D5L-13	AP1507-33D5L-13	Abaisseur	TO252-5L	24 V	3,3V	3 A	2,14	1,64	1,49	2500	0,794
621-AP1507-50D5L-13	AP1507-50D5L-13	Abaisseur	TO252-5L	24 V	5,0 V	3 A	2,14	1,64	1,49	2500	0,794
621-AP34063S8L-13	AP34063S8L-13	Abaisseur/ élévateur/inverseur	SOP-8L	3V - 40V	Réglables	1,5 A	0,52	0,446	0,396	2500	0,191
621-AP5100WG-7	AP5100WG-7	Abaisseur	SOT-26	4.75 - 24	0.81 - 15	1.2	0,84	0,743	0,52	3000	0,315

MOSFETS COMMUTATION DE CHARGE CONTRÔLÉE À VITESSE DE BALAYAGE TYPE P SIMPLE

RÉF. STOCK MOUSER	Réf. Diodes Inc.	Boîtier	Sortie à l'allumage Temps de montée	Tension de fonctionnement	Courant de commutation Max.	Prix unitaire 1	10	100	Qté. par bobine	Prix unitaire
621-AP2280-1FMG-7	AP2280-1FMG-7	DFN2018-6	100 µs	1,5V - 6V	2 A	0,63	0,503	0,37	3000	0,185
621-AP2280-1WG-7	AP2280-1WG-7	SOT-25	100 µs	1,5V - 6V	2 A	0,58	0,47	0,343	3000	0,172
621-AP2280-2FMG-7	AP2280-2FMG-7	DFN2018-6	1ms	1,5V - 6V	2 A	0,63	0,503	0,365	3000	0,185
621-AP2280-2WG-7	AP2280-2WG-7	SOT-25	1ms	1,5V - 6V	2 A	0,58	0,47	0,343	3000	0,172

CIRCUITS DE CONTRÔLE DE MICROPROCESSEUR

- Courant d'alimentation (Typ.) 30µA
- Réinitialisation garantie valide pour VCC= +1V
- Impulsion de réinitialisation en anomalie d'alimentation/réinitialisation en mise sous tension

RÉF. STOCK MOUSER	Réf. Diodes Inc.	Boîtier	Tension de seuil de réinitialisation typ. (V_{th})	Courant de repos typ. (µA)	Délai de propagation typ. (ms)	Sortie de réinitialisation Actif haut	Actif bas	Topologie	Prix unitaire 1	10	100	Qté. par bobine	Prix unitaire
621-APX803D-29SAG-7	APX803D-29SAG-7	SOT23R	2.93	20	2	Non	Oui	Drain ouvert	0,50	0,349	0,299	3000	0,141
621-APX803D-29SRG-7	APX803D-29SRG-7	SOT23R	2.93	20	2	Non	Oui	Drain ouvert	0,31	0,264	0,256	3000	0,18
621-APX803-23SAG-7	APX803-23SAG-7	SOT-23	2.25	20	200	Non	Oui	Collecteur ouvert	0,43	0,338	0,193	3000	0,087
621-APX803-23SRG-7	APX803-23SRG-7	SOT-23R	2.25	20	200	Non	Oui	Collecteur ouvert	0,43	0,338	0,193	3000	0,087
621-APX803-26SAG-7	APX803-26SAG-7	SOT-23	2.63	20	200	Non	Oui	Collecteur ouvert	0,43	0,338	0,193	3000	0,087
621-APX803-26SRG-7	APX803-26SRG-7	SOT-23R	2.63	20	200	Non	Oui	Collecteur ouvert	0,43	0,338	0,193	3000	0,087
621-APX803-29SAG-7	APX803-29SAG-7	SOT-23	2.93	20	200	Non	Oui	Collecteur ouvert	0,43	0,338	0,193	3000	0,087
621-APX803-29SRG-7	APX803-29SRG-7	SOT-23R	2.93	20	200	Non	Oui	Collecteur ouvert	0,43	0,338	0,193	3000	0,087
621-APX803-31SAG-7	APX803-31SAG-7	SOT-23	3.08	20	200	Non	Oui	Collecteur ouvert	0,43	0,338	0,193	3000	0,087
621-APX803-31SRG-7	APX803-31SRG-7	SOT-23R	3.08	20	200	Non	Oui	Collecteur ouvert	0,43	0,338	0,193	3000	0,087
621-APX803-40SAG-7	APX803-40SAG-7	SOT-23	4.00	20	200	Non	Oui	Collecteur ouvert	0,43	0,338	0,193	3000	0,087
621-APX803-40SRG-7	APX803-40SRG-7	SOT-23R	4.00	20	200	Non	Oui	Collecteur ouvert	0,43	0,338	0,193	3000	0,087
621-APX803-44SAG-7	APX803-44SAG-7	SOT-23	4.38	20	200	Non	Oui	Collecteur ouvert	0,43	0,338	0,193	3000	0,087
621-APX803-44SRG-7	APX803-44SRG-7	SOT-23R	4.38	20	200	Non	Oui	Collecteur ouvert	0,43	0,338	0,193	3000	0,087
621-APX803-46SAG-7	APX803-46SAG-7	SOT-23	4.63	20	200	Non	Oui	Collecteur ouvert	0,43	0,338	0,193	3000	0,087
621-APX803-46SRG-7	APX803-46SRG-7	SOT-23R	4.63	20	200	Non	Oui	Collecteur ouvert	0,43	0,338	0,193	3000	0,087

COMMUTATIONS ALIMENTATION USB DOUBLE CANAL

- Protection sur-courant et thermique
- Blocage courant inversé
- Courant d'extinction très bas : 1µA (max.)
- Programmable actif haut ou bas
- Résistance en marche 90mΩ
- Rapport de défaut (FLG) avec temps d'effacement (7ms Typ.)

RÉF. STOCK MOUSER	Réf. Diodes Inc.	Boîtier	Tension de fonctionnement (V)	Courant Cont. Max. (A)	Limite en courant Max. (A)	Voies	Prix unitaire 1	10	100	Qté. par bobine	Prix unitaire
621-AP2146MPG-13	AP2146MPG-13	MSOP8L-EP	2.7 - 5.5	0,5	1	2	0,94	0,743	0,582	2500	0,334
621-AP2146SG-13	AP2146SG-13	SOP-8L	2.7 - 5.5	0,5	1	2	0,78	0,619	0,484	2500	0,278
621-AP2156MPG-13	AP2156MPG-13	MSOP8L-EP	2.7 - 5.5	0,5	1	2	0,94	0,743	0,582	2500	0,334
621-AP2156SG-13	AP2156SG-13	SOP-8L	2.7 - 5.5	0,5	1	2	0,78	0,619	0,484	2500	0,278
621-AP2166MPG-13	AP2166MPG-13	MSOP8L-EP	2.7 - 5.5	1,0	1.9	2	1,29	1,01	0,794	2500	-
621-AP2166SG-13	AP2166SG-13	SOP-8L	2.7 - 5.5	1,0	1.9	2	1,10	0,866	0,678	2500	0,389
621-AP2176MPG-13	AP2176MPG-13	MSOP8L-EP	2.7 - 5.5	1,0	1.9	2	1,29	1,01	0,794	2500	-
621-AP2176SG-13	AP2176SG-13	SOP-8L	2.7 - 5.5	1,0	1.9	2	1,10	0,866	0,678	2500	0,389
621-AP2186MPG-13	AP2186MPG-13	MSOP8L-EP	2.7 - 5.5	1.5	2.6	2	1,48	1,13	0,924	2500	0,547
621-AP2186SG-13	AP2186SG-13	SOP-8L	2.7 - 5.5	1.5	2.6	2	1,38	1,09	0,85	2500	0,49
621-AP2196MPG-13	AP2196MPG-13	MSOP8L-EP	2.7 - 5.5	1.5	2.6	2	1,77	1,39	1,05	2500	0,547
621-AP2196SG-13	AP2196SG-13	SOP-8L	2.7 - 5.5	1.5	2.6	2	1,56	1,23	0,941	2500	-

CI PILOTES LED

PRODUCT NEW

RÉF. STOCK MOUSER	Réf. Diodes Inc.	Boîtier	Tension d'entrée Min.-Max. (V)	Tension de sortie (V)	Courant de sortie crête Typ. (A)	Fréquence (kHz) (Typ.)	Prix unitaire 1	10	100	Qté. par bobine	Prix unitaire
621-AL8805W5-7	AL8805W5-7	SOT-25	6 - 30	30	1	1000	1,49	1,32	1,11	3000	-
621-AL3158FSG-7	AL3158FSG-7	QFN-3030-20	2.7 - 5.5	-	0.2	-	0,78	0,60	0,529	3000	0,256
621-AL3159FSG-7	AL3159FSG-7	QFN-3030-20	2.7 - 5.5	-	0.2	1200	0,75	0,673	0,594	3000	0,287
621-AL9910AS-13	AL9910AS-13	SO-8	85VAC - 265VAC	7.5	1	300	1,57	1,40	1,24	2500	-
621-AL9910S-13	AL9910S-13	SO-8	15 - 500	10	1	300	1,57	1,40	1,11	2500	-
621-AP8800FNG-7	AP8800FNG-7	DFN3030-10	8 - 28	28	0.35	600	1,07	0,949	0,746	3000	0,445
621-AP8800M8G-13	AP8800M8G-13	MSOP-8L	8 - 28	28	0.35	600	0,98	0,866	0,78	2500	0,404
621-AP8800SG-13	AP8800SG-13	SOP-8L	8 - 28	28	0.35	600	0,98	0,866	0,78	2500	0,404
621-AP8801M8G-13	AP8801M8G-13	MSOP-8L	8 - 48	48	0.50	500	1,17	1,04	0,932	2500	0,485
621-AP8801SG-13	AP8801SG-13	SOP-8L	8 - 48	48	0.50	500	0,93	0,809	0,759	2500	0,468
621-AP8802FNG-7	AP8802FNG-7	DFN3030-10	8 - 48	48	1,0	500	1,34	1,17	1,03	3000	0,648
621-AP8802SG-13	AP8802SG-13	SOP-8L	8 - 48	48	1,0	500	1,25	1,12	1,01	2500	0,561

© Copyright 2012 Mouser Electronics
© Copyright 2012 Mouser Electronics

DIODES INC. Gestion d'alimentation

A Product Line of Diodes Incorporated | ZETEX

Les produits peuvent être conformes à la directive RoHS. Consultez le site mouser.com pour vérifier la conformité RoHS.

CONTRÔLEUR DE GESTION D'ALIMENTATION FAIBLE BRUIT ZETEX

PRODUCT NEW

RÉF. STOCK MOUSER	Réf. Zetex	Boîtier	Étages de polarisation LNA	Étages de polarisation mélangeur	Vsortie (V)	Charge totale max. (mA)	Vpola. (V)	Fton (kHz)	Tension de drain LNA	Courant de drain LNA	Courant de drain mélangeur	Vg ARRÊT	Vneg.	Prix unitaire 1	25	100	250
522-ZXNB4202JB16TC	ZXNB4202JB16TC	QFN1644	3	1	5	115	14-15.5	22	2	0-15	0-10	0	-2.5	1,43	1,19	1,00	0,833

RÉFÉRENCES DE COURANT DE REPOS TRÈS FAIBLE ZETEX ♦ Composant pour montage en surface

RÉF. STOCK MOUSER	Réf. Zetex	Boîtier	Tension de claquage inversée (V)	Courant min. (µA)	Courant max. (mA)	Coeff. temp. max. (ppm/°Cà)	Résistance apparente max. (Ω)	Prix unitaire 1	25	100	250
♦ 522-ZXRE1004DFTA	ZXRE1004DFTA	SOT-23	1.22	4	20	75	0,5	1,13	-	0,666	0,50
♦ 522-ZXRE125EFTA	ZXRE125EFTA	SOT-23	1.22	8 (Max.)	20	75	2	1,09	-	0,645	0,484
♦ 522-ZXRE125FFTA	ZXRE125FFTA	SOT-23	1.22	8 (Max.)	20	75	2	1,00	-	0,588	0,441
♦ 522-ZXRE125CFTA	ZXRE125CFTA	SOT-23	1.22	30 (Max.)	5	90	2	1,83	1,52	1,22	0,915
♦ 522-ZXRE125DFTA	ZXRE125DFTA	SOT-23	1.22	30 (Max.)	5	90	2	1,29	-	0,764	0,572
♦ 522-ZXRE4041DFTA	ZXRE4041DFTA	SOT-23	1.22	30 (Max.)	12	75	0.6	0,92	0,676	0,545	0,408
♦ 522-ZXRE4041CFTA	ZXRE4041CFTA	SOT-23	1.225	30 (Max.)	12	75	0.6	1,18	-	0,697	0,523

RÉFÉRENCES EN TENSION FIXE ZETEX

RÉF. STOCK MOUSER	Réf. Zetex	Boîtier	Tension de claquage inversée (V)	Courant min. (µA)	Courant max. (mA)	Coeff. temp. max. (ppm/°Cà)	Résistance apparente max. (Ω)	Prix unitaire 1	25	100	250
♦ 522-ZRC250F01TA	ZRC250F01TA	SOT-23	2.5	20	5	90	1	1,22	0,866	0,699	0,524
♦ 522-ZRC250F02TA	ZRC250F02TA	SOT-23	2.5	20	5	90	1	0,99	-	0,564	0,423
♦ 522-ZR285F01TA	ZR285F01TA	SOT-23	2.5	20	20	90	1	1,04	0,752	0,666	0,535
♦ 522-ZR40401F25TA	ZR40401F25TA	SOT-23	2.5	50	20	90	2	0,92	0,676	0,545	0,408
522-ZR404005F25TA	ZR404005F25TA	E-Line	2.5	50	20	90	2	1,18	-	0,697	0,523
♦ 522-ZR40402F25TA	ZR40402F25TA	SOT-23	2.5	50	20	90	2	0,60	-	0,343	0,257
♦ 522-ZRC330F01TA	ZRC330F01TA	SOT-23	3.3	20	5	50	2	1,18	-	0,699	0,628
♦ 522-ZRC330F03TA	ZRC330F03TA	SOT-23	3.3	20	5	50	2	1,00	-	0,588	0,441
♦ 522-ZRC400F01TA	ZRC400F01TA	SOT-23L	4.096	18	23	90	2	1,13	-	0,90	0,783
♦ 522-ZR40401F41TA	ZR40401F41TA	SOT-23L	4.096	50	20	90	2	0,92	0,676	0,545	0,408
♦ 522-ZRB500F01TA	ZRB500F01TA	SOT-23	5	50	15	50	1.5	1,18	0,866	0,699	0,524
♦ 522-ZR40401F50TA	ZR40401F50TA	SOT-25	5	50	20	90	1.5	0,92	0,676	0,545	0,408

RÉFÉRENCES EN TENSION PROGRAMMABLE ZETEX

- Plage de température de fonctionnement : -40°C à 85°C

RÉF. STOCK MOUSER	Réf. Zetex	Boîtier	Tension de référence (V)	Tension de sortie min. (V)	Tension de sortie max. (V)	Courant de cathode min. (µA)	Courant cathodique max. (mA)	Prix unitaire 1	25	100	250
♦ 522-ZR431LF02TA	ZR431LF02TA	SOT-23	1.24	1.2	10	100	25	0,78	0,743	0,56	0,487
♦ 522-ZR431LF01TA	ZR431LF01TA	SOT-23	1.24	1.24	10	100	25	0,81	0,77	0,643	0,559
♦ 522-ZR431F005TA	ZR431F005TA	SOT-23	2.5	2.5	20	50	100	0,86	-	0,681	0,529
♦ 522-ZR431F01TA	ZR431F01TA	SOT-23	2.5	2.5	20	50	100	0,69	-	0,488	0,40
♦ 522-ZR431FTA	ZR431FTA	SOT-23	2.5	2.5	20	50	100	0,54	-	0,386	0,349
♦ 522-ZTL431BE5TA	ZTL431BE5TA	SOT-23-5	2.5	2.5	20	1000	100	0,50	-	0,308	0,286

RÉGULATEUR EN MODE FIXE OU AJUSTABLE POSITIF A PERTE FAIBLE ZETEX ZLDO1117 1A

- 2% tolérance de variations en température, ligne et charge
- Limitation courant de sortie
- Arrêt thermique inclus
- Utilisables avec les condensateurs MLCC

RÉF. STOCK MOUSER	Réf. Zetex	Boîtier	Tension en sortie (V)	Tension d'entrée max.	Courant de sortie max. (A)	Courant de repos (Typ.)	Tension de décrochage (V)	Prix unitaire 1	25	100
522-ZLDO1117KTC	ZLDO1117KTC	TO252-3L	Réglable	18	1	4	1.2	0,45	0,40	0,352
522-ZLDO1117K15TC	ZLDO1117K15TC	TO252-3L	1,5V	18	1	4	1.2	0,45	0,40	0,352
522-ZLDO1117K18TC	ZLDO1117K18TC	TO252-3L	1,8V	18	1	4	1.2	0,45	0,40	0,352
522-ZLDO1117K25TC	ZLDO1117K25TC	TO252-3L	2,5V	18	1	4	1.2	0,45	0,40	0,352
522-ZLDO1117K33TC	ZLDO1117K33TC	TO252-3L	3,3V	18	1	4	1.2	0,45	0,40	0,352
522-ZLDO1117K50TC	ZLDO1117K50TC	TO252-3L	5,0V	18	1	4	1.2	0,45	0,40	0,352
522-ZLDO1117G12TA	ZLDO1117G12TA	SOT223-3L	1,2V	18	1	4	1.2	0,58	0,457	0,346
522-ZLDO1117GTA	ZLDO1117GTA	SOT223-3L	Réglable	18	1	4	1.2	0,58	0,457	0,346
522-ZLDO1117G15TA	ZLDO1117G15TA	SOT223-3L	1,5V	18	1	4	1.2	0,58	0,457	0,346
522-ZLDO1117G18TA	ZLDO1117G18TA	SOT223-3L	1,8V	18	1	4	1.2	0,58	0,457	0,346
522-ZLDO1117G25TA	ZLDO1117G25TA	SOT223-3L	2,5V	18	1	4	1.2	0,58	0,457	0,346
522-ZLDO1117G33TA	ZLDO1117G33TA	SOT223-3L	3,3V	18	1	4	1.2	0,58	0,457	0,346
522-ZLDO1117G50TA	ZLDO1117G50TA	SOT223-3L	5,0V	18	1	4	1.2	0,58	0,457	0,346

RÉGULATEURS EN TENSION FIXE - SÉRIE ZETEX ZSR

RÉF. STOCK MOUSER	Réf. Zetex	Boîtier	Tension en sortie (V)	Courant de sortie max. (mA)	Courant de repos max. (µA)	Tension de décrochage typique (V)	Régulation de ligne max. (mV)	Régulation de charge max. (mV)	Prix unitaire 1	25	100	250
522-ZSR300GTA	ZSR300GTA	SOT-223	3	200	600	1.7	40	25	1,11	1,00	0,883	0,769
522-ZSR330GTA	ZSR330GTA	SOT-223	3.3	200	600	1.7	30	25	1,11	1,00	0,883	0,769
522-ZSR500GTA	ZSR500GTA	SOT-223	5	200	600	1.7	40	25	1,11	1,00	0,883	0,769
522-ZSR800GTA	ZSR800GTA	SOT-223	8	200	600	1.7	40	30	1,48	1,17	1,02	0,915
522-ZSR1000GTA	ZSR1000GTA	SOT-223	10	200	600	1.7	40	30	1,11	1,00	0,883	0,769

MINI-RÉGULATEURS À FAIBLE DÉCROCHAGE MICRO-PUISSANCE - SÉRIE ZETEX ZXCL

RÉF. STOCK MOUSER	Réf. Zetex	Boîtier	Tension en sortie (V)	Tension de décrochage Icharge = 50mA (mV)	Courant de charge max. (mA)	Courant de repos typique (µA)	Courant de fermeture typique µA	Tension de bruit de sortie µV rms	Prix unitaire 1	25	100	250
♦ 522-ZXCL250E5TA	ZXCL250E5TA	SOT-23-5	2.50	85	100	25.0	0.01	50	0,61	0,589	0,437	0,392
♦ 522-ZXCL250H5TA	ZXCL250H5TA	SC70	3	85	100	25.0	0.01	50	0,61	0,589	0,437	0,392
♦ 522-ZXCL300E5TA	ZXCL300E5TA	SOT-23-5	3	85	150	25.0	0.01	50	0,63	0,608	0,446	0,392
♦ 522-ZXCL330E5TA	ZXCL330E5TA	SOT-23-5	3	85	150	25.0	0.01	50	0,46	0,381	0,283	0,252
♦ 522-ZXCL330H5TA	ZXCL330H5TA	SC70	3	85	150	25.0	0.01	50	0,61	0,589	0,437	0,401

RÉGULATEURS EN TENSION MINIATURE - SÉRIE ZETEX ZMR

RÉF. STOCK MOUSER	Réf. Zetex	Boîtier	Tension d'entrée max. (V)	Tension en sortie (V)	Courant de sortie max. (mA)	Courant de repos max. (µA)	Tension de décrochage typique (V)	Régulation de ligne max. (mV)	Régulation de charge max. (mV)	Prix unitaire 1	25	100	250
♦ 522-ZMR250FTA	ZMR250FTA	SOT-23	20	2.5	50	40	1.7	15	30	0,89	0,857	0,629	0,583
♦ 522-ZMR500FTA	ZMR500FTA	SOT-23	20	5	50	70	1.7	15	40	0,89	0,857	0,629	0,583
♦ 522-ZMR330FTA	ZMR330FTA	SOT-23	24	3.3	100	170	1.7	15	50	1,05	0,838	0,629	0,583

© Copyright 2012 Mouser Electronics
© Copyright 2012 Mouser Electronics

Convertisseurs CC-CC ENPIRION

Les produits peuvent être conformes à la directive RoHS.
Consultez le site mouser.com pour vérifier la conformité RoHS.

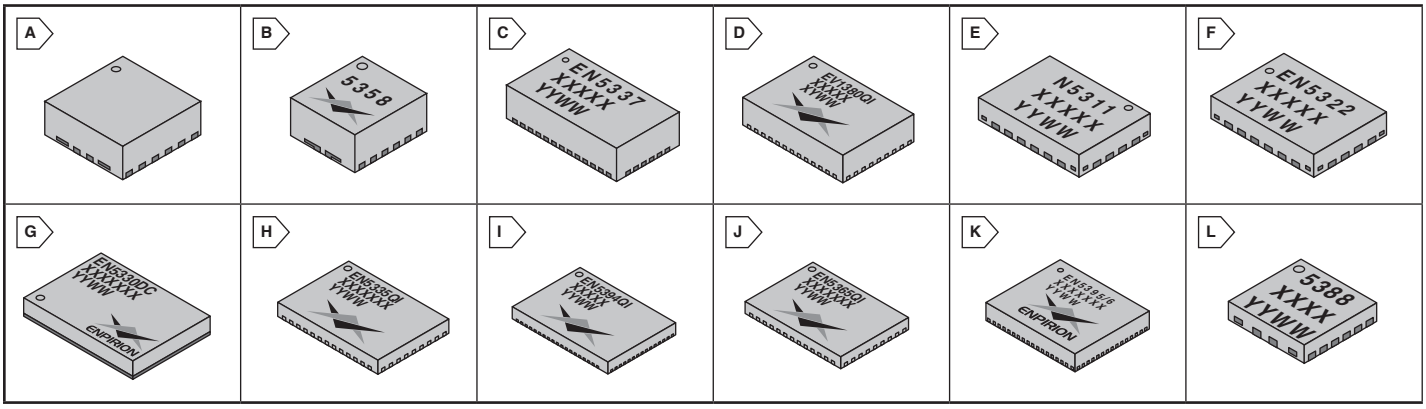

Enpirion est un fournisseur de solutions de gestion d'alimentation largement intégrées et tire parti des avancées en matière de composants semi-conducteurs pour alimentation et magnétiques compatibles CMOS pour proposer la première conversion CC-CC complète en boîtier CI au monde. Les solutions d'Enpirion réduisent l'encombrement jusqu'à 70% et le nombre de composants jusqu'à 60%, elles diminuent aussi de manière importante les contraintes de conception liées aux convertisseurs CC-CC en mode commutation.

Enpirion réalise le système d'alimentation sur silicium (PSoS) le plus petit au monde : le premier convertisseur CC-CC tout silicium ultra-intégré et le premier à disposer d'une induction intégrée. L'approche brevetée d'Enpirion tire parti des avancées de la géométrie du semi-conducteur qui permettent une amélioration d'un facteur dix de la fréquence de commutation : en intégrant un contrôleur PWM, des FET d'alimentation, un circuit de compensation et des composants magnétiques dans un boîtier CI clé en main unique.

Enpirion fabrique une gamme toujours croissante de convertisseurs CC-CC en mode commutation à induction intégrée. L'intégration de l'induction permet aux produits Enpirion de se démarquer de la concurrence. La disposition et l'emplacement de l'induction est l'une des causes des pannes liées aux CI d'alimentation. Enpirion résout ce problème, réduit l'encombrement et le nombre de composants et réduit le bruit associé à la conversion d'alimentation en mode commutation. Les applications comprennent des produits de consommation grand public comme les téléphones mobiles, les consoles de jeux portables, les lecteurs MP3 et les lecteurs multimédias personnels mais aussi les réseaux de données, les télécommunications, l'équipement de terminaux utilisateurs comme les décodeurs numériques et bien sûr les ordinateurs portables et de bureau.

CONVERTISSEUR CC-CC BUCK (DÉVOLTEUR) ENPIRION

NEW PRODUCT

RoHS Compliant

Pour des quantités supérieures à celles indiquées, appelez-nous afin d'obtenir un devis.

RÉF. STOCK MOUSER	Réf. Enpirion	Fig.	Charge continue max. (A)	Entrée (V CC)	Sortie (V CC)	Fréquence de commutation (MHz)	Boîtier	Dimensions : mm	Prix unitaire 1	25	50	100
884-EP5348UI	EP5348UI	-	0.4	-	-	5	QFN	-	1,43	1,41	1,37	1,12
884-EP5357LUI	EP5357LUI	A	0.6	2.4-5.5	1.8-3.3	5	QFN-16	2,5 x 2,25 x 1,1	2,68	2,54	2,39	2,16
884-EP5357HUI	EP5357HUI	A	0.6	2.4-5.5	1.8-3.3	5	QFN-16	2,5 x 2,25 x 1,1	2,68	2,54	2,39	2,16
884-EP5358LUI	EP5358LUI	B	0.6	2.4-5.5	0,6 à VIN-VDO	5	QFN-16	2,5 x 2,25 x 1,1	2,12	2,09	2,03	1,64
884-EP5358HUI	EP5358HUI	B	0.6	2.4-5.5	1.8-3.3	5	QFN-16	2,5 x 2,25 x 1,1	2,12	2,09	2,03	1,64
884-EP53A8HQI	EP53A8HQI	A	1.0	2.4-5.5	3,3 V	5	QFN-16	3 x 3 x 1,1	2,78	2,67	2,48	2,23
884-EP53A8LQI	EP53A8LQI	A	1.0	.0.3 - 6	3.3	5	QFN-16	3 x 3 x 1,1	2,78	2,67	2,48	2,23
884-EN5337QI	EN5337QI	C	3.0	2.375-5.5	0,6 à VIN-VDO	5	QFN-38	4 x 7 x 1,85	4,08	4,00	3,89	3,17
884-EV1380QI	EV1380QI	D	8.0	1-1.8	.74-.76	1.5	QFN-68	8 x 11 x 3	13,81	13,11	12,99	12,93

CONVERTISSEUR/COMMUTATEUR CC-CC - PRODUITS POL ENPIRION

RoHS Compliant

Pour des quantités supérieures à celles indiquées, appelez-nous afin d'obtenir un devis.

RÉF. STOCK MOUSER	Réf. Enpirion	Fig.	Charge continue max. (A)	Entrée (V CC)	Sortie (V CC)	Fréquence de commutation (MHz)	Boîtier	Dimensions : mm	Prix unitaire 1	25	50	100
884-EN5311QI	EN5311QI	E	1.0	2.4-5.5	0,6 à VIN-VDO	5	QFN-20	4 x 5 x 1,1	2,70	2,56	2,39	2,17
884-EN5312QI	EN5312QI	E	1.0	2.4-5.5	0.8-3.3	4	QFN-20	4 x 5 x 1,1	3,15	3,09	3,03	2,57
884-EN5322QI-T	EN5322QI	F	2.0	2.4-5.5	0,6 à VIN-VDO	4	QFN-24	4 x 6 x 1,1	4,96	4,89	4,66	4,08
884-EN5330DC	EN5330DC	G	3.0	2.375-5.5	0.8-3.3	5	DFN-36	8,1 x 12,5 x 2,2	6,41	6,17	5,88	5,53
884-EN5335QI	EN5335QI	H	3.0	2.375-5.5	0.8-3.3	5	QFN-44	7,5 x 10 x 1,85	6,54	6,42	6,30	5,35
884-EN5336QI	EN5336QI	H	3.0	2.375-5.5	0.8-3.3	5	QFN-44	7,5 x 10 x 1,85	6,54	6,42	6,30	5,35
884-EN5364QI	EN5364QI	I	6.0	2.375-6.6	0,6 à VIN-VDO	4	QFN-68	8 x 11 x 1,85	9,18	8,26	7,34	6,89
884-EN5365QI	EN5365QI	J	6.0	2.375-5.5	0.8-3.3	5	QFN-58	10 x 12 x 1,85	7,69	6,85	6,12	5,58
884-EN5366QI	EN5366QI	J	6.0	2.375-5.5	0.8-3.3	5	QFN-58	10 x 12 x 1,85	9,70	9,17	8,47	7,77
884-EN5394QI	EN5394QI	I	6.0	2.375-6.6	0,6 à VIN-VDO	4	QFN-68	8 x 11 x 1,85	11,42	10,28	9,13	8,56
884-EN5395QI	EN5395QI	K	9.0	2.375-5.5	0,75 à VIN-VD	5	QFN-16	10 x 12 x 1,85	12,56	11,04	9,82	8,59
884-EN5396QI	EN5396QI	K	9.0	2.375-5.5	0,75 à VIN-VD	5	QFN-58	10 x 12 x 1,85	12,40	11,77	10,96	9,95

CONVERTISSEUR/COMMUTATEUR CC-CC - PRODUITS FAIBLE CONSOMMATION (MOBILE) ENPIRION

RoHS Compliant

Pour des quantités supérieures à celles indiquées, appelez-nous afin d'obtenir un devis.

RÉF. STOCK MOUSER	Réf. Enpirion	Fig.	Charge continue max. (A)	Entrée (V CC)	Sortie (V CC)	Fréquence de commutation (MHz)	Boîtier	Dimensions : mm	Prix unitaire 1	25	50	100
884-EP5352QI	EP5352QI	E	0.5	2.4-5.5	0.6-3.3	5	QFN-20	4 x 5 x 1,1	2,50	2,41	2,20	1,92
884-EP5362QI	EP5362QI	E	0.6	2.4-5.5	0.6-3.3	5	QFN-20	4 x 5 x 1,1	2,16	2,05	1,98	1,92
884-EP5368QI	EP5368QI	L	0.7	2.4-5.5	0,603 à VIN - 0,4V	4	QFN-16	3 x 3 x 1,1	2,14	2,10	2,05	1,76
884-EP5382QI	EP5382QI	E	0.8	2.4-5.5	0.6-3.3	5	QFN-20	4 x 5 x 1,1	2,91	2,87	2,81	2,39
884-EP5388QI	EP5388QI	L	0.8	2.4-5.5	0,6 à VIN - 0,36VD	4	QFN-16	3 x 3 x 1,1	2,31	2,25	2,20	1,89

CARTES D'ÉVALUATION ENPIRION

NEW PRODUCT

RÉF. STOCK MOUSER	Réf. Enpirion	Courant de sortie max. (A)	Entrée (V c.c.)	Sortie (V c.c.)	Fréquence de commutation (MHz)	Prix unitaire
884-EN6360QI-E	EN6360QI-E	8.0	2.375-6.6	.8-5	1	75,92
884-EN6337QI-E	EN6337QI-E	3.0	2.375-3.3	0.8-5	2	75,92
884-EV1380QI-E	EV1380QI-E	0.6	1-1.8	.74-.76	1.5	75,92
884-EN6347QI-E	EN6347QI-E	4.0	2.375-6.6	.8-5	3	75,92
884-EP5348UI-E	EP5348UI-E	0.4	-	-	5	60,43
884-EP5357LUI-E	EP5357LUI-E	0.6	2.4-5.5	1.8-3.3	5	60,43
884-EP5357HUI-E	EP5357HUI-E	0.6	2.4-5.5	1.8-3.3	5	60,43
884-EN5364QI-E	EN5364QI-E	6.0	2.375-6.6	0,6 à VIN-VDO	4	73,64
884-EN5394QI-E	EN5394QI-E	6.0	2.375-6.6	0,6 à VIN-VDO	4	73,64
884-EP5352QI-E	EP5352QI-E	0,5	2.4-5.5	0.6-3.3	5	64,06
884-EP5362QI-E	EP5362QI-E	0.6	2.4-5.5	0.6-3.3	5	64,06
884-EP5382QI-E	EP5382QI-E	0.8	2.4-5.5	0.6-3.3	5	64,06
884-EN63A0QI-E	EN63A0QI-E	12.0	2.375-6.6	-	-	75,92

© Copyright 2012 Mouser Electronics

© Copyright 2012 Mouser Electronics

Régulateur d'alimentation EXAR

RoHS Compliant **This product is RoHS compliant.**

CONTRÔLEURS DE PUISSANCE NUMÉRIQUES EXAR

Pour des quantités supérieures à celles indiquées, appelez-nous afin d'obtenir un devis.

RÉF. STOCK MOUSER	Réf. Exar	Type de boîtier	Plage de température	Voies	Type	Courant/voie	Tension d'entrée min. (V)	Tension d'entrée max. (V)	Prix unitaire 1	25	100
701-XRP7713ILB-F	XRP7713ILB-F	QFN32	-40°C à 85°C	3	Dévolteur	3ch/5A	4.75	25	5,98	5,39	4,79
701-XRP7714ILB-F	XRP7714ILB-F	QFN40	-40°C à 85°C	4	Dévolteur	4ch/5A	4.75	25	7,01	6,17	5,33
701-XRP7704ILB-F	XRP7704ILB-F	QFN40	-40°C à 85°C	4	Buck	4ch/5A	6.5	20	9,28	8,17	7,05
701-XRP7740ILB-F	XRP7740ILB-F	QFN40	-40°C à 85°C	4	Buck	2ch/5A : 2ch/15A	6.5	20	10,21	9,08	8,17
701-XRP7708ILB-F	XRP7708ILB-F	QFN40	-40°C à 85°C	4	Dévolteur	2ch/5A : 2ch/8A	6.5	20	9,80	8,24	7,57

RÉGULATEUR DÉVOLTEUR SYNCHRONE À TERMINAISON DE MÉMOIRE DDR EXAR XRP6142

Pour des quantités supérieures à celles indiquées, appelez-nous afin d'obtenir un devis.

RÉF. STOCK MOUSER	Réf. Exar	Type de boîtier	Plage de température	Temps d'allumage (µs)	Vin Min.	Vin Max.	IQ (µA)	Vout Min.	Vout Max.	Fréquence (kHz)	Efficience (%)	Prix unitaire 1	25	100
701-XRP6142EL0-5-F	XRP6142EL0-5-F	QFN-16	-40°C à 125°C	0.5	1.0	5.5	400	0.5	5	1000	96	2,46	1,95	1,65
701-XRP6142EL1-0-F	XRP6142EL1-0-F	QFN-16	-40°C à 125°C	1,0	1,0	5.5	400	0,5	5	1000	96	2,46	1,95	1,65
701-XRP6142EL2-0-F	XRP6142EL2-0-F	QFN-16	-40°C à 125°C	2.0	1,0	5.5	400	0,5	5	1000	96	2,57	1,95	1,65

RÉGULATEUR DÉVOLTEUR EXAR

Pour des quantités supérieures à celles indiquées, appelez-nous afin d'obtenir un devis.

RÉF. STOCK MOUSER	Réf. Exar	Type de boîtier	Plage de température	Vin Min.	Vin Max.	Quantité par emballage	IQ (µA)	Vout Min.	Vout Max.	Efficience (%)	Prix unitaire 1	25	100
701-XRP6124ES0.5-F	XRP6124ES0.5-F	SOT-23-5	-40°C à 125°C	3V	18V	En vrac	500	0,8V	16V	92	0,87	0,726	0,578
701-XRP6124ESTR0.5-F	XRP6124ESTR0.5-F	SOT-23-5	-40°C à 125°C	3V	18V	Ruban et bobine	500	0,8V	16V	92	0,87	0,726	0,578
701-XRP6124HVES0.5-F	XRP6124HVES0ew.5-F	SOT-23-5	-40°C à 125°C	4,5V	30V	En vrac	500	0,8V	16V	92	1,11	0,932	0,743
701-XRP6124HVESTR05F	XRP6124HVESTR0.5-F	SOT-23-5	-40°C à 125°C	4,5V	30V	Ruban et bobine	500	0,8V	16V	92	1,11	0,932	0,743

RÉGULATEURS EXAR

Pour des quantités supérieures à celles indiquées, appelez-nous afin d'obtenir un devis.

RÉF. STOCK MOUSER	Réf. Exar	Type de boîtier	Plage de température	Iout (mA)	Vin Min.	Vin Max.	IQ (µA)	Vout Min.	Vout Max.	Fréquence (kHz)	Efficience (%)	Prix unitaire 1	25	100
701-XRP6668IDBTR-F	XRP6668IDBTR-F	SOIC-8	-45°C à 85°C	1000	2.5	5.5	30	0.6	5	1500	97	2,29	1,72	1,47
701-XRP6658ISTR-F	XRP6658ISTR-F	SOIC-8	-45°C à 85°C	1000	2.5	5.5	15	0.6	5	1500	97	1,42	1,07	0,908
701-XRP7664IDTR-F	XRP7664IDTR-F	SOIC-8	-40°C à 85°C	2000	4.75	18	1000	0.925	16	340	93	0,96	0,722	0,613
701-XRP7665IDBTR-F	XRP7665IDBTR-F	SOIC-8	-	3000	4.75	18	1000	0.925	16	340	93	1,19	0,899	0,761
701-XRP7657EDTR-F	XRP7657EDTR-F	SOIC-8	-40°C à 85°C	2000	4,75V	25V	1300	0,8V	21V	420	94	1,27	0,965	0,817
701-XRP6657IHB-F	XRP6657IHB-F	DFN-6	-40°C à 85°C	1500	2,5V	5,5V	240	0,6V	5V	1300	95	1,71	1,29	1,10
701-SP7652ER-L	SP7652ER-L	DFN26	-40°C à 85°C	6000	2.5	28	1500	0.8	27	600	92	4,48	3,39	2,88
Survolteur														
701-SP6644EU-L	SP6644EU-L	MSOP-8	-40°C à 85°C	190	0,88V	3,3V	0.0016	2V	5,5V	-	92	1,88	1,42	1,20
Abaisseur / élévateur / inverseur														
701-SP34063AEN-L/TR	SP34063AEN-L/TR	SOIC-8	-40°C à 85°C	1500	3V	36	4	-	28V	110	80	0,46	0,35	0,297

RÉGULATEURS LDO EXAR

Pour des quantités supérieures à celles indiquées, appelez-nous afin d'obtenir un devis.

RÉF. STOCK MOUSER	Réf. Exar	Type de boîtier	Plage de température	Iout (mA)	Vin Min.	Vin Max.	IQ (µA)	Préci-sion	Vdéc (mV)	Vout (V)	Vout régl.	Prix unitaire 1	25	100
701-SPX431AM1-L/TR	SPX431AM1-L/TR	SOT-89-3	0°C à 105°C	150	-	20 V	1000	0.50%	-	-	Non	0,40	0,306	0,26
701-SPX5205M5-L	SPX5205M5-L	SOT-23-5	-	150	2,5 V	16 V	70	1%	210	1,2V - 5,0V	Oui	0,44	0,33	0,281
701-SPX5205M5-L-3-3	SPX5205M5-L-3-3	SOT-23-5	-	150	2,5 V	16 V	70	1%	210	1,2V - 5,0V	Oui	0,44	0,33	0,281
701-SP6201EM5-L	SP6201EM5-L	SOT-23-5	-40°C à 125°C	200	2,5 V	7V	28	2%	320	1,5V - 5,0V	Oui	0,40	0,306	0,26
701-SPX3819M5-L	SPX3819M5-L	SOT-23-5	-	500	2,5 V	16 V	90	1%	340	1,2V - 5,0 V	Oui	0,67	0,503	0,429
701-SPX1117M3-L	SPX1117M3-L	SOT223	-	800	2,6V	15 V	5000	1%	100	1,5V - 5,0V	Oui	0,35	0,262	0,223
701-SPX1117M3-L-2-5	SPX1117M3-L-2-5	SOT223	-	800	2,6V	15 V	5000	1%	100	1,5V - 5,0V	Oui	0,35	0,262	0,223
701-SPX1117M3-L-3-3	SPX1117M3-L-3-3	SOT223	-	800	2,6V	15 V	5000	1%	100	1,5V - 5,0V	Oui	0,35	0,262	0,223
701-SPX2941T5-L	SPX2941T5-L	TO263	-	1000	3 V	16 V	12000	3%	280	-	Oui	1,44	1,10	0,932
701-SPX29152T5-L	SPX29152T5-L	TO263-5	-	1500	2,5 V	16 V	12000	1.50%	390	-	Oui	2,21	1,75	1,49
701-SPX29302T5-L	SPX29302T5-L	TO263-5	-	3000	2.8V	16 V	37000	1%	450	-	Oui	2,21	1,75	1,49
701-SPX1585AT-L	SPX1585AT-L	TO263	-40°C à 125°C	5000	3,3V	10 V	5	1%	1200	1.2 - 3.3	Oui	1,88	1,42	1,20

SUPERVISEURS EXAR

Pour des quantités supérieures à celles indiquées, appelez-nous afin d'obtenir un devis.

RÉF. STOCK MOUSER	Réf. Exar	Type de boîtier	Plage de température	IQ (µA)	Nbre de voies	VCC Min. (V)	VCC Max. (V)	Seuil de réinitiali-sation (V)	Réini-tialisation active	Type de sortie de réinitiali-sation	Prix unitaire 1	25	100
701-SP706SEN-L	SP706SEN-L	SOIC-8	-40°C à 85°C	60	1	1,0	5.5	4.40	Faible	Autre	1,01	0,766	0,65
701-SP706TEN-L	SP706TEN-L	SOIC-8	-40°C à 85°C	60	1	1,0	5.5	4.40	Faible	Autre	1,01	0,766	0,65
701-SP708SEN-L	SP708SEN-L	SOIC-8	-40°C à 85°C	60	1	1,0	5.5	4.40	Faible/élevé	Autre	1,01	0,766	0,65
701-SP708TEN-L	SP708TEN-L	SOIC-8	-40°C à 85°C	60	1	1,0	5.5	4.40	Faible/élevé	Autre	1,01	0,766	0,65
701-SP707CN-L	SP707CN-L	SOIC-8	-40°C à 85°C	60	1	1,0	5.5	4.65	Faible/élevé	Autre	1,07	0,809	0,687
701-SP691ACN-L	SP691ACN-L	SOIC-16	-40°C à 85°C	60	1	1,0	5.5	4.65	Faible/élevé	Autre	1,88	1,42	1,20
701-SP691AET-L	SP691AET-L	SOIC-16	-40°C à 85°C	60	1	-	5.5	4.65	Faible/élevé	Autre	1,80	1,42	1,20
701-SP813LEN-L	SP813LEN-L	SOIC-8	-40°C à 85°C	60	1	1,0	5.5	4.65	Élevée	Autre	1,38	1,11	0,932

USB EXAR

Pour des quantités supérieures à celles indiquées, appelez-nous afin d'obtenir un devis.

RÉF. STOCK MOUSER	Réf. Exar	Type de boîtier	Plage de température	IQ (µA)	Nbre de voies	Vin Min.	Vin Max.	Courant Max. par canal	Activation	Prix unitaire 1	25	100
701-SP2525A-1EN-L	SP2525A-1EN-L	SOICN-8	-45°C à 85°C	75	1	3V	5,5V	500	Oui	1,16	0,875	0,743
701-SP2525A-2EN-L	SP2525A-2EN-L	SOICN-8	-45°C à 85°C	75	1	3V	5,5V	500	Oui	1,16	0,875	0,743
701-SP2526A-1EN-L	SP2526A-1EN-L	SOICN-8	-45°C à 85°C	80	2	3V	6V	500	Oui	1,30	0,982	0,833
701-SP2526A-2EN-L	SP2526A-2EN-L	SOICN-8	-45°C à 85°C	80	2	3 V	6V	500	Oui	1,30	0,982	0,833

© Copyright 2012 Mouser Electronics
© Copyright 2012 Mouser Electronics

Régulateurs de tension FAIRCHILD

Les produits peuvent être conformes à la directive RoHS.
Consultez le site mouser.com pour vérifier la conformité RoHS.

FAIRCHILD SEMICONDUCTOR

CONVERTISSEUR CC/CC

♦ Composant pour montage en surface

Pour des quantités supérieures à celles indiquées, appelez-nous afin d'obtenir un devis.

RÉF. STOCK MOUSER	Réf. Fairchild	Type	de boîtier	Courant de sortie (A)	Tension d'entrée min. (V)	Tension d'entrée max. (V)	Gamme de fréquence (kHz)	Modulation	Sorties PWM	Prix unitaire 1	25	100	250
♦ 512-FAN4860UC5X	FAN4860UC5X	WLCSP-6	Sync TinyBoost™	0.2	2.3	4.5	3000	-	-	0,59	0,479	0,47	0,47
♦ 512-FAN4860UMP5X	FAN4860UMP5X	UMLP-6	Sync TinyBoost™	0.2	2.3	4.5	3000	-	-	0,72	0,594	0,479	0,359
♦ 512-FAN4860UC33X	FAN4860UC33X	WLCSP-6	Sync TinyBoost™	0.2	2.3	4.5	3000	-	-	0,72	0,602	0,479	0,363
♦ 512-FAN2001MPX	FAN2001MPX	MLP-6	Buck synchro. intégré	1	2.5	5.5	1300	MF/MLI	Rég.	1,53	1,18	1,06	0,957
♦ 512-FAN2002MPX	FAN2002MPX	MLP-6	Buck synchro. intégré	1	2.5	5.5	1300	MF/MLI	Rég.	1,53	1,18	1,06	0,957
♦ 512-FAN2011EMPX	FAN2011EMPX	MLP-6	Buck synchro. intégré	1.5	4.5	5.5	1300	MLI	Rég.	1,29	1,15	1,01	0,908
♦ 512-FAN2012EMPX	FAN2012EMPX	MLP-6	Buck synchro. intégré	1.5	4.5	5.5	1300	MLI	Rég.	1,29	1,15	1,01	0,908
♦ 512-FAN2012MPX	FAN2012MPX	MLP-6	Buck synchro. intégré	1.5	4.5	5.5	1300	MLI	Rég.	1,01	0,85	0,742	0,631
♦ 512-FAN2103EMPX	FAN2103EMPX	MLP-25	Buck synchro. intégré	3	3	24	200-600	MLI	1	1,91	1,73	1,56	1,20
♦ 512-FAN2103MPX	FAN2103MPX	MLP-25	Buck synchro. intégré	3	3	24	200-600	MLI	1	1,55	1,41	1,29	1,19
♦ 512-FAN2108EMPX	FAN2108EMPX	MLP-25 5x6	Buck synchro. intégré	8	3	24	200-600	MLI	1	3,14	2,57	2,30	1,44
♦ 512-FAN2108MPX	FAN2108MPX	MLP-25	Buck synchro. intégré	8	3	24	200-600	MLI	1	2,97	2,43	2,18	1,98
♦ 512-FAN21SV06MPX	FAN21SV06MPX	MLP-25	Buck synchro. intégré	6	6.5	24	200-600	MLI	1	2,75	2,11	1,91	1,72
♦ 512-FAN4603MM18X	FAN4603MM18X	MLP-6	Buck synchro. intégré	0.6	2.3	5.5	6000	-	-	1,86	1,49	1,16	1,10
♦ 512-FAN4860UC33X	FAN4860UC33X	WLCSP-6	Survolteur synchro	0.3	2.3	4.5	3000	-	-	0,72	0,602	0,479	0,363
♦ 512-FAN5331SX	FAN5331SX	SOT-23-5	Survolteur asynchro	0.05	2.7	5.5	1600	MF	Rég.	0,85	0,668	0,601	0,523
♦ 512-FAN5333ASX	FAN5333ASX	SOT-23-5	Survolteur asynchro	0.75	1.8	5.5	1600	MF	Rég.	1,27	1,01	0,875	0,774
♦ 512-FAN5354MPX	FAN5354MPX	MLP 12	Buck synchro. intégré	3	2.7	5.5	3000	-	-	1,16	0,965	0,776	0,586
♦ 512-FAN5361UC123X	FAN5361UC123X	WLCSP-6	Buck synchro. intégré	0.6	2.3	5.5	6000	-	-	1,19	0,924	0,842	0,728
♦ 512-FAN5362UC29X	FAN5362UC29X	WLCSP-6	Buck synchro. intégré	0,5	2.7	5.5	3000	-	-	0,77	0,644	0,512	0,388
♦ 512-FAN8301MX	FAN8301MX	SOIC-8	Buck non synchro. intégré	2	4.75	16	370	Mode courant	Oui	1,38	1,09	0,982	0,842
♦ 512-FAN8303MX	FAN8303MX	SOIC-8	Buck non synchro. intégré	2	5	23	370	Mode courant	Oui	1,38	1,09	0,982	0,842

CONTRÔLEUR DE MOTEUR CC

♦ Composant pour montage en surface

Pour des quantités supérieures à celles indiquées, appelez-nous afin d'obtenir un devis.

RÉF. STOCK MOUSER	Réf. Fairchild	Boîtier	Contrôle	Tension d'alimentation (V)	Protection				Boucle rétro-action rapide	Prix unitaire 1	25	100	250
					Survoltage	Courant de surcharge	Sur-tempé.	Court circuit					
♦ 512-FCM8202QY	FCM8202QY	LQFP-32	Sinusoïdal et trapézoïdal	10.0-17.5	1	3	1	Non	Non	2,06	1,65	1,29	1,22

INTERRUPTEUR DÉFAUT DE MASSE

♦ Composant pour montage en surface

Pour des quantités supérieures à celles indiquées, appelez-nous afin d'obtenir un devis.

RÉF. STOCK MOUSER	Réf. Fairchild	Boîtier	Tension de ligne (Min.) (V)	Tension de ligne (Max.) (V)	Supports UL493	Tension déclenchement sortie SCR	Déclencheur courant sortie	Temps de réponse (ms)	Transfo à détection	Plage de temp. de fonctionnement (°C)	Prix unitaire 1	25	100	250
♦ 512-FAN4147SX	FAN4147SX	SSOT-6	110	240	UL943B	2,5V	500µA	1	1	de 0 à +70	0,87	0,726	0,578	0,437
♦ 512-FAN4146ESX	FAN4146ESX	SSOT-6	110	240	UL943B	2,5V	500µA	1	1	-25 à +80	0,87	0,726	0,578	0,437

RÉGULATEURS DE TENSION UNIVERSELS

♦ Composant pour montage en surface

Pour des quantités supérieures à celles indiquées, appelez-nous afin d'obtenir un devis.

RÉF. STOCK MOUSER	Réf. Fairchild	Boîtier	Nombre de sorties	Niveau de sortie	Tension de sortie (Typ.) (V)	Tension d'entrée (Max.) (V)	Tension de sortie rég. (Min.) (V)	Tension de sortie rég. (Max.) (V)	Courant de sortie (Typ.) (A)	Chute de tension (Max.) (V)	Prix unitaire 1	25	100	250
512-LM79M05CT	LM79M05CT	TO-220	1	Négatif	5	30	5	24	0.002	1.7	0,55	0,413	0,35	0,304
♦ 512-KA79L05AMTF	KA79L05AMTF	SOT-89-3	1	Négatif	5	30	5	24	0.1	1.7	0,34	0,239	0,21	0,176
512-KA79L05AZTA	KA79L05AZTA	TO-92R	1	Négatif	5	30	-	-	0.1	1.7	0,28	0,231	0,184	0,132
512-LM79L05ACZ	LM79L05ACZ	TO-92R	1	Négatif	5	40	5	24	0.1	1.7	0,17	0,141	0,126	0,101
♦ 512-KA79M05RTF	KA79M05RTF	TO-252	1	Négatif	5	35	5	24	0,5	2	0,47	0,388	0,349	0,278
512-LM7905CT	LM7905CT	TO-220	1	Négatif	5	35	-	-	1	2	0,50	0,384	0,334	0,291
♦ 512-MC79L05ACHX	MC79L05ACHX	SOT-89-3	1	Négatif	5	30	5	24	1	1.7	0,34	0,239	0,21	0,176
512-MC79L05ACP	MC79L05ACP	TO-92R	1	Négatif	5	30	5	24	1	1.7	0,32	0,264	0,207	0,151
512-KA7906TU	KA7906TU	TO-220	1	Négatif	6	35	-	-	1	2	0,52	0,503	0,485	0,349
512-KA7908TU	KA7908TU	TO-220	1	Négatif	8	35	-	-	1	2	0,52	0,462	0,403	0,349
512-LM7908CT	LM7908CT	TO-220	1	Négatif	8	35	-	-	1	2	0,50	0,392	0,341	0,297
512-KA7909TU	KA7909TU	TO-220	1	Négatif	9	35	5	24	0.003	2	0,52	0,462	0,403	0,349
512-LM7910CT	LM7910CT	TO-220	1	Négatif	10	35	-	-	1	2	0,28	0,256	0,206	0,201
512-KA7912TU	KA7912TU	TO-220	1	Négatif	12	35	5	24	0.003	2	0,50	0,388	0,385	0,338
512-KA7912ATU	KA7912ATU	TO-220	1	Négatif	12	35	-	-	1	2	0,55	0,429	0,374	0,325
512-LM7912CT	LM7912CT	TO-220	1	Négatif	12	35	-	-	1	2	0,50	0,392	0,341	0,297
512-KA7915TU	KA7915TU	TO-220	1	Négatif	15	35	5	24	0.003	2	0,45	0,388	0,296	0,218
512-LM7915CT	LM7915CT	TO-220	1	Négatif	15	35	-	-	1	2	0,50	0,386	0,337	0,293
512-KA7918TU	KA7918TU	TO-220	1	Négatif	18	35	-	-	1	2	0,52	0,462	0,403	0,349
512-KA7924TU	KA7924TU	TO-220	1	Négatif	24	35	5	24	1	2	0,52	0,462	0,403	0,349
512-LM337T	LM337T	TO-220	1	Négatif	RÉG.	40	1.2	37	1.5	3	0,57	0,446	0,385	0,335
512-KA78L05AZBU	KA78L05AZBU	TO-92R	1	Positif	5	30	5	24	0.002	1.7	0,35	0,272	0,202	0,143
512-KA78L05AAZTA	KA78L05AAZTA	TO-92R	1	Positif	5	30	5	24	0.1	1.7	0,29	0,149	0,14	0,097
♦ 512-KA78L05ADTF	KA78L05ADTF	SOIC-8	1	Positif	5	30	5	24	0.1	1.7	0,38	0,256	0,205	0,167
♦ 512-KA78L05AMTF	KA78L05AMTF	SOT-89	1	Positif	5	30	5	24	0.1	1.7	0,24	0,218	0,21	0,177
512-KA78L05AZTA	KA78L05AZTA	TO-92R	1	Positif	5	30	5	24	0.1	1.7	0,40	0,289	0,188	0,135
512-LM78L05ACZ	LM78L05ACZ	TO-92R	1	Positif	5	35	-	-	0.1	1.7	0,40	0,223	0,169	0,12
512-LM78L05ACZX	LM78L05ACZX	TO-92R	1	Positif	5	30	-	-	0.1	1.7	0,15	0,13	0,12	0,106
512-MC78L05ABPX	MC78L05ABPX	TO-92R	1	Positif	5	30	-	-	0.1	1.7	0,29	0,149	0,14	0,097
♦ 512-MC78L05ACHX	MC78L05ACHX	SOT-89	1	Positif	5	30	5	24	0.1	1.7	0,46	0,30	0,247	0,20
512-MC78L05ACP	MC78L05ACP	TO-92R	1	Positif	5	40	5	24	0.1	1.7	0,15	0,127	0,114	0,091
512-MC78L05ACPXA	MC78L05ACPXA	TO-92R	1	Positif	5	30	5	24	0.1	1.7	0,29	0,149	0,14	0,097
♦ 512-KA78M05RTM	KA78M05RTM	TO-252	1	Positif	5	35	-	-	0,5	2	0,45	0,388	0,332	0,287
512-KA78M05TU	KA78M05TU	TO-220	1	Positif	5	35	-	-	0,5	2	0,43	0,351	0,31	0,233
512-LM78M05CT	LM78M05CT	TO-220	1	Positif	5	35	-	-	0,5	2	0,50	0,388	0,339	0,286
♦ 512-MC78M05CDTX	MC78M05CDTX	TO-252	1	Positif	5	35	-	-	0,5	2	0,40	0,33	0,297	0,237
512-KA7805AETU	KA7805AETU	TO-220	1	Positif	5	35	-	-	1	2	0,54	0,413	0,356	0,309
♦ 512-KA7805ERTF	KA7805ERTF	TO-252	1	Positif	5	40	5	24	1	2	0,42	0,413	0,359	0,308
512-KA7805ETU	KA7805ETU	TO-220	1	Positif	5	35	5	24	1	2	0,54	0,413	0,36	0,259

© Copyright 2012 Mouser Electronics
© Copyright 2012 Mouser Electronics

Régulateurs de tension FAIRCHILD

Les produits peuvent être conformes à la directive RoHS. Consultez le site mouser.com pour vérifier la conformité RoHS.

RÉGULATEURS DE TENSION UNIVERSELS (SUITE)

♦ **Composant pour montage en surface**

Pour des quantités supérieures à celles indiquées, appelez-nous afin d'obtenir un devis.

RÉF. STOCK MOUSER	Réf. Fairchild	Boîtier	Nombre de sorties	Niveaux de sortie	Tension de sortie (Typ.) (V)	Tension d'entrée (Max.) (V)	Tension de sortie rég. (Min)(V)	Tension de sortie rég. (Max)(V)	Courant de sortie (Typ.) (V)	Chute de tension (Max.) (V)	Prix unitaire 1	25	100	250
512-LM7805ACT	LM7805ACT	TO-220	1	Positif	5	35	-	-	1	2	0,41	0,385	0,326	0,283
512-LM7805CT	LM7805CT	TO-220	1	Positif	5	35	-	-	1	2	0,45	0,365	0,328	0,262
♦ 512-MC7805ECDTX	MC7805ECDTX	TO-252	1	Positif	5	35	5	24	1	2	0,56	0,413	0,359	0,308
♦ 512-KA7805ERTM	KA7805ERTM	TO-252	1	Positif	5	35	-	-	1	2	0,54	0,396	0,33	0,286
512-KA78L06AZTA	KA78L06AZTA	TO-92R	1	Positif	6	30	5	24	0.1	1.7	0,32	0,264	0,207	0,151
512-KA7806ETU	KA7806ETU	TO-220	1	Positif	6	35	5	24	1	2	0,49	0,429	0,375	0,325
512-LM7806CT	LM7806CT	TO-220	1	Positif	6	35	-	-	1	2	0,65	0,454	0,392	0,335
♦ 512-KA78L08AMTF	KA78L08AMTF	SOT-89	1	Positif	8	30	5	24	0.002	1.7	0,47	0,305	0,255	0,21
512-KA78L08AZTA	KA78L08AZTA	TO-92R	1	Positif	8	30	5	24	0.1	1.7	0,32	0,264	0,207	0,151
512-MC78L08ACP	MC78L08ACP	TO-92R	1	Positif	8	30	5	24	0.1	1.7	0,17	0,141	0,126	0,101
512-MC78L08ACPX	MC78L08ACPX	TO-92R	1	Positif	8	30	-	-	0.1	1.7	0,32	0,264	0,207	0,151
512-LM7808CT	LM7808CT	TO-220	1	Positif	8	35	-	-	1	2	0,43	0,413	0,352	0,305
512-KA7809AETU	KA7809AETU	TO-220	1	Positif	9	35	5	24	0.005	2	0,56	0,437	0,389	0,334
512-KA7809ETU	KA7809ETU	TO-220	1	Positif	9	35	5	24	0.005	2	0,49	0,429	0,375	0,325
512-LM7809ACT	LM7809ACT	TO-220	1	Positif	9	35	-	-	1	2	0,58	0,424	0,364	0,315
512-LM7809CT	LM7809CT	TO-220	1	Positif	9	35	-	-	1	2	0,58	0,424	0,364	0,315
512-KA7810AETU	KA7810AETU	TO-220	1	Positif	10	40	5	24	1	2	0,56	0,437	0,389	0,334
512-KA7810ETU	KA7810ETU	TO-220	1	Positif	10	35	5	24	1	2	0,49	0,429	0,375	0,325
512-LM7810ACT	LM7810ACT	TO-220	1	Positif	10	35	-	-	1	2	0,65	0,454	0,392	0,335
512-LM7810CT	LM7810CT	TO-220	1	Positif	10	35	-	-	1	2	0,65	0,454	0,392	0,335
512-KA78L12AZTA	KA78L12AZTA	TO-92R	1	Positif	12	35	5	24	0.0021	1.7	0,32	0,264	0,207	0,151
512-KA7812AETU	KA7812AETU	TO-220	1	Positif	12	35	5	24	0.0051	2	0,56	0,437	0,389	0,334
512-KA7812ETU	KA7812ETU	TO-220	1	Positif	12	35	5	24	0.0051	2	0,61	0,487	0,38	0,266
♦ 512-MC7812ECDTX	MC7812ECDTX	TO-252	1	Positif	12	35	5	24	0.0051	2	0,56	0,413	0,359	0,308
512-LM78L12ACZ	LM78L12ACZ	TO-92R	1	Positif	12	40	5	24	0.1	1.7	0,14	0,12	0,108	0,087
512-LM78L12ACZX	LM78L12ACZX	TO-92R	1	Positif	12	35	-	-	0.1	1.7	0,45	0,248	0,192	0,134
512-LM7812ACT	LM7812ACT	TO-220	1	Positif	12	35	-	-	1	2	0,52	0,38	0,328	0,284
512-LM7812CT	LM7812CT	TO-220	1	Positif	12	35	-	-	1	2	0,58	0,424	0,364	0,315
512-KA7815AETU	KA7815AETU	TO-220	1	Positif	15	35	5	24	0.0052	2	0,56	0,437	0,389	0,334
512-KA78L15AZTA	KA78L15AZTA	TO-92R	1	Positif	15	35	5	24	0.1	1.7	0,32	0,264	0,207	0,151
512-MC78L15ACP	MC78L15ACP	TO-92R	1	Positif	15	40	5	24	0.1	1.7	0,40	0,231	0,186	0,134
512-MC78L15ACPXA	MC78L15ACPXA	TO-92R	1	Positif	15	35	-	-	0.1	1.7	0,32	0,264	0,207	0,151
512-KA7815ETU	KA7815ETU	TO-220	1	Positif	15	35	5	24	1	2	0,57	0,454	0,35	0,245
512-LM7815ACT	LM7815ACT	TO-220	1	Positif	15	35	-	-	1	2	0,55	0,403	0,346	0,299
512-LM7815CT	LM7815CT	TO-220	1	Positif	15	35	-	-	1	2	0,58	0,424	0,364	0,315
512-LM7818CT	LM7818CT	TO-220	1	Positif	18	35	-	-	1	2	0,58	0,424	0,364	0,315
512-KA78L09AZTA	KA78L09AZTA	TO-92R	1	Positif	ADJ	30	5	24	0.1	1.7	0,32	0,264	0,207	0,151
512-KA78L10AZTA	KA78L10AZTA	TO-92R	1	Positif	ADJ	30	5	24	0.1	1.7	0,32	0,264	0,207	0,151
♦ 512-LM317LM	LM317LM	SOIC-8	1	Positif	ADJ	40	1.2	37	0.1	3	0,40	0,294	0,252	0,219
♦ 512-LM317LMX	LM317LMX	SOIC-8	1	Positif	ADJ	40	1.2	37	0.1	3	0,30	0,281	0,266	0,223
512-LM317LZ	LM317LZ	TO-92R	1	Positif	ADJ	40	1.2	37	0.1	3	0,17	0,139	0,125	0,10
512-LM317LZX	LM317LZX	TO-92R	1	Positif	ADJ	40	1.2	37	0.1	3	0,50	0,289	0,238	0,169
512-LM336Z25	LM336Z25	TO-92R	1	Positif	ADJ	2.5	2.5	37	0.1	-	0,20	0,177	0,163	0,132
512-LM431ACZ	LM431ACZ	TO-92R	1	Positif	ADJ	37	2.5	37	0.1	-	0,12	0,112	0,103	0,094
512-LM78L05ACZXA	LM78L05ACZXA	TO-92R	1	Positif	ADJ	30	5	24	0.1	1.7	0,19	0,178	0,146	0,134
♦ 512-LM317MDTX	LM317MDTX	TO-252	1	Positif	ADJ	40	1.2	37	0.5	3	0,46	0,382	0,344	0,274
♦ 512-LM317MDTXM	LM317MDTXM	TO-252	1	Positif	ADJ	40	1.2	37	0.5	3	0,64	0,437	0,377	0,325
512-LM317MT	LM317MT	TO-220	1	Positif	ADJ	40	1.2	37	0.5	3	0,41	0,35	0,304	0,229
512-KA317TU	KA317TU	TO-220	1	Positif	ADJ	40	1.2	37	1.5	3	0,46	0,409	0,345	0,265
512-LM317AHVT	LM317AHVT	TO-220	1	Positif	ADJ	60	1.2	57	1.5	3	0,60	0,47	0,406	0,353
512-LM317T	LM317T	TO-220	1	Positif	ADJ	40	1.2	37	1.5	3	0,40	0,351	0,306	0,234
512-LM350T	LM350T	TO-220	1	Positif	ADJ	35	1.2	33	3	3	0,50	0,419	0,365	0,281

RÉGULATEURS A FAIBLE TENSION DE DÉCROCHAGE

♦ **Composant pour montage en surface**

Pour des quantités supérieures à celles indiquées, appelez-nous afin d'obtenir un devis.

RÉF. STOCK MOUSER	Réf. Fairchild	Boîtier	Type de sortie	Tens. de sortie pré-établie Typ. (V)	Courant de sortie (A)	Tension de décrochage (@Iout) (V)	Tension d'entrée (min.) (V)	Tension d'entrée (max.) (V)	Temp. de fonctionnement (°C)	Fonction désactivation de sortie	Prix unitaire 1	25	100	250
♦ 512-FAN2500S33X	FAN2500S33X	SOT-23	Simple	3.3	0.1	0.1	3.4	7	de -40 à 125	Oui	0,54	0,438	0,394	0,314
♦ 512-FAN2503S33X	FAN2503S33X	SOT-23	Simple	3.3	0.2	0.15	3.45	7	de -40 à 125	Oui	0,52	0,462	0,403	0,349
♦ 512-FAN2504S33X	FAN2504S33X	SOT-23	Simple	3.3	0.2	0.2	3.5	7	de -40 à 125	Oui	0,66	0,503	0,45	0,378
512-KA78R33CTU	KA78R33CTU	TO-220F	Simple	3.3	1.0	0.5	-	35	-20 à 80	Oui	0,78	0,685	0,60	0,52
512-KA278R33CTU	KA278R33CTU	TO-220F	Simple	3.3	2	0.5	3.8	35	-20 à 80	Oui	0,78	0,619	0,547	0,474
512-KA378R33TU	KA378R33TU	TO-220F	Simple	3.3	3.0	0.5	3.8	35	-20 à 80	Oui	1,00	0,792	0,707	0,615
♦ 512-FAN2106MPX	FAN2106MPX	MLP-25	Simple	5	0.0022	0.4	4.5	5.5	-10 à 85	Non	2,12	1,91	1,72	1,33
512-KA78R05CTU	KA78R05CTU	TO-220F	Simple	5	1.0	0.5	-	35	-20 à 80	Oui	0,64	0,569	0,498	0,437
512-KA378R05TU	KA378R05TU	TO-220F	Simple	5	3.0	0.5	5.5	35	-20 à 80	Oui	1,06	0,941	0,82	0,714
512-KA78R08CTU	KA78R08CTU	TO-220F	Simple	8	1.0	0.5	8.5	35	-20 à 80	Oui	0,78	0,685	0,60	0,52
512-KA78R09CTU	KA78R09CTU	TO-220F	Simple	9	1.0	0.5	9.5	35	-20 à 80	Oui	0,78	0,685	0,60	0,52
512-KA78R12CTU	KA78R12CTU	TO-220F	Simple	12	1.0	0.5	-	35	-20 à 80	Oui	0,71	0,627	0,546	0,475
512-KA278R12CTU	KA278R12CTU	TO-220F	Simple	12	2	0.5	12.5	35	-20 à 80	Oui	0,74	0,578	0,528	0,455
512-KA78R15CTU	KA78R15CTU	TO-220F	Simple	15	1.0	0.5	-	35	-20 à 80	Oui	0,78	0,685	0,60	0,52
♦ 512-FAN2500S30X	FAN2500S30X	SOT-23	Simple	RÉG.	0.1	0.1	-	7	de -40 à 125	Oui	0,61	0,471	0,416	0,36
♦ 512-FAN2500SX	FAN2500SX	SOT-23	Simple	RÉG.	0.1	0.1	-	7	de -40 à 125	Oui	0,51	0,413	0,375	0,299
♦ 512-LP2951CM	LP2951CM	SOIC-8	Simple	RÉG.	0.1	0.6	2.5	30	de -40 à 125	Non	0,50	0,366	0,314	0,272
♦ 512-LP2951CMX	LP2951CMX	SOIC-8	Simple	RÉG.	0.1	0.6	-	30	de -40 à 125	Non	0,55	0,38	0,326	0,281
♦ 512-FAN2558MPX	FAN2558MPX	MLP-6	Simple	RÉG.	0.18	0.25	-	7	de -40 à 125	Oui	0,63	0,479	0,474	0,416
♦ 512-FAN2558S10X	FAN2558S10X	SOT-23	Simple	RÉG.	0.18	0.25	-	7	de -40 à 125	Oui	0,56	0,437	0,388	0,332
♦ 512-FAN2558S12X	FAN2558S12X	SOT-23-5	Simple	RÉG.	0.18	0.25	2.7	5.5	de -40 à 125	Non	0,52	0,428	0,385	0,307
♦ 512-FAN2558S18X	FAN2558S18X	SOT-23-5	Simple	RÉG.	0.18	0.25	2.7	5.5	de -40 à 125	Non	0,56	0,437	0,388	0,332
♦ 512-FAN2558S25X	FAN2558S25X	SOT-23	Simple	RÉG.	0.18	0.25	-	7	de -40 à 125	Oui	0,56	0,437	0,388	0,332
♦ 512-FAN2558S33X	FAN2558S33X	SOT-23	Simple	RÉG.	0.18	0.25	-	7	de -40 à 125	Oui	0,56	0,437	0,388	0,332
♦ 512-FAN2558S35X	FAN2558S35X	SOT-23-5	Simple	RÉG.	0.18	0.25	2.7	5.5	de -40 à 125	Non	0,56	0,437	0,388	0,332
♦ 512-FAN2558SX	FAN2558SX	SOT-23-6	Simple	RÉG.	0.18	0.25	2.7	5.5	de -40 à 125	Non	0,52	0,428	0,385	0,307
♦ 512-FAN2564UMP12X	FAN2564UMP12X	UMLP-6	Simple	RÉG.	0.3	0.1	1.65	3.6	-40 à 85	Oui	0,89	0,685	0,679	0,598
♦ 512-FAN2564UMP13X	FAN2564UMP13X	UMLP-6	Simple	RÉG.	0.3	0.1	1.65	3.6	-40 à 85	Oui	0,97	0,759	0,695	0,598
♦ 512-FAN2564UMP15X	FAN2564UMP15X	UMLP-6	Simple	RÉG.	0.3	0.1	1.65	3.6	-40 à 85	Oui	0,97	0,759	0,695	0,598
♦ 512-FAN2564UMP18X	FAN2564UMP18X	UMLP-6	Simple	RÉG.	0.3	0.1	1.65	3.6	-40 à 85	Oui	0,97	0,759	0,695	0,598

© Copyright 2012 Mouser Electronics
© Copyright 2012 Mouser Electronics

Références en tension, PWM et PFC FAIRCHILD

FAIRCHILD SEMICONDUCTOR

Les produits peuvent être conformes à la directive RoHS. Consultez le site mouser.com pour vérifier la conformité RoHS.

RÉFÉRENCES TENSION DE SHUNT

♦ **Composant pour montage en surface**

Pour des quantités supérieures à celles indiquées, appelez-nous afin d'obtenir un devis.

RÉF. STOCK MOUSER	Réf. Fairchild	Boîtier	Tension de sortie pré-établie (V)	Tension de sortie rég. (Min.) (V)	Tension de sortie rég. (Max) (V)	Tolérance (%)	Courant max. (mA)	Prix unitaire 1	25	100	250	Conditionnement	Qté	Prix unitaire
512-LM336Z25X	LM336Z25X	TO-92R	2.5	2.5	37.0	2	15	0,21	0,18	0,166	0,15	Ruban et bobine	2000	0,083
512-LM336Z5X	LM336Z5X	TO-92R	5	4	6.0	4	15	0,32	0,264	0,207	0,151	Ruban et bobine	2000	0,083
♦ 512-LM431CCMX	LM431CCMX	SOIC-8	RÉG.	2.5	37.0	0.5	100	0,36	0,305	0,257	0,223	Ruban et bobine	3000	0,12
512-LM431CCZ	LM431CCZ	TO-92R	RÉG.	2.5	37.0	0.5	100	0,40	0,223	0,172	0,122	-	-	-
♦ 512-LM431SCCMFX	LM431SCCMFX	SOT-23	RÉG.	2.5	37.0	0.5	100	0,14	0,116	0,112	0,103	Ruban et bobine	3000	0,059
512-KA431AZBU	KA431AZBU	TO-92R	RÉG.	2.5	37.0	1	100	0,38	0,264	0,158	0,111	-	-	-
♦ 512-LM431BCMX	LM431BCMX	SOIC-8	RÉG.	2.5	37.0	1	100	0,36	0,305	0,257	0,223	Ruban et bobine	3000	0,12
♦ 512-LM431SBCMFX	LM431SBCMFX	SOT-23	RÉG.	2.5	37.0	1	100	0,12	0,116	0,102	0,094	Ruban et bobine	3000	0,053
♦ 512-TL431ACD	TL431ACD	SOIC-8	RÉG.	2.5	37.0	1	100	0,36	0,305	0,257	0,223	-	-	-
512-TL431ACLP	TL431ACLP	TO-92R	RÉG.	2.5	37.0	1	100	0,11	0,099	0,089	0,067	-	-	-
512-TL431ACZ	TL431ACZ	TO-92R	RÉG.	2.5	37.0	1	100	0,17	0,146	0,137	0,106	-	-	-
512-LM431BIZX	LM431BIZX	TO-92R	RÉG.	2.5	37.0	1	100	0,40	0,289	0,186	0,134	Ruban et bobine	2000	0,067
512-FAN431LZXA	FAN431LZXA	TO-92R	RÉG.	2.5	37.0	2	100	0,26	0,162	0,116	0,071	Ammo	2000	0,045
512-KA431AZTA	KA431AZTA	TO-92R	RÉG.	2.5	37.0	2	100	0,12	0,107	0,101	0,079	Ammo	2000	0,053
♦ 512-KA431SAMFTF	KA431SAMFTF	SOT-23	RÉG.	2.5	37.0	2	100	0,17	0,157	0,138	0,095	Ruban et bobine	3000	0,054
512-LM431ACZX	LM431ACZX	TO-92R	RÉG.	2.5	37.0	2	100	0,33	0,182	0,14	0,098	Ruban et bobine	2000	0,049
512-LM431AIZ	LM431AIZ	TO-92R	RÉG.	2.5	37.0	2	100	0,40	0,289	0,186	0,134	-	-	-
♦ 512-LM431SACMFX	LM431SACMFX	SOT-23	RÉG.	2.5	37.0	2	100	0,38	0,264	0,159	0,113	Ruban et bobine	3000	0,055
512-TL431CLP	TL431CLP	TO-92R	RÉG.	2.5	37.0	2	100	0,13	0,12	0,111	0,10	-	-	-
♦ 512-KA431SAMF2TF	KA431SAMF2TF	SOT-23	RÉG.	2.5	37.0	2	100	0,38	0,264	0,159	0,113	Ruban et bobine	3000	0,055
512-LM336Z5	LM336Z5	TO-92R	RÉG.	4	6.0	4	15	0,18	0,172	0,147	0,116	-	-	-

CONTRÔLEURS PWM À RÉGULATION DU PRIMAIRE (PSR)

La gamme à la pointe de l'industrie de Fairchild Semiconductor en matière de contrôleurs PWM avec régulation du primaire (PSR) offre aux concepteurs de chargeurs et adaptateurs pour mobiles et aux applications d'éclairage par LED des solutions multiples pour répondre aux spécifications de régulation et puissance énergétique comme celle du ENERGY STAR® Level V. La gamme de Fairchild Semiconductor en matière de contrôleurs PWM-PSR, dont le FSEZ1307, le FSEZ1317 et le FAN103, complète la large sélection d'alimentation de Fairchild qui apporte efficacité aux circuits électroniques et optimisation des économies d'énergie dans des applications sensibles à la puissance consommée.

♦ **Composant pour montage en surface**

Pour des quantités supérieures à celles indiquées, appelez-nous afin d'obtenir un devis.

RÉF. STOCK MOUSER	Réf. Fairchild	Boîtier	Nombre de sorties	Mode contrôle	Fréquence de commutation (kHz)	Tension d'alimentation (Max.) (V)	Rapport de cycle (%)	Courant de démarrage (µA)	Température de fonctionnement	Prix unitaire 1	25	100	250
♦ 512-FAN103MY	FAN103MY	SOP-8	1	Courant	53	30	80	5	-40 à +105°C	0,73	0,611	0,486	0,369
♦ 512-FSEZ1307MY	FSEZ1307MY	SOP-8	1	Courant	53	30	80	5	-40 à +105°C	0,87	0,726	0,578	0,437
♦ 512-FSEZ1317AMY_F116	FSEZ1317AMY_F116	SOP-7	1	Courant	53	30	80	5	-40 à +105°C	0,94	0,784	0,627	0,47
512-FSEZ1317NY	FSEZ1317NY	DIP-7	1	Courant	53	30	80	5	-40 à +105°C	0,65	0,52	0,393	0,369

CONTRÔLEURS À RECTIFICATION SYNCHRONE DU SECONDAIRE (SR)

♦ **Composant pour montage en surface**

Pour des quantités supérieures à celles indiquées, appelez-nous afin d'obtenir un devis.

RÉF. STOCK MOUSER	Réf. Fairchild	Boîtier	Nombre de sorties	Mode contrôle	Tension d'alimentation (Max.) (V)	Temps de montée (Max.) (ns)	Temps de descente (Max.) (ns)	Courant de fonctionnement (Typ.) (mA)	Température de fonctionnement	Prix unitaire 1	25	100	250
♦ 512-FAN6204MY	FAN6204MY	SOIC-8	1	CCM/DCM/QR	30	120	100	1.1	de -40 à +105	0,87	0,707	0,635	0,549
♦ 512-FAN6206MY	FAN6206MY	SOIC-8	2	DCM	30	120	100	3	de -40 à +105	0,67	0,561	0,446	0,338

CONTRÔLEURS PWM

♦ **Composant pour montage en surface**

Pour des quantités supérieures à celles indiquées, appelez-nous afin d'obtenir un devis.

RÉF. STOCK MOUSER	Réf. Fairchild	Boîtier	Nombre de sorties	Mode contrôle	Fréquence de commutation (kHz)	Tension d'alimentation (Max.) (V)	Rapport de cycle (%)	Courant de démarrage (µA)	Température de fonctionnement	Prix unitaire 1	25	100	250
♦ 512-FAN6754MLMY	FAN6754MLMY	SOIC-8	1	Courant	65	30	92	30	de -40 à +105	0,62	0,52	0,413	0,314
♦ 512-FAN6754MRMY	FAN6754MRMY	SOIC-8	1	Courant	65	30	92	30	de -40 à +105	0,62	0,52	0,413	0,314
♦ 512-FAN6861TY	FAN6861TY	SSOT-6	1	Courant	68	30	75	8	de -40 à +105	1,39	1,11	0,825	0,776
♦ 512-FAN400ATY	FAN400ATY	SSOT-6	1	Courant	70	30	78	8	de -40 à +105	0,55	0,413	0,321	0,235
♦ 512-SG6858TZ	SG6858TZ	SSOT-6	1	Courant	75	30	80	10	de -40 à 125	0,40	0,322	0,252	0,212
♦ 512-FAN302HLMY	FAN302HLMY	SOIC-8	1	Courant	85	30	70	400	de -40 à +105	0,69	0,578	0,462	0,347
♦ 512-FL6300AMY	FL6300AMY	SOIC-8	1	Courant	100	30	-	10	de -40 à 125	1,36	1,14	0,908	0,681
512-FAN6300ANY	FAN6300ANY	DIP-8	1	Courant	100	30	-	10	de -40 à 125	0,90	0,735	0,66	0,57
♦ 512-FAN7601BGX	FAN7601BGX	SSOP-10	1	Courant	300	20	98	1000	de -40 à 150	0,62	0,463	0,347	0,256
512-FAN7601BMX	FAN7601BMX	SOIC-8	1	Courant	300	20	98	1000	de -40 à 150	0,51	0,396	0,297	0,223
512-KA3842ACS	KA3842ACS	DIP-8	1	Courant	500	30	100	200	de 0 à 70	0,65	0,454	0,392	0,335
512-KA3842B	KA3842B	DIP 8	1	Courant	500	30	100	450	de 0 à 70	0,60	0,455	0,384	0,276
512-FSAR001BNY	FSAR001BNY	DIP 8	1	Tension	-----	600	-	10	de -40 à 125	0,97	0,809	0,644	0,487
512-FAN6791NY	FAN6791NY	DIP-16	2	Courant	130	27	48	10	de -40 à +105	0,97	0,722	0,578	0,433
512-KA7500C	KA7500C	DIP-16	2	Tension	300	42	-	1000	-25 à +85	0,47	0,421	0,365	0,317

CORRECTION DU FACTEUR DE PUISSANCE (PFC)

♦ **Composant pour montage en surface**

Pour des quantités supérieures à celles indiquées, appelez-nous afin d'obtenir un devis.

RÉF. STOCK MOUSER	Réf. Fairchild	Boîtier	Courant de démarrage (µA)	Courant de fonctionnement (mA)	Contrôle facteur puissance (PFC)	Puissance d'entraînement (A)	F_{pwm} F_{Pfc}	Rapport cyclique PWM Max. (%)	UVLO	Prix unitaire 1	25	100	250
PFC													
♦ 512-FAN6961SZ	FAN6961SZ	SOIC-8	10	4.5	DCM	-	-	-	-	0,90	0,693	0,611	0,53
♦ 512-FAN6982MY	FAN6982MY	SOIC-14	30	2.3	Courant moyen	-	-	97	-	0,89	0,743	0,594	0,446
♦ 512-FAN7527BN	FAN7527BN	DIP 8	60	3	Disc. (Transition)	0,5	-	-	12/9	0,59	0,498	0,438	0,373
♦ 512-FAN7930BMX	FAN7930BMX	SOIC-8	120	1.5	Disc. (Transition)	0,5	-	-	12/8.5	0,74	0,619	0,495	0,371
♦ 512-FAN7930CMX	FAN7930CMX	SOIC-8	120	1.5	Disc. (Transition)	0,5	-	-	12.5/8.5	0,72	0,602	0,479	0,363
♦ 512-FAN7930M	FAN7930M	SOIC-8	120	1.5	CRM	0,5	-	-	3.0/4.0	0,84	0,701	0,561	0,421
♦ 512-FAN9612MX	FAN9612MX	SOIC-16	80	3.5	BCM entrelacé	2	-	-	12.5/7.5	1,53	1,22	0,908	0,85
♦ 512-FL6961MY	FL6961MY	SOIC-8	10	4.5	DCM	-	-	-	-	0,66	0,60	0,549	0,507
PWM + PFC													
♦ 512-FAN4800AMY	FAN4800AMY	SOIC-16	30	2.6	Courant moyen	-	-	50	12.9/11	1,09	0,908	0,726	0,545
512-FAN4800ANY	FAN4800ANY	DIP-16	30	2.6	Courant moyen	-	-	50	12.9/11	1,21	0,974	0,842	0,545
♦ 512-FAN4800CMY	FAN4800CMY	SOIC-16	30	2.6	Courant moyen	-	1	50	12.9/11	1,16	0,916	0,817	0,717
512-FAN4800CNY	FAN4800CNY	DIP-16	30	2.6	Courant moyen	-	1	50	12.9/11	1,09	0,908	0,726	0,545
512-FAN4801MY	FAN4801MY	SOIC-16	30	2.6	Courant moyen	-	1	50	12.9/11	1,16	0,916	0,817	0,717
512-FAN4801NY	FAN4801NY	DIP-16	30	2.6	Courant moyen	-	1	50	12.9/11	1,36	1,09	0,949	0,833
♦ 512-FAN4802LMY	FAN4802LMY	SOIC-16	30	2.6	Courant moyen	-	1	50	12.9/11	1,34	1,05	0,949	0,825
512-FAN4802LNY	FAN4802LNY	DIP-16	30	2.6	Courant moyen	-	1	50	12.9/11	1,36	1,09	0,949	0,833
♦ 512-FAN4802MY	FAN4802MY	SOIC-16	30	2.6	Courant moyen	-	1	50	12.9/11	1,34	1,06	0,949	0,825
512-FAN4802NY	FAN4802NY	DIP-16	30	2.6	Courant moyen	-	1	50	12.9/11	1,36	1,09	0,949	0,833
512-ML4800CP	ML4800CP	DIP-16	200	5.5	Courant moyen	1	1	49	13/10	2,78	2,29	1,89	1,77

© Copyright 2012 Mouser Electronics

© Copyright 2012 Mouser Electronics

CI PFC, commutateur et SPM FAIRCHILD

Les produits peuvent être conformes à la directive RoHS. Consultez le site mouser.com pour vérifier la conformité RoHS.

CORRECTION DU FACTEUR DE PUISSANCE (PFC) (SUITE)

♦ **Composant pour montage en surface**

Pour des quantités supérieures à celles indiquées, appelez-nous afin d'obtenir un devis.

RÉF. STOCK MOUSER	Réf. Fairchild	Boîtier	Courant de démarrage (µA)	Courant de fonctionnement (mA)	Contrôle facteur puissance (PFC)	Puissance d'entraînement (A)	F_{pwm} F_{Pfc}	Rapport cyclique PWM Max. (%)	UVLO	Prix unitaire 1	25	100	250
PWM + PFC (suite)													
512-ML4824CP1	ML4824CP1	DIP-16	700	16	Courant moyen	0,5	1	49	13/10	**3,92**	**3,15**	**2,87**	**2,56**
♦ 512-ML4824CS2X	ML4824CS2X	SOIC-16(W)	700	16	Courant moyen	1	1	49	13/10	**5,07**	**4,55**	**4,03**	**3,71**
512-ML4824IP1	ML4824IP1	DIP-16	700	16	Courant moyen	0,5	1	49	13/10	**3,32**	**2,67**	**2,43**	**2,17**

MODULES DE PUISSANCE INTELLIGENTS

♦ **Composant pour montage en surface**

Pour des quantités supérieures à celles indiquées, appelez-nous afin d'obtenir un devis.

RÉF. STOCK MOUSER	Réf. Fairchild	Boîtier	Tension d'entrée Max.	Courant maximal	Fréquence	Classe moteur	Prix unitaire 1	25	100	250
512-FPAB30BH60	FPAB30BH60	SPM27-IA	600V	30A	20kHz	264VAC	**18,17**	**15,44**	**14,31**	**13,17**
512-FSAM10SH60A	FSAM10SH60A	SPM32-AA	600V	10A	15kHz	220VAC	**20,06**	**17,05**	**15,80**	**14,54**
512-FSAM30SM60A	FSAM30SM60A	SPM32-AA	600V	30A	5kHz	220VAC	**30,67**	**26,07**	**24,15**	**22,23**
512-FSAM75SM60A	FSAM75SM60A	SPM-32DA	600V	75A	5kHz	200VAC	**67,10**	**59,75**	**56,61**	**54,51**
512-FSBF10CH60B	FSBF10CH60B	SPM27-CC	600V	15A	20kHz	253VAC	**14,81**	**12,45**	**11,44**	**10,43**
512-FSBF15CH60BT	FSBF15CH60BT	SPM27-JA	600V	3A	20kHz	220VAC	**16,77**	**14,10**	**12,95**	**11,81**

COMMUTATEURS DE CHARGE COMPLETS

♦ **Composant pour montage en surface**

Pour des quantités supérieures à celles indiquées, appelez-nous afin d'obtenir un devis.

RÉF. STOCK MOUSER	Réf. Fairchild	Boîtier	Plage de tension d'entrée	Courant d'alimentation hors service (Max.) (µA)	RDSpassant (Typ.) (Ω) à V	RDSpassant (Typ.) (Ω) à Amps	Courant passif (Typ./Max.) (µA)	Temps de montée (Typ.) (nS)	Temps de descente (Typ.) (nS)	Prix unitaire 1	25	100	250
♦ 512-FPF1008	FPF1008	MicroFET-6	1.2-5.5	1	0.03 @ 5.5	0.2	8.0/-	80	15	**0,76**	**0,569**	**0,427**	**0,319**
♦ 512-FPF1009	FPF1009	MicroFET-6	1.2-5.5	1	0.03 @ 5.5	0.2	8.0/-	1	15	**0,76**	**0,586**	**0,52**	**0,45**
♦ 512-FPF1038UCX	FPF1038UCX	WLCSP-6	1.2-5.5	1	0.02 @ 5.5	1	5.5/-	2700	30000	**0,62**	**0,52**	**0,413**	**0,314**
♦ 512-FPF1207UCX	FPF1207UCX	WLCSP-4	1.2-4.0	0.1	0.05 @ 3.3	0.2	-/1.5	110	2	**0,56**	**0,421**	**0,322**	**0,239**
♦ 512-FPF1208UCX	FPF1208UCX	WLCSP-4	1.2-4.0	0.1	0.05 @ 3.3	0.2	-/1.5	110	2	**0,56**	**0,421**	**0,322**	**0,239**
♦ 512-FPF2125	FPF2125	SOT-23-5	1.8-5.5	2	0.16 @ 3.3	0.05	75/-	12	200	**1,07**	**0,842**	**0,756**	**0,658**
♦ 512-FPF2700MPX	FPF2700MPX	MLP-8	2.8-36.0	5	0.114@12	-	92/140	7500	1500	**1,83**	**1,32**	**1,17**	**1,06**
♦ 512-FPF2700MX	FPF2700MX	SOIC-8	2.8-36.0	5	0.114@12	-	92/140	7500	1500	**1,77**	**1,28**	**1,13**	**1,02**

COMMUTATEURS DE CHARGE INTÉGRÉS

♦ **Composant pour montage en surface**

Pour des quantités supérieures à celles indiquées, appelez-nous afin d'obtenir un devis.

RÉF. STOCK MOUSER	Réf. Fairchild	Boîtier	Plage de tension d'entrée	Courant d'alimentation hors service (Max.) (µA)	RDSpassant (Max.) (Ω) à 4,5V	RDSpassant (Max.) (Ω) à Amps	Courant de fuite (Max.) (µA)	Perte de puissance (Max.) (W)	Prix unitaire 1	25	100	250
♦ 512-FDC6330L	FDC6330L	SSOT-6	3-20	1.6	0.125	1.9	1	0.7	**0,42**	**0,351**	**0,299**	**0,297**

COMMUTATEURS USB

♦ **Composant pour montage en surface**

Pour des quantités supérieures à celles indiquées, appelez-nous afin d'obtenir un devis.

RÉF. STOCK MOUSER	Réf. Fairchild	Boîtier	Nbre de commutateurs	Plage de tension d'alimentation	RDSpassant (Ω)	Stabilité RDSpassant (Ω)	Courant de fuite (Max.) (µA)	Largeur de bande (MHz)	Diaphonie (dB)	Prix unitaire 1	25	100	250
♦ 512-FSA2000UMX	FSA2000UMX	UMLP-16	2	2.7-4.5	4	0.4	10	720	-60	**1,03**	**0,825**	**0,619**	**0,578**
♦ 512-FSUSB30MUX	FSUSB30MUX	MSOP-10	1	3.0-3.4	9	2	1	720	-45	**1,13**	**0,908**	**0,85**	**0,666**

COMMUTATEUR DE PUISSANCE CI HORS ALIMENTATION

La famille de produits des commutateurs de puissance Fairchild (FPS) est spécialement conçue pour un SMPS hors alimentation avec un minimum de composants externes Les commutateurs de puissance Fairchild sont constitués d'un SenseFET à haute tension et d'un CI PWM en mode courant.

Logiciel de conception pour commutateur en puissance Fairchild (10,5M)
Ce logiciel ne fonctionne à présent qu'avec Windows 95 et Windows 98.
Disponible en ligne à :
www.fairchildsemi.com/products/analog/fps_designer_software.zip

♦ **Composant pour montage en surface**

Pour des quantités supérieures à celles indiquées, appelez-nous afin d'obtenir un devis.

RÉF. STOCK MOUSER	Réf. Fairchild	Boîtier	Puissance de sortie Vac (W) Max à 85-165V	Max à 230V	Max à 350-400	Limite du courant de crête (A)	Tension de drain (Max.) (V)	RDS passant (ohms)	Fréquence de commutation (kHz)	Économiseur d'énergie	Démarrage soft	Protection surintensité	Prix unitaire 1	25	100
512-FS7M0880TU	FS7M0880TU	TO-3P	85	110	-	5	800	1.5	66	Non	Soft	Verrou	**3,17**	**2,54**	**2,31**
512-FSCQ0965RTYDTU	FSCQ0965RTYDTU	TO-220F	110	130	-	6	650	1.2	QRC	Oui	Soft	Verrou	**1,91**	**1,53**	**1,15**
512-FSDM0465REWDTU	FSDM0465REWDTU	TO-220F	38	46	-	1.8	650	2.6	67	Oui	Soft	Redém. auto.	**1,61**	**1,30**	**1,14**
512-FSDM311A	FSDM311A	DIP 8	8	13	-	0.57	650	19	67	Oui	Soft	Non	**0,82**	**0,652**	**0,574**
512-FSQ0165RN	FSQ0165RN	DIP 8	13	15	-	0.6	650	10	QRC	Oui	Soft	Redém. auto.	**1,13**	**0,899**	**0,792**
512-FSQ0170RNA	FSQ0170RNA	DIP 8	13	20	-	1.2	700	11	67	Oui	Soft	Non	**1,13**	**0,899**	**0,788**
♦ 512-FSQ0265RL	FSQ0265RL	LSOP-8	16	20	-	1.2	650	6	QRC	Oui	Soft	Redém. auto.	**1,28**	**1,03**	**0,924**
512-FSQ0365RN	FSQ0365RN	DIP 8	19	31	-	1.5	650	4.5	QRC	Oui	Soft	Redém. auto.	**1,33**	**1,07**	**0,965**
512-FSQ110	FSQ110	DIP 8	12	17	-	0.7	650	19	100	Oui	Soft	Non	**0,84**	**0,726**	**0,536**
512-FSQ321	FSQ321	DIP 8	10	12	-	0.6	650	19	QRC	Oui	Soft	Redém. auto.	**0,64**	**0,513**	**0,436**
512-FSQ510	FSQ510	DIP-7	5	7	-	0.32	700	32	QRC	Oui	Soft	Redém. auto.	**0,97**	**0,78**	**0,683**
512-KA5H0365RTU	KA5H0365RTU	TO-220F	32	40	-	2.2	650	4.5	100	Non	Non	Redém. auto.	**1,23**	**1,10**	**0,957**
512-KA5H0380RTU	KA5H0380RTU	TO-220F	32	40	-	2.2	800	5	100	Non	Non	Redém. auto.	**1,45**	**1,30**	**1,15**
512-KA5L0380RTU	KA5L0380RTU	TO-220F	32	40	-	2.2	800	3.6	50	Non	Non	Redém. auto.	**1,45**	**1,30**	**1,15**
512-KA5L0380RYDTU	KA5L0380RYDTU	TO-220F	32	40	-	2.2	800	5	50	Non	Non	Redém. auto.	**1,45**	**1,30**	**1,15**
512-KA5M0365RTU	KA5M0365RTU	TO-220F	32	40	-	2.2	800	5	50	Non	Non	Redém. auto.	**1,12**	**1,10**	**0,957**
512-KA5M0380RTU	KA5M0380RTU	TO-220F	32	40	-	2.2	800	5	67	Non	Non	Redém. auto.	**1,66**	**1,33**	**0,99**
♦ 512-FAN7621SJ	FAN7621SJ	SOIC-16	-	-	-	-	-	-	Résonance	Oui	Soft	Verrou	**1,04**	**0,866**	**0,693**
512-FSFA2100	FSFA2100	SIP-9	-	-	200	-	600	0.38	Asym.	Oui	Soft	Verrou	**6,16**	**5,05**	**4,55**
512-FSFR1600XS	FSFR1600XS	SIP-9	-	-	-	-	500	1.55	Résonance	Oui	Soft	Redém. auto.	**1,73**	**1,25**	**1,11**
512-FSFR1700	FSFR1700	SIP-9	-	-	100	-	500	1.25	Résonance	Oui	Soft	Verrou	**3,89**	**3,32**	**3,02**
512-FSFR1700USL	FSFR1700USL	SIP-9	-	-	100	-	500	1.25	Résonance	Oui	Soft	Redém. auto.	**2,23**	**1,78**	**1,39**
512-FSFR1800USL	FSFR1800USL	SIP-9	-	-	120	-	500	0.95	Résonance	Oui	Soft	Redém. auto.	**3,56**	**3,24**	**2,97**
512-FSFR1700XS	FSFR1700XS	SIP-9	-	-	-	-	500	1.25	Résonance	Oui	Soft	Redém. auto.	**1,82**	**1,31**	**1,16**
512-FSFR2100	FSFR2100	SIP-9	-	-	200	-	600	0.38	Résonance	Oui	Soft	Verrou	**4,62**	**3,70**	**3,12**
512-FSFR2100U	FSFR2100U	SIP-9	-	-	180	-	500	0.51	Résonance	Oui	Soft	Verrou	**3,96**	**3,55**	**3,23**
512-FSFR2100USL	FSFR2100USL	SIP-9	-	-	180	-	500	0.51	Résonance	Oui	Soft	Redém. auto.	**3,12**	**2,84**	**2,60**
512-FSFR2100XS	FSFR2100XS	SIP-9	-	-	-	-	500	0.51	Résonance	Oui	Soft	Redém. auto.	**2,92**	**2,10**	**1,86**
512-FSGM0565RWDTU	FSGM0565RWDTU	TO-220F	60	80	-	2.2	650	2.2	67	Oui	Interne	Redém. auto.	**1,16**	**0,932**	**0,701**
♦ 512-FSL206MRL	FSL206MRL	SOP-8	12	17	-	0.6	650	19	67	Oui	Interne	Non	**0,79**	**0,66**	**0,528**
512-FSL206MRN	FSL206MRN	DIP 8	12	17	-	0.6	650	19	67	Oui	Interne	Non	**0,69**	**0,578**	**0,462**
♦ 512-FSQ510MX	FSQ510MX	SOP-7	5	7	-	0.32	700	32	QRC	Oui	Interne	Redém. auto.	**1,00**	**0,792**	**0,706**

© Copyright 2012 Mouser Electronics
© Copyright 2012 Mouser Electronics

Semi-conducteurs de puissance INFINEON

RoHS Compliant **This product is RoHS compliant.**

COMMUTATEURS PILOTES BAS

HITFET® - Les commutateurs universels 100% protégés assurent un niveau de protection supérieure contre les sur-températures, courts-circuits, surintensités, surtensions et END. HITFET® combine toutes ses caractéristiques de protection en un seul composant facile à utiliser. Avec ces caractéristiques alliées à la qualité et la fiabilité reconnues d'Infineon, vous pouvez avoir la certitude que HITFET® pourra satisfaire même les exigences des applications les plus difficiles.

Pour des quantités supérieures à celles indiquées, appelez-nous afin d'obtenir un devis.

RÉF. STOCK MOUSER	Réf. Infineon	Type de boîtier	V_{DS} (max.)	I_D (max.)	R_{DS} (passant) (max.)	P_{tot} (max.)	Prix unitaire 1	10	100	500
726-BTS3205G	BTS3205G	DSO-8	42,0V	0,35A	700mΩ	0,78W	**0,68**	**0,619**	**0,561**	**0,413**
726-BTS3207N	BTS3207N	SOT223-4	42,0V	0,64A	500mΩ	3,8W	**0,85**	**0,733**	**0,579**	**0,425**
726-BTS3405G	BTS3405G	DSO-8	42,0V	0,35A	700mΩ	0,78W	**1,32**	**1,18**	**0,932**	**0,73**
726-ISP75N	ISP75N	SOT223-4	60,0V	0,7A	550mΩ	1,8W	**1,07**	**0,899**	**0,722**	**0,697**

COMMUTATEURS PILOTES HAUT

La famille à haute intégration PROFET® (PROtected FET) comprend une large gamme de fonctions de pilotage. Les commutateurs en puissance pilotes PROFET® consistent en un transistor de puissance DMOS et un circuit logique CMOS pour une protection complète intégrée. Ils offrent une protection contre par exemple les surcharges, sur-températures et courts-circuits pour tout type d' applications automobiles et industrielles.

Pour des quantités supérieures à celles indiquées, appelez-nous afin d'obtenir un devis.

RÉF. STOCK MOUSER	Réf. Infineon	Type de boîtier	V_{DS} (max.)	I_L (SCR)	$R_{passant}$ (max.)	P_{tot} (max.)	V_{BB} (max.)	Prix unitaire 1	10	100	500
726-BTS5231-2GS	BTS5231-2GS	DSO-14	40,0V	8,0A	140,0mΩ	0,9W	28,0V	**2,09**	**1,79**	**1,67**	**1,48**
726-BTS5235-2G	BTS5235-2G	DSO-20	40,0V	23,0A	60,0mΩ	1,4W	28,0V	**2,52**	**2,26**	**1,84**	**1,46**
726-BTS5235-2L	BTS5235-2L	DSO-12	40,0V	23,0A	60,0mΩ	1,6W	28,0V	**3,06**	**2,59**	**2,26**	**2,16**
726-BTS5242-2L	BTS5242-2L	DSO-12	40,0V	11,0A - 50,0A	25,0mΩ	1,4W	28,0V	**3,66**	**3,29**	**2,68**	**2,13**
726-BTS5246-2L	BTS5246-2L	DSO-12	40,0V	50,0A	19,0mΩ	1,4W	28,0V	**4,43**	**3,38**	**3,37**	**2,36**
726-ISP752T	ISP752T	DSO-8	62,0V	6,5A	200,0mΩ	1,5W	52,0V	**1,53**	**1,30**	**1,06**	**0,825**
726-ITS4140N	ITS4140N	SOT223-4	62,0V	0,9A	1 500,0mΩ	1,7W	60,0V	**1,07**	**0,957**	**0,764**	**0,594**
726-BTS5215L	BTS5215L	P-DSO-12	52,0V	12,0A	180,0mΩ	3,1W	43,0V	**2,29**	**2,04**	**1,77**	**1,44**
726-BSP742T	BSP742T	PG-DSO-8	-	3.0A	350,0mΩ	1,5W	40,0V	**2,30**	**1,91**	**1,63**	**1,26**

INTERRUPTEURS RF SPDT

Les interrupteurs RF pour commutation Réc./Em., sélection de bande ou commutation entre antennes sont utilisés dans pratiquement toutes les applications sans fils comme les téléphones portables, WLAN, WiMAX, les systèmes de navigation GPS, les accessoires bluetooth ou les télécommandes à distance sans clé (RKE). Les interrupteurs RF d'Infineon sont produits selon une technologie RF-CMOS unique, alliant les avantages inhérents à la technologie CMOS aux performances remarquables des RF.

Pour des quantités supérieures à celles indiquées, appelez-nous afin d'obtenir un devis.

RÉF. STOCK MOUSER	Réf. Infineon	Type de boîtier	$P_{-0,1dB}$ (Min.) (dBm)	Temps de commutation (Max.) (μS)	Isolation à 1GHz (dB)	Perte par insertion à 1GHz (dB)	$P_{max.}$ (dBm)	Prix unitaire 1	10	100	500
726-BGS12AL74E6327	BGS12AL74E6327XT	TSLP-7-4	21	4	32	0,4dB	21	**0,50**	**0,446**	**0,361**	**0,279**
726-BGS12AL76E6327XT	BGS12AL76E6327XT	TSLP-7-6	21	4	32	0,4dB	21	**0,53**	**0,413**	**0,33**	**0,279**

CI à étage de puissance intégré

Parfaitement adapté à la conception des sources d'alimentation dans des équipements électriques grand public, CoolSET® (intégrant CI de contrôle et CoolMOS™ dans un seul boîtier) continue à apporter une nouvelle dimension à la qualité et à la miniaturisation de la conception. La famille CoolSET ® F3 offre la puissance de sortie la plus élevée de l'industrie avec les pertes les plus faibles.

Pour des quantités supérieures à celles indiquées, appelez-nous afin d'obtenir un devis.

RÉF. STOCK MOUSER	Réf. Infineon	Type de boîtier	V_{DS} (max.)	I_D (Nomi.)	R_{DS} (passant) (max.)	P_{IN} (max.)	DES (max.)	Prix unitaire 1	10	100	500
CoolSET ® F2											
726-ICE2A0565	ICE2A0565	DIP 8	650,0V	0,5A	4,7Ω	13,0W	2,0kV	**1,44**	**1,28**	**0,998**	**0,788**
726-ICE2A165	ICE2A165	DIP-8	650,0V	1,0A	3,0Ω	18,0W	2,0kV	**1,54**	**1,35**	**1,07**	**0,833**
726-ICE2A180Z	ICE2A180Z	DIP-7	800,0V	1,0A	3,0Ω	17,0W	2,0kV	**1,69**	**1,52**	**1,21**	**0,949**
726-ICE2A265	ICE2A265	DIP-8	650,0V	2.0A	0,9Ω	32,0W	2,0kV	**1,59**	**1,44**	**1,16**	**0,899**
726-ICE2A280Z	ICE2A280Z	DIP-7	800,0V	2.0A	0,8Ω	31,0W	2,0kV	**3,08**	**2,76**	**2,54**	**2,19**
726-ICE2A365	ICE2A365	DIP-8	650,0V	3.0A	0,45Ω	45,0W	2,0kV	**1,06**	**1,02**	**1,01**	**1,01**
726-ICE2A765P	ICE2A765P	TO220-6	650,0V	7.0A	0,45Ω	130,0W	2,0kV	**3,61**	**3,22**	**2,64**	**2,14**
726-ICE2B265	ICE2B265	DIP-8	650,0V	2.0A	0,9Ω	32,0W	2,0kV	**0,73**	**0,713**	**0,706**	**0,682**
CoolSET ® F3											
726-ICE3A1065LJ	ICE3A1065LJ	DIP-8	650,0 V	1,0A	2,95Ω	16,0W	2,0kV	**0,70**	**0,687**	**0,684**	**0,682**
726-ICE3BR4765J	ICE3BR4765JXK	DIP-8	650	0,5	5.44	18	2.0	**0,97**	**0,866**	**0,686**	**0,532**

CI de contrôle de puissance

En offrant une large variété de CI de contrôle très efficaces, nous permettons à nos clients de répondre aux réglementations PFC et aux exigences de puissance de veille ultra faible de façon très rentable. Une gamme complète de caractéristiques de sécurité aide à minimiser le nombre de composants externes, réduit la conception en temps et améliore la qualité des SMPS.

Pour des quantités supérieures à celles indiquées, appelez-nous afin d'obtenir un devis.

RÉF. STOCK MOUSER	Réf. Infineon	Type de boîtier	V_{CC} (Min.)	V_{CC} (max.)	I_{CC} (max.)	I_q (Typ.)	I_Q (max.)	Prix unitaire 1	10	100	500
726-ICE2PCS01	ICE2PCS01	DIP-8	11,0V	25,0V	20,0mA	300,0μA	-1,5A - 2,0A	**1,40**	**1,26**	**1,13**	**1,05**
726-ICE2PCS01G	ICE2PCS01G	DSO-8	11,0V	25,0V	20,0mA	300,0mA	-1,5A - 2,0A	**1,82**	**1,63**	**1,47**	**1,37**
726-ICE2PCS02	ICE2PCS02	DIP-8	11,0V	25,0V	13,0mA	300,0μA	-1,5A - 2,0A	**2,38**	**2,05**	**1,72**	**1,58**
726-ICE2PCS02G	ICE2PCS02G	DSO-8	11,0V	25,0V	13,0mA	300,0μA	-1,5A - 2,0A	**1,44**	**1,27**	**1,01**	**0,787**
726-ICE2QS01	ICE2QS01	DIP-8	11,0V	27,0V	3,6mA	50,0μA	-	**1,05**	**0,924**	**0,739**	**0,573**

SEMI-CONDUCTEURS DE PUISSANCE POUR L'AUTOMOBILE

Sources d'alimentation

Les régulateurs de tension et de courant d'Infineon gèrent des tensions d'entrée jusqu'à 65V et des courants de sortie jusqu'à 2,5A. Une large gamme de solutions avec des courants passifs jusqu'à 20µA, des sorties de haute précision, des boîtiers divers et des options de fonctionnalités est disponible pour répondre à tous les besoins des applications automobiles.

Pour des quantités supérieures à celles indiquées, appelez-nous afin d'obtenir un devis.

RÉF. STOCK MOUSER	Réf. Infineon	Type de boîtier	V_Q (max.)	I_Q (max.)	I_q (Typ.)	Tolérance	Protection	Prix unitaire 1	10	100	500
Suiveurs en tension											
726-TLE42502G	TLE4250-2G	SCT-595-5	0	50,0mA	140,0μA	0.5%	Oui	**1,02**	**0,908**	**0,724**	**0,563**
726-TLE4254GS	TLE4254GS	DSO-8	0	70,0mA	50,0μA	10%	Oui	**1,47**	**1,30**	**1,06**	**0,974**
Régulateur de tension linéaire pour automobile											
726-TLE42712G	TLE4271-2G	TO263-7	5,0 V	550,0mA	800,0μA	Simple V-fixe	2%	**3,51**	**2,74**	**2,67**	**2,52**
726-TLE4473GV55-2	TLE4473G V55-2	DSO-12	5 V	190,0mA	220,0μA	-	2%	**2,63**	**2,32**	**2,00**	**1,76**

© Copyright 2012 Mouser Electronics
© Copyright 2012 Mouser Electronics

Gestion d'alimentation MAXIM

RoHS Compliant **This product is RoHS compliant.**

MAXIM INNOVATION DELIVERED®

CONTRÔLEURS DE RAM NON-VOLATILE

♦ **Composant pour montage en surface**

Pour des quantités supérieures à celles indiquées, appelez-nous afin d'obtenir un devis.

RÉF. STOCK MOUSER	Réf. Maxim	Boîtier	Contrôleur CE	Prise intelligente avec batterie int.	Moniteur batterie Lit.	Sortie de détection de panne	Tension d'alimentation (Typ.) (V)	I_{CC} (Max.) (mA)	RAM contrôlées	Prix unitaire		
										1	25	100
700-DS1210	DS1210+	PDIP-8	Oui	Non	Non	Non	5	5	1	4,53	3,02	2,19
700-DS1210N	DS1210N+	PDIP-8	Oui	Non	Non	Non	5	5	1	5,07	2,57	2,37
♦ 700-DS1210S	DS1210S+	SOIC-16W	Oui	Non	Non	Non	5	5	1	4,88	3,25	2,36
♦ 700-DS1210SN	DS1210SN+	SOIC-16W	Oui	Non	Non	Non	5	5	1	5,70	2,90	2,66
♦ 700-DS1218S	DS1218S+	SOIC-8	Oui	Non	Non	Non	5	5	1	12,33	6,25	5,75
♦ 700-DS1312S	DS1312S+	SOIC-16W	Oui	Non	Oui	Non	5	0.4	1	14,31	7,26	6,67
♦ 700-DS1312S-2	DS1312S-2+	SOIC-8	Oui	Non	Oui	Non	5	0.4	1	11,39	5,78	5,31
♦ 700-DS1314S	DS1314S+	SOIC-16W	Oui	Non	Oui	Non	3.3	0.2	1	12,27	8,18	5,92
♦ 700-DS1314S-2	DS1314S-2+	SOIC-8	Oui	Non	Oui	Non	3.3	0.2	1	14,94	7,58	6,97
♦ 700-DS1321S	DS1321S+	SOIC-16	Oui	Non	Oui	Non	5	1.5	4	9,48	4,81	4,42
700-DS1211	DS1211+	PDIP-20	Oui	Non	Non	Oui	5	-	8	15,94	14,24	14,10
700-DS1218	DS1218+	PDIP-8	Oui	Non	Non	Non	5	5	1	10,94	5,54	5,11

CI CIRCUIT BATTERIE DE SECOURS

♦ **Composant pour montage en surface**

Pour des quantités supérieures à celles indiquées, appelez-nous afin d'obtenir un devis.

RÉF. STOCK MOUSER	Réf. Maxim	Boîtier	Seuil remise à zéro (V)	Sortie remise à zéro	ICC (µA) (Max.)r	Fonctionnalités	Prix unitaire		
							1	25	100
♦ 700-MAX696EWE	MAX696EWE+	SOIC-16W	1,2 à 1,8	Actif haut et bas/push-pull	4000	Remise zéro rég., batt. charg., Déf. alim., WD	11,36	5,77	5,30
700-MAX696CPE	MAX696CPE+	PDIP-16	1,2 à 1,8	Actif haut/actif bas/push-pull	4000	RS RS, batt. charg., ligne basse, Déf. alim., WD	7,47	4,98	3,64
♦ 700-MAX696CWE	MAX696CWE+	SOIC-16W	1,2 à 1,8	Actif haut/actif bas/push-pull	4000	RS RS., batt. charg., ligne basse, Déf. alim., WD	8,23	5,49	3,98
♦ 700-MAX16021LTEL	MAX16021LTEL+	TQFN 16	de 1,2 à 5,5	Actif haut/Actif bas/Drain ouvert/	5	Nouv. batt., activation circ., batt. charg., ligne basse, remise à zéro manu., compen. déf. alim., WD	7,38	4,92	3,69
♦ 700-MAX16021LTEM	MAX16021LTEM+	TQFN 16	de 1,2 à 5,5	Actif haut/Actif bas/Drain ouvert/	5	Nouv. batt., activation circ., batt. charg., ligne basse, remise à zéro manu., compen. déf. alim., WD	7,38	4,92	3,69
♦ 700-MAX16021LTER	MAX16021LTER+	TQFN 16	de 1,2 à 5,5	Actif haut/Actif bas/Drain ouvert/	5	Nouv. batt., activation circ., batt. charg., ligne basse, remise à zéro manu., compen. déf. alim., WD	7,38	4,92	3,56
♦ 700-MAX16021LTES	MAX16021LTES+	TQFN 16	de 1,2 à 5,5	Actif haut/Actif bas/Drain ouvert/	5	Nouv. batt., activation circ., batt. charg., ligne basse, remise à zéro manu., compen. déf. alim., WD	7,38	4,92	3,56
♦ 700-MAX16021LTET	MAX16021LTET+	TQFN 16	de 1,2 à 5,5	Actif haut/Actif bas/Drain ouvert/	5	Nouv. batt., activation circ., batt. charg., ligne basse, remise à zéro manu., compen. déf. alim., WD	7,38	4,92	3,69
♦ 700-MAX16021LTEV	MAX16021LTEV+	TQFN 16	de 1,2 à 5,5	Actif haut/Actif bas/Drain ouvert/	5	Nouv. batt., activation circ., batt. charg., ligne basse, remise à zéro manu., compen. déf. alim., WD	7,38	4,92	3,69
♦ 700-MAX16021LTEW	MAX16021LTEW+	TQFN 16	de 1,2 à 5,5	Actif haut/Actif bas/Drain ouvert/	5	Nouv. batt., activation circ., batt. charg., ligne basse, remise à zéro manu., compen. déf. alim., WD	7,38	4,92	3,69
♦ 700-MAX16021LTEY	MAX16021LTEY+	TQFN 16	de 1,2 à 5,5	Actif haut/Actif bas/Drain ouvert/	5	Nouv. batt., activation circ., batt. charg., ligne basse, remise à zéro manu., compen. déf. alim., WD	7,38	4,92	3,69
♦ 700-MAX16021LTEZ	MAX16021LTEZ+	TQFN 16	de 1,2 à 5,5	Actif haut/Actif bas/Drain ouvert/	5	Nouv. batt., activation circ., batt. charg., ligne basse, remise à zéro manu., compen. déf. alim., WD	7,38	4,92	3,69
♦ 700-MAX16021PTEL	MAX16021PTEL+	TQFN 16	de 1,2 à 5,5	Actif haut/Actif bas/Drain ouvert/	5	Nouv. batt., activation circ., batt. charg., ligne basse, remise à zéro manu., compen. déf. alim., WD	7,38	4,92	3,69
♦ 700-MAX16021PTEM	MAX16021PTEM+	TQFN 16	de 1,2 à 5,5	Actif haut/Actif bas/Drain ouvert/	5	Nouv. batt., activation circ., batt. charg., ligne basse, remise à zéro manu., compen. déf. alim., WD	7,38	4,92	3,69
♦ 700-MAX16021PTER	MAX16021PTER+	TQFN 16	de 1,2 à 5,5	Actif haut/Actif bas/Drain ouvert/	5	Nouv. batt., activation circ., batt. charg., ligne basse, remise à zéro manu., compen. déf. alim., WD	7,38	4,92	3,69
♦ 700-MAX16021PTES	MAX16021PTES+	TQFN 16	de 1,2 à 5,5	Actif haut/Actif bas/Drain ouvert/	5	Nouv. batt., activation circ., batt. charg., ligne basse, remise à zéro manu., compen. déf. alim., WD	7,38	4,92	3,56
♦ 700-MAX16021PTET	MAX16021PTET+	TQFN 16	de 1,2 à 5,5	Actif haut/Actif bas/Drain ouvert/	5	Nouv. batt., activation circ., batt. charg., ligne basse, remise à zéro manu., compen. déf. alim., WD	7,38	4,92	3,69
♦ 700-MAX16021PTEV	MAX16021PTEV+	TQFN 16	de 1,2 à 5,5	Actif haut/Actif bas/Drain ouvert/	5	Nouv. batt., activation circ., batt. charg., ligne basse, remise à zéro manu., compen. déf. alim., WD	7,38	4,92	3,69
♦ 700-MAX16021PTEW	MAX16021PTEW+	TQFN 16	de 1,2 à 5,5	Actif haut/Actif bas/Drain ouvert/	5	Nouv. batt., activation circ., batt. charg., ligne basse, remise à zéro manu., compen. déf. alim., WD	7,38	4,92	3,69
♦ 700-MAX16021PTEY	MAX16021PTEY+	TQFN 16	de 1,2 à 5,5	Actif haut/Actif bas/Drain ouvert/	5	Nouv. batt., activation circ., batt. charg., ligne basse, remise à zéro manu., compen. déf. alim., WD	7,38	4,92	3,69
♦ 700-MAX16021PTEZ	MAX16021PTEZ+	TQFN 16	de 1,2 à 5,5	Actif haut/Actif bas/Drain ouvert/	5	Nouv. batt., activation circ., batt. charg., ligne basse, remise à zéro manu., compen. déf. alim., WD	7,38	4,92	3,69
♦ 700-MAX704SCSA	MAX704SCSA+	SOIC-8	de 2,5 à 3,0	Actif bas/push-pull	50	Remise zéro rég., Remise à zéro manu., Déf. alim.	6,57	3,17	2,91
♦ 700-MAX704RESA	MAX704RESA+	SOIC-8	de 2,5 à 3,0	Actif bas/push-pull	50	Remise zéro rég., Remise à zéro manu., Déf. alim.	8,53	5,69	4,13
♦ 700-MAX795SCSA	MAX795SCSA+	SOIC-8	2,5 à 3,3	Actif bas/Drain ouvert	50	Batt. charg., porte activation circ.	7,59	3,85	3,54
♦ 700-MAX793RCSE	MAX793RCSE+	SOIC-16	2,5 à 3,3	Actif haut et bas/Drain ouv. et PP	60	Remise zéro rég., batt. charg., Déf. alim., WD	7,76	5,43	3,62
♦ 700-MAX793SCSE	MAX793SCSE+	SOIC-16	2,5 à 3,3	Actif haut et bas/Drain ouv. et PP	60	Remise zéro rég., batt. charg., Déf. alim., WD	7,76	5,43	3,62
♦ 700-MAX793SESE	MAX793SESE+	SOIC-16	2,5 à 3,3	Actif haut et bas/Drain ouv. et PP	60	Remise zéro rég., batt. charg., Déf. alim., WD	10,09	7,06	4,71
♦ 700-MAX793TCSE	MAX793TCSE+	SOIC-16	2,5 à 3,3	Actif haut et bas/Drain ouv. et PP	60	Remise zéro rég., batt. charg., Déf. alim., WD	7,76	5,43	3,62
♦ 700-MAX793TESE	MAX793TESE+	SOIC-16	2,5 à 3,3	Actif haut et bas/Drain ouv. et PP	60	Remise zéro rég., batt. charg., Déf. alim., WD	10,09	7,06	4,71
♦ 700-MAX6361LUT26T	MAX6361LUT26+T	SOT-23-6	2,5 à 3,3/3,3	Actif haut/Drain ouvert	50	Réinitialisation manuelle	3,11	2,34	2,05
700-MAX704CPA	MAX704CPA+	PDIP-8	2,5 à 3,3/3,3 à 5,5	Actif bas/push-pull	350	Remise zéro rég., Remise à zéro manu., Déf. alim.	5,54	2,81	2,58
♦ 700-MAX704CSA	MAX704CSA+	SOIC-8	2,5 à 3,3 / 3,3	Actif bas/push-pull	350	Remise zéro rég., Remise à zéro manu., Déf. alim.	5,54	2,81	2,58
♦ 700-MAX704TCSA	MAX704TCSA+	SOIC-8	de 3,0 à 3,5	Actif bas/push-pull	50	Remise zéro rég., Remise à zéro manu., Déf. alim.	6,57	4,37	3,18
♦ 700-MAX690TESA	MAX690TESA+	SOIC-8	de 3,0 à 3,5	Actif bas/push-pull	50	Remise zéro rég., Déf. alim., WD	8,77	4,45	4,09
♦ 700-MAX806TCSA	MAX806TCSA+	SOIC-8	de 3,0 à 3,5	Actif bas/push-pull	50	Remise zéro rég., Remise à zéro manu., Déf. alim.	9,90	6,60	4,79
♦ 700-MAX818LCSA	MAX818LCSA+	SOIC-8	3,3 à 5,5	Actif bas/push-pull	45	Nouv. batt., activation circ., WD	6,34	4,22	3,06
♦ 700-MAX817LESA	MAX817LESA+	SOIC-8	3,3 à 5,5	Actif bas/push-pull	60	Remise zéro rég., Nouv. batt., Déf. alim., WD	7,05	4,69	3,41
700-MAX791CPE	MAX791CPE+	PDIP-16	3,3 à 5,5	Actif bas/push-pull	150	Remise zéro rég., batt. charg., Déf. alim., WD	7,69	5,38	3,59
♦ 700-MAX791CSE	MAX791CSE+	SOIC-16	3,3 à 5,5	Actif bas/push-pull	150	Remise zéro rég., batt. charg., Déf. alim., WD	8,48	5,65	4,10
♦ 700-MAX703CSA	MAX703CSA+	SOIC-8	3,3 à 5,5	Actif bas/push-pull	350	Remise zéro rég., Remise à zéro manu., Déf. alim.	5,54	2,81	2,58
♦ 700-MXD1210CSA	MXD1210CSA+	SOIC-8	3,3 à 5,5	-	500	Porte activation circ.	5,28	2,68	2,47
700-MAX692EPA	MAX692EPA+	PDIP-8	de 4,0 à 4,5	Actif bas/push-pull	5000	Remise zéro rég., Déf. alim., WD	10,00	6,67	4,83
♦ 700-MAX693EWE	MAX693EWE+	SOIC-16W	de 4,0 à 4,5	Actif haut/Actif bas/push-pull	5000	Remise zéro rég., Déf. alim., WD	11,94	7,96	5,78
♦ 700-MAX807LCUE	MAX807LCUE+	TSSOP-16	de 4,0 à 5,0	Actif haut/Actif bas/push-pull	110	Remise zéro rég., batt. charg., activation circ., ligne basse,	7,76	5,43	3,62
700-MAX691ACPE	MAX691ACPE+	PDIP 16	de 4,5 à 5,5	Actif haut et bas/push-pull	100	Remise zéro rég., batt. charg., Déf. alim., WD	7,08	3,61	3,31
700-MAX690ACPA	MAX690ACPA+	PDIP-8	de 4,5 à 5,5	Actif bas/push-pull	350	Remise zéro rég., Déf. alim., WD	6,62	4,41	3,19
♦ 700-MAX690ACSA	MAX690ACSA+	SOIC-8	de 4,5 à 5,5	Actif bas/push-pull	350	Remise zéro rég., Déf. alim., WD	6,62	3,36	3,09
♦ 700-MAX690AESA	MAX690AESA+	SOIC-8	de 4,5 à 5,5	Actif bas/push-pull	350	Remise zéro rég., Déf. alim., WD	9,26	4,70	4,32
700-MAX690CPA	MAX690CPA+	PDIP-8	de 4,5 à 5,5	Actif bas/push-pull	5000	Remise zéro rég., Déf. alim., WD	6,55	3,32	3,06
700-MAX690EPA	MAX690EPA+	PDIP-8	de 4,5 à 5,5	Actif bas/push-pull	5000	Remise zéro rég., Déf. alim., WD	9,52	4,83	4,45

© Copyright 2012 Mouser Electronics

© Copyright 2012 Mouser Electronics

CI de gestion de l'alimentation MAXIM

MAXIM INNOVATION DELIVERED

RoHS Compliant This product is RoHS compliant.

CI CIRCUIT BATTERIE DE SECOURS (SUITE)

♦ **Composant pour montage en surface**

Pour des quantités supérieures à celles indiquées, appelez-nous afin d'obtenir un devis.

RÉF. STOCK MOUSER	Réf. Maxim	Boîtier	Seuil remise à zéro (V)	Sortie remise à zéro	I_{CC} (µA) (Max.)	Fonctionnalités	Prix unitaire 1	25	100
♦ 700-MAX691ACSE	MAX691ACSE+	SOIC-16	de 4,5 à 5,0	Actif haut et bas/push-pull	100	Remise zéro rég., batt. charg., Déf. alim., WD	7,85	5,23	3,80
♦ 700-MAX691ACWE	MAX691ACWE+	SOIC-16W	de 4,5 à 5,0	Actif haut et bas/push-pull	100	Remise zéro rég., batt. charg., Déf. alim., WD	7,43	5,20	3,47
700-MAX691AEPE	MAX691AEPE+	PDIP 16	de 4,5 à 5,0	Actif haut et bas/push-pull	100	Remise zéro rég., batt. charg., Déf. alim., WD	8,86	6,20	4,13
♦ 700-MAX691AESE	MAX691AESE+	SOIC-16	de 4,5 à 5,0	Actif haut et bas/push-pull	100	Remise zéro rég., batt. charg., Déf. alim., WD	8,86	4,52	4,13
♦ 700-MAX691AEWE	MAX691AEWE+	SOIC-16W	de 4,5 à 5,0	Actif haut et bas/push-pull	100	Remise zéro rég., batt. charg., Déf. alim., WD	8,86	4,52	4,13
♦ 700-MAX692ACSA	MAX692ACSA+	SOIC 8	de 4,5 à 5,0	Actif bas/push-pull	350	Remise zéro rég., Déf. alim., WD	6,95	3,36	3,09
♦ 700-MAX692AESA	MAX692AESA+	SOIC 8	de 4,5 à 5,0	Actif bas/push-pull	350	Remise zéro rég., Déf. alim., WD	9,26	4,70	4,32
700-MAX692CPA	MAX692CPA+	PDIP-8	de 4,5 à 5,0	Actif bas/push-pull	350	Remise zéro rég., Déf. alim., WD	6,89	4,60	3,33
700-MAX690AEPA	MAX690AEPA+	PDIP-8	de 4,5 à 5,0	Actif bas/push-pull	350	Remise zéro rég., Déf. alim., WD	8,82	6,17	4,12
700-MAX805LCPA	MAX805LCPA+	PDIP-8	de 4,5 à 5,0	Actif haut/Push-Pull	350	Remise zéro rég., Déf. alim., WD	7,23	4,82	3,49
♦ 700-MAX691CWE	MAX691CWE+	SOIC-16W	de 4,5 à 5,0	Actif haut et bas/push-pull	5000	Remise zéro rég., batt. charg., Déf. alim., WD	7,80	3,98	3,65
♦ 700-MAX691EWE	MAX691EWE+	SOIC-16W	de 4,5 à 5,0	Actif haut et bas/push-pull	5000	Remise zéro rég., batt. charg., Déf. alim., WD	11,29	5,77	5,27
700-MAX693ACPE	MAX693ACPE+	PDIP 16	de 4,5 à 5,0	Actif haut et bas/push-pull	5000	Remise zéro rég., batt. charg., Déf. alim., WD	7,47	4,98	3,61
700-MAX694CPA	MAX694CPA+	PDIP-8	de 4,5 à 5,0	Actif bas/push-pull	5000	Remise zéro rég., Déf. alim., WD	6,55	3,32	3,06
700-MAX695CPE	MAX695CPE+	PDIP 16	de 4,5 à 5,0	Actif haut et bas/push-pull	5000	Remise zéro rég., batt. charg., Déf. alim., WD	7,47	3,61	3,32
♦ 700-MAX695CWE	MAX695CWE+	SOIC-16W	de 4,5 à 5,0	Actif haut et bas/push-pull	5000	Remise zéro rég., batt. charg., Déf. alim., WD	8,23	5,49	3,98
700-MAX691CPE	MAX691CPE+	PDIP 16	de 4,5 à 5,0	Actif haut/actif bas/push-pull	5000	Remise zéro rég., batt. charg., activation circ., ligne basse, Déf. alim., WD	7,08	3,61	3,31
700-MAX691EPE	MAX691EPE+	PDIP 16	de 4,5 à 5,0	Actif haut/actif bas/push-pull	5000	Remise zéro rég., batt. charg., activation circ.	10,29	5,25	4,80

CHARGEURS DE BATTERIES

♦ **Composant pour montage en surface**

Pour des quantités supérieures à celles indiquées, appelez-nous afin d'obtenir un devis.

RÉF. STOCK MOUSER	Réf. Maxim	Boîtier	VIN protégée (V) (Max.)	VIN en charge-ment (V) (Max.)	Batteries supportées NiCd	NiMH	Li-On	Li polymère	Régulation de charge	Prix unitaire 1	25	100
♦ 700-MAX8606ETDT	MAX8606ETD+T	TDFN-14	14	5.5	0	0	1	1	Linéaire	4,43	2,95	2,15
♦ 700-MAX1926ETC	MAX1926ETC+	TQFN-12	12	6.1	0	0	1	1	Commutation	4,33	2,89	2,10
♦ 700-MAX1501ETE	MAX1501ETE+	TQFN-16	13	6	3	3	1	1	Linéaire	4,64	3,18	2,16
♦ 700-MAX1501ZETE	MAX1501ZETE+	TQFN-16	13	6	3	3	1	1	Linéaire	4,64	2,35	2,16
♦ 700-MAX1811ESA	MAX1811ESA+	SOIC-8	6.5	6.5	0	0	1	1	Linéaire	4,31	2,87	2,08
♦ 700-MAX8814ETAT	MAX8814ETA+T	TDFN-8	28	6.5	0	0	1	1	Linéaire	3,02	2,05	1,60
♦ 700-MAX8895XEWA+T	MAX8895XEWA+T	WLP-25	14	6.6	0	0	1	1	Linéaire	3,94	2,89	2,10
♦ 700-MAX8895YEWA+T	MAX8895YEWA+T	WLP-25	14	6.6	0	0	1	1	Linéaire	3,94	2,89	2,10
♦ 700-MAX8934AETI+	MAX8934AETI+	TQFN-24	14	6.6	0	0	1	1	Linéaire	4,63	3,10	2,27
♦ 700-MAX8934BETI+	MAX8934BETI+	TQFN-24	14	6.6	0	0	1	1	Linéaire	4,63	3,10	2,27
♦ 700-MAX8934CETI+	MAX8934CETI+	TQFN-24	14	6.6	0	0	1	1	Linéaire	4,63	3,10	2,27
♦ 700-MAX8934DETI+	MAX8934DETI+	TQFN-24	14	6.6	0	0	1	1	Linéaire	4,63	3,10	2,27
♦ 700-MAX8934EETI+	MAX8934EETI+	TQFN-24	14	6.6	0	0	1	1	Linéaire	4,63	3,10	2,27
♦ 700-MAX8677AETG	MAX8677AETG+	TQFN-24	16	6.6	0	0	1	1	Linéaire	4,55	3,04	2,19
♦ 700-MAX8677CETG	MAX8677CETG+	TQFN-24	16	6.6	0	0	1	1	Linéaire	4,55	3,04	2,20
♦ 700-MAX1551EZK+T	MAX1551EZK+T	TSOT-5	7	7	0	0	1	1	Linéaire	1,34	1,08	1,04
♦ 700-MAX1508ETA+T	MAX1508ETA+T	TDFN-8	13	7	0	0	1	1	Linéaire	4,38	2,92	2,19
♦ 700-MAX8600ETDT	MAX8600ETD+T	TDFN-14	14	7	0	0	1	1	Linéaire	2,86	2,10	1,52
♦ 700-MAX8601ETDT	MAX8601ETD+T	TDFN-14	14	7	0	0	1	1	Linéaire	3,09	2,26	1,64
♦ 700-MAX8804YETAT	MAX8804YETA+T	TDFN-8	28	7	0	0	1	1	Linéaire	1,53	1,39	1,30
♦ 700-MAX1898EUB42	MAX1898EUB42+	µMAX-10	12	12	0	0	1	1	Linéaire	3,69	1,82	1,67
♦ 700-MAX1925ETC	MAX1925ETC+	TQFN-12	12	12	0	0	1	1	Commutation	4,33	2,89	2,10
♦ 700-MAX1757EAI	MAX1757EAI+	SSOP-28	14	14	0	0	1-3	1-3	Commutation	8,29	4,08	3,76
♦ 700-MAX8903AETI	MAX8903AETI+	TQFN-28	20	16	0	0	1	1	Commutation	5,68	3,98	2,65
♦ 700-MAX8903CETI+	MAX8903CETI+	TQFN-28	20	16	0	0	1	1	Commutation	5,68	3,98	2,65
♦ 700-DS2715Z	DS2715Z+	SOIC-16	16.5	16.5	0	1-10	0	0	Linéaire/Commu.	4,22	2,07	1,91
♦ 700-MAX846AEEE	MAX846AEEE+	QSOP-16	20	20	1-11	1-11	1-11	1-11	Linéaire	7,12	3,61	3,32
♦ 700-MAX1879EUA	MAX1879EUA+	µMAX-8	22	22	0	0	1	1	Impulsion	3,79	1,86	1,72
♦ 700-MAX745EAP	MAX745EAP+	SSOP-20	24	24	0	0	1-4	1-4	Commutation	10,32	5,24	4,82
♦ 700-MAX17435ETG	MAX17435ETG+	TQFN-24	26	26	0	0	2-4	2-4	Commutation	14,01	9,34	6,77
♦ 700-MAX17535ETG	MAX17535ETG+	TQFN-24	26	26	0	0	2-4	2-4	Commutation	14,06	9,37	7,00
♦ 700-MAX8731AETI	MAX8731AETI+	TQFN-28	26	26	0	0	1-4	1-4	Commutation	13,25	6,72	6,18
♦ 700-MAX1758EAI	MAX1758EAI+	SSOP-28	28	28	0	0	1-4	1-4	Commutation	8,53	4,33	3,98
♦ 700-MAX1873REEE	MAX1873REEE+	QSOP-16	28	28	5-10	5-10	2-4	2-4	Commutation	4,81	2,44	2,24
♦ 700-MAX1873SEEE	MAX1873SEEE+	QSOP-16	28	28	5-10	5-10	2-4	2-4	Commutation	4,81	2,44	2,24
♦ 700-MAX1908ETI	MAX1908ETI+	TQFN-28	28	28	2-10	2-10	2-4	2-4	Commutation	12,29	8,19	5,94
♦ 700-MAX8724ETI	MAX8724ETI+	TQFN-28	28	28	2-10	2-10	2-4	2-4	Commutation	12,39	8,27	5,99
♦ 700-MAX8725ETI	MAX8725ETI+	TQFN-28	28	28	4-10	4-10	3-4	3-4	Commutation	12,29	8,19	5,94

GESTION DE LA BATTERIE

♦ **Composant pour montage en surface**

Pour des quantités supérieures à celles indiquées, appelez-nous afin d'obtenir un devis.

RÉF. STOCK MOUSER	Réf. Maxim	Boîtier	V_{ALIM} (V) Min.	Max.	Batteries supportées Li-On	NiMH	Interface	Fonctionnalités	Prix unitaire 1	25	100
♦ 700-DS2786BG	DS2786BG+	TDFN-10	2.5	4.5	1	0	2-Wire	Jauge carburant	3,24	1,65	1,52
♦ 700-DS2784G	DS2784G+	TDFN-14	2.5	4.6	1	0	1-Wire	Jauge carburant, Prot	6,91	3,40	3,13
♦ 700-DS2745U	DS2745U+	µMAX-8	2.5	5.5	1	3	2-Wire	Jauge carburant	3,39	1,72	1,58
♦ 700-DS2746G	DS2746G+	TDFN-10	2.5	5.5	1	3	2-Wire	Jauge carburant	3,64	1,79	1,65
♦ 700-DS2762AE	DS2762AE+	TSSOP-16	2.5	5.5	1	0	1-Wire	Jauge carburant, Prot., Moniteur d'état	6,24	4,16	3,01
♦ 700-DS2762BE	DS2762BE+	µMAX-8	2.5	5.5	1	3	2-Wire	Jauge carburant	6,24	3,08	2,83
♦ 700-DS2762BE025	DS2762BE+025	TSSOP-16	2.5	5.5	1	0	1-Wire	Jauge carburant, Prot., Moniteur d'état	6,57	3,23	2,97
♦ 700-DS2764BE	DS2764BE+	TSSOP-16	2.5	5.5	1	0	2-Wire	Jauge carburant, Prot	6,24	3,08	2,83
♦ 700-DS2764BE025	DS2764BE+025	TSSOP-16	2.5	5.5	1	0	2-Wire	Jauge carburant, Prot	6,56	3,23	2,97
♦ 700-DS2780E	DS2780E+	TSSOP-8	2.5	5.5	1-2	0	1-Wire	Jauge carburant	6,34	3,12	2,87
♦ 700-DS2782E	DS2782E+	TSSOP-8	2.5	5.5	1-2	0	2-Wire	Jauge carburant	5,25	2,58	2,38
♦ 700-DS2786G	DS2786G+	TDFN-10	2.5	5.5	1	3	2-Wire	Jauge carburant	3,24	1,65	1,52
♦ 700-DS2788E	DS2788E+	TSSOP-14	2.5	5.5	1-10	0	1-Wire	Jauge carburant	6,39	3,14	2,90
♦ 700-DS2740U	DS2740U+	µMAX-8	2.7	5.5	1	3	1-Wire	Jauge carburant	3,16	1,56	1,44
♦ 700-DS2756E	DS2756E+	TSSOP-8	3	5.5	1	3	1-Wire	Jauge carburant	4,47	2,98	2,16
♦ 700-DS2438AZ	DS2438AZ+	SOIC-8	2.4	10	1-2	2-6	1-Wire	Moniteur d'état	4,79	2,48	2,23
♦ 700-DS2438Z	DS2438Z+	SOIC-8	2.4	10	1-2	2-6	1-Wire	Moniteur d'état	4,79	2,48	2,23
♦ 700-DS2781E	DS2781E+	TSSOP-8	2.5	10	1-2	0	1-Wire	Jauge carburant	6,81	3,36	3,09
♦ 700-MAX11080GUU/V+	MAX11080GUU/V+	TSSOP-38	6	72	1-12	0	-	Moniteur d'état	7,35	3,73	3,43
♦ 700-MAX11080GUUT	MAX11080GUU+T	TSSOP-38	6	72	1-12	0	-	Moniteur d'état	7,90	5,26	3,95

© Copyright 2012 Mouser Electronics

© Copyright 2012 Mouser Electronics

CI de gestion de l'alimentation MAXIM

RoHS Compliant This product is RoHS compliant.

AMPLIFICATEURS DE DÉTECTION DU COURANT

♦ **Composant pour montage en surface**

Pour des quantités supérieures à celles indiquées, appelez-nous afin d'obtenir un devis.

RÉF. STOCK MOUSER	Réf. Maxim	Boîtier	CMVR (V)		V_{CC} (V)		I_{CC} (µA) (Typ.)	$V_{détec_attaque}$ (mV) Rec.	V_{OS} à 25 °C (Max.) (µV)	Prix unitaire		
			Min.	Max.	Min.	Max.				1	25	100
♦ 700-MAX9938FELT+T	MAX9938FELT+T	µDFN-6	1.6	28	1.6	28	1	25/50/100	500	1,53	1,02	0,751
♦ 700-MAX9938FEUK+T	MAX9938FEUK+T	SOT-23-5	1.6	28	1.6	28	1	25/50/100	500	1,39	1,02	0,751
♦ 700-MAX9938HEUK+T	MAX9938HEUK+T	SOT-23-5	1.6	28	1.6	28	1	25/50/100	500	1,39	1,02	0,751
♦ 700-MAX9938TEUK+T	MAX9938TEUK+T	SOT-23-5	1.6	28	1.6	28	1	25/50/100	500	1,39	1,02	0,751
♦ 700-MAX9934FAUA	MAX9934FAUA+	µMAX-8	-0.1	5.5	2.5	3.6	120	5/25	10	2,30	1,53	1,02
♦ 700-MAX4372TESA	MAX4372TESA+	SO-8	0	28	2.7	28	30	100/150	1300	1,63	1,20	0,818
♦ 700-MAX4372FEUKT	MAX4372FEUK+T	SOT-23-5	0	28	2.7	28	30	100/150	1300	1,63	1,20	0,883
♦ 700-MAX4372TEUKT	MAX4372TEUK+T	SOT-23-5	0	28	2.7	28	30	100/150	1300	1,63	1,20	0,883
♦ 700-MAX4375FEUB	MAX4375FEUB+	µMAX-10	0	28	2.7	28	50	100/150	1000	3,70	1,82	1,67
♦ 700-MAX4373HEUA	MAX4373HEUA+	µMAX-8	0	28	2.7	28	50	100/150	1000	2,83	1,39	1,28
♦ 700-MAX4373FEUA	MAX4373FEUA+	µMAX-8	0	28	2.7	28	50	100/150	1000	2,83	1,39	1,28
♦ 700-MAX4373HESA	MAX4373HESA+	SO-8	0	28	2.7	28	50	100/150	1000	2,83	1,39	1,28
♦ 700-MAX4373TESA	MAX4373TESA+	SOIC 8	0	28	2.7	28	50	100/150	1000	2,83	1,89	1,37
♦ 700-MAX4071AUA	MAX4071AUA+	µMAX-8	1.35	24	2.7	24	120	50/75	250	2,30	1,53	1,11
♦ 700-MAX4211DETE	MAX4211DETE+	TQFN-16	4	28	2.7	5.5	670	100/150	-	3,18	1,61	1,49
♦ 700-MAX4211FETE	MAX4211FETE+	TQFN-16	4	28	2.7	5.5	670	100/150	-	3,18	1,61	1,49
♦ 700-MAX4211AEUE	MAX4211AEUE+	TSSOP-16	4	28	2.7	5.5	670	100/150	-	3,18	1,61	1,49
♦ 700-MAX9611AUB+	MAX9611AUB+	µMAX-10	0	60	2.7	5.5	1600	440	300	2,21	1,73	1,40
♦ 700-MAX4173FESA	MAX4173FESA+	SOIC 8	0	28	3	28	420	150	3000	1,72	0,875	0,803
♦ 700-MAX4173HESA	MAX4173HESA+	SOIC-8	0	28	3	28	420	150	3000	1,72	0,875	0,803
♦ 700-MAX4173TESA	MAX4173TESA+	SOIC-8	0	28	3	28	420	150	3000	1,72	0,875	0,803
♦ 700-MAX4172EUA	MAX4172EUA+	µMAX-8	0	32	3	32	800	150	750	3,23	1,64	1,51
♦ 700-MAX4172ESA	MAX4172ESA+	SOIC-8	0	32	3	32	800	150	750	3,51	1,78	1,64
♦ 700-MAX4376FASA	MAX4376FASA+	SO-8	0	28	3	28	1000	150	-	1,83	1,22	0,833
♦ 700-MAX4376TASA	MAX4376TASA+	SOT-23-5	0	28	3	28	1000	150	-	1,83	1,22	0,833
♦ 700-MAX4080TAUA	MAX4080TAUA+	µMAX-8	4.5	76	4.5	76	75	100/250/1000	600	2,19	1,11	1,02
♦ 700-MAX4080FASA	MAX4080FASA+	SOIC-8	4.5	76	4.5	76	75	100/250/1000	600	2,19	1,11	1,02
♦ 700-MAX4080SASA	MAX4080SASA+	SOIC-8	4.5	76	4.5	76	75	100/250/1000	600	2,19	1,11	1,02
♦ 700-MAX4080TASA	MAX4080TASA+	SOIC-8	4.5	76	4.5	76	75	100/250/1000	600	2,19	1,11	1,02
♦ 700-MAX4081FAUA	MAX4081FAUA+	µMAX-8	4.5	76	4.5	76	103	50/500	600	2,65	1,30	1,20
♦ 700-MAX4081TAUA	MAX4081TAUA+	µMAX-8	4.5	76	4.5	76	103	50/500	600	2,65	1,30	1,20
♦ 700-MAX4081SASA	MAX4081SASA+	SO-8	4.5	76	4.5	76	103	50/500	600	2,65	1,30	1,20
♦ 700-MAX16913AGEEV	MAX16913AGEE/V+	QSOP-16	-	-	5	18	600	-	-	1,52	1,52	1,52
♦ 700-MAX9928FAUA	MAX9928FAUA+	µMAX-8	-0.1	28	25	55	20	±50	400	1,93	0,982	0,899
♦ 700-MAX9929FAUA	MAX9929FAUA+	µMAX-8	-0.1	28	25	55	20	±50/±125	400	1,93	0,982	0,899

PMIC MULTIFONCTION (CIRCUIT INTÉGRÉ DE GESTION D'ALIMENTATION)

♦ **Composant pour montage en surface**

Pour des quantités supérieures à celles indiquées, appelez-nous afin d'obtenir un devis.

RÉF. STOCK MOUSER	Réf. Maxim	Boîtier	$TENSION_{ENTRÉE}$(V)		$TENSION_{SORTIE}$ (V)		I_{SORTIE} (Max) (A)	I_{CC} (Max.) (mA)	Fréq. de fonc-tionnement (kHz)	Prix unitaire		
			Min.	Max.	Min.	Max.				1	25	100
♦ 700-MAX1678EUA	MAX1678EUA+	µMAX-8	0.7	5.5	2	5.5	0.09	0.061	-	3,77	1,91	1,76
♦ 700-MAX1677EEE	MAX1677EEE+	QSOP-16	0.7	5.5	2.5	5.5	0.35	0.065	400	8,18	4,23	3,83
♦ 700-MAX8668ETEA	MAX8668ETEA+	TQFN-16	2.6	5.5	0.6	3.3	1.2	0.15	1500	6,88	3,39	3,12
♦ 700-MAX8668ETEP	MAX8668ETEP+	TQFN-16	2.6	5.5	0.6	3.3	1.2	0.15	1500	6,88	3,39	3,12
♦ 700-MAX8668ETEQ	MAX8668ETEQ+	TQFN-16	2.6	5.5	0.6	3.3	1.2	0.15	1500	6,88	3,39	3,12
♦ 700-MAX8668ETET	MAX8668ETET+	TQFN-16	2.6	5.5	0.6	3.3	1.2	0.15	1500	6,88	3,39	3,12
♦ 700-MAX8668ETEU	MAX8668ETEU+	TQFN-16	2.6	5.5	0.6	3.3	1.2	0.15	1500	6,88	3,39	3,12
♦ 700-MAX1748EUE	MAX1748EUE+	TSSOP-16	2.7	5.5	2.7	13	0.5	1	1000	3,24	1,86	1,71
♦ 700-MAX8620YETDT	MAX8620YETD+T	TDFN-14	2.7	5.5	0.6	3.3	0.5	0.11	4000	3,04	2,43	2,30
♦ 700-MAX1880EUG	MAX1880EUG+	TSSOP-24	2.7	5.5	2.7	13	0.75	1	1000	8,24	5,49	3,98
♦ 700-MAX1774EEI	MAX1774EEI+	QSOP 28	2.7	28	1	5.5	2	0.04	600	10,22	6,81	4,93

SUPERVISEURS DE TENSION SURVEILLÉE

♦ **Composant pour montage en surface**

Pour des quantités supérieures à celles indiquées, appelez-nous afin d'obtenir un devis.

RÉF. STOCK MOUSER	Réf. Maxim	Boîtier	Seuilde réinitialisation (V)	Réinitialisation désactivée	$t_{RÉINITIALISATION}$ (Min) (ms)	Caractéristique watchdog	Prix unitaire		
							1	25	100
♦ 700-MAX16008TP	MAX16008TP+	TQFN-20	0 à 5,5	Actif bas/drain ouvert /avec pull-up interne	<1	-	9,95	4,90	4,51
♦ 700-MAX6301CSA	MAX6301CSA+	SOIC-8	de 1,2 à 5,5	Actif bas/drain ouvert	<1	Cap. rég/WDI	3,47	1,76	1,62
♦ 700-MAX6301CUA	MAX6301CUA+	µMAX-8	de 1,2 à 5,5	Actif bas/drain ouvert	<1	Cap. rég/WDI	3,53	1,79	1,65
♦ 700-MAX16056ATA17+T	MAX16056ATA17+T	TDFN-8	de 1,2 à 5,5	Actif bas/push-pull	Rég.	Cap. rég/WDI	4,28	2,85	2,15
♦ 700-MAX16056ATA31+T	MAX16056ATA31+T	TDFN-8	de 1,2 à 5,5	Actif bas/push-pull	Rég.	Cap. rég/WDI	4,28	2,85	2,15
♦ 700-MAX16056ATA46+T	MAX16056ATA46+T	TDFN-8	de 1,2 à 5,5	Actif bas/push-pull	Rég.	Cap. rég/WDI	4,28	2,85	2,15
♦ 700-MAX16058ATA31+T	MAX16058ATA31+T	TDFN-8	de 1,2 à 5,5	Actif bas/drain ouvert	Rég.	Cap. rég/WDI	4,28	2,85	2,15
♦ 700-MAX16058ATA46+T	MAX16058ATA46+T	TDFN-8	de 1,2 à 5,5	Actif bas/drain ouvert	Rég.	Cap. rég/WDI	4,28	2,85	2,15
♦ 700-MAX6301CPA	MAX6301CPA+	PDIP-8	de 1,2 à 5,5	Actif bas/drain ouvert	Rég.	Cap. rég/WDI	3,64	2,43	1,76
♦ 700-MAX6301ESA	MAX6301ESA+	SOIC 8	de 1,2 à 5,5	Actif bas/drain ouvert	Rég.	Cap. rég/WDI	3,47	1,76	1,62
♦ 700-MAX6303CPA	MAX6303CPA+	SOIC-8	de 1,2 à 5,5	Actif bas/push-pull	Rég.	Cap. rég/WDI	3,64	2,43	1,76
♦ 700-MAX6303CSA	MAX6303CSA+	SOIC-8	de 1,2 à 5,5	Actif bas/push-pull	Rég.	Cap. rég/WDI	3,47	1,76	1,62
♦ 700-MAX6303ESA	MAX6303ESA+	SOIC-8	de 1,2 à 5,5	Actif bas/push-pull	Rég.	Cap. rég/WDI	3,47	1,76	1,62
♦ 700-MAX6304ESA	MAX6304ESA+	SOIC-8	de 1,2 à 5,5	Actif haut/Push-Pull	Rég.	Cap. rég/WDI	3,29	1,79	1,65
♦ 700-MAX16055AAUB	MAX16055AAUB+	µMAX-10	de 0 à 3,3	Actif bas/drain ouvert /avec pull-up interne	85 à 300	Aucun	5,88	2,90	2,67
♦ 700-MAX16055CAUB	MAX16055CAUB+	µMAX-10	de 0 à 3,3	Actif bas/drain ouvert /avec pull-up interne	85 à 300	Aucun	5,89	2,90	2,67
♦ 700-MAX16055EAUB	MAX16055EAUB+	µMAX-10	de 0 à 3,3	Actif bas/drain ouvert /avec pull-up interne	85 à 300	Aucun	5,88	2,90	2,67
♦ 700-MAX16055IAUB	MAX16055IAUB+	µMAX-10	de 0 à 3,3	Actif bas/drain ouvert /avec pull-up interne	85 à 300	Aucun	5,89	2,90	2,67
♦ 700-MAX16055JAUB	MAX16055JAUB+	µMAX-10	de 0 à 3,3	Actif bas/drain ouvert /avec pull-up interne	85 à 300	Aucun	5,89	2,90	2,67
♦ 700-MAX6709OUB	MAX6709OUB+	µMAX-10	0 à 5,5	Actif bas/drain ouvert	<1	Aucun	5,47	4,13	3,61
♦ 700-MAX6708SKAT	MAX6708SKA+T	SOT-23-8L	0 à 5,5	Actif haut/actif bas/push-pull	85 à 300	Aucun	2,84	2,14	1,87
♦ 700-MAX16009TG	MAX16009TG+	TQFN-24	0 à 5,5	Actif bas/drain ouvert /avec pull-up interne	Rég.	Aucun	10,68	5,41	4,98
♦ 700-MAX6338BUB	MAX6338BUB+	µMAX-10	de 1,2 à 5,5	Actif bas/drain ouvert	<1	Aucun	6,19	4,13	2,99
♦ 700-MAX6338IUB	MAX6338IUB+	µMAX-10	de 1,2 à 5,5	Actif bas/drain ouvert	<1	Aucun	6,19	3,05	2,81
♦ 700-MAX6338PUB	MAX6338PUB+	µMAX-10	de 1,2 à 5,5	Actif bas/drain ouvert	<1	Aucun	6,19	3,05	2,81
♦ 700-MAX6415UKT	MAX6415UK+T	SOT-23-5	de 1,2 à 5,5	Actif bas/push-pull	<1	Aucun	1,87	1,41	1,23

© Copyright 2012 Mouser Electronics
© Copyright 2012 Mouser Electronics

RoHS Compliant This product is RoHS compliant.

SUPERVISEURS DE TENSION SURVEILLÉE (SUITE)

♦ Composant pour montage en surface

Pour des quantités supérieures à celles indiquées, appelez-nous afin d'obtenir un devis.

RÉF. STOCK MOUSER	Réf. Maxim	Boîtier	Seuil de réinit. (V)	Réinitialisation désactivée	$t_{RÉINIT.}$ (Min) (ms)	Caractéristique watchdog	Prix unitaire 1	25	100
♦ 700-MAX6778XKT	MAX6778XK+T	SC-70-5	de 1,2 à 5,5	Actif bas/drain ouvert	<1	Aucun	1,78	1,34	1,17
700-MAX8211CPA	MAX8211CPA+	PDIP-8	de 1,2 à 5,5	Actif bas/drain ouvert	<1	Aucun	3,14	1,59	1,46
♦ 700-MAX8211CSA	MAX8211CSA+	SOIC-8	de 1,2 à 5,5	Actif bas/drain ouvert	<1	Aucun	3,18	1,62	1,49
♦ 700-MAX8211ESA	MAX8211ESA+	SOIC-8	de 1,2 à 5,5	Actif bas/drain ouvert	<1	Aucun	4,79	2,43	2,24
700-MAX8212CPA	MAX8212CPA+	PDIP-8	de 1,2 à 5,5	Actif bas/drain ouvert	<1	Aucun	3,28	2,19	1,58
♦ 700-MAX8212CSA	MAX8212CSA+	SOIC-8	de 1,2 à 5,5	Actif bas/drain ouvert	<1	Aucun	2,88	1,92	1,39
700-MAX8213ACPE+	MAX8213ACPE+	PDIP 16	de 1,2 à 5,5	Actif bas/drain ouvert	<1	Aucun	6,55	4,59	3,06
♦ 700-MAX8213ACSE	MAX8213ACSE+	SOIC-16	de 1,2 à 5,5	Actif bas/drain ouvert	<1	Aucun	6,55	3,32	3,06
700-MAX8214BCPE	MAX8214BCPE+	PDIP 16	de 1,2 à 5,5	Actif bas/push-pull	<1	Aucun	4,73	2,33	2,15
♦ 700-MAX834EUKT	MAX834EUK+T	SOT-23-5L	de 1,2 à 5,5	Actif bas/drain ouvert	<1	Aucun	2,45	1,85	1,62
♦ 700-MAX837EUST	MAX837EUS+T	SOT-4	de 1,2 à 5,5	Actif bas/push-pull	<1	Aucun	1,85	1,39	1,22
700-MAX700CPA	MAX700CPA+	PDIP-8	de 1,2 à 5,5	Actif haut, actif bas/push-pull	85 - 300	Aucun	4,95	3,30	2,39
♦ 700-MAX700CSA	MAX700CSA+	SOIC-8	de 1,2 à 5,5	Actif haut, actif bas/push-pull	85 - 300	Aucun	4,95	3,30	2,39
♦ 700-MAX700ESA	MAX700ESA+	SOIC-8	de 1,2 à 5,5	Actif haut, actif bas/push-pull	85 - 300	Aucun	6,44	3,11	2,86
700-MAX701CPA	MAX701CPA+	PDIP-8	de 1,2 à 5,5	Actif haut, actif bas/push-pull	85 - 300	Aucun	4,50	2,99	2,17
♦ 700-MAX701CSA	MAX701CSA+	SOIC-8	de 1,2 à 5,5	Actif haut, actif bas/push-pull	85 - 300	Aucun	4,50	3,00	2,17
♦ 700-MAX701ESA	MAX701ESA+	SOIC-8	de 1,2 à 5,5	Actif haut, actif bas/push-pull	85 - 300	Aucun	5,68	2,88	2,65
♦ 700-MAX816CSA	MAX816CSA+	SOIC-8	de 1,2 à 5,5	Actif haut, actif bas/push-pull	85 - 300	Aucun	11,01	7,34	5,32
♦ 700-MAX6357LSUTT	MAX6357LSUT+T	SOT-23-6L	de 1,2 à 5,5	Actif bas/push-pull	85 à 300	Aucun	2,84	2,14	1,87
700-MAX700EPA	MAX700EPA+	PDIP-8	de 1,2 à 5,5	Actif haut/actif bas/push-pull	85 à 300	Aucun	6,44	4,29	3,11
♦ 700-MAX16057ATT17+T	MAX16057ATT17+T	TDFN-6	de 1,2 à 5,5	Actif bas/push-pull	Rég.	Aucun	3,42	2,28	1,71
♦ 700-MAX16057ATT31+T	MAX16057ATT31+T	TDFN-6	de 1,2 à 5,5	Actif bas/push-pull	Rég.	Aucun	3,42	2,28	1,71
♦ 700-MAX16057ATT46+T	MAX16057ATT46+T	TDFN-6	de 1,2 à 5,5	Actif bas/push-pull	Rég.	Aucun	3,42	2,28	1,71
700-ICL7665ACPA	ICL7665ACPA+	PDIP-8	1,225 à 1,375	Actif haut, actif bas/drain ouvert	<1	Aucun	4,69	3,13	2,27
♦ 700-ICL7665ACSA	ICL7665ACSA+	SOIC-8	1,225 à 1,375	Actif haut, actif bas/drain ouvert	<1	Aucun	4,93	2,50	2,30
♦ 700-ICL7665AESA	ICL7665AESA+	SOIC-8	1,225 à 1,375	Actif haut, actif bas/drain ouvert	<1	Aucun	5,47	2,77	2,55
♦ 700-MAX803MEXRT	MAX803MEXR+T	SC-70-3	de 1,8 à 5,5	Actif bas/drain ouvert	85 - 300	Aucun	1,94	1,46	1,28
♦ 700-MAX803REXRT	MAX803REXR+T	SC-70-3	de 1,8 à 5,5	Actif bas/drain ouvert	85 - 300	Aucun	1,94	1,46	1,28
♦ 700-MAX809MEURT	MAX809MEUR+T	SOT-23-3	de 1,8 à 5,5	Actif bas/push-pull	85 - 300	Aucun	1,83	1,38	1,15
♦ 700-MAX809REURT	MAX809REUR+T	SOT-23-3	de 1,8 à 5,5	Actif bas/push-pull	85 - 300	Aucun	1,83	1,38	1,15
♦ 700-MAX809SEURT	MAX809SEUR+T	SOT-23-3	de 1,8 à 5,5	Actif bas/push-pull	85 - 300	Aucun	1,83	1,38	1,15
♦ 700-MAX809TEURT	MAX809TEUR+T	SOT-23-3	de 1,8 à 5,5	Actif bas/push-pull	85 - 300	Aucun	1,83	1,38	1,15
♦ 700-MAX809JEURT	MAX809JEUR+T	SOT-23-3L	de 1,8 à 5,5	Actif à l'état bas/pousser-tirer	85 à 300	Aucun	1,83	1,38	1,15
♦ 700-MAX810MEURT	MAX810MEUR+T	SOT-23-3L	de 1,8 à 5,5	Actif haut/Push-Pull	85 à 300	Aucun	1,83	1,38	1,20
♦ 700-MAX825REUKT	MAX825REUK+T	SOT-23-5L	de 1,8 à 5,5	Actif haut/actif bas/push-pull	85 à 300	Aucun	2,33	1,75	1,53
♦ 700-MAX825TEUKT	MAX825TEUK+T	SOT-23-5L	de 1,8 à 5,5	Actif haut/actif bas/push-pull	85 à 300	Aucun	2,33	1,75	1,53
700-DS1233A-10	DS1233A-10+	TO-92	2,5 à 3,3	Actif bas/drain ouvert avec pull-up interne	85 - 300	Aucun	1,16	0,586	0,539
700-DS1233A-15	DS1233A-15+	TO-92	2,5 à 3,3	Actif bas/drain ouvert avec pull-up interne	85 - 300	Aucun	1,23	0,621	0,572
♦ 700-DS1233AZ-10	DS1233AZ-10+	SOT-223	2,5 à 3,3	Actif bas/drain ouvert avec pull-up interne	85 - 300	Aucun	2,10	1,40	1,04
♦ 700-DS1233AZ-15	DS1233AZ-15+	SOT-223	2,5 à 3,3	Actif bas/drain ouvert avec pull-up interne	85 - 300	Aucun	2,25	1,50	1,09
♦ 700-DS1233MS-3	DS1233MS-3+	SOIC-8	2,5 à 3,3	Actif bas/drain ouvert avec pull-up interne	85 - 300	Aucun	2,70	1,80	1,30
♦ 700-DS1708SESA	DS1708SESA+	SOIC-8	2,5 à 3,3	Actif haut, actif bas/push-pull	85 - 300	Aucun	2,10	1,40	1,01
♦ 700-DS1708TESA	DS1708TESA+	SOIC-8	2,5 à 3,3	Actif haut, actif bas/push-pull	85 - 300	Aucun	2,10	1,40	1,01
700-DS1815-10T&R	DS1815-10+T&R	TO-92	2,5 à 3,3	Actif bas/push-pull	85 - 300	Aucun	1,01	0,757	0,594
700-DS1818-10T&R	DS1818-10+T&R	TO-92	2,5 à 3,3	Actif à l'état bas/drain ouvert	85 - 300	Aucun	1,01	0,757	0,635
♦ 700-DS1818R-10T&R	DS1818R-10+T&R	SOT-23-3	2,5 à 3,3	Actif à l'état bas/drain ouvert	85 - 300	Aucun	0,67	0,503	0,421
♦ 700-DS1832S	DS1832S+	SOIC-8	2,5 à 3,3	Actif haut, actif bas/push-pull	85 - 300	Aucun	1,65	0,833	0,77
♦ 700-MAX708SCSA	MAX708SCSA+	SOIC-8	2,5 à 3,3	Actif haut, actif bas/push-pull	85 - 300	Aucun	4,81	2,44	2,24
♦ 700-MAX708SESA	MAX708SESA+	SOIC-8	2,5 à 3,3	Actif haut, actif bas/push-pull	85 - 300	Aucun	6,57	4,37	3,18
♦ 700-MAX708TCSA	MAX708TCSA+	SOIC-8	2,5 à 3,3	Actif haut, actif bas/push-pull	85 - 300	Aucun	4,81	2,44	2,24
♦ 700-MAX708TESA	MAX708TESA+	SOIC-8	2,5 à 3,3	Actif haut, actif bas/push-pull	85 - 300	Aucun	6,57	3,17	2,91
♦ 700-MAX708TCUA	MAX708TCUA+	µMAX-8	2,5 à 3,3	Actif haut/actif bas/push-pull	85 à 300	Aucun	5,52	2,80	2,57
700-DS1815R-10T&R	DS1815R-10+T&R	TO-92-3	2,5 à 3,3	Actif bas/push-pull	85-300	Aucun	0,87	0,656	0,512
700-DS1816R-5T&R	DS1816R-5+T&R	TO-92-3	2,5 à 3,3	Actif bas/push-pull	85-300	Aucun	0,87	0,656	0,512
♦ 700-DS1819CR-10T&R	DS1819CR-10+T&R	SOT-23-5L	2,5 à 3,3	Actif haut/actif bas/push-pull	85-300	Aucun	1,16	0,875	0,685
♦ 700-MAX6315US29D3T	MAX6315US29D3+T	SOT-143-4L	de 2,5 à 5,5	Actif bas/drain ouvert	1 à >1s	Aucun	1,82	1,37	1,16
♦ 700-MAX6315US31D3T	MAX6315US31D3+T	SOT-143-4L	de 2,5 à 5,5	Actif bas/drain ouvert	1 à >1s	Aucun	1,82	1,37	1,16
♦ 700-DS1831CS	DS1831CS+	SOIC-16	de 2,5 à 5,5	Actif bas/drain ouvert	15-1s	Aucun	6,63	4,42	3,32
♦ 700-MAX709LCSA	MAX709LCSA+	SOIC-8	de 2,5 à 5,5	Actif bas/push-pull	85 - 300	Aucun	2,72	1,82	1,32
♦ 700-MAX811LEUST	MAX811LEUS+T	SOT-4	de 2,5 à 5,5	Actif bas/push-pull	85 - 300	Aucun	1,82	1,37	1,16
♦ 700-MAX812SEUST	MAX812SEUS+T	SOT-4	de 2,5 à 5,5	Actif haut/Push-Pull	85 - 300	Aucun	1,85	1,39	1,22
♦ 700-MAX709MCSA	MAX709MCSA+	SOIC-8	de 2,5 à 5,5	Actif bas/push-pull	85 à 300	Aucun	2,72	1,82	1,32
♦ 700-MAX709MESA	MAX709MESA+	SOIC-8	de 2,5 à 5,5	Actif bas/push-pull	85 à 300	Aucun	3,59	2,39	1,73
♦ 700-MAX709SCSA	MAX709SCSA+	SOIC-8	de 2,5 à 5,5	Actif bas/push-pull	85 à 300	Aucun	2,72	1,82	1,32
♦ 700-MAX811MEUST	MAX811MEUS+T	SOT-143-4L	de 2,5 à 5,5	Actif bas/push-pull	85 à 300	Aucun	1,82	1,37	1,16
700-DS1233-10	DS1233-10+	TO-92	3,3 à 5,5	Actif bas/drain ouvert avec pull-up interne	250 - 450	Aucun	1,29	0,858	0,619
700-DS1233-15	DS1233-15+	TO-92	3,3 à 5,5	Actif bas/drain ouvert avec pull-up interne	250 - 450	Aucun	1,11	0,562	0,516
700-DS1233-5	DS1233-5+	TO-92	3,3 à 5,5	Actif bas/drain ouvert avec pull-up interne	250 - 450	Aucun	1,23	0,621	0,572
♦ 700-DS1233Z-10	DS1233Z-10+	SOT-223	3,3 à 5,5	Actif bas/drain ouvert avec pull-up interne	250 - 450	Aucun	2,25	1,50	1,09
♦ 700-DS1233Z-15	DS1233Z-15+	SOT-223	3,3 à 5,5	Actif bas/drain ouvert avec pull-up interne	250 - 450	Aucun	2,25	1,50	1,09
♦ 700-DS1233Z-5	DS1233Z-5+	SOT-223	3,3 à 5,5	Actif bas/drain ouvert avec pull-up interne	250 - 450	Aucun	2,10	1,40	1,04
700-DS1833-10	DS1833-10+	TO-92	3,3 à 5,5	Actif haut/drain ouvert avec pull-up interne	250 - 450	Aucun	1,67	0,85	0,78
700-DS1833-5	DS1833-5+	TO-92	3,3 à 5,5	Actif haut/drain ouvert avec pull-up interne	250 - 450	Aucun	1,67	0,85	0,78
♦ 700-DS1833Z-10	DS1833Z-10+	SOT-223	3,3 à 5,5	Actif haut/drain ouvert avec pull-up interne	250 - 450	Aucun	2,95	1,49	1,38
700-DS1233-5T&R	DS1233-5+T&R	TO-92-3	3,3 à 5,5	Actif bas/drain ouvert /avec pull-up interne	250-450	Aucun	1,36	0,908	0,685
700-DS1233A-10T&R	DS1233A-10+T&R	TO-92-3	3,3 à 5,5	Actif bas/drain ouvert /avec pull-up interne	250-450	Aucun	1,36	0,908	0,685
700-DS1233M-5	DS1233M-5+	TO-92	3,3 à 5,5	Actif bas/drain ouvert avec pull-up interne	300 - 1000	Aucun	1,29	0,858	0,619
700-DS1233M-55	DS1233M-55+	TO-92	3,3 à 5,5	Actif bas/drain ouvert avec pull-up interne	300 - 1000	Aucun	1,23	0,621	0,572
♦ 700-DS1233MS-5	DS1233MS-5+	SOIC-8	3,3 à 5,5	Actif bas/drain ouvert avec pull-up interne	300 - 1000	Aucun	2,70	1,80	1,30
♦ 700-DS1231S-20	DS1231S-20+	SOIC-16W	3,3 à 5,5	Actif à l'état bas/drain ouvert	85 - 300	Aucun	9,41	4,77	4,39
700-DS1233D-10	DS1233D-10+	TO-92	3,3 à 5,5	Actif bas/drain ouvert avec pull-up interne	85 - 300	Aucun	1,29	0,858	0,619
700-DS1233D-10T&R	DS1233D-10+T&R	TO-92	3,3 à 5,5	Actif bas/drain ouvert avec pull-up interne	85 - 300	Aucun	1,23	0,908	0,685
700-DS1233D-5	DS1233D-5+	TO-92	3,3 à 5,5	Actif bas/drain ouvert avec pull-up interne	85 - 300	Aucun	1,23	0,621	0,572
♦ 700-DS1233DZ-10	DS1233DZ-10+	SOT-223	3,3 à 5,5	Actif bas/drain ouvert avec pull-up interne	85 - 300	Aucun	2,10	1,40	1,04
♦ 700-DS1233DZ-15	DS1233DZ-15+	SOT-223	3,3 à 5,5	Actif bas/drain ouvert avec pull-up interne	85 - 300	Aucun	2,10	1,40	1,04
♦ 700-DS1233DZ-5	DS1233DZ-5+	SOT-223	3,3 à 5,5	Actif bas/drain ouvert avec pull-up interne	85 - 300	Aucun	2,10	1,40	1,04
♦ 700-DS1707ESA	DS1707ESA+	SOIC-8	3,3 à 5,5	Actif à l'état haut, actif à l'état bas/pousser-tirer	85 - 300	Aucun	1,82	0,924	0,85
♦ 700-DS1707EUA	DS1707EUA+	µMAX-8	3,3 à 5,5	Actif à l'état haut, actif à l'état bas/pousser-tirer	85 - 300	Aucun	2,67	1,78	1,30
♦ 700-DS1708ESA	DS1708ESA+	SOIC 8	3,3 à 5,5	Actif à l'état haut, actif à l'état bas/pousser-tirer	85 - 300	Aucun	2,10	1,40	1,01
700-DS1810-10	DS1810-10+	TO-92	3,3 à 5,5	Actif bas/push-pull	85 - 300	Aucun	0,99	0,502	0,462

© Copyright 2012 Mouser Electronics

© Copyright 2012 Mouser Electronics

CI de gestion de l'alimentation MAXIM

MAXIM INNOVATION DELIVERED

RoHS Compliant This product is RoHS compliant.

SUPERVISEURS DE TENSION SURVEILLÉE (SUITE)

♦ **Composant pour montage en surface**

Pour des quantités supérieures à celles indiquées, appelez-nous afin d'obtenir un devis.

RÉF. STOCK MOUSER	Réf. Maxim	Boîtier	Seuil de réinit. (V)	Réinitialisation désactivée	$t_{RÉINITIALISATION}$ (Min) (ms)	Caractéristique watchdog	Prix unitaire 1	25	100
700-DS1810-5T&R	DS1810-5+T&R	TO-92	3,3 à 5,5	Actif bas/push-pull	85 - 300	Aucun	1,01	0,757	0,594
700-DS1811-10	DS1811-10+	TO-92	3,3 à 5,5	Actif à l'état bas/drain ouvert	85 - 300	Aucun	0,99	0,502	0,462
700-DS1811-10T&R	DS1811-10+T&R	TO-92	3,3 à 5,5	Actif à l'état bas/drain ouvert	85 - 300	Aucun	0,83	0,622	0,487
700-DS1811-15T&R	DS1811-15+T&R	TO-92	3,3 à 5,5	Actif à l'état bas/drain ouvert	85 - 300	Aucun	0,98	0,743	0,594
700-DS1811-5T&R	DS1811-5+T&R	TO-92	3,3 à 5,5	Actif à l'état bas/drain ouvert	85 - 300	Aucun	1,01	0,757	0,594
♦ 700-DS1811R-10T&R	DS1811R-10+T&R	SOT-23-3	3,3 à 5,5	Actif à l'état bas/drain ouvert	85 - 300	Aucun	0,67	0,505	0,396
♦ 700-DS1811R-5T&R	DS1811R-5+T&R	SOT-23-3	3,3 à 5,5	Actif à l'état bas/drain ouvert	85 - 300	Aucun	0,87	0,656	0,512
700-DS1812-10T&R	DS1812-10+T&R	TO-92	3,3 à 5,5	Actif haut/Push-Pull	85 - 300	Aucun	1,01	0,757	0,594
700-DS1812-5T&R	DS1812-5+T&R	TO-92	3,3 à 5,5	Actif haut/Push-Pull	85 - 300	Aucun	1,01	0,757	0,594
700-DS1813-10T&R	DS1813-10+T&R	TO-92	3,3 à 5,5	Actif à l'état bas/drain ouvert	85 - 300	Aucun	1,01	0,757	0,594
700-DS1813-5T&R	DS1813-5+T&R	TO-92	3,3 à 5,5	Actif à l'état bas/drain ouvert	85 - 300	Aucun	1,01	0,757	0,594
♦ 700-DS1813R-5T&R	DS1813R-5+T&R	SOT-23-3	3,3 à 5,5	Actif à l'état bas/drain ouvert	85 - 300	Aucun	0,67	0,505	0,396
♦ 700-DS1814CR-10T&R	DS1814CR-10+T&R	SOT-23-5	3,3 à 5,5	Actif à l'état haut, actif à l'état bas/pousser-tirer	85 - 300	Aucun	1,16	0,875	0,685
♦ 700-DS1834AS	DS1834AS+	SOIC-8	3,3 à 5,5	Actif à l'état bas/drain ouvert	85 - 300	Aucun	2,25	1,50	1,09
♦ 700-DS1834AU	DS1834AU+	µMAX-8	3,3 à 5,5	Actif à l'état bas/drain ouvert	85 - 300	Aucun	2,43	1,62	1,17
♦ 700-DS1834S	DS1834S+	SOIC-8	3,3 à 5,5	Actif à l'état bas/drain ouvert	85 - 300	Aucun	2,25	1,50	1,09
♦ 700-MAX702CSA	MAX702CSA+	SOIC-8	3,3 à 5,5	Actif bas/push-pull	85 - 300	Aucun	4,95	2,44	2,24
700-MAX707CPA	MAX707CPA+	PDIP-8	3,3 à 5,5	Actif à l'état haut, actif à l'état bas/pousser-tirer	85 - 300	Aucun	4,67	3,11	2,26
♦ 700-MAX707CSA	MAX707CSA+	SOIC-8	3,3 à 5,5	Actif à l'état haut, actif à l'état bas/pousser-tirer	85 - 300	Aucun	4,67	3,11	2,26
♦ 700-MAX707ESA	MAX707ESA+	SOIC-8	3,3 à 5,5	Actif à l'état haut, actif à l'état bas/pousser-tirer	85 - 300	Aucun	5,78	2,93	2,70
700-MAX708CPA	MAX708CPA+	PDIP-8	3,3 à 5,5	Actif à l'état haut, actif à l'état bas/pousser-tirer	85 - 300	Aucun	4,67	3,11	2,26
♦ 700-MAX708CSA	MAX708CSA+	SOIC-8	3,3 à 5,5	Actif à l'état haut, actif à l'état bas/pousser-tirer	85 - 300	Aucun	4,67	3,11	2,26
♦ 700-MAX708ESA	MAX708ESA+	SOIC-8	3,3 à 5,5	Actif à l'état haut, actif à l'état bas/pousser-tirer	85 - 300	Aucun	5,78	2,93	2,70
700-MAX813LCPA	MAX813LCPA+	PDIP-8	3,3 à 5,5	Actif haut/Push-Pull	85 - 300	Aucun	3,16	1,60	1,48
♦ 700-MAX813LCSA	MAX813LCSA+	SOIC-8	3,3 à 5,5	Actif haut/Push-Pull	85 - 300	Aucun	3,16	1,60	1,48
700-MAX813LEPA	MAX813LEPA+	PDIP-8	3,3 à 5,5	Actif haut/Push-Pull	85 - 300	Aucun	4,29	2,86	2,07
♦ 700-MAX8215CSD	MAX8215CSD+	SOIC 14	3,3 à 5,5	Actif à l'état haut, actif à l'état bas/drain ouvert	85 - 300	Aucun	4,73	3,15	2,28
♦ 700-MAX8215ESD	MAX8215ESD+	SOIC 14	3,3 à 5,5	Actif à l'état haut, actif à l'état bas/drain ouvert	85 - 300	Aucun	5,85	4,08	2,74
♦ 700-MAX8216CSD	MAX8216CSD+	SOIC 14	3,3 à 5,5	Actif à l'état haut, actif à l'état bas/drain ouvert	85 - 300	Aucun	4,73	3,15	2,28
♦ 700-MAX8216ESD	MAX8216ESD+	SOIC 14	3,3 à 5,5	Actif à l'état haut, actif à l'état bas/drain ouvert	85 - 300	Aucun	6,14	4,09	2,96
700-DS1231-20	DS1231-20+	PDIP-8	3,3 à 5,5	Actif à l'état bas/drain ouvert	85 -300	Aucun	8,13	5,42	3,94
700-DS1231-35	DS1231-35+	PDIP-8	3,3 à 5,5	Actif à l'état bas/drain ouvert	85 -300	Aucun	8,13	5,42	3,94
♦ 700-MAX6346UR46T	MAX6346UR46+T	SOT-23-3L	3,3 à 5,5	Actif bas/push-pull	85 à 300	Aucun	1,99	1,50	1,31
♦ 700-MAX698EWE	MAX698EWE+	SOIC-16W	3,3 à 5,5	Actif haut/actif bas/drain ouvert/push-pull	85 à 300	Aucun	4,95	3,30	2,39
700-MAX702CPA	MAX702CPA+	PDIP-8	3,3 à 5,5	Actif bas/push-pull	85 à 300	Aucun	4,95	3,30	2,39
700-MAX707EPA	MAX707EPA+	PDIP-8	3,3 à 5,5	Actif haut/actif bas/push-pull	85 à 300	Aucun	6,06	4,04	2,93
700-MAX8215EPD	MAX8215EPD+	PDIP-14	3,3 à 5,5	Actif à l'état haut/ actif à l'état bas/drain ouvert	85 à 300	Aucun	5,85	4,08	2,74
700-MAX8216CPD	MAX8216CPD+	PDIP-14	3,3 à 5,5	Actif à l'état haut/ actif à l'état bas/drain ouvert	85 à 300	Aucun	4,73	3,14	2,30
700-DS1707EPA	DS1707EPA+	DIP-8	3,3 à 5,5	Actif à l'état haut/actif à l'état bas/pousser-tirer	85-300	Aucun	2,10	1,40	1,01
♦ 700-DS1708SEUA	DS1708SEUA+	µSOP-8	3,3 à 5,5	Actif à l'état haut/actif à l'état bas/pousser-tirer	85-300	Aucun	2,67	1,78	1,30
700-DS1811-5+	DS1811-5+	TO-92-3	3,3 à 5,5	Actif à l'état bas/drain ouvert	85-300	Aucun	0,99	0,502	0,462
700-DS1813-10+	DS1813-10+	TO-92-3	3,3 à 5,5	Actif à l'état bas/drain ouvert	85-300	Aucun	1,13	0,784	0,503
700-DS1813-15+	DS1813-15+	TO-92-3	3,3 à 5,5	Actif à l'état bas/drain ouvert	85-300	Aucun	1,13	0,784	0,503
♦ 700-MAX16061ATP	MAX16061ATP+	TQFN-20	0 à 5,5	Actif bas/drain ouvert /avec pull-up interne	adj.	Aucun/WDI	14,02	7,11	6,54
♦ 700-MAX16061ETP	MAX16061ETP+	TQFN-20	0 à 5,5	Actif bas/drain ouvert /avec pull-up interne	adj.	Aucun/WDI	14,02	7,11	6,54
♦ 700-MAX16002BTC	MAX16002BTC+	TQFN-12	0 à 5,5	Actif bas/drain ouvert /avec pull-up interne	adj.	WDI	6,98	4,64	3,49
♦ 700-MAX16002DTC	MAX16002DTC+	TQFN-12	0 à 5,5	Actif bas/drain ouvert /avec pull-up interne	adj.	WDI	6,97	4,64	3,37
♦ 700-MAX16004CTP	MAX16004CTP+	TQFN-20	0 à 5,5	Actif bas/drain ouvert /avec pull-up interne	adj.	WDI	9,17	6,11	4,43
♦ 700-MAX16060ATE	MAX16060ATE+	TQFN-16	0 à 5,5	Actif bas/drain ouvert /avec pull-up interne	adj.	WDI	11,25	5,71	5,25
♦ 700-MAX16060ETE	MAX16060ETE+	TQFN-16	0 à 5,5	Actif bas/drain ouvert /avec pull-up interne	adj.	WDI	11,25	5,71	5,25
♦ 700-MAX823MEUKT	MAX823MEUK+T	SOT-23-5L	de 1,8 à 5,5	Actif à l'état bas/pousser-tirer	85 à 300	WDI	2,41	1,72	1,23
♦ 700-MAX824LEUKT	MAX824LEUK+T	SOT-23-5L	de 1,8 à 5,5	Actif haut/actif bas/push-pull	85 à 300	WDI	2,45	1,85	1,62
♦ 700-MAX6316LUK29CYT	MAX6316LUK29CY+T	SOT-23-5L	de 2,5 à 5,5	Actif bas/push-pull	1 à >1s	WDI	2,32	1,75	1,49
700-DS1232	DS1232+	PDIP-8	3,3 à 5,5	Actif à l'état haut/drain ouvert/actif à l'état bas/push-pull	85 - 300	WDI	1,86	0,941	0,866
700-DS1232LP	DS1232LP+	PDIP-8	3,3 à 5,5	Actif à l'état haut/drain ouvert/actif à l'état bas/push-pull	85 - 300	WDI	2,01	1,40	0,932
700-DS1232LPN	DS1232LPN+	PDIP-8	3,3 à 5,5	Actif à l'état haut/drain ouvert/actif à l'état bas/push-pull	85 - 300	WDI	2,32	1,62	1,08
♦ 700-DS1232LPS	DS1232LPS+	SOIC-8	3,3 à 5,5	Actif à l'état haut/drain ouvert/actif à l'état bas/push-pull	85 - 300	WDI	2,45	1,25	1,15
♦ 700-DS1232LPS-2	DS1232LPS-2+	SOIC-8	3,3 à 5,5	Actif à l'état haut/drain ouvert/actif à l'état bas/push-pull	85 - 300	WDI	2,00	1,01	0,932
♦ 700-DS1232LPSN-2	DS1232LPSN-2+	SOIC-16W	3,3 à 5,5	Actif à l'état haut/drain ouvert/actif à l'état bas/push-pull	85 - 300	WDI	2,43	1,62	1,17
700-DS1232N	DS1232N+	PDIP-8	3,3 à 5,5	Actif à l'état haut/drain ouvert/actif à l'état bas/push-pull	85 - 300	WDI	2,31	1,17	1,08
♦ 700-DS1232S	DS1232S+	SOIC-16W	3,3 à 5,5	Actif à l'état haut/drain ouvert/actif à l'état bas/push-pull	85 - 300	WDI	2,46	1,72	1,15
♦ 700-DS1232SN	DS1232SN+	SOIC-16W	3,3 à 5,5	Actif à l'état haut/drain ouvert/actif à l'état bas/push-pull	85 - 300	WDI	2,83	1,44	1,32
700-MAX1232CPA	MAX1232CPA+	PDIP-8	3,3 à 5,5	Actif à l'état haut, actif à l'état bas/drain ouvert	85 - 300	WDI	3,20	1,63	1,49
♦ 700-MAX1232CSA	MAX1232CSA+	SOIC-8	3,3 à 5,5	Actif à l'état haut, actif à l'état bas/drain ouvert	85 - 300	WDI	3,20	1,63	1,49
700-MAX1232EPA	MAX1232EPA+	PDIP-8	3,3 à 5,5	Actif à l'état haut, actif à l'état bas/drain ouvert	85 - 300	WDI	3,97	2,65	1,86
♦ 700-MAX1232ESA	MAX1232ESA+	SOIC-8	3,3 à 5,5	Actif à l'état haut, actif à l'état bas/drain ouvert	85 - 300	WDI	4,36	2,91	2,11
♦ 700-MAX1232CSAT	MAX1232CSA+T	SOIC-8	3,3 à 5,5	Actif à l'état haut/ actif à l'état bas/drain ouvert	85 à 300	WDI	3,36	2,24	1,63
♦ 700-DS1814AR-10+T&R	DS1814AR-10+T&R	SOT-23-5L	3,3 à 5,5	Actif bas/push-pull	85-300	WDI	1,16	0,875	0,685
♦ 700-DS1814BR-10T&R	DS1814BR-10+T&R	SOT-23-5L	3,3 à 5,5	Actif à l'état haut/actif à l'état bas/pousser-tirer	85-300	WDI	1,16	0,875	0,685
♦ 700-DS1819AR-10T&R	DS1819AR-10+T&R	SOT-23-5L	3,3 à 5,5	Actif bas/push-pull	85-300	WDI	1,02	0,774	0,611
♦ 700-DS1706SESA	DS1706SESA+	SOIC-8	2,5 à 3,3	Actif bas/push-pull	85 - 300	WDI/WDO	2,10	1,40	1,01
♦ 700-DS1706TESA	DS1706TESA+	SOIC-8	2,5 à 3,3	Actif bas/push-pull	85 - 300	WDI/WDO	2,10	1,40	1,01
♦ 700-DS1831AS	DS1831AS+	SOIC-16	2,5 à 3,3	Actif à l'état bas/drain ouvert	85 - 300	WDI/WDO	6,62	4,42	3,21
♦ 700-DS1831S	DS1831S+	SOIC-16	2,5 à 3,3	Actif à l'état bas/drain ouvert	85 - 300	WDI/WDO	6,62	4,42	3,21
♦ 700-MAX706RCSA	MAX706RCSA+	SOIC-8	2,5 à 3,3	Actif bas/push-pull	85 - 300	WDI/WDO	5,63	3,75	2,72
♦ 700-MAX706RESA	MAX706RESA+	SOIC-8	2,5 à 3,3	Actif bas/push-pull	85 - 300	WDI/WDO	6,98	3,54	3,26
♦ 700-MAX706SCSA	MAX706SCSA+	SOIC-8	2,5 à 3,3	Actif bas/push-pull	85 - 300	WDI/WDO	5,35	2,71	2,50
♦ 700-MAX706SESA	MAX706SESA+	SOIC-8	2,5 à 3,3	Actif bas/push-pull	85 - 300	WDI/WDO	7,33	4,88	3,54
♦ 700-MAX706TCSA	MAX706TCSA+	SOIC-8	2,5 à 3,3	Actif bas/push-pull	85 - 300	WDI/WDO	5,35	2,71	2,50
♦ 700-MAX706TCUA	MAX706TCUA+	µMAX-8	2,5 à 3,3	Actif bas/push-pull	85 - 300	WDI/WDO	6,41	4,27	3,10
♦ 700-MAX706TESA	MAX706TESA+	SOIC-8	2,5 à 3,3	Actif bas/push-pull	85 - 300	WDI/WDO	7,33	3,54	3,26
♦ 700-MAX706TEUA	MAX706TEUA+	µMAX-8	2,5 à 3,3	Actif bas/push-pull	85 - 300	WDI/WDO	6,98	3,54	3,26
♦ 700-MAX706ASESA	MAX706ASESA+	SOIC-8	2,5 à 3,3	Actif haut/Push-Pull	85 à 300	WDI/WDO	7,33	4,88	3,54
♦ 700-MAX815TESA	MAX815TESA+	SOIC-8	de 2,5 à 5,5	Actif haut/Push-Pull	85 - 300	WDI/WDO	14,73	10,31	7,47
700-DS1705EPA	DS1705EPA+	PDIP-8	3,3 à 5,5	Actif bas/push-pull	85 - 300	WDI/WDO	2,10	1,40	1,01
♦ 700-DS1705ESA	DS1705ESA+	SOIC-8	3,3 à 5,5	Actif bas/push-pull	85 - 300	WDI/WDO	2,10	1,40	1,01
♦ 700-DS1706ESA	DS1706ESA+	SOIC-8	3,3 à 5,5	Actif bas/push-pull	85 - 300	WDI/WDO	2,10	1,40	1,01
♦ 700-DS1706LESA	DS1706LESA+	SOIC-8	3,3 à 5,5	Actif bas/push-pull	85 - 300	WDI/WDO	2,10	1,40	1,01
700-MAX699CPA	MAX699CPA+	PDIP-8	3,3 à 5,5	Actif à l'état haut et bas/drain ouvert et push-pull	85 - 300	WDI/WDO	4,69	3,13	2,27
700-MAX705CPA	MAX705CPA+	PDIP-8	3,3 à 5,5	Actif bas/push-pull	85 - 300	WDI/WDO	4,95	2,51	2,31
♦ 700-MAX705CSA	MAX705CSA+	SOIC-8	3,3 à 5,5	Actif bas/push-pull	85 - 300	WDI/WDO	4,95	2,51	2,31

© Copyright 2012 Mouser Electronics
© Copyright 2012 Mouser Electronics

CI de gestion de l'alimentation MAXIM

MAXIM INNOVATION DELIVERED

RoHS Compliant This product is RoHS compliant.

SUPERVISEURS DE TENSION SURVEILLÉE (SUITE)

♦ **Composant pour montage en surface**

Pour des quantités supérieures à celles indiquées, appelez-nous afin d'obtenir un devis.

RÉF. STOCK MOUSER	Réf. Maxim	Boîtier	Seuil de réinit. (V)	Réinitialisation désactivée	$t_{RÉINIT.}$ (Min) (ms)	Caractéristique watchdog	Prix unitaire 1	25	100
♦ 700-MAX705ESA	MAX705ESA+	SOIC-8	3,3 à 5,5	Actif bas/push-pull	85 - 300	WDI/WDO	6,77	4,51	3,27
700-MAX706CPA	MAX706CPA+	PDIP-8	3,3 à 5,5	Actif bas/push-pull	85 - 300	WDI/WDO	5,20	3,47	2,31
♦ 700-MAX706CSA	MAX706CSA+	SOIC-8	3,3 à 5,5	Actif bas/push-pull	85 - 300	WDI/WDO	4,95	2,51	2,31
♦ 700-MAX706ESA	MAX706ESA+	SOIC-8	3,3 à 5,5	Actif bas/push-pull	85 - 300	WDI/WDO	6,77	4,51	3,27
♦ 700-MAX699CWE	MAX699CWE+	SOIC-16W	3,3 à 5,5	Actif haut/actif bas/drain ouvert/push-pull	85 à 300	WDI/WDO	5,07	3,38	2,45
700-MAX705EPA	MAX705EPA+	PDIP-8	3,3 à 5,5	Actif bas/push-pull	85 à 300	WDI/WDO	6,76	4,50	3,27
♦ 700-MAX705EUA	MAX705EUA+	µMAX-8	3,3 à 5,5	Actif bas/push-pull	85 à 300	WDI/WDO	6,76	4,50	3,27
♦ 700-MAX16062ATG	MAX16062ATG+	TNQFN-24	0 à 5,5	Actif bas/drain ouvert/avec pull-up interne	Rég.	WDI/WDO/aucun	16,15	8,19	7,54

INTERRUPTEUR DE LIMITE DE COURANT

♦ **Composant pour montage en surface**

Pour des quantités supérieures à celles indiquées, appelez-nous afin d'obtenir un devis.

RÉF. STOCK MOUSER	Réf. Maxim	Boîtier	I_{CHARGE} (A) (Max.)	Limite du courant Précision (%)	Réglage le plus bas (A)	R_{ON} (Ω) (Typ.)	Plage de tension de fonctionnement (V)	Sortie(s) indicateurs	Réponse de surintensité	Prix unitaire 1	25	100
♦ 700-MAX890LESA	MAX890LESA+	SOIC-8	1	15	0.32	0.075	de 2,7 à 5,5	Défaut	Rég. du courant	2,77	1,85	1,34
♦ 700-MAX16946GTE/V+	MAX16946GTE/V+	TQFN-16	0.5	-	-	-	4.5-18	Défaut	Rég. du courant	2,97	1,51	1,39

POMPES DE CHARGE

♦ **Composant pour montage en surface**

Pour des quantités supérieures à celles indiquées, appelez-nous afin d'obtenir un devis.

RÉF. STOCK MOUSER	Réf. Maxim	Boîtier	VIN (V) Min.	VIN (V) Max.	VOUT non régl. (V)	VOUT régl. (Min/Max) (V)	IOUT (Typ) (A)	ICC (Max.) (mA)	Fréq. de fonctionnement (kHz)	Prix unitaire 1	25	100
700-MAX660CPA	MAX660CPA+	PDIP-8	1.2	5.5	2xVIN/-VIN	-/-	0.1	0.5	80	6,48	4,32	3,13
♦ 700-MAX660ESA	MAX660ESA+	SOIC-8	1.2	5.5	2xVIN/-VIN	-/-	0.1	0.5	80	8,44	4,28	3,94
700-MAX828EUKT	MAX828EUK+T	SOT-5	1.5	5.5	-VIN	-/-	0.025	0.09	12	4,16	2,59	2,12
♦ 700-MAX829EUKT	MAX829EUK+T	SOT-5	1.5	5.5	-VIN	-/-	0.025	0.26	35	4,70	3,14	2,28
♦ 700-MAX860ESA	MAX860ESA+	SOIC-8	1.5	5.5	2xVIN/-VIN	-/-	0.05	0.3	130	4,88	2,40	2,21
♦ 700-MAX860ISA	MAX860ISA+	SOIC-8	1.5	5.5	2xVIN/-VIN	-/-	0.05	0.3	130	3,32	1,68	1,55
♦ 700-MAX860IUA	MAX860IUA+	µMAX-8	1.5	5.5	2xVIN/-VIN	-/-	0.05	0.3	130	3,68	1,86	1,72
♦ 700-MAX861ESA	MAX861ESA+	SOIC-8	1.5	5.5	2xVIN/-VIN	-/-	0.05	0.4	250	4,88	3,25	2,35
♦ 700-MAX861ISA	MAX861ISA+	SOIC-8	1.5	5.5	2xVIN/-VIN	-/-	0.05	0.4	250	3,49	1,72	1,58
700-ICL7660CPA	ICL7660CPA+	PDIP-8	1.5	10	2xVIN/-VIN	-/-	0.02	0.175	10	2,31	1,62	1,08
♦ 700-ICL7660CSA	ICL7660CSA+	SOIC-8	1.5	10	2xVIN/-VIN	-/-	0.02	0.175	10	2,55	1,30	1,19
700-ICL7660EPA	ICL7660EPA+	PDIP-8	1.5	10	2xVIN/-VIN	-/-	0.02	0.175	10	3,94	2,00	1,84
♦ 700-ICL7660ESA	ICL7660ESA+	SOIC-8	1.5	10	2xVIN/-VIN	-/-	0.02	0.175	10	3,65	1,86	1,71
700-MAX1044CPA	MAX1044CPA+	PDIP-8	1.5	10	+2xVIN/-VIN	-/-	0.02	0.2	20	2,50	1,67	1,20
♦ 700-MAX1044CSA	MAX1044CSA+	SOIC-8	1.5	10	+2xVIN/-VIN	-/-	0.02	0.2	20	2,90	1,47	1,35
♦ 700-MAX1044ESA	MAX1044ESA+	SOIC-8	1.5	10	+2xVIN/-VIN	-/-	0.02	0.2	20	3,79	1,86	1,72
♦ 700-MAX1759EUB	MAX1759EUB+	µMAX-10	1.6	5.5	3.3	2.5/5.5	0.1	0.18	1500	5,63	2,85	2,63
♦ 700-MAX864EEE	MAX864EEE+	QSOP 16	1.75	6	±2xVIN	-/-	0.035	1	185	3,68	1,86	1,72
♦ 700-MAX865EUA	MAX865EUA+	µMAX-8	1.75	6	±2xVIN	-/-	0.018	1.05	24	3,21	1,63	1,49
♦ 700-MAX1595EUA33	MAX1595EUA33+	µMAX-8	1.8	5.5	3.3/5	-/-	0.125	0.22	1000	3,34	1,65	1,52
♦ 700-MAX1595EUA50	MAX1595EUA50+	µMAX-8	1.8	5.5	3.3/5	-/-	0.125	0.22	1000	3,18	1,62	1,49
♦ 700-MAX868EUB	MAX868EUB+	µMAX-10	1.8	5.5	2xVIN	2xVIN/0	0.03	0.18	450	4,21	2,81	2,03
700-MAX619CPA	MAX619CPA+	PDIP-8	2	3.6	5	-/-	0.05	0.17	500	4,08	2,01	1,85
♦ 700-MAX1673ESA	MAX1673ESA+	SOIC-8	2	5.5	-VIN	-VIN/0	0.125	16	350	4,74	2,40	2,21
♦ 700-MAX1680ESA	MAX1680ESA+	SOIC-8	2	5.5	+2xVIN/-VIN	-/-	0.125	4.5	250	4,74	2,40	2,21
700-MAX680CPA	MAX680CPA+	PDIP-8	2	6	+2xVIN/-2xVIN	-/-	0.01	2	8	4,18	2,79	2,02
♦ 700-MAX680CSA	MAX680CSA+	SOIC-8	2	6	+2xVIN/-2xVIN	-/-	0.01	2	8	4,58	3,05	2,21
700-MAX680EPA	MAX680EPA+	PDIP-8	2	6	+2xVIN/-2xVIN	-/-	0.01	2	8	5,47	2,77	2,55
♦ 700-MAX680ESA	MAX680ESA+	SOIC-8	2	6	+2xVIN/-2xVIN	-/-	0.01	2	8	6,34	4,22	3,06
♦ 700-MAX881REUB	MAX881REUB+	µMAX-10	2.5	5.5	-VIN - 0.6	-VIN-0.6/-0.5	0.01	0.95	100	4,73	3,15	2,28
♦ 700-MAX840ISA	MAX840ISA+	SOIC-8	2.5	10	-VIN-0.6	-0.5	0.01	1.3	100	4,46	2,97	2,15
♦ 700-MAX1730EUB	MAX1730EUB+	µMAX-10	2.7	5.5	1.8/1.9	-/-	0.05	0.15	2000	3,69	1,82	1,67
♦ 700-MAX682ESA	MAX682ESA+	SOIC-8	2.7	5.5	-2xVIN	-/-	0.25	0.18	1000	6,31	4,21	3,04
♦ 700-MAX889RESA	MAX889RESA+	SOIC-8	2.7	5.5	-VIN	-VIN/-2.5	0.2	7	500	5,21	3,65	2,43
♦ 700-MAX889SESA	MAX889SESA+	SOIC-8	2.7	5.5	-VIN	-VIN/-2.5	0.2	12	1000	5,21	3,65	2,43
♦ 700-MAX889TESA	MAX889TESA+	SOIC-8	2.7	5.5	-VIN	-VIN/-2.5	0.2	22	2000	5,21	3,65	2,43
♦ 700-MAX1681ESA	MAX1681ESA+	SOIC-8	3	5.5	2xVIN/-VIN	-/-	0.125	17	1000	4,74	2,40	2,21
700-MAX662ACPA	MAX662ACPA+	PDIP-8	4.5	5.5	12	-/-	0.02	0.6	10	4,48	2,99	2,16
♦ 700-MAX662ACSA	MAX662ACSA+	SOIC-8	4.5	5.5	12	-/-	0.02	0.6	10	4,58	3,05	2,21
♦ 700-MAX662AESA	MAX662AESA+	SOIC-8	4.5	5.5	12	-/-	0.02	0.6	10	6,34	4,22	3,06
♦ 700-MAX850ESA	MAX850ESA+	SOIC-8	4.5	10	-4.1	-VIN-0.6/-0.5	0.005	3	100	4,68	2,30	2,12
♦ 700-ICL7662CBA	ICL7662CBA+	SOIC-8	4.5	20	2xVIN/-VIN	-/-	0.02	0.6	10	3,35	1,70	1,56
♦ 700-ICL7662CBD	ICL7662CBD+	SOIC 14	4.5	20	2xVIN/-VIN	-/-	0.02	0.6	10	3,35	1,70	1,56
700-ICL7662CPA	ICL7662CPA+	PDIP-8	4.5	20	2xVIN/-VIN	-/-	0.02	0.6	10	3,04	1,54	1,42
♦ 700-ICL7662EBA	ICL7662EBA+	SOIC-8	4.5	20	2xVIN/-VIN	-/-	0.02	0.6	10	4,41	2,94	2,13
♦ 700-ICL7662EBD	ICL7662EBD+	SOIC 14	4.5	20	2xVIN/-VIN	-/-	0.02	0.6	10	4,20	2,13	1,96
700-ICL7662EPA	ICL7662EPA+	PDIP-8	4.5	20	2xVIN/-VIN	-/-	0.02	0.6	10	4,03	2,05	1,88
♦ 700-SI7661CSA	SI7661CSA+	SOIC-8	4.5	20	-VIN	-2.5	0.02	0.6	10	4,60	3,07	2,22

REGULATEURS A DECOUPAGE CC/CC

♦ **Composant pour montage en surface**

Pour des quantités supérieures à celles indiquées, appelez-nous afin d'obtenir un devis.

RÉF. STOCK MOUSER	Réf. Maxim	Boîtier	VIN (V) Min.	VIN (V) Max.	VOUT (V) Min.	VOUT (V) Max.	IOUT (Max) (A)	I_{CC} (Max.) (mA)	Fréq. de fonctionnement (kHz)	Prix unitaire 1	25	100
Inversion												
♦ 700-MAX1620EEE	MAX1620EEE+	QSOP 16	1.8	20	-	-	0.07	0.25	300	2,48	2,27	2,12
700-MAX637ACPA	MAX637ACPA+	PDIP-8	2.3	16.5	-14.25	-15.75	-	-	50	6,41	4,27	3,09
♦ 700-MAX637ACSA	MAX637ACSA+	SOIC-8	2.3	16.5	-14.25	-15.75	-	-	50	6,63	4,42	3,20
700-MAX636ACPA	MAX636ACPA+	PDIP-8	2.3	16.5	-11.4	-12.6	-	-	50	6,41	3,16	2,90
700-MAX635ACPA	MAX635ACPA+	PDIP-8	2.3	16.5	-4.75	-5.25	-	-	50	6,41	4,27	3,09
♦ 700-MAX635AEPA	MAX635AEPA+	SOIC-8	2.3	16.5	-4.75	-5.25	-	-	50	8,44	4,28	3,94
700-MAX634CPA	MAX634CPA+	PDIP-8	2.3	16.5	0	-18	0.15	0.15	75	5,80	2,95	2,71
700-MAX638ACPA	MAX638ACPA+	PDIP-8	2.3	16.5	1.25	16	0.075	0.6	65	6,41	4,27	3,09
♦ 700-MAX638ACSA	MAX638ACSA+	SOIC-8	2.3	16.5	1.25	16	0.075	0.6	65	6,63	4,42	3,20
♦ 700-MAX629ESA	MAX629ESA+	SOIC-8	2.7	5.5	-	-	0.5	0.08	300	6,55	3,32	3,06
♦ 700-MAX1847EEE	MAX1847EEE+	QSOP 16	3	16.5	-2	-200	5	0.008	500	5,50	2,71	2,49
♦ 700-MAX764ESA	MAX764ESA+	SOIC-8	3	16.5	-1	-16	0.26	0.12	300	8,22	5,48	3,97
700-MAX765CPA	MAX765CPA+	PDIP-8	3	16.5	-1	-16	0.12	0.12	300	5,34	3,73	2,49
♦ 700-MAX765CSA	MAX765CSA+	SOIC-8	3	16.5	-1	-16	0.12	0.12	300	5,43	3,80	2,53
♦ 700-MAX765ESA	MAX765ESA+	SOIC-8	3	16.5	-1	-16	0.12	0.12	300	8,22	5,48	3,97
♦ 700-MAX774CSA	MAX774CSA+	SOIC-8	3	16.5	0	-100	1	0.1	300	5,02	2,55	2,34
♦ 700-MAX774ESA	MAX774ESA+	SOIC-8	3	16.5	0	-100	1	0.1	300	7,35	3,73	3,43

© Copyright 2012 Mouser Electronics

© Copyright 2012 Mouser Electronics

CI de gestion de l'alimentation MAXIM

RoHS Compliant **This product is RoHS compliant.**

RÉGULATEURS A DÉCOUPAGE DC/DC

♦ **Composant pour montage en surface**

Pour des quantités supérieures à celles indiquées, appelez-nous afin d'obtenir un devis.

RÉF. STOCK MOUSER	Réf. Maxim	Boîtier	VIN (V)		VOUT (V)		IOUT (Max) (A)	I_{CC} (Max.) (mA)	Fréq. de fonctionnement (kHz)	Prix unitaire		
			Min.	Max.	Min.	Max.				1	25	100
Inversion												
♦ 700-MAX634ESA	MAX634ESA+	SO-8	2.3	16.5	0	-18	0.15	0.15	75	8,46	4,29	3,95
♦ 700-MAX755CSA	MAX755CSA+	SO-8	2.7	9	0	-6.5	0.2	3.5	160	4,78	3,18	2,30
♦ 700-MAX685EEE	MAX685EEE+	QSOP 16	2.7	5.5	2.7	24	-	-	480	8,32	5,54	4,02
700-MAX764EPA	MAX764EPA+	PDIP-8	3	16.5	-1	-16	0.26	0.12	300	7,54	3,83	3,52
700-MAX766EPA	MAX766EPA+	PDIP-8	3	16.5	-1	-16	0.1	0.12	300	7,54	3,83	3,52
♦ 700-MAX775CSA+	MAX775CSA+	SO-8	3	16.5	0	-100	1	0.1	300	5,27	2,60	2,39
♦ 700-MAX775ESA+	MAX775ESA+	SO-8	3	16.5	0	-100	1	0.1	300	7,72	3,80	3,50
700-MAX776CPA	MAX776CPA+	PDIP-8	3	16.5	0	-100	1	0.1	300	4,90	2,48	2,29
♦ 700-MAX776CSA+	MAX776CSA+	SO-8	3	16.5	0	-100	1	0.1	300	5,27	2,60	2,39
♦ 700-MAX735CSA	MAX735CSA+	SOIC-8	4	6.2	-5	-5	0.2	3	160	4,78	3,18	2,30
700-MAX739CPD	MAX739CPD+	PDIP-14	4	11	-5	-5	0.3	3.5	220	6,34	4,22	3,06
♦ 700-MAX739EWE	MAX739EWE+	SO-16	4	11	-5	-5	0.3	3.5	220	8,79	4,46	4,10
Diminution												
♦ 700-MAX1672EEE	MAX1672EEE+	QSOP 16	1.8	11	1.25	5.5	0.26	0.125	-	6,39	4,26	3,09
♦ 700-MAX1960EEP	MAX1960EEP+	QSOP-20	2.35	5.5	0.8	5	15	15	1000	5,07	2,50	2,30
♦ 700-MAX15021ATI	MAX15021ATI+	TQFN-28	2.5	5.5	0.6	5.5	-	6	4000	6,87	3,49	3,21
♦ 700-MAX15022ATI	MAX15022ATI+	TQFN-28	2.5	5.5	0.6	5.5	-	6	4000	7,32	3,61	3,32
♦ 700-MAX1945REUI	MAX1945REUI+	TSSOP-28	2.6	5.5	0.8	4.5	6	20	500	10,80	5,48	5,04
♦ 700-MAX8505EEE	MAX8505EEE+	QSOP 16	2.6	5.5	0.8	4.5	3	10	1000	5,19	2,63	2,42
♦ 700-MAX1951ESA	MAX1951ESA+	SOIC-8	2.6	5.5	0.8	5	2	10	1000	3,82	1,94	1,78
♦ 700-MAX1951AESA+	MAX1951AESA+	SOIC-8	2.6	5.5	0.8	5	2	10	1000	3,92	1,99	1,83
♦ 700-MAX1973EUB	MAX1973EUB+	µMAX-10	2.6	5.5	1.25	5	0.95	7.5	1400	4,29	2,11	1,94
♦ 700-MAX1928EUB18	MAX1928EUB18+	µMAX-10	2.6	5.5	1.5	2.5	1	0.24	1000	4,08	2,01	1,85
♦ 700-MAX8896EREET	MAX8896EREE+T	UCSP(R)-16	2.7	5.5	0.5	5	0.7	0.155	2000	4,53	3,02	2,19
♦ 700-MAX8546EUB	MAX8546EUB+	µMAX-10	2.7	28	0.8	23	15	1.2	300	2,40	1,60	1,16
♦ 700-MAX1775EEE	MAX1775EEE+	QSOP 16	2.7	28	1	5.5	2	0.03	1250	7,40	3,75	3,46
♦ 700-MAX1692EUB	MAX1692EUB+	µMAX-10	2.7	5.5	1.25	5.5	0.6	0.14	750	5,61	2,85	2,62
♦ 700-MAX1684EEE	MAX1684EEE+	QSOP 16	2.7	14	1.25	14	1	0.61	300	7,76	3,94	3,62
♦ 700-MAX1685EEE	MAX1685EEE+	QSOP 16	2.7	14	1.25	14	1	0.61	600	7,61	3,86	3,56
♦ 700-MAX686EEE	MAX686EEE+	QSOP 16	2.7	5.5	-	-	0.1	0.125	300	6,58	3,33	3,07
♦ 700-MAX15038ETG	MAX15038ETG+	TQFN-24	2.9	5.5	0.6	4.5	4	8	2000	8,21	5,47	3,97
♦ 700-MAX15039ETG	MAX15039ETG+	TQFN-24	2.9	5.5	0.6	4.5	≥6/≤4	8	2000	7,83	3,97	3,65
♦ 700-MAX766CSA	MAX766CSA+	SOIC-8	3	16.5	-1	-16	0.1	0.12	300	5,42	2,75	2,53
♦ 700-MAX1953EUB	MAX1953EUB+	µMAX-10	3	5.5	0.8	4.5	4	1	1000	2,57	1,72	1,24
♦ 700-MAX1644EAE	MAX1644EAE+	SSOP 16	3	5.5	1.1	5.5	2	0.36	350	9,10	4,61	4,25
♦ 700-MAX1742EEE	MAX1742EEE+	QSOP 16	3	5.5	1.1	5.5	1	0.6	1000	7,59	3,85	3,54
♦ 700-MAX1830EEE	MAX1830EEE+	QSOP 16	3	5.5	1.1	5.5	3	0.75	1000	10,46	5,30	4,88
♦ 700-MAX1831EEE	MAX1831EEE+	QSOP 16	3	5.5	1.1	5.5	3	0.75	1000	10,46	5,30	4,88
♦ 700-MAX1649CSA	MAX1649CSA+	SOIC-8	3	16	1.5	16	2.5	0.1	300	4,41	2,28	2,06
♦ 700-MAX1649ESA	MAX1649ESA+	SOIC-8	3	16	1.5	16	2.5	0.1	300	5,54	2,81	2,58
700-MAX1649CPA	MAX1649CPA+	PDIP-8	3	16	1.5	16	3	0.1	300	4,41	2,28	2,06
♦ 700-MAX1651ESA	MAX1651ESA+	SO-8	3	16	1.5	16	3	0.1	300	5,82	2,86	2,64
♦ 700-MAX1626ESA	MAX1626ESA+	SOIC-8	3	16.5	3.3	5	3	0.09	300	4,10	2,08	1,91
♦ 700-MAX1627ESA	MAX1627ESA+	SOIC-8	3	16.5	13	16	3	0.09	300	4,10	2,08	1,91
♦ 700-MAX887HESA	MAX887HESA+	SOIC-8	3.5	11	1.25	10	0.6	0.5	440	5,66	2,87	2,64
♦ 700-MAX16922ATPI/V+	MAX16922ATPI/V+	TQFN-20	3.7	28	1	5.5	1.2	1.2	2200	6,22	5,19	4,50
♦ 700-MAX750ACSA	MAX750ACSA+	SOIC-8	4	11	1.25	11	0.45	3	190	4,95	2,51	2,31
700-MAX758ACPA	MAX758ACPA+	PDIP-8	4	16	1.25	16	0.75	3	190	5,70	2,90	2,66
♦ 700-MAX639ESA	MAX639ESA+	SOIC-8	4	11.5	1.3	11.5	0.225	0.02	-	9,08	4,60	4,23
♦ 700-MAX640ESA	MAX640ESA+	SOIC-8	4	11.5	1.3	11.5	0.225	0.02	-	6,77	3,43	3,16
♦ 700-MAX639CSA	MAX639CSA+	SO-8	4	11.5	1.3	11.5	0.225	0.02	-	6,81	3,46	3,18
♦ 700-MAX640CSA	MAX640CSA+	SO-8	4	11.5	1.3	11.5	0	0.02	-	5,16	2,62	2,41
♦ 700-MAX651ESA	MAX651ESA+	SO-8	4	16.5	1.5	16.5	3	0.1	300	5,82	2,86	2,64
♦ 700-MAX1902EAI	MAX1902EAI+	SSOP-28	4.2	30	2.5	5.5	5	0.05	330	11,36	5,77	5,30
♦ 700-MAX15041ETE	MAX15041ETE+	TQFN-16	4.5	28	0.6	25	3	4	350	6,31	3,11	2,86
♦ 700-MAX15002ATL	MAX15002ATL+	TQFN-40	4.5	23	0.6	18	20	6	2200	8,79	4,46	4,10
♦ 700-MAX15023ETG	MAX15023ETG+	TQFN-24	4.5	28	0.6	28	15	6	1000	7,28	3,21	2,95
♦ 700-MAX5072ETJ	MAX5072ETJ+	TQFN-32	4.5	23	0.8	28	2	4	2200	12,52	6,35	5,84
♦ 700-MAX5098AATJ	MAX5098AATJ+	TQFN-32	4.5	19	0.8	16.5	2	6	2200	6,56	3,23	2,97
♦ 700-MAX5099ATJ	MAX5099ATJ+	TQFN-32	4.5	19	0.8	16.5	2	6	2200	6,56	3,23	2,97
♦ 700-MAX1655EEE	MAX1655EEE+	QSOP 16	4.5	30	1	5.5	10	0.364	340	8,49	4,31	3,96
♦ 700-MAX1655ESE	MAX1655ESE+	SOIC-16	4.5	30	1	5.5	10	0.364	340	8,49	4,31	3,96
♦ 700-MAX1623EAP	MAX1623EAP+	SSOP-20	4.5	5.5	1.1	3.8	3	0.525	350	10,87	5,51	5,07
♦ 700-MAX1776EUA	MAX1776EUA+	µMAX-8	4.5	24	1.25	24	0.6	0.03	200	6,65	3,37	3,10
♦ 700-MAX1745EUB	MAX1745EUB+	µMAX-10	4.5	36	1.25	18	10	0.14	330	6,67	3,38	3,11
♦ 700-MAX1653EEE	MAX1653EEE+	QSOP 16	4.5	30	2.5	5.5	10	0.364	340	8,49	4,31	3,96
♦ 700-MAX1653ESE	MAX1653ESE+	SOIC-16	4.5	30	2.5	5.5	10	0.364	340	8,49	4,31	3,96
♦ 700-MAX797CSE	MAX797CSE+	SOIC-16	4.5	30	2.5	6	10	0.44	340	8,24	5,97	4,06
♦ 700-MAX767CAP	MAX767CAP+	SSOP-20	4.5	5.5	3.3	3.6	10	1	350	8,46	4,17	3,84
♦ 700-MAX1744EUB	MAX1744EUB+	µMAX-10	4.5	36	3.3	5	10	0.14	330	6,67	3,38	3,11
♦ 700-MAX15048ETJ+	MAX15048ETJ+	TQFN-32	4.7	23	0.6	20	15	9	1200	6,72	3,41	3,14
♦ 700-MAX15049ETJ+	MAX15049ETJ+	TQFN-32	4.7	23	0.6	20	15	9	1200	6,72	3,41	3,14
♦ 700-MAX15034AAUI	MAX15034AAUI+	TSSOP-28	4.75	28	0.61	5.5	50	17	1000	12,33	8,22	6,16
♦ 700-MAX730ACSA	MAX730ACSA+	SOIC-8	5.2	11	5	5	0.45	3	210	4,95	2,51	2,31
700-MAX738ACPA	MAX738ACPA+	PDIP-8	6	16	5	5	0.75	3	190	5,71	3,99	2,66
♦ 700-MAX738ACWE	MAX738ACWE+	SOIC-16	6	16	5	5	0.75	3	190	5,96	4,17	2,78
♦ 700-MAX738AEWE	MAX738AEWE+	SOIC-16	6	16	5	5	0.75	3	190	8,32	5,82	3,89
♦ 700-MAX5090BATE	MAX5090BATE+	TQFN-16	6.5	76	1.265	11	2	0.55	125	6,57	3,33	3,06
♦ 700-MAX5090CATE	MAX5090CATE+	TQFN-16	6.5	76	1.265	11	2	0.55	125	6,57	3,33	3,06
♦ 700-MAX15020ATP	MAX15020ATP+	TQFN-20	7.5	40	0.5	36	2	2.8	500	4,68	2,30	2,12
♦ 700-MAX5033DASA	MAX5033DASA+	SOIC-8	7.5	76	1.25	13.2	0.5	0.5	125	8,18	5,45	3,95
♦ 700-MAX5035BASA	MAX5035BASA+	SOIC-8	7.5	76	1.25	13.2	1	0.5	125	7,40	3,75	3,46
♦ 700-MAX5035CUSA	MAX5035CUSA+	SOIC-8	7.5	76	1.25	13.2	1	0.5	125	3,63	1,84	1,69
♦ 700-MAX5035DASA	MAX5035DASA+	SOIC-8	7.5	76	1.25	13.2	1	0.5	125	7,54	3,83	3,52
♦ 700-MAX5035DUSA	MAX5035DUSA+	SOIC-8	7.5	76	1.25	13.2	1	0.5	125	7,71	3,91	3,60
♦ 700-MAX5033AUSA	MAX5033AUSA+	SO-8	7.5	7.6	1.25	13.2	1	0.5	125	3,11	1,58	1,45
♦ 700-MAX5033BASA	MAX5033BASA+	SO-8	7.5	76	1.25	13.2	1	0.5	125	8,16	4,13	3,80
♦ 700-MAX5033BUSA	MAX5033BUSA+	SO-8	7.5	76	1.25	13.2	1	0.5	125	7,24	3,67	3,37
♦ 700-MAX5035CASA	MAX5035CASA+	SO-8	7.5	76	1.25	13.2	1	0.5	125	8,98	4,55	4,19

© Copyright 2012 Mouser Electronics
© Copyright 2012 Mouser Electronics

CI de gestion de l'alimentation MAXIM

MAXIM INNOVATION DELIVERED

RoHS Compliant This product is RoHS compliant.

RÉGULATEURS A DÉCOUPAGE DC/DC

♦ Composant pour montage en surface

Pour des quantités supérieures à celles indiquées, appelez-nous afin d'obtenir un devis.

RÉF. STOCK MOUSER	Réf. Maxim	Boîtier	VIN (V)		VOUT (V)		IOUT (Max) (A)	I_{CC} (Max.) (mA)	Fréq. de fonctionnement (kHz)	Prix unitaire		
			Min.	Max.	Min.	Max.				1	25	100
Abaisseurs												
♦ 700-MAX8643AETG	MAX8643AETG+	TQFN-24	2.35	3.6	0.6	2.5	3	6.5	2000	6,11	4,08	2,95
♦ 700-MAX15050EWE+T	MAX15050EWE+T	WLP-16	2.9	5.5	0.6	5	4	8.5	1000	6,93	4,62	3,47
♦ 700-MAX15051EWE+T	MAX15051EWE+T	WLP-16	2.9	5.5	0.6	5	4	8.5	1000	6,93	4,62	3,47
♦ 700-MAX1954EUB	MAX1954EUB+	µMAX-10	3	13.2	0.8	4.5	25	1	300	2,48	1,65	1,20
♦ 700-MAX8544EEP	MAX8544EEP+	QSOP-20	3	13.2	0.8	11	25	3	1000	3,16	1,56	1,44
♦ 700-16903RAUE33/V+	MAX16903RAUE33/V+	TSSOP-16	3.5	28	3.3	5	1	0.025	2100	3,88	3,28	2,90
♦ 700-16903RAUE50/V+	MAX16903RAUE50/V+	TSSOP-16	3.5	28	3.3	5	1	0.025	2100	3,88	3,28	2,90
♦ 700-16903SAUE33/V+	MAX16903SAUE33/V+	TSSOP-16	3.5	28	3.3	5	1	0.025	2100	3,88	3,28	2,90
♦ 700-16903SAUE50/V+	MAX16903SAUE50/V+	TSSOP-16	3.5	28	3.3	5	1	0.025	2100	3,88	3,28	2,90
♦ 700-16904RAUE33/V+	MAX16904RAUE33/V+	TSSOP-16	3.5	28	3.3	5	1	0.035	2100	3,88	3,28	2,90
♦ 700-16904RAUE50/V+	MAX16904RAUE50/V+	TSSOP-16	3.5	28	3.3	5	1	0.035	2100	3,88	3,28	2,90
♦ 700-16904SAUE33/V+	MAX16904SAUE33/V+	TSSOP-16	3.5	28	3.3	5	1	0.035	2100	3,88	3,28	2,90
♦ 700-16904SAUE50/V+	MAX16904SAUE50/V+	TSSOP-16	3.5	28	3.3	5	1	0.035	2100	3,88	3,28	2,90
♦ 700-MAX17410GTM	MAX17410GTM+	TQFN-48	4.5	26	0	1.5	50	7	300	13,60	6,91	6,35
♦ 700-MAX15046BAEE	MAX15046BAEE+	QSOP 16	4.5	40	0.6	36	25	3	1000	3,19	2,13	1,95
♦ 700-MAX8655ETN	MAX8655ETN+	TQFN 56	4.5	25	0.7	5.5	25	3	1000	12,19	8,13	5,89
♦ 700-MAX8855ETJ	MAX8855ETJ+	TQFN 56	4.5	25	0.7	5.5	25	3	1000	11,81	5,99	5,51
♦ 700-MAX8717ETI	MAX8717ETI+	TQFN-28	4.5	26	1	5.5	5	1.3	500	9,48	6,32	4,42
700-MAX730ACPA	MAX730ACPA+	PDIP-8	5.2	11	5	5	0	3	210	4,69	2,38	2,19
Régulateurs élévateurs												
♦ 700-MAX1947ETA18T	MAX1947ETA18+T	TDFN-8	0.7	3.6	1.8	3.3	0.25	0.11	-	2,81	2,06	1,49
♦ 700-MAX1947ETA25T	MAX1947ETA25+T	TDFN-8	0.7	3.6	1.8	3.3	0.25	0.11	-	2,81	2,06	1,49
♦ 700-MAX1947ETA30T	MAX1947ETA30+T	TDFN-8	0.7	3.6	1.8	3.3	0.25	0.11	-	2,81	2,06	1,49
♦ 700-MAX1947ETA33T	MAX1947ETA33+T	TDFN-8	0.7	3.6	1.8	3.3	0.25	0.11	-	2,81	2,06	1,49
♦ 700-MAX1674EUA	MAX1674EUA+	µMAX-8	0.7	5.5	2	5.5	0.3	0.035	-	4,73	3,15	2,28
♦ 700-MAX1675EUA	MAX1675EUA+	µMAX-8	0.7	5.5	2	5.5	0.3	0.035	-	4,73	3,15	2,28
♦ 700-MAX1676EUB	MAX1676EUB+	µMAX-10	0.7	5.5	2	5.5	0.3	0.06	-	4,83	2,45	2,25
♦ 700-MAX1700EEE	MAX1700EEE+	QSOP 16	0.7	5.5	2.2	5.5	0.8	0.07	400	8,29	4,08	3,76
♦ 700-MAX1708EEE	MAX1708EEE+	QSOP 16	0.7	5	2.5	5	2	2	350	8,83	4,48	4,12
♦ 700-MAX1709ESE	MAX1709ESE+	SOIC-16	0.7	5	2.5	5.5	4	0.44	600	8,99	4,56	4,20
♦ 700-MAX1703ESE	MAX1703ESE+	SOIC-16	0.7	5.5	2.5	5.5	1.5	0.12	400	9,50	4,82	4,43
♦ 700-MAX1705EEE	MAX1705EEE+	QSOP 16	0.7	5.5	2.5	5.5	0.8	0.19	400	7,64	3,88	3,56
♦ 700-MAX1706EEE	MAX1706EEE+	QSOP 16	0.7	5.5	2.5	5.5	0.4	0.19	400	7,52	3,70	3,41
♦ 700-MAX1760EUB	MAX1760EUB+	µMAX-10	0.7	5.5	2.5	5.5	0.8	0.185	1000	6,51	4,34	3,14
♦ 700-MAX1760HEUB	MAX1760HEUB+	µMAX-10	0.7	5.5	2.5	5.5	0.8	0.185	1000	6,51	4,34	3,14
♦ 700-MAX1763EEE	MAX1763EEE+	QSOP 16	0.7	5.5	2.5	5.5	1.5	0.2	1000	7,50	3,70	3,40
♦ 700-MAX1763EUE	MAX1763EUE+	TSSOP-16	0.7	5.5	2.5	5.5	1.5	0.2	1000	7,64	3,88	3,56
♦ 700-MAX848ESE	MAX848ESE+	SOIC-16	0.7	5.5	2.7	5.5	0.3	0.09	400	5,94	2,93	2,69
700-MAX756EPA	MAX756EPA+	PDIP-8	0.7	5.5	2.7	5.5	0.3	0.06	500	5,92	4,14	2,76
700-MAX757CPA	MAX757CPA+	PDIP-8	0.7	5.5	2.7	5.5	0.3	0.06	500	4,48	2,21	2,03
♦ 700-MAX757ESA	MAX757ESA+	SO-8	0.7	5.5	2.7	5.5	0.3	0.06	500	6,53	4,36	3,15
♦ 700-MAX1724EZK33T	MAX1724EZK33+T	TSOT-5	0.8	5.5	2.7	5	0.15	0.0035	-	3,05	2,30	2,01
♦ 700-MAX856CSA	MAX856CSA+	SOIC-8	0.8	6	3.3	5	0.15	0.06	500	3,68	1,86	1,72
♦ 700-MAX856ESA	MAX856ESA+	SOIC-8	0.8	6	3.3	5	0.15	0.06	500	5,07	2,57	2,37
♦ 700-MAX1765EEE	MAX1765EEE+	QSOP 16	1	5.5	1.25	5	0.8	0.2	1000	6,98	3,54	3,26
♦ 700-MAX1765EUE	MAX1765EUE+	TSSOP-16	1	5.5	1.25	5	0.8	0.2	1000	7,47	3,79	3,49
♦ 700-MAX1796EUA	MAX1796EUA+	µMAX-8	1	5.5	2	5.5	0.3	0.045	-	8,71	5,81	4,21
♦ 700-MAX1797EUA	MAX1797EUA+	µMAX-8	1	5.5	2	5.5	0.55	0.045	-	8,86	4,50	4,13
700-MAX751CPA	MAX751CPA+	PDIP-8	1.2	5.5	5	5	0.15	3	170	4,90	2,48	2,29
♦ 700-MAX1834EUT+T	MAX1834EUT+T	SOT-23-6	1.5	5.5	2	5.5	0.15	0.008	500	3,54	2,69	1,95
700-MAX633ACPA	MAX633ACPA+	PDIP-8	1.5	15.6	2	16.5	0.05	2	65	6,41	4,27	3,10
♦ 700-MAX1833ETT30T	MAX1833ETT30+T	TDFN-6	1.5	5.5	3.3	3.3	0.15	0.008	500	3,51	2,57	1,86
♦ 700-MAX608ESA	MAX608ESA+	SOIC-8	1.8	16.5	3	16.5	1	0.11	300	4,55	2,31	2,12
700-MAX608EPA	MAX608EPA+	PDIP-8	1.8	16.5	3	16.5	1	0.11	300	4,13	2,14	1,86
♦ 700-MAX630CSA	MAX630CSA+	SOIC-8	2	16.5	0	187	-	-	75	7,43	3,65	3,37
700-MAX631ACPA	MAX631ACPA+	PDIP-8	2	16.5	2	16.5	0.05	0.4	60	6,41	4,27	3,10
700-MAX632ACPA	MAX632ACPA+	PDIP-8	2	16.5	2	16.5	0.05	2	65	6,41	4,27	3,09
♦ 700-MAX632ACSA	MAX632ACSA+	SOIC-8	2	16.5	2	16.5	0.05	2	65	6,63	4,42	3,20
700-MAX1771CPA	MAX1771CPA+	PDIP-8	2	16.5	2	100	2	0.11	300	3,93	2,00	1,85
♦ 700-MAX1771CSA	MAX1771CSA+	SOIC-8	2	16.5	2	100	2	0.11	300	4,31	2,20	2,02
♦ 700-MAX1771ESA	MAX1771ESA+	SOIC-8	2	16.5	2	100	2	0.11	300	6,21	4,14	2,99
700-MAX1771EPA	MAX1771EPA+	PDIP-8	2	16.5	2	100	2	0.11	300	5,63	2,88	2,65
♦ 700-MAX631ACSA	MAX631ACSA+	SO-8	2	16.5	2	16.5	0.05	0.4	60	6,63	3,27	3,00
♦ 700-MAX641ACSA	MAX641ACSA+	SOIC-8	2	16.5	4.75	5.25	-	-	50	6,63	4,42	3,20
♦ 700-MAX641AESA	MAX641AESA+	SOIC-8	2	16.5	4.75	5.25	-	-	50	9,83	4,98	4,59
♦ 700-MAX1523EUTT	MAX1523EUT+T	SOT-6	2.5	5.5	2.5	100	0.95	0.05	1000	2,79	2,21	1,67
♦ 700-MAX1790EUA	MAX1790EUA+	µMAX-8	2.6	5.5	2.6	12	0.7	0.35	1200	6,54	4,36	3,16
♦ 700-MAX1932ETC	MAX1932ETC+	TQFN-12	2.7	5.5	4.5	90	0.01	1	300	7,66	3,89	3,57
♦ 700-MAX618EEE	MAX618EEE+	QSOP 16	3	28	3	28	0.5	0.5	250	7,61	3,86	3,56
♦ 700-MAX5026EUTT	MAX5026EUT+T	SOT-6	3	11	5	36	0.04	1	500	6,02	4,54	3,97
♦ 700-MAX1791EUB	MAX1791EUB+	µMAX-10	5	20	0.5	5.5	2	0.41	300	5,14	2,61	2,40

© Copyright 2012 Mouser Electronics

© Copyright 2012 Mouser Electronics

CI de gestion de l'alimentation MAXIM

RoHS Compliant **This product is RoHS compliant.**

RÉGULATEURS A DÉCOUPAGE CC/CC

♦ **Composant pour montage en surface**

Pour des quantités supérieures à celles indiquées, appelez-nous afin d'obtenir un devis.

RÉF. STOCK MOUSER	Réf. Maxim	Boîtier	VIN (V)		VOUT (V)		IOUT (Max) (A)	I_{CC} (Max.) (mA)	Fréq. de fonctionnement (kHz)	Prix unitaire		
			Min.	Max.	Min.	Max.				1	25	100
Élévateur												
♦ 700-MAX857ESA	MAX857ESA+	SO-8	0.8	6	2.7	6	0.15	0.06	500	**5,07**	**2,57**	**2,37**
♦ 700-MAX1795EUA	MAX1795EUA+	µMAX-8	1	5.5	2	5.5	0.18	0.045	-	**8,32**	**5,54**	**4,02**
♦ 700-MAX863EEE	MAX863EEE+	QSOP 16	1.5	11	1.25	100	2	0.085	-	**6,76**	**4,50**	**3,26**
♦ 700-MAX606EUA	MAX606EUA+	µMAX-8	3	5.5	3	12.5	0.18	0.25	1000	**9,65**	**4,76**	**4,37**
♦ 700-MAX15004AAUE	MAX15004AAUE+	TSSOP-16	4.5	40	1	100	10	3.1	1000	**3,96**	**1,96**	**1,80**
♦ 700-MAX15004BAUE/V+	MAX15004BAUE/V+	TSSOP-16	4.5	40	1	100	10	3.1	1000	**3,59**	**1,77**	**1,63**
♦ 700-MAX15005AAUE	MAX15005AAUE+	TSSOP-16	4.5	40	1.23	100	10	3.1	1000	**3,96**	**1,96**	**1,80**
♦ 700-MAX15005BAUE	MAX15005BAUE+	TSSOP-16	4.5	40	1.23	100	10	3.1	1000	**3,59**	**1,77**	**1,63**
Élévateur/abaisseur												
♦ 700-MAX710ESE	MAX710ESE+	SOIC-16	1.8	11	4.8	5.2	0.25/0.5	10	-	**6,77**	**3,43**	**3,16**

MODULATEURS DE LARGEUR(S) D'IMPULSION PROGRAMMABLE

♦ **Composant pour montage en surface**

Pour des quantités supérieures à celles indiquées, appelez-nous afin d'obtenir un devis.

RÉF. STOCK MOUSER	Réf. Maxim	Boîtier	fOUT (kHz)	Fréq. Var. (%)	Portée du programme Facteur d'utilisation (%)	Interface	$V_{ALIMENTATION\ ÉLECTRIQUE}$ (V)	Prix unitaire		
								1	25	100
♦ 700-DS1050Z-005	DS1050Z-005+	SOIC-8N	5	20	0 à 100	2 fils	2.7-5.5	**2,57**	**1,72**	**1,25**
♦ 700-DS1050U-010	DS1050U-010+	µMAX-8	10	20	0 à 100	2 fils	2.7-5.5	**2,57**	**1,72**	**1,25**
♦ 700-DS1050Z-025	DS1050Z-025+	SOIC-8N	25	20	0 à 100	2 fils	2.7-5.5	**2,57**	**1,72**	**1,25**

RÉGULATEURS A PERTE FAIBLE (LDO)

♦ **Composant pour montage en surface**

Pour des quantités supérieures à celles indiquées, appelez-nous pour obtenir un devis.

RÉF. STOCK MOUSER	Réf. Maxim	Boîtier	I_{CHARGE} nominale (mA)	VIN (V)		VOUT rég. (V)		Précision VOUT (± %)	I_{CC} (Max.) (µA)	Prix unitaire		
				Min.	Max.	Min.	Max.			1	25	100
♦ 700-MAX1725EUKT	MAX1725EUK+T	SOT-5	20	2.5	12	1.5	5	1.5	4.5	**2,08**	**1,39**	**1,04**
♦ 700-MAX1726EUK50T	MAX1726EUK50+T	SOT-5	20	2.5	12	-	-	1.5	4.5	**3,39**	**2,26**	**1,70**
700-MAX664CPA	MAX664CPA+	PDIP-8	40	-2	-16.5	-1.3	-15	5	12	**4,80**	**3,20**	**2,14**
♦ 700-MAX664CSA	MAX664CSA+	SOIC-8	40	-2	-16.5	-1.3	-15	5	12	**5,02**	**2,55**	**2,34**
♦ 700-MAX664ESA	MAX664ESA+	SOIC-8	40	-2	-16.5	-1.3	-15	5	12	**6,91**	**3,33**	**3,07**
700-MAX663CPA	MAX663CPA+	PDIP-8	40	2	16.5	1.3	16	5	12	**3,75**	**1,90**	**1,75**
♦ 700-MAX663CSA	MAX663CSA+	SOIC-8	40	2	16.5	1.3	16	5	12	**4,33**	**2,89**	**2,09**
♦ 700-MAX663ESA	MAX663ESA+	SOIC-8	40	2	16.5	1.3	16	5	12	**6,44**	**4,29**	**3,11**
700-MAX666CPA	MAX666CPA+	PDIP-8	40	2	16.5	1.3	15	5	12	**4,55**	**2,24**	**2,06**
♦ 700-MAX666CSA	MAX666CSA+	SO-8	40	2	16.5	1.3	15	5	12	**4,76**	**2,42**	**2,22**
♦ 700-MAX666ESA	MAX666ESA+	SOIC-8	40	2	16.5	1.3	15	5	12	**7,40**	**3,75**	**3,46**
♦ 700-MAX8865TEUA	MAX8865TEUA+	µMAX-8	100	2.5	5.5	1.3	5.5	2.5	270	**3,51**	**1,73**	**1,59**
♦ 700-MAX8863SEUKT	MAX8863SEUK+T	SOT-5	120	2.5	5.5	1.25	5.5	3.5	170	**2,82**	**1,88**	**1,36**
♦ 700-MAX8840EYT27+G65	MAX8840EYT27+G65	µDFN-6	150	2	6	-	-	1	90	**1,35**	**0,693**	**0,584**
♦ 700-MAX8892EXKT	MAX8892EXK+T	SC70 - 5	150	2	6	1.225	4.5	3	40	**1,02**	**0,774**	**0,677**
♦ 700-MAX6791TPLD2	MAX6791TPLD2+	TQFN-20	150	5	72	1.8	11	3	85	**3,91**	**1,93**	**1,77**
♦ 700-MAX6791TPSD2	MAX6791TPSD2+	TQFN-20	150	5	72	1.8	11	3	85	**3,91**	**1,93**	**1,77**
♦ 700-MAX6791TPSD2+T	MAX6791TPSD2+T	TQFN-20	150	5	72	1.8	11	3	85	**3,54**	**2,67**	**1,97**
♦ 700-MAX6793TPSD2	MAX6793TPSD2+	TQFN-20	150	5	72	1.8	11	3	85	**3,66**	**1,81**	**1,66**
♦ 700-MAX6794TPSD2	MAX6794TPSD2+	TQFN-20	150	5	72	1.8	11	3	85	**3,66**	**1,81**	**1,66**
♦ 700-MAX1735EUK30T	MAX1735EUK30+T	SOT-5	200	-2.5	-6.5	-1.25	-5.5	3	180	**2,48**	**1,86**	**1,20**
♦ 700-MAX8880EUTT	MAX8880EUT+T	SOT-23-6	200	2.5	12	1.25	5	1.5	10	**3,60**	**2,61**	**1,89**
♦ 700-MAX8881EUT33T	MAX8881EUT33+T	SOT-6	200	2.5	12	-	-	1.5	10	**3,46**	**2,61**	**1,77**
700-MAX882CPA	MAX882CPA+	PDIP-8	200	2.7	11.5	1.25	11	5	15	**3,32**	**2,33**	**1,56**
♦ 700-MAX882CSA	MAX882CSA+	SOIC-8	200	2.7	11.5	1.25	11	5	15	**3,65**	**2,56**	**1,71**
♦ 700-MAX882ESA	MAX882ESA+	SOIC-8	200	2.7	11.5	1.25	11	5	15	**4,88**	**3,25**	**2,35**
700-MAX883CPA	MAX883CPA+	PDIP-8	200	2.7	11.5	1.25	11	5	15	**3,32**	**2,33**	**1,56**
♦ 700-MAX883CSA	MAX883CSA+	SOIC-8	200	2.7	11.5	1.25	11	5	15	**3,65**	**2,56**	**1,71**
♦ 700-MAX883ESA	MAX883ESA+	SOIC-8	200	2.7	11.5	1.25	11	5	15	**4,88**	**3,25**	**2,35**
♦ 700-MAX5093AATE	MAX5093AATE+	TQFN-16	250	3.5	72	1.5	10	1.5	85	**4,95**	**2,44**	**2,24**
♦ 700-MAX5093BATE	MAX5093BATE+	TQFN-16	250	3.5	72	1.5	10	1.5	85	**4,95**	**2,44**	**2,24**
700-MAX667CPA	MAX667CPA+	PDIP-8	250	3.5	16.5	1.3	15	4	25	**4,88**	**2,48**	**2,28**
♦ 700-MAX667CSA	MAX667CSA+	SOIC-8	250	3.5	16.5	1.3	15	4	25	**5,09**	**2,58**	**2,38**
700-MAX667EPA	MAX667EPA+	PDIP-8	250	3.5	16.5	1.3	15	4	25	**6,66**	**4,44**	**3,22**
♦ 700-MAX667ESA	MAX667ESA+	SOIC-8	250	3.5	16.5	1.3	15	4	25	**6,58**	**3,33**	**3,07**
♦ 700-MAX8860EUA18	MAX8860EUA18+	µMAX-8	300	2.5	6.5	1.25	6.5	1.4	270	**2,23**	**1,49**	**1,07**
♦ 700-MAX8860EUA28	MAX8860EUA28+	µMAX-8	300	2.5	6.5	1.25	6.5	1.4	270	**2,23**	**1,49**	**1,07**
♦ 700-MAX8860EUA33	MAX8860EUA33+	µMAX-8	300	2.5	6.5	1.25	6.5	1.4	270	**2,23**	**1,49**	**1,07**
♦ 700-MAX6795TPLD2	MAX6795TPLD2+	TQFN-20	300	5	72	1.8	11	3	85	**2,70**	**1,51**	**1,39**
♦ 700-MAX6795TPSD2	MAX6795TPSD2+	TQFN-20	300	5	72	1.8	11	3	85	**2,70**	**1,51**	**1,39**
♦ 700-MAX6796TPSD2	MAX6796TPSD2+	TQFN-20	300	5	72	1.8	11	3	85	**3,08**	**1,51**	**1,39**
♦ 700-MAX1658ESA	MAX1658ESA+	SOIC-8	350	2.7	16.5	1.25	16	3	60	**4,73**	**3,15**	**2,28**
♦ 700-MAX1659ESA	MAX1659ESA+	SOIC-8	350	2.7	16.5	1.25	16	3	60	**4,73**	**3,15**	**2,28**
♦ 700-MAX1806EUA08	MAX1806EUA08+	µMAX-8	500	2.25	5.5	0.8	4.5	1	400	**3,11**	**1,58**	**1,45**
♦ 700-MAX1806EUA15	MAX1806EUA15+	µMAX-8	500	2.25	5.5	0.8	4.5	1	400	**3,11**	**1,58**	**1,45**
♦ 700-MAX1806EUA18	MAX1806EUA18+	µMAX-8	500	2.25	5.5	0.8	4.5	1	400	**3,11**	**1,58**	**1,45**
♦ 700-MAX1806EUA33	MAX1806EUA33+	µMAX-8	500	2.25	5.5	0.8	4.5	1	400	**3,11**	**1,58**	**1,45**
♦ 700-MAX1792EUA25	MAX1792EUA25+	µMAX-8	500	2.5	5.5	1.25	5	1	250	**2,83**	**1,44**	**1,32**
♦ 700-MAX1792EUA33	MAX1792EUA33+	µMAX-8	500	2.5	5.5	1.25	5	1	250	**2,83**	**1,44**	**1,32**
♦ 700-MAX1792EUA50	MAX1792EUA50+	µMAX-8	500	2.5	5.5	1.25	5	1	250	**2,83**	**1,44**	**1,32**

© Copyright 2012 Mouser Electronics

© Copyright 2012 Mouser Electronics

RÉGULATEURS A PERTE FAIBLE (LCO) (SUITE)

◆ **Composant pour montage en surface**

Pour des quantités supérieures à celles indiquées, appelez-nous afin d'obtenir un devis.

RÉF. STOCK MOUSER	Réf. Maxim	Boîtier	I_{CHARGE} nominale (mA)	VIN (V)		VOUT rég. (V)		Précision VOUT (± %)	I_{CC} (Max.) (µA)	Prix unitaire		
				Min.	Max.	Min.	Max.			1	25	100
◆ 700-MAX1857EUA47	MAX1857EUA47+	µMAX-8	500	2.5	5.5	1.25	5	1	250	2,75	1,35	1,25
700-MAX603CPA	MAX603CPA+	PDIP-8	500	2.7	11.5	1.3	11.5	3	50	3,87	1,96	1,81
◆ 700-MAX603CSA	MAX603CSA+	SOIC-8	500	2.7	11.5	1.3	11.5	3	50	4,46	2,97	2,15
◆ 700-MAX603ESA	MAX603ESA+	SOIC-8	500	2.7	11.5	1.3	11.5	3	50	5,40	2,74	2,52
700-MAX604CPA	MAX604CPA+	PDIP-8	500	2.7	11.5	1.3	11.5	5	35	3,87	1,96	1,81
◆ 700-MAX604CSA	MAX604CSA+	SOIC-8	500	2.7	11.5	1.3	11.5	5	35	4,24	2,15	1,98
◆ 700-MAX604ESA	MAX604ESA+	SOIC-8	500	2.7	11.5	1.3	11.5	5	35	5,40	2,74	2,52
◆ 700-MAX8516EUB	MAX8516EUB+	µMAX-10	1000	1.4	3.6	0.5	3.4	0.6	600	2,82	1,88	1,36
◆ 700-MAX8517EUB	MAX8517EUB+	µMAX-10	1000	1.4	3.6	0.5	3.4	0.6	600	2,88	1,46	1,34
◆ 700-MAX15027ATBT	MAX15027ATB+T	TDFN-10	1000	1.425	3.6	0.5	3.3	2	410	2,41	1,78	1,34
◆ 700-MAX1793EUE15	MAX1793EUE15+	TSSOP-16	1000	2.5	5.5	1.25	5	1	200	3,68	1,86	1,72
◆ 700-MAX1793EUE25	MAX1793EUE25+	TSSOP-16	1000	2.5	5.5	1.25	5	1	200	3,68	1,86	1,72
◆ 700-MAX1793EUE33	MAX1793EUE33+	TSSOP-16	1000	2.5	5.5	1.25	5	1	200	3,68	1,86	1,72
◆ 700-MAX8869EUE18	MAX8869EUE18+	TSSOP-16	1000	2.7	5.5	0.8	5	1	2000	4,34	2,14	1,96
◆ 700-MAX8869EUE33	MAX8869EUE33+	TSOP-16	1000	2.7	5.5	0.8	5	1	2000	4,34	2,14	1,96
◆ 700-MAX8526EUD	MAX8526EUD+	TSSOP-14	2000	1.4	3.6	0.5	3.4	0.6	800	3,47	1,76	1,62
◆ 700-MAX8527EUD	MAX8527EUD+	TSSOP-14	2000	1.4	3.6	0.5	3.4	0.6	800	3,63	1,84	1,69
◆ 700-MAX8528EUD	MAX8528EUD+	TSSOP-14	2000	1.4	3.6	0.5	3.4	0.6	800	4,02	1,97	1,82
◆ 700-MAX8557ETE	MAX8557ETE+	TQFN-16	4000	1.4	3.6	0.5	3.4	1	1600	5,28	2,68	2,47

RÉGULATEURS LINÉAIRES

◆ **Composant pour montage en surface**

Pour des quantités supérieures à celles indiquées, appelez-nous afin d'obtenir un devis.

RÉF. STOCK MOUSER	Réf. Maxim	Boîtier	Régulateurs	VIN (V) (Min/Max)	VOUT prérég. (V)	VOUT rég. (V) (Min/Max)	$TENSION_{MISE}$ AU REPOS avec ILOAD nom.(mA)	I_{CC} (Max) (µA)	Watchdog	Prix unitaire		
										1	25	100
◆ 700-MAX16910CASA8/V	MAX16910CASA8/V+	SO-8	1	3.5/45	3.3, 5	1.5/11	0.28	30	Non	1,77	0,899	0,825
◆ 700-MAX16910CASA9/V	MAX16910CASA9/V+	SO-8	1	3.5/45	3.3, 5	1.5/11	0.28	30	Non	1,13	0,899	0,825
◆ 700-MAX5023LASA	MAX5023LASA+	SO-8	1	6.5/65	3.3, 5	-	0.9	140	Oui	3,07	1,51	1,39
◆ 700-MAX5024TASA	MAX5024TASA+	SO-8	1	6.5/65	3.3, 5	2.5/11	0.9	140	Non	2,85	1,90	1,37

RÉFÉRENCES DE TENSION SÉRIE

◆ **Composant pour montage en surface**

Pour des quantités supérieures à celles indiquées, appelez-nous afin d'obtenir un devis.

RÉF. STOCK MOUSER	Réf. Maxim	Boîtier	VOUT (V)	Précision initiale à +25°C (%)	Coeff. de temp. (ppm/°C) (Max)	V_{ALIM} (V) (Max)	I_{ALIM} (µA) (Max.)	Bruit 0,1 Hz à 10Hz (Typ.) (VPP)	Température de fonctionnement (°C)	Prix unitaire		
										1	25	100
◆ 700-MAX6120EURT	MAX6120EUR+T	SOT-23-3	1.2	1	100	2.4/11	70	10	de -40 à +85	1,56	1,17	1,02
◆ 700-MAX6520EURT	MAX6520EUR+T	SOT-23-3	1.2	1	50	2.4/11	70	10	de -40 à +85	1,87	1,39	1,01
◆ 700-MAX6190AESA	MAX6190AESA+	SOIC-8	1.25	0.16	5	2.5/12.6	35	25	de -40 à +85	5,12	2,59	2,38
◆ 700-MAX6061AEURT	MAX6061AEUR+T	SOT-23-3	1.25	0.4	20	2.5/12.6	125	13	de -40 à +85	3,47	2,62	2,29
◆ 700-MAX6101EURT	MAX6101EUR+T	SOT-23-3	1.25	0.4	75	2.5/12.6	125	13	de -40 à +85	0,64	0,488	0,427
◆ 700-MAX6018AEUR12T	MAX6018AEUR12+T	SOT-3	1.263	0.2	50	5.5	5	40	de -40 à +85	1,96	1,48	1,30
◆ 700-MAX6126AASA21	MAX6126AASA21+	SOIC-8	2.048	0.02	3	2.7/12.6	550	1.35	de -40 à +125	5,45	4,85	4,79
◆ 700-MAX6126A21	MAX6126A21+	µMAX-8	2.048	0.06	3	2.7/12.6	550	1.35	de -40 à +125	4,50	4,00	3,95
◆ 700-MAX6126BASA21	MAX6126BASA21+	SOIC-8	2.048	0.06	5	2.7/12.6	550	1.35	de -40 à +125	3,74	3,33	3,29
◆ 700-MAX6162AESA	MAX6162AESA+	SOIC-8	2.048	0.1	5	2.5/12.6	120	22	de -40 à +85	3,71	2,83	2,34
◆ 700-MAX6191AESA	MAX6191AESA+	SOIC-8	2.048	0.1	5	2.5/12.6	35	40	de -40 à +85	3,71	2,59	2,30
◆ 700-MAX6191BESA	MAX6191BESA+	SOIC-8	2.048	0.244	10	2.5/12.6	35	40	de -40 à +85	2,96	2,07	1,83
◆ 700-MAX6018AEUR21T	MAX6018AEUR21+T	SOT-3	2.048	0.4	50	5.5	5	40	de -40 à +85	1,92	1,27	1,16
◆ 700-MAX6018BEUR21T	MAX6018BEUR21+T	SOT-23-3	2.048	0.4	50	1.8/5.5	5	40	de -40 à +85	1,67	1,26	1,10
◆ 700-MAX6106EURT	MAX6106EUR+T	SOT-23-3	2.048	0.4	75	2.5/12.6	125	22	de -40 à +85	0,64	0,488	0,427
◆ 700-MAX6126AASA25	MAX6126AASA25+	SOIC-8	2.5	0.02	3	2.7/12.6	550	1.35	de -40 à +125	5,45	4,85	4,79
◆ 700-MAX6133AASA25	MAX6133AASA25+	SOIC-8	2.5	0.04	5	2.7/12.6	60	16	de -40 à +125	5,91	5,30	5,13
◆ 700-MAX6325CSA	MAX6325CSA+	SOIC-8	2.5	0.04	1	8/36	3000	1.5	de 0 à +70	16,58	11,06	8,01
◆ 700-MAX6325ESA	MAX6325ESA+	SOIC-8	2.5	0.04	1	8/36	3000	1.5	de -40 à +85	18,41	12,28	8,89
◆ 700-MAX6126A25	MAX6126A25+	µMAX-8	2.5	0.06	3	2.7/12.6	550	1.35	de -40 à +125	4,50	4,00	3,95
◆ 700-MAX6126BASA25	MAX6126BASA25+	SOIC-8	2.5	0.06	5	2.7/12.6	550	1.35	de -40 à +125	3,74	3,33	3,29
◆ 700-MAX6133A25	MAX6133A25+	µMAX-8	2.5	0.06	5	2.7/12.6	60	16	de -40 à +125	4,79	4,31	4,17
◆ 700-MAX6173AASA	MAX6173AASA+	SOIC-8	2.5	0.06	3	4.5/40	600	4	de -40 à +125	5,48	4,90	4,57
◆ 700-MAX6173BASA	MAX6173BASA+	SOIC-8	2.5	0.06	10	4.5/40	600	4	de -40 à +125	3,59	3,22	3,00
◆ 700-MAX873AESA	MAX873AESA+	SOIC-8	2.5	0.06	7	4.5/18	280	16	de -40 à +85	11,04	8,77	6,62
◆ 700-MAX6192AESA	MAX6192AESA+	SOIC-8	2.5	0.08	5	2.7/12.6	35	60	de -40 à +85	5,12	2,59	2,38
◆ 700-MAX6126B25	MAX6126B25+	µMAX-8	2.5	0.1	7	2.7/12.6	550	1.35	de -40 à +125	3,93	3,50	3,46
◆ 700-MAX6166AESA	MAX6166AESA+	SOIC-8	2.5	0.1	5	2.7/12.6	120	27	de -40 à +85	3,71	2,83	2,34
◆ 700-MAX6220ASA-2.5	MAX6220ASA-2.5+	SOIC-8	2.5	0.1	20	8/40	3300	1.5	de -40 à +125	2,95	2,43	2,06
◆ 700-MAX873BESA	MAX873BESA+	SOIC-8	2.5	0.1	20	4.5/18	280	16	de -40 à +85	6,07	4,83	3,65
◆ 700-MAX6225BCSA	MAX6225BCSA+	SOIC-8	2.5	0.12	5	8/36	3000	2.8	de 0 à +70	3,54	2,48	2,19
◆ 700-MAX6225BESA	MAX6225BESA+	SOIC-8	2.5	0.12	5	8/36	3000	2.8	de -40 à +85	3,75	2,61	2,31
◆ 700-MAX6029ESA25	MAX6029ESA25+	SOIC-8	2.5	0.15	30	2.7/12.6	5	30	de -40 à +85	2,38	2,05	1,91
◆ 700-MAX6034AEXR25T	MAX6034AEXR25+T	SC-70-3	2.5	0.2	30	2.7/5.5	115	45	de -40 à +85	2,70	2,03	1,77
◆ 700-MAX6035AAUR25T	MAX6035AAUR25+T	SOT-23-3	2.5	0.2	25	4.4/33	95	21	de -40 à +125	2,05	1,54	1,35
◆ 700-MAX6037AAUK25T	MAX6037AAUK25+T	SOT-23-5	2.5	0.2	25	2.5/5.5	280	11	de -40 à +125	2,57	1,93	1,69
◆ 700-MAX6166BESA	MAX6166BESA+	SOIC-8	2.5	0.2	10	2.7/12.6	120	27	de -40 à +85	2,97	2,26	1,87
◆ 700-MAX6192BESA	MAX6192BESA+	SOIC-8	2.5	0.2	10	2.7/12.6	35	60	de -40 à +85	2,96	2,07	1,83
◆ 700-MAX6034BEXR25T	MAX6034BEXR25+T	SC-70-3	2.5	0.4	75	2.7/5.5	115	45	de -40 à +85	1,11	0,842	0,736
◆ 700-MAX6102EURT	MAX6102EUR+T	SOT-23-3	2.5	0.4	75	2.7/12.6	125	27	de -40 à +85	0,64	0,488	0,427
◆ 700-MAX6192CESA	MAX6192CESA+	SOIC-8	2.5	0.4	25	2.7/12.6	35	60	de -40 à +85	2,15	1,51	1,34
◆ 700-MAX6035BAUR25T	MAX6035BAUR25+T	SOT-23-3	2.5	0.5	65	4.4/33	95	21	de -40 à +125	1,27	0,957	0,833
◆ 700-MAX6002EURT	MAX6002EUR+T	SOT-23-3	2.5	1	100	2.7/12.6	45	60	de -40 à +85	0,77	0,578	0,495
◆ 700-MAX6125ESA	MAX6125ESA+	SO-8	2.5	1	50	12.6	130	15	de -40 à +85	1,81	1,56	1,20
◆ 700-MAX6125EURT	MAX6125EUR+T	SOT-23-3	2.5	1	50	2.7/12.6	130	15	de -40 à +85	2,30	1,85	1,54
◆ 700-MAX6126AASA30	MAX6126AASA30+	SOIC-8	3	0.02	3	2.7/12.6	550	1.35	de -40 à +125	5,45	4,85	4,80
◆ 700-MAX6133A30	MAX6133A30+	µMAX-8	3	0.06	5	2.7/12.6	60	16	de -40 à +125	4,79	4,31	4,17
◆ 700-MAX6163AESA	MAX6163AESA+	SOIC-8	3	0.07	5	3.2/12.6	120	22	de -40 à +85	3,71	2,83	2,52
◆ 700-MAX6126B30	MAX6126B30+	µMAX-8	3	0.1	7	2.7/12.6	550	1.35	de -40 à +125	3,93	3,50	3,46
◆ 700-MAX6063AEURT	MAX6063AEUR+T	SOT-23-3	3	0.2	20	3.2/12.6	125	27	de -40 à +85	3,43	2,59	2,26
◆ 700-MAX6034BEXR30T	MAX6034BEXR30+T	SC-70-3	3	0.4	75	2.7/5.5	115	45	de -40 à +85	1,11	0,842	0,736
◆ 700-MAX6103EURT	MAX6103EUR+T	SOT-23-3	3	0.4	75	3.2/12.6	125	35	de -40 à +85	0,64	0,488	0,427
◆ 700-MAX6003EURT	MAX6003EUR+T	SOT-23-3	3	1	100	3.2/12.6	45	75	de -40 à +85	0,77	0,578	0,495
◆ 700-MAX6143AASA33	MAX6143AASA33+	SOIC-8	3.3	0.05	3	4.5/40	600	4	de -40 à +125	5,48	4,90	4,57

© Copyright 2012 Mouser Electronics

© Copyright 2012 Mouser Electronics

CI de gestion de l'alimentation MAXIM

RoHS Compliant **This product is RoHS compliant.**

RÉFÉRENCES DE TENSION SÉRIE (SUITE)

♦ **Composant pour montage en surface**

Pour des quantités supérieures à celles indiquées, appelez-nous afin d'obtenir un devis.

RÉF. STOCK MOUSER	Réf. Maxim	Boîtier	V_{SOR} (V)	Préc. ini. à +25°C (%)	Coeff. de temp. (ppm/°C) (Max)	V_{ALIM} (V) (Max)	I_{ALIM} (μA) (Max.)	Bruit 0.1 Hz à 10Hz (Typ.) (VPP)	Température de fonctionnement (°C)	Prix unitaire 1	25	100
♦ 700-MAX6126AASA41	MAX6126AASA41+	SOIC 8	4.096	0.02	3	2.7/12.6	550	1.35	de -40 à +125	5,45	4,85	4,80
♦ 700-MAX6241ACSA	MAX6241ACSA+	SOIC 8	4.096	0.02	2	8/36	3200	2.4	de 0 à +70	7,31	6,32	4,53
♦ 700-MAX6241AESA	MAX6241AESA+	SOIC 8	4.096	0.02	2	8/36	3200	2.4	de -40 à +85	12,19	6,18	5,68
♦ 700-MAX6341CSA	MAX6341CSA+	SOIC 8	4.096	0.02	1	8/36	3200	2.4	de 0 à +70	10,54	8,01	6,63
♦ 700-MAX6164AESA	MAX6164AESA+	SOIC 8	4.096	0.05	5	4.3/12.6	120	50	de -40 à +85	3,71	2,83	2,34
♦ 700-MAX6198AESA	MAX6198AESA+	SOIC 8	4.096	0.05	5	4.3/12.6	35	100	de -40 à +85	3,71	2,59	2,30
♦ 700-MAX6126BASA41	MAX6126BASA41+	SO-8	4.096	0.06	5	12.6	550	1	de -40 à +125	3,74	3,33	3,29
♦ 700-MAX6133A41	MAX6133A41+	μMAX-8	4.096	0.06	5	2.7/12.6	60	16	de -40 à +125	4,79	4,31	4,17
♦ 700-MAX6241BCSA	MAX6241BCSA+	SOIC 8	4.096	0.1	5	8/36	3200	2.4	de 0 à +70	3,54	2,71	2,24
700-MAX6241BEPA	MAX6241BEPA+	PDIP-8	4.096	0.1	5	8/36	3200	2.4	de -40 à +85	3,75	3,23	2,52
♦ 700-MAX6241BESA	MAX6241BESA+	SOIC 8	4.096	0.1	5	8/36	3200	2.4	de -40 à +85	3,75	2,85	2,52
♦ 700-MAX6164BESA	MAX6164BESA+	SOIC 8	4.096	0.12	10	4.3/12.6	120	50	de -40 à +85	2,97	2,26	1,87
♦ 700-MAX6029ESA41	MAX6029ESA41+	SOIC 8	4.096	0.15	30	2.7/12.6	5	30	de -40 à +85	2,38	2,05	1,91
♦ 700-MAX6041AEURT	MAX6041AEUR+T	SOT-23-3	4.096	0.2	20	4.3/12.6	35	100	de -40 à +85	3,43	2,54	1,84
♦ 700-MAX6104EURT	MAX6104EUR+T	SOT-23-3	4.096	0.4	75	4.3/12.6	125	50	de -40 à +85	0,64	0,488	0,427
♦ 700-MAX6004EURT	MAX6004EUR+T	SOT-23-3	4.096	1	100	4.3/12.6	45	100	de -40 à +85	0,77	0,578	0,495
♦ 700-MAX6141ESA	MAX6141ESA+	SOIC 8	4.096	1	50	4.3/12.6	130	25	de -40 à +85	1,81	1,56	1,20
♦ 700-MAX6141EURT	MAX6141EUR+T	SOT-23-3	4.096	1	50	4.3/12.6	130	25	de -40 à +85	1,34	1,16	0,924
♦ 700-MAX6167AESA	MAX6167AESA+	SOIC 8	4.5	0.04	5	4.7/12.6	120	55	de -40 à +85	3,71	2,83	2,34
♦ 700-MAX6107EURT	MAX6107EUR+T	SOT-23-3	4.5	0.4	75	4.7/12.6	125	55	de -40 à +85	0,64	0,488	0,427
♦ 700-MAX6145EURT	MAX6145EUR+T	SOT-23-3	4.5	1	50	4.7/12.6	130	30	de -40 à +85	1,87	1,41	1,23
♦ 700-MAX6250ACSA	MAX6250ACSA+	SOIC 8	5	0.02	2	8/36	3300	3	de 0 à +70	7,31	5,56	4,93
700-MAX6250AEPA	MAX6250AEPA+	PDIP-8	5	0.02	2	8/36	3300	3	de -40 à +85	8,13	6,18	5,49
♦ 700-MAX6250AESA	MAX6250AESA+	SOIC 8	5	0.02	2	8/36	3300	3	de -40 à +85	8,13	6,18	5,49
♦ 700-MAX6350CSA	MAX6350CSA+	SOIC 8	5	0.02	1	8/36	3300	3	de 0 à +70	10,54	8,01	6,63
♦ 700-MAX6350ESA	MAX6350ESA+	SOIC 8	5	0.02	1	8/36	3300	3	de -40 à +85	11,71	8,89	7,37
♦ 700-MAX6143AASA50	MAX6143AASA50+	SOIC 8	5	0.05	3	4.5/40	600	4	de -40 à +125	5,48	4,90	4,57
♦ 700-MAX6143BASA50	MAX6143BASA50+	SOIC 8	5	0.05	10	4.5/40	600	4	de -40 à +125	3,59	3,22	3,00
♦ 700-MAX6126BASA50	MAX6126BASA50+	SOIC 8	5	0.06	5	2.7/12.6	550	1.35	de -40 à +125	3,74	3,33	3,29
♦ 700-MAX6175AASA	MAX6175AASA+	SOIC 8	5	0.06	3	-/40	600	9	de -40 à +125	5,48	4,90	4,57
♦ 700-MAX6175BASA	MAX6175BASA+	SOIC 8	5	0.06	10	-/40	600	9	de -40 à +125	3,59	3,22	3,00
♦ 700-MAX875BESA	MAX875BESA+	SOIC 8	5	0.06	20	7/18	280	32	de -40 à +85	6,07	4,83	3,65
♦ 700-MAX6165BESA	MAX6165BESA+	SO-8	5	0.1	10	12.6	120	60	de -40 à +85	2,97	2,26	1,87
♦ 700-MAX6195BESA	MAX6195BESA+	SOIC 8	5	0.1	10	5.2/12.6	35	120	de -40 à +85	2,97	2,57	1,83
♦ 700-MAX6220ASA-5.0	MAX6220ASA-5.0+	SOIC 8	5	0.1	20	8/40	3300	1.5	de -40 à +125	2,95	2,43	2,06
♦ 700-MAX6250BCSA	MAX6250BCSA+	SOIC 8	5	0.1	5	8/36	3300	3	de 0 à +70	5,33	2,71	2,48
♦ 700-MAX6250BESA	MAX6250BESA+	SOIC 8	5	0.1	5	8/36	3300	3	de -40 à +85	5,61	2,85	2,62
700-MAX675CPA	MAX675CPA+	PDIP-8	5	0.15	12	33	1400	10	de -40 à +85	4,77	3,81	3,23
♦ 700-MAX675ESA	MAX675ESA+	SOIC 8	5	0.15	12	8/33	1400	10	de -40 à +85	6,67	5,34	4,46
♦ 700-MAX6033BAUT50TG1	MAX6033BAUT50#TG16	SOT-6	5	0.2	10	2.7/12.6	60	16	de -40 à +125	4,72	3,56	3,12
♦ 700-MAX6050AEURT	MAX6050AEUR+T	SOT-23-3	5	0.2	20	5.2/12.6	35	120	de -40 à +85	3,43	2,59	2,26
♦ 700-REF02CESA	REF02CESA+	SOIC 8	5	0.3	8.5	8/33	1400	10	de -40 à +85	2,99	2,39	2,00
700-REF02CP	REF02CP+	PDIP-8	5	0.3	8.5	8/33	1400	10	de 0 à +70	2,60	1,93	1,63
♦ 700-REF02CSA	REF02CSA+	SOIC 8	5	0.3	8.5	8/33	1400	10	de 0 à +70	2,60	2,08	1,63
♦ 700-REF02HSA	REF02HSA+	SOIC 8	5	0.3	8.5	8/33	1400	10	de -40 à +85	3,47	2,51	2,17
♦ 700-MAX6105EURT	MAX6105EUR+T	SOT-23-3	5	0.4	75	5.2/12.6	125	60	de -40 à +85	0,64	0,488	0,427
♦ 700-MAX6035BAUR50T	MAX6035BAUR50+T	SOT-23-3	5	0.5	65	4.4/33	95	21	de -40 à +125	1,27	0,957	0,833
♦ 700-MAX6150EURT	MAX6150EUR+T	SOT-23-3	5	1	50	5.2	130	35	de -40 à +85	1,89	1,43	1,25
♦ 700-MAX6143AASA10	MAX6143AASA10+	SOIC 8	10	0.05	3	4.5/40	600	4	de -40 à +125	5,48	4,90	4,57
♦ 700-MAX6176AASA	MAX6176AASA+	SOIC 8	10	0.05	3	-/40	600	18	de -40 à +125	5,48	4,90	4,57
♦ 700-MAX674ESA	MAX674ESA+	SOIC 8	10	0.15	12	13/33	1400	20	de -40 à +85	6,67	5,34	4,46
700-REF01CP	REF01CP+	PDIP-8	10	0.3	8.5	33	1400	20	de -40 à +85	1,86	1,38	1,16
♦ 700-REF01CSA	REF01CSA+	SOIC 8	10	0.3	8.5	13/33	1400	20	de 0 à +70	2,35	1,88	1,48
700-REF01HP	REF01HP+	PDIP-8	10	0.3	8.5	33	1400	20	de -40 à +85	3,06	2,44	2,04
♦ 700-MAX6037AAUKADJT	MAX6037AAUKADJ+T	SOT-23-5	Adj	0.2	25	2.5/5.5	280	11	de -40 à +125	2,54	1,91	1,67
♦ 700-MAX6160ESA	MAX6160ESA+	SOIC 8	Tension	1	100	2.7/12.6	130	15	de -40 à +85	2,16	1,64	1,45
♦ 700-MAX6160EUST	MAX6160EUS+T	SOT-4	Adj	1	100	2.7/12.6	130	15	de -40 à +85	1,72	1,30	1,13
♦ 700-DS4303R-U	DS4303R-U+	SOT-23-5	Program.	0.03	30	2.5/3.6	1600	200	de -40 à +85	0,77	0,536	0,38

RÉFÉRENCES TENSION DE SHUNT

♦ **Composant pour montage en surface**

Pour des quantités supérieures à celles indiquées, appelez-nous afin d'obtenir un devis.

RÉF. STOCK MOUSER	Réf. Maxim	Boîtier	VOUT (V)	Préc. init. à +25°C	Coeff. de temp. (ppm/°C) (max.)	IREV (μA) (Min))	IREV (mA) (Max.) (mA)	Bruit 0.1 Hz à 10Hz (Typ.) (VPP)	Température de fonctionnement (°C)	Prix unitaire 1	25	100
♦ 700-MAX6006AEURT	MAX6006AEUR+T	SOT-23-3	1.25	0.2	30	1	2	30	de -40 à +85	1,66	1,25	1,06
♦ 700-LM4041BIM3-1.2T	LM4041BIM3-1.2+T	SOT-23-3	1.25	0.2	100	65	15	-	de -40 à +85	1,09	0,817	0,721
♦ 700-LM4050AEM3-2.1T	LM4050AEM3-2.1+T	SOT-23-3	2.048	0.1	50	65	15	-	de -40 à +85	2,32	1,75	1,53
♦ 700-MAX6007AEURT	MAX6007AEUR+T	SOT-23-3	2.048	0.2	30	1	2	50	de -40 à +85	1,66	1,25	1,06
♦ 700-LM4040BIM3-2.1T	LM4040BIM3-2.1+T	SOT-23-3	2.048	0.2	100	65	15	-	de -40 à +85	1,11	0,825	0,728
♦ 700-MAX6138AEXR25T	MAX6138AEXR25+T	SC-70-3	2.5	0.1	25	65	15	-	de -40 à +85	3,52	2,66	2,33
♦ 700-LM4050AEM3-2.5T	LM4050AEM3-2.5+T	SOT-23-3	2.5	0.1	50	65	15	-	de -40 à +85	2,29	1,73	1,51
♦ 700-LM4040AIM3-2.5T	LM4040AIM3-2.5+T	SOT-23-3	2.5	0.1	100	65	15	-	de -40 à +85	1,43	1,07	0,941
♦ 700-MAX6008AESA	MAX6008AESA+	SOIC 8	2.5	0.2	30	1	2	60	de -40 à +85	1,81	1,38	1,22
♦ 700-LM4040AIM3-3.0T	LM4040AIM3-3.0+T	SOT-23-3	3	0.1	100	65	15	-	de -40 à +85	1,43	1,07	0,941
♦ 700-LM4050AEM3-5.0T	LM4050AEM3-5.0+T	SOT-23-3	5	0.1	50	65	15	-	de -40 à +85	2,29	1,73	1,51

© Copyright 2012 Mouser Electronics

© Copyright 2012 Mouser Electronics

RÉFÉRENCES DE TENSION SHUNT (SUITE)

♦ **Composant pour montage en surface**

Pour des quantités supérieures à celles indiquées, appelez-nous afin d'obtenir un devis.

RÉF. STOCK MOUSER	Réf. Maxim	Boîtier	Tension-SOR (V)	Précision initiale @ +25°C	Coeff.de temp. (ppm/°C) (max.)	IREV (µA) (Min))	IREV (mA) (Max.) (mA)	Bruit 0,1 Hz à 10 Hz (Typ.) (VPP)	Température de fonctionnement (°C)	Prix unitaire 1	25	100
♦ 700-LM4041DIM3-1.2T	LM4041DIM3-1.2+T	SOT-23-3	1.25	1	100	70	15	-	de -40 à +85	0,54	0,403	0,353
♦ 700-MAX8069ESA	MAX8069ESA+	SOIC 8	1.25	2.4	25	60	5	-	de -40 à +85	0,94	0,842	0,809
♦ 700-LM4050CEM3-2.1T	LM4050CEM3-2.1+T	SOT-23-3	2.048	0.5	50	65	15	-	de -40 à +85	1,34	1,01	0,883
♦ 700-LM4040BIM3-2.5T	LM4040BIM3-2.5+T	SOT-23-3	2.5	0.2	100	65	15	-	de -40 à +85	1,09	0,817	0,721
♦ 700-LM4040BIX3-2.5T	LM4040BIX3-2.5+T	SC-70-3	2.5	0.2	100	65	15	-	de -40 à +125	1,09	0,817	0,721
♦ 700-MAX6008AEURT	MAX6008AEUR+T	SOT-23-3	2.5	0.5	75	1	2	60	de -40 à +85	1,66	1,25	1,06
♦ 700-LM4040CIM3-2.5T	LM4040CIM3-2.5+T	SOT-23-3	2.5	0.5	100	65	15	-	de -40 à +85	0,63	0,471	0,412
♦ 700-LM4040DIM3-2.5T	LM4040DIM3-2.5+T	SOT-23-3	2.5	1	150	70	15	-	de -40 à +85	0,54	0,403	0,353
♦ 700-LM4040DIX3-2.5T	LM4040DIX3-2.5+T	SC-70-3	2.5	1	150	70	15	-	de -40 à +125	0,54	0,403	0,353
♦ 700-MAX6009AEURT	MAX6009AEUR+T	SOT-23-3	3	0.2	30	1	2	75	de -40 à +85	1,66	1,25	1,06
♦ 700-LM4040BIX3-3.0T	LM4040BIX3-3.0+T	SC-70-3	3	0.2	100	65	15	-	de -40 à +125	1,09	0,817	0,721
♦ 700-LM4050BEX3-5.0T	LM4050BEX3-5.0+T	SC-70-3	5	0.2	50	65	15	-	de -40 à +125	1,46	1,10	0,965
♦ 700-LM4040BIM3-5.0T	LM4040BIM3-5.0+T	SOT-23-3	5	0.2	100	65	15	-	de -40 à +85	1,11	0,825	0,728
♦ 700-LM4040CIX3-5.0T	LM4040CIX3-5.0+T	SC-70-3	5	0.5	100	65	15	-	de -40 à +125	0,63	0,471	0,412
♦ 700-LM4040DEM3-5.0T	LM4040DEM3-5.0+T	SOT-23-3	5	1	150	70	15	-	de -40 à +85	0,54	0,403	0,353

PILOTES POUR SOURCES D'ALIMENTATION ÉLECTRIQUES ISOLÉES

♦ **Composant pour montage en surface**

Pour des quantités supérieures à celles indiquées, appelez-nous afin d'obtenir un devis.

RÉF. STOCK MOUSER	Réf. Maxim	Boîtier	VIN (V) Min.	VIN (V) Max.	Freq. (kHz) (Min)	ICC (mA) (Min)	Réaction	Topologie	Prix unitaire 1	25	100
700-MAX253CPA	MAX253CPA+	PDIP-8	2.5	6	350	0.45	Boucle ouverte	Push-pull demi-pont	2,57	1,30	1,20
♦ 700-MAX253CSA	MAX253CSA+	SOIC 8	2.5	6	350	0.45	Boucle ouverte	Push-pull demi-pont	2,71	1,80	1,30
♦ 700-MAX253CUA	MAX253CUA+	µMAX-8	2.5	6	350	0.45	Boucle ouverte	Push-pull demi-pont	2,81	1,42	1,31
700-MAX253EPA	MAX253EPA+	PDIP-8	2.5	6	350	0.45	Boucle ouverte	Push-pull demi-pont	3,65	1,86	1,71
♦ 700-MAX253ESA	MAX253ESA+	SOIC 8	2.5	6	350	0.45	Boucle ouverte	Push-pull demi-pont	3,35	1,70	1,56
♦ 700-MAX256ASA	MAX256ASA+	SOIC 8	3	5.5	1000	1	Boucle ouverte	Push-pull demi-pont	5,73	2,90	2,67
♦ 700-MAX845ESA	MAX845ESA+	SOIC 8	2.5	6	860	1.1	Boucle ouverte	Push-pull	3,65	1,86	1,71
♦ 700-MAX845EUA	MAX845EUA+	µMAX-8	2.5	6	860	1.1	Boucle ouverte	Push-pull	3,84	2,67	1,94
700-MAX15001BEUB	MAX15001BEUB+	µMAX-10	9.5	24	625	2	Primaire	Flyback, asymétrique Directe	3,02	1,49	1,37
700-MAX5022EUA	MAX5022EUA+	µMAX-8	24	375	262	2.43	Opto	Flyback	1,44	0,729	0,671
700-MAX5069DAUE	MAX5069DAUE+	TSSOP-16	10.8	24	2500	3	Linéaire, opto	Demi-pont, pont complet, Push-pull	7,24	3,67	3,37

SÉQUENCEURS D'ALIMENTATION ET SUIVI DE CONSOMMATION ÉLECTRIQUE

♦ **Composant pour montage en surface**

Pour des quantités supérieures à celles indiquées, appelez-nous afin d'obtenir un devis.

RÉF. STOCK MOUSER	Réf. Maxim	Boîtier	Option	Interface	Entrée Voies	Caractéristiques techniques	Prix unitaire 1	25	100
♦ 700-MAX16029TG	MAX16029TG+	TQFN-24	Séquence	Réglé usine Réglage R/C	4	Entrée d'inhibition et d'habilitation, sortie de réinitialisation	6,67	4,45	3,22
♦ 700-MAX6338OUB	MAX6338OUB+	µMAX-10	Aucun	-	4	Entrée réinit. rég., tension nég.	6,19	3,05	2,81
♦ 700-MAX6339CUTT	MAX6339CUT+T	SOT-6	Aucun	Réglé usine Réglage R/C	4	Entrée réinit. rég., tension nég.	4,26	2,84	2,05
♦ 700-MAX16046ETN	MAX16046ETN+	TQFN 56	Moniteur, Séq./Séq. et piste/piste	I2C/SMBus, JTAG	12	CAN, GPIO add., sortie pompe charge, entrée EN, Man Rs, journal erreurs NV, broche déch. sortie, détec. surtens., sortie RS, séq. inv., vitesse balay. cont., EEPROM utilisateur, marge tens., watchdog	20,56	10,43	9,59
♦ 700-MAX16048ETN	MAX16048ETN+	TQFN 56	Séq./Séq. et piste	I2C/SMBus, JTAG	8	CAN, GPIO add., sortie pompe charge, entrée EN, Man Rs, journal erreurs NV, broche déch. sortie, détec. surtens., sortie RS, séq. inv., vitesse balay. cont., EEPROM utilisateur, marge tens., watchdog	18,49	9,38	8,63
♦ 700-MAX16049ETN	MAX16049ETN+	TQFN 56	Séq./Séq. et piste/piste	I2C/SMBus, JTAG	8	CAN, GPIO add., sortie pompe charge, entrée EN, Man Rs, journal erreurs NV, broche déch. sortie, détec. surtens., sortie RS, séq. inv., vitesse balay. cont., EEPROM utilisateur, watchdog	17,60	8,93	8,22
♦ 700-MAX16050ETI	MAX16050ETI+	TQFN-28	Séquence	Réglé usine Réglage R/C	5	Sortie pompe charge, entrée EN, broche déch. sortie, sortie RS, séq. rév.	6,44	4,29	2,92
♦ 700-MAX16065ETM	MAX16065ETM+	TQFN-48	Moniteur, Séquence	I2C/SMBus, JTAG	12	CAN, GPIO add., sortie pompe charge, sens courant, entrée EN, Man Rs, journal erreurs NV, détec. surtens., sortie RS, EEPROM utilisateur, séq. watchdog	20,96	13,97	9,50
♦ 700-MAX16066ETL	MAX16066ETL+	TQFN-40	Moniteur, Séquence	I2C/SMBus, JTAG	8	CAN, GPIO add., sortie pompe charge, sens courant, entrée EN, Man Rs, journal erreurs NV, détec. surtens., sortie RS, EEPROM utilisateur, séq. watchdog	18,79	12,52	8,51
♦ 700-MAX34440ETL+	MAX34440ETL+	TQFN-40	Moniteur, Séquence	I2C/SMBus, PMBus	6	CAN, sens courant, journal erreurs NV, détec. surtens., sortie RS, séq. rév., marge V.	6,58	4,39	3,18
♦ 700-MAX34441ETL	MAX34441ETL+	TQFN-40	Moniteur, Séquence	I2C/SMBus, PMBus	5	CAN, sens courant, surv./ctrôle ventil., journal erreurs NV, détec. surtens., sortie RS, séq. rév., marge V.	7,33	3,72	3,42
700-MAX16025TE	MAX16025TE+	TQFN-16	Séquence	Réglé usine Réglage R/C	2	Activer entrée, réinit. sortie	2,93	1,44	1,32

TEMPORISATEURS DU WATCHDOG

♦ **Composant pour montage en surface**

Pour des quantités supérieures à celles indiquées, appelez-nous afin d'obtenir un devis.

RÉF. STOCK MOUSER	Réf. Maxim	Boîtier	Carac. watchdog	Tempo. watchdog	Délai départ watchdog	Sortie watchdog	I_{CC} (µA) Max.	Prix unitaire 1	25	100
♦ 700-MAX16998AAUA	MAX16998AAUA+	µMAX-8	Entrée (entrée watchdog)	Rég.	<60s	Drain ouvert	60	2,25	1,50	1,08

CONTRÔLEURS A REMPLACEMENT A CHAUD

♦ **Composant pour montage en surface**

Pour des quantités supérieures à celles indiquées, appelez-nous afin d'obtenir un devis.

RÉF. STOCK MOUSER	Réf. Maxim	Boîtier	VIN (V) (Min/Max)	Disjoncteur/ Limite courant	Contrôles d'erreur	Voies	Fil alim posit. / négat.	Prix unitaire 1	25	100
♦ 700-DS4560S-AR	DS4560S-AR+	SO-8	9/13.2	Limite courant	Verrou, reprise pério.	1	Positifs	2,35	1,57	1,14
♦ 700-MAX5921AESA	MAX5921AESA+	SO-8	-20/-80	Limite courant	Reprise pério.	1	Négatif	5,48	2,70	2,48
♦ 700-MAX5947AESA	MAX5947AESA+	SO-8	9/80	Limite courant	Verrou, reprise pério.	1	Positifs	4,85	3,23	2,34
♦ 700-MAX5956AEEE	MAX5956AEEE+	QSOP 16	1/13.2	Limite courant	Verrou, reprise pério.	2	Positifs	9,14	4,49	4,13

© Copyright 2012 Mouser Electronics

© Copyright 2012 Mouser Electronics

Gestion de l'énergie MICROCHIP

Les produits peuvent être conformes à la directive RoHS.
Consulter le site mouser.com pour vérifier la conformité RoHS.

RÉGULATEURS LINÉAIRES MICROCHIP

Pour des quantités supérieures à celles indiquées, appelez-nous afin d'obtenir un devis.

RÉF. STOCK MOUSER	Réf. Microchip	Boîtier	Description	Prix unitaire			
				1	10	25	100
579-TC1014-1.8VCT713	TC1014-1.8VCT713	SOT-23A-5	Régulateur LDO 50mA avec shutdown et découplage de référence de tension	0,27	0,248	0,203	0,188
579-TC1014-2.5VCT713	TC1014-2.5VCT713	SOT-23A-5	Régulateur LDO 50mA avec shutdown et découplage de référence de tension	0,27	0,248	0,203	0,188
579-TC1014-3.0VCT713	TC1014-3.0VCT713	SOT-23A-5	Régulateur LDO 50mA avec shutdown et découplage de référence de tension	0,27	0,248	0,203	0,188
579-TC1014-3.3VCT713	TC1014-3.3VCT713	SOT-23A-5	Régulateur LDO 50mA avec shutdown et découplage de référence de tension	0,27	0,248	0,203	0,188
579-TC1014-5.0VCT713	TC1014-5.0VCT713	SOT-23A-5	Régulateur LDO 50mA avec shutdown et découplage de référence de tension	0,27	0,248	0,203	0,188
579-TC1015-1.8VCT713	TC1015-1.8VCT713	SOT-23A-5	Régulateur LDO 100mA avec shutdown et découplage de référence de tension	0,29	0,255	0,21	0,195
579-TC10153.0VCT	TC1015-3.0VCT713	SOT-23A-5	Régulateur LDO 100mA avec shutdown et découplage de référence de tension	0,29	0,27	0,225	0,203
579-TC1015-3.3VCT713	TC1015-3.3VCT713	SOT-23A-5	Régulateur LDO 100mA avec shutdown et découplage de référence de tension	0,29	0,27	0,225	0,203
579-TC1017-1.8VCTTR	TC1017-1.8VCTTR	SOT-23-5	Régulateur de tension150mA CMOS LDO avec shutdown	0,33	0,30	0,255	0,233
579-TC1185-3.0VCT713	TC1185-3.0VCT713	SOT-23A-5	Régulateur LDO 150mA avec shutdown et découplage de référence de tension	0,30	0,278	0,233	0,21
579-TC1185-5.0VCT713	TC1185-5.0VCT713	SOT-23A-5	Régulateur LDO 150mA avec shutdown et découplage de référence de tension	0,30	0,278	0,233	0,21
579-MCP1700-1802E/TO	MCP1700-1802E/TO	TO-92-3	Régulateur 250mA CMOS LDO, Isupply 1uA et 2% de précision de la tension de sortie	0,30	0,278	0,233	0,21
579-MCP1700T1802E/TT	MCP1700T-1802E/TT	SOT-23-3	Régulateur 250mA CMOS LDO, Isupply 1uA et 2% de précision de la tension de sortie	0,30	0,278	0,233	0,21
579-MCP1700-3002E/TO	MCP1700-3002E/TO	TO-92-3	Régulateur 250mA CMOS LDO, Isupply 1uA et 2% de précision de la tension de sortie	0,30	0,278	0,233	0,21
579-MCP1700T3002E/TT	MCP1700T-3002E/TT	SOT-23-3	Régulateur 250mA CMOS LDO, Isupply 1uA et 2% de précision de la tension de sortie	0,30	0,278	0,233	0,21
579-MCP1700-3302E/TO	MCP1700-3302E/TO	TO-92-3	Régulateur 250mA CMOS LDO, Isupply 1uA et 2% de précision de la tension de sortie	0,30	0,278	0,233	0,21
579-MCP1700T3302E/TT	MCP1700T-3302E/TT	SOT-23-3	Régulateur 250mA CMOS LDO, Isupply 1uA et 2% de précision de la tension de sortie	0,30	0,278	0,233	0,21
579-MCP1700-5002E/TO	MCP1700-5002E/TO	TO-92-3	Régulateur 250mA CMOS LDO, Isupply 1uA et 2% de précision de la tension de sortie	0,30	0,278	0,233	0,21
579-MCP1700T5002E/TT	MCP1700T-5002E/TT	SOT-23-3	Régulateur 250mA CMOS LDO, Isupply 1uA et 2% de précision de la tension de sortie	0,30	0,278	0,233	0,21
579-MCP1702T1802E/CB	MCP1702T-1802E/CB	SOT-23-3	Régulateur 250mA LDO low Iq, tension d'entrée 10V max, tension de sortie =1.8V	0,39	0,36	0,30	0,27
579-MCP1702-3002E/TO	MCP1702-3002E/TO	TO-92-3	Régulateur 250mA LDO, tension d'entrée 10V max, tension de sortie =3.0V	0,39	0,36	0,30	0,27
579-MCP1702T3002E/CB	MCP1702T-3002E/CB	SOT-23A-3	Régulateur 250mA LDO, tension d'entrée 10V max, tension de sortie =3.0V	0,39	0,36	0,30	0,27
579-MCP1702-3302E/TO	MCP1702-3302E/TO	TO-92-3	Régulateur 250mA LDO low Iq, tension d'entrée 10V max, tension de sortie =3.3V	0,39	0,36	0,30	0,27
579-MCP1702T3302E/CB	MCP1702T-3302E/CB	SOT-23A-3	Régulateur 250mA LDO low Iq, tension d'entrée 10V max, tension de sortie =3.3V	0,39	0,36	0,30	0,27
579-MCP1702-5002E/TO	MCP1702-5002E/TO	TO-92-3	Régulateur 250mA LDO, tension d'entrée 10V max, tension de sortie =5.0V	0,39	0,36	0,30	0,27
579-MCP1702T5002E/CB	MCP1702T-5002E/CB	SOT-23A-3	Régulateur 250mA LDO, tension d'entrée 10V max, tension de sortie =5.0V	0,39	0,36	0,30	0,27
579-MCP1703T-1802ECB	MCP1703T-1802E/CB	SOT-23A-3	Régulateur 250mA LDO low Iq, tension d'entrée 16V max, tension de sortie =1.8V	0,45	0,405	0,338	0,308
579-MCP1703T-3002ECB	MCP1703T-3002E/CB	SOT-23A-3	Régulateur 250mA LDO low iq, tension d'entrée 16V max, tension de sortie =3.0V	0,45	0,405	0,338	0,308
579-MCP1703T-3302ECB	MCP1703T-3302E/CB	SOT-23A-3	Régulateur 250mA LDO low Iq, tension d'entrée 16V max, tension de sortie =3.3V	0,45	0,405	0,338	0,308
579-MCP1703T-5002ECB	MCP1703T-5002E/CB	SOT-23A-3	Régulateur 250mA LDO low iq, tension d'entrée 16V max, tension de sortie =5.0V	0,45	0,405	0,338	0,308
579-MCP1725-3302E/SN	MCP1725-3302E/SN	SOIC 8 broches	500mA CMOS LDO, tension de sortie =3.3V, plage de température étendue	0,42	0,383	0,323	0,293
579-MCP1726-3302E/SN	MCP1726-3302E/SN	SOIC 8 broches	1A CMOS LDO, tension de sortie =3.3V, plage de température étendue	0,56	0,51	0,428	0,39
579-MCP1727-3302E/SN	MCP1727-3302E/SN	SOIC 8 broches	1.5A CMOS LDO, tension de sortie =3.3V, plage de température étendue	0,68	0,615	0,518	0,615
579-MCP1801T-1802IOT	MCP1801T-1802I/OT	SOT-23-5	High PSRR 150mA LDO, tension d'entrée 10V max, tension de sortie =1.8V	0,35	0,315	0,263	0,24
579-MCP1801T-3002IOT	MCP1801T-3002I/OT	SOT-23-5	High PSRR 150mA LDO, tension d'entrée 10V max, tension de sortie =3.0V	0,35	0,315	0,263	0,24
579-MCP1801T-3302IOT	MCP1801T-3302I/OT	SOT-23-5	High PSRR 150mA LDO, tension d'entrée 10V max, tension de sortie =3.3V	0,35	0,315	0,263	0,24
579-MCP1801T-5002IOT	MCP1801T-5002I/OT	SOT-23-5	High PSRR 150mA LDO, tension d'entrée 10V max, tension de sortie =5.0V	0,35	0,315	0,263	0,24
579-MCP1802T-3002IOT	MCP1802T-3002I/OT	SOT-23-5	High PSRR 300mA LDO, tension d'entrée 10V max, tension de sortie =3.0V	0,44	0,398	0,33	0,30
579-MCP1802T-3302IOT	MCP1802T-3302I/OT	SOT-23-5	High PSRR 300mA LDO, tension d'entrée 10V max, tension de sortie =3.3V	0,44	0,398	0,33	0,30
579-MCP1802T-5002IOT	MCP1802T-5002I/OT	SOT-23-5	High PSRR 300mA LDO, tension d'entrée 10V max, tension de sortie =5.0V	0,44	0,398	0,33	0,30
579-MCP1804T-1802IDB	MCP1804T-1802I/DB	SOT-223	Régulateur 150mA LDO tension d'entrée 28V tension de sortie =1.8V	0,57	0,525	0,435	0,398
579-MCP1804T-1802IMB	MCP1804T-1802I/MB	SOT-89-3	Régulateur 150mA LDO tension d'entrée 28V tension de sortie =1.8V	0,57	0,525	0,435	0,398
579-MCP1804T-1802IMT	MCP1804T-1802I/MT	SOT-89-5	Régulateur 150mA LDO tension d'entrée 28V tension de sortie =1.8V	0,57	0,525	0,435	0,398
579-MCP1804T-1802IOT	MCP1804T-1802I/OT	SOT-23-5	Régulateur 150mA LDO tension d'entrée 28V tension de sortie =1.8V	0,54	0,503	0,42	0,383
579-MCP1804T-2502IDB	MCP1804T-2502I/DB	SOT-223	Régulateur 150mA LDO tension d'entrée 28V tension de sortie =2.5V	0,57	0,525	0,435	0,398
579-MCP1804T-2502IMB	MCP1804T-2502I/MB	SOT-89-3	Régulateur 150mA LDO tension d'entrée 28V tension de sortie =2.5V	0,57	0,525	0,435	0,398
579-MCP1804T-2502IMT	MCP1804T-2502I/MT	SOT-89-5	Régulateur 150mA LDO tension d'entrée 28V tension de sortie =2.5V	0,57	0,525	0,435	0,398
579-MCP1804T-2502IOT	MCP1804T-2502I/OT	SOT-23-5	Régulateur 150mA LDO tension d'entrée 28V tension de sortie =2.5V	0,54	0,503	0,42	0,383
579-MCP1804T-3002IDB	MCP1804T-3002I/DB	SOT-223	Régulateur 150mA LDO tension d'entrée 28V tension de sortie =3.0V	0,57	0,525	0,435	0,398
579-MCP1804T-3002IMB	MCP1804T-3002I/MB	SOT-89-3	Régulateur 150mA LDO tension d'entrée 28V tension de sortie =3.0V	0,57	0,525	0,435	0,398
579-MCP1804T-3002IMT	MCP1804T-3002I/MT	SOT-89-5	Régulateur 150mA LDO tension d'entrée 28V tension de sortie =3.0V	0,57	0,525	0,435	0,398
579-MCP1804T-3002IOT	MCP1804T-3002I/OT	SOT-23-5	Régulateur 150mA LDO tension d'entrée 28V tension de sortie =3.0V	0,54	0,503	0,42	0,383
579-MCP1804T-3302IDB	MCP1804T-3302I/DB	SOT-223	Régulateur 150mA LDO tension d'entrée 28V tension de sortie =3.3V	0,57	0,525	0,435	0,398
579-MCP1804T-3302IMB	MCP1804T-3302I/MB	SOT-89-3	Régulateur 150mA LDO tension d'entrée 28V tension de sortie =3.3V	0,57	0,525	0,435	0,398
579-MCP1804T-3302IMT	MCP1804T-3302I/MT	SOT-89-5	Régulateur 150mA LDO tension d'entrée 28V tension de sortie =3.3V	0,57	0,525	0,435	0,398
579-MCP1804T-3302IOT	MCP1804T-3302I/OT	SOT-23-5	Régulateur 150mA LDO tension d'entrée 28V tension de sortie =3.3V	0,54	0,503	0,42	0,383
579-MCP1804T-5002IDB	MCP1804T-5002I/DB	SOT-223	Régulateur 150mA LDO tension d'entrée 28V tension de sortie =5.0V	0,57	0,525	0,435	0,398
579-MCP1804T-5002IMB	MCP1804T-5002I/MB	SOT-89-3	Régulateur 150mA LDO tension d'entrée 28V tension de sortie =5.0V	0,57	0,525	0,435	0,398
579-MCP1804T-5002IMT	MCP1804T-5002I/MT	SOT-89-5	Régulateur 150mA LDO tension d'entrée 28V tension de sortie =5.0V	0,57	0,525	0,435	0,398
579-MCP1804T-5002IOT	MCP1804T-5002I/OT	SOT-23-5	Régulateur 150mA LDO tension d'entrée 28V tension de sortie =5.0V	0,54	0,503	0,42	0,383
579-MCP1804T-A002IDB	MCP1804T-A002I/DB	SOT-223	Régulateur 150mA LDO tension d'entrée 28V tension de sortie =10.0V	0,57	0,525	0,435	0,398
579-MCP1804T-A002IMB	MCP1804T-A002I/MB	SOT-89-3	Régulateur 150mA LDO tension d'entrée 28V tension de sortie =10.0V	0,57	0,525	0,435	0,398
579-MCP1804T-A002IMT	MCP1804T-A002I/MT	SOT-89-5	Régulateur 150mA LDO tension d'entrée 28V tension de sortie =10.0V	0,57	0,525	0,435	0,398
579-MCP1804T-A002IOT	MCP1804T-A002I/OT	SOT-23-5	Régulateur 150mA LDO tension d'entrée 28V tension de sortie =10.0V	0,54	0,503	0,42	0,383
579-MCP1804T-C002IDB	MCP1804T-C002I/DB	SOT-223	Régulateur 150mA LDO tension d'entrée 28V tension de sortie =12.0V	0,57	0,525	0,435	0,398
579-MCP1804T-C002IMB	MCP1804T-C002I/MB	SOT-89-3	Régulateur 150mA LDO tension d'entrée 28V tension de sortie =12.0V	0,57	0,525	0,435	0,398
579-MCP1804T-C002IMT	MCP1804T-C002I/MT	SOT-89-5	Régulateur 150mA LDO tension d'entrée 28V tension de sortie =12.0V	0,57	0,525	0,435	0,398
579-MCP1804T-C002IOT	MCP1804T-C002I/OT	SOT-23-5	Régulateur 150mA LDO tension d'entrée 28V tension de sortie =12.0V	0,54	0,503	0,42	0,383
579-MCP1825T-ADJE/DC	MCP1825T-ADJE/DC	SOT-223-5	Régulateur 500mA CMOS LDO, tension de sortie réglable, plage de température étendue	0,42	0,383	0,323	0,293
579-MCP1825S-3002EAB	MCP1825S-3002E/AB	TO-220-3	Régulateur 500mA CMOS LDO, tension de sortie =3.0V, plage de température étendue	0,68	0,615	0,518	0,465
579-MCP1825S-3002EDB	MCP1825S-3002E/DB	SOT-223-3	Régulateur 500mA CMOS LDO, tension de sortie =3.0V, plage de température étendue	0,42	0,383	0,323	0,293
579-MCP1825S-3302EAB	MCP1825S-3302E/AB	TO-220-3	Régulateur 500mA CMOS LDO, tension de sortie =3.3V, plage de température étendue	0,68	0,615	0,518	0,465
579-MCP1825S-3302EDB	MCP1825S-3302E/DB	SOT-223-3	Régulateur 500mA CMOS LDO, tension de sortie =3.3V, plage de température étendue	0,42	0,383	0,323	0,293
579-MCP1825S-5002EAB	MCP1825S-5002E/AB	TO-220-3	Régulateur 500mA CMOS LDO, tension de sortie =5.0V, plage de température étendue	0,68	0,615	0,518	0,465
579-MCP1825S-5002EDB	MCP1825S-5002E/DB	SOT-223-3	Régulateur 500mA CMOS LDO, tension de sortie =5.0V, plage de température étendue	0,42	0,383	0,323	0,293
579-MCP1826-5002E/AT	MCP1826-5002E/AT	TO-220-5	Régulateur 1A CMOS LDO, tension de sortie =5.0V, plage de température étendue	0,80	0,735	0,615	0,555
579-MCP1826S-1802EDB	MCP1826S-1802E/DB	SOT-223-3	1 A CMOS LDO, tension de sortie =1.8V, plage de température étendue	0,56	0,51	0,428	0,39
579-MCP1826S-3302EAB	MCP1826S-3302E/AB	TO-220-3	1 A CMOS LDO, tension de sortie =3.3V, plage de température étendue	0,80	0,735	0,615	0,555
579-MCP1826S-3302EDB	MCP1826S-3302E/DB	SOT-223-3	1 A CMOS LDO, tension de sortie =3.3V, plage de température étendue	0,56	0,51	0,428	0,39
579-MCP1826S-5002EAB	MCP1826S-5002E/AB	TO-220-3	Régulateur 1A CMOS LDO, tension de sortie =5.0V, plage de température étendue	0,80	0,735	0,615	0,555
579-MCP1826S-5002EDB	MCP1826S-5002E/DB	SOT-223-3	Régulateur 1A CMOS LDO, tension de sortie =5.0V, plage de température étendue	0,56	0,51	0,428	0,39

© Copyright 2012 Mouser Electronics
© Copyright 2012 Mouser Electronics

Gestion de l'énergie MICROCHIP

Les produits peuvent être conformes à la directive RoHS.
Consulter le site mouser.com pour vérifier la conformité RoHS.

RÉGULATEURS DE COMMUTATION MICROCHIP

Pour des quantités supérieures à celles indiquées, appelez-nous afin d'obtenir un devis.

RÉF. STOCK MOUSER	Réf. Microchip	Boîtier	Description	Prix unitaire			
				1	10	25	100
579-MCP1601-I/MS	MCP1601-I/MS	MSOP-8	Régulateur buck synchrone 500mA	1,01	0,923	0,765	0,698
579-MCP1603T-180I/OS	MCP1603T-180I/OS	TSOT-5	Régulateur MLI/modulation d'impulsions en fréquence buck synchrone 2.0MHz, 0.5A	0,80	0,735	0,615	0,555
579-MCP1603T-330I/OS	MCP1603T-330I/OS	TSOT-5	Régulateur MLI/modulation d'impulsions en fréquence buck synchrone 2.0MHz, 0.5A	0,80	0,735	0,615	0,555
579-MCP1603T-ADJI/OS	MCP1603T-ADJI/OS	TSOT-5	Régulateur MLI/modulation d'impulsions en fréquence buck synchrone 2.0MHz, 0.5A	0,80	0,735	0,615	0,555
579-MCP1640B-I/MC	MCP1640B-I/MC	8 DFN	500 kHz, 300 mA Syn. Boost, déconnexion de sortie & MLI activés	0,50	0,458	0,375	0,345
579-MCP1640BT-I/CHY	MCP1640BT-I/CHY	6 SOT-23	500 kHz, 300 mA Syn. Boost, déconnexion de sortie & MLI activés	0,47	0,428	0,36	0,33
579-MCP1640C-I/MC	MCP1640C-I/MC	8 DFN	500kHz, 300mA Syn. Boost, dérivation entrée-sortie & MLI/modulation d'impulsions en fréquence activées	0,50	0,458	0,375	0,345
579-MCP1640CT-I/CHY	MCP1640CT-I/CHY	6 SOT-23	500kHz, 300mA Syn. Boost, dérivation entrée-sortie & MLI/modulation d'impulsions en fréquence activées	0,47	0,428	0,36	0,33
579-MCP1640D-I/MC	MCP1640D-I/MC	8 DFN	500kHz, 300mA Syn. Boost, dérivation entrée-sortie & MLI activées	0,50	0,458	0,375	0,345
579-MCP1640DT-I/CHY	MCP1640DT-I/CHY	6 SOT-23	500kHz, 300mA Syn. Boost, dérivation entrée-sortie & MLI activées	0,47	0,428	0,36	0,33
579-MCP1640I/MC	MCP1640-I/MC	8 DFN	500kHz, 300mA Syn. Boost, déconnexion de sortie & MLI/modulation d'impulsions en fréquence activés	0,50	0,458	0,375	0,345
579-MCP1640TI/CHY	MCP1640T-I/CHY	6 SOT-23	500kHz, 300mA Syn. Boost, déconnexion de sortie & MLI/modulation d'impulsions en fréquence activés	0,47	0,428	0,36	0,33
579-MCP1650R-E/MS	MCP1650R-E/MS	MSOP-8	Boost Controller; UVLO 2V	1,07	0,975	0,818	0,743
579-MCP1651R-E/MS	MCP1651R-E/MS	MSOP-8	Boost Controller w/Lbatt Ind; UVLO 2V	1,13	1,03	0,855	0,78
579-MCP1652R-E/MS	MCP1652R-E/MS	MSOP-8	Boost Controller w/Pgood Ind; UVLO 2V	1,13	1,03	0,855	0,78
579-MCP1653R-E/UN	MCP1653R-E/UN	MSOP 10 broches	Boost Controller w/LBatt&Pgood Ind; UVLO 2V	1,19	1,08	0,90	0,818

POMPES DE CHARGEMENT MICROCHIP

Pour des quantités supérieures à celles indiquées, appelez-nous afin d'obtenir un devis.

579-TC7662ACPA	TC7662ACPA	PDIP 8 broches	Convertisseur DC-DC haute tension	2,37	1,98	1,65	1,50
579-TC7662AEPA	TC7662AEPA	PDIP-8	Convertisseur DC-DC haute tension	3,26	2,72	2,26	2,06
579-TC7662BCOA	TC7662BCOA	SOIC 8 broches	Convertisseur DC-DC haute tension	1,71	1,43	1,19	1,08
579-TC7662BCPA	TC7662BCPA	PDIP 8 broches	Convertisseur DC-DC haute tension	1,71	1,43	1,19	1,08
579-TC7662BEOA	TC7662BEOA	SOIC-8	Convertisseur DC-DC haute tension	2,00	1,67	1,39	1,26
579-TC7662BEPA	TC7662BEPA	PDIP 8 broches	Convertisseur DC-DC haute tension	2,00	1,67	1,39	1,26
579-MCP125233X50I/MS	MCP1252-33X50I/MS	MSOP-8	Pompe de charge stabilisée 120mA	1,11	1,03	0,855	0,78
579-MCP1252-ADJI/MS	MCP1252-ADJI/MS	MSOP-8	Pompe de charge 120mA stabilisée, réglable	1,11	1,03	0,855	0,78
579-MCP125333X50I/MS	MCP1253-33X50I/MS	MSOP-8	Pompe de charge stabilisée 120mA	1,11	1,03	0,855	0,78
579-MCP1253-ADJI/MS	MCP1253-ADJI/MS	MSOP-8	Pompe de charge 120mA stabilisée, réglable	1,11	1,03	0,855	0,78

SUPERVISEURS DE SYSTÈME MICROCHIP

Pour des quantités supérieures à celles indiquées, appelez-nous afin d'obtenir un devis.

579-MCP100-450DI/TO	MCP100-450DI/TO	TO-92-3	Superviseur asymétrique actif faible	0,30	0,255	0,218	0,195
579-MCP100T-300I/TT	MCP100T-300I/TT	SOT-23-3	Superviseur asymétrique actif faible	0,30	0,255	0,218	0,195
579-MCP100T-450I/TT	MCP100T-450I/TT	SOT-23-3	Superviseur asymétrique actif faible	0,30	0,255	0,218	0,195
579-MCP101-450DI/TO	MCP101-450DI/TO	TO-92-3	Superviseur asymétrique actif faible	0,30	0,255	0,218	0,195
579-MCP101T-300I/TT	MCP101T-300I/TT	SOT-23-3	Superviseur asymétrique actif faible	0,30	0,255	0,218	0,195
579-MCP101T-450I/TT	MCP101T-450I/TT	SOT-23-3	Superviseur asymétrique actif faible	0,30	0,255	0,218	0,195
579-MCP120-300DI/TO	MCP120-300DI/TO	TO-92-3	Superviseur à drain ouvert actif faible	0,41	0,338	0,278	0,255
579-MCP120T-300I/TT	MCP120T-300I/TT	SOT-23-3	Superviseur à drain ouvert actif faible	0,41	0,338	0,278	0,255
579-MCP120-450DI/TO	MCP120-450DI/TO	TO-92-3	Superviseur à drain ouvert actif faible	0,41	0,338	0,278	0,255
579-MCP120T-450I/TT	MCP120T-450I/TT	SOT-23-3	Superviseur à drain ouvert actif faible	0,41	0,338	0,278	0,255
579-MCP130-300DI/TO	MCP130-300DI/TO	TO-92-3	Superviseur w/5K Pull-up actif bas	0,41	0,338	0,278	0,255
579-MCP130-450DI/TO	MCP130-450DI/TO	TO-92-3	Superviseur w/5K Pull-up actif bas	0,41	0,338	0,278	0,255
579-MCP130T-300I/TT	MCP130T-300I/TT	SOT-23-3	Superviseur w/5K Pull-up actif bas	0,41	0,338	0,278	0,255
579-MCP130T-450I/TT	MCP130T-450I/TT	SOT-23-3	Superviseur w/5K Pull-up actif bas	0,41	0,338	0,278	0,255
579-MCP1316T-29LE/OT	MCP1316T-29LE/OT	SOT-23-5	P-P actif bas avec WDI, MR (WDI = 1.6s, réinitialisation = 200ms)	0,47	0,443	0,368	0,338
579-MCP1316T-46LE/OT	MCP1316T-46LE/OT	SOT-23-5	P-P actif bas avec WDI, MR (WDI = 1.6s, réinitialisation = 200ms)	0,47	0,443	0,368	0,338
579-MCP1317T-29LE/OT	MCP1317T-29LE/OT	SOT-23-5	P-P actif haut avec WDI, MR (WDI = 1.6s, réinitialisation = 200ms)	0,47	0,443	0,368	0,338
579-MCP1317T-46LE/OT	MCP1317T-46LE/OT	SOT-23-5	P-P actif haut avec WDI, MR (WDI = 1.6s, réinitialisation = 200ms)	0,47	0,443	0,368	0,338
579-MCP1319MT29LE/OT	MCP1319MT-29LE/OT	SOT-23-5	MR, P-P actif bas pull-up interne, P-P actif haut (WDI = 1.6s, réinitialisation = 200ms, Vtrpd - 2.9V)	0,47	0,443	0,368	0,338
579-MCP1319MT46LE/OT	MCP1319MT-46LE/OT	SOT-23-5	MR, P-P actif bas pull-up interne, P-P actif haut (WDI = 1.6s, délai de réinitialisation = 200ms, Vtrpd - 4.6V)	0,47	0,443	0,368	0,338
579-MCP1320T-29LE/OT	MCP1320T-29LE/OT	SOT-23-5	Active low P-P with WDI, MR - WDI = 1.6s, reset delay = 200ms	0,47	0,443	0,368	0,338
579-MCP1320T-46LE/OT	MCP1320T-46LE/OT	SOT-23-5	Drain ouvert actif bas, WDI, MR (WDI = 1,6s, délai de réinitialisation = 200ms)	0,47	0,443	0,368	0,338
579-MCP1321T-29LE/OT	MCP1321T-29LE/OT	SOT-23-6	P-P actif haut, drain ouvert actif bas, WDI (WDI = 1.6s, réinitialisation = 200ms)	0,47	0,443	0,368	0,338
579-MCP1321T-46LE/OT	MCP1321T-46LE/OT	SOT-23-5	P-P actif haut, drain ouvert actif bas, WDI (WDI = 1.6s, réinitialisation = 200ms)	0,47	0,443	0,368	0,338
579-MCP1322T-29LE/OT	MCP1322T-29LE/OT	SOT-23-5	PP actif haut, drain ouvert actif bas, MR (WDI = 1,6s, réinitialisation = 200ms)	0,47	0,443	0,368	0,338
579-MCP1322T-46LE/OT	MCP1322T-46LE/OT	SOT-23-5	PP actif haut, drain ouvert actif bas, MR (WDI = 1,6s, réinitialisation = 200ms)	0,47	0,443	0,368	0,338
579-TCM809RENB713	TCM809RENB713	SOT-23B-3	Moniteur de réinitialisation de microprocesseur 2,63V	0,30	0,255	0,218	0,195

RÉFÉRENCES DE TENSION MICROCHIP

Pour des quantités supérieures à celles indiquées, appelez-nous afin d'obtenir un devis.

579-MCP1525ITO	MCP1525-I/TO	TO-92-3	Référence de tension de précision 2.5V	0,69	0,578	0,48	0,435
579-MCP1525TITT	MCP1525T-I/TT	SOT-23-3	Référence de tension de précision 2.5V	0,69	0,578	0,48	0,435
579-MCP1541ITO	MCP1541-I/TO	TO-92-3	Référence de tension de précision 4.096V	0,69	0,578	0,48	0,435
579-MCP1541TITT	MCP1541T-I/TT	SOT-23-3	Référence de tension de précision 4.096V	0,69	0,578	0,48	0,435

CHARGEURS DE PILE MICROCHIP

Pour des quantités supérieures à celles indiquées, appelez-nous afin d'obtenir un devis.

579-MCP73113-06SI/MF	MCP73113-06SI/MF	DFN 10	Chargeur OVP monocellulaire 5.8V	0,92	0,84	0,698	0,638
579-MCP73113-16SI/MF	MCP73113-16SI/MF	DFN 10	Chargeur OVP monocellulaire 5.8V	0,92	0,84	0,698	0,638
579-MCP73114-0NSI/MF	MCP73114-0NSI/MF	DFN 10	Chargeur OVP monocellulaire 5.8V	0,93	0,84	0,698	0,638
579-MCP73114-1NSI/MF	MCP73114-1NSI/MF	DFN 10	Régulateur 4,1 V chargeur protection contre la surtension monocellulaire 5.8V	0,92	0,84	0,698	0,638
579-MCP73123-22SI/MF	MCP73123-22SI/MF	DFN 10	Chargeur de batterie protection contre la surtension LiFEPO3 monocellulaire	0,92	0,84	0,698	0,638
579-MCP73124-2JAI/MF	MCP73124-2JAI/MF	DFN 10	Chargeur LiFEPO4 monocellulaire régulateur 3,6V	0,92	0,84	0,698	0,638
579-MCP73213-A6SI/MF	MCP73213-A6SI/MF	DFN 10	Chargeur de batterie protection contre la surtension double cellule	1,46	1,34	1,12	1,01
579-MCP73213-B6SI/MF	MCP73213-B6SI/MF	DFN 10	Chargeur de batterie protection contre la surtension double cellule	1,46	1,34	1,12	1,01
579-MCP73223-C2SI/MF	MCP73223-C2SI/MF	DFN 10	Chargeur de batterie protection contre la surtension LiFEPO3 double cellule	1,46	1,34	1,12	1,01
579-MCP73811T-420IOT	MCP73811T-420I/OT	SOT-23-5	Contrôleur de gestion de charge intégré simple Li-Ion/Li-Poly, 4,2V réglage de tension	0,42	0,383	0,323	0,293
579-MCP73812T-420IOT	MCP73812T-420I/OT	SOT-23-5	Contrôleur de gestion de charge simple intégré Li-Ion/Li-Poly, 4,2V réglage de tension	0,45	0,405	0,338	0,308
579-MCP73831T-2ACIOT	MCP73831T-2ACI/OT	SOT-23-5	Contrôleur de gestion de charge intégré minuscule Li-Ion/Li-Poly, 4,2V Vreg	0,45	0,42	0,353	0,315
579-MCP73832T-2ACIOT	MCP73832T-2ACI/OT	SOT-23-5	Contrôleur de gestion de charge intégré minuscule Li-Ion/Li-Poly, 4,2V Vreg	0,45	0,42	0,353	0,315
579-MCP73833-AMI/UN	MCP73833-AMI/UN	MSOP 10 broches	Contrôleur de gestion de charge 1A Li-Ion/Li-Poly, sortie PG	0,71	0,638	0,533	0,488
579-MCP73834-FCI/UN	MCP73834-FCI/UN	MSOP 10 broches	Contrôleur de gestion de charge 1A Li-Ion/Li-Poly, sortie TE	0,71	0,638	0,533	0,488
579-MCP73837-FCI/MF	MCP73837-FCI/MF	3x3 DFN-10	Sortie PG chargeur Li-Ion autocommutateur entrée 1A USB/DV	0,92	0,84	0,698	0,638
579-MCP73837-FJI/MF	MCP73837-FJI/MF	3x3 DFN-10	Sortie PG chargeur Li-Ion autocommutateur entrée 1A USB/DV	0,92	0,84	0,698	0,638
579-MCP73838-FCI/MF	MCP73838-FCI/MF	3x3 DFN-10	Sortie TE chargeur Li-Ion autocommutateur entrée 1A USB/DV	0,92	0,84	0,698	0,638
579-MCP73838-NVI/MF	MCP73838-NVI/MF	3x3 DFN-10	Sortie TE chargeur Li-Ion autocommutateur entrée 1A USB/DV	0,92	0,84	0,698	0,638
579-MCP73861-I/SL	MCP73861-I/SL	SOIC 16 broches	Gestion de charge Lithium-Ion/Lithium-Polymère monocellulaire hautement intégrée	1,52	1,45	1,20	1,10
579-MCP73862-I/SL	MCP73862-I/SL	SOIC 16 broches	Gestion de charge Lithium-Ion/Lithium-Polymère double cellule hautement intégrée	1,71	1,63	1,36	1,24
579-MCP73863-I/SL	MCP73863-I/SL	SOIC 16 broches	Gestion de charge Lithium-Ion/Lithium-Polymère double cellule hautement intégrée	1,52	1,45	1,20	1,10
579-MCP73864-I/SL	MCP73864-I/SL	SOIC 16 broches	Gestion de charge Lithium-Ion/Lithium-Polymère double cellule hautement intégrée	1,71	1,63	1,36	1,24

© Copyright 2012 Mouser Electronics
© Copyright 2012 Mouser Electronics

Gestion de l'énergie ON SEMICONDUCTOR

ON Semiconductor®

RoHS Compliant This product is RoHS compliant.

RÉGULATEURS LINÉAIRES À USAGE GÉNÉRAL

Pour des quantités supérieures à celles indiquées, appelez-nous afin d'obtenir un devis.

RÉF. STOCK MOUSER	Réf. ON Semiconductor	Boîtier	VO Typ. (V)	VO Typ. (V)	VDO Typ. (V)	VI Max. (V)	Prix unitaire 1	25	100	500
Polarité négative, une seule sortie										
863-MC7915ACTG	MC7915ACTG	TO-220	-15	1	1.3	-35	0,39	0,325	0,229	0,193
863-MC7915CTG	MC7915CTG	TO-220	-15	1	1.3	-35	0,40	0,334	0,236	0,198
863-MC79L15ACDR2G	MC79L15ACDR2G	SOIC-8	-15	0.1	1.7	-35	0,45	0,292	0,20	0,166
863-MC79L15ACPG	MC79L15ACPG	TO-92	-15	0.1	1.7	-35	0,34	0,257	0,17	0,139
863-MC79M15CTG	MC79M15CTG	TO-220	-15	0,5	1.1	-35	0,41	0,344	0,243	0,204
863-MC7912CTG	MC7912CTG	TO-220	-12	1	1.3	-35	0,40	0,334	0,236	0,198
863-MC79L12ACDG	MC79L12ACDG	SOIC-8	-12	0.1	1.7	-35	0,27	0,248	0,17	0,139
863-MC79L12ACPG	MC79L12ACPG	TO-92	-12	0.1	1.7	-35	0,34	0,257	0,17	0,139
863-MC79M12BTG	MC79M12BTG	TO-220	-12	0,5	1.1	-35	0,51	0,396	0,301	0,256
863-MC79M12CDTG	MC79M12CDTG	DPAK	-12	0,5	1.1	-35	0,23	0,22	0,189	0,164
863-MC79M12CTG	MC79M12CTG	TO-220	-12	0,5	1.1	-35	0,40	0,334	0,236	0,198
863-MC7906CTG	MC7906CTG	TO-220	-6	1	1.3	-35	0,40	0,334	0,236	0,198
863-MC7905ACTG	MC7905ACTG	TO-220	-5	1	1.3	-35	0,39	0,325	0,229	0,193
863-MC7905CTG	MC7905CTG	TO-220	-5	1	1.3	-35	0,40	0,334	0,236	0,198
863-MC79L05ABPRAG	MC79L05ABPRAG	TO-92	-5	0.1	1.7	-30	0,59	0,479	0,405	0,336
863-MC79L05ACDG	MC79L05ACDG	SOIC-8	-5	0.1	1.7	-30	0,27	0,248	0,17	0,139
863-MC79L05ACDR2G	MC79L05ACDR2G	SOIC-8	-5	0.1	1.7	-30	0,27	0,248	0,183	0,151
863-MC79L05ACPG	MC79L05ACPG	TO-92	-5	0.1	1.7	-5	0,34	0,257	0,17	0,139
863-MC79L05ACPRAG	MC79L05ACPRAG	TO-92	-5	0.1	1.7	-30	0,36	0,276	0,183	0,151
863-MC79M05CDTG	MC79M05CDTG	DPAK	-5	0,5	1.1	-35	0,24	0,23	0,197	0,171
863-LM337BD2TR4G	LM337BD2TR4G	D2PAK	Réglable	1.5	2.7	-40	1,36	1,07	0,842	0,596
863-LM337BTG	LM337BTG	TO-220	Réglable	1.5	2.5	-40	0,74	0,66	0,452	0,384
863-LM337TG	LM337TG	TO-220	Réglable	1.5	2.5	-40	0,65	0,548	0,387	0,324
Polarité positive, une seule sortie										
863-LM317LDR2G	LM317LDR2G	SOIC-8	Réglable	0.1	2	40	0,31	0,252	0,177	0,147
863-NCP612SQ31T2G	NCP612SQ31T2G	SC-70-5	3.1	0.1	0.21	6	1,81	1,50	1,13	0,85
863-MC34160PG	MC34160PG	PDIP 16	5	0.1	2	40	1,50	1,21	1,09	0,99
863-MC7805ACD2TG	MC7805ACD2TG	D2PAK	5	1	2	35	0,70	0,588	0,415	0,348
863-MC7805ACTG	MC7805ACTG	TO-220	5	1	2	35	0,39	0,325	0,229	0,193
863-MC7805BD2TG	MC7805BD2TG	D2PAK	5	1	2	35	0,74	0,619	0,436	0,366
863-MC7805BTG	MC7805BTG	TO-220	5	1	2	35	0,22	0,21	0,17	0,154
863-MC7805CD2TG	MC7805CD2TG	D2PAK	5	1	2	35	0,57	0,48	0,338	0,285
863-MC7805CD2TR4G	MC7805CD2TR4G	D2PAK	5	1	2	35	0,62	0,518	0,365	0,278
863-MC7805CDTRKG	MC7805CDTRKG	DPAK	5	1	2	35	0,54	0,451	0,318	0,239
863-MC7815CD2TR4G	MC7815CD2TR4G	D2PAK	15	1	2	35	0,68	0,568	0,40	0,304
863-MC78L05ABDG	MC78L05ABDG	SOIC-8	5	0.1	1.7	30	0,28	0,251	0,176	0,146
863-MC78L05ABPG	MC78L05ABPG	TO-92	5	0.1	1.7	30	0,31	0,251	0,176	0,146
863-MC78L05ABPRAG	MC78L05ABPRAG	TO-92	5	0.1	1.7	30	0,33	0,27	0,19	0,158
863-MC78L05ACDG	MC78L05ACDG	SOIC-8	5	0.1	1.7	30	0,25	0,223	0,157	0,129
863-MC78L05ACDR2G	MC78L05ACDR2G	SOIC-8	5	0.1	1.7	30	0,27	0,248	0,183	0,151
863-MC78L05ACPG	MC78L05ACPG	TO-92	5	0.1	1.7	30	0,31	0,237	0,157	0,129
863-MC78L05ACPRAG	MC78L05ACPRAG	TO-92	5	0.1	1.7	30	0,36	0,276	0,183	0,151
863-MC78L05ACPREG	MC78L05ACPREG	TO-92	5	0.1	1.7	30	0,33	0,255	0,169	0,139
863-MC78L05ACPRMG	MC78L05ACPRMG	TO-92	5	0.1	1.7	30	0,38	0,29	0,192	0,158
863-MC78L05ACPRPG	MC78L05ACPRPG	TO-92	5	0.1	1.7	30	0,33	0,255	0,169	0,139
863-MC78L05ABDR2G	MC78L05ABDR2G	SOIC-8	5	0.1	1.7	30	0,26	0,231	0,172	0,143
863-MC78L05ACPRPG	MC78L05ACPRPG	TO-92	5	0.1	1.7	30	0,33	0,255	0,169	0,139
863-MC78LC50NTRG	MC78LC50NTRG	SOT-23	5	0.08	1	12	0,73	0,62	0,436	0,366
863-MC78M05BDTG	MC78M05BDTG	DPAK	5	0,5	2	35	0,55	0,464	0,328	0,275
863-MC78M05BTG	MC78M05BTG	TO-220	5	0,5	2	35	0,46	0,387	0,273	0,229
863-MC78M05BDTRKG	MC78M05BDTRKG	DPAK	5	0,5	2	35	0,38	0,318	0,224	0,188
863-MC78M05CDTG	MC78M05CDTG	DPAK	5	0,5	2	35	0,33	0,279	0,196	0,165
863-MC78M05CDTRKG	MC78M05CDTRKG	DPAK	5	0,5	2	35	0,36	0,301	0,212	0,178
863-MC78M05CTG	MC78M05CTG	TO-220	5	0,5	2	35	0,34	0,288	0,204	0,171
863-MC7806CTG	MC7806CTG	TO-220	6	1	2	35	0,37	0,29	0,23	0,171
863-MC7808BTG	MC7808BTG	TO-220	8	1	2	35	0,46	0,387	0,273	0,229
863-MC7808CTG	MC7808CTG	TO-220	8	1	2	35	0,37	0,29	0,23	0,171
863-MC78L08ACDR2G	MC78L08ACDR2G	SOIC-8	8	0.1	1.7	30	0,49	0,316	0,216	0,18
863-MC78L08ACPG	MC78L08ACPG	TO-92	8	0.1	1.7	30	0,31	0,237	0,157	0,129
863-MC78M08CDTG	MC78M08CDTG	DPAK	8	0,5	2	35	0,33	0,279	0,196	0,165
863-MC78M08CTG	MC78M08CTG	TO-220	8	0,5	2	35	0,36	0,326	0,236	0,198
863-MC7809CTG	MC7809CTG	TO-220	9	1	2	35	0,37	0,29	0,23	0,171
863-MC7812ACTG	MC7812ACTG	TO-220	12	1	2	35	0,39	0,325	0,229	0,193
863-MC7812BTG	MC7812BTG	TO-220	12	1	2	35	0,47	0,41	0,27	0,211
863-MC7812CD2TG	MC7812CD2TG	D2PAK	15	1	2	35	0,63	0,526	0,371	0,312
863-MC7812CTG	MC7812CTG	TO-220	12	1	2	35	0,32	0,29	0,163	0,147
863-MC78L12ACDG	MC78L12ACDG	SOIC-8	12	0.1	1.7	35	0,27	0,248	0,17	0,139
863-MC78L12ACDR2G	MC78L12ACDR2G	SOIC-8	12	0.1	1.7	35	0,25	0,223	0,169	0,139
863-MC78L12ACPG	MC78L12ACPG	TO-92	12	0.1	1.7	35	0,34	0,257	0,17	0,139
863-MC78M12BTG	MC78M12BTG	TO-220	12	0,5	2	35	0,46	0,387	0,273	0,229
863-MC78M12CDTG	MC78M12CDTG	DPAK	12	0,5	2	35	0,23	0,22	0,189	0,164
863-MC78M12CTG	MC78M12CTG	TO-220	12	0,5	2	35	0,35	0,295	0,208	0,174
863-MC7815BTG	MC7815BTG	TO-220	15	1	2	35	0,39	0,325	0,229	0,193
863-MC7815CTG	MC7815CTG	TO-220	15	1	2	35	0,30	0,23	0,152	0,137
863-MC78L15ACDR2G	MC78L15ACDR2G	SOIC-8	15	0.1	1.7	35	0,25	0,223	0,169	0,139
863-MC78L15ACPG	MC78L15ACPG	TO-92	15	0.1	1.7	35	0,34	0,257	0,17	0,139
863-MC78M15CTG	MC78M15CTG	TO-220	15	0,5	2	35	0,40	0,334	0,236	0,198
863-MC78L18ACPG	MC78L18ACPG	TO-92	18	0.1	1.7	35	0,31	0,237	0,157	0,129
863-MC7824CTG	MC7824CTG	TO-220	24	1	2	40	0,33	0,279	0,196	0,165
863-MC78M24CTG	MC78M24CTG	TO-220	24	0,5	2	40	0,40	0,334	0,236	0,198
863-LM317BD2TG	LM317BD2TG	D2PAK	Réglable	1.5	2.25	40	0,81	0,71	0,492	0,417
863-LM317BTG	LM317BTG	TO-220	Réglable	1.5	2.25	40	0,47	0,46	0,375	0,337
863-LM317D2TG	LM317D2TG	D2PAK	Réglable	1.5	2.25	40	0,70	0,588	0,415	0,348
863-LM317LBDG	LM317LBDG	SOIC-8	Réglable	0.1	2	40	0,40	0,341	0,24	0,202
863-LM317LDG	LM317LDG	SOIC-8	Réglable	0.1	2	40	0,29	0,234	0,163	0,136
863-LM317LZG	LM317LZG	TO-92	Réglable	0.1	2	40	0,35	0,285	0,199	0,166
863-LM317LZRAG	LM317LZRAG	TO-92	Réglable	0.1	2	40	0,16	0,13	0,12	0,111
863-LM317MBTG	LM317MBTG	TO-220	Réglable	0,5	2.2	40	0,59	0,495	0,35	0,294
863-LM317MDTG	LM317MDTG	DPAK	Réglable	0,5	2.2	40	0,48	0,403	0,284	0,238
863-LM317MTG	LM317MTG	TO-220	Réglable	0,5	2.2	40	0,52	0,433	0,306	0,257
863-LM317TG	LM317TG	TO-220	Réglable	1.5	2.25	40	0,42	0,356	0,252	0,211

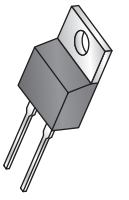

TO-220

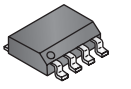

SOIC-8

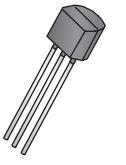

TO-92

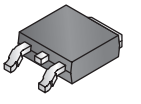

DPAK

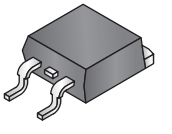

D2PAK

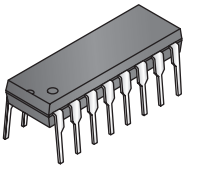

PDIP 16

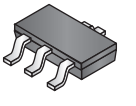

SOT-23

© Copyright 2012 Mouser Electronics

Tous les prix sont en EURO

© Copyright 2012 Mouser Electronics

Gestion de l'énergie ON SEMICONDUCTOR

RoHS Compliant **This product is RoHS compliant.**

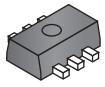
SOT-89-5

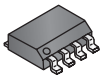
SOIC-8

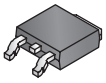
DPAK

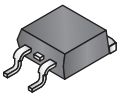
D2PAK

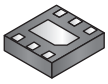
DFN 6

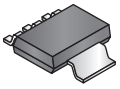
SOT-223

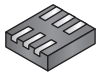
XDFN-6

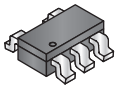
SOT-23

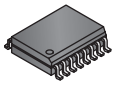
SOIC-16W

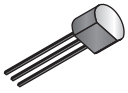
TO-92

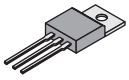
TO-220

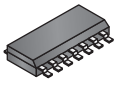
SOIC-14

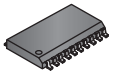
SOIC-20W

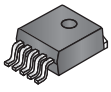
D2PAK5

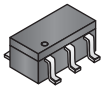
SC-88A

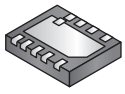
DFN-10

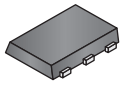
HSON-6

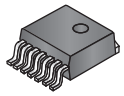
D2PAK7

RÉGULATEURS LINÉAIRES À PERTE FAIBLE

PRODUCT NEW

Pour des quantités supérieures à celles indiquées, appelez-nous afin d'obtenir un devis.

RÉF. STOCK MOUSER		Boîtier	V_O Typ. (V)	I_O Typ. (A)	V_{DO} Typ. (V)	V_I Max. (V)	Prix unitaire			
Fabr.	Réf. fabr.						1	25	100	500
Polarité positive, une seule sortie										
863—	LM2931AZ-5.0G	TO-92	5	0.1	0.16	40	0,49	0,41	0,29	0,243
863—	LM2931AT-5.0G	TO-220	5	0.1	0.16	40	1,05	0,916	0,633	0,538
863—	LP2950CDT-3.3G	DPAK	3.3	0.1	0.35	30	0,75	0,578	0,443	0,377
863—	LP2950ACZ-3.3G	TO-92	3.3	0.1	0.35	30	0,61	0,559	0,404	0,339
863—	LP2950CZ-3.3G	TO-92	3.3	0.1	0.35	30	0,63	0,582	0,421	0,353
863—	LP2950CDT-5.0G	DPAK	5	0.1	0.35	30	0,91	0,67	0,568	0,492
863—	LP2950CDT-5.0RKG	DPAK	5	0.1	0.35	30	0,42	0,41	0,352	0,305
863—	LP2950ACZ-5.0G	TO-92	5	0.1	0.35	30	0,75	0,63	0,445	0,373
863—	LP2950CZ-5.0G	TO-92	5	0.1	0.35	30	0,64	0,542	0,382	0,321
863—	LP2951ACDG	SOIC-8	Régl.	0.1	0.35	30	0,55	0,461	0,326	0,273
863—	MC33269D-3.3G	SOIC 8	3.3	0.8	1.1	20	0,70	0,604	0,426	0,357
863—	MC33269DT-3.3G	DPAK	3.3	0.8	1.1	20	0,72	0,604	0,426	0,357
863—	MC33269D-5.0G	SOIC 8	5	0.8	1.1	20	0,71	0,644	0,519	0,422
863—	MC33269DT-5.0G	DPAK	5	0.8	1.1	20	0,72	0,604	0,426	0,357
863—	MC33269DTG	DPAK	Régl.	0.8	1.1	20	0,72	0,604	0,426	0,357
863—	MC33269DTRK-3.3G	DPAK	Régl.	0.8	1.1	20	0,78	0,652	0,46	0,385
863—	NCP3337MN330R2G	DFN-10	3.3	0.5	0.26	16	1,06	0,842	0,757	0,589
863—	NCP3337MNADJR2G	DFN-10	Régl.	0.5	0.26	16	1,06	0,842	0,757	0,589
863—	NCP1117ST18T3G	SOT-223	1.8	1	1.2	20	0,29	0,266	0,207	0,165
863—	NCP1117DT33G	DPAK	3.3	1	1.2	20	0,32	0,272	0,192	0,162
863—	NCP1117DT33RKG	DPAK	3.3	1	1.2	20	0,35	0,295	0,207	0,174
863—	NCP1117DT33T5G	DPAK	3.3	1	1.2	20	0,62	0,536	0,408	0,343
863—	NCP1117ST33T3G	SOT-223	3.3	1	1.2	20	0,35	0,295	0,207	0,174
863—	NCP1117DT50G	DPAK	5	1	1.2	20	0,32	0,272	0,192	0,162
863—	NCP1117ST50T3G	SOT-223	5	1	1.2	20	0,35	0,295	0,207	0,174
863—	NCP1117STAT3G	SOT-223	Régl.	1	1.2	20	0,35	0,295	0,207	0,174
863—	NCP4587DMX12TCG	XDFN-6	1.2	0.15	0.24	6	0,58	0,519	0,457	0,335
863—	NCP4587DMX18TCG	XDFN-6	1.8	0.15	0.19	6	0,58	0,519	0,457	0,335
863—	NCP4587DMX28TCG	XDFN-6	2.8	0.15	0.12	6	0,58	0,519	0,457	0,335
863—	NCP4587DMX30TCG	XDFN-6	3	0.15	0.12	6	0,58	0,519	0,457	0,335
863—	NCP4587DMX33TCG	XDFN-6	3.3	0.15	0.12	6	0,58	0,519	0,457	0,335
863—	NCP4588DMX10TCG	XDFN-6	1	0.2	0.27	5.3	0,61	0,548	0,483	0,354
863—	NCP4588DMX15TCG	XDFN-6	1.5	0.2	0.27	5.3	0,61	0,548	0,483	0,354
863—	NCP4588DMX25TCG	XDFN-6	2.5	0.2	0.27	5.3	0,61	0,548	0,483	0,354
863—	NCP4588DSQ10T1G	SC-88A	1	0.2	0.27	5.3	0,58	0,519	0,457	0,335
863—	NCP4588DSQ15T1G	SC-88A	1.5	0.2	0.27	5.3	0,58	0,519	0,457	0,335
863—	NCP4588DSQ25T1G	SC-88A	2.5	0.2	0.27	5.3	0,58	0,519	0,457	0,335
863—	NCP4589DMX12TCG	XDFN-6	1.2	0.3	0.23	5.3	0,58	0,527	0,467	0,363
863—	NCP4589DMX18TCG	XDFN-6	1.8	0.3	0.23	5.3	0,58	0,527	0,467	0,363
863—	NCP4589DMX28TCG	XDFN-6	2.8	0.3	0.23	5.3	0,58	0,527	0,467	0,363
863—	NCP4589DMX30TCG	XDFN-6	3	0.3	0.23	5.3	0,58	0,527	0,467	0,363
863—	NCP4589DMX33TCG	XDFN-6	3.3	0.3	0.23	5.3	0,58	0,527	0,467	0,363
863—	NCP4589DSQ12T1G	SC-88A	1.2	0.3	0.23	5.3	0,64	0,572	0,504	0,37
863—	NCP4589DSQ18T1G	SC-88A	1.8	0.3	0.23	5.3	0,64	0,572	0,504	0,37
863—	NCP4589DSQ25T1G	SC-88A	2.5	0.3	0.23	5.3	0,64	0,572	0,504	0,37
863—	NCP4589DSQ30T1G	SC-88A	3	0.3	0.23	5.3	0,52	0,469	0,413	0,304
863—	NCP4589DSQ33T1G	SC-88A	3.3	0.3	0.23	5.3	0,64	0,572	0,504	0,37
863—	NCP508SQ15T1G	SC-88A	1.5	0.05	0.155	13	1,35	1,12	0,85	0,645
863—	NCP508SQ18T1G	SC-88A	1.8	0.05	0.155	13	1,35	1,12	0,85	0,645
863—	NCP508SQ25T1G	SC-88A	2.5	0.05	0.155	13	1,35	1,12	0,85	0,645
863—	NCP508SQ28T1G	SC-88A	2.8	0.05	0.155	13	1,35	1,12	0,85	0,645
863—	NCP508SQ30T1G	SC-88A	3	0.05	0.155	13	1,35	1,12	0,85	0,645
863—	NCP508SQ33T1G	SC-88A	3.3	0.05	0.155	13	1,35	1,12	0,85	0,645
863—	NCP565D2T12G	D2PAK	1.2	1.5	0.9	9	1,36	1,11	0,82	0,697
863—	NCP565D2T12R4G	D2PAK	1.2	1.5	0.9	9	0,86	0,784	0,718	0,652
863—	NCP565D2TG	D2PAK	Régl.	1.5	0.9	9	1,29	1,11	0,82	0,697
863—	NCP565D2TR4G	D2PAK	Régl.	1.5	0.9	9	1,49	1,19	0,924	0,657
863—	NCP5661MN15T2G	DFN 6	1.5	1	1	9	0,89	0,751	0,635	0,536
863—	NCP630AD2TG	D2PAK	Régl.	3	1.25	12	0,92	0,833	0,719	0,619
863—	NCP694D08HT1G	SOT-89-5	0.8	1	0.33	6	0,83	0,784	0,743	0,619
863—	NCP694DSAN08T1G	HSON-6	0.8	1	0.33	6	0,91	0,858	0,817	0,681
863—	NCP694H08HT1G	SOT-89-5	0.8	1	0.33	6	0,83	0,784	0,743	0,619
863—	NCP694HSAN08T1G	HSON-6	0.8	1	0.33	6	0,91	0,858	0,817	0,681
863—	NCP694D10HT1G	SOT-89-5	1	1	0.22	6	0,83	0,784	0,743	0,619
863—	NCP694DSAN10T1G	HSON-6	1	1	0.22	6	0,91	0,858	0,817	0,681
863—	NCP694H10HT1G	SOT-89-5	1	1	0.22	6	0,83	0,784	0,743	0,619
863—	NCP694HSAN10T1G	HSON-6	1	1	0.22	6	0,91	0,858	0,817	0,681
863—	NCP694D12HT1G	SOT-89-5	1.2	1	0.18	6	0,83	0,784	0,743	0,619
863—	NCP694DSAN12T1G	HSON-6	1.2	1	0.18	6	0,91	0,858	0,817	0,681
863—	NCP694H12HT1G	SOT-89-5	1.2	1	0.18	6	0,83	0,784	0,743	0,619

PRODUCT NEW

Pour des quantités supérieures à celles indiquées, appelez-nous afin d'obtenir un devis.

RÉF. STOCK MOUSER		Boîtier	V_O Typ. (V)	I_O Typ. (A)	V_{DO} Typ. (V)	V_I Max. (V)	Prix unitaire			
Fabr.	Réf. fabr.						1	25	100	500
Polarité positive, une seule sortie (cont.)										
863—	NCP694HSAN12T1G	HSON-6	1.2	1	0.18	6	0,91	0,858	0,817	0,681
863—	NCP694D25HT1G	SOT-89-5	2.5	1	0.10	6	0,83	0,784	0,743	0,619
863—	NCP694DSAN25T1G	HSON-6	2.5	1	0.10	6	0,91	0,858	0,817	0,681
863—	NCP694H25HT1G	SOT-89-5	2.5	1	0.10	6	0,83	0,784	0,743	0,619
863—	NCP694HSAN25T1G	HSON-6	2.5	1	0.10	6	0,91	0,858	0,817	0,681
863—	NCP694D33HT1G	SOT-89-5	3.3	1	0.05	6	0,83	0,784	0,743	0,619
863—	NCP694DSAN33T1G	HSON-6	3.3	1	0.05	6	0,91	0,858	0,817	0,681
863—	NCP694H33HT1G	SOT-89-5	3.3	1	0.05	6	0,83	0,784	0,743	0,619
863—	NCP694HSAN33T1G	HSON-6	3.3	1	0.05	6	0,91	0,858	0,817	0,726
863—	NCP694DADJHT1G	SOT-89-5	Régl.	1	0.32	6	0,83	0,784	0,743	0,619
863—	NCP694DSANADJT1G	HSON-6	Régl.	1	0.32	6	0,91	0,858	0,817	0,681
863—	NCP694HADJHT1G	SOT-89-5	Régl.	1	0.32	6	0,83	0,784	0,743	0,619
863—	NCP694HSANADJT1G	HSON-6	Régl.	1	0.32	6	0,91	0,858	0,817	0,681
863—	NCV1117ST18T3G	SOT-223	1.8	1	1.07	20	2,44	2,02	1,54	1,16
863—	NCV1117ST50T3G	SOT-223	5	1	1.2	20	0,82	0,644	0,505	0,451
863—	NCV4274ADT33RKG	DPAK	3.3	0.4	0.25	45	1,79	1,38	1,12	0,965
863—	NCV4274AST33T3G	SOT-223	3.3	0.4	0.25	45	1,63	1,26	1,02	0,883
863—	NCV4274ADS50G	D2PAK	5	0.4	0.25	45	1,63	1,34	1,06	0,899
863—	NCV4274ADS50R4G	D2PAK	5	0.4	0.25	45	1,82	1,49	1,18	0,982
863—	NCV4274ADT50RKG	DPAK	5	0.4	0.25	45	1,56	1,32	0,965	0,833
863—	NCV4279A50D2G	SOIC-14	5	0.15	0.25	45	1,04	0,99	0,883	0,806
863—	NCV4279A50D2R2G	SOIC-14	5	0.15	0.25	45	1,04	0,982	0,932	0,78
863—	NCV4269AD150G	SOIC-8	5	0.15	0.25	45	1,44	1,30	1,17	0,908
863—	NCV4269AD250G	SOIC-14	5	0.15	0.25	45	0,96	0,899	0,858	0,719
863—	NCV4269ADW50G	SOIC-20W	5	0.15	0.25	45	1,54	1,47	1,39	1,02
863—	NCV4269APD50G	SOIC-8	5	0.15	0.25	45	1,21	1,18	1,12	0,998
863—	NCV4276ADT33RKG	DPAK	3.3	0.4	0.25	45	1,05	0,949	0,818	0,76
863—	NCV551SN31T1G	SOT-23	3.1	0.15	0.04	12	0,52	0,437	0,347	0,314
863—	NCV565D2TG	D2PAK	Régl.	1.5	0.9	9	1,30	1,07	0,883	0,743
863—	NCV8184DG	SOIC-8	Trkg	0.07	0.35	26	0,92	0,833	0,719	0,619
863—	NCV8501D50G	SOIC-8	5	0.15	0.4	26	1,44	1,31	1,05	0,787
863—	NCV8501D80G	SOIC-8	8	0.15	0.4	26	1,25	1,02	0,842	0,776
863—	NCV8501DADJG	SOIC-8	Régl.	0.15	0.4	26	1,45	1,25	0,916	0,776
863—	NCV8502D33G	SOIC-8	3.3	0.15	N/D	26	1,26	1,02	0,842	0,693
863—	NCV8502D100G	SOIC-8	10	0.15	0.4	26	1,23	1,01	0,825	0,693
863—	NCV8502DADJG	SOIC-8	Régl.	0.15	0.4	26	1,26	1,06	0,842	0,693
863—	NCV8503PW50G	SOIC-16W	5	0.4	0.4	26	1,82	1,59	1,41	1,33
863—	NCV8503PWADJG	SOIC-16W	Régl.	0.4	0.4	26	1,92	1,67	1,42	1,33
863—	NCV85082BPD33R2G	SOIC-8	3.3	0.25	0.25	45	2,08	1,89	1,69	1,31
863—	NCV8537MN180R2G	DFN-10	1.8	0.5	0.34	12	1,23	1,11	0,85	0,762
863—	NCV8537MN250R2G	DFN-10	2.5	0.5	0.34	12	1,23	1,11	0,85	0,762
863—	NCV8537MN330R2G	DFN-10	3.3	0.5	0.34	12	1,23	1,11	0,85	0,762
863—	NCV8537MN500R2G	DFN-10	5	0.5	0.34	12	1,23	1,11	0,85	0,762
863—	NCV8537MNADJR2G	DFN-10	Régl.	0.5	0.34	12	1,23	1,11	0,85	0,762
863—	NCV8535MN190R2G	DFN-10	1.9	0.5	-----	12	3,99	3,32	2,52	1,90
863—	NCV8605MN15T2G	DFN-6	1.5	0.5	0.29	6	0,88	0,668	0,603	0,55
863—	NCV8605MN18T2G	DFN-6	1.8	0.5	0.25	6	0,88	0,668	0,603	0,55
863—	NCV8605MN25T2G	DFN-6	2.5	0.5	0.2	6	0,88	0,668	0,603	0,55
863—	NCV8605MN28T2G	DFN-6	2.8	0.5	0.19	6	0,88	0,668	0,603	0,55
863—	NCV8605MN30T2G	DFN-6	3	0.5	0.18	6	0,88	0,668	0,603	0,55
863—	NCV8605MN33T2G	DFN-6	3.3	0.5	0.17	6	0,88	0,668	0,603	0,55
863—	NCV8605MN50T2G	DFN-6	5	0.5	0.15	6	0,88	0,668	0,603	0,55
863—	NCV8605MNADJT2G	DFN-6	Régl.	0.5	0.45	6	0,88	0,668	0,603	0,55
863—	NCV8606MN15T2G	DFN-6	1.5	0.5	0.29	6	0,88	0,668	0,603	0,55
863—	NCV8606MN18T2G	DFN-6	1.8	0.5	0.25	6	0,88	0,668	0,603	0,55
863—	NCV8606MN25T2G	DFN-6	2.5	0.5	0.2	6	0,88	0,668	0,603	0,55
863—	NCV8606MN28T2G	DFN-6	2.8	0.5	0.19	6	0,88	0,668	0,603	0,55
863—	NCV8606MN30T2G	DFN-6	3	0.5	0.18	6	0,88	0,668	0,603	0,55
863—	NCV8606MN33T2G	DFN-6	3.3	0.5	0.17	6	0,88	0,668	0,603	0,55
863—	NCV8606MN50T2G	DFN-6	5	0.5	0.15	6	0,88	0,668	0,603	0,55
863—	NCV8606MNADJT2G	DFN-6	Régl.	0.5	0.45	6	0,88	0,668	0,603	0,55
863—	NCV86601BD33R2G	SOIC-8	3.3	0.15	0.3	40	2,40	2,35	1,96	1,49
863—	NCV86602BD33R2G	SOIC-8	3.3	0.15	0.3	40	2,40	2,35	1,91	1,49
863—	NCV86602BD50R2G	SOIC-8	5	0.15	0.3	40	2,35	2,15	1,91	1,49
863—	NCV86603BD33R2G	SOIC-8	3.3	0.15	0.3	40	2,40	2,35	1,91	1,49
863—	NCV86603BD50R2G	SOIC-8	5	0.15	0.3	40	2,40	2,35	1,91	1,49
863—	NCV86604BD33R2G	SOIC-8	3.3	0.15	0.3	40	2,40	2,35	1,91	1,49
863—	NCV86604BD50R2G	SOIC-8	5	0.15	0.3	40	2,35	2,15	1,91	1,49
863—	NCV8675DT50RKG	DPAK	5	0.35	0.31	45	2,23	2,02	1,82	1,44
863—	NCV87725D7S50R4G	D2PAK-7	5	0.35	0.44	45	3,67	3,33	2,99	2,04

© Copyright 2012 Mouser Electronics

© Copyright 2012 Mouser Electronics

Gestion de l'énergie ON SEMICONDUCTOR

ON Semiconductor®

RoHS Compliant This product is RoHS compliant.

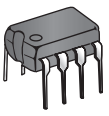
PDIP-7

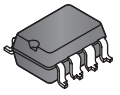
PDIP-7 GW

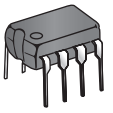
PDIP-8

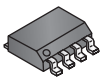
SOIC-8

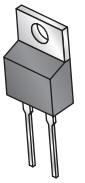
TO-220

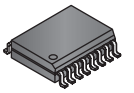
SOIC-16W

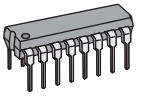
PDIP-16

RÉGULATEURS DÉCONNECTÉS

Pour des quantités supérieures à celles indiquées, appelez-nous afin d'obtenir un devis.

RÉF. STOCK MOUSER	Réf. ON Semiconductor	Boîtier	VO Typ. (V)	O Typ. (A)	VDO Typ. (V)	Prix unitaire 1	25	100	500
Mode courant									
863-NCP1010AP065G	NCP1010AP065G	PDIP-7	10	700	0.1	1,02	0,908	0,66	0,569
863-NCP1010AP100G	NCP1010AP100G	PDIP-7	10	700	0.1	0,97	0,908	0,66	0,569
863-NCP1010AP130G	NCP1010AP130G	PDIP-7	10	700	0.1	0,80	0,66	0,623	0,569
863-NCP1011AP100G	NCP1011AP100G	PDIP-7	10	700	0.25	0,80	0,66	0,623	0,569
863-NCP1011AP130G	NCP1011AP130G	PDIP-7	10	700	0.25	0,80	0,66	0,623	0,569
863-NCP1011APL065R2G	NCP1011APL065R2G	PDIP-7 GW	10	700	0.25	0,94	0,784	0,627	0,569
863-NCP1011APL130R2G	NCP1011APL130R2G	PDIP-7 GW	10	700	0.25	0,94	0,784	0,627	0,569
863-NCP1012AP100G	NCP1012AP100G	PDIP-7	10	700	0.25	1,04	0,974	0,705	0,604
863-NCP1012AP133G	NCP1012AP133G	PDIP-7	10	700	0.25	1,09	0,974	0,705	0,604
863-NCP1012APL130R2G	NCP1012APL130R2G	PDIP-7 GW	10	700	0.25	1,21	1,01	0,908	0,701
863-NCP1013AP065G	NCP1013AP065G	PDIP-7	10	700	-	1,09	0,974	0,705	0,604
863-NCP1013AP100G	NCP1013AP100G	PDIP-7	10	-	-	1,09	0,974	0,705	0,604
863-NCP1014AP065G	NCP1014AP065G	PDIP-7	10	700	0.45	1,09	0,974	0,705	0,604
863-NCP1014AP100G	NCP1014AP100G	PDIP-7	10	700	0.45	1,17	0,932	0,722	0,638

CI POUR RÉGULATEURS

Pour des quantités supérieures à celles indiquées, appelez-nous afin d'obtenir un devis.

RÉF. STOCK MOUSER	Réf. ON Semi	Boîtier	VCC Min. (V)	VCC Max. (V)	VO Typ. (V)	E/S typ. (A)	Efficience (%)	fSW Typ. (kHz)	Topologie	Mode	Prix unitaire 1	25	100	500
863-CS5171ED8G	CS5171ED8G	SOIC-8	2.7	30	-	1.5	-	Jusqu'à 500	-	Mode courant	1,78	1,53	1,12	0,891
863-CS5171GD8G	CS5171GD8G	SOIC-8	2.7	30	-	1.5	-	Jusqu'à 500	-	Mode courant	1,73	1,57	1,09	0,866
863-CS5172ED8G	CS5172ED8G	SOIC-8	2.7	30	-	1.5	-	Jusqu'à 500	-	Mode courant	1,57	1,49	1,04	0,949
863-CS5172GD8G	CS5172GD8G	SOIC-8	2.7	30	-	1.5	-	Jusqu'à 500	-	Mode courant	1,53	1,25	1,01	0,924
863-CS5173ED8G	CS5173ED8G	SOIC-8	2.7	30	-	1.5	-	Jusqu'à 1000	-	Mode courant	1,78	1,61	1,12	0,974
863-CS5173GD8G	CS5173GD8G	SOIC-8	2.7	30	-	1.5	-	Jusqu'à 1000	-	Mode courant	1,73	1,44	1,01	0,866
863-CS5174ED8G	CS5174ED8G	SOIC-8	2.7	30	-	1.5	-	Jusqu'à 1000	-	Mode courant	1,57	1,49	1,04	0,949
863-CS51411ED8G	CS51411ED8G	SOIC-8	4.5	40	-	1.5	-	260	Buck	V²	1,83	1,58	1,16	0,974
863-CS51411GD8G	CS51411GD8G	SOIC-8	4.5	40	-	1.5	-	260	Buck	V²	1,76	1,52	1,11	0,932
863-CS51412ED8G	CS51412ED8G	SOIC-8	4.5	40	-	1.5	-	260	Buck	V²	1,83	1,53	1,06	0,916
863-CS51412GD8G	CS51412GD8G	SOIC-8	4.5	40	-	1.5	-	260	Buck	V²	1,58	1,52	1,11	0,932
863-CS51413ED8G	CS51413ED8G	SOIC-8	4.5	40	-	1.5	-	520	Buck	V²	1,83	1,53	1,16	0,974
863-CS51413GD8G	CS51413GD8G	SOIC-8	4.5	40	-	1.5	-	520	Buck	V²	1,60	1,44	1,16	0,941
863-CS51414ED8G	CS51414ED8G	SOIC-8	4.5	40	-	1.5	-	520	Buck	V²	1,83	1,53	1,06	0,916
863-CS51414GD8G	CS51414GD8G	SOIC-8	4.5	40	-	1.5	-	520	Buck	V²	1,76	1,52	1,11	0,932
863-LM2574N-3.3G	LM2574N-3.3G	PDIP-8	12	40	3.3	0,5	77	-	Diminution	-	1,47	1,18	0,941	0,714
863-LM2575T-ADJG	LM2575T-ADJG	TO-220	12	40	De 1,23 à 37	1	77	-	Diminution	-	1,91	1,63	1,19	1,02
863-LM2576T-005G	LM2576T-005G	TO-220	12	40	5	3	77	-	Diminution	-	2,00	1,66	1,16	1,01
863-LM2576T-ADJG	LM2576T-ADJG	TO-220	12	40	De 1,23 à 37	3	77	-	Diminution	-	1,88	1,59	1,16	1,01
863-LM2576TV-ADJG	LM2576TV-ADJG	TO-220	12	40	De 1,23 à 37	3	77	-	Diminution	-	1,68	1,52	1,16	0,99
863-MC33063ADG	MC33063ADG	SOIC-8	3	40	De 1,25 à 40	1.5	-	100	Élever/abaisser	Mode tension	0,72	0,619	0,436	0,366
863-MC33063AP1G	MC33063AP1G	PDIP-8	3	40	De 1,25 à 40	1.5	-	100	Élever/abaisser	Mode tension	0,74	0,619	0,436	0,366
863-MC33063AVDG	MC33063AVDG	SOIC-8	3	40	De 1,25 à 40	1.5	-	100	Élever/abaisser	Mode tension	0,82	0,635	0,481	0,409
863-MC33163DWG	MC33163DWG	SOIC-16W	2.5	40	De 1,25 à 40	3.4	-	-	Élever/abaisser	Mode tension	2,72	2,24	1,51	1,44
863-MC33163PG	MC33163PG	PDIP 16	2.5	40	De 1,25 à 40	3.4	-	-	Élever/abaisser	Mode tension	2,76	2,28	1,51	1,44
863-MC33166TG	MC33166TG	TO-220	7.5	40	De 1,5 à 40	3	-	-	Élever/abaisser	Mode tension	2,30	2,08	1,67	1,52
863-MC33166THG	MC33166THG	TO-220	7.5	40	De 1,5 à 40	3	-	-	Élever/abaisser	Mode tension	3,65	3,06	1,82	1,76
863-MC33167TG	MC33167TG	TO-220	7.5	40	De 20 à 40	5	-	-	Élever/abaisser	Mode tension	3,02	2,67	1,65	1,52
863-MC34063ADG	MC34063ADG	SOIC-8	3	40	De 1,25 à 40	1.5	-	100	Élever/abaisser	Mode tension	0,60	0,521	0,368	0,309
863-MC34063AP1G	MC34063AP1G	PDIP-8	3	40	De 1,25 à 40	1.5	-	100	Élever/abaisser	Mode tension	0,62	0,521	0,368	0,309
863-MC34163DWG	MC34163DWG	SOIC-16W	2.5	40	De 1,25 à 40	3.4	-	-	Élever/abaisser	Mode tension	2,66	2,18	1,49	1,39
863-MC34163PG	MC34163PG	PDIP 16	2.5	40	De 1,25 à 40	3.4	-	-	Élever/abaisser	Mode tension	2,67	2,23	1,49	1,39
863-MC34166TG	MC34166TG	TO-220	7.5	40	De 1,5 à 40	3	-	-	Élever/abaisser	Mode tension	2,01	1,74	1,26	1,10
863-MC34166THG	MC34166THG	TO-220	7.5	40	De 1,5 à 40	3	-	-	Élever/abaisser	Mode tension	2,50	2,19	1,63	1,28
863-MC34166TVG	MC34166TVG	TO-220	7.5	40	De 1,5 à 40	3	-	-	Élever/abaisser	Mode tension	2,34	2,26	1,53	1,20
863-MC34167TG	MC34167TG	TO-220	7.5	40	De 20 à 40	5	-	-	Élever/abaisser	Mode tension	2,30	2,08	1,67	1,54
863-MC34167TVG	MC34167TVG	TO-220	7.5	40	De 20 à 40	5	-	-	Élever/abaisser	Mode tension	2,44	2,05	1,44	1,24

© Copyright 2012 Mouser Electronics
© Copyright 2012 Mouser Electronics

Gestion de l'énergie ON SEMICONDUCTOR

ON Semiconductor®

RoHS Compliant This product is RoHS compliant.

INTERFACE DE TRANSMISSION DES DONNÉES

Pour des quantités supérieures à celles indiquées, appelez-nous afin d'obtenir un devis.

RÉF. STOCK MOUSER	Réf. ON Semi	Boîtier	VCC (V)		tPLH Typ. (µS)	Nb. de pilotes	Nb. de récepteurs	CI Max. (mA)	E/S Max. (µA)	IIH Max. (mA)	PC Max. (mW)	Prix unitaire			
			Min.	Max.								1	25	100	500
863-MC26LS30DG	MC26LS30DG	SOIC-16	4.75	5.25	0.01	2/4	-	-	À limite automatique	-	-	1,31	1,13	0,936	0,78
863-MC1489ADR2G	MC1489ADR2G	SOIC-14	2.5	10	0.025	-	4	-	4000	8.3	130	1,11	0,833	0,734	0,60
863-MC1489DG	MC1489DG	SOIC-14	2.5	10	0.085	-	4	-	4000	8.3	130	0,34	0,27	0,237	0,234
863-MC1489PG	MC1489PG	PDIP 14	2.5	10	0.085	-	4	-	4000	8.3	130	0,64	0,487	0,37	0,315
863-MC1488DG	MC1488DG	SOIC-14	9	15	0.275	4	-	-	12000	0.01	570	0,19	0,18	0,146	0,142
863-MC1488PG	MC1488PG	PDIP 14	9	15	0.275	4	-	-	12000	0.01	570	0,64	0,487	0,37	0,315
863-MC1413BDG	MC1413BDG	SOIC-16	-	-	1	7	-	500	50	-	-	0,45	0,371	0,262	0,22
863-MC1413BPG	MC1413BPG	PDIP-16	-	-	1	7	-	500	50	-	-	0,57	0,477	0,337	0,282
863-MC1413DG	MC1413DG	SOIC-16	-	-	1	7	-	500	50	-	-	0,40	0,341	0,24	0,202
863-MC1413PG	MC1413PG	PDIP-16	-	-	1	7	-	500	50	-	-	0,49	0,408	0,289	0,241

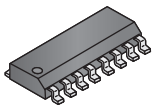
SOIC-16

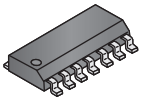
SOIC-14

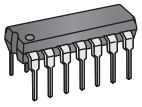
PDIP-14

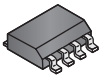
SOIC-8

MODULATEURS/DÉMODULATEURS D'INTERFACE

Pour des quantités supérieures à celles indiquées, appelez-nous afin d'obtenir un devis.

RÉF. STOCK MOUSER	Réf. ON Semi	Boîtier	TA Min. (°C)	zis Typ. (KΩ)	zos Typ. (KΩ)	VCFT Typ. (µV)	VCS Standard (mV)	AVS Standard (mV)	B Standard (MHz)	IIB Standard (µA)	ACM Standard (dB)	Prix unitaire			
												1	25	100	500
863-MC1496DG	MC1496DG	SOIC-14	0	200	40	20	65	3.5	300	12	85	0,45	0,44	0,37	0,306
863-MC1496PG	MC1496PG	PDIP 14	0	200	40	20	65	3.5	300	12	85	0,45	0,44	0,37	0,306

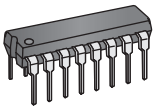
PDIP-16

CLOCK SYNTHESIS ICs

Pour des quantités supérieures à celles indiquées, appelez-nous afin d'obtenir un devis.

RÉF. STOCK MOUSER	Réf. ON Semi	Boîtier	TA Min. (°C)	VCC		tLOCK Temp. max (ms)	tJitter Typ. (ps)	tsu Min. (ns)	th Min. (ns)	tR & tF Min. (ps)	Temp. max (ps)	Prix unitaire			
				Min. (MHz)	Temp. max (MHz)							1	25	100	500
863-NB3N3001DTG	NB3N3001DTG	TSSOP 8	-	3.135	3.465	-	0.3	-	-	275	600	3,98	3,69	3,24	2,90
863-NB3N3011DTG	NB3N3011DTG	TSSOP 8	-	3.135	3.465	-	0.29	-	-	275	600	3,98	3,69	3,24	2,90
863-NB3N508SDTG	NB3N508SDTG	TSSOP-16	-	-	-	-	-	-	-	-	500	1,31	1,21	0,99	0,957
863-NBC12429FNG	NBC12429FNG	PLCC-28	3.3/5.0	25	400	10	20	20	20	175	425	7,24	6,58	5,64	5,40
863-NBC12430FNG	NBC12430FNG	PLCC-28	3.3/5.0	50	800	10	20	20	20	175	425	7,24	6,58	5,64	5,40
863-NBC12439FNG	NBC12439FNG	PLCC-28	3.3/5.0	50	800	10	20	20	20	175	425	9,19	7,57	6,08	5,40

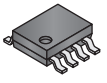
TSSOP-8

CONTRÔLEURS DÉCONNECTÉS

Pour des quantités supérieures à celles indiquées, appelez-nous afin d'obtenir un devis.

RÉF. STOCK MOUSER	Réf. ON Semi	Boîtier	VCC		VO Temp. max (V)	IO Max. (A)	VIT Standard (V)	Prix unitaire			
			Min.	Max.				1	25	100	500
Mode courant											
863-NCP1200P100G	NCP1200P100G	PDIP-8	-	16	-	0.11	-	0,95	0,80	0,573	0,487
863-NCP1200P40G	NCP1200P40G	PDIP-8	-	16	-	0.11	-	0,69	0,668	0,573	0,487
863-NCP1200P60G	NCP1200P60G	PDIP-8	-	16	-	0.11	-	0,94	0,85	0,573	0,487
863-NCP1203P100G	NCP1203P100G	PDIP-8	-	16	-	0.25	12.8	0,94	0,80	0,691	0,487
863-NCP1203P40G	NCP1203P40G	PDIP-8	-	16	-	0.25	12.8	0,96	0,80	0,594	0,459
863-NCP1203P60G	NCP1203P60G	PDIP-8	-	16	-	0.25	12.8	0,96	0,85	0,678	0,55
863-NCP1216AP100G	NCP1216AP100G	PDIP-7	-	16	-	0,5	-	1,24	1,10	0,797	0,683
863-NCP1216AP133G	NCP1216AP133G	PDIP-7	-	16	-	0,5	-	1,24	1,10	0,797	0,683
863-NCP1216AP65G	NCP1216AP65G	PDIP-7	-	16	-	0,5	-	1,24	1,10	0,797	0,683
863-NCP1216P100G	NCP1216P100G	PDIP-7	-	16	-	0,5	-	1,56	1,30	1,04	0,932
863-NCP1216P133G	NCP1216P133G	PDIP-7	-	16	-	0,5	-	1,56	1,30	1,04	0,932
863-NCP1216P65G	NCP1216P65G	PDIP-7	-	16	-	0,5	-	1,24	1,10	0,949	0,683
863-NCP1216AP100G	NCP1216AP100G	PDIP-7	-	16	100	-	-	1,24	1,10	0,797	0,683
863-NCP1216AP133G	NCP1216AP133G	PDIP-7	-	16	133	-	-	1,24	1,10	0,797	0,683
863-NCP1216AP65G	NCP1216AP65G	PDIP-7	-	16	65	-	-	1,24	1,10	0,797	0,683
863-NCP1230P100G	NCP1230P100G	PDIP-7	-	18	17.5	0,5	-	1,24	1,07	0,784	0,66
863-NCP1230P133G	NCP1230P133G	PDIP-7	-	18	17.5	0,5	-	1,24	1,07	0,784	0,66
863-NCP1230P65G	NCP1230P65G	PDIP-7	-	18	17.5	0,5	-	2,05	1,72	1,37	1,23
863-CS5124XD8G	CS5124XD8G	SOIC-8	7.6	20	20	-	7.7	2,68	2,55	2,05	1,74
863-NCP1271D100R2G	NCP1271D100R2G	SOIC-8	-	20	-	-	-	1,30	1,14	0,899	0,825
863-NCP1271D65R2G	NCP1271D65R2G	SOIC-8	-	20	-	-	-	1,06	0,891	0,71	0,635
863-MC33023DWG	MC33023DWG	SOIC-16W	-	30	-	0,5	-	4,32	3,61	2,19	2,15
863-MC33025DWG	MC33025DWG	SO-16WB	-	30	-	0,5	-	4,50	3,75	2,62	2,51
863-MC33364D1G	MC33364D1G	SOIC-16	-	16	-	0.005	-	1,47	1,20	0,908	0,725
863-UC3842BNG	UC3842BNG	PDIP-8	-	30	-	1,0	-	0,53	0,445	0,314	0,263
863-UC3843BNG	UC3843BNG	PDIP-8	-	-	-	-	-	0,59	0,454	0,346	0,294
863-UC3843BVD1G	UC3843BVD1G	SOIC-8	7.6	30	13.5	-	8.4	1,20	0,858	0,735	0,625
863-UC3844BNG	UC3844BNG	PDIP-8	-	36	-	1.0	-	0,53	0,445	0,314	0,263
863-UC3845BVNG	UC3845BVNG	PDIP-8	7.6	30	13.5	-	8.4	1,06	0,891	0,71	0,588
863-NCP1217AP100G	NCP1217AP100G	PDIP-7	-	16	-	-	-	1,24	1,10	0,797	0,683
863-NCP1217AP65G	NCP1217AP65G	PDIP-7	-	16	-	-	-	1,24	1,10	0,797	0,683
863-NCP1217P100G	NCP1217P100G	PDIP-7	-	16	-	-	-	1,24	1,10	0,797	0,683
863-NCP1217P133G	NCP1217P133G	PDIP-7	-	16	-	-	-	1,24	1,10	0,797	0,683
863-NCP1217P65G	NCP1217P65G	PDIP-7	-	16	-	-	-	1,24	1,10	0,797	0,683
Mode courant, quasi résonant											
863-NCP1207APG	NCP1207APG	PDIP-8	-	16	16	-	-	1,08	0,858	0,757	0,629
Résonance											
863-MC33067PG	MC33067PG	PDIP-16	9	20	10.3	0.3	16	2,31	1,98	1,40	1,16
863-MC34067DWG	MC34067DWG	SOIC-16W	9	20	10.3	0.3	16	2,92	2,56	1,86	1,58
Mode tension											
863-NCP3020ADR2G	NCP3020ADR2G	SOIC-8	4.7	28	-	-	-	0,50	0,462	0,449	0,394
863-MC34060APG	MC34060APG	PDIP-14	7	42	30	0,5	4.7	1,01	0,924	0,719	0,568
863-NCP1562ADBR2G	NCP1562ADBR2G	TSSOP-16	-	20	-	-	-	2,89	2,23	1,82	1,57
863-NCP1562ADR2G	NCP1562ADR2G	SOIC-16	-	20	-	-	-	2,89	2,23	1,82	1,57

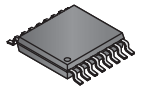
TSSOP-16

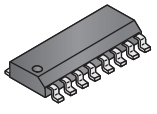
SOIC-16

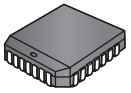
PLCC-28

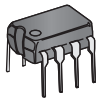
PDIP-8

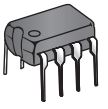
PDIP-7

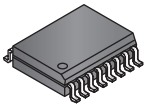
SOIC-16W

© Copyright 2012 Mouser Electronics

© Copyright 2012 Mouser Electronics

Gestion de l'alimentation ON SEMICONDUCTOR

ON Semiconductor®

CORRECTION DU FACTEUR DE PUISSANCE

NEW PRODUCT

RoHS Compliant This product is RoHS compliant.

Pour des quantités supérieures à celles indiquées, appelez-nous afin d'obtenir un devis.

RÉF. STOCK MOUSER	Réf. ON Semiconductor	Boîtier	Tension CC Max. (V)	PD Max. (W)	IO Max. (A)	Tension réf. Max. (V)	Redémarrage Max. (V)	Prix unitaire 1	25	100	500
Conduction critique											
863-MC33262DG	MC33262DG	SOIC-8	36	0.45	0.5	2.5	Oui	0,67	0,66	0,575	0,518
863-MC33262PG	MC33262PG	PDIP-8	36	0.8	0.5	2.5	Oui	0,67	0,66	0,575	0,518
863-MC34262PG	MC34262PG	PDIP-8	36	0.8	0.5	2.5	Oui	0,94	0,79	0,66	0,461
Mode courant moyen, CCM											
863-NCP1653APG	NCP1653APG	PDIP-8	18	0.45	0.5	-	-	1,16	1,04	0,974	0,817
863-NCP1653PG	NCP1653PG	PDIP-8	18	0.8	0,5	-	-	1,25	1,12	0,974	0,817
863-NCP1910A65DWR2G	NCP1910A65DWR2G	SOIC-24	20	-	0,5	5.25	-	3,32	2,71	2,43	1,93
863-NCP1910B65DWR2G	NCP1910B65DWR2G	SOIC-24	20	-	0,5	5.25	-	3,32	2,71	2,43	1,93
863-NCP1652ADR2G	NCP1652ADR2G	SOIC-16	20	0.77	0.6	4.36	-	2,45	2,15	2,00	1,58

RÉFÉRENCE DE TENSION

Pour des quantités supérieures à celles indiquées, appelez-nous afin d'obtenir un devis.

RÉF. STOCK MOUSER	Réf. ON Semiconductor	Boîtier	Tension (BR) Standard (V)	TA Min. (°C)	TA Max. (°C)	Tolér. (%)	IR Min. (mA)	VF Max. (v)	Prix unitaire 1	25	100	500
Fixe												
863-LM285D-1.2G	LM285D-1.2G	SOIC-8	1.235	-40	85	1	0.01	-	0,59	0,495	0,35	0,294
863-LM285Z-1.2G	LM285Z-1.2G	TO-92	1.235	-40	85	1	0.01	-	0,61	0,51	0,36	0,302
863-LM385BD-1.2G	LM385BD-1.2G	SOIC-8	1.235	0	70	1	0.015	-	0,56	0,479	0,337	0,283
863-LM385D-1.2G	LM385D-1.2G	SOIC-8	1.235	0	70	2	0.015	-	0,55	0,464	0,328	0,275
863-LM285D-2.5G	LM285D-2.5G	SOIC-8	2.5	-40	85	1.5	0.01	-	0,59	0,495	0,35	0,294
863-LM285Z-2.5G	LM285Z-2.5G	TO-92	2.5	-40	85	1.5	0.01	-	0,59	0,495	0,35	0,294
863-LM385BD-2.5G	LM385BD-2.5G	SOIC-8	2.5	0	70	1.5	0.015	-	0,56	0,479	0,337	0,283
863-LM385BZ-2.5G	LM385BZ-2.5G	TO-92	2.5	-40	85	1	0.015	-	0,55	0,464	0,328	0,275
863-LM385D-2.5G	LM385D-2.5G	SOIC-8	2.5	0	70	3	0.015	-	0,55	0,464	0,328	0,275
863-LM385Z-2.5G	LM385Z-2.5G	TO-92	2.5	0	70	3	0.015	-	0,52	0,433	0,306	0,257
863-NCP4300ADG	NCP4300ADG	SOIC-8	2.6	0	105	1	0.08	36	0,61	0,511	0,361	0,303
863-NCP51460SN33T1G	NCP51460SN33T1G	SOT-23-6	3.3	0	100	1	20	30	1,29	1,16	1,02	0,899
863-CAT8900D300TBGT3	CAT8900D300TBGT3	SOT-23-3	3.0	-40	85	1.0mV	10	-	3,43	3,07	2,74	2,39
Réglable 2,495 à 36 V												
863-TL431ACDR2G	TL431ACDR2G	SOIC-8	2.495	0	70	1	1	36	0,31	0,248	0,174	0,144
863-TL431ACLPRAG	TL431ACLPRAG	TO-92	2.495	0	70	1	1	36	0,13	0,12	0,108	0,078
863-TL431AILPRPG	TL431AILPRPG	TO-92	2.495	-40	85	1	1	36	0,31	0,26	0,182	0,152
863-TL431BILPRAG	TL431BILPRAG	TO-92	2.495	-40	85	0.4	1	36	0,44	0,372	0,262	0,22
863-TL431CDR2G	TL431CDR2G	SOIC-8	2.495	0	70	2.2	1	36	0,33	0,249	0,165	0,136
863-TL431CLPG	TL431CLPG	TO-92	2.495	0	70	2.2	1	36	0,27	0,206	0,132	0,107
863-TL431ACDG	TL431ACDG	SOIC-8	2.495	0	70	1	1	36	0,28	0,23	0,204	0,169
863-TL431ACPG	TL431ACPG	PDIP-8	2.495	0	70	1	1	36	0,32	0,27	0,191	0,16
863-TL431AIDG	TL431AIDG	SOIC-8	2.495	-40	85	1	1	36	0,48	0,317	0,168	0,14
863-TL431BIDG	TL431BIDG	SOIC-8	2.495	-40	85	0.4	1	36	0,41	0,345	0,243	0,204
863-TL431BIPG	TL431BIPG	PDIP-8	2.495	-40	85	0.4	1	36	0,40	0,272	0,173	0,134
863-TL431BVDG	TL431BVDG	SOIC-8	2.495	-40	85	0.4	1	36	0,69	0,594	0,483	0,415

COMMUTATION CC-CC

NEW PRODUCT

Pour des quantités supérieures à celles indiquées, appelez-nous afin d'obtenir un devis.

RÉF. STOCK MOUSER	Réf. ON Semiconductor	Boîtier	Tension CC (V) Min.	Tension CC (V) Max.	fSW Typ. (kHz)	Mode	Prix unitaire 1	25	100	500
des moteurs										
863-NCP5425DBG	NCP5425DBG	TSSOP-20	4.75	13.2	750	V2	1,63	1,34	1,10	0,99
863-NCP5425DBG	NCP5425DBG	TSSOP-20	4.75	13.2	750	V2	1,63	1,34	1,10	0,99
863-NCP1252CDR2G	NCP1252CDR2G	SOIC-8	-	28	Jusqu'à 500	Mode courant	1,06	0,891	0,71	0,635
863-NCP3020ADR2G	NCP3020ADR2G	SOIC-8	4.7	28	300	Mode tension	0,50	0,462	0,449	0,394
863-NCP3020BDR2G	NCP3020BDR2G	SOIC-8	4.7	28	600	Mode tension	0,84	0,833	0,668	0,52
863-NCP3011DTBR2G	NCP3011DTBR2G	TSSOP-14	4.7	28	400	Mode tension	0,66	0,594	0,528	0,429
863-NCP3012DTBR2G	NCP3012DTBR2G	TSSOP-14	4.7	28	70	Mode tension	4,33	3,98	3,58	2,30
Convertisseurs										
863-NCP1529MU12TBG	NCP1529MU12TBG	UDFN-6	2.7	5.5	1700	Mode courant	0,57	0,545	0,516	0,429
863-NCP1599MNTWG	NCP1599MNTWG	DFN-6	3.00	5.50	1000	Mode courant	1,25	0,99	0,891	0,693
863-CS5173EDR8G	CS5173EDR8G	SOIC-8	2.7	30	Jusqu'à 1000	Mode courant	1,78	1,49	1,04	0,891
863-NCV5171EDR2G	NCV5171EDR2G	SOIC-8	2.7	30	-	Mode courant	2,28	1,86	1,53	1,25
863-CS51414EDR8G	CS51414EDR8G	SOIC-8	4.5	40	520	V2	1,83	1,53	1,06	0,916

PILOTES - MOSFET/IGBT

Pour des quantités supérieures à celles indiquées, appelez-nous afin d'obtenir un devis.

RÉF. STOCK MOUSER	Réf. ON Semiconductor	Boîtier	Tension CC (V) Min.	Tension CC (V) Max.	Nbre de pilotes	E/S Max. (A)	tp Max. (ns)	Prix unitaire 1	25	100	500
863-MC33152DG	MC33152DG	SOIC-8	6.5	18	2	1.5	120	1,17	1,04	0,714	0,606
863-MC34151DG	MC34151DG	SOIC-8	6.5	18	2	1.5	100	1,06	1,02	0,76	0,687
863-MC34151PG	MC34151PG	PDIP-8	6.5	18	2	1.5	100	1,06	1,02	0,76	0,687
863-MC34152DG	MC34152DG	SOIC-8	6.5	18	2	1.5	120	1,06	1,02	0,763	0,687
863-MC34152PG	MC34152PG	PDIP-8	6.5	18	2	1.5	120	1,06	1,02	0,763	0,687

SURVEILLANCE DE LA TENSION

NEW PRODUCT

Pour des quantités supérieures à celles indiquées, appelez-nous afin d'obtenir un devis.

RÉF. STOCK MOUSER	Réf. ON Semiconductor	Boîtier	TA (°C) Min.	TA (°C) Max.	Tension CC (V) Min.	Tension CC (V) Max.	Tension (TO) Standard (V)	Tension hyst. Standard (V)	IQ Typ. (µA)	Prix unitaire 1	25	100	500
698-CAT823TTDI-G	CAT823TTDI-GT3	TSOT-23	0	70	1	5.5	3	0.005	4	0,80	0,611	0,545	0,399
863-CAT885ZI-SA-GT3	CAT885ZI-SA-GT3	MSOP-8	-40	125	1.2	5.5	2.81	0.003	4	1,58	1,42	1,26	1,02
863-MC34064D-005G	MC34064D-005G	SOIC-8	0	70	1	6.5	4.61	0.02	390	0,55	0,464	0,328	0,275
863-MC34161DG	MC34161DG	SOIC-8	0	70	2	40	1.27	0.025	-	1,06	1,02	0,763	0,687
863-MC33161DG	MC33161DG	SOIC-8	-40	105	2	40	1.27	0.025	-	1,06	1,02	0,763	0,687
863-MC33161PG	MC33161PG	PDIP-8	-40	105	2	40	1.27	0.025	-	1,06	1,02	0,763	0,687
863-MC34161PG	MC34161PG	PDIP-8	0	70	2	40	1.27	0.025	-	1,06	1,02	0,763	0,687
863-MAX809JTRG	MAX809JTRG	SOT-23	-40	105	1	5.5	4.0	-	0,5	0,34	0,305	0,219	0,184
863-MAX809MTRG	MAX809MTRG	SOT-23	-40	105	1	5.5	4.38	-	0,5	0,37	0,311	0,219	0,184
863-MC33064D-5R2G	MC33064D-5R2G	SOIC-8	-40	85	1	6.5	4.61	0.02	390	0,59	0,502	0,353	0,296
863-MC33161DR2G	MC33161DR2G	SOIC-8	-40	105	2	40	1.27	0.025	-	1,06	1,02	0,763	0,687
863-MC33164D-5R2G	MC33164D-5R2G	SOIC-8	-40	125	1	10	4.33	0.09	32	1,03	0,866	0,552	0,445
863-MC34161DR2G	MC34161DR2G	SOIC-8	0	70	2	40	1.27	0.025	-	1,06	1,02	0,763	0,687
863-MC34164P-5G	MC34164P-5G	TO-92	0	70	1	10	4.33	-	32	0,59	0,495	0,35	0,294
863-NCP302HSN30T1G	NCP302HSN30T1G	TSOP-5	-40	125	0.8	10	3.0	0.045	0,5	0,21	0,20	0,166	0,129
863-NCP302LSN20T1G	NCP302LSN20T1G	TSOP-5	-40	125	0.8	10	2.0	0.045	0,5	0,21	0,20	0,166	0,129
863-NCP302LSN30T1G	NCP302LSN30T1G	SOT-23	-40	125	0.8	10	3.0	0.045	0,5	0,21	0,20	0,166	0,129
863-NCP303LSN28T1G	NCP303LSN28T1G	TSOP-5	-40	125	0.8	10	2.8	0.045	0,5	0,21	0,20	0,166	0,129
863-NCP303LSN45T1G	NCP303LSN45T1G	SOT-23	-40	125	0.8	10	4.5	0.045	0,5	0,21	0,20	0,166	0,129
863-NCP360SNAET1G	NCP360SNAET1G	TSOP-5	-40	85	1.2	20	6.25	-	24	0,30	0,29	0,275	0,26
863-NCP360SNT1G	NCP360SNT1G	TSOP-5	-40	85	1.2	20	5.675	-	24	0,53	0,446	0,342	0,275

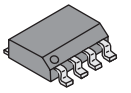
SOIC-8

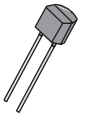
TO-92

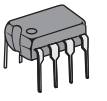
PDIP-8

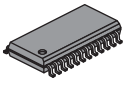
SOIC-24

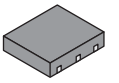
UDFN-6

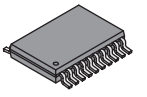
TSSOP-20

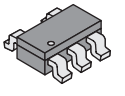
SOT-23/TSOT-8

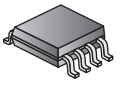
MSOP-8

© Copyright 2012 Mouser Electronics

© Copyright 2012 Mouser Electronics

Outils de gestion de l'alimentation ON SEMICONDUCTOR

ON Semiconductor®

Product may be RoHS Compliant. Consulter le site mouser.com pour vérifier la conformité RoHS.

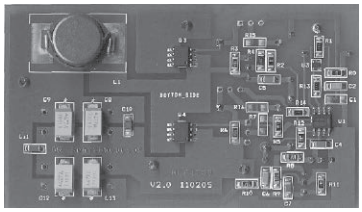

Cartes d'évaluation

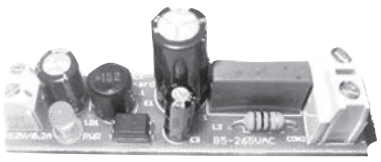

CA—CC

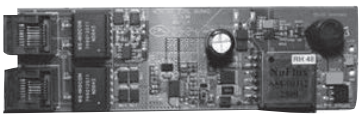

CC—CC

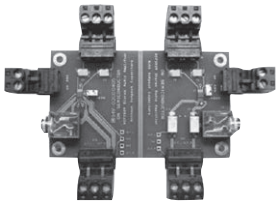

amplificateurs audio

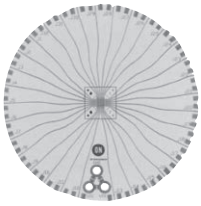

Horloges

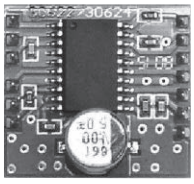

Pilotes

RÉF. STOCK MOUSER Fabr. / Réf. fabr.	Description	Prix unitaire
863—CCRGEVB	carte d'évaluation CCR	125,40
863—CS51411EVB	Carte d'évaluation CS51411 1,5A, 260kHZ	51,56
863—CS5171BSTGEVB	Élévateur de carte de démonstration CS5171/3	73,47
863—ECLLQFP32EVB	LQFP32 Haute Fréq. Carte d'évaluation	309,38
863—ECLSOIC8EVB	SOIC-8 Haute fréq. Carte d'évaluation	113,03
863—ECLTSSOP20EVB	TSSOP20 haute fréq. Carte d'évaluation	419,10
863—LM2594APDBCKGEVB	Carte de démonstration buck LM2594ADJ PDIP8	51,56
863—LM2595ADPBCKGEVB	Carte de démonstration buck LM2595ADJ D2PAK	51,56
863—LM2595ATPBCKGEVB	Carte de démonstration buck LM2595ADJ TO220	51,56
863—MC33063DFBCKGEVB	Carte de démonstration DFN SD MC33063	51,56
863—MC33063DFBSTGEVB	Carte de démonstration DFN SU MC33063	51,56
863—MC34063LBBEVB	Carte d'évaluation MC34063A	51,56
863—MC34063LBKEVB	Carte d'évaluation MC34063A	51,56
863—MC34063LINVEVB	Carte d'évaluation MC34063A	51,56
863—MC34063SMDBKEVB	Carte d'évaluation MC34063A	51,56
863—MC34063SMDINVEVB	Carte d'évaluation MC34063A	51,56
863—NB3N502DEVB	Carte d'évaluation 3,3V/5V NB3N502	206,25
863—NB4L16MMNEVB	Carte d'évaluation 2,5V/3,3V NB4L16M	257,81
863—NB4N527SMNEVB	Carte d'évaluation 3,3V NB4N527S	412,50
863—NBC124XXEVB	Carte d'évaluation 3,3V/5V NBC124XX	419,10
863—NCN6001DTBEVB	Carte d'évaluation carte compacte NCN6001	146,69
863—NCP1012GEVB	Carte d'évaluation NCP1012 autocommutateur SMPS	78,58
863—NCP1014STBUCGEVB	Carte d'évaluation buck sortie positive NCP1014	52,39
863—NCP1028LEDGEVB	Pilote DEL NCP1028 720MA 18V	104,78
863—NCP102MBGEVB	Carte d'évaluation carte mère NCP102 4W	101,72
863—NCP1030EVB	Carte d'évaluation NCP1030 2W POE DC-DC	51,56
863—NCP1052GEVB	Carte d'évaluation conv. NCP1052 100mA	51,56
863—NCP1081SPCGEVB	Séparateur POE-PD haute puissance NCP1081	206,25
863—NCP1083QBCGEVB	Module POE-PD haute puissance NCP1083	154,69
863—NCP1083WIRGEVB	Module POE-PD NCP1083 avec tension aux.	175,31
863—NCP1203GEVB	Carte d'évaluation NCP1203 70W	118,59
863—NCP1207AADAPGEVB	Carte d'évaluation adaptateur 24W NCP1207A	103,13
863—NCP1216LEDGEVB	Pilote DEL buck non isolé NCP1216	72,19
863—NCP1230GEVB	Carte d'évaluation NCP1230 ANA	154,69
863—NCP1271ADAPGEVB	Carte d'évaluation adaptateur 57W NCP1271	82,50
863—NCP1337ADAPGEVB	Carte d'évaluation adaptateur 60W NCP1337	123,75
863—NCP1351ADAPGEVB	Carte d'évaluation adaptateur 75W NCP1351	128,91
863—NCP1351LEDGEVB	Pilote DEL courant constant 20W NCP1351	82,50
863—NCP1400AV19EVB	Carte d'évaluation CC-CC 1,9V/100mA NCP1400A	51,56
863—NCP1400AV33EVB	Carte d'évaluation CC-CC 3,3V/100mA NCP1400A	51,56
863—NCP1400AV50GEVB	Carte d'évaluation ANA NCP1400A	51,56
863—NCP1406V15GEVB	Carte d'évaluation NCP1406	30,94
863—NCP1406V25GEVB	Carte d'évaluation NCP1406	30,94
863—NCP1410GEVB	Carte d'évaluation détecteur 250mA NCP1410	30,94
863—NCP1421EVB	Carte d'évaluation CC-CC 600mA NCP1421	51,56
863—NCP1421LEDEVB	Carte d'évaluation DEL haute intensité NCP1421	51,56
863—NCP1422EVB	Carte d'évaluation CC-CC 800mA NCP1422	51,56
863—NCP1422LEDGEVB	Carte d'évaluation DEL haute intensité NCP1422	67,03
863—NCP1423EVB	Carte d'évaluation CC-CC 400mA NCP1423	51,56
863—NCP1521BEVB	Carte d'évaluation conv step down NCP1521	82,50
863—NCP1522BUGEVB	Conv CC-CC 3MHz, 600mA NCP1522	82,50
863—NCP1523BGEVB	Carte d'évaluation CC-CC step down NCP1523B	82,50
863—NCP1529MUTBGEVB	NCP1523 1A haute eff. Conv. step down	103,13
863—NCP1562—100WEVBG	Carte d'évaluation CC-CC 100W 48V NCP1562	257,81
863—NCP1605FORWGEVB	Carte d'évaluation forward 152W NCP1605	206,25
863—NCP1606BOOSTGEVB	Carte d'évaluation boost kNCP1606 100W	103,13
863—NCP1654PFCGEVB	Carte d'évaluation fact de puissance NCP1654	144,38
863—NCP2809AEVB	Carte d'évaluation amplificateur audio NCP2809A	92,81
863—NCP2809BGEVB	NCP2809 réglable Carte d'évaluation audio stéréo	92,81
863—NCP2890EVB	Carte d'évaluation puissance audio 1W NCP2890	51,56
863—NCP2892AEVB	Amplificateur puissance audio 1,3W NCP2892A	51,56
863—NCP2990FCT2GEVB	Carte d'évaluation amplificateur audio 1,3W NCP2990	77,34
863—NCP3063BSTEXGEVB	EXT FET Carte de démonstration BST NCP3063	82,50
863—NCP3063DFBSTGEVB	Carte de démonstration boost DFN NCP3063	82,50

RÉF. STOCK MOUSER Fabr. / Réf. fabr.	Description	Prix unitaire
863—NCP3063DIPBCKEVB	Carte d'évaluation régulateur buck NCP3063	82,50
863—NCP3063DIPINVEVB	Carte d'évaluation 1,5A, 260kHZ CS51411	82,50
863—NCP3063SMDBCKEVB	Boost carte de démonstration CS5171/3	82,50
863—NCP3063SMDBSTEVB	Carte d'évaluation haute fréquence LQFP32	51,56
863—NCP3063SMINVGEVB	Carte d'évaluation haute fréquence SOIC-8	51,56
863—NCP3064DFBCKGEVB	TSSOP20 haute fréquence Carte d'évaluation	82,50
863—NCP3064PDBCKGEVB	Carte de démonstration buck PDIP8 LM2594ADJ	82,50
863—NCP3064S3BCKGEVB	Carte de démonstration buck D2PAK LM2595ADJ	82,50
863—NCP3064SCBCKGEVB	Carte de démonstration buck TO220 LM2595ADJ	82,50
863—NCP30653ABCKGEVB	Carte de démonstration DFN SD MC33063	82,50
863—NCP3065D1SLDGEVB	Carte de démonstration DFN SU MC33063	82,50
863—NCP3065D2SLDGEVB	Carte d'évaluation MC34063A	82,50
863—NCP3065D3SLDGEVB	Carte d'évaluation MC34063A	82,50
863—NCP3065SOBCKGEVB	Carte d'évaluation MC34063A	82,50
863—NCP3065SOBSTGEVB	Carte d'évaluation MC34063A	82,50
863—NCP3066DFSEPGEVB	Carte d'évaluation MC34063A	82,50
863—NCP3066S3BCKGEVB	Carte d'évaluation 3,3V/5V NB3N502	82,50
863—NCP3066SCBCKGEVB	Carte d'évaluation 2,5V/3,3V NB4L16M	82,50
863—NCP3066SCBSTGEVB	Carte d'évaluation 3,3V NB4N527S	82,50
863—NCP3101BUCK1GEVB	Carte d'évaluation 3,3V/5V NBC124XX	92,81
863—NCP3101BUCK2GEVB	Carte d'évaluation carte compacte NCN6001	92,81
863—NCP3102BUCK1GEVB	Carte d'évaluation autocommutateur SMPS NCP1012	92,81
863—NCP3120QPBCKGEVB	Carte d'évaluation buck sortie positive NCP1014	92,81
863—NCP3121QPBCKGEVB	Pilote DEL 720MA 18V NCP1028	92,81
863—NCP3122QPBCKGEVB	Carte d'évaluation carte mère 4W NCP102	92,81
863—NCP3123QPBCKGEVB	Carte d'évaluation 2W POE CC-CC NCP1030	51,56
863—NCP3125AGEVB	Carte d'évaluation NCP3125	46,41
863—NCP3163BSTEVB	Carte d'évaluation conv. 100mA NCP1052	82,50
863—NCP3163INVEVB	Séparateur POE-PD haute puissance NCP1081	82,50
863—NCP348GEVB	Module POE-PD haute puissance NCP1083	51,56
863—NCP349GEVB	Module POE-PD avec tension aux. NCP1083	30,94
863—NCP370GEVB	Carte d'évaluation 70W NCP1203	30,94
863—NCP4894FCEVB	Carte d'évaluation adaptateur 24W NCP1207A	61,88
863—NCP5005GEVB	Pilote DEL buck non isolé NCP1216	30,94
863—NCP5006EVB	Carte d'évaluation ANA NCP1230	77,34
863—NCP5030MTTXGEVB	Carte d'évaluation adaptateur 57W NCP1271	235,74
863—NCP5050GEVB	Carte d'évaluation adaptateur 60W NCP1337	51,56
863—NCP5104BA36WGEVB	Carte d'évaluation adaptateur 57W NCP1351	123,75
863—NCP5106BA36WGEVB	Pilote DEL courant constant 20W NCP1351	123,75
863—NCP5422EVB	Carte d'évaluation CC-CC 1,9V/100mA NCP1400A	77,34
863—NCP5424EVB	Carte d'évaluation CC-CC 3,3V/100mA NCP1400A	77,34
863—NCP5425DOEVB	Carte d'évaluation ANA NCP1400A	77,34
863—NCP5425SOEVB	Carte d'évaluation NCP1406	77,34
863—NCP5602EVB	Carte d'évaluation NCP1406	61,88
863—NCP5603GEVB	Carte d'évaluation détecteur 250mA NCP1410	30,94
863—NCP5612GEVB	Carte d'évaluation CC-CC 600mA NCP1421	61,88
863—NCP565V12EVB	Carte d'évaluation DEL haute intensité NCP1421	61,88
863—NCP565VADJEVB	Carte d'évaluation CC-CC 800mA NCP1422	61,88
863—NCP690MN50T2GEVB	Carte d'évaluation CC-CC 400mA NCP1423	36,67
863—NCP690MNADT2GEVB	Carte d'évaluation conv. step down NCP1521	36,67
863—NCP692MN15T2GEVB	Conv CC-CC 3MHz, 600mA NCP1522	36,67
863—NCP692MN18T2GEVB	Carte d'évaluation CC-CC step down NCP1523B	36,67
863—NCP692MN25T2GEVB	NCP1523 1A haute eff. Conv. step down	36,67
863—NCP692MN50T2GEVB	Carte d'évaluation CC-CC 100W 48V NCP1562	36,67
863—NCV7703GEVB	Carte d'évaluation boost 100W kNCP1606	68,10
863—NCV7708AGEVB	Carte d'évaluation fact de puissance NCP1654	68,10
863—NCV8675DS50GEVB	Carte d'évaluation amplificateur audio NCP2809A	52,39
863—NCV8842PWGEVB	NCP2809 réglable Carte d'évaluation audio Stéréo	62,87
863—NCV8843MNR2GEVB	Carte d'évaluation puissance audio 1W NCP2890	68,10
863—NLSF595EVB	Amplificateur puissance audio 1,3W NCP2892A	52,39
863—NUD4001DEVB	Carte d'évaluation amplificateur audio NCP2990 1,3W	52,39
863—NV8664ST50T3GEVB	EXT FET Carte de démonstration BST NCP3063	52,39
863—XOCLCC6EVB	Carte de démonstration boost DFN NCP3063	52,39

© Copyright 2012 Mouser Electronics

© Copyright 2012 Mouser Electronics

Isolateurs numériques SILICON LABS

RoHS Compliant This product is RoHS compliant.

ISOLATEURS NUMÉRIQUES UNIDIRECTIONNELS ISOPRO

Caractéristiques :

- Régimes nominaux d'isolation 5 kV, 2.5 kV et 1 kV
- Haute intégration: jusqu'à 6 voies d'isolation dans un seul boîtier
- Fonctionnement à grande vitesse: CC–150 Mbps
- Tension d'alimentation de fonctionnement étendue: 2.7-5.5 V
- Faible puissance
- Immunité non résidente: >25 kV/µs
- Pas d'initialisation de démarrage requis
- Minutage précis
  - Délai inférieur à 10ns de propagation
  - Pulsation 2ns avec distorsion
  - Correspondance canal/canal 1ns
  - Déviation de largeur de pulsation 2ns
- Permet le contrôle des sorties
- Correction de courant continu

Applications :

- Exemple d'applications de circuit
  - Isolation
  - Décalage de niveau
  - Suppression circuit de masse
- Exemple et applications
  - Acquisition de données analogiques isolées
  - Commandes de l'interface opérateur
  - Alimentations à découpage CA-CC et CC-CC
  - Téléviseurs plasma
  - Réseaux USB/CAN/I²C
  - Communications point-à-point isolées
  - Commande de moteur
  - Systèmes d'alimentation sans coupure

RoHS Compliant

Pour des quantités supérieures à celles indiquées, appelez-nous afin d'obtenir un devis.

RÉF. STOCK MOUSER	Réf. Silicon Labs	Boîtier	Canaux de données directs	Canaux de données inverses	Débit de données max. (Mbps)	Niveau d'isolation	État de sortie par défaut	Plage de température (°C)	Prix unitaire 1	25	100	1000
1.0kV												
634-SI8440AA-D-IS1	Si8440AA-D-IS1	NB SOIC-16	4	0	1	1.0kV	L	de -40 à +125	1,89	1,70	1,34	1,16
634-SI8440BA-D-IS1	Si8440BA-D-IS1	NB SOIC-16	4	0	150	1.0kV	L	de -40 à +125	2,76	2,49	1,96	1,71
634-SI8441AA-D-IS1	Si8441AA-D-IS1	NB SOIC-16	3	1	1	1.0kV	L	de -40 à +125	1,89	1,70	1,34	1,16
634-SI8441BA-D-IS1	Si8441BA-D-IS1	NB SOIC-16	3	1	150	1.0kV	L	de -40 à +125	2,76	2,49	1,96	1,71
634-SI8442AA-D-IS1	Si8442AA-D-IS1	NB SOIC-16	2	2	1	1.0kV	L	de -40 à +125	1,89	1,70	1,34	1,16
634-SI8442BA-D-IS1	Si8442BA-D-IS1	NB SOIC-16	2	2	150	1.0kV	L	de -40 à +125	2,76	2,49	1,96	1,71
634-SI8450AA-B-IS1	Si8450AA-B-IS1	NB SOIC-16	5	0	1	1.0kV	L	de -40 à +125	2,11	1,91	1,50	1,30
634-SI8450BA-B-IS1	Si8450BA-B-IS1	NB SOIC-16	5	0	150	1.0kV	L	de -40 à +125	3,11	2,81	2,20	1,92
634-SI8451AA-B-IS1	Si8451AA-B-IS1	NB SOIC-16	4	1	1	1.0kV	L	de -40 à +125	2,11	1,91	1,50	1,30
634-SI8451BA-B-IS1	Si8451BA-B-IS1	NB SOIC-16	4	1	150	1.0kV	L	de -40 à +125	2,64	2,51	2,20	2,20
634-SI8452AA-B-IS1	Si8452AA-B-IS1	NB SOIC-16	3	2	1	1.0kV	L	de -40 à +125	2,11	1,91	1,50	1,30
634-SI8452BA-B-IS1	Si8452BA-B-IS1	NB SOIC-16	3	2	150	1.0kV	L	de -40 à +125	3,11	2,81	2,20	1,92
634-SI8460AA-B-IS1	Si8460AA-B-IS1	NB SOIC-16	6	0	1	1.0kV	L	de -40 à +125	2,36	2,13	1,67	1,46
634-SI8461AA-B-IS1	Si8461AA-B-IS1	NB SOIC-16	5	1	1	1.0kV	L	de -40 à +125	2,36	2,13	1,67	1,46
634-SI8461BA-B-IS1	Si8461BA-B-IS1	NB SOIC-16	5	1	150	1.0kV	L	de -40 à +125	3,48	3,14	2,47	2,15
634-SI8462AA-B-IS1	Si8462AA-B-IS1	NB SOIC-16	4	2	1	1.0kV	L	de -40 à +125	2,36	2,13	1,67	1,46
634-SI8462BA-B-IS1	Si8462BA-B-IS1	NB SOIC-16	4	2	150	1.0kV	L	de -40 à +125	3,48	3,14	2,47	2,15
634-SI8463AA-B-IS1	Si8463AA-B-IS1	NB SOIC-16	3	3	1	1.0kV	L	de -40 à +125	2,36	2,13	1,67	1,46
634-SI8463BA-B-IS1	Si8463BA-B-IS1	NB SOIC-16	3	3	150	1.0kV	L	de -40 à +125	3,48	3,14	2,47	2,15
2,5kV												
634-SI8410AB-D-IS	Si8410AB-D-IS	NB SOIC-8	1	0	1	2,5kV	L	de -40 à +125	0,92	0,858	0,809	0,701
634-SI8410BB-D-IS	Si8410BB-D-IS	NB SOIC-8	1	0	150	2,5kV	L	de -40 à +125	1,34	1,25	1,18	1,03
634-SI8420BB-D-IS	Si8420BB-D-IS	NB SOIC-8	2	0	150	2,5kV	L	de -40 à +125	1,36	1,28	1,19	1,04
634-SI8421AB-D-IS	Si8421AB-D-IS	NB SOIC-8	1	1	1	2,5kV	L	de -40 à +125	0,94	0,883	0,825	0,718
634-SI8421BB-D-IS	Si8421BB-D-IS	NB SOIC-8	1	1	150	2,5kV	L	de -40 à +125	1,36	1,28	1,19	1,04
634-SI8430AB-D-IS	Si8430AB-D-IS	WB SOIC-16	3	0	1	2,5kV	L	de -40 à +125	1,67	1,51	1,18	1,03
634-SI8430BB-D-IS	Si8430BB-D-IS	WB SOIC-16	3	0	150	2,5kV	L	de -40 à +125	2,52	2,27	1,77	1,53
634-SI8430BB-D-IS1	Si8430BB-D-IS1	NB SOIC-16	3	0	150	2,5kV	L	de -40 à +125	2,39	2,16	1,69	1,47
634-SI8431AB-D-IS	Si8431AB-D-IS	WB SOIC-16	2	1	1	2,5kV	L	de -40 à +125	1,34	1,26	1,18	1,03
634-SI8431BB-D-IS	Si8431BB-D-IS	WB SOIC-16	2	1	150	2,5kV	L	de -40 à +125	2,52	2,27	1,77	1,53
634-SI8431BB-D-IS1	Si8431BB-D-IS1	NB SOIC-16	2	1	150	2,5kV	L	de -40 à +125	2,39	2,16	1,69	1,47
634-SI8435BB-D-IS	Si8435BB-D-IS	WB SOIC-16	3	0	150	2,5kV	L	de -40 à +125	2,52	2,27	1,77	1,53
634-SI8435BB-D-IS1	Si8435BB-D-IS1	NB SOIC-16	3	0	150	2,5kV	L	de -40 à +125	2,39	2,16	1,69	1,47
634-SI8440AB-D-IS	Si8440AB-D-IS	WB SOIC-16	4	0	1	2,5kV	L	de -40 à +125	1,68	1,58	1,47	1,28
634-SI8440AB-D-IS1	Si8440AB-D-IS1	NB SOIC-16	4	0	1	2,5kV	L	de -40 à +125	1,97	1,78	1,39	1,20
634-SI8440BB-D-IS	Si8440BB-D-IS	WB SOIC-16	4	0	150	2,5kV	L	de -40 à +125	2,43	2,28	2,14	1,86
634-SI8440BB-D-IS1	Si8440BB-D-IS1	NB SOIC-16	4	0	150	2,5kV	L	de -40 à +125	2,90	2,62	2,05	1,79
634-SI8441AB-D-IS	Si8441AB-D-IS	WB SOIC-16	3	1	1	2,5kV	L	de -40 à +125	1,68	1,58	1,47	1,28
634-SI8441AB-D-IS1	Si8441AB-D-IS1	NB SOIC-16	3	1	1	2,5kV	L	de -40 à +125	1,97	1,78	1,39	1,20
634-SI8441BB-D-IS1	Si8441BB-D-IS1	NB SOIC-16	3	1	150	2,5kV	L	de -40 à +125	2,90	2,62	2,05	1,79
634-SI8442AB-D-IS	Si8442AB-D-IS	WB SOIC-16	2	2	1	2,5kV	L	de -40 à +125	1,68	1,58	1,47	1,28
634-SI8442AB-D-IS1	Si8442AB-D-IS1	NB SOIC-16	2	2	1	2,5kV	L	de -40 à +125	1,97	1,78	1,39	1,20
634-SI8442BB-D-IS	Si8442BB-D-IS	WB SOIC-16	2	2	150	2,5kV	L	de -40 à +125	2,43	2,28	2,14	1,86
634-SI8442BB-D-IS1	Si8442BB-D-IS1	NB SOIC-16	2	2	150	2,5kV	L	de -40 à +125	2,90	2,62	2,05	1,79
634-SI8445BB-D-IS	Si8445BB-D-IS	WB SOIC-16	4	0	150	2,5kV	L	de -40 à +125	3,03	2,73	2,14	1,86
634-SI8445BB-D-IS1	Si8445BB-D-IS1	NB SOIC-16	4	0	150	2,5kV	L	de -40 à +125	2,90	2,62	2,05	1,79
634-SI8450AB-B-IS1	Si8450AB-B-IS1	NB SOIC-16	5	0	1	2,5kV	L	de -40 à +125	2,22	2,00	1,57	1,36
634-SI8450BB-B-IS1	Si8450BB-B-IS1	NB SOIC-16	5	0	150	2,5kV	L	de -40 à +125	3,25	2,94	2,30	2,01
634-SI8451AB-B-IS1	Si8451AB-B-IS1	NB SOIC-16	4	1	1	2,5kV	L	de -40 à +125	2,22	2,00	1,57	1,36
634-SI8451BB-B-IS1	Si8451BB-B-IS1	NB SOIC-16	4	1	150	2,5kV	L	de -40 à +125	3,25	2,94	2,30	2,01
634-SI8452AB-B-IS1	Si8452AB-B-IS1	NB SOIC-16	3	2	1	2,5kV	L	de -40 à +125	2,22	2,00	1,57	1,36
634-SI8452BB-B-IS1	Si8452BB-B-IS1	NB SOIC-16	3	2	150	2,5kV	L	de -40 à +125	3,25	2,94	2,30	2,01
634-SI8460AB-B-IS1	Si8460AB-B-IS1	NB SOIC-16	6	0	1	2,5kV	L	de -40 à +125	2,47	2,23	1,75	1,52
634-SI8460BB-B-IS1	Si8460BB-B-IS1	NB SOIC-16	6	0	150	2,5kV	L	de -40 à +125	3,64	3,28	2,58	2,24
634-SI8461AB-B-IS1	Si8461AB-B-IS1	NB SOIC-16	5	1	1	2,5kV	L	de -40 à +125	2,47	2,23	1,75	1,52
634-SI8461BB-B-IS1	Si8461BB-B-IS1	NB SOIC-16	5	1	150	2,5kV	L	de -40 à +125	3,64	3,28	2,58	2,24
634-SI8462AB-B-IS1	Si8462AB-B-IS1	NB SOIC-16	4	2	1	2,5kV	L	de -40 à +125	2,47	2,23	1,75	1,52
634-SI8462BB-B-IS1	Si8462BB-B-IS1	NB SOIC-16	4	2	150	2,5kV	L	de -40 à +125	3,64	3,28	2,58	2,24
634-SI8463AB-B-IS1	Si8463AB-B-IS1	NB SOIC-16	3	3	1	2,5kV	L	de -40 à +125	2,47	2,23	1,75	1,52
634-SI8463BB-B-IS1	Si8463BB-B-IS1	NB SOIC-16	3	3	150	2,5kV	L	de -40 à +125	3,64	3,28	2,58	2,24
5 kV												
634-SI8410AD-A-IS	Si8410AD-A-IS	WB SOIC-16	1	0	1	5 kV	L	de -40 à +125	1,20	1,13	1,06	0,924
634-SI8410BD-A-IS	Si8410BD-A-IS	WB SOIC-16	1	0	150	5 kV	L	de -40 à +125	1,76	1,65	1,56	1,35
634-SI8420AD-A-IS	Si8420AD-A-IS	WB SOIC-16	2	0	1	5 kV	L	de -40 à +125	1,24	1,16	1,09	0,949
634-SI8420BD-A-IS	Si8420BD-A-IS	WB SOIC-16	2	0	150	5 kV	L	de -40 à +125	1,80	1,68	1,58	1,37
634-SI8421AD-B-IS	Si8421AD-B-IS	WB SOIC-16	1	1	1	5 kV	L	de -40 à +125	1,24	1,16	1,09	0,949
634-SI8421BD-B-IS	Si8421BD-B-IS	WB SOIC-16	1	1	150	5 kV	L	de -40 à +125	1,80	1,68	1,58	1,37
634-SI8422AB-B-IS	Si8422AB-B-IS	NB SOIC-8	1	1	1	5 kV	L	de -40 à +125	1,17	1,06	0,825	0,718
634-SI8422AD-B-IS	Si8422AD-B-IS	WB SOIC-16	1	1	1	5 kV	L	de -40 à +125	1,24	1,16	1,09	0,949
634-SI8422BB-B-IS	Si8422BB-B-IS	NB SOIC-8	1	1	150	5 kV	L	de -40 à +125	1,69	1,53	1,19	1,04
634-SI8422BD-B-IS	Si8422BD-B-IS	WB SOIC-16	1	1	150	5 kV	L	de -40 à +125	1,80	1,68	1,58	1,37
634-SI8423AB-B-IS	Si8423AB-B-IS	NB SOIC-8	2	0	1	5 kV	L	de -40 à +125	1,17	1,06	0,825	0,718
634-SI8423AD-B-IS	Si8423AD-B-IS	WB SOIC-16	2	0	1	5 kV	L	de -40 à +125	1,24	1,16	1,09	0,949
634-SI8423BB-B-IS	Si8423BB-B-IS	NB SOIC-8	2	0	150	5 kV	L	de -40 à +125	1,69	1,53	1,19	1,04
634-SI8423BD-B-IS	Si8423BD-B-IS	WB SOIC-16	2	0	150	5 kV	L	de -40 à +125	1,80	1,68	1,58	1,37

KIT DE CONCEPTION DE RÉFÉRENCE DE COMMUNICATIONS NUMÉRIQUES ISOLÉES

Pour aider à démontrer la faible consommation, la fiabilité et les valeurs nominales d'isolation de 5kV nécessaires dans de nombreuses applications industrielles exigeantes, Silicon Labs propose à présent le kit de conception de référence de communications numériques isolées Si84xx.
Cette nouvelle conception de référence dispose des interfaces isolées RS-232 et RS-485, ainsi que d'interfaces CAN en plus de nos isolateurs numériques de 2,5kV et de 5,0kV.

RoHS Compliant

RÉF. STOCK MOUSER	Réf. Silicon Labs	Chaque kit inclut les éléments suivants :	Prix unitaire
634-SI84XXCOM-RD	Si84XXCOM-RD	Si84xxCOM-EVB, isolateur à 4 voies Si8442 2.5kV, isolateur à 2 voies Si8421 2.5kV et isolateur à 2 voies Si8421 5kV	33,00

© Copyright 2012 Mouser Electronics

© Copyright 2012 Mouser Electronics

Isolateurs numériques et POE SILICON LABS

RoHS Compliant **This product is RoHS compliant.**

ISOLATEURS BILATÉRAUX COMPATIBLES I²C BIDIRECTIONNELS ISOPRO

Pour des quantités supérieures à celles indiquées, appelez-nous afin d'obtenir un devis.

RÉF. STOCK MOUSER	Réf. Silicon Labs	Boîtier	Canaux de données directs	Canaux de données inverses	Débit de données max. (Mbps)	Niveau d'isolation	Données série Bidirectionnelles	Horloge série Bidirectionnelle	Plage de temp. (°C)	Prix unitaire 1	25	100	1000
634-SI8400AA-B-IS	Si8400AA-B-IS	NB SOIC-8	0	0	1.7	1.0kV	Oui	Oui	de -40 à +125	2,87	2,59	2,48	2,10
634-SI8400AB-B-IS	Si8400AB-B-IS	NB SOIC-8	0	0	1.7	2.5kV	Oui	Oui	de -40 à +125	3,01	2,71	2,60	2,20
634-SI8401AA-B-IS	Si8401AA-B-IS	NB SOIC-8	1	1	1.7	5 kV	Oui	Oui	de -40 à +125	2,87	2,59	2,48	2,10
634-SI8401AB-B-IS	Si8401AB-B-IS	NB SOIC-8	1	1	1.7	5 kV	Oui	Oui	de -40 à +125	3,01	2,71	2,60	2,20
634-SI8405AA-B-IS1	Si8405AA-B-IS1	NB SOIC-16	1	1	1.7	1.0kV	Oui	Oui	de -40 à +125	3,20	2,89	2,76	2,34
634-SI8405AB-B-IS1	Si8405AB-B-IS1	NB SOIC-16	1	1	1.7	2.5kV	Oui	Oui	de -40 à +125	3,43	3,09	2,96	2,51

Kit d'évaluation

RÉF. STOCK MOUSER	Réf. Silicon Labs	Description	Prix unitaire
634-SI840XI2C-KIT	SI840XI2C-KIT	Le kit d'évaluation fournit un circuit imprimé d'ingénierie pratique pour évaluer facilement les séries SI840x des isolateurs I2C.	33,00

PILOTES DE PORTE ISOLÉS ISOPRO

La famille de pilotes isolés Si822x/3x combine un isolateur et deux pilotes indépendants dans un seul boîtier. Les Si8230/1/3/4 sont des pilotes côté haut / côté bas et les Si8232/5 sont des pilotes doubles. Les Si8220/1 sont des pilots monocanal d'entrée optiques.

Pour des quantités supérieures à celles indiquées, appelez-nous afin d'obtenir un devis.

RÉF. STOCK MOUSER	Réf. Silicon Labs	Boîtier	Type d'entrée	Config. sortie	Crête de courant de sortie (A)	Délai prop. max (ns)	Taux d'isolation Entrée / Sortie (kVrms)	Taux d'isolation Sortie-sortie (Vcc)	Tension UVLO (V)	Protection chevauchement et contrôle temps mort	Alimentation du pilote (V)	Prix unitaire 1	25	100	1000
634-SI8220BB-A-IS	Si8220BB-A-IS	SOIC 8	Opto	Simple	2.5	80	2.5	-	8	Non	de 6,5 à 24	1,53	1,39	1,23	1,02
634-SI8220CB-A-IS	Si8220CB-A-IS	SOIC 8	Opto	Simple	2.5	80	2.5	-	10	Non	de 6,5 à 24	1,53	1,39	1,23	1,02
634-SI8220DB-A-IS	Si8220DB-A-IS	SOIC 8	Opto	Simple	2.5	80	2.5	-	12.5	Non	de 6,5 à 24	1,53	1,39	1,23	1,02
634-SI8221CC-A-IS	Si8221CC-A-IS	SOIC 8	Opto	Simple	0,5	80	3.75	-	10	Non	de 6,5 à 24	1,73	1,56	1,39	1,16
634-SI8221DC-A-IS	Si8221DC-A-IS	SOIC 8	Opto	Simple	0,5	80	3.75	-	12.5	Non	de 6,5 à 24	1,73	1,56	1,39	1,16
634-SI8230BB-B-IS	SI8230BB-B-IS	WB SOIC-16	VIA, VIB	HS/LS	0,5	60	2.5	1500	8	Oui	de 6,5 à 24	1,61	1,45	1,34	1,11
634-SI8230BB-B-IS1	SI8230BB-B-IS1	NB SOIC-16	VIA, VIB	HS/LS	0,5	60	2.5	1500	8	Oui	de 6,5 à 24	1,75	1,58	1,39	1,16
634-SI8230BD-B-IS	SI8230BD-B-IS	WB SOIC-16	VIA, VIB	HS/LS	0,5	60	5.0	1500	8	Oui	de 6,5 à 24	2,11	1,91	1,76	1,47
634-SI8231BB-B-IS	SI8231BB-B-IS	WB SOIC-16	MLI	HS/LS	0,5	60	2.5	1500	8	Oui	de 6,5 à 24	1,61	1,45	1,34	1,11
634-SI8231BB-B-IS1	SI8231BB-B-IS1	NB SOIC-16	MLI	HS/LS	0,5	60	2.5	1500	8	Oui	de 6,5 à 24	1,75	1,58	1,39	1,16
634-SI8231BD-B-IS	SI8231BD-B-IS	WB SOIC-16	MLI	HS/LS	0,5	60	5.0	1500	8	Oui	de 6,5 à 24	2,05	1,90	1,76	1,47
634-SI8232BB-B-IS	SI8232BB-B-IS	WB SOIC-16	VIA, VIB	Dual Drvr	0,5	60	2.5	1500	8	Non	de 6,5 à 24	1,55	1,44	1,34	1,11
634-SI8232BB-B-IS1	SI8232BB-B-IS1	NB SOIC-16	VIA, VIB	Dual Drvr	0,5	60	2.5	1500	8	Non	de 6,5 à 24	1,75	1,58	1,39	1,16
634-SI8232BD-B-IS	SI8232BD-B-IS	WB SOIC-16	VIA, VIB	Dual Drvr	0,5	60	5.0	1500	8	Non	de 6,5 à 24	2,11	1,91	1,76	1,47
634-SI8233BB-C-IM	SI8233BB-C-IM	LGA 14	VIA, VIB	HS/LS	4.0	60	2.5	9000	8	Oui	de 6,5 à 24	2,34	2,11	1,94	1,62
634-SI8233BB-C-IS	SI8233BB-C-IS	WB SOIC-16	VIA, VIB	HS/LS	4.0	60	2.5	9000	8	Oui	de 6,5 à 24	2,19	1,97	1,82	1,51
634-SI8233BB-C-IS1	SI8233BB-C-IS1	NB SOIC-16	VIA, VIB	HS/LS	4.0	60	2.5	9000	8	Oui	de 6,5 à 24	2,34	2,11	1,87	1,57
634-SI8233BD-C-IS	SI8233BD-C-IS	WB SOIC-16	VIA, VIB	HS/LS	4.0	60	5.0	1500	8	Oui	de 6,5 à 24	2,79	2,58	2,39	1,99
634-SI8234BB-C-IM	SI8234BB-C-IM	LGA 14	MLI	HS/LS	4.0	60	2.5	9000	8	Oui	de 6,5 à 24	2,34	2,11	1,94	1,62
634-SI8234BB-C-IS	SI8234BB-C-IS	WB SOIC-16	MLI	HS/LS	4.0	60	2.5	9000	8	Oui	de 6,5 à 24	2,19	1,97	1,82	1,51
634-SI8234BB-C-IS1	SI8234BB-C-IS1	NB SOIC-16	MLI	HS/LS	4.0	60	2.5	9000	8	Oui	de 6,5 à 24	2,34	2,11	1,87	1,57
634-SI8234BD-C-IS	SI8234BD-C-IS	WB SOIC-16	VIA, VIB	HS/LS	0,5	60	5.0	1500	8	Oui	de 6,5 à 24	2,89	2,61	2,39	1,99
634-SI8235BB-C-IS	SI8235BB-C-IS	WB SOIC-16	VIA, VIB	Dual Drvr	4.0	60	2.5	1500	8	Non	de 6,5 à 24	2,19	1,97	1,82	1,51
634-SI8235BB-C-IS1	SI8235BB-C-IS1	NB SOIC-16	VIA, VIB	Dual Drvr	4.0	60	2.5	1500	8	Non	de 6,5 à 24	2,34	2,11	1,87	1,57
634-SI8235BD-C-IS	SI8235BD-C-IS	WB SOIC-16	VIA, VIB	Dual Drvr	4.0	60	5.0	1500	8	Non	de 6,5 à 24	2,89	2,61	2,39	1,99

DISPOSITIFS ALIMENTÉS PAR ETHERNET (POE)

Pour des quantités supérieures à celles indiquées, appelez-nous afin d'obtenir un devis.

RÉF. STOCK MOUSER	Réf. Silicon Labs	Boîtier	Classe	Ponts uniq. diodes	Protection contre les surtensions	FET de commutation	Limite de courant (mA)	Puissance max. de sortie (W)	Température de fonctionnement (°C)	Prix unitaire 1	25	100	1000
634-SI3401-E1-GM	Si3401-E1-GM	QFN-20	0-4	2	Oui	Oui	470 min	14-16	de -40 à +125	-	-	-	-
634-SI3402-A-GM	Si3402-A-GM	QFN-20	0-4	2	Oui	Oui	470 min	17	de -40 à +85	2,56	1,97	1,39	1,06

SOURCES D'ALIMENTATION PAR ETHERNET (POE)

Les Si3452 et Si3453 sont des contrôleurs alimentés par Ethernet (PoE) conformes à la norme IEEE 802.3at™ (D4.2) pour l'équipement de sources d'alimentation (PSE). Les solutions Si3452/53 PoE PSE sont destinées à une utilisation avec des points finaux (interrupteur) ou intermédiaires conçus pour assurer l'alimentation électrique des PD PoE, tels que les points d'accès sans fil multi-radio, téléphones VoIP, caméras de surveillance vidéo Pan-Tilt-Zoom (PTZ), terminaux de points de vente et équipement d'automatisation industrielle. Les solutions Si3452 et Si3453 PoE PSE sont des contrôleurs PoE PSE (équipements de sources d'alimentation) plus efficients du point de vue de la consommation en industrie. Ces dispositifs acceptent les systèmes PoE PSE conformes à la norme existante IEEE de 15W par point d'accès PoE et à la norme récemment ratifiée des 30W par point d'accès « PoE+ ». Pour les applications propriétaire, les niveaux de puissance élevés de 40W par point d'accès sont acceptés.

Les contrôleurs Si3452, Si3453 à quatre ports PoE+PSE

Pour des quantités supérieures à celles indiquées, appelez-nous afin d'obtenir un devis.

RÉF. STOCK MOUSER	Réf. Silicon Labs	Boîtier	Description	Limite de courant (mA) (Min/Max)	Puissance max. de sortie (W)	Température de fonctionnement (°C)	Prix unitaire 1	25	100	1000
634-SI3452A-B01-GM	Si3452A-B01-GM	QFN-40	Contrôleur PSE POE+ quadruple; Alt: A; PoE; Auto; dV/dt	400/450	40	de -10 à +85	8,91	8,25	4,36	3,40
634-SI3452A-B01-IM	Si3452A-B01-IM	QFN-40	Contrôleur PSE POE+ quadruple; Alt: A; PoE; Auto; dV/dt	400/450	40	de -40 à +85	-	-	-	-
634-SI3452-B01-GM	Si3452-B01-GM	QFN-40	Contrôleur PSE POE+ quadruple; Alt: A; PoE; arrêt; dV/dt	400/450	40	de -10 à +85	8,91	8,25	4,36	3,40
634-SI3452B-B01-GM	Si3452B-B01-GM	QFN-40	Contrôleur PSE POE+ quadruple; Alt: B; PoE; Auto; dV/dt	400/450	40	de -10 à +85	8,25	8,25	4,20	3,23
634-SI3452C-B01-GM	Si3452C-B01-GM	QFN-40	Contrôleur PSE POE+ quadruple; Alt: A; PoE+; Auto; dV/dt	400/450	40	de -10 à +85	8,91	8,25	4,36	3,40
634-SI3452D-B01-GM	Si3452D-B01-GM	QFN-40	Contrôleur PSE POE+ quadruple; Alt: B; PoE; Auto; dV/dt	400/450	40	de -10 à +85	8,25	8,25	4,20	3,23
634-SI3453A-B01-GM	Si3453A-B01-GM	QFN-40	Contrôleur PSE POE+ quadruple; Alt: A; PoE+; Auto; CC	400/450	40	de -10 à +85	8,25	8,25	4,20	3,23
634-SI3453-B01-GM	Si3453-B01-GM	QFN-40	Contrôleur PSE POE+ quadruple; Alt : A; PoE ; arrêt; CC	400/450	40	de -10 à +85	8,25	8,25	4,20	3,23
634-SI3453B-B01-GM	Si3453B-B01-GM	QFN-40	Contrôleur PSE POE+ quadruple; Alt: B; PoE+; Auto; CC	400/450	40	de -10 à +85	8,25	8,25	4,20	3,23
634-SI3453C-B01-GM	Si3453C-B01-GM	QFN-40	Contrôleur PSE POE+ quadruple; Alt: A; PoE+; Auto; CC	400/450	40	de -10 à +85	8,91	8,25	4,36	3,40
634-SI3453D-B01-GM	Si3453D-B01-GM	QFN-40	Contrôleur PSE POE+ quadruple; Alt: B; PoE+; Auto; CC	400/450	40	de -10 à +85	8,91	8,25	4,36	3,40

Conception de référence et kit d'évaluation intermédiaire 8 ports

RÉF. STOCK MOUSER	Réf. Silicon Labs	Chaque kit inclut les éléments suivants :	Prix unitaire
634-SI3452MS8-KIT	SI3452MS8-KIT	Si3452MS8-EVB, Si3452CB-EVB, d'USB à SM adaptateur bus, câble USB, deux charges PD Si340x, Câbles de catégorie 5 Ethernet, CD-ROM avec logiciel, GUI et base de données de conception, rapports d'essais UNH IoL (University of New Hampshire Interoperability Lab), fiches techniques et notes d'application	284,63

Si3460 PoE PSE

Le PSE PoE Si3460 est le premier contrôleur alimenté par Ethernet (PoE) de l'industrie à double fonction et port unique avec un contrôleur cc-cc intégré pour l'équipement de sources d'alimentations (PSE). Ce PSE PoE Si3460 est conforme à la norme IEEE 802.3.af.

Pour des quantités supérieures à celles indiquées, appelez-nous afin d'obtenir un devis.

RÉF. STOCK MOUSER	Réf. Silicon Labs	Boîtier	Description	Limite de courant (mA) (Min/Max)	Puissance max. de sortie (W)	Température de fonctionnement (°C)	Prix unitaire 1	25	100	1000
634-SI3460-E03-GM	Si3460-E03-GM	QFN-11	PSE simple port avec contrôleur CC-CC	400/450	15.4	de -40 à +85	3,30	2,27	1,44	1,08

Si3500 PoE PSE

Ce convertisseur cc-cc d'entrée hautement intégré de haute puissance tension(42-57V) avec commande PWM intégrée et FET de puissance. La sortie peut être réglée pour diverses applications dans la plage de 1,8 à 12V CC.

634-SI3500-A-GM	Si3500-A-GM	QFN-20	Contrôleur haute tension CC-CC (plage nominale d'entrée de -42 à -57V)	400/---	17	de -40 à +85	1,65	1,24	1,03	0,99

© Copyright 2012 Mouser Electronics

© Copyright 2012 Mouser Electronics

CI de gestion de l'énergie TEXAS INSTRUMENTS

Les produits peuvent être conformes à la directive RoHS. Consultez le site mouser.com pour vérifier la conformité RoHS.

PILOTES MOSFET

Pour des quantités supérieures à celles indiquées, appelez-nous afin d'obtenir un devis.

RÉF. STOCK MOUSER	Réf. Texas Instruments	Boîtier	Nombre de Sorties	Configuration du pilote	V CC (Min.)	V CC (Max.)	Crête de courant de sortie	Temps de montée (ns)	Temps de descente (ns)	Délai prop (ns)	Prix unitaire 1	25	100	250
595-TPS2816DBVT	TPS2816DBVT	SOT-23-5	1	Pullup actif invers.	4	40	2	14	14	24	1,92	1,54	1,39	1,24
595-TPS2828DBVR	TPS2828DBVR	SOT-23-5	1	Inverseur	4	14	2	14	14	24	1,63	1,25	1,14	1,01
595-TPS2829DBVR	TPS2829DBVR	SOT-23-5	1	Non inverseur	4	14	2	14	14	24	1,63	1,25	1,14	1,01
595-TPS2829DBVT	TPS2829DBVT	SOT-23-5	1	Non inverseur	4	14	2	14	14	24	1,91	1,47	1,34	1,09
595-UC2710T	UC2710T	TO-220-5	1	Inverseur, Non inverseur	4.7	18	6	-	8	30	7,43	5,35	4,46	3,86
595-UC3705D	UC3705D	SOIC-8	1	Simple	5	40	1.5	40	40	100	6,91	4,97	4,15	3,60
595-UC3705N	UC3705N	PDIP-8	1	Simple	5	40	1.5	40	40	100	6,91	4,97	4,15	3,60
595-UC3710T	UC3710T	TO-220-5	1	Inverseur, Non inverseur	4.7	18	6	-	8	30	6,62	5,43	4,90	4,50
595-UCC24610D	UCC24610D	SOIC-8	1	Simple	4.5	6.5	3	14	9	16	2,23	1,86	1,49	1,04
595-UCC24610DRBT	UCC24610DRBT	QFN-8	1	Simple	4.5	6.5	3	14	9	16	2,60	2,00	1,82	1,49
595-UCC27322DGN	UCC27322DGN	MSOP PowerPAD-8	1	Non inverseur	4	15	9	35	20	30	3,19	2,57	2,33	2,11
595-UCC27322P	UCC27322P	PDIP-8	1	Non inverseur	4	15	9	35	20	30	2,96	2,38	2,17	1,96
595-UCC37322P	UCC37322P	PDIP-8	1	Non inverseur	4	15	9	35	20	30	2,74	2,19	2,00	1,81
595-UCC37321P	UCC37321P	PDIP-8	1	Inverseur	4	15	9	35	20	30	2,74	2,19	2,00	1,81
595-TPS2811D	TPS2811D	SOIC-8	2	Inverseur	4	40	2	14	15	25	2,28	1,83	1,67	1,50
595-TPS2812D	TPS2812D	SOIC-8	2	Non inverseur	4	40	2	14	15	25	1,79	1,44	1,30	1,16
595-TPS2814D	TPS2814D	SOIC-8	2	1 inverseur, 2 entrées AND	4	14	2	14	15	25	1,69	1,36	1,23	1,09
595-TPS2814P	TPS2814P	PDIP-8	2	1 inverseur, 2 entrées AND	4	14	2	14	15	25	1,69	1,36	1,23	1,09
595-TPS2834D	TPS2834D	SOIC-14	2	Non inverseur	4.5	15	2.4	50	40	70	2,96	2,38	2,17	1,96
595-TPS28225D	TPS28225D	SOIC-8	2	Simple	4	8.8	6	10	5	14	1,79	1,44	1,30	1,16
595-TPS28225DRBT	TPS28225DRBT	SON-8	2	Simple	4	8.8	6	10	5	14	1,91	1,47	1,34	1,09
595-UC2708DW	UC2708DW	SOIC-16	2	Non inverseur	5	35	3	25	25	25	8,87	7,27	6,56	6,02
595-UC2950T	UC2950T	TO-220-5	2	TTL dissipation/source	8	35	4	-	-	-	7,01	5,05	4,21	3,65
595-UC3706N	UC3706N	PDIP-16	2	Double non affecté	5	40	1.5	40	40	100	5,61	4,60	4,14	3,81
595-UC3708NE	UC3708NE	PDIP-16	2	Non inverseur	5	35	3	25	25	25	7,65	6,26	5,65	5,20
595-UC3709N	UC3709N	PDIP-8	2	Inverseur	5	40	1.5	40	40	25	5,91	4,84	4,37	4,02
595-UCC27200D	UCC27200D	SOIC-8	2	Non inverseur	8	20	3	8	7	20	3,47	2,79	2,54	2,29
595-UCC27200DDA	UCC27200DDA	SO PowerPAD-8	2	Non inverseur	8	20	3	8	7	20	3,47	2,79	2,54	2,29
595-UCC27200DRMR	UCC27200DRMR	SOIC-8	2	Non inverseur	8	20	3	8	7	20	3,03	2,48	2,22	2,02
595-UCC27200DRMT	UCC27200DRMT	SON-8	2	Non inverseur	8	20	3	8	7	20	3,21	2,62	2,35	2,18
595-UCC27201D	UCC27201D	SOIC-8	2	Non inverseur	8	20	3	8	7	20	3,47	2,79	2,54	2,29
595-UCC27201DDA	UCC27201DDA	SO PowerPAD-8	2	Non inverseur	8	20	3	8	7	20	3,47	2,79	2,54	2,29
595-UCC27201DRMR	UCC27201DRMR	SON-8	2	Non inverseur	8	20	3	8	7	20	3,03	2,48	2,22	2,02
595-UCC27323D	UCC27323D	SOIC-8	2	Inverseur	4	15	4	23	23	35	2,43	1,86	1,69	1,40
595-UCC27324DGNR	UCC27324DGNR	MSOP PowerPAD-8	2	Non inverseur	4	15	4	23	23	35	2,15	1,73	1,56	1,39
595-UCC27324P	UCC27324P	PDIP-8	2	Non inverseur	4	15	4	23	23	35	2,40	1,93	1,74	1,54
595-UCC27325DGN	UCC27325DGN	MSOP PowerPAD-8	2	Inverseur, Non inverseur	4	15	4	23	23	35	2,40	1,93	1,74	1,54
595-UCC27423P	UCC27423P	PDIP-8	2	Inverseur	4	15	4	20	15	30	2,39	1,92	1,75	1,58
595-UCC27424D	UCC27424D	SOIC-8	2	Non inverseur	4	15	4	20	15	30	2,40	1,93	1,74	1,54
595-UCC27424P	UCC27424P	PDIP-8	2	Non inverseur	4	15	4	20	15	30	2,40	1,93	1,74	1,54
595-UCC27425P	UCC27425P	PDIP-8	2	Inverseur, Non inverseur	4	15	4	20	15	30	2,40	1,93	1,74	1,54
595-UCC27324DGN	UCC27324DGN	MSOP PowerPAD-8	2	Non inverseur	4	15	4	23	23	35	2,40	1,93	1,74	1,54
595-UCC28089D	UCC28089D	SOIC-8	2	Sorties en tandem	8.0	15	1	28	13	-	2,71	2,09	1,90	1,70
595-UCC37323DGN	UCC37323DGN	MSOP PowerPAD-8	2	Inverseur	4	15	4	23	23	35	2,27	1,83	1,65	1,46

CONTRÔLEURS DE SOURCE D'ALIMENTATION PWM

Pour des quantités supérieures à celles indiquées, appelez-nous afin d'obtenir un devis.

RÉF. STOCK MOUSER	Réf. Texas Instruments	Boîtier	Cycle de service (Max.) (%)	Sorties PWM	Fréquence (Max.) (kHz)	Seuils UVLO Marche/arrêt (V)	Limitation du courant	Amplificateur d'erreur	Prix unitaire 1	25	100	250
Mode courant												
595-TL2844D-8	TL2844D-8	SOIC-8	50	1	500	16/10	Oui	Oui	0,76	0,602	0,533	0,463
595-TL2844DR	TL2844DR	SOIC-14	50	1	500	16/10	Oui	Oui	0,81	0,644	0,581	0,506
595-TL2845DR-8	TL2845DR-8	SOIC-8	50	1	500	8.4/7.6	Oui	Oui	0,81	0,644	0,581	0,506
595-TL3844P	TL3844P	PDIP-8	50	1	500	16/10	Oui	Oui	0,89	0,71	0,623	0,547
595-TL3845DR	TL3845DR	SOIC-14	50	1	500	8.4/7.6	Oui	Oui	0,86	0,66	0,587	0,508
595-TL3845DR-8	TL3845DR-8	SOIC-8	50	1	500	8.4/7.6	Oui	Oui	0,86	0,66	0,587	0,508
595-TL3845P	TL3845P	PDIP-8	50	1	500	8.4/7.6	Oui	Oui	0,89	0,71	0,623	0,547
595-UC2844AN	UC2844AN	PDIP-8	50	1	450	16/10	Oui	Oui	2,05	1,65	1,49	1,32
595-UC2844AQD8	UC2844AQD8	SOIC-8	50	1	450	16/10	Oui	Oui	2,05	1,65	1,49	1,32
595-UC2844N	UC2844N	PDIP-8	50	1	450	16/10	Oui	Oui	2,28	1,83	1,67	1,50
595-UC2845AD	UC2845AD	SOIC-14	50	1	450	8.4/7.6	Oui	Oui	2,05	1,65	1,49	1,32
595-UC2845AD8	UC2845AD8	SOIC-8	50	1	450	8.4/7.6	Oui	Oui	2,05	1,65	1,49	1,32
595-UC2845AN	UC2845AN	PDIP-8	50	1	450	8.4/7.6	Oui	Oui	2,05	1,65	1,49	1,32
595-UC2845AQD8R	UC2845AQD8R	SOIC-8	50	1	500	8.5/7.9	Oui	Oui	2,31	1,78	1,62	1,45
595-UC3844AD	UC3844AD	SOIC-14	50	1	450	16/10	Oui	Oui	2,16	1,67	1,51	1,36
595-UC3844N	UC3844N	PDIP-8	50	1	450	16/10	Oui	Oui	2,27	1,83	1,65	1,46
595-UC3844AD8	UC3844AD8	SOIC-8	50	1	450	16/10	Oui	Oui	1,92	1,54	1,39	1,24
595-UC3845D	UC3845D	SOIC-14	50	1	450	8.4/7.6	Oui	Oui	2,03	1,56	1,41	1,27
595-UC3845N	UC3845N	PDIP-8	50	1	450	8.4/7.6	Oui	Oui	2,03	1,56	1,41	1,27
595-UC3845AD8	UC3845AD8	SOIC-8	50	1	450	8.4/7.6	Oui	Oui	1,92	1,54	1,39	1,24
595-UC3845AN	UC3845AN	PDIP-8	50	1	450	8.4/7.6	Oui	Oui	1,92	1,54	1,39	1,24
595-UCC2801D	UCC2801D	SOIC-8	50	1	1000	9.4/7.4	Oui	Oui	3,19	2,57	2,33	2,11
595-UCC2805D	UCC2805D	SOIC-8	50	1	1000	4.1/3.6	Oui	Oui	3,19	2,57	2,33	2,11
595-UCC2813D-1	UCC2813D-1	SOIC-8	50	1	1000	9.4/7.4	Oui	Oui	2,85	2,29	2,09	1,88
595-UCC2813D-4	UCC2813D-4	SOIC-8	50	1	1000	12.5/8.3	Oui	Oui	2,85	2,29	2,09	1,88
595-UCC28C44D	UCC28C44D	SOIC-8	50	1	1000	14.5/9	Oui	Oui	2,15	1,73	1,56	1,39
595-UCC28C45D	UCC28C45D	SOIC-8	50	1	1000	8.4/7.6	Oui	Oui	2,27	1,83	1,65	1,46
595-UCC3804D	UCC3804D	SOIC-8	50	1	1000	12.5/8.3	Oui	Oui	3,30	2,69	2,42	2,19
595-UCC3813D-4	UCC3813D-4	SOIC-8	50	1	1000	12.5/8.3	Oui	Oui	2,74	2,19	2,00	1,81
595-UCC3809P-1	UCC3809P-1	MSOP-8	90	1	1000	10/8	Oui	Non	2,44	2,00	1,79	1,63
595-TL2842P	TL2842P	PDIP-8	100	1	500	16/10	Oui	Oui	0,81	0,652	0,571	0,501
595-TL2843D	TL2843D	SOIC-14	100	1	500	8.4/7.6	Oui	Oui	0,81	0,652	0,571	0,501
595-TL2843DR-8	TL2843DR-8	SOIC-8	100	1	500	8.4/7.6	Oui	Oui	0,86	0,668	0,592	0,512
595-TL3843DR	TL3843DR	SOIC-14	100	1	500	8.4/7.6	Oui	Oui	0,78	0,602	0,538	0,466
595-TL3843P	TL3843P	PDIP-8	100	1	500	8.4/7.6	Oui	Oui	0,81	0,652	0,571	0,501
595-UC2823ADW	UC2823ADW	SOIC-16	100	1	1000	16/10	Oui	Oui	14,91	12,64	11,67	10,05
595-UC2823AN	UC2823AN	PDIP-16	100	1	1000	16/10	Oui	Oui	14,91	12,64	11,67	10,05
595-UC2842AD8	UC2842AD8	SOIC-8	100	1	450	16/10	Oui	Oui	3,25	2,66	2,38	2,16
595-UC2842AN	UC2842AN	PDIP-8	100	1	450	16/10	Oui	Oui	3,25	2,66	2,38	2,16
595-UC2843D8	UC2843D8	SOIC-8	100	1	450	8.4/7.6	Oui	Oui	2,28	1,83	1,67	1,50

© Copyright 2012 Mouser Electronics

© Copyright 2012 Mouser Electronics

CI de gestion de l'alimentation TEXAS INSTRUMENTS

Les produits peuvent être conformes à la directive RoHS. Consultez le site mouser.com pour vérifier la conformité RoHS.

CONTRÔLEURS DE SOURCE D'ALIMENTATION PWM (SUITE)

Pour des quantités supérieures à celles indiquées, appelez-nous afin d'obtenir un devis.

RÉF. STOCK MOUSER	Réf. Texas Instruments	Boîtier	Cycle de service (Max.) (%)	Sorties PWM	Fréquence (Max.) (kHz)	Seuils UVLO Marche/arrêt (V)	Limitation du courant	Amplificateur d'erreur	Prix unitaire 1	25	100	250
Mode courant (cont.)												
595-UC2843N	UC2843N	PDIP-8	100	1	450	8.4/7.6	Oui	Oui	2,28	1,83	1,67	1,50
595-UC2843AD8	UC2843AD8	SOIC-8	100	1	450	8.4/7.6	Oui	Oui	2,28	1,83	1,67	1,50
595-UC2843AN	UC2843AN	PDIP-8	100	1	450	8.4/7.6	Oui	Oui	2,28	1,83	1,67	1,50
595-UC3842N	UC3842N	PDIP-8	100	1	450	16/10	Oui	Oui	2,27	1,83	1,65	1,46
595-UC3842AN	UC3842AN	PDIP-8	100	1	450	16/10	Oui	Oui	1,92	1,54	1,39	1,24
595-UC3843D	UC3843D	SOIC-14	100	1	450	8.4/7.6	Oui	Oui	2,27	1,83	1,65	1,46
595-UC3843AD	UC3843AD	SOIC-14	100	1	450	8.4/7.6	Oui	Oui	2,27	1,83	1,65	1,46
595-UC3843AD8	UC3843AD8	SOIC-8	100	1	450	8.4/7.6	Oui	Oui	2,27	1,83	1,65	1,46
595-UC3843AN	UC3843AN	PDIP-8	100	1	450	8.4/7.6	Oui	Oui	2,27	1,83	1,65	1,46
595-UCC2803QDRQ1	UCC2803QDRQ1	SOIC-8	100	1	1000	4.1/3.6	Oui	Oui	3,18	2,59	2,33	2,12
595-UCC2802D	UCC2802D	SOIC-8	100	1	1000	12.5/8.3	Oui	Oui	3,19	2,57	2,33	2,11
595-UCC2809D-1	UCC2809D-1	SOIC-8	100	1	1000	10/8	Oui	Non	2,51	2,01	1,83	1,66
595-UCC28C40D	UCC28C40D	SOIC-8	100	1	1000	7/6.6	Oui	Oui	2,15	1,73	1,56	1,39
595-UCC28C43P	UCC28C43P	PDIP-8	100	1	1000	8.4/7.6	Oui	Oui	2,27	1,83	1,65	1,46
595-UCC3803D	UCC3803D	SOIC-8	100	1	1000	4.1/3.6	Oui	Oui	3,30	2,69	2,42	2,19
595-UCC3813N-0	UCC3813N-0	PDIP-8	100	1	1000	7.2/6.9	Oui	Oui	2,74	2,19	2,00	1,81
595-UCC3813D-3	UCC3813D-3	SOIC-8	100	1	1000	4.1/3.6	Oui	Oui	2,74	2,19	2,00	1,81
595-UCC38C42P	UCC38C42P	PDIP-8	100	1	1000	14.5/9	Oui	Oui	2,15	1,73	1,56	1,39
595-UCC38C43D	UCC38C43D	SOIC-8	100	1	1000	8.4/7.6	Oui	Oui	2,15	1,73	1,56	1,39
595-UC2825DW	UC2825DW	SOIC-16	50	2	1000	9.2/8.4	Oui	Oui	4,64	3,80	3,41	3,09
595-UC2825ADW	UC2825ADW	SOIC-16	50	2	1000	16/10	Oui	Oui	7,24	6,01	5,46	4,92
595-UC2846DW	UC2846DW	SOIC-16	50	2	450	7.7/6.95	Oui	Oui	4,95	4,04	3,63	3,30
595-UC2846N	UC2846N	PDIP-16	50	2	450	7.7/6.95	Oui	Oui	4,95	4,04	3,63	3,30
595-UC2856QDWR	UC2856QDWR	SOIC-16	50	2	1000	7.7	Non	Non	4,95	4,04	3,63	3,30
595-UC3856N	UC3856N	PDIP-16	50	2	1000	7.7/7	Oui	Oui	4,68	3,75	3,42	3,09
595-UC3846N	UC3846N	PDIP-16	50	2	450	7.7/6.95	Oui	Oui	4,64	3,80	3,41	3,09
595-UCC2806DW	UCC2806DW	SOIC-16	50	2	1000	7.5/6.75	Oui	Oui	10,69	9,05	8,36	7,66
595-UCC28084P	UCC28084P	PDIP-8	50	2	1000	4.3/4.1	Oui	Non	3,19	2,57	2,33	2,11
595-UCC3806DW	UCC3806DW	SOIC-16	50	2	1000	7.5/6.75	Oui	Oui	10,11	7,28	6,06	5,26
595-UCC3808D-1	UCC3808D-1	SOIC-8	50	2	1000	12.5/8.3	Oui	Oui	2,74	2,19	2,00	1,81
595-UCC3808N-2	UCC3808N-2	PDIP-8	50	2	1000	4.3/4.1	Oui	Oui	2,74	2,19	2,00	1,81
595-UC2827DW-1	UC2827DW-1	SOIC-24	50	3	450	9/8.4	Oui	Oui	9,08	6,53	5,45	4,72
Mode courant, tension												
595-UCC28250PW	UCC28250PW	QFN-20	100	1	1000	4.3/4.1	Non	Non	4,33	3,48	3,18	2,86
595-UCC28250RGPT	UCC28250RGPT	TSSOP-20	100	1	1000	4.3/4.1	Non	Non	4,95	4,04	3,63	3,30
595-UC3825DW	UC3825DW	SOIC-16	50	2	1000	9.2/8.4	Oui	Oui	4,48	3,65	3,28	2,99
595-UC3825N	UC3825N	PDIP-16	50	2	1000	9.2/8.4	Oui	Oui	4,48	3,65	3,28	2,99
595-UC3825ADW	UC3825ADW	SOIC-16	50	2	1000	16/10	Oui	Oui	6,52	5,35	4,83	4,43
595-UC3825AN	UC3825AN	PDIP-16	50	2	1000	16/10	Oui	Oui	6,52	5,35	4,83	4,43
595-UC2875N	UC2875N	PDIP-20	100	4	1000	10/7/9.2	Oui	Oui	11,81	10,02	9,24	7,96
595-UC3875DWP	UC3875DWP	SOIC-28	100	4	1000	10.7/9.5	Oui	Oui	10,40	8,75	8,04	7,33
595-UC3875N	UC3875N	PDIP-20	100	4	1000	10.7/9.5	Oui	Oui	10,40	8,75	8,04	7,33
595-UC3876N	UC3876N	PDIP-20	100	4	1000	15.2/9.2	Oui	Oui	17,67	14,86	13,65	12,45
595-UC3879N	UC3879N	PDIP-20	100	4	500	10.75/9	Oui	Oui	9,08	7,43	6,71	6,16
595-UCC2895DW	UCC2895DW	SOIC-20	100	4	1000	11/9	Oui	Oui	9,08	6,53	5,45	4,72
595-UCC2895N	UCC2895N	PDIP-20	100	4	1000	11/9	Oui	Oui	9,08	6,53	5,45	4,72
595-UCC2879DW	UCC2879DW	SOIC-20	100	4	500	10.8/9	Oui	Oui	9,78	8,02	7,24	6,65
595-UCC3895DW	UCC3895DW	SOIC-20	100	4	1000	11/9	Oui	Oui	8,56	7,02	6,34	5,82
Tension												
595-UCC2889D	UCC2889D	SOIC-8	55	1	250	8.4/6.3	Non	Oui	2,06	1,65	1,32	1,10
595-UCC2581D	UCC2581D	SOIC-14	83	1	100	7.3/6.8	Oui	Non	4,68	3,75	3,42	3,09
595-UCC28950PW	UCC28950PW	TSSOP-24	97	1	1000	6.75/6.15	Oui	Oui	8,42	6,73	5,67	5,46
595-UC3865DW	UC3865DW	SOIC-16	5	2	450	16.5/10.5	Non	Oui	5,40	4,48	4,08	3,66
595-SG2524DR	SG2524DR	SOIC-16	45	2	722	-	Non	Oui	0,86	0,693	0,616	0,536
595-SG2524N	SG2524N	PDIP-16	45	2	722	-	Non	Oui	0,95	0,751	0,678	0,59
595-SG3524D	SG3524D	SOIC-16	45	2	722	-	Non	Oui	0,96	0,759	0,671	0,589
595-SG3524N	SG3524N	PDIP-16	45	2	722	-	Non	Oui	0,95	0,751	0,678	0,59
595-TL494CD	TL494CD	SOIC-16	45	2	300	-	Non	Oui	0,55	0,421	0,372	0,322
595-TL494CN	TL494CN	PDIP-16	45	2	300	-	Non	Oui	0,64	0,503	0,445	0,385
595-TL494CNSR	TL494CNSR	SOIC-16	45	2	300	-	Non	Oui	0,55	0,421	0,376	0,326
595-TL494CPWR	TL494CPWR	TSSOP-16	45	2	300	-	Non	Oui	0,63	0,437	0,376	0,325
595-TL494ID	TL494ID	SOIC-16	45	2	300	-	Non	Oui	0,55	0,421	0,372	0,322
595-TL494IN	TL494IN	PDIP-16	45	2	300	-	Non	Oui	0,59	0,454	0,403	0,348
595-TL594CD	TL594CD	SOIC-16	45	2	300	6.1/6	Non	Oui	0,91	0,668	0,51	0,376
595-TL594CN	TL594CN	PDIP-16	45	2	300	6.1/6	Non	Oui	0,72	0,578	0,505	0,443
595-TL594CPWR	TL594CPWR	TSSOP-16	45	2	300	6.1/6	Non	Oui	0,82	0,635	0,563	0,488
595-TL594ID	TL594ID	SOIC-16	45	2	300	6.1/6	Non	Oui	0,91	0,668	0,51	0,376
595-TL594IN	TL594IN	PDIP-16	45	2	300	6.1/6	Non	Oui	0,72	0,578	0,505	0,443
595-TL594INSR	TL594INSR	SOIC-16	45	2	300	6.1/6	Non	Oui	0,79	0,619	0,563	0,484
595-TL598CD	TL598CD	SOIC-16	45	2	300	6.1/6	Non	Oui	1,51	1,22	1,10	0,974
595-TL598CN	TL598CN	PDIP-16	45	2	300	6.1/6	Non	Oui	1,39	1,11	1,01	0,891
595-UC2524ADW	UC2524ADW	SOIC-16	50	2	450	7.5/7	Oui	Oui	2,60	2,11	1,77	1,60
595-UC2524AN	UC2524AN	PDIP-16	50	2	450	7.5/7	Oui	Oui	2,60	2,11	1,77	1,60
595-UC2525AN	UC2525AN	PDIP-16	50	2	450	7/6.8	Oui	Oui	3,03	2,48	2,22	2,02
595-UC2526ADW	UC2526ADW	SOIC-18	50	2	450	7/6.8	Oui	Oui	3,03	2,48	2,22	2,02
595-UC2526AN	UC2526AN	PDIP-18	50	2	450	7/6.8	Oui	Oui	3,03	2,48	2,22	2,02
595-UC3525AN	UC3525AN	PDIP-16	50	2	450	7/6.8	Oui	Oui	2,71	2,18	1,99	1,79
595-UC3526ADW	UC3526ADW	SOIC-18	50	2	450	7/6.8	Oui	Oui	2,71	2,18	1,99	1,79
595-UC3526AN	UC3526AN	PDIP-18	50	2	450	7/6.8	Oui	Oui	2,71	2,18	1,99	1,79
595-UC3526DW	UC3526DW	SOIC-18	50	2	450	7/6.8	Oui	Oui	2,71	2,18	1,99	1,79
595-UCC25600D	UCC25600D	SOIC-8	50	2	350	10.5/9.5	Oui	Non	2,43	1,86	1,69	1,40

CI DE CORRECTION DU FACTEUR DE PUISSANCE

Pour des quantités supérieures à celles indiquées, appelez-nous afin d'obtenir un devis.

RÉF. STOCK MOUSER	Réf. Texas Instruments	Boîtier	Seuils UVLO Marche/arrêt (V)	Température de fonctionnement (Max.) (V)	Courant de démarrage (mA)	Fréquence de fonctionnement pratique (Max.) (MHz)	Courant d'alimentation de fonctionnement (mA)	Prix unitaire 1	25	100	250
595-UCC2819D	UCC2819D	SOIC-16	10.2/9.7	17	0.15	0.25	4	3,42	2,75	2,50	2,26
595-UCC2817N	UCC2817N	PDIP-16	16/10	18	0.15	0.25	4	3,42	2,75	2,50	2,26
595-UCC2818AD	UCC2818AD	SOIC-16	10.5/10	18	0.15	0.25	4	3,31	2,66	2,42	2,19

© Copyright 2012 Mouser Electronics

© Copyright 2012 Mouser Electronics

CI de gestion de l'énergie TEXAS INSTRUMENTS

Les produits peuvent être conformes à la directive RoHS. Consultez le site mouser.com pour vérifier la conformité RoHS.

CI DE CORRECTION DU FACTEUR DE PUISSANCE (SUITE)

Pour des quantités supérieures à celles indiquées, appelez-nous afin d'obtenir un devis.

RÉF. STOCK MOUSER	Réf. Texas Instruments	Boîtier	Seuils UVLO Marche/arrêt (V)	Température de fonctionnement (Max.) (V)	Courant de démarrage (mA)	Fréquence de fonctionnement pratique (Max.) (MHz)	Courant d'alimentation de fonctionnement (mA)	Prix unitaire 1	25	100	250
595-UCC28051D	UCC28051D	SOIC-8	16/10	18	0.075	0.2	4	2,02	1,63	1,46	1,30
595-UCC28513DW	UCC28513DW	SOIC-20	10.2/9.7	18	0.1	0,5	4	4,91	3,94	3,59	3,24
595-UCC38503DW	UCC38503DW	SOIC-20	10.5/10	18	0.15	0.2	4	5,81	4,76	4,30	3,94
595-UC2854BDW	UC2854BDW	SOIC-16	10.5/10	20	0.25	0.2	12	4,22	3,39	3,09	2,79
595-UC3854AN	UC3854AN	PDIP-16	16/10	20	0.25	0.2	12	3,76	3,02	2,76	2,48
595-UC3854BN	UC3854BN	PDIP-16	10.5/10	20	0.25	0.2	12	3,76	3,02	2,76	2,48
595-UCC28060D	UCC28060D	SOIC-16	12/10	21	0.2	0,5	5	3,08	2,48	2,25	2,03
595-UCC28019D	UCC28019D	SOIC-8	10.5/9.5	22	0.1	0.65	7	2,27	1,83	1,65	1,46
595-UCC28019P	UCC28019P	PDIP-8	10.5/9.5	22	0.1	0.65	7	2,27	1,83	1,65	1,46
595-UCC28070PW	UCC28070PW	TSSOP-20	10.6/-	22	-	-	20	5,36	4,31	3,93	3,54
595-UC2854N	UC2854N	PDIP-16	16/10	30	1.5	0.2	10	3,76	3,02	2,76	2,48
595-UC3854DW	UC3854DW	SOIC-16	16/10	30	1.5	0.2	10	3,19	2,57	2,33	2,11
595-UC3854N	UC3854N	PDIP-16	16/10	30	1.5	0.2	10	3,19	2,57	2,33	2,11

RÉGULATEURS CC-CC DE COMMUTATION NON ISOLÉS

Pour des quantités supérieures à celles indiquées, appelez-nous afin d'obtenir un devis.

RÉF. STOCK MOUSER	Réf. Texas Instruments	Boîtier	Vin (Min.)	Vin (Max.)	Vout (Min.)	Vout (Max.)	Pré-initialisation Vout	Iout (Max.)	Fréquence de commutation (Max.) (kHz)	Iq (Typ.) (mA)	Prix unitaire 1	25	100	250
Régulateurs de pompe de charge Buck-Boost														
595-REG710NA-2.7/250	REG710NA-2.7/250	SOT-23-6	0.03	1.8	5.5	2.7	2.7	2.7	1000	0.065	1,42	1,10	0,998	0,815
595-REG710NA-3.3/250	REG710NA-3.3/250	SOT-23-6	0.03	1.8	5.5	3.3	3.3	3.3	1000	0.065	1,42	1,10	0,998	0,815
595-REG710NA-5/250	REG710NA-5/250	SOT-23-6	0.03	2.7	5.5	5	5	5	1000	0.065	1,42	1,10	0,998	0,815
595-REG710NA-5/3K	REG710NA-5/3K	SOT-23-6	0.03	2.7	5.5	5	5	5	1000	0.065	1,00	0,842	0,68	0,508
595-REG71050DDCT	REG71050DDCT	TO/SOT-6	0.06	2.7	5.5	5	5	5	1000	0.065	1,57	1,20	1,10	0,891
595-REG71055DDCT	REG71055DDCT	TO/SOT-6	0.06	3	5.5	5.5	5.5	5.5	1000	0.065	1,57	1,20	1,10	0,891
595-LT1054CP	LT1054CP	PDIP-8	0.1	3.5	15	-5	-5	-5	35	2.5	2,62	2,10	1,92	1,73
595-LT1054IDW	LT1054IDW	SOIC-16	0.1	3.5	15	-5	-5	-5	35	2.5	4,33	3,47	2,77	2,31
595-LT1054IP	LT1054IP	PDIP-8	0.1	3.5	15	-5	-5	-5	35	2.5	2,44	2,00	1,79	1,63
Régulateurs Buck-Boost														
595-TL499ACP	TL499ACP	PDIP-8	0.1	1.1	10	2.9	30	-	-	-	1,77	1,42	1,28	1,14
595-TPS65131RGET	TPS65131RGET	QFN-24	0.8	2.7	5.5	-15	15	-	1500	0,5	5,26	3,79	3,16	2,74
595-TPS63020DSJT	TPS63020DSJT	VSON-14	1.8	5.5	1.2	5.5	-	3	2600	0.05	4,79	3,83	3,23	3,10
595-TPS40009DGQR	TPS40009DGQR	MSOP PowerPAD-10	2.25	5.5	0.7	4	-	15	600	1.5	2,93	2,39	2,15	1,96
Contrôleurs CC/CC (commutateur externe)														
595-TPS75003RHLR	TPS75003RHLR	QFN-20	-	2.2	-	6.5	-	-	-	0.075	4,64	3,80	3,41	3,09
595-TPS75003RHLT	TPS75003RHLT	QFN-20	-	2.2	-	6.5	-	-	-	0.075	5,38	4,39	3,94	3,32
595-UC2572D	UC2572D	SOIC-8	0,5	4.2	-70	35	-1	-	300	9	3,19	2,57	2,33	2,11
595-UC2573D	UC2573D	SOIC-8	0,5	4.2	1.5	35	30	-	300	9	3,19	2,57	2,33	2,11
595-TPS40131RHBT	TPS40131RHBT	QFN-32	1	50	0.7	40	5.8	-	1000	1	4,23	3,76	3,17	3,05
595-TPS40077PWP	TPS40077PWP	HTSSOP-16	1.6	4.5	0.7	28	23	-	1250	-	4,02	3,22	2,57	2,14
595-TPS63002DRCR	TPS63002DRCR	SON-10	1.8	5.5	5	5	5	1.2	1500	0.03	3,71	3,03	2,72	2,29
595-TPS64200DBVT	TPS64200DBVT	SOT-23-6	1.8	10	1.2	6.5	6.5	-	500	-	1,64	1,32	1,19	1,06
595-TPS51117RGYR	TPS51117RGYR	QFN-14	1.8	28	0.76	5.5	-	10	550	-	2,93	2,39	2,15	1,96
595-TPS63010YFFR	TPS63010YFFR	DSBGA-20	2	5.5	1.2	5.5	-	1.2	2400	0.04	4,11	3,30	3,00	2,71
595-TPS40140RHHR	TPS40140RHHR	VQFN-36	2	40	0.7	5.8	-	25	1000	2.8	5,40	4,42	3,99	3,67
595-TPS40007DGQR	TPS40007DGQR	MSOP PowerPAD-10	2.25	5.5	0.7	4	-	15	300	1.5	2,93	2,39	2,15	1,96
595-TPS40007DGQ	TPS40007DGQ	MSOP PowerPAD-10	2.25	15	0.7	5.5	4	-	300	1.5	2,99	2,39	1,91	1,59
595-TPS40009DGQ	TPS40009DGQ	MSOP PowerPAD-10	2.25	15	0.7	5.5	4	-	600	1.5	2,99	2,39	1,91	1,59
595-TPS40021PWP	TPS40021PWP	HTSSOP-16	2.25	15	0.7	5.5	4	-	1000	1.5	3,96	3,23	2,90	2,64
595-TPS40040DRBT	TPS40040DRBT	SON-8	2.25	15	0.6	5.5	4.95	-	300	2	2,57	2,10	1,88	1,71
595-TPS40041DRBR	TPS40041DRBR	SON-8	2.25	15	0.6	5.5	4.84	-	600	2	2,57	1,98	1,79	1,61
595-TPS64203DBVT	TPS64203DBVT	SOT-23-6	3	1.8	1.2	6.5	6.5	-	-	0.02	1,64	1,32	1,19	1,06
595-TPS51117PW	TPS51117PW	TSSOP-14	3	1.8	0.76	28	5.5	-	-	0.02	2,99	2,39	1,91	1,59
595-TL5001CD	TL5001CD	SOIC-8	3	3.6	1	40	50	-	400	1.1	1,48	1,14	1,03	0,932
595-TL5001ACD	TL5001ACD	SOIC-8	3	3.6	1	40	50	-	400	1.1	1,29	1,04	0,78	0,728
595-TL5001AIP	TL5001AIP	PDIP-8	3	3.6	1	40	50	-	400	1.1	1,58	1,28	1,16	1,02
595-TL1451ACD	TL1451ACD	SOIC-16	3	3.6	1	50	50	-	500	1.7	1,39	1,11	1,01	0,891
595-TL1451AQD	TL1451AQD	SOIC-16	3	3.6	1	50	50	-	500	1.7	1,42	1,10	0,998	0,891
595-TPS40130DBT	TPS40130DBT	SM8-30	3	10	0.7	40	3.6	-	400	0.8	5,63	4,61	4,16	3,82
595-TPS51116PWP	TPS51116PWP	HTSSOP-20	3	15	1.5	28	3	-	420	0.35	2,97	2,43	2,18	1,98
595-TPS40304DRCT	TPS40304DRCT	SON-10	3	20	-	-	-	25	600	-	3,47	2,83	2,54	2,31
595-TPS51116PWPR	TPS51116PWPR	HTSSOP-20	3	28	1.5	3	-	10	400	0.8	2,44	2,00	1,79	1,50
595-TPS51116PWPG4	TPS51116PWPG4	HTSSOP-20	3	28	1.5	3	-	10	400	0.8	2,97	2,43	2,18	1,98
595-TPS51116RGER	TPS51116RGER	VQFN-24	3	28	1.5	3	-	10	400	0.8	2,57	2,10	1,88	1,71
595-TPS51116RGET	TPS51116RGET	QFN-24	3	28	1.5	3	-	10	400	0.8	3,05	2,49	2,24	1,88
595-TPS51124RGER	TPS51124RGER	VQFN-24	3	28	0.76	5.5	-	15	420	0.55	3,09	2,75	2,14	2,01
595-TPS51124RGET	TPS51124RGET	QFN-24	3	50	0.76	28	5.5	-	1000	-	3,98	3,19	2,48	2,34
595-TPS40193DRCR	TPS40193DRCR	SON-10	4.5	15	0.591	18	14.4	-	600	4	2,57	2,10	1,88	1,71
595-TPS40190DRCR	TPS40190DRCR	SON-10	4.5	20	0.6	15	12.75	-	300	-	2,71	2,09	1,90	1,70
595-TPS40192DRCR	TPS40192DRCR	SON-10	4.5	20	0.591	18	14.4	-	300	2.5	2,57	2,10	1,88	1,71
595-TPS40195PW	TPS40195PW	TSSOP-16	4.5	20	0.591	20	17	-	1000	1.5	3,47	2,83	2,54	2,31
595-TPS40200D	TPS40200D	SOIC-8	4.5	20	0.7	52	46	-	450	1.4	2,27	1,83	1,65	1,46
595-TPS40222DRPT	TPS40222DRPT	SON-6	4.5	20	0.8	8	-	-	580	0.75	2,43	1,86	1,69	1,52
595-TPS51020DBT	TPS51020DBT	SM8-30	4.5	20	0.9	28	24	-	500	1.1	5,26	3,79	3,16	2,74
595-TPS51120RHBT	TPS51120RHBT	QFN-32	4.5	20	-	28	-	-	1000	1.5	5,26	3,79	3,16	2,74
595-TPS53127PW	TPS53127PW	TSSOP-24	4.5	24	0.76	5.5	-	15	700	0.45	3,96	3,17	2,66	2,57
595-TPS5120DBTR	TPS5120DBTR	TSSOP-30	4.5	28	0.9	26	-	20	500	1.1	6,12	5,08	4,62	3,93
595-TPS51120RHBR	TPS51120RHBR	QFN-32	4.5	28	1.05	5.5	-	20	580	0.75	5,45	4,45	3,99	3,36
595-TPS40210DGQ	TPS40210DGQ	MSOP PowerPAD-10	4.5	52	5	260	-	6	1000	-	2,93	2,39	2,15	1,96
595-TPS40210DGQR	TPS40210DGQR	MSOP PowerPAD-10	4.5	52	5	260	-	6	1000	-	2,83	2,18	1,97	1,77
595-TPS40210DRCT	TPS40210DRCT	SON-10	4.5	52	5	260	-	6	1000	-	2,81	2,29	2,06	1,73
595-TPS51220RHBR	TPS51220RHBR	QFN-32	4.5	32	1	12	-	20	1000	1.3	5,13	4,13	3,75	3,39
595-TPS51125RGER	TPS51125RGER	VQFN-24	5.5	28	2	5.5	-	20	460	0.55	4,02	3,22	2,57	2,14
595-TPS40055PWP	TPS40055PWP	HTSSOP-16	8	20	0.7	40	35	-	1000	1.5	3,92	3,14	2,51	2,09
595-TPS40057PWP	TPS40057PWP	HTSSOP-16	8	20	0.7	40	35	-	1000	1.5	3,92	3,14	2,51	2,09
595-TPS40055PWPR	TPS40055PWPR	HTSSOP-16	8	40	0.7	35	-	20	1000	1.5	3,54	2,84	2,59	2,33
595-TPS40057PWPR	TPS40057PWPR	HTSSOP-16	8	40	0.7	35	-	20	1000	1.5	3,79	3,09	2,78	2,52
595-TPS40061PWP	TPS40061PWP	HTSSOP-16	10	10	55	0.7	45	-	1000	1.5	4,13	3,30	2,64	2,19

© Copyright 2012 Mouser Electronics

© Copyright 2012 Mouser Electronics

RÉGULATEURS CC-CC DE COMMUTATION NON ISOLÉS (SUITE)

Pour des quantités supérieures à celles indiquées, appelez-nous afin d'obtenir un devis.

RÉF. STOCK MOUSER	Réf. Texas Instruments	Boîtier	Vin (Min.)	Vin (Max.)	Vout (Min.)	Vout (Max.)	Pré-initialisation Vout	Iout (Max.)	Fréquence de commutation (Max.) (kHz)	Iq (Typ.) (mA)	Prix unitaire 1	25	100	250
Régulateurs inverseurs de pompe de chargement														
595-TPS60401DBVT	TPS60401DBVT	SOT-23-5	0.06	1.6	-1.6	5.5	-5.25	-	25	0.07	1,11	0,875	0,792	0,69
595-TPS60402DBVT	TPS60402DBVT	SOT-23-5	0.06	1.6	-1.6	5.5	-5.25	-	80	0.275	1,11	0,875	0,792	0,69
595-TPS60403DBVT	TPS60403DBVT	SOT-23-5	0.06	1.6	-1.6	5.5	-5.25	-	400	0.4	1,11	0,875	0,792	0,69
Régulateurs inverseurs														
595-TPS63700DRCT	TPS63700DRCT	SON-10	0.36	2.7	-15	5.5	-2	-	1380	0.97	4,70	3,84	3,45	3,14
595-TPS54372PWP	TPS54372PWP	HTSSOP-20	3	3	0.2	6	4.5	-	700	6.2	5,00	4,01	3,12	2,95
595-TPS54356PWP	TPS54356PWP	HTSSOP-16	3	4.5	-	20	-	3.3	700	9	5,13	4,13	3,75	3,39
595-MC33063ADRJRG4	MC33063ADRJRG4	QFN-8	3	40	1.25	10	-	0.75	100	-	0,55	0,421	0,376	0,326
595-MC34063ADR	MC34063ADR	SOIC-8	3	40	1.55	40	-	0.75	100	4	0,54	0,371	0,323	0,279
595-TL497ACD	TL497ACD	SOIC-14	4.5	12	-25	30	-	0,5	-	11	1,71	1,32	1,20	1,07
595-TL497ACN	TL497ACN	PDIP-14	4.5	12	-25	30	-	0,5	-	11	1,86	1,43	1,30	1,16
595-TL497AIDR	TL497AIDR	SOIC-14	4.5	12	-25	30	-	0,5	-	11	1,48	1,17	1,06	0,916
595-TL497AIN	TL497AIN	PDIP-14	4.5	12	-25	30	-	0,5	-	11	1,86	1,43	1,30	1,16
Régulateurs step-down														
595-TPS62000DGS	TPS62000DGS	MSOP-10	2	5.5	0.9	5	-	0.6	1000	0.05	3,71	3,03	2,72	2,29
595-TPS62005DGSR	TPS62005DGSR	MSOP-10	2	5.5	1.8	1.8	1.8	0.6	1000	0.05	2,58	2,06	1,65	1,38
595-TPS62240DDCT	TPS62240DDCT	TO/SOT-5	2	6	0.6	6	-	0.3	2250	0.015	2,60	2,00	1,82	1,49
595-TPS62260DDCT	TPS62260DDCT	TO/SOT-5	2	6	0.6	6	-	0.6	2250	0.015	2,06	1,65	1,32	1,10
595-TPS62120DCNT	TPS62120DCNT	SOT-23-8	2	15	1.2	5.5	-	0.075	800	0.011	2,69	2,19	1,97	1,79
595-TPS62122DRVT	TPS62122DRVT	SON-6	2	15	1.2	5.5	-	0.075	800	0.011	2,17	1,73	1,39	1,16
595-TPS54010PWP	TPS54010PWP	HTSSOP-28	2.2	4	0.9	2.5	-	14	700	13	8,42	6,73	5,67	5,46
595-TPS82671SIPT	TPS82671SIPT	µSIP-8	2.3	4.8	1.8	1.8	1.8	0.6	-	-	3,42	2,75	2,50	2,26
595-TPS82675SIPT	TPS82675SIPT	µSIP-8	2.3	4.8	1.2	1.2	1.2	0.6	-	-	3,42	2,75	2,50	2,26
595-TPS62290DRVR	TPS62290DRVR	SON-6	2.3	6	0.6	6	-	1	2250	0.015	2,81	2,29	2,06	1,73
595-TPS62290DRVT	TPS62290DRVT	SON-6	2.3	6	0.6	6	-	1	2250	0.015	3,12	2,50	2,28	2,05
595-TPS62007DGS	TPS62007DGS	MSOP-10	2.5	5.5	1.9	1.9	1.9	0.6	1000	0.05	3,71	3,03	2,72	2,29
595-TPS62400DRCT	TPS62400DRCT	SON-10	2.5	6	0.6	6	-	0.4	2250	0.032	2,58	2,06	1,65	1,38
595-TPS62410DRCT	TPS62410DRCT	SON-10	2.5	6	0.6	6	-	0.8	2250	0.032	3,71	3,03	2,72	2,29
595-TPS62420DRCR	TPS62420DRCR	SON-10	2.5	6	0.6	6	-	0.6	2250	0.032	2,68	2,15	1,72	1,43
595-TPS62420DRCT	TPS62420DRCT	SON-10	2.5	6	0.6	6	-	0.6	2250	0.032	3,71	3,03	2,72	2,29
595-TPS62020DGQR	TPS62020DGQR	MSOP PowerPAD-10	2.5	6	0.7	6	-	0.6	1500	0.018	2,58	2,06	1,65	1,38
595-TPS62040DGQ	TPS62040DGQ	MSOP PowerPAD-10	2.5	6	0.7	6	-	1.2	1500	0.018	4,16	3,39	3,04	2,77
595-TPS62040DRCR	TPS62040DRCR	QFN-10	2.5	6	0.7	6	-	1.2	1500	0.018	3,47	2,83	2,54	2,14
595-TPS62200DBVR	TPS62200DBVR	SOT-23-5	2.5	6	0.7	6	-	0.3	1500	0.015	1,46	1,22	0,974	0,681
595-TPS62200DBVT	TPS62200DBVT	SOT-23-5	2.5	6	0.7	6	-	0.3	1500	0.015	1,76	1,47	1,17	0,82
595-TPS62220DDCT	TPS62220DDCT	TO/SOT-5	2.5	6	0.7	6	-	0.4	1850	0.015	2,28	1,76	1,59	1,43
595-TPS62401DRCT	TPS62401DRCT	SON-10	2.5	6	1.1	1.575	-	0.4	2250	0.032	2,58	2,06	1,65	1,38
595-TPS62227DDCT	TPS62227DDCT	TO/SOT-5	2.5	6	1.2	1.2	1.2	0.4	1850	0.015	2,28	1,76	1,59	1,43
595-TPS62402DRCT	TPS62402DRCT	SON-10	2.5	6	1.2	1.8	-	0.4	2250	0.032	2,58	2,06	1,65	1,38
595-TPS62042DGQR	TPS62042DGQR	MSOP PowerPAD-10	2.5	6	1.5	1.5	1.5	1.2	1500	0.018	3,47	2,83	2,54	2,14
595-TPS62204DBVT	TPS62204DBVT	SOT-23-5	2.5	6	1.6	1.6	1.6	0.3	1500	0.015	2,15	1,75	1,56	1,39
595-TPS62202DBVR	TPS62202DBVR	SOT-23-5	2.5	6	1.8	1.8	1.8	0.3	1500	0.015	2,00	1,53	1,39	1,25
595-TPS62046DGQ	TPS62046DGQ	MSOP PowerPAD-10	2.5	6	3.3	3.3	3.3	1.2	1500	0.018	4,16	3,39	3,04	2,77
595-TPS62046DGQR	TPS62046DGQR	MSOP PowerPAD-10	2.5	6	3.3	3.3	3.3	1.2	1500	0.018	3,47	2,83	2,54	2,14
595-TPS62203DBVT	TPS62203DBVT	SOT-23-5	2.5	6	3.3	3.3	3.3	0.3	1500	0.015	2,15	1,75	1,56	1,39
595-TPS62350YZGT	TPS62350YZGT	DSBGA-12	2.7	5.5	0.75	1.5375	-	0.8	3000	0.028	3,59	2,93	2,63	2,21
595-TPS62060DSGT	TPS62060DSGT	WSON-8	2.7	6	0.8	6	-	1.6	3000	0.018	3,71	3,03	2,72	2,29
595-TPS62050DGSR	TPS62050DGSR	MSOP-10	2.7	10	0.7	6	-	0.8	1000	0.012	2,06	1,65	1,32	1,10
595-TPS62051DGS	TPS62051DGS	MSOP-10	2.7	10	0.7	6	-	0.8	1000	0.012	2,93	2,39	2,15	1,96
595-TPS62050DGS	TPS62050DGS	MSOP-10	2.7	10	1.5	1.5	1.5	0.8	1000	0.012	2,93	2,39	2,15	1,96
595-TPS62054DGS	TPS62054DGS	MSOP-10	2.7	10	1.8	1.8	1.8	0.8	1000	0.012	2,93	2,39	2,15	1,96
595-TPS62056DGS	TPS62056DGS	MSOP-10	2.7	10	3.3	3.3	3.3	0.8	1000	0.012	2,93	2,39	2,15	1,96
595-TPS53311RGTT	TPS53311RGTT	WQFN-16	2.95	6	0.8	4.5	-	3	2000	0.36	5,16	3,71	3,09	2,68
595-TPS54318RTET	TPS54318RTET	WQFN-16	2.95	6	0.8	4.5	-	3	2000	0.35	5,63	4,60	4,13	3,75
595-TPS54319RTET	TPS54319RTET	WQFN-16	2.95	6	0.8	4.5	-	3	2000	0.36	3,79	3,04	2,37	2,24
595-TPS54618RTET	TPS54618RTET	WQFN-16	2.95	6	0.8	4.5	-	6	2000	0.25	4,90	4,36	3,67	3,54
595-TPS54972PWP	TPS54972PWP	HTSSOP-28	3	4	0.2	2.5	-	9	700	11	9,08	6,53	5,45	4,72
595-TPS54910PWP	TPS54910PWP	HTSSOP-28	3	4	0.9	2.5	-	9	700	11	9,08	6,53	5,45	4,72
595-TPS54372PWPR	TPS54372PWPR	HTSSOP-20	3	6	0.2	4.5	-	3	700	6.2	5,13	4,13	3,75	3,39
595-TPS54672PWP	TPS54672PWP	HTSSOP-28	3	6	0.2	4.5	-	6	700	11	8,32	6,91	6,28	5,33
595-TPS62065DSGT	TPS62065DSGT	WSON-8	3	6	0.8	6	-	2	3000	0.018	4,11	3,30	3,00	2,71
595-TPS62067DSGT	TPS62067DSGT	WSON-8	3	6	0.8	6	-	2	3000	0.018	4,70	3,84	3,45	3,14
595-TPS54110PWP	TPS54110PWP	HTSSOP-20	3	6	0.9	4.5	-	1.5	700	4.2	5,63	4,60	4,13	3,75
595-TPS54310PWP	TPS54310PWP	HTSSOP-20	3	6	0.9	3.3	-	3	700	6.2	5,00	4,01	3,12	2,95
595-TPS54310PWPR	TPS54310PWPR	HTSSOP-20	3	6	0.9	3.3	-	3	700	6.2	5,13	4,13	3,75	3,39
595-TPS54317RHFT	TPS54317RHFT	QFN-24	3	6	0.9	3.3	-	3	1600	6.2	4,79	3,83	3,23	3,10
595-TPS54380PWP	TPS54380PWP	HTSSOP-20	3	6	0.9	4.5	-	3	700	6.2	5,00	4,01	3,12	2,95
595-TPS54610PWP	TPS54610PWP	HTSSOP-28	3	6	0.9	4.5	-	6	700	11	8,32	6,91	6,28	5,33
595-TPS54610PWPR	TPS54610PWPR	HTSSOP-28	3	6	0.9	4.5	-	6	700	11	5,28	4,22	3,56	3,43
595-TPS54680PWP	TPS54680PWP	HTSSOP-28	3	6	0.9	4.5	-	6	700	11	8,32	6,91	6,28	5,33
595-TPS54312PWP	TPS54312PWP	HTSSOP-20	3	6	-	-	1.2	3	700	6.2	5,00	4,01	3,12	2,95
595-TPS54313PWP	TPS54313PWP	HTSSOP-20	3	6	-	-	1.5	3	700	6.2	5,00	4,01	3,12	2,95
595-TPS54314PWP	TPS54314PWP	HTSSOP-20	3	6	-	-	1.8	3	700	6.2	5,00	4,01	3,12	2,95
595-TPS54315PWP	TPS54315PWP	HTSSOP-20	3	6	-	-	2.5	3	700	6.2	5,00	4,01	3,12	2,95
595-TPS54612PWP	TPS54612PWP	HTSSOP-28	3	6	-	-	1.2	6	700	11	8,32	6,91	6,28	5,33
595-TPS54613PWP	TPS54613PWP	HTSSOP-28	3	6	-	-	1.5	6	700	11	8,32	6,91	6,28	5,33
595-TPS54614PWP	TPS54614PWP	HTSSOP-28	3	6	-	-	1.8	6	700	11	8,32	6,91	6,28	5,33
595-TPS54615PWP	TPS54615PWP	HTSSOP-28	3	6	-	6	-	2.5	700	11	8,32	6,91	6,28	5,33
595-MC33063AD	MC33063AD	SOIC-8	3	40	1.25	40	-	0.75	100	-	0,59	0,454	0,40	0,348
595-MC33063ADRJR	MC33063ADRJR	SON-8	3	40	1.25	40	-	0.75	100	-	0,55	0,421	0,376	0,326
595-MC33063AP	MC33063AP	PDIP-8	3	40	1.25	40	-	0.75	100	-	0,55	0,421	0,372	0,322
595-MC34063AD	MC34063AD	SOIC-8	3	40	1.25	40	-	0.75	100	-	0,55	0,421	0,372	0,322
595-MC34063AP	MC34063AP	PDIP-8	3	40	1.25	40	-	0.75	100	-	0,55	0,421	0,376	0,326
595-TPS62110MRSAREP	TPS62110MRSAREP	QFN-16	3.1	17	1.153	16	-	1.5	1000	0.02	8,77	6,31	5,26	4,56
595-TPS62110RSAR	TPS62110RSAR	QFN-16	3.1	17	1.2	16	-	1.5	1000	0.02	3,47	2,77	2,52	2,28
595-TPS62110RSAT	TPS62110RSAT	QFN-16	3.1	17	1.2	16	-	1.5	1000	0.02	4,27	3,49	3,14	2,85
595-TPS62003DGSR	TPS62003DGSR	MSOP-10	3.1	17	3.3	3.3	3.3	1.5	1000	0.02	2,58	2,06	1,65	1,38
595-TPS62111RSAT	TPS62111RSAT	QFN-16	3.1	17	3.3	3.3	3.3	1.5	1000	0.02	3,79	3,09	2,78	2,52
595-TPS62112RSAT	TPS62112RSAT	QFN-16	3.1	17	5	5	5	1.5	1000	0.02	3,79	3,09	2,78	2,52

© Copyright 2012 Mouser Electronics

© Copyright 2012 Mouser Electronics

CI de gestion de l'énergie TEXAS INSTRUMENTS

Les produits peuvent être conformes à la directive RoHS. Consultez le site mouser.com pour vérifier la conformité RoHS.

RÉGULATEURS CC-CC DE COMMUTATION NON ISOLÉS (SUITE)

Pour des quantités supérieures à celles indiquées, appelez-nous afin d'obtenir un devis.

RÉF. STOCK MOUSER	Réf. Texas Instruments	Boîtier	Vin (Min.)	Vin (Max.)	Vout (Min.)	Vout (Max.)	Pré-initialisation Vout	Iout (Max.)	Fréquence de commutation (Max.) (kHz)	Iq (Typ.) (mA)	Prix unitaire 1	25	100	250
Régulateurs abaisseurs (suite)														
595-TPS54231DR	TPS54231DR	SOIC-8	3.5	28	0.8	25	-	2	740	0.11	3,05	2,49	2,24	1,88
595-TPS54331DR	TPS54331DR	SOIC-8	3.5	28	0.8	25	-	3	684	0.11	3,12	2,50	2,28	2,05
595-TPS54240DGQ	TPS54240DGQ	MSOP PowerPAD-10	3.5	42	0.8	39	-	2.5	2500	0.138	5,63	4,60	4,13	3,75
595-TPS54260DGQ	TPS54260DGQ	MSOP PowerPAD-10	3.5	60	0.8	58	-	2.5	2500	0.138	6,12	5,08	4,62	3,93
595-TPS54810PWP	TPS54810PWP	HTSSOP-28	4	6	0.9	3.3	-	8	700	11	9,08	6,53	5,45	4,72
595-TPS54316PWP	TPS54316PWP	HTSSOP-20	4	6	-	-	3.3	3	700	6.2	5,00	4,01	3,12	2,95
595-TPS54616PWP	TPS54616PWP	HTSSOP-28	4	6	-	-	3.3	6	700	11	8,32	6,91	6,28	5,33
595-TPS84620RUQR	TPS84620RUQR	B1QFN-47	4.5	14.5	1.2	5.5	-	6	560	-	9,64	8,66	7,68	7,39
595-TPS54320RHLT	TPS54320RHLT	QFN-14	4.5	17	0.8	15	-	3	1200	0.6	4,13	3,30	2,64	2,19
595-TPS54292PWP	TPS54292PWP	HTSSOP-16	4.5	18	0.8	14	-	2.5/1.5	1200	1.8	5,86	4,69	3,94	3,79
595-TPS54225PWP	TPS54225PWP	HTSSOP-14	4.5	18	0.76	5.5	-	2	700	0.85	4,04	3,24	2,95	2,66
595-TPS54226PWP	TPS54226PWP	HTSSOP-14	4.5	18	0.76	5.5	-	2	700	0.85	3,32	2,67	2,08	1,96
595-TPS54425PWP	TPS54425PWP	HTSSOP-14	4.5	18	0.76	5.5	-	4	700	0.85	4,85	3,89	3,55	3,20
595-TPS54426PWP	TPS54426PWP	HTSSOP-14	4.5	18	0.76	5.5	-	4	700	0.85	5,45	4,45	3,99	3,36
595-TPS54327DDA	TPS54327DDA	SO PowerPAD-8	4.5	18	0.76	7	-	3	700	0.85	4,70	3,84	3,21	2,90
595-TPS54350PWP	TPS54350PWP	HTSSOP-16	4.5	20	0.9	12	-	3	700	5	5,13	4,13	3,75	3,39
595-TPS54350PWPR	TPS54350PWPR	HTSSOP-16	4.5	20	0.9	12	-	3	700	5	3,09	2,75	2,14	2,01
595-TPS54550PWP	TPS54550PWP	HTSSOP-16	4.5	20	0.9	12	-	6	700	9	5,28	4,22	3,56	3,43
595-TPS54283PWPR	TPS54283PWPR	HTSSOP-14	4.5	28	0.8	25.2	-	2.0/2.0	300	1.8	3,96	3,17	2,66	2,57
595-TPS54386PWPR	TPS54386PWPR	HTSSOP-16	4.5	28	0.8	25.2	-	3.0/3.0	300	1.8	5,40	4,42	3,99	3,67
595-LM2575IN	LM2575IN	PDIP-16	4.75	40	1.23	37	1.23	1	52	5	1,73	1,34	1,21	0,99
595-TL2575-ADJIKV	TL2575-ADJIKV	TO-220-5	4.75	40	1.23	37	-	1	52	5	2,28	1,76	1,59	1,43
595-TL2575-ADJIN	TL2575-ADJIN	PDIP-16	4.75	40	1.23	37	-	1	52	5	1,71	1,32	1,20	1,07
595-TL2575-33IKTTR	TL2575-33IKTTR	TO-263-5	4.75	40	3.135	3.3	3.3	1	52	5	2,14	1,65	1,49	1,34
595-TL2575-33IN	TL2575-33IN	PDIP-16	4.75	40	3.135	3.3	3.3	1	52	5	1,71	1,32	1,20	1,07
595-TL2575-05IKTTR	TL2575-05IKTTR	TO-263-5	4.75	40	4.75	5	5	1	52	5	2,14	1,65	1,49	1,34
595-TL2575-05IN	TL2575-05IN	PDIP-16	4.75	40	4.75	5	5	1	52	5	1,71	1,32	1,20	1,07
595-TL2575-12IKTTR	TL2575-12IKTTR	TO-263-5	4.75	40	11.4	12	12	1	52	5	2,14	1,65	1,49	1,34
595-TL2575-12IN	TL2575-12IN	PDIP-16	4.75	40	11.4	12	12	1	52	5	1,71	1,32	1,20	1,07
595-TL2575-15IKTTR	TL2575-15IKTTR	TO-263-5	4.75	40	14.25	15	15	1	52	5	2,14	1,65	1,49	1,34
595-TPS5431DDA	TPS5431DDA	SO PowerPAD-8	5.5	23	1.23	20	-	3	500	3	4,85	3,89	3,55	3,20
595-TPS5420MDREP	TPS5420MDREP	SOIC-8	5.5	36	1.22	31	-	2	600	3	4,79	3,83	3,23	3,10
595-TPS5450DDA	TPS5450DDA	SO PowerPAD-8	5.5	36	1.22	31	-	5	500	3	5,00	4,01	3,12	2,95
595-TPS5450DDAR	TPS5450DDAR	SO PowerPAD-8	5.5	36	1.22	31	-	5	500	3	5,13	4,13	3,75	3,39
595-TPS5410D	TPS5410D	SOIC-8	5.5	36	1.23	31	-	1	-	3	4,02	3,22	2,57	2,14
595-TPS5410DR	TPS5410DR	SOIC-8	5.5	36	1.23	31	-	1	600	3	3,96	3,23	2,90	2,64
595-TPS5420D	TPS5420D	SOIC-8	5.5	36	1.23	31	-	2	500	3	3,79	3,04	2,37	2,24
595-TPS5420DR	TPS5420DR	SOIC-8	5.5	36	1.23	31	-	2	600	3	3,93	3,15	2,87	2,59
595-TPS5430DDA	TPS5430DDA	SO PowerPAD-8	5.5	36	1.23	31	-	3	500	3	5,13	4,13	3,75	3,39
595-TPS5430DDAR	TPS5430DDAR	SO PowerPAD-8	5.5	36	1.23	31	-	3	600	3	4,22	3,39	3,09	2,79
595-TPS54357PWP	TPS54357PWP	HTSSOP-16	6.5	20	5	5	5	3	700	9	6,12	5,08	4,62	3,93
Régulateurs élévateurs de pompe de chargement														
595-TPS60204DGSR	TPS60204DGSR	MSOP-10	1.6	3.6	3.3	3.3	3.3	0.1	400	0.035	1,65	1,32	0,99	0,924
595-TPS60120PWP	TPS60120PWP	HTSSOP-20	1.8	3.6	3.3	3.3	3.3	0.2	450	0.055	2,72	2,22	1,86	1,67
595-TPS60202DGSR	TPS60202DGSR	MSOP-10	1.8	3.6	3.3	3.3	3.3	0.05	400	0.04	1,64	1,32	1,19	1,06
595-TPS60210DGS	TPS60210DGS	MSOP-10	1.8	3.6	3.3	3.3	3.3	0.1	400	0.002	2,06	1,65	1,32	1,10
595-TPS60140PWP	TPS60140PWP	HTSSOP-20	1.8	3.6	5	5	5	0.1	450	0.055	2,06	1,65	1,32	1,10
595-TPS60243DGKT	TPS60243DGKT	MSOP-8	1.8	5.5	3	3	3	0.025	220	0.25	1,64	1,32	1,19	1,06
595-TPS60110PWP	TPS60110PWP	HTSSOP-20	2.7	5.4	5	5	5	0.3	400	0.05	2,72	2,22	1,86	1,67
595-TPS60131PWP	TPS60131PWP	HTSSOP-20	2.7	5.4	5	5	5	0.3	450	0.06	2,85	2,32	2,09	1,75
Régulateurs élévateurs														
595-TPS61200DRCR	TPS61200DRCR	SON-10	0.3	0,5	1.8	5.5	-	1.2	1250	0.05	2,69	2,19	1,97	1,79
595-TPS61200DRCT	TPS61200DRCT	SON-10	0.3	5.5	1.8	5.5	-	1.2	1250	0.05	2,68	2,15	1,72	1,43
595-TPS61201DRCT	TPS61201DRCT	SON-10	0.3	5.5	3.3	3.3	3.3	1.2	1250	0.05	2,68	2,15	1,72	1,43
595-TPS61202DRCT	TPS61202DRCT	SON-10	0.3	5.5	5	5	5	1.2	1250	0.05	2,68	2,15	1,72	1,43
595-TPS61016DGS	TPS61016DGS	MSOP-10	0.8	3.3	3.3	3.3	3.3	1.07	780	0.05	4,08	3,33	2,99	2,72
595-TPS61029DRCT	TPS61029DRCT	SON-10	0.9	5.5	1.8	5.5	-	1.5	720	0.025	3,22	2,62	2,36	2,15
595-TPS61070DDCR	TPS61070DDCR	TO/SOT-6	0.9	5.5	1.8	5.5	-	0,5	1200	0.019	2,28	1,76	1,59	1,43
595-TPS61073DDCR	TPS61073DDCR	TO/SOT-6	0.9	5.5	1.8	5.5	-	0,5	1200	0.019	2,28	1,76	1,59	1,43
595-TPS61026DRCT	TPS61026DRCT	SON-10	0.9	5.5	-	-	5	1.5	720	0.025	3,22	2,62	2,36	2,15
595-TPS61020DRCR	TPS61020DRCR	SON-10	0.9	6.5	1.8	5.5	-	1.2	720	0.025	3,71	3,04	2,72	2,48
595-TPS61028DRCR	TPS61028DRCR	SON-10	0.9	6.5	1.8	5.5	-	0.8	720	0.025	2,60	2,00	1,79	1,61
595-TPS61025DRCR	TPS61025DRCR	SON-10	0.9	6.5	-	-	3.3	1.2	720	0.025	3,71	3,04	2,72	2,48
595-TPS61027DRCR	TPS61027DRCR	SON-10	0.9	6.5	-	-	5	1.2	720	0.025	3,71	3,04	2,72	2,48
595-TPS61090RSAR	TPS61090RSAR	QFN-16	1.8	5.5	1.8	5.5	-	2	700	0.02	3,88	3,12	2,84	2,56
595-TPS61030PWPR	TPS61030PWPR	HTSSOP-16	1.8	5.5	5	-	-	3.6	700	0.02	4,85	3,89	3,55	3,20
595-TPS61030RSAR	TPS61030RSAR	QFN-16	1.8	5.5	5	-	-	3.6	700	0.02	4,85	3,89	3,55	3,20
595-TPS61032PWPR	TPS61032PWPR	HTSSOP-16	1.8	5.5	5	-	-	3.6	700	0.02	4,85	3,89	3,55	3,20
595-TPS61032RSAR	TPS61032RSAR	QFN-16	1.8	5.5	5	-	-	3.6	700	0.02	4,85	3,89	3,55	3,20
595-TPS61092RSAR	TPS61092RSAR	QFN-16	1.8	5.5	-	-	5	2	700	0.02	3,88	3,12	2,84	2,56
595-TPS61251DSGT	TPS61251DSGT	WSON-8	2.3	6	3	6.5	-	-	3500	0.03	4,58	3,74	3,36	2,82
595-TPS61252DSGT	TPS61252DSGT	WSON-8	2.3	6	3	6.5	-	-	3500	0.03	3,59	2,93	2,63	2,21
595-TPS61080DRCR	TPS61080DRCR	SON-10	2.5	6	-	-	-	0.2	1200	6	3,30	2,69	2,42	2,19
595-TPS61081DRCT	TPS61081DRCT	SON-10	2.5	6	-	-	-	0.35	1200	6	4,16	3,39	3,04	2,56
595-UC2577T-ADJ	UC2577T-ADJ	TO-220-5	3	40	5	60	-	3	52	45	20,87	18,79	17,22	15,13

LDO À CANAL DOUBLE

Pour des quantités supérieures à celles indiquées, appelez-nous afin d'obtenir un devis.

RÉF. STOCK MOUSER	Réf. Texas Instruments	Boîtier	Iout (Max.) (A)	Vdo (Typ.) (mV)	Iq (Typ.) (mA)	Vin (Min.)	Vin (Max.)	Précision (%)	Condensateur de sortie (µF)	Type de condensateur de sortie	Prix unitaire 1	25	100	250
595-TPS71918-12DRVR	TPS71918-12DRVR	SON-6	0.2	230	90	2.7	6.5	-	1	Céramique	1,14	0,908	0,635	0,613
595-TPS71933-28DRVR	TPS71933-28DRVR	SON-6	0.2	230	90	2.7	6.5	-	1	Céramique	1,14	0,908	0,635	0,613
595-TPS71933-33DRVR	TPS71933-33DRVR	SON-6	0.2	230	90	2.7	6.5	-	1	Céramique	1,14	0,908	0,635	0,613
595-TPS71812-33DRVR	TPS71812-33DRVR	SON-6	0.2	230	-	2.7	6.5	-	1	Céramique	1,14	0,908	0,635	0,613
595-TPS70851PWP	TPS70851PWP	HTSSOP-20	0.25	83	-	2.7	6	-	10	Tantale	3,99	3,21	2,92	2,64
595-TPS71202DRCT	TPS71202DRCT	SON-10	0.25	125	-	2.7	5.5	-	4.7	Céramique	2,71	2,09	1,90	1,70
595-TPS7133QD	TPS7133QD	SOIC-8	0,5	146	-	2.5	10	-	10	Tantale	3,91	3,19	2,86	2,61
595-TPS7150QP	TPS7150QP	PDIP-8	0,5	146	-	5.146	10	-	10	Tantale	2,71	2,09	1,90	1,70
595-TPS70102PWP	TPS70102PWP	HTSSOP-20	0,5	170	-	2.7	6	-	10	Tantale	4,40	3,59	3,23	2,93

© Copyright 2012 Mouser Electronics
© Copyright 2012 Mouser Electronics

CI de gestion de l'alimentation TEXAS INSTRUMENTS

Les produits peuvent être conformes à la directive RoHS.
Consultez le site mouser.com pour vérifier la conformité RoHS.

LDO À DOUBLE CANAL (SUITE)

Pour des quantités supérieures à celles indiquées, appelez-nous afin d'obtenir un devis.

RÉF. STOCK MOUSER	Réf. Texas Instruments	Boîtier	Iout (Max.) (A)	Vdo (Typ.) (mV)	Iq (Typ.) (mA)	Vin (Min.)	Vin (Max.)	Précision (%)	Condensateur de sortie (µF)	Type de condensateur de sortie	Prix unitaire 1	25	100	250
595-TPS70145PWPG4	TPS70145PWPG4	HTSSOP-20	0,5	170	-	3.47	6	2	10	Céramique	5,50	4,49	4,03	3,39
595-TPS70151PWP	TPS70151PWP	HTSSOP-20	0,5	170	-	3.47	6	-	10	Céramique	2,99	2,67	2,08	1,96
595-TPS70158PWP	TPS70158PWP	HTSSOP-20	0,5	170	-	3.47	6	-	10	Céramique	5,50	4,49	4,03	3,39
595-TPS71025D	TPS71025D	SOIC-8	0,5	330	-	3.5	10	-	4.7	Tantale	3,42	2,75	2,50	2,26
595-PS767D301MPWPREP	TPS767D301MPWPREP	HTSSOP-28	1	350	-	2.7	10	-	10	Tantale	7,34	6,10	5,54	4,71
595-TPS767D301PWP	TPS767D301PWP	HTSSOP-28	1	350	-	3.65	10	-	10	Tantale	5,74	4,69	4,22	3,83
595-TPS767D301PWPR	TPS767D301PWPR	HTSSOP-28	1	350	-	3.65	10	-	10	Tantale	4,89	3,99	3,58	3,26
595-TPS767D318PWP	TPS767D318PWP	HTSSOP-28	1	350	-	3.65	10	-	10	Tantale	5,74	4,69	4,22	3,83
595-TPS767D318QPWPQ1	TPS767D318QPWPRQ1	HTSSOP-28	1	350	-	2.7	10	2	10	Tantale	5,63	4,60	4,13	3,47
595-TPS767D325PWP	TPS767D325PWP	HTSSOP-28	1	350	-	3.65	10	-	10	Tantale	5,74	4,69	4,22	3,83
595-TPS70302PWP	TPS70302PWP	HTSSOP-24	2	160	-	2.7	6	-	22	Tantale	6,12	5,08	4,62	3,93
595-TPS70351PWP	TPS70351PWP	HTSSOP-24	2	160	-	2.7	6	-	22	Tantale	6,12	5,08	4,62	3,93
595-TPS70402PWP	TPS70402PWP	HTSSOP-24	2	160	-	2.7	6	-	22	Tantale	6,12	5,08	4,62	3,93
595-TPS70448PWP	TPS70448PWP	HTSSOP-24	2	160	-	2.7	6	-	22	Tantale	6,12	5,08	4,62	3,93

LDO À UN SEUL CANAL

Pour des quantités supérieures à celles indiquées, appelez-nous afin d'obtenir un devis.

RÉF. STOCK MOUSER	Réf. Texas Instruments	Boîtier	Iout (Max.) (A)	Vdo (Typ.) (mV)	Iq (Typ.) (mA)	Vin (Min.)	Vin (Max.)	Précision (%)	Condensateur de sortie (µF)	Type de condensateur de sortie	Prix unitaire 1	25	100	250
595-LP2950-30LPR	LP2950-30LPR	TO-92-3	-	-	0.075	-	30	-	-	-	0,44	0,289	0,248	0,212
595-TPS77001DBVR	TPS77001DBVR	SOT-23-5	0.05	35	0.017	2.7	10	3	4.7	Tantale	0,97	0,767	0,693	0,603
595-TPS77018DBVR	TPS77018DBVR	SOT-23-5	0.05	35	0.017	2.7	10	3	4.7	Tantale	0,97	0,767	0,693	0,603
595-TPS77025DBVR	TPS77025DBVR	SOT-23-5	0.05	35	0.017	2.7	10	3	4.7	Tantale	0,97	0,767	0,693	0,603
595-TPS77050DBVR	TPS77050DBVR	SOT-23-5	0.05	35	0.017	5.035	10	3	4.7	Tantale	0,97	0,767	0,693	0,603
595-TPS77050DBVT	TPS77050DBVT	SOT-23-5	0.05	35	0.017	5.035	10	3	4.7	Tantale	0,85	0,71	0,573	0,443
595-TPS77033DBVR	TPS77033DBVR	SOT-23-5	0.05	48	0.017	3.348	10	3	4.7	Tantale	0,77	0,636	0,512	0,384
595-TPS72201DBVT	TPS72201DBVT	SOT-23-5	0.05	50	0.08	1.8	5.5	3	0.1	Céramique	1,45	1,15	1,03	0,899
595-TPS72215DBVT	TPS72215DBVT	SOT-23-5	0.05	50	0.08	1.8	5.5	3	0.1	Céramique	1,45	1,15	1,03	0,899
595-TPS72216DBVT	TPS72216DBVT	SOT-23-5	0.05	50	0.08	1.8	5.5	3	0.1	Céramique	1,45	1,15	1,03	0,899
595-TPS72218DBVT	TPS72218DBVT	SOT-23-5	0.05	50	0.08	1.9	5.5	3	0.1	Céramique	1,45	1,15	1,03	0,899
595-TPS77030DBVT	TPS77030DBVT	SOT-23-5	0.05	57	0.017	3.057	10	3	4.7	Tantale	0,85	0,71	0,573	0,443
595-TPS79718DCKR	TPS79718DCKR	SC-70-5	0.05	105	0.0012	1.8	5.5	4	0.47	Céramique	1,05	0,825	0,748	0,651
595-TPS79730DCKR	TPS79730DCKR	SC-70-5	0.05	110	0.0012	1.8	5.5	4	0.47	Céramique	1,05	0,825	0,748	0,651
595-TPS79730DCKT	TPS79730DCKT	SC-70-5	0.05	110	0.0012	1.8	5.5	4	0.47	Céramique	1,13	0,974	0,807	0,484
595-TPS79733DCKR	TPS79733DCKR	SC-70-5	0.05	105	0.0012	1.8	5.5	4	0.47	Céramique	1,05	0,825	0,748	0,651
595-TPS76033DBVR	TPS76033DBVR	SOT-23-5	0.05	120	0.09	3.5	16	2	2.2	Tantale	0,89	0,743	0,594	0,446
595-TPS76038DBVT	TPS76038DBVT	SOT-23-5	0.05	120	0.09	4	16	2	2.2	Tantale	0,84	0,677	0,512	0,478
595-TPS76050DBVR	TPS76050DBVR	SOT-23-5	0.05	120	0.09	5.2	16	2	2.2	Tantale	0,89	0,743	0,594	0,446
595-TPS71501DCKR	TPS71501DCKR	SC-70-5	0.05	415	0.0032	2.5	24	4	0.47	Céramique	0,84	0,701	0,561	0,421
595-TPS71501QDCKRQ1	TPS71501QDCKRQ1	SC-70-5	0.05	415	0.0032	2.5	24	4	0.47	Céramique	0,95	0,759	0,665	0,583
595-TPS71518DCKR	TPS71518DCKR	SC-70-5	0.05	415	0.0032	2.5	24	4	0.47	Céramique	0,58	0,47	0,352	0,329
595-TPS71519DCKR	TPS71519DCKR	SC-70-5	0.05	415	0.0032	2.5	24	4	0.47	Céramique	0,58	0,47	0,352	0,329
595-TPS71523DCKR	TPS71523DCKR	SC-70-5	0.05	415	0.0032	2.5	24	4	0.47	Céramique	0,58	0,47	0,352	0,329
595-TPS71525DCKR	TPS71525DCKR	SC-70-5	0.05	415	0.0032	2.5	24	4	0.47	Céramique	0,84	0,701	0,561	0,421
595-TPS71530DCKR	TPS71530DCKR	SC-70-5	0.05	415	0.0032	2.5	24	4	0.47	Céramique	0,84	0,701	0,561	0,421
595-TPS71530DCKRG4	TPS71530DCKRG4	SC-70-5	0.05	415	0.0032	2.5	24	4	0.47	Céramique	0,58	0,47	0,352	0,329
595-TPS71533DCKR	TPS71533DCKR	SC-70-5	0.05	415	0.0032	2.5	24	4	0.47	Céramique	0,84	0,701	0,561	0,421
595-TPS71533QDCKRQ1	TPS71533QDCKRQ1	SC-70-5	0.05	415	0.0032	2.5	24	4	0.47	Céramique	0,95	0,759	0,665	0,583
595-TPS715345DCKR	TPS715345DCKR	SC-70-5	0.05	415	0.0032	2.5	24	4	0.47	Céramique	0,84	0,701	0,561	0,421
595-TPS71550DCKR	TPS71550DCKR	SC-70-5	0.05	415	0.0032	2.5	24	4	0.47	Céramique	0,84	0,701	0,561	0,421
595-TPS71550QDCKRQ1	TPS71550QDCKRQ1	SC-70-5	0.05	415	0.0032	2.5	24	4	0.47	Céramique	0,95	0,759	0,665	0,583
595-TPS71401DRVT	TPS71401DRVT	SON-6	0.08	670	0.0032	2.5	10	4	0.47	Céramique	1,09	0,908	0,545	0,508
595-TPS715A01DRBT	TPS715A01DRBT	SON-8	0.08	670	0.0032	2.5	24	4	0.47	Céramique	1,34	1,12	0,899	0,675
595-TPS715A01DRBTG4	TPS715A01DRBTG4	SON-8	0.08	670	0.0032	2.5	24	4	0.47	Céramique	1,34	1,12	0,899	0,675
595-TPS715A33DRVR	TPS715A33DRVR	SON-6	0.08	670	0.0032	2.5	24	4	0.47	Céramique	0,88	0,701	0,53	0,494
595-TPS79101DBVR	TPS79101DBVR	SOT-23-6	0.1	38	0.185	2.7	5.5	2	1	Céramique	1,24	0,974	0,875	0,766
595-TPS79118DBVR	TPS79118DBVR	SOT-23-5	0.1	38	0.185	2.7	5.5	2	1	Céramique	1,24	0,974	0,875	0,766
595-TPS79133DBVR	TPS79133DBVR	SOT-23-5	0.1	50	0.185	2.7	5.5	2	1	Céramique	0,99	0,825	0,66	0,495
595-TPS79133DBVT	TPS79133DBVT	SOT-23-5	0.1	50	0.185	2.7	5.5	2	1	Céramique	1,42	1,12	1,01	0,875
595-TPS79147DBVT	TPS79147DBVT	SOT-23-5	0.1	38	0.185	2.7	5.5	2	1	Céramique	1,42	1,12	1,01	0,875
595-TPS79201DBVR	TPS79201DBVR	SOT-23-6	0.1	55	0.185	2.7	5.5	2	1	Céramique	1,24	0,974	0,875	0,766
595-TPS79225DBVR	TPS79225DBVR	SOT-23-5	0.1	55	0.185	2.7	5.5	2	1	Céramique	1,24	0,974	0,875	0,766
595-TPS79230DBVR	TPS79230DBVR	SOT-23-5	0.1	55	0.185	2.7	5.5	2	1	Céramique	1,24	0,974	0,875	0,766
595-TPS79230DBVT	TPS79230DBVT	SOT-23-5	0.1	55	0.185	2.7	5.5	2	1	Céramique	1,42	1,12	1,01	0,875
595-REG101NA-5/250	REG101NA-5/250	SOT-23-5	0.1	60	0.4	1.8	10	1.5	-	Sans condensateur	1,95	1,56	1,21	1,15
595-REG101UA-2.5	REG101UA-2.5	SOIC-8	0.1	60	0.4	1.8	10	1.5	-	Sans condensateur	2,30	1,83	1,42	1,35
595-TPS76901DBVR	TPS76901DBVR	SOT-23-5	0.1	71	0.018	2.7	10	3	4.7	Tantale	0,82	0,635	0,476	0,351
595-TPS76912DBVR	TPS76912DBVR	SOT-23-5	0.1	71	0.018	2.7	10	3	4.7	Tantale	0,82	0,635	0,476	0,351
595-TPS76912DBVT	TPS76912DBVT	SOT-23-5	0.1	71	0.018	2.7	10	3	4.7	Tantale	0,92	0,743	0,66	0,526
595-TPS76915DBVT	TPS76915DBVT	SOT-23-5	0.1	71	0.018	2.7	10	3	4.7	Tantale	0,92	0,743	0,66	0,526
595-TPS76918DBVR	TPS76918DBVR	SOT-23-5	0.1	71	0.018	2.7	10	3	4.7	Tantale	0,82	0,635	0,476	0,351
595-TPS76925DBVR	TPS76925DBVR	SOT-23-5	0.1	71	0.018	2.7	10	3	4.7	Tantale	0,82	0,635	0,476	0,351
595-TPS76925DBVT	TPS76925DBVT	SOT-23-5	0.1	71	0.018	2.7	10	3	4.7	Tantale	0,92	0,743	0,66	0,526
595-TPS76933DBVR	TPS76933DBVR	SOT-23-5	0.1	98	0.018	3.398	10	3	4.7	Tantale	0,73	0,569	0,506	0,439
595-TPS76933DBVT	TPS76933DBVT	SOT-23-5	0.1	98	0.018	3.398	10	3	4.7	Tantale	0,85	0,652	0,582	0,455
595-TPS76201DBVR	TPS76201DBVR	SOT-23-5	0.1	100	0.022	2.7	10	-	4.7	Tantale	0,92	0,759	0,611	0,458
595-TPS76201DBVT	TPS76201DBVT	SOT-23-5	0.1	100	0.022	2.7	10	-	4.7	Tantale	1,05	0,866	0,703	0,527
595-TPS76930DBVT	TPS76930DBVT	SOT-23-5	0.1	115	0.018	3.115	10	3	4.7	Tantale	0,92	0,743	0,66	0,526
595-TPS78918DBVT	TPS78918DBVT	SOT-23-5	0.1	115	0.018	2.7	13.5	-	4.7	Tantale	1,06	0,85	0,759	0,605
595-TPS78925DBVT	TPS78925DBVT	SOT-23-5	0.1	115	0.018	2.7	13.5	-	4.7	Tantale	1,06	0,85	0,759	0,605
595-TPS76130DBVT	TPS76130DBVT	SOT-23-5	0.1	170	0.09	3.35	16	2	4.7	Tantale	1,05	0,866	0,703	0,527
595-TPS76133DBVR	TPS76133DBVR	SOT-23-5	0.1	170	0.09	3.68	16	2	4.7	Tantale	1,15	0,908	0,814	0,709
595-TPS76150DBVR	TPS76150DBVR	SOT-23-5	0.1	170	0.09	5.38	16	2	4.7	Tantale	0,92	0,759	0,611	0,458
595-TPS76928DBVT	TPS76928DBVT	SOT-23-5	0.1	122	0.018	2.922	10	3	4.7	Tantale	0,92	0,743	0,66	0,526
595-LP2981-28DBVR	LP2981-28DBVR	SOT-23-5	0.1	200	0.6	2.2	16	1.25	4.7	Tantale	0,53	0,404	0,356	0,31
595-LP2981-30DBVR	LP2981-30DBVR	SOT-23-5	0.1	200	0.6	2.2	16	1.25	4.7	Tantale	0,53	0,404	0,356	0,31
595-LP2981-33DBVR	LP2981-33DBVR	SOT-23-5	0.1	200	0.6	2.2	16	1.25	4.7	Tantale	0,53	0,404	0,356	0,31
595-LP2981-50DBVR	LP2981-50DBVR	SOT-23-5	0.1	200	0.6	2.2	16	1.25	4.7	Tantale	0,53	0,404	0,356	0,31

© Copyright 2012 Mouser Electronics
© Copyright 2012 Mouser Electronics

CI de gestion de l'alimentation TEXAS INSTRUMENTS

LDO À UN SEUL CANAL (SUITE)

Les produits peuvent être conformes à la directive RoHS.
Consultez le site mouser.com pour vérifier la conformité RoHS.

Pour des quantités supérieures à celles indiquées, appelez-nous afin d'obtenir un devis.

RÉF. STOCK MOUSER	Réf. Texas Instruments	Boîtier	Iout (Max.) (A)	Vdo (Typ.) (mV)	Iq (Typ.) (mA)	Vin (Min.)	Vin (Max.)	Précision (%)	Condensateur de sortie (µF)	Type de condensateur de sortie	Prix unitaire 1	25	100	250
595-LP2981A-28DBVR	LP2981A-28DBVR	SOT-23-5	0.1	200	0.6	2.2	16	0.75	4.7	Tantale	0,59	0,454	0,399	0,345
595-LP2981A-30DBVR	LP2981A-30DBVR	SOT-23-5	0.1	200	0.6	2.2	16	0.75	4.7	Tantale	0,59	0,454	0,399	0,345
595-LP2981A-33DBVR	LP2981A-33DBVR	SOT-23-5	0.1	200	0.6	2.2	16	0.75	4.7	Tantale	0,59	0,454	0,399	0,345
595-LP2981A-33DBVTG4	LP2981A-33DBVTG4	SOT-23-5	0.1	200	0.6	2.2	16	0.75	4.7	Tantale	1,01	0,809	0,726	0,632
595-LP2950-33LPE3	LP2950-33LPE3	TO-92-3	0.1	380	0.075	3.75	30	1.4	2.2	Électrolytique	0,47	0,338	0,297	0,254
595-LP2950-33LPRE3	LP2950-33LPRE3	TO-92-3	0.1	380	0.075	3.75	30	1.4	2.2	Électrolytique	0,44	0,289	0,248	0,212
595-LP2950-50LPRE3	LP2950-50LPRE3	TO-92-3	0.1	380	0.075	5.45	30	1.4	1	Électrolytique	0,44	0,289	0,248	0,212
595-LP2951-33DR	LP2951-33DR	SOIC-8	0.1	380	0.075	3.9	30	1.4	2.2	Électrolytique	0,54	0,413	0,366	0,318
595-LP2951D	LP2951D	SOIC-8	0.1	380	0.075	1.68	30	1.4	2.2	Électrolytique	0,63	0,462	0,377	0,314
595-TPS73101DBVR	TPS73101DBVR	SOT-23-5	0.15	30	0.4	1.7	5.5	1	-	Sans condensateur	0,95	0,759	0,665	0,583
595-TPS73101DBVT	TPS73101DBVT	SOT-23-5	0.15	30	0.4	1.7	5.5	1	-	Sans condensateur	1,20	0,941	0,85	0,74
595-TPS731125DBVT	TPS731125DBVT	SOT-23-5	0.15	30	0.4	1.7	5.5	-	-	Sans condensateur	1,20	0,941	0,85	0,74
595-TPS73118DBVT	TPS73118DBVT	SOT-23-5	0.15	30	0.4	1.9	5.5	1	-	Sans condensateur	1,20	0,941	0,85	0,74
595-TPS73125DBVT	TPS73125DBVT	SOT-23-5	0.15	30	0.4	2.6	5.5	1	-	Sans condensateur	1,20	0,941	0,85	0,74
595-TPS73133DBVT	TPS73133DBVT	SOT-23-5	0.15	30	0.4	3.4	5.5	1	-	Sans condensateur	1,20	0,941	0,85	0,74
595-TPS77133DGK	TPS77133DGK	MSOP-8	0.15	115	0.09	3.415	10	2	10	Tantale	1,86	1,55	1,24	0,866
595-TPS78001DRVT	TPS78001DRVT	SON-6	0.15	130	0.0005	2.2	5.5	3	1	Céramique	0,88	0,718	0,54	0,504
595-TPS780330220DDCR	TPS780330220DDCR	TSOT-23-5	0.15	130	0.0005	2.2	5.5	3	1	Céramique	0,71	0,569	0,427	0,398
595-TPS78225DDCR	TPS78225DDCR	SOT-23-5	0.15	130	0.0005	2.2	5.5	2	1	Céramique	0,88	0,677	0,599	0,469
595-TPS78330DDCT	TPS78330DDCT	TSOT-23-5	0.15	130	0.0005	2.2	5.5	2	1	Céramique	0,87	0,685	0,62	0,54
595-TPS72101DBVT	TPS72101DBVT	SOT-23-5	0.15	150	0.09	1.8	5.5	3	0.1	Céramique	1,45	1,15	1,03	0,899
595-TPS72116DBVT	TPS72116DBVT	SOT-23-5	0.15	150	0.09	1.9	5.5	3	0.1	Céramique	1,45	1,15	1,03	0,899
595-TPS72118DBVT	TPS72118DBVT	SOT-23-5	0.15	150	0.09	2.1	5.5	3	0.1	Céramique	1,45	1,15	1,03	0,899
595-TPS78833DBVR	TPS78833DBVR	SOT-23-5	0.15	150	0.018	2.7	10	3	4.7	Céramique	1,17	0,924	0,833	0,728
595-TPS71701DCKT	TPS71701DCKT	SC-70-5	0.15	170	0.05	2.5	6.5	3	1	Céramique	0,84	0,677	0,512	0,478
595-TPS71709DSER	TPS71709DSER	SON-6	0.15	170	0.05	2.5	6.5	3	1	Céramique	1,24	0,974	0,875	0,766
595-TPS71710DCKR	TPS71710DCKR	SC-70-5	0.15	170	0.05	2.5	6.5	3	1	Céramique	0,89	0,743	0,594	0,446
595-TPS71712DCKR	TPS71712DCKR	SC-70-5	0.15	170	0.05	2.5	6.5	3	1	Céramique	1,13	0,891	0,792	0,69
595-TPS71712DCKT	TPS71712DCKT	SC-70-5	0.15	170	0.05	2.5	6.5	3	1	Céramique	0,84	0,677	0,512	0,478
595-TPS71715DCKR	TPS71715DCKR	SC-70-5	0.15	170	0.05	2.5	6.5	3	1	Céramique	1,13	0,891	0,792	0,69
595-TPS71718DCKR	TPS71718DCKR	SC-70-5	0.15	170	0.05	2.5	6.5	3	1	Céramique	1,13	0,891	0,792	0,69
595-TPS71719DCKR	TPS71719DCKR	SC-70-5	0.15	170	0.05	2.5	6.5	3	1	Céramique	1,13	0,891	0,792	0,69
595-TPS71725DCKR	TPS71725DCKR	SC-70-5	0.15	170	0.05	2.5	6.5	3	1	Céramique	1,13	0,891	0,792	0,69
595-TPS71725DCKT	TPS71725DCKT	SC-70-5	0.15	170	0.05	2.5	6.5	3	1	Céramique	0,84	0,677	0,512	0,478
595-TPS71730DCKR	TPS71730DCKR	SC-70-5	0.15	170	0.05	2.5	6.5	3	1	Céramique	1,13	0,891	0,792	0,69
595-TPS71733DSER	TPS71733DSER	SON-6	0.15	170	0.05	2.5	6.5	3	1	Céramique	1,24	0,974	0,875	0,766
595-TPS71733DSET	TPS71733DSET	SON-6	0.15	170	0.05	2.5	6.5	3	1	Céramique	1,13	0,932	0,756	0,567
595-TPS71750DSET	TPS71750DSET	WSON-6	0.15	170	0.05	2.5	6.5	3	1	Céramique	1,13	0,932	0,756	0,567
595-TPS76301DBVR	TPS76301DBVR	SOT-23-5	0.15	180	0.085	2.7	10	3	4.7	Tantale	0,80	0,619	0,55	0,431
595-TPS76301DBVT	TPS76301DBVT	SOT-23-5	0.15	180	0.085	2.7	10	3	4.7	Tantale	0,81	0,635	0,479	0,354
595-TPS76316DBVR	TPS76316DBVR	SOT-23-5	0.15	180	0.085	2.7	10	3	4.7	Tantale	0,80	0,619	0,55	0,431
595-TPS76318DBVT	TPS76318DBVT	SOT-23-5	0.15	180	0.085	2.7	10	3	4.7	Tantale	0,81	0,635	0,479	0,354
595-TPS76350DBVR	TPS76350DBVR	SOT-23-5	0.15	180	0.085	5.18	10	3	4.7	Tantale	0,80	0,619	0,55	0,431
595-TPS76350DBVT	TPS76350DBVT	SOT-23-5	0.15	180	0.085	5.18	10	3	4.7	Tantale	0,81	0,635	0,479	0,354
595-TPS7A4901DGNT	TPS7A4901DGNT	MSOP PowerPAD-8	0.15	260	0.061	3	36	1.5	2.2	Céramique	2,68	2,15	1,72	1,43
595-LP2985A-18DBVR	LP2985A-18DBVR	SOT-23-5	0.15	280	0.85	2.05	16	1	4.7	Céramique	0,63	0,486	0,423	0,314
595-LP2985A-28DBVR	LP2985A-28DBVR	SOT-23-5	0.15	280	0.85	2.5	16	1	4.7	Céramique	0,63	0,486	0,423	0,314
595-LP2985A-33DBVR	LP2985A-33DBVR	SOT-23-5	0.15	280	0.85	2.5	16	1	4.7	Céramique	0,63	0,486	0,423	0,314
595-LP2985-50DBVR	LP2985-50DBVR	SOT-23-5	0.15	280	0.85	2.5	16	1.5	4.7	Céramique	0,54	0,413	0,366	0,318
595-LP2985-18DBVR	LP2985-18DBVR	SOT-23-5	0.15	280	0.85	2.05	16	1.5	4.7	Céramique	0,54	0,413	0,366	0,318
595-LP2985-33DBVT	LP2985-33DBVT	SOT-23-5	0.15	280	0.85	2.5	16	1.5	4.7	Céramique	0,92	0,726	0,66	0,574
595-LP2985-33DBVTE4	LP2985-33DBVTE4	SOT-23-5	0.15	280	0.85	2.5	16	1.5	4.7	Céramique	0,92	0,726	0,66	0,574
595-TPS76333DBVR	TPS76333DBVR	SOT-23-5	0.15	300	0.085	3.3	10	3	4.7	Tantale	0,80	0,619	0,55	0,431
595-TPS76433DBVR	TPS76433DBVR	SOT-23-5	0.15	300	0.085	3.3	10	3	4.7	Tantale	0,82	0,635	0,476	0,351
595-TPS76333DBVT	TPS76333DBVT	SOT-23-5	0.15	300	0.085	3.3	10	3	4.7	Tantale	0,81	0,635	0,479	0,354
595-TPS76330DBVT	TPS76330DBVT	SOT-23-5	0.15	322	0.085	3.322	10	3	4.7	Tantale	0,81	0,635	0,479	0,354
595-TPS76328DBVT	TPS76328DBVT	SOT-23-5	0.15	339	0.085	3.149	10	3	4.7	Tantale	0,81	0,635	0,479	0,354
595-TPS76325DBVR	TPS76325DBVR	SOT-23-5	0.15	360	0.085	2.7	10	3	4.7	Tantale	0,80	0,619	0,55	0,431
595-TPS76325DBVT	TPS76325DBVT	SOT-23-5	0.15	360	0.085	2.7	10	3	4.7	Tantale	0,81	0,635	0,479	0,354
595-TL750L05CD	TL750L05CD	SOIC-8	0.15	600	1	6	26	4	10	Tantale	0,67	0,512	0,449	0,39
595-TL750L05CLP	TL750L05CLP	TO-92-3	0.15	600	1	6	26	4	10	Tantale	0,67	0,512	0,449	0,39
595-TL750L08CD	TL750L08CD	SOIC-8	0.15	600	1	9	26	4	10	Tantale	0,67	0,512	0,449	0,39
595-TL750L10CD	TL750L10CD	SOIC-8	0.15	600	1	11	26	4	10	Tantale	0,67	0,512	0,449	0,39
595-TL750L10CLPR	TL750L10CLPR	TO-92-3	0.15	600	1	6	26	4	10	Tantale	0,61	0,47	0,416	0,36
595-TL750L12CD	TL750L12CD	SOIC-8	0.15	600	1	13	26	4	10	Tantale	0,67	0,512	0,449	0,39
595-TL751L05CD	TL751L05CD	SOIC-8	0.15	600	1	6	26	4	10	Tantale	0,67	0,512	0,449	0,39
595-TL751L10CD	TL751L10CD	SOIC-8	0.15	600	1	11	26	4	10	Tantale	0,67	0,512	0,449	0,39
595-TL751L10CP	TL751L10CP	PDIP-8	0.15	600	1	11	26	4	10	Tantale	0,67	0,512	0,457	0,396
595-SN105125DBVR	SN105125DBVR	SOT-23-5	0.15	1000	0.15	3	5.25	2	1	Céramique	0,71	0,586	0,47	0,352
595-TPS7A3001DGNT	TPS7A3001DGNT	MSOP PowerPAD-8	-0.2	-3	-36	-1.202	-33	1.5	2.2	Céramique	3,99	3,21	2,92	2,64
595-TPS79301DBVRQ1	TPS79301DBVRQ1	SOT-23-6	0.2	-	0.17	2.7	5.5	2	2.2	Céramique	0,78	0,619	0,563	0,49
595-TPS79318DBVRG4Q1	TPS79318DBVRG4Q1	SOT-23-5	0.2	-	0.17	2.7	5.5	2	2.2	Céramique	0,78	0,619	0,563	0,49
595-TLV70025DDCT	TLV70025DDCT	TSOT-23-5	0.2	0.175	0.031	2	5.5	2	1	Céramique	0,61	0,462	0,411	0,356
595-TLV70029DSET	TLV70029DSET	WSON-6	0.2	0.175	0.031	2	5.5	2	1	Céramique	0,72	0,561	0,496	0,43
595-TLV70033DCKT	TLV70033DCKT	SC-70-5	0.2	0.175	0.031	2	5.5	2	1	Céramique	0,61	0,462	0,411	0,356
595-TPS79301DBVR	TPS79301DBVR	SOT-23-6	0.2	77	0.18	2.7	5.5	2	2.2	Céramique	0,74	0,578	0,511	0,443
595-TPS79318DBVR	TPS79318DBVR	SOT-23-5	0.2	77	0.18	2.7	5.5	2	2.2	Céramique	0,74	0,578	0,511	0,443
595-TPS79325DBVR	TPS79325DBVR	SOT-23-5	0.2	77	0.18	2.7	5.5	2	2.2	Céramique	0,74	0,578	0,511	0,443
595-TPS793475DBVR	TPS793475DBVR	SOT-23-5	0.2	77	0.18	2.7	5.5	2	2.2	Céramique	0,74	0,578	0,511	0,443
595-TPS79901DDCR	TPS79901DDCR	TO/SOT-5	0.2	90	0.04	2.7	6.5	2	2.2	Céramique	0,83	0,652	0,493	0,363
595-TPS79901DRVT	TPS79901DRVT	SON-6	0.2	90	0.04	2.7	6.5	2	2.2	Céramique	1,13	0,974	0,807	0,484
595-TPS79933DDCR	TPS79933DDCR	TO/SOT-5	0.2	90	0.04	2.7	6.5	2	2.2	Céramique	0,83	0,652	0,493	0,363
595-TPS79933DRVR	TPS79933DRVR	SON-6	0.2	90	0.04	2.7	6.5	2	2.2	Céramique	1,00	0,80	0,703	0,617
595-TPS79933DRVTG4	TPS79933DRVTG4	SON-6	0.2	90	0.04	2.7	6.5	2	2.2	Céramique	1,13	0,974	0,807	0,484
595-TPS79933YZUT	TPS79933YZUT	DSBGA-5	0.2	90	0.04	2.7	6.5	2	2.2	Céramique	0,86	0,726	0,582	0,436
595-TPS79912DDCT	TPS79912DDCT	TSOT-23-5	0.2	100	0.04	2.7	6.5	2	2.2	Céramique	0,76	0,627	0,505	0,377
595-TPS79912DRVT	TPS79912DRVT	SON-6	0.2	100	0.04	2.7	6.5	2	2.2	Céramique	1,13	0,974	0,807	0,484
595-TPS79912YZUT	TPS79912YZUT	DSBGA-5	0.2	100	0.04	2.7	6.5	2	2.2	Céramique	0,86	0,726	0,582	0,436

© Copyright 2012 Mouser Electronics

© Copyright 2012 Mouser Electronics

CI de gestion de l'alimentation TEXAS INSTRUMENTS

LDO À UN SEUL CANAL (SUITE)

Les produits peuvent être conformes à la directive RoHS.
Consultez le site mouser.com pour vérifier la conformité RoHS.

Pour des quantités supérieures à celles indiquées, appelez-nous afin d'obtenir un devis.

RÉF. STOCK MOUSER	Réf. Texas Instruments	Boîtier	Iout (Max.) (A)	Vdo (Typ.) (mV)	Iq (Typ.) (mA)	Vin (Min.)	Vin (Max.)	Précision (%)	Condensateur de sortie (µF)	Type de condensateur de sortie	Prix unitaire 1	25	100	250
595-TPS79913DDCR	TPS79913DDCR	TO/SOT-5	0.2	100	0.04	2.7	6.5	2	2.2	Céramique	0,83	0,652	0,493	0,363
595-TPS79915DDCT	TPS79915DDCT	TO/SOT-5	0.2	100	0.04	2.7	6.5	2	2.2	Céramique	0,76	0,627	0,505	0,377
595-TPS79918DDCR	TPS79918DDCR	TO/SOT-5	0.2	100	0.04	2.7	6.5	2	2.2	Céramique	0,83	0,652	0,493	0,363
595-TPS79918DRVT	TPS79918DRVT	SON-6	0.2	100	0.04	2.7	6.5	2	2.2	Céramique	1,13	0,974	0,807	0,484
595-TPS799195DRVR	TPS799195DRVR	SON-6	0.2	100	0.04	2.7	6.5	2	2.2	Céramique	1,00	0,80	0,703	0,617
595-TPS79920YZUT	TPS79920YZUT	DSBGA-5	0.2	100	0.04	2.7	6.5	2	2.2	Céramique	0,86	0,726	0,582	0,436
595-TPS79925DDCT	TPS79925DDCT	TO/SOT-5	0.2	100	0.04	2.7	6.5	2	2.2	Céramique	0,76	0,627	0,505	0,377
595-TPS79927DDCR	TPS79927DDCR	TO/SOT-5	0.2	100	0.04	2.7	6.5	2	2.2	Céramique	0,83	0,652	0,493	0,363
595-TPS799285YZUR	TPS799285YZUR	DSBGA-5	0.2	100	0.04	2.7	6.5	2	2.2	Céramique	0,97	0,767	0,691	0,601
595-TPS79928DRVT	TPS79928DRVT	SON-6	0.2	100	0.04	2.7	6.5	2	2.2	Céramique	1,13	0,974	0,807	0,484
595-TPS79930DDCT	TPS79930DDCT	TO/SOT-5	0.2	100	0.04	2.7	6.5	2	2.2	Céramique	0,76	0,627	0,505	0,377
595-TPS79945YZUR	TPS79945YZUR	DSBGA-5	0.2	100	0.04	2.7	6.5	2	2.2	Céramique	0,97	0,767	0,691	0,601
595-TPS79333DBVR	TPS79333DBVR	SOT-23-5	0.2	102	0.18	2.7	5.5	2	2.2	Céramique	0,74	0,578	0,511	0,443
595-TPS79333DBVRQ1	TPS79333DBVRQ1	SOT-23-5	0.2	102	0.17	2.7	5.5	2	2.2	Céramique	0,78	0,619	0,563	0,49
595-TPS79330DBVR	TPS79330DBVR	SOT-23-5	0.2	112	0.18	2.7	5.5	2	2.2	Céramique	0,74	0,578	0,511	0,443
595-TPS73001DBVR	TPS73001DBVR	SOT-23-6	0.2	120	0.18	2.7	5.5	2	2.2	Céramique	0,70	0,541	0,478	0,318
595-TPS73001DBVT	TPS73001DBVT	SOT-23-6	0.2	120	0.18	2.7	5.5	2	2.2	Céramique	0,73	0,561	0,493	0,425
595-TPS73018DBVT	TPS73018DBVT	SOT-23-5	0.2	120	0.18	2.7	5.5	2	2.2	Céramique	0,72	0,561	0,496	0,43
595-TPS73025DBVT	TPS73025DBVT	SOT-23-5	0.2	120	0.18	2.7	5.5	2	2.2	Céramique	0,72	0,561	0,496	0,43
595-TPS73028DBVT	TPS73028DBVT	SOT-23-5	0.2	120	0.18	2.7	5.5	2	2.2	Céramique	0,72	0,561	0,496	0,43
595-TPS73028YZQR	TPS73028YZQR	DSBGA-5	0.2	120	0.18	2.7	5.5	2	2.2	Céramique	0,81	0,652	0,571	0,501
595-TPS730285YZQR	TPS730285YZQR	DSBGA-5	0.2	120	0.18	2.7	5.5	2	2.2	Céramique	0,81	0,652	0,571	0,501
595-TPS73030DBVT	TPS73030DBVT	SOT-23-5	0.2	120	0.18	2.7	5.5	2	2.2	Céramique	0,72	0,561	0,496	0,43
595-TPS73033DBVR	TPS73033DBVR	SOT-23-5	0.2	120	0.18	2.7	5.5	2	2.2	Céramique	0,51	0,388	0,347	0,299
595-TPS73033DBVTG4	TPS73033DBVTG4	SOT-23-5	0.2	120	0.18	2.7	5.5	2	3.3	Céramique	0,72	0,561	0,496	0,43
595-TPS793285DBVR	TPS793285DBVR	SOT-23-5	0.2	120	0.18	2.7	5.5	2	2.2	Céramique	0,74	0,578	0,511	0,443
595-TPS79328DBVR	TPS79328DBVR	SOT-23-5	0.2	120	0.18	2.7	5.5	2	2.2	Céramique	0,74	0,578	0,511	0,443
595-TPS79328YZQT	TPS79328YZQT	DSBGA-5	0.2	120	0.18	2.7	5.5	2	2.2	Céramique	1,06	0,908	0,751	0,45
595-TPS72711YFFT	TPS72711YFFT	DSBGA-4	0.2	130	0.0079	2	5.5	2	1	Céramique	1,71	1,32	1,20	0,99
595-TPS72301DBVT	TPS72301DBVT	SOT-23-5	0.2	280	0.13	-10	-2.7	2	2.2	Céramique	2,32	1,86	1,44	1,36
595-TPS72325DBVT	TPS72325DBVT	SOT-23-5	0.2	280	0.13	-10	-3	2	2.2	Céramique	3,05	2,49	2,24	2,04
595-TPS73201DBVT	TPS73201DBVT	SOT-23-5	0.25	40	0.4	1.7	5.5	1	-	Sans condensateur	1,63	1,25	1,14	1,01
595-TPS73201DCQ	TPS73201DCQ	SOT-223-6	0.25	40	0.4	1.7	5.5	1	-	Sans condensateur	1,66	1,39	1,11	0,774
595-TPS73201DRBT	TPS73201DRBT	SON-8	0.25	40	0.4	1.7	5.5	1	-	Sans condensateur	1,63	1,25	1,14	1,01
595-TPS73201QDBVRQ1	TPS73201QDBVRQ1	SOT-23-5	0.25	40	0.4	1.7	5.5	1	-	Sans condensateur	2,19	1,69	1,53	1,38
595-TPS73218DCQR	TPS73218DCQR	SOT-223-6	0.25	40	0.4	1.95	5.5	1	-	Sans condensateur	1,63	1,25	1,14	1,01
595-TPS73225DBVT	TPS73225DBVT	SOT-23-5	0.25	40	0.4	2.65	5.5	1	-	Sans condensateur	1,63	1,25	1,14	1,01
595-TPS73233DBVT	TPS73233DBVT	SOT-23-5	0.25	40	0.4	3.45	5.5	1	-	Sans condensateur	1,63	1,25	1,14	1,01
595-TPS73233DCQ	TPS73233DCQ	SOT-223-6	0.25	40	0.4	3.45	5.5	1	-	Sans condensateur	1,66	1,39	1,11	0,774
595-TPS71219DRCT	TPS71219DRCT	SON-10	0.25	125	-	2.7	5.5	3	4.7	Céramique	2,71	2,09	1,90	1,70
595-TPS73433DDCT	TPS73433DDCT	TSOT-23-5	0.25	125	0.044	3.6	6.5	2	2	Céramique	1,42	1,10	0,998	0,891
595-TPS76650DR	TPS76650DR	SOIC-8	0.25	140	0.033	5.14	10	-	4.7	Tantale	1,24	0,974	0,875	0,766
595-TPS79401DCQ	TPS79401DCQ	SOT-223-6	0.25	145	0.172	2.7	5.5	3	2.2	Céramique	2,28	1,76	1,59	1,43
595-TPS79401DGNT	TPS79401DGNT	MSOP PowerPAD-8	0.25	145	0.172	2.7	5.5	3	2.2	Céramique	1,86	1,55	1,24	0,866
595-TPS79418DGNT	TPS79418DGNT	MSOP PowerPAD-8	0.25	145	0.172	2.7	5.5	3	2.2	Céramique	1,86	1,55	1,24	0,866
595-TPS79425DCQ	TPS79425DCQ	SOT-223-6	0.25	145	0.172	2.7	5.5	3	2.2	Céramique	2,28	1,76	1,59	1,43
595-TPS79425DGNT	TPS79425DGNT	MSOP PowerPAD-8	0.25	145	0.172	2.7	5.5	3	2.2	Céramique	1,86	1,55	1,24	0,866
595-TPS79433DCQR	TPS79433DCQR	SOT-223-6	0.25	145	0.172	2.7	5.5	3	2.2	Céramique	1,86	1,43	1,30	1,06
595-TPS79433DGNR	TPS79433DGNR	MSOP PowerPAD-8	0.25	145	0.172	2.7	5.5	3	2.2	Céramique	1,86	1,43	1,30	1,06
595-TPS79428DGNT	TPS79428DGNT	MSOP PowerPAD-8	0.25	155	0.172	2.7	5.5	3	2.2	Céramique	1,86	1,55	1,24	0,866
595-TPS7201QD	TPS7201QD	SOIC-8	0.25	190	0.18	310	-10	-	-	Tantale	2,28	1,76	1,59	1,43
595-TPS7250QD	TPS7250QD	SOIC-8	0.25	190	0.18	5.41	10	2	10	Tantale	2,28	1,76	1,59	1,43
595-TPS77333DGK	TPS77333DGK	MSOP-8	0.25	200	0.09	3.5	10	2	10	Tantale	2,43	1,86	1,69	1,39
595-TPS76633D	TPS76633D	SOIC-8	0.25	230	0.033	3.53	10	-	4.7	Tantale	1,48	1,17	1,06	0,916
595-TPS76628D	TPS76628D	SOIC-8	0.25	310	0.033	3.11	10	-	4.7	Tantale	1,48	1,17	1,06	0,916
595-TPS73601DBVT	TPS73601DBVT	SOT-23-5	0.4	75	0.3	1.7	5.5	1	-	Sans condensateur	2,71	2,09	1,90	1,70
595-TPS73601DCQ	TPS73601DCQ	SOT-223-6	0.4	75	0.3	1.7	5.5	1	-	Sans condensateur	2,17	1,73	1,39	1,16
595-TPS73601DCQR	TPS73601DCQR	SOT-223-6	0.4	75	0.3	1.7	5.5	1	-	Sans condensateur	2,60	2,00	1,82	1,49
595-TPS73601DRBR	TPS73601DRBR	SON-8	0.4	75	0.3	1.7	5.5	1	-	Sans condensateur	1,86	1,49	1,11	1,04
595-TPS73601DRBT	TPS73601DRBT	SON-8	0.4	75	0.3	1.7	5.5	1	-	Sans condensateur	2,28	1,83	1,67	1,50
595-TPS736125DRBT	TPS736125DRBT	SON-8	0.4	75	0.3	1.7	5.5	1	-	Sans condensateur	2,28	1,83	1,67	1,50
595-TPS73625DBVT	TPS73625DBVT	SOT-23-5	0.4	75	0.3	2.7	5.5	1	-	Sans condensateur	2,71	2,09	1,90	1,70
595-TPS73625DCQ	TPS73625DCQ	SOT-223-6	0.4	75	0.3	2.7	5.5	1	-	Sans condensateur	2,17	1,73	1,39	1,16
595-TPS73633DBVR	TPS73633DBVR	SOT-23	0.4	75	0.3	3.5	5.5	1	-	Sans condensateur	3,25	2,66	2,38	2,16
595-TPS73633DBVT	TPS73633DBVT	SOT-23-5	0.4	75	0.3	3.5	5.5	1	-	Sans condensateur	2,71	2,09	1,90	1,70
595-TPS73633DCQ	TPS73633DCQ	SOT-223-5	0.4	75	0.3	3.5	5.5	1	-	Sans condensateur	2,17	1,73	1,39	1,16
595-TPS73633DCQR	TPS73633DCQR	SOT-223-5	0.4	75	0.3	3.5	5.5	1	-	Sans condensateur	2,60	2,00	1,82	1,49
595-TPS73633MDBVREP	TPS73633MDBVREP	SOT-23-5	0.4	75	-	3.5	5.5	1	-	Sans condensateur	5,13	4,19	3,76	3,42
595-REG113NA-3.3/250	REG113NA-3.3/250	SOT-23-5	0.4	250	0.4	1.8	10	1.5	-	Sans condensateur	2,20	2,11	1,64	1,49
595-REG113NA-3.3/3K	REG113NA-3.3/3K	SOT-23-5	0.4	250	0.4	1.8	10	1.5	-	Sans condensateur	1,95	1,56	1,21	1,15
595-REG113NA-5/250	REG113NA-5/250	SOT-23-5	0.4	250	0.4	1.8	10	1.5	-	Sans condensateur	2,20	2,11	1,64	1,49
595-REG113NA-5/3K	REG113NA-5/3K	SOT-23-5	0.4	250	0.4	1.8	10	1.5	-	Sans condensateur	1,95	1,56	1,21	1,15
595-TPS74701DRCR	TPS74701DRCR	SON-10	0,5	50	1	0.8	5.5	2	2.2	Céramique	1,39	1,11	0,866	0,823
595-TPS74701DRCT	TPS74701DRCT	SON-10	0,5	50	1	0.8	5.5	2	2.2	Céramique	2,60	2,00	1,82	1,49
595-TPS79501DCQ	TPS79501DCQ	SOT-223-6	0,5	105	0.265	2.7	5.5	3	1	Céramique	2,93	2,39	2,15	1,96
595-TPS79501DRBR	TPS79501DRBR	SON-8	0,5	105	0.265	2.7	5.5	3	1	Céramique	2,51	2,01	1,83	1,66
595-TPS79518DCQ	TPS79518DCQ	SOT-223-6	0,5	105	0.265	2.7	5.5	3	1	Céramique	2,93	2,39	2,15	1,96
595-TPS79518DCQR	TPS79518DCQR	SOT-223-6	0,5	105	0.265	2.7	5.5	3	1	Céramique	2,28	1,83	1,67	1,50
595-TPS79525DCQ	TPS79525DCQ	SOT-223-6	0,5	105	0.265	2.7	5.5	3	1	Céramique	2,93	2,39	2,15	1,96
595-TPS79533DCQ	TPS79533DCQ	SOT-223-6	0,5	105	0.265	2.7	5.5	3	1	Céramique	2,93	2,39	2,15	1,96
595-TPS79533DCQR	TPS79533DCQR	SOT-223-6	0,5	105	0.265	2.7	5.5	3	1	Céramique	2,28	1,83	1,67	1,50
595-TPS7301QDR	TPS7301QDR	SOIC-8	0,5	146	0.29	2.47	10	-	10	Tantale	2,51	2,01	1,83	1,66
595-TPS7350QD	TPS7350QD	SOIC-8	0,5	146	0.29	5.33	10	-	10	Tantale	3,08	2,48	2,25	2,03
595-UCC384DP-12	UCC384DP-12	SOIC-8	0,5	150	0.2	-12.05	-15	2.5	4.7	Tantale	5,36	4,31	3,93	3,54
595-TPS77501PWP	TPS77501PWP	HTSSOP-20	0,5	169	0.087	2.7	10	2	10	Tantale	2,51	2,01	1,83	1,66
595-TPS77533D	TPS77533D	SOIC-8	0,5	169	0.087	3.469	10	2	10	Tantale	2,51	2,01	1,83	1,66
595-TPS77601D	TPS77601D	SOIC-8	0,5	169	0.087	2.7	10	2	10	Tantale	2,43	1,86	1,69	1,39
595-TPS77618D	TPS77618D	SOIC-8	0,5	169	0.087	2.7	10	2	10	Tantale	2,43	1,86	1,69	1,39
595-TPS77633D	TPS77633D	SOIC-8	0,5	169	0.087	3.469	10	2	10	Tantale	2,43	1,86	1,69	1,39
595-TPS77633PWP	TPS77633PWP	HTSSOP-20	0,5	169	0.087	3.469	10	2	10	Tantale	2,43	1,86	1,69	1,39
595-UCC284DP-5	UCC284DP-5	SOIC-8	0,5	200	0.2	-5.2	-16	-	4.7	Tantale	6,52	5,35	4,83	4,43

© Copyright 2012 Mouser Electronics
© Copyright 2012 Mouser Electronics

CI de gestion de l'alimentation TEXAS INSTRUMENTS

LDO À UN SEUL CANAL (SUITE)

Les produits peuvent être conformes à la directive RoHS.
Consultez le site mouser.com pour vérifier la conformité RoHS.

Pour des quantités supérieures à celles indiquées, appelez-nous afin d'obtenir un devis.

RÉF. STOCK MOUSER	Réf. Texas Instruments	Boîtier	Iout (Max.) (A)	Vdo (Typ.) (mV)	Iq (Typ.) (mA)	Vin (Min.)	Vin (Max.)	Précision (%)	Condensateur de sortie (µF)	Type de condensateur de sortie	Prix unitaire 1	25	100	250
595-TPS73501DRBT	TPS73501DRBT	SON-8	0,5	250	0.045	2.5	6.5	2	2	Céramique	1,86	1,43	1,30	1,06
595-TPS73533DRVT	TPS73533DRVT	SON-6	0,5	250	0.045	3.8	6.5	2	2	Céramique	1,44	1,16	0,866	0,809
595-UCC284DP-ADJ	UCC284DP-ADJ	SOIC-8	0,5	250	0.2	-1.45	-16	-	4.7	Tantale	6,52	5,35	4,83	4,43
595-UCC384DP-ADJ	UCC384DP-ADJ	SOIC-8	0,5	250	0.2	-3.5	-15	2.5	4.7	Tantale	5,36	4,31	3,93	3,54
595-TPS77733PWP	TPS77733PWP	HTSSOP-20	0,5	260	0.085	3.56	10	2	10	Tantale	3,05	2,49	2,24	2,04
595-TPS77625D	TPS77625D	SOIC-8	0,5	285	0.087	2.7	10	2	10	Tantale	2,43	1,86	1,69	1,39
595-TPS77801PWP	TPS77801PWP	HTSSOP-20	0.75	260	0.085	2.7	10	-	10	Tantale	2,81	2,29	2,06	1,87
595-TLV111733CDCYRG3	TLV1117-33CDCYRG3	SOT-223-3	0.8	-	5	4.7	15	-	-	Sans condensateur	0,57	0,437	0,391	0,339
595-TLV1117-33IDCY	TLV1117-33IDCY	SOT-223-3	0.8	-	5	4.7	15	-	-	Sans condensateur	0,70	0,536	0,479	0,415
595-TLV1117-33IDCYG3	TLV1117-33IDCYG3	SOT-223-3	0.8	-	5	4.7	15	-	-	Sans condensateur	0,70	0,536	0,479	0,415
595-TLV111750IDCYRG3	TLV1117-50IDCYRG3	SOT-223-3	0.8	-	5	6.4	15	-	-	Sans condensateur	0,59	0,454	0,396	0,345
595-REG1117-3.3	REG1117-3.3	SOT-223-3	0.8	1100	4	3.8	15	-	10	Tantale	2,23	1,86	1,49	1,04
595-TPS73615DBVT	TPS73615DBVT	SOT-23-5	1	-	0.3	1.7	5.5	1	-	Sans condensateur	2,71	2,09	1,90	1,70
595-TPS73615DRBT	TPS73615DRBT	SON-8	1	-	0.3	1.7	5.5	1	-	Sans condensateur	2,28	1,83	1,67	1,50
595-TPS76801QPWPRQ1	TPS76801QPWPRQ1	HTSSOP-20	1	14	0.085	2.7	10	2	10	Tantale	2,17	1,73	1,39	1,16
595-TPS72501DCQ	TPS72501DCQ	SOT-223-5	1	170	0.075	1.8	6	2	-	Sans condensateur	3,08	2,48	2,25	2,03
595-TPS72501KTTT	TPS72501KTTT	DDPAK	1	170	0.075	1.8	6	2	-	Sans condensateur	3,42	2,75	2,50	2,26
595-TPS72525DCQ	TPS72525DCQ	SOT-223-5	1	170	0.075	2.8	6	2	-	Sans condensateur	3,08	2,48	2,25	2,03
595-TPS72525KTTT	TPS72525KTTT	TO-263-5	1	170	0.075	2.8	6	2	-	Sans condensateur	3,42	2,75	2,50	2,26
595-TPS73701DCQ	TPS73701DCQ	SOT-223-6	1	130	0.3	2.2	5.5	3	1	Céramique	1,44	1,16	0,866	0,809
595-TPS73701DRBR	TPS73701DRBR	SON-8	1	130	0.3	2.2	5.5	3	1	Céramique	1,24	0,99	0,743	0,693
595-TPS73701DRBT	TPS73701DRBT	SON-8	1	130	0.3	2.2	5.5	3	1	Céramique	2,00	1,53	1,39	1,25
595-TPS73725DCQR	TPS73725DCQR	SOT-223-6	1	130	0.3	2.2	5.5	3	1	Céramique	1,71	1,32	1,20	0,99
595-TPS73733DCQR	TPS73733DCQR	SOT-223-6	1	130	0.3	2.2	5.5	3	1	Céramique	1,24	0,99	0,743	0,693
595-TPS79601DCQ	TPS79601DCQ	SOT-223-6	1	200	0.31	2.7	5.5	2	1	Céramique	3,08	2,48	2,25	2,03
595-TPS79601DCQR	TPS79601DCQR	SOT-223-6	1	200	0.31	2.7	5.5	2	1	Céramique	2,51	2,01	1,83	1,66
595-TPS79601KTTT	TPS79601KTTT	TO-263-5	1	200	0.31	2.7	5.5	2	1	Céramique	3,42	2,75	2,50	2,26
595-TPS79618DCQ	TPS79618DCQ	SOT-223-6	1	200	0.31	2.7	5.5	2	1	Céramique	3,08	2,48	2,25	2,03
595-TPS79633DCQ	TPS79633DCQ	SOT-223-6	1	200	0.31	2.7	5.5	2	1	Céramique	3,08	2,48	2,25	2,03
595-TPS79633DCQR	TPS79633DCQR	SOT-223-6	1	200	0.31	2.7	5.5	2	1	Céramique	2,51	2,01	1,83	1,66
595-TPS79633KTTT	TPS79633KTTT	TO-263-5	1	200	0.31	2.7	5.5	2	1	Céramique	3,42	2,75	2,50	2,26
595-TPS7A8001DRBT	TPS7A8001DRBT	SON-8	1	230	0.045	2.2	6.5	3	4.7	Céramique	2,81	2,29	2,06	1,87
595-TPS76718QPWP	TPS76718QPWP	HTSSOP-20	1	230	0.085	2.7	10	2	10	Tantale	3,08	2,48	2,25	2,03
595-TPS76801QD	TPS76801QD	SOIC-8	1	230	0.08	2.7	10	2	10	Tantale	2,51	2,01	1,83	1,66
595-TPS76801QPWP	TPS76801QPWP	HTSSOP-20	1	230	0.08	2.7	10	2	10	Tantale	2,51	2,01	1,83	1,66
595-TPS76850QPWP	TPS76850QPWP	HTSSOP-20	1	230	0.08	5.23	10	2	10	Tantale	2,51	2,01	1,83	1,66
595-REG104FA-5KTTT	REG104FA-5KTTT	TO-263-5	1	320	0.6	2.1	15	2	-	Sans condensateur	6,55	5,31	4,79	4,41
595-REG104GA-5	REG104GA-5	SOT-223-6	1	320	0.6	2.1	15	2	-	Sans condensateur	5,42	4,45	4,01	3,68
595-REG104GA-5/2K5	REG104GA-5/2K5	SOT-223-6	1	230	0.6	2.1	15	2	-	Sans condensateur	5,08	4,08	3,72	3,36
595-TPS76733QD	TPS76733QD	SOIC-8	1	350	0.085	3.65	10	2	10	Tantale	3,08	2,48	2,25	2,03
595-TPS76733QPWP	TPS76733QPWP	HTSSOP-20	1	350	0.085	3.65	10	2	10	Tantale	3,08	2,48	2,25	2,03
595-TPS76833QPWP	TPS76833QPWP	HTSSOP-20	1	350	0.08	3.65	10	2	10	Tantale	2,51	2,01	1,83	1,66
595-REG104GA-3.3	REG104GA-3.3	SOT-223-5	1	530	0.6	2.1	15	2	-	Sans condensateur	5,42	4,45	4,01	3,68
595-REG1117A	REG1117A	SOT-223-3	1	1200	4	3.8	15	-	10	Tantale	2,48	2,00	1,79	1,50
595-TPS74201RGWT	TPS74201RGWT	QFN-20	1.5	55	3	0.8	5.5	1	-	Sans condensateur	4,27	3,42	2,66	2,52
595-TPS74301RGWT	TPS74301RGWT	QFN-20	1.5	55	3	0.8	5.5	1	-	Sans condensateur	5,63	4,60	4,13	3,47
595-TPS74801DRCR	TPS74801DRCR	SON-10	1.5	60	1	0.8	5.5	2	2.2	Céramique	1,85	1,49	1,16	1,09
595-TPS74801RGWR	TPS74801RGWR	VQFN-20	1.5	60	1	0.8	5.5	2	2.2	Céramique	1,85	1,49	1,16	1,09
595-TPS74801RGWT	TPS74801RGWT	VQFN-20	1.5	60	1	0.8	5.5	2	2.2	Céramique	2,71	2,09	1,90	1,70
595-TPS75101QPWP	TPS75101QPWP	HTSSOP-20	1.5	160	0.075	2.7	5	2	47	Tantale	3,96	3,17	2,66	2,57
595-TPS75118QPWP	TPS75118QPWP	HTSSOP-20	1.5	160	0.075	2.7	5	2	47	Tantale	3,96	3,17	2,66	2,57
595-TPS75333QPWP	TPS75333QPWP	HTSSOP-20	1.5	160	0.075	3.46	5	-	47	Tantale	3,79	3,04	2,37	2,24
595-TPS7A4501KTTR	TPS7A4501KTTR	TO-263-5	1.5	300	1	2.1	20	-	10	Céramique	3,59	2,93	2,63	2,21
595-TPS78601DCQ	TPS78601DCQ	SOT-223-6	1.5	305	0.31	2.7	5.5	3	1	Céramique	4,03	3,29	2,95	2,69
595-TPS78601DCQR	TPS78601DCQR	SOT-23-6	1.5	305	0.31	2.7	5.5	3	1	Céramique	3,08	2,48	2,25	2,03
595-TPS78601KTTR	TPS78601KTTR	TO-263-5	1.5	305	0.31	2.7	5.5	3	1	Céramique	3,91	3,19	2,86	2,61
595-TPS78601KTTT	TPS78601KTTT	TO-263-5	1.5	305	0.31	2.7	5.5	3	1	Céramique	4,40	3,59	3,23	2,93
595-TPS78618DCQ	TPS78618DCQ	SOT-223-6	1.5	305	0.31	2.7	5.5	3	1	Céramique	4,03	3,29	2,95	2,69
595-TPS78625DCQR	TPS78625DCQR	SOT-223-6	1.5	305	0.31	2.7	5.5	3	1	Céramique	3,08	2,48	2,25	2,03
595-TPS78625KTTT	TPS78625KTTT	TO-263-5	1.5	305	0.31	2.7	5.5	3	1	Céramique	4,40	3,59	3,23	2,93
595-TPS78633DCQ	TPS78633DCQ	SOT-223-6	1.5	305	0.31	2.7	5.5	3	1	Céramique	4,03	3,29	2,95	2,69
595-TPS78633DCQR	TPS78633DCQR	SOT-23-6	1.5	305	0.31	2.7	5.5	3	1	Céramique	3,08	2,48	2,25	2,03
595-TPS78633KTTT	TPS78633KTTT	TO-263-5	1.5	305	0.31	2.7	5.5	3	1	Céramique	4,40	3,59	3,23	2,93
595-TL1963AKTTR	TL1963AKTTR	TO-263-5	1.5	340	1	2.1	20	-	10	Céramique	3,05	2,49	2,11	2,04
595-TPS75201QPWP	TPS75201QPWP	HTSSOP-20	2	210	0.075	2.7	5	2	47	Tantale	5,26	4,29	3,85	3,24
595-TPS75215QPWP	TPS75215QPWP	HTSSOP-20	2	210	0.075	2.7	5	2	47	Tantale	5,26	4,29	3,85	3,24
595-TPS75225QPWP	TPS75225QPWP	HTSSOP-20	2	210	0.075	2.7	5	2	47	Tantale	5,26	4,29	3,85	3,24
595-TPS51100DGQ	TPS51100DGQ	MSOP PowerPAD-10	3	-	0,5	4.75	5.25	-	20	Céramique	2,43	1,86	1,69	1,52
595-TPS51100DGQG4	TPS51100DGQG4	MSOP PowerPAD-10	3	-	0,5	4.75	5.25	-	20	Céramique	2,43	1,86	1,69	1,52
595-TPS51100DGQR	TPS51100DGQR	MSOP PowerPAD-10	3	-	0,5	4.75	5.25	-	20	Céramique	1,44	1,16	0,866	0,809
595-TPS51200DRCR	TPS51200DRCR	SON-10	3	-	0,5	2.375	3.5	-	20	Céramique	1,54	1,24	0,924	0,866
595-TPS51200DRCT	TPS51200DRCT	SON-10	3	-	0,5	2.375	3.5	-	20	Céramique	2,57	1,98	1,79	1,61
595-TPS51200DRCTG4	TPS51200DRCTG4	SON-10	3	-	0,5	2.375	3.5	-	20	Céramique	1,95	1,34	1,04	0,982
595-TPS74401KTWT	TPS74401KTWT	DDPAK-7	3	115	3	0.8	5.5	1	-	Sans condensateur	5,61	3,78	3,70	3,64
595-TPS74401RGWT	TPS74401RGWT	QFN-20	3	115	3	0.8	5.5	1	-	Sans condensateur	5,28	4,22	3,56	3,43
595-TPS74901KTWR	TPS74901KTWR	DDPAK-7	3	120	3	0.8	5.5	2	2.2	Céramique	3,99	3,21	2,92	2,64
595-TPS74901RGWR	TPS74901RGWR	QFN-20	3	120	3	0.8	5.5	2	2.2	Céramique	3,42	2,75	2,50	2,26
595-TPS74901RGWT	TPS74901RGWT	QFN-20	3	120	3	0.8	5.5	2	2.2	Céramique	3,99	3,21	2,92	2,64
595-TPS75701KTTT	TPS75701KTTT	TO-263-5	3	150	0.11	2.8	5.5	-	47	Tantale	8,43	7,00	6,36	5,72
595-TPS75715KTTT	TPS75715KTTT	TO-263-5	3	150	0.11	2.8	5.5	-	47	Tantale	8,43	7,00	6,36	5,72
595-TPS75718KTTT	TPS75718KTTT	TO-263-5	3	150	0.11	2.8	5.5	-	47	Tantale	8,43	7,00	6,36	5,72
595-TPS75725KTTT	TPS75725KTTT	TO-263-5	3	150	0.11	2.8	5.5	-	47	Tantale	8,43	7,00	6,36	5,72
595-TPS75733KC	TPS75733KC	TO-220-5	3	150	0.11	3.45	5.5	-	47	Tantale	7,34	6,10	5,54	4,71
595-TPS75733KTTT	TPS75733KTTT	TO-263-5	3	150	0.11	3.45	5.5	-	47	Tantale	8,43	7,00	6,36	5,72
595-TPS75801KTTT	TPS75801KTTT	TO-263-5	3	150	0.125	2.8	5.5	3	47	Tantale	5,20	4,16	3,50	3,37
595-TPS75815KTTT	TPS75815KTTT	TO-263-5	3	150	0.125	2.8	5.5	3	47	Tantale	5,20	4,16	3,50	3,37
595-TPS75818KTTT	TPS75818KTTT	TO-263-5	3	150	0.125	2.8	5.5	3	47	Tantale	5,20	4,16	3,50	3,37
595-TPS75825KTTT	TPS75825KTTT	TO-263-5	3	150	0.125	2.8	5.5	3	47	Tantale	5,20	4,16	3,50	3,37
595-TPS75833KTTT	TPS75833KTTT	TO-263-5	3	150	0.125	2.8	5.5	3	47	Tantale	5,20	4,16	3,50	3,37
595-TPS758A01KTTR	TPS758A01KTTR	TO-263-5	3	150	0.125	2.8	5.5	3	47	Tantale	5,83	4,84	4,40	3,74
595-UC282TDKTTT-ADJ	UC282TDKTTT-ADJ	TO-263-5	3	350	0.006	1.7	7.5	-	100	Tantale	6,70	5,56	5,05	4,55

© Copyright 2012 Mouser Electronics
© Copyright 2012 Mouser Electronics

CI de gestion de l'alimentation TEXAS INSTRUMENTS

Les produits peuvent être conformes à la directive RoHS.
Consultez le site mouser.com pour vérifier la conformité RoHS.

LDO À UN SEUL CANAL (SUITE)

Pour des quantités supérieures à celles indiquées, appelez-nous afin d'obtenir un devis.

RÉF. STOCK MOUSER	Réf. Texas Instruments	Boîtier	Iout (Max.) (A)	Vdo (Typ.) (mV)	Iq (Typ.) (mA)	Vin (Min.)	Vin (Max.)	Précision (%)	Condensateur de sortie (µF)	Type de condensateur de sortie	Prix unitaire 1	25	100	250
595-UC382TDKTTT-ADJ	UC382TDKTTT-ADJ	TO-263-5	3	350	0.006	1.7	7.5	1	100	Tantale	5,83	4,84	4,40	3,96
595-UCC283T-5	UCC283T-5	TO-220-5	3	400	0.4	5.45	9	-	-	Tantale	7,65	6,26	5,65	5,20
595-TPS75501KTTT	TPS75501KTTT	TO-263-5	5	250	0.11	2.8	5.5	-	47	Tantale	7,45	6,19	5,63	5,06
595-TPS75515KTTT	TPS75515KTTT	TO-263-5	5	250	0.11	2.8	5.5	-	47	Tantale	7,45	6,19	5,63	5,06
595-TPS75533KTTT	TPS75533KTTT	TO-263-5	5	250	0.11	3.55	5.5	-	47	Tantale	7,10	5,68	4,78	4,60
595-TPS75601KTTT	TPS75601KTTT	TO-263-5	5	250	0.11	2.8	5.5	3	47	Tantale	7,45	6,19	5,63	5,06
595-TPS75633KTTT	TPS75633KTTT	TO-263-5	5	250	0.11	3.55	5.5	3	47	Tantale	7,45	6,19	5,63	5,06
595-TPS75525KTTT	TPS75525KTTT	TO-263-5	5	290	0.11	2.8	5.5	-	47	Tantale	7,45	6,19	5,63	5,06
595-TPS75901KTTT	TPS75901KTTT	TO-263-5	7.5	400	0.11	2.8	5.5	3	47	Tantale	6,11	4,88	4,12	3,96
595-TPS75925KTTT	TPS75925KTTT	TO-263-5	7.5	400	0.11	2.92	5.5	3	47	Tantale	6,11	4,88	4,12	3,96

RÉGULATEURS DE TENSION CLASSIQUES

Pour des quantités supérieures à celles indiquées, appelez-nous afin d'obtenir un devis.

RÉF. STOCK MOUSER	Réf. Texas Instruments	Boîtier	Iout (Max.) (A)	Vin (Min.)	Vin (Max.)	Vout (Min.)	Vout (Max.)	Iq (Max.) (mA)	Vdo (Max.)	Prix unitaire 1	25	100	250
595-LP2951-50D	LP2951-50D	SOIC-8	-	2,2.3	30	4.88	5.12	-	0.150,0.600	0,63	0,462	0,377	0,314
595-MC79L05ACD	MC79L05ACD	SOIC-8	0.1	-7	-20	-5	-5	6	2	0,46	0,396	0,275	0,212
595-MC79L05ACDR	MC79L05ACDR	SOIC-8	0.1	-7	-20	-5	-5	6	2	0,41	0,284	0,231	0,149
595-MC79L05ACLP	MC79L05ACLP	TO-92-3	0.1	-7	-20	-5	-5	6	2	0,46	0,396	0,275	0,212
595-MC79L12ACD	MC79L12ACD	SOIC-8	0.1	-14.5	-27	-12	-12	6.5	2.5	0,46	0,396	0,275	0,212
595-MC79L12ACLPR	MC79L12ACLPR	TO-92-3	0.1	-14.5	-27	-12	-12	6.5	2.5	0,41	0,284	0,231	0,149
595-TL317CD	TL317CD	SOIC-8	0.1	3.7	38	1.2	35	-	2.5	0,81	0,644	0,581	0,506
595-TL317CDR	TL317CDR	SOIC-8	0.1	3.7	38	1.2	35	-	2.5	0,78	0,602	0,538	0,466
595-TL317CLPR	TL317CLPR	TO-92-3	0.1	3.7	38	1.2	35	-	2.5	0,78	0,602	0,538	0,466
595-TL317CPWR	TL317CPWR	TSSOP-8	0.1	3.7	38	1.2	35	-	2.5	0,78	0,602	0,538	0,466
595-LM317LCPW	LM317LCPW	TO-92-3	0.1	3.7	38	1.2	32	-	2.5	0,46	0,396	0,275	0,212
595-LM317LILP	LM317LILP	TO-92-3	0.1	3.7	38	1.2	32	-	2.5	0,46	0,322	0,28	0,241
595-LM317LIPK	LM317LIPK	SOT-89-3	0.1	3.7	38	1.2	32	-	2.5	0,60	0,462	0,406	0,352
595-UA78L02ACLP	UA78L02ACLP	TO-92-3	0.1	4.75	20	2.45	2.75	6	2.15	0,42	0,312	0,267	0,231
595-UA78L05ACD	UA78L05ACD	SOIC-8	0.1	7	20	4.75	5.25	6	2	0,59	0,413	0,355	0,306
595-UA78L05ACDR	UA78L05ACDR	SOIC-8	0.1	7	20	4.75	5.25	6	2	0,50	0,338	0,295	0,255
595-UA78L05ACDRE4	UA78L05ACDRE4	SOIC-8	0.1	7	20	4.75	5.25	6	2	0,50	0,338	0,295	0,255
595-UA78L05ACLP	UA78L05ACLP	TO-92-3	0.1	7	20	4.75	5.25	6	2	0,36	0,281	0,215	0,155
595-UA78L05ACLPR	UA78L05ACLPR	TO-92-3	0.1	7	20	4.75	5.25	6	2	0,50	0,338	0,295	0,255
595-UA78L05ACPK	UA78L05ACPK	SOT-89-3	0.1	7	20	4.75	5.25	6	2	0,50	0,371	0,30	0,251
595-UA78L05ACPKG3	UA78L05ACPKG3	SOT-89-3	0.1	7	20	4.75	5.25	6	2	0,50	0,371	0,30	0,251
595-UA78L05AID	UA78L05AID	SOIC-8	0.1	7	20	4.75	5.25	6	2	0,50	0,371	0,30	0,251
595-UA78L05AIDR	UA78L05AIDR	SOIC-8	0.1	7	20	4.75	5.25	6	2	0,50	0,363	0,318	0,276
595-UA78L05AILP	UA78L05AILP	TO-92-3	0.1	7	20	4.75	5.25	6	2	0,50	0,371	0,30	0,251
595-UA78L05AIPK	UA78L05AIPK	SOT-89-3	0.1	7	20	4.75	5.25	6	2	0,50	0,371	0,30	0,251
595-UA78L05CD	UA78L05CD	SOIC-8	0.1	7	20	4.5	5.5	6	2	0,44	0,297	0,261	0,225
595-UA78L05CDRG4	UA78L05CDRG4	SOIC-8	0.1	7	20	4.5	5.5	6	2	0,33	0,264	0,198	0,132
595-UA78L05CLP	UA78L05CLP	TO-92-3	0.1	7	20	4.5	5.5	6	2	0,44	0,297	0,261	0,225
595-UA78L05CLPE3	UA78L05CLPE3	TO-92-3	0.1	7	20	4.5	5.5	6	2	0,44	0,297	0,261	0,225
595-UA78L05CPK	UA78L05CPK	SOT-89-3	0.1	7	20	4.5	5.5	6	2	0,33	0,264	0,198	0,132
595-UA78L10ACLP	UA78L10ACLP	TO-92-3	0.1	12.5	25	9.5	10.5	6	3	0,44	0,297	0,261	0,225
595-UA78L12ACLPM	UA78L12ACLPM	TO-92-3	0.1	14.5	27	11.4	12.6	6.5	2	0,33	0,264	0,198	0,132
595-UA723CD	UA723CD	SOIC-14	0.15	5	40	2	37	4	3	0,71	0,569	0,503	0,441
595-UA723CDR	UA723CDR	SOIC-14	0.15	5	40	2	37	4	3	0,76	0,586	0,513	0,445
595-UA723CDRE4	UA723CDRE4	SOIC-14	0.15	5	40	2	37	4	3	0,76	0,586	0,513	0,445
595-UA723CN	UA723CN	PDIP-14	0.15	5	40	2	37	4	3	0,84	0,648	0,572	0,495
595-UA723CNE4	UA723CNE4	PDIP-14	0.15	5	40	2	37	4	3	0,84	0,648	0,572	0,495
595-TLV70018DDCT	TLV70018DDCT	TSOT-23-5	0.2	2	5.5	2	5.5	0.031	0.175	0,61	0,462	0,411	0,356
595-TLV70030DDCT	TLV70030DDCT	TSOT-23-5	0.2	2	5.5	2	5.5	0.031	0.175	0,61	0,462	0,411	0,356
595-UA79M08CKVURG3	UA79M08CKVURG3	PFM-3	0,5	-10.5	-25	-7.6	-8.4	2	2.5	0,56	0,429	0,381	0,326
595-LM317MQDCYRG4	LM317MQDCYRG4	SOT-89-3	0,5	4.2	40	1.25	37	-	3	0,86	0,668	0,592	0,512
595-UA78M33CDCYG3	UA78M33CDCYG3	SOT-223-3	0,5	5.3	25	3.1	3.5	6	2	0,63	0,487	0,43	0,373
595-UA78M33QDCYRG4Q1	UA78M33QDCYRG4Q1	SOT-223-3	0,5	5.3	25	3.2	3.4	6	2	0,63	0,479	0,428	0,366
595-UA78M33CDCY	UA78M33CDCY	SOT-223-4	0,5	5.3	25	3.1	3.5	6	-	0,50	0,371	0,333	0,287
595-UA78M33CDCYR	UA78M33CDCYR	SOT-223-4	0,5	5.3	25	3.1	3.5	6	2	0,50	0,371	0,333	0,287
595-UA78M33CDCYRG3	UA78M33CDCYRG3	SOT-223-4	0,5	5.3	25	3.1	3.5	6	2	0,63	0,487	0,43	0,373
595-UA78M33CKCS	UA78M33CKCS	TO-220-3	0,5	5.3	25	3.1	3.5	6	-	0,47	0,355	0,315	0,273
595-UA78M33CKVURG3	UA78M33CKVURG3	PFM-3	0,5	5.3	25	3.1	3.5	6	-	0,59	0,454	0,398	0,345
595-UA78M05CDCY	UA78M05CDCY	SOT-23-3	0,5	7	25	4.75	5.25	6	2	0,58	0,449	0,396	0,264
595-UA78M05CDCYR	UA78M05CDCYR	SOT-223-4	0,5	7	25	4.75	5.25	6	-	0,58	0,449	0,396	0,264
595-UA78M05CDCYRG3	UA78M05CDCYRG3	SOT-23-3	0,5	7	25	4.75	5.25	6	2	0,58	0,449	0,396	0,264
595-UA78M05CKCS	UA78M05CKCS	TO-220-3	0,5	7	25	4.75	5.25	6	-	0,58	0,449	0,396	0,264
595-UA78M05CKCSE3	UA78M05CKCSE3	TO-220-3	0,5	7	25	4.75	5.25	6	2	0,58	0,449	0,396	0,264
595-UA78M05CKVURG3	UA78M05CKVURG3	PFM-3	0,5	7	25	4.75	5.25	6	-	0,67	0,512	0,455	0,394
595-UA78M05IDCY	UA78M05IDCY	SOT-223-4	0,5	7	25	4.75	5.25	6	2	0,58	0,449	0,396	0,264
595-TL783CKTTR	TL783CKTTR	TO-263-3	0.7	21.5	150	1.25	125	-	20	2,28	1,76	1,59	1,43
595-TLV1117CDCYR	TLV1117CDCYR	SOT-223-4	0.8	2.7	15	1.238	1.262	-	-	0,57	0,437	0,391	0,339
595-TLV1117CDRJR	TLV1117CDRJR	SON-8	0.8	2.7	15	1.238	1.262	-	-	0,59	0,454	0,396	0,345
595-TLV1117CKVURG3	TLV1117CKVURG3	PFM-3	0.8	2.7	15	1.238	1.262	-	-	0,55	0,421	0,376	0,326
595-TLV1117IDCYR	TLV1117IDCYR	SOT-223-4	0.8	2.7	15	1.238	1.262	-	-	0,51	0,388	0,347	0,299
595-TLV1117IDRJR	TLV1117IDRJR	SON-8	0.8	2.7	15	1.238	1.262	-	-	0,51	0,388	0,347	0,299
595-TLV1117IKCS	TLV1117IKCS	TO-220-3	0.8	2.7	15	1.238	1.262	-	-	1,01	0,792	0,718	0,625
595-TLV1117IKVURG3	TLV1117IKVURG3	PFM-3	0.8	2.7	15	1.238	1.262	-	-	0,61	0,47	0,416	0,36
595-TLV1117-15IDCYR	TLV1117-15IDCYR	SOT-223-4	0.8	2.9	15	1.485	1.515	-	-	0,59	0,454	0,396	0,345
595-TLV1117-18CDCYR	TLV1117-18CDCYR	SOT-223-4	0.8	3.2	15	1.782	1.818	-	-	0,57	0,437	0,391	0,339
595-TLV1117-18IDCYR	TLV1117-18IDCYR	SOT-223-4	0.8	3.2	15	1.782	1.818	-	-	0,59	0,454	0,396	0,345
595-TLV1117-25CDCYR	TLV1117-25CDCYR	SOT-223-4	0.8	3.9	15	2.475	2.525	-	-	0,57	0,437	0,391	0,339
595-TLV1117-25IDCYR	TLV1117-25IDCYR	SOT-223-4	0.8	3.9	15	2.475	2.525	-	-	0,59	0,454	0,396	0,345
595-TLV1117-33CDCY	TLV1117-33CDCY	SOT-223-4	0.8	4.7	15	3.267	3.333	-	-	0,70	0,536	0,479	0,415
595-TLV1117-33CDRJR	TLV1117-33CDRJR	SON-8	0.8	4.7	15	3.267	3.333	-	-	0,78	0,602	0,538	0,466
595-TLV1117-33IDCYR	TLV1117-33IDCYR	SOT-223-4	0.8	4.7	15	3.267	3.333	-	-	0,59	0,454	0,396	0,345
595-TLV111733IKVURG3	TLV1117-33IKVURG3	PFM-3	0.8	4.7	15	3.267	3.333	-	-	0,77	0,569	0,458	0,318
595-TLV1117-33CDCYR	TLV1117-33CDCYR	SOT-223-4	0.8	4.7	15	3.3	3.3	5	-	0,57	0,437	0,391	0,339
595-TLV1117-50CDCYR	TLV1117-50CDCYR	SOT-223-4	0.8	6.4	15	4.95	5.05	-	-	0,57	0,437	0,391	0,339

© Copyright 2012 Mouser Electronics
© Copyright 2012 Mouser Electronics

CI de gestion de l'alimentation TEXAS INSTRUMENTS

Les produits peuvent être conformes à la directive RoHS. Consultez le site mouser.com pour vérifier la conformité RoHS.

RÉGULATEURS DE TENSION CLASSIQUES (SUITE)

Pour des quantités supérieures à celles indiquées, appelez-nous afin d'obtenir un devis.

RÉF. STOCK MOUSER	Réf. Texas Instruments	Boîtier	Iout (Max.) (A)	Vin (Min.)	Vin (Max.)	Vout (Min.)	Vout (Max.)	Iq (Max.) (mA)	Vdo (Max.)	Prix unitaire 1	25	100	250
595-TLV1117-50CDRJR	TLV1117-50CDRJR	SON-8	0.8	6.4	15	4.95	5.05	-	-	0,78	0,602	0,538	0,466
595-TLV1117-50IDCYR	TLV1117-50IDCYR	SOT-223-4	0.8	6.4	15	4.95	5.05	-	-	0,59	0,454	0,396	0,345
595-TLV1117-50IDRJR	TLV1117-50IDRJR	SON-8	0.8	6.4	15	4.95	5.05	-	-	0,83	0,66	0,594	0,517
595-LM317LCDR	LM317LCDR	SOIC-8	1.2	3.7	38	1.2	32	-	2.5	0,41	0,284	0,231	0,149
595-LM317LCLPR	LM317LCLPR	TO-92-3	1.2	3.7	38	1.2	32	-	2.5	0,41	0,284	0,231	0,149
595-LM317LCPK	LM317LCPK	SOT-89-3	1.2	3.7	38	1.2	32	-	2.5	0,58	0,437	0,387	0,337
595-LM317LIDR	LM317LIDR	SOIC-8	1.2	3.7	38	1.2	32	-	2.5	0,46	0,305	0,251	0,208
595-LM317MQDCYR	LM317MQDCYR	SOT-223-4	1.25	3	40	1.25	37	-	3	0,59	0,495	0,399	0,299
595-LM317DCYR	LM317DCYR	SOT-223-4	1.25	4.2	40	1.25	37	-	3	0,66	0,503	0,44	0,383
595-LM317KCS	LM317KCS	TO-220-3	1.25	4.2	40	1.25	37	-	3	0,66	0,503	0,44	0,383
595-LM317MDCY	LM317MDCY	SOT-223-4	1.25	4.2	40	1.25	37	-	3	0,43	0,338	0,333	0,325
595-LM317MDCYR	LM317MDCYR	SOT-223-4	1.25	4.2	40	1.25	37	-	3	0,78	0,602	0,538	0,466
595-LM317MKVURG3	LM317MKVURG3	PFM-3	1.25	4.2	40	1.25	37	-	3	0,80	0,631	0,49	0,415
595-LM337KCSE3	LM337KCSE3	TO-220-3	1.5	-4.2	-40	-1.2	-37	-	3	0,73	0,553	0,484	0,422
595-LM337KTTR	LM337KTTR	TO-263-3	1.5	-4.2	-40	-1.2	-37	-	3	0,76	0,602	0,533	0,463
595-LM337KVURG3	LM337KVURG3	TO-252-3	1.5	-4.2	-40	-1.2	-37	-	3	0,80	0,631	0,49	0,415
595-LM317DCY	LM317DCY	SOT-23-3	1.5	4.2	40	1.25	37	-	3	0,79	0,594	0,446	0,328
595-LM317DCYG3	LM317DCYG3	SOT-23-3	1.5	4.2	40	1.25	37	-	3	0,79	0,594	0,446	0,328
595-LM317DCYRG3	LM317DCYRG3	SOT-223-4	1.5	4.2	40	1.25	37	-	3	0,66	0,503	0,44	0,383
595-LM317KCSE3	LM317KCSE3	TO-220-3	1.5	4.2	40	1.25	37	-	3	0,66	0,503	0,44	0,383
595-LM317KTTR	LM317KTTR	TO-263-3	1.5	4.2	40	1.25	37	-	3	0,79	0,594	0,446	0,328
595-LM317KTTRG3	LM317KTTRG3	TO-263-3	1.5	4.2	40	1.25	37	-	3	0,79	0,594	0,446	0,328
595-UA7810CKCSE3	UA7810CKCSE3	TO-220-3	1.5	12.5	28	10	10	8	2	0,76	0,586	0,513	0,445
595-TL780-12KCSE3	TL780-12KCSE3	TO-220-3	1.5	14.5	30	12	12	8	2	0,78	0,602	0,538	0,422
595-UA7815CKCS	UA7815CKCS	TO-220-3	1.5	17.5	30	15	15	8	2	0,76	0,586	0,513	0,445
595-UA7815CKCSE3	UA7815CKCSE3	TO-220-3	1.5	17.5	30	15	15	8	2.5	0,76	0,586	0,513	0,445
595-UA78M05IDCYR	UA78M05IDCYR	SOT-223-4	7	25	4.75	5.25	0,5	6	-	0,58	0,449	0,396	0,264
595-UA78M05IKCSE3	UA78M05IKCSE3	SOT-223-4	7	25	4.75	5.25	0,5	6	-	0,58	0,449	0,396	0,264
595-UA78M05IKVURG3	UA78M05IKVURG3	PFM-3	7	25	4.75	5.25	0,5	6	-	0,67	0,512	0,455	0,394
595-TL780-05CKTTR	TL780-05CKTTR	TO-263-3	7	25	5	5	1.5	8	2	0,76	0,602	0,533	0,463
595-TL780-05KCS	TL780-05KCS	TO-220-3	7	25	5	5	1.5	8	2	0,78	0,602	0,538	0,422
595-UA7805CKCS	UA7805CKCS	TO-220-3	7	25	5	5	1.5	8	2	0,71	0,553	0,489	0,424
595-UA7805CKTTR	UA7805CKTTR	TO-263-3	7	25	5	5	1.5	8	2	0,86	0,66	0,587	0,508
595-UA78M06CKVURG3	UA78M06CKVURG3	PFM-3	8	25	5.7	6.3	0,5	6	2	0,56	0,429	0,381	0,326
595-UA78L06ACLP	UA78L06ACLP	TO-92-3	8.5	20	5.9	6.5	0.1	6	2.3	0,38	0,248	0,208	0,17
595-UA78L08ACD	UA78L08ACD	SOIC-8	10.5	23	7.6	8.4	0.1	6	2.5	0,44	0,297	0,261	0,225
595-UA78M08CDCYR	UA78M08CDCYR	SOT-223-4	10.5	25	7.6	8.4	0,5	6	2.5	0,63	0,487	0,43	0,373
595-UA78L09ACD	UA78L09ACD	SOIC-8	11.5	24	8.55	9.45	0.1	6	3	0,42	0,312	0,267	0,231
595-UA78L09ACLP	UA78L09ACLP	TO-92-3	11.5	24	8.55	9.45	0.1	6	3	0,42	0,312	0,267	0,231
595-UA78L09ACPK	UA78L09ACPK	SOT-89-3	11.5	24	8.55	9.45	0.1	6	3	0,39	0,281	0,244	0,212
595-UA78M09CKVURG3	UA78M09CKVURG3	PFM-3	11.5	26	8.5	9.5	0,5	6	2.5	0,56	0,429	0,381	0,326
595-UA78L10ACDR	UA78L10ACD	SOIC-8	12.5	25	9.5	10.5	0.1	6	3	0,33	0,264	0,198	0,132
595-UA78L10ACDR	UA78L10ACDR	SOIC-8	12.5	25	9.5	10.5	0.1	6	3	0,33	0,264	0,198	0,132
595-UA78L10ACLPE3	UA78L10ACLPE3	TO-92-3	12.5	25	9.5	10.5	0.1	6	3	0,44	0,297	0,261	0,225
595-UA78L10ACLPR	UA78L10ACLPR	TO-92-3	12.5	25	9.5	10.5	0.1	6	3	0,33	0,264	0,198	0,132
595-UA78L10ACPK	UA78L10ACPK	SOT-89-3	12.5	25	9.5	10.5	0.1	6	3	0,33	0,264	0,198	0,132
595-UA78M10CKVURG3	UA78M10CKVURG3	PFM-3	12.5	28	9.5	10.5	0,5	6	2.5	0,56	0,429	0,381	0,326
595-UA78L12ACDR	UA78L12ACD	SOIC-8	14.5	27	11.4	12.6	0.1	6.5	2	0,33	0,264	0,198	0,132
595-UA78L12ACDR	UA78L12ACDR	SOIC-8	14.5	27	11.4	12.6	0.1	6.5	2	0,33	0,264	0,198	0,132
595-UA78L12ACLP	UA78L12ACLP	TO-92-3	14.5	27	11.4	12.6	0.1	6.5	2	0,44	0,297	0,261	0,225
595-UA78L12ACPK	UA78L12ACPK	SOT-89-3	14.5	27	11.4	12.6	0.1	6.5	2	0,33	0,264	0,198	0,132
595-TL780-12KCS	TL780-12KCS	TO-220-3	14.5	30	12	12	1.5	8	2.5	0,78	0,602	0,538	0,422
595-UA7812CKCS	UA7812CKCS	TO-220-3	14.5	30	12	12	1.5	8	2.5	0,78	0,602	0,538	0,466
595-UA7812CKTTR	UA7812CKTTR	TO-263-3	14.5	30	12	12	1.5	8	2.5	0,83	0,652	0,581	0,506
595-UA78L15ACLP	UA78L15ACLP	TO-92-3	17.5	30	14.25	15.75	0.1	6.5	2.5	0,44	0,297	0,261	0,225
595-UA78L15ACPKG3	UA78L15ACPKG3	SOT-89-3	17.5	30	14.25	15.75	0.1	6.5	2.5	0,33	0,264	0,198	0,132
595-TL780-15KCS	TL780-15KCS	TO-220-3	17.5	30	15	15	1.5	8	2.5	0,78	0,602	0,538	0,422
595-TL783CKCSE3	TL783CKCSE3	TO-220-3	21.5	150	1.25	125	0.7	-	20	1,34	1,29	0,965	0,858

CIRCUITS DE SUPERVISION - TENSION

Pour des quantités supérieures à celles indiquées, appelez-nous afin d'obtenir un devis.

RÉF. STOCK MOUSER	Réf. Texas Instruments	Boîtier	Nombre de superviseurs	Vsense1 (Nom.)	Vit1 (Typ.)	Vit2 (Typ.)	Vit3 (Typ.)	V CC (Min.)	V CC (Max.)	ICC (Max.)	Prix unitaire 1	25	100	250
595-UCC2946D	UCC2946D	SOIC-8	1	-	Prog.	-	-	2.1	5.5	18	3,91	3,19	2,86	2,61
595-TLC7701IPWR	TLC7701IPWR	PDIP-8	1	-	Adj.	-	-	2	6	9	1,42	1,10	0,998	0,891
595-TPS3803-01DCKR	TPS3803-01DCKR	SC-70-5	1	-	Adj.	-	-	1.3	6	4	0,78	0,602	0,533	0,462
595-PS3808G01MDBVTEP	TPS3808G01MDBVTEP	SOT-23-6	1	-	Adj.	-	-	1.7	6.5	5	3,65	2,93	2,67	2,41
595-TPS3808G01DBVR	TPS3808G01DBVR	SOT-23-6	1	-	0.405	-	-	1.8	6.5	5.7	2,00	1,53	1,39	1,25
595-TPS3808G12DBVR	TPS3808G12DBVR	SOT-23-6	1	-	1.12	-	-	1.7	6.5	5	2,00	1,53	1,39	1,25
595-3823-33QDBVRG4Q1	2U3823-33QDBVRG4Q1	SOT-23-5	1	-	2.93	-	-	1.1	5.5	25	1,42	1,10	0,998	0,891
595-TPS3809K33DBVT	TPS3809K33DBVT	SOT-23-3	1	-	2.93	-	-	2	6	25	0,83	0,637	0,516	0,311
595-TPS3809K33QDBVRQ	TPS3809K33QDBVRQ1	SOT-23-3	1	-	2.93	-	-	2	6	9	0,84	0,648	0,525	0,317
595-TPS3813K33DBVT	TPS3813K33DBVT	SOT-23-6	1	-	2.93	-	-	2	6	25	2,44	2,00	1,79	1,50
595-TPS3823-33QDBVRQ	TPS3823-33QDBVRQ1	SOT-23-5	1	-	2.93	-	-	1.1	5.5	15	1,44	1,11	1,01	0,908
595-TL7757ID	TL7757ID	SOIC-8	1	-	4.55	-	-	1	7	2000	0,71	0,545	0,475	0,413
595-TPS3808G09DBVR	TPS3808G09DBVR	SOT-23-6	1	0.9	0.84	-	-	1.8	6.5	5.7	2,00	1,53	1,39	1,25
595-TPS3808G12DRVT	TPS3808G12DRVT	SON-6	1	1.2	1.12	-	-	1.8	6.5	5.7	2,44	2,00	1,79	1,63
595-TPS3126E12DBVT	TPS3126E12DBVT	SOT-23-5	1	1.2	1.14	-	-	0.75	3.3	25	2,57	1,98	1,79	1,61
595-TPS3103E12DBVT	TPS3103E12DBVT	SOT-23-6	1	1.2	1.142	-	-	0.4	3.3	3	2,57	2,10	1,88	1,58
595-TPS3103E12DBVR	TPS3103E12DBVR	SOT-23-6	1	1.2	1.142	-	-	0.4	3.3	3	2,57	1,98	1,79	1,61
595-TPS3126E15DBVT	TPS3126E15DBVT	SOT-23-5	1	1.5	1.43	-	-	0.75	3.3	25	2,57	1,98	1,79	1,61
595-TPS3808G18DBVT	TPS3808G18DBVT	SOT-23-6	1	1.8	1.67	-	-	1.8	6.5	5.7	2,43	1,86	1,69	1,52
595-TPS3126E18DBVT	TPS3126E18DBVT	SOT-23-5	1	1.8	1.71	-	-	0.75	3.3	25	2,57	1,98	1,79	1,61
595-TPS3836E18DBVT	TPS3836E18DBVT	SOT-23-5	1	1.8	1.71	-	-	1.6	6	0.45	2,44	2,00	1,79	1,63
595-TPS3838E18DBVT	TPS3838E18DBVT	SOT-23-5	1	1.8	1.71	-	-	1.6	6	0.45	2,44	2,00	1,79	1,50
595-TLC7725ID	TLC7725ID	SOIC-8	1	2.5	2.25	-	-	2	6	16	2,12	1,71	1,53	1,37
595-TPS3809J25DBVR	TPS3809J25DBVR	SOT-23-3	1	2.5	2.25	-	-	2	6	25	0,72	0,553	0,488	0,422
595-TPS3823-25DBVR	TPS3823-25DBVR	SOT-23-5	1	2.5	2.25	-	-	1.1	5.5	25	1,68	1,30	1,17	1,06
595-TPS3838J25DBVT	TPS3838J25DBVT	SOT-23-5	1	2.5	2.25	-	-	1.6	6	0.45	2,44	2,00	1,79	1,50
595-TPS3808G25DBVR	TPS3808G25DBVR	SOT-23-6	1	2.5	2.33	-	-	1.8	6.5	5.7	2,00	1,53	1,39	1,25

© Copyright 2012 Mouser Electronics
© Copyright 2012 Mouser Electronics

CI de gestion de l'alimentation TEXAS INSTRUMENTS

Les produits peuvent être conformes à la directive RoHS. Consultez le site mouser.com pour vérifier la conformité RoHS.

CIRCUITS DE SUPERVISION – TENSION (SUITE)

Pour des quantités supérieures à celles indiquées, appelez-nous afin d'obtenir un devis.

RÉF. STOCK MOUSER	Réf. Texas Instruments	Boîtier	Nombre de superviseurs	Vsense1 (Nom.)	Vit1 (Typ.)	Vit2 (Typ.)	Vit3 (Typ.)	V CC (Min.)	V CC (Max.)	ICC (Max.)	Prix unitaire 1	25	100	250
595-TPS3800G27DCKR	TPS3800G27DCKR	SOT-5	1	2.7	2.5	-	-	2	6	18	1,24	0,974	0,875	0,766
595-TL7702ACD	TL7702ACD	SOIC-8	1	2.7	2.53	-	-	3.5	18	3000	0,64	0,495	0,44	0,381
595-TL7702ACP	TL7702ACP	PDIP-8	1	2.7	2.53	-	-	3.5	18	3000	0,64	0,487	0,429	0,373
595-TL7702AID	TL7702AID	SOIC-8	1	2.7	2.53	-	-	3.5	18	3000	0,64	0,495	0,44	0,381
595-TL7702BCD	TL7702BCD	SOIC-8	1	2.7	2.53	-	-	3.6	18	3000	0,59	0,454	0,398	0,345
595-TL7702BIP	TL7702BIP	PDIP-8	1	2.7	2.53	-	-	3.6	18	3000	0,64	0,487	0,429	0,373
595-TPS3823-30DBVR	TPS3823-30DBVR	SOT-23-5	1	3	2.63	-	-	1.1	5.5	25	1,43	1,13	1,01	0,883
595-TPS3125L30DBVR	TPS3125L30DBVR	SOT-23-5	1	3	2.64	-	-	0.75	3.3	30	1,92	1,54	1,39	1,24
595-TPS3809L30DBVR	TPS3809L30DBVR	SOT-23-3	1	3	2.64	-	-	2	6	25	0,72	0,553	0,488	0,325
595-TPS3813L30DBVT	TPS3813L30DBVT	SOT-23-6	1	3	2.64	-	-	2	6	13	2,44	2,00	1,79	1,50
595-TPS3836L30DBVT	TPS3836L30DBVT	SOT-23-5	1	3	2.64	-	-	1.6	6	0.45	2,44	2,00	1,79	1,63
595-TPS3838L30DBVT	TPS3838L30DBVT	SOT-23-5	1	3	2.64	-	-	1.6	6	0.45	2,44	2,00	1,79	1,50
595-TPS3808G30DBVR	TPS3808G30DBVR	SOT-23-6	1	3	2.79	-	-	1.8	6.5	5.7	2,00	1,53	1,39	1,25
595-TPS3836H30DBVT	TPS3836H30DBVT	SOT-23-5	1	3	2.79	-	-	1.6	6	0.45	2,71	2,09	1,90	1,70
595-TLC7733ID	TLC7733ID	SOIC-8	1	3.3	2.93	-	-	2	6	16	2,12	1,71	1,53	1,37
595-TLC7733IPW	TLC7733IPW	TSSOP-8	1	3.3	2.93	-	-	2	6	16	2,12	1,71	1,53	1,37
595-TPS3619-33DGK	TPS3619-33DGK	MSOP-8	1	3.3	2.93	-	-	1.65	5.5	40	2,47	2,01	1,81	1,64
595-TPS3620-33DGKR	TPS3620-33DGKR	MSOP-8	1	3.3	2.93	-	-	1.65	5.5	40	2,72	2,22	1,86	1,67
595-TPS3620-33DGKT	TPS3620-33DGKT	MSOP-8	1	3.3	2.93	-	-	1.65	5.5	40	2,96	2,38	2,17	1,96
595-TPS3801K33DCKR	TPS3801K33DCKR	SC-70-5	1	3.3	2.93	-	-	2	6	25	1,24	0,974	0,875	0,766
595-TPS3802K33DCKR	TPS3802K33DCKR	SC-70-5	1	3.3	2.93	-	-	1.6	4	18	1,24	0,974	0,875	0,766
595-TPS3809K33DBVR	TPS3809K33DBVR	SOT-23-3	1	3.3	2.93	-	-	2	6	25	0,72	0,553	0,488	0,325
595-TPS3820-33DBVT	TPS3820-33DBVT	SOT-23-5	1	3.3	2.93	-	-	1.1	5.5	25	1,57	1,20	1,10	0,891
595-TPS3823-33DBVR	TPS3823-33DBVR	SOT-23-5	1	3.3	2.93	-	-	1.1	5.5	25	1,30	1,02	0,924	0,804
595-TPS3824-33DBVR	TPS3824-33DBVR	SOT-23-5	1	3.3	2.93	-	-	1.1	5.5	25	1,43	1,13	1,01	0,883
595-TPS3825-33DBVR	TPS3825-33DBVR	SOT-23-5	1	3.3	2.93	-	-	1.1	5.5	25	1,42	1,10	0,998	0,891
595-TPS3828-33DBVT	TPS3828-33DBVT	SOT-23-5	1	3.3	2.93	-	-	1.1	5.5	25	1,57	1,20	1,10	0,891
595-TPS3836K33DBVT	TPS3836K33DBVT	SOT-23-5	1	3.3	2.93	-	-	1.6	6	0.45	2,44	2,00	1,79	1,63
595-TPS3837K33DBVT	TPS3837K33DBVT	SOT-23-5	1	3.3	2.93	-	-	1.6	6	0.45	2,44	2,00	1,79	1,50
595-TPS3838K33DBVT	TPS3838K33DBVT	SOT-23-5	1	3.3	2.93	-	-	1.6	6	0.45	2,44	2,00	1,79	1,50
595-TPS3838K33QDBVRQ1	TPS3838K33QDBVRQ1	SOT-23-5	1	3.3	2.93	-	-	1.6	6	0.45	2,44	2,00	1,79	1,63
595-TPS3600D33PW	TPS3600D33PW	TSSOP-14	1	3.3	2.93	-	-	1.65	5.5	40	6,19	4,46	3,71	3,22
595-TPS3103K33DBVR	TPS3103K33DBVR	SOT-23-6	1	3.3	2.941	-	-	0.4	3.3	3	2,57	1,98	1,79	1,61
595-TPS3808G33DBVR	TPS3808G33DBVR	SOT-23-6	1	3.3	3.07	-	-	1.8	6.5	5.7	2,00	1,53	1,39	1,25
595-TL7733BCDR	TL7733BCDR	SOIC-8	1	3.3	3.08	-	-	3.6	18	3500	0,54	0,413	0,366	0,318
595-TL7705ACD	TL7705ACD	SOIC-8	1	5	4.55	-	-	3.5	18	3000	0,59	0,454	0,396	0,345
595-TL7705ACP	TL7705ACP	PDIP-8	1	5	4.55	-	-	3.5	18	3000	0,64	0,487	0,429	0,373
595-TL7705ACPSR	TL7705ACPSR	SOIC-8	1	5	4.55	-	-	3.5	18	3000	0,59	0,454	0,403	0,35
595-TL7705AID	TL7705AID	SOIC-8	1	5	4.55	-	-	3.5	18	3000	0,59	0,454	0,396	0,345
595-TL7705AIP	TL7705AIP	PDIP-8	1	5	4.55	-	-	3.5	18	3000	0,64	0,487	0,429	0,373
595-TL7705BCD	TL7705BCD	SOIC-8	1	5	4.55	-	-	3.6	18	3000	0,67	0,512	0,449	0,39
595-TL7705BCP	TL7705BCP	PDIP-8	1	5	4.55	-	-	3.6	18	3000	0,71	0,553	0,486	0,423
595-TL7705BID	TL7705BID	SOIC-8	1	5	4.55	-	-	3.6	18	3000	0,67	0,512	0,449	0,39
595-TL7705BIP	TL7705BIP	PDIP-8	1	5	4.55	-	-	3.6	18	3000	0,71	0,553	0,486	0,423
595-TL7757CD	TL7757CD	SOIC-8	1	5	4.55	-	-	1	7	40	0,71	0,545	0,475	0,413
595-TL7757CLP	TL7757CLP	TO-92-3	1	5	4.55	-	-	1	7	40	0,71	0,545	0,475	0,413
595-TL7757CLPR	TL7757CLPR	TO-92-3	1	5	4.55	-	-	1	7	40	0,64	0,495	0,44	0,381
595-TL7757CPK	TL7757CPK	SOT-89-3	1	5	4.55	-	-	1	7	40	0,64	0,495	0,44	0,381
595-TL7757ILP	TL7757ILP	TO-92-3	1	5	4.55	-	-	1	7	40	0,59	0,454	0,396	0,345
595-TL7757IPK	TL7757IPK	SOT-89-3	1	5	4.55	-	-	1	7	40	0,59	0,454	0,396	0,345
595-TL7759CPWR	TL7759CPWR	TSSOP-8	1	5	4.55	-	-	1	7	40	0,63	0,482	0,425	0,368
595-TLC7705ID	TLC7705ID	SOIC-8	1	5	4.55	-	-	2	6	16	1,58	1,28	1,16	1,02
595-TPS3808G50DBVR	TPS3808G50DBVR	SOT-23-6	1	5	4.65	-	-	1.8	6.5	5.7	2,00	1,53	1,39	1,25
595-TPS3809I50DBVR	TPS3809I50DBVR	SOT-23-3	1	5	4.55	-	-	2	6	25	0,72	0,553	0,488	0,325
595-TPS3820-50DBVT	TPS3820-50DBVT	SOT-23-3	1	5	4.55	-	-	1.1	5.5	25	1,57	1,20	1,10	0,891
595-TPS3823-50DBVR	TPS3823-50DBVR	SOT-23-3	1	5	4.55	-	-	1.1	5.5	25	1,43	1,13	1,01	0,883
595-TPS3824-50DBVR	TPS3824-50DBVR	SOT-23-3	1	5	4.55	-	-	1.1	5.5	25	1,42	1,10	0,998	0,891
595-TPS3825-50DBVT	TPS3825-50DBVT	SOT-23-3	1	5	4.55	-	-	1.1	5.5	25	1,42	1,10	0,998	0,815
595-TPS3828-50DBVT	TPS3828-50DBVT	SOT-23-3	1	5	4.55	-	-	1.1	5.5	25	1,68	1,30	1,17	0,957
595-TL7712ACD	TL7712ACD	SOIC-8	1	12	10.8	-	-	3.5	18	3000	0,96	0,759	0,671	0,589
595-TPS3805H33DCKR	TPS3805H33DCKR	SC-70-5	2	-	3.05	-	-	1.3	6	4	1,01	0,80	0,722	0,628
595-TPS3106E09DBVT	TPS3106E09DBVT	SOT-23-6	2	0.9	0.86	Rég.	-	0.4	3.3	4.5	2,57	2,10	1,88	1,58
595-TPS3106E16DBVT	TPS3106E16DBVT	SOT-23-6	2	1.6	1.521	-	-	0.4	3.3	3	2,57	2,10	1,88	1,58
595-TPS3705-33D	TPS3705-33D	SOIC-8	2	3	2.93	1.25	-	2	3.3	50	1,66	1,38	1,11	0,774
595-TPS3707-33D	TPS3707-33D	SOIC-8	2	3.3	2.93	1.25	-	2	3.3	50	1,66	1,38	1,11	0,774
595-TPS3306-15D	TPS3306-15D	SOIC-8	2	3.3	2.93	1.4	-	2.7	6	40	3,09	2,52	2,27	2,06
595-TPS3305-18D	TPS3305-18D	SOIC-8	2	3.3	2.93	1.68	-	2.7	6	40	2,81	2,29	2,06	1,73
595-TPS3305-18DGNR	TPS3305-18DGNR	MSOP PowerPAD-8	2	3.3	2.93	1.68	-	2.7	6	40	2,28	1,83	1,67	1,50
595-TPS3306-25D	TPS3306-25D	SOIC-8	2	3.3	2.93	2.25	-	2.7	6	40	3,05	2,49	2,24	2,04
595-TPS3106K33DBVR	TPS3106K33DBVR	SOT-23-6	2	3.3	2.941	-	-	0.4	3.3	3	2,57	1,98	1,79	1,61
595-TPS3106K33DBVT	TPS3106K33DBVT	SOT-23-6	2	3.3	2.941	-	-	0.4	3.3	4.5	2,57	2,10	1,88	1,58
595-TPS3110K33DBVT	TPS3110K33DBVT	SOT-23-6	2	3.3	2.941	-	-	0.4	3.3	3	2,81	2,29	2,06	1,73
595-TPS3806I33DBVR	TPS3806I33DBVR	SOP-6	2	3.3	3	-	-	1.3	6	5	1,39	1,10	0,99	0,858
595-TL7770-5CDWR	TL7770-5CDWR	SOIC-16	2	5	4.55	-	-	3.5	18	5000	2,40	1,93	1,74	1,54
595-TPS3705-50D	TPS3705-50D	SOIC-8	2	5	4.55	1.25	-	2	5	50	1,66	1,38	1,11	0,774
595-TPS3707-50D	TPS3707-50D	SOIC-8	2	5	4.55	1.25	-	2	5	50	1,66	1,38	1,11	0,774
595-TPS3305-33D	TPS3305-33D	SOIC-8	2	5	4.55	2.93	-	2.7	6	40	2,81	2,29	2,06	1,73
595-TPS3306-33D	TPS3306-33D	SOIC-8	2	5	4.55	2.93	-	2.7	6	40	3,05	2,49	2,24	2,04
595-TPS3307-18D	TPS3307-18D	SOIC-8	3	3.3	2.93	1.68	1.25	2	6	40	3,05	2,49	2,24	2,04
595-TPS3307-18DGN	TPS3307-18DGN	MSOP PowerPAD-8	3	3.3	2.93	1.68	1.25	2	6	40	3,05	2,49	2,24	2,04
595-TPS3307-25D	TPS3307-25D	SOIC-8	3	3.3	2.93	2.25	1.25	2	6	40	3,05	2,49	2,24	2,04
595-TPS3510P	TPS3510P	PDIP-8	3	3.3	2.2	3.5	-	4	15	1000	1,06	0,833	0,752	0,655
595-TPS3307-33D	TPS3307-33D	SOIC-8	3	5	4.55	2.93	1.25	2	6	40	3,05	2,49	2,24	2,04
595-TPS3307-33DGN	TPS3307-33DGN	MSOP PowerPAD-8	3	5	4.55	2.93	1.25	2	6	40	3,05	2,49	2,24	2,04

ÉQUIPEMENT POUR SOURCES D'ALIMENTATION PAR ETHERNET (POE)

Pour des quantités supérieures à celles indiquées, appelez-nous afin d'obtenir un devis.

RÉF. STOCK MOUSER	Réf. Texas Instruments	Boîtier	Canaux	Abs Max. VIN	Temp. de fonctionnement	Conforme à IEEE	Interface	Déconnexion	PowerFET	Prix unitaire 1	25	100
595-TPS23851DCE	TPS23851DCE	SSOP-36	4	70	de -20 à 125	Oui	I²C	À la fois AC et CC	Externe	11,80	9,92	9,12
595-TPS2384PAP	TPS2384PAP	HTQFP-64	4	80	de -40 à 125	Oui	I²C	À la fois AC et CC	Interne	10,35	8,70	7,99
595-TPS2384PJD	TPS2384PJD	HTQFP-64	4	Oui	de -40 à 125	Oui	I²C	À la fois AC et CC	Interne	10,35	8,70	7,99
595-TPS23841PJD	TPS23841PJD	HTQFP-64	4	Oui	de -40 à 125	Oui	I²C	À la fois AC et CC	Interne	16,34	13,74	12,62

© Copyright 2012 Mouser Electronics

© Copyright 2012 Mouser Electronics

CI de gestion de l'alimentation TEXAS INSTRUMENTS

Les produits peuvent être conformes à la directive RoHS. Consultez le site mouser.com pour vérifier la conformité RoHS.

DISPOSITIFS ALIMENTÉS PAR ETHERNET (POE)

Pour des quantités supérieures à celles indiquées, appelez-nous afin d'obtenir un devis.

RÉF. STOCK MOUSER	Réf. Texas Instruments	Boîtier	Détection	Classification	Abs VIN Max	Température de fonctionnement	Limitation de courant d'appel complet	Limitation du courant (mA)	Relance automatique ou déblocage à défection	Prix unitaire 1	25	100
595-TPS2375D	TPS2375D	SOIC-8	4	Oui, classe 0 à 4	100	de -40 à +85	Program.	450	Déblocage	2,77	2,23	2,03
595-TPS2375PW-1	TPS2375PW-1	TSSOP-8	4	Oui, classe 0 à 4	100	de -40 à +85	Program.	450	Relance automatique	2,77	2,23	2,03
595-TPS23750PWP	TPS23750PWP	HTSSOP-20	4	Oui, classe 0 à 4	100	de -40 à +85	Fixe	450	Relance automatique	3,32	2,67	2,08
595-TPS23750PWPR	TPS23750PWPR	HTSSOP-20	4	Oui, classe 0 à 4	100	de -40 à +85	Fixe	450	Relance automatique	3,71	3,03	2,72
595-TPS23753PW	TPS23753PW	TSSOP-14	4	Oui, classe 0 à 4	100	de -40 à +85	Fixe	450	Relance automatique	4,04	3,24	2,95
595-TPS2376D	TPS2376D	SOIC-8	4	Oui, classe 0 à 4	100	de -40 à +85	Program.	450	Déblocage	2,77	2,23	2,03
595-TPS2376DDA-H	TPS2376DDA-H	HSOP-8	4	Oui, classe 0 à 4	100	de -40 à +85	Program.	450	Relance automatique	3,47	2,78	2,53

RÉFÉRENCES DE TENSION AVEC DÉRIVATION FIXE

Pour des quantités supérieures à celles indiquées, appelez-nous afin d'obtenir un devis.

RÉF. STOCK MOUSER	Réf. Texas Instruments	Boîtier	VO (V)	Précision initiale @ 25/deg C (%)	Coeff. de temp. (Typ.) (ppm/deg C)	Coeff. de temp. (Max.) (ppm/deg C)	Iout/Iz (max.) (mA)	Prix unitaire 1	25	100	250
595-LM4041C12IDBZR	LM4041C12IDBZR	SOT-23-3	1.225	0,5	15	100	12	0,82	0,635	0,563	0,488
595-LM4041C12IDCKR	LM4041C12IDCKR	SOT-23-5	1.225	0,5	15	100	12	0,77	0,611	0,55	0,479
595-LM4041D12IDBZR	LM4041D12IDBZR	SOT-23-3	1.225	1	15	150	12	0,64	0,495	0,44	0,381
595-LM4041D12ILP	LM4041D12ILP	TO-92-3	1.225	1	15	150	12	0,71	0,545	0,475	0,413
595-LT1004CD-1-2	LT1004CD-1-2	SOIC-8	1.235	0.3	-	20	20	0,96	0,759	0,671	0,589
595-LT1004CPW-1-2	LT1004CPW-1-2	TSSOP-8	1.235	0.3	-	20	20	0,81	0,644	0,559	0,491
595-LT1004ID-1-2	LT1004ID-1-2	SOIC-8	1.235	0.3	-	20	20	0,79	0,635	0,559	0,491
595-LT1004IDG4-1-2	LT1004IDG4-1-2	SOIC-8	1.235	0.3	-	20	20	0,86	0,685	0,616	0,536
595-REF1004I-1.2	REF1004I-1.2	SOIC-8	1.235	0.3	-	20	20	5,42	4,45	4,01	3,68
595-LM285D-1-2	LM285D-1-2	SOIC-8	1.235	1	-	20	20	0,59	0,454	0,40	0,348
595-LM285LP-1-2	LM285LP-1-2	TO-92	1.235	1	20	-	20	0,59	0,454	0,40	0,348
595-LM385BLP-1-2	LM385BLP-1-2	TO-92-3	1.235	1	-	20	20	0,66	0,503	0,44	0,383
595-LM385BLPRE3-1-2	LM385BLPRE3-1-2	TO-92-3	1.235	2	-	20	20	0,66	0,503	0,44	0,383
595-LM385DR-1-2	LM385DR-1-2	SOIC-8	1.235	2	-	20	20	0,63	0,437	0,376	0,325
595-LM385LP-1-2	LM385LP-1-2	TO-92	1.235	2	20	-	20	0,59	0,454	0,40	0,348
595-REF1112AIDBZT	REF1112AIDBZT	SOT-23-3	1.25	0.2	50	10	5	2,71	2,09	1,90	1,70
595-LM4040A20IDBZR	LM4040A20IDBZR	SOT-23-3	2.048	0.1	15	100	15	2,44	2,00	1,79	1,63
595-LM4040C20IDBZR	LM4040C20IDBZR	SOT-23-3	2.048	0,5	15	100	15	0,82	0,635	0,563	0,488
595-LM4040C20IDCKR	LM4040C20IDCKR	SOT-23-5	2.048	0,5	15	100	15	0,77	0,611	0,55	0,479
595-LM4040D20IDBZR	LM4040D20IDBZR	SOT-23-3	2.048	1	15	150	15	0,64	0,495	0,44	0,381
595-LM4040D20QDBZR	LM4040D20QDBZR	SOT-23-3	2.048	1	15	150	15	0,83	0,66	0,594	0,517
595-LM236D-2-5	LM236D-2-5	SOIC-8	2.49	2	33	13	10	1,77	1,42	1,28	1,14
595-LM336BD-2-5	LM336BD-2-5	SOIC-8	2.49	2	34	10	10	0,76	0,602	0,533	0,463
595-LM4040A25IDBZR	LM4040A25IDBZR	SOT-23-3	2.5	0.1	15	100	15	2,44	2,00	1,79	1,63
595-LM4040A25IDBZT	LM4040A25IDBZT	SOT-23-3	2.5	0.2	15	100	15	2,42	1,94	1,78	1,73
595-LM4040B25IDBZT	LM4040B25IDBZT	SOT-23-3	2.5	0.2	15	100	15	1,89	1,53	1,37	1,22
595-LT1009CLP	LT1009CLP	TO-92-3	2.5	0.2	25	-	10	0,53	0,421	0,354	0,342
595-LT1009CLPR	LT1009CLPR	TO-92-3	2.5	0.2	25	-	10	0,99	0,776	0,705	0,613
595-REF1004C-2.5	REF1004C-2.5	SOIC-8	2.5	0.4	-	20	20	3,36	2,69	2,45	2,21
595-LM4040C25IDBZR	LM4040C25IDBZR	SOT-23-3	2.5	0,5	15	100	15	0,72	0,578	0,505	0,443
595-LM4040C25ILP	LM4040C25ILP	TO-92	2.5	0,5	15	100	75	0,80	0,637	0,558	0,489
595-LM4040C25QDBZR	LM4040C25QDBZR	SOT-23-3	2.5	0,5	15	100	15	0,78	0,619	0,557	0,484
595-LT1004ID-2-5	LT1004ID-2-5	SOIC-8	2.5	0.8	-	20	20	0,96	0,759	0,671	0,589
595-LM4040D25IDBZR	LM4040D25IDBZR	SOT-23-3	2.5	1	15	150	15	0,70	0,545	0,484	0,419
595-LM4040D25IDCKR	LM4040D25IDCKR	SC-70-5	2.5	1	15	150	15	0,64	0,495	0,44	0,381
595-LM4040D25ILP	LM4040D25ILP	TO-92-3	2.5	1	15	150	15	0,78	0,594	0,528	0,413
595-LM285DR-2-5	LM285DR-2-5	SOIC-8	2.5	1.5	-	20	20	0,51	0,388	0,342	0,298
595-LM285LP-2-5	LM285LP-2-5	TO-92-3	2.5	1.5	-	20	20	0,59	0,454	0,40	0,348
595-LM385BLP-2-5	LM385BLP-2-5	TO-92-3	2.5	1.5	-	20	20	0,65	0,503	0,44	0,383
595-LM385LP-2-5	LM385LP-2-5	TO-92-3	2.5	3	-	20	20	0,63	0,437	0,376	0,325
595-LM4040A30IDBZR	LM4040A30IDBZR	SOT-23-3	3	0.1	15	100	15	2,44	2,00	1,79	1,63
595-LM4040C30IDBZR	LM4040C30IDBZR	SOT-23-3	3	0,5	15	100	15	0,82	0,635	0,563	0,488
595-LM4040C30IDCKR	LM4040C30IDCKR	SC-70-5	3	0,5	15	100	15	0,77	0,611	0,55	0,479
595-LM4040D30IDBZR	LM4040D30IDBZR	SOT-23-3	3	1	15	150	15	0,64	0,495	0,44	0,381
595-LM4040A41IDBZT	LM4040A41IDBZT	SOT-23-3	4.096	0.1	15	100	15	2,42	1,94	1,78	1,73
595-LM4040B41IDBZT	LM4040B41IDBZT	SOT-23-3	4.096	0.2	15	100	15	1,89	1,53	1,37	1,22
595-LM4040C41IDBZR	LM4040C41IDBZR	SOT-23-3	4.096	0,5	15	100	15	0,82	0,635	0,563	0,488
595-LM4040C41IDCKR	LM4040C41IDCKR	SOT-23-5	4.096	0,5	15	100	15	0,77	0,611	0,55	0,479
595-LM4040C41ILPR	LM4040C41ILPR	TO-92-3	4.096	0,5	15	100	15	0,82	0,635	0,563	0,488
595-LM4040D41IDBZR	LM4040D41IDBZR	SOT-23-3	4.096	1	15	150	15	0,64	0,495	0,44	0,381
595-LM4040D41ILP	LM4040D41ILP	TO-92	4.096	1	15	150	15	0,78	0,594	0,528	0,413
595-LM4040A50IDBZR	LM4040A50IDBZR	SOT-23-3	5	0.1	15	100	15	2,44	2,00	1,79	1,63
595-LM4040B50IDBZT	LM4040B50IDBZT	SOT-23-3	5	0.2	15	100	15	1,89	1,53	1,37	1,22
595-LM4040C50IDBZR	LM4040C50IDBZR	SOT-23-3	5	0,5	15	100	15	0,82	0,635	0,563	0,488
595-LM4040C50ILP	LM4040C50ILP	TO-92-3	5	0,5	15	100	15	0,80	0,635	0,551	0,483
595-LM4040C50ILPR	LM4040C50ILPR	TO-92	5	0,5	15	100	15	0,82	0,635	0,563	0,488
595-LM4040C50QDBZR	LM4040C50QDBZR	SOT-23-3	5	0,5	15	100	15	1,08	0,858	0,771	0,671
595-LM4040D50IDBZR	LM4040D50IDBZR	SOT-23-3	5	1	15	150	15	0,64	0,495	0,44	0,381
595-LM4040D50ILP	LM4040D50ILP	TO-92-3	5	1	15	150	15	0,78	0,594	0,528	0,413
595-LM4040D50QDBZR	LM4040D50QDBZR	SOT-23-3	5	1	15	150	15	0,83	0,66	0,594	0,517
595-LM4040D82IDBZR	LM4040D82IDBZR	SOT-23-3	8.192	1	15	150	15	0,64	0,495	0,44	0,381
595-LM4040B10IDBZT	LM4040B10IDBZT	SOT-23-3	10	0.2	15	100	15	1,89	1,53	1,37	1,22
595-LM4040C10IDBZR	LM4040C10IDBZR	SOT-23-3	10	0,5	15	100	15	0,82	0,635	0,563	0,488

RÉFÉRENCES DE TENSION AVEC DÉRIVATION RÉGLABLE

Pour des quantités supérieures à celles indiquées, appelez-nous afin d'obtenir un devis.

RÉF. STOCK MOUSER	Réf. Texas Instruments	Boîtier	VO Adj. (Min) (V)	VO Adj. (Max) (V)	Précision initiale @25/deg C (%)	Coeff. de temp. (Typ.) (ppm/deg C)	Coeff. de temp. (max.) (ppm/deg C)	Iout/Iz (max.) (mA)	Prix unitaire 1	25	100	250
595-LM4041CIDBZR	LM4041CIDBZR	SOT-23-3	1.225	15	0.4	15	100	100	0,79	0,619	0,562	0,484
595-LM4041DIDBZR	LM4041DIDBZR	SOT-23-3	1.225	15	1	15	150	100	0,70	0,545	0,484	0,419
595-TLV431ACDBVR	TLV431ACDBVR	SOT-23-5	1.24	6	1.5	39	129	15	0,59	0,454	0,396	0,345
595-TLV431ACDBVRG4	TLV431ACDBVRG4	SOT-23-5	1.24	6	1	39	129	80	0,59	0,454	0,396	0,345
595-TLV431ACDBZR	TLV431ACDBZR	SOT-23-3	1.24	6	1	39	129	80	0,70	0,545	0,484	0,419
595-TLV431AIDBVR	TLV431AIDBVR	SOT-23-5	1.24	6	0,5	39	129	15	0,59	0,454	0,396	0,345
595-TLV431AIDBZR	TLV431AIDBZR	SOT-23-3	1.24	6	1	39	129	80	0,70	0,545	0,484	0,419
595-TLV431AILP	TLV431AILP	TO-92-3	1.24	6	0,5	39	129	15	0,71	0,545	0,475	0,413
595-TLV431BCDBZR	TLV431BCDBZR	SOT-23-3	1.24	6	0,5	-	-	15	0,83	0,635	0,565	0,489

© Copyright 2012 Mouser Electronics

© Copyright 2012 Mouser Electronics

CI de gestion de l'alimentation TEXAS INSTRUMENTS

Les produits peuvent être conformes à la directive RoHS. Consultez le site mouser.com pour vérifier la conformité RoHS.

RÉFÉRENCES DE TENSION AVEC DÉRIVATION FIXE (SUITE)

Pour des quantités supérieures à celles indiquées, appelez-nous afin d'obtenir un devis.

RÉF. STOCK MOUSER	Réf. Texas Instruments	Boîtier	VO Adj. (Min) (V)	VO Adj. (Max) (V)	Précision initiale @25/deg C (%)	Coeff. de temp. (Typ.) (ppm/deg C)	Coeff. de temp. (max.) (ppm/deg C)	Iout/Iz (max.) (mA)	Prix unitaire 1	25	100	250
595-TLV431BCDBZT	TLV431BCDBZT	SOT-23-3	1.24	6	1.5	-	-	15	1,17	0,924	0,833	0,73
595-TLV431BIDBZR	TLV431BIDBZR	SOT-23-3	1.24	6	1.5	39	129	15	0,83	0,635	0,565	0,489
595-TLV431CDBVR	TLV431CDBVR	SOT-23-5	1.24	6	1	39	129	80	0,59	0,404	0,35	0,302
595-TLV431CDBZR	TLV431CDBZR	SOT-23-3	1.24	6	1.5	39	129	80	0,64	0,446	0,384	0,332
595-TLV431IDBZR	TLV431IDBZR	SOT-23-3	1.24	6	1	39	129	80	0,64	0,446	0,384	0,332
595-TLVH431ACDBVR	TLVH431ACDBVR	SOT-23-5	1.24	18	1	-	-	80	0,61	0,47	0,416	0,36
595-TLVH431ACDBZR	TLVH431ACDBZR	SOT-23-3	1.24	18	0,5	-	-	80	0,67	0,512	0,457	0,396
595-TLVH431AIDBZR	TLVH431AIDBZR	SOT-23-3	1.24	18	0,5	-	-	80	0,67	0,512	0,457	0,396
595-TLVH431BQDBZR	TLVH431BQDBZR	SOT-23-3	1.24	18	0,5	-	-	80	0,78	0,619	0,557	0,484
595-TLVH431BIDBZR	TLVH431BIDBZR	SOT-23-3	1.24	18	1	-	-	80	0,78	0,619	0,557	0,484
595-TLVH431BIPK	TLVH431BIPK	SOT-89-3	1.24	18	1	-	-	80	0,82	0,635	0,563	0,488
595-TLVH432AIDBZR	TLVH432AIDBZR	SOT-23-3	1.24	18	0,5	-	-	80	0,67	0,512	0,457	0,396
595-TLVH432AQDBZR	TLVH432AQDBZR	SOT-23-3	1.24	18	1.5	-	-	80	0,67	0,512	0,457	0,396
595-TLVH432BIDBZR	TLVH432BIDBZR	SOT-23-3	1.24	18	1.5	-	-	80	0,78	0,619	0,557	0,484
595-TLVH432CDBZR	TLVH432CDBZR	SOT-23-3	1.24	18	1.5	-	-	80	0,59	0,454	0,403	0,35
595-TLVH432QDBZR	TLVH432QDBZR	SOT-23-3	1.24	18	1	15	150	12	0,59	0,454	0,403	0,35
595-TLVH432IDBZR	TLVH432IDBZR	SOT-23-3	1.24	18	0,5	15	100	12	0,59	0,454	0,403	0,35
595-TL431ACD	TL431ACD	SOIC-8	2.495	36	1	34	-	100	0,42	0,272	0,225	0,186
595-TL431ACDR	TL431ACDR	SOIC-8	2.495	36	1	34	600	100	0,37	0,245	0,201	0,167
595-TL431ACDBZR	TL431ACDBZR	SOT-23-3	2.495	36	1	34	-	100	0,43	0,281	0,231	0,193
595-TL431ACDCKR	TL431ACDCKR	SOT-23-6	2.495	36	1	34	-	100	0,42	0,272	0,229	0,191
595-TL431ACLP	TL431ACLP	TO-92-3	2.495	36	1	34	-	100	0,45	0,297	0,245	0,20
595-TL431ACPK	TL431ACPK	SOT-89-3	2.495	36	1	34	-	100	0,53	0,347	0,286	0,238
595-TL431AID	TL431AID	SOIC-8	2.495	36	1	34	-	100	0,46	0,305	0,251	0,208
595-TL431AIDBVRE4	TL431AIDBVRE4	SOT-23-5	2.495	36	1	34	-	100	0,44	0,289	0,238	0,198
595-TL431AIDBZR	TL431AIDBZR	SOT-23-3	2.495	36	1	34	-	100	0,48	0,314	0,261	0,217
595-TL431AILPR	TL431AILPR	TO-92-3	2.495	36	1	34	-	100	0,49	0,314	0,263	0,219
595-TL431AQDBVR	TL431AQDBVR	SOT-23-5	2.495	36	1	34	-	100	0,52	0,338	0,283	0,233
595-TL431AQDBZR	TL431AQDBZR	SOT-23-3	2.495	36	0,5	34	-	100	0,42	0,297	0,255	0,22
595-TL431AQPK	TL431AQPK	SOT-89-3	2.495	36	0,5	34	-	100	0,50	0,347	0,301	0,26
595-TL431BCDBZR	TL431BCDBZR	SOT-23-3	2.495	36	0,5	34	-	100	0,51	0,371	0,323	0,28
595-TL431BQDBZRQ1	TL431BQDBZRQ1	SOT-23-3	2.495	36	0,5	34	-	100	0,69	0,528	0,472	0,409
595-TL431BCLP	TL431BCLP	TO-92-3	2.495	36	0,5	34	-	100	0,56	0,429	0,381	0,33
595-TL431BCPK	TL431BCPK	SOT-89-3	2.495	36	0,5	34	-	100	0,60	0,462	0,411	0,356
595-TL431BILPRE3	TL431BILPRE3	TO-92-3	2.495	36	0,5	34	-	100	0,64	0,446	0,382	0,33
595-TL431BIPK	TL431BIPK	SOT-23-3	2.495	36	1	34	-	100	0,64	0,495	0,435	0,377
595-TL431BQDBZR	TL431BQDBZR	SOT-23-3	2.495	36	1	34	-	100	0,63	0,479	0,427	0,37
595-TL431BQLP	TL431BQLP	TO-92-3	2.495	36	0,5	34	600	100	0,71	0,545	0,487	0,422
595-TL431BQPK	TL431BQPK	SOT-89-3	2.495	36	0,5	34	600	100	0,75	0,578	0,516	0,447
595-TL431BIDBZR	TL431BIDBZR	SOT-23-3	2.495	36	0,5	34	-	100	0,64	0,446	0,382	0,33
595-TL431BIDR	TL431BIDR	SOIC-8	2.495	36	0,5	34	-	100	0,59	0,404	0,35	0,302
595-TL431BILP	TL431BILP	TO-92-3	2.495	36	0,5	34	-	100	0,59	0,454	0,406	0,351
595-TL431CDBVR	TL431CDBVR	SOT-23-5	2.495	36	1	34	-	100	0,36	0,231	0,191	0,158
595-TL431CDBZR	TL431CDBZR	SOT-23-3	2.495	36	1	34	-	100	0,39	0,256	0,21	0,175
595-TL431CDBZRG4	TL431CDBZRG4	SOT-23-3	2.495	36	1	34	-	100	0,39	0,256	0,21	0,175
595-TL431CLP	TL431CLP	TO-92-3	2.495	36	1	34	-	100	0,42	0,272	0,225	0,186
595-TL431IDBVR	TL431IDBVR	SOT-23-5	2.495	36	2	34	-	100	0,52	0,304	0,245	0,176
595-TL431IDBZR	TL431IDBZR	SOT-23-3	2.495	36	2	34	-	100	0,45	0,297	0,241	0,201
595-TL431ILP	TL431ILP	TO-92-3	2.495	36	2	34	-	100	0,52	0,338	0,283	0,233
595-TL431ILPR	TL431ILPR	TO-92-3	2.495	36	2	34	-	100	0,45	0,289	0,241	0,201
595-TL431IPK	TL431IPK	SOT-89-3	2.495	36	2	34	-	100	0,42	0,289	0,252	0,218
595-TL431QDBVRE4	TL431QDBVRE4	SOT-23-5	2.495	36	2	34	-	100	0,48	0,314	0,261	0,217
595-TL431QDBZR	TL431QDBZR	SOT-23-3	2.495	36	2	34	-	100	0,52	0,338	0,28	0,233
595-TL432ACDBZR	TL432ACDBZR	SOT-23-3	2.495	36	1	39	129	15	0,52	0,338	0,28	0,233
595-TL432AIDBZR	TL432AIDBZR	SOT-23-3	2.495	36	1	39	129	15	0,52	0,338	0,28	0,233
595-TL1431QDR	TL1431QDR	SOIC-8	2.5	36	1	34	-	100	0,86	0,668	0,592	0,512

RÉFÉRENCES DE TENSION SÉRIE

Pour des quantités supérieures à celles indiquées, appelez-nous afin d'obtenir un devis.

RÉF. STOCK MOUSER	Réf. Texas Instruments	Boîtier	V_O	Précision initiale @ 25°C (%)	Coeff de temp. (Max.) (ppm/°C)	I_{out}/Iz (Max.) (mA)	I_q (Max.) (µA)	V_I (Min.)	V_I (Max.)	Prix unitaire 1	25	100	250
595-REF3312AIDBZT	REF3312AIDBZT	SOT-23-3	1.25	0.15	30	5	5	1.8	5.5	2,48	2,00	1,79	1,50
595-REF3312AIDCKT	REF3312AIDCKT	SOT-23-3	1.25	0.15	30	5	5	1.8	5.5	2,48	2,00	1,79	1,50
595-REF3212AIDBVT	REF3212AIDBVT	SOT-23-6	1.25	0.2	7	10	120	1.8	5.5	4,95	4,04	3,63	3,05
595-REF3112AIDBZT	REF3112AIDBZT	SOT-23-3	1.25	0.2	20	-	50	1.8	5.5	2,81	2,29	2,06	1,73
595-REF2912AIDBZT	REF2912AIDBZT	SOT-23-3	1.25	0.2	20	-	100	1.8	5.5	1,71	1,32	1,20	0,974
595-REF3012AIDBZT	REF3012AIDBZT	SOT-23-3	1.25	0.2	50	-	50	1.8	5.5	2,00	1,53	1,39	1,14
595-REF3112AIDBZTG4	REF3112AIDBZTG4	SOT-23-3	1.25	0.2	20	10	100	1.8	5.5	2,81	2,29	2,06	1,73
595-REF3318AIDBZT	REF3318AIDBZT	SOT-23-3	1.8	0.15	30	5	5	1.96	5.5	2,44	2,00	1,79	1,50
595-REF3318AIDCKT	REF3318AIDCKT	SOT-23-3	1.8	0.15	30	5	5	1.96	5.5	2,48	2,00	1,79	1,50
595-REF5020ID	REF5020ID	SOIC-8	2.048	0.05	3	10	1000	2.7	18	6,62	5,43	4,90	4,50
595-REF5020AID	REF5020AID	SOIC-8	2.048	0.05	3	10	1000	2.7	18	3,81	3,06	2,76	2,48
595-REF3320AIDBZT	REF3320AIDBZT	SOT-23-3	2.048	0.15	30	5	5	2.208	5.5	2,44	2,00	1,79	1,50
595-REF3220AIDBVT	REF3220AIDBVT	SOT-23-6	2.048	0.2	7	10	120	2.098	5.5	4,95	4,04	3,63	3,05
595-REF3120AIDBZT	REF3120AIDBZT	SOT-23-3	2.048	0.2	20	-	100	2.0444	5.5	2,81	2,29	2,06	1,73
595-REF3020AIDBZT	REF3020AIDBZT	SOT-23-3	2.048	0.2	50	-	50	2.049	5.5	2,00	1,53	1,39	1,14
595-REF2920AIDBZT	REF2920AIDBZT	SOT-23-3	2.048	2	100	-	50	2.049	5.5	1,71	1,32	1,20	0,974
595-REF5025ID	REF5025ID	SOIC-8	2.5	0.05	3	10	1000	2.7	18	6,62	5,43	4,90	4,50
595-REF5025AID	REF5025AID	SOIC-8	2.5	0.05	3	10	1000	2.7	18	3,81	3,06	2,76	2,48
595-REF5025AIDG4	REF5025AIDG4	SOIC-8	2.5	0.05	3	10	1000	2.7	18	3,81	3,06	2,76	2,48
595-REF3325AIDBZT	REF3325AIDBZT	SOT-23-3	2.5	0.15	30	5	5	2.66	5.5	2,48	2,00	1,79	1,50
595-REF3325AIDCKT	REF3325AIDCKT	SOT-23-3	2.5	0.15	30	5	5	2.66	5.5	2,48	2,00	1,79	1,50
595-REF3225AIDBVT	REF3225AIDBVT	SOT-23-6	2.5	0.2	7	10	120	2.55	5.5	4,64	3,80	3,41	2,86
595-REF3125AIDBZR	REF3125AIDBZR	SOT-23-3	2.5	0.2	20	-	100	2.55	5.5	2,83	2,18	1,97	1,77
595-REF3125AIDBZT	REF3125AIDBZT	SOT-23-3	2.5	0.2	20	-	100	2.55	5.5	2,42	1,94	1,78	1,73
595-REF3025AIDBZT	REF3025AIDBZT	SOT-23-3	2.5	0.2	50	-	50	2.501	5.5	2,00	1,53	1,39	1,14
595-REF3025AIDBZTG4	REF3025AIDBZTG4	SOT-23-3	2.5	0.2	50	-	50	2.501	5.5	2,00	1,53	1,39	1,14
595-REF2925AIDBZT	REF2925AIDBZT	SOT-23-3	2.5	2	100	-	50	2.501	5.5	1,71	1,32	1,20	0,974
595-REF2925AIDBZTG4	REF2925AIDBZTG4	SOT-23-3	2.5	2	100	35	50	2.501	5.5	1,71	1,32	1,20	0,974

© Copyright 2012 Mouser Electronics

© Copyright 2012 Mouser Electronics

CI de gestion de l'alimentation TEXAS INSTRUMENTS

Les produits peuvent être conformes à la directive RoHS. Consultez le site mouser.com pour vérifier la conformité RoHS.

RÉFÉRENCES DE TENSION SÉRIE (SUITE)

Pour des quantités supérieures à celles indiquées, appelez-nous afin d'obtenir un devis.

RÉF. STOCK MOUSER	Réf. Texas Instruments	Boîtier	V_O	Précision initiale @ 25°C (%)	Coeff de temp. (Max.) (ppm/°C)	I_{out}/Iz (Max.) (mA)	I_q (Max.) (µA)	V_I (Min.)	V_I (Max.)	Prix unitaire 1	25	100	250
595-REF5030AID	REF5030AID	SOIC-8	3	0.05	3	10	1000	3.2	18	3,81	3,06	2,76	2,48
595-REF3330AIDBZT	REF3330AIDBZT	SOT-23-3	3	0.15	30	5	5	3.16	5.5	2,48	2,00	1,79	1,50
595-REF3330AIDCKT	REF3330AIDCKT	SOT-23-3	3	0.15	30	5	5	3.16	5.5	2,44	2,00	1,79	1,50
595-REF3230AIDBVT	REF3230AIDBVT	SOT-23-6	3	0.2	7	10	120	3.05	5.5	4,95	4,04	3,63	3,05
595-REF3130AIDBZT	REF3130AIDBZT	SOT-23-3	3	0.2	20	-	100	3.05	5.5	2,81	2,29	2,06	1,73
595-REF3030AIDBZT	REF3030AIDBZT	SOT-23-3	3	0.2	50	-	-	3	5.5	2,00	1,53	1,39	1,14
595-REF2930AIDBZR	REF2930AIDBZR	SOT-23-3	3	2	100	35	50	3.001	5.5	1,51	1,20	1,07	0,932
595-REF2930AIDBZT	REF2930AIDBZT	SOT-23-3	3	2	100	-	50	3.001	5.5	1,71	1,32	1,20	0,974
595-REF3333AIDBZT	REF3333AIDBZT	SOT-23-3	3.3	0.15	30	5	5	3.46	5.5	2,44	2,00	1,79	1,50
595-REF3133AIDBZT	REF3133AIDBZT	SOT-23-3	3.3	0.2	20	-	100	3.35	5.5	2,81	2,29	2,06	1,73
595-REF3033AIDBZT	REF3033AIDBZT	SOT-23-3	3.3	0.2	50	-	50	3.3	5.5	2,00	1,53	1,39	1,14
595-REF2933AIDBZT	REF2933AIDBZT	SOT-23-3	3.3	2	100	-	50	3.301	5.5	1,71	1,32	1,20	0,974
595-REF5040ID	REF5040ID	SOIC-8	4.096	0.05	3	10	1000	4.296	18	6,62	5,43	4,90	4,50
595-REF5040AID	REF5040AID	SOIC-8	4.096	0.05	3	10	1000	4.296	18	3,81	3,06	2,76	2,48
595-REF3240AIDBVT	REF3240AIDBVT	SOT-23-6	4.096	0.2	7	10	120	4.146	5.5	4,89	3,99	3,58	3,01
595-REF3140AIDBZT	REF3140AIDBZT	SOT-23-3	4.096	0.2	20	-	100	4.126	5.5	2,85	2,32	2,09	1,75
595-REF3040AIDBZT	REF3040AIDBZT	SOT-23-3	4.096	0.2	50	-	50	4.097	5.5	2,00	1,53	1,39	1,14
595-REF2940AIDBZT	REF2940AIDBZT	SOT-23-3	4.096	2	100	-	50	4.097	5.5	1,71	1,32	1,20	0,974
595-REF5045AID	REF5045AID	SOIC-8	4.5	0.05	3	10	1000	4.7	18	3,81	3,06	2,76	2,48
595-REF5045ID	REF5045ID	SOIC-8	4.5	0.05	3	10	1000	4.7	18	6,62	5,43	4,90	4,50
595-REF5050AID	REF5050AID	SOIC-8	5	0.05	3	10	1000	5.2	18	3,81	3,06	2,76	2,48
595-REF5050ID	REF5050ID	SOIC-8	5	0.05	3	10	1000	5.2	18	6,62	5,43	4,90	4,50
595-REF02AP	REF02AP	PDIP-8	5	0.2	10	21	1400	8	40	3,14	2,52	2,30	2,08
595-REF02AU	REF02AU	SOIC-8	5	0.2	10	21	1400	8	40	3,79	3,04	2,77	2,50
595-REF02AU/2K5	REF02AU/2K5	SOIC-8	5	0.2	10	21	1400	8	40	3,14	2,52	2,30	2,08
595-REF02BP	REF02BP	PDIP-8	5	0.2	10	21	1400	8	40	5,13	4,21	3,80	3,49
595-REF02BU	REF02BU	SOIC-8	5	0.2	10	21	1400	8	40	5,08	4,08	3,72	3,36
595-REF5010ID	REF5010ID	SOIC-8	10	0.05	3	10	1000	10.2	18	6,62	5,43	4,90	4,50
595-REF102AP	REF102AP	PDIP-8	10	0.05	5	10	1400	11.4	36	3,99	3,21	2,92	2,64
595-REF102AU	REF102AU	SOIC-8	10	0.05	5	10	1400	11.4	36	4,79	3,85	3,51	3,17
595-REF102BP	REF102BP	PDIP-8	10	0.05	5	10	1400	11.4	36	6,72	5,51	4,97	4,57
595-REF102BU	REF102BU	SOIC-8	10	0.05	5	10	1400	11.4	36	6,72	5,51	4,97	4,57
595-REF102BUG4	REF102BUG4	SOIC-8	10	0.05	5	10	1400	11.4	36	6,72	5,51	4,97	4,57
595-REF102CU	REF102CU	SOIC-8	10	0.05	5	10	1400	11.4	36	9,89	8,10	7,31	6,72

RÉFÉRENCES DE COURANT

Pour des quantités supérieures à celles indiquées, appelez-nous afin d'obtenir un devis.

RÉF. STOCK MOUSER	Réf. Texas Instruments	Boîtier	V_I (Min) (V)	V_I (Max) (V)	Iout/Iz (Max.) (mA)	Prix unitaire 1	25	100	250
595-REF200AU	REF200AU	SOIC-8	2.5	40	0.1	6,32	5,18	4,67	4,29
595-REF200AU/2K5	REF200AU/2K5	SOIC-8	2.5	40	0.1	5,62	4,66	4,24	3,81

SOLUTIONS CI (PMIC) DE GESTION DE L'ÉNERGIE AVEC ET SANS BATTERIE

Pour des quantités supérieures à celles indiquées, appelez-nous afin d'obtenir un devis.

RÉF. STOCK MOUSER	Réf. Texas Instruments	Boîtier	Chargeur de batteries	Abaisseur Convertisseur CC-CC	Régulateurs élévateurs Convertisseur CC-CC	LDO	Vin (Min./Max.)	Fournisseur de processeur	Sortie ajustable	Prix unitaire 1	25	100	250
595-TPS65020RHAT	TPS65020RHAT	QFN-40	Non	3	-	3	2.5/6	Marvell	Oui	7,76	6,44	5,86	4,97
595-TPS65021RHAT	TPS65021RHAT	QFN-40	Non	3	-	3	2.5/6	TI, Marvell, AMD	Oui	7,76	6,44	5,86	4,97
595-TPS65022RHAT	TPS65022RHAT	QFN-40	-	3	-	3	2.5/6	Marvell	Oui	7,66	6,37	5,78	4,97
595-TPS65023RSBR	TPS65023RSBR	QFN-40	Non	3	-	3	2.5/6	TI	Oui	7,13	5,92	5,38	4,84
595-TPS65023RSBT	TPS65023RSBT	QFN-40	Non	3	-	3	2.5/6	TI	Oui	8,31	6,90	6,27	5,33
595-TPS650240RHBT	TPS650240RHBT	QFN-32	-	3	-	3	2.5/6	Freescale, Samsung	-	7,34	6,10	5,54	4,71
595-TPS650241RHBT	TPS650241RHBT	QFN-32	-	3	-	3	2.5/6	Freescale, Samsung	-	8,10	6,72	6,11	5,20
595-TPS650242RHBT	TPS650242RHBT	QFN-32	-	3	-	3	2.5/6	Samsung	-	7,34	6,10	5,54	4,71
595-TPS650245RHBT	TPS650245RHBT	QFN-32	-	3	-	3	2.5/6	Samsung	-	7,34	6,10	5,54	4,71
595-TPS65053RGER	TPS65053RGER	QFN-24	Non	2	-	3	2.5/6	TI, Freescale	Oui	4,52	3,70	3,32	3,01
595-TPS65053RGET	TPS65053RGET	QFN-24	Non	2	-	3	2.5/6	-	Oui	5,01	4,09	3,67	3,24
595-TPS65010RGZT	TPS65010RGZT	QFN-48	Oui	2	-	2	2.5/20	TI	Oui	4,87	3,89	3,28	3,15

MOUVEMENT - CONTRÔLEURS DE MOTEURS

Pour des quantités supérieures à celles indiquées, appelez-nous afin d'obtenir un devis.

RÉF. STOCK MOUSER	Réf. Texas Instruments	Boîtier	Alimentation en fonctionnement (Min./Max.)	Alimentation en fonctionnement de sortie (mA)	Intensité de sortie de crête (A)	CC Contrôle de moteur	Contrôle de moteur CC sans balais	Pas à pas Contrôleurs des moteurs	Courant Limité	Détection du courant différentiel Amp	Prix unitaire 1	25	100	250
595-UC3176QP	UC3176QP	PLCC-28	3/35	18	2	Non	Non	Non	Oui	Oui	16,32	13,73	12,61	11,50
595-UC2637DW	UC2637DW	SOIC-20	5/36	8.5	0.4	Oui	Non	Non	Oui	Non	8,56	7,02	6,34	5,82
595-UC2637N	UC2637N	PDIP-18	5/36	8.5	0.4	Oui	Non	Non	Oui	Non	8,56	7,02	6,34	5,82
595-UC3637DW	UC3637DW	SOIC-20	5/36	8.5	0.4	Oui	Non	Non	Oui	Non	7,85	6,44	5,81	5,33
595-UC3637N	UC3637N	PDIP-18	5/36	8.5	0.4	Oui	Non	Non	Oui	Non	7,85	6,44	5,81	5,33
595-UC3625N	UC3625N	PDIP-28	10/18	14.5	0,5	Non	Oui	Non	Oui	Oui	10,76	9,05	8,32	7,58
595-UC3638DW	UC3638DW	SOIC-20	10/36	15	0.4	Oui	Non	Non	Oui	Oui	8,05	6,60	5,96	5,47
595-UC3770AN	UC3770AN	PDIP-16	10/45	33	1.5	Non	Non	Oui	Oui	Non	7,34	5,29	4,41	3,82
595-UC3770BN	UC3770BN	PDIP-16	10/45	33	1.5	Non	Non	Oui	Oui	Non	8,15	5,87	4,89	4,24
595-UC3717AN	UC3717AN	PDIP-16	10/46	7	1	Non	Non	Oui	Oui	Non	10,80	9,08	8,34	7,61

NVSRAM

Pour des quantités supérieures à celles indiquées, appelez-nous afin d'obtenir un devis.

RÉF. STOCK MOUSER	Réf. Texas Instruments	Boîtier	Densité Mémoire	Module	contrôleur	Tension d'alimentation	Tolérance de tension négative (%)	Prix unitaire 1	25	100	250
595-BQ2201SN	BQ2201SN	SOIC-8	-	Oui	Non	5	-	5,20	4,17	3,80	3,43
595-BQ4010MA-150	BQ4010MA-150	DIP MODULE-28	64	Non	Oui	5	5	14,01	9,17	9,08	9,08
595-BQ4010MA-85	BQ4010MA-85	DIP MODULE-28	64	Non	Oui	5	5	11,04	9,27	8,52	7,77
595-BQ4010YMA-150N	BQ4010YMA-150N	DIP MODULE-28	64	Non	Oui	5	10	14,01	9,17	9,08	9,08
595-BQ4010YMA-70	BQ4010YMA-70	DIP MODULE-28	64	Non	Oui	5	10	20,06	17,05	15,80	14,54

© Copyright 2012 Mouser Electronics

© Copyright 2012 Mouser Electronics

CI de gestion de l'alimentation TEXAS INSTRUMENTS

Les produits peuvent être conformes à la directive RoHS.
Consultez le site mouser.com pour vérifier la conformité RoHS.

NVSRAM (SUITE)

Pour des quantités supérieures à celles indiquées, appelez-nous afin d'obtenir un devis.

RÉF. STOCK MOUSER	Réf. Texas Instruments	Boîtier	Densité Mémoire	Module	contrôleur	Tension d'alimentation	Tolérance de tension négative (%)	Prix unitaire			
								1	25	100	250
595-BQ4011MA-100	BQ4011MA-100	MODULE DIP 28	256	Non	Oui	5	5	22,59	19,20	17,79	16,38
595-BQ4011MA-150	BQ4011MA-150	MODULE DIP 28	256	Non	Oui	5	5	15,75	10,31	10,21	10,21
595-BQ4011YMA-100	BQ4011YMA-100	MODULE DIP 28	256	Non	Oui	5	10	14,36	12,07	11,09	10,11
595-BQ4011YMA-200	BQ4011YMA-200	MODULE DIP 28	256	Non	Oui	5	10	15,75	10,31	10,21	10,21
595-BQ4013MA-85	BQ4013MA-85	MODULE DIP 32	1024	Non	Oui	5	5	28,45	26,93	23,56	21,55
595-BQ4013YMA-120	BQ4013YMA-120	MODULE DIP 32	1024	Non	Oui	5	10	14,06	13,31	11,65	10,65
595-BQ4013YMA-85	BQ4013YMA-85	MODULE DIP 32	1024	Non	Oui	5	10	16,83	14,31	13,25	12,20

INDICATEURS DE NIVEAU DE CARBURANT BATTERIE

Pour des quantités supérieures à celles indiquées, appelez-nous afin d'obtenir un devis.

RÉF. STOCK MOUSER	Réf. Texas Instruments	Boîtier	NiCd	NiMH	Primaire Lithium	Amélioration de la sécurité Li-Ion	Configuration Acide	Li-Ion	Interface de communication	Rapport chargement/ déchargement	Prix unitaire			
											1	25	100	250
595-BQ2010SN-D107	BQ2010SN-D107	SOIC-16	Oui	Oui	Non	Non	Non	Non	DQ	C=D	9,49	7,78	7,02	6,45
595-BQ2013HSN-A514	BQ2013HSN-A514	SOIC-16	Oui	Oui	Non	Non	Oui	Non	HDQ	D>C	8,93	6,96	5,87	5,41
595-BQ2014SN-D120	BQ2014SN-D120	SOIC-16	Oui	Oui	Non	Non	Non	Non	DQ	C=D	9,49	7,78	7,02	6,45
595-BQ2050SN-D119	BQ2050SN-D119	SOIC-16	Non	Non	Non	Non	Non	Oui	DQ	C=D	9,49	7,78	7,02	6,45
595-BQ2050HSN-A508	BQ2050HSN-A508	SOIC-16	Non	Non	Non	Oui	Non	Oui	HDQ	C=D	8,93	6,96	5,87	5,41
595-BQ2060A-E619DBQ	BQ2060A-E619DBQ	SSOP-28	Oui	Oui	Oui	Oui	Oui	Oui	HDQ, SMBus	C=D	7,43	6,09	5,49	5,05
595-BQ20Z90DBT-V110	BQ20Z90DBT-V110	SM8-30	Non	Non	Non	Non	Non	Oui	SMBus	C=D	9,12	7,47	6,74	6,20
595-BQ20Z95DBT	BQ20Z95DBT	SM8-44	Non	Non	Non	Oui	Non	Oui	SMBus	C=D	9,38	8,24	7,29	6,70
595-BQ26200PW	BQ26200PW	TSSOP-8	Oui	Oui	Non	Non	Oui	Oui	HDQ	-	5,43	4,36	3,97	3,58
595-BQ27000DRKR	BQ27000DRKR	SON-10	Non	Non	Non	Non	Non	Oui	HDQ	-	2,81	2,29	2,06	1,87
595-BQ27200DRKR	BQ27200DRKR	SON-10	Non	Non	Non	Non	Non	Oui	I²C	C=D	2,81	2,29	2,06	1,87
595-BQ27500DRZR-V120	BQ27500DRZR-V120	SON-12	Non	Non	Non	Non	Non	Oui	I²C	C=D	3,30	2,69	2,42	2,19
595-BQ27541DRZT-V200	BQ27541DRZT-V200	SON-12	Non	Non	Non	Non	Non	Oui	HDQ, I²C	-	4,21	3,43	3,09	2,59

GESTION DE LA CHARGE DE BATTERIE

Pour des quantités supérieures à celles indiquées, appelez-nous afin d'obtenir un devis.

RÉF. STOCK MOUSER	Réf. Texas Instruments	Boîtier	Plomb Acide	Li-Ion	Li Polymère	NiCd	NiMH	Réf. série Cellules	Intégrées Sécurité	FET Chronomètre de chargement	Surveillance de la température	Prix unitaire			
												1	25	100	250
595-BQ2000PN-B5	BQ2000PN-B5	PDIP-8	Non	Oui	Oui	Oui	Oui	Multiples	Non	Oui	Oui	3,42	2,75	2,50	2,26
595-BQ2000SN-B5	BQ2000SN-B5	SOIC-8	Non	Oui	Oui	Oui	Oui	Multiples	Non	Oui	Oui	4,16	3,34	3,04	2,75
595-BQ2002TPN	BQ2002TPN	PDIP-8	Non	Non	Non	Oui	Oui	Multiples	Non	Oui	Oui	2,15	1,73	1,56	1,39
595-BQ2002TSN	BQ2002TSN	SOIC-8	Non	Non	Non	Oui	Oui	Multiples	Non	Oui	Oui	2,31	1,86	1,69	1,53
595-BQ2004PN	BQ2004PN	PDIP-16	Non	Non	Non	Oui	Oui	Multiples	Non	Oui	Oui	4,91	3,94	3,59	3,24
595-BQ2031PN-A5	BQ2031PN-A5	PDIP-16	Oui	Non	Non	Non	Non	Multiples	Non	Oui	Oui	5,70	4,68	4,22	3,88
595-BQ2031SN-A5	BQ2031SN-A5	SOIC-16	Oui	Non	Non	Non	Non	Multiples	Non	Oui	Oui	6,91	4,97	4,15	3,60
595-BQ2057DGKG4	BQ2057DGKG4	MSOP-8	Non	Oui	Oui	Non	Non	1	Non	Non	Oui	1,66	1,34	1,19	1,06
595-BQ2057TTS	BQ2057TTS	TSSOP-8	Non	Oui	Oui	Non	Non	1	Non	Non	Oui	2,43	1,96	1,76	1,57
595-BQ24006PWP	BQ24006PWP	HTSSOP-20	Non	Oui	Oui	Non	Non	2	Oui	Oui	Oui	5,54	4,46	4,06	3,66
595-BQ24010DRCR	BQ24010DRCR	SON-10	Non	Oui	Oui	Non	Non	1	Oui	Oui	Oui	2,85	2,32	2,09	1,90
595-BQ24012DRCR	BQ24012DRCR	SON-10	Non	Oui	Oui	Non	Non	1	Oui	Oui	Non	2,85	2,32	2,09	1,90
595-BQ24013DRCR	BQ24013DRCR	SON-10	Non	Oui	Oui	Non	Non	1	Oui	Oui	Non	2,85	2,32	2,09	1,90
595-BQ24022DRCR	BQ24022DRCR	SON-10	Non	Oui	Oui	Non	Non	1	Oui	Oui	Non	2,85	2,32	2,09	1,90
595-BQ24030RHLR	BQ24030RHLR	QFN-20	Non	Oui	Oui	Non	Non	1	Non	Non	Non	4,40	3,59	3,23	2,93
595-BQ24032ARHLR	BQ24032ARHLR	QFN-20	Non	Oui	Oui	Non	Non	1	Non	Non	Oui	4,40	3,59	3,23	2,93
595-BQ24032ARHLT	BQ24032ARHLT	QFN-20	Non	Oui	Oui	Non	Non	1	Oui	Oui	Oui	5,20	4,24	3,81	3,20
595-BQ24038RHLT	BQ24038RHLT	QFN-20	Non	Oui	Oui	Non	Non	1	Oui	Oui	Oui	5,20	4,24	3,81	3,20
595-BQ24060DRCT	BQ24060DRCT	SON-10	Non	Oui	Oui	Non	Non	1	Oui	Oui	Oui	3,34	2,72	2,45	2,05
595-BQ24070RHLR	BQ24070RHLR	QFN-20	Non	Oui	Oui	Non	Non	1	Oui	Oui	Oui	2,97	2,43	2,18	1,98
595-BQ24072RGTT	BQ24072RGTT	QFN-16	Non	Oui	Non	Non	Non	1	Non	Oui	Oui	3,47	2,83	2,54	2,14
595-BQ24075RGTT	BQ24075RGTT	QFN-16	Non	Oui	Non	Non	Non	1	Non	Non	Oui	3,47	2,83	2,54	2,14
595-BQ24080DRCT	BQ24080DRCT	SON-10	Non	Oui	Oui	Non	Non	1	Oui	Oui	Non	2,50	2,00	1,84	1,67
595-BQ24090DGQT	BQ24090DGQT	MSOP-10	Non	Oui	Non	Non	Non	1	Non	Oui	Non	2,31	1,78	1,62	1,32
595-BQ24091DGQT	BQ24091DGQT	MSOP-10	Non	Oui	Non	Non	Non	1	Non	Oui	Non	2,31	1,78	1,62	1,39
595-BQ24100RHLR	BQ24100RHLR	QFN-20	Non	Oui	Oui	Non	Non	1	Oui	Non	Oui	4,89	3,99	3,58	3,26
595-BQ24103RHLR	BQ24103RHLR	QFN-20	Non	Oui	Oui	Non	Non	1,2	Oui	Non	Oui	4,89	3,99	3,58	3,26
595-BQ24103ARHLR	BQ24103ARHLR	QFN-20	Non	Oui	Oui	Non	Non	1,2	Oui	Non	Oui	4,89	3,99	3,58	3,26
595-BQ24105RHLR	BQ24105RHLR	QFN-20	Non	Oui	Oui	Non	Non	Multiples	Oui	Non	Oui	7,57	6,28	5,70	5,13
595-BQ24123RHLT	BQ24123RHLT	QFN-20	Non	Oui	Oui	Non	Non	1,2	Oui	Oui	Oui	5,69	4,64	4,17	3,51
595-BQ24155RGYT	BQ24155RGYT	QFN-14	Non	Oui	Oui	Non	Non	1	Oui	Oui	Non	5,45	4,45	3,99	3,36
595-BQ24180YFFT	BQ24180YFFT	DSBGA-25	Non	Oui	Oui	Non	Non	1	Oui	Oui	Non	5,26	4,63	4,03	3,21
595-BQ24600RVAT	BQ24600RVAT	QFN-16	Non	Oui	Oui	Non	Non	1,2	Non	Oui	Oui	5,98	5,16	4,31	3,57
595-BQ24610RGET	BQ24610RGET	VQFN-24	Non	Oui	Oui	Non	Non	1-6	Oui	Oui	Oui	6,91	5,96	4,97	4,13
595-BQ24616RGET	BQ24616RGET	VQFN-24	Non	Oui	Oui	Non	Non	1-6	Oui	Oui	Oui	6,91	4,97	4,15	3,60
595-BQ24702PW	BQ24702PW	TSSOP-24	Oui	Oui	Oui	Oui	Oui	Multiples	Non	Non	Non	5,26	4,31	3,89	3,57
595-BQ24703PW	BQ24703PW	TSSOP-24	Non	Oui	Non	Non	Non	Multiples	Non	Non	Non	5,26	4,31	3,89	3,57
595-BQ24707RGRT	BQ24707RGRT	VQFN-20	Non	Oui	Non	Non	Non	1-4	Non	Non	Non	6,91	4,97	4,15	3,60
595-BQ24725RGRT	BQ24725RGRT	VQFN-20	Non	Oui	Non	Non	Non	2-4	Non	Non	Non	7,43	5,35	4,46	3,86
595-BQ24726RGRT	BQ24726RGRT	VQFN-20	Non	Oui	Non	Non	Non	1-4	Non	Non	Non	7,12	5,12	4,27	3,70
595-BQ25010RHLR	BQ25010RHLR	QFN-20	Non	Oui	Non	Non	Non	1	Oui	Oui	Non	3,66	2,99	2,69	2,44
595-BQ2954PNE4	BQ2954PNE4	PDIP-16	Non	Oui	Oui	Non	Non	Multiples	Non	Oui	Oui	3,71	2,97	2,77	2,19
595-BQ2954SN	BQ2954SN	SOIC-16	Non	Oui	Oui	Non	Non	Multiples	Non	Oui	Oui	5,54	4,46	4,06	3,66
595-BQ29440DRBT	BQ29440DRBT	SON-8	Non	Oui	Non	Non	Non	2,3,4	Non	Non	Non	1,59	1,22	1,11	0,908
595-BQ29449DRBT	BQ29449DRBT	SON-8	Non	Oui	Non	Non	Non	2,3,4	Non	Oui	Non	1,59	1,22	1,11	0,908
595-BQ78PL114RGZT	BQ78PL114RGZT	VQFN-48	Non	Oui	Non	Non	Non	Multiples	Non	Non	Oui	8,58	6,86	6,62	6,40
595-UC2906DW	UC2906DW	SOIC-16	Oui	Non	Non	Non	Non	-	Non	Non	Non	6,81	5,58	5,03	4,63
595-UC2906N	UC2906N	PDIP-16	Oui	Non	Non	Non	Non	-	Non	Non	Non	5,61	4,60	4,14	3,81
595-UC3906DW	UC3906DW	SOIC-16	Oui	Non	Non	Non	Non	Multiples	Non	Non	Non	6,81	5,58	5,03	4,63
595-UC3906N	UC3906N	PDIP-16	Oui	Non	Non	Non	Non	Multiples	Non	Non	Non	5,61	4,60	4,14	3,81
595-UC3909N	UC3909N	PDIP-20	Oui	Non	Non	Non	Non	Multiples	Non	Non	Oui	6,22	5,10	4,60	4,22

© Copyright 2012 Mouser Electronics
© Copyright 2012 Mouser Electronics

CI de gestion de l'alimentation TEXAS INSTRUMENTS

Les produits peuvent être conformes à la directive RoHS.
Consultez le site mouser.com pour vérifier la conformité RoHS.

PROTECTION LITHIUM ION

Pour des quantités supérieures à celles indiquées, appelez-nous afin d'obtenir un devis.

RÉF. STOCK MOUSER	Réf. Texas Instruments	Boîtier	Li-Ion	Li polymère	Cellules Protégées (Max.)	ESD FETs	Courant d'arrêt (µA)	Retard de surintensité	Protection contre surintensité	Bus Série	Prix unitaire 1	25	100	250
595-UCC3911DP-1	UCC3911DP-1	SOIC-16	Oui	Oui	2	Interne	3.5	Oui	Oui	Non	5,40	4,42	3,99	3,67
595-BQ29312PW	BQ29312PW	TSSOP-24	Non	Non	2,3,4	Externe	1	Oui	Oui	Oui	3,75	3,00	2,74	2,47
595-BQ29330DBT	BQ29330DBT	SM8-30	Oui	Oui	2,4	Externe	1	Oui	Oui	Oui	2,77	2,23	2,03	1,83
595-BQ29311PW	BQ29311PW	TSSOP-24	Oui	Oui	3,4	Externe	1	Oui	Oui	Oui	2,77	2,23	2,03	1,83
595-BQ29312APW	BQ29312APW	TSSOP-24	Oui	Oui	4	Externe	1	Oui	Oui	Non	2,77	2,23	2,03	1,83
595-BQ29312ARTHR	BQ29312ARTHR	QFN-24	Oui	Oui	4	Externe	1	Oui	Oui	Non	2,44	2,00	1,79	1,63
595-BQ29411DCTRG4	BQ29411DCTRG4	SM8-8	Oui	Non	2,3,4	Externe	2	Non	Non	Non	0,97	0,883	0,71	0,532
595-BQ29412DCT3R	BQ29412DCT3R	SM8-8	Oui	Oui	4	Externe	2	Non	Non	Non	1,39	1,10	0,99	0,858
595-BQ29412PW	BQ29412PW	TSSOP-8	Oui	Oui	4	Externe	2	Non	Non	Non	1,36	1,12	1,01	0,781

CONVERTISSEURS CC-CC ISOLÉS

Pour des quantités supérieures à celles indiquées, appelez-nous afin d'obtenir un devis.

RÉF. STOCK MOUSER	Réf. Texas Instruments	Boîtier	V_{in} (Min.)	V_{in} (Max.)	I_{out} (Max.)	P_O (I)	Bus 48V	Bus 24V	Excalibur	V_O Réglable	Prix unitaire 1	25	100	250
Miniature 1W et 2W														
595-DCH010505DN7	DCH010505DN7	Module SIP 5	4.5	5.5	0.1	-	Non	Non	Non	Non	8,23	6,75	6,09	5,59
595-DCH010505SN7	DCH010505SN7	Module SIP 4	4.5	5.5	0.2	-	Non	Non	Non	Non	8,23	6,75	6,09	5,59
595-DCH010512DN7	DCH010512DN7	Module SIP 5	4.5	5.5	0.042	-	Non	Non	Non	Non	8,23	6,75	6,09	5,59
595-DCH010512SN7	DCH010512SN7	Module SIP 4	4.5	5.5	0.083	-	Non	Non	Non	Non	8,23	6,75	6,09	5,59
595-DCH010515DN7	DCH010515DN7	Module SIP 5	4.5	5.5	0.033	-	Non	Non	Non	Non	8,23	6,75	6,09	5,59
595-DCH010515SN7	DCH010515SN7	Module SIP 4	4.5	5.5	0.067	-	Non	Non	Non	Non	8,23	6,75	6,09	5,59
595-DCP010505BP-U	DCP010505BP-U	SOP-14	4.5	5.5	0.2	-	Non	Non	Non	Non	7,68	7,41	7,14	5,73
595-DCP020515DU	DCP020515DU	SO-28	4.5	5.5	0.066	-	Non	Non	Non	Non	8,02	7,59	6,64	6,07
595-DCP020505U	DCP020505U	SO-28	4.5	5.5	0.4	-	Non	Non	Non	Non	8,02	7,59	6,64	6,07
595-DCR010505U	DCR010505U	SO-28	4.5	5.5	0.2	-	Non	Non	Non	Non	10,71	9,08	8,34	7,61
595-DCR010505UE4	DCR010505UE4	SO-28	4.5	5.5	0.2	-	Non	Non	Non	Non	13,72	11,53	10,60	9,67
595-DCR010505U/1K	DCR010505U/1K	SO-28	4.5	5.5	0.2	-	Non	Non	Non	Non	13,72	11,53	10,60	9,67
Sortie simple														
595-PT4142A	PT4142A	Module DIP 6	18	40	4	20	Non	Oui	Non	Oui	46,31	41,49	38,37	35,72
595-PT4142C	PT4142C	Module DIP 6	18	40	4	20	Non	Oui	Non	Oui	46,31	41,49	38,37	35,72
595-PT4143A	PT4143A	Module DIP 6	18	40	1.6	20	Non	Oui	Non	Oui	46,31	41,49	38,37	35,72
595-PT4144C	PT4144C	Module DIP 6	18	40	1.3	20	Non	Oui	Non	Oui	46,31	41,49	38,37	35,72
595-PT4582A	PT4582A	Module SIP 19	18	60	6	30	Non	Oui	Oui	Oui	75,16	66,93	63,41	61,06
595-PT4564C	PT4564C	Module SIP 19	36	75	2	30	Oui	Non	Oui	Oui	75,16	66,93	63,41	61,06
595-PTEA404120N2AD	PTEA404120N2AD	Module DIP 8	36	75	4.2	50	Oui	Non	Non	Oui	37,98	32,85	30,80	28,74
595-PTMA402050N2AD	PTMA402050N2AD	Module DIP 5	36	75	2	10	Oui	Non	Non	Non	22,70	19,75	15,26	15,05
595-PTQA420050N2AD	PTQA420050N2AD	Module DIP 8	36	75	20	100	Oui	Non	Non	Non	46,09	40,67	38,63	36,61
595-PTQA430033N2AD	PTQA430033N2AD	Module DIP 8	36	75	30	100	Oui	Non	Non	Non	46,09	40,67	38,63	36,61

POINT DE CHARGE NON ISOLÉ

Pour des quantités supérieures à celles indiquées, appelez-nous afin d'obtenir un devis.

RÉF. STOCK MOUSER	Réf. Texas Instruments	Boîtier	V_{in} (Min.)	V_{in} (Max.)	V_{out} (Min.)	V_{out} (Max.)	I_{out} (Max.)	Topologie	Bus 3,3V	Bus 5V	Bus 12V	Bus 24V	Prix unitaire 1	25	100
Efficient 96 %															
595-PTH04T220WAD	PTH04T220WAD	Module DIP 11	2.2	5.5	0.69	3.6	16	Buck	Oui	Oui	Non	Non	14,81	13,82	12,84
595-PTH04T220WAS	PTH04T220WAS	Module DIP 11	2.2	5.5	0.69	3.6	16	Buck	Oui	Oui	Non	Non	14,81	13,82	12,84
595-PTH04T220WAZ	PTH04T220WAZ	Module DIP 11	2.2	5.5	0.69	3.6	16	Buck	Oui	Oui	Non	Non	14,81	13,82	12,84
595-PTH04T230WAS	PTH04T230WAS	Module DIP 10	2.2	5.5	0.69	3.6	6	Buck	Oui	Oui	Non	Non	13,47	11,33	10,41
595-PTH04T230WAZ	PTH04T230WAZ	Module DIP 10	2.2	5.5	0.69	3.6	6	Buck	Oui	Oui	Non	Non	13,47	11,33	10,41
595-PTH05010WAS	PTH05010WAS	Module DIP 10	4.5	5.5	0.8	3.6	15	Buck	Non	Oui	Non	Non	17,97	15,27	14,17
595-PTH05020WAH	PTH05020WAH	Module DIP 10	4.5	5.5	0.8	3.6	22	Buck	Non	Oui	Non	Non	22,70	19,75	15,26
595-PTH05020WAS	PTH05020WAS	DIP Module-10	4.5	5.5	0.8	3.6	22	Buck	Non	Oui	Non	Non	22,70	19,75	15,26
595-PTH05050WAH	PTH05050WAH	Module DIP 6	4.5	5.5	0.8	3.6	6	Buck	Non	Oui	Non	Non	11,76	9,89	9,09
595-PTH05050WAS	PTH05050WAS	Module DIP 6	4.5	5.5	0.8	3.6	6	Buck	Non	Oui	Non	Non	11,76	9,89	9,09
595-PTH05060WAH	PTH05060WAH	Module DIP 10	4.5	5.5	0.8	3.6	10	Buck	Non	Oui	Non	Non	19,75	16,79	15,58
595-PTH05060WAS	PTH05060WAS	Module DIP 10	4.5	5.5	0.8	3.6	10	Buck	Non	Oui	Non	Non	19,75	16,79	15,58
595-PTH05060WAZ	PTH05060WAZ	Module DIP 10	4.5	5.5	0.8	3.6	10	Buck	Non	Oui	Non	Non	19,75	16,79	15,58
595-PTN78020WAH	PTN78020WAH	Module DIP 7	7	36	2.5	12.6	6	Buck	Non	Non	Oui	Oui	24,46	22,01	20,18
595-PTN78020WAS	PTN78020WAS	Module DIP 7	7	36	2.5	12.6	6	Buck	Non	Non	Oui	Oui	24,46	22,01	20,18
595-PTN78060WAH	PTN78060WAH	Module DIP 7	7	36	2.5	12.6	3	Buck	Non	Non	Oui	Oui	17,94	15,25	14,12
595-PTN78060WAS	PTN78060WAS	Module DIP 7	7	36	2.5	12.6	3	Buck	Non	Non	Oui	Oui	17,94	15,25	14,12
595-PTN78020HAH	PTN78020HAH	Module DIP 7	15	36	11.85	22	6	Buck	Non	Non	Non	Oui	30,57	25,99	24,12
595-PTN78020HAS	PTN78020HAS	DIP Module-7	15	36	11.85	22	6	Buck	Non	Non	Non	Oui	30,57	25,99	24,12
595-PTN78060HAH	PTN78060HAH	Module DIP 7	15	36	11.85	22	3	Buck	Non	Non	Non	Oui	22,69	19,28	17,86
Efficient 95 %															
595-PTH03010WAH	PTH03010WAH	Module DIP 10	2.95	3.65	0.8	2.5	15	Buck	Oui	Non	Non	Non	17,97	15,27	14,17
595-PTH03010WAS	PTH03010WAS	Module DIP 10	2.95	3.65	0.8	2.5	15	Buck	Oui	Non	Non	Non	17,97	15,27	14,17
595-PTH03000WAH	PTH03000WAH	Module DIP 5	3	3.6	0.9	2.5	6	Buck	Oui	Non	Non	Non	12,94	10,97	10,12
595-PTH03000WAZ	PTH03000WAZ	Module DIP 5	3	3.6	0.9	2.5	6	Buck	Oui	Non	Non	Non	12,94	10,97	10,12
595-PTH05T210WAD	PTH05T210WAD	Module DIP 14	4.5	5.5	0.7	3.6	30	Buck	Non	Oui	Non	Non	29,82	28,22	24,70
595-PTH05T210WAH	PTH05T210WAH	Module DIP 14	4.5	5.5	0.7	3.6	30	Buck	Non	Oui	Non	Non	29,82	28,22	24,70
595-PTH05T210WAS	PTH05T210WAS	Module DIP 14	4.5	5.5	0.7	3.6	30	Buck	Non	Oui	Non	Non	29,82	28,22	24,70
595-PTH05T210WAZ	PTH05T210WAZ	Module DIP 14	4.5	5.5	0.7	3.6	30	Buck	Non	Oui	Non	Non	29,82	28,22	24,70
595-PTV05010WAH	PTV05010WAH	Module SIP 8	4.5	5.5	0.8	3.6	8	Buck	Non	Oui	Non	Non	14,74	12,40	11,39
595-PTH08T220WAD	PTH08T220WAD	Module DIP 11	4.5	14	0.7	5.5	16	Buck	Non	Oui	Oui	Non	14,81	13,82	12,84
595-PTH08T220WAH	PTH08T220WAH	Module DIP 11	4.5	14	0.7	5.5	16	Buck	Non	Oui	Oui	Non	14,81	13,82	12,84
595-PTH08T220WAS	PTH08T220WAS	Module DIP 11	4.5	14	0.7	5.5	16	Buck	Non	Oui	Oui	Non	14,81	13,82	12,84
595-PTH08T220WAZ	PTH08T220WAZ	Module DIP 11	4.5	14	0.7	5.5	16	Buck	Non	Oui	Oui	Non	14,81	13,82	12,84
595-PTH08T221WAD	PTH08T221WAD	Module DIP 11	4.5	14	0.7	5.5	16	Buck	Non	Oui	Oui	Non	14,81	13,82	12,84
595-PTH08T221WAS	PTH08T221WAS	Module DIP 11	4.5	14	0.7	5.5	16	Buck	Non	Oui	Oui	Non	14,81	13,82	12,84
595-PTH08T221WAZ	PTH08T221WAZ	Module DIP 11	4.5	14	0.7	5.5	16	Buck	Non	Oui	Oui	Non	14,81	13,82	12,84
595-PTH08T230WAD	PTH08T230WAD	Module DIP 10	4.5	14	0.7	5.5	6	Buck	Non	Oui	Oui	Non	13,47	11,33	10,41
595-PTH08T230WAS	PTH08T230WAS	Module DIP 10	4.5	14	0.7	5.5	6	Buck	Non	Oui	Oui	Non	13,47	11,33	10,41
595-PTH08T231WAZ	PTH08T231WAZ	Module DIP 10	4.5	14	0.7	5.5	6	Buck	Non	Oui	Oui	Non	13,47	11,33	10,41
595-PTH08T240WAD	PTH08T240WAD	Module DIP 11	4.5	14	0.7	5.5	10	Buck	Non	Oui	Oui	Non	16,73	14,22	13,19
595-PTH08T240WAH	PTH08T240WAH	Module DIP 11	4.5	14	0.7	5.5	10	Buck	Non	Oui	Oui	Non	16,73	14,22	13,19
595-PTH08T240WAS	PTH08T240WAS	Module DIP 11	4.5	14	0.7	5.5	10	Buck	Non	Oui	Oui	Non	16,73	14,22	13,19
595-PTH08T240WAZ	PTH08T240WAZ	Module DIP 11	4.5	14	0.7	5.5	10	Buck	Non	Oui	Oui	Non	16,73	14,22	13,19

© Copyright 2012 Mouser Electronics
© Copyright 2012 Mouser Electronics

CI de gestion de l'alimentation TEXAS INSTRUMENTS

POINT DE CHARGE NON ISOLÉ

Les produits peuvent être conformes à la directive RoHS.
Consultez le site mouser.com pour vérifier la conformité RoHS.

Pour des quantités supérieures à celles indiquées, appelez-nous afin d'obtenir un devis.

RÉF. STOCK MOUSER	Réf. Texas Instruments	Boîtier	V_{in} (Min.)	V_{in} (Max.)	V_{out} (Min.)	V_{out} (Max.)	I_{out} (Max.)	Topologie	Bus 3,3V	Bus 5V	Bus 12V	Bus 24V	Prix unitaire 1	25	100
Efficient 95 % (suite)															
595-PTH08T241WAD	PTH08T241WAD	DIP Module-11	4.5	14	0.7	5.5	10	Buck	Non	Oui	Oui	Non	16,73	14,22	13,19
595-PTH08T241WAS	PTH08T241WAS	Module DIP 11	4.5	14	0.7	5.5	10	Buck	Non	Oui	Oui	Non	16,73	14,22	13,19
595-PTH08T241WAZ	PTH08T241WAZ	Module DIP 11	4.5	14	0.7	5.5	10	Buck	Non	Oui	Oui	Non	16,73	14,22	13,19
595-PTH08T250WAD	PTH08T250WAD	Module DIP 22	4.5	14	0.7	3.6	50	Buck	Non	Oui	Oui	Non	47,41	41,84	39,74
595-PTH08T250WAS	PTH08T250WAS	Module DIP 22	4.5	14	0.7	3.6	50	Buck	Non	Oui	Oui	Non	47,41	41,84	39,74
595-PTH08T250WAZ	PTH08T250WAZ	Module DIP 22	4.5	14	0.7	3.6	50	Buck	Non	Oui	Oui	Non	47,41	41,84	39,74
595-PTH08T260WAD	PTH08T260WAD	Module DIP 10	4.5	14	0.69	5.5	3	Buck	Non	Oui	Oui	Non	11,21	9,42	8,66
595-PTH08T260WAS	PTH08T260WAS	Module DIP 10	4.5	14	0.69	5.5	3	Buck	Non	Oui	Oui	Non	11,21	9,42	8,66
595-PTH08T260WAZ	PTH08T260WAZ	Module DIP 10	4.5	14	0.69	5.5	3	Buck	Non	Oui	Oui	Non	11,21	9,42	8,66
595-PTH08T261WAZ	PTH08T261WAZ	Module DIP 10	4.5	14	0.7	5.5	3	Buck	Non	Oui	Oui	Non	11,21	9,42	8,66
595-PTH08T210WAD	PTH08T210WAD	Module DIP 14	5.5	14	0.7	3.6	30	Buck	Non	Non	Oui	Non	28,22	23,98	22,22
595-PTH08T210WAH	PTH08T210WAH	Module DIP 14	5.5	14	0.7	3.6	30	Buck	Non	Non	Oui	Non	28,22	23,98	22,22
595-PTH08T210WAS	PTH08T210WAS	Module DIP 14	5.5	14	0.7	3.6	30	Buck	Non	Non	Oui	Non	28,22	23,98	22,22
595-PTH08T210WAZ	PTH08T210WAZ	Module DIP 14	5.5	14	0.7	3.6	30	Buck	Non	Non	Oui	Non	28,22	23,98	22,22
595-PTN78000WAH	PTN78000WAH	Module DIP 5	7	36	2.5	12.6	1.5	Buck	Non	Non	Oui	Oui	11,15	10,56	9,24
595-PTN78000WAS	PTN78000WAS	Module DIP 5	7	36	2.5	12.6	1.5	Buck	Non	Non	Oui	Oui	11,15	10,56	9,24
595-PTN78000WAZ	PTN78000WAZ	Module DIP 5	7	36	2.5	12.6	1.5	Buck	Non	Non	Oui	Oui	11,15	10,56	9,24
595-PTN78000WAZT	PTN78000WAZT	Module DIP 5	7	36	2.5	12.6	1.5	Buck	Non	Non	Oui	Oui	11,15	10,56	9,24
595-PTV08T250WAD	PTV08T250WAD	Module DIP 21	8	14	0.8	3.6	50	Buck	Non	Non	Oui	Non	57,52	51,42	48,81
595-PTV08T250WAH	PTV08T250WAH	Module DIP 21	8	14	0.8	3.6	50	Buck	Non	Non	Oui	Non	57,52	51,42	48,81
595-PTH12020LAH	PTH12020LAH	Module DIP 10	10.8	13.2	0.8	1.8	18	Buck	Non	Non	Oui	Non	22,70	19,75	15,26
595-PTH12060LAS	PTH12060LAS	Module DIP 10	10.8	13.2	0.8	1.8	10	Buck	Non	Non	Oui	Non	19,75	16,79	15,58
595-PTN78000HAH	PTN78000HAH	Module DIP 5	15	36	11.85	22	1.5	Buck	Non	Non	Non	Oui	16,50	14,85	13,61
Efficient 94 %															
595-PTH04070WAH	PTH04070WAH	Module DIP 5	3	5.5	0.9	3.6	3	Buck	Oui	Oui	Non	Non	9,29	7,71	7,01
595-PTH04070WAS	PTH04070WAS	Module DIP 5	3	5.5	0.9	3.6	3	Buck	Oui	Oui	Non	Non	9,29	7,71	7,01
595-PTH04070WAZ	PTH04070WAZ	Module DIP 5	3	5.5	0.9	3.6	3	Buck	Oui	Oui	Non	Non	9,29	7,71	7,01
595-PTH05000WAH	PTH05000WAH	Module DIP 5	4.5	5.5	0.9	3.6	6	Buck	Non	Oui	Non	Non	12,94	10,97	10,12
595-PTH05000WAS	PTH05000WAS	Module DIP 5	4.5	5.5	0.9	3.6	6	Buck	Non	Oui	Non	Non	12,94	10,97	10,12
595-PTH05000WAZ	PTH05000WAZ	Module DIP 5	4.5	5.5	0.9	3.6	6	Buck	Non	Oui	Non	Non	12,94	10,97	10,12
595-PTH08000WAH	PTH08000WAH	Module DIP 6	4.5	14	0.9	5.5	2.25	Buck	Non	Oui	Oui	Non	8,72	7,15	6,45
595-PTH08000WAS	PTH08000WAS	Module DIP 6	4.5	14	0.9	5.5	2.25	Buck	Non	Oui	Oui	Non	8,72	7,15	6,45
595-PTH08080WAH	PTH08080WAH	Module DIP 5	4.5	18	0.9	5.5	2.25	Buck	Non	Oui	Oui	Non	9,29	7,71	7,01
595-PTH08080WAS	PTH08080WAS	Module DIP 5	4.5	18	0.9	5.5	2.25	Buck	Non	Oui	Oui	Non	9,29	7,71	7,01
595-PTH08080WAZ	PTH08080WAZ	Module DIP 5	4.5	18	0.9	5.5	2.25	Buck	Non	Oui	Oui	Non	9,29	7,71	7,01
595-PTH12040WAH	PTH12040WAH	Module DIP 20	8	14	0.8	5.5	50	Buck	Non	Non	Oui	Non	46,09	40,67	38,63
595-PTH12040WAS	PTH12040WAS	Module DIP 20	8	14	0.8	5.5	50	Buck	Non	Non	Oui	Non	46,09	40,67	38,63
595-PTH12030WAH	PTH12030WAH	Module DIP 13	10.2	13.8	1.2	5.5	26	Buck	Non	Non	Oui	Non	30,46	26,34	24,69
595-PTH12010WAH	PTH12010WAH	Module DIP 10	10.8	13.2	1.2	5.5	12	Buck	Non	Non	Oui	Non	17,97	15,27	14,17
595-PTH12010WAS	PTH12010WAS	DIP Module-10	10.8	13.2	1.2	5.5	12	Buck	Non	Non	Oui	Non	17,97	15,27	14,17
595-PTH12020WAH	PTH12020WAH	Module DIP 10	10.8	13.2	1.2	5.5	18	Buck	Non	Non	Oui	Non	22,70	19,75	15,26
595-PTH12030LAH	PTH12030LAH	Module DIP 13	10.8	13.2	0.8	1.8	26	Buck	Non	Non	Oui	Non	30,46	26,34	24,69
595-PTH12050WAH	PTH12050WAH	Module DIP 6	10.8	13.2	1.2	5.5	6	Buck	Non	Non	Oui	Non	11,76	9,89	9,09
595-PTH12050WAS	PTH12050WAS	Module DIP 6	10.8	13.2	1.2	5.5	6	Buck	Non	Non	Oui	Non	11,76	9,89	9,09
595-PTH12050WAZ	PTH12050WAZ	Module DIP 6	10.8	13.2	1.2	5.5	6	Buck	Non	Non	Oui	Non	11,76	9,89	9,09
595-PTH12060WAH	PTH12060WAH	Module DIP 10	10.8	13.2	1.2	5.5	10	Buck	Non	Non	Oui	Non	19,75	16,79	15,58
595-PTH12060WAS	PTH12060WAS	Module DIP 10	10.8	13.2	1.2	5.5	10	Buck	Non	Non	Oui	Non	19,75	16,79	15,58
Efficient 93 %															
595-PTH03020WAH	PTH03020WAH	Module DIP 10	2.95	3.65	0.8	2.5	22	Buck	Oui	Non	Non	Non	22,70	19,75	15,26
595-PTH03050WAH	PTH03050WAH	Module DIP 6	2.95	3.65	0.8	2.5	6	Buck	Oui	Non	Non	Non	11,76	9,89	9,09
595-PTH03050WAS	PTH03050WAS	Module DIP 6	2.95	3.65	0.8	2.5	6	Buck	Oui	Non	Non	Non	11,76	9,89	9,09
595-PTH03060WAH	PTH03060WAH	Module DIP 10	2.95	3.65	0.8	2.5	10	Buck	Oui	Non	Non	Non	19,75	16,79	15,58
595-PTH03060WAS	PTH03060WAS	Module DIP 10	2.95	3.65	0.8	2.5	10	Buck	Oui	Non	Non	Non	19,75	16,79	15,58
595-PTH12050LAH	PTH12050LAH	Module DIP 6	10.8	13.2	0.8	1.8	6	Buck	Non	Non	Oui	Non	11,76	9,89	9,09
595-PTH12050LAS	PTH12050LAS	DIP Module-6	10.8	13.2	0.8	1.8	6	Buck	Non	Non	Oui	Non	11,76	9,89	9,09
595-PTV12010LAD	PTV12010LAD	Module SIP 8	10.8	13.2	0.8	1.8	8	Buck	Non	Non	Oui	Non	14,74	12,40	11,39
595-PTV12010LAH	PTV12010LAH	Module SIP 8	10.8	13.2	0.8	1.8	8	Buck	Non	Non	Oui	Non	14,74	12,40	11,39
595-PTV12010WAH	PTV12010WAH	Module SIP 8	10.8	13.2	1.2	5.5	8	Buck	Non	Non	Oui	Non	14,74	12,40	11,39
595-PTV12020WAD	PTV12020WAD	Module SIP 12	10.8	13.2	1.2	5.5	16	Buck	Non	Non	Oui	Non	17,97	15,27	14,17
595-PTV12020WAH	PTV12020WAH	Module SIP 12	10.8	13.2	1.2	5.5	16	Buck	Non	Non	Oui	Non	17,97	15,27	14,17
Efficient 92 %															
595-PTH12000WAH	PTH12000WAH	Module DIP 5	10.8	13.2	1.2	5.5	6	Buck	Non	Non	Oui	Non	12,94	10,97	10,12
595-PTH12000WAS	PTH12000WAS	Module DIP 5	10.8	13.2	1.2	5.5	6	Buck	Non	Non	Oui	Non	12,94	10,97	10,12
Efficient 90 %															
595-PTN04050CAD	PTN04050CAD	Module DIP 4	2.95	5.5	5	15	2.4	Survolteur	Oui	Oui	Non	Non	16,50	14,85	13,61
595-PTN04050CAH	PTN04050CAH	Module DIP 4	2.95	5.5	5	15	2.4	Survolteur	Oui	Oui	Non	Non	16,50	14,85	13,61
595-PTN04050CAS	PTN04050CAS	Module DIP 4	2.95	5.5	5	15	2.4	Survolteur	Oui	Oui	Non	Non	16,50	14,85	13,61
595-PTN04050CAZ	PTN04050CAZ	Module DIP 4	2.95	5.5	5	15	2.4	Survolteur	Oui	Oui	Non	Non	16,50	14,85	13,61
595-PT7761N	PT7761N	Module SIP 31	4.5	5.5	1.3	3.5	40	Buck	Non	Oui	Non	Non	113,24	103,47	98,63
595-PT78HT233H	PT78HT233H	Module SIP 3	9	15	3.3	3.3	2	Buck	Non	Non	Oui	Non	17,61	15,85	14,53
595-PT78HT205H	PT78HT205H	Module SIP 3	9	28	5	5	2	Buck	Non	Non	Oui	Oui	17,61	15,85	14,53
595-PT78HT205S	PT78HT205S	Module SIP 3	9	28	5	5	2	Buck	Non	Non	Oui	Oui	17,61	15,85	14,53
595-PT78HT205V	PT78HT205V	Module SIP 3	9	28	5	5	2	Buck	Non	Non	Oui	Oui	17,61	15,85	14,53
Efficient 88 %															
595-PTH03050YAH	PTH03050YAH	Module DIP 6	2.95	3.65	0.55	1.8	6	Buck	Oui	Non	Non	Non	11,76	9,89	9,09
595-PTH03050YAS	PTH03050YAS	Module DIP 6	2.95	3.65	0.55	1.8	6	Buck	Oui	Non	Non	Non	11,76	9,89	9,09
Efficient 85 %															
595-PT78ST133H	PT78ST133H	Module SIP 3	9	26	3.3	3.3	1.5	Buck	Non	Non	Oui	Non	12,06	11,42	9,99
595-PT78ST105H	PT78ST105H	Module SIP 3	9	38	5	5	1.5	Buck	Non	Non	Oui	Oui	12,06	11,42	9,99
595-PT78ST105S	PT78ST105S	Module SIP 3	9	38	5	5	1.5	Buck	Non	Non	Oui	Oui	12,06	11,42	9,99
595-PT78ST105V	PT78ST105V	Module SIP 3	9	38	5	5	1.5	Buck	Non	Non	Oui	Oui	12,06	11,42	9,99
595-PT78ST153S	PT78ST153S	Module SIP 3	9.25	38	5.25	5.25	1.5	Buck	Non	Non	Oui	Oui	12,06	11,42	9,99
595-PT78ST108S	PT78ST108S	Module SIP 3	12	38	8	8	1.5	Buck	Non	Non	Non	Oui	12,06	11,42	9,99
595-PT78ST109H	PT78ST109H	Module SIP 3	13	38	9	9	1.5	Buck	Non	Non	Non	Oui	12,06	11,42	9,99
595-PT78ST112H	PT78ST112H	Module SIP 3	16	38	12	12	1.5	Buck	Non	Non	Non	Oui	17,61	15,85	14,53
595-PT78ST112V	PT78ST112V	Module SIP 3	16	38	12	12	1.5	Buck	Non	Non	Non	Oui	17,61	15,85	14,53
595-PT78ST115H	PT78ST115H	Module SIP 3	19	38	15	15	1.5	Buck	Non	Non	Non	Oui	17,61	15,85	14,53
595-PT78ST115S	PT78ST115S	Module SIP 3	19	38	15	15	1.5	Buck	Non	Non	Non	Oui	17,61	15,85	14,53
Efficient 84 %															
595-PTN04050AAD	PTN04050AAD	Module DIP 5	2.9	7	-15	-3.3	1	Survolteur, Buck	Oui	Oui	Non	Non	16,50	14,85	13,61
595-PTN04050AAH	PTN04050AAH	Module DIP 5	2.9	7	-15	-3.3	1	Survolteur, Buck	Oui	Oui	Non	Non	16,50	14,85	13,61
595-PTN04050AAS	PTN04050AAS	Module DIP 5	2.9	7	-15	-3.3	1	Survolteur, Buck	Oui	Oui	Non	Non	16,50	14,85	13,61
595-PTN04050AAZ	PTN04050AAZ	Module DIP 5	2.9	7	-15	-3.3	1	Survolteur, Buck	Oui	Oui	Non	Non	16,50	14,85	13,61
595-PTN04050AAZT	PTN04050AAZT	Module DIP 5	2.9	7	-15	-3.3	1	Survolteur, Buck	Oui	Oui	Non	Non	16,50	14,85	13,61
595-PTN78000AAH	PTN78000AAH	Module DIP 5	7	29	-15	-3	1.5	Survolteur, Buck	Non	Non	Oui	Oui	11,15	10,56	9,24
595-PTN78000AAZ	PTN78000AAZ	Module DIP 5	7	29	-15	-3	1.5	Survolteur, Buck	Non	Non	Oui	Oui	11,15	10,56	9,24

© Copyright 2012 Mouser Electronics

© Copyright 2012 Mouser Electronics

CI de gestion de l'alimentation TEXAS INSTRUMENTS

RoHS Compliant **This product is RoHS compliant.**

AUDIO NUMÉRIQUE PWM

Pour des quantités supérieures à celles indiquées, appelez-nous afin d'obtenir un devis.

RÉF. STOCK MOUSER	Réf. Texas Instruments	Boîtier	Ch. sortie audio (PWM)	Plage dynamique (dB)	Alimentation numérique (V)	Résolution des données	Contrôleur de volume	Comp. sonie	Muet	EQ	Contrôle grave/aigu	Prix unitaire 1	25	100	250
595-TAS5508CPAG	TAS5508CPAG	TQFP-64	8	110	3 - 3.6	16, 20, 24	Oui	Oui	Oui	Oui	Oui	9,63	9,11	7,97	7,29

CONTRÔLEURS À REMPLACEMENT À CHAUD

Pour des quantités supérieures à celles indiquées, appelez-nous afin d'obtenir un devis.

RÉF. STOCK MOUSER	Réf. Texas Instruments	Boîtier	Nombre de sorties	V_{in} (V) Min.	V_{in} (V) Max.	Limitation du courant en cas de défection	Interface numérique	Surveillance du courant	Operation	Prix unitaire 1	25	100	250
595-TPS2399DGK	TPS2399DGK	MSOP-8	1	-80	-36	Oui	Aucun	Aucun	Relance automatique	2,77	2,23	2,03	1,83
595-TPS2400DBVR	TPS2400DBVR	SOT-23-5	1	2	100	Non	Aucun	Aucun	Déblocage	2,31	1,78	1,62	1,45
595-TPS2400DBVT	TPS2400DBVT	SOT-23-5	1	2	100	Non	Aucun	Aucun	Déblocage	2,60	2,00	1,82	1,49
595-TPS2330IPW	TPS2330IPW	TSSOP-14	1	3	13	Oui	Aucun	Aucun	Déblocage	3,35	2,69	2,45	2,21
595-TPS2421-1DDA	TPS2421-1DDA	PowerPADSO-8	1	3	20	Oui	Aucun	Aucun	Déblocage	4,02	3,22	2,57	2,14
595-TPS2421-2DDA	TPS2421-2DDA	PowerPADSO-8	1	3	20	Oui	Aucun	Aucun	Relance	4,02	3,22	2,57	2,14
595-TPS2590RSAT	TPS2590RSAT	QFN-16	1	3	20	Oui	Aucun	Aucun	Déblocage	3,09	2,52	2,27	1,91
595-TPS2540RTET	TPS2540RTET	WQFN-16	1	4.5	5.5	Oui	Aucun	Aucun	-----	2,57	2,10	1,88	1,58
595-TPS2541RTET	TPS2541RTET	WQFN-16	1	4.5	5.5	Oui	Aucun	Aucun	-----	2,57	2,10	1,88	1,58
595-TPS2480PW	TPS2480PW	TSSOP-20	1	9	20	Oui	I²C	Numérique	Déblocage	7,43	5,35	4,46	3,86
595-TPS2490DGS	TPS2490DGS	MSOP-10	1	9	80	Oui	Aucun	Aucun	Déblocage	3,93	3,15	2,87	2,59
595-TPS2491DGS	TPS2491DGS	MSOP-10	1	9	80	Oui	Aucun	Aucun	Relance automatique	3,93	3,15	2,87	2,59
595-TPS2492PW	TPS2492PW	TSSOP-14	1	9	80	Oui	Aucun	Analogique	Déblocage	3,93	3,15	2,87	2,59
595-TPS2493PW	TPS2493PW	TSSOP-14	1	9	80	Oui	Aucun	Analogique	Déblocage	3,93	3,15	2,87	2,59
595-TPS2420RSAT	TPS2420RSAT	QFN-16	3	3	20	Non	Aucun	Analogique	Relance automatique	5,45	4,45	3,99	3,36

N1 + CONTRÔLEURS JOINT TORIQUE

Pour des quantités supérieures à celles indiquées, appelez-nous afin d'obtenir un devis.

RÉF. STOCK MOUSER	Réf. Texas Instruments	Boîtier	Nombre de sorties	V_{in} (V) Min.	V_{in} (V) Max.	Porte logique Contrôle	Défection et état	Notification surtension/ sous-tension	Filtre d'entrée	Prix unitaire 1	25	100	250
595-TPS2410PW	TPS2410PW	TSSOP-14	1	0.8	16.5	Linéaire	Oui	Oui	Oui	4,74	3,80	3,47	3,13
595-TPS2411PW	TPS2411PW	TSSOP-14	1	0.8	16.5	Marche/Arrêt	Oui	Oui	Oui	4,74	3,80	3,47	3,13
595-TPS2413D	TPS2413D	SOIC-8	1	0.8	16.5	Marche/Arrêt	Non	Non	Non	3,31	2,66	2,42	2,19
595-TPS2413PW	TPS2413PW	TSSOP-8	1	0.8	16.5	Marche/Arrêt	Non	Non	Non	3,35	2,69	2,45	2,21
595-TPS2419D	TPS2419D	SOIC-8	1	0.8	16.5	Marche/Arrêt	Non	Non	Non	3,35	2,69	2,45	2,21
595-TPS2419PW	TPS2419PW	TSSOP-8	1	0.8	16.5	Marche/Arrêt	Non	Non	Non	2,99	2,39	1,91	1,59
595-TPS2456RHHT	TPS2456RHHT	VQFN-36	2	8.5	15	Linéaire	Non	Non	Non	8,25	5,94	4,95	4,29

CONTRÔLEURS D'INTERFACE D'ALIMENTATION

Pour des quantités supérieures à celles indiquées, appelez-nous afin d'obtenir un devis.

RÉF. STOCK MOUSER	Réf. Texas Instruments	Boîtier	Ports	$r_{DS(on)}$ (Typ.) (Ω) 3 V	$r_{DS(on)}$ (Typ.) (Ω) E/S	Interface	Courant de sortie (Max.) (A)	Limite de courant (Min.) (A) réglable	Plage temp. de fonctionnement (°C)	Prix unitaire 1	25	100	250
595-TPS2211AIDBR	TPS2211AIDBR	SSOP-16	1	70	70	Parallèle	0.15	1	de -40 à +85	1,45	1,17	0,875	0,82
595-TPS2231PW	TPS2231PW	TSSOP-20	1	45	---	Parallèle	Précision Limite	2.5	-40 à +120	2,57	2,07	1,88	1,70

COMMUTATEURS DE CHARGE - COURANT LIMITÉ

Pour des quantités supérieures à celles indiquées, appelez-nous afin d'obtenir un devis.

RÉF. STOCK MOUSER	Réf. Texas Instruments	Boîtier	V_{in} (V)	I_a (Typ.) (µA)	$r_{DS(on)}$ Per FET (Typ.) (Ω)	Nombre de FET	Tension Limite de courant (Min.) (A)	Activer/Arrêter	Prix unitaire 1	25	100	250
595-TPS22942DCKR	TPS22942DCKR	SC-70-5	de 1,62 à 5,5	40	400	1	0.1	Actif bas	1,02	0,817	0,719	0,631
595-TPS22943DCKR	TPS22943DCKR	SC-70-5	de 1,62 à 5,5	40	400	1	0.04	Actif haut	1,02	0,817	0,719	0,631
595-TPS22944DCKR	TPS22944DCKR	SC-70-5	de 1,62 à 5,5	40	400	1	0.1	Actif haut	1,13	0,891	0,802	0,698
595-TPS22945DCKR	TPS22945DCKR	SC-70-5	de 1,62 à 5,5	40	400	1	0.1	Actif haut	1,13	0,891	0,792	0,69

COMMUTATEURS DE CHARGE - COURANT NON LIMITÉ

Pour des quantités supérieures à celles indiquées, appelez-nous afin d'obtenir un devis.

RÉF. STOCK MOUSER	Réf. Texas Instruments	Boîtier	V_{in} (V)	I_{in} (nA)	$r_{(on)}$ @ 1.8V (Ω)	Canaux	I_{max} (A)	Temps de montée en sortie (µS)	Prix unitaire 1	25	100	250
595-TPS22902BYFPR	TPS22902BYFPR	DSBGA-4	de 1,1 à 3,6	880	130	1	0,5	220 @ 1,8V	0,99	0,776	0,705	0,613
595-TPS22904YFPT	TPS22904YFPT	DSBGA-4	de 1,1 à 3,6	1000	125	1	0,5	0,8 @ 3,6V	1,45	1,15	1,03	0,899
595-TPS22934YZVT	TPS22934YZVT	DSBGA-4	de 1,1 à 3,6	20000	78	1	1	26 @ 3,6V	1,57	1,20	1,10	0,982

MODULES D'ÉVALUATION

RÉF. STOCK MOUSER	Réf. Texas Instruments	Description	Prix unitaire
595-BQ24150AEVM	BQ24150AEVM	Module d'évaluation pour BQ24150A, une solution de gestion de charge de batteries pour les batteries à une cellule Li-ion/Li Polymère	87,95
595-BQ24210EVM-678	BQ24210EVM-678	Module d'évaluation pour BQ24210, un chargeur de batteries solaire à entrée simple, à une cellule	46,04
595-BQ24610EVM	BQ24610EVM	Module d'évaluation pour BQ24610, un chargeur à commutation de mode synchrone multi-cellule	87,95
595-BQ24650EVM-639	BQ24650EVM-639	Module d'évaluation pour BQ24650, un régulateur de charge mode Swide synchrone à rendement élevé - Chargeur de batterie à énergie solaire	87,95
595-BQ27510EVM	BQ27510EVM	Module d'évaluation pour BQ27510, un CI de mesure de batterie simple cellule à technologie Impedance Track™ côté système	87,95
595-DRV8412-C2-KIT	DRV8412-C2-KIT	Kit d'évaluation pour DRV8412, un pilote moteur PWM pont complet double pour moteurs à balais et moteurs pas à pas	180,59
595-DRV8812EVM	DRV8812EVM	Module d'évaluation pour DRV8812, un CI commande de moteur à double pont	132,35
595-DRV8824EVM	DRV8824EVM	Module d'évaluation pour DRV8824, un CI commande de moteur pas à pas	132,35
595-TLV7101828EVM595	TLV7101828EVM-595	Module d'évaluation pour TLV7101828 Dual, sortie 200mA, bruit faible, PSRR élevé, régulateur à faible perte	18,79
595-TPS2540EVM-623	TPS2540EVM-623	Module d'évaluation pour TPS2540, un port de charge USB et régulateur pour ports de charge hôtes et ports de charge dédiés	46,04
595-TPS51621EVM-602	TPS51621EVM-602	Module d'évaluation pour TPS51621, un contrôleur abaisseur synchrone D-CAP+™ à deux phases	87,95
595-TPS54319EVM-626	TPS54319EVM-626	Module d'évaluation pour TPS54319, un convertisseur CC/CC SWIFT abaisseur	23,48
595-TPS54620EVM-374	TPS54620EVM-374	Module d'évaluation pour TPS54620, un convertisseur SWIFT 8 à 17V, 6A	23,48
595-TPS61175EVM-326	TPS61175EVM-326	Module d'évaluation pour TPS61175, un régulateur élévateur à entrée 12V, sortie 24V 1,2A	46,04
595-TPS61200EVM-179	TPS61200EVM-179	Module d'évaluation pour TPS61200, un convertisseur d'amplification synchrone à tension d'entrée faible	46,04
595-TPS61220EVM-319	TPS61220EVM-319	Module d'évaluation pour TPS61220, un convertisseur d'amplification à tension d'entrée faible	46,04
595-TPS82671EVM-646	TPS82671EVM-646	Module d'évaluation pour TPS82671, un convertisseur abaisseur à faible bruit, Vout 1,8 entièrement intégré, 600mA	18,79
595-TPS82675EVM-646	TPS82675EVM-646	Module d'évaluation pour TPS82675, un convertisseur abaisseur à faible bruit, Vout 1,2 entièrement intégré, 600mA	18,79
595-TPS84620EVM-692	TPS84620EVM-692	Module d'évaluation pour TPS84620, une solution puissance intégrée, buck synchrone 6A	46,04
595-TPS92010EVM-592	TPS92010EVM-592	Module d'évaluation pour TPS92010, un contrôleur pilote éclairage à DEL déconnectée à haute efficacité	87,95
595-UCC28950EVM-442	UCC28950EVM-442	Module d'évaluation pour UCC28950, un convertisseur pont complet, déphasé, 600W	87,95

© Copyright 2012 Mouser Electronics
© Copyright 2012 Mouser Electronics

CI de gestion de l'alimentation SILICONIX

RoHS Compliant **This product is RoHS compliant.**

DIP-8	DIP-14	DIP-16 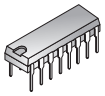	MLP55-32L 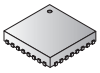	MLP66-40 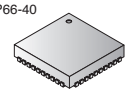	SC-70-5 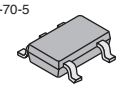	SOIC-8 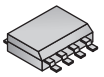
SO-8	SO-14	SO-24 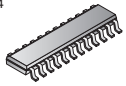	SOT-23-3	SOT-23-5	SQFP-48 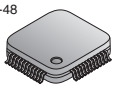	TSSOP-8

ÉTAGE DE PUISSANCE INTÉGRÉ

Caractéristiques :

- MOSFET Gen II intégré et CI pour circuit de point d'accès logique conforme à DrMOS
- Permet la commutation Vcore à 1MHz
- La sonnerie faible sur la broche VSWH réduit l'EMI
- Compatible au niveau des broches avec DrMOS 6 x 6, version 3.0
- La fonction d'entrée de MLI à trois états prévient l'excursion de la tension de sortie négative
- Niveaux logiques de 5V sur MLI
- Fonctionnement à saut automatique de mode (SMOD) pour efficience à charge faible
- Diode Schottky autoélévatrice incorporée
- Option d'avertissement pour l'arrêt thermique

Pour des quantités supérieures à celles indiquées, appelez-nous afin d'obtenir un devis.

RÉF. STOCK MOUSER	Réf. Siliconix	Boîtier	Tension d'entrée (V)		Tension d'entrée de contrôle (V)		Courant d'entrée de contrôle (Typ. @ 5) (µA)	Seuil de montée MLI (Typ.) (V)	Seuil de descente MLI (Typ.) (V)	Courant d'entrée MLI (Typ.) (µA)	Prix unitaire			
			Min.	Max.	Min.	Max.					1	100	500	1000
Montage en surface														
781-SIC769CD-E3	SIC769CD-T1-E3	Power Pak MLP66-40	-0.3	20	4.5	5.5	400	3.8	1,0	250	6,89	4,08	3,34	2,60
781-SIC762CD-T1-GE3	SIC762CD-T1-GE3	Power Pak MLP66-40	-0.3	30	-0.3	7.0	350	3.9	1,0	250	8,04	4,76	3,89	3,03

RÉGULATEURS BUCK SYNCHRONES

Caractéristiques techniques (SIC413):

- Contrôleur MLI intégré et MOSFET Gen III trench
- Convertisseur à une seule puce rapide et facile à utiliser
- Détection de courant intégrée
- Protection à surintensité cycle par cycle
- Diode autoélévatrice incorporée
- Protection à surtension de sortie
- Verrouillage de sous-tension
- Arrêt thermique
- Ouverture en fondu
- Fonctionnement sans contact à court-circuit

Caractéristiques techniques (SIC417):

- Diode autoélévatrice intégrée
- LDO de 150mA configurable intégré avec logique de dérivation
- Limite de courant compensée en température
- Contrôle ponctuel adaptable à fréquence pseudo-fixe
- Solution tout céramique activée
- Broché activée indépendamment pour interrupteur et LDO
- Seuil UVLO d'entrée programmable
- Mode d'économie d'énergie ultra-sonique sélectionnable
- Ouverture et arrêt en fondu internes
- Tension de référence interne de 1%
- Sortie de puissance bonne et protection contre surtension

Pour des quantités supérieures à celles indiquées, appelez-nous afin d'obtenir un devis.

RÉF. STOCK MOUSER	Réf. Siliconix	Boîtier	Plage de tension d'entrée (V)	Plage de tension de sortie (V)	Courant de sortie continu (A)	Fréquence de fonctionnement	RDS_{ON} de l'extrémité supérieure/ inférieure (mΩ)	Efficience pic (Typ.) (V)	Température de fonctionnement (°C)	Prix unitaire			
										1	100	500	1000
Montage en surface													
781-SIC413CB-E3	SIC413CB-T1-E3	SOIC-8	de 4,75 à 26	de 0,6 à 13,2	4	500kHz	35/19	93%	de -25 à +125	3,44	1,79	1,67	1,30
781-SIC417CD-E3	SIC417CD-T1-E3	MLPQ55-32	de 3 à 28	0,5 à 5,5	10	200kHz à 1MHz	27/9	95%	de -25 à +125	5,56	3,29	2,69	2,10

CONTRÔLEURS MODE DE COMMUTATION

Pour des quantités supérieures à celles indiquées, appelez-nous afin d'obtenir un devis.

RÉF. STOCK MOUSER	Réf. Siliconix	Boîtier	Tension d'entrée (V)		Tension d'alimentation (V)		Tension de sortie (V)			Fréquence de commutation (Min) (MHz)	Prix unitaire			
			Min.	Max.	Min.	Max.	Min.	Typ.	Max.		1	100	500	1000
Montage en surface														
781-SI9114ADY-E3	SI9114ADY-E3	SO-14	15	200	9.5	16.5	3.94	4.00	4.06	0.45	3,02	2,24	2,11	1,91
Montage traversant														
781-SI9120DJ-E3	SI9120DJ-E3	DIP-16	15	450	9.5	13.5	3.88	4.00	4.12	1	1,53	1,30	1,22	1,11

RÉGULATEURS MODE DE COMMUTATION

Pour des quantités supérieures à celles indiquées, appelez-nous afin d'obtenir un devis.

RÉF. STOCK MOUSER	Réf. Siliconix	Boîtier	Tension d'entrée (V)		Tension d'alimentation (V)		Tension de sortie (V)			Fréquence de commutation (Min) (MHz)	Prix unitaire			
			Min.	Max.	Min.	Max.	Min.	Typ.	Max.		1	100	500	1000
Montage traversant														
781-SI9100DJ02-E3	SI9100DJ02-E3	DIP-14	10	70	9.5	13.5	3.92	4.00	4.08	1	2,01	1,71	1,61	1,46

INTERFACE BUS - CIRCUIT DE SORTIE ET RÉCEPTEUR

Pour des quantités supérieures à celles indiquées, appelez-nous afin d'obtenir un devis.

RÉF. STOCK MOUSER	Réf. Siliconix	Boîtier	Gamme de tension d'alimentation (Max) (V)	Résistance de charge pour bus (Max) (Ω)	Courant de sortie continu (Max) (mA)	Caractéristiques techniques	Prix unitaire			
							1	100	500	1000
Montage en surface										
781-SI9200EY-E3	SI9200EY-E3	SO-8	de -0,3 à 12	60	±100	Survit aux courts-circuits à la masse et aux tensions transitoires, source d'alimentation unique, compatible Intel 82526 CAN	1,53	-	1,29	1,18

PILOTES MOSFET DE PUISSANCE

Pour des quantités supérieures à celles indiquées, appelez-nous afin d'obtenir un devis.

RÉF. STOCK MOUSER	Réf. Siliconix	Boîtier	Gamme de tension d'alimentation (Max) (V)	Capacité du circuit de sortie	Logique du circuit d'entrée	Caractéristiques techniques	Protection	Prix unitaire			
								1	100	500	1000
Montage en surface											
781-SI9912DY-T1-E3	SI9912DY-T1-E3	SO-8	4,5 à 30	2N-Ch	TTL/CMOS 5V	Commutation 250kHz à 1MHz, arrêt fréq.	Shoot through de sous-tension	1,26	1,19	1,15	1,13
Montage traversant											
781-SI9910DJ-E3	SI9910DJ-E3	DIP-8	de -0,3 à +18	1N-Ch	12V Logic	contrôle dv/dt, di/dt	Court-circuit, surintensité et sous-tension	1,82	1,54	1,45	1,32

CONTRÔLEURS DES MOTEURS

Pour des quantités supérieures à celles indiquées, appelez-nous afin d'obtenir un devis.

RÉF. STOCK MOUSER	Réf. Siliconix	Boîtier	Gamme de tension d'alimentation (Max) (V)	Capacité du circuit de sortie	Logique du circuit d'entrée	Caractéristiques techniques	Protection	Prix unitaire			
								1	100	500	1000
Montage en surface											
781-SI9986CY-T1-E3	SI9986CY-T1-E3	SO-8	de 3,8 à 13,2	0,5A	TTL/CMOS	PWM, saturé	Shoot through	2,13	1,83	-	-
781-SI9986DY-T1-E3	SI9986DY-T1-E3	SO-8	de 3,8 à 13,2	0,5A	TTL/CMOS	PWM, saturé	Shoot through	3,69	2,46	1,84	1,83
781-SI9988DQ-T1-E3	SI9988DQ-T1-E3	TSSOP-8	de 3,8 à 13,2	0.6A	TTL/CMOS	PWM, saturé	Shoot through	2,13	2,13	2,13	2,13
781-SI9978DW-E3	SI9978DW-E3	SO-24	de 20 à 40	4N-Ch	TTL/CMOS	PWM, frein, fonctionnement en CC	Surintensité, sous-tension	5,43	4,03	3,34	3,15
781-SI9979CS-E3	SI9979CS-E3	SQFP-48	de 20 à 40	6N-Ch	TTL/CMOS	Capteur de Hall PWM, calcul, fonctionnement en CC	Surintensité, sous-tension, Erreur de commutation	6,17	5,61	-	-

RÉGULATEURS DE TENSION DE MISE AU REPOS FAIBLE

Pour des quantités supérieures à celles indiquées, appelez-nous afin d'obtenir un devis.

RÉF. STOCK MOUSER	Réf. Siliconix	Boîtier	Tension de sortie (V)	Courant de sortie (A)	Tension d'entrée (V)		Tension de mise au repos (Max) (mV)	Variation de tension de ligne (Max) (%/V)	Courant d'alimentation d'arrêt (Max) (µA)	Prix unitaire			
					Min.	Max.				1	100	500	1000
Montage en surface réglable													
781-SI9183DT-AD-E3	SI9183DT-AD-T1-E3	SOT-23-3	1,5 à 5	0.15	2.0	6.0	380.0	0.18	1	0,23	0,19	0,182	0,165
Montage en surface fixe													
781-SI9183DT-33-E3	SI9183DT-33-T1-E3	SOT-23-5	3.3	0.15	2.0	6.0	380	0.18	1	0,23	0,19	0,182	0,165
781-SI9183DT-50-E3	SI9183DT-50-T1-E3	SOT-23-5	5.0	0.15	2.0	6.0	380	0.18	1	0,24	0,198	0,182	0,165
781-SIP21106DR33E3	SIP21106DR-33E3	SC-70-5	3.3	.15	2.2	6.0	135	0.2	1	0,23	0,201	0,176	-

© Copyright 2012 Mouser Electronics
© Copyright 2012 Mouser Electronics

Diodes AVAGO

Les produits peuvent être conformes à la directive RoHS. Consulter le site mouser.com pour vérifier la conformité RoHS.

AVAGO TECHNOLOGIES

A

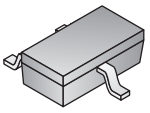

SOT-23

B

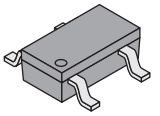

SOT-143

C

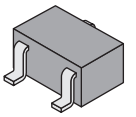

SOT-323

D

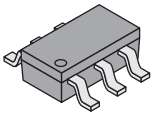

SOT-363

E

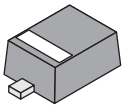

SOD-523

F

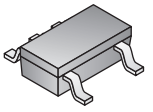

SOT-25

G

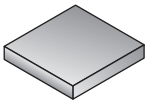

MiniPak

H

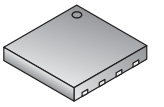

QFN

DIODES AVAGO SCHOTTKY

Avago Technologies est l'un des plus importants fournisseurs de diodes Schottky montées en surface.
Ces séries de diodes disposent d'une tension de commutation basse, d'une faible capacité et fournissent la performance la plus constante disponible.

Pour des quantités supérieures à celles indiquées, appelez-nous afin d'obtenir un devis.

RÉF. STOCK MOUSER	Réf. Avago	Fig.	V_{RRM} (V)	I_F (mA)	Prix unitaire 1	25	100	500
SOT-23								
630-HSMS-2800-BLKG	HSMS-2800-BLKG	A	35	70	0,37	0,28	0,236	0,206
630-HSMS-2800-TR1G	HSMS-2800-TR1G	A	35	70	0,37	0,28	0,236	0,206
630-HSMS-2802-BLKG	HSMS-2802-BLKG	A	35	70	0,54	0,43	0,368	0,324
630-HSMS-2802-TR1G	HSMS-2802-TR1G	A	35	70	0,54	0,43	0,368	0,324
630-HSMS-2804-TR1G	HSMS-2804-TR1G	A	35	70	0,54	0,43	0,368	0,324
630-HSMS-2810-BLKG	HSMS-2810-BLKG	A	15	20	0,54	0,38	0,324	0,272
630-HSMS-2810-TR1G	HSMS-2810-TR1G	A	15	20	0,54	0,38	0,324	0,272
630-HSMS-2812-BLKG	HSMS-2812-BLKG	A	15	20	0,83	0,59	0,50	0,427
630-HSMS-2812-TR1G	HSMS-2812-TR1G	A	15	20	0,83	0,59	0,50	0,427
630-HSMS-2814-TR1G	HSMS-2814-TR1G	A	15	20	0,83	0,59	0,50	0,427
630-HSMS-2820-BLKG	HSMS-2820-BLKG	A	12	15	0,39	0,30	0,25	0,221
630-HSMS-2820-TR1G	HSMS-2820-TR1G	A	12	15	0,39	0,30	0,25	0,221
630-HSMS-2822-BLKG	HSMS-2822-BLKG	A	12	15	0,59	0,42	0,353	0,302
630-HSMS-2822-TR1G	HSMS-2822-TR1G	A	12	15	0,59	0,42	0,353	0,302
630-HSMS-2824-BLKG	HSMS-2824-BLKG	A	12	15	0,59	0,40	0,353	0,302
630-HSMS-2852-BLKG	HSMS-2852-BLKG	A	-	-	1,07	0,92	0,84	0,75
630-HSMS-2852-TR1G	HSMS-2852-TR1G	A	-	-	1,17	0,98	0,84	0,75
630-HSMS-2862-BLKG	HSMS-2862-BLKG	A	-	4	0,86	0,60	0,515	0,441
630-HSMS-8101-BLKG	HSMS-8101-BLKG	A	11	4	1,10	0,84	0,758	0,677
630-HSMS-8101-TR1G	HSMS-8101-TR1G	A	11	4	1,10	0,84	0,758	0,677
630-HSMS-8202-BLKG	HSMS-8202-BLKG	A	11	4	1,31	1,09	0,94	0,84
630-HSMS-8202-TR1G	HSMS-8202-TR1G	A	11	4	1,27	1,03	0,93	0,84

Pour des quantités supérieures à celles indiquées, appelez-nous afin d'obtenir un devis.

RÉF. STOCK MOUSER	Réf. Avago	Fig.	V_{RRM} (V)	I_F (mA)	Prix unitaire 1	25	100	500
SOT-143								
630-HSMS-2805-BLKG	HSMS-2805-BLKG	B	35	70	0,54	0,43	0,368	0,324
630-HSMS-2805-TR1G	HSMS-2805-TR1G	B	35	70	0,54	0,43	0,368	0,324
630-HSMS-2815-BLKG	HSMS-2815-BLKG	B	15	20	0,83	0,57	0,50	0,427
630-HSMS-2815-TR1G	HSMS-2815-TR1G	B	15	20	0,83	0,57	0,50	0,427
630-HSMS-2818-TR1G	HSMS-2818-TR1G	B	15	20	1,37	1,06	0,92	0,78
630-HSMS-2825-BLKG	HSMS-2825-BLKG	B	12	15	0,59	0,42	0,353	0,302
630-HSMS-2825-TR1G	HSMS-2825-TR1G	B	12	15	0,59	0,42	0,353	0,302
630-HSMS-2827-BLKG	HSMS-2827-BLKG	B	12	15	1,22	0,84	0,735	0,625
630-HSMS-2850-BLKG	HSMS-2850-BLKG	B	-	-	0,62	0,43	0,368	0,317
630-HSMS-2850-TR1G	HSMS-2850-TR1G	B	-	-	0,62	0,43	0,368	0,317
630-HSMS-2855-BLKG	HSMS-2855-BLKG	B	-	-	1,07	0,73	0,647	0,552
630-HSMS-2865-TR1G	HSMS-2865-TR1G	B	-	4	0,86	0,60	0,515	0,441
SOT-323								
630-HSMS-286C-TR1G	HSMS-286C-TR1G	C	-	4	0,92	0,78	0,669	0,596
SOT-363								
630-HSMS-280K-BLKG	HSMS-280K-BLKG	D	12	15	0,64	0,44	0,383	0,324
630-HSMS-282K-BLKG	HSMS-282K-BLKG	D	12	15	0,64	0,44	0,383	0,324
630-HSMS-282L-BLKG	HSMS-282L-BLKG	D	12	15	0,90	0,62	0,544	0,464
630-HSMS-282P-BLKG	HSMS-282P-BLKG	D	12	15	1,22	0,89	0,765	0,684
SOD-523								
630-HSMS-286Y-BLKG	HSMS-286Y-BLKG	E	-	4	0,37	0,26	0,221	0,192
MiniPak								
630-HMPS-2820-TR1	HMPS-2820-TR1	F	340	10	0,49	0,34	0,294	0,25

DIODES À BROCHES AVAGO

Avago Technologies propose le plus vaste portefeuille de diodes à broches à montage en surface pour stations PCS/cellulaires, WLAN, CATV, LNB et d'autres marchés de communications sans fil.

Pour des quantités supérieures à celles indiquées, appelez-nous afin d'obtenir un devis.

RÉF. STOCK MOUSER	Réf. Avago	Fig.	V_{RRM} (V)	I_F (mA)	Prix unitaire 1	25	100	500
SOT-23								
630-HSMP-3810-BLKG	HSMP-3810-BLKG	A	3.0	100	0,49	0,34	0,294	0,25
630-HSMP-3810-TR1G	HSMP-3810-TR1G	A	3.0	100	0,49	0,34	0,294	0,25
630-HSMP-3812-TR1G	HSMP-3812-TR1G	A	3.0	100	0,78	0,56	0,508	0,456
630-HSMP-3814-BLKG	HSMP-3814-BLKG	A	3.0	100	0,78	0,60	0,515	0,456
630-HSMP-3814-TR1G	HSMP-3814-TR1G	A	3.0	100	0,78	0,60	0,515	0,456
630-HSMP-3820-TR1G	HSMP-3820-TR1G	A	0.6	50	0,32	0,23	0,199	0,177
630-HSMP-3822-BLKG	HSMP-3822-BLKG	A	0.6	50	0,47	0,37	0,331	0,287
630-HSMP-3822-TR1G	HSMP-3822-TR1G	A	0.6	50	0,47	0,39	0,331	0,287
630-HSMP-3824-BLKG	HSMP-3824-BLKG	A	0.6	50	0,47	0,37	0,331	0,287
630-HSMP-3824-TR1G	HSMP-3824-TR1G	A	0.6	50	0,47	0,37	0,331	0,287
630-HSMP-3862-TR1G	HSMP-3862-TR1G	A	3.0	50	0,59	0,40	0,353	0,302

© Copyright 2012 Mouser Electronics

Pour des quantités supérieures à celles indiquées, appelez-nous afin d'obtenir un devis.

RÉF. STOCK MOUSER	Réf. Avago	Fig.	V_{RRM} (V)	I_F (mA)	Prix unitaire 1	25	100	500
SOT-23 (suite)								
630-HSMP-482B-BLKG	HSMP-482B-BLKG	A	0.75	50	0,64	0,45	0,383	0,324
630-HSMP-3890-TR1G	HSMP-3890-TR1G	A	2.5	100	0,39	0,34	0,302	0,265
630-HSMP-4820-BLKG	HSMP-4820-BLKG	A	0.75	50	0,59	0,42	0,353	0,302
630-HMPP-389T-TR1	HMPP-389T-TR1	A	2.5	100	0,51	0,47	0,44	0,389
SOT-25								
630-HSMP-3816-TR1G	HSMP-3816-TR1G	F	1.2	1000	1,17	0,82	0,706	0,603
630-HSMP-3866-TR1G	HSMP-3866-TR1G	F	1.2	1000	1,10	0,77	0,662	0,566
MiniPak								
630-HMPP-3862-BLK	HMPP-3862-BLK	G	-	1000	0,68	0,47	0,412	0,353
630-HMPP-389T-TR1	HMPP-389T-TR1	G	2.5	100	0,51	0,47	0,44	0,389
QFN								
630-HSMP-386J-TR1G	HSMP-386J-TR1G	H	0.85	50	2,43	1,99	1,77	1,50

© Copyright 2012 Mouser Electronics

Diodes CMS BOURNS

BOURNS®

DIODES DE COMMUTATION CMS

Bourns propose des diodes de commutation de haute vitesse à signal faible pour la commutation des applications à signal numérique, dans un format compact des dimensions d'une puce, ce qui offre des économies d'espace pour PCB. Elles sont en outre considérablement plus petites que les composants de la concurrence. Les diodes sont sans plomb avec raccordements plaqués en Cu/Ni/Au et elles sont compatibles avec les processus de fabrication sans plomb, en se conformant à beaucoup de réglementations industrielles et gouvernementales relatives aux composants sans plomb. Les diodes à puce Bourns® sont conformes aux normes JEDEC, faciles à manipuler sur les montages par bras-transfert standard et leur configuration plate rend le roulage beaucoup plus difficile.

RoHS Compliant

LEAD-FREE

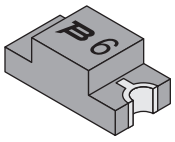

CD0805 Series Illustrated

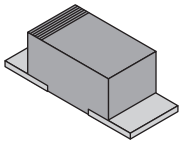

CD1607 Series Illustrated

Caractéristiques:
- Sans fil
- Sans plomb
- Haute vitesse
- Boîtier à profil bas
- Chute de tension directe très basse

Applications:
- Téléphones cellulaires
- PDA
- Ordinateurs de bureau et micro-ordinateurs
- Appareils photo numériques
- Lecteurs MP3

DIMENSIONS (mm)

Taille du boîtier	Longueur ±0,2	Largeur ±0,2	Hauteur (typ.)
0603	1.6	0.8	0.25
1005	2.4	1.1	0.35
1206	3.0	1.4	0.50
1607	3.9	1.6	0.30

Pour des quantités supérieures à celles indiquées, appelez-nous afin d'obtenir un devis.

RÉF. STOCK MOUSER	Réf. Bourns	Dimension du boîtier	Pic répétitif Tens. inverse	Tension Inverse (V_R)	Moyenne de Courant direct (mA)	$R_{\theta JL}$	Température de jonction T_J (°C)	Prix unitaire 1	100	500	1000	Prix unitaire par bobine Qté	Composant
Diode CMS de commutation à signal faible													
652-CD0603-S0180	CD0603-S0180	0603	90	80	100	150	de -40 à +125	0,07	0,05	0,042	0,04	4000	0,038
652-CD0603-S01575	CD0603-S01575	0603	100	75	150	150	de -40 à +125	0,07	0,05	0,042	0,04	4000	0,038
652-CD0603-S0180R	CD0603-S0180R	0603	90	80	100	150	de -40 à +125	0,08	0,06	0,057	0,054	4000	0,048
652-CD1005-S01575	CD1005-S01575	1005	100	75	150	300	de -40 à +125	0,06	0,05	0,04	0,03	4000	0,028
652-CD1005-S0180R	CD1005-S0180R	1005	90	80	100	300	de -40 à +125	0,07	0,05	0,041	0,039	4000	0,032
652-CD1206-S01575	CD1206-S01575	1206	100	75	150	350	de -55 à +125	0,05	0,04	0,036	0,034	3000	0,032
Photodiode Schottky CMS à signal faible													
652-CD0603-B00340	CD0603-B00340	0603	45	40	30	150	de -40 à +125	0,09	0,07	0,06	0,058	4000	0,053
652-CD0603-B0130L	CD0603-B0130L	0603	35	30	100	150	de -40 à +125	0,11	0,10	0,091	0,086	4000	0,082
652-CD0603-B0230	CD0603-B0230	0603	35	30	200	150	de -40 à +125	0,09	0,08	0,066	0,064	4000	0,061
652-CD1005-B0130L	CD1005-B0130L	1005	35	30	100	250	de -40 à +125	0,14	0,12	0,09	0,07	4000	0,064
652-CD1005-B0145	CD1005-B0145	1005	50	45	100	250	de -40 à +125	0,12	0,107	0,099	0,091	4000	0,083
652-CD1005-B0230	CD1005-B0230	1005	35	30	200	250	de -40 à +125	0,11	0,10	0,091	0,086	4000	0,082
652-CD1607-B120	CD1607-B120	1607	20	20	1000	-	de -55 à +125	0,15	0,135	0,129	0,122	2500	0,116
652-CD1607-B120L	CD1607-B120L	1607	20	20	1000	-	de -55 à +125	0,22	0,149	0,116	0,104	2500	0,101

DIODES REDRESSEURS SCHOTTKY CMS

Bourns propose des diodes-redresseurs Schottky pour des applications de redressement, dans un format compact DO-214AC (SMA) des dimensions d'une puce, ce qui offre des économies d'espace pour PCB. Elles sont en outre considérablement plus petites que les composants de la concurrence. Les diodes-redresseurs Schottky offrent un courant direct de 1A à 3A, avec un choix de tension inverse de pic répétitif de 20V jusqu'à 100V.

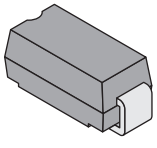

Boîtier DO-214AC

Caractéristiques :
- Boîtier SMA
- Montage en surface
- Chute de courant direct très faible

LEAD-FREE

RoHS Compliant

Pour des quantités supérieures à celles indiquées, appelez-nous afin d'obtenir un devis.

RÉF. STOCK MOUSER	Réf. Bourns	Dimension du boîtier	Pic répétitif Tens. inverse	Tension Inverse (V_R)	Moyenne de Courant direct (mA)	$R_{\theta JL}$	Température de jonction T_J (°C)	Prix unitaire 1	100	500	1000	Prix unitaire par bobine Qté	Composant
652-CD214A-B120LF	CD214A-B120LF	DO-214AC	14	20	1,0	20	de -55 à +125	0,11	0,08	0,076	0,072	5000	0,065
652-CD214A-B130LF	CD214A-B130LF	DO-214AC	21	30	1,0	20	de -55 à +125	0,11	0,08	0,076	0,072	5000	0,065
652-CD214A-B130LLF	CD214A-B130LLF	DO-214AC	21	30	1,0	35	de -55 à +125	0,19	0,17	0,162	0,154	5000	0,139
652-CD214A-B140LF	CD214A-B140LF	DO-214AC	28	40	1,0	20	de -55 à +125	0,11	0,08	0,076	0,072	5000	0,065
652-CD214A-B150LF	CD214A-B150LF	DO-214AC	38	50	1,0	20	de -55 à +125	0,11	0,08	0,076	0,072	5000	0,065
652-CD214A-B160LF	CD214A-B160LF	DO-214AC	42	60	1,0	20	de -55 à +125	0,11	0,08	0,076	0,072	5000	0,065
652-CD214A-B170LF	CD214A-B170LF	DO-214AC	49	70	1,0	25	de -55 à +125	0,15	0,136	0,13	0,123	5000	0,111
652-CD214A-B180LF	CD214A-B180LF	DO-214AC	56	80	1,0	25	de -55 à +125	0,15	0,136	0,13	0,123	5000	0,111
652-CD214A-B1100LF	CD214A-B1100LF	DO-214AC	70	100	1,0	25	de -55 à +125	0,15	0,136	0,13	0,123	5000	0,111
652-CD214A-B220LF	CD214A-B220LF	DO-214AC	14	20	2.0	15	de -55 à +125	0,14	0,128	0,122	0,115	5000	0,104
652-CD214A-B230LF	CD214A-B230LF	DO-214AC	21	30	2.0	15	de -55 à +125	0,14	0,128	0,122	0,115	5000	0,104
652-CD214A-B240LF	CD214A-B240LF	DO-214AC	28	40	2.0	15	de -55 à +125	0,14	0,128	0,122	0,115	5000	0,104
652-CD214A-B240LLF	CD214A-B240LLF	DO-214AC	28	40	2.0	18	de -55 à +125	0,19	0,17	0,162	0,154	5000	0,139
652-CD214A-B250LF	CD214A-B250LF	DO-214AC	35	50	2.0	15	de -55 à +125	0,15	0,136	0,13	0,123	5000	0,111
652-CD214A-B260LF	CD214A-B260LF	DO-214AC	42	60	2.0	15	de -55 à +125	0,15	0,136	0,13	0,123	5000	0,111
652-CD214A-B320LF	CD214A-B320LF	DO-214AC	14	20	3.0	10	de -55 à +125	0,27	0,23	0,21	0,194	5000	0,173
652-CD214A-B330LF	CD214A-B330LF	DO-214AC	21	30	3.0	10	de -55 à +125	0,21	0,194	0,184	0,168	5000	0,149
652-CD214A-B340L	CD214A-B340LF	DO-214AC	28	40	3.0	10	de -55 à +125	0,19	0,174	0,165	0,151	5000	0,134
652-CD214A-B350LF	CD214A-B350LF	DO-214AC	35	50	3.0	10	de -55 à +125	0,23	0,215	0,204	0,194	5000	0,175
652-CD214A-B360LF	CD214A-B360LF	DO-214AC	42	60	3.0	10	de -55 à +125	0,23	0,215	0,204	0,194	5000	0,175

© Copyright 2012 Mouser Electronics

© Copyright 2012 Mouser Electronics

Diodes CENTRAL

Les produits peuvent être conformes à la directive RoHS.
Consultez le site mouser.com pour vérifier la conformité RoHS.

Central Semiconductor Corp.

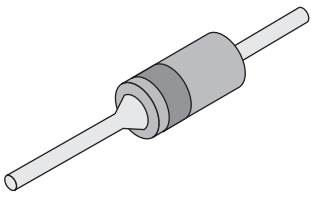
DO-35

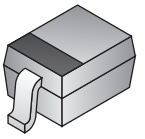
SOD-323

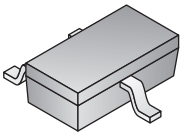
SOT-23

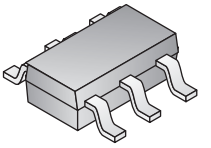
SOT-563

DIODES DE COMMUTATION CENTRALE

♦ **Composant pour montage en surface**

Pour des quantités supérieures à celles indiquées, appelez-nous afin d'obtenir un devis.

RÉF. STOCK MOUSER	Réf. Central	Boîtier	Io (mA)	IF (mA)	VRRM (V)	PD (mW)	Prix unitaire 1	25	100	250
610-1N914	1N914	DO-35	150	200	100	500	0,05	0,041	0,033	0,025
610-1N4152	1N4152	DO-35	150	-	40	500	0,21	0,197	0,189	0,18
♦ 610-CMHD3595	CMHD3595	SOD-123	150	-	150	400	0,36	0,336	0,312	0,287
♦ 610-CMXD2004	CMXD2004	SOT-26	200	225	300	250	0,35	0,325	0,295	0,266
610-1N3600	1N3600	DO-35	200	400	50	500	0,23	0,213	0,205	0,189
♦ 610-CMKD2838	CMKD2838	SOT-363	200	-	75	300	0,25	0,23	0,205	0,189
♦ 610-CMSD2836	CMSD2836	SOT-323	200	-	75	275	0,19	0,172	0,156	0,139
♦ 610-CMSD2838	CMSD2838	SOT-323	200	-	75	275	0,19	0,172	0,156	0,139
♦ 610-CMSD7000	CMSD7000	SOT-323	200	-	100	275	0,16	0,144	0,128	0,118
♦ 610-CMPD2836E	CMPD2836E	SOT-23	200	-	120	350	0,10	0,09	0,082	0,074
♦ 610-CMPD2838E	CMPD2838E	SOT-23	200	-	120	350	0,11	0,09	0,074	0,057
♦ 610-CMPD7000E	CMPD7000E	SOT-23	200	-	120	350	0,14	0,126	0,108	0,089
♦ 610-CMPD3003A	CMPD3003A	SOT-23	200	-	180	350	0,19	0,18	0,156	0,139
♦ 610-CMPD3003C	CMPD3003C	SOT-23	200	-	180	350	0,25	0,234	0,209	0,192
♦ 610-CMPD3003S	CMPD3003S	SOT-23	200	-	180	350	0,25	0,234	0,209	0,192
♦ 610-CMLD2004C	CMLD2004C	SOT-563	200	-	300	250	0,38	0,268	0,246	0,223
♦ 610-CMLD2004DO	CMLD2004DO	SOT-563	200	-	300	250	0,39	0,361	0,328	0,295
♦ 610-CMLD2004S	CMLD2004S	SOT-563	200	-	300	250	0,39	0,361	0,328	0,295
♦ 610-CMOD2004	CMOD2004	SOT-563	200	-	300	250	0,23	0,214	0,193	0,179
♦ 610-CMPD2004	CMPD2004	SOT-23	200	-	300	350	0,45	0,369	0,353	0,32
♦ 610-CMPD2004S	CMPD2004S	SOT-23	200	-	300	350	0,41	0,369	0,328	0,287
♦ 610-CMPD2005S	CMPD2005S	SOT-23	200	-	350	350	0,31	0,279	0,254	0,23
♦ 610-CMSD2004S	CMSD2004S	SOT-323	-	225	300	275	0,38	0,268	0,246	0,223
♦ 610-CMEDA-6I	CMEDA-6I	SOT-28	-	250	60	350	1,07	1,00	0,853	0,737
♦ 610-CLL914	CLL914-TR	SOD-80	-	250	100	500	0,12	0,107	0,096	0,088
♦ 610-CMKD6001	CMKD6001	SOT-363	-	250	100	250	0,25	0,23	0,205	0,189
♦ 610-CMLD6001	CMLD6001	SOT-563	-	250	100	250	0,26	0,238	0,205	0,172
♦ 610-CMLD6001DO	CMLD6001DO	SOT-563	-	250	100	250	0,33	0,262	0,238	0,221
♦ 610-CMOD4448	CMOD4448	SOD-523	-	250	100	250	0,41	0,318	0,227	0,175
♦ 610-CMOD6001	CMOD6001	SOD-523	-	250	100	250	0,22	0,20	0,178	0,167
♦ 610-CMPD4448	CMPD4448	SOT-23	-	250	100	350	0,20	0,18	0,156	0,139
♦ 610-CMPD6001	CMPD6001	SOT-23	-	250	100	350	0,26	0,238	0,213	0,197
♦ 610-CMPD6001A	CMPD6001A	SOT-23	-	250	100	350	0,28	0,209	0,187	0,171
♦ 610-CMPD6001C	CMPD6001C	SOT-23	-	250	100	350	0,28	0,209	0,187	0,171
♦ 610-CMPD6001S	CMPD6001S	SOT-23	-	250	100	350	0,28	0,209	0,187	0,171
♦ 610-CMPD914	CMPD914	SOT-23	-	250	100	350	0,15	0,115	0,098	0,074
♦ 610-CMXD6001	CMXD6001	SOT-26	-	250	100	350	0,27	0,246	0,23	0,205
♦ 610-CMLD4448	CMLD4448	SOT-563	-	250	120	300	0,32	0,262	0,205	0,172
♦ 610-CMLD4448DO	CMLD4448DO	SOT-563	-	250	120	300	0,25	0,23	0,205	0,189
♦ 610-CMPD914E	CMPD914E	SOT-23	-	250	120	350	0,09	0,082	0,074	0,066
♦ 610-CMAD6001	CMAD6100	SOD-923	250	-	100	100	0,23	0,205	0,172	0,148

DIODES SCHOTTKY CENTRAL

♦ **Composant pour montage en surface**

Pour des quantités supérieures à celles indiquées, appelez-nous afin d'obtenir un devis.

RÉF. STOCK MOUSER	Réf. Central	Boîtier	VRRM (V)	IF (mA)	PD (mW)	Prix unitaire 1	25	100	250
♦ 610-CMOSH-3	CMOSH-3	SOD-523	30	100	250	0,26	0,23	0,208	0,19
♦ 610-CMDSH-3	CMDSH-3	SOD-323	30	750	250	0,54	0,451	0,361	0,328
♦ 610-CMSSH-3	CMSSH-3	SOT-323	30	100	275	0,28	0,209	0,187	0,171
♦ 610-CMSSH-3A	CMSSH-3A	SOT-323	30	100	275	0,34	0,246	0,212	0,17
♦ 610-CMSSH-3C	CMSSH-3C	SOT-323	30	100	275	0,28	0,209	0,187	0,171
♦ 610-CMSSH-3S	CMSSH-3S	SOT-323	30	100	275	0,28	0,209	0,187	0,171
♦ 610-CMKSH-3T	CMKSH-3T	SOT-363	30	100	350	0,25	0,23	0,205	0,189
♦ 610-CMPSH-3C	CMPSH-3C	SOT-23	30	100	350	0,44	0,385	0,344	0,32
♦ 610-CMXSH-3	CMXSH-3	SOT-26	30	100	350	0,30	0,277	0,259	0,232
♦ 610-CMLSH-4DO	CMLSH-4DO	SOT-563	40	200	250	0,30	0,277	0,259	0,232
♦ 610-CMOSH-4E	CMOSH-4E	SOD-523	40	200	250	0,16	0,148	0,139	0,131
♦ 610-CMPSH-3AE	CMPSH-3AE	SOT-23	40	200	350	0,33	0,295	0,262	0,23
♦ 610-CMPSH-3CE	CMPSH-3CE	SOT-23	40	200	350	0,20	0,18	0,164	0,148
♦ 610-CMPSH-3E	CMPSH-3E	SOT-23	40	200	350	0,21	0,198	0,184	0,168
♦ 610-CMPSH-3SE	CMPSH-3SE	SOT-23	40	200	350	0,21	0,18	0,148	0,115
♦ 610-CMDD6263	CMDD6263	SOD-323	70	15	250	0,25	0,234	0,209	0,192
♦ 610-CMKD6263	CMKD6263	SOT-363	70	15	250	0,36	0,336	0,303	0,271
♦ 610-CMLD6263	CMLD6263	SOT-563	70	15	250	0,23	0,214	0,193	0,179
♦ 610-CMLD6263C	CMLD6263C	SOT-563	70	15	250	0,23	0,214	0,193	0,179
♦ 610-CMLD6263DO	CMLD6263DO	SOT-563	70	15	250	0,23	0,214	0,193	0,179
♦ 610-CMLD6263S	CMLD6263S	SOT-563	70	15	250	0,25	0,23	0,205	0,189
♦ 610-CMOD6263	CMOD6263	SOD-523	70	15	250	0,22	0,205	0,189	0,164
♦ 610-CMSD6263CLF	CMSD6263CLF	SOT-323	70	15	275	0,30	0,271	0,246	0,221
♦ 610-CMSD6263S	CMSD6263S	SOT-323	70	15	275	0,30	0,271	0,246	0,221
♦ 610-CMPD6263	CMPD6263	SOT-23	70	15	350	0,20	0,18	0,164	0,148
♦ 610-CMPD6263C	CMPD6263C	SOT-23	70	15	350	0,25	0,23	0,205	0,189
♦ 610-CMPD6263S	CMPD6263S	SOT-23	70	15	350	0,27	0,221	0,18	0,139
♦ 610-CDSH270	CDSH270A	DO-35	100	100	100	0,29	0,23	0,205	0,189

DIODES DE RÉGULATION DU COURANT CENTRAL

Pour des quantités supérieures à celles indiquées, appelez-nous afin d'obtenir un devis.

RÉF. STOCK MOUSER	Réf. Central	Boîtier	IF (mA)	POV (V)	PD (mW)	Prix unitaire 1	25	100	250
610-1N5310LF	1N5310	DO-35	3.3	100	600	4,67	4,35	3,97	3,74
610-1N5314	1N5314	DO-35	4.7	100	600	4,62	4,29	3,93	3,69

DIODES ZENER À BRUIT FAIBLE CENTRAL

♦ **Composant pour montage en surface**

Pour des quantités supérieures à celles indiquées, appelez-nous afin d'obtenir un devis.

RÉF. STOCK MOUSER	Réf. Central	Boîtier	VRRM (V)	IF (mA)	PD (mW)	Prix unitaire 1	25	100	250
♦ 610-CMHZ4678	CMHZ4678	SOD-123	500	1.8	0,5	0,27	0,254	0,238	0,213
♦ 610-CMHZ4099	CMHZ4099	SOD-123	500	6.8	0.25	0,17	0,14	0,116	0,105
♦ 610-CMHZ4693	CMHZ4693	SOD-123	500	7.5	0,5	0,27	0,254	0,238	0,213
♦ 610-CMHZ4715	CMHZ4715	SOD-123	500	36	0,5	0,27	0,254	0,238	0,213

© Copyright 2012 Mouser Electronics

Tous les prix sont en EURO

© Copyright 2012 Mouser Electronics

Diodes et redresseurs CENTRAL

Les produits peuvent être conformes à la directive RoHS.
Consultez le site mouser.com pour vérifier la conformité RoHS.

Central Semiconductor Corp.

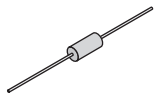
DO-201

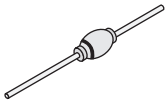
GPR-4AM/GPR-1A/GPR-3A

SOD-523

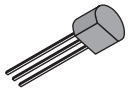
TO-92

TLM532

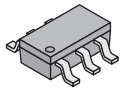
SOT-363

SOD-323/SOD-123

DO-35

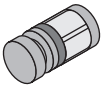
SOD-80

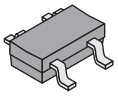
HD DIP/DIP-4

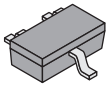
SOT-323/SOT-23/
SOT-23F

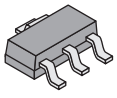
SOT-223

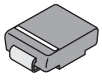
SMA

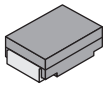
SMB

DIODES ZENER CENTRAL ♦ Composant pour montage en surface

Pour des quantités supérieures à celles indiquées, appelez-nous afin d'obtenir un devis.

RÉF. STOCK MOUSER	Réf. Central	Boîtier	IF (mA)	VRRM (V)	PD (mW)	Prix unitaire 1	25	100	250
♦ 610-CMOZ2V4	CMOZ2V4	SOD-523	5	2.4	250	0,38	0,268	0,246	0,223
♦ 610-CMOZ3V0	CMOZ3V0	SOD-523	5	3	250	0,38	0,335	0,312	0,268
♦ 610-CMOZ3L3	CMOZ3L3	SOD-523	0.25	3.3	250	0,38	0,268	0,246	0,223
♦ 610-CMDZ5226B	CMDZ5226B	SOD-323	20	3.3	250	0,17	0,14	0,116	0,105
610-1N4622	1N4622	DO-35	0.25	3.9	250	0,38	0,353	0,336	0,32
♦ 610-CMOZ4L3	CMOZ4L3	SOD-523	0.25	4.3	250	0,38	0,268	0,246	0,223
♦ 610-CMDZ5230B	CMDZ5230B	SOD-323	20	4.7	250	0,17	0,14	0,116	0,105
610-1N4625	1N4625	DO-35	0.25	5.1	250	0,80	0,768	0,649	0,563
♦ 610-CMOZ5L1	CMOZ5L1	SOD-523	0.25	5.1	250	0,38	0,268	0,246	0,223
♦ 610-CMDZ5L1	CMDZ5L1	SOD-323	0,5	5.1	250	0,24	0,221	0,205	0,189
♦ 610-CMDZ5231B	CMDZ5231B	SOD-323	20	5.1	250	0,25	0,211	0,185	0,164
610-1N4626	1N4626	DO-35	0.25	5.6	250	0,80	0,768	0,649	0,563
♦ 610-CMOZ6L2	CMOZ6L2	SOD-523	0.25	6.2	250	0,37	0,344	0,308	0,283
♦ 610-CMOZ6L8	CMOZ6L8	SOD-523	0.25	6.8	250	0,38	0,268	0,246	0,223
♦ 610-CMDZ5235B	CMDZ5235B	SOD-323	20	6.8	250	0,25	0,211	0,185	0,164
♦ 610-CMDZ5236B	CMDZ5236B	SOD-323	20	7.5	250	0,25	0,211	0,185	0,164
♦ 610-CMOZ9L1	CMOZ9L1	SOD-523	0.25	9.1	250	0,38	0,268	0,246	0,223
♦ 610-CMOZ9V1	CMOZ9V1	SOD-523	5	9.1	250	0,38	0,335	0,312	0,268
♦ 610-CMOZ10L	CMOZ10L	SOD-523	0.25	10	250	0,37	0,344	0,308	0,283
♦ 610-CMDZ10L	CMDZ10L	SOD-323	0,5	10	250	0,37	0,262	0,23	0,205
♦ 610-CMDZ5240B	CMDZ5240B	SOD-323	20	10	250	0,25	0,211	0,185	0,164
♦ 610-CMDZ5241B	CMDZ5241B	SOD-323	20	11	250	0,17	0,14	0,116	0,105
♦ 610-CMOZ12L	CMOZ12L	SOD-523	0.25	12	250	0,38	0,268	0,246	0,223
♦ 610-CMDZ5242B	CMDZ5242B	SOD-323	20	12	250	0,17	0,14	0,116	0,105
610-1N4109	1N4109	DO-35	0.25	15	250	0,68	0,607	0,541	0,50
♦ 610-CMOZ15L	CMOZ15L	SOD-523	0.25	15	250	0,25	0,23	0,205	0,189
♦ 610-CMDZ15L	CMDZ15L	SOD-323	0,5	15	250	0,24	0,221	0,205	0,189
610-1N4110	1N4110	DO-35	0.25	16	250	0,26	0,246	0,23	0,213
♦ 610-CMOZ16L	CMOZ16L	SOD-523	0.25	16	250	0,37	0,344	0,308	0,283
♦ 610-CMDZ16L	CMDZ16L	SOD-323	0,5	16	250	0,24	0,221	0,205	0,189
♦ 610-CMDZ5248B	CMDZ5248B	SOD-323	20	18	250	0,17	0,14	0,116	0,105
♦ 610-CMDZ5250B	CMDZ5250B	SOD-323	20	20	250	0,25	0,211	0,185	0,164
♦ 610-CMOZ22L	CMOZ22L	SOD-523	0.25	22	250	0,38	0,268	0,246	0,223
♦ 610-CMDZ24L	CMDZ24L	SOD-323	0,5	24	250	0,24	0,221	0,205	0,189
♦ 610-CMOZ24V	CMOZ24V	SOD-523	5	24	250	0,38	0,335	0,312	0,268
♦ 610-CMDZ30L	CMDZ30L	SOD-323	0,5	30	250	0,24	0,221	0,205	0,189
♦ 610-CMDZ5256B	CMDZ5256B	SOD-323	20	30	250	0,25	0,211	0,185	0,164
♦ 610-CMOZ36V	CMOZ36V	SOD-523	0.25	36	500	0,27	0,239	0,207	0,191
♦ 610-CMOZ43V	CMOZ43V	SOD-523	5	43	250	0,38	0,268	0,246	0,223
♦ 610-CMSZDA2V4	CMSZDA2V4	SOT-323	5	2.4	275	0,21	0,187	0,162	0,137
♦ 610-CMSZDA2V7	CMSZDA2V7	SOT-323	5	2.7	275	0,21	0,187	0,162	0,137
♦ 610-CMSZDA3V3	CMSZDA3V3	SOT-323	5	3.3	275	0,21	0,187	0,162	0,137
♦ 610-CMSZDA4V3	CMSZDA4V3	SOT-323	5	4.3	275	0,28	0,262	0,249	0,224
♦ 610-CMSZDA5V6	CMSZDA5V6	SOT-323	5	5.6	275	0,28	0,262	0,236	0,212
♦ 610-CMSZ5234B	CMSZ5234B	SOT-323	20	6.2	275	0,12	0,115	0,098	0,098
♦ 610-CMSZDA10V	CMSZDA10V	SOT-323	5	10	275	0,28	0,262	0,236	0,212
♦ 610-CMSZ5240B	CMSZ5240B	SOT-323	20	10	275	0,12	0,115	0,107	0,098
♦ 610-CMSZDA15V	CMSZDA15V	SOT-323	5	15	275	0,28	0,262	0,236	0,212
♦ 610-CMSZDA16V	CMSZDA16V	SOT-323	5	16	275	0,28	0,262	0,236	0,212
♦ 610-CMSZDA18V	CMSZDA18V	SOT-323	5	16.8	275	0,28	0,262	0,249	0,224
♦ 610-CMSZ5261B	CMSZ5261B	SOT-323	2.7	47	275	0,12	0,115	0,098	0,093
♦ 610-CMKTC825A	CMKTC825A	SOT-363	7.5	6.2	325	0,85	0,771	0,70	0,631
610-1N746A	1N746A	DO-35	20	3.3	500	0,11	0,098	0,082	0,074
610-1N747A	1N747A	DO-35	20	3.6	500	0,11	0,098	0,082	0,074
610-1N748A	1N748A	DO-35	20	3.9	500	0,11	0,098	0,082	0,074
610-1N749A	1N749A	DO-35	20	4.3	500	0,41	0,318	0,227	0,175
610-1N750A	1N750A	DO-35	20	4.7	500	0,41	0,318	0,227	0,175
610-1N751A	1N751A	DO-35	20	5.1	500	0,41	0,318	0,227	0,175
610-1N752A	1N752A	DO-35	20	5.6	500	0,41	0,318	0,227	0,175
610-1N753A	1N753A	DO-35	20	6.2	500	0,41	0,318	0,227	0,175
♦ 610-CLL5234B	CLL5234B	SOD-80	20	6.2	500	0,10	0,089	0,074	0,064
610-1N754A	1N754A	DO-35	20	6.8	500	0,11	0,098	0,082	0,074
♦ 610-CLL5235B	CLL5235B	SOD-80	20	6.8	500	0,52	0,50	0,344	0,197
610-1N756A	1N756A	DO-35	20	8.2	500	0,41	0,318	0,227	0,175
610-1N758A	1N758A	DO-35	20	10	500	0,41	0,318	0,227	0,175
610-1N759A	1N759A	DO-35	20	12	500	0,11	0,098	0,082	0,074

DIODES ZENER CENTRAL (SUITE) ♦ Composant pour montage en surface

Pour des quantités supérieures à celles indiquées, appelez-nous afin d'obtenir un devis.

RÉF. STOCK MOUSER	Réf. Central	Boîtier	IF (mA)	VRRM (V)	PD (mW)	Prix unitaire 1	25	100	250
610-CZ5342B	CZ5342B	DO-201	175	6.8	5000	0,43	0,385	0,344	0,312
610-CZ5343B	CZ5343B	DO-201	175	7.5	5000	0,43	0,385	0,344	0,312
610-CZ5344B	CZ5344B	DO-201	150	8.2	5000	0,43	0,385	0,344	0,312
610-CZ5345B	CZ5345B	DO-201	150	8.7	5000	0,43	0,385	0,344	0,312
610-CZ5347B	CZ5347B	DO-201	125	10	5000	0,43	0,385	0,344	0,312
610-CZ5348B	CZ5348B	DO-201	125	11	5000	0,43	0,385	0,344	0,312
610-CZ5349B	CZ5349B	DO-201	100	12	5000	0,43	0,385	0,344	0,312
610-CZ5350B	CZ5350B	DO-201	100	13	5000	0,43	0,385	0,344	0,312
610-CZ5352B	CZ5352B	DO-201	75	15	5000	0,43	0,385	0,344	0,312
610-CZ5353B	CZ5353B	DO-201	75	16	5000	0,43	0,385	0,344	0,287
610-CZ5354B	CZ5354B	DO-201	70	17	5000	0,43	0,385	0,344	0,312
610-CZ5355B	CZ5355B	DO-201	65	18	5000	0,43	0,385	0,344	0,312
610-CZ5356B	CZ5356B	DO-201	65	19	5000	0,43	0,385	0,344	0,312
610-CZ5357B	CZ5357B	DO-201	65	20	5000	0,43	0,385	0,344	0,312
610-CZ5358B	CZ5358B	DO-201	50	22	5000	0,43	0,385	0,344	0,312
610-CZ5359B	CZ5359B	DO-201	50	24	5000	0,43	0,385	0,344	0,312
610-CZ5360B	CZ5360B	DO-201	50	25	5000	0,43	0,385	0,344	0,312
610-CZ5361B	CZ5361B	DO-201	50	27	5000	0,43	0,385	0,344	0,312

REDRESSEURS CENTRAL

♦ Composant pour montage en surface

Redresseurs à usage général

Pour des quantités supérieures à celles indiquées, appelez-nous afin d'obtenir un devis.

RÉF. STOCK MOUSER	Réf. Central	Boîtier	VRRM (V)	Io (mA)	IFSM (A)	Prix unitaire 1	25	100	250
610-CPR5U-040	CPR5U-040	GPR-4AM	400	5000	125	16,56	15,47	13,25	11,48
610-1N5061	1N5061	GPR-1A	600	1000	50	0,98	0,877	0,787	0,732
610-1N5062	1N5062	GPR-1A	800	1000	50	0,98	0,877	0,787	0,732
610-1N5627	1N5627 BK	GPR-3A	800	3000	125	0,78	0,713	0,656	0,607

SCR

Pour des quantités supérieures à celles indiquées, appelez-nous afin d'obtenir un devis.

RÉF. STOCK MOUSER	Réf. Central	Boîtier	VRRM (V)	IT(RMS) (A)	PGM (mW)	Prix unitaire 1	25	100	250
610-2N5060	2N5060	TO-92	30	0.8	2000	0,32	0,262	0,221	0,205
610-2N5061	2N5061	TO-92	60	0.8	2000	0,33	0,271	0,23	0,197
610-2N5062	2N5062	TO-92	100	0.8	2000	0,30	0,238	0,213	0,205
610-2N5063	2N5063	TO-92	150	0.8	2000	0,35	0,312	0,287	0,254
♦ 610-CMPS5062	CMPS5062	SOT-23	200	0.8	350	0,64	0,525	0,426	0,339
610-2N5064	2N5064	TO-92	200	0.8	2000	0,36	0,295	0,246	0,213
610-CS92D	CS92D	TO-92	400	0.8	2000	0,37	0,336	0,312	0,279
♦ 610-CTLS5064-M532	CTLS5064R-M532	TLM532	400	-	1000	0,93	0,861	0,738	0,64
♦ 610-CTLS5064R-M532	CTLS5064R-M532	TLM532	400	-	1000	0,94	0,759	0,707	0,593

Redresseurs Schottky

Pour des quantités supérieures à celles indiquées, appelez-nous afin d'obtenir un devis.

RÉF. STOCK MOUSER	Réf. Central	Boîtier	VRRM (V)	Io (mA)	IFSM (A)	Prix unitaire 1	25	100	250
♦ 610-CBRHDSH1-100	CBRHDSH1-100	Dip HD	100	100	20	0,89	0,812	0,738	0,664
610-CBRHDSH2-100TR13	CBRHDSH2-100 TR13	DIP-4	100	2.0	50	0,52	0,459	0,41	0,377
♦ 610-CBRHDSH1-40L	CBRHDSH1-40L	HD Dip	40	100	20	0,75	0,66	0,593	0,554
♦ 610-CMPSH1-4	CMPSH1-4	SOT-23F	40	1750	12	0,30	0,277	0,259	0,232
♦ 610-CMR1U-02M	CMR1U-02M	SMA	100	100	30	0,29	0,271	0,246	0,221
♦ 610-CMHSH5-2L	CMHSH5-2L	SOD-123	20	500	5.5	0,18	0,164	0,148	0,131
♦ 610-CMHSH5-4	CMHSH5-4	SOD-123	40	500	5.5	0,20	0,164	0,131	0,107
♦ 610-CMSH120	CMSH1-20	SMB	20	1000	20	0,42	0,385	0,353	0,312
♦ 610-CZSH5-40	CZSH5-40	SOT-223	40	500	125	0,64	0,525	0,426	0,339

© Copyright 2012 Mouser Electronics

© Copyright 2012 Mouser Electronics

Diodes et redresseurs COMCHIP

RoHS Compliant This page of product is compliant.

COMCHIP
SMD Diodes Specialist

DIODES DE COMMUTATION

Pour des quantités supérieures à celles indiquées, appelez-nous afin d'obtenir un devis.

RÉF. STOCK MOUSER	Type boîtier	Tension de fonctionnement	Tension inverse pic	Tension directe continue	Surtension transitoire Max.	IR courant inverse	Dissipation d'énergie Max.	Capacité Max. de la diode	Temps de récupération	Style de raccordement	Prix unitaire		
Fabr. Réf. fabr.											1	10	100
750—CDSER400	0503	1V	90V	100mA	1A	0,1uA	150mW	3pF	4ns	CMS/TMS	0,47	0,322	0,149
750—CDSER400B	0503	1V	90V	100mA	1A	0,1uA	150mW	3pF	4ns	CMS/TMS	0,47	0,322	0,149
750—CDSER4148	0503	1V	100V	150mA	4A	2,5uA	150mW	4pF	4ns	CMS/TMS	0,47	0,322	0,149
750—CDSER4448	0503	1V	100V	125mA	2A	100nA	150mW	9pF	9ns	CMS/TMS	0,47	0,322	0,149
750—CDSF355B	1005	1V	90V	100mA	1A	0,1uA	300mW	3pF	4ns	CMS/TMS	0,29	0,198	0,091
750—CDSF4148	1005	1V	100V	150mA	4A	2,5uA	350mW	4pF	4ns	CMS/TMS	0,29	0,198	0,091
750—CDSFR101A	1005	1V	90V	100mA	1A	50nA	300mW	3pF	4ns	CMS/TMS	0,29	0,198	0,091
750—CDSFR355B	1005	1V	90V	100mA	1A	0,1uA	300mW	3pF	4ns	CMS/TMS	0,29	0,198	0,091
750—CDSFR4148	1005	1V	100V	150mA	4A	2,5uA	350mW	4pF	4ns	CMS/TMS	0,29	0,198	0,091
750—CDSFR4448	1005	1V	100V	125mA	2A	100nA	350mW	9pF	9ns	CMS/TMS	0,29	0,198	0,091
750—CDSQR400B	0402	1V	90V	100mA	1A	0,1uA	125mW	3pF	4ns	CMS/TMS	0,37	0,264	0,173
750—CDSQR4148	0402	1V	100V	150mA	4A	2,5uA	125mW	4pF	4ns	CMS/TMS	0,37	0,264	0,173
750—CDSQR4448	0402	1V	100V	125mA	2A	0,1uA	125mW	9pF	9ns	CMS/TMS	0,37	0,264	0,173
750—CDSU101A	0603	1V	90V	100mA	1A	50nA	150mW	3pF	4ns	CMS/TMS	0,29	0,198	0,091
750—CDSU4148	0603	1V	100V	150mA	4A	2,5uA	150mW	4pF	4ns	CMS/TMS	0,35	0,239	0,107
750—CDSUR101A	0603	1V	90V	100mA	1A	50nA	150mW	3pF	4ns	CMS/TMS	0,29	0,198	0,091
750—CDSUR400	0603	1V	90V	100mA	1A	0,1uA	150mW	3pF	4ns	CMS/TMS	0,29	0,198	0,091
750—CDSUR400B	0603	1V	90V	100mA	1A	0,1uA	150mW	3pF	4ns	CMS/TMS	0,29	0,198	0,091
750—CDSUR4148	0603	1V	100V	150mA	4A	2,5uA	150mW	4pF	4ns	CMS/TMS	0,35	0,239	0,107
750—CDSUR4448	0603	1V	100V	125mA	2A	0,1uA	150mW	9pF	9ns	CMS/TMS	0,29	0,198	0,091

REDRESSEURS PONTS

Pour des quantités supérieures à celles indiquées, appelez-nous afin d'obtenir un devis.

RÉF. STOCK MOUSER	Type de boîtier	Tension inverse	Chute de tension directe	Surtension transitoire Max.	Courant direct continu	IR courant inverse	Tension d'entrée RMS Max.	Température de fonctionnement Max.	Température de fonctionnement Min.	Prix unitaire		
Fabr. Réf. fabr.										1	10	100
750—B05S-G	MBS	50V	1,1V	40A	0,8A	5uA	35V	+ 150°C	- 55°C	0,45	0,322	0,215
750—B10S-G	MBS	1000V	1,1V	40A	0,8A	5uA	700V	+ 150°C	- 55°C	0,45	0,322	0,215
750—B4S-G	MBS	400V	1,1V	40A	0,8A	5uA	280V	+ 150°C	- 55°C	0,45	0,322	0,215
750—B6S-G	MBS	600V	1,1V	40A	0,8A	5uA	420V	+ 150°C	- 55°C	0,45	0,322	0,215
750—CDBHD1100L-G	TO-269AA	100V	0,75V	30A	1A	5mA	70V	+ 150°C	- 55°C	1,36	1,16	0,982
750—CDBHD140L-G	TO-269AA	40V	0,44V	30A	1A	5mA	28V	+ 150°C	- 55°C	1,36	1,16	0,982
750—CDBHD2100-G	TO-269AA	100V	0,85V	50A	2A	0,5mA	70V	+ 150°C	- 55°C	1,36	1,16	0,982
750—CDBHD240-G	TO-269AA	40V	0,85V	50A	2A	0,5mA	28 V	+ 150°C	- 55°C	1,36	1,16	0,982
750—DF005-G	DF-4	50V	1,1V	50A	1A	10uA	35V	+ 150°C	- 55°C	0,41	0,314	0,248
750—DF005S-G	DF-4	50V	1,1V	50A	1A	10uA	35V	+ 150°C	- 55°C	0,55	0,413	0,33
750—DF04-G	DF-4	400V	1,1V	50A	1A	10uA	280V	+ 150°C	- 55°C	0,40	0,297	0,215
750—DF04S-G	DF-4	400V	1,1V	50A	1A	10uA	280V	+ 150°C	- 55°C	0,40	0,248	0,198
750—DF06-G	DF-4	600V	1,1V	50A	1A	10uA	420V	+ 150°C	- 55°C	0,46	0,347	0,272
750—DF06S-G	DF-4	600V	1,1V	50A	1A	10uA	420V	+ 150°C	- 55°C	0,40	0,256	0,206
750—DF10-G	DF-4	1000V	1,1V	50A	1A	10uA	700V	+ 150°C	- 55°C	0,40	0,297	0,215
750—DF10S-G	DF-4	1000V	1,1V	50A	1A	10uA	700V	+ 150°C	- 55°C	0,40	0,248	0,198
750—DF204-G	DF-4	400V	1,1V	60A	2A	10uA	280V	+ 150° C	- 55°C	0,62	0,468	0,368
750—DF204S-G	DF-4	400V	1,1V	60A	2A	10uA	280V	+ 150°C	- 55°C	0,40	0,256	0,206
750—DF206-G	DF-4	600V	1,1V	60A	2A	10uA	420V	+ 150°C	- 55°C	0,51	0,387	0,29
750—DF206S-G	DF-4	600V	1,1V	60A	2A	10uA	420V	+ 150°C	- 55°C	0,45	0,285	0,229
750—DF210-G	DF-4	1000V	1,1V	60A	2A	10uA	700V	+ 150°C	- 55°C	0,46	0,347	0,272
750—DF210S-G	DF-4	1000V	1,1V	60A	2A	10uA	700V	+ 150°C	- 55°C	0,59	0,413	0,355
750—GBPC3506-G	GBPC-W	600V	1,1V	400A	35A	10uA	420V	+ 150°C	- 55°C	2,16	1,89	1,62
750—GBPC3506W-G	GBPC-W	600V	1,1V	400A	35A	10uA	420V	+ 150°C	- 55°C	2,33	2,03	1,74
750—GBPC3508-G	GBPC-W	800V	1,1V	400A	35A	10uA	560V	+ 150°C	- 55°C	2,16	1,89	1,62
750—GBPC3508W-G	GBPC-W	800V	1,1V	400A	35A	10uA	560V	+ 150°C	- 55°C	2,33	2,18	1,74
750—GBPC3510-G	GBPC-W	1000V	1,1V	450A	50A	10uA	700V	+ 150°C	- 55°C	2,16	1,89	1,62
750—GBPC3510W-G	GBPC-W	1000V	1,1V	450A	50A	10uA	700V	+ 150°C	- 55°C	2,33	2,03	1,74
750—GBPC5006-G	GBPC-W	600V	1,1V	400A	35A	10uA	420V	+ 150°C	- 55°C	3,09	2,57	2,16
750—GBPC5006W-G	GBPC-W	600V	1,1V	400A	35A	10uA	420V	+ 150°C	- 55°C	3,09	2,83	2,16
750—GBPC5008-G	GBPC-W	800V	1,1V	400A	35A	10uA	560V	+ 150°C	- 55°C	3,09	2,57	2,16
750—GBPC5008W-G	GBPC-W	800V	1,1V	400A	35A	10uA	560V	+ 150°C	- 55°C	3,09	2,57	2,16
750—GBPC5010-G	GBPC-W	1000V	1,1V	450A	50A	10uA	700V	+ 150°C	- 55°C	3,09	2,57	2,16
750—GBPC5010W-G	GBPC-W	1000V	1,1V	450A	50A	10uA	700V	+ 150°C	- 55°C	3,09	2,58	2,17
750—GBU10005-G	GBU	50V	1,1V	220A	10A	10uA	30V	+ 150°C	- 55°C	1,18	0,941	0,784
750—GBU1004-G	GBU	400V	1,1V	240A	15A	10uA	280V	+ 150°C	- 55°C	1,18	0,941	0,784
750—GBU1010-G	GBU	1000V	1,1V	350A	25A	10uA	700V	+ 150°C	- 55°C	1,18	0,941	0,784
750—GBU15005-G	GBU	50V	1,1V	220A	10A	10uA	30V	+ 150°C	- 55°C	1,39	1,11	0,924
750—GBU1504-G	GBU	400V	1,1V	240A	15A	10uA	280V	+ 150°C	- 55°C	1,39	1,11	0,924
750—GBU1510-G	GBU	1000V	1,1V	350A	25A	10uA	700V	+ 150°C	- 55°C	1,39	1,11	0,924
750—GBU25005-G	GBU	50V	1,1V	220A	10A	10uA	30V	+ 150° C	- 55°C	3,09	2,57	2,16
750—GBU2504-G	GBU	400V	1,1V	240A	15A	10uA	280V	+ 150°C	- 55°C	3,09	2,57	2,16
750—GBU2510-G	GBU	1000V	1,1V	350A	25A	10uA	700V	+ 150°C	- 55°C	3,09	2,57	2,16
750—KBU10005-G	KBU	50V	1V	240A	10A	10uA	35V	+ 125°C	- 55°C	2,84	2,05	1,76
750—KBU1004-G	KBU	400V	1V	240A	10A	10uA	280V	+ 125°C	- 55°C	2,84	2,05	1,76
750—KBU1010-G	KBU	1000V	1V	240A	10A	10uA	700V	+ 125°C	- 55°C	2,84	2,05	1,76
750—KBU25005-G	KBU	50V	1,1V	400A	25A	10uA	35V	+ 125°C	- 55°C	2,84	2,05	1,76
750—KBU2504-G	KBU	400V	1,1V	400A	25A	10uA	280V	+ 125°C	- 55°C	2,84	2,05	1,76
750—KBU2510-G	KBU	1000V	1,1V	400A	25A	10uA	700V	+ 125°C	- 55°C	2,84	2,05	1,76
750—KBU35005-G	KBU	50V	1V	400A	35A	10uA	35V	+ 150°C	- 55°C	1,98	1,73	1,49
750—KBU3504-G	KBU	400V	1V	400A	35A	10uA	280V	+ 150°C	- 55°C	1,98	1,73	1,49
750—KBU3510-G	KBU	1000V	1V	400A	35A	10uA	700V	+ 150°C	- 55°C	1,98	1,73	1,49
750—MP10005G-G	MP-8	50V	1,1V	200A	10A	10uA	35V	+ 150°C	- 55°C	1,37	1,20	1,03
750—MP1004G-G	MP-8	400V	1,1V	200A	10A	10uA	280V	+ 150°C	- 55°C	1,37	1,20	1,03
750—MP1010G-G	MP-8	1000V	1,1V	200A	10A	10uA	700V	+ 150°C	- 55°C	1,40	1,22	1,05
750—RS201-G	RS-2	50V	1,1V	50A	2A	10uA	35V	+ 125°C	- 55°C	2,31	2,01	1,72
750—RS204-G	RS-2	400V	1,1V	50A	2A	10uA	280V	+ 125°C	- 55°C	2,43	2,11	1,80
750—RS207-G	RS-2	1000V	1,1V	50A	2A	10uA	700V	+ 125°C	- 55°C	2,31	2,01	1,72
750—RS501-G	RS-5	50V	1V	30A	3,3A	10uA	35V	+ 125°C	- 55°C	2,43	2,11	1,80
750—RS504-G	RS-5	400V	1V	30A	3,3A	10uA	280V	+ 125°C	- 55°C	2,31	2,01	1,72
750—RS507-G	RS-5	1000V	1V	30A	3,3A	10uA	700V	+ 125°C	- 55°C	2,43	2,11	1,80
750—SC35VB160-G	SCVB	1600V	1,1V	350A	35A	100uA	1120V	+ 150°C	- 55°C	11,33	10,18	7,92
750—SC35VB80-G	SCVB	800V	1,05 V	350A	35A	10uA	560V	+ 150°C	- 55°C	10,67	9,49	7,49
750—SC50VB160-G	SCVB	1600V	1,1V	500A	50A	100uA	1120V	+ 150°C	- 55°C	16,06	14,48	11,25
750—SC50VB80-G	SCVB	800V	1,05 V	500A	50A	10uA	560V	+ 150°C	- 55°C	11,33	10,16	9,91

© Copyright 2012 Mouser Electronics
© Copyright 2012 Mouser Electronics

Diodes et redresseurs COMCHIP

RoHS Compliant This page of product is compliant.

COMCHIP
SMD Diodes Specialist

DIODES ET REDRESSEURS SCHOTTKY

Pour des quantités supérieures à celles indiquées, appelez-nous afin d'obtenir un devis.

RÉF. STOCK MOUSER / Fabr. Réf. fabr.	Type de boîtier	Tension inverse	Chute de tension directe	Surtension transitoire Max.	Courant direct continu	IR courant inverse	Dissipation d'énergie Max.	Temps de récupération	Style de raccordement	Prix unitaire 1	10	100
Diodes												
750—CDBER00340	0503	40V	0,37V	500mA	30mA	1uA	150mW	5ns	CMS/TMS	0,37	0,264	0,173
750—CDBER0130L	0503	30V	0,35V	1A	100mA	10uA	150mW	5ns	CMS/TMS	0,36	0,248	0,165
750—CDBER0130R	0503	30V	0,45V	1A	100mA	0,5uA	150mW	5ns	CMS/TMS	0,36	0,248	0,165
750—CDBER0140L	0503	40V	0,55V	1A	100mA	30uA	150mW	5ns	CMS/TMS	0,36	0,248	0,165
750—CDBER0140R	0503	40V	0,45V	1A	100mA	1uA	150mW	5ns	CMS/TMS	0,37	0,264	0,173
750—CDBER0230L	0503	30V	0,5V	1A	200mA	30uA	150mW	5ns	CMS/TMS	0,36	0,248	0,165
750—CDBER0230R	0503	30V	0,6V	1A	200mA	1uA	150mW	5ns	CMS/TMS	0,36	0,248	0,165
750—CDBER40	0503	40V	0,38V	600mA	200mA	0,2uA	150mW	5ns	CMS/TMS	0,37	0,264	0,173
750—CDBER42	0503	30V	1V	4A	0,5A	0,5uA	150mW	5ns	CMS/TMS	0,37	0,264	0,173
750—CDBER43	0503	30V	1V	4A	0,5A	0,5uA	150mW	5ns	CMS/TMS	0,37	0,264	0,173
750—CDBER54	0503	30V	1V	600mA	200mA	2uA	150mW	5ns	CMS/TMS	0,37	0,264	0,173
750—CDBER70	0503	70V	0,41 V	100mA	70mA	0,1uA	150mW	5ns	CMS/TMS	0,37	0,264	0,173
750—CDBERT0230R	0503	30V	0,6V	1A	200mA	1uA	150mW	5ns	CMS/TMS	0,36	0,248	0,165
750—CDBQR0130L	0402	30V	0,35V	1A	100mA	10uA	125mW	5ns	CMS/TMS	0,40	0,281	0,182
750—CDBQR0130R	0402	30V	0,35V	1A	100mA	10uA	125mW	5ns	CMS/TMS	0,40	0,281	0,182
750—CDBQR0140L	0402	40V	0,55V	1A	100mA	30uA	125mW	5ns	CMS/TMS	0,40	0,281	0,182
750—CDBQR0140R	0402	40V	0,45V	1A	100mA	1uA	125mW	5ns	CMS/TMS	0,40	0,281	0,182
750—CDBQR0230L	0402	30V	0,5V	1A	200mA	30uA	125mW	5ns	CMS/TMS	0,40	0,281	0,182
750—CDBQR0230R	0402	30V	0,6V	1A	200mA	1uA	125mW	5ns	CMS/TMS	0,40	0,281	0,182
750—CDBQR40	0402	40V	0,38V	600mA	200mA	0,2uA	125mW	5ns	CMS/TMS	0,40	0,306	0,219
750—CDBQR42	0402	30V	1V	4A	200mA	0,5uA	125mW	5ns	CMS/TMS	0,40	0,306	0,219
750—CDBQR43	0402	30V	1V	4A	200mA	0,5uA	125mW	5ns	CMS/TMS	0,40	0,306	0,219
750—CDBQR54	0402	30V	1V	600mA	200mA	2uA	125mW	5ns	CMS/TMS	0,40	0,306	0,219
750—CDBQR70	0402	70V	0,41 V	100mA	70mA	0,1uA	125mW	5ns	CMS/TMS	0,40	0,306	0,219
750—CDBU00340	0603	40V	0,37V	500mA	30mA	1uA	150mW	5ns	CMS/TMS	0,33	0,239	0,14
750—CDBU0130	0603	30V	0,44V	1A	100mA	30uA	150mW	5ns	CMS/TMS	0,40	0,305	0,223
750—CDBU0130L	0603	30V	0,35V	1A	100mA	10uA	150mW	5ns	CMS/TMS	0,36	0,264	0,157
750—CDBU0130R	0603	30V	0,45V	1A	100mA	0,5uA	150mW	5ns	CMS/TMS	0,36	0,264	0,157
750—CDBU0230	0603	30V	0,5V	3A	200mA	30uA	150mW	5ns	CMS/TMS	0,40	0,305	0,223
750—CDBU0240	0603	40V	0,45V	2A	200mA	1uA	150mW	5ns	CMS/TMS	0,40	0,305	0,223
750—CDBU0245	0603	45V	0,55V	2A	200mA	1uA	150mW	5ns	CMS/TMS	0,36	0,264	0,157
750—CDBU0530	0603	20V	0,47V	2A	500mA	100uA	150mW	5ns	CMS/TMS	0,35	0,264	0,19
750—CDBUR00340	0603	40V	0,37V	500mA	30mA	1uA	150mW	5ns	CMS/TMS	0,33	0,239	0,14
750—CDBUR0130	0603	30V	0,44V	1A	100mA	30uA	150mW	5ns	CMS/TMS	0,40	0,305	0,223
750—CDBUR0140L	0603	40V	0,55V	1A	100mA	30uA	150mW	5ns	CMS/TMS	0,40	0,305	0,223
750—CDBUR0140R	0603	40V	0,45V	1A	100mA	1uA	150mW	5ns	CMS/TMS	0,40	0,305	0,223
750—CDBUR0145	0603	45V	0,55V	1A	100mA	1uA	150mW	5ns	CMS/TMS	0,40	0,305	0,223
750—CDBUR0230	0603	30V	0,5V	3A	200mA	30uA	150mW	5ns	CMS/TMS	0,40	0,305	0,223
750—CDBUR0230L	0603	30V	0,5V	1A	200mA	30uA	150mW	5ns	CMS/TMS	0,40	0,305	0,223
750—CDBUR0230R	0603	30V	0,6V	1A	200mA	1uA	150mW	5ns	CMS/TMS	0,40	0,305	0,223
750—CDBUR0240	0603	40V	0,45V	2A	200mA	1uA	150mW	5ns	CMS/TMS	0,40	0,305	0,223
750—CDBUR0320	0603	20V	0,6V	1,5 A	350mA	5uA	150mW	6,4ns	CMS/TMS	0,40	0,305	0,223
750—CDBUR0330	0603	30V	0,6V	1,5 A	350mA	5uA	150mW	6,4ns	CMS/TMS	0,40	0,305	0,223
750—CDBUR0340	0603	40V	0,6V	1,5 A	350mA	5uA	150mW	6,4ns	CMS/TMS	0,40	0,305	0,223
750—CDBUR0520	0603	20V	0,47V	2A	500mA	100uA	150mW	5ns	CMS/TMS	0,40	0,305	0,223
750—CDBUR40	0603	40V	1V	600mA	200mA	0,2uA	150mW	5ns	CMS/TMS	0,40	0,305	0,223
750—CDBUR42	0603	30V	1V	4A	200mA	0,5uA	150mW	5ns	CMS/TMS	0,40	0,305	0,223
750—CDBUR43	0603	30V	1V	600mA	200mA	2uA	150mW	5ns	CMS/TMS	0,40	0,305	0,223
Redresseurs												
750—SB1100E-G	DO-41	100V	0,85 V	30A	1A	0,5mA	-	6ns	Montage traversant	0,37	0,264	0,173
750—SB140E-G	DO-41	40V	0,5V	30A	1A	0,5mA	-	6ns	Montage traversant	0,36	0,264	0,157
750—SB160E-G	DO-41	60V	0,7V	30A	1A	0,5mA	-	6ns	Montage traversant	0,36	0,264	0,157
750—SB2100E-G	DO-15	100V	0,85V	50A	2A	0,5mA	-	6ns	Montage traversant	0,35	0,264	0,19
750—SB240E-G	DO-15	40V	0,5V	50A	2A	0,5mA	-	6ns	Montage traversant	0,40	0,281	0,182
750—SB260E-G	DO-15	60V	0,7V	50A	2A	0,5mA	-	6ns	Montage traversant	0,40	0,281	0,182
750—SB3100E-G	DO-201AD	100V	0,85 V	80A	3A	0,5mA	-	6ns	Montage traversant	0,41	0,314	0,248
750—SB340E-G	DO-201AD	40V	0,5V	80A	3A	0,5mA	-	6ns	Montage traversant	0,40	0,306	0,219
750—SB360E-G	DO-201AD	60V	0,7V	80A	3A	0,5mA	-	6ns	Montage traversant	0,40	0,306	0,219
750—SB5100E-G	DO-201AD	100V	0,85 V	125A	5A	0,5mA	-	6ns	Montage traversant	0,51	0,38	0,297
750—SB540E-G	DO-201AD	40V	0,55V	150A	5A	0,5mA	-	6ns	Montage traversant	0,41	0,314	0,248
750—SB560E-G	DO-201AD	60V	0,7V	125A	5A	0,5mA	-	6ns	Montage traversant	0,41	0,314	0,248

DIODES ZENER

Pour des quantités supérieures à celles indiquées, appelez-nous afin d'obtenir un devis.

RÉF. STOCK MOUSER / Fabr. Réf. fabr.	Type de boîtier	Tension inverse	Chute de tension directe	Surtension transitoire Max.	Courant direct continu	IR courant inverse	Dissipation d'énergie Max.	Temps de récupération	Style de raccordement	Prix unitaire 1	10	100
750—CZRER52C10	0503	10V	5mA	0,9V	0,1uA	150mW	15 Ohms	Pastille à braser	CMS/TMS	0,37	0,264	0,173
750—CZRFR52C10	1005	10V	5mA	0,9V	0,1uA	200mW	15 Ohms	Pastille à braser	CMS/TMS	0,40	0,305	0,223
750—CZRUR52C10	0603	10V	5mA	0,9V	0,1uA	150mW	15 Ohms	Pastille à braser	CMS/TMS	0,40	0,305	0,223
750—CZRER52C11	0503	11V	5mA	0,9V	0,1uA	150mW	20 Ohms	Pastille à braser	CMS/TMS	0,37	0,264	0,173
750—CZRFR52C11	1005	11V	5mA	0,9V	0,1uA	200mW	20 Ohms	Pastille à braser	CMS/TMS	0,40	0,305	0,223
750—CZRUR52C11	0603	11V	5mA	0,9V	0,1uA	150mW	20 Ohms	Pastille à braser	CMS/TMS	0,40	0,305	0,223
750—CZRER52C12	0503	12V	5mA	0,9V	0,1uA	150mW	20 Ohms	Pastille à braser	CMS/TMS	0,37	0,264	0,173
750—CZRFR52C12	1005	12V	5mA	0,9V	0,1uA	200mW	20 Ohms	Pastille à braser	CMS/TMS	0,40	0,305	0,223
750—CZRUR52C12	0603	12V	5mA	0,9V	0,1uA	150mW	20 Ohms	Pastille à braser	CMS/TMS	0,40	0,305	0,223
750—CZRER52C13	0503	13V	5mA	0,9V	0,1uA	150mW	25 Ohms	Pastille à braser	CMS/TMS	0,37	0,264	0,173
750—CZRFR52C13	1005	13V	5mA	0,9V	0,1uA	200mW	25 Ohms	Pastille à braser	CMS/TMS	0,40	0,305	0,223
750—CZRUR52C13	0603	13V	5mA	0,9V	0,1uA	150mW	25 Ohms	Pastille à braser	CMS/TMS	0,40	0,305	0,223
750—CZRER52C15	0503	15V	5mA	0,9V	0,1uA	150mW	30 Ohms	Pastille à braser	CMS/TMS	0,37	0,264	0,173
750—CZRFR52C15	1005	15V	5mA	0,9V	0,1uA	200mW	30 Ohms	Pastille à braser	CMS/TMS	0,40	0,305	0,223
750—CZRUR52C15	0603	15V	5mA	0,9V	0,1uA	150mW	30 Ohms	Pastille à braser	CMS/TMS	0,40	0,305	0,223
750—CZRER52C16	0503	16V	5mA	0,9V	0,1uA	150mW	40 Ohms	Pastille à braser	CMS/TMS	0,37	0,264	0,173
750—CZRFR52C16	1005	16V	5mA	0,9V	0,1uA	200mW	40 Ohms	Pastille à braser	CMS/TMS	0,40	0,305	0,223
750—CZRUR52C16	0603	16V	5mA	0,9V	0,1uA	150mW	40 Ohms	Pastille à braser	CMS/TMS	0,40	0,305	0,223
750—CZRFR52C18	1005	18V	5mA	0,9V	0,1uA	200mW	50 Ohms	Pastille à braser	CMS/TMS	0,40	0,305	0,223
750—CZRUR52C18	0603	18V	5mA	0,9V	0,1uA	150mW	50 Ohms	Pastille à braser	CMS/TMS	0,40	0,305	0,223
750—CZRER52C2	0503	2V	5mA	0,9V	100uA	150mW	100 Ohms	Pastille à braser	CMS/TMS	0,36	0,248	0,165
750—CZRFR52C2	1005	2V	5mA	0,9V	100uA	200mW	100 Ohms	Pastille à braser	CMS/TMS	0,39	0,281	0,182
750—CZRUR52C2	0603	2V	5mA	0,9V	100uA	150mW	100 Ohms	Pastille à braser	CMS/TMS	0,39	0,281	0,182
750—CZRER52C2V2	0503	2,2V	5mA	0,9V	100uA	150mW	100 Ohms	Pastille à braser	CMS/TMS	0,36	0,248	0,165
750—CZRFR52C2V2	1005	2,2V	5mA	0,9V	100uA	200mW	100 Ohms	Pastille à braser	CMS/TMS	0,39	0,281	0,182
750—CZRUR52C2V2	0603	2,2V	5mA	0,9V	100uA	150mW	100 Ohms	Pastille à braser	CMS/TMS	0,39	0,281	0,182
750—CZRER52C2V4	0503	2,4V	5mA	0,9V	100uA	150mW	85 Ohms	Pastille à braser	CMS/TMS	0,36	0,248	0,165
750—CZRFR52C2V4	1005	2,4V	5mA	0,9V	100uA	200mW	85 Ohms	Pastille à braser	CMS/TMS	0,39	0,281	0,182
750—CZRUR52C2V4	0603	2,4V	5mA	0,9V	100uA	150mW	85 Ohms	Pastille à braser	CMS/TMS	0,39	0,281	0,182

© Copyright 2012 Mouser Electronics
© Copyright 2012 Mouser Electronics

Diodes et redresseurs COMCHIP

RoHS Compliant This page of product is compliant.

COMCHIP
SMD Diodes Specialist

DIODES ZENER (SUITE)

Pour des quantités supérieures à celles indiquées, appelez-nous afin d'obtenir un devis.

RÉF. STOCK MOUSER Fabr. Réf. fabr.	Type de boîtier	Tension Zener	Courant Zener	Chute de tension directe	Courant inverse fuite Max.	Dissipation d'énergie	Impédance Zener Max.	Style de raccordement	Type de montage	Prix unitaire 1	10	100
750—CZRER52C2V7	0503	2,7V	5mA	0,9V	75uA	150mW	83 Ohms	Pastille à braser	CMS/TMS	0,36	0,248	0,165
750—CZRFR52C2V7	1005	2,7V	5mA	0,9V	75uA	200mW	83 Ohms	Pastille à braser	CMS/TMS	0,39	0,281	0,182
750—CZRUR52C2V7	0603	2,7V	5mA	0,9V	75uA	150mW	83 Ohms	Pastille à braser	CMS/TMS	0,39	0,281	0,182
750—CZRER52C3	0503	3V	5mA	0,9V	50uA	150mW	95 Ohms	Pastille à braser	CMS/TMS	0,36	0,248	0,165
750—CZRFR52C3	1005	3V	5mA	0,9V	50uA	200mW	95 Ohms	Pastille à braser	CMS/TMS	0,39	0,281	0,182
750—CZRUR52C3	0603	3V	5mA	0,9V	50uA	150mW	95 Ohms	Pastille à braser	CMS/TMS	0,39	0,281	0,182
750—CZRER52C3V3	0503	3,3V	5mA	0,9V	25uA	150mW	95 Ohms	Pastille à braser	CMS/TMS	0,36	0,248	0,165
750—CZRFR52C3V3	1005	3,3V	5mA	0,9V	25uA	200mW	95 Ohms	Pastille à braser	CMS/TMS	0,39	0,281	0,182
750—CZRUR52C3V3	0603	3,3V	5mA	0,9V	25uA	150mW	95 Ohms	Pastille à braser	CMS/TMS	0,39	0,281	0,182
750—CZRER52C3V6	0503	3,6V	5mA	0,9V	15uA	150mW	95 Ohms	Pastille à braser	CMS/TMS	0,37	0,264	0,173
750—CZRFR52C3V6	1005	3,6V	5mA	0,9V	15uA	200mW	95 Ohms	Pastille à braser	CMS/TMS	0,40	0,305	0,223
750—CZRUR52C3V6	0603	3,6V	5mA	0,9V	15uA	150mW	95 Ohms	Pastille à braser	CMS/TMS	0,40	0,305	0,223
750—CZRER52C3V9	0503	3,9V	5mA	0,9V	10uA	150mW	95 Ohms	Pastille à braser	CMS/TMS	0,37	0,264	0,173
750—CZRFR52C3V9	1005	3,9V	5mA	0,9V	10uA	200mW	95 Ohms	Pastille à braser	CMS/TMS	0,40	0,305	0,223
750—CZRUR52C3V9	0603	3,9V	5mA	0,9V	10uA	150mW	95 Ohms	Pastille à braser	CMS/TMS	0,40	0,305	0,223
750—CZRER52C4V3	0503	4,3V	5mA	0,9V	5uA	150mW	95 Ohms	Pastille à braser	CMS/TMS	0,37	0,264	0,173
750—CZRFR52C4V3	1005	4,3V	5mA	0,9V	5uA	200mW	95 Ohms	Pastille à braser	CMS/TMS	0,40	0,305	0,223
750—CZRUR52C4V3	0603	4,3V	5mA	0,9V	5uA	150mW	95 Ohms	Pastille à braser	CMS/TMS	0,40	0,305	0,223
750—CZRER52C4V7	0503	4,7V	5mA	0,9V	5uA	150mW	78 Ohms	Pastille à braser	CMS/TMS	0,37	0,264	0,173
750—CZRFR52C4V7	1005	4,7V	5mA	0,9V	5uA	200mW	78 Ohms	Pastille à braser	CMS/TMS	0,40	0,305	0,223
750—CZRUR52C4V7	0603	4,7V	5mA	0,9V	5uA	150mW	78 Ohms	Pastille à braser	CMS/TMS	0,40	0,305	0,223
750—CZRER52C5V1	0503	5,1V	5mA	0,9V	0,1uA	150mW	60 Ohms	Pastille à braser	CMS/TMS	0,37	0,264	0,173
750—CZRFR52C5V1	1005	5,1V	5mA	0,9V	0,1uA	200mW	60 Ohms	Pastille à braser	CMS/TMS	0,40	0,305	0,223
750—CZRUR52C5V1	0603	5,1V	5mA	0,9V	0,1uA	150mW	60 Ohms	Pastille à braser	CMS/TMS	0,40	0,305	0,223
750—CZRER52C5V6	0503	5,6V	5mA	0,9V	0,1uA	150mW	40 Ohms	Pastille à braser	CMS/TMS	0,37	0,264	0,173
750—CZRFR52C5V6	1005	5,6V	5mA	0,9V	0,1uA	200mW	40 Ohms	Pastille à braser	CMS/TMS	0,40	0,305	0,223
750—CZRUR52C5V6	0603	5,6V	5mA	0,9V	0,1uA	150mW	40 Ohms	Pastille à braser	CMS/TMS	0,40	0,305	0,223
750—CZRER52C6V2	0503	6,2V	5mA	0,9V	0,1uA	150mW	10 Ohms	Pastille à braser	CMS/TMS	0,37	0,264	0,173
750—CZRFR52C6V2	1005	6,2V	5mA	0,9V	0,1uA	200mW	10 Ohms	Pastille à braser	CMS/TMS	0,40	0,305	0,223
750—CZRUR52C6V2	0603	6,2V	5mA	0,9V	0,1uA	150mW	10 Ohms	Pastille à braser	CMS/TMS	0,40	0,305	0,223
750—CZRER52C6V8	0503	6,8V	5mA	0,9V	0,1uA	150mW	8 Ohms	Pastille à braser	CMS/TMS	0,37	0,264	0,173
750—CZRFR52C6V8	1005	6,8V	5mA	0,9V	0,1uA	200mW	8 Ohms	Pastille à braser	CMS/TMS	0,40	0,305	0,223
750—CZRUR52C6V8	0603	6,8V	5mA	0,9V	0,1uA	150mW	8 Ohms	Pastille à braser	CMS/TMS	0,40	0,305	0,223
750—CZRER52C7V5	0503	7,5V	5mA	0,9V	0,1uA	150mW	7 Ohms	Pastille à braser	CMS/TMS	0,37	0,264	0,173
750—CZRFR52C7V5	1005	7,5V	5mA	0,9V	0,1uA	200mW	7 Ohms	Pastille à braser	CMS/TMS	0,40	0,305	0,223
750—CZRUR52C7V5	0603	7,5V	5mA	0,9V	0,1uA	150mW	7 Ohms	Pastille à braser	CMS/TMS	0,40	0,305	0,223
750—CZRFR52C8V2	1005	8,2V	5mA	0,9V	0,1uA	200mW	7 Ohms	Pastille à braser	CMS/TMS	0,40	0,305	0,223
750—CZRUR52C8V2	0603	8,2V	5mA	0,9V	0,1uA	150mW	7 Ohms	Pastille à braser	CMS/TMS	0,40	0,305	0,223
750—CZRFR52C9V1	1005	9,1V	5mA	0,9V	0,1uA	200mW	10 Ohms	Pastille à braser	CMS/TMS	0,40	0,305	0,223
750—CZRUR52C9V1	0603	9,1V	5mA	0,9V	0,1uA	150mW	10 Ohms	Pastille à braser	CMS/TMS	0,40	0,305	0,223

PROTECTION DE CIRCUITS

Diodes TVS

Pour des quantités supérieures à celles indiquées, appelez-nous afin d'obtenir un devis.

RÉF. STOCK MOUSER Fabr. Réf. fabr.	Type de boîtier	Polarité	Tension de calage	Tension disruptive	Tension de fonctionnement	Courant de choc de crête	Dissipation d'énergie d'impulsion de crête	Capacité	Prix unitaire 1	10	100
750—CTAN1424V-G	SOIC-14	Bidirectionnel	43V	26,7V	24V	5A	600mW	50pF	0,81	0,693	0,536

Supresseurs ESD

Pour des quantités supérieures à celles indiquées, appelez-nous afin d'obtenir un devis.

RÉF. STOCK MOUSER Fabr. Réf. fabr.	Type de boîtier	Polarité	Tension de calage	Tension disruptive	Tension de fonctionnement	Courant de choc de crête	Dissipation d'énergie d'impulsion de crête	Prix unitaire 1	10	100
750—CDA3S06-G	SOT-23-6	225mW	7,2V	5pF	0,95V	CMS/TMS	--	0,59	0,454	0,388
750—CDA4S14-G	SOT-23-4	225mW	7,2V	5pF	0,95V	CMS/TMS	--	0,59	0,454	0,388
750—CDA8S03-G	SOT-23	225mW	7,2V	5pF	0,95V	CMS/TMS	--	0,64	0,479	0,371
750—CPDER24V	0503	150mW	28V	10pF	--	CMS/TMS	25V	0,51	0,388	0,281
750—CPDER5V0	0503	150mW	70V	15pF	--	CMS/TMS	7V	0,51	0,388	0,281
750—CPDER5V0U	0503	150mW	6V	90pF	0,8V	CMS/TMS	9,8V	0,46	0,347	0,248
750—CPDERT5V0	0503	150mW	7V	15pF	--	CMS/TMS	15V	0,51	0,388	0,281
750—CPDERT5V0U	0503	150mW	7V	15pF	0,8V	CMS/TMS	9,8V	0,51	0,388	0,281
750—CPDF12V0U	1005	200mW	15,5V	60pF	0,8V	CMS/TMS	19V	0,40	0,297	0,215
750—CPDF5V0U	1005	200mW	6V	90pF	0,8V	CMS/TMS	9,8V	0,35	0,264	0,19
750—CPDFR12V	1005	200mW	17V	12pF	--	CMS/TMS	25V	0,40	0,297	0,215
750—CPDFR24V	1005	200mW	28V	10pF	--	CMS/TMS	47V	0,40	0,297	0,215
750—CPDFR5V0	1005	200mW	7V	15pF	--	CMS/TMS	15V	0,40	0,297	0,215
750—CPDH3-5V0U	SOT-523	225mW	6,1V	60pF	1,2V	CMS/TMS	8V	0,51	0,38	0,297
750—CPDH3V3UP	SOD-523	150mW	3,5V	12pF	3,3V	CMS/TMS	5,5V	0,55	0,413	0,33
750—CPDH5-5V0U	SOT-553	225mW	6,1V	60pF	1,2V	CMS/TMS	8V	0,55	0,413	0,33
750—CPDH6-5V0U	SOT-563	225mW	6,1V	60pF	1,2V	CMS/TMS	8V	0,55	0,413	0,33
750—CPDQR12V0U	0402	125mW	15,5V	60pF	0,8V	CMS/TMS	19V	0,41	0,314	0,248
750—CPDQR5V0	0402	125mW	7V	15pF	--	CMS/TMS	15V	0,41	0,314	0,248
750—CPDQR5V0U	0402	125mW	6V	90pF	0,8V	CMS/TMS	9,8V	0,41	0,314	0,248
750—CPDT-12V	SOT-23	225mW	17V	12pF	--	CMS/TMS	25V	0,46	0,347	0,248
750—CPDT-24V	SOT-23	225mW	28V	10pF	--	CMS/TMS	47V	0,46	0,347	0,248
750—CPDT5-5V0U	SOT-23-5	225mW	6,1V	60pF	1,2V	CMS/TMS	8V	0,46	0,347	0,272
750—CPDT-5V0	SOT-23	225mW	7V	15pF	--	CMS/TMS	15V	0,46	0,347	0,272
750—CPDT-5V0SR	SOT-23	225mW	6,1V	60pF	1,2V	CMS/TMS	8V	0,46	0,347	0,248
750—CPDT-5V0U	SOT-23	225mW	6,1V	60pF	1,2V	CMS/TMS	8V	0,46	0,347	0,272
750—CPDT6-5V0U	SOT-23-6	225mW	6,1V	60pF	1,2V	CMS/TMS	8V	0,46	0,347	0,272
750—CPDT6-5V4U	SOT-23-6	225mW	6,1V	60pF	1,2V	CMS/TMS	8V	0,55	0,413	0,33
750—CPDU12V0U	0603	150mW	15,5V	60pF	0,8V	CMS/TMS	19V	0,51	0,388	0,281
750—CPDU24V	0603	150mW	28V	10pF	--	CMS/TMS	25V	0,40	0,297	0,215
750—CPDU5V0	0603	150mW	7V	15pF	--	CMS/TMS	7V	0,40	0,297	0,215
750—CPDU5V0U	0603	150mW	6V	90pF	0,8V	CMS/TMS	9,8V	0,35	0,264	0,19
750—CPDUR12V	0603	150mW	17V	12pF	--	CMS/TMS	25V	0,51	0,388	0,281
750—CPDUR24V	0603	150mW	28V	10pF	--	CMS/TMS	47V	0,40	0,297	0,215
750—CPDUR5V0	0603	150mW	7V	15pF	--	CMS/TMS	15V	0,40	0,297	0,215
750—CPDV3-5V0U	SOT-323	225mW	6,1V	60pF	1,2V	CMS/TMS	8V	0,46	0,347	0,272
750—CPDV5-5V0U	SOT-353	225mW	6,1V	60pF	1,2V	CMS/TMS	8V	0,51	0,38	0,297
750—CPDV6-5V0U	SOT-363	225mW	6,1V	60pF	1,2V	CMS/TMS	8V	0,51	0,38	0,297
750—CPDVR085V0U	SOT-383F	--	6,1V	60pF	1,2V	CMS/TMS	8V	0,92	0,784	0,668
750—CSRS045V0P	SOT-143	225mW	6,2V	1,2pF	0,8V	CMS/TMS	8,1V	0,99	0,842	0,718
750—CSRS065V0P	SOT-23-6	225mW	6V	1,3pF	0,8V	CMS/TMS	8,1V	0,83	0,71	0,602
750—CSRV065V0P	SOT-363	225mW	6V	1,3pF	0,8V	CMS/TMS	8,1V	0,83	0,701	0,602

© Copyright 2012 Mouser Electronics
© Copyright 2012 Mouser Electronics

Diodes DIODES INC.

This product is RoHS compliant.

DIODES DE COMMUTATION À HAUTE VITESSE

NEW PRODUCT

Pour des quantités supérieures à celles indiquées, appelez-nous afin d'obtenir un devis.

RÉF. STOCK MOUSER	Réf. Diodes Inc.	Boîtier	Configuration	V_{RRM}	Dissipation d'énergie	Trr	V_F	I_R	V_R	Capacité totale	Prix unitaire			
											1	10	100	500
621-BAS521LP-7	BAS521LP-7	DFN1006	Simple	325	400mW	50ns	1,1V	0,15µA	300V	5pF	0,35	0,248	0,149	0,076
621-BAW101V-7	BAW101V-7	SOT-563	Simple, Série	325	500mW	50ns	1,1V	0,15µA	300V	2pF	0,46	0,33	0,198	0,119
621-1N4148WT	1N4148WT	SOD-523	Simple	100V	150mW	4ns	0,715V	1µA	75V	2pF	0,31	0,231	0,112	0,086
621-BAV19W-F	BAV19W-F	SOD-123	Simple	100V	250mW	50ns	1V	0,1µA	120V	5pF	0,35	0,256	0,132	0,099
621-1N4148W-F	1N4148W-F	SOD-123	Simple	100V	400mW	4ns	1V	1µA	75V	2pF	0,36	0,239	0,069	0,049
621-BAV16W-F	BAV16W-F	SOD-123	Simple	100V	400mW	4ns	1V	1µA	100V	2pF	0,36	0,248	0,165	0,092
621-BAS19W-7-F	BAS19W-7-F	SOT-323	Simple	120V	200mW	50ns	1V	0,1µA	120V	5pF	0,48	0,322	0,196	0,107
621-BAV116W-F	BAV116W-F	SOD-123	Simple	130V	250mW	3000ns	1,1V	0,005µA	75V	2,4pF	0,31	0,231	0,157	0,089
621-BAV20W-F	BAV20W-F	SOD-123	Simple	150V	250mW	50ns	1V	0,1µA	200V	5pF	0,35	0,256	0,132	0,099
621-BAV21W-F	BAV21W-F	SOD-123	Simple	200V	250mW	50ns	1V	0,1µA	250V	5pF	0,35	0,256	0,182	0,099
621-BAV21WS-F	BAV21WS-F	SOD-323	Simple	250V	200mW	50ns	1V	0,1µA	250V	5pF	0,32	0,248	0,178	0,104
621-BAS21-F	BAS21-F	SOT-23	Simple	250V	350mW	50ns	1V	0,1µA	250V	5pF	0,31	0,231	0,157	0,089
621-BAV3004W-F	BAV3004W-F	SOD-323	Simple	350V	400mW	50ns	1V	0,1µA	240V	5pF	0,35	0,248	0,149	0,119
621-1N4148WS-F	1N4148WS-F	SOD-323	Simple	75V	200mW	4ns	1V	1µA	75V	2pF	0,36	0,248	0,075	0,053
621-1N4448WS-F	1N4448WS-F	SOD-323	Simple	75V	200mW	4ns	1V	2,5µA	75V	4pF	0,33	0,223	0,075	0,057
621-BAS16W-F	BAS16W-F	SOT-323	Simple	75V	200mW	4ns	1V	1µA	75V	2pF	0,41	0,297	0,126	0,101
621-BAS16-F	BAS16-F	SOT-23	Simple	75V	350mW	4ns	1V	1µA	75V	2pF	0,27	0,182	0,124	0,069
621-MMBD4148-F	MMBD4148-F	SOT-23	Simple	75V	350mW	4ns	1V	1µA	75V	2pF	0,35	0,223	0,099	0,069
621-MMBD914-7-F	MMBD914-7-F	SOT-23	Simple	75V	350mW	4ns	1V	1µA	75V	2pF	0,26	0,171	0,092	0,069
621-1N4448W-F	1N4448W-F	SOD-123	Simple	75V	400mW	4ns	1V	2,5µA	75V	4pF	0,46	0,33	0,14	0,112
621-1N4448HWT-F	1N4448HWT-F	SOD-523	Simple	80V	150mW	4ns	0,72V	0,1µA	80V	3pF	0,50	0,33	0,158	0,086
621-MMBD4448H-F	MMBD4448H-F	SOT-23	Simple	80V	350 mW	4ns	0,72V	0,1µA	70V	3,5pF	0,31	0,206	0,099	0,069
621-PD3SD2580-7	PD3SD2580-7	PowerDI™-323	Simple	80V	500mW	4ns	1,25V	0,1µA	80V	1,5pF	0,36	0,281	0,193	0,134
621-BAS116-F	BAS116-F	SOT-23	Simple	85V	250mW	3000ns	1,1V	0,005µA	75V	2pF	0,28	0,206	0,124	0,076
621-BAV23A-F	BAV23A-F	SOT-23	Double, Com. Anode	250V	350mW	50ns	1V	0,1µA	250V	5pF	0,35	0,256	0,132	0,099
621-BAW56-F	BAW56-F	SOT-23	Double, Com. Anode	75V	350mW	4ns	1V	2,5µA	75V	2pF	0,31	0,206	0,087	0,045
621-BAV23C-F	BAV23C-F	SOT-23	Double, Com. Cathode	250V	350mW	50ns	1V	0,1µA	250V	5pF	0,35	0,256	0,132	0,099
621-BAV70-F	BAV70-F	SOT-23	Double, Com. Cathode	75V	350mW	4ns	1V	2,5µA	75V	2pF	0,31	0,215	0,149	0,081
621-BAV170-F	BAV170-F	SOT-23	Double, Com. Cathode	85V	250mW	3000ns	1,1V	0,005µA	75V	2pF	0,41	0,281	0,132	0,072
621-MMBD2004S-F	MMBD2004S-F	SOT-23	Double, série	300V	350mW	50ns	1V	0,1µA	240V	5pF	0,41	0,297	0,178	0,101
621-MMBD3004S-F	MMBD3004S-F	SOT-23	Double, série	350V	350mW	50ns	1,25V	0,1µA	240V	1pF	0,40	0,272	0,186	0,099
621-BAV99W-F	BAV99W-F	SOT-323	Double, série	75V	200mW	4ns	1V	2,5µA	75V	2pF	0,33	0,272	0,173	0,095
621-BAV99-F	BAV99-F	SOT-23	Double, série	75V	350mW	4ns	1V	2,5µA	75V	2pF	0,29	0,248	0,124	0,092
621-BAV199-F	BAV199-F	SOT-23	Double, série	85V	250mW	3000ns	1,1V	0,005µA	75V	2pF	0,21	0,165	0,094	0,069
621-MMBD3004BRM-F	MMBD3004BRM-7-F	SOT-26	Double-double, Série	350V	350mW	50ns	0,87V	0,1µA	240V	5pF	0,55	0,446	0,285	0,229
621-BAV99DW-F	BAV99DW-7-F	SOT-363	Double-Double, Série (Alt.)	75V	200mW	4ns	1V	2,5µA	75V	2pF	0,41	0,33	0,248	0,149
621-SDA004-7	SDA004-7	SOT-363	Double-Double, Série (Alt.)	80V	200mW	4ns	1V	2,5µA	75V	2pF	0,82	0,652	0,417	0,336
621-BAV199DW-F	BAV199DW-7-F	SOT-363	Double-Double, Série (Alt.)	85V	200mW	3000ns	0,9V	0,005µA	75V	2pF	0,45	0,33	0,14	0,139
621-BAS16TW-F	BAS16TW-7-F	SOT-363	Triple, Isolé	75V	150mW	4ns	1V	1µA	75V	2pF	0,46	0,33	0,198	0,112
621-MMBD4448HTW-F	MMBD4448HTW-7-F	SOT-363	Triple, Isolé	80V	200mW	4ns	1V	0,1µA	70V	3,5pF	0,48	0,371	0,257	0,132
621-MMBD4448HAQW-F	MMBD4448HAQW-7-F	SOT-363	Quad., Com. Anode	80V	200mW	4ns	1V	0,1µA	70V	3,5pF	0,48	0,376	0,257	0,178
621-MMBD4448HCQW-F	MMBD4448HCQW-7-F	SOT-353	Quad., Com. Cathode	80V	200mW	4ns	1V	0,1µA	70V	3,5pF	0,48	0,376	0,215	0,132

DIODES BARRIÈRE SCHOTTKY

Pour des quantités supérieures à celles indiquées, appelez-nous afin d'obtenir un devis.

RÉF. STOCK MOUSER	Réf. Diodes Inc.	Boîtier	Configuration	V_{RRM}	Dissipation d'énergie	I_{FM}	Chute de tension directe		Courant inverse max.		Prix unitaire			
							V_F	@ I_F	I_R	@ V_R	1	10	100	500
621-SDM20U30	SDM20U30-7	SOD-523	Simple	30V	150mW	200mA	0,35V	20mA	150µA	30V	0,67	0,528	0,401	0,275
621-BAT42WS-F	BAT42WS-F	SOD-323	Simple	30V	200mW	200mA	0,40V	10mA	0,5µA	25V	0,40	0,318	0,263	0,229
621-BAT43W-F	BAT43W-F	SOD-123	Simple	30V	200mW	200mA	0,33V	2mA	0,5µA	25V	0,36	0,279	0,134	0,127
621-BAT43WS-F	BAT43WS-F	SOD-323	Simple	30V	200mW	200mA	0,33V	2mA	0,5µA	25V	0,40	0,279	0,248	0,191
621-BAT54-F	BAT54-7-F	SOT-23	Simple	30V	200mW	200mA	0,32V	1mA	2µA	25V	0,32	0,218	0,186	0,149
621-BAT54WS-F	BAT54WS-F	SOD-323	Simple	30V	200mW	200mA	0,50V	30mA	2µA	25V	0,35	0,314	0,289	0,223
621-SD107WS-F	SD107WS-7-F	SOD-323	Simple	30V	250mW	100mA	0,55V	50mA	1µA	25V	0,69	0,553	0,416	0,286
621-SD101CWS-F	SD101CWS-F	SOD-323	Simple	40V	200mW	15mA	0,39V	1mA	0,2µA	30V	0,57	0,272	0,247	0,223
621-SD103AWS-F	SD103AWS-F	SOD-323	Simple	40V	200mW	350mA	0,37V	20mA	5µA	30V	0,55	0,47	0,371	0,322
621-BAS40-F	BAS40-7-F	SOT-23	Simple	40V	350 mW	200mA	0,38V	1mA	0,2µA	30V	0,50	0,337	0,314	0,218
621-SD103AW-F	SD103AW-F	SOD-123	Simple	40V	400mW	350mA	0,37V	20mA	5µA	30V	0,38	0,281	0,26	0,239
621-SD103CW-F	SD103CW-F	SOD-123	Simple	40V	400mW	350mA	0,37V	20mA	5µA	20V	0,38	0,281	0,26	0,212
621-SDM10U45-F	SDM10U45-7-F	SOD-523	Simple	45V	150mW	300mA	0,55V	50mA	1µA	25V	0,67	0,528	0,396	0,275
621-SDM10K45-F	SDM10K45-7-F	SOD-323	Simple	45V	200mW	100mA	0,45V	10mA	1µA	10V	0,55	0,47	0,371	0,272
621-SD101AWS-F	SD101AWS-F	SOD-323	Simple	60V	200mW	15mA	0,41V	1mA	0,2µA	50V	0,57	0,272	0,247	0,223
621-SD101AW-F	SD101AW-F	SOD-123	Simple	60V	400mW	15mA	0,41V	1mA	0,2µA	50V	0,34	0,264	0,211	0,182
621-1N5711WS-F	1N5711WS-F	SOD-323	Simple	70V	150mW	15mA	0,41V	1mA	0,2µA	50V	0,58	0,495	0,343	0,231
621-1N5711W-F	1N5711W-7-F	SOD-123	Simple	70V	333mW	15mA	0,41V	1mA	0,2µA	50V	0,40	0,279	0,186	0,162
621-BAT54A-F	BAT54A-7-F	SOT-23	Double, Com. Anode	30V	200mW	200mA	0,32V	1mA	2µA	25V	0,37	0,252	0,238	0,191
621-BAT54AW-F	BAT54AW-7-F	SOT-323	Double, Com. Anode	30V	200mW	200mA	0,32V	1mA	2µA	25V	0,35	0,248	0,238	0,212
621-BAS70-06-F	BAS70-06-7-F	SOT-23	Double, Com. Anode	70V	200mW	70mA	0,41V	1mA	0,1µA	50V	0,35	0,314	0,305	0,248
621-BAT54CT-F	BAT54CT-7-F	SOT-523	Double, Com. Cathode	30V	150mW	200mA	0,32V	1mA	2µA	25V	0,46	0,33	0,297	0,204
621-BAT54C-F	BAT54C-7-F	SOT-23	Double, Com. Cathode	30V	200mW	200mA	0,32V	1mA	2µA	25V	0,31	0,21	0,202	0,165
621-BAT54CW-F	BAT54CW-7-F	SOT-323	Double, Com. Cathode	30V	200mW	200mA	0,32V	1mA	2µA	25V	0,35	0,248	0,238	0,212
621-BAS40-05-F	BAS40-05-7-F	SOT-23	Double, Com. Cathode	40V	350 mW	200mA	0,38V	1mA	0,2µA	30V	0,35	0,248	0,244	0,188
621-BAS70-05-F	BAS70-05-7-F	SOT-23	Double, Com. Cathode	70V	200mW	70mA	0,41V	1mA	0,1µA	50V	0,35	0,248	0,239	0,215
621-SDM40E20LS-F	SDM40E20LS-7-F	SOT-23	Double, série	20V	300mW	400mA	0,31V	100mA	100µA	10V	0,59	0,47	0,356	0,304
621-BAT54ST-F	BAT54ST-7-F	SOT-523	Double, série	30V	150mW	200mA	0,32V	1mA	2µA	25V	0,46	0,33	0,275	0,223
621-BAT54S-F	BAT54S-7-F	SOT-23	Double, série	30V	200mW	200mA	0,32V	1mA	2µA	25V	0,37	0,252	0,229	0,177
621-BAT54SW-F	BAT54SW-7-F	SOT-323	Double, série	30V	200mW	200mA	0,32V	1mA	2µA	25V	0,52	0,371	0,297	0,223
621-BAS40-04T-F	BAS40-04T-7-F	SOT-523	Double, série	40V	150mW	200mA	0,38V	1mA	0,2µA	30V	0,45	0,363	0,235	0,19
621-BAS40W-04-F	BAS40W-04-7-F	SOT-323	Double, série	40V	200mW	200mA	0,38V	1mA	0,2µA	30V	0,44	0,309	0,297	0,235
621-BAS40-04-F	BAS40-04-7-F	SOT-23	Double, série	40V	350 mW	200mA	0,38V	1mA	0,2µA	30V	0,35	0,248	0,231	0,198
621-BAS70-04-F	BAS70-04-7-F	SOT-23	Double, série	70V	200mW	70mA	0,41V	1mA	0,1µA	50V	0,35	0,248	0,231	0,215
621-BAT54BRW-F	BAT54BRW-7-F	SOT-363	Double-double, Série	30V	200mW	200mA	0,32V	1mA	2µA	25V	0,45	0,363	0,33	0,285
621-BAS70W-04-F	BAS70W-04-7-F	SOT-323	Double-Double, Série (Alt.)	70V	200mW	70mA	0,41V	1mA	0,1µA	50V	0,40	0,318	0,263	0,236
621-BAT54TW-F	BAT54TW-7-F	SOT-363	Triple, Isolé	30V	200mW	200mA	0,32V	1mA	2µA	25V	0,44	0,309	0,305	0,235
621-QSBT40-F	QSBT40-7-F	SOT-363	Quad., Série (bride de rail)	30V	200mW	200mA	0,35V	1mA	2µA	25V	0,88	0,751	0,594	0,347

© Copyright 2012 Mouser Electronics
© Copyright 2012 Mouser Electronics

DIODES INC. Diodes et redresseurs

RoHS Compliant **This product is RoHS compliant.**

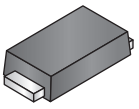
PowerDI™

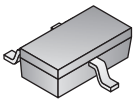
SOT-23

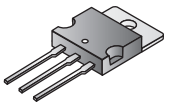
TO-220AB

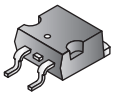
D2PAK

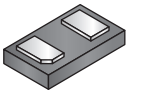
DFN1006-2

REDRESSEURS SUPER SCHOTTKY SBR®

NEW! TECHNOLOGY

Une innovation révolutionnaire dans la technologie des redresseurs qui capitalise de manière unique les bénéfices de la diode à jonction pn et de la diode Schottky et les intègre dans un seul composant. La technologie de production de galettes de circuits intégrés de pointe à permis la conception et la fabrication d'un dispositif qui peut intégrer et améliorer les bénéfices des deux technologies de redressement existantes dans un seul dispositif.

Pour des quantités supérieures à celles indiquées, appelez-nous afin d'obtenir un devis.

RÉF. STOCK MOUSER	Réf. Diodes Inc.	Boîtier	Configuration	Rectification Courant	V_{RRM}	I_{FSM}	Chute de tension directe		Prix unitaire			
							V_F	@ I_F	1	10	100	500
621-SBR0220LP-7	SBR0220LP-7	DFN1006-2	Simple	0,2A	20 V	5 A	480mV	0,2A	0,41	0,322	0,245	0,182
621-SBR02M30LP-7	SBR02M30LP-7	DFN1006-2	Simple	0,2A	30 V	5 A	610mV	0,2A	0,50	0,396	0,299	0,222
621-SBR02U100LP-7	SBR02U100LP-7	DFN1006-2	Simple	0,2A	100 V	5 A	800mV	0,2A	0,44	0,347	0,26	0,208
621-SBR160S23-7	SBR160S23-7	SOT-23	Simple	1 A	60 V	15	0,6V	1 A	0,50	0,353	0,235	0,136
621-SBR1U200P1-7	SBR1U200P1-7	PowerDI™123	Simple	1 A	200V	40A	0,82V	1 A	0,45	0,347	0,241	0,144
621-SBR05U20LP-7	SBR05U20LP-7	DFN1006-2	Simple	0,5A	20 V	5 A	500 mV	0,5A	0,55	0,429	0,327	0,243
621-SBR05U20LPS-7	SBR05U20OLPS-7	DFN1006H4-2	Simple	0,5A	20 V	6 A	700mV	0,5A	0,55	0,429	0,282	0,188
621-SBR07U20LPS-7	SBR07U20LPS-7	DFN1006H4-2	Simple	0,7A	20 V	7 A	500 mV	0,7A	0,55	0,429	0,282	0,188
621-SBR1U400P1-7	SBR1U400P1-7	PowerDI™123	Simple	1 A	400V	40A	0,9 V	1 A	0,49	0,347	0,231	0,117
621-SBR1U40LP-7	SBR1U40LP-7	DFN1411-3	Simple	1 A	40 V	5 A	490mV	1 A	0,55	0,429	0,282	0,188
621-SBR2M30P1-7	SBR2M30P1-7	PowerDI™123	Simple	2 A	30 V	75A	460mV	2 A	0,45	0,363	0,235	0,202
621-SBR2U30P1-7	SBR2U30P1-7	PowerDI™123	Simple	2 A	30 V	75A	400mV	2 A	0,45	0,363	0,235	0,202
621-SBR2A40P1-7	SBR2A40P1-7	PowerDI™123	Simple	2 A	40 V	75A	450mV	2 A	0,49	0,347	0,231	0,117
621-SBR3M30P1-7	SBR3M30P1-7	PowerDI™123	Simple	3 A	30 V	75A	510mV	3 A	0,54	0,429	0,322	0,204
621-SBR3U30P1-7	SBR3U30P1-7	PowerDI™123	Simple	3 A	30 V	75A	400mV	3 A	0,49	0,347	0,231	0,117
621-SBR1060CT	SBR1060CT	TO-220AB	Double	10 A	60 V	120A	680mV	5 A	0,80	0,781	0,636	0,493
621-SBR10U60CT	SBR10U60CT	TO-220AB	Double	10 A	60 V	150A	480mV	5 A	1,27	0,941	0,85	0,562
621-SBR10U100CT	SBR10U100CT	TO-220AB	Double	10 A	100 V	150A	670mV	5 A	1,21	1,07	0,842	0,575
621-SBR10U150CT	SBR10U150CT	TO-220AB	Double	10 A	150 V	150A	790mV	5 A	1,33	0,99	0,891	0,589
621-SBR2040CT	SBR2040CT	TO-220AB	Double	20 A	40 V	120A	530mV	10 A	1,25	1,12	0,891	0,693
621-SBR20A45CT	SBR20A45CT	TO-220AB	Double	20 A	45V	180A	500 mV	10 A	1,53	1,31	1,06	0,726
621-SBR2060CT	SBR2060CT	TO-220AB	Double	20 A	60 V	150A	700mV	10 A	1,33	0,99	0,891	0,589
621-SBR20A60CT	SBR20A60CT	TO-220AB	Double	20 A	60 V	180A	650mV	10 A	1,34	1,11	0,932	0,668
621-SBR20100CT	SBR20100CT	TO-220AB	Double	20 A	100 V	150A	820mV	10 A	1,36	1,18	0,908	0,602
621-SBR20A100CT	SBR20A100CT	TO-220AB	Double	20 A	100 V	180A	750mV	10 A	1,70	1,47	1,13	0,752
621-SBR20150CT	SBR20150CT	TO-220AB	Double	20 A	150 V	150A	880mV	10 A	1,50	1,34	1,06	0,825
621-SBR20A150CT	SBR20A150CT	TO-220AB	Double	20 A	150 V	180A	820mV	10 A	1,44	1,20	1,01	0,718
621-SBR20U150CTFP	SBR20U150CTFP	ITO-220AB	Double	20 A	150 V	200A	780mV	10 A	1,98	1,65	1,39	0,99
621-SBR20A200CT	SBR20A200CT	TO-220AB	Double	20 A	200V	180A	860mV	10 A	1,73	1,49	1,21	0,866
621-SBR20A200CTB	SBR20A200CTB	D2PAK	Double	20 A	200V	180A	840mV	10 A	1,16	1,02	0,809	0,627
621-SBR30U30CT	SBR30U30CT	TO-220AB	Double	30A	30 V	280A	450mV	15 A	2,90	2,52	1,87	1,50
621-SBR30200CT	SBR30200CT	TO-220AB	Double	30A	200V	200A	980mV	15 A	2,30	1,91	1,61	1,16
621-SBR40U300CT	SBR40U300CT	TO-220AB	Double	40A	300 V	235A	890mV	20 A	3,13	2,71	2,23	1,89
621-SBR60A150CT	SBR60A150CT	TO-220AB	Double	60A	150 V	250A	930mV	30A	3,21	2,86	2,34	1,90
621-SBR60A300CT	SBR60A300CT	TO-220AB	Double	60A	300 V	235A	940mV	30A	3,21	2,79	2,15	1,93

DIODES ZENER À MONTAGE EN SURFACE DE 0,25W

Pour des quantités supérieures à celles indiquées, appelez-nous afin d'obtenir un devis.

RÉF. STOCK MOUSER	Réf. Diodes Inc.	Boîtier	Configuration	Tension nominale	Puissance Valeur nominale	Courant de test	Prix unitaire			
							1	10	100	500
621-BZT52C2V4LP-7	BZT52C2V4LP-7	DFN1006-2	Simple	2,4 V	0,25W	5 mA	0,46	0,33	0,14	0,086
621-BZT52C2V7LP-7	BZT52C2V7LP-7	DFN1006-2	Simple	2,7 V	0,25W	5 mA	0,46	0,33	0,14	0,086
621-BZT52C3V0LP-7	BZT52C3V0LP-7	DFN1006-2	Simple	3,0 V	0,25W	5 mA	0,46	0,33	0,14	0,086
621-BZT52C3V3LP-7	BZT52C3V3LP-7	DFN1006-2	Simple	3,3 V	0,25W	5 mA	0,46	0,33	0,14	0,086
621-BZT52C3V6LP-7	BZT52C3V6LP-7	DFN1006-2	Simple	3,6 V	0,25W	5 mA	0,46	0,33	0,14	0,086
621-BZT52C3V9LP-7	BZT52C3V9LP-7	DFN1006-2	Simple	3,9 V	0,25W	5 mA	0,46	0,33	0,14	0,086
621-BZT52C4V3LP-7	BZT52C4V3LP-7	DFN1006-2	Simple	4,3 V	0,25W	5 mA	0,46	0,33	0,14	0,086
621-BZT52C4V7LP-7	BZT52C4V7LP-7	DFN1006-2	Simple	4,7 V	0,25W	5 mA	0,46	0,33	0,14	0,086
621-BZT52C36LP-7	BZT52C36LP-7	DFN1006-2	Simple	36 V	0,25W	5 mA	0,47	0,33	0,223	0,10
621-BZT52C39LP-7	BZT52C39LP-7	DFN1006-2	Simple	39 V	0,25W	5 mA	0,46	0,33	0,14	0,086

DIODES ZENER À MONTAGE EN SURFACE DE 0,5W

Pour des quantités supérieures à celles indiquées, appelez-nous afin d'obtenir un devis.

RÉF. STOCK MOUSER	Réf. Diodes Inc.	Boîtier	Configuration	Tension nominale	Puissance Valeur nominale	Courant de test	Prix unitaire			
							1	10	100	500
621-PD3Z284C13-7	PD3Z284C13-7	PowerDI™323	Simple	13 V	0,5W	5 mA	0,41	0,327	0,211	0,141
621-PD3Z284C15-7	PD3Z284C15-7	PowerDI™323	Simple	15 V	0,5W	5 mA	0,41	0,327	0,211	0,141
621-PD3Z284C16-7	PD3Z284C16-7	PowerDI™323	Simple	16 V	0,5W	5 mA	0,41	0,327	0,211	0,141
621-PD3Z284C18-7	PD3Z284C18-7	PowerDI™323	Simple	18 V	0,5W	5 mA	0,41	0,327	0,211	0,141
621-PD3Z284C20-7	PD3Z284C20-7	PowerDI™323	Simple	20 V	0,5W	5 mA	0,41	0,327	0,211	0,141
621-PD3Z284C22-7	PD3Z284C22-7	PowerDI™323	Simple	22 V	0,5W	5 mA	0,41	0,327	0,211	0,141
621-PD3Z284C24-7	PD3Z284C24-7	PowerDI™323	Simple	24 V	0,5W	5 mA	0,41	0,327	0,211	0,141
621-PD3Z284C27-7	PD3Z284C27-7	PowerDI™323	Simple	27 V	0,5W	5 mA	0,41	0,327	0,211	0,141
621-PD3Z284C2V4-7	PD3Z284C2V4-7	PowerDI™323	Simple	2,4 V	0,5W	5 mA	0,41	0,327	0,211	0,141
621-PD3Z284C2V7-7	PD3Z284C2V7-7	PowerDI™323	Simple	2,7 V	0,5W	5 mA	0,41	0,327	0,211	0,141
621-PD3Z284C30-7	PD3Z284C30-7	PowerDI™323	Simple	30 V	0,5W	5 mA	0,41	0,327	0,211	0,141
621-PD3Z284C33-7	PD3Z284C33-7	PowerDI™323	Simple	33 V	0,5W	5 mA	0,41	0,327	0,211	0,141
621-PD3Z284C36-7	PD3Z284C36-7	PowerDI™323	Simple	36 V	0,5W	5 mA	0,41	0,327	0,211	0,141
621-PD3Z284C39-7	PD3Z284C39-7	PowerDI™323	Simple	39 V	0,5W	5 mA	0,41	0,327	0,211	0,141
621-PD3Z284C3V0-7	PD3Z284C3V0-7	PowerDI™323	Simple	3,0 V	0,5W	5 mA	0,41	0,327	0,211	0,141
621-PD3Z284C3V3-7	PD3Z284C3V3-7	PowerDI™323	Simple	3,3 V	0,5W	5 mA	0,41	0,327	0,211	0,141
621-PD3Z284C3V6-7	PD3Z284C3V6-7	PowerDI™323	Simple	3,6 V	0,5W	5 mA	0,41	0,327	0,211	0,141
621-PD3Z284C3V9-7	PD3Z284C3V9-7	PowerDI™323	Simple	3,9 V	0,5W	5 mA	0,41	0,327	0,211	0,141
621-PD3Z284C4V3-7	PD3Z284C4V3-7	PowerDI™323	Simple	4,3 V	0,5W	5 mA	0,41	0,327	0,211	0,141
621-PD3Z284C4V7-7	PD3Z284C4V7-7	PowerDI™323	Simple	4,7 V	0,5W	5 mA	0,41	0,327	0,211	0,141

© Copyright 2012 Mouser Electronics
© Copyright 2012 Mouser Electronics

DIODES INC. Diodes Zener

DIODES INC. DIODES ZENER - CMS

RoHS Compliant This product is RoHS compliant.

Schéma pour SOD-123/SOD-323

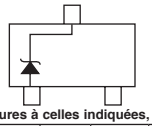

Schéma pour SOT -23

NEW PRODUCT

RoHS Compliant

Pour des quantités supérieures à celles indiquées, appelez-nous afin d'obtenir un devis.

RÉF. STOCK MOUSER	Réf. Diodes Inc.	Type boîtier	Tension Nom. (V)	Puissance nominale (W)	Courant de test (mA)	Prix unitaire 1	10	100	500
Série BZT ; SOD-123									
621-BZT52C2V4-F	BZT52C2V4-F	SOD-123	2.4	0,5	5	0,31	0,21	0,07	0,053
621-BZT52C2V7-F	BZT52C2V7-F	SOD-123	2.7	0,5	5	0,41	0,281	0,132	0,072
621-BZT52C3V0-F	BZT52C3V0-F	SOD-123	3	0,5	5	0,31	0,21	0,07	0,053
621-BZT52C3V3-F	BZT52C3V3-F	SOD-123	3.3	0,5	5	0,31	0,21	0,07	0,053
621-BZT52C3V6-F	BZT52C3V6-F	SOD-123	3.6	0,5	5	0,31	0,21	0,07	0,053
621-BZT52C3V9-F	BZT52C3V9-F	SOD-123	3.9	0,5	5	0,31	0,21	0,07	0,053
621-BZT52C4V3-F	BZT52C4V3-F	SOD-123	4.3	0,5	5	0,31	0,21	0,07	0,053
621-BZT52C4V7-F	BZT52C4V7-F	SOD-123	4.7	0,5	5	0,31	0,21	0,07	0,054
621-BZT52C5V1-F	BZT52C5V1-F	SOD-123	5.1	0,5	5	0,31	0,21	0,07	0,053
621-BZT52C5V6-F	BZT52C5V6-F	SOD-123	5.6	0,5	5	0,31	0,21	0,07	0,053
621-BZT52C6V2-F	BZT52C6V2-F	SOD-123	6.2	0,5	5	0,31	0,206	0,07	0,053
621-BZT52C6V8-F	BZT52C6V8-F	SOD-123	6.8	0,5	5	0,31	0,21	0,07	0,053
621-BZT52C7V5-F	BZT52C7V5-F	SOD-123	7.5	0,5	5	0,31	0,21	0,07	0,053
621-BZT52C8V2-F	BZT52C8V2-F	SOD-123	8.2	0,5	5	0,31	0,21	0,07	0,053
621-BZT52C9V1-F	BZT52C9V1-F	SOD-123	9.1	0,5	5	0,31	0,21	0,07	0,053
621-BZT52C10-F	BZT52C10-F	SOD-123	10	0,5	5	0,41	0,281	0,132	0,072
621-BZT52C11-F	BZT52C11-F	SOD-123	11	0,5	5	0,31	0,21	0,07	0,061
621-BZT52C12-F	BZT52C12-F	SOD-123	12	0,5	5	0,31	0,21	0,07	0,062
621-BZT52C15-F	BZT52C15-F	SOD-123	15	0,5	5	0,31	0,21	0,07	0,062
621-BZT52C16-F	BZT52C16-F	SOD-123	16	0,5	5	0,31	0,21	0,07	0,062
621-BZT52C18-F	BZT52C18-F	SOD-123	18	0,5	5	0,31	0,21	0,07	0,053
621-BZT52C20-F	BZT52C20-F	SOD-123	20	0,5	5	0,41	0,281	0,132	0,072
621-BZT52C24-F	BZT52C24-F	SOD-123	24	0,5	5	0,31	0,206	0,07	0,053
621-BZT52C27-F	BZT52C27-F	SOD-123	27	0,5	5	0,41	0,281	0,132	0,072
621-BZT52C33-F	BZT52C33-F	SOD-123	33	0,5	2	0,31	0,21	0,07	0,053
Série MMSZ ; SOD-123									
621-MMSZ5221B-F	MMSZ5221B-F	SOD-123	2.4	0,5	20	0,33	0,224	0,075	0,053
621-MMSZ5223B-F	MMSZ5223B-F	SOD-123	2.7	0,5	20	0,33	0,224	0,075	0,053
621-MMSZ5225B-F	MMSZ5225B-F	SOD-123	3	0,5	20	0,33	0,224	0,075	0,055
621-MMSZ5226B-F	MMSZ5226B-F	SOD-123	3.3	0,5	20	0,33	0,224	0,075	0,055
621-MMSZ5227B-F	MMSZ5227B-F	SOD-123	3.6	0,5	20	0,33	0,224	0,075	0,053
621-MMSZ5228B-F	MMSZ5228B-F	SOD-123	3.9	0,5	20	0,33	0,224	0,075	0,055
621-MMSZ5229B-F	MMSZ5229B-F	SOD-123	4.3	0,5	20	0,33	0,224	0,075	0,055
621-MMSZ5230B-F	MMSZ5230B-F	SOD-123	4.7	0,5	20	0,33	0,224	0,075	0,053
621-MMSZ5231B-F	MMSZ5231B-F	SOD-123	5.1	0,5	20	0,33	0,224	0,075	0,053
621-MMSZ5232B-F	MMSZ5232B-F	SOD-123	5.6	0,5	20	0,33	0,223	0,075	0,053
621-MMSZ5234B-F	MMSZ5234B-F	SOD-123	6.2	0,5	20	0,33	0,224	0,075	0,053
621-MMSZ5235B-F	MMSZ5235B-F	SOD-123	6.8	0,5	20	0,33	0,224	0,075	0,053
621-MMSZ5236B-F	MMSZ5236B-F	SOD-123	7.5	0,5	20	0,33	0,224	0,075	0,053
621-MMSZ5237B-F	MMSZ5237B-F	SOD-123	8.2	0,5	20	0,33	0,224	0,075	0,053
621-MMSZ5239B-F	MMSZ5239B-F	SOD-123	9.1	0,5	20	0,33	0,224	0,075	0,055
621-MMSZ5240B-F	MMSZ5240B-F	SOD-123	10	0,5	20	0,33	0,223	0,075	0,053
621-MMSZ5241B-F	MMSZ5241B-F	SOD-123	11	0,5	20	0,33	0,224	0,075	0,055
621-MMSZ5242B-F	MMSZ5242B-F	SOD-123	12	0,5	20	0,33	0,224	0,075	0,055
621-MMSZ5243B-F	MMSZ5243B-F	SOD-123	13	0,5	9.5	0,33	0,224	0,075	0,055
621-MMSZ5245B-F	MMSZ5245B-F	SOD-123	15	0,5	8.5	0,33	0,224	0,075	0,055
621-MMSZ5246B-F	MMSZ5246B-F	SOD-123	16	0,5	7.8	0,33	0,224	0,075	0,055
621-MMSZ5248B-F	MMSZ5248B-F	SOD-123	18	0,5	7	0,33	0,224	0,075	0,055
621-MMSZ5250B-F	MMSZ5250B-F	SOD-123	20	0,5	6.2	0,33	0,224	0,075	0,055
621-MMSZ5251B-F	MMSZ5251B-F	SOD-123	22	0,5	5.6	0,33	0,224	0,075	0,055
621-MMSZ5252B-F	MMSZ5252B-F	SOD-123	24	0,5	5.2	0,33	0,224	0,075	0,055
621-MMSZ5254B-F	MMSZ5254B-F	SOD-123	27	0,5	5	0,33	0,224	0,075	0,055
621-MMSZ5255B-F	MMSZ5255B-F	SOD-123	28	0,5	4.5	0,33	0,224	0,075	0,055
621-MMSZ5256B-F	MMSZ5256B-F	SOD-123	30	0,5	4.2	0,33	0,224	0,075	0,055
621-MMSZ5259B-F	MMSZ5259B-F	SOD-123	39	0,5	3.2	0,33	0,224	0,075	0,055
Série DDZ : SOD-323F									
621-DDZ10BSF-7	DDZ10BSF-7	SOD-323F	9.66	0,5	20	0,19	0,15	0,086	0,071
621-DDZ11BSF-7	DDZ11BSF-7	SOD-323F	10.78	0,5	10	0,19	0,15	0,086	0,071
621-DDZ12BSF-7	DDZ12BSF-7	SOD-323F	11.74	0,5	10	0,19	0,15	0,086	0,071
621-DDZ18BSF-7	DDZ18BSF-7	SOD-323F	17.26	0,5	10	0,19	0,15	0,086	0,071
621-DDZ30BSF-7	DDZ30BSF-7	SOD-323F	28.42	0,5	5	0,30	0,253	0,172	0,106
621-DDZ3V6BSF-7	DDZ3V6BSF-7	SOD-323F	3.72	0,5	20	0,19	0,15	0,086	0,071
621-DDZ5V1BSF-7	DDZ5V1BSF-7	SOD-323F	5.07	0,5	20	0,30	0,253	0,172	0,142
Série BZT ; SOD-323									
621-BZT52C2V4S-F	BZT52C2V4S-F	SOD-323	2.4	0.2	5	0,41	0,281	0,094	0,066
621-BZT52C3V0S-F	BZT52C3V0S-F	SOD-323	3	0.2	5	0,46	0,33	0,14	0,086
621-BZT52C3V3S-F	BZT52C3V3S-F	SOD-323	3.3	0.2	5	0,41	0,281	0,094	0,066
621-BZT52C3V6S-F	BZT52C3V6S-F	SOD-323	3.6	0.2	5	0,41	0,281	0,094	0,066
621-BZT52C3V9S-F	BZT52C3V9S-F	SOD-323	3.9	0.2	5	0,41	0,281	0,094	0,066
621-BZT52C4V3S-F	BZT52C4V3S-F	SOD-323	4.3	0.2	5	0,41	0,281	0,094	0,066
621-BZT52C4V7S-F	BZT52C4V7S-F	SOD-323	4.7	0.2	5	0,41	0,281	0,094	0,066
621-BZT52C5V1S-F	BZT52C5V1S-F	SOD-323	5.1	0.2	5	0,41	0,281	0,094	0,066
621-BZT52C5V6S-F	BZT52C5V6S-F	SOD-323	5.6	0.2	5	0,41	0,281	0,094	0,066
621-BZT52C6V2S-F	BZT52C6V2S-F	SOD-323	6.2	0.2	5	0,41	0,281	0,094	0,066
621-BZT52C6V8S-F	BZT52C6V8S-F	SOD-323	6.8	0.2	5	0,41	0,281	0,094	0,066
621-BZT52C7V5S-F	BZT52C7V5S-F	SOD-323	7.5	0.2	5	0,41	0,281	0,094	0,066
621-BZT52C8V2S-F	BZT52C8V2S-F	SOD-323	8.2	0.2	5	0,41	0,281	0,094	0,066
621-BZT52C9V1S-F	BZT52C9V1S-F	SOD-323	9.1	0.2	5	0,41	0,281	0,094	0,066
621-BZT52C10S-F	BZT52C10S-F	SOD-323	10	0.2	5	0,38	0,281	0,094	0,082
621-BZT52C11S-F	BZT52C11S-F	SOD-323	11	0.2	5	0,41	0,281	0,132	0,094
621-BZT52C12S-F	BZT52C12S-F	SOD-323	12	0.2	5	0,36	0,238	0,079	0,07
621-BZT52C15S-F	BZT52C15S-F	SOD-323	15	0.2	5	0,41	0,281	0,094	0,066

Pour des quantités supérieures à celles indiquées, appelez-nous afin d'obtenir un devis.

RÉF. STOCK MOUSER	Réf. Diodes Inc.	Type boîtier	Tension Nom. (V)	Puissance nominale (W)	Courant de test (mA)	Prix unitaire 1	10	100	500
Série BZT ; SOD-323 suite									
621-BZT52C16S-F	BZT52C16S-F	SOD-323	16	0.2	5	0,41	0,281	0,094	0,07
621-BZT52C18S-F	BZT52C18S-F	SOD-323	18	0.2	5	0,41	0,281	0,094	0,07
621-BZT52C20S-F	BZT52C20S-F	SOD-323	20	0.2	5	0,41	0,281	0,094	0,066
621-BZT52C30S-F	BZT52C30S-F	SOD-323	30	0.2	2	0,41	0,281	0,094	0,066
Série MMSZ ; SOD-323									
621-MMSZ5221BS-F	MMSZ5221BS-F	SOD-323	2.4	0.2	20	0,41	0,281	0,094	0,065
621-MMSZ5225BS-F	MMSZ5225BS-F	SOD-323	3	0.2	20	0,35	0,248	0,105	0,064
621-MMSZ5226BS-F	MMSZ5226BS-F	SOD-323	3.3	0.2	20	0,41	0,281	0,094	0,066
621-MMSZ5227BS-F	MMSZ5227BS-F	SOD-323	3.6	0.2	20	0,35	0,248	0,105	0,064
621-MMSZ5228BS-F	MMSZ5228BS-F	SOD-323	3.9	0.2	20	0,41	0,281	0,094	0,067
621-MMSZ5230BS-F	MMSZ5230BS-F	SOD-323	4.7	0.2	20	0,41	0,281	0,094	0,067
621-MMSZ5231BS-F	MMSZ5231BS-F	SOD-323	5.1	0.2	20	0,38	0,281	0,094	0,066
621-MMSZ5232BS-F	MMSZ5232BS-F	SOD-323	5.6	0.2	20	0,35	0,248	0,105	0,064
621-MMSZ5234BS-F	MMSZ5234BS-F	SOD-323	6.2	0.2	20	0,35	0,248	0,105	0,064
621-MMSZ5235BS-F	MMSZ5235BS-F	SOD-323	6.8	0.2	20	0,48	0,338	0,227	0,101
621-MMSZ5236BS-F	MMSZ5236BS-F	SOD-323	7.5	0.2	20	0,35	0,248	0,105	0,064
621-MMSZ5237BS-F	MMSZ5237BS-F	SOD-323	8.2	0.2	20	0,35	0,248	0,105	0,064
621-MMSZ5239BS-F	MMSZ5239BS-F	SOD-323	9.1	0.2	20	0,35	0,248	0,105	0,064
621-MMSZ5240BS-F	MMSZ5240BS-F	SOD-323	10	0.2	20	0,35	0,248	0,105	0,064
621-MMSZ5242BS-F	MMSZ5242BS-F	SOD-323	12	0.2	20	0,35	0,248	0,105	0,064
621-MMSZ5243BS-F	MMSZ5243BS-F	SOD-323	13	0.2	9.5	0,41	0,281	0,094	0,066
621-MMSZ5245BS-F	MMSZ5245BS-F	SOD-323	15	0.2	8.5	0,35	0,248	0,105	0,064
621-MMSZ5248BS-F	MMSZ5248BS-F	SOD-323	18	0.2	7	0,35	0,248	0,105	0,064
621-MMSZ5250BS-F	MMSZ5250BS-F	SOD-323	20	0.2	6.2	0,41	0,281	0,094	0,066
621-MMSZ5251BS-F	MMSZ5251BS-F	SOD-323	22	0.2	5.6	0,41	0,281	0,094	0,066
621-MMSZ5252BS-F	MMSZ5252BS-F	SOD-323	24	0.2	5.2	0,41	0,281	0,094	0,066
621-MMSZ5255BS-F	MMSZ5255BS-F	SOD-323	28	0.2	4.5	0,35	0,248	0,105	0,064
621-MMSZ5256BS-F	MMSZ5256BS-F	SOD-323	30	0.2	4.2	0,38	0,281	0,094	0,066
Série BZX ; SOT-23									
621-BZX84C2V4-F	BZX84C2V4-F	SOT-23	2.4	0.3	5	0,40	0,264	0,075	0,05
621-BZX84C2V7-F	BZX84C2V7-F	SOT-23	2.7	0.3	5	0,40	0,264	0,075	0,05
621-BZX84C3V0-F	BZX84C3V0-F	SOT-23	3	0.3	5	0,40	0,264	0,075	0,053
621-BZX84C3V3-F	BZX84C3V3-F	SOT-23	3.3	0.3	5	0,40	0,264	0,075	0,05
621-BZX84C3V6-F	BZX84C3V6-F	SOT-23	3.6	0.3	5	0,40	0,264	0,075	0,05
621-BZX84C3V9-F	BZX84C3V9-F	SOT-23	3.9	0.3	5	0,40	0,264	0,075	0,05
621-BZX84C4V3-F	BZX84C4V3-F	SOT-23	4.3	0.3	5	0,40	0,264	0,075	0,053
621-BZX84C5V1-F	BZX84C5V1-F	SOT-23	5.1	0.3	5	0,40	0,264	0,075	0,05
621-BZX84C5V6-F	BZX84C5V6-F	SOT-23	5.6	0.3	5	0,40	0,264	0,075	0,053
621-BZX84C6V2-F	BZX84C6V2-F	SOT-23	6.2	0.3	5	0,40	0,264	0,075	0,053
621-BZX84C6V8-F	BZX84C6V8-F	SOT-23	6.8	0.3	5	0,40	0,264	0,075	0,05
621-BZX84C7V5-F	BZX84C7V5-F	SOT-23	7.5	0.3	5	0,40	0,264	0,075	0,05
621-BZX84C8V2-F	BZX84C8V2-F	SOT-23	8.2	0.3	5	0,40	0,264	0,075	0,05
621-BZX84C9V1-F	BZX84C9V1-F	SOT-23	9.1	0.3	5	0,40	0,264	0,075	0,05
621-BZX84C10-F	BZX84C10-F	SOT-23	10	0.3	5	0,40	0,264	0,075	0,053
621-BZX84C12-F	BZX84C12-F	SOT-23	12	0.3	5	0,40	0,264	0,075	0,05
621-BZX84C13-F	BZX84C13-F	SOT-23	13	0.3	5	0,40	0,264	0,075	0,05
621-BZX84C15-F	BZX84C15-F	SOT-23	15	0.3	5	0,40	0,264	0,075	0,05
621-BZX84C16-F	BZX84C16-F	SOT-23	16	0.3	5	0,40	0,264	0,075	0,05
621-BZX84C18-F	BZX84C18-F	SOT-23	18	0.3	5	0,40	0,264	0,075	0,053
621-BZX84C20-F	BZX84C20-F	SOT-23	20	0.3	5	0,40	0,264	0,075	0,05
621-BZX84C22-F	BZX84C22-F	SOT-23	22	0.3	5	0,40	0,264	0,075	0,053
621-BZX84C24-F	BZX84C24-F	SOT-23	24	0.3	5	0,40	0,264	0,075	0,053
621-BZX84C27-F	BZX84C27-F	SOT-23	27	0.3	2	0,36	0,248	0,075	0,05
621-BZX84C30-F	BZX84C30-F	SOT-23	30	0.3	2	0,40	0,266	0,075	0,05
621-BZX84C33-F	BZX84C33-F	SOT-23	33	0.3	2	0,40	0,264	0,075	0,053
621-BZX84C36-F	BZX84C36-F	SOT-23	36	0.3	2	0,40	0,264	0,075	0,05
621-BZX84C39-F	BZX84C39-F	SOT-23	39	0.3	2	0,40	0,264	0,075	0,053
Série MMBZ ; SOT-23									
621-MMBZ10VAL-F	MMBZ10VAL-F	SOT-23	10	0.225	1	0,35	0,248	0,165	0,132
621-MMBZ15VAL-F	MMBZ15VAL-F	SOT-23	15	0.225	1	0,35	0,248	0,198	0,132
621-MMBZ18VAL-F	MMBZ18VAL-F	SOT-23	18	0.225	1	0,25	0,206	0,182	0,116
621-MMBZ20VAL-F	MMBZ20VAL-F	SOT-23	20	0.225	1	0,35	0,256	0,186	0,11
621-MMBZ27VAL-F	MMBZ27VAL-F	SOT-23	27	0.225	1	0,41	0,281	0,132	0,113
621-MMBZ33VAL-F	MMBZ33VAL-F	SOT-23	33	0.225	1	0,41	0,33	0,198	0,132
621-MMBZ5241B-F	MMBZ5241B-F	SOT-23	24	0.225	1	0,40	0,264	0,075	0,05
621-MMBZ5V6AL-F	MMBZ5V6AL-F	SOT-23	5.6	0.225	1	0,33	0,248	0,165	0,107
621-MMBZ6V8AL-F	MMBZ6V8AL-F	SOT-23	6.8	0.225	1	0,35	0,248	0,198	0,132
621-MMBZ9V1AL-F	MMBZ9V1AL-F	SOT-23	9.1	0.225	1	0,35	0,248	0,198	0,132
621-MMBZ5221B-F	MMBZ5221B-F	SOT-23	2.4	0.35	20	0,40	0,264	0,075	0,048
621-MMBZ5226B-F	MMBZ5226B-F	SOT-23	3.3	0.35	20	0,40	0,264	0,075	0,05
621-MMBZ5227B-F	MMBZ5227B-F	SOT-23	3.6	0.35	20	0,40	0,264	0,075	0,05
621-MMBZ5228B-F	MMBZ5228B-F	SOT-23	3.9	0.35	20	0,40	0,264	0,075	0,048
621-MMBZ5229B-F	MMBZ5229B-F	SOT-23	4.3	0.35	20	0,38	0,247	0,069	0,045
621-MMBZ5230B-F	MMBZ5230B-F	SOT-23	4.7	0.35	20	0,40	0,264	0,075	0,05
621-MMBZ5231B-F	MMBZ5231B-F	SOT-23	5.1	0.35	20	0,40	0,264	0,075	0,05
621-MMBZ5232B-F	MMBZ5232B-F	SOT-23	5.6	0.35	20	0,40	0,264	0,075	0,05
621-MMBZ5234B-F	MMBZ5234B-F	SOT-23	6.2	0.35	20	0,40	0,264	0,075	0,05
621-MMBZ5235B-F	MMBZ5235B-F	SOT-23	6.8	0.35	20	0,40	0,264	0,075	0,05
621-MMBZ5236B-F	MMBZ5236B-F	SOT-23	7.5	0.35	20	0,40	0,264	0,075	0,05
621-MMBZ5237B-F	MMBZ5237B-F	SOT-23	8.2	0.35	20	0,40	0,264	0,075	0,05
621-MMBZ5239B-F	MMBZ5239B-F	SOT-23	9.1	0.35	20	0,40	0,264	0,075	0,05
621-MMBZ5240B-F	MMBZ5240B-F	SOT-23	10	0.35	20	0,40	0,264	0,075	0,05
621-MMBZ5242B-F	MMBZ5242B-F	SOT-23	12	0.35	20	0,40	0,264	0,075	0,05
621-MMBZ5243B-F	MMBZ5243B-F	SOT-23	13	0.35	9.5	0,40	0,264	0,075	0,05
621-MMBZ5245B-F	MMBZ5245B-F	SOT-23	15	0.35	8.5	0,40	0,264	0,075	0,05
621-MMBZ5246B-F	MMBZ5246B-F	SOT-23	16	0.35	7.8	0,40	0,264	0,075	0,05
621-MMBZ5248B-F	MMBZ5248B-F	SOT-23	18	0.35	7	0,40	0,264	0,075	0,05
621-MMBZ5252B-F	MMBZ5252B-F	SOT-23	24	0.35	5.2	0,40	0,264	0,075	0,05
621-MMBZ5254B-F	MMBZ5254B-F	SOT-23	27	0.35	5	0,40	0,264	0,075	0,05
621-MMBZ5256B-F	MMBZ5256B-F	SOT-23	30	0.35	4.2	0,40	0,264	0,075	0,05
621-MMBZ5257B-F	MMBZ5257B-F	SOT-23	33	0.35	3.8	0,40	0,264	0,075	0,05

© Copyright 2012 Mouser Electronics

© Copyright 2012 Mouser Electronics

Redresseurs DIODES INC.

RoHS Compliant **This product is RoHS compliant.**

REDRESSEURS CLASSIQUES

RÉF. STOCK MOUSER	Réf. Diodes Inc.	Boîtier	Courant de redressement	V_{RRM} (Max.)	Courant de choc Max.	Tension directe	Température de Fonctionnement	Prix unitaire			Qté. par bobine	Prix unitaire
								1	10	100		
621-1N4001	1N4001-T	DO-41	1 A	50	30A	1,0	de -65°C à +175°C	0,25	0,157	0,07	5000	0,016
621-1N4004	1N4004-T	DO-41	1 A	400	30A	1,0	de -65°C à +175°C	0,25	0,157	0,07	5000	0,017
621-1N4007	1N4007-T	DO-41	1 A	1000	30A	1,0	de -65°C à +175°C	0,25	0,157	0,07	5000	0,016
621-1N5404	1N5404-T	DO-201AD	3 A	400	200A	1,0	de -65°C à +175°C	0,43	0,305	0,13	1200	0,07
621-1N5408	1N5408-T	DO-201AD	3 A	1000	200A	1,0	de -65°C à +175°C	0,43	0,305	0,13	1200	-
621-6A1	6A1-T	D-6	6 A	100	400A	0.90	de -65°C à +175°C	0,43	0,338	0,258	500	0,172
621-6A4	6A4-T	D-6	6 A	400	400A	0.90	de -65°C à +175°C	0,43	0,338	0,258	500	0,172
621-6A10	6A10-T	D-6	6 A	1000	400A	0.90	de -65°C à +175°C	0,43	0,338	0,258	500	0,172

REDRESSEURS PASSIVÉS PAR VERRE

RÉF. STOCK MOUSER	Réf. Diodes Inc.	Boîtier	Courant de redressement	V_{RRM} (Max.)	Courant de choc Max.	Tension directe	Température de Fonctionnement	Prix unitaire			Qté. par bobine	Prix unitaire
								1	10	100		
621-S1AB-F	S1AB-F	SMB	1 A	50 V	30A	1,1V	de -65°C à +150°C	0,36	0,256	0,182	3000	0,078
621-S1BB-F	S1BB-F	SMB	1 A	100 V	30A	1,1V	de -65°C à +150°C	0,37	0,272	0,19	3000	0,078
621-S1DB-F	S1DB-F	SMB	1 A	200V	30A	1,1V	de -65°C à +150°C	0,46	0,33	0,14	3000	0,059
621-S1GB-F	S1GB-F	SMB	1 A	400V	30A	1,1V	de -65°C à +150°C	0,44	0,305	0,149	3000	0,07
621-S1JB-F	S1JB-F	SMB	1 A	600 V	30A	1,1V	de -65°C à +150°C	0,50	0,353	0,235	3000	0,085
621-S1KB-F	S1KB-F	SMB	1 A	800V	30A	1,1V	de -65°C à +150°C	0,32	0,248	0,178	3000	0,084
621-S1MB-F	S1MB-F	SMB	1 A	1,000 V	30A	1,1V	de -65°C à +150°C	0,40	0,314	0,219	3000	0,096
621-S1A-F	S1A-F	SMA	1 A	50 V	30A	1 V	de -65°C à +150°C	0,38	0,256	0,18	5000	-
621-S1B-F	S1B-F	SMA	1 A	100 V	30A	1 V	de -65°C à +150°C	0,38	0,256	0,18	5000	-
621-S1D-F	S1D-F	SMA	1 A	200V	30A	1 V	de -65°C à +150°C	0,38	0,247	0,202	5000	0,081
621-S1G-F	S1G-F	SMA	1 A	400V	30A	1 V	de -65°C à +150°C	0,40	0,281	0,19	5000	0,064
621-S1J-F	S1J-F	SMA	1 A	600 V	30A	1 V	de -65°C à +150°C	0,42	0,297	0,165	5000	-
621-S1K-F	S1K-F	SMA	1 A	800V	30A	1 V	de -65°C à +150°C	0,41	0,281	0,132	5000	0,059
621-S1M-F	S1M-F	SMA	1 A	1,000 V	30A	1 V	de -65°C à +150°C	0,53	0,345	0,283	5000	0,112
621-S2AA-F	S2AA-F	SMA	1,5 A	50 V	50 A	1,15V	de -65°C à +150°C	0,32	0,248	0,178	5000	-
621-S2BA-F	S2BA-F	SMA	1,5 A	100 V	50 A	1,15V	de -65°C à +150°C	0,44	0,305	0,206	5000	-
621-S2GA-F	S2GA-F	SMA	1,5 A	400V	50 A	1,15V	de -65°C à +150°C	0,44	0,305	0,206	5000	-
621-S2JA-F	S2JA-F	SMA	1,5 A	600 V	50 A	1,15V	de -65°C à +150°C	0,38	0,289	0,208	5000	-
621-S2MA-F	S2MA-F	SMA	1,5 A	1,000 V	50 A	1,15V	de -65°C à +150°C	0,38	0,289	0,208	5000	-
621-S2A-F	S2A-F	SMB	1,5 A	50 V	30A	1,5 V	de -65°C à +150°C	0,44	0,305	0,14	3000	0,059
621-S2B-F	S2B-F	SMB	1,5 A	100 V	30A	1,5 V	de -65°C à +150°C	0,44	0,305	0,14	3000	0,059
621-S2D-F	S2D-F	SMB	1,5 A	200V	30A	1,5 V	de -65°C à +150°C	0,44	0,305	0,14	3000	0,059
621-S2G-F	S2G-F	SMB	1,5 A	400V	30A	1,5 V	de -65°C à +150°C	0,36	0,256	0,182	3000	0,078
621-S2J-F	S2J-F	SMB	1,5 A	600 V	30A	1,5 V	de -65°C à +150°C	0,44	0,305	0,206	3000	0,084
621-S2K-F	S2K-F	SMB	1,5 A	800V	30A	1,5 V	de -65°C à +150°C	0,44	0,305	0,206	3000	0,092
621-S2M-F	S2M-F	SMB	1,5 A	1,000 V	30A	1,5 V	de -65°C à +150°C	0,44	0,305	0,206	3000	0,092
621-S3AB-F	S3AB-F	SMB	3 A	50 V	100A	1,15V	de -65°C à +150°C	0,47	0,347	0,322	3000	0,204
621-S3BB-F	S3BB-F	SMB	3 A	100 V	100A	1,15V	de -65°C à +150°C	0,54	0,429	0,322	3000	0,167
621-S3DB-F	S3DB-F	SMB	3 A	200V	100A	1,15V	de -65°C à +150°C	0,47	0,347	0,322	3000	0,204
621-S3JB-F	S3JB-F	SMB	3 A	600 V	100A	1,15V	de -65°C à +150°C	0,64	0,503	0,379	3000	0,218
621-S3KB-F	S3KB-F	SMB	3 A	800V	100A	1,15V	de -65°C à +150°C	0,64	0,503	0,379	3000	0,218
621-S3MB-F	S3MB-F	SMB	3 A	1,000 V	100A	1,15V	de -65°C à +150°C	0,64	0,503	0,379	3000	0,218
621-S3A-F	S3A-F	SMC	3 A	50 V	100A	1,15V	de -65°C à +150°C	0,50	0,347	0,312	3000	0,196
621-S3B-F	S3B-F	SMC	3 A	100 V	100A	1,15V	de -65°C à +150°C	0,50	0,347	0,312	3000	0,196
621-S3D-F	S3D-F	SMC	3 A	200V	100A	1,15V	de -65°C à +150°C	0,50	0,347	0,312	3000	0,196
621-S3G-F	S3G-F	SMC	3 A	400V	100A	1,15V	de -65°C à +150°C	0,50	0,347	0,312	3000	0,196
621-S3J-F	S3J-13-F	SMC	3 A	600 V	100A	1,15V	de -65°C à +150°C	0,67	0,528	0,401	3000	0,23
621-S3K-F	S3K-13-F	SMC	3 A	800V	100A	1,15V	de -65°C à +150°C	0,67	0,528	0,401	3000	0,23
621-S3M-F	S3M-13-F	SMC	3 A	1,000 V	100A	1,15V	de -65°C à +150°C	0,67	0,528	0,401	3000	0,23
621-S5AC-F	S5AC-13-F	SMC	5 A	50 V	100A	1,15V	de -65°C à +150°C	0,59	0,47	0,356	3000	0,205
621-S5BC-F	S5BC-13-F	SMC	5 A	100 V	100A	1,15V	de -65°C à +150°C	0,64	0,503	0,379	3000	0,218
621-S5DC-F	S5DC-13-F	SMC	5 A	200V	100A	1,15V	de -65°C à +150°C	0,67	0,528	0,401	3000	0,23
621-S5GC-F	S5GC-13-F	SMC	5 A	400V	100A	1,15V	de -65°C à +150°C	0,74	0,594	0,446	3000	0,256
621-S5JC-F	S5JC-13-F	SMC	5 A	600 V	100A	1,15V	de -65°C à +150°C	0,69	0,553	0,416	3000	0,252
621-S5MC-F	S5MC-13-F	SMC	5 A	1,000 V	100A	1,15V	de -65°C à +150°C	0,78	0,701	0,557	3000	0,34
621-PDR5K-13	PDR5K-13	PowerDI-5	5 A	750 V	160A	0,99V	de -65 à +175˚C	0,82	0,701	0,557	5000	0,251

REDRESSEURS BARRIÈRE SCHOTTKY

RÉF. STOCK MOUSER	Réf. Diodes Inc.	Boîtier	Courant de redressement	V_{RRM} (Max.)	I_{FSM}	Chute de tension directe		Prix unitaire			Qté. par bobine	Prix unitaire
						V_F	@ I_F	1	10	100		
621-B0520LW-F	B0520LW-13-F	SOD-123	0,5A	20 V	5,5A	0,385V	0,5A	0,40	0,281	0,168	3000	0,106
621-B0530WS-F	B0530WS-7	SOD-323	0,5A	30 V	2 A	0,45V	0,5A	0,40	0,272	0,186	3000	0,134
621-B0530W-F	B0530W-13-F	SOD-123	0,5 A	30 V	5,5A	0,43V	0,5A	0,39	0,281	0,198	3000	0,116
621-B0540W-F	B0540W-13-F	SOD-123	0,5A	40 V	5,5A	0,51V	0,5A	0,40	0,281	0,248	3000	0,116
621-DFLS120L	DFLS120L-7	PowerDI™123	1 A	20 V	22A	0,36V	1 A	0,45	0,363	0,272	3000	-
621-1N5817	1N5817-T	DO-41	1 A	20 V	25A	0,75V	3 A	0,36	0,281	0,193	5000	-
621-B120-F	B120-13-F	SMA	1 A	20 V	30A	0,5V	1 A	0,44	0,314	0,272	5000	0,127
621-B120B-F	B120B-13-F	SMB	1 A	20 V	30A	0,5V	1 A	0,36	0,282	0,248	3000	0,144
621-PD3S120L-7	PD3S120L-7	PowerDI™323	1 A	20 V	33A	0,42V	1 A	0,55	0,436	0,282	3000	-
621-B130LAW-F	B130LAW-13-F	SOD-123	1 A	30 V	12 A	0,42V	1 A	0,55	0,436	0,285	3000	0,167
621-DFLS130	DFLS130-7	PowerDI™123	1 A	30 V	22A	0,42V	1 A	0,45	0,363	0,235	3000	0,153
621-1N5818	1N5818-T	DO-41	1 A	30 V	25A	0,875V	3 A	0,36	0,281	0,193	5000	-
621-B130L-F	B130L-13-F	SMA	1 A	30 V	25A	0,41V	1 A	0,42	0,322	0,225	5000	-

© Copyright 2012 Mouser Electronics
© Copyright 2012 Mouser Electronics

Redresseurs DIODES INC.

RoHS Compliant **This product is RoHS compliant.**

REDRESSEURS BARRIÈRE SCHOTTKY (SUITE)

PRODUCT NEW

RÉF. STOCK MOUSER	Réf. Diodes Inc.	Boîtier	Courant de redressement	V_{RRM} (Max.)	I_{FSM}	Chute de tension directe		Prix unitaire			Qté. par bobine	Prix unitaire
						V_F	@ I_F	1	10	100		
621-B130-F	B130-13-F	SMA	1A	30V	30A	0,5V	1A	0,41	0,297	0,281	5000	0,133
621-B130B-F	B130B-13-F	SMB	1A	30V	30A	0,5V	1A	0,44	0,309	0,257	3000	0,15
621-B130LB-F	B130LB-13-F	SMB	1A	30V	40A	0,40V	1A	0,39	0,306	0,277	3000	0,162
621-1N5819HW-F	1N5819HW-13-F	SOD-123	1A	40V	25A	0,45V	1A	0,40	0,279	0,23	3000	0,182
621-1N5819	1N5819-T	DO-41	1A	40V	25A	0,90V	3A	0,36	0,281	0,193	5000	-
621-B140-F	B140-13-F	SMA	1A	40V	30A	0,5V	1A	0,41	0,297	0,178	5000	-
621-B140B-F	B140B-13-F	SMB	1A	40V	30A	0,5V	1A	0,48	0,341	0,267	3000	0,156
621-B140HB-F	B140HB-13-F	SMB	1A	40V	45A	0,53V	1A	0,36	0,282	0,193	3000	0,157
621-B150-F	B150-13-F	SMA	1A	50V	30A	0,7V	1A	0,39	0,306	0,239	5000	-
621-B150B-F	B150B-13-F	SMB	1A	50V	30A	0,7V	1A	0,58	0,462	0,332	3000	0,195
621-B160-F	B160-13-F	SMA	1A	60V	30A	0,7V	1A	0,46	0,33	0,297	5000	-
621-B160B-F	B160B-13-F	SMB	1A	60V	30A	0,7V	1A	0,62	0,533	0,398	3000	0,234
621-DFLS160-F	DFLS160-7	PowerDI™123	1A	60V	50 A	0,5V	1A	0,45	0,363	0,272	3000	-
621-B180-F	B180-13-F	SMA	1A	80V	30A	0,79V	1A	0,73	0,627	0,495	5000	-
621-B180B-F	B180B-13-F	SMB	1A	80V	30A	0,79V	1A	0,64	0,508	0,329	3000	0,245
621-SB1100T	SB1100-T	DO-41	1A	100V	25A	0,80V	1A	0,50	0,396	0,299	5000	0,131
621-B1100-F	B1100-13-F	SMA	1A	100V	30A	0,79V	1A	0,69	0,553	0,413	5000	0,221
621-B1100B-F	B1100B-13-F	SMB	1A	100V	30A	0,79V	1A	0,83	0,718	0,569	3000	0,276
621-DFLS1200-F	DFLS1200-7	PowerDI™123	1A	100V	40A	0,77V	1A	0,61	0,49	0,317	3000	-
621-B1100LB-F	B1100LB-13-F	SMB	1A	100V	50 A	0,75V	1A	0,45	0,353	0,304	3000	0,261
621-DFLS220L-7	DFLS220L-7	PowerDI™123	2A	20V	40A	0,,42V	2A	0,65	0,561	0,386	3000	0,245
621-B220-F	B220-13-F	SMB	2A	20V	50A	0,5V	2A	0,45	0,353	0,341	3000	0,224
621-B220A-F	B220A-13-F	SMA	2A	20V	50A	0,5V	2A	0,48	0,341	0,328	5000	-
621-DFLS230-7	DFLS230-7	PowerDI™123	2A	30V	22A	0,49V	2A	0,62	0,533	0,365	3000	0,238
621-DFLS230L-7	DFLS230L-7	PowerDI™123	2A	30V	33A	0,42V	2A	0,65	0,564	0,386	3000	0,248
621-B230-F	B230-13-F	SMB	2A	30V	50A	0,5V	2A	0,45	0,353	0,337	3000	0,24
621-B230A-F	B230A-13-F	SMA	2A	30V	50A	0,5V	2A	0,48	0,341	0,337	5000	0,229
621-DFLS230LH-F	DFLS230LH-7	PowerDI™123	2A	30V	75A	0,45V	2A	0,69	0,596	0,408	3000	0,262
621-B240-F	B240-13-F	SMB	2A	40V	50A	0,5V	2A	0,45	0,413	0,396	3000	0,314
621-B240A-F	B240A-13-F	SMA	2A	40V	50A	0,5V	2A	0,48	0,454	0,426	5000	0,226
621-DFLS240L-7	DFLS240L-7	PowerDI™123	2A	40V	50A	0,55V	2A	0,65	0,561	0,386	3000	0,248
621-B250-F	B250-13-F	SMB	2A	50V	50A	0,7V	2A	0,42	0,371	0,33	3000	0,266
621-B250A-F	B250A-13-F	SMA	2A	50V	50A	0,7V	2A	0,43	0,345	0,311	5000	0,229
621-B260-F	B260-13-F	SMB	2A	60V	50A	0,7V	2A	0,39	0,326	0,289	3000	0,275
621-B260A-F	B260A-13-F	SMA	2A	60V	50A	0,7V	2A	0,42	0,329	0,285	5000	0,243
621-B290-F	B290-13-F	SMB	2A	90V	50A	0,79V	2A	0,94	0,842	0,668	3000	0,347
621-B2100-F	B2100-13-F	SMB	2A	100V	50A	0,79V	2A	0,48	0,376	0,332	3000	0,314
621-B320A-F	B320A-13-F	SMA	3A	20V	100A	0,5V	3A	0,74	0,578	0,454	5000	0,245
621-B320-F	B320-13-F	SMC	3A	20V	125A	0,5V	3A	0,74	0,578	0,495	3000	0,314
621-B320B-F	B320B-13-F	SMC	3A	20V	125A	0,5V	3A	0,48	0,381	0,351	3000	0,284
621-1N5820	1N5820-T	DO-201AD	3A	20V	80A	0,85V	3A	0,61	0,487	0,317	1200	-
621-B330A-F	B330A-13-F	SMA	3A	30V	100A	0,5V	3A	0,45	0,413	0,347	5000	0,254
621-B330-F	B330-13-F	SMC	3A	30V	125A	0,5V	3A	0,52	0,495	0,433	3000	0,326
621-B330B-F	B330B-13-F	SMC	3A	30V	125A	0,5V	3A	0,50	0,479	0,462	3000	0,294
621-1N5821	1N5821-T	DO-201AD	3A	30V	80A	0,90V	3A	0,61	0,487	0,317	1200	-
621-B340A-F	B340A-13-F	SMA	3A	40V	100A	0,5V	3A	0,41	0,396	0,355	5000	0,268
621-B340-F	B340-13-F	SMC	3A	40V	125A	0,5V	3A	0,41	0,404	0,398	3000	0,341
621-B340B-F	B340B-13-F	SMC	3A	40V	125A	0,5V	3A	0,48	0,376	0,347	3000	0,302
621-B340LA-F	B340LA-13-F	SMA	3A	40V	70A	0,45V	3A	0,50	0,462	0,429	5000	0,27
621-B340LB-F	B340LB-13-F	SMB	3A	40V	70A	0,45V	3A	0,41	0,38	0,347	3000	0,305
621-1N5822	1N5822-T	DO-201AD	3A	40V	80A	0,95V	3A	0,61	0,487	0,317	1200	-
621-B350A-F	B350A-13-F	SMA	3A	50V	100A	0,7V	3A	0,55	0,436	0,413	5000	0,33
621-B350B-F	B350B-13-F	SMC	3A	50V	125A	0,7V	3A	0,55	0,495	0,468	3000	0,382
621-B360A-F	B360A-13-F	SMA	3A	60V	100A	0,7V	3A	0,96	0,751	0,578	5000	0,368
621-PDS360-F	PDS360-13	PowerDI™5	3A	60V	100A	0,62V	3A	1,13	1,01	0,802	5000	-
621-B360-F	B360-13-F	SMC	3A	60V	125A	0,7V	3A	0,50	0,484	0,469	3000	0,449
621-B360B-F	B360B-13-F	SMB	3A	60V	125A	0,7V	3A	1,06	0,833	0,644	3000	-
621-B370-F	B370-13-F	SMC	3A	70V	100A	0,79V	3A	1,23	0,965	0,743	3000	0,474
621-B380-F	B380-13-F	SMC	3A	80V	100A	0,79V	3A	2,08	0,99	0,759	3000	0,484
621-B3100-F	B3100-13-F	SMC	3A	100V	100A	0,79V	3A	0,66	0,635	0,536	3000	0,515
621-PDS3100-13	PDS3100-13	PowerDI™5	3A	100V	90A	0,75V	3A	1,06	0,949	0,757	5000	0,493
621-PDS3200-13	PDS3200-13	PowerDI™5	3A	200V	180A	0,78V	3A	1,50	1,34	1,06	5000	0,631
621-PDS4150-F	PDS4150-13	PowerDI™5	4A	150V	180A	0,76V	4A	1,50	1,34	1,06	5000	0,631
621-B520C-F	B520C-13-F	SMC	5A	20V	175A	0,55V	5A	0,88	0,751	0,578	3000	0,371
621-B530C-13-F	B530C-13-F	SMC	5A	30V	175A	0,55V	5A	0,88	0,751	0,515	3000	-
621-PDS1040CTL-13	PDS1040CTL-13	PowerDI™5	5A	40V	110A	0,50V	5A	1,48	1,26	1,02	5000	0,619
621-B540C-F	B540C-13-F	SMC	5A	40V	175A	0,55V	5A	0,88	0,751	0,594	3000	-
621-B550C-F	B550C-13-F	SMC	5A	50V	175A	0,7V	5A	0,82	0,726	0,578	3000	0,452
621-PDS560-F	PDS560-13	PowerDI™5	5A	60V	120A	0,67V	5A	1,25	1,12	0,891	5000	0,498
621-B560C-F	B560C-13-F	SMC	5A	60V	175A	0,7V	5A	0,82	0,66	0,579	3000	-
621-PDS5100-13	PDS5100-13	PowerDI™5	5A	100V	120A	0,78V	5A	1,32	1,17	0,932	5000	0,536
621-SB5100T	SB5100-T	DO-201AD	5A	100V	150A	0,80V	5A	0,98	0,866	0,687	1200	0,533
621-PDS5100H-13	PDS5100H-13	PowerDI™5	5A	100V	250A	0,71V	5A	1,56	1,34	1,09	5000	0,631
621-PDS760-F	PDS760-13	PowerDI™5	7A	60V	275A	0,62V	7A	1,41	1,26	0,998	5000	0,557
621-PDS1040-13	PDS1040-13	PowerDI™5	10A	40V	275A	0,51V	10A	1,10	0,982	0,78	5000	-
621-PDS1040L-13	PDS1040L-13	PowerDI™5	10A	40V	275A	0,49V	10A	1,10	0,982	0,78	5000	0,567
621-PDS1045-F	PDS1045-13	PowerDI™5	10A	45V	275A	0,51V	10A	1,41	1,26	0,998	5000	-
621-MBR2045CTP	MBR2045CTP	TO-220AB	20A	45V	150A	0,65V	10A	1,50	1,32	1,04	5000	0,569
621-MBR2060CTP	MBR2060CTP	TO-220AB	20A	60 V	170A	0,8V	10A	1,39	1,22	0,965	5000	0,526
621-MBR3045CTP	MBR3045CTP	TO-220AB	30A	45V	250A	0,65V	15A	1,53	1,39	1,11	5000	0,644
621-MBR3060CTP	MBR3060CTP	TO-220	30A	60V	250A	0,75V	15A	1,84	1,66	1,34	5000	0,772

© Copyright 2012 Mouser Electronics
© Copyright 2012 Mouser Electronics

Redresseurs DIODES INC.

DIODES INCORPORATED

RoHS Compliant **This product is RoHS compliant.**

NEW PRODUCT

REDRESSEURS DIODESTAR™

RÉF. STOCK MOUSER	Réf. Diodes Inc.	Boîtier	Courant redressé (A)	Tension inverse répétitive de crête (V)	I_{FSM} (A)	Temps de récupération inverse (ns)	Capacité totale (pF)	Prix unitaire 1	Prix unitaire 25	Prix unitaire 100	Qté. par bobine	Prix unitaire
621-DSR6U600D1	DSR6U600D1	TO252-3L	6	600	60	25	30	0,66	0,636	0,45	-	-
621-DSR6U600D1-13	DSR6U600D1-13	TO252-3L	6	600	60	25	30	0,70	0,664	0,557	2500	0,289
621-DSR6V600D1-13	DSR6V600D1-13	TO252-3L	6	600	60	23	30	0,70	0,664	0,557	2500	0,289
621-DSR8U600	DSR8U600	TO-220AC	8	600	85	28	55	0,80	-	0,636	-	-
621-DSR8V600	DSR8V600	TO-220AC	8	600	65	23	55	0,80	-	0,636	-	-
621-DSR15U600	DSR15U600	TO-220AC	15	600	150	35	80	0,99	-	0,788	-	-
621-DSR15V600	DSR15V600	TO-220AC	15	600	140	30	80	0,99	-	0,788	-	-

REDRESSEURS À PONT

RÉF. STOCK MOUSER	Réf. Diodes Inc.	Boîtier	Courant de redressement	V_{RRM} (Max.)	Courant de choc max.	Température de fonctionnement	Prix unitaire 1	Prix unitaire 10	Prix unitaire 100	Qté. par bobine	Prix unitaire
621-HD04T	HD04-T	MiniDIP	0,8A	400	30A	de -55°C à +150°C	0,42	0,322	0,225	3000	0,176
621-HD06T	HD06-T	MiniDIP	0,8A	600	30A	de -55°C à +150°C	0,48	0,371	0,257	3000	0,172
621-DF01M	DF01M	DFM	1A	100	50A	de -65°C à +150°C	0,40	0,316	0,216	-	-
621-DF01ST	DF01S-T	DFS	1A	100	50A	de -65°C à +150°C	0,48	0,376	0,215	1500	0,198
621-DF04M	DF04M	DFM	1A	400	50A	de -65°C à +150°C	0,40	0,316	0,216	-	-
621-DF10M	DF10M	DFM	1A	1000	50A	de -65°C à +150°C	0,41	0,347	0,26	-	-
621-DF1501ST	DF1501S-T	DFS	1,5A	100	50A	de -65°C à +150°C	0,48	0,381	0,247	1500	0,212
621-KBP04G	KBP04G	KBP	1,5A	400	40A	de -65°C à +150°C	0,83	0,718	0,557	-	-
621-DF1504ST	DF1504S-T	DFS	1,5A	400	50A	de -65°C à +150°C	0,55	0,429	0,327	1500	0,231
621-W04G	W04G	WOG	1,5A	400	50A	de -65°C à +150°C	0,40	0,33	0,248	-	-
621-DF1510ST	DF1510S-T	DFS	1,5A	1000	50A	de -65°C à +150°C	0,61	0,487	0,367	1500	0,322
621-W10G	W10G	WOG	1,5A	1000	50A	de -65°C à +150°C	0,49	0,413	0,309	-	-
621-KBP204G	KBP204G	KBP	2A	400	65A	de -65°C à +150°C	0,43	0,363	0,317	-	-
621-KBP210G	KBP210G	KBP	2A	1000	65A	de -65°C à +150°C	0,53	0,462	0,356	-	-
621-GBU404	GBU404	GBU	4A	400	150A	de -65°C à +150°C	1,13	0,99	0,788	-	-
621-GBU410	GBU410	GBU	4A	1000	150A	de -65°C à +150°C	1,36	1,20	0,949	-	-
621-GBU804	GBU804	GBU	8A	400	200A	de -65°C à +150°C	1,38	1,25	0,998	-	-
621-GBU810	GBU810	GBU	8A	1000	200A	de -55°C à +150°C	1,44	1,29	1,04	-	-
621-GBU1004	GBU1004	GBU	10A	400	220A	de -65°C à +150°C	1,42	1,25	0,99	-	-
621-GBU1010	GBU1010	GBU	10A	1000	220A	de -65°C à +150°C	1,96	1,53	1,20	-	-
621-GBPC1504	GBPC1504	GBPC	15A	400	300A	de -65°C à +150°C	2,15	1,94	1,56	-	-
621-GBJ1510-F	GBJ1510-F	GBJ	15A	1000	240A	de -65°C à +150°C	1,67	1,50	1,20	-	-
621-GBPC1510	GBPC1510	GBPC	15A	1000	300A	de -65°C à +150°C	2,30	2,08	1,67	-	-
621-GBJ2004-F	GBJ2004-F	GBJ	20A	400	240A	de -65°C à +150°C	1,41	1,27	1,01	-	-
621-GBJ2010-F	GBJ2010-F	GBJ	20A	1000	240A	de -65°C à +150°C	1,79	1,62	1,30	-	-
621-GBPC2504	GBPC2504	GBPC	25A	400	300A	de -65°C à +150°C	2,30	1,91	1,54	-	-
621-GBJ2504-F	GBJ2504-F	GBJ	25A	400	350A	de -65°C à +150°C	1,67	1,50	1,20	-	-
621-GBPC2510	GBPC2510	GBPC	25A	1000	300A	de -65°C à +150°C	2,43	2,14	1,73	-	-
621-GBJ2510-F	GBJ2510-F	GBJ	25A	1000	350A	de -65°C à +150°C	1,92	1,56	1,26	-	-
621-GBPC3504	GBPC3504	GBPC	35A	400	400A	de -65°C à +150°C	2,43	2,19	1,76	-	-
621-GBPC3510	GBPC3510	GBPC	35A	1000	400A	de -65°C à +150°C	2,31	2,06	1,69	-	-

REDRESSEURS DE RÉCUPÉRATION RAPIDES/SUPER RAPIDES/ULTRARAPIDES

RÉF. STOCK MOUSER	Réf. Diodes Inc.	Boîtier	Courant de redressement	Temps de récupération inverse	V_{RRM} (Max.)	Courant de choc Max.	Prix unitaire 1	Prix unitaire 10	Prix unitaire 100	Qté. par bobine	Prix unitaire
621-ES1A-F	ES1A-13-F	SMA	1A	25ns	50	30A	0,48	0,341	0,227	5000	-
621-ES1B-F	ES1B-13-F	SMA	1A	25ns	100	30A	0,48	0,341	0,227	5000	-
621-ES1C-F	ES1C-13-F	SMA	1A	25ns	150	30A	0,66	0,52	0,394	5000	-
621-ES1D-F	ES1D-13-F	SMB	1A	25ns	200	30A	0,48	0,341	0,227	5000	-
621-MUR120	MUR120-T	DO-41	1A	25ns	200	35A	0,50	0,396	0,299	5000	0,132
621-MURS120	MURS120-13-F	SMB	1A	25ns	200	40A	0,48	0,341	0,285	3000	0,167
621-UF1001	UF1001-T	DO-41	1A	50ns	50	30A	0,47	0,338	0,203	5000	-
621-US1A-F	US1A-13-F	SMA	1A	50ns	50	30A	0,40	0,388	0,245	5000	0,118
621-MUR140	MUR140-T	DO-41	1A	50ns	400	35A	0,45	0,363	0,272	5000	0,127
621-UF1004	UF1004-T	DO-41	1A	50ns	400	30A	0,52	0,363	0,243	5000	-
621-US1G-F	US1G-13-F	SMA	1A	50ns	400	30A	0,50	0,347	0,312	5000	0,15
621-MUR160	MUR160-T	DO-41	1A	50ns	600	35A	0,55	0,429	0,327	5000	-
621-MURS160-F	MURS160-13-F	SMB	1A	50ns	600	35A	0,39	0,306	0,304	3000	-
621-US1J-F	US1J-13-F	SMA	1A	75ns	600	30A	0,55	0,47	0,371	5000	0,167
621-US1K-F	US1K-13-F	SMA	1A	75ns	800	30A	0,60	0,512	0,408	5000	0,184
621-UF1007	UF1007-T	DO-41	1A	75ns	1000	30A	0,43	0,338	0,258	5000	-
621-US1M-F	US1M-13-F	SMA	1A	75ns	1000	30A	0,63	0,503	0,37	5000	0,178
621-RS1D-13-F	RS1D-13-F	SMA	1A	150ns	200	30A	0,41	0,322	0,245	5000	-
621-ES2A-F	ES2A-13-F	SMB	2A	25ns	50	50A	0,58	0,495	0,343	3000	-
621-ES2AA-F	ES2AA-13-F	SMA	2A	25ns	50	50A	0,48	0,376	0,257	5000	0,162
621-ES2B-F	ES2B-13-F	SMB	2A	25ns	100	50A	0,48	0,376	0,215	3000	-
621-ES2CA-F	ES2CA-13-F	SMA	2A	25ns	150	50A	0,65	0,561	0,446	5000	-
621-ES2D-F	ES2D-13-F	SMB	2A	25ns	200	50A	0,69	0,594	0,408	3000	-
621-ES2DA-13-F	ES2DA-13-F	SMA	2A	25ns	200	50A	0,48	0,376	0,257	5000	-
621-ES3AB-F	ES3AB-13-F	SMB	3A	25ns	50	100A	0,64	0,508	0,329	3000	0,275
621-ES3B-F	ES3B-13-F	SMC	3A	25ns	100	100A	0,80	0,71	0,494	3000	0,295
621-ES3BB-F	ES3BB-13-F	SMB	3A	25ns	100	100A	0,64	0,508	0,329	3000	0,268
621-ES3C-F	ES3C-13-F	SMC	3A	25ns	150	100A	0,85	0,751	0,523	3000	0,312
621-ES3CB-F	ES3CB-13-F	SMB	3A	25ns	150	100A	0,64	0,508	0,329	3000	0,287
621-ES3D-F	ES3D-13-F	SMC	3A	25ns	200	100A	0,64	0,508	0,381	3000	-
621-ES3DB-F	ES3DB-13-F	SMB	3A	25ns	200	100A	0,64	0,508	0,384	3000	-

© Copyright 2012 Mouser Electronics
© Copyright 2012 Mouser Electronics

Les produits peuvent être conformes à la directive RoHS.
Consultez le site mouser.com pour vérifier la conformité RoHS.

RoHS Compliant

DIODES BARRIÈRE ZETEX SCHOTTKY

Les diodes barrière Schottky Zetex offrent les avantages combinés d'excellentes performances associées à des boîtiers de montage en surface miniatures. Une architecture et un processus optimisés avec des boîtiers de qualité supérieure permettent d'obtenir un rapport performance IF/VF sans égal ainsi qu'une capacité PD, permettant d'importantes économies de place, des circuits efficaces et des solutions rentables par rapport aux boîtiers plus grands.

Caractéristiques:
- Tension directe faible
- Capacité de courant élevé
- Temps de récupération rapide
- Dimension de boîtier miniature

Applications:
- Conversion CC-CC
- Sources distribuées et auxiliaires
- Redressement à haute fréquence
- Télécommunications mobiles, PCMCIA (cartes de mémoire flash) et PSU SCSI LAN
- Circuits de chargeurs

♦ **Montage en surface**

Pour des quantités supérieures à celles indiquées, appelez-nous afin d'obtenir un devis.

RÉF. STOCK MOUSER	Réf. Zetex	Description	Type de dispositif	V_R Temp. max (V)	I_F Max. (A)	V_F@I_F		I_R@		I_{FSM} Max. (A)	Prix unitaire			
						Max. (mV)	(mA)	Max. (µA)	V_R		1	25	100	250
♦ 522-BAT54TA	BAT54TA	SOT-23	Simple	30	200	500	30	4	25	0.6	0,14	0,124	0,105	0,095
♦ 522-BAT54ATA	BAT54ATA	SOT-23	Anode commune	30	200	500	30	4	25	0.6	0,23	0,19	0,168	0,119
♦ 522-BAT54CTA	BAT54CTA	SOT-23	Cathode commune	30	200	500	30	4	25	0.6	0,23	0,19	0,168	0,119
♦ 522-BAT54STA	BAT54STA	SOT-23	Série	30	200	500	30	4	25	0.6	0,12	0,076	0,063	0,057
♦ 522-ZHCS400TA	ZHCS400TA	SOD-323	-	40	0.4	500	400	40	30	6.75	0,37	-	0,257	0,238
♦ 522-ZHCS500TA	ZHCS500TA	SOT-23	-	40	0,5	550	500	40	30	6.75	0,44	0,324	0,30	0,276
♦ 522-ZHCS750TA	ZHCS750TA	SOT-23	-	40	0.75	490	750	100	30	12	0,58	-	0,36	0,306
♦ 522-ZHCS1000TA	ZHCS1000TA	SOT-23	-	40	1	425	1000	100	30	12	0,66	-	0,285	0,257
♦ 522-ZHCS2000TA	ZHCS2000TA	SOT-23-6	-	40	2	500	2000	300	30	20	0,63	-	0,50	0,433
♦ 522-ZHCS506TA	ZHCS506TA	SOT-23	-	60	0,5	630	500	40	45	5.5	0,48	-	0,328	0,306

DIODES REDRESSEURS ZETEX À FUITE FAIBLE SCHOTTKY

Zetex a consolidé sa gamme Schottky actuelle par l'introduction de 4 nouvelles diodes Shottky à commutation rapide, fuite très faible, courant élevé, pour montage en surface qui complètent la série ZHCS VF existante (idéale pour le fonctionnement à basse température). Ces nouvelles diodes à faible fuite conviennent parfaitement aux applications nécessitant un fonctionnement efficace à température élevée, ce qui est souvent une limitation importante des types Schottky traditionnels.
Les diodes de la série ZLLS existent en différents boîtiers liés directement à la structure et à la performance IF, permettant aux concepteurs de bénéficier d'un choix optimal de dimensions/performances/coûts des boitiers.

Caractéristiques:
- VR -40V
- VF très faible à température élevée de fonctionnement (supérieure à 85°C)
- Capacité de fuite très faible pour tous les boîtiers
- Les diodes ZLLS fonctionnant à haute température complète la gamme existante de la série ZHCS (optimisé pour fonctionner à basse température)

Applications:
- Conversion de la puissance en automobile
- Conversion CC (modules CC en télécommunications)
- Circuits de chargement
- Redressement à haute fréquence
- Contrôle des moteurs
- Équipement alimenté à piles

♦ **Montage en surface**

Pour des quantités supérieures à celles indiquées, appelez-nous afin d'obtenir un devis.

RÉF. STOCK MOUSER	Réf. Zetex	Boîtier	V_R Max (V)	I_F Max. (A)	V_F@I_F		IR @ 30V Max. (µA)	Trr (ns)	CD @ 30V (pF)	PD W	Prix unitaire			
					Max. (mV)	(mA)					1	25	100	250
♦ 522-ZLLS350TA	ZLLS350TA	SOD-523	40	0.38	1000	275	4	1	3.5	0.36	0,39	-	0,271	0,251
♦ 522-ZLLS500TA	ZLLS500TA	SOT-23	40	0.52	530	500	10	2.46	15.5	0.33	0,46	0,447	0,283	0,242
♦ 522-ZLLS400TA	ZLLS400TA	SOD-323	40	0.7	500	400	10	2.46	15.5	0,5	0,39	-	0,244	0,209
♦ 522-ZLLS1000TA	ZLLS1000TA	SOT-23	40	1.16	560	1000	40	3.71	65	1.1	0,54	-	0,371	0,337
♦ 522-ZLLS2000TA	ZLLS2000TA	SOT-23-6	40	2.2	540	2000	20	2.58	31	0.625	0,74	0,733	0,529	0,487

DIODES VARACTOR HYPERABRUPTES À TENSION 12 ET 25 ZETEX

Caractéristiques:
- Caractéristiques de tolérance proches C-V
- Rapport de synchronisation élevé
- IR faible (typiquement 200pA)
- Performance en bruit de phase excellente
- Haut facteur de qualité Q
- Gamme de boîtiers miniatures pour montage en surface

Applications:
- VCXO et TCXO
- Communications sans fil
- Téléavertisseurs
- Radio mobile

Tension 12

♦ **Montage en surface**

Pour des quantités supérieures à celles indiquées, appelez-nous afin d'obtenir un devis.

RÉF. STOCK MOUSER	Réf. Zetex	Boîtier	Tension	Capacité V_R=1V, f=1MHz	Capacité V_R=2,5V, f=1MHz		Capacité V_R=4V, f=1MHz	Q V_R=4V, f=50MHz	Prix unitaire			
				Min. (pF)	Min. (pF)	Max. (pF)	Max. (pF)	Min. (pF)	1	25	100	250
♦ 522-ZC930TA	ZC930TA	SOT-23	12	8.7	4.3	5.5	2.9	200	3,52	2,67	2,11	1,81
♦ 522-ZC932TA	ZC932TA	SOT-23	12	17	8.5	10.5	5.5	200	3,52	3,05	2,11	1,98
♦ 522-ZC933TA	ZC933TA	SOT-23	12	42	18	27	12	150	3,52	3,05	2,11	1,98
♦ 522-ZMV933TA	ZMV933TA	SOD-323	12	42	18	27	12	150	1,70	1,34	1,19	0,971
♦ 522-ZC934TA	ZC934TA	SOT-23	12	95	40	65	25	80	2,42	1,90	1,69	1,37
♦ 522-ZC934ATA	ZC934ATA	SOT-23	12	95	47.25	57.75	25	80	3,52	3,05	2,11	1,98

Tension 25

Pour des quantités supérieures à celles indiquées, appelez-nous afin d'obtenir un devis.

RÉF. STOCK MOUSER	Réf. Zetex	Boîtier	Tension	Capacité V_R=2V, f=1MHz	Rapport de capacité C_2/C_20 àt f=MHz		Q V_R=3V, f=50MHz	Prix unitaire			
				Typ. (pF)	Min. (pF)	Max. (pF)	Min. (pF)	1	25	100	250
♦ 522-ZC832BTA	ZC832BTA	SOT-23	25	22	5	6.5	200	2,68	2,10	1,79	1,60
♦ 522-ZC836BTA	ZC836BTA	SOT-23	25	100	5	6.5	100	2,68	2,10	1,79	1,64

BARRETTES TVS POUR MONTAGE EN SURFACE QUAD ZETEX

Pour des quantités supérieures à celles indiquées, appelez-nous afin d'obtenir un devis.

RÉF. STOCK MOUSER	Réf. Zetex	Boîtier	Puissance nominale (W)	Tension verticale inverse V_{RWM} (V)	Tension disruptive V_{BR} (V) Max.	Courant inverse de fuite Max IR @ V_{RWM} Max (µA)	Capacité Typ. @ 0V Bias (pF)	Capacité Typ. @ 3V Bias (pF)	Prix unitaire			Qté. par bobine	Prix par composant
									1	10	100		
621-DMF05LCFLP-7	DMF05LCFLP-7	DFN1616-16	70	5	8	0.1	50	-	0,42	0,329	0,225	3000	0,096
621-DZQA6V8AXV5-7	DZQA6V8AXV5-7	SOT-553	20	4.3	7.14	.300	12.5	7.6	0,36	0,248	0,193	3000	0,077
621-DUP412VP5-7	DUP412VP5-7	SOT-953	18	9	12.7	0,5	6.5	3.5	0,51	0,33	0,273	10000	0,093

© Copyright 2012 Mouser Electronics
© Copyright 2012 Mouser Electronics

Modules de puissance EUPEC

power electronics in motion
eupec

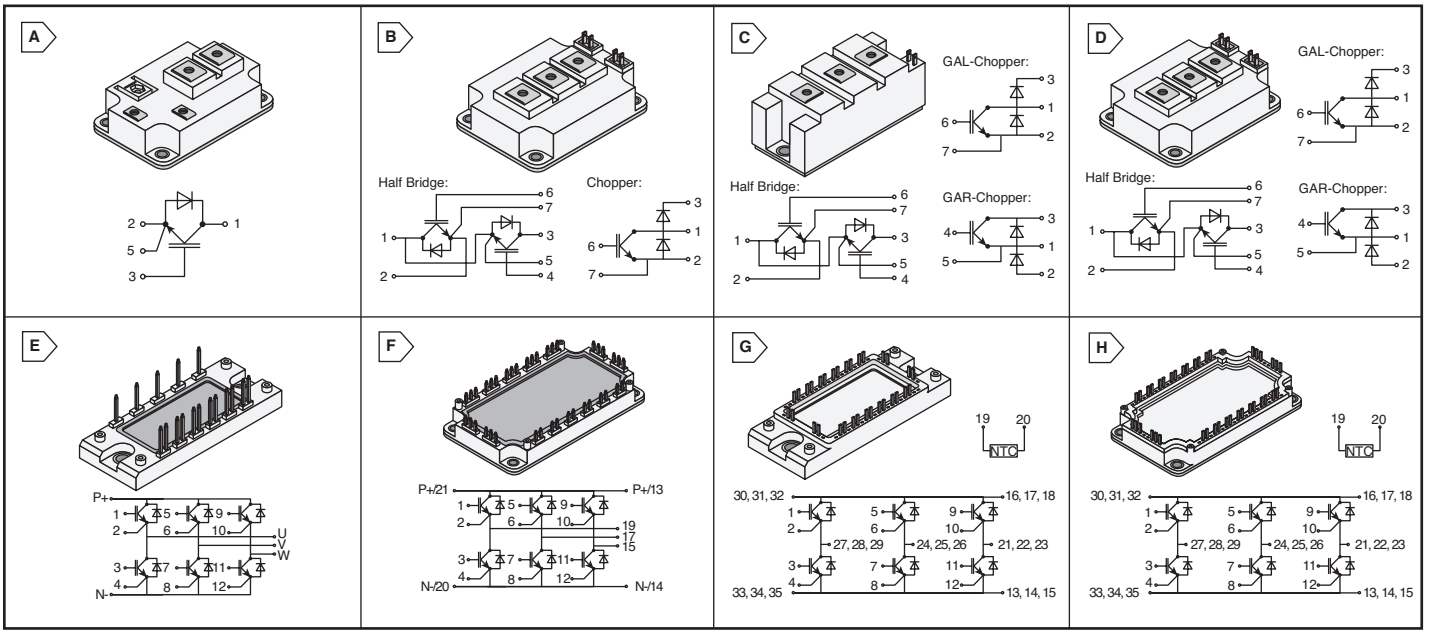

MODULES IGBT EUPEC

Caractéristiques:
- Entrée MOS à tension contrôlée
- Canal N
- Socle en cuivre isolé

Applications:
- Échauffement inductif
- Vibreurs à CC
- Soudage électronique
- Sources d'alimentation sans coupure
- Commandes robotiques et servocommandes à CC
- Applications de commutation générale de la puissance

Pour des quantités supérieures à celles indiquées, appelez-nous afin d'obtenir un devis.

RÉF. STOCK MOUSER	Réf. Eupec	Fig.	Boîtier	Description	Tension (V) (max)	Courant (A) (max)	Puissance (W) (max)	Temp. (°C) (Max.)	Prix unitaire 1	5	10
641-FZ600R12KE3	FZ600R12KE3	A	IS6a (62mm)	Commutateur simple	1200	600	2500	80	213,23	202,58	191,91
641-BSM200GAL120DN2	BSM200GAL120DN2	B	IS5 (62mm)	Hacheur GAL	1200	200	1400	80	166,62	158,29	149,96
641-BSM75GAR120DN2	BSM75GAR120DN2	C	IS4 (34mm)	Hacheur GAR	1200	75	625	80	78,65	74,71	70,79
641-BSM200GAR120DN2	BSM200GAR120DN2	B	IS5 (62mm)	Hacheur GAR	1200	200	1400	80	-	-	-
641-BSM50GB120DN2	BSM50GB120DN2	C	IS4 (34mm)	Double IGBT	1200	50	400	80	84,72	80,49	76,25
641-BSM100GB120DN2K	BSM100GB120DN2K	C	IS4 (34mm)	Double IGBT	1200	100	700	80	127,18	120,85	114,52
641-BSM200GB120DN2	BSM200GB120DN2	D	IS5a (62mm)	Double IGBT	1200	200	800	80	189,93	180,43	170,94
641-BSM50GB120DLC	BSM50GB120DLC	C	IS4 (34mm)	Double IGBT	1200	50	460	80	69,74	66,26	62,77
641-BSM100GB120DLCK	BSM100GB120DLCK	C	IS4 (34mm)	Double IGBT	1200	100	830	80	95,53	90,75	85,96
641-BSM200GB120DLC	BSM200GB120DLC	D	IS5a (62mm)	Double IGBT	1200	200	1300	80	177,92	169,02	160,12
641-FF300R12KE3	FF300R12KE3	D	IS5a (62mm)	Double IGBT	1200	300	1470	80	213,23	202,58	191,91
641-BSM10GD120DN2	BSM10GD120DN2	E	IS2 (Econo2)	Pont triphasé	1200	10	80	80	46,26	43,98	41,68
641-BSM25GD120DN2	BSM25GD120DN2	E	IS2 (Econo2)	Pont triphasé	1200	25	145	80	91,45	86,88	82,30
641-BSM50GD120DN2	BSM50GD120DN2	E	IS2 (Econo2)	Pont triphasé	1200	50	350	80	139,90	132,90	125,90
641-BSM100GD120DN2	BSM100GD120DN2	F	IS8 (Econo3)	Pont triphasé	1200	100	680	80	263,17	250,01	236,86
641-FS50R12KE3	FS50R12KE3	G	IS3a (EconoPACK2)	Pont triphasé	1200	50	270	80	115,79	110,00	104,20
641-FS150R12KE3	FS150R12KE3	H	IS8a (EconoPACK3)	Pont triphasé	1200	150	650	80	292,99	278,34	263,70

MODULES DE PUISSANCE INTÉGRÉS IGBT EUPEC

Caractéristiques:
- Intégration de puissance de haut niveau
- Capteur de température intégré
- Densité de puissance élevée, pertes faibles

Applications:
- Inverseur d'entraînement de moteur triphasique
- Convertisseur
- Sources de commutation générale de la puissance

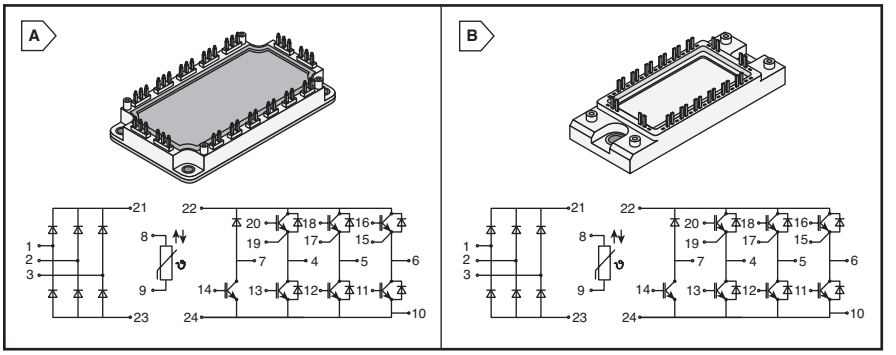

Pour des quantités supérieures à celles indiquées, appelez-nous afin d'obtenir un devis.

RÉF. STOCK MOUSER	Réf. Eupec	Fig.	Boîtier	Description	Tension (V) (max)	Courant (A) (max)	Puissance (W) (max)	Temp. (°C) (Max.)	Prix unitaire 1	5
641-BSM10GP120	BSM10GP120	A	IS12 (EconoPIM2)	PIM (Module d'alimentation intégré)	1200	10	100	80	81,85	77,77
641-BSM25GP120	BSM25GP120	A	IS12 (EconoPIM2)	PIM (Module d'alimentation intégré)	1200	25	230	80	102,38	97,26
641-BSM50GP120	BSM50GP120	A	IS13 (EconoPIM3)	PIM (Module d'alimentation intégré)	1200	50	360	80	187,50	178,14
641-FP15R12KE3G	FP15R12KE3G	A	IS12 (EconoPIM2)	PIM (Module d'alimentation intégré)	1200	15	100	80	79,79	75,80
641-FP40R12KE3	FP40R12KE3	A	IS12 (EconoPIM2)	PIM (Module d'alimentation intégré)	1200	40	200	80	110,45	105,35
641-FP50R12KE3	FP50R12KE3	B	IS13 (EconoPIM3)	PIM (Module d'alimentation intégré)	1200	50	270	80	166,62	158,30
641-FP75R12KE3	FP75R12KE3	B	IS13 (EconoPIM3)	PIM (Module d'alimentation intégré)	1200	75	350	80	210,41	199,89

© Copyright 2012 Mouser Electronics
© Copyright 2012 Mouser Electronics

Diodes Zener FAIRCHILD

FAIRCHILD SEMICONDUCTOR

Les produits peuvent être conformes à la directive RoHS.
Consultez le site mouser.com pour vérifier la conformité RoHS.

◆ **Composant pour montage en surface**

Pour des quantités supérieures à celles indiquées, appelez-nous afin d'obtenir un devis.

RÉF. STOCK MOUSER		Boîtier	PD	VZ	Prix unitaire	
Fabr.	Réf. fabr.		(W)	(V)	1	25
◆	512—MM3Z2V4B	SOD-323F	0.20	2.4	0,12	0,099
◆	512—MM3Z2V7B	SOD-323F	0.20	2.7	0,12	0,099
◆	512—MM5Z2V7	SOD-523F	0.20	2.7	0,12	0,099
◆	512—MM3Z3V0B	SOD-323F	0.20	3.0	0,12	0,099
◆	512—MM5Z3V0	SOD-523F	0.20	3.0	0,12	0,099
◆	512—MM3Z3V3B	SOD-323F	0.20	3.3	0,12	0,099
◆	512—MM3Z3V3C	SOD-323F	0.20	3.3	0,12	0,099
◆	512—MM5Z3V3	SOD-523F	0.20	3.3	0,12	0,099
◆	512—MM3Z3V6B	SOD-323F	0.20	3.6	0,12	0,099
◆	512—MM5Z3V6	SOD-523F	0.20	3.6	0,12	0,099
◆	512—MM3Z3V9B	SOD-323F	0.20	3.9	0,12	0,099
◆	512—MM5Z3V9	SOD-523F	0.20	3.9	0,12	0,099
◆	512—MM3Z4V3B	SOD-323F	0.20	4.3	0,12	0,099
◆	512—MM3Z4V7B	SOD-323F	0.20	4.7	0,12	0,099
◆	512—MM5Z5V1	SOD-523F	0.20	5.1	0,12	0,099
◆	512—MM3Z5V1B	SOD-323F	0.20	5.1	0,12	0,099
◆	512—MM3Z5V1C	SOD-323F	0.20	5.1	0,12	0,099
◆	512—MM3Z5V6B	SOD-323F	0.20	5.6	0,12	0,099
◆	512—MM3Z5V6C	SOD-323F	0.20	5.6	0,12	0,099
◆	512—MM3Z6V2B	SOD-323F	0.20	6.2	0,12	0,099
◆	512—MM3Z7V5B	SOD-323F	0.20	7.5	0,12	0,099
◆	512—MM3Z8V2B	SOD-323F	0.20	8.2	0,12	0,099
◆	512—MM3Z9V1C	SOD-323F	0.20	9.1	0,12	0,099
◆	512—MM3Z10VB	SOD-323F	0.20	10.0	0,12	0,099
◆	512—MM5Z10V	SOD-523F	0.20	10.0	0,12	0,099
◆	512—MM3Z12VB	SOD-323F	0.20	12.0	0,12	0,099
◆	512—MM3Z12VC	SOD-323F	0.20	12.0	0,12	0,099
◆	512—MM5Z12V	SOD-523F	0.20	12.0	0,12	0,099
◆	512—MM5Z15V	SOD-523F	0.20	15.0	0,12	0,099
◆	512—MM3Z15VB	SOD-323F	0.20	15.0	0,12	0,099
◆	512—MM3Z15VC	SOD-323F	0.20	15.0	0,12	0,099
◆	512—MM3Z16VB	SOD-323F	0.20	16.0	0,12	0,099
◆	512—MM3Z36VB	SOD-323F	0.20	36.0	0,12	0,099
◆	512—MM3Z51VB	SOD-323F	0.20	51.0	0,12	0,099
◆	512—MM3Z56VB	SOD-323F	0.20	56.0	0,12	0,099
◆	512—BZX84C3V3	SOT-23	0.35	3.3	0,12	0,099
◆	512—MMBZ5226B	SOT-23	0.35	3.3	0,16	0,091
◆	512—BZX84C3V6	SOT-23	0.35	3.6	0,12	0,099
◆	512—MMBZ5227B	SOT-23	0.35	3.6	0,12	0,099
◆	512—BZX84C3V9	SOT-23	0.35	3.9	0,16	0,091
◆	512—BZX84C4V3	SOT-23	0.35	4.3	0,12	0,099
◆	512—MMBZ5229B	SOT-23	0.35	4.3	0,16	0,091
◆	512—BZX84C4V7	SOT-23	0.35	4.7	0,12	0,099
◆	512—MMBZ5230B	SOT-23	0.35	4.7	0,16	0,091
◆	512—BZX84C5V1	SOT-23	0.35	5.1	0,12	0,099
◆	512—MMBZ5231B	SOT-23	0.35	5.1	0,12	0,099
◆	512—BZX84C5V6	SOT-23	0.35	5.6	0,12	0,099
◆	512—MMBZ5232B	SOT-23	0.35	5.6	0,12	0,099
◆	512—MMBZ5233B	SOT-23	0.35	6.0	0,16	0,091
◆	512—BZX84C6V2	SOT-23	0.35	6.2	0,12	0,099
◆	512—MMBZ5234B	SOT-23	0.35	6.2	0,12	0,099
◆	512—BZX84C7V5	SOT-23	0.35	7.5	0,12	0,099
◆	512—MMBZ5236B	SOT-23	0.35	7.5	0,14	0,066
◆	512—BZX84C8V2	SOT-23	0.35	8.2	0,12	0,099
◆	512—MMBZ5237B	SOT-23	0.35	8.2	0,12	0,099
◆	512—BZX84C9V1	SOT-23	0.35	9.1	0,12	0,099
◆	512—MMBZ5239B	SOT-23	0.35	9.1	0,14	0,066
◆	512—BZX84C10	SOT-23	0.35	10.0	0,12	0,099
◆	512—MMBZ5240B	SOT-23	0.35	10.0	0,15	0,091
◆	512—BZX84C11	SOT-23	0.35	11.0	0,12	0,099
◆	512—MMBZ5241B	SOT-23	0.35	11.0	0,14	0,066
◆	512—BZX84C12	SOT-23	0.35	12.0	0,12	0,099
◆	512—MMBZ5242B	SOT-23	0.35	12.0	0,12	0,099
◆	512—BZX84C13	SOT-23	0.35	13.0	0,12	0,099
◆	512—MMBZ5243B	SOT-23	0.35	13.0	0,12	0,099
◆	512—MMBZ5244B	SOT-23	0.35	14.0	0,14	0,066
◆	512—BZX84C15	SOT-23	0.35	15.0	0,12	0,099
◆	512—MMBZ5245B	SOT-23	0.35	15.0	0,15	0,091
◆	512—BZX84C16	SOT-23	0.35	16.0	0,12	0,099
◆	512—MMBZ5246B	SOT-23	0.35	16.0	0,15	0,091
◆	512—MMBZ5247B	SOT-23	0.35	17.0	0,15	0,091
◆	512—BZX84C18	SOT-23	0.35	18.0	0,12	0,099
◆	512—MMBZ5248B	SOT-23	0.35	18.0	0,14	0,066
◆	512—BZX84C20	SOT-23	0.35	20.0	0,12	0,099
◆	512—MMBZ5250B	SOT-23	0.35	20.0	0,14	0,066
◆	512—BZX84C22	SOT-23	0.35	22.0	0,12	0,099
◆	512—MMBZ5251B	SOT-23	0.35	22.0	0,14	0,066
◆	512—BZX84C24	SOT-23	0.35	24.0	0,14	0,066
◆	512—MMBZ5252B	SOT-23	0.35	24.0	0,14	0,066
◆	512—BZX84C27	SOT-23	0.35	27.0	0,12	0,099
◆	512—MMBZ5254B	SOT-23	0.35	27.0	0,14	0,066
◆	512—BZX84C30	SOT-23	0.35	30.0	0,12	0,099
◆	512—BZX84C33	SOT-23	0.35	33.0	0,12	0,099
◆	512—MMBZ5257B	SOT-23	0.35	33.0	0,15	0,091
◆	512—FLZ2V2A	SOD-80	0.50	2.2	0,05	0,04
	512—1N5221B	DO-35	0.50	2.4	0,11	0,083
	512—BZX79C2V4	DO-35	0.50	2.4	0,11	0,083
	512—1N5222B	DO-35	0.50	2.5	0,10	0,058
	512—1N5223B	DO-35	0.50	2.7	0,11	0,083
	512—BZX79C2V7	DO-35	0.50	2.7	0,11	0,083
◆	512—FLZ2V7B	SOD-80	0.50	2.7	0,14	0,083
	512—1N5224B	DO-35	0.50	2.8	0,10	0,058
	512—1N5225B	DO-35	0.50	3.0	0,10	0,058
◆	512—FLZ3V0B	SOD-80	0.50	3.0	0,10	0,058
	512—1N5226B	DO-35	0.50	3.3	0,11	0,083

Pour des quantités supérieures à celles indiquées, appelez-nous afin d'obtenir un devis.

RÉF. STOCK MOUSER		Boîtier	PD	VZ	Prix unitaire	
Fabr.	Réf. fabr.		(W)	(V)	1	25
	512—BZX79C3V3	DO-35	0.50	3.3	0,11	0,083
◆	512—FLZ3V3A	SOD-80	0.50	3.3	0,14	0,083
◆	512—FLZ3V3B	SOD-80	0.50	3.3	0,05	0,04
◆	512—MMSZ4684	SOD-123	0.50	3.3	0,12	0,099
◆	512—MMSZ5226B	SOD-123	0.50	3.3	0,12	0,099
	512—1N5227B	DO-35	0.50	3.6	0,11	0,083
	512—1N5227BTR	DO-35	0.50	3.6	0,10	0,058
	512—BZX79C3V6	DO-35	0.50	3.6	0,11	0,083
◆	512—FLZ3V6B	SOD-80	0.50	3.6	0,10	0,058
◆	512—MMSZ5227B	SOD-123	0.50	3.6	0,12	0,099
	512—1N5228B	DO-35	0.50	3.9	0,11	0,083
	512—BZX79C3V9	DO-35	0.50	3.9	0,11	0,083
◆	512—MMSZ4686	SOD-123	0.50	3.9	0,15	0,091
◆	512—MMSZ5228B	SOD-123	0.50	3.9	0,12	0,099
	512—1N5229B	DO-35	0.50	4.3	0,11	0,083
	512—1N5229BTR	DO-35	0.50	4.3	0,14	0,058
	512—BZX79C4V3	DO-35	0.50	4.3	0,11	0,083
◆	512—MMSZ5229B	SOD-123	0.50	4.3	0,15	0,091
	512—1N5230B	DO-35	0.50	4.7	0,11	0,083
	512—1N5230BTR	DO-35	0.50	4.7	0,11	0,083
	512—BZX79C4V7	DO-35	0.50	4.7	0,11	0,083
◆	512—FLZ4V7A	SOD-80	0.50	4.7	0,14	0,083
◆	512—MMSZ4688	SOD-123	0.50	4.7	0,12	0,099
◆	512—MMSZ5230B	SOD-123	0.50	4.7	0,12	0,099
	512—1N5231B	DO-35	0.50	5.1	0,11	0,083
	512—1N5231BTR	DO-35	0.50	5.1	0,11	0,083
	512—BZX79C5V1	DO-35	0.50	5.1	0,11	0,083
◆	512—FLZ5V1A	SOD-80	0.50	5.1	0,14	0,083
◆	512—FLZ5V1B	SOD-80	0.50	5.1	0,14	0,083
◆	512—FLZ5V1C	SOD-80	0.50	5.1	0,05	0,04
◆	512—MMSZ4689	SOD-123	0.50	5.1	0,15	0,091
◆	512—MMSZ5231B	SOD-123	0.50	5.1	0,12	0,099
	512—1N5231C	DO-35	0.50	5.2	0,11	0,083
	512—1N5232B	DO-35	0.50	5.6	0,11	0,083
	512—1N5232BTR	DO-35	0.50	5.6	0,11	0,083
	512—BZX79C5V6	DO-35	0.50	5.6	0,11	0,083
◆	512—FLZ5V6A	SOD-80	0.50	5.6	0,14	0,083
◆	512—MMSZ5232B	SOD-123	0.50	5.6	0,12	0,099
◆	512—FLZ5V6B	SOD-80	0.50	5.6	0,14	0,083
	512—1N5233B	DO-35	0.50	6.0	0,11	0,083
◆	512—MMSZ5233B	SOD-123	0.50	6.0	0,15	0,091
	512—1N5234B	DO-35	0.50	6.2	0,11	0,083
	512—1N5234BTR	DO-35	0.50	6.2	0,14	0,058
	512—BZX79C6V2	DO-35	0.50	6.2	0,11	0,083
◆	512—MMSZ5234B	SOD-123	0.50	6.2	0,12	0,099
	512—1N5235B	DO-35	0.50	6.8	0,11	0,083
	512—1N5235BTR	DO-35	0.50	6.8	0,11	0,083
	512—BZX79C6V8	DO-35	0.50	6.8	0,11	0,083
◆	512—MMSZ5235B	SOD-123	0.50	6.8	0,12	0,099
◆	512—FLZ6V8B	SOD-80	0.50	6.8	0,10	0,058
	512—1N5236B	DO-35	0.50	7.5	0,11	0,083
◆	512—MMSZ5236B	SOD-123	0.50	7.5	0,12	0,099
	512—1N5237B	DO-35	0.50	8.2	0,11	0,083
	512—1N5237BTR	DO-35	0,5	8.2	0,11	0,083
	512—BZX79C8V2	DO-35	0.50	8.2	0,11	0,083
◆	512—MMSZ5237B	SOD-123	0.50	8.2	0,12	0,099
	512—1N5238B	DO-35	0.50	8.7	0,11	0,083
	512—1N5239B	DO-35	0.50	9.1	0,11	0,083
	512—1N5239BTR	DO-35	0.50	9.1	0,11	0,083
	512—BZX79C9V1	DO-35	0.50	9.1	0,11	0,083
◆	512—FLZ9V1A	SOD-80	0.50	9.1	0,14	0,083
◆	512—MMSZ5239B	SOD-123	0.50	9.1	0,12	0,099
	512—1N5240B	DO-35	0.50	10.0	0,11	0,083
	512—1N5240BTR	DO-35	0.50	10.0	0,11	0,083
	512—BZX79C10	DO-35	0.50	10.0	0,11	0,083
◆	512—FLZ10VC	SOD-80	0.50	10.0	0,14	0,083
◆	512—MMSZ4697	SOD-123	0.50	10.0	0,12	0,099
◆	512—MMSZ5240B	SOD-123	0.50	10.0	0,12	0,099
	512—1N5241B	DO-35	0.50	11.0	0,11	0,083
	512—1N5241BTR	DO-35	0.50	11.0	0,11	0,083
	512—BZX79C11	DO-35	0.50	11.0	0,11	0,083
◆	512—FLZ11VC	SOD-80	0.50	11.0	0,10	0,058
◆	512—MMSZ5241B	SOD-123	0.50	11.0	0,12	0,099
	512—1N5242B	DO-35	0.50	12.0	0,11	0,083
	512—1N5242BTR	DO-35	0.50	12.0	0,11	0,083
	512—BZX79C12	DO-35	0.50	12.0	0,11	0,083
◆	512—FLZ12VA	SOD-80	0.50	12.0	0,14	0,083
◆	512—FLZ12VC	SOD-80	0.50	12.0	0,14	0,083
◆	512—MMSZ5242B	SOD-123	0.50	12.0	0,12	0,099
	512—1N5243B	DO-35	0.50	13.0	0,11	0,083
◆	512—MMSZ5243B	SOD-123	0.50	13.0	0,12	0,099
	512—1N5244B	DO-35	0.50	14.0	0,11	0,083
	512—1N5245B	DO-35	0.50	15.0	0,11	0,083
	512—BZX79C15	DO-35	0.50	15.0	0,11	0,083
◆	512—FLZ15VA	SOD-80	0.50	15.0	0,14	0,083
◆	512—FLZ15VB	SOD-80	0.50	15.0	0,14	0,083
◆	512—FLZ15VC	SOD-80	0.50	15.0	0,14	0,083
◆	512—MMSZ4702	SOD-123	0.50	15.0	0,12	0,099
◆	512—MMSZ5245B	SOD-123	0.50	15.0	0,12	0,099
	512—1N5246B	DO-35	0.50	16.0	0,11	0,083
	512—1N5246BTR	DO-35	0.50	16.0	0,11	0,083
◆	512—MMSZ5246B	SOD-123	0.50	16.0	0,12	0,099
	512—1N5247B	DO-35	0.50	17.0	0,11	0,083
◆	512—MMSZ5247B	SOD-123	0.50	17.0	0,12	0,099

Pour des quantités supérieures à celles indiquées, appelez-nous afin d'obtenir un devis.

RÉF. STOCK MOUSER		Boîtier	PD	VZ	Prix unitaire	
Fabr.	Réf. fabr.		(W)	(V)	1	25
	512—1N5248B	DO-35	0.50	18.0	0,11	0,083
	512—1N5248BTR	DO-35	0.50	18.0	0,11	0,083
◆	512—MMSZ5248B	SOD-123	0.50	18.0	0,12	0,099
	512—1N5249BTR	DO-35	0.50	19.0	0,11	0,083
	512—1N5250B	DO-35	0.50	20.0	0,11	0,083
	512—BZX79C20	DO-35	0.50	20.0	0,11	0,083
◆	512—MMSZ5250B	SOD-123	0.50	20.0	0,12	0,099
	512—1N5251B	DO-35	0.50	22.0	0,11	0,083
◆	512—MMSZ5251B	SOD-123	0.50	22.0	0,12	0,099
	512—1N5252B	DO-35	0.50	24.0	0,11	0,083
	512—BZX79C24	DO-35	0.50	24.0	0,11	0,083
◆	512—MMSZ5252B	SOD-123	0.50	24.0	0,12	0,099
	512—1N5253B	DO-35	0.50	25.0	0,11	0,083
	512—1N5254B	DO-35	0.50	27.0	0,11	0,083
◆	512—MMSZ5254B	SOD-123	0.50	27.0	0,12	0,099
	512—1N5255B	DO-35	0.50	28.0	0,11	0,083
	512—1N5256B	DO-35	0.50	30.0	0,11	0,083
◆	512—MMSZ5256B	SOD-123	0.50	30.0	0,12	0,099
	512—1N5257B	DO-35	0.50	33.0	0,11	0,083
	512—BZX79C33	DO-35	0.50	33.0	0,11	0,083
◆	512—MMSZ5257B	SOD-123	0.50	33.0	0,12	0,099
	512—1N5258B	DO-35	0.50	36.0	0,12	0,099
	512—1N5259B	DO-35	0.50	39.0	0,11	0,083
	512—BZX79C39	DO-35	0.50	39.0	0,11	0,083
	512—1N5260B	DO-35	0.50	43.0	0,12	0,099
	512—1N5261B	DO-35	0.50	47.0	0,11	0,083
	512—1N5262B	DO-35	0.50	51.0	0,11	0,083
	512—1N5263B	DO-35	0.50	56.0	0,11	0,083
	512—1N4728A	DO-41	1,0	3.3	0,12	0,099
	512—BZX85C3V3	DO-41	1,0	3.3	0,12	0,099
	512—1N4729A	DO-41	1,0	3.6	0,12	0,099
	512—BZX85C3V6	DO-41	1,0	3.6	0,12	0,099
	512—1N4730A	DO-41	1,0	3.9	0,12	0,099
	512—1N4730ATR	DO-41	1,0	3.9	0,12	0,099
	512—BZX85C3V9	DO-41	1,0	3.9	0,12	0,099
	512—1N4731A	DO-41	1,0	4.3	0,12	0,099
	512—1N4731ATR	DO-41	1,0	4.3	0,12	0,099
	512—BZX85C4V3	DO-41	1,0	4.3	0,12	0,099
	512—1N4732A	DO-41	1,0	4.7	0,12	0,099
	512—1N4732ATR	DO-41	1,0	4.7	0,12	0,099
	512—BZX85C4V7	DO-41	1,0	4.7	0,12	0,099
	512—1N4733A	DO-41	1,0	5.1	0,12	0,099
	512—1N4733ATR	DO-41	1,0	5.1	0,12	0,099
	512—BZX85C5V1	DO-41	1,0	5.1	0,12	0,099
	512—1N4734A	DO-41	1,0	5.6	0,12	0,099
	512—1N4734ATR	DO-41	1,0	5.6	0,12	0,099
	512—1N4734AT50A	DO-41	1,0	5.6	0,12	0,099
	512—BZX85C5V6	DO-41	1,0	5.6	0,12	0,099
	512—1N4735A	DO-41	1,0	6.2	0,12	0,099
	512—1N4735ATR	DO-41	1,0	6.2	0,12	0,099
	512—1N4735AT50A	DO-41	1,0	6.2	0,12	0,099
	512—BZX85C6V2	DO-41	1,0	6.2	0,12	0,099
	512—1N4736A	DO-41	1,0	6.8	0,12	0,099
	512—BZX85C6V8	DO-41	1,0	6.8	0,12	0,099
	512—1N4737A	DO-41	1,0	7.5	0,12	0,099
	512—1N4737ATR	DO-41	1,0	7.5	0,12	0,099
	512—BZX85C7V5	DO-41	1,0	7.5	0,12	0,099
	512—1N4738A	DO-41	1,0	8.2	0,12	0,099
	512—1N4738ATR	DO-41	1,0	8.2	0,12	0,099
	512—BZX85C8V2	DO-41	1,0	8.2	0,12	0,099
	512—1N4739A	DO-41	1,0	9.1	0,12	0,099
	512—1N4739ATR	DO-41	1,0	9.1	0,12	0,099
	512—BZX85C9V1	DO-41	1,0	9.1	0,12	0,099
	512—1N4740A	DO-41	1,0	10.0	0,12	0,099
	512—1N4740ATR	DO-41	1,0	10.0	0,12	0,099
	512—BZX85C10	DO-41	1,0	10.0	0,12	0,099
	512—1N4741A	DO-41	1,0	11.0	0,12	0,099
	512—1N4742A	DO-41	1,0	12.0	0,12	0,099
	512—1N4742AT50A	DO-41	1,0	12.0	0,12	0,099
	512—1N4742ATR	DO-41	1,0	12.0	0,12	0,099
	512—BZX85C12	DO-41	1,0	12.0	0,12	0,099
	512—1N4743A	DO-41	1,0	13.0	0,12	0,099
	512—1N4743ATR	DO-41	1,0	13.0	0,12	0,099
	512—BZX85C13	DO-41	1,0	13.0	0,12	0,099
	512—1N4744A	DO-41	1,0	15.0	0,12	0,099
	512—1N4744AT50A	DO-41	1,0	15.0	0,12	0,099
	512—1N4744ATR	DO-41	1,0	15.0	0,12	0,099
	512—BZX85C15	DO-41	1,0	15.0	0,12	0,099
	512—1N4745A	DO-41	1,0	16.0	0,12	0,099
	512—1N4745AT50A	DO-41	1,0	16.0	0,12	0,099
	512—BZX85C16	DO-41	1,0	16.0	0,12	0,099
	512—1N4746A	DO-41	1,0	18.0	0,12	0,099
	512—1N4746ATR	DO-41	1,0	18.0	0,12	0,099
	512—BZX85C18	DO-41	1,0	18.0	0,12	0,099
	512—1N4747A	DO-41	1,0	20.0	0,12	0,099
	512—1N4747ATR	DO-41	1,0	20.0	0,12	0,099
	512—BZX85C20	DO-41	1,0	20.0	0,12	0,099
	512—1N4748A	DO-41	1,0	22.0	0,12	0,099
	512—1N4748ATR	DO-41	1,0	22.0	0,12	0,099
	512—BZX85C22	DO-41	1,0	22.0	0,12	0,099
	512—1N4749A	DO-41	1,0	24.0	0,12	0,099
	512—1N4749ATR	DO-41	1,0	24.0	0,12	0,099

© Copyright 2012 Mouser Electronics

© Copyright 2012 Mouser Electronics

Diodes FAIRCHILD

Les produits peuvent être conformes à la directive RoHS. Consulter le site mouser.com pour vérifier la conformité RoHS.

DIODES ZENER (SUITE)

Pour des quantités supérieures à celles indiquées, appelez-nous afin d'obtenir un devis.

RÉF. STOCK MOUSER Fabr.	Réf. fabr	Boîtier	PD (W)	VZ (V)	Prix unitaire 1	25
512—	1N4749AT50A	DO-41	1,0	24.0	0,12	0,099
512—	BZX85C24	DO-41	1,0	24.0	0,12	0,099
512—	1N4750A	DO-41	1,0	27.0	0,12	0,099
512—	1N4750ATR	DO-41	1,0	27.0	0,12	0,099
512—	1N4751A	DO-41	1,0	30.0	0,12	0,099
512—	1N4751ATR	DO-41	1,0	30.0	0,12	0,099
512—	BZX85C30	DO-41	1,0	30.0	0,12	0,099

Pour des quantités supérieures à celles indiquées, appelez-nous afin d'obtenir un devis.

RÉF. STOCK MOUSER Fabr.	Réf. fabr	Boîtier	PD (W)	VZ (V)	Prix unitaire 1	25
512—	1N4752A	DO-41	1,0	33.0	0,12	0,099
512—	1N4752ATR	DO-41	1,0	33.0	0,12	0,099
512—	BZX85C33	DO-41	1,0	33.0	0,12	0,099
512—	1N4753A	DO-41	1,0	36.0	0,12	0,099
512—	BZX85C36	DO-41	1,0	36.0	0,12	0,099
512—	1N4754A	DO-41	1,0	39.0	0,12	0,099

Pour des quantités supérieures à celles indiquées, appelez-nous afin d'obtenir un devis.

RÉF. STOCK MOUSER Fabr.	Réf. fabr	Boîtier	PD (W)	VZ (V)	Prix unitaire 1	25
512—	1N4755A	DO-41	1,0	43.0	0,12	0,099
512—	1N4756A	DO-41	1,0	47.0	0,12	0,099
512—	BZX85C47	DO-41	1,0	47.0	0,12	0,099
512—	1N4757A	DO-41	1,0	51.0	0,12	0,099
512—	BZX85C51	DO-41	1,0	51.0	0,12	0,099
512—	1N4758A	DO-41	1,0	56.0	0,12	0,099

DIODES À SIGNAL FAIBLE

♦ Composant pour montage en surface

Pour des quantités supérieures à celles indiquées, appelez-nous afin d'obtenir un devis.

RÉF. STOCK MOUSER Fabr.	Réf. fabr	Boîtier	VRRM (V)	I_R (µA)	Prix unitaire 1	25
Simple						
512—	FJH1100	DO-35	30	0.003	9,78	9,49
512—	1N456A	DO-35	30	0.025	0,12	0,099
512—	1N457	DO-35	70	0.025	0,12	0,099
512—	1N457A	DO-35	70	0.025	0,12	0,099
512—	1N457ATR	DO-35	70	0.025	0,12	0,099
♦ 512—	FDLL457A	LL-34	70	0.025	0,16	0,091
♦ 512—	1N4148WS	SOD-323F	75	0.025	0,12	0,074
♦ 512—	1N4448WS	SOD-323F	75	0.025	0,13	0,074
♦ 512—	1N4448WT	SOD-523F	75	0.025	0,10	0,058
♦ 512—	1N914BWS	SOD-323F	75	0.025	0,13	0,074
♦ 512—	1N914BWT	SOD-523F	75	0.025	0,10	0,058
512—	BAW62	DO-35	75	0.025	0,10	0,083
512—	1N4454	DO-35	75	0.1	0,11	0,091
512—	1N4454TR	DO-35	75	0.1	0,11	0,091
♦ 512—	FDLL4150	LL-34	75	0.1	0,12	0,099
512—	1N483B	DO-35	80	0.025	0,12	0,099
512—	1N5282	DO-35	80	0.1	0,12	0,099
512—	BAW76	DO-35	85	0.1	0,10	0,083
♦ 512—	BAS16	SOT-23	85	1	0,12	0,099
♦ 512—	BAS16HT1G	SOD-323	85	1	0,12	0,099
♦ 512—	BAS16SL	SOD-923F	85	1	0,25	0,149
512—	1N4148	DO-35	100	0.025	0,10	0,083
512—	1N4148T26A	DO-35	100	0.025	0,10	0,083
512—	1N4148T50A	DO-35	100	0.025	0,10	0,083
512—	1N4148T50R	DO-35	100	0.025	0,10	0,083
512—	1N4148TA	DO-35	100	0.025	0,10	0,083
512—	1N4148TR	DO-35	100	0.025	0,10	0,083
512—	1N4149	DO-35	100	0.025	0,11	0,091
512—	1N4448	DO-35	100	0.025	0,11	0,091
512—	1N4448TR	DO-35	100	0.025	0,11	0,091
512—	1N914	DO-35	100	0.025	0,10	0,083
512—	1N914ATR	DO-35	100	0.025	0,10	0,083
512—	1N914B	DO-35	100	0.025	0,10	0,083
512—	1N914BTR	DO-35	100	0.025	0,10	0,083
512—	1N914T50A	DO-35	100	0.025	0,10	0,083
512—	1N914TR	DO-35	100	0.025	0,10	0,083
512—	1N916	DO-35	100	0.025	0,10	0,083

Pour des quantités supérieures à celles indiquées, appelez-nous afin d'obtenir un devis.

RÉF. STOCK MOUSER Fabr.	Réf. fabr	Boîtier	VRRM (V)	I_R (µA)	Prix unitaire 1	25
Simple (suite)						
512—	1N916A	DO-35	100	0.025	0,10	0,083
512—	1N916B	DO-35	100	0.025	0,10	0,083
♦ 512—	FDLL4148D87Z	SOD-80	100	0.025	0,11	0,091
♦ 512—	FDLL4448	LL-34	100	0.025	0,10	0,083
♦ 512—	FDLL914	LL-34	100	0.025	0,11	0,091
♦ 512—	FDLL914A	LL-34	100	0.025	0,11	0,091
♦ 512—	FDLL914B	LL-34	100	0.025	0,10	0,083
♦ 512—	LL4148	SOD-80	100	0.025	0,11	0,091
♦ 512—	MMBD4148	SOT-23	100	0.025	0,12	0,099
♦ 512—	MMBD4448	SOT-23	100	0.025	0,12	0,099
♦ 512—	MMBD914	SOT-23	100	0.025	0,12	0,099
♦ 512—	MMSD4148_D87Z	SOD-123	100	0.025	0,12	0,099
♦ 512—	MMSD4448	SOD-123	100	0.025	0,12	0,099
♦ 512—	MMSD914	SOD-123	100	0.025	0,12	0,099
♦ 512—	MMBD1201	SOT-23	100	0.05	0,12	0,099
♦ 512—	MMSD4148	SOD-123	100	5	0,12	0,099
♦ 512—	BAS19	SOT-23	120	0.1	0,12	0,099
♦ 512—	BAS29	SOT-23	120	0.1	0,12	0,099
512—	FDH300A	DO-35	150	0.001	0,12	0,099
♦ 512—	FDLL300A	LL-34	150	0.001	0,12	0,099
♦ 512—	FDLL333	SOD-80	150	0.001	0,12	0,099
512—	FDH333	DO-35	150	0.003	0,12	0,099
512—	1N458A	DO-35	150	0.025	0,12	0,099
512—	1N3595	DO-35	150	0.1	0,12	0,099
512—	1N3595TR	DO-35	150	0.1	0,12	0,099
♦ 512—	FDLL3595	LL-34	150	100	0,12	0,099
512—	BAX16	DO-35	180	0.025	0,15	0,091
♦ 512—	MMBD1501A	SOT-23	200	0.01	0,12	0,099
512—	1N459	DO-35	200	0.025	0,12	0,099
512—	1N459A	DO-35	200	0.025	0,12	0,099
512—	1N459ATR	DO-35	200	0.025	0,12	0,099
512—	1N485B	DO-35	200	0.025	0,12	0,099
♦ 512—	FDLL485B	LL-34	200	0.025	0,16	0,091
512—	1N3070TR	DO-35	200	0.1	0,12	0,099
♦ 512—	BAS20	SOT-23	200	0.1	0,12	0,099
♦ 512—	BAV102	LL-34	200	0.1	0,16	0,091

Pour des quantités supérieures à celles indiquées, appelez-nous afin d'obtenir un devis.

RÉF. STOCK MOUSER Fabr.	Réf. fabr	Boîtier	VRRM (V)	I_R (µA)	Prix unitaire 1	25
Simple (suite)						
512—	FDH400	DO-35	200	0.1	0,12	0,099
♦ 512—	MMBD1401	SOT-23	200	0.1	0,12	0,099
♦ 512—	MMBD1403	SOT-23	200	0.1	0,12	0,099
♦ 512—	MMSD3070	SOD-123	200	0.1	0,16	0,116
♦ 512—	MMBD1401A	SOT-23	250	0.04	0,12	0,099
512—	1N486B	DO-35	250	0.05	0,12	0,099
♦ 512—	BAS21	SOT-23	250	0.1	0,12	0,099
♦ 512—	BAV103	LL-34	250	0.1	0,16	0,091
512—	BAV21	DO-35	250	0.1	0,12	0,099
512—	BAV21T50A	DO-35	250	0.1	0,15	0,091
Anode double et commune						
♦ 512—	BAW74	SOT-23	50	100	0,12	0,099
♦ 512—	MMBD4148CA	SOT-23	100	0.025	0,12	0,099
♦ 512—	MMBD1205	SOT-23	100	0.05	0,12	0,099
♦ 512—	BAS35	SOT-23	120	0.1	0,12	0,099
♦ 512—	MMBD1505A	SOT-23	200	0.01	0,12	0,099
♦ 512—	MMBD1405	SOT-23	200	0.1	0,12	0,099
♦ 512—	MMBD1405A	SOT-23	250	0.1	0,12	0,099
Cathode double et commune						
♦ 512—	BAV74	SOT-23	50	0.1	0,12	0,099
♦ 512—	BAV70	SOT-23	70	5	0,12	0,099
♦ 512—	MMBD2838	SOT-23	75	0.1	0,15	0,099
♦ 512—	MMBD4148CC	SOT-23	100	0.025	0,12	0,099
♦ 512—	MMBD1204	SOT-23	100	0.05	0,12	0,099
♦ 512—	MMBD1504A	SOT-23	200	0.01	0,12	0,099
♦ 512—	MMBD1404A	SOT-23	250	0.1	0,12	0,099
Série double						
♦ 512—	BAV99	SOT-23	70	2.5	0,12	0,099
♦ 512—	BAV99WT1G	SOT-323	70	2.5	0,12	0,099
♦ 512—	MMBD4148SE	SOT-23	100	0.025	0,12	0,099
♦ 512—	MMBD1203	SOT-23	100	0.05	0,12	0,099
♦ 512—	MMBD7000	SOT-23	100	0.3	0,12	0,099
♦ 512—	BAS31	SOT-23	120	0.1	0,12	0,099
♦ 512—	FLLD261	SOT-23	200	0.005	0,12	0,107
♦ 512—	BAV23S	SOT-23	250	0.1	0,12	0,099
♦ 512—	MMBD1403A	SOT-23	250	0.1	0,12	0,099

DIODES ULTRARAPIDES

♦ Composant pour montage en surface

Pour des quantités supérieures à celles indiquées, appelez-nous afin d'obtenir un devis.

RÉF. STOCK MOUSER	Réf. Fairchild	Boîtier	Tension inverse répétitive Max.	Courant direct redressé moyen	Tension inverse instantanée Max.	Temps de récupération inverse Max.	Prix unitaire 1	25	100	250
Simple										
512-RURP860	RURP860	TO-220AC	600V	8A	1,5V	70ns	0,62	0,602	0,484	0,342
512-FFPF08S60STTU	FFPF0860STTU	TO-220F	600V	8A	2,6V	25ns	0,69	0,545	0,413	0,388
512-RURP8100	RURP8100	TO-220AC	1,000V	8A	1,8V	100ns	0,81	0,701	0,616	0,491
512-FFPF20UP20DNTU	FFPF20UP20DNTU	TO-220F	200V	10A	1,15V	45ns	0,62	0,545	0,474	0,378
512-FFPF15UP20STTU	FFPF15UP20STTU	TO-220F	200V	15A	1,15V	35ns	0,57	0,495	0,436	0,347
♦ 512-RUR1S1560S9A	RUR1S1560S9A	TO-263	600V	15A	1,5V	60ns	1,18	1,04	0,924	0,75
512-RURP1560	RURP1560	TO-220AC	600V	15A	1,5V	60ns	0,98	0,924	0,761	0,536
512-FFA60UP30DNTU	FFA60UP30DNTU	TO-3P	300V	30A	1,5V	55ns	2,26	2,06	1,84	1,54
512-RURG3060	RURG3060	TO-247	600V	30A	1,5V	60ns	1,90	1,67	1,48	1,20
512-RURP3060	RURP3060	TO-220AC	600V	30A	1,5V	60ns	1,53	1,34	1,20	0,974
512-FFA40UP35STU	FFA40UP35STU	TO-3P	350V	40A	1,6V	53ns	1,47	1,32	1,17	0,924
512-FFH60UP40S3	FFH60UP40S3	TO-247	400V	60A	1,4V	85ns	2,54	2,31	2,09	1,74
512-FFH60UP60S	FFH60UP60S	TO-247	600V	60A	1,7V	80ns	1,92	1,61	1,52	1,49
512-FFH60UP60S3	FFH60UP60S3	TO-247	600V	60A	1,7V	80ns	1,92	1,61	1,52	1,49
512-RURG5060	RURG5060	TO-247	600V	75A	1,6V	75ns	2,62	2,15	1,86	1,76
512-RURG8060	RURG8060	TO-247	600V	80A	1,6V	85ns	3,18	2,61	2,47	2,43
512-RURG80100	RURG80100	TO-247	1,000V	80A	1,9V	200ns	3,92	3,47	3,13	2,62
Cathode commune										
512-FFPF10UP30STTU	FFPF10UP30STTU	TO-220F	300V	10A	1,4V	45ns	0,62	0,512	0,463	0,356
512-FFPF20UP40S	FFPF20UP40S	TO-220F	400V	20A	1,4V	50ns	1,35	1,01	0,949	0,908
512-FFA60UP20DNTU	FFA60UP20DNTU	TO-3P	200V	30A	1,15V	32ns	1,95	1,70	1,51	1,23
512-RURG3020CC	RURG3020CC	TO-247	200V	30A	1V	50ns	2,66	2,36	2,13	1,77
512-RURG3060CC	RURG3060CC	TO-247	600V	30A	1,5V	60ns	2,86	2,53	2,29	1,91

DIODES D'AMORTISSEMENT - SIMPLES

Pour des quantités supérieures à celles indiquées, appelez-nous afin d'obtenir un devis.

512-FFPF10F150STU	FFPF10F150STU	TO-220F	1,500V	10A	1,6V	170ns	0,69	0,594	0,524	0,413

DIODES STEALTH™

Pour des quantités supérieures à celles indiquées, appelez-nous afin d'obtenir un devis.

512-FFPF04S60STU	FFPF04S60STU	TO-220F	600V	4A	2,6V	23ns	0,66	0,578	0,495	0,323
512-ISL9K460P3	ISL9K460P3	TO-220	600V	4A	2,4V	22ns	1,07	0,965	0,85	0,691
512-ISL9R460PF2	ISL9R460PF2	TO-220F	600V	4A	2,4V	22ns	0,62	0,536	0,474	0,374
512-FFP08H60STU	FFP08H60STU	TO-220AC	600V	8A	2,1V	35ns	0,52	0,479	0,444	0,409

© Copyright 2012 Mouser Electronics

© Copyright 2012 Mouser Electronics

Diodes et redresseurs FAIRCHILD

Les produits peuvent être conformes à la directive RoHS. Consulter le site mouser.com pour vérifier la conformité RoHS.

FAIRCHILD SEMICONDUCTOR

DIODES STEALTH™ (SUITE)

♦ **Composant pour montage en surface**

Pour des quantités supérieures à celles indiquées, appelez-nous afin d'obtenir un devis.

RÉF. STOCK MOUSER	Réf. Fairchild	Boîtier	Tension inverse répétitive Max.	Courant direct redressé moyen	Tension inverse instantanée Max.	Temps de récupération inverse Max.	Prix unitaire 1	25	100	250
512-FFP08S60SNTU	FFP08S60SNTU	TO-220AC	600V	8A	3,4V	25ns	0,57	0,495	0,455	0,413
512-FFP08S60STU	FFP08S60STU	TO-220	600V	8A	2,6V	25ns	0,73	0,657	0,576	0,445
512-FFPF08H60STU	FFPF08H60STU	TO-220F	600V	8A	2,1V	35ns	0,83	0,66	0,578	0,495
512-FFPF08S60SNTU	FFPF08S60SNTU	TO-220F	600V	8A	3,4V	32ns	0,79	0,784	0,63	0,553
512-FFPF08S60STU	FFPF08S60STU	TO-220F	600V	8A	2,6V	25ns	1,09	0,866	0,762	0,662
512-ISL9R860P2	ISL9R860P2	TO-220AC	600V	8A	2,4V	30ns	0,76	0,662	0,528	0,447
512-ISL9R860PF2	ISL9R860PF2	TO-220F	600V	8A	2,4V	25ns	0,66	0,553	0,453	0,429
♦ 512-ISL9R860S3ST	ISL9R860S3ST	TO-263	600V	8A	2,4V	30ns	1,22	0,965	0,866	0,75
512-ISL9R8120P2	ISL9R8120P2	TO-220AC	1200V	8A	3,3V	44ns	1,19	0,941	0,825	0,72
512-FFH15S60STU	FFH15S60STU	TO-247	600V	15A	2,6V	30ns	1,22	1,11	1,01	0,932
512-FFP15S60STU	FFP15S60STU	TO-220AC	600V	15A	2,6V	30ns	1,16	0,924	0,814	0,714
512-FFPF15S60STU	FFPF15S60STU	TO-220F	600V	15A	2,6V	25ns	1,16	0,924	0,814	0,714
512-ISL9R1560P2	ISL9R1560P2	TO-220AC	600V	15A	2,2V	40ns	1,23	1,10	0,957	0,85
512-ISL9R1560PF2	ISL9R1560PF2	TO-220F	600V	15A	2,2V	40ns	1,39	1,07	0,965	0,858
♦ 512-ISL9R1560S3ST	ISL9R1560S3ST	TO-263	600V	15A	2,2V	40ns	1,72	1,53	1,34	1,19
512-ISL9R18120G2	ISL9R18120G2	TO-247	1200V	18A	3,3V	70ns	2,42	2,16	1,91	1,72
512-FFH30S60STU	FFH30S60STU	TO-247	600V	30A	2,6V	35ns	2,35	1,90	1,71	1,52
512-FFP30S60STU	FFP30S60STU	TO-220AC	600V	30A	2,6V	35ns	1,56	1,25	1,13	1,01
512-ISL9R3060G2	ISL9R3060G2	TO-247	600V	30A	2,4V	45ns	2,51	2,25	2,00	1,80
512-ISL9R3060P2	ISL9R3060P2	TO-220AC	600V	30A	2,4V	45ns	2,36	2,11	1,87	1,69
512-ISL9R30120G2	ISL9R30120G2	TO-247	1200V	30A	3,3V	100ns	2,66	2,39	2,12	1,91
512-FFH50US60S	FFH50US60S	TO-247	600V	50A	1,54V	80ns	3,02	2,71	2,40	2,17

PHOTOREDRESSEURS SCHOTTKY

Pour des quantités supérieures à celles indiquées, appelez-nous afin d'obtenir un devis.

RÉF. STOCK MOUSER	Réf. Fairchild	Description	V_{RRM} (V)	I_{FAV} (A)	Prix unitaire 1	25	100
Simple							
♦ 512-MBR0520L	MBR0520L	SOD-123	20	0,5	0,11	0,099	0,087
512-SB120	SB120	DO-41	20	1,0	0,40	0,223	0,172
♦ 512-SS12	SS12	DO-214AC	20	1,0	0,20	0,182	0,149
♦ 512-SS22	SS22	DO-214AA	20	2.0	0,29	0,239	0,219
512-1N5820	1N5820	DO-201AD	20	3.0	0,36	0,314	0,265
♦ 512-MBRS320	MBRS320	DO-214AB	20	3.0	0,36	0,239	0,201
512-SB320	SB320	DO-201AD	20	3.0	0,43	0,305	0,258
♦ 512-SS32	SS32	DO-214AB	20	3.0	0,43	0,371	0,313
512-SB520	SB520	DO-201AD	20	5.0	0,40	0,38	0,298
♦ 512-BAR43	BAR43	SOT-23	30	0.2	0,11	0,06	0,056
♦ 512-BAT54XV2	BAT54XV2	SOD-523F	30	0.2	0,24	0,173	0,112
♦ 512-RB520S30	RB520S30	SOD-523F	30	0.2	0,21	0,14	0,071
♦ 512-RB521S30	RB521S30	SOD-523F	30	0.2	0,21	0,14	0,071
♦ 512-BAT54	BAT54	SOT-23	30	0.3	0,07	0,042	0,04
♦ 512-BAT54D87Z	BAT54_D87Z	SOT-23	30	0.3	0,20	0,14	0,086
♦ 512-MBR0530	MBR0530	SOD-123	30	0,5	0,09	0,084	0,069
512-1N5818	1N5818	DO-41	30	1,0	0,17	0,157	0,129
♦ 512-FMKA130L	FMKA130L	DO-214AC	30	1,0	0,34	0,281	0,22
♦ 512-MBRS130	MBRS130	DO-214AA	30	1,0	0,26	0,248	0,203
♦ 512-MBRS130L	MBRS130L	DO-214AA	30	1,0	0,26	0,248	0,203
♦ 512-SS13	SS13	DO-214AC	30	1,0	0,34	0,272	0,218
♦ 512-BAT54HT1G	BAT54HT1G	SOD-323	30	2.0	0,30	0,215	0,137
♦ 512-SS23	SS23	DO-214AA	30	2.0	0,24	0,204	0,167
512-1N5821	1N5821	DO-201AD	30	3.0	0,36	0,314	0,265
♦ 512-SS33	SS33	DO-214AB	30	3.0	0,43	0,371	0,313
512-SB530	SB530	DO-201AD	30	5.0	0,36	0,239	0,201
♦ 512-RB751S40	RB751S40	SOD-523F	40	0.03	0,21	0,14	0,071
♦ 512-BAS40SL	BAS40SL	SOD-923	40	0.1	0,35	0,248	0,158
♦ 512-MBR0540	MBR0540	SOD-123	40	0,5	0,10	0,091	0,075
♦ 512-FYV0704SMTF	FYV0704SMTF	SOT-23	40	0.75	0,24	0,22	0,181
512-1N5817	1N5817	DO-41	40	1,0	0,17	0,157	0,129
512-1N5819	1N5819	DO-41	40	1,0	0,17	0,157	0,129
♦ 512-MBRS140	MBRS140	DO-214AA	40	1,0	0,26	0,248	0,203
512-SB140	SB140	DO-41	40	1,0	0,17	0,165	0,135
♦ 512-SS14	SS14	DO-214AC	40	1,0	0,21	0,19	0,155
♦ 512-SS24	SS24	DO-214AA	40	2.0	0,29	0,239	0,219
512-1N5822	1N5822	DO-201AD	40	3.0	0,36	0,314	0,265
♦ 512-MBRS340	MBRS340	DO-214AB	40	3.0	0,47	0,404	0,347
512-SB340	SB340	DO-201AD	40	3.0	0,35	0,322	0,255
♦ 512-SS34	SS34	DO-214AB	40	3.0	0,43	0,363	0,309
♦ 512-FYD0504SATM	FYD0504SATM	TO-252	40	5.0	0,56	0,516	0,423
512-SB540	SB540	DO-201AD	40	5.0	0,40	0,38	0,298
512-MBR745	MBR745	TO-220AC	45	7.5	1,35	1,23	1,01
512-MBR1045	MBR1045	TO-220AC	45	10.0	0,78	0,685	0,596
512-SB1245	SB1245	DO-201AD	45	12.0	1,38	1,21	1,06
512-MBR1645	MBR1645	TO-220AC	45	16.0	0,99	0,759	0,757
♦ 512-RS1A	RS1A	DO-214AC	50	1,0	0,26	0,206	0,153
♦ 512-SS25	SS25	DO-214AA	50	2.0	0,29	0,239	0,219
512-SB350	SB350	DO-201AD	50	3.0	0,39	0,371	0,282
♦ 512-SS35	SS35	DO-214AB	50	3.0	0,46	0,396	0,338
512-SB550	SB550	DO-201AD	50	5.0	0,41	0,355	0,304
512-SB160	SB160	DO-41	60	1,0	0,24	0,219	0,18
♦ 512-SS16	SS16	DO-214AC	60	1,0	0,31	0,206	0,204
♦ 512-SS26	SS26	DO-214AA	60	2.0	0,32	0,299	0,245

♦ **Composant pour montage en surface**

Pour des quantités supérieures à celles indiquées, appelez-nous afin d'obtenir un devis.

RÉF. STOCK MOUSER	Réf. Fairchild	Description	V_{RRM} (V)	I_{FAV} (A)	Prix unitaire 1	25	100
Simple (suite)							
512-SB360	SB360	DO-201AD	60	3.0	0,39	0,371	0,282
♦ 512-SS36	SS36	DO-214AB	60	3.0	0,46	0,396	0,338
512-SB560	SB560	DO-201AD	60	5.0	0,41	0,355	0,304
512-MBR760	MBR760	TO-220AC	60	7.5	0,78	0,627	0,55
512-MBR1060	MBR1060	TO-220AC	60	10.0	0,73	0,646	0,596
512-MBR1660	MBR1660	TO-220AC	60	16.0	0,76	0,673	0,647
512-SB180	SB180	DO-41	80	1,0	0,19	0,182	0,149
♦ 512-SS18	SS18	DO-214AC	80	1,0	0,40	0,305	0,213
♦ 512-SS28	SS28	DO-214AA	80	2.0	0,40	0,33	0,268
512-SB380	SB380	DO-201AD	80	3.0	0,44	0,322	0,273
♦ 512-SS38	SS38	DO-214AB	80	3.0	0,46	0,396	0,338
512-SB580	SB580	DO-201AD	80	5.0	0,41	0,355	0,304
♦ 512-SS29	SS29	DO-214AA	90	2.0	0,40	0,33	0,268
♦ 512-RS1B	RS1B	DO-214AC	100	1,0	0,26	0,206	0,153
♦ 512-S100	S100	DO-214AC	100	1,0	0,35	0,256	0,252
512-SB1100	SB1100	DO-41	100	1,0	0,22	0,21	0,172
♦ 512-S210	S210	DO-214AA	100	2.0	0,45	0,384	0,314
♦ 512-S310	S310	DO-214AB	100	3.0	0,60	0,528	0,462
512-SB3100	SB3100	DO-201AD	100	3.0	0,53	0,404	0,353
512-SB5100	SB5100	DO-201AD	100	5.0	0,61	0,454	0,421
♦ 512-RS1D	RS1D	DO-214AC	200	1,0	0,16	0,144	0,117
♦ 512-RS1G	RS1G	DO-214AC	400	1,0	0,07	0,058	0,047
♦ 512-RS1J	RS1J	DO-214AC	600	1,0	0,26	0,206	0,153
♦ 512-RS1K	RS1K	DO-214AC	800	1,0	0,26	0,206	0,153
♦ 512-RS1M	RS1M	DO-214AC	1000	1,0	0,08	0,061	0,059
Anode double et commune							
♦ 512-BAT54A	BAT54A	SOT-23	30	0.3	0,08	0,048	0,045
Cathode double et commune							
♦ 512-BAR43C	BAR43C	SOT-23	30	0.2	0,07	0,073	0,064
♦ 512-BAT54C	BAT54C	SOT-23	30	0.3	0,09	0,05	0,048
♦ 512-BAT54CWT1G	BAT54CWT1G	SOT-323	30	0.2	0,25	0,182	0,114
512-MBR1535CT	MBR1535CT	TO-220AB	35	15.0	0,87	0,602	0,495
512-FYP1004DNTU	FYP1004DNTU	TO-220	40	10.0	0,63	0,479	0,402
512-MBR1545CT	MBR1545CT	TO-220AB	45	15.0	0,73	0,641	0,616
512-MBR2545CT	MBR2545CT	TO-220AB	45	30.0	1,23	1,09	0,949
512-MBRP3045NTU	MBRP3045NTU	TO-220	45	30.0	0,42	0,383	0,351
512-MBR3045PT	MBR3045PT	TO-247	45	30.0	1,39	1,25	1,09
512-MBR4045PT	MBR4045PT	TO-247	45	40.0	1,61	1,43	1,25
512-MBR1560CT	MBR1560CT	TO-220AB	60	15.0	0,73	0,641	0,616
512-FYP2006DNTU	FYP2006DNTU	TO-220	60	20.0	0,92	0,817	0,714
512-FYPF2006DNTU	FYPF2006DNTU	TO-220F	60	20.0	0,82	0,718	0,626
512-MBR3060PT	MBR3060PT	TO-247	60	30.0	1,39	1,25	1,09
512-MBR4060PT	MBR4060PT	TO-247	60	40.0	1,61	1,43	1,25
512-FYP1010DNTU	FYP1010DNTU	TO-220	100	10.0	0,59	0,437	0,435
512-FYP2010DNTU	FYP2010DNTU	TO-220	100	20.0	0,47	0,43	0,394
512-FYPF2010DNTU	FYPF2010DNTU	TO-220F	100	20.0	0,83	0,652	0,592
512-MBRP3010NTU	MBRP3010NTU	TO-220	100	30.0	0,54	0,488	0,447
512-MBR20150CTTU	MBR20150CTTU	TO-220AB	150	20.0	0,88	0,767	0,695
512-MBR20200CTTU	MBR20200CTTU	TO-220AB	200	20.0	0,94	0,833	0,748
Série double							
♦ 512-BAR43S	BAR43S	SOT-23	30	0.2	0,12	0,066	0,062
♦ 512-BAT54S	BAT54S	SOT-23	30	0.3	0,09	0,05	0,048
♦ 512-BAT54SWT1G	BAT54SWT1G	SOT-323	30	0.2	0,25	0,182	0,114
♦ 512-BAT54SD87Z	BAT54S_D87Z	SOT-23	30	0.3	0,26	0,182	0,109

DIAC

Pour des quantités supérieures à celles indiquées, appelez-nous afin d'obtenir un devis.

RÉF. STOCK MOUSER	Réf. Fairchild	Boîtier	V(BO) (V) Min.	Typ.	Max.	Symétrie V(BO) (V) Max.	Tension de gâchette d'amorçage dynamique (V) Min.	I(BO) Max. (µA)	Dissipation de puissance (mW)	ITRM Max. (A)	Prix unitaire 1	25	100
512-DB3	DB3	DO-35	28	32	36	±3	5	100	150	2	0,23	0,21	0,111
512-DB3TG	DB3TG	DO-35	30	32	34	±2	9	15	50	2	0,25	0,186	0,118

© Copyright 2012 Mouser Electronics

© Copyright 2012 Mouser Electronics

Redresseurs FAIRCHILD

Les produits peuvent être conformes à la directive RoHS.
Consulter le site mouser.com pour vérifier la conformité RoHS.

FAIRCHILD SEMICONDUCTOR

REDRESSEURS SIMPLES A USAGE GÉNÉRAL

◆ **Composant pour montage en surface**

Pour des quantités supérieures à celles indiquées, appelez-nous afin d'obtenir un devis.

RÉF. STOCK MOUSER	Réf. Fairchild	Boîtier	V_{RRM} (V)	I_{FAV} (A)	V_{FM} (V)	Prix unitaire 1	25	100	250
◆ 512-1N4001	1N4001	DO-41	50	1	1,1V	0,07	0,06	0,049	0,031
◆ 512-GF1A	GF1A	DO-214AC	50	1	1V	0,14	0,132	0,127	0,106
◆ 512-S1A	S1A	DO-214AC	50	1	1,1V	0,06	0,057	0,054	0,045
◆ 512-S2A	S2A	DO-214AA	50	1.5	1,15V	0,12	0,10	0,085	0,077
◆ 512-S3A	S3A	DO-214AB	50	3	1,2V	0,17	0,16	0,156	0,13
512-1N4002	1N4002	DO-41	100	1	1,1V	0,17	0,116	0,072	0,046
◆ 512-S1B	S1B	DO-214AC	100	1	1,1V	0,09	0,072	0,059	0,046
◆ 512-S2B	S2B	DO-214AA	100	1.5	1,15V	0,13	0,124	0,084	0,067
512-1N5401	1N5401	DO-201AD	100	3	1,2V	0,18	0,164	0,135	0,104
◆ 512-S3B	S3B	DO-214AB	100	3	1,2V	0,17	0,16	0,156	0,13
512-1N4003	1N4003	DO-41	200	1	1,1V	0,07	0,065	0,052	0,033
◆ 512-GF1D	GF1D	DO-214AC	200	1	1V	0,14	0,132	0,127	0,106
◆ 512-S1D	S1D	DO-214AC	200	1	1,1V	0,06	0,057	0,054	0,045
512-1N5393	1N5393	DO-15	200	1.5	1,4V	0,07	0,07	0,058	0,044
◆ 512-S2D	S2D	DO-214AA	200	1.5	1,15V	0,15	0,132	0,11	0,089
512-1N5402	1N5402	DO-201AD	200	3	1,2V	0,18	0,164	0,135	0,104
◆ 512-S3D	S3D	DO-214AB	200	3	1,2V	0,17	0,158	0,156	0,13
512-1N4004	1N4004	DO-41	400	1	1,1V	0,07	0,065	0,052	0,033
◆ 512-GF1G	GF1G	DO-214AC	400	1	1V	0,14	0,132	0,127	0,106

Pour des quantités supérieures à celles indiquées, appelez-nous afin d'obtenir un devis.

RÉF. STOCK MOUSER	Réf. Fairchild	Boîtier	V_{RRM} (V)	I_{FAV} (A)	V_{FM} (V)	Prix unitaire 1	25	100	250
◆ 512-S1G	S1G	DO-214AC	400	1	1,1V	0,06	0,057	0,054	0,045
◆ 512-S2G	S2G	DO-214AA	400	1.5	1,15V	0,13	0,124	0,094	0,077
512-1N5404	1N5404	DO-201AD	400	3	1,2V	0,18	0,164	0,135	0,104
◆ 512-S3G	S3G	DO-214AB	400	3	1,2V	0,17	0,158	0,156	0,13
512-1N4005	1N4005	DO-41	600	1	1,1V	0,07	0,068	0,055	0,035
◆ 512-S1J	S1J	DO-214AC	600	1	1,1V	0,06	0,057	0,054	0,045
512-1N5397	1N5397	DO-15	600	1.5	1,4V	0,07	0,062	0,051	0,039
◆ 512-S2J	S2J	DO-214AA	600	1.5	1,15V	0,10	0,098	0,092	0,077
512-1N5406	1N5406	DO-201AD	600	3	1,2V	0,20	0,183	0,15	0,116
◆ 512-S3J	S3J	DO-214AB	600	3	1,2V	0,17	0,16	0,156	0,13
512-1N4006	1N4006	DO-41	800	1	1,1V	0,07	0,065	0,052	0,033
◆ 512-GF1K	GF1K	DO-214AC	800	1	1,2V	0,42	0,248	0,201	0,149
512-1N4007	1N4007	DO-41	1000	1	1,1V	0,07	0,065	0,052	0,033
◆ 512-GF1M	GF1M	DO-214AC	1000	1	1,2V	0,14	0,132	0,127	0,106
◆ 512-S1M	S1M	DO-214AC	1000	1	1,1V	0,07	0,062	0,059	0,049
◆ 512-S2M	S2M	DO-214AA	1000	1.5	1,15V	0,12	0,12	0,111	0,092
512-1N5408	1N5408	DO-201AD	1000	3	1,2V	0,21	0,188	0,154	0,118
◆ 512-S3M	S3M	DO-214AB	1000	3	1,2V	0,17	0,16	0,156	0,13

REDRESSEURS DE RÉCUPÉRATION ULTRA-RAPIDES

PRODUCT NEW

◆ **Composant pour montage en surface**

Pour des quantités supérieures à celles indiquées, appelez-nous afin d'obtenir un devis.

RÉF. STOCK MOUSER	Réf. Fairchild	Boîtier	Configuration	Tension inverse répétitive max.	Courant direct redressé moyen	Tension directe instantanée max.	Temps de récupération inverse max.	Prix unitaire 1	25	100	250
◆ 512-EGF1A	EGF1A	DO-214AC	Simple	50V	1A	1V	50ns	0,36	0,289	0,233	0,196
◆ 512-ES1A	ES1A	DO-214AC	Simple	50V	1A	0,92V	15 ns	0,12	0,111	0,098	0,083
◆ 512-EGF1B	EGF1B	DO-214AC	Simple	100V	1A	1V	50ns	0,36	0,289	0,233	0,196
◆ 512-ES1B	ES1B	DO-214AC	Simple	100V	1A	0,92V	15 ns	0,12	0,111	0,098	0,083
512-UF4002	UF4002	DO-41	Simple	100V	1A	1V	50ns	0,09	0,067	0,064	0,052
◆ 512-EGF1C	EGF1C	DO-214AC	Simple	150V	1A	1V	50ns	0,36	0,289	0,233	0,196
512-EGP10C	EGP10C	DO-41	Simple	150V	1A	1V	50ns	0,40	0,289	0,195	0,139
◆ 512-ES1C	ES1C	DO-214AC	Simple	150V	1A	0,92V	15 ns	0,08	0,068	0,056	0,049
◆ 512-EGF1D	EGF1D	TO-220AC	Simple	200V	1A	1V	50ns	0,24	0,219	0,193	0,162
◆ 512-ES1D	ES1D	DO-214AC	Simple	200V	1A	0,92V	15 ns	0,12	0,111	0,098	0,083
512-UF4003	UF4003	DO-41	Simple	200V	1A	1V	50ns	0,28	0,223	0,166	0,118
◆ 512-ES1F	ES1F	DO-214AC	Simple	300V	1A	1,3V	35ns	0,43	0,305	0,183	0,13
◆ 512-ES1G	ES1G	DO-214AC	Simple	400V	1A	1,3V	35ns	0,45	0,314	0,191	0,134
512-UF4004	UF4004	DO-41	Simple	400V	1A	1V	50ns	0,12	0,116	0,092	0,068
◆ 512-ES1H	ES1H	DO-214AC	Simple	500V	1A	1,7V	35ns	0,45	0,314	0,191	0,134
◆ 512-ES1J	ES1J	DO-214AC	Simple	600V	1A	1,7V	35ns	0,45	0,314	0,191	0,134
512-UF4005	UF4005	DO-41	Simple	600V	1A	1,7V	75ns	0,09	0,067	0,064	0,052
512-UF4006	UF4006	DO-41	Simple	800V	1A	1,7V	75ns	0,12	0,116	0,092	0,068
512-UF4007	UF4007	DO-41	Simple	1,000V	1A	1,7V	75ns	0,27	0,215	0,165	0,117
◆ 512-ES2A	ES2A	DO-214AA	Simple	50V	2A	0,95V	20ns	0,13	0,10	0,097	0,078
◆ 512-ES2B	ES2B	DO-214AA	Simple	100V	2A	0,95V	20ns	0,17	0,157	0,138	0,112
◆ 512-ES2C	ES2C	DO-214AA	Simple	150V	2A	0,95V	20ns	0,19	0,17	0,149	0,125
512-EGP20D	EGP20D	DO-15	Simple	200V	2A	0,95V	50ns	0,38	0,322	0,276	0,238
◆ 512-ES2D	ES2D	DO-214AA	Simple	200V	2A	0,95V	20ns	0,19	0,17	0,149	0,125
512-EGP20G	EGP20G	DO-15	Simple	400V	2A	1,25V	50ns	0,38	0,322	0,276	0,238
◆ 512-ES3A	ES3A	DO-214AB	Simple	50V	3A	0,95V	20ns	0,28	0,25	0,219	0,185
◆ 512-ES3B	ES3B	DO-214AB	Simple	100V	3A	0,95V	20ns	0,28	0,25	0,219	0,185
◆ 512-ES3C	ES3C	DO-214AB	Simple	150V	3A	0,95V	20ns	0,40	0,33	0,268	0,224
512-EGP30D	EGP30D	DO-201AD	Simple	200V	3A	0,95V	50ns	0,53	0,429	0,33	0,283
◆ 512-ES3D	ES3D	DO-214AB	Simple	200V	3A	0,95V	20ns	0,28	0,25	0,219	0,185
512-EGP30F	EGP30F	DO-201AD	Simple	300V	3A	1,25V	50ns	0,53	0,429	0,33	0,283
512-EGP30J	EGP30J	DO-201AD	Simple	600V	3A	1,7V	75ns	0,53	0,429	0,33	0,283
◆ 512-ES3J	ES3J	DO-214AB	Simple	600V	3A	1,7V	20ns	0,19	0,156	0,128	0,111
512-EGP30K	EGP30K	DO-201AD	Simple	800V	3A	1,7V	75ns	0,53	0,429	0,33	0,283
512-FFD06UP20S	FFD06UP20S	TO-220F	Simple	200V	6A	1,15V	35ns	0,26	0,256	0,219	0,196
512-FFD10UP20S	FFD10UP20S	TO-220F	Simple	200V	10A	1,15V	35ns	0,54	0,413	0,367	0,314
512-FFPF10UP20STU	FFPF10UP20STU	TO-220F	Simple	200V	10A	1V	32ns	0,60	0,462	0,405	0,352
512-FFPF10UP60STU	FFPF10UP60STU	TO-220F	Simple	600V	10A	2,2V	40ns	0,64	0,495	0,431	0,364
512-FES16CT	FES16CT	TO-220AC	Simple	150V	16A	0,975V	35ns	0,88	0,618	0,508	0,477
512-FES16DT	FES16DT	TO-220AC	Simple	200V	16A	0,975V	35ns	0,83	0,604	0,587	0,469
512-FES16DTR	FES16DTR	TO-220AC	Simple	200V	16A	0,975V	35ns	0,88	0,784	0,683	0,595
512-FES16GT	FES16GT	TO-220AC	Simple	400V	16A	1,3V	50ns	0,70	0,564	0,463	0,401
512-FEP16DTD	FEP16DTD	TO-220AB	Double	200V	16A	0,975V	35ns	0,87	0,715	0,691	0,554
512-FEP16GTD	FEP16GTD	TO-220AB	Double	400V	16A	1,3V	50ns	1,07	0,685	0,563	0,528
512-FEP16JTD	FEP16JTD	TO-220AB	Double	600V	16A	1,5V	50ns	1,07	0,85	0,765	0,659
512-FEP16BTA	FEP16BTA	TO-220AB	Anode commune	100V	16A	0,975V	35ns	0,86	0,66	0,655	0,582
512-FEP16CTA	FEP16CTA	TO-220AB	Anode commune	150V	16A	0,975V	35ns	0,73	0,613	0,592	0,474
512-FEP16DTA	FEP16DTA	TO-220AB	Anode commune	200V	16A	0,975V	35ns	0,86	0,646	0,628	0,501
512-FEP16GTA	FEP16GTA	TO-220AB	Anode commune	400V	16A	1,3V	50ns	1,07	0,85	0,765	0,659
512-FEP16JTA	FEP16JTA	TO-220AB	Anode commune	600V	16A	1,5V	50ns	0,87	0,715	0,691	0,554
512-FFPF20UP60DNTU	FFPF20UP60DNTU	TO-220F	Cathode commune	600V	10A	2,2V	70 ns	0,88	0,71	0,615	0,539
512-FEP16BT	FEP16BT	TO-220AB	Cathode commune	100V	16A	0,975V	35ns	0,78	0,646	0,624	0,499
512-FEP16CT	FEP16CT	TO-220AB	Cathode commune	150V	16A	0,975V	35ns	0,81	0,586	0,57	0,33
512-FEP16DT	FEP16DT	TO-220AB	Cathode commune	200V	16A	0,975V	35ns	0,63	0,602	0,587	0,347
512-FEP16FT	FEP16FT	TO-220AB	Cathode commune	300V	16A	1,3V	50ns	0,81	0,578	0,566	0,33
512-FEP16GT	FEP16GT	TO-220AB	Cathode commune	400V	16A	1,3V	50ns	0,83	0,602	0,587	0,347
512-FEP16HT	FEP16HT	TO-220AB	Cathode commune	500V	16A	1,5V	50ns	0,76	0,627	0,624	0,364
512-FEP16JT	FEP16JT	TO-220AB	Cathode commune	600V	16A	1,5V	50ns	0,85	0,602	0,594	0,347

REDRESSEURS DE RÉCUPÉRATION RAPIDES

◆ **Composant pour montage en surface**

Pour des quantités supérieures à celles indiquées, appelez-nous afin d'obtenir un devis.

RÉF. STOCK MOUSER	Réf. Fairchild	Boîtier	Configuration	Tension inverse répétitive max.	Courant direct redressé moyen	Tension directe instantanée max.	Temps de récupération inverse max.	Prix unitaire 1	25	100	250
512-RGP10A	RGP10A	DO-41	Simple	50V	1A	1,3V	150ns	0,59	0,272	0,188	0,134
512-1N4934	1N4934	DO-41	Simple	100V	1A	1,2V	150ns	0,05	0,048	0,038	0,028
◆ 512-RGF1B	RGF1B	DO-214AC	Simple	100V	1A	1,3V	150ns	0,34	0,281	0,22	0,158

© Copyright 2012 Mouser Electronics
© Copyright 2012 Mouser Electronics

Redresseurs FAIRCHILD

Les produits peuvent être conformes à la directive RoHS. Consulter le site mouser.com pour vérifier la conformité RoHS.

FAIRCHILD SEMICONDUCTOR

REDRESSEURS DE RÉCUPÉRATION RAPIDES (SUITE)

♦ **Composant pour montage en surface**

Pour des quantités supérieures à celles indiquées, appelez-nous afin d'obtenir un devis.

RÉF. STOCK MOUSER	Réf. Fairchild	Boîtier	Configuration	Tension inverse répétitive max.	Courant direct redressé moyen	Tension directe instantanée max.	Temps de récupération inverse max.	Prix unitaire 1	25	100	250
512-1N4935	1N4935	DO-41	Simple	200V	1A	1,2V	150ns	0,05	0,048	0,038	0,028
512-1N4936	1N4936	DO-41	Simple	400V	1A	1,2V	150ns	0,05	0,048	0,038	0,028
♦ 512-RGF1G	RGF1G	DO-214AC	Simple	400V	1A	1,3V	150ns	0,34	0,281	0,22	0,158
512-RGP10G	RGP10G	DO-41	Simple	400V	1A	1,3V	150ns	0,59	0,272	0,188	0,134
512-1N4937	1N4937	DO-41	Simple	600V	1A	1,2V	150ns	0,05	0,048	0,038	0,028
♦ 512-RGF1J	RGF1J	DO-214AC	Simple	600V	1A	1,3V	250ns	0,34	0,281	0,22	0,158
512-RGP10K	RGP10K	DO-41	Simple	800V	1A	1,3V	500ns	0,59	0,272	0,188	0,134
♦ 512-RGF1M	RGF1M	DO-214AC	Simple	1,000V	1A	1,3V	500ns	0,17	0,149	0,131	0,111
512-RGP10M	RGP10M	DO-41	Simple	1,000V	1A	1,3V	500ns	0,10	0,097	0,078	0,058

REDRESSEURS DE RÉCUPÉRATION HYPER-RAPIDES

♦ **Montage en surface**

Pour des quantités supérieures à celles indiquées, appelez-nous afin d'obtenir un devis.

RÉF. STOCK MOUSER	Réf. Fairchild	Boîtier	Configuration	Tension inverse répétitive max.	Courant direct redressé moyen	Tension directe instantanée max.	Temps de récupération inverse max.	Prix unitaire 1	25	100	250
♦ 512-RHRD660S9A	RHRD660S9A	TO-252	Simple	600V	6A	2,1V	35ns	0,73	0,553	0,537	0,429
512-RHRP8120	RHRP8120	TO-220	Simple	1200V	8A	3,2V	70ns	0,77	0,618	0,507	0,439
512-RHRP1560	RHRP1560	TO-220	Simple	600V	15A	2,1V	40ns	1,11	0,883	0,723	0,626
512-RHRP15120	RHRP15120	TO-220	Simple	1200V	15A	3,2V	75ns	1,24	0,99	0,81	0,702
512-RHRP3060	RHRP3060	TO-220	Simple	600V	30A	2,1V	45ns	1,67	1,34	1,10	0,949
512-RHRG30120	RHRG30120	TO-247	Simple	1200V	30A	3,2V	75ns	2,23	2,00	1,77	1,59
512-RHRP30120	RHRP30120	TO-220	Simple	1200V	30A	3V	75ns	1,78	1,43	1,17	1,01
512-RHRG5060	RHRG5060	TO-247	Simple	600V	50A	2,1V	50ns	3,55	2,85	2,60	2,32
512-RHRG75120	RHRG75120	TO-247	Simple	1200V	75A	3,2V	100ns	4,09	3,67	3,25	2,94
512-RHRG1560CC	RHRG1560CC	TO-247	Cathode commune	600V	15A	1,5V	60ns	2,67	2,18	1,94	1,76

REDRESSEURS EN PONT

Pour des quantités supérieures à celles indiquées, appelez-nous afin d'obtenir un devis.

RÉF. STOCK MOUSER	Réf. Fairchild	Boîtier	V_{RRM} (V)	I_{FAV} (A)	V_{FM} (V)	Prix unitaire 1	25	100	250
512-DF005M	DF005M	DIP-4	50	1.5	1.1	0,36	0,261	0,224	0,194
512-DF005S	DF005S	DIP-4	50	1.5	1.1	0,51	0,40	0,273	0,228
512-KBP005M	KBP005M	KBPM	50	1.5	1.3	0,37	0,276	0,234	0,182
512-2KBP005M	2KBP005M	KBPM	50	2	1.1	0,41	0,29	0,242	0,226
512-KBL005	KBL005	KBL	50	4	1.1	0,63	0,464	0,344	0,289
512-GBU6A	GBU6A	GBU	50	6	1	0,82	0,558	0,502	0,406
512-GBU8A	GBU8A	GBU	50	8	1	0,97	0,699	0,544	0,42
512-KBU8A	KBU8A	KBU	50	8	1	0,99	0,817	0,603	0,452
512-DFB2005	DFB2005	TS-6P	50	20	1.1	1,07	0,858	0,644	0,602
512-DFB2505	DFB2505	TS-6P	50	25	1	1,24	0,99	0,743	0,693
512-GBPC25005W	GBPC25005W	GBPC-W	50	25	1.1	2,80	1,65	1,40	1,17
♦ 512-MB1S	MB1S	SOIC-4	100	0,5	1	0,43	0,28	0,229	0,191
512-DF01M	DF01M	DIP-4	100	1.5	1.1	0,36	0,261	0,224	0,194
512-DF01S	DF01S	DIP-4	100	1.5	1.1	0,26	0,193	0,164	0,128
512-3N247	3N247	KBPM	100	1.5	1.3	0,36	0,262	0,223	0,173
512-2KBP01M	2KBP01M	KBPM	100	2	1.1	0,41	0,29	0,242	0,226
512-3N254	3N254	KBPM	100	2	1.1	0,43	0,297	0,253	0,237
512-GBU4B	GBU4B	GBU	100	4	1	0,73	0,534	0,48	0,37
512-KBU4B	KBU4B	KBU	100	4	1	0,90	0,658	0,435	0,38
512-KBL01	KBL01	KBL	100	4	1.1	0,63	0,464	0,361	0,303
512-GBU6B	GBU6B	GBU	100	6	1	0,82	0,558	0,502	0,406
512-KBU6B	KBU6B	KBU	100	6	1	0,99	0,866	0,435	0,38
512-GBU8B	GBU8B	GBU	100	8	1	0,97	0,699	0,544	0,42
512-KBU8B	KBU8B	KBU	100	8	1	0,99	0,817	0,603	0,452
512-GBPC1201	GBPC1201	GBPC	100	12	1.1	2,24	1,30	0,965	0,924
512-DFB2010	DFB2010	TS-6P	100	20	1.1	1,07	0,858	0,644	0,602
512-DFB2510	DFB2510	TS-6P	100	25	1	1,24	0,99	0,743	0,693
512-GBPC3501	GBPC3501	GBPC	100	35	1.1	2,53	1,47	1,09	1,06
512-GBPC3501W	GBPC3501W	GBPC-W	100	35	1.1	2,61	2,17	1,42	1,08
♦ 512-MB2S	MB2S	SOIC-4	200	0,5	1	0,43	0,256	0,181	0,139
512-DF02M	DF02M	DIP-4	200	1.5	1.1	0,27	0,205	0,174	0,135
512-DF02S	DF02S	DIP-4	200	1.5	1.1	0,27	0,195	0,176	0,13
512-KBP02M	KBP02M	KBPM	200	1.5	1.3	0,37	0,276	0,234	0,182
512-2KBP02M	2KBP02M	KBPM	200	2	1.1	0,41	0,29	0,242	0,20
512-3N255	3N255	KBPM	200	2	1.1	0,41	0,29	0,242	0,20
512-GBU4D	GBU4D	GBU	200	4	1	0,73	0,534	0,48	0,37
512-KBU4D	KBU4D	KBU	200	4	1	0,90	0,658	0,435	0,38
512-KBL02	KBL02	KBL	200	4	1.1	0,65	0,573	0,344	0,289
512-KBU6D	KBU6D	KBU	200	6	1	0,99	0,866	0,435	0,38
512-GBPC1202W	GBPC1202W	GBPC-W	200	12	1.1	2,24	1,30	0,965	0,924
512-GBPC1502	GBPC1502	GBPC	200	15	1.1	2,34	1,36	1,01	0,99
512-DFB2020	DFB2020	TS-6P	200	20	1.1	1,07	0,858	0,644	0,602
512-DFB2520	DFB2520	TS-6P	200	25	1	1,24	0,99	0,743	0,693
512-GBPC2502	GBPC2502	GBPC	200	25	1.1	2,39	1,93	1,73	1,53
512-GBPC2502W	GBPC2502W	GBPC-W	200	25	1.1	2,54	2,12	1,38	1,08
512-GBPC3502W	GBPC3502W	GBPC-W	200	35	1.1	2,73	1,58	1,18	1,14
♦ 512-MB4S	MB4S	SOIC-4	400	0,5	1	0,47	0,309	0,253	0,211
512-DF04M	DF04M	DIP-4	400	1.5	1.1	0,29	0,215	0,182	0,142
512-DF04S	DF04S	DIP-4	400	1.5	1.1	0,29	0,217	0,184	0,144
512-KBP04M	KBP04M	KBPM	400	1.5	1.3	0,40	0,29	0,242	0,198
512-2KBP04M	2KBP04M	KBPM	400	2	1.1	0,56	0,415	0,356	0,309
512-3N256	3N256	KBPM	400	2	1.1	0,51	0,413	0,363	0,302
512-GBU4G	GBU4G	GBU	400	4	1	0,85	0,578	0,527	0,388
512-KBU4G	KBU4G	KBU	400	4	1	0,99	0,866	0,435	0,38
512-KBL04	KBL04	KBL	400	4	1.1	0,63	0,464	0,344	0,289
512-KBU6G	KBU6G	KBU	400	6	1	1,24	1,08	0,544	0,488
512-KBU8G	KBU8G	KBU	400	8	1	1,25	0,916	0,603	0,452
512-GBPC1204	GBPC1204	GBPC	400	12	1.1	2,24	1,30	0,965	0,924
512-GBPC1504	GBPC1504	GBPC	400	15	1.1	2,34	1,36	1,01	0,99

NEW PRODUCT

♦ **Montage en surface**

Pour des quantités supérieures à celles indiquées, appelez-nous afin d'obtenir un devis.

RÉF. STOCK MOUSER	Réf. Fairchild	Boîtier	V_{RRM} (V)	I_{FAV} (A)	V_{FM} (V)	Prix unitaire 1	25	100	250
512-DFB2040	DFB2040	TS-6P	400	20	1.1	1,07	0,858	0,644	0,602
512-DFB2540	DFB2540	TS-6P	400	25	1	1,24	0,99	0,743	0,693
512-GBPC2504	GBPC2504	GBPC	400	25	1.1	2,39	1,39	1,04	1,01
512-GBPC2504W	GBPC2504W	GBPC-W	400	25	1.1	2,54	1,48	1,11	1,08
512-GBPC3504	GBPC3504	GBPC	400	35	1.1	2,53	1,47	1,09	1,06
512-GBPC3504W	GBPC3504W	GBPC-W	400	35	1.1	2,73	2,28	1,49	1,15
♦ 512-MB6S	MB6S	SOIC-4	600	0,5	1	0,47	0,309	0,253	0,211
512-DF06M	DF06M	DIP-4	600	1.5	1.1	0,29	0,215	0,182	0,142
512-DF06S	DF06S	DIP-4	600	1.5	1.1	0,31	0,226	0,192	0,149
512-3N250	3N250	KBPM	600	1.5	1.3	0,40	0,282	0,245	0,191
512-2KBP06M	2KBP06M	KBPM	600	2	1.1	0,44	0,322	0,277	0,215
512-3N257	3N257	KBPM	600	2	1.1	0,44	0,322	0,277	0,215
512-KBL06	KBL06	KBL	600	4	1.1	0,63	0,464	0,344	0,289
512-KBU4J	KBU4J	KBU	600	4	1	1,01	0,891	0,444	0,389
512-GBU6J	GBU6J	GBU	600	6	1	0,82	0,596	0,543	0,467
512-KBU6J	KBU6J	KBU	600	6	1	1,17	0,823	0,544	0,488
512-GBU8J	GBU8J	GBU	600	8	1	1,05	0,761	0,62	0,458
512-KBU8J	KBU8J	KBU	600	8	1	1,30	0,916	0,603	0,452
512-DFB2060	DFB2060	TS-6P	600	20	1.1	1,30	1,19	1,04	0,924
512-DFB2560	DFB2560	TS-6P	600	25	1	1,50	1,41	1,20	1,07
512-GBPC2506	GBPC2506	GBPC	600	25	1.1	2,39	1,39	1,04	1,01
512-GBPC2506W	GBPC2506W	GBPC-W	600	25	1.1	2,54	2,12	1,38	1,08
512-GBPC3506	GBPC3506	GBPC	600	35	1.1	2,53	1,47	1,09	1,06
512-GBPC3506W	GBPC3506W	GBPC-W	600	35	1.1	2,61	2,18	1,42	1,09
♦ 512-MB8S	MB8S	SOIC-4	800	0,5	1	0,49	0,321	0,263	0,219
512-DF08M	DF08M	DIP-4	800	1.5	1.1	0,31	0,236	0,20	0,156
512-DF08S	DF08S	DIP-4	800	1.5	1.1	0,47	0,374	0,28	0,242
512-2KBP08M	2KBP08M	KBPM	800	2	1.1	0,45	0,322	0,306	0,275
512-3N258	3N258	KBPM	800	2	1.1	0,51	0,394	0,343	0,299
512-GBU4K	GBU4K	GBU	800	4	1	0,82	0,594	0,514	0,467
512-KBU4K	KBU4K	KBU	800	4	1	1,01	0,891	0,444	0,389
512-KBL08	KBL08	KBL	800	4	1.1	0,63	0,464	0,344	0,289
512-GBU6K	GBU6K	GBU	800	6	1	0,84	0,612	0,507	0,37
512-KBU6K	KBU6K	KBU	800	6	1	1,24	1,08	0,544	0,488
512-GBPC1208	GBPC1208	GBPC	800	12	1.1	2,24	1,30	0,965	0,924
512-DFB2080	DFB2080	TS-6P	800	20	1.1	1,07	0,858	0,644	0,602
512-DFB2580	DFB2580	TS-6P	800	25	1	1,24	0,99	0,743	0,693
512-GBPC2508W	GBPC2508W	GBPC-W	800	25	1.1	2,54	1,48	1,11	1,08
512-GBPC3508	GBPC3508	GBPC	800	35	1.1	2,53	1,47	1,09	1,06
512-GBPC3508W	GBPC3508W	GBPC-W	800	35	1.1	2,61	1,60	1,42	1,09
512-DF10M	DF10M	DIP-4	1000	1.5	1.1	0,32	0,238	0,202	0,158
512-DF10S	DF10S	DIP-4	1000	1.5	1.1	0,31	0,236	0,20	0,156
512-2KBP10M	2KBP10M	KBPM	1000	2	1.1	0,52	0,377	0,328	0,257
512-3N259	3N259	KBPM	1000	2	1.1	0,53	0,377	0,328	0,258
512-GBU4M	GBU4M	GBU	1000	4	1	0,72	0,596	0,479	0,461
512-KBU4M	KBU4M	KBU	1000	4	1	1,01	0,891	0,444	0,389
512-KBL10	KBL10	KBL	1000	4	1.1	0,63	0,464	0,344	0,289
512-GBU6M	GBU6M	GBU	1000	6	1	0,88	0,636	0,517	0,384
512-GBU8M	GBU8M	GBU	1000	8	1	1,01	0,809	0,667	0,532
512-KBU8M	KBU8M	KBU	1000	8	1	1,00	0,825	0,608	0,455
512-GBPC1210	GBPC1210	GBPC	1000	12	1.1	2,24	1,30	0,965	0,924
512-GBPC1210W	GBPC1210W	GBPC-W	1000	12	1.1	2,24	1,30	0,965	0,924
512-GBPC1510W	GBPC1510W	GBPC-W	1000	15	1.1	2,34	1,44	1,27	0,99
512-DFB20100	DFB20100	TS-6P	1000	20	1.1	1,07	0,858	0,644	0,602
512-DFB25100	DFB25100	TS-6P	1000	25	1	1,24	0,99	0,743	0,693
512-GBPC2510	GBPC2510	GBPC	1000	25	1.1	2,39	1,39	1,04	1,01
512-GBPC2510W	GBPC2510W	GBPC-W	1000	25	1.1	2,54	1,48	1,11	1,08
512-GBPC3510	GBPC3510	GBPC	1000	35	1.1	2,10	2,04	1,83	1,63
512-GBPC3510W	GBPC3510W	GBPC-W	1000	35	1.1	2,61	1,52	1,13	1,09

© Copyright 2012 Mouser Electronics

© Copyright 2012 Mouser Electronics

Redresseurs GENESIC SEMICONDUCTOR

REDRESSEURS AU CARBURE DE SILICIUM

RoHS Compliant This product is RoHS compliant.

Redresseurs SIC Schottky

RoHS Compliant

NEW! TECHNOLOGY

Pour des quantités supérieures à celles indiquées, appelez-nous afin d'obtenir un devis.

RÉF. STOCK MOUSER	Réf. Genesic	Boîtier	VRRM (V)	Io@Tj (A)	Tj (ºC)	IR@25ºC (µA)	IR@Tj (µA)	Vf@25ºC (V)	Prix unitaire			
									1	25	100	250
905-GA01SHT18	GA01SHT18	SOT-89	1800	1	225	1	-	2.2	1,49	1,45	1,30	1,16
905-GA01SLV20	GA01SLV20	SOT-89	2000	1	175	1	-	2.2	1,49	1,45	1,30	1,16
905-GA05SLT12-220	GA05SLT12-220	TO-220	1200	5	175	0,5	20	2.6	-	-	-	-
905-GA10SHT12-220	GA10SHT12-220	TO-220	1200	10	225	0,5	20	2.3	-	-	-	-
905-GA10SHT12-263	GA10SHT12-263	TO-263	1200	10	225	0,5	20	2.3	-	-	-	-
905-GA10SLT12-220	GA10SLT12-220	TO-220	1200	10	175	0,5	20	2.3	13,53	13,19	11,84	10,49
905-GA12SHT12-220	GA12SHT12-220	TO-247	1200	12	225	0,5	20	2.27	-	-	-	-
905-GA12SHT12-247	GA12SHT12-247	TO-247	1200	12	225	0,5	20	2.27	-	-	-	-
905-GA20SLT12-247	GA20SLT12-247	TO-247	1200	20	175	0,5	20	2.15	-	-	-	-

REDRESSEURS AU SILICIUM

Redresseurs de récupération standard

RoHS Compliant

Pour des quantités supérieures à celles indiquées, appelez-nous afin d'obtenir un devis.

RÉF. STOCK MOUSER	Réf. Genesic	Boîtier	VRRM (V)	Io@Tj (A)	Tj (ºC)	IF SM (A)	IR@25ºC (µA)	IR@Tj (µA)	Vf@25ºC (V)	Prix unitaire			
										1	25	100	250
905-1N1199A	1N1199A	DO-4	50	12	150	240	10	12	1.1	2,31	2,25	2,02	1,79
905-1N1199AR	1N1199AR	DO-4	50	12	150	240	10	12	1.1	2,31	2,25	2,02	1,79
905-1N1200A	1N1200A	DO-4	100	12	150	240	10	12	1.1	2,31	2,25	2,02	1,79
905-1N1200AR	1N1200AR	DO-4	100	12	150	240	10	12	1.1	2,31	2,25	2,02	1,79
905-1N1202A	1N1202A	DO-4	200	12	150	240	10	12	1.1	2,31	2,25	2,02	1,79
905-1N1202AR	1N1202AR	DO-4	200	12	150	240	10	12	1.1	2,31	2,25	2,02	1,79
905-1N1204A	1N1204A	DO-4	400	12	150	240	10	12	1.1	2,31	2,25	2,02	1,79
905-1N1204AR	1N1204AR	DO-4	400	12	150	240	10	12	1.1	2,31	2,25	2,02	1,79
905-1N1206A	1N1206A	DO-4	600	12	150	240	10	12	1.1	2,31	2,25	2,02	1,79
905-1N1206AR	1N1206AR	DO-4	600	12	150	240	10	12	1.1	2,31	2,25	2,02	1,79
905-1N3671A	1N3671A	DO-5	800	12	150	240	10	12	1.1	2,31	2,25	2,02	1,79
905-1N3671AR	1N3671AR	DO-5	800	12	150	240	10	12	1.1	2,31	2,25	2,02	1,79
905-1N3673A	1N3673A	DO-4	1000	12	150	240	10	12	1.1	2,31	2,25	2,02	1,79
905-1N3673AR	1N3673AR	DO-4	1000	12	150	240	10	12	1.1	2,31	2,25	2,02	1,79
905-1N3208	1N3208	DO-5	50	15	150	297	10	12	1.1	5,61	5,47	4,91	4,35
905-1N3208R	1N3208R	DO-5	50	15	150	297	10	12	1.1	5,61	5,47	4,91	4,35
905-1N1184	1N1184	DO-5	100	35	140	595	10	12	1.1	5,61	5,47	4,91	4,35
905-1N1184R	1N1184R	DO-5	100	35	140	595	10	12	1.1	5,61	5,47	4,91	4,35
905-1N3209	1N3209	DO-5	100	15	150	297	10	12	1.1	5,61	5,47	4,91	4,35
905-1N3209R	1N3209R	DO-5	100	15	150	297	10	12	1.1	5,61	5,47	4,91	4,35
905-1N2130A	1N2130A	DO-4	150	60	150	1050	10	12	1.1	5,61	5,47	4,91	4,35
905-1N2130AR	1N2130AR	DO-4	150	60	150	1050	10	12	1.1	5,61	5,47	4,91	4,35
905-1N1186A	1N1186A	DO-5	200	40	150	800	10	12	1.1	5,61	5,47	4,91	4,35
905-1N1186AR	1N1186AR	DO-5	200	40	150	800	10	12	1.1	5,61	5,47	4,91	4,35
905-1N3210	1N3210	DO-5	200	15	150	297	10	12	1.1	5,61	5,47	4,91	4,35
905-1N3210R	1N3210R	DO-5	200	15	150	297	10	12	1.1	5,61	5,47	4,91	4,35
905-1N3211	1N3211	DO-5	300	15	150	297	10	12	1.1	5,61	5,47	4,91	4,35
905-1N3211R	1N3211R	DO-5	300	15	150	297	10	12	1.1	5,61	5,47	4,91	4,35
905-1N1188	1N1188	DO-5	400	35	140	595	10	12	1.1	5,61	5,47	4,91	4,35
905-1N1188R	1N1188R	DO-5	400	35	140	595	10	12	1.1	5,61	5,47	4,91	4,35
905-1N3212	1N3212	DO-5	400	15	150	297	10	12	1.1	5,61	5,47	4,91	4,35
905-1N3212R	1N3212R	DO-5	400	15	150	297	10	12	1.1	5,61	5,47	4,91	4,35
905-1N3213	1N3213	DO-5	500	15	150	297	10	12	1.1	5,61	5,47	4,91	4,35
905-1N3213R	1N3213R	DO-5	500	15	150	297	10	12	1.1	5,61	5,47	4,91	4,35
905-1N1190	1N1190	DO-5	600	35	140	595	10	12	1.1	5,61	5,47	4,91	4,35
905-1N1190A	1N1190A	DO-5	600	40	150	800	10	12	1.1	5,61	5,47	4,91	4,35
905-1N1190AR	1N1190AR	DO-5	600	40	150	800	10	12	1.1	5,61	5,47	4,91	4,35
905-1N1190R	1N1190R	DO-5	600	35	140	595	10	12	1.1	5,61	5,47	4,91	4,35
905-1N2138A	1N2138A	DO-4	600	60	150	1050	10	12	1.1	5,61	5,47	4,91	4,35
905-1N2138AR	1N2138AR	DO-4	600	60	150	1050	10	12	1.1	5,61	5,47	4,91	4,35
905-1N3214	1N3214	DO-5	600	15	150	297	10	12	1.1	5,61	5,47	4,91	4,35
905-1N3214R	1N3214R	DO-5	600	15	150	297	10	12	1.1	5,61	5,47	4,91	4,35
905-1N3768	1N3768	DO-5	1000	35	140	475	10	12	1.1	5,61	5,47	4,91	4,35
905-1N3768R	1N3768R	DO-5	1000	35	140	475	10	12	1.1	5,61	5,47	4,91	4,35
905-S85Q	S85Q	DO-5	1200	85	140	1050	10	12	1.1	5,61	5,47	4,91	4,35
905-S85QR	S85QR	DO-5	1200	85	140	1050	10	12	1.1	5,61	5,47	4,91	4,35
905-S300J	S300J	DO-9	600	300	130	6850	10	12	1.2	31,52	30,73	27,58	24,43
905-S300JR	S300JR	DO-9	600	300	130	6850	10	12	1.2	31,52	30,73	27,58	24,43

Redresseurs de récupération rapides

RoHS Compliant

Pour des quantités supérieures à celles indiquées, appelez-nous afin d'obtenir un devis.

RÉF. STOCK MOUSER	Réf. Genesic	Boîtier	VRRM (V)	Io@Tj (A)	Tj (ºC)	IF SM (A)	IR@25ºC (µA)	IR@Tj (µA)	Vf@25ºC (V)	Trr (ns)	Prix unitaire			
											1	25	100	250
905-1N3879	1N3879	DO-4	50	6	100	90	15	3	1.4	200	2,81	2,74	2,46	2,18
905-1N3879R	1N3879R	DO-4	50	6	100	90	15	3	1.4	200	2,81	2,74	2,46	2,18
905-1N3889	1N3889	DO-4	50	12	100	90	25	6	1.4	200	2,81	2,74	2,46	2,18
905-1N3889R	1N3889R	DO-4	50	12	100	90	25	6	1.4	200	2,81	2,74	2,46	2,18
905-1N3881	1N3881	DO-4	200	6	100	90	15	3	1.4	200	2,81	2,74	2,46	2,18
905-1N3881R	1N3881R	DO-4	200	6	100	90	15	3	1.4	200	2,81	2,74	2,46	2,18
905-1N3892	1N3892	DO-4	300	12	100	90	25	6	1.4	200	2,81	2,74	2,46	2,18
905-1N3892R	1N3892R	DO-4	300	12	100	90	25	6	1.4	200	2,81	2,74	2,46	2,18
905-1N3883	1N3883	DO-4	400	6	100	90	15	3	1.4	200	2,81	2,74	2,46	2,18
905-1N3883R	1N3883R	DO-4	400	6	100	90	15	3	1.4	200	2,81	2,74	2,46	2,18
905-FR30G02	FR30G02	DO-5	400	30	100	300	25	12	1.4	200	6,11	5,96	5,35	4,74

© Copyright 2012 Mouser Electronics
© Copyright 2012 Mouser Electronics

Redresseurs GENESIC SEMICONDUCTOR

RoHS Compliant This product is RoHS compliant.

REDRESSEURS AU SILICIUM (SUITE)

Redresseurs de récupération rapides (suite)

RoHS Compliant

Pour des quantités supérieures à celles indiquées, appelez-nous afin d'obtenir un devis.

RÉF. STOCK MOUSER	Réf. Genesic	Boîtier	VRRM (V)	Io@Tj (A)	Tj (°C)	IF SM (A)	IR@25°C (µA)	IR@Tj (µA)	Vf@25°C (V)	Trr (ns)	Prix unitaire			
											1	25	100	250
905-FR30GR02	FR30GR02	DO-5	400	30	100	300	25	12	1.4	200	6,11	5,96	5,35	4,74
905-FR40G02	FR40G02	DO-5	400	40	100	500	25	12	1.4	200	6,11	5,96	5,35	4,74
905-FR40GR02	FR40GR02	DO-5	400	40	100	500	25	12	1.4	200	6,11	5,96	5,35	4,74
905-FR70G02	FR70G02	DO-5	400	70	100	870	25	12	1.4	200	6,11	5,96	5,35	4,74
905-FR70GR02	FR70GR02	DO-5	400	70	100	870	25	12	1.4	200	6,11	5,96	5,35	4,74
905-FR85G02	FR85G02	DO-5	400	85	100	1369	25	12	1.4	200	6,11	5,96	5,35	4,74
905-FR85GR02	FR85GR02	DO-5	400	85	100	1369	25	12	1.4	200	6,11	5,96	5,35	4,74
905-FR85J02	FR85J02	DO-5	600	85	100	1369	25	12	1.4	250	6,11	5,96	5,35	4,74

Redresseurs de récupération super-rapides

RoHS Compliant

Pour des quantités supérieures à celles indiquées, appelez-nous afin d'obtenir un devis.

RÉF. STOCK MOUSER	Réf. Genesic	Boîtier	VRRM (V)	Io@Tj (A)	Tj (°C)	IF SM (A)	IR@25°C (µA)	IR@Tj (µA)	Vf@25°C (V)	Prix unitaire			
										1	25	100	250
905-MUR2510	MUR2510	DO-4	100	25	145	500	10	3	1	3,14	3,06	2,75	2,43
905-MUR2510R	MUR2510R	DO-4	100	25	145	500	10	3	1	3,14	3,06	2,75	2,43
905-MUR5010	MUR5010	DO-5	100	50	125	600	10	3	1	6,44	6,28	5,63	4,99
905-MUR5010R	MUR5010R	DO-5	100	50	125	600	10	3	1	6,44	6,28	5,63	4,99
905-MUR20010CT	MUR20010CT	Twin Tower	100	200	140	800	25	3	1.3	52,80	51,48	46,20	40,92
905-MUR20010CTR	MUR20010CTR	Twin Tower	100	200	140	800	25	3	1.3	52,80	51,48	46,20	40,92
905-MUR20020CT	MUR20020CT	Twin Tower	200	200	140	800	25	3	1.3	52,80	51,48	46,20	40,92
905-MUR20020CTR	MUR20020CTR	Twin Tower	200	200	140	800	25	3	1.3	52,80	51,48	46,20	40,92
905-MUR20040CT	MUR20040CT	Twin Tower	400	200	140	800	25	3	1.5	52,80	51,48	46,20	40,92
905-MUR20040CTR	MUR20040CTR	Twin Tower	400	200	140	800	25	3	1.5	52,80	51,48	46,20	40,92
905-MURT40040	MURT40040	Twin Tower	400	400	125	3300	25	3	1.35	76,56	74,65	66,99	59,33
905-MURT40040R	MURT40040R	Twin Tower	400	400	125	3300	25	3	1.35	76,56	74,65	66,99	59,33

Redresseurs Schottky Silicon

RoHS Compliant

Pour des quantités supérieures à celles indiquées, appelez-nous afin d'obtenir un devis.

RÉF. STOCK MOUSER		Boîtier	VRRM (V)	Io@Tj (A)	Tj (°C)	IF SM (A)	Vf@ 25°C (V)	Prix unitaire			
Fabr.	Réf. Fabr.							1	25	100	250
905—	MBRH12040	D-67	40	120	125	2000	0.75	23,76	23,17	20,79	18,41
905—	MBRH12040R	D-67	40	120	125	2000	0.75	23,76	23,17	20,79	18,41
905—	MBRH20045	D-67	45	200	125	3000	0.75	26,40	25,74	23,10	20,46
905—	MBRH20045R	D-67	45	200	125	3000	0.75	26,40	25,74	23,10	20,46
905—	MBR12020CT	Twin Tower	20	120	125	800	0.7	38,28	37,32	33,50	29,67
905—	MBR12020CTR	Twin Tower	20	120	125	800	0.7	38,28	37,32	33,50	29,67
905—	MBR12030CT	Twin Tower	30	120	125	800	0.75	38,28	37,32	33,50	29,67
905—	MBR12030CTR	Twin Tower	30	120	125	800	0.75	38,28	37,32	33,50	29,67
905—	MBR12035CT	Twin Tower	35	120	125	800	0.75	38,28	37,32	33,50	29,67
905—	MBR12035CTR	Twin Tower	35	120	125	800	0.75	38,28	37,32	33,50	29,67
905—	MBR12040CT	Twin Tower	40	120	125	800	0.75	38,28	37,32	33,50	29,67
905—	MBR12040CTR	Twin Tower	40	120	125	800	0.75	38,28	37,32	33,50	29,67
905—	MBR12045CT	Twin Tower	45	120	125	800	0.75	38,28	37,32	33,50	29,67
905—	MBR12045CTR	Twin Tower	45	120	125	800	0.75	38,28	37,32	33,50	29,67
905—	MBR12060CT	Twin Tower	60	120	125	800	0.8	38,28	37,32	33,50	29,67
905—	MBR12060CTR	Twin Tower	60	120	125	800	0.8	38,28	37,32	33,50	29,67
905—	MBR20030CT	Twin Tower	30	200	125	1500	0.75	40,92	39,90	35,81	31,71
905—	MBR20030CTR	Twin Tower	30	200	125	1500	0.75	40,92	39,90	35,81	31,71
905—	MBR20035CT	Twin Tower	35	200	125	1500	0.75	40,92	39,90	35,81	31,71
905—	MBR20035CTR	Twin Tower	35	200	125	1500	0.75	40,92	39,90	35,81	31,71
905—	MBR20040CT	Twin Tower	40	200	125	1500	0.75	40,92	39,90	35,81	31,71
905—	MBR20040CTR	Twin Tower	40	200	125	1500	0.75	40,92	39,90	35,81	31,71
905—	MBR20045CT	Twin Tower	45	200	125	1500	0.75	40,92	39,90	35,81	31,71
905—	MBR20045CTR	Twin Tower	45	200	125	1500	0.75	40,92	39,90	35,81	31,71
905—	MBR20060CT	Twin Tower	60	200	125	1500	0.8	40,92	39,90	35,81	31,71
905—	MBR20060CTR	Twin Tower	60	200	125	1500	0.8	40,92	39,90	35,81	31,71
905—	FST16060	TO-249AB	60	160	125	1200	0.8	42,24	41,18	36,96	32,74
905—	FST16080	TO-249AB	80	160	125	1200	0.88	42,24	41,18	36,96	32,74
905—	MBR30030CT	Twin Tower	30	300	100	2500	0.75	43,56	42,47	38,12	33,76
905—	MBR30030CTR	Twin Tower	30	300	100	2500	0.75	43,56	42,47	38,12	33,76
905—	MBR30035CT	Twin Tower	35	300	100	2500	0.75	43,56	42,47	38,12	33,76
905—	MBR30035CTR	Twin Tower	35	300	100	2500	0.75	43,56	42,47	38,12	33,76
905—	MBR30040CT	Twin Tower	35	300	100	2500	0.75	43,56	42,47	38,12	33,76
905—	MBR30040CTR	Twin Tower	40	300	100	2500	0.75	43,56	42,47	38,12	33,76
905—	MBR30045CT	Twin Tower	45	300	100	2500	0.75	43,56	42,47	38,12	33,76
905—	MBR30045CTR	Twin Tower	45	300	100	2500	0.75	43,56	42,47	38,12	33,76
905—	MBR30060CT	Twin Tower	60	300	100	2500	0.8	43,56	42,47	38,12	33,76
905—	MBR30060CTR	Twin Tower	60	300	100	2500	0.8	43,56	42,47	38,12	33,76

Redresseurs Schottky Silicone (suite)

RoHS Compliant

Pour des quantités supérieures à celles indiquées, appelez-nous afin d'obtenir un devis.

RÉF. STOCK MOUSER		Boîtier	VRRM (V)	Io@Tj (A)	Tj (°C)	IF SM (A)	Vf@ 25°C (V)	Prix unitaire			
Fabr.	Réf. Fabr.							1	25	100	250
905—	MBRT20035	Three Tower	35	200	125	1500	0.75	44,88	43,76	39,27	34,78
905—	MBRT20035R	Three Tower	35	200	125	1500	0.75	44,88	43,76	39,27	34,78
905—	MBRT20040	Three Tower	40	200	125	1500	0.75	44,88	43,76	39,27	34,78
905—	MBRT20040R	Three Tower	40	200	125	1500	0.75	44,88	43,76	39,27	34,78
905—	MBRT20045	Three Tower	45	200	125	1500	0.75	44,88	43,76	39,27	34,78
905—	MBRT20045R	Three Tower	45	200	125	1500	0.75	44,88	43,76	39,27	34,78
905—	MBRT20060	Three Tower	60	200	125	1500	0.8	44,88	43,76	39,27	34,78
905—	MBRT20060R	Three Tower	60	200	125	1500	0.8	44,88	43,76	39,27	34,78
905—	MBR40035CT	Twin Tower	35	400	100	3000	0.75	50,16	48,91	43,89	38,87
905—	MBR40035CTR	Twin Tower	35	400	100	3000	0.75	50,16	48,91	43,89	38,87
905—	MBR40040CT	Twin Tower	40	400	100	3000	0.75	50,16	48,91	43,89	38,87
905—	MBR40040CTR	Twin Tower	40	400	100	3000	0.75	50,16	48,91	43,89	38,87
905—	MBR40045CT	Twin Tower	45	400	100	3000	0.75	50,16	48,91	43,89	38,87
905—	MBR40045CTR	Twin Tower	45	400	100	3000	0.75	50,16	48,91	43,89	38,87
905—	MBR40060CT	Twin Tower	60	400	100	3000	0.8	50,16	48,91	43,89	38,87
905—	MBR40060CTR	Twin Tower	60	400	100	3000	0.8	50,16	48,91	43,89	38,87
905—	MBRT30035	Three Tower	35	300	100	2500	0.75	50,16	48,91	43,89	38,87
905—	MBRT30035R	Three Tower	35	300	100	2500	0.75	50,16	48,91	43,89	38,87
905—	MBRT30040	Three Tower	40	300	100	2500	0.75	50,16	48,91	43,89	38,87
905—	MBRT30040R	Three Tower	40	300	100	2500	0.75	50,16	48,91	43,89	38,87
905—	MBRT30045	Three Tower	45	300	100	2500	0.75	50,16	48,91	43,89	38,87
905—	MBRT30045R	Three Tower	45	300	100	2500	0.75	50,16	48,91	43,89	38,87
905—	MBRT30060	Three Tower	60	300	100	2500	0.8	50,16	48,91	43,89	38,87
905—	MBRT30060R	Three Tower	60	300	100	2500	0.8	50,16	48,91	43,89	38,87
905—	MBRT400100	Three Tower	100	400	100	3000	0.88	58,08	56,63	50,82	45,01
905—	MBRT400100R	Three Tower	100	400	100	3000	0.88	58,08	56,63	50,82	45,01
905—	MBRT40035	Three Tower	35	400	100	3000	0.75	58,08	56,63	50,82	45,01
905—	MBRT40035R	Three Tower	35	400	100	3000	0.75	58,08	56,63	50,82	45,01
905—	MBRT40040	Three Tower	40	400	100	3000	0.75	58,08	56,63	50,82	45,01
905—	MBRT40040R	Three Tower	40	400	100	3000	0.75	58,08	56,63	50,82	45,01
905—	MBRT40045	Three Tower	45	400	100	3000	0.75	58,08	56,63	50,82	45,01
905—	MBRT40045R	Three Tower	45	400	100	3000	0.75	58,08	56,63	50,82	45,01
905—	MBRT40060	Three Tower	60	400	100	3000	0.8	58,08	56,63	50,82	45,01
905—	MBRT40060R	Three Tower	60	400	100	3000	0.8	58,08	56,63	50,82	45,01
905—	MBR60040CT	Twin Tower	40	600	100	4000	0.75	87,12	84,94	76,23	67,52
905—	MBR60040CTR	Twin Tower	40	600	100	4000	0.75	87,12	84,94	76,23	67,52
905—	MBRT60040	Three Tower	40	600	100	4000	0.75	89,76	87,52	78,54	69,56
905—	MBRT60040R	Three Tower	40	600	100	4000	0.75	89,76	87,52	78,54	69,56

© Copyright 2012 Mouser Electronics

© Copyright 2012 Mouser Electronics

Diodes INFINEON

RoHS Compliant **This product is RoHS compliant.**

DIODES A USAGE GÉNÉRAL

Diodes à usage général pour le redressement, la commutation et le calage. Plus de 60 types sont disponibles, principalement en boîtiers SOT23, SOT323, SOT363 et TSLP
Elles satisfont les exigences de courant de fuite faible, temps de commutation court, variation élevée de courant permis et petits boîtiers, ce qui permet de placer plusieurs éléments dans le boîtier.
Les diodes à usage général sont utilisées dans toutes sortes d'applications telles que la sécurité, les téléphones cellulaires, les châssis TV, les boîtiers décodeurs, les caméscopes, les cartes mères, etc.

RoHS Compliant

Diodes de commutation de haute vitesse

Pour des quantités supérieures à celles indiquées, appelez-nous afin d'obtenir un devis.

RÉF. STOCK MOUSER	Réf. Infineon	Boîtier	Configuration	VR (Max.)	IF (Max.)	IR (Max.)	Trr (Max.)	Prix unitaire			
								1	10	100	500
726-BAS2103WE6327	BAS2103WE6327XT	SOD-323-2	Simple	200V	250mA	100nA	50ns	0,31	0,206	0,103	0,054
726-BAW78DE6327	BAW78DE6327XT	SOT-89-4	Simple	400V	1000mA	100nA	1000ns	0,44	0,351	0,262	0,219
726-BAS16WE6327	BAS16WE6327XT	SOT-323-3	Simple	80V	250mA	100nA	4ns	0,32	0,206	0,091	0,041
726-BAV99WE6327	BAV99WE6327XT	SOT-323-3	Double	80V	200mA	150nA	4ns	0,41	0,261	0,12	0,054
726-SMBD7000E6327	SMBD7000E6327XT	SOT-23-3	Double	100V	200mA	300nA	4ns	0,40	0,264	0,116	0,053
726-BAS21UE6327	BAS21UE6327XT	SC-74-6	Triple	200V	250mA	100nA	50ns	0,50	0,347	0,21	0,119

Diodes de commutation et diodes redresseurs

Pour des quantités supérieures à celles indiquées, appelez-nous afin d'obtenir un devis.

RÉF. STOCK MOUSER	Réf. Infineon	Boîtier	Configuration	VR (Max.)	IF (Max.)	IR (Max.)	Trr (Max.)	Prix unitaire			
								1	10	100	500
726-BAS16E6327	BAS16E6327XT	SOT-23-3	Simple	75V	250mA	80nA	4ns	0,33	0,215	0,093	0,043
726-MMBD914LT1	MMBD914LT1XT	SOT-23-3	Simple	100C	250mA	100nA	4ns	0,35	0,223	0,099	0,045
726-SMBD914E6327	SMBD914E6327XT	SOT-23-3	Simple	100V	250mA	100nA	4ns	0,31	0,206	0,107	0,054
726-BAS21E6327	BAS21E6327XT	SOT-23-3	Simple	200V	250mA	100nA	50ns	0,36	0,231	0,103	0,05
726-BAV170E6327	BAV170E6327XT	SOT-23-3	Double	80V	200mA	5nA	15000ns	0,20	0,173	0,108	0,038
726-BAV199E6327	BAV199E6327XT	SOT-23-3	Double	80V	200mA	5nA	15000ns	0,33	0,223	0,106	0,057
726-BAV70E6327	BAV70E6327XT	SOT-23-3	Double	80V	200mA	150nA	4ns	0,35	0,223	0,098	0,045
726-BAV99E6327	BAV99E6327XT	SOT-23-3	Double	80V	200mA	150nA	4ns	0,39	0,249	0,113	0,05
726-BAW56E6327	BAW56E6327XT	SOT-23-3	Double	80V	200mA	150nA	4ns	0,37	0,238	0,106	0,048
726-MMBD7000LT1	MMBD7000LT1XT	SOT-23-3	Double	100V	200mA	500nA	4ns	0,37	0,239	0,106	0,049

Diodes redresseurs en pont

Pour des quantités supérieures à celles indiquées, appelez-nous afin d'obtenir un devis.

RÉF. STOCK MOUSER	Réf. Infineon	Boîtier	Configuration	VR (Max.)	IF (Max.)	IR (Max.)	Trr (Max.)	Prix unitaire			
								1	10	100	500
726-BGX50AE6327	BGX50AE6327XT	SOT-143-4	Pont	50V	140mA	200nA	6ns	0,42	0,289	0,196	0,114

DIODES PIN

Les diodes PIN RF ont une résistance directe et une capacité très faibles, ainsi que des harmoniques basses. L'offre comprend des produits pour une plage de fréquences de 1MHz jusqu'à 6GHz. Les applications cible incluent les commutateurs d'antennes, les syntoniseurs TV et FM mais aussi les atténuateurs de signal. Les diodes simples et doubles sont disponibles en boîtiers divers, y compris super-mini.

RoHS Compliant

Pour des quantités supérieures à celles indiquées, appelez-nous afin d'obtenir un devis.

RÉF. STOCK MOUSER	Réf. Infineon	Boîtier	Configuration	IF (Max.)	CT (Max.)	rF (typ.)	Trr (typ.)	Prix unitaire			
								1	10	100	500
726-BA592E6327	BA592E6327XT	SOD-323-2	Simple	100mA	1,4pF	0,36Ohm	120ns	0,37	0,256	0,172	0,117
726-BAR6303WE6327	BAR6303WE6327XT	SOD-323-2	Simple	100mA	0,3pF	1Ohm	75ns	0,47	0,33	0,202	0,115
726-BAR6404WH6327	BAR6404WH6327XT	SOD-323-3	Double	100mA	0,35pF	2,1Ohm	1550ns	0,30	0,262	0,227	0,148
726-BAR6405WH6327	BAR6405WH6327XT	SOD-323-3	Double	100mA	0,35pF	2,1Ohm	1550ns	0,30	0,262	0,227	0,148
726-BAR6406WH6327	BAR6406WH6327XT	SOD-323-3	Double	100mA	0,35pF	2,1Ohm	1550ns	0,30	0,262	0,227	0,148
726-BAR141E6327	BAR141E6327XT	SOT-23-3	Double	140mA	0,5pF	7Ohm	1000ns	0,55	0,437	0,33	0,244
726-BAR151E6327	BAR151E6327XT	SOT-23-3	Double	140mA	0,5pF	7Ohm	1000ns	0,55	0,437	0,33	0,244

VARACTEURS RF

Les varacteurs Infineon sont caractérisés par une excellente adaptation en série, un courant de fuite extrêmement faible et une résistance faible en série. Ilss sont le choix idéal pour le filtre de pré-stage et le filtre de bande passante en applications de syntoniseurs SAT/UHF/VHF/FM. Des varacteurs qui sont optimisés pour l'utilisation dans des applications à syntonisation faible telles que les VCO pour les communications mobiles, sont également proposés. Disponibles comme diodes simples et doubles en boîtiers divers, y compris super-mini TSLP.

RoHS Compliant

Syntoniseurs UHF et VHF

Pour des quantités supérieures à celles indiquées, appelez-nous afin d'obtenir un devis.

RÉF. STOCK MOUSER	Réf. Infineon	Boîtier	Configuration	IF (Max.)	CT1 (Typ.)	CT2 (Typ.)	CT/CT	Prix unitaire			
								1	10	100	500
726-BB439E6327	BB439E6327XT	SOD-323-2	Simple	20mA	43pF	34,5pF	6,9 (2/25V)	0,58	0,495	0,394	0,289
726-BB535E7904	BB535E7904XT	SOD-323-2	Simple	20mA	18,7pF	15pF	6,7(2/25V)	0,36	0,256	0,157	0,088
726-BB639E7904	BB639E7904XT	SOD-323-2	Simple	20mA	38,3pF	29,75pF	14,7(1/28V)	0,43	0,305	0,183	0,104
726-BB640E6327	BB640E6327XT	SOD-323-2	Simple	20mA	69pF	54,5pF	16,6(2/25V)	0,40	0,281	0,184	0,125
726-BB833E6327	BB833E6327XT	SOD-323-2	Simple	20mA	9,3pF	--	12,7(1/28V)	0,40	0,314	0,216	0,149

DIODES SCHOTTKY

Les diodes Schottky RF et AF pour les applications mixeurs, de coupure, calage, commutation et redressement. Les caractéristiques techniques incluent la résistance directe faible, la fuite faible, la capacité basse et le niveau bas de distorsion du signal. L'offre comprend des produits pour un courant jusqu'à 3A et des tensions inverses jusqu'à 240V. Disponibles comme diodes simples et barrettes diodes en différents boîtiers, boîtier TSLP y compris super-mini.

RoHS Compliant

Pour des quantités supérieures à celles indiquées, appelez-nous afin d'obtenir un devis.

RÉF. STOCK MOUSER	Réf. Infineon	Boîtier	Configuration	VR (Max.)	IF (Max.)	CT (Max.)	VF (Max.)	Prix unitaire			
								1	10	100	500
726-BAT54-06E6327	BAT5406E6327XT	SOT-23-3	Simple	30V	200mA	10pF	800mV	0,48	0,322	0,153	0,083
726-BAT54E6327	BAT54E6327XT	SOT-23-3	Simple	30V	200mA	10pF	800mV	0,23	0,206	0,134	0,058
726-BAT64E6327	BAT64E6327XT	SOT-23-3	Simple	40V	250mA	4pF	570mV	0,33	0,231	0,132	0,088
726-BAS40E6327	BAS40E6327XT	SOT-23-3	Simple	40V	120mA	3pF	720mV	0,39	0,272	0,165	0,093
726-BAS70E6327	BAS70E6327XT	SOT-23-3	Simple	70V	70mA	1,5pF	705mV	0,39	0,272	0,165	0,093
726-BAT54-04E6327	BAT5404E6327XT	SOT-23-3	Double	30V	200mA	10pF	800mV	0,48	0,322	0,153	0,083
726-BAT54-05E6327	BAT5405E6327XT	SOT-23-3	Double	30V	200mA	10pF	800mV	0,48	0,322	0,153	0,083
726-BAS40-04E6327	BAS4004E6327XT	SOT-23-3	Double	40V	120mA	3pF	720mV	0,41	0,289	0,177	0,101
726-BAT64-04E6327	BAT6404E6327XT	SOT-23-3	Double	40V	250mA	4pF	570mV	0,35	0,239	0,14	0,091
726-BAT64-04WE6327	BAT6404WE6327XT	SOT-323-3	Double	40V	250mA	4pF	570mV	0,38	0,264	0,161	0,091
726-BAT64-05E6327	BAT6405E6327XT	SOT-23-3	Double	40V	250mA	4pF	570mV	0,38	0,264	0,161	0,091
726-BAT64-06E6327	BAT6406E6327XT	SOT-23-3	Double	40V	250mA	4pF	570mV	0,35	0,239	0,14	0,091
726-BAS40-05E6327	BAS4005E6327XT	SOT-23-3	Double	40V	120mA	3pF	720mV	0,39	0,272	0,166	0,093
726-BAS40-06E6327	BAS4006E6327XT	SOT-23-3	Double	40V	120mA	3pF	720mV	0,39	0,272	0,166	0,117
726-BAS7004WE6327	BAS7004WE6327XT	SOT-323-3	Double	70V	70mA	1,5pF	705mV	0,41	0,289	0,177	0,101
726-BAS70-04E6327	BAS7004E6327XT	SOT-23-3	Double	70V	70mA	1,6pF	705mV	0,41	0,289	0,177	0,101
726-BAS70-05E6327	BAS7005E6327XT	SOT-23-3	Double	70V	70mA	1,6pF	705mV	0,41	0,289	0,177	0,101
726-BAS7006E6327	BAS7006E6327XT	SOT-23-3	Double	70V	70mA	1,6pF	705mV	0,41	0,289	0,177	0,101

© Copyright 2012 Mouser Electronics

© Copyright 2012 Mouser Electronics

Diodes INFINEON

RoHS Compliant **This product is RoHS compliant.**

DIODES SCHOTTKY

Les diodes Schottky RF et AF pour les applications mixeurs, de coupure, calage, commutation et redressement. Les caractéristiques techniques incluent la résistance directe faible, la fuite faible, la capacité basse et le niveau bas de distorsion du signal. L'offre comprend des produits pour un courant jusqu'à 3A et des tensions inverses jusqu'à 240V. Disponibles comme diodes simples et barrettes diodes en différents boîtiers, boîtier TSLP y compris super-mini.

RoHS Compliant

Puissance moyenne

Pour des quantités supérieures à celles indiquées, appelez-nous afin d'obtenir un devis.

RÉF. STOCK MOUSER	Réf. Infineon	Boîtier	Configuration	VR (Max.)	IF (Max.)	CT (Max.)	VF (Max.)	Prix unitaire 1	10	100	500
726-BAT60AE6327	BAT60AE6327XT	SOD-323-2	Simple	10V	3A	35pF	370mV	0,48	0,338	0,226	0,13

Mixeur RF et détecteur

Pour des quantités supérieures à celles indiquées, appelez-nous afin d'obtenir un devis.

RÉF. STOCK MOUSER	Réf. Infineon	Boîtier	Configuration	VR (Max.)	IF (Max.)	CT (Max.)	VF (Max.)	Prix unitaire 1	10	100	500
726-BAT1504WH6327	BAT1504WH6327XT	SOT-323-3	Double	4V	110mA	0,26pF	0,23V	0,40	0,394	0,379	0,281
726-BAT2402LSE6327	BAT2402LSE6327XT	TSSLP-2-1	Simple	4V	110mA	0,21pF	0,23V	1,06	0,957	0,816	0,634

Égalisation de puissance et détection de signal RF

Pour des quantités supérieures à celles indiquées, appelez-nous afin d'obtenir un devis.

RÉF. STOCK MOUSER	Réf. Infineon	Boîtier	Configuration	VR (Max.)	IF (Max.)	CT (Max.)	VF (Max.)	Prix unitaire 1	10	100	500
726-BAT6202LSE6327XT	BAT6202LSE6327XT	TSLP-2-1	Simple	40V	20mA	0,35pF	0,58V	0,60	0,481	0,361	0,268

DISPOSITIFS DE PROTECTION ET FILTRES ESD ET EMI

Les solutions Infineon pour la protection ESD et EMI comportent deux familles. Premièrement, la série ESDxx, nos barrettes de diodes TVS discrètes et robustes pour la protection ESD, EFT et contre la surtension et deuxièmement la série Infineon HiPAC ou BGFxx qui offre la protection ESD et EMI. Nos barrettes de diodes TVS et produits HiPAC Infineon sont caractérisés par une tension de calage faible et une robustesse élevée. Comme tous les produits Infineon, ces dispositifs ESD/EMI sont livrés avec le même niveau de qualité supérieur et bénéficient des avantages que seul un fournisseur de système de haut volume peut offrir.

RoHS Compliant

Capacité faible bidirectionnelle

Pour des quantités supérieures à celles indiquées, appelez-nous afin d'obtenir un devis.

RÉF. STOCK MOUSER	Réf. Infineon	Boîtier	VESD (Min.)	VRWM	VBR (Min.)	CT, VR @0V	IR (Typ.)	Prix unitaire 1	10	100	500
726-ESD8V0R1B02LSE63	8V0R1B02LSE6327XT	TSSLP-2-1	18kV	-8.0 - 14,0V	8,5V	7pF	<1nA	0,45	0,314	0,19	0,107

TVS à usage général

Pour des quantités supérieures à celles indiquées, appelez-nous afin d'obtenir un devis.

RÉF. STOCK MOUSER	Réf. Infineon	Boîtier	VESD (Min.)	VRWM	VBR (Min.)	CT, VR @0V	IR (Typ.)	Prix unitaire 1	10	100	500
726-ESD3V3U1U02LRHE6	3V3U1U02LRHE6327XT	TSLP-2-7	20kV	3,3V	5V	0,6pF	<1nA	0,45	0,322	0,196	0,111
726-ESD3V3U1U02LSE63	3V3U1U02LSE6327XT	TSSLP-2-1	20kV	3,3V	5V	0,6pF	<1nA	0,51	0,363	0,219	0,124
726-ESD5V0S1U03WE632	5V0S1U03WE6327XT	SOD-323-2	2,5kV	5V	5,5V	430pF	2mA	0,45	0,322	0,195	0,111
726-ESD5V0S2U06E6327	5V0S2U06E6327XT	SOT-23-3	2,5kV	5V	5,5V	430pF	2mA	0,52	0,363	0,244	0,141
726-ESD5V0S5USE6327	5V0S5USE6327XT	SOT-363-6	2,5kV	5V	5,7V	70pF	2mA	0,37	0,289	0,199	0,137
726-5V3S1B02LRHE6327	5V3S1B02LRHE6327XT	TSLP-2-17	25kV	5,3V	6V	20pF	0,1µA	0,07	0,066	0,057	0,054
726-5V3S1U02LRHE6327	5V3S1U02LRHE6327XT	TSLP-2-17	25kV	5,3V	5,7V	40pF	0,1µA	0,38	0,272	0,164	0,092
726-ESD24VS2UE6327	24VS2UE6327XT	SOT-23-3	30kV	24V	26V	28pF	<1nA	0,51	0,363	0,219	0,124

Interfaces de données de haute vitesse

Pour des quantités supérieures à celles indiquées, appelez-nous afin d'obtenir un devis.

RÉF. STOCK MOUSER	Réf. Infineon	Boîtier	VESD (Min.)	VRWM	VBR (Min.)	CT, VR @0V	IR (Typ.)	Prix unitaire 1	10	100	500
726-ESD8V0L2B03LE632	8V0L2B03LE6327XT	TSLP-3	15kV	-8.0-14,0V	8,5V	2,0-8,5pF	100nA	0,40	0,272	0,186	0,083

RoHS Compliant

Faible capacité

Pour des quantités supérieures à celles indiquées, appelez-nous afin d'obtenir un devis.

RÉF. STOCK MOUSER	Réf. Infineon	Boîtier	VESD (Min.)	VRWM	VBR (Min.)	CT, VR @0V	IR (Typ.)	Prix unitaire 1	10	100	500
726-5V3L1U02LRHE6327	5V3L1U02LRHE6327XT	TSLP-2-17	30kV	5,3V	6V	2pF	<1nA	0,47	0,33	0,20	0,113
726-8V0L1B02LRHE6327	8V0L1B02LRHE6327XT	TSLP-2-17	25kV	-8,0 - 14,0V	8,5V	8,5pF	<1nA	0,38	0,272	0,164	0,092

Protection ESD RF

Pour des quantités supérieures à celles indiquées, appelez-nous afin d'obtenir un devis.

RÉF. STOCK MOUSER	Réf. Infineon	Boîtier	VESD (Min.)	VRWM	VBR (Min.)	CT, VR @0V	IR (Typ.)	Prix unitaire 1	10	100	500
726-ESD0P4RFLE6327	0P4RFLE6327XT	TSLP-4-7	15kV	50V	---	0,4pF	20nA	0,36	0,281	0,196	0,136
726-ESD0P8RFLE6327	0P8RFLE6327XT	TSLP-4-7	20kV	50V	---	0,8pF	100nA (max.)	0,47	0,33	0,22	0,128

Capacité ultra faible

Pour des quantités supérieures à celles indiquées, appelez-nous afin d'obtenir un devis.

RÉF. STOCK MOUSER	Réf. Infineon	Boîtier	VESD (Min.)	VRWM	VBR (Min.)	CT, VR @0V	IR (Typ.)	Prix unitaire 1	10	100	500
726-ESD5V3U1U02LRHE6	5V3U1U02LRHE6327XT	TSLP-2-7	20kV	5,3V	6V	0,6pF	<10nA	0,45	0,322	0,196	0,111
726-ESD5V3U2U03LRHE6	5V3U2U03LRHE6327XT	TSLP-3-7	20kV	5,3V	6V	0,6pF	<1nA	0,45	0,347	0,239	0,166
726-ESD5V3U4UHDMIE63	5V3U4UHDMIE6327XT	TSLP-9-1	20kV	5,3V	6V	0,6pF	<1nA	0,43	0,413	0,403	0,35

© Copyright 2012 Mouser Electronics

© Copyright 2012 Mouser Electronics

Diodes NXP SEMICONDUCTOR

RoHS Compliant This product is RoHS compliant.

DIODES SCHOTTKY À SIGNAL FAIBLE

Pour des quantités supérieures à celles indiquées, appelez-nous afin d'obtenir un devis.

RÉF. STOCK MOUSER	Réf. NXP	Boîtier	Configuration	V_R max (V)	I_F max (mA)	V_F max (mV)	@ I_F (mA)	I_R max (µA)	@ V_R (V)	Prix unitaire 1	25	100
771-BAT754S-T/R	BAT754S	SOT23	Série double	30	200	340	10	2	25	0,52	0,306	0,249
771-BAT754C-T/R	BAT754C	SOT23	Cathode double commune	30	200	340	10	2	25	0,37	0,306	0,249
771-BAS85-T/R	BAS85	SOD80	Simple	30	200	400	10	2	25	0,37	0,288	0,221
771-BAT85-T/R	BAT85	SOD68	Simple	30	200	400	10	2	25	0,30	0,244	0,204
771-BAT54-T/R	BAT54	SOT23	Simple	30	200	400	10	2	25	0,31	0,244	0,189
771-BAT54H-T/R	BAT54H	SOD123	Simple	30	200	400	10	2	25	0,29	0,227	0,173
771-BAT54W-T/R	BAT54W	SOT323	Simple	30	200	400	10	2	25	0,34	0,227	0,161
771-1PS76SB10-T/R	1PS76SB10	SOD323	Simple	30	200	400	10	2	25	0,29	0,236	0,196
771-BAT54S-T/R	BAT54S	SOT23	Série double	30	200	400	10	2	25	0,31	0,244	0,189
771-BAT54SW-T/R	BAT54SW	SOT323	Série double	30	200	400	10	2	25	0,31	0,253	0,207
771-BAT54C-T/R	BAT54C	SOT23	Cathode double commune	30	200	400	10	2	25	0,31	0,244	0,189
771-BAT54CW-T/R	BAT54CW	SOT323	Cathode double commune	30	200	400	10	2	25	0,31	0,253	0,207
771-BAT54A-T/R	BAT54A	SOT23	Anode double commune	30	200	400	10	2	25	0,31	0,244	0,189
771-BAT54AW-T/R	BAT54AW	SOT323	Anode double commune	30	200	400	10	2	25	0,31	0,253	0,207
771-BAT74-T/R	BAT74	SOT143	Double isolé	30	200	400	10	2	25	0,34	0,279	0,235
771-BAT54XY-T/R	BAT54XY	SOT363	Série double-double	30	200	400	10	2	25	0,41	0,34	0,285
771-PMEG3002AEL-T/R	PMEG3002AEL	SOD882	Simple	30	200	300	10	30	10	0,52	0,288	0,22
771-BAS40H-T/R	BAS40H	SOD123	Simple	40	120	500	10	1	30	0,13	0,105	0,093
771-BAS40L315	BAS40L315	SOD882	Simple	40	120	500	10	1	30	0,18	0,157	0,148
771-BAS40-04-T/R	BAS40-04	SOT23	Série double	40	120	500	10	1	30	0,31	0,244	0,191
771-BAS40-04W-T/R	BAS40-04W	SOT323	Série double	40	120	500	10	1	30	0,34	0,288	0,238
771-BAT721S-T/R	BAT721S	SOT23	Série double	40	200	300	10	15	30	0,35	0,288	0,239
771-BAT721C-T/R	BAT721C	SOT23	Cathode double commune	40	200	300	10	15	30	0,35	0,306	0,267
771-BAT721A-T/R	BAT721A	SOT23	Anode double commune	40	200	300	10	15	30	0,35	0,288	0,239
771-PMEG4002EL-T/R	PMEG4002EL	SOD882	Simple	40	200	360	10	0,5	25	0,52	0,288	0,22
771-BAS86-T/R	BAS86	SOD80	Simple	50	200	450	10	5	40	0,37	0,288	0,221
771-BAS70-T/R	BAS70	SOT23	Simple	70	70	750	10	0.1	50	0,31	0,244	0,191
771-BAS70-04-T/R	BAS70-04	SOT23	Série double	70	70	750	10	0.1	50	0,31	0,244	0,191
771-BAS70-04W-T/R	BAS70-04W	SOT323	Série double	70	70	750	10	0.1	50	0,31	0,244	0,191
771-BAS70-05-T/R	BAS70-05	SOT23	Cathode double commune	70	70	750	10	0.1	50	0,31	0,244	0,191
771-BAS70-06-T/R	BAS70-06	SOT23	Anode double commune	70	70	750	10	0.1	50	0,31	0,244	0,191
771-BAS70-07-T/R	BAS70-07	SOT143	Double isolé	70	70	750	10	0.1	50	0,32	0,262	0,215

DIODES SCHOTTKY À VF FAIBLE

Pour des quantités supérieures à celles indiquées, appelez-nous afin d'obtenir un devis.

RÉF. STOCK MOUSER	Réf. NXP	Boîtier	Configuration	Caractéristiques techniques	I_F max (A)	V_R max (V)	V_F max (mV) @ I_F max	I_R max (mA) @ V_R max	Prix unitaire 1	25	100
771-PMEG3002AEB-T/R	PMEG3002AEB	SOD523	Simple	VF faible/IR faible	0.2	30	480	0.05	0,37	0,288	0,22
771-PMEG3002AEL-T/R	PMEG3002AEL	SOD882	Simple	VF faible/IR faible	0.2	30	480	0.05	0,52	0,288	0,22
771-PMEG4002EL-T/R	PMEG4002EL	SOD882	Simple	VF faible/IR faible	0.2	40	600	0.01	0,52	0,288	0,22
771-PMEG2005ET215	PMEG2005ET215	SOT23	Simple	VF faible/IR faible	0,5	20	390	0.2	0,37	0,297	0,244
771-PMEG2005EH-T/R	PMEG2005EH	SOD123	Simple	VF faible/IR faible	0,5	20	390	0.2	0,35	0,288	0,236
771-PMEG2005EJ115	PMEG2005EJ115	SOD323	Simple	VF faible/IR faible	0,5	20	390	0.2	0,35	0,288	0,236
771-PMEG3005ET-T/R	PMEG3005ET	SOT23	Simple	VF faible/IR faible	0,5	30	430	0.15	0,37	0,297	0,244
771-PMEG3005EH-T/R	PMEG3005EH	SOD123	Simple	VF faible/IR faible	0,5	30	430	0.15	0,35	0,288	0,236
771-PMEG4005ET-T/R	PMEG4005ET	SOT23	Simple	VF faible/IR faible	0,5	40	470	0.1	0,37	0,297	0,244
771-PMEG4005EH-T/R	PMEG4005EH	SOD123	Simple	VF faible/IR faible	0,5	40	470	0.1	0,35	0,288	0,236
771-PMEG4005EJ-T/R	PMEG4005EJ	SOD323	Simple	VF faible/IR faible	0,5	40	470	0.1	0,35	0,288	0,236
771-PMEG2010AEH-T/R	PMEG2010AEH	SOD123	Simple	VF très faible	1	20	430	0.2	0,31	0,262	0,217
771-PMEG2010ET-T/R	PMEG2010ET	SOT23	Simple	VF faible/IR faible	1	20	500	0.2	0,16	0,122	0,105
771-PMEG2010EH115	PMEG2010EH115	SOD123	Simple	VF faible/IR faible	1	20	500	0.2	0,31	0,262	0,217
771-PMEG2010EJ-T/R	PMEG2010EJ	SOD323	Simple	VF faible/IR faible	1	20	500	0.2	0,31	0,262	0,217
771-PMEG2010EA-T/R	PMEG2010EA	SOD323	Simple	Very Low IR	1	20	550	0.05	0,33	0,271	0,228
771-PMEG3010CEJ-T/R	PMEG3010CEJ	SOD323	Simple	Very Low IR	1	30	520	0.05	0,31	0,262	0,217
771-PMEG3010ET-T/R	PMEG3010ET	SOT23	Simple	VF faible/IR faible	1	30	560	0.15	0,33	0,271	0,228
771-PMEG4010EH-T/R	PMEG4010EH	SOD123	Simple	VF faible/IR faible	1	40	640	0.1	0,31	0,262	0,217
771-PMEG4010EJ-T/R	PMEG4010EJ	SOD323	Simple	VF faible/IR faible	1	40	640	0.1	0,31	0,262	0,217
771-PMEG4010CEJ-T/R	PMEG4010CEJ	SOD323	Simple	Very Low IR	1	40	570	0.05	0,31	0,262	0,217
771-PMEG6010CEH-T/R	PMEG6010CEH	SOD123	Simple	Very Low IR	1	60	710	0.1	0,33	0,271	0,228
771-PMEG6010CEJ-T/R	PMEG6010CEJ	SOD323	Simple	Very Low IR	1	60	710	0.1	0,31	0,262	0,217
771-PMEG3015EH-T/R	PMEG3015EH	SOD123	Simple	VF très faible	1.5	30	550	1	0,34	0,288	0,238
771-PMEG3015EJ115	PMEG3015EJ115	SOD323	Simple	VF très faible	1.5	30	550	1	0,34	0,288	0,238
771-PMEG1020EH-T/R	PMEG1020EH	SOD123	Simple	VF très faible	2	10	460	3	0,34	0,288	0,238
771-PMEG1020EJ-T/R	PMEG1020EJ	SOD323	Simple	VF très faible	2	10	460	3	0,34	0,288	0,238
771-PMEG1020EV115	PMEG1020EV115	SOT666	Simple	VF très faible	2	10	460	3	0,34	0,279	0,228
771-PMEG2020EH-T/R	PMEG2020EH	SOD123	Simple	VF très faible	2	20	525	0.2	0,34	0,288	0,238
771-PMEG2020AEA-T/R	PMEG2020AEA	SOD323	Simple	VF très faible	2	20	525	0.2	0,34	0,288	0,238
771-PMEG2020EJ-T/R	PMEG2020EJ	SOD323	Simple	VF très faible	2	20	525	0.2	0,34	0,288	0,238
771-PMEG3020EH-T/R	PMEG3020EH	SOD123	Simple	VF très faible	2	30	620	1	0,34	0,288	0,238
771-PMEG3020EJ-T/R	PMEG3020EJ	SOD323	Simple	VF très faible	2	30	620	1	0,34	0,288	0,238
771-PMEG1030EH-T/R	PMEG1030EH	SOD123	Simple	VF très faible	3	10	530	3	0,52	0,332	0,275
771-PMEG1030EJ-T/R	PMEG1030EJ	SOD323	Simple	VF très faible	3	10	530	3	0,52	0,332	0,275

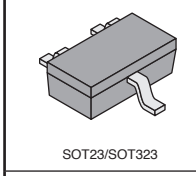
SOT23/SOT323

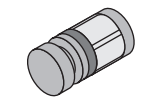
SOD80

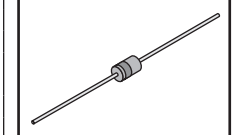
SOD68

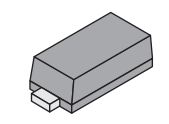
SOD123/SOD523

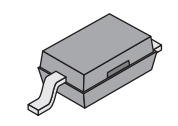
SOD323

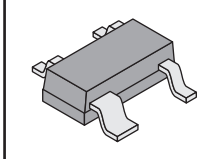
SOT143

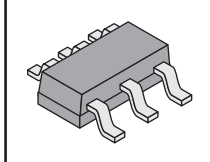
SOT363

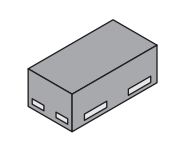
SOD882

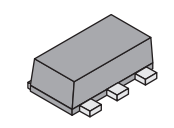
SOT666

© Copyright 2012 Mouser Electronics

© Copyright 2012 Mouser Electronics

Diodes NXP SEMICONDUCTOR

RoHS Compliant **This product is RoHS compliant.**

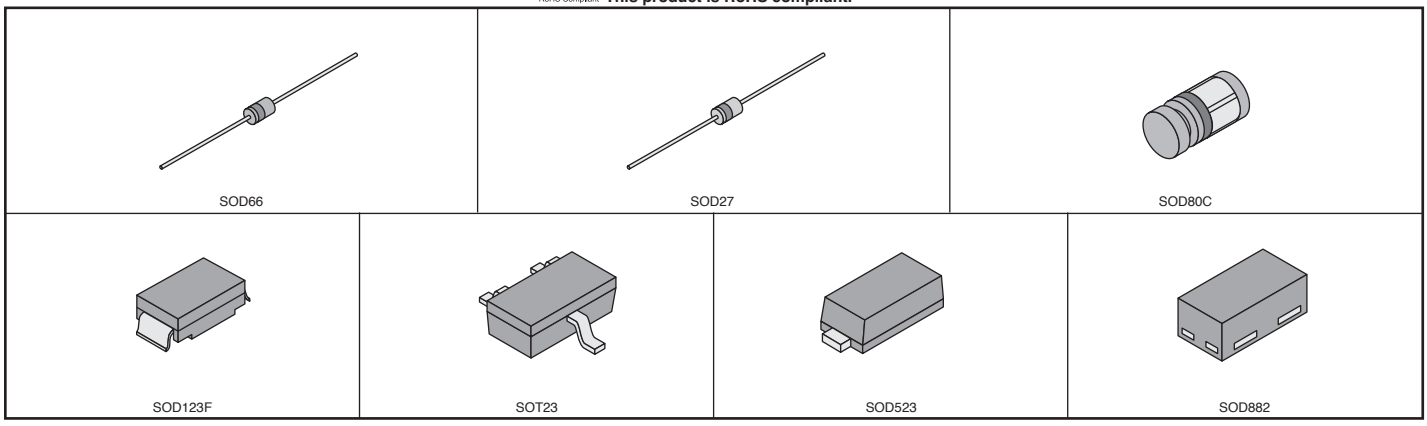

Pour des quantités supérieures à celles indiquées, appelez-nous afin d'obtenir un devis.

RÉF. STOCK MOUSER	Réf. NXP	Nom nom. (V)	Cour. de test (mA)	Ptot (mW)	Prix unitaire 1	25	100
Diodes Zener Série 1N47xxA : SOD66 (DO41) Tol 5%							
771-1N4733A-T/R	1N4733A	5.1	49	1000	0,04	0,033	0,031
771-1N4734A-T/R	1N4734A	5.6	45	1000	0,06	0,052	0,045
771-1N4735A-T/R	1N4735A	6.2	41	1000	0,06	0,052	0,045
771-1N4739A-T/R	1N4739A	9.1	28	1000	0,06	0,052	0,045
771-1N4740A-T/R	1N4740A	10	25	1000	0,07	0,061	0,045
771-1N4742A-T/R	1N4742A	12	21	1000	0,06	0,052	0,045
771-1N4743A-T/R	1N4743A	13	19	1000	0,07	0,061	0,045
771-1N4744A-T/R	1N4744A	15	17	1000	0,06	0,052	0,045
771-1N4745A-T/R	1N4745A	16	15.5	1000	0,06	0,052	0,045
771-1N4746A-T/R	1N4746A	18	14	1000	0,06	0,052	0,045
771-1N4749A-T/R	1N4749A	24	10.5	1000	0,05	0,044	0,033
Diodes Zener série BZX79 : SOD27 (DO35) Tol 5% (Aussi ddisponibles en 2% Tol)							
771-BZX79-C2V7-T/R	BZX79-C2V7	2.7	5	500	0,04	0,03	0,025
771-BZX79-C3V3-T/R	BZX79-C3V3	3.3	5	500	0,06	0,044	0,036
771-BZX79-C4V7-T/R	BZX79-C4V7	4.7	5	500	0,04	0,03	0,025
771-BZX79-C5V1-T/R	BZX79-C5V1	5.1	5	500	0,04	0,03	0,025
771-BZX79-C8V2-T/R	BZX79-C8V2	8.2	5	500	0,04	0,03	0,025
771-BZX79-C11113	BZX79-C11113	11	5	500	0,04	0,03	0,025
Diodes Zener série BZV55 : SOD80C Tol 5% (Aussi disponibles en 2% Tol)							
771-BZV55-C3V6-T/R	BZV55-C3V6	3.6	5	500	0,04	0,044	0,037
771-BZV55-C4V3-T/R	BZV55-C4V3	4.3	5	500	0,05	0,044	0,037
771-BZV55-C4V7-T/R	BZV55-C4V7	4.7	5	500	0,04	0,044	0,037
771-BZV55-C5V1-T/R	BZV55-C5V1	5.1	5	500	0,04	0,04	0,037
771-BZV55-C5V6-T/R	BZV55-C5V6	5.6	5	500	0,04	0,04	0,037
771-BZV55-C6V2-T/R	BZV55-C6V2	6.2	5	500	0,04	0,04	0,037
771-BZV55-C10-T/R	BZV55-C10	10	5	500	0,04	0,044	0,037
771-BZV55-C12-T/R	BZV55-C12	12	5	500	0,04	0,04	0,037
771-BZV55-C36-T/R	BZV55-C36	36	5	500	0,09	0,061	0,049
771-BZV55-C39-T/R	BZV55-C39	39	5	500	0,05	0,044	0,037
771-BZV55-C47115	BZV55-C47115	47	5	500	0,04	0,042	0,036
Diodes Zener série BZT52H : SOD123F Tol 5%							
771-BZT52H-C2V4-T/R	BZT52H-C2V4	2.4	5	830	0,09	0,079	0,066
771-BZT52H-C3V0-T/R	BZT52H-C3V0	3.0	5	830	0,19	0,14	0,102
771-BZT52H-C3V3-T/R	BZT52H-C3V3	3.3	5	830	0,09	0,079	0,066
771-BZT52H-C3V6-T/R	BZT52H-C3V6	3.6	5	830	0,19	0,14	0,102
771-BZT52H-C4V7-T/R	BZT52H-C4V7	4.7	5	830	0,19	0,14	0,102
771-BZT52H-C5V1-T/R	BZT52H-C5V1	5.1	5	830	0,19	0,14	0,096
771-BZT52H-C5V6115	BZT52H-C5V6115	5.6	5	830	0,11	0,087	0,076
771-BZT52H-C6V2-T/R	BZT52H-C6V2	6.2	5	830	0,09	0,079	0,066
771-BZT52H-C6V8115	BZT52H-C6V8115	6.8	5	830	0,19	0,14	0,096
771-BZT52H-C15115	BZT52H-C15115	15	5	830	0,09	0,079	0,066
771-BZT52H-C51115	BZT52H-C51115	51	5	830	0,22	0,166	0,12
771-BZT52H-C68115	BZT52H-C68115	68	5	830	0,19	0,14	0,096
Diodes Zener série BZX84 : SOT23 Tol 5% (Aussi en 1% et 2% Tol)							
771-BZX84-C2V4-T/R	BZX84-C2V4	2.4	5	250	0,04	0,032	0,03
771-BZX84-C2V7-T/R	BZX84-C2V7	2.7	5	250	0,04	0,032	0,03
771-BZX84-C3V0-T/R	BZX84-C3V0	3.0	5	250	0,04	0,032	0,03
771-BZX84-C3V3-T/R	BZX84-C3V3	3.3	5	250	0,04	0,036	0,03
771-BZX84-C3V6-T/R	BZX84-C3V6	3.6	5	250	0,04	0,032	0,03
771-BZX84-C3V9-T/R	BZX84-C3V9	3.9	5	250	0,04	0,032	0,03
771-BZX84-C4V3-T/R	BZX84-C4V3	4.3	5	250	0,04	0,036	0,03
771-BZX84-C4V7-T/R	BZX84-C4V7	4.7	5	250	0,04	0,026	0,024

© Copyright 2012 Mouser Electronics

Pour des quantités supérieures à celles indiquées, appelez-nous afin d'obtenir un devis.

RÉF. STOCK MOUSER	Réf. NXP	Nom nom. (V)	Cour. de test (mA)	Ptot (mW)	Prix unitaire 1	25	100
Diodes Zener série BZX84 : SOT23 Tol 5% (Aussi disponibles en 1% et 2% Tol) (Suite)							
771-BZX84-C5V1-T/R	BZX84-C5V1	5.1	5	250	0,04	0,036	0,03
771-BZX84-C5V6-T/R	BZX84-C5V6	5.6	5	250	0,04	0,026	0,024
771-BZX84-C6V2-T/R	BZX84-C6V2	6.2	5	250	0,04	0,026	0,024
771-BZX84-C6V8-T/R	BZX84-C6V8	6.8	5	250	0,04	0,026	0,024
771-BZX84-C7V5-T/R	BZX84-C7V5	7.5	5	250	0,04	0,032	0,03
771-BZX84-C8V2-T/R	BZX84-C8V2	8.2	5	250	0,04	0,032	0,03
771-BZX84-C9V1-T/R	BZX84-C9V1	9.1	5	250	0,04	0,032	0,03
771-BZX84-C10-T/R	BZX84-C10	10	5	250	0,18	0,157	0,117
771-BZX84-C11-T/R	BZX84-C11	11	5	250	0,18	0,157	0,117
771-BZX84-C12-T/R	BZX84-C12	12	5	250	0,04	0,026	0,024
771-BZX84-C13-T/R	BZX84-C13	13	5	250	0,44	0,036	0,03
771-BZX84-C15-T/R	BZX84-C15	15	5	250	0,04	0,036	0,03
771-BZX84-C16-T/R	BZX84-C16	16	5	250	0,04	0,032	0,03
771-BZX84-C18-T/R	BZX84-C18	18	5	250	0,04	0,026	0,022
771-BZX84-C20-T/R	BZX84-C20	20	5	250	0,04	0,032	0,03
771-BZX84-C22-T/R	BZX84-C22	22	5	250	0,04	0,032	0,03
771-BZX84-C24-T/R	BZX84-C24	24	5	250	0,04	0,036	0,03
771-BZX84-C30-T/R	BZX84-C30	30	5	250	0,04	0,036	0,03
771-BZX84-C33-T/R	BZX84-C33	33	5	250	0,04	0,032	0,03
771-BZX84-C36-T/R	BZX84-C36	36	5	250	0,04	0,032	0,03
771-BZX84-C43-T/R	BZX84-C43	43	5	250	0,04	0,036	0,03
771-BZX84-C47-T/R	BZX84-C47	47	5	250	0,04	0,036	0,03
771-BZX84-C51-T/R	BZX84-C51	51	5	250	0,04	0,032	0,03
771-BZX84-C56-T/R	BZX84-C56	56	5	250	0,08	0,061	0,042
771-BZX84-C62-T/R	BZX84-C62	62	5	250	0,04	0,036	0,03
Diodes Zener série BZX585 : SOD523 (SC79) Tol 5% (Aussi disponbles en 2% Tol)							
771-BZX585-C16-T/R	BZX585-C16	16	5	300	0,22	0,157	0,113
771-BZX585-C18-T/R	BZX585-C18	18	5	300	0,27	0,218	0,183
771-BZX585-C27-T/R	BZX585-C27	27	5	300	0,25	0,183	0,133
771-BZX585-C33115	BZX585-C33115	33	5	300	0,25	0,183	0,133
771-BZX585-C36-T/R	BZX585-C36	36	5	300	0,25	0,183	0,133
771-BZX585-C43115	BZX585-C43115	43	5	300	0,25	0,183	0,133
771-BZX585-C47115	BZX585-C47115	47	5	300	0,25	0,183	0,133
771-BZX585-C62115	BZX585-C62115	62	5	300	0,25	0,183	0,133
771-BZX585-C68-T/R	BZX585-C68	68	5	300	0,25	0,183	0,133
771-BZX585-C75-T/R	BZX585-C75	75	5	300	0,22	0,157	0,113
Diodes Zener série BZX884 : SOD882 Tol 5% (Aussi disponibles en 2% Tol)							
771-BZX884-C5V1315	BZX884-C5V1315	5.1	5	250	0,12	0,087	0,08
771-BZX884-C6V2315	BZX884-C6V2315	6.2	5	250	0,12	0,096	0,081
771-BZX884-C39315	BZX884-C39315	39	5	250	0,21	0,166	0,141
771-BZV49-C2V4-T/R	BZV49-C2V4	2.4	5	1000	0,23	0,192	0,166
771-BZV49-C12-T/R	BZV49-C12	12	5	1000	0,39	0,314	0,236
771-BZV90-C10115	BZV90-C10115	10	5	1500	0,31	0,271	0,263
771-BZV90-C18115	BZV90-C18115	18	5	1500	0,31	0,271	0,263
771-PDZ2.4B-T/R	PDZ2.4B	2.43	2.63	5	0,10	0,079	0,07
771-PDZ47B115	PDZ47B115	4.55	4.75	5	0,25	0,196	0,148
771-PDZ5.1B-T/R	PDZ5.1B	4.96	5.2	5	0,10	0,079	0,07
771-PDZ5.6B-T/R	PDZ5.6B	5.48	5.73	5	0,10	0,079	0,07
771-PDZ82B115	PDZ82B115	8.02	8.36	5	0,10	0,079	0,07
771-PDZ15B-T/R	PDZ15B	14.34	14.98	5	0,10	0,079	0,07
771-PDZ18B-T/R	PDZ18B	17.56	18.35	5	0,10	0,079	0,07
771-PDZ36B-T/R	PDZ36B	35.07	36.87	5	0,08	0,061	0,057

© Copyright 2012 Mouser Electronics

Diodes Zener ON SEMICONDUCTOR

ON Semiconductor®

RoHS Compliant This product is RoHS compliant.

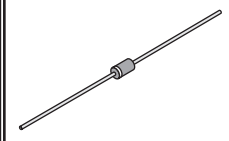
Surmetic 30

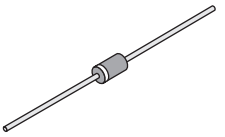
Surmetic 40

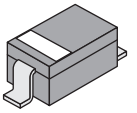
SOD-323

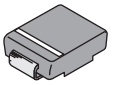
SMA

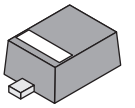
SOD-523

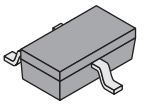
SOT-23

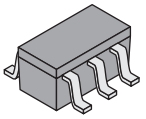
SOT-353

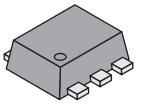
SOT-553

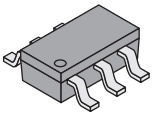
SOT-363

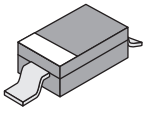
SOD-123

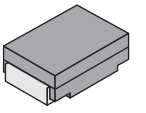
SMB

ON Semiconductor® ON **DIODES ZENER**

RoHS Compliant

Pour des quantités supérieures à celles indiquées, appelez-nous afin d'obtenir un devis.

RÉF. STOCK MOUSER	Réf. ON Semi	Boîtier	P Max (W)	VZ Typ. (V)	Prix unitaire 1	25	100	500
Fil axial								
863-1N5920BG	1N5920BG	Surmetic 30	3	6.2	0,29	0,206	0,145	0,12
863-1N5929BG	1N5929BG	Surmetic 30	3	15	0,31	0,223	0,157	0,129
863-1N5934BG	1N5934BG	Surmetic 30	3	24	0,31	0,223	0,157	0,129
863-1N5953BG	1N5953BG	Surmetic 30	3	150	0,31	0,223	0,157	0,129
863-1N5956BG	1N5956BG	Surmetic 30	3	200	0,31	0,173	0,157	0,129
863-1N5333BG	1N5333BG	Surmetic 40	5	3.3	0,30	0,223	0,173	0,144
863-1N5335BG	1N5335BG	Surmetic 40	5	3.9	0,30	0,223	0,173	0,144
863-1N5337BG	1N5337BG	Surmetic 40	5	4.7	0,30	0,223	0,173	0,144
863-1N5338BG	1N5338BG	Surmetic 40	5	5.1	0,30	0,223	0,173	0,144
863-1N5339BG	1N5339BG	Surmetic 40	5	5.6	0,30	0,223	0,173	0,144
863-1N5340BG	1N5340BG	Surmetic 40	5	6	0,30	0,223	0,173	0,144
863-1N5341BG	1N5341BG	Surmetic 40	5	6.2	0,30	0,223	0,173	0,144
863-1N5342BG	1N5342BG	Surmetic 40	5	6.8	0,30	0,223	0,173	0,144
863-1N5343BG	1N5343BG	Surmetic 40	5	7.5	0,30	0,223	0,173	0,144
863-1N5344BG	1N5344BG	Surmetic 40	5	8.2	0,30	0,223	0,173	0,144
863-1N5346BG	1N5346BG	Surmetic 40	5	9.1	0,30	0,223	0,173	0,144
863-1N5347BG	1N5347BG	Surmetic 40	5	10	0,30	0,223	0,173	0,144
863-1N5348BG	1N5348BG	Surmetic 40	5	11	0,30	0,223	0,173	0,144
863-1N5349BG	1N5349BG	Surmetic 40	5	12	0,30	0,223	0,173	0,144
863-1N5350BG	1N5350BG	Surmetic 40	5	13	0,30	0,223	0,173	0,144
863-1N5351BG	1N5351BG	Surmetic 40	5	14	0,30	0,223	0,173	0,144
863-1N5352BG	1N5352BG	Surmetic 40	5	15	0,30	0,223	0,173	0,144
863-1N5353BG	1N5353BG	Surmetic 40	5	16	0,30	0,223	0,173	0,144
863-1N5355BG	1N5355BG	Surmetic 40	5	18	0,30	0,223	0,173	0,144
863-1N5357BG	1N5357BG	Surmetic 40	5	20	0,30	0,223	0,173	0,144
863-1N5358BG	1N5358BG	Surmetic 40	5	22	0,30	0,223	0,173	0,144
863-1N5359BG	1N5359BG	Surmetic 40	5	24	0,30	0,223	0,173	0,144
863-1N5360BG	1N5360BG	Surmetic 40	5	25	0,30	0,223	0,173	0,144
863-1N5361BG	1N5361BG	Surmetic 40	5	27	0,30	0,223	0,173	0,144
863-1N5362BG	1N5362BG	Surmetic 40	5	28	0,30	0,223	0,173	0,144
863-1N5363BG	1N5363BG	Surmetic 40	5	30	0,30	0,223	0,173	0,144
863-1N5364BG	1N5364BG	Surmetic 40	5	33	0,30	0,223	0,173	0,144
863-1N5365BG	1N5365BG	Surmetic 40	5	36	0,30	0,223	0,173	0,144
863-1N5366BG	1N5366BG	Surmetic 40	5	39	0,30	0,223	0,173	0,144
863-1N5368BG	1N5368BG	Surmetic 40	5	47	0,30	0,223	0,173	0,144
863-1N5373BG	1N5373BG	Surmetic 40	5	68	0,30	0,223	0,173	0,144
863-1N5374BG	1N5374BG	Surmetic 40	5	75	0,30	0,223	0,173	0,144
863-1N5378BG	1N5378BG	Surmetic 40	5	100	0,30	0,223	0,173	0,144
863-1N5384BG	1N5384BG	Surmetic 40	5	160	0,30	0,223	0,173	0,144
863-1N5386BG	1N5386BG	Surmetic 40	5	180	0,30	0,223	0,173	0,144
Montage en surface								
863-MM3Z12VT1G	MM3Z12VT1G	SOD-323	0.2	12	0,04	0,03	0,023	0,018
863-MM3Z4V7T1G	MM3Z4V7T1G	SOD-323	0.2	4.7	0,04	0,03	0,023	0,018
863-MM3Z5V6T1G	MM3Z5V6T1G	SOD-323	0.2	5.6	0,04	0,03	0,023	0,018
863-1SMA5921BT3G	1SMA5921BT3G	SMA	1.5	6.8	0,29	0,24	0,212	0,136
863-1SMB5939BT3G	1SMB5939BT3G	SMB	3	39	0,41	0,33	0,27	0,13
863-BZX84C10LT1G	BZX84C10LT1G	SOT-23	0.225	10	0,16	0,116	0,048	0,037
863-BZX84C13LT1G	BZX84C13LT1G	SOT-23	0.225	13	0,16	0,116	0,048	0,037
863-BZX84C15LT1G	BZX84C15LT1G	SOT-23	0.225	15	0,16	0,116	0,048	0,037
863-BZX84C16LT1G	BZX84C16LT1G	SOT-23	0.225	16	0,16	0,116	0,048	0,037
863-BZX84C2V4LT1G	BZX84C2V4LT1G	SOT-23	0.225	2.4	0,16	0,116	0,048	0,037
863-BZX84C33LT1G	BZX84C33LT1G	SOT-23	0.225	33	0,16	0,116	0,048	0,037
863-BZX84C3V3LT1G	BZX84C3V3LT1G	SOT-23	0.225	3.3	0,16	0,116	0,048	0,037
863-BZX84C3V9LT1G	BZX84C3V9LT1G	SOT-23	0.225	3.9	0,16	0,116	0,048	0,037
863-BZX84C47LT1G	BZX84C47LT1G	SOT-23	0.225	47	0,16	0,116	0,048	0,037
863-BZX84C4V3LT1G	BZX84C4V3LT1G	SOT-23	0.225	4.3	0,16	0,116	0,048	0,037
863-BZX84C51LT1G	BZX84C51LT1G	SOT-23	0.225	51	0,06	0,058	0,046	0,037

Pour des quantités supérieures à celles indiquées, appelez-nous afin d'obtenir un devis.

RÉF. STOCK MOUSER	Réf. ON Semi	Boîtier	P Max (W)	VZ Typ. (V)	Prix unitaire 1	25	100	500
Montage en surface (suite)								
863-BZX84C6V8LT1G	BZX84C6V8LT1G	SOT-23	0.225	6.8	0,16	0,116	0,048	0,037
863-BZX84C7V5LT1G	BZX84C7V5LT1G	SOT-23	0.225	7.5	0,13	0,116	0,048	0,037
863-BZX84C8V2LT1G	BZX84C8V2LT1G	SOT-23	0.225	8.2	0,16	0,116	0,048	0,037
863-MMBZ5223BLT1G	MMBZ5223BLT1G	SOT-23	0.225	2.7	0,08	0,07	0,06	0,04
863-MMBZ5225BLT1G	MMBZ5225BLT1G	SOT-23	0.225	3.0	0,08	0,07	0,06	0,04
863-MMBZ5244BLT1G	MMBZ5244BLT1G	SOT-23	0.225	14	0,08	0,07	0,06	0,04
863-MMBZ5247BLT1G	MMBZ5247BLT1G	SOT-23	0.225	17	0,08	0,07	0,06	0,04
863-MSQA6V1W5T2G	MSQA6V1W5T2G	SOT-353	0.385	6.6	0,28	0,14	0,108	0,087
863-DF6A6.8FUT1G	DF6A6.8FUT1G	SOT-363	0.385	6.8	0,20	0,182	0,134	0,111
863-MMBZ18VALT1G	MMBZ18VALT1G	SOT-23	0.225	18	0,07	0,05	0,04	0,031
863-MMBZ5V6ALT1G	MMBZ5V6ALT1G	SOT-23	0.225	5.6	0,07	0,05	0,04	0,031
863-MMSZ43T1G	MMSZ43T1G	SOD-123	0,5	43	0,11	0,09	0,08	0,053
863-MMSZ5231BT1G	MMSZ5231BT1G	SOD-123	0,5	5.1	0,11	0,09	0,08	0,053
863-MMSZ5248BT1G	MMSZ5248BT1G	SOD-123	0,5	18	0,11	0,09	0,08	0,053
863-MMSZ5252BT1G	MMSZ5252BT1G	SOD-123	0,5	24	0,11	0,09	0,08	0,053
863-MMSZ5256BT1G	MMSZ5256BT1G	SOD-123	0,5	30	0,11	0,09	0,08	0,053
863-MMSZ5258BT1G	MMSZ5258BT1G	SOD-123	0,5	36	0,06	0,04	0,03	0,028
863-MMSZ5V6T1G	MMSZ5V6T1G	SOD-123	0,5	5.6	0,06	0,04	0,03	0,028
863-MMSZ4678T1G	MMSZ4678T1G	SOD-123	0,5	1.8	0,11	0,09	0,08	0,053
863-MMSZ4679T1G	MMSZ4679T1G	SOD-123	0,5	2	0,11	0,09	0,08	0,053
863-MMSZ4683T1G	MMSZ4683T1G	SOD-123	0,5	3	0,11	0,09	0,08	0,053
863-MMSZ4685T1G	MMSZ4685T1G	SOD-123	0,5	3.6	0,11	0,09	0,08	0,053
863-MMSZ4687T1G	MMSZ4687T1G	SOD-123	0,5	4.3	0,11	0,09	0,08	0,053
863-MMSZ4689ET1G	MMSZ4689ET1G	SOD-123	0,5	5.1	0,09	0,06	0,05	0,041
863-MMSZ4690T1G	MMSZ4690T1G	SOD-123	0,5	5.6	0,11	0,09	0,08	0,053
863-MMSZ4691T1G	MMSZ4691T1G	SOD-123	0,5	6.2	0,11	0,09	0,08	0,053
863-MMSZ4692T1G	MMSZ4692T1G	SOD-123	0,5	6.8	0,11	0,09	0,08	0,053
863-MMSZ4693T1G	MMSZ4693T1G	SOD-123	0,5	7.5	0,11	0,09	0,08	0,053
863-MMSZ4694T1G	MMSZ4694T1G	SOD-123	0,5	8.2	0,11	0,09	0,08	0,053
863-MMSZ4696T1G	MMSZ4696T1G	SOD-123	0,5	9.1	0,11	0,09	0,08	0,053
863-MMSZ4697T1G	MMSZ4697T1G	SOD-123	0,5	10	0,11	0,09	0,08	0,053
863-MMSZ4698T1G	MMSZ4698T1G	SOD-123	0,5	11	0,11	0,09	0,08	0,053
863-MMSZ4699T1G	MMSZ4699T1G	SOD-123	0,5	12	0,11	0,09	0,08	0,053
863-MMSZ4703T1G	MMSZ4703T1G	SOD-123	0,5	16	0,11	0,09	0,08	0,053
863-MMSZ4704T1G	MMSZ4704T1G	SOD-123	0,5	17	0,11	0,09	0,08	0,053
863-MMSZ4711T1G	MMSZ4711T1G	SOD-123	0,5	27	0,11	0,09	0,08	0,053
863-MMSZ5233BT1G	MMSZ5233BT1G	SOD-123	0,5	6	0,11	0,09	0,08	0,053
863-MMSZ5255BT1G	MMSZ5255BT1G	SOD-123	0,5	28	0,11	0,09	0,08	0,053
863-MMSZ5261BT1G	MMSZ5261BT1G	SOD-123	0,5	47	0,06	0,04	0,03	0,028
863-MMSZ5262BT1G	MMSZ5262BT1G	SOD-123	0,5	51	0,06	0,04	0,03	0,028
863-MMSZ5267BT1G	MMSZ5267BT1G	SOD-123	0,5	75	0,06	0,04	0,03	0,028
863-MMSZ5270BT1G	MMSZ5270BT1G	SOD-123	0,5	91	0,06	0,04	0,03	0,028
863-1SMA5919BT3G	1SMA5919BT3G	SMA	1.5	5.6	0,29	0,24	0,212	0,136
863-1SMB5914BT3G	1SMB5914BT3G	SMB	3	3.6	0,41	0,33	0,27	0,13
863-1SMB5915BT3G	1SMB5915BT3G	SMB	3	3.9	0,41	0,33	0,27	0,13
863-1SMB5916BT3G	1SMB5916BT3G	SMB	3	4.3	0,41	0,33	0,27	0,13
863-1SMB5917BT3G	1SMB5917BT3G	SMB	3	4.7	0,41	0,33	0,27	0,13
863-1SMB5918BT3G	1SMB5918BT3G	SMB	3	5.1	0,41	0,33	0,27	0,13
863-1SMB5922BT3G	1SMB5922BT3G	SMB	3	7.5	0,41	0,33	0,27	0,13
863-1SMB5923BT3G	1SMB5923BT3G	SMB	3	8.2	0,41	0,33	0,27	0,13
863-1SMB5925BT3G	1SMB5925BT3G	SMB	3	10	0,41	0,33	0,27	0,13
863-1SMB5928BT3G	1SMB5928BT3G	SMB	3	13	0,41	0,33	0,27	0,13
863-1SMB5930BT3G	1SMB5930BT3G	SMB	3	16	0,41	0,33	0,27	0,13
863-1SMB5932BT3G	1SMB5932BT3G	SMB	3	20	0,41	0,33	0,27	0,13
863-1SMB5933BT3G	1SMB5933BT3G	SMB	3	22	0,41	0,33	0,27	0,13
863-1SMB5943BT3G	1SMB5943BT3G	SMB	3	56	0,41	0,33	0,27	0,13
863-1SMB5949BT3G	1SMB5949BT3G	SMB	3	100	0,41	0,33	0,27	0,13

© Copyright 2012 Mouser Electronics

© Copyright 2012 Mouser Electronics

Redresseurs ON SEMICONDUCTOR

RoHS Compliant **This product is RoHS compliant.**

RÉCUPÉRATION CLASSIQUE

Pour des quantités supérieures à celles indiquées, appelez-nous afin d'obtenir un devis.

RÉF. STOCK MOUSER	Réf. ON Semi	Boîtier	E/S (rec.) Max. (A)	VRRM Min. (V)	trr Max. (ns)	VF Max. (V)	IFSM Max. (A)	IR Max. (mA)	Prix unitaire 1	25	100	500
863-1N4001G	1N4001G	DO-41	1	50	-	1.1	30	0.01	0,17	0,066	0,053	0,041
863-1N4002G	1N4002G	DO-41	1	100	-	1.1	30	0.01	0,17	0,091	0,053	0,041
863-1N4003G	1N4003G	DO-41	1	200	-	1.1	30	0.01	0,17	0,091	0,053	0,041
863-MRA4003T3G	MRA4003T3G	SMA	1	300	-	1.1	30	0.01	0,07	0,06	0,057	0,055
863-1N4004G	1N4004G	DO-41	1	400	-	1.1	30	0.01	0,17	0,107	0,053	0,041
863-MRA4004T3G	MRA4004T3G	SMA	1	400	-	1.1	30	0.01	0,17	0,14	0,11	0,082
863-1N4005G	1N4005G	DO-41	1	600	-	1.1	30	0.01	0,17	0,091	0,053	0,041
863-MRA4005T3G	MRA4005T3G	SMA	1	600	-	1.1	30	0.01	0,17	0,14	0,11	0,082
863-1N4006G	1N4006G	DO-41	1	800	-	1.1	30	0.01	0,17	0,129	0,053	0,041
863-1N4006RLG	1N4006RLG	DO-41	1	800	-	1.1	30	0.01	0,07	0,064	0,05	0,041
863-MRA4006T3G	MRA4006T3G	SMA	1	800	-	1.1	30	0.01	0,07	0,06	0,057	0,055
863-1N4007G	1N4007G	DO-41	1	1000	-	1.1	30	0.01	0,17	0,091	0,053	0,041
863-MRA4007T3G	MRA4007T3G	SMA	1	1000	-	1.1	30	0.01	0,17	0,14	0,11	0,082
863-1N5400G	1N5400G	DO-201AD	3	50	-	1	200	0.01	0,31	0,223	0,12	0,097
863-1N5401G	1N5401G	DO-201AD	3	100	-	1	200	0.01	0,19	0,165	0,12	0,097
863-1N5402G	1N5402G	DO-201AD	3	200	-	1	200	0.01	0,31	0,223	0,12	0,097
863-1N5404G	1N5404G	DO-201AD	3	400	-	1	200	0.01	0,31	0,198	0,12	0,097
863-1N5406G	1N5406G	DO-201AD	3	600	-	1	200	0.01	0,31	0,198	0,12	0,097
863-1N5408G	1N5408G	DO-201AD	3	1000	-	1	200	0.01	0,31	0,198	0,12	0,097

RÉCUPÉRATION RAPIDE

Pour des quantités supérieures à celles indiquées, appelez-nous afin d'obtenir un devis.

RÉF. STOCK MOUSER	Réf. ON Semi	Boîtier	E/S (rec.) Max. (A)	VRRM Min. (V)	trr Max. (ns)	VF Max. (V)	IFSM Max. (A)	IR Max. (mA)	Prix unitaire 1	25	100	500
863-1N4933G	1N4933G	DO-41	1	50	200	1.2	30	0.005	0,22	0,14	0,082	0,066
863-1N4934G	1N4934G	DO-41	1	100	200	1.2	30	0.005	0,22	0,14	0,082	0,066
863-1N4935G	1N4935G	DO-41	1	200	200	1.2	30	0.005	0,22	0,14	0,082	0,066
863-1N4936G	1N4936G	DO-41	1	400	200	1.2	30	0.005	0,22	0,165	0,082	0,066
863-1N4937G	1N4937G	DO-41	1	600	200	1.2	30	0.005	0,22	0,132	0,082	0,066
863-MR852RLG	MR852RLG	DO-201AD	3	200	200	1.25	100	0.01	0,25	0,187	0,124	0,102
863-MR854G	MR854G	DO-201AD	3	400	200	1.25	100	0.01	0,22	0,173	0,116	0,095
863-MR856G	MR856G	DO-201AD	3	600	200	1.25	100	0.01	0,08	0,07	0,065	0,063

RÉCUPÉRATION ULTRA-RAPIDE

Pour des quantités supérieures à celles indiquées, appelez-nous afin d'obtenir un devis.

RÉF. STOCK MOUSER	Réf. ON Semi	Boîtier	E/S (rec.) Max. (A)	VRRM Min. (V)	trr Max. (ns)	VF Max. (V)	IFSM Max. (A)	IR Max. (mA)	Prix unitaire 1	25	100	500
863-MUR110G	MUR110G	DO-41	1	100	35	0.875	35	0.002	0,11	0,10	0,099	0,091
863-MUR115G	MUR115G	DO-41	1	150	35	0.875	35	0.002	0,11	0,10	0,099	0,091
863-MUR120G	MUR120G	DO-41	1	200	35	0.875	35	0.002	0,26	0,165	0,134	0,111
863-MUR120RLG	MUR120RLG	DO-41	1	200	35	0.875	35	0.002	0,28	0,193	0,144	0,119
863-MURS120T3G	MURS120T3G	SMB	1	200	35	0.875	40	0.002	0,36	0,254	0,182	0,15
863-MUR140G	MUR140G	DO-41	1	400	75	1.25	35	0.005	0,24	0,198	0,139	0,114
863-MUR140RLG	MUR140RLG	DO-41	1	400	75	1.25	35	0.005	0,20	0,184	0,148	0,12
863-MURA140T3G	MURA140T3G	SMA	1	400	65	1.1	35	0.005	0,12	0,11	0,10	0,096
863-MUR160G	MUR160G	DO-41	1	600	75	1.25	35	0.005	0,26	0,182	0,132	0,109
863-MUR160RLG	MUR160RLG	DO-41	1	600	75	1.25	35	0.005	0,28	0,19	0,142	0,117
863-MURS160T3G	MURS160T3G	SMB	1	600	75	1.25	35	0.005	0,31	0,252	0,177	0,147
863-MUR180EG	MUR180EG	DO-41	1	800	75	1.75	35	0.01	0,15	0,14	0,131	0,127
863-MURA210T3G	MURA210T3G	SMA	2	100	30	0.94	50	0.002	0,12	0,11	0,10	0,096
863-MURS220T3G	MURS220T3G	SMB	2	200	25	0.95	40	0.002	0,15	0,14	0,13	0,122
863-MUR260G	MUR260G	DO-41	2	600	75	1.35	35	0.005	0,19	0,173	0,147	0,114
863-MURS260T3G	MURS260T3G	SMB	2	600	50	1.45	35	0.005	0,38	0,309	0,217	0,181
863-MURS320T3G	MURS320T3G	SMC	3	200	35	0.875	75	0.005	0,47	0,395	0,278	0,233
863-MURS360T3G	MURS360T3G	SMC	3	600	75	1.25	75	0.01	0,26	0,25	0,22	0,20
863-MUR410G	MUR410G	DO-201AD	4	100	35	0.89	125	0.005	0,20	0,18	0,171	0,163
863-MUR415G	MUR415G	DO-201AD	4	150	35	0.89	125	0.005	0,20	0,18	0,171	0,163
863-MUR460G	MUR460G	DO-201AD	4	600	75	1.28	70	0.01	0,40	0,341	0,24	0,202
863-MUR460RLG	MUR460RLG	DO-41	4	600	75	0.89	70	0.01	0,38	0,305	0,224	0,188
863-MUR480EG	MUR480EG	DO-201AD	4	800	75	1.85	70	0.025	0,50	0,371	0,306	0,257
863-MUR4100EG	MUR4100EG	DO-201AD	4	1000	75	1.85	70	0.9	0,50	0,446	0,328	0,275
863-MUR620CTG	MUR620CTG	TO-220	6	200	35	0.975	75	0.005	0,54	0,413	0,328	0,275
863-MURD620CTT4G	MURD620CTT4G	DPAK	6	200	35	1.2	63	0.005	0,58	0,446	0,353	0,296
863-MUR810G	MUR810G	TO-220	8	100	35	0.975	100	0.005	0,71	0,553	0,436	0,366
863-MUR815G	MUR815G	TO-220	8	150	35	0.975	100	0.005	0,69	0,536	0,432	0,368
863-MUR820G	MUR820G	TO-220	8	200	35	0.975	100	0.005	0,68	0,528	0,467	0,392
863-MURH840CTG	MURH840CTG	TO-220	8	400	28	2	100	0,5	1,27	1,03	0,786	0,668
863-MUR860G	MUR860G	TO-220	8	600	60	1.5	100	0.01	0,71	0,701	0,492	0,415
863-MURH860CTG	MURH860CTG	TO-220	8	600	35	2.8	100	0,5	1,27	0,998	0,786	0,668
863-MURHF860CTG	MURHF860CTG	TO-220 FP	8	600	35	2.8	100	0,5	1,60	1,45	1,01	0,924
863-MUR880EG	MUR880EG	TO-220	8	800	100	1.8	100	0.01	0,92	0,693	0,57	0,484
863-MUR1510G	MUR1510G	TO-220	15	100	35	1.05	200	0.01	0,88	0,693	0,55	0,468
863-MUR1520G	MUR1520G	TO-220	15	200	35	1.05	200	0.01	0,92	0,743	0,59	0,502
863-MUR1560G	MUR1560G	TO-220	15	600	60	1.5	150	0.01	1,16	0,998	0,721	0,613
863-MUR1610CTG	MUR1610CTG	TO-220	16	100	35	0.975	100	0.005	0,68	0,611	0,52	0,442
863-MUR1620CTG	MUR1620CTG	TO-220	16	200	35	0.975	100	0.005	0,82	0,718	0,509	0,433
863-MUR1620CTRG	MUR1620CTRG	TO-220	16	200	85	1.2	100	0.005	0,76	0,74	0,72	0,653
863-MURF1620CTG	MURF1620CTG	TO-220 FP	16	200	25	0.975	100	0.005	1,16	1,05	0,796	0,677
863-MUR1640CTG	MUR1640CTG	TO-220	16	400	60	1.3	100	0.25	0,89	0,79	0,75	0,675
863-MUR2020RG	MUR2020RG	TO-220	20	200	95	1.1	250	0.05	1,80	1,24	1,16	0,982
863-MUR3020PTG	MUR3020PTG	TO-218	30	200	35	1.12	200	0.01	2,18	2,09	1,52	1,17
863-MUR3020WTG	MUR3020WTG	TO-247	30	200	35	1.05	150	0.01	2,69	2,23	1,77	1,44
863-MUR3040PTG	MUR3040PTG	TO-218	30	400	60	1.12	150	0.01	3,03	2,24	2,00	1,62
863-MUR3060PTG	MUR3060PTG	TO-218	30	600	60	1.2	150	0.01	2,83	2,24	1,95	1,78

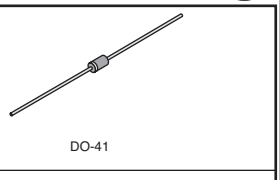
DO-41

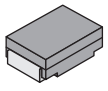
SMB

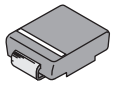
SMA

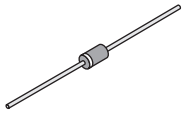
DO-201AD

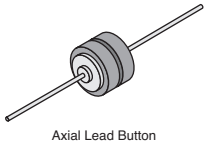
Axial Lead Button

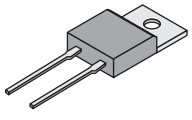
TO-220

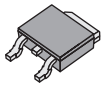
DPAK

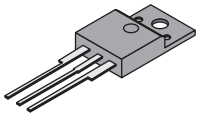
TO-220 FP

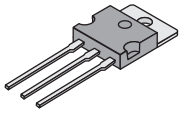
TO-218

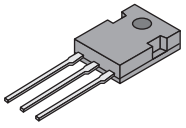
TO-247

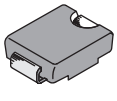
SMC

© Copyright 2012 Mouser Electronics

© Copyright 2012 Mouser Electronics

Diodes Schottky ON SEMICONDUCTOR

ON Semiconductor®

RoHS Compliant This product is RoHS compliant.

ON Semiconductor® DIODES SCHOTTKY

PRODUCT NEW

Pour des quantités supérieures à celles indiquées, appelez-nous afin d'obtenir un devis.

RÉF. STOCK MOUSER	Boîtier	VRRM Min. (V)	VF Max. (V)	IRM Max. (µA)	IFSM Max. (A)	Prix unitaire 1	25	100
863-MBR30H60CTG	TO-220 3	60	0.78	300	260	1,03	0,932	0,629
863-NSR0130P2T5G	SOD-923	30	0.385	0.35	1	0,16	0,132	0,116
863-NSR0140P2T5G	SOD-923	30	0.35	0,5	0.03	0,16	0,132	0,116
863-NSR0230P2T5G	SOD-923	30	0.325	10	0.2	0,16	0,132	0,116
863-MBR0520LT1G	SOD-123	20	0.385	250	5.5	0,24	0,173	0,092
863-MBR0530T1G	SOD-123	30	0.43	130	5.5	0,11	0,08	0,06
863-MBR0540T1G	SOD-123	40	0.51	20	5.5	0,26	0,165	0,101
863-MBR2030CTLG	TO-220 3	30	0.58	5000	150	1,39	1,22	0,965
863-MBRB1545CTT4G	D2PAK 3	45	0.84	100	150	1,08	0,85	0,649
863-MBRB20200CTT4G	D2PAK 3	200	1	1000	150	2,16	1,60	1,23
863-MBRB2535CTLT4G	D2PAK 3	35	0.55	10000	150	1,86	1,64	1,27
863-MBRD1035CTLG	DPAK 4	35	0.56	2000	50	0,88	0,784	0,547
863-MBRD320T4G	DPAK 4	20	0.6	200	75	0,34	0,29	0,27
863-MBRD330T4G	DPAK 4	30	0.6	200	75	0,34	0,29	0,27
863-MBRS230LT3G	SMB	30	0.49	1000	40	0,16	0,15	0,14
863-MBRS340T3G	SMC	40	0,5	2000	80	0,40	0,295	0,229
863-MBRS360T3G	SMC	60	0.74	150	125	0,41	0,351	0,248
863-MBRS540T3G	SMC	40	0.5	300	190	0,48	0,422	0,298
863-MMBD101LT1G	SOT-23	7	0.6	2.5	-	0,21	0,161	0,079
863-MMBD352LT1G	SOT-23	7	0.6	0.25	-	0,29	0,19	0,139
863-MMBD354LT1G	SOT-23	7	0.6	0.25	-	0,51	0,437	0,327
863-MBR2515LG	TO-220	15	0.45	15000	150	2,15	1,84	1,34
863-MBR4015LWTG	TO-247	15	0,5	5000	120	5,49	4,55	3,25
863-MBR120VLSFT1G	SOD-123 FL	20	0.34	600	45	0,23	0,206	0,156
863-1N5817G	DO-41	20	0.45	1000	25	0,11	0,10	0,092
863-MBR120LSFT1G	SOD-123 FL	20	0.45	40	50	0,22	0,198	0,148
863-1N5820G	DO-201AD	20	0.475	2000	80	0,33	0,256	0,191
863-MBR120ESFT1G	SOD-123 FL	20	0.53	10	40	0,27	0,21	0,139
863-MBRS120T3G	SMB	20	0.6	1000	40	0,17	0,14	0,12
863-NSR0320MW2T1G	SOD-323	23	0.27	50	-	0,08	0,066	0,066
863-NSR0320XV6T1G	SOT-563	23	0.27	50	-	0,28	0,212	0,141
863-NSR05F20NXT5G	DSN-2	20	0.39	75	10	0,33	0,289	0,251
863-NSR05F30NXT5G	DSN-2	30	0.4	15	10	0,33	0,289	0,251
863-NSR05F40NXT5G	DSN-2	40	0.42	15	10	0,33	0,289	0,251
863-NSR10F20NXT5G	DSN-2	20	0.43	20	18	0,15	0,132	0,119
863-NSR10F30NXT5G	DSN-2	30	0.42	20	18	0,15	0,14	0,126
863-NSR10F40NXT5G	DSN-2	40	0.49	100	18	0,15	0,14	0,126
863-NSR20F20NXT5G	DSN-2	20	0.45	30	28	0,16	0,149	0,144
863-NSR20F30NXT5G	DSN-2	30	0.48	150	28	0,17	0,157	0,14
863-BAT54CWT1G	SC-70	30	0.32	2	-	0,25	0,14	0,074
863-BAT54SWT1G	SC-70	30	0.32	2	-	0,25	0,14	0,074
863-BAT54WT1G	SC-70	30	0.32	2	-	0,08	0,075	0,06
863-BAT54CTT1G	SC-75	30	0.32	2	-	0,11	0,10	0,08
863-BAT54T1G	SOD-123	30	0.32	2	0.6	0,22	0,169	0,083
863-BAT54HT1G	SOD-323	30	0.32	2	-	0,30	0,164	0,09
863-BAT54XV2T1G	SOD-523	30	0.32	2	0.6	0,21	0,16	0,079
863-BAT54SLT1G	SOT-23	30	0.32	2	-	0,07	0,05	0,047
863-NSR30CM3T5G	SOT-723	30	0.32	2	0.6	0,17	0,14	0,124
863-RB751V40T1G	SOD-323	30	0.37	0,5	-	0,05	0,04	0,039
863-MBR130LSFT1G	SOD-123 FL	30	0.38	1000	40	0,24	0,13	0,12
863-MBRS130LT3G	SMB	30	0.395	1000	40	0,13	0,12	0,117
863-MMSD301T1G	SOD-123	30	0.45	0.2	-	0,23	0,124	0,09
863-MMBD301LT1G	SOT-23	30	0.45	0.2	-	0,31	0,16	0,094
863-1N5821G	DO-201AD	30	0.5	2000	80	0,33	0,223	0,191
863-1N5818G	DO-41	30	0.55	1000	25	0,10	0,09	0,087
863-MBR2030CTLG	TO-220	30	0.58	5000	150	1,39	1,22	0,965
863-MBRS130T3G	SMB	30	0.6	1000	40	0,13	0,12	0,117
863-MBR2535CTLG	TO-220	35	0.47	5000	150	1,26	0,916	0,787
863-1N5822G	DO-201AD	40	0.525	2000	80	0,18	0,16	0,15
863-MBR140SFT1G	SOD-123 FL	40	0.55	500	30	0,16	0,11	0,08
863-MBR340G	DO-201AD	40	0.6	600	80	0,15	0,14	0,135
863-1N5819G	DO-41	40	0.6	1000	25	0,10	0,09	0,087
863-MBRS140T3G	SMB	40	0.6	1000	40	0,25	0,223	0,158
863-80SQ045NG	DO-201AD	45	0.55	1000	140	0,64	0,503	0,394
863-MBR1645G	TO-220	45	0.63	20	150	0,96	0,74	0,488
863-MBR6045PTG	TO-218	45	0.75	1000	500	4,21	4,01	3,02
863-MBR6045WTG	TO-247	45	0.75	1000	500	4,12	3,81	2,86
863-MBR3045PTG	TO-218	45	0.76	1000	200	1,66	1,51	1,27
863-MBR4045PTG	TO-218	45	0.8	1000	400	2,32	2,21	1,77
863-MBRB2545CTG	D2PAK	45	0.82	20	150	1,22	0,98	0,813
863-MBR2545CTG	TO-220	45	0.82	20	150	0,98	0,751	0,609
863-MBRB1045T4G	D2PAK	45	0.84	10	150	1,07	0,833	0,649
863-MBRB1545CTG	D2PAK	45	0.84	10	150	0,62	0,55	0,513
863-MBR1045G	TO-220	45	0.84	10	150	0,86	0,61	0,387
863-MBR1545CTG	TO-220	45	0.84	10	150	0,80	0,57	0,375
863-MBR2045CTG	TO-220	45	0.84	10	150	0,67	0,495	0,408
863-MBR745G	TO-220	45	0.84	10	150	0,60	0,454	0,371
863-MBR150G	DO-41	50	0.75	500	25	0,22	0,19	0,139
863-MBR360G	DO-201AD	60	0.74	600	80	0,15	0,14	0,135

Pour des quantités supérieures à celles indiquées, appelez-nous afin d'obtenir un devis.

RÉF. STOCK MOUSER	Boîtier	VRRM Min. (V)	VF Max. (V)	IRM Max. (µA)	IFSM Max. (A)	Prix unitaire 1	25	100
863-MBR160G	DO-41	60	0.75	500	25	0,27	0,173	0,139
863-MBR1060G	TO-220	60	0.8	6000	150	0,86	0,61	0,38
863-MBRB2060CTG	D2PAK	60	0.95	150	150	2,30	1,68	1,10
863-MBR2060CTG	TO-220	60	0.95	10	150	1,02	0,833	0,688
863-MMBD701LT1G	SOT-23	70	0,5	0.2	-	0,21	0,161	0,079
863-MBD770DWT1G	SOT-363	70	0,5	0.2	-	0,14	0,132	0,119
863-MBRS190T3G	SMB	90	0.75	500	50	0,16	0,15	0,14
863-MBRA340T3G	SMA	40	0.45	300	100	0,42	0,342	0,263
863-MBRM140T1G	Powermite	40	0.55	500	50	0,44	0,37	0,32
863-MBR130T1G	SOD-123	30	0.45	60	5.5	0,16	0,11	0,09
863-MBRS260T3G	SMB	60	0.63	20	40	0,17	0,16	0,15
863-MBRS3100T3G	SMC	100	0.79	50	130	0,44	0,39	0,378
863-MBRS240LT3G	SMB	40	0.43	2000	25	0,14	0,13	0,125
863-MBRM120LT1G	Powermite	20	0.45	40	50	0,36	0,34	0,31
863-MBRS3201T3G	SMC	200	0.84	1000	100	0,75	0,654	0,437
863-BAT54LT1G	SOT-23	30	0.32	2	0.6	0,05	0,04	0,033
863-BAT54CLT1G	SOT-23	30	0.32	2	0.6	0,07	0,05	0,047
863-NSR1020MW2T1G	SOD-323	20	0.44	40	5	0,30	0,206	0,113
863-MBR230LSFT1G	SOD123	30	0.43	1000	40	0,19	0,173	0,132
863-MBRM120ET1G	Powermite	20	0.53	10	50	0,16	0,15	0,144
863-MBRB8H100T4G	D2PAK3	100	0.71	4.5	250	1,06	0,957	0,695
863-RB521S30T1G	SOD-523	30	0.5	30	1	0,16	0,091	0,057
863-MMDL770T1G	SOD-323	70	1	0.2	-	0,27	0,127	0,081
863-MBD330DWT1G	SOT-363	30	0.45	0.2	-	0,19	0,174	0,139
863-MBD301G	TO-92	30	0.6	0.2	-	0,15	0,11	0,08
863-SS16T3G	SMA	60	0.51	20	30	0,32	0,21	0,153
863-BAT54CXV3T1G	SC-89	30	0.4	2	0.6	0,25	0,215	0,176
863-MBRM110LT1G	Powermite	10	0.365	500	50	0,15	0,14	0,137
863-MBRS2H100T3G	SMB	100	0.79	8	130	0,42	0,355	0,262
863-1N5822RLG	DO-201AD	40	0.525	2000	80	0,36	0,281	0,207
863-MBR3100RLG	DO-201AD	100	0.79	600	150	0,28	0,25	0,244
863-MBRD630CTT4G	DPAK	30	0.9	100	75	0,61	0,512	0,479
863-MBRB3045CT-1G	TO-262	45	0.76	200	150	0,96	0,74	0,488
863-MBR2080CTG	TO-220	80	0.95	10	150	1,17	0,924	0,805
863-MBR40L45CTG	TO2203	45	0.63	1200	200	1,17	1,06	0,78
863-MBRF2545CTG	TO-220	45	0.7	200	150	0,95	0,833	0,661
863-MBRB20H100CTT4G	D2PAK 3	100	0.88	4.5	250	1,08	0,965	0,769
863-MBRB2515LG	D2PAK	15	0.45	15000	150	1,61	1,44	1,23
863-MBRB4030G	D2PAK	30	0.55	350	300	2,02	1,84	1,41
863-MBRB3030CTG	D2PAK	30	0.67	600	200	1,77	1,59	1,32
863-MBRF30H60CTG	TO-220	60	0.78	300	260	1,02	0,924	0,688
863-SS24T3G	SMB	40	0.5	40	75	0,34	0,256	0,17
863-MBRS330T3G	SMC	30	0,5	2000	80	0,55	0,37	0,28
863-RB751S40T1G	SOD-523	30	0.37	0,5	-	0,22	0,111	0,068
863-MBR150RLG	DO-41	50	0.75	500	25	0,20	0,184	0,148
863-1N5817RLG	DO-41	20	0.45	1000	25	0,10	0,09	0,087
863-MBRS3200T3G	SMB	200	0.84	1000	100	0,71	0,553	0,43
863-1N5820RLG	DO-201AD	20	0.475	2000	80	0,29	0,19	0,123
863-1N5821RLG	DO-201AD	30	0,5	2000	80	0,36	0,272	0,239
863-BAS40-04LT1G	SOT-23	40	0.38	1	0.2	0,09	0,07	0,06
863-BAS40-06LT1G	SOT-23	40	0.38	1	0.2	0,09	0,07	0,06
863-BAS40LT1G	SOT-23	40	0.38	1	0.2	0,21	0,161	0,079
863-BAS70-04LT1G	SOT-23	70	0.41	0.1	-	0,09	0,07	0,06
863-BAS70LT1G	SOT-23	70	0.41	0.1	-	0,21	0,161	0,079
863-BAT54ALT1G	SOT-23	30	0.32	2	0.6	0,07	0,05	0,047
863-BAT54AWT1G	SC-70	30	0.32	2	0.6	0,07	0,058	0,032
863-BAT54CLT3G	SOT-23	30	0.32	2	0.6	0,07	0,05	0,047
863-BAT54XV2T5G	SOD523	30	0.32	2	0.6	0,22	0,182	0,124
863-MBD54DWT1G	SOT-363	30	0.32	2	-	0,31	0,19	0,144
863-MBR0520LT3G	SOD-123	20	0.385	250	5.5	0,42	0,371	0,299
863-MBR0530T3G	SOD-123	30	0.43	130	5.5	0,11	0,08	0,06
863-MBR1035G	TO-220	35	0.84	100	150	0,86	0,61	0,387
863-MBR1080G	TO-220	80	0.8	6000	150	0,82	0,742	0,552
863-MBR1100RLG	DO-41	100	0.79	500	50	0,31	0,248	0,175
863-MBR120ESFT3G	SOD-123 FL	20	0.53	10	40	0,36	0,272	0,212
863-MBR120VLSFT3G	SOD-123 FL	20	0.34	600	45	0,07	0,074	0,074
863-MBR130T3G	SOD-123	30	0.45	60	5.5	0,20	0,182	0,136
863-MBR140SFT3G	SOD-123 FL	40	0.55	500	30	0,16	0,11	0,09
863-MBR1535CTG	TO-220	35	0.84	100	150	0,44	0,41	0,362
863-MBR1635G	TO-220	35	0.63	200	150	0,96	0,74	0,488
863-MBR2090CTG	TO-220	90	0.95	10	150	1,20	1,08	0,805
863-MBR2535CTG	TO-220	35	0.82	200	150	1,15	0,949	0,825
863-MBR3045STG	TO-220	45	0.76	200	150	0,97	0,875	0,699
863-MBR3045WTG	TO-247	45	0.76	1000	200	2,22	1,87	1,57
863-MBR340RLG	DO-201AD	40	0.6	600	80	0,15	0,14	0,135
863-MBR350RLG	DO-201AD	50	0.74	600	80	0,15	0,14	0,135
863-MBR360RLG	DO-201AD	60	0.74	600	80	0,34	0,22	0,123
863-MBR4015CTLG	TO-220	15	0.54	10000	150	1,66	1,44	1,05

© Copyright 2012 Mouser Electronics

© Copyright 2012 Mouser Electronics

Diodes Schottky, diodes de commutation à signal faible et diodes de réglage

ON Semiconductor®

RoHS Compliant This product is RoHS compliant.

ON Semiconductor® DIODES SCHOTTKY

Pour des quantités supérieures à celles indiquées, appelez-nous afin d'obtenir un devis.

RÉF. STOCK MOUSER	Boîtier	VRRM Min. (V)	VF Max. (V)	IR Max. (mA)	IFSM Max. (A)	Prix unitaire 1	25	100
863-MMBD352WT1G	SC-70	7	0.6	0.01	-	0,38	0,363	0,294
863-MMBD353LT1G	SOT-23	7	0.6	0.01	-	0,18	0,167	0,134
863-MBRA210LT3G	SMA	10	0.35	0.7	160	0,39	0,34	0,28
863-MBRA210ET3G	SMA	10	0.5	15	100	0,30	0,26	0,165
863-MBRM110ET1G	Powermite	10	0.595	0.001	50	0,15	0,14	0,137
863-MBRA120ET3G	SMA	20	0.36	1.6	40	0,25	0,19	0,124
863-MBRS320T3G	SMC	20	0.5	2	80	0,55	0,37	0,28
863-MBRD320G	DPAK	20	0.7	0.2	75	0,34	0,29	0,27
863-MBRA130LT3G	SMA	30	0.41	1	25	0,28	0,215	0,143
863-MBRM130LT1G	Powermite	30	0.52	0.05	50	0,36	0,30	0,263
863-MBR7030WTG	TO-247	30	0.55	5	500	7,06	5,79	4,38
863-MMBD330T1G	SC-70	30	0.6	0.2	1000	0,25	0,182	0,074
863-MBRD330G	DPAK	30	0.7	0.2	75	0,34	0,29	0,27
863-MBRD330RLG	DPAK	30	0.7	0.2	75	0,34	0,29	0,27

Pour des quantités supérieures à celles indiquées, appelez-nous afin d'obtenir un devis.

RÉF. STOCK MOUSER	Boîtier	VRRM Min. (V)	VF Max. (V)	IR Max. (nA)	IFSM Max. (A)	Prix unitaire 1	25	100
863-MBR735G	TO-220	35	0.455	15	150	0,77	0,55	0,362
863-MBRS2040LT3G	SMB	40	0.5	0.1	70	0,18	0,16	0,151
863-MBRS1540T3G	SMB	40	0.54	0.1	40	0,16	0,15	0,14
863-MBRA140T3G	SMA	40	0.55	0.5	30	0,30	0,27	0,148
863-MBRF30L45CTG	TO-220	45	0.61	0.65	190	1,10	0,924	0,85
863-MBRB1645T4G	D2PAK	45	0.63	0.2	150	1,01	0,899	0,603
863-MBR4045WTG	TO-247	45	0.7	1	400	3,09	2,60	2,18
863-MBRB1045G	D2PAK	45	0.84	0.1	150	1,08	0,78	0,513
863-MBRA160T3G	SMA	60	0.51	0.2	60	0,25	0,19	0,124
863-MBRB30H60CT-1G	TO220	60	0.78	0.3	260	1,13	0,809	0,688
863-MBR40H100WTG	TO-247	100	0.8	10	200	3,44	3,10	2,71
863-MBRF20H100CTG	TO-220	100	0.88	0.0045	250	0,97	0,743	0,673
863-MBRB41H100CT-1G	TO220	100	0.9	0.01	350	1,86	1,49	1,07
863-MBRB20100CTT4G	D2PAK	100	0.95	0.1	150	1,31	1,16	0,916

ON Semiconductor® DIODES DE COMMUTATION SIGNAL FAIBLE

Pour des quantités supérieures à celles indiquées, appelez-nous afin d'obtenir un devis.

RÉF. STOCK MOUSER	Réf. ON Semi	Boîtier	VRRM Min. (V)	VF Max. (V)	IR Max. (µA)	trr Max. (ns)	Cj Max. (pF)	Prix unitaire 1	25	100	500
863-MMBD2837LT1G	MMBD2837LT1G	SOT-23	35	1	0.1	4	4	0,04	0,03	0,027	0,025
863-BAV74LT1G	BAV74LT1G	SOT-23	50	1	0.1	4	2	0,06	0,05	0,04	0,03
863-MMDL6050T1G	MMDL6050T1G	SOD-323	70	0.7	0.1	4	2.5	0,07	0,07	0,056	0,045
863-BAL99LT1G	BAL99LT1G	SOT-23	70	1	2.4	6	1.5	0,04	0,03	0,02	0,018
863-BAV70LT1G	BAV70LT1G	SOT-23	70	1	2.5	6	1.5	0,04	0,03	0,024	0,023
863-BAV70TT1G	BAV70TT1G	SC-75	70	1	5	6	1.5	0,05	0,048	0,038	0,031
863-BAV70WT1G	BAV70WT1G	SC-70	70	1	5	6	1.5	0,14	0,091	0,043	0,034
863-BAV99WT1G	BAV99WT1G	SC-70	70	1	2.4	6	1.5	0,14	0,105	0,043	0,034
863-BAW56LT1G	BAW56LT1G	SOT-23	70	1	2.4	6	2	0,04	0,03	0,024	0,023
863-MMBD6050LT1G	MMBD6050LT1G	SOT-23	70	1.1	0.1	4	2.5	0,08	0,07	0,06	0,04
863-MMBD6100LT1G	MMBD6100LT1G	SOT-23	70	1.1	0.1	4	2.5	0,04	0,03	0,027	0,025
863-BAS16DXV6T1G	BAS16DXV6T1G	SOT-563	75	1	1	6	2	0,32	0,182	0,139	0,111
863-BAS16HT1G	BAS16HT1G	SOD-323	75	1	1	6	2	0,17	0,121	0,05	0,039
863-BAS16LT1G	BAS16LT1G	SOT-23	75	1	1	6	2	0,08	0,06	0,05	0,04
863-BAS16XV2T1G	BAS16XV2T1G	SOD-523	75	1	1	6	2	0,18	0,107	0,054	0,042
863-MMBD2836LT1G	MMBD2836LT1G	SOT-23	75	1	0.1	4	4	0,04	0,03	0,027	0,025
863-MMBD2838LT1G	MMBD2838LT1G	SOT-23	75	1	0.1	4	4	0,04	0,03	0,027	0,025
863-DA121TT1G	DA121TT1G	SC-75	80	1	1	6	2	0,07	0,05	0,032	0,027
863-DAN222G	DAN222G	SC-75	80	1.2	0.1	4	3.5	0,06	0,05	0,042	0,034
863-DAP222G	DAP222G	SC-75	80	1.2	0.1	4	3.5	0,05	0,048	0,038	0,031
863-NSDEMP11XV6T1G	NSDEMP11XV6T1G	SOT-563	80	1.2	0.1	4	3.5	0,15	0,139	0,111	0,091
863-HN2D02FUTW1T1G	HN2D02FUTW1T1G	SOT-363	85	1.2	0.1	3	2	0,17	0,153	0,122	0,083
863-MMBD914LT1G	MMBD914LT1G	SOT-23	100	1	5	4	4	0,04	0,02	0,019	0,018
863-MMDL914T1G	MMDL914T1G	SOD-323	100	1	5	4	4	0,17	0,121	0,05	0,039
863-MMSD4148T1G	MMSD4148T1G	SOD-123	100	1	5	4	4	0,04	0,03	0,029	0,028
863-MMSD914T1G	MMSD914T1G	SOD-123	100	1	5	4	4	0,04	0,03	0,029	0,028
863-NSD914XV2T1G	NSD914XV2T1G	SOD-523	100	1	5	4	4	0,22	0,176	0,087	0,07
863-MMBD7000LT1G	MMBD7000LT1G	SOT-23	100	1.1	1	4	1.5	0,04	0,03	0,023	0,018
863-1SS400T1G	1SS400T1G	SOD-523	100	1.2	0.1	4	3	0,22	0,124	0,068	0,05
863-BAS19LT1G	BAS19LT1G	SOT-23	120	1	0.1	50	5	0,08	0,06	0,05	0,04
863-BAS20HT1G	BAS20HT1G	SOD-323	200	1	0.1	50	5	0,21	0,107	0,064	0,05
863-BAS20LT1G	BAS20LT1G	SOT-23	200	1	0.1	50	5	0,08	0,06	0,05	0,04
863-BAS21AHT1G	BAS21AHT1G	SOD-323	250	0.1	0.04	50	5	0,23	0,116	0,078	0,059
863-BAS21DW5T1G	BAS21DW5T1G	SOT-353	250	1	0.1	50	5	0,25	0,124	0,076	0,058
863-BAS21LT1G	BAS21LT1G	SOT-23	250	1	0.1	50	5	0,04	0,02	0,019	0,018
863-MMSD103T1G	MMSD103T1G	SOD-123	250	1	1	50	5	0,08	0,074	0,059	0,048

ON Semiconductor® DIODES DE SYNCHRONISATION

Pour des quantités supérieures à celles indiquées, appelez-nous afin d'obtenir un devis.

RÉF. STOCK MOUSER	Réf. ON Semi	Boîtier	VRRM Min. (V)	VF Max. (V)	IR Max. (µs)	trr Max. (ns)	Cj Max. (pF)	Prix unitaire 1	25	100	500
863-MMBV609LT1G	MMBV609LT1G	SOT-23	20	-	0.01	-	32	0,13	0,12	0,117	0,105
863-MMBV3401LT1G	MMBV3401LT1G	SOT-23	35	-	0.1	-	1	0,18	0,13	0,111	0,102
863-BAV199LT1G	BAV199LT1G	SOT-23	70	1	0.005	-	2	0,09	0,07	0,059	0,057
863-BAS116LT1G	BAS116LT1G	SOT-23	75	1.1	0.005	-	2	0,15	0,11	0,10	0,09

© Copyright 2012 Mouser Electronics

© Copyright 2012 Mouser Electronics

Diodes, TVS et redresseurs ROHM SEMICONDUCTOR

RoHS Compliant This product is RoHS compliant.

ROHM SEMICONDUCTOR

♦ Composant pour montage en surface

TVS ROHM SEMICONDUCTOR

Pour des quantités supérieures à celles indiquées, appelez-nous afin d'obtenir un devis.

RÉF. STOCK MOUSER	Réf. ROHM	Boîtier	VZ @ IZ (V)	PD (W)	Prix unitaire 1	25	100
♦ 755-RSA6.1ENTR	RSA6.1ENTR	SOT-353	6,65 @ 1mA	0.2	0,38	0,289	0,21
♦ 755-RSA6.1J4T2R	RSA6.1J4T2R	SOT-353	7,2 @ 1mA	0.15	0,36	0,272	0,199
♦ 755-RSA6.1U5T108	RSA6.1U5T108	SOT-457	7,2 @ 1mA	0.2	0,40	0,297	0,219
♦ 755-RSB12JS2T2R	RSB12JS2T2R	EMD6	12 @ 5mA	0.15	0,45	0,338	0,246
♦ 755-RSB6.8GT2R	RSB6.8GT2R	VMD2	6,8 @ 1mA	0.1	0,36	0,272	0,199
♦ 755-RSB6.8STE61	RSB6.8STE61	SOD-523	8,79 @ 20mA	0,5	0,30	0,206	0,134

REDRESSEURS ROHM SEMICONDUCTOR

Pour des quantités supérieures à celles indiquées, appelez-nous afin d'obtenir un devis.

RÉF. STOCK MOUSER	Réf. ROHM	Boîtier	VZ @ IZ (V)	PD (W)	Prix unitaire 1	25	100
755-1SR139-400T-32	1SR139-400T-32	DO-41	1.1	1	0,34	0,239	0,17
♦ 755-1SR139-600T-32	1SR139-600T-32	DO-41	1.1	1	0,41	0,297	0,209
♦ 755-1SR154-400TE25	1SR154-400TE25	SOD-106	1.1	1	0,35	0,231	0,166
♦ 755-1SR154-600TE25	1SR154-600TE25	SOD-106	1.1	1	0,55	0,404	0,286
♦ 755-RF071M2STR	RF071M2STR	SOD-123	0.85	0.7	0,45	0,347	0,249
♦ 755-RF101L4STE25	RF101L4STE25	SOD-106	1.25	1	0,43	0,322	0,232
755-RF2001T2D	RF2001T2D	TO-220	0.93	20	1,67	1,22	0,891
♦ 755-RR274EA-400TR	RR274EA-400TR	TSMD5	1.1	0,5	0,43	0,322	0,232
♦ 755-RR264M-400TR	RR264M-400TR	SOD-123	1.1	0.7	0,49	0,33	0,233

DIODES SCHOTTKY ROHM SEMICONDUCTOR

Pour des quantités supérieures à celles indiquées, appelez-nous afin d'obtenir un devis.

RÉF. STOCK MOUSER	Réf. ROHM	Boîtier	VF (V)	IO (A)	Prix unitaire 1	25	100
♦ 755-RB021VA90TR	RB021VA90TR	SOD-323	0.49	0.2	0,37	0,297	0,223
♦ 755-RB050L-40TE25	RB050L-40TE25	SOD-106	0.55	3	0,87	0,693	0,521
♦ 755-RB051L-40TE25	RB051L-40TE25	SOD-106	0.45	3	0,50	0,429	0,328
♦ 755-RB051LA-40TR	RB051LA-40TR	PMDT	0.45	3	0,39	0,349	0,31
♦ 755-RB060M-30TR	RB060M-30TR	SOD-123	0.49	2	0,45	0,355	0,266
♦ 755-RB070M-30TR	RB070M-30TR	SOD-123	0.49	1.5	0,41	0,33	0,248
♦ 755-RB081L-20TE25	RB081L-20TE25	SOD-106	0.45	5	0,86	0,685	0,514
♦ 755-RB160L-40TE25	RB160L-40TE25	SOD-106	0.55	1	0,35	0,248	0,177
♦ 755-RB160M-30TR	RB160M-30TR	SOD-123	0.48	1	0,42	0,305	0,219
♦ 755-RB160M-40TR	RB160M-40TR	SOD-123	0.55	1	0,35	0,264	0,193
♦ 755-RB160M-60TR	RB160M-60TR	SOD-123	0.55	1	0,41	0,314	0,226
♦ 755-RB160VA-40TR	RB160VA-40TR	SOD-323	0.55	1	0,35	0,264	0,188
♦ 755-RB161M-20TR	RB161M-20TR	SOD-106	0.35	1	0,53	0,404	0,293
♦ 755-RB161VA-20TR	RB161VA-20TR	SOD-323	0.42	1	0,43	0,33	0,238
755-RB215T-90	RB215T-90	TO220	0.75	20	1,80	1,32	0,957
♦ 755-RB400DT146	RB400DT146	SOT-346	0.55	0,5	0,48	0,38	0,287
♦ 755-RB400VA-50TR	RB400VA-50TR	SOD-323	0.55	0,5	0,48	0,38	0,287
♦ 755-RB420DT146	RB420DT146	SOT-346	0.45	0.1	0,38	0,272	0,196
♦ 755-RB425DT146	RB425DT146	SOT-346	0.55	0.1	0,36	0,272	0,199
♦ 755-RB450FT106	RB450FT106	SOT-323	0.45	0.1	0,40	0,314	0,234
♦ 755-RB461FT106	RB461FT106	SOT-323	0.49	0.7	0,37	0,289	0,217
♦ 755-RB480KTL	RB480KTL	SOT-343	0.6	0.1	0,44	0,33	0,24
♦ 755-RB491DT146	RB491DT146	SOT-346	0.45	1	0,38	0,289	0,208
♦ 755-RB500V-40TE-17	RB500V-40TE-17	SOD-323	0.45	0.1	0,47	0,363	0,261
♦ 755-RB501V-40TE-17	RB501V-40TE-17	SOD-323	0.55	0.1	0,46	0,33	0,242
♦ 755-RB520CS-30T2R	RB520CS-30T2R	VMND2	0.45	0.1	0,31	0,248	0,175
♦ 755-RB520S-30TE61	RB520S-30TE61	SOD-523	0.6	0.2	0,31	0,231	0,163
♦ 755-RB520ZS-30T2R	RB520ZS-30T2R	GMD2	0.46	0.1	0,36	0,272	0,196
♦ 755-RB521CS-30T2R	RB521CS-30T2R	VMND2	0.35	0.1	0,35	0,281	0,193
♦ 755-RB521G-30T2R	RB521G-30T2R	VMND2	0.35	0.1	0,35	0,281	0,193
♦ 755-RB521S-30TE61	RB521S-30TE61	SOD-523	0,5	0.2	0,31	0,231	0,163
♦ 755-RB521ZS-30T2R	RB521ZS-30T2R	GMD2	0.37	0.1	0,29	0,223	0,159
755-RB551V-30TE-17	RB551V-30TE-17	SOD-323	0.36	0,5	0,41	0,314	0,223
♦ 755-RB706D-40T146	RB706D-40T146	SOT-346	0.37	0.03	0,50	0,388	0,281
♦ 755-RB717FT106	RB717FT106	SOT-323	0.37	0.3	0,38	0,289	0,208
♦ 755-RB731UT108	RB731UT108	SOT-457	0.37	0.03	0,39	0,297	0,214
♦ 755-RB751G-40T2R	RB751G-40T2R	VMD2	0.37	0.03	0,43	0,33	0,238
♦ 755-RB751S-40TE61	RB751S-40TE61	SOD-523	0.37	0.03	0,36	0,264	0,188
♦ 755-RB751V-40TE-17	RB751V-40TE-17	SOD-323	0.37	0.03	0,33	0,248	0,181
755-RB085T-90	RB085T-90	TO-220	0.83	10	0,99	0,809	0,644
755-RB215T-60	RB215T-60	TO-220	0.58	20	1,52	1,28	1,01
♦ 755-RB411DT146	RB411DT146	SOT-346	0,5	0,5	0,40	0,297	0,21
♦ 755-RB495DT146	RB495DT146	SOT-346	0,5	0.4	0,40	0,314	0,234
♦ 755-RB705DT146	RB705DT146	SOT-346	0.37	0.03	0,41	0,314	0,232
♦ 755-RSX051VA-30TR	RSX051VA-30TR	SOD-323	0.39	0,5	0,38	0,289	0,21
♦ 755-RSX101M-30TR	RSX101M-30TR	SOD-123	0.39	1	0,42	0,322	0,233
♦ 755-RSX501L-20TE25	RSX501L-20TE25	SOD-106	0.39	5	0,59	0,462	0,349

DIODES DE COMMUTATION ROHM SEMICONDUCTOR

Pour des quantités supérieures à celles indiquées, appelez-nous afin d'obtenir un devis.

RÉF. STOCK MOUSER	Réf. ROHM	Boîtier	VF Max. (V)	IO (A)	TRR Max.	Prix unitaire 1	25	100
♦ 755-BAV99T116	BAV99T116	SOT-23-3	1.25	0.215	-	0,66	0,38	0,25
♦ 755-UMP11NTN	UMP11NTN	SOT-363	1.2	0.1	-	0,38	0,289	0,205
♦ 755-1SS355TE-17	1SS355TE-17	SOD-323	1.2	0.1	4	0,26	0,149	0,098
♦ 755-1SS380TE-17	1SS380TE-17	SOD-323	1.2	0.1	-	0,40	0,223	0,15
♦ 755-1SS400TE61	1SS400TE61	SOD-523	1.2	0.1	4	0,32	0,19	0,121
♦ 755-DA204KT146	DA204KT146	SOT-346	1	0.1	-	0,40	0,239	0,155
♦ 755-DA204UT106	DA204UT106	SOT-323	1	0.1	-	0,36	0,206	0,136
♦ 755-DA221TL	DA221TL	SOT-416	1	0.1	-	0,28	0,19	0,133
♦ 755-DAN202KT146	DAN202KT146	SOT-346	1.2	0.1	4	0,41	0,239	0,156
♦ 755-DAN202UT106	DAN202UT106	SOT-323	1.2	0.1	4	0,36	0,215	0,139
♦ 755-DAN217T146	DAN217T146	SOT-346	1.2	0.1	4	0,48	0,281	0,185
♦ 755-DAN217UT106	DAN217UT106	SOT-323	1.2	0.1	4	0,33	0,223	0,155
♦ 755-DAP202KT146	DAP202KT146	SOT-346	1.2	0.1	4	0,36	0,206	0,138
♦ 755-IMN10T108	IMN10T108	SOT-457	1.2	0.1	4	0,44	0,33	0,243
♦ 755-RF101L2STE25	RF101L2STE25	SOD-106	0.87	1	25	0,47	0,347	0,252

DIODES ZENER ROHM SEMICONDUCTOR

Pour des quantités supérieures à celles indiquées, appelez-nous afin d'obtenir un devis.

RÉF. STOCK MOUSER	Réf. ROHM	Boîtier	VF Max (V)	TRR Max.	Prix unitaire 1	25	100
♦ 755-CDZT2R3.6B	CDZT2R3.6B	VMD2	3,85 @ 5mA	0.1	0,39	0,256	0,18
♦ 755-CDZT2R5.6B	CDZT2R5.6B	VMD2	5,73 @ 5mA	0.1	0,39	0,256	0,18
♦ 755-CDZT2R9.1B	CDZT2R9.1B	VMD2	9,23 @ 5mA	0.1	0,39	0,256	0,18
♦ 755-CDZT2R5.1B	CDZT2R5.1B	VMD2	5,2 @ 5mA	0.1	0,39	0,256	0,18
♦ 755-CDZT2R12B	CDZT2R12B	VMD2	12,24 @ 5mA	0.1	0,39	0,256	0,18
♦ 755-EDZTE613.6B	EDZTE613.6B	SOD-523	3,723 @ 5mA	0.15	0,31	0,231	0,163
♦ 755-EDZTE613.9B	EDZTE613.9B	SOD-523	4,025 @ 5mA	0.15	0,31	0,231	0,163
♦ 755-EDZTE616.8B	EDZTE616.8B	SOD-523	6,79 @ 5mA	0.15	0,36	0,239	0,167
♦ 755-EDZTE6110B	EDZTE6110B	SOD-523	9,99 @ 5mA	0.15	0,31	0,231	0,163
♦ 755-EDZTE6111B	EDZTE6111B	SOD-523	10,99 @ 5mA	0.15	0,31	0,231	0,163
♦ 755-EDZTE615.6B	EDZTE615.6B	SOD-523	5,73 @ 5mA	0.15	0,31	0,223	0,159
♦ 755-EDZTE619.1B	EDZTE619.1B	SOD-523	9,23 @ 5mA	0.15	0,31	0,231	0,163
♦ 755-FTZ5.6ET148	FTZ5.6ET148	SC-74A	5,92 @ 5mA	0.2	0,54	0,413	0,293
♦ 755-GDZT2R3.9	GDZT2R3.9	0603	4,16 @ 5mA	0.1	0,36	0,281	0,202
♦ 755-GDZT2R5.6	GDZT2R5.6	0603	5,92 @ 5mA	0.1	0,36	0,281	0,203
♦ 755-KDZTR5.1B	KDZTR5.1B	2616	5,7 @ 40mA	1	0,34	0,272	0,205
♦ 755-KDZTR12B	KDZTR12B	2616	13,5 @ 20mA	1	0,34	0,272	0,205
♦ 755-KDZTR13B	KDZTR13B	2616	15 @ 20mA	1	0,34	0,272	0,205
♦ 755-KDZTR33B	KDZTR33B	2616	37 @ 10mA	1	0,34	0,272	0,205
♦ 755-KDZTR36B	KDZTR36B	2616	40 @ 10mA	1	0,34	0,272	0,205
♦ 755-PTZTE255.1B	PTZTE255.1B	SOD-106	5,368 @ 40mA	1	0,50	0,38	0,276
♦ 755-PTZTE2512B	PTZTE2512B	SOD-106	13,5 @ 20mA	1	0,41	0,289	0,229
♦ 755-PTZTE2515B	PTZTE2515B	SOD-106	16,5 @ 20mA	1	0,50	0,38	0,27
♦ 755-PTZTE2518A	PTZTE2518A	SOD-106	20,3 @ 20mA	1	0,50	0,38	0,27
♦ 755-PTZTE2530A	PTZTE2530A	SOD-106	34 @ 10mA	1	0,50	0,38	0,27
♦ 755-STZ6.2NT146	STZ6.2NT146	SOT-346	6,105 @ 5mA	0.2	0,42	0,338	0,252
♦ 755-UDZSTE-173.6B	UDZSTE-173.6B	SOD-323	3,723 @ 5mA	0.2	0,40	0,231	0,152
♦ 755-UDZSTE-173.9B	UDZSTE-173.9B	SOD-323	4,025 @ 5mA	0.2	0,40	0,231	0,152
♦ 755-UDZSTE-174.3B	UDZSTE-174.3B	SOD-323	4,3 @ 5mA	0.2	0,40	0,231	0,15
♦ 755-UDZSTE-174.7B	UDZSTE-174.7B	SOD-323	4,65 @ 5mA	0.2	0,41	0,231	0,15
♦ 755-UDZSTE-175.1B	UDZSTE-175.1B	SOD-323	5,09 @ 5mA	0.2	0,40	0,231	0,15
♦ 755-UDZSTE-175.6B	UDZSTE-175.6B	SOD-323	5,61 @ 5mA	0.2	0,40	0,231	0,15
♦ 755-UDZSTE-176.2B	UDZSTE-176.2B	SOD-323	6,195 @ 5mA	0.2	0,40	0,231	0,15
♦ 755-UDZSTE-176.8B	UDZSTE-176.8B	SOD-323	6,79 @ 5mA	0.2	0,40	0,231	0,15
♦ 755-UDZSTE-177.5B	UDZSTE-177.5B	SOD-323	7,44 @ 5mA	0.2	0,40	0,231	0,15
♦ 755-UDZSTE-179.1B	UDZSTE-179.1B	SOD-323	9,04 @ 5mA	0.2	0,40	0,231	0,15
♦ 755-UDZSTE-1713B	UDZSTE-1713B	SOD-323	13,49 @ 5mA	0.2	0,40	0,231	0,152
♦ 755-UDZSTE-1716B	UDZSTE-1716B	SOD-323	16,51 @ 5mA	0.2	0,40	0,231	0,149
♦ 755-UDZSTE-178.2B	UDZSTE-178.2B	SOD-323	8,36 @ 5mA	0.2	0,41	0,231	0,15
♦ 755-UDZSTE-1710B	UDZSTE-1710B	SOD-323	9,99 @ 5mA	0.2	0,40	0,231	0,15
♦ 755-UDZSTE-1712B	UDZSTE-1712B	SOD-323	11,99 @ 5mA	0.2	0,40	0,239	0,155
♦ 755-UDZSTE-1715B	UDZSTE-1715B	SOD-323	14,66 @ 5mA	0.2	0,40	0,239	0,155
♦ 755-UDZSTE-1718B	UDZSTE-1718B	SOD-323	17,955 @ 5mA	0.2	0,40	0,239	0,155
♦ 755-UDZSTE-1720B	UDZSTE-1720B	SOD-323	19,955 @ 5mA	0.2	0,40	0,231	0,152
♦ 755-UMZ6.8NT106	UMZ6.8NT106	SOT-323	6,805 @ 5mA	0.2	0,36	0,264	0,184
♦ 755-VDZT2R10B	VDZT2R10B	VMD2	10,21 @ 5mA	0.1	0,34	0,239	0,17
♦ 755-VDZT2R6.2B	VDZT2R6.2B	VMD2	6,33 @ 5mA	0.1	0,34	0,239	0,17

© Copyright 2012 Mouser Electronics

© Copyright 2012 Mouser Electronics

Redresseurs VISHAY

RoHS Compliant This product is RoHS compliant.

A	B	C	D	E	F	G	H	I	J
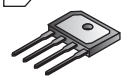 PowerBridge™	DO-214BA (GF1) Montage en surface	DO-214AC (SMA) Montage en surface	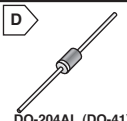 DO-204AL (DO-41) Montage traversant	DO-214AA (SMB) Montage en surface	DO-214AB (SMC) Montage en surface	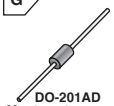 DO-201AD Montage traversant	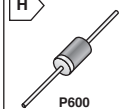 P600 Montage traversant	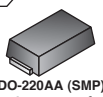 DO-220AA (SMP) Montage en surface	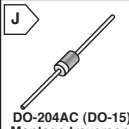 DO-204AC (DO-15) Montage traversant

ENHANCED POWER BRIDGE DE VISHAY

NEW PRODUCT

Pour des quantités supérieures à celles indiquées, appelez-nous afin d'obtenir un devis.

RÉF. STOCK MOUSER	Réf. Vishay	Fig.	$I_{F(AV)}$	PRV (V)	IFM Surtension (A)	Prix unitaire 1	100	500	1000
625-PB3006-E3/45	PB3006-E3/45	A	30,0A	600	240	2,18	1,96	1,64	1,52
625-PB3008-E3/45	PB3008-E3/45	A	30,0A	800	240	2,18	1,96	1,64	1,52
625-PB3010-E3/45	PB3010-E3/45	A	30,0A	1KV	240	2,18	1,96	1,64	1,52
625-PB3506-E3	PB3506-E3/45	A	35,0A	600	350	2,33	2,11	1,76	1,63
625-PB3508-E3/45	PB3508-E3/45	A	35,0A	800	350	2,33	2,11	1,76	1,63
625-PB3510-E3/45	PB3510-E3/45	A	35,0A	1KV	350	2,33	2,11	1,76	1,63
625-PB4006-E3	PB4006-E3/45	A	40,0A	600	400	2,49	2,25	1,88	1,73
625-PB4008-E3/45	PB4008-E3/45	A	40,0A	800	400	2,49	2,25	1,88	1,73
625-PB4010-E3/45	PB4010-E3/45	A	40,0A	1KV	400	2,49	2,25	1,88	1,73
625-PB5006-E3	PB5006-E3/45	A	50,0A	600	450	2,65	2,39	2,00	1,84
625-PB5008-E3/45	PB5008-E3/45	A	50,0A	800	450	2,65	2,39	2,00	1,84
625-PB5010-E3/45	PB5010-E3/45	A	50,0A	1KV	450	2,65	2,39	2,00	1,84

SILICIUM CLASSIQUE VISHAY

Pour des quantités supérieures à celles indiquées, appelez-nous afin d'obtenir un devis.

625-GF1A-E3	GF1A-E3/17A	B	1,0A	50	30	0,24	0,198	0,14	0,128
625-S1A-E3	S1A-E3/61T	C	1,0A	50	30	0,10	0,074	0,05	0,045
625-GF1B-E3	GF1B-E3/67A	B	1,0A	100	30	0,24	0,198	0,14	0,128
625-S1B-E3	S1B-E3/61T	C	1,0A	100	30	0,10	0,074	0,052	0,051
625-GF1D-E3	GF1D-E3/67A	B	1,0A	200	30	0,24	0,19	0,142	0,129
625-S1D-E3	S1D-E3/61T	C	1,0A	200	30	0,10	0,074	0,058	0,05
625-GF1G-E3	GF1G-E3/67A	B	1,0A	400	30	0,22	0,173	0,124	0,111
625-S1G-E3	S1G-E3/61T	C	1,0A	400	30	0,32	0,108	0,051	0,05
625-GF1J-E3	GF1J-E3/67A	B	1,0A	600	30	0,24	0,198	0,14	0,128
625-S1J-E3	S1J-E3/61T	C	1,0A	600	30	0,32	0,108	0,051	0,048
625-S1K-E3	S1K-E3/61T	C	1,0A	800	30	0,10	0,074	0,05	0,045
625-GF1M-E3	GF1M-E3/67A	B	1,0A	1000	30	0,24	0,198	0,14	0,128
625-S1M-E3	S1M-E3/61T	C	1,0A	1000	30	0,32	0,108	0,051	0,048
625-1N4001-E3	1N4001-E3/51	D	1,0A	50	30	0,08	0,074	0,054	0,049
625-S2A-E3	S2A-E3/52T	E	2,0A	50	50	0,15	0,116	0,083	0,078
625-S2B-E3	S2B-E3/52T	E	2,0A	100	50	0,15	0,116	0,057	0,056
625-S2D-E3	S2D-E3/52T	E	2,0A	200	50	0,43	0,132	0,107	0,091
625-S2G-E3	S2G-E3/52T	E	2,0A	400	50	0,43	0,132	0,107	0,091
625-S2J-E3	S2J-E3/52T	E	2,0A	600	50	0,43	0,132	0,107	0,091
625-S2K-E3	S2K-E3/52T	E	2,0A	800	50	0,15	0,116	0,057	0,056
625-S2M-E3	S2M-E3/52T	E	2,0A	1000	50	0,43	0,132	0,107	0,091
625-S3A-E3	S3A-E3/57T	F	3,0A	50	100	0,25	0,198	0,14	0,124
625-S3B-E3	S3B-E3/57T	F	3,0A	100	100	0,25	0,198	0,14	0,124
625-S3D-E3	S3D-E3/57T	F	3,0A	200	100	0,43	0,161	0,128	0,12
625-S3G-E3	S3G-E3/57T	F	3,0A	400	100	0,41	0,22	0,153	0,113
625-S3J-E3	S3J-E3/57T	F	3,0A	600	100	0,45	0,24	0,167	0,124
625-S3K-E3	S3K-E3/57T	F	3,0A	800	100	0,23	0,198	0,14	0,111
625-S3M-E3	S3M-E3/57T	F	3,0A	1000	100	0,45	0,24	0,167	0,124
625-1N5400-E3	1N5400-E3/54	G	3,0A	50	200	0,26	0,206	0,134	0,083
625-1N5401-E3	1N5401-E3/54	G	3,0A	100	200	0,24	0,157	0,134	0,092
625-1N5402-E3	1N5402-E3/54	G	3,0A	200	200	0,26	0,165	0,128	0,092
625-1N5404-E3	1N5404-E3/54	G	3,0A	400	200	0,24	0,19	0,134	0,116
625-1N5406-E3	1N5406-E3/54	G	3,0A	600	200	0,31	0,173	0,132	0,091
625-1N5407-E3	1N5407-E3/54	G	3,0A	800	200	0,48	0,171	0,13	0,076
625-1N5408-E3	1N5408-E3/54	G	3,0A	1000	200	0,22	0,19	0,132	0,116
625-S5B-E3	S5B-E3/57T	F	5,0A	100	100	0,26	0,213	0,213	0,194
625-S5D-E3	S5D-E3/57T	F	5,0A	200	100	0,25	0,213	0,213	0,194
625-S5G-E3	S5G-E3/57T	F	5,0A	400	100	0,34	0,213	0,213	0,194
625-S5J-E3	S5J-E3/57T	F	5,0A	600	100	0,21	0,213	0,213	0,194
625-S5K-E3	S5K-E3/57T	F	5,0A	800	100	0,25	0,213	0,213	0,194
625-S5M-E3	S5M-E3/57T	F	5,0A	1000	100	0,45	0,271	0,213	0,194
625-GI754-E3	GI754-E3/51	H	6,0A	400	400	0,49	0,388	0,276	0,255

PASSIVÉS AU VERRE À USAGE GÉNÉRAL VISHAY

NEW PRODUCT

Pour des quantités supérieures à celles indiquées, appelez-nous afin d'obtenir un devis.

625-S1PB-E3	S1PB-E3/84A	I	1,0A	100	30	0,08	0,058	0,046	0,045
625-S1PJ-E3	S1PJ-E3/84A	I	1,0A	600	30	0,07	0,058	0,046	0,045
625-GF1K-E3/67A	GF1K-E3/67A	C	1,0A	800	30	0,22	0,195	0,182	0,13
625-S1MA-E3/5AT	S1MA-E3/5AT	D	1,0A	1000	30	0,08	0,071	0,066	0,05
625-EGP10D-E3	EGP10D-E3/54	E	1,0A	200	30	0,14	0,097	0,08	0,08

RÉCUPÉRATION RAPIDE VISHAY

Pour des quantités supérieures à celles indiquées, appelez-nous afin d'obtenir un devis.

RÉF. STOCK MOUSER	Réf. Vishay	Fig.	$I_{F(AV)}$	PRV (V)	IFM Surtension (A)	Prix unitaire 1	100	500	1000
625-RS1A-E3	RS1A-E3/61T	C	1,0A	50	30	0,14	0,107	0,074	0,07
625-RS1B-E3	RS1B-E3/61T	C	1,0A	100	30	0,14	0,107	0,074	0,07
625-RS1D-E3	RS1D-E3/61T	C	1,0A	200	30	0,27	0,118	0,064	0,062
625-RS1G-E3	RS1G-E3/61T	C	1,0A	400	30	0,14	0,107	0,073	0,068
625-RS1J-E3	RS1J-E3/61T	C	1,0A	600	30	0,27	0,118	0,064	0,062
625-RS1K-E3	RS1K-E3/61T	C	1,0A	800	30	0,14	0,107	0,074	0,07
625-1N4933-E3	1N4933-E3/54	D	1,0A	50	200	0,04	0,035	0,033	0,025
625-1N4934-E3	1N4934-E3/54	D	1,0A	100	200	0,05	0,037	0,033	0,025
625-1N4935-E3	1N4935-E3/54	D	1,0A	200	200	0,05	0,037	0,033	0,025
625-1N4936-E3	1N4936-E3/54	D	1,0A	400	200	0,05	0,037	0,033	0,025
625-1N4937-E3	1N4937-E3/54	D	1,0A	600	200	0,05	0,037	0,033	0,025
625-RS2D-E3	RS2D-E3/52T	E	1,5A	200	50	0,22	0,173	0,132	0,124
625-RS2G-E3	RS2G-E3/52T	E	1,5A	400	50	0,32	0,186	0,182	0,158
625-RS2J-E3	RS2J-E3/52T	E	1,5A	600	50	0,32	0,186	0,182	0,158
625-RS2K-E3	RS2K-E3/52T	E	1,5A	800	50	0,23	0,173	0,16	0,138
625-RS3B-E3	RS3B-E3/57T	F	3,0A	100	100	0,52	0,368	0,29	0,216
625-RS3D-E3	RS3D-E3/57T	F	3,0A	200	100	0,67	0,395	0,323	0,228
625-RS3G-E3	RS3G-E3/57T	F	3,0A	400	100	0,67	0,395	0,323	0,228
625-RS3J-E3	RS3J-E3/57T	F	3,0A	600	100	0,51	0,364	0,294	0,22
625-RS3K-E3	RS3K-E3/57T	F	3,0A	800	100	0,36	0,272	0,206	0,182
625-GI851-E3	GI851-E3/54	G	3,0A	100	200	0,25	0,19	0,149	0,139
625-GI852-E3	GI852-E3/54	G	3,0A	200	200	0,25	0,19	0,149	0,139
625-GI854-E3	GI854-E3/54	G	3,0A	400	200	0,25	0,19	0,149	0,139
625-GI856-E3	GI856-E3/54	G	3,0A	600	200	0,25	0,19	0,147	0,139

PASSIVÉS AU VERRE À RÉCUPÉRATION RAPIDE VISHAY

Pour des quantités supérieures à celles indiquées, appelez-nous afin d'obtenir un devis.

625-1N4934GP-E3	1N4934GP-E3/54	D	1,0A	100	200	0,10	0,074	0,058	0,05
625-1N4935GP-E3	1N4935GP-E3/54	D	1,0A	200	200	0,09	0,066	0,058	0,05
625-1N4936GP-E3	1N4936GP-E3/54	D	1,0A	400	200	0,12	0,087	0,068	0,062
625-1N4937GP-E3	1N4937GP-E3/54	D	1,0A	600	200	0,12	0,087	0,068	0,062

ULTRA-RAPIDES VISHAY

Pour des quantités supérieures à celles indiquées, appelez-nous afin d'obtenir un devis.

625-EGF1A-E3	EGF1A-E3/67A	B	1,0A	50	30	0,36	0,26	0,205	0,194
625-ES1A-E3	ES1A-E3/61T	C	1,0A	50	30	0,15	0,107	0,074	0,07
625-US1A-E3	US1A-E3/61T	C	1,0A	50	30	0,18	0,132	0,094	0,088
625-EGF1B-E3	EGF1B-E3/67A	B	1,0A	100	30	0,36	0,26	0,205	0,194
625-ES1B-E3	ES1B-E3/61T	C	1,0A	100	30	0,15	0,107	0,085	0,079
625-US1B-E3	US1B-E3/61T	C	1,0A	100	30	0,21	0,132	0,104	0,097
625-EGF1C-E3	EGF1C-E3/67A	B	1,0A	150	30	0,22	0,203	0,203	0,203
625-ES1C-E3	ES1C-E3/61T	C	1,0A	150	30	0,15	0,107	0,074	0,07
625-EGF1D-E3	EGF1D-E3/67A	B	1,0A	200	30	0,36	0,26	0,205	0,203
625-ES1D-E3	ES1D-E3/61T	C	1,0A	200	30	0,34	0,144	0,078	0,075
625-ES1PD-E3	ES1PD-E3/84A	I	1,0A	200	30	0,24	0,182	0,14	0,128
625-ESH1PD-E3	ESH1PD-E3/84A	I	1,0A	200	50	0,24	0,19	0,149	0,134
625-MURS120-E3	MURS120-E3/52T	E	1,0A	200	40	0,46	0,239	0,223	0,182
625-US1D-E3	US1D-E3/61T	C	1,0A	200	30	0,33	0,159	0,088	0,085
625-MURS140-E3	MURS140-E3/52T	E	1,0A	400	40	0,23	0,182	0,157	0,144
625-US1G-E3	US1G-E3/61T	B	1,0A	400	30	0,33	0,159	0,088	0,086
625-MURS160-E3	MURS160-E3/52T	E	1,0A	600	40	0,42	0,19	0,157	0,132
625-US1J-E3	US1J-E3/61T	C	1,0A	600	30	0,20	0,132	0,099	0,091
625-US1K-E3	US1K-E3/61T	C	1,0A	800	30	0,18	0,132	0,091	0,083
625-US1M-E3	US1M-E3/61T	C	1,0A	1000	30	0,33	0,159	0,088	0,086
625-UF4001-E3	UF4001-E3/54	D	1,0A	50	30	0,16	0,107	0,091	0,083
625-UF4002-E3	UF4002-E3/54	D	1,0A	100	30	0,14	0,107	0,091	0,074
625-UF4003-E3	UF4003-E3/54	D	1,0A	200	30	0,14	0,107	0,083	0,074
625-UF4004-E3	UF4004-E3/54	D	1,0A	400	30	0,15	0,107	0,091	0,074
625-UF4005-E3	UF4005-E3/54	D	1,0A	600	30	0,15	0,107	0,083	0,074
625-UF4006-E3	UF4006-E3/54	D	1,0A	800	30	0,15	0,107	0,083	0,074
625-UF4007-E3	UF4007-E3/54	D	1,0A	1000	30	0,16	0,116	0,091	0,083
625-ES2A-E3	ES2A-E3/52T	E	2,0A	50	50	0,29	0,215	0,173	0,161
625-ES2B-E3	ES2B-E3/52T	E	2,0A	100	50	0,49	0,215	0,182	0,153
625-ES2D-E3	ES2D-E3/52T	E	2,0A	200	50	0,49	0,215	0,182	0,153
625-ES2F-E3	ES2F-E3/52T	E	2,0A	300	50	0,29	0,215	0,173	0,16
625-ES2G-E3	ES2G-E3/52T	E	2,0A	400	50	0,49	0,215	0,182	0,153
625-EGP20A-E3	EGP20A-E3/54	J	2,0A	50	75	0,24	0,192	0,192	0,192
625-EGP20B-E3	EGP20B-E3/54	J	2,0A	100	75	0,24	0,192	0,192	0,192
625-EGP20D-E3	EGP20D-E3/54	J	2,0A	200	75	0,27	0,192	0,192	0,192

© Copyright 2012 Mouser Electronics
© Copyright 2012 Mouser Electronics

Redresseurs VISHAY

RoHS Compliant This product is RoHS compliant.

A	B	C	D	E	F
	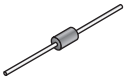	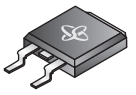	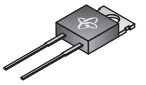	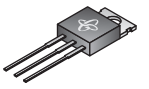	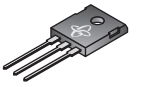
DO-214AB (SMC)	DO-201AD	TO-263AB (D2PAK)	DO-220AC	TO-220AB	TO-247AD (TO-3P)
G	**H**	**I**	**J**	**K**	**L**
		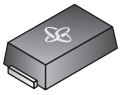	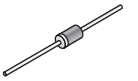	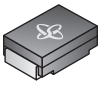	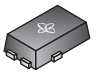
DO-214AC (SMA)	MICROSMP	DO-220AA (SMP)	DO-204AL (DO-41)	DO-214AA (SMB)	TO-277A (SMPC)

ULTRA-RAPIDES VISHAY (SUITE)

RoHS Compliant

Pour des quantités supérieures à celles indiquées, appelez-nous afin d'obtenir un devis.

RÉF. STOCK MOUSER	Réf. Vishay	Fig.	PRV (V)	IFM Surten-sion (A)	Prix unitaire 1	100	500	1000
3A - montage en surface								
625-ES3A-E3	ES3A-E3/57T	A	50	100	0,45	0,347	0,272	0,223
625-ES3B-E3	ES3B-E3/57T	A	100	100	0,54	0,323	0,239	0,186
625-ES3C-E3	ES3C-E3/57T	A	150	100	0,49	0,371	0,294	0,24
625-ES3D-E3	ES3D-E3/57T	A	200	100	0,54	0,323	0,239	0,186
625-MURS320-E3	MURS320-E3/57T	A	200	125	0,60	0,455	0,365	0,326
625-ES3F-E3	ES3F-E3/57T	A	300	100	0,49	0,371	0,289	0,248
625-ES3G-E3	ES3G-E3/57T	A	400	100	0,54	0,323	0,239	0,186
625-MURS340-E3	MURS340-E3/57T	A	400	125	0,64	0,427	0,33	0,268
625-MURS360-E3	MURS360-E3/57T	A	600	125	0,66	0,44	0,366	0,257
3A - montage traversant								
625-UF5400-E3	UF5400-E3/54	B	50	150	0,34	0,256	0,198	0,177
625-UF5401-E3	UF5401-E3/54	B	100	150	0,34	0,256	0,198	0,177
625-UF5402-E3	UF5402-E3/54	B	200	150	0,34	0,256	0,198	0,177
625-UF5403-E3	UF5403-E3/54	B	300	150	0,34	0,256	0,198	0,177
625-UF5404-E3	UF5404-E3/54	B	400	150	0,62	0,37	0,275	0,191
625-UF5405-E3	UF5405-E3/54	B	500	150	0,40	0,297	0,243	0,205
625-UF5406-E3	UF5406-E3/54	B	600	150	0,38	0,281	0,223	0,19
625-UF5407-E3	UF5407-E3/54	B	800	150	0,41	0,297	0,248	0,21
625-UF5408-E3	UF5408-E3/54	B	1000	150	0,40	0,289	0,236	0,20
8A - montage traversant								
625-FES8BT-E3	FES8BT-E3/45	C	100	125	0,83	0,619	0,487	0,358
625-FES8DT-E3	FES8DT-E3/45	C	200	125	0,83	0,619	0,485	0,416
10A - montage en surface								
625-UGB10DCT-E3	UGB10DCT-E3/81	D	200	55	0,83	0,685	0,641	0,586
625-UHB10FT-E3	UHB10FT-E3/4W	D	300	180	1,05	0,751	0,648	0,59
10A - montage traversant								
625-UH10FT-E3	UH10FT-E3/4W	C	300	180	0,99	0,768	0,68	0,619
16A - montage en surface								
625-FEPB16DT-E3	FEPB16DT-E3/81	D	200	200	1,25	1,02	0,684	0,533
625-FESB16DT-E3	FESB16DT-E3/45	D	200	250	1,38	1,03	0,801	0,729
625-FEPB16GT-E3	FEPB16GT-E3/81	D	400	125	1,28	1,05	0,886	0,81
625-FEPB16JT-E3	FEPB16JT-E3/81	D	600	125	1,49	1,23	0,886	0,81
625-FESB16JT-E3	FESB16JT-E3/45	D	600	250	1,43	1,07	0,84	0,764
16A - montage traversant								
625-FEP16AT-E3	FEP16AT-E3/45	E	50	200	1,39	1,04	0,813	0,692
625-FES16AT-E3	FES16AT-E3/45	C	50	200	1,25	0,932	0,729	0,705
625-FEP16BT-E3	FEP16BT-E3/45	E	100	200	1,42	1,06	0,833	0,713
625-FES16BT-E3	FES16BT-E3/45	C	100	200	1,16	0,866	0,677	0,652
625-FES16CT-E3	FES16CT-E3/45	C	150	200	1,16	0,866	0,677	0,652
625-FEP16DT-E3	FEP16DT-E3/45	E	200	200	1,23	0,965	0,751	0,644
625-FES16DT-E3	FES16DT-E3/45	C	200	200	1,16	0,866	0,677	0,652
625-FES16FT-E3	FES16FT-E3/45	C	300	200	1,17	0,883	0,685	0,652
625-FEP16GT-E3	FEP16GT-E3/45	E	400	200	1,24	0,974	0,775	0,706
625-FES16GT-E3	FES16GT-E3/45	C	400	200	1,17	0,883	0,684	0,653
625-FEP16JT-E3	FEP16JT-E3/45	E	600	200	1,47	0,974	0,775	0,706
625-FES16JT-E3	FES16JT-E3/45	C	600	200	1,17	0,883	0,685	0,652
30A - montage traversant								
625-FEP30AP-E3	FEP30AP-E3/45	F	50	300	2,50	2,05	1,59	1,36
625-FEP30BP-E3	FEP30BP-E3/45	F	100	300	2,28	1,86	1,45	1,25
625-FEP30DP-E3	FEP30DP-E3/45	F	200	300	2,19	1,86	1,45	1,25
625-FEP30GP-E3	FEP30GP-E3/45	F	400	300	2,47	2,02	1,57	1,34

© Copyright 2012 Mouser Electronics

ULTRA-RAPIDES VISHAY (SUITE)

RoHS Compliant

Pour des quantités supérieures à celles indiquées, appelez-nous afin d'obtenir un devis.

RÉF. STOCK MOUSER	Réf. Vishay	Fig.	PRV (V)	IFM Surten-sion (A)	Prix unitaire 1	100	500	1000
30A - montage traversant (suite)								
625-FEP30BP-E3	FEP30BP-E3/45	F	100	300	2,28	1,86	1,45	1,25
625-FEP30DP-E3	FEP30DP-E3/45	F	200	300	2,19	1,86	1,45	1,25
625-FEP30GP-E3	FEP30GP-E3/45	F	400	300	2,47	2,02	1,57	1,34

BARRIÈRE SCHOTTKY VISHAY

NEW PRODUCT

RoHS Compliant

Pour des quantités supérieures à celles indiquées, appelez-nous afin d'obtenir un devis.

RÉF. STOCK MOUSER	Réf. Vishay	Fig.	PRV (V)	IFM Surten-sion (A)	Prix unitaire 1	100	500	1000
1A - montage en surface								
625-SS12-E3	SS12-E3/61T	G	20	30	0,43	0,131	0,074	0,071
625-MSS1P2L-M3	MSS1P2L-M3/89A	H	20	25	0,27	0,107	0,077	0,069
625-SS13-E3	SS13-E3/61T	G	30	30	0,12	0,099	0,064	0,054
625-SS1P3L-E3	SS1P3L-E3/84A	I	30	50	0,13	0,102	0,079	0,068
625-SS14-E3	SS14-E3/61T	G	40	30	0,31	0,124	0,083	0,071
625-SS1P4L-E3	SS1P4L-E3/84A	I	40	50	0,12	0,091	0,07	0,06
625-MSS1P4-M3	MSS1P4-M3/89A	H	40	25	0,26	0,111	0,078	0,078
625-SS15-E3	SS15-E3/61T	G	50	30	0,15	0,116	0,074	0,064
625-SS16-E3	SS16-E3/61T	G	60	30	0,46	0,132	0,093	0,076
625-MSS1P6-M3	MSS1P6-M3/89A	H	60	25	0,26	0,111	0,059	0,056
625-SS1H10-E3	SS1H10-E3/61T	G	100	50	0,38	0,166	0,123	0,097
1A - montage traversant								
625-1N5817-E3	1N5817-E3/54	J	20	25	0,48	0,203	0,115	0,087
625-1N5818-E3	1N5818-E3/54	J	30	25	0,48	0,203	0,115	0,087
625-1N5819-E3	1N5819-E3/54	J	40	25	0,48	0,203	0,115	0,087
844-MBR150	MBR150	J	50	25	0,33	0,231	0,165	0,133
625-SB160-E3	SB160-E3/54	J	60	50	0,12	0,091	0,077	0,066
1,5A - montage en surface								
625-SL12-E3	SL12-E3/61T	G	20	50	0,16	0,161	0,161	0,161
625-SL13-E3	SL13-E3/61T	G	30	50	0,47	0,163	0,162	0,162
2A - montage en surface								
625-SS22-E3	SS22-E3/52T	K	20	50	0,40	0,149	0,136	0,126
625-SS2P2L-E3	SS2P2L-E3/84A	I	20	50	0,48	0,258	0,197	0,156
625-SL22-E3	SL22-E3/52T	K	20	100	0,42	0,294	0,238	0,218
625-SS23-E3	SS23-E3/52T	K	30	50	0,26	0,223	0,129	0,119
625-SS2P3L-E3	SS2P3L-E3/84A	I	30	50	0,21	0,157	0,116	0,099
625-SSA23L-E3	SSA23L-E3/61T	G	30	60	0,31	0,173	0,134	0,105
625-SL23-E3	SL23-E3/52T	K	30	100	0,42	0,261	0,261	0,239
625-SS24-E3	SS24-E3/52T	K	40	50	0,40	0,149	0,136	0,126
625-SS2P4-M3/84A	SS2P4-M3/84A	I	40	50	0,51	0,241	0,139	0,108
625-SSA24-E3	SSA24-E3/61T	G	40	60	0,40	0,213	0,13	0,101
625-SS25-E3	SS25-E3/52T	K	50	50	0,27	0,223	0,19	0,157
625-SS26-E3	SS26-E3/52T	K	60	50	0,38	0,149	0,134	0,12
625-SS2P6-E3	SS2P6-E3/84A	I	60	50	0,17	0,124	0,099	0,083
625-SS2H10-E3	SS2H10-E3/52T	K	100	75	0,36	0,215	0,181	0,165
3A - montage en surface								
625-SS32-E3	SS32-E3/57T	A	20	100	0,51	0,305	0,176	0,158
625-SS3P3-E3	SS3P3-E3/84A	H	30	50	0,13	0,106	0,081	0,069
625-SSA33L-E3	SSA33L-E3/61T	G	30	75	0,52	0,233	0,132	0,13
625-SS33-E3	SS33-E3/57T	A	30	100	0,40	0,297	0,231	0,198
625-SS3P4-E3	SS3P4-E3/84A	I	40	50	0,56	0,432	0,332	0,283
625-SS3P4L-M3	SS3P4L-M3/86A	L	40	150	0,48	0,33	0,307	0,177
625-SSA34-E3	SSA34-E3/61T	G	40	75	0,51	0,223	0,167	0,13

© Copyright 2012 Mouser Electronics

Redresseurs VISHAY

RoHS Compliant **This product is RoHS compliant.**

A

DO-214AB (SMC)

B

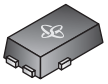

TO-277A (SMPC)

C

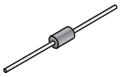

DO-201AD

D

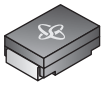

DO-214AA (SMB)

E

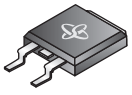

TO-263AB (D2PAK)

F

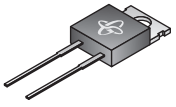

TO-220AC

G

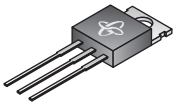

TO-220AB

H

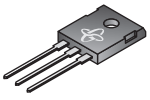

TO-247AD, **(TO-3P)**

I

TO-247AC

NEW PRODUCT

BARRIÈRE SCHOTTKY VISHAY (SUITE)

Pour des quantités supérieures à celles indiquées, appelez-nous afin d'obtenir un devis.

RÉF. STOCK MOUSER	Réf. Vishay	Fig.	PRV (V)	Sur-tension IFM (A)	Prix unitaire 1	100	500	1000
3A - montage en surface (suite)								
625-SS34-E3	SS34-E3/57T	A	40	100	0,51	0,305	0,176	0,158
625-SS35-E3	SS35-E3/57T	A	50	100	0,41	0,305	0,199	0,173
625-SS3P5L-M3	SS3P5L-M3/86A	B	50	150	0,31	0,231	0,182	0,159
625-SS36-E3	SS36-E3/57T	A	60	100	0,52	0,397	0,18	0,161
625-SS3P6L-M3	SS3P6L-M3/86A	B	60	150	0,64	0,33	0,307	0,25
625-SS3H9-E3	SS3H9-E3/57T	A	90	100	0,41	0,314	0,271	0,248
625-SS3H10-E3	SS3H10-E3/57T	A	100	100	0,54	0,319	0,271	0,248
3A - montage traversant								
625-1N5820-E3	1N5820-E3/54	C	20	80	0,41	0,22	0,153	0,101
625-1N5821-E3	1N5821-E3/54	C	30	80	0,61	0,323	0,297	0,283
625-1N5822-E3	1N5822-E3/54	C	40	80	0,41	0,22	0,153	0,101
625-SB350-E3/54	SB350-E3/54	C	50	100	0,29	0,223	0,165	0,132
625-SB3H90-E3	SB3H90-E3/54	C	90	100	0,54	0,352	0,352	0,352
625-SB3H100-E3	SB3H100-E3/54	C	100	100	0,54	0,395	0,395	0,395
4A - montage en surface								
625-SL42-E3	SL42-E3/57T	A	20	150	0,63	0,541	0,508	0,465
625-SSB43L-E3	SSB43L-E3/52T	D	30	100	0,44	0,305	0,20	0,179
625-SL43-E3	SL43-E3/57T	A	30	150	0,88	0,625	0,543	0,496
625-SSB44-E3	SSB44-E3/52T	D	40	100	0,42	0,241	0,177	0,162
625-SL44-E3	SL44-E3/57T	A	40	150	0,79	0,61	0,61	0,558
5A - montage en surface								
625-SS5P3-M3	SS5P3-M3/86A	A	30	150	0,64	0,33	0,307	0,242
625-SSC53L-E3	SSC53L-E3/57T	A	30	175	0,59	0,389	0,28	0,256
625-SSC54-E3	SSC54-E3/57T	A	40	175	0,55	0,429	0,28	0,256
625-SS5P4-M3	SS5P4-M3/86A	B	40	150	0,34	0,301	0,301	0,301
625-SS5P6-M3	SS5P6-M3/86A	B	60	150	0,64	0,33	0,307	0,242
5A - montage traversant								
625-SB530-E3	SB530-E3/54	C	30	220	0,62	0,365	0,299	0,188
7,5A - montage en surface								
625-MBRB735-E3	MBRB735-E3/81	E	35	150	0,78	0,644	0,503	0,459
625-MBRB745-E3	MBRB745-E3/81	E	45	150	0,78	0,644	0,429	0,369
625-MBRB750-E3	MBRB750-E3/81	E	50	150	0,74	0,611	0,601	0,549
7,5A - montage traversant								
625-MBR735-E3	MBR735-E3/45	F	35	150	0,68	0,503	0,43	0,391
625-MBR745-E3	MBR745-E3/45	F	45	150	0,71	0,528	0,43	0,391
8A - montage en surface								
625-SS8P3CL-M3	SS8P3CL-M3/86A	B	30	120	0,41	0,305	0,239	0,21
625-SS8P3L-M3	SS8P3L-M3/86A	B	30	150	0,69	0,347	0,328	0,267
625-SS8P4C-M3	SS8P4C-M3/86A	B	40	120	0,37	0,281	0,215	0,187
625-SS8P6C-M3	SS8P6C-M3/86A	B	60	120	0,41	0,305	0,239	0,21
625-SS8PH10-M3	SS8PH10-M3/86A	B	100	150	0,69	0,353	0,328	0,258
10A - montage en surface								
625-SBLB10L25-E3	SBLB10L25-E3/81	E	25	240	1,17	0,957	0,948	0,866
625-SS10P3CL-M3	SS10P3CL-M3/86A	B	30	200	0,59	0,437	0,338	0,295
625-MBRB1035-E3	MBRB1035-E3/81	E	35	150	0,77	0,635	0,421	0,364
625-SBLB1030CT-E3	SBLB1030CT-E3/45	E	30	250	1,01	0,759	0,586	0,516
625-SBLB1040CT-E3	SBLB1040CT-E3/45	E	40	250	1,01	0,759	0,586	0,516
625-SS10P4C-M3	SS10P4C-M3/86A	B	40	200	0,59	0,437	0,338	0,295
625-SS10P4-M3	SS10P4-M3/86A	B	40	280	0,82	0,532	0,532	0,532
625-MBRB1045-E3	MBRB1045-E3/81	E	45	150	0,91	0,743	0,499	0,431
625-MBRB1050-E3	MBRB1050-E3/81	E	50	150	0,78	0,635	0,421	0,366
625-MBRB1060-E3	MBRB1060-E3/81	E	60	150	0,78	0,635	0,421	0,366
625-MBRB10100-E3	MBRB10100-E3/8W	E	100	150	1,11	0,957	0,71	0,668

Pour des quantités supérieures à celles indiquées, appelez-nous afin d'obtenir un devis.

RÉF. STOCK MOUSER	Réf. Vishay	Fig.	PRV (V)	Sur-tension IFM (A)	Prix unitaire 1	100	500	1000
10A - montage traversant								
625-MBR1035-E3	MBR1035-E3/45	F	35	150	0,88	0,66	0,523	0,449
625-MBR1045-E3	MBR1045-E3/45	F	45	150	0,82	0,619	0,487	0,413
15A - montage en surface								
625-MBRB1545CT-E3	MBRB1545CT-E3/81	E	45	150	0,93	0,767	0,512	0,512
625-MBRB1560CT-E3	MBRB1560CT-E3/81	E	60	150	0,92	0,759	0,512	0,512
15A - montage traversant								
625-MBR1535CT-E3	MBR1535CT-E3/45	G	35	150	1,02	0,767	0,596	0,516
625-MBR1545CT-E3	MBR1545CT-E3/45	G	45	150	0,95	0,718	0,553	0,479
16A - montage en surface								
625-SBLB1630CT-E3	SBLB1630CT-E3/81	E	30	250	1,06	0,875	0,844	0,772
625-MBRB1635-E3	MBRB1635-E3/45	E	35	150	1,04	0,784	0,625	0,568
625-SBLB1640CT-E3	SBLB1640CT-E3/81	E	40	250	1,06	0,875	0,844	0,772
625-MBRB1645-E3	MBRB1645-E3/45	E	45	150	1,04	0,784	0,625	0,568
844-MBR1645PBF	MBR1645PBF	E	45	150	1,11	0,858	0,76	0,692
625-MBRB1650-E3	MBRB1650-E3/45	E	50	150	1,15	0,893	0,791	0,72
625-MBRB1660-E3	MBRB1660-E3/81	E	60	150	0,97	0,865	0,865	0,791
16A - montage traversant								
625-MBR1635-E3	MBR1635-E3/45	F	35	150	0,99	0,743	0,578	0,495
625-MBR1645-E3	MBR1645-E3/45	F	45	150	1,06	0,80	0,623	0,534
20A - montage en surface								
625-SBLB2030CT-E3	SBLB2030CT-E3/45	E	30	175	1,16	0,875	0,772	0,703
625-MBRB2035CT-E3	MBRB2035CT-E3/45	E	35	150	1,14	0,858	0,668	0,569
625-SBLB2040CT-E3	SBLB2040CT-E3/45	E	40	175	1,16	0,875	0,772	0,703
625-MBRB2045CT-E3	MBRB2045CT-E3/45	E	45	150	1,14	0,858	0,668	0,569
625-MBRB2060CT-E3	MBRB2060CT-E3/45	E	60	150	1,24	0,932	0,726	0,567
625-MBRB2090CT-E3	MBRB2090CT-E3/45	E	60	150	1,74	1,45	1,06	0,825
20A - montage traversant								
625-SBL2030CT-E3	SBL2030CT-E3/45	G	30	175	1,14	0,882	0,781	0,711
625-MBR2035CT-E3	MBR2035CT-E3/45	G	35	150	1,19	0,891	0,693	0,533
625-SBL2040CT-E3	SBL2040CT-E3/45	G	40	175	1,14	0,882	0,781	0,711
625-MBR2045CT-E3	MBR2045CT-E3/45	G	45	150	1,19	0,891	0,693	0,594
844-MBRB20100CTPBF	MBRB20100CTPBF	E	100	20	2,16	1,68	1,48	1,35
25A - montage en surface								
625-SBLB25L20CT-E3	SBLB25L20CT-E3/45	E	20	180	1,60	1,23	1,09	0,996
625-SBLB25L30CT-E3	SBLB25L30CT-E3/45	E	30	180	1,60	1,23	1,09	0,996
625-MBRB2535CT-E3	MBRB2535CT-E3/45	E	35	150	1,53	1,15	0,891	0,767
625-MBRB2545CT-E3	MBRB2545CT-E3/45	E	45	150	1,53	1,15	0,891	0,701
625-MBRB2550CT-E3	MBRB2550CT-E3/45	E	50	150	1,63	1,22	0,949	0,853
625-MBRB2560CT-E3	MBRB2560CT-E3/45	E	60	150	1,63	1,22	0,949	0,853
25 - montage traversant								
625-MBR2535CT-E3	MBR2535CT-E3/45	G	35	150	1,69	1,26	0,982	0,842
625-MBR2545CT-E3	MBR2545CT-E3/45	G	45	150	1,57	1,17	0,916	0,784
30A - montage en surface								
625-MBRB3045CT-E3	MBRB3045CT-E3/45	E	45	200	1,53	1,15	0,91	0,828
30A - montage traversant								
625-MBR3035PT-E3	MBR3035PT-E3/45	H	35	200	1,71	1,45	1,13	0,965
625-MBR3045PT-E3	MBR3045PT-E3/45	H	45	200	1,85	1,52	1,01	1,01
844-MBR6045WTPBF	MBR6045WTPBF	I	45	360	1,87	1,66	1,50	1,50
40A - montage traversant								
625-MBR4035PT-E3	MBR4035PT-E3/45	H	35	400	2,02	1,72	1,34	1,28
844-MBR4045WTPBF	MBR4045WTPBF	I	45	265	1,16	1,12	1,12	1,12
625-MBR4045PT-E3	MBR4045PT-E3/45	H	45	400	2,29	1,94	1,52	1,29

© Copyright 2012 Mouser Electronics

© Copyright 2012 Mouser Electronics

Redresseurs VISHAY

RoHS Compliant This product is RoHS compliant.

REDRESSEURS SCHOTTKY BARRIERE VISHAY TRENCHMOS

NEW PRODUCT

◆ Composant pour montage en surface

Pour des quantités supérieures à celles indiquées, appelez-nous afin d'obtenir un devis.

RÉF. STOCK MOUSER	Réf. Vishay	Boîtier	I_F (AV)	PRV (V)	IFM Surten-sion (A)	Prix Unitaire 1	100	500
◆ 625-VSSA210-E3/5AT	VSSA210-E3/5AT	DO-214AA	2	100	60	0,39	0,281	0,19
◆ 625-VSSA210-E3/61T	VSSA210-E3/61T	DO-214AC	2	100	60	0,33	0,239	0,206
◆ 625-VSSA310S-E3/5AT	VSSA310S-E3/5AT	DO-214AA	3	100	60	0,39	0,281	0,19
◆ 625-VSSA310S-E3/61T	VSSA310S-E3/61T	DO-214AC	3	100	60	0,33	0,239	0,206
◆ 625-VSSB310-E3/52T	VSSB310-E3/52T	DO-214AA	3	100	80	0,41	0,305	0,256
◆ 625-VSSB410S-E3/52T	VSSB410S-E3/52T	DO-214AA	4	100	80	0,41	0,305	0,256
625-VBT1045CBP-E3/8W	VBT1045CBP-E3/8W	TO-263AB	5	45	100	0,90	0,627	0,545
625-VBT1045C-E3/8W	VBT1045C-E3/8W	TO-263AB	5	45	100	0,90	0,627	0,545
625-VFT1045CBP-M3/4W	VFT1045CBP-M3/4W	ITO-220AB	5	45	100	0,83	0,503	0,462
625-VFT1045C-M3/4W	VFT1045C-M3/4W	ITO-220AB	5	45	100	0,83	0,503	0,462
625-VIT1045CBP-M3/4W	VIT1045CBP-M3/4W	TO-262AA	5	45	100	0,87	0,528	0,487
625-VIT1045C-M3/4W	VIT1045C-M3/4W	TO-220AB	5	45	100	0,87	0,528	0,487
625-VT1045CBP-M3/4W	VT1045CBP-M3/4W	TO-220AB	5	45	100	0,94	0,569	0,528
625-VT1045C-M3/4W	VT1045C-M3/4W	TO-220AB	5	45	100	0,94	0,569	0,528
625-VIT2045CBP-M3/4W	VIT2045CBP-M3/4W	TO-262AA	5	45	160	1,63	1,01	0,908
625-VIT3045CBP-M3/4W	VIT3045CBP-M3/4W	TO-262AA	5	45	200	1,63	1,30	1,17
625-VBT1080C-E3/8W	VBT1080C-E3/8W	TO-263AB	5	80	80	1,28	0,924	0,627
625-VFT1080C-E3/4W	VFT1080C-E3/4W	ITO-220AB	5	80	80	1,39	1,01	0,685
625-VIT1080C-E3/4W	VIT1080C-E3/4W	TO-262AA	5	80	80	1,34	0,965	0,652
◆ 625-V8P10-M3	V8P10-M3/86A	TO-277A	8	100	150	0,62	0,532	0,532
625-VBT2045CBP-E3/8W	VBT2045CBP-E3/8W	TO-263AB	10	45	160	1,22	0,858	0,743
625-VBT2045C-E3/8W	VBT2045C-E3/8W	TO-263AB	10	45	160	1,22	0,858	0,743
625-VFT2045CBP-M3/4W	VFT2045CBP-M3/4W	ITO-220AB	10	45	160	1,19	0,718	0,668
625-VFT2045C-M3/4W	VFT2045C-M3/4W	ITO-220AB	10	45	160	1,19	0,718	0,668
625-VIT2045C-M3/4W	VIT2045C-M3/4W	TO-262AA	10	45	160	1,22	0,726	0,685
625-VT2045CBP-M3/4W	VT2045CBP-M3/4W	TO-220AB	10	45	160	1,20	0,718	0,677
625-VT2045C-M3/4W	VT2045C-M3/4W	TO-220AB	10	45	160	1,20	0,718	0,677
625-VIT6045CBP-M3/4W	VIT6045CBP-M3/4W	TO-262AA	10	45	320	2,08	1,53	1,44
625-VT1080C-E3/4W	VT1080C-E3/4W	TO-220AB	10	80	80	1,35	0,974	0,66
625-VBT1080S-E3/8W	VBT1080S-E3/8W	TO-263AB	10	80	100	1,14	0,817	0,553
625-VBT2080C-E3/8W	VBT2080C-E3/8W	TO-263AB	10	80	100	1,57	1,14	0,776
625-VFT1080S-E3/4W	VFT1080S-E3/4W	ITO-220AB	10	80	100	1,18	0,858	0,578
625-VFT2080C-E3/4W	VFT2080C-E3/4W	ITO-220AB	10	80	100	1,69	1,22	0,833
625-VIT1080S-E3/4W	VIT1080S-E3/4W	TO-262AA	10	80	100	1,33	0,957	0,652
625-VIT2080C-E3/4W	VIT2080C-E3/4W	TO-262AA	10	80	100	1,66	1,20	0,809
625-VT1080S-E3/4W	VT1080S-E3/4W	TO-220AB	10	80	100	1,22	0,883	0,602
◆ 625-V10P10-M3	V10P10-M3/86A	TO-277A	10	100	180	0,73	0,558	0,515
625-VB10150C-E3	VB10150C-E3/4W	TO-263AB	10	150	60	0,89	0,677	0,599
625-VF10150C-E3	VF10150C-E3/4W	ITO-220AB	10	150	60	0,88	0,677	0,599
◆ 625-V12P10-M3	V12P10-M3/86A	TO-277A	12	100	200	0,81	0,611	0,57
625-V12P12-M3	V12P12-M3/86A	TO-277A	12	120	150	0,61	0,495	0,388
625-VBT3045CBP-E3/8W	VBT3045CBP-E3/8W	TO-263AB	15	45	200	1,51	1,01	0,899
625-VFT3045CBP-M3/4W	VFT3045CBP-M3/4W	ITO-220AB	15	45	200	1,48	0,883	0,833
625-VFT3045C-M3/4W	VFT3045C-M3/4W	ITO-220AB	15	45	200	1,48	0,883	0,833
625-VIT3045C-M3/4W	VIT3045C-M3/4W	TO-262AA	15	45	200	1,57	0,941	0,883
625-VT3045CBP-M3/4W	VT3045CBP-M3/4W	TO-220AB	15	45	200	1,60	0,957	0,899
625-VT3045C-M3/4W	VT3045C-M3/4W	TO-220AB	15	45	200	1,60	0,957	0,899
625-VBT3080C-E3/8W	VBT3080C-E3/8W	TO-263AB	15	80	150	1,86	1,34	0,908
625-VFT3080C-E3/4W	VFT3080C-E3/4W	ITO-220AB	15	80	150	1,98	1,43	0,974
625-VIT3080C-E3/4W	VIT3080C-E3/4W	TO-262AA	15	80	150	1,94	1,40	0,957
625-VBT3045C-E3/8W	VBT3045C-E3/8W	TO-263AB	20	45	240	1,51	1,01	0,899
625-VBT4045C-E3/8W	VBT4045C-E3/8W	TO-263AB	20	45	240	2,06	1,39	1,24
625-VFT4045C-M3/4W	VFT4045C-M3/4W	ITO-220AB	20	45	240	2,12	1,26	1,19
625-VIT4045C-M3/4W	VIT4045C-M3/4W	TO-262AA	20	45	240	2,14	1,28	1,20
625-VT4045C-M3/4W	VT4045C-M3/4W	TO-220AB	20	45	240	2,16	1,30	1,21
625-VT2080C-E3/4W	VT2080C-E3/4W	TO-220AB	20	80	100	1,67	1,21	0,825
625-VBT2080S-E3/8W	VBT2080S-E3/8W	TO-263AB	20	80	150	1,28	0,924	0,627
625-VFT2080S-E3/4W	VFT2080S-E3/4W	ITO-220AB	20	80	150	1,31	0,949	0,644
625-VIT2080S-E3/4W	VIT2080S-E3/4W	TO-262AA	20	80	150	1,47	1,06	0,718
625-VT2080S-E3/4W	VT2080S-E3/4W	TO-220AB	20	80	150	1,36	0,982	0,668
625-V20100C-E3	V20100C-E3/4W	TO-220AB	20	100	150	1,60	1,20	0,932
625-VB20100C-E3	VB20100C-E3/4W	TO-263AB	20	100	150	1,56	1,17	0,908
625-VB20120C-E3	VB20120C-E3/4W	TO-263AB	20	120	120	1,30	1,01	0,891
625-VB20150C-E3	VB20150C-E3/4W	TO-263AB	20	150	120	1,30	1,01	0,891
625-V20200C-E3	V20200C-E3/4W	TO-220AB	20	200	120	1,51	1,17	1,04
625-VB20200C-E3	VB20200C-E3/4W	TO-263AB	20	200	120	1,42	1,10	0,972
625-VF20200C-E3	VF20200C-E3/4W	ITO-220AB	20	200	120	1,42	1,10	0,972
625-VBT6045CBP-E3/8W	VBT6045CBP-E3/8W	TO-263AB	30	45	320	2,01	1,62	1,49
625-VBT6045C-E3/8W	VBT6045C-E3/8W	TO-263AB	30	45	320	2,01	1,62	1,49
625-VFT6045CBP-M3/4W	VFT6045CBP-M3/4W	ITO-220AB	30	45	320	2,21	1,32	1,24
625-VFT6045C-M3/4W	VFT6045C-M3/4W	ITO-220AB	30	45	320	2,21	1,32	1,24
625-VIT6045C-M3/4W	VIT6045C-M3/4W	TO-262AA	30	45	320	2,08	1,53	1,44
625-VT6045CBP-M3/4W	VT6045CBP-M3/4W	TO-220AB	30	45	320	2,10	1,55	1,46
625-VT6045C-M3/4W	VT6045C-M3/4W	TO-220AB	30	45	320	2,10	1,55	1,46
625-VT3080C-E3/4W	VT3080C-E3/4W	TO-220AB	30	80	150	1,96	1,41	0,957
625-VBT3080S-E3/8W	VBT3080S-E3/8W	TO-263AB	30	80	200	1,51	1,10	0,743
625-VFT3080S-E3/4W	VFT3080S-E3/4W	ITO-220AB	30	80	200	1,55	1,12	0,767
625-VIT3080S-E3/4W	VIT3080S-E3/4W	TO-262AA	30	80	200	1,73	1,25	0,85
625-VT3080S-E3/4W	VT3080S-E3/4W	TO-220AB	30	80	200	1,61	1,16	0,792
625-V30100C-E3	V30100C-E3/4W	TO-220AB	30	100	160	1,54	1,19	1,05
625-V30100S-E3/4W	V30100S-E3/4W	TO-220AB	30	100	250	1,54	1,19	1,05
625-VB30100S-E3	VB30100S-E3/8W	TO-263AB	30	100	250	1,49	1,26	1,15
625-VB30100S-E3/4W	VB30100S-E3/4W	TO-263AB	30	100	250	1,54	1,19	1,05
625-V30150C-E3	V30150C-E3/4W	TO-220AB	30	150	140	1,81	1,35	1,10
625-VB30150C-E3	VB30150C-E3/4W	TO-263AB	30	150	140	1,61	1,24	1,10
625-VF30150C-E3	VF30150C-E3/4W	ITO-220AB	30	150	140	1,87	1,25	1,10
625-V30200C-E3	V30200C-E3/4W	TO-220AB	30	200	250	2,08	1,64	1,27
625-VB30200C-E3/4W	VB30200C-E3/4W	TO-263AB	30	200	250	2,05	1,39	1,23
625-V40100C-E3	V40100C-E3/4W	TO-220AB	40	100	250	2,24	1,68	1,30
625-VB40120C-E3/4W	VB40120C-E3/4W	TO-263AB	40	120	250	2,20	1,50	1,33

REDRESSEURS SCHOTTKY BARRIERE VISHAY TRENCHMOS (SUITE)

Pour des quantités supérieures à celles indiquées, appelez-nous afin d'obtenir un devis.

RÉF. STOCK MOUSER	Réf. Vishay	Boîtier	I_F (AV)	PRV (V)	IFM Surten-sion (A)	Prix Unitaire 1	100	500
625-VB40150C-E3	VB40150C-E3/4W	TO-263AB	40	150	160	1,94	1,50	1,33
625-V60100C-E3/4W	V60100C-E3/4W	TO-220AB	60	100	320	2,47	1,85	1,54
625-VB60100C-E3	VB60100C-E3/4W	TO-263AB	60	100	320	2,33	1,75	1,54
625-V60120C-E3/4W	V60120C-E3/4W	TO-220AB	60	120	300	2,39	1,83	1,62

REDRESSEURS PONTS VISHAY

NEW PRODUCT

Pour des quantités supérieures à celles indiquées, appelez-nous afin d'obtenir un devis.

RÉF. STOCK MOUSER	Réf. Vishay	Boîtier	I_F (AV)	PRV (V)	IFM Surten-sion (A)	Prix Unitaire 1	100	500
◆ 625-DF005S-E3	DF005S-E3/45	DFS	1	50	50	0,40	0,322	0,248
625-DF005M-E3	DF005M-E3/45	DFM	1	50	50	0,42	0,314	0,248
◆ 625-DF01S-E3	DF01S-E3/45	DFS	1	100	50	0,40	0,355	0,33
625-DF01M-E3	DF01M-E3/45	DFM	1	100	50	0,42	0,314	0,248
◆ 625-DF02S-E3	DF02S-E3/45	DFS	1	200	50	0,40	0,281	0,251
625-DF02M-E3	DF02M-E3/45	DFM	1	200	50	0,45	0,33	0,276
◆ 625-DF04S-E3	DF04S-E3/45	DFS	1	400	50	0,39	0,246	0,176
625-DF04M-E3	DF04M-E3/45	DFM	1	400	50	0,42	0,314	0,248
◆ 625-DF06S-E3	DF06S-E3/45	DFS	1	600	50	0,39	0,246	0,181
625-DF06M-E3	DF06M-E3/45	DFM	1	600	50	0,45	0,33	0,276
◆ 625-DF08S-E3	DF08S-E3/45	DFS	1	800	50	0,43	0,322	0,248
625-DF08M-E3	DF08M-E3/45	DFM	1	800	50	0,42	0,314	0,248
625-DF10M-E3	DF10M-E3/45	DFM	1	1000	50	0,42	0,314	0,248
625-KBP005M-E4	KBP005M-E4/45	KBPM	1.5	50	30	0,50	0,371	0,297
625-W005G-E4	W005G-E4/51	WG	1.5	50	50	0,44	0,275	0,201
625-W01G-E4	W01G-E4/51	WG	1.5	100	50	0,44	0,275	0,201
625-KBP02M-E4	KBP02M-E4/45	KBPM	1.5	200	30	0,50	0,371	0,297
625-W02G-E4	W02G-E4/51	WG	1.5	200	50	0,44	0,275	0,201
625-KBP04M-E4	KBP04M-E4/45	KBPM	1.5	400	30	0,50	0,371	0,297
625-W04G-E4	W04G-E4/51	WG	1.5	400	50	0,44	0,275	0,201
625-KBP06M-E4	KBP06M-E4/45	KBPM	1.5	600	30	0,50	0,371	0,297
625-W06G-E4	W06G-E4/51	WG	1.5	600	50	0,44	0,275	0,201
625-W08G-E4	W08G-E4/51	WG	1.5	800	50	0,44	0,275	0,201
625-W10G-E4	W10G-E4/51	WG	1.5	1000	50	0,36	0,231	0,198
625-2KBP005M-E4	2KBP005M-E4/45	KBPM	2	50	60	0,48	0,38	0,297
625-2KBP01M-E4	2KBP01M-E4/45	KBPM	2	100	60	0,50	0,38	0,297
625-2KBP02M-E4	2KBP02M-E4/45	KBPM	2	200	60	0,48	0,38	0,297
625-2KBP04M-E4	2KBP04M-E4/45	KBPM	2	400	60	0,48	0,38	0,297
625-2KBP06M-E4	2KBP06M-E4/45	KBPM	2	600	60	0,50	0,38	0,297
625-2KBP08M-E4	2KBP08M-E4/45	KBPM	2	800	60	0,50	0,38	0,297
625-2KBP10M-E4	2KBP10M-E4/45	KBPM	2	1000	60	0,50	0,38	0,297
625-GBPC6005-E4	GBPC6005-E4/51	GBPC-W	6	50	175	1,66	1,36	0,908
625-GBPC601-E4	GBPC601-E4/51	GBPC-W	6	100	175	1,24	0,99	0,68
625-GBPC602-E4	GBPC602-E4/51	GBPC-W	6	200	175	1,24	0,99	0,68
625-GBPC604-E4	GBPC604-E4/51	GBPC-W	6	400	175	1,66	1,36	0,908
625-GBPC606-E4	GBPC606-E4/51	GBPC-W	6	600	175	1,22	0,965	0,68
625-GBPC608-E4	GBPC608-E4/51	GBPC-W	6	800	175	1,19	0,949	0,68
625-GBPC610-E4	GBPC610-E4/51	GBPC-W	6	1000	175	1,24	0,99	0,68
625-GBPC1202-E4	GBPC1202-E4/51	GBPC	12	200	200	4,08	3,06	2,38
625-GBPC1204-E4	GBPC1204-E4/51	GBPC	12	400	200	2,30	2,30	1,95
625-GBPC1206-E4	GBPC1206-E4/51	GBPC	12	600	200	2,30	2,30	1,95
625-GBPC25005-E4	GBPC25005-E4/51	GBPC	25	50	300	2,19	1,57	1,37
625-GBPC2502-E4	GBPC2502-E4/51	GBPC	25	200	300	2,20	1,77	1,14
625-GBPC2504-E4	GBPC2504-E4/51	GBPC	25	400	300	2,20	1,77	1,14
625-GBPC2504W-E4	GBPC2504W-E4/51	GBPC-W	25	400	300	4,08	3,06	2,38
625-GBPC2506-E4	GBPC2506-E4/51	GBPC	25	600	300	2,20	1,77	1,14
625-GBPC2508W-E4	GBPC2508W-E4/51	GBPC-W	25	800	300	4,08	3,06	2,38
625-GBPC2510-E4	GBPC2510-E4/51	GBPC	25	1000	300	4,08	3,06	2,38
625-GBPC3501-E4	GBPC3501-E4/51	GBPC	35	100	400	2,25	1,66	1,41
625-GBPC3502-E4	GBPC3502-E4/51	GBPC	35	200	400	2,25	1,85	1,26
625-GBPC3502W-E4	GBPC3502W-E4/51	GBPC-W	35	200	400	4,54	3,40	2,65
625-GBPC3504-E4	GBPC3504-E4/51	GBPC	35	400	400	2,25	1,85	1,26
625-GBPC3504W-E4	GBPC3504W-E4/51	GBPC-W	35	400	400	4,54	3,40	2,65
625-GBPC3506-E4	GBPC3506-E4/51	GBPC	35	600	400	2,25	1,85	1,26
625-GBPC3506W-E4	GBPC3506W-E4/51	GBPC-W	35	600	400	1,97	1,82	1,77
625-GBPC3508-E4	GBPC3508-E4/51	GBPC	35	800	400	2,25	1,85	1,26
625-GBPC3508W-E4	GBPC3508W-E4/51	GBPC-W	35	800	400	4,54	3,02	2,65
625-GBPC3510-E4	GBPC3510-E4/51	GBPC	35	1000	400	2,25	1,85	1,26
625-GBPC3510W-E4	GBPC3510W-E4/51	GBPC-W	35	1000	400	4,32	3,40	2,62

REDRESSEURS VISHAY POWERBRIDGE™

Pour des quantités supérieures à celles indiquées, appelez-nous afin d'obtenir un devis.

RÉF. STOCK MOUSER	Réf. Vishay	Boîtier	I_F (AV)	PRV (V)	IFM Surten-sion (A)	Prix Unitaire 1	100	500
625-BU1008A-E3	BU1008A-E3/45	PowerBridge	10	800	90	1,33	0,949	0,799
625-BU1010A-E3/51	BU1010A-E3/51	PowerBridge	10	1000	90	1,26	0,949	0,808
625-BU10085S-E3	BU10085S-E3/45	PowerBridge	10	800	120	1,33	1,01	0,799
625-BU15085S-E3	BU15085S-E3/45	PowerBridge	15	800	200	1,48	1,21	0,884
625-BU1508-E3/51	BU1508-E3/51	PowerBridge	15	800	200	1,71	1,28	0,998
625-BU1510-E3/51	BU1510-E3/51	PowerBridge	15	1000	200	1,71	1,28	0,99
625-BU2008-E3/51	BU2008-E3/51	PowerBridge	20	800	240	2,00	1,50	1,17
625-BU25085S-E3	BU25085S-E3/45	PowerBridge	25	800	300	1,93	1,54	1,16
625-BU2510-E3/51	BU2510-E3/51	PowerBridge	25	1000	300	2,19	1,64	1,27
625-GBPC606-E4	GBPC606-E4/51	GBPC-W	25	600	175	1,22	0,965	0,68
625-GBPC608-E4	GBPC608-E4/51	GBPC-W	25	800	175	1,19	0,949	0,68
625-GBPC610-E4	GBPC610-E4/51	GBPC-W	25	1000	175	1,24	0,99	0,68

© Copyright 2012 Mouser Electronics

© Copyright 2012 Mouser Electronics

Redresseurs VISHAY

Les produits peuvent être conformes à la directive RoHS. Consultez le site mouser.com pour vérifier la conformité RoHS.

REDRESSEURS SCHOTTKY VISHAY

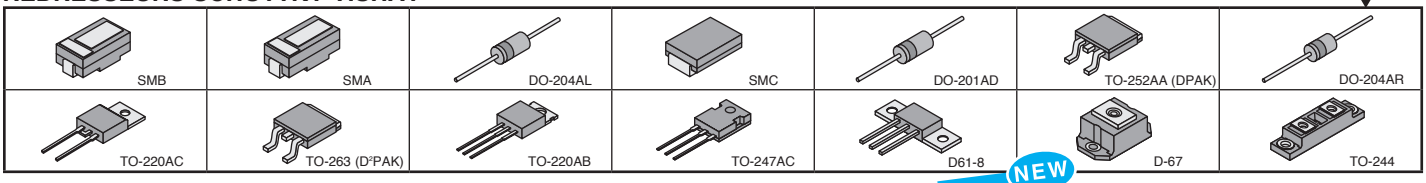

NEW PRODUCT

♦ Composant pour montage en surface

Pour des quantités supérieures à celles indiquées, appelez-nous afin d'obtenir un devis.

RÉF. STOCK MOUSER	Réf. Vishay	Boîtier	V_{RRM} (V)	I_{FSM} (A)	Prix unitaire 1	10	100	500
1A								
♦ 844-10BQ015PBF	10BQ015PBF	SMB	15	140	0,32	0,317	-	-
♦ 844-10BQ015TRPBF	10BQ015TRPBF	SMB	15	140	0,12	0,116	0,11	0,107
♦ 844-MBRS130TRPBF	MBRS130TRPBF	SMB	30	230	0,24	0,241	-	-
♦ 844-MBRS130LTRPBF	MBRS130LTRPBF	SMB	30	230	0,24	0,241	-	-
♦ 844-STPS1L30UPBF	STPS1L30UPBF	SMB	30	360	0,82	0,47	0,318	0,293
♦ 844-10BQ030TRPBF	10BQ030TRPBF	SMB	30	430	0,79	0,462	0,309	0,268
♦ 844-MBRA140TRPBF	MBRA140TRPBF	SMA	40	120	0,17	0,167	-	-
844-1N5819	1N5819	DO-204AL	40	225	0,50	0,281	0,185	0,151
♦ 844-MBRS140TRPBF	MBRS140TRPBF	SMB	40	380	0,21	0,19	0,188	-
♦ 844-10BQ040PBF	10BQ040PBF	SMB	40	430	0,19	0,191	-	-
♦ 844-10BQ040TRPBF	10BQ040TRPBF	SMB	40	430	0,59	0,347	0,231	0,206
844-MBR160	MBR160	DO-204AL	60	150	0,07	0,058	0,052	0,048
♦ 844-10BQ060PBF	10BQ060PBF	SMB	60	700	0,27	0,264	0,204	-
♦ 844-10BQ060TRPBF	10BQ060TRPBF	SMB	60	700	0,69	0,404	0,272	0,245
♦ 844-MBRS190TRPBF	MBRS190TRPBF	SMB	90	870	0,35	0,33	0,29	0,224
844-MBR1100	MR1100	DO-204AL	100	200	0,08	0,074	0,067	0,062
♦ 844-10BQ100PBF	10BQ100PBF	SMB	100	700	0,35	0,346	-	-
♦ 844-10BQ100TRPBF	10BQ100TRPBF	SMB	100	700	0,49	0,281	0,192	0,158
♦ 844-MBRS1100TRPBF	MBRS1100TRPBF	SMB	100	870	0,19	0,185	-	-
1,1A								
844-11DQ04	11DQ04	DO-204AL	40	225	0,32	0,182	0,116	0,103
844-11DQ05	11DQ05	DO-204AL	50	150	0,25	0,198	0,14	0,091
844-11DQ06	11DQ06	DO-204AL	60	150	0,42	0,239	0,153	0,138
844-11DQ10	11DQ10	DO-204AL	100	85	0,41	0,231	0,152	0,131
2.0 Amp								
♦ 844-20BQ030PBF	20BQ030PBF	SMB	30	350	0,36	0,36	0,24	0,216
♦ 844-20BQ030TRPBF	20BQ030TRPBF	SMB	30	350	0,49	0,281	0,192	0,173
2,1A								
♦ 844-10MQ040NPBF	10MQ040NPBF	SMA	40	120	0,22	-	-	-
♦ 844-10MQ040NTRPBF	10MQ040NTRPBF	SMA	40	120	0,12	0,099	0,082	0,067
♦ 844-10MQ060NPBF	10MQ060NPBF	SMA	60	40	0,22	-	-	-
♦ 844-10MQ060NTRPBF	10MQ060NTRPBF	SMA	60	40	0,69	0,396	0,266	0,256
♦ 844-10MQ100NPBF	10MQ100NPBF	SMA	100	120	0,22	-	-	-
♦ 844-10MQ100NTRPBF	10MQ100NTRPBF	SMA	100	120	0,69	0,396	0,266	0,248
3.0 Amp								
♦ 844-30BQ015PBF	30BQ015PBF	SMC	15	650	0,98	0,975	-	0,825
♦ 844-30BQ015TRPBF	30BQ015TRPBF	SMC	15	650	0,31	0,297	0,231	0,182
♦ 844-15MQ040NPBF	15MQ040NPBF	SMA	40	330	0,30	-	-	-
♦ 844-15MQ040NTRPBF	15MQ040NTRPBF	SMA	40	330	0,93	0,545	0,363	0,33
♦ 844-MBRS340TRPBF	MBRS340TRPBF	SMC	40	1580	0,42	0,415	0,415	0,415
♦ 844-30BQ040PBF	30BQ040PBF	SMC	40	2000	0,75	0,751	0,751	0,635
♦ 844-30BQ040TRPBF	30BQ040TRPBF	SMC	40	2000	1,63	1,01	0,757	0,662
♦ 844-30BQ060PBF	30BQ060PBF	SMC	60	1200	0,56	0,555	0,555	0,469
♦ 844-30BQ060TRPBF	30BQ060TRPBF	SMC	60	1200	0,36	0,33	0,263	0,218
♦ 844-30BQ100PBF	30BQ100PBF	SMC	100	800	0,53	0,529	0,41	0,363
♦ 844-30BQ100TRPBF	30BQ100TRPBF	SMC	100	800	1,05	0,644	0,489	0,455
3,3A								
844-31DQ10	31DQ10	DO-201AD	100	210	0,88	0,503	0,338	0,314
3,5A								
844-30WQ06FNPBF	30WQ06FNPBF	TO-252AA	60	490	1,22	0,903	0,757	0,618
844-30WQ03FNPBF	30WQ03FNPBF	TO-252AA	100	535	0,64	0,602	0,526	0,526
5.0 Amp								
844-50SQ080	50SQ080	DO-204AR	80	1900	1,82	1,16	0,908	0,784
844-50SQ100	50SQ100	DO-204AR	100	1900	1,87	1,35	-	1,20
5,5A								
♦ 844-50WQ03FNPBF	50WQ03FNPBF	TO-252AA	30	320	0,90	0,896	0,597	0,537
♦ 844-50WQ04FNPBF	50WQ04FNPBF	TO-252AA	40	340	0,78	0,783	0,657	0,536
♦ 844-50WQ06FNPBF	50WQ06FNPBF	TO-252AA	60	320	0,63	0,512	0,384	0,384
♦ 844-50WQ10FNPBF	50WQ10FNPBF	TO-252AA	100	330	1,07	1,07	0,896	0,731
7.0 Amp								
♦ 844-6CWQ03FNTRPBF	6CWQ03FNTRPBF	TO-252AA	30	535	1,67	1,11	0,883	0,776
♦ 844-6CWQ04FNPBF	6CWQ04FNPBF	TO-252AA	40	500	1,67	1,11	0,825	0,776
♦ 844-6CWQ10FNPBF	6CWQ10FNPBF	TO-252AA	100	440	1,55	1,50	1,00	0,901
7,5A								
844-MBR735PBF	MBR735PBF	TO-220AC	35	690	0,65	0,65	0,503	0,446
844-MBR745PBF	MBR745PBF	TO-220AC	45	690	0,93	0,652	0,505	0,447
8.0 Amp								
844-80SQ035	80SQ035	DO-204AR	35	2400	0,64	0,619	0,492	0,401
844-80SQ040	80SQ040	DO-204AR	40	2400	1,59	1,27	0,908	0,809
844-80SQ045	80SQ045	DO-204AR	45	2400	1,90	1,21	0,941	0,784
844-8TQ060PBF	8TQ060PBF	TO-220AC	60	850	2,05	2,05	1,37	1,23
844-8TQ080SPBF	8TQ080SPBF	TO-220AC	80	850	1,57	-	-	-
844-8TQ100PBF	8TQ100PBF	TO-220AC	100	850	0,69	0,66	0,506	0,413
♦ 844-8TQ100SPBF	8TQ100SPBF	TO-263	100	850	2,79	2,79	1,86	1,67
♦ 844-8TQ100STRRPBF	8TQ100STRRPBF	TO-263	100	850	2,79	2,79	1,86	1,67
9.0 Amp								
844-95SQ015	95SQ015	DO-204AR	15	850	0,57	0,512	0,463	0,433

♦ Composant pour montage en surface

Pour des quantités supérieures à celles indiquées, appelez-nous afin d'obtenir un devis.

RÉF. STOCK MOUSER	Réf. Vishay	Boîtier	V_{RRM} (V)	I_{FSM} (A)	Prix unitaire 1	10	100	500
9.0 Amp (Cont.)								
844-90SQ030	90SQ030	DO-204AR	30	2150	0,55	0,495	0,463	0,441
844-90SQ035	90SQ035	DO-204AR	35	2150	1,06	1,01	0,463	0,66
844-90SQ040	90SQ040	DO-204AR	40	2150	0,58	0,553	0,463	0,375
♦ 844-90SQ045	90SQ045	DO-204AR	45	2150	0,55	0,528	0,463	0,375
10A								
♦ 844-STPS1045BPBF	STPS1045BPBF	TO-252AA	45	390	0,87	0,812	-	-
844-MBR1045PBF	MBR1045PBF	TO-220AC	45	1060	0,77	-	0,596	0,528
844-10CTQ150PBF	10CTQ150PBF	TO-220AB	150	620	2,08	1,38	1,07	0,949
12A								
♦ 844-12CWQ03FNPBF	12CWQ03FNPBF	TO-252AA	30	320	0,80	0,734	0,707	-
♦ 844-12CWQ06FNPBF	12CWQ06FNPBF	TO-252AA	60	320	0,76	0,734	0,698	-
♦ 844-12CWQ10FNPBF	12CWQ10FNPBF	TO-252AA	100	330	0,87	-	0,73	0,595
15A								
844-15TQ060PBF	15TQ060PBF	TO-220AC	60	1000	2,23	1,43	1,30	-
♦ 844-15TQ060STRLPBF	15TQ060STRLPBF	TO-252AA	60	1000	1,91	-	-	-
16A								
844-16CTQ100PBF	16CTQ100PBF	TO-220AB	100	850	2,52	1,61	1,25	1,15
♦ 844-16CTQ100SPBF	16CTQ100SPBF	TO-252AA	100	850	3,99	-	2,66	2,40
18A								
844-18TQ045PBF	18TQ045PBF	TO-220AC	45	1800	2,14	2,00	1,60	1,16
19A								
844-19TQ015PBF	19TQ015PBF	TO-220AC	15	700	2,57	1,65	0,685	0,553
20A								
844-20L15TPBF	20L15TPBF	TO-220AC	15	700	1,58	1,06	-	0,899
844-STPS20L15DPBF	STPS20L15DPBF	TO-220AC	15	700	1,58	2,84	1,92	1,77
♦ 844-STPS20L15GPBF	STPS20L15GPBF	TO-252AA	15	700	1,58	3,89	2,63	2,42
844-20TQ040PBF	20TQ040PBF	TO-220AC	40	1800	1,58	1,94	1,29	1,16
844-20CTQ045PBF	20CTQ045PBF	TO-220AB	45	1060	1,58	1,76	1,34	1,23
844-20TQ045PBF	20TQ045PBF	TO-220AC	45	1800	1,58	1,45	1,13	1,04
844-MBR20100CTKPBF	MBR20100CTKPBF	TO-220AB	100	850	1,58	0,948	0,734	0,65
844-20CTQ150PBF	20CTQ150PBF	TO-220AB	150	1030	1,58	1,12	-	-
30A								
844-32CTQ030PBF	32CTQ030PBF	TO-220AB	30	900	2,47	1,58	1,49	-
♦ 844-32CTQ030STRLPBF	32CTQ030STRLPBF	TO-263	30	900	2,56	2,44	1,88	1,88
♦ 844-STPS30L30CGPBF	STPS30L30CGPBF	TO-252AA	30	1450	6,58	3,79	2,57	2,36
844-STPS30L30CTPBF	STPS30L30CTPBF	TO-220AB	30	1450	5,84	3,36	2,28	2,10
844-25CTQ045SPBF	25CTQ045SPBF	TO-263	45	990	2,96	2,83	2,46	2,16
844-30CTQ045PBF	30CTQ045PBF	TO-220AB	45	1060	2,33	2,10	1,68	1,28
♦ 844-30CTQ060SPBF	30CTQ060SPBF	TO-263	60	850	2,20	-	-	-
844-30CTQ060PBF	30CTQ060PBF	TO-220AB	60	1000	2,52	1,86	1,86	1,86
844-30CPQ060PBF	30CPQ060PBF	TO-247AC	60	1020	4,16	-	3,22	2,85
844-STPS30L60CWPBF	STPS30L60CWPBF	TO-247AC	60	1020	6,80	3,91	2,65	2,43
844-30CTQ100PBF	30CTQ100PBF	TO-220AB	100	850	1,31	1,25	1,19	1,00
844-30CTQ100SPBF	30CTQ100SPBF	TO-220AB	100	850	2,62	2,49	2,02	1,71
844-30CPQ100PBF	30CPQ100PBF	TO-247AC	100	920	1,49	1,30	1,03	0,872
844-30CPQ150PBF	30CPQ150PBF	TO-247AC	150	920	6,41	4,27	3,68	3,41
40A								
844-STPS40L15CTPBF	STPS40L15CTPBF	TO-220AB	15	700	7,80	4,49	3,04	2,80
844-STPS40L15CWPBF	STPS40L15CWPBF	TO-247AC	15	700	8,79	5,06	3,42	3,15
844-40L15CTPBF	40L15CTPBF	TO-220AB	15	700	3,06	3,06	2,04	1,84
844-40L15CTSPBF	40L15CTSPBF	TO-263	15	700	3,52	3,52	2,40	2,11
844-47CTQ020PBF	47CTQ020PBF	TO-220AB	20	1000	2,31	2,31	1,54	1,39
844-42CTQ030PBF	42CTQ030PBF	TO-220AB	30	1100	2,92	1,95	1,56	1,47
844-STPS40L40CWPBF	STPS40L40CWPBF	TO-247AC	40	3500	11,91	6,86	4,64	4,27
844-STPS40L45CWPBF	STPS40L45CWPBF	TO-247AC	45	1240	8,74	5,02	3,41	3,13
844-40CTQ045PBF	40CTQ045PBF	TO-220AB	45	1240	3,53	2,34	1,87	1,82
844-40CPQ045PBF	40CPQ045PBF	TO-247AC	45	3500	5,87	3,92	3,14	2,94
844-48CTQ060PBF	48CTQ060PBF	TO-220AB	60	1000	2,57	2,57	1,72	1,54
844-48CTQ060STRLPBF	48CTQ060STRLPBF	TO-263	60	1000	1,47	1,41	1,06	1,06
844-40CPQ060PBF	40CPQ060PBF	TO-247AC	60	3200	1,96	1,86	1,42	1,20
844-43CTQ100PBF	43CTQ100PBF	TO-220AB	100	850	1,55	1,40	1,25	1,11
♦ 844-43CTQ100SPBF	43CTQ100SPBF	TO-263	100	850	3,16	3,16	2,45	2,17
844-40CPQ100PBF	40CPQ100PBF	TO-247AC	100	2950	5,04	3,35	2,68	2,60
844-40CTQ150PBF	40CTQ150PBF	TO-220AB	150	150	1,39	1,35	-	-
60A								
844-63CTQ100PBF	63CTQ100PBF	TO-220AB	100	1500	5,68	3,78	3,02	2,64
844-63CPQ100PBF	63CPQ100PBF	TO-247AC	100	2200	3,47	3,12	2,91	2,74
844-60CTQ150PBF	60CTQ150PBF	TO-220AB	150	710	3,05	-	2,04	1,83
844-60CPQ150PBF	60CPQ150PBF	TO-247AC	150	2300	3,18	2,85	2,38	2,18
70A								
844-72CPQ030PBF	72CPQ030PBF	TO-247AC	30	2180	5,52	-	3,68	3,31
80A								
844-85CNQ015APBF	85CNQ015APBF	D61-8	15	7000	13,10	11,80	10,81	9,50
844-80CPQ020PBF	80CPQ020PBF	TO-247AC	20	2200	2,71	2,43	2,24	1,96
844-82CNQ030APBF	82CNQ030APBF	D61-8	30	5100	14,20	12,14	9,14	8,42
844-80CNQ045APBF	80CNQ045APBF	D61-8	45	5800	16,34	16,34	10,89	9,80
844-83CNQ100APBF	83CNQ100APBF	D61-8	100	7000	12,33	11,10	10,17	8,94
844-80CPQ150PBF	80CPQ150PBF	TO-247AC	150	1930	3,71	-	-	-
240A								
844-243NQ100PBF	243NQ100PBF	D-67	100	25500	42,36	38,12	34,06	29,93
400A								
844-401CNQ045PBF	401CNQ045PBF	TO-244	45	25000	58,14	49,25	47,08	-
844-403CNQ100PBF	403CNQ100PBF	TO-244	100	25500	63,53	54,45	47,19	47,19

© Copyright 2012 Mouser Electronics

© Copyright 2012 Mouser Electronics

Redresseurs VISHAY

Les produits peuvent être conformes à la directive RoHS. Consultez le site mouser.com pour vérifier la conformité RoHS.

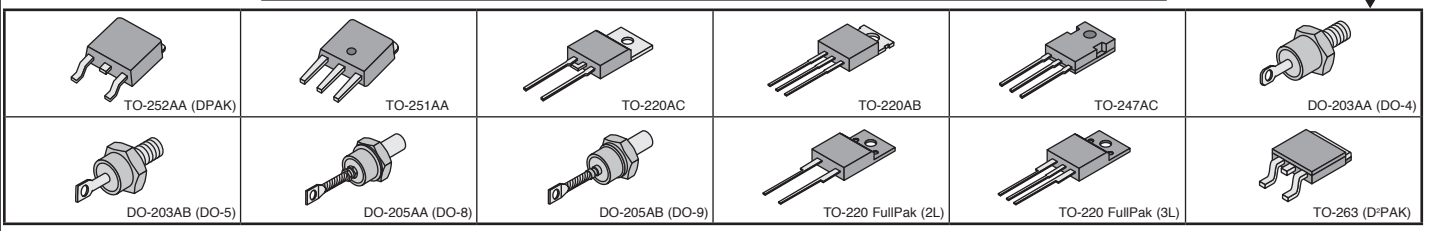

♦ **Composant pour montage en surface** † Polarité cathode à plot *Polarité anode à plot

REDRESSEURS SCHOTTKY DE HAUTE PERFORMANCE VISHAY

Pour des quantités supérieures à celles indiquées, appelez-nous afin d'obtenir un devis.

RÉF. STOCK MOUSER	Réf. Vishay	Boîtier	V_{RRM} (V)	I_{FSM} (A)	Prix unitaire 1	10	100	500
6,0A								
♦ 844-6CWT04FN	6CWT04FN	TO-252AA	45	440	1,23	0,817	0,573	0,573
844-6CUT04	4CUT04	TO-251AA	45	440	1,23	0,817	0,573	0,573
8,0A								
844-8TT100	8TT100	TO-220AC	100	850	0,55	0,536	0,479	0,392
10A								
♦ 844-10WT10FN	10WT10FN	TO-252AA	100	610	0,59	0,552	0,463	0,378
844-10UT10	10UT10	TO-251AA	100	610	0,59	0,545	0,351	0,351
844-MBR10T100	MBR10T100	TO-220AC	100	850	0,40	0,403	0,346	0,293
15A								
844-15TT100	15TT100	TO-220AC	100	920	0,82	0,815	0,631	0,559
16A								
844-16CTT100	16CTT100	TO-220AB	100	850	0,91	0,858	0,578	0,534
20A								
♦ 844-20WT04FN	20WT04FN	TO-252AA	45	900	0,88	0,818	0,686	0,56
844-20UT04	20UT04	TO-251AA	45	900	0,88	0,80	0,52	0,52
♦ 844-20CWT10FN	20CWT10FN	TO-252AA	100	610	0,88	0,818	0,686	0,56
844-20CUT10	20CUT10	TO-251AA	100	610	0,88	0,80	0,52	0,52
844-21TT100	21TT100	TO-220AB	100	660	0,72	0,693	0,532	0,43
844-MBR20T100CT	MBR20T100CT	TO-220AB	100	850	0,88	0,884	0,684	0,606
844-20TT100	20TT100	TO-220AC	100	900	0,67	0,644	0,495	0,438
30A								
844-30CTT045	30CTT045	TO-220AB	45	880	0,81	0,776	0,599	0,507
844-30CPT100	30CPT100	TO-247AC	100	920	1,16	0,872	0,872	0,738
844-30CTT100	30CTT100	TO-220AB	100	920	0,84	0,792	0,731	0,618
844-30PT100	30PT100	TO-247AC	100	2200	1,85	1,77	1,34	1,09
40A								
844-43CTT100	43CTT100	TO-220AB	100	900	1,15	1,10	0,85	0,73
60A								
844-60CPT045	63CPT045	TO-247AC	45	2500	2,15	1,93	1,61	1,39
844-63CPT100	63CPT100	TO-247AC	100	2200	2,53	1,82	1,54	1,49

DIODES À RÉCUPÉRATION CLASSIQUES VISHAY

NEW PRODUCT

Pour des quantités supérieures à celles indiquées, appelez-nous afin d'obtenir un devis.

RÉF. STOCK MOUSER	Réf. Vishay	Boîtier	V_{RRM} (V)	I_{FSM} (A)	Prix unitaire 1	10	100	500
12A								
† 844-1N1199A	1N1199A	(DO-4)	50	230	2,85	2,57	2,05	1,90
† 844-1N1206RA	1N1206RA	(DO-4)	600	230	3,17	2,91	2,54	2,38
† 844-1N1206A	1N1206A	(DO-4)	600	800	2,60	2,37	1,95	1,68
15A								
† 844-1N3210	1N3210	(DO-5)	200	239	3,50	3,15	2,52	2,33
16A								
† 844-16F60	16F60	(DO-4)	600	25	3,66	3,30	2,89	2,50
† 844-16F120	16F120	(DO-4)	1200	25	3,73	3,44	2,95	2,64
35A								
† 844-1N1183	1N1183	(DO-5)	50	500	3,39	3,09	2,54	2,20
† 844-1N1184	1N1184	(DO-5)	100	500	3,94	3,55	2,76	2,54
† 844-1N1184A	1N1184A	(DO-5)	100	500	3,94	3,60	2,96	2,62
† 844-1N1187	1N1187	(DO-5)	300	500	4,40	3,96	3,17	2,96
† 844-1N1188A	1N1188A	(DO-5)	400	500	5,31	4,79	3,71	3,42
† 844-1N1190	1N1190	(DO-5)	600	500	5,73	5,15	4,00	3,70
† 844-1N3768	1N3768	(DO-5)	1000	380	8,57	7,82	6,44	5,58
40A								
† 844-40HF60	40HF60	(DO-5)	600	62	4,45	4,05	3,61	3,13
* 844-40HFR60	40HFR60	(DO-5)	600	62	4,95	4,51	3,71	3,22
* 844-40HFR100	40HFR100	(DO-5)	1000	62	6,66	6,00	4,80	4,50
* 844-40HFR120	40HFR120	(DO-5)	1200	62	7,26	6,53	5,23	4,60
† 844-40HF120	40HF120	(DO-5)	1200	62	4,73	4,62	4,41	3,81
† 844-40HF160	40HF160	(DO-5)	1600	62	8,68	7,80	6,25	5,90
60A								
† 844-1N2131RA	1N2131RA	(DO-5)	200	860	6,38	5,74	4,60	4,29
70A								
† 844-70HF40	70HF40	(DO-5)	400	1200	4,79	4,37	3,59	3,12
† 844-71HF40	71HF40	(DO-5)	400	1200	8,79	7,91	6,34	5,94
† 844-70HF60	70HF60	(DO-5)	600	1200	5,02	4,58	3,76	3,26
* 844-70HFR60	70HFR60	(DO-5)	600	1200	5,28	4,82	3,96	3,43
* 844-70HFR100	70HFR100	(DO-5)	1000	110	9,95	8,95	7,17	6,77
† 844-70HF120	70HF120	(DO-5)	1200	1200	4,83	4,41	3,62	3,14
* 844-70HFR120	70HFR120	(DO-5)	1200	1200	4,83	4,41	3,62	3,14
† 844-70HF160	70HF160	(DO-5)	1600	110	12,10	10,90	8,73	8,23
* 844-70HFR160	70HFR160	(DO-5)	1600	110	12,71	11,44	8,89	8,21
85A								
† 844-85HF20	85HF20	(DO-5)	200	1700	7,93	7,14	5,72	5,38
† 844-85HF40	85HF40	(DO-5)	400	133	6,95	6,34	5,21	4,51
† 844-85HF60	85HF60	(DO-5)	600	133	6,95	6,34	5,21	4,51
* 844-85HFR60	85HFR60	(DO-5)	600	133	7,03	6,41	5,27	4,57
† 844-85HFL100S05	85HFL100S05	(DO-5)	1000	1100	17,30	15,57	12,10	11,21
† 844-85HF100	85HF100	(DO-5)	1000	1700	11,49	10,34	8,28	7,43

DIODES À RÉCUPÉRATION CLASSIQUES VISHAY (SUITE)

NEW PRODUCT

Pour des quantités supérieures à celles indiquées, appelez-nous afin d'obtenir un devis.

RÉF. STOCK MOUSER	Réf. Vishay	Boîtier	V_{RRM} (V)	I_{FSM} (A)	Prix unitaire 1	10	100	500
85A (suite)								
* 844-85HFR100	85HFR100	(DO-5)	1000	1700	11,49	10,34	8,28	7,80
† 844-85HF120	85HF120	(DO-5)	1200	133	8,96	8,27	6,80	6,25
* 844-85HFR120	85HFR120	(DO-5)	1200	133	9,88	9,01	7,40	6,42
† 844-85HF160	85HF160	(DO-5)	1600	1700	14,61	13,15	10,23	9,45
150A								
† 844-150K40A	150K40A	(DO-8)	400	235	20,58	18,51	15,74	14,46
* 844-150KR40A	150KR40A	(DO-8)	400	235	29,25	26,99	21,71	19,96
† 844-150K60A	150K60A	(DO-8)	600	235	20,87	16,82	14,58	13,57
* 844-150KR60A	150KR60A	(DO-8)	600	235	20,87	18,79	15,66	13,57
† 844-150U100D	150U100D	(DO-8)	1000	235	32,51	30,01	24,39	22,18
* 844-150UR100D	150UR100D	(DO-8)	1000	235	36,54	33,72	27,40	24,93
200A								
* 844-8EWS08STRLPBF	8EWS08STRLPBF	TO-252AA	800	200	0,82	0,726	0,617	0,532
300A								
† 844-300U40A	300U40A	(DO-9)	400	500	26,37	24,49	19,91	18,27
† 844-300U60A	300U60A	(DO-9)	600	700	26,37	24,49	19,91	18,27
* 844-300UR40A	300UR40A	(DO-9)	400	500	26,37	24,49	19,91	18,27
* 844-300UR60A	300UR60A	(DO-9)	600	700	25,64	23,08	19,99	18,23
475A								
† 844-40EPS08PBF	40EPS08PBF	TO-247AC	800	900	1,91	1,77	1,37	1,29
† 844-40EPS12PBF	40EPS12PBF	TO-247AC	1200	475	2,47	2,22	1,85	1,60

DIODES À RÉCUPÉRATION HYPER RAPIDE VISHAY

NEW PRODUCT

Pour des quantités supérieures à celles indiquées, appelez-nous afin d'obtenir un devis.

RÉF. STOCK MOUSER	Réf. Vishay	Boîtier	V_{RRM} (V)	I_{FSM} (A)	(max.) (ns)	Prix unitaire 1	10	100	500
8,0A									
844-8ETH06PBF	8ETH06PBF	TO-220AC	600	90	22	0,88	0,858	0,667	0,637
844-8ETH06FPPBF	8ETH06FPPBF	TO-220 F/Pak (2L)	600	100	22	0,97	0,891	0,795	0,759
844-8S2TH06FP	8S2TH06FP	TO-220 F/Pak (2L)	600	100	25	1,45	1,34	0,974	0,794
844-8STH06FP	8STH06FP	TO-220 F/Pak (3L)	600	100	25	1,45	1,34	0,982	0,792
844-8EWF12SPBF	8EWF12SPBF	D2PAK	1200	170	80	1,89	1,89	1,26	1,13
15A									
♦ 844-15ETH06SPBF	15ETH06SPBF	D2PAK	600	120	35	1,20	1,10	1,03	1,03
844-15S2TH06FP	15S2TH06FP	TO-220 F/Pak (2L)	600	115	28	1,85	1,69	1,25	0,998
844-15STH06FP	15STH06FP	TO-220 F/Pak (3L)	600	115	28	1,93	1,77	1,31	1,04
844-15ETH06PBF	15ETH06PBF	TO-220AC	600	120	35	1,28	1,16	0,949	0,85
844-15ETX06PBF	15ETX06PBF	TO-220AC	600	170	18	1,33	1,22	0,969	0,969
844-15ETH06FPPBF	15ETH06FPPBF	TO-220 F/Pak (2L)	600	180	35	1,34	1,34	1,04	0,922
30A									
844-30ETH06PBF	30ETH06PBF	TO-220AC	600	200	35	2,03	1,86	1,59	1,59

DIODES À RÉCUPÉRATION ULTRA RAPIDE VISHAY

NEW PRODUCT

Pour des quantités supérieures à celles indiquées, appelez-nous afin d'obtenir un devis.

RÉF. STOCK MOUSER	Réf. Vishay	Boîtier	V_{RRM} (V)	I_{FSM} (A)	(max.) (ns)	Prix unitaire 1	10	100	500
6,0A									
844-MURD620CTPBF	MURD620CTPBF	DPAK	200	50	25	0,64	0,639	0,536	0,437
8,0A									
844-MUR820PBF	MUR820PBF	TO-220AC	200	8	35	0,75	0,747	0,578	0,512
844-MURB820PBF	MURB820PBF	D2PAK	200	100	25	0,92	0,922	0,713	0,632
12A									
844-1N3893	1N3893	(DO-4)	400	19	150	5,07	4,56	3,65	3,44
15A									
844-MUR1520PBF	MUR1520PBF	TO-220AC	200	200	35	1,05	1,05	0,814	0,721
844-15ETX06FPPBF	15ETX06FPPBF	TO-220 F/Pak (2L)	600	170	18	1,45	1,33	1,06	1,06
16A									
844-16FL100S05	16FL100S05	(DO-4)	1000	25	500	7,38	6,65	5,32	5,02
20A									
844-MUR2020CTPBF	MUR2020CTPBF	TO-220AB	200	100	35	1,07	1,05	0,965	0,858
844-MURB2020CTPBF	MURB2020CTPBF	D2PAK	200	100	25	1,29	1,29	1,00	0,886
30A									
844-30CPU04PBF	30CPU04PBF	TO-247AC	400	200	60	1,77	1,63	1,49	1,26
844-30CPH03PBF	30CPH03PBF	TO-247AC	300	140	40	2,12	1,94	1,49	1,27
844-30EPH03PBF	30EPH03PBF	TO-247AC	300	300	55	1,97	1,81	1,51	1,28
844-30EPH06PBF	30EPH06PBF	TO-247AC	600	300	35	1,91	1,45	1,35	1,29
40A									
844-40HFL100S05	40HFL100S05	(DO-5)	1000	400	180	12,50	11,24	8,75	8,09
844-40EPF12PBF	40EPF12PBF	TO-247AC	1200	475	95	4,08	3,75	3,75	3,75
60A									
844-60APU02PBF	60APU02PBF	TO-247AC	200	800	35	4,92	4,50	3,47	2,66
844-60EPU04PBF	60EPU04PBF	TO-247AC	400	600	50	5,14	4,72	3,65	2,79
844-60APU06PBF	30CPU04PBF	TO-247AC	600	600	45	7,11	7,11	4,74	4,26
70A									
844-70HFL60S02	70HFL60S02	(DO-5)	600	700	150	11,69	10,52	8,43	7,95
844-70HFL100S05	70HFL100S05	(DO-5)	1000	700	150	13,34	12,00	9,33	8,62
844-70HFLR100S05	70HFLR100S05	(DO-5)	1000	700	150	13,34	12,00	9,33	8,65
85A									
844-85HFL60S02	85HFL60S02	(DO-5)	600	1100	120	15,54	13,99	10,88	10,07

© Copyright 2012 Mouser Electronics
© Copyright 2012 Mouser Electronics

Diodes, redresseurs et thyristors VISHAY

Les produits peuvent être conformes à la directive RoHS.
Consultez le site mouser.com pour vérifier la conformité RoHS.

DIODES HEXFRED VISHAY

Pour des quantités supérieures à celles indiquées, appelez-nous afin d'obtenir un devis.

RÉF. STOCK MOUSER	Réf. Vishay	Boîtier	I_F (A)	V_{RMM} (V)	I_{FSM} (V)	trr (max.) (ns)	Prix unitaire 1	10	100	500
844-HFA06TB120PBF	HFA06TB120PBF	TO-220AC	6	1200	80	26	4,33	4,33	2,89	2,60
844-HFA16TA60CPBF	HFA16TA60CPBF	TO-220AB	8	600	60	18	4,82	4,82	3,21	2,89
844-HFA08TB60PBF	HFA08TB60PBF	TO-220AC	8	600	60	18	2,43	2,43	1,62	1,46
844-HFA08TB120PBF	HFA08TB120PBF	TO-220AC	8	1200	130	28	5,00	5,00	3,33	3,00
844-HFA15PB60PBF	HFA15PB60PBF	TO-247AC	15	600	150	19	4,02	4,02	2,68	2,41
844-HFA30TA60CPBF	HFA30TA60CPBF	TO-220AB	15	600	150	19	5,20	5,20	3,47	3,12
844-HFA15TB60PBF	HFA15TB60PBF	TO-220AC	15	600	150	19	2,59	2,59	2,00	1,78
844-HFA16PB120PBF	HFA16PB120PBF	TO-247AC	16	1200	190	30	8,66	8,66	5,78	5,20
844-HFA16TB120PBF	HFA16TB120PBF	TO-220AC	16	1200	190	30	11,22	11,22	7,48	6,73
844-HFA50PA60CPBF	HFA50PA60CPBF	TO-247AC	25	600	225	23	10,11	9,63	7,70	6,73
844-HFA25PB60PBF	HFA25PB60PBF	TO-247AC	25	600	225	23	3,58	3,58	3,58	3,58
844-HFA25TB60PBF	HFA25TB60PBF	TO-220AC	25	600	225	23	4,86	4,86	3,24	2,91
844-HFA30PA60CPBF	HFA30PA60CPBF	TO-247AC	30	600	150	19	6,86	6,86	4,57	4,11
844-HFA30PB120PBF	HFA30PB120PBF	TO-247AC	30	1200	120	47	14,69	14,69	9,80	8,81
844-HFA135NH40PBF	HFA135NH40PBF	HalfPak(D-67)	275	400	900	120	35,55	35,55	23,70	21,32

REDRESSEURS EN PONT À UNE SEULE PHASE VISHAY

Pour des quantités supérieures à celles indiquées, appelez-nous afin d'obtenir un devis.

RÉF. STOCK MOUSER	Réf. Vishay	Boîtier	I_F (A)	V_{RMM} (V)	I_{FSM} (A)	Prix unitaire 1	10	100	500
844-26MB10A	26MB10A	D-34	25	100	420	4,79	4,08	3,86	3,31
844-26MB20A	26MB20A	D-34	25	200	420	4,82	4,23	4,13	3,40
844-GBPC2502A	GBPC2502A	GBPC	25	200	420	2,33	2,09	1,85	1,65
844-26MB40A	26MB40A	D-34	25	400	420	5,49	4,71	4,41	3,83
844-26MT60	26MT60	D-63	25	600	375	10,44	8,70	8,19	7,20
844-GBPC2506A	GBPC2506A	GBPC	25	600	420	2,45	2,22	1,85	1,65
844-26MB60A	26MB60A	D-34	25	600	420	4,74	4,32	4,03	3,44
844-26MB80A	26MB80A	D-34	25	800	420	6,55	5,92	4,68	4,25
844-26MT120	26MT120	D-63	25	1200	375	15,53	14,05	13,33	11,09
844-26MB120A	26MB120A	D-34	25	1200	420	4,83	4,39	4,30	3,54
844-36MB05A	36MB05A	D-34	35	50	500	5,87	5,74	5,61	4,08
844-36MB10A	36MB10A	D-34	35	100	500	5,83	5,70	5,57	4,20
844-36MB20A	36MB20A	D-34	35	200	500	4,61	4,41	4,30	3,30
844-36MB40A	36MB40A	D-34	35	400	500	4,93	4,78	4,58	3,58
844-36MT40	36MT40	D-63	35	400	500	13,00	12,71	12,41	9,03
844-GBPC3504A	GBPC3504A	GBPC	35	400	500	2,41	2,10	1,91	1,65
844-36MB60A	36MB60A	D-34	35	600	500	4,99	4,70	4,58	3,61
844-36MT60	36MT60	D-63	35	600	500	11,86	11,58	11,31	8,70
844-GBPC3506A	GBPC3506A	GBPC	35	600	500	2,54	2,15	1,91	1,65
844-36MB80A	36MB80A	D-34	35	800	500	5,07	4,92	4,58	3,68
844-36MT80	36MT80	D-63	35	800	500	11,49	10,40	10,17	8,21
844-GBPC3508A	GBPC3508A	GBPC	35	800	500	3,27	2,95	2,45	2,12
844-36MB100A	36MB100A	D-34	35	1000	500	5,83	5,70	5,57	4,22
844-36MT100	36MT100	D-63	35	1000	500	12,34	12,06	11,78	9,07
844-36MB120A	36MB120A	D-34	35	1200	500	6,76	6,18	5,74	4,87
844-36MT120	36MT120	D-63	35	1200	500	12,09	10,95	10,17	8,64
844-GBPC3512A	GBPC3512A	GBPC	35	1200	500	2,78	2,39	1,95	1,79
844-36MB140A	36MB140A	D-34	35	1400	500	10,71	9,69	7,66	6,63
844-36MB160A	36MB160A	D-34	35	1600	500	8,52	8,33	8,13	5,92
844-36MT160	36MT160	D-63	35	1600	500	15,15	14,15	13,20	11,30

REDRESSEURS EN PONT À TROIS PHASES VISHAY

Pour des quantités supérieures à celles indiquées, appelez-nous afin d'obtenir un devis.

844-26MT20	26MT20	D-34A	25	200	375	12,94	11,71	9,24	8,41
844-26MT160	26MT160	D-34A	25	1600	375	17,94	16,24	12,82	11,66
844-36MT20	36MT20	D-34A	35	200	500	12,85	12,55	8,91	7,74

SCRS DE CONTRÔLE DE PHASE VISHAY

Pour des quantités supérieures à celles indiquées, appelez-nous afin d'obtenir un devis.

RÉF. STOCK MOUSER	Réf. Vishay	Boîtier	I_F (A)	V_{RMM} (V)	IT_{RMS} (A)	tq (uS)	Prix unitaire 1	10	100	500
844-25RIA40	25RIA40	TO-208AA(TO-48)	25	400	40	110	12,58	11,38	9,45	8,17
844-25RIA120	25RIA120	TO-208AA(TO-48)	25	1200	40	110	11,85	10,66	9,92	8,57
844-50RIA60	50RIA60	TO-208AC(TO-65)	50	600	80	110	13,46	10,46	8,67	8,01
844-50RIA80	50RIA80	TO-208AC(TO-65)	50	800	80	110	16,73	15,14	12,57	10,87
844-50RIA120	50RIA120	TO-208AC(TO-65)	50	1200	80	110	19,83	15,86	13,88	13,21
844-ST180S12P0V	ST180S12P0V	TO-209AB(TO-93)	200	1200	314	100	116,65	113,37	81,21	74,13
844-ST330C16C0	ST330C16C0	TO-200AB (E-Puk)	720	1600	1420	100	132,24	128,53	92,07	84,04

THYRISTORS DE PUISSANCE MOYENNE VISHAY

Pour des quantités supérieures à celles indiquées, appelez-nous afin d'obtenir un devis.

844-16RIA60	16RIA60	TO-208AA(TO-48)	16	600	35	110	11,65	10,49	8,40	7,88
844-16RIA80	16RIA80	TO-208AA(TO-48)	16	800	35	110	13,45	12,10	9,41	8,70
844-16RIA100	16RIA100	TO-208AA(TO-48)	16	1000	35	110	14,46	13,02	10,43	9,78
844-22RIA60	22RIA60	TO-208AA(TO-48)	22	600	35	110	12,33	11,09	8,89	8,37
844-50RIA20	50RIA20	TO-208AC(TO-65)	50	200	80	110	12,18	10,96	8,51	7,80
844-50RIA100	50RIA100	TO-208AC(TO-65)	50	1000	80	110	17,35	15,62	12,14	10,93
844-80RIA40	80RIA40	TO-208AC(TO-65)	80	400	80	110	35,57	32,83	26,67	24,26
844-80RIA80	80RIA80	TO-208AC(TO-65)	80	800	80	110	39,93	36,85	29,95	27,24

MODULES THYRISTOR VISHAY

Pour des quantités supérieures à celles indiquées, appelez-nous afin d'obtenir un devis.

RÉF. STOCK MOUSER	Réf. Vishay	Boîtier	I_F (A)	V_{RMM} (V)	I_{FSM} (A)	Prix unitaire 1	10	100	500
844-P102KW	P102KW	PACE-Pak	25	600	375	38,27	37,39	35,26	32,79
844-P102W	P102W	PACE-Pak	25	600	375	22,51	21,20	18,70	16,47
844-P105W	P105W	PACE-Pak	25	1200	375	36,23	33,43	28,97	26,13
844-VSKT162/16PBF	VSKT162/16PBF	INT-A-Pak	160	1600	355	91,47	75,70	64,57	59,33
844-VSKT250-16	VSKT250-16	MAGN-A-Pak	250	1600	8900	191,66	174,12	162,12	149,31
844-VSKT250-16PBF	VSKT250-16PBF	MAGN-A-Pak	250	1600	8900	290,28	-	-	-

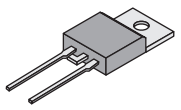
TO-220AC
Montage traversant

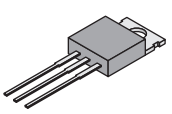
TO-220AB
Montage traversant

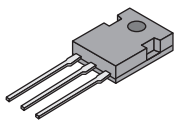
TO-247AC
Montage traversant

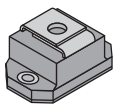
HalfPak (D-67)
Montage traversant

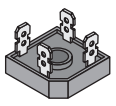
D-34
Montage traversant

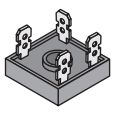
GBPC
Montage traversant

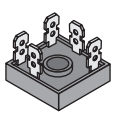
D-63/D-34A
Montage traversant

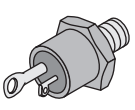
TO-208AA (TO-48)
Montage traversant

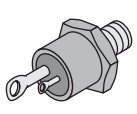
TO-208AC (TO-65)
Montage traversant

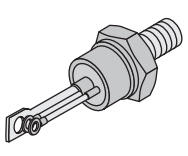
TO-209AB (TO-93)
Montage traversant

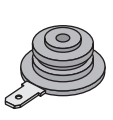
TO-200AB (E-Puk)
Composant à insérer

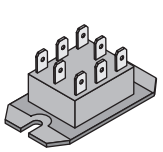
PACEPak
Montage traversant

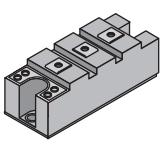
INT-A-Pak
Montage traversant

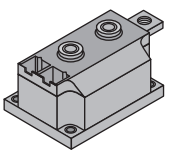
MAGN-A-Pak
Montage traversant

© Copyright 2012 Mouser Electronics

© Copyright 2012 Mouser Electronics

Diodes VISHAY

RoHS Compliant **This product is RoHS compliant.**

DIODES SCHOTSKY VISHAY

Pour des quantités supérieures à celles indiquées, appelez-nous afin d'obtenir un devis.

RÉF. STOCK MOUSER	Réf. Vishay	Type de boîtier	VRMM Max. (V)	IF Max. (A)	VF @ IF Max. (V)	IF (mA)	IFSM Max. (A)	trr Typ./Max (ns)	Tj Max. (°C)	Prix unitaire 1	100	500	1000
Montage en surface													
625-SD103CW-V	SD103CW-V-GS08	SOD-123	20	0.35	0.37	20	2	10/-	125	0,08	0,058	0,046	0,038
625-LL103C	LL103C-GS08	SOD-80C	20	0.35	0.37	20	15	-/10	125	0,08	0,058	0,037	0,035
625-BAT54-V	BAT54-V-GS08	SOT-23-3	30	0.2	0.4	10	0.6	-/5	125	0,05	0,033	0,031	0,027
625-BAT54A-V	BAT54A-V-GS08	SOT-23-3	30	0.2	0.4	10	0.6	-/5	125	0,06	0,041	0,036	0,028
625-BAT54C-V	BAT54C-V-GS08	SOT-23-3	30	0.2	0.4	10	0.6	-/5	125	0,06	0,041	0,035	0,029
625-BAT54S-V	BAT54S-V-GS08	SOT-23-3	30	0.2	1	100	0.6	-/5	125	0,06	0,045	0,035	0,031
625-SD103BW-V	SD103BW-V-GS08	SOD-123	30	0.35	0.37	20	2	10/-	125	0,08	0,058	0,046	0,038
625-LL103B	LL103B-GS08	SOD-80C	30	0.35	0.37	20	15	-/10	125	0,06	0,041	0,035	0,033
625-LL101C	LL101C-GS08	SOD-80C	40	0.2	0.39	1	2	-/1	125	0,05	0,039	0,031	0,031
625-SD101CW-V	SD101CW-V-GS08	SOD-123	40	0.2	0.39	1	2	-/1	125	0,07	0,05	0,044	0,033
78-BAS40-05-V	BAS40-05-V-GS08	SOT-23-3	40	0.2	0.38	1	0.6	-/5	125	0,08	0,058	0,052	0,029
625-SD103AW-V	SD103AW-V-GS08	SOD-123	40	0.35	0.37	20	2	10/-	125	0,08	0,058	0,046	0,038
625-LL103A	LL103A-GS08	SOD-80C	40	0.35	0.37	20	15	-/10	125	0,06	0,041	0,035	0,035
625-LL101B	LL101B-GS08	SOD-80C	50	0.2	0.4	1	2	-/1	125	0,07	0,05	0,032	0,031
625-SD101BW-V	SD101BW-V-GS08	SOD-123	50	0.2	0.4	1	2	-/1	125	0,07	0,05	0,044	0,033
625-LL101A	LL101A-GS08	SOD-80C	60	0.2	0.41	1	2	-/1	125	0,06	0,041	0,035	0,033
625-SD101AW-V	SD101AW-V-GS08	SOD-123	60	0.2	0.41	1	2	-/1	125	0,07	0,05	0,044	0,033
625-BAS70-00-V	BAS70-00-V-GS08	SOT-23-3	70	0.2	0.41	1	0.6	-/5	150	0,08	0,058	0,046	0,035
625-BAS70-04-V	BAS70-04-V-GS08	SOT-23-3	70	0.2	0.41	1	0.6	-/5	150	0,07	0,05	0,044	0,041
625-BAS70-05-V	BAS70-05-V-GS08	SOT-23-3	70	0.2	0.41	1	0.6	-/5	150	0,09	0,066	0,052	0,045
625-BAS70-06-V	BAS70-06-V-GS08	SOT-23-3	70	0.2	0.41	1	0.6	-/5	150	0,09	0,066	0,052	0,039
Montage traversant													
625-SD103C	SD103C-TR	DO-35	20	0.35	0.37	20	15	10/-	125	0,08	0,058	0,046	0,035
625-BAT42	BAT42-TR	DO-35	30	0.2	0.4	10	4	-/5	125	0,09	0,058	0,05	0,039
625-SD101C	SD101C-TR	DO-35	40	0.2	0.39	1	2	-/1	125	0,06	0,041	0,035	0,029
625-SD103A	SD103A-TR	DO-35	40	0.35	0.37	20	15	10/-	125	0,07	0,058	0,045	0,034
625-SD101A	SD101A-TR	DO-35	60	0.2	0.41	1	2	-/1	125	0,07	0,05	0,04	0,03

DIODES À SIGNAL FAIBLE VISHAY

Pour des quantités supérieures à celles indiquées, appelez-nous afin d'obtenir un devis.

RÉF. STOCK MOUSER	Réf. Vishay	Type de boîtier	VRMM Max. (V)	IF Max. (A)	VF @ IF Max. (V)	IF (mA)	IFSM Max. (A)	trr Typ./ Max (ns)	Tj Max. (°C)	Prix unitaire 1	100	500	1000
Montage en surface													
78-BAS85-GS18	BAS85-GS18	SOD-80C	30	200	0.2	25	1	200	-/-5	0,07	0,05	0,044	0,037
78-BAS81	BAS81-GS08	SOD-80C	40	30	200	40	1	410	-/-	0,07	0,054	0,05	0,039
78-BAS82	BAS82-GS08	SOD-80C	50	30	200	50	1	410	-/-	0,07	0,054	0,05	0,04
78-BAS86	BAS86-GS08	SOD-80C	50	200	40	50	1	200	-/-5	0,07	0,063	0,058	0,045
78-1N4150W-V	1N4150W-V-GS08	SOD-123	50	200	100	50	1	200	-/4	0,07	0,05	0,025	0,023
78-LL4150	LL4150-GS08	SOD-80C	50	600	0.1	50	1	200	-/4	0,05	0,033	0,012	0,011
78-BAS83	BAS83-GS08	SOD-80C	60	30	200	60	1	410	-/-	0,07	0,058	0,05	0,042
625-BAV99-V	BAV99-V-GS08	SOT-23-3	70	250	25000	70	1	50	-/6	0,04	0,027	0,025	0,017
625-BAV70-V	BAV70-V-GS08	SOT-23-3	70	250	25000	70	1	50	-/6	0,07	0,041	0,023	0,016
625-BAW56-V	BAW56-V-GS08	SOT-23-3	70	250	25000	70	1	50	-/6	0,07	0,041	0,022	0,015
78-LL4151	LL4151-GS08	SOD-80C	75	200	50	50	1	50	-/4	0,05	0,033	0,014	0,014
625-1N4148W-V	1N4148W-V-GS08	SOD-123	100	150	5000	75	1	10	-/4	0,07	0,05	0,026	0,017
625-IMBD4148-V	IMBD4148-V-GS08	SOT-23-3	100	150	25000	70	1	10	-/4	0,07	0,041	0,023	0,017
78-LL4448	LL4448-GS08	SOD-80C	100	150	0.005	75	1	100	-/8	0,03	0,017	0,011	0,011
625-BAS16-V	BAS16-V-GS08	SOT-23-3	100	150	1000	75	1	50	-/6	0,04	0,027	0,025	0,017
625-MMBD7000-V	MMBD7000-V-GS08	SOT-23-3	100	200	3000	100	0.82	10	-/4	0,07	0,05	0,024	0,017
78-LS4448	LS4448GS08	SOD-80C	100	300	25	75	720mV	5	-/4	0,04	0,035	0,031	0,015
78-LL4148	LL4148-GS08	SOD-80C	100	450	5	75	1	10	-/8	0,04	0,025	0,01	0,008
78-LS4148	LS4148-GS08	Quadro MELF	100	500	5	75	1	50	-/8	0,04	0,025	0,012	0,01
78-BAV202	BAV202-GS08	SOD-80C	200	100	100	150	1	10	-/50	0,06	0,046	0,041	0,02
78-BAV302	BAV302-TR	MicroMELF	200	100	100	150	1000mV	100	-/50	0,07	0,058	0,05	0,025
78-BAV21WS-V	BAV21WS-V-GS08	SOD-323	200	200	100	200	1	100	-/50	0,06	0,041	0,035	0,029
78-BAV102	BAV102-GS08	SOD-80C	200	250	100	150	1	10	-/50	0,06	0,041	0,033	0,019
78-BAV21W-V	BAV21W-V-GS08	SOD-123	200	250	100	200	1	100	-/50	0,10	0,066	0,033	0,028
78-BAV303	BAV303-TR	MicroMELF	250	100	100	200	1000mV	100	-/50	0,08	0,06	0,05	0,026
625-BAS21-V	BAS21-V-GS08	SOT-23-3	250	200	100	200	1	100	-/50	0,06	0,033	0,025	0,017
Montage traversant													
78-BAT85S	BAT85S-TR	DO-35	30	200	2	25	1	10	-/5	0,07	0,05	0,04	0,031
78-1N4154	1N4154-TR	DO-35	35	450	0.1	25	1	30	-/4	0,03	0,017	0,01	0,009
78-1N4150	1N4150-TR	DO-35	50	600	0.1	50	1	200	-/4	0,05	0,033	0,017	0,015
78-1N4151	1N4151-TR	DO-35	75	450	0.05	50	1	50	-/4	0,03	0,017	0,01	0,009
78-1N914	1N914-TR	DO-35	100	300	5	75	1	10	-/4	0,03	0,017	0,009	0,009
78-1N4148	1N4148-TR	DO-35	100	500	5	75	1	10	-/4	0,04	0,025	0,017	0,007
78-1N4448	1N4448-TR	DO-35	100	500	5	75	1	100	-/4	0,03	0,017	0,01	0,009
78-BAV20	BAV20-TR	DO-35	200	200	100	100	1	100	-/50	0,04	0,025	0,014	0,012
78-BAV21	BAV21-TR	DO-35	250	250	100	200	1	100	-/50	0,04	0,025	0,015	0,01

DIODES ZENER VISHAY

Pour des quantités supérieures à celles indiquées, appelez-nous afin d'obtenir un devis.

RÉF. STOCK MOUSER	Réf. Vishay	Type de boîtier	Tension nominale (V)	Puissance nominale (W)	Courant de test (mA)	Prix unitaire 1	100	500	1000
Montage en surface									
625-BZX84C2V4-V	BZX84C2V4-V-GS08	SOT-23-3	2.4	0.35	5	0,04	0,033	0,028	0,02
625-BZX84C2V7-V	BZX84C2V7-V-GS08	SOT-23-3	2.7	0.35	5	0,04	0,027	0,025	0,017
625-BZX84C3V0-V	BZX84C3V0-V-GS08	SOT-23-3	3.0	0.35	5	0,04	0,025	0,024	0,017
625-BZX84C3V3-V	BZX84C3V3-V-GS08	SOT-23-3	3.3	0.35	5	0,04	0,03	0,027	0,025
625-BZX84C3V6-V	BZX84C3V6-V-GS08	SOT-23-3	3.6	0.35	5	0,04	0,027	0,025	0,017
625-BZX84C3V9-V	BZX84C3V9-V-GS08	SOT-23-3	3.9	0.35	5	0,04	0,027	0,025	0,017
625-BZX84C4V3-V	BZX84C4V3-V-GS08	SOT-23-3	4.3	0.35	5	0,04	0,025	0,024	0,018
625-BZX84C4V7-V	BZX84C4V7-V-GS08	SOT-23-3	4.7	0.35	5	0,04	0,027	0,025	0,017
625-BZX84C5V1-V	BZX84C5V1-V-GS08	SOT-23-3	5.1	0.35	5	0,04	0,027	0,025	0,017
625-BZX84C5V6-V	BZX84C5V6-V-GS08	SOT-23-3	5.6	0.35	5	0,04	0,027	0,025	0,017

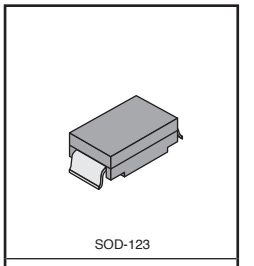
SOD-123

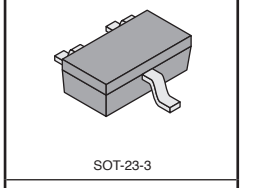
SOT-23-3

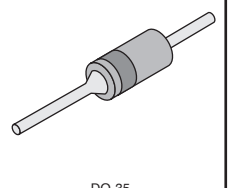
DO-35

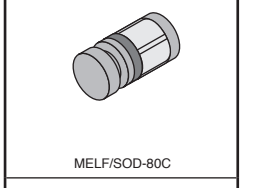
MELF/SOD-80C

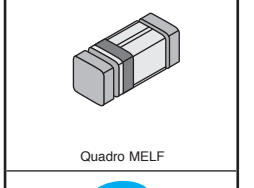
Quadro MELF

MicroMELF

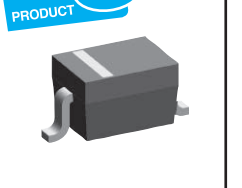

SOD-323

© Copyright 2012 Mouser Electronics
© Copyright 2012 Mouser Electronics

Diodes Zener VISHAY

Les produits peuvent être conformes à la directive RoHS.
Consultez le site mouser.com pour vérifier la conformité RoHS.

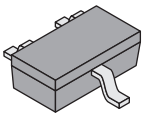
SOT-23-3

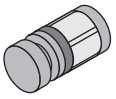
MELF/SOD-80C

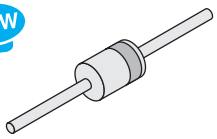
DO-41

DIODES ZENER VISHAY (SUITE)

Pour des quantités supérieures à celles indiquées, appelez-nous afin d'obtenir un devis.

RÉF. STOCK MOUSER	Réf. Vishay	Tension nominale (V)	Puiss. nom. (W)	Courant de test (mA)	Prix unitaire 1	100	500	1000
Montage en surface	• Type de boîtier SOT-23-3							
625-BZX84C6V2-V	BZX84C6V2-V-GS08	6.2	0.35	10	0,04	0,027	0,025	0,017
625-BZX84C6V8-V	BZX84C6V8-V-GS08	6.8	0.35	15	0,04	0,027	0,025	0,017
625-BZX84C7V5-V	BZX84C7V5-V-GS08	7.5	0.35	15	0,04	0,025	0,024	0,017
625-BZX84C8V2-V	BZX84C8V2-V-GS08	8.2	0.35	15	0,04	0,027	0,025	0,017
625-BZX84C9V1-V	BZX84C9V1-V-GS08	9.1	0.35	15	0,04	0,027	0,025	0,017
625-BZX84C10-V	BZX84C10-V-GS08	10	0.35	20	0,04	0,027	0,025	0,017
625-BZX84C11-V	BZX84C11-V-GS08	11	0.35	20	0,04	0,025	0,024	0,017
625-BZX84C12-V	BZX84C12-V-GS08	12	0.35	25	0,04	0,027	0,025	0,017
625-BZX84C13-V	BZX84C13-V-GS08	13	0.35	30	0,04	0,027	0,025	0,017
625-BZX84C15-V	BZX84C15-V-GS08	15	0.35	30	0,05	0,027	0,025	0,017
625-BZX84C16-V	BZX84C16-V-GS08	16	0.35	40	0,04	0,027	0,025	0,017
625-BZX84C18-V	BZX84C18-V-GS08	18	0.35	45	0,04	0,027	0,025	0,017
625-BZX84C20-V	BZX84C20-V-GS08	20	0.35	55	0,04	0,025	0,024	0,018
625-BZX84C22-V	BZX84C22-V-GS08	22	0.35	55	0,04	0,027	0,025	0,017
625-BZX84C24-V	BZX84C24-V-GS08	24	0.35	70	0,04	0,025	0,024	0,017
625-BZX84C27-V	BZX84C27-V-GS08	27	0.35	80	0,04	0,027	0,025	0,02
625-BZX84C30-V	BZX84C30-V-GS08	30	0.35	80	0,04	0,025	0,024	0,017
625-BZX84C33-V	BZX84C33-V-GS08	33	0.35	80	0,04	0,027	0,025	0,017
625-BZX84C36-V	BZX84C36-V-GS08	36	0.35	90	0,04	0,027	0,025	0,017
625-BZX84C39-V	BZX84C39-V-GS08	39	0.35	130	0,04	0,025	0,024	0,017
625-BZX84C43-V	BZX84C43-V-GS08	43	0.35	150	0,04	0,025	0,024	0,017
625-BZX84C47-V	BZX84C47-V-GS08	47	0.35	170	0,04	0,025	0,024	0,017
625-BZX84C51-V	BZX84C51-V-GS08	51	0.35	180	0,04	0,027	0,025	0,017
Montage en surface	• Type de boîtier SOD-80C							
78-TZM5221B	TZM5221B-GS08	2.4	0,5	20	0,04	0,032	0,026	0,022
78-TZM5222B	TZM5222B-GS08	2.5	0,5	20	0,03	0,022	0,02	0,02
78-TZM5223B	TZM5223B-GS08	2.7	0,5	20	0,03	0,022	0,02	0,02
78-TZM5224B	TZM5224B-GS08	2.8	0,5	20	0,03	0,024	0,02	0,02
78-TZM5225B	TZM5225B-GS08	3.0	0,5	20	0,03	0,022	0,02	0,02
78-TZM5226B	TZM5226B-GS08	3.3	0,5	20	0,03	0,022	0,02	0,02
78-TZM5227B	TZM5227B-GS08	3.6	0,5	20	0,03	0,024	0,02	0,02
78-TZM5228B	TZM5228B-GS08	3.9	0,5	20	0,03	0,022	0,02	0,02
78-TZM5229B	TZM5229B-GS08	4.3	0,5	20	0,03	0,022	0,02	0,02
78-TZM5230B	TZM5230B-GS08	4.7	0,5	20	0,03	0,022	0,02	0,02
78-TZM5231B	TZM5231B-GS08	5.1	0,5	20	0,03	0,022	0,02	0,02
78-TZM5232B	TZM5232B-GS08	5.6	0,5	20	0,03	0,024	0,02	0,02
78-TZM5233B	TZM5233B-GS08	6.0	0,5	20	0,03	0,022	0,02	0,02
78-TZM5234B	TZM5234B-GS08	6.2	0,5	20	0,03	0,022	0,02	0,02
78-TZM5235B	TZM5235B-GS08	6.8	0,5	20	0,03	0,022	0,02	0,02
78-TZM5236B	TZM5236B-GS08	7.5	0,5	20	0,03	0,024	0,02	0,02
78-TZM5237B	TZM5237B-GS08	8.2	0,5	20	0,03	0,022	0,02	0,02
78-TZM5239B	TZM5239B-GS08	9.1	0,5	20	0,03	0,022	0,02	0,02
78-TZM5240B	TZM5240B-GS08	10	0,5	20	0,03	0,022	0,02	0,02
78-TZM5241B	TZM5241B-GS08	11	0,5	20	0,03	0,022	0,02	0,02
78-TZM5242B	TZM5242B-GS08	12	0,5	20	0,03	0,022	0,02	0,02
78-TZM5243B	TZM5243B-GS08	13	0,5	9.5	0,03	0,022	0,02	0,02
78-TZM5244B	TZM5244B-GS08	14	0,5	9.0	0,03	0,022	0,02	0,02
78-TZM5245B	TZM5245B-GS08	15	0,5	8.5	0,03	0,022	0,02	0,02
78-TZM5246B	TZM5246B-GS08	16	0,5	7.8	0,03	0,022	0,02	0,02
78-TZM5247B	TZM5247B-GS08	17	0,5	7.4	0,03	0,022	0,02	0,02
78-TZM5248B	TZM5248B-GS08	18	0,5	7.0	0,03	0,022	0,02	0,02
78-TZM5250B	TZM5250B-GS08	20	0,5	6.2	0,03	0,022	0,02	0,02
78-TZM5251B	TZM5251B-GS08	22	0,5	5.6	0,03	0,022	0,02	0,02
78-TZM5252B	TZM5252B-GS08	24	0,5	5.2	0,03	0,022	0,02	0,02
78-TZM5254B	TZM5254B-GS08	27	0,5	4.6	0,03	0,024	0,02	0,02
78-TZM5255B	TZM5255B-GS08	28	0,5	4.5	0,03	0,022	0,02	0,02
78-TZM5256B	TZM5256B-GS08	30	0,5	4.2	0,03	0,022	0,02	0,02
78-TZM5257B	TZM5257B-GS08	33	0,5	3.8	0,03	0,022	0,02	0,02
78-TZM5258B	TZM5258B-GS08	36	0,5	3.4	0,03	0,022	0,02	0,02
78-TZM5259B	TZM5259B-GS08	39	0,5	3.2	0,03	0,022	0,02	0,02
78-TZM5260B	TZM5260B-GS08	43	0,5	3.0	0,03	0,022	0,02	0,02
78-TZM5262B	TZM5262B-GS08	51	0,5	2.5	0,03	0,022	0,02	0,02
78-TZM5263B	TZM5263B-GS08	56	0,5	2.2	0,03	0,024	0,02	0,02
78-TZM5267B	TZM5267B-GS08	75	0,5	1.7	0,03	0,024	0,02	0,02
78-TZMB2V4	TZMB2V4-GS08	2.4	0,5	5	0,03	0,026	0,021	0,019
78-TZMB2V7	TZMB2V7-GS08	2.7	0,5	5	0,04	0,033	0,026	0,024
78-TZMB3V3	TZMB3V3-GS08	3.3	0,5	5	0,03	0,026	0,021	0,019
78-TZMB3V6	TZMB3V6-GS08	3.6	0,5	5	0,03	0,026	0,021	0,019
78-TZMB3V9	TZMB3V9-GS08	3.9	0,5	5	0,03	0,026	0,021	0,019
78-TZMB4V3	TZMB4V3-GS08	4.3	0,5	5	0,04	0,033	0,026	0,024
78-TZMB4V7	TZMB4V7-GS08	4.7	0,5	5	0,03	0,026	0,021	0,019
78-TZMB5V1	TZMB5V1-GS08	5.1	0,5	5	0,03	0,026	0,021	0,019
78-TZMB5V6	TZMB5V6-GS08	5.6	0,5	5	0,03	0,026	0,021	0,019
78-TZMB6V2	TZMB6V2-GS08	6.2	0,5	5	0,03	0,026	0,021	0,019
78-TZMB6V8	TZMB6V8-GS08	6.8	0,5	5	0,03	0,026	0,021	0,019
78-TZMB7V5	TZMB7V5-GS08	7.5	0,5	5	0,04	0,033	0,026	0,024
78-TZMB8V2	TZMB8V2-GS08	8.2	0,5	5	0,03	0,026	0,021	0,019
78-TZMB9V1	TZMB9V1-GS08	9.1	0,5	5	0,03	0,026	0,021	0,019
78-TZMB10	TZMB10-GS08	10	0,5	5	0,03	0,026	0,021	0,019
78-TZMB11	TZMB11-GS08	11	0,5	5	0,03	0,026	0,021	0,019

Pour des quantités supérieures à celles indiquées, appelez-nous afin d'obtenir un devis.

RÉF. STOCK MOUSER	Réf. Vishay	Tension nominale (V)	Puiss. nom. (W)	Courant de test (mA)	Prix unitaire 1	100	500	1000
Montage en surface	• Type de boîtier SOD-80C **(suite)**							
78-TZMB13	TZMB13-GS08	13	0,5	5	0,04	0,033	0,026	0,024
78-TZMB16	TZMB16-GS08	16	0,5	5	0,03	0,026	0,021	0,019
78-TZMB18	TZMB18-GS08	18	0,5	5	0,03	0,026	0,021	0,019
78-TZMB20	TZMB20-GS08	20	0,5	5	0,03	0,026	0,021	0,019
78-TZMB22	TZMB22-GS08	22	0,5	5	0,03	0,026	0,021	0,019
78-TZMB24	TZMB24-GS08	24	0,5	5	0,03	0,026	0,021	0,019
78-TZMC2V4	TZMC2V4-GS08	2.4	0,5	5	0,03	0,022	0,018	0,016
78-TZMC2.7	TZMC2V7-GS08	2.7	0,5	5	0,03	0,022	0,018	0,016
78-TZMC3.6	TZMC3V6-GS08	3.6	0,5	5	0,03	0,022	0,018	0,016
78-TZMC3.9	TZMC3V9-GS08	3.9	0,5	5	0,03	0,022	0,018	0,017
78-TZMC4.3	TZMC4V3-GS08	4.3	0,5	5	0,03	0,022	0,018	0,017
78-TZMC4.7	TZMC4V7-GS08	4.7	0,5	5	0,03	0,022	0,018	0,016
78-TZMC5.1	TZMC5V1-GS08	5.1	0,5	5	0,03	0,022	0,018	0,016
78-TZMC6.2	TZMC6V2-GS08	6.2	0,5	5	0,03	0,022	0,018	0,016
78-TZMC6.8	TZMC6V8-GS08	6.8	0,5	5	0,03	0,022	0,018	0,017
78-TZMC7.5	TZMC7V5-GS08	7.5	0,5	5	0,03	0,022	0,018	0,017
78-TZMC8.2	TZMC8V2-GS08	8.2	0,5	5	0,03	0,022	0,018	0,016
78-TZMC10	TZMC10-GS08	10	0,5	5	0,03	0,022	0,018	0,017
78-TZMC11	TZMC11-GS08	11	0,5	5	0,03	0,022	0,018	0,016
78-TZMC12	TZMC12-GS08	12	0,5	5	0,03	0,022	0,014	0,014
78-TZMC15	TZMC15-GS08	15	0,5	5	0,03	0,022	0,018	0,016
78-TZMC16	TZMC16-GS08	16	0,5	5	0,03	0,022	0,018	0,016
78-TZMC18	TZMC18-GS08	18	0,5	5	0,03	0,024	0,019	0,017
78-TZMC24	TZMC24-GS08	24	0,5	5	0,03	0,022	0,018	0,016
78-TZMC27	TZMC27-GS08	27	0,5	5	0,03	0,022	0,018	0,016
78-TZMC30	TZMC30-GS08	30	0,5	5	0,03	0,022	0,018	0,016
78-TZMC33	TZMC33-GS08	33	0,5	5	0,03	0,022	0,018	0,016
78-TZMC36	TZMC36-GS08	36	0,5	5	0,03	0,022	0,018	0,016
78-TZMC39	TZMC39-GS08	39	0,5	2.5	0,03	0,022	0,018	0,016
78-TZMC47	TZMC47-GS08	47	0,5	2.5	0,03	0,024	0,02	0,017
78-TZMC51	TZMC51-GS08	51	0,5	2.5	0,03	0,022	0,018	0,016
78-TZMC56	TZMC56-GS08	56	0,5	2.5	0,03	0,022	0,018	0,016
78-TZMC62	TZMC62-GS08	62	0,5	2.5	0,03	0,022	0,018	0,016
78-TZMC68	TZMC68-GS08	68	0,5	2.5	0,03	0,022	0,018	0,016
78-TZMC75	TZMC75-GS08	75	0,5	2.5	0,03	0,022	0,018	0,017
Montage en surface	• Type de boîtier MELF							
625-ZM4730A	ZM4730A-GS08	3.9	1	64	0,12	0,099	0,083	0,083
625-ZM4731A	ZM4731A-GS08	4.3	1	58	0,12	0,099	0,083	0,083
625-ZM4732A	ZM4732A-GS08	4.7	1	53	0,12	0,099	0,083	0,083
625-ZM4733A	ZM4733A-GS08	5.1	1	49	0,12	0,099	0,083	0,083
625-ZM4734A	ZM4734A-GS08	5.6	1	45	0,12	0,099	0,083	0,083
625-ZM4735A	ZM4735A-GS08	6.2	1	41	0,12	0,099	0,083	0,083
625-ZM4736A	ZM4736A-GS08	6.8	1	37	0,12	0,099	0,083	0,083
625-ZM4737A	ZM4737A-GS08	7.5	1	34	0,12	0,099	0,083	0,083
625-ZM4738A	ZM4738A-GS08	8.2	1	31	0,12	0,099	0,083	0,083
625-ZM4739A	ZM4739A-GS08	9.1	1	28	0,12	0,099	0,083	0,083
625-ZM4740A	ZM4740A-GS08	10	1	25	0,12	0,099	0,083	0,083
625-ZM4741A	ZM4741A-GS08	11	1	23	0,12	0,099	0,083	0,083
625-ZM4742A	ZM4742A-GS08	12	1	21	0,12	0,099	0,083	0,083
625-ZM4743A	ZM4743A-GS08	13	1	19	0,12	0,099	0,083	0,083
625-ZM4744A	ZM4744A-GS08	15	1	17	0,12	0,099	0,083	0,083
625-ZM4745A	ZM4745A-GS08	16	1	15.5	0,12	0,099	0,083	0,083
625-ZM4746A	ZM4746A-GS08	18	1	14	0,12	0,099	0,083	0,083
625-ZM4747A	ZM4747A-GS08	20	1	12.5	0,12	0,099	0,083	0,083
625-ZM4748A	ZM4748A-GS08	22	1	11.5	0,12	0,099	0,083	0,083
625-ZM4749A	ZM4749A-GS08	24	1	10.5	0,12	0,099	0,083	0,083
625-ZM4750A	ZM4750A-GS08	27	1	9.5	0,12	0,099	0,083	0,083
625-ZM4751A	ZM4751A-GS08	30	1	8.5	0,12	0,099	0,083	0,083
Montage traversant	• Type de boîtier DO-41							
625-BZX85C3V3-TAP	BZX85C3V3-TAP	3.3	1.3	80	0,04	0,033	0,028	0,026
625-BZX85C5V1-TAP	BZX85C5V1-TAP	5.1	1.3	45	0,04	0,033	0,028	0,027
625-BZX85C5V6-TAP	BZX85C5V6-TAP	5.6	1.3	45	0,04	0,033	0,028	0,027
625-BZX85C12-TAP	BZX85C12-TAP	12	1.3	20	0,04	0,033	0,028	0,027
625-BZX85C13-TAP	BZX85C13-TAP	13	1.3	20	0,04	0,033	0,028	0,027
625-BZX85C15-TAP	BZX85C15-TAP	15	1.3	15	0,04	0,033	0,028	0,027
625-BZX85C16-TAP	BZX85C16-TAP	16	1.3	15	0,04	0,033	0,028	0,027
625-BZX85C18-TAP	BZX85C18-TAP	18	1.3	15	0,04	0,033	0,028	0,027
625-BZX85C20-TAP	BZX85C20-TAP	20	1.3	10	0,04	0,033	0,028	0,027
625-BZX85C22-TAP	BZX85C22-TAP	22	1.3	10	0,04	0,033	0,028	0,027
625-BZX85C24-TAP	BZX85C24-TAP	24	1.3	10	0,06	0,048	0,041	0,04
625-BZX85C27-TAP	BZX85C27-TAP	27	1.3	8	0,06	0,048	0,041	0,04
625-BZX85C30-TAP	BZX85C30-TAP	30	1.3	8	0,04	0,033	0,028	0,027
625-BZX85C33-TAP	BZX85C33-TAP	33	1.3	8	0,04	0,033	0,028	0,027
625-BZX85C47-TAP	BZX85C47-TAP	47	1.3	4	0,04	0,033	0,028	0,027
625-BZX85C6V2-TAP	BZX85C6V2-TAP	6.2	1.3	35	0,04	0,033	0,028	0,027
625-BZX85C6V8-TAP	BZX85C6V8-TAP	6.8	1.3	35	0,04	0,033	0,028	0,027
625-BZX85C75-TAP	BZX85C75-TAP	75	1.3	4	0,04	0,033	0,028	0,027
625-BZX85C7V5-TAP	BZX85C7V5-TAP	7.5	1.3	35	0,06	0,048	0,041	0,04
625-BZX85C8V2-TAP	BZX85C8V2-TAP	8.2	1.3	25	0,04	0,033	0,028	0,027
625-BZX85C9V1-TAP	BZX85C9V1-TAP	9.1	1.3	25	0,04	0,033	0,028	0,027

© Copyright 2012 Mouser Electronics
© Copyright 2012 Mouser Electronics

Diodes Zener VISHAY

Les produits peuvent être conformes à la directive RoHS.
Consultez le site mouser.com pour vérifier la conformité RoHS.

DIODES ZENER VISHAY (SUITE)

Pour des quantités supérieures à celles indiquées, appelez-nous afin d'obtenir un devis.

RÉF. STOCK MOUSER	Réf. Vishay	Type de boîtier	Tension nominale (V)	Puissance nominale (W)	Courant de test (mA)	Prix unitaire 1	100	500	1000
Montage traversant									
78-1N5226B	1N5226B-TR	DO-35	3.3	0,5	20	0,03	0,017	0,016	0,016
78-1N5227B	1N5227B-TR	DO-35	3.6	0,5	20	0,03	0,017	0,016	0,016
78-1N5228B	1N5228B-TR	DO-35	3.9	0,5	20	0,03	0,017	0,016	0,016
78-1N5229B	1N5229B-TR	DO-35	4.3	0,5	20	0,03	0,017	0,016	0,016
78-1N5230B	1N5230B-TR	DO-35	4.7	0,5	20	0,03	0,017	0,016	0,016
78-1N5231B	1N5231B-TR	DO-35	5.1	0,5	20	0,03	0,017	0,015	0,015
78-1N5232B	1N5232B-TR	DO-35	5.6	0,5	20	0,03	0,017	0,015	0,015
78-1N5233B	1N5233B-TR	DO-35	6.0	0,5	20	0,03	0,017	0,015	0,015
78-1N5234B	1N5234B-TR	DO-35	6.2	0,5	20	0,03	0,017	0,015	0,015
78-1N5235B	1N5235B-TR	DO-35	6.8	0,5	20	0,03	0,017	0,015	0,015
78-1N5236B	1N5236B-TR	DO-35	7.5	0,5	20	0,03	0,017	0,015	0,015
78-1N5237B	1N5237B-TR	DO-35	8.2	0,5	20	0,03	0,017	0,015	0,015
78-1N5238B	1N5238B-TR	DO-35	8.7	0,5	20	0,03	0,017	0,015	0,015
78-1N5239B	1N5239B-TR	DO-35	9.1	0,5	20	0,03	0,017	0,015	0,015
78-1N5240B	1N5240B-TR	DO-35	10	0,5	20	0,04	0,02	0,017	0,017
78-1N5241B	1N5241B-TR	DO-35	11	0,5	20	0,03	0,017	0,015	0,015
78-1N5242B	1N5242B-TR	DO-35	12	0,5	20	0,03	0,017	0,015	0,015
78-1N5243B	1N5243B-TR	DO-35	13	0,5	9.5	0,03	0,017	0,015	0,015
78-1N5244B	1N5244B-TR	DO-35	14	0,5	9.0	0,03	0,017	0,015	0,015
78-1N5245B	1N5245B-TR	DO-35	15	0,5	8.5	0,03	0,017	0,015	0,012
78-1N5246B	1N5246B-TR	DO-35	16	0,5	7.8	0,03	0,017	0,015	0,015
78-1N5247B	1N5247B-TR	DO-35	17	0,5	7.4	0,03	0,017	0,015	0,015
78-1N5248B	1N5248B-TR	DO-35	18	0,5	7.0	0,03	0,017	0,015	0,015
78-1N5249B	1N5249B-TR	DO-35	19	0,5	6.6	0,03	0,017	0,015	0,015
78-1N5250B	1N5250B-TR	DO-35	20	0,5	6.2	0,03	0,017	0,015	0,015
78-1N5251B	1N5251B-TR	DO-35	22	0,5	5.6	0,03	0,017	0,015	0,015
78-1N5252B	1N5252B-TR	DO-35	24	0,5	5.2	0,03	0,017	0,015	0,012
78-1N5253B	1N5253B-TR	DO-35	25	0,5	5.0	0,03	0,017	0,015	0,015
78-1N5254B	1N5254B-TR	DO-35	27	0,5	4.6	0,03	0,017	0,015	0,015
78-1N5255B	1N5255B-TR	DO-35	28	0,5	4.5	0,03	0,017	0,015	0,015
78-1N5256B	1N5256B-TR	DO-35	30	0,5	4.2	0,03	0,017	0,015	0,015
78-1N5257B	1N5257B-TR	DO-35	33	0,5	3.8	0,03	0,017	0,015	0,015
78-1N5258B	1N5258B-TR	DO-35	36	0,5	3.4	0,03	0,017	0,015	0,015
78-1N5259B	1N5259B-TR	DO-35	39	0,5	3.2	0,03	0,017	0,015	0,015
78-1N5260B	1N5260B-TR	DO-35	43	0,5	3.0	0,03	0,017	0,015	0,015
78-1N5261B	1N5261B-TR	DO-35	47	0,5	2.7	0,03	0,017	0,015	0,015
78-1N5262B	1N5262B-TR	DO-35	51	0,5	2.5	0,03	0,017	0,015	0,015
78-1N5263B	1N5263B-TR	DO-35	56	0,5	2.2	0,03	0,017	0,015	0,015
78-1N5264B	1N5264B-TR	DO-35	60	0,5	2.1	0,03	0,017	0,015	0,015
78-1N5265B	1N5265B-TR	DO-35	62	0,5	2.0	0,03	0,017	0,015	0,015
78-1N5266B	1N5266B-TR	DO-35	68	0,5	1.8	0,03	0,017	0,015	0,015
78-1N5267B	1N5267B-TR	DO-35	75	0,5	1.7	0,03	0,017	0,015	0,015
78-1N4728A	1N4728A-TR	DO-41	3.3	1	76	0,03	0,025	0,024	0,02
78-1N4729A	1N4729A-TR	DO-41	3.6	1	69	0,04	0,031	0,026	0,025
78-1N4730A	1N4730A-TR	DO-41	3.9	1	64	0,04	0,031	0,026	0,025
78-1N4731A	1N4731A-TR	DO-41	4.3	1	58	0,04	0,031	0,026	0,025
78-1N4732A	1N4732A-TR	DO-41	4.7	1	53	0,03	0,027	0,026	0,025
78-1N4733A	1N4733A-TR	DO-41	5.1	1	49	0,03	0,025	0,025	0,025
78-1N4734A	1N4734A-TR	DO-41	5.6	1	45	0,03	0,027	0,026	0,025
78-1N4735A	1N4735A-TR	DO-41	6.2	1	41	0,03	0,027	0,026	0,025
78-1N4736A	1N4736A-TR	DO-41	6.8	1	37	0,03	0,027	0,026	0,025
78-1N4737A	1N4737A-TR	DO-41	7.5	1	34	0,03	0,027	0,026	0,025
78-1N4738A	1N4738A-TR	DO-41	8.2	1	31	0,04	0,031	0,026	0,025
78-1N4739A	1N4739A-TR	DO-41	9.1	1	28	0,03	0,027	0,026	0,025
78-1N4740A	1N4740A-TR	DO-41	10	1	25	0,03	0,031	0,031	0,031
78-1N4741A	1N4741A-TR	DO-41	11	1	23	0,04	0,031	0,026	0,025
78-1N4742A	1N4742A-TR	DO-41	12	1	21	0,03	0,027	0,026	0,025
78-1N4743A	1N4743A-TR	DO-41	13	1	19	0,04	0,031	0,026	0,025
78-1N4744A	1N4744A-TR	DO-41	15	1	17	0,03	0,027	0,026	0,025
78-1N4745A	1N4745A-TR	DO-41	16	1	15.5	0,03	0,027	0,026	0,025
78-1N4746A	1N4746A-TR	DO-41	18	1	14	0,03	0,027	0,027	0,027
78-1N4747A	1N4747A-TR	DO-41	20	1	12.5	0,03	0,027	0,026	0,025
78-1N4748A	1N4748A-TR	DO-41	22	1	11.5	0,04	0,031	0,026	0,025
78-1N4749A	1N4749A-TR	DO-41	24	1	10.5	0,03	0,027	0,026	0,025
78-1N4750A	1N4750A-TR	DO-41	27	1	9.5	0,04	0,031	0,026	0,025
78-1N4751A	1N4751A-TR	DO-41	30	1	8.5	0,03	0,027	0,026	0,025
78-1N4752A	1N4752A-TR	DO-41	33	1	7.5	0,04	0,031	0,026	0,025
78-1N4753A	1N4753A-TR	DO-41	36	1	7.0	0,04	0,031	0,026	0,025
78-1N4754A	1N4754A-TR	DO-41	39	1	6.5	0,03	0,027	0,026	0,025
78-1N4755A	1N4755A-TR	DO-41	43	1	6.0	0,04	0,031	0,026	0,025
78-1N4756A	1N4756A-TR	DO-41	47	1	5.5	0,03	0,027	0,026	0,025
78-1N4757A	1N4757A-TR	DO-41	51	1	5.0	0,04	0,031	0,026	0,025
78-1N4758A	1N4758A-TR	DO-41	56	1	4.5	0,04	0,031	0,026	0,025
78-1N4759A	1N4759A-TR	DO-41	62	1	4.0	0,03	0,027	0,026	0,025
78-1N4760A	1N4760A-TR	DO-41	68	1	3.7	0,04	0,031	0,026	0,025
78-1N4761A	1N4761A-TR	DO-41	75	1	3.3	0,04	0,026	0,026	0,025
78-1N4762A	1N4762A-TR	DO-41	82	1	3.0	0,04	0,031	0,026	0,025
78-1N4763A	1N4763A-TR	DO-41	91	1	2.8	0,04	0,026	0,026	0,025
78-1N4764A	1N4764A-TR	DO-41	100	1	2.5	0,04	0,031	0,027	0,027

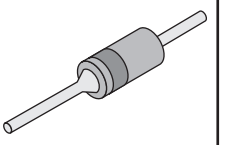

DO-35

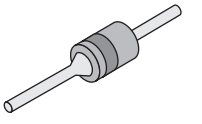

DO-41

© Copyright 2012 Mouser Electronics

© Copyright 2012 Mouser Electronics

Transistors CENTRAL

Les produits peuvent être conformes à la directive RoHS. Consulter le site mouser.com pour vérifier la conformité RoHS.

TRANSISTORS À SIGNAL FAIBLE – TRAVERSANTS

Pour des quantités supérieures à celles indiquées, appelez-nous afin d'obtenir un devis.

RÉF. STOCK MOUSER	Réf. Central	Boîtier	h_{FE} Min.	h_{FE} Max.	f_T (MHz) MIN	Prix unitaire 1	25	100	250
Transistors à signal faible NPN									
610-2N1480	2N1480	TO-39	20	60	1.5	1,90	1,85	1,77	1,70
610-2N5785	2N5785	TO-39	20	100	1	2,71	2,39	2,16	2,03
610-2N918	2N918	TO-72	20	-	600	1,96	1,89	1,87	1,81
610-2N2925	2N2925	TO-92	25	235	160	0,23	0,214	0,193	0,179
610-2N708	2N708	TO 18	30	120	400	1,16	1,09	1,00	0,935
610-2N3114	2N3114	TO-39	30	120	40	3,63	3,53	3,39	3,26
610-2N5225	2N5225	TO-92	30	600	50	0,24	0,213	0,197	0,18
610-2N1481	2N1481	TO-39	35	100	1.5	1,46	1,44	1,44	1,43
610-2N718A	2N718A	TO 18	40	120	60	0,74	0,59	0,533	0,50
610-2N697A	2N697A	TO-39	40	120	50	1,06	0,976	0,918	0,836
610-2N2218A	2N2218A	TO-39	40	120	250	1,06	0,976	0,918	0,836
610-2N3420	2N3420	TO-39	40	120	40	3,61	3,49	3,36	3,22
610-2N3421	2N3421	TO-39	40	120	40	2,16	1,98	1,80	1,62
610-2N4895	2N4895	TO-39	40	120	50	6,67	6,00	5,45	5,00
610-PN2369A	PN2369A	TO-92	40	120	500	0,22	0,172	0,139	0,098
610-MPSA20	MPSA20	TO-92	40	400	125	0,25	0,227	0,205	0,182
610-MPSA42	MPSA42	TO-92	40	-	50	0,17	0,14	0,116	0,105
610-2N3708	2N3708	TO-92	45	660	-	0,25	0,197	0,18	0,164
610-2N2270	2N2270	TO-39	50	200	100	1,07	1,04	1,00	0,959
610-2N3903	2N3903	TO-92	50	150	250	0,30	0,277	0,259	0,232
610-2N4124	2N4124	TO-92	50	200	300	0,19	0,175	0,157	0,148
610-2N5770	2N5770	TO-92	50	200	800	0,29	0,262	0,23	0,205
610-2N4013	2N4013	TO 18	60	150	300	1,07	1,06	1,04	1,03
610-2N3725A	2N3725A	TO-39	60	150	300	3,54	3,18	2,83	2,48
610-2N2405	2N2405	TO-39	60	200	50	0,85	0,828	0,804	0,795
610-2N4410	2N4410	TO-92	60	400	60	0,23	0,214	0,193	0,179
610-MPSH10	MPSH10	TO-92	60	-	650	0,29	0,262	0,23	0,213
610-2N3416	2N3416	TO-92	75	225	-	0,64	0,525	0,426	0,339
610-2N5551	2N5551	TO-92	80	250	100	0,64	0,525	0,426	0,339
610-2N2923	2N2923	TO-92	90	180	160	0,31	0,279	0,246	0,23
610-MPS6531	MPS6531	TO-92	90	270	-	0,24	0,139	0,098	0,09
610-2N3107	2N3107	TO-39	100	300	70	1,88	1,79	1,71	1,61
610-2N3501	2N3501	TO-39	100	300	150	4,26	4,17	4,03	3,93
610-2N3704	2N3704	TO-92	100	300	100	0,33	0,312	0,295	0,279
610-2N5209	2N5209	TO-92	100	300	30	0,35	0,312	0,279	0,246
610-MPS3704	MPS3704	TO-92	100	300	100	0,28	0,246	0,23	0,213
610-MPS3706	MPS3706	TO-92	100	300	100	0,28	0,262	0,238	0,221
610-PN2222A	PN2222A	TO-92	100	300	300	0,15	0,131	0,115	0,098
610-PN3569	PN3569	TO-92	100	300	60	0,80	0,733	0,66	0,586
610-PN3643	PN3643	TO-92	100	300	250	0,19	0,172	0,156	0,139
610-2N3707	2N3707	TO-92	100	400	-	0,66	0,631	0,599	0,541
610-2N5172	2N5172	TO-92	100	500	200	0,23	0,189	0,172	0,156
610-2N2924	2N2924	TO-92	150	300	160	0,71	0,63	0,462	0,364
610-2N3392	2N3392	TO-92	150	300	120	0,25	0,23	0,205	0,189
610-2N3860	2N3860	TO-92	150	300	90	0,25	0,221	0,197	0,179
610-2N5818	2N5818	TO-92	150	300	135	0,90	0,797	0,679	0,571
610-MPS3392	MPS3392	TO-92	150	300	-	0,21	0,197	0,18	0,164
610-PN3565	PN3565	TO-92	150	600	40	0,14	0,123	0,115	0,098
610-2N5961	2N5961	TO-92	170	700	100	0,15	0,139	0,123	0,115
610-2N3415	2N3415	TO-92	180	540	-	0,64	0,525	0,426	0,339
610-2N3417	2N3417	TO-92	180	540	-	0,64	0,525	0,426	0,339
610-2N4424	2N4424	TO-92	180	540	-	0,23	0,214	0,193	0,179
610-2N3711	2N3711	TO-92	180	660	-	0,25	0,23	0,205	0,189
610-MPS6520	MPS6520	TO-92	200	400	-	0,24	0,221	0,205	0,189
610-2N3117	2N3117	TO 18	250	500	60	3,63	3,53	3,39	3,26
610-MPS8097	MPS8097	TO-92	250	5	-	0,25	0,205	0,164	0,131
610-2N3391A	2N3391A	TO-92	250	500	120	0,39	0,353	0,32	0,295

Pour des quantités supérieures à celles indiquées, appelez-nous afin d'obtenir un devis.

RÉF. STOCK MOUSER	Réf. Central	Boîtier	h_{FE} Min.	h_{FE} Max.	f_T (MHz) MIN	Prix unitaire 1	25	100	250
Transistors à signal faible NPN (Suite)									
610-2N5232A	2N5232A	TO-92	250	500	-	0,20	0,189	0,18	0,172
610-MPS6515	MPS6515	TO-92	250	500	-	0,22	0,18	0,139	0,115
610-2N5088	2N5088	TO-92	300	900	50	0,23	0,214	0,193	0,179
610-MPSA18	MPSA18	TO-92	500	1500	100	0,80	0,768	0,649	0,563
610-2N5962	2N5962	TO-92	600	1400	100	0,20	0,18	0,164	0,148
610-2N5306	2N5306	TO-92	7000	70000	60	0,43	0,367	0,292	0,238
610-2N5308	2N5308	TO-92	7000	70000	60	0,43	0,367	0,292	0,238
610-MPS5306	MPS5306	TO-92	7000	70000	60	0,21	0,18	0,164	0,148
610-MPSA26	MPSA26	TO-92	10000	-	-	0,20	0,18	0,164	0,148
610-MPSA28	MPSA28	TO-92	10000	-	125	0,25	0,221	0,205	0,18
610-2N6427	2N6427	TO-92	14000	140000	130	0,23	0,214	0,193	0,179
610-2N6426	2N6426	TO-92	20000	200000	-	0,23	0,214	0,193	0,179
610-MPSA14	MPSA14	TO-92	20000	-	125	0,27	0,208	0,165	0,112
610-2N706A	2N706A	TO 18	-	-	-	1,16	1,09	1,00	0,935
Transistors à signal faible PNP									
610-2N4208	2N4208	TO 18	30	120	700	3,84	3,67	3,53	3,40
610-2N4234	2N4234	TO-39	30	150	3	1,35	1,22	1,08	1,00
610-2N5322	2N5322	TO-39	30	150	50	1,34	1,28	1,21	1,16
610-PN3640	PN3640	TO-92	30	120	500	0,45	0,41	0,361	0,336
610-2N3703	2N3703	TO-92	30	150	100	0,23	0,197	0,18	0,164
610-2N5226	2N5226	TO-92	30	600	50	0,20	0,183	0,164	0,155
610-2N2904A	2N2904A	TO-39	40	120	200	1,03	0,968	0,918	0,845
610-2N4030	2N4030	TO-39	40	120	100	1,06	0,976	0,918	0,836
610-MPSA70	MPSA70	TO-92	40	400	125	0,28	0,164	0,123	0,107
610-2N3250	2N3250	TO 18	50	150	250	1,16	1,09	1,00	0,935
610-2N3905	2N3905	TO-92	50	150	200	0,30	0,277	0,259	0,232
610-PN4356	PN4356	TO-92	50	250	100	0,25	0,238	0,23	0,213
610-PN5138	PN5138	TO-92	50	800	30	0,21	0,189	0,172	0,156
610-MPSA55	MPSA55	TO-92	50	-	50	0,20	0,156	0,123	0,098
610-2N5401	2N5401	TO-92	60	240	100	0,23	0,214	0,193	0,179
610-2N3702	2N3702	TO-92	60	300	100	0,21	0,182	0,164	0,149
610-MPS6517	MPS6517	TO-92	90	180	-	0,18	0,16	0,135	0,128
610-2N3504	2N3504	TO 18	100	300	200	0,71	0,672	0,648	0,607
610-2N3505	2N3505	TO 18	100	300	200	0,66	0,59	0,533	0,50
610-2N3962	2N3962	TO 18	100	450	40	1,48	1,38	1,27	1,16
610-2N3502	2N3502	TO-39	100	300	200	0,66	0,59	0,533	0,50
610-2N3503	2N3503	TO-39	100	300	200	0,71	0,631	0,566	0,533
610-2N3906	2N3906	TO-92	100	300	250	0,21	0,189	0,18	0,172
610-2N4403	2N4403	TO-92	100	300	200	0,23	0,214	0,193	0,179
610-2N5366	2N5366	TO-92	100	300	250	0,17	0,156	0,139	0,123
610-PN2907A	PN2907A	TO-92	100	300	200	0,13	0,115	0,107	0,09
610-PN3644	PN3644	TO-92	100	300	200	0,18	0,164	0,148	0,131
610-PN3645	PN3645	TO-92	100	300	200	0,28	0,254	0,221	0,197
610-PN4249	PN4249	TO-92	100	300	40	0,15	0,139	0,123	0,115
610-PN4355	PN4355	TO-92	100	400	100	0,23	0,214	0,193	0,179
610-MPSA06	MPSA06	TO-92	100	-	50	0,22	0,205	0,18	0,164
610-PN3638A	PN3638A	TO-92	100	-	150	2,05	1,89	1,64	1,48
610-2N4126	2N4126	TO-92	120	360	250	0,23	0,214	0,193	0,179
610-PN4917	PN4917	TO-92	150	300	450	0,21	0,189	0,172	0,156
610-MPS6519	MPS6519	TO-92	250	500	-	0,31	0,295	0,279	0,254
610-PN4250A	PN4250A	TO-92	250	700	50	0,25	0,205	0,148	0,107
610-2N5087	2N5087	TO-92	250	800	40	0,23	0,214	0,193	0,179
610-MPSA63	MPSA63	TO-92	10000	-	125	0,25	0,234	0,209	0,192
610-MPSA77	MPSA77	TO-92	10000	-	125	0,29	0,264	0,236	0,216
610-MPSA64	MPSA64	TO-92	20000	-	125	0,25	0,234	0,209	0,192
610-MPSA65	MPSA65	TO-92	20000	-	100	0,25	0,234	0,209	0,192

© Copyright 2012 Mouser Electronics

© Copyright 2012 Mouser Electronics

Transistors CENTRAL

Les produits peuvent être conformes à la directive RoHS. Consultez le site mouser.com pour vérifier la conformité RoHS.

TRANSISTORS À SIGNAL FAIBLE – CMS

♦ **Composant pour montage en surface**

Pour des quantités supérieures à celles indiquées, appelez-nous afin d'obtenir un devis.

RÉF. STOCK MOUSER	Réf. Central	Boîtier	h_{FE} Min.	h_{FE} Max.	f_T (MHz) Min.	Prix unitaire 1	25	100	250
Transistors à signal faible NPN - CMS									
♦ 610-CMPT2369	CMPT2369	SOT-23	40	120	500	0,24	0,189	0,172	0,148
♦ 610-CMPTA42	CMPTA42	SOT-23	40	- - -	50	0,17	0,14	0,116	0,105
♦ 610-CMPTH10	CMPTH10	SOT-23	60	- - -	650	0,56	0,50	0,443	0,385
♦ 610-CMPT5551	CMPT5551	SOT-23	80	250	100	0,20	0,18	0,156	0,139
♦ 610-CMPT4401	CMPT4401	SOT-23	100	300	250	0,14	0,126	0,108	0,089
610-CMPT2222A	CMPT2222A	SOT-23	100	300	300	0,21	0,189	0,156	0,148
♦ 610-CMPT5088	CMPT5088	SOT-23	300	900	50	0,12	0,107	0,098	0,09
♦ 610-CMPT5089	CMPT5089	SOT-23	400	1200	50	0,19	0,164	0,148	0,131
♦ 610-CMPTA13	CMPTA13	SOT-23	10000	- - -	125	0,17	0,157	0,148	0,128
♦ 610-CMPTA14	CMPTA14	SOT-23	20000	- - -	125	0,17	0,157	0,148	0,128

TRANSISTORS À SIGNAL FAIBLE – CMS (SUITE)

♦ **Composant pour montage en surface**

Pour des quantités supérieures à celles indiquées, appelez-nous afin d'obtenir un devis.

RÉF. STOCK MOUSER	Réf. Central	Boîtier	h_{FE} Min.	h_{FE} Max.	f_T (MHz) Min.	Prix unitaire 1	25	100	250
Transistors a signal faible PNP - CMS									
♦ 610-CMPTA92	CMPTA92	SOT-23	25	- - -	50	0,17	0,14	0,116	0,105
♦ 610-CMPT5401	CMPT5401	SOT-23	60	240	100	0,20	0,18	0,156	0,139
♦ 610-CMPT3906	CMPT3906	SOT-23	100	300	250	0,16	0,148	0,131	0,115
♦ 610-CMPT4403	CMPT4403	SOT-23	100	300	200	0,14	0,126	0,108	0,089
♦ 610-CMPTA56	CMPTA56	SOT-23	100	- - -	- - -	0,17	0,14	0,116	0,105
♦ 610-CXT3906	CXT3906	SOT-89	100	300	250	0,46	0,32	0,287	0,262
♦ 610-CMPT5087	CMPT5087	SOT-23	250	800	40	0,19	0,164	0,148	0,131
♦ 610-CMPTA63	CMPTA63	SOT-23	10000	- - -	125	0,17	0,157	0,148	0,128

TRANSISTORS DE PUISSANCE

Pour des quantités supérieures à celles indiquées, appelez-nous afin d'obtenir un devis.

RÉF. STOCK MOUSER	Réf. Central	Boîtier	h_{FE} Min.	h_{FE} Max.	f_T (MHz) Min.	Prix unitaire 1	25	100	250
Transistors de puissance NPN									
610-2N5878	2N5878	TO-3	4	- - -	4	2,82	2,72	2,60	2,49
610-2N6543	2N6543	TO-3	7	35	6	3,43	3,34	3,24	3,14
610-2N6545	2N6545	TO-3	7	35	6	3,39	3,29	3,16	3,03
610-MJE13005	MJE13005	TO-220	8	40	4	1,02	0,845	0,754	0,681
610-TIP101	TIP101	TO-220	15	75	3	0,89	0,812	0,738	0,664
610-TIP29	TIP29	TO-220	15	75	3	0,84	0,697	0,558	0,418
610-TIP29A	TIP29A	TO-220	15	75	3	0,62	0,549	0,492	0,451
610-TIP41A	TIP41A	TO-220	15	75	3	0,58	0,484	0,435	0,402
610-2N3773	2N3773	TO-3	15	60	- - -	5,19	5,03	4,84	4,63
610-2N5301	2N5301	TO-3	15	60	4	3,26	3,17	3,04	2,92
610-2N5303	2N5303	TO-3	15	60	2	3,18	3,08	2,96	2,85
610-2N3714	2N3714	TO-3	15	- - -	4	2,82	2,72	2,60	2,49
610-2N5298	2N5298	TO-220	20	80	0.8	0,74	0,59	0,533	0,50
610-2N6123	2N6123	TO-220	20	80	2.5	2,11	1,58	1,52	1,21
610-2N6486	2N6486	TO-220	20	150	5	2,11	1,58	1,52	1,21
610-2N3442	2N3442	TO-3	20	70	- - -	2,82	2,72	2,60	2,49
610-2N5885	2N5885	TO-3	20	100	4	2,82	2,72	2,60	2,49
610-2N4923	2N4923	TO-126	30	150	3	0,98	0,877	0,787	0,732
610-2N6290	2N6290	TO-220	30	150	4	0,70	0,664	0,64	0,615
610-2N6292	2N6292	TO-220	30	150	4	1,39	1,15	1,05	0,951
610-2N3715	2N3715	TO-3	30	- - -	4	2,82	2,72	2,60	2,49
610-2N3716	2N3716	TO-3	30	- - -	4	2,72	2,65	2,57	2,48
610-2N3583	2N3583	TO-66	40	- - -	10	6,54	6,42	6,28	6,17
610-2N3584	2N3584	TO-66	40	- - -	10	6,55	6,42	6,22	6,04
610-2N3585	2N3585	TO-66	40	- - -	10	6,42	6,20	6,12	6,05
610-MJE180	MJE180	TO-126	50	250	50	0,98	0,877	0,787	0,732
610-2N6715	2N6715	TO-237	50	250	50	1,39	1,15	1,05	0,951
610-TIP111	TIP111	TO-220	500	- - -	25	0,51	0,467	0,435	0,41
610-2N6037	2N6037	TO-126	750	15000	25	0,98	0,877	0,787	0,732
610-2N6038	2N6038	TO-126	750	15000	25	0,98	0,877	0,787	0,732
610-2N6039	2N6039	TO-126	750	15000	25	0,98	0,877	0,787	0,732
610-2N6055	2N6055	TO-3	750	18,000	4	3,25	3,18	3,07	2,90
610-2N6043	2N6043	TO-220	1000	20000	4	2,05	1,89	1,64	1,48
610-2N6044	2N6044	TO-220	1000	20000	4	1,37	1,27	1,19	1,08
610-2N6045	2N6045	TO-220	1000	20000	4	0,75	0,66	0,593	0,554
610-2N6387	2N6387	TO-220	1000	20000	20	0,75	0,66	0,593	0,554
610-2N6384	2N6384	TO-3	1000	20000	6	2,82	2,72	2,60	2,49
610-2N6724	2N6724	TO-237	4000	40000	1	1,39	1,15	1,05	0,951
610-2N6725	2N6725	TO-237	4000	40000	1	1,39	1,15	1,05	0,951
Transistors de puissance PNP									
610-TIP32	TIP32	TO-220	10	50	3	0,62	0,549	0,492	0,451
610-TIP30	TIP30	TO-220	15	75	3	0,62	0,549	0,492	0,451
610-2N6476	2N6476	TO-220	15	150	4	0,97	0,91	0,877	0,853
610-2N4398	2N4398	TO-3	15	60	4	4,99	4,85	4,74	4,65
610-2N4399	2N4399	TO-3	15	60	4	2,64	2,48	2,39	2,17
610-2N6126	2N6126	TO-220	20	80	2.5	0,89	0,738	0,615	0,558
610-2N6491	2N6491	TO-220	20	150	5	0,75	0,66	0,593	0,554
610-2N5884	2N5884	TO-3	20	100	4	2,82	2,72	2,60	2,49
610-2N6124	2N6124	TO-220	25	100	2.5	0,63	0,582	0,541	0,492
610-2N6125	2N6125	TO-220	25	100	2.5	0,85	0,828	0,804	0,787

TRANSISTORS DE PUISSANCE (SUITE)

Pour des quantités supérieures à celles indiquées, appelez-nous afin d'obtenir un devis.

RÉF. STOCK MOUSER	Réf. Central	Boîtier	h_{FE} Min.	h_{FE} Max.	f_T (MHz) Min.	Prix unitaire 1	25	100	250
Transistors de puissance PNP (suite)									
610-2N4920	2N4920	TO-126	30	150	3	0,98	0,877	0,787	0,732
610-2N6107	2N6107	TO-220	30	150	4	0,64	0,59	0,574	0,566
610-2N6109	2N6109	TO-220	30	150	4	0,72	0,705	0,681	0,656
610-2N3791	2N3791	TO-3	30	- - -	4	2,82	2,72	2,60	2,49
610-2N3792	2N3792	TO-3	30	- - -	4	3,23	3,14	3,06	2,97
610-MJE371	MJE371	TO-126	50	250	50	0,98	0,877	0,787	0,732
610-2N6034	2N6034	TO-126	750	15000	25	0,76	0,701	0,652	0,603
610-2N6035	2N6035	TO-126	750	15000	25	0,62	0,61	0,59	0,571
610-2N6050	2N6050	TO-3	750	18000	4	2,31	2,25	2,16	2,07
610-2N6051	2N6051	TO-3	750	18000	4	3,85	3,43	3,08	2,80
610-2N6052	2N6052	TO-3	750	18000	4	2,31	2,25	2,16	2,07
610-2N6040	2N6040	TO-220	1000	20000	4	0,96	0,877	0,804	0,722
610-2N6041	2N6041	TO-220	1000	20000	4	1,23	1,11	1,01	0,918
610-2N6042	2N6042	TO-220	1000	20000	4	0,86	0,787	0,713	0,648
610-MJ11013	MJ11013	TO-3	1000	- - -	4	7,72	7,08	6,62	6,35

FET DE JONCTION ET MOSFET

JFET à canal N **Pour des quantités supérieures à celles indiquées, appelez-nous afin d'obtenir un devis.**

RÉF. STOCK MOUSER	Réf. Central	Boîtier	h_{FE} Min.	h_{FE} Max.	f_T (MHz) Min.	Prix unitaire 1	25	100	250
610-2N4392	2N4392	TO 18	40	2.0	5.0	1,48	1,43	1,38	1,31
610-2N4393	2N4393	TO 18	40	0,5	3.0	1,41	1,37	1,31	1,26

JFET à canal P **Pour des quantités supérieures à celles indiquées, appelez-nous afin d'obtenir un devis.**

RÉF. STOCK MOUSER	Réf. Central	Boîtier	h_{FE} Min.	h_{FE} Max.	f_T (MHz) Min.	Prix unitaire 1	25	100	250
610-2N5460	2N5460	TO-92	40	0.75	6.0	0,80	0,768	0,649	0,563

JFET à canal N - Amplificateurs RF **Pour des quantités supérieures à celles indiquées, appelez-nous afin d'obtenir un devis.**

RÉF. STOCK MOUSER	Réf. Central	Boîtier	h_{FE} Min.	h_{FE} Max.	f_T (MHz) Min.	Prix unitaire 1	25	100	250
610-2N5484	2N5484	TO-92	25	0.3	3.0	0,56	0,525	0,484	0,459
610-2N5485	2N5485	TO-92	25	0,5	4.0	0,66	0,599	0,525	0,484
610-2N5486	2N5486	TO-92	25	2.0	6.0	0,45	0,435	0,418	0,402
610-2N3819	2N3819	TO-92	30	- - -	6.0	0,45	0,418	0,394	0,369
610-2N4416A	2N4416A	TO-72	35	2.0	6.0	2,97	2,78	2,62	2,50

MOSFET à signal faible à canal N **Pour des quantités supérieures à celles indiquées, appelez-nous afin d'obtenir un devis.**

RÉF. STOCK MOUSER	Réf. Central	Boîtier	h_{FE} Min.	h_{FE} Max.	f_T (MHz) Min.	Prix unitaire 1	25	100	250
610-2N7002	2N7002	SOT-23	40	1,0	2.5	0,27	0,238	0,213	0,189

© Copyright 2012 Mouser Electronics

© Copyright 2012 Mouser Electronics

MOSFET et transistors DIODES INC.

Les produits peuvent être conformes à la directive RoHS.
Consultez le site mouser.com pour vérifier la conformité RoHS.

DIODES INC. MOSFET

Mode d'amélioration à canal N

PRODUCT NEW

Pour des quantités supérieures à celles indiquées, appelez-nous afin d'obtenir un devis.

RÉF. STOCK MOUSER	Réf. Diodes Inc.	Boîtier	Canal	V_{DSS} (V)	RDS (On)	ID (mA)	Prix unitaire 1	10	100	500
621-BSS138W-F	BSS138W7-F	SOT-323	Simple	50	3,5Ω	0.20	0,40	0,289	0,173	0,111
621-2N7002T-F	2N7002T-7-F	SOT-523	Simple	60	7,5Ω	0.12	0,41	0,297	0,178	0,121
621-BS870-F	BS8707-F	SOT-23	Simple	60	5,0Ω	0.25	0,52	0,347	0,117	0,101
522-DMN6068SE-13	DMN6068SE-13	SOT223	Simple	60	68	6.5	0,69	0,543	0,408	0,303
621-BSS123W-F	BSS123W7-F	SOT-323	Simple	100	6,0Ω	0.17	0,46	0,33	0,14	0,112
621-DMG1012UW-7	DMG1012UW-7	SOT323	Simple	20	450	1	0,35	0,248	0,105	0,084
621-DMG3420U-7	DMG3420U-7	SOT-23	Simple	20	21	5.47	0,40	0,215	0,119	0,095
621-DMG4712SSS-13	DMG4712SSS-13	SO-8	Simple	30	14	11.2	0,50	0,396	0,327	0,243
621-DMG6402LDM-7	DMG6402LDM-7	SOT-26	Simple	30	28	5.9	0,39	0,305	0,174	0,144
621-DMG1012T-7	DMG1012T-7	SOT523	Simple	20	450	0.6	0,45	0,305	0,103	0,078
621-DMG8880LK3-13	DMG8880LK3-13	TO-252	Simple	30	14	16.5	0,59	0,509	0,423	0,345
621-DMN2020LSN-7	DMN2020LSN-7	SC59	Simple	20	13	6.9	0,45	0,347	0,20	0,167
621-DMG8880LSS-13	DMG8880LSS-13	SOIC-8	Simple	30	7	11.6	0,59	0,429	0,354	0,262
621-DMN2041L-7	DMN2041L-7	SOT-23	Simple	20	20	6.4	0,40	0,272	0,134	0,107
621-DMN3005LK3-13	DMN3005LK3-13	TO-252	Simple	30	6.5	22	1,19	1,01	0,842	0,658
621-DMN3730UFB4-7	DMN3730UFB4-7	DNF	Simple	30	730	900	0,58	0,446	0,396	0,29

Mode d'amélioration à canal N double

PRODUCT NEW

Pour des quantités supérieures à celles indiquées, appelez-nous afin d'obtenir un devis.

RÉF. STOCK MOUSER	Réf. Diodes Inc.	Boîtier	Canal	V_{DSS} (V)	RDS (On)	ID (mA)	Prix unitaire 1	10	100	500
621-DMG1016V-7	DMG1016V-7	SOT-563	Double	20/ -20	400/700	.87/-0.64	0,48	0,338	0,163	0,131
621-DMG9926UDM-7	DMG9926UDM-7	SOT-26	Double	20	28	4.2	0,50	0,396	0,258	0,222
621-BSS138DW-F	BSS138DW7-F	SOT-363	Double	50	3,5Ω	0.20	0,45	0,347	0,20	0,167
621-DMG6898LSD-13	DMG6898LSD-13	SO-8	Double	20	16	9.5	0,80	0,635	0,462	0,35
621-DMN2041LSD-13	DMN2041LSD-13	SO-8	Double	20	41	7.63	0,44	0,305	0,206	0,13

Mode d'amélioration à canal P

PRODUCT NEW

Pour des quantités supérieures à celles indiquées, appelez-nous afin d'obtenir un devis.

RÉF. STOCK MOUSER	Réf. Diodes Inc.	Boîtier	Canal	V_{DSS} (V)	RDS (On)	ID (mA)	Prix unitaire 1	10	100	500
621-BSS84-F	BSS847-F	SOT-23	Simple	-50	10Ω	-0.13	0,35	0,248	0,105	0,101
621-BSS84W-F	BSS84W7-F	SOT-323	Simple	-50	10Ω	-0.13	0,40	0,289	0,173	0,111
621-DMP2035U-7	DMP2035U-7	SOT-23	Simple	-20	35	-4	0,44	0,305	0,149	0,12
621-DMP2035UTS-13	DMP2035UTS-13	TSSOP-8L	Double	20	45	6.04	0,59	0,47	0,354	0,262
621-DMP2069UFY4-7	DMP2069UFY4-7	DFN201	Simple	-20	69	-2.5	0,45	0,33	0,272	0,202
621-DMG2301U-7	DMG2301U-7	SOT-23	Simple	-20	39	-2.4	0,45	0,363	0,235	0,202
621-DMG1013T-7	DMG1013T-7	SOT523	Simple	-20	750	-0.46	0,45	0,305	0,103	0,078
621-DMG3415UFY4-7	DMG3415UFY4-7	DFN201	Simple	-16	52	-2.5	0,45	0,363	0,272	0,202
621-DMG4413LSS-13	DMG4413LSS-13	SOP-8	Simple	-30	6.3	-10.5	0,91	0,809	0,644	0,47

Mode d'amélioration à canal P double

Pour des quantités supérieures à celles indiquées, appelez-nous afin d'obtenir un devis.

RÉF. STOCK MOUSER	Réf. Diodes Inc.	Boîtier	Canal	V_{DSS} (V)	RDS (On)	ID (mA)	Prix unitaire 1	10	100	500
621-BSS84DW-F	BSS84DW7-F	SOT-363	Double	-50	10Ω	-0.13	0,45	0,347	0,20	0,167

Mode d'amélioration à pile de canaux N/P

Pour des quantités supérieures à celles indiquées, appelez-nous afin d'obtenir un devis.

RÉF. STOCK MOUSER	Réf. Diodes Inc.	Boîtier	Canal	V_{DSS} (V)	RDS (On)	ID (mA)	Prix unitaire 1	10	100	500
621-BSS8402DW-F	BSS8402DW7-F	SOT-363	- - -	60/-50	100/100	.115/-13	0,45	0,363	0,235	0,202
621-DMC3021LSD-13	DMC3021LSD-13	SO-8	Double	30/-30	21	8.5/-7	0,50	0,396	0,297	0,19
621-DMC3028LSD-13	DMC3028LSD-13	SOP-8L	Double	30/-30	28/25	7.1/-7.4	0,55	0,404	0,282	0,243

DIOFET™

PRODUCT NEW

Pour des quantités supérieures à celles indiquées, appelez-nous afin d'obtenir un devis.

RÉF. STOCK MOUSER	Réf. Diodes Inc.	Boîtier	Canal	V_{DSS} (V)	RDS (On)	ID (mA)	Prix unitaire 1	10	100	500
621-DMS3015SSS-13	DMS3015SSS-13	SO-8	Simple	30	14.9	11	0,43	0,338	0,258	0,191
621-DMS3014SSS-13	DMS3014SSS-13	SO-8	Simple	30	14	10.4	0,48	0,38	0,285	0,212
621-DMS3016SSS-13	DMS3016SSS-13	SO-8	Simple	30	16	9.8	0,45	0,363	0,235	0,174
621-DMS3017SSD-13	DMS3017SSD-13	SO-8	Double	30	12/22	10/ 7.2	0,73	0,561	0,495	0,363
621-DMS3019SSD-13	DMS3019SSD-13	SO-8	Double	30	15/23	9/7	0,71	0,547	0,483	0,354

TRANSISTORS BIPOLAIRES DIODES INC.

Transistors NPN

PRODUCT NEW

Pour des quantités supérieures à celles indiquées, appelez-nous afin d'obtenir un devis.

RÉF. STOCK MOUSER	Réf. Diodes Inc.	Boîtier	V_{CEO} (V)	I_C (mA)	hFE Min.	hFE Max.	Prix unitaire 1	10	100	500
621-DSS30101L-7	DSS30101L-7	SOT-23	30	1000	300	900	0,45	0,347	0,241	0,13
621-DST847BDJ-7	DST847BDJ-7	SOT-963	45	100	200	470	0,26	0,173	0,074	0,041
621-MMSTA42-F	MMSTA42-7-F	SOT-323	300	200	25	-	0,36	0,266	0,14	0,112
621-MMBTH24-F	MMBTH24-7-F	SOT-23	40	50	30	-	0,41	0,281	0,094	0,089
621-MMBT2222AT-F	MMBT2222AT-7-F	SOT-523	40	600	50	-	0,35	0,248	0,105	0,084
621-MMBTA42-F	MMBTA42-7-F	SOT-23	300	500	40	-	0,33	0,223	0,075	0,073
621-MMBT2222A-F	MMBT2222A-7-F	SOT-23	40	600	100	300	0,26	0,171	0,074	0,073
621-MMBT3904-F	MMBT3904-7-F	SOT-23	40	200	100	300	0,23	0,152	0,043	0,039
621-MMBT3904T-F	MMBT3904T-7-F	SOT-523	40	200	100	300	0,35	0,248	0,105	0,084
621-MMST3904-F	MMST3904-7-F	SOT-323	40	200	100	300	0,41	0,281	0,193	0,112
621-BC81716W-7	BC817-16W-7	SOT-323	45	500	100	250	0,36	0,248	0,094	0,072
621-MMBTA05-F	MMBTA05-7-F	SOT-23	60	500	100	-	0,40	0,281	0,132	0,072
621-MMBTA06-F	MMBTA06-7-F	SOT-23	80	500	100	-	0,33	0,224	0,106	0,099
621-MMBT123S-F	MMBT123S-7-F	SOT-23	18	1000	150	800	0,52	0,347	0,117	0,089
621-BC817-25W-7	BC817-25W-7	SOT-323	45	500	160	400	0,36	0,248	0,094	0,072
621-BC817-40W-7	BC817-40W-7	SOT-323	45	1000	250	600	0,36	0,248	0,094	0,072
621-ZXTN618MATA	ZXTN618MATA	DFN	20	5000	100	-	0,50	0,396	0,239	0,158

TRANSISTORS BIPOLAIRES DIODES INC. (SUITE)

Transistors PNP

PRODUCT NEW

Pour des quantités supérieures à celles indiquées, appelez-nous afin d'obtenir un devis.

RÉF. STOCK MOUSER	Réf. Diodes Inc.	Boîtier	V_{CEO} (V)	I_C (mA)	hFE Min.	hFE Max.	Prix unitaire 1	10	100	500
621-DST3906DJ-7	DST3906DJ-7	SOT-963	-40	-200	100	-	0,26	0,173	0,074	0,041
621-DST857BDJ-7	DST857BDJ-7	SOT-963	-45	-100	100	-	0,26	0,173	0,074	0,041
522-DXTP19020DP5-13	DXTP19020DP5-13	PowerDI®5	-20	-8000	300	900	0,45	0,409	0,381	0,235
621-MMBT2907AT-F	MMBT2907AT-7-F	SOT-523	60	-600	100	300	0,35	0,248	0,149	0,084
621-BC807-16W-7	BC807-16W-7	SOT-323	45	-500	100	250	0,41	0,281	0,094	0,072
621-MMBT3906T-F	MMBT3906T-7-F	SOT-523	40	-200	100	300	0,27	0,182	0,084	0,064
621-MMST3906-F	MMST3906-7-F	SOT-323	40	-200	100	300	0,41	0,281	0,19	0,112
621-MMBT4403-F	MMBT4403-7-F	SOT-23	40	-600	100	300	0,26	0,171	0,074	0,066
621-MMBT2907A-F	MMBT2907A-7-F	SOT-23	60	-600	100	300	0,26	0,171	0,074	0,064
621-MMBT4126-F	MMBT4126-7-F	SOT-23	25	-200	120	360	0,35	0,223	0,064	0,058
621-MMST4126-F	MMST4126-7-F	SOT-323	25	-200	120	360	0,52	0,347	0,117	0,089
621-BC807-25W-7	BC807-25W-7	SOT-323	45	-500	160	400	0,36	0,248	0,094	0,072
621-BC807-40W-7	BC807-40W-7	SOT-323	45	-500	250	600	0,36	0,248	0,094	0,072

Transistors PNP doubles

Pour des quantités supérieures à celles indiquées, appelez-nous afin d'obtenir un devis.

RÉF. STOCK MOUSER	Réf. Diodes Inc.	Boîtier	V_{CEO} (V)	I_C (mA)	hFE Min.	hFE Max.	Prix unitaire 1	10	100	500
621-MMDT2907A-F	MMDT2907A-7-F	SOT-363	60	-600	100	300	0,37	0,33	0,198	0,139
621-DMMT3906W-F	DMMT3906W-7-F	SOT-363	40	-200	100	-	0,36	0,281	0,161	0,134
621-MMDT3906-F	MMDT3906-7-F	SOT-363	40	-200	100	300	0,46	0,33	0,198	0,139

Transistors NPN/PNP doubles

Pour des quantités supérieures à celles indiquées, appelez-nous afin d'obtenir un devis.

RÉF. STOCK MOUSER	Réf. Diodes Inc.	Boîtier	V_{CEO} (V)	I_C (mA)	hFE Min.	hFE Max.	Prix unitaire 1	10	100	500
621-MMDT4413-F	MMDT4413-7-F	SOT-363	40	600	±100	±300	0,41	0,305	0,198	0,149
621-MMDT2227-F	MMDT2227-7-F	SOT-363	40	600	±100	±300	0,46	0,33	0,198	0,139
621-MMDT5451-F	MMDT5451-7-F	SOT-363	160	-200	80(-60)	250(-240)	0,44	0,33	0,206	0,149

Transistors NPN Darlington

Pour des quantités supérieures à celles indiquées, appelez-nous afin d'obtenir un devis.

RÉF. STOCK MOUSER	Réf. Diodes Inc.	Boîtier	V_{CEO} (V)	I_C (mA)	hFE Min.	hFE Max.	Prix unitaire 1	10	100	500
621-MMBTA13-F	MMBTA13-7-F	SOT-23	30	300	10Ko	-	0,33	0,223	0,106	0,099
621-MMBTA14-F	MMBTA14-7-F	SOT-23	30	300	20 K	-	0,33	0,223	0,075	0,073
621-MMBTA28-F	MMBTA28-7-F	SOT-23	80	500	10Ko	-	0,40	0,289	0,122	0,098

TRANSISTORS PRÉPOLARISÉS DIODES INC.

Transistors supplémentaires NPN/PNP

Pour des quantités supérieures à celles indiquées, appelez-nous afin d'obtenir un devis.

RÉF. STOCK MOUSER	Réf. Diodes Inc.	Boîtier	R1 (Ω)	R2 (Ω)	I_C (Max.) (mA)	Prix unitaire 1	10	100	500
621-DCX123JU-F	DCX123JU-7-F	SOT-363	2,2 K	47 K	100	0,41	0,297	0,126	0,101
621-DCX143TU-F	DCX143TU-7-F	SOT-363	4,7 K	-	100	0,45	0,347	0,186	0,145
621-DCX114EU-F	DCX114EU-7-F	SOT-363	10Ko	10Ko	100	0,41	0,297	0,186	0,145
621-DCX114YU-F	DCX114YU-7-F	SOT-363	10Ko	47 K	100	0,41	0,297	0,126	0,101
621-DCX124EU-F	DCX124EU-7-F	SOT-363	22 K	22 K	100	0,41	0,297	0,126	0,101

PNP double

Pour des quantités supérieures à celles indiquées, appelez-nous afin d'obtenir un devis.

621-DDA114EU-F	DDA114EU-7-F	SOT-363	10Ko	10Ko	-100	0,41	0,297	0,126	0,101

NPN double

RÉF. STOCK MOUSER	Réf. Diodes Inc.	Boîtier	R1 (Ω)	R2 (Ω)	I_C (Max.) (mA)	Prix unitaire 1	10	100	500
621-DDC143TU-F	DDC143TU-7-F	SOT-363	4,7 K	-	100	0,41	0,297	0,126	0,101
621-DDC114TU-F	DDC114TU-7-F	SOT-363	10Ko	-	100	0,41	0,297	0,126	0,101
621-DDC114EU-F	DDC114EU-7-F	SOT-363	10Ko	10Ko	100	0,39	0,297	0,126	0,101
621-DDC124EU-F	DDC124EU-7-F	SOT-363	22 K	22 K	100	0,41	0,297	0,126	0,101

Transistors prépolarisés PNP

Pour des quantités supérieures à celles indiquées, appelez-nous afin d'obtenir un devis.

RÉF. STOCK MOUSER	Réf. Diodes Inc.	Boîtier	R1 (Ω)	R2 (Ω)	I_C (Max.) (mA)	Prix unitaire 1	10	100	500
621-DDTB122LC-F	DDTB122LC-7-F	SOT-23	0,22K	10Ko	-500	0,33	0,248	0,126	0,095
621-DDTA113ZCA-F	DDTA113ZCA-7-F	SOT-23	1Ko	10Ko	-100	0,33	0,224	0,075	0,062
621-DDTA143TCA-F	DDTA143TCA-7-F	SOT-23	4,7Ko	-	-100	0,33	0,224	0,106	0,057
621-DDTA114YCA-F	DDTA114YCA-7-F	SOT-23	10Ko	47 K	-100	0,33	0,224	0,075	0,057
621-DDTA114ECA-F	DDTA114ECA-7-F	SOT-23	10Ko	10Ko	-100	0,33	0,224	0,075	0,057
621-DDTA114WCA-F	DDTA114WCA-7-F	SOT-23	10Ko	4,7Ko	-100	0,33	0,224	0,075	0,057

Transistors prépolarisés NPN

Pour des quantités supérieures à celles indiquées, appelez-nous afin d'obtenir un devis.

RÉF. STOCK MOUSER	Réf. Diodes Inc.	Boîtier	R1 (Ω)	R2 (Ω)	I_C (Max.) (mA)	Prix unitaire 1	10	100	500
621-DDTD122LC-F	DDTD122LC-7-F	SOT-23	0,22K	10Ko	500	0,42	0,297	0,103	0,078
621-DDTC113ZCA-F	DDTC113ZCA-7-F	SOT-23	1Ko	10Ko	100	0,33	0,224	0,075	0,057
621-DDTC123YCA-F	DDTC123YCA-7-F	SOT-23	2,2Ko	10Ko	100	0,33	0,224	0,106	0,057
621-DDTC143ZE-F	DDTC143ZE-7-F	SOT-523	4,7Ko	47 K	100	0,36	0,281	0,10	0,076
621-DDTC143TCA-F	DDTC143TCA-7-F	SOT-23	4,7Ko	-	100	0,33	0,224	0,106	0,057
621-DDTC114YUA-F	DDTC114YUA-7-F	SOT-323	10Ko	47 K	100	0,37	0,248	0,084	0,064
621-DDTC114ECA-F	DDTC114ECA-7-F	SOT-23	10Ko	10Ko	100	0,31	0,21	0,099	0,05
621-DDTC114YCA-F	DDTC114YCA-7-F	SOT-23	10Ko	47 K	100	0,33	0,224	0,106	0,057
621-DDTC114TCA-F	DDTC114TCA-7-F	SOT-23	10Ko	-	100	0,33	0,224	0,075	0,057
621-DDTC144EUA-F	DDTC144EUA-7-F	SOT-323	47Ko	47 K	100	0,31	0,215	0,072	0,058

© Copyright 2012 Mouser Electronics
© Copyright 2012 Mouser Electronics

Transistors bipolaires DIODES INCORPORATED

A Product Line of Diodes Incorporated | ZETEX

Les produits peuvent être conformes à la directive RoHS. Consultez le site mouser.com pour vérifier la conformité RoHS.

TRANSISTORS DE MOYENNE PUISSANCE NPN ZETEX

NEW PRODUCT

◆ Montage en surface

RÉF. STOCK MOUSER	Réf. Zetex	Boîtier	V_{CEO} (V)	I_C (A)	P_D (W)	h_{FE} Min.	h_{FE} Max.	h_{FE} @ I_C (mA)	V_{CE} (sat) Max. (mV)	V_{CE} (sat) @ I_C (mA)	V_{CE} (sat) @ I_B (mA)	f_T (MHz)	Prix unitaire 1	25	100	250
Simple																
◆ 522-FCX491ATA	FCX491ATA	SOT-89	40	1	1	300	900	0.5	500	1	100	150	0,44	0,419	0,269	0,262
◆ 522-DXT690BP5-13	DXT690BP5-13	PDI5	45	3	3.2	500	----	0.1	360	1	5	150	0,67	0,571	0,393	0,364
◆ 522-FMMT491TA	FMMT491TA	SOT-23	60	1	0.5	100	300	0.5	500	1	100	150	0,43	0,305	0,214	0,198
◆ 522-FMMT493ATA	FMMT493ATA	SOT-23	60	1	0.5	500	1200	0.15	500	1	50	150	0,31	0,286	0,192	0,162
◆ 522-FCX491TA	FCX491TA	SOT-89	60	1	1	100	300	0.5	500	1	100	150	0,45	0,419	0,269	0,242
◆ 522-FZT491TA	FZT491TA	SOT-223	60	1	2	100	300	0.5	500	1	100	150	0,61	0,495	0,437	0,392
522-FMMT451TA	FMMT451TA	E-Line	60	1	0.5	50	150	0.15	350	0.15	15	150	0,28	0,238	0,186	0,172
522-ZTX451	ZTX451	E-Line	60	1	1	50	150	0.15	350	0.15	15	150	0,53	0,476	0,411	0,358
522-ZTX651	ZTX651	E-Line	60	2	1	100	300	0.5	500	2	200	140	0,76	0,666	0,591	0,514
◆ 522-FZT651TA	FZT651TA	SOT-223	60	3	2	100	300	0.5	600	3	300	140	0,71	0,581	0,437	0,36
◆ 522-ZXTN25060BFHTA	ZXTN25060BFHTA	SOT-23	60	3.5	1.25	100	300	0.01	65	1	100	185	0,54	0,476	0,428	0,371
◆ 522-ZXTN2010ZTA	ZXTN2010Z	SOT-89	60	5	2.1	100	300	2	55	1	100	130	0,71	0,595	0,57	0,496
522-ZTX851	ZTX851	E-Line	60	5	1.58	100	300	2	100	1	50	130	0,91	0,762	0,723	0,634
◆ 522-ZX5T851GTA	ZX5T851GTA	SOT-223	60	6	3	100	300	2	70	1	50	130	0,87	0,762	0,694	0,591
◆ 522-FCX1053ATA	FCX1053ATA	SOT-89	75	3	1	300	1200	0.5	200	1	10	140	0,81	0,695	0,488	0,447
522-ZTX1053A	ZTX1053A	E-Line	75	3	1	300	1200	1	150	1	10	140	0,82	0,714	0,653	0,573
◆ 522-FMMTA06TA	FMMTA06TA	SOT-23	80	0.5	0.33	50	-----	0.1	250	0.1	10	100	0,17	0,133	0,114	0,105
◆ 522-BCX5616TA	BCX5616TA	SOT-89	80	1	1	40	250	0.15	0.5	1	50	150	0,23	0,181	0,141	0,129
522-ZTX614	ZTX614	E-Line	100	0.8	1	10000	-----	0.5	1250	0.8	8	-----	0,60	0,562	0,40	0,347
◆ 522-FMMT493TA	FMMT493TA	SOT-23	100	1	0.5	100	300	0.25	300	0.5	50	150	0,31	0,305	0,214	0,198
◆ 522-FZT493TA	FZT493TA	SOT-223	100	1	2	100	300	0.25	300	0.5	50	150	0,61	0,476	0,437	0,392
522-ZTX453	ZTX453	E-Line	100	1	1	40	200	0.15	700	0.15	15	150	0,53	0,476	0,411	0,358
◆ 522-FZT653TA	FZT653TA	SOT-223	100	2	1	100	300	0.5	300	1.2	100	175	0,75	0,733	0,463	0,392
522-ZTX653	ZTX653	E-Line	100	2	1	100	300	0.5	300	1.2	100	175	0,76	0,666	0,591	0,514
◆ 522-ZXTN25100BFHTA	ZXTN25100BFHTA	SOT-23	100	3	1.25	100	300	0.01	80	1	100	160	0,54	0,495	0,428	0,371
◆ 522-ZXTN2011ZTA	ZXTN2011ZTA	SOT-89	100	4.5	2.1	100	300	2	60	1	100	130	0,83	0,685	0,591	0,496
◆ 522-ZX5T853GTA	ZX5T853GTA	SOT-223	100	6	3	100	300	2	65	1	100	130	0,87	0,762	0,694	0,601
◆ 522-FZT853TA	FZT853TA	SOT-223	100	6	3	100	30	2	150	2	100	130	0,90	0,666	0,60	0,583
◆ 522-DXT2011P5-13	DXT2011P5-13	PDI5	100	6	0.74	100	300	2	65	1	100	130	0,51	0,40	0,374	0,315
◆ 522-DXT5551P5-13	DXT5551P5-13	PDI5	160	0.6	0.7	80	250	0.01	1200	0.05	5	130	0,46	0,428	0,283	0,269
◆ 522-DXT458P5-13	DXT458P5-13	PDI5	400	0.3	1.3	100	300	0.5	500	0.05	6	50	0,54	0,428	0,283	0,269
Double																
◆ 522-ZDT694TA	ZDT694TA	SM-8	120	0.5	2.75	400	-----	0.2	500	0.4	5	-----	1,10	1,04	0,879	0,764

TRANSISTORS DE PUISSANCE MOYENNE PNP SIMPLES ZETEX

NEW PRODUCT

◆ Montage en surface

◆ 522-DXT790AP5-13	DXT790AP5-13	PDI5	-40	-3	0.74	300	800	-0.01	-450	-3	-300	100	0,67	0,571	0,393	0,364
◆ 522-FMMT591TA	FMMT591TA	SOT-23	-60	-1	0,5	100	300	-0.5	-600	-1	-100	150	0,31	0,305	0,214	0,202
◆ 522-FCX591TA	FCX591TATA	SOT-89	-60	-1	1	100	300	-0.5	-600	-1	-100	150	0,44	0,419	0,269	0,242
◆ 522-FZT591TA	FZT591TATA	SOT-223	-60	-1	2	100	300	-0.5	-600	-1	-100	150	0,61	0,476	0,437	0,392
522-FMMT551TA	FMMT551TA	E-Line	-60	-1	0,5	50	150	-0.15	-350	-0.15	-15	150	0,31	0,305	0,214	0,191
522-ZTX551	ZTX551	E-Line	-60	-1	1	50	150	-0.15	-350	-0.15	-15	150	0,46	0,381	0,353	0,307
◆ 522-FZT751TA	FZT751TA	SOT-223	-60	-2	2	100	300	-600	-0.5	-3	-200	100	1,27	0,79	0,567	0,487
522-ZTX751	ZTX751	E-Line	-60	-2	1	100	300	-500	-0.5	-2	-200	100	0,76	0,666	0,591	0,514
522-ZTX951	ZTX951	E-Line	-60	-4	1.2	100	300	-1	-100	-1	-0.1	120	0,91	0,762	0,723	0,634
◆ 522-ZXTP2012ZTA	ZXTP2012ZTA	SOT-89	-60	-4.3	2.1	100	300	-2	-65	-1	-100	120	0,83	0,59	0,57	0,497
◆ 522-ZX5T951GTA	ZX5T951GTA	SOT-223	-60	-5.5	3	100	300	-2	-70	-1	-100	120	0,87	0,762	0,694	0,601
◆ 522-DXT2012P5-13	DXT2012P5-13	PDI5	-60	-5.50	3.20	100	300	-2	-250	-5	-500	120	0,67	0,571	0,393	0,364
◆ 522-DXT2010P5-13	DXT2010P5-13	PDI5	-60	-6	3.2	100	300	-2	260	-6	-300	130	0,51	0,40	0,374	0,315
◆ 522-FMMT722TA	FMMT722TA	SOT-23	-70	-2	0.625	300	-----	-0.1	-220	-1	-100	150	0,52	0,514	0,326	0,297
◆ 522-FZT792ATA	FZT792ATA	SOT-223	-70	-2	2	250	-----	-0.5	-450	-0.5	-5	100	0,79	0,666	0,565	0,487
522-ZTX792A	ZTX792A	E-Line	-70	-2	1	250	-----	-0.5	-450	-0.5	-5	100	0,94	0,762	0,748	0,657
◆ 522-BSR33TA	BSR33TA	SOT-89	-80	-1	1	100	300	-0.1	-500	-0.5	-50	100	0,34	0,324	0,224	0,183
◆ 522-FMMT734TA	FMMT734TA	SOT-23	-100	-0.8	0.625	15000	-----	-1	-970	-0.8	-5	140	0,52	0,514	0,326	0,297
◆ 522-FMMT593TA	FMMT593TA	SOT-23	-100	-1	0,5	100	300	-0.5	-300	-0.5	-50	50	0,31	0,305	0,214	0,202
◆ 522-FMMT723TA	FMMT723TA	SOT-23	-100	-1	0.625	300	-----	-0.1	-200	-0.5	-50	200	0,52	0,514	0,326	0,297
◆ 522-FZT593TA	FZT593TA	SOT-223	-100	-1	2	100	300	-0.5	-300	-0.5	-50	50	0,61	0,476	0,437	0,392
522-ZTX553	ZTX553	E-Line	-100	-1	1	40	200	-0.15	-250	-0.15	-15	150	0,53	0,476	0,411	0,358
◆ 522-ZXTP25100BFHTA	ZXTP25100BFHTA	SOT-23	-100	-2	1.25	100	300	-0.01	-90	-0.5	-50	200	0,54	0,476	0,428	0,371
◆ 522-FZT753TA	FZT753TA	SOT-223	-100	-2	2	100	300	-0.5	-500	-2	-200	120	0,80	0,666	0,567	0,487
522-ZTX753	ZTX753	E-Line	-100	-2	1	100	300	-0.5	-500	-2	-200	120	0,76	0,666	0,591	0,514
◆ 522-ZXTP2013ZTA	ZXTP2013ZTA	SOT-89	-100	-3.5	2.1	100	300	-1	-85	-1	-100	125	0,83	0,685	0,591	0,499
522-ZTX953	ZTX953	E-Line	-100	-3.5	1.2	100	300	-1	-100	-1	-100	125	1,05	0,857	0,827	0,726
◆ 522-ZX5T953GTA	ZX5T953GTA	SOT-223	-100	-5	3	100	300	-1	-90	-1	-100	125	0,87	0,762	0,694	0,601
◆ 522-FZT953TA	FZT953TA	SOT-223	-100	-5	3	100	300	-1	-115	-1	-100	125	0,97	0,857	0,771	0,671
◆ 522-DXT2013P5-13	DXT2013P5-13	PDI5	-100	-5	3.2	100	300	-1	-340	-4	-400	125	0,67	0,571	0,393	0,364
◆ 522-DXT2014P5-13	DXT2014P5-13	PDI5	-140	-4	1.7	100	300	-1	-360	-3	-300	120	0,61	0,609	0,453	0,405

TRANSISTORS À FAIBLE SATURATION NPN SIMPLES ZETEX

◆ Montage en surface

◆ 522-FCX688BTA	FCX688BTA	SOT-89	12	3	3	1	500	0.1	40	0.1	1	150	0,62	0,524	0,383	0,34
◆ 522-ZUMT617TA	ZUMT617TA	SOT-223	15	1.5	0.385	300	-----	0.1	20	0.1	10	180	0,38	0,362	0,257	0,241
◆ 522-ZXT11N15DFTA	ZXT11N15DFTA	SOT-23	15	3	0.625	300	900	0.2	0.08	1	10	145	0,59	0,571	0,367	0,326
◆ 522-FMMT617TA	FMMT617TA	SOT-23	15	3	0.625	300	-----	0.2	14	0.1	10	120	0,54	0,514	0,326	0,297
◆ 522-ZXTN25015DFHTA	ZXTN25015DFHTA	SOT-23	15	5	1.25	300	900	0.01	40	1	100	240	0,54	0,476	0,428	0,371
522-ZTX1048A	ZTX1048A	E-Line	17.5	4	1	300	1200	1	45	0,5	10	150	0,94	0,838	0,748	0,657
◆ 522-ZXT11N20DFTA	ZXT11N20DFTA	SOT-23	20	2.5	0.625	300	900	0.1	0.1	1	10	160	0,58	0,476	0,416	0,324
◆ 522-FMMT618TA	FMMT618TA	SOT-23	20	2.5	0.625	300	-----	0.2	15	0.1	10	140	0,52	0,514	0,326	0,297
522-ZTX689B	ZTX689B	E-Line	20	3	1	500	-----	0.1	100	0.1	0,5	150	0,90	0,762	0,721	0,632
◆ 522-FZT689BTA	FZT689BTA	SOT-223	20	3	2	500	-----	0.1	100	0.1	0,5	150	0,70	0,638	0,498	0,48
522-ZTX618	ZTX618	E-Line	20	3.5	1	300	-----	0.2	15	0.1	10	140	0,69	0,571	0,50	0,461
522-ZTX649	ZTX649	E-Line	25	2	1	100	300	1	300	1	100	240	0,76	0,666	0,591	0,514
◆ 522-FZT649TA	FZT649TA	SOT-223	25	3	2	100	300	1	300	1	100	240	0,65	0,476	0,463	0,36
◆ 522-ZXTN2005GTA	ZXTN2005GTA	SOT-223	25	7	3	300	-----	1	40	0,5	10	150	0,81	0,666	0,643	0,559
◆ 522-FMMT449TA	FMMT449TA	SOT-23	30	1	0,5	100	300	0,5	500	1	100	150	0,31	0,305	0,214	0,202
◆ 522-FMMT489TA	FMMT489TA	SOT-23	30	1	0,5	100	300	1	300	1	100	150	0,31	0,305	0,214	0,194
522-ZTX449	ZTX449	E-Line	30	1	1	100	300	0,5	500	1	100	150	0,53	0,476	0,411	0,358
522-ZTX1049A	ZTX1049A	E-Line	30	4	1	300	1200	1	60	0,5	10	100	0,63	0,486	0,465	0,425
◆ 522-FZT1049ATA	FZT1049ATA	SOT-223	30	5	2.5	300	1200	1	60	0,5	10	180	0,77	0,619	0,552	0,487
◆ 522-ZXTN2007ZTA	ZXTN2007ZTA	SOT-89	30	6	2.1	100	300	1	45	1	100	140	0,83	0,666	0,591	0,496
◆ 522-ZX5T849GTA	ZX5T849GTA	SOT-223	30	7	3	100	300	1	110	1	20	140	1,10	1,06	0,74	0,58
522-ZTX849	ZTX849	E-Line	30	7	3	100	300	1	110	1	20	100	0,91	0,762	0,723	0,634
◆ 522-FZT849TA	FZT849TA	SOT-223	30	7	3	100	300	1	215	2	20	100	0,90	0,762	0,72	0,583
◆ 522-FZT491ATA	FZT491ATA	SOT-223	40	1	2	300	900	0,5	300	0,5	50	150	0,61	0,476	0,437	0,392
◆ 522-FCX1051ATA	FCX1051ATA	SOT-89	40	3	1	300	1200	1	120	1	10	155	1,09	0,771	0,488	0,432
522-ZTX1051A	ZTX1051A	E-Line	40	4	1	300	1200	1	110	1	10	155	0,94	0,781	0,748	0,657

© Copyright 2012 Mouser Electronics

Tous les prix sont en EURO

© Copyright 2012 Mouser Electronics

Les produits peuvent être conformes à la directive RoHS. Consultez le site mouser.com pour vérifier la conformité RoHS.

TRANSISTORS À FAIBLE SATURATION NPN ZETEX (SUITE)

♦ Montage en surface

RÉF. STOCK MOUSER	Réf. Zetex	Boîtier	V_{CEO} (V)	I_C (A)	P_D (W)	h_{FE}			V_{CE} (sat)			f_T (MHz)	Prix unitaire			
						Min.	Max.	@ I_C (A)	Max. (mV)	@ I_C (mA)	@ I_B (mA)		1	25	100	250
Simple																
♦ 522-FCX1051ATA	FCX1051ATA	SOT-89	40	3	1	300	1200	1	120	1	10	155	1,09	0,771	0,488	0,432
522-ZTX1051A	ZTX1051A	E-Line	40	4	1	300	1200	1	110	1	10	155	0,94	0,781	0,748	0,657
♦ 522-FZT1051ATA	FZT1051ATA	SOT-223	40	5	2.5	270	1200	1	120	1	10	155	0,77	0,59	0,552	0,487
♦ 522-BCW66HTA	BCW66HTATA	SOT-23	45	0.8	0.33	250	630	0.1	300	0.1	10	100	0,16	0,133	0,109	0,092
522-ZTX450	ZTX450	E-Line	45	1	1	100	300	0.15	250	0.15	15	150	0,53	0,514	0,40	0,392
522-ZTX690B	ZTX690B	E-Line	45	2	1	400	-	1	100	0.1	0,5	150	0,79	0,666	0,629	0,552
♦ 522-FCX690BTA	FCX690BTA	SOT-89	45	2	1	400	-	1	80	0.1	0,5	150	0,50	0,466	0,308	0,26
♦ 522-FZT690BTA	FZT690BTA	SOT-223	45	3	2	400	-	1	100	0.1	0,5	150	0,79	0,571	0,565	0,487
♦ 522-ZXT690BKTC	ZXT690BKTC	DPAK	45	3	3.9	400	-	1	80	1	20	150	0,99	0,876	0,786	0,684
♦ 522-ZUMT619TA	ZUMT619TA	SOT-323	50	1	0.385	300	-	0.1	35	0.1	10	215	0,37	0,362	0,257	0,242
♦ 522-FMMT619TA	FMMT619TA	SOT-23	50	2	0.625	300	-	0.2	20	0.1	10	170	0,52	0,39	0,326	0,297
♦ 522-ZXT10N50DE6TA	ZXT10N50DE6TA	SOT-23-6	50	3	1.1	200	-	1	200	1	10	165	0,54	0,476	0,428	0,371
♦ 522-ZXT13N50DE6TA	ZXT13N50DE6TA	SOT-23-6	50	4	1.1	300	900	1	100	1	10	115	0,65	0,476	0,463	0,401
♦ 522-ZXTN2031FTA	ZXTN2031FTA	SOT-23	50	5	1.2	200	560	0,5	40	1	100	125	0,75	0,681	0,60	0,52
♦ 522-FZT851TA	FZT851TA	SOT-223	60	6	3	100	300	2	100	1	50	130	0,90	0,666	0,60	0,583
♦ 522-FZT692BTA	FZT692BTA	SOT-223	70	2	2	400	-	0,5	500	1	10	150	0,79	0,571	0,565	0,487
♦ 522-FZT1053ATA	FZT1053ATA	SOT-223	75	4.5	2.5	300	1200	0,5	200	1	10	140	0,77	0,619	0,552	0,506
♦ 522-ZXT1053AKTC	ZXT1053AKTC	DPAK	75	5	4	300	1200	1	160	1	10	160	0,87	0,847	0,685	0,59
♦ 522-FMMT620TA	FMMT620TA	SOT-23	80	1.5	0.625	300	-	0.2	23	0.1	10	150	0,52	0,514	0,363	0,333
Doubles																
♦ 522-ZDT1048TA	ZDT1048TA	SM-8	17.5	5	2.75	250	-	5	0.24	5	100	-	1,51	1,38	1,20	1,04
♦ 522-ZXTD09N50DE6TA	ZXTD09N50DE6TA	SOT-23-6	50	1	1.1	300	-	0.1	0.27	1	50	-	0,96	0,904	0,767	0,668
♦ 522-ZDT1053TA	ZDT1053TA	SM-8	75	5	2.75	300	-	1	0.44	5	250	-	1,51	1,38	1,20	1,04

TRANSISTORS À FAIBLE SATURATION PNP ZETEX

♦ Montage en surface

RÉF. STOCK MOUSER	Réf. Zetex	Boîtier	V_{CEO} (V)	I_C (A)	P_D (W)	h_{FE}			V_{CE} (sat)			f_T (MHz)	Prix unitaire			
						Min.	Max.	@ I_C (A)	Max. (mV)	@ I_C (mA)	@ I_B (mA)		1	25	100	250
PNP simple																
♦ 522-FMMT717TA	FMMT717TA	SOT-23	-12	-2.5	0.625	300	-	-0.1	-17	-0.1	-10	110	0,43	0,40	0,257	0,238
♦ 522-ZXT13P12DE6TA	ZXT13P12DE6TA	SOT-23-6	-12	-4	1.1	300	900	-1	-90	-1	-10	55	0,65	0,476	0,463	0,401
♦ 522-FZT968TA	FZT968TA	SOT-223	-12	-6	3	300	1000	-0.5	-130	-0.5	-5	80	1,65	1,22	0,771	0,60
522-ZTX788B	ZTX788B	E-Line	-15	-3	1	400	-	-1	-150	-0.5	-2.5	100	1,44	1,07	0,743	0,59
522-ZTX788A	ZTX788A	E-Line	-15	-3	1	300	800	-0.01	-35	-0.1	-2	150	1,37	1,13	0,917	0,88
♦ 522-FZT788BTA	FZT788BTA	SOT-223	-15	-3	2	400	-	-1	-150	-0.5	-2.5	100	0,89	0,714	0,629	0,583
♦ 522-FMMT718TA	FMMT718TA	SOT-23	-20	-1.5	0.625	300	-	-0.1	-40	-0.1	-10	180	0,39	0,314	0,236	0,20
♦ 522-FZT948TA	FZT948TATA	SOT-223	-20	-6	3	100	300	-1	-130	-0.5	-10	80	0,97	0,895	0,771	0,671
522-ZTX749	ZTX749	E-Line	-25	-2	1	100	300	-1	-300	-1	-100	160	0,77	0,666	0,613	0,538
522-ZTX1149A	ZTX1149A	E-Line	-25	-3	1	250	800	-2	-170	-0.5	-3	135	0,94	0,809	0,748	0,657
522-FZT749TA	FZT749TA	SOT-223	-25	-3	2	100	300	-1	-300	-1	-100	160	0,80	0,781	0,567	0,487
♦ 522-FZT1149ATA	FZT1149ATA	SOT-223	-25	-4	2.5	250	800	-0.5	-240	-1	-7	135	0,83	0,714	0,591	0,499
♦ 522-FMMT549TA	FMMT549TA	SOT-23	-30	-1	0,5	100	300	-0.5	-500	-1	-100	100	0,31	0,305	0,214	0,20
♦ 522-FMMT589TA	FMMT589TA	SOT-23	-30	-1	0,5	100	300	-0.5	-350	-1	-100	100	0,31	0,305	0,214	0,202
522-ZTX549	ZTX549	E-Line	-30	-1	1	100	300	-0.5	-500	-1	-100	100	0,53	0,476	0,411	0,358
♦ 522-FZT549TA	FZT549TA	SOT-223	-30	-1	2	100	300	-0.5	-500	-1	-100	100	0,61	0,476	0,437	0,392
♦ 522-ZXTP2008ZTA	ZXTP2008ZTA	SOT-89	-30	-2.2	2.1	100	300	-1	-45	-1	-100	110	0,83	0,666	0,591	0,499
522-ZTX949	ZTX949	E-Line	-30	-4.5	1.2	100	300	-1	-60	-0.5	-20	100	1,05	0,857	0,827	0,726
♦ 522-ZXT790AKTC	ZXT790AKTC	DPAK	-40	-0.3	3.9	250	800	-0.5	-170	-0.5	-5	100	0,99	0,857	0,786	0,684
♦ 522-FMMT591ATA	FMMT591ATA	SOT-23	-40	-1	0,5	300	800	-0.1	-200	-0.1	-1	150	0,31	0,305	0,214	0,202
♦ 522-FCX591ATA	FCX591ATA	SOT-89	-40	-1	2	300	800	-0.1	-200	-0.1	-1	150	0,50	0,419	0,308	0,297
♦ 522-FMMT720TA	FMMT720TA	SOT-23	-40	-1.5	0.625	300	-	-0.1	-40	-0.1	-10	190	0,43	0,40	0,257	0,238
522-ZTX790A	ZTX790A	E-Line	-40	-2	1	300	800	-0.01	-250	-0.5	-5	100	0,94	0,762	0,748	0,657
♦ 522-FCX790ATA	FCX790ATA	SOT-89	-40	-2	1	250	-	-0.5	-250	-0.5	-5	100	0,54	0,524	0,334	0,297
♦ 522-ZXT13P40DE6TA	ZXT13P40DE6TA	SOT-23-6	-40	-3	1.1	300	900	-1	-200	-1	-20	115	0,65	0,476	0,463	0,401
♦ 522-FCX1151ATA	FCX1151ATA	SOT-89	-40	-3	2.5	250	800	-0.5	-180	-0.5	-5	145	0,77	0,685	0,488	0,432
♦ 522-FZT1151ATA	FZT1151ATA	SOT-223	-40	-5	2.5	270	1200	-1	-120	-1	-10	155	0,83	0,714	0,591	0,487
♦ 522-BCW68HTA	BCW68HTA	SOT-23	-45	-0.8	0.33	250	630	-0.1	-300	-0.1	-10	100	0,16	0,133	0,109	0,092
522-ZTX550	ZTX550	E-Line	-45	-1	1	100	300	-0.15	-350	-0.15	-15	150	0,53	0,476	0,40	0,347
♦ 522-FZT951TA	FZT9511TA	SOT-223	-60	-6	3	100	300	2	-100	-1	-50	130	0,97	0,838	0,733	0,671
♦ 522-ZX5T955GTA	ZX5T955GTA	SOT-223	-140	-4	1.6	100	300	-1	-80	-0.5	-50	120	0,87	0,762	0,694	0,601
NPN/PNP double																
♦ 522-ZXTD4591E6TA	ZXTD4591E6TA	SOT-23-6	60/-60	1/-1	1.1/1.1	100/100	-	0.5/-0.5	0.25/-0.3	0.5/-0.5	50/-50	-	0,64	0,59	0,506	0,438

TRANSISTORS À HAUTE TENSION NPN ZETEX

♦ Montage en surface

RÉF. STOCK MOUSER	Réf. Zetex	Boîtier	V_{CEO} (V)	I_C (A)	P_D (W)	h_{FE}			V_{CE} (sat)			f_T (MHz)	Prix unitaire			
						Min.	Max.	@ I_C (A)	Max. (mV)	@ I_C (mA)	@ I_B (mA)		1	25	100	250
522-ZTX694B	ZTX694B	E-Line	120	1	1	400	-	0.2	250	0.1	0,5	130	0,79	0,685	0,629	0,552
♦ 522-FZT694BTA	FZT694BTA	SOT-223	120	1	2	100	-	0.2	250	0.1	0,5	130	0,79	0,619	0,565	0,487
♦ 522-FMMT624TA	FMMT624TA	SOT-23	125	1	0.625	300	-	0.2	220	0,5	10	100	0,45	0,381	0,326	0,275
♦ 522-FMMT455TA	FMMT455TA	SOT-23	140	1	0,5	100	300	0.15	700	0.15	15	100	0,31	0,286	0,192	0,162
522-ZTX455	ZTX455	E-Line	140	1	1	100	300	0.15	700	0.15	0.15	100	0,53	0,476	0,40	0,347
♦ 522-FMMT495TA	FMMT495TA	SOT-23	150	1	0,5	100	300	0.25	300	0,5	50	100	0,28	0,238	0,186	0,172
♦ 522-FMMT625TA	FMMT625TA	SOT-23	150	1	0.625	300	-	0.2	200	0.1	1	100	0,52	0,514	0,326	0,297
♦ 522-FCX495TA	FCX495TA	SOT-89	150	1	1	100	300	0.25	300	0,5	50	100	0,45	0,419	0,269	0,241
♦ 522-FZT655TA	FZT655TA	SOT-223	150	1	2	50	-	0,5	500	0,5	50	30	0,65	0,543	0,463	0,392
522-ZTX855	ZTX855	E-Line	150	4	1.2	100	300	1	60	0,5	50	90	0,91	0,762	0,723	0,634
♦ 522-FZT855TA	FZT855TA	SOT-223	150	5	3	100	300	1	65	0,5	50	90	0,90	0,762	0,696	0,583
522-ZTX696B	ZTX696B	E-Line	180	0,5	1	500	-	0.1	250	0.2	5	70	0,69	0,571	0,542	0,475
♦ 522-FZT696BTA	FZT696BTA	SOT-223	180	0,5	2	500	-	0.1	250	0.2	5	70	0,79	0,619	0,565	0,479
♦ 522-FMMTA42TA	FMMTA42TA	SOT-23	300	0.2	0.33	40	-	0.03	500	0.02	2	50	0,17	0,133	0,114	0,10
♦ 522-FMMT497TA	FMMT497TA	SOT-23	300	0,5	0,5	80	300	0.1	200	0.1	10	75	0,31	0,305	0,214	0,20
522-ZTX657	ZTX657	E-Line	300	0,5	1	50	-	0.1	500	0.1	10	30	0,77	0,666	0,613	0,538
522-ZTX457	ZTX457	E-Line	300	0,5	1	50	300	0.05	300	0.1	10	75	0,53	0,476	0,411	0,358
♦ 522-FZT657TA	FZT657TA	SOT-223	300	0,5	2	50	-	0.1	500	0.1	10	30	0,65	0,543	0,463	0,392
♦ 522-FZT857TA	FZT857TA	SOT-223	300	3.5	3	100	300	0,5	230	2	200	80	0,90	0,762	0,72	0,583

© Copyright 2012 Mouser Electronics
© Copyright 2012 Mouser Electronics

Transistors bipolaires DIODES INCORPORATED

A Product Line of Diodes Incorporated | ZETEX

Les produits peuvent être conformes à la directive RoHS. Consultez le site mouser.com pour vérifier la conformité RoHS.

TRANSISTORS À HAUTE TENSION NPN ZETEX

♦ Montage en surface

RÉF. STOCK MOUSER	Réf. Zetex	Boîtier	V_{CEO} (V)	I_C (A)	P_D (W)	h_{FE}			V_{CE} (sat)			f_T (MHz)	Prix unitaire			
						Min.	Max.	@ I_C (A)	Max. (mV)	@ I_C (mA)	@ I_B (mA)		1	25	100	250
Simple																
♦ 522-FMMT458TA	FMMT458TA	SOT-23	400	0.225	0.5	100	300	0.1	500	0.1	6	50	0,31	0,305	0,214	0,194
♦ 522-FCX458TA	FCX458TA	SOT-89	400	0.225	1	100	300	0.05	500	0.05	6	50	0,44	0,419	0,269	0,242
522-ZTX458	ZTX458	E-Line	400	0.3	1	100	300	0.1	500	0.1	6	50	0,60	0,562	0,40	0,347
♦ 522-FZT458TA	FZT458TA	SOT-223	400	0.3	2	100	300	0.05	500	0.05	6	50	0,61	0,476	0,437	0,34
522-ZTX658	ZTX658	E-Line	400	0.5	1	50	-	0.1	500	0.1	10	50	0,77	0,666	0,613	0,538
♦ 522-FZT658TA	FZT658TA	SOT-223	400	0.5	2	50	-	0.1	500	0.1	10	50	0,65	0,476	0,463	0,392
♦ 522-FMMT459TA	FMMT459TA	SOT-23	500	0.15	0.625	50	-	0.03	75	0.02	2	50	0,53	0,524	0,334	0,281
Double																
522-ZDT694TA	ZDT694TA	SM-8	120/120	0.5/0.5	2.75/2.75	400/400	-	0.2/0.2	500/500	0.4/0.4	5/5	-	1,10	1,04	0,879	0,764

TRANSISTORS À HAUTE TENSION PNP SIMPLES ZETEX

♦ Montage en surface

RÉF. STOCK MOUSER	Réf. Zetex	Boîtier	V_{CEO} (V)	I_C (A)	P_D (W)	h_{FE}			V_{CE} (sat)			f_T (MHz)	Prix unitaire			
						Min.	Max.	@ I_C (A)	Max. (mV)	@ I_C (mA)	@ I_B (mA)		1	25	100	250
522-ZTX795A	ZTX795A	E-Line	-140	-0.5	1	250	-	-0.2	-300	-0.2	-5	100	0,94	0,762	0,748	0,657
♦ 522-FZT795ATA	FZT795ATA	SOT-223	-140	-0.5	2	250	-	-0.2	-300	-0.2	-5	100	0,79	0,666	0,565	0,487
♦ 522-ZXTP23140BFHTA	ZXTP23140BFHTA	SOT-23	-140	-2.5	1.25	100	300	-1	-95	-1	-100	130	0,75	0,643	0,60	0,52
522-ZTX955	ZTX955	E-Line	-140	-3	1.2	100	300	-1	-330	-3	-300	110	1,05	0,857	0,827	0,726
♦ 522-ZXTP2014ZTA	ZXTP2014ZTA	SOT-89	-140	-3	2.1	100	300	-1	-75	-0.5	-50	120	0,83	0,685	0,591	0,499
♦ 522-FMMT555TA	FMMT555TA	SOT-23	-150	-1	0,5	50	300	-0.3	-300	-0.1	-10	100	0,39	0,286	0,20	0,162
♦ 522-FMMT596TA	FMMT596TA	SOT-23	-200	-0.3	0,5	85	300	-0.25	-350	-0.25	-25	150	0,37	0,362	0,257	0,238
♦ 522-FCX596TA	FCX596TATA	SOT-89	-200	-0.3	1	85	300	-0.25	-350	-0.25	-25	150	0,50	0,419	0,308	0,297
522-ZTX796A	ZTX796A	E-Line	-200	-0.5	1	250	-	-0.3	-300	-0.2	-20	100	1,32	1,09	0,883	0,868
♦ 522-FZT796ATA	FZT796ATA	SOT-223	-200	-0.5	2	250	-	-0.3	-300	-0.2	-20	100	0,61	0,476	0,437	0,404
♦ 522-FZT956TA	FZT956TA	SOT-223	-200	-2	3	100	300	-1	-275	-2	-400	110	0,97	0,866	0,771	0,671
♦ 522-FMMTA92TA	FMMTA92TA	SOT-23	-300	-0.2	0.33	0.25	-	-0.03	-500	-0.02	-2	50	0,17	0,133	0,114	0,10
♦ 522-FMMT597TA	FMMT597TA	SOT-23	-300	-0.2	0,5	100	300	-0.05	-250	-50	-5	75	0,37	0,362	0,257	0,238
522-ZTX757	ZTX757	E-Line	-300	-0.5	1	40	-	-0.01	-500	-0.1	-10	30	0,69	0,571	0,529	0,461
♦ 522-FZTA92TA	FZTA92TA	SOT-223	-300	-0.5	2	25	-	-0.03	-500	-0.02	-2	50	0,56	0,419	0,295	0,228
♦ 522-FZT757TA	FZT757TA	SOT-223	-300	-0.5	2	40	-	-0.01	-500	-0.1	-10	30	0,80	0,781	0,567	0,487
♦ 522-FMMT558TA	FMMT558TA	SOT-23	-400	-0.15	0,5	100	300	-0.05	-500	-0.05	-6	50	0,31	0,305	0,214	0,202
522-ZTX558	ZTX558	E-Line	-400	-0.2	1	100	300	-0.05	-500	-0.05	-6	50	0,53	0,476	0,411	0,358
♦ 522-FCX558TA	FCX558TA	SOT-89	-400	-0.2	1	100	300	-0.05	-500	-0.05	-6	50	0,51	0,419	0,308	0,297
♦ 522-FZT558TA	FZT558TA	SOT-223	-400	-0.2	2	100	300	-0.05	-500	-0.05	-6	50	0,61	0,581	0,437	0,392
522-ZTX758	ZTX758	E-Line	-400	-0.5	1	50	-	-0.1	-500	-0.1	-10	50	0,77	0,666	0,613	0,538
522-ZTX958	ZTX958	E-Line	-400	-0.5	1.2	100	300	-0.5	-400	-0.5	-100	85	1,05	0,857	0,827	0,726
♦ 522-FMMT560TA	FMMT560TA	SOT-23	-500	-0.15	0,5	80	-	-0.05	-200	-0.02	-2	60	0,46	0,447	0,314	0,297
♦ 522-FZT560TA	FZT560TA	SOT-223	-500	-0.15	2	80	-	-0.05	-200	-0.02	-2	60	0,69	0,581	0,488	0,428

TRANSISTORS DARLINGTON NPN SIMPLES ZETEX

♦ Montage en surface

RÉF. STOCK MOUSER	Réf. Zetex	Boîtier	V_{CEO} (V)	I_C (A)	P_D (W)	h_{FE}			V_{CE} (sat)			f_T (MHz)	Prix unitaire			
						Min.	Max.	@ I_C (A)	Max. (mV)	@ I_C (mA)	@ I_B (mA)		1	25	100	250
♦ 522-FZTA14TA	FZTA14TA	SOT-223	30	1	2	5 k	-	1	1.6	1	1	170	0,46	0,447	0,283	0,242
♦ 522-FMMTA13TA	FMMTA13TA	SOT-23	40	0.3	0.33	10 k	-	0.1	0.9	0.1	0.1	-	0,30	0,257	0,20	0,184
♦ 522-FMMTA14TA	FMMTA14TA	SOT-23	40	0.3	0.33	20k	-	0.1	0.9	0.1	0.1	-	0,37	0,257	0,20	0,185
♦ 522-FMMT38CTA	FMMT38CTA	SOT-23	60	0.3	0.33	10 k	-	0.5	1.25	0.8	8	100	0,30	0,276	0,20	0,185
♦ 522-BST52TA	BST52TA	SOT-89	80	0.5	1	2k	-	0.5	1.3	0.5	0.5	-	0,34	0,305	0,206	0,171
522-ZTX603	ZTX603	E-Line	80	1	1	2k	----	0.05	1	1	1	150	0,77	0,666	0,613	0,538
♦ 522-FZT603TA	FZT603TA	SOT-223	80	2	2	2k	100k	2	1	1	1	150	0,65	0,476	0,463	0,392
522-ZTX614	ZTX614	E-Line	100	0.8	1	10k	-	0.5	1.25	0.8	8	-	0,60	0,562	0,40	0,347
♦ 522-FMMT614TA	FMMT614TA	SOT-23	100	0.9	0.5	5k	-	0.5	1	0.5	5	100	0,37	0,362	0,257	0,238
♦ 522-FMMT634TA	FMMT634TA	SOT-23	100	0.9	0.625	15k	-	1	0.96	1	5	140	0,52	0,514	0,326	0,297
522-ZTX605	ZTX605	E-Line	120	1	1	2k	100k	1	1.5	1	1	150	0,77	0,666	0,613	0,538
♦ 522-FZT605TA	FZT605TA	SOT-223	120	2	2	2k	100k	1	1.5	1	1	150	0,75	0,743	0,463	0,392
♦ 522-FZT600TA	FZT600TA	SOT-223	140	2	2	2k	100k	0.5	1.2	1	10	150	0,65	0,476	0,463	0,392
522-ZTX601B	ZTX601B	E-Line	160	1	1	10k	100k	0.5	1.2	1	10	250	0,77	0,666	0,613	0,538
522-ZTX601	ZTX601	E-Line	160	1	1	2k	100k	0.5	1.2	1	10	150	0,77	0,666	0,613	0,538

TRANSISTORS DARLINGTON PNP SIMPLES ZETEX

♦ Montage en surface

RÉF. STOCK MOUSER	Réf. Zetex	Boîtier	V_{CEO} (V)	I_C (A)	P_D (W)	h_{FE}			V_{CE} (sat)			f_T (MHz)	Prix unitaire			
						Min.	Max.	@ I_C (A)	Max. (mV)	@ I_C (mA)	@ I_B (mA)		1	25	100	250
522-ZTX705	ZTX705	E-Line	-120	-1	1	3k	-	-1	-1.3	-1	-1	160	0,67	0,571	0,527	0,463
♦ 522-FZT705TA	FZT705TA	SOT-223	-120	-2	2	3k	-	-1	-1.3	-1	-1	160	0,80	0,781	0,567	0,487

TRANSISTORS AVALANCHE PLANAIRES NPN ZETEX

♦ Montage en surface

RÉF. STOCK MOUSER	Réf. Zetex	Boîtier	V_{CEO} (V)	V_{CBO} (V)	I_C (A)	P_D (W)	I_{SB}		h_{FE}		f_T		Prix unitaire			
							(A)	@ I_C (A)	Min.	@ I_C (mA)	(MHz)	@ I_C (mA)	1	25	100	250
♦ 522-FMMT413TD	FMMT413TD	SOT-23	150	50	50	0.33	31	130	50	10	150	10	6,17	5,71	5,03	4,57

TRANSISTORS À GAIN ÉLEVÉ ZETEX

NEW PRODUCT

♦ Montage en surface

RÉF. STOCK MOUSER	Réf. Zetex	Boîtier	VCEO (V)	IC (A)	PD (I)	hFE			VCE (sat)			fT (MHz)	Prix unitaire			
						Min.	Max.	@ IC (A)	Max. (mV)	@ IC (mA)	@ IB (mA)		1	25	100	250
PNP simple																
522-DXTP19020DP5-13	DXTP19020DP5-13	PowerDI®5	20	8	3	300	900	0.1	130	1000	10	176	0,45	-	0,381	0,362
NPN/PNP double																
♦ 522-ZXTC2045E6TA	ZXTC2045E6TA	SOT-23-6	40/-30	1.5/-1.5	0.9/0.9	180/180	500/500	0.1/-0.1	375/-375	0.75/-0.75	15/-15	-	0,55	0,495	0,443	0,384

© Copyright 2012 Mouser Electronics
© Copyright 2012 Mouser Electronics

Transistors et JFET FAIRCHILD

FAIRCHILD SEMICONDUCTOR

Les produits peuvent être conformes à la directive RoHS. Consultez le site mouser.com pour vérifier la conformité RoHS.

TRANSISTORS ANTI-SATURATION

♦ **Composant pour montage en surface**

Pour des quantités supérieures à celles indiquées, appelez-nous afin d'obtenir un devis.

RÉF. STOCK MOUSER		Boîtier	V_{CEO} (V)	I_C Max. (A)	h_{FE}		Prix unitaire			
Fabr.	Réf. fabr.				Max. (mA)	@ I_C (A)	1	25	100	250
	512—KSC5305DTU	TO-220	400	5.0	22	0.8	0,53	0,464	0,404	0,301
	512—KSC5338DTU	TO-220	450	5.0	25	0.8	0,73	0,655	0,573	0,496
♦	512—KSC5502DTM	TO-252	600	2.0	40	0.2	0,67	0,515	0,455	0,394
	512—KSC5603DTU	TO-220	800	3.0	35	0.4	0,55	0,502	0,46	0,425

TRANSISTORS DE PUISSANCE GÉNÉRALE (GENERAL POWER)

♦ **Composant pour montage en surface**

Pour des quantités supérieures à celles indiquées, appelez-nous afin d'obtenir un devis.

RÉF. STOCK MOUSER		Boîtier	V_{CEO} (V)	I_C Max. (A)	h_{FE}		Prix unitaire			
Fabr.	Réf. fabr.				Max. (mA)	@ I_C (A)	1	25	100	250
NPN										
♦	512—KSH200TF	TO-252	25	5.0	180	2	0,37	0,322	0,247	0,182
	512—MJE200STU	TO-126	25	5.0	180	2	0,22	0,188	0,164	0,125
	512—KSD882YS	TO-126	30	3.0	320	1	0,26	0,219	0,163	0,125
	512—KSD882YSTU	TO-126	30	3.0	320	1	0,26	0,219	0,163	0,125
	512—BD1356STU	TO-126	45	1.5	100	0.15	0,25	0,219	0,198	0,125
	512—KSD2012GTU	TO-220F	60	3.0	320	0,5	0,44	0,334	0,273	0,215
	512—KSD880O	TO-220	60	3.0	120	0,5	0,29	0,222	0,163	0,158
	512—KSD880Y	TO-220	60	3.0	200	0,5	0,28	0,212	0,191	0,173
	512—MJE181STU	TO-126	60	3.0	250	0.1	0,22	0,188	0,172	0,125
	512—MJE3055TTU	TO-220	60	10	100	4	0,38	0,322	0,243	0,179
	512—BD1396STU	TO-126	80	1.5	100	0.15	0,25	0,219	0,198	0,125
	512—BD13916STU	TO-126	80	1.5	250	0.15	0,31	0,272	0,198	0,149
	512—BD239BTU	TO-220	80	2.0	-	0.2	0,44	0,388	0,348	0,251
	512—MJE182STU	TO-126	80	3.0	250	0.1	0,22	0,188	0,172	0,125
	512—KSH29CTF	TO-251	100	1,0	75	1	0,45	0,388	0,308	0,224
	512—TIP29C	TO-220	100	1,0	75	1	0,45	0,333	0,285	0,248
	512—BD239C	TO-220	100	2.0	-	0.2	0,44	0,388	0,348	0,251
	512—BD241CTU	TO-220	100	3.0	-	1	0,50	0,446	0,405	0,285
	512—TIP41C	TO-220	100	6.0	75	3	0,55	0,409	0,351	0,304
	512—KSC2334YTU	TO-220	100	7.0	240	3	0,78	0,652	0,47	0,376
	512—KSC3296YTU	TO-220F	150	1.5	140	0,5	0,40	0,314	0,252	0,198
	512—BU407	TO-220	150	7.0	-	-	0,52	0,479	0,438	0,368
	512—KSC2690AYS	TO-126	160	1.2	320	0.3	0,31	0,259	0,198	0,149
	512—KSC3503DSTU	TO-126	300	0.1	120	0.01	0,24	0,196	0,155	0,11
	512—MJE340STU	TO-126	300	0,5	240	0.05	0,44	0,29	0,236	0,196
PNP										
♦	512—MJD210TF	TO-252	25	5.0	180	2	0,36	0,314	0,285	0,237
	512—KSB772YS	TO-126	30	3.0	320	1	0,26	0,219	0,172	0,125
	512—KSB772YSTU	TO-126	30	3.0	320	1	0,26	0,219	0,172	0,125
	512—MJE170STU	TO-126	40	3.0	250	0.1	0,22	0,196	0,172	0,133
	512—TIP42	TO-220	40	6.0	75	3	0,35	0,331	0,303	0,238
	512—BD13610STU	TO-126	45	1.5	160	0.15	0,26	0,235	0,207	0,133
	512—BD13616S	TO-126	45	1.5	250	0.15	0,26	0,235	0,207	0,133
	512—BD13616STU	TO-126	45	1.5	250	0.15	0,26	0,235	0,207	0,133
	512—BD438STU	TO-220	45	4.0	-	0.01	0,37	0,33	0,295	0,195
	512—BD675AS	TO-126	45	4.0	-	2	0,48	0,355	0,304	0,256
	512—MJE800STU	TO-126	60	4.0	-	1.5	0,48	0,355	0,304	0,256
♦	512—MJD2955TF	TO-252	60	10	100	4	0,38	0,314	0,243	0,179
	512—MJE2955TTU	TO-220	60	10	100	4	0,35	0,297	0,226	0,166
	512—BD14010STU	TO-126	80	1.5	160	0.15	0,26	0,235	0,207	0,133
	512—BD14016S	TO-126	80	1.5	250	0.15	0,26	0,235	0,207	0,133
	512—BD14016STU	TO-126	80	1.5	250	0.15	0,32	0,275	0,192	0,144
	512—BD238STU	TO-126	80	2.0	-	0.15	0,30	0,259	0,233	0,149
	512—MJE172STU	TO-126	80	3.0	250	0.1	0,22	0,196	0,172	0,133
	512—BD242B	TO-220	80	3.0	-	1	0,45	0,396	0,361	0,253
♦	512—MJD45H11TF	TO-252	80	8.0	-	2	0,50	0,363	0,282	0,277
♦	512—MJD45H11TM	TO-252	80	8.0	-	2	0,50	0,363	0,282	0,277
	512—TIP32CTU	TO-220	100	3.0	50	3	0,46	0,342	0,294	0,254
	512—BD244C	TO-220	100	6.0	-	0.3	0,55	0,479	0,405	0,292
	512—BDX53C	TO-220	100	8.0	-	3	0,40	0,358	0,312	0,232
	512—KSA1220AYS	TO-126	160	1.2	320	0.3	0,31	0,266	0,233	0,157
	512—KSA1381ESTU	TO-126	300	0.1	200	0.01	0,22	0,204	0,181	0,117
	512—MJE350STU	TO-126	300	0,5	240	0.05	0,45	0,298	0,243	0,20

TRANSISTORS DARLINGTON POWER

♦ **Composant pour montage en surface**

Pour des quantités supérieures à celles indiquées, appelez-nous afin d'obtenir un devis.

RÉF. STOCK MOUSER		Boîtier	V_{CEO} (V)	I_C Max. (A)	h_{FE}		Prix unitaire			
Fabr.	Réf. fabr.				Max. (mA)	@ I_C (A)	1	25	100	250
NPN										
	512—TIP122TU	TO-220	100	5.0	-	0,5	0,39	0,337	0,292	0,214
	512—TIP122	TO-220	100	5.0	-	0,5	0,42	0,366	0,318	0,232
	512—TIP127TU	TO-220	100	5.0	-	0,5	0,52	0,384	0,33	0,285
♦	512—KSH127TF	TO-252	100	8.0	12000	4	0,51	0,398	0,351	0,271
♦	512—FJB102TM	TO-263	100	8.0	20000	3	0,88	0,688	0,62	0,54
	512—TIP102	TO-220	100	8.0	20000	3	0,57	0,497	0,432	0,332
	512—BDX33C	TO-220	100	10	-	4	0,76	0,726	0,635	0,464
	512—TIP142T	TO-220	100	10	-	5	1,06	0,932	0,816	0,71
PNP										
	512—TIP127	TO-220	100	5.0	-	0,5	0,36	0,312	0,27	0,197
	512—TIP107	TO-220	100	8.0	20000	3	0,62	0,48	0,418	0,364
	512—BDX34C	TO-220	100	10	-	4	0,67	0,512	0,438	0,381

TRANSISTORS DARLINGTON POWER (SUITE)

♦ **Composant pour montage en surface**

Pour des quantités supérieures à celles indiquées, appelez-nous afin d'obtenir un devis.

RÉF. STOCK MOUSER		Boîtier	V_{CEO} (V)	I_C Max. (A)	h_{FE}		Prix unitaire			
Fabr.	Réf. fabr.				Max. (mA)	@ I_C (A)	1	25	100	250
PNP (suite)										
	512—TIP147T	TO-220	100	10	-	5	0,59	0,508	0,446	0,355
	512—BDW94C	TO-220	100	12	20000	5	0,70	0,528	0,469	0,404

TRANSISTORS DE COMMUTATION DE PUISSANCE

Pour des quantités supérieures à celles indiquées, appelez-nous afin d'obtenir un devis.

RÉF. STOCK MOUSER		Boîtier	V_{CEO} (V)	I_C Max. (A)	h_{FE}		Prix unitaire			
Fabr.	Réf. fabr.				Max. (mA)	@ I_C (A)	1	25	100	250
NPN										
	512—D44H11	TO-220	80	10	-	2	1,17	0,668	0,593	0,534
	512—KSE44H11TU	TO-220	80	10	-	2	0,60	0,464	0,404	0,352
	512—KSC2752OSTU	TO-126	400	0,5	80	0.05	0,29	0,243	0,182	0,133
	512—KSE13003H2ASTU	TO-126	400	1.5	21	0,5	0,31	0,256	0,19	0,145
	512—FJN3303FBU	TO-92	400	1.5	23	0,5	0,17	0,149	0,124	0,107
	512—FJN3303TA	TO-92-3	400	1.5	23	0,5	0,19	0,157	0,12	0,094
	512—KSC2333YTU	TO-220	400	2.0	80	0.1	0,46	0,332	0,266	0,229
	512—KSC3569YTU	TO-220F	400	2.0	80	0.1	0,41	0,301	0,248	0,215
	512—FJE5304DTU	TO-126	400	4.0	40	2	0,47	0,345	0,296	0,257
	512—FJA13009TU	TO-3P	400	12	40	5	1,07	0,85	0,749	0,658
	512—FJP13009TU	TO-220	400	12	40	5	0,76	0,602	0,528	0,462
	512—BUT11A	TO-220	450	5.0	-	-	0,98	0,85	0,714	0,516
	512—FJPF5021OTU	TO-220F	500	5.0	50	0.6	0,44	0,389	0,37	0,319
PNP										
	512—D45H11	TO-220	80	10	-	2	0,73	0,611	0,496	0,371
	512—KSA1156YS	TO-126	400	0,5	200	0.1	0,30	0,256	0,235	0,156

TRANSISTORS AMPLIFICATEURS AUDIO ET AUTOMOBILE

♦ **Composant pour montage en surface** ✻ Fils de sortie courbés **Pour des quantités supérieures à celles indiquées, appelez-nous afin d'obtenir un devis.**

RÉF. STOCK MOUSER		Boîtier	V_{CEO} (V)	I_C Max. (A)	h_{FE}		Prix unitaire			
Fabr.	Réf. fabr.				Max. (mA)	@ I_C (A)	1	25	100	250
NPN										
	512—PN2222ANLBU	TO-92-3	40	1,0	300	0,5	0,10	0,083	0,062	0,046
♦	512—BC81725MTF	SOT-23-3	45	0.8	630	0,5	0,10	0,058	0,057	0,038
♦	512—BC81740MTF	SOT-23-3	45	0.8	630	0,5	0,10	0,058	0,057	0,048
	512—FJA4310OTU	TO-3PN	140	10	180	3	1,31	1,05	0,916	0,806
	512—FJL4315OTU	TO-264	230	15	55	1	1,91	1,54	1,39	1,23
	512—FJA4313OTU	TO-3PN	250	17	160	1	1,28	1,02	0,891	0,785
	512—2SC5200OTU	TO-3P	250	17	160	1	2,15	1,73	1,56	1,39
	512—2SC5200RTU	TO-3P	250	17	160	1	2,15	1,73	1,56	1,39
	512—2SC5242OTU	TO-3P	250	17	160	1	2,15	1,73	1,56	1,39
	512—2SC5242RTU	TO-3P	250	17	160	1	2,15	1,73	1,56	1,39
PNP										
✻	512—BC560CTA	TO-92-3	45	0.1	800	0.1	0,09	0,066	0,047	0,027
♦	512—BC80725MTF	SOT-23-3	45	0.8	630	0,5	0,09	0,066	0,054	0,048
♦	512—BC80740MTF	SOT-23-3	45	0.8	630	0,5	0,09	0,066	0,054	0,048
	512—FJA4210OTU	TO-3PN	140	10	140	3	1,30	1,05	0,932	0,833
	512—FJAF4210YTU	TO-3PF	140	10	180	3	2,03	1,47	1,30	1,17
	512—FJL4215OTU	TO-264	230	15	160	1	2,13	1,72	1,54	1,37
	512—FJA4213OTU	TO-3PN	230	15	160	1	1,43	1,15	1,03	0,916
	512—FJA4213RTU	TO-3PN	250	17	160	1	1,40	1,10	1,02	0,924
	512—2SA1943OTU	TO-3P	250	17	160	1	2,15	1,73	1,56	1,39
	512—2SA1943RTU	TO-3P	250	17	160	1	2,15	1,73	1,56	1,39
	512—2SA1962OTU	TO-3P	250	17	160	1	1,29	1,14	0,998	0,891

JFET

✻ Fils de sortie courbés

♦ **Composant pour montage en surface** **Pour des quantités supérieures à celles indiquées, appelez-nous afin d'obtenir un devis.**

RÉF. STOCK MOUSER		Boîtier	BV_{GSS} (V)	P_D (mW)	I_{DSS} (mA)		Prix unitaire			
Fabr.	Réf. fabr.				Min.	Max.	1	25	100	250
Canal N										
♦	512—MMBF5484	SOT-23	25	225	1	5	0,15	0,137	0,116	0,088
♦	512—MMBF5485	SOT-23	25	225	4	10	0,33	0,182	0,14	0,098
♦	512—MMBF5486	SOT-23	25	225	8	20	0,15	0,137	0,116	0,088
	512—2N5484	TO-92-3	25	350	1	5	0,10	0,087	0,08	0,071
✻	512—2N5484D26Z	TO-92-3	25	350	1	5	0,59	0,272	0,188	0,134
✻	512—2N5484_D74Z	TO-92-3	25	350	1	5	0,10	0,092	0,085	0,064
♦	512—MMBF5457	SOT-23	25	350	1	5	0,34	0,281	0,22	0,158
♦	512—MMBF5458	SOT-23	25	350	2	9	0,42	0,297	0,178	0,126
	512—2N3819	TO-92-3	25	350	2	20	0,09	0,074	0,068	0,051
	512—MPF102	TO-92-3	25	350	2	20	0,10	0,09	0,083	0,063
✻	512—MPF102D27Z	TO-92-3	25	350	2	20	0,10	0,085	0,078	0,068
✻	512—MPF102D74Z	TO-92-3	25	350	2	20	0,73	0,655	0,573	0,496
	512—2N5485	TO-92-3	25	350	4	10	0,10	0,087	0,08	0,071
♦	512—MMBF5459	SOT-23	25	350	4	16	0,13	0,117	0,106	0,092
	512—2N5486	TO-92-3	25	350	8	20	0,11	0,093	0,083	0,073
	512—2N5555	TO-92-3	25	350	15	-	0,67	0,511	0,451	0,391
♦	512—MMBFJ310	SOT-23	25	350	24	60	0,23	0,20	0,18	0,135
♦	512—MMBF5434	SuperSOT-3	25	350	30	-	0,34	0,239	0,21	0,176
	512—PN5434	TO-92-3	25	350	30	-	0,37	0,239	0,201	0,166
♦	512—MMBFJ108	SuperSOT-3	25	350	80	-	0,34	0,239	0,21	0,176
	512—PN5432	TO-92-3	25	350	150	-	0,37	0,239	0,201	0,166
✻	512—2N5485D26Z	TO-92-3	25	350	4	10	0,59	0,272	0,188	0,134
	512—2N5457	TO-92-3	25	625	1	5	0,12	0,111	0,102	0,078

© Copyright 2012 Mouser Electronics

© Copyright 2012 Mouser Electronics

JFET, IGBT et transistors de signal faible FAIRCHILD

FAIRCHILD SEMICONDUCTOR

Les produits peuvent être conformes à la directive RoHS. Consultez le site mouser.com pour vérifier la conformité RoHS.

JFET (SUITE)

◆ Composant pour montage en surface ✻ Fils de sortie courbés **Pour des quantités supérieures à celles indiquées, appelez-nous afin d'obtenir un devis.**

RÉF. STOCK MOUSER		Boîtier	BV_{GSS} (V)	P_D (mW)	I_{DSS} (mA)		Prix unitaire			
Fabr.	Réf. fabr.				Min.	Max.	1	25	100	250
Canal N (suite)										
✻	512—2N5457D74Z	TO-92-3	25	625	1	5	0,35	0,256	0,161	0,115
	512—2N5458	TO-92-3	25	625	2	9	0,11	0,097	0,09	0,068
	512—2N5459	TO-92-3	25	625	4	16	0,13	0,12	0,111	0,083
	512—J110	TO-92-3	25	625	10	-	0,26	0,236	0,222	0,15
	512—J309	TO-92-3	25	625	12	30	0,16	0,144	0,126	0,099
	512—J310	TO-92-3	25	625	24	60	0,22	0,162	0,149	0,104
✻	512—J310D26Z	TO-92-3	25	625	24	60	0,38	0,264	0,158	0,111
	512—J109	TO-92-3	25	625	40	-	0,31	0,272	0,224	0,186
	512—J108	TO-92-3	25	625	80	-	0,33	0,272	0,224	0,186
	512—J107	TO-92-3	25	625	500	-	0,45	0,38	0,324	0,284
	512—J105	TO-92-3	25	1000	100	-	0,45	0,38	0,324	0,284
◆	512—MMBF4416	SOT-23	30	225	5	15	0,33	0,182	0,14	0,098
	512—BF245A	TO-92-3	30	350	2	6.5	0,10	0,091	0,083	0,064
	512—2N5952	TO-92-3	30	350	4	8	0,07	0,058	0,05	0,041
	512—J304	TO-92-3	30	350	5	15	0,34	0,248	0,157	0,111
◆	512—MMBF4393	SOT-23	30	350	5	30	0,16	0,136	0,123	0,107
	512—BF244B	TO-92-3	30	350	6	15	0,51	0,338	0,162	0,116
	512—BF245B	TO-92-3	30	350	6	15	0,10	0,091	0,083	0,064
	512—BF256B	TO-92-3	30	350	6	13	0,51	0,338	0,162	0,116
	512—BF256C	TO-92-3	30	350	11	18	0,10	0,092	0,083	0,072
	512—BF245C	TO-92-3	30	350	12	25	0,10	0,091	0,083	0,064
◆	512—MMBF4392	SOT-23	30	350	25	75	0,16	0,136	0,123	0,107
◆	512—MMBF4391	SOT-23	30	350	50	150	0,16	0,136	0,123	0,107
	512—PN4303	TO-92-3	30	625	4	10	0,36	0,256	0,162	0,116
	512—PN4393	TO-92-3	30	625	5	30	0,09	0,083	0,075	0,059
	512—2N5639	TO-92-3	30	625	25	-	0,32	0,305	0,289	0,272
	512—PN4392	TO-92-3	30	625	25	75	0,14	0,129	0,113	0,089
	512—BF246A	TO-92-3	30	625	30	80	0,13	0,115	0,103	0,09
	512—PN4391	TO-92-3	30	625	50	150	0,25	0,19	0,142	0,10
	512—2N5638	TO-92-3	30	625	50	-	0,13	0,117	0,108	0,082
◆	512—MMBF4416A	SOT-23	35	225	5	15	0,33	0,182	0,14	0,098
◆	512—MMBFJ113	SOT-23	35	350	2	-	0,20	0,176	0,158	0,138
◆	512—MMBFJ112	SOT-23	35	350	5	-	0,20	0,176	0,158	0,138
◆	512—MMBFJ111	SOT-23	35	350	20	-	0,20	0,176	0,158	0,138
	512—J113	TO-92-3	35	625	2	-	0,16	0,144	0,126	0,099
✻	512—J113D74Z	TO-92-3	35	625	2	-	0,38	0,264	0,158	0,111
✻	512—J113D75Z	TO-92-3	35	625	2	-	0,38	0,264	0,158	0,111
✻	512—J113_D26Z	TO-92-3	35	625	2	-	0,38	0,264	0,158	0,111
	512—J112	TO-92-3	35	625	5	-	0,16	0,144	0,126	0,099
	512—J111	TO-92-3	35	625	20	-	0,13	0,123	0,116	0,078
◆	512—MMBF4117	SOT-23	40	225	0.03	0.09	0,19	0,164	0,148	0,129
◆	512—MMBF4118	SOT-23	40	225	0.08	0.24	0,40	0,231	0,186	0,134
◆	512—MMBF4119	SOT-23-3	40	225	0.2	0.6	0,40	0,231	0,186	0,134
	512—PN4117	TO-92-3	40	350	0.03	0.09	0,78	0,586	0,437	0,322
	512—PN4117A	TO-92-3	40	350	0.03	0.09	0,15	0,134	0,118	0,092
	512—PN4118	TO-92-3	40	350	0.08	0.24	0,28	0,223	0,167	0,118
◆	512—MMBFJ201	SOT-23	40	350	0.2	1	0,22	0,185	0,167	0,146
◆	512—MMBFJ202	SOT-23-3	40	350	0.9	4.5	0,25	0,226	0,199	0,156
	512—J201	TO-92-3	40	625	0.2	1	0,20	0,146	0,134	0,094
✻	512—J201D27Z	TO-92-3	40	625	0.2	1	0,34	0,239	0,143	0,101
✻	512—J201_D74Z	TO-92-3	40	625	0.2	1	0,34	0,239	0,143	0,101
	512—J202	TO-92-3	40	625	0.9	4.5	0,12	0,106	0,096	0,083
Canal P										
◆	512—MMBFJ177	SOT-23	30	225	1.5	20	0,25	0,218	0,196	0,172
◆	512—MMBFJ176	SOT-23	30	225	2	25	0,26	0,221	0,20	0,163
◆	512—MMBFJ270	SOT-23	30	225	2	15	0,27	0,239	0,215	0,188
◆	512—MMBFJ271	SOT-23	30	225	6	50	0,19	0,165	0,147	0,11
◆	512—MMBFJ175	SOT-23	30	225	7	60	0,40	0,264	0,216	0,18
	512—J177	TO-92-3	30	350	1.5	20	0,29	0,19	0,172	0,16
	512—J176	TO-92-3	30	350	2	25	0,26	0,206	0,169	0,143
	512—J270	TO-92-3	30	350	2	15	0,40	0,349	0,314	0,271
	512—P1087	TO-92-3	30	350	5	-	0,34	0,281	0,22	0,158
	512—J271	TO-92-3	30	350	6	50	0,43	0,371	0,318	0,271
	512—J175	TO-92-3	30	350	7	60	0,26	0,237	0,17	0,143
✻	512—J175_D75Z	TO-92-3	30	350	7	60	0,67	0,512	0,438	0,381
	512—P1086	TO-92-3	30	350	10	-	0,34	0,281	0,22	0,158
	512—J174	TO-92-3	30	350	20	100	0,26	0,19	0,19	0,16
◆	512—MMBF5460	SOT-23	40	225	1	5	0,41	0,231	0,178	0,125
◆	512—MMBF5461	SOT-23	40	225	2	9	0,41	0,231	0,178	0,125
◆	512—MMBF5462	SOT-23	40	225	4	16	0,16	0,136	0,122	0,107
	512—2N5460	TO-92-3	40	350	1	5	0,14	0,121	0,109	0,096
	512—2N5461	TO-92-3	40	350	2	9	0,14	0,121	0,109	0,096
	512—2N5462	TO-92-3	40	350	4	16	0,14	0,121	0,109	0,096

IGBT

◆ Composant pour montage en surface **Pour des quantités supérieures à celles indiquées, appelez-nous afin d'obtenir un devis.**

RÉF. STOCK MOUSER		Boîtier	BV_{CES} Min. (V)	I_C (A)	V_{CE} Typ. (V)	Prix unitaire			
Fabr.	Réf. fabr.					1	25	100	250
	512—FGA70N33BTDTU	TO-3PN	330	70	1.7	2,24	2,00	1,75	1,60
	512—FGPF4533	TO-220F	330	200	1.15	1,07	0,866	0,693	0,524
	512—HGTP7N60B3D	TO-220-3	600	7	1.8	1,75	1,57	1,39	1,25
◆	512—HGT1S20N60C3S9A	TO-263-2	600	20	1.4	2,79	2,50	2,21	2,00
	512—FGP20N60UFDTU	TO-220	600	20	1.8	2,53	2,27	2,08	1,87
	512—FGAF40N60UFDTU	TO-3PF	600	20	2.3	3,69	2,96	2,70	2,41
	512—SGP23N60UFTU	TO-220	600	23	2.1	1,48	1,31	1,15	1,02
	512—FGH30N60LSDTU	TO-247	600	30	1.1	7,33	6,29	5,78	4,84

IGBT (SUITE)

◆ Composant pour montage en surface **Pour des quantités supérieures à celles indiquées, appelez-nous afin d'obtenir un devis.**

RÉF. STOCK MOUSER		Boîtier	BV_{CES} Min. (V)	I_C (A)	V_{CE} Typ. (V)	Prix unitaire			
Fabr.	Réf. fabr.					1	25	100	250
	512—HGTG30N60B3	TO-247	600	30	1.45	4,64	4,05	3,44	3,28
	512—FGH40N60UFDTU	TO-247	600	40	1.8	3,69	3,51	3,02	2,73
	512—FGH80N60FDTU	TO-247	600	40	1.8	3,23	2,93	2,65	2,39
	512—HGTG20N60A4	TO-247	600	40	1.8	3,16	2,66	2,45	2,32
	512—HGTG20N60A4D	TO-247	600	40	1.8	4,83	3,09	2,70	2,56
	512—HGTP20N60A4	TO-220	600	40	1.8	4,10	3,71	3,36	3,04
	512—FGH40N60SFDTU	TO-247	600	40	2.3	3,51	2,89	2,87	2,59
	512—SGL50N60RUFDTU	TO-3P	600	50	2.2	4,87	4,37	3,89	3,56
	512—HGTG30N60A4	TO-247	600	60	1.8	6,58	5,98	5,41	4,97
	512—FGH60N60UFDTU	TO-247	600	60	1.9	6,11	5,94	5,02	4,61
	512—FGH60N60SFDTU	TO-247	600	60	2.3	6,21	5,40	5,11	4,69
	512—HGTG40N60A4	TO-247	600	63	1.7	9,37	8,35	7,96	7,26
	512—FGH75N60UFTU	TO-247	600	75	1.9	8,33	7,60	6,85	5,73
	512—FGH75N60SFTU	TO-247	600	75	2.3	8,61	7,52	7,08	5,93
	512—FGH40N60SMD	TO-247	600	80	2.1	3,45	2,76	2,16	2,05
	512—FGL60N100BNTD	TO-3P	1000	42	2.5	4,07	3,64	3,21	2,92
	512—HGTP5N120BND	TO-220	1200	10	2.45	2,15	1,91	1,67	1,49
	512—HGTG10N120BND	TO-247	1200	17	2.45	3,27	2,85	2,43	2,31
	512—HGTG11N120CND	TO-247	1200	22	2.1	2,86	2,50	2,13	2,03
	512—FGA25N120ANTDTU	TO-3PN	1200	25	2	3,69	3,47	3,02	2,73
	512—HGTG18N120BND	TO-247	1200	26	2.45	4,87	4,25	3,61	3,44
	512—FGA30N120FTDTU	TO-3PN	1200	30	1.6	4,64	3,95	3,80	3,43
	512—HGTG27N120BN	TO-247	1200	34	2.45	7,91	6,91	5,87	5,59
	512—HGTP10N120BN	TO-220	1200	35	2.45	2,24	2,01	1,78	1,61
	512—FGA20S120M	TO-3PN	1200	40	1.55	2,41	2,14	1,97	1,78
	512—FGH40N120ANTU	TO-247	1200	40	2.6	7,89	7,33	6,48	5,96
	512—FGL40N120ANDTU	TO-264	1200	40	2.6	9,97	9,17	8,46	7,72
	512—SGF5N150UFTU	TO-3PF	1500	5	4.7	2,66	2,56	2,26	2,15

TRANSISTORS À USAGE GÉNÉRAL À SIGNAL FAIBLE

◆ Composant pour montage en surface ✻ Fils de sortie courbés **Pour des quantités supérieures à celles indiquées, appelez-nous afin d'obtenir un devis.**

RÉF. STOCK MOUSER		Boîtier	V_{CEO} (V)	I_C Max. (A)	h_{FE}		Prix unitaire			
Fabr.	Réf. fabr.				Max. (mA)	@ I_C (A)	1	25	100	250
NPN										
◆	512—BSV52	SOT-23	12	0.2	120	0.01	0,05	0,047	0,026	0,023
◆	512—MMBT2369	SOT-23	15	0.2	120	0.01	0,05	0,047	0,031	0,026
◆	512—MMBT2369A	SOT-23-3	15	0.2	120	0.01	0,09	0,054	0,045	0,032
	512—PN2369A	TO-92-3	15	0.2	120	0.01	0,13	0,107	0,077	0,047
◆	512—MMBT3646	SOT-23	15	0.3	120	0.03	0,05	0,041	0,031	0,026
◆	512—BCP68	SOT-223	20	1,0	375	0,5	0,23	0,211	0,181	0,117
	512—MPS6521	TO-92-3	25	0.1	600	0.01	0,07	0,066	0,058	0,055
◆	512—MMBT5089	SOT-23	25	0.1	1200	0.1	0,10	0,066	0,054	0,043
◆	512—MMBT4124	SOT-23	25	0.2	360	0.002	0,05	0,047	0,026	0,023
	512—MPS6515	TO-92-3	25	0.2	500	0.002	0,16	0,133	0,065	0,055
	512—2N3415	TO-92-3	25	0,5	540	0.002	0,06	0,054	0,043	0,034
	512—PN3565	TO-92-3	25	0,5	600	0.001	0,17	0,14	0,087	0,063
◆	512—BC81816MTF	SOT-23	25	0.8	250	0.1	0,05	0,047	0,034	0,026
◆	512—KSC3265YMTF	SOT-23	25	0.8	320	0.1	0,06	0,05	0,041	0,033
	512—SS8050BBU	TO-92-3	25	1.5	160	0.1	0,05	0,041	0,031	0,029
✻	512—SS8050CTA	TO-92-3	25	1.5	200	0.1	0,05	0,041	0,027	0,025
	512—SS8050CBU	TO-92-3	25	1.5	200	0.1	0,04	0,033	0,029	0,026
	512—SS8050DBU	TO-92-3	25	1.5	300	0.1	0,04	0,033	0,029	0,026
✻	512—SS8050DTA	TO-92-3	25	1.5	300	0.1	0,06	0,05	0,031	0,028
	512—SS8550DBU	TO-92-3	25	1.5	300	0.1	0,04	0,033	0,03	0,026
◆	512—FZT649	SOT-223	25	3.0	300	1	0,27	0,231	0,221	0,192
	512—BC548BU	TO-92-3	30	0.1	450	0.002	0,05	0,041	0,033	0,027
	512—BC549B	TO-92-3	30	0.1	450	0.002	0,09	0,083	0,064	0,054
✻	512—BC549BTA	TO-92-3	30	0.1	450	0.002	0,06	0,05	0,034	0,022
✻	512—BC549BTF	TO-92-3	30	0.1	450	0.002	0,05	0,041	0,027	0,018
◆	512—BC848BMTF	SOT-23	30	0.1	450	0.002	0,05	0,047	0,034	0,026
◆	512—BC849BMTF	SOT-23	30	0.1	450	0.002	0,07	0,064	0,058	0,05
	512—BC183C	TO-92-3	30	0.1	800	0.002	0,09	0,083	0,064	0,054
	512—BC548C	TO-92-3	30	0.1	800	0.002	0,18	0,157	0,097	0,059
✻	512—BC548CTA	TO-92-3	30	0.1	800	0.002	0,06	0,05	0,034	0,022
	512—BC549C	TO-92-3	30	0.1	800	0.002	0,09	0,083	0,064	0,054
✻	512—BC549CTA	TO-92-3	30	0.1	800	0.002	0,06	0,05	0,034	0,022
◆	512—BC848CMTF	SOT-23	30	0.1	800	0.002	0,07	0,063	0,047	0,031
	512—2N5088BU	TO-92-3	30	0.1	900	0.0001	0,07	0,066	0,051	0,035
✻	512—2N5088TA	TO-92-3	30	0.1	900	0.0001	0,07	0,058	0,043	0,032
✻	512—2N5088TAR	TO-92-3	30	0.1	900	0.0001	0,07	0,058	0,043	0,032
✻	512—2N5088TF	TO-92-3	30	0.1	900	0.0001	0,07	0,058	0,043	0,032
◆	512—MMBT5088	SOT-23-3	30	0.1	900	0.0001	0,09	0,054	0,051	0,035
	512—BC183LC	TO-92-3	30	0.1	-	0.01	0,09	0,083	0,064	0,054
	512—BC184	TO-92-3	30	0.1	-	0.01	0,09	0,083	0,064	0,054
	512—PN3643	TO-92-3	30	0,5	300	0.15	0,07	0,058	0,056	0,045
	512—BC184C	TO-92-3	30	0,5	800	0.002	0,18	0,157	0,097	0,069
	512—PN2222BU	TO-92-3	30	0.6	300	0.15	0,08	0,066	0,054	0,038
✻	512—PN2222TA	TO-92-3	30	0.6	300	0.15	0,05	0,041	0,032	0,021
✻	512—PN2222TF	TO-92-3	30	0.6	300	0.15	0,05	0,041	0,032	0,021
✻	512—PN2222TFR	TO-92-3	30	0.6	300	0.15	0,05	0,041	0,032	0,021
◆	512—FMMT449	SuperSOT-3	30	1,0	300	0,5	0,10	0,086	0,078	0,068
	512—KSC2328AYBU	TO-92S	30	2.0	320	0,5	0,11	0,094	0,068	0,051
	512—KSC2328AYTA	TO-92S	30	2.0	320	0,5	0,10	0,091	0,064	0,054
◆	512—BCW60D	SOT-23	32	0.1	630	0.002	0,05	0,041	0,031	0,028
◆	512—BCW31	SOT-23	32	0,5	220	0.002	0,05	0,047	0,031	0,028
◆	512—BCW33	SOT-23	32	0,5	800	0.002	0,06	0,05	0,036	0,027
	512—MPSA20	TO-92-3	40	0.1	400	0.005	0,07	0,066	0,058	0,055

© Copyright 2012 Mouser Electronics

© Copyright 2012 Mouser Electronics

Transistors de signal faible FAIRCHILD

Les produits peuvent être conformes à la directive RoHS. Consultez le site mouser.com pour vérifier la conformité RoHS.

TRANSISTORS À USAGE GÉNÉRAL À SIGNAL FAIBLE (SUITE)

♦ Composant pour montage en surface ✻ Fils de sortie courbés **Pour des quantités supérieures à celles indiquées, appelez-nous afin d'obtenir un devis.**

RÉF. STOCK MOUSER		Boîtier	V_{CEO} (V)	I_C Max. (A)	h_{FE} Max. (mA)	h_{FE} @ I_C (A)	Prix unitaire 1	25	100	250
Fabr.	Réf. fabr.									
NPN (suite)										
	512—2N3904BU	TO-92-3	40	0.2	300	0.01	0,08	0,058	0,042	0,028
✻	512—2N3904TA	TO-92-3	40	0.2	300	0.01	0,06	0,041	0,028	0,021
✻	512—2N3904TAR	TO-92-3	40	0.2	300	0.01	0,06	0,041	0,028	0,021
✻	512—2N3904TF	TO-92-3	40	0.2	300	0.01	0,10	0,041	0,016	0,015
✻	512—2N3904TFR	TO-92-3	40	0.2	300	0.01	0,10	0,041	0,016	0,015
♦	512—BSR17A	SOT-23	40	0.2	300	0.01	0,06	0,05	0,041	0,031
♦	512—FJX3904TF	SOT-323	40	0.2	300	0.01	0,06	0,054	0,043	0,034
♦	512—KST3904MTF	SOT-23	40	0.2	300	0.01	0,06	0,05	0,036	0,027
♦	512—MMBT3904	SOT-23	40	0.2	300	0.01	0,05	0,041	0,035	0,026
♦	512—MMBT3904T	SOT-523F	40	0.2	300	0.01	0,15	0,111	0,08	0,052
♦	512—MMBT3904D87Z	SOT-23-3	40	0.2	300	0.01	0,07	0,058	0,039	0,025
♦	512—PZT3904	SOT-223	40	0.2	300	0.01	0,16	0,14	0,12	0,102
	512—PN3569	TO-92-3	40	0,5	300	0.15	0,17	0,14	0,088	0,063
	512—PN3567	TO-92-3	40	0.6	120	0.15	0,17	0,14	0,088	0,063
♦	512—MMBT4400	SOT-23	40	0.6	150	0.15	0,05	0,041	0,031	0,026
	512—2N4401BU	TO-92-3	40	0.6	300	0.15	0,09	0,074	0,04	0,026
✻	512—2N4401TA	TO-92-3	40	0.6	300	0.15	0,05	0,041	0,033	0,021
✻	512—2N4401TAR	TO-92-3	40	0.6	300	0.15	0,08	0,066	0,045	0,031
✻	512—2N4401TF	TO-92-3	40	0.6	300	0.15	0,09	0,074	0,045	0,026
✻	512—2N4401TFR	TO-92-3	40	0.6	300	0.15	0,09	0,074	0,045	0,031
♦	512—FJX2222ATF	SOT-323	40	0.6	300	0.15	0,07	0,058	0,045	0,036
	512—KSP2222ABU	TO-92-3	40	0.6	300	0.15	0,04	0,039	0,026	0,023
✻	512—KSP2222ATA	TO-92-3	40	0.6	300	0.15	0,06	0,05	0,037	0,031
✻	512—KSP2222ATF	TO-92-3	40	0.6	300	0.15	0,06	0,05	0,037	0,031
♦	512—KST2222AMTF	SOT-23	40	0.6	300	0.15	0,05	0,047	0,034	0,026
♦	512—MMBT4401	SOT-23	40	0.6	300	0.15	0,07	0,05	0,045	0,028
♦	512—MMBT4401D87Z	SOT-23-3	40	0.6	300	0.15	0,21	0,157	0,139	0,106
♦	512—MMBT2222AT	SOT-523F	40	0.6	----	0.0001	0,12	0,058	0,045	0,037
♦	512—BSR14	SOT-23	40	0.8	300	0.15	0,08	0,058	0,054	0,036
	512—TIP29	TO-220	40	1,0	75	1	0,42	0,38	0,323	0,268
	512—MPS6531	TO-92-3	40	1,0	270	0.1	0,07	0,066	0,058	0,055
✻	512—MPS6531_D75Z	TO-92-3	40	1,0	270	0.1	0,06	0,056	0,05	0,041
♦	512—MMBT2222A	SOT-23	40	1,0	300	0.15	0,06	0,041	0,037	0,025
♦	512—MMBT2222AD87Z	SOT-23-3	40	1,0	300	0.15	0,07	0,058	0,035	0,024
	512—PN2222ABU	TO-92-3	40	1,0	300	0.15	0,08	0,066	0,054	0,038
✻	512—PN2222ATA	TO-92-3	40	1,0	300	0.15	0,05	0,041	0,033	0,021
✻	512—PN2222ATF	TO-92-3	40	1,0	300	0.15	0,05	0,041	0,032	0,021
✻	512—PN2222ATFR	TO-92-3	40	1,0	300	0.15	0,09	0,074	0,045	0,031
♦	512—PZT2222A	SOT-223	40	1,0	300	0.15	0,26	0,182	0,161	0,13
	512—SS9014ABU	TO-92-3	45	0.1	150	0.001	0,05	0,047	0,034	0,026
	512—BC547A	TO-92-3	45	0.1	220	0.002	0,09	0,083	0,062	0,052
✻	512—BC547ATA	TO-92-3	45	0.1	220	0.002	0,05	0,041	0,027	0,018
♦	512—BC847AMTF	SOT-23	45	0.1	220	0.002	0,05	0,047	0,034	0,026
	512—SS9014BBU	TO-92-3	45	0.1	300	0.001	0,05	0,047	0,034	0,026
	512—BC547B	TO-92-3	45	0.1	450	0.002	0,18	0,157	0,097	0,069
	512—BC547BBU	TO-92-3	45	0.1	450	0.002	0,05	0,041	0,033	0,027
✻	512—BC547BTA	TO-92-3	45	0.1	450	0.002	0,09	0,066	0,05	0,029
✻	512—BC547BTF	TO-92-3	45	0.1	450	0.002	0,06	0,05	0,034	0,022
	512—BC550B	TO-92-3	45	0.1	450	0.002	0,09	0,083	0,064	0,054
♦	512—BC847BMTF	SOT-23	45	0.1	450	0.002	0,07	0,047	0,04	0,034
	512—BC847BS	SC-70-6	45	0.1	450	0.002	0,17	0,149	0,13	0,095
	512—BC547	TO-92-3	45	0.1	800	0.002	0,18	0,157	0,097	0,068
	512—BC547C	TO-92-3	45	0.1	800	0.002	0,09	0,083	0,064	0,054
	512—BC547CBU	TO-92-3	45	0.1	800	0.002	0,05	0,041	0,035	0,028
✻	512—BC547CTA	TO-92-3	45	0.1	800	0.002	0,06	0,05	0,034	0,022
	512—BC550	TO-92-3	45	0.1	800	0.002	0,18	0,157	0,097	0,059
	512—BC550CBU	TO-92-3	45	0.1	800	0.002	0,04	0,033	0,027	0,018
✻	512—BC550CTA	TO-92-3	45	0.1	800	0.002	0,06	0,05	0,034	0,022
♦	512—BC847CMTF	SOT-23	45	0.1	800	0.002	0,07	0,058	0,049	0,032
♦	512—BC850CMTF	SOT-23	45	0.1	800	0.002	0,05	0,041	0,034	0,026
♦	512—MMBT5962	SOT-23	45	0.1	1400	0.01	0,06	0,05	0,041	0,033
	512—MPSA18	TO-92-3	45	0.1	1500	0.01	0,18	0,149	0,078	0,057
✻	512—MPSA18D26Z	TO-92-3	45	0.1	1500	0.01	0,07	0,058	0,052	0,044
♦	512—BCX70H	SOT-23	45	0.2	310	0.002	0,06	0,05	0,036	0,027
♦	512—BCX70J	SOT-23	45	0.2	460	0.002	0,06	0,05	0,036	0,027
♦	512—BC847S	SC70-6	45	0.2	630	0.002	0,17	0,157	0,135	0,099
♦	512—BCX70K	SOT-23	45	0.2	630	0.002	0,06	0,05	0,036	0,027
	512—PN3642	TO-92-3	45	0,5	120	0.15	0,07	0,058	0,056	0,045
♦	512—BCW71	SOT-23	45	0,5	220	0.002	0,05	0,047	0,034	0,026
♦	512—MMBT100	SOT-23	45	0,5	450	0.01	0,05	0,047	0,035	0,026
	512—PN100	TO-92-3	45	0,5	450	0.01	0,07	0,062	0,058	0,045
	512—PN100A	TO-92-3	45	0,5	450	0.01	0,07	0,062	0,058	0,045
♦	512—BCX19	SOT-23	45	0,5	600	0.1	0,07	0,07	0,051	0,043
	512—BC33716BU	TO-92-3	45	0.8	250	0.1	0,05	0,041	0,036	0,027
✻	512—BC33716TA	TO-92-3	45	0.8	250	0.1	0,07	0,058	0,043	0,032
♦	512—BC81716MTF	SOT-23	45	0.8	250	0.1	0,05	0,041	0,033	0,026
	512—BC33725	TO-92-3	45	0.8	400	0.1	0,13	0,124	0,106	0,082
	512—BC33725BU	TO-92-3	45	0.8	400	0.1	0,05	0,041	0,036	0,027
✻	512—BC33725TA	TO-92-3	45	0.8	400	0.1	0,10	0,083	0,05	0,034
✻	512—BC33725TAR	TO-92-3	45	0.8	400	0.1	0,06	0,05	0,04	0,031
	512—BC337	TO-92-3	45	0.8	630	0.1	0,16	0,132	0,121	0,081
	512—BC33740BU	TO-92-3	45	0.8	630	0.1	0,05	0,041	0,038	0,028
✻	512—BC33740TA	TO-92-3	45	0.8	630	0.1	0,12	0,099	0,06	0,04
	512—BC635	TO-92-3	45	1,0	250	0.15	0,12	0,107	0,093	0,065
♦	512—BCW66G	SOT-23	45	1,0	400	0.1	0,07	0,058	0,045	0,036
	512—BD13516S	TO-126	45	1.5	250	0.15	0,25	0,219	0,198	0,125
	512—BD13516STU	TO-126	45	1.5	250	0.15	0,26	0,231	0,214	0,135

♦ Composant pour montage en surface ✻ Fils de sortie courbés **Pour des quantités supérieures à celles indiquées, appelez-nous afin d'obtenir un devis.**

RÉF. STOCK MOUSER		Boîtier	V_{CEO} (V)	I_C Max. (A)	h_{FE} Max. (mA)	h_{FE} @ I_C (A)	Prix unitaire 1	25	100	250
Fabr.	Réf. fabr.									
NPN (suite)										
♦	512—BCP54	SOT-223	45	1.5	250	0.15	0,22	0,19	0,172	0,117
	512—BD437S	TO-126	45	4.0	130	0.01	0,36	0,322	0,29	0,188
♦	512—KSC1623GMTF	SOT-23	50	0.1	400	0.001	0,06	0,05	0,036	0,027
	512—BC182	TO-92-3	50	0.1	500	0.002	0,18	0,157	0,097	0,059
	512—BC182L	TO-92-3	50	0.1	500	0.002	0,09	0,083	0,064	0,054
	512—2N5210BU	TO-92-3	50	0.1	600	0.1	0,08	0,058	0,042	0,028
✻	512—2N5210TA	TO-92-3	50	0.1	600	0.1	0,06	0,05	0,03	0,022
	512—BC182B	TO-92-3	50	0.1	----	0.01	0,18	0,157	0,097	0,059
	512—BC182LB	TO-92-3	50	0.1	----	0.01	0,09	0,083	0,064	0,054
✻	512—KSC945CYTA	TO-92-3	50	0.15	240	0.001	0,05	0,041	0,033	0,026
	512—KSC945YBU	TO-92-3	50	0.15	240	0.001	0,05	0,047	0,034	0,026
✻	512—KSC1815YTA	TO-92-3	50	0.15	240	0.002	0,07	0,058	0,043	0,032
	512—KSC945CGBU	TO-92-3	50	0.15	400	0.001	0,05	0,047	0,034	0,026
✻	512—KSC945CGTA	TO-92-3	50	0.15	400	0.001	0,05	0,041	0,033	0,026
✻	512—KSC945GTA	TO-92-3	50	0.15	400	0.001	0,05	0,041	0,033	0,026
	512—2N3417	TO-92-3	50	0,5	540	0.002	0,07	0,058	0,054	0,043
♦	512—MMBT5210	SOT-23	50	0,5	600	0.1	0,05	0,047	0,035	0,026
♦	512—MMBT6428	SOT-23	50	0,5	650	0.1	0,09	0,054	0,051	0,035
♦	512—MMBT2484	SOT-23	60	0.1	500	0.01	0,05	0,047	0,031	0,026
	512—PN2484	TO-92-3	60	0.1	500	0.01	0,19	0,157	0,091	0,066
♦	512—BCV71	SOT-23	60	0,5	220	0.002	0,05	0,047	0,031	0,017
	512—MPS8098	TO-92-3	60	0,5	300	0.01	0,07	0,066	0,058	0,048
	512—MPSA05	TO-92-3	60	0,5	----	0.01	0,18	0,157	0,096	0,073
✻	512—MPSA05RA	TO-92-3	60	0,5	----	0.01	0,10	0,091	0,073	0,064
✻	512—KSP05TA	TO-92-3	60	0,5	----	0.1	0,03	0,023	0,022	0,021
	512—MPS651	TO-92-3	60	0.8	----	0.05	0,11	0,091	0,083	0,065
	512—TIP29A	TO-220	60	1,0	75	1	0,36	0,305	0,297	0,268
	512—PN3568	TO-92-3	60	1,0	120	0.15	0,19	0,172	0,147	0,117
	512—BC637	TO-92-3	60	1,0	250	0.15	0,11	0,099	0,089	0,067
✻	512—BC637D27Z	TO-92-3	60	1,0	250	0.15	0,11	0,099	0,089	0,067
	512—KSD1616AGBU	TO-92-3	60	1,0	400	0.1	0,15	0,099	0,074	0,041
✻	512—KSD1616AGTA	TO-92-3	60	1,0	400	0.1	0,04	0,039	0,035	0,033
✻	512—KSD1616ALTA	TO-92-3	60	1,0	600	0.1	0,04	0,039	0,035	0,033
	512—BD13716STU	TO-126	60	1.5	250	0.15	0,26	0,231	0,214	0,135
♦	512—BCP55	SOT-223	60	1.5	250	0.15	0,30	0,248	0,182	0,18
♦	512—FSB560A	SuperSOT-3	60	2.0	550	0,5	0,16	0,149	0,138	0,12
	512—TIP31A	TO-220	60	3.0	50	3	0,37	0,321	0,275	0,238
♦	512—NZT560A	SOT-223	60	3.0	550	0,5	0,32	0,281	0,251	0,183
♦	512—NZT651	SOT-223	60	4.0	----	0.05	0,49	0,413	0,35	0,295
	512—TIP41A	TO-220	60	6.0	75	3	0,35	0,334	0,306	0,263
	512—D44H8	TO-220	60	8.0	----	2	1,17	0,718	0,653	0,619
♦	512—MJD3055TF	TO-252-2	60	10	100	4	0,45	0,338	0,281	0,188
	512—BC546	TO-92-3	65	0.1	800	0.002	0,18	0,149	0,09	0,056
	512—BC546A	TO-92-3	65	0.1	220	0.002	0,08	0,078	0,06	0,043
♦	512—BC856AMTF	SOT-23-3	65	0.1	220	0.002	0,07	0,064	0,058	0,05
	512—BC546ABU	TO-92-3	65	0.1	220	0.002	0,05	0,041	0,033	0,027
	512—BC546ATA	TO-92-3	65	0.1	220	0.002	0,06	0,05	0,034	0,022
	512—BC546B	TO-92-3	65	0.1	450	0.002	0,10	0,083	0,08	0,059
✻	512—BC546BTA	TO-92-3	65	0.1	450	0.002	0,05	0,041	0,033	0,021
✻	512—BC546BTF	TO-92-3	65	0.1	450	0.002	0,05	0,041	0,027	0,018
	512—BC556B	TO-92-3	65	0.1	450	0.002	0,10	0,091	0,08	0,059
	512—BC556BTFR	TO-92-3	65	0.1	450	0.002	0,06	0,05	0,031	0,021
♦	512—BC846BMTF	SOT-23	65	0.1	450	0.002	0,07	0,063	0,047	0,031
♦	512—BC856BMTF	SOT-23-3	65	0.1	450	0.002	0,05	0,041	0,04	0,029
✻	512—BC546CTA	TO-92-3	65	0.1	800	0.002	0,06	0,05	0,034	0,022
	512—BC556	TO-92-3	65	0.1	800	0.002	0,10	0,091	0,08	0,059
♦	512—BC846CMTF	SOT-23-3	65	0.1	800	0.002	0,05	0,047	0,034	0,026
♦	512—BC856CMTF	SOT-23	65	0.1	800	0.002	0,05	0,047	0,035	0,026
♦	512—BSS64	SOT-23	80	0.2	----	0.01	0,07	0,066	0,054	0,036
✻	512—KSP8099TF	TO-92-3	80	0,5	300	0.001	0,06	0,05	0,04	0,029
✻	512—KSP06TA	TO-92-3	80	0,5	----	0.01	0,07	0,067	0,052	0,038
♦	512—KST06MTF	SOT-23	80	0,5	----	0.01	0,06	0,05	0,041	0,033
♦	512—MMBTA06	SOT-23	80	0,5	----	0.01	0,16	0,125	0,066	0,053
♦	512—MMBTA56	SOT-23	80	0,5	----	0.01	0,15	0,111	0,08	0,069
	512—MPSA06	TO-92-3	80	0,5	----	0.01	0,18	0,157	0,096	0,073
✻	512—MPSA06RA	TO-92-3	80	0,5	----	0.01	0,36	0,206	0,157	0,111
	512—MPSA56	TO-92-3	80	0,5	----	0.01	0,19	0,165	0,078	0,062
✻	512—MPSA56RA	TO-92-3	80	0,5	----	0.01	0,08	0,066	0,063	0,052
♦	512—PZTA06	SOT-223	80	0,5	----	0.01	0,22	0,198	0,173	0,13
♦	512—PZTA56	SOT-223	80	0,5	----	0.01	0,17	0,149	0,137	0,111
♦	512—MMBT4356	SOT-23	80	0.8	250	0.01	0,36	0,256	0,153	0,144
	512—BC639	TO-92-3	80	1,0	160	0,5	0,21	0,173	0,11	0,077
✻	512—BC639D74Z	TO-92-3	80	1,0	160	0,5	0,11	0,094	0,078	0,06
	512—BC640	TO-92-3	80	1,0	160	0,5	0,07	0,067	0,065	0,05
	512—BC63916	TO-92-3	80	1,0	250	0.15	0,11	0,094	0,078	0,06
✻	512—BC63916D74Z	TO-92-3	80	1,0	250	0.15	0,11	0,094	0,078	0,06
	512—TN4033A	TO-226	80	1,0	300	0,5	0,19	0,173	0,161	0,138
	512—TN6717A	TO-226	80	1.2	250	0.25	0,20	0,182	0,169	0,138
♦	512—BCP53	SOT-223-4	80	1.2	250	0,5	0,23	0,211	0,181	0,117
♦	512—BCP56	SOT-223	80	1.2	250	0,5	0,23	0,211	0,181	0,117
	512—BD13910S	TO-126	80	1.5	160	0.15	0,25	0,219	0,198	0,125
	512—BD13910STU	TO-126	80	1.5	160	0.15	0,26	0,223	0,208	0,131
	512—BD13916S	TO-126	80	1.5	250	0.15	0,25	0,219	0,198	0,125
	512—BD237STU	TO-126	80	2.0	----	0.15	0,30	0,259	0,233	0,149
	512—TIP41B	TO-220	80	6.0	75	3	0,34	0,294	0,254	0,186
♦	512—MJD44H11TM	TO-252	80	8.0	----	2	0,55	0,413	0,314	0,309
♦	512—KSH44H11TF	TO-252	80	8.0	----	2	0,70	0,594	0,427	0,351

© Copyright 2012 Mouser Electronics

© Copyright 2012 Mouser Electronics

Transistors de signal faible FAIRCHILD

Les produits peuvent être conformes à la directive RoHS. Consultez le site mouser.com pour vérifier la conformité RoHS.

TRANSISTORS À USAGE GÉNÉRAL À SIGNAL FAIBLE – CMS (SUITE)

♦ Composant pour montage en surface

✻ Fils de sortie courbés

Pour des quantités supérieures à celles indiquées, appelez-nous afin d'obtenir un devis.

RÉF. STOCK MOUSER Fabr.	Réf. fabr.	Boîtier	V_{CEO} (V)	I_C Max. (A)	h_{FE} Max. (mA)	h_{FE} @ I_C (A)	Prix unitaire 1	25	100	250
NPN (suite)										
♦ 512—	KSH44H11TM	TO-252	80	8.0	-	2	0,64	0,528	0,387	0,318
512—	KSE44H11	TO-220	80	10	-	2	0,59	0,512	0,437	0,361
512—	2N5830	TO-92-3	100	0.2	500	0.05	0,19	0,149	0,075	0,061
♦ 512—	BSS63	SOT-23	100	0.2	-	0.025	0,07	0,063	0,051	0,034
512—	TIP30C	TO-220	100	1,0	75	1	0,44	0,321	0,275	0,238
512—	KSH31CTF	TO-252	100	3.0	50	3	0,46	0,363	0,276	0,193
♦ 512—	MJD32CTF	TO-252-2	100	3.0	50	3	0,37	0,322	0,254	0,177
512—	TIP32C	TO-220	100	3.0	50	3	0,47	0,348	0,299	0,259
512—	TIP31C	TO-220	100	3.0	50	3	0,44	0,321	0,275	0,238
512—	TIP31CTU	TO-220	100	3.0	50	3	0,47	0,345	0,296	0,257
512—	BD243C	TO-220	100	6.0	-	0.3	0,91	0,80	0,636	0,559
512—	TIP41CTU	TO-220	100	6.0	75	3	0,55	0,406	0,348	0,301
512—	TIP42C	TO-220	100	6.0	75	3	0,44	0,363	0,297	0,292
♦ 512—	FJV992PMTF	SOT-23	120	0.05	400	0.01	0,06	0,05	0,041	0,027
♦ 512—	FJV992FMTF	SOT-23	120	0.05	600	0.01	0,06	0,05	0,041	0,027
512—	KSA992FBU	TO-92-3	120	0.05	600	0.01	0,05	0,041	0,039	0,026
✻ 512—	KSA992FTA	TO-92-3	120	0.05	600	0.01	0,06	0,041	0,039	0,03
✻ 512—	KSC1845FTA	TO-92-3	120	0.05	600	0.01	0,05	0,041	0,034	0,027
♦ 512—	FJV1845FMTF	SOT-23	120	0.05	1200	0.001	0,05	0,047	0,035	0,026
512—	KSA916YTA	TO-92S	120	0.8	240	0.01	0,13	0,116	0,106	0,078
♦ 512—	KST5550MTF	SOT-23	140	0.6	250	0.01	0,06	0,054	0,034	0,026
♦ 512—	MMBT5550	SOT-23	140	0.6	250	0.01	0,06	0,05	0,041	0,033
512—	KSC2310YBU	TO-92S	150	0.05	240	0.01	0,09	0,078	0,06	0,051
♦ 512—	MMBT5401	SOT-23	150	0.6	240	0.01	0,09	0,05	0,047	0,032
512—	KSC2073TU	TO-220	150	1.5	140	0,5	0,55	0,462	0,365	0,295
512—	KSA940	TO-220	150	1.5	140	0,5	0,41	0,37	0,318	0,243
512—	2N5551BU	TO-92-3	160	0.6	250	0.01	0,03	0,031	0,026	0,023
✻ 512—	2N5551TA	TO-92-3	160	0.6	250	0.01	0,05	0,041	0,031	0,027
✻ 512—	2N5551TF	TO-92-3	160	0.6	250	0.01	0,04	0,039	0,026	0,023
✻ 512—	2N5551TFR	TO-92-3	160	0.6	250	0.01	0,04	0,039	0,026	0,023
♦ 512—	FMB5551	SuperSOT-6	160	0.6	250	0.01	0,16	0,141	0,13	0,11
♦ 512—	KST5551MTF	SOT-23	160	0.6	250	0.01	0,06	0,054	0,034	0,026
♦ 512—	MMBT5551	SOT-23	160	0.6	250	0.01	0,11	0,066	0,062	0,041
512—	KSC2383OBU	TO-92S	160	1,0	200	0.2	0,13	0,124	0,102	0,077
512—	KSC2383OTA	TO-92S	160	1,0	200	0.2	0,15	0,132	0,111	0,083
512—	KSA1013YBU	TO-92S	160	1,0	320	0.2	0,14	0,124	0,103	0,078
512—	KSC2383YBU	TO-92S	160	1,0	320	0.2	0,14	0,125	0,103	0,078
512—	KSC2383YTA	TO-92S	160	1,0	320	0.2	0,14	0,124	0,111	0,083
512—	KSA1013YTA	TO-92S	160	1,0	320	0.2	0,16	0,14	0,122	0,092
512—	KSC2690AYSTU	TO-126	160	1.2	320	0.3	0,32	0,264	0,205	0,154
512—	MPSA43	TO-92-3	200	0.2	200	0.01	0,22	0,173	0,118	0,08
♦ 512—	KST43MTF	SOT-23	200	0,5	-	0.001	0,05	0,047	0,039	0,031
512—	BU406	TO-220	200	7.0	-	-	0,49	0,427	0,372	0,277
512—	BU406TU	TO-220	200	7.0	-	-	0,64	0,553	0,46	0,332
512—	MPSA93	TO-92-3	200	-	-	0.02	0,10	0,083	0,08	0,062
512—	TIP47	TO-220	250	1,0	150	0.3	0,32	0,316	0,273	0,221
512—	FJP5200RTU	TO-220	250	17	110	1	0,89	0,743	0,601	0,559
512—	KSC3503DS	TO-126	300	0.1	120	0.01	0,27	0,223	0,18	0,137
512—	KSC2330YBU	TO-92S	300	0.1	240	0.02	0,08	0,07	0,066	0,064
♦ 512—	MMBTA42	SOT-23	300	0,5	-	0.01	0,17	0,089	0,084	0,059
512—	MPSA42	TO-92-3	300	0,5	-	0.01	0,23	0,19	0,099	0,076
✻ 512—	MPSA42D26Z	TO-92-3	300	0,5	-	0.01	0,12	0,099	0,092	0,071
✻ 512—	MPSA42RA	TO-92-3	300	0,5	-	0.01	0,10	0,083	0,073	0,063
♦ 512—	PZTA42	SOT-223	300	0,5	-	0.01	0,25	0,206	0,177	0,148
✻ 512—	KSP42TA	TO-92-3	300	0,5	-	0.01	0,10	0,066	0,056	0,036
♦ 512—	KST42MTF	SOT-23	300	0,5	-	0.01	0,10	0,063	0,059	0,039
512—	TIP48	TO-220	300	1,0	150	0.3	0,33	0,285	0,248	0,181
512—	2N6517BU	TO-92-3	350	0,5	200	0.03	0,06	0,05	0,045	0,034
✻ 512—	2N6517TA	TO-92-3	350	0,5	200	0.03	0,06	0,05	0,031	0,028
♦ 512—	FJT44TF	SOT-223	400	0.3	200	0.01	0,26	0,223	0,212	0,159
✻ 512—	KSP44TA	TO-92-3	400	0.3	200	0.01	0,20	0,157	0,08	0,064
✻ 512—	KSP44TF	TO-92-3	400	0.3	200	0.01	0,10	0,083	0,067	0,055
✻ 512—	2N6517CTA	TO-92-3	400	0,5	200	0.03	0,05	0,041	0,035	0,026
512—	TIP50	TO-220	400	1,0	150	0.3	0,34	0,294	0,254	0,186
PNP										
♦ 512—	MMBT3640	SOT-23	12	0.2	120	0.01	0,47	0,363	0,272	0,267
512—	PN3640	TO-92-3	12	0.2	120	0.01	0,48	0,38	0,292	0,205
512—	2N5771	TO-92-3	15	0.2	120	0.01	1,14	0,941	0,766	0,574
♦ 512—	MMBT5771	SOT-23	15	0.2	120	0.01	1,22	1,01	0,818	0,613
✻ 512—	SS9012GTA	TO-92-3	20	0,5	202	0.05	0,06	0,05	0,029	0,026
512—	BC369	TO-92-3	20	1.5	375	0,5	0,16	0,141	0,13	0,124
♦ 512—	BCP69	SOT-223	20	1.5	375	0,5	0,23	0,204	0,182	0,117
512—	BD434STU	TO-126	22	4.0	140	0.01	0,37	0,33	0,295	0,195
♦ 512—	MMBT4126	SOT-23	25	0.2	360	0.002	0,10	0,058	0,051	0,035
512—	MPS6523	TO-92-3	25	0,5	600	0.002	0,08	0,074	0,06	0,05
♦ 512—	BC80840MTF	SOT-23	25	0.8	630	0.1	0,05	0,047	0,039	0,026
512—	PN3638A	TO-92-3	25	0.8	-	0.3	0,18	0,14	0,078	0,062
512—	MPS6562	TO-92-3	25	1,0	200	0,5	0,16	0,141	0,13	0,124
512—	SS8550BBU	TO-92-3	25	1.5	160	0.1	0,06	0,05	0,045	0,034
512—	SS8550CBU	TO-92-3	25	1.5	200	0.1	0,04	0,033	0,03	0,026
✻ 512—	SS8550DTA	TO-92-3	25	1.5	300	0.1	0,06	0,041	0,034	0,03
512—	ZTX749	TO-226	25	2.0	300	1	0,35	0,314	0,276	0,181
♦ 512—	FSB749	SuperSOT-3	25	3.0	300	1	0,16	0,141	0,138	0,112
♦ 512—	FZT749	SOT-223	25	3.0	300	1	0,27	0,231	0,212	0,183
512—	MJE210STU	TO-126	25	5.0	180	2	0,22	0,188	0,164	0,125
✻ 512—	BC558BTA	TO-92-3	30	0.1	450	0.002	0,05	0,047	0,026	0,017
512—	BC558B	TO-92-3	30	0.1	450	0.002	0,09	0,083	0,074	0,055

♦ Composant pour montage en surface

✻ Fils de sortie courbés

Pour des quantités supérieures à celles indiquées, appelez-nous afin d'obtenir un devis.

RÉF. STOCK MOUSER Fabr.	Réf. fabr.	Boîtier	V_{CEO} (V)	I_C Max. (A)	h_{FE} Max. (mA)	h_{FE} @ I_C (A)	Prix unitaire 1	25	100	250
PNP (suite)										
✻ 512—	BC559BTA	TO-92-3	30	0.1	450	0.002	0,06	0,05	0,031	0,021
512—	BC559	TO-92-3	30	0.1	800	0.002	0,11	0,099	0,089	0,067
✻ 512—	BC559CTA	TO-92-3	30	0.1	800	0.002	0,06	0,05	0,031	0,021
♦ 512—	BC858CMTF	SOT-23	30	0.1	800	0.002	0,05	0,049	0,04	0,029
♦ 512—	FMMT549	SuperSOT-3	30	1,0	300	0,5	0,14	0,124	0,115	0,081
512—	KSA928AYBU	TO-92S	30	2.0	320	0,5	0,12	0,101	0,086	0,06
512—	KSA928AYTA	TO-92S	30	2.0	320	0,5	0,12	0,107	0,092	0,072
♦ 512—	BCW61DMTF	SOT-23	32	0.1	630	0.002	0,07	0,064	0,058	0,05
♦ 512—	BCW30	SOT-23	32	0,5	500	0.002	0,05	0,047	0,034	0,026
512—	2N3906BU	TO-92-3	40	0.2	300	0.01	0,07	0,058	0,045	0,03
✻ 512—	2N3906TA	TO-92-3	40	0.2	300	0.01	0,06	0,05	0,034	0,025
✻ 512—	2N3906TAR	TO-92-3	40	0.2	300	0.01	0,06	0,05	0,034	0,025
✻ 512—	2N3906TF	TO-92-3	40	0.2	300	0.01	0,07	0,058	0,039	0,025
✻ 512—	2N3906TFR	TO-92-3	40	0.2	300	0.01	0,07	0,058	0,041	0,03
♦ 512—	BSR18A	SOT-23	40	0.2	300	0.01	0,06	0,05	0,036	0,027
♦ 512—	FJX3906TF	SOT-323	40	0.2	300	0.01	0,06	0,054	0,043	0,035
♦ 512—	KST3906MTF	SOT-23	40	0.2	300	0.01	0,06	0,054	0,034	0,026
♦ 512—	MMBT3906	SOT-23	40	0.2	300	0.01	0,02	0,016	0,015	0,013
♦ 512—	MMBT3906D87Z	SOT-23-3	40	0.2	300	0.01	0,28	0,231	0,142	0,094
512—	MPS6518	TO-92-3	40	0.2	300	0.01	0,07	0,066	0,058	0,055
♦ 512—	PZT3906	SOT-223	40	0.2	300	0.01	0,16	0,141	0,12	0,103
♦ 512—	FFB2222A	SC-70-6	40	0,5	300	0.15	0,10	0,086	0,068	0,064
512—	PN4250	TO-92-3	40	0,5	700	0.1	0,22	0,173	0,086	0,069
512—	2N4403BU	TO-92-3	40	0.6	300	0.15	0,09	0,083	0,054	0,04
✻ 512—	2N4403TA	TO-92-3	40	0.6	300	0.15	0,05	0,033	0,031	0,028
✻ 512—	2N4403TAR	TO-92-3	40	0.6	300	0.15	0,05	0,041	0,033	0,031
✻ 512—	2N4403TF	TO-92-3	40	0.6	300	0.15	0,05	0,033	0,031	0,028
✻ 512—	2N4403TFR	TO-92-3	40	0.6	300	0.15	0,09	0,083	0,044	0,031
♦ 512—	MMBT4403	SOT-23	40	0.6	300	0.15	0,06	0,05	0,045	0,027
♦ 512—	MMBT4403D87Z	SOT-23-3	40	0.6	300	0.15	0,21	0,157	0,139	0,106
♦ 512—	BSR15	SOT-23	40	0.8	300	0.15	0,06	0,05	0,036	0,027
512—	MPS6534	TO-92-3	40	0.8	270	0.1	0,15	0,132	0,116	0,099
✻ 512—	MPS6534_D75Z	TO-92-3	40	0.8	270	0.1	0,07	0,066	0,062	0,053
512—	PN2907BU	TO-92-3	40	0.8	300	0.15	0,10	0,083	0,048	0,035
512—	TIP32	TO-220	40	3.0	50	3	0,35	0,305	0,275	0,251
♦ 512—	FZT790A	SOT-223	40	3.0	800	0.01	0,27	0,231	0,212	0,183
✻ 512—	BC557ATA	TO-92-3	45	0.1	220	0.002	0,06	0,05	0,031	0,021
♦ 512—	BCX71G	SOT-23	45	0.1	220	0.002	0,05	0,047	0,034	0,026
512—	BC557B	TO-92-3	45	0.1	450	0.002	0,09	0,083	0,078	0,058
✻ 512—	BC557BTA	TO-92-3	45	0.1	450	0.002	0,06	0,05	0,031	0,021
✻ 512—	BC557BTF	TO-92-3	45	0.1	450	0.002	0,06	0,05	0,031	0,021
♦ 512—	BC857BMTF	SOT-23	45	0.1	450	0.002	0,05	0,047	0,035	0,026
♦ 512—	BC860BMTF	SOT-23	45	0.1	450	0.002	0,05	0,047	0,035	0,026
♦ 512—	BCX71J	SOT-23	45	0.1	460	0.002	0,05	0,047	0,034	0,026
512—	BC557	TO-92-3	45	0.1	800	0.002	0,19	0,157	0,096	0,064
512—	BC560C	TO-92-3	45	0.1	800	0.002	0,11	0,091	0,083	0,063
512—	SS9014CBU	TO-92-3	45	0.1	1000	0.001	0,05	0,041	0,033	0,027
♦ 512—	MMBT200	SOT-23	45	0,5	450	0.01	0,05	0,041	0,039	0,031
512—	PN200	TO-92-3	45	0,5	450	0.01	0,09	0,074	0,073	0,06
512—	PN200A	TO-92-3	45	0,5	600	0.01	0,09	0,074	0,073	0,06
♦ 512—	BCX71K	SOT-23	45	0,5	630	0.002	0,05	0,047	0,034	0,026
512—	BC32716	TO-92-3	45	0.8	250	0.1	0,12	0,11	0,086	0,068
✻ 512—	BC32716TA	TO-92-3	45	0.8	250	0.1	0,06	0,05	0,036	0,027
♦ 512—	BC80716MTF	SOT-23	45	0.8	250	0.1	0,05	0,047	0,039	0,026
512—	BC32725BU	TO-92-3	45	0.8	400	0.1	0,05	0,041	0,036	0,027
✻ 512—	BC32725TA	TO-92-3	45	0.8	400	0.1	0,07	0,058	0,046	0,035
512—	BC32725	TO-92-3	45	0.8	400	0.1	0,12	0,116	0,097	0,078
♦ 512—	BCW68G	SOT-23	45	0.8	400	0.1	0,10	0,083	0,064	0,048
512—	BC327	TO-92-3	45	0.8	630	0.1	0,15	0,132	0,112	0,082
512—	BC32740BU	TO-92-3	45	0.8	630	0.1	0,05	0,041	0,036	0,027
✻ 512—	BC32740TA	TO-92-3	45	0.8	630	0.1	0,07	0,058	0,046	0,035
512—	BC636	TO-92-3	45	1,0	250	0.15	0,12	0,107	0,098	0,068
♦ 512—	BCP51	SOT-223	45	1.5	250	0.15	0,24	0,206	0,191	0,123
♦ 512—	MMBT5087	SOT-23	50	0.1	800	0.1	0,10	0,07	0,047	0,033
♦ 512—	FJX733YTF	SOT-323	50	0.15	240	0.001	0,06	0,054	0,043	0,034
✻ 512—	KSA733CYTA	TO-92-3	50	0.15	240	0.001	0,05	0,047	0,031	0,026
512—	KSA733YBU	TO-92-3	50	0.15	240	0.001	0,04	0,039	0,026	0,023
✻ 512—	KSA1015YTA	TO-92-3	50	0.15	240	0.002	0,06	0,05	0,031	0,02
512—	KSA733GBU	TO-92-3	50	0.15	400	0.001	0,04	0,039	0,026	0,023
✻ 512—	KSA733GTA	TO-92-3	50	0.15	400	0.001	0,05	0,047	0,031	0,026
✻ 512—	KSA1015GRTA	TO-92-3	50	0.15	400	0.002	0,06	0,05	0,031	0,02
512—	2SA733P	TO-92-3	50	0,5	400	0.001	0,07	0,066	0,053	0,044
♦ 512—	BCW89	SOT-23	60	0,5	260	2	0,05	0,047	0,034	0,026
512—	PN4250A	TO-92-3	60	0,5	700	0.1	0,22	0,173	0,086	0,069
♦ 512—	MMBTA55	SOT-23	60	0,5	-	0.1	0,06	0,05	0,04	0,036
512—	MPSA55	TO-92-3	60	0,5	-	0.1	0,08	0,066	0,063	0,052
✻ 512—	KSP2907ATA	TO-92-3	60	0.6	300	0.15	0,05	0,047	0,031	0,026
✻ 512—	KSP2907ATF	TO-92-3	60	0.6	300	0.15	0,05	0,047	0,031	0,026
♦ 512—	KST2907AMTF	SOT-23	60	0.6	300	0.15	0,06	0,054	0,034	0,026
512—	KSA708YBU	TO-92-3	60	0.7	240	0.05	0,06	0,05	0,034	0,026
512—	KSA931YTA	TO-92S	60	0.7	240	0.05	0,10	0,094	0,078	0,051
♦ 512—	MMBT2907A	SOT-23	60	0.8	300	0.15	0,05	0,041	0,034	0,021
♦ 512—	MMBT2907AD87Z	SOT-23-3	60	0.8	300	0.15	0,03	0,031	0,026	0,02
512—	PN2907ABU	TO-92-3	60	0.8	300	0.15	0,09	0,083	0,054	0,04
✻ 512—	PN2907ATAR	TO-92-3	60	0.8	300	0.15	0,05	0,041	0,034	0,028
✻ 512—	PN2907ATA	TO-92-3	60	0.8	300	0.15	0,10	0,083	0,048	0,035

© Copyright 2012 Mouser Electronics

© Copyright 2012 Mouser Electronics

Transistors de signal faible FAIRCHILD

FAIRCHILD SEMICONDUCTOR

Les produits peuvent être conformes à la directive RoHS. Consultez le site mouser.com pour vérifier la conformité RoHS.

TRANSISTORS À USAGE GÉNÉRAL À SIGNAL FAIBLE – CMS (SUITE)

NEW PRODUCT

✻ Fils de sortie courbés

◆ **Composant pour montage en surface** **Pour des quantités supérieures à celles indiquées, appelez-nous afin d'obtenir un devis.**

RÉF. STOCK MOUSER		Boîtier	V_{CEO} (V)	I_C Max. (A)	h_{FE} Max. (mA)	h_{FE} @ I_C (A)	Prix unitaire 1	25	100	250
Fabr.	Réf. fabr.									
PNP (suite)										
✻	512—PN2907ATF	TO-92-3	60	0.8	300	0.15	0,05	0,041	0,034	0,028
✻	512—PN2907ATFR	TO-92-3	60	0.8	300	0.15	0,05	0,041	0,034	0,028
◆	512—PZT2907A	SOT-223	60	0.8	300	0.15	0,17	0,149	0,13	0,103
	512—PN3645	TO-92-3	60	0.8	300	0.15	0,07	0,066	0,052	0,049
◆	512—BSR16	SOT-23	60	0.8	300	0.15	0,08	0,068	0,061	0,041
	512—BC638	TO-92-3	60	1,0	160	0.15	0,12	0,107	0,094	0,066
◆	512—BCP52	SOT-223	60	1.2	250	0.15	0,25	0,215	0,193	0,131
	512—BD13810STU	TO-126	60	1.5	250	0.15	0,27	0,239	0,217	0,139
◆	512—FSB660A	SuperSOT-3	60	2.0	550	0,5	0,17	0,157	0,147	0,117
	512—MPS751	TO-92-3	60	2.0	-	0.05	0,19	0,165	0,147	0,11
	512—BD236STU	TO-126	60	2.0	-	0.15	0,30	0,259	0,233	0,149
	512—TIP32A	TO-220	60	3.0	50	3.0	0,35	0,302	0,257	0,25
	512—KSB1366GTU	TO-220F	60	3.0	320	0,5	0,50	0,364	0,295	0,254
◆	512—NZT660A	SOT-223	60	3.0	550	0,5	0,32	0,281	0,251	0,183
	512—BD440S	TO-126	60	4.0	140	0.01	0,39	0,33	0,304	0,198
◆	512—NZT751	SOT-223	60	4.0	-	0.05	0,49	0,413	0,351	0,295
	512—KSB1151YS	TO-126	60	5.0	400	2.0	0,49	0,413	0,332	0,277
	512—BC556ABU	TO-92-3	65	0.1	220	0.002	0,06	0,05	0,042	0,035
✻	512—BC556ATA	TO-92-3	65	0.1	220	0.002	0,05	0,047	0,026	0,017
✻	512—BC556BTA	TO-92-3	65	0.1	450	2.0	0,05	0,047	0,026	0,017
✻	512—MPSA56D75Z	TO-92-3	80	0,5	-	0.01	0,08	0,066	0,058	0,048
	512—BC640BU	TO-92-3	80	1,0	160	0.15	0,05	0,049	0,048	0,036
✻	512—BC640TA	TO-92-3	80	1,0	160	0.15	0,06	0,05	0,036	0,027
	512—BD238S	TO-126	80	2.0	-	0.15	0,30	0,259	0,233	0,149
	512—TIP42CTU	TO-220	100	6.0	75	3.0	0,57	0,418	0,358	0,31
◆	512—FJX992TF	SOT-323	120	0.1	700	0.002	0,17	0,149	0,124	0,107
◆	512—KST5401MTF	SOT-23	150	0,5	240	0.01	0,06	0,054	0,043	0,035
◆	512—MMBT5401D87Z	SOT-23	150	0.6	240	0.01	0,06	0,05	0,034	0,026
	512—KSA940TU	TO-220	150	1.5	140	0,5	0,51	0,454	0,408	0,297
	512—KSA1142OSTU	TO-126	180	0.1	320	0.01	0,22	0,204	0,181	0,117
◆	512—MMBTA92	SOT-23	300	0,5	-	0.01	0,24	0,116	0,103	0,072
	512—MPSA92	TO-92-3	300	0,5	-	0.01	0,16	0,141	0,13	0,124
✻	512—MPSA92D74Z	TO-92-3	300	0,5	-	0.001	0,16	0,141	0,13	0,124
◆	512—PZTA92	SOT-223	300	0,5	-	0.01	0,20	0,181	0,155	0,117
✻	512—2N6520TA	TO-92-3	350	0,5	200	0.03	0,06	0,05	0,043	0,032
✻	512—KSP94TA	TO-92-3	400	0.3	300	0.01	0,04	0,038	0,035	0,032

TRANSISTORS DARLINGTON

NEW PRODUCT

◆ **Composant pour montage en surface**

✻ Fils de sortie courbés **Pour des quantités supérieures à celles indiquées, appelez-nous afin d'obtenir un devis.**

RÉF. STOCK MOUSER		Boîtier	V_{CEO} (V)	I_C Max. (A)	h_{FE} Max. (mA)	h_{FE} @ I_C (A)	Prix unitaire 1	25	100	250
Fabr.	Réf. fabr.									
NPN										
	512—MPSA12	TO-92-3	20	1.2	-	0.01	0,07	0,073	0,069	0,051
◆	512—BCV27	SOT-23	30	1.2	-	0.001	0,07	0,068	0,058	0,044
◆	512—MMBTA13	SOT-23	30	1.2	-	0.01	0,36	0,167	0,116	0,083
◆	512—MMBTA14	SOT-23	30	1.2	-	0.01	0,08	0,073	0,059	0,052
	512—MPSA13	TO-92-3	30	1.2	-	0.01	0,13	0,114	0,092	0,063
✻	512—MPSA13D27Z	TO-92-3	30	1.2	-	0.01	0,51	0,338	0,164	0,117
	512—MPSA14	TO-92-3	30	1.2	-	0.01	0,13	0,114	0,092	0,063
✻	512—MPSA14_D74Z	TO-92-3	30	1.2	-	0.01	0,16	0,141	0,13	0,124
◆	512—PZTA14	SOT-223	30	1.2	-	0.01	0,19	0,165	0,146	0,125
✻	512—MPSA13RA	TO-92-3	30	1.2	-	0.01	0,08	0,066	0,061	0,058
	512—2N6426	TO-92-3	40	1.2	300000	0.1	0,12	0,114	0,097	0,073
◆	512—MMBT6427	SOT-23	40	1.2	200000	0.1	0,09	0,078	0,063	0,056
✻	512—2N5308D74Z	TO-92-3	40	1.2	70000	0.002	0,51	0,338	0,164	0,117
	512—BC517	TO-92-3	40	1.2	-	0.02	0,13	0,117	0,094	0,083
✻	512—BC517D27Z	TO-92-3	40	1.2	-	0.02	0,55	0,355	0,172	0,123
	512—BSR50	TO-92-3	45	1.5	-	0.15	0,32	0,264	0,21	0,153
	512—TN6725A	TO-226	50	1.2	40000	1,0	0,30	0,198	0,198	0,167
	512—MPSA27	TO-92-3	60	0.8	-	0.01	0,36	0,256	0,153	0,144
	512—TIP120	TO-220	60	5.0	-	0,5	0,56	0,415	0,356	0,309
	512—TIP120TU	TO-220	60	5.0	-	0,5	0,41	0,392	0,376	0,276
◆	512—MMBTA28	SuperSOT-3	80	0.8	-	0.01	0,16	0,126	0,111	0,086
	512—MPSA28	TO-92-3	80	0.8	-	0.01	0,32	0,271	0,262	0,195
◆	512—BSP52	SOT-223	80	0.8	-	0.15	0,21	0,199	0,191	0,14
	512—BD679ASTU	TO-126	80	4.0	-	2.0	0,48	0,355	0,304	0,256
	512—TIP121	TO-220	80	5.0	-	0,5	0,38	0,337	0,23	0,194
	512—MPSA29	TO-92-3	100	0.8	-	100	0,36	0,256	0,153	0,108
	512—2N7052	TO-92-3	100	1.5	20000	1,0	0,36	0,206	0,165	0,12
✻	512—2N7052_D74Z	TO-92-3	100	1.5	20000	1,0	0,35	0,198	0,161	0,116
	512—2N7053	TO-226	100	1.5	20000	1,0	0,50	0,33	0,161	0,149
◆	512—NZT7053	SOT-223	100	1.5	20000	1,0	0,43	0,281	0,23	0,19
	512—TIP112	TO-220	100	2.0	-	1,0	0,47	0,418	0,376	0,276
◆	512—MJD122TF	TO-252	100	8.0	12000	4.0	0,55	0,421	0,371	0,322
	512—TIP142TTU	TO-220	100	10	-	5.0	1,06	0,932	0,816	0,71
PNP										
	512—BC516	TO-92-3	30	1,0	-	0.02	0,14	0,121	0,10	0,086
✻	512—BC516D27Z	TO-92-3	30	1,0	-	0.02	0,39	0,281	0,177	0,126
◆	512—BCV26	SOT-23	30	1.2	-	0.001	0,07	0,073	0,063	0,048
◆	512—MMBTA63	SOT-23	30	1.2	-	0.01	0,24	0,173	0,112	0,081
	512—MPSA63	TO-92-3	30	1.2	-	0.01	0,48	0,217	0,152	0,108
✻	512—MPSA63D26Z	TO-92-3	30	1.2	-	0.01	0,53	0,347	0,168	0,12

TRANSISTORS DARLINGTON (SUITE)

NEW PRODUCT

◆ **Composant pour montage en surface** **Pour des quantités supérieures à celles indiquées, appelez-nous afin d'obtenir un devis.**

RÉF. STOCK MOUSER		Boîtier	V_{CEO} (V)	I_C Max. (A)	h_{FE} Max. (mA)	h_{FE} @ I_C (A)	Prix unitaire 1	25	100	250
Fabr.	Réf. fabr.									
PNP (suite)										
	512—MPSA64	TO-92-3	30	1.2	-	0.01	0,53	0,347	0,168	0,12
◆	512—PZTA64	SOT-223	30	1.2	-	0.01	0,18	0,165	0,153	0,125
	512—BD676AS	TO-126	45	4.0	-	2.0	0,46	0,33	0,279	0,238
	512—MPSA77	TO-92-3	60	1.2	-	0.01	0,26	0,206	0,154	0,11
	512—TIP125	TO-220	60	5.0	-	0,5	0,39	0,332	0,287	0,218
	512—TIP125TU	TO-220	60	5.0	-	0,5	0,36	0,312	0,27	0,197
	512—MPSA77	TO-92-3	60	1.2	-	0.01	0,26	0,206	0,154	0,11
	512—BD680ASTU	TO-126	80	4.0	-	2.0	0,46	0,33	0,279	0,238
	512—TIP126	TO-220	80	5.0	-	0,5	0,36	0,312	0,27	0,197
◆	512—MJD117TF	TO-252	100	2.0	12000	2.0	0,56	0,394	0,337	0,291
◆	512—MJD127TF	TO-252	100	8.0	12000	4.0	0,66	0,46	0,394	0,341
	512—BDX54C	TO-220	100	8.0	-	3.0	0,51	0,397	0,346	0,301
	512—TIP147TU	TO-3PN	100	10	-	5.0	1,20	0,957	0,833	0,735
	512—BDW94CFTU	TO-220F	100	12	20000	5.0	0,58	0,502	0,436	0,328

TRANSISTORS À USAGE GÉNÉRAL DOUBLE ET QUADRUPLE

◆ **Composant pour montage en surface** **Pour des quantités supérieures à celles indiquées, appelez-nous afin d'obtenir un devis.**

RÉF. STOCK MOUSER		Boîtier	V_{CEO} (V)	I_C Max. (A)	h_{FE} Max. (mA)	h_{FE} @ I_C (A)	Prix unitaire 1	25	100	250
Fabr.	Réf. fabr.									
NPN double										
◆	512—FFB3904	SC-70-6	40	0.2	300	0.01	0,11	0,094	0,078	0,068
◆	512—FMB3904	SuperSOT-6	40	0.2	300	0.01	0,13	0,116	0,113	0,102
◆	512—FMB2222A	SC-70-6	40	0,5	300	0.15	0,13	0,11	0,095	0,09
◆	512—FMBA06	SuperSOT-6	80	0,5	-	0.01	0,23	0,198	0,186	0,16
NPN quadruple										
◆	512—MMPQ2222	SOIC-16	30	0,5	-	0.01	0,74	0,586	0,53	0,476
◆	512—MMPQ3904	SOIC-16	40	0.2	300	0.01	1,17	0,998	0,833	0,70
◆	512—MMPQ2222A	SOIC-16	40	0,5	300	0.15	0,82	0,685	0,549	0,53
NPN/PNP double										
◆	512—FFB2227A	SC-70-6	30	0,5	-	1,0	0,10	0,086	0,068	0,064
◆	512—FMB2227A	SuperSOT-6	30	0,5	-	1,0	0,13	0,116	0,103	0,095
◆	512—FMB3946	SuperSOT-6	40	0.2	300	0.01	0,14	0,116	0,112	0,103
NPN/PNP quadruple										
◆	512—MMPQ6700	SOIC-16	40	0.2	-	0.001	1,14	0,982	0,822	0,691
PNP double										
◆	512—FFB3906	SC-70-6	40	0.2	300	0.01	0,11	0,091	0,09	0,081
◆	512—FMB3906	SuperSOT-6	40	0.2	300	0.01	0,16	0,132	0,12	0,114
◆	512—BC857S	SC-70-6	45	0.2	630	0.002	0,17	0,157	0,138	0,103
◆	512—FFB2907A	SC-70-6	60	0.6	300	0.15	0,10	0,086	0,068	0,064
◆	512—FMB2907A	SuperSOT-6	60	0.6	300	0.15	0,15	0,125	0,112	0,107
PNP quadruple										
◆	512—MMPQ3906	SOIC-16	40	0.2	-	0.01	1,16	0,982	0,817	0,693
◆	512—MMPQ2907A	SOIC-16	60	0.6	300	0.15	1,17	0,998	0,833	0,70

TRANSISTORS NUMÉRIQUES

◆ **Composant pour montage en surface** **Pour des quantités supérieures à celles indiquées, appelez-nous afin d'obtenir un devis.**

RÉF. STOCK MOUSER		Boîtier	V_{CEO} (V)	I_C Max. (A)	h_{FE} Max. (mA)	h_{FE} @ I_C (A)	Prix unitaire 1	25	100	250
Fabr.	Réf. fabr.									
NPN										
◆	512—FJV3110RMTF	SOT-23	40	0.1	600	0.001	0,22	0,157	0,095	0,062
◆	512—FJV3102RMTF	SOT-23	50	0.1	-	0.005	0,22	0,157	0,095	0,062
◆	512—FJV3103RMTF	SOT-23	50	0.1	-	0.005	0,22	0,157	0,095	0,062
◆	512—FJV3113RMTF	SOT-23	50	0.1	-	0.005	0,22	0,157	0,095	0,062
◆	512—FJV3101RMTF	SOT-23	50	0.1	-	0.01	0,22	0,157	0,095	0,062
	512—FJPF5200OTU	TO-220F	250	17	160	1	1,06	0,85	0,743	0,652
	512—FJAF6810DTU	TO-3PF	750	10	-	1	1,40	1,10	1,02	0,924
	512—FJL6920TU	TO-3P	800	20	-	1	2,34	2,02	1,58	1,49
PNP										
◆	512—FJV4103RMTF	SOT-23	50	0.1	-	0.005	0,24	0,165	0,101	0,066
◆	512—FJV4104RMTF	SOT-23	50	0.1	-	0.005	0,24	0,165	0,101	0,066

TRANSISTORS À SIGNAL FAIBLE RF

◆ **Composant pour montage en surface** **Pour des quantités supérieures à celles indiquées, appelez-nous afin d'obtenir un devis.**

RÉF. STOCK MOUSER		Boîtier	V_{CEO} (V)	I_C Max. (A)	h_{FE} Max. (mA)	h_{FE} @ I_C (A)	Prix unitaire 1	25	100	250
Fabr.	Réf. fabr.									
NPN										
◆	512—MMBT5179	SOT-23	12	0.05	250	0.003	0,07	0,072	0,061	0,046
	512—MPS5179	TO-92-3	12	0.05	250	0.003	0,36	0,198	0,153	0,106
	512—PN3563	TO-92-3	15	0.05	200	0.008	0,10	0,093	0,079	0,06
	512—2N5770	TO-92-3	15	0.05	200	0.01	0,17	0,133	0,065	0,053
◆	512—MMBT918	SOT-23	15	0.05	-	0.003	0,23	0,165	0,107	0,076
	512—PN918	TO-92-3	15	0.05	-	0.003	0,31	0,223	0,142	0,101
	512—BF199	TO-92-3	25	0.05	-	0.007	0,09	0,087	0,075	0,058
◆	512—MMBTH10	SOT-23-3	25	0.05	-	0.004	0,07	0,072	0,061	0,046
	512—MPSH10	TO-92-3	25	0.05	-	0.004	0,15	0,128	0,127	0,101
◆	512—KST10MTF	SOT-23	25	-	-	0.004	0,10	0,083	0,054	0,036
	512—MMBTH10RG	SOT-23	40	0.05	120	0.001	0,26	0,206	0,154	0,11
PNP										
	512—MMBTH81	SOT-23	20	0.05	-	0.005	0,07	0,068	0,058	0,044
	512—MPSH81	TO-92-3	20	0.05	-	0.005	0,36	0,198	0,153	0,106

© Copyright 2012 Mouser Electronics

© Copyright 2012 Mouser Electronics

Transistors et modules de puissance intelligents INFINEON

RoHS Compliant **This product is RoHS compliant.**

MODULES DE PUISSANCE INTELLIGENTS CIPOS™

Les modules de puissance CIPOS™ augmentent l'efficacité énergétique et la fiabilité des moteurs des appareils ménagers. Les modules CIPOS™ intègrent un étage de puissance à inverseur triphasé avec une commande de grille SOI (Silicon-On-Insulator), des diodes à amorçage et des condensateurs, ainsi que des circuits supplémentaires dans un boîtier compact à haute performance et entièrement isolé. Basée sur la combinaison de TRENCHSTOP™ IGBT (Insulated Gate Bipolar Transistor) de pointe d'Infineon et d'une technologie de diode contrôlée par émetteur, ils éliminent jusqu'à 23 composants discrets par rapport à une conception basée sur des composants discrets. Les modules CIPOS™ disposent également de la résistance jonction à boitier la plus basse du marché, ce qui augmente jusqu'à 20 % le courant de sortie par rapport aux autres modules disponibles.

NEW PRODUCT

Pour des quantités supérieures à celles indiquées, appelez-nous afin d'obtenir un devis.

RÉF. STOCK MOUSER	Réf. Infineon	Boîtier	V_{CES} (Min.) (V)	Courant de sortie (Max) (A)	Émetteur Config.	P_{tot} (Max)(W)	Amorçage Intégré	NTC Intégré	Redresseur Intégré	Broche défaut	Prix unitaire 1	5	10	50
726-IGCM06B60GA	IGCM06B60GA	Module DIL	600	6	Fermé	19	Oui	Oui	Oui	Oui	17,62	14,69	13,24	11,77
726-IGCM06F60GA	IGCM06F60GA	Module DIL	600	6	Ouvert	23	Oui	Oui	Non	Oui	15,38	12,83	11,56	10,27
641-IKCS08F60B2A	IKCS08F60B2A	PG-MSIP-20	600	8	Ouvert	30	Oui	Oui	Non	Oui	19,53	17,75	15,97	15,08
641-IKCS08F60B2C	IKCS08F60B2C	PG-MSIP-20	600	8	Ouvert	30	Oui	Oui	Non	Oui	19,53	17,75	15,97	15,08
641-IKCS08F60F2A	IKCS08F60F2A	PG-MSIP-20	600	8	Ouvert	30	Oui	Oui	Non	Oui	19,75	17,95	16,16	15,26
641-IKCS08F60F2C	IKCS08F60F2C	PG-MSIP-20	600	8	Ouvert	30	Oui	Oui	Non	Oui	19,75	17,95	16,16	15,26
726-IGCM10F60GA	IGCM10F60GA	Module DIL	600	10	Ouvert	26	Oui	Oui	Non	Oui	16,70	13,93	12,55	11,16
641-IKCS12F60B2A	IKCS12F60B2A	PG-MSIP-20	600	12	Ouvert	35	Oui	Oui	Non	Oui	21,04	19,13	17,21	16,26
641-IKCS12F60B2C	IKCS12F60B2C	PG-MSIP-20	600	12	Ouvert	35	Oui	Oui	Non	Oui	21,04	19,13	17,21	16,26
726-IKCS12F60EA	IKCS12F60EA	Module SIL	600	12	Ouvert	35	Oui	Non	Non	Oui	22,63	20,56	18,51	17,47
641-IKCS12F60F2A	IKCS12F60F2A	PG-MSIP-20	600	12	Ouvert	35	Oui	Oui	Non	Oui	21,30	19,36	17,42	16,45
641-IKCS12F60F2C	IKCS12F60F2C	PG-MSIP-20	600	12	Ouvert	35	Oui	Oui	Non	Oui	21,30	19,36	17,42	16,45
641-IKCS12G60DA	IKCS12G60DA	PG-MSIP-19	600	12	Fermé	35	Oui	Oui	Non	Oui	22,58	20,53	18,47	17,45
726-IGCM15F60GA	IGCM15F60GA	Module DIL	600	15	Ouvert	29	Oui	Oui	Non	Oui	18,71	15,60	14,05	12,50
641-IKCS17F60B2A	IKCS17F60B2A	PG-MSIP-20	600	17	Ouvert	52	Oui	Oui	Non	Oui	25,18	22,89	20,61	19,46
641-IKCS17F60F2A	IKCS17F60F2A	PG-MSIP-20	600	17	Ouvert	52	Oui	Oui	Non	Oui	25,43	23,12	20,81	19,65
726-IGCM20F60GA	IGCM20F60GA	Module DIL	600	20	Ouvert	33	Oui	Oui	Non	Oui	22,33	18,62	16,77	14,91
641-IHCS22R60CE	IHCS22R60CE	PG-MSIP-17	600	22	Fermé	65	Oui	Oui	Non	Oui	29,88	27,16	24,44	23,09
641-IKCS22F60B2A	IKCS22F60B2A	PG-MSIP-20	600	22	Ouvert	59	Oui	Oui	Non	Oui	30,51	27,74	24,96	23,58
641-IKCS22F60B2C	IKCS22F60B2C	PG-MSIP-20	600	22	Ouvert	59	Oui	Oui	Non	Oui	30,51	27,74	24,96	23,58
641-IKCS22F60F2A	IKCS22F60F2A	PG-MSIP-20	600	22	Ouvert	59	Oui	Oui	Non	Oui	30,73	27,94	25,15	23,75
641-IKCS22F60F2C	IKCS22F60F2C	PG-MSIP-20	600	22	Ouvert	59	Oui	Oui	Non	Oui	30,73	27,94	25,15	23,75

TRANSISTORS À USAGE GÉNÉRAL

Les transistors à usage général Infineon incluent les transistors Darlington, les transistors de commutation et les transistors à tension élevée. Ils sont disponibles en divers boîtiers et même en boîtiers multipuces dans lesquels les combinaisons PNP et PNP sont disponibles. Les principaux boîtiers sont SOT-23, SOT-323, SOT-363, TSFP et TSLP. Nous proposons des transistors à V_{CEO} jusqu'à 120V et I_C jusqu'à 1000mA. Avec notre portefeuille de produits, nous pouvons couvrir presque toutes les applications dans les domaines de l'automobile, l'industrie, la consommation, la communication et le transfert de données.

Transistors Darlington AF

Pour des quantités supérieures à celles indiquées, appelez-nous afin d'obtenir un devis.

RÉF. STOCK MOUSER	Réf. Infineon	Boîtier	Type de polarité	V_{CEO} (Max)	I_C (Max)	P_{tot} (Max)	h_{FE} (Min.)	h_{FE} @ I_C	h_{FE} @ V_{CE}	Prix unitaire 1	10	100	500
726-SMBTA14E6327	SMBTA14E6327XT	SOT-23-3	NPN	30V	300mA	330mW	20000	100mA	5V	0,46	0,322	0,196	0,111
726-BCV47E6327	BCV47E6327XT	SOT-23-3	NPN	60V	500mA	360mW	10000	100mA	5V	0,52	0,347	0,165	0,089
726-BCV46E6327	BCV46E6327XT	SOT-23-3	PNP	60V	500mA	360mW	10000	100mA	5V	0,59	0,404	0,19	0,103

Transistors à usage général AF

Pour des quantités supérieures à celles indiquées, appelez-nous afin d'obtenir un devis.

726-BCX6825E6327	BCX6825E6327XT	SOT-89-4	NPN	20V	1A	3,000mW	160	500mA	1V	0,41	0,33	0,248	0,184
726-BC818K-16WE6327	BC818K16WE6327XT	SOT-323-3	NPN	25V	500mA	250mW	100	100mA	1V	0,14	0,099	0,066	0,047
726-MMBT3904LT1	MMBT3904LT1XT	SOT-23-3	NPN	40V	200mA	330mW	100	10mA	1V	0,12	0,091	0,061	0,038
726-SMBT3904E6327	SMBT3904E6327XT	SOT-23-3	NPN	40V	200mA	330mW	100	10mA	1V	0,33	0,231	0,099	0,041
726-MMBT2222ALT1	MMBT2222ALT1XT	SOT-23-3	NPN	40V	600mA	330mW	100	150mA	10V	0,41	0,272	0,119	0,054
726-SMBT2222AE6327	SMBT2222AE6327XT	SOT-23-3	NPN	40V	600mA	330mW	100	150mA	10V	0,41	0,272	0,119	0,054
726-BC817K-16E6327	BC817K16E6327XT	SOT-323-3	NPN	45V	500mA	500mW	100	100mA	1V	0,13	0,099	0,066	0,041
726-BC817K-25E6327	BC817K25E6327XT	SOT-23-3	NPN	45V	500mA	500mW	160	100mA	1V	0,33	0,215	0,094	0,043
726-BC817K-25WE6327	BC817K25WE6327XT	SOT-323-3	NPN	45V	500mA	250mW	160	100mA	1V	0,13	0,116	0,083	0,041
726-BC817K-40E6327	BC817K40E6327XT	SOT-23-3	NPN	45V	500mA	500mW	160	100mA	1V	0,13	0,099	0,066	0,041
726-BC847BE6327	BC847BE6327XT	SOT-23-3	NPN	45V	100mA	330mW	200	2mA	5V	0,31	0,198	0,089	0,041
726-BC850CE6327	BC850CE6327XT	SOT-23-3	NPN	45V	100mA	330mW	420	2mA	5V	0,36	0,231	0,101	0,05
726-BCP5416E6327	BCP5416E6327XT	SOT-223-4	NPN	45V	1A	1,500mW	100	150mA	2V	0,30	0,264	0,239	0,215
726-BCX5416E6327	BCX5416E6327XT	SOT-89-4	NPN	45V	1A	1,000mW	100	150mA	2V	0,43	0,338	0,231	0,16
726-BCX70KE6327	BCX70KE6327XT	SOT-23-3	NPN	45V	100mA	330mW	380	2mA	5V	0,41	0,272	0,119	0,054
726-BC846BE6327	BC846BE6327XT	SOT-23-3	NPN	65V	100mA	330mW	200	2mA	5V	0,31	0,193	0,09	0,04
726-MMBTA06LT1	MMBTA06LT1XT	SOT-23-3	NPN	80V	500mA	330mW	100	100mA	1V	0,30	0,198	0,094	0,05
726-SMBTA06E6327	SMBTA06E6327XT	SOT-23-3	NPN	80V	500mA	330mW	100	100mA	1V	0,31	0,206	0,099	0,054
726-BCX5610E6327	BCX5610E6327XT	SOT-89-4	NPN	80V	1A	2,000mW	63	150mA	2V	0,31	0,256	0,206	0,149
726-SMBTA42E6327	SMBTA42E6327XT	SOT-23-3	NPN	300V	500mA	360mW	40	30mA	10V	0,50	0,338	0,162	0,087
726-BCX69-16E6327	BCX6916E6327XT	SOT-89-4	PNP	20V	1A	3,000mW	100	500mA	1V	0,47	0,363	0,251	0,231
726-BCV62CE6327	BCV62CE6327XT	SOT-143-4	PNP	30V	100mA	300mW	420	2mA	5V	0,41	0,289	0,192	0,111
726-BCV26E6327	BCV26E6327XT	SOT-23-3	PNP	30V	500mA	360mW	20000	100mA	5V	0,29	0,206	0,132	0,097
726-MMBT3906LT1	MMBT3906LT1XT	SOT-23-3	PNP	40V	200mA	330mW	100	10mA	1V	0,13	0,099	0,066	0,041
726-SMBT3906E6327	SMBT3906E6327XT	SOT-23-3	PNP	40V	200mA	330mW	100	10mA	1V	0,36	0,231	0,101	0,046
726-BC80725E6327	BC80725E6327XT	SOT-23-3	PNP	45V	500mA	330mW	160	100mA	1V	0,42	0,272	0,12	0,055
726-BC857BE6327	BC857BE6327XT	SOT-23-3	PNP	45V	100mA	330mW	220	2mA	5V	0,31	0,198	0,089	0,04
726-BC857CE6327	BC857CE6327XT	SOT-23-3	PNP	45V	100mA	330mW	420	2mA	5V	0,31	0,198	0,089	0,04
726-BCX71KE6327	BCX71KE6327XT	SOT-23-3	PNP	45V	100mA	330mW	380	2mA	5V	0,41	0,264	0,117	0,054
726-BCW68HE6327	BCW68HE6327XT	SOT-23-3	PNP	45V	800mA	330mW	250	100mA	1V	0,38	0,256	0,121	0,066
726-BC80740E6327	BC80740E6327XT	SOT-23-3	PNP	45V	500mA	330mW	250	100mA	1V	0,47	0,304	0,138	0,063
726-MMBT2907ALT1	MMBT2907ALT1XT	SOT-23-3	PNP	60V	600mA	330mW	100	150mA	10V	0,41	0,272	0,119	0,054
726-SMBT2907AE6327	SMBT2907AE6327XT	SOT-23-3	PNP	60V	600mA	330mW	100	150mA	10V	0,41	0,272	0,119	0,054
726-MMBTA56LT1	MMBTA56LT1XT	SOT-23-3	PNP	80V	500mA	330mW	100	100mA	1V	0,13	0,116	0,072	0,05
726-SMBTA56E6327	SMBTA56E6327XT	SOT-23-3	PNP	80V	500mA	330mW	100	100mA	1V	0,12	0,107	0,072	0,033
726-BCP5310E6327	BCP5310E6327XT	SOT-23-3	PNP	80V	1A	2,000mW	160	150mA	2V	0,33	0,289	0,256	0,206
726-BCX53-10E6327	BCX5310E6327XT	SOT-89-4	PNP	80V	1A	2,000mW	63	150mA	2V	0,37	0,289	0,20	0,167
726-MMBTA92LT1	MMBTA92LT1XT	SOT-23-3	PNP	300V	500mA	360mW	40	10mA	10V	0,21	0,173	0,103	0,05
726-SMBTA92E6327	SMBTA92E6327XT	SOT-23-3	PNP	300V	500mA	360mW	40	10mA	10	0,41	0,281	0,132	0,072
726-SMBT3906SE6327	SMBT3906SE6327XT	SOT-363-6	PNP/PNP	40V	200mA	330mW	100	10mA	1V	0,26	0,173	0,103	0,054
726-BC847PNE6327	BC847PNE6327XT	SOT-363-6	NPN/PNP	45V	100mA	250mW	200	2mA	5V	0,58	0,388	0,185	0,101

Matrices de transistors AF

Pour des quantités supérieures à celles indiquées, appelez-nous afin d'obtenir un devis.

726-BC846SE6327	BC846SE6327XT	SOT-363-6	NPN	45V	100mA	250mW	200	2mA	5V	0,25	0,182	0,116	0,083
726-BC846PNE6327	BC846PNE6327XT	SOT-363-6	NPN/PNP	65V	100mA	250mW	200	2mA	5V	0,26	0,19	0,124	0,091

© Copyright 2012 Mouser Electronics

© Copyright 2012 Mouser Electronics

Transistors INFINEON

RoHS Compliant **This product is RoHS compliant.**

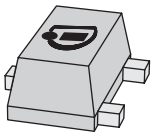
TSFP-3

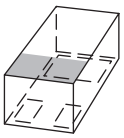
TSLP-3-1

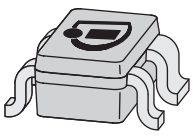
SOT-343-4

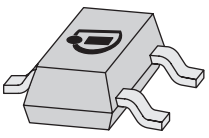
SOT-23-3

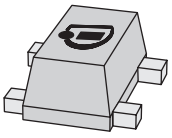
TSFP-4

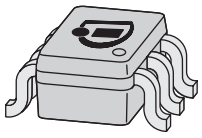
SOT-363-6

TRANSISTORS BIPOLAIRES RF

Les transistors bipolaires RF Infineon en boîtier standard SOT, TSFP à raccordement plat et nouveaux boîtiers ultra-miniatures sans fil TSLP constituent un excellent choix pour une vaste gamme d'applications RF et sans fil.

Transistors bipolaires RF en silicium

Pour des quantités supérieures à celles indiquées, appelez-nous afin d'obtenir un devis.

RÉF. STOCK MOUSER	Réf. Infineon	Boîtier	Type de polarité	V_{CEO} (Max)	I_C (Max)	P_{tot} (Max)	f_T (typ.)	f_T @ I_C	NF (typ.)	Prix unitaire 1	10	100	500
726-BFR340FE6327	BFR340FE6327XT	TSFP-3	NPN	6V	20 mA	75mW	14,0GHz	6mA	0,9dB	0,26	0,239	0,231	0,215
726-BFR340L3E6327	BFR340L3E6327XT	TSLP-3-1	NPN	6V	10 mA	60mW	14,0GHz	6mA	1.15dB	0,33	0,314	0,258	0,191
726-BFR360FE6327	BFR360FE6327XT	TSFP-3	NPN	6V	35 mA	210mW	14,0GHz	15 mA	1,0dB	0,26	0,248	0,221	0,153
726-BFR360L3E6765	BFR360L3E6765XT	TSLP-3-1	NPN	6V	35 mA	210mW	14,0GHz	15 mA	1,0dB	0,24	0,206	0,165	0,14
726-BFR380FE6327	BFR380FE6327XT	TSFP-3	NPN	6V	80mA	380mW	14,0GHz	40mA	1,1dB	0,28	0,264	0,248	0,172
726-BFR380L3E6327	BFR380L3E6327XT	TSLP-3-1	NPN	6V	80mA	380mW	14,0GHz	40mA	1,1dB	0,28	0,264	0,256	0,193
726-BFP460E6327	BFP460E6327XT	SOT-343-4	NPN	12 V	50 mA	200mW	22,0GHz	30 mA	1,1dB	0,48	0,396	0,349	0,259
726-BFP460H6327	BFP460H6327XT	SOT-343-4	NPN	4,5V	70mA	230mW	22,0GHz	30 mA	1,1dB	0,18	0,167	0,152	0,14
726-BFR92PE6327	BFR92PE6327XT	SOT-23-3	NPN	15 V	30 mA	280mW	5,0GHz	15 mA	2,9dB	0,38	0,297	0,206	0,143

Transistors bipolaires RF au germanium en silicium

Pour des quantités supérieures à celles indiquées, appelez-nous afin d'obtenir un devis.

726-BFP620FE7764	BFP620FE7764XT	TSFP-4	NPN	2,3V	80mA	185mW	65,0GHz	50 mA	0,7dB	1,20	0,941	0,804	0,665
726-BFP640FE6327	BFP640FE6327XT	TSFP-4	NPN	4 V	50 mA	200mW	40,0GHz	30 mA	0,65dB	0,94	0,842	0,67	0,521
726-BFP640H6327	BFP640H6327XT	SOT-343-4	NPN	4 V	50 mA	200mW	40,0GHz	30 mA	0,65dB	0,38	0,339	0,319	0,304
726-BFP650E6327	BFP650E6327XT	TSFP-4	NPN	4 V	150 mA	500mW	37,0GHz	80mA	0,8dB	0,84	0,748	0,599	0,465
726-BFP650H6327	BFP650H6327XT	SOT-343-4	NPN	4 V	150 mA	500mW	37,0GHz	80mA	0,8dB	0,60	0,575	0,485	0,422
726-BFP740E6327	BFP740E6327XT	SOT-343-4	NPN	4 V	30 mA	160mW	42,0GHz	25mA	0,5dB	0,92	0,825	0,657	0,511
726-BFP740FE6327	BFP740FE6327XT	TSFP-4	NPN	4 V	30 mA	160mW	42,0GHz	25mA	0,5dB	1,07	0,85	0,728	0,592
726-BFP740H6327	BFP740H6327XT	SOT-343-4	NPN	4 V	30 mA	160mW	42,0GHz	25mA	0,5dB	0,62	0,556	0,509	0,461

Transistors bipolaires RF en silicium - Ligne SIEGET®25

Pour des quantités supérieures à celles indiquées, appelez-nous afin d'obtenir un devis.

RÉF. STOCK MOUSER	Réf. Infineon	Boîtier	Type de polarité	V_{CEO} (Max)	I_C (Max)	P_{tot} (Max)	f_T (typ.)	f_T @ I_C	NF (typ.)	Prix unitaire 1	10	100	500
726-BFP405E6327	BFP405E6327XT	SOT-343-4	NPN	4,5V	12mA	55mW	25,0GHz	10 mA	1,25dB	0,46	0,417	0,366	0,271
726-BFP405FE6327	BFP405E6327XT	TSFP-4	NPN	4,5V	12mA	55mW	25,0GHz	10 mA	1,25dB	0,59	0,475	0,362	0,268
726-BFP420E6327	BFP420E6327XT	SOT-343-4	NPN	4,5V	35 mA	160mW	25,0GHz	30 mA	1,1dB	0,47	0,421	0,37	0,275
726-BFP420FE6327	BFP420FE6327XT	TSFP-4	NPN	4,5V	35 mA	160mW	25,0GHz	30 mA	1,1dB	0,59	0,47	0,358	0,266

Transistors bipolaires RF en silicium - Ligne SIEGET®45

Pour des quantités supérieures à celles indiquées, appelez-nous afin d'obtenir un devis.

RÉF. STOCK MOUSER	Réf. Infineon	Boîtier	Type de polarité	V_{CEO} (Max)	I_C (Max)	P_{tot} (Max)	f_T (typ.)	f_T @ I_C	NF (typ.)	Prix unitaire 1	10	100	500
726-BFP520E6327	BFP520E6327XT	SOT-343-4	NPN	2,5 V	40mA	100 mW	45,0GHz	30 mA	0,95dB	0,47	0,421	0,375	0,347
726-BFP520FE6327	BFP520FE6327XT	TSFP-4	NPN	2,5 V	40mA	100 mW	45,0GHz	30 mA	0,95dB	0,64	0,512	0,388	0,288
726-BFP540E6327	BFP540E6327XT	SOT-343-4	NPN	4,5V	80mA	250mW	30,0GHz	50 mA	0,9dB	0,68	0,578	0,459	0,337
726-BFP540ESDE6327	BFP540ESDE6327XT	SOT-343-4	NPN	4 V	80mA	250mW	34,0GHz	50 mA	0,9dB	0,80	0,71	0,607	0,446
726-BFP540ESDH6327	BFP540ESDH6327XT	SOT-343-4	NPN	4,5V	80mA	250mW	30,0GHz	50 mA	0,9dB	0,42	0,38	0,363	0,329
726-BFP540FESDE6327	BFP540FESDE6327XT	TSFP-4	NPN	4,5V	80mA	250mW	30,0GHz	50 mA	0,9dB	0,78	0,693	0,594	0,436
726-BFP540H6327	BFP540H6327XT	SOT-343-4	NPN	4,5V	80mA	250mW	30,0GHz	50 mA	0,9dB	0,68	0,578	0,459	0,337

Transistors bipolaires RF à faible bruit et haute performance SiGe

Pour des quantités supérieures à celles indiquées, appelez-nous afin d'obtenir un devis.

726-BFP640ESDH6327XT	BFP640ESDH6327XT	SOT-343-4	NPN	4,1V	50 mA	200mW	46,0GHz	30 mA	0,65dB	0,63	0,611	0,602	0,549
726-BFP640FESDE6327	BFP640FESDE6327XT	TSFP-4	NPN	4,1V	50 mA	200mW	46,0GHz	30 mA	0,6dB	0,54	0,524	0,516	0,488
726-BFP720ESDH6327XT	BFP720ESDH6327XT	SOT-343-4	NPN	4,2V	30 mA	100 mW	43,0GHz	15 mA	0,55dB	0,50	0,493	0,486	0,46
726-BFP720FE6327XT	BFP720FE6327XT	TSFP-4	NPN	4 V	25mA	100 mW	45,0GHz	13mA	0,7dB	0,63	0,611	0,602	0,569
726-BFP720FESDE6327	BFP720FESDE6327XT	TSFP-4	NPN	4,2V	30 mA	100 mW	45,0GHz	15 mA	0,5dB	0,44	0,433	0,427	0,403
726-BFP720H6327	BFP720H6327XT	SOT-343-4	NPN	4 V	25mA	100 mW	45,0GHz	13mA	0,5dB	0,63	0,595	0,505	0,44
726-BFP740ESDH6327XT	BFP740ESDH6327XT	SOT-343-4	NPN	4,2V	45 mA	160mW	45,0GHz	25mA	0,55dB	0,48	0,47	0,464	0,439
726-BFP740FESDE6327	BFP740FESDE6327XT	TSFP-4	NPN	4,2V	45 mA	160mW	47,0GHz	25mA	0,6dB	0,45	0,449	0,443	0,418

TRANSISTORS NUMÉRIQUES AF EN SILICIUM

Transistors à usage général à réseau de résistances intégré appelés transistors numériques. Ils sont disponibles en versions à une seule puce et multipuces avec un nombre énorme de combinaisons de résistances différentes. Infineon propose principalement les transistors numériques dans les boîtiers SOT-23, SOT-323, SOT-363, TSFP et TSLP. Les combinaisons PNP et NPN sont aussi disponibles. Les transistors numériques sont principalement utilisés dans les applications du domaine de l'automobile, la consommation, les téléphones cellulaires et dans les applications de transfert de données.

Transistors bipolaires RF en silicium

Pour des quantités supérieures à celles indiquées, appelez-nous afin d'obtenir un devis.

RÉF. STOCK MOUSER	Réf. Infineon	Boîtier	Type de polarité	R1 (Typ.)	R2 (Typ.)	h_{FE} (Min.)	h_{FE} @ I_C	$V_{i(on)}$ (Min.)	$V_{i(off)}$ (Max)	Prix unitaire 1	10	100	500
Simple													
726-BCR503E6327	BCR503E6327XT	SOT-23-3	NPN	2,2 kiloohms	2,2 kiloohms	40.0	50 mA	1,0V/0,3V	1,5V/5V	0,59	0,396	0,187	0,101
726-BCR108E6327	BCR108E6327XT	SOT-23-3	NPN	2,2 kiloohms	47,0 kiloohms	70.0	5 mA	0,5V/0,3V	0,8V/5V	0,41	0,264	0,118	0,054
726-BCR133E6327	BCR133E6327XT	SOT-23-3	NPN	10,0 kiloohms	10,0 kiloohms	30.0	5 mA	1,0V/0,3V	1,5V/5V	0,41	0,264	0,118	0,054
726-BCR141E6327	BCR141E6327XT	SOT-23-3	NPN	22,0 kiloohms	22,0 kiloohms	50.0	5 mA	1,0V/0,3V	1,5V/5V	0,13	0,091	0,058	0,041
726-BCR562E6327	BCR562E6327XT	SOT-23-3	PNP	4,7 kiloohms	4,7 kiloohms	60.0	50 mA	1,0V/0,3V	1,5V/5V	0,23	0,165	0,107	0,077
Double													
726-BCR08PNE6327	BCR08PNE6327XT	SOT-363-6	NPN/PNP	2,2 kiloohms	47,0 kiloohms	70.0	5 mA	0,5V/0,3V	0,8V/5V	0,36	0,248	0,162	0,087

© Copyright 2012 Mouser Electronics
© Copyright 2012 Mouser Electronics

Transistors NXP SEMICONDUCTOR

RoHS Compliant **This product is RoHS compliant.**

♦ **Montage en surface**

Pour des quantités supérieures à celles indiquées, appelez-nous afin d'obtenir un devis.

RÉF. STOCK MOUSER	Type boîtier	Description	Prix unitaire 1	25	100
Transistors large bande NPN < 10GHZ					
♦ 771-BFT25A215	SOT-23	NPN 5V 6,5mA 5GHz	0,60	0,541	0,462
♦ 771-PBR941-T/R	SOT-23	NPN 10V 50mA UHF	0,52	0,34	0,279
♦ 771-BFQ67-T/R	SOT-23	NPN 10V 50mA 8GHz	0,33	0,227	0,166
♦ 771-PRF949115	SOT-416	NPN 10V 50mA 9GHz	0,34	0,271	0,193
♦ 771-PBR951-T/R	SOT-23	NPN 10V 100mA UHF	0,36	0,279	0,21
♦ 771-PRF957-T/R	SOT-323	NPN 10V 100mA 8,5GHz	0,35	0,279	0,192
♦ 771-BFR93A-T/R	SOT-23	NPN 12V 35mA 6GHz	0,29	0,244	0,212
♦ 771-BFR505-T/R	SOT-23	NPN 15V 18mA 9GHz	0,35	0,297	0,206
♦ 771-BFS505-T/R	SOT-323	NPN 15V 18mA 9GHz	0,49	0,367	0,279
♦ 771-BFR92A-T/R	SOT-23	NPN 15V 25mA 5GHz	0,29	0,236	0,176
♦ 771-BFR92AW-T/R	SOT-323	NPN 15V 25mA 5GHz	0,29	0,236	0,175
♦ 771-BFS17A-T/R	SOT-23	NPN 15V 25mA 3GHz	0,19	0,157	0,128
♦ 771-BFS17-T/R	SOT-23	NPN 15V 25mA 1GHz	0,18	0,14	0,113
♦ 771-BFS17W-T/R	SOT-323	NPN 15V 50mA 1GHz	0,44	0,27	0,196
♦ 771-BFG520W/X-T/R	SOT-343	NPN 15V 70mA 9GHz	0,72	0,556	0,491
♦ 771-BFR520-T/R	SOT-23	NPN 15V 70mA 9GHz	0,58	0,48	0,413
♦ 771-BFS520-T/R	SOT-323	NPN 15V 70mA 9GHz	0,57	0,428	0,323
♦ 771-BFG97-T/R	SOT-223	NPN 15V 100mA 5,5GHz	1,11	0,917	0,758
♦ 771-BFR106-T/R	SOT-23	NPN 15V 100mA 5GHz	0,43	0,367	0,311
♦ 771-BFG540/X-T/R	SOT-143	NPN 15V 120mA 9GHz	0,82	0,728	0,622
♦ 771-BFG541-T/R	SOT-223	NPN 15V 120mA 9GHz	0,86	0,707	0,59
♦ 771-BFR540-T/R	SOT-23	NPN 15V 120mA 9GHz	0,79	0,606	0,534
♦ 771-BFG135-T/R	SOT-223	NPN 15V 150mA 7GHz	1,10	0,917	0,755
♦ 771-BFG591-T/R	SOT-223	NPN 15V 200mA 7GHz	0,98	0,803	0,669
Transistors large bande PNP < 10GHZ					
♦ 771-BFT93-T/R	SOT-23	PNP -12V -35mA 5GHz	0,58	0,489	0,415
♦ 771-BFT92-T/R	SOT-23	PNP -15V -25mA 5GHz	0,43	0,323	0,234
♦ 771-BFT92W-T/R	SOT-323	PNP -15V -35mA 4GHz	0,79	0,611	0,524
Double transistors large bande < 10GHZ					
♦ 771-BFM520-T/R	SOT-363	NPN 8V 70mA 9GHz	0,73	0,55	0,41
Transistors large bande NPN < 30GHZ					
♦ 771-BFG403W-T/R	SOT-343	NPN 4,5V 3mA 17GHz	0,27	0,208	0,183
♦ 771-BFG425W-T/R	SOT-343	NPN 4,5V 25mA 25GHz	0,64	0,496	0,437
♦ 771-BFG480W-T/R	SOT-343	NPN 4,5V 0.25A 21GHz	0,98	0,821	0,719
♦ 771-BFG21W-T/R	SOT-343	NPN 15V 0,5A 18GHz	0,77	0,637	0,511
Transistors MOS de puissance					
771-BLF242	SOT-123	RF DMOS 5W HF-VHF	35,40	33,63	31,95
771-BLF244	SOT-123	RF DMOS 15W VHF	36,88	34,04	33,07
771-BLF175	SOT-123	RF DMOS 30W HF-VHF	41,11	39,05	37,10
771-BLF245	SOT-123	RF DMOS 30W VHF	33,54	31,86	30,27
771-BLF245B	SOT-279	RF DMOS 30W VHF P-P	61,50	57,95	53,81
771-BLF177	SOT-121	RF DMOS 150W HF-VHF	61,41	58,34	55,42
771-BLF147	SOT-121	RF DMOS 150W VHF	88,71	82,79	76,88
771-BLF278	SOT-262	RF DMOS 250W VHF	140,54	128,90	125,99
Transistors LDMOS de puissance					
771-BLF647	SOT-540	RF LDMOS 150W UHF	139,68	132,54	128,57
771-BLF861A	SOT-540	RF LDMOS 150W UHF	122,15	113,60	110,20
771-BLF369	4LD MOD	RF LDMOS 500W 65V 100A	331,74	309,62	287,51
Transistors bipolaires NPN - à usage général					
♦ 771-BC849C-T/R	SOT-23	NPN GP 30V 100mA	0,22	0,148	0,105
♦ 771-BC847215	SOT-23	NPN GP 45V 100mA	0,04	0,026	0,025
♦ 771-BC847B-T/R	SOT-23	NPN GP 45V 100mA	0,29	0,192	0,136
♦ 771-BC847BT115	SOT-23	NPN GP 45V 100mA	0,31	0,21	0,147
♦ 771-BC847C-T/R	SOT-23	NPN GP 45V 100mA	0,29	0,192	0,136
♦ 771-BC847CT115	SOT-23	NPN GP 45V 100mA	0,31	0,21	0,147
♦ 771-BC847BS-T/R	SOT-363	NPN GP 45V 100mA	0,41	0,279	0,196
♦ 771-BC850B-T/R	SOT-23	NPN GP 45V 100mA	0,22	0,148	0,105
♦ 771-BC850C235	SOT-23	NPN GP 45V 100mA	0,04	0,035	0,031
♦ 771-BC817-T/R	SOT-23	NPN GP 45V 500mA	0,26	0,175	0,126
♦ 771-BC817-16-T/R	SOT-23	NPN GP 45V 500mA	0,26	0,175	0,126
♦ 771-BC817-25-T/R	SOT-23	NPN GP 45V 500mA	0,26	0,175	0,126
♦ 771-BC817-25W-T/R	SOT-323	NPN GP 45V 500mA	0,26	0,175	0,126
♦ 771-BC817-40-T/R	SOT-23	NPN GP 45V 500mA	0,26	0,175	0,126
♦ 771-BC846215	SOT-23	NPN GP 65V 100mA	0,29	0,196	0,136
♦ 771-BC846BT115	SOT-416	NPN GP 60V 100mA	0,31	0,21	0,147
♦ 771-BC846B-T/R	SOT-23	NPN GP 65V 100mA	0,23	0,096	0,065
Transistors bipolaires PNP - à usage général					
♦ 771-BC857B-T/R	SOT-23	PNP GP -45V 100mA	0,29	0,192	0,136
♦ 771-BC857C-T/R	SOT-23	PNP GP -45V -100mA	0,29	0,192	0,136
♦ 771-BCX17-T/R	SOT-23	PNP GP -45V 500mA	0,34	0,262	0,204
♦ 771-BC807-40-T/R	SOT-23	PNP GP -45V 500mA	0,26	0,175	0,126
♦ 771-BC856BT115	SOT-23	PNP GP -65V -100mA	0,31	0,21	0,147
♦ 771-BC856-T/R	SOT-23	PNP GP -65V -100mA	0,29	0,192	0,136
♦ 771-BC856B-T/R	SOT-23	PNP GP -65V 100mA	0,29	0,192	0,136
Doubles transistors bipolaires - à usage général					
♦ 771-BC847BPN-T/R	SOT-363	NPN/PNP 45V 100mA	0,41	0,279	0,196
Transistors bipolaires NPN - puissance moyenne					
♦ 771-BCP56-T/R	SOT-223	NPN puiss. moy. 80V 1A	0,44	0,244	0,203
♦ 771-BCX56-16-T/R	SOT-89	NPN puiss. moy. 80V 1A	0,46	0,288	0,238

© Copyright 2012 Mouser Electronics

♦ **Montage en surface**

Pour des quantités supérieures à celles indiquées, appelez-nous afin d'obtenir un devis.

RÉF. STOCK MOUSER	Type boîtier	Description	Prix unitaire 1	10	100
Transistors bipolaires PNP - puissance moyenne					
♦ 771-BCX53-16-T/R	SOT-89	PNP puiss. moy. -80V 1A	0,46	0,288	0,238
Transistors équipés à résistance NPN					
♦ 771-PDTC123EE-T/R	SOT-416	NPN 50V 2,2kΩ/2,2kΩ	0,09	0,08	0,068
♦ 771-PDTC123JT-/T3	SOT-23	NPN 50V 2,2kΩ/2,2kΩ	0,09	0,079	0,061
♦ 771-PDTC143ETT/R	SOT-23	NPN 50V 4,7kΩ/4,7kΩ	0,04	0,039	0,027
♦ 771-PDTC143TE-T/R	SOT-416	NPN 50V 4,7kΩ/Open	0,11	0,10	0,085
♦ 771-PDTC143ZE115	SOT-416	NPN 50V 4,7kΩ/4,7kΩ	0,05	0,048	0,041
♦ 771-PDTC143ZT-/T3	SOT-23	NPN 50V 4,7kΩ/4,7kΩ	0,52	0,236	0,168
♦ 771-PDTC124TE115	SOT-416	NPN 50V 22KΩ/Open	0,30	0,166	0,126
♦ 771-PDTC144TE115	SOT-416	NPN 50V 47kΩ/Open	0,37	0,201	0,157
♦ 771-PDTC144WE115	SOT-416	NPN 50V 47kΩ/22kΩ	0,11	0,10	0,085
♦ 771-PDTC115TE115	SOT-416	NPN 50V 100kΩ/Open	0,42	0,192	0,134
♦ 771-PDTC115TT-T/R	SOT-23	NPN 50V 100kΩ/Open	0,04	0,039	0,034
♦ 771-PDTC115TU115	SOT-323	NPN 50V 100kΩ/Open	0,42	0,192	0,134
Transistors équipés à résistance PNP					
♦ 771-PDTA123EE115	SOT-416	PNP -50V 2,2kΩ/2,2kΩ	0,09	0,08	0,068
♦ 771-PDTA124TT215	SOT-23	PNP -50V 22kΩ/Open	0,04	0,035	0,034
♦ 771-PDTA124TU-T/R	SOT-323	PNP -50V 22kΩ/Open	0,11	0,10	0,085
♦ 771-PDTA115EE115	SOT-416	PNP -50V 100kΩ/100kΩ	0,04	0,035	0,034
Transistors de commutation NPN					
♦ 771-PMBT2369-T/R	SOT-23	NPN Sw 15V 200mA	0,31	0,21	0,162
♦ 771-PMBT2222215	SOT-23	NPN Sw 30V 600mA	0,05	0,044	0,036
♦ 771-PXT2222A-T/R	SOT-89	NPN Sw 40V 100mA	0,50	0,445	0,393
♦ 771-PMBT3904-T/R	SOT-23	NPN Sw 40V 200mA	0,26	0,175	0,126
♦ 771-PMST3904T/R	SOT-323	NPN Sw 40V 200mA	0,41	0,218	0,154
♦ 771-PMBT2222A-T/R	SOT-23	NPN Sw 40V 600mA	0,26	0,175	0,126
♦ 771-PMBT4401-T/R	SOT-23	NPN Sw 40V 600mA	0,39	0,271	0,189
♦ 771-PZT4401-T/R	SOT-223	NPN Sw 40V 600mA	0,56	0,402	0,346
♦ 771-PMBTA06-T/R	SOT-23	NPN GP 80V 500mA	0,29	0,227	0,173
Transistors de commutation PNP					
♦ 771-MMBT3906T/R	SOT-23	PNP Sw -40V -200mA	0,25	0,175	0,122
♦ 771-PMBT3906-T/R	SOT-23	PNP Sw -40V -200mA	0,25	0,175	0,122
♦ 771-PMBT4403-T/R	SOT-23	PNP Sw -40V -600mA	0,39	0,271	0,189
♦ 771-PZT4403-T/R	SOT-223	PNP Sw -40V -600mA	0,56	0,402	0,346
♦ 771-PMBT2907A-T/R	SOT-23	PNP Sw -60V -600mA	0,26	0,175	0,126
♦ 771-PMBTA56-T/R	SOT-23	PNP GP -80V -500mA	0,29	0,227	0,173
Transistors à haute tension NPN					
♦ 771-PMBTA42-T/R	SOT-23	NPN HV 300V 100mA	0,41	0,279	0,196
Transistors à haute tension PNP					
♦ 771-PMBTA92-T/R	SOT-23	PNP HV -600V -100mA	0,35	0,279	0,212
Transistors SAT VCE faible NPN (BISS)					
♦ 771-PBSS2515E115	SOT-416	NPN 15V 0,5A VCEsat faible	0,38	0,279	0,207
♦ 771-PBSS4320T215	SOT-23	NPN 20V 2A VCEsat faible	0,58	0,402	0,346
♦ 771-PBSS301ND115	SOT-457	NPN 20V 4A VCEsat faible	0,64	0,489	0,432
♦ 771-PBSS4021NT215	SOT-23	NPN 20V 4,3A VCEsat faible	0,45	0,314	0,273
♦ 771-PBSS302NX-T/R	SOT-89	NPN 20V 5,3A VCEsat faible	0,74	0,663	0,589
♦ 771-PBSS4130T-T/R	SOT-23	NPN 30V 1A VCEsat faible	0,44	0,297	0,259
♦ 771-PBSS4230T215	SOT-23	NPN 30V 2A VCEsat faible	0,34	0,297	0,259
♦ 771-PBSS4032NT215	SOT-23	NPN 30V 2,5A VCEsat faible	0,45	0,314	0,273
♦ 771-PBSS4032ND115	SOT-457	NPN 30V 3,5A VCEsat faible	0,53	0,367	0,317
♦ 771-PBSS4140T-T/R	SOT-23	NPN 40V 1A VCEsat faible	0,44	0,297	0,259
♦ 771-PBSS4240T-T/R	SOT-23	NPN 40V 2A VCEsat faible	0,58	0,402	0,346
♦ 771-PBSS302ND-T/R	SOT-457	NPN 40V 4A VCEsat faible	0,64	0,489	0,432
♦ 771-PBSS4540Z-T/R	SOT-223	NPN 40V 5A VCEsat faible	0,67	0,515	0,458
♦ 771-PBSS4350X-T/R	SOT-89	NPN 50V 3A VCEsat faible	0,50	0,349	0,289
♦ 771-PBSS4350Z-/T3	SOT-223	NPN 50V 3A VCEsat faible	0,44	0,297	0,259
♦ 771-PBSS4041NT215	SOT-23	NPN 60V 3,8A VCEsat faible	0,45	0,314	0,273
♦ 771-PBSS304ND-T/R	SOT-457	NPN 80V 3A VCEsat faible	0,58	0,428	0,35
♦ 771-PBSS4480X135	SOT-89	NPN 80V 4A VCEsat faible	0,52	0,463	0,409
♦ 771-PBSS305NX-T/R	SOT-89	NPN 80V 4,6A VCEsat faible	0,86	0,681	0,613
♦ 771-PBSS305NZ-/T3	SOT-223	NPN 80V 5,1A VCEsat faible	0,86	0,681	0,613
Transistors SAT VCE faible PNP (BISS)					
♦ 771-PBSS5320X-/T3	SOT-89	PNP -20V -3A VCEsat faible	0,65	0,445	0,388
♦ 771-PBSS4021PT215	SOT-23	PNP -20V -3,5A VCEsat faible	0,45	0,314	0,273
♦ 771-PBSS301PD115	SOT-457	PNP -20V -4A VCEsat faible	0,64	0,489	0,432
♦ 771-PBSS302PX-T/R	SOT-89	PNP -20V -5,1A VCEsat faible	0,79	0,585	0,478
♦ 771-PBSS302PZ-/T3	SOT-223	PNP -20V -5,5A VCEsat faible	0,83	0,655	0,589
♦ 771-PBSS4032PT215	SOT-23	PNP -30V -2,4A VCEsat faible	0,45	0,314	0,273
♦ 771-PBSS4032PD115	SOT-457	PNP -30V -2,7A VCEsat faible	0,53	0,367	0,317
♦ 771-PBSS5140T215	SOT-23	PNP -40V -1A VCEsat faible	0,46	0,314	0,275
♦ 771-PBSS5240T-T/R	SOT-23	PNP -40V -2A VCEsat faible	0,58	0,402	0,346
♦ 771-PBSS302PD115	SOT-457	PNP -40V -4A VCEsat faible	0,64	0,489	0,432
♦ 771-PBSS5540Z-T/R	SOT-223	PNP -40V -5A VCEsat faible	0,69	0,533	0,471
♦ 771-PBSS5350T215	SOT-23	PNP -50V -2A VCEsat faible	0,34	0,297	0,259
♦ 771-PBSS5350X-T/R	SOT-89	PNP -50V -3A VCEsat faible	0,58	0,445	0,393
♦ 771-PBSS4041PT215	SOT-23	PNP -60V -2,7A VCEsat faible	0,45	0,314	0,273
♦ 771-PBSS304PD-T/R	SOT-457	PNP -80V -3A VCEsat faible	0,58	0,428	0,35
♦ 771-PBSS305PX115	SOT-89	PNP -80V -4A VCEsat faible	0,52	0,463	0,41
Doubles Transistors SAT VCE faible (BISS)					
♦ 771-PBSS4140DPN-T/R	SOT-457	NPN/PNP 40V 1A VCEsat faible	0,73	0,559	0,498

© Copyright 2012 Mouser Electronics

Transistors ON SEMICONDUCTOR

RoHS Compliant This product is RoHS compliant.

TRANSISTORS BIPOLAIRES AUDIO GÉNÉRAL ON SEMICONDUCTOR

◆ Composant pour montage en surface

Pour des quantités supérieures à celles indiquées, appelez-nous afin d'obtenir un devis.

RÉF. STOCK MOUSER	Réf. ON Semi	Boîtier	VCEO Min. (V)	IC Max. (A)	hFE Min.	hFE Max.	Prix unitaire 1	25	100	500
NPN										
◆ 863-MJD200G	MJD200G	DPAK	25	5.0	45	180	0,49	0,426	0,30	0,252
◆ 863-MJD200T4G	MJD200T4G	DPAK	25	5.0	45	180	0,53	0,429	0,323	0,271
863-MJE200G	MJE200G	Boîtier 77	40	5.0	45	180	0,45	0,371	0,262	0,22
863-MJE15028G	MJE15028G	TO-220	120	8	40	-	1,01	0,842	0,629	0,535
863-MJ15015G	MJ15015G	TO-3	120	15	10	70	1,93	1,75	1,40	1,12
863-MJ15003G	MJ15003G	TO-3	140	20	25	150	2,89	2,39	2,02	1,75
863-MJE15030G	MJE15030G	TO-220	150	8	20	-	1,11	0,974	0,693	0,589
863-MJ15022G	MJ15022G	TO-3	200	16	15	60	3,36	3,14	2,36	1,95
863-MJW3281AG	MJW3281AG	TO-247	230	15	50	200	2,66	2,10	1,75	1,51
863-MJE15032G	MJE15032G	TO-220	250	8	10	-	1,07	0,99	0,668	0,568
863-NJW3281G	NJW3281G	TO-3P	250	15	75	150	1,91	1,73	1,39	1,12
863-MJ15024G	MJ15024G	TO-3	250	16	15	60	3,36	2,89	2,36	1,95
863-MJW21194G	MJW21194G	TO-247	250	16	20	80	3,19	2,72	2,24	1,93
863-MJ21194G	MJ21194G	TO-3	250	16	25	75	3,36	3,01	2,48	1,95
863-MJ21196G	MJ21196G	TO-3	250	16	25	75	2,89	2,57	2,02	1,67
863-MJL21194G	MJL21194G	TO-264	250	16	25	75	3,71	3,12	2,60	2,24
863-MJL21196G	MJL21196G	TO-264	250	16	25	100	3,51	2,81	2,46	2,12
863-MJL3281AG	MJL3281AG	TO-264	260	15	75	150	2,95	2,89	2,18	1,71
863-MJE15034G	MJE15034G	TO-220	350	4	100	-	1,07	1,06	0,718	0,611
863-MJL4281AG	MJL4281AG	TO-264	350	15	80	250	4,95	4,33	3,37	2,99
PNP										
◆ 863-MJD210G	MJD210G	DPAK	-25	-5	45	180	0,47	0,347	0,289	0,242
863-MJE210G	MJE210G	Boîtier 77	-40	-5	45	180	0,45	0,371	0,262	0,22
863-MJE15029G	MJE15029G	TO-220	-120	-8	40	-	1,11	0,974	0,693	0,589
863-MJ15016G	MJ15016G	TO-3	-120	-15	10	70	2,46	2,09	1,53	1,29
863-MJ15004G	MJ15004G	TO-3	-140	-20	25	150	2,64	2,56	2,12	1,67
863-MJE15031G	MJE15031G	TO-220	-150	-8	40	-	1,11	0,974	0,693	0,589
863-MJ15023G	MJ15023G	TO-3	-200	-16	15	60	3,36	3,09	2,36	1,95
863-MJW1302AG	MJW1302AG	TO-247	-230	-15	50	200	2,66	2,33	1,75	1,51
863-MJE15033G	MJE15033G	TO-220	-250	-8	10	-	1,07	0,99	0,668	0,568
863-MJ15025G	MJ15025G	TO-3	-250	-16	15	60	3,36	2,89	2,36	1,95
863-MJW21193G	MJW21193G	TO-247	-250	-16	20	80	3,19	2,72	2,24	1,93
863-MJ21193G	MJ21193G	TO-3	-250	-16	25	75	3,36	2,93	2,36	1,95
863-MJ21195G	MJ21195G	TO-3	-250	-16	25	75	2,89	2,57	2,02	1,67
863-MJL21193G	MJL21193G	TO-264	-250	-16	25	75	3,71	3,09	2,60	2,24
863-MJL1302AG	MJL1302AG	TO-264	-260	-15	75	150	2,95	2,89	2,18	1,96
863-MJE15035G	MJE15035G	TO-220	-350	-4	100	-	1,07	0,924	0,718	0,611
863-MJL4302AG	MJL4302AG	TO-264	-350	-15	80	250	4,64	3,94	3,37	2,99

RÉSISTANCES À POLARISATION ON SEMICONDUCTOR

◆ Composant pour montage en surface

Pour des quantités supérieures à celles indiquées, appelez-nous afin d'obtenir un devis.

RÉF. STOCK MOUSER	Réf. ON Semi	Boîtier	VCEO Min. (V)	hFE Min/ Typ	R1 (KΩ)	R2 (KΩ)	Prix unitaire 1	25	100	500
NPN										
◆ 863-DTA143EM3T5G	DTA143EM3T5G	SOT-723	50	15/27	4.7	4.7	0,16	0,132	0,099	0,074
◆ 863-DTC114TM3T5G	DTC114TM3T5G	SC-59	50	160/350	10	-	0,16	0,132	0,099	0,074
◆ 863-DTA114EM3T5G	DTA114EM3T5G	SOT-723	50	35/60	10	10	0,11	0,074	0,066	0,063
◆ 863-DTC114EM3T5G	DTC114EM3T5G	SOT-23	50	35/60	10	10	0,16	0,132	0,099	0,074
◆ 863-MUN5311DW1T1G	MUN5311DW1T1G	SC-88	50	35/60	10	10	0,28	0,182	0,083	0,065
◆ 863-DTA124EM3T5G	DTA124EM3T5G	SOT-723	50	60/100	22	22	0,16	0,132	0,099	0,074
◆ 863-DTA123EM3T5G	DTA123EM3T5G	SOT-723	50	8.0/15	2.2	2.2	0,16	0,132	0,099	0,074
◆ 863-DTC123EM3T5G	DTC123EM3T5G	SOT-353	50	8.0/15	2.2	2.2	0,16	0,132	0,099	0,074
◆ 863-DTA124XM3T5G	DTA124XM3T5G	SOT-723	50	80/130	22	47	0,16	0,132	0,099	0,074
◆ 863-DTA143ZM3T5G	DTA143ZM3T5G	SOT-723	50	80/140	4.7	47	0,16	0,132	0,099	0,074
◆ 863-DTA114YM3T5G	DTA114YM3T5G	SOT-723	50	80/140	10	47	0,16	0,132	0,099	0,074
◆ 863-DTC114YM3T5G	DTC114YM3T5G	SC-59	50	80/140	10	47	0,16	0,132	0,099	0,074
◆ 863-DTA144EM3T5G	DTA144EM3T5G	SOT-723	50	80/140	47	47	0,16	0,132	0,099	0,074
◆ 863-DTA115EM3T5G	DTA115EM3T5G	SOT-723	50	80/150	100	100	0,12	0,099	0,089	0,074
◆ 863-DTC115EM3T5G	DTC115EM3T5G	SC-70	50	80/150	100	100	0,16	0,132	0,099	0,074
◆ 863-MMUN2231LT1G	MMUN2231LT1G	SOT-23	50	8.0/15	2.2	2.2	0,13	0,10	0,054	0,032
◆ 863-MMUN2233LT1G	MMUN2233LT1G	SOT-23	50	80/200	3.3	4.7	0,13	0,10	0,041	0,032
PNP										
◆ 863-DTC143TM3T5G	DTC143TM3T5G	SOT-723	-50	160/350	47	-	0,12	0,074	0,066	0,065
◆ 863-DTC144WM3T5G	DTC144WM3T5G	SOT-723	-50	80/140	47	22	0,16	0,132	0,099	0,074
◆ 863-MUN5213T1G	MUN5213T1G	SOT-23	-50	80/140	47	47	0,05	0,048	0,038	0,031
◆ 863-NSB1706DMW5T1G	NSB1706DMW5T1G	SC-59	-50	80/200	10	10	0,23	0,19	0,155	0,103
◆ 863-DTC144EM3T5G	DTC144EM3T5G	SOT-723	-50	80/140	47	47	0,16	0,132	0,099	0,074
◆ 863-DTC124XM3T5G	DTC124XM3T5G	SOT-723	-50	80/150	22	47	0,16	0,132	0,099	0,074
◆ 863-DTC143EM3T5G	DTC143EM3T5G	SOT-723	-50	15/30	4.7	4.7	0,12	0,074	0,066	0,065
◆ 863-DTC143ZM3T5G	DTC143ZM3T5G	SOT-723	-50	80/200	4.7	47	0,16	0,132	0,099	0,074
◆ 863-DTC144TM3T5G	DTC144TM3T5G	SOT-723	-50	160/350	47	-	0,16	0,132	0,099	0,074
◆ 863-MMUN2211LT1G	MMUN2211LT1G	SOT-723	-50	35/60	.47	4.7	0,13	0,10	0,041	0,032
◆ 863-MUN2111T1G	MUN2111T1G	SOT-723	-50	35/60	10	10	0,14	0,105	0,043	0,034
◆ 863-MUN2211T1G	MUN2211T1G	SOT-723	-50	35/60	10	10	0,14	0,105	0,043	0,034
◆ 863-DTC124EM3T5G	DTC124EM3T5G	SOT-723	-50	60/100	22	22	0,16	0,132	0,099	0,074
◆ 863-MMUN2111LT1G	MMUN2111LT1G	SOT-723	-50	35/60	10	10	0,13	0,10	0,041	0,032
Complémentaire										
◆ 863-NSBC114YPDXV6T1G	NSBC114YPDXV6T1G	SOT-563	50/-50	80/140	10	47	0,32	0,206	0,139	0,111
◆ 863-NSBC123JPDXV6T5G	NSBC123JPDXV6T5G	SOT-563	50/-50	80/140	2.2	47	0,29	0,264	0,192	0,153
◆ 863-NSBC143TPDXV6T1G	NSBC143TPDXV6T1G	SOT-563	50/-50	80/140	4.7	-	0,36	0,289	0,182	0,135
◆ 863-NSBC144EPDXV6T1G	NSBC144EPDXV6T1G	SOT-563	50/-50	80/140	47	47	0,32	0,281	0,169	0,125
◆ 863-MUN5316DW1T1G	MUN5316DW1T1G	SOT-363	50/-50	160/350	4.7	-	0,06	0,041	0,035	0,029

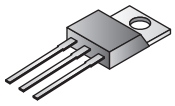
TO-220

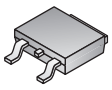
DPAK

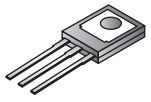
TO-225 et boîtier 77

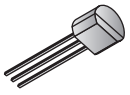
TO-92

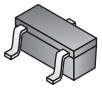
SC-75

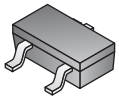
SC-59

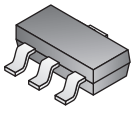
SOT-23

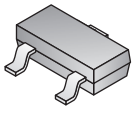
SOT-223

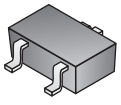
SOT-363

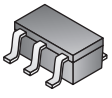
SC-70

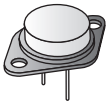
TO-3/TO-3P

© Copyright 2012 Mouser Electronics

© Copyright 2012 Mouser Electronics

Transistors ON SEMICONDUCTOR

RoHS Compliant This product is RoHS compliant.

ON Semiconductor®

TRANSISTORS BIPOLAIRES DARLINGTON ON SEMICONDUCTOR

♦ Composant pour montage en surface

Pour des quantités supérieures à celles indiquées, appelez-nous afin d'obtenir un devis.

RÉF. STOCK MOUSER	Réf. ON Semi	Boîtier	VCEO Min. (V)	IC Max. (A)	hFE Min.	hFE Max.	Prix unitaire 1	25	100	500
NPN										
♦ 863-MMBTA13LT1G	MMBTA13LT1G	SOT-23	30	0.3	5000	-	0,21	0,152	0,061	0,049
♦ 863-MMBTA14LT1G	MMBTA14LT1G	SOT-23	30	0.3	10000	-	0,07	0,069	0,055	0,045
863-MPSA13RLRAG	MPSA13RLRAG	TO-92	30	0.5	5000	-	0,10	0,091	0,073	0,058
863-MPSA14RLRAG	MPSA14RLRAG	TO-92	30	0.5	10000	-	0,10	0,091	0,073	0,058
♦ 863-MMBT6427LT1G	MMBT6427LT1G	SOT-23	40	0.5	10000	100000	0,26	0,149	0,078	0,06
863-2N6426G	2N6426G	TO-92	40	0.5	20000	200000	0,26	0,173	0,10	0,081
863-MPSW45AG	MPSW45AG	TO-92	40	1	25000	150000	0,18	0,171	0,129	0,106
863-MPSA27RLRAG	MPSA27RLRAG	TO-92	60	0.5	10000	-	0,10	0,091	0,073	0,059
863-TIP110G	TIP110G	TO-220	60	2	1000	-	0,68	0,588	0,415	0,348
863-MJE800G	MJE800G	Boîtier 77	60	4	750	-	0,50	0,422	0,306	0,257
863-TIP120G	TIP120G	TO-220	60	5	1000	-	0,57	0,487	0,348	0,292
863-TIP140G	TIP140G	TO-218	60	10	1000	-	1,42	1,29	1,03	0,842
863-MJ11012G	MJ11012G	TO-3	60	30	1000	-	3,18	2,79	2,10	1,81
863-2N6039G	2N6039G	Boîtier 77	80	4	750	15000	0,39	0,371	0,33	0,281
863-MJE802G	MJE802G	Boîtier 77	80	4	750	-	0,50	0,433	0,306	0,257
863-TIP121G	TIP121G	TO-220	80	5	1000	-	0,57	0,487	0,348	0,292
863-TIP101G	TIP101G	TO-220	80	8	1000	20000	0,73	0,635	0,452	0,384
863-2N6388G	2N6388G	TO-220	80	10	1000	20000	0,76	0,619	0,472	0,401
863-TIP141G	TIP141G	TO-218	80	10	1000	-	1,57	1,35	0,982	0,85
863-MPSA29RLRPG	MPSA29RLRPG	TO-92	100	0.5	10000	-	0,31	0,182	0,106	0,081
♦ 863-MJD112G	MJD112G	DPAK	100	2	1000	12000	0,53	0,427	0,324	0,271
863-TIP112G	TIP112G	TO-220	100	2	1000	-	0,64	0,487	0,415	0,348
863-TIP117G	TIP117G	TO-220	100	2	1000	-	0,68	0,627	0,457	0,389
863-MJF122G	MJF122G	TO-220FP	100	5	1000	-	0,76	0,693	0,472	0,401
863-TIP122G	TIP122G	TO-220	100	5	1000	-	0,53	0,396	0,324	0,272
863-2N6045G	2N6045G	TO-220	100	8	1000	20000	0,67	0,561	0,436	0,366
♦ 863-MJD122G	MJD122G	DPAK	100	8	1000	12000	0,49	0,347	0,289	0,242
863-TIP102G	TIP102G	TO-220	100	8	1000	20000	0,73	0,635	0,454	0,386
863-BDV64BG	BDV64BG	TO-218	100	10	1000	-	1,42	1,29	1,03	0,842
863-TIP142G	TIP142G	TO-218	100	10	1000	-	1,58	1,35	0,982	0,85
863-MJF6388G	MJF6388G	TO-220FP	100	10	3000	15000	1,34	1,16	0,842	0,727
863-MJF6388G	MJF6388G	TO-220FP	100	10	3000	15000	1,34	1,16	0,842	0,727
863-MJH6284G	MJH6284G	TO-218	100	20	750	18000	3,38	2,96	2,23	1,92
863-MJ11016G	MJ11016G	TO-3	120	30	1000	-	2,93	2,57	1,93	1,70
863-MJ11032G	MJ11032G	TO-3	120	50	1000	18000	6,63	5,94	4,81	4,28
863-MJH11020G	MJH11020G	TO-218	200	15	400	15000	3,18	2,78	2,09	1,81
863-MJH11022G	MJH11022G	TO-218	250	15	400	15000	3,22	3,15	2,38	2,14
863-MJE5742G	MJE5742G	TO-220	400	8	50	100	1,45	1,25	0,908	0,785
PNP										
♦ 863-MMBTA63LT1G	MMBTA63LT1G	SOT-23	-30	-0.5	5000	-	0,21	0,124	0,063	0,049
♦ 863-MMBTA64LT1G	MMBTA64LT1G	SOT-23	-30	-0.5	10000	-	0,21	0,124	0,063	0,049
863-MJE700G	MJE700G	Boîtier 77	-60	-4	750	-	0,50	0,433	0,306	0,257
863-TIP125G	TIP125G	TO-220	-60	-5	1000	-	0,71	0,619	0,436	0,366
863-2N6040G	2N6040G	TO-220	-60	-8	1000	20000	0,67	0,545	0,463	0,389
863-2N6667G	2N6667G	TO-220	-60	-10	1000	20000	0,86	0,726	0,53	0,451
863-2N6036G	2N6036G	Boîtier 77	-80	-4	750	15000	0,57	0,495	0,35	0,294
863-2N6286G	2N6286G	TO-3	-80	-20	750	18000	3,36	3,16	2,53	2,16
863-MPSA29G	MPSA29G	TO-92	-100	-0.5	10000	-	0,10	0,091	0,073	0,059
863-TIP147G	TIP147G	TO-218	-100	-10	500	-	1,58	1,35	0,982	0,85
863-BDV65BG	BDV65BG	TO-218	-100	-10	1000	-	1,70	1,43	1,12	0,842
863-2N6052G	2N6052G	TO-3	-100	-12	750	18000	2,99	2,56	2,10	1,81
863-MJ11015G	MJ11015G	TO-3	-120	-30	1000	-	2,99	2,65	2,10	1,81
863-MJ11021G	MJ11021G	TO-3	-250	-15	400	15000	4,38	4,28	3,60	3,59

TRANSISTORS BIPOLAIRES A USAGE GÉNÉRAL ON SEMICONDUCTOR

♦ Composant pour montage en surface

Pour des quantités supérieures à celles indiquées, appelez-nous afin d'obtenir un devis.

RÉF. STOCK MOUSER	Réf. ON Semi	Boîtier	VCEO Max. (V)	IC Max. (A)	hFE Min.	hFE Max.	Prix unitaire 1	25	100	500
NPN										
♦ 863-MSD1328-RT1G	MSD1328-RT1G	SC-59	20	0.5	200	350	0,35	0,182	0,134	0,091
863-2N5089G	2N5089G	TO-92	25	0.05	400	1200	0,10	0,09	0,072	0,059
♦ 863-MMBT6521LT1G	MMBT6521LT1G	SOT-23	25	0.1	300	600	0,41	0,347	0,277	0,21
863-2N4124G	2N4124G	TO-92	25	0.2	120	360	0,21	0,099	0,063	0,05
♦ 863-MMBT4124LT1G	MMBT4124LT1G	SOT-23	25	0.2	120	360	0,07	0,058	0,051	0,041
863-MPS4124RLRAG	MPS4124RLRAG	TO-92	25	0.2	120	360	0,29	0,157	0,087	0,068
♦ 863-BC848BLT1G	BC848BLT1G	SOT-23	30	0.1	200	450	0,13	0,097	0,04	0,031
863-2N5088G	2N5088G	TO-92	30	0.5	300	900	0,10	0,09	0,072	0,059
♦ 863-MMBT2222LT1G	MMBT2222LT1G	SOT-23	30	0.6	100	300	0,13	0,091	0,04	0,031
863-2N3904G	2N3904G	TO-92	40	0.2	100	300	0,17	0,12	0,05	0,039
863-2N3904RLRPG	2N3904RLRPG	TO-92	40	0.2	100	300	0,17	0,13	0,054	0,042
♦ 863-MMBT3904LT1G	MMBT3904LT1G	SOT-23	40	0.2	100	300	0,03	0,031	0,029	0,026
♦ 863-MMBT3904TT1G	MMBT3904TT1G	SC-75	40	0.2	100	300	0,05	0,045	0,036	0,03
♦ 863-MMBT3904WT1G	MMBT3904WT1G	SC-70	40	0.2	100	300	0,14	0,091	0,043	0,034
♦ 863-PZT3904T1G	PZT3904T1G	SOT-223	40	0.2	100	300	0,26	0,20	0,133	0,104
863-2N4401G	2N4401G	TO-92	40	0.6	100	300	0,19	0,074	0,058	0,045
863-2N4401RLRPG	2N4401RLRPG	TO-92	40	0.6	100	300	0,07	0,069	0,055	0,045
♦ 863-MMBT2222AWT1G	MMBT2222AWT1G	SC-70	40	0.6	100	300	0,04	0,03	0,023	0,018
863-MPS2222AG	MPS2222AG	TO-92	40	0.6	100	300	0,06	0,04	0,03	0,028
863-PN2222AG	PN2222AG	TO-92	40	0.6	100	300	0,07	0,05	0,04	0,031
863-MJE180G	MJE180G	Boîtier 77	40	3.0	50	250	0,45	0,371	0,262	0,22

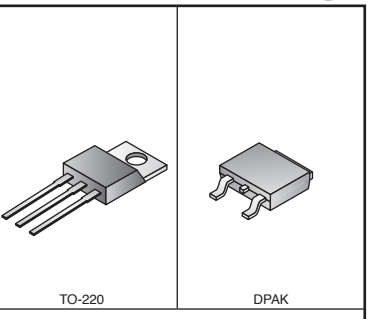

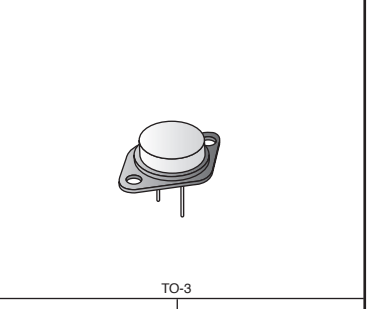

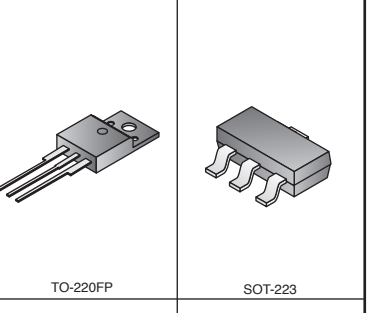

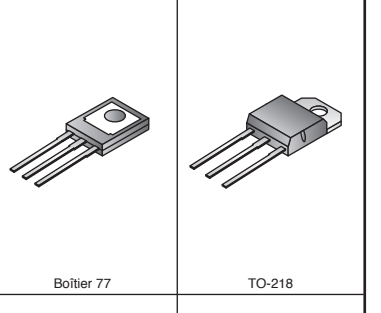

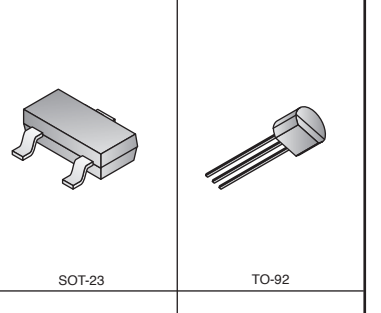

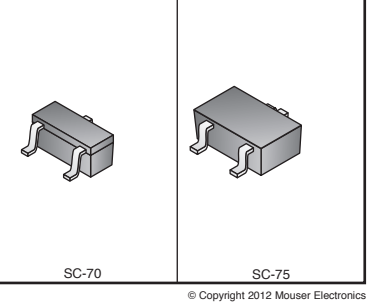

© Copyright 2012 Mouser Electronics

© Copyright 2012 Mouser Electronics

Transistors ON SEMICONDUCTOR

RoHS Compliant This product is RoHS compliant.

ON Semiconductor®

TRANSISTORS BIPOLAIRES À USAGE GÉNÉRAL ON SEMICONDUCTOR (SUITE)

♦ Composant pour montage en surface

Pour des quantités supérieures à celles indiquées, appelez-nous afin d'obtenir un devis.

RÉF. STOCK MOUSER	Réf. ON Semi	Boîtier	VCEO Max. (V)	IC Max. (A)	hFE		Prix unitaire			
					Min.	Max.	1	25	100	500
NPN (suite)										
863-2N3771G	2N3771G	TO-3	40	30	15	60	2,68	2,50	1,88	1,63
♦ 863-BC847BLT1G	BC847BLT1G	SOT-23	45	0.1	200	450	0,13	0,097	0,04	0,031
♦ 863-BC847BTT1G	BC847BTT1G	SC-75	45	0.1	200	450	0,13	0,097	0,04	0,031
♦ 863-BCW72LT1G	BCW72LT1G	SOT-23	45	0.1	200	450	0,21	0,099	0,07	0,054
863-BC547CG	BC547CG	TO-92	45	0.1	420	800	0,08	0,082	0,066	0,054
♦ 863-BC847CLT1G	BC847CLT1G	SOT-23	45	0.1	420	800	0,22	0,099	0,06	0,043
♦ 863-BC850CLT1G	BC850CLT1G	SOT-23	45	0.1	420	800	0,13	0,101	0,041	0,032
♦ 863-MMBT6429LT1G	MMBT6429LT1G	SOT-23	45	0.2	500	1250	0,09	0,086	0,068	0,056
♦ 863-BC817-16LT1G	BC817-16LT1G	SOT-23	45	0.5	100	250	0,14	0,099	0,043	0,034
♦ 863-BCX19LT1G	BCX19LT1G	SOT-23	45	0.5	100	600	0,23	0,169	0,069	0,05
♦ 863-BC817-25LT1G	BC817-25LT1G	SOT-23	45	0.5	160	400	0,12	0,095	0,039	0,031
♦ 863-BC817-40LT1G	BC817-40LT1G	SOT-23	45	0.5	250	600	0,20	0,099	0,057	0,04
863-BC337-25ZL1G	BC337-25ZL1G	TO-92	45	0.8	160	400	0,33	0,272	0,205	0,163
♦ 863-MSD601-RT1G	MSD601-RT1G	SC-59	50	0.1	210	340	0,36	0,264	0,202	0,143
♦ 863-MMBT6428LT1G	MMBT6428LT1G	SOT-23	50	0.2	250	650	0,26	0,14	0,078	0,06
♦ 863-MMBTA05LT1G	MMBTA05LT1G	SOT-23	60	0.5	100	-	0,20	0,107	0,059	0,047
863-TIP31AG	TIP31AG	TO-220	60	3	10	50	0,41	0,378	0,273	0,229
♦ 863-MJD3055G	MJD3055G	DPAK	60	10	20	100	0,71	0,602	0,548	0,405
♦ 863-MJD3055T4G	MJD3055T4G	DPAK	60	10	20	100	0,73	0,652	0,466	0,391
863-MJE3055TG	MJE3055TG	TO-220	60	10	20	100	0,76	0,677	0,472	0,401
863-D44H8G	D44H8G	TO-220	60	10	40	-	0,88	0,726	0,55	0,468
863-2N3055G	2N3055G	TO-3	60	15	20	70	1,62	1,35	1,16	0,924
863-TIP3055G	TIP3055G	TO-218	60	15	20	70	1,39	1,20	0,875	0,756
♦ 863-BC846ALT1G	BC846ALT1G	SOT-23	65	0.1	110	220	0,13	0,097	0,04	0,031
♦ 863-BC846BLT1G	BC846BLT1G	SOT-23	65	0.1	200	450	0,05	0,045	0,035	0,029
♦ 863-BC846BWT1G	BC846BWT1G	SC-70	65	0.1	200	450	0,14	0,099	0,042	0,033
863-2N6292G	2N6292G	TO-220	70	7	30	150	0,79	0,726	0,492	0,417
♦ 863-MMBT8099LT1G	MMBT8099LT1G	SOT-23	80	0.5	100	300	0,30	0,14	0,10	0,076
♦ 863-MMBTA06LT1G	MMBTA06LT1G	SOT-23	80	0.5	100	-	0,07	0,069	0,055	0,045
863-MPSA06RLRAG	MPSA06RLRAG	TO-92	80	0.5	100	-	0,25	0,165	0,075	0,059
863-MPSA06RLRMG	MPSA06RLRMG	TO-92	80	0.5	100	-	0,25	0,165	0,075	0,059
863-TIP31BG	TIP31BG	TO-220	80	3	10	50	0,41	0,378	0,273	0,229
863-MJE182G	MJE182G	Boîtier 77	80	3	50	250	0,42	0,356	0,252	0,211
♦ 863-MJD44H11G	MJD44H11G	DPAK	80	8	60	-	0,51	0,443	0,313	0,262
863-D44H11G	D44H11G	TO-220	80	10	60	-	0,88	0,726	0,55	0,468
863-MJF44H11G	MJF44H11G	TO-220FP	80	10	60	-	1,34	1,10	0,842	0,714
863-2N6488G	2N6488G	TO-220	80	15	20	150	0,84	0,759	0,523	0,445
863-D44VH10G	D44VH10G	TO-220	80	15	20	-	0,88	0,726	0,55	0,468
863-2N5038G	2N5038G	TO-3	90	20	20	100	6,68	5,90	5,05	4,16
863-TIP29CG	TIP29CG	TO-220	100	1	15	75	0,50	0,426	0,30	0,252
♦ 863-MJD31CG	MJD31CG	DPAK	100	3	10	50	0,40	0,341	0,24	0,202
863-TIP31CG	TIP31CG	TO-220	100	3	10	50	0,45	0,371	0,262	0,22
863-MJE243G	MJE243G	Boîtier 77	100	4	40	180	0,48	0,418	0,295	0,248
863-TIP41CG	TIP41CG	TO-220	100	6	15	75	0,63	0,542	0,382	0,321
863-2N5550G	2N5550G	TO-92	140	0.6	60	250	0,10	0,09	0,072	0,059
863-2N3773G	2N3773G	TO-3	140	16	15	60	2,68	2,50	1,88	1,55
863-MJF15030G	MJF15030G	TO-220FP	150	8	20	-	1,34	1,16	0,842	0,727
♦ 863-MMBT5551LT1G	MMBT5551LT1G	SOT-23	160	0.06	80	250	0,22	0,099	0,075	0,057
♦ 863-MMBTA42LT1G	MMBTA42LT1G	SOT-23	200	0.05	40	-	0,21	0,124	0,063	0,049
863-BU406G	BU406G	TO-220	200	7	-	-	1,17	1,01	0,727	0,618
863-BF422G	BF422G	TO-92	250	0.1	50	-	0,14	0,132	0,093	0,075
863-2N5655G	2N5655G	Boîtier 77	250	0.5	30	250	0,45	0,396	0,295	0,248
863-TIP47G	TIP47G	TO-220	250	1	30	150	0,69	0,604	0,426	0,357
863-MJF47G	MJF47G	TO-220FP	250	1	30	150	1,06	0,949	0,707	0,601
♦ 863-MMBTA42LT3G	MMBTA42LT3G	SOT-23	300	0.05	25	-	0,22	0,14	0,12	0,085
♦ 863-PZTA42T1G	PZTA42T1G	SOT-223	300	0.05	25	-	0,26	0,205	0,135	0,111
863-MPSW42RLRAG	MPSW42RLRAG	TO-92	300	0.5	25	-	0,26	0,205	0,135	0,112
863-TIP48G	TIP48G	TO-220	300	1	30	150	0,65	0,589	0,426	0,357
863-MJE3439G	MJE3439G	TO-225	350	0.3	15	200	0,46	0,388	0,284	0,238
♦ 863-MMBT6517LT1G	MMBT6517LT1G	SOT-23	350	0.5	15	-	0,19	0,18	0,133	0,128
863-2N5657G	2N5657G	Boîtier 77	350	0.5	30	250	0,46	0,422	0,306	0,257
863-TIP50G	TIP50G	TO-220	400	1	30	150	0,69	0,604	0,426	0,357
863-MJE13005G	MJE13005G	TO-220	400	4	8	40	0,71	0,553	0,476	0,363
863-BUL45G	BUL45G	TO-220	400	5	14	34	0,78	0,713	0,572	0,464
863-BUL45D2G	BUL45D2G	TO-220	400	5	22	34	1,05	0,957	0,648	0,551
863-BUL146FG	BUL146FG	TO-220FP	400	6	14	34	1,39	1,23	0,99	0,799
863-MJE13007G	MJE13007G	TO-220	400	8	8	40	0,83	0,668	0,511	0,435
863-MJE13009G	MJE13009G	TO-220	400	12	8	40	1,05	0,759	0,648	0,551
863-BUX85G	BUX85G	TO-220	450	2	30	-	0,64	0,536	0,432	0,368
863-MJE18004G	MJE18004G	TO-220	450	5	14	34	0,82	0,739	0,55	0,468
863-MJE18008G	MJE18008G	TO-220	450	8	14	34	1,26	1,08	0,785	0,681
863-MJW18020G	MJW18020G	TO-247	450	30	14	34	4,62	4,26	3,90	3,29
PNP										
♦ 863-MMBT4126LT1G	MMBT4126LT1G	SOT-23	-25	-0.2	120	300	0,55	0,215	0,16	0,112
♦ 863-BC858BLT1G	BC858BLT1G	SOT-23	-30	-0.1	220	475	0,13	0,097	0,04	0,031
♦ 863-BC858CLT1G	BC858CLT1G	SOT-23	-30	-0.1	420	800	0,13	0,099	0,041	0,032
863-2N6111G	2N6111G	TO-220	-30	-7	30	150	0,78	0,677	0,53	0,451
863-2N3906G	2N3906G	TO-92	-40	-0.2	100	300	0,17	0,12	0,05	0,039
♦ 863-MMBT3906LT1G	MMBT3906LT1G	SOT-23	-40	-0.2	100	300	0,18	0,149	0,052	0,036
♦ 863-MMBT3906TT1G	MMBT3906TT1G	SC-75	-40	-0.2	100	300	0,13	0,091	0,041	0,032
♦ 863-MMBT3906WT1G	MMBT3906WT1G	SC-70	-40	-0.2	100	300	0,14	0,091	0,043	0,034
863-2N4403G	2N4403G	TO-92	-40	-0.6	100	300	0,21	0,099	0,058	0,045

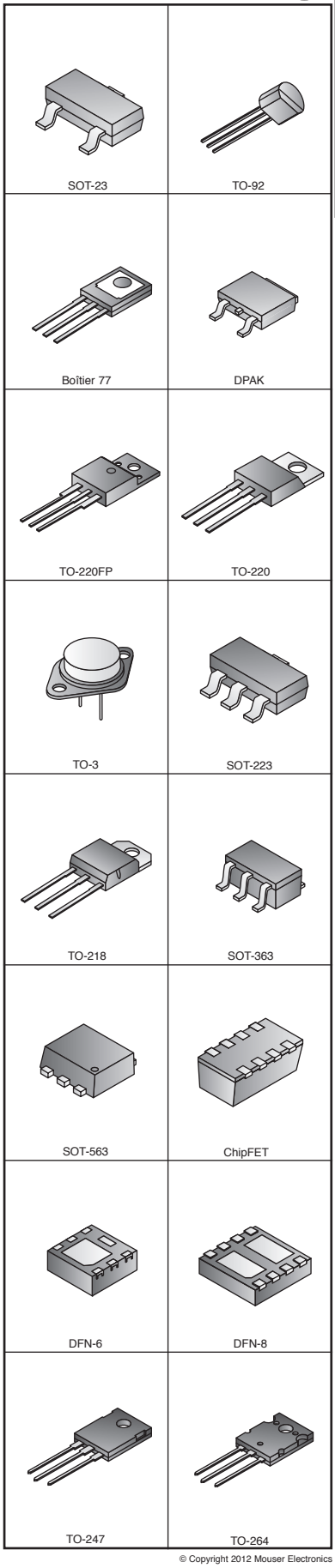

© Copyright 2012 Mouser Electronics

© Copyright 2012 Mouser Electronics

Transistors ON SEMICONDUCTOR

ON Semiconductor®

RoHS Compliant This product is RoHS compliant.

TRANSISTORS BIPOLAIRES À USAGE GÉNÉRAL ON SEMICONDUCTOR (SUITE)

♦ Composant pour montage en surface

Pour des quantités supérieures à celles indiquées, appelez-nous afin d'obtenir un devis.

RÉF. STOCK MOUSER	Réf. ON Semi	Boîtier	VCEO Max. (V)	IC Max. (A)	hFE		Prix unitaire			
					Min.	Max.	1	25	100	500
PNP (suite)										
863-MPSW51AG	MPSW51AG	TO-92	-40	-1	55	-	0,26	0,194	0,129	0,106
♦ 863-NJT4030PT1G	NJT4030PT1G	SOT-223	-40	-3	200	400	0,38	0,307	0,219	0,182
863-TIP42G	TIP42G	TO-220	-40	-6	15	75	0,60	0,561	0,492	0,348
863-BC307BRL1G	BC307BRL1G	TO-92	-45	-0.1	200	460	0,26	0,107	0,087	0,067
♦ 863-BC857BLT1G	BC857BLT1G	SOT-23	-45	-0.1	220	475	0,13	0,097	0,04	0,031
863-BC557CG	BC557CG	TO-92	-45	-0.1	420	800	0,09	0,083	0,063	0,05
♦ 863-BC807-16LT1G	BC807-16LT1G	SOT-23	-45	-0.5	100	250	0,14	0,099	0,043	0,034
♦ 863-BCX17LT1G	BCX17LT1G	SOT-23	-45	-0.5	100	600	0,16	0,14	0,069	0,054
♦ 863-BC807-25LT1G	BC807-25LT1G	SOT-23	-45	-0.5	160	400	0,13	0,099	0,041	0,032
♦ 863-BC807-40LT1G	BC807-40LT1G	SOT-23	-45	-0.5	250	600	0,21	0,103	0,063	0,042
♦ 863-2SA1774G	2SA1774G	SC-75	-50	-0.1	120	560	0,05	0,041	0,035	0,029
863-2N6109G	2N6109G	TO-220	-50	-7	30	150	0,86	0,784	0,53	0,451
♦ 863-MMBTA55LT1G	MMBTA55LT1G	SOT-23	-60	-0.5	100	-	0,21	0,124	0,063	0,049
863-MPSA55RLRAG	MPSA55RLRAG	TO-92	-60	-0.5	100	-	0,30	0,182	0,089	0,069
♦ 863-MMBT2907ALT1G	MMBT2907ALT1G	SOT-23	-60	-0.6	50	300	0,18	0,091	0,053	0,037
♦ 863-MMBT2907AWT1G	MMBT2907AWT1G	SC-70	-60	-0.6	50	-	0,22	0,091	0,063	0,045
863-MPS2907AG	MPS2907AG	TO-92	-60	-0.6	100	300	0,07	0,05	0,047	0,045
♦ 863-PZT2907AT1G	PZT2907AT1G	SOT-223	-60	-0.6	100	300	0,26	0,20	0,133	0,11
863-MPS751RLRAG	MPS751RLRAG	TO-92	-60	-2	40	-	0,28	0,19	0,134	0,109
863-TIP32AG	TIP32AG	TO-220	-60	-3	10	50	0,41	0,378	0,273	0,229
♦ 863-MJD2955G	MJD2955G	DPAK	-60	-10	20	100	0,64	0,562	0,396	0,332
863-MJE2955TG	MJE2955TG	TO-220	-60	-10	20	100	0,76	0,693	0,472	0,401
863-TIP2955G	TIP2955G	TO-218	-60	-15	20	70	1,30	1,17	0,941	0,759
♦ 863-BC856ALT1G	BC856ALT1G	SOT-23	-65	-0.1	125	250	0,05	0,044	0,035	0,029
♦ 863-BC856BLT1G	BC856BLT1G	SOT-23	-65	-0.1	220	475	0,05	0,045	0,035	0,029
863-2N6107G	2N6107G	TO-220	-70	-7	30	150	0,73	0,594	0,452	0,384
863-MPSW56RLRPG	MPSW56RLRPG	TO-92	-80	-0.5	50	-	0,18	0,171	0,137	0,111
♦ 863-MMBTA56LT1G	MMBTA56LT1G	SOT-23	-80	-0.5	100	-	0,21	0,107	0,063	0,049
863-MJE172G	MJE172G	Boîtier 77	-80	-3	50	250	0,45	0,371	0,262	0,22
863-2N5195G	2N5195G	Boîtier 77	-80	-4	20	80	0,57	0,495	0,35	0,294
♦ 863-MJD45H11G	MJD45H11G	DPAK	-80	-8	60	-	0,54	0,466	0,329	0,276
863-D45H11G	D45H11G	TO-220	-80	-10	40	-	0,88	0,726	0,55	0,468
863-MJF45H11G	MJF45H11G	TO-220FP	-80	-10	40	-	1,34	1,16	0,842	0,727
863-2N6491G	2N6491G	TO-220	-80	-15	20	150	0,83	0,759	0,519	0,441
863-D45VH10G	D45VH10G	TO-220	-80	-15	20	-	0,88	0,726	0,55	0,468
863-TIP30CG	TIP30CG	TO-220	-100	-1	15	75	0,45	0,371	0,262	0,22
♦ 863-MJD32CG	MJD32CG	DPAK	-100	-3	10	50	0,44	0,368	0,26	0,218
863-TIP32CG	TIP32CG	TO-220	-100	-3	10	50	0,40	0,362	0,262	0,22
863-MJE253G	MJE253G	Boîtier 77	-100	-4	40	180	0,48	0,396	0,295	0,248
863-TIP42CG	TIP42CG	TO-220	-100	-6	15	75	0,55	0,498	0,361	0,303
863-2N5401G	2N5401G	TO-92	-150	-0.6	60	240	0,10	0,09	0,072	0,059
863-MJF15031G	MJF15031G	TO-220FP	-150	-8	40	-	1,34	1,16	0,842	0,727
♦ 863-MMBTA92LT1G	MMBTA92LT1G	SOT-23	-300	-0.05	25	-	0,10	0,083	0,076	0,063
♦ 863-PZTA92T1G	PZTA92T1G	SOT-223	-300	-0.05	25	-	0,18	0,167	0,134	0,109
863-MPSA92G	MPSA92G	TO-92	-300	-0.5	25	-	0,12	0,106	0,084	0,069
863-MJE5730G	MJE5730G	TO-220	-300	-1	30	150	1,06	0,949	0,707	0,601
863-MJE5850G	MJE5850G	TO-220	-300	-8	15	-	2,30	2,06	1,60	1,38
♦ 863-MMBT6520LT1G	MMBT6520LT1G	SOT-23	-350	-0.5	20	200	0,29	0,182	0,111	0,089
863-MJE5851G	MJE5851G	TO-220	-350	-8	15	-	2,30	2,13	1,60	1,38
863-MJE15035G	MJE15035G	TO-220	-350	-8	100	-	1,07	0,924	0,718	0,611
863-MJE5852G	MJE5852G	TO-220	-400	-8	15	-	2,43	2,06	1,60	1,38
Complémentaires										
♦ 863-MBT3904DW1T1G	MBT3904DW1T1G	SOT-363	40/40	0.2/.2	100/100	300/300	0,07	0,05	0,047	0,045
♦ 863-MBT3946DW1T1G	MBT3946DW1T1G	SOT-363	40/-40	0.2/-0.2	100/100	300/300	0,07	0,05	0,047	0,045
♦ 863-BC847BDW1T1G	BC847BDW1T1G	SOT-363	45/45	0.1/0.1	200/200	450/450	0,26	0,19	0,079	0,062
♦ 863-NST45010MW6T1G	NST45010MW6T1G	SOT-363	-45/-45	-0.1/-0.1	220/220	475/475	0,20	0,19	0,183	0,163
♦ 863-BC847BPDW1T1G	BC847BPDW1T1G	SOT-363	50/-50	0.1/-0.1	200/200	475/475	0,26	0,182	0,079	0,062

TRANSISTORS BIPOLAIRES HAUTE PUISSANCE ON SEMICONDUCTOR

Pour des quantités supérieures à celles indiquées, appelez-nous afin d'obtenir un devis.

RÉF. STOCK MOUSER	Réf. ON Semi	Boîtier	VCEO Max. (V)	IC Max. (A)	hFE		Prix unitaire			
					Min.	Max.	1	25	100	500
NPN										
863-2N3055AG	2N3055AG	TO-3	60	15	10	70	1,96	1,82	1,32	1,15
863-2N3772G	2N3772G	TO-3	60	20	15	60	3,16	2,77	2,08	1,80
863-2N5885G	2N5885G	TO-3	60	25	20	100	2,68	2,38	1,88	1,55
863-2N5302G	2N5302G	TO-3	60	30	15	60	2,90	2,48	2,14	1,67
863-2N5886G	2N5886G	TO-3	80	25	20	100	2,68	2,30	1,98	1,55
863-MJ802G	MJ802G	TO-3	90	30	25	100	2,90	2,70	2,03	1,75
863-TIP33CG	TIP33CG	TO-218	100	10	20	100	1,43	1,16	0,899	0,774
863-TIP35CG	TIP35CG	TO-218	100	25	15	75	2,15	1,84	1,34	1,16
863-2N3442G	2N3442G	TO-3	140	10	20	70	1,96	1,64	1,32	1,15
863-MJE4343G	MJE4343G	TO-218	160	16	15	-	2,63	2,24	1,83	1,58
PNP										
863-2N5883G	2N5883G	TO-3	-60	-25	20	100	2,78	2,60	2,05	1,61
863-2N5884G	2N5884G	TO-3	-80	-25	20	100	2,93	2,57	1,93	1,67
863-2N5684G	2N5684G	TO-3	-80	-50	15	60	6,31	5,36	4,58	3,93
863-TIP36CG	TIP36CG	TO-218	-100	-25	15	75	2,24	1,75	1,39	1,21
863-MJE4353G	MJE4353G	TO-218	-160	-16	15	-	3,07	2,57	2,27	2,04

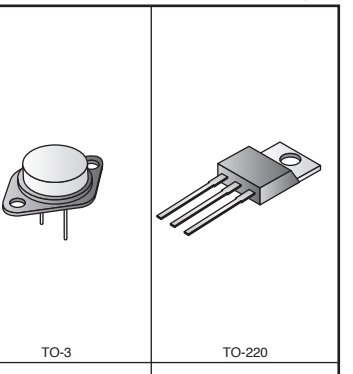

© Copyright 2012 Mouser Electronics

© Copyright 2012 Mouser Electronics

Transistors ON SEMICONDUCTOR

RoHS Compliant This product is RoHS compliant.

TRANSISTORS BIPOLAIRES À FAIBLE BRUIT ON SEMICONDUCTOR

♦ Composant pour montage en surface

Pour des quantités supérieures à celles indiquées, appelez-nous afin d'obtenir un devis.

RÉF. STOCK MOUSER	Réf. ON Semi	Boîtier	VCEO Max. (V)	IC Max. (A)	hFE Min.	hFE Max.	Prix unitaire 1	25	100	500
NPN										
♦ 863-MMBT5089LT1G	MMBT5089LT1G	SOT-23	25	0.05	400	1200	0,22	0,116	0,064	0,05
♦ 863-MMBT5088LT1G	MMBT5088LT1G	SOT-23	30	0.05	300	900	0,20	0,107	0,059	0,047
863-BC550CG	BC550CG	TO-92	45	0.1	450	900	0,21	0,099	0,063	0,05
863-MPSA18RLRAG	MPSA18RLRAG	TO-92	45	0.2	500	1500	0,27	0,165	0,082	0,064
♦ 863-MMBT2484LT1G	MMBT2484LT1G	SOT-23	60	0.1	250	-	0,07	0,05	0,04	0,031
PNP										
♦ 863-MMBT5087LT1G	MMBT5087LT1G	SOT-23	-50	-0.05	250	800	0,22	0,124	0,064	0,05

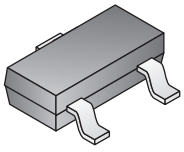

SOT-23

TRANSISTORS BIPOLAIRES À FAIBLE VCE ON SEMICONDUCTOR

♦ Composant pour montage en surface

Pour des quantités supérieures à celles indiquées, appelez-nous afin d'obtenir un devis.

RÉF. STOCK MOUSER	Réf. ON Semi	Boîtier	VCEO Min. (V)	IC Max. (A)	hFE Min.	hFE Max.	Prix unitaire 1	25	100	500
NPN										
♦ 863-NSS20601CF8T1G	NSS20601CF8T1G	ChipFET	20	8	200	-	0,50	0,388	0,343	0,29
♦ 863-NSS40301MZ4T1G	NSS40301MZ4T1G	SOT-223	40	3	200	500	0,49	0,388	0,287	0,241
♦ 863-NSS40601CF8T1G	NSS40601CF8T1G	ChipFET	40	8	200	-	0,54	0,479	0,425	0,305
♦ 863-NSS60601MZ4T1G	NSS60601MZ4T1G	SOT-223	60	6	120	360	0,41	0,338	0,246	0,206
PNP										
♦ 863-NSS12100XV6T1G	NSS12100XV6T1G	SOT 563	-12	-1	90	-	0,37	0,254	0,215	0,178
♦ 863-NSS12200LT1G	NSS12200LT1G	SOT-23	-12	-2	250	300	0,40	0,33	0,297	0,256
♦ 863-NSS20200LT1G	NSS20200LT1G	SOT-23	-20	-2	250	300	0,36	0,264	0,235	0,202
♦ 863-NSS40200LT1G	NSS40200LT1G	SOT-23	-40	-2	220	300	0,40	0,33	0,297	0,264
♦ 863-NSS40200UW6T1G	NSS40200UW6T1G	DFN 6	-40	-2	220	300	0,75	0,586	0,515	0,436
♦ 863-NSS40600CF8T1G	NSS40600CF8T1G	ChipFET	-40	-6	220	300	0,66	0,578	0,413	0,33
♦ 863-NSS60200LT1G	NSS60200LT1G	SOT-23	-60	-2	150	-	0,36	0,264	0,235	0,202

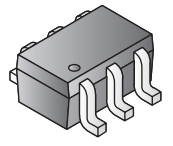

SC-88

TRANSISTORS BIPOLAIRES DE PUISSANCE MOYENNE ON SEMICONDUCTOR

♦ Composant pour montage en surface

Pour des quantités supérieures à celles indiquées, appelez-nous afin d'obtenir un devis.

RÉF. STOCK MOUSER	Réf. ON Semi	Boîtier	VCEO Max. (V)	IC Max. (A)	hFE Min.	hFE Max.	Prix unitaire 1	25	100	500
NPN										
♦ 863-BCP68T1G	BCP68T1G	SOT-223	20	1	85	375	0,29	0,19	0,146	0,12
♦ 863-PZT2222AT1G	PZT2222AT1G	SOT-223	40	0.6	100	300	0,26	0,20	0,133	0,11
863-2N4921G	2N4921G	Boîtier 77	40	3.0	30	150	0,53	0,458	0,323	0,271
863-2N4922G	2N4922G	Boîtier 77	60	3	30	150	0,53	0,429	0,323	0,271
863-2N6043G	2N6043G	TO-220	60	8	1000	20000	0,71	0,561	0,436	0,366
863-2N4923G	2N4923G	Boîtier 77	80	1	30	150	0,53	0,487	0,356	0,303
♦ 863-BCP56T1G	BCP56T1G	SOT-223	80	1	40	250	0,33	0,199	0,162	0,13
♦ 863-BCP56-16T1G	BCP56-16T1G	SOT-223	80	1	100	250	0,33	0,199	0,162	0,13
863-BD139G	BD139G	Boîtier 77	80	1.5	40	250	0,45	0,347	0,273	0,229
863-MJE344G	MJE344G	Boîtier 77	200	0.5	30	300	0,46	0,363	0,284	0,238
863-MJE340G	MJE340G	Boîtier 77	300	0.5	30	240	0,45	0,371	0,262	0,22
PNP										
♦ 863-BCP69T1G	BCP69T1G	SOT-223	-20	-1	85	375	0,30	0,199	0,153	0,126
863-MJE371G	MJE371G	Boîtier 77	-40	-4	40	-	0,50	0,433	0,306	0,257
863-2N4920G	2N4920G	Boîtier 77	-80	-1	30	150	0,53	0,413	0,323	0,271
♦ 863-BCP53T1G	BCP53T1G	SOT-223	-80	-1.5	40	250	0,33	0,199	0,162	0,13
863-BD140G	BD140G	Boîtier 77	-80	-1.5	40	250	0,45	0,347	0,273	0,229
♦ 863-BCP53-16T1G	BCP53-16T1G	SOT-223	-80	-1.5	100	250	0,33	0,199	0,162	0,13
863-MJE350G	MJE350G	Boîtier 77	-300	-0.5	30	240	0,49	0,371	0,319	0,27

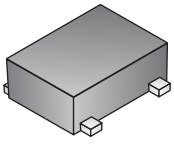

SC-59

TRANSISTORS DE COMMUTATION ON SEMICONDUCTOR

♦ Composant pour montage en surface

Pour des quantités supérieures à celles indiquées, appelez-nous afin d'obtenir un devis.

RÉF. STOCK MOUSER	Réf. ON Semi	Boîtier	VCEO Min (V)	IC Max (A)	hFE Min/Max	P_D Max(W)	Prix unitaire 1	25	100	500
NPN										
♦ 863-MMBT918LT1G	MMBT918LT1G	SOT-23	15	0.05	20/-	0.3	0,30	0,157	0,089	0,07
♦ 863-MMBT2369ALT1G	MMBT2369ALT1G	SOT-23	15	0.2	-/120	0.3	0,21	0,091	0,063	0,049
♦ 863-MMBT2369LT1G	MMBT2369LT1G	SOT-23	15	0.2	40/120	0.3	0,24	0,091	0,08	0,061
♦ 863-MMBTH10LT1G	MMBTH10LT1G	SOT-23	25	-	60/-	0.3	0,12	0,107	0,087	0,07
863-MPSH10RLRPG	MPSH10RLRPG	TO-92	25	-	60/-	0.35	0,38	0,33	0,238	0,191
♦ 863-MMBT4401LT1G	MMBT4401LT1G	SOT-23	40	0.6	100/300	0.225	0,12	0,066	0,036	0,028
♦ 863-MMBT4401M3T5G	MMBT4401M3T5G	SOT-723	40	0.6	100/300	0.265	0,09	0,083	0,079	0,07
♦ 863-MMBT4401WT1G	MMBT4401WT1G	SC-70	40	0.6	100/300	0.15	0,29	0,239	0,184	0,138
PNP										
♦ 863-MMBT4403LT1G	MMBT4403LT1G	SOT-23	-40	-0.6	100/300	0.225	0,18	0,165	0,053	0,037

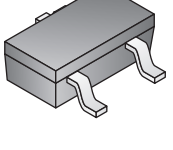

SOT-353

JFET ON SEMICONDUCTOR

♦ Composant pour montage en surface

Pour des quantités supérieures à celles indiquées, appelez-nous afin d'obtenir un devis.

RÉF. STOCK MOUSER	Réf. ON Semi	Boîtier	VDES MAX (V)	PD Max. (mW)	Ipss Min. (mA)	Ipss Max. (mA)	Prix unitaire 1	25	100	500
Canal N										
♦ 863-MMBFJ309LT1G	MMBFJ309LT1G	SOT-23	25	225	12	30	0,19	0,18	0,133	0,128
863-J310G	J310G	TO-92	25	350	24	60	0,24	0,223	0,167	0,138
♦ 863-MMBFJ310LT1G	MMBFJ310LT1G	SOT-23	25	225	24	60	0,19	0,18	0,133	0,128
♦ 863-MMBFU310LT1G	MMBFU310LT1G	SOT-23	25	225	24	60	0,24	0,18	0,133	0,128
♦ 863-MMBF4391LT1G	MMBF4391LT1G	SOT-23	30	225	50	150	0,22	0,15	0,125	0,114
♦ 863-MMBF4392LT1G	MMBF4392LT1G	SOT-23	30	225	25	75	0,22	0,15	0,118	0,114
♦ 863-MMBF4393LT1G	MMBF4393LT1G	SOT-23	30	225	5	30	0,22	0,15	0,118	0,114
Canal P										
♦ 863-MMBFJ175LT1G	MMBFJ175LT1G	SOT-23	-25	225	7	60	0,44	0,38	0,26	0,198
♦ 863-MMBFJ177LT1G	MMBFJ177LT1G	SOT-23	-25	225	1.5	20	0,24	0,18	0,133	0,128

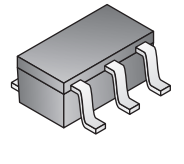

SC-70

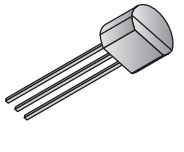

TO-92

© Copyright 2012 Mouser Electronics

© Copyright 2012 Mouser Electronics

Transistors ROHM SEMICONDUCTOR

ROHM SEMICONDUCTOR

RoHS Compliant This product is RoHS compliant.

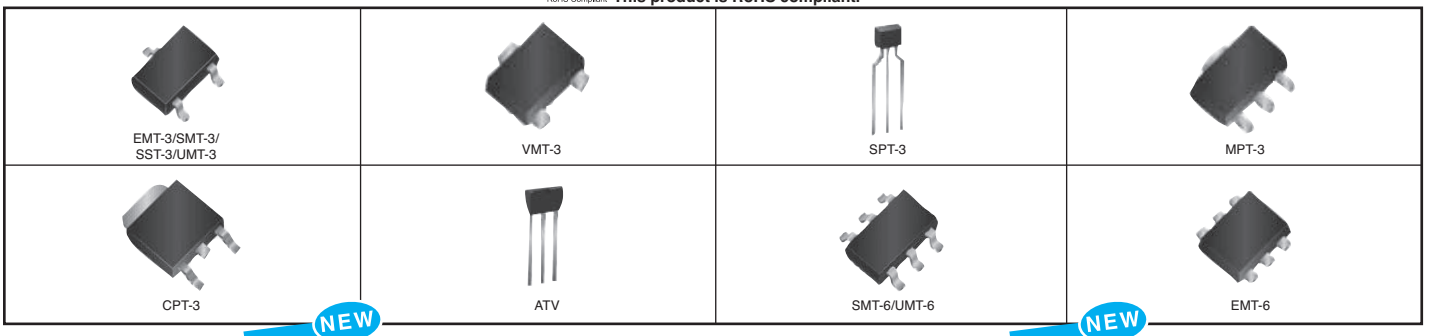

TRANSISTORS

PRODUCT NEW

Pour des quantités supérieures à celles indiquées, appelez-nous afin d'obtenir un devis.

RÉF. STOCK MOUSER	Réf. Rohm Semi.	Boîtier	Polarité	V_{CEO} (V)	I_C (A)	Prix unitaire 1	25	100
Transistors bipolaires								
755-2SC4083T106N	2SC4083T106N	UMT-3	NPN	11	0.05	0,45	0,256	0,17
755-2SC5585TL	2SC5585TL	EMT-3	NPN	12	0,5	0,41	0,297	0,209
755-2SC5663T2L	2SC5663T2L	VMT-3	NPN	12	0,5	0,39	0,297	0,214
755-2SD2652T106	2SD2652T106	UMT-3	NPN	12	1.5	0,46	0,355	0,255
755-2SD1757KT146R	2SD1757KT146R	SMT-3	NPN	15	0,5	0,38	0,297	0,228
755-2SC5661T2LP	2SC5661T2LP	VMT-3	NPN	18	0.05	0,39	0,305	0,23
755-2SC3837KT146P	2SC3837KT146P	SMT-3	NPN	20	0.05	0,33	0,248	0,184
755-2SC4725TLP	2SC4725TLP	EMT-3	NPN	20	0.05	0,45	0,347	0,252
755-2SD2114KT146V	2SD2114KT146V	SMT-3	NPN	20	0,5	0,36	0,239	0,167
755-2SD2144STPV	2SD2144STPV	SPT-3	NPN	20	0,5	0,33	0,239	0,172
755-2SD2144STPW	2SD2144STPW	SPT-3	NPN	20	0,5	0,36	0,239	0,163
755-2SD2150T100R	2SD2150-T100R	MPT-3	NPN	20	3.0	0,43	0,338	0,255
755-2SD2150T100S	2SD2150T100S	MPT-3	NPN	20	3.0	0,43	0,338	0,255
755-2SD2098T100R	2SD2098T100R	MPT-3	NPN	20	5.0	0,63	0,495	0,374
755-2SD2118TLQ	2SD2118TLQ	CPT-3	NPN	20	5.0	0,67	0,536	0,404
755-2SC5001TLQ	2SC5001-TLQ	CPT-3	NPN	20	10	0,87	0,751	0,584
755-BC848BWT106	BC848BWT106	UMT-3	NPN	30	0.1	0,18	0,165	0,14
755-2SD2142KT146	2SD2142K-T146	SMT-3	NPN	30	0.3	0,39	0,297	0,219
755-2SD1383KT146B	2SD1383KT146B	SMT-3	NPN	32	0.3	0,45	0,347	0,249
755-2SC2411KT146R	2SC2411KT146R	SMT-3	NPN	32	0,5	0,36	0,239	0,167
755-2SC4097T106R	2SC4097T106R	UMT-3	NPN	32	0,5	0,39	0,264	0,184
755-2SD1781KT146Q	2SD1781KT146Q	SMT-3	NPN	32	0.8	0,36	0,239	0,167
755-2SD1664T100Q	2SD1664-T100Q	MPT-3	NPN	32	1,0	0,53	0,388	0,273
755-2SD1664T100R	2SD1664T100R	MPT-3	NPN	32	1,0	0,45	0,347	0,252
755-2SD1858TV2Q	2SD1858TV2Q	ATV	NPN	32	1,0	0,24	0,215	0,184
755-2SD1766T100R	2SD1766T100R	CPT-3	NPN	32	2.0	0,62	0,479	0,344
755-MMST3904T146	MMST3904T146	SMT-3	NPN	40	0.2	0,36	0,198	0,13
755-SST3904T116	SST3904T116	SST-3	NPN	40	0.2	0,34	0,19	0,125
755-UMT3904T106	UMT3904T106	UMT-3	NPN	40	0.2	0,36	0,206	0,136
755-MMST2222AT146	MMST2222AT146	SMT-3	NPN	40	0.6	0,27	0,182	0,129
755-MMST4401T146	MMST4401T146	SMT-3	NPN	40	0.6	0,45	0,256	0,171
755-SST2222AT116	SST2222AT116	SST-3	NPN	40	0.6	0,32	0,182	0,119
755-UMT2222AT106	UMT2222AT106	UMT-3	NPN	40	0.6	0,37	0,206	0,139
755-BCX19T116	BCX19T116	SST-3	NPN	45	0,5	0,37	0,272	0,191
755-2SC1740STPQ	2SC1740STPQ	SPT-3	NPN	50	0.15	0,34	0,198	0,129
755-2SC1740STPR	2SC1740STPR	SPT-3	NPN	50	0.15	0,45	0,264	0,173
755-2SC1740STPS	2SC1740STPS	SPT-3	NPN	50	0.15	0,30	0,198	0,138
755-2SC2412KT146Q	2SC2412K-T146Q	SMT-3	NPN	50	0.15	0,24	0,14	0,091
755-2SC2412KT146R	2SC2412K-T146R	SMT-3	NPN	50	0.15	0,24	0,14	0,091
755-2SC2412KT146S	2SC2412K-T146S	SMT-3	NPN	50	0.15	0,26	0,149	0,097
755-2SC4081T106Q	2SC4081-T106Q	UMT-3	NPN	50	0.15	0,28	0,165	0,107
755-2SC4081T106R	2SC4081-T106R	UMT-3	NPN	50	0.15	0,28	0,165	0,107
755-2SC4081T106S	2SC4081-T106S	UMT-3	NPN	50	0.15	0,30	0,165	0,11
755-2SC4617TLQ	2SC4617-TLQ	EMT-3	NPN	50	0.15	0,28	0,165	0,107
755-2SC4617TLR	2SC4617-TLR	EMT-3	NPN	50	0.15	0,28	0,165	0,107
755-2SC5658T2LQ	2SC5658-T2LQ	VMT-3	NPN	50	0.15	0,35	0,231	0,163
755-2SC1741ASTPQ	2SC1741ASTPQ	SPT-3	NPN	50	0,5	0,40	0,264	0,19
755-2SD1949T106R	2SD1949-T106R	UMT-3	NPN	50	0,5	0,38	0,272	0,196
755-2SC5053T100Q	2SC5053-T100Q	MPT-3	NPN	50	1,0	0,44	0,33	0,246
755-2SCR553PT100	2SCR553PT100	MPT-3	NPN	50	2.0	0,54	0,429	0,322
755-2SC4672T100P	2SC4672-T100P	MPT-3	NPN	50	3.0	0,58	0,462	0,347
755-2SC4672T100Q	2SC4672-T100Q	MPT-3	NPN	50	3.0	0,64	0,503	0,386
755-2SCR533PT100	2SCR533PT100	MPT-3	NPN	50	3.0	0,56	0,446	0,334
755-2SD1760TLQ	2SD1760-TLQ	MPT-3	NPN	50	3.0	0,67	0,528	0,401
755-2SC5876T106Q	2SC5876T106Q	UMT-3	NPN	60	0,5	0,45	0,347	0,252
755-2SD2143TL	2SD2143TL	CPT-3	NPN	60	2.0	0,86	0,685	0,517
755-2SD2212T100	2SD2212T100	MPT-3	NPN	60	2.0	0,58	0,462	0,348
755-2SD2391T100Q	2SD2391T100Q	MPT-3	NPN	60	2.0	0,59	0,47	0,358
755-2SD2318TLU	2SD2318-TLU	CPT-3	NPN	60	3.0	0,86	0,743	0,576
755-2SD2318TLV	2SD2318TLV	CPT-3	NPN	60	3.0	0,83	0,718	0,557
755-2SC5103TLQ	2SC5103-TLQ	CPT-3	NPN	60	5.0	0,88	0,743	0,569
755-SSTA28T116	SSTA28T116	SST-3	NPN	80	0.3	0,40	0,272	0,188
755-2SD1782KT146Q	2SD1782KT146Q	SMT-3	NPN	80	0,5	0,37	0,272	0,192
755-SSTA06T116	SSTA06T116	SST-3	NPN	80	0,5	0,45	0,297	0,215
755-2SCR514PT100	2SCR514PT100	MPT-3	NPN	80	0.7	0,45	0,355	0,27
755-2SD1767T100Q	2SD1767T100Q	MPT-3	NPN	80	0.7	0,59	0,462	0,351
755-2SD1733TLQ	2SD1733TLQ	CPT-3	NPN	80	1,0	0,88	0,701	0,53
755-2SD1733TLR	2SD1733TLR	CPT-3	NPN	80	1,0	0,88	0,701	0,53
755-2SD1863TV2Q	2SD1863TV2Q	ATV	NPN	80	1,0	0,50	0,396	0,302
755-2SD1898T100Q	2SD1898-T100Q	MPT-3	NPN	80	1,0	0,37	0,297	0,223
755-2SCR544PT100	2SCR544PT100	MPT-3	NPN	80	2.5	0,59	0,47	0,356
755-2SCR554PT100	2SCR554PT100	MPT-3	NPN	80	3.0	0,57	0,446	0,339

TRANSISTORS (SUITE)

PRODUCT NEW

Pour des quantités supérieures à celles indiquées, appelez-nous afin d'obtenir un devis.

RÉF. STOCK MOUSER	Réf. Rohm Semi.	Boîtier	Polarité	V_{CEO} (V)	I_C (A)	Prix unitaire 1	25	100
Transistors bipolaires (suite)								
755-2SD2170T100	2SD2170-T100	MPT-3	NPN	90	2.0	0,60	0,47	0,362
755-2SD1867TV2	2SD1867TV2	ATV	NPN	100	2.0	0,57	0,421	0,325
755-2SD1980TL	2SD1980-TL	CPT-3	NPN	100	2.0	0,95	0,751	0,569
755-2SC3906KT146R	2SC3906KT146R	SMT-3	NPN	120	0.05	0,40	0,289	0,206
755-2SC4102T106R	2SC4102T106R	UMT-3	NPN	120	0.05	0,49	0,33	0,233
755-2SC4132T100R	2SC4132T100R	MPT-3	NPN	120	2.0	0,75	0,586	0,447
755-2SD1857ATV2Q	2SD1857ATV2Q	ATV	NPN	160	1.5	0,65	0,495	0,378
755-2SC4505T100P	2SC4505T100P	MPT-3	NPN	400	0.1	0,74	0,586	0,449
755-2SA2018TL	2SA2018TL	EMT-3	PNP	-12	-0.5	0,40	0,289	0,206
755-2SB1689T106	2SB1689T106	UMT-3	PNP	-12	-1.5	0,36	0,281	0,201
755-2SB1427T100E	2SB1427T100E	MPT-3	PNP	-20	-2.0	0,55	0,437	0,333
755-2SB1424T100Q	2SB1424T100Q	MPT-3	PNP	-20	-3.0	0,37	0,297	0,223
755-2SB1386T100Q	2SB1386-T100Q	MPT-3	PNP	-20	-5.0	0,53	0,413	0,314
755-2SB1386T100R	2SB1386-T100R	MPT-3	PNP	-20	-5.0	0,53	0,413	0,314
755-2SB1412TLQ	2SB1412TLQ	CPT-3	PNP	-20	-5.0	0,67	0,536	0,405
755-2SA1834TLR	2SA1834TLR	CPT-3	PNP	-20	-10	1,12	0,974	0,755
755-BC858BWT106	BC858BWT106	UMT-3	PNP	-30	-0.1	0,35	0,248	0,173
755-2SB1694T106	2SB1694-T106	UMT-3	PNP	-30	-1.0	0,40	0,297	0,21
755-2SA1036KT146R	2SA1036KT146R	SMT-3	PNP	-32	-0.5	0,41	0,297	0,214
755-2SA1577T106Q	2SA1577T106Q	UMT-3	PNP	-32	-0.5	0,32	0,182	0,122
755-2SA1577T106R	2SA1577T106R	UMT-3	PNP	-32	-0.5	0,32	0,182	0,122
755-2SB1197KT146Q	2SB1197K-T146Q	SMT-3	PNP	-32	-0.8	0,36	0,239	0,167
755-2SB1197KT146R	2SB1197KT146R	SMT-3	PNP	-32	-0.8	0,36	0,239	0,17
755-2SB1132T100Q	2SB1132T100Q	MPT-3	PNP	-32	-1.0	0,41	0,314	0,23
755-2SB1132T100R	2SB1132T100R	MPT-3	PNP	-32	-1.0	0,41	0,314	0,229
755-2SB1237TV2Q	2SB1237TV2Q	ATV	PNP	-32	-1.0	0,45	0,338	0,243
755-2SB1182TLQ	2SB1182-TLQ	CPT-3	PNP	-32	-2.0	0,83	0,652	0,488
755-2SB1188T100Q	2SB1188-T100Q	MPT-3	PNP	-32	-2.0	0,48	0,38	0,288
755-2SB1188T100R	2SB1188-T100R	MPT-3	PNP	-32	-2.0	0,48	0,38	0,288
755-2SB1240TV2Q	2SB1240TV2Q	ATV	PNP	-32	-2.0	0,56	0,421	0,322
755-MMST3906T146	MMST3906T146	SMT-3	PNP	-40	-0.2	0,36	0,198	0,13
755-SST3906T116	SST3906T116	SST-3	PNP	-40	0.2	0,34	0,19	0,125
755-UMT3906T106	UMT3906T106	UMT-3	PNP	-40	0.2	0,36	0,206	0,136
755-SST4401T116	SST4401T116	SST-3	NPN	40	0.6	0,55	0,305	0,205
755-SST4403T116	SST4403T116	SST-3	PNP	-40	-0.6	0,48	0,272	0,18
755-2SAR533PT100	2SAR533PT100	MPT-3	PNP	-50	3.0	0,50	0,396	0,297
755-2SAR553PT100	2SAR553PT100	MPT-3	PNP	-50	2.0	0,50	0,396	0,297
755-2SA1037AKT146Q	2SA1037AKT146Q	SMT-3	PNP	-50	-0.15	0,24	0,14	0,089
755-2SA1037AKT146R	2SA1037AK-T146R	SMT-3	PNP	-50	-0.15	0,24	0,14	0,089
755-2SA1037AKT146S	2SA1037AKT146S	SMT-3	PNP	-50	-0.15	0,30	0,165	0,11
755-2SA1576AT106Q	2SA1576A-T106Q	UMT-3	PNP	-50	-0.15	0,31	0,182	0,12
755-2SA1576AT106R	2SA1576AT106R	UMT-3	PNP	-50	-0.15	0,31	0,182	0,12
755-2SA1774TLQ	2SA1774TLQ	EMT-3	PNP	-50	-0.15	0,31	0,173	0,115
755-2SA1774TLR	2SA1774TLR	EMT-3	PNP	-50	-0.15	0,31	0,173	0,115
755-2SA2029T2LQ	2SA2029-T2LQ	VMT-3	PNP	-50	-0.15	0,40	0,239	0,152
755-2SA933ASTPQ	2SA933ASTPQ	SPT-3	PNP	-50	-0.15	0,40	0,231	0,152
755-2SA933ASTPR	2SA933ASTPR	SPT-3	PNP	-50	-0.15	0,36	0,215	0,139
755-2SA1900T100Q	2SA1900-T100Q	MPT-3	PNP	-50	-1.0	0,54	0,421	0,319
755-2SB1443TV2Q	2SB1443TV2Q	ATV	PNP	-50	-2.0	0,55	0,429	0,327
755-2SA1797T100Q	2SA1797T100Q	MPT-3	PNP	-50	-3.0	0,54	0,429	0,322
755-2SB1184TLQ	2SB1184-TLQ	CPT-3	PNP	-50	-3.0	0,77	0,586	0,447
755-2SB1243TV2Q	2SB1243TV2Q	ATV	PNP	-50	-3.0	0,77	0,611	0,459
755-MMST2907AT146	MMST2907AT146	SMT-3	PNP	-60	-0.6	0,61	0,347	0,231
755-SST2907AT116	SST2907AT116	SST-3	PNP	-60	-0.6	0,36	0,206	0,132
755-UMT2907AT106	UMT2907AT106	UMT-3	PNP	-60	-0.6	0,36	0,206	0,136
755-2SB1561T100Q	2SB1561-T100Q	MPT-3	PNP	-60	-2.0	0,61	0,487	0,366
755-2SAR544PT100	2SAR544PT100	MPT-3	PNP	-80	2.5	0,59	0,47	0,358
755-2SB1198KT146R	2SB1198KT146R	SMT-3	PNP	-80	-0.5	0,36	0,256	0,182
755-2SB1260T100Q	2SB1260-T100Q	MPT-3	PNP	-80	-1.0	0,53	0,404	0,296
755-2SB1260T100R	2SB1260-T100R	MPT-3	PNP	-80	-1.0	0,53	0,404	0,296
755-2SA1514KT146S	2SA1514KT146S	SMT-3	PNP	-120	-0.05	0,40	0,289	0,206
755-2SA1579T106R	2SA1579T106R	UMT-3	PNP	-120	-0.05	0,40	0,289	0,206
755-2SB1236ATV2Q	2SB1236ATV2Q	ATV	PNP	-160	-1.5	0,64	0,495	0,377
755-2SA1812T100Q	2SA1812T100Q	MPT-3	PNP	-400	-0.5	0,73	0,578	0,434
755-UMX5NTR	UMX5NTR	UMT-6	NPN	11	0.05	0,36	0,272	0,199
755-UMX4NTR	UMX4NTR	UMT-6	NPNx2	20	0.05	0,36	0,264	0,188
755-IMX9T110	IMX9T110	SMT-6	NPNx2	20	0,5	0,38	0,272	0,196
755-EMX1T2R	EMX1T2R	EMT-6	NPNx2	50	0.15	0,38	0,272	0,196
755-IMX1T110	IMX1T110	SMT-6	NPNx2	50	0.15	0,40	0,272	0,188
755-UMX1NTN	UMX1NTN	UMT-6	NPNx2	50	0.15	0,36	0,239	0,163
755-UMX2NTR	UMX2NTR	UMT-6	NPNx2	50	0.15	0,36	0,239	0,163

© Copyright 2012 Mouser Electronics

© Copyright 2012 Mouser Electronics

Transistors ROHM SEMICONDUCTOR

ROHM SEMICONDUCTOR

RoHS Compliant **This product is RoHS compliant.**

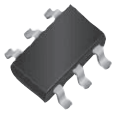
SMT-6/UMT-6

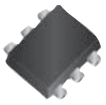
EMT-6

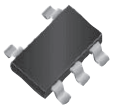
SMT-5/UMT-5

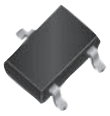
EMT-3/SMT-3/
UMT-3

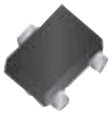
VMT-3

MPT-3

TRANSISTORS (SUITE) NEW PRODUCT

Pour des quantités supérieures à celles indiquées, appelez-nous afin d'obtenir un devis.

RÉF. STOCK MOUSER	Réf. Rohm Semi.	Boîtier	Polarité	V_{CEO} (V)	I_C (A)	Prix unitaire 1	25	100
Transistors bipolaires (suite)								
755-IMX17T110	IMX17T110	SMT-6	NPNx2	50	0.5	0,38	0,272	0,196
755-IMX8T108	IMX8T108	SMT-6	NPNx2	120	0.05	0,36	0,256	0,182
755-IMZ4T108	IMZ4T108	SMT-6	NPN	40	0.5	0,38	0,272	0,196
			PNP	-40	-0.5			
755-EMZ1T2R	EMZ1T2R	EMT-6	NPN	50	0.15	0,38	0,272	0,196
			PNP	-50	-0.15			
755-FMY1AT148	FMY1AT148	SMT-5	NPN	50	0.15	0,36	0,281	0,201
			PNP	-50	-0.15			
755-IMZ1AT108	IMZ1AT108	SMT-6	NPN	50	0.15	0,36	0,256	0,182
			PNP	-50	-0.15			
755-IMZ2AT108	IMZ2AT108	SMT-6	NPN	50	0.15	0,38	0,272	0,196
			PNP	-50	-0.15			
755-UMY1NTR	UMY1NTR	UMT-5	NPN	50	0.15	0,31	0,206	0,142
			PNP	-50	-0.15			
755-UMZ2NTR	UMZ2NTR	UMT-6	NPN	50	0.15	0,36	0,239	0,163
			PNP	-50	-0.15			
755-EMT1T2R	EMT1T2R	EMT-6	PNPx2	-50	-0.15	0,38	0,272	0,196
755-IMT1AT110	IMT1AT110	SMT-6	PNPx2	-50	-0.15	0,40	0,264	0,184
755-UMT1NTN	UMT1NTN	UMT-6	PNPx2	-50	-0.15	0,35	0,231	0,159
755-UMT2NTR	UMT2NTR	UMT-6	PNPx2	-50	-0.15	0,35	0,231	0,159
755-IMT17T110	IMT17T110	SMT-6	PNPx2	-50	-0.5	0,38	0,272	0,191
755-IMT4T108	IMT4T108	SMT-6	PNPx2	-120	-0.05	0,36	0,256	0,182
Transistors numériques								
755-DTC363TKT146	DTC363TKT146	SMT-3	NPN	30	0.6	0,33	0,248	0,177
755-DTC113ZKAT146	DTC113ZKAT146	SMT-3	NPN	50	0.1	0,30	0,165	0,11
755-DTC113ZUAT106	DTC113ZUAT106	UMT-3	NPN	50	0.1	0,40	0,231	0,152
755-DTC114EETL	DTC114EETL	EMT-3	NPN	50	0.1	0,30	0,165	0,11
755-DTC114EKAT146	DTC114EKAT146	SMT-3	NPN	50	0.1	0,28	0,165	0,105
755-DTC114EMT2L	DTC114EMT2L	VMT-3	NPN	50	0.1	0,31	0,206	0,145
755-DTC114EUAT106	DTC114EUAT106	UMT-3	NPN	50	0.1	0,36	0,198	0,13
755-DTC114TKAT146	DTC114TKAT146	SMT-3	NPN	50	0.1	0,26	0,149	0,094
755-DTC114TUAT106	DTC114TUAT106	UMT-3	NPN	50	0.1	0,30	0,165	0,11
755-DTC114WKAT146	DTC114WKAT146	SMT-3	NPN	50	0.1	0,32	0,215	0,146
755-DTC114YETL	DTC114YETL	EMT-3	NPN	50	0.1	0,36	0,198	0,13
755-DTC114YKAT146	DTC114YKAT146	SMT-3	NPN	50	0.1	0,30	0,165	0,11
755-DTC114YMT2L	DTC114YMT2L	VMT-3	NPN	50	0.1	0,36	0,239	0,167
755-DTC114YUAT106	DTC114YUAT106	UMT-3	NPN	50	0.1	0,36	0,198	0,13
755-DTC115EKAT146	DTC115EKAT146	SMT-3	NPN	50	0.1	0,30	0,165	0,11
755-DTC115EUAT106	DTC115EUAT106	UMT-3	NPN	50	0.1	0,36	0,198	0,13
755-DTC123EETL	DTC123EETL	EMT-3	NPN	50	0.1	0,36	0,198	0,13
755-DTC123EKAT146	DTC123EKAT146	SMT-3	NPN	50	0.1	0,30	0,165	0,11
755-DTC123JETL	DTC123JETL	EMT-3	NPN	50	0.1	0,36	0,198	0,13
755-DTC123JKAT146	DTC123JKAT146	SMT-3	NPN	50	0.1	0,28	0,165	0,105
755-DTC123JUAT106	DTC123JUAT106	UMT-3	NPN	50	0.1	0,36	0,198	0,13
755-DTC123YKAT146	DTC123YKAT146	SMT-3	NPN	50	0.1	0,30	0,165	0,11
755-DTC123YUAT106	DTC123YUAT106	UMT-3	NPN	50	0.1	0,36	0,239	0,163
755-DTC124EETL	DTC124EETL	EMT-3	NPN	50	0.1	0,36	0,198	0,13
755-DTC124EKAT146	DTC124EKAT146	SMT-3	NPN	50	0.1	0,30	0,165	0,11
755-DTC124EMT2L	DTC124EMT2L	VMT-3	NPN	50	0.1	0,31	0,206	0,142
755-DTC124EUAT106	DTC124EUAT106	UMT-3	NPN	50	0.1	0,36	0,198	0,13
755-DTC124XETL	DTC124XETL	EMT-3	NPN	50	0.1	0,36	0,198	0,13
755-DTC124XKAT146	DTC124XKAT146	SMT-3	NPN	50	0.1	0,30	0,165	0,11
755-DTC143EETL	DTC143EETL	EMT-3	NPN	50	0.1	0,36	0,198	0,13
755-DTC143EKAT146	DTC143EKAT146	SMT-3	NPN	50	0.1	0,28	0,165	0,105
755-DTC143TKAT146	DTC143TKAT146	SMT-3	NPN	50	0.1	0,28	0,165	0,105
755-DTC143TUAT106	DTC143TUAT106	UMT-3	NPN	50	0.1	0,36	0,198	0,13
755-DTC143XKAT146	DTC143XKAT146	SMT-3	NPN	50	0.1	0,30	0,165	0,11
755-DTC143ZETL	DTC143ZETL	EMT-3	NPN	50	0.1	0,36	0,198	0,13
755-DTC143ZKAT146	DTC143ZKAT146	SMT-3	NPN	50	0.1	0,30	0,165	0,11
755-DTC143ZUAT106	DTC143ZUAT106	UMT-3	NPN	50	0.1	0,36	0,198	0,13
755-DTC144EETL	DTC144EETL	EMT-3	NPN	50	0.1	0,36	0,198	0,13
755-DTC144EKAT146	DTC144EKAT146	SMT-3	NPN	50	0.1	0,30	0,165	0,11
755-DTC144EMT2L	DTC144EMT2L	VMT-3	NPN	50	0.1	0,31	0,206	0,145
755-DTC144EUAT106	DTC144EUAT106	UMT-3	NPN	50	0.1	0,36	0,198	0,13
755-DTD113EKT146	DTD113EKT146	SMT-3	NPN	50	0.5	0,35	0,248	0,177
755-DTD113ZKT146	DTD113ZKT146	SMT-3	NPN	50	0.5	0,48	0,322	0,229

TRANSISTORS (SUITE) NEW PRODUCT

Pour des quantités supérieures à celles indiquées, appelez-nous afin d'obtenir un devis.

RÉF. STOCK MOUSER	Réf. Rohm Semi.	Boîtier	Polarité	V_{CEO} (V)	I_C (A)	Prix unitaire 1	25	100
Transistors numériques (suite)								
755-DTD114EKT146	DTD114EKT146	SMT-3	NPN	50	0.5	0,33	0,248	0,181
755-DTD123EKT146	DTD123EKT146	SMT-3	NPN	50	0.5	0,33	0,248	0,181
755-DTD123YKT146	DTD123YKT146	SMT-3	NPN	50	0.5	0,33	0,248	0,177
755-DTD143EKT146	DTD143EKT146	SMT-3	NPN	50	0.5	0,41	0,314	0,229
755-DTDG23YPT100	DTDG23YPT100	MPT-3	NPN	60	1.0	0,56	0,421	0,322
755-DTA114EETL	DTA114EETL	EMT-3	PNP	-50	-0.1	0,30	0,165	0,11
755-DTA114EKAT146	DTA114EKAT146	SMT-3	PNP	-50	-0.1	0,24	0,14	0,091
755-DTA114EMT2L	DTA114EMT2L	VMT-3	PNP	-50	-0.1	0,36	0,198	0,13
755-DTA114EUAT106	DTA114EUAT106	UMT-3	PNP	-50	-0.1	0,30	0,165	0,11
755-DTA114TKAT146	DTA114TKAT146	SMT-3	PNP	-50	-0.1	0,30	0,165	0,11
755-DTA114YKAT146	DTA114YKAT146	SMT-3	PNP	-50	-0.1	0,30	0,165	0,11
755-DTA114YUAT106	DTA114YUAT106	UMT-3	PNP	-50	-0.1	0,31	0,182	0,118
755-DTA115EKAT146	DTA115EKAT146	SMT-3	PNP	-50	-0.1	0,32	0,215	0,146
755-DTA115EUAT106	DTA115EUAT106	UMT-3	PNP	-50	-0.1	0,36	0,239	0,163
755-DTA123JETL	DTA123JETL	EMT-3	PNP	-50	-0.1	0,36	0,198	0,13
755-DTA123JKAT146	DTA123JKAT146	SMT-3	PNP	-50	-0.1	0,30	0,165	0,11
755-DTA124EKAT146	DTA124EKAT146	SMT-3	PNP	-50	-0.1	0,30	0,165	0,11
755-DTA124EUAT106	DTA124EUAT106	UMT-3	PNP	-50	-0.1	0,36	0,206	0,134
755-DTA143EETL	DTA143EETL	EMT-3	PNP	-50	-0.1	0,36	0,198	0,13
755-DTA143EKAT146	DTA143EKAT146	SMT-3	PNP	-50	-0.1	0,28	0,165	0,107
755-DTA143EUAT106	DTA143EUAT106	UMT-3	PNP	-50	-0.1	0,36	0,198	0,13
755-DTA143ZKAT146	DTA143ZKAT146	SMT-3	PNP	-50	-0.1	0,26	0,149	0,094
755-DTA144EKAT146	DTA144EKAT146	SMT-3	PNP	-50	-0.1	0,30	0,165	0,11
755-DTA144EUAT106	DTA144EUAT106	UMT-3	PNP	-50	-0.1	0,36	0,198	0,13
755-DTB113ZKT146	DTB113ZKT146	SMT-3	PNP	-50	-0.5	0,36	0,256	0,189
755-DTB114EKT146	DTB114EKT146	SMT-3	PNP	-50	-0.5	0,33	0,248	0,181
755-DTB123EKT146	DTB123EKT146	SMT-3	PNP	-50	-0.5	0,33	0,248	0,181
755-DTB123YKT146	DTB123YKT146	SMT-3	PNP	-50	-0.5	0,33	0,248	0,181
755-DTB143EKT146	DTB143EKT146	SMT-3	PNP	-50	-0.5	0,36	0,264	0,188
755-FMG1AT148	FMG1AT148	SMT-5	NPNx2	50	0.1	0,38	0,289	0,21
755-FMG2AT148	FMG2AT148	SMT-5	NPNx2	50	0.1	0,35	0,264	0,193
755-IMH10AT110	IMH10AT110	SMT-6	NPNx2	50	0.1	0,33	0,215	0,151
755-IMH11AT110	IMH11AT110	SMT-6	NPNx2	50	0.1	0,53	0,305	0,20
755-IMH4AT110	IMH4AT110	SMT-6	NPNx2	50	0.1	0,38	0,272	0,191
755-UMG2NTR	UMG2NTR	UMT-5	NPNx2	50	0.1	0,31	0,231	0,163
755-UMG3NTR	UMG3NTR	UMT-5	NPNx2	50	0.1	0,31	0,223	0,159
755-UMH9NTN	UMH9NTN	UMT-6	NPNx2	50	0.1	0,31	0,231	0,163
755-EMD3T2R	EMD3T2R	EMT-6	NPN	50	0.05	0,38	0,272	0,196
			PNP	-50	-0.05			
755-EMD6T2R	EMD6T2R	EMT-6	NPN	50	0.1	0,38	0,272	0,196
			PNP	-50	-0.1			
755-EMD9T2R	EMD9T2R	EMT-6	NPN	50	0.1	0,38	0,272	0,196
			PNP	-50	-0.1			
755-IMD2AT108	IMD2AT108	SMT-6	NPN	50	0.1	0,36	0,264	0,188
			PNP	-50	-0.1			
755-IMD3AT108	IMD3AT108	SMT-6	NPN	50	0.1	0,36	0,264	0,188
			PNP	-50	-0.1			
755-IMD9AT108	IMD9AT108	SMT-6	NPN	50	0.1	0,36	0,264	0,188
			PNP	-50	-0.1			
755-UMD12NTR	UMD12NTR	UMT-6	NPN	50	0.1	0,31	0,231	0,163
			PNP	-50	-0.1			
755-UMD22NTR	UMD22NTR	UMT-6	NPN	50	0.1	0,31	0,149	0,109
			PNP	-50	-0.1			
755-UMD2NTR	UMD2NTR	UMT-6	NPN	50	0.1	0,31	0,231	0,163
			PNP	-50	-0.1			
755-UMD3NTR	UMD3NTR	UMT-6	NPN	50	0.1	0,36	0,239	0,167
			PNP	-50	-0.1			
755-UMD5NTR	UMD5NTR	UMT-6	NPN	50	0.1	0,31	0,223	0,159
			PNP	-50	-0.1			
755-IMD10AT108	IMD10AT108	SMT-6	NPN	50	0.1	0,45	0,33	0,235
			PNP	-50	-0.5			
755-FMA7AT148	FMA7AT148	EMT-6	PNPx2	-50	-0.1	0,38	0,289	0,205
755-IMB3AT110	IMB3AT110	SMT-6	PNPx2	-50	-0.1	0,23	0,206	0,173

© Copyright 2012 Mouser Electronics

© Copyright 2012 Mouser Electronics

Matrices MOSFET de précision à signal faible adaptés ALD

RoHS Compliant **This product is RoHS compliant.**

ADVANCED LINEAR DEVICES, INC.

- Tension de seuil faible
- Technologie EPAD® brevetée
- Gain de courant quasi infini
- Sources de courant et miroirs de courant idéaux
- Plage de température: 0 à 70°C
- Claquage de source débitée: 10V Min.
- Adaptation de résistance de source débitée: 0,5% Typ.
- Circuits à tension faible et nanopuissance

MODE D'AMÉLIORATION À CANAL N ALD

♦ Montage en surface

Pour des quantités supérieures à celles indiquées, appelez-nous afin d'obtenir un devis.

RÉF. STOCK MOUSER		Description	Boîtier	Tension de seuil Typ. (V)	Tolérance de tension de seuil (±) (V)	Tension de sup-pression Max. (mV)	Courant débité Min. (mA)	Courant de fuite d'entrée de porte Max. (pA)	Résistance de source débitée Max. (Ω)	Courant de fuite de source débitée Max. (nA)	Prix unitaire		
Fabr.	Réf. fabr.										1	25	100
♦ 585—	ALD1101ASAL	Paire de MOSFET adaptée à canal N double	SO-8	.70	0.30	2	25	50	75	4	4,22	3,38	3,08
585—	ALD1101PAL	Paire de MOSFET adaptée à canal N double	DIP-8	.70	0.30	10	25	50	75	4	2,58	2,08	1,89
585—	ALD1106PBL	Matrice de paires de MOSFET adaptées à canal N quadruple	DIP-14	.70	0.30	10	3	10	500	0.4	1,79	1,45	1,30
585—	ALD110802PCL	Matrice de paires de MOSFET adaptées à canal N quadruple EPAD	DIP-16	.20	0.02	10	3	30	500	0.1	2,28	1,83	1,67
♦ 585—	ALD110802SCL	Matrice de paires de MOSFET adaptées à canal N quadruple EPAD	SO-16	.20	0.02	10	3	30	500	0.1	2,28	1,83	1,67
585—	ALD110804PCL	Matrice de paires de MOSFET adaptées à canal N quadruple EPAD	DIP-16	.40	0.02	10	3	100	500	0.4	2,28	1,83	1,67
♦ 585—	ALD110804SCL	Matrice de paires de MOSFET adaptées à canal N quadruple EPAD	SO-16	.40	0.02	10	3	100	500	0.4	2,28	1,83	1,67
585—	ALD110808PCL	Matrice de paires de MOSFET adaptées à canal N quadruple EPAD	DIP-16	.80	0.02	10	3	30	500	0.1	2,33	1,88	1,69
♦ 585—	ALD110808SCL	Matrice de paires de MOSFET adaptées à canal N quadruple EPAD	SO-16	.80	0.02	10	3	30	500	0.1	2,33	1,88	1,69
585—	ALD110808APCL	Matrice de paires de MOSFET adaptées à canal N quadruple EPAD	DIP-16	.80	0.02	2	3	30	500	0.1	3,27	2,62	2,39
♦ 585—	ALD110808ASCL	Matrice de paires de MOSFET adaptées à canal N quadruple EPAD	SO-16	.80	0.02	2	3	30	500	0.1	3,27	2,62	2,39
585—	ALD110814PCL	Matrice de paires de MOSFET adaptées à canal N quadruple EPAD	DIP-16	1.40	0.04	10	3	30	500	0.1	2,35	1,90	1,71
585—	ALD110902PAL	Paire de MOSFET adaptée à canal N double EPAD	DIP-8	.20	0.02	10	3	30	500	0.1	1,91	1,55	1,39
♦ 585—	ALD110902SAL	Paire de MOSFET adaptée à canal N double EPAD	SO-8	.20	0.02	10	3	30	500	0.1	1,91	1,55	1,39
585—	ALD110904PAL	Paire de MOSFET adaptée à canal N double EPAD	DIP-8	.40	0.02	10	3	100	500	0.4	1,65	1,34	1,20
♦ 585—	ALD110904SAL	Paire de MOSFET adaptée à canal N double EPAD	SO-8	.40	0.02	10	3	100	500	0.4	1,65	1,34	1,20
585—	ALD110908PAL	Paire de MOSFET adaptée à canal N double EPAD	DIP-8	.80	0.02	10	3	30	500	0.1	1,65	1,34	1,20
♦ 585—	ALD110908SAL	Paire de MOSFET adaptée à canal N double EPAD	SO-8	.80	0.02	10	3	30	500	0.1	1,65	1,34	1,20
585—	ALD110908APAL	Paire de MOSFET adaptée à canal N double EPAD	DIP-8	.80	0.02	2	3	30	500	0.1	1,91	1,55	1,39
♦ 585—	ALD110908ASAL	Paire de MOSFET adaptée à canal N double EPAD	SO-8	.80	0.02	2	3	30	500	0.1	1,91	1,55	1,39
585—	ALD110914PAL	Paire de MOSFET adaptée à canal N double EPAD	DIP-8	1.40	0.04	10	3	30	500	0.1	1,65	1,34	1,20
♦ 585—	ALD110914SAL	Paire de MOSFET adaptée à canal N double EPAD	SO-8	1.40	0.04	10	3	30	500	0.1	1,65	1,34	1,20
♦ 585—	ALD111933MAL	Paire de MOSFET adaptée à canal N double	MSOP-8	3.30	0.05	20	3	100	500	0.4	1,91	1,55	1,39
♦ 585—	ALD111933SAL	Paire de MOSFET adaptée à canal N double	SO-8	3.30	0.05	20	3	100	500	0.4	1,65	1,34	1,20

MODE D'AMÉLIORATION À CANAL P ALD

♦ Montage en surface

Pour des quantités supérieures à celles indiquées, appelez-nous afin d'obtenir un devis.

♦ 585—	ALD1102PAL	Paire de MOSFET adaptée à canal P double	DIP-8	-0.8	0.4	10	-8	50	270	4	2,58	2,08	1,89
585—	ALD1102ASAL	Paire de MOSFET adaptée à canal P double	SO-8	-0.8	0.4	2	-8	50	270	4	4,22	3,38	3,08
585—	ALD1107PBL	Matrice de paires de MOSFET adaptées à canal P quadruple	DIP-14	-0.7	0.3	10	-1.3	10	1800	0.4	1,79	1,45	1,30
585—	ALD1117PAL	Paire de MOSFET adaptée à canal P double	DIP-8	-0.7	0.3	10	-1.3	10	1800	0.4	1,58	1,27	1,14
♦ 585—	ALD1117SAL	Paire de MOSFET adaptée à canal P double	SO-8	-0.7	0.3	10	-1.3	10	1800	0.4	1,58	1,27	1,14

MODE D'AMÉLIORATION À CANAL N & CANAL P COMPLÉMENTAIRES ALD

♦ Montage en surface

Pour des quantités supérieures à celles indiquées, appelez-nous afin d'obtenir un devis.

RÉF. STOCK MOUSER		Description	Boîtier	Tension de seuil Typ. (V)	Tolérance de tension de seuil (±) (V)	Tension de sup-pression Max. (mV)	Courant débité Min. (mA)	Courant de fuite d'entrée de porte Max. (pA)	Résistance de source débitée Max. (Ω)	Courant de fuite de source débitée Max. (nA)	Prix unitaire		
Fabr.	Réf. fabr.										1	25	100
585—	ALD1103PBL	Paire de MOSFET adaptée à canal P double & canal N double	DIP-14	0.7/-0.7	0.3 / 0.3	10	25/-8	50	75/270	4	3,04	2,45	2,23
♦ 585—	ALD1103SBL	Paire de MOSFET adaptée à canal P double & canal N double	SO-14	0.7/-0.7	0.3 / 0.3	10	25/-8	50	75/270	4	3,04	2,45	2,23
585—	ALD1105PBL	Paire de MOSFET adaptée à canal P double & canal N double	DIP-14	0.7/-0.7	0.3 / 0.3	10	3/-1.3	50	500/1800	0.4	2,11	1,71	1,53
♦ 585—	ALD1105SBL	Paire de MOSFET adaptée à canal P double & canal N double	SO-14	0.7/-0.7	0.3 / 0.3	10	3/-1.3	50	500/1800	0.4	2,11	1,71	1,53
♦ 585—	ALD1115MAL	MOSFET à canal P & canal N complémentaire	MSOP-8	0.7/-0.7	0.3	10	3/-1.3	50	500/1800	0.4	1,78	1,49	0,858
585—	ALD1115PAL	MOSFET à canal P & canal N complémentaire	DIP-8	0.7/-0.7	0.3	10	3/-1.3	50	500/1800	0.4	1,58	1,27	1,14
♦ 585—	ALD1115SAL	MOSFET à canal P & canal N complémentaire	SO-8	0.7/-0.7	0.3	10	3/-1.3	50	500/1800	0.4	1,58	1,27	1,14

MODE SEUIL ZÉRO À CANAL N ALD

♦ Montage en surface

Pour des quantités supérieures à celles indiquées, appelez-nous afin d'obtenir un devis.

585—	ALD110800PCL	Matrice de paires de MOSFET adaptées à canal N quadruple EPAD	DIP-16	0.00	0.02	10	3	30	500	0.1	2,28	1,83	1,67
♦ 585—	ALD110800SCL	Matrice de paires de MOSFET adaptées à canal N quadruple EPAD	SO-16	0.00	0.02	10	3	30	500	0.1	2,28	1,83	1,67
585—	ALD110800APCL	Matrice de paires de MOSFET adaptées à canal N quadruple EPAD	DIP-16	0.00	0.01	2	3	30	500	0.1	3,27	2,62	2,39
♦ 585—	ALD110800ASCL	Matrice de paires de MOSFET adaptées à canal N quadruple EPAD	SO-16	0.00	0.01	2	3	30	500	0.1	3,27	2,62	2,39
585—	ALD110900PAL	Paire de MOSFET adaptée à canal N double EPAD	DIP-8	0.00	0.02	10	3	30	500	0.1	1,91	1,55	1,39
♦ 585—	ALD110900SAL	Paire de MOSFET adaptée à canal N double EPAD	SO-8	0.00	0.02	10	3	30	500	0.1	1,91	1,55	1,39
585—	ALD110900APAL	Paire de MOSFET adaptée à canal N double EPAD	DIP-8	0.00	0.01	2	3	30	500	0.1	2,48	2,00	1,82
♦ 585—	ALD110900ASAL	Paire de MOSFET adaptée à canal N double EPAD	SO-8	0.00	0.01	2	3	30	500	0.1	2,48	2,00	1,82

MODE APPAUVRISSEMENT DE CANAL N ALD

♦ Montage en surface

Pour des quantités supérieures à celles indiquées, appelez-nous afin d'obtenir un devis.

RÉF. STOCK MOUSER		Description	Boîtier	Tension de seuil Typ. (V)	Tolérance de tension de seuil (±) (V)	Tension de sup-pression Max. (mV)	Courant débité Min. (mA)	Courant de fuite d'entrée de porte Max. (pA)	Résistance de source débitée Max. (Ω)	Courant de fuite de source débitée Max. (nA)	Prix unitaire		
Fabr.	Réf. fabr.										1	25	100
585—	ALD114804PCL	Matrice de paires de MOSFET adaptées à canal N quadruple EPAD	DIP-16	-0.4	0.04	20	3	30	75	0.1	2,28	1,83	1,67
♦ 585—	ALD114804SCL	Matrice de paires de MOSFET adaptées à canal N quadruple EPAD	SO-16	-0.4	0.04	20	3	30	75	0.1	2,28	1,83	1,67
585—	ALD114804APCL	Matrice de paires de MOSFET adaptées à canal N quadruple EPAD	DIP-16	-0.4	0.02	5	3	30	75	0.1	2,96	2,38	2,16
♦ 585—	ALD114804ASCL	Matrice de paires de MOSFET adaptées à canal N quadruple EPAD	SO-16	-0.4	0.02	5	3	30	75	0.1	2,96	2,38	2,16
585—	ALD114813PCL	Matrice de paires de MOSFET adaptées à canal N quadruple EPAD	DIP-16	-1.3	0.04	20	3	30	75	0.1	2,28	1,83	1,67
585—	ALD114835PCL	Matrice de paires de MOSFET adaptées à canal N quadruple EPAD	DIP-16	-3.5	0.05	20	3	30	75	0.1	2,50	2,01	1,83
♦ 585—	ALD114835SCL	Matrice de paires de MOSFET adaptées à canal N quadruple EPAD	SO-16	-3.5	0.05	20	3	30	75	0.1	2,50	2,01	1,83
585—	ALD114904PAL	Paire de MOSFET adaptée à canal N double EPAD	DIP-8	-0.4	0.04	20	3	30	75	0.1	1,91	1,55	1,39
♦ 585—	ALD114904SAL	Paire de MOSFET adaptée à canal N double EPAD	SO-8	-0.4	0.04	20	3	30	75	0.1	1,91	1,55	1,39
585—	ALD114904APAL	Paire de MOSFET adaptée à canal N double EPAD	DIP-8	-0.4	0.02	5	3	30	75	0.1	2,35	1,90	1,71
♦ 585—	ALD114904ASAL	Paire de MOSFET adaptée à canal N double EPAD	SO-8	-0.4	0.02	5	3	30	75	0.1	2,35	1,90	1,71
585—	ALD114913PAL	Paire de MOSFET adaptée à canal N double EPAD	DIP-8	-1.3	0.04	20	3	30	75	0.1	1,91	1,55	1,39
♦ 585—	ALD114913SAL	Paire de MOSFET adaptée à canal N double EPAD	SO-8	-1.3	0.04	20	3	30	75	0.1	1,91	1,55	1,39
585—	ALD114935PAL	Paire de MOSFET adaptée à canal N double EPAD	DIP-8	-3.5	0.05	20	3	30	75	0.1	2,11	1,71	1,53
♦ 585—	ALD114935SAL	Paire de MOSFET adaptée à canal N double EPAD	SO-8	-3.5	0.05	20	3	30	75	0.1	2,11	1,71	1,53

© Copyright 2012 Mouser Electronics
© Copyright 2012 Mouser Electronics

MOSFET à canal N

DIODES INCORPORATED — A Product Line of Diodes Incorporated | ZETEX

Les produits peuvent être conformes à la directive RoHS. Consultez le site mouser.com pour vérifier la conformité RoHS.

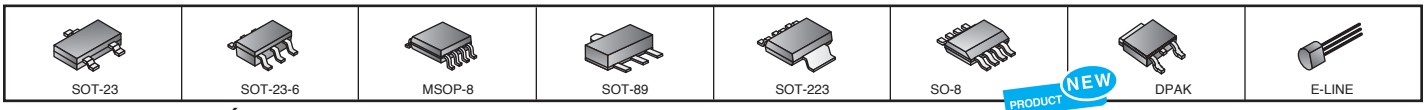

MOSFET MODE AMÉLIORATION CANAL N

♦ **Composant pour montage en surface** **Pour des quantités supérieures à celles indiquées, appelez-nous afin d'obtenir un devis.**

RÉF. STOCK MOUSER	Réf. Zetex	Boîtier	BV_{DSS} (V)	I_D (A)	P_D (W)	$R_{DS(on)}$ Max (Ω) à V_{GS}=2,5V	$R_{DS(on)}$ Max (Ω) à V_{GS}=4,5V	C_{ISS} typ (pF) à V_{DS}=10V	Q_g typ (nC) à V_{GS}=4,5V	Prix unitaire 1	10	100	500
♦ 522-DMN2028USS-13	DMN2028USS-13	SO-8	20	9.8	2.8	11	15	1000	11.6	0,54	0,476	0,408	0,303
♦ 522-ZXM61N02FTA	ZXM61N02FTA	SOT-23	20	1.7	0.8	0.24 @ 2.7V	0.18	170	2.6	0,63	0,495	0,326	0,28
♦ 522-ZXMN2A01FTA	ZXMN2A01FTA	SOT-23	20	2	0.8	0.225	0.12	310	3	0,52	0,419	0,271	0,233
♦ 522-ZXMN2A01E6TA	ZXMN2A01E6TA	SOT-23-6	20	3	1.7	0.3	0.12	299	3.1	0,76	0,60	0,393	0,338
♦ 522-ZXMN2A14FTA	ZXMN2A14FTA	SOT-23	20	3.3	1	0.11	0.06	613	6.4	0,66	0,524	0,321	0,249
♦ 522-ZXMN2F34FHTA	ZXMN2F34FHTA	SOT-23	20	4	1.4	0.12	0.06	277	2.8	0,52	0,409	0,235	0,195
♦ 522-ZXMN2A03E6TA	ZXMN2A03E6TA	SOT-23-6	20	4.5	1.7	0.1	0.055	823	8.6	0,88	0,752	0,52	0,44
♦ 522-ZXMN2F30FHTA	ZXMN2F30FHTA	SOT-23	20	4.9	1.4	0.065	0.045	452	4.8	0,57	0,447	0,256	0,213
♦ 522-ZXMN2F34MATA	ZXMN2F34MATA	DFN322	20	5.1	2.2	0.12	0.06	277	2.8	0,55	0,438	0,272	0,211
♦ 522-ZXM64N02XTA	ZXM64N02XTA	MSOP-8	20	5.4	1.8	0.050 @ 2.7V	0.04	1100	12.5	1,45	1,29	0,892	0,797
♦ 522-ZVN4525E6TA	ZVN4525E6TA	SOT-23-6	250	0.23	1.1	9.5 @ 2.4V	8.5	72	2.5	0,96	0,828	0,569	0,482
♦ 522-ZVN4525ZTA	ZVN4525ZTA	SOT-89	250	0.24	1.2	9.5 @ 2.4V	8.5	72	2.5	0,92	0,79	0,545	0,461
♦ 522-ZVN4525GTA	ZVN4525GTA	SOT-223	250	0.31	2	9.5 @ 2.4V	8.5	72	2.5	0,96	0,828	0,569	0,482
♦ 522-ZXM61N03FTA	ZXM61N03FTA	SOT-23	30	1.4	0.8	0.3	0.22	160	3.2	0,63	0,495	0,326	0,28
♦ 522-ZXMN3A01FTA	ZXMN3A01FTA	SOT-23	30	2	0.8	0.18	0.12	190	3.9	0,52	0,419	0,271	0,233
♦ 522-ZXMN3A01E6TA	ZXMN3A01E6TA	SOT-23-6	30	3	1.7	0.18	0.12	190	3.9	0,76	0,60	0,393	0,338
♦ 522-ZXMN3A14FTA	ZXMN3A14FTA	SOT-23	30	3.5	1	0.095	0.065	450	8.7	0,63	0,543	0,371	0,30
♦ 522-ZXMN3F30FHTA	ZXMN3F30FHTA	SOT-23	30	4.6	1.4	0.065	0.047	-	9.1	0,57	0,447	0,256	0,213
♦ 522-ZXM62N03GTA	ZXM62N03GTA	SOT-223	30	4.7	3.9	0.15	0.11	380	9.6	0,88	0,752	0,52	0,42
♦ 522-ZXMN3G32DN8TA	ZXMN3G32DN8TA	SOT-23	30	7.1	2.1	0.045	0.028	-	10.5	0,92	0,79	0,545	0,419
♦ 522-ZXMN3F31DN8TA	ZXMN3F31DN8TA	SOT-23	30	7.3	2.1	0.039	0.024	-	12.9	0,92	0,79	0,545	0,419
♦ 522-ZXMN3A02N8TA	ZXMN3A02N8TA	SO-8	30	9	2.5	0.035	0.025	1400	26.8	2,10	1,56	1,06	0,82
♦ 522-ZXMN3B04N8TA	ZXMN3B04N8TA	SO-8	30	9.1	2.5	0.025	-	2480	23.1	1,19	1,07	0,738	0,597
♦ 522-ZXMN4A06GTA	ZXMN4A06GTA	SOT-223	40	7	3.9	0.075	0.05	810	18.2	0,88	0,752	0,52	0,44
♦ 522-DMN4034SSD-13	DMN4034SSD-13	SOP-8L	40	4.8	1.25	-	0.059	453 @ 20V	10	0,92	0,79	0,545	0,446
♦ 522-DMN4027SSD-13	DMN4027SSD-13	SOP-8L	40	5.4	1.25	-	0.047	604 @ 20V	6.3	0,92	0,79	0,545	0,446
♦ 522-DMN4034SSS-13	DMN4034SSS-13	SOP-8L	40	5.4	1.56	-	0.059	453 @ 20V	10	0,75	0,647	0,446	0,36
♦ 522-DMN4027SSS-13	DMN4027SSS-13	SOP-8L	40	6	1.56	-	0.047	640 @ 20V	6.3	0,75	0,647	0,446	0,36
♦ 522-ZXMN6A07FTA	ZXMN6A07FTA	SOT-23	60	1	0.8	0.45	0.3	166	3.2	0,63	0,495	0,326	0,28
♦ 522-ZXMN6A08E6TA	ZXMN6A08E6TA	SOT-23-6	60	3.1	1.7	0.18	0.1	459	5.8	0,88	0,752	0,52	0,44
♦ 522-DMN6066SSD-13	DMN6066SSD-13	SOP-8L	60	3.3	1.25	-	0.097	502 @ 30V	10.3	0,80	0,695	0,594	0,491
♦ 522-DMN6066SSS-13	DMN6066SSS-13	SOP-8L	60	3.7	1.56	-	0.097	502 @ 30V	10.3	0,67	0,552	0,495	0,345
♦ 522-ZXMN6A11GTA	ZXMN6A11GTA	SOT-223	60	3.8	3.9	0.25	0.14	330	5.7	0,75	0,647	0,443	0,374
♦ 522-ZXMN6A09GTA	ZXMN6A09GTA	SOT-223	60	7.5	2	0.04	0.06	59	12.4	1,25	1,11	0,771	0,689
♦ 522-ZXMN10A08E6TA	ZXMN10A08E6TA	SOT-23-6	100	1.5	1.7	0.3	0.25	405	7.7	0,66	0,524	0,342	0,293
♦ 522-ZXMN10A11GTA	ZXMN10A11GTA	SOT-223	100	1.9	3.9	0.45	0.35	274	5.4	0,77	0,666	0,458	0,387

DMOS FET VERTICALES MODE AMÉLIORATION CANAL N

♦ **Composant pour montage en surface** **Pour des quantités supérieures à celles indiquées, appelez-nous afin d'obtenir un devis.**

RÉF. STOCK MOUSER	Réf. Zetex	Boîtier	BV_{DSS} (V)	I_D (A)	P_D (W)	$R_{DS(on)}$ Max (Ω) à V_{GS} (V_{GS}=2,5~10V) 2,5 V	2,6V	3 V	4,5V	E/S	6V	10 V	C_{ISS} typ (pF) à V_{DS}	Q_g typ (nC) à V_{GS}=10V	Prix unitaire 1	10	100	500
♦ 522-ZVN3320FTA	ZVN3320FTA	SOT-23	200	0.06	0.33	-	-	-	-	-	-	25	-	-	0,50	0,39	0,244	0,189
522-BS107P	BS107P	E-Line	200	0.12	0,5	-	23	-	30	-	-	-	58 @ 50V	2.7	0,87	0,752	0,507	0,432
522-ZVNL120A	ZVNL120A	E-Line	200	0.18	0.7	-	-	10	-	10	-	-	58 @ 50V	2.2	0,74	0,647	0,436	0,371
♦ 522-ZVN2120GTA	ZVN2120GTA	SOT-223	200	0.32	2	-	-	-	-	-	-	10	58 @ 50V	2.2	0,90	0,809	0,643	0,495
522-ZVN0124A	ZVN0124A	E-Line	240	0.16	0.7	-	-	-	-	-	-	16	62 @ 50V	1.4	0,69	0,60	0,403	0,343
522-ZVN4424A	ZVN4424A	E-Line	240	0.26	0.75	6	-	-	-	-	-	5.5	100 @ 50V	18	1,07	0,942	0,657	0,58
♦ 522-ZVN4424ZTA	ZVN4424ZTA	SOT-89	240	0.26	0.75	6	-	-	-	-	-	5.5	100 @ 50V	18	0,86	0,733	0,507	0,429
♦ 522-ZVN4424GTA	ZVN4424GTA	SOT-223	240	0,5	2.5	6	-	-	-	-	-	5.5	100 @ 50V	18	1,14	1,02	0,704	0,629
522-ZVN0545A	ZVN0545A	E-Line	450	0.09	0.7	-	-	-	-	-	-	50	55 @ 50V	-	1,55	1,40	1,00	0,878
♦ 522-ZVN0545GTA	ZVN0545GTA	SOT-223	450	0.14	2	-	-	-	-	-	-	50	55 @ 50V	-	0,92	0,79	0,545	0,44
♦ 522-BSS138TA	BSS138TA	SOT-23	50	0.2	0.36	-	-	-	-	3.5	-	-	35 @ 30V	-	0,31	0,228	0,141	0,127
♦ 522-2N7002TA	2N7002TA	SOT-23	60	0.115	0.33	-	-	-	-	-	-	3.75	27 @ 30V	1	0,59	0,419	0,251	0,142
♦ 522-ZVN3306FTA	ZVN3306FTA	SOT-23	60	0.15	0.33	-	-	-	-	-	-	5	30 @ 30V	0.95	0,65	0,552	0,384	0,309
♦ 522-ZVN4106FTA	ZVN4106FTA	SOT-23	60	0.2	0.33	-	-	-	-	5	-	2.5	27 @ 30V	1	0,71	0,609	0,421	0,34
522-ZVN3306A	ZVN3306A	E-Line	60	0.27	0.625	-	-	-	-	-	-	5	30 @ 30V	0.95	0,74	0,647	0,436	0,371
522-VN10LP	VN10LP	E-Line	60	0.27	0.625	-	-	-	-	7.5	-	5	30 @ 30V	0.95	0,65	0,562	0,38	0,324
♦ 522-BS170FTA	BS170FTA	SOT-23	60	0.15	0.33	-	-	-	-	-	-	5	60 @ 30V	-	0,97	0,724	0,438	0,371
522-BS170P	BS170P	E-Line	60	0.27	0.625	-	-	-	-	-	-	5	60 @ 30V	-	1,15	0,857	0,577	0,50
522-ZVN2106A	ZVN2106A	E-Line	60	0.45	0.7	-	-	-	-	-	-	2	50 @ 30V	1.6	0,69	0,60	0,403	0,343
522-ZVN4206A	ZVN4206A	E-Line	60	0.6	0.7	-	-	-	-	1.5	-	1	70 @ 30V	2.4	0,72	0,628	0,425	0,362
♦ 522-ZVN2106GTA	ZVN2106GTA	SOT-223	60	0.71	2	-	-	-	-	-	-	2	50 @ 30V	1.6	0,92	0,79	0,545	0,44
♦ 522-ZVN4206GTA	ZVN4206GTA	SOT-223	60	1	2	-	-	-	-	1.5	-	1	70 @ 30V	2.4	0,98	0,866	0,604	0,54
522-ZVN4306A	ZVN4306A	E-Line	60	1.1	1.1	-	-	-	-	0.45	-	0.33	220 @ 30V	5.2	1,52	1,34	0,933	0,824
522-ZVN4306AV	ZVN4306AV	E-Line	60	1.1	1.1	-	-	-	-	0.45	-	0.33	220 @ 30V	5.2	1,52	1,34	0,933	0,824
♦ 522-ZVN4306GTA	ZVN4306GTA	SOT-223	60	2.1	3	-	-	-	-	0.45	-	0.33	220 @ 30V	5.2	1,45	1,29	0,895	0,80
♦ 522-ZVN4306GVTA	ZVN4306GVTA	SOT-223	60	2.1	3	-	-	-	-	0.45	-	0.33	220 @ 30V	5.2	1,68	1,44	1,05	0,911
♦ 522-ZVN3310FTA	ZVN3310FTA	SOT-23	100	0.1	0.33	-	-	-	-	-	-	10	25 @ 50V	0.7	0,65	0,552	0,384	0,309
522-ZVNL110A	ZVNL110A	E-Line	100	0.12	0.7	-	-	-	-	4.5	-	3	75 @ 50V	-	0,74	0,647	0,436	0,371
♦ 522-BSS123TA	BSS123TA	SOT-23	100	0.17	0.36	-	-	-	-	-	-	6	25 @ 50V	0.7	0,55	0,39	0,188	0,151
522-ZVN3310A	ZVN3310A	E-Line	100	0.2	0.625	-	-	-	-	-	-	10	25 @ 50V	0.7	0,74	0,647	0,436	0,371
522-ZVN2110A	ZVN2110A	E-Line	100	0.32	0.7	-	-	-	-	-	-	4	60 @ 50V	1.8	0,69	0,60	0,403	0,343
522-ZVN4210A	ZVN4210A	E-Line	100	0.45	0.7	-	-	-	-	1.8	-	1.5	65 @ 50V	2.7	0,80	0,695	0,469	0,40
♦ 522-ZVN2110GTA	ZVN2110GTA	SOT-223	100	0,5	0.2	-	-	-	-	-	-	4	60 @ 50V	1.8	0,90	0,809	0,559	0,50
♦ 522-ZVNL110GTA	ZVNL110GTA	SOT-223	100	0.6	2	-	-	-	-	4.5	-	3	60 @ 50V	1.8	0,98	0,866	0,604	0,54
♦ 522-ZXMN10A07FTA	ZXMN10A07FTA	SOT-23	100	0.64	0.8	-	-	-	-	-	0.9	0.7	138 @ 50V	2.5	0,48	0,371	0,244	0,209
♦ 522-ZVN4210GTA	ZVN4210GTA	SOT-223	100	0.8	2	-	-	-	-	1.8	-	1.5	65 @ 50V	2.7	0,98	0,866	0,604	0,54
522-ZVN4310A	ZVN4310A	E-Line	100	0.9	1.1	-	-	-	-	0.65	-	0,5	200 @ 50V	6	1,52	1,34	0,933	0,824
♦ 522-ZVN4310GTA	ZVN4310GTA	SOT-223	100	1.67	3	-	-	-	-	0.75	-	0.54	200 @ 50V	6	1,66	1,48	1,02	0,915

INTERRUPTEUR MOSFET CÔTÉ BAS INTELLIFET™

♦ **Composant pour montage en surface** **Pour des quantités supérieures à celles indiquées, appelez-nous afin d'obtenir un devis.**

RÉF. STOCK MOUSER	Réf. Zetex	Boîtier	BV_{DSS} (V)	I_D (A)	P_D (W)	$R_{DS(on)}$ Max (Ω) à V_{GS}=2,5V	$R_{DS(on)}$ Max (Ω) à V_{GS}=4,5V	C_{ISS} typ (pF) à V_{DS}=10V	Q_g typ (nC) à V_{GS}=4,5V	Prix unitaire 1	10	100	500
♦ 522-BSP75NTA	BSP75NTA	SOT-223	60	1.3	1.5	0.675	0.55	550	4000	1,25	1,11	0,769	0,687

© Copyright 2012 Mouser Electronics

© Copyright 2012 Mouser Electronics

MOSFET simples et doubles

A Product Line of Diodes Incorporated

Les produits peuvent être conformes à la directive RoHS. Consultez le site mouser.com pour vérifier la conformité RoHS.

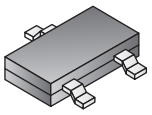
SOT-23

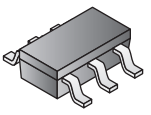
SOT-23-6

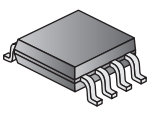
MSOP-8

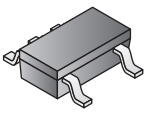
SOT-23-5

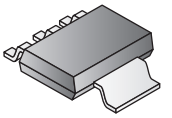
SOT-223

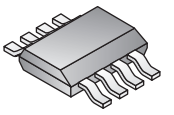
SO-8, SM-8

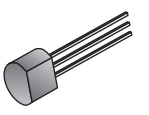
E-LINE

MOSFET MODE AMÉLIORATION CANAL P

NEW PRODUCT

◆ **Composant pour montage en surface**

Pour des quantités supérieures à celles indiquées, appelez-nous afin d'obtenir un devis.

RÉF. STOCK MOUSER	Réf. Zetex	Boîtier	BV_{DSS} (V)	I_D (A)	P_D (W)	$R_{DS(on)}$ (Ω)	$R_{DS(on)}$ à V_{GS}=	C_{ISS} typ (pF)	C_{ISS} à V_{DS}=	Q_g typ (nC) à	Q_g à V_{GS}=	Prix unitaire 1	10	100	500
◆ 522-ZXM61P02FTA	ZXM61P02FTA	SOT-23	-20	-0.9	0.8	0.6	-4.5	160	-10	2.7	-4.5	0,43	0,314	0,214	0,186
◆ 522-ZXM62P02E6TA	ZXM62P02E6TA	SOT-23-6	-20	-2.3	1.7	0.2	-4.5	340	-10	4.6	-4.5	0,80	0,685	0,47	0,38
◆ 522-ZXM64P02XTA	ZXM64P02XTA	MSOP-8	-20	-3.5	1.8	0.09	-4.5	950	-10	5	-4.5	1,45	1,29	0,897	0,802
◆ 522-ZXM66P02N8TA	ZXM66P02N8TA	SO-8	-20	-8	2.5	0.025	-4.5	2100	-10	43.3	-4.5	2,87	2,45	1,79	1,43
◆ 522-ZXM61P03FTA	ZXM61P03FTA	SOT-23	-30	-1.1	0.8	0.35	-10	145	-15	3.7	-10	0,63	0,495	0,326	0,28
◆ 522-ZXMP3A13FTA	ZXMP3A13FTA	SOT-23	-30	-1.6	0.8	0.21	-10	204	-15	5.2	-10	0,63	0,495	0,326	0,28
◆ 522-ZXM62P03E6TA	ZXM62P03E6TA	SOT-23-6	-30	-2.6	1.7	0.15	-10	350	-15	8	-10	0,80	0,685	0,47	0,38
◆ 522-ZXM64P03XTA	ZXM64P03XTA	MSOP-8	-30	-3.8	1.8	0.075	-10	875	-15	37	-10	1,59	1,42	0,981	0,88
◆ 522-ZXMP3A17E6TA	ZXMP3A17E6TA	SOT-23-6	-30	-4	1.7	0.07	-10	630	-15	15.8	-10	0,73	0,628	0,433	0,367
◆ 522-ZXM62P03GTA	ZXM62P03GTA	SOT-223	-30	-4	3.9	0.15	-10	332	-15	10.2	-10	1,18	0,876	0,59	0,505
◆ 522-ZXMP3A16N8TA	ZXMP3A16N8TA	SO-8	-30	-6.7	2.5	0.04	-10	970	-15	24.9	-10	0,94	0,838	0,582	0,47
◆ 522-ZXMP3A16GTA	ZXMP3A16GTA	SOT-223	-30	-7.5	2	0.045	-10	970	-15	24.9	-10	0,98	0,866	0,604	0,54
◆ 522-DMP4050SSS-13	DMP4050SSS-13	SOP-8L	-40	-4.4	1.56	0.05	-10	674	-20	13.9	-10	0,75	0,647	0,446	0,36
◆ 522-ZXMP4A16GTA	ZXMP4A16GTA	SOT-223	-40	-6.4	3.9	0.06	-10	1010	-15	26.1	-10	1,25	1,11	0,771	0,689
◆ 522-ZXMP6A13FTA	ZXMP6A13FTA	SOT-23	-60	-1.1	0.8	0.4	-10	233	-15	5.1	-10	0,63	0,495	0,308	0,24
◆ 522-ZXMP6A17N8TC	ZXMP6A17N8TC	SOP-8L	-60	-2.7	1.56	0.125	-10	637	-30	17.7	-10	0,92	0,79	0,545	0,446
◆ 522-ZXMP6A17E6TA	ZXMP6A17E6TA	SOT-23-6	-60	-3	1.7	0.125	-10	637	-30	17.7	-10	0,66	0,524	0,321	0,249
◆ 522-ZXMP6A17GTA	ZXMP6A17GTA	SOT-223	-60	-4.1	2	0.125	-10	637	-30	17.7	-10	0,80	0,685	0,47	0,38
◆ 522-ZXMP7A17GTA	ZXMP7A17GTA	SOT-223	-70	-3.7	2	0.16	-10	635	-40	18	-10	0,82	0,704	0,483	0,408
◆ 522-ZXMP10A13FTA	ZXMP10A13FTA	SOT-23	-100	-0.7	0.8	1,0	-10	141	-50	3.5	-10	0,66	0,524	0,324	0,251
◆ 522-ZXMP2120E5TA	ZXMP2120E5TA	SOT-23-5	-200	-0.122	0.75	28	-10	65	-50	1.6	-10	1,21	0,762	0,522	0,442
◆ 522-ZVP4525E6TA	ZVP4525E6TA	SOT-23-6	-250	-0.197	1.1	14	-10	75	-50	2.5	-10	0,96	0,828	0,569	0,482
◆ 522-ZVP4525GTA	ZVP4525GTA	SOT-223	-250	-0.265	2	14	-10	75	-50	2.5	-10	0,73	0,628	0,433	0,367

DMOS FET VERT. MODE AMÉLIORATION CANAL P

◆ **Composant pour montage en surface**

Pour des quantités supérieures à celles indiquées, appelez-nous afin d'obtenir un devis.

RÉF. STOCK MOUSER	Réf. Zetex	Boîtier	BV_{DSS} (V)	I_D (A)	P_D (W)	$R_{DS(on)}$ Max (Ω) à V_{GS}= -3.5V	-4.5V	-10V	C_{ISS} typ(pF) à V_{DS}= -15V	-30V	-50V	Q_g typ (nC) à V_{GS}=-10V	Prix unitaire 1	10	100	500
◆ 522-ZVP1320FTA	ZVP1320FTA	SOT-23	-200	-0.035	0.33	-	-	80	-	-	28	2	0,63	0,495	0,308	0,24
◆ 522-ZVP2120GTA	ZVP2120GTA	SOT-223	-200	-0.3	2	-	-	25	-	-	65	1.6	0,75	0,647	0,446	0,36
522-ZVP4424A	ZVP4424A	E-Line	-240	-0.2	0.75	11	-	9	-	-	100	3.7	1,10	0,971	0,679	0,60
◆ 522-ZVP4424GTA	ZVP4424GTA	SOT-223	-240	-0.48	2.5	11	-	9	-	-	100	3.7	1,14	1,02	0,704	0,629
522-ZVP0545A	ZVP0545A	E-Line	-450	-0.045	0.7	-	-	150	-	-	-	-	1,53	1,35	0,942	0,832
◆ 522-ZVP0545GTA	ZVP0545GTA	SOT-223	-450	-0.075	2	-	-	150	-	-	-	-	0,91	0,809	0,564	0,504
◆ 522-BS250FTA	BS250FTA	SOT-23	-45	-0.09	0.33	-	-	14	30	-	-	0.75	0,71	0,609	0,421	0,34
522-BS250P	BS250P	E-Line	-45	-0.23	0.7	-	-	14	60	-	-	1.6	0,84	0,733	0,511	0,452
◆ 522-BSS84TA	BSS84TA	SOT-23	-50	-0.13	0.36	-	10 @ 5V	-	-	-	-	-	0,55	0,39	0,188	0,151
522-ZVP4105A	ZVP4105A	E-Line	-50	-0.18	0.625	-	10 @ 5V	-	-	-	-	-	0,88	0,762	0,512	0,436
◆ 522-ZVP3306FTA	ZVP3306FTA	SOT-23	-60	-0.09	0.33	-	-	14	-	27	-	0.9	0,77	0,666	0,458	0,369
522-ZVP3306A	ZVP3306A	E-Line	-60	-0.16	0.625	-	-	14	-	27	-	0.9	0,61	0,533	0,358	0,305
522-ZVP2106A	ZVP2106A	E-Line	-60	-0.28	0.7	-	-	5	-	55	-	1.7	0,84	0,733	0,511	0,452
◆ 522-ZVP2106GTA	ZVP2106GTA	SOT-223	-60	-0.45	2	-	-	5	-	55	-	1.7	1,09	0,971	0,671	0,60
522-ZVP2110A	ZVP2110A	E-Line	-100	-0.14	0.7	-	-	8	-	-	58	1.8	0,84	0,733	0,511	0,452
◆ 522-ZVP2110GTA	ZVP2110GTA	SOT-223	-100	-0.31	2	-	-	8	-	-	58	1.8	1,09	0,971	0,671	0,60
522-ZVP3310A	ZVP3310A	E-Line	-100	-0.14	0.625	-	-	20	-	-	20	0.7	0,67	0,581	0,391	0,333
◆ 522-ZVP3310FTA	ZVP3310FTA	SOT-23	-100	-0.075	0.33	-	-	20	-	-	20	0.7	0,77	0,666	0,458	0,369

MOSFET MODE AMÉLIORATION CANAUX N ET P

◆ **Composant pour montage en surface** Pour des quantités supérieures à celles indiquées, appelez-nous afin d'obtenir un devis.

◆ 522-ZXMD63C02XTA	ZXMD63C02XTA	MSOP-8	20	2.4	1.25	0.15	0.13	-	360	-	4.8	-	3,92	2,93	1,76	1,37
			-20	-1.7	1.25	0.4	0.27	-	390	-	4.1	-				
◆ 522-ZXMHC3A01T8TA	ZXMHC3A01T8TA	SM-8	30	3.1	1.3	0.18	-	0.12	-	190	-	3.9	1,84	1,57	1,15	0,99
			-30	-2.3	1.3	0.33	-	0.21	-	204	-	5.2				
◆ 522-ZXMD63C03XTA	ZXMD63C03XTA	MSOP-8	30	2.3	1.25	-	0.2	0.135	-	300	-	6.1	2,28	1,95	1,43	1,24
			-30	-2	1.25	-	0.27	0.185	-	280	-	5.4				
◆ 522-ZXMC3A16DN8TA	ZXMC3A16DN8TA	SO-8	30	7.6	2.1	-	0.05	0.035	-	796	-	17.5	1,45	1,29	0,895	0,724
			-30	-6.3	2.1	-	0.07	0.048	-	970	-	24.9				
◆ 522-ZXMC3A17DN8	ZXMC3A17DN8	SO-8	30	5.4	2.1	-	0.065	0.05	-	600	-	12.2	1,40	1,04	0,695	0,60
			-30	-4.4	2.1	-	0.11	0.07	-	630	-	15.8				
◆ 522-ZXMHC6A07T8TA	ZXMHC6A07T8TA	SM-8	60	1.8	1.3	-	0.45	0.3	-	166	-	3.2	1,84	1,57	1,15	0,99
			-60	-1.5	1.3	-	0.63	0.425	-	233	-	5.1				

MOSFET À MODE D'AMÉLIORATION DOUBLEs

NEW PRODUCT

◆ **Composant pour montage en surface** Pour des quantités supérieures à celles indiquées, appelez-nous afin d'obtenir un devis.

RÉF. STOCK MOUSER	Réf. Zetex	Boîtier	BV_{DSS} (V)	I_D (A)	P_D (W)	$R_{DS(on)}$ Max (Ω)	$R_{DS(on)}$ à V_{GS}=	C_{ISS} typ (pF)	C_{ISS} à V_{DS}=	Q_g typ (nC) à -(nC)	Q_g à V_{GS}=	Prix unitaire 1	10	100	500
Canal N															
◆ 522-ZXMN3A06DN8TA	ZXMN3A06DN8TA	SO-8	30	6.2	2.1	0.035	-10	750	-15	17.5	-10	1,19	1,07	0,738	0,597
◆ 522-ZXMN6A25DN8TA	ZXMN6A25DN8TA	SO-8	60	4.7	2.1	0.055	-10	980	-15	20.4	-10	1,25	1,11	0,769	0,506
◆ 522-ZXMN6A09DN8TA	ZXMN6A09DB8TA	SO-8	60	5.2	2.1	0.045	-10	1410	-15	24.0	-10	2,00	1,71	1,26	1,00
Canal P															
◆ 522-ZXMD63P02XTA	ZXMD63P02XTA	MSOP-8	-20	-1.7	1.25	0.27	-4.5	300	-10	4.1	-4.5	2,28	1,71	1,03	0,891
◆ 522-ZXMP3A17DN8TA	ZXMP3A17DN8TA	SO-8	-30	-4.4	2.1	0.07	-10	630	-15	15.8	-10	1,37	1,22	0,845	0,684
◆ 522-ZXMP3A16DN8TA	ZXMP3A16DN8TA	SO-8	-30	-5.5	2.1	0.045	-10	970	-15	24.9	-10	1,49	1,33	0,922	0,745
◆ 522-DMP4050SSD-13	DMP4050SSD-13	SOP-8L	-40	-4	1.25	0.05	-10	674	-20	13.9	-10	0,94	0,838	0,582	0,52

SÉRIE ZXMHC

MOSFET Pont en H mode d'amélioration complémentaire 30 V SO8

Pour des quantités supérieures à celles indiquées, appelez-nous afin d'obtenir un devis.

RÉF. STOCK MOUSER	Réf. Zetex	Boîtier	BV_{DSS} (V)	V_{GS}	ID@25 °C	V_{GS} à 4,5V	V_{GS} à 10V	C_{ISS} (typ) (pF)	Qg (typ) (nc)	Prix unitaire 1	10	100
522-ZXMHC3A01N8TC	ZXMHC3A01N8TC	SOP-8L	30	20	2.7	180	125	194	3.9	1,09	0,942	0,771
			-30	20	-2.1	330	210	204	5.2			
522-ZXMHC3F381N8TC	ZXMHC3F381N8TC	SO8	30	20	5	60	33	430	9	1,09	0,971	0,671
			-30	20	-4.1	80	55	670	12.7			
522-ZXMHC6A07N8TC	ZXMHC6A07N8TC	SOP-8L	60	20	1.8	350	250	166	3.2	1,09	0,942	0,771
			-60	20	-1.4	600	400	233	5.1			
522-ZXMHC10A07N8TC	ZXMHC10A07N8TC	SOP-8L	100	20	1.1	900	700	138	2.9	1,27	1,09	0,90
			-100	20	-0.9	1450	1000	141	3.5			

© Copyright 2012 Mouser Electronics

© Copyright 2012 Mouser Electronics

MOSFET de puissance FAIRCHILD

FAIRCHILD SEMICONDUCTOR

Les produits peuvent être conformes à la directive RoHS. Consultez le site mouser.com pour vérifier la conformité RoHS.

MOSFET DE FAIBLE PUISSANCE

◆ **Composant pour montage en surface**

Pour des quantités supérieures à celles indiquées, appelez-nous afin d'obtenir un devis.

RÉF. STOCK MOUSER		Boîtier	VDS (V)	RDS (on) (mΩ)	Qg (nC)	ID (A)	PD (W)	Prix unitaire			
Fabr.	Réf. fabr.							1	25	100	250
Canal P simple											
◆	512—FDN306P	SSOT-3	-12	20	12	-2.6	0,5	0,25	0,231	0,219	0,195
◆	512—FDC606P	SSOT-6	-12	26	18	-6.0	1.6	0,64	0,531	0,45	0,36
◆	512—FDD306P	TO-252	-12	28	15	-6.7	52	0,65	0,454	0,392	0,335
◆	512—FDY100PZ	SC-89	-20	1200	1	-0.35	0.625	0,36	0,281	0,211	0,149
◆	512—FDY102PZ	SOT-523F	-20	500	2.2	-0.83	0.625	0,29	0,149	0,14	0,097
◆	512—NDS332P	SOT-23	-20	300	3.7	-1.0	0,5	0,21	0,172	0,146	0,116
◆	512—FDG312P	SC-70-6	-20	180	3.3	-1.2	0.75	0,26	0,216	0,184	0,147
◆	512—FDN336P	SSOT-3	-20	200	3.6	-1.2	0,5	0,26	0,219	0,186	0,149
◆	512—FDG328P	SC-70-6	-20	145	3.7	-1.5	0.75	0,36	0,291	0,257	0,223
◆	512—FDN308P	SSOT-3	-20	125	3.8	-1.5	0,5	0,27	0,229	0,194	0,154
◆	512—FDN338P	SOT-23	-20	115	4.4	-1.6	0,5	0,17	0,146	0,124	0,099
◆	512—FDN342P	SSOT-3	-20	80	6.3	-2.0	0,5	0,26	0,211	0,18	0,144
◆	512—FDN340P	SSOT-3	-20	70	7.2	-2.0	0,5	0,25	0,207	0,176	0,14
◆	512—FDFME2P823ZT	MicroFET-6	-20	142	5.5	-2.3	1.3	0,97	0,809	0,644	0,487
◆	512—FDN302P	SSOT-3	-20	55	9	-2.4	0,5	0,27	0,263	0,242	0,215
◆	512—FDV302P_NB8V001	SOT-23	-20	55	9	-2.4	0,5	0,17	0,149	0,124	0,101
◆	512—FDN304PZ	SSOT-3	-20	52	12	-2.4	0,5	0,31	0,258	0,219	0,175
◆	512—FDN304P	SSOT-3	-20	52	12	-2.4	0,5	0,30	0,247	0,21	0,167
◆	512—FDZ191P	WL-CSP	-20	85	9	-3.0	1.5	0,41	0,347	0,295	0,235
◆	512—FDFMA2P029Z	MicroFET	-20	95	7	-3.1	1.4	0,52	0,446	0,378	0,327
◆	512—FDC634P	SSOT-6	-20	80	7.2	-3.5	1.6	0,28	0,235	0,20	0,159
◆	512—FDFM2P110	Power-33	-20	140	3	-3.5	2.4	0,52	0,429	0,341	0,295
◆	512—FDS9431A	SOIC-8	-20	130	6	-3.5	2.5	0,42	0,352	0,299	0,239
◆	512—FDC642P	SSOT-6	-20	65	7.2	-4.0	1.6	0,46	0,338	0,29	0,252
◆	512—FDC638APZ	SSOT-6	-20	43	8	-4.5	1.6	0,22	0,202	0,194	0,172
◆	512—FDC640P	SSOT-6	-20	53	9	-4.5	1.6	0,28	0,235	0,20	0,159
◆	512—FDC638P	SSOT-6	-20	48	10	-4.5	1.6	0,27	0,264	0,242	0,215
◆	512—FDS8433A	SOIC-8	-20	47	20	-5.0	2.5	0,56	0,495	0,431	0,373
◆	512—FDC602P	SSOT-6	-20	35	14	-5.5	1.6	0,26	0,234	0,226	0,201
◆	512—FDC604P	SSOT-6	-20	33	19	-5.5	1.6	0,31	0,266	0,225	0,18
◆	512—FDC608PZ	SSOT-6	-20	30	17	-5.8	1.6	0,41	0,355	0,304	0,263
◆	512—FDME510PZT	MicroFET-6	-20	37	16	-6.0	2.1	0,42	0,347	0,281	0,212
◆	512—FDT434P	SOT-223	-20	50	13	-6.0	3	0,40	0,341	0,29	0,231
◆	512—FDMA291P	MicroFET-6	-20	42	10	-6.6	2.4	0,58	0,512	0,446	0,387
◆	512—FDMA510PZ	MicroFET-6	-20	30	19	-7.8	2.4	0,60	0,528	0,463	0,401
◆	512—FDS6375	SOIC-8	-20	24	23	-8.0	2.5	0,59	0,493	0,419	0,334
◆	512—FDS6576	SOIC-8	-20	14	43	-11	2.5	0,98	0,813	0,69	0,55
◆	512—FDS4465	SOIC-8	-20	8	86	-13.5	2.5	1,06	0,875	0,738	0,589
◆	512—FDMC510P	Power-33	-20	8	83	-18	41	0,87	0,693	0,521	0,486
	512—NDP6020P	TO-220	-20	50	25	-24	60	1,05	0,866	0,736	0,587
◆	512—NDB6020P	TO-263	-20	50	25	-24	60	0,88	0,728	0,618	0,493
◆	512—FDV302P	SOT-23	-25	10000	0.22	-0.12	0.35	0,08	0,068	0,058	0,046
◆	512—FDV304P	SOT-23	-25	1100	1.1	-0.46	0.35	0,18	0,153	0,13	0,104
◆	512—FDN352AP	TTJ23	-30	180	1.4	-1.3	0,5	0,20	0,165	0,139	0,111
◆	512—FDN358P	SSOT-3	-30	125	4	-1.5	0,5	0,24	0,20	0,17	0,135
◆	512—FDG316P	SC-70-6	-30	190	3.5	-1.6	0.75	0,26	0,211	0,18	0,144
◆	512—FDN360P	SSOT-3	-30	80	6.2	-2.0	0,5	0,26	0,211	0,18	0,144
◆	512—FDS9400A	SOIC-8	-30	130	2.4	-3.4	2.5	0,64	0,495	0,431	0,375
◆	512—FDT458P	SOT-223	-30	130	2.5	-3.4	3	0,48	0,399	0,339	0,271
◆	512—FDC654P	SSOT-6	-30	75	6.2	-3.6	1.6	0,21	0,19	0,173	0,149
◆	512—FDC658AP	SSOT-6	-30	50	6	-4.0	1.6	0,28	0,235	0,20	0,159
◆	512—FDC610PZ	SSOT-6	-30	42	9	-4.9	1.6	0,30	0,247	0,21	0,167
◆	512—NDT452AP	SOT-223	-30	65	22	-5.0	3	0,70	0,644	0,498	0,398
◆	512—FDS9435A	SOIC-8	-30	50	10	-5.3	2.5	0,44	0,365	0,309	0,247
◆	512—FDMA530PZ	MicroFET-6	-30	35	16	-6.8	2.4	0,44	0,422	0,389	0,347
◆	512—NDT456P	SOT-223	-30	30	47	-7.5	3	1,30	1,16	0,998	0,795
◆	512—FDS4435BZ	SOIC-8	-30	20	16.5	-8.8	2.5	0,52	0,51	0,46	0,41
◆	512—FDS4435BZ_F085	SOIC-8	-30	20	16	-8.8	2.5	1,23	1,02	0,82	0,615
◆	512—FDS6675BZ	SOIC-8	-30	13	25	-11	2.5	0,70	0,587	0,498	0,398
◆	512—FDS6679AZ	SOIC-8	-30	9	38	-13	2.5	0,97	0,799	0,678	0,541
◆	512—FDS6673BZ	SOIC-8	-30	7	46	-14.5	2.5	0,97	0,794	0,674	0,538
◆	512—FDMC4435BZ	Power-33	-30	20	17	-18	31	0,63	0,553	0,48	0,416
◆	512—FDS6681Z	SOIC-8	-30	4	105	-20	2.5	1,56	1,39	1,20	0,957
◆	512—FDMS6673BZ	Power-56	-30	6.8	52	-28	73	1,36	1,21	1,07	0,965
◆	512—NDB6030PL	TO-263	-30	42	36	-30	75	1,34	1,11	0,941	0,747
◆	512—FDD6685	TO-252-3	-30	20	17	-40	52	0,85	0,705	0,598	0,478
◆	512—FDC365P	SSOT-6	-35	55	11	-4.3	1.6	0,84	0,743	0,66	0,578
◆	512—FDD6637	TO-252	-35	11	45	-55	57	0,73	0,611	0,518	0,414
Canal N simple											
◆	512—FDY301NZ	SC-89	20	5000	0.8	0.2	0.625	0,32	0,264	0,21	0,151
◆	512—FDY300NZ	SC-89-3L	20	700	0.8	0.6	625	0,34	0,289	0,249	0,215
◆	512—FDV305N	SOT-23	20	220	1.1	0.9	0.35	0,17	0,141	0,12	0,096
◆	512—NDS331N	SOT-23	20	160	3.5	1.3	0,5	0,20	0,165	0,139	0,111
◆	512—FDG327N	SC-70-6	20	90	4.5	1.5	0.42	0,38	0,338	0,287	0,229
◆	512—FDN335N	SOT-23	20	70	3.5	1.7	0,5	0,18	0,15	0,128	0,102
◆	512—FDG311N	SC-70-6	20	115	3	1.9	0.75	0,26	0,224	0,19	0,152
◆	512—FDN327N	SSOT-3	20	70	4.5	2.0	0,5	0,31	0,271	0,229	0,183
◆	512—FDN339AN	SSOT-3	20	35	7	3.0	0,5	0,34	0,282	0,239	0,191
◆	512—FDMA420NZ	MicroFET-6	20	30	8.8	5.7	2.4	0,47	0,413	0,36	0,312
◆	512—FDC637BNZ	SSOT-6	20	24	8	6.2	1.6	0,63	0,611	0,495	0,363
◆	512—FDC637AN	SSOT-6	20	24	10.5	6.2	1.6	0,45	0,422	0,392	0,349
◆	512—FDME410NZT	MicroFET-6	20	26	9.2	7.0	2.1	0,42	0,347	0,281	0,212
◆	512—FDMA410NZ	MicroFET-6	20	23	10	9.5	2.4	0,37	0,348	0,307	0,226
◆	512—FDS6570A	SOIC-8	20	7.5	47	15	2.5	1,30	1,16	0,998	0,795
◆	512—FDS6574A	SOIC-8	20	6	75	16	2.5	1,05	1,04	0,899	0,79
◆	512—FDMC8554	Power-33	20	5	24	20	41	1,29	1,15	1,01	0,908
◆	512—FDD6530A	TO-252	20	32	6.5	21	33	0,61	0,462	0,409	0,345

MOSFET DE FAIBLE PUISSANCE (SUITE)

◆ **Composant pour montage en surface**

Pour des quantités supérieures à celles indiquées, appelez-nous afin d'obtenir un devis.

RÉF. STOCK MOUSER		Boîtier	VDS (V)	RDS (on) (mΩ)	Qg (nC)	ID (A)	PD (W)	Prix unitaire			
Fabr.	Réf. fabr.							1	25	100	250
Canal N simple (suite)											
◆	512—FDD3706	TO-252	20	9	16	50	44	0,70	0,619	0,544	0,474
◆	512—FDV301N	SOT-23	25	4000	0.49	0.22	0.35	0,07	0,054	0,046	0,037
◆	512—FDG313N	SC-70-6	25	450	1.64	0.95	0.75	0,28	0,235	0,20	0,159
◆	512—FDD6778A	TO-252	25	14	7	10	24	0,60	0,462	0,459	0,404
◆	512—FDD6780A	TO-252	25	8.6	9.2	30	32.6	0,65	0,495	0,495	0,436
◆	512—FDMS7578	Power-56	25	5.8	18	28	33	1,26	1,05	0,842	0,635
◆	512—FDMS7580	Power-56	25	7.5	14	28	27	1,53	1,37	1,09	0,949
◆	512—FDD8778	TO-252	25	14	6.7	35	39	0,31	0,289	0,276	0,246
◆	512—FDD8782	TO-252	25	11	9.4	35	50	0,55	0,487	0,428	0,371
◆	512—FDD6796A	TO-252	25	5.7	14	40	42	0,72	0,553	0,55	0,485
◆	512—FDMC7570S	Power-33	25	2.0	68	40	59	1,65	1,32	0,99	0,924
◆	512—FDMC7572S	Power-33	25	3.15	44	40	52	1,11	0,924	0,743	0,677
◆	512—FDD6760A	TO-252	25	3.2	25	50	65	1,22	0,965	0,866	0,75
◆	512—FDD6770A	TO-252	25	4	18	50	50	0,89	0,858	0,709	0,617
◆	512—FDN361BN	SSOT-3	30	110	1.3	1.4	0,5	0,38	0,322	0,277	0,239
◆	512—NDS351AN	SOT-23	30	160	1.3	1.4	0,5	0,18	0,153	0,13	0,104
◆	512—NDS355AN	SOT-23	30	85	3.5	1.7	0,5	0,25	0,207	0,176	0,14
◆	512—FDN357N	SOT-23	30	60	4.2	1.9	0,5	0,26	0,211	0,18	0,144
◆	512—FDG315N	SC-70-6	30	120	2.1	2.0	0.75	0,33	0,277	0,235	0,188
◆	512—FDN337N	SOT-23	30	65	7	2.2	0,5	0,22	0,183	0,156	0,125
◆	512—FDN359BN_F095	SSOT-3	30	46	5	2.7	0,5	0,66	0,495	0,371	0,281
◆	512—FDC653N	SSOT-6	30	35	12	5.0	1.6	0,36	0,34	0,316	0,281
◆	512—FDT457N	SOT-223	30	60	4.2	5.0	3	0,34	0,291	0,248	0,181
◆	512—FDC855N	SSOT-6	30	27	4.9	6.1	1.6	0,44	0,371	0,314	0,275
◆	512—FDC655BN	SSOT-6	30	25	6	6.3	1.6	0,30	0,247	0,21	0,167
◆	512—FDT439N	SOT-223	30	45	10.7	6.3	3	0,54	0,444	0,377	0,301
◆	512—FDS6630A	SOIC-8	30	38	5	6.5	2.5	0,41	0,346	0,294	0,234
◆	512—FDS8884	SOIC-8	30	23	5	8.5	2.5	0,31	0,298	0,276	0,246
◆	512—FDY101PZ	SOIC-8	30	23	5	8.5	2.5	0,32	0,264	0,21	0,151
◆	512—FDS8878	SOIC-8	30	14	9	10.2	2.5	0,39	0,371	0,346	0,308
◆	512—FDS6690A	SOIC-8	30	12	12	11	2.5	0,59	0,493	0,419	0,334
◆	512—FDMC6296	Power-33	30	10.5	14	11.5	2.1	1,11	0,924	0,743	0,561
◆	512—FDS8880	SOIC-8	30	10	12	11.6	2.5	0,55	0,46	0,391	0,312
◆	512—FDS6680A	SOIC-8	30	9	16	12.5	2.5	0,68	0,564	0,479	0,382
◆	512—FDS6670A	SOIC-8	30	8	21	13	2.5	1,06	0,875	0,738	0,589
◆	512—FDS6298	SOIC-8	30	9	10	13	3	0,88	0,724	0,614	0,49
◆	512—FDS6294	SOIC-8	30	11	10	13	3	0,76	0,634	0,539	0,43
◆	512—FDS8817NZ	SOIC-8	30	7	17	15	2.5	0,69	0,677	0,595	0,518
◆	512—FDS8896	SOIC-8	30	6	28	16	2.5	0,73	0,652	0,568	0,498
◆	512—FDMS7698	Power-56	30	10	12	16	29	0,53	0,396	0,297	0,223
◆	512—FDMC7680	Power-33	30	7.2	14	18	31	0,94	0,784	0,627	0,47
◆	512—FDS8672S	SOIC-8	30	4	29	18	2.5	0,83	0,75	0,687	0,634
◆	512—FDS8870	SOIC-8	30	4	45	18	2.5	1,35	1,20	1,04	0,908
◆	512—FDMC7672	Power-33	30	5.7	18	20	31	0,99	0,825	0,66	0,495
◆	512—FDMC8651	Power-33	30	6.1	19.4	20	41	1,29	1,15	1,01	0,908
◆	512—FDS8812NZ	SOIC-8	30	4	49	20	2.5	1,07	1,06	0,924	0,809
◆	512—FDD6630A	TO-252	30	35	5	21	28	0,41	0,392	0,369	0,328
◆	512—FDMC7664	Power-33	30	4.2	25	24	42	1,01	0,842	0,677	0,512
	512—FDP6030BL	TO-220	30	18	12	40	60	0,74	0,578	0,528	0,455
	512—FDP8878	TO-220	30	15	17.1	40	40.5	0,67	0,512	0,508	0,451
◆	512—FDMS7660	Power-56	30	2.8	27	42	78	1,08	0,957	0,833	0,728
◆	512—FDMS7670	Power-56	30	3.8	17	42	62	1,31	1,15	1,06	0,957
◆	512—FDB8880	TO-263	30	11.6	22	54	55	0,80	0,635	0,561	0,488
	512—FDP8880	TO-220	30	11.6	26	54	55	0,60	0,462	0,459	0,404
◆	512—FDD8882	TO-252	30	11	11.7	55	55	0,51	0,446	0,385	0,335
◆	512—FDD8880	TO-252	30	9	13	58	55	0,64	0,495	0,431	0,375
◆	512—FDB7030BL	TO-263	30	9	17	60	60	0,79	0,695	0,59	0,471
◆	512—FDMS7650	Power-56	30	1	63	60	104	2,00	1,60	1,20	1,12
	512—FDP7030BL	TO-220	30	9	17	60	60	0,97	0,767	0,676	0,54
◆	512—FDD6670A	TO-252	30	8	18	66	63	0,93	0,823	0,698	0,557
	512—FDP8876	TO-220	30	8.7	32	70	70	0,78	0,685	0,601	0,523
◆	512—FDB8832	TO-263	30	1	100	80	300	2,70	2,42	2,13	1,94
◆	512—FDP8860	TO-220	30	2	81	80	254	1,82	1,62	1,41	1,30
	512—FDP8896	TO-220	30	5	25	92	80	0,91	0,80	0,703	0,611
◆	512—FDB8896	TO-263	30	5	48	93	80	0,91	0,80	0,703	0,611
◆	512—FDD8896	TO-252	30	5	24	94	80	0,85	0,677	0,576	0,506
	512—FDP8874	TO-220	30	5.3	56	114	110	1,22	0,965	0,866	0,707
	512—FDP8870	TO-220	30	4	106	156	160	1,34	1,20	1,04	0,833
◆	512—FDD8870	TO-252	30	3	48	160	160	1,20	0,941	0,842	0,73
Canal P double											
◆	512—FDC6318P	SSOT-6	-12	90	5.4	-2.5	0.96	0,56	0,47	0,398	0,318
◆	512—FDG6318PZ	SC-70-6	-20	780	1.08	-0.5	0.3	0,40	0,305	0,213	0,177
◆	512—FDG6308P	SC-70-6	-20	400	1.8	-0.6	0.3	0,57	0,404	0,347	0,296
◆	512—FDC6306P	SSOT-6	-20	170	3	-1.9	0.96	0,25	0,21	0,18	0,144
◆	512—FDME1023PZT	MicroFET-6	-20	142	5.5	-2.3	1.3	0,42	0,347	0,281	0,212
◆	512—FDJ1027P	FLMP-6	-20	160	3	-2.8	1.5	0,36	0,336	0,308	0,284
◆	512—FDMA6023PZT	MicroFET-6	-20	60	12	-3.6	1.4	0,53	0,495	0,416	0,306
◆	512—FDMA1023PZ	MicroFET-6	-20	72	8.6	-3.7	1.5	0,60	0,536	0,478	0,413
◆	512—FDS9933A	SOIC-8	-20	75	8	-3.8	2	0,69	0,561	0,497	0,396
◆	512—FDS9933BZ	SOIC-8	-20	46	11	-4.9	1.6	0,74	0,569	0,568	0,502
◆	512—FDS6875	SOIC-8	-20	30	23	-6.0	2	0,95	0,786	0,67	0,535
◆	512—FDC6302P	SSOT-6	-25	13000	0.22	-0.12	0.9	0,25	0,21	0,177	0,142
◆	512—FDC6506P	SSOT-6	-30	170	2.3	-1.8	0.96	0,36	0,304	0,259	0,207
◆	512—FDS9953A	SOIC-8	-30	130	2.5	-2.9	2	0,58	0,482	0,411	0,328
◆	512—FDS4953	SOIC-8	-30	55	6	-5.0	2	1,40	1,10	1,02	0,924
◆	512—FDS4935BZ	SOIC-8	-30	22	16	-6.9	1.6	0,70	0,585	0,498	0,398
◆	512—FDS4935A	SOIC-8	-30	23	15	-7.0	1.6	0,88	0,735	0,626	0,50

© Copyright 2012 Mouser Electronics

MOSFET de puissance FAIRCHILD

Les produits peuvent être conformes à la directive RoHS. Consulter le site mouser.com pour vérifier la conformité RoHS.

MOSFET DE FAIBLE PUISSANCE (SUITE)

♦ **Composant pour montage en surface**

Pour des quantités supérieures à celles indiquées, appelez-nous afin d'obtenir un devis.

RÉF. STOCK MOUSER		Boîtier	VDS (V)	RDS (on) (mΩ)	Qg (nC)	ID (A)	PD (W)	Prix unitaire			
Fabr.	Réf. fabr.							1	25	100	250
Canal N double											
♦	512—FDY3000NZ	SC-89	20	700	0.8	0.6	0.625	0,30	0,198	0,197	0,167
♦	512—FDG6317NZ	SC-70-6	20	400	0.76	0.7	0.3	0,15	0,129	0,11	0,087
♦	512—FDG6335N	SC-70-6	20	300	1.1	0.7	0.3	0,40	0,341	0,29	0,231
♦	512—FDC6401N	SSOT-6	20	70	3.3	3.0	0.96	0,28	0,234	0,20	0,159
♦	512—FDME1034CZT	MicroFET-6	20	66	2	3.4	1.3	0,42	0,347	0,281	0,212
♦	512—FDME1024NZT	MicroFET-6	20	66	3	3.4	1.3	0,56	0,421	0,322	0,239
♦	512—FDMA1028NZ	MicroFET-6	20	37	4	3.7	1.4	0,56	0,495	0,429	0,372
♦	512—FDMA1024NZ	MicroFET-6	20	54	5.2	5.0	1.4	0,48	0,448	0,395	0,29
♦	512—FDS9926A	SOIC-8	20	30	6.2	6.5	2	0,43	0,363	0,309	0,247
♦	512—FDS6890A	SOIC-8	20	18	23	7.5	2	1,40	1,25	1,11	0,99
♦	512—FDS6898A	SOIC-8	20	14	16	9.4	2	1,01	0,842	0,718	0,573
♦	512—FDS6898AZ	SOIC-8	20	14	16	9.4	2	0,98	0,792	0,698	0,557
♦	512—FDC6301N	SSOT-6	25	4000	0.49	0.22	0.9	0,21	0,176	0,15	0,12
♦	512—FDG6301N	SC-70-6	25	4000	0.29	0.22	0.3	0,19	0,159	0,136	0,108
♦	512—FDG6303N	SC-70-6	25	450	1.64	0,5	0.3	0,13	0,112	0,096	0,077
♦	512—FDC6303N	SSOT-6	25	450	1.64	0.68	0.9	0,24	0,20	0,17	0,135
♦	512—FDG8850NZ	SC-70-6	30	400	1.03	0.75	0.36	0,36	0,305	0,267	0,233
♦	512—FDC6561AN	SSOT-6	30	95	2.1	2.5	0.9	0,35	0,293	0,249	0,199
♦	512—FDMA2002NZ	MicroFET-6	30	123	2.4	2.9	1.5	0,45	0,37	0,314	0,25
♦	512—FDS6961A	SOIC-8	30	90	2.1	3.5	2	0,46	0,391	0,333	0,266
♦	512—FDMB3800N	MicroFET-8	30	40	4	4.8	1.6	0,75	0,66	0,576	0,499
♦	512—FDS6930B	SOIC-8	30	38	2.7	5.5	2	0,52	0,433	0,369	0,295
♦	512—FDS8984	SOIC-8	30	23	5	7.0	1.6	0,50	0,422	0,359	0,286
♦	512—FDS6910	SOIC-8	30	13	9	7.5	1.6	0,93	0,772	0,658	0,526
♦	512—FDS8978	SOIC-8	30	18	9	7.5	1.6	0,60	0,462	0,459	0,404
♦	512—FDMS9620S	Power-56	30	21	10	16	2.5	0,98	0,866	0,756	0,658
♦	512—FDMS9600S	Power-56	30	8	9	32	2.5	2,38	2,13	1,88	1,69
SyncFET – Canal N											
♦	512—FDN372S	SOT-23	30	40	5.8	2.6	0,5	0,36	0,305	0,263	0,227
♦	512—FDS6990AS	SOIC-8	30	22	10	7.5	2	0,95	0,759	0,674	0,538
♦	512—FDS6690AS	SOIC-8	30	12	16	10	2.5	0,68	0,52	0,458	0,394
♦	512—FDS6680AS	SOIC-8	30	8	22	11.5	2.5	0,72	0,635	0,554	0,48
♦	512—FDS6670AS	SOIC-8	30	9	27	13.5	2.5	0,83	0,743	0,646	0,563
♦	512—FDS6676AS	SOIC-8	30	6	25	14.5	2.5	0,71	0,627	0,547	0,48
♦	512—FDS6699S	SOIC-8	30	3	35	21	2.5	1,04	0,80	0,793	0,704
♦	512—FDMS7672AS	Power-56	30	4	15	42	46	0,67	0,561	0,446	0,338
Canal N double (MOSFET et SyncFET)											
♦	512—FDMC2514SDC	Power-33	25	3.5	14	40	60	1,65	1,32	0,99	0,924
♦	512—FDS6984AS	SOIC-8	30	31	4	5.5	2	0,68	0,52	0,458	0,394
♦	512—FDS6982AS	SOIC-8	30	28	6	6.3	2	0,70	0,585	0,498	0,398
♦	512—FDS6986AS	SOIC-8	30	20	6.5	6.5	2	0,70	0,585	0,498	0,398
♦	512—FDS6994S	SOIC-8	30	21	8	6.9	2	1,35	1,20	1,04	0,908
♦	512—FDQ7238AS	SO-14	30	13	9	14	2.4	1,33	1,18	1,04	0,924
♦	512—FDMC3020DC	Power-33	30	6.3	7.1	40	50	0,74	0,619	0,495	0,371
♦	512—FDMS7658AS	Power-56	30	1.9	35	49	89	1,28	1,02	0,767	0,718
Canal N & P double											
♦	512—FDG6332C	SC-70-6	20	300	1.1	0.7-	0.3	0,31	0,257	0,219	0,175
			-20	420	1.4	0.6	0.3				
♦	512—FDG6332C_F085	SC-70-6	20	300	1.5	0.7-	0.3	0,41	0,363	0,309	0,216
			-20	420	2	0.6	0.3				
♦	512—FDC6327C	SSOT-6	20	80	3.25	2.7-	0.96	0,29	0,246	0,21	0,167
			-20	170	2.85	1.6	0.96				
♦	512—FDC6420C	SSOT-6	20	70	3.3	3.0-	0.96	0,36	0,309	0,263	0,21
			-20	125	3.7	2.2	0.96				
♦	512—FDMA1032CZ	MicroFET-6	20	37	4	3.7	1.4	0,51	0,431	0,366	0,293
			-20	60	7	-3.1	1.4				
♦	512—FDS9934C	SOIC-8	20	30	6.2	6.5	2	0,59	0,492	0,419	0,334
			-20	55	8.7	-5.0	2				
♦	512—FDC6320C	SSOT-6	25	5000	0.29	0.22	0.9	0,28	0,234	0,20	0,159
			-25	13000	0.23	-0.12	0.9				
♦	512—FDG6320C	SC-70-6	25	4000	0.29	0.22	0.3	0,21	0,173	0,148	0,118
			-25	10000	0.22	-0.14	0.3				
♦	512—FDG6322C	SC-70-6	25	4000	1.1	0.22	0.3	0,24	0,201	0,172	0,137
			-25	1100	1.4	-0.41	0.3				
♦	512—FDC6321C	SSOT-6	25	450	1.64	0.68	0.9	0,34	0,288	0,246	0,196
			-25	1100	1.1	-0.46	0.9				
♦	512—FDS8928A	SOIC-8	30	30	19.8	5.5	2	1,00	0,825	0,704	0,562
			-20	55	20	-4.0	2				
♦	512—FDS4501H	SOIC-8	30	18	17	9.3	2.5	0,74	0,62	0,529	0,422
			-20	46	13	-5.6	2.5				
♦	512—FDC6333C	SSOT-6	30	95	4.7	2.5	0.96	0,29	0,246	0,21	0,167
			-30	130	4.1	-2.0	0.96				
♦	512—SI4532DY	SOIC-8	30	65	3.7	3.9	2	0,49	0,408	0,347	0,277
			-30	85	3.7	-3.5	2				
♦	512—FDS8333C	SOIC-8	30	80	4.7	4.1	2	0,58	0,512	0,45	0,39
			-30	130	4.1	-3.4	2				
♦	512—SI4542DY	SOIC-8	30	28	9	6.0	2	1,04	0,80	0,79	0,702
			-30	32	15	-6.0	2				
♦	512—FDS8958B	SOIC-8	30	26	12	6.4	2	0,49	0,388	0,384	0,328
			-30	51	19	-4.5	2				
♦	512—FDS8958A	SOIC-8	30	28	16	7.0	2	0,56	0,468	0,398	0,318
			-30	52	13	-5.0	2				
♦	512—FDS8858CZ	SOIC-8	30	17	17	8.6	2	0,75	0,611	0,539	0,43
			-30	20.5	33	-7.3	2				

© Copyright 2012 Mouser Electronics

MOSFET DE FAIBLE PUISSANCE (SUITE)

♦ **Composant pour montage en surface**

Pour des quantités supérieures à celles indiquées, appelez-nous afin d'obtenir un devis.

RÉF. STOCK MOUSER		Boîtier	VDS (V)	RDS (on) (mΩ)	Qg (nC)	ID (A)	PD (W)	Prix unitaire			
Fabr.	Réf. fabr.							1	25	100	250
Canal N & P double (suite)											
♦	512—FDS8960C	SOIC-8	35	24	5.5	7.0	2	0,83	0,726	0,634	0,553
			-35	53	5.7	-5.0	2				
♦	512—FDS4897AC	SOIC-8	40	26	21	6.1	2	0,70	0,619	0,557	0,484
			-40	39	20	-5.2	2				

MOSFET DE PUISSANCE MOYENNE

♦ **Composant pour montage en surface** ✻ Fil de sortie coudé

Pour des quantités supérieures à celles indiquées, appelez-nous afin d'obtenir un devis.

Canal P simple											
♦	512—FDD4243	TO-252	-40	44	21	-6.7	42	0,47	0,441	0,414	0,369
♦	512—FDS4685	SOIC-8	-40	27	19	-8.2	2.5	0,68	0,564	0,479	0,382
♦	512—FDS4141	SO-8	-40	13	19	-10.8	5	1,40	1,25	1,11	0,998
♦	512—FDD4685	TO-252	-40	27	19	-32	69	0,83	0,691	0,587	0,468
♦	512—FDD4141	TO-252	-40	12	19	-50	69	0,81	0,71	0,624	0,543
♦	512—BSS84	SOT-23	-50	10000	0.9	-0.13	0.36	0,07	0,057	0,048	0,039
♦	512—NDS0610	SOT-23-3	-60	10000	1.8	-0.12	0.36	0,11	0,092	0,078	0,063
♦	512—NDS0605	SOT-23-3	-60	5000	1.8	-0.18	0.36	0,14	0,12	0,102	0,082
♦	512—FDN5618P	SSOT-3	-60	170	8.6	-1.2	0,5	0,34	0,282	0,239	0,191
♦	512—NDT2955	SOT-223	-60	300	11	-2.5	3	0,38	0,318	0,27	0,215
♦	512—FDC5614P	SSOT-6	-60	105	15	-3.0	1.6	0,56	0,47	0,398	0,318
♦	512—NDS9407	SOIC-8	-60	150	22	-3.0	2.5	0,68	0,564	0,479	0,382
	512—FQP7P06	TO-220	-60	410	6.3	-6.7	45	0,52	0,429	0,345	0,299
	512—FQPF11P06	TO-220F	-60	175	13	-8.6	30	0,68	0,52	0,458	0,394
♦	512—FQD11P06TM	TO-252	-60	185	13	-9.4	2.5	0,71	0,536	0,476	0,41
	512—FQU11P06TU	TO-251	-60	185	13	-9.4	2.5	0,50	0,38	0,376	0,332
♦	512—FQB11P06TM	TO-263	-60	175	13	-11.4	53	0,69	0,611	0,499	0,303
♦	512—FQD17P06TM	TO-252	-60	135	21	-12	2.5	0,62	0,517	0,439	0,351
	512—FQU17P06TU	TO-251	-60	135	21	-12	44	0,59	0,47	0,417	0,332
♦	512—FDD5614P	TO-252	-60	100	15	-15	42	0,73	0,685	0,567	0,493
	512—FQP17P06	TO-220	-60	120	21	-17	79	0,62	0,495	0,439	0,351
	512—FQP27P06	TO-220	-60	70	33	-27	120	0,78	0,685	0,595	0,522
♦	512—FQB27P06TM	TO-263	-60	70	33	-27	120	0,95	0,785	0,666	0,531
	512—FQPF47P06	TO-220F	-60	26	84	-30	62	2,20	1,67	1,30	1,02
	512—FQP47P06	TO-220	-60	26	84	-47	160	1,67	1,49	1,30	1,16
♦	512—FQB47P06TM_AM002	TO-263	-60	26	84	-47	160	1,79	1,44	1,30	1,14
♦	512—FDC3535	SSOT-6	-80	183	6.8	2.1	1.6	0,83	0,734	0,561	0,486
♦	512—FQT5P10TF	SOT-223	-100	1050	6.3	-1.0	2	0,32	0,271	0,229	0,183
	512—FQP8P10	TO-220	-100	530	12	-8.0	65	0,66	0,503	0,45	0,378
	512—FQPF22P10	TO-220F	-100	125	40	-13.2	45	0,55	0,503	0,461	0,426
	512—FQP17P10	TO-220	-100	190	30	-16.5	100	0,79	0,698	0,592	0,473
♦	512—FQB22P10TM	TO-263	-100	125	40	-22	3.75	0,97	0,799	0,678	0,541
♦	512—FQB22P10TM_F085	TO-263	-100	125	40	-22	3.75	1,12	1,05	0,908	0,68
♦	512—FQB34P10TM	TO-263	-100	60	85	-33.5	3.75	1,45	1,29	1,13	1,01
	512—FQA36P15	TO-3P	-150	90	125	-36	294	2,00	1,80	1,59	1,43
	512—FQP3P20	TO-220	-200	2700	6	-2.8	52	0,53	0,423	0,356	0,22
♦	512—FQD5P20TM	TO-252	-200	1400	10	-3.7	2.5	0,59	0,462	0,401	0,349
	512—FQP12P20	TO-220	-200	470	31	-11.5	120	1,23	1,09	0,949	0,825
♦	512—FQB12P20TM	TO-263	-200	470	31	-11.5	3.13	1,14	0,941	0,798	0,637
Canal N simple											
♦	512—FDS8449	SOIC-8	40	29	2.4	7.6	2.5	0,39	0,363	0,341	0,304
♦	512—FDS4672A	SOIC-8	40	13	35	11	2.5	0,84	0,833	0,725	0,631
♦	512—FDS8447	SOIC-8	40	10	19	12.8	2.5	0,92	0,817	0,714	0,622
♦	512—FDS8842NZ	SOIC-8	40	7	27	14.9	2.5	0,75	0,668	0,579	0,502
♦	512—FDS8840NZ	SOIC-8	40	4.5	54	18.6	2.5	1,01	0,891	0,78	0,679
♦	512—FDMC8462	Power-33	40	5.8	15	20	41	1,39	1,24	1,10	0,982
♦	512—FDB8445	TO-263	40	17.2	44	70	92	1,23	1,09	0,949	0,825
♦	512—FDMS8460	Power-56	40	2.2	36	49	104	2,13	1,91	1,68	1,51
♦	512—FDD8447L	TO-252	40	8	20	50	44	0,78	0,701	0,612	0,533
♦	512—FDB8447L	TO-263	40	8	20	50	60	0,91	0,899	0,785	0,684
♦	512—FDB8442	TO-263	40	2	181	80	254	2,42	2,16	1,91	1,72
	512—FDP8441	TO-220	40	2	215	80	300	2,13	1,90	1,66	1,48
♦	512—FDD8444	TO-252	40	5	89	145	153	1,23	1,09	0,949	0,825
♦	512—FDB016N04AL7	TO-263	40	1.6	129	216	283	3,19	2,56	1,99	1,89
	512—FDP8440	TO-220	40	2.4	345	277	306	3,49	3,14	2,78	2,51
♦	512—BSS138K	SOT-23	50	2500	2.4	0.22	0.35	0,10	0,083	0,078	0,067
♦	512—BSS138	SOT-23	50	3500	1.7	0.22	0.36	0,07	0,057	0,048	0,039
	512—RFD14N05L	TO-251	50	100	40	14	48	0,55	0,437	0,387	0,309
♦	512—RFD14N05LSM	TO-252	50	100	31	14	48	0,58	0,417	0,356	0,266
♦	512—RFD14N05LSM9A	TO-252	50	100	40	14	48	0,64	0,538	0,457	0,365
♦	512—RFD16N05LSM	TO-252	50	47	61	16	60	2,07	1,71	1,30	0,866
	512—HUF75321P3	TO-220	55	34	21	35	93	0,74	0,655	0,556	0,444
	512—HUF75339P3	TO-220	55	12	60	75	200	1,26	1,11	0,941	0,747
	512—HUF75344G3	TO-247	55	8	90	75	285	1,70	1,56	1,39	1,30
	512—HUF75344P3	TO-220	55	8	90	75	285	1,68	1,50	1,31	1,16
	512—HUF75345G3	TO-247	55	7	125	75	325	2,66	2,38	2,11	1,91
	512—HUF75345P3	TO-220	55	7	125	75	325	1,86	1,66	1,45	1,29
	512—FDP3205	TO-220	55	7.5	25.5	100	150	1,57	1,39	1,22	1,09
♦	512—2N7002K	SOT-23	60	2000	-	0.115	0.35	0,03	0,031	0,029	0,026
♦	512—2N7002D87Z	SOT-23	60	2000	-	0.115	0.2	0,31	0,223	0,141	0,101
♦	512—2N7002MTF	SOT-23	60	5000	-	0.115	0.2	0,07	0,054	0,05	0,045
♦	512—2N7002T	SOT-523F	60	7500	-	0.115	0.2	0,42	0,299	0,199	0,143
♦	512—2N7002W	SOT-323	60	7500	-	0.115	0.2	0,32	0,256	0,195	0,138
♦	512—2N7002	SOT-23	60	7500	1.7	0.12	0.2	0,07	0,073	0,073	0,072
	512—2N7000BU	TO-92-3	60	5000	-	0.2	0.4	0,36	0,256	0,162	0,116
♦	512—2N7000D26Z	TO-92-3	60	5000	1.7	0.2	0.4	0,07	0,061	0,052	0,042
✻	512—2N7000D74Z	TO-92-3	60	5000	1.7	0.2	0.4	0,38	0,272	0,174	0,124
✻	512—2N7000D75Z	TO-92-3	60	5000	1.7	0.2	3.2	0,26	0,206	0,156	0,111

© Copyright 2012 Mouser Electronics

MOSFET de puissance FAIRCHILD

Les produits peuvent être conformes à la directive RoHS. Consultez le site mouser.com pour vérifier la conformité RoHS.

MOSFET DE PUISSANCE MOYENNE (SUITE)

◆ Composant pour montage en surface ✻ Fil de sortie coudé

Pour des quantités supérieures à celles indiquées, appelez-nous afin d'obtenir un devis.

RÉF. STOCK MOUSER		Boîtier	VDS (V)	RDS (on) (mΩ)	Qg (nC)	ID (A)	PD (W)	Prix unitaire			
Fabr.	Réf. fabr.							1	25	100	250
Canal N simple (suite)											
✻	512—2N7000TA	TO-92-3	60	5000	-	0.2	0.4	0,34	0,248	0,157	0,111
	512—2N7000	TO-92-3	60	5000	1.7	0.2	0.4	0,09	0,08	0,073	0,064
◆	512—NDS7002A	SOT-23	60	2000	1.7	0.28	0.3	0,12	0,106	0,09	0,072
	512—BS270	TO-92-3	60	2000	-	0.4	0.625	0,10	0,092	0,087	0,078
✻	512—BS270D74Z	TO-92-3	60	2000	-	0.4	0.625	0,45	0,248	0,191	0,139
✻	512—BS170D26Z	TO-92-3	60	5000	-	0,5	0.83	0,09	0,08	0,068	0,054
✻	512—BS170D27Z	TO-92-3	60	5000	-	0,5	0.83	0,16	0,141	0,13	0,124
✻	512—BS170D75Z	TO-92-3	60	5000	-	0,5	0.83	0,29	0,223	0,169	0,121
	512—BS170	TO-92-3	60	5000	-	0,5	0.83	0,20	0,177	0,149	0,106
✻	512—BS170_D74Z	TO-92-3	60	5000	1.7	0,5	0.83	0,16	0,141	0,13	0,124
◆	512—MMBF170	SOT-23	60	5000	1.7	0,5	0.3	0,08	0,071	0,06	0,048
◆	512—FDN5630	SSOT-3	60	100	7	1.7	0,5	0,32	0,271	0,229	0,183
◆	512—NDT014	SOT-223	60	200	11	2.7	3	0,37	0,322	0,271	0,234
◆	512—FQT13N06LTF	SOT-223	60	110	4.8	2.8	2.1	0,52	0,388	0,337	0,284
◆	512—NDT3055L	SOT-223	60	70	13	4.0	3	0,42	0,352	0,299	0,239
◆	512—NDT3055	SOT-223	60	100	9	4.0	3	0,40	0,329	0,28	0,223
◆	512—FDC5612	SSOT-6	60	55	12.5	4.3	1.6	0,64	0,529	0,449	0,358
◆	512—FDS5351	SOIC-8	60	35	9	6.1	5	0,72	0,635	0,572	0,495
◆	512—FDS5680	SOIC-8	60	20	30	8.0	2.5	1,35	1,12	0,949	0,756
◆	512—FDS5670	SOIC-8	60	14	49	10	2.5	1,48	1,32	1,14	0,908
	512—FQPF13N06L	TO-220F	60	110	4.8	10	24	0,68	0,52	0,458	0,394
◆	512—FQD13N06LTM	TO-252	60	110	4.8	11	2.5	0,54	0,413	0,356	0,309
	512—RFD3055LE	TO-251	60	107	11.3	11	38	0,47	0,39	0,331	0,265
◆	512—FDS5672	SOIC-8	60	10	34	12	2.5	1,25	1,11	0,957	0,764
◆	512—HUF76407D3ST	TO-252	60	92	9.4	12	38	0,65	0,503	0,442	0,373
	512—MTP3055VL	TO-220	60	180	7.8	12	48	0,73	0,652	0,566	0,497
	512—FQP13N06L	TO-220	60	110	4.8	13.6	45	0,60	0,536	0,466	0,404
	512—FQPF20N06	TO-220F	60	60	11.5	15	30	0,76	0,668	0,582	0,504
	512—FQPF20N06L	TO-220F	60	55	9.5	15.7	30	0,78	0,602	0,525	0,46
◆	512—RFD16N06LESM9A	TO-252	60	47	51	16	90	0,85	0,704	0,597	0,477
	512—FQPF27P06	TO-220F	60	70	33	17	47	0,86	0,759	0,662	0,576
	512—FQP20N06	TO-220	60	60	11.5	20	53	0,76	0,668	0,553	0,396
	512—FQP20N06L	TO-220	60	35	9.5	21	53	0,73	0,655	0,573	0,496
	512—FQP20N06L	TO-220	60	55	9.5	21	53	0,73	0,655	0,573	0,496
◆	512—FDMS5672	Power-56	60	11	32	22	78	1,93	1,72	1,53	1,37
	512—FQPF30N06L	TO-220F	60	35	15	22.5	38	0,85	0,677	0,576	0,506
	512—FQP30N06	TO-220	60	40	19	30	79	0,74	0,652	0,572	0,502
	512—FQPF50N06	TO-220F	60	22	31	31	47	1,36	1,09	0,949	0,833
	512—FQP30N06L	TO-220	60	35	15	32	79	0,74	0,652	0,572	0,502
◆	512—FQB30N06LTM	TO-263	60	35	15	32	79	0,75	0,578	0,525	0,455
	512—FQPF65N06	TO-220F	60	16	48	40	56	1,14	1,01	0,875	0,767
	512—FDP20AN06A0	TO-220	60	20	15	45	90	0,93	0,825	0,72	0,632
	512—NDP6060L	TO-220	60	25	36	48	100	1,33	1,12	0,957	0,761
◆	512—FDMS5352	Power-56	60	6.7	48	49	104	2,28	2,04	1,80	1,62
◆	512—FDD10AN06A0	TO-252	60	10.5	28	50	135	1,43	1,28	1,10	0,875
◆	512—FDD13AN06A0	TO-252	60	13	22	50	115	1,14	0,941	0,798	0,637
◆	512—FDD5353	TO-252	60	12.3	23	50	69	0,88	0,701	0,692	0,611
	512—FQI50N06TU	TO-262	60	22	31	50	3.75	0,99	0,759	0,757	0,667
	512—FQP50N06	TO-220	60	22	31	50	120	0,88	0,771	0,654	0,522
	512—RFP50N06	TO-220	60	22	67	50	131	1,10	0,965	0,818	0,653
	512—FQP50N06L	TO-220	60	21	24.5	52	121	0,91	0,799	0,678	0,541
◆	512—FDB13AN06A0	TO-263	60	13	22	62	115	1,44	1,30	1,18	1,06
	512—FQP65N06	TO-220	60	16	48	65	150	1,31	1,16	1,01	0,883
	512—RFP70N06	TO-220	60	14	156	70	150	1,28	1,14	0,998	0,85
◆	512—FDB5800	TO-263-2	60	6	104	80	242	1,75	1,56	1,38	1,24
	512—FDP050AN06A0	TO-220	60	5	61	80	245	2,20	1,96	1,72	1,53
	512—FDP038AN06A0	TO-220	60	3	95	80	310	2,81	2,52	2,24	2,01
	512—FDP5800	TO-220	60	6	112	80	242	1,60	1,42	1,28	1,14
	512—FDP80N06	TO-220	60	10	57	80	176	1,16	1,01	0,883	0,776
	512—FQP85N06	TO-220	60	10	86	85	160	1,61	1,44	1,25	1,11
◆	512—FDB039N06	TO-263	60	3.9	133	174	231	2,35	1,89	1,46	1,39
◆	512—FDB024N06	TO-263	60	2.4	174	265	395	3,71	3,32	2,94	2,66
	512—FDP025N06	TO-220	60	2.5	174	265	395	3,47	3,15	2,89	2,66
◆	512—FDB3502	TO-263	75	47	11	14	41	0,91	0,701	0,694	0,611
◆	512—FDMS3500	Power-56	75	14.5	34	49	96	2,00	1,79	1,58	1,42
◆	512—FDD16AN08A0	TO-252	75	16	31	50	135	1,50	1,34	1,19	1,06
	512—FDH038AN08A1	TO-247	75	3	125	80	450	4,85	4,36	3,85	3,48
	512—FDH047AN08A0	TO-247	75	4.7	92	80	310	3,74	3,35	2,95	2,68
	512—FDP047AN08A0	TO-220	75	4	92	80	310	3,00	2,70	2,39	2,15
	512—FDP060AN08A0	TO-220	75	6	99	80	255	2,67	2,18	1,94	1,76
◆	512—FDB045AN08A0	TO-263	75	4	92	90	310	3,04	2,71	2,40	2,18
	512—FDP047N08	TO-220	75	4.7	117	164	268	1,94	1,88	1,51	1,49
	512—FDA032N08	TO-3PN	75	3.2	169	235	375	3,18	2,85	2,52	2,28
◆	512—FDB031N08	TO-263	75	3.1	169	235	375	3,79	3,39	2,99	2,71
	512—FDP032N08	TO-220	75	3.2	169	235	375	3,66	3,55	2,85	2,70
◆	512—FDS3512	SOIC-8	80	70	13	4.0	2.5	1,27	1,12	0,982	0,85
◆	512—FDS3580	SOIC-8	80	27	34	7.6	2.5	1,17	1,04	0,899	0,79
◆	512—FDMS3572	Power-56	80	16	28	8.8	78	1,93	1,72	1,58	1,41
◆	512—FDS3572	SOIC-8	80	16	31	8.9	2.5	1,28	1,06	0,899	0,716
	512—HUF75545P3	TO-220	80	10	105	75	270	2,14	2,05	1,79	1,59
◆	512—BSS123	SOT-23	100	6000	1.4	0.17	0.36	0,07	0,057	0,048	0,039
◆	512—FQT7N10LTF	SOT-223	100	350	4.6	1.7	2	0,31	0,258	0,219	0,175
◆	512—FDC3612	SSOT-6	100	125	14	2.6	1.6	0,59	0,498	0,422	0,337
◆	512—FDT86106LZ	SOT-223	100	108	2.4	3.2	2.2	0,84	0,701	0,561	0,421
◆	512—FDS89141	SOIC-8	100	62	2.9	3.5	31	1,14	0,949	0,759	0,569
◆	512—FDC3616N	SSOT-6	100	70	23	3.7	2	0,84	0,677	0,596	0,516
◆	512—FDT3612	SOT-223	100	120	14	3.7	3	0,58	0,52	0,458	0,394

MOSFET DE PUISSANCE MOYENNE (SUITE)

◆ Composant pour montage en surface

Pour des quantités supérieures à celles indiquées, appelez-nous afin d'obtenir un devis.

RÉF. STOCK MOUSER		Boîtier	VDS (V)	RDS (on) (mΩ)	Qg (nC)	ID (A)	PD (W)	Prix unitaire			
Fabr.	Réf. fabr.							1	25	100	250
Canal N simple (suite)											
◆	512—FDM3622	Power 33	100	60	13	4.4	2.1	1,17	1,04	0,899	0,79
◆	512—FDS3692	SOIC-8	100	60	11	4.5	2.5	0,86	0,759	0,662	0,576
◆	512—FQD7N10LTM	TO-252	100	350	4.6	5.8	2.5	0,52	0,429	0,342	0,298
◆	512—FDT86102LZ	SOT-223	100	28	8.3	6.6	2.2	1,03	0,825	0,619	0,578
◆	512—FDMS3672	Power-56	100	23	31	7.4	78	2,25	2,01	1,83	1,65
◆	512—FDMC86106LZ	Power-33	100	103	2	7.5	19	0,89	0,743	0,594	0,446
◆	512—FDS3672	SOIC-8	100	22	28	7.5	2.5	1,28	1,15	0,99	0,866
◆	512—FQD13N10LTM	TO-252	100	180	8.7	10	2.5	0,57	0,503	0,438	0,38
	512—RFP12N10L	TO-220	100	180	8.7	12.8	65	0,64	0,578	0,513	0,45
	512—FQP13N10	TO-220	100	180	12	12.8	65	0,57	0,503	0,438	0,38
	512—FQP13N10L	TO-220	100	180	8.7	12.8	65	0,57	0,503	0,438	0,38
	512—FQPF19N10	TO-220F	100	100	19	13.6	38	0,85	0,677	0,576	0,506
◆	512—FDD850N10L	TO-252	100	75	12.3	15.7	50	0,62	0,52	0,413	0,314
◆	512—FDMC8622	Power-33	100	56	3	16	31	0,99	0,825	0,66	0,495
◆	512—FDMC86102L	Power-33	100	23	7.3	18	41	1,11	0,924	0,743	0,561
	512—FQPF33N10L	TO-220F	100	52	30	18	41	0,88	0,784	0,682	0,594
◆	512—FDMC86102	Power-33	100	24	8	20	41	1,16	0,932	0,701	0,652
	512—FDPF3860T	TO-220F	100	38.2	23	20	33.8	0,83	0,644	0,636	0,565
◆	512—FDB3682	TO-263	100	36	18.5	32	95	1,17	1,04	0,899	0,79
	512—FDP3682	TO-220	100	36	18.5	32	95	1,24	1,02	0,866	0,691
◆	512—FQB33N10TM	TO-263	100	52	38	33	3.75	0,89	0,816	0,771	0,671
	512—FQP33N10	TO-220	100	52	38	33	127	0,93	0,815	0,692	0,552
◆	512—FQB33N10LTM	TO-263	100	52	30	33	3.75	0,93	0,825	0,716	0,629
◆	512—HUF75631S3ST	TO-263	100	40	35	33	120	1,45	1,15	1,03	0,883
◆	512—FDD86102LZ	TO-252	100	22.5	8.7	42	54	0,77	0,644	0,512	0,388
◆	512—FDD86102	TO-252	100	24	-	42	62	0,86	0,693	0,517	0,489
◆	512—FQB44N10TM	TO-263	100	39	48	43.5	3.75	1,41	1,11	0,998	0,866
◆	512—FDD3672	TO-252	100	28	24	44	135	1,25	1,11	0,982	0,883
◆	512—FDMS86103L	Power-56	100	8	23	49	104	1,63	1,30	0,965	0,924
◆	512—FDMS3662	Power-56	100	14.8	54	49	104	2,40	2,15	1,90	1,70
◆	512—FDMS86105	Power-56	100	34	11	56	48	1,19	0,99	0,792	0,594
	512—HUF75639P3	TO-220	100	25	57	56	200	1,11	0,916	0,746	0,707
	512—HUF75639G3	TO-247	100	25	57	56	200	2,08	1,86	1,60	1,28
	512—FDP150N10	TO-220	100	15	53	57	110	2,23	2,23	1,82	1,64
◆	512—FDMS86101	Power-56	100	8	22	60	104	1,93	1,58	1,41	1,09
◆	512—FDB3652	TO-263	100	16	41	61	150	1,71	1,53	1,32	1,06
	512—FQA70N10	TO-3P	100	25	85	70	214	2,01	1,79	1,57	1,39
	512—FDP100N10	TO-220	100	0	0	75	208	2,29	2,10	1,66	1,47
	512—FDP090N10	TO-220	100	9000	89	75	208	2,72	2,56	2,23	2,01
	512—HUF75645P3	TO-220	100	14	106	75	310	2,18	1,94	1,70	1,44
	512—FDP3632	TO-220	100	9	84	80	310	2,66	2,38	2,18	1,96
◆	512—FDB3632	TO-263	100	9	84	80	310	2,92	2,62	2,31	1,99
	512—FDH3632	TO-247	100	9	84	80	310	3,81	3,41	3,01	2,73
◆	512—FDB047N10	TO-263	100	4.7	160	164	375	3,39	2,67	2,51	2,15
	512—FDP047N10	TO-220	100	4.7	160	164	375	3,40	3,29	2,65	2,50
	512—FDP036N10A	TO-220	100	3.6	89	176	227	3,75	2,71	2,40	2,17
◆	512—FDC2512	SSOT-6	150	425	8	1.4	1.6	0,56	0,47	0,398	0,318
◆	512—FDN86246	SSOT-3	150	261	1.6	1.6	1.5	0,86	0,644	0,487	0,363
◆	512—FDT86246	SOT-223	150	236	1.7	2.0	2.2	0,74	0,619	0,495	0,371
◆	512—FDS2582	SOIC-8	150	66	19	4.1	2.5	1,34	1,11	0,941	0,747
◆	512—FDS2572	SOIC-8	150	47	29	4.9	2.5	1,35	1,20	1,04	0,908
◆	512—FDMC86244	Power-33	150	134	2.4	15	26	0,94	0,784	0,627	0,47
◆	512—FDD2582	TO-252	150	66	19	21	95	1,30	1,03	0,899	0,787
	512—FDP2572	TO-220	150	54	26	29	135	1,25	1,11	0,957	0,764
	512—FQA28N15	TO-3P	150	90	40	33	227	1,28	1,14	0,998	0,883
	512—FDP42AN15A0	TO-220	150	42	30	35	150	1,78	1,44	1,30	1,14
◆	512—FDB42AN15A0	TO-263	150	42	30	35	150	2,09	1,87	1,65	1,49
◆	512—FDB2552	TO-263	150	36	41	37	150	1,45	1,29	1,13	1,01
	512—FDP2552	TO-220	150	36	41	37	150	1,91	1,70	1,49	1,32
	512—FQPF45N15V2	TO-220F	150	40	72	45	66	1,28	1,14	0,998	0,883
◆	512—FDD86250	TO-252	150	22	12.8	50	132	1,03	0,825	0,619	0,578
	512—FQA46N15	TO-3P	150	42	85	50	250	1,90	1,68	1,48	1,31
	512—FDP2532	TO-220	150	16	86	79	310	2,77	2,48	2,20	1,99
◆	512—FDB2532	TO-263	150	16	86	79	310	3,04	2,71	2,48	2,25
◆	512—FQT4N20LTF	SOT-223	200	1350	4	0.85	2.2	0,45	0,338	0,283	0,248
◆	512—FDC2612	SSOT-6	200	725	8	1.1	1.6	0,69	0,611	0,534	0,463
◆	512—FDS2670	SOIC-8	200	130	27	3.0	2.5	1,27	1,14	0,982	0,78
	512—FQP4N20L	TO-220	200	1350	4	3.8	45	0,75	0,701	0,501	0,388
◆	512—FDD10N20LZTM	TO-252	200	360	12	4.5	56	0,67	0,561	0,446	0,338
◆	512—FQD10N20CTM	TO-252	200	360	20	7.8	50	0,59	0,462	0,402	0,339
◆	512—FQD12N20LTM	TO-252	200	280	16	9.0	2.5	0,67	0,559	0,474	0,379
◆	512—FDMC2610	Power-33	200	200	12.3	9.5	42	1,19	0,99	0,842	0,667
	512—FQPF10N20C	TO-220F	200	360	20	9.5	38	0,64	0,495	0,433	0,377
	512—IRLS640A	TO-220F	200	180	40	9.8	40	1,01	0,767	0,764	0,679
◆	512—FQD18N20V2TM	TO-252	200	140	20	15	2.5	0,91	0,752	0,638	0,509
	512—FDP18N20F	TO-220	200	140	20	18	100	0,94	0,718	0,716	0,636
	512—IRL640A	TO-220	200	180	40	18	110	0,93	0,842	0,788	0,728
	512—FQP19N20C	TO-220	200	170	40.5	19	139	0,71	0,625	0,53	0,423
	512—FQPF19N20C	TO-220F	200	170	40.5	19	43	0,76	0,677	0,59	0,514
◆	512—FQB19N20LTM	TO-263	200	140	27	21	3.13	1,02	0,85	0,719	0,574
	512—FQP32N20C	TO-220	200	82	82.5	28	156	1,26	0,99	0,891	0,773
	512—FQPF32N20C	TO-220F	200	82	82.5	28	50	1,55	1,34	0,932	0,736
◆	512—FQB34N20LTM	TO-263	200	75	55	31	3.13	1,60	1,43	1,26	1,14
	512—FQA32N20C	TO-3P	200	82	82.5	32	204	1,43	1,27	1,11	0,941
◆	512—FDB52N20TM	TO-263	200	49	49	52	357	1,74	1,56	1,38	1,24
	512—FDP61N20	TO-220	200	41	58	61	417	2,04	1,81	1,58	1,41

© Copyright 2012 Mouser Electronics

© Copyright 2012 Mouser Electronics

MOSFET de puissance FAIRCHILD

FAIRCHILD SEMICONDUCTOR

Les produits peuvent être conformes à la directive RoHS. Consultez le site mouser.com pour vérifier la conformité RoHS.

MOSFET DE PUISSANCE MOYENNE (SUITE)

◆ **Composant pour montage en surface**

Pour des quantités supérieures à celles indiquées, appelez-nous afin d'obtenir un devis.

RÉF. STOCK MOUSER		Boîtier	VDS (V)	RDS (on) (mΩ)	Qg (nC)	ID (A)	PD (W)	Prix unitaire			
Fabr.	Réf. fabr.							1	25	100	250
Canal N simple (suite)											
◆	512—FDB2614	TO-263	200	27	76	62	260	3,34	2,99	2,64	2,40
	512—FDP2614	TO-220	200	27	76	62	260	2,81	2,24	2,21	1,98
Canal P double											
◆	512—NDC7003P	SSOT-6	-60	5000	1.6	-0.34	0.96	0,34	0,288	0,246	0,196
◆	512—NDS9948	SOIC-8	-60	250	9	2.3	2	0,88	0,728	0,618	0,493
	512—FDS9958	TO-247	-60	105	8	2.9	2	0,88	0,776	0,68	0,592
◆	512—FDS8935	SOIC-8	-80	183	19	-2.1	3.1	0,77	0,644	0,512	0,388
Canal N double											
◆	512—FDS8949	SOIC-8	40	29	7.7	6.0	2	0,61	0,515	0,439	0,351
◆	512—NDC7002N	SSOT-6	50	2000	1	0.51	0.96	0,25	0,21	0,18	0,144
◆	512—NDS9959	SOIC-8	50	300	15	2.0	2	2,07	1,71	1,30	0,866
◆	512—2N7002DW	SC-70	60	7500	-	0.115	0.2	0,11	0,094	0,08	0,064
◆	512—2N7002V	SOT-523F	60	13500	-	0.28	0.25	0,40	0,311	0,213	0,177
◆	512—FDS9945	SOIC-8	60	100	8	3.5	2	0,53	0,445	0,379	0,303
◆	512—FDC3601N	SSOT-6	100	500	3.7	1,0	0.96	0,31	0,257	0,219	0,175
◆	512—FDS3912	SOIC-8	100	125	14	3.0	2	1,04	0,80	0,79	0,702
◆	512—FDS89141	SOIC-8	100	62	2.9	3.5	31	1,14	0,949	0,759	0,569
◆	512—FDS3992	SOIC-8	100	62	11	4.5	2.5	1,34	1,20	1,06	0,825
Canal N et P complémentaire											
◆	512—FDS4897C	SOIC-8	40	29	14	6.2	2	0,53	0,462	0,418	0,362
			-40	46	20	-4.4	2				
◆	512—FDD8424H	TO-252	40	24	14	20	30	0,70	0,619	0,544	0,474
			-40	54	17	-20	35				
◆	512—NDC7001C	SSOT-6	60	2000	1.1	0.51	0.96	0,36	0,304	0,259	0,207
			-60	5000	1.6	-0.34	0.96				
◆	512—FDS4559	SOIC-8	60	55	12.5	4.5	2	0,75	0,629	0,536	0,428
			-60	105	15	-3.5	2				

MOSFET DE HAUTE PUISSANCE

◆ **Composant pour montage en surface** ⁎ Fil de sortie coudé

Pour des quantités supérieures à celles indiquées, appelez-nous afin d'obtenir un devis.

RÉF. STOCK MOUSER		Boîtier	VDS (V)	RDS (on) Max à VGS=(10Ω)	Qg (nC)	ID (A)	PD (W)	Prix unitaire			
Fabr.	Réf. fabr.							1	25	100	250
Canal P simple											
	512—FQPF9P25	TO-220F	-250	0.62	29	-6.0	50	1,20	0,932	0,733	0,574
	512—FQP4P40	TO-220	-400	3.1	18	-3.5	85	0,78	0,685	0,596	0,524
	512—FQP9P25	TO-220	-400	0.62	29	-9.4	120	0,91	0,809	0,705	0,613
	512—FQA9P25	TO-3P	-400	0.62	29	-10.5	150	1,34	1,20	1,06	0,957
◆	512—FQB1P50TM	TO-263	-500	10.5	11	-1.5	3.13	0,76	0,677	0,589	0,513
◆	512—FQD3P50TM	TO-252	-500	4.9	18	-2.1	2.5	0,84	0,66	0,60	0,517
	512—FQP3P50	TO-220	-500	4.9	18	-2.7	85	0,85	0,677	0,579	0,508
Canal N double											
◆	512—FQT4N25TF	SOT-223	250	1.75	4.3	0.83	2.5	0,56	0,396	0,339	0,29
◆	512—FDD7N25LZTM	TO-252	250	0.55	12	3.7	56	0,69	0,578	0,462	0,347
◆	512—FDD6N25TM	TO-252	250	1.1	4.5	4.4	50	0,53	0,454	0,388	0,335
	512—FQPF9N25C	TO-220F	250	0.43	26.5	8.8	38	0,72	0,635	0,554	0,48
	512—FQPF16N25C	TO-220F	250	0.27	41	15.6	43	0,98	0,866	0,594	0,462
	512—FQP16N25	TO-220	250	0.23	27	16	142	1,12	0,99	0,866	0,754
	512—FQA40N25	TO-3P	250	0.07	85	40	280	2,55	2,29	2,03	1,83
◆	512—FDB44N25TM	TO-263	250	0.069	47	44	307	1,82	1,63	1,44	1,29
◆	512—FDB2710	TO-263	250	0.0425	78	50	260	4,42	3,95	3,60	3,28
	512—FDP2710	TO-220	250	0.0425	78	50	260	2,85	2,27	2,24	2,05
	512—FDA59N25	TO-3PN	250	0.049	63	59	392	2,53	2,27	2,01	1,82
	512—FQA62N25C	TO-3P	250	0.035	100	62	298	4,77	3,84	3,46	3,12
	512—FQP3N30	TO-220	300	2.2	5.5	3.2	55	0,60	0,536	0,466	0,404
	512—FDPF14N30	TO-220F	300	0.29	18	14	35	0,86	0,652	0,651	0,578
	512—FDB28N30TM	TO-262	300	0.129	39	28	250	1,53	1,37	1,25	1,12
	512—FDA38N30	TO-3PN	300	0.085	60	38	312	2,33	1,86	1,44	1,38
◆	512—FDD3N40TM	TO-252	400	3.4	4.5	2.0	30	0,52	0,446	0,38	0,328
	512—FDU3N40TU	TO-251	400	3.4	4.5	2.0	30	0,51	0,446	0,385	0,335
◆	512—FQD6N40CTM	TO-252	400	1	16	4.5	2.5	0,74	0,652	0,572	0,496
	512—FQP6N40C	TO-220	400	1	16	6.0	73	0,70	0,619	0,544	0,474
	512—FQPF11N40C	TO-220F	400	0.53	28	10.5	44	0,95	0,743	0,677	0,582
	512—FQP11N40C	TO-220	400	0.53	28	11	135	1,00	0,767	0,759	0,669
	512—FQP17N40	TO-220	400	0.27	45	16	170	1,60	1,42	1,25	1,11
	512—FDP19N40	TO-220	400	0.24	32	19	215	1,92	1,71	1,54	1,37
	512—FDA24N40F	TO-3PN	400	0.19	46	23	235	2,15	1,91	1,67	1,49
	512—FDP26N40	TO-220	400	0.16	48	26	265	1,86	1,65	1,49	1,29
	512—FQA30N40	TO-3P	400	0.14	90	30	290	4,49	3,66	3,29	2,81
⁎	512—SSN1N45BTA	TO-92-3	450	4.25	6.5	0,5	0.9	0,64	0,446	0,383	0,331
⁎	512—FQN1N50CTA	TO-92-3	500	6	4.9	0.38	0.89	0,32	0,256	0,211	0,157
⁎	512—FQNL2N50BTA	TO-92S	500	5.3	6	0.35	1.5	0,53	0,388	0,332	0,279
◆	512—FQD4N50TM	TO-252	500	2.7	10	2.6	45	0,71	0,627	0,546	0,475
	512—FDPF5N50UT	TO-220F	500	2	11	4.0	25	1,04	0,866	0,693	0,52
	512—FDPF5N50FT	TO-220F	500	1.55	11	4.5	28	0,87	0,767	0,666	0,584
	512—FDPF5N50NZ	TO-220F	500	1.5	9	4.5	30	0,89	0,751	0,71	0,622
	512—FDP5N50NZ	TO-220	500	1.5	9	4.5	30	0,98	0,866	0,758	0,66
	512—FQPF5N50C	TO-220F	500	1.4	18	5.0	38	0,81	0,619	0,545	0,469
◆	512—FDD6N50TM_WS	TO-252	500	0.9	12.8	6.0	89	0,82	0,726	0,633	0,551
	512—FDPF7N50	TO-220F	500	0.9	12.8	7.0	31.3	0,92	0,809	0,708	0,621
	512—FDP7N50	TO-220	500	0.9	12.8	7.0	89	0,85	0,751	0,653	0,573
	512—FDPF18N50	TO-220F	500	0.265	45	8.0	39	1,82	1,62	1,42	1,26
	512—FDPF18N50T	TO-220F	500	0.265	45	8.0	38.5	1,82	1,62	1,42	1,26

MOSFET DE HAUTE PUISSANCE (SUITE)

◆ **Composant pour montage en surface**

Pour des quantités supérieures à celles indiquées, appelez-nous afin d'obtenir un devis.

RÉF. STOCK MOUSER		Boîtier	VDS (V)	RDS (on) Max à VGS= (10Ω)	Qg (nC)	ID (A)	PD (W)	Prix unitaire			
Fabr.	Réf. fabr.							1	25	100	250
Canal N simple (suite)											
	512—FDPF8N50NZ	TO-220F	500	0.85	14	8.0	40.3	1,26	1,13	0,998	0,891
	512—FDPF10N50FT	TO-220F	500	0.85	18	9.0	42	1,17	1,03	0,899	0,79
	512—FQPF9N50CF	TO-220F	500	0.85	28	9.0	44	1,34	1,07	0,998	0,924
	512—FDPF13N50FT	TO-220F	500	0.54	30	12	42	1,33	1,18	1,04	0,924
	512—FQPF11N50CF	TO-220F	500	0.55	43	11	48	1,25	1,11	0,982	0,883
◆	512—FDB12N50TM	TO-263	500	0.65	22	11.5	165	1,11	0,99	0,858	0,751
	512—FQPF13N50CF	TO-220F	500	0.54	43	13	48	1,42	1,26	1,11	0,982
	512—IRFP460C	TO-3P	500	0.24	87	14	235	2,57	2,30	2,04	1,84
	512—FDPF16N50UT	TO-220F	500	0.48	-	15	38.5	1,77	1,42	1,06	0,998
	512—FQA13N50CF	TO-3PN	500	0.48	43	15	218	1,79	1,44	1,30	1,15
	512—FDP18N50	TO-220	500	0.265	45	18	235	2,02	1,62	1,42	1,30
	512—FDA18N50	TO-3PN	500	0.265	45	19	239	2,15	1,91	1,67	1,49
	512—FDP20N50F	TO-220	500	0.26	50	20	250	2,00	1,77	1,55	1,38
	512—FDPF20N50FT	TO-220F	500	0.26	50	20	38.5	2,02	1,80	1,58	1,39
	512—FDA20N50F	TO-3PN	500	0.26	50	22	388	2,20	1,98	1,75	1,58
	512—FDA20N50_F109	TO-3PN	500	0.23	45.6	22	280	2,80	2,29	2,05	1,85
	512—FDA24N50	TO-3PN	500	0.19	65	24	270	2,79	2,50	2,21	2,00
	512—FQA24N50_F109	TO-3PN	500	0.2	120	24	290	2,90	2,32	2,20	2,10
	512—FDA28N50F	TO-3PN	500	0.175	80	28	310	4,45	3,99	3,54	3,19
	512—FDA28N50	TO-3PN	500	0.155	80	28	310	3,83	3,44	3,04	2,75
	512—FDH44N50	TO-247	500	0.12	90	44	750	6,81	6,12	5,43	4,99
	512—FDL100N50F	TO-264	500	0.055	238	100	2500	10,16	9,27	8,38	7,64
	512—FQN1N60CTA	TO-92-3	600	11.5	4.8	0.3	1	0,35	0,297	0,257	0,221
◆	512—FQD1N60CTM	TO-252	600	11.5	4.8	1,0	28	0,60	0,462	0,413	0,353
◆	512—FQD2N60CTM	TO-252	600	4.7	8.5	1.9	2.5	0,65	0,503	0,442	0,373
	512—FQPF2N60C	TO-220F	600	4.7	8.5	2.0	23	0,73	0,655	0,573	0,496
	512—FQP2N60C	TO-220	600	4.7	8.5	2.0	54	0,37	0,338	0,31	0,286
◆	512—FQD5N60CTM	TO-252	600	2.5	15	2.8	49	0,77	0,677	0,589	0,511
	512—FCP4N60	TO-220	600	1.2	12.8	3.9	50	0,98	0,866	0,752	0,66
	512—FQP5N60C	TO-220	600	2.5	15	4.5	100	0,70	0,561	0,497	0,396
	512—FQPF5N60C	TO-220F	600	2.5	15	4.5	33	0,75	0,602	0,528	0,459
	512—FDPF5N60NZ	TO-220F	600	2	10	4.5	33	0,99	0,825	0,66	0,495
	512—FQPF6N60C	TO-220F	600	2	16	5.5	40	0,80	0,635	0,561	0,516
	512—FCP7N60	TO-220	600	0.6	25	7.0	83	1,49	1,35	1,24	1,14
◆	512—FQB8N60CTM	TO-252	600	1.2	28	7.5	147	1,26	0,998	0,891	0,774
	512—FQP8N60C	TO-220	600	1.2	28	7.5	147	1,48	1,31	1,15	1,02
	512—FQPF8N60C	TO-220F	600	1.2	28	7.5	48	1,27	0,982	0,766	0,601
	512—FQPF8N60CT	TO-220F	600	1.2	28	7.5	48	1,34	1,20	1,06	0,957
	512—FCPF9N60NT	TO-220F	600	0.385	29	9.0	30	2,16	1,96	1,80	1,66
	512—FQP10N60C	TO-220	600	0.73	44	9.5	156	2,03	1,47	1,30	1,17
	512—FQPF10N60C	TO-220F	600	0.73	44	9.5	50	1,67	1,49	1,30	1,16
	512—FCPF11N60NT	TO-220F	600	0.299	27.4	10.8	32.1	2,29	2,13	1,87	1,69
	512—FCP11N60F	TO-220	600	0.38	40	11	125	2,70	2,10	1,64	1,47
	512—FCH25N60N	TO-247	600	0.125	57	16	216	5,94	4,75	4,01	3,86
	512—FCPF16N60NT	TO-220F	600	0.199	40.2	16	35.7	3,33	3,03	2,77	2,56
	512—FQA19N60	TO-3P	600	0.38	70	18.5	300	2,75	2,47	2,19	1,97
	512—FCA20N60F	TO-3PN	600	0.19	75	20	208	5,20	4,73	4,33	3,99
	512—FCP20N60	TO-220	600	0.19	75	20	208	4,07	3,63	2,97	2,68
	512—FCPF20N60	TO-220F	600	0.19	75	20	39	3,42	3,02	2,65	2,46
	512—FCA22N60N	TO-3PN	600	0.165	45	22	205	4,33	3,94	3,61	3,32
	512—FCPF22N60NT	TO-220F	600	0.165	45	22	39	3,91	3,13	2,66	2,52
	512—FCH47N60NF	TO-247	600	0.065	121	28.9	368	12,82	10,90	9,93	9,29
	512—FCH35N60	TO-247	600	0.098	139	35	312.5	7,52	6,77	6,02	5,36
	512—FCP36N60N	TO-220	600	0.09	112	36	312	7,41	6,29	5,73	5,37
	512—FCH76N60NF	TO-247	600	0.038	230	46	543	22,21	18,88	17,21	16,10
	512—FCH47N60N	TO-247	600	0.062	151	47	368	12,87	10,94	9,97	9,33
	512—FCA47N60	TO-3PN	600	0.07	210	47	417	11,33	10,30	8,75	7,98
	512—FCA47N60F	TO-3PN	600	0.073	210	47	417	10,31	9,24	8,25	7,88
	512—FCH76N60N	TO-247	600	0.036	285	76	543	21,71	18,46	16,82	15,74
	512—FQPF7N65C	TO-220F	650	1.4	28	7.0	52	1,20	0,941	0,842	0,73
	512—FDA15N65	TO-3PN	650	0.44	48.5	16	260	2,40	2,15	1,91	1,72
◆	512—FQD1N80TM	TO-252	800	20	5.5	1,0	2.5	0,50	0,418	0,355	0,284
	512—FQPF3N80C	TO-220F	800	4.8	13	3.0	39	0,88	0,693	0,63	0,543
	512—FQP3N80C	TO-220	800	4.8	13	3.0	107	0,80	0,635	0,561	0,488
	512—FQP4N80	TO-220	800	3.6	19	3.9	130	1,04	0,792	0,789	0,70
◆	512—FQB4N80TM	TO-263	800	3.6	19	3.9	130	1,17	0,941	0,815	0,715
	512—FQP5N80	TO-220	800	2.6	25	4.8	140	1,01	0,916	0,815	0,798
	512—FQPF6N80C	TO-220F	800	2.5	21	5.5	51	1,02	0,899	0,786	0,69
◆	512—FQB6N80TM	TO-263	800	1.95	31	5.8	158	1,23	0,974	0,85	0,749
	512—FQP7N80C	TO-220	800	1.9	27	6.6	167	1,30	1,03	0,899	0,787
	512—FQA7N80C_F109	TO-3PN	800	1.9	27	7.0	198	1,62	1,44	1,26	1,12
	512—FQP8N80C	TO-220	800	1.55	35	8.0	178	1,19	1,06	0,924	0,825
	512—FQPF8N80C	TO-220F	800	1.55	35	8.0	59	1,45	1,15	1,03	0,883
	512—FQA10N80C_F109	TO-3PN	800	1.1	45	10	240	2,12	1,68	1,67	1,52
	512—FQP2N90	TO-220	900	7.2	12	2.2	85	0,74	0,652	0,572	0,502
	512—FQPF4N90C	TO-220F	900	4.2	17	4.0	47	0,88	0,776	0,679	0,596
	512—FQP4N90C	TO-220	900	4.2	17	4.0	140	0,86	0,759	0,664	0,578
◆	512—FQB5N90TM	TO-263	900	2.3	31	5.4	158	1,45	1,30	1,13	1,01
	512—FQPF6N90C	TO-220F	900	2.3	30	6.0	56	1,19	1,06	0,924	0,817
	512—FQP6N90C	TO-220	900	2.3	30	6.0	167	1,25	1,11	0,965	0,842
	512—FQAF11N90C	TO-3PF	900	1.1	60	7.0	120	2,51	2,25	2,00	1,80
	512—FQPF9N90CT	TO-220F	900	1.4	45	8.0	68	1,82	1,62	1,42	1,26
◆	512—FQD2N100TM	TO-252	1000	0.009	12	1.7	2.5	0,85	0,705	0,598	0,478
	512—FQA8N100C	TO-3P	1000	1.45	53	8.0	225	1,64	1,49	1,37	1,26
	512—FQH8N100C	TO-247	1000	1.45	53	8.0	225	2,96	2,66	2,36	2,13

© Copyright 2012 Mouser Electronics

© Copyright 2012 Mouser Electronics

MOSFET de puissance INFINEON

RoHS Compliant **This product is RoHS compliant.**

MOSFET À CANAL N - OPTIMOS®

Les nouveaux OptiMOS®2 et OptiMOS®3 d'Infineon associent la résistance la plus basse à l'état passant dans des boîtiers comparables et les exigences les plus faibles de contrôleur de grille. Les MOSFET OptiMOS®3 à 30V ont une performance de commutation excellente et permettent d'augmenter la densité de puissance dans l'application et par conséquent d'économiser de l'énergie.

Pour des quantités supérieures à celles indiquées, appelez-nous afin d'obtenir un devis.

RÉF. STOCK MOUSER	Réf. Infineon	Type de boîtier	VDS (Max.) (V)	RDS (ON) à 10V (Max.)(mΩ)	ID (Max)(A)	IDpulse (Max.) (A)	Ptot (Max.)(W)	VGS(th) (Min.) (V)	VGS(th) (Max.) (V)	Qg (Typ.)	RthJC (Max.)(K/W)	Prix unitaire 1	10	100	500
726-IPB147N03LG	IPB147N03L G	TO-263-3	30	14.7	20	140	31	1.0	2.2	4.8	4.9	0,78	0,66	0,611	0,501
726-BSZ130N03LSG	BSZ130N03LS G	TSDSON-8	30	13	35	140	25	1.0	2.2	5.0	5.0	0,70	0,602	0,475	0,348
726-BSZ130N03MSG	BSZ130N03MS G	TSDSON-8	30	13	35	140	25	1.0	2.0	6.1	5.0	0,71	0,614	0,484	0,355
726-BSC120N03LSG	BSC120N03LS G	TDSON-8	30	12	39	156	28	1.0	2.2	5.0	4.5	0,65	0,563	0,446	0,327
726-BSC120N03MSG	BSC120N03MS G	TDSON-8	30	12	39	156	28	1.0	2.0	15	4.5	0,65	0,563	0,446	0,327
726-BSZ050N03LSG	BSZ050N03LS G	TSDSON-8	30	5.0	40	160	50	1.0	2.2	13	2.5	0,91	0,782	0,619	0,454
726-BSZ050N03MSG	BSZ050N03MS G	TSDSON-8	30	5.0	40	160	48	1.0	2.0	34	2.5	0,83	0,743	0,597	0,446
726-BSZ058N03LSG	BSZ058N03LS G	TSDSON-8	30	5.8	40	160	45	1.0	2.2	22	2.8	0,85	0,734	0,581	0,426
726-BSZ058N03MSG	BSZ058N03MS G	TSDSON-8	30	5.8	40	160	45	1.0	2.0	14	2.8	0,87	0,749	0,592	0,434
726-IPD090N03LG	IPD090N03L G	TO-252-3	30	9.0	40	280	42	1.0	2.2	7.4	3.6	0,66	0,569	0,455	0,334
726-BSZ100N03MSG	BSZ100N03MS G	TSDSON-8	30	10	40	160	30	1.0	2.0	8.3	4.1	0,72	0,619	0,492	0,361
726-BSC100N03LSG	BSC100N03LS G	TDSON-8	30	10	44	176	30	1.0	2.2	6.0	4.2	0,66	0,578	0,437	0,33
726-BSC100N03MSG	BSC100N03MS G	TDSON-8	30	10	44	176	30	1.0	2.0	17	4.1	0,66	0,577	0,437	0,322
726-BSC090N03LSG	BSC090N03LS G	TDSON-8	30	9.0	47	188	31	1.0	2.2	7.0	4.0	0,69	0,603	0,467	0,346
726-BSC090N03MSG	BSC090N03MS G	TDSON-8	30	9.0	48	192	32	1.0	2.0	18	3.9	0,76	0,652	0,517	0,38
726-IPD050N03LG	IPD050N03L G	TO-252-3	30	5.0	50	350	68	1.0	2.2	15	2.2	0,88	0,756	0,60	0,439
726-IPD060N03LG	IPD060N03L G	TO-252-3	30	6.0	50	350	56	1.0	2.2	11.3	2.7	0,74	0,614	0,507	0,371
726-IPD075N03LG	IPD075N03L G	TO-252-3	30	7.5	50	350	47	1.0	2.2	8.7	3.2	0,66	0,569	0,449	0,329
726-BSC080N03LSG	BSC080N03LS G	TDSON-8	30	8.0	52	208	34	1.0	2.2	7.0	3.7	0,83	0,715	0,566	0,415
726-BSC080N03MSG	BSC080N03MS G	TDSON-8	30	8.0	53	212	35	1.0	2.0	9.9	3.6	0,82	0,677	0,554	0,407
726-BSC057N03LSG	BSC057N03LS G	TDSON-8	30	5.7	71	284	45	1.0	2.2	11	2.8	0,93	0,808	0,639	0,468
726-BSC057N03MSG	BSC057N03MS G	TDSON-8	30	5.7	71	284	45	1.0	2.0	14	2.8	0,87	0,749	0,592	0,434
726-BSC050N03LSG	BSC050N03LS G	TDSON-8	30	5.0	79	316	48	1.0	2.2	13	2.6	0,85	0,757	0,609	0,454
726-IPB034N03LG	IPB034N03L G	TO-263-3	30	3.4	80	400	94	1.0	2.2	25	1.6	1,30	1,16	0,908	0,47
726-IPP042N03LG	IPP042N03L G	TO-220-3	30	4.2	80	320	79	1.0	2.2	18	1.9	1,09	0,965	0,769	0,596
726-BSC050N03MSG	BSC050N03MS G	TDSON-8	30	5.0	80	320	50	1.0	2.0	17	2.5	0,85	0,757	0,609	0,454
726-IPD031N03LG	IPD031N03L G	TO-252-3	30	3.1	90	400	94	1.0	2.2	25	1.6	1,30	1,01	0,866	0,825
726-IPD040N03LG	IPD040N03L G	TO-252-3	30	4.0	90	400	79	1.0	2.2	18.2	1.9	0,83	0,739	0,591	0,459
726-BSC042N03MSG	BSC042N03MS G	TDSON-8	30	4.2	93	372	57	1.0	2.0	20	2.2	0,92	0,825	0,654	0,509
726-BSC014N03MSG	BSC014N03MSGXT	TDSON-8	30	1.4	100	400	139	1.0	2.0	130	0.9	2,15	1,95	1,75	1,37
726-BSC0902NSI	BSC0902NSI	TDSON-8	30	2.2	100	400	2.5	1	2.2	13	2.6	1,19	0,99	0,792	0,734
726-BSC020N03LSG	BSC020N03LSG	TDSON-8	30	2.0	100	400	93	1.0	2.2	34	1.3	2,05	1,89	1,73	1,59
726-BSC032N03SG	BSC032N03S G	TDSON-8	30	3.2	100	200	78	1.2	2.0	29	1.6	2,59	2,03	1,72	1,55
726-BSC0908NS	BSC0908NS	TDSON	34	6.7	49	196	2.5	1	2.2	6.8	4.2	0,62	0,516	0,413	0,388
726-IPG20N04S4L-07	IPG20N04S4L-07	TDSON-8	40	7.2	20	80	65	1.2	2.2	39	2.3	0,89	0,792	0,734	0,652
726-IPG20N04S4-08	IPG20N04S4-08	TDSON-8	40	7.6	20	80	65	2	4	28	2.3	0,89	0,792	0,734	0,652
726-IPG20N04S4L-08	IPG20N04S4L-08	TDSON-8	40	8.2	20	80	54	1.2	2.2	20	2.8	0,73	0,644	0,594	0,528
726-IPG20N04S4-09	IPG20N04S4-09	TDSON-8	40	8.6	20	80	54	2	4	21.7	2.8	0,73	0,644	0,594	0,528
726-IPG20N04S4L-11	IPG20N04S4L-11	TDSON-8	40	11.6	20	80	41	1.2	2.2	20	3.7	0,60	0,536	0,495	0,437
726-IPG20N04S4-12	IPG20N04S4-12	TDSON-8	40	12.2	20	80	41	2	4	14	3.7	0,60	0,536	0,495	0,437
726-IPD105N04LG	IPD105N04L G	TO-252-3	40	10.5	40	280	42	1.2	2.0	18	3.6	0,52	0,479	0,446	0,412
726-BSC093N04LSG	BSC093N04LSGXT	TDSON-8	40	9.3	49	196	35	1.2	2.0	18	3.6	0,81	0,693	0,553	0,405
726-IPD088N04LG	IPD088N04L G	TO-252-3	40	8.8	50	350	47	1.2	2.0	20.7	3.2	0,64	0,594	0,552	0,527
726-IPB80N04S304	IPB80N04S3-04	TO-263-3	40	3.8	80	320	136	2.1	4.0	60	1.1	1,70	1,45	1,18	0,916
726-BSC050N04LSG	BSC050N04LS G	TDSON-8	40	5.0	85	340	57	1.2	2.0	36	2.2	1,11	1,02	0,949	0,866
726-IPP120N04S3-02	IPP120N04S302XK	TO-220-3	40	2.0	120	480	300	2.1	4.0	160	0.5	2,41	2,17	1,74	1,13
726-IPG20N06S2L-35	IPG20N06S2L-35	TDSON-8	55	35	20	80	65	1.2	2	18	2.3	0,55	0,487	0,446	0,396
726-IPG20N06S2L-50	IPG20N06S2L-50	TDSON-8	55	50	20	80	51	1.2	2	13	2.9	0,48	0,421	0,388	0,347
726-IPG20N06S2L-65	IPG20N06S2L-65	TDSON-8	55	65	20	80	43	1.2	2	9.4	3.5	0,42	0,371	0,344	0,307
726-IPD640N06LG	IPD640N06L G	TO-252-3	60	64	18	72	0.0047	1.2	2.0	10	3.2	0,67	0,52	0,446	0,396
726-BSZ076N06NS3G	BSZ076N06NS3GXT	TDSON-8	60	7.6	20	80	69	2.0	4.0	37	1.8	0,65	0,611	0,588	0,537
726-IPG20N06S4L-11	IPG20N06S4L-11	TDSON-8	60	11.2	20	80	65	1.2	2.2	41	2.3	0,97	0,866	0,80	0,718
726-IPG20N06S4L-14	IPG20N06S4L-14	TDSON-8	60	13.7	20	80	50	1.2	2.2	30	3	0,80	0,71	0,66	0,586
726-IPG20N06S4-15	IPG20N06S4-15	TDSON-8	60	15.5	20	80	50	2	4	22	3	0,80	0,71	0,66	0,586
726-IPG20N06S4L-26	IPG20N06S4L-26	TDSON-8	60	26	20	80	33	1.2	2.2	15	4.5	0,53	0,47	0,437	0,388
726-IPP260N06N3G	IPP260N06N3GXK	TO-220-3	60	26	27	108	36	2.0	4.0	11	4.2	0,44	0,429	0,42	0,408
726-IPP093N06N3G	IPP093N06N3GXK	TO-220-3	60	9.0	50	200	71	2.0	4.0	36	1.6	0,64	0,631	0,617	0,60
726-IPP120N06NG	IPP120N06N G	TO-220-3	60	12	75	300	158	1.2	2.0	46	1.0	1,34	1,21	0,974	0,759
726-IPP110N06LG	IPP110N06L G	TO-220-3	60	11.3	78	312	158	1.2	2.0	59	1.0	0,58	0,561	0,548	0,538
726-IPP057N06N3G	IPP057N06N3GXK	TO-220-3	60	5.4	80	320	115	2.0	4.0	61	1.3	0,74	0,724	0,716	0,694
726-IPP085N06LG	IPP085N06L G	TO-220-3	60	8.5	80	320	188	1.2	2.0	78	0.8	0,72	0,702	0,691	0,685
726-IPP037N06L3G	IPP037N06L3GXK	TO-220-3	60	3.4	90	360	167	1.2	2.2	59	0.9	1,95	1,77	1,41	1,09
726-IPD035N06L3G	IPD035N06L3GXT	TO-252-3	60	3.5	90	360	167	1.2	2.2	59	0.9	2,12	1,80	1,49	1,28
726-IPB034N06N3G	IPB034N06N3GXT	TO-263-7	60	3.4	100	400	167	2.0	4.0	98	0.9	1,94	1,75	1,40	1,09
726-IPB048N06LG	IPB048N06L G	TO-263-3	60	4.4	100	400	--	1.2	2.0	169	0.5	2,88	2,58	2,10	1,67
726-IPB050N06NG	IPB050N06N G	TO-263-3	60	4.7	100	400	--	2.1	4.0	126	0.5	2,88	2,58	2,10	1,67
726-IPB021N06N3G	IPB021N06N3GXT	TO-263-3	60	2.1	120	480	250	2.0	4.0	206	0.6	2,46	2,31	2,20	1,80
726-IPP032N06N3G	IPP032N06N3GXK	TO-220-3	60	2.9	120	480	188	2.0	4.0	124	0.8	1,83	1,77	1,58	1,36
726-IPB017N06N3G	IPB017N06N3GXT	TO-263-7	60	1.7	180	720	250	2.0	4.0	206	0.6	2,71	2,54	2,31	1,86
726-IPP052NE7N3GXK	IPP052NE7N3GXK	TO-220-3	75	5.2	80	320	150	2.3	3.8	51	1.0	1,52	1,42	1,35	1,24
726-IPB80N08S2L07	IPB80N08S2L07XT	TO-263-3	75	6.8	80	320	300	1.2	2.0	183	0.5	2,71	2,19	1,69	1,24
726-IPB031NE7N3GXT	IPB031NE7N3GXT	TO-263-3	75	3.1	100	400	214	2.3	3.8	88	0.7	2,02	1,96	1,82	1,66
726-IPP034NE7N3GXK	IPP034NE7N3GXK	TO-220-3	75	3.4	100	400	214	2.3	3.8	88	0.7	3,27	2,71	2,18	1,80
726-BSC042NE7NS3GXT	BSC042NE7NS3GXT	TDSON-8	75	4.2	100	400	125	2.3	3.8	52	1.0	1,90	1,71	1,38	1,06
726-IPB020NE7N3GXT	IPB020NE7N3GXT	TO-263-3	75	2.0	120	480	300	2.3	3.8	155	0.5	3,62	3,40	3,24	2,96
726-BSZ340N08NS3GXT	BSZ340N08NS3GXT	TDSON-8	80	34	23	92	32	2.0	3.5	6.8	3.9	0,69	0,652	0,566	0,479
726-BSC057N08NS3G	BSC057N08NS3GXT	TDSON-8	80	5.7	100	400	114	2.0	3.5	42	1.1	1,63	1,41	1,20	0,949
726-IPP50CN10NG	IPP50CN10N G	TO-220-3	100	50	20	80	44	2.0	4.0	12	3.4	1,11	0,982	0,779	0,604
726-IPB34CN10NG	IPB34CN10N G	TO-263-3	100	33	27	108	58	2.0	4.0	18	2.6	1,12	1,04	0,965	0,883
726-IPI26CN10NG	IPI26CN10N G	TO-262-3	100	26	35	140	71	2.0	4.0	23	2.1	1,58	1,45	1,33	0,932
726-IPB26CN10NG	IPB26CN10N G	TO-263-3	100	26	35	140	71	2.0	4.0	23	2.1	1,20	1,06	0,916	0,842
726-IPP16CN10NG	IPP16CN10N G	TO-220-3	100	16.5	53	212	100	2.0	4.0	36	1.5	1,63	1,47	1,18	0,916
726-IPP16CN10LG	IPP16CN10L G	TO-220-3	100	15.7	54	216	100	1.2	2.4	44	1.5	0,71	0,685	0,679	0,659
726-IPB123N10N3G	IPB123N10N3GXT	TO-263-3	100	12.3	58	232	94	2.0	3.5	26	1.6	1,15	1,08	0,982	0,765
726-BSC100N10NSFG	BSC100N10NSFGXT	TDSON-8	100	10	90	360	156	2.0	4.0	33	0.8	2,60	2,31	1,90	1,53

© Copyright 2012 Mouser Electronics

© Copyright 2012 Mouser Electronics

MOSFET de puissance INFINEON

RoHS Compliant **This product is RoHS compliant.**

MOSFET À CANAL N - OPTIMOS® (SUITE)

Les nouveaux OptiMOS®2 et OptiMOS®3 d'Infineon associent la résistance la plus basse à l'état passant dans des boîtiers comparables et les exigences les plus faibles de contrôleur de grille. Les MOSFET OptiMOS®3 à 30V ont une performance de commutation excellente et permettent d'augmenter la densité de puissance dans l'application et par conséquent d'économiser de l'énergie.

Pour des quantités supérieures à celles indiquées, appelez-nous afin d'obtenir un devis.

RÉF. STOCK MOUSER	Réf. Infineon	Type de boîtier	VDS (Max.) (V)	RDS (ON) à 10V (Max.)(mΩ)	ID (Max)(A)	IDpulse (Max.) (A)	Ptot (Max.)(W)	VGS(th) (Min.) (V)	VGS(th) (Max.) (V)	Qg (Typ.)	RthJC(Max.) (K/W)	Prix unitaire 1	10	100	500
726-IPP04CN10NG	IPP04CN10N G	TO-220-3	100	3.9	100	400	300	2.0	4.0	158	0.5	4,88	4,36	3,56	2,89
726-IPB039N10N3G	IPB039N10N3GXT	TO-263-7	100	3.9	160	640	214	2.0	3.5	88	0.7	2,66	2,50	2,07	1,67
726-IPB025N10N3G	IPB025N10N3GXT	TO-263-7	100	2.5	180	720	300	2.0	3.5	155	0.5	5,77	5,19	4,22	3,36
726-BSC190N12NS3GXT	BSC190N12NS3GXT	TDSON-8	120	19	44	176	69	2.0	4.0	26	1.8	1,34	1,11	0,965	0,736
726-IPD110N12N3G	IPD110N12N3GXT	TO-252-3	120	11	75	300	136	2.0	4.0	49	1.1	1,17	1,13	1,05	0,883
726-BSC077N12NS3GXT	BSC077N12NS3GXT	TDSON-8	120	7.7	98	392	139	2.0	4.0	66	0.9	2,68	2,07	1,82	1,36
726-IPP048N12N3GXK	IPP048N12N3GXK	TO-220-3	120	4.8	100	400	300	2.0	4.0	137	0.5	3,94	3,51	2,88	2,21
726-IPP076N12N3GXK	IPP076N12N3GXK	TO-220-3	120	7.6	100	400	188	2.0	4.0	76	0.8	2,71	2,43	1,80	1,58
726-IPB038N12N3GXT	IPB038N12N3GXT	TO-263-3	120	3.8	120	480	300	2.0	4.0	158	0.5	3,87	3,74	3,44	2,78
726-IPP041N12N3GXK	IPP041N12N3GXK	TO-220-3	120	3.8	120	480	300	2.0	4.0	158	0.5	5,14	4,96	4,09	3,58
726-IPB036N12N3GXT	IPB036N12N3GXT	TO-263-7	120	3.6	180	720	300	2.0	4.0	158	0.5	4,26	4,12	3,78	3,06
726-IPP200N15N3G	IPP200N15N3GXK	TO-220-3	150	20	50	200	150	2.0	4.0	23	1.0	1,10	1,08	1,04	1,01
726-BSZ520N15NS3G	BSZ520N15NS3GXT	TDSON-8	150	52	21	84	57	2.0	4.0	8.7	2.2	1,24	1,09	0,866	0,672
726-BSC520N15NS3GXT	BSC520N15NS3GXT	TDSON-8	150	52	21	84	57	2.0	4.0	8.7	2.2	1,24	1,09	0,866	0,672
726-BSC190N15NS3G	BSC190N15NS3GXT	TDSON-8	150	19	50	200	125	2.0	4.0	23	1.0	2,53	2,28	1,86	1,48
726-IPB200N15N3G	IPB200N15N3GXT	TO-262-3	150	20	50	200	150	2.0	4.0	23	1.0	2,03	1,83	1,47	1,06
726-BUZ73A	BUZ73A	TO-262-3	200	600	5.5	22	40	1.2	2.0	-	3.1	1,08	0,941	0,757	0,587
726-BUZ73AL	BUZ73AL	TO-220-3	200	600	5.5	22	40	1.2	2.0	-	3.1	1,02	0,891	0,718	0,556
726-BUZ73L	BUZ73L	TO-220-3	200	400	7.0	28	40	1.2	2.0	-	3.1	0,95	0,866	0,691	0,535
726-BUZ73	BUZ73	TO-220-3	200	400	7.0	28	40	2.1	4.0	-	3.1	1,08	0,949	0,757	0,587
726-BUZ32	BUZ32	TO-220-3	200	400	9.5	38	75	2.1	4.0	-	1.67	1,46	1,31	1,05	0,817
726-BUZ31L	BUZ31L	TO-220-3	200	200	13.5	54	95	1.2	2.0	-	1.32	1,58	1,43	1,04	0,891
726-IPB320N20N3GXT	IPB320N20N3GXT	TO-263-3	200	32	34	136	136	2.0	4.0	22	1.1	2,38	2,12	1,74	1,41
726-IPD320N20N3G	IPD320N20N3GXT	TO-252-3	200	32	34	136	136	2.0	4.0	22	1.1	1,56	1,50	1,39	1,18
726-IPP320N20N3GXK	IPP320N20N3GXK	TO-220-3	200	32	34	136	136	2.0	4.0	22	1.1	2,71	2,33	1,83	1,60
726-BSC320N20NS3G	BSC320N20NS3GXT	TDSON-8	200	32	36	144	125	2.0	4.0	22	1.0	2,52	2,25	1,85	1,49
726-IPB107N20N3GXT	IPB107N20N3GXT	TO-263-3	200	10.7	88	352	300	2.0	4.0	65	0.5	5,53	4,97	4,08	3,42
726-BSC16DN25NS3G	BSC16DN25NS3G	TDSON-8	250	146	10.9	44	62.5	2	4	8.6	2	1,65	1,37	1,10	1,01
726-BSZ16DN25NS3G	BSZ16DN25NS3G	TDSON-8	250	146	10.9	44	62.5	2	4	8.6	2	1,72	1,43	1,15	1,06
726-BSC600N25NS3GXT	BSC600N25NS3GXT	TDSON-8	250	60	25	100	125	2.0	4.0	22	1.0	2,47	2,19	1,80	1,46
726-IPB600N25N3GXT	IPB600N25N3GXT	TO-263-3	250	60	25	100	136	2.0	4.0	22	1.1	1,84	1,77	1,49	1,16
726-IPP600N25N3GXK	IPP600N25N3GXK	TO-220-3	250	60	25	100	136	2.0	4.0	22	1.1	1,84	1,77	1,58	1,36
726-IPD600N25N3G	IPD600N25N3GXT	TO-252-3	250	60	25	100	136	2.0	4.0	22	1.1	1,38	1,33	1,23	1,12
726-IPB200N25N3GXT	IPB200N25N3GXT	TO-263-3	250	20	64	256	300	2.0	4.0	64	0.5	5,82	5,23	4,30	3,61
726-IPP200N25N3GXK	IPP200N25N3GXK	TO-220-3	250	20	64	256	300	2.0	4.0	64	0.5	7,40	6,70	5,02	4,60

MOSFET À CANAL P - OPTIMOS®

Les nouveaux OptiMOS®2 et OptiMOS®3 d'Infineon associent la résistance la plus basse à l'état passant dans des boîtiers comparables et les exigences les plus faibles de contrôleur de grille. Les MOSFET OptiMOS®3 à 30V ont une performance de commutation excellente et permettent d'augmenter la densité de puissance dans l'application et par conséquent d'économiser de l'énergie.

Pour des quantités supérieures à celles indiquées, appelez-nous afin d'obtenir un devis.

RÉF. STOCK MOUSER	Réf. Infineon	Type de boîtier	VDS (Max.) (V)	RDS (ON) à 10V (Max.)(mΩ)	ID (Max)(A)	IDpulse (Max.) (A)	Ptot (Max.)(W)	VGS(th) (Min.) (V)	VGS(th) (Max.) (V)	Qg (Typ.)	RthJC(Max.) (K/W)	Prix unitaire 1	10	100	500
726-BSV236SPL6327	BSV236SP L6327	SOT-363-6	-20	175	-1.5	-6	0.59	-0.6	-1.2	3.8	220	0,45	0,322	0,261	0,249
726-BSC080P03LSG	BSC080P03LS G	TDSON-8	-30	8.0	-30	-120	89	-2.2	-1.0	92	50	2,15	1,85	1,50	1,16
726-SPD50P03LG	SPD50P03L G	TO-252-5	-30	7.0	-50	-200	150	-1.0	-2.0	95	1.0	2,02	1,72	1,41	1,09
726-BSL307SPL6327	BSL307SP L6327	TSOP6-6	-30	43	-5.5	-22	2	-1.0	-2.0	23.4	230	0,66	0,528	0,396	0,294
726-SPB80P06PG	SPB80P06P G	TO-263-3	-60	23	-80	-320	375	-2.1	-4.0	115	0.4	3,26	2,93	2,38	1,90
726-SPP80P06P	SPP80P06P	TO-220-3	-60	23	-80	-320	340	-2.1	-4.0	115	0.4	2,71	2,43	1,99	1,38
726-SPB08P06PG	SPB08P06P G	TO-263-3	-60	230	-80	-320	42	-2.1	-4.0	10	3.6	0,97	0,771	0,659	0,543
726-SPB18P06PG	SPB18P06P G	TO-263-3	-60	130	-18.6	-74.8	80	-2.1	-4.0	22	1.85	1,14	0,998	0,792	0,611
726-SPD18P06P	SPD18P06P	TO-252-3	-60	130	-18.6	-74.4	80	-2.1	-4.0	22	1.85	0,92	0,825	0,662	0,601
726-SPP18P06P	SPP18P06P	TO-220-3	-60	130	-18.6	-74.4	80	-2.1	-4.0	22	1.85	1,15	0,998	0,792	0,611
726-SPP08P06P	SPP08P06P	TO-220-3	-60	300	-8.8	-35.2	42	-2.1	-4.0	10	3.6	0,78	0,683	0,545	0,422
726-BSR315PL6327	BSR315P L6327	SC-59-3	-60	800	-0.62	-2.48	0.5	-2.0	-1.0	4.0	250	0,40	0,371	0,338	0,237
726-BSS83PL6327	BSS83P L6327	SOT-23-3	-60	2,000	-0.33	-1.32	0.36	-1.0	-2.0	2.38	350	0,26	0,223	0,114	0,091
726-BSS84PL6327	BSS84P L6327	SOT-23-3	-60	12,000	-0.17	-0.68	0.36	-1.0	-2.0	1.0	350	0,38	0,272	0,163	0,092
726-BSS84PWL6327	BSS84PW L6327	SOT-323-3	-60	8.0	-0.15	-0.6	0.3	-1.0	-2.0	1.0	420	0,25	0,198	0,162	0,083
726-SPD15P10PLG	SPD15P10PL G	TO-252-3	-100	200	-15	-60	128	-1.0	-2.0	47	1.17	1,59	1,37	1,16	0,866
726-SPP15P10PLG	SPP15P10PL G	TO-220-3	-100	200	-15	-60	128	-1.0	-2.0	47	1.17	1,34	1,22	1,10	1,01
726-SPD15P10PG	SPD15P10P G	TO-252-3	-100	240	-15	-60	128	-2.1	-4.0	37	1.17	1,59	1,37	1,16	0,866
726-SPD04P10PLG	SPD04P10PL G	TO-252-3	-100	850	-4.2	-16.8	38	-1.0	-2.0	12	3.9	0,64	0,536	0,429	0,404
726-SPD04P10PG	SPD04P10P G	TO-252-3	-100	1.0	-4.0	-16	38	-2.1	-4.0	9.0	3.9	0,70	0,589	0,471	0,444
726-BSP322PL6327	BSP322P L6327	SOT-223-4	-100	800	-1.0	-4.0	1.8	-2.0	-1.0	12.4	115	0,67	0,602	0,545	0,47
726-BSP321PL6327	BSP321P L6327	SOT-223-4	-100	0.9	-0.98	-3.9	1.8	-2.1	-4.0	9.0	115	0,67	0,602	0,545	0,47
726-BSR316PL6327	BSR316P L6327	SC59-3	-100	1.8	-0.36	-1.44	0.5	-2.0	-1.0	5.3	250	0,43	0,363	0,317	0,237
726-BSS192PL6327	BSS192P L6327	SOT-89-4	-250	12	-0.19	-0.76	1.0	-1.0	-2.0	4.9	125	0,62	0,495	0,424	0,311
726-BSR92PL6327	BSR92P L6327	SC-59-3	-250	11	-0.14	-0.56	0.5	-2.0	-1.0	3.6	250	0,50	0,454	0,413	0,372

MOSFET À SIGNAL FAIBLE

Notre gamme à signal faible est particulièrement adaptée aux applications à faible puissance telles que les applications de commutation rapide ou les applications où un courant de fuite faible est nécessaire. Nous proposons des dispositifs à tension de claquage comprise entre 55V et 800V dans une large variété de boîtiers (des boîtiers verts sont également disponibles). Fiabilité et robustesse sont la marque des MOSFET à signal faible Infineon.

Mode amélioration

Pour des quantités supérieures à celles indiquées, appelez-nous afin d'obtenir un devis.

RÉF. STOCK MOUSER	Réf. Infineon	Type de boîtier	VDS (Max.) (V)	RDS (ON) à 10V (Max.)(mΩ)	ID (Max)(A)	IDpulse (Max.) (A)	Ptot (Max.)(W)	VGS(th) (Min.) (V)	VGS(th) (Max.) (V)	Qg (Typ.)	RthJA(Max.) (K/W)	Prix unitaire 1	10	100	500
Canal N															
726-BSS670S2LL6327	BSS670S2L L6327	SOT-23-3	55	650	0.54	2.2	0.36	1.2	2	1.7	350	0,31	0,248	0,187	0,139
726-BSS7728NL6327	BSS7728N L6327	SOT-23-3	60	5.0	0.2	0.8	0.36	1.3	2.3	1.0	350	0,35	0,256	0,173	0,099
726-SN7002NL6327	SN7002N L6327	SOT-23-3	60	5.0	0.2	0.8	0.36	0.8	1.8	1.0	350	0,44	0,297	0,139	0,076
726-SN7002NL6433	SN7002NL6433	SOT-23-3	60	5.0	0.2	0.8	0.36	0.8	1.8	1.0	350	0,22	0,182	0,159	0,108
726-BSS138NL6327	BSS138N L6327	SOT-23-3	60	3.5	0.23	0.92	0.36	0.6	1.4	1.0	350	0,50	0,338	0,162	0,087
726-SN7002WL6327	SN7002W L6327	SOT-323-3	60	5.0	0.23	0.9	0.5	0.8	1.8	1.0	-	0,21	0,182	0,157	0,101
726-BSS138WL6327	BSS138W L6327	SOT-323-3	60	3.5	0.28	1.12	0.5	0.6	1.4	1.0	250	0,35	0,256	0,173	0,098
726-BSP295L6327	BSP295L6327	SOT-223-4	60	300	1.8	7.2	1.8	0.8	2.0	14	115	0,81	0,701	0,553	0,405
726-BSP318SL6327	BSP318SL6327	SOT-223-4	60	90	2.6	10.4	1.8	1.2	2.0	14	100	0,60	0,495	0,432	0,328
726-BSS119L6327	BSS119 L6327	SOT-23-3	100	6.0	0.17	0.7	0.36	1.3	2.3	1.7	-	0,56	0,52	0,483	0,403
726-BSS123L6327	BSS123 L6327	SOT-23-3	100	6.0	0.17	0.7	0.36	0.8	1.8	1.8	115	0,31	0,223	0,135	0,088
726-BSP123L6327	BSP123L6327	SOT-223-4	100	6.0	0.37	1.5	-	0.8	1.8	1.6	115	0,54	0,429	0,322	0,238

© Copyright 2012 Mouser Electronics
© Copyright 2012 Mouser Electronics

MOSFET de puissance INFINEON

RoHS Compliant **This product is RoHS compliant.**

MOSFET À SIGNAL FAIBLE

Mode amélioration (suite)

Pour des quantités supérieures à celles indiquées, appelez-nous afin d'obtenir un devis.

RÉF. STOCK MOUSER	Réf. Infineon	Type de boîtier	VDS (Max.) (V)	RDS (ON) à 10V (Max.)(mΩ)	ID (Max)(A)	IDpulse (Max.) (A)	Ptot (Max.)(W)	VGS(th) (Min.) (V)	VGS(th) (Max.) (V)	Qg (Typ.)(nC)	RthJA(Max.) (K/W)	Prix unitaire 1	10	100	500
Canal N															
726-BSP296L6327	BSP296L6327XT	SOT-223-4	100	0.7	1.1	4.4	1.79	0.8	1.8	13.8	115	0,81	0,701	0,553	0,405
726-BSP372L6327	BSP372L6327XT	SOT-223-4	100	310	1.7	6.8	1.8	0.8	2.0	-	70	0,73	0,627	0,495	0,363
726-BSP297L6327	BSP297L6327XT	SOT-223-4	200	1.8	0.66	2.64	1.8	0.8	1.8	12.9	115	0,73	0,627	0,495	0,363
726-BSS131L6327	BSS131 L6327	SOT-23-3	240	14	0.11	0.4	0.36	0.8	1.8	2.1	350	0,46	0,388	0,327	0,294
726-BSS87L6327	BSS87 L6327	SOT-89-4	240	6.0	0.26	1.0	1.0	0.8	1.8	3.7	125	0,69	0,586	0,464	0,341
726-BSP89L6327	BSP89L6327	SOT-223-4	240	6.0	0.35	1.4	1.8	0.8	1.8	4.3	115	0,55	0,479	0,378	0,277
726-BSP299L6327	BSP299L6327XT	SOT-223-4	500	4000	0.4	1.6	1.8	2.1	4.0	-	70	1,21	1,06	0,932	0,752
726-BSS225L6327	BSS225L6327XT	SOT-89-3	600	45000	0.09	0.36	1.0	1.3	2.3	3.9	125	0,58	0,528	0,488	0,359
726-BSS127L6327	BSS127 L6327	SOT-23-3	600	500000	0.21	0.09	0.5	1.4	2.6	0.65	250	0,24	0,19	0,149	0,132
Canal P															
726-BSD223PL6327	BSD223PL6327XT	SOT-363	-20	1.2	-0.39	-1.56	0.25	-0.6	-1.2	-0.5	500	0,50	0,421	0,347	0,262
726-BSP315PL6327	BSP315PL6327XT	SOT-223-4	-60	0.8	-1.17	-4.68	1.8	-1.0	-2.0	5.2	115	0,57	0,487	0,388	0,285
726-BSP170PL6327	BSP170PL6327XT	SOT-223-4	-60	0.3	-1.9	-7.6	1.8	-2.1	-4.0	-10	110	0,72	0,619	0,49	0,359
726-BSP171PL6327	BSP171PL6327XT	SOT-223-4	-60	0.3	-1.9	-7.6	1.8	-1.0	-2.0	-13	110	0,78	0,677	0,536	0,394
726-BSP613PL6327	BSP613PL6327XT	SOT-223-4	-60	0.13	-2.9	-11.6	1.8	-2.1	-4.0	22	100	0,99	0,883	0,704	0,547

Mode appauvrissement

Pour des quantités supérieures à celles indiquées, appelez-nous afin d'obtenir un devis.

Canal N															
726-BSS159NL6327	BSS159N L6327	SOT-23-3	60	3.5	0.23	0.92	0.36	-3.5	-2.4	2.2	350	0,89	0,809	0,726	0,496
726-BSS169L6327	BSS169L6327XT	SOT-23-3	100	0.12	0.17	0.68	0.36	-2.9	-1.8	2.1	350	0,33	0,305	0,301	0,287
726-BSP149L6327	BSP149L6327	SOT-223-4	200	1.8	0.66	2.6	1.8	-2.1	-1.0	11	115	0,92	0,825	0,658	0,511
726-BSP149L6906	BSP149L6906XT	SOT-223-4	200	1.8	0.66	2.6	1.8	-2.1	-1.0	11	115	0,83	0,759	0,693	0,422
726-BSS139L6327	BSS139 L6327	SOT-23-3	250	14	0.1	0.4	0.36	-2.1	-1.0	2.3	350	0,58	0,528	0,475	0,323
726-BSS126L6327	BSS126L6327XT	SOT-23-3	600	500000	0.021	0.085	0.5	-2.7	-1.6	1.4	250	0,62	0,561	0,512	0,408
726-BSP135L6327	BSP135L6327XT	SOT-223-4	600	60	0.12	0.48	1.8	-2.1	-1.0	3.7	115	1,49	1,31	1,14	0,908

TRANSISTORS IGBT

NEW PRODUCT

Pour des quantités supérieures à celles indiquées, appelez-nous afin d'obtenir un devis.

RÉF. STOCK MOUSER	Réf. Infineon	Type de boîtier	VCEO (Max.)	VGE (V)	IC (Max)(A)	ICpulse (Max.) (A)	Ptot (Max.)(W)	VGE(th) (Min.) (V)	VGE(th) (Max.) (V)	Qg (Typ.)(nC)	RthJC(Max.) (°C/W)	Prix unitaire 1	10	100	500
726-IGW40N60H3	IGW40N60H3	TO247	600	20	40	160	306	4.1	5.7	223	0.49	5,30	4,42	3,54	3,27
726-IKW30N60H3	IKW30N60H3	TO247	600	20	30	120	187	4.1	5.7	165	0.8	4,99	4,15	3,32	3,07
726-IKW20N60H3	IKW20N60H3	TO247	600	20	20	80	170	4.1	5.7	120	0.88	4,21	3,50	2,81	2,59

MOSFET À CANAL N - COOLMOS®

La gamme révolutionnaire des MOSFET de puissance CoolMOS® autorise une réduction importante des pertes de conduite et de commutation dans les sources d'alimentation à découpage (SMPS)

Pour des quantités supérieures à celles indiquées, appelez-nous afin d'obtenir un devis.

RÉF. STOCK MOUSER	Réf. Infineon	Type de boîtier	VDS (Max.) (V)	RDS (ON) à 10V (Max.)(Ω)	ID (Max)(A)	IDpulse (Max.) (A)	Ptot (Max.)(W)	VGS(th) (Min.) (V)	VGS(th) (Max.) (V)	Qg (Typ.)	RthJC(Max.) (°C/W)	Prix unitaire 1	10	100	500
726-SPD02N50C3	SPD02N50C3	TO-252-3	500	3.0	1.8	40	25	2.1	3.9	9.0	5.0	0,81	0,718	0,566	0,525
726-SPD03N50C3	SPD03N50C3	TO-252-3	500	1.4	3.2	41	38	2.1	3.9	15	3.3	1,27	0,998	0,85	0,78
726-SPA04N50C3	SPA04N50C3	TO-220-3	500	0.95	4.5	21	31	2.1	3.9	22	4.0	1,23	0,99	0,866	0,672
726-SPP04N50C3	SPP04N50C3	TO-220-3	500	0.95	4.5	26	50	2.1	3.9	22	2.5	1,12	0,899	0,788	0,611
726-IPA50R520CP	IPA50R520CP	TO-220-3	500	0.52	7.0	15	30	2.5	3.5	13	4.2	0,68	0,666	0,649	0,634
726-IPP50R520CP	IPP50R520CP	TO-220-3	500	0.52	7.1	15	66	2.5	3.5	13	1.9	0,65	0,639	0,623	0,61
726-IPS50R520CP	IPS50R520CP	TO-251-3	500	0.52	7.1	37	66	2.5	3.5	13	1.9	0,61	0,594	0,579	0,573
726-IPD50R520CP	IPD50R520CP	TO-252-3	500	0.52	7.1	39	66	2.5	3.5	22	1.9	1,37	1,30	1,23	1,01
726-SPA08N50C3	SPA08N50C3	TO-220-3	500	0.6	7.6	22	32	2.1	3.9	32	3.9	1,39	1,11	1,01	0,784
726-SPD08N50C3	SPD08N50C3	TO-252-3	500	0.6	7.6	42	83	2.1	3.9	32	1.5	1,53	1,31	1,06	0,833
726-IPD50R399CP	IPD50R399CP	TO-252-3	500	0.399	9.0	38	83	2.5	3.5	13	1.9	1,68	1,59	1,52	1,28
726-IPP50R350CP	IPP50R350CP	TO-220-3	500	0.35	10	17	89	2.5	3.5	19	1.4	1,83	1,47	1,32	1,02
726-SPW12N50C3	SPW12N50C3	TO-247-3	500	0.38	11.6	34	125	2.1	3.9	49	1.0	2,62	2,35	1,89	1,47
726-SPB12N50C3	SPB12N50C3	TO-263-3	500	0.38	11.6	51	125	2.1	3.9	49	1.0	2,28	1,95	1,59	1,23
726-IPA50R299CP	IPA50R299CP	TO-220-3	500	0.299	12	26	33	2.5	3.5	23	3.8	1,05	1,01	0,99	0,982
726-IPP50R299CP	IPP50R299CP	TO-220-3	500	0.299	12	16	104	2.5	3.5	23	1.2	2,12	1,71	1,53	1,19
726-IPB50R299CP	IPB50R299CP	TO-263-3	500	0.299	12	49	104	2.5	3.5	23	1.2	2,15	2,05	1,95	1,76
726-IPA50R350CP	IPA50R350CP	TO-220-3	500	0.35	12	22	32	2.5	3.5	19	3.9	0,90	0,866	0,85	0,825
726-IPA50R250CP	IPA50R250CP	TO-220-3	500	0.25	13	31	33	2.5	3.5	27	3.75	2,49	2,29	2,10	1,11
726-IPB50R250CP	IPB50R250CP	TO-263-3	500	0.25	13	48	114	2.5	3.5	27	1.1	2,26	2,17	2,09	1,91
726-SPA16N50C3	SPA16N50C3	TO-220-3	500	0.28	16	24	34	2.1	3.9	66	3.7	1,15	1,11	1,08	1,05
726-SPW16N50C3	SPW16N50C3	TO-247-3	500	0.28	16	35	160	2.1	3.9	66	0.78	2,55	2,05	1,86	1,51
726-SPI16N50C3	SPI16N50C3	TO-262-3	500	0.28	16	45	160	2.1	3.9	66	0.78	2,29	2,05	1,65	1,29
726-SPB16N50C3	SPB16N50C3	TO-263-3	500	0.28	16	52	160	2.1	3.9	66	0.78	2,71	2,32	1,89	1,47
726-IPA50R199CP	IPA50R199CP	TO-220-3	500	0.199	17	40	34	2.5	3.5	34	3.7	1,43	1,38	1,34	1,33
726-IPW50R199CP	IPW50R199CP	TO-247-3	500	0.199	17	32	139	2.5	3.5	34	0.9	1,65	1,59	1,55	1,51
726-IPB50R199CP	IPB50R199CP	TO-263-3	500	0.199	17	47	139	2.5	3.5	34	0.9	2,86	2,57	2,48	2,03
726-SPA21N50C3	SPA21N50C3	TO-220-3	500	0.19	21	25	34.5	2.1	3.9	95	3.6	2,85	2,29	2,08	1,68
726-SPP21N50C3	SPP21N50C3	TO-220-3	500	0.19	21	29	208	2.1	3.9	95	0.6	2,85	2,29	2,08	1,68
726-SPB21N50C3	SPB21N50C3	TO-263-3	500	0.19	21	53	208	2.1	3.9	95	0.6	3,24	2,90	2,37	1,88
726-IPA50R140CP	IPA50R140CP	TO-220-3	500	0.14	23	56	34	2.5	3.5	48	3.65	2,01	1,95	1,90	1,80
726-IPW50R140CP	IPW50R140CP	TO-247-3	500	0.14	23	31	192	2.5	3.5	48	0.65	2,37	2,29	2,24	2,10
726-IPB50R140CP	IPB50R140CP	TO-263-3	500	0.14	23	46	192	2.5	3.5	48	0.65	3,39	3,24	3,09	2,81
726-SPW32N50C3	SPW32N50C3	TO-247-3	500	0.11	32	36	284	2.1	3.9	170	0.44	5,98	4,90	4,42	3,70
726-SPW52N50C3	SPW52N50C3	TO-220-3	500	7.0	52	30	417	2.1	3.9	290	0.3	9,77	8,01	7,23	6,06
726-SPU01N60C3	SPU01N60C3	TO-251-3	600	6.0	0.8	1.6	11	2.1	3.9	3.9	11	0,77	0,613	0,537	0,417
726-SPD01N60C3	SPD01N60C3	TO-252-3	600	6.0	0.8	1.6	11	2.1	3.9	3.9	11	0,94	0,744	0,636	0,534
726-SPP02N60C3	SPP02N60C3	TO-220-3	600	3.0	1.8	66	25	2.1	3.9	9.5	5.0	0,35	0,338	0,335	0,324
726-SPP02N60S5	SPP02N60S5	TO-220-3	600	3.0	1.8	67	25	3.5	5.5	7.3	5.0	0,72	0,635	0,468	0,44
726-SPU02N60S5	SPU02N60S5	TO-251-3	600	3.0	1.8	3.2	25	3.5	5.5	7.3	5.0	1,19	1,05	0,825	0,644
726-SPD02N60S5	SPD02N60S5	TO-252-3	600	3.0	1.8	3.2	25	3.5	5.5	7.3	5.0	0,77	0,688	0,674	0,629
726-SPU03N60C3	SPU03N60C3	TO-251-3	600	1.4	3.2	9.6	38	2.1	3.5	13	3.3	0,40	0,394	0,375	0,354
726-SPA03N60C3	SPA03N60C3	TO-220-3	600	1.4	3.2	57	29.7	2.1	3.9	13	4.1	1,05	0,833	0,731	0,567
726-SPP03N60S5	SPP03N60S5	TO-220-3	600	1.4	3.2	68	38	3.5	5.5	12.4	3.3	1,18	1,02	0,788	0,539
726-SPU03N60S5	SPU03N60S5	TO-251-3	600	1.4	3.2	5.7	38	3.5	5.5	12.4	3.3	1,41	1,27	1,02	0,797
726-SPD03N60S5	SPD03N60S5	TO-252-3	600	1.4	3.2	5.7	38	3.5	5.5	12.4	3.3	1,37	1,07	0,916	0,799
726-SPB03N60C3	SPB03N60C3	TO-263-3	600	1.4	3.2	9.6	38	2.1	3.9	13	3.3	1,20	1,07	0,85	0,666
726-SPA04N60C3	SPA04N60C3	TO-220-3	600	0.95	4.5	58	31	2.1	3.9	19	4.0	1,46	1,16	1,01	0,794
726-SPP04N60C3	SPP04N60C3	TO-220-3	600	0.95	4.5	69	50	2.1	3.9	19	2.5	1,32	1,05	0,916	0,718
726-SPP04N60S5	SPP04N60S5	TO-220-3	600	0.95	4.5	70	50	3.5	5.5	17.6	2.5	1,29	1,16	0,932	0,728
726-SPU04N60S5	SPU04N60S5	TO-251-3	600	0.95	4.5	9.0	50	3.5	5.5	17.6	2.5	0,70	0,605	0,578	0,561
726-SPD04N60C3	SPD04N60C3	TO-252-3	600	0.95	4.5	13.5	50	2.1	3.9	19	2.5	1,44	1,13	0,965	0,833

© Copyright 2012 Mouser Electronics

© Copyright 2012 Mouser Electronics

MOSFET de puissance INFINEON

RoHS Compliant **This product is RoHS compliant.**

MOSFET À CANAL N - COOLMOS® (SUITE)

La gamme révolutionnaire des MOSFET de puissance CoolMOS® autorise une réduction importante des pertes de conduite et de commutation dans les sources d'alimentation à découpage (SMPS)

Pour des quantités supérieures à celles indiquées, appelez-nous afin d'obtenir un devis.

RÉF. STOCK MOUSER	Réf. Infineon	Type de boîtier	VDS (Max.) (V)	RDS (ON) à 10V (Max.)(Ω)	ID (Max)(A)	IDpulse (Max.) (A)	Ptot (Max.)(W)	VGS(th) (Min.) (V)	VGS(th) (Max.) (V)	Qg (Typ.)(nC)	RthJC(Max.) (°C/W)	Prix unitaire			
												1	10	100	500
726-SPB04N60S5	SPB04N60S5	TO-263-3	600	0.95	4.5	9.0	50	3.5	5.5	17.6	2.5	1,30	1,16	1,07	0,998
726-SPD04N60S5	SPD04N60S5	TO-252-3	600	0.95	4.5	9.0	50	3.5	5.5	17.6	2.5	1,61	1,27	1,07	0,949
726-SPA06N60C3	SPA06N60C3	TO-220-3	600	0.75	6.2	59	32	2.1	3.9	24	3.92	1,44	1,16	1,04	0,81
726-SPD06N60C3	SPD06N60C3	TO-252-3	600	0.75	6.2	18.6	74	2.1	3.9	24	1.7	1,62	1,44	1,15	0,891
726-SPP06N60C3	SPP06N60C3	TO-220-3	600	0.75	6.2	71	74	2.1	3.9	24	1.7	1,35	1,09	0,982	0,763
726-SPP07N60CFD	SPP07N60CFD	TO-220-3	600	0.7	6.6	81	83	3.0	5.0	35	1.5	0,98	0,949	0,924	0,908
726-SPA07N60C3	SPA07N60C3	TO-220-3	600	0.6	7.3	60	32	2.1	3.9	21	1.5	0,77	0,745	0,728	0,722
726-SPB07N60C3	SPB07N60C3	TO-263-3	600	0.6	7.3	21.9	83	2.1	3.9	21	1.5	1,59	1,39	1,19	0,998
726-SPU07N60S5	SPU07N60S5	TO-251-3	600	0.6	7.3	14.6	83	3.5	5.5	27	1.5	0,92	0,809	0,775	0,752
726-IPD60R385CP	IPD60R385CP	TO-252-3	600	0.385	9.0	27	83	2.5	3.5	17	1.5	2,33	2,11	1,88	1,54
726-SPA11N60C3	SPA11N60C3	TO-220-3	600	0.38	11	62	33	2.1	3.9	45	1.0	2,58	2,42	1,92	1,07
726-SPB11N60S5	SPB11N60S5	TO-263-3	600	0.38	11	22	125	3.5	5.5	41.5	1.0	3,28	2,72	2,41	2,03
726-SPI11N60CFD	SPI11N60CFD	TO-262-3	600	0.44	11	28	125	3.0	5.0	48	3.8	1,24	1,19	1,16	1,14
726-SPP11N60C3	SPP11N60C3	TO-220-3	600	0.38	11	74	125	2.1	3.9	45	1.0	2,22	2,00	1,61	0,974
726-SPW11N60C3	SPW11N60C3	TO-247-3	600	0.38	11	33	125	2.1	3.9	45	1.0	2,77	2,22	2,03	1,64
726-IPB60R250CP	IPB60R250CP	TO-263-3	600	0.25	12	40	104	2.5	3.5	53	0.6	2,56	2,38	2,19	1,83
726-SPA15N60CFD	SPA15N60CFD	TO-220-3	600	0.33	13.4	64	34	3.0	5.0	63	3.7	1,54	1,49	1,46	1,44
726-SPP15N60CFD	SPP15N60CFD	TO-220-3	600	0.33	13.4	82	156	3.0	5.0	63	0.8	1,57	1,52	1,49	1,47
726-SPA15N60C3	SPA15N60C3	TO-220-3	600	0.28	15	63	34	2.1	3.9	63	0.8	1,33	1,29	1,26	1,23
726-SPW15N60C3	SPW15N60C3	TO-247-3	600	0.28	15	45	156	2.1	3.9	63	0.8	1,66	1,61	1,57	1,49
726-IPP60R199CP	IPP60R199CP	TO-220-3	600	0.199	16	51	139	2.5	3.5	32	0.9	1,61	1,56	1,52	1,51
726-SPP20N60S5	SPP20N60S5	TO-220-3	600	0.19	20	79	208	3.5	5.5	79	0.6	2,10	2,04	1,99	1,96
726-SPW20N60S5	SPW20N60S5	TO-247-3	600	0.19	20	40	208	3.5	5.5	79	0.6	2,77	2,69	2,62	2,48
726-SPI20N60C3	SPI20N60C3	TO-262-3	600	0.19	20.7	62.1	208	2.1	3.9	87	0.6	3,34	2,68	2,44	1,97
726-SPP20N60C3	SPP20N60C3	TO-220-3	600	0.19	20.7	77	156	2.1	3.9	87	0.6	3,34	2,98	2,44	1,66
726-SPP20N60CFD	SPP20N60CFD	TO-220-3	600	0.22	20.7	78	208	3.0	5.0	95	0.6	3,74	2,99	2,73	2,21
726-SPW20N60C3	SPW20N60C3	TO-247-3	600	0.19	20.7	62.1	208	2.1	3.9	87	0.6	4,31	3,85	3,15	2,05
726-SPW20N60CFD	SPW20N60CFD	TO-247-3	600	0.22	20.7	52	208	3.0	5.0	95	0.6	4,52	3,62	3,30	2,67
726-SPW24N60CFD	SPW24N60CFD	TO-247-3	600	0.185	21.7	55	240	3.0	5.0	110	0.52	2,66	2,58	2,52	2,48
726-SPP24N60C3	SPP24N60C3	TO-220-3	600	0.16	24.3	80	240	2.1	3.9	104.9	0.52	4,00	3,21	2,93	2,37
726-SPW24N60C3	SPW24N60C3	TO-247-3	600	0.16	24.3	72.9	240	2.1	3.9	104.9	0.52	4,69	3,76	3,43	2,77
726-IPI60R125CP	IPI60R125CP	TO-262-3	600	0.125	25	82	208	2.5	5.5	53	0.6	2,73	2,64	2,58	2,48
726-SPW35N60CFD	SPW35N60CFD	TO-247-3	600	0.118	34	85	313	3.0	5.0	163	0.4	7,30	5,98	5,40	4,52
726-IPW60R075CP	IPW60R075CP	TO-247-3	600	0.075	39	130	313	2.5	3.5	27	1.2	10,22	8,38	7,57	6,34
726-SPW47N60CFD	SPW47N60CFD	TO-247-3	600	83	46	118	417	3.0	5.0	248	0.3	10,80	9,08	8,34	7,11
726-SPW47N60C3	SPW47N60C3	TO-247-3	600	7.0	47	141	415	2.1	3.9	252	0.3	10,00	8,40	7,71	6,58
726-IPW60R045CP	IPW60R045CP	TO-247-3	600	0.045	60	230	431	2.1	3.9	150	0.3	10,41	8,75	8,04	6,85
726-IPD60R3K3C6	IPD60R3K3C6	TO-252	650	2.97	1.70	4	18.1	2.5	3.5	4.6	6.9	0,41	0,351	0,283	0,257
726-IPD60R2K0C6	IPD60R2K0C6	TO-252	650	1.8	2.40	6	22.3	2.5	3.5	6.7	5.6	0,47	0,395	0,318	0,292
726-IPD60R1K4C6	IPD60R1K4C6	TO-252	650	1.26	3.20	8	28.4	2.5	3.5	9.4	4.4	0,51	0,429	0,343	0,318
726-IPA60R950C6	IPA60R950C6	TO-220	650	0.86	4.40	12	26	2.5	3.5	13	3.41	1,07	0,891	0,713	0,661
726-SPU04N60C3	SPU04N60C3	TO-251-3	650	0.85	4.5	13.5	50	2.1	3.9	19	2.5	0,51	0,499	0,49	0,483
726-SPU07N60C3	SPU07N60C3	TO-251-3	650	0.85	4.5	13.5	50	2.1	3.9	19	2.5	0,67	0,652	0,638	0,63
726-IPA60R750E6	IPA60R750E6	TO-220	650	0.68	5.70	15.7	27	2.5	3.5	17.2	2.6	1,08	0,899	0,721	0,669
726-IPP60R750E6	IPP60R750E6	TO-220	650	0.68	5.70	15.7	48	2.5	3.5	17.2	2.6	0,96	0,807	0,644	0,592
726-IPB60R600CP	IPB60R600CPXT	TO-263-3	650	0.6	6.1	15	60	2.5	3.5	21	2.1	1,44	1,27	1,06	0,833
726-IPA60R600E6	IPA60R600E6	TO-220	650	0.54	7.30	19	28	2.5	3.5	20.5	2	1,48	1,23	0,982	0,908
726-IPP60R600E6	IPP60R600E6	TO-220	650	0.54	7.30	19	63	2.5	3.5	20.5	2	1,39	1,16	0,924	0,858
726-SPP07N65C3	SPP07N65C3	TO-220-3	650	0.6	7.3	21.9	83	2.1	3.9	21	1.5	1,78	1,60	1,29	0,998
726-IPA60R520E6	IPA60R520E6	TO-220	650	0.47	8.10	22	29	2.5	3.5	23.4	1.9	1,58	1,32	1,06	0,974
726-IPP60R520E6	IPP60R520E6	TO-220	650	0.47	8.10	22	66	2.5	3.5	23.4	1.9	1,49	1,25	0,99	0,924
726-IPP60R450E6	IPP60R450E6	TO-220	650	0.41	9.20	26	74	2.5	3.5	28	1.7	1,51	1,25	0,998	0,924
726-IPA60R380C6XK	IPA60R380C6XK	TO-220 FullPAK	650	0.38	10.6	30	31	2.5	3.5	32	4.0	1,45	1,30	1,18	1,11
726-IPD60R380C6XT	IPD60R380C6XT	TO-252-3	650	0.38	10.6	30	83	2.5	3.5	32	1.5	2,19	1,88	1,53	1,19
726-IPP60R380E6	IPP60R380E6	TO-220	650	0.34	10.60	30	83	2.5	3.5	32	1.5	1,96	1,63	1,30	1,20
726-IPB60R299CP	IPB60R299CP	TO-263-3	650	0.299	11	34	96	2.5	3.5	22	1.3	2,31	2,19	2,08	1,86
726-SPI11N65C3	SPI11N65C3	TO-262-3	650	0.38	11	33	125	2.1	3.9	45	1.0	2,15	1,94	1,56	1,21
726-SPP11N65C3	SPP11N65C3	TO-220-3	650	0.38	11	33	125	2.1	3.9	45	1.0	2,33	1,88	1,69	1,31
726-IPP60R250CP	IPP60R250CP	TO-220-3	650	0.25	12	40	104	2.5	5.5	26	1.2	1,40	1,35	1,33	1,30
726-IPA60R280C6	IPA60R280C6XK	TO-220 FullPAK	650	0.28	13.8	40	32	2.5	3.5	43	3.9	1,64	1,58	1,47	1,34
726-IPB60R280C6XT	IPB60R280C6XT	TO-263-3	650	0.28	13.8	40	104	2.5	3.5	43	1.2	2,16	1,95	1,57	1,21
726-IPP60R280C6	IPP60R280C6XK	TO-220-3	650	0.28	13.8	40	104	2.5	3.5	43	1.2	1,63	1,58	1,47	1,34
726-IPP60R280E6	IPP60R280E6	TO-220	650	0.25	13.80	40	104	2.5	3.5	43	1.2	2,26	1,88	1,50	1,39
726-SPA15N65C3	SPA15N65C3	TO-220-3	650	0.28	15	45	34	2.1	3.9	45	3.8	1,36	1,32	1,29	1,27
726-IPA60R190C6XK	IPA60R190C6XK	TO-220 FullPAK	650	0.19	20.2	59	34	2.5	3.5	63	3.7	3,22	2,89	2,14	1,86
726-SPA20N65C3	SPA20N65C3	TO-220-3	650	0.19	20.7	62.1	34.5	2.1	3.9	87	0.15	3,66	2,94	2,68	2,17
726-SPI20N65C3	SPI20N65C3	TO-262-3	650	0.19	20.7	62.1	208	2.1	3.9	87	0.6	3,66	2,94	2,68	2,17
726-SPP20N65C3	SPP20N65C3	TO-220-3	650	0.19	20.7	62.1	208	2.1	3.9	87	0.6	3,66	2,94	2,68	2,17
726-IPA60R160C6	IPA60R160C6XK	TO-220 FullPAK	650	0.16	23.8	70	34	2.5	3.5	75	3.67	3,74	3,37	2,49	2,18
726-IPA60R125C6XK	IPA60R125C6XK	TO-220 FullPAK	650	0.125	30	89	34	2.5	3.5	96	3.65	4,88	3,91	3,49	2,88
726-IPB60R099CP	IPB60R099CPXT	TO-263-3	650	0.099	31	93	255	2.5	3.5	60	0.5	6,38	5,73	4,71	3,94
726-IPP60R099CP	IPP60R099CPXK	TO-220-3	650	0.099	31	93	255	2.5	3.5	60	0.5	6,25	5,12	4,62	3,87
726-IPA60R099C6	IPA60R099C6XK	TO-220 FullPAK	650	0.099	37.9	112	35	2.5	3.5	119	3.6	5,44	5,26	4,56	4,19
726-SPW47N65C3	SPW47N65C3	TO-247-3	650	7.0	47	141	415	2.1	3.9	255	0.3	6,81	6,60	6,43	6,31
726-IPW60R070C6	IPW60R070C6XK	TO-247-3	650	70	53	159	391	2.5	3.5	170	0.32	5,92	5,74	5,59	5,43
726-IPA65R600E6	IPA65R600E6	TO-220	700	0.54	7.30	18	28	2.5	3.5	23	2	1,42	1,18	0,949	0,875
726-IPD65R600E6	IPD65R600E6	TO-252	700	0.54	7.30	18	63	2.5	3.5	23	2	1,44	1,20	0,957	0,883
726-IPP65R600E6	IPP65R600E6	TO-220	700	0.54	7.30	18	63	2.5	3.5	23	2	1,49	1,24	0,99	0,916
726-IPA65R380E6	IPA65R380E6	TO-220	700	0.34	10.60	29	31	2.5	3.5	39	1.5	2,19	1,82	1,47	1,35
726-IPP65R380E6	IPP65R380E6	TO-220	700	0.34	10.60	29	83	2.5	3.5	39	1.5	2,10	1,75	1,39	1,30
726-IPA65R280E6	IPA65R280E6	TO-220	700	0.25	13.80	39	32	2.5	3.5	45	1.2	2,58	2,15	1,72	1,59
726-IPP65R280E6	IPP65R280E6	TO-220	700	0.25	13.80	39	104	2.5	3.5	45	1.2	2,48	2,06	1,65	1,53
726-SPD02N80C3	SPD02N80C3	TO-252-3	800	2.7	2.0	6.0	42	2.1	3.9	9.0	3.0	1,34	1,13	0,965	0,557
726-SPD04N80C3	SPD04N80C3	TO-252-3	800	1.3	4.0	12	63	2.1	3.9	20	2.0	1,77	1,55	1,38	1,33
726-SPA06N80C3	SPA06N80C3XK	TO-220-3	800	0.9	6.0	18	39	2.1	3.9	31	3.9	2,19	1,81	1,63	1,25
726-SPD06N80C3	SPD06N80C3XT	TO-252-3	800	0.9	6.0	18	83	2.1	3.9	31	1.5	2,06	1,87	1,53	1,43
726-SPP06N80C3	SPP06N80C3	TO-220-3	800	0.9	6.0	18	83	2.1	3.9	27	1.5	2,23	2,01	1,61	0,957
726-SPP08N80C3	SPP08N80C3	TO-220-3	800	0.65	8.0	24	104	2.1	3.9	40	1.2	2,44	1,96	1,77	1,37
726-SPW11N80C3	SPW11N80C3	TO-247-3	800	0.45	11	33	156	2.1	3.9	58	0.8	3,31	2,65	2,42	1,96

© Copyright 2012 Mouser Electronics
© Copyright 2012 Mouser Electronics

MOSFET de puissance NXP

RoHS Compliant **This product is RoHS compliant.**

MOSFET STANDARD À CANAL N

♦Composant pour montage en surface

Pour des quantités supérieures à celles indiquées, appelez-nous afin d'obtenir un devis.

RÉF. STOCK MOUSER	Réf. NXP	Boîtier	V_{DS} (Max)(V)	I_D (Max) (A)	I_{DM} (Max)(A)	$R_{DS(on)}$ (Max) (Ω) à V_{GS}=10V	V_{GS}=4,5V	V_{GS}=2,5V	V_{GS}=1,8V	V_{GS} (Max)(V)	P_{tot} (Max)(W)	Prix unitaire 1	25	100	250
Simple															
771-PSMN3R0-60PS127	PSMN3R0-60PS,127	TO-220AB	60	100	824	3	-	-	-	20	306	2,94	2,37	1,97	1,81
♦ 771-PSMN8R2-80YS,115	PSMN8R2-80YS,115	SOT-669	80	82	326	8.5	-	-	-	20	130	2,29	1,84	1,66	1,48

MOSFET À MODE D'AMÉLIORATION À CANAL N

♦Composant pour montage en surface

Pour des quantités supérieures à celles indiquées, appelez-nous afin d'obtenir un devis.

Simple															
♦ 771-BSS83-T/R	BSS83,215	SOT-23	10	0.05	-	45	70@5V	-	-	-	0.23	0,74	0,567	0,508	0,44
♦ 771-PMV56XN215	PMV56XN,215	SOT-23	20	3.76	15	-	0.085	0.115	-	8	1.92	0,11	0,105	0,103	0,096
♦ 771-PMV31XN-T/R	PMV31XN,215	SOT-23	20	5.9	23.7	-	0.037	0.053	-	12	2	0,51	0,384	0,297	0,21
♦ 771-BSH103-T/R	BSH103,215	SOT-23	30	0.85	3.4	-	0.4	0,5	0.6	8	0,5	0,24	0,201	0,184	0,147
♦ 771-PMV40UN-T/R	PMV40UN,215	SOT-23	30	4.9	19.6	-	0.047	0.053	0.073	8	1.9	0,44	0,323	0,244	0,175
♦ 771-BSP030115	BSP030,115	SOT-323	30	10	40	0.03	0.05	-	-	20	8.3	0,59	0,533	0,515	0,489
♦ 771-BSN20-T/R	BSN20,215	SOT-23	50	0.173	0.7	15	20	-	-	20	0.83	0,30	0,22	0,166	0,113
♦ 771-BSH111-T/R	BSH111,215	SOT-23	55	0.335	1.3	-	4	5	8	10	0.83	0,24	0,162	0,133	0,111
♦ 771-2N7002-T/R	2N7002,215	SOT-23	60	0.3	1.2	5	5.3	-	-	30	0.83	0,07	0,049	0,04	0,034
♦ 771-2N7002PW-115	2N7002PW,115	SOT-323	60	0.31	1.2	1.6	2@5V	-	-	20	0.26	0,06	0,052	0,045	0,043
♦ 771-2N7002P-215	2N7002P,215	SOT-23	60	0.36	1.2	1.6	2@5V	-	-	20	0.35	0,09	0,061	0,057	0,048
♦ 771-2N7002E-T/R	2N7002E,215	SOT-23	60	0.385	1.5	3	4	-	-	30	0.83	0,12	0,082	0,067	0,056
♦ 771-2N7002F-T/R	2N7002F,215	SOT-23	60	0.475	1.9	2	4	-	-	30	0.83	0,12	0,082	0,067	0,056
♦ 771-BSS123-T/R	BSS123,215	SOT-23	100	0.15	0.6	6	-	-	-	20	0.25	0,18	0,125	0,102	0,086
♦ 771-BSS87-T/R	BSS87,115	SOT-89	200	0.4	1.6	3	-	-	-	20	1	0,13	0,122	0,11	0,109
Double															
♦ 771-PMGD290XN-T/R	PMGD290XN,115	SOT-363	20	0.86	1.72	-	0.35	0.58	-	12	0.41	0,41	0,297	0,218	0,166

MOSFET À MODE D'AMÉLIORATION À CANAL P

♦Composant pour montage en surface

Pour des quantités supérieures à celles indiquées, appelez-nous afin d'obtenir un devis.

Simple															
♦ 771-BSP250115	BSP250,115	SOT-223	-30	-3	-12	0.25	0.4	-	-	20	5	0,37	0,332	0,323	0,306

MOSFET DE NIVEAU LOGIQUE À MODE D'AMÉLIORATION À CANAL N

♦Composant pour montage en surface

Pour des quantités supérieures à celles indiquées, appelez-nous afin d'obtenir un devis.

Simple															
♦ 771-BSH105215	BSH105,215	SOT-23	20	1.05	4.2	-	0.2	0.25	0.3	8	0.417	0,10	0,094	0,092	0,087
♦ 771-SI2302DS-T/R	SI2302DS,215	SOT-23	20	2.5	0.01	-	0.085	0.115	-	8	0.83	0,20	0,122	0,096	0,087
♦ 771-PMV30UN-T/R	PMV30UN,215	SOT-23	20	5.7	23.1	-	0.036	0.043	0.063	8	1.9	0,38	0,279	0,218	0,148
♦ 771-PSMN1R2-25YL,115	PSMN1R2-25YL,115	SOT-1023	25	100	815	1.2	1.85	-	-	20	121	2,64	2,11	1,92	1,74
♦ 771-PMV60EN-T/R	PMV60EN,215	SOT-23	30	4.7	18.8	0.055	0.072	-	-	20	2	0,51	0,384	0,297	0,21
♦ 771-PMV45EN-T/R	PMV45EN,215	SOT-23	30	5.4	21.6	0.042	0.054	-	-	20	2	0,51	0,384	0,297	0,21
♦ 771-BUK98150-55A/T3	BUK98150-55A,135	SOT-223	55	5.5	22	0.137	0.161	-	-	15	8	0,18	0,166	0,148	0,144
♦ 771-2N7002K-T/R	2N7002K,215	SOT-23	60	0.34	0.68	3.9	5.3	-	-	15	0.83	0,12	0,082	0,067	0,056
♦ 771-BSP89-T/R	BSP89,115	SOT-223	240	0.375	1.5	5	7.5	-	-	20	1.5	0,61	0,471	0,419	0,363
Double															
♦ 771-PMGD8000LN-T/R	PMGD8000LN,115	SOT-363	30	0.125	0.25	-	8@4V	13	-	15	0.2	0,36	0,304	0,257	0,203

MOSFET DE NIVEAU LOGIQUE À MODE D'AMÉLIORATION À CANAL P

♦Composant pour montage en surface

Pour des quantités supérieures à celles indiquées, appelez-nous afin d'obtenir un devis.

Simple															
♦ 771-PMV65XP-T/R	PMV65XP,215	SOT-23	-20	-3.9	-1.59	-	0.076	0.112	-	12	1.92	0,37	0,259	0,223	0,183
♦ 771-BSS84-T/R	BSS84,215	SOT-23	-50	-0.13	-0.52	10	-	-	-	20	0.25	0,20	0,135	0,111	0,093

MOSFET RF À SIGNAL FAIBLE ET CANAL N

♦Composant pour montage en surface

Pour des quantités supérieures à celles indiquées, appelez-nous afin d'obtenir un devis.

RÉF. STOCK MOUSER	Réf. NXP	Boîtier	V_{DS} (Max)(V)	I_D (Max) (mA)	Admittance de transfert direct (Min./Max.) (mS)	V_{GS} (Max.) (V)	C_{iss} à 1MHz (Typ./Max.)(pF)	C_{rss} à 1MHz (Typ./Max.) (pF)	P_{tot} (Max) (mW)	Prix unitaire 1	25	100	250
Double													
♦ 771-BF1212WR	BF1212WR,115	SOT-343R	6	30	28/43	1	1.7/2.2	15/30	180	0,39	0,297	0,227	0,166
♦ 771-BF998-T/R	BF998,215	SOT-143	12	30	24/-	2	2.1/2.5	25/-	200	0,32	0,279	0,244	0,175
♦ 771-BF998WR115	BF998WR,115	SOT-343R	12	30	24/-	2.5	2.1/2.5	25/-	300	0,18	0,166	0,148	0,14
♦ 771-BF998R-T/R	BF998R,215	SOT-143R	12	30	24/-	2	2.1/2.5	25/-	200	0,35	0,306	0,262	0,24
♦ 771-BF908WR-T/R	BF908WR,115	SOT-343R	12	40	36/50	2	1.8/2.5	30/45	300	0,12	0,113	0,105	0,101
♦ 771-BF991-T/R	BF991,215	SOT-143	20	20	10/-	2.5	2.1/-	20/-	200	0,35	0,262	0,192	0,166
♦ 771-BF994S-T/R	BF994S,215	SOT-143	20	30	18/-	2.5	2.5/3	25/-	200	0,38	0,288	0,21	0,183
♦ 771-BF992-T/R	BF992,215	SOT-143	20	40	25/-	1.3	4/-	30/40	200	0,52	0,48	0,428	0,367

JFET À CANAL N

♦Composant pour montage en surface

Pour des quantités supérieures à celles indiquées, appelez-nous afin d'obtenir un devis.

RÉF. STOCK MOUSER	Réf. NXP	Boîtier	V_{DS} (Max)(V)	I_{DSS} (Max) (mA)	Admittance de transfert direct (Min./Max.) (mS)	V_{GS} (Max.) (V)	C_{iss} à 1MHz (Typ./Max.)(pF)	C_{rss} à 1MHz (Typ./Max.)(fF)	P_{tot} (Max) (mW)	Prix unitaire 1	25	100	250
Simple													
♦ 771-BF511-T/R	BF511,215	SOT-23	20	7	-/4	1.5	-/5	0.5/-	250	0,45	0,332	0,244	0,211
♦ 771-BF861B-T/R	BF861B,215	SOT-23	25	15	16/25	25	-/10	-/2.7	250	0,53	0,454	0,385	0,306
♦ 771-BF862-T/R	BF862,215	SOT-23	25	25	35/-	1	10/-	1.9/-	300	0,59	0,463	0,40	0,335
♦ 771-PMBFJ310-T/R	PMBFJ310,215	SOT-23	25	60	10/-	6.5	3/5	1.3/2.5	250	0,42	0,21	0,194	0,177
♦ 771-BF545A-T/R	BF545A,215	SOT-23	30	6.5	3/6.5	30	1.7/-	0.8/-	250	0,39	0,314	0,194	0,179
♦ 771-BF545C-T/R	BF545C,215	SOT-23	30	25	3/6.5	30	1.7/-	0.8/-	250	0,52	0,437	0,37	0,293
♦ 771-PMBF4393-T/R	PMBF4393,215	SOT-23	40	5	-/-	3	14/-	3.5/-	250	0,42	0,236	0,196	0,141
♦ 771-PMBF170-T/R	PMBF170,215	SOT-23	60	1000	100/-	20	25/40	7.5/10	830	0,07	0,061	0,052	0,044

JFET À CANAL P

♦Composant pour montage en surface

Pour des quantités supérieures à celles indiquées, appelez-nous afin d'obtenir un devis.

Simple															
♦ 771-PMBFJ177-T/R	PMBFJ177,215	SOT-23	-30	-20	-/-	-30	8/-	4/-	300	0,43	0,271	0,228	0,189
♦ 771-PMBFJ175-T/R	PMBFJ175,215	SOT-23	-30	-70	-/-	-30	8/-	4/-	300	0,43	0,271	0,228	0,189

© Copyright 2012 Mouser Electronics

© Copyright 2012 Mouser Electronics

MOSFET ON SEMICONDUCTOR

ON Semiconductor®

RoHS Compliant This product is RoHS compliant.

MOSFET DE PUISSANCE À CANAUX N ET P

PRODUCT NEW

◆ Composant pour montage en surface

Pour des quantités supérieures à celles indiquées, appelez-nous afin d'obtenir un devis.

RÉF. STOCK MOUSER	Réf. ON Semiconductor	Boîtier	$V_{(BR)DSS}$(Min.) (V)	$r_{DS(ON)}$Max. (mΩ)	P_DMax(W)	I_DMax(A)	Prix unitaire 1	25	100
Canal N									
◆ 863-MMBF0201NLT1G	MMBF0201NLT1G	SOT-23	20	1000	0.225	0.3	0,20	0,19	0,121
◆ 863-MMBF2201NT1G	MMBF2201NT1G	SC-70	20	1400	0.15	0.3	0,26	0,198	0,134
◆ 863-MGSF1N02LT1G	MGSF1N02LT1G	SOT-23	20	90	0.4	0.75	0,37	0,256	0,215
◆ 863-NTK3134NT1G	NTK3134NT1G	SOT-723	20	350	0.55	0.89	0,18	0,166	0,133
◆ 863-MGSF2N02ELT1G	MGSF2N02ELT1G	SOT-23	20	85	1.25	2.8	0,36	0,289	0,204
◆ 863-NTR3161NT1G	NTR3161NT1G	SOT-23	20	50	0.82	3.3	0,10	0,091	0,088
◆ 863-NTGS3446T1G	NTGS3446T1G	TSOP-6	20	45	2	5.1	0,30	0,244	0,172
◆ 863-NTHS5404T1G	NTHS5404T1G	ChipFET	20	25	1.3	7.2	0,35	0,29	0,24
◆ 863-NTD70N03R-1G	NTD70N03R-1G	TO-252	25	8	62.5	72	0,47	0,388	0,347
◆ 863-NTD4857NT4G	NTD4857NT4G	TO-252	25	8	2.1	78	0,26	0,256	0,244
◆ 863-NTD4856NT4G	NTD4856NT4G	TO-252	25	6.8	1.33	89	0,28	0,272	0,259
◆ 863-NTR4003NT1G	NTR4003NT1G	SOT-23	30	1500	0.83	0.56	0,31	0,221	0,091
◆ 863-NTR4503NT1G	NTR4503NT1G	SOT-23	30	105	0.73	2	0,36	0,248	0,178
◆ 863-NTR4170NT1G	NTR4170NT1G	SOT-23	30	55	0.78	3.2	0,12	0,107	0,103
◆ 863-NTGS4141NT1G	NTGS4141NT1G	TSOP-6	30	30	1	7	0,30	0,244	0,172
◆ 863-NTLJS4114NT1G	NTLJS4114NT1G	WDFN-6	30	35	3.3	7.8	0,43	0,394	0,307
◆ 863-NTMS4800NR2G	NTMS4800NR2G	SOIC-8	30	27	2	8	0,20	0,19	0,183
◆ 863-NTMFS4852NT1G	NTMFS4852NT1G	SO-8FL	30	2.1	2.31	16	0,88	0,668	0,603
◆ 863-NTD20N03L27T4G	NTD20N03L27T4G	TO-252	30	31	74	20	0,49	0,46	0,45
◆ 863-NVTFS4823NTAG	NVTFS4823NTAG	WDFN-8	30	17.5	3.1	30	0,88	0,76	0,611
◆ 863-NTTFS4800NTWG	NTTFS4800NTWG	WDFN-8	30	20	2.04	32	2,48	1,86	1,79
◆ 863-NTMFS4941NT1G	NTMFS4941NT1G	SO-8FL	30	9	25.5	47	0,26	0,248	0,238
◆ 863-NTTFS4823NTAG	NTTFS4823NTAG	WDFN-8	30	17.5	32.9	50	0,30	0,289	0,275
◆ 863-NTTFS4821NTAG	NTTFS4821NTAG	WDFN-8	30	10.8	38.5	57	0,32	0,314	0,297
◆ 863-NTTFS4824NTAG	NTTFS4824NTAG	WDFN-8	30	7.5	4.1	69	0,35	0,33	0,32
◆ 863-NTD4806NT4G	NTD4806NT4G	TO-252	30	9.4	60	76	0,68	0,569	0,507
863-NTD4904N-1G	NTD4904N-1G	IPAK	30	5.5	52	79	0,33	0,314	0,303
◆ 863-NTD5806NT4G	NTD5806NT4G	TO-252	40	19	39	33	0,50	0,454	0,371
◆ 863-NTD5805NT4G	NTD5805NT4G	TO-252	40	9.5	47	51	0,52	0,454	0,415
◆ 863-NTD5804NT4G	NTD5804NT4G	TO-252	40	8.5	71	69	0,55	0,421	0,374
◆ 863-BSS138LT1G	BSS138LT1G	SOT-23	50	3500	0.225	0.2	0,09	0,06	0,05
◆ 863-MMFT960T1G	MMFT960T1G	SOT-223	60	1700	0.8	0.3	0,62	0,479	0,381
◆ 863-MMBF170LT1G	MMBF170LT1G	SOT-23	60	5000	0.225	0.5	0,11	0,08	0,049
◆ 863-NTF3055-100T1G	NTF3055-100T1G	SOT-223	60	100	2.1	3	0,53	0,442	0,312
◆ 863-NTF3055L108T1G	NTF3055L108T1G	SOT-223	60	120	2.1	3	0,51	0,396	0,312
◆ 863-NTD3055-094T4G	NTD3055-094T4G	TO-252	60	94	48	12	0,51	0,442	0,312
◆ 863-NTD3055L104G	NTD3055L104G	TO-252	60	104	48	12	0,28	0,20	0,19
◆ 863-NTD3055L104T4G	NTD3055L104T4G	TO-252	60	104	48	12	0,51	0,396	0,352
◆ 863-NTB30N06LT4G	NTB30N06LT4G	TO-263	60	46	88.2	30	1,23	1,11	0,739
◆ 863-NTD5865NLT4G	NTD5865NLT4G	TO-252	60	19	40	40	0,39	0,38	0,365
◆ 863-NTB45N06T4G	NTB45N06T4G	TO-263	60	26	125	45	1,34	1,08	0,842
◆ 863-NTB45N06LT4G	NTB45N06LT4G	TO-263	60	28	125	45	1,26	0,99	0,817
◆ 863-NTB60N06T4G	NTB60N06T4G	TO-263	60	14	150	60	1,90	1,61	1,18
◆ 863-BSS123LT1G	BSS123LT1G	SOT-23	100	6000	0.225	0.17	0,21	0,16	0,079
◆ 863-NTB30N20T4G	NTB30N20T4G	TO-263	200	81	214	30	1,96	1,76	1,72
863-MTW32N20EG	MTW32N20EG	TO-247AE	200	75	180	32	6,11	6,06	4,71
863-NDF08N50ZG	NDF08N50ZG	TO-220FP	500	850	31	7.5	1,05	0,965	0,648
863-NDD02N60Z-1G	NDD02N60Z-1G	IPAK	600	4800	57	2.2	0,73	0,569	0,506
◆ 863-NDD02N60ZT4G	NDD02N60ZT4G	TO-252	600	4800	57	2.2	0,73	0,569	0,506
◆ 863-NDD03N60ZT4G	NDD03N60ZT4G	TO-252	600	3600	61	2.6	0,89	0,683	0,532
Canal P									
◆ 863-NTJD1155LT1G	NTJD1155LT1G	SOT-363	-8.0	260	0.4	-1.3	0,29	0,235	0,165
◆ 863-NTR0202PLT1G	NTR0202PLT1G	SOT-23	-20	800	0.225	-0.4	0,29	0,22	0,146
◆ 863-NTR1P02T1G	NTR1P02T1G	SOT-23	-20	180	0.4	-1.0	0,29	0,22	0,146
◆ 863-NTS4101PT1G	NTS4101PT1G	SC-70	-20	120	0.329	-1.37	0,19	0,173	0,127
◆ 863-NTGS3443T1G	NTGS3443T1G	TSOP-6	-20	65	2	-2.0	0,17	0,15	0,137
◆ 863-NTR3162PT1G	NTR3162PT1G	SOT-23	-20	70	0.48	-2.2	0,10	0,091	0,088
◆ 863-NTGS3441T1G	NTGS3441T1G	TSOP-6	-20	90	1	-2.35	0,28	0,223	0,159
◆ 863-NTLJD3119CTAG	NTLJD3119CTAG	WDFN-6	-20	65	2.3	-4.6	0,43	0,394	0,307
◆ 863-NTLJD3119CTBG	NTLJD3119CTBG	WDFN-6	-20	65	2.3	-4.6	0,56	0,462	0,404
◆ 863-NTMS5P02R2G	NTMS5P02R2G	SOIC-8	-20	26	0.79	-5.4	0,62	0,523	0,369
◆ 863-MMSF3P02HDR2G	MMSF3P02HDR2G	SOIC-8	-20	95	2.5	-5.6	1,11	0,99	0,724
◆ 863-NTHS4101PT1G	NTHS4101PT1G	ChipFET	-20	42	1.3	-6.7	0,57	0,454	0,363
◆ 863-NTS4173PT1G	NTS4173PT1G	SC-70	-30	150	0.29	-1.2	0,11	0,099	0,099
◆ 863-NTR4502PT1G	NTR4502PT1G	SOT-23	-30	200	1.25	-1.95	0,36	0,269	0,178
◆ 863-NTR4171PT1G	NTR4171PT1G	SOT-23	-30	75	0.48	-2.2	0,12	0,107	0,103
◆ 863-NTGS4111PT1G	NTGS4111PT1G	TSOP-6	-30	60	1.25	-4.7	0,30	0,244	0,172
◆ 863-NTMS4177PR2G	NTMS4177PR2G	SOIC-8	-30	19	1.52	-11.4	0,27	0,264	0,251
◆ 863-NTD25P03LG	NTD25P03LG	TO-252	-30	72	75	-25	0,80	0,619	0,497
◆ 863-BSS84LT1G	BSS84LT1G	SOT-23	-50	10000	0.225	-0.13	0,11	0,08	0,05
◆ 863-NTGS5120PT1G	NTGS5120PT1G	TSOP-6	-60	111	1.1	-2.5	0,28	0,272	0,262
◆ 863-NTF2955T1G	NTF2955T1G	SOT-223	-60	170	1	-2.6	0,71	0,596	0,42
◆ 863-MTD5P06VT4G	MTD5P06VT4G	TO-252	-60	450	40	-5.0	0,42	0,39	0,387
◆ 863-NTD2955PT4G	NTD2955PT4G	TO-252	-60	155	55	-12	0,31	0,297	0,289
◆ 863-NTD2955G	NTD2955G	TO-252	-60	180	55	-12	0,54	0,388	0,351
◆ 863-NTD2955T4G	NTD2955T4G	TO-252	-60	180	55	-12	0,59	0,479	0,361
863-NTP2955G	NTP2955G	TO-220	-60	196	2.4	-12	0,63	0,56	0,55
◆ 863-NTD20P06LT4G	NTD20P06LT4G	TO-252	-60	150	65	-15.5	0,83	0,71	0,509
◆ 863-NTB5605PT4G	NTB5605PT4G	TO-263	-60	140	88	-18.5	0,69	0,668	0,63
◆ 863-NTB25P06T4G	NTB25P06T4G	TO-263	-60	82	120	-27.5	1,41	1,18	0,891
◆ 863-MTP2P50EG	MTP2P50EG	TO-220	-500	6000	75	-2.0	2,06	2,01	1,67

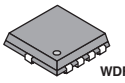
WDFN-8

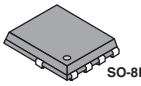
SO-8FL

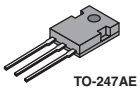
TO-247AE

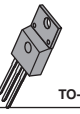
TO-220FP

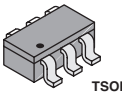
TSOP-6

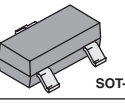
SOT-23

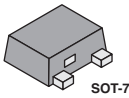
SOT-723

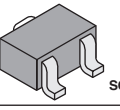
SC-70

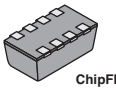
ChipFET

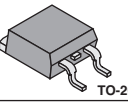
TO-263

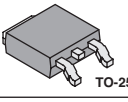
TO-252

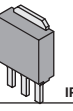
IPAK

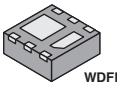
WDFN-6

TO-220

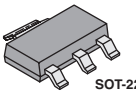
SOT-223

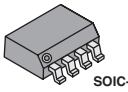
SOIC-8

© Copyright 2012 Mouser Electronics

© Copyright 2012 Mouser Electronics

MOSFET ON SEMICONDUCTOR

ON Semiconductor®

RoHS Compliant This product is RoHS compliant.

MOSFET DE PUISSANCE ♦ Composant pour montage en surface

Pour des quantités supérieures à celles indiquées, appelez-nous afin d'obtenir un devis.

RÉF. STOCK MOUSER	Réf. ON Semiconductor	Boîtier	V(BR)DSS (Min.) (V)	rDS (ON) Max.(mΩ)	PD Max(W)	ID Max(A)	Prix unitaire 1	25	100	500
Complémentaire										
♦ 863-NTHD2102PT1G	NTHD2102PT1G	ChipFET	-8.0/-8.0	100	1.1	-4.6/-4.6	0,50	0,421	0,347	0,309
♦ 863-NTJD4105CT1G	NTJD4105CT1G	SC-88	+20/-8.0	375/300	0.27	+0.63/-0.775	0,31	0,198	0,159	0,131
♦ 863-NTHD3100CT1G	NTHD3100CT1G	ChipFET	+20/-20	80/80	1.1	+2.9/-3.2	0,48	0,38	0,318	0,266
♦ 863-NTGD3149CT1G	NTGD3149CT1G	TSOP-6	+20/-20	90/145	0.9	+3.5/-2.7	0,30	0,289	0,275	0,245
♦ 863-NTHD4508NT1G	NTHD4508NT1G	ChipFET	+20/+20	75	1.13	+4.1/+4.1	0,43	0,297	0,255	0,214
♦ 863-NTZD3152PT1G	NTZD3152PT1G	SOT-563	-20/-20	900	0.25	-0.43/-0.43	0,28	0,272	0,153	0,134
♦ 863-NTLJF4156NTAG	NTLJF4156NTAG	WDFN-6	+30/+30	250	1.5	+4.6/4.6	0,55	0,454	0,404	0,338
♦ 863-NTMD4840NR2G	NTMD4840NR2G	SOIC-8	+30/+30	36	0.68	7.5/7.5	0,26	0,256	0,244	0,218

MOSFET DE PUISSANCE TRENCH ♦ Composant pour montage en surface

Pour des quantités supérieures à celles indiquées, appelez-nous afin d'obtenir un devis.

Canal N										
♦ 863-NTJS3157NT1G	NTJS3157NT1G	SC-88	20	60	1	4	0,29	0,206	0,146	0,29
Canal P										
♦ 863-NTJS3151PT1G	NTJS3151PT1G	SC-88	-12	60	0.625	-3.3	0,26	0,215	0,147	0,121
♦ 863-NTR4101PT1G	NTR4101PT1G	SOT-23	-20	85	0.73	-3.2	0,25	0,191	0,127	0,099
♦ 863-NTJS4151PT1G	NTJS4151PT1G	SC-88	-20	60	1	-4.2	0,31	0,218	0,159	0,131

MOSFET À SIGNAL FAIBLE ♦ Composant pour montage en surface

Pour des quantités supérieures à celles indiquées, appelez-nous afin d'obtenir un devis.

RÉF. STOCK MOUSER	Réf. ON Semiconductor	Boîtier	V(BR)DSS (Min.) (V)	rDS (ON) Max.(mΩ)	PD Max(W)	ID Max(A)	Prix unitaire 1	25	100	500
Canal N										
♦ 863-NTA4001NT1G	NTA4001NT1G	SC-75	20	1500	0.3	0.238	0,23	0,14	0,09	0,066
♦ 863-NTZD3154NT1G	NTZD3154NT1G	SOT-563	20	550	0.28	0.54	0,28	0,222	0,147	0,121
♦ 863-NTJD4401NT1G	NTJD4401NT1G	SC-88	20	375	0.27	0.63	0,31	0,239	0,159	0,131
♦ 863-NTA4153NT1G	NTA4153NT1G	SC-75	20	127	0.3	0.915	0,33	0,223	0,167	0,138
♦ 863-NTE4153NT1G	NTE4153NT1G	SC-89	20	230	0.3	0.915	0,31	0,198	0,149	0,12
♦ 863-NTS4409NT1G	NTS4409NT1G	SC-70	25	249	0.28	0.75	0,25	0,203	0,134	0,111
♦ 863-NTJS4405NT1G	NTJS4405NT1G	SC-88	25	350	0.63	1.2	0,24	0,185	0,122	0,099
♦ 863-NTA7002NT1G	NTA7002NT1G	SC-75	30	7000	0.3	0.154	0,22	0,099	0,092	0,079
♦ 863-NTJD4001NT1G	NTJD4001NT1G	SC-88	30	1500	0.272	0.25	0,27	0,198	0,122	0,107
♦ 863-NTS4001NT1G	NTS4001NT1G	SC-70	30	1500	0.33	0.27	0,26	0,165	0,108	0,092
♦ 863-BSS138LT3G	BSS138LT3G	SOT-23	50	3.5	0.225	0.2	0,09	0,06	0,05	0,041
♦ 863-2N7002LT1G	2N7002LT1G	SOT-23	60	7500	0.3	0.115	0,22	0,107	0,086	0,045
863-VN2222LLG	VN2222LLG	TO-92	60	7500	0.4	0.15	0,37	0,281	0,228	0,191
863-2N7000RLRAG	2N7000RLRAG	TO-92	60	6	0.35	0.2	0,25	0,20	0,17	0,153
♦ 863-2N7002WT1G	2N7002WT1G	SC-70	60	1600	0.28	0.34	0,23	0,132	0,069	0,05
♦ 863-2N7002KT1G	2N7002KT1G	SOT-23	60	2.5	0.3	0.38	0,21	0,124	0,063	0,049
863-BS170G	BS170G	TO-92	60	5000	0.35	0.5	0,33	0,254	0,168	0,139
863-BS170RLRAG	BS170RLRAG	TO-92	60	5000	0.35	0.5	0,36	0,264	0,182	0,149
863-BS108ZL1G	BS108ZL1G	TO-92	200	8	0.35	0.2	0,23	0,198	0,165	0,149
♦ 863-MTD6N20ET4G	MTD6N20ET4G	TO-252	200	700	50	6	1,26	1,16	0,817	0,705
Canal P										
♦ 863-NTS2101PT1G	NTS2101PT1G	SC-70	-8.0	100	0.29	-1.4	0,26	0,229	0,152	0,125
♦ 863-NTR2101PT1G	NTR2101PT1G	SOT-23	-8.0	52	0.96	-3.7	0,21	0,20	0,13	0,124
♦ 863-NTE4151PT1G	NTE4151PT1G	SC-89	-20	360	0.313	-0.76	0,25	0,182	0,122	0,107
♦ 863-NTA4151PT1G	NTA4151PT1G	SC-75	-20	360	0.301	-0.76	0,24	0,185	0,122	0,101
♦ 863-NTZS3151PT1G	NTZS3151PT1G	SOT-563	-20	150	0.21	-0.95	0,28	0,222	0,147	0,121
Complémentaire										
♦ 863-NTUD3170NZT5G	NTUD3170NZT5G	SOT-963	+20/-20	1.5	0.125	0.22	0,32	0,314	0,305	0,272
♦ 863-NTUD3169CZT5G	NTUD3169CZT5G	SOT-963	+20/-20	4.5/10	0.125	+0.22/-0.20	0,32	0,314	0,305	0,272
♦ 863-NTZD3155CT1G	NTZD3155CT1G	SOT-563	+20/-20	400/550	0.25	+0.54/-0.43	0,28	0,222	0,147	0,116
♦ 863-NTGD4167CT1G	NTGD4167CT1G	TSOP-6	+30/-30	125/300	0.9	+2.2/-1.0	0,20	0,19	0,183	0,163
♦ 863-NTJD5121NT1G	NTJD5121NT1G	SOT-363	+60/+60	2.5	0.25	0.295	0,13	0,124	0,107	0,083

MOSFET À SIGNAL FAIBLE TRENCH ♦ Composant pour montage en surface

Pour des quantités supérieures à celles indiquées, appelez-nous afin d'obtenir un devis.

RÉF. STOCK MOUSER	Réf. ON Semiconductor	Boîtier	V(BR)DSS (Min.) (V)	rDS (ON) Max.(mΩ)	PD Max(W)	ID Max(A)	Prix unitaire 1	25	100	500
Canal N										
♦ 863-2N7002ET1G	2N7002ET1G	SOT-23	60	2500	300	0.26	0,17	0,125	0,051	0,04
Canal P										
♦ 863-NTJD4152PT1G	NTJD4152PT1G	SC-88	-20	215	0.272	-0.88	0,30	0,231	0,167	0,137

MOSFET À CANAL N PROTÉGÉ ♦ Composant pour montage en surface

Pour des quantités supérieures à celles indiquées, appelez-nous afin d'obtenir un devis.

♦ 863-NID5004NT4G	NID5004NT4G	TO-252	36	130	2.5	-	1,16	1,04	1,01	0,982
♦ 863-NIF5002NT3G	NIF5002NT3G	SOT-223	42	200	1.1	2	0,92	0,833	0,809	0,693
♦ 863-NIF5002NT1G	NIF5002NT1G	SOT-223	42	200	1.1	3	0,73	0,611	0,472	0,399
♦ 863-NCV8405STT1G	NCV8405STT1G	SOT-223	42	90	1	6	0,92	0,875	0,833	0,767
♦ 863-NIF5003NT1G	NIF5003NT1G	SOT-223	42	68	1.25	14	1,06	0,825	0,737	0,658
♦ 863-NCV8450STT3G	NCV8450STT3G	SOT-223	45	1000	1.7	0.8	0,92	0,875	0,833	0,767
♦ 863-NIF9N05CLT1G	NIF9N05CLT1G	SOT-223	52	107	1.69	2.6	0,55	0,479	0,443	0,417
♦ 863-NID9N05CLT4G	NID9N05CLT4G	TO-252	52	181	28.8	9	0,98	0,761	0,678	0,606

MOSFET À NIVEAU LOGIQUE ♦ Composant pour montage en surface

Pour des quantités supérieures à celles indiquées, appelez-nous afin d'obtenir un devis.

Canal N										
♦ 863-MGSF1N03LT1G	MGSF1N03LT1G	SOT-23	30	100	0.42	2.1	0,35	0,289	0,205	0,172
♦ 863-NVMFS4841NT1G	NVMFS4841NT1G	SO-8FL	30	11.4	112	89	0,88	0,76	0,611	0,428
♦ 863-NVTFS5811NLTAG	NVTFS5811NLTAG	WDFN-8	40	10	21	40	1,13	0,949	0,664	0,559
♦ 863-NVTFS5826NLTAG	NVTFS5826NLTAG	WDFN-8	60	32	22	20	0,93	0,731	0,649	0,455
♦ 863-NTD24N06LT4G	NTD24N06LT4G	TO-252	60	45	62.5	24	0,73	0,611	0,493	0,413
♦ 863-NVTFS5820NLTAG	NVTFS5820NLTAG	WDFN-8	60	15	21	29	1,13	0,949	0,664	0,559
Canal P										
♦ 863-MTB50P03HDLT4G	MTB50P03HDLT4G	TO-263	-30	25	125	-50	2,90	2,81	2,02	1,45
♦ 863-MTP50P03HDLG	MTP50P03HDLG	TO-220	-30	25	125	-50	4,16	3,00	2,08	1,91
♦ 863-NVTFS5116PLTAG	NVTFS5116PLTAG	WDFN-8	-60	72	3.2	-14	1,26	1,19	0,866	0,616

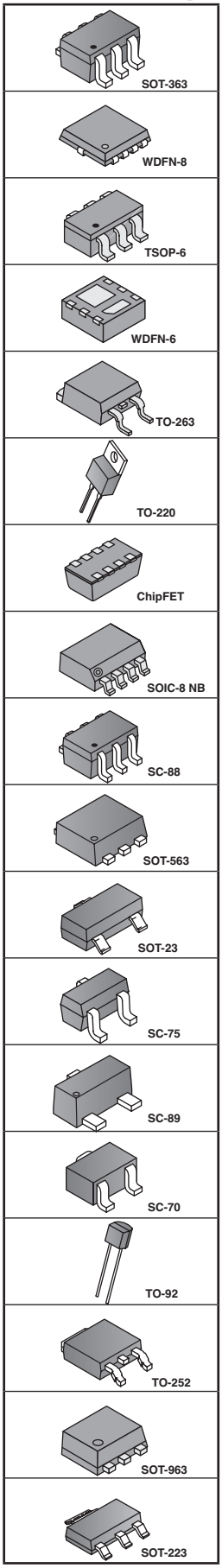

© Copyright 2012 Mouser Electronics

© Copyright 2012 Mouser Electronics

MOSFET ROHM SEMICONDUCTOR

RoHS Compliant **This product is RoHS compliant.**

ROHM SEMICONDUCTOR

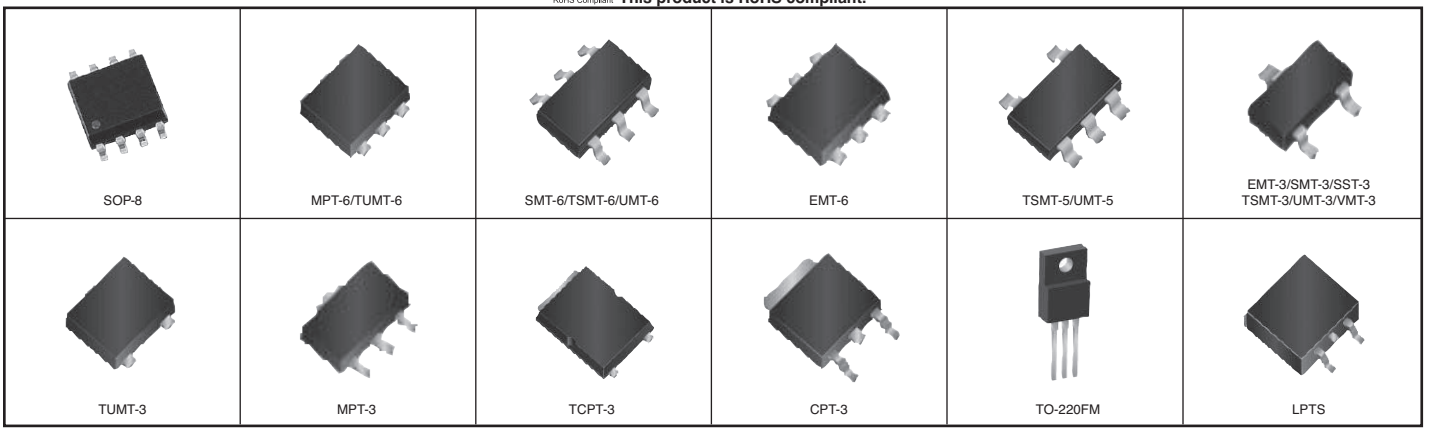

MOSFET ROHM SEMICONDUCTOR

PRODUCT NEW

Complémentaire Pour des quantités supérieures à celles indiquées, appelez-nous afin d'obtenir un devis.

RÉF. STOCK MOUSER	Réf. Rohm Semi.	Boîtier	VDS (V)	ID (A)	RDS (ON) (mΩ)	Prix unitaire 1	25	100
NPN/NPN								
755-SH8K5TB1	SH8K5TB1	SOP-8	30	3.5	83	1,57	1,25	0,932
755-SH8K1TB1	SH8K1TB1	SOP-8	30	5	98	0,82	0,652	0,49
755-SH8K2TB1	SH8K2TB1	SOP-8	30	6	30	0,87	0,751	0,578
755-SH8K3TB1	SH8K3TB1	SOP-8	30	7	24	1,04	0,891	0,691
755-SH8K22TB1	SH8K22TB1	SOP-8	45	4.5	46	0,87	0,751	0,579
755-MP6K31TR	MP6K31TR	MPT-6	60	2	290	0,91	0,726	0,545
755-SH8K32TB1	SH8K32TB1	SOP-8	60	4.5	65	1,34	1,16	0,891
NPN/PNP								
755-QS6M3TR	QS6M3TR	SMT-6	30/-20	1.5/-1	360/430	0,45	0,363	0,272
755-QS6M4TR	QS6M4TR	SMT-6	30/-20	1.5/-1	360/430	0,52	0,413	0,309
755-US6M2TR	US6M2TR	TUMT-6	30/-20	1.5/1.0	240	0,58	0,462	0,347
755-SH8M2TB1	SH8M2TB1	SOP-8	30/-30	3.5	83	0,82	0,652	0,49
755-SH8M3TB1	SH8M3TB1	SOP-8	30/-30	5.0/-4.5	51	1,16	0,99	0,767
755-SH8M5TB1	SH8M5TB1	SOP-8	30/-30	6.0/-7.0	30	1,28	1,11	0,85
755-SH8M4TB1	SH8M4TB1	SOP-8	30/-30	9.0/-7.0	18	1,16	0,957	0,807
755-SH8M24TB1	SH8M24TB1	SOP-8	45/-45	4.5/-3.5	46	0,69	0,586	0,454
755-SH8M41TB1	SH8M41TB1	SOP-8	80/-80	3.4/-2.6	130	1,16	0,99	0,767
755-SP8M51TB1	SP8M51TB1	SOP-8	100-100	3.0/-2.5	170	1,33	1,15	0,883
755-SH8M70TB1	SH8M70TB1	SOP-8	250/-250	3.0/-2.5	1630	1,33	1,15	0,883
PNP/PNP								
755-SH8J62TB1	SH8J62TB1	SOP-8	-30	-4.5	56	1,06	0,916	0,707
755-SH8J65TB1	SH8J65TB1	SOP-8	-30	-7	29	1,47	1,27	0,974
755-SH8J66TB1	SH8J66TB1	SOP-8	-30	-9	18.5	1,62	1,34	1,13

PRODUCT NEW

Canal N Pour des quantités supérieures à celles indiquées, appelez-nous afin d'obtenir un devis.

RÉF. STOCK MOUSER	Réf. Rohm Semi.	Boîtier	VDS (V)	ID (A)	RDS (ON) (mΩ)	Prix unitaire 1	25	100
755-RUE002N02TL	RUE002N02TL	EMT-3	20	0.2	4800	0,17	0,149	0,124
755-EM6K6T2R	EM6K6T2R	EMT-6	20	0.3	1400	0,33	0,264	0,193
755-RUE003N02TL	RUE003N02TL	EMT-3	20	0.3	1400	0,36	0,248	0,172
755-RUM003N02T2L	RUM003N02T2L	VMT-3	20	0.3	1400	0,37	0,272	0,192
755-QS5U36TR	QS5U36TR	TSMT-5	20	0.7	81	0,49	0,38	0,29
755-RUL035N02TR	RUL035N02TR	TUMT-6	20	3.5	50	0,45	0,338	0,254
755-RUR040N02TL	RUR040N02TL	TSMT-3	20	4	42	0,46	0,347	0,263
755-RUF015N02TL	RUF015N02TL	TUMT-3	20	15	170	0,43	0,33	0,238
755-2SK3018T106	2SK3018T106	UMT-3	30	0.1	5000	0,33	0,223	0,154
755-2SK3019TL	2SK3019-TL	EMT-3	30	0.1	13000	0,33	0,215	0,151
755-2SK3541T2L	2SK3541T2L	VMT-3	30	0.1	5000	0,31	0,231	0,163
755-EM6K1T2R	EM6K1-T2R	EMT-6	30	0.1	13000	0,45	0,347	0,249
755-UM5K1NTR	UM5K1N-TR	UMT-5	30	0.1	13000	0,35	0,264	0,193
755-UM6K1NTN	UM6K1NTN	UMT-6	30	0.1	5000	0,38	0,272	0,196
755-2SK2731T146	2SK2731T146	SMT-3	30	0.2	1500	0,36	0,264	0,188
755-RJU003N03T106	RJU003N03T106	UMT-3	30	0.3	1400	0,31	0,206	0,145
755-RHK005N03T146	RHK005N03T146	SMT-3	30	0.5	840	0,32	0,248	0,178
755-RJK005N03T146	RJK005N03T146	SMT-3	30	0.5	400	0,36	0,264	0,188
755-QS6K1TR	QS6K1-TR	SMT-6	30	1	360	0,59	0,462	0,351
755-RSF014N03TL	RSF014N03TL	TUMT-3	30	1.4	270	0,48	0,38	0,285
755-RTF015N03TL	RTF015N03-TL	UMT-3	30	1.5	170	0,48	0,38	0,285
755-US6K1TR	US6K1-TR	UMT-6	30	1.5	170	0,52	0,413	0,309
755-QS5K2TR	QS5K2-TR	TSMT-5	30	2	71	0,45	0,355	0,271
755-QS5U16TR	QS5U16TR	TSMT-5	30	2	154	0,41	0,413	0,314
755-RTQ020N03TR	RTQ020N03TR	TSMT-6	30	2	138	0,37	0,297	0,223
755-RSR025N03TL	RSR025N03TL	TSMT-3	30	2.5	830	0,54	0,421	0,319
755-RTF025N03TL	RTF025N03-TL	UMT-3	30	2.5	48	0,61	0,479	0,364
755-RTR025N03TL	R-TR025N03-TL	SMT-3	30	2.5	66	0,41	0,33	0,248
755-RHP030N03T100	RHP030N03T100	MPT-3	30	3	90	0,59	0,462	0,351
755-RTR040N03TL	RTR040N03TL	TSMT-3	30	4	36	0,44	0,347	0,263
755-RTQ045N03TR	RTQ045N03TR	TSMT-6	30	4.5	60	0,57	0,454	0,342
755-RSH065N03TB1	RSH065N03TB1	SOP-8	30	6.5	30	0,87	0,685	0,519
755-RSH090N03TB1	RSH090N03TB1	SOP-8	30	9	17	0,88	0,759	0,587
755-RSH100N03TB1	RSH100N03TB1	SOP-8	30	10	13.5	0,92	0,784	0,608
755-RSH110N03TB1	RSH110N03TB1	SOP-8	30	11	11.2	1,11	0,957	0,738
755-RSH125N03TB1	RSH125N03TB1	SOP-8	30	12.5	9.3	1,37	1,18	0,908
755-RSH140N03TB1	RSH140N03TB1	SOP-8	30	14	6.5	1,45	1,20	1,01
755-RTR020N05TL	RTR020N05TL	TSMT-3	45	2	135	0,70	0,553	0,424
755-RTR025N05TL	RTR025N05TL	TSMT-3	45	2.5	175	0,45	0,347	0,27
755-RTR030N05TL	RTR030N05TL	TSMT-3	45	3	-	0,45	0,338	0,259

© Copyright 2012 Mouser Electronics

MOSFET ROHM SEMICONDUCTOR (SUITE)

PRODUCT NEW

Canal N (suite) Pour des quantités supérieures à celles indiquées, appelez-nous afin d'obtenir un devis.

RÉF. STOCK MOUSER	Réf. Rohm Semi.	Boîtier	VDS (V)	ID (A)	RDS (ON) (mΩ)	Prix unitaire 1	25	100
755-RVQ040N05TR	RVQ040N05TR	TSMT-6	45	4	47	0,53	0,388	0,299
755-RSH070N05TB1	RSH070N05TB1	SOP-8	45	7	25	0,93	0,80	0,619
755-RSY200N05TL	RSY200N05TL	TCPT-3	45	20	28	1,15	0,99	0,763
755-RK7002T116	RK7002T116	SST-3	60	0.115	7500	0,49	0,289	0,183
755-RK7002BT116	RK7002BT116	SST-3	60	0.15	2400	0,18	0,107	0,069
755-RHU002N06T106	RHU002N06T106	UMT-3	60	0.2	2800	0,40	0,231	0,152
755-RJU002N06T106	RJU002N06T106	UMT-3	60	0.2	1600	0,37	0,248	0,176
755-SM6K2T110	SM6K2T110	SMT-6	60	0.2	1700	0,41	0,314	0,229
755-RHK003N06T146	RHK003N06T146	SMT-3	60	0.3	700	0,37	0,281	0,205
755-RK7002AT116	RK7002AT116	SST-3	60	0.3	700	0,36	0,198	0,13
755-2SK2094TL	2SK2094-TL	CPT-3	60	2	500	1,45	1,15	0,866
755-2SK3065T100	2SK3065T100	MPT-3	60	2	250	0,64	0,503	0,386
755-RHP020N06T100	RHP020N06T100	MPT-3	60	2	150	0,61	0,487	0,371
755-RJP020N06T100	RJP020N06T100	MPT-3	60	2	165	0,80	0,635	0,479
755-RSR030N06TL	RSR030N06TL	TSMT-3	60	3	105	0,47	0,355	0,266
755-RSD050N06TL	RSD050N06TL	CPT-3	60	5	109	0,97	0,833	0,645
755-2SK2503TL	2SK2503-TL	CPT-3	60	5	200	0,91	0,718	0,543
755-RSH065N06TB1	RSH065N06TB1	SOP-8	60	6.5	31	1,00	0,858	0,664
755-RK3055ETL	RK3055ETL	UMT-3	60	8	150	0,92	0,734	0,552
755-RSD220N06TL	RSD220N06TL	CPT-3	60	22	-	1,44	1,24	0,957
755-2SK2504TL	2SK2504-TL	CPT-3	100	5	280	0,91	0,718	0,543
755-RDR005N25TL	RDR005N25TL	TSMT-3	250	0.5	-	0,56	0,446	0,338
755-RCD040N25TL	RCD040N25TL	CPT-3	250	4	-	0,97	0,833	0,644
755-RCD080N25TL	RCD080N25TL	CPT-3	250	8	-	1,49	1,29	0,99
755-RCX100N25	RCX100N25	TO-220FM	250	10	-	1,56	1,30	1,09
755-RCX120N25	RCX120N25	TO-220FM	250	12	-	1,73	1,44	1,21
755-RCX330N25	RCX330N25	TO-220FM	250	33	-	2,48	2,15	1,60
755-RCX510N25	RCX510N25	TO-220FM	250	51	-	3,38	2,95	2,19
755-2SK2715TL	2SK2715-TL	CPT-3	500	2	4000	0,74	0,586	0,462
755-R5019ANJTL	R5019ANJTL	LPTS	500	19	-	4,79	4,17	3,10
755-R6010ANX	R6010ANX	TO-220FM	600	10	-	2,65	2,30	1,72
755-R6012ANX	R6012ANX	TO-220FM	600	12	-	3,05	2,65	1,97
755-R6015ANX	R6015ANX	TO-220FM	600	15	-	4,32	3,75	2,80
755-R6020ANX	R6020ANX	TO-220FM	600	20	-	5,39	4,69	3,49

PRODUCT NEW

Canal P Pour des quantités supérieures à celles indiquées, appelez-nous afin d'obtenir un devis.

RÉF. STOCK MOUSER	Réf. Rohm Semi.	Boîtier	VDS (V)	ID (A)	RDS (ON) (mΩ)	Prix unitaire 1	25	100
755-RZR025P01TL	RZR025P01TL	TSMT-3	-12	-2.5	81	0,44	0,355	0,266
755-RZR040P01TL	RZR040P01TL	TSMT-3	-12	-4	-	0,51	0,38	0,288
755-RP1A090ZPTR	RP1A090ZPTR	MPT-6	-12	-9	12	1,01	0,875	0,677
755-RZY200P01TL	RZY200P01TL	TCPT-3	-12	20	-	1,52	1,31	1,01
755-RTM002P02T2L	RTM002P02T2L	VMT-3	-20	-0.2	1000	0,45	0,347	0,252
755-RTU002P02T106	RTU002P02T106	UMT-3	-20	-0.25	1000	0,42	0,322	0,234
755-US6J2TR	US6J2TR	UMT-6	-20	-1	800	0,58	0,462	0,347
755-QS5U27TR	QS5U27TR	TSMT-5	-20	-1.5	340	0,57	0,454	0,341
755-RTF015P02TL	RTF015P02-TL	UMT-3	-20	-1.5	250	0,59	0,462	0,349
755-RTR025P02TL	RTR025P02TL	SMT-3	-20	-2.5	160	0,42	0,338	0,257
755-RTL030P02TR	RTL030P02-TR	UMT-6	-20	-3	125	0,66	0,52	0,394
755-RTQ035P02TR	RTQ035P02-TR	SMT-6	-20	-3.5	100	0,55	0,429	0,328
755-RSE002P03TL	RSE002P03-TL	EMT-3	-30	-0.2	900	0,42	0,322	0,231
755-RSM002P03T2L	RSM002P03T2L	VMT-3	-30	-0.2	1600	0,46	0,355	0,255
755-RSU002P03T106	RSU002P03T106	UMT-3	-30	-0.25	900	0,33	0,248	0,181
755-RTR020P02TL	RTR020P02TL	TSMT-3	-30	-2	180	0,50	0,396	0,302
755-RRL025P03TR	RRL025P03TR	TUMT-6	-30	-2.5	-	0,47	0,347	0,268
755-RSR025P03TL	RSR025P03-TL	SMT-3	-30	-2.5	70	0,55	0,437	0,329
755-RSQ030P03TR	RSQ030P03-TR	SMT-6	-30	-3	140	0,57	0,446	0,334
755-RSQ035P03TR	RSQ035P03-TR	SMT-6	-30	-3.5	95	0,57	0,454	0,342
755-RRH040P03TB1	RRH040P03TB1	SOP-8	-30	-4	75	0,83	0,66	0,497
755-RP1E050RPTR	RP1E050RPTR	MPT-6	-30	-5	50	0,89	0,71	0,535
755-RRH050P03TB1	RRH050P03TB1	SOP-8	-30	-5	50	0,87	0,685	0,519
755-RRH075P03TB1	RRH075P03TB1	SOP-8	-30	-7.5	21	1,16	0,99	0,767
755-RP1E090RPTR	RP1E090RPTR	MPT-6	-30	-9	16.9	1,18	1,01	0,784
755-RP1E100RPTR	RP1E100RPTR	MPT-6	-30	-10	12.6	1,43	1,23	0,949
755-RRH100P03TB1	RRH100P03TB1	SOP-8	-30	-10	12.6	1,45	1,25	0,965
755-RRH140P03TB1	RRH140P03TB1	SOP-8	-30	-14	7	1,77	1,48	1,24
755-RSH070P05TB1	RSH070P05TB1	SOP-8	-45	-7	28	1,32	1,10	0,916
755-RSD130P10TL	RSD130P10TL	CPT-3	-100	-13	-	1,30	1,08	0,908

© Copyright 2012 Mouser Electronics

Tous les prix sont en EURO

MOSFET à mode d'amélioration SUPERTEX Supertex

Les produits peuvent être conformes à la directive RoHS.
Consulter le site mouser.com pour vérifier la conformité RoHS.

RoHS Compliant

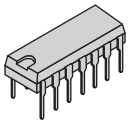
DIP-14

SOIC-8

SOIC-8 (Narrow)

SOT-23-3

SOT-89-3

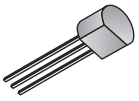
TO-92

♦ **Composant pour montage en surface**

MOSFET MODE D'AMÉLIORATION À CANAL P SUPERTEX

† Seuil bas

Pour des quantités supérieures à celles indiquées, appelez-nous afin d'obtenir un devis.

RÉF. STOCK MOUSER	Réf. Supertex	Type boîtier	RoHS Compliant	Tension de claquage drain/source BV_{DSS}	Tension de seuil de porte $V_{GS(th)}$		Résistance ON-state drain/source $R_{DS(ON)}$	Courant drain ON-state $I_{D(ON)}$	Capacité d'entrée C_{ISS}	Délai allumage/extinction $t_{(ON)}$	$t_{(OFF)}$	Dissipation de puissance à TA=25°C	Prix unitaire			
				Min. (V)	Min. (V)	Max. (V)	Max. (Ω)	Min. (A)	(pF)	Max. (ns)	Max. (ns)	(W)	1	100	500	1000
†	689-LP0701N3-G	LP0701N3-G	TO-92	Oui	-16.5	0,5	-1	1.5	-1.25	120	20	30	1	0,81	0,672	0,623	0,599
♦†	689-TP2502N8-G	TP2502N8-G	SOT-89-3	Oui	-20	-1	-2.4	2	-2	100	10	15	1.6	0,71	0,582	0,541	0,517
	689-VP3203N3-G	VP3203N3-G	TO-92	Oui	-30	-1	-3.5	0.6	-4	220	10	25	0.74	0,90	0,749	0,695	0,667
♦†	689-TP2104K1-G	TP2104K1-G	SOT-23-3	Oui	-40	-1	-2	6	-0.6	45	6	9	0.36	0,36	0,295	0,279	0,262
†	689-TP2104N3-G	TP2104N3-G	TO-92	Oui	-40	-1	-2	6	-0.6	45	6	9	0.74	0,43	0,36	0,329	0,319
	689-VP0104N3-G	VP0104N3-G	TO-92	Oui	-40	-1.5	-3.5	8	-0.5	45	4	8	1	0,53	0,442	0,401	0,391
♦	689-TP0610T-G	TP0610T-G	SOT-23-3	Oui	-60	-1	-2.4	10	-0.05	60	10	15	0.36	0,40	0,336	0,312	0,295
†	689-TP0606N3-G	TP0606N3-G	TO-92	Oui	-60	-1	-2.4	3.5	-1.5	80	10	20	1	0,61	0,504	0,463	0,442
	689-VP2106N3-G	VP2106N3-G	TO-92	Oui	-60	-1.5	-3.5	12	-0.5	45	5	9	0.74	0,34	0,288	0,267	0,264
	689-VP0106N3-G	VP0106N3-G	TO-92	Oui	-60	-1.5	-3.5	8	-0.5	45	4	8	1	0,54	0,453	0,421	0,401
	689-VP2206N3-G	VP2206N3-G	TO-92	Oui	-60	-1	-3.5	0.9	-4	325	15	50	1	1,12	0,935	0,861	0,828
	689-VP0808L-G	VP0808L-G	TO-92	Oui	-80	-1	-4.5	5	-1.1	150	15	30	1	0,85	0,697	0,648	0,623
	689-VP0109N3-G	VP0109N3-G	TO-92	Oui	-90	-1.5	-3.5	8	-0.5	45	4	8	1	0,61	0,504	0,463	0,442
♦†	689-TP2510N8-G	TP2510N8-G	SOT-89-3	Oui	-100	-1	-2.4	3.5	-1.5	80	10	20	1.6	0,67	0,558	0,517	0,492
♦	689-VP2110K1-G	VP2110K1-G	SOT-23-3	Oui	-100	-1.5	-3.5	12	-0.5	45	5	9	0.74	0,34	0,287	0,262	0,254
†	689-TP0620N3-G	TP0620N3-G	TO-92	Oui	-200	-1	-2.4	12	-0.75	85	10	20	1	0,78	0,648	0,599	0,574
♦†	689-TP2520N8-G	TP2520N8-G	SOT-89-3	Oui	-200	-1	-2.4	12	-0.25	75	10	20	1.6	0,75	0,623	0,574	0,549
♦†	689-TP2522N8-G	TP2522N8-G	SOT-89-3	Oui	-220	-1	-2.4	12	-0.25	75	10	20	1.6	0,76	0,631	0,59	0,566
♦†	689-TP2424N8-G	TP2424N8-G	SOT-89-3	Oui	-240	-1	-2.4	8	-0.8	200	20	35	1.6	0,78	0,648	0,599	0,574
†	689-TP2635N3-G	TP2635N3-G	TO-92	Oui	-350	-0.8	-2	15	-0.7	220	10	60	1	0,87	0,722	0,672	0,64
♦†	689-TP5335K1-G	TP5335K1-G	SOT-23-3	Oui	-350	-1	-2.4	30	-0.4	65	20	25	0.36	0,50	0,418	0,385	0,369
†	689-TP2535N3-G	TP2535N3-G	TO-92	Oui	-350	-1	-2.4	25	-0.4	60	10	20	0.74	0,75	0,623	0,574	0,549
♦†	689-TP2435N8-G	TP2435N8-G	SOT-89-3	Oui	-350	-1	-2.4	15	-0.8	200	15	25	1.6	0,81	0,672	0,623	0,599
†	689-TP2640N3-G	TP2640N3-G	TO-92	Oui	-400	-0.8	-2	15	-0.7	220	10	60	1	0,90	0,754	0,697	0,664
†	689-TP2540N3-G	TP2540N3-G	TO-92	Oui	-400	-1	-2.4	25	-0.4	60	10	20	0.74	0,78	0,648	0,599	0,574
♦†	689-TP2540N8-G	TP2540N8-G	SOT-89-3	Oui	-400	-1	-2.4	25	-0.4	60	10	20	1.6	0,86	0,713	0,656	0,631
	689-VP2450N3-G	VP2450N3-G	TO-92	Oui	-500	-1.5	-3.5	30	-0.2	130	10	45	1	0,89	0,738	0,681	0,656
♦	689-VP2450N8-G	VP2450N8-G	SOT-89-3	Oui	-500	-1.5	-3.5	30	-0.2	130	10	45	1.6	0,94	0,779	0,722	0,689
	689-VP0550N3-G	VP0550N3-G	TO-92	Oui	-500	-2	-4.5	125	-0.1	40	10	15	1	0,97	0,804	0,746	0,713

MOSFET MODE D'AMÉLIORATION À CANAL N SUPERTEX

† Seuil bas

Pour des quantités supérieures à celles indiquées, appelez-nous afin d'obtenir un devis.

RÉF. STOCK MOUSER	Réf. Supertex	Type boîtier	RoHS Compliant	Tension de claquage drain/source BV_{DSS}	Tension de seuil de porte $V_{GS(th)}$		résistance ON-state drain/source $R_{DS(ON)}$	Courant drain ON-state $I_{D(ON)}$	Capacité d'entrée C_{ISS}	Délai allumage/extinction $t_{(ON)}$	$t_{(OFF)}$	Dissipation de puissance à TA=25°C	Prix unitaire			
				Min. (V)	Min. (V)	Max. (V)	Max. (Ω)	Min. (A)	(pF)	Max. (ns)	Max. (ns)	(W)	1	100	500	1000
♦†	689-TN2501N8-G	TN2501N8-G	SOT-89-3	Oui	18	0.3	1	2.5	0.25	70	5	15	1.6	0,67	0,558	0,517	0,492
†	689-TN0702N3-G	TN0702N3-G	TO-92	Oui	20	0,5	1	1.3	0,5	130	20	30	1	0,62	0,517	0,476	0,459
	689-VN0300L-G	VN0300L-G	TO-92	Oui	30	0.8	2.5	1.2	1	190	30	30	1	0,62	0,517	0,476	0,459
†	689-TN0604N3-G	TN0604N3-G	TO-92	Oui	40	0.6	1.6	0.75	4	140	10	25	1	0,57	0,476	0,443	0,426
♦†	689-TN2504N8-G	TN2504N8-G	SOT-89-3	Oui	40	0.6	1.6	1	4	70	10	25	1.6	0,61	0,508	0,467	0,451
†	689-TN0104N3-G	TN0104N3-G	TO-92	Oui	40	0.6	1.6	1.8	2	50	5	9	1	0,65	0,426	0,394	0,39
♦†	689-TN0104N8-G	TN0104N8-G	SOT-89-3	Oui	40	0.6	1.6	2	2	50	5	9	1.6	0,62	0,517	0,476	0,459
	689-VN0104N3-G	VN0104N3-G	TO-92	Oui	40	0.8	2.4	3	2	35	5	9	1	0,43	0,36	0,329	0,319
	689-VN3205N3-G	VN3205N3-G	TO-92	Oui	50	0.8	2.4	0.3	3	220	10	25	1	0,73	0,607	0,566	0,541
♦	689-VN3205N8-G	VN3205N8-G	SOT-89-3	Oui	50	0.8	2.4	0.3	3	220	10	25	1.6	0,80	0,664	0,607	0,582
†	689-TN0606N3-G	TN0606N3-G	TO-92	Oui	60	0.6	2	1.5	3	100	6	16	1	0,54	0,453	0,421	0,401
♦†	689-TN2106K1-G	TN2106K1-G	SOT-23-3	Oui	60	0.6	2	2.5	0.6	45	5	9	0.36	0,28	0,23	0,213	0,205
†	689-TN2106N3-G	TN2106N3-G	TO-92	Oui	60	0.6	2	2.5	0.6	45	5	9	0.74	0,37	0,308	0,288	0,278
	689-TN0106N3-G	TN0106N3-G	TO-92	Oui	60	0.6	2	3	2	50	5	7	1	0,54	0,453	0,421	0,401
	689-VN2222LL-G	VN2222LL-G	TO-92	Oui	60	0.6	2.5	7.5	0.75	60	10	10	1	0,30	0,247	0,239	0,226
	689-VN0606L-G	VN0606L-G	TO-92	Oui	60	0.8	2	3	1.5	50	10	10	1	0,66	0,541	0,50	0,484
	689-VN0106N3-G	VN0106N3-G	TO-92	Oui	60	0.8	2.4	3	2	55	5	9	1	0,45	0,371	0,349	0,329
	689-VN2106N3-G	VN2106N3-G	TO-92	Oui	60	0.8	2.4	4	0.6	35	5	9	1	0,27	0,226	0,216	0,214
	689-VN10KN3-G	VN10KN3-G	TO-92	Oui	60	0.8	2.5	5	0.75	60	10	10	1	0,33	0,278	0,257	0,247
	689-2N7000-G	2N7000-G	TO-92	Oui	60	0.8	3.0	5.3	0.75	60	10	10	1	0,22	0,18	0,172	0,171
♦	689-2N7002-G	2N7002-G	SOT-23-3	Oui	60	1	2.5	7.5	0,5	50	20	20	0.36	0,28	0,23	0,213	0,205
	689-VN0808L-G	VN0808L-G	TO-92	Oui	80	0.8	2	4	1.5	50	10	10	1	0,66	0,541	0,50	0,484
†	689-TN0610N3-G	TN0610N3-G	TO-92	Oui	100	0.6	2	1.5	3	100	6	16	1	0,70	0,467	0,435	0,421
♦†	689-TN2510N8-G	TN2510N8-G	SOT-89-3	Oui	100	0.6	2	1.5	3	70	10	20	1.6	0,59	0,492	0,451	0,435
†	689-TN0110N3-G	TN0110N3-G	TO-92	Oui	100	0.6	2	3	2	50	5	7	1	0,65	0,426	0,394	0,39
	689-VN2210N3-G	VN2210N3-G	TO-92	Oui	100	0.8	2.4	0.35	8	300	15	65	1	1,09	0,91	0,836	0,804
♦	689-VN2110K1-G	VN2110K1-G	SOT-23-3	Oui	100	0.8	2.4	4	0.6	35	5	9	0.36	0,28	0,23	0,213	0,205
	689-VN1206L-G	VN1206L-G	TO-92	Oui	120	0.8	2	6	1	125	8	18	1	0,89	0,738	0,681	0,656
†	689-TN0620N3-G	TN0620N3-G	TO-92	Oui	200	0.6	1.6	6	1	110	10	20	1	0,71	0,599	0,549	0,525
♦†	689-TD9944TG-G	TD9944TG-G	SOIC-8	Oui	240	0.6	2	6	1	65	10	20	- - -	1,40	1,16	1,07	1,03
♦†	689-TN2524N8-G	TN2524N8-G	SOT-89-3	Oui	240	0.6	2	6	1	65	10	20	1.6	0,67	0,558	0,517	0,492
	689-VN2406L-G	VN2406L-G	TO-92	Oui	240	0.8	2	6	1	125	8	23	1	0,81	0,672	0,623	0,599

© Copyright 2012 Mouser Electronics

© Copyright 2012 Mouser Electronics

MOSFET à mode d'amélioration et appauvrissement SUPERTEX

RoHS Compliant **This product is RoHS compliant.**

RoHS Compliant

SOIC-8

SOIC-8 (Narrow)

SOT-23-3

SOT-89-3

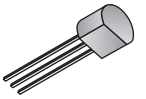
TO-92

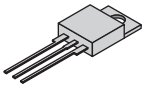
TO-220

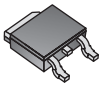
TO-252

♦ **Composant pour montage en surface**

MOSFET MODE D'AMÉLIORATION À CANAL N SUPERTEX (SUITE)

† Seuil bas **Pour des quantités supérieures à celles indiquées, appelez-nous afin d'obtenir un devis.**

	RÉF. STOCK MOUSER	Réf. Supertex	Type boîtier	Tension de claquage drain/source BV_{DSS}	Tension de seuil de porte $V_{GS(th)}$		Résistance ON-state drain/source $I_{D(ON)}$	Courant drain ON-state $I_{D(ON)}$	Capacité d'entrée C_{ISS}	Délai allumage/ extinction $t_{(ON)}$	$t_{(OFF)}$	Dissipation de puissance à TA=25°C	Prix unitaire 1	100	500	1000
				Min. (V)	Min. (V)	Max. (V)	Max. (Ω)	Min. (A)	(pF)	Max. (ns)	Max. (ns)	(W)				
	689-VN2410L-G	VN2410L-G	TO-92	240	0.8	2	10	1	125	8	23	1	0,65	0,426	0,394	0,39
♦	689-TN2124K1-G	TN2124K1-G	SOT-23-3	240	0.8	2	15	0.14	38	7	10	0.36	0,38	0,312	0,287	0,279
†	689-VN2224N3-G	VN2224N3-G	TO-92	240	1	3	1.25	5	300	15	90	1	1,70	1,41	1,30	1,25
	689-TN5325N3-G	TN5325N3-G	TO-92	250	0.6	2	7	1.2	70	20	25	0.74	0,41	0,339	0,319	0,298
♦ †	689-TN5325K1-G	TN5325K1-G	SOT-23-3	250	0.6	2	7	1.2	110	20	25	0.74	0,30	0,246	0,23	0,221
♦ †	689-TN2425N8-G	TN2425N8-G	SOT-89-3	250	0.8	2.4	3.5	0.8	105	15	35	1.6	0,71	0,582	0,541	0,517
♦ †	689-TN2130K1-G	TN2130K1-G	SOT-23-3	300	0.8	2.4	25	0.25	35	10	12	0.36	0,38	0,312	0,287	0,279
♦	689-TN2535N8-G	TN2535N8-G	SOT-89-3	350	1	2	10	1	125	20	25	1.6	0,71	0,582	0,541	0,517
♦ †	689-TN5335K1-G	TN5335K1-G	SOT-23-3	350	0.6	2	15	0.75	65	20	25	0.36	0,44	0,361	0,336	0,32
♦ †	689-TN2435N8-G	TN2435N8-G	SOT-89-3	350	0.8	2.4	6	1	200	20	40	1.6	0,73	0,607	0,566	0,541
†	689-VN4012L-G	VN4012L-G	TO-92	400	0.6	1.8	12	0.15	110	20	65	1	0,87	0,722	0,672	0,64
♦	689-TN2640LG-G	TN2640LG-G	SOIC-8 (N)	400	0.8	2	5	2	180	15	25	1.3	1,06	0,877	0,812	0,779
†	689-TN2640N3-G	TN2640N3-G	TO-92	400	0.8	2	5	2	180	15	25	1	0,85	0,697	0,648	0,623
†	689-TN2540N3-G	TN2540N3-G	TO-92	400	0.6	2	12	1	95	20	25	1	0,78	0,652	0,596	0,577
♦ †	689-TN2540N8-G	TN2540N8-G	SOT-89-3	400	0.6	2	12	1	95	20	25	1.6	0,73	0,607	0,566	0,541
†	689-VN2450N3-G	VN2450N3-G	TO-92	500	1.5	4	13	0,5	150	10	25	1	0,80	0,664	0,607	0,582
♦	689-VN2450N8-G	VN2450N8-G	SOT-89-3	500	1.5	4	13	0,5	150	10	25	1.6	0,85	0,697	0,648	0,623
	689-VN0550N3-G	VN0550N3-G	TO-92	500	2	4	60	0.15	45	10	10	1	0,81	0,672	0,623	0,599
	689-VN2460N3-G	VN2460N3-G	TO-92	600	1.5	4	20	0.25	150	10	25	1	0,76	0,637	0,59	0,562
♦	689-VN2460N8-G	VN2460N8-G	SOT-89-3	600	1.5	4	20	0.25	150	10	25	1.6	0,67	0,558	0,517	0,492

MOSFET À MODE D'AMÉLIORATION À CANAL N ET P SUPERTEX

Pour des quantités supérieures à celles indiquées, appelez-nous afin d'obtenir un devis.

♦	689-TC2320TG-G	TC2320TG-G	SOIC-8	200/-200	0.6/-1.0	2.0/-2.4	7/12	1.0/-0.2	110/125	20/10	25/20	-	1,45	1,21	1,12	1,07
♦	689-TC6320TG-G	TC6320TG-G	SOIC-8	200/-200	1.0/-1.0	2.0/-2.4	7/8	1.0/-1.0	110/200	10/10	20/20	-	1,53	1,27	1,17	1,12
♦	689-TC6215TG-G	TC621576-6	SOIC-8	150	1,0	2.0	4.0	2.0/3.8	12	-	-	-	1,41	1,17	0,984	0,943

MOSFET À APPAUVRISSEMENT À CANAL N SUPERTEX

DMOS FET verticaux à mode d'appauvrissement à canal N utilisant la technologie DMOS verticale avancée

Ces transistors (normalement actifs) à mode d'appauvrissement utilisent une structure DMOS verticale évoluée et un processus éprouvé de fabrication de porte en silicium. Cette association produit des dispositifs avec les capacités de traitement de puissance des transistors bipolaires et la haute impédance d'entrée et le coefficient de température positif propres aux dispositifs MOS. Caractéristiques de toute structure MOS, ces dispositifs ne subissent pas d'emballement thermique et de claquage secondaire induit par la température.
Les DMOS FET verticaux Supertex sont parfaitement adaptés à une large gamme d'applications de commutation et d'amplification avec des exigences de tension de claquage élevée, d'impédance d'entrée élevée, de capacité d'entrée faible et de vitesses de commutation élevées.

Caractéristiques:
- Haute impédance d'entrée
- Faible capacité d'entrée
- Vitesses élevées de commutation
- Résistance de fonctionnement faible
- Absence de claquage secondaire
- Fuite d'entrée et de sortie faible

Applications:
- Interrupteurs normalement actifs
- Relais à semi-conducteurs
- Convertisseurs
- Sources de courant constant
- Circuits de sources d'alimentation
- Télécommunications

Pour des quantités supérieures à celles indiquées, appelez-nous afin d'obtenir un devis.

	RÉF. STOCK MOUSER	Réf. Supertex	Type boîtier	Tension de claquage drain/source BV_{DSX}	Résistance ON-state drain/source $R_{DS(ON)}$	Courant drain/source I_{DSS}	Tension d'arrêt drain/source $V_{GS(OFF)}$		Temps récupération inverse T_{rr}	Dissipation de puissance à TA=25°C	Prix unitaire 1	100	500	1000
				Min. (V)	Max. (Ω)	Min. (mA)	Min. (V)	Max. (V)	TYP (ns)	(W)				
♦	689-DN3525N8-G	DN3525N8-G	SOT-89-3	250	6	300	-1.5	-3.5	800	1.6	0,66	0,541	0,50	0,484
♦	689-DN3535N8-G	DN3535N8-G	SOT-89-3	350	10	200	-1.5	-3.5	800	1.6	0,67	0,558	0,517	0,492
♦	689-DN2540N5-G	DN2540N5-G	TO-220	400	25	150	-1.5	-3.5	800	15	1,31	1,09	1,01	0,968
♦	689-DN3145N8-G	DN3145N8-G	SOT-89-3	450	60	120	-1.5	-3.5	800	1.3	0,67	0,558	0,517	0,492
♦	689-DN3545N3-G	DN3545N3-G	TO-92	450	20	200	-1.5	-3.5	800	.74	0,67	0,558	0,517	0,492
♦	689-DN3545N8-G	DN3545N8-G	SOT-89-3	450	20	200	-1.5	-3.5	800	1.6	0,73	0,607	0,566	0,541

MOSFET à mode d'appauvrissement à canal N utilisant la technologie DMOS latérale avancée

LND1 et LND2 sont des transistors (normalement actifs) à mode d'appauvrissement à canal N de haute tension qui utilisent la technologie DMOS latérale Supertex. La porte est dotée d'une protection ESD.
LND1 et LND2 sont parfaitement adaptés aux applications à haute tension dans les domaines des interrupteurs normalement actifs, des sources de courant constant de précision, de la génération de rampes de tension et de l'amplification.

Caractéristiques:
- Impédance d'entrée haute et CISS faible
- Faibles besoin en alimentation de circuit
- Protection ESD de porte
- Facile à mettre en parallèle
- Absence de claquage secondaire
- Stabilité thermique excellente
- Diode source-drain intégrale

Applications:
- Interrupteurs normalement actifs
- Relais à semi-conducteurs
- Convertisseurs
- Sources de courant constant
- Circuits de sources d'alimentation
- Circuits de protection d'entrée

Pour des quantités supérieures à celles indiquées, appelez-nous afin d'obtenir un devis.

	689-LND150N3-G	LND150N3-G	TO-92	500	1000	1	-1	-3	200	.74	0,57	0,473	0,432	0,421
♦	689-LND150N8-G	LND150N8-G	SOT-89-3	500	1000	1	-1	-3	200	1.6	0,59	0,492	0,451	0,435

MOSFET (TRANSISTOR BIPOLAIRE À PORTE ISOLÉE) IGBT À CANAL N SUPERTEX

Pour des quantités supérieures à celles indiquées, appelez-nous afin d'obtenir un devis.

	RÉF. STOCK MOUSER	Réf. Supertex	Type boîtier	Tension de claquage collecteur-émetteur	Courant collecteur	Dissipation d'énergie à 25°C	Tension de seuil de porte		Retard		Temps de montée/ descente	Prix unitaire 1	100	500	1000
				Min. (V)	Max. (A)	Max. (W)	Min. (V)	Max. (V)	Min. (V)	Max. (V)	Max. (ns)				
♦	689-GN2470K4-G	GN2470K4-G	TO-252	700	1	2.5	1.5	3.5	15	50	600/12000	0,69	0,574	0,525	0,508

© Copyright 2012 Mouser Electronics

© Copyright 2012 Mouser Electronics

Transistors MOSFET de puissance TEXAS INSTRUMENTS

RoHS Compliant This product is RoHS compliant.

MOSFET À CANAL N NEXFET™

La technologie de MOSFET de puissance NexFET™ fournit une charge de porte réduite de moitié pour la même résistance, afin de permettre aux concepteurs d'obtenir des rendements d'alimentation électrique de 90% avec une fréquence double.
La technologie MOSFET de puissance NexFET™ améliore le rendement énergétique dans les calculateurs, les réseaux, les systèmes de serveurs et les sources d'alimentation.

◆ **Composant pour montage en surface**

Pour des quantités supérieures à celles indiquées, appelez-nous afin d'obtenir un devis.

RÉF. STOCK MOUSER	Réf. Texas Instruments	Boîtier	V_{DS} (max.) (V)	I_D (max.) (A)	I_{DM} (max.) (A)	$R_{DS(on)}$ (Max)(Ω) à V_{GS}=10V	V_{GS}=8,0V	V_{GS}=4,5V	V_{GS}=3,0V	V_{GS} (max.) (V)	Qg (Typ.) (nC)	Qgd (Typ.) (nC)	P_D (max.) (W)	Prix unitaire 1	25	100	250
Simple																	
◆ 595-CSD16301Q2	CSD16301Q2	SON-6	25	5	20	-	24	29	34	+10/-8	2.0	0.4	2.3	**0,76**	**0,583**	**0,472**	**0,285**
◆ 595-CSD16411Q3	CSD16411Q3	SON-8	25	56	138	10	-	15	-	+16/-12	2.9	0.7	2.7	**1,18**	**0,998**	**0,842**	**0,502**
◆ 595-CSD16410Q5A	CSD16410Q5A	SON-8	25	59	158	8.5	-	12	-	+16/-12	3.9	1.1	3.0	**1,37**	**1,07**	**0,965**	**0,842**
◆ 595-CSD16406Q3	CSD16406Q3	SON-8	25	60	114	5.3	-	7.4	-	+16/-12	5.8	1.5	2.7	**1,59**	**1,22**	**1,11**	**0,998**
◆ 595-CSD16409Q3	CSD16409Q3	SON-8	25	60	90	8.2	-	12.4	-	+16/-12	4.0	1,0	2.6	**1,42**	**1,11**	**1,01**	**0,875**
◆ 595-CSD16340Q3	CSD16340Q3	SON-8	25	60	115	-	4.5	5.5	7.8	+10/-8	6.5	1.2	3.0	**1,59**	**1,22**	**1,11**	**0,998**
◆ 595-CSD16404Q5A	CSD16404Q5A	SON-8	25	81	135	5.1	-	7.2	-	+16/-12	6.5	1.7	3.0	**1,59**	**1,22**	**1,11**	**0,998**
◆ 595-CSD16322Q5	CSD16322Q5	SON-8	25	97	136	-	5.0	5.8	7.0	+10/-8	6.8	1.3	3.1	**1,59**	**1,22**	**1,11**	**0,998**
◆ 595-CSD16401Q5	CSD16401Q5	SON-8	25	100	240	1.6	-	2.3	-	+16/-12	21	5.2	3.1	**3,22**	**2,62**	**2,36**	**2,15**
◆ 595-CSD16414Q5	CSD16414Q5	SON-8	25	100	213	1.9	-	2.6	-	+16/-12	16.6	4.4	3.2	**2,48**	**2,02**	**1,82**	**1,65**
◆ 595-CSD16407Q5	CSD16407Q5	SON-8	25	100	200	2.4	-	3.3	-	+16/-12	13.3	3.5	3.1	**2,60**	**2,00**	**1,82**	**1,63**
◆ 595-CSD16413Q5A	CSD16413Q5A	SON-8	25	100	156	3.9	-	5.6	-	+16/-12	9.0	2.5	3.1	**1,73**	**1,34**	**1,21**	**1,09**
◆ 595-CSD16325Q5	CSD16325Q5	SON-8	25	100	200	-	2.0	2.2	2.9	+10/-8	18	3.5	3.1	**2,48**	**2,02**	**1,82**	**1,65**
◆ 595-CSD16408Q5	CSD16408Q5	SON-8	25	113	141	4.5	-	6.8	-	+16/-12	6.7	1.9	3.1	**1,88**	**1,44**	**1,31**	**1,18**
◆ 595-CSD17313Q2	CSD17313Q2	SON-6	30	5	20	-	30	32	42	+10/-8	2.1	0.4	2.3	**0,76**	**0,583**	**0,472**	**0,285**
◆ 595-CSD17304Q3	CSD17304Q3	SON-8	30	56	88	-	0.075	0.088	-	+10/-8	5.1	1.1	2.7	**1,37**	**1,07**	**0,965**	**0,842**
◆ 595-CSD17309Q3	CSD17309Q3	SON-8	30	60	112	-	0.054	0.063	-	+10/-8	7.5	1.7	2.8	**1,59**	**1,22**	**1,11**	**0,998**
◆ 595-CSD17507Q5A	CSD17507Q5A	SON-8	30	65	85	9	-	11.8	-	+20/-12	2.8	0.7	3.0	**1,18**	**0,998**	**0,842**	**0,502**
◆ 595-CSD17307Q5A	CSD17307Q5A	SON-8	30	73	92	-	10.5	12.1	17.3	+10/-8	4.0	1,0	3.0	**1,18**	**0,998**	**0,842**	**0,502**
◆ 595-CSD17302Q5A	CSD17302Q5A	SON-8	30	87	104	-	7.9	9.0	12.8	+10/-8	5.4	1.2	3.0	**1,37**	**1,07**	**0,965**	**0,842**
◆ 595-CSD17301Q5A	CSD17301Q5A	SON-8	30	100	118	-	2.6	3.0	3.7	+10/-8	19	4.3	3.2	**2,31**	**1,78**	**1,62**	**1,45**
◆ 595-CSD17510Q5A	CSD17510Q5A	SON-8	30	100	129	4.1	-	5.4	-	+20/-12	6.4	1.9	3.0	**1,59**	**1,22**	**1,11**	**0,998**
◆ 595-CSD17310Q5A	CSD17310Q5A	SON-8	30	100	134	-	5.1	5.9	7.8	+10/-8	8.9	0.8	3.1	**1,59**	**1,22**	**1,11**	**0,998**
◆ 595-CSD17505Q5A	CSD17505Q5A	SON-8	30	100	153	0.0035	0.0046	-	-	+20/-12	10	2.7	3.2	**2,02**	**1,56**	**1,41**	**1,27**
◆ 595-CSD17306Q5A	CSD17306Q5A	SON-8	30	100	155	-	3.7	4.2	5.4	+10/-8	11.8	2.4	3.2	**1,73**	**1,34**	**1,21**	**1,09**
◆ 595-CSD17305Q5A	CSD17305Q5A	SON-8	30	100	181	-	3.4	3.6	5.4	+10/-8	14.1	3.0	3.1	**2,02**	**1,56**	**1,41**	**1,27**
◆ 595-CSD17303Q5	CSD17303Q5	SON-8	30	100	200	-	2.4	2.6	3.7	+10/-8	18	4.0	3.2	**2,60**	**2,00**	**1,82**	**1,63**
◆ 595-CSD17311Q5	CSD17311Q5	SON-8	30	100	200	-	1.3	1.8	2.3	+10/-8	24	5.2	3.2	**2,48**	**2,02**	**1,82**	**1,65**
◆ 595-CSD17312Q5	CSD17312Q5	SON-8	30	100	200	-	1.2	1.4	1.8	+10/-8	28	6	3.2	**3,22**	**2,62**	**2,36**	**2,15**
Double																	
◆ 595-CSD86350Q5D	CSD86350Q5D	SON-8	25/25	-	120	-	0.006/0.0025	0.0066/0.0027	-	+10/-8	10.7/25	1/2.5	13	**2,89**	**2,31**	**1,92**	**1,88**

MOSFET À CANAL N NEXFET™ DUALCOOL™

La gamme NexFET™ DualCool™ de MOSFET de puissance de TI offre un encombrement standard avec un refroidissement performant par les extrémités supérieure et inférieure du boîtier.
Ce boîtier permet aux concepteurs de systèmes de puissance de détourner efficacement la chaleur de la carte dans les applications CC/CC à courant élevé, afin d'améliorer la densité de puissance, la gestion des courants élevés et la fiabilité des systèmes.

◆ **Composant pour montage en surface**

Pour des quantités supérieures à celles indiquées, appelez-nous afin d'obtenir un devis.

RÉF. STOCK MOUSER	Réf. Texas Instruments	Boîtier	V_{DS} (max.) (V)	I_D (max.) (A)	I_{DM} (max.) (A)	$R_{DS(on)}$ (Max)(Ω) à V_{GS}=10V	V_{GS}=8,0V	V_{GS}=4,5V	V_{GS}=3,0V	V_{GS} (max.) (V)	Qg (Typ.) (nC)	Qgd (Typ.) (nC)	P_D (max.) (W)	Prix unitaire 1	25	100	250
◆ 595-CSD16322Q5C	CSD16322Q5C	SON-8	25	97	136	-	5.0	5.8	7.0	+10/-8	6.8	1.3	3.1	**1,88**	**1,44**	**1,31**	**1,18**
◆ 595-CSD16407Q5C	CSD16407Q5C	SON-8	25	100	200	2.4	-	3.3	-	+16/-12	13.3	3.5	3.1	**2,48**	**2,02**	**1,82**	**1,65**
◆ 595-CSD16325Q5C	CSD16325Q5C	SON-8	25	100	200	-	2.0	2.2	2.9	+10/-8	18	3.5	3.1	**2,72**	**2,22**	**2,00**	**1,82**
◆ 595-CSD16321Q5C	CSD16321Q5C	SON-8	25	100	200	-	2.4	2.6	3.5	+10/-8	14	2.5	3.1	**2,48**	**2,02**	**1,82**	**1,65**

MOSFET À CANAL N NEXFET™ CICLON

◆ **Composant pour montage en surface**

Pour des quantités supérieures à celles indiquées, appelez-nous afin d'obtenir un devis.

RÉF. STOCK MOUSER	Réf. Texas Instruments	Boîtier	V_{DS} (max.) (V)	I_D (max.) (A)	I_{DM} (max.) (A)	$R_{DS(on)}$ (Max)(Ω) à V_{GS}=10V	V_{GS}=8,0V	V_{GS}=4,5V	V_{GS}=3,0V	V_{GS} (max.) (V)	Qg (Typ.) (nC)	Qgd (Typ.) (nC)	P_D (max.) (W)	Prix unitaire 1	25	100	250
◆ 595-CSD16412Q5A	CSD16412Q5A	SON-8	25	52	91	11	-	16	-	+16/-12	2.9	0.7	3.0	**1,27**	**0,998**	**0,899**	**0,787**
◆ 595-CSD16403Q5A	CSD16403Q5A	SON-8	25	100	184	2.8	-	3.7	-	+16/-12	13.3	3.5	3.1	**2,31**	**1,78**	**1,62**	**1,45**

MOSFET À CANAL P NEXFET™

La technologie de MOSFET de puissance NexFET™ fournit une charge de porte réduite de moitié pour la même résistance, afin de permettre aux concepteurs d'obtenir des rendements d'alimentation électrique de 90% avec une fréquence double.
La technologie MOSFET de puissance NexFET™ améliore le rendement énergétique dans les calculateurs, les réseaux, les systèmes de serveurs et les sources d'alimentation.

◆ **Composant pour montage en surface**

Pour des quantités supérieures à celles indiquées, appelez-nous afin d'obtenir un devis.

RÉF. STOCK MOUSER	Réf. Texas Instruments	Boîtier	V_{DS} (max.) (V)	I_D (max.) (A)	I_{DM} (max.) (A)	$R_{DS(on)}$ (Max)(Ω) à V_{GS}=10V	V_{GS}=8,0V	V_{GS}=4,5V	V_{GS}=3,0V	V_{GS} (max.) (V)	Qg (Typ.) (nC)	Qgd (Typ.) (nC)	P_D (max.) (W)	Prix unitaire 1	25	100	250
◆ 595-CSD25401Q3	CSD25401Q3	SON-8	-20	-60	-82	-	-	11.7	18.2	+12/-12	8.8	2.1	2.8	**1,59**	**1,22**	**1,11**	**0,998**
◆ 595-CSD75211W1723	CSD75211W1723	DSBGA-12	-20	-4.5	-	-	-	32	39	8	4.5	0.9	1.5	**1,73**	**1,34**	**1,21**	**1,09**

MOSFET À MODE D'AMÉLIORATION À CANAL P (SIMPLES)

◆ **Composant pour montage en surface**

Pour des quantités supérieures à celles indiquées, appelez-nous afin d'obtenir un devis.

RÉF. STOCK MOUSER	Réf. Texas Instruments	Boîtier	V_{DS} (max.) (V)	I_D (max.) (A)	I_{DM} (max.) (A)	$R_{DS(on)}$ (Max)(Ω) à V_{GS}=10V	V_{GS}=8,0V	V_{GS}=4,5V	V_{GS}=3,0V	V_{GS} (max.) (V)	Qg (Typ.) (nC)	Qgd (Typ.) (nC)	P_D (max.) (W)	Prix unitaire 1	25	100	250
◆ 595-TPS1100D	TPS1100D	SOIC-8	-15	±1.6	±7	-	0.4	0.7	0.85	2 ou -15	5.45	1.4	0.791	**1,51**	**1,22**	**1,10**	**0,974**
◆ 595-TPS1101D	TPS1101D	SOIC-8	-15	±2.3	±10	-	0.19	0.31	0.4	2 ou -15	11.25	2.6	0.791	**2,27**	**1,83**	**1,65**	**1,46**

MOSFET À MODE D'AMÉLIORATION À CANAL P (DOUBLES)

◆ **Composant pour montage en surface**

Pour des quantités supérieures à celles indiquées, appelez-nous afin d'obtenir un devis.

RÉF. STOCK MOUSER	Réf. Texas Instruments	Boîtier	V_{DS} (max.) (V)	I_D (max.) (A)	I_{DM} (max.) (A)	$R_{DS(on)}$ (Max)(Ω) à V_{GS}=10V	V_{GS}=8,0V	V_{GS}=4,5V	V_{GS}=3,0V	V_{GS} (max.) (V)	Qg (Typ.) (nC)	Qgd (Typ.) (nC)	P_D (max.) (W)	Prix unitaire 1	25	100	250
◆ 595-CSD25401Q3	CSD25401Q3	SON-8	-20	-60	-82	-	-	11.7	18.2	+12/-12	8.8	2.1	2.8	**1,59**	**1,22**	**1,11**	**0,998**

© Copyright 2012 Mouser Electronics

© Copyright 2012 Mouser Electronics

MOSFET de puissance VISHAY

Les produits peuvent être conformes à la directive RoHS. Consultez le site mouser.com pour vérifier la conformité RoHS.

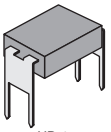
HD-1

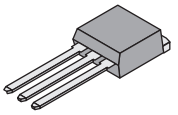
TO-251AA (IPAK)

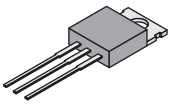
TO-220AB

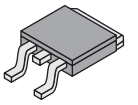
TO-252AA (DPAK)

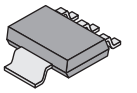
SOT-223

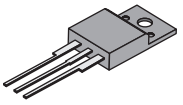
TO-220FULLPAK

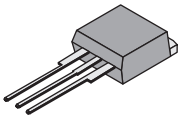
TO-262 (I^2PAK)

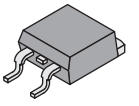
TO-263 (D^2PAK)

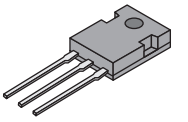
TO-247AC

MOSFET À CANAL P (CONFIGURATION SIMPLE)

♦ **Composant pour montage en surface**

Pour des quantités supérieures à celles indiquées, appelez-nous afin d'obtenir un devis.

RÉF. STOCK MOUSER	Réf. Vishay	Boîtier	V_{DS} (Max)(V)	I_D (Max)(A)	I_{DM} (Max)(A)	$R_{DS(on)}$ Max (Ω) à V_{GS}=-10V	P_D (Max)(W)	Prix unitaire 1	10	100	250	500
844-IRFD9010PBF	IRFD9010PBF	HD-1	-50	-1.1	-	-	-	1,24	0,858	0,726	0,668	0,625
♦ 844-IRFR9010PBF	IRFR9010PBF	TO-252AA	-50	-5.3	-21	0.500	25	0,84	0,706	0,633	0,592	0,556
844-IRFU9010PBF	IRFU9010PBF	TO-251AA	-50	-5.3	-	-	-	1,36	1,09	0,908	0,799	0,672
844-IRF9Z20PBF	IRF9Z20PBF	TO-220AB	-50	-9.7	-	-	-	1,32	1,06	1,05	0,858	0,777
♦ 844-IRFR9020PBF	IRFR9020PBF	TO-252AA	-50	-9.9	-40	0.26	42	0,99	0,986	0,884	0,827	0,799
844-IRF9Z30PBF	IRF9Z30PBF	TO-220AB	-50	-18	-	-	-	2,40	2,10	1,80	1,34	1,12
844-IRFD9014PBF	IRFU9010PBF	HD-1	-60	-1.1	-8.8	0.50	1.3	1,24	0,858	0,726	0,668	0,625
844-IRFD9024PBF	IRFD9024PBF	HD-1	-60	-1.6	-13	0.28	1.3	1,43	1,07	0,958	0,897	0,842
844-IRFD9020PBF	IRFD9020PBF	HD-1	-60	-1.6	-	-	-	1,07	1,07	0,958	0,897	0,842
♦ 844-IRFL9014PBF	IRFL9014PBF	SOT-223	-60	-1.8	-14	0.50	3.1	0,77	0,767	0,687	0,643	0,604
♦ 844-IRFR9014PBF	IRFR9014PBF	TO-252AA	-60	-5.1	-20	0.50	25	0,71	0,708	0,635	0,594	0,558
844-IRFU9014PBF	IRFU9014PBF	TO-251AA	-60	-5.1	-20	0.50	25	1,10	0,858	0,842	0,736	0,631
844-IRFI9Z14GPBF	IRFI9Z14GPBF	TO-220 FullPAK	-60	-5.3	-21	0.50	27	1,85	1,61	1,38	1,03	0,959
844-IRF9Z10PBF	IRF9Z10PBF	TO-220AB	-60	-6.7	-27	0.50	43	1,35	1,08	0,941	0,825	0,735
844-IRF9Z14PBF	IRF9Z14PBF	TO-220AB	-60	-6.7	-27	0.50	43	1,45	1,16	0,965	0,85	0,715
844-IRF9Z14LPBF	IRF9Z14LPBF	TO-262	-60	-6.7	-27	0.50	3.7	1,26	1,04	1,03	0,81	0,759
♦ 844-IRF9Z14SPBF	IRF9Z14SPBF	TO-263	-60	-6.7	-27	0.50	3.7	1,06	0,964	0,864	0,808	0,759
844-IRFI9Z24GPBF	IRFI9Z24GPBF	TO-220 FullPAK	-60	-8.5	-34	0.28	37	2,27	1,98	1,70	1,27	1,18
♦ 844-IRFR9024PBF	IRFR9024PBF	TO-252AA	-60	-8.8	-35	0.28	42	0,99	0,986	0,884	0,827	0,777
844-IRFU9024PBF	IRFU9024PBF	TO-251AA	-60	-8.8	-35	0.28	42	0,98	0,973	0,872	0,816	0,766
844-IRFU9020PBF	IRFU9020PBF	TO-251AA	-60	-8.8	-40	0.28	40	1,61	1,40	1,20	0,899	0,761
844-IRF9Z24PBF	IRF9Z24PBF	TO-220AB	-60	-11	-44	0.28	60	1,33	1,01	0,99	0,833	0,777
844-IRFI9Z34GPBF	IRFI9Z34GPBF	TO-220 FullPAK	-60	-12	-48	0.14	42	2,64	2,30	1,97	1,63	1,53
♦ 844-IRF9Z34SPBF	IRF9Z34SPBF	TO-263	-60	-18	-72	0.14	88	1,67	1,67	1,49	1,40	1,31
844-IRF9Z34PBF	IRF9Z34PBF	TO-220AB	-60	-18	-72	0.14	88	2,40	2,10	1,80	1,34	1,12
844-IRFD9110PBF	IRFD9110PBF	HD-1	-100	-0.7	-5.6	1.20	1.3	1,45	1,01	0,85	0,783	0,717
844-IRFD9120PBF	IRFD9120PBF	HD-1	-100	-1.0	-8.0	0.60	1.3	1,32	0,989	0,886	0,829	0,779
♦ 844-IRFL9110PBF	IRFL9110PBF	SOT-223	-100	-1.1	-8.8	1.20	3.1	0,76	0,755	0,677	0,634	0,634
♦ 844-IRFR9110PBF	IRFR9110PBF	TO-252AA	-100	-3.1	-12	1.20	25	0,70	0,697	0,625	0,585	0,549
844-IRFU9110PBF	IRFU9110PBF	TO-251AA	-100	-3.1	-12	1.20	25	0,69	0,684	0,651	0,611	0,592
844-IRF9510PBF	IRF9510PBF	TO-220AB	-100	-4.0	-16	1.20	43	1,23	0,842	0,825	0,719	0,609
844-IRFI9520GPBF	IRFI9520GPBF	TO-220 FullPAK	-100	-5.2	-21	0.60	37	1,69	1,42	1,34	1,18	1,11
♦ 844-IRFR9120PBF	IRFR9120PBF	TO-252AA	-100	-5.6	-22	0.60	42	0,90	0,901	0,808	0,756	0,71
844-IRFU9120PBF	IRFU9120PBF	TO-251AA	-100	-5.6	-22	0.60	42	1,50	1,31	1,12	0,842	0,733
844-IRF9520PBF	IRF9520PBF	TO-220AB	-100	-6.8	-27	0.60	60	1,63	1,43	1,22	0,916	0,766
♦ 844-IRF9520SPBF	IRF9520SPBF	TO-263	-100	-6.8	-27	0.60	60	1,27	1,16	1,04	0,974	0,915
844-IRFI9530GPBF	IRFI9530GPBF	TO-220 FullPAK	-100	-7.7	-31	0.30	42	1,96	1,96	1,76	1,64	1,55
♦ 844-IRFI9540GPBF	IRFI9540GPBF	TO-220 FullPAK	-100	-11	-44	0.20	48	3,22	2,67	2,39	2,24	2,10
844-IRF9530SPBF	IRF8530SPBF	TO-263	-100	-12	-48	0.30	88	2,38	2,07	1,77	1,34	1,26
844-IRF9530PBF	IRF9530PBF	TO-220AB	-100	-12	-48	0.30	88	1,54	1,34	1,19	1,12	1,05
♦ 844-IRF9540PBF	IRF9540PBF	TO-220AB	-100	-19	-72	0.20	150	2,58	2,26	1,93	1,62	1,52
844-IRF9540SPBF	IRF9540SPBF	TO-263	-100	-19	-72	0.20	150	4,13	3,61	3,09	2,32	1,92
844-IRFP9140PBF	IRFP9140PBF	TO-247AC	-100	-21	-84	0.20	180	3,71	3,09	2,60	2,16	2,03
844-IRFD9210PBF	IRFD9210PBF	HD-1	-200	-0.4	-3.2	3.00	1,0	0,81	0,807	0,723	0,677	0,636
844-IRFD9220PBF	IRFD9220PBF	HD-1	-200	-0.56	-4.5	1.50	1,0	2,35	1,68	1,32	1,20	1,10
♦ 844-IRF9610PBF	IRF9610PBF	TO-220AB	-200	-1.8	-7.0	3.00	20	1,42	1,24	1,06	0,80	0,667
♦ 844-IRF9610SPBF	IRF9610SPBF	TO-263	-200	-1.8	-7.0	3.00	20	1,14	0,975	0,891	0,833	0,811
844-IRFR9210PBF	IRFR9210PBF	TO-252AA	-200	-1.9	-7.6	3.00	25	0,72	0,719	0,645	0,603	0,567
844-IRFU9210PBF	IRFU9210PBF	TO-251AA	-200	-1.9	-7.6	3.00	25	0,97	0,776	0,71	0,672	0,625
844-IRFI9610GPBF	IRFI9610GPBF	TO-220 FullPAK	-200	-2.0	-8.0	3.00	27	1,77	1,55	1,33	1,03	0,97
♦ 844-IRFI9620GPBF	IRFI9620GPBF	TO-220 FullPAK	-200	-3.0	-12	1.50	30	2,11	1,85	1,58	1,21	1,14
844-IRF9620SPBF	IRF9620SPBF	TO-263	-200	-3.5	-14	1.50	40	1,19	1,19	1,07	0,998	0,938
♦ 844-IRF9620PBF	IRF9620PBF	TO-220AB	-200	-3.5	-14	1.50	40	2,00	1,75	1,50	1,12	0,932
844-IRFR9220PBF	IRFR9220PBF	TO-252AA	-200	-3.6	-14	1.5	42	0,93	0,932	0,836	0,782	0,735
844-IRFU9220PBF	IRFU9220PBF	TO-251AA	-200	-3.6	-14	1.50	42	1,90	1,38	1,24	1,10	0,916
844-IRFI9630GPBF	IRFI9630GPBF	TO-220 FullPAK	-200	-4.3	-17	0.80	35	1,78	1,78	1,59	1,49	1,40
♦ 844-IRFI9640GPBF	IRFI9640GPBF	TO-220 FullPAK	-200	-6.1	-24	0.50	40	2,95	2,54	2,28	2,13	2,00
844-IRF9630SPBF	IRF9630SPBF	TO-263	-200	-6.5	-26	0.80	74	1,62	1,41	1,26	1,14	1,08
844-IRF9630PBF	IRF9630PBF	TO-220AB	-200	-6.5	-26	0.80	74	2,28	1,99	1,70	1,28	1,06
♦ 844-IRF9640PBF	IRF9640PBF	TO-220AB	-200	-11	-44	0.50	125	1,97	1,73	1,56	1,46	1,37
844-IRF9640SPBF	IRF9640SPBF	TO-263	-200	-11	-44	0.50	125	2,45	2,15	1,83	1,68	1,58
♦ 844-IRFP9240PBF	IRFP9240PBF	TO-247AC	-200	-12	-48	0.50	150	4,21	3,51	2,95	2,38	2,03
844-IRFR9214PBF	IRFR9214PBF	TO-252AA	-250	-2.7	-11	3.00	50	0,85	0,845	0,758	0,709	0,687
844-IRFU9214PBF	IRFU9214PBF	TO-251AA	-250	-2.7	-11	3.00	50	1,28	0,932	0,833	0,743	0,65
♦ 844-IRFI9634GPBF	IRFI9634GPBF	TO-220 FullPAK	-250	4.1	-16	1.00	35	1,85	1,85	1,66	1,55	1,46
844-IRFR9310PBF	IRFR9310PBF	TO-252AA	-400	-1.8	-7.2	7.00	50	0,85	0,847	0,76	0,711	0,668
844-IRFU9310PBF	IRFU9310PBF	TO-251AA	-400	-1.8	-7.2	7.00	50	1,34	1,17	1,01	0,757	0,662

© Copyright 2012 Mouser Electronics

© Copyright 2012 Mouser Electronics

MOSFET de puissance VISHAY

Les produits peuvent être conformes à la directive RoHS. Consultez le site mouser.com pour vérifier la conformité RoHS.

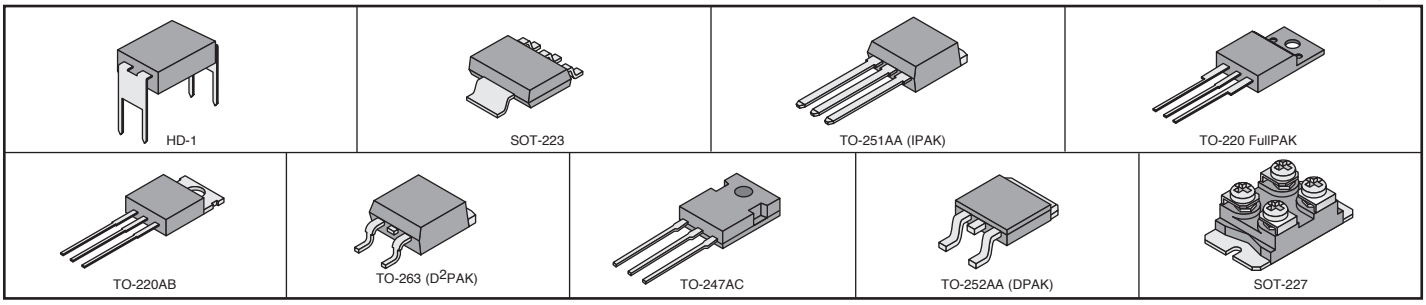

MOSFET À CANAL N (CONFIGURATION SIMPLE)

♦ **Composant pour montage en surface**

Pour des quantités supérieures à celles indiquées, appelez-nous afin d'obtenir un devis.

RÉF. STOCK MOUSER	Réf. Vishay	Boîtier	V_{DS} (Max)(V)	I_D (Max)(A)	I_{DM} (Max)(A)	$R_{DS(on)}$ Max (Ω) à V_{GS}=-10V	P_D (Max)(W)	Prix unitaire 1	10	100	250	500
844-IRFD010PBF	IRFD010PBF	HD-1	50	1.7	-	-	1,0	1,24	0,858	0,726	0,668	0,611
844-IRFD020PBF	IRFD020PBF	HD-1	50	2.4	-	0.100	1,0	1,45	1,04	0,916	0,857	0,805
844-IRFU020PBF	IRFU020PBF	TO-251AA	50	15	-	-	1,0	0,93	0,932	0,836	0,782	0,735
844-IRFZ20PBF	IRFZ20PBF	TO-220AB	50	17	-	0.100	40	1,62	1,41	1,21	0,908	0,76
844-IRFZ30PBF	IRFZ30PBF	TO-220AB	50	30	-	0.050	-	1,87	1,63	1,40	1,09	1,03
844-IRFZ40PBF	IRFZ40PBF	TO-220AB	50	50	-	-	-	2,38	2,07	1,77	1,47	1,38
844-IRFD014PBF	IRFD014PBF	HD-1	60	1.7	14	0.200	1.3	1,24	0,858	0,726	0,668	0,611
844-IRFD024PBF	IRFD024PBF	HD-1	60	2.5	20	0.100	1.3	1,02	1,02	0,916	0,857	0,805
♦ 844-IRFL014PBF	IRFL014PBF	SOT-223	60	2.7	22	0.200	3.1	0,50	0,462	0,453	0,41	0,367
♦ 844-IRLR014PBF	IRLR014PBF	TO-252AA	60	7.7	31	0.200 @ 5V	25	0,87	0,69	0,635	0,588	0,551
♦ 844-IRFR014PBF	IRFR014PBF	TO-252AA	60	7.7	31	0.200	25	0,68	0,684	0,613	0,573	0,539
844-IRFU014PBF	IRFU014PBF	TO-251AA	60	7.7	31	0.200	25	1,24	0,99	0,825	0,726	0,611
844-IRFIZ14GPBF	IRFIZ14GPBF	TO-220 FullPAK	60	8.0	32	0.200	27	1,19	1,19	1,07	1,00	0,939
♦ 844-IRLZ14SPBF	IRLZ14SPBF	TO-252AA	60	10	40	0.200 @ 5V	43	0,94	0,944	0,846	0,792	0,744
844-IRFZ10PBF	IRFZ10PBF	TO-220AB	60	10	40	0.200	43	1,39	1,11	0,924	0,814	0,685
844-IRFZ14PBF	IRFZ14PBF	TO-220AB	60	10	40	0.200	43	1,39	1,11	0,924	0,814	0,685
♦ 844-IRFZ14SPBF	IRFZ14SPBF	TO-263	60	10	40	0.200	43	2,42	1,93	1,61	1,42	1,20
844-IRFIZ24GPBF	IRFIZ24GPBF	TO-220 FullPAK	60	14	56	0.100	37	1,53	1,48	1,33	1,24	1,17
844-IRFR024PBF	IRFR024PBF	TO-252AA	60	14	56	0.100	42	0,87	0,868	0,784	0,759	0,715
844-IRFU024PBF	IRFU024PBF	TO-251AA	60	14	56	0.100	42	1,24	0,965	0,957	0,786	0,728
♦ 844-IRFR020PBF	IRFR020PBF	TO-252AA	60	14	56	0.100	42	0,99	0,935	0,838	0,784	0,736
844-IRFZ24PBF	IRFZ24PBF	TO-220AB	60	17	-	0.100	3.7	1,19	0,939	0,908	0,788	0,74
844-IRFIZ34GPBF	IRFIZ34GPBF	TO-220 FullPAK	60	20	80	0.050	42	2,64	2,30	1,97	1,52	1,43
844-IRFIZ48GPBF	IRFIZ48GPBF	TO-220 FullPAK	60	37	37	0.018	50	3,07	3,07	2,75	2,57	2,42
844-IRFZ34PBF	IRFZ34PBF	TO-220AB	60	30	120	0.050	88	1,30	1,30	1,17	1,09	1,03
844-IRFIZ44GPBF	IRFIZ44GPBF	TO-220 FullPAK	60	30	120	0.028	48	2,48	2,48	2,22	2,08	1,95
844-IRFZ44PBF	IRFZ44PBF	TO-220AB	60	50	200	0.028	150	2,38	2,07	1,77	1,47	1,38
844-IRFZ44RPBF	IRFZ44RPBF	TO-220AB	60	50	200	0.028	150	2,38	2,07	1,77	1,47	1,38
♦ 844-IRFZ48RSPBF	IRFZ48RSPBF	TO-263	60	50	290	0.018	190	3,22	2,67	2,36	2,20	2,07
844-IRFZ48RPBF	IRFZ48RPBF	TO-220AB	60	50	290	0.018	190	2,64	2,34	2,10	1,96	1,84
844-IRFP048RPBF	IRFP048RPBF	TO-247AC	60	70	290	0.018	190	3,86	3,01	2,96	2,51	2,36
844-IRFP048PBF	IRFP048PBF	TO-247AC	60	70	290	0.018	190	4,38	2,99	2,68	2,51	2,36
844-IRFP054PBF	IRFP054PBF	TO-247AC	60	70	360	0.014	230	6,53	5,79	4,59	3,86	3,38
844-IRFP064PBF	IRFP064PBF	TO-247AC	60	70	520	0.009	300	6,01	5,89	5,28	4,94	4,64
844-IRFD110PBF	IRFD110PBF	HD-1	100	1,0	8.0	0.540	1.3	1,24	0,858	0,726	0,668	0,611
844-IRFD120PBF	IRFD120PBF	HD-1	100	1.3	10	0.270	1.3	0,97	0,881	0,79	0,739	0,694
844-IRFD123PBF	IRFD123PBF	HD-1	100	1.3	10	0.270	1.3	1,03	0,881	0,79	0,739	0,694
♦ 844-IRFL110PBF	IRFL110PBF	SOT-223	100	1.5	12	0.540	3.1	0,70	0,699	0,627	0,587	0,551
♦ 844-IRFR110PBF	IRFR110PBF	TO-252AA	100	4.3	17	0.540	25	0,61	0,605	0,543	0,508	0,477
844-IRFU110PBF	IRFU110PBF	TO-251AA	100	4.3	17	0.540	25	1,24	0,99	0,825	0,726	0,611
844-IRFI510GPBF	IRFI510GPBF	TO-220 FullPAK	100	4.5	18	0.540	27	1,85	1,61	1,38	1,03	0,902
844-IRF510PBF	IRF510PBF	TO-220AB	100	5.6	20	0.540	43	1,33	1,06	0,883	0,78	0,656
♦ 844-IRF510SPBF	IRF510SPBF	TO-252AA	100	5.6	20	0.540	43	0,86	0,856	0,768	0,718	0,675
844-IRFI520GPBF	IRFI520GPBF	TO-220 FullPAK	100	7.2	29	0.270	29	1,36	1,30	1,17	1,09	1,02
♦ 844-IRFR120PBF	IRFR120PBF	TO-252AA	100	7.7	31	0.270	42	0,76	0,76	0,681	0,637	0,599
844-IRFU120PBF	IRFU120PBF	TO-251AA	100	7.7	31	0.270	42	1,36	1,09	0,908	0,799	0,672
844-IRF520PBF	IRF520PBF	TO-220AB	100	9.2	37	0.270	60	1,40	1,22	1,05	0,787	0,656
844-IRFI530GPBF	IRFI530GPBF	TO-220 FullPAK	100	9.7	39	0.160	43	1,54	1,54	1,38	1,30	1,22
844-IRF530PBF	IRF530PBF	TO-220AB	100	14	56	0.160	88	1,45	1,27	1,09	0,817	0,756
♦ 844-IRF530SPBF	IRF530SPBF	TO-263	100	14	56	0.160	88	1,22	1,22	1,09	1,02	0,959
844-IRFI540GPBF	IRFI540GPBF	TO-220 FullPAK	100	17	68	0.077	48	2,65	2,40	2,15	2,01	1,89
844-IRF540PBF	IRF540PBF	TO-220AB	100	28	110	0.077	150	2,38	2,07	1,77	1,33	1,11
♦ 844-IRF540SPBF	IRF540SPBF	TO-263	100	28	110	0.077	150	1,54	1,47	0,862	0,807	0,758
844-IRFP140PBF	IRFP140PBF	TO-247AC	100	31	120	0.077	180	3,69	3,07	2,57	2,09	1,78
844-IRFP150PBF	IRFP150PBF	TO-247AC	100	41	160	0.055	230	3,93	3,27	2,75	2,22	1,90
844-FB180SA10P	FB180SA10P	SOT-227	100	180	720	0.0065	480	21,34	16,98	14,22	13,81	13,07
844-IRFD210PBF	IRFD210PBF	HD-1	200	0.6	4.8	1.500	1,0	0,97	0,706	0,633	0,592	0,556
844-IRFD220PBF	IRFD220PBF	HD-1	200	0.8	6.4	0.800	1,0	1,29	0,974	0,858	0,757	0,656
♦ 844-IRFL210PBF	IRFL210PBF	SOT-223	200	0.96	7.7	1.500	3.1	0,73	0,731	0,655	0,613	0,613
♦ 844-IRFR210PBF	IRFR210PBF	TO-252AA	200	2.6	10	1.500	25	0,73	0,628	0,563	0,526	0,494
844-IRFU210PBF	IRFU210PBF	TO-251AA	200	2.6	10	1.500	25	0,99	0,685	0,679	0,629	0,538
844-IRF610PBF	IRF610PBF	TO-220AB	200	3.3	10	1.500	36	1,11	0,718	0,707	0,692	0,589
♦ 844-IRF610SPBF	IRF610SPBF	TO-263	200	3.3	10	1.500	36	1,41	1,17	0,908	0,85	0,825
844-IRFI620GPBF	IRFI620GPBF	TO-220 FullPAK	200	4.1	16	0.800	30	1,36	1,25	1,12	1,05	0,987
844-IRFR220PBF	IRFR220PBF	TO-252AA	200	4.8	19	0.800	42	0,88	0,746	0,669	0,626	0,588
844-IRFU220PBF	IRFU220PBF	TO-251AA	200	4.8	19	0.800	42	1,36	1,09	0,908	0,799	0,672
844-IRF620PBF	IRF620PBF	TO-220AB	200	5.2	18	0.800	50	0,89	0,751	0,673	0,63	0,592
♦ 844-IRF620SPBF	IRF620SPBF	TO-263	200	5.2	18	0.800	50	1,09	1,01	0,916	0,866	0,789
844-IRFI630GPBF	IRFI630GPBF	TO-220 FullPAK	200	5.9	24	0.400	35	1,95	1,61	1,54	1,35	1,27
844-IRF630PBF	IRF630PBF	TO-220AB	200	9.0	36	0.400	74	1,32	1,16	0,991	0,927	0,871
♦ 844-IRF630SPBF	IRF630SPBF	TO-263	200	9.0	36	0.400	74	1,44	1,37	1,22	1,14	1,08

© Copyright 2012 Mouser Electronics

© Copyright 2012 Mouser Electronics

MOSFET de puissance VISHAY

Les produits peuvent être conformes à la directive RoHS. Consultez le site mouser.com pour vérifier la conformité RoHS.

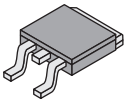
TO-252AA (DPAK)

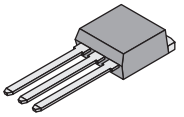
TO-251AA (IPAK)

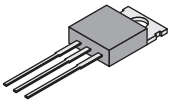
TO-220AB

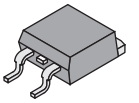
TO-263 (D^2PAK)

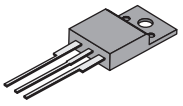
TO-220FullPAK

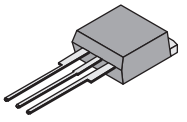
TO-262 (I^2PAK)

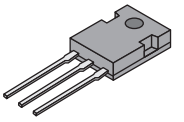
TO-247AC

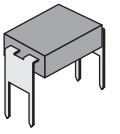
HD-1

MOSFET À CANAL N (CONFIGURATION SIMPLE) SUITE

♦ **Composant pour montage en surface**

Pour des quantités supérieures à celles indiquées, appelez-nous afin d'obtenir un devis.

RÉF. STOCK MOUSER	Réf. Vishay	Boîtier	V_{DS} (Max)(V)	I_D (Max)(A)	I_{DM} (Max)(A)	$R_{DS(on)}$ Max (Ω) à V_{GS}=-10V	P_D (Max)(W)	Prix unitaire 1	10	100	250	500
844-IRFI640GPBF	IRFI640GPBF	TO-220 FullPAK	200	9.8	39	0.180	40	3,13	2,47	2,21	2,07	1,95
844-IRF640PBF	IRF640PBF	TO-220AB	200	18	72	0.180	125	2,38	2,07	1,77	1,33	1,25
♦ 844-IRF640SPBF	IRF640SPBF	TO-263	200	18	72	0.180	3.1	2,05	1,86	1,67	1,56	1,47
844-IRFP240PBF	IRFP240PBF	TO-247AC	200	20	80	0.180	150	3,44	2,68	2,64	2,09	1,95
844-IRFP250PBF	IRFP250PBF	TO-247AC	200	30	120	0.085	190	4,95	4,12	3,46	2,94	2,77
844-IRFP260PBF	IRFP260PBF	TO-247AC	200	46	180	0.055	280	5,92	5,87	5,26	4,92	4,62
844-IRFD224PBF	IRFD224PBF	HD-1	250	0.63	5.0	1.100	1,0	1,33	0,916	0,78	0,718	0,662
♦ 844-IRFL214PBF	IRFL214PBF	SOT-223	250	0.79	6.3	2.000	3.1	0,92	0,737	0,677	0,631	0,586
844-IRFI614GPBF	IRFI614GPBF	TO-220 FullPAK	250	2.1	8.4	2.000	23	1,32	1,19	1,07	1,00	0,939
♦ 844-IRFR214PBF	IRFR214PBF	TO-252AA	250	2.2	8.8	2.000	25	1,47	1,30	1,11	1,04	1,01
844-IRFU214PBF	IRFU214PBF	TO-251AA	250	2.2	8.8	2.000	25	1,24	0,99	0,825	0,726	0,611
844-IRF614PBF	IRF614PBF	TO-220AB	250	2.7	8.0	2.000	36	1,19	0,924	0,916	0,766	0,657
♦ 844-IRFR224PBF	IRFR224PBF	TO-252AA	250	3.8	15	1.100	42	0,76	0,755	0,677	0,634	0,595
844-IRFU224PBF	IRFU224PBF	TO-251AA	250	3.8	15	1.100	42	1,39	1,11	0,924	0,817	0,686
844-IRF624PBF	IRF624PBF	TO-220AB	250	4.4	14	1.100	50	1,53	1,34	1,15	0,858	0,718
♦ 844-IRF624SPBF	IRF624SPBF	TO-263	250	4.4	14	1.100	50	1,52	1,25	1,23	0,965	0,825
844-IRFI634GPBF	IRFI634GPBF	TO-220 FullPAK	250	5.6	22	0.450	35	1,99	1,88	1,69	1,58	1,48
844-IRFI644GPBF	IRFI644GPBF	TO-220 FullPAK	250	7.9	32	0.280	40	2,76	2,56	2,20	2,05	1,93
844-IRF634PBF	IRF634PBF	TO-220AB	250	8.1	32	0.450	74	1,61	1,40	1,20	0,929	0,872
♦ 844-IRF634SPBF	IRF634SPBF	TO-263	250	8.1	32	0.450	74	1,37	1,37	1,22	1,14	1,08
844-IRF644PBF	IRF644PBF	TO-220AB	250	14	56	0.280	125	3,09	2,57	2,16	1,75	1,49
♦ 844-IRF644SPBF	IRF644SPBF	TO-263	250	14	56	0.280	125	1,93	1,93	1,73	1,62	1,52
844-IRFP244PBF	IRFP244PBF	TO-247AC	250	15	60	0.280	150	4,73	3,94	3,30	2,67	2,28
844-IRFP254PBF	IRFP254PBF	TO-247AC	250	23	92	0.140	190	4,31	3,78	3,39	3,17	2,98
844-IRFP264PBF	IRFP264PBF	TO-247AC	250	38	150	0.075	280	3,48	2,80	2,55	2,29	2,06
844-IRFD310PBF	IRFD310PBF	HD-1	400	0.35	2.8	3.600	1,0	1,45	1,01	0,85	0,783	0,717
844-IRFD420PBF	IRFD420PBF	HD-1	400	0.37	3.0	3.000	1,0	1,58	1,14	1,11	0,924	0,853
844-IRFD320PBF	IRFD320PBF	HD-1	400	0.49	3.9	1.800	1,0	1,58	1,14	1,09	0,916	0,791
♦ 844-IRFR310PBF	IRFR310PBF	TO-252AA	400	1.7	6.0	3.600	25	0,88	0,80	0,659	0,615	0,597
844-IRFU310PBF	IRFU310PBF	TO-251AA	400	1.7	6.0	3.600	25	1,29	0,932	0,858	0,78	0,656
844-IRF710PBF	IRF710PBF	TO-220AB	400	2.0	6.0	3.600	36	0,97	0,715	0,672	0,612	0,563
♦ 844-IRF710SPBF	IRF710SPBF	TO-263	400	2.0	6.0	3.600	36	0,99	0,966	0,866	0,81	0,761
844-IRFI720GPBF	IRFI720GPBF	TO-220 FullPAK	400	2.6	10	1.800	30	2,11	1,84	1,58	1,20	1,12
♦ 844-IRFR320PBF	IRFR320PBF	TO-252AA	400	3.1	12	1.800	42	0,92	0,917	0,822	0,769	0,722
844-IRFU320PBF	IRFU320PBF	TO-251AA	400	3.1	12	1.800	42	0,90	0,901	0,808	0,756	0,71
844-IRF720PBF	IRF720PBF	TO-220AB	400	3.3	13	1.800	50	1,30	0,924	0,899	0,775	0,728
♦ 844-IRF720SPBF	IRF720SPBF	TO-263	400	3.3	13	1.800	50	1,65	1,43	1,17	1,03	0,932
844-IRFI730GPBF	IRFI730GPBF	TO-220 FullPAK	400	3.7	15	1.000	35	1,84	1,76	1,58	1,48	1,39
844-IRFI740GPBF	IRFI740GPBF	TO-220 FullPAK	400	5.4	22	0.550	40	2,98	2,98	2,67	2,50	2,35
844-IRF730PBF	IRF730PBF	TO-220AB	400	5.5	22	1.000	74	1,24	1,24	1,11	1,04	0,977
844-IRF730APBF	IRF730APBF	TO-220AB	400	5.5	22	1.000	74	1,36	1,22	1,09	1,02	0,959
844-IRF730ALPBF	IRF730ALPBF	TO-262	400	5.5	22	1.000	74	1,48	1,48	1,33	1,24	1,17
♦ 844-IRF730ASPBF	IRF730ASPBF	TO-263	400	5.5	22	1.000	74	1,98	1,67	1,37	1,24	1,17
844-IRF740PBF	IRF740PBF	TO-220AB	400	10	40	0.550	125	2,38	2,07	1,77	1,33	1,11
♦ 844-IRF740ASPBF	IRF740ASPBF	TO-263	400	10	40	0.550	3.1	2,05	1,97	1,77	1,65	1,55
♦ 844-IRF740SPBF	IRF740SPBF	TO-263	400	10	40	0.550	125	1,96	1,96	1,76	1,65	1,55
844-IRF740APBF	IRF740APBF	TO-220AB	400	10	40	0.550	125	1,98	1,70	1,52	1,42	1,34
844-IRF740ALPBF	IRF740ALPBF	TO-262	400	10	40	0.550	3.1	2,64	2,30	1,97	1,65	1,55
844-IRFP340PBF	IRFP340PBF	TO-247AC	400	11	44	0.550	150	4,60	3,83	3,22	2,61	2,22
844-IRFP350PBF	IRFP350PBF	TO-247AC	400	16	64	0.300	190	5,45	4,54	3,81	3,25	3,06
844-IRFP360PBF	IRFP360PBF	TO-247AC	400	23	92	0.200	280	6,01	5,24	4,70	4,40	4,13
844-IRFI820GPBF	IRFI820GPBF	TO-220 FullPAK	500	2.1	8.4	3.000	30	1,64	1,51	1,35	1,26	1,19
♦ 844-IRFR420PBF	IRFR420PBF	TO-252AA	500	2.4	8.0	3.000	42	0,91	0,908	0,814	0,761	0,715
844-IRFU420PBF	IRFU420PBF	TO-251AA	500	2.4	8.0	3.000	42	0,89	0,894	0,802	0,75	0,705
844-IRF820PBF	IRF820PBF	TO-220AB	500	2.5	8.0	3.000	50	0,97	0,908	0,814	0,761	0,715
♦ 844-IRF820SPBF	IRF820SPBF	TO-263	500	2.5	8.0	3.000	50	1,02	-	-	-	-
844-IRF820APBF	IRF820APBF	TO-220AB	500	2.5	10	3.000	50	1,09	0,888	0,833	0,784	0,726
844-IRF820ALPBF	IRF820ALPBF	TO-262	500	2.5	10	3.000	50	1,04	0,929	0,929	0,929	0,929
♦ 844-IRF820ASPBF	IRF820ASPBF	TO-263	500	2.5	10	3.000	50	1,50	1,20	0,998	0,929	0,929
844-IRFI830GPBF	IRFI830GPBF	TO-220 FullPAK	500	3.1	12	1.500	35	1,80	1,80	1,61	1,51	1,41
♦ 844-IRFR420APBF	IRFR420APBF	TO-252AA	500	3.3	10	3.000	83	0,73	0,718	0,708	0,663	0,644
844-IRFU420APBF	IRFU420APBF	TO-251AA	500	3.3	10	3.000	83	1,30	0,932	0,842	0,757	0,71
844-IRF830PBF	IRF830PBF	TO-220AB	500	4.5	18	1.500	74	1,50	1,31	1,12	0,842	0,705
♦ 844-IRF830SPBF	IRF830SPBF	TO-263	500	4.5	18	1.500	74	1,52	-	1,36	1,27	1,19
844-IRFI840GPBF	IRFI840GPBF	TO-220 FullPAK	500	4.6	18	0.850	40	2,97	2,28	2,24	1,79	1,54
844-IRF830APBF	IRF830APBF	TO-220AB	500	5.0	20	1.400	74	1,80	1,29	1,16	1,03	0,858
844-IRF830ALPBF	IRF830ALPBF	TO-262	500	5.0	20	1.400	3.1	1,58	1,47	1,32	1,24	1,16

© Copyright 2012 Mouser Electronics

© Copyright 2012 Mouser Electronics

MOSFET de puissance VISHAY

Les produits peuvent être conformes à la directive RoHS. Consultez le site mouser.com pour vérifier la conformité RoHS.

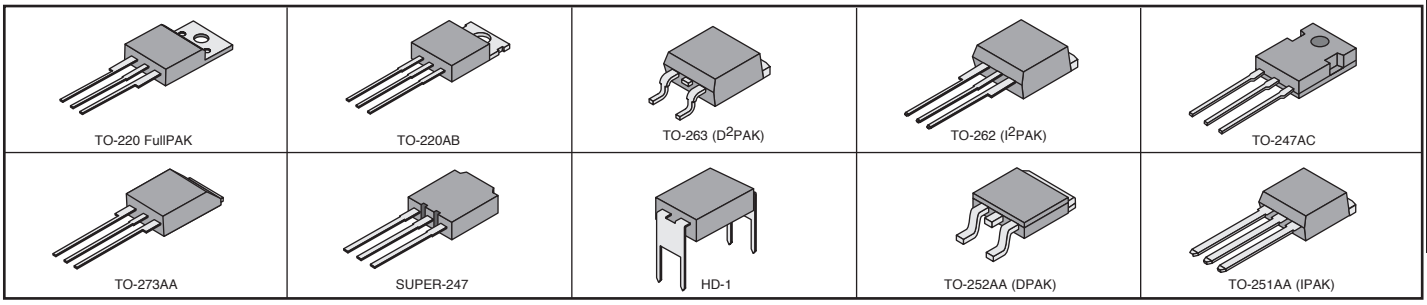

MOSFET À CANAL N (CONFIGURATION SIMPLE) SUITE

♦ **Composant pour montage en surface**

Pour des quantités supérieures à celles indiquées, appelez-nous afin d'obtenir un devis.

RÉF. STOCK MOUSER	Réf. Vishay	Boîtier	V_{DS} (Max)(V)	I_D (Max)(A)	I_{DM} (Max)(A)	$R_{DS(on)}$ Max (Ω) à V_{GS}=-10V	P_D (Max)(W)	Prix unitaire 1	10	100	250	500
♦ 844-IRF830ASPBF	IRF830ASPBF	TO-263	500	5.0	20	1.400	3.1	2,03	1,77	1,52	1,20	1,20
844-IRFIB7N50APBF	IRFIB7N50APBF	TO-220 FullPAK	500	6.6	44	0.520	60	3,18	2,95	2,64	2,47	2,32
844-IRF840PBF	IRF840PBF	TO-220AB	500	8.0	32	0.850	125	2,38	2,08	1,78	1,34	1,11
♦ 844-IRF840SPBF	IRF840SPBF	TO-263	500	8.0	32	0.850	125	1,99	1,99	1,79	1,67	1,57
844-IRF840APBF	IRF840APBF	TO-220AB	500	8.0	32	0.850	125	2,13	1,57	1,54	1,29	1,09
844-IRF840ALPBF	IRF840ALPBF	TO-262	500	8.0	32	0.850	125	1,84	1,64	1,59	1,59	1,59
♦ 844-IRF840ASPBF	IRF840ASPBF	TO-263	500	8.0	32	0.950	125	1,96	1,96	1,76	1,64	1,55
844-IRFP440PBF	IRFP440PBF	TO-247AC	500	8.8	35	0.850	150	3,39	2,70	2,66	2,07	1,81
844-IRFB11N50APBF	IRFB11N50APBF	TO-220AB	500	11	44	0.520	170	2,51	2,23	2,00	1,87	1,75
♦ 844-IRFS11N50APBF	IRFS11N50APBF	TO-263	500	11	44	0.520	170	2,51	2,51	2,25	2,11	1,98
844-IRFP448PBF	IRFP448PBF	TO-247AC	500	11	44	0.600	180	4,95	4,13	3,47	2,86	2,68
844-IRFP450PBF	IRFP450PBF	TO-247AC	500	14	56	0.400	190	3,74	2,85	2,81	2,28	1,99
844-IRFP450APBF	IRFP450APBF	TO-247AC	500	14	56	0.400	190	3,68	3,68	3,30	3,08	2,90
844-IRFB13N50APBF	IRFB13N50APBF	TO-220AB	500	14	56	0.450	250	2,86	2,86	2,56	2,40	2,25
844-IRFB17N50LPBF	IRFB17N50LPBF	TO-220AB	500	16	64	0.320	220	5,22	4,51	4,04	3,78	3,55
844-IRFP17N50LPBF	IRFP17N50LPBF	TO-247AC	500	16	64	0.320	220	6,46	5,73	4,63	4,33	4,07
844-IRFB18N50KPBF	IRFB18N50KPBF	TO-220AB	500	17	68	0.290	220	6,19	5,15	4,32	3,76	3,53
844-IRFB20N50KPBF	IRFB20N50KPBF	TO-220AB	500	20	80	0.250	280	4,65	4,27	3,83	3,58	3,36
844-IRFP460PBF	IRFP460PBF	TO-247AC	500	20	80	0.270	280	4,41	3,28	3,23	3,20	2,84
844-IRFP460APBF	IRFP460APBF	TO-247AC	500	20	80	0.270	280	5,60	5,29	3,94	3,32	2,90
844-IRFP22N50APBF	IRFP22N50APBF	TO-247AC	500	22	88	0.230	277	6,29	5,48	4,91	4,59	4,32
844-IRFP23N50LPBF	IRFP23N50LPBF	TO-247AC	500	23	92	0.235	370	6,57	6,57	5,89	5,51	5,18
844-IRFP31N50LPBF	IRFP31N50LPBF	TO-247AC	500	31	124	0.180	460	9,06	8,23	7,38	6,90	6,48
844-IRFP32N50KPBF	IRFP32N50KPBF	TO-247AC	500	32	130	0.160	460	8,95	8,52	7,64	7,15	6,71
844-IRFPS37N50APBF	IRFPS37N50APBF	SUPER-247	500	36	144	0.130	446	9,22	9,22	8,27	7,74	7,27
844-IRFPS40N50LPBF	IRFPS40N50LPBF	SUPER-247	500	46	180	0.100	540	14,20	14,20	12,73	11,91	11,19
844-IRFPS43N50KPBF	IRFPS43N50KPBF	SUPER-247	500	47	190	0.090	540	14,34	14,20	12,73	11,91	11,19
844-IRFDC20PBF	IRFDC20PBF	HD-1	600	0.32	2.6	4.400	1,0	1,93	1,38	1,32	1,11	0,899
♦ 844-IRFR1N60APBF	IRFR1N60APBF	TO-252AA	600	1.4	5.6	7.000	36	0,88	0,881	0,79	0,739	0,694
844-IRFIBC20GPBF	IRFIBC20GPBF	TO-220 FullPAK	600	1.7	6.8	4.400	30	2,33	2,03	1,74	1,30	1,14
♦ 844-IRFRC20PBF	IRFRC20PBF	TO-252AA	600	2.0	8.0	4.400	42	1,04	0,935	0,838	0,784	0,736
844-IRFUC20PBF	IRFUC20PBF	TO-251AA	600	2.0	8.0	4.400	42	2,24	1,96	1,68	1,26	1,05
844-IRFBC20PBF	IRFBC20PBF	TO-220AB	600	2.2	8.0	4.400	50	1,53	1,27	0,846	0,792	0,744
844-IRFBC20LPBF	IRFBC20LPBF	TO-262	600	2.2	8.0	4.400	3.1	2,48	2,16	1,86	1,39	1,16
♦ 844-IRFBC20SPBF	IRFBC20SPBF	TO-263	600	2.2	8.0	4.400	50	1,71	1,35	1,33	1,25	1,20
844-IRFIBC30GPBF	IRFIBC30GPBF	TO-220 FullPAK	600	2.5	10	2.200	35	2,57	2,15	1,80	1,50	1,41
844-IRFIBC40GPBF	IRFIBC40GPBF	TO-220 FullPAK	600	3.5	14	1.200	40	3,04	3,04	2,73	2,55	2,40
844-IRFBC30PBF	IRFBC30PBF	TO-220AB	600	3.6	14	2.200	74	2,64	2,30	1,97	1,48	1,23
844-IRFBC30LPBF	IRFBC30LPBF	TO-262	600	3.6	14	2.200	3.1	2,72	2,26	1,90	1,53	1,31
♦ 844-IRFBC30SPBF	IRFBC30SPBF	TO-263	600	3.6	14	2.200	3.1	2,72	2,26	1,90	1,53	1,31
844-IRFBC30APBF	IRFBC30APBF	TO-220AB	600	3.6	14	2.200	74	2,18	1,49	1,47	1,26	1,06
844-IRFBC30ALPBF	IRFBC30ALPBF	TO-262	600	3.6	14	2.200	74	1,50	1,45	1,30	1,22	1,14
♦ 844-IRFBC30ASPBF	IRFBC30ASPBF	TO-263	600	3.6	14	2.200	74	1,81	1,45	1,31	1,22	1,14
844-IRFIB6N60APBF	IRFIB6N60APBF	TO-220 FullPAK	600	5.5	37	0.750	60	3,07	3,07	2,75	2,57	2,42
844-IRFBC40PBF	IRFBC40PBF	TO-220AB	600	6.2	25	1.200	125	1,88	1,88	1,69	1,58	1,48
844-IRFBC40LPBF	IRFBC40LPBF	TO-262	600	6.2	25	1.200	3.1	3,96	3,29	2,76	2,24	1,91
844-IRFBC40APBF	IRFBC40APBF	TO-220AB	600	6.2	25	1.200	125	1,86	1,86	1,67	1,56	1,46
844-IRFBC40ASPBF	IRFBC40ASPBF	TO-263	600	6.2	25	1.200	125	2,48	2,32	2,26	2,12	2,05
844-IRFPC40PBF	IRFPBC40PBF	TO-247AC	600	6.8	27	1.200	150	3,96	3,30	2,77	2,24	1,94
844-IRFB9N60APBF	IRFB9N60APBF	TO-220AB	600	9.2	37	0.750	170	2,62	2,34	2,10	1,96	1,84
844-IRFSL9N60APBF	IRFSL9N60APBF	TO-262	600	9.2	37	0.750	170	2,63	2,63	2,36	2,20	2,07
♦ 844-IRFS9N60APBF	IRFS9N60APBF	TO-263	600	9.2	37	0.750	170	2,63	2,63	2,36	2,20	2,07
844-IRFPC50APBF	IRFPC50APBF	TO-247AC	600	11	44	0.580	180	5,69	4,74	3,98	3,28	3,08
844-IRFPC50PBF	IRFPC50PBF	TO-247AC	600	11	44	0.600	180	5,54	3,97	3,56	3,33	3,13
844-IRFPC60PBF	IRFPC60PBF	TO-247AC	600	16	64	0.400	280	6,30	5,90	5,29	4,95	4,65
844-IRFP21N60LPBF	IRFP21N60LPBF	TO-247AC	600	21	84	0.320	330	6,67	6,67	5,98	5,59	5,26
844-IRFP22N60KPBF	IRFP22N60KPBF	TO-247AC	600	22	88	0.280	370	7,24	6,44	5,75	5,38	5,05
844-IRFP26N60LPBF	IRFP26N60LPBF	TO-247AC	600	26	100	0.250	470	8,91	8,50	7,62	7,13	6,70
844-IRFP27N60KPBF	IRFP27N60KPBF	TO-247AC	600	27	110	0.220	500	8,74	7,92	7,10	6,64	6,24
844-IRFPS38N60LPBF	IRFPS38N60LPBF	SUPER-247	600	38	150	0.150	540	15,62	14,37	12,88	12,05	11,32
844-IRFPS40N60KPBF	IRFPS40N60KPBF	SUPER-247	600	40	160	0.130	570	18,07	16,68	12,99	11,25	10,57
844-IRFIB5N65APBF	IRFIB5N65APBF	TO-220 FullPAK	650	5.1	21	0.930	60	3,89	3,23	2,86	2,68	2,52
844-IRFB9N65APBF	IRFB9N65APBF	TO-220AB	650	8.5	21	0.930	167	2,53	2,46	2,20	2,06	1,94
844-IRFIBE20GPBF	IRFIBE20GPBF	TO-220 FullPAK	800	1.4	5.6	6.500	30	2,51	2,19	1,88	1,66	1,56
844-IRFBE20PBF	IRFBE20PBF	TO-220AB	800	1.8	7.2	6.500	54	2,11	1,84	1,58	1,22	1,14
844-IRFIBE30GPBF	IRFIBE30GPBF	TO-220 FullPAK	800	2.1	8.4	3.000	35	3,47	2,88	2,50	2,33	2,19
844-IRFBE30PBF	IRFBE30PBF	TO-220AB	800	4.1	16	3.000	125	2,72	2,27	1,98	1,85	1,74
844-IRFBE30LPBF	IRFBE30LPBF	TO-262	800	4.1	16	3.000	125	2,49	2,49	2,23	2,09	1,96
♦ 844-IRFBE30SPBF	IRFBE30SPBF	TO-263	800	4.1	16	3.000	125	2,49	2,49	2,23	2,09	1,96
844-IRFPE30PBF	IRFPE30PBF	TO-247AC	800	4.1	16	3.000	125	3,63	3,53	2,83	2,65	2,50
844-IRFPE40PBF	IRFPE40PBF	TO-247AC	800	5.4	22	2.000	150	5,79	4,83	4,05	3,28	2,91

© Copyright 2012 Mouser Electronics

© Copyright 2012 Mouser Electronics

MOSFET de puissance VISHAY

Les produits peuvent être conformes à la directive RoHS. Consultez le site mouser.com pour vérifier la conformité RoHS.

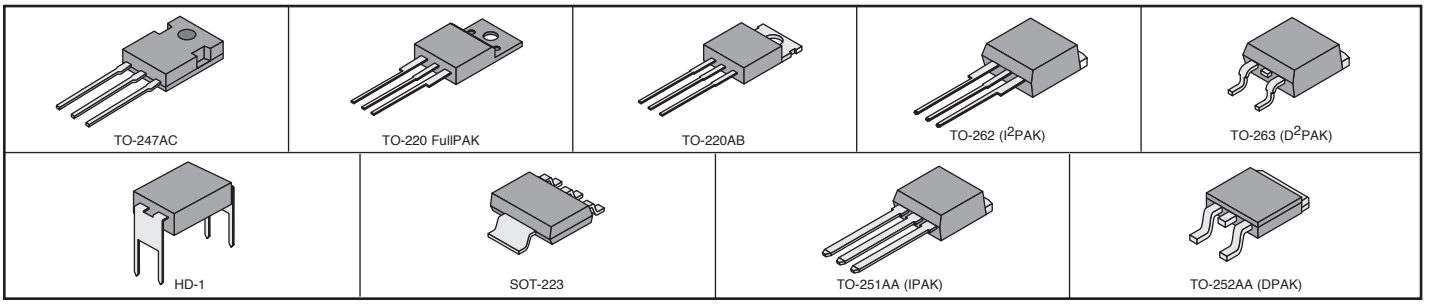

MOSFET À CANAL N (CONFIGURATION SIMPLE) SUITE

♦ **Composant pour montage en surface**

Pour des quantités supérieures à celles indiquées, appelez-nous afin d'obtenir un devis.

	RÉF. STOCK MOUSER	Réf. Vishay	Boîtier	V_{DS} (Max)(V)	I_D (Max)(A)	I_{DM} (Max)(A)	$R_{DS(on)}$ Max (Ω) à V_{GS}=-10V	P_D (Max)(W)	Prix unitaire 1	10	100	250	500
	844-IRFPE50PBF	IRFPE50PBF	TO-247AC	800	7.8	31	1.200	190	4,88	4,06	3,89	3,37	3,02
	844-IRFIBF20GPBF	IRFIBF20GPBF	TO-220 FullPAK	900	1.2	4.8	8.000	30	2,64	2,30	1,97	1,73	1,62
	844-IRFBF20PBF	IRFBF20PBF	TO-220AB	900	1.7	6.8	8.000	54	1,73	1,47	1,31	1,23	1,15
	844-IRFBF20LPBF	IRFBF20LPBF	TO-262	900	1.7	6.8	8.000	3.1	1,77	1,73	1,55	1,45	1,37
♦	844-IRFBF20SPBF	IRFBF20SPBF	TO-263	900	1.7	6.8	8.000	3.1	1,73	1,73	1,55	1,45	1,37
	844-IRFIBF30GPBF	IRFIBF30GPBF	TO-220 FullPAK	900	1.9	7.6	3.700	35	3,22	2,80	2,51	2,35	2,21
	844-IRFBF30PBF	IRFBF30PBF	TO-220AB	900	3.6	14	3.700	125	2,55	2,22	1,99	1,86	1,75
	844-IRFPF30PBF	IRFPF30PBF	TO-247AC	900	3.6	14	3.700	125	4,36	3,63	3,04	2,47	2,26
	844-IRFPF40PBF	IRFPF40PBF	TO-247AC	900	4.7	19	2.500	150	3,57	3,57	3,20	2,99	2,81
	844-IRFPF50PBF	IRFPF50PBF	TO-247AC	900	6.7	27	1.600	190	6,01	5,35	4,71	4,41	4,14
	844-IRFBG20PBF	IRFBG20PBF	TO-220AB	1000	1.4	5.6	11.000	54	2,48	2,17	1,86	1,39	1,19
	844-IRFBG30PBF	IRFBG30PBF	TO-220AB	1000	3.1	12	5.000	125	2,48	2,35	2,10	1,97	1,85
	844-IRFPG30PBF	IRFPG30PBF	TO-247AC	1000	3.1	12	5.000	125	4,65	3,88	3,25	2,63	2,36
	844-IRFPG40PBF	IRFPG40PBF	TO-247AC	1000	4.3	17	3.500	150	5,07	4,22	3,55	3,16	2,97
	844-IRFPG50PBF	IRFPG50PBF	TO-247AC	1000	6.1	24	2.000	190	7,35	6,53	5,17	4,58	4,30

MOSFET À CANAL N (CONFIGURATION SIMPLE) - CHARGE DE PORTE ULTRA FAIBLE

Pour des quantités supérieures à celles indiquées, appelez-nous afin d'obtenir un devis.

RÉF. STOCK MOUSER	Réf. Vishay	Boîtier	V_{DS} (Max)(V)	I_D (Max)(A)	I_{DM} (Max)(A)	$R_{DS(on)}$ Max (Ω) à V_{GS}=-10V	P_D (Max)(W)	Prix unitaire 1	10	100	250	500
844-IRFI740GLCPBF	IRFI740GLCPBF	TO-220 FullPAK	400	5.7	23	0.550	40	3,47	2,94	2,64	2,47	2,32
844-IRF740LCPBF	IRF740LCPBF	TO-220AB	400	10	32	0.55	125	2,70	2,24	1,88	1,53	1,38
844-IRFP350LCPBF	IRFP350LCPBF	TO-247AC	400	16	64	0.30	190	5,36	4,93	4,83	4,29	3,86
844-IRFP360LCPBF	IRFP360LCPBF	TO-247AC	400	23	91	0.200	280	10,93	9,72	7,69	6,48	5,67
844-IRFI840GLCPBF	IRFI840GLCPBF	TO-220 FullPAK	500	4.5	18	0.85	40	2,48	2,38	2,14	2,00	1,88
844-IRF840LCPBF	IRF840LCPBF	TO-220AB	500	8.0	28	0.85	125	2,29	1,91	1,74	1,43	1,37
844-IRF840LCLPBF	IRF840LCLPBF	TO-262	500	8.0	28	0.85	3.1	2,62	2,18	1,83	1,59	1,59
844-IRFP450LCPBF	IRFP450LCPBF	TO-247AC	500	14	56	0.40	190	6,32	5,61	4,44	3,74	3,28
844-IRFP460LCPBF	IRFP460LCPBF	TO-247AC	500	20	80	0.27	280	8,15	5,70	5,61	4,88	4,33
844-IRFIBC40GLCPBF	IRFIBC40GLCPBF	TO-220 FullPAK	600	3.5	14	1.20	40	2,99	2,66	2,29	2,15	2,07
844-IRFPC50LCPBF	IRFPC50LCPBF	TO-247AC	600	11	44	0.60	190	5,57	4,95	3,92	3,30	3,08
844-IRFPC60LCPBF	IRFPC60LCPBF	TO-247AC	600	16	64	0.40	280	6,85	5,84	5,22	4,56	4,29
844-IRFBC40LCPBF	IRFBC40LCPBF	TO-220AB	900	6.2	25	1.200	125	3,91	3,25	2,73	2,21	2,03

MOSFET DE NIVEAU LOGIQUE À CANAL N (CONFIGURATION SIMPLE)

Pour des quantités supérieures à celles indiquées, appelez-nous afin d'obtenir un devis.

	RÉF. STOCK MOUSER	Réf. Vishay	Boîtier	V_{DS} (Max)(V)	I_D (Max)(A)	I_{DM} (Max)(A)	$R_{DS(on)}$ Max (Ω) à V_{GS}=10V	$R_{DS(on)}$ Max (Ω) à V_{GS}=4,5V	P_D (Max)(W)	Prix unitaire 1	10	100	250	500
	844-IRLD014PBF	IRLD014PBF	HD-1	60	1.7	14	0.200	0.280	1.3	1,39	0,965	0,817	0,752	0,686
	844-IRLD024PBF	IRLD024PBF	HD-1	60	2.5	20	0.100	0.140	1.3	1,67	1,20	0,932	0,867	0,814
♦	844-IRLL014PBF	IRLL014PBF	SOT-223	60	2.7	22	0.200	0.280	3.1	0,75	0,751	0,673	0,63	0,592
	844-IRLU014PBF	IRLU014PBF	TO-251AA	60	7.7	31	0.200	0.280	25	1,24	0,99	0,825	0,726	0,611
	844-IRLIZ14GPBF	IRLIZ14GPBF	TO-220 FullPAK	60	8.0	32	0.200	0.280	27	1,63	1,43	1,22	1,01	0,945
	844-IRLZ14PBF	IRLZ14PBF	TO-220AB	60	10	40	0.200	0.280	43	1,45	1,16	0,965	0,85	0,715
♦	844-IRLR024PBF	IRLR024PBF	TO-252AA	60	14	56	0.100	0.140	42	0,95	0,948	0,85	0,795	0,747
	844-IRLU024PBF	IRLU024PBF	TO-251AA	60	14	56	0.100	0.140	42	1,45	1,27	1,09	0,817	0,735
	844-IRLZ24LPBF	IRLZ24LPBF	TO-262	60	17	68	0.100	0.140	60	1,40	1,22	1,08	1,01	0,95
	844-IRLZ24PBF	IRLZ24PBF	TO-220AB	60	17	68	0.100	0.140	60	1,01	0,948	0,85	0,795	0,747
	844-IRLIZ34GPBF	IRLIZ34GPBF	TO-220 FullPAK	60	20	80	0.050	0.070	42	2,27	1,98	1,73	1,62	1,52
	844-IRLIZ44GPBF	IRLIZ44GPBF	TO-220 FullPAK	60	30	120	0.028	0.039	48	2,78	2,78	2,50	2,33	2,19
	844-IRLZ34PBF	IRLZ34PBF	TO-220AB	60	30	110	0.050	0.070	88	1,85	1,61	1,38	1,17	1,10
	844-IRLD110PBF	IRLD110PBF	HD-1	100	1,0	8.0	0.540	0.760	1.3	1,47	1,05	0,825	0,757	0,688
	844-IRLD120PBF	IRLD120PBF	HD-1	100	1.3	10	0.270	0.380	1.3	1,21	0,881	0,79	0,739	0,694
♦	844-IRLL110PBF	IRLL110PBF	SOT-223	100	1.5	12	0.540	0.760	3.1	0,70	0,704	0,631	0,59	0,555
♦	844-IRLR110PBF	IRLR110PBF	TO-252AA	100	4.3	17	0.540	0.760	25	0,64	0,643	0,577	0,54	0,507
	844-IRL510PBF	IRL510PBF	TO-220AB	100	5.6	18	0.540	0.760	43	1,20	0,957	0,802	0,705	0,593
	844-IRLI520GPBF	IRLI520GPBF	TO-220 FullPAK	100	7.2	29	0.270	0.380	37	1,72	1,49	1,28	1,10	1,04
♦	844-IRLR120PBF	IRLR120PBF	TO-252AA	100	7.7	31	0.270	0.380	42	1,28	1,06	0,965	0,908	0,85
	844-IRLU120PBF	IRLU120PBF	TO-251AA	100	7.7	31	0.270	0.380	42	0,85	0,784	0,703	0,658	0,618
	844-IRL520PBF	IRL520PBF	TO-220AB	100	9.2	36	0.270	0.380	60	1,39	1,11	0,924	0,814	0,685
♦	844-IRL520LPBF	IRL520LPBF	TO-252AA	100	9.2	36	0.270	0.380	60	1,54	1,23	1,02	0,899	0,828
	844-IRL530PBF	IRL530PBF	TO-220AB	100	15	60	0.160	0.220	88	1,47	1,07	0,974	0,901	0,846
♦	844-IRL540SPBF	IRL540SPBF	TO-263	100	28	110	0.077	0.110	150	2,06	2,06	1,84	1,73	1,62
	844-IRL540PBF	IRL540PBF	TO-220AB	100	28	110	0.077	0.110	150	2,33	2,03	1,74	1,49	1,40
	844-IRL620PBF	IRL620PBF	TO-220AB	200	5.2	21	0.800	1.000	50	1,06	0,949	0,813	0,762	0,739
♦	844-IRL620SPBF	IRL620SPBF	TO-263	200	5.2	21	0.800 @ 10V	1.000	50	1,25	1,01	0,974	0,908	0,883
♦	844-IRLI630GPBF	IRLI630GPBF	TO-220 FullPAK	200	6.2	25	0.400	0.500	35	2,38	2,07	1,77	1,61	1,51
	844-IRL630PBF	IRL630PBF	TO-220AB	200	9.0	36	0.400	0.500	74	2,00	1,75	1,50	1,12	0,959
	844-IRL630SPBF	IRL630SPBF	TO-263	200	9.0	36	0.400	0.500	74	1,88	1,55	1,54	1,24	1,17
♦	844-IRLI640GPBF	IRLI640GPBF	TO-220 FullPAK	200	9.9	40	0.180	0.270	40	2,89	2,75	2,46	2,30	2,16
	844-IRL640PBF	IRL640PBF	TO-220AB	200	17	68	0.180	0.270	125	1,84	1,84	1,65	1,54	1,45
	844-IRL640SPBF	IRL640SPBF	TO-263	200	17	68	0.180	0.270	125	2,11	2,11	1,89	1,77	1,66

© Copyright 2012 Mouser Electronics
© Copyright 2012 Mouser Electronics

Transistors MOSFET SILICONIX

RoHS Compliant **This product is RoHS compliant.**

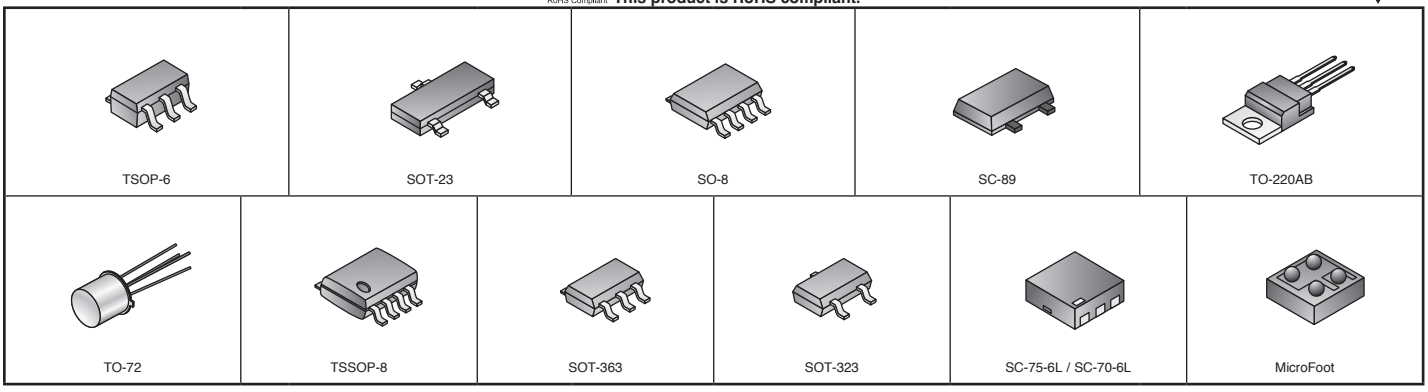

MOSFET À CANAL P (CONFIGURATION SIMPLE)

♦ **Composant pour montage en surface**

PRODUCT NEW

Pour des quantités supérieures à celles indiquées, appelez-nous afin d'obtenir un devis.

RÉF. STOCK MOUSER	Réf. Siliconix	Boîtier	V_{DS} (Max)(V)	I_D (Max)(A)	I_{DM} (Max)(A)	$R_{DS(on)}$ Max (Ω) à V_{GS}=10V	V_{GS}=4,5V	V_{GS}=2,5V	V_{GS}=1.8V	P_D (Max) (W)	Prix unitaire 1	100	500	1000
♦ 781-SI1307EDL-E3	SI1307EDL-T1-E3	SOT-323	-12	±0.91	±3	-	0.2900	0.4350	0.5800	0.34	0,51	0,299	0,245	0,191
♦ 781-SI2301BDS-E3	SI2301BDS-T1-E3	SOT-23	-20	-2.4	-10	-	0.100	0.150	-	0.7	0,53	0,313	0,256	0,199
♦ 781-SI9433BDY-T1-E3	SI9433BDY-T1-E3	SO-8	-20	-6.2	-20	-	0.040	0.06 @ 2.7V	-	1.3	1,34	0,815	0,596	0,423
♦ 781-SI9434BDY-T1-E3	SI9434BDY-T1-E3	SO-8	-20	-6.3	-20	-	0.040	0.055	-	2.5	1,20	0,726	0,673	0,519
♦ 781-SI4463BDY-T1-E3	SI4463BDY-T1-E3	SO-8	-20	-13.7	-50	0.011	0.014	0.020	-	1.5	1,97	1,17	0,823	0,747
♦ 781-SI2303BDS-E3	SI2303BDS-T1-E3	SOT-23	-30	-1.64	-10	0.200	0.380	-	-	0.7	0,53	0,313	0,256	0,199
781-SUP75P03-07-E3	SUP75P03-07-E3	TO-220AB	-30	±75	-240	0.0070	0.0100	-	-	187	1,86	1,58	1,54	1,50
781-SUP65P04-15-E3	SUP65P04-15-E3	TO-220AB	-40	-65	-240	0.015	0.023	-	-	120	1,91	1,56	1,47	1,32
781-SUP75P05-08-E3	SUP75P05-08-E3	TO-220AB	-55	-75	-240	0.0080	0.0130	-	-	250	5,26	4,47	4,21	3,82
781-3N163-E3	3N163-E3	TO-72	-70	-30	-	250 @ 20V	-	-	-	0.375	22,26	18,26	16,89	16,30

MOSFET À CANAL P (CONFIGURATION DOUBLE)

Pour des quantités supérieures à celles indiquées, appelez-nous afin d'obtenir un devis.

RÉF. STOCK MOUSER	Réf. Siliconix	Boîtier	V_{DS} (Max)(V)	I_D (Max)(A)	I_{DM} (Max)(A)	$R_{DS(on)}$ Max (Ω) à V_{GS}=10V	V_{GS}=4,5V	V_{GS}=2,5V	V_{GS}=1.8V	P_D (Max) (W)	Prix unitaire 1	100	500	1000
♦ 781-SI6963BDQ-E3	SI6963BDQ-T1-E3	TSSOP-8	-20	-3.9	-30	-	0.045	0.080	-	0.83	0,82	0,66	0,619	0,561
♦ 781-SI4963BDY-E3	SI4963BDY-T1-E3	SO-8	-20	-6.5	-40	-	0.032	0.050	-	1.1	1,91	1,13	0,794	0,59
♦ 781-SI4948BEY-T1-E3	SI4948BEY-T1-E3	SO-8	-60	-7.1	-25	0.120	0.150	-	-	1.4	1,34	0,815	0,596	0,528

MOSFET TRENCHFET® LITTLEFOOT PLUS™ À CANAL P (CONFIGURATION SIMPLE)

Pour des quantités supérieures à celles indiquées, appelez-nous afin d'obtenir un devis.

RÉF. STOCK MOUSER	Réf. Siliconix	Boîtier	V_{DS} (Max)(V)	I_D (Max)(A)	I_{DM} (Max)(A)	$R_{DS(on)}$ Max (Ω) à V_{GS}=10V	V_{GS}=4,5V	V_{GS}=2,5V	V_{GS}=1.8V	P_D (Max) (W)	Prix unitaire 1	100	500	1000
♦ 781-SI4845DY-T1-E3	SI4845DY-T1-E3	SO-8	-20	-2.7	-7.0	-	0.21	0.345	-	2.75	0,89	0,536	0,392	0,278
♦ 781-SIA811ADJ-GE3	SIA811ADJ-T1-GE3	SC-70-6L	-20	-4.5	-8.0	-	0.116	0.155	0.205	6.5	0,17	0,143	0,135	0,134
♦ 781-SI4621DY-T1-E3	SI4621DY-T1-E3	SO-8	-20	6.2	-25	0.054	0.094	-	-	3.1	0,78	0,485	0,347	0,289
♦ 781-SI4833ADY-T1-E3	SI4833ADY-T1-E3	SO-8	-30	-4.6	-20	0.072	0.110	-	-	2.8	1,03	0,622	0,455	0,374
♦ 781-SI4831BDY-E3	SI4831BDY-T1-E3	SO-8	-30	6.6	-30	0.034	0.052	-	-	3.3	-	-	-	-

MOSFET TRENCHFET® À CANAL P (CONFIGURATION SIMPLE)

PRODUCT NEW

Pour des quantités supérieures à celles indiquées, appelez-nous afin d'obtenir un devis.

RÉF. STOCK MOUSER	Réf. Siliconix	Boîtier	V_{DS} (Max)(V)	I_D (Max)(A)	I_{DM} (Max)(A)	$R_{DS(on)}$ Max (Ω) à V_{GS}=10V	V_{GS}=4,5V	V_{GS}=2,5V	V_{GS}=1.8V	P_D (Max) (W)	Prix unitaire 1	100	500	1000
♦ 781-SI1405DL-E3	SI1405DL-T1-E3	SOT-363	-8	±1.8	±5	-	0.1250	0.1600	0.2100	0.568	0,70	0,417	0,341	0,265
♦ 781-SI2305DS-E3	SI2305DS-E3	SOT-23	-8	±3.5	±12	-	0.0520	0.0710	0.1080	3.5	1,06	0,718	0,594	0,47
♦ 781-SIB417EDK-T1-GE3	SIB417EDK-T1-GE3	SC-75-6L	-8	-9.0	-15	-	0.0580	0.0800	0.1000	13	0,96	0,646	0,535	0,423
♦ 781-SI8429DB-E1	SI8429DB-T1-E1	MicroFoot	-8	-11.7	-25	-	0.0350	0.0420	0.0520	6.25	1,06	0,722	0,597	0,474
♦ 781-SIA417DJ-T1-GE3	SIA417DJ-T1-GE3	SC-70-6L	-8	-12	-30	-	0.0230	0.0310	0.0400	19	0,78	0,52	0,433	0,347
♦ 781-SI1307DL-E3	SI1307DL-T1-E3	SOT-323	-12	±0.91	±3	-	0.2900	0.4350	0.5800	0.34	0,55	0,323	0,265	0,205
♦ 781-SI1417EDH-E3	SI1417EDH-T1-E3	SOT-363	-12	-3.3	-8	-	0.0850	0.1150	0.1600	1.56	0,56	0,371	0,309	0,248
♦ 781-SI2315BDS-E3	SI2315BDS-T1-E3	SOT-23	-12	-3.85	-12	-	0.0500	0.0650	0.1000	0.75	0,64	0,421	0,351	0,281
♦ 781-SI3447BDV-E3	SI3447BDV-T1-E3	TSOP-6	-12	-6.0	-20	-	0.0400	0.0530	0.0720	1.1	0,56	0,371	0,309	0,248
♦ 781-SI3473DV-T1-E3	SI3473DV-T1-E3	TSOP-6	-12	-7.9	-20	-	0.0230	0.0290	0.0410	2.0	1,03	0,694	0,574	0,455
♦ 781-SI6467BDQ-E3	SI6467BDQ-T1-E3	TSSOP-8	-12	-8.0	-30	-	0.0125	0.0155	0.0200	1.05	1,73	1,13	0,949	0,722
♦ 781-SIB419DK-T1-GE3	SIB419DK-T1-GE3	SC-75-6L	-12	-9.0	-15	-	0.0600	0.0820	0.1140	13.1	0,86	0,569	0,474	0,38
♦ 781-SIB455EDK-T1-GE3	SIB455EDK-T1-GE3	SC-75-6L	-12	-9.0	-25	-	0.0270	0.0390	0.0690	13	0,61	0,495	0,355	0,281
♦ 781-SIA413DJ-T1-GE3	SIA413DJ-T1-GE3	SC-70-6L	-12	-12	-40	-	0.0290	0.0340	0.0440	19	0,96	0,646	0,535	0,423
♦ 781-SI1013X-E3	SI1013X-T1-E3	SC-89	-20	-0.35	-1.0	-	1.2000	1.6000	2.7000	0.25	0,44	0,258	0,211	0,164
♦ 781-TP0101K-T1-E3	TP0101K-T1-E3	SOT-23	-20	-0.58	-2.0	-	0.6500	0.8500	-	0.35	0,55	0,327	0,267	0,208
♦ 781-SI1303DL-E3	SI1303DL-T1-E3	SOT-323	-20	-0.72	-2.5	-	0.4300	0.7000	-	0.34	0,51	0,299	0,245	0,191
♦ 781-SI1403BDL-T1-E3	SI1403BDL-T1-E3	SOT-363	-20	-1.5	-5.0	-	0.1500	0.2650	-	0.625	0,53	0,313	0,256	0,199
♦ 781-SI1469DH-T1-E3	SI1469DH-T1-E3	SOT-363	-20	-2.7	-8.0	0.0800	0.1000	0.1550	-	2.78	0,59	0,396	0,33	0,264
♦ 781-SI3451DV-T1-E3	SI3451DV-T1-E3	TSOP-6	-20	-2.8	-10	-	0.1150	0.2050	-	2.1	0,71	0,47	0,392	0,314
♦ 781-SI1413EDH-E3	SI1413EDH-T1-E3	SOT-363	-20	-2.9	-8.0	-	0.1150	0.1550	0.2200	1.56	0,56	0,371	0,309	0,248
♦ 781-SI3441BDV-T1-E3	SI3441BDV-T1-E3	TSOP-6	-20	-2.9	-16	-	0.0900	0.1300	-	0.86	0,63	0,367	0,30	0,233
♦ 781-SI2351DS-E3	SI2351DS-T1-E3	SOT-23	-20	-3.0	-10	-	0.1150	0.2050	-	2.1	0,71	0,47	0,392	0,314
♦ 781-SI2323DS-T1-E3	SI2323DS-T1-E3	SOT-23	-20	-4.7	-20	-	0.0390	0.0520	0.0680	0.75	1,10	0,742	0,614	0,486
♦ 781-SI3443BDV-E3	SI3443BDV-T1-E3	TSOP-6	-20	-4.7	-20	-	0.0600	0.1000	-	1.1	0,64	0,421	0,351	0,281
♦ 781-SI3467DV-T1-E3	SI3467DV-T1-E3	TSOP-6	-20	-5.0	-25	0.0540	0.0940	-	-	2.0	0,64	0,448	0,351	0,281

© Copyright 2012 Mouser Electronics

© Copyright 2012 Mouser Electronics

Transistors MOSFET SILICONIX

RoHS Compliant **This product is RoHS compliant.**

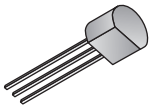
TO-92

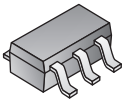
TSOP-6

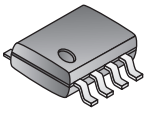
TSSOP-8

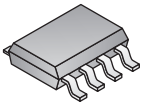
SO-8

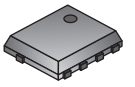
PowerPak1212-8

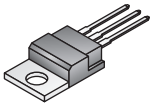
TO-220AB

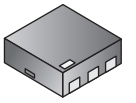
SC-75-6L/SC-70-6L

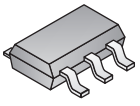
SOT-363

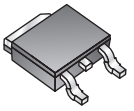
TO-252

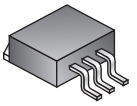
TO-263

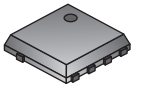
PowerPakSO-8

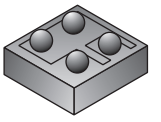
MicroFoot

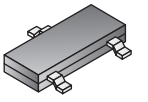
SOT-23

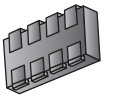
ChipFET1206-8

MOSFET TRENCHFET® À CANAL P (CONFIGURATION SIMPLE) SUITE

RoHS Compliant

♦ **Composant pour montage en surface**

Pour des quantités supérieures à celles indiquées, appelez-nous afin d'obtenir un devis.

RÉF. STOCK MOUSER	Réf. Siliconix	Boîtier	V_{DS} (Max)(V)	I_D (Max)(A)	I_{DM} (Max)(A)	$R_{DS(on)}$ Max (Ω) à V_{GS}=10V	V_{GS}=4,5V	V_{GS}=2,5V	V_{GS}=1.8V	P_D (Max) (W)	Prix unitaire 1	100	500	1000
♦ 781-SIA427DJ-T1-GE3	SIA427DJ-T1-GE3	PowerPAK SC-70-6L	-8	-12	-50	-----	0.016	------	0.026	3.5	0,49	0,305	0,227	0,175
♦ 781-SI3433BDV-E3	SI3433BDV-T1-E3	TSOP-6	-20	-5.6	-20	-	0.0420	0.0570	0.0800	1.1	0,89	0,594	0,495	0,396
♦ 781-SI3469DV-T1-E3	SI3469DV-T1-E3	TSOP-6	-20	-6.7	-25	0.0300	0.0510	-	-	1.14	1,10	0,742	0,614	0,486
♦ 781-SI9424BDY-T1-E3	SI9424BDY-T1-E3	SO-8	-20	-7.1	-30	-	0.0250	0.0330	-	1.25	1,20	0,974	0,916	0,521
♦ 781-SI6463BDQ-E3	SI6463BDQ-T1-E3	TSSOP-8	-20	-7.4	-30	-	0.0150	0.0200	0.0270	1.05	1,49	0,998	0,825	0,658
♦ 781-SI3493BDV-T1-E3	SI3493BDV-T1-E3	TSOP-6	-20	-8.0	-25	-	0.0275	0.0340	0.0450	2.97	0,89	0,598	0,495	0,392
♦ 781-SIB411DK-GE3	SIB411DK-T1-GE3	SC-75-6L	-20	-9.0	-15	-	0.0660	0.0940	0.1300	13	0,36	0,297	0,281	0,248
♦ 781-SIA443DJ-T1-GE3	SIA443DJ-T1-GE3	SC-70-6L	-20	-9.0	-20	-	0.0450	0.0630	0.0880	15	0,32	0,281	0,271	0,261
♦ 781-SIB457EDK-GE3	SIB457EDK-T1-GE3	SC-75-6L	-20	-9.0	-25	-	0.0350	0.0490	0.0720	13	0,21	0,165	0,157	0,14
♦ 781-SI8445DB-E1	SI8445DB-T2-E1	MicroFoot	-20	-9.8	-10	-	0.0840	0.1000	0.1200	11.4	1,03	0,694	0,574	0,455
♦ 781-SI4403BDY-E3	SI4403BDY-T1-E3	SO-8	-20	-9.9	-30	-	0.0170	0.0230	0.0320	1.35	1,60	0,965	0,705	0,501
♦ 781-SIA411DJ-T1-GE3	SIA411DJ-T1-GE3	SC-70-6L	-20	-12	-20	-	0.0300	0.0410	0.0560	19	0,83	0,569	0,417	0,332
♦ 781-SIA419DJ-T1-GE3	SIA419DJ-T1-GE3	SC-70-6L	-20	-12	-30	-	0.0300	0.0390	0.0510	19	0,86	0,569	0,474	0,38
♦ 781-SIA415DJ-T1-GE3	SIA415DJ-T1-GE3	SC-70-6L	-20	-12	-30	-	0.0350	0.0510	-	19	0,92	0,622	0,515	0,408
♦ 781-SIA429DJT-T1-GE3	SIA429DJT-T1-GE3	PowerPAK SC-70-6L	-20	-12	-30	-----	0.0205	0.027	0.036	19	0,36	0,264	0,206	0,182
♦ 781-SIA433EDJ-GE3	SIA433EDJ-T1-GE3	PowerPAK SC-70-6L	-20	-12	-50	-	.018	.026	.065	19	0,64	0,431	0,356	0,282
♦ 781-SI4421DY-T1-E3	SI4421DY-T1-E3	SO-8	-20	-14	-40	-	0.0070	0.0085	0.0110	1.5	2,77	1,65	1,16	0,858
♦ 781-SI4423DY-T1-E3	SI4423DY-T1-E3	SO-8	-20	-14	-50	-	0.0075	0.0090	0.0115	1.5	2,98	1,77	1,24	0,916
♦ 781-SUD45P03-10-E3	SUD45P03-10-E3	TO-252	-20	-15	-100	0.0100	0.0180	-	-	70	1,90	1,75	1,71	1,52
♦ 781-SI8499DB-T2-E1	SI8499DB-T2-E1	MicroFoot	-20	-16	-20	-	0.0320	0.0460	0.1200	13	0,53	0,356	0,295	0,233
♦ 781-SI7485DP-E3	SI7485DP-T1-E3	PowerPak SO-8	-20	-20	-50	-	0.0073	0.0090	0.0130	5.0	3,47	2,30	1,91	1,41
♦ 781-SI7615DN-GE3	SI7615DN-T1-GE3	PowerPak 1212-8	-20	-35	-80	0.0039	0.0055	0.0098	-	52	1,63	1,06	0,883	0,678
♦ 781-SI7633DP-GE3	SI7633DP-T1-GE3	PowerPak SO-8	-20	-60	-100	0.0033	0.0055	-	-	104	1,86	1,22	1,01	0,779
♦ 781-SI7137DP-GE3	SI7137DP-T1-GE3	PowerPak SO-8	-20	-60	-100	0.00195	0.0025	0.0039	-	104	2,56	1,67	1,39	1,06
♦ 781-TP0202K-T1-E3	TP0202K-T1-E3	SOT-23	-30	-0.385	-0.75	1.4000	3.5000	-	-	0.35	0,65	0,386	0,316	0,246
♦ 781-SI1433DH-T1-E3	SI1433DH-T1-E3	SOT-363	-30	-2.2	-8.0	0.1500	0.2600	-	-	1.45	0,64	0,535	0,351	0,281
♦ 781-SI1471DH-T1-E3	SI1471DH-T1-E3	SOT-363	-30	-2.7	-8.0	0.1000	0.1200	0.1750	-	2.78	0,59	0,396	0,33	0,264
♦ 781-SI2307BDS-E3	SI2307BDS-T1-E3	SOT-23	-30	-3.2	-12	0.0780	0.1300	-	-	0.75	0,71	0,47	0,392	0,314
♦ 781-SI3455ADV-E3	SI3455ADV-T1-E3	TSOP-6	-30	-3.5	-20	0.1000	0.1700	-	-	1.14	0,78	0,52	0,433	0,347
♦ 781-SI2343DS-T1-E3	SI2343DS-T1-E3	SOT-23	-30	-4.0	-15	0.0530	0.0860	-	-	1.25	1,10	0,772	0,614	0,486
♦ 781-SI3457BDV-E3	SI3457BDV-T1-E3	TSOP-6	-30	-5.0	-20	0.0540	0.1000	-	-	1.14	0,64	0,421	0,351	0,281
♦ 781-SI5435BDC-T1-E3	SI5435BDC-T1-E3	ChipFET1206-8	-30	-5.9	-30	0.0450	0.0800	-	-	2.5	1,00	0,675	0,559	0,442
♦ 781-SI6435ADQ-E3	SI6435ADQ-T1-E3	TSSOP-8	-30	±5.5	±30	0.0300	0.0550	-	-	1.05	1,63	1,10	0,908	0,721
♦ 781-SI9435BDY-T1-E3	SI9435BDY-T1-E3	SO-8	-30	-5.7	-30	0.0420	0.0700	-	-	1.3	0,96	0,579	0,423	0,30
♦ 781-SI3483DV-T1-E3	SI3483DV-T1-E3	TSOP-6	-30	-6.2	-25	0.035	0.053	-	-	2.0	1,08	0,729	0,604	0,478
♦ 781-SI6415DQ-E3	SI6415DQ-T1-E3	TSSOP-8	-30	±6.5	±30	0.0190	0.0300	-	-	1.5	2,08	1,36	1,14	0,866
♦ 781-SI4431BDY-E3	SI4431BDY-T1-E3	SO-8	-30	-7.5	-30	0.0300	0.0500	-	-	1.5	1,14	0,686	0,502	0,356
♦ 781-SI6443DQ-E3	SI6443DQ-T1-E3	TSSOP-8	-30	-8.8	-30	0.0120	0.0190	-	-	1.5	3,20	2,14	1,79	1,41
♦ 781-SIB415DK-T1-GE3	SIB415DK-T1-GE3	SC-75-6L	-30	-9.0	-15	0.0870	0.1580	-	-	13	0,71	0,47	0,392	0,322
♦ 781-SI7409ADN-T1-E3	SI7409ADN-T1-T3	PowerPak 1212-8	-30	-11	-40	-	0.0190	0.0310	-	3.8	1,96	1,69	1,55	1,18
♦ 781-SI4425BDY-E3	SI4425BDY-T1-E3	SO-8	-30	-11.4	-50	0.0120	0.0190	-	-	1.5	2,19	1,25	1,19	0,676
♦ 781-SI4825DY-T1-E3	SI4825DY-T1-E3	SO-8	-30	-11.5	-50	0.0140	0.0220	-	-	1.5	2,49	1,49	1,04	0,772
♦ 781-SIA421DJ-T1-GE3	SIA421DJ-T1-GE3	SC-70-6L	-30	-12	-35	0.0350	0.0560	-	-	19	0,91	0,646	0,502	0,394
♦ 781-SI4427BDY-E3	SI4427BDY-T1-E3	SO-8	-30	-12.6	-50	0.0105	0.0125	0.0195	-	1.5	2,05	1,21	0,85	0,728
♦ 781-SI4483EDY-T1-E3	SI4483EDY-T1-E3	SO-8	-30	-14	-50	0.0085	0.0140	-	-	3.0	2,32	1,38	1,27	0,719
♦ 781-SI4413ADY-T1-E3	SI4413ADY-T1-E3	SO-8	-30	-15	-50	0.0075	0.0110	-	-	3.0	2,98	1,77	1,24	0,916
♦ 781-SI7459DP-T1-E3	SI7459DP-T1-E3	PowerPak SO-8	-30	-22	-60	0.0068	-	-	-	5.4	3,61	2,54	1,98	1,48
♦ 781-SI7483ADP-T1-E3	SI7483ADP-T1-E3	PowerPak SO-8	-30	-24	-60	0.0057	0.0095	-	-	5.4	3,86	3,16	2,13	1,58
♦ 781-SI4459ADY-T1-GE3	SI4459ADY-T1-GE3	SO-8	-30	-29	-70	0.0050	0.00755	-	-	7.8	2,77	1,65	1,16	0,858
♦ 781-SI7129DN-GE3	SI7129DN-T1-GE3	PowerPak 1212-8	-30	-35	-60	0.0114	0.0200	-	-	52.1	1,01	0,681	0,564	0,446
♦ 781-SI7625DN-T1-GE3	SI7625DN-T1-GE3	PowerPak 1212-8	-30	-35	-80	0.0070	0.0110	-	-	52	1,12	0,733	0,612	0,467
♦ 781-SI7145DP-GE3	SI7145DP-T1-GE3	PowerPak SO-8	-30	-60	-100	0.0026	0.00375	-	-	104	2,38	1,58	1,31	0,974
♦ 781-SI7135DP-T1-GE3	SI7135DP-T1-GE3	PowerPak SO-8	-30	-60	-100	0.0039	0.0062	-	-	104.0	2,49	1,63	1,36	1,04
♦ 781-SI4401BDY-T1-E3	SI4401BDY-T1-E3	SO-8	-40	-10.5	-50	0.0140	0.0210	-	-	1.5	2,71	1,61	1,12	0,833
♦ 781-SI7463DP-T1-E3	SI7463DP-T1-E3	PowerPak SO-8	-40	-18.6	-60	0.0092	0.0140	-	-	5.4	3,29	2,15	1,80	1,37
♦ 781-SUD50P04-09L-E3	SUD50P04-09L-E3	TO-252	-40	-50	-100	0.0094	0.0145	-	-	136	2,54	1,71	1,42	1,12
♦ 781-SUD50P04-15-E3	SUD50P04-15-E3	TO-252	-40	-50	-150	0.0150	0.0230	-	-	100	3,36	2,27	1,87	1,49
♦ 781-TP0610K-E3	TP0610K-T1-E3	SOT-23	-60	-0.185	-0.8	6.000	10.000	-	-	0.35	0,46	0,272	0,223	0,173
♦ 781-SI9407BDY-T1-GE3	SI9407BDY-T1-GE3	SO-8	-60	-4.7	-20	0.1200	0.1500	-	-	3.2	1,42	0,858	0,627	0,446
♦ 781-SI7465DP-T1-E3	SI7465DP-T1-E3	PowerPakSO-8	-60	-5	-25	0.0640	0.0800	-	-	3.5	1,34	0,908	0,752	0,596
♦ 781-SI7415DN-T1-E3	SI7415DN-T1-E3	PowerPak1212-8	-60	-5.7	-30	0.0650	0.1100	-	-	1.5	1,97	1,29	1,08	0,823
♦ 781-SUM55P06-19L-E3	SUM55P06-19L-E3	TO-263	-60	-55	-150	0.0190	0.0250	-	-	125	3,29	2,15	1,96	1,11
♦ 781-SUP90P06-09L-E3	SUP90P06-09L-E3	TO-220AB	-60	-90	-200	0.0093	0.0118	-	-	250	3,33	3,01	2,74	2,67
♦ 781-SI2337DS-E3	SI2337DS-T1-E3	SOT-23	-80	-2.2	-7	0.2700	-	-	-	2.5	1,03	0,694	0,574	0,455
♦ 781-SI7469DP-T1-E3	SI7469DP-T1-E3	PowerPak SO-8	-80	-28	-40	0.0250	0.0290	-	-	83	3,13	2,10	1,70	1,30
♦ 781-SUM110P08-11L-E3	SUM110P08-11L-E3	TO-263	-80	110	-120	0.0111	-	-	-	375	5,21	3,47	3,14	2,26
♦ 781-SI7489DP-E3	SI7489DP-T1-E3	PowerPakSO-8	-100	-28	-40	0.0410	0.0470	-	-	83	2,98	1,95	1,63	1,24

© Copyright 2012 Mouser Electronics

Tous les prix sont en EURO

© Copyright 2012 Mouser Electronics

Transistors MOSFET SILICONIX

RoHS Compliant **This product is RoHS compliant.**

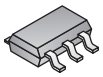
SOT-363

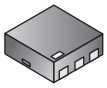
PowerPak SC-70-6L/SC-75-6L

TSOP-6

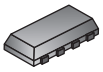
1206-8

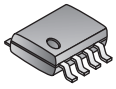
TSSOP-8

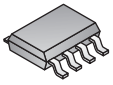
SO-8

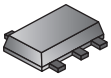
SC-89-6

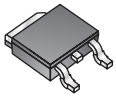
TO-252

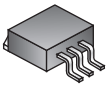
TO-263

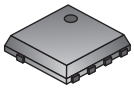
PowerPakSO-8

♦ **Composant pour montage en surface**

MOSFET TRENCHFET® À CANAL P (CONFIGURATION DOUBLE)

Pour des quantités supérieures à celles indiquées, appelez-nous afin d'obtenir un devis.

RÉF. STOCK MOUSER	Réf. Siliconix	Boîtier	V_{DS} (Max)(V)	I_D (Max)(A)	I_{DM} (Max)(A)	$R_{DS(on)}$ Max (Ω) à V_{GS}=10V	V_{GS}=4,5V	V_{GS}=2,5V	V_{GS}=1.8V	P_D (Max) (W)	Prix unitaire 1	100	500	1000
♦ 781-SI1905DL-E3	SI1905DL-T1-E3	SOT-363	-8	±0.60	±1.0	-	0.600	0.850	1.200	0.27	0,56	0,371	0,309	0,248
♦ 781-SI1917EDH-E3	SI1917EDH-T1-E3	SOT-363	-12	-1.15	-3.0	-	0.370	0.575	0.800	0.57	1,14	0,766	0,634	0,502
♦ 781-SIA913DJ-T1-GE3	SIA913DJ-T1-GE3	SC-70-6L	-12	-4.5	-10	-	0.070	0.100	0.140	6.5	0,86	0,569	0,474	0,38
♦ 781-SIA975DJ-T1-GE3	SIA975DJ-T1-GE3	SC-70-6L	-12	-4.5	-15	-	0.0410	0.0600	0.1100	7.8	0,36	0,225	0,217	0,191
♦ 781-SI6913DQ-T1-E3	SI6913DQ-T1-E3	TSSOP-8	-12	-5.8	-30	-	0.021	0.028	0.037	1.14	2,39	1,59	1,30	0,99
♦ 781-SI4931DY-T1-E3	SI4931DY-T1-E3	SO-8	-12	-8.9	-30	-	0.018	0.022	0.028	1.1	2,32	1,38	0,965	0,885
♦ 781-SI1903DL-E3	SI1903DL-T1-E3	SOT-363	-20	±0.44	±1.0	-	0.995	1.180	-	0.27	0,57	0,339	0,277	0,215
♦ 781-SI1913DH-T1-E3	SI1913DH-T1-E3	SOT-363	-20	-1.0	-3.0	-	0.490	0.750	1.100	0.74	0,54	0,33	0,262	0,204
♦ 781-SI1913EDH-E3	SI1913EDH-T1-E3	SOT-363	-20	-1.0	-3.0	-	0.490	0.750	1.100	0.74	0,62	0,495	0,479	0,431
♦ 781-SI3983DV-T1-E3	SI3983DV-T1-E3	TSOP-6	-20	-2.5	-8.0	-	0.110	0.145	0.220	1.15	0,86	0,594	0,474	0,301
♦ 781-SIB911DK-T1-GE3	SIB911DK-T1-GE3	SC-75-6L	-20	-2.6	-5.0	-	0.295	0.420	0.560	3.1	0,62	0,421	0,322	0,322
♦ 781-SI3951DV-T1-E3	SI3951DV-T1-E3	TSOP-6	-20	-2.7	-10	-	0.115	0.205	-	2.0	0,86	0,569	0,474	0,38
♦ 781-SI5903DC-E3	SI5903DC-T1-E3	1206-8	-20	±2.9	±10	-	0.155	0.260	-	2.1	2,15	1,40	1,17	0,891
♦ 781-SIA911ADJ-GE3	SIA911ADJ-T1-GE3	SC-70-6L	-20	-4.5	-8.0	-	0.116	0.155	0.205	6.5	0,42	0,287	0,238	0,188
♦ 781-SIA917DJ-T1-GE3	SIA917DJ-T1-GE3	SC-70-6L	-20	-4.5	-10	-	0.110	0.185	-	6.5	0,78	0,52	0,433	0,347
♦ 781-SIA921EDJ-GE3	SIA921EDJ-T1-GE3	SC-70-6L	-20	-4.5	-15	-	0.059	0.098	-	7.8	0,36	0,223	0,215	0,19
♦ 781-SIA923EDJ-T1-GE3	SIA923EDJ-T1-GE3	PowerPAK SC-70-6	-20	-4.5	-15	-	0.044	0.057	0.075	1.9	0,55	0,363	0,272	0,218
♦ 781-SI6981DQ-T1-E3	SI6981DQ-T1-E3	TSSOP-8	-20	-4.8	-30	-	0.031	0.041	0.058	1.14	2,11	1,38	1,16	0,875
♦ 781-SI6983DQ-T1-E3	SI6983DQ-T1-E3	TSSOP-8	-20	-5.4	-30	-	0.024	0.030	0.042	1.14	2,39	1,63	1,30	0,99
♦ 781-SI4943BDY-E3	SI4943BDY-T1-E3	SO-8	-20	-8.4	-30	0.019	0.031	-	-	2.0	2,32	1,49	1,38	0,965
♦ 781-SI4947ADY-T1-E3	SI4947ADY-T1-E3	SO-8	-30	-3.9	-20	0.080	0.135	-	-	1.2	1,14	0,686	0,634	0,548
♦ 781-SI6993DQ-E3	SI6993DQ-T1-E3	TSSOP-8	-30	-4.7	-30	0.031	0.048	-	-	0.83	2,39	1,56	1,30	0,99
♦ 781-SI4953ADY-T1-E3	SI4953ADY-T1-E3	SO-8	-30	-4.9	-30	0.053	0.090	-	-	1.1	1,45	0,875	0,643	0,468
♦ 781-SI4925BDY-T1-E3	SI4925BDY-T1-E3	SO-8	-30	-7.1	-40	0.025	0.041	-	-	1.1	1,91	1,08	1,04	0,85
♦ 781-SI4973DY-T1-E3	SI4973DY-T1-E3	SO-8	-30	-7.6	-30	0.023	0.029 @ 6V	-	-	2.0	3,09	1,83	1,28	0,949
♦ 781-SI7945DP-T1-E3	SI7945DP-T1-E3	SO-8	-30	-10.9	-30	0.020	0.031	-	-	3.5	2,98	1,95	1,63	1,24

MOSFET TRENCHFET® DE NIVEAU LOGIQUE À CANAL P (CONFIGURATION SIMPLE)

Pour des quantités supérieures à celles indiquées, appelez-nous afin d'obtenir un devis.

RÉF. STOCK MOUSER	Réf. Siliconix	Boîtier	V_{DS} (Max)(V)	I_D (Max)(A)	I_{DM} (Max)(A)	$R_{DS(on)}$ Max (Ω) à V_{GS}=10V	V_{GS}=4,5V	V_{GS}=2,5V	V_{GS}=1.8V	P_D (Max) (W)	Prix unitaire 1	100	500	1000
♦ 781-SUD50P04-13L-E3	SUD50P04-13L-E3	TO-252	-40	-60	-100	0.0130	0.0220	-	-	93.7	2,33	1,57	1,30	1,03
♦ 781-SUD08P06-155L-E3	SUD08P06-155L-E3	TO-252	-60	-8.4	-18	0.1550	0.2800	-	-	25	0,79	0,617	0,479	0,305
♦ 781-SUM110P06-07L-E3	SUM110P06-07L-E3	TO-263	-60	-110	-240	0.0069	0.0138	-	-	375	3,76	2,67	2,36	2,05

INTERRUPTEUR DE PUISSANCE/MOSFET À CANAL P BIDIRECTIONNEL

Pour des quantités supérieures à celles indiquées, appelez-nous afin d'obtenir un devis.

RÉF. STOCK MOUSER	Réf. Siliconix	Boîtier	V_{DS} (Max)(V)	I_D (Max)(A)	I_{DM} (Max)(A)	$R_{DS(on)}$ Max (Ω) à V_{GS}=10V	V_{GS}=4,5V	V_{GS}=2,5V	V_{GS}=1.8V	P_D (Max) (W)	Prix unitaire 1	100	500	1000
♦ 781-SI3831DV-E3	SI3831DV-E3	TSOP-6	±7.0	±2.4	±8.0	-	0.170	0.240	-	1.5	0,64	0,52	0,487	0,446

MOSFET À CANAL N ET P (CONFIGURATION DOUBLE)

Pour des quantités supérieures à celles indiquées, appelez-nous afin d'obtenir un devis.

RÉF. STOCK MOUSER	Réf. Siliconix	Boîtier	V_{DS} (Max)(V)	I_D (Max)(A)	I_{DM} (Max)(A)	$R_{DS(on)}$ Max (Ω) à V_{GS}=10V	V_{GS}=4,5V	V_{GS}=2,5V	V_{GS}=1.8V	P_D (Max) (W)	Prix unitaire 1	100	500	1000
♦ 781-SI3850ADV-T1-E3	SI3850ADV-T1-E3	TSOP-6	+20/-20	+1.4/-0.96	+3.5/-2.0	-/-	0.300/0.640	-/-	-/-	1.08/1.08	0,60	0,403	0,336	0,269
♦ 781-SI4565ADY-T1-E3	SI4565ADY-T1-E3	SO-8	+40/-40	-6.6/+4.5	+30/-30	0.039/0.054	0.050/0.072	-/-	-/-	3.1/3.1	1,34	0,815	0,596	0,423

MOSFET TRENCHFET® À CANAL N ET P (CONFIGURATION DOUBLE)

Pour des quantités supérieures à celles indiquées, appelez-nous afin d'obtenir un devis.

RÉF. STOCK MOUSER	Réf. Siliconix	Boîtier	V_{DS} (Max)(V)	I_D (Max)(A)	I_{DM} (Max)(A)	$R_{DS(on)}$ Max (Ω) à V_{GS}=10V	V_{GS}=4,5V	V_{GS}=2,5V	V_{GS}=1.8V	P_D (Max) (W)	Prix unitaire 1	100	500	1000
♦ 781-SIA511DJ-T1-GE3	SIA511DJ-T1-GE3	SC-70-6L	+12/-12	+4.5/-4.5	+20/-10	-/-	0.040/0.070	0.048/0.100	0.063/0.140	6.5/6.5	0,86	0,569	0,474	0,38
♦ 781-SI7540DP-T1-E3	SI7540DP-T1-E3	SO-8	+12/-12	+11.8/-8.9	20/20	-/-	0.017/0.032	0.025/0.053	-/-	1.4/1.4	2,71	1,77	1,48	1,12
♦ 781-SI1555DL-T1-E3	SI1555DL-T1-E3	SOT-363	+20/-8.0	+0.70/-0.60	+1.0/-1.0	-/-	0.385/0.600	0.630/0.850	-/1.200	0.27/0.27	0,53	0,313	0,256	0,199
♦ 781-SI1551DL-E3	SI1551DL-T1-E3	SOT-363	+20/-20	+0.30/-0.44	+0.60/-1.0	-/-	1.900/0.995	4.200/1.800	-/-	0.27/0.27	0,55	0,327	0,267	0,208
♦ 781-SI1553DL-E3	SI1553DL-T1-E3	SOT-363	+20/-20	±0.7/±0.44	±1.0/±1.0	-/-	0.385/0.995	0.630/1.800	-/-	0.27/0.27	0,53	0,313	0,256	0,199
♦ 781-SI1563DH-T1-E3	SI1563DH-T1-E3	SOT-363	+20/-20	+1.28/-1.0	+4.0/-3.0	-/-	0.280/0.490	0.360/0.750	0.450/1.100	0.57/0.57	0,58	0,34	0,278	0,216
♦ 781-SI3585DV-E3	SI3585DV-T1-E3	TSOP-6	+20/-20	+2.4/-1.8	+8.0/-7.0	-/-	0.125/0.200	0.200/0.340	-/-	0.83/0.83	0,71	0,503	0,392	0,314
♦ 781-SI3588DV-E3	SI3588DV-T1-E3	TSOP-6	+20/-20	+3.0/-2.2	±8.0/±8.0	-/-	0.080/0.145	0.100/0.200	0.128/0.300	0.83/0.83	1,45	0,974	0,812	0,643
♦ 781-SI6562DQ-E3	SI6562DQ-T1-E3	TSSOP-8	+20/-20	±4.5/±3.5	±30/±30	-/-	0.030/0.050	0.040/0.085	-/-	1.0/1.0	1,87	1,22	1,02	0,78

© Copyright 2012 Mouser Electronics

© Copyright 2012 Mouser Electronics

Transistors MOSFET SILICONIX

VISHAY

RoHS Compliant **This product is RoHS compliant.**

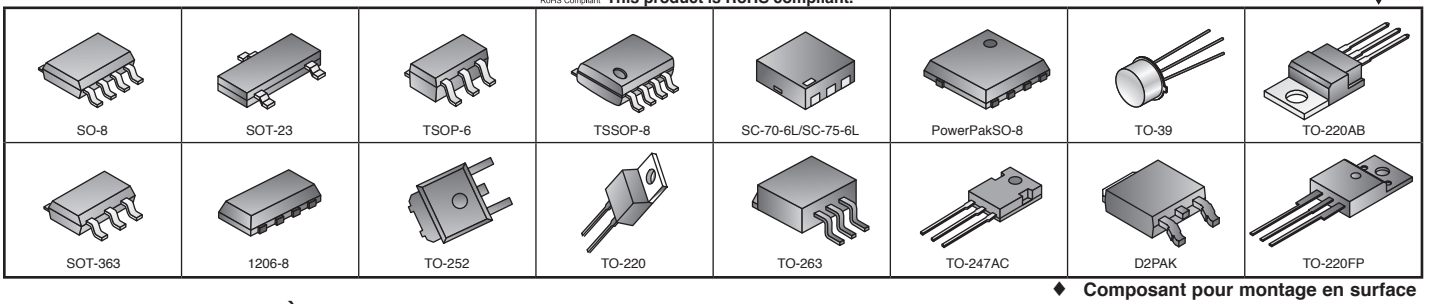

♦ **Composant pour montage en surface**

MOSFET TRENCHFET® À CANAL N ET P (CONFIGURATION DOUBLE) SUITE

Pour des quantités supérieures à celles indiquées, appelez-nous afin d'obtenir un devis.

RÉF. STOCK MOUSER	Réf. Siliconix	Boîtier	V_{DS} (Max)(V)	I_D (Max)(A)	I_{DM} (Max)(A)	$R_{DS(on)}$ Max (Ω) à				P_D (Max) (W)	Prix unitaire			
						V_{GS}=10V	V_{GS}=4,5V	V_{GS}=2,5V	V_{GS}=1.8V		1	100	500	1000
♦ 781-SIA513DJ-T1-GE3	SIA513DJ-T1-GE3	SC-70-6L	+20/-20	+4.5/-4.5	+15/-10	-/-	0.060/0.110	0.092/0.185	-/-	6.5/6.5	**0,78**	**0,52**	**0,433**	**0,347**
♦ 781-SI4500BDY-E3	SI4500BDY-T1-E3	SO-8	+20/-20	+9.1/-5.3	+30/-20	-/-	0.020/0.060	0.030/0.100	-/-	1.3/1.3	**1,20**	**0,729**	**0,533**	**0,451**
♦ 781-SI4511DY-T1-E3	SI4511DY-T1-E3	SO-8	+20/-20	+9.6/-6.2	+40/-40	0.0145/-	0.017/0.033	-/0.050	-/-	1.1/1.1	**1,70**	**1,02**	**0,752**	**0,555**
♦ 781-SI4501ADY-T1-E3	SI4501ADY-T1-E3	SO-8	+30/-8.0	+8.8/-5.7	+30/-20	0.018/-	0.027/0.042	-/-	-/-	1.3/1.3	**1,42**	**0,858**	**0,627**	**0,446**
♦ 781-SI1539DL-E3	SI1539DL-T1-E3	SOT-363	+30/-30	+0.63/-0.45	+1.0/+1.0	0.480/0.940	0.700/1.700	-/-	-/-	0.27/0.27	**0,53**	**0,313**	**0,256**	**0,199**
♦ 781-SI3552DV-E3	SI3552DV-T1-E3	TSOP-6	+30/-30	+2.5/-1.8	+1.05/-1.05	0.105/0.200	0.175/0.360	-/-	-/-	1.15/1.15	**0,78**	**0,52**	**0,433**	**0,347**
♦ 781-SI5504DC-E3	SI5504DC-T1-E3	1206-8	+30/-30	±3.9/±2.8	±10/±10	0.085/0.165	0.143/0.290	-/-	-/-	0.90/0.90	**2,15**	**1,40**	**1,17**	**0,891**
♦ 781-SI6544BDQ-E3	SI6544BDQ-T1-E3	TSSOP-8	+30/-30	+4.3/-3.8	+20/-20	0.032/0.043	0.046/0.073	-/-	-/-	0.83/0.83	**0,97**	**0,784**	**0,74**	**0,67**
♦ 781-SI4532ADY-T1-E3	SI4532ADY-T1-E3	SO-8	+30/-30	+4.9/-3.9	+20/+20	0.053/0.080	0.075/0.135	-/-	-/-	1.13/1.2	**0,64**	**0,536**	**0,52**	**0,324**
♦ 781-SI4542DY-T1-E3	SI4542DY-T1-E3	SO-8	+30/-30	+6.9/-6.1	+40/-40	0.025/0.032	0.035/0.045	-/-	-/-	2.0/2.0	**2,79**	**2,33**	**2,25**	**1,40**

INTERRUPTEUR DE CHARGE TRENCHFET® À CANAL N ET P AVEC RÉTABLISSEMENT DU NIVEAU À ZÉRO (CONFIGURATION DOUBLE)

Pour des quantités supérieures à celles indiquées, appelez-nous afin d'obtenir un devis.

RÉF. STOCK MOUSER	Réf. Siliconix	Boîtier	V_{DS} (Max)(V)	I_D (Max)(A)	I_{DM} (Max)(A)	$R_{DS(on)}$ Max (Ω) à				P_D (Max) (W)	Prix unitaire			
						V_{GS}=10V	V_{GS}=4,5V	V_{GS}=2,5V	V_{GS}=1.8V		1	100	500	1000
♦ 781-SI3865BDV-T1-E3	SI3865BDV-T1-E3	TSOP-6	1,8 à 8,0	2.9	-	-	0.060	-	0.100	0.83	**0,96**	**0,646**	**0,535**	**0,423**
♦ 781-SI3861BDV-T1-E3	SI3861BDV-T1-E3	TSOP-6	4,5 à 20	±2.3	±4.0	0.075	0.12	0.145	-	0.83	**0,71**	**0,47**	**0,392**	**0,314**

MOSFET À CANAL N (CONFIGURATION SIMPLE)

NEW PRODUCT

Pour des quantités supérieures à celles indiquées, appelez-nous afin d'obtenir un devis.

RÉF. STOCK MOUSER	Réf. Siliconix	Boîtier	V_{DS} (Max)(V)	I_D (Max)(A)	I_{DM} (Max)(A)	$R_{DS(on)}$ Max (Ω) à			P_D (Max) (W)	Prix unitaire			
						V_{GS}=10V	V_{GS}=4,5V	V_{GS}=1,8V		1	100	500	1000
♦ 781-SI2302ADS-T1-E3	SI2302ADS-T1-E3	SOT-23	20	2.4	10	-	0.060	0.115	0.7	**0,67**	**0,394**	**0,323**	**0,251**
♦ 781-SI3442BDV-E3	SI3442BDV-T1-E3	TSOP-6	20	4.2	20	-	0.057	0.090	1.67	**0,56**	**0,371**	**0,309**	**0,248**
♦ 781-SI2304BDS-T1-E3	SI2304BDS-T1-E3	SOT-23	30	3.2	10	0.070	0.105	-	0.75	**0,64**	**0,381**	**0,312**	**0,243**
♦ 781-SUD40N04-10A-E3	SUD40N04-10A-E3	TO-252	40	40	100	0.010	0.014	-	71	**2,53**	**1,72**	**1,42**	**1,12**
♦ 781-2N7002-T1-E3	2N7002-T1-E3	SOT-23	60	0.115	0.8	7.500	7.5 @ 5V	-	0.2	**0,28**	**0,239**	**0,229**	**0,208**
♦ 781-2N7002E-T1-E3	2N7002E-T1-E3	SOT-23	60	0.24	0.13	3.000	4.000	-	0.35	**0,29**	**0,248**	**0,215**	**0,198**
♦ 781-SUP60N06-12P-E3	SUP60N06-12P-E3	TO-220AB	60	60	80	0.012	-	-	3.25	**2,72**	**1,91**	**1,63**	**1,09**
781-2N6660-E3	2N6660-E3	TO-39	60	1.1	3.0	1.300	-	-	6.25	**24,26**	**19,64**	**18,48**	**18,15**
781-2N6661-E3	2N6661-E3	TO-39	90	0.86	3.0	4.000	5.3 @ 5V	-	6.25	**41,58**	**33,66**	**31,68**	**31,35**
♦ 781-SI2328DS-E3	SI2328DS-T1-E3	SOT-23	100	1.5	6.0	0.250	-	-	0.73	**1,20**	**0,813**	**0,673**	**0,533**
♦ 781-SI3430DV-E3	SI3430DV-T1-E3	TSOP-6	100	2.4	8.0	0.170	0.185 @ 6V	-	1.14	**1,28**	**0,858**	**0,713**	**0,564**
♦ 781-SI4484EY-T1-E3	SI4484EY-T1-E3	SO-8	100	6.9	30	0.034	0.040 @ 6V	-	1.8	**2,36**	**1,40**	**0,982**	**0,729**
♦ 781-SI4486EY-T1-E3	SI4486EY-T1-E3	SO-8	100	7.9	40	0.025	0.028 @ 6V	-	1.8	**2,88**	**1,71**	**1,57**	**1,34**
♦ 781-SI7430DP-T1-E3	SI7430DP-T1-E3	SO-8	150	26	50	0.045	0.047 @ 5V	-	64	**4,16**	**2,97**	**2,38**	**1,78**
♦ 781-TN2404K-T1-E3	TN2404K-T1-E3	SOT-23	240	0.2	0.8	4.000	4.000	6.000	0.36	**0,86**	**0,569**	**0,474**	**0,38**
781-SIHP16N50C-E3	SIHP16N50C-E3	TO-220AB	500	16	40	0.38	-	-	38	**5,20**	**4,21**	**3,41**	**2,72**
781-SIHF16N50C-E3	SIHF16N50C-E3	TO-220	500	16	40	0.38	-	-	38	**5,74**	**4,64**	**3,76**	**3,01**
♦ 781-SIHB16N50C-E3	SIHB16N50C-E3	TO-263	500	16	40	0.38	-	-	38	**5,74**	**4,64**	**3,76**	**3,01**
781-SIHG16N50C-E3	SIHG16N50C-E3	TO-247AC	500	16	40	0.38	-	-	250	**4,08**	**3,31**	**2,68**	**2,15**
♦ 781-SIHB12N50C-E3	SIHB12N50C-E3	D2PAK	500	12	28	0.555	-	-	208	**7,80**	**5,63**	**3,84**	**3,26**
781-SIHF12N50C-E3	SIHF12N50C-E3	TO-220FP	500	12	28	0.555	-	-	36	**7,80**	**5,63**	**3,84**	**3,26**
781-SIHP12N50C-E3	SIHP12N50C-E3	TO-220AB	500	12	28	0.555	-	-	208	**6,93**	**5,01**	**3,41**	**2,90**

MOSFET À CANAL N (CONFIGURATION DOUBLE)

Pour des quantités supérieures à celles indiquées, appelez-nous afin d'obtenir un devis.

RÉF. STOCK MOUSER	Réf. Siliconix	Boîtier	V_{DS} (Max)(V)	I_D (Max)(A)	I_{DM} (Max)(A)	$R_{DS(on)}$ Max (Ω) à				P_D (Max) (W)	Prix unitaire			
						V_{GS}=10V	V_{GS}=4,5V	V_{GS}=2,5V	V_{GS}=1.8V		1	100	500	1000
♦ 781-SI6925ADQ-E3	SI6925ADQ-T1-E3	TSSOP-8	20	3.9	30	-	0.045	0.065	-	1.13	**1,28**	**0,858**	**0,713**	**0,564**
♦ 781-SI6954ADQ-E3	SI6954ADQ-T1-E3	TSSOP-8	30	3.4	20	0.053	0.075	-	-	0.83	**1,20**	**0,813**	**0,673**	**0,533**
♦ 781-SI6928DQ-E3	SI6928DQ-T1-E3	TSSOP-8	30	±4.0	±20	0.035	0.050	-	-	1.0	**1,87**	**1,22**	**1,02**	**0,78**
♦ 781-SI9936BDY-T1-E3	SI9936BDY-T1-E3	SO-8	30	6.0/4.8	40	0.035	0.052	-	-	2.0	**0,80**	**0,652**	**0,615**	**0,408**

MOSFET TRENCHFET® LITTLEFOOT PLUS™ À CANAL N (CONFIGURATION SIMPLE)

NEW PRODUCT

Pour des quantités supérieures à celles indiquées, appelez-nous afin d'obtenir un devis.

RÉF. STOCK MOUSER	Réf. Siliconix	Boîtier	V_{DS} (Max)(V)	I_D (Max)(A)	I_{DM} (Max)(A)	$R_{DS(on)}$ Max (Ω) à				P_D (Max) (W)	Prix unitaire			
						V_{GS}=10V	V_{GS}=4,5V	V_{GS}=2,5V	V_{GS}=1.8V		1	100	500	1000
♦ 781-SIB800EDK-T1-GE3	SIB800EDK-T1-GE3	SC-75-6L	20	1.5	4.0	-	0.225	0.270	0.345	3.1	**0,67**	**0,446**	**0,371**	**0,297**
♦ 781-SI3812DV-GE3	SI3812DV-T1-GE3	TSOP-6	20	2.4	8.0	-	0.125	0.200	-	1.15	**0,86**	**0,569**	**0,474**	**0,38**
♦ 781-SI4620DY-T1-E3	SI4620DY-T1-E3	SO-8	30	7.4	40	0.035	0.052	-	-	3.1	**0,89**	**0,536**	**0,392**	**0,34**
♦ 781-SI4812BDY-E3	SI4812BDY-T1-E3	SO-8	30	9.5	50	0.016	0.021	-	-	1.4	**1,28**	**0,772**	**0,564**	**0,487**
♦ 781-SIA850DJ-GE3	SIA850DJ-T1-GE3	SC-70-6	190	0.95	1,0	-	3.800	4.200	17.000	7.0	**6,22**	**4,18**	**3,47**	**2,74**

© Copyright 2012 Mouser Electronics

© Copyright 2012 Mouser Electronics

Transistors MOSFET SILICONIX

RoHS Compliant **This product is RoHS compliant.**

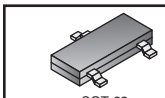
SOT-23

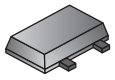
SC-89

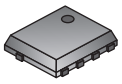
PowerPak 1212-8

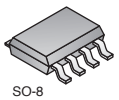
SO-8

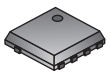
PowerPakSO-8

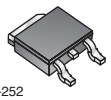
TO-252

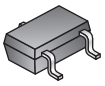
SC-75A

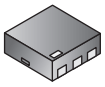
SC-70-6L/SC-75-6L

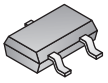
SOT-323

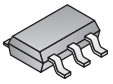
SOT-363

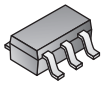
TSOP-6

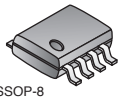
TSSOP-8

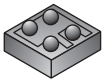
MicroFoot

ChipFET1206-8

MOSFET TRENCHFET® LITTLEFOOT PLUS™ À CANAL N (CONFIGURATION DOUBLE)

♦ Composant pour montage en surface

Pour des quantités supérieures à celles indiquées, appelez-nous afin d'obtenir un devis.

RÉF. STOCK MOUSER	Réf. Siliconix	Boîtier	V_{DS}(Max) (V)	I_D(Max)(A)	I_{DM}(Max)(A)	$R_{DS(on)}$ Max (Ω) à V_{GS}=10V	$R_{DS(on)}$ Max (Ω) à V_{GS}=4,5V	P_D (Max) (W)	Prix unitaire 1	100	500	1000
♦ 781-SI4818DY-T1-E3	SI4818DY-T1-E3	SO-8	30	6.3/9.5	30/40	0.022/0.0155	0.030/0.0205	1.0/1.25	2,72	1,63	1,52	1,20
♦ 781-SI4816BDY-E3	SI4816BDY-T1-E3	SO-8	30	7.8/11.4	30/40	0.0185/0.0115	0.0225/0.016	1.0/1.25	1,84	1,26	1,18	1,09
♦ 781-SI7872DP-T1-E3	SI7872DP-T1-E3	PowerPakSO-8	30	10	30	0.022/0.022	0.030/0.028	1.4	2,39	1,56	1,30	0,99
♦ 781-SI7842DP-E3	SI7842DP-T1-E3	PowerPakSO-8	30	10	30	0.022/0.022	0.030/0.030	3.5	2,57	1,67	1,40	1,06
♦ 781-SI4830ADY-E3	SI4830ADY-T1-E3	SO-8	30	7.5	30	0.022/0.022	0.030/0.030	1.1	1,97	1,17	0,823	0,611
♦ 781-SI4834BDY-E3	SI4834BDY-T1-E3	SO-8	30	7.5	30	0.022/0.022	0.030/0.030	1.1	1,78	1,07	0,79	0,561

MOSFET TRENCHFET® À CANAL N (CONFIGURATION SIMPLE)

NEW PRODUCT

Pour des quantités supérieures à celles indiquées, appelez-nous afin d'obtenir un devis.

RÉF. STOCK MOUSER	Réf. Siliconix	Boîtier	V_{DS} (Max) (V)	I_D (Max) (A)	I_{DM} (Max) (A)	$R_{DS(on)}$ Max (Ω) à V_{GS}=10V	$R_{DS(on)}$ Max (Ω) à V_{GS}=4,5V	$R_{DS(on)}$ Max (Ω) à V_{GS}=2,5V	$R_{DS(on)}$ Max (Ω) à V_{GS}=1.8V	P_D (Max) (W)	Prix unitaire 1	100	500	1000
♦ 781-SIB414DK-T1-GE3	SIB414DK-T1-GE3	SC-75-6L	8	9.0	20	-	0.0260	0.0300	0.0370	13	0,86	0,569	0,474	0,38
♦ 781-SI1450DH-T1-E3	SI1450DH-TI-E3	SOT-363	8	4.0	15	-	0.0470	0.0510	0.0580	2.78	0,86	0,569	0,474	0,38
♦ 781-SIA414DJ-T1-GE3	SIA414DJ-T1-GE3	SC-70-6L	8	12	40	-	0.0110	0.0130	0.0160	19	0,96	0,646	0,535	0,423
♦ 781-SI8424DB-T1-E1	SI8424DB-T1-E1	MicroFoot	8	12	20	-	0.0310	0.0330	0.0350	6.25	1,06	0,718	0,594	0,474
♦ 781-SI5406DC-E3	SI5406DC-T1-E3	ChipFET1206-8	12	9.5	20	-	0.0200	0.0250	-	2.5	1,28	0,858	0,713	0,564
♦ 781-SI4866DY-T1-E3	SI4866DY-T1-E3	SO-8	12	17	±50	-	0.0055	0.0080	-	3	3,14	2,08	1,89	1,39
♦ 781-SI4838DY-T1-E3	SI4838DY-T1-E3	SO-8	12	25	60	-	0.0030	0.0040	-	1.6	3,61	2,14	1,98	1,63
♦ 781-SI4836DY-T1-E3	SI4836DY-T1-E3	SO-8	12	25	60	-	0.0030	0.0040	0.0050	3.5	5,36	3,56	3,25	3,00
♦ 781-SI7858ADP-T1-E3	SI7858ADP-T1-E3	PowerPakSO-8	12	29	60	-	0.0026	0.0037	-	5.4	3,96	2,82	2,26	1,69
♦ 781-SIR494DP-GE3	SIR494DP-T1-GE3	PowerPakSO-8	12	60	100	0.0012	0.0017	-	-	104	2,29	1,55	1,28	1,01
♦ 781-SI4862DY-T1-E3	SI4862DY-T1-E3	SO-8	16	25	60	-	0.0033	0.0055	-	3.5	2,38	1,93	1,81	1,64
♦ 781-TN0201K-T1-E3	TN0201K-T1-E3	SOT-23	20	0.42	0.8	1.0000	1.4000	-	-	0.35	0,64	0,381	0,312	0,243
♦ 781-TN0200K-T1-E3	TN0200K-T1-E3	SOT-23	20	0.73	4.0	-	0.4000	0.5000	-	0.35	0,46	0,272	0,223	0,19
♦ 781-SI1400DL-E3	SI1400DL-T1-E3	SOT-363	20	1.7	5.0	-	0.1500	0.2350	-	0.625	0,63	0,367	0,30	0,233
♦ 781-SI8800EDB-T2-E1	SI8800EDB-T2-E1	MicroFoot	20	2.8	15	-	0.0800	0.0900	0.1050	0.9	0,35	0,241	0,20	0,158
♦ 781-SI2302CDS-T1-GE3	SI2302CDS-T1-GE3	SOT-23	20	2.9	10	-	0.0570	0.0750	-	0.86	0,51	0,299	0,245	0,191
♦ 781-SI1410EDH-E3	SI1410EDH-T1-E3	SOT-363	20	3.7	8.0	-	0.0700	0.0800	0.1000	1.56	0,75	0,448	0,366	0,285
♦ 781-SI1406DH-T1-E3	SI1406DH-T1-E3	SOT-363	20	3.9	10	-	0.0650	0.0750	0.0960	1.56	0,40	0,24	0,196	0,187
♦ 781-SI2314EDS-E3	SI2314EDS-T1-E3	SOT-23	20	4.9	15	-	0.0330	0.0400	0.0510	1.25	0,78	0,52	0,433	0,347
♦ 781-SI2312BDS-T1-GE3	SI2312BDS-T1-GE3	SOT-23	20	5	15	-	0.0310	0.0370	0.0470	1.25	0,55	0,327	0,267	0,208
♦ 781-SI3446ADV-E3	SI3446ADV-T1-E3	TSOP-6	20	6	20	-	0.0370	0.0650	-	3.2	0,56	0,371	0,309	0,248
♦ 781-SI3434DV-E3	SI3434DV-T1-E3	TSOP-6	20	6.1	30	-	0.0340	0.0500	-	2.0	0,91	0,606	0,505	0,404
♦ 781-SI8402DB-E1	SI8402DB-T1-E1	MicroFoot	20	7.3	30	-	0.0370	0.0390	0.0430	2.77	1,63	1,10	0,908	0,721
♦ 781-SI5404BDC-T1-E3	SI5404BDC-T1-E3	ChipFET1206-8	20	7.5	20	-	0.0280	0.0390	-	2.5	1,06	0,718	0,594	0,47
♦ 781-SI2312BDS-E3	SI2312BDS-T1-E3	SOT-23	20	7.5	15	-	0.0310	0.0370	0.047 @ 2.4V	0.75	0,59	0,396	0,33	0,264
♦ 781-SI3460BDV-E3	SI3460BDV-T1-E3	TSOP-6	20	8.0	20	-	0.0270	0.0320	0.0400	3.5	0,78	0,532	0,39	0,31
♦ 781-SI6466ADQ-E3	SI6466ADQ-T1-E3	TSSOP-8	20	8.1	30	-	0.0140	0.0200	-	1.05	1,37	0,949	0,759	0,677
♦ 781-SIB412DK-T1-GE3	SIB412DK-T1-GE3	SC-75-6L	20	9.0	20	-	0.0340	0.0400	0.0540	13	0,34	0,297	0,285	0,274
♦ 781-SI4466DY-T1-E3	SI4466DY-T1-E3	SO-8	20	13.5	50	-	0.0090	0.0130	-	1.5	3,12	1,86	1,71	1,44
♦ 781-SIS438DN-GE3	SIS438DN-T1-GE3	PowerPak1212-8	20	16	32	0.0095	0.0125	-	-	27.7	0,36	0,302	0,281	0,255
♦ 781-SI7106DN-T1-E3	SI7106DN-T1-E3	PowerPak1212-8	20	19.5	60	-	0.0062	0.0098	-	1.5	2,32	1,52	1,27	0,965
♦ 781-SIR484DP-T1-GE3	SIR484DP-T1-GE3	PowerPakSO-8	20	20	50	0.0083	0.0115	-	-	29.8	0,88	0,578	0,483	0,368
♦ 781-SI4876DY-T1-E3	SI4876DY-T1-E3	SO-8	20	21	50	-	0.0050	0.0075	-	1.6	3,38	1,93	1,86	1,11
♦ 781-SI4408DY-T1-E3	SI4408DY-T1-E3	SO-8	20	21	60	0.0045	0.0068	-	-	3.5	3,86	2,33	1,58	1,26
♦ 781-SI7110DN-T1-E3	SI7110DN-T1-E3	PowerPak1212-8	20	21.1	60	0.0053	0.0078	-	-	1.5	2,84	1,86	1,55	1,18
♦ 781-SI7108DN-T1-E3	SI7108DN-T1-E3	PowerPak1212-8	20	22	60	0.0049	0.0061	-	-	3.8	2,25	1,47	1,23	0,932
♦ 781-SI4378DY-T1-E3	SI4378DY-T1-E3	SO-8	20	25	70	-	0.0027	0.0042	-	3.5	3,38	2,03	1,86	1,11
♦ 781-SUD50N02-06P-E3	SUD50N02-06P-E3	TO-252	20	26	100	0.0060	0.0095	-	-	6.8	1,31	1,06	0,998	0,899
♦ 781-SIR424DP-GE3	SIR424DP-T1-GE3	PowerPakSO-8	20	30	70	0.0055	0.0074	-	-	41.7	0,46	0,376	0,354	0,325
♦ 781-SIS410DN-T1-GE3	SIS410DN-T1-GE3	PowerPak1212-8	20	35	60	0.0048	0.0063	-	-	5.2	0,54	0,437	0,413	0,371
♦ 781-SIR410DP-T1-GE3	SIR410DP-T1-GE3	PowerPakSO-8	20	35	60	0.0048	0.0063	-	-	36	0,54	0,542	0,542	0,542
♦ 781-SIS424DN-T1-GE3	SIS424DN-T1-GE3	PowerPak1212-8	20	35	60	0.0064	0.0089	-	-	39	0,49	0,402	0,379	0,341
♦ 781-SIR496DP-T1-GE3	SIR496DP-T1-GE3	PowerPakSO-8	20	35	70	0.0042	0.0058	-	-	27.7	1,25	0,833	0,693	0,549
♦ 781-SIS426DN-T1-GE3	SIS426DN-T1-GE3	PowerPak1212-8	20	35	70	0.0042	0.0058	-	-	52	1,56	1,05	0,866	0,745
♦ 781-SI7866ADP-T1-E3	SI7866ADP-T1-E3	PowerPakSO-8	20	40	70	0.0024	0.0030	-	-	83	4,60	3,06	2,53	1,88
♦ 781-SI7868ADP-E3	SI7868ADP-T1-E3	PowerPakSO-8	20	40	70	0.00225	0.00275	-	-	83	2,81	2,27	2,14	1,87
♦ 781-SI4136DY-T1-GE3	SI4136DY-T1-GE3	SO-8	20	46	70	0.0020	0.0025	-	-	7.8	1,63	0,965	0,678	0,504
♦ 781-SIR890DP-T1-GE3	SIR890DP-T1-GE3	PowerPakSO-8	20	50	70	0.0029	0.0040	-	-	50	3,15	2,06	1,72	1,31
♦ 781-SIR866DP-T1-GE3	SIR866DP-T1-GE3	PowerPakSO-8	20	60	80	0.0019	0.00255	-	-	83	2,98	1,95	1,63	1,24
♦ 781-SIR440DP-T1-GE3	SIR440DP-T1-GE3	PowerPakSO-8	20	60	100	0.00155	0.0020	-	-	104	2,25	1,47	1,23	0,932
781-SI1032X-T1-E3	SI1032X-T1-E3	SC-75A	20	200	600	-	0.5000	0.7000	0.9000	340	0,48	0,285	0,212	0,164
♦ 781-SIS436DN-GE3	SIS436DN-T1-GE3	PowerPak1212-8	25	16	32	0.0105	0.013	-	-	27.7	0,36	0,302	0,281	0,255
♦ 781-SIR874DP-GE3	SIR874DP-T1-GE3	PowerPakSO-8	25	20	50	0.0094	0.012	-	-	29.8	0,84	0,554	0,463	0,352
♦ 781-SIR850DP-T1-GE3	SIR850DP-T1-GE3	PowerPakSO-8	25	30	70	0.0070	0.0090	-	-	41.7	1,14	0,766	0,634	0,502
♦ 781-SIS430DN-T1-GE3	SIS430DN-T1-GE3	PowerPak1212-8	25	35	60	0.0051	0.0069	-	-	52	1,10	0,738	0,61	0,486
♦ 781-SIR436DP-T1-GE3	SIR436DP-T1-GE3	PowerPakSO-8	25	40	80	0.0046	0.0062	-	-	50	0,64	0,514	0,493	0,439
♦ 781-SIR892DP-T1-GE3	SIR892DP-T1-GE3	PowerPakSO-8	25	50	70	0.0032	0.0042	-	-	50	3,15	2,06	1,72	1,31
♦ 781-SIR438DP-T1-GE3	SIR438DP-T1-GE3	PowerPakSO-8	25	60	80	0.0018	0.0023	-	-	83	1,09	0,875	0,833	0,747
♦ 781-SIR476DP-T1-GE3	SIR476DP-T1-GE3	PowerPakSO-8	25	60	100	0.0017	0.0021	-	-	104	2,22	1,45	1,21	0,924
♦ 781-SI1302DL-E3	SI1302DL-T1-E3	SOT-323	30	0.64	1.5	0.48000	0.70000	-	-	0.31	0,44	0,258	0,211	0,164
♦ 781-SI1304BDL-E3	SI1304BDL-T1-E3	SC-70-6L	30	0.90	4	-	0.2700	0.3850	-	0.37	0,26	0,173	0,14	0,132
♦ 781-SI3948DV-E3	SI3948DV-T1-E3	TSOP-6	30	±2.5	±8.0	0.1050	0.1750	-	-	1.15	0,57	0,462	0,439	0,394
♦ 781-SI1426DH-T1-E3	SI1426DH-T1-E3	SOT-363	30	3.6	10	0.0750	0.1150	-	-	1,0	0,56	0,371	0,309	0,248
♦ 781-SI2306BDS-E3	SI2306BDS-T1-E3	SOT-23	30	4.0	20	0.0470	0.0650	-	-	0.075	0,63	0,367	0,30	0,233
♦ 781-SIA408DJ-T1-GE3	SIA408DJ-T1-GE3	SC-70-6L	30	4.5	20	0.0360	0.0390	0.0530	-	17.9	0,92	0,622	0,515	0,408
♦ 781-SI3454ADV-E3	SI3454ADV-T1-E3	TSOP-6	30	4.5	20	0.0600	0.0850	-	-	1.14	0,71	0,47	0,392	0,314
♦ 781-SI3456BDV-E3	SI3456BDV-T1-E3	TSOP-6	30	6.0	±20	0.0350	0.0520	-	-	1.1	0,64	0,421	0,351	0,281
♦ 781-SI3424DV-E3	SI3424DV-T1-E3	TSOP-6	30	6.7	30	0.0280	0.0380	-	-	1.14	1,49	0,998	0,825	0,658
♦ 781-SIB408DK-GE3	SIB408DK-T1-GE3	PowerPak SC-75-6L	30	7.0	20	0.0400	0.0500	-	-	13	0,19	0,157	0,149	0,132
♦ 781-SI4346DY-T1-E3	SI4346DY-T1-E3	SO-8	30	8.0	30	0.0230	0.0250	0.0360	-	2.5	0,96	0,579	0,423	0,30
♦ 781-SI9410BDY-T1-E3	SI9410BDY-T1-E3	SO-8	30	8.1	30	0.0240	0.0330	-	-	1.5	1,30	0,786	0,574	0,408

© Copyright 2012 Mouser Electronics

© Copyright 2012 Mouser Electronics

Transistors MOSFET SILICONIX

RoHS Compliant **This product is RoHS compliant.**

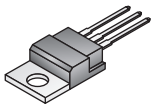
TO-220AB

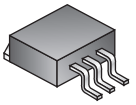
TO-263

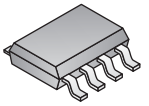
SO-8

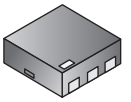
PowerPAK SC-70-6L

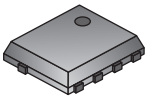
PowerPAK1212-8

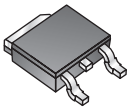
TO-252

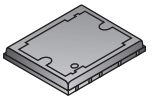
PolarPak

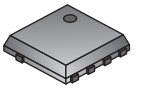
PowerPAKSO-8

MOSFET TRENCHFET® À CANAL N (CONFIGURATION SIMPLE) SUITE

NEW PRODUCT

♦ **Composant pour montage en surface**

Pour des quantités supérieures à celles indiquées, appelez-nous afin d'obtenir un devis.

RÉF. STOCK MOUSER	Réf. Siliconix	Boîtier	V_{DS} (Max)(V)	I_D (Max)(A)	I_{DM} (Max)(A)	$R_{DS(on)}$ Max (Ω) à V_{GS}=10V	V_{GS}=4,5V	V_{GS}=2,5V	V_{GS}=1,8V	P_D(Max) (W)	Prix unitaire 1	100	500	1000
♦ 781-SI4800BDY-E3	SI4800BDY-T1-E3	SO-8	30	9.0	40	0.0185	0.0300	-	-	1.3	0,83	0,47	0,462	0,363
♦ 781-SI7804DN-T1-E3	SI7804DN-T1-E3	PowerPak1212-8	30	10	40	0.0185	0.0300	-	-	1.5	2,22	1,45	1,21	0,924
♦ 781-SI4410BDY-E3	SI4410BDY-T1-E3	SO-8	30	10	50	0.0135	0.0200	-	-	1.4	0,63	0,512	0,479	0,429
♦ 781-SI4128DY-T1-GE3	SI4128DY-T1-GE3	SO-8	30	10.9	30	0.0240	0.0300	-	-	5.0	0,55	0,33	0,29	-
♦ 781-SI4890DY-T1-E3	SI4890DY-T1-E3	SO-8	30	±11	±50	0.0120	0.0200	-	-	2.5	3,29	1,96	1,37	1,01
♦ 781-SIA444DJT-T1-GE3	SIA444DJT-T1-GE3	PowerPAK SC-70-6L	30	12	40	0.017	0.022	-	-	19	0,36	0,272	0,215	0,19
♦ 781-SIS412DN-T1-GE3	SIS412DN-T1-GE3	PowerPak1212-8	30	12	30	0.0240	0.0300	-	-	15.6	0,26	0,211	0,199	0,179
♦ 781-SI4894BDY-E3	SI4894BDY-T1-E3	SO-8	30	12	40	0.0110	0.0160	-	-	1.4	1,34	0,815	0,596	0,423
♦ 781-SI4880DY-T1-E3	SI4880DY-T1-E3	SO-8	30	±13	±50	0.0085	0.0140	-	-	2.5	2,96	1,69	1,63	0,965
♦ 781-SI4420BDY-T1-E3	SI4420BDY-T1-E3	SO-8	30	13.5	50	0.0085	0.0110	-	-	1.4	1,97	1,17	0,823	0,611
♦ 781-SI4134DY-T1-GE3	SI4134DY-T1-GE3	SO-8	30	14	32	0.0140	0.0175	-	-	5.0	0,69	0,413	0,289	0,215
♦ 781-SI7806ADN-T1-E3	SI7806ADN-T1-E3	PowerPak1212-8	30	14	40	0.0110	0.0160	-	-	1.5	1,49	0,998	0,825	0,658
♦ 781-SUD50N03-16P-E3	SUD50N03-16P-E3	TO-252	30	15	40	0.0160	0.0240	-	-	40.8	0,64	0,519	0,488	0,44
♦ 781-SI4384DY-T1-E3	SI4384DY-T1-E3	SO-8	30	15	±50	0.0085	0.0125	-	-	1.47	1,70	1,02	0,752	0,535
♦ 781-SI4172DY-T1-GE3	SI4172DY-T1-GE3	SO-8	30	15	50	0.0120	0.0150	-	-	4.5	0,76	0,452	0,417	0,34
♦ 781-SI7716ADN-T1-GE3	SI7716ADN-T1-GE3	PowerPak1212-8	30	16	32	0.0135	0.0165	-	-	27.7	1,42	0,957	0,792	0,627
♦ 781-SI4386DY-T1-E3	SI4386DY-T1-E3	SO-8	30	16	±50	0.0058	0.0078	-	-	3.1	1,84	1,09	0,765	0,568
♦ 781-SI4888DY-T1-E3	SI4888DY-T1-E3	SO-8	30	16	±50	0.0070	0.0100	-	-	1.6	3,38	1,93	1,86	1,11
♦ 781-SI4874BDY-T1-E3	SI4874BDY-T1-E3	SO-8	30	16	±50	0.0070	0.0085	-	-	1.6	2,32	1,38	0,965	0,719
♦ 781-SI4174DY-T1-GE3	SI4174DY-T1-GE3	SO-8	30	17	50	0.0095	0.0130	-	-	5.0	0,79	0,473	0,436	0,247
♦ 781-SUD50N03-12P-E3	SUD50N03-12P-E3	TO-252	30	17.5	40	0.0120	0.0175	-	-	46.8	0,66	0,535	0,505	0,454
♦ 781-SI7860DP-T1-E3	SI7860DP-T1-E3	PowerPakSO-8	30	18	±50	0.0080	0.0110	-	-	1.8	1,23	1,01	0,932	0,85
♦ 781-SI4686DY-T1-E3	SI4686DY-T1-E3	SO-8	30	18.2	50	0.0078	0.0110	-	-	5.2	1,60	0,965	0,705	0,501
♦ 781-SI7114DN-T1-E3	SI7114DN-T1-E3	PowerPak1212-8	30	18.3	60	0.0075	0.0100	-	-	3.8	2,49	1,63	1,36	1,04
♦ 781-SI7386DP-T1-E3	SI7386DP-T1-E3	PowerPakSO-8	30	19	±50	0.0070	0.0095	-	-	5.0	1,97	1,29	1,08	0,823
♦ 781-SI7388DP-T1-E3	SI7388DP-T1-E3	PowerPakSO-8	30	19	±50	0.0070	0.0100	-	-	1.9	3,28	2,14	1,79	1,36
♦ 781-SI4162DY-T1-GE3	SI4162DY-T1-GE3	SO-8	30	19.3	70	0.0079	0.0100	-	-	5.0	0,41	0,374	0,374	0,374
♦ 781-SIR474DP-T1-GE3	SIR474DP-T1-GE3	PowerPakSO-8	30	20	50	0.0095	0.0120	-	-	29.8	0,89	0,594	0,495	0,396
♦ 781-SIR472DP-T1-GE3	SIR472DP-T1-GE3	PowerPakSO-8	30	20	50	0.0120	0.0150	-	-	29.8	0,74	0,495	0,413	0,33
♦ 781-SI4430BDY-T1-E3	SI4430BDY-T1-E3	SO-8	30	20	±60	0.0045	0.0060	-	-	1.6	2,57	1,53	1,06	0,794
♦ 781-SI4442DY-T1-E3	SI4442DY-T1-E3	SO-8	30	22	60	0.0045	0.0050	0.0075	-	1.6	1,89	1,61	1,52	1,37
♦ 781-SI4168DY-T1-GE3	SI4168DY-T1-GE3	SO-8	30	24	70	0.0057	0.0076	-	-	5.7	1,21	0,733	0,536	0,494
♦ 781-SI7892BDP-T1-E3	SI7892BDP-T1-E3	PowerPakSO-8	30	25	60	0.0042	0.0057	-	-	5.0	3,44	2,29	1,90	1,41
♦ 781-SI4368DY-T1-E3	SI4368DY-T1-E3	SO-8	30	25	70	0.0032	0.0036	-	-	1.6	3,73	2,12	2,05	1,22
♦ 781-SI4160DY-T1-GE3	SI4160DY-T1-GE3	SO-8	30	25.4	70	0.0049	0.0063	-	-	5.7	0,68	0,596	-	-
♦ 781-SI7636DP-T1-E3	SI7636DP-T1-E3	PowerPakSO-8	30	28	60	0.0040	0.0048	-	-	5.2	2,91	1,91	1,59	1,21
♦ 781-SI4842BDY-E3	SI4842BDY-T1-E3	SO-8	30	28	60	0.0042	0.0057	-	-	6.25	2,61	1,55	1,43	1,16
♦ 781-SI4164DY-T1-GE3	SI4164DY-T1-GE3	SO-8	30	30	70	0.0032	0.0039	-	-	6.0	1,67	1,01	0,737	0,715
♦ 781-SI7336ADP-T1-E3	SI7336ADP-T1-E3	PowerPakSO-8	30	30	70	0.0030	0.0040	-	-	5.4	3,38	2,25	1,86	1,39
♦ 781-SIR462DP-T1-GE3	SIR462DP-T1-GE3	PowerPakSO-8	30	30	70	0.0079	0.0100	-	-	41.7	1,20	0,813	0,673	0,533
♦ 781-SI4166DY-T1-GE3	SI4166DY-T1-GE3	SO-8	30	30.5	70	0.0039	0.0055	-	-	6.5	1,49	0,899	0,662	0,47
♦ 781-SI7686DP-T1-E3	SI7686DP-T1-E3	PowerPakSO-8	30	35	50	0.0095	0.0140	-	-	37.9	0,85	0,685	0,644	0,586
♦ 781-SI7114ADN-T1-GE3	SI7114ADN-T1-GE3	PowerPak1212-8	30	35	60	0.0075	0.0098	-	-	39	0,75	0,532	0,413	0,327
♦ 781-SIR402DP-T1-GE3	SIR402DP-T1-GE3	PowerPakSO-8	30	35	70	0.0060	0.0080	-	-	36	2,11	1,38	1,16	0,875
♦ 781-SI7718DN-T1-GE3	SI7718DN-T1-GE3	PowerPak1212-8	30	35	70	0.0060	0.0082	-	-	52	1,31	0,883	0,733	0,58
♦ 781-SI7784DP-T1-GE3	SI7784DP-T1-GE3	PowerPakSO-8	30	35	70	0.0060	0.0082	-	-	27.7	1,91	1,25	1,04	0,794
♦ 781-SI4438DY-E3	SI4438DY-T1-E3	SO-8	30	36	70	0.0027	0.0040	-	-	7.8	2,63	1,62	1,44	0,965
♦ 781-SI4126DY-T1-GE3	SI4126DY-T1-GE3	SO-8	30	49	70	0.00275	0.0034	-	-	7.8	2,77	1,65	1,16	0,858
♦ 781-SI7380ADP-T1-E3	SI7380ADP-T1-E3	PowerPakSO-8	30	40	70	0.0030	0.0035	-	-	83	2,76	2,24	2,10	1,91
♦ 781-SI7880ADP-E3	SI7880ADP-T1-E3	PowerPakSO-8	30	40	70	0.0030	0.0040	-	-	83	2,58	2,09	1,96	1,95
♦ 781-SIR466DP-T1-GE3	SIR466DP-T1-GE3	PowerPakSO-8	30	40	70	0.0035	0.0051	-	-	54	1,20	0,813	0,673	0,533
♦ 781-SIR460DP-T1-GE3	SIR460DP-T1-GE3	PowerPakSO-8	30	40	70	0.0047	0.0061	-	-	48	1,17	0,768	0,643	0,488
♦ 781-SIR468DP-T1-GE3	SIR468DP-T1-GE3	PowerPakSO-8	30	40	70	0.0047	0.0076	-	-	50	1,34	0,908	0,752	0,596
♦ 781-SIR464DP-T1-GE3	SIR464DP-T1-GE3	PowerPakSO-8	30	50	70	0.0031	0.0038	-	-	69	1,45	0,974	0,812	0,643
♦ 781-SUD50N03-11-E3	SUD50N03-11-E3	TO-252	30	50	100	0.0110	0.0170	-	-	62.5	1,59	1,29	1,21	1,09
♦ 781-SI7658ADP-T1-GE3	SI7658ADP-T1-GE3	PowerPakSO-8	30	60	80	0.0022	0.0028	-	-	83	3,38	2,25	1,86	1,39
♦ 781-SIE726DF-E3	SIE726DF-T1-E3	PolarPak	30	60	80	0.0024	0.0033	-	-	125	6,57	3,89	3,18	2,48
♦ 781-SI7192DP-T1-GE3	SI7192DP-T1-GE3	PowerPakSO-8	30	60	100	0.0019	0.00225	-	-	104	3,67	2,44	2,02	1,50
♦ 781-SIE802DF-T1-E3	SIE802DF-T1-E3	PolarPak	30	60	100	0.0019	0.0026	-	-	125	4,28	2,97	2,35	1,75
♦ 781-SUD50N03-09P-E3	SUD50N03-09P-E3	TO-252	30	63	50	0.0095	0.0140	-	-	65.2	0,86	0,70	0,659	0,592
♦ 781-SUP70N03-09BP-E3	SUP70N03-09BP-E3	TO-220AB	30	70	200	0.0090	0.0130	-	-	93	1,43	1,16	1,09	0,974
♦ 781-SUP85N03-04P-E3	SUP85N03-04P-E3	TO-220AB	30	85	240	0.0043	0.0070	-	-	166	2,10	1,78	1,78	1,74
♦ 781-SUD50N03-06AP-E3	SUD50N03-06AP-E3	TO-252	30	90	100	0.0057	0.0078	-	-	83	0,85	0,686	0,647	0,582
♦ 781-SIE726DF-GE3	SIE726DF-T1-GE3	PolarPak	30	175	80	0.0024	0.0033	-	-	125	6,57	3,89	3,18	2,48
♦ 781-SI4840DY-T1-E3	SI4840DY-T1-E3	SO-8	40	14	50	0.0090	0.0120	-	-	1.56	2,57	1,53	1,40	1,14
♦ 781-SI7116DN-T1-E3	SI7116DN-T1-E3	PowerPak1212-8	40	16.4	60	0.0078	0.0100	-	-	3.8	1,93	1,34	1,07	0,949
♦ 781-SI4456DY-T1-E3	SI4456DY-T1-E3	SO-8	40	33	70	0.0038	0.0045	-	-	7.8	3,12	1,86	1,30	0,965
♦ 781-SI4154DY-GE3	SI4154DY-T1-GE3	SO-8	40	36	70	0.0033	0.0039	-	-	7.8	1,49	0,883	0,62	0,461
♦ 781-SIR414DP-GE3	SIR414DP-T1-GE3	PowerPakSO-8	40	50	70	0.0028	0.0032	-	-	83	0,91	0,733	0,688	0,633
♦ 781-SIR416DP-GE3	SIR416DP-T1-GE3	PowerPakSO-8	40	50	70	0.0038	0.0042	-	-	69	0,68	0,545	0,512	0,47
♦ 781-SI7884BDP-T1-GE3	SI7884BP-T1-GE3	PowerPakSO-8	40	58	50	0.0062	0.0073	-	-	46	3,38	2,25	1,86	1,39
♦ 781-SIR470DP-T1-GE3	SIR470DP-T1-GE3	PowerPakSO-8	40	60	100	0.0023	0.00265	-	-	104	3,15	2,06	1,72	1,31
781-SUP85N04-03-E3	SUP85N04-03-E3	TO-220AB	40	85	240	0.0035	0.0053	-	-	250	2,45	2,09	1,96	1,78
											1	100	400	800
♦ 781-SUM110N03-04P-E3	SUM110N03-04P-E3	TO-263	30	110	300	0.0042	0.0065	-	-	120	6,29	4,13	2,24	2,19

© Copyright 2012 Mouser Electronics

© Copyright 2012 Mouser Electronics

Transistors MOSFET SILICONIX

RoHS Compliant **This product is RoHS compliant.**

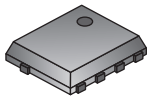
PowerPak1212-8

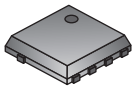
PowerPakSO-8

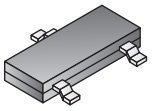
SOT-23

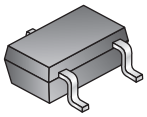
SC-75A

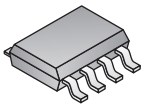
SO-8

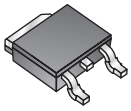
TO-252

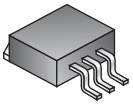
TO-263

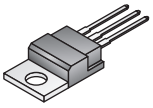
TO-220AB

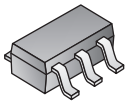
TSOP-6

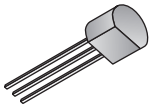
TO-92

MOSFET TRENCHFET® À CANAL N (CONFIGURATION SIMPLE) (SUITE)

♦ **Composant pour montage en surface**

Pour des quantités supérieures à celles indiquées, appelez-nous afin d'obtenir un devis.

	RÉF. STOCK MOUSER	Réf. Siliconix	Boîtier	V_{DS} (Max)(V)	I_D (Max)(A)	I_{DM} (Max)(A)	$R_{DS(on)}$ Max (Ω) à V_{GS}=10V	V_{GS}=4,5V	V_{GS}=2,5V	V_{GS}=1.8V	P_D (Max) (W)	Prix unitaire 1	100	500	1000
♦	781-SUM110N042M3LE3	SUM110N04-2M3L-E3	TO-263	40	110	440	0.0023	0.003	-	-	3.75	6,60	5,12	4,40	3,97
♦	781-2N7002K-E3	2N7002K-T1-E3	SOT-23	60	0.3	0.8	2.0000	4.0000	-	-	0.35	0,31	0,131	0,079	0,062
♦	781-SI2308BDS-T1-GE3	SI2308BDS-T1-GE3	SOT-23	60	2.3	8	0.1560	0.1920	-	-	1.66	0,55	0,327	0,267	0,208
♦	781-SQ7414EN-T1-E3	SQ7414EN-T1-E3	PowerPak 1212-8	60	5.6	30	0.0250	-	-	-	1.5	1,30	1,17	0,932	0,833
♦	781-SI4850EY-T1-E3	SI4850EY-T1-E3	SO-8	60	8.5	40	0.0220	0.0310	-	-	1.7	1,97	1,17	0,823	0,611
♦	781-SI7414DN-E3	SI7414DN-T1-E3	PowerPak 1212-8	60	8.7	30	0.0250	0.0360	-	-	3.8	2,25	1,47	1,23	0,932
♦	781-SI7120DN-T1-E3	SI7120DN-T1-E3	PowerPak 1212-8	60	10	40	0.0190	0.0280	-	-	3.8	2,32	1,52	1,27	0,965
♦	781-SI7850DP-E3	SI7850DP-T1-E3	PowerPakSO-8	60	10.3	40	0.0220	0.0310	-	-	1.8	2,32	1,52	1,27	0,965
♦	781-SI4470EY-T1-E3	SI4470EY-T1-E3	SO-8	60	12.7	50	0.0110	0.013 @ 6V	-	-	1.85	3,12	1,86	1,71	1,01
♦	781-SI7370DP-T1-E3	SI7370DP-T1-E3	PowerPakSO-8	60	15.8	50	0.0110	0.013 @ 6V	-	-	1.9	3,43	2,24	1,87	1,43
♦	781-SI7460DP-T1-E3	SI7460DP-T1-E3	PowerPakSO-8	60	18	40	0.0096	0.012	-	-	5.4	2,00	1,34	1,11	0,821
♦	781-SI7478DP-T1-E3	SI7478DP-T1-E3	PowerPakSO-8	60	20	60	0.0075	0.0088	-	-	5.4	3,67	2,49	2,02	1,50
♦	781-SUD50N06-09L-E3	SUD50N06-09L-E3	TO-252	60	50	100	0.0093	0.0122	-	-	136	3,85	2,60	2,15	1,70
♦	781-SIE876DF-GE3	SIE876DF-T1-GE3	PolarPak	60	110	60	0.0061	-	-	-	125	1,81	1,45	1,38	1,25
♦	781-SUM110N063M4LE3	SUM110N06-3M4L-E3	TO-263	60	110	440	0.0034	0.0041	-	-	3.75	6,60	5,12	4,40	3,97
♦	781-SI7148DP-T1-E3	SI7148DP-T1-E3	PowerPakSO-8	75	28	60	0.0110	0.0145	-	-	96	3,38	2,25	1,86	1,39
♦	781-SUM90N08-4M8P-E3	SUM90N08-4M8P-E3	TO-263	75	90	240	0.0048	0.006 @ 8V	-	-	300	6,66	4,44	4,01	2,81
♦	781-SI7852DP-E3	SI7852DP-T1-E3	PowerPakSO-8	80	12.5	7.6	0.0165	0.022 @ 6V	-	-	1.9	3,41	2,27	1,87	1,39
♦	781-SUD40N08-16-E3	SUD40N08-16-E3	TO-252	80	40	60	0.0160	-	-	-	136	1,46	1,24	1,16	1,06
♦	781-SIR880DP-T1-GE3	SIR880DP-T1-GE3	PowerPakSO-8	80	60	100	0.0059	0.0085	-	-	104	3,04	1,98	1,66	1,26
♦	781-SI4100DY-E3	SI4100DY-T1-E3	SO-8	100	6.8	20	0.0510	0.069 @ 6V	-	-	6.0	1,41	0,875	0,784	0,627
♦	781-SI7454DP-E3	SI7454DP-T1-E3	PowerPakSO-8	100	7.8	30	0.0340	0.04 @ 6V	-	-	4.8	2,63	1,72	1,44	1,10
♦	781-SI7456DP-E3	SI7456DP-T1-E3	PowerPakSO-8	100	9.3	40	0.0250	0.028 @ 6V	-	-	1.6	3,15	2,06	1,72	1,31
♦	781-SI4190DY-T1-GE3	SI4190DY-T1-GE3	SO-8	100	20	70	0.0088	0.012	-	-	7.8	2,02	1,63	1,14	0,875
♦	781-SIR804DP-T1-GE3	SIR804DP-T1-GE3	PowerPAK SO-8	100	20.8	100	0.0072	0.0103	-	-	6.25	2,35	1,70	1,32	1,10
♦	781-SUD40N10-25-E3	SUD40N10-25-E3	TO-252	100	40	70	0.0250	0.0280	-	-	136	1,66	1,41	1,32	1,20
♦	781-SUM40N10-30-E3	SUM40N10-30-E3	TO-263	100	40	75	0.0300	0.034 @ 6V	-	-	107	1,21	1,04	1,01	0,974
♦	781-SUM47N10-24L-E3	SUM47N10-24L-E3	TO-263	100	47	70	0.0240	0.0600	-	-	136	3,43	2,24	2,04	1,30
♦	781-SIR870DP-T1-GE3	SIR870DP-T1-GE3	PowerPAK SO-8	100	60	100	0.006	0.0078	-	-	104	2,42	1,75	1,36	1,12
♦	781-SUM60N10-17-E3	SUM60N10-17-E3	TO-263	100	60	100	0.0165	0.019 @ 6V	-	-	150	4,89	3,26	2,95	2,13
	781-SUP85N10-10-E3	SUP85N10-10-E3	TO-220AB	100	85	240	0.0105	0.0012	-	-	250	1,49	1,26	1,19	1,07
♦	781-SUM110N10-09-E3	SUM110N10-09-E3	TO-263	100	110	440	0.0095	-	-	-	375	3,75	3,18	3,09	2,99
♦	781-SI3440DV-E3	SI3440DV-T1-E3	TSOP-6	150	1.5	6.0	0.3750	0.4000	-	-	2.0	1,56	1,05	0,866	0,69
♦	781-SI4848DY-T1-E3	SI4848DY-T1-E3	SO-8	150	3.7	25	0.0850	0.095 @ 6V	-	-	1.5	1,67	1,01	0,737	0,523
♦	781-SI7898DP-T1-E3	SI7898DP-T1-E3	SO-8	150	4.8	25	0.0850	0.095 @ 6V	-	-	1.9	2,05	1,34	1,11	0,85
♦	781-SI7846DP-E3	SI7846DP-T1-E3	PowerPakSO-8	150	6.7	50	0.0500	-	-	-	5.2	3,29	2,15	1,80	1,37
♦	781-SI4472DY-T1-E3	SI4472DY-T1-E3	SO-8	150	7.7	50	0.0450	0.047 @ 8V	-	-	5.9	3,58	2,30	1,53	1,30
♦	781-SUD15N15-95-E3	SUD15N15-95-E3	TO-252	150	15	25	0.0950	0.1 @ 6V	-	-	62	2,14	1,66	1,29	0,847
♦	781-SUM23N15-73-E3	SUM23N15-73-E3	TO-263	150	23	35	0.0730	0.077 @ 6V	-	-	100	2,28	1,96	1,90	1,84
♦	781-SUD25N15-52-E3	SUD25N15-52-E3	TO-252	150	25	50	0.0520	0.06 @ 6V	-	-	136	2,43	1,64	1,36	1,07
♦	781-SUM40N15-38-E3	SUM40N15-38-E3	TO-263	150	40	80	0.0380	0.042 @ 6V	-	-	166	3,99	2,66	2,40	2,18
♦	781-SUM85N15-19-E3	SUM85N15-19-E3	TO-263	150	85	180	0.0190	-	-	-	375	5,65	3,47	3,36	3,25
	781-SUP85N15-21-E3	SUP85N15-21-E3	TO-220AB	150	85	180	0.0210	-	-	-	300	2,88	2,44	2,30	2,09
♦	781-SI4462DY-T1-E3	SI4462DY-T1-E3	SO-8	200	1.5	5.0	0.4800	0.51 @ 6V	-	-	2.5	1,34	0,815	0,752	0,667
♦	781-SI4464DY-T1-E3	SI4464DY-T1-E3	SO-8	200	2.2	8.0	0.2400	0.26 @ 6V	-	-	1.5	1,77	1,05	0,736	0,59
♦	781-SI7820DN-T1-E3	SI7820DN-T1-E3	PowerPak 1212-8	200	2.6	10	0.2400	0.25 @ 6V	-	-	3.8	2,32	1,55	1,27	0,965
♦	781-SI4490DY-T1-E3	SI4490DY-T1-E3	SO-8	200	4.0	40	0.0800	0.09 @ 6V	-	-	1.56	3,15	1,87	1,72	1,45
♦	781-SI7462DP-T1-E3	SI7462DP-T1-E3	PowerPakSO-8	200	4.1	12	0.1300	0.142 @ 6V	-	-	4.8	2,91	1,91	1,59	1,12
♦	781-SI7450DP-E3	SI7450DP-T1-E3	PowerPakSO-8	200	5.3	40	0.0800	0.09 @ 6V	-	-	5.2	3,36	2,19	1,84	1,39
♦	781-SUM09N20-270-E3	SUM09N20-270-E3	TO-263	200	9.0	10	0.2700	0.3 @ 6V	-	-	60	2,49	1,63	1,49	1,27
♦	781-SUD19N20-90-E3	SUD19N20-90-E3	TO-252	200	19	40	0.0900	0.105 @ 6V	-	-	136	3,47	2,69	2,07	1,28
♦	781-SUM65N20-30-E3	SUM65N20-30-E3	TO-263	200	65	140	0.0300	-	-	-	375	6,50	4,33	3,91	3,66
♦	781-SI7434DP-T1-E3	SI7434DP-T1-E3	PowerPakSO-8	250	3.8	40	0.1550	0.162 @ 6V	-	-	5.2	3,99	2,70	2,19	1,63
♦	781-SUD17N25-165-E3	SUD17N25-165-E3	TO-252	250	17	20	0.1650	-	-	-	136	1,97	1,53	1,18	0,857
♦	781-SUM45N25-58-E3	SUM45N25-58-E3	TO-263	250	45	90	0.0580	0.062 @ 6V	-	-	3.75	5,82	4,53	3,88	3,51
	781-SIHF8N50L-E3	SiHF8N50L-E3	TO-220AB	560	8	22	0.8500	-	-	-	40	0,87	0,699	0,664	0,596
	781-SIHG20N50C-E3	SIHG20N50C-E3	TO-247	560	20	80	0.27	-	-	-	292	2,52	1,86	1,49	1,25
	781-SIHP18N50C-E3	SIHP18N50C-E3	TO-220AB	560	18	72	0.27	-	-	-	223	2,35	1,72	1,33	1,10
♦	781-SIHB22N60S-E3	SIHB22N60S-E3	TO-263	650	22	65	0.19	-	-	-	250	2,31	1,86	1,77	1,58
	781-SIHF22N60S-E3	SIHF22N60S-E3	TO-220 FullPAK	650	22	65	0.19	-	-	-	250	2,31	1,86	1,77	1,58
	781-SIHG22N60S-E3	SIHG22N60S-E3	TO-247	650	22	65	0.19	-	-	-	250	3,31	2,42	1,96	1,65
	781-SIHP22N60S-E3	SIHP22N60S-E3	TO-220AB	650	22	65	0.19	-	-	-	250	3,00	2,19	1,77	1,49

© Copyright 2012 Mouser Electronics

© Copyright 2012 Mouser Electronics

Transistors MOSFET SILICONIX

RoHS Compliant **This product is RoHS compliant.**

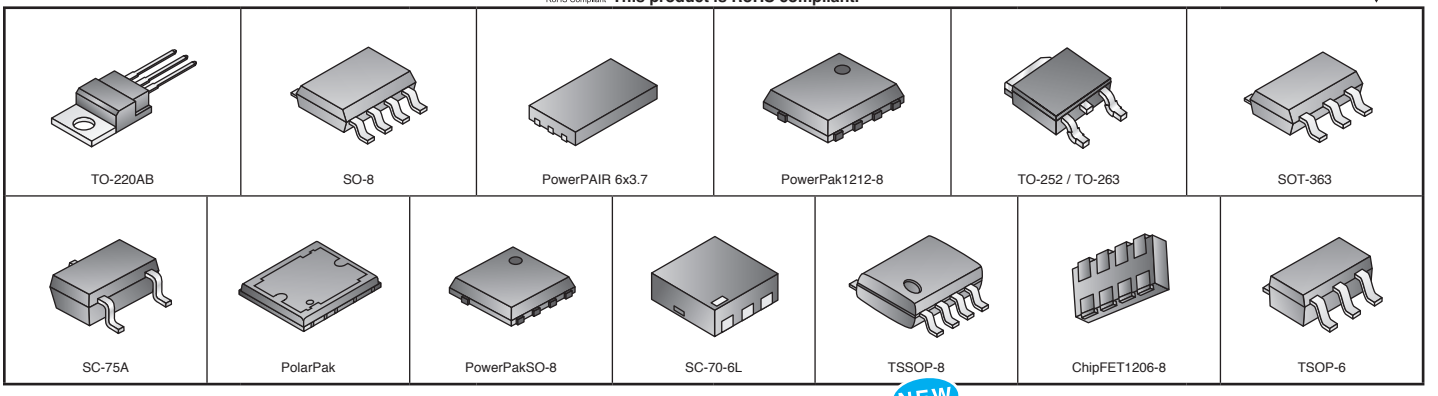

MOSFET TRENCHFET À CANAL N (CONFIGURATION DOUBLE)

NEW PRODUCT

♦ **Composant pour montage en surface**

Pour des quantités supérieures à celles indiquées, appelez-nous afin d'obtenir un devis.

RÉF. STOCK MOUSER	Réf. Siliconix	Boîtier	V_{DS} (Max)(V)	I_D (Max)(A)	I_{DM} (Max)(A)	$R_{DS(on)}$ Max (Ω) à				P_D (Max) (W)	Prix unitaire			
						V_{GS}=10V	V_{GS}=4,5V	V_{GS}=2,5V	V_{GS}=1.8V		1	100	500	1000
♦ 781-SI5920DC-E3	SI5920DC-T1-E3	ChipFET1206-8	8	4	25	-	0.0320	0.0360	0.0450	3.12	1,14	0,766	0,634	0,502
♦ 781-SIA912DJ-T1-GE3	SIA912DJ-T1-GE3	SC-70-6L	12	4.5	20	-	0.0400	0.0480	0.0630	6.5	0,96	0,646	0,535	0,423
♦ 781-SI7940DP-T1-E3	SI7940DP-T1-E3	PowerPakSO-8	12	11.8	20	-	0.0170	0.0250	-	1.4	0,93	0,83	0,83	0,83
♦ 781-SI1032R-E3	SI1032R-T1-E3	SC-75A	20	0.2	0,5	-	5.0000	7.0000	9.0000	0.25	0,44	0,258	0,211	0,164
♦ 781-SI1902DL-E3	SI1902DL-T1-E3	SOT-363	20	0.7	1,0	-	0.3850	0.6300	-	0.27	0,53	0,313	0,256	0,199
♦ 781-SI1912EDH-E3	SI1912EDH-T1-E3	SOT-363	20	1.28	4.0	-	0.2800	0.3600	0.4500	0.57	1,31	0,883	0,733	0,58
♦ 781-SI1958DH-T1-E3	SI1958DH-T1-E3	SOT-363	20	1.3	4.0	-	0.2050	0.3400	-	1.25	0,63	0,418	0,348	0,279
♦ 781-SI3900DV-E3	SI3900DV-T1-E3	TSOP-6	20	2.4	8.0	-	0.1250	0.2000	-	1.15	1,14	0,766	0,634	0,502
♦ 781-SI6926ADQ-T1-E3	SI6926ADQ-T1-E3	TSSOP-8	20	4.5	20	-	0.0300	0.0350	0.0430	1,0	1,28	0,858	0,713	0,564
♦ 781-SIA914DJ-T1-GE3	SIA914DJ-T1-GE3	SC-70-6L	20	4.5	20	-	0.0530	0.0630	0.0770	6.5	0,85	0,601	0,468	0,367
♦ 781-SI6966DQ-E3	SI6966DQ-T1-E3	TSSOP-8	20	4.5	30	-	0.0300	0.0400	-	0.83	1,78	1,20	0,998	0,79
♦ 781-SI5908DC-T1-E3	SI5908DC-T1-E3	ChipFET1206-8	20	5.9	20	-	0.0400	0.0450	0.0520	2.1	1,42	0,957	0,792	0,627
♦ 781-SI7904BDN-T1-E3	SI7904BDN-T1-E3	PowerPak1212-8	20	6.0	20	-	0.0300	0.0360	0.0450	17.8	0,70	0,569	0,535	0,491
♦ 781-SI6968BEDQ-E3	SI6968BEDQ-T1-E3	TSSOP-8	20	6.5	30	-	0.0220	0.0300	-	1.5	0,62	0,503	0,473	0,429
♦ 781-SI9926BDY-T1-E3	SI9926BDY-T1-E3	SO-8	20	8.2	30	-	0.0200	0.0300	-	1.1	1,49	0,899	0,658	0,554
♦ 781-SIZ700DT-GE3	SIZ700DT-T1-GE3	PowerPAIR 6x3.7	20	16	60	0.0086/0.0058	0.0108/0.0066	-	-	2.36/2.8	0,73	0,605	0,563	0,511
♦ 781-SI6924AEDQ-T1-E3	SI6924AEDQ-T1-E3	TSSOP-8	28	4.6	20	-	0.0330	0.0420	-	1.3	1,77	1,20	0,965	0,736
♦ 781-SI1900DL-E3	SI1900DL-T1-E3	SOT-363	30	0.63	1,0	0.4800	0.7000	-	-	0.27	0,35	0,297	0,239	0,218
♦ 781-SI5902DC-E3	SI5902DC-T1-E3	ChipFET1206-8	30	±3.9	±10	0.0850	0.1430	-	-	2.1	1,56	1,05	0,866	0,69
♦ 781-SI4936ADY-T1-E3	SI4936ADY-T1-E3	SO-8	30	5.9	±30	0.0360	0.0530	-	-	1.1	1,19	0,965	0,908	0,858
♦ 781-SI4936BDY-T1-E3	SI4936BDY-T1-E3	SO-8	30	6.9	30	0.0350	0.0510	-	-	2.8	1,34	0,815	0,596	0,497
♦ 781-SI4920DY-T1-E3	SI4920DY-T1-E3	SO-8	30	±6.9	±40	0.0250	0.0350	-	-	2.0	1,22	0,982	0,924	0,883
♦ 781-SI4804BDY-E3	SI4804BDY-T1-E3	SO-8	30	7.5	30	0.0220	0.0300	-	-	1.1	1,34	0,815	0,752	0,681
♦ 781-SI4922BDY-T1-E3	SI4922BDY-T1-E3	SO-8	30	8.0	35	0.0135	0.0145	0.0180	-	3.1	1,84	1,09	0,817	0,817
♦ 781-SI4972DY-T1-E3	SI4972DY-T1-E3	SO-8	30	8.3/4.0	20	0.0145/0.0265	0.0195/0.036	-	-	3.1	2,32	1,38	0,965	0,833
♦ 781-SI4330DY-T1-E3	SI4330DY-T1-E3	SO-8	30	8.7	±30	0.0165	0.0220	-	-	2.0	2,11	1,25	1,16	0,908
♦ 781-SI4944DY-T1-E3	SI4944DY-T1-E3	SO-8	30	12.2	30	0.0095	0.0160	-	-	2.3	3,29	2,11	1,96	1,80
♦ 781-SI4940DY-T1-E3	SI4940DY-T1-E3	SO-8	40	5.7	30	0.0360	0.0590	-	-	1.1	3,89	2,35	1,72	1,43
♦ 781-SI4910DY-T1-E3	SI4910DY-T1-E3	SO-8	40	6.0	20	0.0270	0.0320	-	-	3.1	0,81	0,652	0,621	0,523
♦ 781-SI7222DN-T1-E3	SI7222DN-T1-E3	PowerPak 1212-8	40	6.0	24	0.0420	0.0470	-	-	17.8	3,41	2,43	1,95	1,46
♦ 781-SI4942DY-T1-E3	SI4942DY-T1-E3	SO-8	40	7.4	30	0.0210	0.0280	-	-	2.1	1,79	1,57	1,46	1,36
♦ 781-SI7220DN-T1-E3	SI7220DN-T1-E3	PowerPak 1212-8	60	4.8	20	0.0600	0.0750	-	-	2.6	3,06	2,19	1,75	1,31
♦ 781-SI4900DY-E3	SI4900DY-T1-E3	SO-8	60	5.3	20	0.0580	0.0720	-	-	3.1	1,28	0,842	0,772	0,564
♦ 781-SI4946BEY-E3	SI4946BEY-T1-E3	SO-8	60	6.5	30	0.0410	0.0520	-	-	3.7	1,84	1,09	0,765	0,661
♦ 781-SI7960DP-T1-E3	SI7960DP-T1-E3	PowerPakSO-8	60	9.7	40	0.0210	0.0250	-	-	3.5	3,29	2,15	1,80	1,37
♦ 781-SI4992EY-T1-E3	SI4992EY-T1-E3	SO-8	75	4.8	20	0.0480	0.0620	-	-	2.4	3,29	1,96	1,80	1,39
♦ 781-SI7922DN-T1-E3	SI7922DN-T1-E3	PowerPak1212-8	100	2.5	10	0.1950	0.230 @ 6V	-	-	2.6	1,97	1,29	1,08	0,823
♦ 781-SI7942DP-E3	SI7942DP-T1-E3	PowerPakSO-8	100	5.9	20	0.0490	0.060 @ 6V	-	-	3.5	3,38	2,25	1,86	1,39
♦ 781-SI7946DP-T1-E3	SI7946DP-T1-E3	PowerPakSO-8	150	3.3	10	0.1500	0.168 @ 6V	-	-	3.5	4,42	3,15	2,52	1,89

MOSFET SKYFET® À CANAL N (CONFIGURATION SIMPLE)

Pour des quantités supérieures à celles indiquées, appelez-nous afin d'obtenir un devis.

RÉF. STOCK MOUSER	Réf. Siliconix	Boîtier	V_{DS} (Max)(V)	I_D (Max)(A)	I_{DM} (Max)(A)	$R_{DS(on)}$ Max (Ω) à				P_D (Max) (W)	Prix unitaire			
						V_{GS}=10V	V_{GS}=4,5V	V_{GS}=2,5V	V_{GS}=1.8V		1	100	500	1000
♦ 781-SI4628DY-GE3	SI4628DY-T1-GE3	SO-8	30	38	70	0.0030	0.0038	-	-	7.8	1,97	1,22	0,875	0,728

MOSFET WFET™ À CANAL N (CONFIGURATION SIMPLE)

Pour des quantités supérieures à celles indiquées, appelez-nous afin d'obtenir un devis.

RÉF. STOCK MOUSER	Réf. Siliconix	Boîtier	V_{DS} (Max)(V)	I_D (Max)(A)	I_{DM} (Max)(A)	$R_{DS(on)}$ Max (Ω) à				P_D (Max) (W)	Prix unitaire			
						V_{GS}=10V	V_{GS}=4,5V	V_{GS}=2,5V	V_{GS}=1.8V		1	100	500	1000
♦ 781-SIE800DF-T1-E3	SIE800DF-T1-E3	PolarPak	30	90	60	0.0072	0.0115	-	-	104	2,98	1,95	1,63	1,24
♦ 781-SI7430DP-T1-E3	SI7430DP-T1-E3	PowerPakSO-8	150	26	50	0.0450	0.047 @ 8V	-	-	64	4,16	2,97	2,38	1,78

MOSFET DE NIVEAU LOGIQUE À CANAL N (CONFIGURATION SIMPLE)

Pour des quantités supérieures à celles indiquées, appelez-nous afin d'obtenir un devis.

RÉF. STOCK MOUSER	Réf. Siliconix	Boîtier	V_{DS} (Max)(V)	I_D (Max)(A)	I_{DM} (Max)(A)	$R_{DS(on)}$ Max (Ω) à				P_D (Max) (W)	Prix unitaire			
						V_{GS}=10V	V_{GS}=4,5V	V_{GS}=2,5V	V_{GS}=1.8V		1	100	500	1000
781-SUP45N03-13L-E3	SUP45N03-13L-E3	TO-220AB	30	45	100	0.0130	0.0200	-	-	88	4,27	3,00	2,57	1,71
♦ 781-SUM70N04-07L-E3	SUM70N04-07L-E3	TO-263	40	70	120	0.0074	0.0110	-	-	100	2,89	2,66	2,05	2,05
♦ 781-SUM110N05-06L-E3	SUM110N05-06L-E3	TO-263	55	110	240	0.0060	0.0085	-	-	158	4,04	3,04	1,96	1,96
♦ 781-SUD40N06-25L-E3	SUD40N06-25L-E3	TO-252	60	30	100	0.0220	0.0250	-	-	75	1,72	1,46	1,37	1,25
♦ 781-SUM50N06-16L-E3	SUM50N06-16L-E3	TO-263	60	50	100	0.0160	0.0220	-	-	93	2,57	1,90	0,932	0,891
♦ 781-SUM75N06-09L-E3	SUM75N06-09L-E3	TO-263	90	90	160	0.0093	0.0135	-	-	125	2,33	1,70	1,32	1,28
♦ 781-SUD06N10-225L-E3	SUD06N10-225L-E3	TO-252	100	6.5	8.0	0.2000	0.2250	-	-	20	1,59	1,24	0,957	0,591

© Copyright 2012 Mouser Electronics

© Copyright 2012 Mouser Electronics

RoHS Compliant **This product is RoHS compliant.**

PARASURTENSEURS THYRISTORS BOURNS TISP

Continuant à fournir les solutions les plus complètes pour vos besoins de protection de circuits , Bourns a récemment introduit la gamme de produits TISP®. Les produits TISP® sont spécialement conçus pour assurer la protection des équipements de télécommunications contre les hautes tensions qui apparaissent à cause de foudroiements, d'interversion de lignes électriques ou de surtensions CA. Couplés aux appareils de protection contre les surintensités Mulifuse® PPTC de Bourns et aux réseaux de protection de lignes de Bourns, les produits TISP® offrent aux clients du domaine des télécommunications une gamme de produits de protection totale plus complète.

RoHS Compliant

Parasurtenseur thyristor bidirectionnel

Cette série de dispositifs TISP® protège l'équipement du bureau central, les points d'accès et les équipements clients contre les surtensions sur la ligne de télécommunications. Ces dispositifs sont abrités dans un boîtier pour composants à insérer DO-92 (boîtier TO-92 avec un pied court central).

Pour des quantités supérieures à celles indiquées, appelez-nous afin d'obtenir un devis.

RÉF. STOCK MOUSER		Fig.	Vdrm(V) Compo -sants verticaux Tension	Vbo(V) Tension protection	Delta Capacité	Valeurs normalisées pour les surtensions		Prix unitaire			
Fabr.	Réf. fabr.					IEC 61000-4-5 8/20µs(A)	GR-1089-CORE 10/1000µs (A)	1	50	100	500
652	TISP4P015L1NR-S	A	8	15	2	30	18	0,38	0,297	0,281	0,248
652	TISP4P020L1NR-S	A	12	20	3	30	18	0,38	0,297	0,281	0,248
652	TISP4P025L1NR-S	A	16	25	3	30	18	0,38	0,297	0,281	0,248
652	TISP4P035L1NR-S	A	24	35	2	30	18	0,38	0,297	0,281	0,248

BOÎTIERS À CONNEXIONS COURTES

Ce boîtier à connexions courtes consiste en un circuit monté sur une grille de connexion et encapsulé dans un composé plastique. Ce composé supporte la température de soudure sans déformation et les performances du circuit restent stables en conditions de fonctionnement à forte humidité. Les broches de raccordement ne nécessitent pas de nettoyage ou de traitement supplémentaire en cas d'utilisation dans un ensemble soudé.

Thyristor à porte P quadruple conducteur direct tamponné

Protection de surtension indépendante pour deux SLIC en applications à boucle courte :

- Large plage de programmation de 0 à -90V
- Courant de déclenchement de porte faible de 5mA max.
- Courant de maintien élevé de 150mA min. (85°C)
- Tension de limitation spécifiée de 1,2/50 et 0,5/700
- Plage de température complète de -40°C à 85°C

RoHS Compliant

Pour des quantités supérieures à celles indiquées, appelez-nous afin d'obtenir un devis.

RÉF. STOCK MOUSER		Fig.	Protect. nominale $V_{(BO)}$ (V)	I_{PPSM} pour les normes de surtension				Prix unitaire			
Fabr.	Réf. fabr.			GR-1089-CORE 2/10µs (A)	ANSI C62.41 8/20µs (A)	ITU-T K.20/21 5/310µs (A)	GR-1089-CORE 10/1000µs (A)	1	50	100	500
652	TISP6NTP2ADR-S	B	0 à -90	85	75	25	20	1,80	1,35	1,20	1,02
652	TISP61089DR-S	B	0 à -75	120	Pas de valeur	40	30	1,26	0,95	0,84	0,71
652	TISP6NTP2CDR-S	B	0 à -150	90	Pas de valeur	40	25	1,80	1,35	1,20	1,02
652	TISP8200MDR-S	B	0 à -90	210	Pas de valeur	70	45	1,13	0,90	0,822	0,689
652	TISP8201MDR-S	B	0 à +90	210	Pas de valeur	70	45	1,13	0,90	0,822	0,689

Parasurtenseurs programmables thyristors à porte P et porte N conducteurs directs doubles

Il s'agit d'un parasurtenseur thyristor (SCR) à porte P tamponné conducteur direct double. Il est conçu pour protéger les SLIC (circuits d'interface pour les lignes d'abonnés) monolithiques contre les surtensions transitoires sur les lignes téléphoniques provoquées par la foudre, le contact et l'induction d'un courant CA. Le TISP61089B limite les tensions qui dépassent la tension d'alimentation de glissière SLIC. Les paramètres du TISP61089B sont spécifiés pour permettre la conformité de l'équipement avec le cœur Bell GR-1089-CORE, Edition 2 et les recommandations ITU-T K.20, K.21 et K.45.

NEW PRODUCT

Pour des quantités supérieures à celles indiquées, appelez-nous afin d'obtenir un devis.

RÉF. STOCK MOUSER		Fig.	Protect. nominale $V_{(BO)}$ (V)	I_{PPSM} pour les normes de surtension				Prix unitaire			
Fabr.	Réf. fabr.			GR-1089-CORE 2/10µs (A)	ANSI C62.41 8/20µs (A)	ITU-T K.20/21 5/310µs (A)	GR-1089-CORE 10/1000µs (A)	1	50	100	500
652	TISP61089ADR-S	B	0 à -120	120	- - -	40	30	1,26	0,95	0,84	0,71
652	TISP61089BDR-S	B	0 à -170	120	- - -	40	30	1,26	0,95	0,84	0,71
652	TISP61089HDMR-S	B	0 à -170	- - -	150	100	- - -	3,45	2,59	2,30	1,96
652	TISP61089QBDR-S	B	-20 à -155	120	- - -	40	30	1,28	0,701	0,602	0,536
652	TISP8200HDMR-S	B	0 à -70	500	- - -	150	100	3,80	3,32	3,09	2,85
652	TISP8201HDMR-S	B	0 à 70	500	- - -	150	100	3,80	3,32	3,09	2,85

BOÎTIERS POUR MONTAGE EN SURFACE

Ce boîtier pour montage en surface consiste en un circuit monté sur une grille de connexion et encapsulé dans un composé plastique. Ce composé supporte la température de soudure sans déformation et les performances du circuit restent stables en conditions de fonctionnement à forte humidité. Les broches de raccordement ne nécessitent pas de nettoyage ou de traitement supplémentaire en cas d'utilisation dans un ensemble soudé.

RoHS Compliant

Parasurtenseurs thyristors bidirectionnels à tension très faible

Pour des quantités supérieures à celles indiquées, appelez-nous afin d'obtenir un devis.

RÉF. STOCK MOUSER		Fig.	Compo-sants verticaux tension $V_{(BO)}$ (V)	Protect. nominale $V_{(BO)}$ (V)	Holding d'alimen-tation I_H(mA)	I_{PPSM} pour les normes de surtension				Prix unitaire			
Fabr.	Réf. fabr.					GR-1089-CORE 2/10µs (A)	TIA/EIA-IS-968 10/560µs (A)	ITU-T K.20/21 5/310µs (A)	GR-1089-CORE 10/1000µs (A)	1	50	100	500
652	TISP4015H1BJR-S	C1	8	15	50	500	125	150	100	0,60	0,45	0,40	0,34
652	TISP4040H1BJR-S	C1	25	40	50	500	125	150	100	0,60	0,45	0,40	0,34

Surtenseurs thyristors unidirectionnels conducteurs directs

Pour des quantités supérieures à celles indiquées, appelez-nous afin d'obtenir un devis.

RÉF. STOCK MOUSER		Fig.	Compo-sants verticaux tension $V_{(BO)}$ (V)	Protect. nominale $V_{(BO)}$ (V)	I_{PPSM} pour les normes de surtension					Prix unitaire			
Fabr.	Réf. fabr.				GR-1089-CORE 2/10µs (A)	ANSI C62.41 8/20µs (A)	TIA/EIA-IS-968 10/560µs (A)	ITU-T K.20/21 5/310µs (A)	GR-1089-CORE 10/1000µs (A)	1	50	100	500
652	TISP5070H3BJR-S	C2	-58	-70	500	300	160	200	100	0,75	0,56	0,50	0,43
652	TISP5080H3BJR-S	C2	-65	-80	500	300	160	200	100	0,75	0,56	0,50	0,43

Parasurtenseurs thyristors bidirectionnels

Pour des quantités supérieures à celles indiquées, appelez-nous afin d'obtenir un devis.

RÉF. STOCK MOUSER		Fig.	Compo-sants verticaux tension $V_{(BO)}$ (V)	Protect. nominale $V_{(BO)}$ (V)	Holding d'alimen-tation I_H(mA)	I_{PPSM} pour les normes de surtension				Prix unitaire			
Fabr.	Réf. fabr.					GR-1089-CORE 2/10µs (A)	TIA/EIA-IS-968 10/560µs (A)	ITU-T K.20/21 5/310µs (A)	GR-1089-CORE 10/1000µs (A)	1	50	100	500
652	TISP4125H3BJR-S	C1	100	125	150	500	160	200	100	0,75	0,56	0,50	0,43
652	TISP4C115H3BJR-S	C1	90	115	150	500	100	150	100	0,69	0,52	0,46	0,39
652	TISP4C290H3BJR-S	C1	220	150	150	500	100	150	100	0,69	0,52	0,46	0,39
652	TISP4C350H3BJR-S	C1	275	150	150	500	100	150	100	0,69	0,52	0,46	0,39

DIMENSIONS : mm (pouces)

A

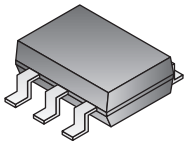

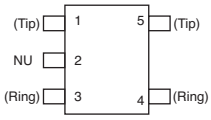

B

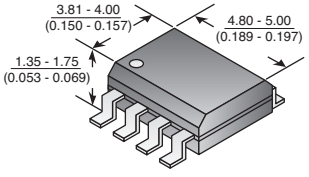

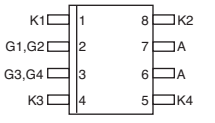

NOTES:

A. Leads are within 0.25 (0.010) radius of true position at maximum material condition.
B. Body dimensions do not include mold flash or protrusion.
C. Mold flash or protrusion shall not exceed 0.15 (0.006).
D. Lead tips to be planar within ±0.051 (0.002).

C

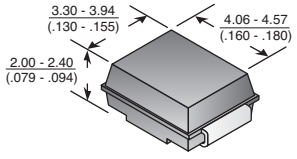

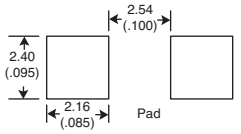

1

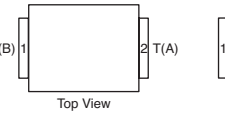

2

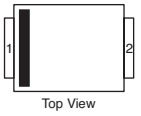

© Copyright 2012 Mouser Electronics

© Copyright 2012 Mouser Electronics

LITTELFUSE SIDACtor®, Triacs et SCR

RoHS Compliant **This product is RoHS compliant.**

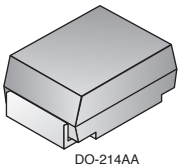
DO-214AA

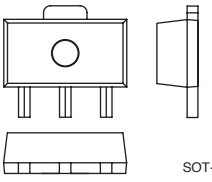
SOT-89

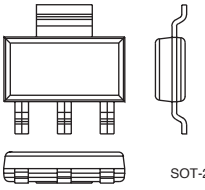
SOT-223

TO-92

DISPOSITIFS SC SIDACTOR DE MICROCAPACITÉ (MC)

Ces dispositifs DO-214AA SCMC SIDACtor sont destinés aux applications sensibles aux valeurs de charge. Typiquement, les connexions à haute vitesse telles que xDSL et T1/E1 nécessitent une capacité plus réduite. Les valeurs de CO du dispositif de microcapacité sont de 40 % inférieures à celles d'une pièce standard SC.

Pour des quantités supérieures à celles indiquées, appelez-nous afin d'obtenir un devis.

RÉF. STOCK MOUSER	Réf. Littelfuse	Boîtier	Volts			Idrm	Is	It	Ih	Prix unitaire			Prix par bobine	
			Vdrm	Vs	Vt	Uamps	mAmps	Amps	mAmps	1	10	50	Quantité	Pièce
576-P0080SCMCLRP	P0080SCMCLRP	DO-214AA	6	25	4	5	800	2.2	50	0,84	0,80	0,724	2500	0,661
576-P0300SCMCLRP	P0300SCMCLRP	DO-214AA	25	40	4	5	800	2.2	50	0,84	0,80	0,724	2500	0,661
576-P0640SCMCLRP	P0640SCMCLRP	DO-214AA	58	77	4	5	800	2.2	150	0,84	0,80	0,724	2500	0,661
576-P0900SCMCLRP	P0900SCMCLRP	DO-214AA	75	98	4	5	800	2.2	150	0,84	0,80	0,724	2500	0,661
576-P1300SCMCLRP	P1300SCMCLRP	DO-214AA	120	160	4	5	800	2.2	150	0,84	0,80	0,724	2500	0,661
576-P1800SCMCLRP	P1800SCMCLRP	DO-214AA	170	220	4	5	800	2.2	150	0,84	0,80	0,724	2500	0,661
576-P2600SCMCLRP	P2600SCMCLRP	DO-214AA	220	300	4	5	800	2.2	150	0,84	0,80	0,724	2500	0,661
576-P3100SCMCLRP	P3100SCMCLRP	DO-214AA	275	350	4	5	800	2.2	150	0,84	0,80	0,724	2500	0,661

DISPOSITIFS SIDACTOR À COURANT DE CHOC ÉLEVÉ (CLASSIFIÉS EN CATÉGORIE D)

Les dispositifs de protection à semi-conducteurs DO-214AA SIDACtor en classification de surtension D protègent les équipements de télécommunications situés dans des environnements hostiles. Les valeurs de surtension sont deux fois plus élevées que pour une classification de surtension C.

Pour des quantités supérieures à celles indiquées, appelez-nous afin d'obtenir un devis.

576-P0080SDLRP	P0080SDLRP	DO-214AA	6	25	4	5	800	2	50	0,88	0,825	0,784	2500	0,718
576-P0640SDLRP	P0640SDLRP	DO-214AA	58	77	4	5	800	2.2	50	0,88	0,825	0,784	2500	0,718
576-P0720SDLRP	P0720SDLRP	DO-214AA	65	88	4	5	800	2.2	50	0,88	0,825	0,784	2500	0,718
576-P0900SDLRP	P0900SDLRP	DO-214AA	75	98	4	5	800	2.2	50	0,88	0,825	0,784	2500	0,718
576-P1500SDLRP	P1500SDLRP	DO-214AA	140	180	4	5	800	2.2	50	0,88	0,825	0,784	2500	0,718
576-P1800SDLRP	P1800SDLRP	DO-214AA	170	220	4	5	800	2.2	50	0,88	0,825	0,784	2500	0,718
576-P3100SDLRP	P3100SDLRP	DO-214AA	275	350	4	5	800	2.2	50	0,88	0,825	0,784	2500	0,718
576-P3500SDLRP	P3500SDLRP	DO-214AA	320	400	4	5	800	2.2	50	0,88	0,825	0,784	2500	0,718

TRIACS SENSIBLES

Série L01 EV, 1A

- Dv/dt statique >20Volts/µsec
- Boîtiers pour montage en surface et à insérer
- Capacité de tension de blocage : jusqu'à 800V
- Capacité de surtension : >10Amps
- Conforme à la directive RoHS

Pour des quantités supérieures à celles indiquées, appelez-nous afin d'obtenir un devis.

RÉF. STOCK MOUSER	Réf. Littelfuse	Boîtier	Tension (V)	I gt (mA)	V gt	I h (mA)	dv/dt V/µs	(dv/dt)c V/µs	T gt µs	Prix unitaire		
										1	10	100
576-L0103MERP	L0103MERP	TO-92	600	3-5	1.3	7	10	0,5	2	0,21	0,198	0,19
576-L0103MTRP	L0103MTRP	SOT-223	600	3-5	1.3	7	10	0,5	2	0,36	0,322	0,268
576-L0103NERP	L0103NERP	TO-92	800	3-5	1.3	7	10	0,5	2	0,22	0,215	0,206
576-L0103NTRP	L0103NTRP	SOT-223	800	3-5	1.3	7	10	0,5	2	0,40	0,347	0,289
576-L0107MERP	L0107MERP	TO-92	600	5-7	1.3	10	20	1	2	0,21	0,198	0,19
576-L0107MTRP	L0107MTRP	SOT-223	600	5-7	1.3	10	20	1	2	0,36	0,322	0,268
576-L0107NERP	L0107NERP	TO-92	800	5-7	1.3	10	20	1	2	0,22	0,215	0,206
576-L0107NTRP	L0107NTRP	SOT-223	800	5-7	1.3	10	20	1	2	0,40	0,347	0,289
576-L0109MERP	L0109MERP	TO-92	600	10	1.3	10	50	2	2	0,21	0,198	0,19
576-L0109MTRP	L0109MTRP	SOT-223	600	10	1.3	10	50	2	2	0,36	0,322	0,268
576-L0109NERP	L0109NERP	TO-92	800	10	1.3	10	50	2	2	0,22	0,215	0,206
576-L0109NTRP	L0109NTRP	SOT-223	800	10	1.3	10	50	2	2	0,40	0,347	0,289

Série LX8 EV, 0,8A

- Capacité de tension de blocage : jusqu'à 600V
- Capacité de surtension : >9,5Amps
- Dv/dt statique >10Volts/µsec
- Boîtiers pour montage en surface et traversant
- Conforme à la directive RoHS

Pour des quantités supérieures à celles indiquées, appelez-nous afin d'obtenir un devis.

576-LX803MERP	LX803MERP	TO-92	600	3-5	1.3	5	10	1.5	2	0,19	0,182	0,173
576-LX803MTRP	LX803MTRP	SOT-223	600	3-5	1.3	5	10	1.5	2	0,64	0,52	0,257
576-LX807DERP	LX807DERP	TO-92	400	5-7	1.3	5	10	1.5	2	0,17	0,165	0,157
576-LX807DTRP	LX807DTRP	SOT-223	400	5-7	1.3	5	10	1.5	2	0,21	0,198	0,19
576-LX807MERP	LX807MERP	TO-92	600	5-7	1.3	5	10	1.5	2	0,19	0,182	0,173
576-LX807MTRP	LX807MTRP	SOT-223	600	5-7	1.3	5	10	1.5	2	0,34	0,297	0,257

SCR SENSIBLES

Série Sx02xS EV, 1,5A

- Capacité de tension de blocage : jusqu'à 600V
- Capacité de surtension : >15Amps
- Immunité au bruit dv/dt élevée
- Temps d'arrêt (Tq) amélioré : <35µsec.
- Boîtiers pour montage en surface et traversant
- Conforme à la directive RoHS

Pour des quantités supérieures à celles indiquées, appelez-nous afin d'obtenir un devis.

RÉF. STOCK MOUSER	Réf. Littelfuse	Boîtier	Tension (V)	Porte logique Sensibilité	V gt	I h (mA)	(dv/dt)s V/µs	T q µs	T gt µs	Prix unitaire		
										1	10	100
576-S402ESRP	S402ESRP	TO-92	400	200µa	0.8	5	25	35	3	0,26	0,248	0,231
576-S602ESRP	S602ESRP	TO-92	600	200µa	0.8	5	25	35	3	0,28	0,264	0,248
576-S602TSRP	S602TSRP	SOT-223	600	200µa	0.8	5	25	35	3	0,47	0,413	0,351

Série SxX8xSx EV, 0,8A

- Capacité de tension de blocage : jusqu'à 800V
- Capacité de surtension : >10Amps
- Immunité au bruit dv/dt élevée
- Interface de porte sensible ou interface microprocesseur directe
- Boîtiers pour montage en surface et traversant
- Conforme à la directive RoHS

Pour des quantités supérieures à celles indiquées, appelez-nous afin d'obtenir un devis.

576-S6X8BSRP	S6X8BSRP	SOT-89	600	200µa	0.8	5	75	25	2	0,26	0,248	0,231
576-S6X8ES1RP	S6X8ES1RP	TO-92	600	5µa	0.8	5	75	30	2	0,19	0,182	0,173
576-S6X8ES2RP	S6X8ES2RP	TO-92	600	50µa	0.8	5	75	25	2	0,19	0,182	0,173
576-S4X8ES	S4X8ES	TO-92	400	200µa	0.8	5	75	25	2	0,17	0,165	0,157
576-S4X8ESAP	S4X8ESAP	TO-92	400	200µa	0.8	5	75	25	2	0,17	0,165	0,157
576-S4X8ESRP	S4X8ESRP	TO-92	400	200µa	0.8	5	75	25	2	0,17	0,165	0,157
576-S6X8ES	S6X8ES	TO-92	600	200µa	0.8	5	75	25	2	0,19	0,182	0,173
576-S6X8ESRP	S6X8ESRP	TO-92	600	200µa	0.8	5	75	25	2	0,19	0,182	0,173
576-S6X8TS1RP	S6X8TS1RP	SOT-223	600	5µa	0.8	5	75	30	2	0,22	0,215	0,198
576-S6X8TS2RP	S6X8TS2RP	SOT-223	600	50µa	0.8	5	75	25	2	0,22	0,215	0,198
576-S6X8TSRP	S6X8TSRP	SOT-223	600	200µa	0.8	5	75	25	2	0,22	0,215	0,198
576-S8X8ES1RP	S8X8ES1RP	TO-92	800	5µa	0.8	5	75	30	2	0,22	0,215	0,198
576-S8X8ES2RP	S8X8ES2RP	TO-92	800	50µa	0.8	5	75	25	2	0,22	0,215	0,206
576-S8X8ESRP	S8X8ESRP	TO-92	800	200µa	0.8	5	75	25	2	0,22	0,215	0,198
576-S8X8TS1RP	S8X8TS1RP	SOT-223	800	5µa	0.8	5	75	30	2	0,26	0,248	0,231
576-S8X8TS2RP	S8X8TS2RP	SOT-223	800	50µa	0.8	5	75	25	2	0,26	0,248	0,231
576-S8X8TSRP	S8X8TSRP	SOT-223	800	200µa	0.8	5	75	25	2	0,26	0,248	0,231

© Copyright 2012 Mouser Electronics
© Copyright 2012 Mouser Electronics

SIDACtors® LITTELFUSE

RoHS Compliant **This product is RoHS compliant.**

THYRISTORS DE PROTECTION SIDACtors®

La série améliorée MS-012 à port unique et tension fixe consiste en des dispositifs SIDACtor conçus pour protéger les SLIC (circuits d'interface pour les lignes d'abonnés) des surtensions transitoires nuisibles.

- Protection de port unique dans un boîtier
- Faible dépassement de tension
- Ne se dégrade pas avec l'utilisation
- Format compatible SO-8, broche pour broche

Pour des quantités supérieures à celles indiquées, appelez-nous afin d'obtenir un devis.

RÉF. STOCK MOUSER	Réf. Littelfuse	Boîtier	Dimensions : mm		Ih mAmps	Is mAmps	It Amps	Prix unitaire			Prix par bobine	
			Vdrm	Vs				1	50	100	Qté.	Unit.
Série port unique tension fixe												
576-P0641DF-1	P0641DF-1	MS-012	58	77	150	800	1	0,71	0,668	0,633	2500	0,529
576-P0721DF-1	P0721DF-1	MS-012	65	88	150	800	1	0,71	0,668	0,633	2500	0,529
576-P0901DF-1	P0901DF-1	MS-012	75	98	150	800	1	0,71	0,668	0,633	2500	0,529
576-P1001DF-1	P1001DF-1	MS-012	85	110	150	800	1	0,78	0,743	0,71	2500	0,603
576-P1101DF-1	P1101DF-1	MS-012	95	130	150	800	1	0,71	0,668	0,633	2500	0,529
Série port unique améliorée et tension fixe												
576-P0641DF-1E	P0641DF-1E	MS-012	58	77	150	800	1	0,78	0,743	0,71	2500	0,603
576-P0721DF-1E	P0721DF-1E	MS-012	65	88	150	800	1	0,78	0,743	0,71	2500	0,603
576-P0901DF-1E	P0901DF-1E	MS-012	75	98	150	800	1	0,78	0,743	0,71	2500	0,603
576-P0991DF-1E	P0991DF-1E	MS-012	80	104	150	800	1	0,78	0,743	0,71	2500	0,603
576-P1001DF-1E	P1001DF-1E	MS-012	85	110	150	800	1	0,78	0,743	0,71	2500	0,603
576-P1101DF-1E	P1101DF-1E	MS-012	95	130	150	800	1	0,71	0,668	0,633	2500	0,529
576-P1301DF-1E	P1301DF-1E	MS-012	120	160	150	800	1	0,78	0,743	0,71	2500	0,603
576-P1701DF-1E	P1701DF-1E	MS-012	160	200	150	800	1	0,71	0,668	0,633	2500	0,529

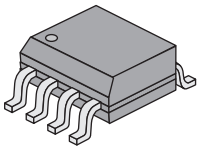

MS-012

Dispositifs SIDACtor®

Les dispositifs de protection à semi-conducteurs DO-214AA SIDACtor protègent les équipements de télécommunications tels que modems, cartes de ligne et CPE (téléphones, répondeurs téléphoniques et télécopieurs).

Pour des quantités supérieures à celles indiquées, appelez-nous afin d'obtenir un devis.

RÉF. STOCK MOUSER	Réf. Littelfuse	Boîtier	Volts			Idrm	Is	It	Ih	Prix unitaire			Prix par bobine	
			Vdrm	Vs	Vt	Uamps	mAmps	Amps	mAmps	1	10	50	Qté.	Unit.
576-P0080SALRP	P0080SALRP	DO-214AA	6	25	4	5	800	2.2	50	0,62	0,59	0,539	2500	0,498
576-P0080SBLRP	P0080SBLRP	DO-214AA	6	25	4	5	800	2.2	50	0,68	0,65	0,59	2500	0,539
576-P0080SCLRP	P0080SCLRP	DO-214AA	6	25	4	5	800	2.2	50	0,56	0,54	0,505	2500	0,464
576-P0220SALRP	P0220SALRP	DO-214AA	15	32	4	5	800	2.2	50	0,62	0,59	0,539	2500	0,498
576-P0300SALRP	P0300SALRP	DO-214AA	25	40	4	5	800	2.2	50	0,62	0,59	0,539	2500	0,498
576-P0300SAMCLRP	P0300SAMCLRP	DO-214AA	25	40	4	5	800	2.2	50	0,70	0,67	0,651	2500	0,511
576-P0300SBLRP	P0300SBLRP	DO-214AA	25	40	4	5	800	2.2	50	0,68	0,65	0,59	2500	0,539
576-P0640SALRP	P0640SALRP	DO-214AA	58	77	4	5	800	2.2	150	0,62	0,59	0,539	2500	0,498
576-P0640SCLRP	P0640SCLRP	DO-214AA	58	77	4	5	800	2.2	150	0,56	0,54	0,505	2500	0,464
576-P0720SALRP	P0720SALRP	DO-214AA	65	88	4	5	800	2.2	150	0,62	0,59	0,539	2500	0,498
576-P0720SBLRP	P0720SBLRP	DO-214AA	65	88	4	5	800	2.2	150	0,68	0,65	0,59	2500	0,539
576-P0720SCLRP	P0720SCLRP	DO-214AA	65	88	4	5	800	2.2	150	0,56	0,54	0,505	2500	0,464
576-P0900SALRP	P0900SALRP	DO-214AA	75	98	4	5	800	2.2	150	0,62	0,59	0,539	2500	0,498
576-P0900SBLRP	P0900SBLRP	DO-214AA	75	98	4	5	800	2.2	150	0,68	0,65	0,59	2500	0,539
576-P0900SCLRP	P0900SCLRP	DO-214AA	75	98	4	5	800	2.2	150	0,56	0,54	0,505	2500	0,464
576-P1100SALRP	P1100SALRP	DO-214AA	90	130	4	5	800	2.2	150	0,62	0,59	0,539	2500	0,498
576-P1100SBLRP	P1100SBLRP	DO-214AA	90	130	4	5	800	2.2	150	0,68	0,65	0,59	2500	0,539
576-P1100SCLRP	P1100SCLRP	DO-214AA	90	130	4	5	800	2.2	150	0,56	0,54	0,505	2500	0,464
576-P1300SALRP	P1300SALRP	DO-214AA	120	160	4	5	800	2.2	150	0,62	0,59	0,539	2500	0,498
576-P1300SBLRP	P1300SBLRP	DO-214AA	120	160	4	5	800	2.2	150	0,68	0,65	0,59	2500	0,539
576-P1300SCLRP	P1300SCLRP	DO-214AA	120	160	4	5	800	2.2	150	0,56	0,54	0,505	2500	0,464
576-P1500SALRP	P1500SALRP	DO-214AA	140	180	4	5	800	2.2	150	0,62	0,59	0,539	2500	0,498
576-P1500SCLRP	P1500SCLRP	DO-214AA	140	180	4	5	800	2.2	150	0,56	0,54	0,505	2500	0,464
576-P1800SALRP	P1800SALRP	DO-214AA	170	220	4	5	800	2.2	150	0,62	0,59	0,539	2500	0,498
576-P1800SCLRP	P1800SCLRP	DO-214AA	170	220	4	5	800	2.2	150	0,56	0,54	0,505	2500	0,464
576-P2300SALRP	P2300SALRP	DO-214AA	190	260	4	5	800	2.2	150	0,62	0,59	0,539	2500	0,498
576-P2300SBLRP	P2300SBLRP	DO-214AA	190	260	4	5	800	2.2	150	0,68	0,65	0,59	2500	0,539
576-P2300SCLRP	P2300SCLRP	DO-214AA	190	260	4	5	800	2.2	150	0,56	0,54	0,505	2500	0,464
576-P2600SALRP	P2600SALRP	DO-214AA	220	300	4	5	800	2.2	150	0,62	0,59	0,539	2500	0,498
576-P2600SBLRP	P2600SBLRP	DO-214AA	220	300	4	5	800	2.2	150	0,68	0,65	0,59	2500	0,539
576-P2600SCLRP	P2600SCLRP	DO-214AA	220	300	4	5	800	2.2	150	0,56	0,54	0,505	2500	0,464
576-P3100SALRP	P3100SALRP	DO-214AA	275	350	4	5	800	2.2	150	0,62	0,59	0,539	2500	0,498
576-P3100SBLRP	P3100SBLRP	DO-214AA	275	350	4	5	800	2.2	150	0,68	0,65	0,59	2500	0,539
576-P3100SCLRP	P3100SCLRP	DO-214AA	275	350	4	5	800	2.2	150	0,56	0,54	0,505	2500	0,464
576-P3500SALRP	P3500SALRP	DO-214AA	320	400	4	5	800	2.2	150	0,62	0,59	0,539	2500	0,498
576-P3500SBLRP	P3500SBLRP	DO-214AA	320	400	4	5	800	2.2	150	0,68	0,65	0,59	2500	0,539
576-P3500SCLRP	P3500SCLRP	DO-214AA	320	400	4	5	800	2.2	150	0,56	0,54	0,505	2500	0,464

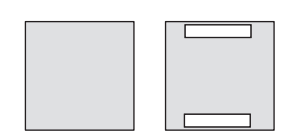

QFN 3x3

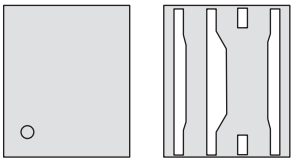

QFN 5x6x1.5

DO-15

SIDACtors® SEP polarisés

- Faible encombrement (QFN)
- Technologie SIDACtor de marque Teccor
- Boîtier à échelle puce (CSP)
- Protection bidirectionnelle contre les tensions transitoires
- Large plage de valeurs nominales

Pour des quantités supérieures à celles indiquées, appelez-nous afin d'obtenir un devis.

RÉF. STOCK MOUSER	Réf. Littelfuse	Boîtier	Dimensions : mm	Volts Min.	Volts Max.	Ih Min.	Is	It à Vt	Prix unitaire			Prix par bobine	
									1	10	50	Qté.	Unit.
576-SEP0080Q38CB	SEP0080Q38CB	QFN	5X6X1.5	6	25	50	800	2.2	1,26	1,21	1,19	4000	1,07
576-SEP0640Q38CB	SEP0640Q38CB	QFN	5X6X1.5	58	77	150	800	2.2	1,26	1,21	1,19	4000	1,07
576-SEP0900Q38CB	SEP0900Q38CB	QFN	5X6X1.5	75	98	150	800	2.2	1,26	1,21	1,19	4000	1,07

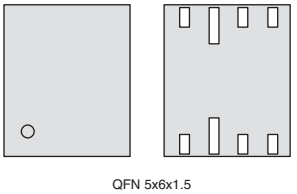

QFN 5x6x1.5

SIDACtors® de série Q2L

- Faible encombrement (QFN)
- Technologie SIDACtor de marque Teccor
- Boîtier à échelle puce (CSP)
- Protection bidirectionnelle contre les surtensions transitoires
- Large plage de valeurs nominales

Pour des quantités supérieures à celles indiquées, appelez-nous pour un devis.

RÉF. STOCK MOUSER	Réf. Littelfuse	Boîtier	Dimensions : mm	Volts Min.	Volts Max.	Classe	Ih Min.	Is mAmps	IT Amps	Prix unitaire			Prix par bobine	
										1	10	100	Qté.	Unit.
Dispositifs SIDACtor de série Q2L (classes A & B)														
576-P0080Q12ALRP	P0080Q12ALRP	QFN	3X3	6	25	A	50	800	2.2	0,99	0,80	0,627	5000	0,424
576-P0080Q12BLRP	P0080Q12BLRP	QFN	3X3	6	25	B	50	800	2.2	1,08	0,875	0,718	5000	0,465
576-P3500Q12BLRP	P3500Q12BLRP	QFN	3X3	320	400	B	150	800	2.2	1,08	0,875	0,718	5000	0,465
Dispositifs SIDACtor de série Q2L (classe C)														
576-P0080Q22CLRP	P0080Q22CLRP	QFN	3.3X3.3	6	25	C	50	800	2.2	1,09	0,891	0,718	5000	0,517
576-P0300Q22CLRP	P0300Q22CLRP	QFN	3.3X3.3	25	40	C	50	800	2.2	1,09	0,891	0,718	5000	0,517
576-P0720Q22CLRP	P0720Q22CLRP	QFN	3.3X3.3	65	88	C	150	800	2.2	1,09	0,891	0,718	5000	0,517
576-P1500Q22CLRP	P1500Q22CLRP	QFN	3.3X3.3	140	180	C	150	800	2.2	1,09	0,891	0,718	5000	0,517
576-P1800Q22CLRP	P1800Q22CLRP	QFN	3.3X3.3	170	220	C	150	800	2.2	1,09	0,891	0,718	5000	0,563

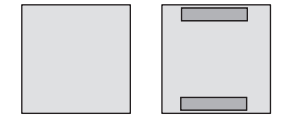

QFN 3.3x3.3 / 3x3

© Copyright 2012 Mouser Electronics

© Copyright 2012 Mouser Electronics

Thyristors Teccor® LITTELFUSE

RoHS Compliant **This product is RoHS compliant.**

♦ Montage en surface

SIDAC LITTELFUSE

Pour des quantités supérieures à celles indiquées, appelez-nous afin d'obtenir un devis.

RÉF. STOCK MOUSER		Boîtier	IT(RMS)	VDRM	VBO (V)		IDRM Max.	IBO Max.	IH (mA)		VTM (V)	ITSM (A)		RS (kΩ)	Prix unitaire		
Fabr.	Réf. fabr.		Amps	Volts	Min.	Max.	(µA)	(µA)	TYP.	Max.	Max.	60Hz	50Hz	Min.	1	10	100
	576—K0900E70	TO-92	1	±70	79	97	5	10	60	150	1.5	20	16.7	0.1	0,40	0,37	0,368
	576—K0900G	DO-15X	1	±70	79	97	5	10	60	150	1.5	20	16.7	0.1	0,62	0,52	0,429
♦	576—K0900SRP	DO-214	1	±70	79	97	5	10	60	150	1.5	20	16.7	0.1	0,44	0,404	0,38
	576—K1050E70	TO-92	1	±90	95	113	5	10	60	150	1.5	20	16.7	0.1	0,40	0,37	0,368
	576—K1050G	DO-15X	1	±90	95	113	5	10	60	150	1.5	20	16.7	0.1	0,62	0,52	0,429
♦	576—K1050SRP	DO-214	1	±90	95	113	5	10	60	150	1.5	20	16.7	0.1	0,66	0,553	0,487
	576—K1100E70	TO-92	1	±90	104	118	5	10	60	150	1.5	20	16.7	0.1	0,73	0,536	0,446
	576—K1100G	DO-15X	1	±90	104	118	5	10	60	150	1.5	20	16.7	0.1	0,62	0,52	0,429
	576—K1200E70	TO-92	1	±90	110	125	5	10	60	150	1.5	20	16.7	0.1	0,40	0,37	0,368
	576—K1200G	DO-15X	1	±90	110	125	5	10	60	150	1.5	20	16.7	0.1	0,41	0,39	0,376
	576—K1300E70	TO-92	1	±90	120	138	5	10	60	150	1.5	20	16.7	0.1	0,40	0,37	0,368
	576—K1400E70	TO-92	1	±90	130	146	5	10	60	150	1.5	20	16.7	0.1	0,39	0,36	0,356
	576—K1500G	DO-15X	1	±90	140	170	5	10	60	150	1.5	20	16.7	0.1	0,48	0,45	0,434
♦	576—K1500SRP	DO-214	1	±90	140	170	5	10	60	150	1.5	20	16.7	0.1	0,64	0,578	0,553
	576—K2000E70	TO-92	1	±180	190	215	5	10	60	150	1.5	20	16.7	0.1	0,64	0,578	0,553
	576—K2000G	DO-15X	1	±180	190	215	5	10	60	150	1.5	20	16.7	0.1	0,51	0,48	0,46
♦	576—K2000SRP	DO-214	1	±180	190	215	5	10	60	150	1.5	20	16.7	0.1	0,53	0,50	0,484
	576—K2200E70	TO-92	1	±180	205	230	5	10	60	150	1.5	20	16.7	0.1	0,47	0,44	0,426
♦	576—K2200SRP	DO-214	1	±180	205	230	5	10	60	150	1.5	20	16.7	0.1	0,53	0,50	0,484
	576—K2500E70	TO-92	1	±200	240	280	5	10	60	150	1.5	20	16.7	0.1	0,51	0,48	0,46
	576—K2500G	DO-15X	1	±200	240	280	5	10	60	150	1.5	20	16.7	0.1	0,51	0,43	0,393

RoHS Compliant

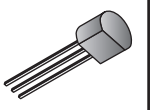

TO-92

RoHS Compliant

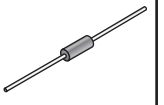

DO-15X

SCR's

Pour des quantités supérieures à celles indiquées, appelez-nous afin d'obtenir un devis.

RÉF. STOCK MOUSER	Réf. Littelfuse	Boîtier	IT(RMS)	VDRM	I_{DRM} à VDRM (mA)		Courant de déclenchement max de porte (µA)	V_{TM} (V)	Courant de choc non répétitif (A)	di/dt à 110°C (A/µs)	dv/dt à 125°C (V/µs)	T_{GT} (µs)	T_q (µs)	Prix unitaire		
					@25°C	@125°C								1	10	100
576-S6008R	S6008R	TO-220	8	600	0.01	0,5	15000	1.6	100	100	225	2	35	0,86	0,82	0,78
576-S6008L	S6008L	TO-220	8	600	0.01	0,5	15000	1.6	100	100	225	2	35	0,94	0,89	0,85
576-S6015L	S6015L	TO-220	15	600	0.01	1	30000	1.6	225	125	325	2	35	1,02	0,82	0,749
576-S6025L	S6025L	TO-220	25	600	0.01	2	35000	1.6	350	150	325	2	35	1,37	1,23	1,18
576-S6055R	S6055R	TO-220	55	600	0.01	2	40000	1.8	650	175	500	2.5	35	2,38	2,26	2,15
576-S8040R	S8040R	TO-220	40	800	0.02	3	40000	1.8	520	175	475	2.5	35	2,57	2,53	2,15
576-S8055R	S8055R	TO-220	55	800	0.02	3	40000	1.8	650	175	475	2.5	35	2,36	2,15	2,04
576-SK040R	SK040R	TO-220	40	1000	0.03	-	40000	1.8	520	175	-	2.5	35	2,70	2,50	2,01
576-S601E	S601E	TO-92	1	600	0.01	0,5	10000	1.6	30	50	20	2	35	0,48	0,45	0,434
576-S6006L	S6006L	TP-220	6	600	0.01	0,5	15000	1.6	100	100	225	2	35	0,84	0,80	0,763
576-S6010L	S6010L	TO-220	10	600	0.01	0,5	15000	1.6	100	100	225	2	35	1,06	0,90	0,835
576-S8010L	S8010L	TO-220	10	800	0.02	1	15000	1.6	100	100	200	2	35	1,11	1,06	1,01
576-S6020L	S6020L	TO-220	20	600	0.01	1	30000	1.6	300	125	325	2	35	1,17	0,93	0,835
576-S8020L	S8020L	TO-220	20	800	0.02	2	30000	1.6	300	125	300	2	35	1,26	0,99	0,896
576-S8035K	S8035K	TO-218	35	800	0.02	3	40000	1.8	500	150	300	2	35	3,19	2,53	2,28
576-S8065J	S8065J	TO-218	65	800	0.02	5	50000	1.8	950	200	475	2.5	35	5,30	5,26	5,23
576-S8015L	S8015L	TO-220	15	800	0.02	2	30000	1.6	225	125	300	2	35	1,11	1,05	1,00

RoHS Compliant

TO-214

RoHS Compliant

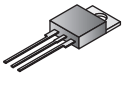

TO-220

TRIAC LITTELFUSE

Pour des quantités supérieures à celles indiquées, appelez-nous afin d'obtenir un devis.

RÉF. STOCK MOUSER		Boîtier	IT (RMS)	VDRM	IGT (mA)				IDRM Max. (mA)			VTM (V)	VGT (V)	Watts		dv/dt (V/µs)		Prix unitaire		
					Max.			TYP												
Fabr.	Réf. fabr.		Amps	Volts	Q1	Q2	Q3	Q4	TC=25°C	TC=100°C	TC=125°C	TC=25°C	TC=25°C	PGM	PG (AV)	TYP	TC=25°C	1	10	100
	576—Q201E3	TO-92	1	200	10	10	10	25	0.02	0,5	1	1.6	2	10	0.2	1	40	0,48	0,45	0,434
	576—Q401E3	TO-92	1	400	10	10	10	25	0.02	0,5	1	1.6	2	10	0.2	1	40	0,51	0,48	0,46
	576—Q2004L3	TO-220	4	200	10	10	10	25	0.05	0,5	2	1.6	2	15	0.3	2	50	0,84	0,80	0,763
	576—Q2004L4	TO-220	4	200	25	25	25	50	0.01	3	2	1.6	1.3	15	0.3	2	50	0,74	0,71	0,675
♦	576—Q4004D3RP	TO-252	4	400	10	10	10	25	0.05	0,5	2	1.6	2	15	0.3	2	50	0,70	0,67	0,638
	576—Q4004L3	TO-220	4	400	10	10	10	25	0.05	0,5	2	1.6	2	15	0.3	2	50	0,92	0,87	0,832
	576—Q4004L4	TO-220	4	400	25	25	25	50	0.05	0,5	2	1.6	2.5	15	0.3	2	100	0,87	0,83	0,789
	576—Q6004L4	TO-220	4	600	25	25	25	50	0.05	0,5	2	1.6	2.5	15	0.3	2	75	1,03	0,98	0,937
	576—Q2006L4	TO-220	6	200	25	25	25	50	0.05	3	2	1.6	1.3	18	0,5	4	120	1,15	0,96	0,857
	576—Q4006L4	TO-220	6	400	25	25	25	50	0.05	0,5	2	1.6	2.5	18	0,5	4	200	1,21	1,07	0,982
	576—Q6006L5	TO-220	6	600	50	50	50	75	0.05	0,5	2	1.6	2.5	18	0,5	4	150	1,14	1,08	1,03
	576—Q6006R5	TO-220	6	600	50	50	50	75	0.05	0,5	2	1.6	2.5	18	0,5	4	150	1,14	1,02	0,965
	576—Q2008L4	TO-220	8	200	25	25	25	50	0.05	3	2	1.6	1.3	20	0,5	4	150	1,21	1,07	0,982
	576—Q4008L4	TO-220	8	400	25	25	25	50	0.05	0,5	2	1.6	2.5	20	0,5	4	250	1,10	1,04	0,992
	576—Q4008R4	TO-220	8	400	25	25	25	50	0.05	0,5	2	1.6	2.5	20	0,5	4	250	1,21	1,07	0,982
	576—Q6008L5	TO-220	8	600	50	50	50	75	0.05	0,5	2	1.6	2.5	20	0,5	4	220	1,21	1,15	1,09
	576—Q6008R5	TO-220	8	600	50	50	50	75	0.05	0,5	2	1.6	2.5	20	0,5	4	220	1,22	1,16	0,99
	576—Q2010R5	TO-220	10	200	50	50	50	75	0.05	0,5	2	1.6	2.5	20	0,5	4	350	-	-	-
	576—Q4010L5	TO-220	10	400	50	50	50	75	0.05	0,5	2	1.6	2.5	20	0,5	4	350	1,11	1,06	0,982
	576—Q4010R5	TO-220	10	400	50	50	50	75	0.05	0,5	2	1.6	2.5	20	0,5	4	350	1,21	1,16	0,974
	576—Q6010L5	TO-220	10	600	50	50	50	75	0.05	0,5	2	1.6	2.5	20	0,5	4	300	1,38	1,31	1,24
	576—Q6010R5	TO-220	10	600	50	50	50	75	0.05	0,5	2	1.6	2.5	20	0,5	4	300	1,19	1,13	1,08
	576—Q8010L5	TO-220	10	800	50	50	50	75	0.1	0,5	2	1.6	2.5	20	0,5	4	250	1,65	1,42	1,30
	576—Q2015L5	TO-220	15	200	50	50	50	-	0.05	0,5	2	1.6	2.5	20	0,5	4	400	1,17	1,11	1,07
	576—Q2015R5	TO-220	15	200	50	50	50	-	0.05	0,5	2	1.6	2.5	20	0,5	4	400	1,11	1,06	0,982
	576—Q4015L5	TO-220	15	400	50	50	50	-	0.05	0,5	2	1.6	2.5	20	0,5	4	400	1,42	1,35	1,28
	576—Q4015R5	TO-220	15	400	50	50	50	-	0.05	0,5	2	1.6	2.5	20	0,5	4	400	1,21	1,16	1,07
	576—Q6015L5	TO-220	15	600	50	50	50	-	0.05	0,5	2	1.6	2.5	20	0,5	4	350	1,80	1,76	1,49
	576—Q6015R5	TO-220	15	600	50	50	50	-	0.05	0,5	2	1.6	2.5	20	0,5	4	350	1,56	1,48	1,40
	576—Q8015L5	TO-220	15	800	50	50	50	-	0.1	1	3	1.6	2.5	20	0,5	4	300	1,77	1,73	1,60
♦	576—Q4025N5RP	TO-263	25	400	50	50	50	-	0.1	1	3	1.8	2.5	20	0,5	5	400	2,03	1,96	1,66
	576—Q4025R5	TO-220	25	400	50	50	50	-	0.1	1	3	1.8	2.5	20	0,5	5	400	1,80	1,76	1,49
♦	576—Q4025R5	TO-263	25	600	50	50	50	-	0.1	1	3	1.8	2.5	20	0,5	5	350	1,80	1,76	1,49
	576—Q6025P5	TO-3	25	600	50	50	50	-	0.1	0	5	1.4	0.2	20	0,5	5	550	6,27	4,99	4,48
	576—Q6025R5	TO-220	25	600	50	50	50	-	0.1	1	3	1.8	2.5	20	0,5	5	350	1,82	1,72	1,63
	576—Q6035P5	TO-3	35	600	50	50	50	120	0.1	5	3	1.5	2.75	20	0,5	5	550	8,27	7,86	7,46

RoHS Compliant

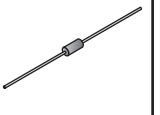

DO-35

RoHS Compliant

Compak

© Copyright 2012 Mouser Electronics

© Copyright 2012 Mouser Electronics

Thyristors Teccor® LITTELFUSE

RoHS Compliant This product is RoHS compliant.

Littelfuse

♦ Montage en surface

TRIACS ALTERNISTOR LITTELFUSE

Caractéristiques :

- Capacité de courant de choc élevée
- Jonctions passives à verre
- Isolation 2500VCA pour boîtiers L, J et K
- Dv/dt de commutation élevé
- Dc/dt statique élevé
- Conforme RoHS

Pour des quantités supérieures à celles indiquées, appelez-nous afin d'obtenir un devis.

RÉF. STOCK MOUSER		Boîtier	T (RMS)	VDRM	IGT (mA) Max.			IDRM Max. (mA)			VTM (V)	VGT (V)	Watts		dv/dt (V/µs)		Prix unitaire	
Fabr.	Réf. fabr.		Amps	Volts	Q1	Q2	Q3	TC=25°C	TC=100°C	TC=125°C	TC=25°C	TC=25°C	PGM	PG (AV)	TYP.	TC=100°C	1	10
576—	Q4025K6	TO-218	25	400	80	80	80	0.05	0,5	2	1.8	2.5	20	0,5	30	875	3,75	3,56
576—	Q6025K6	TO-218	25	600	80	80	80	0.05	0,5	2	1.8	2.5	20	0,5	30	800	4,59	4,36
576—	Q6040K7	TO-218	40	600	100	100	100	0.2	2	5	1.8	2.5	40	0.8	50	1000	6,20	5,34
576—	Q6006LH4	TO-220	6	600	35	35	35	0.01	0,5	2	1.6	1.3	18	0,5	25	425	1,11	1,06
576—	Q4012LH5	TO-220	12	400	50	50	50	0.01	0,5	2	1.6	1.3	20	0,5	30	1000	1,40	1,33
576—	Q8016LH4	TO-220	16	800	35	35	35	0.1	1	3	1.6	2	20	0,5	25	425	1,82	1,72
576—	Q2025L6	TO-220	25	200	80	80	80	0.05	0,5	2	1.8	2.5	20	0,5	30	875	2,06	2,00
576—	Q4025L6	TO-220	25	400	80	80	80	0.05	0,5	2	1.8	2.5	20	0,5	30	875	2,11	2,01
576—	Q6025L6	TO-220	25	600	80	80	80	0.05	0,5	2	1.8	2.5	20	0,5	30	800	2,18	1,98
576—	Q6025R6	TO-220	25	600	80	80	80	0.05	0,5	2	1.8	2.5	20	0,5	30	800	2,12	2,02
576—	Q8025L6	TO-220	25	800	80	80	80	0.1	1	3	1.8	2.5	20	0,5	30	700	2,80	2,66
576—	Q4025J6	TO-218X	25	400	80	80	80	0.05	0,5	2	1.8	2.5	20	0,5	30	875	4,30	4,24
576—	Q8025J6	TO-218X	25	800	80	80	80	0.1	1	3	1.8	2.5	20	0,5	30	700	5,61	5,54
576—	Q4030LH5	TO-220	30	400	50	50	50	0.05	0	2	1.4	2	20	0,5	20	600	2,17	2,08
576—	Q4040J7	TO-218X	40	400	100	100	100	0.2	2	5	1.8	2.5	40	0.8	50	1100	6,11	5,80
576—	Q8040J7	TO-218X	40	800	100	100	100	0.2	2	5	1.8	2.5	40	0.8	50	900	7,44	7,38

TRIACS SENSIBLES LITTELFUSE

Caractéristiques :

- Boîtiers isolés électriquement
- Jonctions passives à verre
- Capacité de tension jusqu'à 600V
- Capacité de choc jusqu'à 80A
- Portes quatre quadrants garanties
- Conforme RoHS

Pour des quantités supérieures à celles indiquées, appelez-nous afin d'obtenir un devis.

RÉF. STOCK MOUSER		Boîtier	IT (RMS)	VDRM	IGT (mA) Max.				IDRM Max. (mA)		VTM (V)	VGT (V)	Watts		ITSM Amps	dv/dt (V/µs)		Prix unitaire	
Fabr.	Réf. fabr.		Amps	Volts	Q1	Q2	Q3	Q4	TC=25°C	TC=110°C	TC=25°C	TC=25°C	PGM	PG (AV)	60/50Hz	TYP.	TC=100°C	1	10
♦ 576—	L2X3RP	Compak	0.8	200	3	3	3	3	0.01	0.1	1.6	2	10	0.2	10/8.3	0,5	20	-	-
576—	L201E3	TO-92	1	200	3	3	3	3	0.01	0.1	1.6	2	10	0.2	20/16.7	0,5	20	0,53	0,50
576—	L601E3	TO-92	1	600	3	3	3	3	0.01	0.1	1.6	2	10	0.2	20/16.7	0,5	10	0,68	0,65
576—	L2004L3	TO-220	4	200	3	3	3	3	0.01	0.2	1.6	2	15	0.3	40/33	0,5	25	1,21	1,07
576—	L4004L3	TO-220	4	400	3	3	3	3	0.01	0.2	1.6	2	15	0.3	40/33	0,5	25	1,12	1,07
576—	L6004L3	TO-220	4	600	3	3	3	3	0.01	0.2	1.6	2	15	0.3	40/33	0,5	15	1,33	1,27
576—	L6008L6	TO-220	8	600	5	5	5	10	0.02	0,5	1.6	2	18	0.4	80/65	2	20	1,22	1,16

QUADRACS LITTELFUSE

Caractéristiques :

- Jonctions passives à verre
- Boîtier isolé électriquement
- Diac à déclenchement interne
- Capacité haute intensité - jusqu'à 200A
- Capacité haute tension - 200V à 600V
- Conforme RoHS

Pour des quantités supérieures à celles indiquées, appelez-nous afin d'obtenir un devis.

RÉF. STOCK MOUSER		Boîtier	IT (RMS)	VDRM	IDRM Max. (mA)			VTM (V)	ΔVBO (V)	VBO (V)		ΔV ± (V)	IBO (µA)	CT (µF)	ITSM Amps	dv/dt (V/µs)		Prix unitaire	
Fabr.	Réf. fabr.		Amps	Volts	TC=25°C	TC=100°C	TC=125°C	TC=25°C	TC=25°C	Min.	Max.	Min.	Max.	Max.	60/50Hz	TYP.	TC=100°C	1	10
576—	Q2004LT	TO-220	4	200	0.05	0,5	2	1.6	3	33	43	5	25	0.1	55/46	3	75	0,87	0,83
576—	Q4004LT	TO-220	4	400	0.05	0,5	2	1.6	3	33	43	5	25	0.1	55/46	3	75	1,00	0,95
576—	Q6004LT	TO-220	4	600	0.05	0,5	2	1.6	3	33	43	5	25	0.1	55/46	3	50	1,21	1,15
576—	Q2006LT	TO-220	6	200	0.05	0,5	2	1.6	3	33	43	5	25	0.1	80/65	4	150	0,96	0,91
576—	Q4006LT	TO-220	6	400	0.05	0,5	2	1.6	3	33	43	5	25	0.1	80/65	4	150	1,14	1,08
576—	Q6006LT	TO-220	6	600	0.05	0,5	2	1.6	3	33	43	5	25	0.1	80/65	4	125	1,46	1,40
576—	Q4006LTH	TO-220	6	400	0.05	0,5	2	1.6	3	33	43	5	25	0.1	80/65	25	575	1,29	1,24
576—	Q2008LT	TO-220	8	200	0.05	0,5	2	1.6	3	33	43	5	25	0.1	100/83	4	175	1,14	1,08
576—	Q4008LT	TO-220	8	400	0.05	0,5	2	1.6	3	33	43	5	25	0.1	100/83	4	175	1,15	1,09
576—	Q6008LT	TO-220	8	600	0.05	0,5	2	1.6	3	33	43	5	25	0.1	100/83	4	150	1,36	1,30
576—	Q4008LTH	TO-220	8	400	0.05	0,5	2	1.6	3	33	43	5	25	0.1	100/83	25	575	1,40	1,33
576—	Q6008LTH	TO-220	8	600	0.05	0,5	2	1.6	3	33	43	5	25	0.1	100/83	25	425	1,39	1,30
576—	Q2010LT	TO-220	10	200	0.05	0,5	2	1.6	3	33	43	5	25	0.1	120/100	4	200	1,12	1,07
576—	Q4010LT	TO-220	10	400	0.05	0,5	2	1.6	3	33	43	5	25	0.1	120/100	4	200	1,35	1,29
576—	Q6010LT	TO-220	10	600	0.05	0,5	2	1.6	3	33	43	5	25	0.1	120/100	4	175	2,03	1,66
576—	Q4010LTH	TO-220	10	400	0.05	0,5	2	1.6	3	33	43	5	25	0.1	120/100	30	925	1,27	1,21
576—	Q6010LTH	TO-220	10	600	0.05	0,5	2	1.6	3	33	43	5	25	0.1	120/100	30	775	1,77	1,70
576—	Q2015LT	TO-220	15	200	0.05	0,5	2	1.6	3	33	43	5	25	0.1	200/167	4	300	1,29	1,22
576—	Q4015LT	TO-220	15	400	0.05	0,5	2	1.6	3	33	43	5	25	0.1	200/167	4	300	1,42	1,35
576—	Q6015LT	TO-220	15	600	0.05	0,5	2	1.6	3	33	43	5	25	0.1	200/167	4	200	1,68	1,34
576—	Q4015LTH	TO-220	15	400	0.05	0,5	2	1.6	3	33	43	5	25	0.1	200/167	30	925	1,47	1,39
576—	Q6015LTH	TO-220	15	600	0.05	0,5	2	1.6	3	33	43	5	25	0.1	200/167	30	775	1,73	1,64

RoHS Compliant

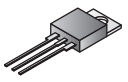

TO-220

RoHS Compliant

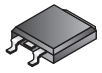

TO-263

RoHS Compliant

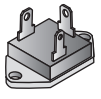

TO-3

RoHS Compliant

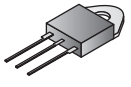

TO-218

RoHS Compliant

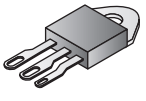

TO-218X

RoHS Compliant

Compak

RoHS Compliant

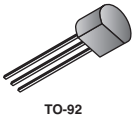

TO-92

© Copyright 2012 Mouser Electronics

© Copyright 2012 Mouser Electronics

Thyristors et protection de circuits ON SEMICONDUCTOR

ON Semiconductor®

RoHS Compliant This product is RoHS compliant.

THYRISTORS

Silicium

Pour des quantités supérieures à celles indiquées, appelez-nous afin d'obtenir un devis.

RÉF. STOCK MOUSER	Réf. ON Semiconductor	Boîtier	IT(RMS) Max (A)	VDRM Min (V)	ITSM Max (A)	IGT Max (mA)	VGT Max (V)	Prix unitaire 1	25	100	500
863-2N5061RLRAG	2N5061RLRAG	TO-92	0.8	-	10	0.2	0.8	0,26	0,182	0,146	0,12
863-2N6404G	2N6404G	TO-220 3	16	-	160	30	1.5	0,85	0,84	0,825	0,743
863-MCR100-6G	MCR100-6G	TO-92	0.8	-	10	0.2	0.8	0,24	0,182	0,12	0,099
863-MCR12DSMT4G	MCR12DSMT4G	DPAK 4	12	600	100	0.2	1	0,48	0,44	0,438	0,394
863-MCR22-6RLRAG	MCR22-6-RLRAG	TO-92	1.5	400	15	0.2	0.8	0,32	0,231	0,163	0,134
863-MCR22-8RL1G	MCR22-8RL1G	TO-92	1.5	600	15	0.2	0.8	0,35	0,248	0,174	0,144
863-MCR69-3G	MCR69-3G	TO-220 3	25	-	300	30	1.5	0,80	0,70	0,685	0,655
863-MCR8SNG	MCR8SNG	TO-220 3	8	800	80	0.2	1	0,83	0,66	0,517	0,44

Transistors unijonction programmables

Pour des quantités supérieures à celles indiquées, appelez-nous afin d'obtenir un devis.

RÉF. STOCK MOUSER	Réf. ON Semiconductor	Boîtier	IGAO Max (µA)	IP Max (µA)	VT (V) Min.	VT (V) Max.	IV Max (µA)	Prix unitaire 1	25	100	500
863-2N6027G	2N6027G	TO-92	0.01	2	0.2	1.6	50	0,31	0,215	0,154	0,127
863-2N6028G	2N6028G	TO-92	0.01	0.15	0.2	0.6	25	0,31	0,215	0,154	0,127

Redresseurs de courant au silicium

Pour des quantités supérieures à celles indiquées, appelez-nous afin d'obtenir un devis.

RÉF. STOCK MOUSER	Réf. ON Semiconductor	Boîtier	IT(RMS) Max (A))	VDRM Min (V))	ITSM Max (A)	IGT Max (mA)	VGT Max (V)	Prix unitaire 1	25	100	500
863-C106BG	C106BG	TO-225	4	200	20	0.2	0.8	0,49	0,404	0,305	0,264
863-2N6507TG	2N6507TG	TO-220	25	400	300	30	1.5	0,85	0,84	0,825	0,743
863-C106D1G	C106D1G	TO-225	4	400	20	0.2	0.8	0,58	0,512	0,38	0,318
863-C106DG	C106DG	TO-225	4	400	20	0.2	0.8	0,58	0,538	0,38	0,318
863-MCR25DG	MCR25DG	TO-220	25	400	300	30	1	1,06	0,949	0,789	0,684
863-MCR8SDG	MCR8SDG	TO-220	8	400	80	0.2	1	0,78	0,703	0,475	0,404
863-C106MG	C106MG	TO-225	4	600	20	0.2	0.8	0,58	0,538	0,38	0,318
863-MCR12NG	MCR12NG	DPAK	12	800	100	20	1	0,82	0,652	0,517	0,44
863-MCR8SNG	MCR8SNG	TO-220	8	800	80	0.2	1	0,83	0,66	0,517	0,44

SIDACs

Pour des quantités supérieures à celles indiquées, appelez-nous afin d'obtenir un devis.

RÉF. STOCK MOUSER	Réf. ON Semiconductor	Boîtier	IT(RMS) Max (A))	V(BO) Min.	V(BO) Max.	Prix unitaire 1	25	100	500
863-MKP3V120G	MKP3V120G	Fil axial	1	110	130	0,81	0,728	0,629	0,561
863-MKP3V120RLG	MKP3V120RLG	Fil axial	1	110	130	0,81	0,728	0,629	0,561

TRIACS

Pour des quantités supérieures à celles indiquées, appelez-nous afin d'obtenir un devis.

RÉF. STOCK MOUSER	Réf. ON Semiconductor	Boîtier	IT(RMS) Max (A)	VDRM Min (V)	ITSM Max (A)	Type	Prix unitaire 1	25	100	500
863-MAC97A4G	MAC97A4G	TO-92	0.6	200	8	Triac à porte sensible	0,16	0,15	0,141	0,127
863-MAC08BT1G	MAC08BT1G	SOT-223	0.8	200	8	Triac à porte sensible	0,36	0,301	0,212	0,178
863-2N6071BTG	2N6071BTG	TO-225	4	200	30	Triac à porte sensible	0,69	0,592	0,417	0,351
863-2N6073BG	2N6073BG	TO-225	4	400	30	Triac à porte sensible	0,46	0,355	0,313	0,266
863-2N6075AG	2N6075AG	TO-225	4	600	30	Triac à porte sensible	0,43	0,355	0,313	0,256
863-MAC4DHMT4G	MAC4DHMT4G	DPAK	4	600	40	Triac à porte sensible	0,52	0,437	0,339	0,271
863-MAC228A6G	MAC228A6G	TO-220AB	8	400	80	Triac à porte sensible	0,98	0,833	0,66	0,561
863-MAC8DG	MAC8DG	TO-220AB	8	400	80	Triac	0,69	0,633	0,507	0,431
863-T2800DG	T2800DG	TO-220AB	8	400	100	Triac	1,33	1,03	0,833	0,716
863-2N6344G	2N6344G	TO-220AB	8	600	100	Triac	1,24	0,998	0,85	0,723
863-MAC8SMG	MAC8SMG	TO-220AB	8	600	70	Triac à porte sensible	0,87	0,668	0,601	0,429
863-MAC228A8G	MAC228A8G	TO-220AB	8	600	80	Triac à porte sensible	1,06	0,833	0,66	0,561
863-MAC8MG	MAC8MG	TO-220AB	8	600	80	Triac	0,73	0,619	0,495	0,421
863-MAC8SNG	MAC8SNG	TO-220AB	8	800	70	Triac à porte sensible	0,84	0,759	0,677	0,474
863-MAC228A10G	MAC228A10G	TO-220AB	8	800	80	Triac à porte sensible	1,01	0,858	0,682	0,58
863-MAC8NG	MAC8NG	TO-220AB	8	800	80	Triac	0,83	0,652	0,517	0,44
863-2N6348AG	2N6348AG	TO-220AB	12	600	100	Triac	1,26	1,06	0,789	0,684
863-MAC12MG	MAC12MG	TO-220AB	12	600	100	Triac	0,68	0,602	0,495	0,421
863-2N6349AG	2N6349AG	TO-220AB	12	800	100	Triac	1,15	1,03	0,789	0,672
863-BTB12-800BW3G	BTB12-800BW3G	TO-220AB	12	800	120	Triac	0,75	0,685	0,616	0,468
863-MAC15A6G	MAC15A6G	TO-220AB	15	400	150	Triac	1,25	1,06	0,789	0,684
863-MAC15A8G	MAC15A8G	TO-220AB	15	600	150	Triac	1,25	1,06	0,789	0,684
863-MAC15A10G	MAC15A10G	TO-220AB	15	800	150	Triac	1,15	0,998	0,789	0,672
863-MAC16DG	MAC16DG	TO-220AB	16	400	150	Triac	1,00	0,767	0,694	0,526
863-MAC16MG	MAC16MG	TO-220AB	16	600	150	Triac	1,00	0,776	0,619	0,526
863-MAC16NG	MAC16NG	TO-220AB	16	800	150	Triac	1,16	0,982	0,701	0,596

PROTECTION DE CIRCUITS

Pour des quantités supérieures à celles indiquées, appelez-nous afin d'obtenir un devis.

RÉF. STOCK MOUSER	Réf. ON Semiconductor	Boîtier	V(BR) Typ (V)	VRWM Max (V)	IR Max (µAmps)	R Typ (Ω)	C Typ (pF)	Prix unitaire 1	25	100	500
Filtres audio											
863-NUF2114MNT1G	NUF2114MNT1G	DFN-8	15.7	12	0.1	8.4	60	0,59	0,462	0,462	0,403
Filtres de ligne de données											
863-NZF220DFT1G	NZF220DFT1G	SOT-353	7	3	1	100	22	0,31	0,232	0,232	0,188
Filtres USB											
863-NUF2101MT1G	NUF2101MT1G	TSOP-6	7	5.25	0.1	30	55	0,73	0,429	0,429	0,363
863-NUF2221W1T2G	NUF2221W1T2G	SC-88	6.8	5.25	0.1	22	42	0,56	0,292	0,292	0,251
Filtres de ligne de données											
863-NUF4010MUT2G	NUF4010MUT2G	UDFN-8	7	5	0.1	100	7	0,71	0,454	0,454	0,366
863-NUF6010MUT2G	NUF6010MUT2G	UDFN-12	6.8	5	0.1	100	7	0,51	0,305	0,305	0,291
863-NUF6410MNT1G	NUF6410MNT1G	DFN-12	6.8	5	0.1	100	7	0,57	0,294	0,294	0,252

ESD

Pour des quantités supérieures à celles indiquées, appelez-nous afin d'obtenir un devis.

RÉF. STOCK MOUSER	Réf. ON Semiconductor	Boîtier	V(BR) Min (V)	V(BR) Max (V)	VRWM Max (V)	IR Max (µAmps)	Prix unitaire 1	25	100	500
Bidirectionnel										
863-NUP4301MR6T1G	NUP4301MR6T1G	SC-74	70	-	-	2.5	0,33	0,27	0,19	0,158
863-NUP1301ML3T1G	NUP1301ML3T1G	SOT-23	70	2.5	-	-	0,33	0,231	0,124	0,106
863-NUP2301MW6T1G	NUP2301MW6T1G	SOT-363	70	2.5	-	-	0,26	0,243	0,193	0,158
Unidirectionnel										
863-NUP4103FCT1G	NUP4103FCT1G	Flip Chip-5	6	8	5.5	0.1	0,25	0,198	0,182	0,157

© Copyright 2012 Mouser Electronics

© Copyright 2012 Mouser Electronics

Diodes et barrettes de limitation de surtension BOURNS

BOURNS®

RoHS Compliant This product is RoHS compliant.

BARRETTES DE DIODES DE COMMANDE/LIMITATION DE SURTENSION

A

B

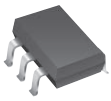

C

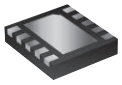

D

1

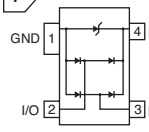

Caractéristiques :
- Sans plomb en version standard
- Protection ESD >25kV
- Protège une ligne Vcc et deux lignes de données
- CEI 61000-4-2 (ESD)
- CEI 61000-4-4 (EFT)

Applications :
- Ethernet-10/100/1000 Base T
- Firewire et USB
- Électronique portable
- Cartes vidéo/graphiques

2

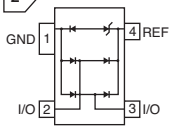

Caractéristiques :
- Sans plomb en version standard
- Protection ESD
- Protège deux lignes
- CEI 61000-4-2 (ESD)
- CEI 61000-4-4 (EFT)

Applications :
- Ethernet-10/100/1000 Base T
- Firewire et USB
- Électronique portable
- Cartes vidéo/graphiques

3

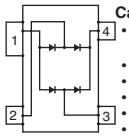

Caractéristiques :
- Sans plomb en version standard
- Protection ESD
- Protège deux lignes
- Faible capacité de 3pF
- CEI 61000-4-2
- Courant de fuite faible <1µA

Applications :
- Téléphones mobiles
- Ordinateurs de bureau
- Ordinateurs portables et notebooks
- Électronique portable

4

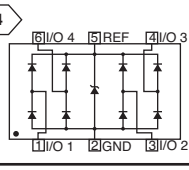

Caractéristiques :
- Composant sans plomb
- Protège 4 lignes
- Protection ESD
- Capacité faible de 3,5pF
- CEI 61000-4-2
- CEI 61000-4-4

Applications :
- Ethernet-10/100/1000 Base T
- Téléphones mobiles
- Cartes vidéo/graphiques
- Interface USB 2.0
- Interface DVI

5

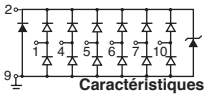

Caractéristiques :
- Capacité faible de 3,0pF
- Protection ESD
- Vcc + six lignes de données d'E/S

Applications :
- USB 3.0
- HDMI 1.4
- Protection des ports à grande vitesse
- Électronique portable

6

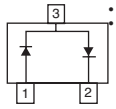

Caractéristiques :
- Commutation à grande vitesse
- Tenue aux surtensions
- Sans plomb

Applications :
- Assistants numériques personnels (PDA)
- Téléphones mobiles et accessoires
- Protection des cartes mémoire
- Protection des ports de cartes SIM
- Électronique portable

NEW PRODUCT

Pour des quantités supérieures à celles indiquées, appelez-nous afin d'obtenir un devis.

RÉF. STOCK MOUSER	Réf. Bourns	Fig.	Tension de service	Cap. pF	Courant de fuite	Lignes de données	Type de boîtier	Prix unitaire 1	100	500	1500	Qté. par bobine	Prix unitaire
652-CD143A-SR05	CD143A-SR05	A1	10	5	5	2	S0T143	1,20	0,55	0,51	0,49	3000	0,42
652-CD143A-SR05LC	CD143A-SR05LC	A1	5	10	5	2	SOT143	0,72	0,462	0,404	0,396	3000	0,347
652-CD143A-SR12	CD143A-SR12	A1	10	1	12	2	S0T143	1,20	0,55	0,51	0,49	3000	0,42
652-CD143A-SR2.8	CD143A-SR2.8	A2	4.5	1	2.8	-	S0T143	1,20	0,55	0,51	0,49	3000	0,42
652-CD143A-SR3.3	CD143A-SR3.3	A2	4.5	1	3.3	-	S0T143	1,20	0,55	0,51	0,49	3000	0,42
652-CD143A-SR70	CD143A-SR70	A3	3	1	-	2	S0T143	1,20	0,55	0,51	0,49	3000	0,42
652-CDSOT23-SRV05-4	CDSOT23-SRV05-4	B4	3.5	5	5	-	SOT23	1,67	0,78	0,72	0,68	3000	0,65
652-CDDFN10-0506N	CDDFN10-0506N	C5	6	0.25	2.5	6	DFN-10	1,16	0,866	0,722	0,65	3000	0,578
652-CDSOT23-S2004	CDSOT23-S2004	D6	240	5	100	-	SOT23	0,17	0,124	0,103	0,093	3000	0,083

SÉRIE DE BARRETTES DE DIODES DE COMMANDE/LIMITATION DE SURTENSION - BIDIRECTIONNELLES

A

B

C

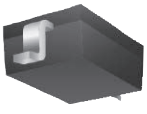

D

E

1

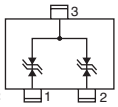

Caractéristiques :
- Sans plomb en version standard
- Tension de calage faible
- Bidirectional ESD protection
- Protège 2 lignes
- CEI 61000-4-2 (ESD)
- CEI 61000-4-4 (EFT)

Applications :
- Protection d'interface pour ordinateurs
- Protection de microprocesseurs
- Lignes de puissance sur protection de carte
- Protection de lignes de signal de commande
- Protection contre le déclenchement parasite

2

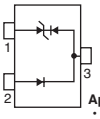

Caractéristiques :
- Faible capacité de 2,5pF
- Protection ESD
- Protection contre les surtensions
- CEI 61000-4-2 (ESD)
- CEI 61000-4-4 (EFT)
- CEI 61000-4-5 (surtension)

Applications :
- Assistants numériques personnels (PDA)
- Téléphones mobiles et accessoires
- Protection des cartes mémoire
- Protection des ports de cartes SIM
- Électronique portable

3

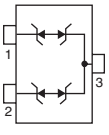

Caractéristiques :
- Working peak reverse voltage 7 V or 12 V
- Protection ESD >40kV
- Protection contre les surtensions
- CEI 61000-4-2 (ESD)
- CEI 61000-4-4 (EFT)
- CEI 61000-4-5 (surtension)

Applications :
- Systèmes sans fil
- Protection de réseau
- Électronique portable

4

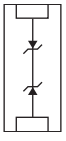

Caractéristiques :
- Limitation de surtension bidirectionnelle 3,3V
- Faible capacité de 23pF
- Protection ESD >25kV
- Encombrement de style 0402
- CEI 61000-4-2 (ESD)
- CEI 61000-4-4 (EFT)
- CEI 61000-4-5 (surtension)

Applications :
- Ordinateurs et périphériques
- Systèmes de communication
- Équipement audio et vidéo
- Instrumentation portable

5

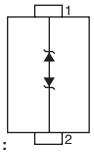

Caractéristiques :
- Limitation de surtension bidirectionnelle 3,3V
- Faible capacité de 23pF
- Protection ESD >25kV
- Encombrement de style 0402
- CEI 61000-4-2 (ESD)
- CEI 61000-4-4 (EFT)
- CEI 61000-4-5 (surtension)

Applications :
- Ordinateurs et périphériques
- Systèmes de communication
- Équipement audio et vidéo
- Instrumentation portable

6

Caractéristiques :
- Sans plomb en version standard
- Faible capacité de 15pF
- Protection ESD
- Protection contre les surtensions

Applications :
- Assistants numériques personnels (PDA)
- Téléphones mobiles et accessoires
- Protection des cartes mémoire
- Protection des ports de cartes SIM
- Électronique portable

7

Caractéristiques :
- Sans plomb en version standard
- Telcordia GR1089 (à l'intérieur des bâtiments)
- Protection ESD >40kV
- Protège 1 ligne
- Tension de calage faible
- Configuration bidirectionnelle

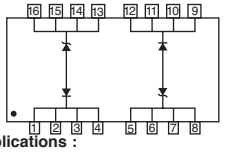

Applications :
- Cartes de lignes T1/E1
- Équipement de télécommunications RNIS
- Interfaces Ethernet, XDSL, USB, SCSI
- Lignes de données et bus pour applications conformes FCC Partie 68

NEW PRODUCT

Pour des quantités supérieures à celles indiquées, appelez-nous afin d'obtenir un devis.

RÉF. STOCK MOUSER	Réf. Bourns	Fig.	Tension de service	Cap. pF	Courant de fuite	Lignes de données	Type de boîtier	Prix unitaire 1	100	500	1000	Qté. par bobine	Prix unitaire
652-CDSOT23-0502B	CDSOT23-0502B	A1	15	2.5	5	2	SOT23	0,40	0,289	0,264	0,231	3000	0,206
652-CDSOT23-SLVU2.8	CDSOT23-SLVU2.8	A2	2.5	1	2.8	-	SOT23	1,67	0,78	0,72	0,68	3000	0,65
652-CDSOT23-SM712	CDSOT23-SM712	A3	75	1	7.5/13.3	-	SOT23	1,67	0,78	0,72	0,68	3000	0,65
652-CDDFN2-T5.0C	CDDFN2-T5.0C	B4	23	0,5	5	-	DFN-2	0,23	0,165	0,149	0,132	5000	0,124
652-CDDFN2-T3.3LC	CDDFN2-T3.3LC	B4	3.3	13	0.1	-	DFN-2	0,30	0,242	0,223	0,186	3000	0,167
652-CDDFN2-T5.0LC	CDDFN2-T5.0LC	B4	5	15	2	-	DFN-2	0,30	0,242	0,223	0,186	3000	0,167
652-CDDFN2-T12C	CDDFN2-T12C	B4	12	12	2	-	DFN-2	0,26	0,215	0,198	0,165	5000	0,149
652-CDDFN2-T24C	CDDFN2-T24C	B4	24	10	2	-	DFN-2	0,26	0,215	0,198	0,165	5000	0,149
652-CDSOD323-T03SC	CDSOD323-T03SC	C5	200	125	3.3	-	SOD323	0,46	0,33	0,297	0,264	3000	0,239
652-CDSOD323-T05SC	CDSOD323-T05SC	C5	175	10	5	-	SOD323	0,46	0,33	0,297	0,239	3000	0,231
652-CDSOD323-T05LC	CDSOD323-T05LC	C5	0.6	5	5	-	SOD323	0,64	0,454	0,413	0,363	3000	0,361
652-CD0603-T05C	CD0603-T05C	D6	15	2	5	-	0603	0,23	0,215	0,19	0,173	4000	0,157
652-CD1005-T05C	CD1005-T05C	D6	15	2	5	-	1005	0,21	0,19	0,165	0,157	4000	0,14
652-CDWBS16-PLC01-6	CDWBS16-PLC01-6	E7	6	25	6	1	SOIC16	5,40	3,20	2,85	-	1000	2,80

© Copyright 2012 Mouser Electronics

© Copyright 2012 Mouser Electronics

Diodes et barrettes de limitation de surtension BOURNS

BOURNS®

RoHS Compliant This product is RoHS compliant.

BARRETTES DE DIODES DE LIMITATION DE SURTENSION CMS

Les diodes à puce Bourns sont conformes aux normes JEDEC, faciles à manipuler avec les montages par bras-transfert standard et leur configuration plate minimise les pertes de place.

- CEI 61000-4-4 (EFT)
- CEI 61000-4-2 (ESD)

RoHS Compliant

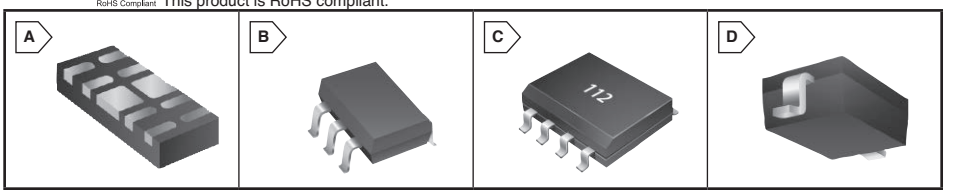

Schéma

1

Applications :
- HDMI 1.3
- Digital Visual Interface (DVI)
- USB 2.0 jusqu'à 480Mb/s
- IEEE 1394 jusqu'à 3,2Gb/s
- Électronique portable

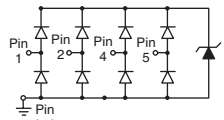

2

Applications :
- HDMI 1.3
- PDA et notebooks
- Électronique grand public
- Interface de port d'affichage
- USB 2.0 jusqu'à 480Mb/s

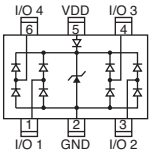

3

Applications :
- Ordinateurs notebook
- Téléphones mobiles
- Assistants numériques personnels PDA)
- Équipement vidéo

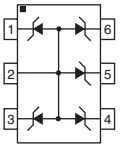

4

Applications :
- Version HDMI 1.3
- PDA et notebooks
- Électronique grand public
- Interface de port d'affichage
- USB 2.0 jusqu'à 480Mb/s

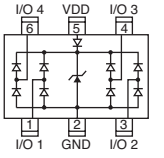

5

Applications :
- Assistants numériques personnels (PDA)
- Notebook and PC computers
- Protection des cartes mémoire
- Protection des ports de cartes SIM
- Électronique portable

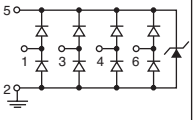

6

Applications :
- Assistants numériques personnels (PDA)
- Téléphones mobiles et accessoires
- Électronique portable
- Cartes ADSL/VDSL

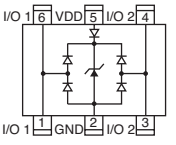

7

Applications :
- Points d'accès de données de haute vitesse
- Téléphones mobiles et accessoires
- Cartes vidéo/ graphiques
- Boîtiers adaptateurs
- Systèmes de communication

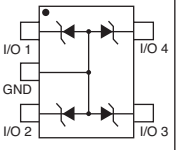

8

Caractéristiques :
- Telecordia GR1089 (intra-immeuble)
- Protection ESD >40kV

Applications :
- Cartes de lignes T1/E1
- ISDN U-Interface and S/T Interface
- xDSL
- Ethernet-10/100 Base T

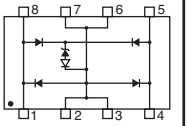

9

Caractéristiques :
- Telcordia GR1089 (intra-immeuble)
- Protection ESD >40kV

Applications :
- Cartes de lignes T1/E1 et T3/T3
- ISDN U-Interface and S/T Interface
- xDSL
- Ethernet-10/100 Base T

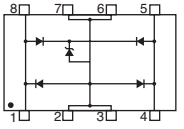

10

Caractéristiques :
- Protège jusqu'à 4 ports d'entrée/sortie
- Protection contre les surtensions
- Protection ESD

Applications :
- Ethernet-10/100/1000 Base T
- Assistant numérique personnel
- Dispositifs de réseau local
- Instrumentation

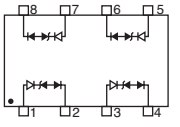

11

Caractéristiques :
- Protège jusqu'à 4 ports d'E/S
- Protection ESD >40kV

Applications :
- Ethernet-10/100 Base T
- Ports d'E/S d'ordinateur SCSI, Firewire & USB
- Protection boîtier adaptateur
- Cartes vidéo

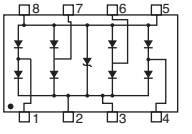

12

Caractéristiques :
- Protège jusqu'à 4 ports d'entrée/sortie
- Protection ESD

Applications :
- Ethernet-10/100/1000 Base T
- Assistant numérique personnel
- Électronique portative
- Téléphones mobiles
- Cartes vidéo

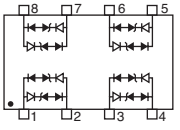

13

Caractéristiques :
- Protège jusqu'à 4 ports d'entrée/sortie
- Protection ESD >40kV

Applications :
- Ethernet-10/100 Base T
- Ports d'E/S d'ordinateur-SCSI, Firewire & USB
- Protection boîtier adaptateur
- Cartes vidéo

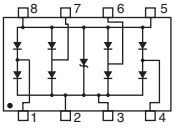

14

Caractéristiques :
- Protège 1 ligne ou 1 port d'E/S
- Protection ESD >40kV
- Faible capacité typique de ~3pF
- Remplace les dispositifs MLV 0805

Applications :
- Téléphones mobiles
- PDA et notebooks
- Appareils photo numériques
- Lecteurs MP3 et GPS
- Interface USB

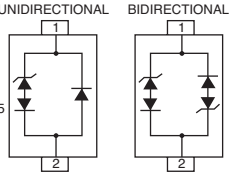

RÉF. STOCK MOUSER	Fig.	Cap pF	Tension opératoire	Polarité	Type de boîtier	Prix unitaire 1	Prix unitaire 100	Prix unitaire 500	Prix unitaire 1000	Quantité par bobine	Prix unitaire
652-CDDFN10-0524P	A1	0,5	6	Unidirectionnel	DFN-10	1,01	0,726	0,668	0,635	3000	0,578
652-CDSOT236-0504LC	B2	0.55	6	Bidirectionnel	SOT23-6	1,30	0,932	0,833	0,743	3000	0,668
652-CDSOT236-0504C	B3	1	6	Bidirectionnel	SOT23-6	1,30	0,932	0,833	0,743	3000	0,668
652-CDSOT963-T05C	B4	9	5	Bidirectionnel	SOT963	0,67	0,479	0,429	0,38	4000	0,338
652-CDSC706-0504C	B5	1.3	6	Bidirectionnel	SC70-6L	1,01	0,726	0,652	0,578	3000	0,52
652-CDSOT563-0502	B6	2	5	Unidirectionnel	SOT563	0,77	0,553	0,462	0,355	3000	0,33
652-CDSOT353-T05	B7	1	5	Unidirectionnel	SOT353	0,55	0,396	0,355	0,314	3000	0,312
652-CDNBS08PLC03-3.3	C8	8	3	Unidirectionnel	NBS08	2,70	1,95	1,74	1,70	2500	1,65
652-CDNBS08-PLC03-6	C9	6	6	Unidirectionnel	SOIC8	2,70	1,95	1,74	1,70	2500	1,65
652-CDNBS08SLVU2.8-4	C10	6	2.8	Unidirectionnel	SOIC8	2,04	1,03	0,918	0,87	2500	0,85
652-CDNBS08SLVU2.8-8	C11	6	2.8	Unidirectionnel	SOIC8	2,70	1,95	1,74	1,70	2500	1,65
652-CDNBS08-SRDA05-4	C12	15	3.3	Unidirectionnel	SOIC8	2,04	1,03	0,918	0,87	2500	0,85
652-CDNBS08SRDA3.3-4	C13	15	5	Unidirectionnel	SOIC8	2,04	1,03	0,918	0,87	2500	0,85
652-CDSOD323-T03C	D14	3	3.3	Bidirectionnel	SOD-323	0,48	0,363	0,33	0,314	3000	0,297
652-CDSOD323-T05	D14	3	5.0	Unidirectionnel	SOD-323	0,45	0,347	0,314	0,297	3000	0,281
652-CDSOD323-T05C	D14	3	5.0	Bidirectionnel	SOD-323	0,48	0,363	0,33	0,314	3000	0,297
652-CDSOD323-T08	D14	3	8.0	Unidirectionnel	SOD-323	0,45	0,347	0,314	0,297	3000	0,281
652-CDSOD323-T08C	D14	3	8.0	Bidirectionnel	SOD-323	0,48	0,363	0,33	0,314	3000	0,297
652-CDSOD323-T12	D14	3	12.0	Unidirectionnel	SOD-323	0,45	0,347	0,314	0,297	3000	0,281
652-CDSOD323-T12C	D14	3	12.0	Bidirectionnel	SOD-323	0,48	0,363	0,33	0,314	3000	0,297
652-CDSOD323-T15	D14	3	15.0	Unidirectionnel	SOD-323	0,45	0,347	0,314	0,297	3000	0,281
652-CDSOD323-T15C	D14	3	15.0	Bidirectionnel	SOD-323	0,48	0,363	0,33	0,314	3000	0,297
652-CDSOD323-T18	D14	3	18.0	Unidirectionnel	SOD-323	0,45	0,347	0,314	0,297	3000	0,281
652-CDSOD323-T18C	D14	3	18.0	Bidirectionnel	SOD-323	0,48	0,363	0,33	0,314	3000	0,297
652-CDSOD323-T24	D14	3	24.0	Unidirectionnel	SOD-323	0,45	0,347	0,314	0,297	3000	0,281
652-CDSOD323-T24C	D14	3	24.0	Bidirectionnel	SOD-323	0,48	0,363	0,33	0,314	3000	0,297

© Copyright 2012 Mouser Electronics
© Copyright 2012 Mouser Electronics

Protecteurs à haute vitesse BOURNS

BOURNS®

RoHS Compliant **This product is RoHS compliant.**

DIMENSIONS : mm (po)

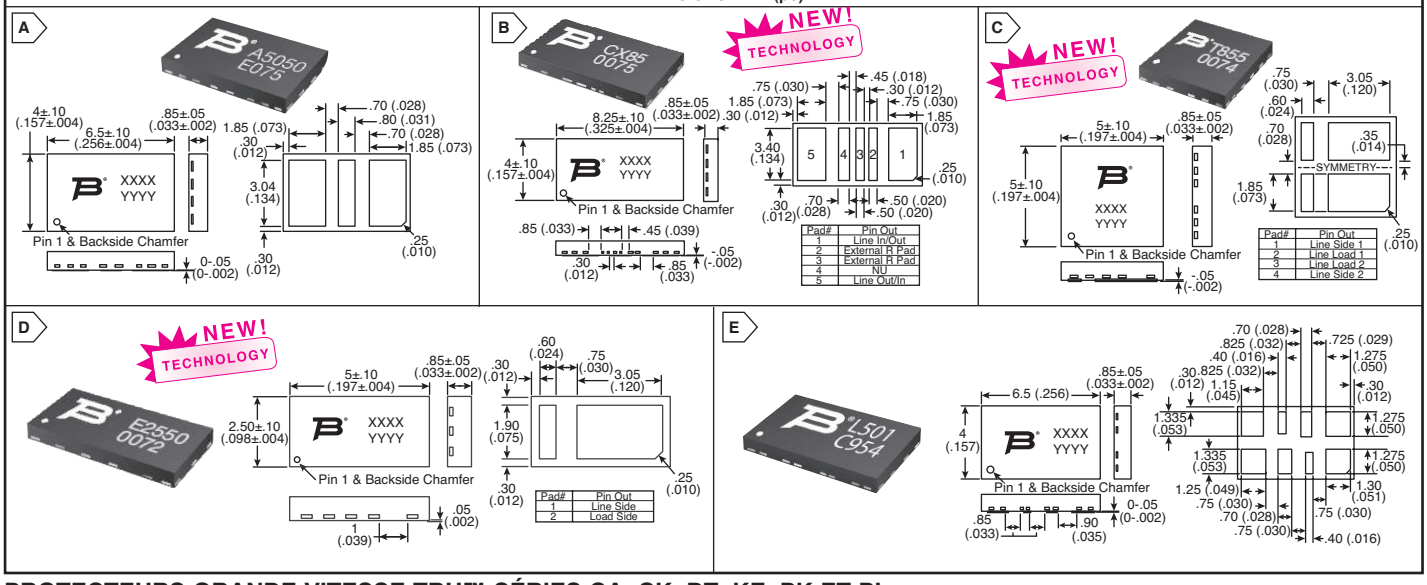

PROTECTEURS GRANDE VITESSE TBU™ SÉRIES CA, CK, DT, KE, PK ET PL

Le protecteur grande vitesse TBU™ placé sur le circuit du système permet de contrôler le courant : le circuit de détection MOSFET se déclenche et constitue une barrière efficace derrière laquelle les composants électroniques sensibles ne seront pas exposés aux tensions ou courants importants au cours de surtensions. Le dispositif TBU™ se trouve sur boîtier DFN monté en surface et satisfait les exigences de l'industrie.

Caractéristiques :
- Plage de température de fonctionnement, séries CA et CX : de -40°C à +125°C
- Plage de température de fonctionnement, séries PK et PL : de -55°C à +125°C
- Plage de température de stockage : de -65°C à +150°C
- Protection contre les surintensités et les surtensions
- Permet de bloquer les surtensions dans les limites assignées
- Meilleure protection des circuits
- Performance à haute vitesse
- Petit boîtier CMS

Applications : séries CA, CX, DT et KE :
- Protection des modules et des clés électroniques
- Equipement de contrôle des processus
- Equipement de test et de mesure
- Cartes Voix/VDSL - séries CA & CX
- Composants électroniques généraux
- Ports Ethernet - série DT
- Boîtier adaptateur de ports LNB - série KE

Applications : séries PK et PL :
- Protection SLIC
- Câble et ADSL
- Modems MDU/MTU
- ONT
- Cartes vocales/ VDSL

RÉF. STOCK MOUSER	Réf. Bourns	Fig.	V_{imp} (V)	V_{rms} (V)	I déclencheur Min. Max. (mA)	RTBU Max. (Ω)	Prix unitaire 1	Prix unitaire 500	Prix unitaire 1500	Qté. par bobine	Prix unitaire
Série CA											
652-TBU-CA025-050-WH	TBU-CA025-050-WH	A	250	100	50	15.3	1,48	1,25	1,02	3000	0,908
652-TBU-CA025-100-WH	TBU-CA025-100-WH	A	250	100	100	8.2	1,48	1,25	1,02	3000	0,908
652-TBU-CA025-200-WH	TBU-CA025-200-WH	A	250	100	200	4.8	1,48	1,25	1,02	3000	0,908
652-TBU-CA025-300-WH	TBU-CA025-300-WH	A	250	100	300	3.8	1,48	1,25	1,02	3000	0,908
652-TBU-CA025-500-WH	TBU-CA025-500-WH	A	250	100	500	3.0	1,48	1,25	1,02	3000	0,908
652-TBU-CA040-050-WH	TBU-CA040-050-WH	A	400	200	20	16.5	1,48	1,25	1,02	3000	0,908
652-TBU-CA040-100-WH	TBU-CA040-100-WH	A	400	200	100	9.4	1,48	1,25	1,02	3000	0,908
652-TBU-CA040-200-WH	TBU-CA040-200-WH	A	400	200	200	6.0	1,48	1,25	1,02	3000	0,908
652-TBU-CA040-300-WH	TBU-CA040-300-WH	A	400	200	300	5.0	1,48	1,25	1,02	3000	0,908
652-TBU-CA040-500-WH	TBU-CA040-500-WH	A	400	200	500	4.2	1,48	1,25	1,02	3000	0,908
652-TBU-CA050-050-WH	TBU-CA050-050-WH	A	500	250	50	18.0	1,48	1,25	1,02	3000	0,908
652-TBU-CA050-100-WH	TBU-CA050-100-WH	A	500	250	100	10.9	1,48	1,25	1,02	3000	0,908
652-TBU-CA050-200-WH	TBU-CA050-200-WH	A	500	250	200	7.5	1,48	1,25	1,02	3000	0,908
652-TBU-CA050-300-WH	TBU-CA050-300-WH	A	500	250	300	6.5	1,48	1,25	1,02	3000	0,908
652-TBU-CA050-500-WH	TBU-CA050-500-WH	A	500	250	500	5.7	1,48	1,25	1,02	3000	0,908
652-TBU-CA065-050-WH	TBU-CA065-050-WH	A	650	300	50	20.3	1,48	1,25	1,02	3000	0,908
652-TBU-CA065-100-WH	TBU-CA065-100-WH	A	650	300	100	13.2	1,48	1,25	1,02	3000	0,908
652-TBU-CA065-200-WH	TBU-CA065-200-WH	A	650	300	200	9.8	1,48	1,25	1,02	3000	0,908
652-TBU-CA065-300-WH	TBU-CA065-300-WH	A	650	300	300	8.8	1,48	1,25	1,02	3000	0,908
652-TBU-CA065-500-WH	TBU-CA065-500-WH	A	650	300	500	8.0	1,48	1,25	1,02	3000	0,908
652-TBU-CA085-050-WH	TBU-CA085-050-WH	A	850	425	50	24.5	1,48	1,25	1,02	3000	0,908
652-TBU-CA085-100-WH	TBU-CA085-100-WH	A	850	425	100	17.4	1,48	1,25	1,02	3000	0,908
652-TBU-CA085-200-WH	TBU-CA085-200-WH	A	850	425	200	14.0	1,48	1,25	1,02	3000	0,908
652-TBU-CA085-300-WH	TBU-CA085-300-WH	A	850	425	300	13.0	1,48	1,25	1,02	3000	0,908
652-TBU-CA085-500-WH	TBU-CA085-500-WH	A	850	425	500	12.2	1,48	1,25	1,02	3000	0,908
Série CX											
652-TBU-CX025-VTC-WH	TBU-CX025-VTC-WH	B	250	100	Variable	3.0	1,88	1,74	1,61	3000	1,34
652-TBU-CX040-VTC-WH	TBU-CX040-VTC-WH	B	400	200	Variable	4.2	1,88	1,74	1,61	3000	1,34
652-TBU-CX050-VTC-WH	TBU-CX050-VTC-WH	B	500	250	Variable	5.7	1,88	1,74	1,61	3000	1,34
652-TBU-CX065-VTC-WH	TBU-CX065-VTC-WH	B	650	300	Variable	8.0	1,88	1,74	1,61	3000	1,34
652-TBU-CX085-VTC-WH	TBU-CX085-VTC-WH	B	850	425	Variable	13.0	1,88	1,74	1,61	3000	1,34
Série DT											
652-TBU-DT065-100-WH	TBU-DT065-100-WH	C	650	300	100	10	1,49	0,743	0,718	3000	0,668
652-TBU-DT065-200-WH	TBU-DT065-200-WH	C	650	300	200	6.6	1,49	0,743	0,718	3000	0,668
652-TBU-DT065-300-WH	TBU-DT065-300-WH	C	650	300	300	5.6	1,49	0,743	0,718	3000	0,668
652-TBU-DT085-100-WH	TBU-DT085-100-WH	C	850	425	100	12.1	1,49	0,743	0,718	3000	0,668
652-TBU-DT085-200-WH	TBU-DT085-200-WH	C	850	425	200	8.7	1,49	0,743	0,718	3000	0,668
652-TBU-DT085-300-WH	TBU-DT085-300-WH	C	850	425	300	7.7	1,49	0,743	0,718	3000	0,668
Série KE											
652-TBU-KE025-050-WH	TBU-KE025-050-WH	D	250	100	50	14.6	1,12	0,446	0,421	3000	0,396
652-TBU-KE025-500-WH	TBU-KE025-500-WH	D	250	100	500	2.3	1,12	0,446	0,421	3000	0,396
652-TBU-KE050-050-WH	TBU-KE050-050-WH	D	500	250	50	16	1,12	0,446	0,421	3000	0,396
652-TBU-KE050-500-WH	TBU-KE050-500-WH	D	500	250	500	3.6	1,12	0,446	0,421	3000	0,396
Série PK											
652-TBU-PK050-100-WH	TBU-PK050-100-WH	E	500	300	100	90	1,12	0,743	0,569	3000	0,536
652-TBU-PK060-100-WH	TBU-PK060-100-WH	E	650	350	100	90	1,26	0,833	0,635	3000	0,602
652-TBU-PK085-100-WH	TBU-PK085-100-WH	E	850	425	100	90	1,49	0,982	0,751	3000	0,71
Série PL											
652-TBU-PL050-100-WH	TBU-PL050-100-WH	E	500	300	100	55	1,07	0,908	0,825	3000	0,743
652-TBU-PL050-200-WH	TBU-PL050-200-WH	E	500	300	200	55	1,07	0,908	0,825	3000	0,743
652-TBU-PL060-100-WH	TBU-PL060-100-WH	E	600	350	100	55	1,20	1,02	0,924	3000	0,833
652-TBU-PL060-200-WH	TBU-PL060-200-WH	E	600	350	200	55	1,20	1,02	0,924	3000	0,833
652-TBU-PL085-100-WH	TBU-PL085-100-WH	E	850	425	100	55	1,42	1,20	1,09	3000	0,982
652-TBU-PL085-200-WH	TBU-PL085-200-WH	E	850	425	200	55	1,42	1,20	1,09	3000	0,982

© Copyright 2012 Mouser Electronics
© Copyright 2012 Mouser Electronics

Unités de blocage transitoire BOURNS

BOURNS®

RoHS Compliant **This product is RoHS compliant.**

PROTECTEURS P500-G ET P850-G TBU™

Caractéristiques :
- Anciennement FulTec
- Performance extrême à haute vitesse
- Bloque les tensions et courants élevés
- Deux protecteurs TBU™ dans un seul petit boîtier
- Protection de circuit simple, supérieure
- Zone PCM minimale
- Conforme à la directive RoHS, reconnu par UL

Applications :
- Carte de lignes POTS
- Équipement VoIP
- Cartes de lignes combo vocales et de données
- ONU, ONT
- Passerelles
- Câble et modems ADSL

Désignation du bloc							
N° de pastille	1 & 1A	2	3 & 3A	4 & 4A	5	6 & 6A
Applications :	Entrée	NC	Sortie	Son sortie	NC	Son entrée

NC=Brasure tendre sur PCB ; ne pas faire la connexion électrique, ne pas connecter à la terre

RoHS Compliant

	Dimensions: mm (po)												
	A	B	C	D	E	F	G	H	J	K	L	M	N
P500-G	3.40	5.90	0.80	0.000	1.15	1.05	-	1.10	0.375	0.70	-	0.70	0.375
Min.	(.139)	(.232)	(.031)	(.000)	(.045)	(.041)	-	(.043)	(.015)	(.028)	-	(.028)	(.015)
Stan-dard	4.00	6.00	0.85	0.025	1.25	1.15	-	1.20	0.425	0.75	-	0.75	0.425
	(.157)	(.236)	(.033)	(.001)	(.049)	(.045)	-	(.047)	(.017)	(.030)	-	(.030)	(.017)
Max.	4.10	6.10	0.90	0.050	1.35	1.25	-	1.30	0.475	0.80	-	0.80	0.475
	(.161)	(.240)	(.035)	(.002)	(.053)	(.049)	-	(.051)	(.019)	(.031)	-	(.031)	(.018)
P850-G	3.40	8.15	0.80	0.000	1.15	1.05	0.725	1.10	0.375	0.25	0.70	0.70	0.375
Min.	(.139)	(.321)	(.031)	(.000)	(.045)	(.041)	(.029)	(.043)	(.015)	(.010)	(.028)	(.028)	(.015)
Stan-dard	4.00	8.25	0.85	0.025	1.25	1.15	0.825	1.20	0.425	0.30	0.75	0.75	0.425
	(.157)	(.325)	(.033)	(.001)	(.049)	(.045)	(.032)	(.047)	(.017)	(.012)	(.030)	(.030)	(.017)
Max.	4.10	8.35	0.90	0.050	1.35	1.25	0.925	1.30	0.475	0.35	0.80	0.80	0.475
	(.161)	(.329)	(.035)	(.002)	(.053)	(.049)	(.036)	(.051)	(.019)	(.014)	(.031)	(.031)	(.018)

P500-Gxxx

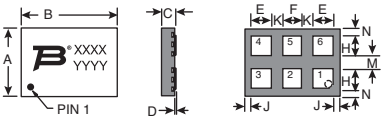

P850-Gxxx

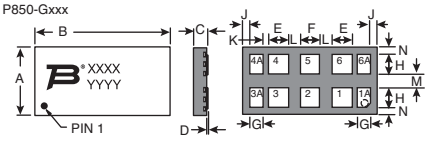

Pour des quantités supérieures à celles indiquées, appelez-nous afin d'obtenir un devis.

RÉF. STOCK MOUSER	Réf. Bourns	Vimp (V)	Iop (max) (mA)	Iout (max) (mA)	Prix unitaire 1	25	50	100	Quantité par bobine	Prix unitaire
652-P500-G120-WH	P500-G120-WH	500	100	200	**1,10**	**0,668**	**0,611**	**0,503**	3000	**0,396**
652-P500-G200-WH	P500-G200-WH	500	200	400	**1,10**	**0,668**	**0,611**	**0,503**	3000	**0,396**
652-P850-G120-WH	P850-G120-WH	850	100	200	**1,28**	**0,809**	**0,701**	**0,611**	3000	**0,487**
652-P850-G200-WH	P850-G200-WH	850	200	400	**1,28**	**0,809**	**0,701**	**0,611**	3000	**0,487**

PROTECTEURS P650-U ET P850-U TBU™

Caractéristiques :
- Anciennement FulTec
- Performance extrême à haute vitesse
- Bloque les tensions et courants élevés
- Perte d'insertion faible
- Deux protecteurs TBU™ dans un seul petit boîtie
- Largeur de bande très élevée ; Compatible GHz
- Conforme à la directive RoHS, reconnu par UL

Applications :
- Protection de point d'accès Ethernet Mo
- Protection de point d'accès Ethernet Go
- Interfaces isolées et flottantes

Désignation du bloc						
N° de pastille	1	2	3	4	5	6
Applications :	In1	NC	Out1	Out2	NC	In2

NC=Brasure tendre sur PCB ; ne pas faire la connexion électrique, ne pas connecter à la terre

RoHS Compliant

	Dimensions : mm (po)												
	A	B	C	D	E	F	G	H	J	K	L	N	P	Q
Min.	6.15	7.65	0.80	0.000	0.50	1.20	4.20	2.45	0.20	0.45	0.65	0.20	0.70	3.20
	(.242)	(.301)	(.031)	(.000)	(.020)	(.047)	(.165)	(.096)	(.008)	(.018)	(.026)	(.008)	(.028)	(.126)
Stan-dard	6.25	7.75	0.85	0.025	0.55	1.25	4.25	2.50	0.25	0.50	0.70	0.25	0.75	3.25
	(.246)	(.305)	(.033)	(.001)	(.022)	(.049)	(1.67)	(.098)	(.010)	(.020)	(.028)	(.010)	(.030)	(.128)
Max.	6.35	7.85	0.90	0.050	0.60	1.30	4.30	2.55	0.30	0.55	0.75	0.30	0.80	3.30
	(.250)	(.309)	(.035)	(.002)	(.024)	(.051)	(.169)	(.100)	(.012)	(.022)	(.030)	(.012)	(.031)	(.130)

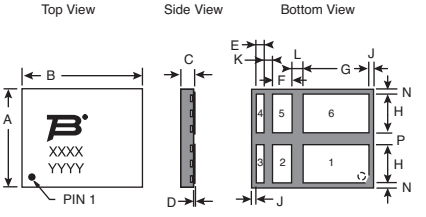

Pour des quantités supérieures à celles indiquées, appelez-nous afin d'obtenir un devis.

RÉF. STOCK MOUSER	Réf. Bourns	Vimp (V)	Iop (max) (mA)	Iout (max) (mA)	Prix unitaire 1	25	50	100	Quantité par bobine	Prix unitaire
652-P650-U180-WH	P650-U180-WH	650	180	360	**1,66**	**1,15**	**0,974**	**0,842**	3000	**0,685**
652-P650-U260-WH	P650-U260-WH	650	260	520	**1,66**	**1,15**	**0,974**	**0,842**	3000	**0,685**
652-P850-U180-WH	P850-U180-WH	850	180	360	**1,71**	**1,18**	**1,01**	**0,871**	3000	**0,871**
652-P850-U260-WH	P850-U260-WH	850	260	520	**1,71**	**1,18**	**1,01**	**0,866**	3000	**0,701**

PROTECTEURS C650 ET C850 TBU™

Caractéristiques :
- Anciennement FulTec
- Performance extrême à haute vitesse
- Bloque les tensions et courants élevés
- Largeur de bande très élevée ; Compatible GHz

Applications :
- Cartes de lignes combo vocales / xDSL
- Carte de lignes vocales
- MDF, modules de protection primaire
- Equipement de contrôle des processus
- Petit boîtier, zone PCM minimale
- Protection de circuit simple, supérieure
- Conforme à la directive RoHS Reconnue par UL
- Équipement de test et mesure
- Composants électroniques généraux

RoHS Compliant

NC=Brasure tendre sur PCB ; ne pas faire la connexion électrique, ne pas connecter à la terre

Désignation du bloc			
N° de pastille	1	2	3
Applications :	Entrée/Sortie	NC	Entrée/Sortie

	Dimensions : mm (po)									
	A	B	C	D	E	F	H	J	K	N
Min.	3.90	8.15	0.80	0.000	2.55	1.10	3.45	0.20	0.65	0.20
	(.154)	(.321)	(.031)	(.000)	(.100)	(.043)	(.136)	(.008)	(.026)	(.008)
Standard	4.00	8.25	0.85	0.025	2.60	1.15	3.50	0.25	0.70	0.25
	(.157)	(.325)	(.033)	(.001)	(.102)	(.045)	(.138)	(.010)	(.028)	(.010)
Max.	4.10	8.35	0.90	0.050	2.65	1.20	3.55	0.30	0.75	0.30
	(.161)	(.329)	(.035)	(.002)	(.104)	(.047)	(.140)	(.012)	(.030)	(.012)

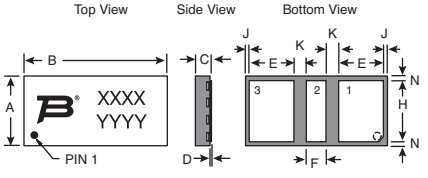

Pour des quantités supérieures à celles indiquées, appelez-nous afin d'obtenir un devis.

RÉF. STOCK MOUSER	Réf. Bourns	Vimp (V)	Iop (max) (mA)	Iout (max) (mA)	Prix unitaire 1	25	50	100	Quantité par bobine	Prix unitaire
652-C650-100-WH	C650-100-WH	650	100	200	**2,39**	**1,87**	**1,79**	**1,70**	6000	**1,16**
652-C650-180-WH	C650-180-WH	650	180	360	**2,16**	**1,81**	**1,75**	**1,61**	6000	**1,14**
652-C650-260-WH	C650-260-WH	650	260	520	**2,01**	**1,71**	**1,62**	**1,51**	6000	**1,09**
652-C850-180-WH	C850-180-WH	850	180	360	**2,45**	**1,98**	**1,87**	**1,76**	3000	**1,26**
652-C850-260-WH	C850-260-WH	850	260	520	**2,09**	**1,76**	**1,64**	**1,54**	3000	**1,15**

PROTECTEUR P40-G TBU™

Caractéristiques :
- Anciennement FulTec
- Performance extrême à haute vitesse
- Faible impédance
- Largeur de bande très élevée ; compatible GHz
- Protection de circuit simple, supérieure
- Conforme à la directive RoHS, reconnu par UL

Applications :
- xDSL (ADSL, VDSL, VDSL2)
- Protection CI interface à haut débit de données (LVDS, HDMI, etc.)
- Détecteurs et commandes industrielles
- Composants électroniques généraux

Désignation du bloc						
N° de pastille	1	2	3	4	5	6
Applications :	In1	NC	Out1	Out2	NC	In2

NC=Brasure tendre sur PCB ; ne pas faire la connexion électrique, ne pas connecter à la terre

RoHS Compliant

	Dimensions : mm (po)											
	A	B	C	D	E	F	G	H	J	K	M	N
Min.	3.90	3.90	0.80	0.000	2.55	0.20	0.75	1.40	0.10	0.25	0.55	0.20
	(.154)	(.154)	(.031)	(.000)	(.100)	(.008)	(.030)	(.055)	(.004)	(.010)	(.022)	(.008)
Standard	4.00	4.00	0.85	0.025	2.60	0.25	0.80	1.45	0.15	0.30	0.60	0.25
	(.157)	(.157)	(.033)	(.001)	(.102)	(.010)	(.031)	(.057)	(.006)	(.012)	(.024)	(.010)
Max.	4.10	4.10	0.90	0.050	2.65	0.30	0.85	1.50	0.20	0.35	0.65	0.30
	(.161)	(.161)	(.035)	(.002)	(.104)	(.012)	(.033)	(.059)	(.008)	(.014)	(.026)	(.012)

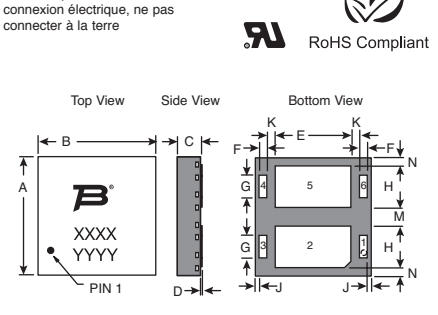

Pour des quantités supérieures à celles indiquées, appelez-nous afin d'obtenir un devis.

RÉF. STOCK MOUSER	Réf. Bourns	Vimp (V)	Iop (max) (mA)	Iout (max) (mA)	Prix unitaire 1	25	50	100	Quantité par bobine	Prix unitaire
652-P40-G240-WH	P40-G240-WH	40	240	480	**1,20**	**0,767**	**0,693**	**0,578**	3000	**0,454**

© Copyright 2012 Mouser Electronics

© Copyright 2012 Mouser Electronics

Diodes à puces TVS discrètes BOURNS

BOURNS®

RoHS Compliant **This product is RoHS compliant.**

Bourns lance une nouvelle série de produits de protection ESD/EFT/contre les surtensions pour des applications générales.
Ces diodes de suppression de tension transitoire destinées aux applications de protection ESD et contre les surtensions sont disponibles en formats de puces compacts.
Les boîtiers de puce compacts suivants sont disponibles e: DO-214AC (SMA), DO-214AA (SMB) et DO-214AB (SMC).

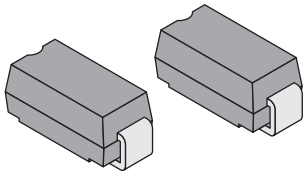

Spécifications :

- Plage de temp. de fonctionnement : de -55°C à +150°C
- Plage de température de stockage : de -55°C à +175°C

Applications :

- IEC 61000-4-2 ESD (Min. niveau 4)
- IED 61000-4-4 EFT
- IED 61000-4-5 Surtension

RoHS Compliant

Caractéristiques :

- Tension verticale : 5 à 170 volts
- Manipulation facile

Type de dispositif	
U	Unidirectionnel
B	Bidirectionnel

Réf. Prix						
Type	**1**	**100**	**500**	**1000**	Qté par bobine	**Prix unitaire**
SMAJ-A	**0,27**	**0,098**	**0,081**	**0,075**	5000	**0,069**
SMAJ-CA	**0,31**	**0,114**	**0,093**	**0,09**	5000	**0,079**
SMBJ-A	**0,27**	**0,098**	**0,088**	**0,088**	3000	**0,088**

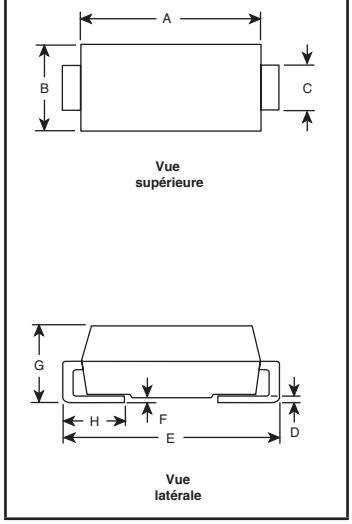

SÉRIE SMAJ

RÉF. STOCK MOUSER	Réf. Bourns	Type de dispositif	Panne V_{BR} (Volts)		V_{RWM} (Volts)	V_{RSM} (Volts)
			Min.	Max.		
652-SMAJ5.0A	SMAJ5.0A	U	6.40	7.00	5	9.2
652-SMAJ6.0A	SMAJ6.0A	U	6.67	7.37	6	10.3
652-SMAJ6.5A	SMAJ6.5A	U	7.22	7.98	6.5	11.2
652-SMAJ7.0A	SMAJ7.0A	U	7.78	8.60	7	12.0
652-SMAJ7.5A	SMAJ7.5A	U	8.33	9.21	7.5	12.9
652-SMAJ8.0A	SMAJ8.0A	U	8.89	9.83	8	13.6
652-SMAJ8.5A	SMAJ8.5A	U	9.44	10.40	8.5	14.4
652-SMAJ9.0A	SMAJ9.0A	U	10.00	11.10	9	15.4
652-SMAJ10A	SMAJ10A	U	11.1	12.3	10	17.0
652-SMAJ11A	SMAJ11A	U	12.2	13.2	11	18.2
652-SMAJ12A	SMAJ12A	U	13.3	14.7	12	19.9
652-SMAJ13A	SMAJ13A	U	14.4	15.9	13	24.2
652-SMAJ14A	SMAJ14A	U	15.6	17.2	14	23.2
652-SMAJ15A	SMAJ15A	U	16.7	18.5	15	24.4
652-SMAJ16A	SMAJ16A	U	17.8	19.7	16	26.0
652-SMAJ17A	SMAJ17A	U	18.9	20.9	17	27.6
652-SMAJ18A	SMAJ18A	U	20.0	22.1	18	29.2
652-SMAJ20A	SMAJ20A	U	22.2	24.5	20	32.4
652-SMAJ22A	SMAJ22A	U	24.4	26.9	22	35.5
652-SMAJ24A	SMAJ24A	U	26.7	29.5	24	38.9
652-SMAJ26A	SMAJ26A	U	28.9	31.9	26	42.1
652-SMAJ28A	SMAJ28A	U	31.1	34.4	28	45.4
652-SMAJ30A	SMAJ30A	U	33.3	36.8	30	48.4
652-SMAJ33A	SMAJ33A	U	36.7	40.6	33	53.3
652-SMAJ36A	SMAJ36A	U	40	44.2	36	58.1
652-SMAJ40A	SMAJ40A	U	44.4	49.1	40	64.5
652-SMAJ43A	SMAJ43A	U	47.8	52.8	43	69.4
652-SMAJ45A	SMAJ45A	U	50	55.3	45	72.7
652-SMAJ48A	SMAJ48A	U	53.3	58.9	48	77.4
652-SMAJ51A	SMAJ51A	U	56.7	62.7	51	82.4
652-SMAJ54A	SMAJ54A	U	60	66.3	54	87.1
652-SMAJ58A	SMAJ58A	U	64.4	71.2	58	93.6
652-SMAJ60A	SMAJ60A	U	66.7	73.7	60	96.8
652-SMAJ64A	SMAJ64A	U	71.1	78.6	64	103
652-SMAJ70A	SMAJ70A	U	77.8	86.0	70	113
652-SMAJ75A	SMAJ75A	U	83.3	92.1	75	121
652-SMAJ78A	SMAJ78A	U	86.7	95.8	78	126
652-SMAJ85A	SMAJ85A	U	94.4	104	85	137
652-SMAJ90A	SMAJ90A	U	100	111	90	146
652-SMAJ100A	SMAJ100A	U	111	123	100	162
652-SMAJ110A	SMAJ110A	U	122	135	110	177
652-SMAJ120A	SMAJ120A	U	133	147	120	193
652-SMAJ130A	SMAJ130A	U	144	159	130	209
652-SMAJ150A	SMAJ150A	U	167	185	150	243
652-SMAJ160A	SMAJ160A	U	178	197	160	259
652-SMAJ170A	SMAJ170A	U	189	209	170	275
652-SMAJ5.0CA	SMAJ5.0CA	B	6.40	7.00	5.0	9.2
652-SMAJ6.0CA	SMAJ6.0CA	B	6.67	7.37	6.0	10.3
652-SMAJ6.5CA	SMAJ6.5CA	B	7.22	7.98	6.5	11.2
652-SMAJ7.0CA	SMAJ7.0CA	B	7.78	8.60	7.0	12.0
652-SMAJ7.5CA	SMAJ7.5CA	B	8.33	9.21	7.5	12.9
652-SMAJ8.0CA	SMAJ8.0CA	B	8.89	9.83	8.0	13.6
652-SMAJ8.5CA	SMAJ8.5CA	B	9.44	10.4	8.5	14.4
652-SMAJ9.0CA	SMAJ9.0CA	B	10.0	11.1	9.0	15.4
652-SMAJ10CA	SMAJ10CA	B	11.1	12.3	10	17.0
652-SMAJ11CA	SMAJ11CA	B	12.2	13.2	11	18.2
652-SMAJ12CA	SMAJ12CA	B	13.3	14.7	12	19.9
652-SMAJ13CA	SMAJ13CA	B	14.4	15.9	13	21.5
652-SMAJ14CA	SMAJ14CA	B	15.6	17.2	14	23.2
652-SMAJ15CA	SMAJ15CA	B	16.7	18.5	15	24.4
652-SMAJ16CA	SMAJ16CA	B	17.8	19.7	16	26.0
652-SMAJ17CA	SMAJ17CA	B	18.9	20.9	17	27.6
652-SMAJ18CA	SMAJ18CA	B	20.0	22.1	18	29.2
652-SMAJ20CA	SMAJ20CA	B	22.2	24.5	20	32.4
652-SMAJ22CA	SMAJ22CA	B	24.4	26.9	22	35.5
652-SMAJ24CA	SMAJ24CA	B	26.7	29.5	24	38.9
652-SMAJ26CA	SMAJ26CA	B	28.9	31.9	26	42.1
652-SMAJ28CA	SMAJ28CA	B	31.1	34.4	28	45.4

SÉRIE SMAJ (SUITE)

RÉF. STOCK MOUSER	Réf. Bourns	Type de dispositif	Panne V_{BR} (Volts)		V_{RWM} (Volts)	V_{RSM} (Volts)
			Min.	Max.		
652-SMAJ30CA	SMAJ30CA	B	33.3	36.8	30	48.4
652-SMAJ33CA	SMAJ33CA	B	36.7	40.6	33	53.3
652-SMAJ36CA	SMAJ36CA	B	40	44.2	36	58.1
652-SMAJ40CA	SMAJ40CA	B	44.4	49.1	40	64.5
652-SMAJ43CA	SMAJ43CA	B	47.8	52.8	43	69.4
652-SMAJ45CA	SMAJ45CA	B	50	55.3	45	72.7
652-SMAJ48CA	SMAJ48CA	B	53.3	58.9	48	77.4
652-SMAJ51CA	SMAJ51CA	B	56.7	62.7	51	82.4
652-SMAJ54CA	SMAJ54CA	B	60	66.3	54	87.1
652-SMAJ58CA	SMAJ58CA	B	64.4	71.2	58	93.6
652-SMAJ60CA	SMAJ60CA	B	66.7	73.7	60	96.8
652-SMAJ64CA	SMAJ64CA	B	71.1	78.6	64	103
652-SMAJ70CA	SMAJ70CA	B	77.8	86.0	70	113
652-SMAJ75CA	SMAJ75CA	B	83.3	92.1	75	121
652-SMAJ78CA	SMAJ78CA	B	86.7	95.8	78	126
652-SMAJ85CA	SMAJ85CA	B	94.4	104	85	137
652-SMAJ90CA	SMAJ90CA	B	100	111	90	146
652-SMAJ100CA	SMAJ100CA	B	111	123	100	162
652-SMAJ110CA	SMAJ110CA	B	122	135	110	177
652-SMAJ120CA	SMAJ120CA	B	133	147	120	193
652-SMAJ130CA	SMAJ130CA	B	144	159	130	209
652-SMAJ150CA	SMAJ150CA	B	167	185	150	243
652-SMAJ160CA	SMAJ160CA	B	178	197	160	259
652-SMAJ170CA	SMAJ170CA	B	189	209	170	275

SÉRIE SMB

RÉF. STOCK MOUSER	Réf. Bourns	Type de dispositif	Panne V_{BR} (Volts)		V_{RWM} (Volts)	V_{RSM} (Volts)
			Min.	Max.		
652-SMBJ5.0A	SMBJ5.0A	U	6.40	7.25	5.0	9.2
652-SMBJ6.0A	SMBJ6.0A	U	6.67	7.67	6.0	10.3
652-SMBJ6.5A	SMBJ6.5A	U	7.22	8.30	6.5	11.2
652-SMBJ7.0A	SMBJ7.0A	U	7.78	8.95	7.0	12.0
652-SMBJ7.5A	SMBJ7.5A	U	8.33	9.58	7.5	12.9
652-SMBJ8.0A	SMBJ8.0A	U	8.89	10.2	8.0	13.6
652-SMBJ8.5A	SMBJ8.5A	U	9.44	10.8	8.5	14.4
652-SMBJ9.0A	SMBJ9.0A	U	10.0	11.5	9.0	15.4
652-SMBJ10A	SMBJ10A	U	11.1	12.8	10	17.0
652-SMBJ11A	SMBJ11A	U	12.2	14.4	11	18.2
652-SMBJ12A	SMBJ12A	U	13.3	15.3	12	19.9
652-SMBJ13A	SMBJ13A	U	14.4	16.5	13	21.5
652-SMBJ14A	SMBJ14A	U	15.6	17.9	14	23.2
652-SMBJ15A	SMBJ15A	U	16.7	19.2	15	24.4
652-SMBJ16A	SMBJ16A	U	17.8	20.5	16	26.0
652-SMBJ17A	SMBJ17A	U	18.9	21.7	17	27.6
652-SMBJ18A	SMBJ18A	U	20.0	23.3	18	29.2
652-SMBJ20A	SMBJ20A	U	22.2	25.5	20	32.4
652-SMBJ22A	SMBJ22A	U	24.4	28.0	22	35.5
652-SMBJ24A	SMBJ24A	U	26.7	30.7	24	38.9
652-SMBJ26A	SMBJ26A	U	28.9	32.2	26	42.1
652-SMBJ28A	SMBJ28A	U	31.1	35.8	28	45.4
652-SMBJ30A	SMBJ30A	U	33.3	38.3	30	48.4
652-SMBJ33A	SMBJ33A	U	36.7	42.2	33	53.3
652-SMBJ36A	SMBJ36A	U	40	46.0	36	58.1
652-SMBJ40A	SMBJ40A	U	44.4	51.1	40	64.5
652-SMBJ43A	SMBJ43A	U	47.8	54.9	43	69.4
652-SMBJ45A	SMBJ45A	U	50	57.5	45	72.7
652-SMBJ48A	SMBJ48A	U	53.3	61.3	48	77.4
652-SMBJ51A	SMBJ51A	U	56.7	65.2	51	82.4
652-SMBJ54A	SMBJ54A	U	60	69	54	87.1
652-SMBJ58A	SMBJ58A	U	64.4	74.6	58	93.6
652-SMBJ60A	SMBJ60A	U	66.7	76.7	60	96.8
652-SMBJ64A	SMBJ64A	U	71.1	81.8	64	103
652-SMBJ70A	SMBJ70A	U	77.8	89.5	70	113
652-SMBJ75A	SMBJ75A	U	83.3	95.8	75	121
652-SMBJ78A	SMBJ78A	U	86.7	99.7	78	126
652-SMBJ85A	SMBJ85A	U	94.4	109	85	137

Dimensions SMAJ (mm)	
Dimension	SMA (DO-214AC)
A	4.06 - 4.57
B	2.29 - 2.92
C	1.27 - 1.63
D	0.15 - 0.31
E	4.83 - 5.59
F	0.05 - 0.20
G	2.01 - 2.62
H	0.76 - 1.52

Dimensions SMBJ (mm)	
Dimension	SMB (DO-214AA)
A	4.06 - 4.57
B	3.30 - 3.94
C	1.96 - 2.21
D	0.15 - 0.31
E	5.21 - 5.59
F	0.05 - 0.20
G	2.01 - 2.62
H	0.76 - 1.52

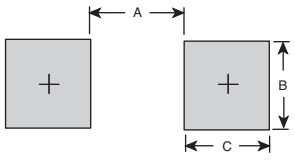

Empreinte conseillée

Dimensions SMAJ (mm)	
Dimension	SMA (DO-214AC)
A (max.)	2.7
B (min.)	2.1
C (min.)	1.27

Dimensions SMBJ (mm)	
Dimension	SMA (DO-214AA)
A (max.)	2.69
B (min.)	2.1
C (min.)	1.27

© Copyright 2012 Mouser Electronics

Diodes à puces TVS discrètes BOURNS

BOURNS®

RoHS Compliant **This product is RoHS compliant.**

Bourns lance une nouvelle série de produits de protection ESD/EFT/contre les surtensions pour des applications générales.
Ces diodes de suppression de tension transitoire destinées aux applications de protection ESD et contre les surtensions sont disponibles en formats de puces compacts.
Les boîtiers de puce compacts suivants sont disponibles e: DO-214AC (SMA), DO-214AA (SMB) et DO-214AB (SMC).

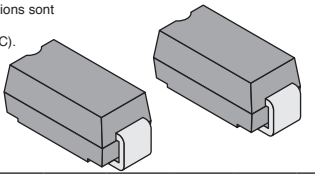

Spécifications :

- Plage de temp. de fonctionnement : de -55°C à +150°C
- Plage de température de stockage : de -55°C à +175°C

Applications :

- IEC 61000-4-2 ESD (Min. niveau 4)
- IED 61000-4-4 EFT
- IED 61000-4-5 Surtension

RoHS Compliant

Caractéristiques :

- Tension verticale : 5 à 170 volts
- Manipulation facile

Type de dispositif	
U	Unidirectionnel
B	Bidirectionnel

Prix réf.

Type	1	100	500	1000	Qté par bobine	Prix unitaire
SMBJ-A	0,27	0,098	0,088	0,088	3000	0,088
SMBJ-CA	0,31	0,114	0,099	0,099	3000	0,099
SMCJ-A	0,51	0,215	0,185	0,174	3000	0,159
SMCJ-CA	0,58	0,239	0,206	0,195	3000	0,173

SÉRIE SSMBJ (SUITE)

RÉF. STOCK MOUSER	Réf. Bourns	Type de disp.	Panne V_{BR} (Volts) Min.	Max.	V_{RWM} (Volts)	V_{RSM} (Volts)
652-SMBJ90A	SMBJ90A	U	100	116	90	146
652-SMBJ100A	SMBJ100A	U	111	128	100	162
652-SMBJ110A	SMBJ110A	U	122	140	110	177
652-SMBJ120A	SMBJ120A	U	133	153	120	193
652-SMBJ130A	SMBJ130A	U	144	165	130	209
652-SMBJ150A	SMBJ150A	U	167	192	150	243
652-SMBJ160A	SMBJ160A	U	178	205	160	259
652-SMBJ170A	SMBJ170A	U	189	218	170	275
652-SMBJ5.0CA	SMBJ5.0CA	B	6.40	7.25	5.0	9.2
652-SMBJ6.0CA	SMBJ6.0CA	B	6.67	7.67	6.0	10.3
652-SMBJ6.5CA	SMBJ6.5CA	B	7.22	8.30	6.5	11.2
652-SMBJ7.0CA	SMBJ7.0CA	B	7.78	8.95	7.0	12.0
652-SMBJ7.5CA	SMBJ7.5CA	B	8.33	9.58	7.5	12.9
652-SMBJ8.0CA	SMBJ8.0CA	B	8.89	10.2	8.0	13.6
652-SMBJ8.5CA	SMBJ8.5CA	B	9.44	10.8	8.5	14.4
652-SMBJ9.0CA	SMBJ9.0CA	B	10.0	11.5	9.0	15.4
652-SMBJ10CA	SMBJ10CA	B	11.1	12.8	10	17.0
652-SMBJ11CA	SMBJ11CA	B	12.2	14.4	11	18.2
652-SMBJ12CA	SMBJ12CA	B	13.3	15.3	12	19.9
652-SMBJ13CA	SMBJ13CA	B	14.4	16.5	13	21.5
652-SMBJ14CA	SMBJ14CA	B	15.6	17.9	14	23.2
652-SMBJ15CA	SMBJ15CA	B	16.7	19.2	15	24.4
652-SMBJ16CA	SMBJ16CA	B	17.8	20.5	16	26.0
652-SMBJ17CA	SMBJ17CA	B	18.9	21.7	17	27.6
652-SMBJ18CA	SMBJ18CA	B	20.0	23.3	18	29.2
652-SMBJ20CA	SMBJ20CA	B	22.2	25.5	20	32.4
652-SMBJ22CA	SMBJ22CA	B	24.4	28.0	22	35.5
652-SMBJ24CA	SMBJ24CA	B	26.7	30.7	24	38.9
652-SMBJ26CA	SMBJ26CA	B	28.9	32.2	26	42.1
652-SMBJ28CA	SMBJ28CA	B	31.1	35.8	28	45.4
652-SMBJ30CA	SMBJ30CA	B	33.3	38.3	30	48.4
652-SMBJ33CA	SMBJ33CA	B	36.7	42.2	33	53.3
652-SMBJ36CA	SMBJ36CA	B	40	46.0	36	58.1
652-SMBJ40CA	SMBJ40CA	B	44.4	51.1	40	64.5
652-SMBJ43CA	SMBJ43CA	B	47.8	54.9	43	69.4
652-SMBJ45CA	SMBJ45CA	B	50	57.5	45	72.7
652-SMBJ48CA	SMBJ48CA	B	53.3	61.3	48	77.4
652-SMBJ51CA	SMBJ51CA	B	56.7	65.2	51	82.4
652-SMBJ54CA	SMBJ54CA	B	60	69	54	87.1
652-SMBJ58CA	SMBJ58CA	B	64.4	74.6	58	93.6
652-SMBJ60CA	SMBJ60CA	B	66.7	76.7	60	96.8
652-SMBJ64CA	SMBJ64CA	B	71.1	81.8	64	103
652-SMBJ70CA	SMBJ70CA	B	77.8	89.5	70	113
652-SMBJ75CA	SMBJ75CA	B	83.3	95.8	75	121
652-SMBJ78CA	SMBJ78CA	B	86.7	99.7	78	126
652-SMBJ85CA	SMBJ85CA	B	94.4	109	85	137
652-SMBJ90CA	SMBJ90CA	B	100	116	90	146
652-SMBJ100CA	SMBJ100CA	B	111	128	100	162
652-SMBJ110CA	SMBJ110CA	B	122	140	110	177
652-SMBJ120CA	SMBJ120CA	B	133	153	120	193
652-SMBJ130CA	SMBJ130CA	B	144	165	130	209
652-SMBJ150CA	SMBJ150CA	B	167	192	150	243
652-SMBJ160CA	SMBJ160CA	B	178	205	160	259
652-SMBJ170CA	SMBJ170CA	B	189	218	170	275

SÉRIES SMCJ

652-SMCJ5.0A	SMCJ5.0A	U	6.4	7.23	5	9.2
652-SMCJ6.0A	SMCJ6.0A	U	6.67	7.67	6	10.3
652-SMCJ6.5A	SMCJ6.5A	U	7.22	8.3	6.5	11.2
652-SMCJ7.0A	SMCJ7.0A	U	7.78	8.95	7	12
652-SMCJ7.5A	SMCJ7.5A	U	8.33	9.58	7.5	12.9
652-SMCJ8.0A	SMCJ8.0A	U	8.89	10.2	8	13.6
652-SMCJ8.5A	SMCJ8.5A	U	9.44	10.8	8.5	14.4
652-SMCJ9.0A	SMCJ9.0A	U	10	11.5	9	15.4
652-SMCJ10A	SMCJ10A	U	11.1	12.8	10	17
652-SMCJ11A	SMCJ11A	U	12.2	14.4	11	18.2
652-SMCJ12A	SMCJ12A	U	13.3	15.3	12	19.9
652-SMCJ13A	SMCJ13A	U	14.4	16.5	13	21.5
652-SMCJ14A	SMCJ14A	U	15.6	17.9	14	23.2
652-SMCJ15A	SMCJ15A	U	16.7	19.2	15	24.4
652-SMCJ16A	SMCJ16A	U	17.8	20.5	16	26
652-SMCJ17A	SMCJ17A	U	18.9	21.7	17	27.6
652-SMCJ18A	SMCJ18A	U	20	23.3	18	29.2
652-SMCJ20A	SMCJ20A	U	22.2	25.5	20	32.4

SÉRIE SSMCJ (SUITE)

RÉF. STOCK MOUSER	Réf. Bourns	Type de disp.	Panne V_{BR} (Volts) Min.	Max.	V_{RWM} (Volts)	V_{RSM} (Volts)
652-SMCJ22A	SMCJ22A	U	24.4	28	22	35.5
652-SMCJ24A	SMCJ24A	U	26.7	30.7	24	38.9
652-SMCJ26A	SMCJ26A	U	28.9	32.2	26	42.1
652-SMCJ28A	SMCJ28A	U	31.1	35.8	28	45.4
652-SMCJ30A	SMCJ30A	U	33.3	38.3	30	48.4
652-SMCJ33A	SMCJ33A	U	36.7	42.2	33	53.3
652-SMCJ36A	SMCJ36A	U	40	46	36	58.1
652-SMCJ40A	SMCJ40A	U	44.4	51.1	40	64.5
652-SMCJ43A	SMCJ43A	U	47.8	54.9	43	69.4
652-SMCJ45A	SMCJ45A	U	50	57.5	45	72.7
652-SMCJ48A	SMCJ48A	U	53.3	61.3	48	77.4
652-SMCJ51A	SMCJ51A	U	56.7	65.2	51	82.4
652-SMCJ54A	SMCJ54A	U	60	69	54	87.1
652-SMCJ58A	SMCJ58A	U	64.4	74.6	58	93.6
652-SMCJ60A	SMCJ60A	U	66.7	76.7	60	96.8
652-SMCJ64A	SMCJ64A	U	71.1	81.8	64	103
652-SMCJ70A	SMCJ70A	U	77.8	89.5	70	113
652-SMCJ75A	SMCJ75A	U	83.3	95.8	75	121
652-SMCJ78A	SMCJ78A	U	86.7	99.7	78	126
652-SMCJ85A	SMCJ85A	U	94.4	108.2	85	137
652-SMCJ90A	SMCJ90A	U	100	115.5	90	146
652-SMCJ100A	SMCJ100A	U	111	128	100	162
652-SMCJ110A	SMCJ110A	U	122	140	110	177
652-SMCJ120A	SMCJ120A	U	133	153	120	193
652-SMCJ130A	SMCJ130A	U	144	165	130	209
652-SMCJ150A	SMCJ150A	U	167	192	150	243
652-SMCJ160A	SMCJ160A	U	178	205	160	259
652-SMCJ170A	SMCJ170A	U	189	217.5	170	275
652-SMCJ5.0CA	SMCJ5.0CA	B	6.4	7.23	5	9.2
652-SMCJ6.0CA	SMCJ6.0CA	B	6.67	7.67	6	10.3
652-SMCJ6.5CA	SMCJ6.5CA	B	7.22	8.3	6.5	11.2
652-SMCJ7.0CA	SMCJ7.0CA	B	7.78	8.95	7	12
652-SMCJ7.5CA	SMCJ7.5CA	B	8.33	9.58	7.5	12.9
652-SMCJ8.0CA	SMCJ8.0CA	B	8.89	10.2	8	13.6
652-SMCJ8.5CA	SMCJ8.5CA	B	9.44	10.8	8.5	14.4
652-SMCJ9.0CA	SMCJ9.0CA	B	10	11.5	9	15.4
652-SMCJ10CA	SMCJ10CA	B	11.1	12.8	10	17
652-SMCJ11CA	SMCJ11CA	B	12.2	14.4	11	18.2
652-SMCJ12CA	SMCJ12CA	B	13.3	15.3	12	19.9
652-SMCJ13CA	SMCJ13CA	B	14.4	16.5	13	21.5
652-SMCJ14CA	SMCJ14CA	B	15.6	17.9	14	23.2
652-SMCJ15CA	SMCJ15CA	B	16.7	19.2	15	24.4
652-SMCJ16CA	SMCJ16CA	B	17.8	20.5	16	26
652-SMCJ17CA	SMCJ17CA	B	18.9	21.7	17	27.6
652-SMCJ18CA	SMCJ18CA	B	20	23.3	18	29.2
652-SMCJ20CA	SMCJ20CA	B	22.2	25.5	20	32.4
652-SMCJ22CA	SMCJ22CA	B	24.4	28	22	35.5
652-SMCJ24CA	SMCJ24CA	B	26.7	30.7	24	38.9
652-SMCJ26CA	SMCJ26CA	B	28.9	32.2	26	42.1
652-SMCJ28CA	SMCJ28CA	B	31.1	35.8	28	45.4
652-SMCJ30CA	SMCJ30CA	B	33.3	38.3	30	48.4
652-SMCJ33CA	SMCJ33CA	B	36.7	42.2	33	53.3
652-SMCJ36CA	SMCJ36CA	B	40	46	36	58.1
652-SMCJ40CA	SMCJ40CA	B	44.4	51.1	40	64.5
652-SMCJ43CA	SMCJ43CA	B	47.8	54.9	43	69.4
652-SMCJ45CA	SMCJ45CA	B	50	57.5	45	72.7
652-SMCJ48CA	SMCJ48CA	B	53.3	61.3	48	77.4
652-SMCJ51CA	SMCJ51CA	B	56.7	65.2	51	82.4
652-SMCJ54CA	SMCJ54CA	B	60	69	54	87.1
652-SMCJ58CA	SMCJ58CA	B	64.4	74.6	58	93.6
652-SMCJ60CA	SMCJ60CA	B	66.7	76.7	60	96.8
652-SMCJ64CA	SMCJ64CA	B	71.1	81.8	64	103
652-SMCJ70CA	SMCJ70CA	B	77.8	89.5	70	113
652-SMCJ75CA	SMCJ75CA	B	83.3	95.8	75	121
652-SMCJ78CA	SMCJ78CA	B	86.7	99.7	78	126
652-SMCJ85CA	SMCJ85CA	B	94.4	108.2	85	137
652-SMCJ90CA	SMCJ90CA	B	100	115.5	90	146
652-SMCJ100CA	SMCJ100CA	B	111	128	100	162
652-SMCJ110CA	SMCJ110CA	B	122	140	110	177
652-SMCJ120CA	SMCJ120CA	B	133	153	120	193
652-SMCJ130CA	SMCJ130CA	B	144	165	130	209
652-SMCJ150CA	SMCJ150CA	B	167	192	150	243
652-SMCJ160CA	SMCJ160CA	B	178	205	160	259
652-SMCJ170CA	SMCJ170CA	B	189	217.5	170	275

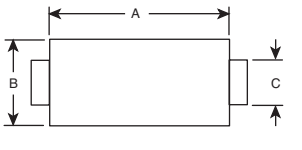

Vue supérieure

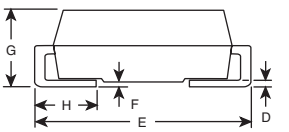

Vue latérale

Dimensions SMBJ (mm)	
Dimension	SMB (DO-214AA)
A	4.06 - 4.57
B	3.30 - 3.94
C	1.96 - 2.21
D	0.15 - 0.31
E	5.21 - 5.59
F	0.05 - 0.20
G	2.01 - 2.62
H	0.76 - 1.52

Dimensions SMCJ (mm)	
Dimension	SMB (DO-214AB)
A	6.60 - 7.11
B	5.59 - 6.22
C	2.92 - 3.18
D	0.15 - 0.31
E	7.75 - 8.13
F	0.05 - 0.20
G	2.01 - 2.62
H	0.76 - 1.52

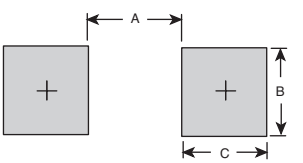

Empreinte conseillée

Dimensions SMBJ (mm)	
Dimension	SMA (DO-214AC)
A (max.)	2.69
B (min.)	2.1
C (min.)	1.27

Dimensions SMCJ (mm)	
Dimension	SMA (DO-214AA)
A (max.)	4.69
B (min.)	3.07
C (min.)	1.52

© Copyright 2012 Mouser Electronics

Tous les prix sont en EURO

© Copyright 2012 Mouser Electronics

DISPOSITIFS DE PROTECTION DES POINTS D'ACCÈS HDMI ET D'INTERFACE CMD

NEW PRODUCT

- Capacité correspondante de 0,05 pF entre les intra-paires TMDS
- Espace de trace synchronisé de 0,5 mm (TSSOP)
- Topologie simplifiée pour des connecteurs HDMI
- Circuiterie de rétablissement de niveau / isolation

Pour des quantités supérieures à celles indiquées, appelez-nous afin d'obtenir un devis.

RÉF. STOCK MOUSER	Réf. CMD	Boîtier	Protection ESD (IEC)	Tension de calage de canal	Résistance dynamique (Ω)	Prix unitaire 1	25	100	250
Protection de port de récepteur (série CM2021) • Protection à marche arrière • Plage de température de stockage : de -65 à +150 °C • Plage de temp. de fonctionnement de -40 à +85°C									
748-CM2021-02TR	CM2021-02TR	TSSOP-38	±8kV (min)	-2 à +11	0,9 à 1,2	1,36	1,14	1,02	0,908
Protection de port de récepteur (série CM2030) • Protection à marche arrière									
748-CM2030-A0TR	CM2030-A0TR	TSSOP-38	±8kV (min)	-2 à +11	0,9 à 1,2	1,59	1,22	1,11	0,998
Protection de port de récepteur (série CM2031) • Protection à marche arrière									
748-CM2031-A0TR	CM2031-A0TR	TSSOP-38	±8kV (min)	-2 à +11	0,9 à 1,4	1,59	1,22	1,11	0,998
Protection de port des émetteurs (série CM2020) • Protection de sortie de surintensité									
748-CM2020-00TR	CM2020-00TR	TSSOP-38	±8kV (min)	-	-	1,41	1,11	0,998	0,866

RESEAUX ESD / EMI / TERMINAISON À PORT PARALLÈLE IEEE 1284 CMD : SÉRIE PACS

- 17 filtres EMI
- 17 terminaisons à choix de valeurs de résistance

Pour des quantités supérieures à celles indiquées, appelez-nous afin d'obtenir un devis.

RÉF. STOCK MOUSER	Réf. CMD	Boîtier	Protection ESD (IEC)	Valeur (Ω)	Plage de température Stockage	Fonction.	Prix unitaire 1	10	50	100
748-PACSZ1284-04QR	PACSZ1284-04QR	QSOP 28	±30kV	2,2 K	-40~+150°C	-40 ~ +85 °C	0,69	0,635	0,578	0,52
748-PACSZ1284-02QR	PACSZ1284-02QR	QSOP 28	±30kV	4,7 K	-40~+150°C	-40 ~ +85 °C	0,87	0,792	0,722	0,649

TERMINAISONS DE PORT USB EN AMONT CMD : SÉRIE PACU

- Le boîtier Compact SC70 ou SOT23 permet de gagner de la place sur la carte et diminue les coûts de production par rapport aux autres solutions
- Un terminateur de point d'accès USB en amont, un filtre EMI et un protecteur de surtension transitoire dans un seul boîtier pour montage en surface

Pour des quantités supérieures à celles indiquées, appelez-nous afin d'obtenir un devis.

RÉF. STOCK MOUSER	Réf. CMD	Boîtier	Protection ESD (IEC)	Valeur (Ω)	Plage de température Stockage	Fonction.	Prix unitaire 1	50	100	500
748-PACUSB-U3R	PACUSB-U3R	SC70-6	±15 kV	22	-65~+150°C	-40 ~ +85 °C	0,30	0,272	0,248	0,223
748-PACUSB-U2R	PACUSB-U2R	SC70-6	±15 kV	33	-65~+150°C	-40 ~ +85 °C	0,40	0,363	0,33	0,297
748-PACUSB-U3Y6R	PACUSB-U3Y6R	SOT23-6	±15 kV	22	-65~+150°C	-40 ~ +85 °C	0,33	0,297	0,275	0,248

FILTRE EMI CMD POUR T-FLASH / MICROSD

NEW PRODUCT

- Deux canaux de filtres EMI
- Prend en charge les signaux CA, idéal pour les applications audio

Pour des quantités supérieures à celles indiquées, appelez-nous afin d'obtenir un devis.

RÉF. STOCK MOUSER	Réf. CMD	Boîtier	Protection ESD (IEC)	Tension de calage de canal	Prix unitaire 1	25	100	250
748-CM1624-08DE	CM1624-08DE	uDFN-16	±15 kV	-0,4 à 9	0,65	0,503	0,446	0,386

CIRCUITS D'ACCOMPAGNEMENT DE PORT VGA CMD

- Inclut la protection ESD, rétablissement de niveau, mise en mémoire tampon et adaptation de l'impédance synchronisée
- 7 canaux de protection ESD
- FET de canal N de changement de niveau bidirectionnel fournis pour DDC_CLK &Canaux DDC_DATA

Pour des quantités supérieures à celles indiquées, appelez-nous afin d'obtenir un devis.

RÉF. STOCK MOUSER	Réf. CMD	Boîtier	Protection ESD (IEC)	R out (Ω)	Plage de température Stockage	Fonction.	Prix unitaire 1	10	50	100
Série CM2009										
748-CM2009-02QR	CM2009-02QR	QSOP 16	±8kV	15	-40 ~ +85 °C	-40 ~ +85 °C	0,78	0,619	0,557	0,484
748-CM2009-00QR	CM2009-00QR	QSOP-16	±8kV	65	-40 ~ +85 °C	-40 ~ +85 °C	0,78	0,701	0,63	0,595
Série PACVGA200										
748-PACVGA200QR	PACVGA200QR	QSOP-24	±8kV	75	-65~+150°C	-0~+70°C	1,73	1,58	1,44	1,30

CIRCUIT D'ACCOMPAGNEMENT DE PORT VGA CMD POUR ÉCRAN: SÉRIE CM2006

- 2 canaux de protection ESD (CM1263-02SE)
- 6 canaux de protection ESD (CM1263)
- Capacité de charge de 0,85 pF par canal typique (CM1263-02SE)
- Capacité de charge de 1 pF par canal typique (CM1263)

Pour des quantités supérieures à celles indiquées, appelez-nous afin d'obtenir un devis.

RÉF. STOCK MOUSER	Réf. CMD	Boîtier	Protection ESD (IEC)	Plage de température Stockage	Fonction.	Prix unitaire 1	10	50	100
748-CM2006-02QR	CM2006-02QR	QSOP-16	±8kV	- - -	-65~+150°C	-40 ~ +85 °C	0,74	0,668	0,596	0,57

COMMUTATEUR INTELLIGENT À ENTRÉE DOUBLE SMARTOR™ CMD : SÉRIE CMPWR025

- Implémente la logique "entrée VCC1 OU entrée VCC2"
- Commutateurs de faible impédance intégrés (0,2ø TYP)
- Plage d'alimentation de fonctionnement de 2,8V à 5,5V
- Fournit jusqu'à 600mA de courant de sortie
- Sortie sans problème pendant les transitions de commutation d'alimentation
- Faible courant d'alimentation de fonctionnement de 20ÌA (TYP)
- Hystérésis sélectionnable par l'utilisateur pour la sélection de l'alimentation

Pour des quantités supérieures à celles indiquées, appelez-nous afin d'obtenir un devis.

RÉF. STOCK MOUSER	Réf. CMD	Boîtier	Protection ESD (IEC)	Plage de température Stockage	Fonction.	Prix unitaire 1	10	50	100
748-CMPWR025R	CMPWR025R	MSOP-8	±2 000V	- - -	-65~+150°C	- - -	1,86	1,70	1,55	1,39

FILTRE EMI POUR MICRO DE CASQUE CM

NEW PRODUCT

- Deux canaux de filtres EMI
- Prend en charge les signaux CA, idéal pour les applications audio

Pour des quantités supérieures à celles indiquées, appelez-nous afin d'obtenir un devis.

RÉF. STOCK MOUSER	Réf. CMD	Boîtier	Protection ESD (IEC)	Tension de calage de canal	Prix unitaire 1	25	100	250
748-CSPEMI201AG	CSPEMI201AG	CSP-5	±8kV (min)	-19 à+15	0,50	0,343	0,295	0,254

RÉGULATEURS DE TENSION DE TERMINAISON VDDQ ET VTT DDR CMD

- Tension de sortie VDDQ réglable de 1,7 V à 2,8 V
- Tension de sortie VTT de 0,85 V à 1,4 V (suivi à 50 % de VDDQ)
- Tension de mise au repos VDDQ typique de 500 mV à 2 A
- Variation de la tension de ligne et charge excellente, bruit bas
- Broche d'arrêt / ADJ à usage double
- Arrêt thermique et limite de courant incorporés pour VDDQ et VTT
- Activation de la broche VTT pour veille ou suspension pour la fonction RAN (CM3212)
- Réponse transitoire rapide
- Faible courant de repos
- Sortie VREF tampon, (CM3212)

Pour des quantités supérieures à celles indiquées, appelez-nous afin d'obtenir un devis.

RÉF. STOCK MOUSER	Réf. CMD	Boîtier	Protection ESD (IEC)	Tension d'alimentation	Temp. de fonctionnement à la jonction (°C)	Prix unitaire 1	10	50	100
Série CM3202-02									
748-CM3202-02DE	CM3202-02DE	TDFN-8	±2 000V	3,0 V-3,6 V	-40 à +70	0,84	0,776	0,701	0,635
Série CM3202									
748-CM3202-00DE	CM3202-00DE	TDFN-8	±2 000V	3.1V-3.6V	-40 à +70	0,74	0,685	0,619	0,561
Série CM3212									
748-CM3212-02DE	CM3212-02DE	TDFN-8	±2 000V	3,0 V-3,6 V	-40 à +150	0,86	0,784	0,724	0,65

TSSOP-38

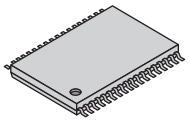

QSOP-16

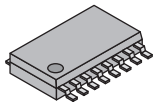

QSOP-24

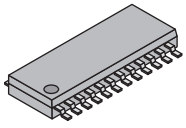

QSOP 28

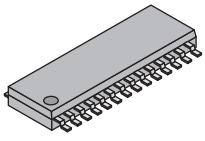

SC70-6

SOT23-6

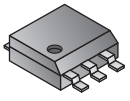

uDFN-16

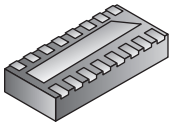

CSP-5

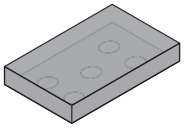

MSOP-8

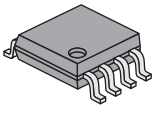

TDFN-8

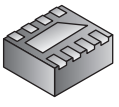

© Copyright 2012 Mouser Electronics

© Copyright 2012 Mouser Electronics

Barrette de protection ESD, protecteurs ESD et filtres EMI

RoHS Compliant **This product is RoHS compliant.**

BARRETTES ESD FAIBLE CAPACITÉ

RoHS Compliant

- Capacité de charge de canal typique de 1,6 pF
- Différence de capacité de canal d'entrée / sortie vers GND typique de 0,04 pF
- Capacité mutuelle typique de 0,13 pF
- Changement de capacité minimum avec la température et la tension
- Chaque broche entrée / sortie peut supporter plus de 1 000 amorces ESD
- Plage de température de stockage de -40 à +150 ºC

Pour des quantités supérieures à celles indiquées, appelez-nous afin d'obtenir un devis.

RÉF. STOCK MOUSER	Réf. CMD	Boîtier	Protection ESD (IEC)	Canaux	Capacité d'entrée de canaux (Max)(pF)	Prix unitaire 1	10	50	100
Série CM1216									
748-CM1216-06MR	CM1216-06MR	MSOP-8	±15 kV	6	2	0,79	0,726	0,66	0,594
748-CM1216-06SM	CM1216-06SM	SOIC-8	±15 kV	6	2	-	-	-	-
748-CM1216-08MR	CM1216-08MR	MSOP-10	±15 kV	8	2	0,87	0,792	0,726	0,652

BARRETTE DE PROTECTION ESD À 6 CANAUX

RoHS Compliant

Caractéristiques :
- Six canaux de protection ESD
- Faible capacité de chargement (3 pF typique)
- Le faible courant de fuite est idéal pour les dispositifs à batterie
- Plage de température de stockage de -65 à +150°C
- Plage de température de fonctionnement de -40 à +85 ºC

Pour des quantités supérieures à celles indiquées, appelez-nous afin d'obtenir un devis.

RÉF. STOCK MOUSER	Réf. CMD	Boîtier	Protection ESD (IEC)	Protection ESD (HBM)	Canaux	Capacité d'entrée de canaux (Max)(pF)	Prix unitaire 1	10	50	100
748-PACDN006MR	PACDN006MR	MSOP-8	±8kV	±15 kV	6	5	0,50	0,454	0,413	0,371

BARRETTES DE PROTECTION ESD FAIBLE CAPACITÉ AVEC PROTECTION DE MARCHE ARRIÈRE : SÉRIE CM1223

RoHS Compliant

Pour des quantités supérieures à celles indiquées, appelez-nous afin d'obtenir un devis.

RÉF. STOCK MOUSER	Réf. CMD	Boîtier	Protection ESD (IEC)	Canaux	Capacité d'entrée de canaux (Max)(pF)	Prix unitaire 1	50	100	500
748-CM1223-02SR	CM1223-02SR	SOT-143-4	±15 kV	2	1.5	0,42	0,388	0,355	0,314
748-CM1223-04SO	CM1223-04SO	SOT-23-6	±15 kV	4	1.5	0,45	0,413	0,371	0,338

BARRETTE À PINCE ESD PICOGUARD XS™ POUR PROTECTION DES LIGNES DE DONNÉES HAUTE VITESSE

RoHS Compliant

Caractéristiques :
- La protection ESD de 4 paires de canaux différentiels à IEC61000-4-2 Niveau 4 à un déchargement de contact de ±8kV
- L'architecture de la pince est adaptée à l'impédance de passage
- Un routage de tout les flux pour une intégrité du signal à haute vitesse
- Impédance adaptée à 100Ω pour chaque canal différentiel couplé

Pour des quantités supérieures à celles indiquées, appelez-nous afin d'obtenir un devis.

RÉF. STOCK MOUSER	Réf. CMD	Boîtier	Protection ESD (IEC)	Canaux	Tension relative au GND (Max)(V)	Prix unitaire 1	50	100	500
748-CM1233-08DE	CM1233-08DE	TDFN-16	±8kV	4	5.5	0,87	0,776	0,693	0,662
748-CM1235-08DE	CM1235-08DE	TDFN-16	±8kV	4	5.5	0,76	0,685	0,615	0,583
748-CM1236-08DE	CM1236-08DE	TDFN-16	±8kV	4	5.5	0,87	0,776	0,69	0,66

FILTRES EMI AVEC PROTECTION ESD INTÉGRÉE

NEW! TECHNOLOGY

RoHS Compliant

Caractéristiques :
- Protection ESD de ±16 kV sur chaque canal (IEC6100042 Niveau 4, Déchargement de contact)
- Des valeurs L/C de 17 nH et 12 pF pour des caractéristiques de performance S21 exceptionnelles de 250 MHz f3dB et -23 dB. Atténuation d'arrêt de bande, de 800 MHz à 6 GHz
- Intégrée dans le pack UDFN, la solution de système EMI/ESD est proposée à un prix exceptionnel, fiabilité du système et gain de place

Applications :
- Casques sans fil
- Filtrage EMI pour lignes de données LCD et appareil photo
- Filtrage EMI et protection des ports et des claviers E/S

Pour des quantités supérieures à celles indiquées, appelez-nous afin d'obtenir un devis.

RÉF. STOCK MOUSER	Réf. CMD	Boîtier	Protection ESD (IEC)	Canaux	Capacité de la ligne (Typ)(pF)	Résistance (Ω)	Prix unitaire 1	50	100	250
863-EMI7204MUTAG	EMI7204MUTAG	uDFN-8	±16	4	24.2	10	0,22	0,19	0,172	0,15
863-EMI7206MUTAG	EMI7206MUTAG	uDFN-12	±16	6	24.2	10	0,25	0,239	0,223	0,215
863-EMI7208MUTAG	EMI7208MUTAG	uDFN-16	±16	8	24.2	10	1,16	0,957	0,80	0,681

BARRETTES DE FILTRE EMI AVEC PROTECTION ESD

NEW PRODUCT

RoHS Compliant

- Quatre, six et huit canaux de filtrage EMI avec protection ESD intégrée
- Filtres EMI de style Pi sur un réseau condensateur-inducteur-condensateur (C-L-C)
- Filtres EMI de style Pi dans un réseau condensateur-résistance-condensateur (C-R-C)
- Plus de robustesse aux impacts verticaux pendant le processus de fabrication
- Plage de température de stockage de -65 à +150°C
- Plage de température de fonctionnement de -40 à +85 ºC

Pour des quantités supérieures à celles indiquées, appelez-nous afin d'obtenir un devis.

RÉF. STOCK MOUSER	Réf. CMD	Boîtier	Protection ESD (IEC)	Protection ESD (HBM)	Canaux	Dimension boîtier (mm)	Atténuation (dB)	Prix unitaire 1	50	100	500
Série CM1460											
748-CM1460-06DE	CM1460-06DE	TDFN-12	±15 kV	±30kV	6	3x1,35	35	0,62	0,512	0,413	0,389
748-CM1460-08DE	CM1460-08DE	TDFN-16	±15 kV	±30kV	8	4x1,6	35	0,47	0,396	0,314	0,297
Série CM1690											
748-CM1690-04DE	CM1690-04DE	uDFN-8	±15 kV	±30kV	4	1,7 x 1,35	35	0,79	0,66	0,594	0,528
Série CM1461											
748-CM1461-08DE	CM1461-08DE	TDFN-16	±15 kV	±30kV	8	4x1,6	20	0,56	0,495	0,429	0,363
Série CM1430, CM143											
748-CM1431-06DE	CM1431-06DE	TDFN-12	±15 kV	±30kV	6	2,5 x 1,35	35	0,48	0,404	0,322	0,309
748-CM1431-08DE	CM1431-08DE	TDFN-16	±15 kV	±30kV	8	3,3 x 1,35	35	0,44	0,371	0,327	0,293
748-CM1431-04DE	CM1431-04DE	TDFN-8	±15 kV	±30kV	4	1,7 x 1,35	35	0,26	0,223	0,201	0,182
748-CM1430-06DE	CM1430-06DE	TDFN-12	±15 kV	±30kV	6	2,5 x 1,35	20	0,51	0,437	0,384	0,345
748-CM1430-08DE	CM1430-08DE	TDFN-16	±15 kV	±30kV	8	3,3 x 1,35	20	0,45	0,314	0,285	0,253
Série CM1409											
748-CM1409-06DE	CM1409-06DE	TDFN-12	±15 kV	±30kV	6	3x1,35	35	0,37	0,305	0,248	0,235
748-CM1409-08DE	CM1409-08DE	TDFN-16	±15 kV	±30kV	8	4x1,6	35	0,32	0,272	0,215	0,206
Série CM1693											
748-CM1693-04DE	CM1693-04DE	uDFN-12	±18kV	-	4	2,5x1,35	35	0,44	0,413	0,329	0,283
863-CM1693-08DE	CM1693-08DE	uDFN-12	±18kV	-	8	2,5x1,35	35	0,50	0,429	0,386	0,283

MSOP-8

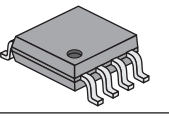

SOIC-8

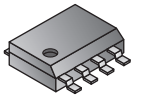

MSOP-10

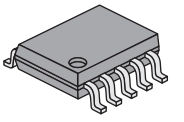

SOT23-6

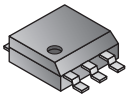

SOT143-4

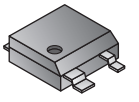

TDFN-8

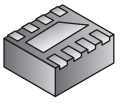

TDFN-12

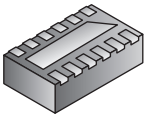

TDFN-16

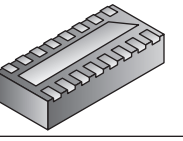

uDFN-8

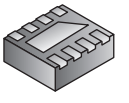

uDFN-12

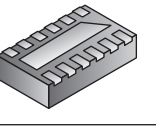

uDFN-16

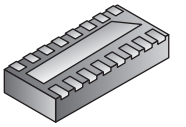

© Copyright 2012 Mouser Electronics

© Copyright 2012 Mouser Electronics

BARRETTES DE PROTECTION ESD FAIBLE CAPACITÉ CMD

Série CM1213

- 1, 2, 4, 6 et 8 canaux de protection ESD
- Faible capacité d'entrée de canal typique de 1,0 pF
- Changement de capacité minimum avec la température et la tension
- La capacité d'entrée du canal correspondantla valeur typique de 0,02 pF est idéale pour les signaux différentiels
- Capacité mutuelle entre la broche de signal et la broche de signal adjacente typique de 0,11 pF
- La diode Zener protégé le rail d'alimentation et élimine le besoin en condensateurs de dérivation externes
- Chaque broche entrée / sortie peut supporter plus de 1 000 amorces ESD
- Plage de température de stockage de -65 à +150°C
- Plage de température de fonctionnement de -40 à +85 °C

Pour des quantités supérieures à celles indiquées, appelez-nous afin d'obtenir un devis.

RÉF. STOCK MOUSER	Réf. CMD	Boîtier	Protection ESD (IEC)	Canaux	Prix unitaire			
					1	10	50	100
748-CM1213A-01SO	CM1213A-01SO	SOT23-3	±15 kV	1	0,48	0,404	0,353	0,321
748-CM1213A-02SR	CM1213A-02SR	SOT143	±15 kV	2	0,46	0,388	0,311	0,291
748-CM1213A-02SO	CM1213A-02SO	SOT23-5	±15 kV	2	0,46	0,388	0,311	0,291
748-CM1213A-04MR	CM1213-04MR	MSOP-10	±15 kV	4	0,55	0,454	0,413	0,363
748-CM1213A-04SO	CM1213-04SO	SOT23-6	±15 kV	4	0,60	0,561	0,507	0,462
748-CM1213-06SM	CM1213-06SM	SOIC-8	±15 kV	6	0,74	0,685	0,619	0,562
748-CM1213-08MR	CM1213-08MR	MSOP-10	±15 kV	8	0,64	0,594	0,536	0,487

PARASURTENSEURS CMD / PROTECTEURS ESD : SÉRIES CM1218, CM1219

- Faible capacité d'entrée / sortie à 4 pF typique (CM1219)
- Faible capacité d'entrée / sortie à 7 pF typique (CM1218)
- Deux, trois, quatre ou cinq canaux de protection ESD
- Chaque broche entrée / sortie peut supporter plus de 1 000 amorces ESD
- Protection ESD intégrée au système à déchargement de contact de ±8 kV, conformément à la norme internationale IEC 61000-4-2
- Boîtier CMS compact permettant de gagner de la place sur la carte et facilite la configuration pour les applications en espace restreint
- Plage de température de stockage de -65 à +150°C
- Plage de température de fonctionnement de -40 à +85 °C

Pour des quantités supérieures à celles indiquées, appelez-nous afin d'obtenir un devis.

RÉF. STOCK MOUSER	Réf. CMD	Boîtier	Protection ESD (IEC)	Canaux	Prix unitaire			
					1	50	100	500
748-CM1218-02SO	CM1218-02SO	SOT23-3	±15 kV	2	0,22	0,206	0,19	0,165
748-CM1218-04SE	CM1218-04SE	SOT-553-5	±15 kV	4	0,20	0,149	0,132	0,125
748-CM1218-04SO	CM1218-04SO	SOT23-5	±15 kV	4	0,30	0,272	0,248	0,223
748-CM1218-05SE	CM1218-05SE	SOT-563-6	±15 kV	5	0,22	0,165	0,149	0,141

PARASURTENSEURS CMD / PROTECTEURS ESD

- Deux, trois, quatre, cinq ou six canaux parasurtenseurs (CM1248)
- Protection ESD intégrée au système à déchargement de contact à ±20 kV, conformément à la norme internationale IEC 61000-4-2
- Le boîtier SMT permet de gagner de la place et facilite la configuration des applications où l'espace est crucial
- Capacité d'entrée / sortie faible à 10 pF à 0 V
- Chaque broche entrée / sortie peut supporter plus de 1 000 amorces ESD
- Plage de température de stockage de -65 à +150°C
- Plage de température de fonctionnement de -40 à +85 °C

Pour des quantités supérieures à celles indiquées, appelez-nous afin d'obtenir un devis.

RÉF. STOCK MOUSER	Réf. CMD	Boîtier	Protection ESD (IEC)	Canaux	Prix unitaire			
					1	50	100	500
Série CM1248								
748-CM1248-08DE	CM1248-08DE	uDFN-8 + DAP	±20kV	-	0,37	0,305	0,287	0,25
Série PACDN04								
748-PACDN044Y5R	PACDN044Y5R	SOT23-5	±20kV	-	0,62	0,561	0,516	0,464
748-PACDN045YB6R	PACDN045YB6R	SC70-6	±20kV	-	0,72	0,667	0,601	0,549
748-PACDN044YB5R	PACDN044YB5R	SC70 - 5	±20kV	-	0,87	0,792	0,722	0,649
748-PACDN042Y3R	PACDN042Y3R	SOT23-3	±20kV	-	0,87	0,792	0,722	0,649

PROTECTEURS ESD DE SIGNAL CA PICOGUARD CMD : SÉRIE CM1214

- Protection ESD à un seul canal pour un signal CA de ±5 V maximum pour une puissance de transmission de 0,25 W
- Connecte les deux canaux en série pour des signaux de +10 V maximum (puissance de transmission de 1W)
- Capacité de chargement de sub-1pF
- Variation minimale avec la température et la tension
- Peut supporter plus de 1 000 amorces ESD à 8 kV
- Plage de température de stockage de -65 à +150°C
- Plage de température de fonctionnement de -40 à +85 °C

Pour des quantités supérieures à celles indiquées, appelez-nous afin d'obtenir un devis.

RÉF. STOCK MOUSER	Réf. CMD	Boîtier	Protection ESD (IEC)	Canaux	Prix unitaire			
					1	50	100	500
748-CM1214A-01SO	CM1214-01SO	SOT23-3	±8kV	-	0,45	0,371	0,33	0,297
748-CM1214A-02MR	CM1214-02MR	MSOP-8	±8kV	-	0,47	0,352	0,314	0,299

PROTECTION ESD À FAIBLE CAPACITÉ CMD POUR INTERFACES EN SÉRIE HAUTE VITESSE : SÉRIE CM1263

- 2 canaux de protection ESD (CM1263-02SE)
- 6 canaux de protection ESD (CM1263-06DE)
- Capacité de chargement de 0,85 pF par canal typique (CM1263-02SE)
- Capacité de 1 pF par canal typique (CM1263-06DE)
- Plage de température de stockage de -65 à +150°C
- Plage de température de fonctionnement de -40 à +85 °C

Pour des quantités supérieures à celles indiquées, appelez-nous afin d'obtenir un devis.

RÉF. STOCK MOUSER	Réf. CMD	Boîtier	Protection ESD (IEC)	Canaux	Prix unitaire			
					1	50	100	500
748-CM1263-02SE	CM1263-02SE	SOT-553-5	±15 kV	2	0,45	0,413	0,38	0,347
748-CM1263-06DE	CM1263-06DE	uDFN-12	±15 kV	6	0,82	0,685	0,619	0,55

MSOP-8

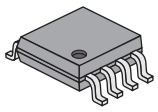

MSOP 1

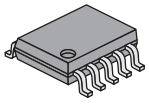

SOIC 8

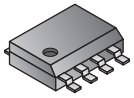

SOT143-4

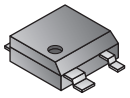

SOT23-3

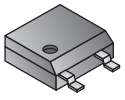

SOT23-5

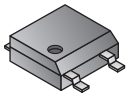

SOT23-6

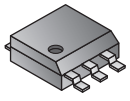

SC70 - 5

SC70-6

SOT-553-5

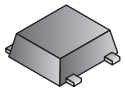

SOT-563-6

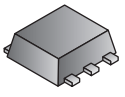

uDFN-8

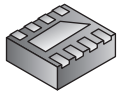

uDFN-12

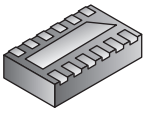

© Copyright 2012 Mouser Electronics

© Copyright 2012 Mouser Electronics

TVS FAIRCHILD

Les produits peuvent être conformes à la directive RoHS.
Consulter le site mouser.com pour vérifier la conformité RoHS.

FAIRCHILD SEMICONDUCTOR

PARASURTENSEURS

♦ **Composant pour montage en surface**

Pour des quantités supérieures à celles indiquées, appelez-nous afin d'obtenir un devis.

RÉF. STOCK MOUSER	Réf. Fairchild	Boîtier	Configuration	Vrwm	Rupture Vbr		It condition de test	Vc Max Calage Tension à Ippm	Ipp Max Crête d'impulsion Surtension Courant	Ir Max Fuite inverse à Vrwm	Pppm	Prix unitaire			
					Min.	Max.						1	25	100	250
512-SA5V0CA	SA5V0CA	DO-15	Bidirectionnel	5 V	6,4V	7V	10 mA	9,2V	54,3A	1200µA	500W	0,25	0,231	0,182	0,16
♦ 512-SMBJ5V0CA	SMBJ5V0CA	SMB	Bidirectionnel	5 V	6,4V	7V	10 mA	9,2V	65,2A	1600µA	600W	0,52	0,338	0,281	0,233
♦ 512-SMCJ6V5CA	SMCJ6V5CA	SMC-2	Bidirectionnel	6,5V	7,22V	7,98V	10 mA	11,2V	133,9A	1000µA	1500W	0,68	0,635	0,46	0,388
♦ 512-SMBJ12CA	SMBJ12CA	SMB	Bidirectionnel	12 V	13,3V	14,7V	1 mA	19,9V	30,2A	5µA	600W	0,45	0,297	0,239	0,198
♦ 512-SMCJ12CA	SMCJ12CA	SMC-2	Bidirectionnel	12 V	13,3V	14,7V	1 mA	19,9V	75,3A	5µA	1500W	0,37	0,335	0,274	0,237
♦ 512-SMCJ14CA	SMCJ14CA	SMC-2	Bidirectionnel	14V	15,6V	17,2V	1 mA	23,2V	64,7A	5µA	1500W	0,37	0,335	0,274	0,237
♦ 512-SMBJ15CA	SMBJ15CA	SMB-2	Bidirectionnel	15 V	16,7V	18,5V	1 mA	24,4V	24,6A	5µA	600W	0,45	0,297	0,239	0,198
512-P6KE20CA	P6KE20CA	DO-15	Bidirectionnel	17,1V	19V	21V	1 mA	27,7V	22A	5µA	600W	0,30	0,272	0,233	0,196
512-SA18CA	SA18CA	DO-15	Bidirectionnel	18 V	20 V	22,1V	1 mA	29,2V	17,2A	1µA	500W	0,21	0,173	0,125	0,111
♦ 512-SMBJ20CA	SMBJ20CA	SMB	Bidirectionnel	20 V	22,2V	24,5V	1 mA	32,4V	18,5A	5µA	600W	0,24	0,223	0,157	0,133
♦ 512-SMBJ24CA	SMBJ24CA	SMB	Bidirectionnel	24 V	26,7V	29,5V	1 mA	38,9V	15,4A	5µA	600W	0,26	0,231	0,164	0,139
♦ 512-SMCJ24CA	SMCJ24CA	SMC-2	Bidirectionnel	24 V	26,7V	29,5V	1 mA	38,9V	38,6A	5µA	1500W	0,36	0,289	0,239	0,224
♦ 512-SMCJ28CA	SMCJ28CA	SMC	Bidirectionnel	28 V	31,1V	34,4V	1 mA	45,4V	33A	5µA	1500W	0,43	0,388	0,351	0,288
♦ 512-SMBJ28CA	SMBJ28CA	SMB-2	Bidirectionnel	28 V	31,1V	34,4V	1 mA	45,4V	13,2A	5µA	600W	0,45	0,297	0,244	0,204
512-SA30CA	SA30CA	DO-15	Bidirectionnel	30 V	33,3V	36,8V	1 mA	48,4V	10,3A	1µA	500W	0,21	0,198	0,147	0,13
♦ 512-SMBJ30CA	SMBJ30CA	SMB-2	Bidirectionnel	30 V	33,3V	36,8V	1 mA	48,4V	12,4A	5µA	600W	0,26	0,223	0,157	0,133
♦ 512-SMBJ33CA	SMBJ33CA	SMB-2	Bidirectionnel	33V	36,7V	40,6V	1 mA	53,3V	11,3A	5µA	600W	0,45	0,297	0,239	0,198
512-SA33CA	SA33CA	DO-15	Bidirectionnel	33V	36,7V	40,6V	1 mA	53,3V	9,4A	1µA	500W	0,20	0,173	0,147	0,13
♦ 512-SMCJ36CA	SMCJ36CA	SMC-2	Bidirectionnel	36 V	40 V	44,2V	1 mA	58,1V	25,8A	5µA	1500W	0,45	0,33	0,256	0,209
512-P6KE62CA	P6KE62CA	DO-15	Bidirectionnel	53V	58,9V	65,1V	1 mA	85V	7,1A	5µA	600W	0,30	0,272	0,233	0,196
♦ 512-SMBJ58CA	SMBJ58CA	SMB	Bidirectionnel	58V	64,4V	71,2V	1 mA	93,6V	6,4A	5µA	600W	0,28	0,248	0,172	0,145
♦ 512-SMCJ78CA	SMCJ78CA	SMC-2	Bidirectionnel	78V	86,7V	95,8V	1 mA	126V	11,9A	5µA	1500W	0,50	0,462	0,335	0,281
♦ 512-SMBJ100CA	SMBJ100CA	SMB-2	Bidirectionnel	100 V	111V	123V	1 mA	162V	3,7A	5µA	600W	0,20	0,173	0,157	0,133
♦ 512-SMCJ170CA	SMCJ170CA	SMC-2	Bidirectionnel	170 V	189V	209V	1 mA	275V	5,5A	5µA	1500W	0,54	0,503	0,408	0,344
512-P6KE250CA	P6KE250CA	DO-15	Bidirectionnel	214V	237V	263V	1 mA	344V	1,8A	5µA	600W	0,30	0,272	0,233	0,196
512-P6KE300CA	P6KE300CA	DO-15	Bidirectionnel	256V	285V	315V	1 mA	414V	1,5A	5µA	600W	0,37	0,347	0,298	0,251
512-P6KE350CA	P6KE350CA	DO-15	Bidirectionnel	300 V	332V	368V	1 mA	482V	1,3A	5µA	600W	0,38	0,355	0,304	0,257
512-1V5KE440CA	1V5KE440CA	DO-201AE	Bidirectionnel	376V	418V	462V	1 mA	602V	2,6A	5µA	1500W	0,78	0,726	0,556	0,48
♦ 512-SMBJ5V0A	SMBJ5V0A	SMB	Unidirectionnel	5 V	6,4V	7V	10 mA	9,2V	65,2A	800µA	600W	0,40	0,256	0,206	0,173
512-P6KE6V8A	P6KE6V8A	DO-15	Unidirectionnel	5,8V	6,45V	7,14V	10 mA	10,5V	57,1A	1000µA	600W	0,41	0,289	0,248	0,215
♦ 512-SMBJ6V0A	SMBJ6V0A	SMB	Unidirectionnel	6V	6,67V	7,37V	10 mA	10,3V	58,3A	800µA	600W	0,23	0,223	0,158	0,13
♦ 512-SMBJ10A	SMBJ10A	SMB	Unidirectionnel	10 V	11,1V	12,8V	1 mA	17V	35,3A	5µA	600W	0,17	0,157	0,139	0,115
♦ 512-SMBJ12A	SMBJ12A	SMB	Unidirectionnel	12 V	13,3V	14,7V	1 mA	19,9V	30,2A	5µA	600W	0,50	0,289	0,233	0,168
♦ 512-SMCJ12A	SMCJ12A	SMC	Unidirectionnel	12 V	13,3V	14,7V	1 mA	19,9V	75,3A	5µA	1500W	0,56	0,388	0,33	0,289
♦ 512-SMCJ13A	SMCJ13A	SMC-2	Unidirectionnel	13V	14,4V	15,9V	1 mA	21,5V	69,8A	5µA	1500W	0,36	0,355	0,303	0,253
♦ 512-SMBJ14A	SMBJ14A	SMB	Unidirectionnel	14V	15,6V	17,2V	1 mA	23,2V	25,9A	5µA	600W	0,17	0,165	0,125	0,11
♦ 512-SMBJ15A	SMBJ15A	SMB	Unidirectionnel	15 V	16,7V	18,5V	1 mA	24,4V	24,6A	5µA	600W	0,50	0,289	0,231	0,165
♦ 512-SMBJ16A	SMBJ16A	SMB	Unidirectionnel	16 V	17,8V	19,7V	1 mA	26V	23,1A	5µA	600W	0,18	0,149	0,125	0,097
♦ 512-SMBJ17A	SMBJ17A	SMB	Unidirectionnel	17V	18,9V	20,9V	1 mA	27,6V	21,7A	5µA	600W	0,20	0,182	0,131	0,115
♦ 512-SMBJ18A	SMBJ18A	SMB	Unidirectionnel	18 V	20 V	22,1V	1 mA	29,2V	20,5A	5µA	600W	0,19	0,173	0,125	0,11
♦ 512-SMCJ18A	SMCJ18A	SMC	Unidirectionnel	18 V	20 V	22,1V	1 mA	29,2V	51,4A	5µA	1500W	0,36	0,355	0,289	0,242
512-P6KE22A	P6KE22A	DO-15	Unidirectionnel	18,8V	20,9V	23,1V	1 mA	30,6V	20 A	5µA	600W	0,26	0,215	0,184	0,149
♦ 512-SMBJ20A	SMBJ20A	SMB	Unidirectionnel	20 V	22,2V	24,5V	1 mA	32,4V	18,5A	5µA	600W	0,17	0,165	0,125	0,11
512-P6KE24A	P6KE24A	DO-15	Unidirectionnel	20,5V	22,8V	25,2V	1 mA	33,2V	18,1A	5µA	600W	0,24	0,19	0,164	0,133
♦ 512-SMCJ22A	SMCJ22A	SMC	Unidirectionnel	22 V	24,4V	26,9V	1 mA	35,5V	42,3A	5µA	1500W	0,40	0,38	0,276	0,231
♦ 512-SMCJ24A	SMCJ24A	SMC	Unidirectionnel	24 V	26,7V	29,5V	1 mA	38,9V	38,6A	5µA	1500W	0,35	0,322	0,284	0,234
512-P6KE30A	P6KE30A	DO-15	Unidirectionnel	25,6V	28,5V	31,5V	1 mA	41,4V	14,5A	5µA	600W	0,23	0,19	0,164	0,133
♦ 512-SMBJ26A	SMBJ26A	SMB	Unidirectionnel	26V	28,9V	31,9V	1 mA	42,1V	14,3A	5µA	600W	0,17	0,157	0,125	0,11
512-P6KE33A	P6KE33A	DO-15	Unidirectionnel	28,2V	31,4V	34,7V	1 mA	45,7V	13,2A	5µA	600W	0,23	0,19	0,164	0,133
♦ 512-SMCJ33A	SMCJ33A	SMC-2	Unidirectionnel	33V	36,7V	40,6V	1 mA	53,3V	28,1A	5µA	1500W	0,56	0,396	0,33	0,289
♦ 512-SMBJ36A	SMBJ36A	SMB	Unidirectionnel	36 V	40 V	44,2V	1 mA	58,1V	10,3A	5µA	600W	0,50	0,289	0,231	0,165
♦ 512-SMCJ36A	SMCJ36A	SMC	Unidirectionnel	36 V	40 V	44,2V	1 mA	58,1V	25,8A	5µA	1500W	0,56	0,388	0,337	0,291
512-SA40A	SA40A	DO-15	Unidirectionnel	40 V	44,4V	49,1V	1 mA	64,5V	7,8 A	1µA	500W	0,19	0,173	0,125	0,108
♦ 512-SMBJ40A	SMBJ40A	SMB	Unidirectionnel	40 V	44,4V	49,1V	1 mA	64,5V	9,3 A	5µA	600W	0,18	0,149	0,125	0,097
♦ 512-SMBJ48A	SMBJ48A	SMB-2	Unidirectionnel	48 V	53,3V	58,9V	1 mA	77,4V	7,8 A	5µA	600W	0,21	0,173	0,125	0,11
♦ 512-SMBJ51A	SMBJ51A	SMB	Unidirectionnel	51V	56,7V	62,7V	1 mA	82,4V	7,3A	5µA	600W	0,16	0,14	0,125	0,11
512-P6KE62A	P6KE62A	DO-15	Unidirectionnel	53V	58,9V	65,1V	1 mA	85V	7,1A	5µA	600W	0,23	0,198	0,172	0,139
♦ 512-SMCJ54A	SMCJ54A	SMC-2	Unidirectionnel	54 V	60 V	66,3V	1 mA	87,1V	17,2A	5µA	1500W	0,43	0,396	0,289	0,242
♦ 512-SMCJ70A	SMCJ70A	SMC-2	Unidirectionnel	70V	77,8V	86V	1 mA	113V	13,3A	5µA	1500W	0,38	0,363	0,258	0,224
♦ 512-SMCJ75A	SMCJ75A	SMC-2	Unidirectionnel	75V	83,3V	92,1V	1 mA	121V	12,4A	5µA	1500W	0,40	0,388	0,276	0,231
♦ 512-SMBJ75A	SMBJ75A	SMB	Unidirectionnel	75V	83,3V	92,1V	1 mA	121V	5 A	5µA	600W	0,16	0,14	0,125	0,11
♦ 512-SMBJ150A	SMBJ150A	SMB	Unidirectionnel	150 V	167V	185V	1 mA	243V	2,5A	5µA	600W	0,17	0,157	0,125	0,11
512-P6KE180A	P6KE180A	DO-15	Unidirectionnel	154V	171V	189V	1 mA	246V	2,4A	5µA	600W	0,25	0,198	0,172	0,139
♦ 512-SMCJ170A	SMCJ170A	SMC	Unidirectionnel	170 V	189V	209V	1 mA	275V	5,5A	5µA	1500W	0,43	0,396	0,289	0,242
512-P6KE200A	P6KE200A	DO-15	Unidirectionnel	171V	190V	210V	1 mA	274V	2,2A	5µA	600W	0,23	0,231	0,198	0,14
512-P6KE250A	P6KE250A	DO-15	Unidirectionnel	214V	237V	263V	1 mA	344V	1,8A	5µA	600W	0,23	0,19	0,164	0,133
512-P6KE350A	P6KE350A	DO-15	Unidirectionnel	300 V	332V	368V	1 mA	482V	1,3A	5µA	600W	0,29	0,272	0,231	0,196
512-P6KE440A	P6KE440A	DO-15	Unidirectionnel	376V	418V	462V	1 mA	602V	1 A	5µA	600W	0,31	0,289	0,243	0,205

© Copyright 2012 Mouser Electronics
© Copyright 2012 Mouser Electronics

Barrettes de protection en silicone LITTELFUSE

RoHS Compliant **This product is RoHS compliant.**

BARRETTES DE PROTECTION EN SILICONE LITTELFUSE

Caractéristiques :

- Faible capacité
- Protection ESD
- Protection EFT
- Faible courant de fuite
- Le petit boîtier économise de l'espace sur la carte
- Conforme à la directive RoHS
- IEC 61000-4-2

NEW PRODUCT

RoHS Compliant

Protection ESD, usage général

RÉF. STOCK MOUSER	Réf. Littelfuse	Boîtier	V_{ESD}(kV)	Canaux	Polarité	V_{rwm}(V)	I Fuite (μA)	C_{TYP}(pF)	Prix unitaire 1	10	100	Qté. par bobine	Prix par com-
Série SP050xBA SPA™													
576-SP0502BAHTG	SP0502BAHTG	SOT-23-3	30	2	Bipolaire	5.5	0.1	30	0,68	0,67	0,661	3000	0,466
576-SP0504BAHTG	SP0504BAHTG	SOT-23-6	30	4	Bipolaire	5.5	0.1	30	0,77	0,701	0,586	3000	0,281
576-SP0504BAJTG	SP0504BAJTG	SC-70-5	30	4	Bipolaire	5.5	0.1	30	0,85	0,784	0,66	3000	0,336
576-SP0505BAHTG	SP0505BAHTG	SOT-23-6	30	5	Bipolaire	5.5	0.1	30	0,83	0,767	0,644	3000	0,307
576-SP0505BAJTG	SP0505BAJTG	SC-70-6	30	5	Bipolaire	5.5	0.1	30	0,95	0,866	0,734	3000	0,349
576-SP0506BAATG	SP0506BAATG	MSOP-8	30	6	Bipolaire	5.5	0.1	30	1,32	1,21	1,01	4000	0,481
Série SP1000 SPA™													
576-SP1001-02JTG	SP1001-02JTG	SC-70-3	15	2	Bipolaire	5.5	0,5	8	0,26	0,239	0,198	3000	0,096
576-SP1001-04JTG	SP1001-04JTG	SC-70-5	15	4	Bipolaire	5.5	0,5	8	0,37	0,338	0,281	3000	0,135
576-SP1001-04XTG	SP1001-04XTG	SOT-553	15	4	Bipolaire	5.5	0,5	8	0,39	0,355	0,297	5000	0,134
576-SP1001-05JTG	SP1001-05JTG	SC-70-6	15	5	Bipolaire	5.5	0,5	8	0,46	0,421	0,355	3000	0,169
576-SP1001-05XTG	SP1001-05XTG	SOT-563	15	5	Bipolaire	5.5	0,5	8	1,35	1,13	1,02	5000	0,637
576-SP1002-01JTG	SP1002-01JTG	SC-70-3	8	1	Bipolaire	6	0,5	5	0,22	0,198	0,165	3000	0,078
576-SP1002-02JTG	SP1002-02JTG	SC-70-5	8	2	Bipolaire	6	0,5	5	0,26	0,239	0,205	3000	0,097
576-SP1003-01DTG	SP1003-01DTG	SOD-723	30	1	Bipolaire	5	0.1	30	0,26	0,239	0,198	8000	0,091
576-SP1004-04VTG	SP1004-04VTG	SOT-953	8	4	Bipolaire	6	0.1	5	0,41	0,33	0,318	8000	0,143
576-SP1005-01WTG	SP1005-01WTG	0201	30	1	Bipolaire	6	0.1	30	0,14	0,132	0,107	10000	0,05
576-SP1007-01WTG	SP1007-01WTG	0201	8	1	Bipolaire	6	0.1	5	0,14	0,132	0,107	10000	0,05
576-SP1010-04UTG	SP1010-04UTG	μDFN-6	8	4	Bipolaire	6	1	3.5	0,40	0,363	0,306	3000	0,144
576-SP1011-04UTG	SP1011-04UTG	μDFN-6	15	4	Bipolaire	6	1	7	0,41	0,33	0,318	3000	0,15

Protection ESD, usage général, série SP720 SPA™

RÉF. STOCK MOUSER	Réf. Littelfuse	Boîtier	V_{ESD}(kV)	Canaux	Polarité	V_{rwm}(V)	I Fuite(μA)	C_{TYP}(pF)	Prix unitaire 1	10	100	250
576-SP720ABG	SP720ABG	SOIC-16	4	14	Bipolaire	30	0.02	3	2,06	1,98	1,85	1,70
576-SP720APP	SP720APP	SOIC-16	4	14	Bipolaire	30	0.02	3	2,97	2,72	2,02	1,82
576-SP721ABG	SP721ABG	SOIC-8	4	6	Bipolaire	30	0.02	3	2,06	1,90	1,40	1,24
576-SP721APP	SP721APP	PDIP-8	4	6	Bipolaire	30	0.02	3	2,06	1,90	1,40	1,24
576-SP723ABG	SP723ABG	SOIC-8	8	6	Bipolaire	30	0.02	5	2,72	2,50	1,86	1,65

Protection ESD à faible capacité

RÉF. STOCK MOUSER	Réf. Littelfuse	Boîtier	V_{ESD}(kV)	Canaux	Polarité	V_{rwm}(V)	I Fuite (μA)	C_{TYP}(pF)	Prix unitaire 1	10	100	Qté. par bobine	Prix par com-posant
Série SP3000 SPA™													
576-SP3001-04JTG	SP3001-04JTG	SC-70-6	8	4	Bipolaire	6	0,5	0.65	0,59	0,536	0,454	3000	0,215
576-SP3002-04HTG	SP3002-04HTG	SOT-23-6	12	4	Bipolaire	6	0,5	0.85	0,55	0,495	0,413	3000	0,19
576-SP3002-04JTG	SP3002-04JTG	SC-70-6	12	4	Bipolaire	6	0,5	0.85	0,56	0,512	0,429	3000	0,202
576-SP3002-04UTG	SP3002-04UTG	μDFN-6	12	4	Bipolaire	6	0,5	0.85	0,59	0,536	0,454	3000	0,215
576-SP3003-02JTG	SP3003-02JTG	SC-70-5	8	2	Bipolaire	6	0,5	0.65	0,77	0,701	0,586	3000	0,28
576-SP3003-02XTG	SP3003-02XTG	SOT-553	8	2	Bipolaire	6	0,5	0.65	0,83	0,767	0,644	5000	0,291
576-SP3003-04ATG	SP3003-04ATG	MSOP-10	8	4	Bipolaire	6	0,5	0.65	1,30	1,20	0,998	4000	0,477
576-SP3003-04JTG	SP3003-04JTG	SC-70-6	8	4	Bipolaire	6	0,5	0.65	0,59	0,536	0,454	3000	0,215
576-SP3003-04XTG	SP3003-04XTG	SOT-563	8	4	Bipolaire	6	0,5	0.65	0,60	0,553	0,462	5000	0,255
576-SP3010-04UTG	SP3010-04UTG	μDFN-10	8	4	Bipolaire	6	0,5	0.45	0,74	0,677	0,569	3000	0,286
576-SP3011-06UTG	SP3011-06UTG	μDFN-14	8	6	Bipolaire	6	0,5	0.4	0,93	0,85	0,718	3000	0,396

Protection contre les surtensions de foudre

Série SPA3011 SPA™													
576-SP3050-04HTG	SP3050-04HTG	SOT-23-6	20	4	Bipolaire	6	0,5	2.0	0,83	0,767	0,644	3000	0,304
Série SPA03-3.3 SPA™													
576-SP03-3.3BTG	SP03-3.3BTG	SOIC-8	30	2	Bipolaire	3.3	1	16	2,17	1,98	1,65	2500	0,784
576-SP03-6BTG	SP03-6BTG	SOIC-8	30	2	Bipolaire	6	25	16	1,86	1,71	1,44	2500	0,677
Série SPA4060 SPA™													
576-SP4060-08ATG	SP4060-08ATG	MSOP 10	30	8	Bipolaire	2.5	1	4.4	1,90	1,73	1,47	3000	0,777
Série SPLV2.8-4 SPA™													
576-SPLV2.8-4BTG	SPLV2.8-4BTG	SOIC-8	30	4	-	2.8	1	3.8	1,48	1,36	1,01	3000	0,753
576-SPLV2.8HTG	SPLV2.8HTG	SOT-23-3	30	1	-	2.8	1	3.8	0,81	0,693	0,553	3000	0,338

Dispositifs à filtre EMI et ESD

Série SP6001 SPA™													
576-SP6001-04UTG-1	SP6001-04UTG-1	μDFN-8	30	4	-	6	1	12	0,69	0,635	0,53	3000	0,251
576-SP6001-06UTG-1	SP6001-06UTG-1	μDFN-12	30	6	-	6	1	12	0,85	0,784	0,66	3000	0,312
Série SP6002 SPA™													
576-SP6002-04UTG-1	SP6002-04UTG-1	μDFN-8	30	4	-	6	1	15	0,69	0,635	0,53	3000	0,251
576-SP6002-06UTG-1	SP6002-06UTG-1	μDFN-12	30	6	-	6	1	15	0,85	0,693	0,66	3000	0,312

KIT DE BARRETTES À DIODE LITTELFUSE TVS POUR PROTECTION ESD ET PARAFOUDRE

Les barrettes de protection en silicone de Littelfuse sont un choix idéal pour supprimer l'ESD parce que leur vitesse et niveaux de serrage sont essentiels pour protéger les circuits intégrés actuels, différents des technologies MLV, MOV et à polymères antérieures. Le portefeuille SPATM offre une large gamme de dispositifs pour répondre à la majorité des besoins des applications disponibles sur le marché actuel. Ce guide dirigera le concepteur vers le dispositif ESD adéquat pour son application qu'il essaie de protéger.

RoHS Compliant

RÉF. STOCK MOUSER	Description	Prix unitaire 1	5
370-SPA-1	**Le kit comprend (10 exemplaires de chaque) :** SP0502BAHTG, SP0502BAJTG, SP0504BAHTG, SP0504BAJTG, SP0505BAHTG, SP0505BAJTG, SP0506BAATG, SP1003-01DTG, SP1001-02JTG, SP1001-02XTG, SP1001-04JTG, SP1001-04XTG, SP1001-05JTG, SP1001-05XTG, SP1010-04UTG, SP1011-04UTG, SP1002-01JTG, SP1002-02JTG, SP1004-04VTG, SP3001-04JTG, SP3002-04JTG, SP3002-04HTG, SP3002-04UTG, SP3003-02JTG, SP3003-02XTG, SP3003-04JTG, SP3003-04XTG, SP3003-04ATG, SP3004-04XTG, SP3010-04UTG, SP3050-04HTG, SP4060-08ATG, SP03-3.3BTG, SP03-6BTG, SPLV2.8-4BTG, SP6001-04UTG-1, SP6001-06UTG-1, SP6002-04UTG-1, SP6002-06UTG-1	164,99	161,69

© Copyright 2012 Mouser Electronics

© Copyright 2012 Mouser Electronics

0201
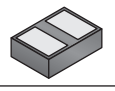
MSOP-8
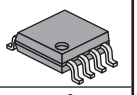
MSOP-10
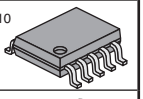
PDIP-8

SC-70-3
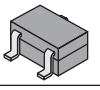
SC-70-5
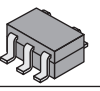
SC-70-6
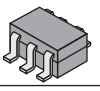
SOD-723
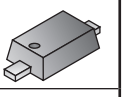
SOIC-8
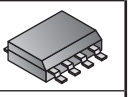
SOIC-16
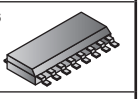
SOT-23-3
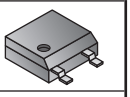
SOT-23-6
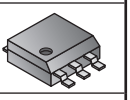
SOT-553
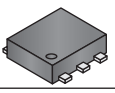
SOT-563
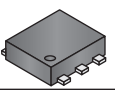
SOT-953
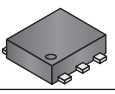
μDFN-6

μDFN-8
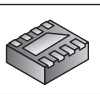
μDFN-10
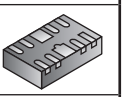
μDFN-12
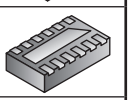
μDFN-14
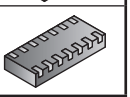

Diodes TV LITTELFUSE

RoHS Compliant This product is RoHS compliant.

SÉRIE 1.5 KE LITTELFUSE

DIMENSIONS : mm

Pour des quantités supérieures à celles indiquées, appelez-nous afin d'obtenir un devis.

RÉF. STOCK MOUSER	Réf. Liffefuse	Montage vertical inverse (V_R)	Tension de rupture (Volts) VBR à IT			Max. IR de fuite inverse Max. à VR	Tension de calage max VC à IPP	Courant d'impulsion de crête max.	Temp. tension (°C) max.	Prix unitaire			
			Min.	Max.	(mA)					1	10	100	250
576-1.5KE9.1	1.5KE9.1	7.37	8.19	10	1	50	13.8	109	0.068	0,45	0,404	0,338	0,305
576-1.5KE10	1.5KE10	8.1	9	11	1	10	15	100	0.073	0,45	0,404	0,338	0,305
576-1.5KE11	1.5KE11	8.92	9.9	12.1	1	5	16.2	93	0.075	0,45	0,404	0,338	0,305
576-1.5KE12	1.5KE12	9.72	10.8	13.2	1	5	17.3	87	0.078	0,45	0,404	0,338	0,305
576-1.5KE13	1.5KE13	10.5	11.7	14.3	1	5	19	79	0.081	0,45	0,404	0,338	0,305
576-1.5KE15	1.5KE15	12.1	13.5	16.5	1	5	22	68	0.084	0,45	0,404	0,338	0,305
576-1.5KE15C	1.5KE15C	12.1	13.5	16.5	1	5	22	68	0.084	0,51	0,479	0,398	0,348
576-1.5KE16	1.5KE16	12.9	14.4	17.6	1	5	23.5	64	0.086	0,45	0,404	0,338	0,305
576-1.5KE18	1.5KE18	14.5	16.2	19.8	1	5	26.5	56.5	0.088	0,45	0,404	0,338	0,305
576-1.5KE22	1.5KE22	17.8	19.8	24.2	1	5	31.9	47	0.092	0,45	0,404	0,338	0,305
576-1.5KE24	1.5KE24	19.4	21.6	26.4	1	5	34.7	43	0.094	0,45	0,404	0,338	0,305
576-1.5KE27	1.5KE27	21.8	24.3	29.7	1	5	39.1	38.5	0.096	0,45	0,404	0,338	0,305
576-1.5KE30	1.5KE30	24.3	27	33	1	5	43.5	34.5	0.097	0,45	0,404	0,338	0,305
576-1.5KE33	1.5KE33	26.8	29.7	36.3	1	5	47.7	31.5	0.098	0,45	0,404	0,338	0,305
576-1.5KE36	1.5KE36	29.1	32.4	39.6	1	5	52	29	0.099	0,45	0,404	0,338	0,305
576-1.5KE39	1.5KE39	31.6	35.1	42.9	1	5	56.4	26.5	0.1	0,45	0,404	0,338	0,305
576-1.5KE43	1.5KE43	34.8	38.7	47.3	1	5	61.9	24	0.101	0,45	0,404	0,338	0,305
576-1.5KE47	1.5KE47	38.1	42.3	51.7	1	5	67.8	22.2	0.101	0,45	0,404	0,338	0,305
576-1.5KE51	1.5KE51	41.3	45.9	56.1	1	5	73.5	20.4	0.102	0,45	0,404	0,338	0,305
576-1.5KE56	1.5KE56	45.4	50.4	61.6	1	5	80.5	18.6	0.103	0,45	0,404	0,338	0,305
576-1.5KE62	1.5KE62	50.2	55.8	68.2	1	5	89	16.9	0.104	0,45	0,404	0,338	0,305
576-1.5KE68	1.5KE68	55.1	61.2	74.8	1	5	98	15.3	0.104	0,45	0,404	0,338	0,305
576-1.5KE75	1.5KE75	60.7	67.5	82.5	1	5	108	13.9	0.105	0,45	0,404	0,338	0,305
576-1.5KE82	1.5KE82	66.4	73.8	90.2	1	5	118	12.7	0.105	0,45	0,404	0,338	0,305
576-1.5KE91	1.5KE91	73.7	81.9	100	1	5	131	11.4	0.106	0,45	0,404	0,338	0,305
576-1.5KE100	1.5KE100	81	90	110	1	5	144	10.4	0.106	0,45	0,404	0,338	0,305
576-1.5KE130C	1.5KE130C	105	117	143	1	5	187	8	0.107	0,72	0,668	0,559	0,488
576-1.5KE170	1.5KE170	138	153	187	1	5	244	6.2	0.108	0,45	0,404	0,338	0,305
576-1.5KE180	1.5KE180	146	162	198	1	5	258	5.8	0.108	0,45	0,404	0,338	0,305
576-1.5KE200	1.5KE200	162	180	220	1	5	287	5.2	0.108	0,45	0,404	0,338	0,305
576-1.5KE220	1.5KE220	175	198	242	1	5	344	4.3	0.108	0,38	0,36	0,347	0,329
576-1.5KE250	1.5KE250	202	225	275	1	5	360	5	0.11	0,38	0,36	0,347	0,329
576-1.5KE300	1.5KE300	243	270	330	1	5	430	3.5	0.11	0,38	0,36	0,347	0,329
576-1.5KE350	1.5KE350	284	315	385	1	5	504	3	0.11	0,38	0,36	0,347	0,329
576-1.5KE440A	1.5KE440A	376	418	462	1	5	602	2.5	0.11	0,69	0,627	0,528	0,446

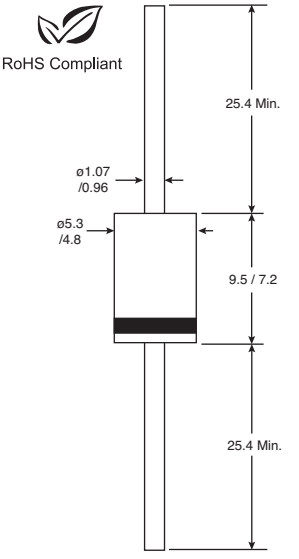

SÉRIE 5 KP LITTELFUSE

DIMENSIONS : mm

Pour des quantités supérieures à celles indiquées, appelez-nous afin d'obtenir un devis.

576-5KP6.0	5KP6.0	6	6.67	8.15	50	5000	11.4	439	4	2,59	2,33	2,00	1,75
576-5KP6.5	5KP6.5	6.5	7.22	8.82	50	2000	12.3	407	4	2,59	2,33	2,00	1,75
576-5KP7.5	5KP7.5	7.5	8.33	10.2	5	250	14.3	350	6	2,59	2,33	2,00	1,75
576-5KP8.5	5KP8.5	8.5	9.44	11.5	5	50	15.9	314	7	2,59	2,33	2,00	1,75
576-5KP9.0	5KP9.0	9	10	12.2	5	20	16.9	295	8	2,59	2,33	2,00	1,75
576-5KP10	5KP10	10	11.1	13.6	5	15	18.8	266	9	2,59	2,33	2,00	1,75
576-5KP11	5KP11	11	12.2	14.9	5	10	20.1	249	10	2,59	2,33	2,00	1,75
576-5KP12	5KP12	12	13.3	16.3	5	10	22	227	11	2,59	2,33	2,00	1,75
576-5KP13	5KP13	13	14.4	17.6	5	10	23.8	210	12	2,59	2,33	2,00	1,75
576-5KP14	5KP14	14	15.6	19.1	5	10	25.8	194	13	2,59	2,33	2,00	1,75
576-5KP15	5KP15	15	16.7	20.4	5	10	26.9	188	15	2,59	2,33	2,00	1,75
576-5KP18	5KP18	18	20	24.4	5	10	32.2	155	20	2,59	2,33	2,00	1,75
576-5KP20	5KP20	20	22.2	27.1	5	10	35.8	139	24	2,59	2,33	2,00	1,75
576-5KP22	5KP22	22	24.4	29.8	5	10	39.4	127	27	2,59	2,33	2,00	1,75
576-5KP26	5KP26	26	28.9	35.3	5	10	46.6	107	33	2,59	2,33	2,00	1,75
576-5KP28	5KP28	28	31.1	39	5	10	50.1	99	34	2,59	2,33	2,00	1,75
576-5KP33	5KP33	33	36.7	44.9	5	10	59	85	41	2,59	2,33	2,00	1,75
576-5KP36	5KP36	36	40	48.9	5	10	64.3	78	45	2,59	2,33	2,00	1,75
576-5KP40	5KP40	40	44.4	54.3	5	10	71.4	70	50	2,59	2,33	2,00	1,75
576-5KP43	5KP43	43	47.8	58.4	5	10	76.7	65	54	2,59	2,33	2,00	1,75
576-5KP45	5KP45	45	50	61.1	5	10	80.3	62	57	2,59	2,33	2,00	1,75
576-5KP48	5KP48	48	53.3	65.2	5	10	85.5	58	62	2,59	2,33	2,00	1,75
576-5KP51	5KP51	51	56.7	69.3	5	10	91.1	55	65	2,59	2,33	2,00	1,75
576-5KP54	5KP54	54	60	73.3	5	10	96.3	52	70	2,59	2,33	2,00	1,75
576-5KP58	5KP58	58	64.4	78.7	5	10	103	49	77	2,59	2,33	2,00	1,75
576-5KP60	5KP60	60	66.7	81.5	5	10	107	47	79	2,59	2,33	2,00	1,75
576-5KP64	5KP64	64	71	86.9	5	10	114	44	85	2,59	2,33	2,00	1,75
576-5KP70	5KP70	70	77	95.1	5	10	125	40	93	2,59	2,33	2,00	1,75
576-5KP78	5KP78	78	86.7	106	5	10	139	36	104	2,59	2,33	2,00	1,75
576-5KP90	5KP90	90	100	122	5	10	160	31	120	2,59	2,33	2,00	1,75
576-5KP100	5KP100	100	111	136	5	10	179	28	134	2,59	2,33	2,00	1,75
576-5KP110A	5KP110A	110	122	149	5	10	196	26	147	2,71	2,48	2,09	1,84
576-5KP120	5KP120	120	133	1603	5	10	215	23	158	2,59	2,33	2,00	1,75

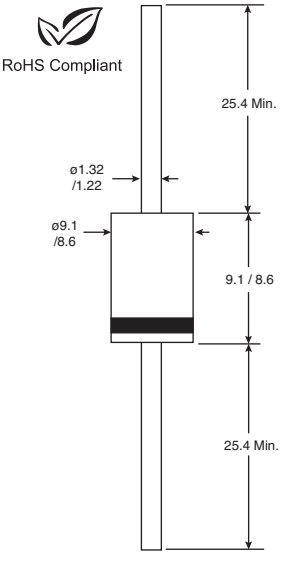

SÉRIE 15 KP LITTELFUSE

DIMENSIONS : mm

Pour des quantités supérieures à celles indiquées, appelez-nous afin d'obtenir un devis.

576-15KP17	15KP17	17	18.9	20.8	50	5000	32.2	464	19	-	-	-	-
576-15KP18	15KP18	18	20	22	50	5000	34.2	439	20	-	-	-	-
576-15KP20	15KP20	20	22.2	24.4	20	1500	37.9	396	24	17,56	15,80	13,55	11,85
576-15KP22	15KP22	22	24.4	26.8	10	500	41.1	365	27	17,56	15,80	13,55	11,85
576-15KP24	15KP24	24	26.7	29.4	5	150	45	333	30	17,56	15,80	13,55	11,85
576-15KP28	15KP28	28	31.1	34.2	5	25	52.4	286	35	17,56	15,80	13,55	11,85
576-15KP33	15KP33	33	36.7	44	5	10	60.6	248	42	-	-	-	-
576-15KP36	15KP36	36	40	52.6	5	10	66	227	46	17,56	15,80	13,55	11,85
576-15KP43	15KP43	43	47.8	55	5	10	77.1	195	55	17,56	15,80	13,55	11,85
576-15KP45	15KP45	45	50	58.6	5	10	80.7	186	57	17,56	15,80	13,55	11,85
576-15KP48	15KP48	48	53.3	62.4	5	10	85.9	175	62	17,56	15,80	13,55	11,85
576-15KP51	15KP51	51	56.7	66	5	10	91.5	164	66	17,56	15,80	13,55	11,85
576-15KP54	15KP54	54	60	70.8	5	10	96.8	155	70	-	-	-	-
576-15KP58	15KP58	58	64.4	73.4	5	10	104	144	76	17,56	15,80	13,55	11,85
576-15KP60	15KP60	60	66.7	78.2	5	10	107	140	78	17,56	15,80	13,55	11,85
576-15KP64	15KP64	64	71.1	85.6	5	10	115	130	84	-	-	-	-
576-15KP70	15KP70	70	77.8	95.4	5	10	126	119	92	-	-	-	-
576-15KP78	15KP78	78	86.7	103.8	5	10	140	107	104	17,56	15,80	13,55	11,85
576-15KP85	15KP85	85	94.4	122.1	5	10	152	99	113	-	-	-	-
576-15KP100	15KP100	100	111	111	5	10	179	84	134	17,56	15,80	13,55	11,85
576-15KP180	15KP180	180	200	220	5	10	321	47	242	17,56	15,80	13,55	11,85

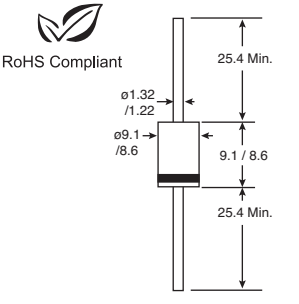

© Copyright 2012 Mouser Electronics

© Copyright 2012 Mouser Electronics

Diodes TV LITTELFUSE

RoHS Compliant **This product is RoHS compliant.**

RÉSISTANCE ANTIPARASITE À IMPULSION SERIE PGB2 LITTELFUSE

Caractéristiques :

- Sans halogène
- Capacité ultra faible
- Faible courant de fuite
- Supporte des amorces EDS multiples
- Sans plomb
- Conforme à la directive RoHS

DIMENSIONS : mm (po)

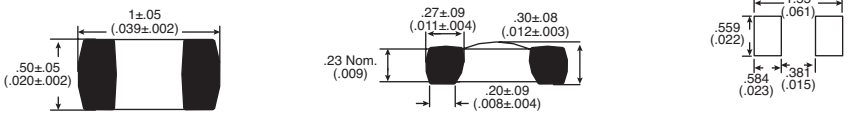

Pour des quantités supérieures à celles indiquées, appelez-nous afin d'obtenir un devis.

RÉF. STOCK MOUSER	Réf. Littelfuse	Boîtier/ Boîte	Capacité ESD	Tension de calage	Montage vertical inverse Tension (Typ.)	Lignes Protégées	Prix unitaire		
							1	10	100
576-PGB1010603MR	PGB1010603MR	0603	8kV-15kV	150 V	24 V CC	1	0,23	0,223	0,206
576-PGB1010603MRHF	PGB1010603MRHF	0603	8kV-15kV	150 V	24 V CC	1	0,22	0,206	0,20
576-PGB1010603NR	PGB1010603NR	0603	8kV-15kV	150 V	24 V CC	1	0,22	0,198	0,19
576-PGB102ST23WR	PGB102ST23WR	SOT23	8kV-15kV	150 V	24 V CC	2	0,40	0,388	0,363
576-PGB102ST23WRHF	PGB102ST23WRHF	SOT23	8kV-15kV	150 V	24 V CC	2	0,40	0,388	0,363

SERIE 1 KSMBJ LITTELFUSE

DIMENSIONS : mm

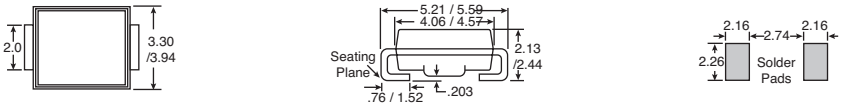

Pour des quantités supérieures à celles indiquées, appelez-nous afin d'obtenir un devis.

RÉF. STOCK MOUSER	Réf. Littelfuse	Code de dispositif	Montage vertical inverse (VR)	Tension disruptive VBR (Volts) à IT			IR de fuite inverse à VR	Tension de calage max. VC à IPP	Courant d'impulsion de crête max.	Prix unitaire			
				Min.	Max.	(mA)				1	25	100	250
576-1KSMBJ15	1KSMBJ15	N10Q	12.1	13.5	16.5	1	5	22	45	0,53	0,487	0,404	0,355
576-1KSMBJ30	1KSMBJ30	O10E	24.3	27	33	1	5	43.5	22.9	0,48	0,446	0,372	0,326

SERIE LCE LITTELFUSE

Pour des quantités supérieures à celles indiquées, appelez-nous afin d'obtenir un devis.

RÉF. STOCK MOUSER	Réf. Littelfuse	Montage vertical inverse (VR)	Tension disruptive VBR (Volts) à IT			IR de fuite inverse à VR	Tension de calage max. VC à IPP	Courant d'impulsion de crête max.	Capacité à 0 Volts (pF)	Prix unitaire			
			Min.	Max.	(mA)					1	10	100	250
576-LCE6.5A	LCE6.5A	6.5	7.22	7.98	10	1000	11.2	100	100	0,58	0,52	0,447	0,402
576-LCE7.0A	LCE7.0A	7	7.78	8.6	10	500	12	100	100	0,58	0,52	0,447	0,402
576-LCE7.5A	LCE7.5A	7.5	8.33	9.21	10	250	12.9	100	100	0,58	0,52	0,447	0,402
576-LCE8.0A	LCE8.0A	8	8.89	9.83	1	100	13.6	100	100	0,58	0,52	0,447	0,402
576-LCE8.5A	LCE8.5A	8.5	9.44	10.4	1	50	14.4	100	100	0,58	0,52	0,447	0,402
576-LCE9.0A	LCE9.0A	9	10	11.1	1	10	15.4	97	100	0,58	0,52	0,447	0,402
576-LCE10A	LCE10A	10	11.1	12.3	1	5	17	88	100	0,58	0,52	0,447	0,402
576-LCE11A	LCE11A	11	12.2	13.5	1	5	18.2	82	100	0,58	0,52	0,447	0,402
576-LCE12A	LCE12A	12	13.3	14.7	1	5	19.9	75	100	0,58	0,52	0,447	0,402
576-LCE14A	LCE14A	14	15.6	17.2	1	5	23.2	65	100	0,58	0,52	0,447	0,402
576-LCE15A	LCE15A	15	16.7	18.5	1	5	24.4	61	100	0,58	0,52	0,447	0,402
576-LCE18A	LCE18A	18	20	22.1	1	5	29.2	51	100	0,58	0,52	0,447	0,402
576-LCE20A	LCE20A	20	22.2	24.5	1	5	32.4	46	100	0,58	0,52	0,447	0,402
576-LCE22A	LCE22A	22	24.4	26.9	1	5	35.5	42	100	0,58	0,52	0,447	0,402
576-LCE24A	LCE24A	24	26.7	29.5	1	5	38.9	39	100	0,58	0,52	0,447	0,402
576-LCE26A	LCE26A	26	28.9	31.9	1	5	42.1	36	100	0,58	0,52	0,447	0,402
576-LCE28A	LCE28A	28	31.1	34.4	1	5	45.5	33	100	0,58	0,52	0,447	0,402

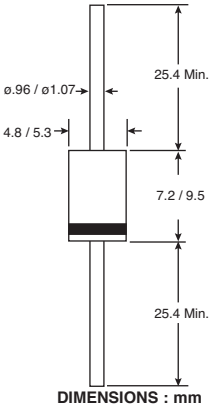

DIMENSIONS : mm

SÉRIE P6KE LITTELFUSE

Pour des quantités supérieures à celles indiquées, appelez-nous afin d'obtenir un devis.

RÉF. STOCK MOUSER	Réf. Littelfuse	Montage vertical inverse (VR)	Tension disruptive VBR (Volts) à IT			IR de fuite inverse à VR	Tension de calage max. VC à IPP	Courant d'impulsion de crête max.	Température tension max.	Prix unitaire			
			Min.	Max.	(mA)					1	10	100	250
576-P6KE7.5	P6KE7.5	6.05	6.75	8.25	10	500	11.7	51	0.061	0,26	0,239	0,205	0,184
576-P6KE8.2	P6KE8.2	6.63	7.38	9.02	10	200	12.5	48	0.065	0,26	0,239	0,205	0,184
576-P6KE9.1	P6KE9.1	7.37	8.19	10	1	50	13.8	44	0.068	0,26	0,239	0,205	0,184
576-P6KE10	P6KE10	8.1	9	11	1	10	15	40	0.073	0,26	0,239	0,205	0,184
576-P6KE11	P6KE11	8.92	9.9	12.1	1	5	16.2	37	0.075	0,26	0,239	0,205	0,184
576-P6KE12	P6KE12	9.72	10.8	13.2	1	5	17.3	35	0.078	0,26	0,239	0,205	0,184
576-P6KE13	P6KE13	10.5	11.7	14.3	1	5	19	32	0.081	0,26	0,239	0,205	0,184
576-P6KE16	P6KE16	12.9	14.4	17.6	1	5	23.5	26	0.086	0,26	0,239	0,205	0,184
576-P6KE18	P6KE18	14.5	16.2	19.8	1	5	26.5	23	0.088	0,26	0,239	0,205	0,184
576-P6KE22	P6KE22	17.8	19.8	24.2	1	5	31.9	19	0.092	0,26	0,239	0,205	0,184
576-P6KE24	P6KE24	19.4	21.6	26.4	1	5	34.7	17	0.094	0,26	0,239	0,205	0,184
576-P6KE30	P6KE30	24.3	27	33	1	5	43.5	14	0.097	0,26	0,239	0,205	0,184
576-P6KE30A	P6KE30A	25.6	28.5	31.5	1	5	41.4	14.4	0.097	0,27	0,248	0,206	0,19
576-P6KE33	P6KE33	26.8	29.7	36.3	1	5	47.7	12.6	0.098	0,26	0,239	0,205	0,184
576-P6KE36	P6KE36	29.1	32.4	39.6	1	5	52	11.6	0.099	0,26	0,239	0,205	0,184
576-P6KE39	P6KE39	31.6	35.1	42.9	1	5	56.4	10.5	0.1	0,26	0,239	0,205	0,184
576-P6KE43	P6KE43	34.8	38.7	47.3	1	5	61.9	9.6	0.101	0,26	0,239	0,205	0,184
576-P6KE47	P6KE47	38.1	42.3	51.7	1	5	67.8	8.9	0.101	0,26	0,239	0,205	0,184
576-P6KE51	P6KE51	41.3	45.9	56.1	1	5	73.5	8.2	0.102	0,26	0,239	0,205	0,184
576-P6KE56	P6KE56	45.4	50.4	61.6	1	5	80.5	7.4	0.103	0,26	0,239	0,205	0,184
576-P6KE62	P6KE62	50.2	55.8	68.2	1	5	89	6.8	0.104	0,26	0,239	0,205	0,184
576-P6KE68	P6KE68	55.1	61.2	74.8	1	5	98	6.1	0.104	0,26	0,239	0,205	0,184
576-P6KE75	P6KE75	60.7	67.5	82.5	1	5	108	5.5	0.105	0,26	0,239	0,205	0,184
576-P6KE82	P6KE82	66.4	73.8	90.2	1	5	118	5.1	0.105	0,26	0,239	0,205	0,184
576-P6KE91	P6KE91	73.7	81.9	100	1	5	131	4.5	0.106	0,26	0,239	0,205	0,184
576-P6KE110	P6KE110	89.2	99	121	1	5	158	3.8	0.107	0,26	0,239	0,205	0,184
576-P6KE120	P6KE120	97.2	108	132	1	5	173	3.5	0.107	0,26	0,239	0,205	0,184
576-P6KE130	P6KE130	105	117	143	1	5	187	3.2	0.107	0,26	0,239	0,205	0,184
576-P6KE160	P6KE160	130	144	176	1	5	230	2.6	0.108	0,26	0,239	0,205	0,184
576-P6KE170	P6KE170	138	153	187	1	5	244	2.5	0.108	0,26	0,239	0,205	0,184
576-P6KE180	P6KE180	146	162	198	1	5	258	2.3	0.108	0,26	0,239	0,205	0,184
576-P6KE250	P6KE250	202	225	275	1	5	360	1.67	0.11	0,37	0,33	0,287	0,257
576-P6KE300	P6KE300	243	270	330	1	5	430	1.4	0.11	0,37	0,33	0,287	0,257
576-P6KE350	P6KE350	284	315	385	1	5	504	1.2	0.11	0,37	0,33	0,287	0,257

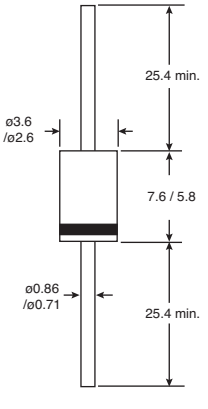

DIMENSIONS : mm

© Copyright 2012 Mouser Electronics

© Copyright 2012 Mouser Electronics

Diodes TVS et Protection LED LITTELFUSE

RoHS Compliant **This product is RoHS compliant.**

SÉRIE SA LITTELFUSE

Pour des quantités supérieures à celles indiquées, appelez-nous afin d'obtenir un devis.

RÉF. STOCK MOUSER	Réf. Littelfuse	Montage vertical inverse (VR)	VBR tension de claquage (Volts) à IT			IR de fuite inverse à VR	Tension de calage max. VC à IPP	Courant d'impulsion de crête max.	Temp. tension max.	Prix unitaire			
			Min.	Max.	(mA)					1	10	100	250
576-SA6.0C	SA6.0C	6	6.67	8.15	10	600	11.4	43.9	5	0,34	0,305	0,262	0,229
576-SA8.0C	SA8.0C	8	8.89	10.9	1	25	15	33.3	7	0,34	0,305	0,262	0,229
576-SA8.5C	SA8.5C	8.5	9.44	11.5	1	10	15.9	31.4	8	0,34	0,305	0,262	0,229
576-SA9.0C	SA9.0C	9	10	12.2	1	5	16.9	29.5	9	0,34	0,305	0,262	0,229
576-SA11C	SA11C	11	12.2	14.9	1	3	20.1	24.9	11	0,34	0,305	0,262	0,229
576-SA12C	SA12C	12	13.3	16.3	1	3	22	22.7	12	0,34	0,305	0,262	0,229
576-SA14C	SA14C	14	15.6	19.1	1	3	25.8	19.4	14	0,34	0,305	0,262	0,229
576-SA15C	SA15C	15	16.7	20.4	1	3	26.9	18.8	16	0,34	0,305	0,262	0,229
576-SA16C	SA16C	16	17.8	21.8	1	3	28.8	17.6	19	0,34	0,305	0,262	0,229
576-SA22C	SA22C	22	24.4	29.8	1	3	39.4	12.7	28	0,34	0,305	0,262	0,229
576-SA24C	SA24C	24	26.7	32.6	1	3	43	11.6	31	0,34	0,305	0,262	0,229
576-SA28	SA28	28	31.1	38	1	3	50	9.9	35	0,31	0,281	0,239	0,215
576-SA30C	SA30C	30	33.3	40.7	1	3	53.5	9.3	39	0,34	0,305	0,262	0,229
576-SA33C	SA33C	33	36.7	44.9	1	3	59	8.5	42	0,34	0,305	0,262	0,229
576-SA40C	SA40C	40	44.4	54.3	1	3	71.4	7	51	0,34	0,305	0,262	0,229
576-SA43C	SA43C	43	47.8	58.4	1	3	76.7	6.5	55	0,34	0,305	0,262	0,229
576-SA48C	SA48C	48	53.3	65.1	1	3	85.5	5.8	63	0,34	0,305	0,262	0,229
576-SA54	SA54	54	60	73.3	1	3	96.3	5.2	71	0,31	0,281	0,239	0,215
576-SA54C	SA54C	54	60	73.3	1	3	96.3	5.2	71	0,34	0,305	0,262	0,229
576-SA58C	SA58C	58	64.4	78.7	1	3	103	4.9	78	0,34	0,305	0,262	0,229
576-SA60C	SA60C	60	66.7	81.5	1	3	107	4.7	80	0,34	0,305	0,262	0,229
576-SA70C	SA70C	70	77.8	95.1	1	3	125	4	94	0,34	0,305	0,262	0,229
576-SA75C	SA75C	75	83	102	1	3	134	3.7	101	0,34	0,305	0,262	0,229
576-SA78C	SA78C	78	86	106	1	3	139	3.6	105	0,34	0,305	0,262	0,229
576-SA110C	SA110C	110	122	149	1	3	196	2.6	148	0,34	0,305	0,262	0,229
576-SA120C	SA120C	120	133	163	1	3	214	2.3	162	0,34	0,305	0,262	0,229
576-SA170C	SA170C	170	189	231	1	3	304	1.6	230	0,34	0,305	0,262	0,229

DIMENSIONS : mm

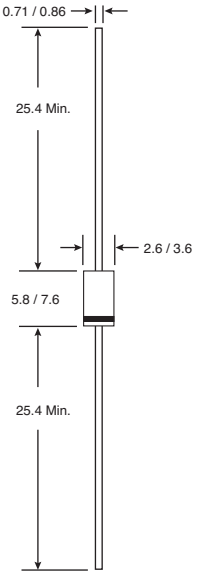

SÉRIE SMBJ LITTELFUSE

Pour des quantités supérieures à celles indiquées, appelez-nous afin d'obtenir un devis.

RÉF. STOCK MOUSER	Réf. Littelfuse	Type	Code de dis-positif	Montage vertical inverse (VR)	VBR tension de claquage (Volts) à IT		IR de fuite inverse à VR	Tension de calage max. VC à IPP	Courant d'impulsion de crête max.	Prix unitaire			
					Min.	(mA)				1	25	100	250
576-SMBJ10A	SMBJ10A	Unipolaire	KX	10	11.1	1	5	17	35.3	0,15	0,14	0,13	0,123
576-SMBJ15	SMBJ15	Unipolaire	LL	15	16.7	1	5	26.9	22.3	0,28	0,256	0,221	0,194
576-SMBJ11C	SMBJ11C	Bipolaire	AY	11	12.2	1	5	20.1	29.9	0,32	0,289	0,248	0,215
576-SMBJ13C	SMBJ13C	Bipolaire	BF	13	14.4	1	5	23.8	25.2	0,32	0,289	0,248	0,215
576-SMBJ17C	SMBJ17C	Bipolaire	BQ	17	18.9	1	5	30.5	19.7	0,32	0,289	0,248	0,215
576-SMBJ20C	SMBJ20C	Bipolaire	BU	20	22.2	1	5	35.8	16.7	0,32	0,289	0,248	0,215
576-SMBJ24C	SMBJ24C	Bipolaire	BY	24	26.7	1	5	43	14	0,32	0,289	0,248	0,215
576-SMBJ26C	SMBJ26C	Bipolaire	CD	26	28.9	1	5	46.6	12.4	0,32	0,289	0,248	0,215
576-SMBJ28C	SMBJ28C	Bipolaire	CF	28	31.1	1	5	50	12	0,32	0,289	0,248	0,215
576-SMBJ48C	SMBJ48C	Bipolaire	CW	48	53.3	1	5	85.5	7	0,32	0,289	0,248	0,215
576-SMBJ51C	SMBJ51C	Bipolaire	CY	51	56.7	1	5	91.1	6.6	0,32	0,289	0,248	0,215
576-SMBJ54C	SMBJ54C	Bipolaire	DD	54	60	1	5	96.3	6.2	0,32	0,289	0,248	0,215
576-SMBJ58C	SMBJ58C	Bipolaire	DF	58	64.4	1	5	103	5.8	0,32	0,289	0,248	0,215
576-SMBJ100A	SMBJ100A	Unipolaire	NZ	100	111	1	5	162	3.7	0,15	0,14	0,13	0,123
576-SMBJ64C	SMBJ64C	Bipolaire	DL	64	71.1	1	5	114	5.3	0,32	0,289	0,248	0,215
576-SMBJ70C	SMBJ70C	Bipolaire	DN	70	77.8	1	5	125	4.8	0,32	0,289	0,248	0,215
576-SMBJ75C	SMBJ75C	Bipolaire	DQ	75	83.3	1	5	134	4.5	0,32	0,289	0,248	0,215
576-SMBJ78C	SMBJ78C	Bipolaire	DS	78	86.7	1	5	139	4.3	0,32	0,289	0,248	0,215
576-SMBJ85C	SMBJ85C	Bipolaire	DU	85	94.4	1	5	151	3.9	0,32	0,289	0,248	0,215
576-SMBJ100CA	SMBJ100CA	Bipolaire	DZ	100	111	1	5	162	3.7	0,18	0,17	0,16	0,156
576-SMBJ110C	SMBJ110C	Bipolaire	ED	110	122	1	5	196	3	0,32	0,289	0,248	0,215
576-SMBJ170C	SMBJ170C	Bipolaire	EQ	170	189	1	5	304	2	0,32	0,289	0,248	0,215

DIMENSIONS : mm

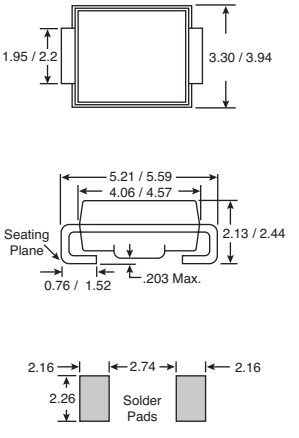

SÉRIE PLED LITTELFUSE

Caractéristiques :
- Commutation rapide
- Réinitialisation automatique après le cycle d'alimentation
- Compatible avec éclairage industriel
- Disponible en QFN faible profil, petite empreinte et dans les boîtiers DO214AA standard
- Compatible avec des vitesses graduelles PWM de 10 KHz maximum

Caractéristiques techniques :
- Protection inverse de batterie/d'alimentation
- Ouverture de dérivation LED de 500mA maximum
- Idéal pour les lampes MR16, de type PAR

QFN 3x3

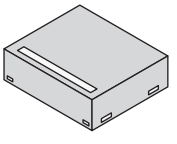

DO-214

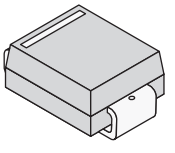

QFN

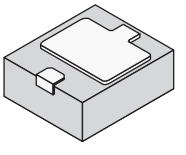

SOT 89

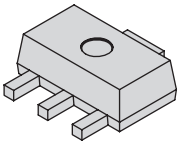

Pour des quantités supérieures à celles indiquées, appelez-nous afin d'obtenir un devis.

RÉF. STOCK MOUSER	Réf. Littelfuse	Vbr claquage Volts		VDRM claquage Volts	IH mAmps (Min.)	IS mAmps (Max.)	IT @ VT Ampères (Max.)	VT à IT = 1 Amp Volts (Max.)	Taux de hausse critique dV/dt Volts (Max.)	Prix unitaire			
		Min.	Dia.	Min.						1	10	100	500
576-PLED6S	PLED6S	6	16	6	5	100	1	3	250V/µS	0,58	0,479	0,429	0,355
576-PLED6Q12	PLED6Q12	6	16	6	5	100	1	3	250V/µS	0,58	0,479	0,429	0,347
576-PLED9S	PLED9S	9	18	9	5	100	1	3	250V/µS	0,41	0,396	0,371	0,355
576-PLED9Q12	PLED9Q12	9	18	9	5	100	1	3	250V/µS	0,41	0,396	0,371	0,355
576-PLED13S	PLED13S	13	26	13	5	100	1	3	250V/µS	0,41	0,396	0,371	0,355
576-PLED13Q12	PLED13Q12	13	26	13	5	100	1	3	250V/µS	0,45	0,433	0,413	0,355
576-PLED18S	PLED18S	18	33	18	5	100	1	3	250V/µS	0,45	0,38	0,338	0,281
576-PLED18Q12	PLED18Q12	18	33	18	5	100	1	3	250V/µS	0,58	0,487	0,437	0,355
576-PLED5HT	PLED5HT	4.6	5.2	3.5	n/a	20	1	3	150V/µs	0,35	0,33	0,297	0,204
576-PLED5Q12	PLED5Q12	4.6	5.2	3.5	n/a	20	1	3	150V/µs	0,35	0,281	0,256	0,198

© Copyright 2012 Mouser Electronics

© Copyright 2012 Mouser Electronics

Dispositifs de protection contre les surtensions NXP

RoHS Compliant **This product is RoHS compliant.**

COMPATIBLES AVEC LA PROTECTION ESD

♦Composant pour montage en surface • IEC 61000-4-2; Niveau 4 (ESD)

Pour des quantités supérieures à celles indiquées, appelez-nous afin d'obtenir un devis.

RÉF. STOCK MOUSER	Réf. NXP	Boîtier	Nb de lignes protégées	V_{RWM} (Max.)(V)	I_{RM} (Max.) (nA)	V_{CL} (Typ./Max.)(V)	V_{CL} @ I_{PP} (A)	V_{BR} (Min./Max.) (V)	C_D (Typ./Max.) (pF)	Prix unitaire 1	25	100	250
Simple													
♦ 771-PESD2CAN-T/R	PESD2CAN,215	SOT-23	2	24	10	-/34	1	26.2/30.3	25/30	0,23	0,196	0,166	0,132
♦ 771-PESD1CAN-T/R	PESD1CAN,215	SOT-23	2	24	50	-/40	1	25.4/30.3	11/17	0,22	0,187	0,158	0,126

PROTECTION ESD INTÉGRÉE USD DOUBLE

♦Composant pour montage en surface • IEC 61000-4-2; Niveau 4 (ESD)

Pour des quantités supérieures à celles indiquées, appelez-nous afin d'obtenir un devis.

RÉF. STOCK MOUSER	Réf. NXP	Boîtier	Nb de lignes protégées	V_{RWM} (Max.)(V)	I_{RM} (Max.) (nA)	$I_{L(n)}$ (Max.) (nA)	$I_{L(n)}$ @ V (V)	$V_{BR(Zener)}$ (Min./Max.) (V)	C_D (Typ./Max.) (pF)	Prix unitaire 1	25	100	250
♦ 771-IP4220CZ6-T/R	IP4220CZ6,125	SO-6	4	5.5	0.1	100	3	6/9	40/-	0,38	0,269	0,23	0,165

FILTRES EMI ET PROTECTION ESD

♦Composant pour montage en surface • IEC 61000-4-2; Niveau 4 (ESD)

Pour des quantités supérieures à celles indiquées, appelez-nous afin d'obtenir un devis.

RÉF. STOCK MOUSER	Réf. NXP	Boîtier	Nb de lignes protégées	V_{RWM} (Max.)(V)	I_{RM} (Max.) (µA)	V_{CL} (Typ./Max.)(V)	V_{CL} @ I_{PP} (A)	V_{BR} (Min./Max.) (V)	C_D (Typ./Max.) (pF)	Prix unitaire 1	25	100	250
♦ 771-IP4035CX24LFP13	IP4035CX24/LF/P,13	WLCSP-24	10	5.5	0.02	20	3	6.0/15	50	0,47	0,393	0,314	0,279
♦ 771-IP4041CX25LFP13	IP4041CX25/LF/P,13	WLCSP-25	10	5.5	0.025	25	3	6.0/15	50	0,71	0,541	0,481	0,416

PROTECTION ESD COMPATIBLE FLEXRAY

♦Composant pour montage en surface • IEC 61000-4-2; Niveau 4 (ESD)

Pour des quantités supérieures à celles indiquées, appelez-nous afin d'obtenir un devis.

RÉF. STOCK MOUSER	Réf. NXP	Boîtier	Nb de lignes protégées	V_{RWM} (Max.)(V)	I_{RM} (Max.) (µA)	V_{CL} (Typ./Max.)(V)	V_{CL} @ I_{PP} (A)	V_{BR} (Min./Max.) (V)	C_D (Typ./Max.) (pF)	Prix unitaire 1	25	100	250
♦ 771-PESD1FLEX215	PESD1FLEX,215	SOT-23	2	24	0.05	-/40	1	25.4/30.3	0.1/-	0,14	0,129	0,123	0,109

PROTECTION ESD DES RÉSEAUX INTERCONNECTÉS LOCAUX

♦Composant pour montage en surface • IEC 61000-4-2; Niveau 4 (ESD)

Pour des quantités supérieures à celles indiquées, appelez-nous afin d'obtenir un devis.

RÉF. STOCK MOUSER	Réf. NXP	Boîtier	Nb de lignes protégées	V_{RWM} (Max.)(V)	I_{RM} (Max.) (µA)	V_{CL} (Max.) (V)	V_{CL} @ I_{PP} (A)	V_{BR} (Min./Max.) (V)	C_D (Typ./Max.) (pF)	Prix unitaire 1	25	100	250
♦ 771-PESD1LIN-T/R	PESD1LIN,115	SOD-323	1	15	0.05	25	1	17.1/20.3	13/17	0,24	0,211	0,179	0,141
			1	24	0.05	40	1	25.4/30.3	13/17				

DIODES DE PROTECTION ESD FAIBLE CAPACITÉ

♦Composant pour montage en surface • IEC 61000-4-2; Niveau 4 (ESD)

Pour des quantités supérieures à celles indiquées, appelez-nous afin d'obtenir un devis.

♦ 771-PESD3V3L1UA115	PESD3V3L1UA,115	SOD-323	1	3.3	0.3	-/8	1	5.3/6.0	34/40	0,18	0,087	0,086	0,081
♦ 771-PESD5V0S1BA-T/R	PESD5V0S1BA,115	SOD-323	1	5	0.1	-/10	1	5.5/9.5	35/45	0,15	0,122	0,107	0,096
♦ 771-PESD5V0S1BB-T/R	PESD5V0S1BB,115	SOD-523	1	5	0.1	-/10	1	5.5/9.5	35/45	0,23	0,196	0,166	0,132
♦ 771-PESD5V0L1BA-T/R	PESD5V0L1BA,115	SOD-323	1	5	1	-/10	1	7.0/8.2	75/-	0,23	0,196	0,166	0,132
♦ 771-PESD12VL1BA-T/R	PESD12VL1BA,115	SOD-323	1	12	0.05	-/20	1	14.2/16.7	19/-	0,23	0,194	0,163	0,13
♦ 771-PESD15VL1BA-T/R	PESD15VL1BA,115	SOD-323	1	15	0.05	-/25	1	17.1/20.3	16/-	0,23	0,196	0,166	0,132
♦ 771-PESD24VL1BA-T/R	PESD24VL1BA,115	SOD-323	1	24	0.05	-/40	1	25.4/30.3	11/-	0,23	0,196	0,166	0,132
♦ 771-PESD5V0L2UU115	PESD5V0L2UU,115	SOT-323	2	5	0.09	-/13	5.5	5.8/6.6	19/23	0,45	0,262	0,214	0,154
♦ 771-PESD5V0S2BT-T/R	PESD5V0S2BT,215	SOT-23	2	5	0.1	-/10	1	5.5/9.5	35/45	0,35	0,297	0,254	0,202
♦ 771-PESD5V0L2BT-T/R	PESD5V0L2BT,215	SOT-23	2	5	1	-/10	1	7.0/8.2	75/-	0,38	0,314	0,272	0,22
♦ 771-PESD6V0L2UU115	PESD6V0L2UU,115	SOT-323	2	6	0.018	-/13.5	5.5	6.4/7.2	17/20	0,18	0,087	0,086	0,081
♦ 771-PESD12VL2BT-T/R	PESD12VL2BT,215	SOT-23	2	12	0.05	-/20	1	14.2/16.7	19/-	0,40	0,306	0,259	0,223
♦ 771-PESD15VL2BT-T/R	PESD15VL2BT,215	SOT-23	2	15	0.05	-/25	1	17.1/20.3	16/-	0,41	0,297	0,259	0,223
♦ 771-PESD24VL2BT-T/R	PESD24VL2BT,215	SOT-23	2	24	0.05	-/40	1	25.4/30.3	11/-	0,41	0,332	0,288	0,233
♦ 771-PESD3V3L4UG-T/R	PESD3V3L4UG,115	SOT-353	4	3.3	0.3	-/8	1	5.32/5.88	22/28	0,38	0,314	0,272	0,22
♦ 771-PESD5V0L4UG-T/R	PESD5V0L4UG,115	SOT-353	4	5	0.025	-/10	1	6.46/7.14	16/19	0,45	0,367	0,32	0,259
♦ 771-PESD3V3L5UFT/R	PESD3V3L5UF,115	SOT-886	5	3.3	0.3	-/10	1	5.3/5.9	22/28	0,45	0,375	0,298	0,254
♦ 771-PESD3V3L5UY-T/R	PESD3V3L5UY,115	SOT-363	5	3.3	0.3	-/10	1	5.3/5.9	22/28	0,51	0,367	0,317	0,273
♦ 771-PESD5V0L5UY-T/R	PESD5V0L5UY,115	SOT-363	5	5	0.025	-/10	1	6.4/7.2	16/19	0,52	0,367	0,32	0,276

DIODES DE PROTECTION ESD STANDARD

♦Composant pour montage en surface • IEC 61000-4-2; Niveau 4 (ESD)

Pour des quantités supérieures à celles indiquées, appelez-nous afin d'obtenir un devis.

♦ 771-PESD5V0S1UB115	PESD5V0S1UB,115	SOD-523	1	5	1	-/9	1	6.4/7.2	152/200	0,17	0,142	0,12	0,095
♦ 771-PESD12VS1UB115	PESD12VS1UB,115	SOD-523	1	12	0.05	-/19	1	14.7/15.3	38/75	0,11	0,096	0,084	0,069
♦ 771-PESD15VS1UB115	PESD15VS1UB,115	SOD-523	1	15	0.05	-/23	1	17.6/18.4	32/70	0,17	0,14	0,113	0,094
♦ 771-PESD24VS1UB-T/R	PESD24VS1UB,115	SOD-523	1	24	0.05	-/36	1	26.5/27.5	23/50	0,17	0,142	0,12	0,095
♦ 771-PESD3V3S2UAT-T/R	PESD3V3S2UAT,215	SOT-23	2	3.3	2	-/7	1	5.2/6.0	207/300	0,23	0,196	0,166	0,132
♦ 771-PESD3V3S2UQT/R	PESD3V3S2UQ,115	SOT-663	2	3.3	3	-/8	1	5.2/6.0	200/275	0,23	0,196	0,166	0,132
♦ 771-PESD5V0S2UQT/R	PESD5V0S2UQ,115	SOT-663	2	5	0.3	-/9	1	6.4/7.2	150/215	0,23	0,196	0,166	0,132
♦ 771-PESD12VS2UT-T/R	PESD12VS2UT,215	SOT-23	2	12	1	-/19	1	14.7/15.3	38/75	0,23	0,196	0,166	0,132
♦ 771-PESD12VS2UQ115	PESD12VS2UQ,115	SOT-663	2	12	0.03	-/19	1	14.7/15.3	38/100	0,22	0,183	0,157	0,122
♦ 771-PESD15VS2UT-T/R	PESD15VS2UT,215	SOT-23	2	15	1	-/23	1	17.6/18.4	32/70	0,23	0,196	0,166	0,132
♦ 771-PESD24VS2UT-T/R	PESD24VS2UT,215	SOT-23	2	24	1	-/36	1	26.5/27.5	23/50	0,23	0,196	0,166	0,132
♦ 771-PESD3V3S4UDT/R	PESD3V3S4UD,115	SOT-457	4	3.3	0.8	-/8	1	5.3/5.9	215/300	0,36	0,306	0,26	0,206
♦ 771-PESD5V0S4UD115	PESD5V0S4UD,115	SOT-457	4	5	0.2	-/8	1	6.4/7.2	165/220	0,36	0,306	0,26	0,206
♦ 771-PESD5V0S5UD115	PESD5V0S5UD,115	SOT-457	5	5	0.2	-/8	1	6.4/7.2	165/220	0,52	0,367	0,32	0,276

DIODES DE PROTECTION ESD ULTRA-FAIBLE CAPACITÉ

♦Composant pour montage en surface • IEC 61000-4-2; Niveau 4 (ESD)

Pour des quantités supérieures à celles indiquées, appelez-nous afin d'obtenir un devis.

♦ 771-PESD3V3U1UA-T/R	PESD3V3U1UA,115	SOD-323	1	3.3	0.1	-/-	-	4.5/6.8	2.6/3.1	0,38	0,271	0,218	0,157
♦ 771-PESD3V3U1UB-T/R	PESD3V3U1UB,115	SOD-523	1	3.3	0.1	-/-	-	4.5/6.8	2.6/3.1	0,38	0,271	0,218	0,157
♦ 771-PESD5V0U1BA115	PESD5V0U1BA,115	SOD-323	1	5	0.1	-/-	-	5.5/9.5	2.9/3.5	0,38	0,314	0,271	0,215
♦ 771-PESD5V0X1BL-T/R	PESD5V0X1BL,315	SOD-882	1	5	0.1	-/-	-	6.0/9.5	0.9/1.3	0,45	0,332	0,288	0,249
♦ 771-PESD5V0U1UA-T/R	PESD5V0U1UA,115	SOD-323	1	5	0.1	-/-	-	5.8/8.8	2.0/2.6	0,38	0,297	0,243	0,175
♦ 771-PESD5V0U1UT-T/R	PESD5V0U1UT,215	SOT-23	1	5	1	-/12	1	7.0/8.2	0.6/1.5	0,23	0,196	0,166	0,132
♦ 771-PESD16VX1UL315	PESD16VX1UL,315	SOD-882	1	16	0.1	34/-	0.9	17.5/30	0.83/0.98	0,40	0,358	0,326	0,309
♦ 771-NUP1301215	NUP1301,215	SOT-23	1	80	0.03	-/-	-	100/-	0.6/0.75	0,05	0,05	0,048	0,045
♦ 771-PESD5V0U2BTT/R	PESD5V0U2BT,215	SOT-23	2	5	0.1	-/-	-	5.5/9.5	2.9/3.5	0,27	0,232	0,196	0,155
♦ 771-PRTR5V0U2X-T/R	PRTR5V0U2X,215	SOT-143B	2	5.5	0.1	-/-	-	6/9	16/-	0,53	0,367	0,32	0,276
♦ 771-PRTR5V0U4D-T/R	PRTR5V0U4D,125	TSOP-6	4	5.5	0.1	-/-	-	6/9	40/-	0,53	0,348	0,285	0,238
♦ 771-PESD5V0U2BM,315	PESD5V0U2BM,315	SOT-883	2	5	0.1	-/-	-	5.5/9.5	2.9/3.5	0,43	0,314	0,258	0,213

© Copyright 2012 Mouser Electronics

© Copyright 2012 Mouser Electronics

Parasurtenseurs ON SEMICONDUCTOR

RoHS Compliant This product is RoHS compliant.

ON Semiconductor®

UNIDIRECTIONNEL

Pour des quantités supérieures à celles indiquées, appelez-nous afin d'obtenir un devis.

RÉF. STOCK MOUSER	Réf. ON Semiconductor	Boîtier	V(BR) Standard (V)	PPK Max. (W)	VRWM Max. (V)	IR Max. (µA)	IR Max. (µA)	Prix unitaire 1	25	100	500
863-NZQA5V6AXV5T1G	NZQA5V6AXV5T1G	SOT-553	5.6	20	3	1	13	0,24	0,224	0,178	0,145
863-NZQA5V6XV5T1G	NZQA5V6XV5T1G	SOT-553	5.6	100	3	1	10.5	0,26	0,215	0,198	0,173
863-MMQA5V6T1G	MMQA5V6T1G	SC-74	5.6	150	-	2	8	0,10	0,09	0,087	0,085
863-1N5908G	1N5908Ga	Mosorb	6	1500	5	300	8.5	0,33	0,31	0,30	0,27
863-1N6373G	1N6373G	Mosorb	6	1500	5	300	9.4	0,32	0,31	0,305	0,292
863-NZQA6V8XV5T1G	NZQA6V8XV5T1G	SOT-553	6.46	100	4.3	0.1	12.5	0,36	0,297	0,205	0,191
863-SA5.0AG	SA5.0AG	Mosorb MINI	6.7	500	5	600	9.2	0,16	0,14	0,132	0,128
863-1SMB5.0AT3G	1SMB5.0AT3G	SMB	6.7	600	5	800	9.2	0,13	0,12	0,119	0,111
863-SD05T1G	SD05T1G	SOD-323	6.75	350	5	10	14.5	0,31	0,19	0,144	0,119
863-NSQA6V8AW5T2G	NSQA6V8AW5T2G	SOT-353	6.8	20	5	1	13	0,22	0,198	0,147	0,116
863-MMQA6V8T1G	MMQA6V8T1G	SC-74	6.8	150	-	0,5	9.8	0,10	0,09	0,087	0,085
863-P6SMB6.8AT3G	P6SMB6.8AT3G	SMB	6.8	600	5.8	1000	10.5	0,14	0,13	0,125	0,112
863-P6KE6.8AG	P6KE6.8AG	Surmetic 40	6.8	600	5.8	1000	10.5	0,27	0,248	0,17	0,139
863-1.5KE6.8AG	1.5KE6.8AG	Mosorb	6.8	1500	5.8	1000	10.5	0,46	0,386	0,273	0,229
863-1N6267AG	1N6267AG	Mosorb	6.8	1500	5.8	1000	10.5	0,34	0,31	0,30	0,27
863-1SMB6.0AT3G	1SMB6.0AT3G	SMB	7.02	600	6	800	10.3	0,34	0,247	0,163	0,134
863-1SMB6.5AT3G	1SMB6.5AT3G	SMB	7.6	600	6.5	500	11.2	0,28	0,215	0,163	0,134
863-1SMB7.0AT3G	1SMB7.0AT3G	SMB	8.19	600	7	200	12	0,22	0,201	0,161	0,131
863-P6KE10AG	P6KE10AG	Surmetic 40	10	600	8.55	10	14.5	0,27	0,248	0,17	0,139
863-1SMB9.0AT3G	1SMB9.0AT3G	SMB	10.55	600	9	50	15.4	0,22	0,201	0,161	0,131
863-1SMB10AT3G	1SMB10AT3G	SMB	11.7	600	10	5	17	0,31	0,247	0,163	0,134
863-NSQA12VAW5T2G	NSQA12VAW5T2G	SOT-353	12	20	9	0.05	23	0,20	0,173	0,153	0,132
863-P6SMB13AT3G	P6SMB13AT3G	SMB	13	600	11.1	5	18.2	0,14	0,13	0,125	0,112
863-ESD9X12ST5G	ESD9X12ST5G	SOD-923	13.5	140	12	1	23.7	0,12	0,107	0,087	0,07
863-SA12AG	SA12AG	Mosorb MINI	14	500	12	1	19.9	0,29	0,234	0,163	0,136
863-1SMB12AT3G	1SMB12AT3G	SMB	14	600	12	50	19.9	0,16	0,14	0,123	0,111
863-P6SMB15AT3G	P6SMB15AT3G	SMB	15	600	12.8	5	21.2	0,14	0,13	0,125	0,112
863-P6KE15AG	P6KE15AG	Surmetic 40	15	600	12.8	5	21.2	0,34	0,257	0,17	0,139
863-1SMB13AT3G	1SMB13AT3G	SMB	15.15	600	13	5	21.5	0,32	0,247	0,163	0,134
863-P6SMB16AT3G	P6SMB16AT3G	SMB	16	600	13.6	5	22.5	0,14	0,13	0,125	0,112
863-1.5KE16AG	1.5KE16AG	Mosorb	16	1500	13.6	5	22.5	0,45	0,371	0,262	0,22
863-SA15AG	SA15AG	Mosorb MINI	17.6	500	15	1	24.4	0,29	0,234	0,163	0,136
863-1SMB15AT3G	1SMB15AT3G	SMB	17.6	600	15	5	24.4	0,24	0,215	0,163	0,134
863-1N6377G	1N6377G	Mosorb	17.6	1500	15	2	25	0,32	0,31	0,305	0,292
863-P6KE18AG	P6KE18AG	Surmetic 40	18	600	15.3	5	25.2	0,25	0,225	0,17	0,139
863-1.5KE18AG	1.5KE18AG	Mosorb	18	1500	15.3	5	25.2	0,45	0,371	0,262	0,22
863-1N6277AG	1N6277AG	Mosorb	18	1500	15.3	5	25.2	0,32	0,31	0,305	0,292
863-1SMB16AT3G	1SMB16AT3G	SMB	19.7	600	16	50	26	0,32	0,247	0,163	0,134
863-1SMB18AT3G	1SMB18AT3G	SMB	21.05	600	18	5	29.2	0,32	0,247	0,163	0,134
863-1SMB20AT3G	1SMB20AT3G	SMB	23.35	600	20	5	32.4	0,32	0,247	0,163	0,134
863-1SMB22AT3G	1SMB22AT3G	SMB	25.65	600	22	50	35.5	0,32	0,247	0,163	0,134
863-P6SMB27AT3G	P6SMB27AT3G	SMB	27	600	23.1	5	37.5	0,14	0,13	0,125	0,112
863-1SMB24AT3G	1SMB24AT3G	SMB	28.1	600	24	5	38.9	0,24	0,215	0,163	0,134
863-P6SMB30AT3G	P6SMB30AT3G	SMB	30	600	25.6	5	41.4	0,14	0,13	0,125	0,112
863-1N6282AG	1N6282AG	Mosorb	30	1500	25.6	5	41.4	0,32	0,31	0,305	0,292
863-1SMB26AT3G	1SMB26AT3G	SMB	30.4	600	26	5	42.1	0,24	0,215	0,163	0,134
863-1SMB28AT3G	1SMB28AT3G	SMB	32.75	600	28	5	45.4	0,32	0,215	0,163	0,134
863-P6SMB33AT3G	P6SMB33AT3G	SMB	33	600	28.2	5	45.7	0,14	0,13	0,125	0,112
863-1.5KE33AG	1.5KE33AG	Mosorb	33	1500	28.2	5	45.7	0,45	0,371	0,262	0,22
863-1N6283AG	1N6283AG	Mosorb	33	1500	28.2	5	45.7	0,32	0,31	0,305	0,292
863-1SMB30AT3G	1SMB30AT3G	SMB	35.05	600	30	5	48.4	0,32	0,247	0,163	0,134
863-P6SMB36AT3G	P6SMB36AT3G	SMB	36	600	30.8	5	49.9	0,14	0,13	0,125	0,112
863-P6KE36AG	P6KE36AG	Surmetic 40	36	600	30.8	5	49.9	0,34	0,248	0,17	0,139
863-1.5KE36AG	1.5KE36AG	Mosorb	36	1500	30.8	50	49.9	0,44	0,371	0,262	0,22
863-1N6284AG	1N6284AG	Mosorb	36	1500	30.8	50	49.9	0,32	0,31	0,305	0,292
863-1SMB33AT3G	1SMB33AT3G	SMB	38.65	600	33	5	53.3	0,32	0,215	0,163	0,134
863-P6SMB39AT3G	P6SMB39AT3G	SMB	39	600	33.3	5	53.9	0,14	0,13	0,125	0,112
863-P6KE39AG	P6KE39AG	Surmetic 40	39	600	33.3	5	53.9	0,34	0,248	0,17	0,139
863-1N6285AG	1N6285AG	Mosorb	39	1500	33.3	5	53.9	0,32	0,31	0,305	0,292
863-1SMB36AT3G	1SMB36AT3G	SMB	42.1	600	36	5	58.1	0,32	0,247	0,163	0,134
863-1N6380G	1N6380G	Mosorb	42.4	1500	36	2	65.2	0,32	0,31	0,305	0,292
863-1N6286AG	1N6286AG	Mosorb	43	1500	36.8	5	59.3	0,32	0,31	0,305	0,292
863-1SMB40AT3G	1SMB40AT3G	SMB	46.75	600	40	5	64.5	0,28	0,215	0,163	0,134
863-1SMB43AT3G	1SMB43AT3G	SMB	50.3	600	43	5	69.4	0,24	0,215	0,163	0,134
863-P6SMB51AT3G	P6SMB51AT3G	SMB	51	600	43.6	50	70.1	0,14	0,13	0,125	0,112
863-P6KE51AG	P6KE51AG	Surmetic 40	51	600	43.6	5	70.1	0,25	0,225	0,17	0,139
863-1N6288AG	1N6288AG	Mosorb	51	1500	43.6	5	70.1	0,32	0,31	0,305	0,292
863-1SMB51AT3G	1SMB51AT3G	SMB	59.7	600	51	5	82.4	0,32	0,247	0,163	0,134
863-P6SMB62AT3G	P6SMB62AT3G	SMB	62	600	53	50	85	0,14	0,13	0,125	0,112
863-1SMB54AT3G	1SMB54AT3G	SMB	63.15	600	54	5	87.1	0,22	0,201	0,161	0,131
863-1SMB58AT3G	1SMB58AT3G	SMB	67.8	600	58	5	93.6	0,32	0,215	0,163	0,134
863-P6SMB68AT3G	P6SMB68AT3G	SMB	68	600	58.1	5	92	0,14	0,13	0,125	0,112
863-1SMB60AT3G	1SMB60AT3G	SMB	70.2	600	60	50	96.8	0,24	0,215	0,163	0,134
863-1SMB70AT3G	1SMB70AT3G	SMB	81.9	600	70	5	113	0,24	0,215	0,163	0,134
863-P6SMB150AT3G	P6SMB150AT3G	SMB	150	600	128	5	207	0,29	0,264	0,199	0,165
863-P6SMB160AT3G	P6SMB160AT3G	SMB	160	600	136	5	219	0,35	0,283	0,199	0,165
863-P6SMB180AT3G	P6SMB180AT3G	SMB	180	600	154	50	246	0,45	0,396	0,357	0,325
863-1SMB170AT3G	1SMB170AT3G	SMB	199	600	170	5	275	0,35	0,256	0,199	0,165
863-P6SMB200AT3G	P6SMB200AT3G	SMB	200	600	171	50	274	0,35	0,256	0,199	0,165
863-P6KE200AG	P6KE200AG	Surmetic 40	200	600	171	5	274	0,32	0,264	0,187	0,156

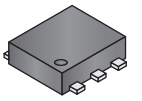
SOT-553

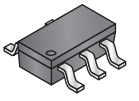
SC-74

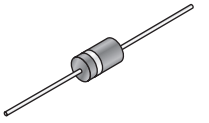
Mosorb

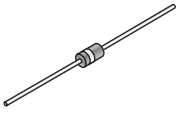
Mosorb MINI

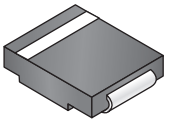
SMB

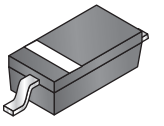
SOD-323

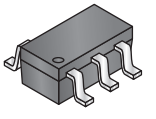
SOT-353

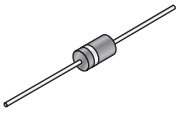
Surmetic 40

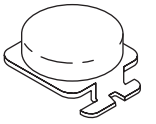
Dessous du boîtier supérieur

BIDIRECTIONNEL

Pour des quantités supérieures à celles indiquées, appelez-nous afin d'obtenir un devis.

RÉF. STOCK MOUSER	Réf. ON Semiconductor	Boîtier	V(BR) Standard (V)	PPK Max. (W)	VRWM Max. (V)	IR Max. (µA)	IR Max. (µA)	Prix unitaire 1	25	100	500
863-SD12CT1G	SD12CT1G	SOD-323	13.3	350	12	1	19	0,22	0,198	0,147	0,116

© Copyright 2012 Mouser Electronics

© Copyright 2012 Mouser Electronics

Dispositifs de protection contre les surtensions TEXAS INSTRUMENTS

RoHS Compliant This product is RoHS compliant.

♦ Composant pour montage en surface

FILTRES EMI

Pour des quantités supérieures à celles indiquées, appelez-nous afin d'obtenir un devis.

RÉF. STOCK MOUSER	Réf. Texas Instruments	Boîtier	Nb de Canaux	VBR à II (V) (Min.)	VBR à II (mA) Min.)	Protection ESD	Résistance (Typ.)(Ω)	Capacité (Typ.)(pF)	Utilisation principale	Prix unitaire 1	25	100	250
♦ 595-TPD2F702YFKR	TPD2F702YFKR	DSBGA-5	2	±14	1	15kV-30kV	15	5000	Casque audio	0,56	0,429	0,381	0,326
♦ 595-TPD4F003DQDR	TPD4F003DQDR	WSON-8	4	6	0.01	12kV-20kV	100	8.5	Affichage LCD	0,65	0,503	0,446	0,381
♦ 595-TPD6F002DSVR	TPD6F002DSVR	SON-12	6	6	0.01	15kV-30kV	100	17	Affichage LCD	0,76	0,589	0,52	0,45
♦ 595-TPD6F003DQDR	TPD6F003DQDR	WSON-12	6	6	0.01	12kV-20kV	100	8.5	Affichage LCD	0,76	0,586	0,513	0,445
♦ 595-TPD8F003DQDR	TPD8F003DQDR	WSON-16	8	6	0.01	12kV-20kV	100	8.5	Affichage LCD	0,77	0,619	0,55	0,479

CALAGE ESD FIREWIRE AVEC DÉTECTION D'INSERTION EN DIRECT

Pour des quantités supérieures à celles indiquées, appelez-nous afin d'obtenir un devis.

RÉF. STOCK MOUSER	Réf. Texas Instruments	Boîtier	Nb de Canaux	VBR à II (V) (Min.)	VBR à II (mA) Min.)	Protection ESD	Résistance dynamique (Typ.)(Ω)	Capacité (Typ.)(pF)	Consommation courant (Max.)(μA)	Prix unitaire 1	25	100	250
♦ 595-TPD4S1394DQLR	TPD4S1394DQLR	SON-8	4	4.2	1	6kV-15kV	1	1.5	200	0,83	0,644	0,563	0,488

SOLUTIONS ESD DE PORT HDMI

Pour des quantités supérieures à celles indiquées, appelez-nous afin d'obtenir un devis.

RÉF. STOCK MOUSER	Réf. Texas Instruments	Boîtier	Nb de Canaux	VBR à II (V) (Min.)	VBR à II (mA) Min.)	Protection ESD	Courant de fuite (Max.)(nA)	Capacité E/S (Typ.)(pF)	Température de fonctionnement (°C)	Prix unitaire 1	25	100	250
♦ 595-TPD8S009DSMR	TPD8S009DSMR	SON-15	8	9	1	8kV-9kV	10	0.8	de -40 à +85	1,57	1,20	1,10	0,982
♦ 595-TPD12S520DBTR	TPD12S520DBTR	TSSOP-38	12	9	-	2kV-8kV	0.05	0.9	de -40 à +85	1,36	1,07	0,965	0,842
♦ 595-TPD12S521DBTR	TPD12S521DBTR	TSSOP-38	12	9	-	2kV-8kV	10	0.8	de -40 à +85	1,45	1,15	1,03	0,899

SOLUTIONS ESD D'INTERFACE DIFFÉRENTIELLE À VITESSE ÉLEVÉE

Pour des quantités supérieures à celles indiquées, appelez-nous afin d'obtenir un devis.

RÉF. STOCK MOUSER	Réf. Texas Instruments	Boîtier	Nb de Canaux	VBR à II (V) (Min.)	VBR à II (mA) Min.)	Protection ESD	Courant de fuite (Max.)(nA)	Capacité E/S (Typ.)(pF)	Température de fonctionnement (°C)	Prix unitaire 1	25	100	250
♦ 595-TPD2E009DBZR	TPD2E009DBZR	SOT-23-3	2	7	1	8kV	10	0.7	de -40 à +85	0,54	0,413	0,366	0,318
♦ 595-TPD4S009DBVR	TPD4S009DBVR	SOT-23-6	4	9	1	8kV-9kV	10	0.8	de -40 à +85	0,90	0,71	0,645	0,561

SOLUTIONS ESD D'INTERFACE DE DONNÉES À VITESSE ÉLEVÉE

Pour des quantités supérieures à celles indiquées, appelez-nous afin d'obtenir un devis.

RÉF. STOCK MOUSER	Réf. Texas Instruments	Boîtier	Nb de Canaux	VBR à II (V) (Min.)	VBR à II (mA) Min.)	Protection ESD	Courant de fuite (Max.)(nA)	Capacité E/S (Typ.)(pF)	Température de fonctionnement (°C)	Prix unitaire 1	25	100	250
♦ 595-TPD2E001DRLR	TPD2E001DRLR	SOT-5	2	11	10	8kV-15kV	1	1.5	de -40 à +85	0,55	0,421	0,371	0,318
♦ 595-TPD2E001DRLRG4	TPD2E001DRLRG4	SOT-5	2	11	10	8kV-15kV	1	1.5	de -40 à +85	0,55	0,421	0,371	0,318
♦ 595-TPD2E001DRYR	TPD2E001DRYR	SON-6	2	11	10	8kV-15kV	1	1.5	de -40 à +85	0,60	0,47	0,411	0,356
♦ 595-TPD2E001DZDR	TPD2E001DZDR	SOP-4	2	11	10	8kV-15kV	1	1.5	de -40 à +85	0,67	0,512	0,455	0,394
♦ 595-TPD3E001DRLR	TPD3E001DRLR	SOT-5	3	11	10	8kV-15kV	1	1.5	de -40 à +85	0,40	0,281	0,242	0,209
♦ 595-TPD3E001DRYR	TPD3E001DRYR	SON-6	3	11	10	8kV-15kV	1	1.5	de -40 à +85	0,50	0,355	0,301	0,26
♦ 595-TPD4E001DRLR	TPD4E001DRLR	SOT-5	4	11	10	8kV-15kV	1.5	1.5	de -40 à +85	0,45	0,314	0,269	0,232
♦ 595-TPD4E001DRLRG4	TPD4E001DRLRG4	SOT-5	4	11	10	8kV-15kV	1.5	1.5	de -40 à +85	0,45	0,314	0,269	0,232
♦ 595-TPD4E001DRSR	TPD4E001DRSR	QFN-6	4	11	10	8kV-15kV	1.5	1.5	de -40 à +85	0,56	0,388	0,33	0,289
♦ 595-TPD4E002DRLR	TPD4E002DRLR	SOT-5	4	6.1	1	15kV	100	11	de -40 à +85	0,47	0,305	0,254	0,212
♦ 595-TPD4E004DRYR	TPD4E004DRYR	SON-6	4	6	10	8kV-15kV	1	1.6	de -40 à +85	0,59	0,413	0,35	0,302
♦ 595-TPD6E001RSER	TPD6E001RSER	UQFN-10	6	11	10	8kV-15kV	1	1.5	de -40 à +85	0,54	0,371	0,323	0,279
♦ 595-TPD6E001RSFR	TPD6E001RSFR	WQFN-12	6	11	10	8kV-15kV	1	1.5	de -40 à +85	0,54	0,371	0,323	0,279
♦ 595-TPD6E004RSER	TPD6E004RSER	UQFN-8	6	6	10	8kV-15kV	1	1.6	de -40 à +85	0,57	0,437	0,391	0,339

SOLUTIONS ESD D'INTERFACE USB 3.0 SUPER RAPIDES (6 GBITS/S)

Pour des quantités supérieures à celles indiquées, appelez-nous afin d'obtenir un devis.

RÉF. STOCK MOUSER	Réf. Texas Instruments	Boîtier	Nb de Canaux	VBR à II (V) (Min.)	VBR à II (mA) Min.)	Protection ESD	Courant de fuite (Max.)(nA)	Capacité E/S (Typ.)(pF)	Température de fonctionnement (°C)	Prix unitaire 1	25	100	250
♦ 595-TPD2EUSB30ADRTR	TPD2EUSB30ADRTR	SOT-3	2	4.5	1	8kV-9kV	10	0.7	de -40 à +85	0,55	0,421	0,371	0,248
♦ 595-TPD2EUSB30DRTR	TPD2EUSB30DRTR	SOT-3	2	7	1	8kV-9kV	10	0.7	de -40 à +85	0,55	0,421	0,371	0,318

PARASURTENSEURS USB

Pour des quantités supérieures à celles indiquées, appelez-nous afin d'obtenir un devis.

RÉF. STOCK MOUSER	Réf. Texas Instruments	Boîtier	Nb de Canaux	VBR à II (V) (Min.)	VBR à II (mA) Min.)	Protection ESD	Courant de fuite (Max.)(nA)	Capacité (Typ.)(pF)	de limite (Max.) (V)	Prix unitaire 1	25	100	250
♦ 595-SN65220DBVR	SN65220DBVR	SOT-23-6	2	7	1	2kV-15kV	1	35	3.3	0,87	0,668	0,594	0,515
♦ 595-SN65220DBVT	SN65220DBVT	SOT-23-6	2	7	1	2kV-15kV	1	35	3.3	0,86	0,677	0,614	0,489
♦ 595-SN65220DBVTG4	SN65220DBVTG4	SOT-23-6	2	7	1	2kV-15kV	1	35	3.3	0,86	0,677	0,614	0,489
♦ 595-SN65220YZBR	SN65220YZBR	DSBGA-4	2	7	1	2kV-15kV	1	35	3.3	0,78	0,602	0,533	0,462
♦ 595-SN65220YZBT	SN65220YZBT	DSBGA-4	2	7	1	2kV-15kV	1	35	3.3	0,80	0,619	0,559	0,445
♦ 595-SN65240P	SN65240P	PDIP-8	4	7	1	2kV-15kV	1	35	3.3	1,20	0,957	0,833	0,738
♦ 595-SN65240PW	SN65240PW	TSSOP-8	4	7	1	2kV-15kV	1	35	3.3	1,20	0,957	0,833	0,738
♦ 595-SN65240PWR	SN65240PWR	TSSOP-8	4	7	1	2kV-15kV	1	35	3.3	1,08	0,858	0,772	0,672
♦ 595-SN75240P	SN75240P	PDIP-8	4	7	1	2kV-15kV	1	35	3.3	1,20	0,957	0,833	0,738
♦ 595-SN75240PW	SN75240PW	TSSOP-8	4	7	1	2kV-15kV	1	35	3.3	1,30	1,02	0,924	0,806
♦ 595-SN75240PWG4	SN75240PWG4	TSSOP-8	4	7	1	2kV-15kV	1	35	3.3	1,20	0,957	0,833	0,738
♦ 595-SN75240PWR	SN75240PWR	TSSOP-8	4	7	1	2kV-15kV	1	35	3.3	1,08	0,858	0,772	0,672

SOLUTION ESD POUR PORT VGA AVEC CONVERTISSEUR ET IMPÉDANCE ADAPTÉE

Pour des quantités supérieures à celles indiquées, appelez-nous afin d'obtenir un devis.

RÉF. STOCK MOUSER	Réf. Texas Instruments	Boîtier	Nb de Canaux	VBR à II (V) (Min.)	VBR à II (mA) Min.)	Protection ESD	Courant de fuite (Max.)(nA)	Capacité E/S (Typ.)(pF)	Tension d'alim. (Max.) (V)	Prix unitaire 1	25	100	250
♦ 595-TPD7S019-15DBQR	TPD7S019-15DBQR	SSOP-16	7	9	1	8kV-9kV	10	2.5	5.5	0,69	0,528	0,47	0,403

© Copyright 2012 Mouser Electronics

© Copyright 2012 Mouser Electronics

Dispositifs de protection ESD VISHAY

RoHS Compliant **This product is RoHS compliant.**

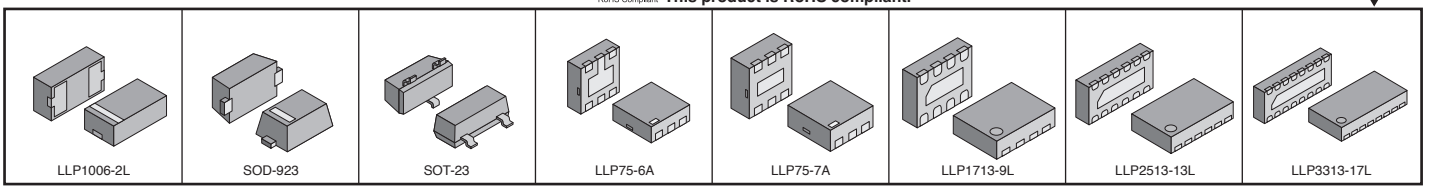

◆ **Composant pour montage en surface**

Les diodes de protection ESD combinées avec un réseau de filtres EMI servent de « garde personnelle » discrète mais robuste contre ces dangers. Les dispositifs de protection tels que les diodes Zener et Avalanche, très rapides, nécessitent un courant de fuite très faible quand elles sont placées en face de portes électroniques sensibles. Mais au-dessus de la plage de la tension de fonctionnement définie, toute tension transitoire proche de la tension disruptive sera court-circuitée par les diodes pour que la porte ne puisse pas être atteinte.

ASYMÉTRIE BIDIRECTIONNELLE (BiAs) DISPOSITIF DE PROTECTION ESD MONOLIGNE

Pour des quantités supérieures à celles indiquées, appelez-nous afin d'obtenir un devis.

RÉF. STOCK MOUSER	Réf. Siliconix	Boîtier	$V_{R\ WM}$ (V)	V_{BR} à It=1mA (V)(Min.)	I_R @V_{RWM} (µA)(Max.)	V_C (Max.) I_{PP}=1.0A (V)	V_C (Max.) @I_{PPM} (V)	I_{PPM} tp=8/20µS (A)	Protection ESD (IEC)	Prix unitaire 1	100	500	1000
◆ 78-VESD03A1B-HD1	VESD03A1B-HD1-GS08	LLP1006-2L	3.3	5	0,5	7.5	9	3.5	±30kV	0,37	0,157	0,095	0,074
◆ 78-VESD03A1C-02Z	VESD03A1C-02Z-GS08	SOD-923	3.3	5	1	7.5	10	9.5	±30kV	0,40	0,182	0,125	0,10
◆ 78-VESD05A1A-HD1	VESD05A1A-HD1-GS08	LLP1006-2L	5	6	1	8.5	12	16	±30kV	0,37	0,157	0,095	0,074
◆ 78-VESD05A1B-HD1	VESD05A1B-HD1-GS08	LLP1006-2L	5	6	0.1	9.5	11	3	±30kV	0,37	0,157	0,095	0,074
◆ 78-VESD05A1C-02Z	VESD05A1C-02Z-GS08	SOD-923	5	6	1	8	10	8	±30kV	0,40	0,182	0,125	0,10
◆ 78-VESD05A1B-02Z	VESD05A1B-02Z-GS08	SOD-923	5	6	0.1	10	11	3	±30kV	0,40	0,182	0,125	0,10
◆ 78-VESD12A1C-HD1	VESD12A1C-HD1-GS08	LLP1006-2L	12	13.5	0.1	17	23	4	±30kV	0,37	0,157	0,095	0,074
◆ 78-VESD12A1C-02Z	VESD12A1C-02Z-GS08	SOD-923	12	13.5	0.1	17	23	4	±30kV	0,40	0,182	0,125	0,10

ASYMÉTRIE BIDIRECTIONNELLE FAIBLE CAPACITÉ (BiAs) DISPOSITIFS DE PROTECTION ESD MONOLIGNE

Caractéristiques :
- Faible courant de fuite : <0,1 µA
- Faible capacité de charge : C_D = 8.0pF
- Qualifiés AEC Q101 (uniquement VCUT0714A-HD1-GS08)

Pour des quantités supérieures à celles indiquées, appelez-nous afin d'obtenir un devis.

◆ 78-VCUT0714A-02Z	VCUT0714A-02Z-GS08	SOD-923	14	14.5	0.1	27	-	5	±30kV	0,42	0,173	0,106	0,083
◆ 78-VCUT0714A-HD1	VCUT0714A-HD1-GS08	LLP1006-2L	14	14.5	0.1	13	17	5	±30kV	0,37	0,157	0,095	0,074

ASYMÉTRIE BIDIRECTIONNELLE FAIBLE CAPACITÉ (BiSy) DISPOSITIFS DE PROTECTION ESD MONOLIGNE

Caractéristiques :
- Faible courant de fuite : <0,1 µA
- Faible capacité de charge : C_D = 8,0pF
- Qualifié AEC-Q200
- Le brasage peut être vérifié par l'inspection visuelle standard. Les rayons X ne sont pas nécessaires.

Pour des quantités supérieures à celles indiquées, appelez-nous afin d'obtenir un devis.

◆ 78-VCUT0505B-HD1	VCUT0505B-HD1-GS08	LLP1006-2L	5	7	0.1	12	-	3.5	±25kV	0,37	0,157	0,095	0,074

DIODES DE PROTECTION ESD UNIDIRECTIONNELLES (UNI) FAIBLE CAPACITÉ POUR INTERFACES DE DONNÉES HAUTE VITESSE

Caractéristiques :
- Petit boîtier pour utilisation portable
- Température de brasage élevée garantie : 260°C/10 s aux bornes
- Faible capacité pour utilisations multiples

Applications clés :
- Lignes de données haute vitesse
- Téléphones cellulaires
- Protection de ports USB
- Équipement LAN
- Périphériques

Pour des quantités supérieures à celles indiquées, appelez-nous afin d'obtenir un devis.

◆ 78-GL05T	GL05T-GS08	SOT-23	5	6	20	9.8	11	17	±15 kV	0,12	0,083	0,074	0,067
◆ 78-GL12T	GL12T-GS08	SOT-23	12	13.3	1	19	24	12	±15 kV	0,12	0,083	0,074	0,067
◆ 78-GL15T	GL15T-GS08	SOT-23	15	16.7	1	24	33	10	±15 kV	0,42	0,173	0,162	0,067
◆ 78-GL24T	GL24T-GS08	SOT-23	24	26.7	1	43	55	5	±15 kV	0,12	0,083	0,074	0,067

DISPOSITIFS DE PROTECTION ESD MONOLIGNE BIDIRECTIONNELS UNIVERSELS SYMÉTRIQUE (BUS) FAIBLE CAPACITÉ

Caractéristiques :
- Faible courant de fuite <1 µA
- Faible capacité de charge : CD = 8,0pF
- Qualifié AEC-Q200
- Brasage vérifié par inspection visuelle standard. Les rayons X ne sont pas nécessaires.

Applications clés :
- Communication mobile (téléphones portables)
- Produits de consommation mobiles (MP3)
- Applications HDMI
- Informatique mobile

Pour des quantités supérieures à celles indiquées, appelez-nous afin d'obtenir un devis.

◆ 78-VBUS051BD-HD1	VBUS051BD-HD1-GS08	LLP1006-2L	5	6.9	0.1	16	-	3	±15 kV	0,37	0,157	0,095	0,074
◆ 78-VBUS05L1-DD1-G-08	VBUS05L1-DD1-G-08	LLP1006-2L	5.5	7	0.05	14	17	2	±15 kV	0,24	0,182	0,14	0,124

DISPOSITIFS DE PROTECTION ESD À LIGNE DOUBLE BIDIRECTIONNELS FAIBLE CAPACITÉ

Caractéristiques :
- Qualifié AEC-Q200

Pour des quantités supérieures à celles indiquées, appelez-nous afin d'obtenir un devis.

◆ 78-GSOT03C	GSOT03C-GS08	SOT-23	3.3	4	100	7.5	12.3	30	±30kV	0,36	0,157	0,122	0,07
◆ 78-GSOT04C	GSOT04C-GS08	SOT-23	4	5	20	9	14.3	30	±30kV	0,36	0,157	0,122	0,067
◆ 78-GSOT05C	GSOT05C-GS08	SOT-23	5	6	10	8.7	16	30	±30kV	0,36	0,157	0,122	0,07
◆ 78-GSOT08C	GSOT08C-GS08	SOT-23	8	9	5	13	19.2	18	±30kV	0,36	0,157	0,122	0,067
◆ 78-GSOT12C	GSOT12C-GS08	SOT-23	12	13.5	1	18.7	26	12	±30kV	0,36	0,157	0,122	0,07
◆ 78-GSOT15C	GSOT15C-GS08	SOT-23	15	16.5	1	23.5	28.8	8	±30kV	0,36	0,157	0,122	0,067
◆ 78-GSOT24C	GSOT24C-GS08	SOT-23	24	27	1	41	47	5	±30kV	0,36	0,157	0,122	0,067
◆ 78-GSOT36C	GSOT36C-GS08	SOT-23	36	39	1	60	71	3.5	±30kV	0,36	0,157	0,122	0,07

FILTRES EMI DE PROTECTION ESD BIDIRECTIONNELS ASYMÉTRIQUES (BiAs)

Caractéristiques :
- Boîtiers ultra compacts
- Faible courant de fuite
- Filtre EMI et protection ESD

Pour des quantités supérieures à celles indiquées, appelez-nous afin d'obtenir un devis.

RÉF. STOCK MOUSER	Réf. Siliconix	Boîtier	Can.	V_{RWM} (V)	V_{BR} à It=1mA (V)(Min.)	I_R @V_{RWM} (µA)(Max.)	Tension de calage Pos. (V)(Max.)	Tension de calage Nég. (V)(Min.)	I_{PPM} tp=8/20µS (A)	Protection ESD (IEC)	Prix unitaire 1	100	500	1000
◆ 78-VEMI255A-HS3	VEMI255A-HS3-GS08	LLP75-6A	2	5	6	1	7.8	-1.0	4	±30kV	0,35	0,239	0,193	0,118
◆ 78-VEMI45AB-HNH	VEMI45AB-HNH-GS08	LLP1713-9L	4	5	6	1	7.0	-1.0	4	±25kV	0,22	0,19	0,157	0,128
◆ 78-VEMI45AC-HNH	VEMI45AC-HNH-GS08	LLP1713-9L	4	5	6	1	7.0	-1.0	2	±12kV	0,22	0,19	0,157	0,128
◆ 78-VEMI65AB-HCI	VEMI65AB-HCI-GS08	LLP2513-13L	6	5	6	1	7.0	-1.0	4	±25kV	0,46	0,396	0,334	0,186
◆ 78-VEMI65AC-HCI	VEMI65AC-HCI-GS08	LLP2513-13L	6	5	6	1	7.0	-1.0	2	±12kV	0,28	0,231	0,198	0,161
◆ 78-VEMI85AA-HGK	VEMI85AA-HGK-GS08	LLP3313-17L	8	5	6	1	7.0	-1.0	4	±30kV	0,46	0,396	0,334	0,223
◆ 78-VEMI85AB-HGK	VEMI85AB-HGK-GS08	LLP3313-17L	8	5	6	1	7.0	-1.4	4	±25kV	0,34	0,281	0,239	0,211
◆ 78-VEMI85AC-HGK	VEMI85AC-HGK-GS08	LLP3313-17L	8	5	6	1	7.0	-1.4	2	±12kV	0,34	0,281	0,239	0,193

© Copyright 2012 Mouser Electronics

© Copyright 2012 Mouser Electronics

Dispositifs de protection ESD VISHAY

RoHS Compliant **This page of product is compliant.**

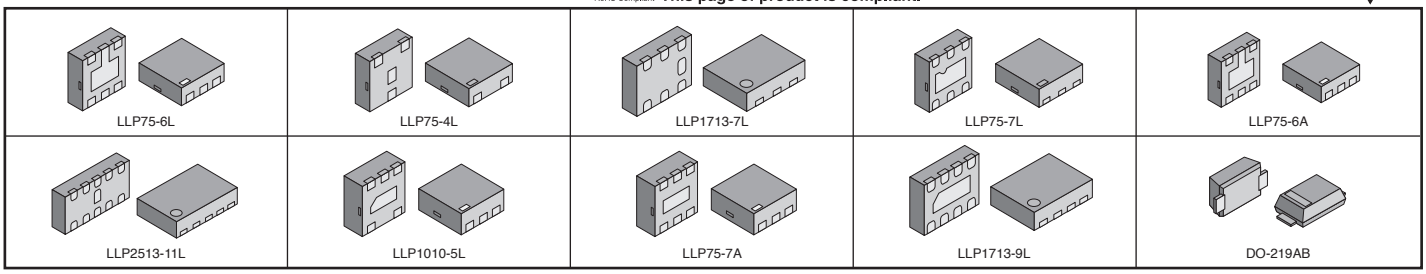

♦ **Composant pour montage en surface**

BARRETTES DE DIODES DE PROTECTION ESD VISHAY

Barrettes de diodes de protection ESD asymétriques bidirectionnelles (BiAs)

Caractéristiques :
- Faible courant de fuite : <0,1 µA
- Faible capacité de charge : C_D = 8,0pF
- Le brasage peut être vérifié par l'inspection visuelle standard. Les rayons X ne sont pas nécessaires.

Pour des quantités supérieures à celles indiquées, appelez-nous afin d'obtenir un devis.

RÉF. STOCK MOUSER	Réf. Vishay	Boîtier	Lignes	V_{RWM} (V)	V_{BR} à It=1mA (V)(Min.)	I_R àV_{RWM} (uA)(Max.)	V_C @I_{PPM} (Max.) (V)	I_{PPM} tp=8/20uS (A)	Protection ESD (IEC)	Prix unitaire 1	100	500	1000
♦ 78-VESD09A4A-HSF	VESD09A4A-HSF-GS08	LLP75-6L	4	9	13	0.1	23	1.5	±10kV	0,58	0,281	0,195	0,125

Barrettes de diodes de protection ESD symétriques universelles bidirectionnelles (BUS)

Applications clés :
- Protection ESD pour ports USB, HDMI, d'affichage, eSATA et 1394/applications de pare-feu de TV HD et dispositifs électroniques mobiles, y compris consoles de jeu portables, lecteurs MP3 et téléphones portables.

NEW PRODUCT

Pour des quantités supérieures à celles indiquées, appelez-nous afin d'obtenir un devis.

♦ 78-VBUS052BD-HTF	VBUS052BD-HTF-GS08	LLP75-4L	2	5	6.9	0.1	16	3	±15 kV	0,35	0,231	0,195	0,116
♦ 78-VBUS052CD-FAH	VBUS052CD-FAH-GS08	LLP1713-7L	2	5	6.9	0.1	18	3.5	±15 kV	0,46	0,305	0,258	0,155
♦ 78-VBUS053AZ-HAF	VBUS053AZ-HAF-GS08	LLP75-7L	3	5.5	6.5	0.085	18	3	±30kV	0,64	0,421	0,351	0,224
♦ 78-VBUS053CZ-HAF-G08	VBUS053CZ-HAF-G-08	LLP75-7L	3	5.5	6.5	0.1	18	3	±15 kV	0,76	0,503	0,421	0,231
♦ 78-VBUS054B-HS3	VBUS054B-HS3-GS08	LLP75-6A	4	5	6.3	0.1	15	3	±15 kV	0,64	0,421	0,352	0,198
♦ 78-VBUS054CV-HS3	VBUS054CV-HS3-GS08	LLP75-6A	4	5	7	0.1	22	11	±30kV	0,64	0,421	0,352	0,197
♦ 78-VBUS054CD-FHI	VBUS054CD-FHI-GS08	LLP2513-11L	4	5	6.9	0.1	18	3.5	±15 kV	0,64	0,421	0,352	0,197

Barrettes de diodes de protection ESD bidirectionnelles

Pour des quantités supérieures à celles indiquées, appelez-nous afin d'obtenir un devis.

♦ 78-VBUS052BD-HTF	VBUS052BD-HTF-GS08	LLP75-4L	2	5	6.9	0.1	16	3	±15 kV	0,35	0,231	0,195	0,116
♦ 78-VBUS052CD-FAH	VBUS052CD-FAH-GS08	LLP1713-7L	2	5	6.9	0.1	18	3.5	±15 kV	0,46	0,305	0,258	0,155
♦ 78-VBUS053AZ-HAF	VBUS053AZ-HAF-GS08	LLP75-7L	3	5.5	6.5	0.085	18	3	±30kV	0,64	0,421	0,351	0,224
♦ 78-VBUS054B-HS3	VBUS054B-HS3-GS08	LLP75-6A	4	5	6.3	0.1	15	3	±15 kV	0,64	0,421	0,352	0,198
♦ 78-VBUS054CV-HS3	VBUS054CV-HS3-GS08	LLP75-6A	4	5	7	0.1	22	11	±30kV	0,64	0,421	0,352	0,197
♦ 78-VBUS054CD-FHI	VBUS054CD-FHI-GS08	LLP2513-11L	4	5	6.9	0.1	18	3.5	±15 kV	0,64	0,421	0,352	0,197

DIODES ZENER ESD ASYMÉTRIQUES BIDIRECTIONNELLES (BIAS)

Caractéristiques :
- Boîtier à profil bas
- Optimisés pour des applications de protection LAN
- Idéal pour la protection ESD et EFT des lignes de données
- Faible résistance aux surtensions incrémentielles, excellente capacité de calage
- Capacité de puissance à impulsion de crête 200 W avec forme d'onde de 10/1000 uS, taux de répétition (cycle de service) : 0,01%
- Temps de réponse très rapide
- Qualifié AEC-Q200

Pour des quantités supérieures à celles indiquées, appelez-nous afin d'obtenir un devis.

RÉF. STOCK MOUSER	Réf. Vishay	Boîtier	V_{BR} (Min.) (V)	V_{BR} à I_T (mA)	V_{WM} (V)	I_D (Max.) (µA)	I_{PPM} (A)	V_C @ I_{PPM} (V)	C_J @V_R=UV (pF)(Typ.)	Prix unitaire 1	100	500	1000
♦ 78-SMF5V0A	SMF5V0A-GS08	DO-219AB	6.10	10	5.0	400	21.7	9.2	1030	0,40	0,198	0,163	0,13
♦ 78-SMF6V0A	SMF6V0A-GS08	DO-219AB	6.67	10	6.0	400	19.4	10.3	1010	0,40	0,198	0,163	0,13
♦ 78-SMF6V5A	SMF6V5A-GS08	DO-219AB	7.22	10	6.5	250	17.9	11.2	850	0,40	0,198	0,163	0,13
♦ 78-SMF7V0A	SMF7V0A-GS08	DO-219AB	7.78	10	7.0	100	16.7	12.0	750	0,40	0,198	0,163	0,13
♦ 78-SMF8V5A	SMF8V5A-GS08	DO-219AB	9.44	1,0	8.5	10	13.9	14.4	660	0,40	0,198	0,163	0,13
♦ 78-SMF10A	SMF10A-GS08	DO-219AB	11.1	1,0	10	2.5	11.8	17.0	570	0,40	0,198	0,163	0,13
♦ 78-SMF11A	SMF11A-GS08	DO-219AB	12.2	1,0	11	2.5	11.0	18.2	460	0,40	0,198	0,163	0,13
♦ 78-SMF12A	SMF12A-GS08	DO-219AB	13.3	1,0	12	2.5	10.1	19.9	440	0,40	0,198	0,163	0,13
♦ 78-SMF15A	SMF15A-GS08	DO-219AB	16.7	1,0	15	1,0	8.2	24.4	350	0,40	0,198	0,163	0,13
♦ 78-SMF16A	SMF16A-GS08	DO-219AB	17.8	1,0	16	1,0	7.7	26.0	340	0,40	0,198	0,163	0,13
♦ 78-SMF17A	SMF17A-GS08	DO-219AB	18.9	1,0	17	1,0	7.2	27.6	310	0,40	0,198	0,163	0,13
♦ 78-SMF18A	SMF18A-GS08	DO-219AB	20.0	1,0	18	1,0	5.8	29.2	305	0,40	0,198	0,163	0,13
♦ 78-SMF24A	SMF24A-GS08	DO-219AB	26.7	1,0	24	1,0	5.1	38.9	240	0,40	0,198	0,163	0,13
♦ 78-SMF26A	SMF26A-GS08	DO-219AB	28.9	1,0	26	1,0	4.8	42.1	225	0,40	0,198	0,163	0,13
♦ 78-SMF30A	SMF30A-GS08	DO-219AB	33.3	1,0	30	1,0	4.1	48.4	205	0,40	0,198	0,163	0,13
♦ 78-SMF33A	SMF33A-GS08	DO-219AB	36.7	1,0	33	1,0	3.8	53.3	190	0,40	0,198	0,163	0,13
♦ 78-SMF36A	SMF36A-GS08	DO-219AB	40.0	1,0	36	1,0	3.4	58.1	180	0,40	0,198	0,163	0,13
♦ 78-SMF40A	SMF40A-GS08	DO-219AB	44.4	1,0	40	1,0	3.1	64.5	165	0,40	0,198	0,163	0,13
♦ 78-SMF43A	SMF43A-GS08	DO-219AB	47.8	1,0	43	1,0	2.9	69.4	160	0,40	0,198	0,163	0,13
♦ 78-SMF48A	SMF48A-GS08	DO-219AB	53.3	1,0	48	1,0	2.6	77.4	150	0,40	0,198	0,163	0,13
♦ 78-SMF51A	SMF51A-GS08	DO-219AB	56.7	1,0	51	1,0	2.4	82.4	145	0,40	0,198	0,163	0,13

© Copyright 2012 Mouser Electronics
© Copyright 2012 Mouser Electronics

Parasurtenseurs VISHAY

RoHS Compliant **This product is RoHS compliant.**

DIMENSIONS : po. (mm)

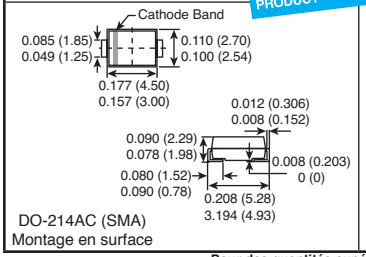

DO-214AC (SMA)
Montage en surface

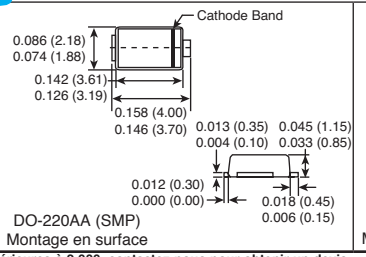

DO-220AA (SMP)
Montage en surface

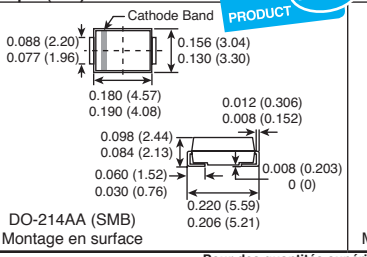

DO-214AA (SMB)
Montage en surface

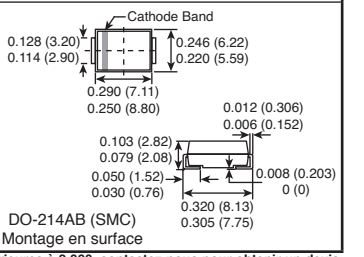

DO-214AB (SMC)
Montage en surface

Pour des quantités supérieures à 2 000, contactez-nous pour obtenir un devis.

Série	Type	Tension nominale	Prix unitaire			
			1	100	500	1000
SMAJ	Unidirectionnel	5.0 - 170	**0,45**	**0,201**	**0,116**	**0,111**
SMAJ	Bidirectionnel	5.0 - 170	**0,49**	**0,217**	**0,15**	**0,12**
SMAJ	Unidirectionnel	530 - 550	**0,61**	**0,338**	**0,293**	**0,293**
TPSMP	Unidirectionnel	6.8 - 7.5	**0,18**	**0,141**	**0,12**	**0,097**
TPSMP	Unidirectionnel	13 - 43	**0,26**	**0,198**	**0,169**	**0,137**
SMBJ	Unidirectionnel	3.3 - 8.0	**0,59**	**0,388**	**0,349**	**0,304**
SMBJ	Bidirectionnel	5.0 - 8.0	**0,47**	**0,398**	**0,398**	**0,347**
SMBJ	Unidirectionnel	8.5 - 11	**0,43**	**0,223**	**0,159**	**0,124**
SMBJ	Bidirectionnel	8.5 - 11	**0,47**	**0,264**	**0,176**	**0,159**
SMBJ	Unidirectionnel	12 - 188	**0,45**	**0,201**	**0,124**	**0,111**
SMBJ	Bidirectionnel	12 - 188	**0,50**	**0,222**	**0,137**	**0,123**

Pour des quantités supérieures à 2 000, contactez-nous pour obtenir un devis.

Série	Type	Tension nominale	Prix unitaire			
			1	100	500	1000
SM6T	Unidirectionnel	6.8 - 7.5	**0,30**	**0,182**	**0,165**	**0,149**
SM6T	Bidirectionnel	6.8 - 7.5	**0,30**	**0,256**	**0,229**	**0,194**
SM6T	Unidirectionnel	10	**0,27**	**0,231**	**0,208**	**0,175**
SM6T	Bidirectionnel	10	**0,30**	**0,256**	**0,229**	**0,194**
SM6T	Unidirectionnel	12 - 220	**0,26**	**0,215**	**0,193**	**0,163**
SM6T	Bidirectionnel	12 - 220	**0,31**	**0,256**	**0,231**	**0,198**
SMCJ	Unidirectionnel	5.0 - 8.0	**0,60**	**0,408**	**0,238**	**0,218**
SMCJ	Bidirectionnel	5.0 - 8.0	**0,64**	**0,446**	**0,252**	**0,23**
SMCJ	Unidirectionnel	8.5 - 17	**0,57**	**0,388**	**0,285**	**0,251**
SMCJ	Bidirectionnel	8.5 - 17	**0,60**	**0,446**	**0,34**	**0,313**

SÉRIE SMAJ 400 WATTS VISHAY

RÉF. STOCK MOUSER				Boîtier	VBR à It			VRWM	IRSM	VRSM
Unidirectionnel		Bidirectionnel			(V)	(V)	(mA)	(V)	(A)	(V)
Fabr.	Réf. fabr.	Fabr.	Réf. fabr.		Min.	Max.			Max.	Max.
625	SMAJ5.0A-E3	625	SMAJ5.0CA-E3	DO-214AC	6.40	7.07	10	5.00	43.5	9.2
625	SMAJ6.0A-E3	625	SMAJ6.0CA-E3	DO-214AC	6.67	7.37	10	6.00	38.8	10.3
625	SMAJ6.5A-E3	625	SMAJ6.5CA-E3	DO-214AC	7.22	7.98	10	6.50	35.7	11.2
625	SMAJ7.0A-E3	625	SMAJ7.0CA-E3	DO-214AC	7.78	8.60	10	7.00	33.3	12.0
625	SMAJ7.5A-E3	625	SMAJ7.5CA-E3	DO-214AC	8.33	9.21	1	7.50	31.0	12.9
625	SMAJ8.0A-E3	625	SMAJ8.0CA-E3	DO-214AC	8.89	9.83	1	8.00	29.4	13.6
625	SMAJ8.5A-E3	625	SMAJ8.5CA-E3	DO-214AC	9.44	10.40	1	8.50	27.8	14.4
625	SMAJ9.0A-E3	625	SMAJ9.0CA-E3	DO-214AC	10.00	11.10	1	9.00	26.0	15.4
625	SMAJ10A-E3	625	SMAJ10CA-E3	DO-214AC	11.10	12.30	1	11.00	23.5	17.0
625	SMAJ12A-E3	625	SMAJ12CA-E3	DO-214AC	13.30	14.70	1	12.00	20.1	19.9
625	SMAJ13A-E3	625	SMAJ13CA-E3	DO-214AC	14.40	15.90	1	13.00	18.6	21.5
625	SMAJ15-E3	625	SMAJ15C-E3	DO-214AC	16.70	20.40	1	15.00	14.9	26.9
625	SMAJ15A-E3	625	SMAJ15CA-E3	DO-214AC	16.70	18.50	1	15.00	16.4	24.4
625	SMAJ16A-E3	625	SMAJ16CA-E3	DO-214AC	17.80	19.70	1	16.00	15.4	26.0
625	SMAJ18A-E3	625	SMAJ18CA-E3	DO-214AC	20.00	22.10	1	18.00	13.7	29.2
625	SMAJ20A-E3	625	SMAJ20CA-E3	DO-214AC	22.20	24.50	1	20.00	12.3	32.4
625	SMAJ22A-E3	625	SMAJ22CA-E3	DO-214AC	24.40	26.90	1	22.00	11.3	35.5
625	SMAJ24-E3	625	SMAJ24C-E3	DO-214AC	26.7	29.5	1	24.00	10.3	38.9
625	SMAJ24A-E3	625	SMAJ24CA-E3	DO-214AC	26.70	29.50	1	24.00	10.3	38.9
625	SMAJ26A-E3	625	SMAJ26CA-E3	DO-214AC	28.90	31.90	1	26.00	9.5	42.1
625	SMAJ28A-E3	625	SMAJ28CA-E3	DO-214AC	31.10	34.40	1	28.00	8.8	45.4
625	SMAJ30A-E3	625	SMAJ30CA-E3	DO-214AC	33.30	36.80	1	30.00	8.3	48.4
625	SMAJ33A-E3	625	SMAJ33CA-E3	DO-214AC	36.70	40.60	1	33.00	7.5	53.3
625	SMAJ36A-E3	625	SMAJ36CA-E3	DO-214AC	40.00	44.20	1	36.00	6.9	58.1
625	SMAJ40A-E3	625	SMAJ40CA-E3	DO-214AC	44.40	49.10	1	40.00	6.2	64.5
625	SMAJ48A-E3	625	SMAJ48CA-E3	DO-214AC	53.30	58.90	1	48.00	5.2	77.4
625	SMAJ51A-E3	625	SMAJ51CA-E3	DO-214AC	56.70	62.70	1	51.00	4.9	82.4
625	SMAJ54A-E3	625	SMAJ54CA-E3	DO-214AC	60.00	66.30	1	54.00	4.6	87.1
625	SMAJ58A-E3	625	SMAJ58CA-E3	DO-214AC	64.40	71.20	1	58.00	4.3	93.6
625	SMAJ60A-E3	625	SMAJ60CA-E3	DO-214AC	66.70	73.70	1	60.00	4.1	96.8
625	SMAJ70A-E3	625	SMAJ70CA-E3	DO-214AC	77.80	86.00	1	70.00	3.5	113.0
625	SMAJ75A-E3	625	SMAJ75CA-E3	DO-214AC	83.30	92.10	1	75.00	3.3	121.0
625	SMAJ100A-E3	625	SMAJ100CA-E3	DO-214AC	111.00	123.00	1	100.00	1.9	162.0
625	SMAJ150A-E3	625	SMAJ150CA-E3	DO-214AC	167.00	185.00	1	150.00	1.2	243.0
625	SMAJ170A-E3	625	SMAJ170CA-E3	DO-214AC	189.00	209.00	1	170.00	1.09	275.0
625	SMAJ530-E3	-	- - - - - - - - -	DO-214AC	530.00	-----	0.1	447.00	-----	-----
625	SMAJ550-E3	-	- - - - - - - - -	DO-214AC	550.00	-----	0.1	495.00	-----	-----

SÉRIE TPSMP 400 WATTS VISHAY [À L'EXCEPTION DE 6,8V (250 WATTS) ET 7,5V (300 WATTS)]

625—TPSMP6.8AHE3	- - - - - - - - - -	DO-220AA	6.45	7.14	10	5.80	23.8	10.5
625—TPSMP13AHE3	- - - - - - - - - -	DO-220AA	12.40	13.70	1	11.10	22.0	18.2
625—TPSMP15AHE3	- - - - - - - - - -	DO-220AA	14.30	15.80	1	12.80	18.9	21.2
625—TPSMP16AHE3	- - - - - - - - - -	DO-220AA	15.20	16.80	1	13.60	17.8	22.5
625—TPSMP18AHE3	- - - - - - - - - -	DO-220AA	17.10	18.90	1	15.30	15.9	25.5
625—TPSMP20AHE3	- - - - - - - - - -	DO-220AA	19.00	21.00	1	17.10	14.4	27.7
625—TPSMP27AHE3	- - - - - - - - - -	DO-220AA	25.70	28.40	1	23.10	10.7	37.5
625—TPSMP33AHE3	- - - - - - - - - -	DO-220AA	31.40	34.70	1	28.20	8.8	45.7

SÉRIE SMBJ 600 WATTS VISHAY

625—SMBJ3V3-E3	- - - - - - - - - -	DO-214AA	4.10	-----	1	3.30	7.3	10.3
625—SMBJ5.0-E3	625—SMBJ5.0C-E3	DO-214AA	6.4	7.82	10	5	62.5	9.6
625—SMBJ5.0A-E3	625—SMBJ5.0CA-E3	DO-214AA	6.40	7.07	10	5.00	65.2	9.2
625—SMBJ6.0A-E3	625—SMBJ6.0CA-E3	DO-214AA	6.67	7.37	10	6.00	58.3	10.3
625—SMBJ6.5A-E3	625—SMBJ6.5CA-E3	DO-214AA	7.22	7.98	10	6.50	53.6	11.2
625—SMBJ7.0A-E3	625—SMBJ7.0CA-E3	DO-214AA	7.78	8.60	10	7.00	50.0	12.0
625—SMBJ7.5A-E3	625—SMBJ7.5CA-E3	DO-214AA	8.33	9.21	1	7.50	46.5	12.9
625—SMBJ8.0A-E3	625—SMBJ8.0CA-E3	DO-214AA	8.89	9.83	1	8.00	44.1	13.6
625—SMBJ8.5A-E3	625—SMBJ8.5CA-E3	DO-214AA	9.44	10.40	1	8.50	41.7	14.4
625—SMBJ9.0A-E3	625—SMBJ9.0CA-E3	DO-214AA	10.00	11.10	1	9.00	39.0	15.4
625—SMBJ10A-E3	625—SMBJ10CA-E3	DO-214AA	11.10	12.30	1	10.00	35.3	17.0
625—SMBJ11A-E3	625—SMBJ11CA-E3	DO-214AA	12.2	13.5	1	11.00	33.0	18.2
625—SMBJ12A-E3	625—SMBJ12CA-E3	DO-214AA	13.30	14.70	1	12.00	30.2	19.9

SÉRIE SMBJ 600 WATTS VISHAY (SUITE)

RÉF. STOCK MOUSER				Boîtier	VBR à It			VRWM	IRSM	VRSM
Unidirectionnel		Bidirectionnel			(V)	(V)	(mA)	(V)	(A)	(V)
Fabr.	Réf. fabr.	Fabr.	Réf. fabr.		Min.	Max.			Max.	Max.
625	SMBJ13A-E3	625	SMBJ13CA-E3	DO-214AA	14.40	15.90	1	13.00	27.9	21.5
625	SMBJ14A-E3	625	SMBJ14CA-E3	DO-214AA	15.60	17.20	1	14.00	25.9	23.2
625	SMBJ15A-E3	625	SMBJ15CA-E3	DO-214AA	16.70	18.50	1	15.00	24.6	24.4
625	SMBJ16A-E3	625	SMBJ16CA-E3	DO-214AA	17.80	19.70	1	16.00	23.1	26.0
625	SMBJ17A-E3	625	SMBJ17CA-E3	DO-214AA	18.90	20.90	1	17.00	21.7	27.6
625	SMBJ18A-E3	625	SMBJ18CA-E3	DO-214AA	20.00	22.10	1	18.00	20.5	29.2
625	SMBJ24A-E3	625	SMBJ24CA-E3	DO-214AA	26.70	29.50	1	24.00	15.4	38.9
625	SMBJ26A-E3	625	SMBJ26CA-E3	DO-214AA	28.90	31.90	1	26.00	14.3	42.1
625	SMBJ28A-E3	625	SMBJ28CA-E3	DO-214AA	31.10	34.40	1	28.00	13.2	45.4
625	SMBJ30A-E3	625	SMBJ30CA-E3	DO-214AA	33.30	36.80	1	30.00	12.4	48.4
625	SMBJ33A-E3	625	SMBJ33CA-E3	DO-214AA	36.70	40.60	1	33.00	11.3	53.3
625	SMBJ36A-E3	625	SMBJ36CA-E3	DO-214AA	40.00	44.20	1	36.00	10.3	58.1
625	SMBJ40A-E3	625	SMBJ40CA-E3	DO-214AA	44.40	49.10	1	40.00	9.3	64.5
625	SMBJ43A-E3	625	SMBJ43CA-E3	DO-214AA	47.80	52.80	1	43.00	8.6	69.4
625	SMBJ45A-E3	625	SMBJ45CA-E3	DO-214AA	50.00	55.30	1	45.00	8.3	72.7
625	SMBJ48A-E3	625	SMBJ48CA-E3	DO-214AA	53.30	58.90	1	48.00	7.8	77.4
625	SMBJ51A-E3	625	SMBJ51CA-E3	DO-214AA	56.70	62.70	1	51.00	7.3	82.4
625	SMBJ54A-E3	625	SMBJ54CA-E3	DO-214AA	60.00	66.30	1	54.00	6.9	87.1
625	SMBJ58A-E3	625	SMBJ58CA-E3	DO-214AA	64.40	71.20	1	58.00	6.4	93.6
625	SMBJ60A-E3	625	SMBJ60CA-E3	DO-214AA	66.70	73.70	1	60.00	6.2	96.8
625	SMBJ64A-E3	625	SMBJ64CA-E3	DO-214AA	71.10	78.60	1	64.00	5.8	103.0
625	SMBJ70A-E3	625	SMBJ70CA-E3	DO-214AA	77.80	86.00	1	70.00	5.3	113.0
625	SMBJ75A-E3	625	SMBJ75CA-E3	DO-214AA	83.30	92.10	1	75.00	5.0	121.0
625	SMBJ78A-E3	625	SMBJ78CA-E3	DO-214AA	86.70	95.80	1	78.00	4.8	126.0
625	SMBJ85A-E3	625	SMBJ85CA-E3	DO-214AA	94.40	104.00	1	85.00	4.4	137.0
625	SMBJ100A-E3	625	SMBJ100CA-E3	DO-214AA	111.00	123.00	1	100.00	3.7	162.0
625	SMBJ120A-E3	625	SMBJ120CA-E3	DO-214AA	133.00	147.00	1	120.00	3.1	193.0
625	SMBJ150A-E3	625	SMBJ150CA-E3	DO-214AA	167.00	185.00	1	150.00	2.5	243.0
625	SMBJ160A-E3	625	SMBJ160CA-E3	DO-214AA	178.00	197.00	1	160.00	2.3	259.0
625	SMBJ170A-E3	625	SMBJ170CA-E3	DO-214AA	189.00	209.00	1	170.00	2.2	275.0
625	SMBJ188A-E3	625	SMBJ188CA-E3	DO-214AA	209.00	231.00	1	188.00	2.0	328.0

SÉRIE SM6T 600 WATTS VISHAY

625—SM6T6V8A-E3	625—SM6T68CA-E3	DO-214AA	6.45	7.14	10	5.80	57.0	10.5
625—SM6T7V5A-E3	625—SM6T7V5CA-E3	DO-214AA	7.13	7.88	10	6.40	53.0	11.3
625—SM6T10A-E3	625—SM6T10CA-E3	DO-214AA	9.50	10.50	1	8.55	41.0	14.5
625—SM6T15A-E3	625—SM6T15CA-E3	DO-214AA	14.30	15.80	1	12.80	28.0	21.2
625—SM6T18A-E3	625—SM6T18CA-E3	DO-214AA	17.10	18.90	1	15.30	24.0	25.2
625—SM6T22A-E3	625—SM6T22CA-E3	DO-214AA	20.90	23.10	1	18.80	20.0	30.6
625—SM6T24A-E3	625—SM6T24CA-E3	DO-214AA	22.80	25.20	1	20.50	18.0	33.2
625—SM6T27A-E3	625—SM6T27CA-E3	DO-214AA	25.70	28.40	1	23.10	16.0	37.5
625—SM6T33A-E3	625—SM6T33CA-E3	DO-214AA	31.40	34.70	1	28.20	13.1	45.7
625—SM6T39A-E3	625—SM6T39CA-E3	DO-214AA	37.10	41.00	1	33.30	11.1	53.9
625—SM6T100A-E3	625—SM6T100CA-E3	DO-214AA	95.00	105.00	1	85.50	4.4	137.0
625—SM6T150A-E3	625—SM6T150CA-E3	DO-214AA	143.00	158.00	1	128.00	2.9	207.0
625—SM6T200A-E3	625—SM6T200CA-E3	DO-214AA	190.00	210.00	1	171.00	2.2	274.0
625—SM6T220A-E3	625—SM6T220CA-E3	DO-214AA	209.00	231.00	1	188.00	2.0	328.0

SÉRIE SM15T À 1500 WATTS VISHAY

625—SMCJ5.0A-E3	625—SMCJ5.0CA-E3	DO-214AB	6.40	7.07	10	5.00	163.0	9.2
625—SMCJ6.0A-E3	625—SMCJ6.0CA-E3	DO-214AB	6.67	7.37	10	6.00	145.6	10.3
625—SMCJ6.5A-E3	625—SMCJ6.5CA-E3	DO-214AB	7.22	7.98	10	6.50	133.9	11.2
625—SMCJ7.0A-E3	625—SMCJ7.0CA-E3	DO-214AB	7.78	8.60	10	7.00	125.0	12.0
625—SMCJ8.0A-E3	625—SMCJ8.0CA-E3	DO-214AB	8.89	9.83	1	8.00	110.3	13.6
625—SMCJ8.5A-E3	625—SMCJ8.5CA-E3	DO-214AB	9.44	10.40	1	8.50	104.2	14.4
625—SMCJ9.0A-E3	625—SMCJ9.0CA-E3	DO-214AB	10.00	11.10	1	9.00	97.4	15.4
625—SMCJ10A-E3	625—SMCJ10CA-E3	DO-214AB	11.10	12.30	1	10.00	88.2	17.0
625—SMCJ12A-E3	625—SMCJ12CA-E3	DO-214AB	13.30	14.70	1	12.00	75.4	19.9
625—SMCJ13A-E3	625—SMCJ13CA-E3	DO-214AB	14.40	15.90	1	13.00	69.8	21.5
625—SMCJ14A-E3	625—SMCJ14CA-E3	DO-214AB	15.60	17.20	1	14.00	64.7	23.2
625—SMCJ15A-E3	625—SMCJ15CA-E3	DO-214AB	16.70	18.50	1	15.00	61.5	24.4
625—SMCJ16A-E3	625—SMCJ16CA-E3	DO-214AB	17.80	19.70	1	16.00	57.7	26.0

© Copyright 2012 Mouser Electronics
© Copyright 2012 Mouser Electronics

Parasurtenseurs VISHAY

RoHS Compliant **This product is RoHS compliant.**

DIMENSIONS : po. (mm)

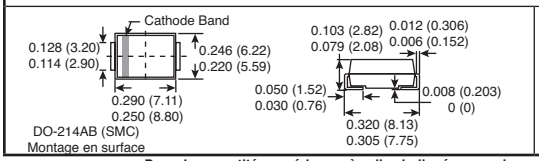

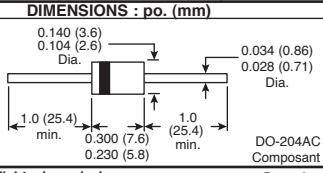

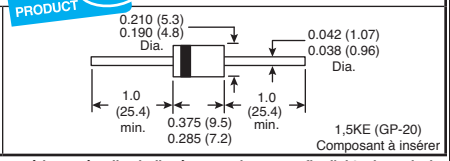

Pour des quantités supérieures à celles indiquées, appelez-nous afin d'obtenir un devis.

Série	Type	Plage de tension	Prix unitaire 1	100	500	1000
SMCJ	Unidirectionnel	18 - 20	**0,57**	**0,388**	**0,285**	**0,251**
SMCJ	Bidirectionnel	18 - 20	**0,60**	**0,446**	**0,34**	**0,313**
SMCJ	Unidirectionnel	22 - 26	**0,57**	**0,388**	**0,285**	**0,251**
SMCJ	Bidirectionnel	22 - 26	**0,64**	**0,479**	**0,367**	**0,337**
SMCJ	Unidirectionnel	30 - 188	**0,57**	**0,388**	**0,285**	**0,251**
SMCJ	Bidirectionnel	30 - 188	**0,60**	**0,446**	**0,34**	**0,313**
SM15T	Unidirectionnel	10 - 22	**0,47**	**0,404**	**0,357**	**0,293**
SM15T	Bidirectionnel	10 - 22	**0,60**	**0,512**	**0,455**	**0,374**
SM15T	Unidirectionnel	24 - 68	**0,50**	**0,429**	**0,385**	**0,316**
SM15T	Bidirectionnel	24 - 68	**0,60**	**0,512**	**0,455**	**0,374**
SA	Unidirectionnel	5.0 - 75	**0,27**	**0,267**	**0,267**	**0,267**
SA	Bidirectionnel	5.0 - 75	**0,31**	**0,298**	**0,298**	**0,298**
SAC	Unidirectionnel	5.0 - 10	**0,51**	**0,507**	**0,507**	**0,507**
SAC	Unidirectionnel	12 - 50	**0,51**	**0,507**	**0,507**	**0,507**

Pour des quantités supérieures à celles indiquées, appelez-nous afin d'obtenir un devis.

Série	Type	Plage de tension	Prix unitaire 1	100	500	1000
P6KE	Unidirectionnel	6.8 - 9.1	**0,26**	**0,223**	**0,199**	**0,158**
P6KE	Bidirectionnel	6.8 - 9.1	**0,33**	**0,272**	**0,247**	**0,196**
P6KE	Unidirectionnel	10 - 22	**0,26**	**0,223**	**0,199**	**0,158**
P6KE	Bidirectionnel	10 - 22	**0,33**	**0,272**	**0,247**	**0,196**
P6KE	Unidirectionnel	24 - 220	**0,26**	**0,223**	**0,199**	**0,158**
P6KE	Bidirectionnel	24 - 220	**0,33**	**0,272**	**0,247**	**0,196**
1,5KE	Unidirectionnel	6.8 - 9.1	**0,47**	**0,396**	**0,332**	**0,285**
1,5KE	Bidirectionnel	6.8 - 9.1	**0,60**	**0,446**	**0,34**	**0,313**
1,5KE	Unidirectionnel	10 - 22	**0,47**	**0,396**	**0,332**	**0,285**
1,5KE	Bidirectionnel	10 - 22	**0,60**	**0,446**	**0,34**	**0,313**
1,5KE	Unidirectionnel	24 - 220	**0,47**	**0,396**	**0,332**	**0,285**
1,5KE	Bidirectionnel	24 - 220	**0,60**	**0,446**	**0,34**	**0,313**
1,5KE	Unidirectionnel	300	**1,22**	**1,02**	**0,85**	**0,733**
1,5KE	Bidirectionnel	300	**1,03**	**0,866**	**0,722**	**0,619**
1,5KE	Unidirectionnel	440	**1,22**	**1,02**	**0,85**	**0,733**
1,5KE	Bidirectionnel	440	**1,88**	**1,58**	**1,31**	**1,13**

SÉRIE SMCJ 1500 WATTS VISHAY (SUITE)

RÉF. STOCK MOUSER Unidirectionnel Fabr.	Réf. fabr.	Bidirectionnel Fabr.	Réf. fabr.	Boîtier	VBR à It (V) Min.	(V) Max.	(mA)	VRWM (V)	IRSM (A) Max.	VRSM (V) Max.
625—	SMCJ18A-E3	625—	SMCJ18CA-E3	DO-214AB	20.00	22.10	1	18.00	51.4	29.2
625—	SMCJ20A-E3	625—	SMCJ20CA-E3	DO-214AB	22.20	24.50	1	20.00	46.3	32.4
625—	SMCJ22A-E3	625—	SMCJ22CA-E3	DO-214AB	24.40	26.90	1	22.00	42.3	35.5
625—	SMCJ24A-E3	625—	SMCJ24CA-E3	DO-214AB	26.70	29.50	1	24.00	38.6	38.9
625—	SMCJ26A-E3	625—	SMCJ26CA-E3	DO-214AB	28.90	31.90	1	26.00	35.6	42.1
625—	SMCJ30A-E3	625—	SMCJ30CA-E3	DO-214AB	33.30	36.80	1	30.00	31.0	48.4
625—	SMCJ33A-E3	625—	SMCJ33CA-E3	DO-214AB	36.70	40.60	1	33.00	28.1	53.3
625—	SMCJ36A-E3	625—	SMCJ36CA-E3	DO-214AB	40.00	44.20	1	36.00	25.8	58.1
625—	SMCJ40A-E3	625—	SMCJ40CA-E3	DO-214AB	44.40	49.10	1	40.00	23.3	64.5
625—	SMCJ28A-E3	625—	SMCJ28CA-E3	DO-214AB	31.10	34.40	1	28.00	33.0	45.4
625—	SMCJ43A-E3	625—	SMCJ43CA-E3	DO-214AB	47.80	52.80	1	43.00	21.6	69.4
625—	SMCJ45A-E3	625—	SMCJ45CA-E3	DO-214AB	50.00	55.30	1	45.00	20.6	72.7
625—	SMCJ48A-E3	625—	SMCJ48CA-E3	DO-214AB	53.30	58.90	1	48.00	19.4	77.4
625—	SMCJ51A-E3	625—	SMCJ51CA-E3	DO-214AB	56.70	62.70	1	51.00	18.2	82.4
625—	SMCJ54A-E3	625—	SMCJ54CA-E3	DO-214AB	60.00	66.30	1	54.00	17.2	87.1
625—	SMCJ58A-E3	625—	SMCJ58CA-E3	DO-214AB	64.40	71.20	1	58.00	16.0	93.0
625—	SMCJ60A-E3	625—	SMCJ60CA-E3	DO-214AB	66.70	73.70	1	60.00	15.5	96.0
625—	SMCJ70A-E3	625—	SMCJ70CA-E3	DO-214AB	77.80	86.00	1	70.00	13.3	113.0
625—	SMCJ75A-E3	625—	SMCJ75CA-E3	DO-214AB	83.30	92.10	1	75.00	12.4	121.0
625—	SMCJ78A-E3	625—	SMCJ78CA-E3	DO-214AB	86.70	95.80	1	78.00	11.9	126.0
625—	SMCJ85A-E3	625—	SMCJ85CA-E3	DO-214AB	94.40	104.00	1	85.00	10.9	137.0
625—	SMCJ100A-E3	625—	SMCJ100CA-E3	DO-214AB	111.00	123.00	1	100.00	9.3	162.0
625—	SMCJ110A-E3	625—	SMCJ110CA-E3	DO-214AB	122.00	135.00	1	110.00	8.5	177.0
625—	SMCJ120A-E3	625—	SMCJ120CA-E3	DO-214AB	133.00	147.00	1	120.00	7.8	193.0
625—	SMCJ130A-E3	625—	SMCJ130CA-E3	DO-214AB	144.00	159.00	1	130.00	7.2	209.0
625—	SMCJ150A-E3	625—	SMCJ150CA-E3	DO-214AB	167.00	185.00	1	150.00	6.2	243.0
625—	SMCJ188A-E3	625—	SMCJ188CA-E3	DO-214AB	209.00	231.00	1	188.00	4.6	328.0

SÉRIE SM15T 1500 WATTS VISHAY

625—	SM15T10A-E3	625—	SM15T10CA-E3	DO-214AB	9.50	10.50	1	8.55	103.0	14.5
625—	SM15T12A-E3	625—	SM15T12CA-E3	DO-214AB	11.40	12.60	1	10.20	90.0	16.7
625—	SM15T15A-E3	625—	SM15T15CA-E3	DO-214AB	14.30	15.80	1	12.80	71.0	21.2
625—	SM15T18A-E3	625—	SM15T18CA-E3	DO-214AB	17.10	18.90	1	15.30	59.5	25.2
625—	SM15T22A-E3	625—	SM15T22CA-E3	DO-214AB	20.90	23.10	1	18.80	49.0	30.6
625—	SM15T24A-E3	625—	SM15T24CA-E3	DO-214AB	22.80	25.20	1	20.50	45.0	33.2
625—	SM15T27A-E3	625—	SM15T27CA-E3	DO-214AB	25.70	28.40	1	23.10	40.0	37.5
625—	SM15T30A-E3	625—	SM15T30CA-E3	DO-214AB	28.50	31.50	1	25.60	36.0	41.5
625—	SM15T33A-E3	625—	SM15T33CA-E3	DO-214AB	31.40	34.70	1	28.20	33.0	45.7
625—	SM15T36A-E3	625—	SM15T36CA-E3	DO-214AB	34.20	37.80	1	30.80	30.0	49.9
625—	SM15T39A-E3	625—	SM15T39CA-E3	DO-214AB	37.10	41.00	1	33.30	28.0	53.9
625—	SM15T68A-E3	625—	SM15T68CA-E3	DO-214AB	64.60	71.40	1	58.10	16.3	92.0

SÉRIE SA 500 WATTS VISHAY

625—	SA5.0A-E3/54	625—	SA5.0CA-E3/54	DO-204AC	6.40	7.00	10	5.00	54.3	9.2
625—	SA6.5A-E3/54	625—	SA6.5CA-E3/54	DO-204AC	7.22	7.98	10	6.50	44.70	11.2
625—	SA10A-E3/54	625—	SA10CA-E3/54	DO-204AC	11.10	12.30	1	10.00	29.4	17.0
625—	SA12A-E3/54	625—	SA12CA-E3/54	DO-204AC	13.30	14.70	1	12.00	25.1	19.9
625—	SA13A-E3/54	625—	SA13CA-E3/54	DO-204AC	14.40	15.90	1	13.00	23.3	21.5
625—	SA15A-E3/54	625—	SA15CA-E3/54	DO-204AC	16.70	18.50	1	15.00	20.5	24.4
625—	SA20A-E3/54	625—	SA20CA-E3/54	DO-204AC	22.20	24.50	1	20.00	15.4	32.4
625—	SA24A-E3/54	625—	SA24CA-E3/54	DO-204AC	26.70	29.50	1	24.00	12.9	38.9
625—	SA28A-E3/54	625—	SA28CA-E3/54	DO-204AC	31.10	34.40	1	28.00	11.0	45.4
625—	SA30A-E3/54	625—	SA30CA-E3/54	DO-204AC	33.30	36.80	1	30.00	10.0	48.4
625—	SA36A-E3/54	625—	SA36CA-E3/54	DO-204AC	40.00	44.20	1	36.00	8.6	58.1

SÉRIE SAC 500 WATTS (FAIBLE CAPACITÉ) VISHAY

625—	SAC5.0-E3/54	----------	DO-204AC	7.60	300.00	10.0	44.0	75.0	100
625—	SAC6.0-E3/54	----------	DO-204AC	7.90	300.00	11.2	41.0	75.0	100
625—	SAC7.0-E3/54	----------	DO-204AC	8.33	300.00	12.6	38.0	75.0	100
625—	SAC8.5-E3/54	----------	DO-204AC	9.44	50.00	14.0	34.0	75.0	100
625—	SAC10-E3/54	----------	DO-204AC	11.10	5.00	16.3	29.0	75.0	100
625—	SAC12-E3/54	----------	DO-204AC	13.30	5.00	19.0	25.0	75.0	100
625—	SAC18-E3/54	----------	DO-204AC	20.00	5.00	28.8	15.0	75.0	100
625—	SAC22-E3/54	----------	DO-204AC	24.40	5.00	35.4	14.0	75.0	100
625—	SAC26-E3/54	----------	DO-204AC	28.90	5.00	42.3	11.1	75.0	100
625—	SAC30-E3/54	----------	DO-204AC	33.30	5.00	48.6	10.0	75.0	100
625—	SAC36-E3/54	----------	DO-204AC	40.00	5.00	60.0	8.6	75.0	100

SÉRIE SAC 500 WATTS (FAIBLE CAPACITÉ) VISHAY (SUITE)

RÉF. STOCK MOUSER Unidirectionnel Fabr.	Réf. fabr.	Bidirectionnel Fabr.	Réf. fabr.	Boîtier	VBR à It (V) Min.	(V) Max.	(mA)	VRWM (V)	IRSM (A) Max.	VRSM (V) Max.
625—	SAC45-E3/54	----------		DO-204AC	50.00	5.00	77.0	6.8	150	200
625—	SAC50-E3/54	----------		DO-204AC	55.50	5.00	88.0	5.8	150.0	200

SÉRIE P6KE 600 WATTS VISHAY

625—P6KE6.8A-E3	625—P6KE6.8CA-E3	DO-204AC	6.45	7.14	10	5.80	57.4	10.5
625—P6KE7.5A-E3	625—P6KE7.5CA-E3	DO-204AC	7.13	7.88	1	6.40	53.1	11.3
625—P6KE8.2A-E3	625—P6KE8.2CA-E3	DO-204AC	7.79	8.61	1	7.02	49.6	12.1
625—P6KE9.1A-E3	625—P6KE9.1CA-E3	DO-204AC	8.65	9.55	1	7.78	44.8	13.4
625—P6KE10A-E3	625—P6KE10CA-E3	DO-204AC	9.50	10.50	1	8.55	41.4	14.5
625—P6KE12A-E3	625—P6KE12CA-E3	DO-204AC	11.40	12.60	1	10.20	35.9	16.7
625—P6KE13A-E3	625—P6KE13CA-E3	DO-204AC	12.40	13.70	1	11.10	33.0	18.2
625—P6KE15A-E3	625—P6KE15CA-E3	DO-204AC	14.30	15.80	1	12.80	28.3	21.2
625—P6KE16A-E3	625—P6KE16CA-E3	DO-204AC	15.20	16.80	1	13.60	26.7	22.5
625—P6KE18A-E3	625—P6KE18CA-E3	DO-204AC	17.10	18.90	1	15.30	23.8	25.2
625—P6KE20A-E3	625—P6KE20CA-E3	DO-204AC	19.00	21.00	1	17.10	21.7	27.7
625—P6KE22A-E3	625—P6KE22CA-E3	DO-204AC	20.90	23.10	1	18.80	19.6	30.6
625—P6KE24A-E3	625—P6KE24CA-E3	DO-204AC	22.80	25.20	1	20.50	18.1	33.2
625—P6KE27A-E3	625—P6KE27CA-E3	DO-204AC	25.70	28.40	1	23.10	16.0	37.5
625—P6KE30A-E3	625—P6KE30CA-E3	DO-204AC	28.50	31.50	1	25.60	14.5	41.4
625—P6KE33A-E3	625—P6KE33CA-E3	DO-204AC	31.40	34.70	1	26.20	13.1	45.7
625—P6KE36A-E3	625—P6KE36CA-E3	DO-204AC	34.20	37.80	1	30.80	12.0	49.9
625—P6KE39A-E3	625—P6KE39CA-E3	DO-204AC	37.10	41.00	1	33.30	11.1	53.9
625—P6KE47A-E3	625—P6KE47CA-E3	DO-204AC	44.70	49.40	1	40.20	9.3	64.8
625—P6KE51A-E3	625—P6KE51CA-E3	DO-204AC	48.50	53.60	1	43.60	8.6	70.1
625—P6KE68A-E3	625—P6KE68CA-E3	DO-204AC	64.60	71.40	1	58.10	6.5	92.0
625—P6KE100A-E3	625—P6KE100CA-E3	DO-204AC	95.00	105.00	1	85.50	4.4	137.0
625—P6KE150A-E3	625—P6KE150CA-E3	DO-204AC	143.00	158.00	1	128.00	2.9	207.0
625—P6KE200A-E3	625—P6KE200CA-E3	DO-204AC	190.00	210.00	1	171.00	2.2	274.0
625—P6KE220A-E3	625—P6KE220CA-E3	DO-204AC	209.00	231.00	1	185.00	1.8	328.0

SÉRIE 1.5KE DE 1500 WATTS VISHAY

625—1.5KE6.8A-E3	625—1.5KE6.8CA-E3	GP-20	6.45	7.14	10	5.80	143.0	10.5
625—1.5KE7.5A-E3	625—1.5KE7.5CA-E3	GP-20	7.13	7.88	10	6.40	133.0	11.3
625—1.5KE8.2A-E3	625—1.5KE8.2CA-E3	GP-20	7.79	8.61	10	7.02	124.0	12.1
625—1.5KE9.1A-E3	625—1.5KE9.1CA-E3	GP-20	8.65	9.55	1	7.78	112.0	13.4
625—1.5KE10A-E3	625—1.5KE10CA-E3	GP-20	9.50	10.50	1	8.55	103.0	14.5
625—1.5KE12A-E3	625—1.5KE12CA-E3	GP-20	11.40	12.60	1	10.20	89.9	16.7
625—1.5KE13A-E3	625—1.5KE13CA-E3	GP-20	12.40	13.70	1	11.10	82.4	18.2
625—1.5KE15A-E3	625—1.5KE15CA-E3	GP-20	14.30	15.80	1	12.80	70.8	21.2
625—1.5KE16A-E3	625—1.5KE16CA-E3	GP-20	15.20	16.80	1	13.60	66.7	22.5
625—1.5KE18A-E3	625—1.5KE18CA-E3	GP-20	17.10	18.90	1	15.30	59.5	26.2
625—1.5KE20A-E3	625—1.5KE20CA-E3	GP-20	19.00	21.00	1	17.10	54.2	27.7
625—1.5KE22A-E3	625—1.5KE22CA-E3	GP-20	20.90	23.10	1	18.80	49.0	30.6
625—1.5KE24A-E3	625—1.5KE24CA-E3	GP-20	22.80	25.20	1	20.50	45.2	33.2
625—1.5KE27A-E3	625—1.5KE27CA-E3	GP-20	25.70	28.40	1	23.10	40.0	37.5
625—1.5KE30A-E3	625—1.5KE30CA-E3	GP-20	28.50	31.50	1	25.60	36.2	41.4
625—1.5KE33A-E3	625—1.5KE33CA-E3	GP-20	31.40	34.70	1	28.20	32.8	45.7
625—1.5KE36A-E3	625—1.5KE36CA-E3	GP-20	34.20	37.80	1	30.80	30.1	49.9
625—1.5KE39A-E3	625—1.5KE39CA-E3	GP-20	37.10	41.00	1	33.30	27.8	53.9
625—1.5KE43A-E3	625—1.5KE43CA-E3	GP-20	40.90	45.20	1	36.80	25.3	59.3
625—1.5KE51A-E3	625—1.5KE51CA-E3	GP-20	48.50	53.60	1	43.60	21.4	70.1
625—1.5KE56A-E3	625—1.5KE56CA-E3	GP-20	50.40	61.80	1	45.40	18.6	80.5
625—1.5KE62A-E3	625—1.5KE62CA-E3	GP-20	58.90	65.10	1	53.00	17.6	85.0
625—1.5KE68A-E3	625—1.5KE68CA-E3	GP-20	64.60	71.40	1	58.10	16.3	92.0
625—1.5KE75A-E3	625—1.5KE75CA-E3	GP-20	67.50	82.50	1	60.70	13.9	109.0
625—1.5KE91A-E3	625—1.5KE91CA-E3	GP-20	86.50	95.50	1	77.80	12.0	125.0
625—1.5KE100A-E3	625—1.5KE100CA-E3	GP-20	95.00	105.00	1	85.50	10.9	137.0
625—1.5KE120A-E3	625—1.5KE120CA-E3	GP-20	114.00	126.00	1	102.00	9.1	165.0
625—1.5KE150A-E3	625—1.5KE150CA-E3	GP-20	143.00	158.00	1	128.00	7.2	207.0
625—1.5KE160A-E3	625—1.5KE160CA-E3	GP-20	144.00	176.00	1	130.00	6.5	230.0
625—1.5KE180A-E3	625—1.5KE180CA-E3	GP-20	171.00	189.00	1	154.00	6.1	246.0
625—1.5KE200A-E3	625—1.5KE200CA-E3	GP-20	190.00	210.00	1	171.00	5.5	274.0
625—1.5KE220A-E3	625—1.5KE220CA-E3	GP-20	209.00	231.00	1	185.00	4.6	328.0
625—1.5KE300A-E3	625—1.5KE300CA-E3	GP-20	285.00	315.00	1	256.00	3.6	414.0
625—1.5KE440A-E3	625—1.5KE440CA-E3	GP-20	396.00	484.00	1	356.00	2.4	631.0

© Copyright 2012 Mouser Electronics

© Copyright 2012 Mouser Electronics